

АКАДЕМИЯ НАУК СССР
ИНСТИТУТ НАУЧНОЙ ИНФОРМАЦИИ

REFEРАТ

✓ (CB)

РЕФЕРАТИВНЫЙ
ЖУРНАЛ

Chem
QD

R33

1958

638-76136

ХИМИЯ

РЕФЕРАТЫ

69638—72866

UNIVERSITY
OF MICHIGAN

DEC 3 - 1958

CHEMISTRY
LIBRARY

*

№ 21

1958

ИЗДАТЕЛЬСТВО АКАДЕМИИ НАУК СССР
МОСКВА

РЕФЕРАТИВНЫЙ ЖУРНАЛ ХИМИЯ

ГЛАВНЫЙ РЕДАКТОР **В. В. Серпинский**

ЧЛЕНЫ РЕДАКЦИИ: **Д. А. Вочар, В. В. Кафаров, В. Л. Кротович,**

Д. Н. Курсанов, Е. С. Топчиев, Н. А. Фукс

УЧЕБНЫЙ СЕКРЕТАРЬ **Е. А. Терентьева**

СОДЕРЖАНИЕ

ОБЩИЕ ВОПРОСЫ	1	Элементы Окислы, Минеральные кислоты, основания, соли	
ФИЗИЧЕСКАЯ ХИМИЯ		Удобрения	
Общие вопросы	5	Люминесцентные материалы	
Некоторые вопросы субатомного строения вещества	5	Производство катализаторов и сорбентов	
Атом	6	Электрохимические производства. Электроосаждение. Химические источники тока	
Молекула. Химическая связь	8	Керамика. Стекло. Вяжущие вещества. Бетоны	
Кристаллы	26	Получение и разделение газов	
Жидкости. Аморфные тела. Газы	38	Промышленный органический синтез	
Радиохимия. Изотопы	40	Промышленный синтез красителей	
Термодинамика. Термохимия. Равновесия. Физико-химический анализ. Фазовые переходы	44	Лекарственные вещества. Витамины. Антибиотики	
Кинетика. Горение. Взрывы. Топохимия. Катализ	55	Пестициды	
Радиационная химия. Фотохимия. Теория фототрофического процесса	66	Душистые вещества. Эфирные масла. Парфюмерия и косметика	
Растворы. Теория кислот и оснований	70	Фотографические материалы	
Электрохимия	72	Взрывчатые вещества. Пиротехнические составы. Средства химической защиты	
Поверхностные явления. Адсорбция. Хромотография. Ионный обмен	81	Переработка твердых горючих ископаемых	
Химия коллоидов. Дисперсные системы	83	Переработка природных газов и нефти. Моторное и ракетное топливо. Смазки	
НЕОРГАНИЧЕСКАЯ ХИМИЯ. КОМПЛЕКСНЫЕ СОЕДИНЕНИЯ	84	Лесохимические производства. Гидролизная промышленность	
КОСМОХИМИЯ. ГЕОХИМИЯ, ГИДРОХИМИЯ	93	Жиры и масла. Воски. Мыла. Моющие средства. Флотореагенты	
АНАЛИТИЧЕСКАЯ ХИМИЯ		Углеводы и их переработка	
Общие вопросы	109	Бродильная промышленность	
Анализ неорганических веществ	111	Пищевая промышленность	
Анализ органических веществ	134	Синтетические полимеры. Пластмассы	
ОБОРУДОВАНИЕ ЛАБОРАТОРИЙ. ПРИБОРЫ, ИХ ТЕОРИЯ, КОНСТРУКЦИЯ, ПРИМЕНЕНИЕ	142	Лаки. Краски. Лакокрасочные покрытия	
ОРГАНИЧЕСКАЯ ХИМИЯ		Каучук натуральный и синтетический. Резина	
Общие и теоретические вопросы органической химии	151	Искусственные и синтетические волокна	
Синтетическая органическая химия	165	Целлюлоза и ее производные. Бумага	
Природные вещества и их синтетические аналоги	209	Крашение и химическая обработка текстильных материалов	
ХИМИЧЕСКАЯ ТЕХНОЛОГИЯ. ХИМИЧЕСКИЕ ПРОДУКТЫ И ИХ ПРИМЕНЕНИЕ		Кожа. Мех. Желатина. Дубители. Технические бальки	
Общие вопросы	239	ХИМИЯ ВЫСОКОМОЛЕКУЛЯРНЫХ ВЕЩЕСТВ	
Процессы и аппараты химической технологии	239	НОВЫЕ КНИГИ, ПОСТУПИВШИЕ В РЕДАКЦИЮ	
Контрольно-измерительные приборы. Автоматическое регулирование	250	АВТОРСКИЙ УКАЗАТЕЛЬ	
Коррозия. Защита от коррозии	254	УКАЗАТЕЛЬ ДЕРЖАТЕЛЕЙ ПАТЕНТОВ	
Подготовка воды. Сточные воды	266		
Техника безопасности. Санитарная техника	272		
Химико-технологические вопросы ядерной техники	277		

Адрес редакции: Москва, Д-219, Балтийский поселок, д. 42-Б

REFERATIVNYI ZHURNAL KHIMIYA

EDITOR: *V. V. Serpinsky*

EDITORIAL BOARD: *D. A. Bochvar, V. V. Kafarov, W. L. Kretovich,
D. N. Kursanov, K. S. Topchiev, N. A. Fuchs*

EXECUTIVE SECRETARY *E. A. Terentjeva*

CONTENTS

GENERAL PHYSICAL CHEMISTRY

General
Some Subatomic Phenomena
Atom
Molecule Chemical Bond
Crystals
Liquids. Amorphous Substances. Gases
Radiochemistry. Isotopes
Thermodynamics. Thermochemistry. Equilibria
Physico-Chemical Analysis. Phase Transitions
Kinetics. Combustion. Explosions. Topochemistry.
Catalysis
Radiation Chemistry. Photochemistry. Theory of
Photographic Process
Solutions. Theory of Acids and Bases
Electrochemistry
Surface Phenomena. Adsorption. Chromatography.
Ion Exchange
Colloid Chemistry. Disperse Systems

INORGANIC CHEMISTRY. COMPLEX COMPOUNDS

COSMOCHEMISTRY. GEOCHEMISTRY. HYDROCHEMISTRY

ANALYTICAL CHEMISTRY

General
Analysis of Inorganic Substances
Analysis of Organic Substances

LABORATORY EQUIPMENT. INSTRUMENTATION

ORGANIC CHEMISTRY

Theoretical Organic Chemistry
Organic Synthesis
Natural Compounds and Their Synthetic Analogues

CHEMICAL TECHNOLOGY. CHEMICAL PRODUCTS AND THEIR APPLICATIONS

General
Chemical Engineering
Instruments and Automation
Corrosion. Corrosion Control
Water Treatment. Sewage
Safety and Sanitation

Chemical and Technological Aspects of the
Nuclear Industry

Elements. Oxydes. Mineral Acids, Bases, Salts

Fertilizers

Luminescent Materials

Catalysts and Sorbents

Electrochemical Industries. Electroplating. Galvanic
Cells

Ceramics. Glass. Binding Materials. Concrete

Production and Separation of Gases

Industrial Organic Synthesis

Industrial Synthesis of Dyes

Pharmaceuticals. Vitamines. Antibiotics

Pesticides

Perfumes and Cosmetics. Essential Oils

Photographic Materials

Explosives. Pyrotechnical Compounds. Chemical
Defence Agents

Chemical Processing of Solid Fossil Fuels

Chemical Processing of Natural Gases and Petroleum.
Motor and Rocket Fuels. Lubricants

Chemical Wood Products. Hydrolysis Industry

Fats and Oils. Waxes. Soaps and Detergents.
Flotation Agents

Carbohydrates and Their Processing

Fermentation Industry

Food Industry

Synthetic Polymers. Plastics

Lacquers. Paints. Coatings

Caoutchouc, Natural and Synthetic. Rubber

Artificial and Synthetic Fibres

Cellulose and Its Derivatives. Paper

Dyeing and Chemical Treatment of Textile Materials

Leather. Fur. Gelatine. Tanning Materials. Industrial
Proteins

HIGH POLYMER CHEMISTRY

NEW BOOKS

AUTHOR INDEX

INDEX OF PATENTEEES

69638. С

Постан
тября 1
№ 250,
Пленум
1959 года
дня: «Кон
ства СССР
69639. М

ускорен
пром-ст

69640. П

одна из
доч. М
9—21

69641. У

ленност
гресса
Стандар

69642. Р

дачи хи
хим. ж.

69643. Э

ленност
Коммун

69644. В

ность в
Казахст

69645. В

тически
№ 6, 13

69646. А

хими.
ral heri

Sci. Rev
Краткий

начальное
в эпоху и

Приведен
тем же п

69647. Н

Алиев
ия-та, 1

Историч
времен).

байджанс

РЕФЕРАТИВНЫЙ ЖУРНАЛ ХИМИЯ

Рефераты 69638—72866

№ 21

10 ноября 1958 г.

I

(Рефераты 69638—70727)

ОБЩИЕ ВОПРОСЫ

МЕТОДОЛОГИЯ. ИСТОРИЯ. НАУЧНЫЕ УЧРЕЖДЕНИЯ И КОНФЕРЕНЦИИ. ПРЕПОДАВАНИЕ.
ВОПРОСЫ БИБЛИОГРАФИИ И НАУЧНОЙ ДОКУМЕНТАЦИИ

Редактор Д. И. Тумаркин

69638. О созыве внеочередного XXI съезда КПСС. Постановление Пленума ЦК КПСС, принятое 5 сентября 1958 года. Газета «Правда», 1958, 7 сентября, № 250, 1

Пленум ЦК КПСС постановил созвать 27 января 1959 года внеочередной XXI съезд КПСС с повесткой дня: «Контрольные цифры развития народного хозяйства СССР на 1959—1965 гг.»

69639. Развивать химическую промышленность ускоренными темпами. Уваров Г. В., Хим. пром-сть, 1958, № 4, 197—200

69640. Развитие химической промышленности — одна из важнейших хозяйственно-политических задач. Мезенцев В., Вопр. экономики, 1958, № 6, 9—21

69641. Ускоренное развитие химической промышленности — важнейший фактор технического прогресса народного хозяйства. Поволоцкий Л. И., Стандартизация, 1958, № 3, 3—6

69642. Решения майского пленума ЦК КПСС и задачи химиков Украины. Киприанов А. И., Укр. хим. ж., 1958, 24, № 3, 287—291

69643. За ускоренное развитие химической промышленности в республике [Молд. ССР]. Демин М., Коммунист Молдавии, 1958, № 6, 8—11

69644. Всемерно развивать химическую промышленность в республике. Подъячев Ю., Народное х-во Казахстана, [КазССР], 1958, № 5, 22—28

69645. Всемерно развивать промышленность синтетических материалов. Бушнев В., План. х-во, 1958, № 6, 13—26

69646. Алхимия как часть культурного наследия химии. Шепард (Alchemy: its part in the cultural heritage of chemistry. Sheppard H. J.), School Sci. Rev., 1957, 38, № 135, 204—211 (англ.)

Краткий очерк по истории периодам (зарождение и начальное развитие; переходный период — алхимия в эпоху ислама; алхимия в Европе; упадок алхимии). Приведен рекомендательный список литературы по тем же периодам. Д. Т.

69647. К истории лекарствоведения в Азербайджане. Алиев Р. К., Дамиров И. А., Сб. тр. Азерб. мед. ин-та, 1957, 4, 85—94

Исторический очерк (от древних времен до нашего времени). Приведен ряд сведений из сочинений азербайджанских поэтов и ученых. Д. Т.

69648. История эндокринологии от древних времен до XVIII века. Копельман (L'histoire de l'endocrinologie depuis l'antiquité jusqu'au XVIII^e siècle. Copelman Louis S.), Rev. pathol. gén. et physiol. clin., 1957, 57, № 685, 220—225 (франц.)

Библ. 20 назв. Д. Т.

69649. Материалы к истории развития науки об осадочных породах в СССР. Швецов М. С., В сб.: Очерки по истории геол. знаний. Вып. 6. М., АН СССР, 1958, 97—237

Дооктябрьский период. Выделение петрографии осадочных пород (ОП) в самостоятельную науку (послеоктябрьский период). Направления науки об ОП в Советском Союзе (зарождение, успехи, современное состояние). Успехи русской и советской науки в изучении состава, строения и происхождения ОП. Библ. 438 назв. Приведены портреты: Я. В. Самойлова (1870—1925), А. В. Казакова (1888—1950), П. Я. Армашевского (1851—1919), В. П. Батурина (1902—1945), В. И. Вернадского (1863—1945), П. А. Землянского (1856—1942), Б. Б. Полюнова (1877—1952), С. Ф. Малавкина (1876—1937), В. Н. Чирвинского (1883—1942), М. Э. Ноинского (1875—1932), Н. А. Головкинского (1834—1897), А. Д. Архангельского (1879—1940). Д. Т.

69650. Азотная промышленность Польши в период 1917—1947 гг. Павликовский (Krajowy przemysł azotowy w okresie lat 1917—1947. Pawlikowski Stefan), Przem. chem., 1958, 37, № 4, 208—215 (польск.; рез. русск., англ.)

69651. Десять лет фармацевтической промышленности Словакии. Тамхина (Desať rokov farmaceutického priemyslu na Slovensku. Tamchyna Jozef), Farmácia, 1955, 24, № 7, 193—197 (словац.)

Очерк развития за 1945—1955 гг. Д. Т.

69652. Связи А. П. Эльтекова с русскими химиками. Разумовский В. В., Укр. хим. ж., 1958, 24, № 3, 409—412

По архивным материалам приводятся выдержки из отзывов об А. П. Эльтекове (1846—1894; видный химик-органик, профессор Харьковского и Киевского ун-тов) и его научных работах Г. И. Лагермарка, А. М. Бутлерова, В. В. Марковникова, Н. Н. Бекетова. Д. Т.

69653. Чарльз Фредерик Чандлер. Хикссон (Charles Frederick Chandler. Hixson Arthur W.), J. Chem. Educ., 1955, 32, № 10, 499—506 (англ.)

Очерк разносторонней пионерской деятельности Ч. Ф. Чандлера (1837—1925) в области хим. и инж.-хим. образования, прикладной, (в частности, промышленной) химии, общественного здравоохранения и хим. законодательства; отмечена его роль в основании Амер. хим. об-ва и первых хим. журналов в США; приведен портрет. Д. Т.

69654. Памяти академика Николая Дмитриевича Зелинского. Зелинская Н., Химия в школе, 1958, № 4, 75—77

Краткий отчет о торжественном открытии 18 февраля 1958 г. мемориального кабинета-музея Н. Д. Зелинского в старом здании Московского ун-та. Д. Т.

69655. Заседание, посвященное памяти В. И. Вернадского. (95-я годовщина со дня рождения). Герасимовский В. И., Геохимия, 1958, № 3, 283—284

Краткая информация о расширенном заседании Ученого совета Ин-та геохимии и аналитич. химии АН СССР 12 марта 1958 г. Д. Т.

69656. Ян Завидзкий. Юзефович (Jan Zawidzki (1866—1928), Józefowicz Edward), Przem. chem., 1958, 37, № 4, 305—308 (польск.; рез. русск., англ.)

Краткий очерк научной и научно-организационной деятельности Я. Завидзкого (1866—1928), профессора неорганич. химии Варшавского политехнич. ин-та, основателя журнала Rocz. chem. Приведены список трудов и портрет. Д. Т.

69657. Станислав Пилат и Ева Нейман-Пилатова. Дорабяльская, Киселёв (Stanisław Pilat (1881—1941) i Ewa Neyman—Pilatowa (1909—1945). Dorabialska Alicja, Kisielow Włodzimierz), Przem. chem., 1958, 37, № 4, 278—282 (польск.; рез. русск., англ.)

Очерк деятельности профессора Львовского политехнич. ин-та С. Пилата (1881—1941), исследователя в области химии нефти и технологии нефтепереработки и его сотрудницы Е. Нейман-Пилатовой (1909—1945), зав. кафедрой технологии нефти и жидкого топлива Вроцлавского политехнич. ин-та и ун-та, а также Шлёнского политехнич. ин-та в Гливице. Приведены списки трудов и портреты. Д. Т.

69658. Казимеж Клиг. Венцлавек (Kazimierz Kling (1885—1943). Więclawek Bonifacy), Przem. chem., 1958, 37, № 4, 261—263 (польск.; рез. русск., англ.)

Краткий очерк научной деятельности К. Клинга (1885—1943), профессора Львовского и Варшавского политехнич. ин-тов, директора Хим. исследовательского ин-та в Варшаве, многолетнего редактора журнала Przem. chem., исследователя в области химии природных газов, угля и жидкого топлива. Приведены список трудов и портрет. Д. Т.

69659. Казимеж Смоленский. Порейко (Kazimierz Smoleński (1876—1943). Porejko Stanisław), Przem. chem., 1958, 37, № 4, 282—287 (польск.; рез. русск., англ.)

Краткий очерк деятельности проф. К. Смоленского (1876—1943), зав. кафедрой технологии углеводородов и общей органич. технологии Варшавского политехнич. ин-та, видного технолога и исследователя в области сахарного произ-ва и нефтепереработки. Приведены список трудов и портрет. Д. Т.

69660. Валенты Доминик. Лейко (Walenty Dominik (1891—1944). Leyko Zygmunt), Przem. chem., 1958, 37, № 4, 253—256 (польск.; рез. русск., англ.)

Краткий очерк жизни и деятельности В. Доминика (1891—1944), профессора неорганич. химии Главного с.-х. училища в Варшаве. Приведен список трудов и портрет. См. также РЖХим, 1957, 21837. Д. Т.

69661. Мечислав Центнершвер. Лазневский (Mieczysław Centnerszwer (1874—1944). Łażniewski Mikołaj), Przem. chem., 1958, 37, № 4, 246—251 (польск.; рез. русск., англ.)

Краткий очерк жизни и деятельности М. Центнершвера (1874—1944), профессора физ. химии Варшавского ун-та. Приведены список трудов и портрет. Д. Т.

69662. Людвик Шперль. Минчевский (Ludwik Szperl (1879—1944). Minczewski Jerzy), Przem. chem., 1958, 37, № 4, 290—292 (польск.; рез. русск., англ.)

Краткий очерк деятельности Л. Шперля (1879—1944), профессора органич. химии Варшавского политехнич. ин-та. Приведены список трудов и портрет. См. также РЖХим, 1956, 70764. Д. Т.

69663. Казимеж Яблчинский. Яблчинская—Енджеевская (Kazimierz Jabczyński (1869—1944). Jabczyńska—Jędrzejewska Hanna), Przem. chem., 1958, 37, № 4, 256—260 (польск.; рез. русск., англ.)

Воспоминания о К. Яблчинском (1869—1944), профессоре неорганич. химии Варшавского ун-та. Отмечена его деятельность по организации польского ун-та в Варшаве в 1915 г., приведен портрет. Жизнеописание и библиографию трудов см. Rocz. chem., 1948, 23, 349. Д. Т.

69664. Тадеуш Кучинский. Кучинская, Павлицовский (Tadeusz Kuczyński (1890—1945). Kuczyńska Maria, Pawlikowski Stefan), Przem. chem., 1958, 37, № 4, 263—267 (польск.; рез. русск., англ.)

Краткий очерк научной, технич. и педагогич. деятельности Т. Кучинского (1890—1945), профессора неорганич. хим. технологии Львовского политехнич. ин-та. Приведен список научных трудов и портрет. Жизнеописание см. Przegl. chem., 1946, 4, 3. Д. Т.

69665. Лех Суховяк. Пфанхаузер (Lech Sucho wiak. Pfanhäuser Jerzy), Przem. chem., 1958, 37, № 4, 289—290 (польск.; рез. русск., англ.)

Заметка о д-ре Л. Суховяке (ум. 1945), адъюнкте кафедры общей химии Варшавского политехнич. ин-та, многолетнем секретаре редакции журнала Przem. chem. Д. Т.

69666. Игнаци Мосцицкий. Василевский (Ignacy Mościcki (1867—1946). Wasilewski Ludwik), Przem. chem., 1958, 37, № 4, 273—278 (польск.; рез. русск., англ.)

Очерк деятельности проф. И. Мосцицкого (1867—1946), крупного исследователя, технолога и промышленного деятеля в области азотной пром-сти. Приведены список трудов и портрет. Д. Т.

69667. Эдвард Сухарда. Бобранский (Edward Sucharda (1891—1947). Bobrański Bogusław), Przem. chem., 1958, 37, № 4, 287—289 (польск.; рез. русск., англ.)

Краткий очерк деятельности Э. Сухарда (1891—1947), профессора органич. химии во Львовском и Вроцлавском политехнич. ин-тах, исследователя в области органич. синтеза. Приведены список трудов и портрет. Д. Т.

69668. Михал Хоронжий. Рога (Michał Choraży (1904—1948). Roga Błażej), Przem. chem., 1958, 37, № 4, 251—253 (польск.; рез. русск., англ.)

Краткий очерк жизни и деятельности М. Хоронжего (1904—1948), исследователя в области хим. технологии угля (Хим. исследовательский ин-т, Варшава; Ин-т хим. пром-сти в Гливице). Приведен портрет. Д. Т.

69669. Мариан Свидерек. Порейко (Marian Swider ek (1897—1949). Porejko Stanisław), Przem. chem., 1958, 37, № 4, 253—256 (польск.; рез. русск., англ.)

- chem. 1958, 37, № 4, 292—293 (польск.; рез. русск., англ.)
 Краткий очерк деятельности М. Свидерека (1897—1949), профессора органич. технологии Варшавского политехнич. ин-та, организатора Главного ин-та промышленной химии в Варшаве. Жизнеописание см. Roszp. chem., 1950, 24, 43; труды см. Przem. chem., 1949, 5(21), 571; Chemik, 1949, № 11, 10. Д. Т.
69670. Юзеф Завадзкий. Бретшнайдер, Вейхерт (Józef Zawadzki (1886—1951). Bretsznajder Stanisław, Weychert Stefan), Przem. chem., 1958, 37, № 4, 298—305 (польск. рез. русск., англ.)
 Очерк научной деятельности Ю. Завадзкого (1886—1951), профессора неорганич. технологии Варшавского политехнич. ин-та. Приведены список трудов и портрет. См. также РЖХим, 1955, 15656. Жизнеописание см. Roszp. chem., 1951, 25, 147. Д. Т.
69671. Эугениуш Бергер. Трепка (Eugeniusz Berger (1882—1952). Treпка Edmund), Przem. chem., 1958, 37, № 4, 245—246 (польск.; рез. русск., англ.)
 Краткий очерк жизни и деятельности Э. Бергера (1882—1952), профессора неорганич. хим. технологии Лодзинского политехнич. ин-та. Приведены список трудов и портрет. Д. Т.
69672. Карл Кристиан Андерсен.—(Carl Christian Andersen.—) Kgl. norske videnskab. selskabs forhandl., 1955, 28, № 24, 128—132 (норв.)
 Некролог К. К. Андерсена (1903—1955), профессора химии древесины Норвежского высш. технич. уч-ща. Приведены список трудов и портрет. Д. Т.
69673. Юзеф Щенный Турский. Тархальский (Józef Szczesny Turski (1883—1955). Tarchalski Bolesław), Przem. chem., 1958, 37, № 4, 293—298 (польск.; рез. русск., англ.)
 Очерк научной деятельности Ю. Щ. Турского (1883—1955), профессора Варшавского политехнич. ин-та по отделению технологии угля и волокнистых в. Приведен портрет. См. также РЖХим, 1956, 24691, 28083, 49721. Д. Т.
69674. Генри Клапп Шерман. Кендалл (Henry Clapp Sherman. Kendall Edward C.), J. Chem. Educ., 1955, 32, № 10, 510—513 (англ.)
 Очерк научной деятельности Г. К. Шермана (1875—1955), профессора Колумбийского ун-та, крупного исследователя в области химии ферментов и витаминов и химии питания. Приведен портрет (стр. 23). См. также РЖХим, 1958, 63343; 1957, 70799. Д. Т.
69675. Вацлав Леснянский. Павликовский (Wacław Leśniński (1886—1956). Pawlikowski Stefan), Przem. chem., 1958, 37, № 4, 267—272 (польск.; рез. русск., англ.)
 Очерк жизни и деятельности В. Леснянского (1886—1956), профессора хим. технологии Львовского и Гливицкого политехнич. ин-тов. Приведены список трудов и портрет. См. также РЖХим, 1957, 43598; 1958, 8. Д. Т.
69676. Профессор М. Дамодаран. Некролог Рамамурти (Obituary: Professor M. Damodaran. Ramamurti K.), Current Sci., 1958, 27, № 4, 130 (англ.)
 М. Дамодаран (ум. 1957) — видный индийский биохимик, бывший профессор биохимии Мадрасского ун-та и руководитель биохим. отделения Национальной хим. лаборатории (Пуна). Д. Т.
69677. Перси Сирил Лесли Торн. Уорд (Percy Cyril Leslie Thorne. 1890—1957. Ward A. M.), Proc. Chem. Soc., 1958, June, 174 (англ.)
 Некролог П. С. Л. Торна (1890—1957) — исследователя в области колл. химии, переводчика фундаментальных трудов по неорганич. колл. и аналитич. химии. Д. Т.

69678. Яков Иосифович Ольшанский. (Некролог). Герасимов Я. И., Шатенштейн А. И., Ж. физ. химии, 1958, 32, № 5, 1186—1187
 См. также РЖХим, 1958, 56337. Д. Т.
69679. Профессор Леонид Петрович Жеребов. (К 95-летию со дня рождения).—Бум. пром-сть, 1958, № 5, 6
 Заслуженный деятель науки и техники РСФСР профессор Л. П. Жеребов (род 1863) — старейший советский ученый, крупный специалист и исследователь в области теории и практики целлюлозно-бумажной, лесохимической и гидролизной пром-сти. Краткий очерк научной, педагогической и инженерно-технической деятельности. См. также РЖХим, 1955, 36550. Д. Т.
69680. 80-летие профессора Альфреда Бенрата. Клемм, Ринеккер, Шварц, Барт (Professor Dr. phil. Alfred Benrath zum achtzigsten Geburtstag. Klemm W., Rienäcker G., Schwarz R., Bartl Johann Ambrosius), Z. anorgan. und allgem. Chem., 1958, 295, № 3—4, 153—155 (нем.)
 А. Бенрат (род 1878) — бывший профессор Аахенского ун-та (директор Ин-та неорганич. химии и электрохимии), исследователь в области неорганич. и физ. химии и химии комплексных соединений. Краткая биография. Д. Т.
69681. [Химический институт] «Метан». Трепка (Metan. Treпка Edmund), Przem. chem., 1958, 37, № 4, 194—195 (польск.; рез. русск., англ.)
 Краткая история основания в 1916 г. во Львове общества «Метан» — первого польского хим. исследовательского ин-та, преобразованного в 1922 г. в Химический исследовательский ин-т в Варшаве. Д. Т.
69682. Химический исследовательский институт в историческом аспекте. Квятковский (Chemiczny Instytut Badawczy z perspektywy czterdziestu lat. Kwiatkowski Eugeniusz), Przem. chem., 1958, 37, № 4, 195—200 (польск.; русск., англ.)
 Обзор деятельности Хим. исследовательского ин-та в Варшаве за 1917—1939 гг. Д. Т.
69683. Основы и направления научно-исследовательских работ I отделения — неорганической промышленности — Химического исследовательского института [Варшава] в 1925—1939 гг. Василевский (Założenia i kierunki prac naukowych badawczych Działu I Przemysłu Nieorganicznego Chemicznego Instytutu Badawczego w latach 1925—1939. Wasilewski Ludwik), Przem. chem., 1958, 37, № 4, 204—208 (польск.; рез. русск., англ.)
69684. Деятельность Отделения угля Химического исследовательского института [Варшава] в период 1927—1939 гг. Свентославский (Prace Działu Węglowego Chemicznego Instytutu Badawczego w okresie 1927—1939. Świętosławski Wojciech), Przem. chem., 1958, 37, № 4, 200—204 (польск.; рез. русск., англ.)
69685. О будущих учебниках по аналитической химии. Вильямс (Future textbooks on analytical chemistry. Williams K. A.), J. Roy. Inst. Chem., 1957, 81, March, 164—167 (англ.)
 Обсуждается вопрос о рациональном построении учебников — общих и специализированных по отраслям пром-сти. Д. Т.
69686. Ошибки в учебниках. III. Растворимость газов в жидкостях. IV. Изменение чувствительности аналитических весов. Майселс (Textbook errors. III. The solubility of gases in liquids. IV. The sensitivity change of analytical balances. Mysels Karol J.), J. Chem. Educ., 1955, 32, № 8, 399; № 10, 518—519 (англ.)
 III. Обычно указывается, что с повышением т-ры растворимость (P) газов уменьшается. В действитель-

ности же, подобно другим видам Р, и для газов Р может либо увеличиваться, либо уменьшаться, а иногда изменение Р может по мере повышения т-ры менять знак. Приведены примеры.

IV. При рассмотрении вопроса о чувствительности (Ч) аналитич. весов обычно указывается в качестве важного (а иногда даже главного) фактора прогиб коромысла под действием нагрузки. Автор обосновывает ошибочность такого мнения и считает, что изменение Ч с увеличением нагрузки определяется относительным положением ребер (опорных) призм. Сообщения I и II см. РЖХим, 1957, 68143. Д. Т.

69687. История развития периодической таблицы и ее применение в качестве учебного пособия. Шумейкер (History of development of the periodic chart and its use, as a teaching aid. Shoemaker Joseph L.), Sci. Educ., 1958, 42, № 2, 142—151 (англ.).

Со времени открытия периодич. закона предложено более 100 различных форм периодич. таблицы (Т). Приводится характеристика главных типов этих Т и обсуждается вопрос о рациональном выборе формы Т применительно к курсу химии для старших классов средней школы (high school chemistry). Д. Т.

69688. Органическая химия в журнале Sitzungsberichte der mathem.-naturwiss. Klasse Австрийской академии наук. Оберхуммер (Die organische Chemie in den Sitzungsberichten der mathem.-naturwiss. Klasse der Akademie der Wissenschaften. von 1848—1880. Oberhammer Wilfrid), Mitt. Chem. Forschungsinst. Wirtsch. Österr., 1957, 11, № 4, 105—114; № 5, 133—140 (нем.).

Журнал издавался с 1848 по 1953 г. Начиная с 1880 г. имеющиеся в нем статьи по химии публиковались одновременно в журнале Monatsh. Chemie. В статье дан систематизированный по классам соединений обзор работ, напечатанных в Sitzungsberichte в 1848—1879 гг. (библи. 499 назв.). Для периода 1879—1953 г. приведена таблица взаимного соответствия томов Monatsh. Chemie и Sitzungsberichte. Обзор может представлять интерес для истории химии (в частности, для истории хим. периодики) в Австрии. Д. Т.

69689. История журнала Przemysl Chemiczny. Яжинский (Historia czasopisma «Przemysl Chemiczny». Jarzyński Adam), Przem. chem., 1958, 37, № 4, 215—219 (польск.; рез. русск., англ.).

Очерк (в связи с исполнившимся в 1957 г. 40-летием со времени начала выхода журнала Metan, переименованного в 1920 г. в Przem. chem.). Д. Т.

69690. Журнал Wiadomości Przemisłu Chemicznego. Замойский (Wiadomości Przemisłu Chemicznego. Zamoyski Tadeusz), Przem. chem., 1958, 37, № 4, 219—221 (польск.; рез. русск., англ.).

Двухнедельный журнал, издававшийся в 1926—1939 гг. Союзом хим. пром-сти Польши. С 1929 г. он выпускался сброшюрованным совместно с ежемесячным журналом Przem. chem. Д. Т.

69691. Картотека по глазурям. Купе (A card index system for glazes. Kure Franz), Interchem, 1955, № 4, 16—20 (англ.).

Предлагается система картотеки из перфокарт для документации эксперим. данных по керамич. глазуре (композиции, технологич. условия, результаты). Приведены формы двух перфокарт, система группировки, вспомогательные таблицы для пересчета рецептур. Д. Т.

69692 К. Лекции по общей химии. Часть I. Хомков К. Г. М., Моск. ун-т, 1957, 203 стр., илл., 7 р. 10 к.

69693 К. Лабораторный практикум по химической технологии. [Для хим. фак. ун-та]. Вып. 2. Газовый анализ. Соломонова Н. Л. М., Моск. ун-т, 1957, 36 стр., илл., 70 к.

См также: Статистич. методы: аналитич. химия 70459; спектрография 70460; исследование бетона 71601. Новые минералы 70382—70384. Классификация и терминология: фазовые переводы 70017; процессы в псевдоож. слое 71012; промышленные канцерогены 71286; асфальтовые покрытия 71623. История: аналитич. химия 70615; хим. пром-сть Польши 71007; пивоварение 72186. Конференции: строение атомного ядра 69700; кристаллография 69844; физика диэлектриков 69928; геохимия редких элементов 70385; молочное дело 72228; хлебопекарное произ-во 72403; химии ферментов 26995Бх, 26996Бх; клинич. химия 27950Бх. Институты: исследование зерна 28280Бх. Преподвание: об ошибках и недостатках в учебниках кристаллографии 69845. Учебная лит-ра: органич. химия 70921. Справочная лит-ра: гальванотехника 71463. Применение счетно-реш. устройств: кристаллоструктурный анализ 70670.

НОВЫЕ ЖУРНАЛЫ

69694. The Physics of Fluids (Физика жидкостей). New York. Amer. Inst. Phys. (англ.).

Журнал посвящен оригинальным работам по разделам физики жидкостей. Издается Амер. физ. ин-том (федерацией ведущих об-в в области физики в США) и Амер. физ. об-вом. Выходит с 1958 г.; двухмесячный (в дальнейшем предполагается выпускать журнал ежемесячно). Подписная плата 11 долл. в год. (Сокращенное название в РЖ — Phys. Fluids). Д. Т.

69695. Ingeniøren. International edition (Инженер. Международное издание). Dansk Ingeniørforening. Copenhagen. (англ.).

Ежеквартальный журнал; выходит с июля 1957 г. Копенгагене на английском языке подписная плата 30 датск. крон в год. Представляет собой спец. издание (серия С), параллельное журналу Ingeniøren, издаваемому Датским об-вом инженеров в двух сериях (А — еженедельно и В — раз в 2 месяца) на датском языке. В серии С публикуются избранные оригинальные статьи, представляющие интерес для международного круга читателей. (Сокращенное название в РЖ — Ingeniøren. Internat ed.). Д. Т.

69696. Periodica polytechnica. Chemical engineering. Chemisches Ingenieurwesen. (Политехнический журнал. Инженерно-химическое дело) Budapest. Polytechn. univ. (англ., нем.).

Ежеквартальные научные публикации Будапештского политехнич. ун-та. Статьи печатаются на английском или немецком языке. Выходит с 1957 г. Подписная плата 4 долл. в год. (Сокращенное название в РЖ — Period. polytechn. Chem. Engng.). Д. Т.

69697. Научные доклады высшей школы. Металлургия. М-во высш. образования СССР. М., «Сов. наука» — Металлургиздат

Ежеквартальный журнал; выходит с 1958 г. Подписная плата 56 руб. в год. (Сокращенное название в РЖ — Научн. докл. высш. школы. Металлургия). Д. Т.

ФИЗИЧЕСКАЯ ХИМИЯ

ОБЩИЕ ВОПРОСЫ

Редактор А. Б. Нейдин

84 кэв с $T_{1/2}$ ($8,4 \pm 0,7$) $\cdot 10^{-10}$ сек. Переход принадлежит к типу E_2 Г. Соколик
69704. Распад Ba^{133} . Крейсман, Пенгра, Линдстром (Radiations from Ba^{133} . Grasmann Bernd, Pengra J. G., Lindstrom L. E.), Phys. Rev., 1957, 108, № 6, 1500—1505 (англ.)С помощью спектрометра с магнитной линзой и сцинтилляционного спектрометра исследовался распад Ba^{133} с $T_{1/2}$ 9,5 года, образующегося при облучении Ba^{132} нейтронами из реактора. Наблюдены γ -кванты с E 0,079, 0,302 и 0,355 Мэв. Найдены коэф. конверсии на K -оболочке. Обнаружены конверсионные электроны, соответствующие слабым γ -переходам в Cs^{133} с E 0,158 и 0,276 Мэв. Изучены $\gamma\gamma$ -совпадения и предложена схема распада Ba^{133} . Резюме авторов
69705. Дальнейшее изучение распада Ni^{57} . Конейн, Хагедорн, Нойен (Further study on the decay of Ni^{57} . Konijn J., Hagedoorn H. L., Nooijen B. van), Physica, 1958, 24, № 2, 129—136 (англ.)Изучается распад Ni^{57} с $T_{1/2}$ 36 час. Найдены 3 γ -линии с E 127, 400 и 520 кэв. Измерение велось с помощью сцинтилляционного спектрометра. Приведена схема распада Ni^{57} . Резюме авторов69706. Измерения времен жизни по смещению конверсионной линии. Время жизни состояния 40 кэв Tl^{208} . Сикман, Вард (Lifetime measurements by conversion line shift: lifetime of the 40-kev. Siekman J. G., Waard H. de), Phys. Rev., 1957, 107, № 6, 1731 (англ.) L -конверсионная линия с E 24,5 кэв от γ -лучей, возникающих при разрядке уровня 40 кэв Tl^{208} , имеет доплеровское смещение, обусловленное скоростью отдачи ядра Tl^{208} , вылетающего из источника $Th(B+C)$ при α -распаде ThC . По величине смещения, при различных расстояниях между источником и фольгой, можно определить время жизни состояния 40 кэв, если известна начальная скорость ядра отдачи. Для этого состояния ранее было найдено $T = (1,0 \pm 0,5) \cdot 10^{-12}$ сек. в предположении, что все ядра отдачи имеют одинаковую скорость. Авторы показали, что в действительности ядра отдачи имеют различную скорость. В этом предположении получено: $T_{1/2}$ $4 \cdot 10^{-12}$ сек, что дает $\tau_{\gamma} \approx 180 \cdot 10^{-12}$ сек., в хорошем согласии с временем жизни, вычисленным Де-Шалитом (РЖФиз, 1957, 27301) для $s_{1/2}$, $g_{1/2}$ -конфигурации Tl^{208} .Г. Соколик
69707. Кулоновское возбуждение U^{233} и Np^{237} . Уровни U^{233} . Ньютон (The coulomb excitation of U^{233} and Np^{237} and a discussion of the energy levels of U^{233} . Newton J. O.), Nucl. Phys., 1958, 5, № 1, 218—234 (англ.)При кулоновском возбуждении ядер ионами Не обнаружены γ -лучи с E $40,4 \pm 0,2$, $51,5 \pm 0,5$ и $92,3 \pm 1$ кэв в случае U^{233} и $33,24 \pm 0,2$ и $42,57 \pm 0,3$ кэв в случае Np^{237} . В качестве детектора использовался пропорциональный счетчик, наполненный Хе. Автор считает, что γ -кванты возникают при переходах с ротационных уровней. На основании абс. сечений и отношений ветвей распада со второго ротационного уровня сделаны оценки приведенных вероятностей переходов BE_2 и собственных квадрупольных моментов Q_0 . Для U^{233} и Np^{237} получены средние значения Q_0 , равные соответственно 1,37 и 9,0 барн. Обсуждается возможность интерпретации основного состояния Np^{237} и основного и возбужденных состояний U^{233} с точки зрения одночастичных состояний в деформированном потенциале. Приведена схема уровней U^{233} .

Резюме автора

69708. О спине основного состояния Ti^{47} и Mn^{55} . Янагава (On the ground state spin of Ti^{47} and Mn^{55} . Yanagawa Sadaaki), *Progr. Theoret. Phys.*, 1957, 18, № 6, 661—662 (англ.)

Приводится схема полумпирич. метода расчета в атоме или ядре схем уровней конфигурации j^n по экспериментально найденным положениям уровней конфигурации. Автор пользуется им для расчета спинов нижних уровней ядер Mn^{55} и Ti^{47} , полагая, что нижние уровни этих ядер соответствуют состояниям протонной или нейтронной оболочки $1/2$. Кроме этого, автор делает ряд более грубых упрощающих предположений, в частности пренебрегает влиянием взаимодействия внешних нейтронов и протонов. В результате в соответствии с экспериментом получается, что спины основных состояний Ti^{47} и Mn^{55} равны $5/2$. Вычисляются и сравниваются с эксперим. данными расстояния между уровнями с $J = 5/2$ и $J = 7/2$.

69709. β - и γ -спектроскопия Cs^{137} . Йосидзава (Beta and gamma ray spectroscopy of Cs^{137} . Yoshizawa Yasukazu), *Nucl. Phys.*, 1958, 5, № 1, 122—140 (англ.)

Изучены β -лучи и электроны внутренней конверсии Cs^{137} с помощью β -спектрометра с двойной фокусировкой. Определен коэф. конверсии γ -перехода с E 661 кэв на K -оболочке. Максим. энергия мягкой компоненты β -лучей найдена равной 514 ± 2 кэв. График Кюри, исправленный путем введения множителя для уникального перехода, запрещенного в первом порядке, имеет вид прямой. β -Спектр, отвечающий переходу, запрещенному во втором порядке, может быть объяснен только при $G_S/G_T < 0$ в предположении, что одночастичная модель является хорошим приближением для ядерных матричных элементов, где G_S и G_T — константы скалярного и тензорного вариантов β -распада. Приведена схема распада Cs^{137} .

Резюме автора
69710. Уровни O^{16} в интервале 12,67—13,80 Мэв. Хэгедорн (States in O^{16} between 12,67 and 13,80 Mev. Hagedorn F. B.), *Phys. Rev.*, 1957, 108, № 3, 735—743 (англ.)

Изучалось упругое рассеяние протонов на N^{15} при E_p 600—1800 кэв и углах рассеяния от 75° до 160° . Анализ полученных данных о рассеянии позволяет приписать уровням с E 710, 898, 1028, 1210, и 1640 кэв спины и четности: 0^- , 2^- , 1^- , 3^- , и 1^+ соответственно, что согласуется с результатами более ранней работы, за исключением резонанса 710 кэв, о котором здесь сообщается впервые, и уровня с E 1210 кэв, которому ранее был приписан спин 4^+ . Угловое распределение α -частиц указывает на спин 4^+ для уровня с E 1210 кэв. Причина такого расхождения невыяснена, однако указания в пользу спина 3^- являются довольно вескими. Сделаны предположения о квантовых числах изотопич. спина для пяти возбужденных уровней O^{16} .

Резюме автора
69711. Переходы из состояний O^{16} с энергией ниже 12 мэв. Бент, Круз (Gamma-emitting states in O^{16} below 12 Mev. Bent R. D., Kruse T. H.), *Phys. Rev.*, 1957, 108, № 3, 802—809 (англ.)

Изучались возбужденные состояния O^{16} между 7,2 и 11,5 Мэв, составляющие последовательность 0^- , 1^+ , 2^- , 3^+ ,... Разрядка этих уровней не может происходить посредством испускания α -частицы с образованием ядра C^{12} , а должна совершаться путем γ -перехода. γ -лучи, возникающие в р-циях $F^{19}(p, \alpha\gamma)O^{16}$ и $N^{15}(d, n\gamma)O^{16}$, изучались при энергиях бомбардировки до 6,0 и 5,08 Мэв соответственно с помощью трехкристального парного спектрометра и других люминесцентных счетчиков. Обнаружен уро-

вень $10,98 \pm 0,04$ Мэв, переход с которого совершается преимущественно на уровень 7,12 Мэв (1^-). γ -Лучей соответствующих переходам с этого уровня на другие уровни, не наблюдалось. Полученные результаты позволяют приписать уровню 10,98 Мэв спин и четность 0^- . Предсказания α -частичной и оболочечной моделей сопоставлены с полученными результатами.

Из резюме автора
69712. Реакции (p, γ) на изотопах Mg^{25} и Mg^{26} . Баржон, Ламбер, Шмоукер (Réactions (p, γ) sur les isotopes 25 et 26 du magnésium. Barjon Robert, Lambert Michel, Schouker Jean), *J. phys. et radium*, 1958, 19, № 1, 47—48 (франц.; рез. англ.)

С помощью сцинтилляционного спектрометра с кристаллом NaJ с 10-канальным анализатором исследовалась кривая возбуждения Mg^{25} и Mg^{26} протонами с E 1—2 Мэв. Полученные результаты находятся в согласии с литературными данными. Р-ции имеют вид: $Mg^{25} + p \rightarrow Al^{26} + \gamma$; $Al^{26} \rightarrow Mg^{26} + \beta^+$. Al^{26} распадается с $T_{1/2}$ 6,7 сек.

Резюме автора
69713. Реакции $Li^7(p, n)$ ($p, p'\gamma$) и (p, γ) вблизи нейтронного порога. Ньюсон, Вильямс, Джонс, Гиббонс, Маршак ($Li^7(p, n)$, $(p, p'\gamma)$, and (p, γ) reactions near neutron threshold. Newson H. W., Williamson R. M., Jones K. W., Gibbons J. H., Marshak H.), *Phys. Rev.*, 1957, 108, № 5, 1294—1300 (англ.)

Полное сечение р-ции $Li^7(p, n)$ измерялось от порога до энергии протонов 2,5 Мэв. В интервале от 1,88 до 1,92 Мэв сечение может быть представлено ф-лой $\sigma_{pn} = \frac{5}{2}\pi\lambda^2 x / (1+x)^2$. До энергии 2,35 Мэв сечение может быть описано с помощью уровней 2^- и 3^+ (2,25 Мэв). При энергии протонов 2,10 Мэв наблюдается резонанс (вероятно, на уровне 3^+), который связан с увеличением выхода γ -квантов 16 Мэв, приводящих к уровню с E 2,9 Мэв 2^+ в Be^8 .

Из резюме автора
69714. Кинематика β -распада и несохранение четности в слабых взаимодействиях. Фелд (Kinematics of β -decay and parity nonconservation in weak interactions. Feld Bernard T.), *Phys. Rev.*, 1957, 107, № 3, 797—804 (англ.)

Дается общая теория β -распада, включающая теорию двухкомпонентного нейтрино как частный случай. Развитый математич. аппарат позволяет объяснить несохранение четности в таких слабых взаимодействиях, в которых нейтрино не участвует, напр., в распаде K -мезонов на 2π и на 3π .

См. также: Радиоактивные изотопы 69970

АТОМ

Редактор Н. М. Яшин

69715. Волновые функции атома водорода в сферических координатах. I. Получение и свойства функций. Коулсон, Робинсон II. Взаимодействие с точечным зарядом и диполем. Робинсон (Wave functions for the hydrogen atom in spheroidal coordinates. I. The derivation and properties of the functions. Coulson C. A., Robinson P. D. II. Interaction with a point charge and with a dipole. Robinson P. D.), *Proc. Phys. Soc.*, 1958, 71, № 5, 815—827, 828—842 (англ.)

I. Авторы решают уравнение Шредингера в сферических координатах и получают выражения волновых функций и энергии. Такие волновые функции необходимы при рассмотрении возмущения атома Н точечным зарядом или диполем на конечном рассто-

вершается. Устанавливается также связь с волновыми функциями в параболич. и сферич. координатах, причем показано, что эти последние могут быть получены из сферических путем предельного перехода. Установлены также соотношения ортогональности. Все аналитич. выражения содержат коэф., которые могут быть вычислены только численными методами.

II. Методом теории возмущений автор рассматривает взаимодействие точечного заряда и точечного диполя с атомом H. Вычисляются энергия взаимодействия, а также дипольный и квадрупольный моменты в K- и L-оболочках. В качестве невозмущенных волновых функций атома H используются сферические волновые функции, вычисленные ранее (см. реф.). Рассмотрено вырождение, связанное с взаимодействием атома H с протоном (взаимодействие тождественных ядер).

А. Зимин
69716. О выборе исходных одноэлектронных волновых функций при решении уравнений самосогласованного поля с обменом. Ребане Т. К., Оптика и спектроскопия, 1958, 4, № 3, 398—400

Указывается, что сходимость процесса последовательных приближений при решении уравнений самосогласованного поля с обменом может быть ускорена, если потребовать, чтобы одноэлектронные функции исходного приближения диагонализировали матрицу эффективного самосогласованного оператора энергии.

Т. Ребане
69717. Атомные орбиты в приближении свободных электронных орбит. Голембевский (Orbitale atomowe w przybliżeniu orbitali elektronu swobodnego. Golebiewski Alojzy), Roczn. chem., 1957, 31, № 3, 1019—1024 (польск.; рез. русск., англ.) Автор рассматривает электроны атома свободными, движущимися в сфере, окруженной бесконечным потенциалным барьером; потенциал внутри — постоянный. Вариационным параметром является радиус сферы. Сравнение энергии и параметров орбиты (r и r^{-1}) дает хорошее согласие с расчетами по методу Слейтера для сложных атомов, а также с точными квантовомеханич. расчетами для атома H.

А. Зимин
69718. Самосогласованное поле без обмена для U^{+4} . Ридли (Self-consistent field without exchange for U^{+4} . Ridley E. Cicely), Proc. Roy. Soc., 1958, A 243, № 1234, 422—434 (англ.)

Вычислены волновые функции и функции экранирования по методу самосогласованного поля без учета обмена и релятивистских эффектов. Начальная оценка поля получена экстраполяцией констант экранирования $\sigma(n)$ и спада волновой функции $\alpha(n)$, для которых рассмотрена зависимость от атомного номера. Как показывают расчеты, рассмотренные оценки полей оказались достаточно хорошими.

А. Зимин
69719. К вопросу о диамагнитной восприимчивости гелия. Параничев В. Н., Уч. зап. Казанск. ун-та, 1957, 117, № 9, 162—164

Вычисляется диамагнитная восприимчивость гелия с помощью наиболее точной волновой функции основного состояния (РЖХим, 1954, 35523). Точность расчета значительно превышает экспериментальную. Диамагнитная восприимчивость $\chi = -1,879 \cdot 10^{-6}$.

А. Зимин
69720. Теоретический расчет электронной поляризуемости лития, кальция, скандия. Сундбум (Theoretical determination of the electronic polarizability of lithium, calcium and scandium. Sundbom Mariann), Arkiv fys., 1958, 13, № 6, 539—547 (англ.)

Методом теории возмущений вычисляется электронная поляризуемость α для Li, Ca^{2+} , Ca, Sc. Численные расчеты проведены с помощью электронной счетной

машины. В качестве невозмущенных волновых функций выбраны одноэлектронные, составленные по правилу Слейтера, причем параметры радиальных частей выбраны так, чтобы получить наилучшее согласие с волновыми функциями самосогласованного поля Хартри — Фока (для Li, Ca, Ca^{2+}). Вычисление вкладов различных орбит показывает, что полные поляризуемости α (в 10^{-24} см³) для Li 20, Ca^{2+} 0,83, Ca 52—153, Sc 154 обусловлены в основном внешними орбитами. Автор сопоставляет поляризуемости α -электронов. С ростом n поляризуемость возрастает и уменьшается с возрастанием заряда внутри данного периода. Точность метода, по оценке автора, не превосходит точности других методов, результаты согласуются с эксперим. данными. Ошибки, связанные с определением возмущенных волновых функций, в рассматриваемом методе не превосходят $\pm 1\%$. А. Зимин

69721. Современные экспериментальные и теоретические исследования атомных свойств, представляющих интерес при изучении эмиссионных линий звезд. Гарстэнг (Recent experimental and theoretical investigations on atomic properties of interest for emission — line stars. Garstang R. H.), Mém. Soc. roy. sci. Liège, 1958, 20, 497—513. Discuss., 514 (англ.)

Статья обзорного характера.

69722. Измерения абсолютной силы осциллятора для Mg, Ca и других атомов. Аллен (Absolute oscillator strength measurements in Mg, Ca and other atoms. Allen C. W.), Monthly Notices Roy. Astron. Soc., 1957, 117, № 6, 622—628 (англ.)

Метод, разработанный ранее (РЖАстр., 1958, 1693) применен для определения абс. значений сил осцилляторов Li, Na, K, Mg и Ca. Результаты могут быть получены только для Mg и Ca. Подтверждена первоначальная абс. шкала интенсивностей. Результаты показывают согласие наблюдаемых данных с вычисленными, однако отмечены некоторые расхождения. Вновь проведенное исследование ранних измерений показывает, что силы осцилляторов атомов Ca, Ag, Sn, Pb и Bi систематически превышают вычисленные значения.

Резюме автора

69723. Спектры поглощения лантанидов и тория в видимой и ультрафиолетовой области. Хагивара (Hagiwara Zenzi), Korô kagaku zasshi, J. Chem. Soc. Japan. Industr. Chem. Sec., 1956, 59, № 12, 1383—1388 (японск.)

69724. Ширина зеленой линии ртути от лампы с изотопом Hg¹⁹⁸. Клюббер (Width of green mercury line from a 198-isotope lamp. Klüber H. von), Nature, 1958, 181, № 4614, 1007—1008 (англ.)

Измерена ширина зеленой линии Hg¹⁹⁸ в стандартной лампе с внутренними электродами, содержащей 0,1 мг Hg¹⁹⁸ и 10 мм рт. ст. Ar. Лампа охлаждается водой. Диаметр светящегося столба ~ 5 мм. Лампа проработала несколько сотен часов. Ширина линии измерялась при помощи интерферометра Фабри — Перо с многослойными покрытиями. Полуширина линии равна 0,006—0,007 Å, что несколько выше действительного значения вследствие недостаточной разрешающей силы интерферометра. Автор считает, что истинная ширина линии очень близка к доплеровской для комнатной т-ры и равна 0,0055 Å.

Ю. Донцов

69725. Эталоны длин волн в видимом спектре криптона-86 и ртути-198. Террьер (Étalons de longueur d'onde dans le spectre visible du krypton 86 et du mercure 198. Terrien Jean), C. r. Acad. sci., 1958, 246, № 16, 2362—2364 (франц.)

Измерены длины волн линии $1s_2 - 3p_{10}$ в спектре Kr⁸⁶ и четырех линий в спектре Hg¹⁹⁸ по сравнению с длиной волны линии Kr⁸⁶ $2p_{10} - 5d_5$, которая пред-

ложена Консультативным комитетом по определению длины метра в качестве основного эталона длины. Криптоновая лампа работала при т-ре тройной точки азота 63° K, давлении Kг 0,03 мм рт. ст. и плотности разрядного тока 4,1 ма/мм². Приводятся также вычисленные поправки на эффект Доплера и межатомный эффект Штарка. Исследованы 2 безэлектродные трубки с Hg¹⁹⁸ при разном давлении Ar. Показываются поправки, учитывающие влияние изменения давления Ar на длину волны линий Hg¹⁹⁸. Полученные данные сравниваются с результатами работ других авторов. Подчеркивается, что воспроизводимость линий Kг⁸⁶ по меньшей мере в 10 раз выше, чем у красной линии Cd.

Ю. Донцов
69726. Предварительные исследования некоторых длин волн линий криптона-86 и ртути-198. Бэрд, Смит (Preliminary measurements of some wavelengths of krypton 86 and mercury 198 lines. Baird K. M., Smith D. S.), J. Opt. Soc. America, 1958, 48, № 5, 300—301 (англ.)

Измерены длины волн некоторых линий в спектрах Kг⁸⁶ и Hg¹⁹⁸ по отношению к красной линии Cd. Измерения проводились с помощью интерферометра Фабри—Перо с промежутком 67,5 мм и интерферометра Майкельсона. Применялись стандартные источники света. Приводятся измеренные длины волн и полуширины исследованных линий. При вычислении длин волн вводились необходимые поправки. Ю. Донцов

69727. Нормальное и аномальное тушение и сенсibilizированное излучение. Пьеруччи (Inhibitions et émissions sensibilisées normales et anormales. Pierucci M.), Proc. Colloquium Spectroscopicum Internat. VI, London, Pergamon Press, 1957, 140—145 (франц.)

Автор систематизирует и дает теоретич. интерпретацию своих работ по нормальному и аномальному тушению и сенсibilizированному излучению См. также РЖХим, 1958, 53375.

Ю. Донцов
69728. Эмиссионный и абсорбционный спектры плутония, возбужденные в печи Кинга. Бови (Emission and absorption spectra of plutonium excited in a King furnace. Bovey L.), Spectrochim. acta, 1958, 10, № 4, 383—394 (англ.)

Исследовались эмиссионный и абсорбционный спектры Pu в печи Кинга в области 2791—6888 Å на 3-м дифракционном спектрографе. Приводятся 1478 линий Pu, измеренных с точностью ~0,05 Å. Относительные интенсивности линий определялись визуально. В абсорбционном спектре найдены постоянные разности частот. Однако попытка включить взятые линии в мультиплетную структуру не увенчалась успехом. Авторы предполагают, что отсутствие характерных сильных линий и мультиплетов среди абсорбционных линий указывает на наличие нескольких электронных конфигураций для нижних уровней спектра PuI.

Л. Коростылева
69729. Постоянные эффекта Штарка, вычисленные по контурам линий металла, уширенным вследствие внутримолекулярных полей. Аулеа, Герман (Constantes de l'effet Stark déduites du contour des raies métalliques élargies par un champ intermoléculaire. Aulehla Eva, Herman Louis), C. r. Acad. sci., 1958, 246, № 11, 1676—1678 (франц.)

Определяются постоянные Штарка для некоторых линий Ba II. Эксперим. устройство описано ранее (РЖХим, 1955, 727). Изменение спектров изучалось во времени. 1-й временной период характеризуется интенсивным сплошным спектром и линиями Ba, Mg и H отсутствуют. Во 2-м периоде длительностью 20 мсек. появляются сильно уширенные и смещенные в красную сторону линии Ba, Mg и H; сплошной спектр исчезает. В 3-м периоде длительностью не-

сколько десятков мсек. остаются только линии Ba и Mg. По уширению линий H и Mg, измеренному во 2-м и 3-м периодах, определена конц-ия электронов в разряде с точностью до 15%, $N = 2,3 \times 10^{17}$ см⁻³. Полученное значение плотности электронов использовано для определения квадратичных постоянных Штарка для ряда линий Ba II.

Ю. Донцов
69730. Спектроскопическое изотопическое смещение в свинце II. Гейгер (Spectroscopic isotope shift in lead II. Geiger F. E., Jr), J. Opt. Soc. America, 1958, 4, № 5, 302—303 (англ.)

Исследовано изотопич. смещение в спектре Pb II. Использовались обогащенные изотопы. В качестве прибора высокого разрешения применялся интерферометр Фабри—Перо. Точность измерений $(1-3) \times 10^{-3}$ см⁻¹. Приводятся величины смещений для четырех линий. В пределах ошибок измерений они совпадают с данными других авторов. Отношение смещений между соседними парами изотопов не зависит от электронной конфигурации линий.

Ю. Донцов
69731. Сверхтонкая структура линий в дуговом спектре ртути и квадрупольный момент Hg²⁰¹. Блез, Шантрель (Structures hyperfines de raies du spectre d'arc du mercure et moment quadrupolaire de ²⁰¹Hg. Blaise Jean, Chantrel Henri), J. phys. et radium, 1957, 18, № 3, 193—200 (франц.)

С помощью эталона Фабри—Перо, разрядной трубки типа Шулера, охлаждаемой жидкими азотом и водородом, и разрядной трубки, питаемой от генератора с магнетроном (частота 2450 Мц), исследована сверхтонкая структура линий Hg 4047, 4078, 4358, 5461, 4916, 4108, 4347, 4339 Å. Определено отношение магнитных моментов $\mu(\text{Hg}^{201})/\mu(\text{Hg}^{199}) = -1,1003$. По терму $6s7s^3S_1$, вычислена величина магнитного момента $\mu(\text{Hg}^{199}) = 0,532 \mu_{\text{яд}}$. По терму $6s6p^3P_2$ величина квадрупольного момента $Q(\text{Hg}^{201}) = 0,478 \cdot 10^{-24}$ см². Вычисления, проведенные для терма $3P_1^0$, дают $Q = 0,546 \times 10^{-24}$ см² и для терма $1P_1^0$ $Q = 0,272 \cdot 10^{-24}$ см². Окончательно без поправки Штернхаймера авторы для квадрупольного момента ядра Hg²⁰¹ дают $Q = (0,50 \pm 0,05) \cdot 10^{-24}$ см².

Н. Яшин

См. также: Расчет многоэлектронных систем 69733

МОЛЕКУЛА. ХИМИЧЕСКАЯ СВЯЗЬ

Редакторы Д. А. Бочвар, А. А. Мальцев, Т. К. Ребане

69732. О вынужденном колебании осциллятора и осцилляторе с затуханием в квантовой механике. Кернер (Note on the forced and damped oscillator in quantum mechanics. Kerner Edward H.), Canad. J. Phys., 1958, 36, № 3, 371—377 (англ.)

Найдены волновые функции осциллятора в поле $V(xt) = xF(t)$ и рассчитаны вероятности переходов между стационарными состояниями. Гамильтониан с затуханием получен из лагранжиана вида $L = \exp(\lambda t)L_0$, где L_0 — лагранжиан незатухающего осциллятора. В общем случае вынужденных колебаний осциллятора с трением «центр» волновой функции z_0 движется по классич. траектории под действием силы $F(t)$, а волновая функция стремится к $\delta(x - z_0)$.

Е. Никитин

69733. О симметрии координатной волновой функции многоэлектронной системы. Демков Ю. Н., Ж. эксперим. и теор. физ., 1958, 34, № 3, 714—716

Показано, что координатная функция многоэлектронной системы, симметризованная по схеме Юнга,

удовлетворяет условиям циклич. симметрии Фока (Ж. эксперим. и теор. физ., 1940, 10, 961). Е. Никитин 69734. Применение непротиворечивых методов расчета с использованием атомных орбит (неэмпирическое применение к случаю многоатомной молекулы). Такэкиё, Буссейрон кэнкю, 1956, № 101, 126—130 (японск.)

Рассмотрен метод самосогласованного поля с учетом взаимодействия конфигураций в приближении метода валентных схем в общем случае, когда ортогональностью АО пренебречь нельзя. Е. Никитин 69735. Распределение π -электронов в пиридине и параметры метода молекулярных орбит для азота.

Браун, Хеффернан (The π -electron distribution in pyridine and the molecular-orbital parameters for nitrogen. Brown R. D., Heffernan M. L., Austral. J. Chem., 1957, 10, № 3, 211—217 (англ.))

Методом самосогласованных МО Рутана рассчитывается распределение π -электронов в пиридине. Результаты расчетов использованы для сравнения с тем. свойствами пиридина, а также для определения значений параметров простейшего метода МО, дающих наилучшее согласие с результатами метода самосогласованных МО. Выяснено, что кулоновский параметр, представляющий увеличение электроотрицательности углерода, соседнего с азотом (или другим гетероатомом), должен значительно отличаться от нуля. Используемый метод расчета подробно изложен в работе Брауна и Пенфольда (РЖХим, 1957, 76371). А. Ч.

69736. Расчет токов в ароматических кольцах по теории молекулярных орбит. Поппл (Molecular orbital theory of aromatic ring currents. Pople J. A., Molec. Phys., 1958, 1, № 2, 175—180 (англ.; рез. франц., нем.))

Теория диамагнитной восприимчивости ароматич. молекул (London F., J. Phys. et radium, 1937, 8, 397) обобщается на случай, когда внешнее магнитное поле не однородно. Коэф. в разложении МО по атомным функциям находятся из обычного векового ур-ния. Интегралы перекрывания положены равными нулю. Члены, соответствующие диамагнитной циркуляции вокруг отдельных атомов, опущены. Все диагональные матричные элементы гамильтониана молекулы положены равными нулю. Нondiagonalные матричные элементы лишь фазовыми множителями отличаются от резонансных интегралов β_{st} , вычисленных в отсутствие магнитного поля. Показано, что можно определить токи в каждом из ароматич. колец, рассматривая взаимодействие некоторого дополнительного поля $H'(H' \ll H)$ с магнитными моментами отдельных колец, индуцированными полем H . В качестве примера вычислены величины токов в кольцах молекулы азулена для случая, когда магнитное поле однородно и перпендикулярно к плоскости молекулы. Для величины тока в кольце бензола J_6 (вычисленная Лондоном) для токов в 5- и 7-членном кольцах азулена получено соответственно $J_4/J_6 = 1,150$ и $J_7/J_6 = 1,069$. Так как разность величин J_4 и J_7 невелика, то индуцированный ток в основном протекает по периметру молекулы. И. Александров

69737. Расчет молекулы хлористого винила по методу молекулярных орбит. Симонетта, Фавини, Карра (A molecular orbital treatment of the vinyl chloride molecule. Simonetta M., Favini G., Carra S., Molec. Phys., 1958, 1, № 2, 181—188 (англ.; рез. франц., нем.))

Методом ЛКАО—МО с самосогласованием рассчитаны орбиты π -электронов в $CH_2=CHCl$. В качестве АО приняты функции Слейтера с $Z_C = 3,18$ и $Z_{Cl} = 6,090$; геометрич. параметры молекулы взяты из данных по дифракции электронов. Приведены все использованные интегралы, часть которых вычислена

авторами. Расчет проиллюстрирован на примере интеграла $a:bb$. Другие интегралы оценены полуэмпирически. Найдены МО: $\Psi_1 = 0,32204 \Psi_a + 0,51465 \Psi_b + 0,65035 \Psi_c(Cl)$; $\Psi_2 = 0,57212 \Psi_a + 0,37722 \Psi_b - 0,72416 \Psi_c$; $\Psi_3 = 0,80351 \Psi_a - 0,83639 \Psi_b + 0,28557 \Psi_c$ с энергиями (ϵ) $-14,1337$; $-9,2891$ и $6,3651$. Энергии переходов равны (ϵ): $5,8586$ (опыт 6,7) $11,1842$ и $8,5214$; π -электронные плотности $q_a = 0,85821$; $q_b = 0,81726$ и $q_c = 1,89658$; $n_{ab} = 0,40738$; $n_{bc} = 0,04005$ и $n_{ac} = -0,01799$; потенциал ионизации $-9,2841 \epsilon$ (опыт $-9,95$); длины связей оценены в $1,448$ (C—C) и $1,73$ (C—Cl) (опыт $1,38$ и $1,69$ Å). Произведен также расчет методом Паризера и Парра с варьированием параметра β_{c-cl} с двумя наборами исходных МО: 1) орбитами иона аллила и 2) орбитами $CH_2=CHCl$, (метод ЛКАО—МО с параметрами Голдстейна (РЖХим, 1956, 77291)). При орбитах 1 ни одно возможное значение β_{c-cl} не приводит к удовлетворительной энергии первого π — π -перехода. С орбитами 2 получаются удовлетворительные результаты при $\beta_{c-cl} = -1,5 \epsilon$. М. Дяткина

69738. Электронные спектры двухзарядных отрицательных ионов альтернантных углеводородов. Балк, Брёйи, Хозйтинк (Electronic spectra of alternant hydrocarbon di-negative ions. Balk P., Bruijn S. de, Hooijink G. J.), Molec. Phys., 1958, 1, № 2, 151—156 (англ.; рез. франц., нем.)

Методом ЛКАО—МО в предположениях, использованных при расчете однозарядных отрицательных ионов альтернантных углеводородов (РЖХим, 1958, 49300) качественно исследуются электронные спектры 2-зарядных ионов молекул антрацена, тетрацена, перилена, терфенила и кватерфенила. Вычисленные положения длинноволновых полос поглощения удовлетворительно согласуются с экспериментом, а вычисленные силы диполей в среднем в 2—3 раза больше эксперим. значений. И. Станкевич

69739. Применение теории групп к расчету теоретических величин, относящихся к молекуле гексафенилбензола. Дюкюло (Application de la théorie des groupes au calcul de grandeurs théoriques relatives à la molécule d'hexaphénylbenzène. Duculot Camille), C. r. Acad. sci., 1956 242, № 22, 2641—2644 (франц.)

С применением теории группы рассчитано электронное строение гексафенилбензола по методу МО как с учетом, так и без учета интегралов перекрывания. Интегралы обмена для соседних атомов принимаются равными $\beta(s=0)$ или $\gamma(s=0,25)$. Энергия резонанса определена $16,374482 \beta$ или с учетом перекрывания $8,237020 \gamma$. Соседние атомы C в центральном бензольном кольце обозначены индексами 1 и 8, углеродные атомы фенильного кольца — индексами 2—7. Определены индексы связи p_{ij} для $C_{(1)} - C_{(2)}$ $0,391396$, $C_{(2)} - C_{(3)}$ $0,611534$, $C_{(3)} - C_{(4)}$ $0,678612$, $C_{(4)} - C_{(5)}$ $0,658480$, $C_{(1)} - C_{(8)}$ $0,575808$ и индексы свободной валентности атомов $C_{(1)}$ $0,188988$, $C_{(2)}$ $0,117536$, $C_{(3)}$ $0,441854$, $C_{(4)}$ $0,394908$, $C_{(5)}$ $0,415040$. При сравнении межатомных расстояний $C_i - C_j$, рассчитанных из величин p_{ij} с расстояниями, полученными приближенным методом расчета (Daudel R., Vroelant C., C. r. Acad. sci., 1949, 228, 399) на основе теории спинных состояний, получается соответственно: для $C_{(1)} - C_{(2)}$ $1,441$ и $1,436$; $C_{(2)} - C_{(3)}$ $1,399$ и $1,420$; $C_{(3)} - C_{(4)}$ $1,388$ и $1,388$; $C_{(4)} - C_{(5)}$ $1,391$ и $1,398$; $C_{(1)} - C_{(8)}$ $1,405$ и $1,425$. Энергия электронного перехода $N - V_1$ оценивается в $-1,021856 \gamma$. Приписав γ значение 4ϵ на основании данных для p -дифенилбензола можно расположить центр тяжести синглетно-триплетного перехода у $33\,500 \text{ см}^{-1}$. Д. Агеева

69740. Критическое изучение расчетов электронно-колебательного взаимодействия. Лип (Critical study

of vibronic interaction calculations. Liehr Andrew D.), Canad. J. Phys., 1957, 35, № 9, 1123—1132 (англ.)

Проведено детальное обсуждение опубликованных неэмпирич. и полумэмпирич. методов вычисления электронно-колебательных взаимодействий в состояниях ${}^1B_{1u}$ и ${}^1B_{2u}$ бензола. В неэмпирич. методе типа Лира и Мофитта (РЖХим, 1958, 56407) полная волновая функция молекулы разложена по конфигурационным функциям Θ , зависящим от координат ядер и электронов. Коэф. разложения определяются из вариационного принципа. Вычисленные силы осцилляторов f для упомянутых переходов равны 0,257 и 0,00269, опытные значения 0,094 и 0,0014. При использовании для Θ функций Гёпперт-Мейера и Скляра (Goerppert-Mayer M., Sklar A. L., J. Chem. Phys., 1938, 6, 645) соответствующие f равны 0,0626 и 0,198. Если принять, что Θ не зависят от колебательных координат, то $f = 0,0690$ и 0,208. Вычисленное отношение значений f , соответствующих частотам 521 и 1470 см^{-1} электронного состояния ${}^1B_{2u}$, равно 311, опытное ~ 100 . Полумэмпирич. расчеты проводились по методам валентных пар и МО с использованием опытных значений разностей энергий и интенсивности перехода ${}^1A_{1g} \rightarrow {}^1E_{1u}$. При эффективном заряде атома углерода, равном 1 и 0,6, $f = 0,035$; 0,147 и 0,097 0,005. В этих расчетах атом углерода рассматривается как малый диполь, действующий на несоседние π -электроны, и эта модель приводит к плохому совпадению вычисленных и наблюдаемых f . Несколько лучшие результаты получаются с резонансным потенциалом Леннард-Джонса. Сделан вывод, что в отсутствие точных решений уравнения Шредингера трудно вычислить интенсивности с достаточной точностью.

М. Ковнер

69741. Расчет спектра поглощения бензола на основе «металлической» модели с учетом периодического потенциала и взаимодействия π -электронов. Боровинский Л. А., Оптика и спектроскопия, 1958, 4, № 2, 156—167

На основе одномерной «металлической» модели производится расчет уровней энергии π -электронов в молекуле бензола. Учитывается периодич. потенциал остова, выбираемый в виде $V(\varphi) = V_0 \cos 6\varphi$ (φ — угол поворота вокруг оси симметрии шестого порядка), и взаимодействие π -электронов, оператор которого берется в виде: $F(r, r') = (|r - r'|^2 + r_0^2)^{-1/2}$. Обозначения: r и r' — радиусы-векторы взаимодействующих π -электронов; r_0 — параметр, имеющий смысл наименьшего возможного в одномерной модели расстояния между взаимодействующими π -электронами. Одноэлектронные функции для потенциала $V(\varphi)$ строятся из соответствующих функций свободного электрона по вариационному методу Кирквуда. Многоэлектронные координатные волновые функции, соответствующие отдельным конфигурациям, строятся по методу Фока (Ж. эксперим. и теор. физ. 1940, 10, 961), дополненному для некоторых случаев Абаренковым (РЖФиз, 1957, 3356). Для нахождения энергии π -электронных состояний молекулы производится процедура суперпозиции конфигураций. Для каждого электронного состояния учитывается 13—15 конфигураций. Большое число учитываемых конфигураций обусловлено тем, что относительные веса конфигураций в отдельном электронном состоянии медленно падают с ростом их энергии. Окончательные результаты расчета зависят от параметров V_0 и r_0 . Рассматриваются 2 различных выбора последних: 1) $V_0 = -10,8 \text{ эв}$; $r_0 = 0,32 \text{ Å}$ и 2) $V_0 = 11,9 \text{ эв}$; $r_0 = 0,36 \text{ Å}$ (R — радиус бензольного кольца). Найдены следующие значения энергии возбуждения электронных состояний молекулы бензола в см^{-1} (цифры, следующие за символом термина, последовательно означают энергию возбуждения, вычисленную для 1-го выбора

параметров V_0 и r_0 ; то же для 2-го выбора параметров; эксперим. значение): ${}^1B_{2u}$, 36 200, 39 300; 37 800; ${}^1B_{1u}$, 46 500; 48 000; 47 900; 1E_u , 85 100; 84 600; 54 300; ${}^3B_{1u}$, 20 000; 23 000; 29 200—30 500; ${}^3B_{2u}$, 36 500; 39 200; 43 700; 3E_u 42 300; 41 400; 38 600—39 300.

69742. Расчет сверхсопряжения методом возмущений. I. Циклопентадиен, циклогексадиен. Аоки Буссейрон канкю, 1957, № 108, 178—189 (японск.)

Методом теории возмущений рассчитаны уровни энергии молекул циклопентадиена (I) циклогексадиена (II). Исходная волновая функция относится к молекуле $\text{CH}_2 = \text{CH}_2$ а смещение ее уровней при образовании I и II возникает за счет сверхсопряжения, рассматриваемого как возмущение. Сопоставлен эксперим. и рассчитанный спектр I и II.

Е. Никитин

69743. Спектры поглощения амиллозо-йодного комплекса и цилиндрическая модель свободных электронов. Се Ю-чан, Сюй Гуан-сянь, Кэсюэ тунбао, Научн. вестн., Scientia, 1958, № 4, 107—110 (кит.)

На основе цилиндрич. металлич. модели молекул рассмотрены спектры поглощения амиллозо-йодного комплекса в области 2000—7000 Å. Эксперим. полосы поглощения сравниваются с вычисленными при различных параметрах a (a — радиус цилиндра).

Е. Никитин

69744. Сверхобменное взаимодействие и положение орбит ионов. Канамори, Буссейрон канкю, 1957, № 105, 80—105 (японск.)

По методу теории кристаллич. поля рассмотрено строение электронной оболочки ионов конфигурации d^n в кристаллах. Степень обменной связи ионов сопоставляется с ферро- и антиферромагнитными свойствами кристаллов.

Е. Никитин

69745. Общее соотношение между потенциальной энергией и межъядерным расстоянием. II. Многоатомные молекулы. Липпинкотт, Шрёдер (General relation between potential energy and internuclear distance. II. Polyatomic molecules. Lippincott Ellis R., Schroeder Rudolph), J. Amer. Chem. Soc., 1956, 78, № 20, 5171—5178 (англ.)

Простая форма общего соотношения между потенциальной энергией и межъядерным расстоянием, введенная из квантовомеханич. модели, приложена к значительному числу многоатомных молекул. Соотношение имеет вид $V = D_e[1 - \exp(-n\Delta R^2/2R)]$, где параметр n связан с D_e уравнением $D_e = k_e R_0^2$. С использованием известных значений силовых постоянных валентных колебаний, энергии диссоциации связей в многоатомных молекулах вычислены с большей точностью, чем это было до настоящего времени. Существенная особенность метода состоит в том, что в нем не применяются эмпирически оцененные параметры. Обсуждена зависимость между энергией диссоциации связей и средней энергией связи. Для неполярных молекул, полярных молекул, содержащих H или молекул, состоящих из атомов с порядковым номером, меньшим, чем 9, вычисленные энергии диссоциации согласуются с энергиями связи, полученными из термодим. данных, в пределах $\sim 5\%$. Сообщение I см. РЖХим, 1958, 38618.

Из резюме авторов

69746. Вывод межъядерной потенциальной функции с помощью одной квантовомеханической модели. Липпинкотт (Derivation of an internuclear potential function from a quantummechanical model. Lippincott Ellis R.), J. Chem. Phys., 1957, № 26, № 6, 1678—1685 (англ.)

Рассматривается простая одномерная квантовомеханич. модель, позволяющая вычислить потенциальную функцию $V(R)$, определяющую колебания ядер в двухатомной молекуле, имеющую вид: $V = -D_e \exp(-n\Delta R^2/2R)$, где D_e — энергия диссоциации; R — межъядер-

расстояние; R_e — равновесное значение R ; $\Delta R = R - R_e$; $n = keR_e/De$; ke — силовая постоянная связи. Применяемая модель близка к моделям, предложенным Фростом (РЖХим, 1955, 42345, 1957, 53643). Полая энергия двухатомной молекулы полагается равной энергии, которую имеют валентные электроны, движущиеся вдоль линии, соединяющей ядра, под действием одномерного потенциала спец. вида. Последний равен нулю всюду, за исключением двух точек: $\pm a/2$, где он имеет особенности характера одномерных δ -функций, моделирующих притяжение электронов к ядрам. Мощности δ -функций выбираются так, чтобы получить правильные значения потенциалов ионизации изолированных атомов (используется связь между мощностью δ -функции и потенциалом ионизации, найденная в первой из цитированных работ Фроста). Чтобы учесть кулоновское отталкивание ядер (а также отталкивание электронов, принадлежащих различным атомам), считается, что δ -образные особенности одномерного потенциала могут смещаться относительно точек, где расположены ядра: равенство $a = R$ выполняется лишь при $R = R_e$. Функциональная зависимость a от R : $a = Rf(R)$ — находится при ограничении в разложении функции $f(R)$ по степеням отношения R_e/R квадратичным членом. Коэф. в этом разложении находятся из следующих требований: $a = R$, когда $R = R_e$; при $R \rightarrow \infty$, $a/R \rightarrow 1$; $(\partial a/\partial R)_{R_e} = 0$. Функция $a(R)$ имеет тогда вид $a(R) = R(1 - R_e/R + R^2/R^2)$. Спектр энергии электрона (электронов) в таком одномерном потенциальном поле найти не трудно. При этом зависимость энергии электрона от межядерного расстояния R приближенно действительно представляется в виде $V(R)$, указанном выше. Вычисленные значения различных характеристик потенциальных кривых — величин R_e , n , D_e , ke , колебательных частот ω_e и коэф. ангармоничности $x_e\omega_e$, найденные с помощью описанной модели для основного состояния иона H_2^+ , основного и ряда возбужденных состояний молекулы H_2 , а также для целого ряда многоэлектронных двухатомных молекул, находятся в разумном согласии с опытом. В случае иона H_2^+ , вычисленные значения всех этих величин почти точно совпадают с экспериментом, а в случае молекулы водорода — превосходят по точности результаты, полученные с помощью обычных методов расчета (исключая результаты чрезвычайно трудоемких расчетов Даймиса и Кулиджа). Рассматриваются также вопросы, связанные с различными способами определения мощностей δ -функций (в частности, для этого можно пользоваться величинами электроотрицательностей вместо потенциалов ионизации). Исходя из той же модели одномерного движения электронов, в поле двух δ -функций, и используя некоторые дополнительные допущения, автор показывает, что n в выражении потенциальной функции для двухатомной молекулы АВ можно представить приближенной ф-лой: $a_{AB} = 6,03 \cdot 10^8 (I_A/I_{0,A})^{1/2} (I_B/I_{0,B})^{1/2} \text{ см}^{-1}$; I_A — потенциал ионизации атома А; $I_{0,A}$ — потенциал ионизации атома, стоящего в таблице Менделеева в первом столбце и в одном ряду с атомом А. Указывается, что предложенная модель применима также к расчету потенциальных функций в случае многоатомных молекул. Автор отмечает, что несмотря на хорошие численные результаты, полученные в работе, недостатком используемого метода является ряд произвольных упрощающих допущений.

Т. Ребане

69747. Влияние заместителей R на электроноакцепторную силу металла M в соединениях MR_x . Штроемeyer, Нютцель (Der Einfluß der Substituenten R auf die Elektronenakzeptorstärke des Metalles Me in Verbindungen MeR_x . Strohmeyer Wal-

ter, Nützel Karl), Z. Elektrochem., 1958, 62, № 2, 188—191 (нем.)

Изучено влияние алкильных заместителей R на электроноакцепторную силу металла в соединениях ZnR_2 ($R = CH_3$, C_2H_5 , C_3H_7 , *изо*- C_3H_7 , C_4H_9 , *изо*- C_4H_9 , C_5H_{11} , *изо*- C_5H_{11}). Акцепторная сила металла оценивалась по величинам дипольного момента ZnR_2 в гептане (I) и диоксане (II) при 20°. Соединения в I почти бездипольны ($\mu = 0,0-0,4 D$), в то время как в II $\mu = 1,5-1,8 D$, что объясняется электронодонорными свойствами II по схеме $D: + MR_x \rightleftharpoons D: MR_x \rightarrow (D + MR_x^-)$. При сравнении с дипольными моментами, измеренными в II для других MR_x ($M = Mg, Cd, Hg, B, Al, Ga, In$; $R = \text{Alk, Ph, Hal}$), сделан вывод: чем больше разность электроотрицательностей заместителей и металла ($X_R - X_M$), тем больше дипольный момент MR_x и электроноакцепторная сила M. Если $X_R - X_M \approx 0$, т. е. когда связь $M - R$ близка к чисто ковалентной, то даже в II $\mu \approx 0$ ($M = B, Hg$; $R = C_2H_5, Ph$). Чем больше разность $X_R - X_M$, тем более полярна связь $R - M$ и тем больший отрицательный заряд оттянут к R, что увеличивает электронное сродство свободных орбит центрального атома. Проведено обсуждение св-в $M(Hal)_x$, где свободные орбиты M частично заняты, что снижает электроноакцепторную силу M в этих соединениях.

Е. Шусторович

69748. Константы кислотной диссоциации некоторых полиметиновых солей. Мак-Глинн (Acid dissociation constants of some polymethinium salts. McGlynn Sean P.), J. Phys. Chem., 1958, 62, № 3, 351—353 (англ.)

По формуле Лонге-Хиггинса ($2,3 RT$) $pK_a = \text{const} - \Delta E$ (1) (Longuet-Higgins H. C., J. Chem. Phys., 1950, 18, 275) вычислены значения pK_a для ряда бис-(диметиламино)-метиновых перхлоратов $(CH_3)_2N - (CH - CH)_n - CH = N(CH_3)_2 ClO_4^-$. Изложена теория, согласно которой ΔE есть разность между энергиями основных состояний соли и сопряженной с нею к-ты и приблизительно равна $\Delta E = E_c + E_{эл} - 2a'$, где E_c и $E_{эл}$ — энергия сопряжения и электростатич. энергия, подлежащие определению, а $2a'$ — константа. Под E_c понимается разность энергий π -электронов $R_2C = CH -$

$-(CH = CH)_n - CH = N(CH_3)_2 ClO_4^-$ и ее протонированной формы $R_2CH - (CH = CH)_n - CH = N(CH_3)_2$. Расчет по методу МО

ЛКАО дает: $E_c = 2a' + 4\beta \sum_{l=1}^{(v-1)/2} [\cos(\pi l/v + 1) - \cos(\pi l/v)]$; ($v = 2n + 3$). $2a'$ (разность энергий двух электронов σ -связи C — N и двух электронов на несвязывающей π — МО соли) считается независимой от n и потому входит в константу ур-ния (1). При бесконечной длине цепи $\lim_{v \rightarrow \infty} E_c = 2a' + 4\beta/\pi$. Для расчета

$E_{эл}$ (энергии отталкивания двух положительных зарядов, локализованных на атомах N в сопряженной к-те) величина внутренней диэлектрич. константы D предполагается постоянной по всей длине молекулы и не зависящей от n . Для всех молекул принято *транс*-строение с межатомами расстояниями 1,40 Å и валентными углами 120°. Предполагается, что энтропия присоединения протона не зависит от n . При сопоставлении вычисленных и опытных pK_a найдена линейная зависимость между pK_a и ΔE в интервале $D = 1 \div 4,5$. С ростом n увеличивается E_c (стабилизуется соль, pK_a уменьшается) и уменьшается $E_{эл}$ (стабилизуется сопряженная к-та, pK_a увеличивается), причем суммарный эффект ведет к увеличению pK_a , что и наблюдается на опыте. Обсуждается также

р-ция $C_6H_5NH^+ = C(CH_3) - (CH=CH)_n NHC_6H_5 \rightarrow C_6H_5N = C(CH_3) - (CH=CH)_n - NHC_6H_5 + H^+$, где полиметиновая соль играет роль к-ты, а не основания. Е. Ш. 69749. Взаимодействия металл-бор в боридов. Мьюттертиес (Boron-metal interactions in boride. Muettterties E. L.), Z. Naturforsch., 1957, 12b, № 6, 411-412 (англ.)

Причина того, что некоторые металлы не образуют боридов, заключается в электронном строении последних, так как различиями в радиусах и потенциалах ионизации металлов этот факт объяснить не удается. В боридов M_4B и M_2B электронные взаимодействия изолированных атомов В с атомами металла, образующими решетку, очень слабы и заключаются в передаче электронов от металла к В с последующим перекрыванием заполненных p - или sp^3 -гибридных (для M_2B) орбит В и пустых p - или d -орбит ближайших атомов металла. Такого рода взаимодействие характерно для переходных металлов. sp^3 -Гибридизация имеет место и для боридов MB, где в зигзагообразной цепи из атомов В каждый атом образует 2 связи В-В и 2 связи В-М. В боридов M_2B атомы В образуют гексагон. плоские решетки и связаны друг с другом sp^2 -орбитами; связь с металл. решеткой осуществляется с помощью перпендикулярной p -орбиты. Бориды MB_6 и MB_{12} построены из атомов металла и агрегатов B_6 и B_{12} , электронное взаимодействие сводится к передаче электронов металла в эти агрегаты, и вопрос о существовании боридов такого рода определяется значением потенциала ионизации и радиуса металла. Н. Гамбарян

69750. Приложение метода Паризера и Парра к ионам красителей с амидиниевым сопряжением. Мак-Глинн, Симпсон (Application of the Pariser and Parr method to dye ions with amidinium resonance. McGlynn Sean P., Simpson William T.), J. Chem. Phys., 1958, 28, № 2, 297-300 (англ.) По методу Паризера и Парра рассчитаны энергии и вероятности переходов для ионов красителей

$(CH_3)_2N - (CH=CH)_n - CH = N(CH_3)_2$ (I) ($n = 1, 2, 3, 4$). Расчеты производились для чистоуглеродных транс-аналогов I вида $H_2C - (CH=CH)_n - CH = CH_2$ с расстояниями C-C 1,39 Å и углами 120°. Величины энергий переходов передаются в общем удовлетворительно, в то время как теоретич. интенсивности завышены. Приводятся качеств. соображения, показывающие, что учет разности электроотрицательностей атомов N и C в I должен уменьшить вычисленные значения интенсивностей. Авторы заключают, что применение метода Паризера и Парра к ионам I столь же эффективно, как и в случае ароматич. углеводородов. Е. Шусторович

69751. Химическое строение и физико-химические свойства углеводородов. Новые закономерности и методы расчета. Татевский В. М., Докл. АН СССР, 1957, 113, № 4, 836-838

В развитие введенных ранее представлений и разработанных методов расчета физ.-хим. свойств (P) углеводородов (УВ) (РЖХим, 1953, 8400), показано, что все алканы (А) разбиваются на определенные гомологич. группы и для членов m -й группы $P_n(m) = 2P_{12} - 3P_{22} + \Delta(m) + nP_{22}$ (1), где n — число атомов С в А, а остальные величины правой части постоянны (P_{12} и P_{22} — парц. свойства структурных элементов молекул нормальных А, а $\Delta(m) = P_{разв.}^{(m)} - P_{норм.}^{(m)}$). Отсюда, если известны P для двух А m -й группы, то могут быть найдены коэф. прямой, определяемой ур-нием (1), и рассчитаны P для всех А этой группы с другими значениями n . Аналогичным образом для всех других классов УВ, содержащих алкильные радикалы: $P_n(m) =$

$= C(m) + \Delta(m) + nP_{22}$, (2), где $C(m)$ — величина, постоянная для данного структурного ядра. Такие P, как плотность или t -ра кипения, не подчиняющиеся ур-ниям (1) и (2), выражаются для m -й группы УВ дробно-линейной функцией.

Ю. Пентин 69752. Схема расчета физико-химических свойств производных парафиновых углеводородов. Пентин Ю. А., Докл. АН СССР, 1958, 119, № 1, 113-116 Рассматривается вопрос о возможности разработки аддитивной схемы расчета физ.-хим. свойств (P) для соединений общей ф-лы $C_nH_{2n+2-m}X_m$, где X — одновалентная замещающая группа. Выведено основное ур-ние такой схемы: $P_{C_nH_{2n+2-m}X_m} = \sum_{ij}^{kl} n_{ij}^{kl} P_{ij}^{kl}$, где P_{ij}^{kl} — парц. свойство, приходящееся на структурный элемент, определяемый связью $C_i^k - C_j^l$, а n_{ij}^{kl} —

число таких связей в молекуле (i и j указывают на первичность, вторичность, третичность или четвертичность углеродных атомов и равны соответственно 1, 2, 3 или 4, а k и l показывают, сколько групп X связано с данным атомом углерода, и равны 0, 1, 2 или 3). Схема проверена на расчете мол. объемов и рефракций изомерных одноатомных спиртов и показала вполне удовлетворительное совпадение эксперим. и рассчитанных значений. Приведена таблица соответствующих значений P_{ij}^{kl} . Ю. Пентин

69753. Теплоты сгорания и молекулярная структура. Часть V. Среднее значение энергии связи для связи C—O в простых эфирах, и структуры некоторых циклических эфиров. Касс, Флетчер, Мортимер, Спрингалл, Уайт. (Heats of combustion and molecular structure. Part V. The mean bond energy term for the C—O bond in ethers, and the structures of some cyclic ethers. Cass R. C., Fletcher S. E., Mortimer C. T., Springall H. D., White T. R.), J. Chem. Soc., 1958, Apr., 1406-1410 (англ.)

На основе термохим. исследования тетрагидропирана, а также литературных данных по ROR' ($R = R' = CH_3$; $R = R' = C_2H_5$; $R = CH_3$, $R' = C_2H_5$) средняя величина энергии связи C—O в простых эфирах $E(C—O)$ принята равной 84,3 ккал/моль. Эта величина применена для анализа мол. структуры дигидропирана (I), тетрагидрофурана (II), дифенилового эфира (III), дибензопирана (IV) и дибензофурана (V), для которых вычислена разность ΔE между атомной теплотой образования и суммой средних энергий всех связей в молекуле (7,5; -2,9; 83,5; 91,2; 87,6 ккал/моль для I, II, III, IV и V соответственно). Положительный знак ΔE отвечает стабилизации молекулы, отрицательный — напряжению. Интерпретация результатов проведена в терминах теории резонанса. Часть IV см. РЖХим, 1958, 60141. Е. Шусторович

69754. Термохимическое определение энергий связей. Сообщение 1. Энергии связей Sn—C в тетраметил- и тетраэтилолово. Баландин А. А., Клубуновский Е. И., Козина М. П., Ульянова О. Д., Изв. АН СССР. Отд. хим. н., 1958, № 1, 12-17

Изучены теплоты горения (ТГ) и теплоты образования (ТО) из элементов тетраметилолова (I) и тетраэтилолова (II), а также энергии связи Sn—C. ТГ при процессе изотермич. соединения I и II с газообразным кислородом при 1 атм соответственно равны: $-\Delta H^{20}(\text{жидк.})$ 905,7 и 1545,9 ккал/моль; $-\Delta H^{20}(\text{газ.})$ 913,9 и 1557,7 ккал/моль. Продукты сгорания: $SnO_2(\text{т.})$, $H_2O(\text{жидк.})$, $CO_2(\text{газ.})$ и $N_2(\text{газ.})$. ТО I и II из элементов при 25° соответственно равны: $-\Delta H^{25}(\text{жидк.})$ 19,2 и 28,5 ккал/моль; $-\Delta H^{25}(\text{газ.})$ 11,0 и 16,7 ккал/моль. Средние энергии связей Sn—C в I и II рассчитаны

по аддитивной схеме из ТО из атомов, находящихся в основных состояниях. Энергия связи в I 43,0 и в II 39,4 ккал/моль. Приведены спектры комб. расс. I и II. О. Ульянова

69755. Спектр испускания иона диацетилен. Изучение T -полос Шюллера при высоком разрешении. Каломон (An emission spectrum of the diacetylene ion. A study of Schüler's T spectrum under high resolution. Callomon J. H.), Canad. J. Phys., 1956, 34, № 10, 1046—1074 (англ.)

Изучен спектр испускания нормального (C_4H_2) и полностью дейтерированного (C_4D_2) диацетилена, в разрядной трубке Шюллера с добавкой гелия на спектрографе с дифракционной решеткой. Спектр впервые был получен Шюллером и Рейнебеком (Schüler H., Reinebeck L., Z. Naturforsch., 1951, 6a, 160, 270) в разряде через смесь ряда органич. в-в с инертным газом и назван ими T -спектром (4800—6500 Å) и приписан молекуле диацетилена. Колебательные частоты, проявляющиеся в T -спектре, не совпадают с колебательными молекулы диацетилена в нормальном состоянии, хотя и близки к ним. Анализ структуры показал, что симметрия молекулы в обоих состояниях T -спектра одинакова и не ниже, чем у линейной молекулы. Линейная структура подтверждена также анализом вращательной структуры. Вращательная структура показывает, что исследуемый спектр является переходом $\Pi_u - \Pi_g$ или $\Pi_g - \Pi_u$. Дублетная структура нижнего и верхнего состояний указывает, что носителем T -спектра является ион $C_4H_2^+$. Этот вывод подтверждает также рассмотрение электронной конфигурации и наличие серий Ридберга в спектре поглощения молекулы диацетилена. Определены вращательные постоянные исследуемого иона. Н. Прилежаева

69756. Масс-спектры и относительные чувствительности некоторых полифенилов. Братт, Молер (Mass spectra and relative sensitivities of some polyphenyls. Bratt Paul, Mohler Fred L.), J. Res. Nat. Bur. Standards, 1958, 60, № 2, 143—145 (англ.)

Исследованы масс-спектры m -тетрафенила (I), m -гексафенила (II) и m -октафенила (III). Показано, что мол. линия является основной во всех исследованных масс-спектрах: отношение суммы всех осколочных линий к молекулярной не превосходит 2. При испарении в ионизационную камеру известной смеси, состоящей из m -трифенила, I, m -пентафенила, II и III, по мол. пикам измерены относительные ионизуемости молекул. Показано, что они относятся соответственно, как 1:1,87:2,98:4,02:5,76, т. е. растут быстрее, чем мол. веса. Е. Франкевич

69757. Некоторые результаты исследования с большой дисперсией электронного спектра испускания формальдегида. Робинсон (Some results of the high dispersion electronic emission spectrum of formaldehyde. Robinson G. Wilse), Canad. J. Phys., 1956, 34, № 7, 699—710 (англ.)

Исследован с большой дисперсией спектр испускания и поглощения формальдегида в области 3400—4000 Å. Дано предварительное отнесение наблюдаемых полос к различным электронноколебательным уровням верхнего и нижнего состояния. Анализ эксперим. данных позволяет высказать предположение о том, что в исследованном верхнем электронном состоянии молекула формальдегида имеет неплоскую конфигурацию. В. Александрия

69758. О спектрах испускания углеводородов и спиртов жирного ряда в безэлектродном тлеющем разряде. Колубин и А. А. В сб.: Некоторые вопр. низк. физ. Вып. 2. М., 1957, 100—136

Исследованы спектры испускания метана, изооктана, метилового, бутилового и изоамилового спиртов при действии ВЧ-разряда. Обсуждаются характер действия

ВЧ-разряда и продукты распада паров органич. соединений жирного ряда.

А. Мальцев
69759. О классификации вторичного свечения. Степанов Б. И., Апанасевич П. А., Докл. АН СССР, 1957, 116, № 5, 772—775

Теоретически рассмотрен критерий С. И. Вавилова (Собр. соч. Т. 2. Статьи 20, 28 и 29. Изд. АН СССР, 1952) для отделения люминесценции от рассеяния света. Разбирая вопрос с позиций классич. теории (анализ решения ур-ния электр. диполя) и с точки зрения квантовой электродинамики (атом с тремя уровнями), авторы пришли к выводу, что разделение рассеяния и люминесценции по признаку тушения невозможно, если под тушением понимать уменьшение выхода. Классификация по признаку длительности послесвечения неоднозначна и иногда может привести к неверным результатам. Для классификации явлений преобразования света авторы предлагают использовать признак совпадения или расхождения спектра послесвечения со спектром стационарного режима. Полное совпадение указывает на наличие фотолюминесценции. В. Ермолаев

69760. К вопросу о спектральном действии вторичной флуоресценции. Будо, Домби, Хорван (Beiträge zur Frage der spektralen Wirkung der Sekundärfloreszenz. Budó A., Dombi J., Horvai R.), Acta phys. et chem. Szeged, 1957, 3, № 1—4, 3—15 (нем.)
Указан способ подсчета действия вторичной флуоресценции на спектры излучения в различных условиях возбуждения и наблюдения, а также способ определения истинного спектра флуоресценции исследуемого в-ва. Разобран случай круглой кюветы и возбуждения пучком монохроматич. света круглого сечения, а также наблюдение со стороны возбуждения, на просвет и поперечное. Вычисленный в различных условиях наблюдения истинный спектр p -ра флуоресценции хорошо совпадает. Истинный спектр не зависит от конц-ии, толщины слоя и длины волны возбуждающего света. В. Ермолаев

69761. Поляризация полос люминесценции хлорофилла и феофитина. Кравцов Л. А., Грузинский В. В., Докл. АН БССР, 1957, 1, № 3, 103—106

С помощью фотоэлектрич. полиметра измерялась степень поляризации флуоресценции хлорофилла a (I) в спирто-глицериновом p -ре и феофитина a (II) в циклогексанол в зависимости от длины волны спектра излучения указанных в-в. Степень поляризации (p) I равна 8,5% в 1-й полосе флуоресценции (660—700 мμ) и падает до 4,3% во 2-й полосе (720—750 мμ). Аналогичные данные получены и для II: $p_1 = 9\%$, $p_2 = 2\%$. На основании этого авторы приписывают 1-ю и 2-ю полосы флуоресценции в I и II различным электронным переходам с двух возбужденных электронных уровней. В. Ермолаев

69762. Спектры флуоресценции, спектры отражения и время затухания флуоресценции кристаллических молекулярных соединений. Чекалла, Шмиллен, Магер (Fluoreszenzspektren, Reflexionsspektren und Fluoreszenzabklingzeiten von kristallinen Molekülverbindungen. Czekała J., Schmillen A., Mager K. J.), Z. Elektrochem., 1957, 61, № 8, 1053—1056 (нем.)

Исследовались поглощение и флуоресценция кристаллич. молекулярных соединений (MC) гексаметиленбисзола (I) с хлоранилом (II), 2,5-дихлорхиноном, 2,4,7-тринитрофлуореноном, 1,3,5-тринитробензолом и тетрафторфталевым ангидридом (III) при комнатной t -ре и -190° . Спектры поглощения определялись по методу Кортюма (РЖХим, 1957, 4704) путем измерения спектра отражения смешанного порошка MC с KBr с последующим пересчетом. Спектры поглощения и флуоресценции кристаллич. MC I с различными акцепторами зеркально симметричны, хотя макси-

мумы спектров смещаются при переходе от I к III на 7000 см^{-1} . Время затухания люминесценции кристаллич. МС I и других ароматич. углеводородов с тринитробензолом и III равно нескольким единицам 10^{-9} сек. Авторы считают, что фотолуминесценция кристаллич. МС может быть объяснена флуоресценцией переноса электрона. См. также РЖХим, 1957, 73755, 1958, 20384.

В. Ермолаев

69763. К теории тушения флуоресценции растворов. Розман И. М., Оптика и спектроскопия, 1958, 4, № 4, 536—538

Используя метод Маркова, автор получил выражения для закона затухания и тушения флуоресценции при переносе электронной энергии от возбужденной молекулы к молекулам другого вида, распределенным в пространстве статистически и неподвижным в течение времени жизни возбужденного состояния. Сила взаимодействия предполагается спадающей обратно пропорционально шестой степени расстояния между молекулами. Ф-лы для выхода и времени затухания люминесценции совпадают с ф-лами, полученными другими методами Ферстером (Förster Th., Z. Naturforsch., 1949, 4a, 321) и М. Л. Галаниным (РЖХим, 1956, 12469).

В. Ермолаев

69764. Затухание фотолуминесценции растворов. Яблонский (Decay of photoluminescence of solutions. Jabłoński Aleksander), Acta phys. polon., 1957, 16, № 6, 471—479 (англ.; рез. русск.)

Ранее автором было изучено влияние на затухание фотолуминесценции ряда факторов, приводящих к отклонениям затухания от экспоненциального закона. В настоящей работе принято во внимание влияние соседних молекул на вероятность переходов, включая излучение фосфоресценции. Такие изменения, осуществляющиеся в определенных органолюминофорах, исследованы Францковским (РЖХим, 1958, 63560). При расчете люминесцирующие молекулы разбивались на группы, различным образом возмущенные окружающей средой. Предполагалось, что молекулы, принадлежащие различным группам, имеют различную вероятность излучения. Закон затухания люминесценции, наблюдаемый на опыте, обуславливается наложением затухания молекул различных групп. Часто имеет место наложение нескольких экспоненциально затухающих свечений. Получено также выражение для затухания параллельно и перпендикулярно поляризованного компонента свечения.

В. Ермолаев

69765. Концентрационное тушение флуоресценции растворов некоторых ароматических соединений.

Даммерс-де-Клерк (Concentration quenching in fluorescent acene solutions. Dammers-de Klerk A.), Molec. Phys., 1958, 1, № 2, 141—150 (англ.; рез. франц., нем.)

Измерена зависимость интенсивности флуоресценции р-ров бензола (I), нафталина (II) и антрацена (III) в *n*-гексане при 25° от их концентрации. Показано, что концентрационное тушение флуоресценции I в р-ре может быть объяснено простым тушением при столкновении. В р-рах II и III процесс тушения происходит путем образования нестационарного возбужденного комплекса, получающегося при столкновении возбужденной и невозбужденной молекул II и III. Необычный ход кривой тушения II в зависимости от концентрации приписывается способности возбужденного комплекса II флуоресцировать. Среднее время затухания флуоресценции, вычисленное из измерений тушения, равно $2 \cdot 10^{-6}$ для I и $5 \cdot 10^{-7}$ сек. для II.

Из резюме автора

69766. Исследования квантовых выходов светящихся веществ с точки зрения их применимости для измерения излучения в ультрафиолетовой области спектра. Хамман (Untersuchungen über die Quantenausbeute von Leuchtstoffen unter Berücksichtigung ihrer

Anwendung bei Strahlungsmessungen im UV. Hamman Joachim-Friedrich), Z. angew. Phys., 1958, 10, № 4 187—192 (нем.)

Для ряда флуоресцирующих в-в измерялась зависимость квантового выхода (КВ) люминесценции от длины волны возбуждающего света. Показано, что КВ флуоресценции слоя салицилата натрия постоянен при возбуждении в области 2300—3400 Å. КВ флуоресценции мелкокристаллич. слоя антрацена также не изменяется в области 2300—3700 Å (наблюдение в обоих случаях со стороны возбуждения и на просвет). КВ свечения флуоресценции в р-ре постоянен в области 3100—5100 Å (наблюдение со стороны возбуждения). Указанные в-ва могут применяться для измерения относительных квантовых интенсивностей в УФ-области спектра.

В. Ермолаев

69767. О применимости функции Кубелки-Мунка в спектрах отражения порошков. Кортис Шрейер (Über die Gültigkeit der Kubelka-Munk-Funktion für Reflexionsspektren an Pulvern. Kortüm G., Schreyer G.), Z. Naturforsch., 1956, 11a, № 12, 1018—1022 (нем.)

Исследована пригодность функции Кубелки-Мунка для описания кривых отражения порошков со слабой и умеренно высокой поглощающей способностью в условиях освещения их диффузным светом и наблюдения в направлении, перпендикулярном поверхности отражающего слоя. Данные, полученные для ватого в качестве объекта исследования дидимового фильтра BG-20, показывают, что как в условиях наблюдения $R_{D,0}$ так и $R_{45,0}$ функция Кубелки — Мунка позволяет получить типичные кривые цветности с точностью $\pm 2\%$. С такой же точностью поддается определению конца окрашенного порошка в смеси с нейтр. порошком, не поглощающим в исследуемой области спектра, что показано на примере измерений кривых отражений смесей K_2CrO_4 с MgO .

В. Алексеев

69768. Дибромамин: ультрафиолетовые спектры поглощения и полярографическое изучение. Джоханнесон (Dibromamine: ultraviolet absorption spectra and polarographic studies. Johanneson J. K.), Chemistry and Industry, 1958, № 4, 97—98 (англ.)

С помощью УФ-спектров и полярограмм показано, что бром в присутствии некоторого избытка NH_3 (при рН 8,2) образует монобромамин (λ (макс.) 277 мμ). При более низком отношении $NH_3 : Br$ образуется смесь моно- и дибромамина (появляется второй максимум при λ 230 мμ). Получить чистый дибромамин не удалось. При р-ции брома с алкиламинами образуются моно- и дибром-N-алкиламины, выделяемые в чистом виде (N-монобромметиламин имеет λ (макс.) 288 мμ, N-дибромметиламин — λ (макс.) 236 мμ).

Б. Головин

69769. К вопросу о строении бензгидроксиамоний кислот и некоторых их производных. Усова Е. М., Ворошин Е. М., Докл. АН СССР, 1957, 114, № 1, 120—123

Исследованы УФ-спектры поглощения р-ров бензида (I), моно- (II) и дибензгидроксиамоний-к-т (III) и α- (IV) и β-форм (V) трибензгидроксиамин в различных р-рителях с целью изучения их структуры. Определено, что II, III, IV и V имеют структуры соответственно: $C_6H_5CONHON$, $C_6H_5CONHOCOC_6H_5$, $C_6H_5CON(COC_6H_5)OCOC_6H_5$ и $C_6H_5C(OCOC_6H_5)_2$ (в виде ноле). В 96%-ной H_2SO_4 I—III находятся в виде иттионов: $C_6H_5CON + H_3$, $C_6H_5CON + H_2OH$, $C_6H_5CON + H_2OCOC_6H_5$, а IV и V превращаются в III и бензойную к-ту. В алкоголяте Na II и III ионизованы по анионному типу: $C_6H_5CONH-O-$ и $C_6H_5CO-N-OCOC_6H_5$.

И. Коронин

69770. Спектр тиазола. Алберт (The spectrum of thiazole. Albert A.), Chemistry and Industry, 1957, № 38, 1271—1272 (англ.)

Получены УФ-спектры поглощения нейтр. молекулы тиазола (в воде при pH 5) и катиона (в виде соли HCl), содержащие максимумы соответственно при 235 ($\lg \epsilon = 3,51$) и 237 м μ ($\lg \epsilon = 3,61$). В. Винокуров

69771. Исследование в области пиримидиноимидазолонов. IV. Спектры поглощения пиримидиноимидазолонов в ультрафиолетовой области. Прокофьев М. А., Антонович Е. Г., Швачкин Ю. П., Вестн. Моск. ун-та. Сер. матем., механ., астрон., физ., химия, 1957, № 3, 199—209

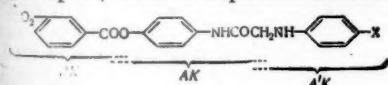
Измерены УФ-спектры в области 225—320 м μ двадцати пиримидино-1,2:1',2'-имидазолонов-4' (I) и пиримидино-2,3:2',3'-имидазолонов-5' (II) при значениях pH 0—14. Из УФ-спектров рассчитаны константы кислотной ионизации II. Определены границы pH существования кислотных, нейтр. и основных форм I и II, и даны структурные ф-лы. Сообщение III см. РЖХим, 1957, 47991.

И. Корovina
69772. Структурные особенности при взаимодействии некоторых органических ионов с альбумином сыроотки. П. Петиколас, Клоц (Structural specificities in the interactions of some organic ions with serum albumin. P. Peticolas, Warner L., Klotz Irving M.), J. Amer. Chem. Soc., 1956, 78, № 20, 5257—5262 (англ.)

Исследуются спектры комплексов альбумина сыроотки человека (АСЧ) с органич. ионами (ОИ) 3- (I) и 4-(*n*-диметиламинофенилазо)-коричной (II), -дигидрокоричной (III) и -гиппуровой (IV) к-т. В спектрах комплексов с III и IV, где расстояния между активными группами (АГ) COOH и (CH₃)₂N могут уменьшаться из-за свободного вращения до 13 А, наблюдается bathochromный сдвиг. В спектрах комплексов с I и II, где свободного вращения нет и расстояние между АГ равно 15—16 А, bathochromный сдвиг отсутствует. В то же время термодинамич. характеристики р-ций всех рассматриваемых ОИ с АСЧ идентичны и указывают на одинаковую степень их связывания боковыми цепями протеина. Очевидно, bathochromные сдвиги в спектрах ОИ появляются только при их связи со специфичными боковыми цепями АСЧ, и зависимость спектров от расстояний между АГ ОИ позволяет определять расстояния между этими специфичными боковыми цепями протеина. Предыдущ. сообщение см. Klotz J. M., Burkhard R. K., Urquhart J. M., J. Amer. Chem. Soc. 1952, 74, 202.

Н. Гамбарян
69773. Соединения с двумя электронодонорными системами. II. О явлениях цветности у производных N-(фенилглицил)-О-(3-нитробензоил)-*n*-аминофенола. Смирнов Е. А., Ж. общ. химии, 1957, 27, 10, 2682—2692

Синтезированы производные N-(фенилглицил)-О-(3-нитробензоил)-*n*-аминофенола (I), где X = H, CH₃, o-CH₃ в орто-, мета и пара-положениях. I получены



взаимодействием соответствующих ароматич. аминов с N-(хлорацетил)-О-(3-нитробензоил)-*n*-аминофенолом, т. пл. 157,5—158°. Приведены X, т. пл. в °C; *n*-CH₃, 157,5—158; *m*-CH₃, 141,0—141,5; *o*-CH₃, 115—116; *o*-CH₃O, 154,5—155,3 и 157,5—158 (диморфизм); *m*-CH₃O, 123—124; *n*-CH₃O, 140—141 и 144—145 (диморфизм); H, 159,5—160. Все I, кроме I (X = H), глубоко окрашены. Для некоторых из них (X = *m*-CH₃, *o*-CH₃) получены слабоокрашенные модификации, а I (X = *n*-OCH₃) получено в двух глубокоокрашенных модификациях. Исходное I (X = H) получено только в слабоокрашен-

ной модификации. Наличие двух цветных модификаций в кристаллич. состоянии объясняется в рамках ранее развитых автором представлений (Ж. общ. химии, 1940, 10, 43, 1377; 1947, 17, 309; 1950, 20, 696; РЖХим, 1956, 21692, 60748, 64227) двумя возможными способами взаимодействия электрофильной группы ВК с электронодонорными группами АК и А'К. Слабоокрашенная модификация сопоставляется с взаимодействием ВК с АК, электронодонорные свойства которой по сравнению с А'К выражены слабее. Кривые спектров поглощения трех из синтезированных I (X = H, *n*-CH₃ и *n*-OCH₃) оказались весьма сходными между собой и с кривыми, полученными сложением поглощений двух компонент: содержащей электронодонорную систему аналогичную А'К и содержащей ВК и АК. Это показывает, что фактор, обуславливающий окраску соединений в кристаллах, в р-ре в значительной степени отсутствует. При высоких конц-ях (0,02—0,2 М) наблюдаются отклонения от закона Бера, следовательно, в этих условиях взаимодействие между электрофильной и электронодонорной системами, нарушенное в разб. р-рах, восстанавливается. Сообщение I см. РЖХим, 1955, 386.

В. Алесанян
69774. Поляризация полос поглощения в электронном спектре антрахинона. Попов К. Р., Оптика и спектроскопия, 1958, 4, № 3, 404—406

С целью интерпретации некоторых полос поглощения антрахинона (I) исследованы поляризованные спектры поглощения слоев частично ориентированных молекул I, растворенного в бутирале, а также натривой соли β-антрахинонсульфокислоты, растворенной в поливиниловом спирте. Полученные в области 360—460 м μ кривые поглощения включают 3 полосы с максимумами при 252,5, 272 и 325,5 м μ . На основании спектрального хода дихроизма делается вывод, что эти полосы принадлежат разным электронным переходам, в противоположность работе Морана и Стохилла (РЖХим, 1958, 38629), где полоса 272 м μ трактуется как колебательная. Полосы 325 и 252,5 м μ поляризованы одинаково. Характер поляризации полосы 272 м μ указывает на то, что момент соответствующего электронного перехода перпендикулярен моментам двух других переходов.

М. Бродин
69775. Электронные и колебательные состояния плейадиенов. Сидман (Electronic and vibrational states of the pleiadienes. Sidman Jerome W.), J. Amer. Chem. Soc., 1956, 78, № 17, 4217—4225 (англ.)

Исследованы электронные спектры поглощения и флуоресценции ацеплейадиена (I) и ацепейадиена (II). Измерены спектры монокристаллов I и II при 77° К, смешанных кристаллов с пиреном (исследуемое соединение в виде небольших примесей) при 77 и 4° К и стеклообразного р-ра в смеси этилового и метилового спиртов при 77° К. Спектры кристаллов исследовались в поляризованном свете. Получены также спектры поглощения I и II в области 4—15 м μ . Приводятся данные о положении и интенсивности полос поглощения I и II в смешанных кристаллах с пиреном при 4° К, расположенных в области 16 000—22 000 см⁻¹, и полос флуоресценции в спектре таких же кристаллов II в области 17 800—14 500 см⁻¹. I не обнаруживает люминесценции ни в смешанных, ни в чистых кристаллах, ни в стеклообразном состоянии при возбуждении ртутными линиями 3660 и 4358 А. Пользуясь данными поляризационных спектров кристаллов этих соединений и исходя из свойств симметрии, классифицируют низшие электронные переходы, обуславливающие исследуемую область поглощения, как ¹B₁ ← ¹A₁ для I и ¹A₁ ← ¹A₁ для II, а также классифицируют их, пользуясь полуэмпирич. моделью Плэтта, применяемой для кето-конденсированных углеводов для II, и пользуясь теорией МО ЛКАО для I. По данным

Спектрофотометрически изучены свойства и структура окрашенных в красный цвет аддуктов симм-три-нитробензола (I) с сульфитами (II), сульфидами (III) и диазидами (IV), которые подобны аддуктам I с гидроксидными, но однако образуются в большинстве при более низком pH. У соединений I с II методом непрерывных вариаций установлено мол. отношение обоих компонентов 1:1 при pH ~ 9. Это соотношение образуется в цел. среде выше pH 7 и характеризуется максимумами поглощения при 462 и 470 мμ. Его кривая поглощения при 462 мμ в зависимости от конц-ии SO₃²⁻ — в полне подчиняется закону Ламберта — Бера. При более высоких конц-иях SO₃²⁻ — красный р-р обесцвечивается. Также на свету окраска слабеет под влиянием фотохимич. разложения указанного соединения. Взаимодействие I с III протекает аналогично как с II; окраска устойчива только несколько секунд, после чего р-р приобретает постоянную желтую окраску, от присутствия динитроанилина и тетранитроазобензола, образующихся восстановлением I под действием III. Кривая поглощения аддукта I с III, определенная с применением проточной кюветы, имеет максимум при 461 мμ. Мол. отношение обоих компонентов в виду неустойчивости окраски можно только предположительно считать равным 1:1. Взаимодействие I с IV протекает очень медленно. Соответствующий красный аддукт переходит в неустойчивый короткоживущий продукт. Аналогичные свойства имеет также и водн. р-р соединений I с IV, выделенного по Мейсгеймеру (Meisenheimer J., Ann., 1902, 225, 323). Кривая поглощения этого в-ва, измеренная в проточной кювете при pH 9, имеет слабый максимум при 440 мμ. Образование цветных соединений I с II—IV можно объяснить присоединением SO₃²⁻, SH- и CN- к молекуле I. Соответствующие окрашенные анионы образуются только в пределах pH, в которых указанные анионы II—IV способны существовать. При избытке этих анионов возможность мезомерии аддукта после присоединения наибольшего их числа исчезает и р-р обесцвечивается. Из конц-ии окрашенного аниона [C₆H₃(NO₂)₃·SO₃²⁻], которая была определена при pH 8 спектрофотометрически для постоянной длины I и различных конц-ий SO₃²⁻, вычисленных по 2-й константы диссоциации H₂SO₃, вычислена константа распада аддукта I с II. После экстраполяции к нулевой конц-ии II ее величина составляет (1.8 ± 0.1) · 10⁻³.

К. Kámen

69781. К вопросу о комплексобразовании в системе анилин — нитробензол. Куханенко П. Н., Изв. высш. учебн. заведений. Физика, 1957, № 1, 135—139. Показано, что при калориметрич. анализе смесей анилина (I) и нитробензола (II) по диаграмме интенсивности света — состав, имеющей максимум вблизи соотношения компонент 1:1, нельзя сделать вывод о наличии или отсутствии комплексобразования (K). Сделана попытка получить спектры поглощения (СП) смесей I с II. В СП смеси обнаружено появление интенсивной полосы при 3830 Å. Появление поглощения в области 3200—4000 Å наблюдалось также в СП р-ров смеси в *n*-гексане и безводн. спирте. Если окраска смеси связана с K, то при нагревании смеси следует ожидать ослабления окраски. Это подтверждено исследованиями температурной зависимости (20—170°) обезгаженной смеси при 5360 Å. Окончательный вывод о наличии или отсутствии K в смеси I и II можно сделать после тщательного изучения структуры СП.

В. Базов

69782. К проблеме дополнительных координат в колебательных и вращательных спектрах многоатомных молекул. Голд, Даулинг, Мейстер (On the «redundant coordinate» problem in the rotational-vibrational spectra of polyatomic molecules. Gold

Raymond, Dowling Jerome M., Meister Arnold G.), J. Molec. Spectrosc., 1958, 2, № 1, 9—26 (англ.)

При расчете колебательных и вращательных спектров многоатомных молекул, в которых число внутренних координат превышает число колебательных степеней свободы, удобно введение дополнительных координат сверх обычно используемых естественных. При этом кинематич. и динамич. матрицы становятся особенными в связи с линейной зависимостью координат. В работе предлагается способ введения координат симметрии и невяного отделения дополнительных координат путем их ортогонализации в процессе расчета к остальным координатам. Это приводит к не зависящим от дополнительных координат силовым константам. Рассмотрен метод определения производных от моментов инерции $I_{\alpha\beta}$ молекулы по естественным координатам q_i в случае введения добавочных координат. Величины $j_{\alpha\beta}^i = \partial I / \partial q_i$ табулированы для молекулы ZX₃Y с тетраэдрич. углами между связями.

Е. Никитин

69783. О происхождении членов взаимодействия в колебаниях молекул. Бюрнелль, Дюшен (On the origin of interaction terms in molecular vibrations. Burnelle Louis, Duchesne Jules), J. Chem. Phys., 1958, 28, № 4, 726—727 (англ.)

Обсуждаются возможности объяснения отрицательных знаков силовых постоянных взаимодействия связей в молекулах с ординарными связями. В случаях H₂O, H₂S, H₂Se, AsH₃, SbH₃ и галогидных соединений ртуты отрицательные знаки возникают вследствие аномального хода потенциальной кривой, обусловленного силами Ван-дер-Ваальса. С другой стороны, *s,p*-гибридизация приводит к положительному знаку, и этот результат не изменяется при учете роли несвязанных электронов. Взаимодействие между конфигурациями влечет за собой отрицательный знак, если в возбужденных состояниях обе связи сокращаются или удлиняются. Если же одна связь сокращается, а другая удлиняется, то возникает положительный знак. Все факторы, влияющие на изучаемые знаки, должны быть более детально изучены с колич. точки зрения.

М. Ковнер

69784. Силовые постоянные тетраэдрических молекул. Писториус (Force constants of tetrahedral molecules. Pistorius C. W. F. T.), J. Chem. Phys., 1958, 28, № 3, 514—515 (англ.)

По методу, описанному в предыдущей работе автора (РЖХим, 1958, 38634), вычислены по эксперим. данным других авторов, силовые постоянные молекул с симметрией T_d: SiF₄, GeF₄, SiCl₄, GeCl₄, SnCl₄, SiBr₄, GeBr₄, SnBr₄, PO₄³⁻(H₃PO₄), PO₄³⁻(K₃PO₄), SO₄²⁻, GrO₄²⁻, MoO₄²⁻, WO₄²⁻, ClO₄⁻, JO₄⁻, AsS₄²⁻, SbS₄²⁻, CdBr₄²⁻, CdI₄²⁻. Приводятся значения постоянных

f_{dd} , f_d , f_{da} , $-f_{da}$, $f_a - f_{aa}$, $f_{aa} - f_{aa}$, причем для последних трех постоянных указано по два значения. Для CF₄, CCl₄, CBr₄ силовые постоянные имеют мнимые значения.

М. Ковнер

69785. Колебательные спектры ароматических соединений. V. Расчет и интерпретация колебательных спектров метаксилола. Ковнер М. А., Богомолов А. М., Оптика и спектроскопия, 1958, 4, № 3, 301—308

Выполнен расчет частот колебаний и предложена полная интерпретация колебательных спектров *m*-ксилола. Изучено 2 варианта силовых постоянных, основанных на различных оценках неактивных частот ν_{2u} , ν_{6u} и ν_{6g} . Расчет приводит к лучшему согла-

сию опытных и вычисленных частот м-ксилола, если для упомянутых неактивных частот принять их значения из работ Миллера (РЖХим, 1957, 3485) и Бродерсена и Лангсета (РЖХим, 1957, 59934). Часть IV см. РЖХим, 1958, 3538. См. также РЖХим, 1958, 35137.

М. Ковнер

69786. Структура молекулы 1,1,2,2-тетрахлорэтана. Расчет нормальных колебаний. Найто (Naito Kazuo), Осака когё гидзюцу сикэнсё кихо, Bull. Osaka Industr. Res. Inst., 1957, 8, № 4, 204—208 (японск.; рез. англ.)

Расчитаны нормальные колебания 1,1,2,2-тетрахлорэтана (I) в *транс* и *гаус*-формах. Сделано отнесение наблюдаемых частот в ИК-спектрах и спектрах комб. рас. I во всех его агрегатных состояниях.

Резюме автора

69787. Спектры комбинационного рассеяния с большим разрешением и структура простых молекул. Стойчев (High resolution Raman spectroscopy and the structure of simple molecules. Stoicheff B. P.), Current Sci., 1958, 27, № 1, 1—8 (англ.)

Обзор. Библ. 24 назв.

А. Мальцев

69788. Спектры комбинационного рассеяния четырех изотопных разновидностей диборана. Тейлор, Эмери (The Raman spectra of four isotopic varieties of diborane in the gas phase. Taylor R. C., Emery A. R.), Spectrochim. acta, 1958, 10, № 4, 419—422 (англ.)

Получены спектры комб. рас. четырех изотопных разновидностей диборана: $^{11}\text{B}_2\text{H}_6$, $^{11}\text{B}_2^{10}\text{D}_6$, $^{10}\text{B}_2\text{H}_6$, $^{10}\text{B}_2^{10}\text{D}_6$ в газообразной фазе. Проведено отнесение частот к представлениям группы D_{2h} .

В. Базов

69789. Зависимость интенсивности линий комбинационного рассеяния света от температуры в сероуглероде. Соколовская, Кенцкий (Dependence of the intensity of carbon disulphide raman lines on temperature. Sokolovskaya A. I., Kencki Z.), Bull. Acad. polon. sci. Ser. sci., chim. geol. et geogr., 1958, 6, № 2, 133—137 (англ.; рез. русск.)

Исследована интенсивность и ширина линий комб. рас. CS_2 в температурном интервале от +25 до -140° . Показано, что для всех линий CS_2 интенсивность меняется с т-рой во много раз сильнее, чем это следует из элементарной теории, причем изменения для основных линий даже противоположны по знаку. Ширина поляризованных линий 656 и 796 см^{-1} в жидком состоянии практически не меняется, в то время как ширина линий 648 и 805 см^{-1} заметно возрастает с ростом т-ры. В точке перехода (жидкость — кристалл) ширина обертона 796 см^{-1} меняется резким скачком от 4 до 0,5 см^{-1} , оставаясь постоянной при дальнейшем понижении т-ры. Ширина полносимметричного колебания 656 см^{-1} в точке перехода изменяется от 0,7 (жидкость) до 0,5 см^{-1} (кристалл). Вблизи точки плавления при переходе от жидкости к кристаллу наблюдалось скачкообразное появление малых частот, связанных с колебанием молекул в решетке.

Резюме авторов

69790. Исследование конденсированных фосфатов и фосфорных кислот методом комбинационного рассеяния света. II. Спектр комбинационного рассеяния и структура иона тетраметафосфата. Штегер, Зимон (Raman spektroskopische Untersuchungen an kondensierten Phosphaten und Phosphorsäuren. II. Raman-Spektrum und Struktur des Tetrametaphosphat-Ions. Steger E., Simon A.), Z. anorgan. und allgem. Chem., 1957 291, № 1—4, 76—88 (нем.)

Исследованы спектры комб. рас. р-ров $\text{Na}_4\text{P}_4\text{O}_{12}$, $\text{K}_4\text{P}_4\text{O}_{12}$ и $(\text{NH}_4)_4\text{P}_4\text{O}_{12}$. Обсуждены все возможные структуры аниона $\text{P}_4\text{O}_{12}^{4-}$ и сделан вывод, что анион представляет собой неплоское кольцо *транс*-формы с симметрией C_{2h} . Дано отнесение наблюдаемых частот

к представлениям этой группы и колебаниям связей и углов. Сообщение I см. РЖХим, 1957, 25806.

Е. Попов

69791. Инфракрасные спектры и спектры комбинационного рассеяния льда. Окман, (The infra-red and Raman spectra of ice. Ockman Nathan), Advances Phys., 1958, 7, № 26, 199—220 (англ.)

Обзор. Библ. 41 назв.

Е. М.

69792. Инфракрасный спектр и спектр комбинационного рассеяния диметоксиметана. Уилмшорст (The infrared and raman spectrum of dimethoxymethane. Wilmshurst J. K.), Canad. J. Chem., 1958, 36, № 1, 285—289 (англ.)

Получены ИК-спектры поглощения в области 3—33 μ диметоксиметана (I) в парах и р-рах в CS_2 и CS_2 и спектр комб. рас. I определением степени деполаризации линий. Произведено отнесение наблюдаемых частот к представлениям группы C_2 , колебаниям связей и углов.

Б. Головнер

69793. Колебательный спектр диметилового эфира в области низких частот. Масико, Пидер (Vibrational spectra of dimethyl ether in the lower frequency region. Mashiko Yo-ichiro, Pitzer Kenneth S.), J. Phys. Chem., 1958, 62, № 3, 367—368 (англ.)

Исследован ИК-спектр парообразного (область 2,5—60 μ) и спектр комб. рас. жидкого диметилового эфира. Особое внимание уделено изучению области низких частот (до 600 см^{-1}), где найдено 5 полос в спектре комб. рас. и 2 полосы в ИК-спектре. Предполагается, что только 2 из найденных частот относятся к основным колебаниям (крутильным колебаниям групп CH_3), остальные являются обертонами. К колебанию симметрии B_2 (группа C_{2v}) отнесена полоса 265 см^{-1} , появляющаяся в обоих спектрах, а к колебанию A_2 — полоса 164 см^{-1} , появляющаяся в спектре комб. рас. Для энергии крутильных колебаний CH_3 предложена ф-ла $(E - E_0)/hc = 170\nu_{A_2} + 265\nu_{B_2} - 3(\nu_{A_2} - 1)\nu_{A_1} - 21(\nu_{B_2} - 1)\nu_{B_1} - 35\nu_{A_2}\nu_{B_2}$, где ν_{A_1}, ν_{B_1} — квантовые числа колебаний A_2 и B_2 . В ф-ле для частоты колебания A_2 используется значение 170 см^{-1} вместо 164 см^{-1} , полученное после учета искажения контура соответствующей полосы комб. рас. из-за наложения полос различных тонов. Предложенная ф-ла позволяет интерпретировать остальные наблюдаемые полосы как обертоны.

В. Алексанян

69794. О строении амидосульфокислоты. Зиберт (Über die Konstitution der Amidosulfonsäure. Siebert Hans), Z. anorgan. und allgem. Chem., 1957, 292, № 1—3, 167—177 (нем.)

Получены спектр комб. рас. водн. р-ра амидосульфокислоты (I) и ИК-спектр твердого I. Для молекулы принята симметрия C_{3v} и для типов симметрии A_1 и E составлены матрицы кинематич. и силовых коэф. По опытным значениям частот найдены следующие силовые постоянные (мдн/А): SN 2,70, SO 9,13, NH 5,56, OSO 0,83, NSO 0,56, HNH 0,52, HNS 0,32, SO, SO 0,39, OSO, OSO 0,13, HNS, HNS 0,02. С помощью силовых постоянных вычислены частоты I и ND_3SO_3 и предложено следующее отнесение наблюдаемых частот к типам симметрии и колебаниям связей и углов для I: A_1 3150 νNH_3 , 1449 δNH_3 , 1067 νSO_3 , 696 νSN , 544 δSO_3 ; E 3150 νNH_3 , 1561 δNH_3 , 1312 νSO_3 , 1010 ρNH_3 , 344 δSO_3 , 379 ρSO_3 . Вычислены силовые постоянные иона NH_2SO_3^- и сопоставлены частоты SO_3 , NH_2SO_3^- , NH_2SO_3^- , OHSO_3^- , SO_4^{2-} .

М. Ковнер

69795. Третьичные интерферометрические стандарты длин волн по измерениям линий полосы 2—0 окиси углерода и полученные стандарты длин волн для некоторых линий полосы 1—0 окиси углерода. Скорость света, определенная методом полосатых

спектров. IV. Ранк, Гантер, Саксена, Ширер, Уиггинс (Tertiary interferometric wavelength standards from measurements on lines of the 2—0 band of carbon monoxide and derived wavelength standards for some lines of the 1—0 band of carbon monoxide. The velocity of light derived from e band spectrum method. IV. Rank D. H., Guenther A. H., Saksena G. D., Shearer J. N., Wiggins T. A.), J. Opt. Soc. America, 1957, 47, № 8, 686—689 (англ.)

Ранее описанным интерферометрич. методом (см. выше) измерены частоты 33 линий полосы 1—0 CO при 4260 см^{-1} . Измерения проводились относительно линии R(18) этой полосы, частота которой была измерена ранее относительно зеленой линии H γ . Точность измерений относительно линии R(18) $\pm 10^4$. Измерена также линия R(6) полосы 3—0. Используя результаты других исследований, авторы находят значения следующих мол. постоянных (ν в см^{-1}): $B_0 = 1,922521 \pm 0,0000035$; $D_0 = 6,117 \cdot 10^{-6} \pm 0,01 \cdot 10^{-6}$; $B_2 - B_0 = -0,035008$; $D_2 - D_0 = -1,9 \cdot 10^{-9}$; $a_e = 0,017535$; $\gamma_e = 1,01 \cdot 10^{-5}$; $\beta_e = -1,0 \cdot 10^{-9}$; $B_e = 1,931285$; $\omega_e = 2169,829$; $x_e \omega_e = 12,295$; $y_e \omega_e = 0,0115$. С помощью найденных мол. постоянных можно рассчитать длины волн полосы 1—0 при 2143 см^{-1} , где точные измерения затруднительны. Сравнивая значение B_0 со значением, полученным из микроволновых спектров $B_0 = 57635, 965 \pm 0,005\text{ Мгц}$, авторы находят скорость света $c = 299793,7 \pm 0,7\text{ км/сек}$. Сообщение III см. РЖХим, 1957, 70883.

Т. Бирштейн 69796. Спектры перхлоратов серебра и лития в ацетоне. Пуллин, Поллок (Spectra of solutions of silver and lithium perchlorates in acetone. Pullin A. D., Pollock J. McC.), Trans. Faraday Soc., 1958, 54, № 1, 11—18 (англ.)

Получены ИК-спектры р-ров перхлоратов серебра (I) и лития (II) в ацетоне в области $400\text{—}4000\text{ см}^{-1}$ при конц-ии I и II $0,08\text{—}0,29\text{ М}$ и УФ-спектры I и II. Найденно, что полосы поглощения ацетона при 1715, 1225, 530 и 380 см^{-1} в р-рах I и II расщепляются на 2 компоненты; с увеличением конц-ии р-ра интенсивность компоненты, близкой к полосе чистого ацетона, падает, а интенсивность второй — растет. В спектрах р-ров появляются полосы $\sim 1100, 935$ и 623 см^{-1} , отнесенные к колебаниям иона перхлората, и наблюдается небольшое смещение полос ацетона 1365, 785 и 490 см^{-1} . В УФ-спектрах р-ров I и II в ацетоне наблюдается интенсивная полоса в области $\sim 2200\text{ А}$, отсутствующая в спектрах чистых компонент. На основании полученных результатов сделано заключение о существовании в р-рах комплексов типа $\text{Ag}^+(\text{ацетон})_2$ и $\text{Li}^+(\text{ацетон})_2$.

Б. Головнер 69797. Инфракрасное поглощение и ассоциация диалкилалюминийгидридов. Гофман, Шомбург (Infrarotsorption und Assoziation von Dialkyl-Aluminiumhydriden. Hoffmann E. G., Schomburg G.), Z. Elektrochem., 1957, 61, № 8, 1101—1109. Diskuss., 1109 (нем.)

Из ИК-спектров поглощения найдено, что R_2AlH , где $\text{R} = \text{C}_2\text{H}_5$ (I), $\text{изо-C}_4\text{H}_9$ (II), в чистом виде и в р-рах инертных р-рителей ассоциированы в тримеры. Это же следует из диэлектрич. измерений и криоскопич. определения мол. весов. Из всех изученных спектров р-ров наибольшее значение интегрального поглощения наблюдается при 1777 см^{-1} (вал. кол. связи Al—H) у II в циклогексане. Связь Al—H обладает свойствами донора электронов. Если октет атома Al может быть дополнен за счет электронной пары таких типичных доноров, как амины или эфиры, то ассоциации гидрида по водороду уже не происходит, и широкая полоса вал. кол. Al—H, отвечающая этой ассоциации, в зависимости от донорной силы р-рителя превращается в

резкую полосу свободного колебания связи Al—H. Теплота образования водородной связи для I и II равна $15\text{—}20\text{ ккал/моль}$. Для образующегося тримера предложена и обсуждена симметричная структура типа кольца триоксана.

Е. Шусторович

69798. Инфракрасные спектроскопические исследования соединений, содержащих алюминий и водород. Шомбург, Гофман (Infrarotspektroskopische Untersuchungen an Aluminiumwasserstoffverbindungen. Schomburg G., Hoffmann E. G.), Z. Elektrochem., 1957, 61, № 8, 1110—1117. Diskuss., 1117 (нем.)

Изучены ИК-спектры различных аланов, координированных с каким-либо донором или в ассоциированной форме ($\text{AlHBr}_2 \cdot \text{OR}_2$, $\text{AlHBr}_2 \cdot \text{NR}_3$, $\text{AlH}_2 \cdot \text{OR}_2$, $\text{AlHCl}_2 \cdot \text{NR}_3$, $\text{AlH}_2\text{Br} \cdot \text{NR}_3$, $\text{AlH}_2 \cdot \text{NR}_2$, $\text{AlH}(\text{NR}_2)_2$, $\text{AlRH} \cdot \text{OR}$, $\text{AlRH} \cdot \text{Cl} \cdot \text{NR}_3$, $\text{AlRH} \cdot \text{NR}_2$, $\text{AlH}_2\text{Cl} \cdot \text{OR}_2$, $\text{AlH}_3 \cdot \text{N}(\text{CH}_3)_3$, $\text{AlH}_3 \cdot \text{N}(\text{C}_2\text{H}_5)_3$, $(\text{AlR}_2\text{H})_3$, $\text{AlR}_2\text{H} \cdot \text{NR}_3$, $\text{AlR}_2\text{H} \cdot \text{OCH}_2\text{CH}_2\text{CH}_2\text{CH}_3$, $\text{AlH}_3 \cdot 2\text{N}(\text{CH}_3)_3$, где R — алкил). Образование донорно-акцепторных комплексов с аланами приводит к разрыву связи Al—H, причем разрыхляющее действие различных доноров растет в ряду ароматич. эфиры — алифатич. эфиры — тетрагидрофуран — амины. Это объясняется участием в образовании связи неподеленной пары электронов донора, что уменьшает относительную электроотрицательность атома Al и проявляется в сдвиге частоты вал. кол. Al—H в длинноволновую часть спектра (до 1700 см^{-1}). По этой же причине отрицательные заместители —OR, —NR $_2$, —Cl, —Br, —J упрочняют связь Al—H, что приводит к сдвигу ее частоты в коротковолновую часть спектра (до 1900 см^{-1}). На основе поляризационных измерений для $\text{AlH}_3 \cdot 2\text{N}(\text{CH}_3)_3$ принята линейная структура. Для $\text{AlH}_3 \cdot \text{N}(\text{CH}_3)_3$ отвергается ранее предложенная (РЖХим, 1953, 6321) мостиковая структура, ибо в спектре найдена резкая полоса вал. кол. Al—H, в то время как образование мостика приводит к значительному увеличению ширины полосы. Отклонения от мономерного мол. веса авторы объясняют чистоэлектростатич. дипольной ассоциацией.

Е. Шусторович

69799. Исследование колебательного спектра молекулы карбонила никеля. Энергия связи никель — углерод. Бигорнь (Etude du spectre de vibration de la molécule de nickel carbonyle. Energie de la liaison nickel — carbone. Bigorgne Michaël, C. r. Acad. sci., 1958, 246, № 11, 1685—1688 (франц.))

Для молекулы $\text{Ni}(\text{CO})_4$ (I) вычислены силовые постоянные связи Ni—C 2,95, C—O 16,0 мдн/А, взаимодействия связей Ni—C 0,15; деформации углов OCNiCO 0,07. Связь CO обладает силовой постоянной, указывающей на сохранение такого же характера связи, как в молекуле CO. Автор полагает, что в I имеются слабые связи между атомом Ni и неизменными группами CO. Вычислены термодинамич. функции I при 298°K : $S^\circ 32,8$; $S^\circ 97,1$ и $(F^\circ - F_0^\circ)/T$ 73,6 ккал/град моль. На основании данных о равновесии Ni (тв.) + 4CO (газ) = $\text{Ni}(\text{CO})_4$ (газ) (РЖХим, 1956, 31904) найдена теплота этой р-ции $\Delta H_{298}^\circ\text{K} = -36,4 \pm 1\text{ ккал}$, так что на диссоциацию одной связи Ni—CO приходится 9 ккал. Положив, что энергии связей CO в I и кетонах пропорциональны силовым постоянным, авторы находят для энергии связи CO в I значение 218 ккал/моль, откуда энергия связи Ni—C составляет $\sim 73\text{ ккал/моль}$.

М. Дяткина

69800. Инфракрасный спектр и силовые постоянные комплексного иона $\text{Cr}(\text{CN})_6^{3-}$. Кальоти, Сартори, Скрокко (Spettro I. R. e costanti di forza interne dello ione complesso $\text{Cr}(\text{CN})_6^{3-}$. Caglioti Vincenzo, Sartori Guido, Scrocco

Marisa), Atti Accad. naz. Lincei. Rend. Cl. sci. fis., mat. e natur., 1957 (1958), 23, № 6, 355—363 (итал.)

Получен ИК-спектр твердого $K_2Cr(CN)_6$ и дано следующее отнесение колебательных частот (cm^{-1}) для симметрии O_h : $\nu_1 A_{1g}$ 2137 (вал. кол. CN), $\nu_2 A_{1g}$ 374 (вал. кол. M—C), $\nu_3 E_g$ 2019 (вал. кол. CN), $\nu_4 E_g$ 336 (вал. кол. M—C), $\nu_5 F_{1g}$ 536, $\nu_6 F_{1u}$ 2127 (вал. кол. CN), $\nu_7 F_{1u}$ 694 (деф. кол. CN), $\nu_8 F_{1u}$ 457 (вал. кол. M—C), $\nu_9 F_{1u}$ 124 (деф. кол. M—C), $\nu_{10} F_{2g}$ 227 (деф. кол. CN), $\nu_{11} F_{2g}$ 106 (деф. кол. M—C), $\nu_{12} F_{2u}$ 317 (деф. кол. CN), $\nu_{13} F_{2u}$ (110) (деф. кол. M—C). Методом $F-G$ -матриц Вильсона произведен расчет колебаний системы MX_6 и найдено, что опытные значения частот приводятся к следующим значениям силовых постоянных ($дин/см$): вал. кол. C—C $1,234 \cdot 10^3$, деф. кол. $CCrC$ $0,155 \cdot 10^3$, взаимодействие вал. кол. $0,041 \cdot 10^3$, взаимодействие деф. кол. $0,036 \cdot 10^3$, взаимодействие вал. и деф. кол. $-0,168 \cdot 10^3$. Силовая постоянная вал. кол. Cr—C рассчитана также методом Хирта и Линнета (Trans. Farad. Soc., 1949, 45, 264), причем найдено $1,566 \cdot 10^3$. При расчетах по обоим методам силовая постоянная Cr—C меньше, чем для $Cr(CO)_6$, что интерпретируется как указание на меньшую краткость связи Cr—C. М. Д. 69801. Температурная зависимость спектров калцита при высоком разрешении. Хекстер (High-resolution, temperature-dependent spectra of calcite. Hexter R. M.), Spectrochim. acta, 1958, 10, № 3, 281—290 (англ.)

В области $2,0-3,5 \mu$ на спектрометре высокого разрешения получены ИК-спектры поглощения пластинки калцита, сколотой по базисной плоскости кристалла. Наблюдаемые в спектре полосы, 4219, 3922 и 3546 см^{-1} обладают характерной асимметрией полос поглощения в сторону больших частот. Форма полос и ее изменение в интервале $t-p$ от -195 до 600° аналогично проявляются в спектрах CuH_2 и $Mg(OH)_2$, обладающих сходной кристаллич. структурой, и интерпретируются исходя из развитого ранее автором предположения (РЖХим, 1957, 33588) о взаимодействии заторможенных вращений структурных групп решетки. В. Лыгин 69802. Инфракрасное поглощение групп OH в слюдах. Сerratosa, Брэдли (Infra-red absorption of OH bonds in micas. Serratosa José M., Bradley W. F.), Nature, 1958, 181, № 4602, 111 (англ.)

Получены ИК-спектры поглощения флогопита (I), мусковита (II) и лепидолита (III) в области $3000-4000 \text{ см}^{-1}$. В спектре I, у которого образование водородных связей стерически затруднено, наблюдается полоса O—H при 3710 см^{-1} . В спектре II, структура которого допускает образование водородных связей, наблюдается полоса при 3620 см^{-1} . В спектре III имеются полосы 3700 и 3630 см^{-1} . Интенсивность полос 3710 и 3700 см^{-1} сильно зависит от угла между направлением связи O—H и плоскостью поляризации света. Б. Головнер

69803. Инфракрасный спектр NH_3 в четыреххлористом углеороде. Каннон (The infra-red spectrum of NH_3 in carbon tetrachloride. Cannon C. G.), Spectrochim. Acta, 1958, 10, № 4, 425—429 (англ.)

Получен ИК-спектр $p-p$ NH_3 в CCl_4 в области $650-5500 \text{ см}^{-1}$ и сопоставлен со спектрами NH_3 в твердом и газообразном состояниях. В. Базов

69804. Инфракрасные спектры фосфорорганических соединений: новые зависимости. Найквист (Infra-red spectra of organophosphorus compounds: new correlations. Nyquist R. A.), Appl. Spectroscopy, 1957, 11, № 4, 161—164 (англ.)

В области $2,5-25 \mu$ получены ИК-спектры ряда фосфорорганич. соединений. Сделаны следующие отне-

сения наблюдаемых частот к колебаниям групп ($см^{-1}$): $P-O-C_6H_5$ $914-994$, $P-O-CH_3$ $1037-1043$, $P-O-C_6H_5$ $1023-1033$, $C_6H_5-O-PCl_2$ $(465-474, 495-507)$, $C_6H_5-O-P(S)Cl_2$ $537-558$, $R-O-P(S)Cl_2 \sim 533$, $>N-P(S)Cl_2$ $490-524$, $C_6H_5-O-P(O)Cl_2 \sim 587$, $R-O-P(O)Cl_2 \sim 570$, $R-NH-P(O)Cl_2 \sim 558$, $C_6H_5-NH-P(O)Cl_2$ $522-544$, $P=S(-P(S)Cl_2)$ $717-760$. Е. Попова 69805. Строение и характер связи в циклопентадиениле таллия и дициклопентадиениле магния.

Коттон, Рейнольдс (The structure and bonding of cyclopentadienylthallium and bis-cyclopentadienylmagnesium. Cotton F. A., Reynolds L. T.), J. Amer. Chem. Soc., 1958, 80, № 2, 269—273 (англ.)

Исследованы ИК-спектры поглощения паров C_5H_5Li (I) и $(C_5H_5)_2Mg$ (II) в области вал. кол. CN. Обнаружена одна полоса вблизи 3100 см^{-1} , интерпретируемая как колебание E_1 (I) или E_{1u} (II). Отсутствие второй полосы, соответствующей формально разрешенному правилам отбора колебанию A_1 (A_{2u}), объясняется тем, что связь между колебаниями C—H и другими колебаниями кольца, определяющая интенсивность в спектре, слаба. Расчеты интегралов перекрытия показывают, что связь $Li-C$ в I имеет ионный характер. Это подтверждается также и хим. данными (РЖХим, 1956, 57283). В случае II интегралы перекрытия велики, однако сопоставление энергий промотированных электронов магния на орбиты $3p$ и $3d$, которые могут участвовать в образовании ковалентных связей, и энергий ионизации обоих электронов Mg с энергией ионизации электронов C_5H_5 на орбитах e_{1u} и e_{1g} показывает, что и в этом случае очевидна тенденция в сторону образования связей ионного типа. В. А. 69806. Изучение с помощью инфракрасной спектроскопии молекулярной структуры обычного рвотного камня и некоторых сурьяно- и висмутотартратных производных. Жирар, Леконт (Contribution, par spectrographie infrarouge, a l'étude de la structure moléculaire de l'émétique ordinaire, ainsi que de quelques dérivés antimonio- et bismuthotartriques. Girard Maurice, Lecomte Jean), J. phys. et radium, 1956, 17, № 1, 9—15 (франц.)

Более подробное изложение ранее опубликованной работы (РЖХим, 1957, 68196). М. Ковнер 69807. ИК-спектр поглощения n -фторанизола. Сурьянараяна, Рао (On the infrared absorption spectrum of p -fluoro-anisole. Suryanarayana V., Rao V. Ramakrishna), J. Scient. and Indust. Res., 1957, BC16, № 7, B321 (англ.)

В продолжение изучения спектров поглощения n -фторанизола получен ИК-спектр жидкой фазы в области $1-24 \mu$. Приведены значения длин волн и интенсивностей для 48 полос, часть которых совпадает с линиями комб. рассеяния. В. Винокуров 69808. Инфракрасный спектр тиоформамида. Дейвис, Джонс (The infrared spectrum of thioformamide. Davies Mansel, Jones W. Jeremy), J. Chem. Soc., 1958, March, 955—958 (англ.)

Изучен ИК-спектр в области $400-500 \text{ см}^{-1}$ тиоформамида в жидком состоянии и в p -рах CCl_4 и CH_3CN . Обсуждено отнесение 12 основных частот. В спектре отсутствуют полосы поглощения, отвечающие иминной форме молекулы тиоформамида. Отмечены ограничения понятия «характеристическая частота связи» по отношению к колебанию $C=S$. Б. Головнер 69809. Инфракрасные спектры производных циклопропана, сопряженного с бензольным кольцом.

Нодзоэ (Nozoe Toshikazu), Ицуу кэнкэй нэмпо, Annual Repts ITSU Lab., 1957, № 8, 12—14 (японск.), 48—51 (англ.)

Отмечено, что в ИК-спектрах производных циклопропана полоса поглощения, связанная с нормальным колебанием кольца C_3 и обычно наблюдающаяся

в области $1000-1020\text{ см}^{-1}$, смещается в сопряженных системах в область $945-990\text{ см}^{-1}$. Е. Попов

69810. Связь между колебательными частотами в гетероциклических молекулах. Часть III. Частоты карбонильной группы в соединениях, содержащих конденсированные шестичленные циклы. О'Салливан, Садлер (Vibrational frequency correlations in heterocyclic molecules. Part III. Carbonyl frequencies of certain compounds possessing fused six-membered rings. O'Sullivan D. G., Sadler P. W.), J. Chem. Soc., 1957, July, 2916-2920 (англ.)

Исследование ИК-спектров 2-оксотетрагидробензодиазепина-1,4, 2- и 3-оксодигидробензотриазолина, 6-оксодигидро-4,5-бензоксазина-1,3 (I), изатинового ангидрида (II) и метил- и галогенпроизводных I и II показало, что все эти вещества обладают типичной кетонной структурой. Исследовано влияние различных заместителей, их размеров и положения на образование межмолекулярных водородных связей и на величину температуры плавления. Подробно обсуждается зависимость между устойчивостью циклов и частотами деформационных колебаний групп C—O—C (циклич.) и >C=O (ацетонциклич.). Часть II см. РЖХим, 1958, 52681.

А. Сергеев
69811. Инфракрасные спектры гуминовых кислот и их производных. Чех, Хаджи (Infra-red spectra of humic acids and their derivatives. Ceh M., Hadzi D.), Fuel, 1956, 35, № 1, 77-83 (англ.)

Получены ИК-спектры ряда гуминовых к-т (I), приготовленных из разного угля и синтетически, и продукты их метилирования. В ИК-спектре I наблюдается широкая полоса при 3300 см^{-1} , связанная, по-видимому, с колебаниями гидроксильной группы. В области $5-7\text{ мкм}$ содержится 2 полосы 1700 и 1600 см^{-1} обозначаемые соответственно как полосы X и Y. Полосу X относят к карбонильной группе. При метилировании I она сдвигается в область $1720-1730\text{ см}^{-1}$. В калиевой соли I вместо полос X и Y появляется сильная полоса 1575 см^{-1} . В области $12-15\text{ мкм}$ в спектре I не наблюдается отчетливых полос, по которым можно было бы судить о колебаниях ароматич. скелета. Спектры I, полученных из различных углей и приготовленных синтетически, отличаются очень мало — наблюдается лишь разная интенсивность полос X и Y. I, полученные при окислении, содержат больше карбоксильных групп (большая интенсивность полосы X). Полосу Y авторы связывают с колебаниями сопряженного карбонила, участвующего в образовании водородных связей. Это отношение основывается на наблюдаемом изменении интенсивности полосы при обработке диалометаном и гидролизе продуктов р-ции. Описаны методы извлечения I из различных углей. Е. Переселен

69812. Инфракрасные спектры некоторых видов хроматографически разделенных асфальтов. Стюарт (Infrared spectra of chromatographically fractionated asphalts. Stewart James E.), J. Res. Nat. Bur. Standards, 1957, 58, № 5, 265-269 (англ.)

Асфальт хроматографически разделен на 3 фракции: бесцветное масло (I), темное масло (II) и асфальтовый смола (III) — после предварительного отделения асфальтенов (IV). ИК-спектры сняты в области $2-15\text{ мкм}$. Все фракции (I—IV) поглощают вблизи $3,40$; $3,49$; $6,82$; $7,2\text{ мкм}$, что соответствует валентным и деформационным колебаниям CH_2 - и CH_3 -групп алканов. Относительное содержание ароматич. структур увеличивается от I к IV. Процесс выветривания снижает интенсивность полос, отвечающих C—H-связи (для I—IV), и увеличивает относительное содержание кислорода (для II—IV). Полученные данные выявляют различия в строении разных по происхождению видов асфальта. В. Винокуров

69813. О сдвиге инверсионной частоты аммиака с давлением. Томита (On the pressure shift of the inversion frequency of ammonia. Tomita Kazuhisa), Progr. Theoret. Phys., 1957, 18, № 3, 316-318 (англ.)

Разработана теория зависимости частоты инверсионной линии аммиака от давления с учетом неадиабатич. электр. диполь-дипольного взаимодействия второго порядка между молекулами. Использован метод функции релаксации (РЖХим, 1958, 31447). Рассчитана ширина и сдвиг инверсионной линии $3-3\text{ NH}_3$ ($31,9$ и $5,9\text{ МГц}$ на мм рт. ст. соответственно; опытные значения 27 и $1,0-0,5$). Теоретич. отношение сдвига инверсионной линии к ее ширине ($0,18$) значительно превышает эксперим. ($0,04 \sim 0,02$). Возможной причиной этого является предположение о прямолинейном движении молекул с постоянной скоростью.

Т. Бирштейн

69814. Измерение микроволнового поглощения двойных газовых смесей. Будурис, Илия (Mesures d'absorption des microondes par des mélanges gazeux binaires. Boudouris Georges, Ilias Demetre), C. r. Acad. sci., 1958, 246, № 9, 1407-1410 (франц.)

Измерено поглощение при 9300 МГц , 0° и давлении p от 15 до 300 мм рт. ст. в газовых смесях $\text{NH}_2\text{C}_2\text{H}_5 + \text{NH}_3$ (I) и $\text{NH}_2\text{C}_2\text{H}_5 + \text{Ar}$ (II). В отличие от NH_3 , в чистом $\text{NH}_2\text{C}_2\text{H}_5$ поглощение пропорционально p в степени, меняющейся от $0,8$ до 1 при p от 20 до 300 мм рт. ст. ($\alpha = 2,8 \cdot 10^{-3}\text{ м}^{-1}$ при $p = 100\text{ мм рт. ст.}$). В I при разн. конц-ии компонент зависимость α от p в логарифмич. масштабе представляется семейством прямых, пересекающихся в точке $p = 58\text{ мм рт. ст.}$, а в II семейством параллельных прямых. Зависимость отношения $y = (\alpha_{\text{смеси}} / \alpha_{\text{NH}_3})$ от конц-ии компонент при постоянном p описывается в I различными кривыми при разн. p , лежащими ниже и выше прямой $y = 1$, при большем и меньшем 58 мм рт. ст. соответственно. В случае II зависимость $\alpha_{\text{смеси}} / \alpha_{\text{NH}_2\text{C}_2\text{H}_5}$ от конц-ии при постоянном p описывается одной кривой при любых p от 30 до 150 мм рт. ст. , то же имеет место для отношения $\alpha_{\text{NH}_3 + \text{Ar}} / \alpha_{\text{NH}_3}$.

Т. Бирштейн

69815. О микроволновом поглощении некоторых газовых смесей. Будурис, Илия (Sur l'absorption en microondes de quelques mélanges gazeux. Boudouris Georges, Ilias Demetre), C. r. Acad. sci., 1958, 246, № 5, 730-733 (франц.)

Измерено поглощение смесей $\text{NH}_3 + \text{Ar}$ (I) и $\text{NH}_3 + \text{CHCl}_3$ (II) при 9400 МГц , $t = 0^\circ$ и давлении p от 20 до 200 мм рт. ст. Для чистого NH_3 коэф. поглощения α пропорционален p^2 и равен $5 \cdot 10^{-3}\text{ м}^{-1}$ при $p = 100\text{ мм рт. ст.}$ В смесях I и II при различных конц-иях зависимость α от p в логарифмич. масштабе представляется семейством прямых, параллельных друг другу, и прямой для чистого NH_3 . Зависимость отношения $y = \alpha_{\text{смеси}} / \alpha_{\text{NH}_3}$ от конц-ии C при постоянном $p = 50\text{ мм рт. ст.}$ различна для I и II, так как для I отсутствует поглощение одной из компонент смеси (Ar), а в случае II поглощают обе компоненты. Полагая, что поглощение в смеси аддитивно, и пользуясь ф-лой Ван-Флека — Вейскопфа, авторы находят, что y должно быть квадратичной функцией C, причем для I свободный член равен нулю. Опытные данные хорошо описываются параболой.

Т. Бирштейн

69816. Микроволновый спектр хлорбензола. Селен (Microwave spectrum of chlorobenzene. Selen Hans), Arkiv fys., 1958, 13, № 1, 81-83 (англ.)

В диапазоне $13-26\text{ кМГц}$ измерены частоты 30 линий переходов $\Delta J = 1$ от $J = 4$ до $J = 9$ в $\text{C}_6\text{H}_5\text{Cl}^{35}$. У 10 линий было разрешено сверхтонкое квадратное дублетное расщепление в пределах $1,9-4,4\text{ МГц}$.

Найдены значения вращательных постоянных: A 5,87997; B 1,57687; C 1,23361 кМгц ; x $-0,8456$. Предполагая аксиальную симметрию связи $\text{C}-\text{Cl}$, автор находит значение eQq в пределах 56–74 Мгц ; среднее значение 66,4 Мгц . Т. Бирштейн

69817. Микроволновый спектр, структура и дипольный момент хлористого нитрила. Миллен, Синнотт (The microwave spectrum, structure, and dipole moment of nitril chloride. Millen D. J., Sinnott K. M.), J. Chem. Soc., 1958, Jan., 350–355 (англ.)

С помощью спектрометра со штарковской модуляцией в диапазоне 8–26 кМгц исследован спектр $\text{NO}_2\text{Cl}^{85}$ (I) и $\text{NO}_2\text{Cl}^{87}$ (II). Найдены моменты инерции (в ат. ед. массы $\times \text{А}^2$): I 38,1822; 97,710; 135,845; $\Delta = -0,0469$; II 38,1824; 100,7235; 138,863; $\Delta = -0,0416$. Малое значение Δ указывает на плоскую структуру молекул. Определена геометрия молекул: $r_{\text{NCl}} = 1,840 \pm 0,002 \text{ А}$; $r_{\text{NO}} = 1,202 \pm 0,001 \text{ А}$; $\angle \text{ONO} = 130^\circ 35' \pm 15'$. Разрешенная сверхтонкая структура спектра обусловлена квадрупольным моментом ядра Cl. Найдено (в Мгц) для I: $eQ \partial^2 V / \partial a^2 = -94,28$; $eQ \partial^2 V / \partial b^2 = 51,23$; $eQ \partial^2 V / \partial c^2 = 43,05$; для II — 74,45; 40,98; 33,47 соответственно (ось a по связи NCl ; ось b в плоскости молекулы). Отсутствие осевой симметрии поля указывает на электронный дефицит $3p$ -орбиты хлора, составляющей $\sim 5\%$. Ионный характер связи N^+Cl^- в предположении, что в связи участвует чистая p -орбита хлора, оценен в 11,6%. По эффекту Штарка перехода $J = 0_{00} \rightarrow 1_{01}$, $F = 3/2 \rightarrow 5/2$ найдено $\mu = 0,42 \pm 0,01 \text{ Д}$. Т. Б.

69818. Микроволновые спектры диазометана и его дейтеропроизводных. Кокс, Томас, Шеридан (Microwave spectra of diazomethane and its deuterio derivatives. Cox A. P., Thomas L. F., Sheridan J.), Nature, 1958, 181, № 4614, 1000–1001 (англ.)

В диапазоне 19–90 кМгц измерены спектры CH_2N_2 (I), CHDN_2 (II) и CD_2N_2 (III). Найдено для I–III соответственно: $B_0 + C_0$ 22150,7 $\pm 0,2$; 20640,7 $\pm 0,2$, 19389,0 $\pm 0,2$ Мгц ; $B_0 - C_0$ 460,2 $\pm 0,2$; 578,3 $\pm 0,2$; 636,2 $\pm 0,2$ Мгц ; D_{JK} 0,39 $\pm 0,01$; 0,27 $\pm 0,01$; $\sim 0,2$ Мгц ; $DJ < 0,01$ для I и II. Дипольный момент $\sim 1,45 \text{ Д}$. Результаты согласуются с плоской (с симметрией C_{2v}) структурой молекул. При пренебрежении квантовым дефектом и нулевыми колебаниями авторы определили параметры молекул: $d_{\text{CH}} = 1,08 \text{ А}$, $\angle \text{HCH} = 127^\circ$, $d_{\text{CN}} = 1,32 \text{ А}$, $d_{\text{NN}} = 1,12 \text{ А}$, $d_{\text{CN}} + d_{\text{NN}} = 2,442 \pm 0,005 \text{ А}$. Не обнаружены спектры таутомерной формы диазометана. Т. Бирштейн

69819. Микроволновые спектры некоторых молекул, содержащих группы CF_3 и SiF_3 . Томас, Хекс, Шеридан (Microwave spectra of some molecules containing $-\text{CF}_3$ and $-\text{SiF}_3$ groups. Thomas L. F., Heeks J. S., Sheridan J.), Z. Elektrochem., 1957, 61, № 8, 935–937 (англ.)

С помощью видеоспектрометра высокой разрешающей способности в диапазоне 19–50 кМгц (в основном в диапазоне 30–40 кМгц) измерены частоты вращательных переходов в CH_3CF_3 (I), CH_3SiF_3 (II), CF_3CN (III) и их изотопически замещенных. Найдено в I: $D_1 = 2 \text{ кГц}$, $|D_2| < 2 \text{ кГц}$; в II: $D_{J2} \approx 1 \text{ кГц}$; $0 < D_{JK} < 3 \text{ кГц}$. Вращательные постоянные B_0 оказались равными (в Мгц): I 5185,14; $^{13}\text{CH}_3\text{CF}_3$ 5060,12; CD_3CF_3 4605,87; CH_2DCF_3 (IV) 4976,41; CHD_2CF_3 (V) 4804,78; II 3715,66; CD_3SiF_3 3314,56; $^{13}\text{CD}_3\text{SiF}_3$ 3245,84; CH_2DSiF_3 (VI) 3574,15; CHD_2SiF_3 (VII) 3448,23; $\text{CF}_3^{13}\text{CN}$ 2921,86; $^{13}\text{CF}_3\text{CN}$ 2944,23. Для асимметричных волчков по частотам переходов $J = 4 \rightarrow 5$ определены также A_0 и C_0 , равные соответственно (в Мгц): IV 5468 ± 5 ; 4947,46; V 5390 ± 10 ; 4743,28; VI 4007 ± 15 ; 3556,00; VII 4011 ± 10 ; 3418,80. Наблюдались тонкие линии, обусловлен-

ные переходами в возбужденных состояниях крутильных колебаний, расщепленные благодаря туннельным переходам через барьер внутреннего вращения. Для III найдена колебательно-вращательная постоянная для колебаний изгиба $\alpha = -4,98 \text{ Мгц}$ и постоянная l -удвоения $q = 3,60 \text{ Мгц}$; оценка дает для частоты колебаний $\omega = 184 \text{ см}^{-1}$. Определена структура молекул I: $\text{C}-\text{C}$ 1,492; $\text{C}-\text{F}$ 1,348; $\text{C}-\text{H} = \text{C}-\text{D}$ 1,078 А ; $\angle \text{FCF}$ $106^\circ 42'$; $\angle \text{HCH}$ $109^\circ 31'$, что согласуется с данными по дифракции электронов. В случае молекул II, используя также значение B_0 для $\text{CF}_3\text{C}^{12}\text{N}$ в CF_3CN (Sheridan J., Gordy W., Chem. Phys., 1952, 20, 594), авторы находят: $\text{C}-\text{F}$ 1,335; $\text{C}-\text{C} = 1,46$; $\text{C}\equiv\text{N}$ 1,153 А ; $\angle \text{FCF}$ $107,5^\circ$. Связь $\text{C}\equiv\text{N}$ короче, чем в CH_3CN , вероятно, вследствие меньшей степени сверхсопряжения. Т. Бирштейн

69820. Микроволновый спектр циклопентадиенилнитрозила никеля и конфигурация молекулы. Кокс, Томас, Шеридан (Microwave spectrum of nickel cyclopentadienyl nitrosyl and the configuration of the molecule. Cox A. P., Thomas L. F., Sheridan J.), Nature, 1958, 181, № 4616, 1157–1158 (англ.)

В микроволновой области от 20 000 до 40 000 Мгц измерено 7 переходов $\text{C}_5\text{H}_5\text{Ni}^{58}\text{NO}$ (I) и несколько линий $\text{C}_5\text{H}_5\text{Ni}^{60}\text{NO}$ (II). Молекула имеет форму симметричного волчка; для I $B_0 = 1259,25 \text{ Мгц}$, $D_J = 0,05 \text{ кГц}$, D_{JK} мало; для II $B_0 = 1258,71 \text{ Мгц}$. Спектр указывает на линейное расположение системы NiNO перпендикулярно плоскости кольца C_5H_5 . При $d_{\text{C}-\text{C}} = 1,40$ и $d_{\text{C}-\text{Ni}} = 1,08 \text{ А}$ для $d_{\text{N}-\text{O}} = (1,10 \pm 0,03) \text{ А}$ найдено $d_{\text{Ni}-\text{C}} = (2,107 \pm 0,001)$ и $d_{\text{Ni}-\text{N}} = (1,676 \pm 0,02) \text{ А}$. Расстояние $d_{\text{Ni}-\text{C}}$ меньше, чем в $(\text{C}_5\text{H}_5)_2\text{Ni}$ (III), так как I является устойчивым комплексом с 18-электронной конфигурацией, а у III имеются сверх восемнадцать еще 2 разрыхляющих электрона. Связь $\text{Ni}-\text{N}$ в значительной мере кратная. М. Дяткин

69821. Структура третичнобутилизотиоцианида. Бак, Мансен-Нюгор, Раструп-Андерсен (The structure of tertiary butyl isocyanide. Bak Børge, Hansen-Nygaard Lise, Rastrup-Andersen John), J. Molec. Spectrosc., 1958, 2, № 1, 54–57 (англ.)

Исследован микроволновый спектр трет-бутилизотиоцианида $(\text{CH}_3)_3\text{C}-\text{NC}$ (I), являющийся типичным спектром симметричного волчка с внутренним вращением. Наблюдались интенсивная линия $J = 3 \rightarrow 4$ при 23457,4 Мгц и соответствующая линия при 22786,5 Мгц в молекулах с группой $-\text{NC}^{13}$. Используя ранее найденную частоту соответствующего перехода в трет-бутилизотиоцианиде (II) (РЖХим, 1958, 23885), авторы определяют параметры молекул, исходя из двух моделей трет-бутильного радикала: 1) предполагается $\angle \text{HCC}$ $109^\circ 28'$; $\angle \text{CCC}$ (соответствующий $\angle \text{CCN}$) $109^\circ 28'$; CH 1,093 А ; $\text{H}_3\text{C}-\text{C}$ 1,540 А ; найдено: для $(\text{CH}_3)_3\text{C}-\text{CNC}-\text{CN}$ 1,470 А ; $\text{C}\equiv\text{N}$ 1,149 А ; для $(\text{CH}_3)_3\text{C}-\text{NC}$ 1,417 А ; $\text{N}\equiv\text{C}$ 1,166 А ; 2) предполагается (как в $(\text{CH}_3)_3\text{CF}$) $\angle \text{HCC}$ $111^\circ 30'$; $\angle \text{CCC}$ (соответствующий $\angle \text{CCN}$) $108^\circ 00'$; CH 1,093 А ; $\text{H}_3\text{C}-\text{C}$ 1,540 А ; найдено: для $(\text{CH}_3)_3\text{C}-\text{CN}$: $\text{C}-\text{CN}$ 1,472 А ; $\text{C}\equiv\text{N}$ 1,172 А ; для $(\text{CH}_3)_3\text{C}-\text{NC}$: $\text{C}-\text{NC}$ 1,423 А ; $\text{N}\equiv\text{C}$ 1,184 А . Независимо от сделанных предположений, простые связи $\text{C}-\text{C}$ и $\text{C}-\text{N}$ оказываются укороченными. Как и в случае CH_3CN и CH_3NC , связь $\text{C}\equiv\text{N}$ в II оказывается несколько ($\sim 0,015 \text{ А}$) короче, чем в I. Исследуется распределение электронной плотности в I и II. Центр тяжести отрицательного заряда в обоих изомерах находится на примерно одинаковых расстояниях от N (0,4 и 0,445 А соответственно). Т. Бирштейн

69822. Электронный и ядерный резонанс как методы исследования строения молекул. Хауссер К., Успехи химии, 1958, 27, № 4, 403—430. Перевод, см. РЖХим, 1957, 40341.

69823. Вычисление константы ядерного магнитного экранирования. Александров И. В., Докл. АН СССР, 1958, 119, № 4, 671—674.

При вычислении постоянной ядерного магнитного экранирования по ф-ле Рамзея необходимо учесть очень большое число возбужденных состояний молекулы, что делает расчет практически неосуществимым. Показано, что сходимость метода расчета относительно числа базисных функций значительно улучшается, если мол. волновую функцию при наличии внешнего магнитного поля искать в виде комбинации АО, учитывающих это поле. Общие ф-лы получены для метода МО ЛКАО. Показано, что члены, обусловленные перекрыванием волновых функций, вносят заметный вклад в величину экранирования. Вычисление параметра магнитного члена постоянной экранирования протона в молекуле H_2 , произведенное с помощью простейших МО, дало удовлетворительное согласие с известным полуэмпирич. значением. И. Александров

69824. Парамагнетизм в молекулярных соединениях. Бук, Лупинский, Остерхофф (Paramagnetism in molecular compounds. Buck H. M., Lupinski J. H., Oosterhoff L. J.), Molec. Phys., 1958, 1, № 2, 196—197 (англ.).

При исследовании мол. соединений замещ. полифенилтиленов и замещ. дифенилов с галогенами, к-тами и тетранитрометаном у многих из них обнаружен электронный спиновой резонанс. Значение парамагнетизма гораздо меньше, чем для свободных радикалов. Авторы считают, что эти мол. соединения должны рассматриваться как комплексы с переносом зарядов, являющимися, по мнению некоторых исследователей (Weiss J., J. Chem. Soc., 1942, 245; Proc. Roy. Soc., 1942, A222, 128), первой ступенью многих р-ций окисления. Совершенно неясно, можно ли приписывать этот парамагнетизм триплетному состоянию. Дальнейшие исследования (особенно изучение температурной зависимости парамагнетизма) позволят сделать более определенные выводы, в том числе решить, внутренними или внешними комплексами являются эти соединения. В. Белова

69825. Спектры электронного парамагнитного резонанса биологических объектов. Влияние денатурации на спектры ЭПР облученных белков. Блюменфельд Л. А., Калмансон Э. А., Биофизика, 1958, 3, № 1, 87—91 (рез. англ.).

Исследовано влияние предварительной тепловой денатурации на спектры электронного парамагнитного резонанса облученных кобальтовой пушкой сухих препаратов оксигемоглобина, пепсина, ихтиокола и казеина. В предварительно денатурированных образцах обнаруживаются линии с дублетным сверхтонким расщеплением, неотличимые от спектра облученных кристаллов глицилглицина; интенсивность линии (число парамагнитных центров) в предварительно денатурированных образцах в несколько сот раз больше, чем в образцах, не подвергавшихся денатурации перед облучением. Интерпретация наблюдавшихся спектров совпадает с данной ранее (РЖХим, 1958, 38663). К. Валиев

69826. Локализация свободных электронов в комплексах порфиринового кольца. Гибсон, Инграм (Location of free electrons in porphyrin ring complexes. Gibson J. F., Ingram D. J. E.), Nature, 1956, 178, № 4538, 871—872 (англ.).

Исследован спектр электронного парамагнитного резонанса (ЭПР) промежуточных состояний р-ции окисления гемоглобина (I) и миоглобина (II) при 25

и 36 кМгц. Большинство измерений произведено при 20° К, однако спектр ЭПР не изменяется при нагревании до 90° К, что указывает на малость спин-решеточного взаимодействия. Линии поглощения в случаях окисления I и II перекисью водорода и периодатом калия имеют одинаковую ширину 25 гс и g-фактор $(2,003 \pm 0,001)$. Форма этих линий очень близка к линиям ЭПР промежуточных состояний р-ций окисления тетрафенилпорфина (III) и фталоцианина (IV), имеющим ширину 9 гс и $g = (2,0025 \pm 0,0005)$. Сужение линий в III и IV по сравнению с I и II вызвано обменным взаимодействием. Близость значений g-фактора в промежуточных состояниях р-ции окисления I, II, III и IV к g-фактору свободного электрона, а также отсутствие сверхтонкой структуры указывает на то, что неспаренный электрон во всех этих случаях не является локализованным ни у центрального атома металла, ни у близких к центру кольца атомов азота: его орбита вероятно охватывает большинство атомов углерода. Т. Ребане

69827. Углеродные свободные радикалы в неочищенной нефти. Гutowский, Рей, Ратледж, Антербергер (Carbonaceous free radicals in crude petroleum. Gutowsky H. S., Ray B. Roger, Rutledge R. L., Unterberger R. R.), J. Chem. Phys., 1958, 28, № 4, 744—745 (англ.).

В кол. частицах, представляющих собой фракцию неочищ. нефти из Миссисипи, полученную центрифугированием, наблюдается электронный резонанс (ЭР) с g-фактором 2,0030 и шириной $\sim 4,5$ э. ЭР наблюдается только во фракции, находившейся после центрифугирования на дне; сильный ЭР наблюдался и от частиц твердого осадка. Конц-ия свободных радикалов в частицах осадка равна $8 \cdot 10^{18} \text{ г}^{-1}$; при растворении в бензоле вид линий не меняется. Учитывая, что сигнал от частиц осадка сходен с сигналами от углей, а в последних интенсивность сигнала (число парамагнитных центров) зависит от т-ры обжига и от отношения C:H, авторы предлагают использовать ЭР для определения условий образования нефти. К. Валиев

69828. Частоты инверсии азота в циклических иминах. Боттини, Роберте (The nitrogen inversion frequency in cyclic imines. Bottini Albert T., Roberts John D.), J. Amer. Chem. Soc., 1956, 78, № 19, 5126 (англ.).

В связи с исследованием вопроса об оптич. активности соединений с несимметричным 3-валентным атомом азота исследованы спектры ядерного магнитного резонанса N-этилэтиленимина (I) и N-этилалленимины (II) в зависимости от т-ры. При 30° в спектре I обнаруживаются 2 триплета, соответствующие двум группам водородов в кольце, находящихся в *цис*- или *транс*-положениях по отношению к N-этильной группе. Оценка среднего времени жизни молекулы с данной конфигурацией относительно азота приводит к величине, много большей 0,04 сек. При нагревании до 130° этот эффект исчезает. В спектре II при 30° наблюдается только одна полоса, соответствующая CH_2 -группе. Однако при (и ниже) -80° она расщепляется на 2 компонента. Большая скорость инверсии в II по сравнению с I связана с делокализацией электронов, приводящей к четвертичному азоту. В. С.

69829. Протонное магнитное резонансное поглощение в метильных группах. Электроотрицательность заместителей. Олред, Рохов (The nuclear magnetic resonance absorption of hydrogen in methyl groups. The electronegativity of substituents. Allred A. L., Rochow E. G.), J. Amer. Chem. Soc., 1957, 79, № 20, 5361—5365 (англ.).

Измерено хим. сдвигание (ХС) магнитного резонанса протонов метильных групп ряда соединений как в чистом виде, так и в бесконечно разб. (0%-ных)

Найдены значения вращательных постоянных: A 5,67997; B 1,57687; C 1,23361 кМгц ; κ $-0,8456$. Предполагая аксиальную симметрию связи $\text{C}-\text{Cl}$, автор находит значение eQq в пределах $56-74$ Мгц ; среднее значение $66,4$ Мгц . Т. Бирштейн

69817. Микроволновый спектр, структура и дипольный момент хлористого нитрила. Миллен, Синнотт (The microwave spectrum, structure, and dipole moment of nitril chloride. Millen D. J., Sinnott K. M.), J. Chem. Soc., 1958, Jan., 350-355 (англ.)

С помощью спектрометра со штарковской модуляцией в диапазоне $8-26$ кМгц исследован спектр $\text{NO}_2\text{Cl}^{15}$ (I) и $\text{NO}_2\text{Cl}^{17}$ (II). Найдены моменты инерции (в ат. ед. массы $\times \text{А}^2$): I 38,1822; 97,710; 135,845; $\Delta = -0,0469$; II 38,1821; 100,7235; 138,863; $\Delta = -0,0416$. Малое значение Δ указывает на плоскую структуру молекул. Определена геометрия молекул: $r_{\text{NCl}} = 1,840 \pm 0,002 \text{ А}$; $r_{\text{NO}} = 1,202 \pm 0,001 \text{ А}$; $\angle \text{ONO} 130^\circ 35' \pm 15'$. Разрешенная сверхтонкая структура спектра обусловлена квадрупольным моментом ядра Cl. Найдено (в Мгц) для I: $eQ \partial^2 V / \partial a^2 = -94,28$; $eQ \partial^2 V / \partial b^2 = 51,23$; $eQ \partial^2 V / \partial c^2 = 43,05$; для II $-74,45$; $40,98$; $33,47$ соответственно (ось a по связи NCl ; ось b в плоскости молекулы). Отсутствие осевой симметрии поля указывает на электронный дефицит $3p$ -орбиты хлора, составляющей $\sim 5\%$. Ионный характер связи $\text{N}-\text{Cl}^-$ в предположении, что в связи участвует чистая p -орбита хлора, оценен в $11,6\%$. По эффекту Штарка перехода $J = 0_{00} \rightarrow 1_{01}$, $F = 3/2 \rightarrow 5/2$ найдено $\mu = 0,42 \pm 0,01 \text{ Д}$. Т. Б.

69818. Микроволновые спектры диазометана и его дейтеропроизводных. Кокс, Томас, Шеридан (Microwave spectra of diazomethane and its deuterio derivatives. Cox A. P., Thomas L. F., Sheridan J.), Nature, 1958, 181, № 4614, 1000-1001 (англ.)

В диапазоне $19-90$ кМгц измерены спектры CH_2N_2 (I), CHDN_2 (II) и CD_2N_2 (III). Найдено для I-III соответственно: $B_0 - C_0$ 22150,7 $\pm 0,2$; 20640,7 $\pm 0,2$, 19389,0 $\pm 0,2$ Мгц ; $B_0 - C_0$ 460,2 $\pm 0,2$; 578,3 $\pm 0,2$; 696,2 $\pm 0,2$ Мгц ; D_{JK} 0,39 $\pm 0,01$; 0,27 $\pm 0,01$; $\sim 0,2$ Мгц ; $DJ < 0,01$ для I и II. Дипольный момент $\sim 1,45 \text{ Д}$. Результаты согласуются с плоской (с симметрией C_{2v}) структурой молекул. При пренебрежении квантовым дефектом и нулевыми колебаниями авторы определили параметры молекул: $d_{\text{CH}} = 1,08 \text{ А}$, $\angle \text{HCH} = 127^\circ$, $d_{\text{CN}} = 1,32 \text{ А}$, $d_{\text{NN}} = 1,12 \text{ А}$, $d_{\text{CN}} + d_{\text{NN}} = 2,442 \pm 0,005 \text{ А}$.

Не обнаружены спектры таутомерной формы диазометана. Т. Бирштейн

69819. Микроволновые спектры некоторых молекул, содержащих группы CF_3 и SiF_3 . Томас, Хекс, Шеридан (Microwave spectra of some molecules containing $-\text{CF}_3$ and $-\text{SiF}_3$ groups. Thomas L. F., Heeks J. S., Sheridan J.), Z. Elektrochem., 1957, 61, № 8, 935-937 (англ.)

С помощью видеоспектрометра высокой разрешающей способности в диапазоне $19-50$ кМгц (в основном в диапазоне $30-40$ кМгц) измерены частоты вращательных переходов в CH_3CF_3 (I), CH_3SiF_3 (II), CF_3CN (III) и их изотопически замещенных. Найдено в I: $D_J = 2$ кГц , $|D_J| < 2$ кГц ; в II: $D_{J2} \approx 1$ кГц ; $0 < D_{Jk} < 3$ кГц . Вращательные постоянные B_0 оказались равными (в Мгц): I 5185,14; $^{13}\text{CH}_3\text{CF}_3$ 5060,12; CD_3CF_3 4605,87; CH_2DCF_3 (IV) 4976,41; CHD_2CF_3 (V) 4804,78; II 3715,66; CD_3SiF_3 3314,56; $^{13}\text{CD}_3\text{SiF}_3$ 3245,84; CH_2DSiF_3 (VI) 3574,15; CHD_2SiF_3 (VII) 3448,23; $\text{CF}_3^{13}\text{CN}$ 2921,86; $^{13}\text{CF}_3\text{CN}$ 2944,23. Для асимметричных волчков по частотам переходов $J = 4 \rightarrow 5$ определены также A_0 и C_0 , равные соответственно (в Мгц): IV 5466 ± 5 ; 4947,46; V 5390 ± 10 ; 4743,28; VI 4007 ± 15 ; 3556,00; VII 4011 ± 10 ; 3418,60. Наблюдались также линии, обусловлен-

ные переходами в возбужденных состояниях крутильных колебаний, расщепленные благодаря туннельным переходам через барьер внутреннего вращения. Для III найдена колебательно-вращательная постоянная для колебаний изгиба $\alpha = -4,98$ Мгц и постоянная l -удвоения $q = 3,60$ Мгц ; оценка дает для частоты колебаний $\omega = 184 \text{ см}^{-1}$. Определена структура молекул I: $\text{C}-\text{C}$ 1,492; $\text{C}-\text{F}$ 1,348; $\text{C}-\text{H} = \text{C}-\text{D}$ 1,078 А; $\angle \text{FCF}$ $106^\circ 42'$; $\angle \text{HCH}$ $109^\circ 31'$, что согласуется с данными по дифракции электронов. В случае молекул III, используя также значение B_0 для $\text{CF}_3\text{C}^{12}\text{N}$ и $\text{CF}_3\text{C}^{15}\text{N}$ (Sheridan J., Gordy W., Chem. Phys., 1952, 20, 591), авторы находят: $\text{C}-\text{F}$ 1,335; $\text{C}-\text{C} = 1,46$; $\text{C}\equiv\text{N}$ 1,153 А; $\angle \text{FCF}$ $107,5^\circ$. Связь $\text{C}\equiv\text{N}$ короче, чем в CH_3CN , вероятно, вследствие меньшей степени сверхсопряжения. Т. Бирштейн

69820. Микроволновый спектр циклопентаденилнитрозила никеля и конфигурация молекулы. Кокс, Томас, Шеридан (Microwave spectrum of nickel cyclopentadienyl nitrosyl and the configuration of the molecule. Cox A. P., Thomas L. F., Sheridan J.), Nature, 1958, 181, № 4616, 1157-1158 (англ.)

В микроволновой области от 20 000 до 40 000 Мгц измерено 7 переходов $\text{C}_5\text{H}_5\text{Ni}^{58}\text{NO}$ (I) и несколько линий $\text{C}_5\text{H}_5\text{Ni}^{60}\text{NO}$ (II). Молекула имеет форму симметричного волчка; для I $B_0 = 1259, 25$ Мгц , $D_J = 0,05$ кГц , D_{JK} мало; для II $B_0 = 1258,71$ Мгц . Спектр указывает на линейное расположение системы NiNO перпендикулярно плоскости кольца C_5H_5 . При $d_{\text{C}-\text{C}} = 1,40$ и $d_{\text{C}-\text{H}} = 1,08 \text{ А}$ для $d_{\text{N}-\text{O}} = (1,10 \pm 0,03) \text{ А}$ найдено $d_{\text{N}-\text{C}} = (2,107 \pm 0,001)$ и $d_{\text{Ni}-\text{N}} = (1,676 \pm 0,02) \text{ А}$. Расстояния $d_{\text{Ni}-\text{C}}$ меньше, чем в $(\text{C}_5\text{H}_5)_2\text{Ni}$ (III), так как I является устойчивым комплексом с 18-электронной конфигурацией, а у III имеются сверх восемнадцать еще 2 разрыхляющих электрона. Связь $\text{Ni}-\text{N}$ в значительной мере кратная. М. Дяткина

69821. Структура третичнобутилизотиоцианида. Бак, Мансен-Нюгор, Раструп-Андерсен (The structure of tertiary butyl isocyanide. Bak Børge, Hansen-Nygaard Lise, Rastrup-Andersen John), J. Molec. Spectrosc., 1958, 2, № 1, 54-57 (англ.)

Исследован микроволновый спектр трет-бутилизотиоцианида $(\text{CH}_3)_3\text{C}-\text{NC}$ (I), являющийся типичным спектром симметричного волчка с внутренним вращением. Наблюдалась интенсивная линия $J = 3 \rightarrow 4$ при 23457,4 Мгц и соответствующая линия при 22786,5 Мгц в молекулах с группой $-\text{NC}^{13}$. Используя ранее найденную частоту соответствующего перехода в трет-бутилизотиоцианиде (II) (РЖХим, 1958, 23885), авторы определяют параметры молекул, исходя из двух моделей трет-бутильного радикала: 1) предполагается $\angle \text{HCC} 109^\circ 28'$; $\angle \text{CCC}$ (соответствующий $\angle \text{CCN}$) $109^\circ 28'$; CH 1,093 А; $\text{H}_3\text{C}-\text{C}$ 1,540 А; найдено: для $(\text{CH}_3)_3\text{C}-\text{CNC}-\text{CN}$ 1,470 А; $\text{C}\equiv\text{N}$ 1,149 А; для $(\text{CH}_3)_3\text{C}-\text{NC}-\text{NC}$ 1,417 А; $\text{N}\equiv\text{C}$ 1,166 А; 2) предполагается (как в $(\text{CH}_3)_3\text{CF}$) $\angle \text{HCC} 111^\circ 30'$; $\angle \text{CCC}$ (соответствующий $\angle \text{CCN}$) $108^\circ 00'$; CH 1,093 А; $\text{H}_3\text{C}-\text{C}$ 1,540 А; найдено: для $(\text{CH}_3)_3\text{C}-\text{CN}-\text{C}-\text{CN}$ 1,472 А; $\text{C}\equiv\text{N}$ 1,172 А; для $(\text{CH}_3)_3\text{C}-\text{NC}-\text{C}-\text{NC}$ 1,423 А; $\text{N}\equiv\text{C}$ 1,184 А. Независимо от сделанных предположений, простые связи $\text{C}-\text{C}$ и $\text{C}-\text{N}$ оказываются укороченными. Как и в случае CH_3CN и CH_3NC , связь $\text{C}\equiv\text{N}$ в II оказывается несколько ($\sim 0,015 \text{ А}$) короче, чем в I. Исследуется распределение электронной плотности в I и II. Центр тяжести отрицательного заряда в обоих изомерах находится на примерно одинаковых расстояниях от N ($0,474$ и $0,445 \text{ А}$ соответственно). Т. Бирштейн

69822. Электронный и ядерный резонанс как методы исследования строения молекул. Хауссер К., Успехи химии, 1958, 27, № 4, 403—430. Перевод, см. РЖХим, 1957, 40341.

69823. Вычисление константы ядерного магнитного экранирования. Александров И. В., Докл. АН СССР, 1958, 119, № 4, 671—674.

При вычислении постоянной ядерного магнитного экранирования по ф-ле Рамзея необходимо учесть очень большое число возбужденных состояний молекулы, что делает расчет практически неосуществимым. Показано, что сходимость метода расчета относительно числа базисных функций значительно улучшается, если мол. волновую функцию при наличии внешнего магнитного поля искать в виде комбинации АО, учитывающих это поле. Общие ф-лы получены для метода МО ЛКАО. Показано, что члены, обусловленные перекрыванием волновых функций, вносят заметный вклад в величину экранирования. Вычисление парамагнитного члена постоянной экранирования протона в молекуле H_2 , произведенное с помощью простейших МО, дало удовлетворительное согласие с известным полуэмпирич. значением.

И. Александров

69824. Парамагнетизм в молекулярных соединениях. Бук, Лупинский, Остерхофф (Paramagnetism in molecular compounds. Buck H. M., Lupinski J. H., Oosterhoff L. J.), Molec. Phys., 1958, 1, № 2, 196—197 (англ.)

При исследовании мол. соединений замещ. полифенилэтиленов и замещ. дифенилов с галогенами, к-тами и тетранитрометаном у многих из них обнаружен электронный спиновой резонанс. Значение парамагнетизма гораздо меньше, чем для свободных радикалов. Авторы считают, что эти мол. соединения должны рассматриваться как комплексы с переносом зарядов, являющимися, по мнению некоторых исследователей (Weiss J., J. Chem. Soc., 1942, 245; Proc. Roy. Soc., 1942, A222, 128), первой ступенью многих р-ций окисления. Совершенно неясно, можно ли приписывать этот парамагнетизм триплетному состоянию. Дальнейшие исследования (особенно изучение температурной зависимости парамагнетизма) позволят сделать более определенные выводы, в том числе решить, внутренними или внешними комплексами являются эти соединения.

В. Белова

69825. Спектры электронного парамагнитного резонанса биологических объектов. Влияние денатурации на спектры ЭПР облученных белков. Блюменфельд Л. А., Калмансон Э. А., Биофизика, 1958, 3, № 1, 87—91 (рез. англ.)

Исследовано влияние предварительной тепловой денатурации на спектры электронного парамагнитного резонанса облученных кобальтовой пушкой сухих препаратов оксигемоглобина, пепсина, ихтиокола и казеина. В предварительно денатурированных образцах обнаруживаются линии с дублетным сверхтонким расщеплением, неотличимые от спектра облученных кристаллов глицилглицина; интенсивность линии (число парамагнитных центров) в предварительно денатурированных образцах в несколько сот раз больше, чем в образцах, не подвергавшихся денатурации перед облучением. Интерпретация наблюдавшихся спектров совпадает с данной ранее (РЖХим. 1958, 38663).

К. Валиев

69826. Локализация свободных электронов в комплексах порфиринового кольца. Гибсон, Инграм (Location of free electrons in porphyrin ring complexes. Gibson J. F., Ingram D. J. E.), Nature, 1956, 178, № 4538, 871—872 (англ.)

Исследован спектр электронного парамагнитного резонанса (ЭПР) промежуточных состояний р-ции окисления гемоглобина (I) и миоглобина (II) при 25

и 36 КМгц. Большинство измерений произведено при 20° К, однако спектр ЭПР не изменяется при нагревании до 90° К, что указывает на малость спин-решеточного взаимодействия. Линии поглощения в случаях окисления I и II перекисью водорода и периодатом калия имеют одинаковую ширину 25 гс и g-фактор (2,003 ± 0,001). Форма этих линий очень близка к линиям ЭПР промежуточных состояний р-ций окисления тетрафенилпорфина (III) и фталоцианина (IV), имеющим ширину 9 гс и g = (2,0025 ± 0,0005). Сужение линий в III и IV по сравнению с I и II вызвано обменным взаимодействием. Близость значений g-фактора в промежуточных состояниях р-ции окисления I, II, III и IV к g-фактору свободного электрона, а также отсутствие сверхтонкой структуры указывает на то, что неспаренный электрон во всех этих случаях не является локализованным ни у центрального атома металла, ни у близких к центру кольца атомов азота: его орбита вероятно охватывает большинство атомов углерода.

Т. Ребане

69827. Углеродные свободные радикалы в неочищенной нефти. Гutowский, Рей, Ратледж, Антербергер (Carbonaceous free radicals in crude petroleum. Gutowsky H. S., Ray B. Roger, Rutledge R. L., Unterberger R. R.), J. Chem. Phys., 1958, 28, № 4, 744—745 (англ.)

В кол. частицах, представляющих собой фракцию неочищ. нефти из Миссисипи, полученную центрифугированием, наблюдается электронный резонанс (ЭР) с g-фактором 2,0030 и шириной ~4,5 э. ЭР наблюдается только во фракции, находившейся после центрифугирования на дне; сильный ЭР наблюдался и от частиц твердого осадка. Кон-ия свободных радикалов в частицах осадка равна $8 \cdot 10^{18}$ г-1; при растворении в бензоле вид линий не меняется. Учитывая, что сигнал от частиц осадка сходен с сигналами от углей, а в последних интенсивность сигнала (число парамагнитных центров) зависит от т-ры обжига и от отношения C:H, авторы предлагают использовать ЭР для определения условий образования нефти.

К. Валиев

69828. Частоты инверсии азота в циклических иминах. Боттини, Роберте (The nitrogen inversion frequency in cyclic imines. Bottini Albert T., Roberts John D.), J. Amer. Chem. Soc., 1956, 78, № 19, 5126 (англ.)

В связи с исследованием вопроса об оптич. активности соединений с несимметричным 3-валентным атомом азота исследованы спектры ядерного магнитного резонанса N-этилэтиленмина (I) и N-этилалленмина (II) в зависимости от т-ры. При 30° в спектре I обнаруживаются 2 триплета, соответствующие двум группам водородов в кольце, находящихся в *цис*- или *транс*-положениях по отношению к N-этильной группе. Оценка среднего времени жизни молекулы с данной конфигурацией относительно азота приводит к величине, много большей 0,04 сек. При нагревании до 130° этот эффект исчезает. В спектре II при 30° наблюдается только одна полоса, соответствующая CH_2 -группе. Однако при (и ниже) -80° она расщепляется на 2 компонента. Большая скорость инверсии в II по сравнению с I связана с делокализацией электронов, приводящей к четвертичному азоту.

В. С.

69829. Протонное магнитное резонансное поглощение в метильных группах. Электроотрицательность заместителей. Олред, Рохов (The nuclear magnetic resonance absorption of hydrogen in methyl groups. The electronegativity of substituents. Allred A. L., Rochow E. G.), J. Amer. Chem. Soc., 1957, 79, № 20, 5361—5365 (англ.)

Измерено хим. смещение (ХС) магнитного резонанса протонов метильных групп ряда соединений как в чистом виде, так и в бесконечно разб. (0%-ых)

р-рах в CCl_4 . Опыты проводились на частоте 40 Мгц. ХС определялось по отношению к частоте протонного резонанса в воде. Величина ХС в 0%-ных р-рах определялась путем экстраполяции. ХС (в гц) для чистых жидкостей и 0%-ных р-ров в CCl_4 соответственно равны: CH_3NO_2 47,5; 19,2; CH_3F 84; 21,2; $(\text{CH}_3)_2\text{SO}_4$ 41,0; 33,9; $(\text{CH}_3)_2\text{CO}_3$ 54,3; 40,6; $\text{CH}_3\text{OC}_6\text{H}_5$ 73,2; 43,8; $(\text{CH}_3)_2\text{SO}_3$ 59,1; 48,3; $(\text{CH}_3\text{O})_4\text{Si}$ 60,1; 49,0; $(\text{CH}_3\text{O})_3\text{B}$ 65,4; 50,5; CH_3OH 74,0; 55,6; CH_3OCH_3 105,1; 62; CH_3Cl 84; 69,5; CH_3COBr 85,9; 79,1; CH_3Br 81; 84,1; $\text{CH}_3\text{COC}_6\text{H}_5$ 120; 89,8; $\text{CH}_3\text{C}_6\text{H}_5$ 130; 98,6; CH_3I 80; 103,9; $(\text{CH}_3\text{CO})_2\text{O}$ 121,6; 103,9; CH_3COOH 127,5; 107,6; $(\text{CH}_3)_2\text{CO}$ 133,5; 108,0; $\text{CH}_3\text{COOCH}_3$ 131,3; 111; CH_3CN 126; 115,4; $\text{CH}_3\text{C}(\text{NOH})\text{CH}_3$ —; 119,3; $(\text{CH}_3)_3\text{N}$ 127; —; $\text{C}(\text{CH}_3)_4$ 174; 153,9. Измерено также ХС в метилгалогенидах при различных конц-ях в бензоле (I), 2,2-диметилпропане (II) и сероуглероде (III). ХС в 0%-ных р-рах этих соединений в I, II и III соответственно равны: CH_3Cl 123,3; 93,3; 66,8; CH_3Br 138,8; 110,2; 78,6; CH_3I 162,2; 127,5; 98,8. Показано, что различие ХС в р-рах метилгалогенидов обусловлено изменением объемной магнитной восприимчивости р-рителя. ХС метилгалогенидов в 0%-ных р-рах линейно связано с электроотрицательностью галогенов. Используя такую зависимость, можно получить качеств. порядок величин электроотрицательности заместителей в остальных исследованных соединениях по измеренным величинам ХС. А. Маненков

69830. Об определении скоростей реакции из ядерного магнитного резонанса. Мак-Коннелл (Reaction rates by nuclear magnetic resonance. McConnell Harden M.), J. Chem. Phys., 1958, 28, № 3, 430—431 (англ.)

Ур-ния Блоха, описывающие изменение ядерной намагниченности в постоянном и переменном полях, обобщены таким образом, чтобы учесть процесс обратного хим. обмена исследуемых ядер X между молекулами (или неэквивалентными положениями). Считается, что ядра X в неэквивалентных положениях A и B релаксируют независимо и времена релаксации не зависят от скорости обмена. Полученные ур-ния решены для случая медленного прохождения, а также для случая, когда времена релаксации ядер X в одном из двух положений (напр., в B) гораздо короче, чем в положении A. Показано, что в этом случае из опытов по насыщению можно определить время жизни ядер τ_A , т. е. скорость хим. обмена. К. Ватнен

69831. Определение времени релаксации и энергии активации молекул полярных веществ. Агранат Б. А., Сб. научн. тр. Моск. ин-та цветн. мет. и золота, Научно-техн. о-во цветн. металлургии, 1957, № 30, 102—116

Измерены диэлектрич. постоянная ϵ и коэф. поглощения κ пальмитиновой к-ты $\text{C}_{16}\text{H}_{32}\text{O}_2$ (I) при λ 1,52 м в диапазоне т-ры от -15 до 9° . ϵ растет с ростом т-ры почти до т-ры плавления ($62,6^\circ$), а затем практически не меняется. κ имеет максимум при $40-45^\circ$. Вычисленное по величине κ значение времени релаксации τ уменьшается от $0,81 \cdot 10^{-9}$ сек при 316°K до $0,29 \cdot 10^{-9}$ сек при 363°K . Изменение τ в твердой фазе свидетельствует о том, что в молекулах I вращаются полярные группы, размеры которых, определенные по ф-ле Дебая, $\sim 2,7$ А. По интервалу $43-63^\circ$, где τ экспоненциально меняется с т-рой, найдена энергия активации 6,6 ккал/моль, по-видимому, обусловленная димерной ассоциацией молекул I посредством водородной связи. Т. Бирштейн

69832. Дипольные моменты эфиров изомерных циклогексан-1,2-дикарбоновых кислот. Шидловская А. Н., Сыркин Я. К., Назаров Н. Н., Луферов В. Ф., Докл. АН СССР, 1958, 118, № 5, 967—969

Гетеродинным методом при 25° в бензоле измерены дипольные моменты (μ , в D) эфиров циклогексан-1,2-дикарбоновой к-ты (I) и циклогексен-1,2-дикарбоновой к-ты (II): диметилловых эфиров: *цис*-I 2,41; *транс*-I 2,14; *цис*-II (III) 2,38; *транс*-II 2,10; монометилловых эфиров: *цис*-I 1,70; *транс*-I 1,91; двух *цис*-изомеров диметилового эфира: 4-метил-I (IV), имеющих метильную группу в аксиальном (a) и экваториальном (e) положении 2,39 и 2,39; двух соответствующих *транс*-изомеров IV 2,26 и 2,23. Двойная связь вызывает незначительное изменение момента и для *цис*- и для *транс*-формы. Сравнение полученных данных с м-т диметилловых эфиров малеиновой и фумаровой к-т (Smyth C. P., Walls W. S., J. Amer. Chem. Soc., 1931, 53, 527) подтверждает *цис*-конфигурацию III. Для определения конфигурации изомеров диметилловых эфиров *цис*-I и *транс*-I векторно рассчитаны м-с учетом свободного вращения групп COOCH_3 и их направления как нерегулярных групп. μ изомеров (e—a) и (e—e) по расчетам совпадают и равны 2,51, а μ изомера (a—a) равен 2,30; опытное значение μ *цис*-изомера лежит между ними, а опытное значение μ *транс*-изомера не соответствует рассчитанному μ изомера e—e. М. Луферова

69833. Новый метод интерпретации магнитной восприимчивости диамагнитных органических соединений. Дорфман Я. Г., Докл. АН СССР, 1958, 119, № 2, 305—306

Разработана новая магнетохим. схема, являющаяся, по мнению автора, в отличие от эмпирич. системы Паскаля, физически однозначной. В соответствии с квантовой механич. теорией, магнитная восприимчивость χ диамагнитных молекул складывается из диамагнитной χ_d и парамагнитной χ_p компонент. χ_d можно вычислять по ф-ле Кирквуда, которая связывает χ_d с экспериментально измеренной поляризуемостью α . Показано, что к χ_d применима аддитивная схема, т. е. χ_d молекулы составляет из χ_d входящих атомов. Даны χ_d для C, H, O, N и Cl. Наличие двойных и тройных связей проявляется в небольшом избыточном диамагнетизме χ_d . Специфич. носителями парамагнетизма (магнетифорами) являются некоторые группы атомов. Даны χ_p этих групп. Всей молекуле в целом присуща небольшая парамагнитная компонента χ_p'' , зависящая от симметрии молекулы. χ алифатич. и полициклич. соединений проще всего рассчитывать по ф-ле: $\chi = -3,11 \cdot 10^6 V \bar{\kappa} a + \Sigma \chi_d' + \Sigma \chi_p' + \chi_p''$. В. Б.

69834. Влияние обменного взаимодействия на магнитные и термические свойства солей и координационных соединений меди. Эйзенштейн (Effect to exchange interaction on the magnetic and thermal properties of copper salts and copper coordination compounds. Eisenstein J. C.), J. Chem. Phys., 1958, 28, № 2, 323—329 (англ.)

Развивается теория теплоемкости и магнитной восприимчивости кристалла, в каждой элементарной ячейке которого содержится 2 неэквивалентных (в смысле магнитных свойств) иона с полужелыми спинами. Учитывается диполь-дипольное и анизотропное обменное взаимодействие. Применение теории к расчету магнитной восприимчивости и теплоемкости моногидрата сульфата тетрамино-комплекса меди дает результаты, по порядку величины согласующиеся с опытом, и указывает на преобладание обменного взаимодействия над диполь-дипольным. Т. Ребане

69835. Изучение связи между химическим строением и ультрафиолетовыми спектрами поглощения оптически активных соединений и рацематов. Часть II. Связь максимумов поглощения и «характеристических» длин волны ряда солей камфор β -сульфоновых

кислот (*d*- и *dl*-). Сингх, Амма (Studies on the relation between chemical constitution & ultraviolet absorption spectra of optically active & racemic compounds: part II. Correlation of absorption maxima & «characteristic» wavelengths of some salts of camphor- β -sulphonic acids (*d*- & *dl*-). Singh Bawa Kartar, Amma M. K. P.), J. Scient. and Industr. Res., 1957, BC16, № 11, B486—B492 (англ.)

Измерены УФ-спектры поглощения в области 2000—4000 Å *d*- и *dl* изомеров следующих соединений: *o*-, *m*- и *p*-хлоранилинокамфор β -сульфоната (I), *o*-, *m*- и *p*-броманилинокамфор- β -сульфоната (II), *d*-камфор- β -сульфонамида (III), *d*-камфор- β -сульфонангидроамида (IV), камфор- β -сульфонил-*o*-, *m*- и *p*-бромфениламида (V) и камфор- β -сульфонил-*o*-, *m*- и *p*-хлорфениламида (VI). Все спектры, кроме спектра III и IV, содержат более одного максимума поглощения. Более слабый максимум в длинноволновой части спектра можно отождествить с характеристич. длиной волны λ_0 из одночленного урния Друде, описывающего оптич. активность соединения: $[\alpha] = K/\lambda^2 - \lambda_0^2$. Спектр III содержит только одну полосу поглощения, максимум которой не совпадает со значением λ_0 . IV не имеет полос поглощения, что согласуется с тем фактом, что его оптич. активность описывается урнием Био ($\lambda_0 = 0$). Рацематы всех соединений, за исключением III и IV, оказались их *dl*-изомерами. Спектры последних содержат меньшее число максимумов, чем спектры *d*-изомеров. Часть I, РЖХИМ, 1958, 66555. Э. Бютнер 69836 Метод паракора в применении к изучению ассоциации молекул некоторых органических веществ. Катаева Л. М., Ж. физ. химии, 1957, 31, № 12, 2748—2756 (рез. англ.)

Методом паракора изучено межмолекулярное взаимодействие в этилендиамине (I), моно- (II), ди- (III) и триэтаноламине (IV), виниловом эфире моноэтанол-амина (V), дивиниловом эфире диэтанол-амина (VI), β , β' -триэтокс- (VII), β , β' , β'' -триметокс- (VIII) и β , β' , β'' -трипропокситриэтиламине (IX), *n*-пропиламин, *n*-пропанол, этиленгликоль. При этом для I—IX измерены плотность и поверхностное натяжение при 20—70°. Показано, что все этанол-амины (II—IV) сильно ассоциированы за счет образования межмолекулярных водородных связей (ВС). В эфирах этанол-аминов (V, VI) образуются внутримолекулярные ВС NH...O. В полных эфирах триэтанол-амина (VII—IX) ассоциация молекул не происходит и ВС не образуются. Степень ассоциации возрастает с увеличением числа аминогрупп в молекуле, а особенно при замене их на гидроксильные группы. С. Самойлов 69837 К общей теории молекул с внутренним вращением. П. Зайцев Г. А., Оптика и спектроскопия, 1958, 4, № 3, 309—317

Исследована возможность введения независимых колебательных координат ξ_λ для молекул, состоящих из остова с произвольным числом n прикрепленных к нему волчков. Для этого анализируются условия, служащие для определения введенных в части I (РЖХИМ, 1957, 62905) постоянных b_{kjs}^λ , характеризующих независимые колебательные координаты. Автор критикует работы (Sayvetz A. J., Chem. Phys., 1939, 7, 383; Crawford B. L., Wilson E. B., J. Chem. Phys., 1941, 9, 323). Показано, что, в противоположность случаю квази-твердых молекул, малости колебательных координат недостаточно для того, чтобы в нулевом приближении можно было пренебречь кинетич. энергией связи вращений и колебаний T_{sv} . Исследованы дополнительные условия малости T_{sv} , сводящиеся к требованию малости составляющей скорости центра масс каждого волчка и составляющей момента кол-ва движения этого волчка в системе координат этого волчка вдоль

любого направления, перпендикулярного к оси волчка. Построено и исследовано общее (классич.) выражение для вращательно-колебательной энергии молекул с волчками. Установлен характер зависимости колебательных частот от углов поворота волчков при наличии крутильных колебаний, а также для случая свободного или заторможенного вращения. Получено общее выражение для вращательной части энергии молекулы с произвольным числом асимметричных волчков. Т. Бирштейн 69838 Поворотная изомерия 1,2-дибром-2-метилпропана. Хаяси (Hayashi Michio), Нихон кагаку дзасси, J. Chem. Soc. Japan. Pure Chem. Sec., 1957, 78, № 12, 1749—1754 (японск.)

На основании спектра комб. расс. и ИК-спектра поглощения газообразного, жидкого и твердого 1,2-дибром-2-метилпропана (I) рассмотрена поворотная изомерия молекулы I. Установлено, что в газовой и жидкой фазах возможны *транс*- и *гош*-поворотные изомеры по отношению к Br...Br. В твердой фазе существуют только *транс*-изомеры. Повторно обсуждается спектр поворотных изомеров 1,2-дихлор-2-метилпропана (II). Произведено отнесение частот I и II к корреляция их спектров комб. расс. Е. Никитин 69839 Оценка высоты потенциального барьера заторможенного вращения в молекуле CH₃SH при помощи рассеяния тепловых нейтронов. Будзановский, Гротовский, Яник, Колос, Манянский, Ржаны, Шкатула, Ванич (Estimation of the height of the potential barrier of hindered rotation in the CH₃SH molecule by means of thermal neutron scattering. Budzanowski A., Grotomski K., Janik J. A., Kolos W., Maniawski F., Rżany H., Szkatula A., Wanic A.), Acta phys. polon., 1957, 16, № 5, 335—342 (англ.; рез. русск.)

Оценена высота потенциального барьера V_0 внутреннего заторможенного вращения молекулы CH₃SH методом рассеяния медленных нейтронов со средней энергией 0,037 эв от Ra—Be-источника. В качестве эталонной жидкости использована H₂O. Эффективное сечение рассеяния молекулы CH₃SH $\sigma = 194,5 \pm 5$ барн. Для жесткой молекулы $\sigma = 258$ барн (вычислено по методу Сахса и Теллера (Sachs R. G., Teller E., Phys. Rev., 1941, 60, 19). Принимая $V_0 = 705$ кал/моль, учитывая заторможенное вращение и колебания атомов, авторы получили σ (теор.) 202 барн. Сделан также расчет в предположении, что $V_0 = 1460$ кал/моль. Сделан вывод, что правильнее считать V_0 молекулы CH₃SH равным 705 кал/моль, найденную методом микроволновой спектроскопии, чем 1460 кал/моль, полученную термодинамич. методами. Н. Раннев 69840 Ультразвуковая релаксация и поворотная изомерия в жидких симм-тетрабромэтате и три-*n*-бутиламин. Кребс, Лам (Ultrasonic relaxation and rotational isomerism in liquid sym-tetrabromethane and tri-*n*-butylamine. Krebs K., Lamb J.), Proc. Roy. Soc., 1958, 244, № 1239, 558—572 (англ.)

Импульсным и интерферометрич. методами измерено поглощение ультразвука в интервале частот 10—200 Мгц в симм-тетрабромэтате (I) при t -ре от 5 до 60° и три-*n*-бутиламин (II) при t -ре от —60 до 60°. В обеих жидкостях поглощение звука частично объясняется релаксационными явлениями, обусловленными нарушением равновесия между поворотными изомерами. Результаты акустич. измерений для I сопоставлены с данными, полученными из ИК-спектров. Энергия активация r -ции перехода I из *транс*-формы в *гош*-форму равна 1,1 ккал/моль, а для обратной r -ции 1,8 ккал/моль. На основании акустич. данных вычислены энергетич. характеристики равновесия между поворотными изомерами II в предположении, что ре-

лаккация обусловлена переходами только между двумя состояниями молекулы. Полученные данные сопоставлены с данными для триэтиламина. Приводится вывод используемых математич. соотношений. Библ. 38 назв.

Б. Кудрявцев

69841. Индуцированный давлением вращательный спектр поглощения водорода. I. Колпа, Кетелар (The pressure-induced rotational absorption spectrum of hydrogen: I. Colpa J. P., Ketelaar J. A. A.), Molec. Phys., 1958, 1, № 1, 14—22 (англ.; рез. франц., нем.)

В диапазоне $420\text{--}1300\text{ см}^{-1}$ исследован спектр поглощения водорода в чистом водороде, а также в смеси с гелием, аргонном, азотом и окисью углерода при давл. $20\text{--}150\text{ атм}$ и t -рах $-60, 25$ и 80° . Поглощение пропорционально $n_{\text{H}_2}^2$ в случае чистого H_2 и $n_{\text{H}_2} \cdot n_{\text{X}}$, если оно индуцировано постоянным газом X (n_{X} — плотность газа X). Найдены значения интегрального коэф. поглощения в чистом водороде (в $10^{-3}\text{ см}^{-2}\text{ амага}^{-2}$) $1,64; 1,88; 2,05$ при t -рах $-60, 25$ и 80° соответственно; соответствующие значения коэф. поглощения водорода в смесях равны: $\text{H}_2 + \text{He}$ —; $\sim 0,2$; —; $\text{H}_2 + \text{N}_2$ $4,0; 4,5; 4,7$; $\text{H}_2 + \text{Ar}$ $4,6; 5,1; 5,3$; $\text{H}_2 + \text{CO}$ —; $5,5$; —. В смеси H_2 и CO исследована полоса 2730 см^{-1} , обусловленная одновременным колебательным переходом в CO ($\nu = 2143\text{ см}^{-1}$) и переходом $J = 1 \rightarrow 3$ в H_2 ($\nu = 587\text{ см}^{-1}$).

Т. Бирштейн

69842. Новый подход к определению слабой межмолекулярной водородной связи с помощью абсорбционной спектроскопии в УФ-области. Форбс, Темплтон (A novel approach for determining weak intermolecular hydrogen bonding by ultraviolet absorption spectroscopy. Forbes W. F., Templeton J. F.), Chemistry and Industry, 1957, № 3, 77—78 (англ.)

Измерены УФ-спектры ряда соединений, образующих межмолекулярные водородные связи (ВС), а также соединений, неспособных к такому взаимодействию, в диоксане (I), циклогексане (II) и спирте (III) при различных конц-ях (C), но постоянном произведении $C \cdot l$, где l — толщина слоя измеряемого р-ра. Смещения $\lambda(\text{макс.})$ с изменением C не наблюдалось. Ниже последовательно приведены в-ва, р-рители, $\epsilon(\text{макс.})$ (в лм) и $10^{-3} \cdot \epsilon(\text{макс.})$ при максим. и $10^{-3} \cdot \epsilon(\text{макс.})$ при миним. использованной конц-и: ацетофенон — I, 239, 12 000, 12 000; дифенил — II, 247, 16 200, 15 600; нитробензол — I, 258, 8400, 7400; салициловая к-та — I, 237, 9500, 9500; m -оксибензойная к-та — I, 251, 17 000, 11 000; бензойная к-та — I, 229, 11 500, 6200; бензойная к-та II, 232, 13 300, 10 300; бензойная к-та — III, 227, 11 000, 9800; метиловый эфир бензойной кислоты — III, 227, 11 800, 8400; o -аминоацетофенон — I, 254, 5700, 3000; анилин — III, 235, 5100, 300. При наличии слабой ВС между молекулами растворенного в-ва имеет место наложение ϵ с разбавлением. В-ва, не вступающие во взаимодействие, напр. ацетофенон, или имеющие сильную внутримолекулярную ВС, напр. салициловая к-та, не обнаруживают при разбавлении уменьшения $\epsilon(\text{макс.})$

Н. Спасокукоцкий

69843. К вопросу о механизме релаксационных процессов в формаатах и ацетатах. Глинский А. А. В сб.: Применение ультразвука к исслед. вещества. Вып. 6. М., 1958, 185—191

Предполагается, что релаксационные процессы в формаатах и ацетатах, обнаруженные в диапазоне частот $3\text{--}30\text{ Мгц}$, обусловлены конечным временем обмена энергией между внутренними и внешними степенями свободы как в молекулах с внутренней водородной связью, так и без нее. Рассчитаны максим. поглощение на длину волны μ и время релаксации τ на основе соответствующих спектральных данных и

предположения о том, что взаимодействие между молекулами разных изомеров приводит к разрешению максимумов на кривой зависимости μ от частоты. Наблюдаемое качеств. согласие рассчитанных и опытных значений $\mu(\text{макс.})$ и τ подтверждает предположенный механизм релаксационных процессов. Второй релаксационный процесс в ацетатах связан с внутримолекулярными колебаниями в изомере, которому соответствует единственная линия, обнаруженная в спектре поглощения, и который присутствует в этих жидкостях в большем кол-ве. На основании предположенного механизма релаксации объяснено различие в величинах 1-го и 2-го максимумов поглощения для ацетатов.

Б. Кудрявцев

См. также: Структура молекул: неорганич. 70076, 70331; органич. 70730, 72786; по рентген. данным 69864, 69866, 69868, 72796. Теория твердого состояния 69884, 69885. Энергия связей 69880, 69883. Спектры 69895, 69898, 69912, 69913—69916, 70195, 70731. Дипольн. моменты и диэлектрич. св-ва 69960, 70190, 70191. Внутр. вращение 72783, 72814. Реакцион. способности 72826. Межмол. взаимодействие и водородная связь 69886, 72797

КРИСТАЛЛЫ

Редакторы Э. А. Гилинская, А. Б. Нейдин, А. Б. Шефтер

69844. IV Международный конгресс кристаллографов. Белов Н. В., Беляев Л. М., Бокий Г. Б., Бронникова Е. Г., Вайнштейн Б. К., Жданов Г. С., Ивернова В. И., Китайгородский А. И., Пинскер З. Г., Кристаллография, 1958, 3, № 2, 250—260

Отчет участников конгресса, состоявшегося в Канаде 10—19 июля 1957 г.

Э. Г.

69845. О путях к созданию полноценного советского курса кристаллографии. Белов Н. В., Кристаллография, 1958, 3, № 2, 246—249

Рассматриваются ошибки и недостатки в учебниках и курсах кристаллографии.

Д. Т.

69846. Гипоморфия и морфологический аспект. Клебер (Hypomorphie und morphologischer Aspekt. Kleber W.), Neues Jahrb. Mineral. Monatsh., 1957, № 5, 105—112 (нем.)

69847. Дифракция рентгеновских лучей. Фанкухен (X-ray diffraction Fankuchen Isidor), Analyst. Chem., 1958, 30, № 4, Part 2, 593—596 (англ.) Обзор. Библ. 41 назв.

69848. Оптические методы суммирования рядов Фурье. Власенко В. И., Жданов Г. С., Кристаллография, 1958, 3, № 2, 135—140

Рассмотрены оптич. методы суммирования рядов Фурье. Предложена классификация этих методов по основным принципиальным и конструктивным признакам. Проведен анализ трех основных методов суммирования.

Резюме авторов

69849. О профилях линий, связанных с ошибками. Вильсон (A note on the line profiles associated with mistakes. Wilson A. J. C.), Acta crystallogr., 1958, 11, № 3, 227—228 (англ.)

Из краткого анализа работ Ландау и Лившица (Phys. Z. Sowjet., 1937, 12, 579; 623) и модели слоистой (для простоты учета ошибок только в одном направлении) структуры автор делает вывод, что расхождение эксперим. кривых $J(t)$ или $J(x, y, z)$ (распределение интенсивности соответственно для случаев порошка и монокристалла) и теоретических, выведенных только из учета случайных ошибок, должно быть приписано дефектам в блоках кристалла или эксперим. ошибкам

(фотометрия, ширина щели и др.), но не связано с функцией распределения размеров блоков. Отмечается, что оценка уровня фона остается неясной. И. Г.

69850. Метод получения цилиндрических рентгеновских образцов, покрытых порошком. Лейтеритц (Ein Verfahren zur Herstellung zylindrischer, pulverüberzogener Röntgenpräparate. Leuteritz Günter), Z. anorg. und allgem. Chem., 1957, 292, № 4, 254—256 (нем.).

Описан прибор, позволяющий наносить равномерный тонкий порошкообразный слой любого в-ва на закрепленный столбик из стекла или металла для получения рентгенограмм по методу Дебая — Шеррера.

Т. Полынова

69851. О рентгеноструктурном исследовании в связи с новыми данными о слоях калия. Несс (Über röntgenographische Strukturformung im Zusammenhang mit neueren Ergebnissen auf dem Gebiet der Kalisalze. Ness Ilse), Kali und Steinsalz, 1958, 2, № 7, 230—237 (нем.).

Обзор. Библ. 33 назв.

69852. Исследование текстуры меди при выщелачивании CuAl_2 методом полюсных фигур. Жданов Г. С., Кефели Л. М., Ж. физ. химии, 1958, 32, № 3, 666—669

Проведено исследование текстуры методом полюсных фигур при выщелачивании CuAl_2 . Сравнение рентгенограмм выщелоченного кристалла, снятого при поворотах вокруг вертикальной оси [001], с теоретически рассчитанными рентгенограммами Cu и CuAl_2 показало, что при выщелачивании монокристалла CuAl_2 происходит, с одной стороны, образование поликристаллич. CuAl_2 , с другой — образование кристаллов Cu . При этом текстуры характеризуются следующими данными: CuAl_2 [001], [100], [010]; Cu [011], \sim [111], \sim [111].

Г. Гольдер

69853. Изучение богатых алюминием сплавов переходных металлов Mn и W. I. Кристаллическая структура ϵ -фазы ($\text{W} - \text{Al}$) — WAl_4 . Бланд, Кларк. II. Кристаллическая структура δ -фазы ($\text{Mn} - \text{Al}$) — $\text{Mn}_4\text{Al}_{11}$. Бланд (Studies of aluminium-rich alloys with the transition metals manganese and tungsten. I. The crystal structure of $\epsilon(\text{W} - \text{Al}) - \text{WAl}_4$. Bland J. A., Clark D. II. The crystal structure of $\delta(\text{Mn} - \text{Al}) - \text{Mn}_4\text{Al}_{11}$. Bland J. A.), Acta crystallogr., 1958, 11, № 4, 231—236, 236—244 (англ.).

I. Рентгенографически исследована структура ϵ -фазы ($\text{W} - \text{Al}$), состав которой отвечает ф-ле WAl_4 . Найдено, что WAl_4 имеет монокл. структуру с a 5,272, b 17,771, c 5,218 Å, β 100°12', ρ 6,6, $\rho(\text{рент.})$ 6,7, Z = 6, P гр. Cm . Положения атомов: $2\text{W}_{(0)}(a)$ $x0z$, x 0, z 0; $4\text{W}_{(1)}(b)$ xyz , x 0,336, y 0,137, z 0,331; $2\text{Al}_{(1)}(a)$ 0,125, 0,491; $2\text{Al}_{(2)}(a)$ 0,494, 0,129; $4\text{Al}_{(3)}(b)$ 0,674, 0,076, 0,687; $4\text{Al}_{(4)}(b)$ 0,824, 0,118, 0,213; $4\text{Al}_{(5)}(b)$ 0,181, 0,129, 0,809; $4\text{Al}_{(6)}(b)$ 0,682, 0,232, 0,583; $4\text{Al}_{(7)}(b)$ 0,005, 0,245, 0,090. Структура WAl_4 имеет общие черты со структурами других соединений переходных металлов с Al. Координационная сфера вокруг атома $\text{W}_{(0)}$ такая же, как и вокруг атома Mn в MnAl_6 ; координационная сфера атома $\text{W}_{(1)}$ содержит 1 дополнительный атом по сравнению с $\text{W}_{(0)}$. Расстояния $\text{W} - \text{Al}$ сокращены по сравнению с суммой атомных радиусов.

II. Рентгенографически исследована структура δ -фазы ($\text{Mn} - \text{Al}$), состав которой отвечает ф-ле $\text{Mn}_4\text{Al}_{11}$. Найдено, что $\text{Mn}_4\text{Al}_{11}$ имеет трикл. структуру (ф. гр. P 1) с параметрами решетки: a 5,092, b 8,862, c 5,047 Å, α 85°19', β 100°24', γ 105°20', Z = 1. Положение атомов: $2\text{Mn}_{(1)}(i)$ xyz , x 0,3926, y 0,1334, z 0,3390; $2\text{Mn}_{(2)}(i)$ 0,8590, 0,4022, 0,7099; $1\text{Al}_{(0)}(a)$ 000; $2\text{Al}_{(1)}(i)$ 0,5339, 0,1226, 0,8462; $2\text{Al}_{(2)}(i)$ 0,8911, 0,1264, 0,4906; $2\text{Al}_{(3)}(i)$ 0,3420, 0,3716, 0,5778; $2\text{Al}_{(4)}(i)$ 0,7242, 0,3714, 0,1960; $2\text{Al}_{(5)}(i)$ 0,1869, 0,3200, 0,0574. Структура $\text{Mn}_4\text{Al}_{11}$

имеет общие черты со структурами MnAl_6 , WAl_4 , Fe_2Al_5 , Co_2Al_5 . Координационная сфера атома $\text{Mn}_{(1)}$ содержит 10 атомов Al, расположенных как в структуре MnAl_6 . Расстояния $\text{Mn} - \text{Al}$ сокращены по сравнению с суммой атомных радиусов. П. Крипкевич

69854. Коэффициент термического расширения нитрида циркония. Бейкер (The coefficient of thermal expansion of zirconium nitride. Baker T. W.), Acta crystallogr., 1958, 11, № 4, 300 (англ.).

Рентгенографически в высокотемпературной камере определены значения параметра решетки a нитрида Zr, полученного нагреванием 10 г Zr в атмосфере N_2 при 1250° в течение 4 час. Данные хим. анализа (в ат. %): Zr 52,7, N 47,2, Mg 0,05. При 17° a 4,5745 (\pm 0,001), при 445° 4,5865, при 680° 4,5965 Å. Коэф. термич. расширения в интервале 17—445° $6,0 \pm 0,5 \cdot 10^{-6}$, в интервале 17—680° $(7,0 \pm 0,5) \cdot 10^{-6}$. В области исследованных t -р не обнаружено фазового перехода; параметр решетки после термич. обработки образца не изменяется.

Э. Г.

69855. Структуры дикарибида и сесквикарбида лантана. Рентгено- и нейтронографическое исследование. Атодзи, Гшнейднер, Рандл, Спеддинг (The structures of lanthanum dicarbide and sesquicarbide by X-ray and neutron diffraction. Atoji Masao, Gschneidner Karl, Jr, Daane A. H., Rundle R. E., Spedding F. H.), J. Amer. Chem. Soc., 1958, 80, № 8, 1804—1808 (англ.).

Методом порошка рентгенографически и нейтронографически (λ (нейтр.) 1,277 Å) исследованы LaC_2 (I) и La_2C_3 (II) с целью уточнения расстояний C — C. Для I подтверждена структура типа CaC_2 , a 3,934, c 6,572, ф. гр. $I4/mmm$. Координата z атома C ($0,403 \pm 0,002$) найдена минимализацией фактора R . Расстояние C — C ($1,28 \pm 0,02$ Å) соответствует хим. связи, промежуточной между двойной и тройной. Для II определена структура типа Pu_2C_3 (Zachariasen W. H., Acta crystallogr., 1952, 5, 17), a 8,817 (для образца стехиометрич. состава), ф. гр. $I43d$. Координаты атомов (определены методом проб с применением метода наименьших квадратов): La в 16 (c) xxx с $x = 0,053$, C в y 0 1/4 с $y = 0,300 \pm 0,002$. Расстояние C — C ($1,32 \pm 0,03$ Å) близко к расстоянию, соответствующему двойной связи.

Э. Г.

69856. Гексаборид европия. Самсонов Г. В., Дзегановский В. П., Семашко И. А., Докл. АН СССР, 1958, 119, № 3, 506—507

Соединение EuB_6 получено по р-ции: $\text{Eu}_2\text{O}_3 + 3\text{B}_4\text{C} = 2\text{EuB}_6 + 3\text{CO}$. Р-ция проводилась в вакууме при 1650° в течение 2 час. Полученный темно-серый порошок исследован рентгенографически ($\lambda(\text{Cu})$). Параметры куб. решетки: a 4,167 Å, ρ (выч.) 4,99, ф. гр. O_h^1 (характерна для всех гексаборидов редкоземельных элементов). Сопоставлены кривые изменения радиусов атомов редкоземельных элементов и параметров решетки, подтверждено предположение о соответствии между этими кривыми и заключение о трехлокальной эффективной валентности всех редкоземельных элементов в соединениях, за исключением Eu и Yb (двухвалентный характер).

Э. Г.

69857. Неупорядочение в кристаллическом конденсированном фосфате. Грайдер, Донна, Ондик (Disorder in a crystalline condensed phosphate. Gryder J. W., Donnay Gabrielle, Ondik Helen M.), Acta crystallogr., 1958, 11, № 1, 38—40 (англ.).

Рентгенографически (λ Cu-K α и Mo-K α , методы вращения, Вейссенберга и прецессионный) определены параметры решетки и ф. гр. $\text{Na}_2\text{P}_4\text{O}_{11}$, описанного ранее как $\text{Na}_2\text{H}_2\text{P}_4\text{O}_{12}$ (РЖХим, 1957, 18815) и кристаллизующегося в двух (I и II) монокл. формах: I a 30,7;

b 6,77; c 7,12 Å; β 94,1°; ρ (эксп.) 2,62; ф. гр. $P2_1/a$; II 18,74; 14,79; 7,03 Å, 90,0°, 2,34, $B2/a$ или Ba . Диффузия вдоль осей X^* и Y^* отражений II с четным l указывает на одномерное неупорядочение в кристаллич. структуре, которое проявляется в смещении определенных ее частей вдоль оси на $1/2 < c$. В структуре, постулированной для II, кольца из четырех PO_4 -тетраэдров связаны в цепи через атомы O. Л. Милькова 69858. О взаимной растворимости трехоксида вольфрама и трехоксида молибдена. Вестман, Магнели (Note on the mutual solubility of molybdenum trioxide and wolfram trioxide. Westman Sven, Magnéli Arne), Acta chem. scand., 1958, 12, № 2, 363—364 (англ.)

На основе метода Гинье ($\lambda Cu-K_{\alpha}$) изучена взаимная растворимость MoO_3 и WO_3 . Образцы предварительно длительное время прокалывали при 700° и закалывали. Предельные значения взаимной растворимости отвечают составам $W_{0,96}Mo_{0,04}O_3$ и $M_{0,96}W_{0,04}O_3$. Приведены параметры решетки чистых окислов и их p -ров указанного состава. Л. Ковба

69859. Элементарная ячейка и пространственная группа ларсенита $PbZnSiO_4$. Лейман (Unit cell and space group of larsenite, $PbZnSiO_4$. Layman Frederic G.), Amer. Mineralogist, 1957, 42, № 11—12, 910—912 (англ.)

Кристаллы ларсенита (I) из Франклина (Нью-Джерси) исследованы рентгенографически (методы вращения, Вейссенберга, прецессии; $\lambda-Cu$ и Mo). Параметры решетки: a 8,23, b 18,94, c 5,06 Å, $Z=8$, ф. гр. $Pnct$ или Pna . Приведены значения j и d линий порошковых диаграмм. Полученные данные показывают, что I не изоструктурен оливину (II), как это указывалось ранее (Palache Ch. и др., Amer. Mineralogist, 1928, 13, 334), хотя структуры I и II близки: $a_I \approx 2c_{II}$, $b_I \approx 2b_{II}$, $c_I \approx c_{II}$. Э. Г.

69860. Оптические свойства и параметры решетки гексагидрата нитрата никеля. Джагарман (Optical properties and unit cell parameters of nickel nitrate hexahydrate. Jayaraman A.), Proc. Indian Acad. Sci., 1957, A45, № 4, 263—267 (англ.) Рентгенографически (методы вращения и Вейссенберга) определены параметры решетки $Ni(NO_3)_2 \cdot 6H_2O$. В отличие от литературных данных установлена не монокл., а трикл. сингония; a 5,79, b 7,69, c 11,89 Å, α 106°38', β 80°32', γ 101°27', $\rho \sim 2$, $Z=2$, ф. гр. $P \bar{1}$. Показатели преломления: n_D 1,422, n_m 1,555, n_g 1,577, $2V = (-)41^\circ 12'$. Совершенная спайность (по 001) и ориентировка индикаторы указывают на то, что плоские ионы NO_3^- расположены почти в плоскости (001) . Э. Г.

69861. К структуре $BaSiO_3 \cdot 5,5H_2O$. Либш, Дорбергер-Шифф (Zur Struktur des $BaSiO_3 \cdot 5,5H_2O$. Liebsch H., Dornberger-Schiff K.), Acta crystallogr., 1958, 11, № 5, 371—372 (нем.)

Белые прозрачные игольчатые кристаллы $BaSiO_3 \cdot 5,5H_2O$ малой твердости разлагаются в присутствии CO_2 до $BaCO_3$. Параметры решетки: a (ось иголки) 8,4, b 12,8, c 15,0 Å, ρ 2,62, $Z=8$, ф. гр. $Pmcm$ или $P2_1/cn$. Из проекций Паттерсона получены координаты атомов Ba. Э. Г.

69862. Роль свинца и избыточного кислорода в уранинитах. Берман (The role of lead and excess oxygen in uraninite. Berman Robert M.), Amer. Mineralogist, 1957, 42, № 11—12, 705—731 (англ.)

Проведено рентгенографич. изучение природных окислов U: 16 уранинитов (I) из пегматитов, 10 гидротермальных (II) и 5 осадочных (III) урановых смолков с использованием ThO_2 в качестве стандарта; определены параметры решетки, равные в среднем для I

5,470, для II 5,437, для III 5,406 Å. Отмечается, что различия в составе не определяют различий в значениях a . Прокалывание в инертной атмосфере в интервале 550—1000° изменяет a I на 0,04, II на 0,035, III на 0,01 Å. Изменение параметра a при прокалывании автор объясняет упорядочением в структуре избыточного кислорода, полагая, что в природных условиях равновесие упорядоченность — разупорядоченность определяется содержанием в образце Th и редкоземельных элементов. На разупорядоченность избыточного O_2 влияют, по его мнению, α -частицы. Рассматривая степень окисленности I, автор делает вывод, что если учитывать в структурной ф-ле все замещающие U атомы, а весь Pb рассматривать как радиогенный от первичного U, окисленность пегматитовых I не превысит предела окисленности синтетич. куб. фазы. Сопоставлением интенсивности отражений I и ThO_2 в эквивалентных кол-вах доказывалась блочная структура кристаллов I, что объясняется выделением мономолекулярных слоев массивота PbO , так что радиогенный Pb не входит в структуру I. Проведены опыты по выщелачиванию природных окислов в 0,4 н. H_2SO_4 в течение 40 час. Установлено, что более окисленные образцы разрушаются в к-те быстрее, отдавая в p -р большее кол-во U^{6+} , чем образцы, менее окисленные. Даны хим. анализы 64 образцов природных окислов U, являющиеся сводкой литературного материала и результатов автора. Г. Сидеренко

69863. Исправление к статье: Бокий Г. Б., Кукина Г. А. «Кристаллохимия комплексных соединений двухвалентной платины. (Эффект транслиния в кристаллических веществах)», Кристаллография, 1958, 3, № 2, 260

К РЖХим, 1958, 211. 69864. Комплексные хлориды двухвалентных металлов с этилентомочевинной. Парделли, Кьеричи, Брайбанти (Cloruri complessi di metalli bivalenti con etilentiourea. Nardelli Mario, Chierici Ines, Braibanti Antonio), Gazz. chim. ital., 1958, 88, № 1, 37—42 (итал.)

Определены параметры решетки следующих соединений: $NiSC(NHCH_2)_2 \cdot Cl_2$ — трикл., a 8,42, b 8,44, c 8,82, α 107,0°, β 117,5°, γ 91,2°, $Z=1$, ρ 1,67; $FeSC(NHCH_2)_2 \cdot Cl_2$ — монокл., 8,15; 12,98; 13,44; —; 116,7°; —; 4; 1,70; ф. гр. $P2_1/c$; $CoSC(NHCH_2)_2 \cdot Cl_2$ — ромбич., 13,59; 7,73; 11,98; —; —; —; 4; 1,75; $Pm \bar{3}m$ или $Pm \bar{2}1n$; $CdSC(NHCH_2)_2 \cdot Cl_2$ — монокл., 6,27; 14,63; 14,67; —; 108,3°; —; 4; 2,06; $P2_1/c$; $PbSC(NHCH_2)_2 \cdot Cl_2$ 25,31; 8,43; 7,45; —; 95,7°; —; 8; 3,14. Э. Г.

69865. Кристаллическая структура комплекса титана с металлоорганическим соединением алюминия. Коррадини, Басси (Struttura cristallina di complessi metallorganici contenenti alluminio e titanio. Corradini Paolo, Bassi Ivano Walter), Atti Accad. naz. Lincei, Rend. Cl. sci. fis., mat. e natur., 1958, 24, № 1, 43—49 (итал.)

См. РЖХим, 1958, 56499. 69866. Кристаллическая и молекулярная структура тетра-пара-метоксифенил олова. Исмаиладзе И. Г., Кристаллография, 1958, 3, № 2, 155—159

Продолжено (см. Жданов Г. С., Исмаиладзе И. Г., Ж. физ. химии, 1950, 24, 1949) рентгеноструктурное исследование $Sn(C_6H_4OCH_3)_4$. Произведен геометрич. анализ и построена проекция электронной плотности $\rho(x,y)$. Приведены полученные координаты атомов x и y . Э. Г.

69867. Рентгенокристаллографические данные для моногидрата фумарата рубидия ($Rb_2C_4H_2O_4 \cdot H_2O$). Гупта, Дьюб (X-ray crystallographic data on rubidium fumarate, monohydrate ($Rb_2C_4H_2O_4 \cdot H_2O$). Gupta M. P., Dube G. P.), Indian J. Phys., 1958, 32, № 3, 133—136 (англ.)

По рентгенограммам от монокристаллов (метод прецессии) определены параметры трикл. решетки $\text{Rb}_2\text{C}_4\text{H}_2\text{O}_4 \cdot \text{H}_2\text{O}$: a 9,23, b 7,51, c 6,66 Å, α 81°5', β 96°42', γ 91°48', $Z = 2$, ф. гр. P 1. Обнаружена псевдомонот. симметрия. Приведены данные порошковых диаграмм. Э. Г. 69868.

К кристаллографии некоторых органофосфатов. Ганиц, Чакайдова (Zur kristallographie einiger organophosphate. Hanić F., Čakajdová J. A.), Acta crystallogr., 1958, 11, № 2, 127—128 (нем.)

С целью исследования влияния замещения атомов O на S определены параметры решетки (методы вращения, прецессии и Вейсберга. λCu) следующих соединений: $(n\text{-OC}_6\text{H}_4\text{NO}_2)_2\text{P}(=\text{O})\text{OC}_2\text{H}_5$ a 16,36; b 11,88; c 8,05 Å; α —; β 92°18'; γ —; ρ 1,54; $z = 4$; ф. гр. $P2_1/c$; $(n\text{-OC}_6\text{H}_4\text{NO}_2)_2\text{P}(=\text{O})\text{SC}_2\text{H}_5$ 16,94; 11,85; 8,06; —; 95°26'; γ —; 1,55; 4; $P2_1/c$; $(n\text{-OC}_6\text{H}_4\text{NO}_2)_2\text{P}(=\text{S})\text{OC}_2\text{H}_5$ 7,16; 13,05; 12,54; 127°27'; 87°54'; 104°14'; 1,53; 2; $P1$ или $\bar{P}1$; $(n\text{-OC}_6\text{H}_4\text{NO}_2)_2\text{P}(=\text{S})\text{OCH}_3$ 10,50; 22,22; 7,25; —; 101°12'; —; 1,49; 4; $P2_1/c$; $(n\text{-OC}_6\text{H}_4\text{NO}_2)_2\text{P}(=\text{O})\text{SCH}_3$ 14,47; 16,06; 7,92; 71°50'; 76°45'; 95°21'; 1,48; 4; $P1$ или $P1$. Э. Г. 69869.

Кристаллическая структура галогенпроизводных диазоаминобензола. Кондрашев Ю. Д., Кристаллография, 1958, 3, № 2, 229—231

Исследованы изоструктурные соединения $n\text{-X}-\text{C}_6\text{H}_4\text{-NHN}=\text{NC}_6\text{H}_4\text{-X}$, где $\text{X} = \text{Cl}$, Br . Параметры монокл. решетки $\text{X} = \text{Cl}$ 16,94, b 4,68, c 22,00 Å, β 136°23'; $\text{X} = \text{Br}$ 16,75, 4,73, 21,96 Å, 134°18', $Z = 4$, ф. гр. $P2_1/c$. Координаты x и z всех атомов (кроме H) получены методом изоморфного замещения по проекциям $P(x|z)$ и $Q(x|z)$ (3 приближения). Установлено, что цепочка атомов N в диазоаминосоединениях не является линейной. Э. Г.

Рентгенографический анализ твердого стирола при -180° . Рой (X-ray analysis of frozen styrene at -183°C . Roy N. K.), Indian J. Phys., 1958, 32, № 3, 137—140 (англ.)

Исследованы дебаграммы чистого мономерного твердого стирола при -180° . Параметры решетки: a 9,20, b 8,89, c 7,84 Å, $Z = 4$, ф. гр. C_{2v}^4 (если молекула имеет плоскость симметрии) или C_{2v}^1 (если молекула асимметрична). Дебаграмма полистирола при 30° содержит 4 диффузные линии, соответствующие межплоскостным расстояниям 7,51 (наиболее интенсивный рефлекс), 3,49, 2,39 и 1,95 Å. Резюме автора

Рентгенографическое изучение некоторых видов кожи. Чакрабурти, Чакраварти (An X-ray study of some leathers. Chakrabarty D. M., Chakravarti B.), Indian J. Phys., 1958, 32, № 1, 10—12 (англ.)

Для различных видов кожи определены величины межплоскостного расстояния d , соответствующего интенсивному диффузному кольцу, для которого ранее теоретически было найдено $d = 4,72$ Å (Pauling L., Corey R. B., Proc. Acad. Sci., Washington, 1951, 37, 272). Рентгенограммы получены на излучениях $\lambda\text{Cu-K}_\alpha$ и $\lambda\text{Co-K}_\alpha$. Найденные для 7 образцов значения d колеблются от 4,32 до 4,74 Å. Авторы считают, что лучшее совпадение теории и эксперим. данных могло бы получиться при некотором изменении предложенной ранее модели (см. ссылку выше) полипептидной цепи в коллаген-желатиновых белках, в частности при изменении величины угла $\text{C}-\text{N}-\text{C}$. П. Зоркий

Рентгенографическое исследование некоторых кристаллических форм гемоглобина крови свиньи и кролика. Блоу (An X-ray examination of some crystal forms of pig and rabbit haemoglobin. Blow D. M.), Acta crystallogr., 1958, 11, № 2, 125—126 (англ.)

Определены рентгенографически (прецессионный метод съемки монокристаллов) параметры решетки 3 новых форм гемоглобина: форма I гемоглобина

свиньи (получена из р-ра с рН 7,8 и 6,8) a 69,8; b 72,5; c 115 Å; β 90°; $Z = 4$ (из расчета среднего мол. объема 135 000.—190 000. Å³); ф. гр. $P2_12_12_1$; форма II гемоглобина свиньи (рН 6,6) 55,3; 105,5; 54,4; 115,1°; 2; $P2_1$; форма I гемоглобина кролика (рН 7,4) 70,4; 83,0; 54,9; 118,0°; 2; $C2$. Обсуждается тип упаковки молекул в структуре этих форм. Э. Г.

Определение положений атомов водорода в кристаллах с помощью дифракции нейтронов. Бейкон (Determination of hydrogen positions in crystals by neutron diffraction. Bacon G. E.), Revs Mod. Phys., 1958, 30, № 1, 94—95 (англ.)

Обзор исследований, выполненных нейтронографич. группой в Харуэлле (Англия). Библ. 12 назв. Э. Г.

Изучение дефектной структуры металлических монокристаллов нейтронографическим методом. Лященко Б. Г., Литвин Д. Ф., Пузей И. М., Абов Ю. Г., Головкин В. С., Кристаллография, 1958, 3, № 2, 148—154

Проведено нейтронографич. исследование фрагментарной структуры монокристаллов. Ni-сплавов и показано влияние такой структуры на характер и интенсивность дифракционных отражений при рассеянии нейтронов. Дан краткий обзор работ по нейтронографич. исследованию структуры искусств. монокристаллов. Резюме авторов

Изучение поверхностного окисления кристаллов карбида кремния методом дифракции электронов. Мишель, Риван (Etude par diffraction électronique de l'oxydation superficielle des cristaux de carbure de silicium. Michel Pierre, Riwan Richard), C. r. Acad. sci., 1958, 246, № 10, 1542—1544 (франц.)

При электронографич. исследовании на отражение кристаллов SiC обнаружено наличие аморфного слоя. Протравленные расплавленной смесью Na_2CO_3 и NaNO_3 кристаллы нагревались на воздухе до 1150° . При исследовании на отражение они давали лишь картину диффузного рассеяния. После легкой обработки поверхности HF обнаружена поликристаллич. картина кристаллита, образующегося в этих условиях в виде тонкой пленки при окислении SiC. Б. Звягин

Электронномикроскопическое исследование кристаллической структуры природного индиго. Иноуэ, Табата (Inoue Masatoshi, Tabata Yukihiro), Korê karaku dzassia, J. Chem. Soc. Japan. Industr. Chem. Sec., 1957, 60, № 6, 700—703 (японск.)

Исследование металлов, подвергнутых механическим деформациям, в фотоэмиссионном электронном микроскопе. Гутт, Гийо, Арналь (Examen au microscope à photoémission de métaux soumis à une contrainte mécanique. Goutte Robert, Guillaud Clément, Arnal Robert), C. r. Acad. sci., 1956, 243, № 25, 2026—2028 (франц.)

См. РЖФиз, 1957, 23216.

Автоэлектронная эмиссия с кремния. Д'Асара (Field emission from silicon. D'Asaro L. A.), J. Appl. Phys., 1958, 29, № 1, 33—34 (англ.)

Исследована поверхностная структура Si-монокристалла p -типа (содержащего примеси В) при помощи автоэмиссионного проектора Мюллера. Получены и проинтерпретированы эмиссионные картины при различных температурных режимах. Результаты согласуются с известными кристаллографич. данными о структуре Si. В. Горьков

Вклад поляризации остова в энергию сцепления атомов щелочных металлов. Каллавей (Contribution of core polarization to the cohesive energies of the alkali metals. Callaway Joseph), Phys. Rev., 1957, 106, № 5, 868—874 (англ.)

Исследуется поляризация остова атома щел. метал-

elasticity concepts. Swalin R. A.), Acta metallurgica, 1957, 5, № 8, 443—448 (англ.; рез. франц., нем.)

Рассматривается механизм диффузии атомов растворенного компонента (РК) в куб. гранцентрированных решетках металлов р-рителя (Р) путем движения вакансий. Энергия активации (E) диффузии складывается из энергии образования вакансий в решетке Р и энергии перехода диффундирующего атома РК через междоузлие. Последняя рассматривается как сумма энергии упругого смещения атомов Р, окружающих междоузлие, и упругой деформации диффундирующего атома РК. Теоретически определена зависимость E от упругих постоянных металлов. Теория находится в удовлетворительном согласии с опытом.

В. Жарков
69888. Образование полостей в диффузионных парах Ag—Au. Резник, Сигл (Void formation in silver-gold diffusion couples. Resnick F., Seigle L. L.), J. Appl. Phys., 1957, 28, № 4, 513 (англ.)

В диффузионной зоне пары Ag—Au обнаружено образование полостей необычной удлиненной формы, связанных между собой каналом, идущим вдоль границ зерен в направлении, перпендикулярном к направлению диффузии. Микроструктурным анализом установлено наличие в каналах 2-й фазы. После тщательного удаления из Ag примеси кислорода поры приобретают более сферич. форму, и 2-я фаза исчезает. Сделан вывод, что фаза Ag_2O выпадает в результате разбавления Ag, содержащего кислород, золотом и что частицы Ag_2O служат центром конденсации вакантных узлов, которые образуют поры, по своей форме соответствующие частицам Ag_2O . А. Хейнман

69889. Энергия активации для миграции пары вакансий в кристаллах галогенидов серебра. Сумита (Activation energy of pair vacancy migration in silver halide crystal. Sumita M.), Дэнки цусин дайгаку гакухо, Repts Univ. Electro-Communs, 1956, № 8, 173—183 (англ.)

Приводится расчет энергии, необходимой для перехода отрицательного иона из узла решетки в переканную точку, соседнюю с вакантным местом. Расчет проведен для моделей жесткой решетки и решетки, деформированной из-за наличия пары вакансий и из-за промежуточного положения движущегося иона. Результирующая энергия активации получается 0,244 эв для AgCl и 0,175 эв для AgBr, что близко к эксперим. значению 0,26 эв для AgCl. Для AgBr эта энергия несколько превосходит энергию активации диффузии междоузельных ионов Ag (0,14 эв) и существенно меньше энергии диффузии ионной вакансии (0,35 эв). Это объясняет, почему пара вакансий диффундирует хуже, чем междоузельный ион серебра, лучше, чем Ag-вакансия и значительно лучше, чем анионная вакансия.

К. Толпыго
69890. Диффузия фтора в твердом серебре. Мейеринг (Diffusion du fluor dans l'argent solide. Meijering J. L.), Rev. metallurgie, 1957, 54, № 7, 520—523 (франц.)

Для определения диффузии F в твердом Ag сплавы Ag, содержащие ~1 ат. % Mg, нагревали в течение 3—6 час. в расплавленном AgF при 700—800°. Образовавшийся MgF_2 удаляли кипящей водой и образец подвергали металлографич. исследованию. Найдено, что проникновение F в толщу образца совершается не по поверхностям раздела между зернами, а путем диффузии через решетку Ag. Этот процесс при 700° совершается медленнее, чем при 800°. Обнаружены 2 зоны внутреннего фторирования: наружная, представляющая собой, по мнению автора, двойной фторид $AgMgFe_3$ или Ag_2MgF_4 , и внутренняя, состоящая из MgF_2 . Подобное же деление на 2 зоны обнаружено при 700° со сплавами Ag, содержащими вместо Mg

другие металлы — Cd, Cu, Mn, Zn, и не обнаружено со сплавом Ag—Al. В случае сплавов Ag с Mg, Al, Mn или Zn внутренняя часть зоны фторидов не видна микроскопически и ее можно обнаружить по различиям в микротвердости.

В. Вассерберг

69891. Самодиффузия ионов в монокристаллах галогенидов калия и хлоридов щелочных металлов. Лоран, Бенар (Autodiffusion des ions dans les cristaux uniques des halogénures de potassium et des chlorures alcalins. Laurent Jean-François, Bénard Jacques), Phys. and Chem., Solids, 1957, 3, № 1—2, 7—19 (франц.; рез. англ.)

Методом послойного определения радиоактивности найдена температурная зависимость диффузионных постоянных D_0 и E в уравнении $D = D_0 \exp(-E/RT)$ для самодиффузии катиона и аниона в монокристаллах всех галогенидов K, а также хлоридов K, Na, Rb и Cs до т-р, близких к т-рам плавления. Для всех солей, кроме CsCl, при всех т-рах D катиона больше D аниона. При уменьшении т-ры отношение D катиона : D аниона быстро возрастает. Для всех солей E катиона меньше E аниона. В обоих рядах солей увеличение ионного радиуса вызывает уменьшение E для обоих ионов. Полиморфное превращение CsCl из объемноцентрированной кубич. решетки в гранцентрированную кубическую решетку сопровождается почти 10-кратным уменьшением D_{Cs+} и D_{Cl-} и почти 2-кратным увеличением E_{Cs+} и E_{Cl-} . Т-ра превращения, определенная по скачку диффузионных постоянных ($466 \pm 3^\circ$), хорошо согласуется с другими данными. Сумма E катиона + E аниона для обоих рядов солей линейно возрастает с т-рой плавления соли, а для ряда галогенидов K, кроме того, линейно возрастает с пределом текучести, определенным как миним. давление, необходимое для получения предельной плотности спрессованного порошка соли.

А. Хейнман

69892. Диффузия углерода в кристаллы естественного графита. Кантер (Diffusion of carbon atoms in natural graphite crystals. Kanter Manuel A.), Phys. Rev., 1957, 107, № 3, 655—663 (англ.)

69893. Образование дислокаций под действием термического напряжения. Пеннинг (Het ontstaan van dislocaties door thermische spanningen. Penning P.), Philips techn. tijdschr., 1957, 19, № 12, 375—382 (гол.)

69894. Микрофрактографический метод исследования выделений на границах зерен. Анри, Плато (Examen et identification de précipités intragranulaires au microscope électronique, par microfractographie. Henry Guy, Plateau Jean), C. r. Acad. sci., 1957, 244, № 11, 1473—1475 (франц.)

См. РЖФиз, 1958, 961.

69895. Влияние облучения на спектр близкого инфракрасного поглощения в α -кварце. Митчелл, Ригден (The effects of radiation on the near infrared absorption spectrum of α -quartz. Mitchell E. W. J., Rigden J. D.), Philos. Mag., 1957, 2, № 20, 941—956 (англ.)

В α -кварце в окрестности $\lambda = 3\mu$ обнаружено примерно 5 полос поглощения: α , β , γ , δ , ϵ . Соотношение интенсивностей в этих полосах различно для различных кристаллов. Эти полосы не изменяются в результате облучения УФ-светом и уничтожаются под действием рентгеновских лучей или обстрела быстрыми электронами (2 Мэв). Облучение нейтронами также приводит к ослаблению полос α — ϵ , но, кроме того, появляется новая χ -полоса при 2,79 μ . Показано, что исследованные полосы связаны с дефектами кристаллич. решетки.

К. Толпыго

69896. Оптические свойства твердых тел. II. Розенсток (On the optical properties of solids. II. Rosenstock), Phys. Rev., 1957, 107, № 2, 655—663 (англ.)

senstock Herbert B.), J. Chem. Phys., 1957, 27, № 5, 1194—1201 (англ.)

В предыдущей работе автора (сообщение I, РЖХим, 1956, 69093) показано, что отказ от применения условий цикличности в теории решеточных колебаний и замена их точными граничными условиями приводит к важным особенностям в оптич. свойствах (дополнительные пики ИК-поглощения и т. п.). В настоящей работе поглощение света кристаллом, связанное с возбуждением колебаний ионной решетки, рассматривают в приближении, при котором все ионы считают заряженными материальными точками. Получены общие ф-лы для формы кривой поглощения света кристаллами конечных размеров. Эти ф-лы применены к анализу простейших моделей (одно-, двух- и трехмерной). Показано, что наряду с основным пиком поглощения, соответствующим предельной частоте, при корректном учете граничных условий возникают дополнительные пики, отвечающие крит. точкам на энергетич. поверхностях в k -пространстве. Рассмотрена зависимость интенсивности основного и дополнительных пиков от размеров кристалла; отмечается, что интенсивность дополнительных пиков вполне достаточна для того, чтобы их можно было обнаружить экспериментально. Обсуждается также связь рассмотренных эффектов с влиянием примесей на оптич. свойства. Э. Рашба

69897. К вопросу об измерении показателя преломления кристаллических тел. Нечай Ф. Т., Ж. физ. химии, 1957, 31, № 1, 165—169 (рез. англ.)

С помощью рефрактометра Аббе автор измеряет показатель преломления n кристаллич. пластинок, либо смачивая кристаллик жидкостью, создающей оптич. контакт, либо (для хрупких в-в) кристаллизуя жидкость между плотно прижатыми призмами. Для ряда органич. в-в измерена зависимость n от t -ры вблизи t -ры плавления. А. Хейнман

69898. Поглощение света в селене вблизи края полосы поглощения. Чойк, Патрик (Absorption of light in Se near the band edge. Choyke W. J., Patrick Lyle), Phys. Rev., 1957, 108, № 1, 25—28 (англ.)

Методом фото-э.д.с. в гексагон. Se определено относительное поглощение фотонов с энергией 1,6—2,0 эв в области t -р 80—440° К. Э. Заварицкая

69899. Люминесценция кристаллофосфоров при возбуждении ионами. Носенко Б. М., Струков Н. А., Ягудаев М. Д., Оптика и спектроскопия, 1957, 3, № 4, 351—355

Исследована люминесценция виллемита и, менее полно, ZnS-Ag, ZnCdS-Cu, CaSO₄-Mn, CaMgSi₂O₆-Ti, cvб-лима-фосфоров KJ-Tl, NaJ-Tl, CdBr₂-(Mn, Pb), CdJ₂-(Mn, Pb) при возбуждении ионами щел. металлов с энергией 0,5—6 кэв. Спектр свечения одинаков при анод- и катодовозбуждении и не изменяется при старении под действием ионов. Яркость свечения пропорциональна плотности ионного тока и энергии ионов, выход свечения падает с ростом радиуса иона. Скорость старения не зависит от природы ионов и возрастает с их энергией. Скорость разрушения максимальна у ZnS-Ag и ZnCdS-Cu и минимальна у щелочногалогидных сублима-фосфоров. Ионы Na, K, и Cs вызывают необратимое старение, ионы Li — частично обратимое (за несколько суток восстанавливается 30—40% яркости). Предложен метод определения глубины действия ионов на кристалл, основанный на определении толщины поверхностного нелюминесцирующего слоя облученных фосфоров. Эта глубина равна 52 ± 9 А для Li⁺ и ~ 16 А для Na, K и Cs при 6 кэв. Рассмотрен механизм взаимодействия ионов с кристаллом. А. Хейнман

69900. Люминесценция йодистого калия. Тигарден (Luminescence of potassium iodide. Teegarden K. J.), Phys. Rev., 1957, 105, № 4, 1222—1227 (англ.)

Монокристаллы KJ, охлажденные до -160°, люминесцируют с квантовым выходом 0,5—1 при освещении их в области первой основной полосы поглощения. Изучены спектры возбуждения и испускания этой люминесценции. Результаты опытов показывают, что при указанных условиях люминесцирует чистый KJ и что его люминесценция изменяется в присутствии примесей или дефектов решетки. Резюме автора

69901. Узкие полосы люминесценции фосфора NaBr—CuBr. Иванова Н. И., Швист П., Оптика и спектроскопия, 1957, 3, № 4, 399—400

Порошок, полученный из расплава NaBr—CuBr, после нескольких часов пребывания на воздухе дает новую полосу люминесценции при 421 мμ (наряду с известными полосами при 365 и 438 мμ), возбуждаемую λ 360 мμ. Эта же полоса наблюдается у фосфоров NaBr—Cu, полученных при 10-минутном прогреве смесей NaBr с 0,03—3 мол.% CuBr при 50—100° (для появления типичной полосы при 365 мμ необходим прогрев при 200—250°). При -180° полоса при 421 мμ расщепляется на 2 узкие полосы при 4158 и 4184 Å, по положению близкие к полосам дублета чистого CuBr при -180°, но значительно более интенсивные. В ряду NaBr—CuCl, NaBr—CuBr, NaBr—CuJ положение узких полос при -180° слабо зависит от аниона соли Cu. Сделан вывод, что центры свечения, дающие узкие полосы, не встроены в решетку кристаллов NaBr или CuBr, а расположены на их поверхности и слабо взаимодействуют с кристаллом. А. Хейнман

69902. Захват электронов в электролюминесцирующих ZnS-фосфорах. Хаке (Trapping action in electroluminescent zinc phosphors. Haake C. H.), J. Opt. Soc. America, 1957, 47, № 10, 881—887 (англ.)

Для электролюминесцирующих ZnS-фосфоров исследованы температурная и частотная зависимости усредненной по времени яркости электролюминесценции и если яркости, а также начальное разгорание электролюминесценции. Результаты показывают, что центры захвата электронов играют гораздо более важную роль в электролюминесцирующих фосфорах, чем в обычных фотолюминофорах. Резюме автора

69903. Сенситизированная висмутом люминесценция марганца и самария в CaS-фосфорах. Синоя, Эра (Sensitization by bismuth of the luminescence of manganese and samarium in calcium sulfide phosphors. Shionoya Shigeo, Era Koh), Bull. Chem. Soc. Japan, 1957, 30, № 5, 518—524 (англ.)

Исследованы спектры отражения, возбуждения и излучения, а также выход люминесценции фосфоров CaS-(Mn, Bi), CaS-(Sm, Bi) и CaS-(Mn, Sm, Bi) с различными кол-вами активатора (Mn, Sm) и сенситизатора (Bi). Установлено, что свечение Mn сенситизируется эффективнее, чем свечение Sm, но Mn одновременно является тушителем. Резонансный перенос энергии доминирует над фотоэлектронным переносом. Спектр поглощения Bi сильно перекрывается со спектром его излучения, обуславливая возможность резонансного переноса по цепи Bi → Bi → Bi → Mn. При низких конц-ях активатора такие цепи сильно уменьшают вероятность возбуждения последнего, так как возрастает вероятность свечения Bi. При высоких конц-ях активатора преобладает прямой перенос энергии от Bi к Mn (или Sm). В CaS-(Mn, Sm, Bi) взаимодействия Mn и Sm незначительны. А. Хейнман

69904. Исследование фосфатных фосфоров. II, III. Такаги, Накано (Takagi Katsuki, Nakano Eiichi), Сидзуока дайгаку когакубу кэнкю, хококу, Repts Fac. Engng Shizuoka Univ., 1956, № 7, 48—52; 53—56 (японск.; рез. англ.)

II. Исследованы спектры катодолюминесценции простых и смешанных пирофосфатов Zn, Sr, Cd, Mg, Ca и Ba, активированных 0,05—2% Mn. Спектры излучения простых фосфоров состоят из двух и более полос, которые смещаются в сторону длинных волн с ростом концентрации Mn. Спектры излучения двойных пирофосфатов сильно зависят от соотношения концентрированных простых солей и не складываются аддитивно из спектров последних.

III. Пирофосфаты, активированные Mn, слабо люминесцируют при возбуждении λ 254 мк. Двухактиваторные пирофосфаты, содержащие Mn и Pb, Mn и Th, Mn и Ce, Pb и Th, светятся значительно ярче, чем соответствующие одноактиваторные. Наибольшим выходом свечения обладают $Cd_2P_2O_7$ (Mn, Pb) (розовое свечение) и $Cd_2P_2O_7$ (Pb, Th) (белое свечение). Получен фосфор на основе $Zn_2P_2O_7$ с красным свечением. Сообщение I см. Нихон кагаку дзасси, 1949, 70, 366.

Из резюме авторов
69905. О фосфорах на основе $CaSO_4$. Носенко Б. М., Ревзин Л. С., Ясколко В. Я., Оптика и спектроскопия, 1957, 3, № 4, 345—350

Чистый $CaSO_4$ (I) не люминесцирует. I, активированный металлами (0,1—10 мол.%) Co, Fe, Mg, Tl, Ag, Pb, Zn, Ni и Mn, позволяет получить свечение в любом участке видимого спектра. Все фосфоры на основе I запасают светосумму S при катодо-, рентгено-, β - и γ -возбуждении и высвечивают ее при нагревании. Методом термовысвечивания найдено, что S , запасаемая $CaSO_4$ -Mn (II) при β -возбуждении, не меньше, чем при фотовозбуждении, и равна или больше S для $CdSO_4$ -(Mn, Pb) при фотовозбуждении. Бимолекулярный механизм послесвечения II при β - и γ -возбуждении установлен по нескольким критериям путем исследования кривых термовысвечивания и кривых разгорания и затухания. Глубина уровней захвата, определенная тремя способами, равна 0,73—0,86 эв. Исследованы условия применения II для дозиметрии радиоактивных излучений.

A. Хейнман
69906. Влияние окружения активатора на спектр излучения фосфора. Фонда (Influence of activator environment on the spectral emission of phosphors. Fonda Gorton R.), J. Opt. Soc. America, 1957, 47, № 10, 877—880 (англ.)

Сопоставлены положения максимумов излучения и значения радиусов ионов, входящих в состав фосфоров: $M_1M_2F_3$ (M_1 —K, Rb, Cs, а M_2 —Mg, Zn, Cd, Ca); самоактивированного MVO_3 (M —Na, K, Rb, Cs); M_2SiO_4 -Mn (M —Zn, Mg); $MSiO_3$ -Mn (где M —Ca, Cd, Mn); тройных силикатов и фосфатов, активированных Ce, Mn, Sn; германатов, силикатов, арсенатов, фосфатов и галофосфатов Zn и Ca, активированных Mn; фторидов и сульфидов щел.-зем. металлов, активированных Eu и Mn. Показано, что уменьшение радиусов ионов, окружающих ион активатора, приводящее к увеличению напряженности поля, вызывает смещение максимума излучения в сторону длинных волн. В случае галогенидов и сульфидов щел. металлов наблюдается обратная зависимость от радиусов ионов, что приписано увеличению поляризуемости (и поэтому перекрыванию электронных орбит анионов и катионов) с увеличением ионных радиусов.

A. Хейнман
69907. Сенсibilизация эффекта электроувеличения фосфоров примесью золота. Дестрио (Sensibilisation, par des traces d'or, des produits à effet électrorenforceur. Destriau Georges), C. r. Acad. sci., 1957, 245, № 22, 1913—1916 (франц.)

Обнаружено, что при добавлении Au (концентрация 10—5 · 10⁻⁶ вес.%) в качестве соактиватора к фосфорам ($ZnS \cdot CdS$)-Mn наблюдается значительное увеличение коэф. усиления $\rho = L_2/L_1$ (L_2 —яркость свечения, возбуждаемая одновременным действием электрич.

поля и рентгеновских лучей, а L_1 —яркость, возбуждаемая только рентгеновскими лучами). Максимум ρ достигается при равных весовых концентрациях ZnS и CdS.

A. Хейнман

69908. Влияние SiO_2 на затухание фосфоров, активированных двухвалентным марганцем. Мидзуно, Камия (Mizuno Hideo, Kamiya Shigeru), Kogei kagaku dзасси, J. Chem. Soc. Japan. Industr. Chem. Sec., 1957, 60, № 8, 984—986 (японск.)

69909. Дальнейшее исследование затухания фосфоресценции твердых растворов. Фронцковик (Further investigations on the decay of phosphorescence of rigid solutions. Frąckowiak M.), Bull. Acad. polon. sci., 1957, cl. 3, 5, № 8, 809—812 (англ.; рез. русск.)

Исследована зависимость кривых затухания фосфоресценции желтого акридинового и оранжевого акридинового красителей с желатиновым основанием от концентрации красителя. Эксперим. кривые сравнивают с теоретич. кривыми, найденными Яблонским (см. РЖХим, 1956, 64544). Определен объем активной сферы упрощенного люминесцирующего центра v . Показано, что v не зависит в исследованных условиях от концентрации люминесцирующих частиц. Это показывает, что упрощенный люминесцирующий центр, принятый для описания и интерпретации наблюдаемых свойств затухания фосфоресценции изотропных твердых р-ров, является достаточным приближением.

Из резюме автора

69910. О природе центров свечения в фосфорах $NaCl$ -Ag и $NaCl$ -Cu. Кац М. Л., Григорьева Н. А., Мироненко Л. А., Снигирев Б. Н., Уч. зап. Саратовск. ун-та, 1956, 44, 115—129

Исследованы спектры поглощения и термовысвечивание рентгенизованных монокристаллич. фосфоров $NaCl$ -Ag (I) и $NaCl$ -Cu (II), содержащих различные кол-ва активаторов. Полоса поглощения при 275 мк в спектре рентгенизованного I приписана A-центрам, состоящим из F-центра и ближайшего соседнего иона Ag^+ . Полоса поглощения при 340 мк приписана либо A'-центрам, т. е. A-центрам, захватившим еще один электрон, либо атомам Ag, не находящимся в соседстве с вакантными галогидными узлами. Освещение в полосах 275 мк и 340 мк возбуждает соответственно зеленую (~ 530 мк) и оранжевую флуоресценцию (~ 630 мк). В фосфоре I обнаружено несколько групп локальных уровней захвата электронов: мелкие уровни фосфоресценции, более глубокие уровни термолюминесценции и наиболее глубокие активаторные уровни. Активатор не только создает собственные уровни захвата, но и смещает локальные уровни дефектов решетки основного кристалла. При рентгенизации медленнее всего заполняются активаторные уровни. Для II получены аналогичные результаты.

A. Хейнман

69911. Центры окраски в облученных алмазах. I. Коулсон, Кирсли (Colour centres in irradiated diamonds. I. Coulson C. A., Kearsley Mary J.), Proc. Roy. Soc., 1957, A241, № 1227, 433—454 (англ.)

На основании эксперим. данных сделан вывод, что характерная для облученных алмазов всех типов при всех видах облучения главная полоса поглощения между 1,65 и 2,4 эв с резким пиком при 1,678 эв обусловлена переходами электронов в дефектах типа изолированных вакантных узлов, междузельных атомов и комплексов между ними. Методом мол. орбит вычислены энергетич. уровни электронов изолированного вакантного узла в совершенной решетке алмаза. Для этого введено понятие «дефектной молекулы», состоящей из вакантного C-узла в тетраэдрич. окружении четырех ближайших атомов C. Предполагается,

что электронные свойства дефектной молекулы определяются этими четырьмя неспаренными электронами, не покидающими вакантный узел; показано, что влиянием обмена и поляризации другими электронными облаками можно пренебречь. Эти 4 неспаренных электрона находятся в тетраэдрич. электр. поле соседних атомов С; влияние поля остальной решетки значительно слабее. Расчет показывает, что главная полоса поглощения обусловлена электронными переходами с симметрией ${}^1E \rightarrow {}^1T_2$, разрешенными по спину и орбитальному моменту, в непосредственной близости к нейтр. (неионизованному) вакантному узлу. Взаимодействие с колебаниями решетки приводит к расширению полосы поглощения.

69912. Инфракрасное поглощение кислорода в кремнии. Хростовский, Кайзер (Infrared absorption of oxygen in silicon. Hrostowski H. J., Kaiser R. A.), Phys. Rev., 1957, 107, № 4, 966—972 (англ.)

Исследуются ИК-спектры поглощения Si при т-рах 4,2—297° К. Получены полосы поглощения, зависящие от концентрации кислорода в Si. Обнаружено изотопич. смещение полос при замене O^{16} на O^{18} . На основании полученных результатов делается заключение, что междуузельный атом O образует с двумя атомами Si нелинейные структуры Si—O—Si. Обнаружено влияние условий выращивания кристаллов на конц-ию кислорода.

69913. Инфракрасная люминесценция йода. Франк (The infra-red luminescence of iodine. Franks J.), Proc. Phys. Soc., 1957, B70, № 9, 892—895 (англ.)

Исследованы спектры возбуждения и излучения кристаллов I_2 , выращенных из расплава, и пленок I_2 , нанесенных испарением в вакууме на стекло. Максимумы полос возбуждения и излучения лежат, соответственно при 1,33 и 0,86 эв. Положение максимумов и полуширина полос возбуждения и излучения не зависят от т-ры в интервале от —70 до —180°. Квантовый выход люминесценции быстро падает с ростом т-ры, приближаясь к 0 при —50°. В спектре поглощения имеется пик при 1,12 м, не связанный с возбуждением свечения. На основании этих данных построены конфигурационные кривые основного и возбужденного состояний кристаллич. I_2 и сравнены с имеющимися данными для молекул I_2 в парах. Возбужденное состояние, обуславливающее ИК-излучение, соответствует 2-му возбужденному уровню I_2 в парах, а уровень, обуславливающий поглощение при 1,12 м, — первому возбужденному уровню.

69914. Порядок — беспорядок и ИК-поглощение.

II. Положение и интенсивность некоторых полос поглощения полевых шпатов. Структура ортоклаза и адюляра. Хафнер, Лавес (Ordnung/Unordnung und Ultrarotabsorption. II. Variation der Lage und Intensität einiger Absorptionen von Feldspäten. Zur Struktur von Orthoklas und Adular. Hafner St., Laves F.), Kristallogr., 1957, 109, № 3, 204—225 (нем.; рез. англ.)

Исследована зависимость положения и интенсивности полос поглощения в спектрах полевых шпатов в области 7—25 м от структуры и хим. состава. Для интерпретации результатов теоретически рассмотрены возможные типы разупорядоченных состояний, и проведено различие между состояниями, устойчивыми в равновесных условиях, и состояниями, неустойчивыми при любых условиях. Сравнение ИК-полос поглощения микроклина и обычных ортоклазов и адюляров показывает, что последние 2 минерала можно рассматривать как члены непрерывного ряда, по своей структуре лежащие между микроклином и санидином, но вследствие субмикроскопич. двойникования обладающие оптич. свойствами монокл. кристаллов. Сообщение I см. РЖХим, 1957, 43830. Резюме авторов

69915. Исследование инфракрасных спектров поглощения различных кристаллов нитратов в рамках одноячейной модели. Хефеле (Analyse von ultraroten Absorptionsspektren verschiedener Nitrat-Kristalle im Rahmen des Einzellen-Modells. Häfeler H. G.), Z. Phys., 1957, 148, № 2, 262—280 (нем.)

Для исследования влияния кристаллич. поля на поведение молекул в решетке изучены ИК-спектры монокристаллич. образцов $Pr_2Zn_3(NO_3)_{12} \cdot 24H_2O$ и $NaNO_3$ в поляризованном свете и спектры поликристаллич. пленок $Mg(NO_3)_2 \cdot 6H_2O$, $Ce(NO_3)_3 \cdot 6H_2O$ и $ZnSO_4 \cdot 7H_2O$ в области 1—15 м при комнатной т-ре и при —165°. Полученные результаты, по мнению автора, удовлетворительно интерпретируются с помощью теории групп в предположении о связи между колебаниями молекул одной элементарной ячейки. Однако такая модель, как отмечает автор, не позволяет объяснить все наблюдаемые в спектрах детали. А. Шултин

69916. Спектры поглощения и испускания кристаллов ZnS и CdS и их систематизация в водородоподобные термы. Брозер, Брозер-Варминский (Absorptions- und Emissionsspektren von ZnS- und CdS-Kristallen und ihre Einordnung in wasserstoffähnliche Termsysteme. Broser I., Broser-Warminsky R.), Z. Elektrochem., 1957, 61, № 1, 209—220 (нем.)

При различных т-рах подробно исследованы оптич. и электр. свойства отдельных синтетич. монокристаллов ZnS и CdS. Наряду со спектрами поглощения и испускания сняты спектры возбуждения, тушения и высвечивания и по возможности параллельно измерены люминесценция и фотопроводимость исследованных в-в. Значительную часть наблюдаемых полос удается систематизировать при допущении, что процессы поглощения и испускания локализуются преимущественно в дефектах. Для кристаллов, активированных Cu, получаются при этом водородоподобные системы термов внутри «запрещенных» зон зонной модели, причем переходам между отдельными уровнями энергии соответствуют экспериментально найденные максимумы полос.

69917. Влияние тепловых колебаний атомов на электронный энергетический спектр металлов и сплавов. Боровский П. Б., Ронами Г. Н., Изв. АН СССР. Сер. физ., 1957, 21, № 10, 1397—1400

L-III-спектры поглощения Pb в металлич. Pb и в сплавах Pb-Sn с содержанием Sn 0,2—10% исследованы на спектрографе типа Кошуа при дисперсии 4 X/мм. Обнаружено постепенное исчезновение крониковской тонкой структуры и тонкой структуры основного края поглощения Pb с повышением т-ры образца до 300°. При малых содержаниях Sn ($\leq 1\%$) структура спектров поглощения Pb сказывается более устойчивой к повышению т-ры (по сравнению со структурой спектров поглощения чистого Pb и сплава Pb-Sn с содержанием Sn 10%), что согласуется с развитой ранее теорией «атомных блоков».

69918. Рентгеновский K-край поглощения алюминия в металле и окисле. Рудстрём (The K X-ray absorption edge of aluminum in metal and oxide. Rudström Lars), Arkiv fys., 1957, 12, № 3, 287—294 (англ.)

Изучены K-спектры поглощения Al в металле и Al_2O_3 . K-край поглощения технич. Al сдвинут на 0,46X в коротковолновую сторону по сравнению с K-краем спектрально чистого Al, что обусловлено, по мнению автора, присутствием в технич. Al небольших примесей Al_2O_3 . Сравнение с эмиссионными K_β -линиями Al в металле и Al_2O_3 показывает, что зона разрыва в Al_2O_3 достигает величины 10,6 эв. Р. Баринский

69919. Хан
of ox
J. Ph
См. Р

69920.

ряд
щени
(Elim
spectr
S and
№ 3,
Опис

филь
длино
при на
жение
уровня

69921.

раств
Дис
Н. Д.
1401—
Иссле

линии A

эмисси
едини
экспери
ставлен
переход
быточн
ные бло
этих бло
действи
полосы

ходяще

69922.

погло
ния. C
tures
amorph
miga
Soc. J

Спект
лом исп
Ge в по
K-спект
рассто
туры с
рых флу
чим рас
участке
сталлич.
располо
рассто
Ge. Поск

в случа
только 3
очевидн
и Ge
шего ок

69923.

пленок
от при
résistiv
Gépaiss
O ffre
357—35

69924.

провод

69919. **К-края поглощения Ni в окислах никеля.** Хансон, Миллиган (The Ni K absorption edges of oxides nickel. Hanson H. P., Milligan W. O.), J. Phys. Chem., 1956, 60, № 8, 1144—1145 (англ.) См. РЖФиз, 1957, 10565.

69920. **Устранение эффекта наложения высоких порядков отражения в рентгеновских спектрах поглощения.** Нурдфос, Рудстрём, Сандстрём (Elimination of overlapping orders in X-ray absorption spectra. Nordfors Bertil, Rudström Lars, Sandström Arne Eld), Arkiv fys., 1957, 12, № 3, 259—262 (англ.)

Описан метод, позволяющий с помощью нескольких фильтров с известным коэф. поглощения исследовать длинноволновые рентгеновские спектры поглощения при напряжениях, в 2—3 раза превышающих напряжение возбуждения соответствующего начального уровня перехода электронов. Р. Баринский

69921. **Рентгеноспектральные исследования твердых растворов.** Боровский И. Б., Гуров К. П., Дидман С. А., Батырев В. А., Лобанова Н. Д., Изв. АН СССР. Сер. физ., 1957, 21, № 10, 1401—1411

Исследованы К-спектры поглощения и эмиссионные линии К-серии Cr, а также L_{III} -спектры поглощения и эмиссионные линии L-серии Mo в металлах, хим. соединениях и сплавах системы Cr—Mo. Полученные эксперим. данные позволили развить модельные представления, согласно которым в разб. твердых р-рах переходных элементов вблизи атомов примесей с избыточным отрицательным зарядом образуются «атомные блоки» с радиусом действия 10^{-7} см. В пределах этих блоков возникают дополнительные силы взаимодействия. Получена ф-ла (в приближении «жесткой полосы») для величины индуцированного заряда, приходящегося на один атомный остов металла.

Р. Баринский

69922. **Тонкая структура рентгеновских спектров поглощения кристаллического и аморфного германия.** Сирайва, Исимура, Савада (Fine structures of X-ray absorption spectra of crystalline and amorphous germanium. Shiraiwa Toshio, Ishimura Tsutomu, Sawada Masao), J. Phys. Soc. Japan, 1957, 12, № 7, 788—792 (англ.)

Спектрограф типа Иоганна с изогнутым кристаллом использован для изучения К-краев поглощения Ge в первом порядке отражения. Тонкая структура К-спектра поглощения аморфного Ge простирается на расстояние ~ 400 эв от края и отличается от структуры спектра кристаллич. Ge исчезновением некоторых флуктуаций в интервале 0—100 эв от края и большим расстоянием между флуктуациями на остальном участке. Это объясняется тем, что в отличие от кристаллич. Ge, слой аморфного Ge состоит из хаотически расположенных тетраэдров с большим межатомным расстоянием, т. е. меньшей силой связи между атомами Ge. Поскольку периодичность в расположении атомов в случае аморфного Ge сохраняется на протяжении только 3—4 ближайших соседей центрального атома, очевидно, что тонкая структура К-спектра поглощения Ge обусловлена влиянием именно этого ближайшего окружения. Р. Баринский

69923. **Исследование сопротивления очень тонких пленок золота в зависимости от толщины пленки и от природы подложки.** Минн, Офре (Étude de la résistivité de couches très minces d'or en fonction de l'épaisseur suivant la nature du support. Minn S., Offret S.), J. phys. et radium, 1957, 18, № 5, 357—358 (франц.)

69924. **Германий с примесью меди как модель фотопроводника с высоким сопротивлением.** Херден

(Copper-doped germanium as a model for high-resistivity photoconductors. Heerden P. J. van), Phys. Rev., 1957, 108, № 2, 230—238 (англ.)

69925. **Фотопроводимость селенида свинца. Теория механизма сенситизации.** Хамфри, Петриц (Photoconductivity of lead selenide: theory of the mechanism of sensitization. Humphrey James N., Petritz Richard L.), Phys. Rev., 1957, 105, № 6, 1736—1740 (англ.)

Предложена модель, объясняющая полученные ранее (РЖХим, 1957, 68267; 1958, 7060) эксперим. результаты по влиянию O, S, Se и галоидов на фотопроводимость σ пленок PbSe.

А. Хейнман

69926. **Фотопроводимость кристаллов KCl.** Барт (Lichtelektrische Leitung in KCl-Kristallen. Barth Nikolaus), Z. Phys., 1957, 149, № 3, 370—376 (нем.)

В результате освещения аддитивно окрашенных кристаллов KCl в F-полосе при комнатной т-ре сначала образуется заметная C-полоса (M-полоса по Молнару), а затем D-, E- и G-полосы (R_2 , R_1 - и N-полосы по Молнару). Исследована зависимость фотопроводимости в области C-полосы от длины волны и т-ры. Найдено, что число фотоэлектронов пропорционально числу поглощенных квантов и что квантовый выход η фотоэффекта для C-центров равен $\sim 1/10 \eta$ для F-центров. Произведение $\eta \cdot W/E$ (W — сдвиг фотоэлектрона, E — напряженность поля) в области C-полосы не зависит от длины волны падающего света.

А. Хейнман

69927. **Некоторые вопросы кристаллохимии соединений со структурой цинковой обманки.** Горюнов Н. А., Изв. АН СССР. Сер. физ., 1957, 21, № 1, 120—132

Рассмотрена связь между электрич. и кристаллохим. свойствами элементов и соединений типа Al^{IV} со структурой алмаза и типов $A^{III}B^V$, $A_2^{II}B_3^{IV}$, A_2^{IV} и $A^{IV}B^{IV}$ со структурой цинковой обманки (I). Сходство электрич. свойств этих двух групп в-в, по мнению автора, основано на их кристаллохим. сходстве: в обеих имеются тетраэдрич. расположение атомов и тетраэдрически направленные ковалентные связи. Электрич. свойства в-в со структурой I закономерно изменяются со степенью ионности и ковалентности связи, которые в свою очередь правильно изменяются в изоэлектронных рядах и рядах соединений, образованных элементами-аналогами. Среди в-в со структурой I найдено большое число систем твердых р-ров замещения (в том числе на основе полупроводников), которые позволяют исследовать зависимость электрич. свойств от характера электронного взаимодействия. Рассмотрено положение указанных полупроводниковых соединений в таблице Менделеева и предсказано наличие полупроводниковых свойств у ряда в-в с тетраэдрич. структурой и ковалентной связью.

А. Хейнман

69928. **Материалы Всесоюзной конференции по физике диэлектриков, Днепрпетровск, 18—28 авг. 1956 г.** Изв. АН СССР. Сер. физ., 1958, 22, № 3, 233—360

69929. **Зависимость парамагнитного резонансного поглощения от температуры на сантиметровых волнах.** Салихов С. Г., Ж. эксперим. и теор. физ., 1958, 34, № 1, 39—44 (рез. англ.)

На частоте 9378 Мгц и в интервале т-р 90—500° К изучена температурная зависимость ширины ΔH линий парамагнитного резонанса и значения χ'' (макс). Для идеальных парамагнетиков отношение $W = \chi''(\text{макс.}) \Delta H / \chi_0$ (χ_0 — статич. восприимчивость) должно быть постоянно. Обнаружено, что W практически постоянно в интервале 90—500° К для $CrCl_3$ и CuF_2 , что свидетельствует об отсутствии остаточного антиферромагнетизма. В случаях MnF_2 , MnO и MnS

W изменяется с t -рой, что свидетельствует о наличии остаточного антиферромагнетизма в некотором интервале t -р выше точки Кюри. В $\text{Cr}(\text{OH})_3$ остаточный антиферромагнетизм сохраняется, по-видимому, до комнатной t -ры. g -факторы линий близки к 2; форма линий ближе к лоренцевой, чем к гауссовой.

К. Валиев

69930. Электронный спиновый резонанс в углях. Влияние насыщения. Смитт (Electron spin resonance of coals: saturation effect. Smidt J.), Nature, 1958, 181, № 4603, 176 (англ.)

На частоте 9000 Мгц изучена зависимость поглощаемой в 1 г угля, мощности P от конц-ии C в угле при значении параметра насыщения $Z = 0.5$. Установлено, что P возрастает по мере увеличения конц-ии C сравнительно медленно — в интервале конц-ий 70—85% и быстро — при конц-иях 85%. Это наблюдение может иметь значение при определении числа свободных радикалов по интенсивности линии поглощения: при конц-ии C 85% насыщение может наступить даже при небольших уровнях сигнала, что может привести к занижению числа парамагнитных центров. Поглощение в углях, содержащих золу, больше, что указывает, по-видимому, на наличие парамагнитных центров в золе.

К. Валиев

69931. Анизотропия магнитной восприимчивости и зависимость теплоемкости от направления поля в антиферромагнетике. Туров Е. А., Ж. эксперим. и теор. физ., 1958, 34, № 4, 1009—1011

69932. Магнитный резонанс в MnAu_2 . Аш, Мейер (Résonance magnétique de MnAu_2 . Asch Georges, Meyer André J. P.), C. r. Acad. sci., 1958, 246, № 8, 1180—1182 (франц.)

На поликристаллич. образцах MnAu_2 изучено поглощение электромагнитных волн в зависимости от напряженности внешнего поля и t -ры. При t -рах $< 90^\circ \text{K}$ MnAu_2 является антиферромагнетиком с пороговым полем $H = 10^4$ э и восприимчивостью $\chi_0 = 3707 \cdot 10^{-6} \text{ э}^{-1}$. Найдено, что при 17°C и частоте 9300 Мгц поглощение не носит резонансного характера, так как частота 9300 Мгц меньше частоты антиферромагнитного резонанса. Поглощение на частоте 35 630 Мгц, изученное в интервале 17 — 140°C , имеет резонансный характер, причем по мере нагревания образца до 90°C максимум поглощения смещается в сторону больших полей; при 90°C пик поглощения возникает в поле 12 700 э и не смещается при дальнейшем нагревании образца. Очевидно, поглощение при t -ре $< 90^\circ \text{C}$ является антиферромагнитным резонансом, а при t -ре 90°C — парамагнитным резонансом с $g \approx 2.0$.

К. Валиев

69933. Процессы ферромагнитной релаксации. Взаимодействие спин — решетка. Тэрасаки, Маннари, Буссэйрон кэнкю, 1957, 2, № 3, 335—341 (японск.)

69934. О зарождении новых кристаллов при электроосаждении. Вермиллиа (Communications on the nucleation of new crystals during electrodeposition. Vermilyea D. O.), J. Chem. Phys., 1958, 28, № 4, 717 (англ.)

В продолжение работы автора (РЖХим, 1958, 20770) на примере электроосаждения Cu из 1 н. $\text{CuSO}_4 + 0.5$ н. H_2SO_4 на тончайших медных «усиках» (U), получающихся при восстановлении водородом CuCl_2 , показано, что на очень малых U (более совершенных монокристаллах) Cu осаждается только при перенапряжении (η) порядка 100 мв и только в отдельных точках, тогда как на больших U (менее совершенных монокристаллах) осаждение идет быстро и равномерно при η 10—15 мв, причем образуется поликристаллич. осадок. Высказано предположение, что причиной этой кажущейся аномалии является тот факт, что растут только достаточно большие кристаллич. зародыши,

образование которых идет легче на кристаллах с дефектами, причем причиной существования дефектов является включение в кристаллич. основу (здесь — в U) адсорбированных молекул различных органич. в-в. Существование подобных включений подтверждено возрастанием в 2—3 раза электрич. сопротивления U из Ag , получающихся в r -рах, содержащих желатину или пуклеиновую к-ту. Отмечается, что возможность влияния включений может значительно осложнить процессы кристаллизации.

И. Зайденман

69935. Некоторые наблюдения двойниковых кристаллов германия. Кикучи, Идзума (Some observations on germanium Bi-crystals. Kikuchi Makoto, Izuma Sigeru), J. Phys. Soc. Japan, 1958, 13, № 3, 319 (англ.)

Сдвойникованные кристаллы Ge получены сращиванием двух монокристаллов затравок, ориентированных друг к другу различными кристаллографич. плоскостями. Исследование бикристаллов проводилось с помощью травления.

В. Жаров

69936. Диаграмма рекристаллизации тантала. Савицкий Е. М., Тылкина М. А., Цыганова И. А., Докл. АН СССР, 1958, 118, № 4, 720—722

Построена диаграмма рекристаллизации (P) типа I для литого Ta . Исходные образцы отливались из металлокамерич. Ta (чистота 99.8%) в дуговой печи при давл. 200 мм рт. ст. Ag . Литой металл подвергался холодной ковке с последующим 2-часовым отжигом при 1300° в вакууме. Полученные таким образом прутки с рекристаллизованной мелкозернистой полиадрич. структурой (диам. зерна 10—11 μ) прокатывались на холоду без промежуточных отжигов, со степенями деформации (СД) от 2.6 до 98%, а затем отжигались в вакууме в течение 1 часа при t -рах 1000—2500°. По мере увеличения СД t -ра начала P Ta понижается от 1300 до 1200° . Холодная прокатка при СД до 15% не вносит существенных изменений в микроструктуру Ta , при СД $> 30\%$ наблюдается четко выраженная текстура прокатки, при СД $> 60\%$ зерна дробятся и при СД 90% диам. зерен равен 1—2 μ . Процесс P обработки при 1200° в образцах с большой СД и при 1600° при всех СД приводит к полному уничтожению текстуры прокатки и появлению зерен с диам. 13—6 μ . Отжиг при 1800—2000° вызывает собирательную P и рост размеров зерен в 3—10 раз, тогда как при 1000—1600° заметного роста зерен не происходит. На изотермах отжига максимум величины зерна (критич. СД) соответствует СД 8% при 1800° и 5.7% при 2000° . При всех СД отжиг Ta при 2500° приводит к появлению двойников отжига и к исключительно интенсивному росту зерен (до 500 μ). Исследование влияния СД и t -ры отжига показало, что мелкозернистой структурой и оптимальными свойствами Ta обладает после отжига при 1300—1400°. Отжиг при t -ре порядка 1600° без потери пластичности возможен лишь в очень высоком вакууме.

Г. Тюрин

69937. К методике выращивания щелочно-галогенных кристаллов из расплава. Кучин В. Д., Изв. высш. учебн. заведений. Физика, 1958, № 2, 117—120

На основе величины температурного градиента в кристалле ≤ 10 град/см найдена скорость охлаждения кристаллов (в град/мин): NaCl (2.4), KCl (2.3), KBr (2.25) и KJ (2.12). Указывается, что результаты расчета подтверждаются экспериментами. По резюме автора

69938. Рост кристаллов льда из пара и из расплава. Мейсон (The growth of ice crystals from the vapour and the melt. Mason B. J.), Advances Phys., 1958, 7, № 26, 235—253 (англ.)

Библ. 28 назв.

69939. Образование зародышей и эпитаксия льда I. Клебер, Вейс (Keimbildung und Epitaxie von

Eis (I). Kleber W., Weis J.), Z. Kristallogr., 1958, 110, № 1, 30—46 (нем.; рез. англ.)

Исследована эпитаксия льда (модификация I) на AgI , PbI_2 , CdI_2 , биотите, гипсе и графите. Наблюдаемая ориентация обсуждается с геометрич., кинетич. и динамич. точек зрения. Отмечается, что эпитаксия зависит от адсорбционных свойств подложки, а также от размеров всех трех параметров ее решетки. Рассматриваются условия развития дендритных форм при эпитаксии. Указывается на связь эпитаксии льда и образования зародышей льда на в-ве подложки.

Н. Глики

69940. О росте ледяной фазы в водных коллоидах. Люйе (On the growth of the ice phase in aqueous colloids. Luyet B. J.), Proc. Roy. Soc., 1957, B147, № 929, 434—451 (англ.)

Рассматриваются процессы кристаллизации, протекающие в воде и водн. р-рах разных конц-ий и структур, в связи с изучением влияния замораживания на живое в-во и взаимодействия растущей твердой фазы (льда) с протоплазмой. Приводится обзор литературных данных и некоторые результаты изучения формы, числа, размеров и пр. кристаллизующихся элементов в р-рах разных в-в (NaCl , глицерин, глюкоза, желатина и др.). Кратко описана методика наблюдений и использованная аппаратура. Изучено влияние низкой т-ры на клетки млекопитающих.

Н. Глики

69941. Образование и свойства синтетических кристаллов торита. Фукс (Formation and properties of synthetic thorite crystals. Fuchs L. H.), Amer. Mineralogist, 1958, 43, № 3—4, 367—368 (англ.)

В связи с тем, что природный торит ThSiO_4 (I) обычно встречается в частично метамиктном состоянии, сделана попытка получить синтетич. кристаллы I. Кристаллы диам. до 1 мм выращены в результате нагревания в атмосфере Ar в течение 13 дней при 920° и последующего медленного (2 дня) охлаждения смеси $0,2 \text{ г}$ (55 мол. % ThF_4 + 45 мол. % KThF_6) + $0,11 \text{ г}$ ThO_2 + $0,04 \text{ г}$ SiO_2 . Кристаллы имеют бипирамидальную форму (грани призмы малы), обнаружен дихроизм; показатели преломления: n_o 1,823, n_e 1,888. Параметры тетрагон. решетки (определены по прецизионным порошковым диаграммам): a 7,142, c 6,327 Å, d_{250}^{250} 6,70.

Э. Г.

69942. Кристаллизация кварца при высоких температурах. Токуда (Crystallization of quartz at high temperatures. Tokuda Taneki), Bull. Chem. Soc. Japan, 1957, 30, № 7, 692—693 (англ.)

Аморфный кремнезем, полностью свободный от примесей щелочей, нагревался в Pt-тигле при $1974\text{—}1450^\circ$. Рентгенограммы прокаленных образцов показывают, что кварц как самостоятельная фаза образуется вплоть до т-ры $1388 \pm 5^\circ$. Образцы, нагретые выше этой т-ры, обнаруживают наряду с аморфным кремнеземом присутствие кристобалита, причем параметры решетки последнего в образце, полученном прокаливанием кремнезема в течение часа при $1392 \pm 5^\circ$, на 0,6% больше, чем для стандартного кристобалита, полученного нагреванием аморфного кремнезема при 1600° в течение 5 час.

Л. Цинобер

69943. Жидкие включения в искусственных кристаллах кварца. Сафронов Г. М., Тр. Всесоюз. н.-и. ин-та пьезоопт. минеральн. сырья, 1957, 1, № 2, 53—56

Дано морфологич. описание и приведено 8 микрофотографий жидких двухфазовых включений (В) в кристаллах синтетич. кварца. Наблюдавшиеся включения развиты на 4 генетич. группы: 1) В — спутники твердой фазы; 2) трубчатые В на границе затравки и выросшего кристалла; 3) изолированные В в теле кристалла; 4) В скелетного роста.

Л. Цинобер

69944. Преобразование формы жидких включений при изменении температуры. Клия М. О., Леммлейн Г. Г., Кристаллография, 1958, 3, № 2, 206—208

Проведено микрокинематографич. исследование процессов преобразования формы жидких включений в кристаллах селитры при резком изменении т-ры. Показано, что при нагревании до 300° объем полости включения и кол-во растворенного в-ва возрастают в несколько раз. При резком охлаждении образцов возникают включения неравновесной формы, содержащие газовую фазу. Полученные результаты сопоставлены с результатами наблюдений высокотемпературных включений в природных кристаллах. Резюме авторов

69945. Захват растущим кристаллом капель эмульсии при кристаллизации из растворов. Клия М. О., Соколова И. Г., Кристаллография, 1958, 3, № 2, 219—224

Детально рассматривается механизм образования включений в кристаллах при кристаллизации из водн. р-ров, содержащих эмульсию нефти. Форма и характер включений оказались зависящими от величины смачивания грани кристалла нефтью и от нормальной скорости роста граней. Проведено сопоставление полученных результатов с наблюдениями ксеногенных включений в природных кристаллах. Резюме авторов

69946. Образование винтовых дислокаций при обратном кристаллом твердых частиц. Козловский М. И., Кристаллография, 1958, 3, № 2, 209—213

Описан процесс возникновения винтовых дислокаций при захвате посторонних частиц во время роста кристаллов β -метилнафталина из спирт. р-ра и из расплава. Подсчитана вероятность образования винтовых дислокаций при захвате посторонних частиц во время роста кристаллов.

Резюме автора

69947. Кристаллические образования и скорость их роста. Томази (Concrezioni cristalline e velocità di accrescimento. Tomasi Luigi), Natura alpina, 1958, 9, № 2, 50—56 (итал.)

Отмечается, что наблюдение образований типа стагмитов и стагматов на различных зданиях и сооружениях позволяет делать определенные заключения о зависимости скорости роста этих образований от некоторых физ.-хим. факторов. Эти выводы могут быть использованы в теоретич. исследованиях карстовых явлений.

Б. Каплан

69948. О кристаллической структуре Li_3PO_4 . Цеманн (Zur Kenntnis der Kristallstruktur von Li_3PO_4 . Zemann Josef), Naturwissenschaften, 1958, 45, № 8, 182 (нем.)

При исследовании структуры Li_3PO_4 (I) подтверждено (Zambonini F., Laves F., Z. Kristallogr., 1932, 83, 26) близость значений параметров решетки I и оливина. Однако установлено, что хотя положение ионов PO_4 и SiO_4 идентично, атомы Li располагаются не в октаэдрич., а в тетраэдрич. положениях.

Э. Г.

69949. Кристаллы флюорита, прошедшие стадию скелетного роста. Дымков Ю. М., Тр. Минералог. музея. АН СССР, 1957, вып. 8, 146—150

Дано морфологич. описание кристаллов флюорита из пустот агрегата белого пластинчатого кварца. Установлено, что кристаллы флюорита бывают октаэдрич., ромбододекаэдрич. или куботетрагексаэдрич. габитуса, причем последние обычно нарастают поверх ромбододекаэдрических, которые, в свою очередь, обрастают октаэдрическими. Обнаружено скелетное нарастание форм (110) и (100) или комбинации (100) и (hk0) на гранях (111). Отмечено, что для всех найденных сложных «монокристаллов» и скелетных образований выдерживается следующая смена простых форм во времени: (111) — (110) — (hk0) — (100), — которую, по

мнению автора, можно объяснить снижением т-ры р-ра со временем. Л. Цинобер

69950. К микроскопическому исследованию и идентификации эрготионеина. Корнхаузер, Пернар (Beitrag zur mikroskopischen Untersuchung und Identifizierung des Ergothioneins. Kornhauser A., Perpar M.), *Mikrochim. acta*, 1957, № 1, 80—84 (нем.; рез. англ., франц.)

Проведено морфологич. исследование эрготионеина

— $\text{O}=\text{C}(\text{OCH}(\text{N}(\text{CH}_3)_3)\text{CH}_2\text{C}=\text{CHN}=\text{C}(\text{—SH})\text{NH}$. Т. пл. 220—250°. Эвтектич. т-ра с салицином 181—182°, с дициандиамином 178—179°. Приведены значения n_D и $2V$ при кристаллизации из различных р-рителей. Э. Г.

69951. Бис-(циклопентадиенил)-цирконий-дихлорид. Брэдли, Дауэлл (Bis (cyclopentadienyl) zirconium dichloride. Bradley H. B., Dowell L. G.), *Analyt. Chem.*, 1958, 30, № 4, Part 1, 548 (англ.)

Соединение $\text{Zr}(\text{C}_5\text{H}_5)_2\text{Cl}_2$ (РЖХим, 1955, 39948) растворяемо в бензоле, хлороформе; в воде медленно разлагается. Кристаллы монокл., a 6,20, b 6,58, c 13,33 Å, β 89°9', ρ 1,782, Z = 2. Показатели преломления: n_D 1,708, n_D 1,712, n_g 1,76, $2V$ -(+) 43° (синий фильтр), 21° (красный фильтр). Т. пл. 232°, при этой т-ре n (расплава) 1,555. Э. Г.

69952 К. Строение цинксульфидных люминофоров. Риль, Ортман (Über den Aufbau der Zinksulfid-Luminophore. Riehl Nikolaus, Ortmann Henry. Weinheim, Verl. Chemie, 1957, 58 S., ill.) (нем.)

Подробнее см. РЖХим, 1957, № 19, стр. 404.

См. также: Рентгеногр. исслед. 69779, 70029—70032, 70037, 70038, 70044, 70047, 70062, 70383, 70384. Электроногр. исслед. 69966. Электроно-микроскопич. исслед. 70295. Фазовые превращения, полиморфизм 69773, 69967, 70017, 70019, 70020. Термодинамика 69996, 69997. Спектры и др. оптич. св-ва 69762, 69775, 69801, 69802. Рост 70021. Др. вопр.: анодное травление граней монокристаллов свинца 70244

ЖИДКОСТИ. АМОРФНЫЕ ТЕЛА. ГАЗЫ

Редактор А. Б. Алмазов

69953. Теплопроводность многокомпонентных газовых смесей. Мэйсон (Thermal conductivity of multicomponent gas mixtures. Mason Edward A.), *J. Chem. Phys.*, 1958, 38, № 5, 1000—1001 (англ.)

Рассматривается 1-е приближение (т. е. расчет в пренебрежении внутренними степенями свободы) коэф. теплопроводности смеси газов. Коэф. теплопроводности смеси выражается в виде отношения двух детерминантов порядков n и $n+1$ (n — число компонентов смеси). Элементы определителей могут быть вычислены по физ. характеристикам чистых компонентов, отношениям их интегралов столкновений и первым приближениям коэф. диффузии каждого компонента в каждом. При некоторых упрощающих предположениях недиагональными элементами определителей можно пренебречь по сравнению с диагональными; тогда получается $[\lambda(c_m)] = \sum_{i=1}^n \lambda_i [1 + \sum_{k=1}^n \sum_{h \neq i} G_{ik}(x_k/x_i)]^{-1}$, где индексами i, k нумеруются компоненты, $G_{ik} = (2/3) [(3M_i + M_k)/(M_i + M_k)] \cdot T \cdot [\lambda_i]/p[D_{ik}]$, $[\lambda_i]$ — 1-е приближение коэф. теплопроводности i -го компонента в эрг/см сек град, p — давление в дин/см², $[D_{ik}]$ — 1-е приближение коэф. диффузии i -го компонента в k -м в см²/сек, M_i — мол. вес. i -го ком-

понента, T — абс. т-ра. Эта ф-ла представляет собой обобщение некоторых предложенных ранее ф-л В. Ц.

69954. О виральных коэффициентах газа, молекулы которого взаимодействуют с потенциалом Леннарда-Джонса. Носанов, Майер (On the virial coefficients for a Lennard-Jones gas. Nosanow L. H., Mayer J. E.), *J. Chem. Phys.*, 1956, 28, № 5, 874—877 (англ.)

Потенциал 12—6 Леннарда-Джонса записывается в виде: $\phi(r) = 4\epsilon[(\sigma/r)^{12} - (\sigma/r)^6]$, где σ и ϵ — параметры. Вводятся величины $b_0 = 2\pi N\sigma^3/3$ и $T^* = kT/\epsilon$ и функции $B^*(T^*) = b_0^{-1}B(T)$ и $C^*(T^*) = b_0^{-2}C(T)$, где $B(T)$ и $C(T)$ — соответственно 2-й и 3-й виральные коэф., являющиеся выражениями для которых известны из теории Майера. Функции $B^*(T^*)$ и $C^*(T^*)$ представляют собой интегралы по r от произведений экспоненциальных функций потенциала Леннарда-Джонса на r^n , где n — некоторое целое число; T входит в эти интегралы как параметр. Выведены дифференциальные ур-ния, связывающие рекуррентно интегралы с различными n . Пользуясь этими ур-ниями, можно рассчитывать виральные коэф. с помощью сравнительно быстро сходящихся рядов. Метод может быть обобщен на случай потенциала Леннарда-Джонса с другими показателями при r , а также для расчета других виральных коэф. Показано, если функцию парного распределения аппроксимировать выражением, формально аналогичным потенциалу Леннарда-Джонса, и пользоваться приближением суперпозиции, то предлагаемый прием можно использовать в теории р-ров, при расчете явлений переноса и т. п.

В. Цукерман

69955. Термодиффузия в сжатых газах. Уолтер, Дрикаммер (Thermal diffusion in dense gases. Walther J. E., Drickamer H. G.), *J. Phys. Chem.*, 1958, 62, № 4, 421—425 (англ.)

При обработке эксперим. данных, полученных для газовых смесей $\text{CO}-\text{N}_2$, $\text{CO}_2-\text{C}_2\text{H}_4$, $\text{C}_2\text{H}_4-\text{He}$, $\text{C}_2\text{H}_2-\text{N}_2$, $\text{C}_2\text{H}_4-\text{Ar}$, $\text{C}_2\text{H}_4-\text{Ne}$, $\text{Ar}-\text{He}$ и CO_2-He при 0—500 атм (для некоторых смесей до 1000 атм), авторы исходят из ур-ния $J_1 = -qD(\text{grad } X_1 - \alpha X_1(1 - X_1)\text{grad } \ln T)$, где J_1 — поток компонента 1, q — плотность, D — коэф. диффузии, X_1 — мол. дробь компонента 1, T — абс. т-ра, α — термодиффузионное соотношение, со стационарным решением $\ln[X_1/(1 - X_1)]_C [(1 - X_1)/X_1]_H = \alpha \ln(T_H/T_C)$, где индексы H и C относятся соответственно к горячей и холодной областям газа, в котором протекает термодиффузия. Последнее ур-ние использовалось для определения зависимости α от T . Установлено, что в областях т-р, далеких от критической для какого-либо компонента, α слабо зависит от давления. Для систем, в которых один из компонентов находился вблизи крит. т-ры, α обнаруживает резкий минимум, достигая больших отрицательных значений. Это явление не находит объяснения ни среди существующих кинетич. теорий, ни в рамках феноменологич. теории необратимых процессов.

В. Цукерман

69956. Термическая транспирация газов при низких давлениях. Розенберг, Мартел (Thermal transpiration of gases at low pressures. Rosenberg A. J., Martel C. S., Jr.), *J. Phys. Chem.*, 1958, 62, № 4, 457—459 (англ.)

Продолжены (РЖХим, 1957, 14939) исследования термич. транспирации Кг в области низких давлений. Зависимость p_1/p_2 от p_2D (индекс 1 относится к объему с более низкой т-рой, индекс 2 — к объему с более высокой т-рой, D — диаметр канала) представлена графиком. При $p_2D < 75$ мм рт. ст. ур-ние Лианга (Liang S. C., *J. Appl. Phys.*, 1951, 22, 148; *J. Phys. Chem.*, 1952, 56, 660; РЖХим, 1956, 18686, 31854) непри-

годно для описания явления термич. транспирации. Предложена эмпирич. поправка к этому ур-нию, позволяющая рассчитывать p_1/p_2 при $p_2 D < 300$ мм.рт.ст. для газов, при высоких давлениях подчиняющихся ур-нию Лиаंगा.

В. Цукерман
69957. Объемная вязкость, обусловленная ван-дер-ваальсовыми силами, в одноатомных и многоатомных газах. Неттлтон (Intrinsic bulk viscosity in monatomic and diatomic gases. Nettleton R. E.), J. Appl. Phys., 1958, 29, № 2, 204—212 (англ.)

Теория Борна — Грина совместно с суперпозиционным приближением Кирквуда применена для расчета части объемной вязкости $\eta_0 = \lambda + \frac{2}{3}\eta$ (λ и η — коэф. 1-й и 2-й вязкости), обязанной своим происхождением силам Ван-дер-Ваальса в одноатомных и двухатомных газах. Показано, что в рамках теории Борна — Грина суперпозиционное приближение Кирквуда не вводит необратимости и приводит к однородным интегральным ур-ниям без условий нормировки. Необратимость в теории может быть введена лишь как отсутствующее условие нормировки или граничное условие. При пренебрежении членами порядка вклада от тройных столкновений, выведены выражения для части объемной вязкости как функции других термодинамич. параметров. По порядку величины часть объемной вязкости, обусловленной ван-дер-ваальсовыми силами в аргоне и азоте при 0°С и 1 атм, оказывается равной 1 мпуаз.

А. Осипов
69958. Время запаздывания при диффузии. II. Фриш (The time lag in diffusion. II. Frisch H. L.), J. Phys. Chem., 1958, 62, № 4, 401—404 (англ.)

На основе результатов сообщения I (РЖХим, 1957, 53832) показано, что при знании концентрационной зависимости коэф. диффузии данные о времени запаздывания могут быть использованы для оценки коэф. диффузии в стационарном состоянии и растворимости диффундирующего в-ва в в-ве мембраны. Установлены некоторые неравенства между входящими в теорию величинами.

В. Цукерман
69959. Самодиффузия в ряду алифатических спиртов. Партингтон, Гудсон, Бэгнолл (L'autodiffusion d'une série d'alcools aliphatiques. Partington J. R., Hudson B. F., Bagnall K. W.), J. chim. phys. et phys.-chim. biol., 1958, 55, № 2, 77—82 (франц.)

Коэффициенты самодиффузии воды, метилового, этилового, *n*- и изопропилового, *n*- и изобутилового спиртов измерены при 15—55° методом Стокса (Stokes, J. Amer. Chem. Soc., 1950, 72, 763) путем замены Н в группе ОН дейтерием. Для CH_3OH проведены также опыты с заменой C^{12} на C^{14} . Ур-ние Стокса — Эйштейна приблизительно выполняется. Вычислены термодинамич. функции процесса активации. Энергия активации сравнивается с энергией вязкого течения. Энтропия активного состояния, т. е. сумма энтропии жидкости и энтропии активации (S^*), растет с мол. весом, а для изомерных спиртов почти одинакова, хотя S^* значительно различаются.

Б. Аяваер
69960. Изучение диэлектрических постоянных некоторых органических жидкостей в присутствии газа при различных давлениях. Лазарр, Воловик (Etude des constantes diélectriques de certains liquides organiques en présence de gaz à différentes pressions. Lazard Flavien, Volovick Grégoire), C. r. Acad. sci., 1958, 246, № 16, 2371—2374 (франц.)

Методом, основанным на применении моста переменного тока, измерены диэлектрич. проницаемости (ε) бензола (I), циклогексана (II) и *n*-ксилола (III) в присутствии O_2 , N_2 , C_2H_4 , N_2O и CO_2 при $25 \pm 0,1^\circ$ под давл. 0—80 атм. В присутствии первых трех газов наблюдается незначительное повышение ε. В присутствии CO_2 и NO_2 для I и III ε быстро падает с ростом

давления до 30 атм и медленно в области 30—50 атм, для II имеет место непрерывное падение ε до 50 атм. Понижение ε объясняется значительной растворимостью CO_2 и N_2O в исследуемых жидкостях.

Б. А.
69961. Вязкость жидкостей. I. Зависимость от давления и температуры. Соотношения между действительными и средними показателями. Андруссов (Viskosität von Flüssigkeiten. I. Temperatur- und Druckabhängigkeit — Beziehungen zwischen den wahren und mittleren Exponenten. Andrussov L.), Z. phys. Chem. (DDR), 1958, 208, № 3-4, 157—180 (нем.)

Введенные ранее (РЖХим, 1957, 18394, 62979) понятия действительного показателя π^* по давлению, определяемого по ур-нию $(\eta + d\eta)/\eta = [P + dP]/P \pi^*$, и действительного показателя по т-ре n^* , определяемого по ур-нию $\eta_{T+dT} = \eta_T [(T + dT)/T]^{n^*}$ (η — вязкость), используются для вывода зависимости вязкости от давления и т-ры для ряда жидкостей. Для ртути получено: $n^* = -[1,204 - (0,48 - 0,82 \cdot 10^{-3}t) \cdot 10^{-2}t]$; $t = T - 273,1$ и $\pi^* = 0,212 \cdot 10^{-4}P + 0,26 \cdot 10^{-9}(P - 1000)$, (при 30°; P — в кг/см²). Выражения для показателей найдены также для галлия, олова, свинца, этилового и амиллового эфиров, метанола, изопропанола, воды, изопропиламина, этилендиамина и др. Большинство положительных показателей по давлению при высоких давлениях принимает большие значения. У воды и, вероятно, у висмута в некоторой ограниченной области показатели по давлению принимают отрицательные значения. Для сильно переохлажденных жидкостей переход в твердое состояние может быть предсказан на основании поведения показателей; в этих случаях наблюдаются особенно большие значения показателей по т-ре. Скорость изменения вязкости с т-рой сначала убывает, а затем увеличивается. Соответствующие кривые несимметричны. Вязкость зависит не только от объема, но также и от ряда других факторов.

В. Цукерман
69962. Метод измерения динамической вязкости и динамической упругости вязко-упругой жидкости. I. Али Абдель Керим Ибрагим (A method for measuring the dynamic viscosity & dynamic rigidity of visco-elastic liquids. I. Ali Abdel Kerim Ibrahim), J. Phys. Soc. Japan, 1958, 13, № 3, 313 (англ.)

Показано, что при измерении вязко-упругих свойств жидкости вискозиметром с коаксиальными цилиндрами динамич. вязкость и упругость жидкости могут быть связаны линейной зависимостью с параметрами, зависящими от условий измерения, в частности от частоты колебаний цилиндра. Колич. данные приведены для смеси метилметакрилата и пиридина.

В. Цукерман
69963. Методы измерения и расчета вязкости жидкостей под высоким давлением. Ивасаки Хироцугу, Кагаку когаку, Chem. Engng (Japan), 1958, 22, № 3, 170—175 (японск.)

69964. Температурная зависимость коэффициента поглощения ультразвука в органических жидкостях. Партохосаратхи, Панчولي, Чхангар (Temperature coefficient of ultrasonic absorption in organic liquids. Parthasarathy S., Pancholy M., Chhappgar A. F.), Nature, 1958, 181, № 4606, 405—406 (англ.)

В анилине, гексадекане, 1-додецене и амилацетате коэф. поглощения звука уменьшается с ростом т-ры. В некоторых гомологич. рядах (насыщ. углеводы, 1-олефины) поглощение возрастает с т-рой для низших членов ряда и уменьшается для высших. Указанная зависимость коэф. поглощения звука от т-ры не согласуется с существующей классификацией жид-

костей в зависимости от изменения коэф. поглощения звука. Приводятся ф-ла для коэф. поглощения звука в жидкости, связывающая поглощение с величиной отношения теплоемкости в-ва при постоянном давлении к теплоемкости при постоянном объеме.

Б. Кудрявцев

69965. Математическое исследование перегруппировки линейных метасиликоновых масел. I. Препарата, Тёрёк (Lineáris metilsziliko-olajok átrendeződésének matematikai tárgyalása. I. Prékopa András, Török Ferenc), Magyar tud. akad. Mat. kutató int. Közl., 1956, 1, № 1—2, 67—81 (венг.; рез. русск., англ.)

Ф-ла линейной молекулы метасиликоновых масел записывается в виде M_2D_k , где M — группа CH_3 на конце молекулы, а D — связанные атомами O группы $Si(CH_3)_2$. Исследуется процесс установления равновесия при встряхивании масла в присутствии катализатора, когда группы M и D отрываются от молекул и затем соединяются в новые молекулы. Подсчитаны математич. ожидание и дисперсия числа молекул типа M_2D_k . Найдено явное выражение для тела молекул этого типа как функции времени.

В. Цукерман

69966. Электронографическое исследование строения жидких металлов и сплавов. Бублик А. И., Бунтарь А. Г., Кристаллография, 1958, 3, № 1, 32—42

Электронографическим методом изучена температурная зависимость строения жидких металлов Sn , Al , Bi , In и структура жидких сплавов $Al-Sn$, $Al-In$, $Bi-In$ при различных концентрациях и нескольких т-рах. В результате исследования металлов и сопоставления полученных данных с рентгенографическими авторами приходят к следующим выводам: 1) жидкие металлы, независимо от типа кристаллич. решетки, при т-ре плавления обладают таким же ближним порядком, как и в кристаллич. состоянии; 2) с повышением т-ры в случае металлов, обладающих в твердом состоянии плотной упаковкой, координационное число уменьшается, а в случае металлов, имеющих рыхлую упаковку, увеличивается, приближаясь при некоторой т-ре к плотной упаковке; 3) при значительных перегревах плотность распределения у всех жидких металлов стремится к среднему значению. При исследовании сплавов установлено, что при т-рах, близких к точке кристаллизации, тонкие пленки жидких сплавов любой концентрации состоят из областей, обогащенных одной компонентой, причем характер упаковки в таких «однородных» областях сходен с упаковкой атомов у чистых жидких металлов. С ростом т-ры число одноименных соседей около атомов каждого сорта уменьшается и возрастает число связей между разноименными атомами, т. е. происходит перемешивание частиц, приводящее к образованию более однородной структуры сплава. В. Спиридонов

69967. Исследование физико-химических свойств расплавленного переохлажденного, стекловидного и перекристаллизованного базальтов. Сообщение 5. Исследование термических свойств расплавленного переохлажденного и перекристаллизованного базальтов при высоких температурах. Абрамян А. В., Изв. АН АрмССР. Сер. хим. н., 1957, 10, № 4, 257—266 (рез. арм.)

Установлено, что теплоемкость базальта описывается ф-лами (в скобках — соответствующие интервалы т-ры): 1) стекловидный базальт, не претерпевший отжига $C_p = 0,1762 + 6 \cdot 10^{-5}T + 4,5 \cdot 10^{-8}T^2$ (0—800); выше 800° теплоемкость изменяется, почти как у остальных разнородностей, 2) фарфоровидный базальт, полученный после перекристаллизации стекловидного базальта в температурном интервале 800—850° в течение

3—4 час., $C_p = 0,154 + 11,5 \cdot 10^{-5}T$ (0—700); выше 850°, где, как и в первом случае, происходит перекристаллизация, C_p принимает почти те значения, которые свойственны естественному или полнокристаллич. образцу, 3) полнокристаллич. разнородность $C_p = 0,146 + 11 \cdot 10^{-5}T$, 4) ереванский естественный базальт $C_p = 0,185 + 4 \cdot 10^{-5}T$ (0—700), $C_p = 0,108 + 0,12 \cdot 10^{-5}T$ (выше 800°). Выше 1100° все кристаллич. виды базальта начинают плавиться. Определены также теплоты плавления, кристаллизации и превращения ереванского базальта, согласующиеся с литературными данными. По числу повторных нагревов и охлаждений (тепловых циклов) определена теплостойкость базальтовых изделий. Сообщение IV см. РЖХим, 1958, 54711.

В. Цукерман

69968 Д. Некоторые вопросы теории конвективной диффузии в жидкостях. Иванов Ю. Б. Автореф. дисс. канд. физ.-матем. н., Моск. инж.-физ. ин-т, М., 1958

См. также: Термодинамика и статистическая физика 69993, 69998, 69999. Межмол. взаимодействие 69814

РАДИОХИМИЯ. ИЗОТОПЫ

Редакторы Д. Л. Агеева, В. И. Левин, Г. А. Соколик

69969. К вопросу об активировании горных пород космическими лучами. Маркиш, Коста (On the production of radioactivity in rocks by cosmic rays. Marquez L., Costa N. L.), Anais Acad. brasil. cienc., 1957, 29, № 2, 225—227 (англ.)

Попытки обнаружения Be^{10} ($2,5 \cdot 10^6$ лет) в образцах бразильских и боливийских известняков весом 20—35 кг не увенчались успехом. Исходя из допущения, что скорость образования изотопа Be^{10} в известняках (под действием космич. лучей) такая же, как в воздухе, рассчитано равновесное кол-во Be^{10} в исследованных образцах, оказавшееся меньше чувствительности определения по принятой авторами методике.

Б. Каплан

69970. Радиоактивность Ta^{178} , Ta^{179} и Ta^{180} . Карвер, Терчинец (Radioactivity of ^{178}Ta , ^{179}Ta and ^{180}Ta . Carver J. H., Turchinets W.), Proc. Phys. Soc., 1958, 71, № 4, 618—626 (англ.)

Многоканальный сцинтилляционный γ -спектрометр был применен для исследования радиоактивности изотопов Ta , получающихся при фоторазложении Ta^{181} в электронном синхротроне. В схеме совпадений использовался дополнительный кристалл с одноканальным анализатором. Идентификация изотопов Ta основывалась на известных пороговых энергиях их образования. Полученный γ -спектр Ta^{180} ($T_{1/2}$ 8,15 часа) отличается от ранее описанного (Brown и др., Phys. Rev., 1951, 84, 292) только отсутствием γ -излучения в области 175—450 кэв. Приводятся доказательства превращения путем электронного захвата (ϵ) Ta^{179} в невозбужденное ядро Hf^{179} (РЖХим, 1956, 77265). Короткоживущий ядерный изомер Ta^{178} ($T_{1/2}$ 9,5 мин.) превращается в Hf^{178} путем ϵ З или β^+ -излучения, а долгоживущий изомер Ta^{178} ($T_{1/2}$ 150 мин.) превращается путем ϵ З в возбужденное ядро Hf^{178} с каскадным испусканием γ -лучей с энергиями 91, 215, 325 и 415 кэв. Дана схема радиоактивного распада изомеров Ta^{178} .

Б. Каплан

69971. Реакция параводорода и дейтерия со стеклянными поверхностями. Аннес, Клаф, Или (Reactions of parahydrogen and of deuterium with glass surfaces. Annis C. S., Clough H., Eley

D. D.), Trans. Faraday Soc., 1958, 54, № 3, 394—399 (англ.)

Изучены конверсия параводорода (I) в ортоводород и обмен D с H на поверхности стекла типа пирекс и хизил. Стенки стеклянного сосуда обезгаживали нагреванием в вакууме до 400° и выше, затем в сосуд вводили I или D до давл. > 1 мм рт. ст., выдерживали ~3 часа (в случае I) или ~2 суток (в случае D) при той же т-ре и через капиллярный затвор отбирали пробы газа для анализа на микроприборе Пирани (Bolland, Melville, Trans. Faraday Soc., 1937, 33, 1316). В интервале т-р 240—520° обе р-ции первого порядка, мономолекулярные, протекающие в адсорбированном на стекле слое газа. Для I и D определены значения констант скорости изученных р-ций (~10⁻⁴—10⁻⁵ мин.⁻¹), энергии активации E (10—25 ккал/моль), предэкспоненциального множителя (от ~0,5 до ~5·10⁵ мин.⁻¹ при разных т-рах и на разных сортах стекла) и доли молекул, сталкивающихся с поверхностью стекла, энергия которых не ниже E (от ~10⁻² до ~10⁻⁸). Обсуждается возможный механизм р-ций.

В. Н. Любимов
69972. Химические явления в связи с реакцией N¹⁴(n, p)C¹⁴ в ацетамиде и применение ядерной отдачи для синтеза. Вулф, Редванли, Андерсон (The chemical consequences of the N¹⁴(n, p)C¹⁴ reaction in the acetamide system and the implications of nuclear recoil as a tool for synthesis. Wolf Alfred P., Redvanly Carol S., Anderson R. Christian), J. Amer. Chem. Soc., 1957, 79, № 14, 3717—3724 (англ.)

Изучался выход и распределение активности C¹⁴ в виде некоторых органич. соединений при облучении кристаллич. ацетамида (I) в реакторе при 30° (см. также РЖХим, 1957, 40720). После удаления газообразных продуктов облученный I с прибавленным носителем подвергался гидролизу. При щел. гидролизе в выделенной уксусной к-те (II) найдено 6,6% всей активности C¹⁴, в пропионовой к-те (III) 6,3%. Из общей активности II в метильном углероде содержится 38, в карбонильном 62%. Для III в метильном 52, метиленовом 24, карбонильном 24%. При кислотном гидролизе выход II 8,1, III 4,9%. Распределение по положениям C¹⁴ в II 37 и 63%, в III 52, 27, 21%. В ацетон входит 0,13% C¹⁴; метильные группы содержат 80, карбонильная 20%. Авторы рассматривают влияние хим. особенностей среды и возможных процессов при обработке облученного материала на выход различных продуктов. Обсуждается возможность и трудности получения меченых материнского соединения и его ближайших гомологов путем использования энергии отдачи при облучении. Описана методика очистки и разделения II и III и анализа на содержание C¹⁴ в разных положениях.

И. Звара
69973. Реакции атомов отдачи брома в броматах щелочных металлов. Джек, Харботтл (Reactions of recoil bromine atoms in alkali bromates. Jach Joseph, Harbottle German), Trans. Faraday Soc., 1958, 54, № 4, 520—525 (англ.)

Кристаллические безводн. броматы щел. металлов облучались в течение 3 мин. нейтронами в реакторе при т-ре сухого льда. Облученное в-во растворялось в 0,1 н. NaOH и путем электрофореза на бумаге разделялись радиоактивные ионы Br⁻ и BrO₃⁻. Определялось удержание (У) — доля радиоброма, присутствующего в р-ре в виде иона BrO₃⁻. Изучалось изменение У при предварительном отжиге облученных броматов при т-ре 200° (Cobble, Boyd, J. Amer. Chem. Soc., 1952, 74, 1282). Без отжига У равно (%): для NaBrO₃ 11, KBrO₃ 11, RbBrO₃ 13, CsBrO₃ 12 и одинаково при измерении как по Br⁸², так и по Br^{80m}. При отжиге У сначала резко возрастает и затем после не-

скольких часов достигает относительно постоянного предельного значения (35—53% для различных солей). При этом У по Br⁸² увеличивается быстрее, чем по Br^{80m} (разница достигает 8—9%). Авторы связывают это явление с зарядом атома отдачи. В отличие от этого, для LiBrO₃ без отжига У равно 11% по Br^{80m} и 8% по Br⁸², при отжиге различие быстро выравнивается и оба изотопа ведут себя одинаково. Без отжига, для Ba(BrO₃)₂ У равно 8% по Br^{80m} и для AgBrO₃ У по Br^{80m} и Br⁸² равно 15%.

И. Звара
69974. Химические явления в связи с отдачей продуктов деления. II. Разложение уранилйодата. Холл (Chemical effects in fission product recoil. II. The decomposition of uranyl iodate. Hall D.), J. Inorg. and Nucl. Chem., 1958, 6, № 1, 3—11 (англ.)

Кристаллический UO₂(JO₃)₂·H₂O (I), облученный в реакторе тепловыми нейтронами, растворялся при встряхивании в водн. р-ре гексаметафосфата натрия с одновременной экстракцией CCl₄. Определялся выход элементарного йода (II) — главного продукта разложения I; после радиохим. очистки находили уд. активности I и II. При небольших дозах нейтронов выход II и уд. активность I пропорциональны числу актов деления, уд. активность экстрагированного II от него не зависит. На один акт деления образуется 9,4·10⁶ атомов йода, т. е. 5,8 на 100 эв поглощенной энергии. Выход J¹³¹ в виде II постоянен и равен 14% от общего кол-ва J¹³¹. Облучение I в отсутствие воздуха дает такие же результаты. Эти данные согласуются с представлением, что распределение активности J¹³¹ определяется взаимодействием его атомов — осколков деления — со средой и последующими явлениями в связи с их β-распадом. Сообщение I см. РЖХим, 1958, 311.

И. Звара
69975. Приготовление свободных от носителя радиоактивных скандия и ванадия из титановых мишеней, облученных на циклотроне. Уолтер (Preparation of carrier-free scandium and vanadium activities from titanium cyclotron targets. Walter Robert I.), J. Inorg. and Nucl. Chem., 1958, 6, № 1, 63—66 (англ.)

Облученная дейтронами Ti-мишень содержит радиоактивные Ca, Sc и V. Мишень нагревают в струе Cl₂ при 400°. При этом TiCl₄ и VCl₄ (возможно VOCl₃) отгоняются, а ScCl₃ и CaCl₂ остаются в печи. Дистиллят очищают повторной отгонкой и выделяют V адсорбцией на поверхности металлич. Си, помещенной в кипящую смесь хлоридов. Си-пластинку обмывают CCl₄ и снимают с нее V⁴⁸ вместе с небольшим кол-вом Си растворением в 1 M HCl. Си отделяют осаждением в виде CuS, последнюю отфильтровывают, а фильтрат упаривают досуха, остаток растворяют в 0,1 M H₂C₂O₄, насыщенной SO₂, и отделяют V от примесей Sc⁴⁶ и Ti ионным обменом последовательно на двух колонках со смолой дауэкс-1. H₂C₂O₄ в р-ре продукта разрушают действием H₂O₂. Выход V ~80%. Sc⁴⁶ извлекают, промывая печь 6 M HCl. К промывной жидкости добавляют H₂C₂O₄ и р-р упаривают досуха. Остаток растворяют в 0,1 M H₂C₂O₄ и выделяют Sc⁴⁶ ионным обменом. Радиохим. чистоту Sc⁴⁶ и V^{48,49} проверяют по кривым распада и исследованием спектра γ-излучения.

В. Левин
69976. Выделение технеция-99m без носителя методом нарушения химических связей при β-распаде. Нефедов В. Д., Торопова М. А., Ж. неорган. химии, 1958, 3, № 1, 231—234

Из MoO₃, облученной медленными нейтронами, получали MoCl₅, а затем Mo(CO)₆ (I), который очищали перегонкой с водяным паром и возгонкой. 100 мг I, выдержанного для накопления Tc^{99m} из Mo⁹⁹, растворяли в 10 мл хлороформа или эфира, р-р экстрагировали 10 мл дважды дистилл. воды, водн. слой трижды

промывали органич. р-рителем. Te^{99m} извлекается на 98—99%. И. Звара

69977. Коэффициенты обогащения изотопов хлора и серы при равновесии жидкость — пар для Cl_2 , HCl , CH_3Cl , H_2S , SO_2 . Гвердцители И. Г., Гагуа Т. А., Николаев Ю. В., Атомная энергия, 1958, 4, № 3, 294—296

Коэффициент обогащения (k) изотопов Cl^{35} и Cl^{37} для Cl_2 (I), HCl (II) и CH_3Cl (III), а также S^{32} и S^{34} для H_2S (IV) и SO_2 (V) определяли методом исчерпывающей ректификации этих в-в с естественным изотопным составом на колонке (K) с известным числом теоретич. тарелок n . Мельхиоровая трубка длиной 1,5 м (для изотопов Cl) и 1 м (для изотопов S), внутренним диам. 7,6 мм, заполненная колечками внутренним диам. 1,2 мм из 0,25 мм константановой проволоки, промытой и протравленной царской водкой, окружена вакуумной рубашкой, давление в которой $\sim 10^{-4}$ мм рт. ст.; внешнюю стенку рубашки охлаждали до рабочей т-ры процесса перегонки. Градуировку K проводили при ректификации BF_3 , для которого известен коэф. однократного разделения ($\alpha = 1,0082$ при -103° и давлении BF_3 630 мм рт. ст.); определенное таким путем значение n считали неизменным для всех остальных в-в. Для I при -36° максим. $k = 1,05 \pm 0,01$; $\Delta p/p_2 = 0,0004—0,0002$, где $\Delta p = p_1 - p_2$, p_1 и p_2 — давления насыщ. паров легкого и тяжелого типа изотопич. молекул соответственно; вычисленная разность т-р кипения изотопных разновидностей $\Delta T = 0,004—0,009$. Для II при -88° максим. $k = 1,08 \pm 0,01$; $\Delta p/p_2 = 0,0006—0,0004$; $\Delta T = 0,007—0,10$. Для IV при -60° максим. $k = 1,1$; $\Delta p/p_2 = 0,001—0,0008$; $\Delta T = 0,020—0,016$. В случае III и V в пределах точности измерений разделения изотопов не обнаружено. При увеличении уд. скорости пара через K от 7,5 до 25,2 $\text{см}^3 \cdot \text{см}^{-2} \cdot \text{сек}^{-1}$ n уменьшается лишь от 96 до 72.

В. Любимов

69978. Разделение изотопов при нестационарном молекулярном течении. Синельников К. Д., Иванов В. Е., Сафронов Б. Г., Азовский Ю. С., Асеев Г. Г., Ж. эксперим. и теор. физ., 1958, 34, № 2, 327—330 (рез. англ.)

Изучали изменение изотопного состава Hg при нестационарном мол. течении ее пара через Fe-трубку длиной 4500 мм, диам. 6 мм, согнутую в виде цилиндрич. спирали диам. 160 мм, соединенную одним концом со стальной ампулой с Hg, другим — с ионным источником масс-спектрометра типа MC-2. Трубку промывали HCl, конц. HNO_3 и водой и в течение нескольких суток откачивали при 450—550° до высокого вакуума ($1—2 \cdot 10^{-7}$ мм рт. ст. при 20°), затем пропускали пары Hg при давл. $\sim 10^{-5}$ мм рт. ст. и измеряли интенсивность ионного тока I_{198} и отношение $\beta = I_{198}/I_{204}$ для изотопов Hg^{198} и Hg^{204} . После установления стационарного потока $\beta_0 = \text{const}$ ток пара Hg прекращали и, нагревая Fe-трубу, измеряли β десорбируемой с ее стенок Hg. В течение первых ~ 8 час. после начала пропускания Hg через трубку $\Delta = (\beta - \beta_0)/\beta_0$ снижается, достигая нуля (стационарный поток); при десорбции Hg $\Delta < 0$. Такую же картину наблюдали при работе с Cu-трубкой. На поверхности стеклянной трубки адсорбция Hg оказалась исчезающе малой. Эксперим. и теоретич. (Clausing P., Ann. phys., 1930, 7, 489) значения Δ хорошо совпали. Среднее время адсорбции Hg на Fe $\tau_e^{198} = 3,4 \cdot 10^{-2}$ сек., $\tau_e^{198}/\tau_e^{204} = 1,008$ для т-ры 293° K и $\tau_e^{198} = 1,0 \cdot 10^{-2}$ сек. для т-ры 563° K. Теплота адсорбции Hg на Fe $\sim 1,5 \cdot 10^3$ кал/моль.

В. Любимов

69979. Об удалении радона из растворов солей радия. Миранда (On the de-emanation of a radium

solution. Miranda H. A.), J. Atmos. and Terr. Phys., 1958, 12, № 1, 80—83 (англ.)

Описан метод удаления Rn из р-ров солей Ra. Свободный от Rn газообразный N_2 барботирует при атмосферном давлении и комнатной т-ре через р-р соли Ra объемом 400 мл со скоростью 1 л/мин и затем пропускается через осушитель и ионизационную камеру. Пропускание 52 л N_2 обеспечивает выделение Rn из р-ра на 99,1%.

Л. Солодихина

69980. Отделение радия от платины, золота и серебра с целью переработки старых клинических радиальных препаратов. Веберсик (Trennung des Radiums von Platin, Gold und Silber zur Umarbeitung alter klinischer Radiumpräparate. Vebersik Vlastimil), J. prakt. Chem., 1958, 6, № 1, 25—30 (нем.)

Для отделения Ra от Pt растворяют Pt-контейнеры с Ra в 50 мл кипящей царской водки (ЦВ). Полученный р-р выпаривают на водяной бане досуха, остаток растворяют в 50 мл воды, добавляют 50 мл HCOOH и кипятят р-р для выделения Pt-черни, которая по истечении 45 мин. приобретает крупнозернистую структуру. Для растворения RaSO_4 приливают 30 мл 5%-ного комплексона III (I) в аммиаке (II), кипятят 40 мин., отфильтровывают Pt-чернь, многократно промывают осадок 1%-ным р-ром I в II и горячей водой, а затем подкисляют р-р уксусной к-той по метиловому красному. Выпавший осадок RaSO_4 настаивают при кипячении р-ра 6 час., отфильтровывают и промывают 1%-ным $(\text{NH}_4)_2\text{SO}_4$ (RaSO_4 отделяется от RaD, RaE и RaF). Для отделения Ra от Au растворяют контейнер с препаратом в 40 мл кипящей ЦВ. Р-р выпаривают на водяной бане досуха, растворяют остаток в 20 мл воды + 50 мл 5%-ного р-ра I, кипятят и отстаивают выделившийся осадок Au в течение 3 час. Затем сильно подщелачивают смесь добавлением II и кипятят 40 мин. при периодич. добавлении II для растворения RaSO_4 . Осадок Au отфильтровывают, промывают горячим 1%-ным р-ром I в II и горячей водой, а из фильтрата и промывных вод осаждают RaSO_4 вышеописанным способом. Ra в Ag-контейнерах растворяют в 20 мл конц. HNO_3 и после 10 мин. кипячения выпаривают р-р досуха, растворяют остаток в 20 мл воды + 30 мл 5%-ного р-ра I и II и кипятят р-р 30 мин при периодич. добавлении II. После подкисления р-ра уксусной к-той по метиловому красному выпадает RaSO_4 , который после кипячения становится крупнозернистым. После 6 час. отстаивания осадок отфильтровывают и промывают 1%-ным $(\text{NH}_4)_2\text{SO}_4$. Из фильтрата действием 1%-ного KJ осаждают AgI и выпавший осадок отфильтровывают. Фильтрат содержит RaD, RaE и Po. Потери Ra при его выделении по описанным методам, как правило, не превышают 1%.

Н. Полянский

69981. Новый метод радиохимического анализа с применением полярографии. Лав (New techniques in radiochemical determinations, using polarographic methods. Love Daniel L.), Analyt. chim. acta, 1958, 18, № 1—2, 72—80. Discuss., 80 (англ.)

Описан метод выделения радиоактивных ионов из смеси и их определения при помощи полярографии. Если в данной среде ион восстанавливается электрохимически до нулевого заряда при определенном потенциале, то он образует при этом потенциал амальгамы на поверхности Hg-капли. Определенное (ничтожно малое) кол-во радиоактивных ионов уносится каплями ртути; их активность может быть измерена обычными методами, а излучение исследовано при помощи γ -спектрометра. Описана конструкция полярографич. ячейки для данного метода. Капля Hg, образовавшаяся в анализируемом р-ре, падает через слой CCl_4 и удаляется из ячейки в пробирку. После удаления CCl_4 γ -активность Hg измеряют

непосредственно, а β -активность — после смывания разб. HCl и нанесения на счетные тарелочки. На примере Co^{60} показано, что скорость полярографич. восстановления чрезвычайно разбавленного Co^{60} и больших конц-ий Co одна и та же. Поэтому для анализа этим методом не нужен носитель. Из равновесной смеси $\text{Zr}^{95}\text{-Nb}^{95}$ количественно выделен Zr^{95} ; активность выделенной амальгамы оказалась пропорциональной кол-ву Zr^{95} в р-ре. Присутствие Ce^{144} — Pr^{144} , Ru^{106} , Cs^{137} , Be^7 и Co^{60} не мешало определению Zr^{95} . Из равновесной смеси $\text{Ru}^{106}\text{-Rh}^{106}$ выделен Rh^{106} , содержащий $\sim 2\%$ примеси Ru^{106} , и определен $T_{1/2}$ Rh^{106} , равный $29,3 \pm 0,65$ сек. Из смеси продуктов деления 6-месячной выдержки выделены в р-ре HCl изотопы Ru. Автор указывает на возможность выделения описанным методом большого числа других элементов.

В. Левин

69982. Радиохимические определения долгоживущих продуктов деления в природных материалах. Мерритт (Radiochemical analysis for long-lived fission products in environmental materials. Merritt W. F.), Canad. J. Chem., 1958, 36, № 3, 425—428 (англ.)

Описывается метод радиохим. анализа проб почвы, воды и т. п. на Ru^{106} , Sr^{90} , Cs^{137} и Ce^{144} . К анализируемому образцу добавлял носители и сплавлял его при 550°C с KOH, KNO_3 и K_2CO_3 . Ru и Cs извлекаются водой, а Sr и Ce остаются в сплаве. Ru окисляют KIO_4 и экстрагируют CCl_4 в виде RuO_4 при pH 7—4 и рекстрагируют 6 н. HCl; Cs сорбируют из цел. р-ра на катионообменной смоле Duilite C-3 в Li-форме, удаляют K элюированием LiOH, затем Li элюированием 0,2 н. HCl и вымывают Cs 6 н. HCl. Оставшуюся часть сплава растворяют в к-те, отделяют кремнекислоту и выделяют Ce осаждением в виде гидроокиси, а Sr в виде карбоната. Затем следует очистка Ce осаждением сначала в форме CeF_3 , затем в виде $\text{Ce}(\text{JO}_3)_4$ и отделение Ca от Sr экстракцией спирто-эфирной смесью и Ba осаждением из спирт. солянокислого р-ра.

Н. Попов

69983. Определение содержания тяжелой воды в ее смеси с нормальной водой. Форшт (Stanovení obsahu těžké vody ve směsi těžké a normální vody. Fořt Aleš), Českosl. časop. fys., 1957, 7, № 6, 740—744 (чешск.)

Определение проводилось с помощью интерферометра Цейсса в диапазоне конц-ий 2—50% D_2O . При использовании длинных конет можно достичь точности измерения малых конц-ий, достаточной для применения этого метода для контроля произ-ва D_2O . И. Звара

69984. Применение счетчиков с наружным катодом для определения трития. Монфега (Observations sur l'emploi des compteurs à cathode externe pour le dosage du tritium. Monfeuga Suzanne), Mikrochim. acta, 1958, № 2, 177—180 (франц.; рез. нем., англ.)

Применяя Г.—М.-счетчик типа Мазе для определения трития в органич. в-вах, автор наблюдал 3 вида помех; от присутствия следов O_2 и паров Hg и от изменения поверхности стеклянной оболочки счетчика. Указаны меры предотвращения ошибок. Д. Агеева

69985. Делительная трубка. XXI. Делительная трубка с вольтовой дугой. Клузус, Шумахер, Фишер (Das Trennrohr. XXI. Ein Lichtbogentrennrohr. Clusius K., Schumacher E., Fischer A.), Z. phys. Chem. (BRD), 1958, 15, № 1—6, 14—21 (нем.)

В термодиффузионной делительной трубке (ДТ) нить, натянутая по оси («горячая стенка»), заменена вольтовой дугой, создаваемой между аксиально расположенными Fe-электродами диам. 2 мм с помощью повышающего трансформатора мощностью 1 кет; сила тока в цепи дуги 28 ма. Длина ДТ 1 м, оптимальный

диам. 10—20 мм, давление газа 150—400 мм рт. ст., т-ра охлаждаемой циркулирующим $\text{C}_2\text{H}_2\text{Cl}_4$ стенки 350°K , эффективная т-ра плазмы в дуге $\sim 3000^\circ\text{K}$. Равновесное состояние в ДТ достигается за ~ 4 мин., что установлено отбором проб газа из верхнего и нижнего концов ДТ и анализом их на масс-спектрометре. Проведено разделение смеси $\text{Ar} + \text{N}_2$ и изотопов Ne^{20} и Ne^{22} ; характеристич. длина ДТ соответственно равна для этих в-в 37 и 650 см; логарифм. коэф. разделения пропорционален длине вольтовой дуги. Установлено, что причиной разделения является эффект термодиффузии, а не электр. процессы. Сообщение XX см. РЖХим, 1958, 42469.

В. Любимов

69986. Стабильные и нестабильные изотопы. Туркевич (Stable and unstable isotopes. Turkevich John), Combustion Boiler House and Nucl. Rev., 1958, 12, № 118, 73—75 (англ.)

Обзор работ автора по применению стабильных и радиоактивных изотопов для изучения механизма некоторых гетерог. каталитич. р-ций. Библ. 21 назв.

В. Любимов

69987. Применение радиоактивного углерода. Врис (Toepassing van radioactieve koolstof. Vries H. de), Verslag. Koninkl. nederl. akad. wet. Afd. natuurkunde, 1958, 67, № 3, 49—52 (гол.)

69988. Определение возраста горных пород рубидий-стронциевым методом. Эвальд, Фелькель, Хебеда, Кохер (Über Altersbestimmungen von Gesteinen nach der Rubidium-Strontium-Methode. Ewald H., Felkel G., Hebeda E., Kocher H.), Z. Naturforsch., 1958, 13a, № 3, 235 (нем.)

Для установления возраста образца микроклина (полевого шпата) (I) из Швеции по Sr-Rb-методу было спектрографически определено отношение содержания обоих элементов в I, оказавшееся равным $\text{Sr} : \text{Rb} = (10,9 \pm 0,2) \cdot 10^{-3}$. Фотометрировались линии SrI 4607 и RbI 4201. Возбуждение спектра производилось в фотovoltaической ячейке (Löbell D., Z. Angew. Phys., 1952, 4, 462). На ячейку подавалось напряжение 72 в. В ячейку вводились р-ры хроматографически выделенных Sr- и Rb-фракций I в 0,3 М KCl. Исходя из отношения $\text{Sr} : \text{Rb}$ и из масс-спектрометрически измеренного отношения $\text{Sr}^{87} : \text{Sr}$ в I ($0,745 \pm 0,006$), авторы определили возраст I, равный $(2,08 \pm 0,04) \cdot 10^9$ лет.

Б. Каплан

69989. Замедлители [нейтронов] и тяжелая вода. Такамацу, Chemistry (Japan), Karaku, 1957, 12, № 8, 602—611 (японск.)

69990. Изучение водного баланса при помощи тяжелой воды (окиси дейтерия). 1. Метод анализа (температурно-поплавковый метод). Хориути, Овада, Фудзиги, Цутида, Хакоиси, Фунаути (Horiuchi Kazuya, Owada Kunio, Fujii Toru, Tsuchida Tadabumi, Hakoishi Kaneo, Funauichi Toshio), Нихон эйсэйгаку дзасси, Japan. J. Hyg., 1957, 12, № 3, 220—225 (японск.)

См. также: Получение 70286. Ядерные св-ва 69702—69713. Изотопные эффекты 69730, 69788, 70102, 70118, 70222, 70753. Изотопный обмен 70100, 70109, 70215. Применения в исслед. кинетики и механизма р-ций 69959, 70005, 70210, 70751, 70755—70757; строения хим. соединений 70325; в физ.-хим. исследованиях 69891, 70024, 70051; в биохимии C^{14} 27079Бх, 27092Бх, 27289Бх, 27323Бх, 27381Бх, 27848Бх; N^{15} 28055Бх; Na^{22} 27908Бх; Na^{24} 27574Бх; P^{32} 27116Бх, 27201Бх, 27251Бх, 27340Бх, 27568Бх, 27796Бх, 27833Бх, 28203Бх, 28443Бх; S^{35} 27298Бх, 27342Бх, 27788Бх, 27868Бх; Ca^{45} 27770Бх, 27909Бх; Co^{60} 27262Бх; Sr^{85} 27966Бх; Sr^{90} 27945Бх, 27946Бх; J^{131} 27105Бх, 27291—27294Бх, 27493Бх, 27773Бх, 27995—27997Бх, 28116Бх, 28167Бх, 28224Бх; La^{140}

27938Бх; Hg^{203} 28434Бх; Bi^{210} 27776Бх; общие вопросы: 26997Бх, 27290Бх, 27392Бх, 27821Бх, 27914Бх, 27934Бх, 28141Бх, 28143Бх, 28157Бх, 28164Бх, 28194Бх, 28432Бх; в пром-сти 71091, 71331; в аналитич. химии 70482, 70526, 70531, 70633. Хим.-технол. вопросы ядерной техники 71325, 71334. Изотопы в геохимии и космохимии 70363, 70386, 70387, 70397, 70454. Защита от излучений 71288, 71290—71292, 71591. Радиоактивн. отходы 71274. Аппаратура для работы с изотопами 70653, 70692—70694, 70725.

ТЕРМОДИНАМИКА. ТЕРМОХИМИЯ. РАВНОВЕСИЯ. ФИЗИКО-ХИМИЧЕСКИЙ АНАЛИЗ. ФАЗОВЫЕ ПЕРЕХОДЫ

Редакторы Д. Л. Агеева, В. А. Соколов

69991. Об одном экстремальном свойстве свободной энергии. Коппе (Eine Extremaleigenschaft der freien Energie. Kopppe H.), Z. Phys., 1958, 150, № 1, 64—66 (нем.)

Доказана теорема: если в статистич. сумме заменить собственные значения оператора Гамильтона диагональными элементами в произвольном представлении, то получающаяся величина не может быть больше свободной энергии, так что $F = -kT \ln \sum e_n \exp(-\epsilon_n/kT) \leq -kT \ln \sum \exp(-\eta_n/kT)$, где e_n — собственные значения некоторого эрмитовского оператора H , $\eta_n = (\Phi_n, H\Phi_n)$ (Φ_n — функции произвольной ортогональной системы). В. Цукерман

69992. О частных производных основных термодинамических функций в переменных T и P . Баженов М. Н., Сутяшева Ш. Ш., Ж. физ. химии, 1958, 32, № 4, 778—781

При исследовании процессов термодинамич. методами приходится пользоваться частными производными основных термодинамич. функций при различных изопроцессах. Число таких производных весьма велико. Составлена вспомогательная таблица, включающая параметры: давление P , уд. объем v , т-ру T , уд. энтропию S , внутреннюю энергию U , энтальпию H , свободную энергию F и термодинамич. потенциал Φ . С помощью этой таблицы простым делением можно найти любое из всех возможных частных производных 1-го порядка, напр. $(\partial H/\partial P)_S$, $(\partial S/\partial P)_H$, $(\partial S/\partial F)_U$ и др., в переменных T и P , в том числе термодинамич. ур-ия Максвелла. Таблица облегчает решение задач хим. и технич. термодинамики, анализ теплотехнич. диаграмм, а также нахождение частных производных термодинамич. функций 2-го порядка.

А. Золотаревский

69993. Полезная работа и уменьшение свободной энергии в неизобарических самопроизвольных изменениях. Дейвидсон (Net work and free energy decrement in non-isobaric spontaneous changes. Davidson Arthur W.), Trans. Kansas Acad. Sci., 1957, 60, № 4, 441—447 (англ.)

Полезная работа равна убыли свободной энергии не только в процессе действительно изобарическом, но всем протяжении которого давление (p) остается постоянным повсюду, но и в таком, где p каждого из реагирующих в-в и продуктов р-ции остаются постоянными в течение всего процесса, но не обязательно одинаковыми между собой. Это заключение справедливо и для переноса одного газа из области с большим p в область с меньшим p , и для хим. р-ции, где каждый реагент и каждый продукт р-ции поддерживается при постоянном p . Напр., изотермич. продавливание сквозь пористую перегородку смеси реагирующих газов так, что до перегородки при определенном

(большем) p находятся реагенты, а после перегородки при постоянном p находятся продукты р-ции. В. Г. 69994. О преобразовании GW . Ланский (O transformaci GW . Lánský Miloš), Aplikace mat., 1957, 2, № 6, 444—468 (чешск.; рез. русск., англ.)

Исходя из приближенного выражения (через конц-ии) закона действующих масс посредством GW -преобразования, решается вопрос о существовании и однозначности хим. равновесия общей системы гетерог. р-ций. Доказательство ведется методами линейной алгебры и теории групп. Вводятся 2 конечно-мерных полуупорядоченных пространства K и K^* . Число молей соединений изображается координатами пространства K , а число грамм-атомов, входящих в состав этих соединений, — координатами пространства K^* . Часть линейной многообразия, порожденная единицами при отображении K в K^* называется GW -областью, а соответствующее преобразование — GW -преобразованием. Результаты теории иллюстрируются двумя примерами. В. Аносов

69995. Величина, аналогичная постоянной Трутона. Джакалоне (A quantity analogous to Trouton's constant. Giacalone A.), Nature, 1957, 178, № 4544, 1246—1247 (англ.)

Показано, что величина $\lambda(\text{исп.})/P(V(\text{пар}) - V(\text{жидк.}))$, где $\lambda(\text{исп.})$ — теплота испарения, P — давление на кривой равновесия пар — жидкость, $V(\text{пар})$ и $V(\text{жидк.})$ — мол. объемы пара и жидкости, является одинаковой для всех в-в в соответственных состояниях. Для нормальной точки кипения ($P = 1 \text{ атм}$) эта универсальная постоянная оказывается примерно равной половине постоянной Трутона $\lambda(\text{исп.})/T(\text{кип.})$, где $T(\text{кип.})$ — т-ра нормальной точки кипения. В. З.

69996. Соответствие для некоторых кристаллов в точках плавления. Гопал (Correspondence in some crystalline solids at their melting points. Gopal Ram), Trans. Faraday Soc., 1957, 53, № 4, 406—409 (англ.)

См. РЖФиз, 1958, 3184.

69997. Уравнение состояния для цинка, кадмия и магния. Шивананда-Толпади (Equation of state of zinc, cadmium and magnesium. Shivananda Tolpadi S.), Proc. Phys. Soc., 1958, 71, № 5, 742—748 (англ.)

Выведено ур-ние состояния для кристаллов, принадлежащих к гексагон. системе, дающее возможность производить вычисления по эксперим. данным для теплоемкости, коэф. термич. расширения и упругих констант. Примененный метод аналогичен методу Дэйла для куб. кристаллов (Dayal B., J. Chem. Phys., 1950—1951, 18, 1302). Показана зависимость от т-ры и давления средних констант Грюнайзена для Zn, Cd и Mg. Ур-ние состояния, при выводе его в предположении, сделанном Грюнайзеном о 2 характеристич. т-рах Дебая, соответствующих колебаниям, перпендикулярным и параллельным гексагон. оси, не согласуется с эксперим. данными Бриджмена.

А. Золотаревский

69998. Расчет сверхзвукового сопла и вычисление показателя изэнтропии для газов, в которых происходит химическая реакция. Эдсе (Design of supersonic expansion nozzles and calculation of isentropic exponent for chemically reacting gases. Edse R.), Trans. ASME, 1957, 79, № 7, 1527—1535 (англ.)

Дан метод расчета среднего показателя изэнтропии (ПИ) для газов постоянного состава, но с теплоемкостью, зависящей от т-ры. Три метода расчета дают мало различающиеся значения. Рассмотрены в общем виде и на примере диссоциации водорода методы расчета средней теплоемкости и ПИ для газовых смесей, в которых происходят хим. р-ции. В этом случае ПИ

сильно отличается от обычной величины $\gamma = c_p/c_v$. Показано, что для точного расчета сверхзвукового сопла необходимо составлять для реагирующей газовой смеси диаграмму энтропия — т-ра и энтальпия — т-ра.

А. Лихтер
69999. Процесс Джоуля — Томсона при сжижении гелия. Браун, Дин (Joule-Thomson process in the liquefaction of helium. Brown Edmund H., Dean John W.), J. Res. Nat. Bur. Standards, 1958, 60, № 3, 161—168 (англ.)

Для уд. энтальпии гелия $h(P, T)$ введена безразмерная нормализованная коррелирующая функция w , определяемая уравнением $w(P, T) = [h(P, T) - h_0(P)] / [h^0(T) - h_0(P)]$, где $h^0(T) = h(0, T)$, $h_0(P) = h(P, 0)$. Исследована зависимость w от давления и т-ры, представленная на диаграммах $P-w$ и $T-w$. С помощью функции w рассмотрены литературные данные по энтальпии He. Подтверждена правильность термодинамич. данных, полученных для He при низких т-рах ранее (Zelmanov J. L., J. Phys. USSR, 1944, 8, 135). На основе рассмотрения теплового баланса процесса Джоуля — Томсона выведены уравнения для определения сжимаемой доли газа (α), проходящего через вентиль Джоуля — Томсона. Даны графики зависимости $\alpha - P$ с напесением изотерм 4—20° К при различных значениях коэф. полезного действия η процесса. А. Золотаревский

70000. Теплота гидратации сульфата натрия. Низкотемпературная теплоемкость и энтропия декагидрата сульфата натрия. Бродейл, Гнок (The heat of hydration of sodium sulfate. Low temperature heat capacity and entropy of sodium sulfate decahydrate. Brodale G., Giaque W. F.), J. Amer. Chem. Soc., 1958, 80, № 9, 2042—2044 (англ.)

Теплота растворения (ΔH_p) $\text{Na}_2\text{SO}_4 \cdot 10\text{H}_2\text{O}$ (I) и теплоты разбавления р-ров I измерены при 25° С и табулированы. Для конечного состояния $\text{Na}_2\text{SO}_4 \cdot 10\text{H}_2\text{O}$ $\Delta H_p = 18989 \pm 20$ ккал/моль. Теплоемкость I (c_p) измерена в ранее описанном калориметре (Giaque W. F., Archibald R. C., J. Amer. Chem. Soc., 1937, 59, 561) и табулирована в интервале 15—300° К (шаг 5—10°). Теплота превращения при 32,384° С равна 18873 ± 20 ккал на 1 моль I. Из результатов измерений и литературных данных вычислены при 25° С теплота (ΔH), свободная энергия (ΔF) и энтропия (ΔS) р-ции $\text{Na}_2\text{SO}_4 + 10\text{H}_2\text{O}(\text{газ}) = \text{I}$; $\Delta H = -124749$ ккал/моль, $\Delta F = -21795$ ккал/моль, $\Delta S = -345,31$ энтр. ед. Рассчитана энтропия $S_{298,15} = 141,46$ энтр. ед. Разность $S_{298,15} - \int_{298,15}^{\text{I}} c_p d \ln T$, равная 1,51 энтр. ед., указывает, что I обладает при 0° К остаточной энтропией.

В. Колесов

70001. Энергетика боранов. V. Предсказание теплот образования. Взаимопревращения гидридов бора. Бауэр (Energetics of the boranes. V. Prediction of heats of formation. Interconversion of the hydrides of boron. Bauer S. H.), J. Amer. Chem. Soc., 1958, 80, № 2, 294—298 (англ.)

Предложена система энергий бороводородов, основанная на рассмотрении энтальпий р-ций гидрирования элементарного бора: $50\text{B}(\text{тв.}) + 75\text{H}_2(\text{газ}) = (50/n) \text{B}_n\text{H}_{5n+2}(\text{газ}) + 24(2 - p/n) \text{H}_2(\text{газ})$ (на моль элементарных ячеек), до гидридов, для которых известны теплоты образования: B_2H_6 , B_3H_9 и $\text{B}_{10}\text{H}_{14}$. На графике зависимости ΔH° этой р-ции от 50 ($1 + p/n$) точки для перечисленных гидридов и В ложатся на плавную кривую. Интерполяцией по этой кривой предсказаны ΔH° (обр.) (298°) для газообразных B_4H_4 8,3; B_4H_{10} 13,9; B_5H_{11} 16,5; B_5H_{14} 23,5; B_6H_{10} 17,2; $\text{B}_{12}\text{H}_{12}$ 24,7, хорошо совпадающие с предсказанными ранее на основе энергий связей. Показано, что для в-в с двухэлектронными связями (углеводородов) точки зависимости ΔH° р-ций $50\text{C}(\text{тв.}) + 100\text{H}_2(\text{газ}) = (50/n) \text{C}_n\text{H}_{2n+2}(\text{газ}) + 25(2 - p/n) \text{H}_2(\text{газ})$ от соотношения Н:С не ложатся на

плавную кривую, так что наличие такой плавной зависимости характерно только для гидратов В, поскольку у них при гидрировании нарушение электронного окружения в элементарном В компенсируется образованием новых связей с Н, а положительные ΔH° (обр.) обусловлены потерей связей Н—Н. Энтропии B_2H_6 , B_5H_9 и $\text{B}_{10}\text{H}_{14}$ ложатся на плавную кривую, проходящую ниже, чем для алканов, так как в последних есть внутреннее вращение, которого нет у бороводородов. Интерполяцией по этой кривой предсказаны S (298°) для B_4H_4 61,5; B_4H_{10} 63—70; B_5H_{11} 67—71; B_5H_{14} 77,30; B_6H_{10} 69,60; $\text{B}_{12}\text{H}_{12}$ 88,80 и найдены свободные энергии р-ций взаимопревращения бороводородов (для 11 р-ций). Предыдущ. сообщение см. РИХХим, 1958, 52884.

М. Дяткина

70002. Теплоты горения некоторых органических соединений, содержащих хлор. Синк, Сталл (Heats of combustion of some organic compounds containing chlorine. Sink G. C., Stull D. R.), J. Phys. Chem., 1958, 62, № 4, 397—401 (англ.)

В калориметре конструкции, подобной описанной ранее (Hubbard W. N. и др., J. Amer. Chem. Soc., 1948, 70, 3259), с самоуплотняющейся, выложенной внутри платиной, бомбой измерены теплоты горения 1,2-дихлорэтана (I), о-дихлорбензола (II), 2,5-дихлорстирола (III), пентахлорфенола (IV), гексахлорбензола (V), 1,1-дихлорэтилена (VI), поливинилхлорида (VII), поли-1,1-дихлорэтилена (VIII). Для восстановления свободного хлора в Cl⁻ применялся р-р мышьяковистой к-ты. Из эксперим. данных рассчитаны стандартные энтальпии образования (в ккал/моль; для VII и VIII в ккал на 1 моль мономера): для жидкого состояния I —39,6 ± 0,4, II —4,4 ± 0,3, III +8,3 ± 0,4, VI —6,0 ± 0,3; для твердого состояния IV —70,6 ± 0,7, V —31,3 ± 1,0, VII —24,0 ± 0,4, VIII —22,6 ± 0,3. Рассчитаны энтальпии полимеризации при 25° в ккал/моль газообразного винилхлорида (—31,5 ± 0,6) и жидкого VI (—18,0 ± 0,7).

А. Воробьев

70003. Теплота образования монооксида серы. Дьюинг, Ричардсон (The heat of formation of sulphur monoxide. Dewing E. W., Richardson F. D.), Trans. Faraday Soc., 1958, 54, № 5, 679—684 (англ.)

Экспериментально исследовано равновесие р-ций $\text{S}_2 + 2\text{SO}_2 = 4\text{SO}$ (1) при 1250° и $2\text{SO}_2 = \text{SO} + \text{SO}_3$ (2) при 1500°. При изучении р-ции (1) смесь газов SO_2 и N_2 продувалась через расплавленную S и затем пропускалась над расплавленным Ag. Равновесное давление пара S определялось с точностью ±1,5—2% по кол-ву S, содержащейся в Ag. Выделившаяся при нагревании Ag до 1350° SO_2 поглощалась р-ром ацетата аммония с последующим титрованием 0,1 н. р-ром йода. Константа равновесия $K_1 = p^4(\text{SO})/p^2(\text{SO}_2) \cdot p(\text{S}_2) = 4,22 \cdot 10^{-8}$. При изучении р-ции (2) смесь SO_2 и O_2 пропускалась над расплавленным силикатом Са. Равновесное давление SO_3 определялось по кол-ву сульфата, образовавшегося в плаве в течение опыта. Рассчитана константа равновесия р-ции $\text{SO}_2 = \text{SO} + 1/2\text{O}_2$ (3) $K_3 = 2,12 \pm 0,36 \cdot 10^{-6}$ атм^{1/2}. Рассчитана энтальпия образования SO с использованием K_1 , $\Delta H^\circ = -15200$ ккал/моль и K_3 , $\Delta H^\circ = -15400 \pm 300$ ккал/моль. Из последней величины и энергии диссоциации кислорода (117960 ккал) рассчитана энергия диссоциации 2-атомной серы 82580 ± 1300 ккал, что согласуется со значением 83000 ккал, полученным из спектроскопич. данных.

О. Качинская

70004. Теплоты образования галогенатов аммония и щелочных металлов. Капустинский А. Ф., Шидловский А. А., Шидловская Ю. С., Изв. АН СССР. Отд. хим. н., 1958, № 4, 385—388

В калориметре, сходном с уже описанным (Капустинский А. Ф., Яцимирский К. Б., Ж. физ. хим.,

1949, 19, № 12, 2191), измерены при 25° тепловые эффекты р-ций: $\text{HJO}_3(\text{крст.}) + \text{NH}_3(\text{aq.}) = \text{NH}_4\text{JO}_3(\text{aq.})$ (+10 ккал); $\text{NH}_4\text{JO}_3(\text{крст.}) + \text{aq} = \text{NH}_4\text{JO}_3(\text{aq.})$ (-7,6 ккал); $\text{NaBrO}_3(\text{крст.}) + 6\text{FeSO}_4(\text{aq.}) + 3\text{H}_2\text{SO}_4(\text{aq.}) = 3\text{Fe}_2(\text{SO}_4)_3(\text{aq.}) + 3\text{NaBr}(\text{aq.}) + 3\text{H}_2\text{O}$ (118,4 ккал). С использованием справочных данных рассчитаны теплоты образования $\text{NH}_4\text{JO}_3(\text{крст.})$ ($94,0 \pm 0,2$ ккал/моль) и $\text{NaBrO}_3(\text{крст.})$ ($76,8 \pm 0,5$ ккал/моль). Методом постоянных разностей оценены величины теплот образования галогенатов, перманганата, перйодата и селената аммония. А. Воробьев

70005. Вычисление констант равновесия для реакций между меченым метильным радикалом и метаном. Дейнтон, Айвин, Уилкинсон (Calculation of equilibrium constants for reactions between isotopically labelled methyl radicals and methane. Dainton F. S., Ivin K. J., Wilkinson F.), Trans. Faraday Soc., 1957, 53, № 9, 1204—1207 (англ.)

Используя литературные спектроскопические данные, авторы вычислили константы равновесия для р-ций $\text{CD}_3 + \text{CH}_4 = \text{CD}_3\text{H} + \text{CH}_3$; $\text{CH}_3 + \text{CD}_4 = \text{CH}_3\text{D} + \text{CD}_3$ и $\text{CH}_3 + {}^{14}\text{CH}_4 = \text{CH}_4 + {}^{14}\text{CH}_3$ при 300, 450 и 600° K. Результаты вычислений вместе с константами скорости первых двух прямых реакций позволили получить выражения для обратных реакций.

Резюме авторов

70006. Термическая диссоциация хромата кальция. Алексеев Н. В., Резухина Т. Н., Симанов Ю. П., Ж. физ. химии, 1958, 32, № 3, 580—584 (рез. англ.)

Статическим методом в высоковакуумной установке при 900—1030° изучалось равновесие диссоциации (Д) CaCrO_4 . Рентгенографич. анализ продуктов восстановления и измерение давления Д показали, что процесс Д идет в одну стадию по ур-нию $\frac{1}{3}\text{CaCrO}_4 = \frac{2}{3}\text{CaO} + \frac{2}{3}\text{Cr}_2\text{O}_3 + \text{O}_2$. Зависимость $\lg P$ от $1/T$ выражается ур-нием $\lg P(\text{мм}) = -13\,624/T + 12,416$. Хромит кальция получается в виде тетрагона. модификации. Уточнены параметры кристаллич. решетки CaCrO_4 ; получено $a\,7,244 \pm 0,002$, $c\,6,282 \pm 0,002$ А. Т. Резухина

70007. К вопросам термодинамики хлорирования окислов редкоземельных металлов газообразным хлором. Морозов И. С., Коршунов Б. Г., Докл. АН СССР, 1958, 119, № 3, 523—525

Статическим методом исследовалась термодинамика р-ций типа $4\text{MCl}_3(\text{тв.}) + 3\text{O}_2(\text{газ}) \rightleftharpoons 2\text{M}_2\text{O}_3(\text{тв.}) + 6\text{Cl}_2(\text{газ})$ (1), где М — Sc, La, Nd, Sm. Равновесный состав газовой фазы определялся анализом газов, отбравшихся непосредственно из реакционного пространства. Для достижения равновесия со стороны хлорид — кислород хлорид перегревался на 50—80° и после установления постоянного давления в системе т-ра быстро снижалась до требуемой. Хлорирование окислов и окисление хлоридов происходит без образования промежуточных продуктов. По величинам равновесных парц. давлений вычислены константы равновесия K_p р-ции (1); $\lg K_p$ линейно зависит от $1/T$. Значения K_p р-ции (1) для Sc, La, Nd, и Sm составляют соответственно: $3,762 \cdot 10^{-4}$ (250°), $1,478 \cdot 10^{-4}$ (274°), $8,857 \cdot 10^{-5}$ (270°), $7,406 \cdot 10^{-5}$ (290°); средние значения тепловых эффектов ΔH соответственно (в кал): 24 580 (260—364°), 25 230 (274—533°), 25 700 (270—615°), 25 520 (290—585°). С. Стефанюк

70008. Термодинамика реакций четыреххлористого титана с некоторыми металлами. Сергеев В. В., Цветн. металлы, 1956, № 11, 63—69
См. РЖМет, 1957, 9613.

70009. Графический метод расчета бинарных азеотропных смесей. Новикова К. Е., Натрадзе А. Г., Хим. пром-сть, 1958, № 2, 102—105

На основании литературных данных авторами установлено, что изменение давления (P , мм рт. ст.), т-ры

кипения (T , °K) и состава (X , мол.%) азеотропа выражается прямой линией в пространстве, с координатами $\lg P$, $1/T$ и X . Определены ур-ния проекций этой прямой на 3 координатные плоскости: $X = A_1 \cdot (1/T) + C_1$, $X = A_2 \lg P + C_2$ и $\lg P = A_3(1/T) + C_3$, где $A_3 = A_1/A_2$ и $C_3 = (C_1 - C_2)/A_2$. Зная 2 проекции прямой, можно найти ее 3-ю проекцию и прямую в пространстве. Предложен графич. метод исследования бинарных азеотропов по азеотропным данным при двух давлениях, позволяющий определить азеотропные данные при любом давлении и конц-ии, в пределах которых возможно образование азеотропа, а также давления, при которых система становится неазеотропной. В качестве примера приведены результаты графич. исследования 5 бинарных органич. систем, образующих азеотропы. Дан приближенный метод исследования бинарных азеотропных смесей по азеотропным данным при одном значении давления, основанный на том, что прямые $\lg P - 1/T$ для различных систем имеют при соответствующем масштабе примерно одинаковый угол наклона, равный 45°. Сопоставление с эксперим. данными показывает, что погрешность в этом случае < 10%.

А. Золотаревский
70010. Соотношение между давлением и температурой кипения и расчет молекулярной энтропии испарения. Пованович, Живойинов (Взаимосвязь притиска и температуре кипучања и одређивање моларне ентропије испаравања. Јавановић Ђорђе, Живојиновић Јованка), 36. Маш. фак. Ун-т Београду, 1954—55 (1956), 154—159 (серб.-хорв.; рез. франц.)
См. РЖФиз, 1957, 27591.

70011. Исследование равновесия жидкость — пар в системе $(\text{C}_2\text{H}_5)_3\text{N} - \text{H}_2\text{O}$. Сторонкин А. В., Маркузин Н. П., Вестн. Ленингр. ун-та, 1958, № 4, 100—116

В системе триэтиламин (I) — вода (II) исследовано равновесие жидкость — пар при 15 и 35°. Парц. давления I и II определялись методом струи инертного газа. Общее давление пара над водн. р-рами I измерялось статич. методом. Обнаруженные при 15° расхождения между значениями парц. давлений I, измеренными методом струи и статич. методом, связаны с ассоциацией молекул I в газовой фазе согласно р-ции $z(\text{I}) \rightleftharpoons [\text{I}]_2$. Выведены ф-лы, которые позволяют для известного z вычислить истинные величины парц. давлений мономеров и полимеров I, а также константу ассоциации. Показано, что при 15° в паровой фазе, кроме р-ции полимеризации (с образованием димера), имеет место взаимодействие молекул I и II с образованием гидратов. Выведены ф-лы, позволяющие вычислять парц. давления I для случая образования в паровой фазе гидратов различного состава. Сделан вывод, что в парах системы I—II при 15°, кроме димера, присутствуют гидраты $(\text{C}_2\text{H}_5)_3\text{N} \cdot \text{H}_2\text{O}$ и $2(\text{C}_2\text{H}_5)_3\text{N} \cdot \text{H}_2\text{O}$; предполагается, что полуhydrat образуется в значительно больших кол-вах. При 35° в парообразной фазе имеет место только образование указанных гидратов.

С. Бык
70012. Давление пара и теплота испарения некоторых простых расплавленных электролитов. Блум, Бокрис, Ричардс, Тейлор (Vapor pressure and heat of vaporization of some simple molten electrolytes. Bloom H., Bockris J. O. M., Richards N. E., Taylor R. C.), J. Amer. Chem. Soc., 1958, 80, № 9, 2044—2046 (англ.)

Динамическим методом с точностью $\pm 0,05$ мм рт. ст. в указанных ниже интервалах т-р измерено давление пара расплавленных электролитов: NaBr (I) 870—1130°, AgCl (II) 1028—1260°, AgBr (III) 967—1224°, ZnCl₂ (IV) 470—690°, ZnBr₂ (V) 428—650°, CdBr₂ (VI) 568—725°, CdJ₂ (VII) 500—655°, PbBr₂ (VIII) 563—860°.

и представлено уравнением типа $\lg p = A - B/T$. Из эксперим. данных рассчитаны теплоты (ΔH) и энтропии (ΔS) испарения и т-ры кипения при 760 мм рт. ст. $A, B, \Delta H$ (ккал/моль), ΔS (энтр. ед.) и т-ры кипения соответственно равны: I 8,9567; 9686,7; 44,3 \pm 0,6; 27,8 \pm 0,4; 1594 \pm 5; II 8,5974; 10 385,6; 47,5 \pm 0,5; 26,1 \pm 0,3; 1818 \pm 5; III 8,7141; 10 366,9; 47,4 \pm 0,5; 26,7 \pm 0,3; 1778 \pm 5; IV 9,5286; 6612,8; 30,2 \pm 0,1; 30,4 \pm 0,1; 995 \pm 1; V 9,5473; 6192,9; 28,3 \pm 0,1; 30,5 \pm 0,1; 929 \pm 1; VI 8,2523; 6011,3; 27,5 \pm 0,2; 24,6 \pm 0,2; 1120 \pm 3; VII 8,8120; 6012,4; 27,5 \pm 0,2; 27,1 \pm 0,2; 1014 \pm 2; VIII 8,8467; 6953,6; 31,8 \pm 0,2; 27,3 \pm 0,2; 1166 \pm 3.

М. Козина

70013. Изучение термодинамических свойств систем. Азотная кислота — вода и двуокись азота — азотная кислота. Потье (Etude des propriétés thermodynamiques des systèmes. Acide nitrique — eau et peroxyde d'azote — acide nitrique. Potier A.), Ann. Fac. sci. Univ. Toulouse sci. math. et sci. phys., 1956 (1957), 20, 1—98 (франц.)

При использовании нового графич. метода, позволяющего вычислять парц. давления из обих давлений на основании изотерм общее давление — состав, определены термодинамич. функции двух систем: $\text{HNO}_3 - \text{H}_2\text{O}$ и $\text{NO}_2 - \text{HNO}_3$. В результате исследования уточнены 2 новых метода получения конц. HNO_3 и чистой жидкой NO_2 . Заново определены уд. веса и давления пара этих в-в и их смесей. Общие и парц. давления паров определены при 0 и 20° для системы $\text{HNO}_3 - \text{H}_2\text{O}$ и при -10, 0° и +10°, для системы $\text{HNO}_3 - \text{NO}_2$. Эти данные дали возможность вычислить для смесей следующие термодинамич. функции: свободные энтальпии (свободные энергии Гиббса), энтропии, энтальпии (теплоты растворения с обратным знаком) и молярные объемы.

Из резюме автора

70014. Примерный расчет диаграммы свободной энтальпии тройной системы Fe—Mn—Si при 1600° К. Бонье (Sur une estimation du diagramme d'enthalpie libre du système ternaire Fe—Mn—Si à 1600° K. Bonnier Etienne), C. r. Acad. sci., 1958, 246, № 18, 2617—2619 (франц.)

На основе известных термодинамич. данных для Fe—Mn и Fe—Si, используя диаграммы фазовых равновесий системы Fe—Mn—Si (Vogel R., Bedarff H., Arch. Eisenhüttenwesen, 1937, 10, 581; Jänecke E., Vogel R., Arch. Eisenhüttenwesen, 1938, 11, 409) и считая, что «правильный» характер двойных p-ров сохраняется и для тройных, автор построил диаграммы свободной энтальпии для системы Fe—Mn—Si. Активности Fe и Mn рассчитаны графически (Darken L. S., J. Amer. Chem. Soc., 1950, 72, 2909—2914). Свободная энтальпия образования соединения $\text{Fe}_{12}\text{Si}_{11}\text{Mn}_5$ найдена $\Delta G_{1600} = -9400$ кал/г-атом. Точность расчета $\pm 5\%$.

Д. Агеева

70015. Квази-фазы и закритические переходы. Семенченко В. К., Сб. научн. тр. Моск. ин-т цветн. мет. и золота, Научно-техн. о-во цветн. металлургии, 1957, № 30, 37—46

Одна и та же фаза может проходить через состояния, хотя и устойчивые (т. е. для которых $\partial X_i/\partial x_i > 0$, где x_i — обобщенные термодинамич. координаты, а X_i — соответствующие им обобщенные силы), но резко отличающиеся степенью устойчивости, т. е. значениями $\partial X_i/\partial x_i$. В частности, в закрит. части диаграммы состояний системы жидкость — газ имеются области, в которых абс. величина $(\partial p/\partial v)_T$ и $(\partial T/\partial S)_p$, а следовательно, и устойчивость соответствующих этим значениям состояний резко падают. В закрит. области имеются линии максим. и миним. устойчивости, вдоль которых $(\partial^2 p/\partial v^2)_T = 0$, $(\partial^3 p/\partial v^3)_T \leq 0$; они соответствуют бинади и спинодали докрит. об-

ласти. Область слева от квазибинади названа конденсированной квазифазой, справа — газообразной квазифазой; область внутри квазибинади названа промежуточной фазой. Последняя отличается от метастабильной области диаграммы тем, что внутри нее граница устойчивости никогда не достигается и лабильной области (внутри спинодали) не существует. Квазифазы не могут быть в равновесии, а только в некоторых сопряженных состояниях, при которых изменение разности термодинамич. потенциалов этих квазифаз имеет экстремальное значение. Из этого условия получаются соотношения, внешне подобные уравнениям Эренфеста, но знак Δ обозначает не скачок функции, а разность ее значений в обоих экстремумах. Ниже крит. точки эти соотношения переходят в уравнения Клапейрона — Клаузиуса. Точка, в которой экстремумы двух сопряженных фаз совпадают, названа сверхкрит. точкой. Все выводы иллюстрируются на примере газа Ван-дер-Ваальса в закрит. области.

В. Урбах

70016. Явления сосуществования в критической области. V. Гравитационный эффект в двойной жидкой системе анилин — циклогексан из наблюдений рассеяния света. Меррей, Мейсон (Coexistence phenomena in the critical region. V. The gravity effect in the binary liquid system aniline-cyclohexane from light scattering. Murray F. E., Mason S. G.), Canad. J. Chem., 1958, 36, № 3, 415—420 (англ.)

С целью изучения вертикального градиента концентрации измерена прозрачность системы анилин — циклогексан при т-рах несколько выше критической. Не наблюдалось помутнения в каком-либо определенном месте трубки, откуда делается вывод об отсутствии вертикального градиента концентрации, так как $(\partial c_1/\partial x)_T = BG(x) \lg(I_0/I)$, где c_1 — концентрация анилина, B — константа, $G(x)$ — конечная функция от высоты сечения x , характеризующая особенности системы, I_0 и I — интенсивность падающего и проходящего света. Не обнаружено также появления вертикального градиента прозрачности в течение нескольких часов после прекращения размешивания, что также указывает на отсутствие градиента концентрации. Это противоречит теоретич. представлениям Ивона (Yvon J. Fluctuations en densité. Actualités scientifiques et industrielles. No 542. Paris, Hermann et Cie, 1937), согласно которым $(\partial c_1/\partial x)_T = G(x)/(\partial \mu_1/\partial c_1)_T, p$, а $(\partial \mu_1/\partial c_1)_T, p \rightarrow 0$ в крит. точке. Изучена вариация помутнения с т-рой, которая такая же, как и в однокомпонентных системах: $\lg(I_0/I) \approx (T - T_{кр})^{-1}$. Поскольку градиент концентрации не обнаружен, наличие плоской вершины кривой сосуществования (Rice O. K., Rowden R. W., J. Chem. Phys., 1951, 19, 1423) нельзя объяснить влиянием гравитации (авторы также определяли кривую сосуществования, но достигнутая точность измерений не позволяет сделать однозначный вывод о форме вершины этой кривой). Указывается, что важнейшие особенности крит. явлений можно объяснить взаимным диспергированием фаз. Часть IV см. РЖХим, 1956, 28454.

В. Урбах

70017. Терминология фазовых переходов. Мак-Доналд (Nomenclature of phase transition. McDonald James E.), J. Chem. Educ., 1958, 35, № 4, 205—206 (англ.)

См. РЖХим, 1958, 56365.

70018. Теория оптимальных условий для фазовых превращений. Эйринг, Кагл, Кристенсен (A theory of optimum conditions for phase transitions. Eyring Henry, Cagle F. W., Jr, Christensen Carl J.), Proc. Nat. Acad. Sci. USA, 1958, 44, № 2, 120—123 (англ.)

Активированные состояния, через которые соверша-

ется переход в-ва из одной твердой фазы в другую, рассматриваются как некоторые активные мостики в месте соприкосновения фаз. Это может привести к существованию оптимальных условий перехода, если при повышении т-ры наряду с обычным ускорением р-ции происходит усиление дезактивации мостиков. Если числа активных, дезактивированных и всех мостиков суть B_a , B_d и B_t ($B_t = B_a + B_d$), а константа равновесия между активными и дезактивированными мостиками $K' = B_d/B_a$, то $B_a = B_t/(1 + K')$, тогда скорость фазового превращения равна $v = B_t \lambda k (1 - 1/K)/(1 + K')$, где λ — смещение поверхности за счет парастания единичного мол. слоя, а $K = k/k'$ (k и k' — константы скорости прямой и обратной р-ций перехода). Зависимость v от давления p дается выражением $v = B_t \lambda k_0 \exp \times (-p\Delta V'/RT) [1 - K_0^{-1} \exp(p\Delta V/RT)]$, где $\Delta V'$ — разность мол. объемов дезактивированных и активных мостиков, ΔV — разность мол. объемов фаз, индекс 0 относится к нулевому давлению. Ф-ла проверена для титаниата аммония по данным Бриджмена; совпадение получается при $\Delta V' = -17 \text{ см}^3/\text{моль}$. Имеется также качественное согласие для AgNO_3 , где зависимость v от p более сложна. В. Урбах

70019. О существовании двух кристаллических модификаций тетрафторида циркония. Кретьен, Годро (Sur l'existence de deux variétés cristallines du tétrafluorure de zirconium. Chrétien André, Gaudreau Bernard), C. r. Acad. sci., 1958, 246, № 15, 2266—2268 (франц.)

Путем пиролиза в атмосфере инертного газа $(\text{NH}_4)_2\text{ZrF}_7$ получены 2 кристаллич. модификации ZrF_4 с т-рой перехода $405 \pm 5^\circ$, что подтверждается данными термогравиметрии и рентгеновского анализа. С. Рубинчик

70020. Фазовые превращения в нормальных парафиновых углеводородах с длинными цепями. Нечитайло Н. А., Равич Г. Б., Успехи химии, 1957, 26, № 6, 640—658
Обзор.

70021. Атмосферные ядра кристаллизации. Сулаж (Les noyaux de congélation de l'atmosphère. Soulaage Guy), Ann. géophys., 1957, 13, № 2, 103—134 (франц.; рез. англ.)

Изучались атмосферные частицы (Ч), являющиеся ядрами кристаллизации льда в переохлажд. водяных облаках с т-рой выше -20° , которые получались как остаток после сублимации кристаллов льда. Намечены 2 группы Ч в соответствии с их глазогенной активностью (ГА). Наиболее важна группа 1, куда относятся Ч с восстановимой ГА; сюда входят кристаллические, пастозные и агломерированные Ч. Средний размер Ч 10 м. Ч состоят в основном из нерастворимых в-в, растворимые примеси понижают ГА. Ч имеют земное происхождение, являясь Ч пыли, дыма или микроорганизмами. При повторных кристаллизациях ГА ядер меняется. К группе 2 относятся Ч с невозможной ГА, часть их может быть Ч группы 1, потерявшими ГА после того, как они уже являлись ядрами кристаллизации. Д. Агеева

70022. Образование газовых пузырей внутри твердых тел. Барнес (The formation of internal gas bubbles in solids. Barnes R. S.), J. Nucl. Energy, 1957, 5, № 3-4, 301—319 (англ.)

Изучался процесс образования пузырей (П) газа внутри твердого полиметилметакрилата (I) при нагревании его выше 180° или при облучении потоком нейтронов. Найдено, что внутри образца I газы П, образующиеся в результате его деполимеризации, формируются после некоторого скрытого периода (30,

10 и 5 мин. при т-рах 200, 230 и 250° соответственно), а затем увеличиваются в размерах со скоростью, зависящей от режима нагревания образца и внешнего давления. В слоях, близких к поверхности, благодаря диффузии газа П не образуются. Давление внутри П достигает 10—15 атм. Повышением внешнего давления можно предотвратить образование или уменьшить размеры имеющихся П. Образцы I, в которых газ образовался при нагревании, содержали на единицу объема постоянное число П (10^3 П в 1 см^3). При предварительном облучении нейтронами число П в образце зависело от наличия в нем микротрещин и от режима последующего нагревания. Полученные результаты применены к рассмотрению процесса формирования газовых П в твердых телах и, в частности, к процессу образования включений Кг и Хе в металлах. У, образующихся при его делении. Рассматривается ожидаемое поведение газов в облученном U. Вероятно, образование мелких П; ширина зоны, не содержащей газовых П, при 800° должна составить $\sim 0.1 \text{ мм}$. Включения UO_3 действуют как зародыши. Л. Громов

70023. К теории равновесных конденсированных систем. I. Простые эвтектические системы. Малиновский (K teorii rovnovážných mnohozložkových kondenzovaných sústav. I. Sústavy s jednoduchým eutektikom. Malinovský Milan), Chem. zvesti., 1958, 12, № 1, 3—16 (словац.; рез. русск., нем.)

Показано, что определенные сочетания из твердых фаз, существующих в данной системе, характеризуют структурные составляющие. Предложены термины: 1) характеристич. фигура (геометрич. место фигуративных точек сплавов, содержащих от 1 до $(k-1)$ структурных составляющих, где k — число компонентов системы); 2) элементарное кристаллизационное пространство (ЭКП), т. е. $(k-1)$ -мерное пространство на $(k-1)$ -мерной диаграмме состояния конденсированной системы из k компонентов, причем все сплавы, фигуративные точки которых находятся в этом пространстве, при затвердевании проходят один и тот же путь кристаллизации в смысле порядка выделения твердых фаз и поэтому в затвердевшем состоянии включают один и те же структурные составляющие. ЭКП характеризуется как сочетание (без повторяющихся элементов) $(k-1)$ -го класса из некоторых определенных структурных составляющих в сплавах данной системы. Даны алгебраич. выражения для определения числа структурных составляющих и ЭКП диаграмм состояния конденсированных систем из k компонентов. В. Аносов

70024. К теории растворов металлоидов в металлах. Журавлев В. К., Жуховицкий А. А., Сб. Моск. ин-та стали, 1958, 38, 226—244

Опыты проводились на системах Fe-S, Fe-C-S, Fe-Si-S и Fe-P-S. Определялся коэф. термодинамич. активности серы при различных ее конц-ях и добавках C, Si и P. Измерялось кол-во серы, меченной S^{35} , переходившей из жидкого металла в соприкасающийся с ним цилиндр из ZrO_2 . Это кол-во являлось мерой термодинамич. активности серы, растворенной в металле. Рассчитывались термодинамич. функции $\Delta \bar{H}$, $\Delta \bar{F}$ и $\Delta \bar{S}$. Автор предлагает теорию р-ров металлоидов в металлах, основанную на положении, что S и P образуют с жидким железом как р-р внедрения, так и р-р замещения. Д. Агеева

70025. Исследования растворов по методу термометрии. Громаков С. Д., Сулейманова Р. С., Ж. неорганич. химии, 1958, 3, № 4, 1048—1053

Исследована возможность применения метода термометрии в р-рах, описанного ранее (Тананаев И. В., Изв. Сектора физ.-хим. анализа. ИОНХ АН СССР, 1950, 20, 277), как одного из методов физ.-хим. анализа. Измерение т-ры р-ров производилось дифферен-

диальной термопарой. Получены кривые изменения $t_{\text{р-р}}$ при последовательном прибавлении одного из p -ров к постоянному объему другого. Выведены уравнения, описывающие кривые температурной разности между раствором-эталоном и p -ром, полученным при смешении. По точности метод термометрии уступает классич. методам титрования с индикаторами, но прост, выполняется быстро и вполне пригоден для целей титрования и проведения предварительных качеств. исследований. Приведены примеры эксперим. термометрич. исследований. А. Золотаревский

70026. О контактном плавлении веществ, дающих твердые растворы. Саратовкин Д. Д., Изв. высш. учебн. заведений. Физика, 1958, № 2, 176
Дискуссионная статья. См. РЖХим, 1958, 49566.

70027. К вопросу о получении металлов и сплавов путем взаимодействия солей с металлами в расплавленном состоянии. Палкин А. П., Ж. неорганич. химии, 1958, 3, № 4, 911—915
Обзорный доклад, сделанный на совещании по исследованию диаграмм состояния металлич. систем, Москва, 17—21 мая 1957 г. О. Г.

70028. Кривая распада и критическая точка системы золото — никель. Мюнстер, Загель (Entmischungskurve und kritischer Punkt des Systems Gold — Nickel. Münster A., Sagel K.), Z. phys. Chem. (BRD), 1958, 14, № 5-6, 296—305 (нем.)

Предложенный авторами ранее (РЖХим, 1957, 30114) метод определения кривой распада ограничено смешивающихся металлов по измерениям электропроводности применен к системе Au—Ni. Приведены графики температурной зависимости электропроводности для разных составов и полная кривая распада. Эта система имеет верхнюю крит. точку $t_k = 810,3 \pm 0,7^\circ$, $x_k = 0,706 \pm 0,005$ Ni. Кривая имеет более острый максимум, чем для жидких смесей. В приведенных координатах T/T_k , x/x_k кривая совпадает с найденной в цитированной работе для системы Al—Zn.

В. Урбах
70029. Исследование свойств сплавов системы ниобий — кремний. Самсонов Г. В., Нешпор В. С., Ермакова В. А., Ж. неорганич. химии, 1958, 3, № 4, 868—878

Порошковой металлургической техникой были приготовлены сплавы Ni с Si. Рентгенограммы сплавов и исследование микроструктуры подтвердили существование соединений NbSi₂ и Nb₅Si₃. Установлено наличие 3 соединений: Nb₄Si (плавится конгруэнтно, гексагон. решетка с постоянными a 3,59, с 4,46 Å), Nb₅Si₃ в модификациях α , β (тетрагон. решетка, a 6,56, с 11,86 Å и a 10,00, с 5,07 Å соответственно) и γ (гексагон. решетка, a 7,52, с 5,24 Å) и гексагон. NbSi₂ (a 4,78, с 6,56 Å). Исследование электропроводности подтверждает наличие указанных соединений. Дана ориентировочная диаграмма состояния системы Nb—Si. Исследованные сплавы неустойчивы против окисления на воздухе при 1000°.

А. Золотаревский
70030. Изменение состава в α -фазе системы ванадий — алюминий. Рей, Смит (Composition variation in the α -phase compound of the vanadium-aluminum system. Ray A. E., Smith J. F.), Acta crystallogr., 1957, 10, № 9, 604—605 (англ.)

Исследована рентгенографически структура α -фазы системы V—Al. Сплав с 6 вес.% выдерживался при $665 \pm 3^\circ$ в течение 2 недель и затем закалялся в масле, после чего Al-основа растворялась в 1 н. HCl. Из остатка выбирались подходящие кристаллы, структура которых исследовалась затем на Cu-K α -излучении в камере Вейсберга с присоединенным к ней Г.—М.-счетчиком в качающейся камере. Вычисления структурных параметров и температурных факторов проведены по программе на счетной маши-

не IBM-650. Положения в решетке типа 8 (a) оказались на $\sim 50\%$ занятыми атомами Al, что отличается от результатов предыдущего исследователя, нашедшего эту величину равной 10% (РЖХим, 1957, 53735). Расчитанные структурные параметры хорошо согласуются с вычисленными ранее. На основании величин температурных факторов для различных положений в решетке сделан вывод, что атомы V 16(c) наиболее локализованы благодаря их большей массе и сильным связям; атомы Al в положениях 96(g) и 48(f), находящиеся в соседстве с атомами V, более локализованы, чем атомы Al в положениях 16(d) и 8(b), которые непосредственно не связаны с V. Атомы Al в положении 8(b) (длины связей $\geq 3,1$ Å) наиболее свободны, обладают миним. энергией связи и мало влияют на стабильность структуры. На основании результатов обеих работ установлено, что вследствие разной степени заселенности мест 8(b) в решетке атомами Al α -фаза может существовать в интервале конечной, заключающемся между FeAl_{10} и V_2Al_{21} . Разница в степени замещения мест 8(b) связана, по-видимому, с наклоном фазовой границы в зависимости от t -ры.

Д. Белащенко
70031. Равновесия в системе медь — бериллий — алюминий. II. Дополнительное исследование изотерм растворимости, структуры и структурообразования. Никкель (Gleichgewichtsverhältnisse im System Kupfer — Beryllium — Aluminium. II. Ergänzende Untersuchung von Löslichkeitsisothermen, Strukturen und Gefügeausbildungen. Nickel Otto), Z. Metallkunde, 1958, 49, № 2, 57—62 (нем.; рез. англ.)

Методами рентгенографич. и микроструктурного анализа уточнены границы $\alpha/(\alpha + \beta)$ и $(\alpha + \beta)/\beta$ в системе Cu—Be—Al. Отмечена полосчатость в структуре сплавов, 3,20% Be, 3,35% Al и 4,0% Be, 2,0% Al, появляющаяся после закалки с 800°, что связывается автором, с бездиффузионным превращением, отличным от мартенситного превращения в системе Cu—Al. В сплавах области β -фазы, закаленных с 600°, установлено образование упорядоченной β' -фазы, (тип Cu₃Al). Отсутствие упорядоченности в самой β -фазе доказано путем рентгеновской съемки образцов при 600—800°; наличие 2-фазных областей ($\beta + \beta'$) не установлено. Отмечено, что δ -фаза занимает широкую область гомогенности в тройной системе (до 11,7%, Be, 15,45% Al). После закалки с 800° у богатых Al сплавов отмечено появление сверхструктуры (δ'). Элементарная ячейка δ' аналогична δ (CuBe₂), где часть атомов Cu замещена Al. Сообщение I см. РЖХим, 1958, 27887.

Л. Витинг
70032. Исследование области M_5Si_3 — MSi в системе Mn—Fe—Si и некоторых родственных системах. Аронссон (An investigation of the M_5Si_3 — MSi region of the Mn—Fe—Si and some related systems. Aronsson Bertil), Acta chem. scand., 1958, 12, № 2, 303—313 (англ.)

Рентгенографически исследованы 24 сплава Mn с Fe и Si, отвечающих составам M_5Si_3 , MSi , $\text{MSi}_{0.75}$ и $\text{MSi}_{0.80}$ (M — Mn, Fe). Найдено, что в исследованной области существуют 2 непрерывных ряда твердых p -ров: Mn_5Si_3 — Fe_5Si_3 (тип Mn_5Si_3) и MnSi — FeSi (тип FeSi). Параметры решетки увеличиваются при переходе от соединений Fe к соединениям Mn; кривая зависимости c/a от состава (для Mn_5Si_3 — Fe_5Si_3) имеет минимум. Между непрерывными рядами существует двухфазная область. В каждой из систем Cr—M—Si, где M — Mn, Fe, Co, исследованы 4 сплава $\text{MSi}_{0.63}$. Найденные твердые p -ры Mn и Fe в Cr_5Si_3 (тип $\text{Tl-W}_5\text{Si}_3$), Cr в Mn_5Si_3 и Fe в Mn_5Si_3 . Между указанными твердыми p -рами существуют двух- и трехфазные области. При растворении Cr в Mn_5Si_3 или Fe_5Si_3 c/a уменьшается,

а при растворении Mn или Fe в Cr_5Si_3 увеличивается. В системе Cr—Co—Si соединение CoSi не растворяется. П. Крипкевич

70033. Новые стеклообразные полупроводники. Горюнова Н. А., Коломиец Б. Т., Изв. АН СССР. Сер. физ., 1956, 20, № 12, 1496—1500

Значительное число составов в двойных, тройных и четверных системах сульфидов, селенидов и теллуридов As, Ta и Sb обнаруживает склонность к стеклообразованию. При этом допустимы значительные отклонения от стехиометрич. соотношений. Халькогенидные стекла являются типичными полупроводниками. Их уд. сопротивление меняется в зависимости от состава от 10^3 до 10^{13} ом·см. Проводимость может быть как электронной, так и дырочной. Все стекла обладают заметной фотопроводимостью. Максимумы спектральной чувствительности лежат в пределах 0,6—1,25 м. Кристаллизация большей частью приводит к увеличению проводимости, но в отдельных случаях несколько ее уменьшает. О. М.

70034. Стеклообразные полупроводники. II. Стеклообразование в сплавах халькогенидов фосфора, мышьяка, сурьмы, висмута и таллия. Горюнова Н. А., Коломиец Б. Т., Шило В. П., Ж. техн. физ., 1958, 28, № 5, 981—985

Определены области стеклообразования в сплавах халькогенидов Ta, P, As и Sb при скоростях охлаждения из жидкого состояния ~1 град/мин и 200—300 град/сек. Установлена область стеклообразования в тройной системе Ti—As—Se. На основании исследования последней системы подтверждено предположение о том, что состав халькогенидных стекол допускает значительное отклонение от стехиометрич. состава. Сообщение I см. РЖХим, 1958, 45917.

Резюме авторов

70035. Изучение диаграммы состояния $\text{GeO}_2\text{—Na}_2\text{O}$. Тресвятский (Вивчення діаграми стану $\text{GeO}_2\text{—Na}_2\text{O}$. Тресвятський С. Г.), Доповіді АН УРСР, 1958, № 3, 295—298 (укр.; рез. русск., англ.)

Исследована диаграмма состояния системы $\text{GeO}_2\text{—Na}_2\text{O}$ в области 100—35 мол.% GeO_2 . Установлено образование двух соединений, Na_2GeO_3 и $\text{Na}_2\text{Ge}_4\text{O}_9$, плавающих без разложения при $1060 \pm 5^\circ$ и $1080 \pm 5^\circ$ соответственно. Соединение $\text{Na}_2\text{Ge}_2\text{O}_5$ не образуется. Найдены 2 эвтектики. Эвтектика между GeO_2 и $\text{Na}_2\text{Ge}_4\text{O}_9$ имеет т. пл. $905 \pm 5^\circ$ и содержит 92,5 мол.% GeO_2 . Эвтектика между $\text{Na}_2\text{Ge}_4\text{O}_9$ и $\text{Na}_2\text{Ge}_2\text{O}_5$ имеет т. пл. $785 \pm 5^\circ$ и содержит 66,6 мол.% GeO_2 .

Из резюме автора

70036. Фазовый переход в системе $\text{LiO}_2\text{—Fe}_2\text{O}_3$. I. Термические и электрические свойства феррита лития LiFeO_2 . II. Термические и электрические свойства литиевой феррошпинели LiFe_2O_4 . Като (Phase transition of $\text{Li}_2\text{O—Fe}_2\text{O}_3$ system. I. Thermal and electric properties of lithium ferrite LiFeO_2 . II. Thermal and electric properties of lithium ferrosphenel LiFe_2O_4 . Kato Eizo), Bull. Chem. Soc. Japan, 1958, 31, № 1, 108—112; 113—117 (англ.)

I. Проведен дифференциальный термич. анализ (ДТА) и измерены термич. расширение и электрич. сопротивление LiFeO_2 (I). Описаны методика измерений и аппаратура. Кривые ДТА снимались с образцов, различно термически обработанных при различных скоростях изменения т-ры. Ввиду малой скорости превращения трудно получить упорядоченные образцы даже при продолжительном обжиге. При $660 \pm 2^\circ$ найден слабо выраженный переход из упорядоченного состояния в неупорядоченное, сопровождающийся поглощением тепла и аномальным расширением. Из ур-ния $q = q_0 \exp(-E/kT)$, где q — электрич. сопротивление, q_0 — константа, определены вели-

чины энергии активации (E) 0,65—0,9 эв для упорядоченного состояния ($200\text{—}400^\circ$), 0,3 эв — для неупорядоченного ($100\text{—}300^\circ$) и 1,2, 1,4 эв при $680\text{—}710^\circ$.

II. С помощью аппаратуры, описанной выше, получены кривые ДТА, термич. расширения и электрич. сопротивления LiFe_2O_4 (II). Для образца состава $\text{LiFe}_{0,86}\text{O}_4$ фазовый переход, сопровождающийся аномальной термич. и электрич. свойств, наблюдается при $745 \pm 1^\circ$. Для образца стехиометрич. состава т-ра перехода $750 \pm 1^\circ$. Дилатометрич. кривая имеет петлю гистерезиса. Определены энергии E 0,60 эв для упорядоченного состояния ($200\text{—}500^\circ$), 0,20 эв — для неупорядоченного ($130\text{—}500^\circ$) и 1,2—1,4 эв — выше т-ры перехода. Скорость перехода у II больше, чем у I. Отмечено изменение термич. свойств I в ферромагнитной точке Кюри ($\sim 635^\circ$). А. Золотаревский

70037. Некоторые новые соединения в системе окисл. цезия — окисл. бора. Крог-Му (Some new compounds in the system cesium oxide-boron oxide. Krogh-Moe J.), Arkiv kemi, 1958, 12, № 3, 247—249 (англ.)

Термографически и рентгенографически изучена система $\text{Cs}_2\text{O—B}_2\text{O}_3$ (7—26 мол.% Cs_2O). Найдены фазы: $\text{Cs}_2\text{O} \cdot 9\text{B}_2\text{O}_3$ (I), $\text{Cs}_2\text{O} \cdot 5\text{B}_2\text{O}_3$ (II), $\text{Cs}_2\text{O} \cdot 4\text{B}_2\text{O}_3$ (III) и $\text{Cs}_2\text{O} \cdot 3\text{B}_2\text{O}_3$ (IV). I, II и IV изучены методами качения и Вейсценберга, III — порошка. Для I найдены: a 8,74; c 15,72 Å; q (эксп.) 2,47; q (выч.) 2,51; $Z = 2$; возможные ф. гр. P_4 , P_4 , $P_{4,22}$ и $P_{4,22}$. Для II: a 5,66; b 9,59; c 6,79 Å; β 111° ; q (эксп.) 3,0; q (выч.) 3,04; $Z = 1$; ф. гр. P_2 или $P_{2,1}$. В случае III найдены псевдокуб. ячейка с a 5,74 Å. Для IV a 6,18; b 8,48; c 9,17 Å; q (выч.) 3,39; $Z = 2$. Приведены данные по плотности стекол в той же области системы.

Л. Ковал

70038. Система $\text{MgO—P}_2\text{O}_5$. Берак (Układ tlenek magnezu — pięciotlenek fosforu. Berak Józef), Roczn. chem., 1958, 32, № 1, 17—22 (польск.; рез. англ., русск.)

Построена фазовая диаграмма системы $\text{MgO—P}_2\text{O}_5$ в интервале 0—78 вес.% P_2O_5 по данным термич., микроструктурного и рентгенофазового анализов. Обнаружено 3 конгруэнтно плавящихся соединения: $3\text{MgO} \cdot \text{P}_2\text{O}_5$, $2\text{MgO} \cdot \text{P}_2\text{O}_5$ и $\text{MgO} \cdot \text{P}_2\text{O}_5$ — при соответственно 1357, 1382 и 1165° $3\text{MgO} \cdot \text{P}_2\text{O}_5$ дает твердые р-ры с P_2O_5 небольших конц-ий, при этом т-ра его полиморфного превращения снижается от 1055 до 940° . Е. Банашек

70039. Система $\text{MgO—SiO}_2\text{—TiO}_2$. I. Проверка данных по бинарным системам. Массачца, Сиркья (II sistema $\text{MgO—SiO}_2\text{—TiO}_2$. Nota I. Revisione dei sistemi binari. Massazza Franco, Sirchia Efisia), Chimica e industria, 1958, 40, № 5, 376—380 (итал.; рез. англ., нем., франц.)

С целью проверки прежних данных исследованы бинарные системы MgO—SiO_2 , MgO—TiO_2 и $\text{SiO}_2\text{—TiO}_2$. Подтверждены результаты, полученные для системы MgO—SiO_2 прежними исследователями. Для систем MgO—TiO_2 и $\text{SiO}_2\text{—TiO}_2$ введены коррективы. В частности, найдено, что $\text{MgO} \cdot \text{TiO}_2$ и $2\text{MgO} \cdot \text{TiO}_2$ плавятся incongruently. В системе MgO—TiO_2 эвтектика находится при 12 вес.% TiO_2 . Резюме авторов

70040. Исследование равновесия в реакциях восстановления ZrO_2 и V_2O_5 углеродом при высоких температурах. Желанкин В. И., Куцев В. С., Ормонт Б. Ф., Ж. неорганич. химии, 1958, 3, № 5, 1237—1240

Для определения зависимости состава оксикарбидов циркония и ванадия от т-ры изучены моновариантные равновесия в системах: ZrC_xO_y (I) — C—CO и VC_xO_y (II) — C—CO , при постоянном давлении окиси углерода 760 мм рт. ст., в интервале т-р $1900\text{—}2530^\circ$. Исходными материалами служили смеси $\text{ZrO}_2 : \text{C}$ (1:3) и $\text{V}_2\text{O}_5 : \text{C}$ (1:5); процесс проводился в вакуумной печи

графитовым нагревателем, т-ра измерялась оптич. спектрометром; проверка равновесного давления СО осуществлялась динамич. методом, равновесие устанавливалось через 8—6 час. при 1900—2100° и в течение 30—30 мин. при 2450—2530°. Продукты р-ции подвергались рентгенографич. и хим. анализам, для выяснения однофазности полученных карбидов и определения периода решетки и состава карбидной фазы. Данные представлены в виде таблиц и графиков. Получено: для ZrC_xO_y при повышении т-р от 1930 до 2530° содержание связанного С увеличивается от 7,5 до 8,9% ($0,64 \leq x \leq 0,72$), кол-во связанного О уменьшается ($0,00 \leq y \leq 0,06$), бескислородный $ZrC_{0,72}$ образуется при 2300°, период решетки возрастает от 4,682 до 4,690 кХ. Для VC_xO_y подъем т-ры от 1900 до 2300° повышает содержание С от 16,7 до 17,6% ($0,94 \leq x \leq 0,97$), бескислородный карбид ванадия образуется при 2250°, период решетки остается постоянным (4,157—4,158 кХ).

И. Соколова
70041. Дифференциально-термический метод для определения реакционной способности окиси кальция. Уэбб, Валт (Differential thermal method for determining reactivity of calcium oxide. Webb T. L., Walt T. van der), Nature, 1958, 181, № 4606, 411—412 (англ.)

Р-ции $CaO + MgCO_3 \rightarrow CaCO_3 + MgO$ (I) и $CaO + Mg(OH)_2 \rightarrow Ca(OH)_2 + MgO$ (II) использованы для определения реакционной способности окиси кальция, полученной различными методами и при различных т-рах. Записаны дифференциальные термограммы 10 мольных смесей магнезита и гидроксиды магнезита CaO , полученного прокаливанием $Ca(OH)_2$ при 500, 800, 1100 и 1400° и $CaCO_3$ при 900°. Построены кривые, отражающие зависимость соотношений тепловых эффектов прямой и обратной р-ций I и II, а также величины площади поверхности (M^2/g) и скорости гидратации CaO (град./мин.) от т-ры и метода приготовления образца окиси кальция. Заключение о реакционной способности CaO , сделанные на основании измерения скорости гидратации, площади поверхности и кинетич. эффектов на дифференциальных термограммах, противоречивы.

И. Соколова
70042. Система диопсид-анортит-акерманит. Вейс, Фостер (The system diopside-anorthite-akermanite. Wuy E. Christiaan de, Foster Wilfrid R.), Mineral Mag., 1958, 31, № 240, 736—743 (англ.)

Изучена диаграмма состояния системы $CaMgSi_2O_6$ (I) — $CaAl_2Si_2O_6$ (II) — $Ca_2MgSi_2O_7$ (III). Однородные смеси различного состава приготавливались из $CaCO_3$, MgO , Al_2O_3 и SiO_2 высокой чистоты. Гомогенизация осуществлялась 3-кратным плавлением, сопровождающимся закалкой в воду и размельчением получающихся стекол. Смеси плавилась в графитовых тиглях в вакуационной печи. Состав определялся с помощью треугольной диаграммы с нанесенными на ней изолиниями коэф. преломления. Полученные данные представлены в таблице и на треугольной диаграмме. Система является простой эвтектической с тремя полями первичной кристаллизации компонентов. Эвтектика имеет составу 9 вес.% I, 44% II, 47% III при 1226°. При т-ре эвтектики III является устойчивой фазой. Крист. структура является единственной формой II, обнаруженной в области т-р ликвидуса.

А. Золотаревский
70043. Термический анализ фосфатов Керченских железорудных месторождений. Ягловдик В. В., Инв. Днепропетр. горн. ин-та, 1957, 34, 67—80

Получены дифференциальные кривые нагревания виванита, виванита, керченита, анапанта, митригита, фушерита, борикита и карбоната. Установлено, что каждый из фосфатов характеризуется своей специфич. термограммой.

Д. Агеева

70044. Электрические и рентгенографические исследования систем $BaTiO_3$ — $BaZrO_3$. Вербицкая Т. Н., Жданов Г. С., Веневцев Ю. Н., Соловьев С. П., Кристаллография, 1958, 3, № 2, 186—196

Описана методика рентгенографич. определения симметрии и параметров сегнетоэлектриков типа $BaTiO_3$ (I), в решетках которых наблюдаются небольшие искажения тетрагон., монокл. или ромбоэдрич. характера. В системе I — $BaZrO_3$ (II) в области составов 0—30 мол.% II (твердые р-ры со структурой типа перовскита) исследовано изменение периодов решетки и объема элементарной ячейки тетрагон., псевдомонокл., ромбоэдрич. и куб. модификаций твердых р-ров в зависимости от конц-ии II и установлены области существования этих модификаций при комнатной т-ре. Измерена температурная зависимость диэлектрич. проницаемости разных образцов системы I—II в слабом (1—5 в/мм) и повышенном (30—60 в/мм) электрич. полях. Диаграмма фазового состояния системы I—II подобна диаграмме системы I — $BaSnO_3$ (РЖХим, 1954, 47825).

А. Золотаревский

70045. Реакции пентоксидов металлов V группы. VIII. Термические денситометрические и рентгеновские исследования систем $KNbO_3$ — $NaNbO_3$ и $KTaO_3$ — $KNbO_3$. Рейсман, Банкс (Reactions of the group VB pentoxides. VIII. Thermal, density and X-ray studies of the systems $KNbO_3$ - $NaNbO_3$ and $KTaO_3$ - $KNbO_3$. Reisman Arnold, Banks E.), J. Amer. Chem. Soc., 1958, 80, № 8, 1877—1882 (англ.)

Исследована диаграмма состояния системы $KNbO_3$ — $NaNbO_3$ методом дифференциального термич. анализа (ДТА), рентгенографическим и методом измерения плотности. Диаграмма состояния при т-рах ниже солидуса имеет несколько областей с неограниченной растворимостью компонентов. Предположенный ранее разрыв растворимости в твердом состоянии (РЖХим, 1955, 48474) отсутствует. Несмотря на весьма низкие скорости диффузии, в большинстве случаев были отмечены четко выраженные фазовые переходы. Это свидетельствует, что верхняя и нижняя границы фазового перехода для каждой области предельно близки друг к другу. В δ -фазе антиферроэлектрич. характеристики р-ра постепенно меняются при переходе от 100 к 75 мол.% $NaNbO_3$. При последней конц-ии, видимому, пересекаются энергетич. кривые ферро- и антиферроэлектрич. фаз, вследствие чего материал становится ферроэлектрическим; при дальнейшем изменении конц-ии ферроэлектрич. свойства усиливаются. Предложена теория «изоморфизма взаимодействия», который в противоположность кристаллографич. изоморфизму должен быть нечувствительным к небольшим смещениям тяжелых атомов и зависеть лишь от октаэдрич. расположенных атомов кислорода. Отмеченные особенности свойств твердых р-ров согласуются с этой теорией. Уточнены данные по объему элементарной ячейки исследованных сплавов. Определена также плотность сплавов систем $NaNbO_3$ — $KNbO_3$ и $KNbO_3$ — $KTaO_3$. В 1-й системе плотность минимальна при ~35 мол.% $KNbO_3$; во 2-й она меняется линейно в зависимости от состава. Для 2-й системы методом ДТА исследованы фазовые переходы лишь в области от 100 до ~70 мол.% $KNbO_3$, так как при дальнейшем изменении состава фазовые превращения идут как переходы 2-го рода. Сообщение VII см. РЖХим, 1958, 66801.

Д. Белащенко

70046. Система фторборат аммония-аммиак. Сильвестрони, Середжи (Sul sistema fluoroborato di ammonioammoniac. Silvestroni Paolo, Serreggi Jak.), Ricerca scient., 1958, 28, № 2, 385—388 (итал.)

Изучено взаимодействие NH_4BF_4 с NH_3 . Применявшаяся аппаратура описана ранее (РЖХим, 1957, 26104). Измерялись давления NH_3 при т-рах от -70 до 0° при мол. отношениях $\text{NH}_3:\text{NH}_4\text{BF}_4$ от 0,45 до 3,67. Результаты указывают на отсутствие соединений в системе.

Д. Агеева

70047. Термический и рентгенофазовый анализ системы $\text{CsF} - \text{BeF}_2$ и ее взаимоотношения с системами типа $\text{MeF} - \text{BeF}_2$. Бреусов О. Н., Новоселова А. В., Симанов Ю. П., Докл. АН СССР, 1958, 118, № 5, 935—937

Дифференциально-термическим методом получена диаграмма плавкости системы $\text{CsF} (\text{A}) - \text{BeF}_2 (\text{B})$; т. пл. A 688° , т. пл. кварцеподобного B , по рентгеновским данным, $> 580^\circ$. Индивидуальность четырех образующихся в системе фторбериллатов цезия: $\text{Cs}_2\text{BeF}_6 (3\text{A} \cdot \text{B})$, $\text{Cs}_2\text{BeF}_4 (2\text{A} \cdot \text{B})$, $\text{CsBeF}_3 (\text{A} \cdot \text{B})$, $\text{CsBe}_2\text{F}_7 (\text{A} \cdot 2\text{B})$, подтверждена рентгенофазовым анализом, проведенным для 16 составов системы. Все соединения легко получают сплавлением смесей компонентов, взятых в стехиометрич. отношениях; $3\text{A} \cdot \text{B}$ и $2\text{A} \cdot \text{B}$ выделяются также из водн. р-ров. $3\text{A} \cdot \text{B}$ образует эвтектику с A при 598° и 14 мол. % B , плавится инконгруэнтно при 659° , имеет полиморфное превращение (ПП) при 617° . $2\text{A} \cdot \text{B}$ претерпевает ПП при 404° , плавится конгруэнтно при 793° , имеет ромбич. решетку; осевые параметры ячейки: a 10,79, b 6,21, c 7,99 Å, циклометрич. плотность d_{20} 4,23 d (рент.) 4,35; рентгенограммы качания монокристалла показали примитивность ячейки. $\text{A} \cdot \text{B}$ плавится конгруэнтно при 360° — 140°

475° , имеются два ПП: $\alpha \neq \beta \neq \gamma$; решетка ромбическая, a 7,18, b 4,44, c 11,94 Å, d_{20} 3,43, d (рент.) 3,46; эвтектике $2\text{A} \cdot \text{B} + \text{A} \cdot \text{B}$ отвечает 449° и 48 мол. % B . $\text{A} \cdot 2\text{B}$ имеет ПП при 450° , плавится конгруэнтно при 480° , образует эвтектики с $\text{A} \cdot \text{B}$ (393° и 58,4 мол. % B) и с B (367° и 77,5 мол. % B). Построенная кривая зависимости т-р разрушения кристаллич. решеток (плавление, распад в твердом состоянии) фторбериллатов от радиусов катионов показывают, что наиболее устойчивы соединения типа M_2BeF_4 ($\text{M} - \text{Li}, \text{Na}, \text{K}, \text{Rb}, \text{Cs}$); устойчивость повышается от Li к Rb и немного уменьшается от Rb к Cs . Т-ра разложения соединений типа MBe_2F_7 от Li к K почти не меняется.

И. Соколова

70048. Фазовые диаграммы двойных солевых систем $3. \text{RbCl} - \text{MnCl}_2$ и $\text{CsCl} - \text{MnCl}_2$. 4. $\text{RbCl} - \text{SnCl}_2$ и $\text{CsCl} - \text{SnCl}_2$. Марков Б. Ф., Чернов Р. В., Укр. хим. ж., 1958, 24, № 2, 139—142; 143—145

3. Визуально-политермическим методом изучены диаграммы плавкости систем $\text{RbCl} - \text{MnCl}_2$ и $\text{CsCl} - \text{MnCl}_2$. В 1-й образуются конгруэнтно плавящиеся соединения $\text{RbCl} \cdot \text{MnCl}_2$ (т. пл. 552°) и инконгруэнтно плавящиеся $3\text{RbCl} \cdot 2\text{MnCl}_2$ (т. разл. 475°) и $2\text{RbCl} \cdot \text{MnCl}_2$ (т. разл. 462°). В системе $\text{CsCl} - \text{MnCl}_2$ образуются конгруэнтно плавящиеся соединения $\text{CsCl} \cdot \text{MnCl}_2$ (т. пл. 593°), $2\text{CsCl} \cdot \text{MnCl}_2$ (т. пл. 538°), $3\text{CsCl} \cdot \text{MnCl}_2$ (т. пл. 511°) и инконгруэнтно плавящиеся $\text{CsCl} \cdot 4\text{MnCl}_2$ (т. разл. 537°). При замене KCl на RbCl и RbCl на CsCl прочность образующихся соединений увеличивается.

4. Визуально-политермич. методом изучены диаграммы плавкости систем $\text{RbCl} - \text{SnCl}_2$ и $\text{CsCl} - \text{SnCl}_2$. В 1-й образуются конгруэнтно плавящиеся соединения $\text{RbCl} \cdot 2\text{SnCl}_2$ (т. пл. 231°), $\text{RbCl} \cdot \text{SnCl}_2$ (т. пл. 228°) и инконгруэнтно плавящиеся $2\text{RbCl} \cdot \text{SnCl}_2$ (т. разл. 262°). В системе $\text{CsCl} - \text{SnCl}_2$ образуются конгруэнтно плавящиеся соединения $\text{CsCl} \cdot \text{SnCl}_2$ (т. пл. 370°) и инконгруэнтно плавящиеся $\text{CsCl} \cdot 2\text{SnCl}_2$ (т. разл. 224°). Прочность образующихся соединений при замене RbCl на CsCl повышается. Сообщение 2 см. РЖХим, 1957, 22325.

Д. Топтыгин

70049. Диаграммы состав — свойство криотермического угла систем $\text{Na}_3\text{AlF}_6 - \text{Al}_2\text{O}_3 - \text{MgF}_2$ и $\text{Na}_3\text{AlF}_6 - \text{AlF}_3 - \text{MgF}_2$. Вацлавик Э., Беляев А. И., Ж. неорганич. химии, 1958, 3, № 4, 1044—1047

В системе $\text{Na}_3\text{AlF}_6 (\text{I}) - \text{Al}_2\text{O}_3 (\text{II}) - \text{MgF}_2 (\text{III})$ визуально-политермич. методом определены т-ры начала кристаллизации $t_{\text{кр}}$ в зависимости от состава и построена диаграмма плавкости угла I . В системе имеются 3 поля первичной кристаллизации. Тройная эвтектич. точка отвечает составу 80 вес. % I , 4,5 II , 15,5 III и 909° . В системе $\text{I} - \text{AlF}_3 (\text{IV}) - \text{III}$ $t_{\text{кр}}$ понижается в направлении тройной перитектич. точки, лежащей за пределами исследованных составов. Для обеих систем измерены плотности (d) при 100° , уд. электропроводность (κ) при 1070° , краевые углы смачивания (ϕ) при 1020° . Построены треугольные диаграммы с нанесением изолиний этих свойств. Определены потери Al в г на 100 г р-ра за 1 час при $1010 - 1020^\circ$ для расплавов угла I в обеих системах. III повышает величины d и ϕ , но снижает $t_{\text{кр}}$ и потери (растворимость) Al .

70050. О некоторых физико-химических свойствах селена бария. Селиванова Н. М., Шнейдер В. А., Научн. докл. высш. школы. Химия и техн. технол., 1958, № 2, 216—220

Полиграфическим методом определена растворимость $\text{BaSeO}_4 (\text{I})$, в воде при $15 - 95^\circ$ и термографически изучено поведение кристаллич. I в интервале $100 - 1380^\circ$ с записью кривых нагревания и охлаждения на пирометре Курнакова. Растворимость I выше, чем у $\text{BaSO}_4 (\text{II})$. Хим. анализ и рентгенографич. исследование донной фазы, образующейся при перешивании I в воде, показали, что состав и кристаллич. строение I при $15 - 100^\circ$ не претерпевают изменений. В отличие от II , у I при нагревании не происходит полиморфного энантиотропного превращения. Термич. разложение I начинается при $\sim 850^\circ$, осуществляется в твердом состоянии и идет с поглощением тепла. Плавлению подвергается не I , а образующийся на нем селенит, т. пл. 1285° . Термич. разложение I протекает по ур-ниям $\text{BaSeO}_4 \rightarrow \text{BaSeO}_3 + \frac{1}{2}\text{O}_2$ и $\text{BaSeO}_3 \rightarrow \text{BaO} + \text{SeO}_2$.

А. Золотаревский

70051. Определение растворимости труднорастворимых соединений с помощью неизотопных радиоактивных индикаторов. Михеев Н. Б., Атомная энергия, 1958, 4, № 4, 354—358

Рассмотрен случай, когда для насыщения р-ра используется соединение, содержащее радиоактивный индикатор, истинно изоморфный с данным соединением. Для частичного растворения твердой фазы влучено ур-ние $a = knb[D(n-1) + 1]$, где a и b — содержание микро- и макроэлемента в р-ре, k — коэффициент пропорциональности, n — 1, D — коэф. кристаллизации дан анализ этого ур-ния. Для проверки найденных соотношений определена растворимость K_2PtCl_6 по Cl^- и BaSO_4 по Sr^{90} . Разработан метод определения растворимости труднорастворимых соединений с помощью неизотопных, но истинно изоморфных с данным соединением радиоактивных индикаторов. Исследования влияния степени достижения состояния равновесия между всем осадком и р-ром на характер кривой, используемой для расчета растворимости. Предложен метод определения растворимости труднорастворимых соединений в р-рах, содержащих одноименные ионы.

А. Золотаревский

70052. Растворимость галогенидов серебра в сульфитных растворах. Клейн (Die Löslichkeit der Silberhalogenide in Sulfidlösungen. Klein E., Elektrochem., 1956, 60, № 9-10, 1003—1007 (нем.)) Дается ур-ние для комплексобразования труднорастворимых солей Ag в сульфитных р-рах. Ур-

исследует температурную зависимость растворимости и включает величины: константу комплексообразования, произведение растворимости и теплоты растворения в воде и комплексообразования. Температурная зависимость приведения растворимости AgI , AgBr , AgCNS и AgCl установлена экспериментально. Измерения температурной зависимости констант комплексообразования тех же солей дают полностью совпадающие результаты, тем самым ур-ние дает возможность рассчитывать растворимость галогенидов Ag в сульфитных р-рах. Обсуждается влияние, которое оказывает рН среды на комплексообразование галогенидов Ag с галоген-ионами.

Резюме автора
70053. Определение растворимости карбоната лития в воде и растворах сульфата калия. Егер (Stanovení rozpustnosti uhličitanu lithného ve vodě a v roztocích draselného. Jäger Lubomír), Chem. průmysl, 1958, 8, № 3, 136—138 (чешск.; рез. русск., англ.).

Измерена растворимость S (моль/л) Li_2CO_3 (I) в воде и в р-рах K_2SO_4 (II) при 25—100°. Эксперим. данные выражены ур-нием $S = A_1 + A_2m_2 + A_3m_2^2 + \dots$, где $A_1 = S(m_2=0) = S_0$, m_2 — молярная конц-ия II. Значения S_0 и констант A_2 и A_3 равны соответственно: при 25° 0,160, 0,23, 0,146, при 50° 0,128, 0,184, 0,0815, при 75° 0,102, 0,168, 0,068, при 100° 0,0788, 0,142, 0,050. II повышает растворимость I на 40—80%. Вычислены теплоты растворения Q I. Полученные данные удовлетворяют ур-нию $Q = -3570 \pm 17,00 T$, где T — в °K.

А. Золотаревский
70054. О растворимости вольфрамовой и молибденовой кислот в соляной кислоте. Никитина И. С., Веллер Р. Л., Сб. научн. тр. Гос. н.-и. ин-т цветн. мет., 1957, № 13, 129—133

При 20, 50 и 70° исследована растворимость (Р) H_2WO_4 (I) и H_2MoO_4 (II) и их смеси в х. ч. HCl конц-ий 40, 270, 130, 80 и 40 г/л. На Р II сильно влияет изменение конц-ии HCl ; с повышением т-ры Р увеличивается незначительно. Общий характер изменения Р I в воде, р-рах HCl аналогичен II, однако абс. величина Р I значительно ниже, чем Р II (506,3 г/л II и 18,9 г/л I для 70° при конц-ии HCl 400 г/л). Характерным для I является температурный максимум Р (25,9 г/л при 50° при конц-ии HCl 400 г/л). При совместном растворении I и II Р II увеличивается. Абс. величина Р I в конц. HCl ниже, а в разб. р-рах HCl во много раз выше, чем при селективном ее растворении.

Ю. Счесленок
70055. О щелочноземельных арсенитах. Изучение систем $(\text{Ba}, \text{Sr}, \text{Ca})\text{O} - \text{As}_2\text{O}_3 - \text{H}_2\text{O}$. Массон, Герен (Sur les arsenites alcalino-terreux. Étude des systèmes $(\text{Ba}, \text{Sr}, \text{Ca})\text{O} - \text{As}_2\text{O}_3 - \text{H}_2\text{O}$. Masson Jeannine, Guérin Henri), Bull. Soc. chim. France, 1958, № 3, 400—403 (франц.).

При изучении диаграмм равновесий установлено существование следующих щел.-зем. арсенидов: $2\text{BaO} \cdot 3\text{As}_2\text{O}_3$; $\text{BaO} \cdot \text{As}_2\text{O}_3 \cdot 2\text{H}_2\text{O}$; $3\text{BaO} \cdot 2\text{As}_2\text{O}_3 \cdot \text{H}_2\text{O}$ или $2\text{BaO} \cdot 2\text{BaO} \cdot \text{As}_2\text{O}_3 \cdot 9\text{H}_2\text{O}$ при 20°, $1\text{H}_2\text{O}$ при 60°, 0 при 100°; $\text{SrO} \cdot \text{As}_2\text{O}_3$ и $2\text{rO} \cdot \text{As}_2\text{O}_3 \cdot \text{H}_2\text{O}$; $\text{CaO} \cdot \text{As}_2\text{O}_3$ и $2\text{CaO} \cdot \text{As}_2\text{O}_3 \cdot 2\text{H}_2\text{O}$. $3\text{BaO} \cdot 2\text{As}_2\text{O}_3 \cdot n\text{H}_2\text{O}$ ранее был неизвестен. Подвергается сомнению существование других мышьяковокислых щел.-зем. соединений, указываемых в литературе. Выявлена значительная аналогия между системами $\text{CaO} - \text{As}_2\text{O}_3 - \text{H}_2\text{O}$ и $\text{SrO} - \text{As}_2\text{O}_3 - \text{H}_2\text{O}$. Система $\text{BaO} - \text{As}_2\text{O}_3 - \text{H}_2\text{O}$ существенно от них отличается.

Т. Шашкина
70056. Системы азотная кислота — щелочные нитраты. I. Система $\text{HNO}_3 - \text{KNO}_3$. Сообщение III. Плотность, молярные объемы, проводимость. Потье, Потье (Les systèmes acide nitrique — nitrates alcalins. I. Système $\text{HNO}_3 - \text{KNO}_3$. (3e mém.): Densités, volumes molaires et conductibilités. Potier An-

toine, Potier Jacqueline), Bull. Soc. chim. France, 1958, № 4, 439—441 (франц.).

Исследованы плотность и уд. проводимость при 25° р-ров системы $\text{HNO}_3 - \text{KNO}_3$. Форма кривой изменения мол. объемов в зависимости от конц-ии позволяет сделать вывод о существовании определенного соединения $(\text{HNO}_3)_2 \cdot \text{KNO}_3$. Данные авторов находятся в согласии с результатами работы по изучению плавкости и измерению упругости пара в системе $\text{HNO}_3 - \text{KNO}_3$ (Chédon, Vandoni C. r. Acad. sci., 1948, 227, 1232), позволившими сделать вывод, что основная р-ция протекает по ур-нию $\text{KNO}_3 + 2\text{HNO}_3 \rightarrow \text{K}^+ + (\text{HNO}_3) \cdot \text{NO}_3^-$. Авторы предлагают рассматривать эту р-цию как хим. сольватацию. Сообщение II см. РЖХим, 1957, 3710.

Н. Домбровская
70057. Диаграммы растворимости нитратов уранила и тория с высаливателями. Курнакова А. Г., Николаев А. В., Ж. неорган. химии, 1958, 3, № 4, 1028—1036

Изучены растворимость и уд. веса в четверных системах $\text{B} - \text{UO}_2(\text{NO}_3)_2$ (I) — 1,5 н. HNO_3 (II) — H_2O (III), где $\text{B} - \text{NH}_4\text{NO}_3$ (IV), $\text{Ca}(\text{NO}_3)_2$, $\text{Mg}(\text{NO}_3)_2$, $\text{Zn}(\text{NO}_3)_2$ (V), $\text{Cu}(\text{NO}_3)_2$ (VI), системе VI — Th(NO_3)₄ (VII) — II — III при 25°, системе Fe(NO_3)₃ — VII — II — III и тройной системе Al(NO_3)₃ (VIII) — VII — III при 20°; изучены изоконцентраты по к-те. Установлен факт взаимного высаливания в водн. фазе высаливателя и солей U и Th. Это имеет место и в органич. р-рителях, напр., сильное взаимное высаливание VII и VIII из изоамилового спирта. Вследствие образования двойной соли увеличивается растворимость I от прибавления IV. В системе VII — VI — II — III происходит обезвоживание гексагидрата VII до тетрагидрата при больших конц-иях VII. Обнаружено наличие минимума на кривой плотности р-ров, насыщенных I при прибавлении к ним различных высаливателей, особенно ярко выраженного в системах с V и VI. Приведены диаграммы растворимости и уд. веса в исследованных системах. Рассмотренные системы разбиты на характерные типы. **А. Золотаревский**
70058. Изоконцентрата системы $\text{UO}_2(\text{NO}_3)_2 - \text{NH}_4\text{NO}_3 - \text{HNO}_3 - (\text{C}_2\text{H}_5)_2\text{O} - \text{H}_2\text{O}$. Николаев А. В., Курнакова А. Г., Ж. неорган. химии, 1958, 3, № 4, 1037—1043

Изучена экстракция в пятерной системе при наличии двух р-рителей ($(\text{C}_2\text{H}_5)_2\text{O}$ и H_2O), экстрагируемого в-ва ($\text{UO}_2(\text{NO}_3)_2$), к-ты (HNO_3) (I) и высаливателя (NH_4NO_3) (II). Механизм действия высаливателя сводится к обезвоживанию и подавлению диссоциации экстрагируемого в-ва. Описан новый метод изображения четверной и пятерной системы с расслоением, по которому в обычных прямоугольных координатах изображается водн. часть системы, а эфирная представляется путем нанесения равновесных значений констант распределения (K_p) для всего поля водн. р-ров. По виду поверхности свойства K_p судят о конц-ии эфирной фазы для всей области диаграммы. Построена изоконцентрата 1,5 н. по I исследуемой системы. I снижает растворимость солей. II не изменяет K_p , но несколько увеличивает конц-ию эфирной фазы. I вместе с II увеличивает полноту экстракции, особенно в отношении малых кол-в урана.

А. Золотаревский
70059. О некоторых закономерностях изменения растворимости хлоридов щелочных металлов в спиртах. Плющев В. Е., Шахно И. В., Комиссарова Л. Н., Надеждина Г. В., Научн. докл. высш. школы. Химия и технол., 1958, № 2, 279—282

Исследована растворимость LiCl , NaCl , KCl , RbCl и CsCl в CH_3OH (I), $\text{C}_2\text{H}_5\text{OH}$ (II), $n\text{-C}_3\text{H}_7\text{OH}$, $\text{изо-C}_3\text{H}_7\text{OH}$, $n\text{-C}_4\text{H}_9\text{OH}$, $\text{изо-C}_4\text{H}_9\text{OH}$ и $\text{изо-C}_5\text{H}_{11}\text{OH}$ при 0°—70°. Описана методика работы. Твердыми фазами, находивши-

мися в равновесии с насыщ. р-рами, были исходные хлориды. Исключением оказались образующиеся при растворении LiCl в I и II при 0° сольваты LiCl · 3CH₃OH и LiCl · 4C₂H₅OH. Растворимость хлоридов щел. металлов в спиртах плавно (за исключением LiCl) увеличивается с повышением т-ры и уменьшается с повышением мол. веса спиртов (растворимость в нормальных спиртах ниже, чем в изоспиртах). LiCl отличается своей относительно высокой растворимостью во всех спиртах. При переходе от LiCl к KCl растворимость уменьшается в 100—10 000 раз (в зависимости от р-рителя), а затем возрастает в десятки раз при переходе к RbCl и далее к CsCl. А. Золотаревский

70060. Растворимость воды и NaCl в бензоле. Уmano, Хаяно (Umano Syuji, Hayano Ichiro), Kōrō какаку даэсси, J. Chem. Soc. Japan. Industr. Chem. Sec., 1957, 60, № 11, 1436—1437 (японск.)

70061. Ассоциативное строение твердого циклогексана в тройной точке. Бруни (La composizione coesilica del cicloesano solido al punto triplo. Bruni Giordano), Idrocarburi, 1958, 7, № 3, 37—39 (итал.)

70062. Строение смешанных кристаллов системы акридин-антрацен. Мясникова Р. М., Китайгородский А. И., Кристаллография, 1958, 3, № 2, 160—166.

Определены т-ры плавления кристаллич. зародышей и предельные т-ры выраживания на 0,1—0,3° ниже т-ры плавления монокристаллов из расплавов акридин (I) — антрацен (II) во всей области конц-ий, которые дали точки кривой ликвидуса. Все выращенные монокристаллы были подвергнуты рентгеновскому изучению. В системе нет непрерывного ряда твердых р-ров; диаграмма состояния относится к типу V по Розебому с эвтектич. точкой при $7 \pm 0,5$ вес. % II и $107 \pm 0,2$. Протяженность р-ров на основе I 0—4% II и на основе II 28—100% II. Для выяснения причины разрыва растворимости определены прецизионно параметры ячеек кристаллов с различным содержанием II и проведен геометрич. анализ акридиновой и антраценовой структур. Рассмотрено влияние симметрии кристаллов органич. в-в на образование ими твердых р-ров. А. Золотаревский

70063. Равновесие конденсированных фаз в системе нафталин — тионафен. Кравченко В. М., Пастухова И. С., Докл. АН СССР, 1958, 119, № 2, 285—287

Методом термич. анализа и dilatометрически исследовано равновесие в системе нафталин (I) — тионафен (II). I с II дает ограниченные твердые р-ры с эвтектикой при 5,8 мол. % I, т. пл. 29,9°. Для объяснения полученной диаграммы состояния рассмотрено строение молекул компонентов. А. Золотаревский

70064. Кристаллизация аценафтена с одно-, двух- и трехкольчатыми углеводородами. Кравченко В. М., Пастухова И. С., Ж. физ. химии, 1957, 31, № 8, 1802—1811 (рез. англ.)

Методом термич. анализа изучено 9 систем аценафтена (I) с 1,2-диметилбензолом, 1,2,4,5-тетраметилбензолом, нафталином, 2-метилнафталином, 2,6-диметилнафталином, 2,7-диметилнафталином, фенантроном, флуореном и антраценом. Для всех систем найден эвтектич. тип фазовых диаграмм. По результатам термич. анализа рассчитано приближенное значение теплоты плавления I, равное ~ 4425 ккал/моль. Рассмотрена связь типа фазовых диаграмм со структурой составляющих их в-в. По предложенному ранее методу (Кравченко В. М., Ж. физ. химии, 1950, 24, 1033) сопоставлены формы и размеры площадей сечения моделей молекул. Разрез моделей молекул I существенно отличается от всех других разрезов. Найденный эвтектич. тип 9 систем с I объясняется этим различием. При рассмотрении 50 фазовых диаграмм двойных си-

стем с участием I найдено 15 диаграмм с хим. соединениями I, остальные 35 отнесены к эвтектич. типу. Приведены некоторые соображения относительно типов неисследованных систем с I. Образование твердых р-ров для I маловероятно. Ю. Счесленюк

70065. Кристаллизация дифениленсульфида в системах с одно-, двух- и трехкольчатыми соединениями. Кравченко В. М., Пастухова И. С., Укр. хим. ж., 1958, 24, № 2, 168—176

Термическим анализом, дополненным визуальными наблюдениями, исследованы фазовые диаграммы двойных систем из дифениленсульфида (I) с дуролом (II), дифенилом (III), нафталином (IV), 2,7-диметилнафталином (V), тионафеном (VI), фенантроном (VII), антраценом (VIII), дифениленоксидом (IX) и карбазолом (X). Системы I—II, I—III, I—IV, I—V, I—VI, I—VII и I—VIII принадлежат к эвтектич. типу. I с IX образует перитектику, I с X дает непрерывные твердые р-ры. Состав эвтектики (в мол. % I) и т-ра ее кристаллизации в системах: I—II 39,1, 56,8°; I—III 38,5, 55,1°; I—IV 42,1, 52,8°; I—V 50,1, 62,7°; I—VI 47,4, 18,3°; I—VII 54,5, 74,6°; I—VIII 90,4, 93,7°. Рассчитано по уравнению Шредера теплота плавления I ~ 4800 кал/моль. Для объяснения полученных фазовых диаграмм рассмотрено строение молекул компонентов. А. Золотаревский

70066. Расслаивание в системе ацетон — n-гептан и его расчет из коэффициентов активности. Вольф Бернсторф (Die Mischungslücke im System Aceton — n-Heptan und ihre Berechnung aus Aktivitätskoeffizienten. Wolff H., Bernstorff K.), Z. phys. Chem. (BRD), 1958, 14, № 3-4, 208—229 (нем.)

Определены т-ры расслаивания (P) системы ацетон (I) — n-гептан (II) для различных составов. Найдем, что верхняя крит. точка этой системы расположена при $-27,60^\circ$ и $x_2 = 50,4$ мол. % (x_1, x_2 — соответственно мол. доли I и II). На базе литературных значений коэф. активности для I (f_1) и II (f_2) при 0° и 50° определено положение кривой P. Этапы расчета: 1) строятся прямые, выражающие зависимость $\lg a_1$ и $\lg a_2$ (a — активность) от т-ры для различных x_2 ; 2) для каждой x_2 подыскиваются такие значения x'_1 и x'_2 , чтобы при данной т-ре выполнялись условия $a_1 = a_2$ и $a_2 = a'_2$; 3) строятся кривые, выражающие зависимость x'_1 и x'_2 от т-ры; 4) на каждой паре таких кривых выбирается пара точек, отвечающая условию $x'_1 + x'_2 = 1$; 5) по полученным точкам определяем положение кривой P. Вычисленные значения удельно-теплоты совпадают с экспериментальными; расхождение составляет $\sim 3^\circ$ и, по мнению авторов, объясняется неточностями в исходных значениях f_1 и f_2 . Изложенный метод расчета может быть применен к другим системам. А. Шейнман

70067. К методу расчета свойств тройных систем по данным для двойных систем. Вязкость тройных невязанных систем из компонентов воды, метанола, этанола и глицерина при 0° С. Громаков С. Д., Бергер Л. М., Уч. зап. Казанск. ун-та, 1957, 115, № 9, 210—215

Рассчитаны значения вязкости тройных систем по опытным данным для двойных систем с применением интерполяционной ф-лы, предложенной ранее (РЖХИМ, 1958, 27884). Для систем ацетон (I) — метанол (II) — этанол (III), I—II—вода (IV), II—III—IV расхождение эксперим. и расчетных величин $\sim 3,5\%$. Для системы I—III—IV разница достигает 16%. А. Золотаревский

70068. Исследование трехфазных равновесий в системе бензол — этиловый спирт — вода. Морачевский А. Г., Белоусов В. П., Вестн. Ленинградского ун-та, 1958, № 4, 117—125 (рез. англ.)

Трехфазное равновесие жидкость — жидкость —

в системе бензол — этиловый спирт — вода исследовано при 35, 45, 55 и 64°. Состав равновесных фаз определялся с погрешностью $\pm 0,5\%$ в результате 2 операций: 1) определения содержания бензола в навеске смеси при помощи предложенного ранее (РЖХим 1955, 40308) варианта рефрактометрич. анализа; 2) определения положения точки, на которой лежит фигуративная точка, характеризующая общий состав анализируемой смеси при 20°. Положения бинодальных линий и составы равновесных жидких слоев определялись при 20, 40 и 60°. Т-ра кипения расслаивающихся растворов измерялась эбулиометром Свентославского в интервале давлений 192—738 мм рт. ст. Состав паров, находящихся в равновесии с жидкими фазами, определялся в описанной ранее (Сторонкин А. В., Суворов М. П., Вестн. Ленингр. ун-та, 1952, № 6) установленном методом струи инертного газа. Построены диаграммы, характеризующие составы всех трех равновесных фаз при 35, 45, 55 и 64°. На основании эксперим. данных определены составы тройных гетероazeотропов при разных т-рах. Данные авторов по составу гетероazeотропов сопоставлены на треугольнике мон-ни с результатами, полученными ранее Свентославским и Карпинским для интервала 65—172°. С. Бык

только на 5%, что свидетельствует о медленных р-циях атомов N с H_2 , CO, NH_3 . Константы скоростей этих р-ций $< 10^8$ см³/моль сек. Интенсивность свечения уменьшается только в случае NH_3 , причем обратная величина интенсивности прямо пропорциональна давлению NH_3 . Авторы заключают, что уменьшение интенсивности свечения при добавлении NH_3 является результатом взаимодействия молекулы NH_3 не с атомами N, а с возбужденной молекулой N_2 , образующейся из атомов. Это может быть неупругое соударение, при котором молекула N_2 претерпевает триплет-синглетный ($B^3\lg \rightarrow X^1\Sigma^+$), а NH_3 — синглет-триплетный переход. Р-ции атомов N с NO и NO_2 очень быстрые. Константа скорости р-ции $N + NO \rightarrow N_2 + O > 5 \cdot 10^{13}$ см³/моль сек.

А. Гагарина

70073. Испарение активных веществ из твердого осадка, образованного конденсацией продуктов разряда в азоте. Бройда, Пейрон (Evaporation of active species trapped in a solid condensed from «discharged» nitrogen. Broida Herbert P., Peyron Maurice), J. Chem. Phys., 1958, 28, № 4, 725—726 (англ.)

Продукты разряда на частоте 2450 Мгц в N_2 конденсировались на пирексовой поверхности (I), охлаждаемой до 20° К жидким N_2 . Объем, в котором происходит конденсация, соединяется трубкой длиной 40 см с объемом, одна из поверхностей (II) которого охлаждается до 1,2° К жидким He при давл. 0,5 мм рт. ст. Конденсат с поверхности I после выключения разряда перемораживается на поверхность II путем удаления жидкого N_2 теплым He. Производились измерения интенсивности свечения зеленых α -линий в спектре излучения конденсата (переход $2^D - 4^1S$ в атомарном N) (РЖХим, 1956, 67623). По мере нагревания поверхности I осадок на ней светится голубым светом, а на поверхности II появляется яркое α -свечение. Время жизни этого свечения < 1 сек. Зеленое свечение на поверхности II наблюдается, если перемораживание происходит через несколько секунд после осаждения конденсата на поверхность I. Если же перемораживание произошло через несколько минут, наблюдается только слабое голубое свечение. Во время процесса испарения с поверхности I активные в-ва, наблюдаемые по излучению α -линий, могут быть перенесены и конденсированы на холодной поверхности II.

В. Скурат

70074. Масс-спектрометрическое исследование реакций и свойств свободных радикалов и атомов. Беккей (Messenspektrometrische Untersuchung der Reaktionen und Eigenschaften freier Radikale und Atome. Becke y H. D.), *Angew. Chem.*, 1958, 70, № 11, 327—339 (нем.; рез. англ., франц.).

Обзор. Библ. 49 назв. Э. Б.
70075. Образование отрицательных ионов во вторичных процессах столкновения. Машлиц (Formation of negative ions in gases by secondary collision processes. Muschlitz E. E., Jr), J. Appl. Phys., 1957, 28, № 12, 1414-1418 (англ.)

Изучалось образование отрицательных ионов в ионном источнике масс-спектрометра. Ионизация производилась электронным пучком, пересекающим струю газа вблизи сопла, где давление могло быть большим (до 4 мм рт. ст.). Откачка обеспечивала вакуум в других областях ионного источника до 10^{-3} мм рт. ст., а в анализаторе — до 10^{-5} мм рт. ст. При повышенных давлениях в области ионизации могли происходить вторичные процессы столкновений ионов с молекулами. Исследования производились в H_2 , O_2 и H_2O . В H_2 обнаружены только ионы H^- , образующиеся, по-видимому, в первичном процессе $H_2 + e \rightarrow H^- + H$. В O_2 обнаружены ионы O^- и O_2^- , причем отношение токов ионов $O_2^- : O^-$ растет линейно с давлением. Однако

в системе бензол — этиловый спирт — вода исследовано при 35, 45, 55 и 64°. Состав равновесных фаз определялся с погрешностью $\pm 0,5\%$ в результате 2 операций: 1) определения содержания бензола в навеске смеси при помощи предложенного ранее (РЖХим 1955, 40308) варианта рефрактометрич. анализа; 2) определения положения точки, на которой лежит фигуративная точка, характеризующая общий состав анализируемой смеси при 20°. Положения бинальных точек и составы равновесных жидких слоев определялись при 20, 40 и 60°. Т-ра кипения расслаивающихся растворов измерялась эбулиометром Свентославского в интервале давлений 192—738 мм рт. ст. Состав паров, находящихся в равновесии с жидкими фазами, определялся в описанной ранее (Сторонкин А. В., Суворов М. П., Вестн. Ленингр. ун-та, 1952, № 6) установкой методом струи инертного газа. Построены диаграммы, характеризующие составы всех трех равновесных фаз при 35, 45, 55 и 64°. На основании эксперим. данных определены составы тройных гетероazeотропов при разных т-рах. Данные авторов по составу гетероazeотропов сопоставлены на треугольнике монш-и с результатами, полученными ранее Свентославским и Карпинским для интервала 65—172°. С. Бык

7069 К. Строение двойных сплавов. Изд. 2-е. Хансен (Constitution of binary alloys. 2nd ed. Hansen M. A. New York — Toronto — London, McGraw-Hill Book Co., Inc., 1958, XX, 1305 pp., ill., 32.50 doll.) (англ.)

70070 Д. О термодинамике растворов серы в жидком железе. Журавлев В. К. Автореф. дис. канд. техн. н., Моск. ин-т стали, М., 1958

(См. также: Фазовые переходы 69789, 69857, 69888, 70014, 69934, 69937—69940, 71478, 72800. Термохимия 69745, 69753, 69754, 69885, 70264, 70265. Термодинамика: кристаллов 69834, 69854, 69879, 69884, 69931, 69967; аморфных тел 71479; газов 69953 и р-ров 70189. Равновесия 70093, 70110, 70197, 70320, 70324, 70334—70336, 70338, 70340, 72812. Физ.-хим. анализ систем: металлич. 69686; неорганич. 69858, 70145, 70200, 70205, 70219, 70220, 70222, 70322, 70342, 71338, 71480; органич. 69781, 70764. Приборы и методы 70680, 70696—70703, 70705—70707.

КИНЕТИКА.

ГОРЕНИЕ, ВЗРЫВЫ, ТОПОХИМИЯ, КАТАЛИЗ

Редакторы *Х. С. Багдасарьян, А. С. Соколик,*
А. Б. Шехтер

7071. Скорость реакции как функция времени. Меллер, Брайт (The rate of reactions as a function of time. Meller Alexander, Bright John E.), J. Phys. Chem., 1958, 62, № 4, 495—497 (англ.)

Предложен метод определения порядка р-ции по зависимости конц-ии от времени, если начальная конц-ия исходных в-в или конечная конц-ия продуктов неизвестна.

Е. Никитин

Е. НИКИТИН

7072. Реакции атомов азота. II. H_2 , CO, NH_3 , NO и NO_2 . Кистяковский, Вольпи (Reactions of nitrogen atoms. II. H_2 , CO, NH_3 , NO, and NO_2 . Kistiakowsky G. B., Volpi G. G.), J. Chem. Phys., 1958, 28, № 4, 665—668 (англ.)

Изучались послесвечение активного азота и р-ции томов N с H₂, CO, NH₃, NO, NO₂. Метод исследования описан ранее (Часть I, РЖХим, 1958, 31743). Продукты анализировались спектрофотометрически. Спектр послесвечения активного азота не изменяется при добавлении H₂, SO, NH₃; конц-ия атомов N уменьшается

зависимость тока ионов O_2^- от энергии электронов иная, чем у O^- . Это значит, что O^- не участвуют в образовании O_2^- . Ионы O_2^- образуются, по-видимому, в процессе стабилизации возбужденного иона O_2^{*-} : $O_2 + O_2^{*-} \rightarrow O_2^- + O_2^*$. В H_2O обнаружены ионы H^- , O^- и OH^- , причем при изменении давления OH^- образуется в процессе перехода протона к H^- : $H^- + H_2O \rightarrow OH^- + H_2$. Сечение процесса $\sim 10^{-17} \text{ см}^2$. Ионы H^- и O^- являются первичными. Е. Л. Франкевич

70076. Необычные молекулы, наблюдаемые при высоких температурах, и их важное значение для химии. Маргрэйв (The chemical importance of unusual molecules observed at high temperatures. Margrave John L., Ann. N. Y. Acad. Sci., 1957, 67, № 9, 619—632 (англ.))

Обсуждаются хим. и физ. свойства и р-ции молекул типа Cl_2O , B_2O_2 , Cu_2Cl_2 , C_2 , C_3 , C_5 и др., существующих при высокой т-ре и конденсирующихся, полимеризующихся или диспропорционирующих при понижении т-ры. Р. Васильев

70077. Стабилизация свободных радикалов при низких температурах. Бройда (Stabilization of free radicals at low temperatures. Broida Herbert P., Ann. N. Y. Acad. Sci., 1957, 67, № 9, 530—544. Discuss. 544—545 (англ.))

Струя исследуемого газа (N_2 , O_2 , H_2 или H_2O) проходит зону безэлектродного Вг-разряда (2450 Мгц, 125 вт) и вымораживается на поверхности, охлажденной до 4,2° К. В разряде в N_2 образуются возбужденные атомы. Поэтому при вымораживании наблюдается интенсивное свечение, соответствующее переходам $^2D \rightarrow ^4S$ (5230 Å), запрещенным в обычных условиях. Снятие запрета, расщепление линий и сдвиг обусловлены влиянием кристаллич. поля твердого N_2 . При нагревании осадка до 25—35° К атомы рекомбинируют с образованием возбужденной молекулы N_2 . Наблюдающаяся при этом вспышка приписана переходу $\Sigma_g^+ - A^*\Sigma_u^+$ (система полос $v' = 0 \rightarrow v'' = 2, 3, \dots, 9$, 3986—6390 Å). Отсюда следует величина 9,632 эв для нижней границы теплоты диссоциации N_2 . Концентрация атомов N, оцененная по теплоте рекомбинации, составляет $\sim 0,2\%$. При разряде в O_2 образуется стеклообразный осадок, становящийся при $\sim 20^\circ \text{ К}$ мутным, по степени принимающим фиолетовую окраску. Анализ осадка показывает наличие O_3 (30% по весу). В области 4050—5800 Å при 4,2° К обнаружены 24 диффузные полосы поглощения. Концентрация атомов O оценена в 1%. В H_2 доказательств существования активных в-в не получено. В разряде в парах H_2O получают осадки двух типов, локализованные на разных участках поверхности. Один из них становится коричневым при $\sim 77^\circ \text{ К}$ и затем исчезает. Р. Васильев

70078. Метод прямого определения констант скорости взаимодействия радикалов в газовой фазе. I. Техника исследования. II. Константа скорости рекомбинации радикалов метила. Мозли, Робб (A method for the direct determination of the rate constants for radical-radical interactions in the gas phase. I. The technique of investigation. II. The rate constant for the recombination of methyl radicals. Moseley F., Robb J. C., Proc. Roy. Soc., 1957, A243, № 1232, 119—129, 130—142 (англ.))

I. Измерение скоростей р-ций в газовой фазе производится путем адиабатич. измерения давления весьма чувствительным мембранным манометром с емкостным датчиком. Изменение емкости датчика устраивает резонансную цепь, составленную из емкости и индуктивности, питающуюся переменным напряжением с частотой 100 Мгц; сигнал регистрируется электронным осциллографом. Чувствительность манометра $\sim 10^{-4}$ мм рт. ст.; запаздывание сигнала $\leq 10^{-3}$ сек. Из-

менение давления в реакционном сосуде Δp , обусловленное выделением в объеме тепла Q , выражается следующим образом $\Delta p = \Delta p_{\text{макс}} [1 - \exp(-kt/MS)]$, где $\Delta p_{\text{макс}} = (p/kT)(dQ/dt)$, k — константа, p — давление в сосуде, M — масса газа, S — теплоемкость, t — время. Начальный линейный адиабатич. участок зависимости $\Delta p(t)$ определяет dQ/dt , а последняя величина, если известны теплоты р-ций, — величину константы скорости р-ции. Зависимость $\Delta p(t)$ проверена на р-циях $Hg(3P_1) + CO_2 \rightarrow Hg(^1S_0) + CO_2^*$, $CO_2^* + M \rightarrow CO + M$ ($\Delta H = 112 \text{ ккал/моль}$), давление $CO_2 \sim 100 \text{ мм рт. ст.}$

II. Методика, описанная выше, применена для определения константы скорости р-ции рекомбинации $2CH_3 \rightarrow C_2H_6$ (1). Радикалы образовывались в реакционном сосуде путем облучения ацетона светом Hg-лампы (2537 Å, что соответствует энергии квантов 112 ккал/моль) в присутствии паров Hg. Рассмотрено влияние неоднородного поглощения излучения в объеме. Давление в сосуде (75 мм рт. ст.) было таким, что р-ции на стенке практически отсутствовали, однако тройные столкновения происходили с достаточной частотой. На основании масс-спектрометрич. анализа стабильных продуктов фотохим. р-ций, прошедших в сосуде, предположено, что происходят главным образом следующие процессы: $Hg(^1S_0) \rightarrow Hg(^3P_1)$, $CH_3COCH_3 + Hg(^3P_1) \rightarrow CH_3 + CH_3CO + Hg(^1S_0)$, ($Q = 52 \text{ ккал/моль}$), $CH_3CO \rightarrow CH_3 + CO$ ($Q = 24 \text{ ккал/моль}$), $2CH_3 \rightarrow C_2H_6$ ($Q = 84 \text{ ккал/моль}$). Отсюда найдено, что $k_1 = (6,4 \pm 2,2) \cdot 10^{-11} \text{ мл/моль сек}$ при комнатной т-ре. Е. Франкевич

70079. Кинетика распада природного газа в электрической дуге. Драгный (Kinetikā štěpení zemního plynu v elektrickém oblouku. Drahný Miloš, Chem. průmysl., 1956, 6, № 12, 490—496 (чешск.; русск., англ.))

70080. Кинетика обмена хлора между хлористым водородом и хлористым ацетилом в паровой фазе. Нилл, Кан (The kinetics of the exchange of chlorine between hydrogen chloride and acetyl chloride in the vapor phase. Neill Warren J., Kahn Milton, J. Amer. Chem. Soc., 1958, 80, № 9 2111—2112 (англ.))

Кинетика р-ции $CH_3COCl + HCl^{36} = CH_3COCl^{36} + HCl$ изучалась в паровой фазе при начальных концентрациях реагентов 0,003—0,01 M и т-рах 0°—30°. Константа скорости р-ции 2-го порядка описывается уравнением $k = 0,17 \exp(-1550/RT) \text{ л/моль/сек}$. Предложен механизм, в котором лимитирующей стадией является р-ция $CH_3C(Cl)O \cdot HCl \rightarrow CH_3C(OH)Cl_2$. А. Ревали

70081. Скорость растворения этилена в воде. Над (Etílen abszorpciójának sebessége vízben. Nagy Ferenc, Magyar kém folyóirat, 1957, 63, № 6, 165—168 (венг.; рез. нем.))

Установлено, что в спокойной жидкости растворение газа является диффузионным процессом. При перемешивании растворение газа может быть формально описано уравнением скорости р-ции 1-го порядка. Скорость р-ции растворения не зависит от давления газа и меняется линейно с числом оборотов мешалки. Эффективная константа скорости р-ции может применяться для характеристики работы мешалки. В. П.

70082. Молекулярные перегруппировки в реакциях атомов кислорода с олефинами. Цветанович (Molecular rearrangements in the reactions of oxygen atoms with olefins. Cveticanović R. J., Canad. J. Chem., 1958, 36, № 4. 623—634 (англ.))

Изучались р-ции атомов O с пропиленом, бутеном-1, изобутиеном, цис-бутеном-2, транс-бутеном-2, цис-пентеном-2 и тетраметилэтиленом при комнатной т-ре и давл. 50—600 мм рт. ст. Атомы в основном состоянии

обусловлены тем, что при фотосенсибилизированном распаде N_2O (РЖХим, 1956, 42737). Установлены закономерности р-ций $\text{O} + \text{олефин}$. Атом O присоединяется преимущественно к менее замещ. атому C двойной связи с образованием короткоживущего бициклического комплекса, при перегруппировке которого образуются карбонильные окиси и карбонильные в-ва. Миграция атома H при перегруппировке идет только внутри молекулы, миграция более тяжелых групп может сопровождаться их отщеплением. Распад бицикла с отщеплением мигрирующей группы не зависит от давления. Кроме того, для этилена и пропилена идут р-ции распада горячих конечных продуктов с большой энергией возбуждения. Эти р-ции зависят от давления. Для олефинов с большим числом степеней свободы (бутены) р-ции распада, зависящие от давления, идут.

Влияние окиси азота и других ингибиторов на медленное окисление эфира. Леме, Уэллс (Influence de l'oxyde nitrique et d'autres inhibiteurs sur l'oxydation lente de l'éther. Lemay Andre-Ouellet Cyrias), Canad. J. Chem., 1957, 35, № 2, 124—130 (франц.; рез. англ.).

При 168° манометрически (при помощи электрометрического устройства) и по расходу O_2 (при помощи магнитного газоанализатора) изучена кинетика окисления эфира (I) в цилиндрич. пирексовом реакционном сосуде (PC) диам. 44 мм, в присутствии ингибиторов (И). В отсутствие И манометрич. кинетич. кривые проходят через минимум (совпадающий с моментом $t = 0$ полного израсходования O_2), а O_2 -кривые падают монотонно. Введение И (NO_2) в момент времени $t = 0$ сильно ингибирует окисление, причем ингибирующее действие (ИД) не прекращается в течение очень длительного периода; добавки NO_2 в момент $0 < t < \tau$ также вызывают сильное ингибирование, но ИД менее продолжительно; добавки NO_2 в момент $t = \tau$ практически не оказывают ИД; при $t > \tau$ наблюдалось слабое ИД NO_2 . При введении NO_2 в PC на несколько минут ранее других компонентов продолжительность ИД резко падает. Полученные результаты объясняются предположением, что образующаяся при окислении I гидроперекись при распаде образует радикалы RO и OH , инициирующие цепи окисления, причем добавки И не влияют на ее распад. При проведении опытов в условиях, когда гидроперекись в реакционной системе практически отсутствует (в PC, промытом KCl), введение добавок NO_2 на любой стадии окисления I оказывает одинаково сильное ИД. ИД добавок $\text{C}_2\text{H}_6 \sim 10$ раз слабее, чем NO_2 ; CH_2O ингибирует окисление I только в том случае, если он вводится в PC раньше, чем другие компоненты реакционной смеси; при ингибировании добавками HBr наблюдалось осложнение, обусловленные активацией поверхности PC.

Моноокись серы как промежуточный продукт окисления некоторых сульфидов. Диев Н. П., Окунев А. И., Падушев В. В., Топорова В. В., Мокроносов В. С., Тр. Ин-та металлургии. Уральский фил. АН СССР, 1957, вып. 1, 17—21.

При 700—1000° в струе (1—3%) $\text{O}_2 + \text{N}_2$ изучено окисление CuS , FeS и ZnS . В газовых продуктах р-ции электрофотометрически и методом Шенка (Schenk P. W., Platz H., Z. anorgan und allgem. Chem., 1934, 215, 113) обнаружена моноокись серы SO ; отсутствие SO при скоростях струи, меньших 2 см³/сек, обусловлено, по мнению авторов, разложением SO при таких больших временах контакта. Рассчитаны изменения свободных потенциалов для р-ций: $\text{MS} + \text{O}_2 = \text{MO} + \text{SO}$ (1), $2\text{SO} = \text{SO}_2 + \text{S}$ (2), $\text{S} + \text{O}_2 = \text{SO}_3$ (3) (где $\text{M} = \text{Cu}$ и Fe или Zn) при 600, 800 и 1000° К; эти расчеты указывают на термодинамич. вероятность про-

цессов (1)—(3). Авторы считают, что образующаяся SO способствует преодолению энергетич. барьера, обусловленного инертностью молекул O_2 и потребностью в энергии, необходимой для перестройки кристаллич. решетки сульфида в новую кристаллич. решетку его продуктов окисления.

Г. Королев

О механизме образования двуокиси углерода при окислении формальдегида. Марквич А. М., Мошкина Р. И., Филиппова Л. Ф., Изв. АН СССР. Отд. хим. н., 1958, № 4, 502

При 451° в струе, в пирексовом реакционном сосуде, промытом р-ром $\text{K}_2\text{V}_4\text{O}_7$, изучено окисление смесей CH_2O : воздух = 1 : 9 в присутствии добавок C^{14}O . Продукты р-ции (CO и CO_2) переводились в карбонат Ва и их уд. активность (α) измерялась при помощи торцового счетчика. αCO_2 составляет $\leq 3-5\%$ от αCO , следовательно, $\leq 3-5\%$ CO_2 образуется путем окисления CO ; основная масса CO_2 получается непосредственно из CH_2O (предположительно при гетерог. окислении CH_2O). Этот результат согласуется с выводом, сделанным ранее (РЖХим, 1958, 49615) при исследовании окисления CH_4 , протекающего через промежуточное образование CH_2O .

Г. Королев

Об отрицательном температурном коэффициенте при окислении углеводородов. Ениколопан Н. С., Докл. АН СССР, 1958, 119, № 3, 520—522

При окислении углеводородов, углеродная цепочка которых включает ≥ 2 атомов C , максим. скорость W превращения увеличивается с т-рой до максимума (350—400°), затем падает до минимума (450—500°) и, наконец, при т-рах $> 500^\circ$ снова возрастает с увеличением т-ры. Предложено следующее объяснение этого явления. При низких т-рах окисление протекает через перекисные радикалы (PP), образующиеся по р-ции $\text{R} + \text{O}_2 \rightarrow \text{ROO}$ (1); вырожденное разветвление при этом является результатом взаимодействия PP со стабильным промежуточным продуктом, напр. альдегидом: $\text{ROO} + \text{R}'\text{CHO} \rightarrow \text{RO} + \text{OH} + \text{R}'\text{CO}$ (2); кроме того, происходит изомеризация PP с последующим распадом $\text{ROO} \rightarrow \text{R}'\text{CHO} + \text{R}'\text{O}$ (3). При низких т-рах PP реагируют в соответствии с (2) из-за меньшей, чем у (3), энергии активации E. Скорость (2) возрастает с т-рой. Начиная с некоторой т-ры (т-ра максимума на кривой $W = f(T)$) р-ция (3), протекающая с большей E, превалирует над р-цией (2), что приводит к уменьшению W с т-рой, так как лимитирующим процессом становится не (3), как при более низких т-рах, а (1), поскольку (1) характеризуется малым стeric. фактором, хотя и имеет малую E. Уменьшение W происходит лишь до определенной т-ры (т-ра минимума). При дальнейшем увеличении т-ры W снова растет, так как приобретает значение вырожденное разветвление другого типа: $\text{RCHO} + \text{O}_2 \rightarrow \text{RCO} + \text{HO}_2$.

Г. Королев

Исследование кинетики и механизма термического распада изобутилена. Лядова Ю. И., Веденеев В. И., Воеводский В. В., Докл. АН СССР, 1957, 114, № 6, 1269—1271

Изучалась кинетика и состав продуктов термич. распада изобутилена (I) при 542—620° и давл. 100—500 мм рт. ст. Найдено, что распад идет по 1-му порядку с энергией активации 49,5 ккал/моль. Основными газообразными продуктами р-ции являются CH_4 , C_2H_6 , C_2H_4 и H_2 . В небольших кол-вах обнаружены C_2H_6 и C_2H_4 . По балансу между израсходованным I и общим кол-вом газообразных продуктов р-ции вычислено, что $\sim 1/3$ прореагировавшего I переходит в жидкость. Проведен также крекинг смеси I: $\text{C}_2\text{H}_4 = 1:1$ при 600°. Добавка C_2H_4 ускоряет распад I. Основная масса прореагировавшего C_2H_4 превращается в C_2H_6 . Кол-во основных продуктов крекинга I уве-

личивается, но их соотношение остается практически неизменным. Эти результаты рассматриваются авторами как свидетельство в пользу цепного механизма термич. распада I.

70088. Кинетика и механизм самотормозящегося продуктами распада цепного крекинга парафиновых углеводородов. Степухович А. Д., Уч. зап. Саратовск. ун-т, 1957, 56, 51—99.

70089. К механизму газозафазного нитрования алифатических углеводородов. Гайзельер, Рейнгардт (Zum Mechanismus der Dampfphasenitrierung aliphatischer Kohlenwasserstoffe. Geiseler G., Reinhardt H.), Z. Elektrochem., 1957, 61, № 2, 296—302 (нем.).

Измерялись скорости газозафазного нитрования C_2H_6 азотной к-той и термич. распада нитроэтана при временах контакта τ 0,5—2,25 сек. и 380—470°. Выход нитроуглеводородов при всех временах контакта в зависимости от τ -ры проходит через максимум и не превышает 30—35% от введенной HNO_3 . Величина энергии активации нитрования, определенная из зависимости $\lg 1/\tau$ от $1/T$ (манс), равна 48 ккал/моль. HNO_3 убывает по закону 1-го порядка; $k = 4,49 \cdot 10^{15} \exp(-47500/RT)$ сек $^{-1}$. Распад нитроэтана при 460° подчиняется закону 1-го порядка; $k = 2,585 \cdot 10^{11} \exp(-40200/RT)$ сек $^{-1}$. Авторы считают, что определяющей стадией процесса нитрования является распад HNO_3 на радикалы NO_2 и OH .

70090. Катализ автоокисления циклогексена следами металлов в неполярной среде. Часть 1. Соли металлов. Часть 2. Соли металлов в присутствии комплексообразующих веществ. Чок, Смит (Catalysis of cyclohexene autoxidation by trace metals in nonpolar media. Part 1. Metal salts. Part 2. Metal salts in the presence of chelating agents. Chalk A. J., Smith J. F.), Trans. Faraday Soc., 1957, 53, № 9, 1214—1234; 1235—1245 (англ.).

1. Изучена кинетика окисления циклогексена (I) при 30—60° в присутствии стеаратов, салицилатов и гептоатов Cu^{+2} , Mn^{+2} , Mn^{+3} , Fe^{+3} , Co^{+3} , Co^{+2} и некоторых других солей, а также в присутствии нерастворимых в I солей Cu и Zn . Р-ция гомогенна. На начальных стадиях (до 10% превращения) р-ция кол-во образовавшейся гидроперекиси соответствует израсходованному O_2 . Кажущаяся энергия активации р-ции падает по мере увеличения степени превращения. Авторы считают, что окисление I в изучаемых условиях есть свободнорадикальная цепная р-ция. Эффективность катализатора зависит от аниона; нерастворимые соли менее эффективны, чем растворимые. При совместном присутствии гептоатов Fe^{+3} и Cu^{+2} наблюдается синергетич. эффект. Различную эффективность катализаторов авторы связывают с их восстановительными потенциалами и блокирующим действием на образование комплекса между катализатором и гидроперекисью. Иницирующей р-цией, по мнению авторов, является распад этого комплекса на свободные радикалы. В некоторых случаях иницирование может происходить и при взаимодействии катализатора с I. Катализаторы (особенно соли Mn^{+2}) наряду с их иницирующим действием благоприятствуют обрыву цепи.

2. Комплексообразующие в-ва (КВ) (этилендиамин, тетраацетат, $\alpha\alpha'$ -дипиридил, салициловая и гептановая к-ты, дициклогексилдитиооксид, салицилиденамин и др.) оказывают активирующее или ингибирующее действие на катализ окисления I в зависимости от природы КВ и соли металла. Скорость окисления I уменьшается в присутствии КВ, содержащих O и S и не меняется при КВ, содержащих только группу NO_2 . Катализ солями Fe активируется добавками КВ, а ка-

тализ солями Mn не зависит от присутствия изученных КВ. Указывается на возможность образования комплексов КВ-соль металла-гидроперекиси olefina, имеющих различную катализирующую активность. Действие КВ авторы связывают с изменением восстановительных потенциалов катализаторов. З. Майзус **70091.** Сопряженное декарбоксилирование при автоокислении декстропимаровой кислоты. Ерофеев Б. В., Мицкевич Н. И., Сороко Т. И., Докл. АН БССР, 1958, 2, № 1, 20—23.

Окисление декстропимаровой к-ты в р-ре нафталина в присутствии инициатора $Co(CH_3COO)_2 \cdot 4H_2O$ при 85,6° сопровождается сопряженным процессом декарбоксилирования. С увеличением конц-ии инициатора (от 0,001 до 0,036 моля ацетата Co на моль к-ты) растет как кол-во поглощенного O_2 , так и кол-во выделявшегося CO_2 . Фактор индукции равен 0,25 и мало зависит от конц-ии добавленного инициатора и глубины р-ции.

70092. Изучение кинетики реакции между оксалат-ионом и церием (4+) в водном р-ре серной кислоты. Додсон, Блэк (A study of the kinetics of the reaction between oxalate ion and cerium (IV) in aqueous sulfuric acid solution. Dodson Vance H., Black Arthur H.), J. Amer. Chem. Soc., 1957, 79, № 14, 3657—3659 (англ.).

Р-ция 0,01 M Ce^{4+} с оксалат-ионом, биоксалат-ионом и со щавелевой к-той (конц-ии 0,007—0,005 M) при 19—35° следуют 2-му порядку со скоростью, зависящей от конц-ии H_2SO_4 . Энергии активации для 0,5, 1,0 и 2 M H_2SO_4 равны соответственно 16,9; 16,7 и 15,8 ккал/моль. Авторы считают, что стадией, определяющей скорость р-ции, может быть $2Ce(SO_4)_3^{3-} + H_2C_2O_4 \rightarrow 2Ce^{3+} + 2CO_2 + 5SO_4^{2-} + HSO_4^-$ или $2Ce(SO_4)_3^{2-} + H_2C_2O_4 \rightarrow 2Ce^{3+} + 2CO_2 + 4SO_4^{2-} + 2HSO_4^-$ и что падение константы скорости с увеличением конц-ии H_2SO_4 связано с увеличением конц-ии HSO_4^- и SO_4^{2-} .

70093. Окисление ацетона и метилэтилкетона ионами церия в водном растворе. Венкатакришна, Сантappa (Oxidation of acetone and methyl ethyl ketone by ceric ions in aqueous solution. Venkatakrishnan S., Santappa M.), Z. phys. Chem. (BRD), 1958, 16, № 1—2, 73—84 (англ.).

Окисление ацетона и метилэтилкетона ионами Ce^{4+} в р-ре $HClO_4$ изучалось при 25—35°. Скорость р-ции прямо пропорциональна конц-иям ионов Ce и кетона в 1-ой степени. Предполагается, что активной формой кетона в окислительном процессе является енольная форма. Возможный механизм взаимодействия Ce^{4+} (на примере ацетона): $Ce^{4+} + H_2O \rightleftharpoons Ce(OH)^{3+} + H^+$; $CH_3COCH_3 + H^+ \rightleftharpoons CH_3C^+(OH)CH_3$; $CH_3C^+(OH)CH_3 \rightleftharpoons CH_3C(OH)=CH_2$; $Ce^{4+} + CH_3C(OH)=CH_2 \rightleftharpoons$ комплекс \rightarrow продукты р-ции. Определены термодинамические константы для образования комплекса Ce^{4+} с кетоном и константы равновесия (л/моль) комплексов при различных т-рах: для ацетона 4,0 (25°); 3,5 (30°); 3,0 (35°); для метилэтилкетона $K = 17,25$ (25°), 5,0 (30°) и 1,1 (35° C). Энергии активации р-ции окисления ацетона и метилэтилкетона ионами Ce равны 16,2 и 20,4 ккал/моль.

70094. Степень подверженности $Cr(4+)$ замещению Огард, Тауб (Liability of $Cr(IV)$ to substitution. Ogard Allen E., Taube Henry), J. Phys. Chem., 1958, 62, № 3, 357—358 (англ.).

Диссоциация $CrCl_2^{2+} \cdot aq$ в кислом р-ре в присутствии окислителей следует кинетич. ур-нию $-d[CrCl_2^{2+}]/dt = k[CrCl_2^{2+}](Mn^{3+})/(H^+) \cdot Mn^{3+}$ получался при окислении $Mn^{2+} + Ce(4+)$ или Co^{3+} . В предложенном механизме за медленной стадией $Mn^{2+} + CrCl_2^{2+} \rightarrow Cr(4+) - Cl^- + Mn^{2+}$ следует очень быстрое разложение комплекса $Cr(4+) - Cl^- \rightarrow Cr(4+) + Cl^-$ и бы-

страй р-ция $\text{Cr}(4+) + \text{Mn}^{2+} \rightarrow \text{Cr}^{3+} + \text{Mn}^{3+}$. Диссоциация $(\text{NH}_4)_2\text{CrCl}_2^{2+}$ идет в ~ 25 раз медленнее, чем $(\text{H}_2\text{O})_2\text{CrCl}_2^{2+}$; по-видимому, атака Mn^{3+} идет главным образом на атом O, а не на Cl. А. Ревзин

70095. О вероятном происхождении и природе радикалов при полимеризации в ходе взаимодействия хлората с сульфитом. Эруин (The preparation of block copolymer of styrene and methyl methacrylate. Urwin J. R.), J. Polymer Sci., 1958, 27, № 115, 580—581 (англ.)

Автор считает, что полимеризация в системе HClO_3 — H_2SO_3 наступает благодаря образованию радикала HSO_3 при распаде промежуточной $\text{H}_2\text{S}_2\text{O}_6$, и критикует взгляды Томаса и др. (РЖХим, 1957, 72728).

А. Ревзин
70096. Механизм реакции окисления бромом. I. Кинетическое изучение реакции между глюкозой и щелочным бромом. II. Кинетика реакции между бромом и аммиаком. Гровер, Мехротра (Mechanism of oxidation reactions of bromine. I. A kinetic study of the reaction between glucose and alkaline bromine. II. Kinetics of the reaction between bromine and ammonia. Grover K. C., Mehrotra R. C.), Z. phys. Chem. (BRD), 1958, 14, № 5-6, 345—356, 357—360 (англ.)

I. В р-ции окисления глюкозы бромом в щел. р-ре при 15—25° основным окисляющим агентом, как показали авторы, является недиссоциированная молекула HBrO . Расчетным способом и экспериментально найдено, что конц-ия HBrO в системе достигает максимума при pH 7.7. Скорость р-ции также достигает максимума при pH 7.79—7.89. Р-ция бимолекулярна.

II. Тем же методом авторы нашли, что при окислении NH_3 щел. р-ром брома окислителем является, по-видимому, ион BrO^- . Л. Обухова

70097. К кинетике взаимодействия азотной кислоты с азотистоводородной кислотой. Зель, Вёльфле, Цварг (Zur Kinetik der Umsetzung von Salpetriger Säure mit Stickstoffwasserstoffsäure. Seel F., Wölfele R., Z w a r g G.), Z. Naturforsch., 1958, 13b, № 2, 136—137 (нем.)

Кинетика р-ции $\text{NO}_2^- + \text{N}_3^- + 2\text{H}^+ \rightarrow \text{N}_2 + \text{N}_2\text{O} + \text{H}_2\text{O}$ при низких конц-иях NO_2^- и высоких N_3^- в присутствии X^- (NO_3^- , Cl^- , Br^-) при pH ~ 5 и ионной силе р-ра 1.2 подчиняется ур-нию $-d(\text{NO}_2^-)/dt = [k_1(\text{N}_3^-) + k_2(\text{X}^-)] \cdot (\text{NO}_2^-) \cdot (\text{H}^+)^2$; {} — активность. Результаты согласуются со схемой Ингольда (Ingold C. K., Bull. Soc. chim. France, 1952, 19, 667). k_2 для всех X приблизительно одинаковы, что указывает на наличие р-ции $\text{NOON} + \text{N}_3\text{H}$ наряду с лимитирующей стадией $\text{NOON}_2 + \text{N}_3^-$. В присутствии CH_3CO_2^- скорость р-ции значительно выше. По-видимому, в этом случае происходит образование иона $\text{CH}_3\text{CO}_2\text{N}_3^+$, который в стадии, лимитирующей скорость р-ции, при взаимодействии с NO_2^- дает CH_3COONO . А. Ф. Ревзин

70098. Кинетика реакции между персульфатом калия и тиосульфатом натрия. Миура, Мията, Отани, Йокохата, Огава (Kinetics of the reaction between potassium persulfate and sodium thiosulfate. Miura Masaji, Miyata Tetsuo, Otani Sadaichi, Yokohata Akira, Ogawa Tamotsu), J. Sci. Hiroshima Univ., 1956, A19, № 3, 507—511 (англ.)

Кинетика р-ции между тщательно очищенными $\text{K}_2\text{S}_2\text{O}_8$ и $\text{Na}_2\text{S}_2\text{O}_3$ в водн. р-ре изучалась при 25°. Промеси, содержащиеся в обычной дистил. воде, ускоряют р-цию. Скорость р-ции следует 1-му порядку и почти не зависит от конц-ии $\text{Na}_2\text{S}_2\text{O}_3$. Предложен механизм р-ции: $\text{S}_2\text{O}_8^{2-} + \text{H}_2\text{O} \rightarrow 2\text{HSO}_4^- + \frac{1}{2}\text{O}_2$ (медленно); $2\text{HSO}_4^- + \frac{1}{2}\text{O}_2 \rightarrow \text{S}_2\text{N}_6^{2-} + \text{H}_2\text{O}$. При добавлении KNO_3 скорость р-ции увеличивается с ростом конц-ии KNO_3 . А. Ф. Ревзин

70099. Кинетика и механизм разложения дитиокарбаминных кислот в кислом растворе. Полярографическое изучение. Зуман, Заградник (Kinetik und Mechanismus der Zersetzung der Dithiocarbaminsäuren in saurer Lösung. Polarographische Studie. Zuman P., Zahradnik R.), Z. phys. Chem. (DDR), 1957, 208, № 1-2, 135—140 (нем.)

По уменьшению высоты анодной волны со временем полярографически исследовано разложение ряда моноалкилазещ. дитиокарбаминных к-т (I) и дитиокарбаминной к-ты пирролидина (II) на соответствующий амин и CS_2 в р-рах с различными pH. Разложение I и II в буферных р-рах подчиняется р-ции 1-го порядка; константа скорости K_1 падает с ростом pH р-ра, причем кривая зависимости $K_1/K(\text{кисл.})$ — pH по форме аналогична кривой диссоциации ($K(\text{кисл.}) = K_1$ в сильноокислых р-рах). По мнению авторов, разложению I предшествует присоединение протона к азоту I, чем и объясняется наблюдаемая зависимость K_1 от pH. В щел. среде протекает обратная р-ция — взаимодействие амина с CS_2 с образованием I. Изменение K_1 при изменении природы алкила I объяснено влиянием алкильных групп на электронную плотность у N I. Отмечено, что между энергией активации разложения различных I и логарифмом частотного фактора (предэкспонента ур-ния Арренуса) существует линейная зависимость, указывающая на неизменность механизма р-ции и одну и ту же природу активированного состояния при разложении разных I. С. Майрановский

70100. Реакции изотопного обмена между селеноцианидами и цианидами. Сообщение I. Изотопный обмен между KSeCN и KCN . Беллуко, Бруно, Скьявон (Reazioni di scambio isotopico tra selenocianuri e cianuri. Nota I. Ssambio isotopico tra KSeCN e KCN . Belluco Umberto, Bruno Maria, Schiavon Gaetano), Ricerca scient., 1958, 28, № 1, 111—115 (итал.; рез. англ., нем., франц.)

Исследован изотопный обмен в р-ре CH_3OH между KSeCN и KCN , меченными C^{14} . Выбор CH_3OH обусловлен достаточной стабильностью в нем селеноцианида. Для изолирования обоих соединений 5 мл спирт. р-ра смешивались с 3 мл насыщ. водн. р-ра $\text{Zn}(\text{NO}_3)_2$, содержащего NH_4Cl . Осажденный $\text{Zn}(\text{CN})_2$ центрифугировался, растворялся в NH_3 , повторно осаждался уксусной к-той и применялся для определения радиоактивности. Из водно-спиртового р-ра после осаждения $\text{Zn}(\text{CN})_2$ с помощью AgNO_3 осаждался Ag-селеноцианид. Как при применении меченого цианида, так и меченого селеноцианида обмен протекает с измеримой скоростью, а суммарная радиоактивность обоих в-в остается постоянной и $\ln(1-F)$, где F — степень обмена, линейно зависит от времени р-ции, что свидетельствует о протекании неосложненной р-ции обмена. Энергия активации р-ции в интервале 0°—20° равна 8,9 ккал/моль, что несколько ниже, чем в р-циях нуклеофильного замещения при атоме серы вместо селена и находится в соответствии с различием электронных работ, образующих связи в том и другом случае. Порядок р-ции в отношении каждого из реагентов значительно выше первого. Определение порядка реакции проводилось при постоянной ионной силе. Протекание изотопного обмена со значительной скоростью в изучавшейся системе отличает ее от системы тиоцианид — цианид. В. Щекин

70101. Кинетический изотопный эффект и его использование для изучения азосочетаний. Цоллигер (Kinetische Isotopeneffekte und ihre Anwendung bei der Untersuchung von Azokupplungen. Zollinger H.), Angew. Chem., 1958, 70, № 8, 204—210 (нем.; рез. англ., франц.)
Обзор. Библ. 47 назв.

А. Ревзин

70102. Температурная зависимость углеродного изотопного эффекта в кислотном гидролизе мочевины. Янквич, Визи (Temperature dependence of the carbon isotope effect in the acid hydrolysis of urea. Yankwich Peter E., Veazie Audrey E.), J. Amer. Chem. Soc., 1958, 80, № 8, 1835—1838 (англ.)

В области 60—96° изучена температурная зависимость углеродного изотопного эффекта кислотного гидролиза мочевины. Отношение констант скоростей меняется в указанном интервале t -р от 1,0496 до 1,0449. На основе слейтеровской модели и более простой 3-центральной модели предложено объяснение температурной зависимости изотопного эффекта.

Е. Никитин

70103. Термический распад 2,2'-динитрила азонмасляной кислоты. Ван-Хук, Тобольский (The thermal decomposition of 2,2'-azo-bis-isobutyronitrile. Van Hook J. P., Tobolsky A. V.), J. Amer. Chem. Soc., 1958, 80, № 4, 779—782 (англ.)

С помощью УФ-спектров, а также манометрически определена скорость распада динитрила азонмасляной к-ты при 37—100° в р-ре C_6H_6 или $C_6H_5CH_3$ в отсутствие O_2 . Для константы скорости k мономолекулярного распада с привлечением литературных данных получено выражение $k = 1,58 \cdot 10^{15} \exp(-30800/RT)$.

Р. Милютинская

70104. Кинетика катализируемого щелочью распада перекиси бензил-трет-бутила. Белл, Мак-Дугалл (The kinetics of the base-catalysed decomposition of benzyl tert-butyl peroxide. Bell R. P., McDougall A. O.), J. Chem. Soc., 1958, Apr., 1697—1698 (англ.)

Спектрофотометрически исследована кинетика распада (Р) перекиси бензил-трет-бутила (I) с образованием бензальдегида (II) и трет-бутилового спирта (III) в присутствии оснований. Р I в среде III в присутствии пиперидина (IV) сопровождается быстрой р-цией II с IV. В р-ре хлорбензола в присутствии триэтиламина (V), коллидина и 2,6-лутидина скорость р-ции пропорциональна конц-ии I и конц-ии амина. Для р-ции I в присутствии V в интервале 25—80° энергия активации составляет 12 ккал/моль, предэкспонент 10^4 л/моль сек, что указывает на повышенную полярность активированного комплекса по сравнению с реагентами. Значения каталитич. констант скорости при 80° возрастают с увеличением константы основности амина (общий основной катализ) и находится в согласии с механизмом р-ции (Kornblum H. E., DeLaMare, J. Amer. Chem. Soc., 1951, 73, 880), согласно которому в лимитирующей стадии амин отщепляет протон от молекулы перекиси с образованием карбаниона, синхронно распадающегося с образованием альдегида и иона алкохолята.

И. Моисеев

70105. Бимолекулярный и мономолекулярный гидролиз бензоилхлорида в ацетон-водных смесях и влияние растворителя на скорость реакции. Келли, Уотсон (Bimolecular, unimolecular and solvent contributions to the rate of hydrolysis of benzoyl chloride, in acetone-water mixtures. Kelly M. J., Watson G. M.), J. Phys. Chem., 1958, 62, № 3, 260—263 (англ.)

Кондуктометрически измерена скорость гидролиза бензоилхлорида в р-рах ацетона, содержащих 10—70% H_2O , в интервале 0°—55°. В р-ре одновременно протекает бимолекулярная и мономолекулярная р-ция, значения констант скорости которых возрастают с увеличением конц-ии H_2O согласно ур-ниям $k_2' = k_2[H_2O]^q$ и $k_1' = k_1[H_2O]^n$. Показатель степени n меняется от 0,370 при 0° до 0,877 при 55°, $q = 8$ и не зависит от t -ры. Из изменений k_2 и k_1 с изменением t -ры вычислены значения энергии активации в 100%-ном ацетоне для бимолекулярной р-ции 11,0, для мономолекулярной р-ции 20,0 ккал/моль.

И. Моисеев

70106. Кинетика сольволиза хлористого бензила в смешанном растворителе вода — уксусная кислота. Барбьери, Фьорани, Олеари (Cinetica di solvolisi del cloruro di benzile nel solvente misto acqua — acido acetico. Barbieri Giorgio, Fiorani Mario, Oleari Luigi), Ricerca scient., 1958, 28, № 2, 296—312 (итал.; реф. англ., нем., франц.)

Исследована кинетика сольволиза хлористого бензила (I) при 80 110 и 120° в смешанном р-рителе вода — уксусная к-та, при изменении конц-ии воды от 0 до 13 моль/л, конц-ии I $5 \cdot 10^{-2}$ моль/л и конц-ии H_2O + CH_3COOH порядка 16—20 моль/л. Эксперим. результаты хорошо описываются кинетич. ур-нием для обратимых р-ций вида $A \rightleftharpoons B + C$. Зависимость константы скорости прямой р-ции (K_1) от конц-ии H_2O позволяет заключить, что исследуемая р-ция не является р-цией ацидолиза, катализируемой водой, но что в смеси параллельно протекают р-ции гидролиза и ацидолиза и, следовательно, $K_1 = k_1[CH_3COOH] + k_2[H_2O]$, где k_1 и k_2 — соответственно константы скорости р-ции ацидолиза и гидролиза. Формально скорость обратной р-ции зависит от $[HCl]^2$, однако в действительности эта величина должна быть заменена произведением $[HCl]$ на сумму конц-ий бензилацетата и бензильного спирта, что в свою очередь предполагает одинаковую реакционную способность обоих в-в по отношению к HCl при любых соотношениях $H_2O : CH_3COOH$.

В. Щекли

70107. Кинетика гидролиза дихлорметилена. Фелс, Моули-Хьюз (The kinetics of the hydrolysis of methylene dichloride. Fells I., Moelwyn-Hughes E. A.), J. Chem. Soc., 1958, Apr., 1326—1333 (англ.)

Кинетика гидролиза CH_2Cl_2 изучалась при 80—150°. Определялись конц-ии H^+ , Cl^- и $HCHO$ по ходу р-ции. В нейтр. и кислых водн. р-рах происходит кинет. р-ция 1-го порядка по ур-нию $CH_2Cl_2 + H_2O \rightarrow CH_2O + 2HCl$ (1). Зависимость константы скорости k_1 от абс. t -ры T имеет вид $k_1 = 98,4408 - 29,66 \lg T - 10597,3/T$. Термодинамич. расчетами показано, что р-ция практически необратима; некоторое уменьшение k_1 после 75%-ного превращения объясняется изменением ионной силы р-ра в ходе р-ции. Стадия $CH_2Cl_2 + H_2O \rightarrow CH_2Cl \cdot OH + HCl$ лимитирует скорость р-ции. В водн. р-ре идет р-ция $CH_2Cl_2 + 2OH^- \rightarrow CH_2O + Cl^-$ по 2-му порядку с энергией активации 26221 ± 450 ккал/моль. Одновременно происходит р-ция (1), р-ция Канниццаро, полимеризация в сахара и другие р-ции. Р-ция Канниццаро в изученных условиях (конц-ии $CH_2O < 5$ мМ/л) следует 3-му порядку, $k_3 = 11,7669 - 4819,8/T$, что согласуется с литературными данными (Rajunen, Suomen kem., 1948, 21B, 21), и не противоречит механизму, предложенному Абедем (РЖХим, 1956, 9369).

А. Ревази

70108. Влияние растворителя на кинетику реакции образования уксусно-этилового эфира. Абашидзе К., Кокчапшвили В., Тр., Тбилисс. ун-та, 1957, 62, 183—188 (груз.; реф. русск.)

70109. Гидролиз и обмен дейтерия дибромфторметана и фтордидометана. Хайн, Баттерворт, Лангфорд (The hydrolysis and deuterium exchange of dibromofluoromethane and fluorodiodomethane. Hine Jack, Butterworth Richard, Langford Paul P.), J. Amer. Chem. Soc., 1958, 80, № 4, 819—824 (англ.)

Определены константа скорости, энтальпия активации и энтропия активации для р-ций основного гидролиза $CHBrF_2$ и CHF_2I в водн. р-рах и для р-ций обмена дейтерием соответствующих дейтерогалогидрофторидов с легкой водой. Р-ция обмена дейтерием протекает гораздо быстрее гидролиза, поэтому влияние последнего при расчетах пренебрегли. Скорость обмена дейтерием у $CDFBr_2$ приблизительно такая же,

можно ожидать, если исходить из данных для других галогидных форм; CDFJ_2 обменивается дейтением аномально быстро. Изучено также влияние прибавления солей с различными анионами на гидролиз CH_2ClBr , CHClBr_2 и CHCl_2Br . Из анализа полученных данных следует, что при гидролизе всех четырех тригалогидометанов обратимо образуется анион тригалогидометилата, который разлагается на ион галогена и дигалогидометилена. Последний быстро реагирует или с водой и щелочью, образуя CO или анион муравьиной к-ты. Отношение констант скоростей этих р-ций дигалогидометиленов приблизительно одинаково для CH_2Cl_2 и CH_2ClBr и в несколько раз меньше для CH_2Br_2 . Предыдущее сообщение см. РЖХим, 1958, 28648. А. Никеров

70110. Кинетика реакции 2-этоксикарбонил-2-йодоциклогексана с ионами йода. Белл, Вогелсонг (Kinetics of the reaction between 2-ethoxycarbonyl-2-iodocyclohexanone and iodide ions. Bell R. P., Vogelsson D. C.), J. Chem. Soc., 1958, Jan., 243—245 (англ.)

При 25° измерены константы K_1 keto-енольного равновесия 2-этоксикарбонилциклогексана (RH) и константа K_2 его диссоциации: $K_1 = 0,0204$, $K_2 = 1,9 \cdot 10^{-11}$. При этой же т-ре определена скорость р-ции 2-этоксикарбонилйодоциклогексана (RJ) с избытком I^- . Из этих данных, используя известные значения констант равновесия р-ций $\text{RH} + \text{I}_2 \rightleftharpoons \text{RJ} + \text{H}^+ + \text{I}^-$ и $\text{I}_2 + \text{I}^- \rightleftharpoons \text{I}_3^-$, авторы рассчитывают константы скоростей 2-го порядка р-ций: $\text{I}_2 + \text{J}_2 \rightarrow$ с енольной формой RH k_3 , k_4 и с ионами HR k_5 , k_6 . При 25° $k_3 = 3,8 \cdot 10^5$; $k_4 = 5,4 \cdot 10^2$; $k_5 = 4,7 \cdot 10^9$; $k_6 = 2,3 \cdot 10^8$ л/моль сек.

Ф. Дьячковский
70111. Кинетика реакций Зандмейера и Меервайна. Диккерман, Вейсс, Ингберман (The kinetics of the Sandmeyer and Meerwein reactions. Dickerman S. Carlton, Weiss Karl, Ingberman Arthur K.), J. Amer. Chem. Soc., 1958, 80, № 8, 1904—1911 (англ.)

Изучена кинетика р-ций Зандмейера (I) и Меервайна (2) для хлорида 2,4-дихлорбензолдиазония (I) при 35° в водн. р-ре ацетона (II). В отсутствие CuCl_2 происходит лишь частичное разложение и образуется 1,5-ди-(2,4-дихлорфенил)-3-ацетилформазан. Показано, что при р-ции CuCl_2 с II образуется хлорацетон (III), H^+ и CuCl_2^- . В р-ции 1 в присутствии CuCl_2 происходит колич. выделение N_2 и образуются III, 1,3-дихлорбензол и 1,2,4-трихлорбензол. Скорость разложения I увеличивается с ростом конц-ии II или CuCl_2 . Кинетич. данные согласуются с предположением, что выделение N_2 происходит в результате р-ции катиона диазония с Cu_2Cl_2 , лимитирующей скорость всей р-ции. Источником H^+ для образования арилов является II. Р-ция 2 проводилась с C_6H_6 , акрилонитрилом (IV), метилметакрилатом (V), стиролом (VI) и α -метилстиролом (VII). В присутствии воздуха кинетич. кривые имеют S-образный вид; при р-ции с C_6H_6 достигается колич. выход N_2 ; скорость р-ции и выход N_2 уменьшаются в ряду IV—VII. В отсутствие воздуха константа скорости р-ции обратно пропорциональна начальной конц-ии I; VII, IV и V несколько увеличивают скорость разложения, а C_6H_6 и VI подавляют ее. Авторы считают, что обе р-ции протекают по окислительно-восстановительному радикальному механизму, предложенному ранее (РЖХим, 1957, 770). Для р-ции 2 в присутствии воздуха предполагается образование перекисных радикалов. А. Ревзин

70112. Реакционная способность эфиров пентавалентного фосфора по отношению к анионам. Хадсон, Харпер (The reactivity of esters of quinquivalent phosphorus towards anions. Hudson R. F., Har-

per D. C.), J. Chem. Soc., 1958, Apr., 1356—1360 (англ.)

Изучена кинетика р-ции триметилфосфата, диметила-этилфосфоната, дибензилметилфосфоната и метилди-этилфосфината с H_2O , Cl^- , Br^- , SCN^- , I^- , $\text{S}_2\text{O}_3^{2-}$ и OH^- при разных т-рах. Для всех анионов (кроме OH^-) лгарифм константы скорости пропорционален окислительно-восстановительному потенциалу аниона; скорость р-ции с OH^- значительно выше. С ростом т-ры эта разница уменьшается. Авторы считают, что для анионов происходит бимолекулярная р-ция замещения у насыщ. атома С, в то время как для OH^- преимущественно идет аналогичная р-ция с более низкой энергией активации у атома Р. Описаны методы при-етствования исходных в-в. См. также РЖХим, 1957, 30012. А. Ревзин

70113. Кинетика реакции тиосульфата и бромацетата в присутствии электролитов. Корсаро, Смит, Стивенс (Kinetics of the thiosulfatebromacetate reaction in the presence of electrolytes. Corsaro Gerald, Smith Ronald W., Stephens Howard L.), J. Electrochem. Soc., 1958, 105, № 4, 229—235 (англ.)

Исследована кинетика р-ции между ионами тиосульфата (I) и бромацетата (II) в водн. р-рах, содержащих 10 и 40% этанола и 72% изопропанола, в присутствии 0,0005—0,005 М нитратов тория (III) и лантана (IV). Скорость р-ции в присутствии IV пропорциональна конц-ии I и II в 1-й степени, а в присутствии III — 2-й степени конц-ии I и 1-й степени конц-ии II. При увеличении конц-ии III и IV константа скорости возрастает, если конц-ия соли не превышает конц-ию реагентов, и падает, если конц-ия соли больше конц-ии I. Константа скорости, полученная экстраполяцией к ионной силе, равной нулю, возрастает с уменьшением диэлектрич. постоянной р-рителя. Предполагается, что р-цию лимитирует взаимодействие между II и ионной парой, состоящей из I и катиона IV. В случае III в лимитирующей стадии II реагирует с двумя ионными парами. И. Моисеев

70114. Кинетика и механизм хлорирования триэтилфосфориолата в разбавленных водных растворах при 25°. Лорди, Эпстейн (Kinetics and mechanism of chlorination of triethylphosphorothiolate in dilute aqueous media at 25°. Lordi Nicholas G., Epstein Joseph), J. Amer. Chem. Soc., 1958, 80, № 3, 509—515 (англ.)

Изучены кинетика и механизм хлорирования триэтилфосфориолата (I) при постоянных рН в пределах 4—10 и различных конц-иях ионов Cl^- и I^- . При рН 4—5 хлорирование представляет собой очень быструю р-цию между I и Cl_2 , причем скорость р-ции определяется скоростью образования Cl из HClO , ионов гипохлорита и ионов хлора (активный галоген). При рН 6—7, наряду с р-цией взаимодействия с молекулярным Cl_2 , I хлорируется одновременным воздействием HClO и иона гипохлорита. Последняя р-ция почти не идет при высоких конц-иях Cl^- . При рН 8—10 хлорирующим агентом является ион гипохлорита. При любом рН скорость поглощения активного галогена 1-го порядка по отношению к конц-ии активного галогена. Выведены кинетич. ур-ния рассматриваемых р-ций. Из кинетич. данных делается вывод, что механизм хлорирования I аналогичен хлорированию сульфидов. Ю. Ершов

70115. Реакция обмена сульфогруппы на оксигруппу в ароматическом ряду. 1. Исследование кинетики обмена сульфогруппы натриевой соли β -нафталинсульфокислоты на оксигруппу. 2. Исследование кинетики обмена сульфогруппы натриевых солей 2,6- и 2,7-дисульфокислот нафталина на оксигруппу.

Ворожцов Н. Н., м.л., Шейн С. М., Укр. хим. ж., 1956, 24, № 2, 208—212; 213—216

1. Кинетика обмена сульфогруппы натриевой соли β -нафталинсульфокислоты (I) на оксигруппу под действием NaOH изучалась при 300—330°. Применена новая методика измерения скорости р-ции, позволяющая сократить продолжительность нагревания до 2—3 мин. Константа скорости р-ции 2-го порядка рассчитывалась с учетом увеличения объема системы за счет прибавления 1 к р-ру NaOH и за счет термич. расширения р-ра: $k = 1,37 \cdot 10^{-3}$ (300°), $2,65 \cdot 10^{-3}$ (310°), $4,28 \cdot 10^{-3}$ (320°), $7,36 \cdot 10^{-3}$ (330°). Зависимость константы скорости р-ции от т-ры выражается ур-нием $\lg k = 11,73 - 8300/T$ (k в л/моль мин). Энергия активации равна 37,9 ккал/моль.

2. Кинетика обмена сульфогруппы Na-соли 2,6-дисульфокислоты нафталина (II) изучалась при 240—270° и Na-соли 2,7-дисульфокислоты (III) при 210—240°. Замещение одной сульфогруппы на оксигруппу в III происходит легче, чем в II, при этом заметного превращения 2-й сульфогруппы не происходит. Установлено, что обе р-ции протекают по закону 2-го порядка. Зависимость константы скорости р-ции от т-ры выражается ур-нием $\lg k = 1524 - 9500/T$ для II и $\lg k = 12,19 - 7800/T$ для III (k в л/моль мин).

В. Пикаева

79116. Алкилирование бензола олефинами. IV. О механизме реакции. Чирков Н. М., Рустамов Х. Р., Ж. физ. химии, 1958, 32, № 2, 210—223 (рез. англ.)

На основании опытных данных (часть III, РЖХим, 1957, 18576) предполагается, что механизм р-ции алкилирования C_6H_6 пропиленом в присутствии H_2SO_4 в основном имеет ионный характер. Лимитирующими стадиями являются р-ции $C_6H_7^+ + C_3H_7HSO_4$ при образовании пропилбензола и $C_6H_7^+ + (C_3H_7)_2SO_4$ при образовании дипропилбензола. На основании предложенного механизма истинная энергия активации образования пропилбензола из C_6H_6 и C_3H_6 равна 21,5 ккал/моль.

А. Ревзин

70117. Бромирование ароматических соединений, катализированное йодистым бромом. Гнананпрагасам Йедданапалли (Iodine bromide catalysed bromination of aromatic compounds. Gnana-pragasam N. S., Yeddnapalli Lourdu M.), Current Sci., 1957, 26, № 2, 47 (англ.)

Исследовано бромирование фенола бромом и йодистым бромом. Скорость р-ции $d(ArBr)/dt = k[ArH][Br_2][IBr]^m$ ($ArBr$ — ароматич. бромид, m — целое число.) Авторы указывают, что $Y/X = m/m + 2$, где X и Y — начальные мол. концентрации брома и йода соответственно. $m = 1$ при бромировании фенола в CCl_4 . Предложенная схема хорошо описывает бромирование ароматич. соединений.

Г. Капралова

70118. Электронное смещение от связей углерод-водород и углерод-дейтерий. Халеви, Нуссим (Electron release from carbon-hydrogen and carbon-deuterium bonds. Halevi E. A., Nussim M.), Bull. Res. Council Israel, 1956, A5, № 4, 263—264 (англ.)

Измерены константы диссоциации для к-т $C_6H_5CH_2COOH$ $0,775 \pm 0,004$ и $C_6H_5CD_2COOH$ $0,694 \pm 0,006$. Отмечается, что величина изотопного эффекта такая же, как и при скоростях сольволиза галогеналкилов и хлорсульфитов. Изотопный эффект объясняется различной величиной индуктивного эффекта.

Х. Багдасарян

70119. Неэнзиматический гидролиз p -нитрофенилфосфата. Холбрук, Уэллс (The non-enzymatic hydrolysis of p -nitrophenyl phosphate. Holbrook K. A., Ouellet Ludovic), Canad. J. Chem., 1958, 36, № 4, 686—690 (англ.; рез. франц.)

Кинетика гидролиза p -нитрофенилфосфата (I) изучалась колориметрически в водн. р-ре при pH 2,6—9 и т-ре 68—82°. Р-ция следует 1-му порядку с энергией активации 26 ккал/моль при pH 2,6. Скорость р-ции уменьшается с увеличением pH по кривой, аналогичной кривой титрования I. Авторы считают, что зависимость скорости р-ции от pH объясняется наличием разных ионных форм I.

70120. Специфические эффекты при кислотном катализе ионообменными смолами. V. Смолы, полученные из стиролсульфоновых эфиров. Чжэнь, Хамметт (Specific effects in acid catalysis by ion exchange resins. V. Resins prepared from styrenesulfonic esters. Chen Catherine Hsia, Hammett Louis P.), J. Amer. Chem. Soc., 1958, 80, № 6, 1329—1331 (англ.)

Изучено влияние 15 ионообменных смол (ИОС) на кислотный гидролиз этилацетата, этилбутирата, этилгексаноата и метилфенилацетата (I) при 25° в 70%-ном водн. ацетоне. ИОС приготавливались путем сополимеризации этилового, n -бутилового, n -гексилового, n -октилового, фенилового или фенилэтилового эфира стиролсульфоновой к-ты с дивинилбензолом (в двух случаях с добавкой этилкапроата и I) с последующим гидролизом спирт. группы в водн. или спирт. р-ре NaOH; гидролиз затрудняется при увеличении размера спирт. группы. Каталитич. эффективность q изученных ИОС в несколько раз выше, чем для ИОС, полученных обычным путем при сульфировании сополимера стиролдивинилбензола, в то время как степень набухания в воде значительно меньше, чем для обычных ИОС. Полученные из эфиров с большими спирт. группами, ИОС имеют малую обменную способность и наибольшую q . Авторы считают, что в изученных ИОС чередуются области довольно свободного и плотного сшивания. Чем меньше областей со свободным сшиванием, тем больше q . Описан метод приготовления высших эфиров стиролсульфоновой к-ты. Часть IV см. РЖХим, 1956, 22000.

А. Ревзин

70121. Цели и средства теории пламен. Спальдинг (Ends and means in flame theory. Spalding D.B.), 6th Sympos. (Internat.) Combustion. New York, Reinhold Publ. Corp.; London, Chapman and Hall, 1957, 12—20 (англ.)

Задачи теории пламен рассматриваются с точки зрения практики и изучения механизма р-ции при высоких т-рах. Диффузионные теории исключаются из рассмотрения как лишние рабочей ценности. Во избежание трудностей теории, создаваемых наличием нулевых градиентов т-ры и концентрации в конце сгорания, предлагается использование воображаемого каталитич. крана, добавляющего в пламя малое, но конечное кол-во тепла. Для решения ур-ний пламени в более сложных условиях неоднородного течения привлекаются методы теплового и электрич. моделирования.

А. Соколкин

70122. Современное состояние теории распространения ламинарного пламени. Карман (The present status of the theory of laminar flame propagation. Kármán Theodore von), 6th Sympos. (Internat.) Combustion. New York, Reinhold Publ. Corp., London, Chapman and Hall, 1957, 1—11 (англ.)

Излагаются разработанные автором полуэмпирич. методы расчета скоростей пламен без учета диффузии активных центров из сгоревшего газа в зону р-ции, представляющие развитие тепловой теории Зельдовича и Франк-Каменецкого. Для пламен распада O_2 , N_2H_4 , а также пламен смесей $H = Br_2$ при определении распределения радикалов по зоне р-ции используется метод стационарных конц-ий.

А. Соколкин

70123. К вопросу о теории пламени. Клейн (A contribution to flame theory. Klein G. Philo)

Trans. Roy. Soc. London, 1957, A249, № 967 pp. 389—415 (англ.)

Налагается новый метод приближенного решения r -ций одномерных пламен, сначала в общем виде, применительно к простейшей r -ции $A \rightarrow B$, а затем к сложным r -циям: $A + B \rightleftharpoons B + C$, r -циям с разветвлениями цепи $A \rightleftharpoons 2B$, $A + B \rightleftharpoons B + C$ и r -ции сдвигания $A + B \rightleftharpoons 2C$. Для сложных r -ций одна из r -ций трактуется как возмущение, налагаемое на равновесие другой r -ции.

А. Соколик
70124. Скорость увеличения свободных турбулентных пламен. Миккелсен, Эрнштейн (Growth rates of turbulent free flames. Mickelsen William R., Ernstein Norman E.), 6th Sympos. (Internat.) Combustion. New York, Reinhold Publ. Corp. London, Chapman and Hall, 1957, 325—333 (англ.)
См. РИХим, 1957, 57097.

70125. Уравнение для расчета длины факела пламени атмосферных горелок. Норкин Н. Н., Тр. Томского ун-та, 1957, 145, 127—130

Вводя новый критерий (Михельсона) $Mi = W/U$ — отношение скорости истечения горючей смеси из горелки к скорости распространения пламени, автор предлагает эмпирич. ф-лу для расчета длины факела: $L = AMid^m$ где d — диаметр горелки, $n = 1,9$; $m = 1$ для ламинарного и (Re/2320) 0,5 для турбулентного режимов. Приводится обобщенная кривая, построенная на основе ф-лы по эксперим. данным для горения водородного газа.

А. Соколик
70126. Измерение констант скоростей быстрых реакций в сверхзвуковом сопле. Уэгенер (Measurement of rate constants of fast reactions in a supersonic nozzle. Wegener Peter P.), J. Chem. Phys., 1958, 28, № 4, 724—725 (англ.)

С целью выяснения природы хим. процессов, протекающих в газовых потоках при движении реактивных двигателей со сверхзвуковыми скоростями, изучено поведение смесей $N_2 + (0,66—0,93\%) NO_2$ при прохождении их со сверхзвуковой (число Маха равно 2) скоростью через сопло размером 2×3 см; константа скорости (k) r -ции $N_2 + 2NO_2 \rightleftharpoons N_2 + N_2O_4$ (1), протекающей в этих условиях, определялась путем спектрофотометрич. (435 ± 40 мμ) измерений NO_2 по ходу превращения (данные о константе равновесия r -ции (1) опубликованы ранее; Giaque W. F., Kemp J. D., J. Chem. Phys., 1938, 6, 40)). Разброс значений k на диаграмме k — t -ра (200—300°K) настолько велик, что не представляется возможным судить даже о направлении изменения k с t -рой.

Г. Королев
70127. Горение двухкомпонентных порохов при низких давлениях. Ачариа, Кханна (Burning of double-base propellants at low pressures. Acharya H. K., Khanna V. M.), Chemistry and Industry, 1958, № 19, 557—558 (англ.)

В атмосфере воздуха и N_2 исследовано горение кордита (состав в % N: нитроцеллюлоза 65 (13,1), нитрокарбамид 29,5, карбамид 2) при различных давлениях (p в см рт. ст.). При $p < 0,4$ горение не могло распространяться, при $p 0,4—15$ порохов горел без пламени, при $p > 15$ появлялось пламя, размер которого увеличивался с давлением. Скорости горения кордита в воздухе и N_2 одинаковы до $p = 30$, при более высоких p порох в воздухе горит быстрее.

А. Борисов
70128. О характере вспышки некоторых взрывчатых веществ и влиянии на него давления. Андреев И. К., Самсонов Б. С., Научн. докл. высш. школы. Химия и хим. технол., 1958, № 2, 229—232

Воспламенение ВВ (нитроглицерин, нитроглицоль, нитроцеллюлоза, тэн, тетрилтротил) изучалось в стальной пробирке, подогреваемой снаружи прово-

лочной спиралью. Авторы считают, что возникновение детонации при горении ВВ обуславливается образованием и взрывом слоя взвеси в-ва в продуктах горения. Образование взвеси, по мнению авторов, происходит за счет эффекта Ландау (турбулизация фронта горения при большой скорости горения и умеренных поверхностном натяжении и вязкости). В опытах авторов образование взвеси могло происходить еще и за счет внешнего подогрева.

А. Борисов

70129. Влияние диаметра заряда на скорость детонации в газовых смесях. Мансон, Генш (Effect of the charge diameter on the velocity of detonation waves in gas mixtures. Monson N., Guénoche H.), 6th Sympos. (Internat.) Combustion. New York, Reinhold Publ. Corp.; London, Chapman and Hall, 1957, 631—639 (англ.)

Предлагая, что при детонации газовых смесей в трубах конечного радиуса энергия, выделяющаяся в пристеночном слое толщиной ϵ , либо равно 0, либо уменьшена по сравнению с энергией, выделяющейся в средней части трубы, авторы дают ф-лу, связывающую скорость реальной детонации с радиусом трубы. Принимается, что крит. радиус равен ϵ . Авторы считают, что при изменяющемся радиусе трубы верхний и нижний концентрационные пределы детонации не характеризуют свойства смеси.

А. Борисов

70130. О влиянии концентрации и размера частиц окислителя на неустойчивое горение составных твердых ракетных топлив. Грин (Some effects of oxidizer concentration and particle size on resonance burning of composite solid propellants. Green Leon, Jr), Jet Propuls., 1958, 28, № 3, 159—164 (англ.)

Экспериментальное исследование горения двух групп ракетных топлив с постоянной скоростью горения и различными, в зависимости от конц-ии окислителя, теплотами взрыва и с постоянной теплотой взрыва и различными, в зависимости от размера частиц окислителя, скоростями горения показало, что склонность к неустойчивому горению определяется, по-видимому, скоростью выделения тепла. Эксперименты проводились на трубчатых зернах при t -ре 77° с перхлоратом аммония в качестве окислителя.

А. Гладков

70131. Термоэмиссия электронов с углеродных частиц. Аршинов А. А., Мусин А. К., Докл. АН СССР, 1958, 118, № 3, 461—463

В связи с попытками объяснения аномально высокой конц-ии электронов (КЭ), наблюдавшейся в богатых углеводородных пламенах (Shuler K. T., Weber J., J. Chem. Phys., 1954, 22, 491; Sugden T. M., Thrush B. A., Nature, 1951, 168, 703), рассмотрен вопрос об эмиссии электронов с углеродных частиц (УЧ) с учетом рекомбинации с положительно заряженными УЧ. С использованием ф-лы Ричардсона — Дешмена получено выражение для равновесной КЭ в функции t -ры и отношения заряда УЧ к ее радиусу. Из сравнения с экспериментом оценены работа выхода из УЧ ($\sim 6,8$ эв, $T = 3100—3300^\circ K$), размеры УЧ, создающих в основном КЭ ($\sim 10^{-6}$ см), и время установления равновесия. Отмечается, что если заряд УЧ при потере электрона существенно не увеличивает работу выхода, КЭ не зависит ни от числа УЧ, ни от их размеров.

А. Гладков

70132. Кинетика реакции $AgCl + NaOH \rightarrow AgOH + NaCl$. Шваб, Сарантийс, Керкирас, Техника хроника. Диминеа эпистимоники экдосис, 1957, 13, № 393-394, 120—126 (греч.)

70133. π -Гибридные орбиты и поверхностные реакции. Кобаяси, Катагу, 1957, 27, № 1, 41, (японск.)

70134. Фотосорбция кислорода и окиси азота на двуокиси титана. Кеннеди, Ритчи, Макензи (The photosorption of oxygen and nitric oxide on titanium dioxide. Kennedy David R., Ritchie Mowbray, Mackenzie John), Trans. Faraday Soc., 1958, 54, № 1, 119—129 (англ.).

При 25° наблюдается необратимое поглощение кислорода двуокисью Ti при облучении светом с длиной волны 3650 Å, зависящее от структуры, способа приготовления и предварительной обработки TiO₂. Скорость поглощения зависит от давления O₂, пропорциональна интенсивности падающего света и является сначала параболической, а затем экспоненциальной функцией времени. NO в аналогичных условиях реагирует по механизму $4NO = N_2O + (N_2O_3)$ (адс.) При этом наряду с фотосорбцией наблюдается и медленная темновая р-ция. Авторы предполагают, что фотосорбция на TiO₂ включает стадии начальной обратимой хемосорбции, поверхностной миграции и необратимой адсорбции, вызванной действием света. Я. С.

70135. Поверхностные процессы на ZnO и ее электропроводность в атмосфере водорода. Мясников И. А., Ж. физ. химии, 1958, 32, № 4, 841—847 (рез. англ.).

Установлены количественные закономерности, связывающие хемосорбцию водорода на ZnO с электропроводностью ZnO. Предложен один из возможных механизмов увеличения электропроводности ZnO в присутствии водорода. В соответствии с предложенным механизмом изменение конц-ии квазисвободных электронов в полупроводнике в присутствии H₂ связано не непосредственно с хемосорбцией водорода (которая при низких т-рах протекает без изменения электропроводности), а с вторичными процессами: диссоциацией на атомы и последующей ионизацией хемосорбированного водорода с образованием хемосорбированных ионов водорода и электронов проводимости. Сделано предположение, что хемосорбция водорода на электронных полупроводниках типа ZnO, не связанная с изменением электропроводности, протекает на положительных ионах решетки с образованием донорно-акцепторной связи. Из резюме автора

70136. К вопросу о фотокаталитической активности окиси цинка. Памфилов А. В., Мушый Р. Я., Научн. ежегодник. Черновицк. ун-т, 1956(1957), 1, № 2, 218—220

Изучено влияние содержания примеси Li₂O на фотокаталитич. активность ZnO по отношению к р-ции выцветания метиленовой сини. Показано, что при содержании Li₂O 1,5—6% активность ZnO увеличивается, при дальнейшем увеличении содержания Li₂O до 23,5% активность ZnO резко падает. В. Фролов

70137. Действие γ-излучения на твердые катализаторы. Хирота, Сакуяма, Мэсицука (Hirota Kozo, Sakuyama Shigeru, Meshitsuka Gisuke), Нихон катэку дзасси, J. Chem. Soc. Japan. Pure Chem. Sec., 1957, 78, № 7, 981—982 (японск.).

70138. Исследование процесса обезводороживания скелетного никелевого катализатора. II. Использование методов вакуумного обезводороживания и изотопного разбавления для определения содержания сорбированного водорода. Тупицын И. Ф., Твердовский И. П., Ж. физ. химии, 1958, 32, № 3, 598—602 (рез. англ.).

Для определения кол-ва водорода, содержащегося в скелетном Ni-катализаторе, разработан метод изотопного разбавления. Сопоставлением данных, полученных изотопным и вакуумным методами, установлено, что содержание водорода в исследуемом катализаторе составляет в среднем 20—23 мл H₂ на 1 г сухого жорешка. Найдено, что влажные образцы скелетного

Ni при нагревании в вакууме до $t-p > 100^\circ$ химически реагируют с парами воды; при этом могут выделяться значительные кол-ва водорода. Сообщение I см. РЖХим, 1958, 60243.

70139. Поверхностные свойства кобальтового катализатора в присутствии поверхностного комплекса Co-Si. Чжан Да-юй, Цзэн И-чан, Цзан Цзин-линь, Чэнь-Жун, Кэсюэ тунбо, Научн. вестн., Scientia, 1957, № 10, 301 (кит.).

70140. Потенциометрический метод исследования каталитических свойств ионов никеля, адсорбированных на силикагеле, в реакции разложения перенки водорода. Томасси В., Янковска Г., Укр. хим. ж., 1958, 24, № 2, 162—167

При помощи потенциометрич. измерений можно контролировать процесс активации силикагеля. Если потенциал порошкового электрода находится в пределах от +55 до +160 мВ по отношению к насыщ. к. э., то силикагель полностью адсорбирует NiSO₄ из р-ра и активен как катализатор разложения H₂O₂. Адсорбционные, каталитич. и потенциометрич. свойства взаимосвязаны. В интервале исследованных конц-ий NiSO₄ максимума функции Кобозева не найдено, но существует максимум каталитич. активности. Катализатор, изучавшийся Кобозевым, можно исследовать потенциометрически при помощи порошкового электрода в интервале конц-ий р-ров, которые применялись в этой работе. Потенциал порошкового электрода из катализатора перед р-цией является функцией кол-ва адсорбированного NiSO₄. Катализатор после р-ции дает новое значение потенциала порошкового электрода. Для конц-ий до 2% адсорбированного NiSO₄ в катализаторе потенциал порошкового электрода уменьшается; выше конц-ии 2% значение потенциала растет. При конц-ии 2% катализатор имеет максим. каталитич. активность. Резюме авторов

70141. Об ускоряющем действии SiO₂ на реакцию окисления Fe(OH)₂ кислородом воздуха. Крауза, Лежуховская (O dzialaniu przyspieszajacych krzemionki w reakcji utleniania Fe(OH)₂ tlenem powietrza. Krause Alfons, Leżuchowska J. nina), Roczn. chem., 1958, 32, № 1, 29—38 (польск.; рез. нем., англ., русск.).

Найдено, что SiO₂ ускоряет р-цию окисления Fe(OH)₂, препятствует образованию γ-FeOOH и феррита железа и способствует образованию рентгеноаморфных гидроокислов железа. Резюме авторов

70142. О каталитическом окислении As₂O₃ кислородом воздуха в присутствии Mn(OH)₂. Крауза, Вольский, Данкевич (O katalitycznym utlenianiu arseniku tlenem powietrza w obecności wodorotlenku manganawego. Krause Alfons, Wolski Włodzimierz, Dankiewicz Jerzy), Roczn. chem., 1957, 31, № 3, 783—791 (польск.; русск., нем., англ.).

Показано, что Mn(OH)₂ хорошо катализирует окисление As₂O₃ кислородом воздуха при 18°. Исследовано влияние различных параметров на эту систему, которой имеет большое влияние на скорость р-ции. Промоторами для Mn(OH)₂ служат Co(OH)₂ и Cu(OH)₂. Резюме авторов

70143. Действие некоторых гетерогенных катализаторов на реакцию окисления аммиака в водном растворе озонированным кислородом. Панко С. К., Ж. прикл. химии, 1957, 30, № 9, 1286—1292

Показано, что на окисление NH₃ озоном в вод-р-рах некоторые каталитич. действие оказывают молекулярный ангидрид, металлич. Pt, Pd, Ir и Rh. Каталитич. активность этих в-в почти одинакова. Повышение т-ры в присутствии металлич. Pt от 25 до 70° повышает кол-во окисленного NH₃ с 40,3 до 52,2%

установлено, что при 25° в окислении NH_3 участвуют при 75° все 3 атома O в молекуле O_3 . В. Фролов

10144. Измерение скорости каталитического окисления диоксида серы. Хара (Hara Haruichi), Kōgō kagaku dзасси, J. Chem. Soc. Japan. Industr. Chem. Sec., 1957, 60, № 10, 1255—1257 (японск.)

10145. Структура Cu—Si сплавов и их каталитическая активность в реакции с хлористым этилом. Крылов В. Д., Ефремов Ю. Н., Ж. физ. химии, 1957, 31, № 11, 2522—2525 (рез. англ.)

По данным рентгенографич. анализа Cu—Si-сплавов (30—35 вес. % Cu), независимых от их каталитич. активности в р-ции с $\text{C}_2\text{H}_5\text{Cl}$, состоят из двух фаз: Si и Cu_3Si (η -фаза). В начальный момент в р-цию вступает Si, входящий в состав интерметаллич. соединения Cu_3Si . Образующаяся при этом металлич. Cu и является катализатором дальнейшего процесса синтеза этилхлорида; осаждение Cu на поверхности частиц Si ухудшает контакт Si с $\text{C}_2\text{H}_5\text{Cl}$ и приводит к постепенному снижению скорости р-ции. В. Фролов

10146. Восстановление метанола на смешанном катализаторе $\text{ZnO}-\text{CrO}_3$. Кавамура, Ириэ (Kawamura Masao, Irie Tsuneo), Kōgō kagaku dзасси, J. Chem. Soc. Japan. Industr. Chem. Sec., 1957, 60, № 6, 696—700 (японск.)

10147. Скорость выделения кислорода из метанольных смешанных катализаторов $\text{ZnO}-\text{CrO}_3$. Кавамура, Ириэ (Kawamura Masao, Irie Tsuneo), Kōgō kagaku dзасси, J. Chem. Soc. Japan. Industr. Chem. Sec., 1957, 60, № 2, 166—170 (японск.)

10148. Структура метанольного смешанного катализатора $\text{ZnO}-\text{CrO}_3$. Кавамура, Ириэ, Сиранси, Токунага (Kawamura Masao, Irie Tsuneo, Shiraishi Tatsuo, Tokunaga Katsuyoshi), Kōgō kagaku dзасси, J. Chem. Soc. Japan. Industr. Chem. Sec., 1957, 60, № 2, 162—165 (японск.)

10149. Скорость гидрогенизации этилена на Pd-черн. Ямагути, Тэраниси, Тарама (Yamaguchi Masaru, Teranishi Shiichiro, Tarama Kimio), Nihon kagaku dзасси, J. Chem. Soc. Japan. Pure Chem. Sec., 1957, 78, № 6, 759—763 (японск.)

10150. Активность окисных катализаторов Cu—Cr при гидрогенизации ацетона. Орито, Кавати (Orito Yoshio, Kawachi Sumi), Kōgō kagaku dзасси, J. Chem. Soc. Japan. Industr. Chem. Sec., 1957, 60, № 6, 703—706 (японск.)

10151. Механизм восстановления аллилового спирта на цинковом и цинк-медном катализаторах. Фрейдлин Л. Х., Абидова М. Ф., Султанов А. С., Изв. АН СССР. Отд. хим. н., 1958, № 4, 498—500

Изучено влияние т-ры р-ции на совместную полимеризацию 1,2-дихлорэтана с бензолом и хлорбензолом в присутствии хлористого алюминия. Показано, что с увеличением продолжительности р-ции содержание Cl в сополимере повышается, что указывает на различную относительную активность бензола и хлорбензола при взаимодействии с дихлорэтаном. Предложено ур-ние, связывающее выход сополимера с т-рой и продолжительностью р-ции при данном соотношении компонентов реакционной смеси. Резюме авторов

10152. I. Исследование каталитической дегидрогенизации бензилового спирта в газовой фазе на твердом катализаторе. II. Влияние на медный контакт загрязнений бензилового спирта соединениями хлора в реакции дегидрогенизации. Липка, Яворская (I. Badania nad katalitycznym odwodornieniem alkoholu benzylowego w fazie gazowej nad stałym katalizatorem. II. Wpływ zanieczyszczenia alkoholu benzylowego związkami chloru na kontakt miedziany w reakcji odwodornienia. Lipka B., Jaworska I.),

Chem. stosow., 1957, 1, № 2, 169—180 (польск.; рез. англ.)

Исследована дегидрогенизация бензилового спирта в бензойный альдегид в проточной системе на Cu-катализаторе, нанесенном на пемзу. При оптимальном режиме (300°, давл. 1 атм, объемная скорость 1,33 час⁻¹) достигается выход 80% от теоретического. В продуктах р-ции найдены следы бензойной к-ты. Примеси органич. соединений Cl вызывают быстрое обратимое отравление Cu-катализатора, исходная активность которого восстанавливается при регенерации последовательным окислением и восстановлением. С. Киперман

70153. К вопросу о механизме каталитического гидрирования ацетиленовых гамма-гликолей в присутствии коллоидного палладия. Левинзон А. Л., Сб. науч. тр. кафедр матем., механ., химии, Ленингр. ин-т точной механ. и оптики, 1957, вып. 24, 112—126

В жидкой фазе в спирт. р-рах или р-ре уксусноэтилового эфира при т-рах 15 и 25° в присутствии колл. Pd-катализатора изучено гидрирование тетраметилбутидинола (I), ди-(оксиклопентил)-ацетилена (II), тетраэтилбутидинола (III) и тетрафенилбутидинола (IV). Кажущаяся энергия активации (E в кал/моль), вычисляемая условно из температурной зависимости констант скорости 1-го порядка, в присутствии 1,4 мг катализатора для гидрирования I и II равна соответственно 12 800 и 12 670. В случае III и IV при том же кол-ве катализатора р-ция идет медленно и скорость р-ции не зависит от т-ры, а при 100 мг катализатора E соответственно равна 8800 и 9030; в случае IV при 20 мг катализатора $E = 12 670$. По мнению автора, температурный коэф. скорости р-ции складывается из отрицательного температурного коэф. адсорбционного процесса и положительного температурного коэф. хим. процесса. С. Киперман

70154. Каталитическая дегидратация гомологов тетрагидрофурана. Шуйкин Н. И., Бельский И. Ф., Мэ'рузалер. АзербСССР, Элмлер Акад., Докл. АН АзербСССР, 1958, 14, № 2, 115—117 (рез. азерб.)

Изучены р-ции превращений α -этилтетрагидрофурана в проточной системе при давл. 15—20 мм рт. ст., т-ре 600° в присутствии TiO_2 . Наблюдается образование алифатич. диеновых углеводородов, а также дегидроциклизация с образованием производных пента- и гексациклодиенов, а также C_6H_6 . При увеличении объемной скорости кол-во циклогексadiens-1,3 возрастает, а кол-во C_6H_6 уменьшается. С. Киперман

70155. Электрохимическое исследование катализаторов и механизма каталитического гидрирования. III. Гидрирование кротонового и масляного альдегидов в адсорбционном слое водорода на палладии. Хомченко Г. П., Вовченко Г. Д., Вестн. Моск. ун-та. Сер. матем., механ., астрон., физ., химии, 1957, № 3, 159—164

Изучено каталитич. гидрирование кротонового и масляного альдегидов в адсорбционном слое водорода на Pd-электроде. В отличие от Pt на Pd не протекает гидрирования масляного альдегида в адсорбционном слое водорода. Гидрирование кротонового альдегида протекает на Pd так же, как на Pt. Авторы считают, что на поверхности Pd 76% водорода находится в активном, 6% — в малоактивном и 18% — в неактивном состоянии и что адсорбированный на катализаторе водород не обладает поверхностной подвижностью. Определена адсорбционная способность и характер ориентации молекул кротонового и масляного альдегидов и бутилового спирта на поверхности Pd-электрода-катализатора. Рассмотрено возможное электронное взаимодействие между молекулами этих в-в и Pd. Часть II см. РЖХим, 1956, 46450. В. Фролов

70156. Гидрирование алкил- α -фурилкарбинолов на Ni—ZnO-катализаторе. Шуйкин Н. И., Бельский

И. Ф., Изв. АН СССР. Отд. хим. н., 1958, № 4, 506—507
При гидрировании алкил- α -фурилкарбинолов в паровой фазе на Ni—ZnO при 200—250° происходит восстановление гидроксильной группы с образованием алкилфуранов; последние в результате гидрогенолиза цикла по C—O связи в зависимости от т-ры частично или полностью превращаются в соответствующие алифатич. кетоны.

По резюме авторов
70157. Каталитическое парофазное окисление аценафта. Като, Йосида, Катагири (Kato Shimpachiro, Yoshida Hiroshi, Katagiri Mitsuharu), Юки госэй какаку кёкайси, J. Soc. Organ. Synth., Chem. Japan, 1956, 14, № 12, 725—726 (японск.)

При различных кинетич. условиях и различных составах катализаторов изучена возможность получения ангидридаперинафталиндикарбоновой к-ты (I) при каталитич. окислении аценафта в паровой фазе. Хорошими каталитич. свойствами обладают частички пемзы с добавками 10% V_2O_5 и K_2SO_4 . Наилучший выход I 82% получен при проведении р-ции в течение 4—5 час. при 360—370° и при 20-кратном избытке воздуха.

Chem. Arbstrs, 1957, 51, № 11, 8053. Н. К.
70158. Изучение кинетики взаимодействия формальдегида с фенолом, катализируемого гидроокисью натрия. Минами, Андо (Minami Toshio, Ando Tadanao), Корё какаку дзасси, J. Chem. Soc. Japan. Industr. Chem. Sec., 1957, 60, № 8, 1078—1081 (японск.)

70159. Механизм действия и разрушения катализаторов крекинга. Хара, Икэбэ, Мита (Hara Nobuyoshi, Ikebe Kiyoshi, Mita Kotaro), Корё какаку дзасси, J. Chem. Soc. Japan. Industr. Chem. Sec., 1956, 59, № 12, 1402—1407 (японск.)

70160 Д. Кинетика восстановления окислов свинца, цинка и их смесей окисью углерода. Цветков Ю. В. Автореф. дисс. канд. техн. н., Ин-т металлургии АН СССР, М., 1958

См. также раздел *Производство катализаторов и сорбентов* и рефераты: Реакционная способность и строение 70765, 70887, 72826. Кинетика и механизмы р-ций 69780, 69830, 70005, 70018, 70161—70167, 70175, 70179, 70213, 70216—70218, 70220, 70222, 70224, 70225, 70230, 70231, 70238, 70239, 70341, 70343, 70344, 70347, 70349, 70352, 70732—70741, 70743—70764, 70766—70769, 70898, 71135, 72816—72818, 72821, 72823—72825, 72831, 72838, 72839, 72845—72847, 72849. Гетерогенный катализ: неорганич. 69986, 71350; органич. 70747, 70748, 70770, 70771, 70902, 70924. Топохимия 70345, 70350, 71580. Произ-во и св-ва катализаторов 70557, 70704, 70784, 71631, 71633, 71638, 71679, 71681, 71973, 72027, 72037. Каталитич. процессы 71630, 71635, 71974, 72028. Приборы и методы 70704, 70714, 71139. Адсорбция 70261, 70262, 70265

РАДИАЦИОННАЯ ХИМИЯ. ФОТОХИМИЯ. ТЕОРИЯ ФОТОГРАФИЧЕСКОГО ПРОЦЕССА

Редактор Х. С. Багдасарьян

70161. Изучение передачи и распределения энергии в быстрых химических реакциях методами импульсного фотолиза и кинетической спектроскопии. Мак-Грат, Норриш (The study of energy transfer and energy distributions in fast chemical reactions by flash photolysis and kinetic spectroscopy. McGrath W. D., Norrish R. G. W.), Z. phys. Chem. (BRD), 1958, 15, № 1—6, 245—261 (англ.)

Рассмотрено применение методов импульсного фотолиза и кинетич. спектроскопии к изучению передачи и распределения энергии в некоторых быстрых хим. р-циях. При р-ции атомарного O с ClO_2 и NO_2 обра-

зуются молекулы O^*_2 , возбужденные до 8-го колебательного уровня с запасом колебательной энергии ~ 34 ккал/моль. Определенная спектроскопич. путем эффективность молекул различных газов в дезактивации $O^*_2 v'' = 6 \rightarrow v'' = 5$ (причем наиболее эффективна резонансная дезактивация) близка к эффективности дезактивации $v'' = 1 \rightarrow v'' = 0$, определенной методами дисперсии ультразвука. Большой запас колебательной энергии молекул O_2 , образующихся при р-ции $O + O_3 \rightarrow O_2 + O^*_2$ (63 ккал/моль), превышает энергию диссоциации O_3 , что приводит к образованию энергич. цепи $O^*_2 + O_3 \rightarrow 2O_3 + O$ в р-ции распада O_3 . Спектроскопич. изучение распределения энергии среди продуктов р-ции позволяет заключить, что основной запас освобождаемой энергии заключен в колебательной энергии образующейся связи. Этот вывод подтверждается также р-цией атомов галогенов с O_2 и Na.

70162. Сенсibilизированное ртутью фоторазложение n-пентана. Бак (The mercury-photosensitized decomposition of n-pentane. Back R. A.), Trans. Faraday Soc., 1958, 54, № 4, 512—519 (англ.)

Сенсibilизированное Hg фоторазложение n-пентана проводилось при 21° и давл. ~ 300 мм рт. ст. Единственным летучим продуктом разложения является H_2 , углеводородов легче, чем C_5 , не обнаружено. Скорость выделения H_2 , большая вначале, уменьшается со временем и затем становится постоянной. Добавка 1-пентена уменьшает скорость выделения H_2 . Эти факты объясняются конкуренцией р-ций $H + C_5H_{11} \rightarrow H_2 + C_5H_{11}$ (1) и $H + C_5H_{10} \rightarrow C_5H_{11}$ (2), причем C_5H_{10} образуется при диспропорционировании радикалов C_5H_{11} . Оценка, проведенная авторами, показывает, что $\sim 40\%$ радикалов C_5H_{11} вступает в р-цию диспропорционирования и $\sim 60\%$ — в р-цию димеризации, отношение $K_2/K_1 = 419$.

70163. Фотолиз ацетона при высокой интенсивности. Роббер, Роллефсон, Пиментел (High intensity photolysis of acetone. Roebber John L., Rollefson G. K., Pimentel George C.), J. Amer. Chem. Soc., 1958, 80, № 2, 255—261 (англ.)

Исследован фотолиз паров ацетона (А) при действиях практически монохроматич. излучения $\lambda 280$ А от высокоинтенсивной искры между Mg-электродами (РЖХим, 1957, 60173). Интенсивность поглощенного света составляла $\sim 10^{22}$ $h\nu$ /лсек (в 10^6 раз больше обычных интенсивностей). При низком давлении А выход СО мал, приближается к нулю, а выходы C_2H_4 и диэтилена (I) достигают соответственно 0,32 и 0,21. При больших давлениях А выход I мал и приближается к нулю, а выходы СО и этана становятся равными и приближаются к 0,20. Предложен механизм первичных процессов $A + h\nu \rightarrow A'$; $A' \rightarrow CH_3 + COCH_3$; $A' + A \rightarrow 2CH_3 + CO + A$; $A' + A \rightarrow 2A$ и р-ций взаимодействия радикалов $2CH_3 \rightarrow C_2H_6$; $2CH_3CO \rightarrow (CH_3CO)_2$; $2CH_3CO \rightarrow CH_3CO + CH_3CHO$; $CH_3 + CH_3CO \rightarrow CH_3COC_2H_5$, роль которых велика при применявшихся интенсивностях. Наблюдаемое увеличение выходов H_2 и CH_4 при больших давлениях CO_2 , добавленного к А перед фотолизом, объясняется р-циями: $CH_3 + H + A \rightarrow CH_4 + A$ и $2H + A \rightarrow H_2 + A$, для протекания которых нужны тройные соударения.

70164. Фотохимические исследования. LIII. Изопропилоидид. Мак-Миллан, Нойс (Photochemical studies. LIII. Isopropyl iodide. McMillan G. L., Noyes W. Albert, Jr.), J. Amer. Chem. Soc., 1958, 80, № 9, 2108—2111 (англ.)

При 35° масс-спектрометрически и методом газовой хроматографии изучен фотолиз ($\lambda 3130$ А) *изо*- C_3H_7I (I) продукты фотолиза: C_3H_8 , C_3H_6 , J_2 и, предположительно, HJ (в малых кол-вах). Квантовые выходы (Φ_1 , Φ_2) для C_3H_8 и C_3H_6 при всех условиях меньше 1, а

отношение Φ_1/Φ_2 меняется от ~ 1 до 15. В присутствии добавок паров Hg, реагирующих с атомами и молекулами йода в реакционной системе, отношение Φ_1/Φ_2 падает (до ~ 1), а сами Φ_1 и Φ_2 становятся убывающими функциями интенсивности (И) облучения. Последний эффект, по мнению авторов, обусловлен понижением эффективной концентрации паров Hg с увеличением И из-за слишком медленной диффузии Hg в зону р-ции. Добавки J_2 в отсутствие Hg увеличивают Φ_1/Φ_2 . Предложен следующий механизм фотолитиза: $I + h\nu \rightarrow \text{изо-C}_3\text{H}_7$ (II) + J (1); II + $J_2 \rightarrow I + J$; II + J-I (или $C_3H_8 + HJ$) (2); $2II \rightarrow C_3H_6 + C_3H_8$ (или C_3H_{14}) (3); II + I $C_3H_8 + C_3H_8 + J$ (4); J + I $\rightarrow C_3H_8 + HJ + J$ (5); II + HJ $\rightarrow C_3H_8 + J$ (6); $2J + M \rightarrow J_2 + M$. Квантовый выход р-ции (1) равен ~ 1 . Опыты со смесью алкилйодид + J_2 при облучении их радиацией 5000 Å, поглощающейся только парами J_2 , подтверждают, что образование C_3H_8 происходит главным образом по р-ции (5), а не (2), (3) или (4) как при фотолитизе I, так и в случае фотолитиза других алкилйодидов. Сообщение ЛП см. РЖХим, 1957, 57133. Г. Королев

70165. Фотолитиз диэтилкетона и метилэтилкетона в жидкой фазе. Ауслоос (The liquid phase photolysis of diethyl ketone and methyl ethyl ketone. Ausloos P., Canad. J. Chem., 1958, 36, № 2, 400—409 (англ.))

Фотолитиз диэтилкетона изучен при т-ре от -35 до $+95^\circ$. В продуктах р-ции найдены CO , C_2H_4 , C_2H_6 и C_4H_{10} . При 95° квантовый выход CO равен $\sim 0,87$. Уменьшение интенсивности, а при постоянной интенсивности — увеличение т-ры — приводит к увеличению выхода CO и C_2H_6 . Выход CO также увеличивают добавки *n*-гептана и *n*-октана. Скорость образования C_2H_4 и C_4H_{10} при 28° проходит через максимум. Фотолитиз метилэтилкетона изучен при $5-75^\circ$. В продуктах р-ции найдены CO , CH_4 , C_2H_4 , C_2H_6 и C_4H_{10} . При постоянной интенсивности скорость образования CO , CH_4 и C_2H_6 растет с ростом т-ры. Уменьшение интенсивности приводит к заметному уменьшению выходов CO , C_2H_4 и C_4H_{10} . Из температурной зависимости отношения скоростей образования C_2H_6 и C_4H_{10} найдено, что для обоих ионов энергия активности равна 5 ккал/моль . Уменьшение этого отношения с интенсивностью света, по мнению авторов, свидетельствует о том, что C_2H_6 получается при взаимодействии этильных радикалов с исходными кетонами, а C_4H_{10} — путем рекомбинации радикалов C_2H_5 . Предложен механизм фотолитиза диэтилкетона и метилэтилкетона. Г. Сергеев

70166. Элементарные реакции при фотохимическом окислении йодистого метила. Кристи (Elementary reactions in the photochemical oxidation of methyl iodide. Christie Margaret I., Proc. Roy. Soc., 1958, A244, № 1238, 411—423 (англ.))

Фотохимическое окисление CH_3I проводилось в газовой фазе при $18-22^\circ$, давлении CH_3I $1-9$, O_2 $1-6 \text{ мм рт. ст.}$ в присутствии избытка CO_2 (97 мм рт. ст.) под действием света λ $2400-3200 \text{ Å}$ с целью сравнения скоростей р-ций радикалов CH_3 с O_2 и йодом. Источником света служила Хе-лампа высокого давления (1000 ат.). Скорость W выделения J_2 при степенях превращения $< 2,5\%$ определялась по поглощению света J_2 при помощи компенсационной схемы на фотомножителе. Найдено, что W с увеличением давления O_2 сначала растет, а затем остается постоянной. В присутствии NO (100 мм рт. ст.) и O_2 W одинакова. Анализ результатов показывает, что отношение констант скоростей р-ций $CH_3 + O_2$ и $CH_3 + J_2$ зависит от давления. Сделан вывод, что р-ция CH_3 в O_2 в основном является р-цией 3-го порядка. Найдено, что CH_3J в ~ 10 раз эффективнее, чем CO_2 в качестве третьей частицы при столкновениях. Г. Лавровская

70167. Фотолитиз перфторди-N-пропил кетона. Миллер, Притчард, Стисси (The photolysis of

perfluoro Di-N-propyl ketone. Miller G. H., Pritchard G. O., Steacie E. W. R.), Z. phys. Chem. (BRD), 1958, 15, № 1—6, 262—269 (англ.)

Фотолитиз $C_3F_7COC_3F_7$ (I) исследован при $27-220^\circ$ и λ 3130 Å . В продуктах р-ции найдены только CO и C_6F_{14} . При т-ре 107° квантовый выход (КВ) CO равен 1 и линейно зависит от интенсивности света и почти не зависит от давления. При изменении т-ры от 27 до 220° КВ меняется от 0,65 до 1. Авторы считают, что распад I идет по схеме: $C_3F_7COC_3F_7 + h\nu \rightarrow 2C_3F_7 + CO$; $C_3F_7 + C_3F_7 \rightarrow C_6F_{14}$. Наличие в продуктах р-ции только CO и C_6F_{14} исключает другие механизмы, а также и р-цию диспропорционирования радикалов C_3F_7 . Температурная зависимость КВ возможно связана с небольшой энергией активации распада радикала C_3F_7CO . Приведены результаты масс-спектрометрич. анализа I. Г. Сергеев

70168. Химические реакции в реакторе. Хартек, Дондес (Chemische Reaktionen im Reaktor. Hardeck Paul, Dondes Seymour), Z. phys. Chem. (BRD), 1958, 15, № 1—6, 103—107 (нем.)

На примерах действия излучения ядерного реактора на CO_2 , окислы азота и смеси N_2 с O_2 рассмотрена возможность использования излучения ядерного реактора для проведения хим. р-ций и способы увеличения интенсивности излучения. И. Верещинский

70169. Газофазные реакции, активированные ядерными процессами. Гордус, Уиллард (Gas phase reactions activated by nuclear processes. Gordus Adon A., Willard John E.), J. Amer. Chem. Soc., 1957, 79, № 17, 4609—4616 (англ.)

Газофазные системы, состоящие из смесей простых углеводородов (CH_4 , C_2H_6 , C_3H_8 , *n*- C_4H_{10}) с галоидами (Cl, Br, J) или их соединениями (галоидалкилы, $RHAl$, к-ты $NHAl$), облучались в ядерном реакторе в течение ~ 1 мин. в потоке $3 \cdot 10^{12}$ нейтрон/см² сек при сопутствующей дозе γ -излучения $4 \cdot 10^4$ рентген/мин. После облучения определялся коэф. удержания активности в органич. форме (R) и с помощью техники носителей, газовой хроматографии и сцинтилляционного счетчика определялась активность различных образующихся при облучении галоидалкилов. Показано, что ранее наблюдавшийся эффект осуществления р-ций замещения атома H в CH_4 атомом J^{128} , возникающим по р-ции (n, γ), является общим для всех галоидов и ряда углеводородов от C_1 до C_4 . Атомы галоидов, активированные ядерными р-циями и изомерным превращением (Br^{80}), способны замещать как атомы H, так и радикалы в молекулах углеводородов, что приводит к образованию большого числа меченых продуктов. Выход р-ций внедрения практически не зависит от хим. состояния облучаемого галоида в случае р-ций (n, γ), но оно сказывается при активации с помощью изомерного перехода. Коэф. внедрения атома галоида R существенно зависит от природы реагирующего с ним углеводорода. Величины R изменяются в пределах от 50—70% (система $RJ + CH_4$) до 3%. Абс. величина R зависит от наличия в системе свободных галоидов, связывающих радикалы. Приводятся аналогичные данные по внедрению в углеводороды трития, полученного в результате р-ции He^3 (n, p) T. Наблюдаемые закономерности обсуждаются с привлечением предположения о наличии стадии ионно-молекулярной р-ции.

Б. Дзантиев

70170. Радиолитиз пентана, адсорбированного на минеральных твердых телах. Каффри, Аллен (Radiolysis of pentane adsorbed on mineral solids. Caffrey James M., Jr., Allen Augustine O.), J. Phys. Chem., 1958, 62, № 1, 33—37 (англ.)

Исследовано действие γ -излучения Co^{60} на *n*-пентан (I), адсорбированный на ряде минер. твердых тел (SiO_2 , MgO , $CaO \cdot 2SiO_2$, Fe_2O_3 , Fe_3O_4 , аттапульгит,

монтмориаллонит) с разным размером частиц. Для большинства взятых адсорбентов радиационным. выходы H_2 и CH_4 возрастают при увеличении содержания I на твердом адсорбенте. Наибольшие выходы H_2 и CH_4 достигаются при радиоллизе I, адсорбированного на силикагеле с уд. поверхностью $> 300 \text{ м}^2/\text{г}$. При хроматографич. разделении продуктов радиоллиза установлено, что их состав и радиационным. выход зависит от природы адсорбента и значительно отличается от состава продуктов радиоллиза жидкого пентана. Обсуждена возможная роль передачи энергии в наблюдаемых эффектах, а также их отношение к генезису нефти.

И. Верещинский

70171. Радиационное окисление растворов четырехвалентного урана. Фирсов В. Г., Эршлер Б. В., Атомная энергия, 1958, 4, № 4, 343—348

Изучалось окисление U^{4+} (I) до UO_2^{2+} (II) в р-рах H_2SO_4 под действием γ -лучей Co^{60} при интенсивности 1,28 эв/л.мин. В обезгаженных р-рах в 0,8 н. H_2SO_4 зависимость выхода окисления G от конц-ии I в интервале 1—1000 мг-экв/л имеет максимум, равный ~ 5 , при конц-ии I $\sim 110 \text{ мг-экв/л}$. Насыщение р-ра H_2 не влияет на G при конц-ии I $\sim 5 \text{ мг-экв/л}$, при увеличении конц-ии H_2SO_4 от 0,1 до 5 н. G несколько уменьшается. В присутствии O_2 $G \approx 16 \text{ экв}$ на 100 эв. Для выяснения роли II при окислении I изучался радиоллиз их смесей при различных суммарных конц-иях и отношениях I к II. Присутствие II уменьшает G. Значения G сопоставлены с выходом радикалов H и OH и H_2O_2 в кислых водн. р-рах: в присутствии O_2 для окисления I используется вся эта совокупность, в отсутствие — только OH и H_2O_2 . На основе предложенного механизма получены ур-ния, связывающие G с конц-иями I и II и с отношением I:II. Е. Кализин

70172. Определение водных растворов H_2O_2 с помощью $KMnO_4$ и применение этого метода к радиационной химии рентгеновских лучей. Хабибулла Изадян, Мерго (Dosage de solutions aqueuses d'eau oxygénée par le permanganate de potassium et application à la radiochimie des rayons x. Habibollah Izadian, Mergault Pierre), C. r. Acad. sci., 1958, 246, № 10, 1547—1550 (франц.)

Предложен метод определения H_2O_2 с помощью $KMnO_4$, позволяющий определять H_2O_2 в конц-ии 10^{-4} г/л для пробы р-ра 0,5—1 см³. Этим методом исследовано образование H_2O_2 в насыщенной воздухом дважды перегнанной воде под действием рентгеновских лучей с энергией 40 кэ. Обнаружено, что выход H_2O_2 одинаков при облучении воды в сосудах из стекла, кварца и Pt. С. Брусенцева

70173. Влияние кислорода на выход трехвалентного железа в водных растворах, содержащих Po^{210} . Трамбор (The effect of oxygen on ferric ion yields in aqueous solutions containing polonium. Trumbore Conrad N.), J. Amer. Chem. Soc., 1958, 80, № 7, 1772 (англ.)

Определены G Fe^{3+} при действии α -лучей Po^{210} на р-ры $FeSO_4$, насыщенные O_2 при разных давлениях вплоть до $\sim 120 \text{ атм}$. $G Fe^{3+} = 9,1 \pm 0,4$; $G Fe^{3+}$ в аэрированном р-ре составляет $5,2 \pm 0,15$. В. Шубин

70174. Дальнейшее исследование применимости водных растворов метиленового голубого для дозиметрии интенсивных пучков излучения высокой энергии. Лафунте, Голдблит, Проктор (Some further studies on the application of methylene blue in aqueous solution as a dosimeter for intense beams of high-energy radiation. Lafuente B., Goldblith S. A., Proctor B. E.), Internat. J. Appl. Radiat. and Isotopes, 1958, 3, № 2, 119—124 (англ.; рез. франц., русск., нем.)

Разложение метиленового голубого (I) в водн. р-рах при 2—66° не прекращается через 7 недель после воздействия γ -излучения и идет быстрее при более вы-

соких т-рах; при охлаждении (в холодильнике) I практически стабилен в течение недели после облучения; изменение т-ры от 7 до 66° при облучении электронами в 1 Мэв практически не влияет на распад I. Линейная зависимость от дозы сохраняется по крайней мере до $6 \cdot 10^6 \text{ ф. э. р.}$ I как дозиметр пригоден для массовых измерений при работе с быстрыми электронами или γ -лучами.

А. Эршлер

70175. Действие γ -лучей Co^{60} и реактива Фентона на водные растворы бромальгидрата. Вудс, Спинкс (The action of Co^{60} gamma rays and of Fenton's reagent on aqueous bromal hydrate solutions. Woods R. J., Spinks J. W. T.), Canad. J. Chem., 1957, 35, № 12, 1475—1486 (англ.)

При действии γ -излучения Co^{60} на водн. р-ры $Br_2CSH(OH)_2$ (I) образуется HBr, а также дибромомалеальдегид и дибромуксусная к-та. Радиационным. выход G HBr возрастает в атмосфере O_2 по сравнению с атмосферой N_2 , G HBr увеличивается при возрастании конц-ии I, повышении т-ры и росте pH р-ра. G HBr обратно пропорционален квадратному корню из мощности дозы (источник 1—700 кюри). Подобный характер зависимости кол-ва образующейся HBr от кол-ва добавленной к р-ру I H_2O_2 в присутствии сульфата Fe (реактив Фентона) свидетельствует об образовании HBr по цепному механизму. Предложен механизм цепной р-ции, инициируемой излучением, согласно которому ведет цепь радикал $Br_2C \cdot SNO$. Образование трибромуксусной к-ты при действии реактива Фентона связано с р-цией $Br_2CCO \cdot + OH \rightarrow Br_2CCOOH$, а также с гидролизом Br_2CCOBr .

И. Верещинский

70176. Передача молекулярной энергии между растворенными в жидкостях веществами. Беркс (Transfer of molecular energy between solutes in liquids. Birks J. B.), J. Chem. Phys., 1958, 28, № 4, 730—731 (англ.)

Изученная ранее сенсibilизированная флуоресценция дифенилгексатриена (I) в толуоле в присутствии 2,5-дифенилоксазола (II) под действием света, поглощаемого II (РЖХим, 1958, 13495), может быть объяснена, по мнению автора, с помощью представления о реабсорбции I света, испускаемого II. Автор считает неправильным вывод о безызлучательном переносе энергии между II и I, сделанный в цитируемой работе на том основании, что $\eta > \eta_A \eta_B$ (η_A и η_B — интенсивности флуоресценции II

I в отдельности под действием света, непосредственно поглощаемого этими в-вами, η — интенсивность сенсibilизированной флуоресценции I). Вследствие самопоглощения η_A пропорциональна технич. квантовому выходу флуоресценции, а не молекулярному, что допускается при истолковании приведенного неравенства. Принимая $\eta_A = (\eta_0)^n$, где η_0 пропорциональна мол. квантовому выходу и $n = 3$, автор получает из данных обсуждаемой работы хорошее соблюдение равенства $\eta = \eta_0 \eta_B$.

В. Кронгау

70177. Передача молекулярной энергии между растворенными в жидкостях веществами. Вейнрайб (Transfer of molecular energy between solutes in liquids. Weinreb A.), J. Chem. Phys., 1958, 28, № 4, 731—732 (англ.)

Автор возражает против объяснения результатов своей работы (РЖХим, 1958, 13495) гипотезой о поглощении дифенилгексатриеном (I) фотонов, испускаемых при флуоресценции 2,5-дифенилоксазола (II) (см. пред. реф.). Хорошее соблюдение ур-ния Штерна-Фольмера для тушения сенсibilизированной флуоресценции I добавками CCl_4 не согласуется с требованием постоянства n в ф-ле $\eta = (\eta_0)^n$ (1). Сопоставление спектров поглощения и испускания I и II показывает, что полученная экспериментально эффективность пер-

мощности энергии между I и II, равная 81%, не может быть достигнута только за счет поглощения I флуоресценции II. Установлено, что степень поляризации p-ра II в парафиновом масле практически не изменяется с изменением толщины слоя p-ра от 0,02 до 5 мм. Это свидетельствует об отсутствии заметной вторичной флуоресценции II. Высказано мнение об ограниченной применимости ф-лы (1) ввиду отсутствия для ряда в-в постоянства квантового выхода при увеличении длины волны поглощаемого света выше значения, соответствующего максимуму поглощения в длинноволновой области.

В. Кронгауз
70178. Образование двойной связи в парафиновых углеводородах при облучении ионизирующим излучением. Блэк (Double-bond formation in paraffinic hydrocarbons on exposure to ionizing radiation. Black R. M., J. Appl. Chem., 1958, 8, № 3, 159—163 (англ.).

Исследовано действие излучения ядерного реактора В. Е. Р. О. на эвакуированные предельные углеводороды. Кол-во образующихся двойных связей определенно методом ИК-спектроскопии и по йодному числу. При облучении при 70° радиационнохимич. выход G двойных связей равен: циклогексан 5,04; гексан 5,60; гептан 5,03; декан 3,45; тетраэтриаконтан 3,27; гексаэтриаконтан 3,26; полиэтилен 3,39. В случае n-декана, вазелина ($\sim C_{25}H_{52}$) и полиэтилена определено процентное соотношение различных типов ненасыщ. связей (транс-виниловых, виниленовых и винилиденных) для некоторых доз.

И. Верещинский
70179. Окислительные процессы в органических системах под действием ионизирующих излучений. Бах Н. А., Сараева В. В., Ж. физ. химии, 1958, 32, № 2, 209—218

Теоретическое обобщение р-ций радиационного окисления органич. веществ. Предложен радикальный механизм процесса окисления. Ведущую роль играют возбужденные радикалы, образующиеся по р-циям: $M + RH \rightarrow MH + R^*$ и $M + R'R'' \rightarrow (MR') + (R'')^*$. Получающиеся в р-циях вторичные радикалы к продолжению цепей не способны. На основе предложенного механизма объяснен резко направленный характер радиационного окисления. Высказано предположение о низкой реакционной способности перекисного радикала в отрыве атома водорода от молекулы углеводорода.

В. Шубин
70180. Присоединение n-бутилмеркаптана к 1-пентену при облучении рентгеновскими или γ -лучами. I. Рентгеновские лучи 140 кэ. Фонтейн, Спинк (Addition of n-butyl mercaptan to 1-pentene on irradiation with X-rays or gamma rays. I. 140 kvp. X-rays. Fontijn A., Spinks J. W. T.), Canad. J. Chem., 1957, 35, № 12, 1384—1396 (англ.).

Исследовано действие рентгеновского излучения (140 кэ, 5 ма, слой половинного поглощения 3,25 мм Al) на смеси или p-ры n-бутилмеркаптана (I) и 1-пентена (II). Скорость р-ции определялась dilatометрически; наблюдался индукционный период. При мощности дозы 19 000 эрг/см² мин при увеличении конц-ии I и постоянной конц-ии II (либо при увеличении конц-ии II и постоянной конц-ии I) скорость р-ции первоначально возрастает, а затем достигает постоянного значения. При увеличении мощности дозы скорость р-ции возрастает. Радиационнохим. выход G превращенных молекул: $4,8 \cdot 10^4$ для p-ров I и II в циклогексане, $1,9 \cdot 10^5$ для смеси I и II, $1,5 \cdot 10^4$ для p-ров I и II в бензоле.

И. Верещинский
70181. Облучение никотината аммония медленными электронами. Беллуко, Барбьерни, Скиавон (Irradiation con neutroni lenti del nicotinato di ammonio. Belluco Umberto, Barbieri Re-

nato, Schiavon Gaetano), Gazz. chim. ital., 1958, 88, № 1, 78—88 (итал.).

Образец никотината NH₄ подвергался облучению в течение 4 недель в потоке медленных нейтронов интенсивностью $2 \cdot 10^{11}$ нейтрон/см² сек⁻¹. Из облученного образца с помощью хим. методов, а также хроматографии на бумаге, силикагеле и анионообменных смолах выделены следующие в-ва, обладающие радиоактивностью (в % к общей активности образца): никотиновая 4,07, бензойная 1,5, муравьиная 0,35, уксусная 0,86, пропионовая 2,29, масляная 0,56, валериановая 1,45, шавелевая 0,37, малоновая 16,30, янтарная 0,99, глутаровая к-ты 3,16, фенол 0,09, формальдегид 0,86, пиридин 0,18, HCN 0,22, CO₂ 2,06; активность изолированных продуктов составляла $\sim 30\%$ от общей активности образца. Большая часть образующегося C¹⁴ приходится на долю малоновой, глутаровой и пропионовой к-т. Значительная активность, падающая на долю двухосновных к-т, приписывается легкой окисляемости радикалов, образующихся при облучении, а присутствие большого кол-ва к-т с 3 и 5 атомами в молекуле объясняется разрывом связей C—C в молекуле никотиновой к-ты между атомами углерода, соседними с карбоксильной группой. Указывается, что метод может использоваться для получения ряда органич. к-т, меченных C¹⁴, с высокой уд. активностью. Подробно описывается методика разделения продуктов превращения.

В. Щекин
70182. Реакции бромистого калия с воздухом, вызванные излучением. Джонс (Radiation-induced reactions of potassium bromide with air. Jones A. Russell), Science, 1958, 127, № 3292, 234 (англ.).

Исследовано изменение ИК-спектра твердого KBr после облучения электронами 1,5 Мэв в атмосфере воздуха, O₂, He и CO₂. Обнаруженные в спектре новые линии приписываются нитрату, образующемуся при облучении в воздухе, и карбонату, образующемуся при облучении в CO₂. Возможно также образование KNO₂, KNO и KBrO.

С. Брусенцева
70183. К количественному рассмотрению процесса образования скрытого фотографического изображения ионизирующими частицами. Картужанский А. Л., Докл. АН СССР, 1957, 114, № 6, 1199—1202; исправление, 117, № 3, 358
См. РЖФиз, 1958, 12168.

70184. Природа фотографической чувствительности. Митчелл (The nature of photographic sensitivity. Mitchell J. W.), J. Photogr. Sci., 1957, 5, № 3, 47—70 (англ.).

Обобщены результаты опубликованных ранее работ автора с сотрудниками и развита теория образования скрытого изображения (СИ). Старое понятие центр светочувствительности заменяется новым — область светочувствительности, представляющая собой несовершенную область кристалла с повышенной активностью. В этой области выделяется внутреннее фотолитич. Ag и внутреннее СИ. В месте выхода этой области на поверхность кристалла отделяются продукты хим. сенсibilизации (напр., Ag₂S), адсорбируются оптич. сенсibilизаторы и образуется поверхностное СИ. Основная функция Ag₂S состоит в захвате дырок (атомов Br), после которого Ag₂S+ диссоциирует на AgS и междуузельный шок Ag⁺. Поэтому захваченные дырки не рекомбинируют с электронами. Образование поверхностного СИ протекает в 2 стадии: Ag₂⁺ → Ag₃ + Ag⁺ (СИ). Положительный заряд центров СИ и более крупных частиц Ag делает невозможным захват дырок и их рекомбинацию с электронами. Захват электрона сопровождается присоединением шока Ag⁺ и ведет к росту частицы Ag. На основе новой теории объяснены различные фотографич. эффекты.

А. Хейнман

70185. Исследования фотойодида. Нарат (Untersuchungen über Photojodid. Narath A.), Z. wiss. Photogr., 1957, 51, № 7—12, 244—256 (нем.)

Исследованы некоторые свойства фотойодида (ФЙ). Характеристич. кривая ФЙ, приготовленного в виде желатиновых или коллоидных эмульсий, обнаруживает резкое обращение, доходящее до $D < D_0$. AgJ-эмульсия солеризуется меньше, а при больших экспозициях вслед за солеризацией почернение вновь возрастает. При освещении через цветной фильтр ФЙ окрашивается в цвет, дополнительный по отношению к фильтру. Окрашивание не зависит от предистории пластинки; в частности, наблюден обратимый переход одной окраски в другую при изменении спектрального состава света. В определенной степени это же обнаружено у AgJ-эмульсий. После проявления плотность возникающего почернения различна для разных цветов ФЙ, но всегда характерна для цвета, имевшегося к началу проявления; это же относится и к фотохлориду, принимающему, в отличие от ФЙ, цвет фильтра. В связи с соображениями о возможной роли Ag при изменении окраски ФЙ была исследована адсорбция Ag на AgJ и фотоголоидах (Cl, Br, J) при 20°, а для ФЙ также при т-рах до 80°. Адсорбция протекает медленно во времени, у фотоголоидов ее скорость увеличивается от Cl к J и с ростом т-ры; для ФЙ, в отличие от других, временной ход адсорбции характеризуется увеличением скорости в конце, перед насыщением. Максим. кол-во адсорбированного Ag (в мол. %) равно 0,3 для фотохлорида, 2,5 для фотобромида и 11 для ФЙ. Электронно-микроскопич. и электронно-дифракционные данные не обнаруживают адсорбированное Ag на поверхности частичек ФЙ (в отличие от фотобромида), несмотря на большое его кол-во; оно обнаружено лишь после фотолитич. разложения ФЙ, а также AgJ. Таким образом, Ag не существует здесь в виде металлич. частиц.

А. Картужанский
70186. Явление взаимозаместимости при действии свежезачищенных металлов на фотослой. Ройх И. Л., Рафалович Д. М., Укр. хим. ж., 1958, 24, № 2, 198—201

Линейная зависимость оптич. плотности от lg времени действия свежезачищенной поверхности Mg на фотослой и аналогичная зависимость от lg конц-ии водн. р-ра H_2O_2 при постоянном времени воздействия паров этих р-ров на фотослой (РЖХим, 1957, 33157) имеют одинаковый наклон. Авторы делают вывод о соблюдении закона взаимозаместимости для этих систем. Аналогичные результаты получены при сопоставлении отбеливающего действия металла и паров H_2O_2 на засвеченный фотослой. Х. Багдасарьян

См. также: Фотохимия 69766, 69780, 69899—69911, 69916, 69926, 70766, 72816, 72817. Радиационная химия 72819, 72840. Приборы и методы 70719

РАСТВОРЫ. ТЕОРИЯ КИСЛОТ И ОСНОВАНИЙ

Редактор М. Д. Сурова

70187. К теории электродиффузии. Бак, Кауман (Contribution to the theory of electrodiffusion. Bak Thor A., Kauman W. G.), J. Chem. Phys., 1958, 28, № 3, 509—510 (англ.)

Обсужден процесс электродиффузии как метод определения скоростей быстрых ионных р-ций путем измерения коэф. диффузии в присутствии электрич. тока и в его отсутствие. Для двухкомпонентной системы выведены 2 ур-ния: при $E = E_0 = \text{const}$ $D^* = D + E/2k$ и при $E = E_0 \sin \omega t$ $D^* = D + kE^2/(\omega^2 + 4k^2)$, где D — коэф. диффузии в отсутствие электрич. тока,

k — константа скорости. Таким образом, в случае переменного поля коэф. электродиффузии зависит от частоты ω и при $\omega \rightarrow 0$ приближается к случаю постоянного поля. См. также РЖХим, 1957, 74012; 1958, 7345.

Л. Пырьов
70188. Влияние температуры и объема растворенного вещества на коэффициенты диффузии в жидкостях. Иннес, Олбрайт (Effect of temperature and solute volume on liquid diffusion coefficients. Innes K. Keith, Albright Lyle F.), Industr. and Engng. Chem., 1957, 49, № 10, 1793—1794 (англ.)

Показано, что для H_2O , C_2H_6 и Sn величины коэф. самодиффузии D соответственно в интервалах т-р 273,2—373,2; 194,7—423,8 и 572,2—935,2° K, рассчитанные по ур-нию $D = AT \exp(-B/T)$, совпадают с эксперим. данными с точностью 2—3%. Константы A , n и B выражаются следующим образом: $A = (V/N)^{1/3} \cdot (k/h) \exp(\Delta S_0/R) \exp(-\Delta C_p/R)$, $n = (\Delta C_p/R + 1)$, $B = \Delta H_0/R$, где k и h — постоянные Больцмана и Планка, V — мол. объем р-рителя, ΔH и ΔS — теплота и энтропия активации диффузии, ΔC_p — разность теплоемкостей неактивированных и активированных молекул. Для H_2O , C_2H_6 и Sn постоянные A , n и B соответственно равны $5,4075 \cdot 10^{30}$; —11 и $5619,3$; $2,358 \cdot 10^{-9}$, 2 и $583,8$; $1,332 \cdot 10^7$, —3 и $5428,4$. Для раб. водн. р-ров некоторых классов в-в кажуется, что объем растворенного в-ва V и коэф. диффузии D связаны соотношением $DV^m = K'$, причем для спиртов при 15° m и K' равны 0,70 и $1,62 \cdot 10^{-5}$, для аминокислот и сахаров при 1° 0,48 и $3,14 \cdot 10^{-6}$ и при 25° 0,46 и $61,4 \cdot 10^{-6}$. В. Любимов

70189. Теплопроводность водных растворов некоторых неэлектролитов. Рузавин И. И., Науч. докл. высш. школы. Химия и хим. технол., 1958, № 2, 221—223

Определена теплопроводность водн. р-ров неэлектролитов методом плоского слоя с точностью от $\pm 0,1$ до $\pm 0,2\%$. На основании полученных данных рассчитана кажущаяся молярная теплопроводность ϕ водн. р-ров глюкозы, сахарозы и мочевины при 25° и различной молярной конц-ии (m). Отмечена линейная зависимость ϕ_k от m . Величины ϕ_k при бесконечном разбавлении для глюкозы, сахарозы и мочевины соответственно равны 0,159; 0,288 и 0,064. С ростом величины молекулы растворенного в-ва, по мнению автора, происходит значительное нарушение квазикристаллич. структуры воды. М. Сурова

70190. Диэлектрическая проницаемость водных растворов глюкозы и сахарозы. Шека И. А., Кабан А. П., Тр. Киевск. технол. ин-та пищ. пром-сти, 1957, вып. 17, 179—185

Методом биений с частотой $0,996 \cdot 10^8$ кГц измерены диэлектрич. проницаемости ϵ р-ров глюкозы и сахарозы в интервале т-р t 20—95° и конц-ий c 0—95%. Для р-ров сахарозы при 20, 40, 60, 80 и 90° ϵ при $c = 20\%$ равна 75,4, 68,55, 62,8, 57,7, 54,7, при $c = 60\%$ 59,4, 54,7, 50,9, 45,6, 43,38, при $c = 90\%$ 14,49, 24,5, 32,3, 32,2, 31,5. Для р-ров глюкозы при тех же t и c ϵ соответственно равна 75,5, 69,6, 63,2, 56,6, 53,5; 63,34, 60,03, 55,4, 49,8, 46,6; 31,61, 39,7, 36,23, 35,25. Максимумы на кривых $\epsilon = f(t)$ для пересыщ. р-ров глюкозы и сахарозы авторы объясняют изменением степени гидратации. С. Дракин

10191. Диэлектрические свойства йода в ароматических растворителях при 9000 Мгц. Недербрагт, Пелле (Dielectric properties of iodine in aromatic solvents at 9000 Mc/sec. Nederbragt G. W., Pelle J.), Molec. Phys., 1958, 1, № 1, 97—98 (англ.)

Путем резонансного метода при частоте 8950 Мгц (Penrose R. P., Disc. Faraday Soc., 1946, 108) определены диэлектрич. постоянные р-ров J_2 в бензоле, n -ксилоле и 1,3,5-триметилбензоле и чистых р-рителях.

Конц-ия J_2 в р-рах составляла 1,9 мол.%. Для р-ров в бензоле и л-ксилоле не наблюдается существенного различия с данными, полученными при более низких частотах; это свидетельствует о том, что основное изменение поляризации в этих р-рах происходит при частотах > 8950 Мгц. Для р-ров в 1,3,5-триметилбензоле величина диэлектрич. постоянной заметно отличается от значения для низкочастотной области. На основании полученных данных авторы рассчитали поляризацию ($P = 56$ см³) и эффективное время релаксации ($\tau(\text{эф.}) = 4 \cdot 10^{-12}$ сек.). Полученные результаты говорят о значительном дипольном моменте J_2 в 1,3,5-триметилбензоле и о малой продолжительности жизни комплекса; последнее согласуется с малой энергией его образования. Л. Пытков

70192. Современное развитие теории солевого эффекта растворения неэлектролитов в водных растворах. Хуан Цзи-цин, Кэсюэ тунбао, Научн. вестн., Scientia, 1957, № 19, 578—582 (кит.)

Обзорная статья. Обсуждено современное состояние теории солевого эффекта. Показано, что теория Дебая не может полностью объяснить явления солевого растворения. Разобраны 3 новых теории, для которых необходима, по мнению автора, разносторонняя экспериментальная проверка. Библ. 22 назв. А. Петренко

70193. Исследование некоторых разбавленных растворов электролитов в связи со значениями гидратации ионов и некоторыми осложнениями, обнаруженными в более концентрированных растворах этих же электролитов. Рёйвен (Onderzoek van enige verdunde elektrolytoplossingen in verband met de bij hun geconcentreerde oplossingen gevonden ionenhydratatie en complicaties. Ruymen B. H. van), Chem. weekbl., 1957, 53, № 51, 688—692 (гол.)

Проведено исследование разб. водн. р-ров NaNO_3 , NaCl и LiCl для определения числа молекул воды в гидратной оболочке ионов. На основании наблюдаемого повышения т-ры кипения установлено, что с ростом конц-ии число молекул воды как в первичной, так и во вторичной гидратной оболочке уменьшается. В случае определения электропроводности р-ров при 18° получены менее определенные результаты вследствие влияния накладываемого переменного напряжения на гидратацию ионов. Измерена также т-ра замерзания разб. р-ров NaNO_3 . Приведено критич. обсуждение значений степеней диссоциации исследованных р-ров, полученных различными методами. В. Михайлов

70194. Числа гидратации ионов. Хаке (Hydrationszahlen von Ionen. Haase R.), Z. Elektrochem., 1958, 62, № 3, 279—281 (нем.)

Рассмотрены методы определения чисел сольватации (ЧС) ионов (под ЧС понимается среднее число молекул р-рителя, перемещающихся вместе с данным ионом). Предложено определять ЧС по величине электролитич. переноса р-рителя (число молей р-рителя, переносимых от анода к катоду при прохождении через р-р электролита 1 фарадей электричества). Комбинируя этот метод с методом определения ЧС по подвижности ионов при бесконечном разбавлении (РЖХим, 1956, 473) и считая ЧС в первом приближении независимыми от конц-ии электролита, автор вычислил числа гидратации ионов Cl^- , H^+ , Li^+ , Na^+ , NH_4^+ , K^+ , Cs^+ , Be^{2+} , Mg^{2+} , Ca^{2+} , Sr^{2+} , Ba^{2+} , Zn^{2+} , Cu^{2+} , La^{3+} , равные соответственно 1; 0,5; 7; 5; 2,5; 2; 1,5; 13,5; 12; 10; 10; 9,5; 12; 11 и 13,5. В. Рабинович

70195. О характере взаимодействия анионов с молекулами воды в растворе. Сырников Ю. П., Докл. АН СССР, 1958, 118, № 4, 760—762

Изучено ИК-поглощение в области 1,35—1,60 м (первый оборот ОН-группы) для чистой воды и р-ров NaNO_3 , KNO_3 , NaCl , KCl , CdJ_2 , KJ , MgSO_4 и CdSO_4 .

В указанных р-рах, даже при конц-иях насыщения, полосы поглощения расположены в той же области, что и для чистой воды. Это говорит о том, что молекулы воды, связанные с анионом, взаимодействуют с ним приблизительно так же, как и молекулы воды между собой, т. е. структура гидратной оболочки аниона подобна структуре самой воды. С. Дракин

70196. Сольволиз хлористого бензила и активность хлористоводородной кислоты в смеси вода-уксусная кислота. Фьорани, Барбьери, Риккобони (La solvolisi del cloruro di benzile e l'attività dell'acido cloridrico in miscela acqua-acido acetico. Fiorani Mario, Barbieri Giorgio, Riccoboni Luigi), Ricerca scient., 1958, 28, № 1, 116—130 (итал.; рез. англ., нем., франц.)

Ранее описанным методом (РЖХим, 1957, 43966) исследовался ацетоллиз бензилхлорида (I) в водн. р-рах уксусной к-ты (II) при 80—130°. Стехиометрич. константа равновесия этой р-ции снижается с уменьшением мол. доли (МД) II в р-ре до 0,45. На кривых зависимости степени сольволиза I и коэф. активности γ HCl (III) от конц-ии II наблюдаются точки перегиба при МД II $\sim 0,88$; понижение конц-ии II вызывает резкое уменьшение γ и процента сольволиза. При определении γ в качестве стандартного р-ра принимался разб. р-р III в лед. II. Показано, что при МД II $\sim 0,88$ процесс сольволиза I в целом является термонейтральным. Определены теплоты переноса III из р-ра в лед. II в водн. р-ры II, а также интегральная теплота растворения газообразного III в лед. II, равная $\Delta H = -6390$ кал. Определенная авторами величина константы гидролиза I $0,87 \cdot 10^{-4}$ хорошо согласуется с литературными данными. Б. Каплан

70197. Равновесия диссоциации и ионизации в жидкой двуокиси серы; сферические и плоские монофоры. Лихтин, Паппас (Ionization and dissociation equilibria in liquid sulfur dioxide solution: spherical and planar ionophores. Lichtin Norman N., Pappas Peter), Trans. N. Y. Acad. Sci., 1957, 20, № 2, 143—151 (англ.)

Приведены константы диссоциации и предельная электропроводность для KBr , $(\text{CH}_3)_4\text{NJ}$, $(\text{CH}_3)_4\text{NClO}_4$, $(\text{CH}_3)_4\text{NBF}_4$, $(\text{C}_2\text{H}_5)_4\text{NBr}$, $(\text{C}_6\text{H}_5)_4\text{NJ}$, $\text{CH}_3 \cdot \text{C}_6\text{H}_5\text{NJ}$, $\text{CH}_3 \cdot \text{C}_6\text{H}_5\text{ClO}_4$, $\text{C}_7\text{H}_7\text{Br}$, $(\text{C}_6\text{H}_5)_3\text{CClO}_4$, $(\text{CH}_3)_4\text{NC}_6\text{H}_5\text{O}(\text{NO}_2)_3$ и $\text{CH}_3 \cdot \text{C}_6\text{H}_5\text{NC}_6\text{H}_5\text{O}(\text{NO}_2)_3$, растворенных в жидкой SO_2 . Из полученных величин рассчитаны радиусы Бьеррума a_0 и стоксовские радиусы r_s и проведено сопоставление с кристаллохим. и ван-дер-ваальсовыми радиусами r . Для иона K^+ r , r_s и a_0 приняты равными 1,33 Å; для анионов r , a_0 и r_s найдены соответственно равными (в Å): Cl^- 1,81, 1,63, 1,84; Br^- 1,95, 1,95, 2,10; I^- 2,17, 2,20, 2,20; BF_4^- 2,8, 1,26, 2,73; ClO_4^- 3,0, 1,33, 2,66; пикрат-ион 5,10, 4,9, 6,13; для катионов: $(\text{CH}_3)_4\text{N}^+$ 3,30, 3,30, 1,44; $(\text{C}_2\text{H}_5)_4\text{N}^+$ 4,65, 4,9, 1,71; $(\text{C}_6\text{H}_5)_4\text{N}^+$ 5,9, 7,8, 1,94; C_7H_7^+ 3,90, 3,4, 1,64; $\text{CH}_3 \cdot \text{C}_6\text{H}_5\text{N}^+$ 4,13, 3,4, 1,47; $(\text{C}_6\text{H}_5)_3\text{C}^+$ 7,0, 9,8, 2,10. С. Дракин

70198. Исследование растворов соли желчной кислоты. I. Константы диссоциации холевой и дезоксихолевой кислот. Эквалль, Русендаль, Лёфман (Studies on bile acid salt solutions. I. The dissociation constants of the cholic and desoxycholic acids. Ekwall Per, Rosendahl Torsten, Löfman Nils), Acta chem. scand., 1957, 11, № 4, 590—598 (англ.)

Потенциометрическим титрованием определены константы диссоциации холевой и дезоксихолевой к-т в водн. р-ре их натриевых солей при 20°, равные соответственно $1,05 \cdot 10^{-5}$ и $6,76 \cdot 10^{-6}$. Р-р натрийхолата ведет себя как нормальный одно-одновалентный электролит вплоть до конц-ии 0,014—0,015 М, а р-р натрийдесоксихолата — до конц-ии 0,0045—0,0055 М.

Выше этих конц-ий наблюдаются отклонения вследствие мицеллообразования. После переходной области, которая для натрийхолата распространяется до 0,05 *M*, а для натрийдезоксиголата до 0,01 *M*, полностью проследить мицеллообразование и наблюдается близкое отношение постоянных активности желчной к-ты и ее аниона. См. также РЖХим, 1955, 45622.

М. Сурова

70199. Изучение электропроводности растворов некоторых кислот и щелочных галогеноводородных солей в гликоле и влияние добавки второго растворителя. Керби, Масс (A study of the conductivity of certain acids and alkali halides in glycol and the influence of the addition of a second solvent. Kirby P., Maass O.), Canad. J. Chem., 1958, 36, № 3, 456—464 (англ.)

Измерена электропроводность (λ) р-ров HCl , H_2SO_4 , HNO_3 , NaCl , KCl и LiCl в этиленгликоле (I). Исследовано влияние на λ добавляемых в качестве 2-го растворителя H_2O , CH_3OH и 98%-ной перекиси водорода. Излагается методика приготовления р-ров. Добавление небольших кол-в воды уменьшает λ р-ров к-т в I; аналогичный, но меньший эффект вызывает 98%-ная H_2O_2 ; добавление к р-ру метанола увеличивает его λ . Для р-ров KCl , NaCl и LiCl в I и его 5%-ном водн. р-ре λ возрастает в ряду $\text{K}^+ > \text{Na}^+ > \text{Li}^+$. Эксперим. результаты рассмотрены с точки зрения теории электропроводности водн. и спирт. р-ров и хорошо с ней согласуются.

С. Бык

70200. Исследование кислотности хлорсульфоновой кислоты. I. Зависимость кислотности системы $\text{H}_2\text{SO}_4 - \text{HSO}_3\text{Cl}$ от температуры. Пальм В. А., Ж. физ. химии, 1958, 32, № 2, 380—387

На основании имеющихся данных по температурной зависимости pK_a ряда индикаторов, а также по кислотности некоторых систем (РЖХим, 1956, 67966) предложена шкала абс. значений функций кислотности системы $\text{H}_2\text{SO}_4 - \text{HSO}_3\text{Cl}$ при различных *t*-рах в интервале содержания HSO_3Cl 0—100%. Кислотность этой системы уменьшается с повышением *t*-ры. Вычислены значения констант основности и кислотности для H_2SO_4 и HSO_3Cl и проведен расчет функций кислотности системы $\text{H}_2\text{SO}_4 - \text{HSO}_3\text{Cl}$ при разных *t*-рах.

А. Гельбштейн

70201. Полимерные кислоты. 2. Цутида Рютаро, Ниимура Ёити, Кагаку, Chemistry (Japan), 1957, 12, № 12, 870—872 (японск.)

Обзор. Библ. 45 назв. Сообщение 1 см. РЖХим, 1958, 46199.

70202. Окисляемость сульфидных ионов в водных растворах сульфида натрия. Каковский И. А., Бабак В. К., Молочникова Ф. Э., Тр. н.-и. и проект. ин-та «Уралмеханобр», 1957, вып. 1, 5—18

Изучено уменьшение во времени конц-ий ионов S^{2-} в водн. р-рах Na_2S при 25°. Установлено, что это уменьшение вызывается двумя причинами: окислением ионов S^{2-} кислородом (I) воздуха и гидролизом ионов S^{2-} по р-ции $\text{S}^{2-} + \text{H}_2\text{O} = \text{SH}^- + \text{OH}^-$. Гидролиз ускоряется при наличии в воздухе CO_2 . Скорость окисления тем больше, чем ниже исходная конц-ия Na_2S и чем меньше высота столба р-ра. В целях уточнения механизма окисления проведены опыты с барботированием р-ра аргоном, I, CO_2 и воздухом. Потери S^{2-} из-за окисления и гидролиза определялись раздельно. Показано, что в присутствии аргона гидролиз и окисление незначительны, в случае CO_2 преобладает гидролиз, в случае I — окисление, в присутствии воздуха оба процесса протекают с одинаковой скоростью.

А. Шейнин

70203. О химии водоподобных растворителей. Грютнер (Zur Chemie in wasserähnlichen Lösungsmitt-

eln. Grüttner B.), Chem. Labor und Betrieb, 1958, 9, № 5, 177—188 (нем.)

Изложены основные свойства р-рителей, идентичных воде (безводн. жидкие NH_3 , H_2S , HF , HCN , HNO_3 , SO_2 , J_2 , HgBr_2 , SbBr_3). Рассмотрены некоторые хим. р-ции в этих р-рителях (нейтрализация, сольволиз и др.), их применение в аналитич. и препаративной химии и специфика работы с ними.

А. Шейнин

70204. Кристаллизация органомагневых твердых растворов. Амлен, Гуапирон (Crystallisation des solutions organomagnésiennes mixtes. Hamelin Raymond, Guypiron Simone), C. r. Acad. sci., 1958, 246, № 16, 2382—2384 (франц.)

При выпаривании р-ров $\text{C}_2\text{H}_5\text{MgBr}$ (I) в органич. р-рителях выкристалливается осадок с отношением $X = (\text{MgCl}_2)/(\text{C}_2\text{H}_5)_2\text{Mg}$, отличным от единицы. X — число сольватации осадка (т. е. число молекул р-рителя, приходящихся на один атом магния в осадке) и р-римость I (мол. отношение I: р-ритель в насыщ. р-ре) зависит от основности р-рителя и соответственно равны: в анизоле 2,26 и 0,03, в изопропиловом эфире 1,23 и 0,14, в этиловом эфире 1,23 и 0,71, в бутиловом эфире 0,57 и 0,92, в тетрагидрофуране 4,9 и 0,12. Наблюдается симбатность между легкостью получения I и его растворимостью в соответствующем р-рителе.

Б. Капашин

См. также: Растворимость 70052—70054, 70057, 70059, 70060, 70205. Термодинамика р-ров 70070, 70219, 70335. Диффузия 69887, 69890, 69958, 69959, 72793. Структура и исслед. свойств веществ в р-рах 69790, 70025, 70056, 70306, 70318, 70322, 72788. Гидролиз 70109, 70221, 70337, 70898. Твердые р-ры 70024. Др. вопр.: теория разбавленных р-ров высокополимеров 72787

ЭЛЕКТРОХИМИЯ

Редакторы О. А. Есин, В. В. Лосев

70205. Определение растворимости ферроцианида кадмия в воде с помощью измерения удельной электропроводности насыщенного раствора при 25°. Басинский, Шиманский (Oznaczenie rozpuszczalności żelazocyjanku kadmu metoda pomiarów przewodnictwa nasyconego roztworu w 25°. Basiński Antoni, Szymanski Wojciech), Roczn. chem., 1958, 32, № 1, 23—27 (польск.; рез. англ., русск.)

Измерена уд. электропроводность κ насыщ. водн. р-ра $\text{Cd}_2\text{Fe}(\text{CN})_6$ (I) при 25°; $\kappa = (3,85 \pm 0,08) \cdot 10^{-4}$. Предполагая, что I — сильный электролит, авторы по уравнению Онзагера рассчитали р-римость I: $5,35 \cdot 10^{-4}$ моль/л.

Р. Лазоренко-Маневит

70206. Определение числа переноса фосфорной кислоты методом эд.с. Керкер, Эспеншейл (Transference number of phosphoric acid by the e.m.f. method. Kerker Milton, Espenscheid Wilton F.), J. Amer. Chem. Soc., 1958, 80, № 4, 776—779 (англ.)

Измерены э. д. с. E_1 концентрационной цепи с переносом: $\text{Hg} | \text{Hg}_2\text{HPO}_4(m_1) | \text{H}_3\text{PO}_4(m_2), \text{Hg}_2\text{HPO}_4 | \text{Hg}$ при различных конц-иях H_3PO_4 (I) m и вычислены числа переноса t по уравнениям $(dE_1/dE)_m = 2/3 [t_{\text{H}} - 2t_{\text{H}_2\text{PO}_4} + 0,5]$ и $t_{\text{H}} + t_{\text{H}_2\text{PO}_4} = 1$, где E — э. д. с. соответствующей цепи без переноса, найденные ранее (Larson W. D., J. Phys. Coll. Chem., 1950, 54, 310). Исходя из этих данных и предельной электропроводности I, вычислена константа электропроводности $\text{H}_2\text{PO}_4^-/\text{H}_2\text{PO}_4 = 16 \text{ ом}^{-1} \text{ см}^2$, что

вдвое ниже полученной ранее по данным электропроводности ($33 \text{ ом}^{-1} \text{ см}^2$). Для объяснения этого расхождения авторы предполагают, что I диссоциирует по уравнению: $2\text{H}_3\text{PO}_4 \rightleftharpoons \text{H}_2\text{PO}_4^- + \text{H}_4\text{PO}_4^+$, и вычисляют истинное $i_{\text{H}^+} = i_{\text{H}} + 4i_{\text{H}_4\text{PO}_4^+}$; в этом случае $\lambda_{\text{H}_2\text{PO}_4^-} = 31,9 \text{ ом}^{-1} \text{ см}^2$.

А. Городецкая

70207. Электрометрические измерения pH в особых условиях. II. Измерение pH при высоких температурах и давлениях, а также при низких температурах. Швабе (Elektrometrische pH Messungen unter extremen Bedingungen. II. Messung des pH-Wertes bei hohen Temperaturen und Drucken sowie bei tiefen Temperaturen. Schwabe K.), Chem.-Ingr. Techn., 1958, 30, № 4, 228—235 (нем.; рез. англ., франц.)

Рассматривается проблема определения pH при повышенных и пониженных т-рах. Анализируются факторы, осложняющие получение правильных значений pH по измерениям э.д.с. (отличие кон-ции от активности, изменение зависимости э.д.с. от pH с т-рой, влияние т-ры на диффузионные потенциалы и потенциалы электродов сравнения (ЭС) и т. д.). Изучена зависимость потенциала асимметрии ($E(\text{ас.})$) стеклянного электрода от pH, т-ры (до 100°) и времени. С ростом т-ры $E(\text{ас.})$ сдвигается в положительном направлении. Изменение $E(\text{ас.})$ во времени при постоянной т-ре различно в зависимости от pH и состава стекла. Исследовано влияние т-ры (до 80°) на потенциал ЭС $\text{Ag}|\text{CH}_3\text{COOAg}$. Описаны ЭС, пригодные для измерений при повышенных давлениях: каломельный, находящийся под давлением выше давления в ячейке с индикаторным электродом, и $\text{Ag}|\text{CH}_3\text{COOAg}$ и $\text{Ag}|\text{AgCl}$, помещенные в автоклав, содержащий индикаторный электрод под давлением до 50 атм. Сделан вывод, что надежные значения pH при повышенной т-ре можно получить, если известны pH некоторых сравнительных т-ров при данной т-ре. Сообщение I см. РЖХим, 1958, 17191.

Г. Флорианович

70208. Центрифуга для измерения э.д.с.; факторы, влияющие на точность измерений. Кей, Мак-Иннес (The electromotive force centrifuge, factors affecting precision. Kay Robert L., MacInnes D. A.), J. Phys. Chem., 1957, 61, № 5, 657—661 (англ.)

На примере цепи $\text{Pt}|\text{KJ} + \text{J}_2|\text{Pt}$ (r_1 и r_2 — расстояние электродов от оси вращения центрифуги) исследовано влияние различных факторов на точность измерений э.д.с. (E) в центрифугируемых электрохимических (Я). Рассмотрены: выбор приборов и схемы для измерения потенциалов, конструкция вращающихся контактов, конструкция электродов, возникновение разности т-р в результате адиабатич. сжатия т-ров в Я, роль тепловой изоляции Я. Описан способ расчета поправок к измеренным E , учитывающих тепловые эффекты.

И. Зайденман

70209. О температурной зависимости электродвижущих сил химических цепей с расплавленными солями [По поводу статьи Л. Суского]. Марков Б. Ф., Ж. физ. химии, 1958, 32, № 2, 476—477

В связи с работой (РЖХим, 1957, 22493), в которой наблюдалось ярко выраженное непостоянство температурного коэф. э.д.с. цепи $\text{Pb}|\text{PbCl}_2$ (распл.) $|\text{Cl}_2$, на основе расчета энтропии образования PbCl_2 по теплотам Pb , Cl_2 и PbCl_2 показано, что температурный коэф. э.д.с. в изученном интервале т-р практически не должны изменяться.

Б. Марков

70210. Изучение адсорбции ионов и положения точечного нулевого заряда методом меченых атомов. Балашова (Die Bestimmung der Ionenadsorption und des Nullpunktpotentials mit Hilfe markier-

ter Atome. Balaschova N. A.), Z. phys. Chem. (DDR), 1957, 207, № 5—6, 340—349 (нем.)

Показано, что на платинированной Pt зависимости величины адсорбции анионов HPO_4^{2-} , Br^- , J^- и катионов K^+ и Y^{3+} соответственно аналогичны зависимостям, полученным ранее для аниона SO_4^{2-} и катионов Cs^+ , Sr^{2+} и La^{3+} (РЖХим, 1958, 66955). При одинаковом потенциале адсорбируемость изученных анионов располагается в ряд: $\text{HPO}_4^{2-} < \text{SO}_4^{2-} < \text{Br}^- < \text{J}^-$, причем на гладкой Pt величины адсорбции, рассчитанные на единицу внешней поверхности, в десятки раз больше, чем на платинированной Pt, что объяснено появлением дефектов в гладкой Pt при механич. обработке.

В. Иванов

70211. Поляризационная емкость твердых электродов и величины их истинной поверхности. Бродд, Хаккерман (Polarization capacity at solid electrodes and true surface area values. Brodd Ralph J., Hackerman Norman), J. Electrochem. Soc., 1957, 104, № 12, 704—709 (англ.)

С помощью кривых заряжения и кривых спада потенциала после выключения тока определялась емкость (C) электродов из Ni, Cr, Cu, Fe, Ta, Pb, Al и платинированной Pt в 1M Na_2SO_4 . Применялось по несколько образцов каждого металла с различной видимой поверхностью (S). Истинная поверхность ($S(\text{ист.})$) определялась методом измерения адсорбции Кг. Для Pt, Ni и Fe соответственно при потенциалах $+0,2$; $-0,4$ и $-0,8$ в (насыщ. к. э.) C равны $20,1 \pm 0,7$; $28,8 \pm 0,5$ и $35,9 \pm 0,8 \text{ мф}$ на 1 см^2 истинной поверхности, т. е. не зависят от S . Сделан вывод, что метод измерения C пригоден для определения $S(\text{ист.})$ Pt, Ni, Fe и Ta, ограниченно пригоден в случае Cr, Cu и Pb и неприменим к Al. Отмечается возможность оценки C в отсутствие специфич. адсорбции с помощью предложенного ранее соотношения между работой выхода электрона и точечным нулевым зарядом металлов (Фрумкин А. Н., Colloid Symposium Annual, 1930, 7, 89).

Г. Флорианович

70212. Адсорбция ионов йода на свинцовом электроде в кислых растворах. Медведева Л. А., Колотыркин Я. М., Ж. физ. химии, 1957, 31, № 12, 2668—2675 (рез. англ.)

Радиометрически измерялось кол-во Γ адсорбированных ионов J^- на единицу истинной поверхности губчатого Pb в 1 н. H_2SO_4 в присутствии KJ^{131} . При постоянной кон-ции $C \text{ KJ}^{131}$ Γ на Pb без внешнего тока возрастает во времени и достигает предела $\Gamma(\text{пр.})$. Рост C от 10^{-5} до 10^{-3} н. приводит к увеличению $\Gamma(\text{пр.})$ от $0,24 \cdot 10^{13}$ до $25 \cdot 10^{13}$ ионов на 1 см^2 ; при дальнейшем росте $C \Gamma(\text{пр.})$ не изменяется. При катодной поляризации Pb $\Gamma(\text{пр.})$ линейно уменьшается с ростом отрицательного потенциала E , причем экстраполяция прямых (наклон которых тем выше, чем больше C) к $\Gamma(\text{пр.}) = 0$ показывает, что E начала адсорбции (A) J^- имеют высокие отрицательные значения. Показана обратимость A при изменениях E . С ростом $\Gamma(\text{пр.})$ перенапряжение η водорода на Pb при малых $\Gamma(\text{пр.})$ падает, а начиная от заполнения $\sim 15\%$ от монослоя, вновь растет. Предполагается, что A анионов может приводить как к снижению η (за счет изменения свойств поверхностного слоя), так и к росту η (из-за уменьшения энергии связи $\text{M}-\text{H}$). С этой точки зрения объяснено различное влияние $A \text{ J}^-$ на η водорода на Hg, Fe и Pb.

Г. Флорианович

70213. К адсорбции и кинетике разряда на ртутном электроде метиленового голубого — лейкометиленового голубого и эозина. Лоренц, Шмальц (Zur Adsorption und Entladungskinetik von Methylenblau/Leukomethylenblau und Eosin an Quecksilberelektroden. Lorenz W., Schmalz E. O.), Z. Elektrochem., 1958, 62, № 3, 301—306 (нем.)

Путем измерения емкости двойного слоя и гальва-

ностатич. методом (снятие катодных и анодных кривых потенциал — время при включении постоянной силы тока) (РЖХим, 1956, 35495) на висящей Hg-капле (переходное время 10^{-2} сек., ток ~ 40 ма/см²) изучены кинетика разряда и адсорбция компонентов системы метиленовый голубой (I) — лейкометиленовый голубой (II) при pH 10,8, а также золина (III). При конц-ии $1 \cdot 10^{-5}$ M адсорбционное равновесие на электроде (Э) достигается через 30—40 сек. При насыщении поверхности Э I или II они адсорбируются в кол-ве $1,5-2,0 \cdot 10^{-10}$ моль/см². II адсорбируется в области ϕ от $\sim -0,35$ до $-1,3$ в (насыщ. к.э.); I адсорбируется при ϕ отрицательнее $\sim -0,45$ в. III адсорбируется значительно быстрее, чем I и II, однако продукт его восстановления (В) не адсорбируется. Десорбция III наступает при $-1,3$ в. Электрохим. процессы В I и III, а также окисления II протекают с очень высокой скоростью; при равных конц-иях I и II (10^{-5} M) и $\phi = -0,35$ в ток обмена $i_0 > 50$ ма/см²; окисление продукта В I происходит медленно.

С. Майрановский

70214. Электрохимические свойства интерметаллических соединений. Часть I. Соотношение между анодной поляризацией составляющих интерметаллического соединения и «границей действия» Таммана. Отаки (Ohtani Namio), Нихон киндзоку гаккайси, Nippon kinzoku gakkai-si, J. Japan Inst. Metals, 1957, 21, № 11, 677—681 (японск.; рез. англ.)

Установлена линейная зависимость стандартных электродных потенциалов, энергии связи M—OH— и анодной поляризации $P_A = dE/di$, где E — потенциал большого числа металлов (M) от их родства к электрону (e). Приведены поляризационные кривые для ряда интерметаллич. соединений (ИС). Построены кривые зависимости P_A различных ИС на основе Fe, Al и Mn от разности значений ϵ ($\Delta\epsilon$) компонентов ИС; показано, что для каждого ИС на основе определенного M существует крит. $\Delta\epsilon$, при котором наблюдается резкий рост P_A с одновременным сдвигом стационарного потенциала ИС в положительном направлении. Эффекты объяснены изменением стабильности основного M в ИС. Предполагается, что существование «границы действия» Таммана также связано с изменением свойств ИС, а не с образованием окисной пленки на поверхности M. Г. Флорьянович

70215. Гетерогенный изотопный обмен между жидкой ртутью и ионами Hg_2^{2+} в водном растворе. Так (Echange isotopique hétérogène entre le mercure liquide et les ions mercuriels en solution aqueuse. Tuck D. G.), J. chim. phys. et phys.-chim. biol., 1957, 54, № 11—12, 896—901. Discuss, 901 (франц.)

С помощью капиллярного метода (Anderson J. S., Saddington K., J. Chem. Soc., 1949, S, 381) с применением радиоактивных изотопов Hg^{197} и Hg^{203} определен коэф. самодиффузии Hg и измерена скорость обмена ν между Hg и водн. р-ром $Hg_2(NO_3)_2$ при 25°. ν уменьшается при выключении перемешивания р-ра и не зависит от конц-ии $Hg_2(NO_3)_2$ (0,005 и 0,125 M). Отмечается, что низкие значения ν согласуются с данными, полученными ранее методом радиоактивных индикаторов (Haissinsky M., Cottin M., J. phys. et radium, 1950, 11, 611). По мнению автора, ν лимитируется не самодиффузией в жидкой Hg, а стадией переноса атома Hg через поверхность раздела между жидким металлом и водн. фазой с последующей его гидратацией и быстрой р-цией $Hg^*(aq.) + Hg^{2+}(aq.) \rightarrow Hg_2^{2+}(aq.)$.

С. Френкель

70216. Кинетика ионизации молекулярного хлора. Фрумкин А. Н., Тедорадзе Г. А., Докл. АН СССР, 1958, 118, № 3, 530—533

Кинетика ионизации Cl_2 исследовалась при помощи

вращающегося дискового Pt-электрода (Э) при амперном режиме размешивания. Перед работой Э активировался многократной сменой потенциалов (Э) от анодных к катодным. Перед снятием каждой точки поляризационной кривой Э поляризовался катодно в течение 3 сек., затем на Э накладывался нужный E , который поддерживался постоянным в течение 3 сек., после чего фиксировалась сила тока (i). Величина предельного тока пропорциональна V_m , где m — число оборотов. При не слишком высоких перенапряжениях (η) эта пропорциональность нарушается, что дает возможность определить порядок (p) р-ции по ϕ -ле: $p = \lg(x+1)/[\lg(x+1) - \lg x]$; здесь $x = (i_\infty - i')/i'$, где i_∞ — ток при $m = \infty$, i' — ток при таком m , когда i_∞ равен диффузионному току при данном η . В данном случае $x = 1$ и, следовательно, $p = 1$. Показано, что при η 50—150 мв справедливо уравнение $\eta = a + b \lg i$ с $b = 85$ мв. i (при постоянном E) в этом же интервале η не зависит от конц-ии ионов Cl^- , что указывает на необратимость стадии ионизации. Показано, что процесс ионизации Cl_2 происходит в 2 стадии: $Cl_2 + e = Cl(адс.) + Cl^-$ и $Cl(адс.) + e = Cl^-$, причем токи обмена обеих стадий близки между собой по величине.

Г. Тедорадзе
70217. Механизм ионизации молекулярного хлора на платиновом электроде. Фрумкин А. Н., Тедорадзе Г. А. (Der Mechanismus der Ionisierung von molekularem Chlor an einer Platinelektrode. Frumkin A., Tedoradse G.), Z. Electrochem., 1958, 62, № 3, 251—256 (нем.)

На примере р-ции 1-го порядка с учетом обратного процесса рассмотрено влияние числа оборотов электрода на кинетику р-ции.

Г. Тедорадзе
70218. Теоретическое исследование кинетики электрохимического восстановления при постоянной силе тока. Фейад (Etude théorique de la cinétique de la réduction électrochimique par la méthode à courant constant. Feuillade Georges), J. chim. phys. et phys.-chim. biol., 1957, 54, № 7—8, 620—632 (франц.)

Обзор. Изложена теория исследования кинетики электродных процессов с помощью гальваностатич. метода в отсутствие конвекции. Рассмотрены случаи простых обратимых и необратимых р-ций и р-ций промежуточной стадией. Библ. 76 назв. И. Зайденберг

70219. Об электрохимической термодинамике системы никель/раствор. Мюллер (Zur electrochemischen Thermodynamik des Systems Nickel/Lösung Müller K.), Metalloberfläche, 1958, 12, № 5, 133—141 (нем.)

Показана целесообразность использования диаграммы потенциал — конц-ия потенциалопределяющих ионов, построенной с помощью термодинамич. данных для всех возможных р-ций рассматриваемой системы для предварительного определения скорости и возможности этих р-ций. С помощью таких диаграмм рассмотрено электрохимич. поведение системы $Ni/1M Ni^{2+}$ при pH 4 в присутствии воздуха.

Г. Флорьянович

70220. Электродные потенциалы в расплавленных системах. IV. Термодинамическое и кинетическое исследование системы $AgCl - NaCl$. Штерн (Electrode potentials in fused systems. IV. A thermodynamic and kinetic study of the $AgCl - NaCl$ system. Stern Kurt H.), J. Phys. Chem., 1958, 62, № 3, 385—390 (англ.)

Измерениями э.д.с. цепей $Ag|AgCl, NaCl|Cl_2$ во всем области конц-ий от чистого $AgCl$ до $NaCl$ при 750—900° установлено, что для р-ров с низким содержанием Ag э.д.с. гальванич. цепей не могут быть использованы для расчета термодинамич. величин; в этих р-рах Ag самопроизвольно растворяется. Предполагается, что в

при ла-
ботой Э
алон (2)
ой точки
атодно
ажный Е,
е 3 см.
Беличина
т — час-
ренарпре-
ется, что
р-ция по
сь $\alpha =$
ток при
оку при
зательно,
аведливо
инимом Е)
ни кон-
конна-
онхонд-
а.) + с-
ки меж-
едоради-
хлора на
Тедо-
rung von
F. G. H.
1958, 62

при ла-
ботой Э
алон (2)
ой точки
атодно
ажный Е,
е 3 см.
Беличина
т — час-
ренарпре-
ется, что
р-ция по
сь $\alpha =$
ток при
оку при
зательно,
аведливо
инимом Е)
ни кон-
конна-
онхонд-
а.) + с-
ки меж-
едоради-
хлора на
Тедо-
rung von
F. G. H.
1958, 62

обратно
ов эле-
едоради-
ки эле-
ной эле-
que de la
a soulat
phys. et
(франц.)
кинетики
нотатки
ы случ-
р-ции с
айдении
е спек-
trochemi-
e)/L. G. H.
133—141

диагра-
деляющи-
и. данны-
системы
и зате-
диаграм-
системы
ризонно-
аления
етическо-
ри (Ele-
ergmodu-
l system
62, № 4

2, во ве-
750—900
нем Ag
льзова-
р-рах
а, что

2, во ве-
750—900
нем Ag
льзова-
р-рах
а, что

2, во ве-
750—900
нем Ag
льзова-
р-рах
а, что

2, во ве-
750—900
нем Ag
льзова-
р-рах
а, что

2, во ве-
750—900
нем Ag
льзова-
р-рах
а, что

2, во ве-
750—900
нем Ag
льзова-
р-рах
а, что

2, во ве-
750—900
нем Ag
льзова-
р-рах
а, что

2, во ве-
750—900
нем Ag
льзова-
р-рах
а, что

2, во ве-
750—900
нем Ag
льзова-
р-рах
а, что

2, во ве-
750—900
нем Ag
льзова-
р-рах
а, что

2, во ве-
750—900
нем Ag
льзова-
р-рах
а, что

2, во ве-
750—900
нем Ag
льзова-
р-рах
а, что

2, во ве-
750—900
нем Ag
льзова-
р-рах
а, что

2, во ве-
750—900
нем Ag
льзова-
р-рах
а, что

2, во ве-
750—900
нем Ag
льзова-
р-рах
а, что

2, во ве-
750—900
нем Ag
льзова-
р-рах
а, что

дятся в области высоких конц-ий I; выход по току II также растет с ростом конц-ии I. При этом преобладающим анодным процессом является р-ция образования II и изополиоксидов за счет непосредственного участия анионов $\text{Cr}_2\text{O}_7^{2-}$ в анодном процессе. Побочные р-ции, снижающие выход по току II, лучше всего устраняются, если кол-во А в пространстве между диафрагмой в PbO_2 предельно мало, причем А должен находиться в виде тончайшего, непрерывно циркулирующего слоя.

Г. Тедорадзе
70225. Кинетика процесса выделения меди диафрагменным методом внутреннего электролиза. Жданов А. К., Хадеев В. А., Мирзабеков Ф., Ж. прикл. химии, 1958, 31, № 4, 640—643

Изучено изменение конц-ии Cu^{2+} в р-ре во времени при выделении Cu из р-ров CuSO_4 методом внутреннего электролиза с применением в качестве диафрагмы стеклянного фильтра № 1. Анолит — р-р KCl, анод — Zn или Al, катод — Pt. Конц-ия Cu^{2+} в р-ре определялась полярографически в той же ячейке в ходе электролиза. Зависимость силы диффузионного тока, а следовательно, и конц-ии Cu^{2+} от времени является экспоненциальной. Скорость выделения Cu при внутреннем электролизе увеличивается с ростом конц-ии анолита.

З. Соловьева
70226. Поведение окисно-угольных электродов кальция при электролизе расплавленных хлоридов. Смирнов М. В., Пальгуев С. Ф., Краснов Ю. Н., Ж. прикл. химии, 1958, 31, № 2, 226—233

Изучалось поведение окисно-угольных и карбонатно-угольных анодов Ca при электролизе эквимольной смеси NaCl-KCl при 700°. При плотностях тока $D_A \leq 0,1 \text{ а/см}^2$ на аноде протекают р-ции хлорирования CaO и CaCO_3 . Измерением поляризации показано, что при $D_A \cdot 10^{-4} = 0,05 \text{ а/см}^2$ потенциал анода близок к равновесному, а при $D_A > 0,5 \text{ а/см}^2$ наблюдается поляризация, обусловленная накоплением адсорбированного хлора.

Б. Лепинских
70227. Изучение поведения кремния в криолитных расплавах. Монье, Баракат (Contribution à l'étude du comportement de la silice dans les bains de cryolithe fondue. Monnier R., Barakat D.), Helv. chim. acta, 1957, 40, № 7, 2041—2045 (франц.)

Измерены напряжения разложения (U) и поляризации, а также проанализированы продукты, получаемые при электролизе криолитных расплавов с добавками Al_2O_3 и SiO_2 . При 980° (с графитовым катодом) $U = 1,2 \text{ в}$ для Al_2O_3 и $0,95 \text{ в}$ для SiO_2 . На Ni-катоде образуется сплав Ni-Si, содержащий 25% Si. Авторы допускают, что в изучаемых расплавах SiO_2 диссоциирован на ионы Si^{4+} и O^{2-} .

Б. Лепинских
70228. Катодная поляризация при выделении кремния, железа и натрия из оксидных расплавов. Есин О. А., Чечулин В. А., Ж. физ. химии, 1958, 32, № 2, 355—360 (рез. англ.)

Изучалась катодная поляризация при выделении Si, Fe и Na в расплавах $\text{CaO-Al}_2\text{O}_3\text{-MgO-B}_2\text{O}_3$ с небольшими добавками (0,5—2,5%) SiO_2 , FeO (Fe_2O_3) или Na_2O в ячейке из плавленной MgO при 1400—1500° описанным ранее методом (РЖХим, 1958, 3971). Влияние перемешивания и медленный спад потенциала со временем указывают на концентрационный характер поляризации, обусловленный замедленной диффузией ионов Na^+ , Si^{4+} , Fe^{3+} или Fe^{2+} в электролите. На основании анализа полученных результатов сделан вывод о возможности высокотемпературной полярографии в расплавленных окислах.

Б. Лепинских
70229. Влияние соединений, содержащих тройную связь, на электродиффузию водорода в сталь. Захаров Н. Д., Сокольский Д. В., Тр. Ин-та хим. наук. АН КазССР, 1958, 2, 61—69

Исследовано влияние ацетилена, пропилового к-ты,

хинолина и тиомочевины на скорость диффузии водорода (СДВ) через мембрану (0,27 мм) из стали-0 при электролизе 1 н. H_2SO_4 и на передачу перенапряжения η на диффузионную сторону. С поляризационной стороны $i = 39 \cdot 10^{-3} \text{ а/см}^2$. При насыщении 1 н. H_2SO_4 ацетиленом η с поляризационной стороны растет на 120 мВ, а СДВ падает в 8 раз; при введении 6,77 ммоль/л пропиоловой к-ты СДВ падает в 3 раза, η возрастает на 35 мВ; при добавлении 3,33 ммоль/л хинолина СДВ и η не меняются. Передачи η в этих случаях не наблюдается. При введении в р-р 3,33 ммоль/л тиомочевины η возрастает на 70 мВ и наблюдается сдвиг стационарного потенциала диффузионной стороны на 20 мВ в отрицательную сторону. По мнению автора, в неравновесных условиях η определяется не только стадией разряда (РЖХим, 1954, 32164), но и энергией связи металл — водород, которая меняется в присутствии исследованных добавок. И. Багоцкая

70230. Кинетика осаждения металлов. Полярография на стационарных микроэлектродах. Павлопулос, Стрикленд (Kinetics of metal deposition. Polarography using stationary microelectrodes. Pavlopoulos T., Strickland J. D. H.), J. Electrochem. Soc., 1957, 104, № 2, 116—123 (англ.)

Исследовалось полярографич. восстановление Pb, Tl, Ag и др. в р-рах их перхлоратов, содержащих избыток NaClO_4 (или др.), на проволочных стационарных Pt-микроэлектродах. В присутствии избытка инертного электролита плотность диффузионного тока может быть рассчитана по ф-ле: $I = 1,4nFD^{0,5}(C-C_e)^{1,2}r^{1/2} + (1/\delta)$, где $(C-C_e)$ — разность конц-ий в объеме и у поверхности электрода, r — радиус проволочного электрода, δ — параметр, связанный с толщиной диффузионного слоя (эксперимент дал среднее значение $\delta = 3,3 \cdot 10^{-3} \text{ см}$). Это ур-ние позволяет решить вопрос об обратимости процесса электроосаждения на твердом электроде, а в случае необратимости с помощью графич. методов могут быть вычислены кинетич. коэф. переноса α и ток обмена (I_0). Так, для необратимых р-ций восстановления Bi^{3+} ($5 \cdot 10^{-3} \text{ М}$ в 1 М KCl + 0,1 М HCl), Cu^{2+} ($4 \cdot 10^{-3} \text{ М}$ в 1 М NaClO_4) и Bi^{3+} ($4 \cdot 10^{-3} \text{ М}$ в 1 М HClO_4) константы соответственно равны: α 0,55; 0,35 и 0,3; I_0 10^{-3} ; $5,5 \cdot 10^{-4}$ и $3,5 \cdot 10^{-4} \text{ а/см}^2$. Ионы Tl^+ , Pb^{2+} и Ag^+ ($5 \cdot 10^{-3} \text{ М}$) восстанавливаются обратимо (I_0 соответственно $> 0,5$; $> 0,01$ и $> 0,01 \text{ а/см}^2$). И. Зайденман

70231. Кинетика электроосаждения металлов. Оценка экспериментальных данных и некоторые результаты, полученные методом вольтамперметрии при постоянной силе тока. Павлопулос, Стрикленд (Kinetics of metal deposition. Significance of experimental data and some results using voltammetry at constant current. Pavlopoulos T., Strickland J. D. H.), J. Electrochem. Soc., 1957, 104, № 9, 568—574 (англ.)

Рассмотрены ур-ния кинетики осаждения металла на твердых электродах (ТЭ); отмечено влияние шероховатости поверхности и β — фактора реакционной способности поверхности (отношение реакционноспособной поверхности к геометрической при осаждении металла на ТЭ). Методом вольтамперметрии при постоянной силе тока (ВПТ) на Pt-катоде, предварительно покрытом слоем разлагающегося металла, исследовано осаждение Pb, Tl, Ag, Bi, Cr, Sn, Sb, Cd, Ni и Zn ($4 \cdot 10^{-3} \text{ М}$) из р-ров индифферентных электролитов (NaClO_4 , HClO_4 , KNO_3 , HCl , KCl) в атмосфере H_2 . Судя по характеру зависимости $\lg(t^{1/2}-t^{1/4})$ от E (t — время, прошедшее с начала электролиза, τ — переходное время), осаждение ионов Tl^+ , Ag^+ , Pb^{2+} происходит обратимо. Ионы Cu^{2+} и Bi^{3+} осаждаются необратимо. Результаты, полученные с ВПТ, близки к данным, найденным методом полярографии на ТЭ (см. пред. реф.). Отмечено,

что кривые ВПТ для Sb плохо выражены, для Cd, Ni и Zn значений τ не получено вследствие искажения кривых начинающимся разрядом ионов водорода. Установлено, что β во всех случаях либо равен 1, либо незначительно > 1 . Для необратимых процессов приведены значения тока обмена и коэф. переноса α .

С. Майраковский

70232. О природе торможения катодных процессов в комплексных электролитах. Левин А. И., Ж. физ. химии, 1958, 32, № 2, 472—475

Обсуждаются причины малых предельных плотностей тока при электроосаждении металлов из комплексных электролитов по сравнению с простыми. Рассматриваются сдвиги ионных равновесий в комплексных р-рах в процессе электролиза и роль адсорбционных слоев на поверхности электрода в образовании потенциального барьера и появлении низких предельных плотностей тока. З. Соловьева

70233. Анодная поляризация титана в растворах для травления на основе неводных растворителей.

Эйзенберг, Де-Ла-Рю (Anodic polarization of titanium in nonaqueous base etching solutions. Eisenberg Morris, DeLaRue Robert E.), J. Electrochem. Soc., 1958, 105, № 3, 162—169 (англ.)

Измерения анодных поляризационных кривых (ПК) на Ti в р-рах HF (11—18%) + H_2O (6,2—10%) на основе этиленгликоля (I) и в этих р-рах с добавками 15% диоксана, 15% тетрагидрофурана и 0,5% $\text{K}_2\text{Cr}_2\text{O}_7$ а также в р-ре 15% HF + 15% H_2SO_4 в I показаны существование крит. плотности тока ($i(\text{кр.})$), при которой на ПК наблюдается скачок потенциала (E) на 1,3—4,1 в. $i(\text{кр.})$, определенные из ПК прямого хода (6,5—15 ма/см^2), выше чем из ПК обратного хода, и возрастают с ростом τ -ры (от 25 до 56°) и с ростом хим. активности р-ра, причем последняя увеличивается с ростом конц-ий HF и особенно H_2O . Показано, что скорость (v) саморастворения (СР) Ti в исследуемых р-рах при увеличении i от нуля до $i(\text{кр.})$ сильно падает. При дальнейшем росте i низкие значения сохраняются постоянными. Катодная кривая (E , измеренная в р-ре HF + H_2SO_4 в I, линейна, что связывается с влиянием р-ции СР Ti на скорость выделения H_2 . Предполагается, что $i(\text{кр.})$ характеризуется равновесием скоростей хим. и анодного растворения Ti. Гистерезис обратного хода ПК частично связывается с увеличением истинной поверхности электрода. Сделан вывод, что при анодном растворении Ti при $i > i(\text{кр.})$ в р-р переходят ионы Ti^{3+} и Ti^{4+} в соотношении, зависящем от состава р-ра. Отмечается, что изучение анодного растворения и СР Ti позволяет выявить оптимальные условия для снижения наводороживания Ti при его анодном травлении.

Г. Флорьянов

70234. О механизме электролитического выделения и растворения твердых металлов. I. Процессы на стационарном растворении серебряных электродов и скорости реакции разряда. Гершпер, Тисчер (Zum Mechanismus der elektrolytischen Abscheidung und Auflösung fester Metalle. I. Vorgänge bei stationären Auflösung von Silberelektroden und Geschwindigkeit der Durchtrittsreaktion. Gerischer Heinz, Tischer Ragnar P.), Z. Elektrochem., 1957, 61, № 9, 1159—1162 (нем.)

Исследовались составляющие общего перенапряжения (η) анодного растворения Ag в 1 М HClO_4 в присутствии 0,1 и 0,001 ммоль/л AgNO_3 . Измерялась η (η_k), обусловленная суммарными концентрационными изменениями (КИ). Для этого по достижении постоянной i при поддерживаемом потенциостатическом η ($i(\text{ст.})$) производилось резкое изменение η , при осциллографически регистрировалась i в первый момент изменения η (i_0). η_k находилась по пересечению

для Cd, Ni
исследования
рода. Уста
I, либо по
сов приме
са а.
рановский
процесс
И. Ж. физ.
их плотн
из ном
простым
ий в кон
ль адсорб
образов
и низки
Соловье
раствор
воритель.
rization of
solution.
bert E.,
69 (англ.)
твх (III)
-10%) на
добавкам
0,5% K₂
показали
при пот
а (E) на
ного то
ного то
с ростом
еличиа
Показан
исследов
р.) сильн
ачения
ая (E),
что связы
выделени
еся разме
рения П
изывает
электро
и Ti при
в соотв
ется, т
оляют не
наводоро
орпано
выделени
ессы при
электро
Тиме
scheide
ei bei
und
rische
ktrochem
напряж
O₂ в р-р
насыс
натра
стиж
татичес
и, при
рвый
есеч

ной $\eta - i_0$ с осью i . Кроме того, рассчитывалась η , обусловленная КИ в р-ре (η_{k, Ag^+}); η_{k, Ag^+} определялась по ур-нию Нернста с учетом $i(ст.)$ и анодного предельного тока. Показано, что η_{k, Ag^+} составляет лишь часть η_k . Разность $\eta_k - \eta_{k, Ag^+}$ отнесена за счет КИ подвижных атомов на поверхности Аг. Найдено, что составляющая η , обусловленная стадией разряда, ничтожно мала по сравнению с омич. падением напряжения. Описанным ранее методом (РЖХим, 1957, 65789) определены токи обмена (0,15 и 4,5 а/см² соответственно для 0,001 и 0,1 М Ag⁺), которые в 10³ раз превышают найденные ранее (РЖХим, 1956, 71299) методом радиоактивных индикаторов. Г. Флорианович

70235. Активация анодного процесса небольшими количествами кислорода. Бурштейн Р. Х., Лукьянычева В. И., Ж. физ. химии, 1957, 31, № 6, 1370—1376 (рез. англ.)

Исследована активация процесса анодного растворения Fe в 0,25—0,75 н. NaOH небольшими кол-вами кислорода, посаженного из газовой фазы (Шумилова Н. А., Бурштейн Р. Х., Докл. АН СССР, 1948, 61, 475). При увеличении кол-ва кислорода, посаженного на поверхность чистого Fe, анодные кривые сдвигаются в отрицательную сторону, а выход (В) электрохим. процесса возрастает; максим. смещение анодных кривых в отрицательную сторону соответствует 1,2 · 10¹⁵ молекул на 1 см² истинной поверхности. При дальнейшем увеличении кол-ва поглощенного кислорода анодные кривые сдвигаются в положительную сторону, а В уменьшается. При наличии на поверхности Fe 3 · 10¹⁵ молекул на 1 см² кислорода происходит сильная пассивация Fe, однако при нахождении такого электрода в р-ре щелочи происходит его самоактивация (медленное смещение анодных кривых со временем в отрицательную сторону). Предполагается, что при самоактивации Fe в р-ре щелочи не происходит полного снятия окисной пленки, на поверхности Fe остается кислород в кол-ве ~ 2 · 10¹⁵ молекул на 1 см², являющийся на саморастворение и перенапряжение водорода на Fe. При наличии на поверхности Fe 0,6 · 10¹⁵ молекул на 1 см² кислорода его активирующее действие на В приблизительно обратно пропорционально конц-ии NaOH. Авторы считают, что действие кислорода, посаженного из газовой фазы, сохраняется, несмотря на значительное растворение Fe при анодной поляризации. А. Хопин

70236. Процессы покрытия цинковых анодов в щелочи. Ландсберг, Бартельт (Bedeckungsvorgänge an Zinkanoden in Natronlauge. Landsberg R., Bartelt H.; Z. Elektrochem., 1957, 61, № 9, 1162—1167. Diskuss., 1167—1168 (нем.))

Более подробное изложение опубликованной ранее работы (РЖХим, 1957, 60228) и некоторых новых результатов (в частности, для амальгмированных Zn-электродов). На основании того, что I_0 (обозначения см. ссылку выше) пропорциональна конц-ии NaOH, делается предположение, что первичная пленка (ПП) состоит из гидроксидов Zn. Показано, что добавка NaCl к 0,25 н. NaOH приводит к переходу от соотношения $(I - I_0)t = G$ к соотношению $(I - I_0)\sqrt{t} = B$. Это изменение объясняется задержкой образования ПП из-за относительного обеднения р-ра у поверхности электрода ионами OH⁻. С ростом перерыва тока во время анодной поляризации Zn-электрода наблюдается ступенчатая зависимость t от продолжительности этого перерыва, которая объясняется образованием фазовой пленки. Свойства полученных ПП резко различаются в зависимости от того, образуются ли ПП до или во время скачка потенциала. Т. Попова

70237. Анодная поляризация марганца в щелочных растворах. Агладзе Р. И., Доманская Г. М. В сб.: Электрохимия марганца. Тбилиси, АН ГрузССР, 1957, 503—514

Изучена анодная поляризация Mn в 3—50,4%-ном КОН (I), 11—45%-ном NaOH (II) и 8,5—18%-ном Na₂CO₃ (III). Поверхность электрода перед опытом подвергалась механич. очистке. Все поляризационные кривые (ПК) снимались на окисленной поверхности Mn. В 50%-ном I потенциал электрода E , достигнув 0,72 в, мало изменялся с дальнейшим ростом тока. При меньших конц-иях I наблюдается рост E с увеличением i . Для р-ров II картина аналогична. Выход по току MnO₄⁻ максимален в конц. р-рах щелочей. Общий выход по току MnO₄⁻ и MnO₄²⁻ растет с увеличением конц-ии щелочи, причем в II он значительно больше, чем в I. Значительная часть тока идет на выделение O₂. С повышением т-ры до 82° поляризация уменьшается, но характер процесса не меняется. Образование MnO₄⁻ в III происходит при больших E , чем в I и II. При быстром снятии ПК на неокисленном Mn на ПК наблюдаются 2 перегиба, соответствующих выделению O₂ и образованию MnO₄⁻. Г. Тедорадзе

70238. Осциллографическое исследование кинетики электродных процессов, протекающих на металлах, растворяющихся в кислотах. Кравцов В. И., Ж. физ. химии, 1957, 31, № 12, 2627—2634 (рез. англ.)

Из общего ур-ния для скорости электродного процесса $i - i_0[\exp(-\alpha F \Delta \phi / RT) - \exp(\beta F \Delta \phi / RT)] = -C(d\Delta \phi / dt)$ (i_0 — скорость саморастворения, C — емкость, t — время), полученного в предположении о замедленных разрядах H⁺ и ионизации металла (M), выведены ур-ния зависимости $\Delta \phi$ от t после включения, выключения или переключения анодного или катодного тока для случаев, когда различие между стационарным ϕ ($\phi(ст.)$) и ϕ , установившимся во времени при данном i , мала ($< 10 мв$) или велика ($> 80 мв$). Ур-ния справедливы для M, $\phi(стр.)$ которых удалены от равновесных ϕ водорода и M, и при условии независимости C от ϕ . Г. Флорианович

70239. О механизме растворения кадмия и амальгамы кадмия в растворе кислот. Кравцов В. И., Логина Н. С., Ж. физ. химии, 1957, 31, № 11, 2348—2444 (рез. англ.)

Для установления природы стационарного потенциала (E_c) Cd и амальгамы Cd в р-рах H₂SO₄ исследовалась зависимость E_c от конц-ии H₂SO₄ и CdSO₄ (C). Кривые (K) ($E_c, \lg C$) для Cd и амальгамы Cd в 1 н. H₂SO₄ так же, как и K ($E, \lg i$), линейны и имеют наклон 0,0295 в. Сдвиг K ($E_c, \lg C$) на Cd в 1 н. H₂SO₄ в присутствии KBr и KJ в отрицательную сторону связывается с уменьшением конц-ии ионов Cd²⁺ в связи с комплексообразованием. K ($E_c, \lg C$) на Cd в 0,1—10 н. H₂SO₄ имеют одинаковый наклон (0,0295 в), но при $C = const$ E зависят от конц-ии H₂SO₄. Последнее объясняется изменением коэф. активности Cd²⁺ и диффузионного потенциала. Сделан вывод, что E_c являются равновесными E р-ции $Cd \rightleftharpoons Cd^{2+} + 2e$. Г. Флорианович

70240. Анодное образование пленок на меди в растворах Na₂SO₄. Зембура (Anodic formation of coatings on copper in Na₂SO₄ solutions. Zem bura Z.), Bull. Acad. polon. sci. Sér. sci. chim., géol. et géogr., 1958, 6, № 1, 55—60, III—IV (англ.; рез. русск.)

Описанным ранее потенциостатич. методом (РЖХим, 1958, 60345) измерялись анодные поляризационные кривые на Cu в 0,5—2,5 н. Na₂SO₄ (5 мин. при каждом значении E). Начиная от $E = 0,56$ в (н.в.э.) на кривой наблюдается предельный ток, диффузионная природа

которого подтверждена измерениями при разных скоростях вращения электрода. На анодно обработанной Cu сняты катодные кривые заряжения при 0,1 и 0,6 мА/см^2 ; задержки на них связываются с образованием $\text{Cu}(\text{OH})_2$, продукта его распада и CuO .

Г. Флорианович

70241. Анодная хронопотенциометрия цианида. Та-нака, Мураяма (Anodic chronopotentiometry of the cyanide. Tanaka Nobuyuki, Murayama Teisuke), Z. phys. Chem. (BRD), 1958, 14, № 5-6, 370—374 (англ.)

На большом неподвижном Hg-электроде проведено хронопотенциометрич. (снятие зависимости потенциала от времени при постоянной силе тока) исследование анодного процесса деполяризации цианидом (I) в буферных р-рах с рН 6,82 и 7,72. В изученных пределах конц-ий C I 0,87—2,0 ммоль/л и изменении плотности тока i_0 от 47,8 до 168,5 мА/см^2 значение произведения $i_0 \tau^{1/2}/C$ (τ — переходное время) постоянно. Так как в условиях опытов I почти полностью находится в виде HCN, то электродной р-ции предшествует диссоциация HCN; скорость диссоциации $R_d > 4 \cdot 10^4 \text{ сек}^{-1}$. Показано, что при такой величине R_d при рН > 6 полярографич. предельный ток I должен быть ограничен лишь скоростью диффузии, что согласуется с литературными данными (РЖХим, 1958, 593). При рН 4,66 I дает 2 анодные полярографич. волны, первая отвечает кинетич. току, определяемому скоростью диссоциации HCN, вторая (более положительная) — току деполяризации за счет недиссоциированных HCN. Суммарная высота обеих волн равна диффузионному току, наблюдаемому при рН > 6.

С. Майрановский

70242. Перенапряжение электрохимических процессов при различных плотностях тока. Красильщиков А. И., Тр. Гос. н.-и. и проекти. ин-та азот. пром-сти, 1957, вып. 8, 239—242

Даны вывод и анализ ур-ния $\eta = (2RT/F) \ln(i/2i_0 + \sqrt{1 + i^2/4i_0^2})$ (η — перенапряжение, i_0 — плотность равновесного тока обмена). Ур-ние выведено для случая замедленных одноэлектронных разряда и ионизации водорода, в общей форме (для малых и больших i), подобно описанному ранее (Красильщиков А. И., Ж. общ. химии, 1944, 14, 261).

Г. Флорианович

70243. Влияние плотности тока, температуры и концентрации серной кислоты на перенапряжение выделения водорода на цинке. Ротинян А. Л., Федотов Н. П., Ли Ун Сок, Ж. физ. химии, 1957, 31, № 6, 1295—1304 (рез. англ.)

Изучено перенапряжение (η) выделения H_2 на Zn в атмосфере H_2 в 0,01—5 н. H_2SO_4 при 20, 40, 60 и 80°. Показано, что поляризационные кривые, снятые в направлении от больших плотностей тока (i) к малым, состоят из трех участков: 1) тафелевского, с коэф. наклона $b = 0,116$ в при высоких i , причем η не зависит от конц-ии H_2SO_4 до 1 н. (в более конц. р-рах η падает); 2) резкого спада η при —0,8 —0,9 в; 3) участка независимости η от i . Резкий спад η , который наблюдается при тем больших i , чем выше т-ра и конц-ия H_2SO_4 , объяснен началом заметного саморастворения Zn. Из поляризационных кривых определены скорости саморастворения Zn. Энергия активации процесса саморастворения Zn равна 4600 кал/моль . Стационарные потенциалы Zn, определяемые равенством токов разряда H^+ и растворения Zn, линейно сдвигаются в положительную сторону на 25—30 мВ при уменьшении рН на 1. Полученные эксперим. данные могут быть истолкованы на основе теории замедленного разряда.

А. Чемоданов

70244. Перенапряжение на поликристаллическом и монокристаллическом свинцовых электродах.

Пьонтелли, Поли (Overvoltages a polycrystalline and single crystal lead electrodes. Piontelli R., Poli G.), Z. Elektrochem., 1958, 62, № 3, 320—325 (англ.)

Изучено анодное перенапряжение (П) Pb и катодное П при электроосаждении Pb из водн. р-ров сульфата (I), перхлората (II) и фторбората (III) на поликристаллич. и монокристаллич. Pb-электродах. Катодное и анодное П мало во всех р-рах и на всех электродах, причем на поликристаллич. электроде П меньше, чем на любой плоскости монокристалла. На гранях [100] и [110] П меньше, чем на грани [111]. Рост кристаллов, как правило, происходит из изолированных зародышей, осадки равномерны, микрокристалличны и компактны. Для р-ров I, II и фторсulfата на грани [111] образуются октаэдрич. ограничения, параллельные плоскости базиса. На грани [100] из р-ров I и II образуются куб. ограничения, параллельные подкладке, а из р-ров III — грань [111] параллельная базису [100]. На грани [110] не образуются преимущественных ограничений. При анодном травлении граней [111] и [100] образуются октаэдрич. или куб. грани, а на [110] не наблюдается типичных фигур травления. Изменение потенциала от времени зависит от ориентации, аниона, плотности тока и предистории электрода. Начальный максимум в р-рах I и II значительно меньше на поликристаллич. электроде, чем на гранях монокристалла. Анодные и катодные начальные максимумы симметричны. П увеличивается в ряду $I < II < III$. Обсуждаются причины зависимости П от ориентации и, в частности, различные скорости диффузии на гранях кристаллов, адсорбция анионов и т. д.

З. Соловьева

70245. Окислительно-восстановительные потенциалы системы селеномочевина — диселенид формамидина. Прейслер, Скартия (Oxidation-reduction potentials of the system: selenourea — formamidine diselenide. Preisler Paul W., Scortia Thomas N.), J. Amer. Chem. Soc., 1958, 80, № 9, 2309—2310 (англ.)

Методом электрометрич. титрования с Pt-электродами р-ров $\text{CSe}(\text{NH}_2)_2$ измерены окислительно-восстановительные потенциалы (E_h) системы $2(\text{NH}_2)_2\text{C}=\text{S} \rightleftharpoons \text{HN}=\text{C}(\text{N}+\text{H}_3) - \text{Se} - \text{Se} - \text{C}(\text{N}+\text{H}_3)=\text{NH}$ при различных рН и т-ре 30°. Окислителями служили р-ры Ti^{3+} и $[\text{Fe}(\text{CN})_6]^{3-}$. В интервале рН 0,5—4,25 при конц-ии селеномочевины 0,002—0,00002 M $E_h = E_0' - 0,03 \lg \cdot [(R\text{SeSeR})/(R\text{SeH})^2]$, где $E_0' = +0,240$ в (н.в.э.).

А. Чемоданов

70246. Электрохимическое исследование кобальтцинка амальгам. Бабкин Г. Н., Козловский М. Т., Изв. высш. учебн. заведений. Химия и техн. технол., 1958, № 1, 129—136

Получены анодные полярограммы окисления Zn-амальгам (I) в р-рах 0,01 M HCl + 0,1 M NaCl , 1 M NH_3 + 0,1 M $(\text{NH}_4)_2\text{SO}_4$, 1 M $\text{CH}_3\text{COONH}_4$. При конц-ии Zn (C_1) в I 3,3—10 мг-атом/л Hg высота волн (II) пропорциональна C_1 . При введении Co в I λ Zn в тех же р-рах снижалась. Это объяснено существованием равновесия между интерметаллич. соединением CoZn и Co и Zn в I, причем λ Zn определяется конц-ией свободных атомов Zn. Исходя из предположения, что замедленной стадией является диссоциация CoZn а диффузия атомов Zn происходит быстро, найдены $n = 1$ и константа диссоциации $K = 1,28 \cdot 10^{-2}$. При введении Co изменяет и равновесный потенциал (E) I. В предположении, что E Co-Zn-амальгамы определяется конц-ией свободных атомов Zn, с помощью ур-ния Нернста получено $K = 0,63 \cdot 10^{-2}$.

Г. Телодора

70247. Окислительный потенциал системы $\text{Pu}(3+) - \text{Pu}(4+)$ в растворе 8 M нитрата аммония и 0,5 M азотной кислоты. Банс, Най (Oxidation potential

of the PuIII — PuIV couple in 8M ammonium nitrate — 0.5 N nitric acid solution. Bunce J. L., Nye J. D. Repts. Atomic Energy Res. Establ., 1958, № C/R2410, 7 pp., ill.) (англ.)

На основании данных потенциометрич. титрования определен окислительный потенциал системы $\text{Pu}(3+) - \text{Pu}(4+)$ в р-ре 8M NH_4NO_3 и 0.5 н. HNO_3 , равный -0.90 в. В отсутствие NH_4NO_3 величина потенциала равна -0.89 в. М. Сурова

70248. Электровосстановление анионов и адсорбция катионов. Фрумкин А. Н., Николаева-Федорович Н. В., Вестн. Моск. ун-та. Сер. матем., мех., астрон., физ., химия, 1957, № 4, 169—184

Рассмотрено влияние катионов на некоторые электрохим. процессы, в частности на электровосстановление анионов (ЭА). Высказано предположение о специфич. адсорбции катионов (САК) с большим радиусом, подтверждаемое данными по измерению кривых дифференциальной емкости (C) Hg в 0.01 н. LiCl , KCl и CsCl (при отрицательных потенциалах (E) C растет при переходе от Li к Cs), а также в 0.1 н. NaCl , NaJ , CsCl и CsJ (слияние кривых (C , E) для CsCl и CsJ наблюдается при более отрицательных E , чем для NaCl и NaJ). Эти данные подтверждают высказанное ранее соображение о катионных мостиках как о причине облегчения ЭА на отрицательно заряженной поверхности, так как САК может приводить к адсорбции анионов на такой поверхности. Другим доказательством САК является сдвиг E платинированной Pt в H_2SO_4 от $+0.3$ до $+0.6$ в (поддерживаемого анодным током) в положительном направлении при добавлении в р-р Ti_2SO_4 или CdSO_4 , а также исчезновение на кривой зарядки Pt в 1 н. H_2SO_4 задержки, связанной с посадкой или снятием водорода, после введения в р-р 0.1 моль/л Ti^{4+} . Г. Флорианович

70249. Влияние трибензиламина на реакцию восстановления аниона персульфата. Николаева-Федорович Н. В., Фокина Л. А., Докл. АН СССР, 1958, 118, № 5, 987—990

Показано, что величина тока в минимуме на поляризационной кривой катодного восстановления $\text{S}_2\text{O}_8^{2-}$ (I) (РЖХим, 1956, 32112) из р-ра 10^{-3} н. I + 10^{-3} н. H_2SO_4 возрастает при введении в р-р трибензиламина (II), причем тем сильнее, чем выше конц-ия II. Однако увеличение конц-ии H_2SO_4 снова приводит к торможению р-ции, которое усиливается еще больше при замене H_2SO_4 на HCl и особенно на HBr . Эффект объяснен адсорбцией посторонних анионов в условиях, когда адсорбируются катионы II. На примере камфоры показано, что нейтр. молекулы в области их адсорбции также замедляют восстановление I. Г. Флорианович

70250. Применение электронной схемы импульсной поляризации микроэлектродов для изучения окислительно-восстановительных процессов. Хаш (The use of electronically-switched microelectrodes in the study of oxidation-reduction processes. Hush N. S.), Z. Elektrochem., 1957, 61, № 6, 738—744 (англ.)

Описана схема электронной установки, предназначенной для формирования заданных последовательных трех импульсов тока продолжительностью 0.5—10 сек. (с заданными интервалами), поступающих на микроэлектроды. Можно использовать одновременно 3 микроэлектрода. Запись поляризационных кривых может производиться автоматически. Приведены полуколичественные с помощью этой установки кривые анодного окисления $\text{Fe}(\text{CN})_6^{4-}$ ($0.94 \cdot 10^{-3}$ M $\text{K}_4[\text{Fe}(\text{CN})_6]$ в 0.2 M KCl) на Pt-электрод и Fe^{2+} (10^{-3} M FeSO_4 в 0.4 н. H_2SO_4 и в 0.5 н. HCl) на Pt. Эксперим. кривые хорошо согласуются с теоретическими, что доказывает применимость методики к изучению процессов на твердых электродах. И. Зайденман

70251. Элхемографическое исследование коррозии и электрохимии металлов. Чупр (Elchemograficky vyzkum elektrod. Cupr Vaclav), Spisy vyd. pfirodověd. fak. Masarykovy univ., 1956, № 10, 509—521 (чешск.; рез. русск., нем.)

Теоретический анализ элхемографич. метода (РЖХим, 1956, 5720). Дана оценка ошибок метода. В. Лосев

70252. Влияние pH на коррозионные потенциалы. Аммар, Риад (Effect of pH on corrosion potentials. Ammar I. A., Riad S.), J. Phys. Chem., 1958, 62, № 2, 150—154 (англ.)

Стационарные потенциалы $E(\text{ст.})$ корродирующих металлич. электродов рассмотрены как соответствующие условию равенства скоростей катодного выделения H_2 (в отсутствие O_2) или восстановления O_2 (в присутствии O_2) и анодного растворения металла для случаев, когда можно пренебречь скоростями соответствующих обратных р-ций. Из ур-ний, характеризующих протекание катодного и анодного процессов по различным механизмам (замедленный разряд, каталитич. или электрохим. десорбция, диффузионный контроль и др.), выведены ф-лы для $dE(\text{ст.})/dpH$ и с их помощью проанализированы некоторые литературные данные по зависимости $E(\text{ст.})$ от pH. Г. Флорианович

70253. О топливных элементах. Райдл (On fuel cells. Rideal Eric), Z. Elektrochem., 1958, 62, № 3, 325—327 (англ.)

Краткий обзор. А. Хопин

70254. Механизм полярного восстановления $[\text{Hg}(\text{CN})_4]^{2-}$. Секерский (Mechanism polarografickej redukci $[\text{Hg}(\text{CN})_4]^{2-}$. Siekierski Slawomir), Roczn. chem., 1956, 30, № 4, 1083—1094 (польск.; рез. русск., англ.)

Исследовалось полярнографич. восстановление 0.002 M $[\text{Hg}(\text{CN})_4]^{2-}$ (I) в NaCN (до 1.5 M) без добавок и в присутствии разных кол-в NaCl , KCl , BaCl_2 и $(\text{C}_4\text{H}_9)_4\text{NJ}$ (II). В ряде случаев в р-р добавлялась желатина (0.005%). При E , отрицательнее -1.3 в (насыщ. к.э.), наблюдаются минимумы тока, углубляющиеся с уменьшением конц-ии, заряда и радиуса постороннего катиона и с увеличением конц-ии CN^- (при постоянной ионной силе р-ра). В присутствии II наблюдается ускорение восстановления I в том интервале E , в котором происходит адсорбция II. Результаты объяснены электростатич. отталкиванием аниона от отрицательно заряженной поверхности Hg (РЖХим, 1954, 35684). При этом предполагается, что при малых конц-иях CN^- электродной р-ции предшествует диссоциация I и потому минимумом тока не наблюдается. Г. Ф.

70255. Исследования в ряду бензотропилия. VI. Полярнографическое восстановление 2,3-бензотропона, 4,5-бензотропона и 2,7-полиметил-4,5-бензотропона. Шмид, Хейльброннер (Untersuchungen in der Benzotropium-Reihe. Die polarographische Reduktion des 2,3-Benzotropens, des 4,5-Benzotropens und der 2,7-Polymethylen-4,5-benzotropone. Schmid R. W., Heilbronner E.), Helv. chim. acta, 1957, 40, № 4, 950—956 (нем.; рез. англ.)

Изучено полярнографич. восстановление 2,3-бензотропона (I), 4,5-бензотропона (II), 2,7-диметил- (III), 2,7-тетраметил- (IV), 2,7-пентаметил- (V), 2,7-гексаметил- (VI), 2,7-гептаметил- (VII), 2,7-октаметил- (VIII), 2,7-нонаметил- (IX), 2,7-додекаметил- (X) и 2,7-тридекаметил-4,5-бензотропона (XI) в буферных р-рах (pH 2—13), содержащих 50% этилового спирта. В сильноокислых р-рах I, II и III наблюдается одна волна, 2-я волна появляется у I и II в слабощелочных и щелочных, у III — в щел. р-рах. Соединения IV—XI дают одну волну во всех буферных р-рах. У I, II и III $E_{1/2}$ 1-й волны линейно зависит от pH,

$E_{1/2}$, 2-й волны не зависит от pH. Линейная зависимость $E_{1/2}$ от pH у IV—XI нарушается в области pH 8—10 и в сильнощел. р-рах. i_d IV и V уменьшается с увеличением pH и исчезает у IV при pH 6,5, а у V — при pH 8. i_d прочих бензотропонов в кислой и слабощел. средах постоянен, в сильнощел. среде увеличивается скачкообразно в 1,5—2 раза. Величина $E_{1/2}$, приведенная к pH 0, у IV—XI уменьшается с увеличением числа метиленовых групп в молекуле бензотропонов, что подтверждает взгляды авторов. Часть V см. РЖХим, 1958, 16826. Н. Малюгина

70256. К вопросу о полярографии хлористого трифенилтетразолия. Ямбор (Problems involved in the polarography of triphenyltetrazolium chloride. Jám bor B.), J. Chem. Soc., 1958, Apr., 1604—1609 (англ.)

В ответ на критич. замечания (РЖХим, 1957, 54056), в подтверждение изложенных ранее взглядов (РЖХим, 1956, 12499) на механизм полярографич. восстановления (В) хлористого трифенилтетразолия (I), описаны эксперим. данные, показывающие, в частности, что 1) продукт В I — трифенилформазон (II) — дает анодную волну окисления, 2) II не является единственным продуктом В I, и в кислых р-рах В I идет по 1 и 2 атомам N, 3) В I до II протекает ступенчато с образованием промежуточного продукта, 4) волна В I обратима неполностью. А. Майрановский

70257. Полярографическое восстановление карбо-
нильных производных пятичленных гетероциклов.

1. Механизм восстановления эфиров фуранкарбоновых и тиафенкарбоновых кислот и влияние заместителей на потенциал полуволны. 2. Влияние ядер фурана, тиафена и пиррола на потенциал полуволны карбоновых производных. Накая, Киносита, Оно (Nakaya Junichi, Kinoshita Hiroshi, Ono Sin-ichi), Нихон кагаку дзасси, J. Chem. Soc. Japan. Pure Chem. Sec., 1957, 78, № 7, 935—945 (японск.)

1. В продолжение ранее опубликованной работы (РЖХим, 1957, 57205) изучено полярографич. восстановление (В) эфиров фуранкарбоновых и тиафенкарбоновых к-т. На фоне LiCl в буферных р-рах диметил-овые эфиры терефталевой к-ты (I) в 20%-ном диоксане и фурандикарбоновой-2,5 (II) и тиафендикарбоновой-2,5 к-т (III) в 50%-ном спирте восстанавливаются на капельном Hg-электроде, легкость В увеличивается в порядке I < II < III. $E_{1/2}$ (в, относительно насыщ. к.э.) равны соответственно (даны в-во, $-E_{1/2}$): при pH 1,2—1,4 (KCl-HCl) I 1,190; II не восстанавливается; III 1,084, при pH 5,1—5,4 ($\text{Na}_2\text{HPO}_4\text{--NaH}_2\text{PO}_4$) I 1,550; II 1,4517; III 1,327, при pH 9,5—9,9 (глицин-NaOH) I 1,530, 1,830; II 1,509; III 1,423. Высота волны II и III линейно связана с конц-ией. Полярографич. В II и III проходит с образованием соответственно 5-формил-2-карбметоксифурана и 5-формил-2-карбметокситиафена, которые выделяют в виде 2,4-динитрофенилгидразонов после В до исчезновения волны В карбметоксигруппы (при этом появляются новые волны с $E_{1/2}$ в случае III 0,894 в и в случае III 0,847 в). Легкость В моноэфиров бензол-, фуран- и тиафенкарбоновых к-т (на фоне $(\text{C}_6\text{H}_5)_4\text{NJ}$ в небуферном р-ре), кроме природы ядра (сохраняется та же зависимость, что в случае эфиров дикарбоновых к-т), зависит от природы эфирной группы и увеличивается в порядке $\text{SOOSn}_2\text{C}_6\text{H}_5$, $\text{m-SOOSn}_2\text{H}_7$, $\text{SOOSn}_2\text{C}_6\text{H}_5$, SOOSn_2H_5 , SOOSn_2H_3 . Даны в-во, $-E_{1/2}$: бензойная к-та (pH 7,2): метиловый эфир 2,117; этиловый эфир 2,133; m -октиловый эфир 2,288; фениловый эфир 1,928; бензилловый эфир не восстанавливается; фуранкарбоновая-2 к-та (pH 6,7—7): метиловый эфир 1,967; этиловый эфир 1,986; фениловый эфир 1,857; тиафенкарбоновая-2 к-та (pH 6,6—7,3):

метиловый эфир 1,912; этиловый эфир 1,923; фениловый эфир 1,802. Во всех случаях эфиры тиафен- и фуранкарбоновой к-ты образуют соответственно тиафенальдегид и фуранальдегид (отмечено также образование спиртов), что подтверждено электролитич. В при заданном E . Введение брома в положение 4 (соответственно 5) к карбметоксигруппе в бензольном или фурановом кольце облегчает В этой группы: $E_{1/2}$ (здесь и далее на фоне $(\text{C}_6\text{H}_5)_4\text{NJ}$ в небуферном р-ре) для метилового эфира 4-бромбензойной к-ты — 1,903 (pH 6,6), для метилового эфира 5-бромфуранкарбоновой-2 к-ты — 1,818. Введение брома в кольцо тиафена затрудняет В эфирной группы. При полярографировании метилового эфира 5-бромтиафенкарбоновой-2 к-ты наблюдаются 2 волны с $E_{1/2} = -1,590$ (В брома) и — 1,942 (В эфирной группы), у 5-бромтиафенкарбоновой-2 к-ты наблюдается лишь волна В брома ($E_{1/2} = -1,600$), 5-бромбензойная к-та не восстанавливается полярографически. Метиловый эфир 4-нитротиафенкарбоновой к-ты образует 2 волны: при — 0,798 в (волна В нитрогруппы) и — 1,849 в (волна В эфирной группы), для метилового эфира 4-нитро-5-бромтиафенкарбоновой-2 к-ты наблюдается максимум, волны с $E_{1/2} = -1,486$ (В брома) и волна с $E_{1/2} = -1,855$ (волна В эфирной группы). Введение метильных групп в гетероциклич. кольцо, в особенности в положение 5, затрудняет В эфирной группы: метиловый эфир 5-метилфуранкарбоновой-2 к-ты полярографически не восстанавливается, метиловый эфир 4-метилтиафенкарбоновой-2 к-ты образует волну с $E_{1/2} = -1,932$, а метиловый эфир 5-метилтиафенкарбоновой-2 к-ты волну с $E_{1/2} = -2,018$ в. Карбоновые к-ты ряда фуран и тиафена не восстанавливаются. Опытные значения $E_{1/2}$ для эфиров бензол-, фуран и тиафенкарбоновых к-т связываются с σ (из ур-ния Гаметта) линейным отношением, характерным для каждого ряда, для бензольного ряда σ 0,827 в, для фуранового 0,732 в и для тиафенового 0,705 в.

2. Легкость полярографич. В формильной и ацетильной групп зависит от природы цикла, с которым они связаны, и в 10%-ном спирте на фоне LiCl в буферных р-рах увеличивается в следующем порядке (даны в-во, $-E_{1/2}$, в, при pH 1; 4 и 8): 2-формилпиррол 1,6, 1,335, 1,633; бензальдегид 0,964, 1,180, 1,483; 2-формилфуран 1,901, 1,129 и 1,369 (2 волны), 1,403; 2-формилтиафен 0,868, 1,129 и 1,291 (2 волны), 1,373; 2-ацетилпиррол при pH 1 и 4 не восстанавливается, при pH 8 1,764; ацетофенон 1,028, 1,238, 1,528; 2-ацетилфуран 0,982, 1,214, 1,494, 1,716 (две волны); 2-ацетилтиафен 0,952, 1,176, 1,464. Введение кольца и его природа влияют на легкость полярографич. В акролеина (IV), метилвинилкетона (V) и метилового эфира акриловой к-ты (VI). Легкость В повышается в порядке (даны в-во, $E_{1/2}$ при pH 1, 4 и 8): IV, 0,820, 0,960 и 1,325 (2 волны), 1,300; β -фенилакролеин 0,682, 0,819 и 1,245 (2 волны), 1,180; β -фурилакролеин 0,611, 0,798 и 1,312 (2 волны), 1,083 и 1,311 (2 волны); V 0,880, 1,080 и 1,430 (2 волны), 1,445; β -пирривинилметилкетон 0,810, 0,975, 1,200 и 1,403 (2 волны); β -фенилвинилметилкетон 0,742, 0,870, 1,280 (2 волны), 1,237; β -фурилвинилметилкетон 0,679, 0,866 и 1,339 (2 волны), 1,153 и 1,366 (2 волны); β -тиенилвинилметилкетон 0,661, 0,885 и 1,333 (2 волны); VI не восстанавливается; метиловый эфир β -фенилакриловой к-ты не восстанавливается, 1,421, 1,534; метиловый эфир β -тиенилакриловой к-ты не восстанавливается, 1,385, 1,501 и 1,714 (2 волны). На основании полученных результатов для ядер пиррола, фурана и тиафена σ составляют +0,02, 2,27 и +2,55.

См. также: Электроосаждение металлов 69934, 71445. Коррозия 71128, 71132—71135, 71143. Полярография 70467, 70468, 70501—70503, 70508, 70532, 70537, 70579, 70580, 70607, 70614, 70644; 27015Бх, 27039Бх. Электропроводность 70199, 70329. Методика электрохим. измерений 70469—70471, 70708—70710

ПОВЕРХНОСТНЫЕ ЯВЛЕНИЯ. АДСОРБЦИЯ. ХРОМАТОГРАФИЯ. ИОННЫЙ ОБМЕН

Редактор Н. А. Фукс

70258. К статистической теории поверхностного натяжения бинарных смесей. Энглерт-Чоуле, Пригожин (Sur la théorie statistique de la tension superficielle des melanges binaires. Englert-Chwoles A., Prigogine I.), J. Chim. phys. et phys.-chim. biol., 1958, 55, № 1, 15—25 (франц.)

Статистическая теория смесей, развитая авторами в Бальманом (РЖХим, 1957, 18668), приложена к расчету поверхностного натяжения σ . При этом оказывается выгодным рассматривать динамич. поверхностное натяжение σ_d , т. е. то σ , которое наблюдалось бы, если бы составы поверхностной и объемной фаз совпадали. Удобство использования σ_d заключается в том, что эта величина получается прямым путем из изображений, основанных на теореме соответственных состояний и теории р-ров. Равновесное (т. е. статическое σ ($\sigma_{ст}$)) может быть после этого получено из σ_d . Рассчитанное таким образом поверхностное натяжение выражается через σ чистых компонентов и молекулярные величины (мол. веса и взаимодействия). Существенно, что в выводах не используются никакие гипотез о структуре поверхностного слоя. Для простоты рассматриваются молекулы со сферич. симметрией, энергии взаимодействия которых заданы в форме $e_{ij}(r) = e^*_{ij} \phi(r/r^*_{ij})$, где r — расстояние между молекулами, а e^*_{ij} и r^*_{ij} — характеристич. мол. константы. При рассмотрении связи между $\sigma_{ст}$ и σ_d удается непосредственно получить давно известное эмпирич. правило, согласно которому положительные отклонения от закона Рауля связаны с понижением σ и наоборот. В частности, σ смеси изотопов должны быть меньше, чем σ идеального р-ра. Эти и им подобные предсказания теории согласуются с опытом как для классических, так и квантовых смесей (напр., $He^+ + He^+$). С. Френкель

70259. О поверхностном натяжении тонких жидких слоев. Щербакова Л. М., Тр. Тульск. механ. ин-та, 1958, вып. 8, 173—177

С точки зрения теории расклинивающего давления (p) тонких слоев жидкостей рассмотрен характер зависимости поверхностного натяжения (σ) жидкостей от толщины слоя (h) и выведены ф-лы: $\sigma = \sigma_0 [1 - \exp(-kh/2)]$ и $p = \sigma_0 k \exp(-kh/2)$, где $\sigma_0 = \sigma$ при $h = \infty$ и k — постоянная. По этим ф-лам и значениям σ_0 и k , взятым из литературы, рассчитаны σ и p в зависимости от h для этилового эфира и одного образца нефти. А. Таубман

70260. Электронные микрофотографии монослоев стеариновой кислоты. Рис, Кимбалл (Electron micrographs of monolayers of stearic acid. Ries Herman E., Jr., Kimball Wayne A.), Nature, 1958, 181, № 4613, 901 (англ.)

Электронномикроскопическое исследование монослоев (МС) стеариновой к-ты с помощью ранее принятой методики (РЖХим, 1955, 34164) показывает, что при низком поверхностном давлении (~ 3 дн/см) МС образуют множество небольших «островков» неправильной формы, диам. ~ 1000 А и мономолекулярной толщины (~ 25 А). При давл. 10 дн/см размеры

островков возрастают до 3000—50 000 А, причем они приобретают правильную круглую форму, отвечающую минимуму свободной поверхностной энергии. Этот неожиданный результат (т-ра опыта (25°) лежит значительно ниже т-ры плавления к-ты (69°)) авторы связывают с высокой подвижностью на поверхности раздела молекул МС.

А. Таубман
70261. Низкотемпературная хемосорбция N_2 и CO . Эрлик, Хикмтт, Хадда (On the low-temperature chemisorption of N_2 and CO . Ehrlich Gert, Hickmott T. W., Hudda F. G.), J. Chem. Phys., 1958, 28, № 3, 506—507 (англ.)

Продолжены исследования хемосорбции (ХС) N_2 и CO на W (РЖХим, 1957, 30175, 40801). Для изучения кинетики и механизма ХС применялись методы нагревания вольфрамовой нити и электронномикроскопич. исследования влияния ХС на эмиссию с поверхности W . Работу выхода электрона (V) вычисляли по ф-ле Фаулера-Нордгейма. Адсорбция (А) N_2 увеличивает V при 305° К и $P_{N_2} = 2 \cdot 10^{-8}$ мм рт. ст. с 4,5 до 5,0 в и уменьшает при 80° К и $3,5 \cdot 10^{-9}$ мм рт. ст. с 4,5 до 4,2 в. Этот результат объясняется тем, что N_2 , адсорбированный на W , находится в нескольких состояниях, одно из которых (β) вызывает увеличение, а другое (γ) — уменьшение V . При 305° К содержание γ ничтожно, а при 80° — почти вдвое больше β . Адсорбция CO при 80° К и $P_{CO} = 1 \cdot 10^{-8}$ мм рт. ст. напротив увеличивает V с 4,5 до 5,2 в, что объясняется различием свойств CO и N_2 в γ -состоянии.

Я. Сатуновский
70262. Механизм хемосорбции водорода на никеле при повышенном давлении Васка, Селвуд (The mechanism of chemisorption: hydrogen on nickel at elevated pressures. Vaska Lauri, Selwood P. W.), J. Amer. Chem. Soc., 1958, 80, № 6, 1331—1335 (англ.)

Описан объемный метод измерения адсорбции (А) на твердых телах при давлениях $P > 1$ атм. Метод использован для одновременного измерения А H_2 и намагниченности σ при P_{H_2} до 140 атм на Ni-кисельгуровом катализаторе. Увеличение P_{H_2} ведет к уменьшению σ . На частицах с ферромагнитными свойствами А при комнатной т-ре протекает мгновенно. Полученные данные подчиняются ур-нию Ленгмюра. При $P_{H_2} = 100$ атм А H_2 на катализаторе с поверхностью 175 м²/г составляет ~ 17 мл/г. Дальнейшее повышение давления не вызывает заметного увеличения А. Я. Сатуновский
70263. Адсорбция жирных кислот из водных растворов активированным углем. Ито, Фукао (Ito Kentaro, Fukao Kinnosuke), Kagaku kэнкюдзё хококу, Repts Scient. Res. Inst., 1957, 33, № 1, 41—44 (японск.)

70264. Теплота адсорбции кислорода на твердых растворах двуокиси урана в двуокиси тория при -183° . Мак-Коннелл (Heats of adsorption of oxygen on solid solutions of uranium dioxide in thorium dioxide at -183° . McConnell J. D. M.), J. Chem., Soc., 1958, March, 947—950 (англ.)

Измерены теплоты адсорбции (Q) O_2 на твердых р-рах с 10 и 20 мол.% UO_2 (I) в ThO_2 . Адсорбент предварительно диспергировали в циклонном микронайзере, увеличив этим поверхность порошка с 0,2 до 12 м²/г. Отмечено протекание быстрой стадии (предположительно физ. адсорбции) с Q 3,5—4,5 ккал/моль, и медленной (предположительно хемосорбции) с $Q > 5$ ккал/моль. Скорость медленной стадии находится в прямой зависимости от степени покрытия поверхности O_2 , в отличие от ранее обнаруженной автоморальной обратной зависимости для I (РЖХим, 1958, 4004). Дифференциальная Q , как и для I, уменьшается с ростом покрытия поверхности. 3. Сатуновский

70265. Теплоты адсорбции, вычисленные на основании теории переноса заряда. Бродд (Heats of adsorption from charge-transfer complex theory. Brodd Ralph J.), J. Phys. Chem., 1958, 62, № 1, 54—55 (англ.)

Теория Малликена (Mulliken R. S., J. Amer. Chem. Soc., 1952, 74, 811) применена для вычисления теплот q адсорбции H_2 на Ta, W, Fe, Pt, Ni, Hg, H на W, O_2 на W и Fe, Cs на W и Xe на Ni. При расчетах принималось, что потенциал поверхности равен интегралу взаимодействия адсорбат—адсорбент, что расстояние частиц адсорбата от поверхности адсорбента равно их атомным радиусам по Гольдшмидту и что в случаях H_2 на Ta, W, Fe, Ni и Pt и O_2 на W и Fe имеет место диссоциативная адсорбция. Значения работ выхода, сродства к электрону, гольдшмидтовских атомных радиусов и термодинамич. данных взяты из таблиц. Имеющиеся в литературе эксперим. q во всех случаях очень хорошо согласуются с вычисленным q . На примерах систем Cs—W и H_2 —W показано, что вычисленная по этой теории зависимость q от степени покрытия адсорбента качественно согласуется с опытной.

З. Высоцкий

70266. Адсорбция паров гептана природными сорбентами различных степеней увлажнения. Герасимова В. Г., Быков В. Т., Тр. Дальневост. фил. АН СССР, 1958, вып. 3, 109—116

Динамическим методом изучено влияние влажности (4,9%—17,34%) на адсорбцию гептана двумя образцами природного сорбента—суйфунита (I). Из анализа выходных кривых следует, что с увеличением влажности I уменьшается кол-во адсорбированного гептана и что эта зависимость носит линейный характер. Сравнение выходных кривых на I с выходными кривыми на крупнопористом и мелкопористом силикагелях приводит к заключению, что I обладает смешанной пористостью.

И. Гуревич

70267. Сорбция паров воды целлюлозным. Одинов П. Н., LatvPSR Zinātnu Akad. vēstis, Изв. АН ЛатвССР, 1958, № 1, 61—66 (рез. лат.)

Исследована сорбция паров воды целлюлозным (I), полученным путем кипячения обессмоленных еловых опилок с 2,5%-ной HCl. Для получения изотерм сорбции 2 образца I подвергались высушиванию над 50%-ной H_2SO_4 возрастающей конц-ии, 2 образца—увлажнению над к-той убывающей конц-ии. Показано, что уд. поверхность I, определенная по изотерме десорбции водяного пара, близка к уд. поверхности целлюлозы и лигнина и уменьшается при старении образца. Во время быстрого старения I происходит перестройка его капиллярной системы, на что указывают аномальные петли гистерезиса. При низких давлениях пара (0,005 мм рт. ст.) наблюдается прочное связывание воды, возможно, в виде гидратной воды. Установлено, что удаление из древесины гемицеллюлоз при получении I не приводит к существенному изменению капиллярной системы.

М. Липец

70268. Исследование селективной адсорбции ненасыщенных жирных кислот флотационным методом при pH ниже 7. Каяанне (A study of the selective adsorption of unsaturated fatty acids upon magnetite using the mineral flotation technique below pH 7. Kajanen Raavo), Suomen kem., 1958, 31, № 3, B183—B188 (англ.)

Для исследования селективной адсорбции 2 фракций жирных к-т из льняного масла с йодными числами (ИЧ) 153 и 114 эти к-ты применялись в качестве собирателей (С) при флотации магнетита (I) в машине Фагергрена при pH 5,0—5,2. После удаления флотационного концентрата оставшаяся в пульсе к-та экстрагировалась эфиром для определения ее кол-ва и ИЧ. Адсорбция к-ты на I определялась по разности

между вводимой и непрореагировавшей к-той. При низких конц-иях С селективно адсорбируются более ненасыщ. к-ты, а повышение кол-ва С на единицу веса I увеличивает адсорбцию и снижает ИЧ адсорбата. По приблизительным подсчетам толщина коллекторной пленки к-ты равна ~20 молекулам.

М. Липец

70269. Сравнительная оценка роли кинетических факторов в динамике адсорбции уксусной и масляной кислот из водных растворов на угольной шихте. Харин А. Н., Ампилогов И. Е., Ж. физ. химии, 1958, 32, № 2, 341—348 (рез. англ.)

Сравниваются значения эффективных кинетич. коэф. (Тодес О. М., Биксон Я. М., Докл. АН СССР, 1950, 75, 727), вычисленные из измерений кинетики адсорбции уксусной и масляной к-т на двух сортах угля. Роль продольного переноса во всех случаях очень мала (<5%). При скоростях потока 0,036—0,29 см/сек главную роль играет внешний перенос, в особенности для березового угля. С ростом скорости потока, диаметра зерен угля и конц-ии р-ра все большую роль приобретает внутренний перенос, особенно для антрацитового угля и уксусной к-ты. При работе на плотных углях увеличение скорости потока может привести к увеличению потери защитного действия адсорберов.

Б. Аппаер

70270. Электрофорез на фильтровальной бумаге. Константинеску (Electroforeza pe hartie de filtru. Constantinescu A.), Farmacia (Romin.), 1958, 6, № 2, 107—114 (рум.)

Обзор. Библ. 14 назв.

70271. Ионобменники в науке и технике. Гriebach (Ionenaustauscher als Hilfsmittel für Wissenschaft und Technik. Griebach Robert), Chem. Techn., 1958, 10, № 4, 193—196 (нем.)

Обзор. Библ. 33 назв.

70272. Кристаллические ионобменники. Баррер (Tilden lecture. Crystalline ionexchangers. Barrer R. M.), Proc. Chem. Soc., 1958, Apr., 99—112 (англ.)

Обзор. Библ. 45 назв.

70273. Анионообменные смолы с различной емкостью, полученные путем превращения зерен сополимера диметиламиностирола со стиролом в четвертичное основание. Уайли, Шмитт (Variable capacity anion exchange resins from quaternized diethylaminostyrene-styrene bead copolymers. Wiley Richard H., Schmitt J. M.), J. Amer. Chem. Soc., 1958, 80, № 6, 1389—1391 (англ.)

В развитие прежних работ (РЖХим, 1957, 8313) синтезирован ряд сополимеров диметиламиностирола со стиролом, содержащих 1, 5, 10 и 20 мол.% дивинилбензола в качестве мостикообразующего в-ва. Сополимеризация с образованием сферич. зерен производилась в водн. эмульсии при 80° с применением 0,1%-ного поливинилового спирта в качестве диспергирующего агента и азо-бис-(изобутиронитрила) в качестве инициатора. Превращение в четвертичное основание (ПЧО) производилось действием CN_3J (при отношении групп $CN_3J : (CN_3)_2N = 20 : 1$) при 24 часовом встряхивании при ~20°. Полученные смолы имеют обменную емкость соответственно 1,47; 2,35; 2,80 и 3,00 мг-экв/г. Эти значения хорошо согласуются с теоретическими, вычисленными из аналитич. данных о составе полимеров, и соответствуют 96—100%-ному ПЧО. Для сравнения ПЧО производилось действие диметилсульфата. В этом случае достигалось <52% теоретически возможного ПЧО. При дополнительной обработке CN_3J ПЧО могло быть увеличено до 88%.

В. Анохин

См. также: Адсорбция 70140, 70170, 70210, 70212, 71077, 71078, 71416, 71481. Поверхност. натяжение, смачивание 71487, 72124. Хроматография 70466, 70467.

70534, 70711. Ионный обмен 70306, 70495, 70496, 7055, 71080, 71081. Электрофорез 70533; 27007Бх, 7010Бх

ХИМИЯ КОЛЛОИДОВ. ДИСПЕРСНЫЕ СИСТЕМЫ

Редактор Н. А. Фукс

70274. Физико-химические свойства поли-L-пролина высокого молекулярного веса. Блаут, Фасман (The physical-chemical properties of high molecular weight poly-L-proline Blout E. R., Fasman G. D.), Recent Advances in Gelatin and Glue Res. London-New York-Paris-Los Angeles, Pergamon Press, 1958, 122—130 (англ.)

Поли-L-пролин с мол. в. M 50 000—90 000, сравнимы с M белков, получен посредством иницированной пероксидом Na полимеризации ангидрида L-пролина-N-карбоновой к-ты в ацетонитриле. Этот полипептид существует в двух формах, обозначенных I и II и различающихся по ИК-спектрам и оптич. вращению. При обработке органич. к-тами, 2-хлорэтанолом или водн. р-рами мочевины I переходит в II, но осуществить обратный переход не удается. На том основании, что приведенная вязкость II на 40% больше, чем у I, и что в I и II наблюдается перпендикулярный ИК-ди-пролам C=O-группы, делается заключение, что I→II-переход представляет собой удлинение молекулярной конфигурации, связанное, возможно, с превращением транс-имидных групп в транс-имидные. С. Френкель

70275. Методы вискозиметрии. 1—3. Кавата, Кэй-ро канри, J. Instrum. Control Assoc., Japan, 1957, 6, № 8, 21—23; № 9, 20—23; № 11, 29—32 (японск.)

70276. Рассеяние света растворами хлорида цетилпиридиния. Анаккер (Light scattering by cetylpyridinium chloride solutions. Anacker E. W.), J. Phys. Chem., 1958, 62, № 1, 41—45 (англ.)

Смеси хлорида цетилпиридиния (I), NaCl и воды исследовались методом рассеяния света. Полученные результаты интерпретируются на основе последних теорий (РЖХим, 1956, 57735, 77803). Определенные таким образом мицеллярные веса M отличаются на $\leq 6\%$ от рассчитанных с помощью более старых процедур, игнорирующих заряд мицелл. При малых конц-ях NaCl (c_{NaCl}) M быстро возрастает с ростом c_{NaCl} . При $c_{NaCl} \sim 0,3$ н. скорость возрастания M резко падает, и при больших c_{NaCl} M стремится к постоянной величине 46 000. Интенсивность рассеяния при конц-ях I (c_1) $> c$ (крит.) (зависящей от c_{NaCl}) возрастает с c_1 линейно. Продолжение линейной части кривой рассеяния переносится с осью абсцисс в точку $c'_1 < c$ (крит.). Строго говоря, крит. конц-ей должна была бы быть c'_1 , а не c (крит.), где интенсивность рассеяния возрастает от нуля резким скачком. Очевидно область от c'_1 до c (крит.) соответствует пересыщ. молекулярнодисперсному р-ру I. Предельное значение M хорошо согласуется с представлением о сферич. форме мицелл. С. Френкель

70277. Константы Флори для поли-4-винилпиридина в этаноле. Берковиц, Ямин, Фьюсс (The Flory constants for poly-4-vinylpyridine in ethanol. Berkowitz Joan B., Yamin Michael, Fuoss Raymond M.), J. Polymer Sci., 1958, 28, № 116, 69—82 (англ.; рез. франц., нем.)

Винилпиридин полимеризован в суспензии с динитролом азонисмасляной к-ты в качестве инициатора. Полимер разбит на фракции осаждением толуолом из метанольного р-ра, и характеристич. вязкости $[\eta]$ четырех фракций определены в абс. этаноле при 25,

50 и 70°. Рассеянием света (по Цимму) определены мол. веса M , диаметры мол. клубков и вириальные коэф. для 8 фракций. При малых конц-ях было необходимо добавлять NH_3 для подавления ионизации, обусловленной кислотными примесями. Добавка воды (осадителя) понижает 2-й вириальный коэф. A_2 . Для двух фракций M и A_2 определены из измерений осмотич. давления. В абс. этаноле $[\eta] = 2,5 \cdot 10^{-4} M^{0,68}$ (в диапазоне $0,102 \leq 10^{-6} M \leq 1,85$). A_2 по данным светорассеяния равно $(4,2 \pm 0,3) \cdot 10^{-4}$, независимо от M и в согласии с осмотич. данными. Константа Флори Φ (в ф-ле $\Phi = [\eta]M/R^{1/2}$, где R — радиус вращения клубка) равна $(2,1 \pm 0,3) \cdot 10^{21}$ в согласии с другими работами. Экстраполяция $[\eta]$ к Θ -точке дает $\Theta \approx -50^\circ$. Показано, что поливинилпиридин в р-ре медленно деградует. Резюме авторов

70278. Поведение ионов красителей в растворах детергентов. III. Исследование взаимодействия красителей с детергентами при помощи комплекса краситель-детергент. Кондо (Kondo Tamotsu), Нихон какаку дзасси, J. Chem. Soc. Japan. Pure Chem. Sec., 1957, 78, № 7, 1093—1096 (японск.) Часть II см. РЖХим, 1958, 17286.

70279. Проникновение растворов детергентов в фильтровальную бумагу. Накаси́ма, Накао (Nakasima Kuzo, Nakao Kazumune), Нихон какаку дзасси, J. Chem. Soc. Japan. Pure Chem. Sec., 1957, 78, № 5, 594—597 (японск.)

70280. Исследование степени дисперсности сапропелей при помощи седиментометра и электронного микроскопа. Волярович М. П., Тропин В. П., Коллоидн. ж., 1958, 20, № 1, 13—19 (рез. англ.)

Для получения полной кривой распределения частиц сапропелей (I) по размерам применен метод, ранее разработанный для торфов (РЖХим, 1957, 69644). Наблюдения проведены для грубодисперсного, тонкодисперсного и известкового I. Получена зависимость истинной плотности оседающих частиц от их эффективного радиуса. Плотность взвешенных в воде частиц I доходит до ~ 1 г/см³ при плотности сухого в-ва ~ 2 г/см³. Частицы I характеризуются многовершинным распределением по размерам. Уд. поверхность всех фракций I лежит в пределах 8000—14 000 см²/г. При промораживании коагуляцией охватывается широкий диапазон фракций от сотых долей до 40 м. Согласно электронномикроскопич. данным в I преобладают частицы округлой и овальной формы. С. Янковский

70281. Определение тиксотропии суспензий бентонитовых глин. Разгай (O mjeranju i dimenzioniranju tiksotropnosti suspenzija bentonitnih glina. Rozgaj Stanko), Tehn. pregl., 1957, 9, № 2, 47—54 (сербохорв.; рез. англ., нем., франц., итал.)

Для определения тиксотропии (ТТ) монтмориillonита использован прибор, напоминающий вискозиметр Стомера, в котором вместо сопротивления вращению цилиндра, помещенного в объеме исследуемой системы, измерялось сопротивление вращению металлич. пластинки. При этом ТТ выражалась в ϵ на единицу площади пластинки. Приводятся данные по ТТ четырех проб югославских глин и влиянию добавок Na_2CO_3 на ТТ. У. Андрос

70282. Зарядка аэрозолей за счет диффузии ионов. Ганн (Electrification of aerosols by ionic diffusion. Gunn Ross), Amer. J. Phys., 1957, 25, № 8, 542—546 (англ.)

См. РЖХим, 1956, 3612; 46628.

70283. О роли электрических зарядов при коагуляции капель тумана. Махоткин Л. Г., Соловьев В. А., Тр. Гл. геофиз. обсерв., 1958, вып. 73, 116—122

Помимо общего изложения вопроса предложен

упрощенный метод расчета коэф. захвата капель при гравитационной коагуляции туманов, в которых все или часть капель заряжена. Метод применен к решению ряда конкретных задач. Вибл. 16 назв. Н. Фуке

70284 Д. Скрытая коагуляция эмульсий. Таккинг

Л. Р. Автореф. дисс. канд. хим. н., Одесс. ун-т. Одесса, 1958

См. также раздел *Химия высокомолекулярных веществ* и рефераты: Коллоиды 71968. Эмульсии 70185. Аэрозоли 70723. Суспензии 71023

НЕОРГАНИЧЕСКАЯ ХИМИЯ. КОМПЛЕКСНЫЕ СОЕДИНЕНИЯ

Редактор А. Б. Нейдинг

70285. Химия редкоземельных элементов. Ниими, Кагаку когё, Chem. Ind. (Japan), 1957, 8, № 3, 41—44 (японск.)

Обзорная статья. А. Н. Вейгель (Die Isolierung von Americium 241 in Mengen von 100 mg aus großen Mengen von Verunreinigungen. Weigel Fritz), Z. anorgan. und allgem. Chem., 1958, 294, № 5-6, 294—318 (нем.)

Если исходный препарат содержит фториды редкоземельных элементов (РЗЭ) и актинидов, то разделение начинают с их растворения в р-ре $\text{Al}(\text{NO}_3)_3 \cdot 9\text{H}_2\text{O}$ в 10 M NaOH. Этим же способом пользуются и в том случае, когда осуществляют фторидное осаждение актинидов и РЗЭ для их отделения от других элементов, не образующих нерастворимые фториды. Если присутствуют органич. в-ва, их удаляют действием конц. H_2SO_4 с добавками HNO_3 или H_2O_2 . Из полученного р-ра Am осаждают с гидроокисями Al, Ce, Cr, Fe, La, Np, Pu, Th, Yb, Y и Zr, а также метакремневой к-той действием NH_3 . Кремневую к-ту удаляют вместе с Al и Cr действием NaOH в присутствии H_2O_2 . Затем отделяют РЗЭ и трансплутониевые элементы (ТПЭ) от Ce(4+), Np(4+), Pu(4+), Th(4+) и Zr(4+), которые осаждаются из слабых кислотных р-ров в виде перекисных соединений при действии H_2O_2 . Для отделения РЗЭ от ТПЭ можно также использовать ионообменный метод, основанный на поглощении хлоридных комплексов указанных 4-валентных элементов и Fe(3+) колонкой с анионитом дауэкс А-1. РЗЭ и ТПЭ, не образующие устойчивых хлоридных комплексов, в колонке не задерживаются. Метод отделения Am от РЗЭ выбирают с учетом соотношения кол-в La и Am в смеси. При малом содержании Am и значительно превосходящем кол-ве La пользуются методом экстракции Am из водн. р-ра с pH 3,7 бензольным р-ром теноилтрифторацетона (I). 10-кратной экстракцией р-ром I удается перевести в органич. слой 90% Am. Ввиду малой растворимости внутрикомплексного соединения Am с I для отделения Am от La более целесообразно пользоваться ионообменным методом. В этом случае смесь хлоридов La и Am упаривают почти досуха, растворяют в 12,5 M LiCl и р-р пропускают через колонку со смолой дауэкс А-1, приведенной в равновесие с 12,5 M LiCl. Из смеси сорбируется только Am, который после промывания колонки 12,5 M LiCl элюируют разб. р-ром HCl. Для удаления еще оставшейся небольшой примеси La элюат выпаривают почти досуха, остаток растворяют в воде, р-р вводят в колонку со смолой дауэкс-50 и элюируют Am смесью 80% воды + 20% абс. спирта, насыщенной на холоду HCl-газом. Из элюата Am осаждают в виде гидроокиси пропусканием газообразного NH_3 и осадок растворяют в спектрально-чистой HCl. Если Am и La присутствуют в соизмеримых кол-вах, то однократное пропускание р-ра через колонку с катионитом с последующим элюированием водно-спирт. р-ром HCl обеспечивает получение почти чистого Am. Метод колоночной

фильтрации через колонку с катионитом наиболее пригоден для очистки больших кол-в Am от небольших примесей La. С применением описанной методики получено 104 мг Am^{241} в почти спектрально-чистом состоянии. Р-ры AmCl_3 окрашены в нежно-розовый, а при большей конц-ии в красновато-желтый цвет. Р-ры Am(3+) имеют спектр поглощения, состоящий из дискретных линий; особенно интенсивная полоса поглощения имеется в зеленой области. Компактные соли Am в темноте обнаруживают слабо-оранжево-розовую люминесценцию. Н. Полянский

70287. Новый количественный метод осаждения тория и редкоземельных элементов из гомогенных растворов и использование этого метода для экстракции некоторых элементов из руд. Хагивара (Hagiwara Zenz i), Kōrō кагаку дзасси, J. Chem. Soc. Japan. Industr. Chem. Sec., 1956, 3, № 12, 1378—1383 (японск.)

70288. Метод получения молекулярного соединения натрия со стиролом. Хирата, Кувара (Hirata Kozo, Kuwara Keiji), Нихон кагаку дзасси, J. Chem. Soc. Japan. Pure Chem. Sec., 1957, 7, № 9, 1421 (японск.)

70289. Окись бериллия высокой чистоты. Ван Мин-су, Хуасюэ шицзе, 1957, 12, № 11, 496—498 (кит.)

70290 V. Образование $\text{Ca}(\text{O}_2)_2$ облучением $\text{CaO} \cdot 2\text{H}_2\text{O}_2$ ультрафиолетовыми лучами. Вольнов И. И., Чамова В. Н., Шатунина А. Н., Ж. неорган. химии, 1958, 3, № 5, 1095—1097

При облучении $\text{CaO}_2 \cdot 2\text{H}_2\text{O}_2$ УФ-лучами получают перекисные препараты кальция, окрашенные в монно-желтый цвет и содержащие, наряду с CaO_2 , ~ 7 вес.% $\text{Ca}(\text{O}_2)_2$. Препараты неоднородны, примеси $\text{Ca}(\text{O}_2)_2$ малоустойчивы. Часть IV см. РЖХим, 1958, 24422.

70291 VI. Влияние поверхности на процесс образования $\text{Ca}(\text{O}_2)_2$ из $\text{CaO} \cdot 2\text{H}_2\text{O}_2$. Вольнов И. И., Чамова В. Н., Ж. неорган. химии, 1958, 3, № 5, 1098—1099

Вакуум-сушкой $\text{CaO}_2 \cdot 2\text{H}_2\text{O}_2$ при 50° и 10 мм рт. ст. в течение 100 мин. в условиях, когда навеска дигидроксидата в 1 г распределена на площади 900 см², впервые получены перекисные препараты кальция, содержащие наряду с CaO_2 , $\text{Ca}(\text{OH})_2$ и CaO ~ 40 вес.% $\text{Ca}(\text{O}_2)_2$. Полученные данные можно рассматривать как подтверждение предложенного ранее ур-ния р-ции образования супероксидов из пероксидов (Казарновский И. А., Нейдинг А. Б., Докл. АН СССР, 1952, 86, № 4, 717).

70292. Приготовление моносульфида церия. Савионов Г. В., Попова Н. М., Тихомирнов Л. И., Ж. прикл. химии, 1958, 31, № 2, 153—157

Для получения CeS использован описанный ранее метод (Eastman E. и др. J. Amer. Chem. Soc., 1950, 72, 2248), видоизмененный путем замены трехстадийного процесса одностадийной р-цией $\text{CeO}_2 + 2\text{C} + \text{H}_2\text{S} = \text{CeS} + \text{H}_2 + 2\text{CO}$. С увеличением содержания серы в смеси $\text{CeO}_2 + \text{C}$, нагреваемой при 1050°, возрастает

165—167°, медленно разлагающиеся при 100°. $[\text{RH}]\text{SbCl}_4$, т. пл. 115—135°, $[\text{RH}]\text{FeCl}_4$, т. пл. 104°, и $[\text{RH}]\text{SnCl}_6$, т. пл. 200—230°, выделяются при насыщении эквимоларного р-ра R и хлорида металла в абс. спирте сухим HCl -газом. Смешением спирт. р-ра R и р-ра бромида металла в конц. HBr получены $[\text{RH}]\text{FeBr}_4$, т. пл. 105—106°, и $[\text{RH}]\text{SnBr}_6$, т. пл. 170—240°. Соли нерастворимы в неполярных р-рителях, заметно диссоциируют при растворении в полярных органич. р-рителях. Измерены УФ- и ИК-спектры солей RH^+ , а также R, RO и R_2HgCl_2 ; для солей $[\text{RH}]^+$ характерны интенсивная полоса 1120—1118 cm^{-1} и 2 полосы средней интенсивности между 940 и 870 cm^{-1} , положение которых зависит от природы аниона. Полоса $\sim 720 \text{ cm}^{-1}$ является общей для всех соединений R, в которых атом R является донором. И. Рысс

70303. Оксидинолаты ниобия и тантала. Шиманский, Арчибалд (Niobium and tantalum 8-quinolates. Szymanski Herman A., Archibald John H.), J. Amer. Chem. Soc., 1958, 80, № 8, 1811—1812 (англ.)

Описаны методы получения оксидинолатов Nb и Ta, позволяющие избежать загрязнения продуктов основными солями. Выделены соединения, состав которых отвечает ф-лам $\text{NbO}(\text{C}_8\text{H}_6\text{ON})_3$ (I) и $\text{Ta}(\text{C}_8\text{H}_6\text{ON})_3 \cdot 5\text{HCl}$ (II). Для получения I металл. Nb сплавляли с KHSO_4 , плав растворяли в 10%-ной H_2SO_4 с добавкой $\text{H}_2\text{C}_2\text{O}_4$, к р-ру прибавляли оксидинолин (III), предварительно растворенный в 12%-ной CH_3COOH . Желтый кристаллич. осадок I выделяли из полученного р-ра после нейтрации аммиаком. По этой методике авторам не удалось получить аналогичное соединение $[\text{TaO}(\text{C}_8\text{H}_6\text{ON})_3]$ из чистого металл. Ta. Однако это соединение, по-видимому, образуется в смеси с I, если исходным материалом служит смесь металл. Nb и Ta. Оранжево-желтый осадок II выделялся при добавлении к бензольному р-ру TaCl_5 небольшого избытка бензольного р-ра III. При смешении бензольных р-ров NbCl_5 и III выделялись кристаллы весьма нестойкого соединения Nb, которое не удалось проанализировать. Это соединение, по мнению авторов, имеет строение, аналогичное II. В. Шмидт

70304. Кислотостойчивость некоторых силицидов молибдена. Косолапова Т. Я., Котляр Е. Е., Ж. неорган. химии, 1958, 3, № 5, 1241—1244

Изучено действие к-т и смесей к-т на MoSi_2 , Mo_3Si_2 и Mo_4CSi_3 . Полученные данные могут служить основой для дальнейшего исследования при изыскании хим. способа фазового анализа системы $\text{Mo}-\text{Si}$ и сплавов на основе силицида Mo. Резюме авторов

70305. О молибдатах железа. Козманов Ю. Д., Угольников Т. А., Ж. неорган. химии, 1958, 3, № 5, 1267

Описано получение молибдатов железа: $\alpha\text{-FeMoO}_4$, т. пл. $> 1100^\circ$, получен спеканием смеси порошков FeO и MoO_3 (1:1) в вакууме и в токе Ar при 700° ; $\beta\text{-Fe}_2\text{MoO}_4$, получен спеканием FeO и MoO_3 (2:1) в токе Ar при $t\text{-ре} \geq 950^\circ$; $\gamma\text{-Fe}_2(\text{MoO}_4)_3$, получен спеканием Fe_2O_3 и MoO_3 при $t\text{-ре} \geq 700^\circ$ и большой концентрации паров MoO_3 в окружающей атмосфере. В. Штерн

70306. Исследования растворов теллуратов методом ионного обмена. Эверест, Попил (Ion-exchange studies of solutions of tellurates. Everest D. A., Popiel W. J.), J. Inorg. and Nucl. Chem., 1958, 6, № 2, 153—158 (англ.)

В развитие предыдущих работ (РЖХим, 1957, 74104) метод ионообменной сорбции на анионите амберлит IRA-400—Cl применен к исследованию состава полимерных анионов в р-рах теллуровой к-ты при конечных 1,0—0,07 г-атом Te в 1 л и при разных значениях pH для детального изучения процессов, происходящих в р-ре по общей схеме: $n\text{TeO}_4^{2-} + 2m\text{H}^+ \rightleftharpoons$

$\rightleftharpoons [\text{Te}_n\text{O}_{4n-m}]^{(2n-2m)-} + m\text{H}_2\text{O}$. Найдено, что при разбавлении р-ра, так же как при повышении pH, происходит деконденсация с постепенным сдвигом от тетра- к три- и, наконец, к дителлуратам. Соли щел. металлов являются производными гипотетич. полителлуриновых к-т $\text{H}_2\text{Te}_4\text{O}_{13}$, $\text{H}_2\text{Te}_3\text{O}_{10}$ и $\text{H}_2\text{Te}_2\text{O}_7$. Авторы оспаривают прежние выводы (РЖХим, 1956, 61144) о преобладающем содержании в р-ре формы $(\text{HTeO}_4)_4$. Неконденсированные анионы, преобладающие при $\text{pH} > 8,5$, имеют состав H_5TeO_6^- и $\text{H}_4\text{TeO}_6^{2-}$. Результаты, полученные методом ионного обмена, подтверждаются исследованиями УФ-спектров поглощения. В. Анохин

70307. Получение и исследование свойств некоторых карбонатных соединений шестивалентного плутония. Драбкина Л. Е., Ж. неорган. химии, 1958, 3, № 3, 1109—1110

Выделен в твердом виде плутонилкарбонат аммония и установлена его ф-ла $(\text{NH}_4)_4[\text{PuO}_2(\text{CO}_3)_3]$. Установлено, что при его разложении ($120\text{--}130^\circ$) получается монокарбонат PuO_2CO_3 . Резюме автора

70308. Хлорная кислота и ее производные. V. Свойства хлорной кислоты и способы ее получения. Зановьев А. А., Ж. неорган. химии, 1958, 3, № 3, 1205—1209

Описаны способы получения и свойства водн. и безводн. HClO_4 . Приведены условия получения безводн. HClO_4 обезвоживанием водн. HClO_4 при помощи окиси или P_2O_5 с последующей отгонкой HClO_4 из смеси с описан прибор для непрерывной отгонки в лабор. условиях безводн. HClO_4 из смеси HClO_4 и H_2SO_4 , применяемой для обезвоживания водн. HClO_4 , с выходом HClO_4 до 75% от HClO_4 в смеси. Во избежание разложения безводн. HClO_4 следует хранить при $t\text{-ре}$ сушки льда в толстостенной стеклянной посуде. Сообщение IV см. РЖХим, 1958, 28177. Ю. Харитонов

70309. Изучение внутрикомплексных соединений металлов. II. 10-оксibenзо-*h*-хинолин. III. Внутрикомплексные соединения металлов с 10-оксibenзо-*h*-хинолином. Йосино (Yoshino Tamotsu), Нихон кагаку дзасси, J. Chem. Soc. Japan. Pure Chem. Sec., 1957, 78, № 1, 108—113 (японск.)

70310. Исследование производных тетрапиридино-тетраазопорфина. I. Комплексы меди, никеля, железа и хрома с тетра-2,3-пиридинопорфиразином. Фукада (Fukada Naomi), Нихон кагаку дзасси, J. Chem. Soc. Japan. Pure Chem. Sec., 1957, 78, № 9, 1348—1351 (японск.)

70311. Определение констант образования координационных соединений методом конкурирующих реакций, основанным на потенциометрическом измерении. Сообщение I. Комплексы иона Ag^+ с 2,2'-пиридилом. Сообщение II. Комплексы иона кадмия с 2,2'-дипиридилом. Кабани, Скрокко (Determinazione delle costanti di formazione di composti di coordinazione mediante un metodo competitivo basato su misure potenziometriche. Nota I. Complesso dello ione Ag^+ con il 2-2'-dipiridile. Nota II. Complesso dello ione cadmio con il 2-2'-dipiridile. Cabani Sergio, Scrocco Eolo), Ann. chimica, 1958, 48, № 1, 85—98; 99—110 (англ.)

I. Предложен метод определения констант устойчивости (K) комплексов, основанный на конкурирующих р-циях между испытуемым ионом и другим ионом, образующим с тем же лигандом комплексы с известными K . Для применения этого метода к комплексам металлов с 2,2'-дипиридилом (Dipy) определены значения $\lg K$ принимаемых в качестве стандартных комплексов Ag^+ с Dipy $3,70 \pm 0,01$ для Ag^+ Dipy ($\text{Ag} + \text{Dipy} \rightleftharpoons \text{Ag Dipy}$) и $3,52 \pm 0,015$ для Ag^+ (Dipy) $_2$ ($\text{Ag Dipy} + \text{Dipy} \rightleftharpoons \text{Ag (Dipy)}_2$). Определены в водн. р-рах спирта и диоксана проводимости потенциометрич. методом с применением концентрационных

при раз-
рН, про-
от тетра-
л. метал-
теллури-
оспарива-
преобла-
конденс-
8,5, име-
получен-
исследа-
В. Авоки
некоторых
плутония,
1958, 3, № 5.

и для измерения конц-ии свободного Ag^+ , а в водн. р-рах методом Бьеррума. Величины K комплексов Ag^+ с Dipy почти не зависят от характера р-рителя. Определены значения ΔF^0 (кал/моль), ΔH^0 (кал/моль) и ΔS^0 (антр. ед.) образования при 25° AgDipy (-5048 ± 14 , -7654 ± 500 и $-8,74 \pm 1,7$) и Ag(Dipy)_2 (-4802 ± 19 , -4086 ± 800 и $+2,40 \pm 2,7$).

II. Описанным выше методом определены при 25° значения $\lg K$ комплексов Cd^{2+} с Dipy в 50%-ном водн. спирте: $3,99 \pm 0,02$ для CdDipy , $3,05 \pm 0,02$ для Cd(Dipy)_2 и $2,10 \pm 0,02$ для Cd(Dipy)_3 . Полученные данные подтверждены прямым потенциометрич. методом с использованием концентрационной цепи и амальгамы Cd в качестве электродов. Потенциометрич. методом и методом Бьеррума установлено, что $\lg K$ изученных комплексов линейно увеличиваются при уменьшении содержания спирта в р-ре. На основе результатов потенциометрич. измерений при 20–40° определены значения ΔF^0 (кал/моль), ΔH^0 (кал/моль) и ΔS^0 (антр. ед.) образования в 50%-ном водн. спирте CdDipy (-5444 ± 27 , -5857 ± 240 и $-1,4 \pm 0,9$), Cd(Dipy)_2 (-4161 ± 27 , -4204 ± 67 и $-0,1 \pm 0,3$) и Cd(Dipy)_3 (-2865 ± 27 , -2722 ± 174 и $0,5 \pm 0,7$). В водн. р-ре при 25° значения $\lg K$, ΔF^0 , ΔH^0 и ΔS^0 равны: CdDipy $4,28 \pm 0,03$; -5839 ± 41 ; -5080 ± 294 и $2,54 \pm 1,1$; Cd(Dipy)_2 $3,51 \pm 0,03$; -4789 ± 41 ; -3791 ± 668 и $3,34 \pm 2,4$; Cd(Dipy)_3 $2,69 \pm 0,03$; -3670 ± 44 ; -3070 ± 307 и $7,89 \pm 2,7$. Б. Каплан

70312. Спектрофотометрическое определение отношения 3-оксифенилтиомочевинны к Ag , Hg и Cu во внутрикомплексных соединениях. Ходзэ (Hōjō Nobumasa), Kōrē какаку дзасси, J. Chem. Soc. Japan. Industr. Chem. Sec., 1957, 60, № 9, 1177–1178 (японск.).

70313. Состав внутрикомплексных соединений двухвалентной меди с о-крезотатом. Колориметрическое исследование. Трипатхи, Пракаш (Composition of cupric o-cresotatate chelates: a colorimetric study. Tripathi S. C., Prakash Satya), J. Indian Chem. Soc., 1958, 35, № 2, 139–143 (англ.).

При смешении р-ров CuSO_4 с $\text{C}_7\text{H}_5\text{COONa(OH)}$ (I) в отношении 1:1 образуется зеленый комплекс, интенсивность окраски которого возрастает с повышением рН и максимальна при рН 5,2. Результаты определения состава комплекса при рН 5,2 и 5,0 указывают на образование комплекса с отношением r Cu^{2+} к о-крезотату, равным 1:1. При смешении CuSO_4 с I в отношениях 1:2 и 1:3 колориметрически установлен максимум при рН 5,7 и методом непрерывных изменений установлено образование при рН 5,7 комплекса с r , равным 1:2. Между рН 5,7 и 5,2 существует смесь обоих комплексов. Резюме авторов

70314. О поведении рибофлавина и структурно родственных соединений по отношению к ионам металлов. Хеммерих, Фаллаб (Zum Verhalten des Riboflavins und strukturverwandter Verbindungen gegenüber Metallionen. Hemmerich P., Fallab S.), Helv. chim. acta, 1958, 41, № 2, 498–513 (нем.; рез. англ.).

Исследована способность рибофлавина (I) к образованию внутрикомплексных соединений. Сопоставление реакционной способности I по отношению к Cu(2+) в р-ре с реакционной способностью ряда модельных в-в различных типов и анализ образующихся нерастворимых комплексов привели к заключению, что I образует только очень нестойкие комплексы со значениями $\lg K_1 < 4$. Обсужден вероятный механизм комплексообразования.

Резюме авторов
70315. Внутрикомплексные соединения металлов с пиколиновым альдегидом. Хеммерих, Фаллаб, Эрленмейер (Metallchelate des Picolinal-

dehyds. Hemmerich P., Fallab S., Erlemeyer H.), Experientia, 1958, 14, № 2, 56–57 (нем.; рез. англ.).

Методом потенциометрич. титрования с измерением рН установлено комплексообразование Cu(2+) с пиколиновым альдегидом (R). Выделено твердое кристаллич. соединение состава $\text{CuR}_2(\text{OH})_2$. Аналогичные комплексы образуют сложные эфиры пиколиновой к-ты.

И. Беляков
70316. Биуретовая реакция в химии комплексных соединений. IV. Спектры поглощения и устойчивость внутрикомплексных соединений меди и никеля с некоторыми биуретоподобными веществами. Като, Комуро, Сонэ (Kato Michinobu, Komuro Yasuyuki, Sone Kozo), Нихон какаку дзасси, J. Chem. Soc. Japan. Pure Chem. Sec., 1957, 78, № 6, 896–902 (японск.).

Изучены спектры поглощения и устойчивость в щел. р-рах 12 комплексов Cu и Ni с дициандиаминном, бигуанидином и их производными. Подобие спектров поглощения показывает, что центральный атом металла в этих комплексах связан с 4 атомами N гибридными dsp^2 -связями. Устойчивость зависит от электронной конфигурации лигандов. Спектры поглощения и устойчивость комплексов с 4-сульфонилбигуанидином очень сходны со спектрами поглощения и устойчивостью соответствующих комплексов с протеинами. Сообщение III см. РЖХим, 1958, 35677. Chem. Abstrs, 1957, 51, № 21, 16186. М. К.

70317. Фенил- α -пиридилкетоксим как внутрикомплексобразующий агент. Сен (Phenyl α -pyridyl ketoxime as a chelating agent. Sen B.), Chemistry and Industry, 1958, № 19, 562 (англ.).

Получен фенил- α -пиридилкетоксим (I) — белое кристаллич. в-во, т. пл. 163°, нерастворимое в воде и растворимое в этаноле и смеси этанола с водой, и изучено комплексообразование I с ионами металлов; с Co^{2+} и Cu^{2+} образуются зеленые осадки, растворимые в CHCl_3 и CCl_4 , с Fe^{2+} , Au^{3+} и Ru^{3+} образуются окрашенные комплексы, растворимые в водн. средах, с Pt(2+) и UO_2^{2+} получены желтые комплексы, не экстрагируемые органич. р-рителями. Получен также комплекс Pb(2+) с I.

В. Штерн
70318. Ортофосфаты кальция. I. Твердые ортофосфаты кальция. II. Комплексообразование в растворах, содержащих ионы Ca^{2+} и PO_4^{3-} . Бьеррум (Calciumorthophosphate. I. Die festen Calciumorthophosphate. II. Komplexbildung in Lösungen von Calcium- und Phosphat-Ionen. Bjerrum Niels.) Mat.-fys. medd. Kgl. danske vid. selskab, 1958, 31, № 7, 79, S., ill. (нем.).

Целью работы является разработка способов получения и изучение некоторых свойств твердых ортофосфатов Ca . Безводн. CaHPO_4 получают взаимодействием р-ров Na_2HPO_4 , NaH_2PO_4 и CaCl_2 при кипячении с последующим высушиванием выпавших кристаллов при 100° в течение 24 час. Полученные кристаллы еще удерживают 0,1 моля воды на 1 моль соли. Если осаждение выполняют на холоду с использованием для р-ции CaCl_2 , Na_2HPO_4 и KH_2PO_4 , то выпадает аморфный осадок, при непродолжительном стоянии переходящий в монокл. кристаллы $\text{CaHPO}_4 \cdot 2\text{H}_2\text{O}$. При взаимодействии $\text{CaHPO}_4 \cdot 2\text{H}_2\text{O}$ с 0,001 M или более разб. р-рами однозамещ. фосфата Ca при 37° по истечении длительного времени выпадает осадок, состав которого после высушивания на воздухе отвечает ф-ле $\text{H}_2\text{Ca}_4(\text{PO}_4)_3 \cdot 3\text{H}_2\text{O}$. Ряд фосфатов получен медленным добавлением р-ра фосфата Na к соли Ca при 100° с одновременным приливанием р-ра HCl или NaOH для достижения определенного (и постоянного во время осаждения) значения рН. Одним из членов этого ряда является трехзамещ. фосфат Ca , который,

по мнению автора, нельзя рассматривать как индивидуальное хим. соединение. Таким соединением автор считает оксианатит состава $\text{Ca}_5(\text{PO}_4)_3\text{OH}$, осаждаемый при pH 8,5—9,5. Дебаграммы этих соединений с апатита сходны между собой. По мнению автора, все они имеют кристаллич. решетку оксианатита. Изменение степени нейтр-ции H_3PO_4 автор связывает с присоединением протонов к гидроксил- и фосфат-ионам решетки при одновременном удалении ионов Ca , замещаемых молекулами воды. Это замещение может иметь место как внутри кристаллич. решетки, так и на поверхности кристаллов. Для суждения о комплексообразовании между ионами Ca^{2+} и PO_4^{3-} выполнены измерения pH p-ров, полученных смешением определенных объемов 0,00917 M $\text{Ca}(\text{OH})_2$ и 0,0096 M H_3PO_4 . Степень связывания ионов в комплекс незначительна. В исследованных p-рах она варьирует в пределах 0,8—5,1%, если единственным образующимся комплексом является монофосфат. Если же допустить, что в p-рах образуется только дифосфат, возможными формами которого являются ионы $[\text{Ca}(\text{HPO}_4)_2]^{2-}$, $[\text{Ca}(\text{HPO}_4)\text{PO}_4]^{3-}$ и $[\text{Ca}(\text{PO}_4)_2]^{4-}$, то в комплекс должно быть связано 0,9—7,1% Ca . По-видимому, ни одно из этих предположений точно не выполняется, так как расчет образования по результатам измерения pH не дает постоянных значений этих величин.

Н. Полянский

70319. Исследование состава ферроцианида таллия физико-химическими методами. Гоур, Гоур, Бхаттачария (Studies on the composition of thallium ferrocyanide by physico-chemical methods. Gour J. N., Gour H. C., Bhattacharya Abani K.), J. Indian Chem. Soc., 1958, 35, № 2, 144—146 (англ.)

Состав ферроцианида Tl исследован кондуктометрич. и потенциометрич. методами и методом термометрич. титрования при различных конц-ях $\text{K}_4\text{Fe}(\text{CN})_6$ и TiNO_3 . Состав комплекса отвечает ф-ле $\text{Tl}_4\text{Fe}(\text{CN})_6 \cdot 2\text{H}_2\text{O}$.

Резюме авторов

70320. Изучение комплексов германия с некоторыми α -оксикислотами. Вартанетян (Contribution a l'étude des complexes du germanium et de quelques acides α -alcools. Vartapetian Ophélie), Ann. chimie, 1957, 2, № 11—12, 916—964 (франц.)

В результате взаимодействия GeO_2 с винной к-той (I) в кислой среде образуется $\text{H}_4\text{GeC}_4\text{O}_7$ (II), нацело диссоциирующей в водн. p-ре на катионы H^+ и германийтарtrat-анионы. II выделен выпариванием p-ра эквимольных кол-в I и GeO_2 в виде бесцветных гигроскопичных кристаллов, хорошо растворимых в воде и в спирте. По данным термогравиметрич. анализа II кристаллизуется без воды и начинает разлагаться при 175°. Потенциометрич. и полярографич. методами доказана неустойчивость II в слабощел. p-рах. Разложение II по схеме $[\text{GeO}(\text{COO}-\text{CHO}-\text{CHO}-\text{COO})]^- + \text{OH}^- \rightleftharpoons \text{GeO}_2 + [\text{COO}-\text{CHO}-\text{CHO}-\text{COO}]^-$ начинается при pH 6 и заканчивается при pH 10. Константа равновесия этой p-ции составляет $1,25 \cdot 10^5$. Константа нестойкости II при 18° и ионной силе $\mu = 1$ составляет $(7 \pm 3) \cdot 10^{-6}$. Молочная, миндальная и яблочная к-ты образуют с GeO_2 комплексы менее прочные, константы нестойкости которых при 18° и $\mu = 1$ равны соответственно $0,43 \pm 0,1$; $(9,8 \pm 2,5) \cdot 10^{-2}$ и $0,21 \pm 0,04$. P-ция комплексообразования с указанными к-тами протекает по ур-нию: $\text{GeO}_2 + 2\text{R}-\text{CHOH}-\text{COOH} \rightleftharpoons \text{GeO}(\text{RCHOHCOO})_2\text{H} + \text{H}_2\text{O}$. В комплексообразовании с $\text{Ge}(4+)$ в этом случае участвует только группа $=\text{C}(\text{OH})\text{COOH}$. Соединения GeO_2 с миндальной и яблочной к-тами выделены в кристаллич. состоянии.

Н. Полянский

70321. О разрядке и перезарядке *трис-2,2'-дипиридил-ванадо-иона*. Херцог (Über die Entladung und

Umladung des Tris-2,2'-dipyridyl-vanadin (III)-ions (VDipy₃)⁺⁺. Herzog S.), Z. anorgan. und allgem. Chem., 1958, 294, № 3—4, 155—180 (нем.)

$[\text{V}(\text{Dipy})_3]_2$ (I), где Dipy — 2,2'-дипиридил, выделен в виде черно-зеленых кристаллов, очень быстро окисляющихся на воздухе, при смешении p-ра VSO_4 (II) с p-ром Dipy и KJ в 30%-ном спирте; осадок I над P_2O_5 в вакууме. I может быть перекристаллизован из абс. спирта, растворим в воде, CH_3OH (III), спирте, ацетоне и пиридине (Py), нерастворим в C_6H_6 , эфире, петр. эфире, диоксане и тетрагидрофуране (THF). Из p-ра Dipy и NH_4ClO_4 в 15%-ном III при введении II выпадают фиолетовые кристаллы $[\text{VDipy}]_2(\text{ClO}_4)_2$ (IV); при более высокой конц-и III они постепенно превращаются в зеленые иглы другой формы IV. Комплекс IV очень мало растворим в воде, по растворимости в других p-рителях сходен с I; зеленая форма более быстро окисляется. Тщательно высушенный IV детонирует при нагревании. P-р I в 50%-ном III восстанавливается избытком Mg в анаэробных условиях до фиолетового труднорастворимого $[\text{V}(\text{Dipy})_3]$ (V), отделяемого от избытка Mg экстрагированием кипящим бензолом. Комплекс V сублимируется при 250° и 10^{-4} мм рт. ст. почти без разложения. V в Py ступенчато титруется p-ром йода до фиолетово-красного $[\text{V}(\text{Dipy})_3]^{+}$ (VI) и сине-зеленого I. В p-рах в Py существует равновесие $\text{VI} \rightleftharpoons \text{V} + \text{I}$, сдвигаемое вправо введением воды или бензола. При действии LiAlH_4 в THF на I происходит промежуточное выделение V и затем дальнейшее восстановление до черных кристаллов $\text{Li}[\text{V}(\text{Dipy})_3] \cdot 4\text{THF}$ (VII), образующих красно-фиолетовый p-р в THF; VII и его p-ры мгновенно окисляются воздухом. VII диамагнитен; эффективные магнитные моменты I, VI и V равны соответственно $3,7 \pm 0,1$; $2,8 \pm 0,1$ и $1,9 \pm 0,15 \mu_B$. Комплексы $[\text{V}(\text{Dipy})_3]^{n+}$ обладают значительным сходством с изоэлектронными комплексами хрома $[\text{Cr}(\text{Dipy})_3]^{(n+1)+}$, где $n = -1, 0, 1$ или 2; комплексы с $3d^4$ -электронами метастабильны.

И. Рыс

70322. Система трехвалентный хром — арсенат — вода. IV. О равновесиях агрегации комплексов $[\text{Cr}(\text{H}_2\text{O})_n\text{HASO}_4]^{+}$ в водном растворе. Баумгартель (Das System Chrom (III) Arsenat/Wasser. IV. Über die Aggregationsgleichgewichte des Komplexes $[\text{Cr}(\text{H}_2\text{O})_n\text{HASO}_4]^{+}$ in wässriger Lösung. Baumgärtel Eberhart), J. prakt. Chem., 1958, 5, № 5—4, 291—297 (нем.)

Величина pH p-ров $[\text{Cr}(\text{H}_2\text{O})_n\text{HASO}_4]^{+}$ (I) при 25° растет в интервале разбавлений $v = 16 - 1024 \text{ л/моль}$ от 1,82 до 3,09; степень протолиза $\text{I} \rightleftharpoons \text{H}^{+} + \text{CrAsO}_4^{+}$ (II) растет от 31 до 87%. Отсутствие выделения осадка крайне мало растворимого II (растворимость $< 5 \cdot 10^{-5} \text{ моль/л}$) объяснена наличием процесса конденсации $\text{I} + \text{II} \rightleftharpoons [\text{Cr}(\text{H}_2\text{O})_n\text{HASO}_4 \cdot \text{Cr}(\text{H}_2\text{O})_n\text{ASO}_4]^{+}$; степень конденсации (γ) при указанных v растет от 1,4 до 7,5. P-ры с $\gamma > 2$ неустойчивы и постепенно превращаются в золи или выделяют осадок II. В более конц. p-рах I проявляется ассоциация ионов. Общая «степень агрегации» минимальна при $v = 128$. Для обзор свойств системы арсенат $\text{Cr}(3+)$ — H^{+} . Часть III см. РЖХим, 1958, 4088.

И. Рыс

70323. Реакция обмена между тиоцианатным комплексом трехвалентного хрома и тиоцианат-ионами. Кигоси, Мурата (Kigoshi Kunihiko, Murata Hisake), Нихон кагаку дзасси, J. Chem. Soc. Japan Pure Chem. Sec., 1957, 78, № 4, 526—530 (японск.)

70324. Исследование условий образования соединений пирогаллола с молибдатами и вольфраматами. Пляшко (Sledovanie podmienok tvorby zlúčenin pyrogallolu s molybdénanmi a volfrámanmi. Pľško

(II)-ions
allgem.

выделен
быстро
ра VSO_4
осадок I
 CaCl_2 и
статистиче-
н (III).
и в CaH_2
офурате
III при
исталли-
ции III
и другой
и в воде,
и; ве-
льно вы-
Р-р I
в ана-
лизиро-
экстраг-
сублими-
рааложе-
иода до
леного I.
I, свдв-
При дей-
куточное
нение до
(I), обра-
II и его
магнит-
VI и V
 $\pm 0,15 \mu$
ым сход-
хрома
милекса
И. Ракс
осенат -
омплекса
ум гер-
asser. IV.
омплекса
и mg/l.
№ 5-4.

при 25°
4 л/моль
 AsO_4^{3-}
деленны
римность
сса ние-
 nAsO_4^{3-}
аст от
нно пре-
В более
Общая
128. Дан
И. Ракс
ым ком-
т-ионам
ihiko
J. Chem.
526-532

соедине-
аматам.
en in p-
Pisko

Edvard), Chem. zvesti, 1958, 12, № 2, 95-101 (словацк.; рез. русск., нем.)
Синтрофотометрически определено, что в системе иридогаллол (Pg) — Na_2WO_4 или Na_2MoO_4 (I) присут-
ствуют в воде. р-ре при pH 6-8 окрашенные ионы с
отношением 2 Pg:I, а в области pH 3,5 — окрашен-
ные ионы с отношением Pg:I. Константы нестойко-
сти равны для комплекса Mo $2,1 \cdot 10^{-6}$, для комплекса
W $4,6 \cdot 10^{-8}$. Резюме автора

70325. Радиохимическое изучение ультрамикроколичеств металлорганических комплексов. IV. Диэтилдиэтикарбамат и гидроксиналоат полиония. Иси-
мори, Татэда (Isimori Tomitaro, Tateda Akira), Нихон кагаку дзасси, J. Chem. Soc. Japan. Pure. Chem. Sec., 1957, 78, № 1, 78-81 (японск.)
Часть III см. РЖХим, 1957, 662.

70326. Комплексообразование уранил-иона с о-кре-
зотиновой кислотой. Потенциометрическое, колори-
метрическое и кондуктометрическое исследования. Трипатхи, Пракаш (Complex formation of uranyl ion with o-cresotic acid: potentiometric, colorimetric and conductometric study. Tripathi S. C., Prakash Satya), J. Indian Chem. Soc., 1958, 35, № 2, 119-124 (англ.)

Образование красного комплекса с отношением UO_2^{2+} к о-крезотату, равным 1:1, при pH 4,5 уста-
новлено по максимуму на колориметрич. кривой и
максимуму на потенциометрич. и кондуктометрич. кривых
и кривых титрования различных смесей $\text{UO}_2(\text{NO}_3)_2$ и
 $\text{C}_6\text{H}_5\text{COONa}(\text{OH})$. Резюме авторов

70327. Внутриклеточные соединения двухвалент-
ных железа и кобальта с 2,6-бис-(4-этил-2-пиридил)-
4-фенилпиридином. Смит, Баник (The Fe(II) and
Co(II) chelation complexes of 2,6-bis(4-ethyl-2-pyri-
dyl)-4-phenyl-pyridine. Smith G. Frederick, Banick Wm. M.), Analyt. chim. acta, 1958, 18, № 4, 269-271 (англ.)

2,6-бис-(4-этил-2-пиридил)-4-фенилпиридин (I) рас-
творим в CHCl_3 и смеси $\text{C}_2\text{H}_5\text{OH}$ с HCl . В качестве
реактива на Fe^{2+} и Co^{2+} применяют 0,01 M р-р I.
Этот реактив дает с $\text{Fe}(2+)$ комплекс пурпурного
цвета, нерастворимый в воде, но растворимый в вод-
но-спирт. смесях. Из р-ра с pH 1,0-12 комплекс ко-
личественно извлекается 2-кратным экстрагированием
хлороформом. В присутствии солянокислого гидро-
ксиламина водно-спирт. р-ры комплекса с pH 4 устой-
чивы при хранении в закрытой колбе в течение
30 дней. В этих условиях максимум поглощения ком-
плекса лежит при 570 мμ; среднее значение мол.
коэф. поглощения при 570 мμ составляет 27,100. Ком-
плекс I с Co устойчив при pH 3,1-8,8 и имеет 2 не-
больших максимума поглощения при 456 и 517 мμ;
мол. коэф. поглощения составляют при этих длинах
волн соответственно 2,610 и 2,710. Н. Полянский

70328. Летучесть безводных нитратных комплексов
железа. Аддисон, Хатауэй, Логан (The vo-
latility of anhydrous nitrate-iron complexes. Addi-
son C. C., Hathaway B. J., Logan N.), Pros. Chem.
Soc., 1958, Febr., 51-52 (англ.)
При прибавлении избытка жидкого N_2O_4 к безводи.
р-ру FeCl_3 в смеси жидкого N_2O_4 с эфиром выпадают
светло-желтые кристаллы состава $\text{Fe}(\text{NO}_3)_3 \cdot \text{N}_2\text{O}_4$ (I).
После гидролиза I в избытке щелочи образуется р-р,
УФ-спектр поглощения которого указывает на образо-
вание NO_2^- и NO_3^- в отношении 4:1; титрование
 KMnO_4 дает отношение $\text{Fe}:\text{NO}_2^- = 1:1,1$. Кристаллы
I возгоняются в вакууме при 120°; 1-я фракция суб-
лимата представляет собой белый $\text{Fe}(\text{NO}_3)_3$; затем на
охлаждаемой до 20° поверхности осаждаются коричне-
ные иглы (II), состав которых совпадает с составом I.
Гидролиз II дает меньше нитрита, чем гидролиз I.
Кристаллы II весьма гигроскопичны, дымят во влаж-

ном воздухе, в сухой атмосфере устойчивы, в воде
образуют бесцветн. р-р. Авторы считают, что II пред-
ставляет собой устойчивый в паровой фазе комплекс
 $\text{Fe}(\text{NO})(\text{NO}_3)_4$, аналогичный пентакарбонилу Fe. Летуч-
ий нитратный комплекс Fe может быть получен так-
же обработкой пентакарбонила Fe избытком жидкого
 N_2O_4 . И. Слоним

70329. Комплексы двухвалентных железа и никеля
с пиридинальдазином. Страттон, Буш (The
complexes of pyridinaldazine with iron (II) and ni-
ckel (II). Stratton Wilmer J., Busch Dary-
le H.), J. Amer. Chem. Soc., 1958, 80, № 6, 1286-1289
(англ.)

Получены 2 ряда соединений $\text{Fe}(2+)$ и $\text{Ni}(2+)$ с
2-пиридинальдазином (PAA) с общими ф-лами
 $[\text{M}(\text{PAA})_2]\text{X}_2$ (I) и $[\text{M}_2(\text{PAA})_3]\text{X}_4$ (II), где M — Fe или
Ni, X — J, ClO_4 или BF_4 . Кристаллы этих соединений
выделялись при добавлении KJ, KClO_4 или KBF_4 к
р-рам MSO_4 , в которые предварительно добавлялся
PAA. Если KJ, KClO_4 или KBF_4 прибавлялись непо-
средственно после внесения PAA в р-ры MSO_4 , то вы-
делялись кристаллы II; если же перед прибавлением
KJ, KClO_4 или KBF_4 р-ры MSO_4 , содержащие PAA,
нагревались в течение 10 мин., то после внесения ка-
кой-либо из этих солей выделялись кристаллы I.
Соединения $\text{Fe}(2+)$ типа I окрашены в темно-синий,
типа II — в красный цвет. Получены следующие ком-
плексы (в скобках: 1-я цифра — мол. магнитная вос-
приимчивость $\chi_m \cdot 10^6$; 2-я цифра — мол. электропро-
водность λ в ом $^{-1}$ и 10 $^{-4}$ M р-рах при 25°):
[Fe(PAA) $_2$] $\text{J}_2 \cdot \text{H}_2\text{O}$ (159, 210 ± 2), [Fe(PAA) $_2$](ClO_4) $_2 \cdot$
 $\cdot 2\text{H}_2\text{O}$ (—112, 198 ± 3), [Fe(PAA) $_2$](BF_4) $_2 \cdot \text{H}_2\text{O}$ (—66,
—), [Ni(PAA) $_2$] $\text{J}_2 \cdot 2\text{H}_2\text{O}$ (3995, 224 ± 3), [Ni(PAA) $_2$]-
(ClO_4) $_2 \cdot 2\text{H}_2\text{O}$ (4150, 192 ± 1), [Ni(PAA) $_2$](BF_4) $_2 \cdot \text{H}_2\text{O}$
(3675, —); (то же для 10 $^{-3}$ M р-ров при 20°) [Fe $_2$ -
(PAA) $_3$] $\text{J}_4 \cdot 2\text{H}_2\text{O}$ (—128, 441 ± 2), [Fe $_2$ (PAA) $_3$](ClO_4) $_4 \cdot$
 $\cdot 2\text{H}_2\text{O}$ (54, 403 ± 1), [Fe $_2$ (PAA) $_3$](BF_4) $_4 \cdot 2\text{H}_2\text{O}$ (—271,
—), [Ni $_2$ (PAA) $_3$] $\text{J}_4 \cdot 2\text{H}_2\text{O}$ (7070, 427 ± 2), [Ni $_2$ (PAA) $_3$]-
(ClO_4) $_4 \cdot \text{H}_2\text{O}$ (7490, 371 ± 1), [Ni $_2$ (PAA) $_3$](BF_4) $_4 \cdot \text{H}_2\text{O}$
(7185, —). Значения λ комплексов типа I несколько
ниже, чем для большинства комплексов, являющихся
тройными электролитами, что, по-видимому, обуслов-
лено большими размерами катионов полученных соеди-
нений. Однако приведенные значения λ весьма близ-
ки к λ тройного электролита [Fe(Phen) $_3$] $\text{Cl}_2 \cdot 6\text{H}_2\text{O}$
(Phen — 2-фенантролин), катион которого по размерам
близок к катионам полученных соединений. Значения
 λ комплексов типа II также несколько ниже, чем для
большинства комплексов, распадающихся в р-ре на
5 ионов. Причиной этого, по-видимому, также являются
большие размеры катионов полученных соединений.
Действительно, значения λ соединений типа λ II
близки к λ комплекса с большим катионом [Dipy] $_2$ -
Fe(OH) $_2$ Fe(Dipy) $_2$ Cl $_4$ (Dipy — дипиридил), распадающе-
гося в р-ре на 5 ионов. В комплексах типа I PAA за-
нимает 3 координационных места и связан с M тремя
связями. Ввиду несимметричного расположения свя-
зей M с PAA авторы допускают возможность суще-
ствования оптич. изомеров соединений типа I.

В. Шмядт
70330. О необратимом окислении комплексов двух-
валентного кобальта, являющихся переносчиками
кислорода. Бек (On the irreversible oxidation of oxy-
gen carrying cobaltous complexes. Beck M. T.), Na-
turwissenschaften, 1958, 45, № 7, 162 (англ.)

Комплекс $\text{Co}(3+)$ с глицилглицином (Gl) и продукт
необратимого окисления $\text{Co}(2+)$ с Gl диамагнитны и
обладают идентичными спектрами. Коричневое в-во,
образующееся при обратимом окислении комплекса
 $\text{Co}(2+)$ с Gl, является переносчиком O_2 комплексом
 $\text{Co}(2+)$ с Gl; под действием ионов H^+ из него обра-
зуются комплекс $\text{Co}(3+)$ и различные ионы-окислите-

ли и радикалы; последние не отдадут или только частично отдадут O_2 при наличии избытка акцепторов кислорода ($Co(2+)$ или Gl) в р-ре. Аналогичные опыты с комплексом $Co(2+)$ и гистидина показали, что спектры продукта его необратимого окисления и комплекса $Co(3+)$ различны; гистидин легче окисляется, чем Gl , и продукты окисления его образуют устойчивые комплексы.

И. Рысс

70331. Фтороуглеродфосфоркарбонилы никеля.

Берг, Малер (Fluorocarbon-phosphorus-nickel carbonyls. Burg Anton B., Mahler Walter), J. Amer. Chem. Soc., 1958, 80, № 9, 2334 (англ.).

$[(CF_3)_3P]_2Ni(CO)_2$ (I) образуется из $Ni(CO)_4$ (II) и $(CF_3)_3P$ (III) и не реагирует с избытком III даже при 100° . Т-ра плавления I равна -31° ; экстраполяция давления пара (1 мм рт. ст. при 0° и 3 мм рт. ст. при 20°) приводит к т. кип. $\sim 190^\circ$ и константе Трутона ~ 19 . На солнечном свете I окрашивается в пурпурно-красный цвет, но пар I или 0,001 M р-р в циклогексане (IV) нечувствителен к УФ-свету. Пар I имеет максимумы поглощения при 2070 и 2370 Å, и минимум при 2220 Å; мол. коэф. поглощения ϵ равны соответственно 10 500, 9700 и 10 500. При комнатной т-ре II и $P_2(CF_3)_4$ образуют слаболетучие (0,5 мм рт. ст. при 20°) темно-красные кристаллы $(CO)_3Ni-P(CF_3)_2-P(CF_3)_2-Ni(CO)_3$ (V) т. пл. 105° . V медленно окисляется на воздухе, нерастворим в воде; р-ры в органич. р-рителях и пар V окрашены в цвет перманганата. Р-р V в IV имеет максимумы поглощения при 2470, 3490 и 5300 Å и минимумы при 3100 и 4050 Å; ϵ соответственно равны 14 600, 11 100, 2850, 1000 и 570. Циклич. $(CF_3)_4$ бурно вытесняет CO из I при 0° ; в р-ре в толдуоле образуются соединения $(CF_3)_4[Ni(CO)_3]_n$, где $n = 1, 2$ или 3. Интенсивная окраска и устойчивость V приписаны делокализации электронов вдоль цепи $O=C=Ni=P-P=Ni=C=O$.

И. Рысс

70332 II. О влиянии анионов внешней сферы на характер замещения во внутренней сфере комплексных соединений. Гринберг А. А., Гильденгершель Х. И., Сибирская В. В., Ж. неорганич. химии, 1958, 3, № 5, 1162—1165

При взаимодействии изомерных диаминов $Pt(NH_3)_2Cl_2$ с NH_3 в присутствии ионов SO_4^{2-} и PO_4^{3-} образуются соответственно гидроксопентааммин (I) и хлоропентааммин (II). При действии NH_3 на $[Pt(NH_3)_5Cl]^{3+}$ в присутствии ионов SO_4^{2-} и PO_4^{3-} также образуются соответственно I и II. Обработка аммиаком $[Pt(NH_3)_5Cl]PO_4$ в присутствии большого избытка ионов SO_4^{2-} приводит к образованию I. Ион CrO_4^{2-} оказывает на описанную систему NH_3 — *цис*- или *транс*-диаминам то же влияние, что и ион SO_4^{2-} . Пред. сообщ. см. РЖХим, 1957, 68585.

Резюме авторов

70333. Внутриклеточные соединения триметилплатины. Чаттерджи, Мензис, Стил, Юдейл (Chelate derivatives of trimethylplatinum. Chatterjee A. K., Menzies R. C., Steel J. R., Youdale F. M.), J. Chem. Soc., 1958, Apr., 1706—1708 (англ.). Исследования комплексы $[(CH_3)_3Pt-O-C(R)] =$

$= CH-C(R)=O$, где $R=CH_3$ (I), C_2H_5 (II), $n-C_3H_7$ (III), *изо*- C_3H_7 (IV), $n-C_4H_9$ (V); *изо*- C_4H_9 (VI); $n-C_5H_{11}$ (VII). Комплексы II—VII получены нагреванием I при 100° на водяной бане с избытком соответствующего кетона. I—VII-бесцветные кристаллич. в-ва, растворимые в органич. р-рителях. При нагревании I, II, IV и VI разлагаются соответственно при 200, 190, 190 и 156° ; V плавится с разложением при 160° , т-ры плавления III и VII соответственно 164—166 и 68—69°. Т-ры кипения равны: I $160^\circ/20$ мм; II $105^\circ/0,05$ мм; III $110^\circ/0,05$ мм; IV $110^\circ/0,05$ мм; V $135^\circ/0,01$ мм; VI $140^\circ/0,05$ мм; VII $120^\circ/0,05$ мм (разл.). Результаты из-

мерений мол. весов в C_6H_6 показали, что все соединения являются димерами.

Ю. Харитонов

70334. Устойчивость комплексов металлов в растворе. I. Спектрофотометрическое исследование и его применение к комплексам трехвалентного железа с сульфосалициловой кислотой. Матту (Stability of metal complexes in solution. I. A spectrophotometric study, and its application to ferric-sulphosalicylic acid complexes. Mattoo B. N.), Z. phys. Chem. (BRD), 1957, 13, № 5—6, 316—326 (англ.).

Предложен точный метод определения констант устойчивости K комплексов металлов, находящихся в р-рах в ступенчатом равновесии. В предлагаемом методе берется большой избыток лиганда, и поэтому нет необходимости в определении конц-ии свободного лиганда. Также необязательно определять коэф. поглощения каждого комплексного иона в отдельности. Вместо этого задача сводится к совместному решению систем ур-ний для оптич. плотности р-ров комплексов с различными значениями pH. В качестве неизвестных в эти ур-ния входят оптич. плотности каждого комплекса и их K . Для определения K , кроме того, описан метод изобестич. точек. Описанные методы использованы для определения значений K сульфосалицилатных комплексов $Fe(3+)$.

Н. Полинский

70335. Фторидные комплексы цинка, меди и свинца в водных растворах. Конник, Пол (The fluoride complexes of zinc, copper and lead ions in aqueous solution. Connick Robert E., Paul A. mine D.), J. Amer. Chem. Soc., 1958, 80, № 9, 2060—2071 (англ.).

Потенциометрически с применением Fe^{3+}/Fe^{2+} -электродов изучены равновесия $M^{2+} + HF \rightleftharpoons MF^+ + H^+$, где $M = Zn$ или Cu , при ионной силе $\mu = 0,50$ и т-ры 15, 25 и 35° . Вычисленные из этих данных значения констант равновесия K р-ции $Zn^{2+} + F^- \rightleftharpoons ZnF^+$ при 15, 25 и 35° равны $5,0 \pm 1$; $5,4 \pm 1$; $5,4 \pm 1$, $\Delta F_{25}^\circ = -1,0 \pm 0,1$ ккал/моль, $\Delta H_{298}^\circ = 1,5 \pm 2,4$ и $\Delta S_{298}^\circ = 8 \pm 9$; для р-ции $Cu^{2+} + F^- \rightleftharpoons CuF^+$ K при 15, 25 и 35° равны $5,2 \pm 1$; $5,0 \pm 1$; $5,6 \pm 1$, $\Delta F_{298}^\circ = -0,95 \pm 0,1$, $\Delta H_{298}^\circ = 0,9 \pm 2,7$, $\Delta S_{298}^\circ = 6 \pm 9$. Экстраполированные $\mu = 0$ значения K при 25° для Zn^{2+} и Cu^{2+} равны соответственно 18 ± 4 и 17 ± 4 . Комплекс PbF^+ недостаточно прочен для измерения равновесия ($K \leq 2$ при 250° и $\mu = 0,5$).

И. Рин

70336. Константа ионизации янтарной кислоты и устойчивости ее комплексов с ионами щелочных и щелочноземельных металлов. Сюй Гуан-сянь, У Цзинь-гуан, Янь Цзюань-цуй, Ксиань тунбао, Научн. вестн., Scientia, 1957, № 9, 281—283 (кит.).

70337. Тенденция внутриклеточных соединений металлов к гидролизу. II. Влияние ионов металлов. Кортни, Густафсон, Чабере, Мартеал (Hydrolytic tendencies of metal chelate compounds. II. Effect of metal ion. Courtney R. C., Gustafson R. L., Chaberek S., Jr., Martell A. E.), J. Amer. Chem. Soc., 1958, 80, № 9, 2121—2128 (англ.).

Методом потенциометрич. титрования исследован гидролиз комплексов состава 1:1 ряда металлов с различными лигандами (комплексоами, 5-сульфосалициловой к-той, 1,3-диаминопропаном и др.) для выяснения влияния свойств металла на кислотную диссоциацию координированных молекул воды. Тенденцию к гидролизу проявляют только наименее прочные комплексы Mn; для других металлов эта тенденция растет приблизительно в следующем порядке: $Mn < Zn < La < Cu(2+) < Fe(3+) < Cr(3+) < Th(4+) < Ti(4+) < Sn(4+)$. Для исследованных металлов, кроме La, изменение заряда иона влияет на тенденцию к гидролизу больше, чем изменение электроотрицатель-

ности металла. Сообщение I см. РЖХим, 1958, 7376.

70338. Перхлоратный комплексный ион трехвалентного железа. Хорн (Ferric perchlorate complex ion. Horne R. O.), Nature, 1958, 181, № 4606, 410—411 (англ.).

Исходи из литературных данных о кинетике процесса электронного перехода между $Fe(2+)$ и $Fe(3+)$, автор вычислил приближенное значение константы образования $FeClO_4^{2+}$; при $21,6^\circ$ оно лежит между 6 и $0,6 \text{ л моль}^{-1}$.

70339. Особые точки функции комплексообразования. Бек, Хун (A komplexképződési függvény nevezetes pontjai. Beck Mihály, Huhn Péter), Magyar kém. folyóirat, 1958, 64, № 2, 62—65 (венг., рез. англ.).

Авторы отмечают, что функция образования, определенная по Бьерруму соотношением $\bar{n} = n - 1/2$, не имеет определенного хим. смысла, тогда как целочисленное значение \bar{n} отвечает максим. конц-ии соответствующего комплекса.

70340. Комплексные ионы в расплавленных солях. Дьюк, Айверсон (Complex ions in fused salts. Duke F. R., Iverson M. L.), J. Phys. Chem., 1958, 62, № 4, 417—419 (англ.).

Измерено влияние $NaCl$ и $NaBr$ на растворимость оксидов хроматов в расплавленной эвтектич. смеси KNO_3 и $NaNO_3$ при $250-300^\circ$. Растворимость $MgCrO_4$, $CaCrO_4$ и $BaCrO_4$ мало изменяется при введении галогенидов; резкое увеличение растворимости хроматов Pb и Cd металловано как доказательство образования комплексов. Вычислены следующие значения ступенчатых констант образования комплексов при 250 , 275 и 300° : $PbCl^+$ 18,8 и 6; $PbCl_2$ 2, 3 и 3; $PbCl_3^-$ 2, 1; $PbBr^+$ 13, 13 и 11; $PbBr_2$ 2, 2 и 2; $PbBr_3^-$ 1, 1 и 2; CdX^+ ($X=Cl$ или Br) 20, —, 24; CdX_2 5, —, 5. И. Рыс

70341. Восстановление воды до водорода комплексным цианидом кобальта. Кинг, Уинфильд (Reduction of water to hydrogen by a complex cyanide of cobalt. King N. Kelso, Winfield M. E.), J. Amer. Chem. Soc., 1958, 80, № 9, 2060—2065 (англ.).

Смеси водн. р-ров $CoCl_2$ и KCN , содержащие осадок $Co(CN)_2$, выделяют H_2 ; этот процесс исследован при 40° в разб. р-рах при конц-ях Co $0,0133 \text{ M}$. Выделение газа происходит после 15-минутного индукционного периода. Максим. скорость выделения H_2 наблюдается при мол. отношении $CN:Co \approx 4,1:1$; она возрастает в присутствии ионов щел. металлов, особенно Cs^+ . Метилвиологен при содержании 1 молекула на 40 атомов Co оказывает сильное прототирующее действие, а при отношении $1:10$ — ингибирующее. Прибавление щелочи до pH 9,7 повышает скорость выделения H_2 , но дальнейшее ее прибавление приводит к резкому снижению скорости. Пентацианокобальтоат-ион в свежеприготовленных смесях претерпевает ряд р-ций распада, протекающих в течение нескольких часов. По крайней мере 1-я из них $2[Co(CN)_5]^{3-} + 2HCN \rightarrow 2[Co(CN)_6]^{4-} + H_2$ приводит к выделению H_2 . При добавлении Cs^+ к р-ру, не содержащему осадка, образуется желтый комплекс (возможно, двуядерный); образование комплекса сопровождается присоединением H^+ .

70342. Поведение некоторых полуметаллов по отношению к водороду при высоких температурах. Шефер, Клемм (Das Verhalten einiger Halbmetalle zu Wasserstoff bei hohen Temperaturen. Schäfer Rolf, Klemm Wilhelm), J. prakt. Chem., 1958, 5, № 5—6, 233—241 (нем.).

Металлический Ge нагревали до $1000-1100^\circ$ в лодочке из спектрально чистого угля в атмосфере H_2 , очищенного от следов H_2O , HCl и других примесей диффузионным методом. Равновесное давление в системе

при 1100 , 1050 и 1000° составляет соответственно $4,55 \cdot 10^{-6}$, $2,25 \cdot 10^{-6}$ и $9,00 \cdot 10^{-7} \text{ атм}$. Давление пара чистого Ge в атмосфере Ag значительно меньше и при 1110° составляет $7 \cdot 10^{-8} - 10^{-7} \text{ атм}$. Повышение летучести Ge в присутствии H_2 авторы относят за счет р-ции $Ge(\text{жидк.}) + x/2(H_2) = GeH_x$ (1). Значение изменения энтальпии р-ции (1), вычисленное из эксперим. данных, составляет $55,3 \text{ ккал}$. Эксперим. значение изменения энтропии р-ции (1) при 1050° ($15,8 \text{ энтр. ед.}$) хорошо согласуется с величиной, вычисленной в предположении об образовании GeH ($16 \pm 1 \text{ энтр. ед.}$). На этом основании авторы считают, что продуктом р-ции (1) является эндотермич. гидрид GeH . Образование аналогичного соединения авторы предполагают и в системе $Si-H_2$, но газообразный SiH при охлаждении быстро распадается. Это предположение подтверждается совпадением эксперим. и вычисленного значений изменения энтропии р-ции образования SiH (соответственно 31 и 28 энтр. ед.). Sn , Pb , Bi газообразных гидридов не образуют.

70343. Реакции кислот (в смысле Льюиса) бора с гидридом и борогидридом натрия. Браун, Тирни (The reaction of Lewis acids of boron with sodium hydride and borohydride. Brown Herbert C., Tierney Paul A.), J. Amer. Chem. Soc., 1958, 80, № 7, 1552—1558 (англ.).

NaH и $NaBH_4$ растворимы в диглиме (I) (диметиловый эфир диэтиленгликоля) и в триглиме (диметиловый эфир триэтиленгликоля). Изучено взаимодействие этих р-ров с B_2H_6 , BF_3 и BCl_3 . Р-ция B_2H_6 с р-ром NaH в I при мол. отношении $B_2H_6:NaBH_4 \leq 0,5$ идет по ур-нию $NaH + 1/2 B_2H_6 \rightarrow NaBH_4$. Дальнейшее прибавление B_2H_6 ведет к образованию $NaBH_4 \cdot BH_3$. BF_3 реагируют с р-ром NaH в I по ур-нию $6NaH + 8BF_3 \rightarrow 6NaBF_4 + B_2H_6$. Недостаток BF_3 ведет к удержанию в системе образующегося B_2H_6 в виде $NaBH_4$ и $NaBH_4 \cdot BH_3$. Если р-р BF_3 в I прибавлять порциями к р-ру $NaBH_4$, то при мол. отношении $BF_3:NaBH_4 \leq 0,57$ р-ция идет по ур-нию $7NaBH_4 + 4BF_3 \rightarrow 3NaBF_4 + 4NaBH_4 \cdot BH_3$, а при мол. отношении $BF_3:NaBH_4 > 0,57$ — по ур-нию $6NaBH_4 + 8BF_3 \rightarrow 6NaBF_4 + 7B_2H_6$ с выделением B_2H_6 . Если же приливать р-р $NaBH_4$ к р-ру BF_3 в I, то происходит гладкое выделение B_2H_6 в точном соответствии с кол-вом прибавленного $NaBH_4$ по схеме $3NaBH_4 + 4BF_3 \rightarrow 2B_2H_6 + 3NaBF_4$. Авторы считают прикапывание р-ра $NaBH_4$ в I к р-ру эфирата BF_3 в I лучшим методом лабор. получения B_2H_6 . В р-ре BCl_3 в I даже при 0° происходит медленная р-ция с выделением CH_3Cl . Р-ция р-ров BCl_3 и $NaBH_4$ в I идет так же, как и в случае BF_3 , но выход B_2H_6 падает при избытке BCl_3 . Причиной этого служит образование эфиров моно- и дихлороборана при р-ции эфирных р-ров BCl_3 с B_2H_6 по ур-нию: $B_2H_6 + 4BCl_3 + 6R_2O \rightarrow 6HNBCl_2 \cdot OR_2$; $B_2H_6 + BCl_3 + 3R_2O \rightarrow 3HNBCl_2 \cdot OR_2$. С BF_3 такие соединения не образуются. Р-р $(CH_3O)_2BCl$ в I легко реагирует с $NaBH_4$ с образованием B_2H_6 и $B(OCH_3)_3$. Вместо $(CH_3O)_2BCl$ для этой р-ции можно брать р-р в I смеси $1:2 BCl_3$ и $B(OCH_3)_3$.

70344. Реакция диборана с натрием. Хаф, Эдвардс, Мак-Элрой (The sodium-diborane reaction. Hough William V., Edwards Lawrence J., McElroy Albert D.), J. Amer. Chem. Soc., 1958, 80, № 8, 1828—1829 (англ.).

B_2H_6 (I) реагирует с амальгамой Na в эфире или ди-*n*-бутиловом эфире по ур-нию $2Na + 2I \rightarrow NaBH_4$ (II) + NaB_3H_8 (III); промежуточно образуются $Na_2B_2H_6$ и затем NaB_2H_6 (IV), превращающийся в твердой фазе в II и III. Комплекс III бесцветен, термически устойчив до 200° , легко растворим в эфирах, жидком NH_3 , CH_3OH и воде; р-ры III в воде и в HCl испытывают умеренный гидролиз; при 100° полный гидролиз III требует нескольких дней. III образуется полу- и моно-

этераты, давление диссоциации которых при 0° равно соответственно 4 и 10 мм рт. ст. Приведены данные дебаеграмм II, III и IV и ИК-спектров II и III.

И. Рысс

70345. Окисл. графита. II. Окисление различных образцов графита. III. Термическое разложение графита. Бур, Дорн (Graphitic oxide. II. The oxidation of several types of graphite. III. The thermal decomposition of graphitic oxide. Boer J. H. de, Doorn A. B. C. van), Proc. Koninkl. nederl. akad. wet., 1958, B61, № 1, 12—16; 17—21 (англ.)

II. С применением описанного ранее (сообщение I, РЖХим, 1955, 11460) метода исследовано окисление различных образцов природного (I) и искусств. (II) графита. Во всех случаях окисление может быть доведено до образования окисла состава $C_7O_4H_2$ (III). Число необходимых обработок окислителем уменьшается с увеличением диаметра реакционного сосуда; в случае окисления I процесс облегчается уменьшением размера чешуек; в случае окисления II главную роль играет структура зерен. Степень макроскопич. набухания I больше, чем II; особо сильно набухает образец I марки «S 40». Влияние образования периферии карбоксильных групп на состав III не обнаружено на опыте; по расчету оно могло стать заметным лишь при размере частиц $\leq 0,04 \mu$. При попытках доказать это окислением различных образцов сажи (с диаметром частиц d от $\sim 0,01$ до $0,08 \mu$) было, однако, найдено, что при $d < 0,03 \mu$ происходит непрерывное окисление сажи, приводящее к образованию растворимых продуктов.

III. Исследовано термич. разложение III в навесках $\sim 0,6$ г. При 190° потеря веса III равнялась 27,2—28,4% в течение 1 часа и 38,0—38,4% в течение 6 час. При нагревании в течение 1 часа при 120—190° содержание H_2O и O_2 в газообразных продуктах разложения уменьшается, а содержание CO и CO_2 в них растет с повышением т-ры. O_2 выделяется в первых стадиях разложения III.

И. Рысс

70346. Взаимодействие дисилоксана с галогенидами алюминия. Крайнер, Мак-Дермид, Эверс (The interaction of disiloxane with aluminum halides. Kriner William A., MasDiarmid Alan G., Evers E. Charles), J. Amer. Chem. Soc., 1958, 80, № 7, 1546—1549 (англ.)

Р-цией $(CH_3)_2Al_2Si_2O$ с $(SiH_3)_2O$ при -50° получен $[(CH_3)_2Al(OSiH_3)]_2$ (I) — белое твердое в-во с т. пл. $41—42^\circ$. I легко возгорается в вакууме, плотность пара I соответствует димеру, давление пара выражается уравнением $\lg p = -2252/T + 7,761$, т-ра кипения по экстраполяции $109—112^\circ$, теплота испарения $10,300$ кал/моль, константа Труттона 26,9. При -78° I устойчив, при комнатной т-ре медленно разлагается на SiH_4 и нелетучий жидкий остаток. Приведен ИК-спектр газообразного I при 20° и давл. 3,5 мм рт. ст. Взаимодействие Al_2Cl_6 , Al_2Br_6 и Al_2I_6 с $(SiH_3)_2O$ при т-рах от -78° до комнатной ведет к образованию SiH_3OAlX_2 (X — галоген) и SiH_3X с примесью SiH_2X_2 и SiH_4 .

В. Росоловский

70347. Реакции гидроксилamina и его метилпроизводных с дибораном. Кемпбелл, Биссот, Парри (The reaction of hydroxylamine and its N-methyl derivatives with diborane. Campbell D. H., Bisso T. C., Parry R. W.), J. Amer. Chem. Soc., 1958, 80, № 7, 1549—1552 (англ.)

Р-р B_2H_6 в эфире реагирует с NH_2OH при -112° по уравнению $nB_2H_6 + 2nNH_2OH \rightarrow 2(nH_3BNH_2OH)_n$. При нагревании полученного продукта до 25° выделяется 1 моль H_2 и образуется белое твердое в-во (I), растворимое в H_2O , CH_3OH и C_2H_5OH с выделением H_2 . Авторы считают I полимером $[-H_2BNH_2O-]_n$. Выше 70° I разлагается с выделением H_2 . При р-ции B_2H_6 с $(CH_3)_2HNOH$

в эфирном р-ре образуется бесцветная жидкость, которая при нагревании выделяет H_2 и становится более вязкой, а при комнатной т-ре твердеет. Выше 100° выделяется метиламин по р-ции $[-H_2B-O-NHCH_3-]_n \rightarrow [-BOH-]_n + nH_2NCH_3$. Взаимодействие B_2H_6 с $(CH_3)_2HNOH$ идет в присутствии и в отсутствие эфира с образованием $HON(CH_3)_2BH_3$ (II) — жидкости с т. пл. $2—4^\circ$ и давлением пара 6 мм рт. ст. при 25° . Чистая II при 25° за 5 дней разлагается лишь 5%, но в присутствии небольшого кол-ва B_2H_6 происходит быстрое разложение с выделением H_2 . При 55° II переходит в твердое белое в-во $[-ON(CH_3)_2BH_2-]_n$ с выделением 1 моля H_2 на 1 моль II. При 100° выделяется 1,25 моля H_2 и образуется высококипящая жидкость. Обсуждены роль B_2H_6 в механизме образования изученных комплексов и влияние B_2H_6 на их устойчивость.

В. Росоловский

70348. О реакции диэтиламина с насыщенным водным раствором $SbCl_3$. Моханатра, Нанда (On the reaction of diethylamine with a saturated aqueous solution of antimony trichloride. Mohapatra S., Nanda Ch. B.), J. Indian Chem. Soc., 1958, 35, № 2, 148—149 (англ.)

Взаимодействием охлад. насыщ. водн. р-ра $SbCl_3$ с $(C_2H_5)_2NH$ получено белое твердое в-во с т. пл. 90° (разл.), растворимое в HCl . Для полученной соли предложена ф-ла $[(C_2H_5)_2NH_2]^+[Cl_3SbOH]^-$. В. Штерн

70349. Исследование регенерации селена из щелочных растворов. Альтшулер О. В., Харохорин Ф. Ф., Ж. прикл. химии, 1958, 31, № 5, 800—801

С применением в качестве радиоактивного индикатора Se^{75} изучено осаждение Se из щел. р-ров солей к-той. Показано, что при разбавлении исходных конц. р-ров до содержания $NaOH$, не превышающего 300 г/л, Se не переходит в газовую фазу. По-видимому, образующийся в 1-й стадии H_2S практически тут же распадается с выделением элементарного Se. Р-ция идет спокойно, без значительного разогрева и разбрызгивания с образованием хорошо отстаивающегося и фильтрующегося осадка и может быть рекомендована для регенерации Se. Конечная конц-я HCl должна быть 2,3—2,5 н. Выход Se в осадке 95—100%, остальной Se остается в р-ре в виде селенита.

И. Словин

70350. V. Взаимодействие FeS с TiO_2 в присутствии углерода. Верт Ж. Л., Каменцев М. В., Ж. неорган. химии, 1958, 3, № 5, 1200—1204

При взаимодействии TiO_2 с FeS в присутствии углерода образование сульфида титана (в виде р-ра в FeS) начинается при $\sim 1300^\circ$, т. е. после восстановления TiO_2 до низших окислов. Образование сульфида титана в виде отдельной фазы не наблюдалось. Повышение т-ры сначала способствует увеличению выхода TiS , а затем при наличии избытка углерода титан связывается в карбид, что сопровождается десульфурацией шихты. Увеличение содержания FeS в исходной шихте способствует образованию сульфидов титана (в виде р-ра $FeS-TiS$), а избыток углерода подавляет р-цию. Дополнительное введение в шихту Al_2O_3 а также смеси $Al_2O_3 + Fe_2O_3$ не оказывает заметного влияния на выход TiS . CaO связывает сульфидную серу в CaS и поэтому уменьшает содержание р-ра $FeS-TiS$; кремнезем, наоборот, способствует более полному связыванию Ti с S. Сообщение IV см. РЖХим, 1958, 17116.

Резюме авторов

70351. Исследование магнитных звуконосителей. V. О восстановлении гидроокисей трехвалентного железа аминиминометансульфиновой кислотой. Аккерман (Untersuchungen an Magnetogrammtägern. V. Über die Reduktion von Eisen (III)-hydroxyden mit Amino-imino-methan-sulfinsäure. Ackermann Gerhard), J. prakt. Chem., 1958, 5, № 5—6, 208—309 (нем.)

Восстановление суспензированной гидроокиси Fe(3+) (I) осуществляют последовательным добавлением небольших порций аминиметансульфиновой к-ты (II). Ввиду разложения восстановителя в систему вводят некоторый его избыток по сравнению с теоретич. кол-вом. В щел. водн. р-рах II подвергается гидролизу с образованием несимметричной формы сульфоксидовой к-ты, которая восстанавливает I по схеме $\text{HSO}_3^- + 2\text{Fe}(\text{OH})_3 + \text{OH}^- \rightarrow 2\text{Fe}(\text{OH})_2 + \text{SO}_3^{2-} + 2\text{H}_2\text{O}$ (1). Независимо от способа получения I, использованной для р-ции (1), в результате восстановления всегда образуются частицы куб. формы. На этом основании автор высказывает предположение, что магнетит образуется в результате гомог. р-ции восстановления растворенной I. По мере восстановления находящегося в р-ре Fe(3+) непрерывно смещается равновесие между осадком и жидкой фазой, что ведет к постепенному растворению I. Невосстановившаяся I взаимодействует с растворенной Fe(OH)₂ с образованием магнетита: $2\text{Fe}(\text{OH})_3 + \text{Fe}^{2+} + 2\text{OH}^- \rightarrow \text{Fe}_3\text{O}_4 + 4\text{H}_2\text{O}$. На свойства образующихся окислов оказывают влияние т-ра, а особенно конц-ия щелочи при восстановлении I. В области малых конц-ий КОН наблюдается особенно значительное повышение намагниченности при насыщении с увеличением щелочности р-ра. Коэр-

цитивная сила в исследованном интервале является линейной функцией конц-ии щелочи в р-ре. Сообщение IV см. РЖХим, 1958, 45825.

Н. Полянский
70352. О природе возможных реакций при окислении фосфора анионами кислородных кислот галогенов и смесями их с галогенид-ионами. Венугопалан, Джордж (Venugopalan M., George K. J.), Хуасюэ сюэбао, Acta chim. sinica, 1956, 22, № 6, 485—492 (кит.; рез. англ.)

Рассмотрение литературных данных с целью обобщения механизма р-ций, протекающих при окислении фосфора ионами XO_3^- , XO_4^- , $(\text{X}^- + \text{XO}_3^-)$, $(\text{X}^- + \text{XO}_4^-)$, где X — галоген. Из резюме автора

См. также: Элементы и простые в-ва 70533, 70534. Строение и св-ва молекул и кристаллов 69749, 69790, 69796—69800, 69805, 69806, 69820, 69834, 69855—69857, 69859—69861, 69865—69867, 69948, 69951, 70019, 70055, 70569. Кинетика и механизм неорганич. р-ций 70003, 70006, 70050, 70072, 70141—70143, 70171. Комплексные соед. 69800, 69864, 70090, 70094, 70464, 70547, 70920. Системы: металлч. 69853, 69858, 70014, 70028—70032; солевые 70045, 70047, 70048; силикат. 70039. Синтез неорг. соед. 69856

КОСМОХИМИЯ. ГЕОХИМИЯ. ГИДРОХИМИЯ

Редакторы Г. Г. Воробьев, М. С. Яншина

70353. Искусственная атмосферная хемилюминесценция при выпуске NO на высоте 106 км. Прессман, Ашенбранд, Мармо, Джерса, Зеликов (A synthetic atmospheric chemiluminescence caused by the release of NO at 106 km. Pressman Jerome, Aschenbrand Leonard M., Marmo Frederick F., Jursa Adolph, Zelickoff Murray), Threshold Space. Proc. Conf. Chem. Aeronomy. London, Pergamon Press, 1957, 235—239, Discuss., 239—240 (англ.)

70354. Частотности звезд с различным химическим составом. Хёрнер (Frequencies of stars with various chemical composition. Hoerner Sebastian von), Astrophys. J., 1957, 126, № 3, 592—595 (англ.)

70355. Теория ночного свечения атмосферы. Бейтс (Theory of the night airglow. Bates D. R.), Threshold Space. Proc. Conf. Chem. Aeronomy. London, Pergamon Press, 1957, 14—19, Discuss., 19—21 (англ.)
Обзор. Рассмотрены хим. р-ции, вызывающие появление в спектре свечения ночной атмосферы атомных линий и мол. полос. Библ. 32 назв. А. Чемоданов

70356. Изменение зеленого триплета магния (λ 5167,3 — λ 5172,7 — λ 5183,6) от центра к краю солнца. Фортини, Каприоли (Variazione centro-lembo del sole del tripetto verde del magnesio: λ 5167,3 — λ 5172,7 — λ 5183,6. Fortini Teresa, Caprioli Giuseppe), Atti Accad. naz. Lincei. Rend. Cl. sci. fis., mat. e natur., 1957, 22, № 3, 294—298 (итал.)

70357. Отношение распространенности гелия и водорода в планетарных туманностях. Матис (The ratio of helium and hydrogen abundances in planetary nebulae. Mathis John S.), Astrophys. J., 1957, 126, № 3, 493—502 (англ.)

С помощью теории статистич. равновесия произведена оценка распределения нейтр. атомов He по 17 нижним синглетным термам (10 000, 15 000° K). Показано, что величина ошибки в определении отношения конц-ий H и He ($N_{\text{H}}/N_{\text{He}}$) за счет флуктуаций электронной т-ры и плотности вдоль линии наблюде-

ния в туманностях $\leq 10\%$. Анализ литературных данных, а также неопубликованных спектрограмм NGC 6572 приводит к среднему значению $N_{\text{H}}/N_{\text{He}} = 5,4$. Отношение не зависит от степени ионизированности He в туманностях (фракция He^{2+}), но для различных планетарных систем, по-видимому, колеблется.

А. Чемоданов

70358. Высокодисперсные спектры Марса. Киесс, Корлисс, Киесс (High-dispersion spectra of Mars. Kiess C. C., Corliss C. H., Kiess Harriet K., Corliss Edith L. R.), Astrophys. J., 1957, 126, № 3, 579—584 (англ.)

Проведено сравнительное изучение спектров Марса и Луны, полученных в Слопской обсерватории на Гавайях (19°5 сев. широты, 155°6 зап. долготы) и в обсерватории колледжа Джорджтауна. В исследованной области спектра Марса (5000—9000 Å) не удалось обнаружить полосы O_2 и H_2O , несмотря на высокую разрешающую способность спектрографа (5 и 2 Å/мм), достаточную для определения наличия паров H_2O , образующих при конденсации слой воды толщиной 0,08 мм. Полосы CO_2 также не обнаружены. Исследование относительной вероятности переходов для H_2O в широкой области частот показало, что чувствительность метода повышается при переходе в более длинноволновую область.

А. Чемоданов

70359. Алмазы в каменных метеоритах. Юри, Меле, Маеда (Diamonds in stone meteorites. Urey Harold C., Mele Aldo, Mayeda Toshiko), Geochim. et cosmochim. acta, 1957, 13, № 1, 1—4, (англ.)

Алмазы были найдены ранее в некоторых железных метеоритах — Canon Diablo, Magura, Youndegin, Cosby Creek, Toluca, Smithville, и каменных — Новый Урей и Carcote. Автор сделал попытку найти алмазы и в других каменных метеоритах. Для этого материал последовательно растворялся в смеси $\text{HNO}_3 + \text{HCl}$. Остаток отделялся, промывался р-ром HNO_3 и затем обрабатывался $\text{H}_2\text{SO}_4 + \text{HF}$ (последняя добавлялась небольшими порциями в течение 1 или 2 дней до уда-

ления SiO_2). Остаток HF удалялся выпариванием. Нерастворившееся в-во в кол-ве 5—10% от веса первоначального материала сплавлялось с NaHSO_4 и NaOH в серебряном тигле при t -ре 450—600°. Плав растворялся в разб. HNO_3 , нерастворимый остаток взмучивался в бромформе и центрифугировался. После высушивания полученное в-во исследовалось рентгеноструктурным анализом. Из 8 метеоритов — Richardson, Holbrook, Forest City, Warrenton, Indarch, Cold Bokkaveld, Goalpara, Cape Girardeaux — только в Goalpara (урейлит типа «Новый Урей») были обнаружены алмазы.

М. Дьяконова
70360. Обнаружение кремневой кислоты, активированной молибдатом, в природных аэрозолях. Хольцапфель, Кауэр, Хессе, Рейтер (Über das Vorkommen molybdataktiver Kieselsäure in natürlichen Aerosolen. Holzappel L., Cauer H., Hesse F., Reiter R.), Naturwissenschaften, 1958, 45, № 7, 160 (нем.)

На четырех биоклиматич. станциях Германии исследовались аэрозоли на содержание в них активированной молибдатом кремневой к-ты (I) в связи с вопросом силикоза. Измеримые кол-ва I систематически обнаруживались только на одной станции — в Бохуме. На других станциях I обнаружена с наступлением холодов, т. е. в период отопления. Появление I в аэрозолях объясняется сжиганием топлива. И. Задорожный

70361. О признаках повышенной радиоактивности в конденсатах аэрозолей. Хольцапфель, Кауэр, Рейтер (Über den Nachweis erhöhter Radioaktivität in Aerosolkondensaten. Holzappel Luise, Cauer H., Reiter R.), Naturwissenschaften, 1958, 45, № 7, 159—160 (нем.)

В Далеме (Берлин) было зарегистрировано необычное повышение радиоактивности (β - и γ -излучение) в конденсатах аэрозолей. Максимум активности наблюдался 15.X.1957 г. Хим. анализом обнаружены катионы Pb, U, K, Be, Sr.

И. Задорожный
70362. Кристаллы морской соли в сухих остатках дождевых капель, града и снежных хлопьев. Вакахама (Wakahama Gorow), Тэйон какагу, Low Temperat. Sci., 1957, A, № 16, 211—226 (японск.; рез. англ.)

Производились колич. определения NaCl в названных типах атмосферных осадков. Для этого дождевые капли, хлопья снега или град помещали на стеклянную пластинку, покрытую несмачиваемой пленкой, и фотографировали. Потом замеряли диаметр капель и многократным упариванием с повторным растворением получали куб. кристаллы NaCl , кол-во которого определялось под микроскопом. Установлена зависимость между кол-вом NaCl в осадках и условиями их образования. Наибольшее кол-во NaCl обнаружено в осадках ливневого характера из кучевых облаков, образующихся в холодном северном воздухе при прохождении его над теплой поверхностью моря; кол-во NaCl в дожде и снеге из высоких слоистых грозовых облаков, образующихся в южном приморском воздухе, ничтожно. Чем крупнее атмосферные осадки, тем больше в них NaCl . Предположено, что NaCl в осадках образуется из капель и брызг морской воды.

Т. Попова
70363. Колебания концентрации и соотношения производных радона и торона в воздухе по измерениям в Северных Альпах. Рейтер (Schwankungen der Konzentration und des Verhältnisses der Radon- und Thoron-abkömmlinge in der Luft nach Messungen in den Nordalpen. Reiter Reinhold), Z. Naturforsch., 1957 12a, № 9, 720—731 (нем.)

Приведены результаты 672 измерений естественной радиоактивности (Р) воздуха, проведенных с 24 апреля 1956 г. по 7 апреля 1957 г. Выяснена зависимость

между Р пункта измерения и направлением среднего высотного воздушного потока над Альпами. Повышенная Р совпадает с южными потоками. На Р также влияет смена времен года и времени дня — зимой она понижается из-за снежного покрова, препятствующего почвенным экзальтациям, летом соотношение продуктов радонового и торонного рядов зависит от соотношения этих элементов в областях, откуда идут воздушные потоки. При понижении давления Р возрастает. Выяснено, что колебания естественной Р, следовательно, ионизации заметно влияют на естественные электр. явления.

В. Юдина
70364. Некоторые значения свободной энергии, вычисленные из геологических соотношений. Гаррелс (Some free energy values from geologic relations. Garrels R. M.), Amer. Mineralogist, 1957, 42, № 11-12, 780—791 (англ.)

Основываясь на возможности расчета равновесных соотношений для ряда хим. систем по величине свободной энергии соединений, автор доказывает возможность использования природных равновесных соотношений для расчета свободной энергии образования многих минералов в условиях земной поверхности (t -ра $\sim 25^\circ$, давл. ~ 1 атм). Так исследования ассоциации минералов при выветривании позволили определить свободную энергию образования из элементов для каолина (—883 ккал), мусковита (—1298 ккал), К-полевого шпата (—856 ккал). При изучении соотношений минералов в зоне окисления рудных месторождений были внесены поправки в ранее опубликованные значения свободной энергии образования гидротермита (406 ккал вместо 409,1) и вычислено значение для малахита (—217 ккал).

Т. Попова
70365. Результаты и задачи минералогического исследования. II. Разделение вещества (материи) — предпосылка к образованию месторождений. Байер (Ergebnisse und Aufgaben der mineralogischen Forschung. II. Stoffliche Sonderung, die Voraussetzung für die Lagerstättenbildung. Baier Ernst), Umschau, 1957, 57, № 22, 683—686 (нем.)

Описан последовательный процесс разделения первоначально полностью смешанного в-ва на протяжении геологич. истории Земли. Этот процесс в конечном итоге привел к концентрации отдельных элементов и образованию месторождений, имеющих практич. значение. Факторами, обусловившими последовательное разделение, являются: 1) хим. сродство отдельных элементов, приводящее к образованию молекул и комплексных ионов; 2) разделение фаз при постепенном охлаждении; 3) кристаллизация магмы, в результате которой происходит накопление отдельных элементов с низкими кларками в остаточных расплавах и последующих гидротермальных р-рах; 4) образование осадков. Особенность последнего этапа, по сравнению с магматич., заключается в значительном, иногда почти полном разделении главных элементов. Большое значение при этом имела жизнь на Земле, которая обусловила накопление залежей угля, нефти, известняка, кремнезема, фосфата Са. Процессы выветривания, перенос материала водой, ветром, льдом также ведут к геохим. разделению. Часть I см. РЖХим, 1958, 32047.

В. Юдина
70366. К методике полевых геохимических исследований. Щербина В. В. В сб.: Геохим. поиски рудных месторожд. СССР. М., Госгеолтехиздат, 1957, 98—104

Геохимические методы поисков основываются на выяснении и использовании закономерностей распределения и концентрации хим. элементов. К ним относятся: 1) приуроченность отдельных элементов к металлогенич. областям и эпохам; 2) приуроченность их к определенным горным породам; 3) накопление на определенных стадиях глубинных и поверхностных процес-

4) наличие благоприятных условий для концентрации элементов или их групп (одновременная концентрация, изоморфный захват, избирательная сорбция); 5) образование ореолов рассеивания элементов, выходящих как из эндогенных, так и из экзогенных месторождений; 6) наличие минералов-индикаторов, указывающих на т-ру формирования месторождений, глубина их образования, кислотность среды. Г. Волков 70367. К вопросу о возможностях геохимических поисков в условиях моренных отложений. Сафронов И. И. В сб.: Геохим. поиски руд. месторожд. в СССР, М., Госгеолтехиздат, 1957, 107—115

Геохимические поиски в областях с моренными отложениями включают следующие методы: 1) обследование глинистого материала, хорошо сорбирующего тяжелые металлы, 2) изучение грунтовых и родниковых вод, 3) опробование растительности. При поисках пегматитов с Ta-Nb и TR наиболее эффективным является шлиховое опробование элювиально-делювиального слоя или контактовых зон. При поисках пегматитов с редкими щелочами (Li, Rb, Cs) следует применять металлометрию глинистой фракции рыхлых отложений, вод и растений. В случае бериллиевоносных пегматитов рекомендуется металлометрия. При поисках пегматитов с комплексным орунждением применяются шлиховое опробование и металлометрия. Приведен ряд примеров. Г. Волков 70368. Формы рассеянного состояния элементов в природе и их поисковое значение. Сафронов И. И. В сб.: Геохим. поиски руд. месторожд. в СССР, М., Госгеолтехиздат, 1957, 52—61

Большинство элементов в земной коре находится в рассеянном состоянии. Запасы многих элементов в месторождениях по отношению к их общему кол-ву в породах составляют 0,001—0,1%. На основе предварительной классификации, построенной на генетич. взаимоотношениях пород и рассеянных элементов, выделяется 3 типа рассеяния: 1) первичное конституционное, 2) вторичное наложение и 3) смешанное. В случае 1-го типа различаются нормальный геохим. фон и первичное аномальное площадное развитие, характеризующееся повышенными кларками отдельных элементов в тех или иных районах или породах. 2-й тип возникает при обогащении за счет аккумуляции продуктов выветривания обогащенных пород (ореолы вторичного рассеяния) или за счет разрушения месторождений (вторичные эпигенетич. ореолы рассеяния). Сюда же относятся первичные ореолы рассеяния, возникающие во вмещающих породах одновременно с рудными массами. Вторичные ореолы могут быть механическими, солевыми и газовыми. Г. Волков 70369. О необходимости учета при металлометрических поисках истории развития вторичных ореолов рассеяния. Шарков Ю. В. В сб.: Геохим. поиски руд. месторожд. в СССР, М., Госгеолтехиздат, 1957, 191—197

Приведен пример, когда для расшифровки данных металлометрич. съемки необходимо знание истории геологич. развития района. Месторождение расположено на небольшой возвышенности, сложенной магматич. породами. Они находятся под рыхлыми континентальными четвертичными и третичными породами мощностью до 70 м. В почвенном разрезе содержание редкого металла уменьшается по направлению к верхним горизонтам. В коренных породах широко развит первичный ореол, нижняя граница которого вдоль тектонич. нарушений опускается. Глубже 15—20 м максим. кол-ва приурочены к этим нарушениям. В рыхлых отложениях ореол рассеяния наиболее четко проявился в миоценовых глинах. В домиоценовых и постмиоценовых породах его кол-ва крайне низки

(фоновые). Во влажное миоценовое время интенсивному разрушению подвергались руды, находящиеся в зонах разломов и дававшие резкие ореолы. Разрушающиеся в более раннее и более позднее время коренные породы не дают четких и резких вторичных ореолов. Г. Волков

70370. Опыт применения металлометрии на юге Красноярского края. Афанасьев М. Н., В сб.: Геохим. поиски руд. месторожд. в СССР, М., Госгеолтехиздат, 1957, 221—231

Металлометрические работы проводились на восточных склонах Кузнецкого Алатау. В этом районе обнаружены месторождения цветных и редких металлов. На первом этапе работы для выявления рудных узлов и месторождений, помимо геологич. съемки проводились площадные металлометрич. поиски в комплексе с эманационной и магнитной съемкой в масштабе 1:100 000. Отбор проб производился по сетке 1000×100 м из забурок или закопшек с глубины 0,2—0,8 м, в зависимости от мощности элювиально-делювиальных отложений. Кроме того, проводились лабор. исследования физ. свойств пород. 2-й этап включал детальные работы на перспективных участках. При съемке 1:10 000 и крупнее отбор проб проводился по сетке 100×200 —20 м. Интерпретация сводилась к уточнению геологич. карты, выделению участков с одним литологич. составом и физ. характеристикой пород, выявлению для них натурального фона и ореолов рассеяния, группированию выявленных ореолов по их перспективности, оценке их продуктивности. Такие комплексы работ позволили выявить ряд новых рудных тел с Co и Mo. Г. Волков

70371. О возможности применения биогеохимического метода при поисках борного сырья. Швыряева А. М. В сб.: Геохим. поиски руд. месторожд. в СССР, М., Госгеолтехиздат, 1957, 305—312

На основании известного факта о биохим. участии В в жизнедеятельности растений впервые предпринята попытка разработки биогеохим. метода поисков борного сырья. Работа производилась на ашаритовом (труднорастворимый борат) и улеситовом (растворимый борат) безымянных месторождениях. Повышенное содержание В наблюдалось в растениях на обоих месторождениях. Предполагается, что В образует растворимые соединения или органич. к-ты, выделяемые корнями, переводит нерастворимые бораты в растворимые. По данным спектральных анализов, фоновое содержание В в растениях на почвах с кларковым кол-вом В составляет до 0,008%. В почвах борных месторождений содержание В 0,04—0,06%; в растениях в пределах ореолов рассеяния кол-во В повышается в десятки и сотни раз (но обычно оно ниже содержания В в почвах, за исключением одного случая). Схемы поверхностных боропроявлений по опробованным растениям точнее выражают контуры орунждения, чем схемы металлометрич. опробования почв. Неравномерность распределения В в почвах улеситовых месторождений часто связана с засоленностью грунтов, обуславливающей появление солончаковых форм растений, микрорельефом и литологич. составом пород. На ашаритовых месторождениях, где грунты засолены слабо, микрорельеф и другие факторы существенно не влияют на поверхностное боропроявление, и наблюдается равномерное повышенное содержание В в почвах и более однообразный растительный покров. Были околонтурены участки с различным содержанием В в растениях. Участки с максимумом содержания совпали с расположением рудных тел. Отмечены случаи высокого содержания В в растениях при фоновом содержании в почве, что связано с различной глубиной корневой системы и различным распределением В в вертикальном почвенном разрезе. Повы-

шенное содержание В в итсечеке, являющемся фреатофитом, может быть связано с наличием В в грунтовых водах. Концентрация В на поверхности происходит за счет капиллярного поднятия и испарения борсодержащих р-ров. В контуре натронной солянки обнаруживается концентрация В в самом верхнем горизонте почв, а в контуре итсечека — на глубинах 4—6 м. Таким образом, по содержанию В в растениях с учетом глубины проникновения их корневых систем можно судить о распределении В по площади и на глубину. Данные по растениям-фреатофитам дают указания о содержании В в грунтовых водах на глубине до 25 м. В этом преимущество биогеохим. метода поисков месторождений бора.

Л. Балашов

70372. Симпозиум по геохимии редких элементов в связи с проблемами петрогенезиса. Москва, 20—24 дек. 1957 г., Геохимия, 1958, № 2, 179—180

70373. Экономическая геология редкоземельных элементов. Хейнрих (Economic geology of the rare-earth elements, Heinrich E. Wm.), Mining Mag., 1958, 98, № 5, 265—273 (англ.)

Приведены основные сведения по минералогии и геохимии ТР, основным месторождениям (изверженные породы, пегматиты, мигматиты, карбонатиты, пирометасоматич. образования, высоко-, средне- и низкотемпературные жилы и др.) и областям их применения.

Г. Воробьев

70374. Накопление урана в различных породах. Гедон (Az urán felhalmozódása különböző kőzetekben, Gedeon Tihamér), Bányász. lapok, 1958, 13, № 1, 16—18 (венг.)

70375. Геохимия кобальта. Янг (The geochemistry of cobalt, Young R. S.), Geochim. et cosmochim. acta, 1957, 13, № 1, 28—41 (англ.)

На основании литературных данных и ранних работ автора обсужден вопрос о распределении Со. Содержания Со (в %): в породах $2 \cdot 10^{-5}$ — $2,5 \cdot 10^{-2}$, минералах $1 \cdot 10^{-3}$ —8,0, почвах до $1 \cdot 10^{-1}$, водах $1 \cdot 10^{-8}$ — $1,38 \cdot 10^{-3}$, метеоритах $5 \cdot 10^{-3}$ —1,6. Кратко описаны методы анализа. Библ. 95 назв.

Я. Хмельницкий

70376. Растворимость некоторых арсенидов кобальта и никеля в сернокислой среде. Яхонтова Л. К., Букина А. Н., Раудонис П. А., Зап. Всес. минералог. о-ва, 1958, 87, № 1, 23—30

Приведены результаты изучения растворимости шмальтина, сафлорита и никелина в сернокислом р-ре, фильтрующемся через порошки минералов. По скорости растворения изученные арсениды образуют ряд: никелин — шмальтин — сафлорит. Наблюдаются следующие закономерности: никелин при растворении характеризуется высокой скоростью выноса Ni; шмальтин при выщелачивании обнаруживает широкий вынос As и перевод в р-р в первую очередь Ni; для сафлорита характерна медленная равномерная растворимость с удержанием на месте As. Fe очень быстро переходит в р-р. В природных условиях процессы растворения являются более сложными, однако главные выводы эксперим. работы соответствуют данным природных наблюдений.

Т. Попова

70377. О составе облучевита — гидратированной урано-иттриевой разновидности пирохлора. Кали-та А. П., Докл. АН СССР, 1957, 117, № 1, 117—120

Приведены результаты хим., рентгеноструктурного и дифференциального термич. анализа нового минерала облучевита, найденного в пегмативной жиле на контакте биотитовых плаггиогнейсов с массивом амфиболитизированного габбро, вместе с кварцем, альбитом фергусонитом, полумбитом, ортитом и гранатом. Хим. состав по 2 анализам (в %): Na_2O 2,43, 2,03; K_2O 0,31, 0,70; CaO 2,82, 2,66; MgO 0,26, 0,18; MnO 0,35; —; Y_2O_3 11,34, 11,73; Ce_2O_3 0,66, 1,13; ThO_2 0,26; 0,11; UO_3 9,72, 10,50; Fe_2O_3 4,30, 3,52; Al_2O_3 —; 1,40;

SiO_2 3,78; 3,20; TiO_2 6,29; 2,74; Nb_2O_5 37,54; 37,30; Ta_2O_5 5,47; 7,23; H_2O^+ 7,77; —; H_2O^- 6,48; —; H_2O 14,50; сумма 99,78; 100, 33. 50% ТР составляют Y и Ga. Общая ф-ла $(\text{Y, Na, Ca, U})_{1,27} (\text{Nb, Ta, Ti, Fe})_2 (\text{O}_{0,60} \text{OH})_2 \cdot 1,13\text{H}_2\text{O}$. Установлено, что облучевит является сильногидратированной урано-иттриевой разновидностью пирохлора, образовавшейся в поздние стадии замещения пегматита.

Г. Воробьев

70378. Химический состав пирохлора и изоморфные замещения в молекуле $\text{A}_2\text{B}_2\text{X}_7$. Бородин Л. С., Назаренко И. И., Геохимия, 1957, № 4, 278—285

Приведены хим. состав пирохлора на основании 19 анализов (частично по литературным данным) и результаты кристаллохим. пересчета этих анализов (кол-во атомов по группам). Построены графики зависимости содержания F от величины дополнительной гидратации и содержания «Ti» (Ti, Zr, Fe, Mg и Al) от «Ca_{TR}» (Ce, Th и U). Общая ф-ла пирохлора из различных генетич. типов месторождений $\text{A}_2\text{—B}_2\text{X}_7$ (O, OH, F)₇. Отступления от теоретич. ф-лы $\text{A}_2\text{B}_2\text{X}_7$ обусловлены дефицитом части катионов в группе А, являющимся результатом либо генезиса пирохлора — вхождения в его кристаллич. решетку U, Th и других высоковалентных катионов (первичный дефицит), либо процессов его позднейшего изменения — гидратации (вторичный дефицит). Наличие в составе минерала группы OH вызвано преимущественно процессами вторичного изменения, при которых (OH) → O, F в анионной группе. В наиболее измененных разновидностях пирохлора F отсутствует. Вхождение в решетку U, Th и Ce происходит в результате замещения Nb. При этом увеличивается и кол-во Ca^{2+} (замещение Na ← Ca). Общий характер изоморфных замещений в молекуле пирохлора связан с соотношением между Ca и Na. Особенности состава пирохлора зависят от степени щелочности той среды, где происходит его кристаллизация. В условиях процессов природного минералообразования не реализуется изоморфный ряд пирохлор — микролит, что в значительной степени определяется различием в геохим. поведении Nb и Ta концентрирующихся либо в различных генетич. типах месторождений, либо на разных стадиях минералообразования в ходе отдельных процессов.

С. Тепляков

70379. К исследованию люминесцирующих включений в слюдах. Толстихина К. И., Тр. Ин-та геол. руд. месторожд., петрогр., минералогии и геохимии АН СССР, 1957, вып. 17, 53—56

Методом люминесцентного анализа изучались включения в слюдах, не обнаруживаемые при дневном свете. Изучено до 350 проб, из которых 150 содержат включения. По данным спектрального, рентгенохим. и колич. люминесцентного анализов показана связь между характером свечения включений и содержанием в них микроэлементов. Во всех слюдах белое свечение вызвано присутствием SiO_2 , а голубое — Ca. Включения в биотитах имеют только белое свечение; в них обнаружены Ca, Ba, Mn и в некоторых Li, Zn, Ni, Pb и следы Be, Sn, Ca. Включения во флюоритах люминесцируют белым, зеленым и некоторые голубым цветом; они содержат Ca, Ba, Mn и в единичных случаях Cu, Pb, Sr, Ni, Co. Включения мусковитов имеют зеленое, голубое, красное, оранжевое и белое свечение. Уменьшение содержания Be и Sn приводит к изменению красного и оранжевого свечения. Содержание U в слюдах колеблется в пределах $2\text{—}8 \cdot 10^{-6}\%$.

И. Задорожний

70380. Люционит, фаматинит и некоторые родственные минералы. Гейнс (Luzonite, famatinite and some related minerals, Gaines Richard V.), Amer. Mineralogist, 1957, 42, № 11—12, 766—768 (англ.)

Изучен ряд твердых р-ров с крайними членами — цинкопиритом и фаматинитом. С помощью рентгенографич. хим. и микроскопич. анализов исследованы синтетич. люпонит Cu_3AsS_4 (I), люпонит из Филиппин (II), люпонит-фаматинит из Невады (III), фаматинит из Аргентины (IV) и синтетич. фаматинит Cu_3SbS_4 (V). Кристаллы массивные и тонко граненные, длина ≤ 2 мм, цвет густо-розово-коричневый, блеск металлический, опаловый, слабый плеохроизм, сильный анизотропизм, как правило, наблюдается двойникование. Свойства по (101) и (100), твердость $\sim 3,5$. Уд. вес: I 4,380 (вычислено 4,438), IV 4,635 (вычислено 4,660). Структура кристаллов близка к халькопириту, группа $R\bar{3}m$. I a 5,290, c 10,465, $c:a$ 1,978; V a 5,38, c 10,76, $c:a$ 2,000. Хим. состав (в %): I Cu 48,42, As 19,02, S 32,56, сумма 100,00. V Cu 43,27, Sb 27,63, S 29,10, сумма 100,00. Пределы хим. состава (для II, III, и IV, в %): Cu 42,98—48,32, Sb 1,48—24,36, As 3,31—17,35, S 28,97—32,85. Спектральный анализ IV дополнительно обнаружил: Al, Ca, Ti, Si $1 \cdot 10^{-2}$ — $1 \cdot 10^{-1}$ %, Mg, Na, K, Bi, Mn, Zn, Pb, Cr, Mo, V, Nb, Ta, Ag, Au, Ba $1 \cdot 10^{-3}$ — $1 \cdot 10^{-2}$ %. Р. Хмельницкий

70381. Идентичность пильбарита с торгоуммитом и казолитом. Хоней (Identity of pilbarite with thortumite and kasolite. Honea Russell M.), Amer. Mineralogist, 1957, 42, № 11—12, 908—910 (англ.)

Кратко сообщается о результатах оптич. и рентгенографич. исследований 2 образцов пильбарита из коллекций американского и австралийского музеев. На основании литературных и эксперим. данных сделан вывод, что пильбарит представляет собой смесь примерно равных кол-в торгоуммита и казолита.

Р. Хмельницкий
70382. Обзор новых минералов. Гиймен, Перменжа (Revue des espèces minérales nouvelles. Guillemin C., Permingeat F.), Bull. Soc. franc. minéral. et cristallogr., 1957, 80, № 7, 378—389 (франц.)

70383. Бикитаит ($\text{LiAlSi}_2\text{O}_6 \cdot \text{H}_2\text{O}$) — новый минерал из Южной Родезии. Херлбут (Bikitaite, $\text{LiAlSi}_2\text{O}_6 \cdot \text{H}_2\text{O}$, a new mineral from Southern Rhodesia. Hurlbut Cornelius S., Jr), Amer. Mineralogist, 1957, 42, № 11—12, 792—797 (англ.)

Микроскопическим, рентгенографич., термич. и хим. методами исследован новый минерал, обнаруженный в окриптите из богатых Li пегматитов Бикита. Минерал образует мелкокристаллич. агрегаты — от бесцветных до белых. Уд. в. 2,34 (измерено), 2,29 (вычислено); твердость 6. Сингония моноклинная, a_0 8,63, b_0 4,85, c_0 0,64 Å, β $114^\circ 34'$, $a_0:b_0:c_0$ 1,743:1:1,543. Пространственная группа $P2_1/m$. Двусный (—), ng 1,50, nt 0,521, np 1,523, $2V$ 45° . Хим. состав (в %): SiO_2 55,79, Al_2O_3 26,68, Fe_2O_3 0,07, Li_2O 6,51, Na_2O 0,10, H_2O 0,17, MgO 0,33, H_2O 9,82, сумма 99,47. Назван бикитаитом по месту нахождения. Р. Хмельницкий

70384. Гётценит и комбейт — два новых силиката из Бельгийского Конго. Сахама, Хютенен (Götzenite and combeite, two new silicates from the Belgian Congo. Sahama Th. G., Hütönen Kai), Mineral. Mag., 1957, 31, № 238, 503—510 (англ.)

Минералы обнаружены в нефелините из потухшего вулкана Шахеру, Северное Киву. Кристаллы гётценита (I) достигают 0,5 мм, кристаллы комбейта (II) — в пределах десятых долей мм. Оба бесцветны, со слабым двойным лучепреломлением. I триклинный, II ромбоэдрич. Коэф. преломления I a 1,660, β 1,662, γ 1,670; II $e \approx \omega \approx 1,598$. I $2V = 52^\circ$ (+), a 10,93, b 7,32, c 5,74 Å; II пространственная группа $R3m$, $R32$ или $R3m$, одноосный (+), a 10,43, c 13,14. Уд. вес I 3,138, II 2,844. Приведены результаты рентгеноструктурного анализа. Хим. состав (I и II соответственно): SiO_2

32,50; 49,78; TiO_2 9,72; 0,32; ZrO_2 отсутствует; 0,44; Al_2O_3 4,26; 2,45; Fe_2O_3 0,35; 1,86; FeO 0,45; 0,54; MnO 0,07; 0,58; MgO 0,29; 0,41; CaO 41,80; 22,68; BaO 0,09; 0,09; SrO 0,00; 0,00; Na_2O 4,85; 16,14; K_2O 0,14; 1,18; P_2O_5 0,01; 0,02; CO_2 0,00; 0,00; F 8,33; 1,87; Cl 0,15; 0,30; SO_3 0,19; 0,19; H_2O^+ 0,26; 1,39; H_2O^- 0,14; 0,42; сумма (с поправкой — 0 = 3,54) 100,06; 99,80. Качеств. спектральный анализ не обнаружил в I Ce, Yt, Cb, Sr, TR и во II TR. Ф-лы: I $5\text{Ca}(\text{Si}, \text{Ti})\text{O}_3 \cdot (\text{Na}, \text{Ca}, \text{Al})_2\text{F}_{3,5}$ II $\text{Na}_4(\text{Ca}, \text{Al}, \text{Fe})_3\text{Si}_6\text{O}_{16} \cdot (\text{OH}, \text{F})_2$. I отнесен к ряду ринкита, II не имеет аналогов, но формально сходен с эвдиалитом. I назван в честь немецкого путешественника фон Гётцена, впервые совершившего в 1894 г. восхождение на вершину Шахера, II в честь французского геолога Комба — сотрудника Геологической службы Уганды. Р. Хмельницкий

70385. Редкие элементы в изверженных горных породах. (К итогам симпозиума по геохимии редких элементов в связи с проблемой петрогенезиса). Гинзбург А. И., Фельдман Л. Г., Ставров О. Д., Сов. геология, 1958, № 4, 170—178

70386. Сравнение величин Rb^{87} — Sr^{87} возрастов красных гранитов из комплекса Бушвельд [Южная Африка] по измерениям валовых проб пород и выделенных минеральных фракций. Шрейнер (Comparison of the $^{87}\text{Rb} \rightarrow ^{87}\text{Sr}$ ages of the red granite of the Bushveld complex from measurements on the total rock and separated mineral fractions. Schreyner G. D. L.), Proc. Roy. Soc., 1958, A245, № 1240, 112—117 (англ.)

Исследованные пробы гранитов взяты из четырех точек, находящихся в 10—50 км друг от друга. Для каждой из проб проводился анализ в целом и выделенной фракции полевого шпата (кроме этого, из одной пробы выделен также биотит). Пределы изотопного состава Sr (по 9 образцам): Sr^{88} 0,3726—0,8196, Sr^{87} 0,0810—0,5810, Sr^{86} 0,0437—0,0943. Содержание (по 9 образцам, в %): Rb^{87} $2,64 \cdot 10^{-3}$ — $6,02 \cdot 10^{-2}$, Sr $2,1 \cdot 10^{-3}$ — $9,99 \cdot 10^{-3}$, радиогенный Sr $7,12 \cdot 10^{-5}$ — $1,66 \cdot 10^{-3}$. Возраст 2,21—2,65 млрд. лет (при величине периода полураспада Rb^{87} $6,3 \cdot 10^{10}$ лет). Среднее значение возраста 2,41 млрд. лет или 1,92 млрд. лет (период полураспада Rb^{87} $5,0 \cdot 10^{10}$ лет). Величины возраста, полученные при анализе различных проб гранита, совпадают в пределах ошибки друг с другом и с величинами возраста, полученными при анализе минералов.

Р. Хмельницкий
70387. Предварительные итоги изучения радиоактивности горных пород Северного Кавказа и их значение для некоторых проблем петрологии. Афанасьев Г. Д., Цейтлин С. Г., Изв. АН СССР. Сер. геол., 1958, № 3, 16—30

На основании исследования 30 образцов валовых пород (ВП) и 9 минер. фракций (МФ) приведены данные по радиоактивности и некоторым хим. особенностям горных пород магматич. комплексов. Пределы содержания (в %): гранитоиды Уруштенского магматич. комплекса, каледонские (возраст 300—350 млн. лет), ВП SiO_2 66,08—75,66, K_2O 0,18—1,20, Na_2O 4,77—5,48, Ra $0,9 \cdot 10^{-10}$ — $1,7 \cdot 10^{-10}$, Th $9 \cdot 10^{-10}$ — $1,4 \cdot 10^{-9}$, U $2,6 \cdot 10^{-4}$ — $5,3 \cdot 10^{-3}$, МФ Ra $1,8 \cdot 10^{-9}$ — $1,18 \cdot 10^{-8}$, Th $1,4 \cdot 10^{-2}$ — $1,8 \cdot 10^{-1}$, U $5,3 \cdot 10^{-3}$ — $3,5 \cdot 10^{-2}$; гранитоиды глубинной фации комплекса Главного хребта, верхнепалеозойские (200 млн. лет), ВП — K_2O 3,41—4,92, Na_2O 2,93—3,37, SiO_2 70,26—77,37, Ra $1,2 \cdot 10^{-10}$ — $1,5 \cdot 10^{-10}$, Th $7,13 \cdot 10^{-4}$ — $3,5 \cdot 10^{-4}$; малые интрузии гипабиссальной фации верхнего палеозоя (180—200 млн. лет), ВП — SiO_2 56,02—77,02, K_2O 2,38—4,74, Na_2O 2,79—3,79, Ra $1 \cdot 10^{-10}$ — $2,6 \cdot 10^{-9}$, Th $1,4 \cdot 10^{-3}$ — $2,8 \cdot 10^{-2}$, $3 \cdot 10^{-4}$ — $7,6 \cdot 10^{-2}$; мезозойский комплекс, посленижнеюрский (110—120 млн. лет), ВП — SiO_2 47,60—71,25, K_2O 0,63—4,37, Na_2O 3,35—5,12, Ra $0,5 \cdot 10^{-10}$ — $3,0 \cdot 10^{-10}$, Th $7 \cdot 10^{-4}$ — $1,8 \cdot 10^{-4}$, U

1,5—9·10⁻⁴; МФ — Ra 8,3·10⁻³, Th 3,5·10⁻¹, U 2,4·10⁻²; кайнозойский комплекс интрузий и экзтрузий (70—50 млн. лет), ВП — SiO₂ 68,08—71,36, K₂O 2,75—4,37, Na₂O 3,28—3,72, Ra 1,2—2,7·10⁻¹⁰, Th 9—23·10⁻⁴, U 3—8·10⁻⁴; МФ — Ra 7,3·10⁻³, Th 2,4·10⁻¹, 2,12·10⁻¹; третичные экзтрузии и эффузии (30 млн. лет), ВП — SiO₂ 66,35—68,53, K₂O 4,80—5,46, Na₂O 3,60—5,32, Ra 1,1—8,0·10⁻¹⁰, Th 1,3—1,6·10⁻³, U 3—24·10⁻⁴; МФ — Ra 2,4—5,8·10⁻³, Th 1,10—1,30·10⁻², U 7,0·10⁻³—1,7·10⁻²; верхнетретичные — четвертичные эффузии и экзтрузии, ВП — SiO₂ 66,28—73,32, K₂O 4,36—4,98, Na₂O 3,17—3,64, Ra 3,1—4,0·10⁻¹⁰, Th 2,9—4,3·10⁻³, U 1,0—1,2·10⁻³; МФ — Ra 9,5·10⁻³—1,0·10⁻², Th 1,23—1,50, U 2,8—2,9·10⁻¹. Сделан вывод, что главнейшими условиями, которые в значительной мере определяют неравномерность содержания радиоактивных элементов в магматич. горных породах единой структурно-геол. области, являются: 1) тип магматич. ассоциаций; 2) петрохим. характер магмы и кристаллизующихся из нее пород; 3) геол. условия превращения магмы в горные породы, 4) влияние вмещающей среды на обогащение магмы радиоактивными элементами на пути ее движения в верхние структурные этажи и в период ее кристаллизации в горную породу. Приведены некоторые замечания о значении исследования распространения радиоактивных элементов в горных породах для познания строения земной коры и процессов вулканизма.

Р. Хмельницкий
70388. Роль основных и кислых жильных пород в образовании месторождений асбеста и талька. Меренков Б. Я. В сб.: Методы исслед. минеральн. сырья. М.: Госгеолтехиздат, 1957, 51—65

На месторождениях хризотил-асбеста, антофиллит-асбеста, талька, талькового камня и вермикулита широко распространены жильные горные породы как кислого, так и основного состава. К основным относятся габбро-пегматиты, роговообманковые пегматиты, диабазовые порфириты, микрогаббро, спессартиты, плагиоклазиты и плагиоаплиты. Они связаны с перидотитовыми массивами и представляют собой продукты дифференциации габбро-перидотитовой магмы. В группу кислых жильных пород входят жильный гранит, гранит-порфир, пегматиты, диорит-аплиты и кварцевые жилы. Они залегают в массе ультраосновных пород и нередко в зонах того или иного оруденения. Анализ взаимоотношений между жильным комплексом основных и кислых пород и вмещающих пород показывает, что они не играли какой-либо важной роли в оруденении (асбест, тальк и пр.), за исключением незначительного проявления вермикулитизации, хлоритизации, оталькования, карбонатизации и окремнения. По времени образования и пространственного положения все жильные породы, как правило, являются пострудными.

В. Кудряшова
70389. Генетическое и структурное изучение трубообразных тел щелочных пород с карбонатитами. Барбоза (Alakaline pipes with carbonate genetic and structural considerations. Barbosa Octavio). Anais Acad. brasil. cienc., 1957, 29, № 3, 369—372 (англ.)

В Бразилии часто встречаются трубки щел. пород с карбонатитами в виде штокообразных тел, круглых и радиальных даек и жил брекчий. В процессе фенинизации (оплечивания или фельдшпатизации) вмещающих пород исчезает или резко уменьшается кол-во кварца, биотит замещается Na-пироксенами, полевые шпаты перекристаллизуются, появляется нефелин или кальцит гипидиоморфной структуры. Намечается закономерное вертикальное распределение в трубках карбонатитов, якуширангитов, йолитов, зернистых фенитов, иногда ассоциирующихся с ультраосновными породами. Эти породы кристаллизовались

из щел. дифференциатов базальтовой магмы, долгое время разделяющейся в подземных пустотах в условиях насыщения CO₂ и парами воды.

Г. Волков
70390. Ассимиляционная зональность в гранитоидах Верхнеугамского массива. Батазов А. Б., КазССР. Физм. Акад. хабарлары, Изв. АН КазССР. Сер. геол., 1957, вып. 4 (29), 49—61

Верхнеугамский гранитный плутон контактирует с карбонатными осадками нижнего карбона и частично с известково-туфогенными отложениями среднего карбона; он образует мощные зоны ороговокования и скарнирования и имеет ясно выраженное зональное строение, характеризующееся общим повышением основности пород от центра к периферии массива. Центральная часть сложена биотитовыми гранитами с редкими фенокристами полевых шпатов. К периферии интрузива кол-во плагиоклаза и темно-цветных минералов постепенно повышается. Породы эндоконтровой зоны отвечают по составу гранодиоритам и имеют крайне изменчивый состав и структуру. Здесь намечаются переходы, с одной стороны, к адмеллитам, с другой — к тоналиту и кварцевому диориту. Хим. анализы отдельных проб одной и той же породы показывают непостоянство, а сопоставление анализов различных типов пород устанавливает закономерное возрастание содержания Al₂O₃, CaO, MgO, Fe (валовое), FeO и убывание SiO₂, K₂O, частью Na₂O. Приводятся хим. анализы и их пересчеты по методу А. Н. Заварицкого для гранита (среднее из 7), адмеллита (среднее из 3) и гранодиорита (среднее из 10). Обогащение исходной гранитной магмы Ca, Mg и Fe происходило за счет ассимиляции вмещающих пород на месте становления интрузии и частично (Fe) на глубине. Обилие в породах краевых зон роговой обманки, апатита, турмалина и в экзоконтактах шпата указывает на важную роль в процессах ассимиляции летучих компонентов.

В. Кудряшова
70391. О граните из Мон-Луи (Восточные Пиреней). Отран, Гитар (Sur le granite de Mont-Louis (Pyrénées-Orientales). Autran Albert, Guitard Gérard), Bull. Soc. géol. France, 1957, 7, № 14, 245—270 (франц.)

Гранитные породы залегают в виде массива неправильной формы между глазковыми гнейсами (внизу) и палеозойской толщей слюдяных сланцев (вверху). Верхняя часть массива гомогенная, нижняя — гетерогенная — гранитизирует гнейсы. Отмечены 3 петрографич. типа пород: кварцевые диориты, гранодиориты и лейкократовые граниты (приведены хим. анализы). На основании ряда наблюдений автор приходит к заключению, что массив является посттектонич. и образовался в статич. условиях. Петрографич. анализ показывает эволюцию во времени в виде двух последовательных фаз: 1) привнос Si и в особенности Na с выделением Fe, Mg, Ti и K; 2) более поздняя фазация K (микроклинизация).

В. Красникова
70392. Структура и петрология интрузивного тела в районе озера Карибу, Онтарио (Канада). Фришман (Structure and petrology of the Caribou Lake intrusive body, Ontario, Canada. Friedman Gerald M.), Bull. Geol. Soc. America, 1957, 68, № 11, 1531—1564 (англ.)

В гранитах и гранито-гнейсах находится интрузивное тело, сложенное ультраосновными породами, породами и гранитными пегматитами. Состав пегматитов оливинового норита, норитов и амфиболита по данным 6 хим. и 7 спектральных анализов (в %) соответственно: SiO₂ 42,66; 46,24; 50,66—52,05; 51,11; Al₂O₃ 9,94; 16,46; 17,28—19,51; 20,70; Fe₂O₃ 3,91; 2,00; 1,17; 1,17; FeO 6,72; 9,25; 6,11—7,45; 5,68; MgO 24,5; 15,28; 7,26—8,76; 4,71; CaO 5,67; 7,51; 9,08—10,48; 8,3; Na₂O 0,91; 1,73; 2,50—3,06; 4,21; K₂O 0,22; 0,24; 0,22

долгов. 0,37; 1,29; H_2O 4,28; 0,55; 0,19—0,22; 0,77; H_2O —0,23; 0,08; 0,02—0,10; 0,06; CO_2 0,06; 0,14; 0,11—0,38; 0,03; TiO_2 0,29; 0,35; 0,20—0,45; 0,76; P_2O_5 0,03; 0,04; 0,02—0,04; 0,12; MnO 0,16; 0,16; 0,12—0,15; 0,11; S 0,13; 0,14; 0,10—1,12; 0,14; Cl 0,06; 0,02; 0,02—0,03; 0,01; B 0,004; 0,001; 0,001; 0,001; Cr 0,310; 0,007; 0,006—0,090; 0,014; Ni 0,080; 0,030; 0,003—0,014; 0,007; Co 0,009; 0,007; 0,002—0,005; 0,003; Cu 0,009; 0,008; 0,001—0,005; 0,003; V 0,006; 0,003; 0,004—0,016; 0,009. Произведены полуколич. спектральные анализы образцов окисленного сульфидного оруденения и гранитного пегматита. Установлено увеличение отношения Fe:Mg:Na—Si:Ca—Al и уменьшение содержания Ni, Cu и Cr в направлении с востока на запад. Обсуждается в связи с этим направление подводящего интрузивного канала.

Г. Воробьев

70393. Результаты предварительных геохимических исследований краковских магматических пород. Михалец, Жабинский (Wyniki wstępnych badań geochemicznych krakowskich skał magmowych. Michałek Zbigniew, Zabiński Witold), *Bul. Inst. geol.*, 1957, 4, № 115, 149—166 (польск.; рез. русск., англ.)

Приводятся результаты определения содержания некоторых редких элементов в излившихся породах окрестностей Кшешовиц (в %): мелафиры (4 образца): Cu 0,006—0,0075, Ni 0,010—0,011, Cr 0,013—0,014, V 0,014—0,016, Pb 0,001; диабазы (2 образца): Cu 0,005—0,006, Ni 0,008—0,011, Cr 0,007—0,010, V 0,011—0,013, Pb 0,002; порфиры (4 образца): Cu 0,003—0,004, Ni 0,003—0,004, Cr 0,001—0,0015, V 0,003—0,004, Pb 0,0025—0,003. Мо содержится в незначительных кол-вах (<0,00015). Отмечается зависимость содержания редких элементов от основности породы (уменьшение содержания Cu, Ni, Cr, V и увеличение содержания Pb от мелафиров порфирам). Установлено, что мелафиры и диабазы отличаются меньшей конц-ией Cu, Ni, Cr и V, чем типичные излившиеся породы из семейства габбро; порфиры же содержат этих элементов больше, чем типичные излившиеся породы из семейства гранита, что свидетельствует о близком родстве краковских магматич. пород, относящихся к одной магме диоритового типа.

А. Егоркин

70394. Пироксены ранней и средней стадий кристаллизации интрузии Скергор, Восточная Гренландия. Браун, Винсен, Браун (Pyroxenes from the early and middle stages of fractionation of the Skaergaard intrusion, East Greenland. Brown G. M., Vincent E. A., Brown P. E.), *Mineral. Mag.*, 1957, 31, № 238, 511—543 (англ.)

Приведены результаты хим. и кристаллооптич. исследования. Из пород разных уровней интрузии от правых ее зон до высоты 2000 м было выделено 9 агитов, 3 пиконита и 1 ортопироксен. Хим. состав этих пироксенов (в %): SiO_2 49,73—53,6, Al_2O_3 1,3—3,22, Fe_2O_3 0,7—1,7, FeO 4,54—27,0, MnO 0,13—0,43, MgO 0,40—28,7, CaO 2,0—20,54, Na_2O 0,1—0,65, K_2O 0,02—0,1, TiO_2 0,42—1,31, Cr_2O_3 <0,01—0,42. В процессе кристаллизации магмы в богатых Са зонах этот элемент замещается Fe^{2+} , а затем Mg— Fe^{2+} . При этом кол-во Са уменьшается до 35%. В обедненных Са пироксенах Mg замещается Fe^{2+} . Содержание Са при этом постоянно и составляет 9% от суммы Са + Mg + Fe. В процессе дифференциации магмы кол-во Al уменьшается. Богатые Са пироксены обогащены также Al, Fe^{2+} , Ti, Na и Cr.

Г. Волков

70395. Щелочные породы окрестностей с. Перги на Волини. Беспалко Н. А. (Лужні породи околиць с. Перги на Волині. Безпалко Н. А.), *Наук. зап. Київськ. ун-т*, 1957, 16, № 14, 171—178 (укр.; рез. русск.)

Проведены минералогич. исследования щел. сиени-

тов (эгириновое, арфведсонитовое, биотитовое, окварцованного сиенита и мономинер. сиенитового аплита), приуроченных к северной части Суцано-Пержанской зоны разлома. Образование этих пород вызвано глубоким воздействием щел. метасоматоза на катаклазиты и милониты в результате интенсивной циркуляции постмагматич. р-ров. Под воздействием высокотемпературных гидротерм и пневматолитов образовались окварцованные сиениты с повышенной конц-ией редких элементов. Приведен хим. состав мономинер. сиенитового аплита, арфведсонитового и окварцованных сиенитов. Для последних приведены также результаты качеств. спектрографич. анализа.

Т. Ионас

70396. Геологическое строение и кристаллические породы района верхнего течения р. Уборть. Добрянский Ю. Э. (Геологічна будова та кристалічні породи району верхньої течії р. Уборті. Добрянський Ю. Є.), *Наук. зап. Київськ. ун-т*, 1957, 16, № 14, 139—150 (укр.; рез. русск.)

По характеру взаимоотношения между магматич. породами и метаморфич. толщей, направлению структур течения в гранитных телах, минерально-петрографич. (железистость биотита и облик циркона) и петрохим. особенностям исследованные гнейсово-мигматитовые поля Волини отнесены к ряду тектономагматич. комплексов. Приведены хим. анализы (в том числе по литературным данным) пород житомирско-кировоградского типа, осницкого комплекса, граносиенитов и гранитов коростенского типа.

Т. Ионас

70397. Предварительное изучение зоны радиоактивного изменения пегматитов в Кобокобо, Киву [Бельгийское Конго]. Ван-Вамбеке (Étude préliminaire de la zone d'altération radioactive de la pegmatite de Kobokobo (Kivu). Van Wambeke L.), *Bull. Soc. belge géol.*, 1957, 66, № 2, 268—276 (франц.)

Исследовались эксплуатирующиеся на берилл и коломбит-танталит, пегматиты. Минералогич. состав: ортоклаз, альбит и кварц; центральные зоны богаты мусковитом; имеются небольшие кол-ва амблигонита, гётита, уранового цитролита, отунгита; более редок уранинит. В зоне выветривания отмечены повышенная радиоактивность (>0,5% U_3O_8) и наличие Al и U. В поверхностной зоне выветривания U находится в рассеянном состоянии в окисных минералах или в форме тонких включений вторичных U-минералов. Отмечено свойственное U вхождение в фосфаты Al (цёрулолактит и эвансит). Краткая характеристика редких минералов зоны радиоактивного изменения: 1. Баррандит, занимающий промежуточное место между варисцитом ($AlPO_4 \cdot 2H_2O$) и штрэнгитом ($FePO_4 \cdot 2H_2O$); спектральные анализы показали большое содержание Fe, меньше Mg, U (0,55% U_3O_8) и Al; радиоактивность железосодержащей части обуславливается небольшими включениями вторичного минерала, содержащего U. 2. Литиофорит ($LiAlMnO_3H_2O$): сопутствующие элементы — Fe (<5%), U (0,5% U_3O_8), Sr, As и Pb (<1%); содержание Li_2O 1,3%. 3. Цёрулолактит урансодержащий ($Al_3(PO_4)_2(OH)_3 \cdot 4H_2O$): Fe и Mn присутствуют как примеси; содержание U_3O_8 ~0,5%. 4. Эвансит — водн. фосфат Al с большим содержанием U (>5%), Pb ~0,1%, As <0,4%, Fe 1—2%; частный хим. анализ показал (в %): Al_2O_3 38,36, P_2O_5 12,7, H_2O 38,2, UO_3 6,9. 5. Турмалин — относится к разнообразным шерлитам, содержанием Mn и Zn; Fe — повышенное содержание, Mn ~2%, Zn ~2%. Урановый цитролит — обычно сопровождается коломбит-танталитом; уд. в. 3,86; второстепенные компоненты: U, Th, V, Sr, Pb, Fe, Hf; содержание U ~2%, Th ~0,1%, Hf: Zr = 0,096. М. Кофман

70398. Геохимическое изучение гранитных пород VI. Распределение меди в гранитных породах Японии. Курода (Kuroda Rokugo), Нихон кагаку дзас-

си, J. Chem. Soc. Japan. Pure Chem. Sec., 1957, 78, № 1, 141—148 (японск.)

Определено содержание Си в 164 образцах гранитных пород Японии. В 48 образцах пород вкрапленного типа содержание Си $3 \cdot 10^{-4}$ до $3 \cdot 10^{-3}\%$, среднее $1,15 \cdot 10^{-3}$, в том числе среднее для 11 образцов от гранитов $7,5 \cdot 10^{-4}$, для 31 образца гранодиоритов $1,23 \cdot 10^{-3}$ и 4 образцов кварцевых диоритов $1,62 \cdot 10^{-3}\%$. Таким образом, в гранитах Си меньше, чем в гранодиоритах, а в кислых глубинных породах содержание Си увеличивается с увеличением кол-ва цветных минералов (особенно биотита). Между Pb и Си в гранитах вкрапленного типа отмечена обратная зависимость. Определено также содержание Си в гранитах смешанного типа и породах, близких к ним по образованию. В метаморфич. зоне Хидака среднее содержание Си уменьшается в порядке: аргиллиты-роговики 5,18, биотитовые гнейсы 2,93, мигматиты 1,47. В метаформич. зоне Рёка (район Янаи) приконтактные аргиллиты ($2,7-11 \cdot 10^{-3}$, среднее $5,52 \cdot 10^{-3}$) также содержат больше Си, чем роговики ($0,8-2,6 \cdot 10^{-3}$, среднее $0,8-2,6$) и биотитовые гнейсы ($1,9-2,3 \cdot 10^{-3}$, среднее $2,1 \cdot 10^{-3}$). Таким образом, Си уходит по мере развития метаморфич. процесса. Однако в той же зоне Рёка в среднем течении р. Тэнрю наблюдается почти обратное явление, когда в аргиллитах и роговиках содержание Си ($0,2-1,8 \cdot 10^{-3}$, среднее $7,4 \cdot 10^{-4}\%$) меньше, чем в гнейсах ($0,7-3,0 \cdot 10^{-3}$, среднее $1,9 \cdot 10^{-3}\%$), что по-видимому, связано со значительной разницей в кол-ве Си в аргиллитах для обоих районов. В гранитной части полосатых гнейсов содержание Си более низко ($0,1-1,0 \cdot 10^{-3}$, среднее $5,9 \cdot 10^{-4}\%$), чем в гнейсовой части ($0,9-8,8 \cdot 10^{-3}$, среднее $3,29 \cdot 10^{-3}\%$). В гранитных породах, вмещающих эпидиобаза, и, по-видимому, происшедших из него, содержание Си ($0,3-1,3 \cdot 10^{-3}$, среднее $7,3 \cdot 10^{-4}\%$) составляет $1/2-1/3$ содержания Си в эпидиобаза ($0,9-2,4 \cdot 10^{-3}$, среднее $1,6 \cdot 10^{-4}$). В последнем Си довольно мало для основной породы; это связано с улетучиванием меди в процессе смешанного образования эпидиобаза. Содержание Си в роговой обманке и вмещающем ее граните колеблется в значительных пределах, что затрудняет сравнение. В районе плоскогорья Абукума оно составляет в роговой обманке $1,3-3,8 \cdot 10^{-3}\%$ (среднее $2,55 \cdot 10^{-3}\%$), в граните $0,3-2,4 \cdot 10^{-3}$ (среднее $1,78 \cdot 10^{-3}\%$), но в большей части проб $1,8-2,4 \cdot 10^{-3}\%$, что значительно больше, чем в гранитах вкрапленного типа того же района. Часть V см. РЖХим, 1957, 74210. Л. Левин

70399. Редкие земли и торий в линдоките. Батлер (Rare earths and thorium in lyndochite. Butler J. R.), Amer. Mineralogist, 1957, 42, № 9-10, 671—676 (англ.)

Приведены результаты определения TR в линдоките, относимом ранее к группе эвксенита. Минерал был обнаружен в пегматитовой дайке в районе Тауниши (графство Ренфру, Онтарио, Канада), где он замещает колумбит с характерными для этого границами; блеск хороший, бледный серовато-белый цвет в отраженном свете, при скрещенных николях — изотропный и обладает сильными желтовато-коричневыми рефлексами. Метод определения TR — химический, а некоторых из них — спектральный. Распределение этих элементов следующее (в %): $Sc_2O_3 < 0,1$, Y_2O_3 13,1, La_2O_3 1,5, CeO_2 13,5, Pr_6O_{11} 1,69, Nd_2O_3 17,0, Sm_2O_3 4,40, Eu_2O_3 0,1, Gd_2O_3 5,41, Tb_4O_7 0,50, Dy_2O_3 2,94, Er_2O_3 1,09, Tu_2O_3 0,48, Yb_2O_3 1,20, Lu_2O_3 0,20, ThO_2 33,80, сумма 96,81. Всего минерал содержит 10,77% ThO_2 и 21,05% TR. Высокое кол-во ThO_2 , избыток цериевой группы TR по отношению к иттриевой — все это характерно для минералов группы эвксенита. Однако рентгенограммы нагретого линдокита сходны с рентгенограммами эвксенита в таком же состоянии. Очевидно его

можно рассматривать как цериевую обедненную U и Th разность эвксенита, химически аналогичную эвксениту. Г. Волков

70400. О гидрослюдах из пегматитов Вольми. Цыганов Е. М., Тр. Всес. н.-н. ин-та пьезоопт. минеральн. сырья, 1957, 1, № 1, 127—132 (См. РЖХим, 1958, 17415).

70401. О содержании рубидия в бериллах пегматитовых жил Кольского полуострова. Боровик-Романова Т. Ф., Соседко А. Ф., Докл. АН СССР, 1958, 118, № 3, 534—536

Методом спектрального анализа определялся Rb в 12 бериллах Кольского полуострова. Спектрограммы снимались на спектрографе ИСП-51; использовались линии 7800,23 и 7947,60 Å. Содержание Rb в бериллах колеблется в пределах $3,3 \cdot 10^{-3}-1,1 \cdot 10^{-1}\%$. Для Северо-Кольского пегматитового пояса характерно низкое содержание Rb ($< 3,3 \cdot 10^{-3}\%$). В бериллах из зональных пегматитовых жил содержание Rb увеличивается от контактовой зоны к центру с $1,8 \cdot 10^{-3}$ до $1,1 \cdot 10^{-1}\%$. Низкие содержания калия (0,05%) наблюдались в бериллах из пегматитовых жил, лишенных минералов с редкими элементами, а более высокие (до 0,5% K) — из редкометалльных пегматитовых жил. Отношение Rb:K для 1-го случая $\leq 0,07$, для 2-го 0,22—0,30. Пределы отношения Rb:Cs 0,024—0,058. Предполагается, что K и Rb в бериллах замещает Ca. В. Лебедев

70402. Новые данные о геологии и минералогии Эмельджакского флогопитового месторождения (Южная Якутия). Галюк В. А., Тр. Моск. геол.-развед. ин-та, 1957, 31, 102—129

В геол. строении месторождения принимают участие глубоко метаморфизованные архейские породы порфино-осадочного и магматич. происхождения. Флогопитовые тела приурочены главным образом к биотит-пироксен-амфиболовым гнейсам и шпинель-диопсидовым и волластонитовым породам Эмельджакского горизонта. В дополнение к петрографич. характеристикам этих пород приводятся 1-хим. анализ шпинели и 2 — волластонита. Флогопитовые тела занимают секующее положение относительно вмещающих пород. Они образовались в результате метасоматич. р-ции между постмагматич. Са — Mg-рами и боковыми породами метаморфич. толщ. Расчеты баланса в-ва проводятся на основе 17 хим. анализов по 4 типам реакционных зон флогопитоносных тел. Р-рами привнеслись MgO , F, P_2O_5 , SO_3 , H_2O , CO_2 . На месторождении обнаружено ~ 30 минералов. Приводятся оптич. константы, хим. анализы и расчеты структурных ф-л для ведущих минералов (в скобках кол-во анализов): диопсида (4), флогопита (7), парагасита (4), снаполита (4), кальцита (2), апатита (1), циркона (2). Среди второстепенных минералов отмечены прени, цеолиты, ортит, тремолит, гидроортит, анальцит, сульфиды Fe и Mo, ряд вторичных минералов. На основе парагенетич. ассоциаций, типоморфных особенностей и взаимоотношений минералов выделяется 4 стадии минерализации: диопсид-флогопитовая, сульфидная, цеолитная и гипергенная. В. Кудряшов

70403. Геохимические и минералогические исследования титансодержащих железных руд западного побережья Норвегии. Ельсвик (Geochemical and mineralogical investigations of titaniferous iron ores west coast of Norway. Gjelsvik Tore), Econ. Geol., 1957, 52, № 5, 482—498 (англ.)

Приведены описание геологии района, минералогич. состав, результаты хим. и спектральных анализов 7 образцов руд и выделенных из них магнетита и ильменита. Район месторождений сложен гнейсами различного состава, кварцитами, сланцеватыми мраморами. Все эти породы прорваны мелкими дайками

мономинер. основных пород. Хим. состав титанмагнетитов и ильменитов соответственно (в %): SiO_2 0,1—3,6, O_2 0,1—0,3, TiO_2 0,5—14,6, $38,7$ — $50,2$, Fe_2O_3 44,1—71,8, $2,5$ — $29,2$, V_2O_5 0,1—1,0, $<0,05$ — $0,8$, Cr_2O_3 $<0,05$ — $1,9$, $<0,05$ — $0,1$, FeO 26,1—41,5, 30,1—46,5, MgO $<0,05$ — $3,5$, $<0,05$ — $6,6$, MnO $<0,05$ — $0,3$, 0,1—0,9. Спектральный анализ дополнительно открыл ($\text{п} \cdot 10^{-4}\%$) Cr <35 — 13000 , <35 — 500 , Ni <80 — 1200 , <80 — 320 , Co <75 — 300 , 75 — 300 , Cu 160—240, <40 — 80 , V 600—7100, <30 — 5000 , Mn 100—2100, 1100—7200. Геохим. особенности пород и руд (изобилие Mn , Fe^{+2} , недостаток V , отсутствие Cr и Ni) указывают, что они образовались в конце первой стадии дифференциации габброидной магмы. Метаморфизм проявился слабо в виде незначительного привноса Fe (образование альмандина) и К-метасоматоза (образование пертита). Г. Волков

70404. Рассмотрение парагенетических соотношений в рудных месторождениях Гемеры. Варчек (Prehľad para-genetických pomerov rúdnych ložísk Gemera. Varček Cyril), Geol. práce. SAV, 1957, № 46, 107—131 (словацк.; рез. нем.)

На основании литературных, эксперим. данных и частных сообщений рассмотрены гидротермальные рудные месторождения и генетически связанные с ними гемеридные граниты. Описаны 3 области, общий характер парагенеза, источники оруденения и роль геологич. среды. Возраст оруденения: средний триас — нижний миоцен.

70405. Околорудные изменения в Чирагидзор-Тогаланинском рудном поле. Алиев В. И., АзербССР Эмльер. Акад. аспиранты 5 Эмми конферансымын, эсэрлери, Тр. 5-й Научн. конференции аспирантов АН АзербССР, Баку, АН АзербССР, 1957, 86—97

Околорудные изменения пород выражены в переходе кварцевых порфиров во вторичные кварциты и связанные с ними высокоглиноземистые типы с диаспором, зунитом (произведен хим. анализ), пирофилитом, топазом, флюоритом и другими минералами. Эти породы развиты в нескольких и боковых частях рудных тел. В лежачем боку находят только серицитокварцевые и существенно кварцевые породы. Минер. ассоциации имеют в пространстве зональное расположение. Анализ подвижности компонентов, входящих в состав минералов, показывает, что образование вторичных кварцитов происходило в условиях кислой среды при участии сильных анионов (F^- , Cl^-). Лишь в периферийных частях ореолов околорудных изменений р-ры были щелочными или слабощелочными. Вторичные кварциты и высокоглиноземистые породы представляют собой гидротермально-метасоматич. образования, возникшие в результате взаимодействия глубинных р-ров с кварцевыми порфирами на поздней стадии вулканич. деятельности кварцпорфировой магмы.

70406. Некоторые данные о гидротермальном метаморфизме на Алданских месторождениях горного хрусталя. Лазько Е. М., Тр. Всес. н.-и. ин-та пезеооптич. минеральн. сырья, 1957, 1, № 1, 51—57 См. РЖХим., 1958, 24575.

70407. О серпентинитах Среднего Побужья. Лебедев (Про серпентинити Середнього Побужжя. Лебедев Ю. С.), Наук. зап. Київськ. ун-т, 1957, 16, № 14, 163—169 (укр.; рез. русск.)

Изучены минералогич. и хим. состав и структурные особенности серпофитовых, хризотил-серпофитовых, антигорит-хризотилитовых и баститовых серпентинитов, приуроченных к гипербазитовым проявлениям линейной ориентировки в зоне глубинных разломов. На основании повсеместного присутствия в серпентинитах брусита и реликтов оливина установлен апогидробуржитовый характер основной массы серпентинитов.

Приведены результаты 2 хим. анализов этих пород.

70408. Основные типы месторождений исландского шпата Сибирской платформы. Киевленко Е. Я., Тр. Всес. н.-и. ин-та пезеооптич. минеральн. сырья, 1957, 1, № 1, 43—50 См. РЖХим., 1958, 17413.

70409. К генезису серноколчеданных месторождений Ванклу-Арутюно-Гомерского рудного поля. Мартиросян Р. А., Мэрзуэлэр. АзербССР Эмльер Акад., Докл. АН АзербССР, 1958, 14, № 3, 223—226 (рез. азерб.)

Названное рудное поле сложено осадочно-эффузивной толщей и кварцевыми порфирами среднеюрского возраста. Постмагматич. гипогенная минерализация проявилась в основном в кварцевых порфирах и в меньшей мере в вулканогенных породах. По мере падения т-ры гидротермальных р-ров наблюдается последовательное изменение минер. фаций: пирит-серицит-кварцевая сменяется серицит-пирит-кварц-хлорит-эпидотовой. Эта серия фаций вызвана процессами окварцевания, пиритизации, серицитизации, хлоритизации, эпидотизации, каолинитизации. Данные исследований метасоматич. новообразований позволяют установить ряд подвижности компонентов (в порядке понижения): H_2O , CO_2 , S , K_2O , Na_2O , CaO , MgO , Fe , SiO_2 , P_2O_5 , Al_2O_3 , TiO_2 . Серноколчеданное оруденение приурочено к кварц-хлорит-эпидотовой фации в периферийных частях экзоконтакта кварцевых порфиров. В них содержание S не превышает 10%, в пирит-серицит-кварцевых породах 20—25%, в линзовидных сульфидных телах 40—45%. Сульфидное оруденение представлено вкрапленно-прожилковыми и линзовидными типами руд.

70410. К вопросу о методах изучения околорудного метаморфизма на оловянных и полиметаллических месторождениях в связи с его поисковым значением. Константинов Р. М., Тр. Дальневост. политехн. ин-та, 1957, 46, № 1, 3—10

Одним из важнейших поисковых признаков Sn - и Pb -месторождений являются околорудные изменения пород. Эти изменения можно разделить на околужильные, приуроченные к экзоконтактам рудных тел, и гидротермальные, связанные с оруденением в пределах всего рудного поля. Представляют наибольший интерес для поисковика: хим. состав, парагенезис минералов и типоморфные минералы, указывающие на связь этих пород с оруденением. Отбор проб проводится профилями перпендикулярно контакту через 5—10 см в его зоне и через большие промежутки за его пределами. В ходе геологич. съемки масштаба 1:10 000—1:1000 следует изучить особенности метаморфизма и стадии его проявления с обязательным обследованием первичных материнских пород. Изучение особенностей всех типов метаморфизма позволит выделить из них тот, который наиболее близок к околужильным изменениям. При дальнейших исследованиях обращается внимание на те признаки, которые позволяют отделить участки с околорудным метаморфизмом от похожих изменений, не связанных с оруденением.

70411. Молибденовое оруденение в роговиках месторождения Тырымауз. Курдюков А. А., Изв. высш. учебн. заведений. Геол. и разведка, 1958, № 2, 83—93

Участок месторождения сложен песчано-сланцевой толщей, превращенной под воздействием эльджуртинских гранитов в биотитовые роговики. Здесь присутствует штокверк кварцево-молибденитовых жил, среди которых различают жилы с бедной вкрапленностью молибденита и с высоким содержанием Mo . Первые выполнены кварцем с примесью пироксена, амфибола,

молибденита. Вдоль них прослеживается осветленная зона, для которой характерно исчезновение биотита, появление сфена, развитие более основного плагиоклаза. Вторая группа приурочена к зоне неоднородных роговиков и скарнов. Здесь жилы выполнены кварцем, молибденитом и в меньшей степени карбонатом, флюоритом, апатитом. Молибденит развит либо вдоль альбандов в виде оторочки, либо в краевых частях жил между зернами кварца. Околожилные изменения проявляются в виде развития щел. полевого шпата и обесцвечивания биотита (щел. метасоматоз). Г. Волков

70412. Источники железа в пиритизированных боксовых породах. Мак-Кинстри (Source of iron in pyritized wallrocks. McKinstrey Hugh), Econ. Geol., 1958, 52, № 7, 739—754 (англ.)

На основании обработки большого числа литературных аналитич. данных рассмотрено соотношение Fe в неизмененных и измененных породах Америки и других частей света. Сделан вывод, что содержание Fe при метаморфизме породы не изменяется и остается постоянным. Отклонение до 70% величины содержания Fe может быть следствием неудачного подбора образцов. Кол-во Fe^{3+} и уд. вес, как правило, уменьшаются при переходе от неизменной части породы к измененной. Я. Хмельницкий

70413. Исследование петрографии кульмских кремнистых сланцев. Хосс (Untersuchungen über die Petrographie kulmischer Kiesel-schiefer. Hoss Hildgard), Beitr. Mineral. und Petrogr., 1957, 6, № 1, 59—88 (нем.)

Приведены описания разрезов кульмских кремнистых сланцев, состоящих из переслаивающихся лент, глинистых сланцев, кремнистых известняков и туфов в окрестностях Хосса (Германия). Породы были изучены кристаллооптич., рентгенометрич., спектральными и термич. методами. Хим. и спектральные анализы (в %): 1) темные лититы (13 образцов) — SiO_2 82,6—88,1, Al_2O_3 4,4—7,2, Fe_2O_3 1,4—2,9, TiO_2 0,05—0,14, MnO 0,02—0,07, P_2O_5 0,03—0,09, CaO 0,1—0,3, MgO 0,5—1,4, Na_2O 0,4—0,9, K_2O 0,9—1,7, H_2O^+ 1,9—2,6, H_2O^- 0,2—0,5, C 0,10—1,50; 2) глинистые сланцы (6 образцов) — SiO_2 74,5—80,5, Al_2O_3 7,2—12,0, Fe_2O_3 2,4—6,4, TiO_2 0,12—0,28, MnO 0,04—0,12, P_2O_5 0,02—0,23, CaO 0,1—0,3; MgO 0,5—1,8, Na_2O 0,4—1,2, K_2O 1,4—2,8, H_2O^+ 3,0—4,4, H_2O^- 0,2—1,0, C 0,3—1,34; Ni $1,3 \cdot 10^{-2}$, V $2,7 \cdot 10^{-2}$, Co $1,5 \cdot 10^{-3}$, Cu $1 \cdot 10^{-2}$; 3) туфовые лититы (2 образца) — SiO_2 89,3—89,6, Al_2O_3 4,3—4,7, Fe_2O_3 1,8—2,5, TiO_2 0,07—0,10, MnO 0,07—0,69, P_2O_5 0,08—0,09, CaO 0,3—0,4, MgO 0,2—0,2, Na_2O 1,2—1,2, K_2O 0,3—0,5, H_2O^+ 0,7—0,9, H_2O^- 0,1—0,3, C 0,49; Ni $8 \cdot 10^{-3}$, V $6,7 \cdot 10^{-2}$, Co $2,5 \cdot 10^{-3}$, Cu $1,5 \cdot 10^{-2}$; 4) туфы (5 образцов) — SiO_2 47,5—51,4, Al_2O_3 23,7—30,3, Fe_2O_3 2,2—4,1, FeO 0,29—0,94, TiO_2 0,11—0,39, MnO 0,01—0,16, P_2O_5 0,14—0,45, CaO 0,28—0,78, MgO 1,8—3,9, Na_2O 0,2—3,9, K_2O 3,2—6,5, H_2O^+ 7,1—8,9, H_2O^- 0,4—1,9, CO_2 0,01—0,15; Ni $6 \cdot 10^{-3}$, V $2,8 \cdot 10^{-2}$, Co $1,5 \cdot 10^{-3}$, Cu $0,4 \cdot 10^{-2}$, Zr $0,4 \cdot 10^{-2}$. Отмечено следующее превращение SiO_2 с момента образования осадков: опал → кристобалит → микрокристаллич. кварц (халцедон, кварц). Происхождение исследованных сланцев неясно. В. Юдина

70414. Марганцевая руда из Южной Индии и ее магнитные свойства. Бхимасанкар (Manganese ore of South-India and its magnetic properties. Bhimasankar V. L. S., Rao B. S. R.), Geophys. Prospect., 1958, 6, № 1, 11—24 (англ.)

Описана геология и результаты магнитных исследований месторождения в р-не Кодур. Рудные тела обладают высокой положительной или отрицательной магнитной аномалией. Обнаружено, что высокая магнитная восприимчивость связана с участками, содер-

жащими манганмагнетит и вреденбургит, а низкая — с участками, содержащими псиломелан и пиролюзит. На основании хим. анализа 15 образцов с манганмагнетитом и вреденбургитом получена прямая графич. зависимость между магнитной восприимчивостью и нормативной величиной по общей ф-ле $(MnFe)_3O_4$. Р. Хмельницкий

70415. Геология отложений уранинитовой формации Дакота, близ Моррисона, Колорадо. Голдстейн (Geology of the Dakota formation uraninite deposit near Morrison, Colorado. Goldstein E. H.), Econ. Geol., 1957, 52, № 7, 775—785 (англ.)

Месторождение приурочено к песчанникам верхней и средней серий формации Дакота, обогащенных органическим и асфальтовым в-вами. Породы этой формации подстилаются песчанниками юры и перекрываются известняками и сланцами мела. У-руды представлены в основном уранинитом, ассоциирующим с пиритом, ильземанитом и асфальтом. Уранинит цементирует зерна песчанников, за пределами рудных тел он выполняет полости мелких трещин. Ильземанит всегда развит по ураниниту. Приводятся различные гипотезы о генезисе оруденения. Г. Волков

70416. К минералогии одного из месторождений богатых железных руд Курской магнитной аномалии. Малыгина Н., Пономарева М. Н., Сб. науч. работ студ. Донецк. индустр. ин-та, 1957, вып. 2, 141—152

Богатые Fe-руды связаны с докембрийской железорудной свитой. Залежи руд перекрываются толщей осадочных пород и залегают на железистых кварцитах. Различаются плотные и рыхлые остаточные и переотложенные (брекчиевые) руды. Первые имеют карбонато-маритовый и карбонато-гематитовый состав. Среди минералов присутствуют мартит, гематит, сидерит, кальцит, реже пирит и кварц. Рыхлые руды, преимущественно маритового состава, состоят из маррита, меньше сидерита, кальцита и пирита. Плотные брекчиевые руды сложены обломками плотной руды и рудно-глинисто-карбонатным цементом. Приводится краткое микроскопич. описание рудообразующих минералов и рудных структур. Исследования подтверждают гипергенное происхождение богатых руд месторождения. В. Кудряшова

70417. Магнезиорибекит в кристаллических сланцах Бизана в Сикоку, Японии. Миясиро, Ивасаки (Magnesioriebeckite in crystalline schists of Bisan in Sikoku, Japan. Miyashiro Akiho, Iwasaki Masao), Тисицугаку дзасси, J. Geol. Soc. Japan, 1957, 63, № 747, 698—703 (англ.; рез. японск.)

Описан магнезиорибекит (Mg-аналог рибекита, I) в эгиринсодержащих кристаллич. сланцах. По оптич. свойствам он похож на глаукофан, но отличается от него большим углом угасания и заметным отклонением двух осей абсорбции от осей индикатрисы. Минерал с такими свойствами некоторыми авторами называется торендриком (по хим. составу представляет собой ряд от I до магнезиоарфедсонита). Хим. состав (в %): SiO_2 55,62, Al_2O_3 4,54, TiO_2 0,26, Fe_2O_3 12,99, FeO 3,53, MnO 1,25, MgO 11,98, CaO 1,95, Na_2O 5,58, K_2O 0,36, H_2O^+ 1,96, H_2O^- 0,00, P_2O_5 0,07, сумма 100,09. Ф-ла $Na_2Mg_3Fe_2^{3+}Si_8O_{22}(OH)_2$. Кристаллич. сланцы, содержащие I и эгирин, имеют повышенное кол-во мусковита и граната. Характерно, что I имеет значительный избыток щелочей, а порода по валовому составу имеет дефицит щелочей. Образование I и эгирина обязано не щел. метаморфизму, а таким физ. хим. условиям глаукофанитового метаморфизма, в которых комплекс названных минералов является устойчивым. И. Липова

70418. Круговорот кремния в осадочном цикле. Сивер (The silica budget in the sedimentary cycle.

зкая —
олуют.
ганмаг-
гра-
мично-
ф-ле-
нический
рмации
стей
deposit
Econ.

ерхней
ых ор-
й фор-
рекре-
пред-
щим с
ит пе-
рудных
ьзма-
различ-
Волков
ий бо-
малли.
науч.
ып. 2.

келезо-
олщей
варщи-
ные и
имеют
й со-
матит,
руды,
ит из
Плот-
отной
При-
разу-
вания
гатах
яшова
анцах
сажа
gan in
aki
Japan.

га, П
оптич-
ся от
лоне-
н. Ми-
и на-
став-
Хим.
Fe₂O₃
Na₂O
сумма
сла-
кол-во
начи-
су со-
и эги-
фна-
в по-
стой-
ипова
С. Я-
cyclic.

siever Raymond), Amer. Mineralogist, 1957, 42, № 11-12, 821—841 (англ.)

Крутоворот Si предусматривает его поступление в природные воды, перенос и осаждение. Наиболее стабильными формами Si в условиях низких t -р и давлений являются α -кварц, мел, опал, аморфный SiO_2 . Более растворим последний (120—140 мг/л), меньше растворим опал (100 мг/л) и кварц (7,25—14 мг/л). В нейтр. и слабокислых водах Si находится в виде мономерной кремневой к-ты H_2SiO_4 . В разб. р-рах H_2SiO_4 гидратируется. При $\text{pH} \leq 9,8$ H_2SiO_4 уже сильно диссоциирована, в р-ре появляются силикат-ион, олимерные или полимерные формы кремневой к-ты. Скорость установления равновесия между твердой и растворенной фазами Si зависит от форм твердого SiO_2 . Si поступает в природные воды за счет выветрелых силикатов, за счет растворения Si-содержащих организмов, привносится термальными источниками. Содержание SiO_2 в водах рек 8—75 мг/л, океана 8—12 мг/л, в подземных водах 8—60 мг/л. По отношению к кварцу это пересыщ. р-ры, а к аморфному SiO_2 — перенасыщенные.

Г. Волков
70419. Некоторые данные о диагенезисе, взятые из советской литературы. Выводы. Чилингар (Some data on diagenesis obtained from Soviet literature: a summary. Chilingar George V.), Geochim. acta, 1958, 13, № 2-3, 213—217 (англ.)

70420. Окисление сульфидных руд в условиях, близких к естественным. Павлов Ф. Н., Днез Н. П., Тр. Ин-та металлургии. Уральский фил. АН СССР, 1957, вып. 1, 26—31

В течение 7 месяцев в спец. камере исследовался процесс окисления кислородом воздуха 56,2 кг измалоченной (5 мм) влажной (3 л H_2O) сульфидной руды уральского месторождения (39—42% Fe, 1,95% Cu, 46—50% S, 3,8% SiO_2 , основные минералы — пирит, халькопирит, борнит, халькозин, ковеллин). Показано, что скорость поглощения кислорода поверхностью руды снижается во времени. Образование гидратов (главным образом железа) приводит к цементации рудной мелочи. Спектроскопич. анализ руды и солей, полученных из р-ра в конце опыта, указывает на селективное выщелачивание Co, Ni, Ca, Mn, Mg, Zn и других элементов.

А. Чемоданов
70421. Проявления железного оруденения в эоценовых отложениях юго-восточной части Западно-Сибирской низменности. Гурова Т. И., Сов. геология, 1958, № 3, 123—124

Исследовался псаммитовый песчаник эоценового возраста разнозернистой структуры с плохо окатанными зернами (0,1—0,25 мм). Кластич. часть состоит из кварца (70,0%), выветрелого полевого шпата (20,0—25,0%), кремния, кварцита, граната, минералов группы эпидота; присутствуют овальные эллипсоидные гидрогетитово-лентохлоритовые железистые образования (20,0—40,0%), глауконит до 10,0%; легкие минералы представлены лентохлоритами (76,7%), кварцем, полевым шпатом (20,1%); тяжелые минералы (42,4%) — сидеритом, цирконом, гранатом, минералами группы эпидота, турмалином и др. Содержащие Fe_2O_3 в породе до 12,0%, FeO до 6%. В. Завьялов

70422. К характеристике некоторых продуктов минерализации разрывных нарушений на п-ове Челекен. Будько В. М. В сб.: Геол. Закаспия. Вып. 1. М.—Л., АН СССР, 1958, 68—78

Изучен характер минерализации сбросовых трещин, рассекающих красноцветную толщу, с целью выявления в них продуктов парагенезиса восстановительной среды. В изменение существующей классификации В. Н. Вебера и К. П. Калицкого (Челекен. Тр. Геолкома, нов. сер., 1911, вып. 63, 1—180) все железистые сбросы по характеру минерализации разделены на

4 группы: 1) барит, кальцит, плотные и землистые образования серы; 2) марказит, ярозит, кристаллы самородной серы; 3) кальцит, гипс; 4) окислы железа. H_2S на Челекене — непреходящий спутник нефти, поэтому наличие серы в трещине сброса свидетельствует о том, что трещина достигает нефтяной залежи. Кристаллы серы являются индикатором на диффузию сероводорода и могут служить поисковым признаком на нефть даже в том случае, когда трещина непроницаема для самой нефти и для минерализованных подопленных вод залежи.

С. Тепляцкая
70423. Геологическое строение, калиеисходность и бореисходность Челкарской соляной структуры. Кореньевский С. М., Горюнов Ю. С., Докл. АН СССР, 1958, 118, № 6, 1169—1172

Кратко обобщены материалы, полученные при бурении в 1954 г. Сделан вывод, что площади распространения залежей калийных солей и боратов совпадают — первые залегают на несколько десятков метров ниже вторых. Бораты в нижней части разреза покровных гипсов оконтуривают полосу подъема калийной зоны к кровле соляной толщи. Это указывает на то, что образование боратов может быть связано и с древними (доюрскими) гипергенными процессами, благодаря которым при длительном, медленном размытии кровли соляной толщи (до перекрытия ее юрской толщей) могло происходить наращивание небольшой пачки в нижней части разреза. Полученные данные позволяют пересмотреть прежние представления о локальном формировании боратных залежей и карналлит-сильвинит-галитовой фации галогенного кунгура Прикаспия исключительно в р-не Индера.

Р. Хмельницкий
70424. К минералогии и геохимии цинка гипергенных зон некоторых месторождений Алтая. Розыбакиева Н. А., КазССР Ғылым Акад. хабаршысы, Вестн. АН КазССР, 1958, № 3, 78—83 (рез. каз.)

Изучено поведение Zn в зоне окисления ряда месторождений Алтая. Эти месторождения связаны с эффузивно-интрузивными породами, иногда обогащенными вторичными карбонатами. Для зон окисления характерно развитие вторичных силикатов, а на участках развития карбонатизированных пород — появление в большом кол-ве карбонатов. В случае руд, богатых пиритом, широко распространен ярозит. Уровень грунтовых вод обычно лежит значительно ниже нижней границы зоны окисления. Все это определяет основные черты гипергенного поведения Zn. В большинстве случаев он осаждается в виде карбоната и часто в виде смешанного Cu-Zn-карбоната — розазита. Для Zn характерно изоморфное замещение малахита (4—14,4%). Иногда он входит в состав алюмосиликатов. Большие кол-ва Zn в конечные стадии гипергенеза обуславливают его присутствие в виде сорбционной примеси (до 12%) в высокодисперсных минералах и образование каламина.

Г. Волков
70425. К вопросу о сохранности радиогенного аргона в глауконитах. Амирханов Х. И., Брандт С. Б., Бартицкий Е. Н., Гурвич В. С., Гасанов С. А., Докл. АН СССР, 1958, 118, № 2, 328—330

Исследована зависимость между кол-вом выделяющегося радиогенного Ar и t -рой нагрева в интервале 100—1150°. Для исследования взяты 2 образца глауконитов: Силур — фракция 0,05—0,25 мм, и Эстония — фракция 0,25—1,00 мм. Содержание радиогенного Ar 0,098 и 0,165 мм³/г соответственно. При 100° происходит потеря ~ 20% Ar⁴⁰, а при ~ 500° — его полное выделение. На основании анализа порошкограмм сделан вывод, что выделение Ar⁴⁰ происходит до начала разрушения кристаллич. решетки глауконита.

Р. Хмельницкий

70426. Минералогия «желтых охр» ртутно-сурьмяного месторождения Джижикрут. Новикова Т. И., Тр. АН ТаджССР, 1957, 77, 283—298 (рез. тадж.)

При изучении названного месторождения (сев. склон Гиссарского хребта) установлено повышенное содержание в окисленных рудах Тl. Месторождение приурочено к нескольким горизонтам окварцованных пиритизированных брекчий, образующих пологие пластообразные залежи на контакте доломитов (лудлов) и известняков (силур — девон) с черными филитовидными сланцами (девон — карбон). Оруденение встречено также в брекчированных сланцах девона — карбона и песчаниках верхнего визе. Ведущими гипогенными рудными минералами являются антимонит, киноварь, пирит, марказит; второстепенными — арсенопирит, реалгар, аурипигмент, халькопирит, гематит, сфалерит, халькопирит, пирротин и др. Жильные минералы: кварц, кварцин, халцедон, кальцит, доломит, флюорит; второстепенные — барит и дикиит. Иногда эти минералы образуют дисперсную смесь, часто с преобладанием ярозита. Отличить ярозит от окисных сурьмяных минералов удается не всегда, и автор приводит подробное описание этих минералов с использованием кривых нагревания, данных спектрального анализа, рентгенограмм, кривых потери H_2SO_4 и SO_3 при нагревании ярозита и кривых потери H_2O при нагревании Sb-минералов. Установлено, что желтые Sb-охры по составу и структуре отвечают кальциевому стибикониту. Изученные ярозыты таллиносны (содержание Тl достигает 0,55%). Характер вхождения Тl неясен. Л. Балашов

70427. Восстановление растворов пятивалентного ванадия древесинной и лигнитом. Поммер (Reduction of quinquevalent vanadium solutions by wood and lignite. Pommer Alfred M.), Geochim. et cosmochim. acta, 1957, 13, № 1, 20—27 (англ.)

Совместное нахождение на плато Колорадо восстановленных V-U-руд с органич. в-вом в виде карбонизирующей древесины вызвало предположение об образовании низковалентных ванадиевых минералов путем восстановления р-ров, содержащих V^{5+} , древесины и лигнитом. Для проверки возможности такого процесса рассчитана восстановительная способность органич. в-ва древесины в разной степени разложения (в мэкв на 100 г в-ва) и проведена эксперим. проверка этих расчетов. Опыты производились путем нагревания навески образцов древесины с определенным кол-вом $NaVO_3$ в закрытом сосуде при 120—150° в течение 3—12 дней; степень восстановления устанавливалась потенциометрич. титрованием. Экспериментально установленная восстановительная способность достигает ~60% от рассчитанной. При определенных условиях из р-ра V^{5+} был получен финтетич. минерал, по рентгенографич. данным идентичный найденному в природе. Т. Попова

70428. Гидратация кернита ($Na_2B_4O_7 \cdot 4H_2O$). Мюссиг, Аллен (The hydration of kernite ($Na_2B_4O_7 \cdot 4H_2O$). Muessig Siegfried, Allen Robert D.), Amer. Mineralogist, 1957, 42, № 9-10, 699-701 (англ.)

Наблюдения на месторождении Крамер (Калифорния, США) показали, что пластинки тинкалкониата (I), которые окружают кернит (II), вглубь стенки старой выработки постепенно переходят в буру (III). Через месяц в условиях комнатной т-ры и атмосферы III, развитая по II, покрылась пленкой I. Через 3 года III полностью дегидратировалась до I, в то время как сам II не изменился. В шлифе, сделанном из этого образца, видно, что неизменный II расщепается мелкими трещинами, выполненными III. По поверхности последней интенсивно развит I. В условиях комнатной т-ры и сильного увлажнения II полностью переходит в III. Все это показывает, что II

гидратируется до III, которая затем дегидратируется до I.

70429. Роль валентности при катионном обмене в гекторите. Глезер, Меринг (Le rôle de la valence des cations échangeables dans l'hectorite. Glaeser Rachel, Mering Jacques), C. r. Acad. sci., 1958, 246, № 10, 1569—1572 (франц.)

Глинистый минерал гекторит называется монтиллионит; его ф-ла $(Si_8)^{IV}[Mg_{(6-x)}Li_x]^{VI}O_{2d}(OH)_f$, где Mx — эквивалент отрицательных зарядов, используемых при обменном изоморфизме. Отмечается факт большей стабильности сольватированного монтиллионита, насыщенного 2-валентными катионами, чем 1-валентными. Указывается, что 2-валентные катионы могут использовать обменные валентности только при наличии двух обменивающихся атомов, расположенных рядом в гексагон. решетке кристалла. Высчитывается доля возможного обмена α . Аналогично для двуслойных минералов высчитывается величина обмена f . При $f < \alpha$ минерал как бы полностью насыщен 1-валентными катионами. Авторы указывают, что подсчет α для гекторита затруднен ввиду наличия трех обменивающихся катионов вместо двух в монтиллионите. Приводится результат подсчета $\alpha = 0,29$, сбитой с графика зависимости α от p , где $p = x/6$ — эквивалентная величина. Серия проб гекторита с величиной f от 0,0 до 1,0 была приготовлена в виде смеси эквивалентных кол-в Na- и Ca-гекторита. Перераспределение катионов контролировалось рентгенографией. Образцы имели влажность 5 и 40%. В образцах с 5% влажности Ca-гекторит образовал однородные гидраты в слое кристаллизационной воды; Na-гекторит не имел кристаллизационной воды. В образцах с 40% влажности первый образовал двуслойный гидрат, второй — однослойный. Построенный график зависимости f от процентного содержания воды показывает, что момент гидратации наступает при $f < 0,3$; это отвечает теор. высчитанной величине α . В. Завьялов

70430. К геохимической характеристике терригенной толщи девона юго-западной части Башкирии. Радонова К. Ф., Старовойтова А. Ф., Макарова К. М., Тр. Всес. нефтегаз. н.-и. ин-т, 1957, вып. 11, 271—309

Изучено 75 образцов керна из живецких, пашевских и частью кыновских отложений разрезов других скважин (в р-не Шкапово). Анализ фактич. материала позволил предположить, что соленость вод бассейна была нормальной, за исключением небольшого отрезка времени, соответствующего формированию песчаных толщ. Периодически отмечающиеся повышенные конц-ии Fe и S, а также изменение соотношения их различных форм указывает на существование четкой ритмичности в осадкообразовании. Геохим. обстановка соответствовала сидеритовой фации в кыновское и натийское время и сидерито-шамозитовой фации в живецкое время. В отдельные моменты геохим. условия приближались к резко восстановительным (формирование известково-глинистых осадков). Тонкоресеченное в терригенных осадках органич. в-во в основном сингенетично вмещающим породам и по характеру близко к сапропелитам и бурым углям. Присутствие в коллекторах одной из скважин нефти изменило соотношение битуминозных и небитуминозных компонентов органич. в-ва, групповой и элементарный состав нейтр. битума, соотношение нейтр. битума к кислым битуминозным в-в. Указанных изменений в породах нефтеносных разрезов не отмечено. Приведены графики, таблицы и диаграммы содержания Fe и органич. в-ва, состава хлороформного экстракта нефтей и углистых в-в. Т. Ионов

70431. Минералогические типы известково-доломитовых пород Самарской Луки. Николаев С. В., Тр. Ил-та геол. рудн. месторожд., петрогр., минералогии и геохимии. АН СССР, 1958, вып. 13, 10—14

Рассмотрена классификация карбонатных пород. Приведены средние значения уд. веса для каждого типа по данным 660 анализов пород Могутовой горы и Яблоковского месторождения. Графики, составленные на основании 4200 анализов (анализы не приводятся), позволяют, помимо вопросов классификации, проследить распределение доломитов и подтверждают положение о наибольшем распространении в природе чистых доломитов и чистых известняков и подчиненном значении переходных разновидностей. С. Теплицкая

70432. Литология саргаевских отложений востока Татарской АССР. Логинова В. Н., Изв. Казанск. фил. АН СССР, Сер. геол. н., 1957, № 6, 61—79

Изучены известняки, мергели, аргиллиты и горючие сланцы с применением методов: хим., механич. и термич. Пределы хим. состава известняков, мергелей и аргиллитов соответственно в пересчете на сухую породу (по данным 15 анализов, в %): нерастворимый остаток 2,29—17,34; 31,74—59,70; —; SiO_2 до 9,23; 15,19—42,50; 45,72—58,69; Al_2O_3 0,65—2,76; 5,86—17,70; 18,58—10,06; Fe_2O_3 1,67—6,58; до 7,25; 4,97—9,40; CaO 39,79—53,02; 10,15—37,68; 1,67—10,34; MgO до 8,66; 0,06—7,48; 1,17—2,29; SO_3 0,29—3,38; 1,26—5,11; до 0,08; п. п. п. 36,10—41,59; 13,89—55,39; до 4,62. Содержание органич. в-ва в известняках, мергелях и горючих сланцах соответственно (в %): 0,63—8,63; 0,58—12,70; до 26,5. В состав песчано-алевритовых фракций входит 31 минерал (циркон, эпидот, пирит, кварц, барит, целестин, анатаз, брукит и др.). Аргиллиты, по данным термоанализа, состоят из гидрослюд. В. Завьялов

70433. Карбонатные конкреции в майкопских отложениях Центрального Предкавказья. Прякина Ю. А., Изв. АН СССР, Сер. геол., 1958, № 1, 26—42

Карбонатные конкреции по хим. и минералогич. составу делятся на 4 группы. 1. Глинистые сидериты (приведено 16 хим. анализов); присутствуют Ca , Mg и Mn , изоморфно замещающие Fe в кристаллич. решетке FeCO_3 . 2. Глинисто-фосфоритные сидериты (15 хим. анализов); 1,00—8,00% P_2O_5 . 3. Глинистые апериты (11 хим. анализов); характерно преобладание $\text{Mg} > \text{FeO}$. 4. Глинистые кальциты (11 хим. анализов). Приведено 12 термич. кривых сидеритов, аперитов и кальцитов. Вмещающие породы — безызвестковистые глины (карбонаты от 0 до 2,0%). Абс. массы конкреций колеблются от 0 до 28 кг/м³, при этом коэф. конкреционности изменяется от 0 до 1%. Содержание конкреций зависит от песчаности глин, с увеличением которой содержание их убывает, а максим. содержание падает на тонкодисперсные глины. Образование конкреций связано с перераспределением в-ва в процессе диагенеза. В. Зверев

70434. Минералогический состав тонких фракций глинистых образований верхнего палеозоя Джезказгана. Тажиббаева П. Т., КазССР Ғылым. Акад. хабарлары. Изв. АН КазССР, Сер. геол., 1957, вып. 4 (29), 81—88 (рез. каз.)

Термическим, рентгеноструктурным и хим. (6 анализов) методами изучены фракции < 0,001 мм алевритов, алевропелитов и пелитолитов. Джезказганская свита, красноцветная и низы пестроцветной толщ представлены в тонких фракциях гидрослюдой — иллитом, с подчиненным кол-вом бейделлита; верхи пестроцветной толщ представлены каолинитом. Среди гидрослюд различаются разновидности: натровая с $\text{Na} > 3\%$ (джезказганская свита) и калиевая с $\text{K} > 3\%$ (красноцветная и низы пестроцветной толщ). Таким образом,

геохим. обстановка седиментации к началу формирования пестроцветной толщ заметно изменилась.

Г. Воробьев

70435. Химический состав важнейших генетических типов глин. Ронов А. Б., Хлебников З. В., Геохимия, 1957, № 6, 449—469 (рез. англ.)

Исследовано более 18000 образцов глин Русской платформы, взятых из толщ всех возрастов. Пределы колебаний и частоты распределения важнейших компонентов определялись статистически. Частотная кривая для Al_2O_3 имеет 2 максимума, что свидетельствует о наиболее широком распространении в природе глин с низким и высоким содержанием Al_2O_3 . На основании фациальных и климатич. признаков выделено 3 главных генетич. типа глин, отличных по своему среднему хим. составу и частотных кривым: I — континентальный холодный и умеренно-холодный климатич. пояс; повышенное содержание SiO_2 , Na_2O , K_2O , пониженное Al_2O_3 и TiO_2 (очень близок к составу магматогенных пород); II — континентальный влажный и жаркий пояс; резко повышенное содержание Al_2O_3 , повышенное кол-во TiO_2 , пониженное SiO_2 и весьма пониженное $\text{Fe}_2\text{O}_3 + \text{FeO}$, MgO , CaO , Na_2O и K_2O ; господствующим минералом является каолинит (предполагается, что последней стадией процесса формирования каолиновых отложений является окиснообразование); III — морской (засоленные лагуны и озера аридной зоны); повышенное содержание MgO , CaO , $\text{Fe}_2\text{O}_3 + \text{FeO}$ и SO_3 . Средний состав морских глин ближе к среднему составу I типа. I и II типы характеризуются низким содержанием Al_2O_3 , так как при их формировании исходный материал испытывал сравнительно слабое выветривание; высокое содержание Al_2O_3 , присущее II типу, показывает, что исходный материал подвергся интенсивному выветриванию в условиях влажного и жаркого климата. Для каждого типа приведены состав и характерные частотные кривые. Л. Флерова

70436. Исследование старения глинистых минералов. Хара, Какитани (Hara Kiichi, Kakitani Satoru), Имоно, Imono, J. Cast. Inst. Japan, 1957, 29, № 10, 708—710 (японск.; рез. англ.)

Методами ИК- и рентгеновской спектроскопии исследовалась степень проникновения воды в межплоскостное пространство решеток глинистых минералов при длительном их старении. Были изучены образцы глин: смесь каолинита и галлуазита и бентонит. Установлено, что в области 2,8—3,0 м ИК-спектра появляется полоса поглощения после 6 месяцев старения 1-го и после 5 месяцев старения 2-го. Величины интенсивностей абсорбционных пиков 2,71 и 2,76 м меняются местами после 3 месяцев старения, что, вероятно, обусловлено превращением решетки каолинита в галлуазит.

И. Задорожный

70437. Глины из ряда почв миоцена-плиоцена Тосканы. Лотти (Le argille di una serie di terreni miocenici toscani. Lotti Goffredo), Agrochimica, 1958, 2, № 2, 127—136 (итал.; рез. англ., нем., франц., исп.)

На основании результатов рентгенографич. анализа, подтвержденного определениями емкости поглощения (24,5—43,5 мг-экв 100 г) и общего кол-ва K, глинистые фракции < 2 м, выделенные из почв (2,20—4,12% K_2O), содержат в качестве основного компонента иллит. В подчиненном кол-ве присутствуют каолинит и редко хлориты. Из сопровождающих детритных минералов в плиоценовых почвах постоянно встречаются кварц и кальцит; в миоценовых почвах найдены кварц и значительные кол-ва гематита, а также другие минералы — диаспор, плагноклаз.

Н. Халатова

70438. Углекислый газ (CO_2) в морской воде и его биохимическое значение. Шмитт (El gas carbónico (CO_2) en el agua del mar y su importancia bioquí-

mica. Schmitt Alfredo), Bol. inform. cient. nac., 1957, 9, № 82, 62—88 (исп.).

Популярная статья о факторах, влияющих на растворимость CO_2 в морской воде, обмене CO_2 между водой и атмосферой, а также биологич. значении наличия CO_2 в воде.

Н. Туркевич
70439. Галлуазит в фосфоритоносных аргиллитах древнего палеозоя Приднестровья. Курочка В. П., Докл. АН СССР, 1958, 119, № 2, 351—353

В нижнепалеозойских отложениях, в средней части фосфоритоносного горизонта Ушицкой свиты обнаружен маломощный прослой (4—5 см) аргиллита галлуазитового состава. Выделенная фракция аргиллита ($< 0,001$ мм) подверглась термич., рентгенографич., электронномикроскопич., хим. и хроматографич. анализам. Хим. состав (в %): SiO_2 44,24, TiO_2 0,20, Al_2O_3 38,67, Fe_2O_3 2,23, CaO 0,67, MgO 0,21, п.п.п. 14,10, сумма 100,32. Сделан вывод, что основным породообразующим минералом исследованного аргиллита является галлуазит, второстепенными — каолинит и монтмориллонит. Образование галлуазита, по-видимому, произошло в результате диагенетич. изменения иллита. Данная ассоциация свидетельствует о широком диапазоне изменения pH в период формирования фосфоритоносных аргиллитов Приднестровья и подтверждает мнение И. И. Гинзбурга о существовании иллит-монтмориллонитовой стадии разложения слюд.

Р. Хмельницкий
70440. К вопросу о минералогическом составе бокситовых залежей Шенуровского месторождения Тульской области. Кирсанов Н. В., Изв. Казанск. фил. АН СССР. Сер. геол. н., 1957, № 6, 151—159

Бокситы исследовались химико-минералогич., термич., электронномикроскопич. и иммерсионным методами. Хим. состав наиболее чистой разности породы и образца фракции $< 0,001$ мм соответственно следующей (в %): SiO_2 40,43; 23,43; Al_2O_3 40,81; 49,48; Fe_2O_3 0,00; 0,00; CaO 2,11; 0,59; MgO 0,72; 0,50; K_2O 0,04; —; Na_2O 0,18; —; SO_3 и S (сульфидная) следы; —; P_2O_5 0,04; —; влажность (105°) 18,9; 5,38; п.п.п. 12,35; —. Содержание обменных оснований достигает 68,5 мг-экв обменных ионов на 100 г сухого образца. Основными компонентами являются аллофан (55—66%), галлуазит (35%), когель-гидрагиллит (5—10%). С уменьшением дисперсности фракций содержание аллофана увеличивается с 35 до 95%, а галлуазита падает с 65 до 5%. Отношение $\text{Al}_2\text{O}_3 : \text{SiO}_2 > 1$, но < 4 .

В. Завьялов
70441. Горно-геологические условия и положение вскрытия бокситового рудника Халимба. Баго (A halimbai bauxitbányák bányaföldtani és bányafeltárási helyzete. Bagó Ferenc), Bányász. lapok, 1958, 13, № 1, 27—34 (венг.).

Приведены основные данные по геологии и составу руд на двух участках. Кроме основных компонентов (Al_2O_3 43,1—57,2, SiO_2 2,9—15,6, Fe_2O_3 18,2—31,8%), руды содержат (в %): V_2O_5 0,09—0,12, Cr_2O_3 0,01—0,04, MnO_2 0,10—0,20, Ga_2O_3 0,0032—0,012, Li_2O_3 0,003—0,014, BeO 0,0006—0,00072, ZrO_2 0,023—0,039, Ni_2O_3 0,0082—0,021, Co_2O_3 0,0010—0,0068, SrO 0,031—0,085. Г. Воробьев

70442. Новые данные о генезисе углей. Алексанян (Contribution à nos connaissances sur le mode de formation de la houille. Constatations faites par l'absorption infrarouge. Alexanian Charles), С. г. Acad. sci., 1958, 246, № 8, 1192—1195 (франц.).

Используя ИК-анализ, автор исследовал разные виды твердого топлива (целлюлоза, торф, заخورенная древесина, лигнит, лигнит, угли). Перед анализом образцы подвергались давл. 12,0 т/см² без доступа воздуха. Приводятся графики, показывающие процесс эволюции целлюлозы и лигнина. Отмечается, что целлюлоза обладает тремя группами ОН, дающими

следующие полосы поглощения в ИК-спектре (в см⁻¹): первичная целлюлоза 1430, 1330, 1060, вторичная 1330, 1115, третичная 1370, 1164. В процессе окисления и гидратации во всех трех случаях проходит образование следующих компонентов по схеме: первичная целлюлоза → альдегиды → карбоновые к-ты; вторичная → кетоны; третичная → CH_4 , CO_2 , H_2O . Основные полосы поглощения в спектре (в см⁻¹): карбоновые к-ты 1720, 1440, 1250, 900; альдегиды 2850, 1720, 1370, 1050, 900; кетоны 1720, 1270, 1150. ИК-спектр лигнина показывает наличие в-в, обладающих ароматич. структурой, и напоминает угольный спектр. Ароматич. ядро и бензольное ядро (три-, пара-, мономезамещенное) имеют соответственно следующие полосы (в см⁻¹): 1600, 1500 и 870, 817, 765. Функциональные группы —ОН (спиртовые и фенольные), —СНО (альдегиды и кетоны) и —СН, —СН₂, —СН₃ (алифатические) имеют соответственно полосы (в см⁻¹): 3400; 1720 и 2900, 1400. Процесс представлен схемой: лигнит — лигнит — уголь — антрацит — природный кокс. Происходит уменьшение и исчезновение полос на участке спектра 1290—1265 см⁻¹ по мере перехода от лигнина к природному коксу —ОН, ОН—фенил, С—О—С, С—О). Возрастает значение ароматич. соединений; алифатич. соединения исчезают. По мнению автора, целлюлоза участвует в образовании торфов и заخورенной древесины; на стадии образования лигнина она практически не существует. В процессе формирования угля принимает участие только лигнит. Не существует связи между торфом и лигнитами. В. Завьялов

70443. К вопросу о парагенезисе угленосности и конкреционности. Енцова Ф. И., Докл. АН СССР, 1958, 118, № 6, 1162—1165

Приведены результаты литол. исследований на юге Печорского угольного бассейна в районе г. Инты. Установлено, что генезис угленосных отложений воркутской серии сев.-вост. и юго-вост. частей бассейна только в общих чертах является одинаковым, обстановка седиментации и диагенеза пород на юге была более щелочной. Находки солоноватоводно-лагунных фаций, солоноводной фауны, значительное развитие известковых конкреций свидетельствуют о том, что морские трансгрессии здесь продолжались во время формирования верхневоркутской свиты, тогда как в сев. части в это время они уже прекратились. По трем угольным месторождениям юга были подсчитаны коэф. конкреционности отдельно для: 1) железисто-карбонатных и смешанно-известково-железисто-карбонатных конкреций и 2) известковых конкреций. Кривые изменения коэф. конкреционности и коэф. угленосности по отдельным зонам угленосных отложений показывают хорошее совпадение по I-й группе конкреций, в противоположность этому увеличению коэф. известковых конкреций сопровождается уменьшением коэф. угленосности, и наоборот. Литол. находки подтверждают, что зоны преобладания известковых конкреций связаны с моментами максим. развития трансгрессий или с сухими климатич. фазами, неблагоприятными для углеобразования, которое происходило преимущественно во влажном климате, в условиях болотно-континентальной фации (что одновременно способствовало и формированию конкреций I-й группы), поэтому здесь наблюдаются четкие парагенетич. соотношения. Г. Боннев

70444. Нефть и ее происхождение. Визенедер (Das Erdöl und seine Entstehung. Wieseneder Hans), Universum, 1958, 13, № 4, 100—113 (нем.).

Популярная статья. Р. Хмельницкий
70445. Месторождения нефти и газа в Аквитанском бассейне. Деновский (Złoża gory naftowej i gaz ziemnego w basenie akwitańskim. Depowski Stanisław), Przegl. geol., 1958, 6, № 1, 43—46 (польск.).

Кратко описаны стратиграфия и тектоника, а также метод поисков нефти и газа в Аквитанском бассейне Франции. Нефти в этом районе парафиново-нафтеновые и парафиновые с содержанием S соответственно 0,72 и 0,41%. Хим. состав газа месторождения Лак (в %): H_2S 15,2, CO_2 9,6, CH_4 69,22, C_2H_6 3,26, C_3H_8 0,97, C_4H_{10} 0,62, C_5 0,54, остальное 0,59. Из газа намечается выделить значительное кол-во серы. А. Егоркин

70446. Роль гидрогеологических факторов в образовании, сохранении и разрушении нефтяных залежей (По материалам Волго-Уральск. обл.) Кротова В. А., Тр. Всес. нефт. и-и. геологоразвед. ин-та, 1957, вып. 103, 128 стр., илл.

70447. Исследования аминополисахаридов в почвах. 2. Распределение гексаминов в некоторых почвенных профилях. Стивенсон (Investigations of aminopolysaccharides in soils: 2. Distribution of hexamines in some soil profiles. Stevenson F. J.), Soil Sci., 1957, 84, № 2, 99—106 (англ.)

Приведены результаты определения N и гексаминов в 19 почвенных разрезах, охватывающих 10 типов почв. Почвы отбирались в сев. районах центральных штатов США. Кол-во гексаминов в почвах колеблется от $6 \cdot 10^{-3}$ до $4 \cdot 10^{-1}\%$. С глубиной их содержание уменьшается. В горизонте В некоторых наиболее развитых красно-желтых подзолистых почв происходит их накопление. Для большинства разрезов характерно увеличение в горизонте В доли N сахаров по отношению к N органическому. Глубина залегания грунтовых вод и растительность не оказывают особого влияния на распределение гексаминов. Часть 1 см. РЖХим, 1958, 64274.

70448. Влияние материнских пород на механический и химический состав почв Воронежской области. Ломова К. Ф., Тр. Воронежск. ун-та, 1957, 60, № 3, 87—93

Приведены результаты изучения хим. и механич. состава, а также распределения гумуса в 6 профилях (34 образца) черноземов, развитых на разных породах: четвертичной глине и суглинке (I), древнеаллювиальном песке (II), неогеновой глине (III), палеогеновых глинах (IV) и песке (V). В почвах на III и IV по профилю резко уменьшается кол-во гумуса, на I и II — более постепенно. В почвах на II и V (тип А) преобладают частицы $> 0,01$ мм (88,55—97,90%), на I, III и IV (тип В) — частицы $< 0,01$ мм (40,63—89,32%), причем для А характерны более низкие кол-ва гумуса (глубина 20—30 см 0,57—1,64%), чем для В (3,48—5,47%). Содержание SiO_2 возрастает от В (глубина 0—10 см 66,83—84,40%) к А (90,69—97,51%). Кол-во R_2O_3 убывает от 11,50—21,08% (В) до 2,20—7,50% (А). При этом для А конц-ия R_2O_3 в 1,5 раза выше в верхних горизонтах, чем в нижних. Fe_2O_3 в верхних горизонтах накапливается в процессе биол. аккумуляции. Уменьшение содержания Са и Mg в верхних горизонтах связано с их перемещением в нижние, а также с биол. выносом.

70449. Химический состав хвоя и лесных подстилок лиственного, соснового, пихтового и кедрового лесов. Градобоев Н. Д., Тр. Томского ун-та, 1957, 140, 66—72

С помощью хим. анализа исследованы образцы хвоя и подстилок из 14 пунктов Алтая, Кузнецкого и Кузнецкого Алатау. Сделан вывод, что состав почв отличается друг от друга в зависимости от типа леса, под которым они формируются. Под лиственными лесами формируются почвы, весьма богатые гумусом (13,4—30,4%), с высокой емкостью поглощения и почти полной насыщенностью основаниями. Почвы пихтовых лесов характеризуются меньшей емкостью и емкостью поглощения, а в составе

поглощенных оснований значительно меньший уд. вес занимает Са при возрастающей роли Mg. Гумус почв, развитых под кедровыми лесами, представлен светлыми формами — фольвокислотами. Емкость поглощения этих почв весьма незначительная. Почвы кедровых лесов резко обособляются своей ненасыщенностью основаниями и кислой р-цией.

Р. Хмельницкий
70450. О количестве микроэлементов в почвах Финляндии. Вуоринен (On the amounts of minor elements in Finnish soils. Vuorinen Jouko), Maataloustieteell. aikakauskirja, 1958, 30, № 1, 30—35 (англ.; рез. финск.)

Приведены результаты определения микроэлементов в 3500 образцах различных почв: на моренах, песках, тонких песках, илах, глинах, сапропелях и различных торфах. Средние содержания для почв и материнских пород Финляндии (в $10^{-4}\%$): Cu 21, 70, Ga 24, 15, Pb 16, 16, Zn 36, 80, Co 12, 40, Cr 87, 200, Mn 617, 1000, Mo 4,5, 2,3, Ni 23, 100, V 183, 150. Породы с преобладающей тонкой фракцией — мелкозернистые пески, илы, глины — содержат в 5—6 раз больше Mo и Co, в 3 раза Zn, V, более чем в 2 раза Cr и Mn, в 2 раза Cu и Ni.

Г. Волков
70451. Химическое изучение глубоководных морских отложений. 22. О содержании кобальта и никеля в морских отложениях. 23. О содержании олова и свинца в морских отложениях. Тацумото (Tatsumoto Mitsunobu), Нихон кагаку дзасси, J. Chem. Soc. Japan. Pure Chem. Sec., 1957, 78, № 1, 38—48 (японск.)

22. Определено содержание Co и Ni в 53 пробах грунта со дна Японского моря. Содержание Co колебалось в пределах 1—30 г (среднее $12,2 \pm 1,3$ г). Предполагается, что распределение Co и Ni близко к логарифмич. нормальному распределению. Среднее содержание Co в красных глинах $13,9 \pm 2,6$ г, а в глубоком иле и других отложениях $11,1 \pm 1,9$ г. Содержание Co велико в центральной глубоководной части Японского моря и мало в прибрежной части. Особенно оно мало вблизи побережья Северной Кореи, что вызвано, по-видимому, наносами реки, бедными Co. Содержание Co в красных глинах Японского моря ниже, чем в Тихом океане. В пробах с большим содержанием Mn и Fe содержание Co и Ni также велико, но в остальных случаях между этими элементами не обнаруживается четкой зависимости, как в пробах со дна Тихого океана. Содержание Ni (в г/т): от 3 до ~95 (среднее содержание $46,4 \pm 4,5$), в красных глинах $49,2 \pm 6,1$, в остальных $42,5 \pm 5,7$. В пробах, взятых вблизи побережья, содержание Ni несколько меньше, чем на большой глубине, однако разница не столь велика, как для Co. Это вызвано тем, что, как указывает Ранкама, некоторое кол-во Ni остается в продуктах выветривания, в то время как Co переходит в р-р. Содержание Ni в пробах со дна Японского моря меньше, чем в красных глинах и мягком иле с дырчатыми червями Тихого океана, но больше, чем в вулканич. иле. Отмечено низкое содержание Co и Ni по сравнению с Mn, содержание которого достигает $> 4\%$ в виде MnO_2 в центральной части Японского моря. Это позволяет предположить специфич. механизм конц-ии Mn, тем более, что на вершинах подводных гор обнаружены скопления Mn. Вычислен геохим. баланс Sn и Pb. Эти данные подтверждают поступление Ni из космич. пыли.

23. Определено содержание (в г/т) Sn и Pb в 39 пробах со дна Тихого океана и 68 пробах со дна Японского моря; в 22 пробах красной глины со дна Тихого океана содержание Sn колебалось в пределах < 30 —150, Pb 70—120, среднее содержание Sn 62 ± 14 , Pb 60 ± 13 , содержание в 7 пробах мягкого ила с дырчатыми червями Sn < 30 —60, Pb < 10 —50, среднее со-

содержание Sn 31 ± 14 , Pb 19 ± 17 ; содержание в 10 пробах вулканич. ила Sn < 30 —160, Pb < 10 —20, среднее содержание Sn 64 ± 30 , Pb 11 ± 5 . Содержание Sn в 68 пробах со дна Японского моря 30 —160, Pb 10 —200, среднее содержание Sn 53 ± 15 , Pb 57 ± 18 . Установлено, что Sn конденсируется в продуктах выветривания и окисления, а свинец только в продуктах окисления. В связи с тем, что между Sn, Pb и Mn существует прямая зависимость, предположено, что концы Sn и Pb в продуктах окисления происходит путем их адсорбции колл. частицами Mn. Сообщение 21 см. РЖХим, 1957, 65967. Л. Левин

70452. Органическое вещество, растворенное в воде придунайских лиманов. Майстренко Ю. Г., Гидрохим. материалы, 1957, 27, 37—48

Придунайские лиманы по богатству растворенного органич. в-ва можно разбить на 2 группы. В первую входят лиманы Китай и Сафьян со средним содержанием органич. в-ва $23,68$ — $36,68$ мг/л, с преобладанием малоустойчивых в-в с узким значением C:P, C:N и с отношением O окисляемости к C органич. меньшим единицы; в этих водоемах происходит быстрая регенерация минер. N и P, чем создаются благоприятные условия для роста и развития водн. организмов. Ко второй группе принадлежат лиманы Ялуг, Кугурлуй и Кагул со средним содержанием растворенного органич. в-ва $14,0$ — $18,1$ мг/л, представляющего значительно больше биохимически устойчивых в-в гумусового происхождения, причем лиман Кугурлуй занимает промежуточное положение. В. Коншин

70453. Изменение во времени жесткости воды Эсбе. Санзо (Evolution chronologique de la dureté des eaux de la Hesbaye. Sanzot E.), Bull. mens. Centre belge étude et docum. eaux, 1957, № 84, 460—461 (франц.)

Жесткость воды из меловых горизонтов Эсбе, применяемой для водоснабжения г. Льеж, по производимым многолетним наблюдениям заметно меняется в разные годы. Отмечена зависимость этих изменений от осадков. В дождливые годы (1926—1930) со средним кол-вом осадков 902 мм средняя жесткость воды равнялась 25 франц. град.; в последующие годы, характеризующиеся малым кол-вом осадков (среднее за 1936—1940 г. $655,9$ мм и за 1941—1945 гг. 607 мм), жесткость возросла с 33 до 39 франц. град. и за 1951—1955 гг. с нормальным кол-вом осадков (679 мм) вновь снизилась до $32,6$ — $35,2$ франц. град. Т. Попова

70454. Концентрация радона и металлического радия в источниках и их минеральных отложениях курортов Борсек и Топлица (Трансильвания). VIII. С а б о (Concentrarea în radon și radiu metallic a izvoarelor și depozitelor minerale de la Băile Borsec și Toplița (Transilvania). VIII. Szabő Árpád), Bull. știint. Acad. RPR. Sec. mat. și fiz., 1957, 9, № 2, 537—544 (рум.; рез. русск., франц.)

Приведены результаты измерения конц-ий Rn и металлич. Ra в 15 источниках курортов Борсек и Топлица, методом, разработанным и усовершенствованным автором. Наибольшая радиоактивность, равная $19,91$ ед. махе Rn и $8,2 \cdot 10^{-12}$ г Ra на 1 л воды, обнаружена в источнике Пьера Кюри. Высокая радиоактивность названного источника объясняется наличием зерен радиоактивных минералов в слоях слюдяных сланцев, из которых берет начало источник. Радиоактивность ряда других источников: Хориа, Клошка, Капрей, Темплудуй составляет $2,5$ — $3,5$ ед. махе. Полученные данные показали, что радиоактивность исследуемых вод незначительно изменилась за 30 лет. Минер. отложения вод источника Борсек — известковые туфы и целебная железистая грязь — содержит 1 — $6 \cdot 10^{-12}$ г Ra на 1 г руды, высушенной при 100° . Часть VII см. РЖХим, 1958, 64131. В. Матлис

70455. Лечебные воды типа «Нафтуса» в западных областях Украины и исследование их органических компонентов. Склярук Д. И., Шапиро С. А., Гидрохим. материалы, 1957, 27, 61—65

Минеральная вода «Нафтуса» гидрокарбонатно-кальциево-магниевого состава с минерализацией $0,89$ г/л содержит комплекс органич. соединений, в том числе фенольных. По-видимому, происходит насыщение воды органич. компонентами бориславской нефти в местах, где водоносный горизонт генетически связан с нефтяными месторождениями. Гидрогеологич. и хим. исследованиями авторов выявлен и изучен ряд аналогов «Нафтуса», содержащих сходный по составу комплекс органич. в-в (в р-не Трускавца, в г. Бориславе, Дрогобычская обл., и в сел. Шкло, Львовская обл.). Разработана методика выделения и исследования органич. соединений (в основном фенолов и органич. к-т) из названных вод. В. Красничева

70456. Краткая характеристика природных вод района Тырныаузского рудного месторождения. Гуревич М. Г., Овчинников И. М., Докл. АН СССР, 1958, 118, № 5, 1021—1024

Тырныаузское рудное месторождение расположено в верховьях р. Баксан в Приэльбрусье. Месторождение приурочено к узкой полосе метаморфизованных сильно дислоцированных палеозойских и нижнеюрских пород, зажатых с севера и юга древними кристаллич. сланцами. В районе Тырныауза распространены углекислые гидрокарбонатно-натриевые или кальциевые воды с минерализацией 2 — 3 г/л. Пресные источники в водопрооявлениях на руднике относятся к гидрокарбонатно-сульфатно-натриевому или кальциевому типу с минерализацией < 1 г/л. Исключительный интерес представляет минер. вода из структурной скв. № 104 Баксанской геологоразведочной партии. Глубина скв. 834 м. В ней содержится (в г/л): Li+ $0,2808$, Na+ + K+ $3,3800$, Mg²⁺ $0,048$, Ca²⁺ $0,1555$, Sr²⁺ $0,0022$, Ba²⁺ следы, Al³⁺ следы, Fe²⁺ $0,1785$, Mn²⁺ $0,0024$, Cu²⁺ $0,000052$, Cl⁻ $4,9338$, Br⁻ $0,016$, J⁻ $0,00796$, SO₄²⁻ $0,4403$, HCO₃⁻ $3,4512$, HAsO₄²⁻ $0,000049$, HPO₄²⁻ $0,000144$, F⁻ $0,00435$, HBO₂ $0,0849$, H₂SiO₃ $0,1544$, CO₂ (своб.) $1,793$, H₂S (общ.) $0,0037$. Общая минерализация $13,1422$ г/л, pH $6,3$. В газе, выделяющемся из воды, было обнаружено вначале до $83,8\%$ H₂. В дальнейшем содержание H₂ снизилось до 1% , а содержание CO₂ повысилось до $6,8\%$ до $95,55\%$. Разрез скважины в интервале до 834 м и далее представлен порфировидными эльзбрутинскими гранитами, сильно трещиноватыми на протяжении последних 300 м. В. Красничева

70457. Изменения минерализации и солевого состава пластовых вод V и смежных с ним IV-е, VI горизонтов Балахано-Сабунчино-Раманинского нефтяного месторождения. Ахундов А. Я., Азерб. АН Элмлер Акад. хабэрлэри, Изв. АН Азерб. АН СССР, 1957, № 11, 19—29 (рез. азерб.)

Изучение состава названных пластовых вод показало отсутствие постоянной минерализации и постоянного хим. состава вод по пласту. Наблюдается уменьшение общей минерализации и увеличение первой щелочности во времени в водах V горизонта, особенно на востоке сквадки, где скважины максимально обводнены в результате подтока вод с периферич. частей сквадки. На участке центрального поля V горизонта иногда происходит в значительной степени обводнение скважины водами нижележащего VI горизонта по сбросовым нарушениям, в зонах, наиболее благоприятных для циркуляции вод. В. Красничева

70458. Рудничные воды матценских песчанников. Кёльбл (Die Lagerstättenwässer des Matzen Sandes. Kölbl L.), Erdoel-Z. Bohr- und Fördertechn., 1957, 73, № 9, 242—251 (нем.)

Приведены результаты хим. исследования 225 проб

на глубине 1631—1634,5 м из 16-го горизонта
предела содержания (в мг/л): Na 6279—
7013, Ca 21—393, Mg 24—237, Fe 1—83, NH₄ 16—90, Cl
14646, J 10—69, SO₄ 1—312, CO₂ 227—1823, As
862, SiO₂ 17—79.
Р. Хмельницкий

См. также: Радиоактивность 69969, 69988. Структура,

состав и св-ва минералов 69859, 69862, 69949. Состав и
св-ва руд, почв, пород, природных вод 70503, 70515,
70516, 70522, 70523, 70550, 70587, 70595, 71227, 71228.
Распределение элементов в природных объектах
70524, 70564. Микроэлементы и минералы в живых
организмах 27043Бх, 27044Бх. Синтез минералов
69941

АНАЛИТИЧЕСКАЯ ХИМИЯ

ОБЩИЕ ВОПРОСЫ

Редактор А. И. Бусев

70459. Статистические методы в аналитической химии. Мандел, Линнинг (Statistical methods in chemistry. Mandel John, Linnig Frederic J.), *Analyt. Chem.*, 1958, 30, № 4, Part 2, 739—747 (англ.)
Обзор. Библ. 289 назв.

70460. Статистическая оценка спектрографических методов. Нелсон (Statistical evaluation of spectrographic methods. Nelson Benjamin N.), *Appl. Spectroscopy*, 1957, 11, № 3, 123—127 (англ.)

Рассматривается применение контрольных карт и методов комплексного дисперсионного анализа для статистич. оценки спектрографич. методов определения п-ва. Даются 2 примера планирования эксперимента при многофакторном дисперсионном анализе. В первом примере определяются дисперсии, обусловленные: 1) различием в методах анализа (или различием в условиях работы лабораторий), 2) различием в составе проб, 3) взаимодействием этих двух факторов. Во втором примере определяются дисперсии, обусловленные: 1) различием в образцах (О), 2) индивидуальными различиями в приемах работы (И), 3) различием в фотоматериалах и фактором времени (Т), 4) эффектами взаимодействий: О × И, О × Т, И × Т и О × И × Т. В. Налимов

70461. Кислотно-основные титрования в неводных растворителях. Риддик (Acid-base titrations in nonaqueous solvents. Riddick John A.), *Analyt. Chem.*, 1958, 30, № 4, Part 2, 793—805 (англ.)
Обзор. Библ. 223 назв.

70462. Экстракция. Моррисон, Фрейзер (Extraction. Morrison George H., Freiser Henry), *Analyt. Chem.*, 1958, 30, № 4, Part 2, 632—640 (англ.)
Обзор. Библ. 230 назв.

70463. Сравнительные исследования экстракции хлорида трехвалентного железа органическими растворителями. Банкман, Шпеккер (Vergleichende Untersuchungen zur Extraktion von Eisen (III)-chlorid mit organischen Lösungsmitteln. Bankmann E., Specker H.), *Z. analyt. Chem.*, 1958, 162, № 1, 18—28 (нем.)

Изучена экстракция Fe(3+) органич. р-рителями из водн. солянокислых р-ров; экстракцию производили в цилиндрич. сосудах; объемы водн. р-ров и органич. фазы до встряхивания (производившегося в течение 1 мин.) составляли 25 мл. Кол-во Fe составляло 200—250 мг. Коэф. распределения (КР) определяли через 30 сек. Содержание Fe в водн. фазе определяли комплексометрич. методом с NH₄SCN в качестве индикатора или фотометрич. методом с о-фенантролином. Установлено, что при употреблении в качестве экстрагентов высших кетонов и сложных эфиров КР имеют значительно более высокие значения, чем при употреблении в качестве экстрагента диэтилового эфира и других простых эфиров (99,99% Fe(3+)) вместо

99,3%). При употреблении триалкилэфиров фосфорной к-ты (RO₃)PO (где R — n-бутил, n-амил) при однократной экстракции извлекают > 99,999% Fe, что соответствует КР-10⁶. Высшие спирты пригодны для экстракции Fe(3+) в меньшей степени. КР возрастает с конц-ией HCl и снижается с ростом т-ры; изменение КР (а также коэф. экстракции) с конц-ией Fe³⁺ происходит по кривой с максимумом. Возможна частичная или полная замена HCl хлоридами (LiCl, MgCl₂, CaCl₂). Изучением спектров поглощения органич. фазы подтверждено, по Fe(3+) экстрагируется из водн. солянокислых р-ров органич. р-рители в форме Н[FeCl₄]; из р-ров в конц. HCl или из р-ров безводн. FeCl₃ экстрагируется Fe(3+), по-видимому, в форме иного соединения, так как спектры поглощения имеют другой вид. Совместно экстрагируемая вода связана, по-видимому, по месту Н-иона к-ты. Т. Леви

70464. Инфракрасные спектры 8-оксихинолинов металлов. Филлипс, Дей (Infrared spectra of oxine chelates. Phillips J. P., Deye Jerome F.), *Analyt. chim. acta*, 1957, 17, № 2, 231—233 (англ.; рез. франц., нем.)

Изучены ИК-спектры 8-оксихинолинов 33 металлов (LiOx, NaOx, KOx, CuOx₂, AgNO₃·(HOx)₂, MgOx₂·2H₂O, ZnOx₂·2H₂O, SrOx₂·2H₂O, CdOx₂·2H₂O, BaOx₂, AlOx₃, GaOx₃, InOx₃·H₂O, LaOx₃, TiOx₂·H₂O, ZrOx₂·H₂O, PbOx₂, ThOx₄·HOx, V₂O₃·H₂O, SbOx₃, BiOx₃·H₂O, CrOx₃·H₂O, MoO₂Ox₂, WO₂Ox₂, UO₂Ox₂·HOx, MnOx₂·2H₂O, FeOx₃, CoOx₂·2H₂O, NiOx₂·2H₂O, PdOx₂, GeOx₄, NdOx₃ и Sm(OH)Ox₂·H₂O), где Ox — 8-оксихинолин в области 2—15 м. Путем сравнения длин волн и интенсивности абсорбционных полос может быть установлено наличие и отсутствие воды у образующихся соединений; могут быть идентифицированы 8-оксихинолинаты W, U, Mo и Ti. Высказаны замечания относительно природы 8-оксихинолинов различных металлов. М. Иванович

70465. Хроматография. Анализ методом дифференциальной миграции. Стрейн (Chromatography analysis by differential migration. Strain Harold H.), *Analyt. Chem.*, 1958, 30, № 4, part 2, 620—629 (англ.)
Обзор. Библ. 188 назв.

70466. Газовая хроматография. Такенс, Харст (Gaschromatografie. Takens W., Harst P. v. d. Het gas, 1958, 78, № 4, 71—76 (гол.; рез. англ.)

Краткое описание приборов для хроматографич. анализа газа с применением в качестве газа-носителя CO₂. Сравнение результатов определения H₂, N₂, CO и CH₄ в светильном газе показывает, что для H₂ величины, полученные на приборе Орса, всегда ниже, а для метана выше, чем результаты хроматографич. анализа. Это объясняется неполнотой сгорания H₂ на CuO при 270°. Для N₂ и CO расхождение между данными Орса и хроматографии не превышает 1,2 абс.%. Для разделения углеводов рекомендуется применять распределительную хроматографию с гексадеканом в качестве неподвижной фазы. Б. Анвар

70467. Теория полярографии, инструменты и методология. Хьюм (Polarographic theory, instrumenta-

- tion, and methodology. Hume David N.), *Analyt. Chem.*, 1958, 30, № 4, Part 2, 675—681 (англ.)
Обзор. Библ. 170 назв. А. Бусев
- 70468.** Полярография применяемых в титриметрическом анализе редоксиндикаторов. I, II. Окада (Okada Shigeho), Симадзу херон, Shimadzu Rev., 1957, 14, № 4, 329—333; 335—338 (японск.; рез. англ.)
I. Показано, что при pH 2—3 на фоне буферных р-ров Кларка — Лабса наблюдается ясно выраженная волна восстановления меконовой к-ты, диффузионный ток пропорционален конц-ии от 0,1 до $1 \cdot 10^{-4}$ моль/л. $E_{1/2}$ первой волны при pH 2—7 находится в области —0,90 в до —1,25 в по отношению к донной Hg.
II. В дополнение к работе И. А. Коршунова, Л. Н. Сазановой (Заводск. лаборатория, 1949, 15, 1287) показано, что фталидид дает волну восстановления также на фоне буферных р-ров Кларка — Лабса с pH 4—7. $E_{1/2}$ при изменении pH в области 1,4—6,6 меняется от —0,857 до —1,250 в по отношению к ртутному аноду. Полярографич. волна пригодна для колич. определений. В. Типцова
- 70469.** Электроанализ и кулонометрический анализ. Де-Форд, Бауэрс (Electroanalysis and coulometric analysis. DeFord Donald D., Bowers Richard C.), *Analyt. Chem.*, 1958, 30, № 4, Part 2, 613—619 (англ.)
Обзор. Библ. 16 назв. А. Бусев
- 70470.** Амперометрическое титрование. Летинен (Amperometric titrations. Laitinen H. A.), *Analyt. Chem.*, 1958, 30, № 4, Part 2, 657—661 (англ.)
Обзор. Библ. 114 назв. А. Бусев
- 70471.** Амперометрическое титрование. VII—VIII. Изучение положительного электрода и его применение в бромометрии. Исибаси, Фуджинага, Сайто (Isibasi Masayosi, Fujinaga Taitiro, Saito Shikayo), Нихон какаку дзас-си, J. Chem. Soc. Japan. Pure Chem. Sec., Nippon Kagaku zasshi., 1958, 79, № 1, 12—16 (японск.)
Сообщение VI см. РЖХим, 1957, 12005.
- 70472.** Абсорбционная спектрометрия. Меллон, Болц (Light absorption spectrometry. Mellon M. G., Boltz D. F.), *Analyt. Chem.*, 1958, 30, № 4, Part 2, 554—569 (англ.)
Обзор. Библ. 602 назв. А. Бусев
- 70473.** Ультрафиолетовая спектрофотометрия. Херт (Ultraviolet spectrophotometry. Hirt Robert C.), *Analyt. Chem.*, 1958, 30, № 4, Part 2, 589—593 (англ.)
Обзор. Библ. 134 назв. А. Бусев
- 70474.** Инфракрасная спектроскопия. Гор (Infrared spectroscopy Gore Robert C.), *Analyt. Chem.*, 1958, 30, № 4, Part 2, 570—579 (англ.)
Обзор. Библ. 827 назв. А. Бусев
- 70475.** Флуорометрический анализ. Уайт (Fluorometric analysis. White Charles E.), *Analyt. Chem.*, 1958, 30, № 4, Part 2, 729—734 (англ.)
Обзор. Библ. 196 назв. А. Бусев
- 70476.** Быстрые аналитические методы. III. Колориметрические и фотометрические методы анализа. Шмиц (Analytische Schnellmethoden. III. Kolorimetrische und photometrische Analysenverfahren. Schmitz Werner), *Bergbau-Rundschau*, 1958, 10, № 5, 291—298 (нем.)
Основы колориметрич. и фотометрич. методов анализа. Сообщ. II см. РЖХим, 1956, 16324. А. Бусев
- 70477.** Применение инфракрасных анализаторов непрерывного действия для анализа выхлопных газов. Стерджис, Биллер, Бозек, Смит (The application of continuous infrared instruments to the analysis of exhaust gas. Sturgis B. M., Biller W. F., Bozek J. W., Smith S. B. SAE Annual Meet., Preprints, s. a., № 11B, 20 pp., ill.) (англ.)
Для изучения состава выхлопных газов при различных топливах и режимах работы двигателей были применены ИК-анализаторы непрерывного действия, в частности анализатор фирмы Листон-Бекер, модель 15 и модель 19. Определялись одновременно CO, CO₂ и общее кол-во углеводородов. В результате был разработан трехканальный анализатор, модель 28, фирмы Листон-Бекер с углеводородным детектором. Приведена методика и результаты измерений с приборами, располагавшимися непосредственно в автомашине. В. Дянов-Клюнов
- 70478.** Эмиссионная спектроскопия. Скрибнер (Emission spectroscopy Scribner Bourdon F.), *Analyt. Chem.*, 1958, 30, № 4, Part 2, 596—604 (англ.)
Обзор. Библ. 263 назв. А. Бусев
- 70479.** Абсорбция и эмиссия рентгеновских лучей. Либхафский, Уинслоу (X-ray absorption and emission. Liebhaufsky Herman A., Winslow Earl H.), *Analyt. Chem.*, 1958, 30, № 4, Part 2, 580—589 (англ.)
Обзор. Библ. 231 назв. А. Бусев
- 70480.** Количественный рентгеновский дифракционный анализ. Компленд, Брэгг (Quantitative X-ray diffraction analysis. Copeland L. E., Bragg Robert H.), *Analyt. Chem.*, 1958, 30, № 2, 196—201 (англ.)
Дана общая теория колич. дифракционного анализа многокомпонентных смесей. Используют ур-ние $I_{ij} = K_{ij} x_j / \rho_j \mu_j^*$ (Alexander L., Klug H. P., *Analyt. Chem.* 1948, 20, 886), где I_{ij} — интенсивность i -ой линии j -ой компоненты, x_j — вес. д. j -ой компоненты, ρ_j — плотность, j -ой компоненты, μ_j^* — общий массовый коэф. поглощения и K_{ij} — постоянная, зависящая от свойств прибора и структуры j -ой компоненты, определяемая по чистой j -ой компоненте, авторы предлагают метод последовательных добавок j -ой компоненты и получают ф-лу: $I_{ij}/I_{ki} = \text{const} (x_j + \xi_j)$, где ξ_j — вес добавки в г на 1 г образца. Авторы показывают возможность использования для анализа неразрешенных линий j -ой и l -ой компонент и дают систему из $n+1$ ур-ний для нахождения n компонента (общий случай) $I_m/I_{n+1} = a_{m1}x_1' + a_{m2}x_2' + \dots + a_{mn}x_n' + a_{m,n+1}$, где m меняется от 1 до n , $I_m = I_{m1} + I_{m2} + \dots + I_{mn}$ (в I_m могут входить суммарные интенсивности неразрешенных линий), $a_{ij} = K_{ij} \rho_{jn+1} / \rho_i K_{in+1} n+1$, $x_j' = x_j / I_{n+1}$ и I_{n+1} — интенсивность хорошо разрешенной линии внутреннего стандарта. Коэф. a_{ij} могут быть найдены по смеси известного состава или вычислены. В виде примера описано определение Ca(OH)₂ в присутствии Ca₃SiO₅ с Mg(OH)₂ в качестве внутреннего стандарта. Погрешность определения при отсутствии текстуры — до 2—3%. Л. Смирнов
- 70481.** Теория и общие предпосылки активационного анализа. Вестермарк (Aktiveringsanalysens teori och allmänna förutsättningar Westermarck Torbjörn), *Svensk. kem. tidskr.*, 1958, 70, № 5, 211—218 (шведск.)
- 70482.** Ядерные процессы. Мейнк (Nuclear processes. Meinke W. Wayne), *Analyt. Chem.*, 1958, 30, № 4, Part 2, 686—728 (англ.)
Обзор литературы по применению радиоизотопов в аналитич. химии со времени опубликования пред. обзора (РЖХим, 1956, 68650) по 1957 г. Библ. 1279 назв. А. Бусев
- 70483.** Ядерно-магнитная резонансная спектроскопия. Рейлз (Nuclear magnetic resonance spectrometry. Reilly Charles A.), *Analyt. Chem.*, 1958, 30, № 4, Part 2, 839—848 (англ.)
Обзор. Библ. 83 назв. А. Бусев

70484. Масс-спектрометрия. Дайблер, Рис (Mass spectrometry. Dibeler Vernon H., Reese Robert M.), *Analyt. Chem.*, 1958, 30, № 4, Part 2, 604—613 (англ.)
Обзор. Библ. 367 назв. А. Бусев

70485. Электронная микроскопия. Рохов, Ботти (Electron microscopy. Rochow T. G., Botty M. C.), *Analyt. Chem.*, 1958, 30, № 4, Part 2, 640—656 (англ.)
Обзор. Библ. 327 назв. А. Бусев

70486. Химическая микроскопия. Мареш, Ковен, Кокс (Chemical microscopy. Maresh Charles, Coven Glenn, Cox Robert), *Analyt. Chem.*, 1958, 30, № 4, part 2, 829—838 (англ.)
Обзор. Библ. 460 назв. А. Бусев

70487. Дистилляционный анализ. Лесли, Кюнер (Distillation analysis. Leslie R. T., Kuehner E. C.), *Analyt. Chem.*, 1958, 30, № 4, Part 2, 629—631 (англ.)
Обзор. Библ. 108 назв. А. Бусев

70488. Газовый анализ. Хобс (Gas analysis. Hobbs A. P.), *Analyt. Chem.*, 1958, 30, № 4, Part 2, 778—792 (англ.)
Обзор. Библ. 349 назв. А. Бусев

См. также раздел *Общие вопросы. Методы биохимических исследований* (выпуск Биологическая химия) и *рефераты: Общие вопросы: отделение: Ra от Pt, Au и Ag 69980; амерция-241 от примесей 70286; радиохимич. анализ с применением полярографии 69981; определение pH 70207; комплексообразование уранил-иона с α -крезотиновой к-той 70326; экстракция 71693*

АНАЛИЗ НЕОРГАНИЧЕСКИХ ВЕЩЕСТВ

Редактор Ф. П. Судаков

70489. Триэтилоламин как реактив для качественного анализа. Рязанов И. П., Чистота В. Д., Сб. научн. тр. Магнитогорский горно-металлург. ин-т, 1958, вып. 16, 146—153

Изучена возможность применения триэтилоламина (I) в качестве осадителя для разделения смесей катионов. При прибавлении 20%-ного р-ра I к р-рам, содержащим Al^{3+} , Mn^{2+} , Zn^{2+} , Bi^{3+} , Sn^{2+} , Sb^{3+} , Sb^{5+} и Fe^{3+} , образуются осадки, нерастворимые в избытке I. Fe^{3+} , Cr^{3+} , Cu^{2+} , Co^{2+} и Ni^{2+} образуют с I окрашенные растворимые комплексные соединения, а Hg^{2+} , Pb^{2+} и Sn^{4+} — бесцветные. Установлено, что I в сочетании с некоторыми другими осадителями (CO_3^{2-} , SCN^- , J^- и $Cr_2O_7^{2-}$) пригоден для разделения ряда катионов, обладающих близкими хим. свойствами (напр., Co^{2+} и Ni^{2+} , Hg^{2+} и Hg_2^{2+} и др.). Установлено также, что действие комплексона III, диэтилдитиокарбамата, оксифинолина и антрапиловой к-ты на катионы металлов в присутствии I, во многих случаях отличается от их действия на те же катионы в отсутствие I. На основании полученных результатов разработана схема бессероводородного разделения катионов в качестве анализа с применением I. А. Немодрук

70490. Исследование в области качественного неорганического анализа. VII. Открытие щелочных металлов и магния. Барк, Джонс (Studies in qualitative inorganic analysis. VII. Detection of the alkali metals and magnesium. Bark L. S., Jones W. F.), *Mikrochim. acta*, 1958, № 3, 406—410 (англ.; нем., франц.)

Описаны 2 метода разделения щел. элементов и Mg. В 1-му методу к 0,25—0,5 мл анализируемого р-ра прибавляют 5 капель 2 M $(NH_4)_2CO_3$ и 1 мл C_2H_5OH или CH_3OH , хорошо перемешивают и центрифугируют. Осадок двойной соли $MgCO_3 \cdot (NH_4)_2CO_3$ промыва-

ют, растворяют в 1—2 каплях 4 н. HCl, нагревают для удаления CO_2 , охлаждают и в полученном р-ре открывают Mg^{2+} при помощи титанового желтого. К центрифугату прибавляют 5 капель смеси конц. HCl и бромной воды (1:1), упаривают и нагревают для удаления солей аммония. Остаток растворяют в 1 капле разб. HCl (1:30), прибавляют 0,25 мл C_2H_5OH , 1 мл диэтилового эфира и через 2—3 мин. центрифугируют. LiCl, обладающий хорошей растворимостью в смеси C_2H_5OH и диэтилового эфира (1:4), полностью остается в центрифугате, из которого выделяется после испарения р-рителя и определяется с помощью KIO_4 . Осадок после центрифугирования (состоящий из NaCl и KCl) промывают смесью C_2H_5OH и диэтилового эфира (1:4) и растворяют в 2—3 каплях воды. Для открытия Na^+ к 1 капле полученного р-ра прибавляют 0,5 мл р-ра двойного ацетата уранила и меди; образование желтого осадка указывает на присутствие Na^+ . В остатке р-ра открывают K^+ с помощью кобальт-нитрита Na. По 2-му методу K^+ определяют на содовой вытяжке (предназначенной для определения анионов) с помощью кобальт-нитрита Na. Mg^{2+} отделяют в форме $MgCO_3 \cdot (NH_4)_2CO_3$ и в фильтрате определяют Na^+ и Li^+ , как в 1-м методе. Сообщение VI см. РЖХим, 1958, 64161. А. Немодрук

70491. О 1,2-циклодекандиоксиде. Коллинс, Дил (Note on 1,2-cyclodecane dioxime. Collins Peter, Diehl Harvey) *Analyt. chim. acta*, 1958, 18, № 4, 384 (англ.)

Установлено, что 1,2-циклодекандиоксим (I) образует с Ni^{2+} оранжево-желтое комплексное соединение, нерастворимое в нейтр. и аммиачных р-рах ($Ni:I = 1:2$) и экстрагируемое из этих р-ров изомилловым спиртом (II). Р-ры комплекса в смеси II- C_2H_5OH (C_2H_5OH прибавляют к II для растворения капель воды) имеют максимумы светопоглощения при 385 и 330 мμ (мол. коэф. экстинкции равен 4240 и 4830 соответственно); закон Бера соблюдается при конц-ях Ni до $2,4 \cdot 10^{-4}$ M. Соединение Fe^{2+} с I имеет красный цвет и растворимо в воде в присутствии аминов. Водн. р-ры комплекса Fe^{2+} в присутствии NH_3 и этилендиамин имеют максимумы светопоглощения соответственно при 543 и 550 мμ (мол. коэф. экстинкции равен 8080); закон Бера соблюдается при конц-ях Fe^{2+} до 10^{-4} M. Из кислых р-ров I количественно осаждают Pd^{2+} в виде лимонно-желтого осадка ($Pd^{2+}:I = 1:2$). С Cu^{2+} I образует темно-коричневое, нерастворимое соединение; Bi^{3+} осаждается в виде желтого осадка; Co^{2+} образует комплекс, растворимый в воде в присутствии ароматич. аминов. Растворимость I в воде при 25° равна 0,52 г/л (0,0026 моль/л). В аналитич. отношении I не имеет существенных преимуществ по сравнению с диметилглиоксимом или нioxимом. А. Зоуля

70492. Разделение цинка и меди с помощью цианоацетамида при определении цинка. Мейер (Separation of zinc and copper with cyanoacetamide in the determination of zinc. Maier Robert H.), *Analyt. chim. acta*, 1958, 18, № 4, 321—323 (англ.)

Цианоацетамид $CNCH_2CONH_2$ (I) использован в качестве селективного маскирующего реактива для Cu^{2+} при определении Zn^{2+} с помощью цинкона (II). К анализируемому р-ру, содержащему Zn^{2+} и Cu^{2+} , прибавляют 10 мл деионизированной воды, pH устанавливают на уровне 9,4, прибавляют 40 мг твердого I, перемешивают, прибавляют 1 мл р-ра II (0,130 г II растворяют в 2 мл 1 н. NaOH и разбавляют водой до 100 мл), перемешивают, разбавляют водой до 50 мл и фотометрируют при 620 мμ. Окраска комплекса устойчива в течение ≥ 30 мин.; спектр поглощения комплекса Zn^{2+} с III в присутствии I идентичен спектру поглощения чистого р-ра комплекса.

Использовать р-ры I вместо твердого I не рекомендуется. При определении 0—50 γ Zn^{2+} в присутствии до 100 γ Cu^{2+} ошибка $\leq 1,5 \gamma$ Zn^{2+} . Присутствие Fe^{3+} и Mn^{2+} сильно мешает образованию комплекса Zn^{2+} с II; добавление I не устраняет мешающего влияния этих катионов.

А. Зозуля

70493. Хроматография неорганических ионов на бумаге с использованием органических реактивов.

III. Осадочная хроматография катионов с применением 8-оксихинолина. Часть 2. Nagaï (Paper chromatography of inorganic ions by using organic analytical reagents. III. Precipitation chromatography of cations with 8-quinolinol. (Part 2). Nagaï Hideo), Kumamoto J. Sci., 1957, A3, № 1, 81—85 (англ.).

Наилучшие результаты по разделению ионов Cu^{2+} , Fe^{3+} , Ni^{2+} и Co^{2+} методом осадочной хроматографии на кружках фильтровальной бумаги, пропитанной 8-оксихинолином, получены с подвижным р-рителем, состоящим из 2%-ного водн. р-ра CH_3COOH , насыщенного $m-C_6H_4OH$. Порядок расположения зон от центра к периферии: Cu^{2+} , Fe^{3+} , Ni^{2+} , Co^{2+} . Зоны Cu^{2+} и Fe^{3+} разделяются не полностью, но между зонами Fe^{3+} и Ni^{2+} и Ni^{2+} и Co^{2+} наблюдаются узкие светлые кольцевые зоны, не содержащие никаких катионов. При обработке проявленной хроматограммы парами NH_3 происходит усиление окраски осадочных зон катионов и одновременно почти полное обесцвечивание расположенной у линии фронта р-рителя кольцевой зоны, принадлежащей самому 8-оксихинолину. В УФ-свете, однако, эта обесцвеченная фронтальная зона проявляет слабую флуоресценцию, что, по мнению автора, указывает на перенос некоторой части катионов с линией фронта р-рителя. Сообщение II см. РЖХим, 1958, 832.

А. Горюнов

70494. Хроматографическое разделение вольфрама и молибдена на окиси алюминия в форме их сернистых соединений. Давришева Т. А., Сообщ. АН ГрузССР, 1957, 19, № 4, 421—428

Описан метод, основанный на колич. поглощении комплексного сернистого соединения W частично дегидратированной гидроокисью алюминия (ДГА) и на непоглощении сульфосоли Mo этим сорбентом. Для получения ДГА к р-ру алюмината Na прибавляют 10%-ную H_2SO_4 , образующийся при этом осадок отфильтровывают, промывают водой до почти полного удаления ионов SO_4^{2-} , высушивают при 70°, измельчают до тонкого порошка, проходящего через шелковое сито (1600 отв/см²) и дегидратируют при 800° в течение нескольких минут. Остаточное содержание влаги в полученных препаратах (20%) ДГА является оптимальным и обеспечивает малую сорбцию Mo при практически колич. поглощении W. Оптимальные значения других факторов, влияющих на разделение элементов, следующие: рН полисульфидного р-ра сернистых производных Mo и W должен быть ~ 11 , состав применяемого полисульфида Na должен отвечать ф-ле Na_2S_2 и в 100 мл исследуемого полисульфидного р-ра должно содержаться не более 50 мг W и 10 мг Mo. Для определения кол-ва сорбированного W столбик ДГА промывают бромной водой (для окисления сульфидов), водой, а затем теплым аммиаком. В полученном фильтрате определяют W. Mo выделяют в форме MoS_3 подкислением полисульфидного фильтрата. Хроматографированию мешают элементы, образующие труднорастворимые сульфиды или гидроокиси в полисульфидном р-ре, а также Ba и Ca, дающие нерастворимые соли с сернистыми производными W и Mo. Метод с успехом применен для разделения W и Mo при анализе швелита.

Н. Полянский

70495. Отделение циркония от хрома и алюминия методом ионообменной хроматографии. Беляв-

ская Т. А., Чмута М. К., Научн. докл. высш. школы. Химия и хим. технол., 1958, № 2, 305—307

Изучена сорбция Zr, Cr и Al ионообменными смолами из 0,1—6,0 н. HCl. Анионообменные смолы (ЭДЭ-10 и АН-2Ф) в Cl-форме не сорбируют Zr, Cr и Al независимо от конц-ии HCl. Катионит КУ-2 в H-форме в разб. р-рах HCl (0,1—1,0 н.) полностью сорбирует Zr; сорбция Cr в этих условиях неполная и уменьшается с повышением конц-ии HCl; Al из 0,1 н. HCl сорбируется полностью, в то время как из 1 н. HCl почти не сорбируется. При повышении конц-ии HCl до 4—6 н. сорбция всех трех элементов полностью отсутствует. Продолжен хроматографич. метод отделения Zr от Cr и Al, основанный на различии в их сорбции на катионите КУ-2 из 1 н. HCl. Колонку (высота 11, диам. 1 см) заполняют катионитом КУ-2 в H-форме, промывают 1 н. р-ром HCl, вносят анализируемый р-р (кислотность 1 н. по HCl) и промывают 1 н. р-ром HCl до полного извлечения Cr и Al. Zr элюируют 4 н. р-ром HCl.

А. Немодрук

70496. Отделение урана от тория методом ионного обмена и флуорометрическое определение урана. Томик, Ладенбауэр, Поллак (Beitrag zur Trennung des Urans von Thorium mittels Ionenaustausches und zur fluorimetrischen Uranbestimmung. Tomic Ernst, Ladenbauer Inge-Maria, Pollak Maria), Z. analyt. Chem. 1958, 161, № 1, 28—38 (нем.).

Для отделения U от Th с некоторыми изменениями использован ранее описанный метод (РЖХим, 1957, 48253), основанный на поглощении анионитом отрицательно заряженного хлоридного комплекса U (UO_2Cl_2) из сильноосновных р-ров. Th в этих условиях анионных комплексов не образует. U хорошо сорбируется амберлитом IRA-400 в Cl-форме из 5 н. HCl в количестве из 6—6,5 н. HCl. Однако для осуществления колич. поглощения U из 6,5 н. HCl р-р должен содержать ≤ 5 мг U при скорости пропускания р-ра через колонку 12 капель в 1 мин. Колонку диам. 7 мм заполняют амберлитом IRA-400 в Cl-форме с размером зерен 0,2—0,4 мм на высоту 12 см и перед использованием промывают пропусканием 50 мл 6,5 н. HCl. После пропускания анализируемого р-ра колонку снова промывают 6,5 н. р-ром HCl, а затем элюируют U 1 н. р-ром HCl, которую пропускают со скоростью 12 капель в 1 мин. Описанный метод позволяет отделить U и Th от Mn, Bi, Cd, Sn и Hg. Th отделяется не только от этих элементов, но также и от Fe, Cu, Co, Mo, Pb, W, Zn, Ti, щел. и щел.-зем. металлов, а U — от Mn, Bi, Cd, Sn, As, Ni, Al, Hg и Cr. Для определения U в элюате применяют полярографич. или флуорометрич. методы. При флуорометрич. определении U анализируемый р-р в Pt-тигле выпаривают досуха и к остатку добавляют 5 г смеси $Na_2CO_3 + K_2CO_3 + NaF$ с отношением компонентов 45:45:10. Тигель накрывают, прокалывают 20 мин. при 640°, охлаждают, плав переносят на часовое стекло, выдерживают ~ 24 часа в эксикаторе (для установления постоянной интенсивности флуоресценции) и производят измерение на флуорометре Ланге, снабженном зеркальным гальванометром. Присутствие 1—10 γ Cr, Mn, Co, Ni, Ag, La, Pt, Au, Pb, Ce, Pr и Nd, 10—50 γ Fe, Cu, Zn, Sn и Th, 50—1000 γ Ti и W гасит флуоресценцию U на 10%. При освещении очень коротковолновым светом флуоресцирует и Nb, но гораздо слабее U.

Н. Полянский

70497. К вопросу о разделении селена и теллура катионитом. Зелянская А. И., Быков И. Е., Горшкова Л. С., Тр. Ин-та металлургии. Уральский фил. АН СССР, 1957, вып. 1, 151—154

Изучена возможность разделения Se и Te методом ионного обмена на катионите эспатит КУ-1 в H-форме.

Зерна катионита насыпали в трубку высотой 200 мм, diam. 25 мм, промывали 5%-ным р-ром HCl и водой до нейтр. р-ции. Содержание Se и Te в фильтрате определяли полярографически на фоне, 0,5 M по NH_4Cl , 0,5 M по NH_4OH , 0,1 M по Na_2SO_3 и содержащем 0,002% желатин. Опытами с индивидуальными р-рами установлено, что как в кислых, так и в щел. средах Se полностью переходит в фильтрат, а Te при pH 2,7—8,5 полностью сорбируется катионитом. Для выщелачивания Te применяли NH_4OH (1:3 или 1:2). Опытами с р-рами, содержащими оба элемента, установлено, что при pH 1,4 Se полностью переходит в фильтрат, а Te сорбируется катионитом и может быть вымыт р-ром NH_4OH (150 мл). Катионит можно регенерировать промыванием водой, 5%-ным р-ром HCl и снова водой до нейтр. р-ции по метиловому оранжевому. При pH 1,5—3,7 Cu, Fe, Pb и Zn полностью сорбируются указанным катионитом, что может быть использовано для колич. отделения Se от Cu, Fe и Zn. Из р-ров, содержащих Te в паре с Cu, Fe, Zn или Pb, Te сорбируется катионитом, а степень извлечения Te р-ром NH_4OH составляет 70—85%. Установлено, что из слабокислого р-ра, содержащего комплексон III, сорбируются только Te и Pb, а из аммиачного р-ра в присутствии сегнетовой соли — только Cu и Zn. Т. Леви

70498. Кулонометрически-потенциостатический анализ в области миллиграммовых количеств. Людеринг (Coulometrisch-potentiostatische Analyse im Milligramm-Bereich. Luderling Hans), Arch. Eisenhüttenwesen, 1958, 29, № 3, 173—177. Diskuss., 177—178 (нем.).

Для определения малых кол-в в-ва кулонометрич. методу следует предпочесть потенциостатич. метод (ПМ), основанный на титровании анализируемого р-ра до достижения определенного конечного значения потенциала индикаторного электрода (ИЭ). В электролитич. ячейке для титрования платиновый ИЭ отделен от 2-го Pt-электрода пористой диафрагмой из глины. В ячейке предусмотрены отверстия для ввода и вывода индифферентного газа (CO_2). ПМ использован для определения Fe окислением Fe^{2+} или восстановлением Fe^{3+} . Восстановление производят при 500 мв; при этом не дотитровывается 0,01% в-ва. В результате анализа вводится систематич. ошибка связанная с восстановлением остатка растворенного O_2 и образованием гидроксида на Pt-электроде. Влияние этой ошибки на результаты определения уменьшается с увеличением кол-ва Fe в анализируемом р-ре. Определение Cr с помощью ПМ основано на восстановлении $\text{Cr}(6+)$ до $\text{Cr}(3+)$ в кислом р-ре при 500 мв. В случае определения Cr и Fe при их совместном присутствии сначала находят сумму Cr + Fe восстановлением при 500 мв, а затем определяют только Fe окислением $\text{Fe}(2+)$ до $\text{Fe}(3+)$ при 1000 мв. Этот метод с успехом применен для определения Fe и Cr в феррохроме (ФХ) и карбидах Cr. Если возможно, ФХ растворяют в HCl (1:1), р-р упаривают с конц. H_2SO_4 и еще до окончания удаления HCl добавляют несколько капель конц. HNO_3 для растворения нерастворившегося остатка ФХ. По окончании выделения HCl р-р охлаждают, разбавляют водой и окисляют Cr^{3+} персульфатом аммония в присутствии Ag^+ , которое затем удаляют в форме AgCl добавлением NaCl и отфильтровыванием осадка. Нерастворимые в к-тах пробы ФХ и карбиды Cr переводят в растворимое состояние сплавлением с Na_2O_2 + Na_2CO_3 + K_2CO_3 , плав растворяют в воде, содержащей H_2SO_4 , и определяют Fe и Cr с помощью ПМ. Полученные результаты в пределах 1% согласуются с данными других методов. Н. Полянский

70499. Кулонометрическое титрование урана и смеси урана и ванадия трехвалентным титаном. Кеннеди, Лингейн (Coulometric titration of uranium

and uranium-vanadium mixtures with +3 titanium. Kennedy John H., Lingane James J.), Analyst. chim. acta, 1958, 18, № 3, 240—244 (англ.).

Установлена возможность кулонометрич. титрования $\text{U}(6+)$ электролитически генерируемыми ионами Ti^{3+} в среде 8F H_2SO_4 на Pt-катоде в присутствии Fe^{2+} в качестве катализатора. Титрование производили в стакане емк. 200 мл. Генераторный катод изготовлен из Pt-фольги; анод (Pt-проволока) помещали в стеклянную трубку, отделенную от катодной части пористой стеклянной диафрагмой. Воздух из титруемого р-ра удаляли пропусканием N_2 . Конечную точку титрования устанавливали по падению силы тока между двумя индикаторными Pt-электродами, на которые налагали постоянное напряжение 250 мв. К титруемому р-ру прибавляли 10 мг $(\text{NH}_4)_2\text{SO}_4 \cdot \text{FeSO}_4$ (катализатор). Для устранения мешающего влияния восстанавливающихся примесей (Fe^{3+}) проводили предварительное титрование фонового электролита до добавления анализируемого уранилацетата. Для титрования использования 0,6F $\text{Ti}(\text{SO}_4)_2$ в 8F H_2SO_4 . При определении 224,7—8,925 мг U ошибка составляет $\pm 0,07\%$. Производили также титрование смеси $\text{U}(6+)$ и $\text{V}(5+)$ с соотношениями U:V от 20:1 до 1:1; ошибка определения $\text{U} \pm 0,3\%$, $\text{V} \pm 0,5\%$. На 1-й стадии титрования в этом случае происходит восстановление $\text{V}(5+) \rightarrow \text{V}(4+)$, а затем одновременное восстановление $\text{V}(4+) \rightarrow \text{V}(3+)$ и $\text{U}(6+) \rightarrow \text{U}(4+)$. При титровании смеси $\text{U}(6+) + \text{V}(5+)$ катализатор Fe^{2+} добавляли вскоре после 1-й конечной точки. Содержание U ($6+$) находили вычитанием кол-ва V ($5+$), найденного по 1-й конечной точке титрования. В. Миркин

70500. Электрометрическое исследование реакции между двухвалентной ртутью и тиосульфатом натрия. Саксена (Electrometric study on the reaction between mercuric (mercury) and sodium thiosulphate. Saxena Ram Sahai), Naturwissenschaften, 1958, 45, № 7, 161—162 (англ.).

Р-ция между Hg^{2+} (в форме HgCl_2 или $\text{Hg}(\text{NO}_3)_2$) и $\text{Na}_2\text{S}_2\text{O}_3$ исследована потенциометрически с применением Pt-фольги в качестве индикаторного электрода (ИЭ), соединенного с насыщ. к. э. посредством мостика из NH_4NO_3 . Установлено, что при добавлении р-ра $\text{Na}_2\text{S}_2\text{O}_3$ к р-ру Hg^{2+} разность потенциалов между ИЭ и насыщ. к. э. представляется кривой с перегибом в точке, соответствующей образованию $\text{HgCl}_2 \cdot 2\text{HgS}$ (соотношение $\text{Na}_2\text{S}_2\text{O}_3$:Hg = 2:3). Отчетливая конечная точка и хорошая воспроизводимость изменений позволяют применить потенциометрич. метод для определения Hg^{2+} и $\text{S}_2\text{O}_3^{2-}$. В присутствии $\text{C}_2\text{H}_5\text{OH}$ перегиб кривой титрования становится еще более резким. Обратное титрование (титрование $\text{Na}_2\text{S}_2\text{O}_3$ р-рами Hg^{2+}) не дает удовлетворительных результатов.

А. Немодрук
70501. Изучение условий отделения висмута от кобальта электролизом и полярографическое определение последнего. Бусев А. И., Коваленко П. Н., Вестн. Моск. ун-та, 1957, № 5, 151—156

Разработаны условия электролитич. отделения Bi от Co в азотнокислом р-ре в отсутствие комплексобразующего компонента и без контроля катодного потенциала: конц-ия HNO_3 0,1—0,2 н.; т-ра — 70°; напряжение — 2,0 в; продолжительность электролиза 60 мин. Изучены также условия определения малых конц-ий Co полярографич. методом после электролитич. осаждения Bi.

Резюме авторов
70502. Полярографическое исследование на фоне расплавленной буры. 2. Полярография олова, сурьмы и висмута. Калабалина К. М., Делимарский Ю. К., Укр. хим. ж., 1958, 24, № 2, 152—157. Описано полярографич. поведение SiO_2 , Sb_2O_3 и Bi_2O_3 на фоне расплавленной $\text{Na}_2\text{B}_4\text{O}_7$. Полярограммы

снимали при 820° и чувствительности (S), равной 1:2500. Установлено, что для всех указанных соединений наблюдается прямозиневая зависимость между величиной диффузионного тока (i_d) и конц-ией (N) (в мольных долях). Все полученные полярограммы лучше описываются ур-нием Гейровского — Ильковича, чем ур-нием Колтгофа — Лингейна. Потенциал полуволны ($E_{1/2}$) не является линейной функцией $\lg N/2$. В случае SnO_2 $E_{1/2}$ (0,760 в) постоянен в первом приближении; в случае Sb_2O_3 наибольшее отклонение от среднего значения $E_{1/2}$ (0,382 в) составляет 0,022 в. В случае Bi_2O_3 $E_{1/2} = 0,800$ в при $N = 0,001$ и сдвигается в сторону более положительных значений при увеличении N , но не в линейной зависимости. Отмечено, что процессы полярографич. восстановления соответствуют переходу SnO_2 в SnO и Sb_2O_3 в Sb_2O_4 или Sb_2O_5 . Сообщение 1 см. РЖХим, 1958, 24724.

Т. Леви

70503. Полярографическое определение меди, кадмия и цинка. Хе Ген Хэ, Хвахак ка хвахак коноп. Ж. химии и хим. пром-сти, 1957, 1, № 6, 365—373 (кор.)

При определении Cu в рудах анализируемую пробу, содержащую 0,001—6% Cu , сначала обрабатывают 15 мл конц. HCl и 5 мл HNO_3 , а затем отдымляют с 10 мл H_2SO_4 (1:1). Полученный р-р разбавляют, производят осаждение 25%-ным NH_4OH и фильтрат полярографируют. Если в руде содержится $> 10\%$ Fe или Al , то производят повторное осаждение Fe^{3+} и Al^{3+} . Осадок промывают 2%-ным р-ром $(\text{NH}_4)_2\text{SO}_4$. Если в руде содержится $> 0,5\%$ Co , то производят отделение Cu от Co путем осаждения. При определении Cd в серном колчаде анализируемую пробу (1—2 г), содержащую 0,1—5% Cd , обрабатывают 15 мл конц. HCl при кипячении, фильтруют, к фильтрату добавляют 5—10 капель 30%-ной H_2O_2 и осаждают $\text{Fe}(\text{OH})_3$. Перед полярографированием к р-ру прибавляют 1,5 г твердого NaSO_3 и 5 капель 1%-ного р-ра желатинны на каждые 20 мл р-ра и выдерживают 20—30 мин. Этот метод применим в присутствии растворимых в HCl солей Cu и Mn в кол-вах $< 0,2$ и $0,5\%$ соответственно. Если в анализируемой руде содержится 0,001—0,1% Cd и $> 0,2\%$ растворимых в HCl солей Cu , то пробу обрабатывают соляной к-той, удаляют H_2S , добавляют 10—15 мл конц. HNO_3 , кипятят, отдымляют с 5 мл конц. H_2SO_4 , разбавляют водой, осаждают аммиаком, переосаждают аммиаком, кипятят для удаления NH_3 , добавляют 2—5 мл H_2SO_4 (1:1) на каждые 100 мл р-ра и осаждают Cu 10%-ным р-ром $\text{Na}_2\text{S}_2\text{O}_3$. Фильтрат кипятят до полного разложения Na_2SO_3 , нейтрализуют аммиаком и осаждают Cd 2%-ным р-ром Na_2S (если недостаточно Zn , то добавляют ZnSO_4). Осадок растворяют в HCl (1:1), прибавляют 10—20 мл 30%-ной H_2O_2 , упаривают до 3—5 мл, нейтрализуют аммиаком, добавляют 5 капель 1%-ного р-ра желатинны и 0,5 г твердого Na_2SO_3 , разбавляют водой до определенного объема и через 15 мин. полярографируют. Этот метод является наиболее универсальным. При определении Zn в рудах при содержании $< 0,5\%$ Mn анализируемую пробу (1 г) обрабатывают 10 мл конц. HCl , кипятят до полного удаления H_2S , добавляют 10 мл конц. HNO_3 , выпаривают до выделения осадка, отдымляют с H_2SO_4 , разбавляют водой, нейтрализуют аммиаком, отфильтровывают осадок и фильтрат полярографируют. Если в руде содержится до 5% Mn , то после осаждения гидроокисей к анализируемому р-ру прибавляют 20 мл р-ра, содержащего 100 г NH_4Cl и 100 мл 25%-ного NH_4OH в л. и H_2O_2 до полного окисления Mn , выдерживают 1 час, прибавляют 2 г твердого Na_2SO_3 и 1%-ный р-р желатинны, разбавляют водой до определенного объема и через 30 мин. полярографи-

руют. В присутствии Ni , Co , Mn и большого кол-ва Fe анализируемую пробу (0,5—2 г) обрабатывают царской водкой, отдымляют с H_2SO_4 (1:1), разбавляют водой (20 мл), прибавляют 10 мл 25%-ного р-ра NH_4SCN и экстрагируют изоамиловым спиртом (25 мл), реэкстрагируют (2 раза) спец. р-ром (25 мл 25%-ного р-ра $\text{NH}_4\text{SCN} + 6$ мл H_2SO_4 , 1:1 в 1 л воды) и полярографируют. Если соотношение $\text{Cu}:\text{Cd}:\text{Zn}$ в анализируемой руде составляет 10:1:1, то можно производить одновременное полярографирование этих элементов.

Ли Мен-юн

70504. Фотометрическое определение конечной точки титрования йодатом в присутствии двухвалентной ртути. Банат, Татвавади (Application of colorimetric end-point to iodate procedures in presence of mercuric mercury. Barat M. G., Tatwawadi S. V.), Analyt. chim. acta, 1958, 18, № 4, 334—338 (англ.)

При титровании некоторых восстановителей (As^{3+} , гидразин, тиосульфат, роданид) с помощью IO_3^- в кислом р-ре в присутствии Hg^{2+} возможны две конечные точки, отвечающие соответственно восстановлению IO_3^- до I^- (кислотность 1,5—2,5 н.) и окислению I^- до I_2 (кислотность 2—6 н.). В 1-й стадии титрования (восстановление IO_3^- до I^-) постепенно развивается красная окраска I_2 , интенсивность которой достигает максимума при выполнении титрования наполовину, а затем снова убывает до минимума (1-я точка), так как образующийся вначале I_2 восстанавливается до I^- , причем этот переход окраски ускоряется при добавлении Hg^{2+} . При высокой кислотности $[\text{HgI}_4]^{2-}$ разрушается и выделившийся I^- окисляется избытком IO_3^- до I_2 (изменение окраски р-ра происходит аналогично 1-му случаю). Этот факт использован для фотометрич. определения конечной точки при титровании As ($3+$), SCN^- , $\text{S}_2\text{O}_3^{2-}$ и гидразина (используют светофильтр с максимумом пропускания в области 450—500 мμ). Титрование As ($3+$) можно выполнять в соляно- и сернокислых р-рах; SCN^- , $\text{S}_2\text{O}_3^{2-}$ и гидразин лучше титровать в солянокислом р-ре. Прямое титрование SCN^- неудобно из-за медленного протекания р-ции, поэтому лучше использовать косвенную методику (избыток IO_3^- оттитровывают р-ром As^{3+}). Описанный метод позволяет определить до 5 мг указанных восстановителей с точностью до 97—98%.

А. Зозуля

70505. Спектральные методы определения ванадия, тантала, циркония, титана, бериллия и ниобия. Номокнова Н. А., Морозова И. Ф., Тр. Всес. Магаданск. н.-и. ин-та — I М-ва цветн. металлургии СССР, 1957, разд. 4, вып. 19, 14—20

При определении Nb , Ta , Zr и Ti в 1 г угольным порошком прибавляют 1 мл 2%-ного р-ра молибдата аммония, сушат и прокалывают при 400° . Навески пробы и эталонов 0,2, 0,5 и 1,0 г смешивают в соотношении 1:1 с приготовленным угольным порошком и набивают в отверстия двух угольных электродов (диаметр отверстия 1,3 мм, глубина 5 мм, внешний диаметр угольной части угольного электрода 2,6 мм). Спектры фотографируют на спектрографе ИСП-22 со сфероцилиндрич. линзой, установленной на 20 см от щели и на 65 мм от дуги. Спектры возбуждают в дуге переменного тока. Ширина щели спектрографа 0,025 мм, фотопластинки спектральные, тип I. Градуировочные графики строят в координатах ΔS , $\lg C$ по образцам руд или искусств. смесей. Nb и Ta определяют одновременно; определяемая конц-ия для Nb и Ta 0,03—2,0%, для Zr 0,12—2,0%. Аналитич. линии (в Å): Nb 2950,9 — Mo 2930,5, Ta 2685,1 — Mo 2930,5, Zr 2571,4 — Mo 2683,2, Ti 3078,6 — Mo 2930,5. Ошибка анализа $\pm 8\%$. При определении Be и In 100—200 мг пробы вводят в пламя дуги на бумажных полосках

при горизонтально расположенных электродах. К пробам или эталонам (2 г) прибавляют 1 мл 1,5%-ного р-ра Cr (внутренний стандарт для Be); внутренним стандартом для In служит Bi (2%) или Cd (5%). Подложки бумаги длиной 20 см пропитывают р-ром $(\text{NH}_4)_2\text{SO}_4$ и вводят в пламя дуги передвижением от руки в течение 100—120 сек. при силе тока 8 а. Аналитич. линии (в А): Be 2348,6 — Cr 2855,7 для конц-ий 0,001—0,2% и Be 2650,5 — Cr 2677,2 для конц-ий 0,2—2,0%; In 2710,3, 3039,3, 3256,1, 3258,5; Bi 2898,0; Cd 3261,1 и Sb 2877,9. Ошибка анализа $\pm 5-8\%$. Возможное наложение линий Ge и Mn. Положения градуировочных графиков сильно зависят от валового состава проб.

Г. Кибисов
70506. Химические методы определения индия, германия, бериллия, ниобия и тантала. Канюкова М. В., Тр. Всес. Магаданск. н.-и. ин-та — I. М-ва цветн. металлургии СССР, 1957, разд. 4, вып. 19, 1—13

Приведены подробные методики колориметрич. определения In (по желто-зеленой окраске р-ра оксихинолинового комплекса In в CCl_4), Ge (по розово-красной окраске водн. суспензии фенилфлуоронового комплекса Ge, стабилизированной желатиной), Be (по синей окраске хинализаринового комплекса Be), Nb (по желто-зеленой окраске комплекса $\text{Nb}^{(5+)} \text{ с } \text{SCN}^-$) и Ta (по желто-зеленой окраске пирогаллолового комплекса Ta в щавелевокислой среде). В основу методик положены колориметрич. методы, разработанные ранее научными сотрудниками Гиредмета и Укргиредмета.

Ф. Судаков
70507. Висмутитол II как аналитический реактив.

Часть XII. Определение мышьяка, сурьмы и олова. Маджумдар, Сингх (Bismuthiol II as an analytical reagent. Part XII. Estimation of arsenic, antimony and tin. Majumdar A. K., Singh B. R.), Z. analyt. Chem., 1958, 161, № 4, 261—263 (англ.)

Установлено, что при обработке анализируемого р-ра, содержащего Sn, 0,5%-ным р-ром К-соли висмутитола II (I) Sn^{2+} осаждается в форме темно-желтого осадка $\text{Sn}(\text{C}_6\text{H}_5\text{N}_2\text{S}_2)_2$. Однако в присутствии избытка I осаждается смесь указанного соединения с органич. дисульфидом. Ион Sn (4+) окисляет I с образованием красно-желтого комплекса неопределенного состава. С As (3+) и Sb (3+) I дает трудно растворимые в воде соединения $\text{As}(\text{C}_6\text{H}_5\text{N}_2\text{S}_2)_3$ и $\text{Sb}(\text{C}_6\text{H}_5\text{N}_2\text{S}_2)_3$, плавящиеся соответственно при 73 и 104° и не разлагающиеся при нагревании до 120°. pH начала осаждения указанных соединений составляет соответственно 3,7 и 5,2. Колич. осаждение комплексов наблюдается только в кислой среде (0,1 н. по HCl или H_2SO_4) в присутствии NaCl или NH_4Cl в качестве коагулирующего агента. Если анализируемый р-р содержит тартраты, то осаждение производят из еще более кислых р-ров (0,4—0,5 н. HCl при осаждении As и 0,2 н. при осаждении Sb). Выделяющийся осадок отфильтровывают, промывают небольшим кол-вом 0,1 н. HCl и высушивают при 50—60° до постоянного веса. При осаждении As в качестве коагулирующего агента лучше пользоваться NaCl, так как в присутствии NH_4Cl получаются заниженные результаты. Часть XI см. РЖХим, 1958, 70527.

Н. Полянский
70508. Полярнографическое определение лития, рубидия и цезия. Шебер, Гутман (Über die polarographische Bestimmung von Lithium, Rubidium und Cäsium. Schöber G., Gutmann V.), Mikrochim. acta, 1958, № 3, 319—320 (нем.; реэ. англ., франц.) Установлено, что Li^+ в 80%-ном изопропанол (I) в отличие от водн. р-ров полярнографически определяется с хорошей точностью (ошибка $\leq 1\%$). Потенциал полуволны ($E_{1/2}$) составляет —2,37 в (при 20—30°). В качестве фоновых электролитов пригоден 0,1 М

р-р $(\text{C}_2\text{H}_5)_4\text{NOH}$ (II). Полярнографич. определение Rb^+ и Cs^+ в 80%-ном I также дает хорошие результаты; в качестве фоновых электролитов в этом случае пригодны II или LiOH, конц-ия которых должна быть соответственно в 100 и 50 раз выше конц-ий Rb^+ или Cs^+ . $E_{1/2}$ для Rb^+ —1,97 в, для Cs^+ —2,03 в. Ошибка определения Rb^+ и Cs^+ $\sim 0,5\%$. Раздельное определение Rb^+ и Cs^+ в их смесях невозможно. Rb^+ и Li^+ , а также Cs^+ и Li^+ могут быть определены одновременно в 80%-ном I на фоне 0,1 М р-ра II с хорошей точностью.

А. Немодрук

70509. Новый метод полумикрогравиметрического определения меди. Армян, Бардан (O nouă metodă pentru determinarea semi-microgravimetrică a cuprului. Armeanu V., Bardan D.), Rev. chim., 1958, 9, № 2, 105—107 (рум.; реэ. русск., франц., нем., англ.)

Установлено, что при взаимодействии комплексных солей $[\text{CuPhen}_2]\text{SO}_4$, где Phen — м-фенилендиамин, и $\text{K}_2[\text{HgJ}_4]$ образуется устойчивое соединение состава $[\text{CuPhen}_2] \cdot [\text{HgJ}_4]$ в виде черных кристаллов, трудно растворимых в воде и органич. р-рителях и практически нерастворимых в избытке реактива. Это соединение пригодно для гравиметрич. определения Cu. 10—20 мл анализируемого р-ра (10—50 мг Cu) подкисляют серной к-той и прибавляют 4—5 мл 10%-ного р-ра CH_3COONa (для создания буферной среды) и 2%-ный р-р м-фенилендиамина до образования черного осадка $[\text{CuPhen}_2]\text{SO}_4 \cdot \text{H}_2\text{O}$. Полученный осадок растворяют в H_2SO_4 (1:50) и к р-ру прибавляют по каплям при постоянном перемешивании р-р $\text{K}_2[\text{HgJ}_4]$ (к 2%-ному р-ру HgCl_2 прибавляют 10%-ный р-р KI до растворения образовавшегося при этом осадка HgJ_2) до полноты осаждения. Через 15 мин. осадок отфильтровывают, промывают спец. р-ром (1 мл 2%-ного р-ра HgCl_2 + миним. кол-во 10%-ного р-ра KI + 1 мл 2%-ного р-ра м-фенилендиамина + 120 мл воды) и водой, высушивают при 105—110° и взвешивают. Фактор пересчета 0,06433. Относительная ошибка $\leq 1,5\%$.

Б. Маноле

70510. Новый титриметрический метод определения меди при помощи ферроцианида калия. Козлов А. С., Багреев В. В., Научн. докл. высш. школы. Химия и хим. технол., 1958, № 2, 300—304

Разработан титриметрич. метод определения Cu, основанный на осаждении Cu^{2+} ферроцианидом К (I) в форме $(\text{NH}_4)_2\text{CuFe}(\text{CN})_6$ из слабоаммиачного р-ра в присутствии аммониевых солей. После отделения образующегося осадка избыток I оттитровывают р-ром ZnSO_4 с применением дифениламина в качестве индикатора. Сравнение результатов определения Cu в малахитах, стандартных образцах окисленной Cu-руды и хвостах Cu-флотации предложенным и йодометрич. методами показало отсутствие заметной разницы (расхождение результатов в случае определения Cu в малахитах $\leq 0,24\%$, в других случаях еще меньше). Определению Cu разработанным методом мешают металлы, образующие с I нерастворимые ферроцианиды.

А. Немодрук

70511. Микроопределение меди. Гельберг, Гаджиу (Contribuții la microdozarea cuprului. Gheiberg W. N., Gagiū M.), Rev. chim., 1958, 9, № 2, 99—100 (рум.; реэ. русск., франц., нем., англ.)

Установлено, что интенсивность развиваемой при взаимодействии тетрагидрострихнина (I) с H_2O_2 окраски увеличивается в присутствии малых кол-в соли Cu пропорционально конц-ии прибавляемой соли, действующей каталитически на указанную р-цию. Р-р I получают восстановлением 0,25%-ного р-ра стрихнина в конц. HCl водородом в момент выделения. Для микроопределения Cu^{2+} к 2 мл свежеприготовленного р-ра I прибавляют 1—10 мл анализируемого р-ра

(в зависимости от конц-ии Cu), 2—4 капли 3%-ной H_2O_2 , выдерживают 5—10 мин. и возникающую красную окраску сравнивают с окраской стандартных р-ров, приготовленных в аналогичных условиях. Этим методом можно определить Cu в биол. р-рах и в других р-рах, содержащих следовые кол-ва Cu (0,0001—1,00 мг/мл). Метод непригоден в присутствии Mn (7+), Cr (3+), Cr (6+) (0,0005 мг/мл), Fe^{3+} (0,0025 мг/мл), Mg^{2+} (0,025 мг/мл), NO_2^- (0,00025 мг/мл), PO_4^{3-} (0,0125 мг/мл) и $\text{Fe}(\text{CN})_6^{3-}$ (0,015 мг/мл).

Б. Маноле

70512. Образование внутрикомплексных соединений двухвалентной меди с аммониевой солью ауринтрикарбоновой кислоты. II. Микроопределение меди фотохимическим методом. Мукхерджи, Дей (Chelate formation of ammonium aurintricarboxylate with bivalent copper. II. Micro-determination of copper by the colorimetric method. Mukherji Anil K., Dey Arun K.), *Analyt. chim. acta*, 1958, 18, № 6, 546—550 (англ.)

Окрашенное внутрикомплексное соединение Cu^{2+} с аммониевой солью ауринтрикарбоновой к-ты (I), имеющее максимум светопоглощения при 540 мμ, использовано для фотохимич. определения микроколичеств Cu^{2+} . Установлено, что для получения удовлетворительных результатов необходимо прибавлять к анализируемому р-ру по крайней мере 20-кратный избыток I. Интенсивность окраски комплекса можно измерять на спектрофотометре или на фотоколориметре с соответствующим светофильтром. Окраска при комнатной т-ре устойчива в течение длительного времени, но ослабляется при $> 30^\circ$. Оптимальный pH для развития окраски 5,3—6,7. Открываемый минимум Cu 1,7 ч. на 1 млн. Разработаны оптимальные условия определения Cu с помощью I; изучено мешающее влияние посторонних ионов и спектрофотометрически установлены их допустимые конц-ии. Сообщение I см. РЖХим, 1958, 64012.

Резюме авторов

70513. Висмутол II как аналитический реактив. Часть X. Определение меди. Маджумдар, Сингх (Bismuthiol II as an analytical reagent. Part X. Estimation of copper. Majumdar A. K., Singh B. R.), *Z. analyt. Chem.*, 1958, 161, № 2, 81—86 (англ.)

Детально изучена р-ция висмутiola II (I) с Cu^{2+} и Cu^{+} . Описан метод гравиметрич. определения Cu при помощи I. Установлено, что Cu^{+} и Cu^{2+} дают с I соединения состава $\text{CuC}_6\text{H}_5\text{N}_2\text{S}_2$ и $\text{Cu}(\text{C}_6\text{H}_5\text{N}_2\text{S}_2)_2$ соответственно. Изучена термич. устойчивость полученных комплексов. Найдено, что оба соединения устойчивы в присутствии HCl , H_2SO_4 , HNO_3 , а также уксусной, винной и лимонной к-т; комплекс Cu^{+} с I нерастворим, а комплекс Cu^{2+} с I растворим в т-ре комплекса на III. Комплекс Cu^{2+} с I обладает также более высокой растворимостью в CHCl_3 и этилацетате и имеет более низкие т-ры плавления и разложения. Для осаждения комплекса Cu^{2+} с I кислый (0,1 н. по HCl и $\leq 0,5$ н. по CH_3COOH) р-р CuSO_4 , содержащий 1—2 г NH_4NO_3 и разбавленный водой до 125 мл, нагревают на кипящей водяной бане и прибавляют по каплям избыток 0,5%-ного водн. р-ра I при постоянном помешивании. Осадок отфильтровывают, промывают теплой водой, высушивают при $105-110^\circ$ и взвешивают; фактор пересчета на Cu 0,1236. Присутствие ионов, щел., щел.-зем. металлов, Mn^{2+} , Co^{2+} и Ni^{2+} не мешает определению. MoO_4^{2-} , VO_3^- , WO_4^{2-} удерживают в р-ре добавлением 1—4 ч. винной к-ты и проведением определения при pH 4—6. Мешают Fe^{3+} , Al^{3+} , Cr^{3+} , Ti^{4+} , ионы редкоземельных элементов, Be^{2+} , Th^{4+} , Zr^{4+} , UO_2^{2+} (вследствие гидролиза), а также ионы Bi , As , Sn^{2+} , Sb и Zn^{2+} (образуют осадки с I). Влияние Ag^{+} и Hg^{2+} предотвращают добавлением 5—20 ч. KJ . При осаждении комплекса Cu^{+} с I Cu^{2+} предва-

рительно восстанавливают добавлением избытка KJ (с последующим восстановлением свободного J_2 р-ром SO_2) или 1—2 ч. KCN . Осаждение в этом случае ведут по вышеописанной методике из р-ра, $\leq 0,1$ н. по ионер. к-те или ≤ 1 н. по уксусной к-те (при pH > 7 растворимость осадка повышается). В присутствии Ag^{+} и Hg^{2+} в анализируемый р-р вводят избыток KI , а в присутствии Cd^{2+} , Pb^{2+} и Zn^{2+} вводят комплексон III. Проведением определения при pH 4—7 в присутствии винной к-ты устраняют мешающее влияние Fe , Al , Cr , Ti , Th , Zr , редкоземельных элементов, Be , As , Sn , Sb , UO_2^{2+} , MoO_4^{2-} , VO_3^- , WO_4^{2-} и PO_4^{3-} . Часть IX см. РЖХим, 1957, 71889.

Р. Моторкина

70514. Спектрофотометрическое определение меди в форме внутрикомплексного соединения с 2-фурилтрифторацетоном. Берг, Дей (The spectrophotometric determination of copper as the 2-furoyltrifluoroacetone chelate. Berg Eugene W., Day M. C.), *Analyt. chim. acta*, 1958, 18, № 6, 578—581 (англ.)

Установлено, что внутрикомплексное соединение Cu^{2+} с 2-фурилтрифторацетоном (I) может быть количественно осаждено из водн. р-ров и экстрагировано органич. р-рителями. Органич. экстракты, окрашенные в интенсивно зеленый цвет, имеют максимум светопоглощения при 660 мμ. Хотя I не является специфич. реактивом для Cu , но внутрикомплексные соединения большинства других металлов с I или безцветны, или не экстрагируются органич. р-рителями, или не поглощают света при 660 мμ. На основе полученных данных разработан быстрый, чувствительный и достаточно специфич. спектрофотометрич. метод, пригодный для определения таких малых кол-в Cu , как 1 мг Cu при конц-ии 5 ч. на 1 млн. Из обычных элементов определению Cu мешают только Te , V , Se , Ni и Pd . Метод применим для определения Cu в бронзах и Al -сплавах.

Резюме авторов

70515. Комплексометрическое определение меди в рудах и продуктах их обогащения. Файнберг С. Ю., Филатова Л. Н., Заводск. лаборатория, 1958, 24, № 5, 534—535

Описан комплексометрич. метод определения Cu , основанный на применении в качестве индикатора мурексида, образующего с Cu^{2+} менее прочный комплекс, чем комплексон III. 0,25 г Cu -концентрата или 0,5 г руды растворяют в 10 мл смеси (3:1) HNO_3 в HCl , упаривают до сиропообразного состояния, прибавляют 10 мл смеси (5:2:3) H_2SO_4 , HCl и воды, упаривают до появления паров H_2SO_4 , охлаждают, прибавляют 40 мл воды, кипятят несколько минут, охлаждают, фильтруют и промывают 20%-ным р-ром H_2SO_4 (в отсутствие Pb р-р фильтруют горячим и промывают горячим р-ром H_2SO_4). Фильтрат нагревают до кипения, прибавляют 20%-ный р-р $\text{Na}_2\text{S}_2\text{O}_3$ (для осаждения Cu в форме CuS) и кипятят до полной коагуляции осадка. Осадок отфильтровывают и промывают горячей водой (слабо подкисленной H_2SO_4) до отрицательной р-ции Fe^{2+} в промывной воде. Фильтр с осадком высушивают в прокаливании (~20 мин. при 500°). Остаток растворяют в 3 мл HNO_3 (1:1), р-р упаривают до 2—3 капель, прибавляют ~100 мл воды, нагревают до полного растворения, охлаждают, добавляют 1—2 мл 5%-ного р-ра NH_4F , 10 мл буферной смеси (100 мл 1 н. CH_3COOH и 900 мл 1 н. CH_3COONa), смесь мурексида с NaCl (1:200) и титруют 0,05 M р-ром комплексона III до перехода желтой окраски р-ра в вишнево-розовую. Полученные результаты удовлетворительно совпадают с данными фотохимич. определения.

А. Немодруз

70516. Определение меди в морской воде, силикатных породах и биологических материалах. Райан, Синхасени (The determination of copper in sea water, silicate rocks and biological materials. Riley

J. P., Sinhaseni P.), Analyst, 1958, 83, № 986, 299—304 (англ.)

Описан метод, основанный на применении р-ра 2,2'-диоксинола (I) в *n*-гексаноле, являющегося специфич. реактивом для экстрагирования и определения Си. Морскую воду фильтруют через фильтрующую воронку, к 900 мл фильтрата прибавляют 5 мл 25%-ного р-ра $\text{NH}_2\text{OH} \cdot \text{HCl}$, 10 мл 1 н. CH_3COONa и встряхивают 5 мин. в делительной воронке емк. 1 л с 8 мл 0,03%-ного р-ра I в *n*-гексаноле. Водн. слой отделяют, прибавляют 2 мл 25%-ного р-ра $\text{NH}_2\text{OH} \cdot \text{HCl}$ и встряхивают 3 мин. с 3 мл р-ра I. Водн. слой отделяют и еще раз экстрагируют р-ром I (3 мл). К объединенному *n*-гексаноловому экстракту прибавляют 0,5 мл 1%-ного спирт. р-ра гидрохинона, разбавляют до 50 мл *n*-гексанолом и фотометрируют при 540 мμ, используя в качестве р-ра сравнения воду. Описано применение метода к определению Си в силикатных и карбонатных породах и биологич. материалах. Определению не мешают: до 50 мг Na, K, Mg, Ca, Sr, Ba, Al, Fe, Mn и Ti, до 50 γ Bi, Cd, Co, Cr, Ga, Pb, Hg, Ni, Tl и Ag. Ошибка определения 2,5—3,5%.

Ф. Линкова

70517. Определение меди в стали спектральным методом. Кляушин Г. А., Заводск., лаборатория, 1958, 24, № 4, 457

Си определяют на спектрометре в интервале конц-ий 0,05—0,45% при возбуждении спектра в дуге переменного тока с магнитным полем. Аналитич. линии: Си 5105,5 — Fe 5110,4 Å. Абс. ошибка определения $\pm 0,03\%$.

Г. Кибисов

70518. Микрокристаллоскопическая реакция открытия серебра *o*-нитрофенилфосфенистой кислотой. Рязанов И. П., Хазова И. П., Сб. научн. тр. Магнитогорского горно-металлург. ин-та, 1958, вып. 16, 141—145

Для открытия Ag^+ с помощью *o*-нитрофенилфосфенистой к-ты (I) 1 каплю нейтр. анализируемого р-ра смешивают на предметном стекле с 1 каплей нейтр. 0,5 М р-ра I. Образование белого кристаллич. осадка (прямоугольные и квадратные пластинки) указывает на присутствие Ag^+ . Открываемый минимум 0,25 γ Ag ; предельное разбавление 1:80 000. Мешают Hg^{2+} и Pd^{2+} , образующие с I белые аморфные осадки. Метод применен для открытия Ag в галените, арсенофальерце и антимонфальерце. 0,1 г руды растворяют при нагревании в HNO_3 , избыток к-ты удаляют выпариванием, остаток обрабатывают водой и р-р отфильтровывают от осадка. В присутствии Bi (3+), Sb (3+) и Sb (5+) их осаждают аммиаком, осадок отфильтровывают, фильтрат нейтрализуют конц. азотной к-той и испытывают на Ag^+ .

А. Немодрук

70519. К вопросу об определении бериллия с помощью кислого ализаринового синего ББ. Барская С. И., Шемякин Ф. М., Заводск. лаборатория, 1958, 24, № 5, 654

Приведены возражения на замечания Адамовича Л. П. (РЖХим, 1958, 21155) по поводу ранее опубликованной работы авторов о фотометрич. определении Be с помощью кислого ализаринового синего ББ (РЖХим, 1955, 23922) и даны некоторые пояснения и дополнения к этой работе.

Ф. Судаков

70520. Определение малых количеств магния в расоле. Судзуки, Кондо, Хирано (Suzuki Masami, Kondo Hiroshi, Hirano Shizo), Бунсэки кагаку, Japan Analyst, 1958, 7, № 1, 47—49 (японск.)

Описан метод, основанный на выделении Mg осаждением с $\text{Cu}(\text{OH})_2$ в щел. среде и последующем фотометрич. определении с помощью титанового желтого. К анализируемому р-ру (25 мл) прибавляют 1 мл р-ра CuCl_2 (2 мг Cu), разбавляют водой до 50 мл, до-бавляют 1 мл 20%-ного р-ра NaOH и кипятят до полу-

чения темно-синего осадка. Осадок отфильтровывают, промывают 0,01 н. р-ром NaOH и растворяют на фильтре в теплой 0,3 н. HCl (5—6 мл). К полученному р-ру прибавляют 1 мл 5%-ного р-ра $\text{NH}_2\text{OH} \cdot \text{HCl}$, 2 мл 1%-ного р-ра CaCl_2 , 10 мл поливинилового спирта, разбавляют водой до 90 мл, осторожно прибавляют 3 мл 1%-ного р-ра KCN, перемешивают, прибавляют 1 мл 0,2%-ного р-ра титанового желтого и 5 мл 20%-ного р-ра NaOH, разбавляют водой до 100 мл и через 5 мин. фотометрируют при 532 мμ в 1-см кюветах. Ли Мен-юн

70521. Титрование кальция с использованием индикатора эриохромового красного В. Янкович, Эрден (Kalcium titrálása «Eriochromrot B» indikátor felhasználásával. Jankovits László, Erdey László), Magyar kém. folyóirat, 1958, 64, № 2, 50—55 (венг.; рез. нем.); Acta chim. Acad. scient. hung., 1958, 15, № 2, 163—174 (нем.; рез. англ., русск.)

Установлена пригодность в качестве комплексометрич. индикатора азокрасителя эриохромового красного В (I), который может быть получен конденсацией 1-амино-β-нафтол-4,4'-сульфокислоты и 1-фенил-3-метилпиразолона. Водн. р-р I имеет оранжевую окраску, переходящую в кроваво-красную при pH 6,8—8,8 и в желтую при pH 12—13. При прибавлении Ca^{2+} к слабощел. р-ру I образуется комплекс и окраска р-ра становится желтой. Комплексон III (II), дающий с Ca^{2+} более прочный комплекс, вытесняет Ca^{2+} из его комплекса с I и в результате восстанавливается первоначальная кроваво-красная окраска р-ра. Подробно изучены условия титрования Ca^{2+} р-ром II в присутствии I (pH, конц-ия I и т. д.). Оптимальный pH 9—10; оптимальная конц-ия I: 0,5 мл 0,6%-ного р-ра I; конц-ия р-ра II 0,01 или 0,05 М. Титруют медленно, вблизи точки эквивалентности после прибавления каждой капли р-ра II титруемый р-р взбалтывают 20—30 сек. Точность определения Ca^{2+} с I близка к точности определения с эриохромовым черным Т. I применим и для определения других катионов. Определению Ca^{2+} с I мешает целый ряд катионов.

И. Криштофори

70522. Применение анионитов для устранения помех при определении кальция методом пламенной фотометрии. Адамс, Рауз (Use of an anion exchange resin to eliminate anion interference in calcium determination by flame photometry. Adams Fred, Rouse R. D.), Soil Sci., 1957, 83, № 4, 305—312 (англ.)

Для устранения помех со стороны некоторых анионов, в особенности PO_4^{3-} и SO_4^{2-} , вызывающих получение заниженных результатов при определении связанного Са в растительных материалах и при определении обменного Са в почвенных образцах методом пламенной фотометрии, предложено замещать мешающие анионы в соответствующих вытяжках на анион Cl^- путем анионного обмена. Подходящим анионитом для этой цели является дауэкс 2-х в Cl^- -форме. Метод прост и быстр; необходимо лишь следить, чтобы конц-ия HCl в солянокислых вытяжках не была слишком большой (при большой конц-ии HCl обмен анионов проходит не количественно). При определении Са в вытяжках, освобожденных указанным методом от мешающих анионов, с помощью спектрофотометров Бекмана (модели В и DU) и Перкина — Эльмера (модель 146) с пламеннофотометрич. приставками получены хорошо согласующиеся результаты как между собой, так и с результатами комплексометрич. метода.

А. Горюнов

70523. Аналитическое применение фенолкарбонных кислот трифенилметанового ряда. Ускоренное определение кальция и магния в горных породах. Муштафин И. С., Кашковская Е. А., Научн. докл.

высш. школы. Химия и хим. технол., 1958, № 2, 297—299

Краситель хромовой зеленый Г (I), ранее рекомендованный в качестве индикатора при комплексометрич. титровании суммы Са и Mg (РЖХим, 1957, 77298), применен для ускоренного комплексометрич. определения Са и Mg в горных породах и минералах. Сумму Са и Mg (после отделения полуторных окислов) титруют с применением I в качестве комплексометрич. индикатора; содержание Са определяют титрованием в присутствии мурексиды. А. Немодрук

70524. Определение и выделение цинка из озоненных биологических материалов. Стюарт, Бартлет (Determination of zinc and separation from ashed biological material. Stewart J. A., Bartlett J. C.), *Analyt. Chem.*, 1958, 30, № 3, 404—409 (англ.)

Описан спектрофотометрич. метод определения Zn в биологич. материалах. Анализируемую пробу нагревают со смесью $\text{HNO}_3 + \text{H}_2\text{SO}_4 + \text{HClO}_4$ до разрушения органич. в-ва, аликвотную порцию полученного р-ра нагревают до кипения, охлаждают, нейтрализуют аммиаком, трижды экстрагируют хлороформом диэтилдитиокарбаминаты Zn и других катионов в присутствии цитрата аммония (рН 8,5) и экстракт 3 раза промывают деионизированной водой. Zn из полученного экстракта реэкстрагируют 0,16 M р-ром HCl и определяют спектрофотометрически с помощью 4-хлорорезорцина или цинкона. Выход Zn при содержании его 15 μ составляет 100%, при содержании 50 μ 97%; коэф. отклонения соответственно равны $\pm 1,4$ и $\pm 2,2\%$. Ф. Линкова

70525. Фотометрическое определение окиси цинка в резине. Фотометрический и турбидиметрический методы с применением диэтилдитиокарбамината натрия. Кресс (Photometric determination of zinc oxide in rubber products. Absorptiometric and turbidimetric methods using sodium diethyl dithiocarbamate. Kress K. E.), *Analyt. Chem.*, 1958, 30, № 3, 432—440 (англ.)

При фотометрич. определении ZnO в резине 2—10 мг пробы озонют при 550°, золу растворяют в HCl, р-р подщелачивают аммиаком, прибавляют Na_2CO_3 , диэтилдитиокарбаминат Na, эфир и измеряют светопоглощение эфирного слоя при 262, 280 или 295 мμ. При турбидиметрич. определении ZnO с помощью диэтилдитиокарбамината Na светопоглощение колл. водн. суспензии диэтилдитиокарбамината Zn измеряют при 448 мμ. Определению не мешают Co, Mn, Fe, Ba и Ca при содержании их до 10% от кол-ва присутствующего Zn. Описанные методы неприменимы к анализу материалов, образующих нерастворимые карбонаты. Ф. Линкова

70526. Радиометрическое титрование цинка и кадмия ферроцианидом калия. Гибало И. М., Бирько В. М., Заводск. лаборатория, 1958, 24, № 3, 281—283

Разработан радиометрич. метод титрования Zn и Cd, основанный на осаждении Zn и Cd в форме ферроцианидов с помощью $\text{K}_4\text{Fe}(\text{CN})_6$ (I), содержащего радиоактивный изотоп железа Fe^{59} . При определении Zn к 10—20 мл анализируемого р-ра 0,1 н. по Zn^{2+} , медленно при энергичном перемешивании прибавляют р-р I; в процессе титрования отбирают пробы (0,5—1 мл), не содержащие осадка, и измеряют их активность, по которой графически находят точку эквивалентности. Как при прямом, так и при обратном титровании образуется двойная соль состава $\text{K}_2\text{Zn}_2[\text{Fe}(\text{CN})_6]_2$. При титровании 1—26 мг Zn в 1—2 н. H_2SO_4 0,0784—1,023 M р-ром I ошибка определения $< 2,5\%$; продолжительность определения (по двум точкам) 10—15 мин. При титровании Cd р-ром I состав образующегося осадка зависит от содержания ионов K^+ в р-ре. В присутствии 10—15 мл насыщ. р-ра K_2SO_4 при кислотности 0,5—2 н. образуется только двойная соль состава $5\text{CdFe}(\text{CN})_6 \cdot$

$4\text{K}_4\text{Fe}(\text{CN})_6$. При определении 7,85—14,40 мг Cd ошибка $\leq 1,0\%$. При определении Zn и Cd при их совместном присутствии к анализируемому р-ру прибавляют 10—15 мл насыщ. р-ра K_2SO_4 и титруют сумму Zn + Cd р-ром I; в другой пробе осаждают Cd в 2 н. H_2SO_4 2,5%-ным р-ром β-нафтохинолина в присутствии KI и тартрата аммония, осадок центрифугируют и в фильтрате определяют Zn; содержание Cd находят по разности. А. Немодрук

70527. Висмутиол II как аналитический реактив. Часть XI. Гравиметрическое и титриметрическое определение кадмия. Маджумдар, Сингх (Bismuthiol II as an analytical reagent. Part XI. Gravimetric and volumetric determination of cadmium. Majumdar A. K., Singh B. R.), *Z. analyt. Chem.*, 1958, 161, № 4, 257—260 (англ.)

Гравиметрическое и титриметрич. определение Cd основано на осаждении комплекса $\text{Cd}(\text{C}_8\text{H}_5\text{N}_2\text{S}_2)_2$ (I), устойчивого при нагревании до 315°. При гравиметрич. определении Cd 125 мл слабокислого анализируемого р-ра CdSO_4 (рН ≥ 3) с добавкой 2—3 г NH_4NO_3 нагревают до 50—60° и осаждают I приливанием избытка (10—12 мл) 0,5%-ного р-ра К-соли висмутиола II. Осадок выдерживают при той же т-ре в течение 2—3 мин., охлаждают в течение 1 часа, отфильтровывают, промывают небольшим кол-вом воды, высушивают при 110—120° и взвешивают. Определению не мешают ионы щел. и щел.-зем. металлов, Co^{2+} , Ni^{2+} , Mn^{2+} , VO_3^- , MoO_4^{2-} и WO_4^{2-} . As, Sb, Bi, Sn и другие 3- и 4-валентные элементы маскируют добавлением 2—3 г тартрата щел. металла. Sn(4+) лучше маскировать добавлением $\text{H}_2\text{C}_2\text{O}_4$. Если анализируемый р-р содержит большие кол-ва Zn, то он частично соосаждается с I. Мешают анализу Cu, Ag, Hg, Pb и Tl, также образующие с реактивом весьма мало растворимые осадки. При титриметрич. определении Cd I растворяют в избытке р-ра комплексона III при рН ~ 10 , устанавливаемом добавлением аммиачного буферного р-ра, и оттитровывают непрореагировавший комплексон III р-ром MgSO_4 по эриохромовому черному Т. Относительная ошибка титриметрич. определения 7,71—51,40 мг Cd, как правило, $< 1\%$. Ч. Х см. РЖХим, 1958, 70513. Н. Полянский

70528. Каталитическое определение ртути с помощью ферроцианида калия и нитрозобензола. Агтерден-бос, Ворм, Норрен (The catalytic determination of mercury with potassium ferrocyanide and nitrosobenzene. Agterdenbos J., Worm E. R. van der, Norren R. W. van), *Analyt. chim. acta*, 1958, 18, № 4, 380—383 (англ.)

Для определения Hg использован метод (РЖХим, 1955, 5792), основанный на каталитич. ускорении ионами Hg^{2+} р-ции разложения $\text{Fe}(\text{CN})_6^{4-}$ водой с образованием $[\text{Fe}(\text{CN})_5 \cdot \text{H}_2\text{O}]^{3-}$, который с нитрозобензолом образует фиолетовый комплекс $[\text{Fe}(\text{CN})_5\text{C}_6\text{H}_5\text{NO}]^{3-}$ (I). Методу экстинкцией I (E) и конц-ией Hg (с) при фиксированном значении рН существует, по видимому, линейная зависимость $\lg E = m \lg c + k$ (продолжительность р-ции и т-ра р-ра сохраняются постоянными), где $m = 0,859$, $k = 1,134$. Стандартное отклонение, вычисленное для различных буферных р-ров (лимонная к-та — Na_2HPO_4 , CH_3COOH — CH_3COONa), при оптимальных значениях рН 3,9—4,1 равно 5% вместо 9,5%, определенного ранее (РЖХим, 1955, 5792). При определении Hg^{2+} фотометрически (528 мμ) определяют кол-во I, образующегося в течение определенного промежутка времени, прошедшего после добавления нитрозобензола к реакционной смеси. Метод позволяет определять до 1 μ Hg. А. Зозуля

70529. Определение алюминия в нержавеющей сталях. Крик, Дриллинг (Über die Bestimmung des Aluminiums in Edelmetallen. Krick, Drilling), *Lab.-Praxis*, 1957, 9, № 12, 145—148 (нем.)

С целью определения 8-оксидирующего осадка комплексного соединения Al-лакация, при переработке образующихся для отделения и вращения выпадения диэтиленгликоля, данные Al-эриохромовым и изменение Калиброграмм Al в HCl и в асидных условиях к-т HCl и паров H₂O.

70530.

и галл. тран. Кр а с 1958, 2

С целью углубления анализа K_2SO_4 и

готовятые или

ового 0,005—0,0

ценом сего то

ного ало

конца у

Градуир

гс для

приваво

3775,7 и

Ошибки

70531.

существ

школь

Устан

ферроци

ствие об

кой рас

вания и

деления

во отде

док In(

разб. Н

2—4 н.

Конечн

рически

$\pm 1\%$. С

характер

этого со

с прим

$\cdot 10^{-6}$ 2

$\text{Na}_2\text{Fe}(\text{C}$

ниб-
тест-
ают
+ Cd
SO₄
KJ
иль-
раз-
друк
тив.
ское
(Bis-
avi-
um.
em.,

Cd
(I),
рич.
мого
гре-
тка
Оса-
тин,
про-
при
оны
O₂-,
ент-
рата
эле-
оль-
Ме-
щие
При
тке
мом
мы-
SO₄
тка
пра-
кий
цию
en-
tion
oso-
et.
18,

Хим,
на-
азо-
зом
(I)
рик-
ому.
ки-
по-
от-
ров
при
есто
При
еде-
лен-
бав-
по-
уля
ста-
des
a g),

С целью преодоления затруднений, возникающих при определении Al в нержавеющей сталях при помощи 8-оксихинолина и алюминона (недостаточная полнота осаждения малых кол-в Al в форме оксихинолинового комплекса; сильное загрязнение осадка оксихинолинового комплекса Al сопутствующими металлами; большая температурная чувствительность образования Al-лака с алюминоном, требующая термостатирования), предложен фотометрич. метод определения Al в нержавеющей сталях с помощью эриохромцианина, образующего с Al при pH 6 темно-красное соединение. Для отделения Al от мешающих определению сопутствующих металлов применен классич. метод осаждения последних 40%-ным NaOH, причем для предотвращения загрязнения р-ра алюмината продуктами выщелачивания стекла рекомендовано применение полиэтиленовой посуды. Дальнейшие затруднения, связанные с преждевременной коагуляцией колл. частиц Al-эриохромцианинового лака, вызываемой присутствием ионов NH₄⁺ в буферном р-ре, преодолены применением ацетатно-натриевого буферного р-ра с pH 6. Калибровочные графики снимали по стандартным р-рам AlCl₃, приготовленным растворением чистого Al в HCl и содержащим 0—2,8% Al. При анализе нержавеющей сталей с большим (до 10%) содержанием Al использовали соответственно меньшие (< 0,1 г) навески стали. Растворение образцов производили в смеси к-т HClO₄, HCl и HNO₃ при нагревании до появления паров HClO₄.

Г. Горюнов

70530. К спектральному определению индия, таллия и галлия. Краснобаева (Към въпроса за спектралното определяне на индий, таллий и галий. Краснобаева Н. М.), Химия и индустрия (Бълг.), 1958, 30, № 1, 17—18 (болг.).

С целью подавления циановых полос в спектре угольных электродов и увеличения чувствительности анализа эталоны и пробы разбавляют в 2 раза смесью K₂SO₄ и ZnS, взятых в соотношении 1:1. Эталоны готовят в виде искусств. смесей, имитирующих окисные или сульфидные руды или отходы оловянно-цинкового производства; In, Tl и Ga вводят в конц-ях 0,005—0,1%. Спектры фотографируют на среднем кварцевом спектрографе при возбуждении в дуге постоянного тока при 5 а. В-во помещают в отверстие угольного электрода (анода), имеющего вблизи рабочего конца утоненную шейку, и испаряют в течение 40 сек. Градуировочные графики строят в координатах ΔS, lgC для конц-ий 0,0005—0,01 и 0,01—0,1%. Анализ производят по линиям (в А): In 4511,3, Tl 3519,2 и 3775,7 и Ga 4172,0. «Элементом» сравнения служит фон. Ошибка анализа ±10—15%.

Г. Кибисов

70531. Определение малых количеств индия в присутствии цинка. Агасян П. К., Научн. докл. высш. школы. Химия и хим. технол., 1958, № 2, 308—313

Установлено, что потенциометрич. титрование In ферроцианидом K в присутствии Zn невозможно вследствие образования обоими элементами осадков с близкой растворимостью, в результате чего кривая титрования имеет только один скачок потенциала. Для определения In в р-рах, содержащих Zn, In предварительно отделяют при помощи NH₃, отфильтрованный осадок In(OH)₃ растворяют в небольшом объеме горячей разб. HCl и при кислотности 0,05—0,3 н. по HCl или 2—4 н. по CH₃COOH титруют р-ром ферроцианида K. Конечную точку титрования определяют потенциометрически. При конц-ии In ≥ 0,0005 M ошибка не более ±1%. Состав образующегося при титровании осадка характеризуется ф-лой KIn₂[Fe(CN)₆]₃; растворимость этого соединения, определенная радиометрич. методом с применением изотопа In¹¹⁴, составляет 1,94 · 10⁻⁶ г-моль/л. При применении в качестве титранта Na₂Fe(CN)₆ образуется осадок состава In₂Fe(CN)₆.

При определении меньших конц-ий In (до 6 · 10⁻⁶ M) In предварительно извлекают хлороформным р-ром оксихинолина при pH 3,5 и затем фотометрируют полученный экстракт при 395 мμ. Метод позволяет определять In в присутствии 25 000-кратных кол-в Zn.

А. Немодрук

70532. Полярографическое определение индия в сплавах на основе цинка. Часть I. Введение. Применение катодного лучевого полярографа с линейной разверткой. Рейнольдс, Шалгоский (The polarographic determination of indium in zinc-base alloys. Part 1. General introduction. The application of the linear sweep cathode ray polarograph. Reynolds G. F., Shalgosky H. I.), Analyt. chim. acta, 1958, 18, № 4, 345—349 (англ.).

Рассмотрены возможности полярографич. определения следовых кол-в In в сплавах на основе Zn при очень высоких соотношениях Cd : In (≤ 10 : 1). Описан метод определения In в сплавах с использованием катодного лучевого полярографа с линейной разверткой (РЖХим, 1956, 32931; 32932). Кратко обсуждена литература по экстракции и полярографии In и намечены направления дальнейшей работы.

А. Зозуля

70533. Электрофоретическое разделение редкоземельных элементов на бумаге с применением 1%-ного раствора лимонной кислоты в качестве электролита. Ледерер (The paper electrophoretic separation of rare earths using 1% citric acid as electrolyte. Lederer M.), J. Chromatogr., 1958, 1, № 1, 86—89 (англ.).

Описан метод и результаты опытов электрофоретич. разделения редкоземельных элементов (РЗЭ) Се- и Y-подгруппы на бумаге в 1%-ном р-ре лимонной к-ты при напряжении 300 в. Последовательность зон та же, какая наблюдается при хроматографировании РЗЭ на катионитовых колонках. Отмечается более трудная разделяемость РЗЭ Y-подгруппы. См. также РЖХим, 1953, 659; 1955, 28716; 1957, 14587.

В. Анохин

70534. Электрохроматография. XIX. Разделение и количественное определение редкоземельных элементов в монацитовом песке методом электрохроматографии. Маки (Maki Masafumi), Бунсэки кагаку, Japan Analyst, 1957, 6, № 12, 779—782 (японск.; рез. англ.).

Электрохроматографическое разделение Th, Y, Pr, Nd, Ce и La на бумажной полоске достигнуто в смешанном р-ре лимонной к-ты и NaCl, 0,05 M по каждому компоненту и доведенном до pH 2,6 или 2,9 добавкой NH₄OH. На примере Nd³⁺ и Ce³⁺ показана возможность колич. определения этих катионов в хроматографич. зонах путем извлечения HNO₃ и титрования 0,001 M р-ром комплексона III с эриохромовым черным T в качестве индикатора; зоны предварительно окрашивают 0,16%-ным спирт. р-ром оксихинолина и вырезают из бумажной полоски. Метод применен к анализу редких земель в монацитовом песке. Легко и четко выделены фракции Y + Pr + Nd и Ce + La с соотношением обеих фракций 40 : 60 (±3%). Сообщение XVIII см. РЖХим, 1957, 51587.

В. Анохин

70535. Хроматография неорганических ионов на бумаге. XVII. Хроматография на бумаге Pa(5+). Ледерер (Paper chromatography of inorganic ions XVII. The paper chromatography of Pa(V). Lederer M.), J. Chromatogr., 1958, 1, № 2, 172—178 (англ.).

Хроматографирование солянокислых р-ров различных катионов, нанесенных на бумагу Whatman №1, осуществляют восходящим методом, применяя в качестве подвижного р-рителя смесь 90 мл ацетона с 10 мл HCl различной конц-ии. С повышением конц-ии HCl от 2,5 до 12 н. величина R_f для Pa(5+) возрастает от 0 до 0,84. Значительное возрастание R_f в том же интервале

конц-ии к-ты установлено для $U(4+)$, $Zr(4+)$, Mn^{2+} и Co^{2+} . Величина R_f и форма пятна для $Zr(4+)$ зависит от природы его соли, использованной для хроматографирования. Поэтому автор допускает возможность применения хроматографич. метода для констатации колл. ионов в анализируемом р-ре. С помощью графика зависимости $R_M = \lg(1/R_f - 1)$ от pCl^- метод позволяет определить оптимальные условия разделения смесей. Прямолинейные графики $R_M = f(pCl^-)$ для Mn^{2+} , Co^{2+} , $U(6+)$, $Pa(5+)$ и $Zr(4+)$ имеют примерно одинаковый наклон, что возможно при равном числе координированных ионов $Cl^- (x)$. Перемещение катионов при хроматографировании описывается ур-нием: $-pK = -R_M + 2x pCl^- + K$, в котором pK — показатель константы устойчивости, K — постоянная хроматографируемой системы. Это соотношение можно использовать для оценки устойчивости образующихся комплексов. Добавки 4-валентных катионов ($U(4+)$, $Zr(4+)$, $V(4+)$) влияют на хроматографич. поведение $Pa(5+)$, что автор связывает не с окислительно-восстановительными, а с адсорбционными явлениями. Сообщение XVI см. РЖХим, 1958, 11003.

70536. Хроматография протактиния на бумаге. В е р н у а (La chromatographie sur papier du protactinium. Verneis Jacques), J. Chromatogr., 1958, 1, № 1, 52—61 (франц.; рез. англ.)

Подробное описание методики и результатов хроматографич. разделения Pa и его обычных природных спутников (Ta , Nb , Zr , Hf , UO_2^{2+} , Bi , Pb , Po , Ti , Fe) (РЖХим, 1958, 42794). В качестве элюентов применяли смеси бутанол — HF — HCl — вода с различным соотношением компонентов. Исследована зависимость R_f от конц-ии к-т в элюирующем р-ре. Указаны оптимальные условия разделения некоторых бинарных и тройных смесей Pa с перечисленными элементами.

В. Анохин

70537. Полярографическое определение свинца в сплавах на основе олова. А р и з л ь, Э н о х (The polarographic determination of lead in tin-base alloys. Ariel M., Enoch P.), Analyt. chim. acta, 1958, 18, № 4, 339—344 (англ.)

Описан быстрый полярографич. метод определения Pb , основанный на использовании 1 M $NaOH$ в качестве нейтр. электролита (в этом р-ре Sn и As не восстанавливаются; большая часть Cu^{2+} осаждается в форме $Cu(OH)_2$, а оставшаяся Cu восстанавливается при $-0,35$ в перед восстановлением PbO_2^{2-}). При определении Pb в сплавах, содержащих 2—20% Pb , ~ 100 мг пробы растворяют в 2 мл конц. HCl при добавлении по каплям 2 мл 30%-ной H_2O_2 , р-р кипятят до полного окисления Sn и разрушения избытка H_2O_2 , прибавляют 20 мл 2 M $NaOH$ и 0,2 мл 0,5%-ного р-ра желатин, разбавляют водой до 50 мл, перемешивают, отбирают аликвотную порцию р-ра и после удаления воздуха снимают полярограмму от $-0,60$ до $-1,00$ в (относительно к насыщ. к. э.); диффузионный ток измеряют при $-0,90$ в и конц-ию Pb находят по предварительно построенному калибровочному графику. Продолжительность одного определения ~ 30 мин. При анализе сплавов, содержащих 0,4—2% Pb , 500 мг пробы растворяют в 2—3 мл конц. HCl при добавлении по каплям 2—3 мл 30%-ной H_2O_2 , прибавляют 20 мл 4 M $NaOH$, разбавляют водой до ~ 50 мл, нагревают до кипения, прибавляют несколько капель ~ 0,1 M $Cu(NO_3)_2$, упаривают до ~ 20 мл, фильтруют, фильтр промывают водой, промывные воды присоединяют к основному р-ру, прибавляют 0,2 мл 0,5%-ного р-ра желатин, разбавляют водой до 50 мл и полярографируют, как описано выше. Продолжительность одного

определения ~ 1 час. Метод проверен при анализе искусств. смесей и сплавов; ошибка не превышает $\pm 4\%$.

А. Зозуля

70538. Применение оксифлавонов в аналитической химии. Фотометрическое определение титана кверцетином. Головина А. П., Алимарин И. П., Степанов Н. Ф., Научн. докл. высш. школы. Химия и хим. технол., 1958, № 2, 285—289

Изучено взаимодействие кверцетина (I) с рядом элементов. Установлено, что Ti^{4+} с I образует интенсивно окрашенное комплексное соединение (КС) с максимумом светопоглощения при 425 мμ. В области рН 3,3—6,0 интенсивность окраски КС остается почти постоянной; при рН < 1,0 окрашенного КС не образуется. Для стабилизации окрашенных р-ров рекомендуется прибавлять 20% (по объему) C_2H_5OH или ацетона. Интенсивность окраски р-ров КС достигает максим. развития через 20 мин. после смешения р-ров в случае применения C_2H_5OH и через 1 час в случае применения ацетона и остается постоянной в течение 4—6 час. Оптич. плотность окрашенных р-ров в пределах 20—70° не зависит от т-ры. Состав образующегося окрашенного КС Ti^{4+} с I характеризуется соотношением $Ti:I = 1:1$. При фотометрич. определении Ti измерение оптич. плотности рекомендуется проводить при 440—450 мμ; в этой области спектра светопоглощение самого I практически отсутствует. Закон Бера соблюдается в пределах конц-ий Ti 0,05—1 γ/мл.

А. Немодрун

70539. Определение циркония в присутствии гафния методом дифференциальной спектрофотометрии. Ф р е й н д, Х о л б р у к (Differential spectrophotometric determination of zirconium in presence of hafnium. Freund Harry, Holbrook Floyd W.), Analyt. Chem., 1958, 30, № 4, 462—465 (англ.)

Для определения Zr в присутствии Hf использован метод дифференциальной спектрофотометрии, основанный на образовании обоими элементами окрашенных внутрикомплексных соединений с ализарином S, интенсивность окраски которых зависит от соотношения между кол-вами Zr и Hf при постоянном суммарном содержании Zr и Hf . Для расчета оптимальной конц-ии Hf в кювете сравнения (РЖХим, 1956, 23426) использован графич. метод (Bastian Robert, Analyt. Chem., 1951, 23, 58). Для получения окрашенных внутрикомплексных соединений применен ранее описанный метод фотометрич. определения Zr (РЖХим, 1956, 19427), который модифицирован для оценки общего содержания окисей Zr и Hf путем применения светофильтра, характеризующегося пропусканием при 530 мμ, идентичным пропусканию р-ра Hf с оптимальной конц-ией. Для построения калибровочного графика отбирали 2 аликвотные порции (по 25 мл) 0,02 M р-ра Hf и 2 аликвотные порции (по 50 мл) 0,02 M р-ра Zr , разбавляли каждую из них водой до 175 мл, охлаждали до 10° и прибавляли по 15 мл 6%-ного р-ра купферона (I). Образующиеся осадки отфильтровывали, промывали (10 раз) р-ром I, содержащим H_2SO_4 (0,6 г 1,5 мл конц. H_2SO_4 в 500 мл воды), сушили и прокачивали 1,5 часа при 1000°. Для приготовления 5 стандартов, содержащих 10, 20, 30, 40 и 50% ZrO_2 , соответствующие порции 0,02 M р-ра Zr разбавляли хлорной к-той (100 мл конц. $HClO_4$, разбавляли водой до 250 мл) до 50 мл (в каждом разб. р-ре должно присутствовать 117,9 мг окисей Zr и Hf) и вторично разбавляли до общей конц-ии окисей Zr и Hf 23,58 мг в 100 мл. К 10-мл аликвотным порциям конечного р-ра добавляли по 5 мл 1 M $HClO_4$, 3 мл р-ра ализарина S (1,25 г красителя в 250 мл р-ра) и 5 мл ацетона, разбавляли до 25 мл 1 M р-ром $HClO_4$ и через 2 часа фотометрировали при 530 мμ. В кювету сравнения вводили светофильтр, изготовленный из 1 полоски красной и 3 полосок розовой целлофановой пленки Дюпон, помещенных между

стеклянной призмой (0,896 см) и стенкой 1-см кюветы из стекла пирекс. При анализе смесей объем анализируемых р-ров подбирают таким образом, чтобы содержание смеси окисей Zr и Hf составляло, как и при построении калибровочного графика, 23,58 мг в 100 мл. Ошибка определения $\pm 0,5\%$. Т. Леви

70540. Комплексометрическое микроопределение тория. Пришибил, Кёрёш (A törion komplexometriás mikromeghatározása. Pfiibil Rudolf, Kőrös Endre), Magyar kém. folyóirat, 1958, 64, № 2, 55—57 (венг.; рез. англ.)

Критически рассмотрены известные комплексометрич. методы определения Th. Разработана методика микроопределения (десятые доли мг) Th с применением в качестве комплексометрич. индикатора ксилеолового оранжевого (РЖХим, 1957, 44807), который при pH 2—7 с тяжелыми металлами образует комплексы, разрушаемые комплексом III. При определении Th к анализируемому р-ру, pH которого с помощью HNO_3 или NH_4OH устанавливают на уровне 1,5—3,5, прибавляют 3—6 капель 0,1%-ного р-ра указанного индикатора и титруют 0,01 или 0,001 M р-ром комплексона III до перехода красновато-фиолетовой окраски р-ра в желтую. Определению Th не мешают SO_4^{2-} , CH_3COO^- , галогениды (за исключением F^-), катионы щел. и щел.-зем. металлов и NH_4^+ . Мешающее влияние Zn^{2+} , Al^{3+} , La^{3+} , Mn^{2+} , Pb^{2+} , Cu^{2+} и UO_2^{2+} легко может быть устранено путем маскирования, тогда как мешающее влияние Fe^{3+} , Co^{2+} , Ni^{2+} и Cd^{2+} простыми способами устранить не удастся.

И. Криштофори

70541. Комплексометрическое определение тория в присутствии церия. Лупан (Dozarea complexometrică a toriului în prezența ceriului. Lupan Sanda), Rev. chim., 1958, 9, № 2, 101—102 (рум.; рез. русск., франц., нем., англ.)

Th^{4+} (1—20 мг) в присутствии значительных кол-в Ce^{3+} (до 500 мг) определяют титрованием р-ром комплексона III в слабокислой среде с применением пирокатехинового фиолетового в качестве индикатора. Навеску предварительно выделенных окислов Th и Ce (РЖХим, 1957, 44889) растворяют при нагревании в HCl с прибавлением 0,01—0,02 г KJ , р-р выпаривают досуха, остаток растворяют в 0,5 мл конц. HCl , р-р разбавляют водой до 50 мл, прибавляют 10—20 мл $\text{C}_2\text{H}_5\text{OH}$, кипятят до обесцвечивания р-ра (Ce^{4+} восстанавливается до Ce^{3+}), охлаждают, разбавляют водой до 250 мл, прибавляют 4—5 капель 0,1%-ного р-ра пирокатехинового фиолетового и титруют 0,01 н. р-ром комплексона III до перехода розовой окраски в желтую. 1 мл 0,01 н. р-ра комплексона III соответствует 0,00264 г ThO_2 . По разности находят CeO_2 : La, Pr и Nb определению не мешают.

Б. Маноле

70542. Определение тория в монаците титрованием комплексом III. I. Отделение тория осаждением йодатом натрия. II. Титрование тория с применением пирокатехинового фиолетового в качестве индикатора. Хара, Китахара (Hara Shin, Kitahara Saburo), Kagaku kōkyōzō hokoku, Repts. Scient. Res. Inst., 1957, 33, № 6, 340—342; 343—349 (японск.)

I. Установлена возможность отделения Th от редкоземельных элементов (РЗЭ) осаждением йодатом Na в азотнокислом р-ре в присутствии $\text{H}_2\text{C}_2\text{O}_4$. Изучено влияние конц-ии $\text{H}_2\text{C}_2\text{O}_4$, HNO_3 , JO_3^- и т-ры на отделение Th от РЗЭ. К анализируемому р-ру при перемешивании прибавляли по 100 мл р-ра NaJO_3 (20 г) на каждые 150 мл анализируемого р-ра (200 мг ThO_2), содержащего $\text{H}_2\text{C}_2\text{O}_4$, выдерживали 30 мин. и отфильтровывали выделившийся осадок. Установлено, что в присутствии $\text{H}_2\text{C}_2\text{O}_4$ растворимость осадка йодата Th несколько увеличивается; увеличивается также содержание РЗЭ в осадке. Путем уменьшения конц-ии HNO_3 ,

снижения т-ры и повышения конц-ии NaJO_3 можно уменьшить растворимость осадка йодата Th, но при этом увеличивается содержание РЗЭ в осадке. Даже многократным переосаждением не удается достигнуть полного отделения Th от РЗЭ. Поэтому описанный способ непригоден для гравиметрич. определения Th, но его можно применять для титриметрич. определения Th с помощью комплексона III (I).

II. Изучено влияние конц-ии JO_3^- , $\text{C}_2\text{O}_4^{2-}$, РЗЭ, Zr и Ti на титрование Th р-ром I после отделения Th от РЗЭ, Zr и Ti осаждением йодатом Na в присутствии $\text{H}_2\text{C}_2\text{O}_4$. Оптимальные условия осаждения йодата Th: конечная конц-ия HNO_3 3 н., $\text{NaJO}_3 \geq 8\%$, $\text{H}_2\text{C}_2\text{O}_4$ 2%, т-ра р-ра 0—5°; состав промывной воды: 3 н. HJO_3 , 7—8% NaJO_3 . Оптимальные условия титрования: т-ра 40°, добавляют 3 капли 0,2%-ного р-ра индикатора пирокатехинового фиолетового, pH 2,5—3,5 (регулируют с помощью NH_4OH или HNO_3), титруют 0,01 M р-ром I до появления желтой окраски. В присутствии избытка JO_3^- для его разрушения к анализируемому р-ру добавляют гидроксиламин (1—2 г на каждые 400 мг JO_3^-). В присутствии большого кол-ва $\text{C}_2\text{O}_4^{2-}$ (> 1 мг) к титруемому р-ру сначала добавляют KMnO_4 , а затем гидроксиламин. В присутствии РЗЭ (в основном Ce) анализируемый р-р кипятят в присутствии гидроксиламина; при этом Ce^{3+} переходит в Ce^{4+} . Мешающее влияние Zr устраняют переосаждением йодата Th (1—2 раза).

Ли Мен-юн

70543. Хроматографическое определение ванадия в сталях. Рязанов И. П., Чистота Л. М., Сб. науч. тр. Магнитогорского горно-металлург. ин-та, 1958, вып. 16, 154—160

Изучен процесс вымывания перекисного соединения V из колонки с хроматографич. Al_2O_3 в присутствии KHCO_3 . К 1—10 мл р-ра соли NH_4VO_3 прибавляли 8—10 капель 3%-ной H_2O и ~ 25 мл насыщ. р-ра KHCO_3 , р-р нагревали для разложения H_2O_2 , охлаждали и пропускали через колонку. Фильтрат и промывные воды использовали для фотометрич. определения V. Установлено, что в указанных условиях происходит практически полное вымывание NH_4VO_3 (на колонке удерживается 1—1,6% V). Изучена возможность отделения V от $\text{Mo}((\text{NH}_4)_2\text{MoO}_4)$, $\text{W}(\text{Na}_2\text{WO}_4)$ и $\text{Fe}(\text{FeCl}_3)$. Смесь р-ров NH_4VO_3 и 2-го компонента обрабатывали, как описано выше, и содержание V в фильтрате определяли фотометрич. методом. Установлено, что степень отделения V от Mo, W и Fe является вполне удовлетворительной (максим. ошибка 2,1%). Описанный хроматографич. метод применен для отделения V от Fe, Mo и W в образцах стали № 30-Г, 53-В и в феррованадии № 77. Анализируемый образец (0,2—0,5 г) растворяли в царской водке, р-р разбавляли горячей водой (10—20 мл), нагревали 3—5 мин., прибавляли 2—6 мл HClO_4 , нагревали до появления густых паров HClO_4 (при этом Cr окисляется до CrO_4^{2-}), по прекращении нагревания прибавляли порциями по 0,15—0,2 г сухой NaCl , перемешивали и ожидали прекращения выделения бурых паров CrO_2Cl_2 . Оставший р-р разбавляли до 100 мл, аликвотную порцию р-ра обрабатывали и хроматографировали, как описано выше. Получены воспроизводимые результаты.

Т. Леви

70544. Аналитическое применение фенолкарбонových кислот трифенилметанового ряда. Определение ванадия в сталях при помощи алкимина. Мустафин И. С., Кашковская Е. А., Ж. аналит. химии, 1958, 13, № 2, 215—219 (рез. англ.)

Описан фотометрич. метод определения V (0,5%) в сталях марки 30-а, 30-в, 124 и № 1 без предварительного отделения мешающих ионов. 0,8—1,0 г анализируемой стали растворяют при нагревании в фарфоровой чашке, покрытой стеклом, в 40—50 мл HCl (1:1), снимают с чашки стекло, выпаривают содержимое

чашки до 10—15 мл, прибавляют 1—2 мл конц. HNO_3 , выпаривают досуха, прибавляют 5—10 мл HCl (1:1) и снова выпаривают досуха. Остаток смачивают 2—3 раза водой (15—20 мл), упаривают до 5 мл, прибавляют 2—3 мл 20%-ного $\text{NH}_4\text{OH} \cdot \text{HCl}$ и 10—15 мл воды, кипятят 15—20 мин., охлаждают и разбавляют водой до 100 мл. К 1 мл отфильтрованного от SiO_2 р-ра прибавляют 0,15—0,25 мл 2,5%-ного р-ра тиаголиколевой к-ты (для устранения мешающего влияния Fe и Cr), предварительно нейтрализованного по конго красному, р-р слегка подогревают 1—2 мин. на водяной бане, прибавляют 5 мл ацетатного буферного р-ра с pH 3,72—3,86 и 0,3 мл 2%-ного р-ра гуммиарабика и снова подогревают на водяной бане 5 мин. К охлажд. р-ру прибавляют 0,5 мл 0,25%-ного р-ра алюминона (общий объем р-ра 6 мл) и через 5 мин. фотометрируют с зеленым светофильтром (530 мμ). Определение V с помощью алюминона не мешают ионы щел. и щел.-зем. металлов, Mg^{2+} , Mn^{2+} , Zn^{2+} , Cd^{2+} , Pb^{2+} , Ni^{2+} , Co^{2+} , $\text{As}(5+)$, $\text{W}(6+)$, Hg_2^{2+} и Hg^{2+} . Ионы Al^{3+} , Fe^{3+} , Cr^{3+} , Cu^{2+} , Be^{2+} , Th^{4+} , Ce^{3+} , Ti^{4+} и UO_2^{2+} образуют в той области pH, которая благоприятна для определения V, с алюминоном окрашенные соединения и таким образом мешают определению V. Отмечается необходимость соблюдения указанного порядка прибавления реактивов.

70545. Кулонометрическое определение хрома. Мейтс (Coulometric determination of chromium. Meites Louis), *Analyt. chim. acta*, 1958, 18, № 4, 364—372 (англ.).

Описано определение Cr методом кулонометрии при контролируемом потенциале (РЖХим, 1956, 19491). Р-р анализируемой пробы в 6 M HCl подвергают электролизу с Hg-электродом, потенциал которого сохраняется постоянным — 1,10 в (относительно насыщ. к. э.). При этом Cr количественно восстанавливается до $\text{Cr}(2+)$. Cu, Pb и большинство других элементов отделяют простой заменой использованной ртути свежей порцией; U окисляют до $\text{U}(4+)$ электролизом полученного р-ра при —0,80 в (относительно насыщ. к. э.). После этого анализируемый р-р снова подвергают электролизу при —0,40 в (относительно насыщ. к. э.). При этом $\text{Cr}(2+)$ количественно окисляется до $\text{Cr}(3+)$; измерением кол-ва электричества, израсходованного на этой стадии электролиза, определяют кол-во присутствующего Cr. Из элементов, обычно сопутствующих Cr, определению мешают только V и большие кол-ва Mo. Описанный метод позволяет определять до 5 γ Cr в чистых р-рах с ошибкой, не превышающей $\pm 1\%$; ($\geq 0,1$ мг Cr определяют с ошибкой $\pm 0,1\%$). А. Зозуля

70546. Титриметрическое определение хрома в хромосодержащих веществах. Шмид, Штейнер (Titrimetrische Analyse von Chrom in chromhaltigen Stoffen. Schmid Walther, Steiner Heinz), *Euro-Ceramic*, 1958, 8, № 4, 84, 86, 88 (нем.).

Около 0,2 г анализируемого в-ва измельчают в порошок и сплавляют в фарфоровом тигле с Na_2O_2 . С этой целью фарфоровый тигель с шихтой помещают в другой, больший, фарфоровый тигель и осторожно нагревают в слабом пламени горелки в течение 15—20 мин. до расплавления смеси. Как только плав затвердеет на поверхности, тигель переносят в заполненный водой стакан, который быстро закрывают часовым стеклом. Содержимое стакана кипятят 30 мин. для разрушения перекиси, нейтрализуют р-ром H_2SO_4 (1:1) и добавляют еще 30 мл H_2SO_4 . Для большей полноты окисления Cr в р-р вводят 2 мл 0,1 н. KMnO_4 и 10 мл конц. HCl , кипятят и после охлаждения разбавляют до 500 мл водой. Для определения Cr отбирают 100 мл этого р-ра, приливают 25 мл 0,1 н. FeSO_4 (точную конц-ию р-ра FeSO_4 определяют титрованием 0,1000 н. р-ром $\text{K}_2\text{Cr}_2\text{O}_7$ по дифениламину), 1 мл 84%-ной H_3PO_4 ,

5 капель 1%-ного р-ра дифениламина и титруют р-р 0,1000 н. р-ром $\text{K}_2\text{Cr}_2\text{O}_7$ до появления фиолетовой окраски. Метод пригоден для определения Cr в керамич. сырье.

70547. Термоллиз внутрикислотного соединения шестивалентного молибдена с 5,7-дибром-8-оксихинолином. Уэндландт, Рамана-Рао (Thermolysis of the molybdenum (VI) 5,7-dibromo-8-quinolinol chelate. Wendlandt Wendlandt Wesley W., Ramana-Rao D. V.), *Analyt. chim. acta*, 1957, 17, № 5, 525—526 (англ.).

Высушенный на воздухе в течение 24 час. при комнатной т-ре осадок внутрикислотного соединения $\text{Mo}(6+)$ с 5,7-дибром-8-оксихинолином $\text{MoO}_2(\text{C}_9\text{H}_6\text{Br}_2\text{NO})_2 \cdot \sim 2\text{H}_2\text{O}$ нагревали со скоростью 5,4° в 1 мин. Гидратная вода начинает теряться при 65°. При 105—165° осадок безводн. внутрикислотного соединения не изменяет своего веса. При $> 260^\circ$ соединение начинает быстро разлагаться; на кривой термоллиза наблюдаются изломы при 355 и 395°. Дальнейшее разложение, происходящее при $> 485^\circ$, заканчивается при 560°; при этой т-ре начинается горизонтальный участок кривой термоллиза, соответствующий MoO_3 . На основании анализа кривой термоллиза установлено, что Mo проще всего взвешивать в форме безводн. соединения $\text{MoO}_2(\text{C}_9\text{H}_6\text{Br}_2\text{NO})_2$ при 105—260°. Взвешивание в такой форме, по-видимому, следует предпочесть прокаливанию до MoO_3 вследствие возможного образования в последнем случае летучего MoO_2Br_2 , что должно приводить к заниженным результатам. М. Иваницкий

70548. Косвенное титриметрическое определение молибдена при помощи этилендиаминтетрауксусеной кислоты. Ласнер, Шлезингер (Zur indirekten maßanalytischen Bestimmung des Molybdäns mit Äthylendiamintetraessigsäure. Lassner E., Schlesinger H.), *Z. analyt. Chem.*, 1957, 158, № 3, 195—198 (нем.).

Установлено, что молибдат Ca практически нерастворим при комнатной т-ре в небольшом избытке р-ра комплексона III (I). На этой основе разработан косвенный метод определения Mo, согласно которому MoO_4^{2-} осаждают при помощи CaCl_2 и связывают избыток ионов Ca^{2+} в р-ре добавлением I в присутствии эриохромового черного Т. Осадок CaMoO_4 не отфильтровывая, растворяют в избытке р-ра I при нагревании и затем избыток I оттитровывают р-ром соли Mg в присутствии эриохромового черного Т. Израсходованное кол-во I эквивалентно кол-ву Ca и, следовательно, и кол-ву присутствующего Mo. Ионы Cu, Ni, Co и Hg маскируют добавлением KCN. Относительная ошибка 1%. М. Иваницкий

70549. Спектрофотометрическое определение молибдена при помощи тирона. Сарма (Spectrophotometric estimation of molybdenum with tiron. Sarma B.), *J. Scient. and Industr. Res.*, 1957, BC16, № 10, B478—B480 (англ.).

Тирон (Na-соль 1,2-диоксибензол-3,5-дисульфокислоты), с успехом применяющийся для фотометрич. определения Fe, Ti, Ce, Nb и U, пригоден также и для определения Mo. Он дает хорошо воспроизводимый оранжевый комплекс (I) с растворимыми молибдатами в слабнокислой или нейтр. средах. Окраска появляется немедленно и устойчива во времени. Чувствительность р-ции 1 мг/л. W не мешает; мешающее влияние Cr и Fe устраняют восстановлением последних до $\text{Cr}(3+)$ и $\text{Fe}(2+)$. Мешающее влияние Ce и V устраняют подбором соответствующего значения pH, а помехи со стороны Nb и Ta — подбором соответствующей рабочей длины волны при измерении оптич. плотности (ОП) окрашенного р-ра I. Невозможно лишь устранить мешающее влияние Ti и U, которые не маскируются обычно применяемыми для этой цели реактивами. ОП

И почти постоянна в области 370—400 мμ. Рабочей длиной волны выбрана λ 400 мμ, так как при этой длине волны помехи со стороны W и Cг являются наименьшими. Рабочим pH выбрана область pH 5—7. Закон Бера соблюдается при конц-ии Mo 0,2—40 мг/л. Максимум ошибки определения Mo ±2%.

А. Горюнов 70550. Фотометрическое определение вольфрама с помощью роданистых соединений. Ким Най Су, Чан Ен Ча, Хвахак ка хвахак коноп, Ж. химии и хим. пром-сти, 1958, 2, № 2, 75—80 (кор.; рез. русск.)

Изучены условия фотометрич. определения W на основе р-ции образования окрашенных роданидных комплексов W, при этом учтена возможность присутствия Fe, вносимого в анализируемый р-р вместе с технич. HCl. Измерением светопоглощения р-ров образующихся комплексов при использовании $TiSO_4$ и $SnCl_2$ в качестве восстановителей установлено, что $SnCl_2$ является более подходящим восстановителем. Скорость увеличения оптич. плотности окрашенных р-ров зависит от т-ры; при 25° максим. величина оптич. плотности наблюдается по истечении 1 часа. В случае использования $TiSO_4$ в качестве восстановителя эта скорость настолько мала, что при такой продолжительности анализа начинает проявляться мешающее влияние Fe^{3+} . Получена кривая зависимости светопоглощения от конц-ии W, которую можно практически использовать при анализе горных пород. При применении в качестве восстановителя $TiSO_4$ необходимо строить каждый раз калибровочный график даже при использовании светофильтра № 8 с максимумом пропускания при 430 мμ, так как закон Бера не соблюдается. Приведены сравнительные результаты определения W в различных породах.

Резюме авторов 70551. Определение урана комбинированным методом ионного обмена и комплексометрии. Фодор (Urán mennyiség meghatározása ioncsere és komplexonok elválasztás alkalmazásával. Fodor Miklós), Magyar tud. akad. Kém. tud. oszt. közl., 1958, 9, № 4, 463—470 (венг.)
См. РЖХим, 1958, 60618.

70552. Определение урана методом капельного анализа на фильтровальной бумаге. — Бансирёку кокунай дзидзё, 1957, 2, № 12, 89—91 (японск.)

После вскрытия руды царской водкой к полученному р-ру прибавляют NH_4OH . Выделившийся осадок растворяют в HNO_3 , р-р выпаривают на водяной бане досуха и остаток снова растворяют в миним. кол-ве HNO_3 . К полученному р-ру прибавляют 5 г твердого $Al(NO_3)_3 \cdot 10H_2O$ и производят экстрагирование этилацетатом (соотношение объемов органич. и водн. фаз равно 1:3); продолжительность экстрагирования 1 мин. Аликвотную порцию органич. фазы наносят на фильтровальную бумагу, которую сушат в темноте, выдерживают в 2%-ном р-ре ферроцианида K в течение 20 сек., промывают водой в течение 10 сек., высушивают, закрепляют с помощью парафина на спец. приборе и фотометрируют при 395 мμ. Фон учитывают по чистой фильтровальной бумаге. Максим. ошибка определения ±10%. Благодаря большой селективности экстракции присутствие посторонних ионов в исходном р-ре определению U не мешает.

Ли Мен-юн 70553. Определение урана с применением 1,8-диоксинафталин-3,6-дисульфата натрия (соль хромотроповой кислоты) в качестве фотометрического реактива. Мукхерджи, Дей (Determination of uranium using disodium 1:8-dihydroxynaphthalene-3:6-disulphonate (chromotropic salt) as a colorimetric reagent. Mukherji Anil K., Dey Arun K.), J. Indian Chem. Soc., 1958, 35, № 2, 113—118 (англ.)

Разработан фотометрич. метод определения малых кол-в U с помощью 1,8-диоксинафталин-3,6-дисульфата Na (динатриевая соль хромотроповой к-ты) (I).

K р-ру, содержащему UO_2^{2+} (в виде хлорида, нитрата или сульфата), прибавляют 25—50-кратный избыток I, устанавливают pH на уровне $4,0 \pm 0,50$ и через 15 мин. (время, необходимое для достижения равновесия) измеряют оптич. плотность полученного р-ра (20—30°) на спектрофотометре при 400 мμ или на фотоэлектроколориметре с голубым светофильтром. Закон Бера соблюдается в пределах конц-ий UO_2^{2+} 50—200 γ/мл. Определяемый минимум UO_2^{2+} 30 γ/мл. Установлены кол-ва других ионов, присутствие которых вызывает ошибку ≤ 2%. Найдено, что в состав окрашенного комплексного соединения UO_2^{2+} и I входят в соотношении 1:1.

А. Немодрук 70554. Трио-(о-оксифенил)-фосфиноксид как реактив для фотометрического определения трехвалентного железа. Холдоуэй, Уиллане (Tris(o-hydroxyphenyl)phosphine oxide as a colorimetric reagent for the determination of ferric iron. Holdaway M. J., Willans J. L.), Analyst. chim. acta, 1958, 18, № 4, 376—380 (англ.)

Установлено, что три-(о-оксифенил)-фосфиноксид (I) образует с Fe^{3+} в 0,3—2,5 н. HNO_3 комплекс фиолетово-красного цвета, окраска которого подчиняется закону Бера в интервале конц-ий Fe^{3+} 0,02—0,1 мг/мл. Оптич. плотность окрашенных р-ров комплекса Fe^{3+} с I зависит от конц-ии к-ты (максим. оптич. плотность наблюдается при конц-ии 0,3 н.); окраска устойчива в течение > 16 час. При определении Fe к 5 мл анализируемого р-ра прибавляют 5 мл 0,02 M спирт. р-ра I, разбавляют спиртом до 50 мл и фотометрируют при 530—550 мμ. Определению Fe не мешают Li^+ , Na^+ , K^+ , Cu^{2+} , Ag^+ , ионы щел.-зем. элементов, Zn^{2+} , Cd^{2+} , Hg^{2+} , Al^{3+} , Y^{3+} , La^{3+} , Ce^{3+} , Nd^{3+} , Sm^{3+} , Dy^{3+} , Zr^{4+} , Th^{4+} , Pb^{2+} , Bi^{3+} , Cr^{3+} , Mn^{2+} , Co^{2+} и Ni^{2+} ; мешают Ce^{4+} и CoO_2^{2-} . Описанным методом можно определять Fe^{3+} в присутствии до 2,5 мг VO_2^{2+} в 5 мл HNO_3 . Метод проверен при анализе Mn- и Al-сплавов и основных шлаков и получены удовлетворительные результаты (ошибка ≤ 0,05%).

А. Зозуля 70555. Цериметрия. IV. О причинах помех цериметрическому титрованию железа по ферроину в присутствии фтористоводородной кислоты. Петцольд, Петцольд (Notizen zur Cerimetrie IV. Über die Ursachen der Störung bei der cerimetrischen, durch Ferriol indizierten Eisentitration in Gegenwart von Flußsäure. Petzold Walter, Petzold Armin), Z. analyt. Chem., 1958, 161, № 4, 241—251 (нем.)

Для выяснения причин невозможности цериметрич. титрования Fe^{2+} по ферроину в умеренно сернокислых (0,5 н. H_2SO_4) р-рах, содержащих HF, определены окислительно-восстановительные потенциалы (ОВП) участвующих в р-ции окислительно-восстановительных пар. В то время как добавки HF не оказывают влияния на ОВП пары ферроин — феррин, ОВП пары $Ce^{4+} - Ce^{3+}$ вследствие образования комплексных или труднорастворимых фторидов $Ce(4+)$ понижается. Поскольку, однако, в том же направлении изменяется ОВП пары $Fe^{3+} - Fe^{2+}$ вследствие связывания Fe^{3+} во фторидный комплекс, авторы отвергают ранее высказанное предположение (РЖХим, 1957, 30923) о неполноте окисления Fe^{2+} 4-валентным Ce и считают, что в присутствии ионов F^- равновесие ферроин + $Ce^{4+} \rightleftharpoons$ феррин + Ce^{3+} вследствие понижения ОВП пары $Ce^{4+} - Ce^{3+}$ сильно сдвинуто в левую сторону. Хотя с повышением конц-ии H_2SO_4 до 6 M это равновесие удается сместить в правую сторону, расход окислителя все же отклоняется от стехиометрич. кол-ва на 1%. Точные результаты удается получить путем введения добавок H_3BO_3 для связывания ионов F^- . Если в анализируемый р-р, содержащий 5 мл HF, ввести 2 г H_3BO_3 , то цериметрич. титрование Fe^{2+} в 1 M H_2SO_4 можно производить по дифениламину. При достаточно высокой конц-ии H_2SO_4

($\geq 3,6 M$) по этому индикатору можно титровать малые кол-ва Fe^{2+} , не связывая ионов F^- . Сообщение III см. РЖХим, 1957, 30923. Н. Полянский

70556. Роданидный метод для фотоколориметрического определения железа. Петров А. И., Заводск. лаборатория, 1958, 24, № 5, 548

Разработан фотометрич. метод определения Fe в металлах. Ni и Co, CoO и NiSO₄ с помощью KSCN без предварительного отделения Fe от основного в-ва. Фотометрирование производят с применением зеленого светофильтра. Для устранения мешающего влияния собственной окраски Ni и Co в качестве р-ра сравнения применяют р-р контрольного опыта. А. Немодрук

70557. Определение двух- и трехвалентного железа в железном катализаторе. Мурата, Касаока (Murata Yoshio, Kasaoka Shigeaki), Бунсэки кагаку, Japan Analyst, 1958, 7, № 1, 50—52 (японск.)

Анализируемую пробу обрабатывают 10-кратными (по отношению к Fe) избытком 4,3%-ного р-ра HgCl₂. Осадок обезживают безводн. спиртом и растворяют в 30—50 мл 40%-ного спирт. р-ра йода. Р-р кипятят с обратным холодильником в течение 30 мин., осадок отфильтровывают, промывают сначала спиртом до полного удаления йода, а затем водой до полного удаления спирта и растворяют в 100—120 мл H₂SO₄ (1:9). Р-р кипятят в атмосфере CO₂ с обратным холодильником, быстро охлаждают и фильтруют. К 100—200 мл фильтрата прибавляют 10—15 мл 2 M H₃PO₄ и титруют 0,1—0,02 н. р-ром KMnO₄ (определяют FeO). Затем в этот же р-р вводят тонкую Al-пластинку (0,4—0,7 г), кипятят до обесцвечивания р-ра (~20 мин.), быстро охлаждают и после отфильтровывания Al титруют р-ром KMnO₄ (определяют Fe₂O₃). Ли Мен-юн

70558. Фотометрическое определение железа в чистом цинке и в расплавах для оцинковывания стальных листов. Плом (Photometrische Bestimmung des Eisens in Reinzinn und in Zinnschmelzen für die Verzinnung von Stahlblechen. Ploum Heinrich), Arch. Eisenhüttenwesen, 1958, 29, № 3, 169—172 (нем.)

Описан метод фотометрич. определения Fe с помощью тиогликолевой к-ты (I). Fe с I в щел. среде образует соединение красно-фиолетового цвета. Изучено светопоглощение образующегося комплекса и найдены оптимальные условия фотометрирования. Установлено, что Sb, As, Bi, Cu, Pb и Mn в кол-вах ~0,08% не мешают определению Fe; мешающее влияние Cr и Ni настолько мало, что им можно пренебречь; присутствие даже небольших кол-во Co нежелательно. Время и т-ра не влияют на чувствительность и точность определения Fe. 0,25—0,5 г анализируемой пробы (в зависимости от содержания Fe) растворяют при слабом нагревании в 5 мл HCl (1:1) с последующим добавлением 2 мл брома. По окончании растворения пробы и полного удаления паров Br₂ реакционную смесь фильтруют в мерную колбу, содержащую HCl (1:1), добавляют аммиачный р-р I (3 мл I + 15 мл NH₄OH), разбавляют до метки водой и фотометрируют при 530 мμ (20°). Продолжительность определения 20 мин. Приведены результаты определения Fe в цинке при содержании 6,0—0,013% Fe. Ю. Б.

70559. Быстрый метод определения микроколичеств железа в растворе хлорида натрия. Хирано, Игаси (Hirano Shizo, Igami Eiitsu), Бунсэки кагаку, Bynseki kagaku, Japan Analyst, 1958, 7, № 2, 106—107 (японск.)

Описан метод, основанный на отделении Fe от NaCl соосаждением с MnBr₂ и на последующем фотометрич. определении с помощью о-фенантролина. К 200 мл анализируемого р-ра прибавляют 1 мл HCl (1:9), 1 мл бромной воды, 10 мл 40%-ного р-ра MnSO₄, кипятят в течение нескольких часов, подщелачивают аммиаком,

прибавляют 0,2 г твердого Na₂CO₃, перемешивают, добавляют 1 мл бромной воды и кипятят. Выделившийся осадок промывают сначала теплой водой, а затем р-ром KJ (0,5 г KJ в 100 мл воды) и снова теплой водой и растворяют в HCl (1:9), содержащей NH₄OH·HCl (1 мл 10%-ного р-ра NH₄OH·HCl на каждые 10 мл HCl). pH полученного р-ра добавлением р-ра CH₃COONa устанавливают на уровне 3,5, прибавляют 2,5 мл 0,2%-ного р-ра о-фенантролина и через 10 мин. фотометрируют при 500 мμ. Мешает Hg. Ли Мен-юн

70560. Титриметрическое определение малых количеств кобальта при эквивалентном соотношении 1:37. Барта, Гёрёг (Kis mennyiségű kobalt térfogat meghatározása 1:37 egyenértékű viszony szerint. Bartha Lajos, Görög Sándor), Magyar kém. folyóirat, 1958, 64, № 2, 48—50 (венг.; рез. англ.)

Разработан новый метод определения Co с использованием кобальтинитрита; Co определяют по кол-ву NO₂, восстанавливаемому по ур-нию: KNO₃ + 6Fe(OH)₂ + 5H₂O = NH₃ + KOH + 6Fe(OH)₃. Так как в кобальтинитрите на 1 Co приходится 6NO₂, на восстановление NO₂ затрачивается 36, а на восстановление Co (3+) — 1 эквивалент Fe²⁺; поэтому эквивалентное соотношение Co в данном случае равно 1/37, что дает возможность определить малые кол-ва Co. При определении лучше всего осадить Co в форме KPhCo(NO₂)₆, что достигается прибавлением к анализируемому р-ру Pb(NO₃)₂. Осаждение желательно вести в присутствии SO₄²⁻ (1—4-кратное кол-во SO₄²⁻ по сравнению с Co). После 1-часового стояния осадок центрифугируют, промывают насыщ. р-ром K₂SO₄, растворяют в щелочи и к полученному р-ру прибавляют избыток FeSO₄. Если кол-во Co > 0,3 мг, то оттитровывают избыток Fe²⁺ 0,1 н. р-ром KMnO₄. При 30—300 γ Co определяют образующееся Fe³⁺ йодометрич. методом. Ошибка определения в 1-м случае ± 1%, а во 2-м случае ± 5%. И. Криптофора

70561. Спектральный метод определения никеля в соединениях кобальта и кобальта в соединениях никеля. Фатеева Г. Я., Заводск. лаборатория, 1958, 24, № 4, 461

Из 0,35 г порошка анализируемой пробы и 1,65 г порошка Cu прессуют таблетки диам. 8 мм при дав. 5800 кг/см². Спектры возбуждают в дуге переменного тока при 6 а; обжиг 10 сек., экспозиция 30 сек. Верхний электрод медный. Зажим штатива с таблеткой охлаждают водой. Спектры фотографируют на среднем спектрографе. Аналитич. линии (в Å): Co 3506,3—Ni 3507,6, Ni 3002,4—Co 2995,1. Каждую таблетку используют для многократного возбуждения спектра. Г. Кибисов

70562. Критическая оценка фотометрических методов определения платиновых металлов. Би-мис, Мак-Брайд (A critical evaluation of colorimetric methods for the determination of platinum metals. II. Beamish F. E., McBryde W. A. E.), Analyt. chim. acta, 1958, 18, № 6, 551—564 (англ.)

Критический обзор литературы по фотометрич. методам определения Pt, Pd, Ir, Rh, Os и Ru за период с мая 1953 г. до марта 1957 г. Каждый рассмотренный метод оценен по интервалу определяемой концентрации, чувствительности и практич. применимости. Библиограф. назв. Пред. обзор см. РЖХим, 1955, 40393. Ф. Судакон

70563. К фотометрическому определению бора. Бек (A bór kolorimetriás meghatározásáról. Beck Mihály), Magyar kém. folyóirat, 1958, 64, № 2, 61 (венг.; рез. англ.)

Критически проверен ранее описанный (Monnier D. и др., Analyt. Chim. acta, 1947, 1, 13) метод для определения B, основанный на влиянии B на изменение экстинкции окрашенного р-ра сульфосалицилатного

комплекса $\text{Fe}(3+)$ под обесцвечивающим действием ионов F^- . Проведены 2 серии опытов, причем в одной из серий вместо буры применялся NaHCO_3 . Установлено, что изменение экстинкции окрашенного р-ра, кроме конц-ии В, в значительной степени зависит и от рН р-ра, который в ходе анализа меняется. На результатах анализа сказываются также индикаторные свойства сульфосалицилатного комплекса $\text{Fe}(3+)$. Сделан вывод, что указанный метод для определения В непригоден.

И. Криштофори

70564. Исследование колориметрического метода определения микроколичеств бора куркумином. Гольтман А. Д., Гуревич В. Г., Укр. хим. ж., 1958, 24, № 2, 244—250

Изучен и усовершенствован с целью повышения точности куркуминовый метод определения В. Подкисленный р-р, содержащий H_3BO_3 и куркумин, выпаривают при 50—60° так, чтобы пары воды не соприкасались с высушиваемым осадком (выпаривание производят в тиглях емк. ~ 50 мл, нижняя часть которых плотно вставлена в отверстия крышки водяной бани). При этом следят, чтобы р-р при выпаривании оставался щелочным (выпаривание производят в присутствии $\text{Ca}(\text{OH})_2$). К сухому остатку добавляют смесь $\text{H}_2\text{C}_2\text{O}_4$ и HCl (0,363 М по $\text{H}_2\text{C}_2\text{O}_4$ и 1,3—2,4 М по HCl) и спирт. р-р I (1 мл р-ра, содержащего 100 γ I, пригоден для определения 0,8 γ В); I добавляют в 4-кратном (в мол. отношении) избытке из расчета на H_3BO_3 . При фотометрич. определении определяемая конц-ия В 0,14—1,3 γ В в 5 мл р-ра; ошибка определения ≤ 10%. Ионы $\text{C}_2\text{O}_4^{2-}$, NO_3^- , SO_4^{2-} , Cl^- , HPO_4^{2-} , Ca^{2+} , Fe^{3+} , K^+ , Mg^{2+} и Na^+ мешают (уменьшают интенсивность окраски); особенно сильно влияют NO_3^- , HPO_4^{2-} , K^+ и Fe^{3+} . Мол. коэф. экстинкции (при $2 \cdot 10^{-5}$ М H_3BO_3) составляет $6,3 \cdot 10^4$. Состав окрашенного соединения характеризуется соотношением В: I = 1:1. При колориметрировании по методу стандартных серий ошибка определения ≤ 10%; чувствительность р-ции 1 γ/л В. При определении В методом капельной колориметрии ошибка ≤ 30%; чувствительность р-ции 2 мг/л В. Приведена методика определения В в растительном материале.

Т. Леви

70565. Определение микрограммовых и субмикрограммовых количеств бора. Часть I. Фотометрическое определение с использованием куркумина. Часть II. Выделение бора методом дистилляции с последующим выпариванием дистиллятов. Спайсер, Стрикленд (The determination of microgram and sub-microgram amounts of boron. Part I. Absorptiometric determination using curcumin. Part II. The separation of boron by distillation and the evaporation of distillates. Spicer G. S., Strickland J. D. H.), Analyt. chim. acta, 1958, 18, № 3, 231—239; № 6, 523—533 (англ.)

I. Описаны 3 метода фотометрич. определения В в сухом остатке после сплавления анализируемой пробы в Pt-чашке со смесью $\text{NaOH} + \text{Na}_2\text{CO}_3$. В основу этих методов положена р-ция В с куркумином с образованием окрашенных в красный цвет соединений: руброкуркумина (1-й и 2-й методы) и розоцианина (3-й метод). 1-й метод пригоден для определения В при кол-вах 2—15 γ, 2-й метод — при кол-вах 0,5—4 γ и 3-й наиболее чувствительный метод — при кол-вах 0,01—0,2 γ. Последний метод, в котором $\text{H}_2\text{C}_2\text{O}_4$ в качестве промотора не используется, обладает, по мнению авторов, максим. чувствительностью, вообще возможной при фотометрич. измерениях. Все 3 метода с успехом используются для анализа материалов, применяемых в атомной технике.

II. Установлено, что CH_3OH -дистилляты, содержащие микрограммовые кол-ва В, можно выпаривать без опасности потери В при условии предваритель-

ного прибавления к дистиллятам воды, NaOH и глицерина. Остатки после выпаривания можно затем непосредственно использовать для фотометрич. определения В (см. сообщение I). Описана методика дистилляции В, пригодная для выделения В из материалов любого типа, в том числе и из органич. в-в после их озоления с известью. Во всех случаях водн. р-ры анализируемых проб предварительно подкисляют (рН 1,5—5) и выпаривают почти досуха. Остатки затем обрабатывают метиловым спиртом. Весьма существенно применение аппаратуры из кварцевого стекла для дистилляции и Pt-чашек для собирания дистиллятов. Указаны меры предосторожности для уменьшения возможности загрязнения пробы от реактивов и других источников. Описанные методы выделения и определения В быстрые и пригодны для серийного анализа с 10 г пробы. При благоприятных условиях открываемый минимум В ~ 0,01 ч. на 1 млн. При определении 0,2 ч. В на 1 млн. ч. анализируемого в-ва ошибка составляет ≤ 5%.

Резюме автора

70566. Определение углерода в хромоникелевых сталях спектральным методом. Кудесль Е. С., Заводск. лаборатория, 1958, 24, № 4, 458

С определяют по линиям С 2296,89 — Fe 2279,9 А при возбуждении спектра в ВЧ- или конденсированной искрах. Применяют большой спектрограф КСА-I, постоянный Mg-электрод и фотопластинки «спектральные» тип III. Структура проб и посторонние элементы на результаты анализа не влияют. Ошибка определения ± 4,4%.

Г. Кибисов

70567. К определению СО в аппарате Орса. Наръес (Über die CO-Bestimmung im Orsatgerät. Narjes A.), Zement-Kalk-Gips, 1957, 10, № 10, 413—417 (нем.; рез. англ., франц.)

Установлено, что при определении СО в аппарате Орса поглощением ее р-рами CuCl наблюдается систематич. ошибка, обусловленная способностью образующегося комплексного соединения (вследствие его небольшой прочности) находиться в равновесии с газообразной СО. Эта ошибка увеличивается по мере увеличения конц-ии комплексного соединения в р-ре CuCl . Изучена зависимость величины указанной ошибки от различных (рекомендованных в литературе) способов приготовления р-ров CuCl . Для устранения этой ошибки рекомендуется поглощение СО производить не менее, чем в двух последовательно расположенных поглотительных сосудах. Разработан простой и точный способ оценки пригодности р-ров CuCl для их дальнейшего использования. Рассмотрены преимущества и недостатки других р-ров, применяемых для поглощения СО (суспензия Cu_2O и β-нафта в H_2SO_4 , р-р J_2O_5 в дымящей H_2SO_4). Для определения больших конц-ий СО (> 3%) рекомендован метод каталитич. окисления СО до CO_2 ; оставшиеся газы после поглощения CO_2 и O_2 разбавляют воздухом (не содержащим CO_2) до первоначального объема (100 мл) и пропускают несколько раз через сосуд с раскаленной Pt-проволокой, играющей роль катализатора окисления СО до CO_2 . По уменьшению объема газа после поглощения образовавшейся CO_2 рассчитывают содержание СО.

А. Немодрук

70568. Микрометод фотометрического определения окиси углерода в воздухе. Чуханду (Mikromethode für die photometrische Kohlenmonoxydbestimmung in der Luft. Ciuhandu Gheorghe). Z. analyt. Chem., 1958, 161, № 5, 345—348 (нем.)

Улучшен фотометрич. метод определения СО в воздухе с помощью щел. р-ра комплексного соединения Ag с сульфамидбензойной к-той (РЖХим, 1958, 916). Пределы определяемых конц-ий расширены от 0,001 до 2%; объем необходимой пробы воздуха уменьшен до 25 мл. При содержании СО в воздухе в пределах

0,001—0,5% фотометрирование образующего золя Ag производят при 420 мμ; при содержании CO 0,5—2% оптич. плотность золя Ag измеряют при 610 мμ. При определении малых конц-ий CO с целью получения более точных результатов рекомендуется из полученного значения оптич. плотности вычитать величину, получаемую в контрольном опыте. Чувствительность метода 0,3 γ CO в 25 мл воздуха.

А. Немодрук 70569. Комплексообразование между молибденовой и кремневой кислотами в присутствии полиоксисоединений. Ричардсон (Complex formation between molybdic acid and silicic acid in the presence of polyhydroxy compounds. Richardson E.), Research, 1958, 11, № 4, 163—164 (англ.)

Мешающее влияние добавок некоторых полиоксисоединений (I) на фотометрич. определение кремневой к-ты в виде молибденовой сини автор связывает с образованием комплексов между I и молибденовой к-той (II). Это предположение подтверждается тем, что кол-во I, которое можно ввести в анализируемый р-р без помех анализу, пропорционально содержанию II. Потенциометрич. и кондуктометрич. методами установлено, что с эритритом (III) II образует комплекс состава $\text{MoO}_3 \cdot \text{C}_6\text{H}_{10}\text{O}_4$, с маннитом (IV) — комплекс состава $2\text{MoO}_3 \cdot \text{C}_6\text{H}_{14}\text{O}_6$, с глюконовой к-той (V) — комплекс состава $\text{MoO}_3 \cdot 2\text{C}_6\text{H}_{12}\text{O}_7$. По данным кондуктометрич. титрования, комплекс II с III в водн. р-ре является сильной к-той, характеризующейся возможной ф-лой $\text{H}(\text{HMoO}_4 \cdot \text{C}_6\text{H}_{10}\text{O}_4)$. IV образует с II более прочный комплекс, чем III. Комплексы с III и V дают большинство р-ций, свойственных молибдатам: H_2S осаждает из горячих подкисленных р-ров MoS_3 ; добавки NH_4SCN вызывают появление желтого окрашивания. При добавлении $\text{K}_4[\text{Fe}(\text{CN})_6]$ к комплексу II с V выпадает коричневый осадок; комплекс с III аналогичной р-ции не дает.

Н. Полянскый 70570. Новый капельный метод открытия нитрат-иона. Колдуэлл, Мак-Лейн (A new spot test for nitrate ion. Coldwell B. B., McLean S. R.), Canad. J. Chem., 1958, 36, № 4, 652—655 (англ.)

Описан метод, основанный на образовании интенсивной желтой окраски с дифениламино (I) после облучения УФ-лучами. 0,01—0,05 мл анализируемого р-ра (рН 3—10) наносят на фильтровальную бумагу, высушивают и наносят равный объем 1%-ного спирт. р-ра I таким образом, чтобы он покрыл часть поверхности пятна, на которое нанесен анализируемый р-р, и частично — чистую фильтровальную бумагу. После испарения $\text{C}_2\text{H}_5\text{OH}$ капельную пробу подвергают УФ-облучению (2300—4200 Å) в течение 2—5 мин. В присутствии NO_3^- полоска, где перекрываются анализируемый р-р и р-р I, окрашивается в интенсивно желтый цвет в отличие от слабой коричневатой окраски одного I. Открываемый минимум NO_3^- 1 γ; предельное разбавление 1 : 10 000. Чувствительность р-ции может быть повышена многократным нанесением и высушиванием анализируемого р-ра. Открытию NO_3^- мешают нитриты, броматы, йодаты и ванадаты, если их конц-ия в 3—10 раз превышает конц-ию NO_3^- .

А. Немодрук 70571. Использование постоянного электрического тока при некоторых хромотографических исследованиях. Янков Стойко Петров, Ж. аналит. химии, 1958, 13, № 2, 257—258 (рез. англ.)

Пропусканием постоянного электрич. тока через колонку, заполненную сорбентом, реактивом и анализируемым в-вом, можно достигнуть повышения чувствительности открытия некоторых ионов. В качестве электродов в колонку вводят Pt-иглы, концы которых отстоят друг от друга на 1—1,5 см. Свободные концы игл присоединены к источнику тока 15—25 в. При этом анодную иглу нужно вставлять в тот конец ко-

лонки, в который был введен анализируемый р-р и проявитель. Оптимальное значение силы тока 0,01—0,02 а. Для открытия NO_2^- предложено 6 способов. При 1-м способе колонку заполняют смесью 1 ч. α-нафтиламина (I), 1 ч. сульфаниловой к-ты (II) и 10 ч. сорбента (SiO_2), затем в колонку вводят 0,05 мл анализируемого р-ра и 0,05 мл 5 н. р-ра CH_3COOH ; в присутствии NO_2^- появляется красная полоса. Пропускание тока повышает интенсивность окраски, но чувствительность р-ции почти не изменяется. Открываемый минимум (OM) 0,01 γ NO_2^- . При 2-м способе в качестве реактивов используют сульфаниламид I, а в качестве сорбента — SiO_2 , пропускание тока понижает OM от 0,04 до 0,02 γ NO_2^- . При 3-м способе NO_2^- открывают с помощью II и α-нафтола (сорбент Al_2O_3), р-цию выполняют как в 1-м методе. Пропускание тока понижает OM от 0,12 до 0,05 γ NO_2^- . Аналогичные явления установлены в двух других способах, в которых в качестве аминсоединения использован л-нитроанилин, в качестве азосоставляющего — I или β-нафтол (сорбент SiO_2). При открытии NO_2^- с помощью II и β-нафтола (6-й способ сорбент SiO_2) пропускание тока мало влияет на чувствительность р-ции.

Н. Полянскый 70572. О спектральном определении фосфора в стали по линии P 3175 А. Экхард (Über die spektrophotometrische Phosphorbestimmung im Stahl mit der Phosphorlinie 3175 Å. Eckhard Siegfried), Arch. Eisenhüttenwesen, 1958, 29, № 2, 89—92. Diskuss., 92—94 (нем.)

Сделана попытка воспроизвести условия возбуждения линии P 3175 А, описанные Кремплем и Бертрамом (РЖХим, 1957, 1251). Однако даже при использовании таких в-в, как красный P, H_3PO_4 и ее солей, не удалось возбудить линию P 3175 А. Автор критически рассматривает возможность возбуждения этой линии. Гейтер, исследовавший спектр P, не наблюдал линии P3175 А при возбуждении спектра в дуге и в искре. Линия была обнаружена только в трубке Гейслера. Высказано мнение, что линия 3175 А принадлежит не к спектру PII, а к спектру PI, поэтому не возбуждается в искровом разряде. Спектрограф Q = 24, использованный Кремплем и Бертрамом, не дает возможности разделить линию P3175 А от мешающих линий Fe и Sn. Сделан вывод, что Кремплем и Бертрамом фотометрировались линии Fe, а не P.

М. Н. 70573. Быстрый метод определения фосфорной кислоты в фосфорите и суперфосфате. Хирано, Кавагути (Hirano Shizo, Kawaguchi Hiroshi), Бунсэки какаку, Bynseki kagaku, Japan Analyst, 1958, 7, № 2, 107—108 (японск.)

При алкалиметрич. определении P_2O_5 для маскирования Ca^{2+} , Al^{3+} и Fe^{3+} использован комплексон III. Анализируемую пробу (0,2—0,9 г) отдымляют с 5 мл 60%-ной HClO_4 , остаток растворяют при нагревании в 20 мл воды и осаждают Al^{3+} и Fe^{3+} при соответствующем рН, создаваемом добавлением NaOH или HClO_4 . К р-ру с осадком прибавляют 4%-ный р-р комплексона III, нагревают до полного растворения осадка, устанавливают рН на уровне 4,5, прибавляют 10 мл 10%-ного р-ра AgNO_3 и титруют 0,1 н. р-ром NaOH. Расчет производят по ф-ле: $x = v \cdot 0,3549/g$, где x — искомого кол-во P_2O_5 в %, v — кол-во израсходованного 0,1 н. р-ра NaOH в мл и g — навеска в г. Этот метод применим для определения P_2O_5 при содержании $\leq 3\%$ Fe_2O_3 , $\leq 2\%$ Al_2O_3 и в отсутствие As и Cr.

Ли Мен-юн 70574. Определение микроколичеств мышьяка. Ким Хи Чхор, Чосон яхак, 1957, № 2, 23—27 (кор.)

При определении микроколичеств As сенсибилизированную индикаторную бумагу, пропитанную хлори-

дом $\text{Hg}(2+)$, после поглощения AsH_3 обрабатывают р-ром $\text{Cu}_2\text{I}_2 + 10\% \text{KI}$. При этом желтая окраска бумаги переходит в темно-коричневую и тем самым облегчается наблюдение окраски. В интервале концентрации As 1–2 γ справедливо уравнение $h = 0,5 \gamma$, где h — длина окрашенного участка бумаги.

Ли Мен-юн
70575. Новые данные по электрохимическому определению кислорода. Тёдт (Neue Ergebnisse elektrochemischer Sauerstoffmessungen. Tödt F., Dechema Monogr., 1956, 27, № 332–362, 328–336 (нем.))

Показаны преимущества метода непрерывного электрохим. определения O_2 в водн. р-рах по сравнению с другими известными методами. Описаны приборы для электрохим. определения растворенного O_2 , действие которых основано на р-ции окисления $\text{Fe}(\text{OH})_2$ до $\text{Fe}(\text{OH})_3$ за счет деполяризации O_2 ; сила тока такого гальванич. элемента пропорциональна концентрации O_2 в анализируемом р-ре. Скорость окисления $\text{Fe}(\text{OH})_2$ растворенным O_2 возрастает с повышением pH; при pH 10,3 окисление 4 мг O_2 (в 1 л) заканчивается в течение 10 сек. Приборы (в зависимости от назначения) обладают различной чувствительностью. Применение зеркального гальванометра позволяет определять до 1 μl O_2 с достаточной точностью. Благодаря чрезвычайной простоте, высокой чувствительности и точности, легкости саморегистрирования результатов и соответствующей сигнализации приборы для непрерывного электрохим. определения O_2 рекомендуются для определения содержания O_2 в питательной воде котлов высокого давления, для изучения дыхательных процессов микроорганизмов и растений и для исследования фотохим. процессов, идущих как с выделением, так и с поглощением O_2 . А. Немодрук

70576. Непрерывное определение малых количеств кислорода. Загошен (Kontinuierliche Messung kleiner Sauerstoffmengen. Sagoschen J., Prakt. Chem., 1957, 8, № 10, 321–322 (нем.))

Для непрерывного определения малых кол-в O_2 в различных газах (N_2 , H_2 , смеси N_2 и H_2 , благородные газы) рекомендуется применять спец. приборы. Принцип действия приборов, выпускаемых фирмой Engelhard Industrien AG (Цюрих) и названных диоксииндикаторами, состоит в том, что анализируемый газ (AG) пропускают через Pd-катализатор, на котором O_2 сжигается до H_2O . Повышение т-ры выходящего газа за счет теплоты р-ции прямо пропорционально содержанию O_2 в AG . Если в AG отсутствует H_2 , то его предварительно вводят. Содержание O_2 в AG определяют по показаниям гальванометра (соединенного с термоэлементом) с помощью калибровочного графика. Указанные приборы выпускаются для определения O_2 при его содержании до 0,1% и до 1%; ошибка определения в обоих случаях $\pm 2\%$. В другом типе приборов, названных кислородомерами, AG поступает в термостатируемую камеру и в этой камере количественно поглощается Ag-катодом, соединенным с Cd-анодом посредством пористой трубки, заполненной р-ром КОН. O_2 , поглощенный Ag-катодом, переходит в р-р в виде ионов OH^- , в то время как Cd на аноде окисляется до $\text{Cd}(\text{OH})_2$. Содержание O_2 определяют по величине э.д.с. по соответствующему калибровочному графику. При определении до 0,01% O_2 ошибка составляет $\pm 5\%$.

А. Немодрук
70577. Определение кислорода в металлическом натрии бутилбромидным методом. Смайт, Бруин (The determination of the oxygen content of sodium metal by the butyl bromide method. Smythe L. E., Bruin H. J. de, Analyst, 1958, 83, № 985, 242–244 (англ.))

Для повышения точности ранее описанного метода (РЖХим, 1957, 4797) продукт взаимодействия металлич. Na с бутилбромидом рекомендуется растворять

в 90–95%-ном $\text{C}_2\text{H}_5\text{OH}$ и титровать полученный р-р 0,05 н. р-ром HCl по метиловому красному. Благодаря малой растворимости NaBr в $\text{C}_2\text{H}_5\text{OH}$ эффективная концентрация NaBr в титруемом р-ре значительно понижается, что благоприятно сказывается на точности и воспроизводимости результатов анализа.

Н. Полянский
70578. 4-амино-4-хлордифенил как аналитический реактив для определения сульфата. Бенгтссон (4-amino-4'-chlorodiphenyl as analytical reagent for sulphate. Bengtsson T. Arthur, Analyst. chim. acta, 1958, 18, № 4, 353–359 (англ.))

Изучено равновесие в системе 4-амино-4-хлордифенил (I) — SO_4^{2-} — H_2O . Спектрофотометрически определено значение обратного логарифма константы диссоциации BH^+ (B — молекула I) $pK_a = 4,21$; коэф. мол. экстинкции I при 254; 279 и 265 м μ равен $2,23 \cdot 10^4$ ($pH \leq 1,3$); $2,21 \cdot 10^4$ ($pH \geq 10$) и $1,75 \cdot 10^4$ (изобестич. точка) соответственно. Растворимость сульфата I в воде, найденная спектрофотометрически и титриметрически, равна $325 \cdot 10^{-6} \text{ M}$ (164 мг/л; в пересчете на SO_4^{2-} — 31 мг/л); это значение растворимости сульфата I значительно отличается от ранее сообщенного (РЖХим, 1954, 22139). Произведение растворимости сульфата I равно $0,82 \cdot 10^{-11}$ (20°). Аналогичные характеристики сульфата бензидина, определенные при той же т-ре, соответственно равны $284 \cdot 10^{-6} \text{ M}$ (80 мг/л; 27 мг/л SO_4^{2-}) и $2,8 \cdot 10^{-8}$ (различные величины, найденных спектрофотометрически и титриметрически, $\leq 1\%$). На основе полученных результатов показано, что рекомендованная ранее (РЖХим, 1956, 7533) оптимальная кислотность анализируемого р-ра (0,05 M) при определении SO_4^{2-} может быть снижена наполовину; при использовании 0,01 M р-ра I и предварительной нейтр-ции анализируемого р-ра полная осадка повышается в 2–3 раза. При определении 2,5–5 мг SO_4^{2-} в ≤ 50 мл р-ра ошибка $< 1\%$.

А. Зозуля
70579. Влияние тяжелых металлов на полярографические волны селена и теллура. Зелянская А. И., Быков Н. Е., Горшкова Л. С., Тр. ин-та металлургии. Уральский фил. АН СССР, 1957, вып. 1, 161–169

Изучено влияние Cu, Pb, Zn и Fe на полярографич. волны Te и Se в среде $\text{NH}_4\text{OH} + \text{NH}_4\text{Cl}$. Если конц-ия Cu больше конц-ии Te, то необходимо предварительно отделять Cu. Zn не влияет на волну Te, а Te уменьшает волну Pb. При полярографировании Te в присутствии Pb к фоновому электролиту необходимо добавить 0,04 моль/л комплексона III и 0,1% желатин. Влияние Fe следует устранять связыванием его в тарtratный комплекс и увеличением конц-ии желатин. Определению Se мешают Cu, Pb и Fe(3+); не мешают Zn, Ni и Co(2+) в присутствии комплексона III. Te мешает лишь в том случае, если конц-ия Te больше конц-ии Se.

Ф. Линкова
70580. Полярографическое определение четырехвалентных селена и теллура при совместном их присутствии. Зелянская А. И., Быков Н. Е., Горшкова Л. С., Тр. Ин-та металлургии. Уральский фил. АН СССР, 1957, вып. 1, 155–160

Изучены условия применения полярографич. метода для совместного определения Se^{4+} и Te^{4+} . Установлено, что наиболее подходящим фоновым электролитом при конц-ии Se 0,05–2 моль/л и когда конц-ия Te не превышает конц-ии Se, является электролит состава: 0,75 моль/л NH_4Cl , 0,25 моль/л NH_4OH , 0,1 моль/л $\text{Na}_2\text{SO}_3 + 0,002\%$ желатин. При анализе фильтрат с промытым осадком элементарных Se и Te, полученным любым методом, заливают 5 мл свежеприготовленного р-ра, содержащего до 25 мг KClO_3 в HCl (1:1), перемешивают и слабо нагревают. Полу-

ченный р-р нейтрализуют аммиаком по метиловому оранжевому, охлаждают, разбавляют р-ром фонового электролита до 50 мл и полярографируют. NO_3^- и тяжелые металлы мешают определению. Сходимость результатов, полученных полярографич. и хим. методами, удовлетворительная. Ф. Линкова

70581. Колориметрическое определение селена и теллура в пылях свинцового производства. Гладышев В. П., Заводск. лаборатория, 1958, 24, № 3, 275—278

Разработан колориметрич. метод определения Se и Te в пылях свинцового произ-ва, основанный на разделении Se и Te при помощи тиомочевны (I) (РЖХим, 1956, 54805). После растворения пробы Pb-пыли Se и Te выделяют восстановлением с помощью SnCl_2 . Хлориды тяжелых металлов, осаждающиеся в незначительных кол-вах вместе с Se и Te, отмывают р-ром HCl . Выделенные Se и Te растворяют в HCl с добавлением небольшого кол-ва HNO_3 . Полученный р-р нагревают до 60—70°, прибавляют 30 мл горячего 10%-ного р-ра I в 2 н. HCl , выдерживают 10 мин. и отфильтровывают выделившийся осадок элементарного Se, который затем промывают 2—3 раза теплой водой и растворяют в 5 мл конц. HCl с добавлением нескольких капель конц. HNO_3 . Полученный р-р разбавляют водой до 50 мл, отбирают аликвотную порцию 10 мл, прибавляют 2 мл 1%-ного р-ра желатин, 20 мл 10%-ного р-ра I в 2 н. HCl , разбавляют водой до 50 мл, нагревают до 35—45° и через 10 мин. колориметрируют красную окраску элементарного Se. Фильтрат после выделения Se разбавляют водой до 100 мл и колориметрируют желтую окраску комплекса Te с I. Результаты определения Se и Te в Pb-пыли разработанным методом удовлетворительно совпадают с данными, полученными другими методами; продолжительность определения сокращается в 2 раза.

А. Немодрук

70582. Полумикроразделение хлора в поливинилхлориде и аналогичных полимерах. Хаслам Холл (The semi-micro determination of chlorine in poly (vinyl chloride) and related polymers. Haslam J., Hall J. I.), Analyst, 1958, 83, № 985, 196—198 (англ.)

20 мг анализируемого в-ва сплавляют в электрически обогреваемой стальной бомбе с 1,0 г Na_2O_2 в присутствии 0,06 г крахмала, предварительно высушенного нагреванием при 100° в течение 3 час. Плав растворяют при нагревании в 10 мл воды и кипячением в течение 15 мин. разрушают избыток Na_2O_2 . После охлаждения р-р подкисляют конц. HNO_3 по метиловому красному, снова охлаждают, добавляют индикатор, нейтрализуют сначала 10%-ным NaOH , а затем 2 н. р-ром HNO_3 , прибавляют избыток 2 н. HNO_3 (0,25 мл) и титруют 0,02 н. р-ром AgNO_3 , применяя ранее описанный титриметр (РЖХим, 1956, 19495), соединенный с индикаторным Ag-электродом и Ag-электродом сравнения. При применении описанного метода для определения Cl в поливинилхлориде, сополимере винилхлорида с винилацетатом и сополимере винилхлорида и винилиденхлоридом получены результаты, хорошо согласующиеся с данными метода Кариуса. Метод может быть также использован для определения Cl в сополимерах, содержащих Cl и N.

Н. Полянский

70583. Титрование хлорида нитратом серебра. Симидзу, Ямадзакэ (Shimizu Kazuo, Yamazaki Masao), Нихон сию-гаккайси, Bull. Soc. Salt Sci., Japan, 1957, 11, № 6, 323—325 (японск.)

Детально изучены факторы, влияющие на титрование Cl^- р-ром AgNO_3 . При использовании в качестве индикатора уранина получаются результаты, несколько заниженные по сравнению с результа-

тами, полученными с K_2CrO_4 в качестве индикатора; кол-во вводимого индикатора на результаты титрования не влияет. В присутствии Mg^{2+} и SO_4^{2-} результаты титрования несколько завышены. Ли Мен юн

70584. Определение хлоритов и гипохлоритов в их смеси. Эпик П. А., Орочко А. И., Заводск. лаборатория, 1958, 24, № 4, 413—415

Предложен титриметрич. метод определения ClO_2^- и ClO^- в их смесях, основанный на восстановлении ClO^- 2-валентным Mn или перекисью водорода с последующим йодометрич. определением ClO_2^- в той же пробе. В другой порции р-ра йодометрич. методом можно определить сумму окислителей и по разности вычислить содержание ClO^- . Р-ции восстановления ClO^- 2-валентным Mn или перекисью водорода могут быть использованы для освобождения р-ра хлорита от ClO^- , а также для качеств. открытия ClO_2^- в присутствии ClO^- . Резюме авторов

70585. Йодометрия. Секереш (Jodometriás vizsgálatok. Szekeres László), Magyar tud. akad. Kém. tud. oszt. közl., 1958, 9, № 4, 393—400 (венг.)

Усовершенствован метод Винклера для определения J⁻ на основании того, что OBr^- и OCl^- в присутствии BrO_3^- и JO_3^- могут быть селективно восстановлены с помощью H_2O_2 , $\text{C}_2\text{H}_5\text{OH}$, HCOONa , $\text{Na}_2\text{C}_2\text{O}_4$ и CON_2H_2 . Подид окисляют гипохлоритом, а избыток хлора восстанавливают в присутствии NaHCO_3 ; полученный JO_3^- определяют затем йодометрически. При определении Br^- его окисляют до свободного брома с помощью HBrO_3 , бром восстанавливают в слабощел. среде и йодометрически определяют избыток BrO_3^- . Установлено, что JO_4^- по аналогии с MnO_4^- может быть использован для определения йодида: $\text{JO}_4^- + \text{J}^- = 4\text{JO}_3^-$ и $\text{JO}_4^- + \text{H}_2\text{O}_2 = \text{JO}_3^- + \text{H}_2\text{O} + 3\text{O}_2$. Избыток JO_3^- определяют йодометрически. 1-я ступень при окислении йодной к-той выражается ур-нием: $\text{JO}_4^- + 2\text{H}^+ + 2e = \text{JO}_3^- + \text{H}_2\text{O}$. Разработана методика определения JO_3^- , JO_4^- и BrO_3^- при их совместном присутствии. В 1-й порции анализируемого р-ра йодометрически находят суммарное кол-во трех ионов. 2-ю порцию р-ра обрабатывают в слабощел. среде перекисью водорода, избыток H_2O_2 разлагают, титруют йодометрически и по разности находят кол-во JO_4^- . К 3-й порции р-ра прибавляют KBr и HCl (при этом из BrO_3^- и Br^- образуется элементарный бром, а по р-ции JO_4^- с Br^- — йодат и элементарный бром), подщелачивают, образующийся BrO^- восстанавливают (как описано выше) и титруют йодометрически. По разности результатов 2-го и 3-го титрований находят кол-во BrO_3^- . Галогены с большим атомным весом вытесняют галогены с меньшим атомным весом из кислородсодержащих к-т. Подробно изучен механизм этой р-ции. Установлена возможность определения J⁻ и Br^- в присутствии Cl^- по р-циям: $\text{BrO}_3^- + \text{J}^- \rightarrow \text{JO}_3^- + \text{Br}^-$ и $\text{BrO}_3^- + 5\text{Br}^- + 6\text{H}^+ \rightarrow 3\text{H}_2\text{O} + 3\text{Br}_2$. Сначала в одной порции находят кол-во J⁻. Ко 2-й порции анализируемого р-ра прибавляют избыток KBrO_3 и далее продолжают анализ, как описано выше для Br^- . Описано также определение BrO_3^- и JO_3^- при их совместном присутствии. Найдено, что с помощью мышьяковистой к-ты в присутствии HCl непосредственно можно определять свободный бром, применяя в качестве индикатора KI и крахмал. Таким способом могут быть определены также сильные окислители, HCHO , HCOOH , NH_3 , HNO_2 и др. И. К.

70586. Модификация метода определения воды титрованием по методу Карла Фишера в области ее применения. Чжан Дин-у, Хуасюэ шицзе, 1957, № 12, 547—550 (кит.)

Описан модифицированный титриметрич. метод К. Фишера для определения воды, в котором вместо

одного р-ра, содержащего SO_2 , CH_3OH , пиридин и йод, применяют 2 р-ра: 1-й р-р содержит SO_2 , CH_3OH и пиридин и служит для растворения или суспензирования пробы, а 2-й р-р содержит CH_3OH и йод и является титрантом.

А. Петренко 70587. Быстрое определение воды во влажных почвах. Ханкок, Бердик (Rapid determination of water in wet soils. Hancock C. Kinney, Burdick Robert L.), Soil Sci., 1957, 83, № 3, 137—205 (англ.)

Описан косвенный метод, основанный на вытеснении воды из влажного образца (10 г) почвы смешанным органич. р-рителем (100 мл), состоящим из 70% безводн. $\text{C}_2\text{H}_5\text{OH}$ и 30% безводн. $(\text{CH}_3)_2\text{CO}$, растворении в вытесненной воде 10 г NaCl и измерении электропроводности образующегося смешанного р-ра с помощью модифицированного моста Уитстона, снабженного температурным компенсатором и прокалбированного или в обратных омах, или непосредственно в процентах влажности почвы (ошибка отсчета $\pm 0,1\%$ H_2O). Питание моста осуществляется от лампового генератора переменного тока с частотой 1000 гц; нуль-инструмент — катодно-лучевая трубка. Ячейка для измерения электропроводности имеет форму пипетки; электроды — вертикальные; постоянная ячейки 0,500 см⁻¹. Введение в измеряемый р-р большого кол-ва NaCl имеет целью нивелирование электропроводности, вызываемой солями, принадлежащими самой почве. Средний температурный коэф. электропроводности системы $\text{C}_2\text{H}_5\text{OH} - (\text{CH}_3)_2\text{CO} - \text{H}_2\text{O} - \text{NaCl}$ при 25—35° равен 0,67% на 1°. Метод прост, точен и быстр. Статистич. обработка результатов определения воды в 24 образцах почвы показала, что среднее отклонение от среднего значения составляет 0,2%; стандартное отклонение 0,3%. Продолжительность одного определения 7 мин.

А. Горюнов

70588. Реакция йода с декабораном и тетрабораном в среде метанола. Меснер (Reaction of iodine in methanol with decaborane and tetraborane. Mesner Arthur E.), Analyst. Chem., 1958, 30, № 4, 547—548 (англ.)

Установлено, что $\text{B}_{10}\text{H}_{14}$ и B_4H_{10} мгновенно реагируют с I_2 в среде CH_3OH по ур-ниям: $\text{B}_{10}\text{H}_{14} + 20\text{I}_2 + 30\text{CH}_3\text{OH} \rightarrow 10\text{B}(\text{OCH}_3)_3 + 40\text{HI} + 2\text{H}_2$ и $\text{B}_4\text{H}_{10} + 9\text{H}_2 + 12\text{CH}_3\text{OH} \rightarrow 4\text{B}(\text{OCH}_3)_3 + 18\text{HI} + 2\text{H}_2$; при этом можно различать мостиковые и немостиковые атомы В: первые выделяются в виде мол. H_2 . Эти р-ции могут быть использованы для колич. определения $\text{B}_{10}\text{H}_{14}$. В этом случае анализируемый р-р прибавляют к р-ру I_2 в CH_3OH и избыток I_2 оттитровывают р-ром $\text{Na}_2\text{S}_2\text{O}_3$. Практически на 1 моль $\text{B}_{10}\text{H}_{14}$ расходуется $40,2 \pm \pm 0,1$ экв йода.

М. Бузланова

70589. Окись серебра как окислитель для гидразина. Макро- и микроопределение гидразина. Сант (Silver oxide as an oxidant for hydrazine. Macro- and micro-determination of hydrazine. Sant B. R.), Recueil trav. chim., 1958, 77, № 5, 400—402 (англ.)

Описано определение N_2H_4 , основанное на окислении N_2H_4 нитратом Ag в щел. среде и последующем титровании избытка AgNO_3 роданидом по методу Фольгарда. К анализируемому р-ру прибавляют точное кол-во 0,1 н. AgNO_3 (избыток) и такой же объем 1 н. NaOH , перемешивают и прибавляют несколько капель конц. NH_4OH для растворения непрореагировавшего AgO ; через 10—15 мин. образующийся осадок отфильтровывают и промывают 5—6 раз аммиаком и водой. Фильтрат с промывными водами после подкисления титруют 0,1 н. р-ром KSCN в присутствии железозаммиачных квасцов в качестве индикатора. Можно также осадок Ag растворить в горячий HNO_3 и полученный р-р AgNO_3 после кипячения (для удаления окислов азота) и охлаждения титровать р-ром

KSCN . 1 мл 1 н. AgNO_3 соответствует 0,008013 г N_2H_4 ; 1-й вариант дает более точные результаты. Описана также микромодификация 1-го варианта, пригодная для определения до 0,4 мг N_2H_4 с относительной ошибкой $< 0,1\%$.

М. Бузланова

70590. Открытие феррицианидов в присутствии некоторых окислителей. Крешков А. П., Вильборг С. С., Дроздов В. А., Научн. докл. высш. школы. Химия и хим. технол., 1958, № 2, 314—316

Описаны новые цветные р-ции феррицианидов (Ф) с некоторыми аминами (окисление аминов посредством Ф с образованием красителей). При открытии Ф по этим р-циям к 1 мл р-ра Ф прибавляют 3 капли 5%-ного р-ра амина (или смеси аминов) в CH_3COOH и 1 каплю насыщ. р-ра ZnSO_4 (для повышения окислительно-восстановительного потенциала ферри-ферроцианидной системы). Весьма чувствительными к Ф оказались 4,4'-диамино-3,3'-диметилдифенилметан и его $\text{N,N}'$ -диэтил-, $\text{N,N}'$ -дипропил и $\text{N,N}'$ -дибутилзамещенные (для первых трех реактивов чувствительность составляет 4,8 $\mu\text{л}$ $\text{K}_3\text{Fe}(\text{CN})_6$ для последнего 7,4 $\mu\text{л}$). Не мешают нитраты, хлораты броматы, йодаты, перхлораты, арсенаты и периодаты; мешают нитриты, персульфаты и хроматы. При окислении смесей аминов, состоящих из диметилпарафенилендиамина и одного из ароматич. аминов (анилин, о- и п-толуидин, диметиланилин, диэтиланилин, сульфаниловая к-та, м- и п-нитроанилин), возникает окраска от фиолетовой до темно-синей. Р-ции с применением смеси аминов менее чувствительны.

А. Немодрук

70591. Определение содержания циана в коковских газах. Голянд С. М., Адоньева Н. В., Заводск. лаборатория, 1958, 24, № 5, 541—542

Описан метод, основанный на поглощении циана, дициана и HCN р-рами полисульфидов с образованием роданида, кол-во которого определяют бромциановым методом. Через 2 последовательно соединенные склянки Полежаева, содержащие по 5 мл 0,5 М р-ра полисульфида Na , пропускают 10—12 л анализируемого газа со скоростью 6—10 л/час. Р-ры из склянок переносят в мерную колбу емк. 250 мл, прибавляют 2 н. H_2SO_4 до слабокислой р-ции (по метиловому оранжевому) и 10%-ный р-р NH_4OH до слабощел. р-ции, разбавляют водой до ~ 50 мл, нагревают до кипения, охлаждают, прибавляют 10 мл 2 н. H_2SO_4 и бромную воду до оранжевой окраски р-ра, выдерживают 2—3 мин. и вливают 2 мл 5%-ного р-ра фенола (для удаления избытка Br_2). К обесцвечившемуся р-ру прибавляют 1 г твердого KJ , колбу закрывают, содержимое колбы перемешивают, выдерживают в темном месте 10—15 мин. и выделившийся йод титруют 0,05—0,1 н. р-ром $\text{Na}_2\text{S}_2\text{O}_3$ в присутствии крахмала. Суммарное содержание (х) циана, дициана и HCN (в расчете на HCN) находят по ф-ле $x = 1,35 \cdot a/V_0$, где а — кол-во 0,1 н. $\text{Na}_2\text{S}_2\text{O}_3$ в мл; V — объем пропущенного анализируемого газа в л; 1,35 — кол-во HCN (в мг), соответствующее 1 мл 0,1 н. $\text{Na}_2\text{S}_2\text{O}_3$.

А. Немодрук

70592. Определение очень малых количеств сероуглерода в двуокиси углерода и инертных газах методом газовой хроматографии с предварительным обогащением. Сверак, Рейзер (Gaschromatographische Bestimmung kleinster Mengen Schwefelkohlenstoff in Kohlendioxyd und inerten Gasen nach vorangegangener Anreicherung. Syerak J., Reiser P. L.), Mikrochim. acta, 1958, № 3, 426—433 (нем.; рец. англ., франц.)

При помощи описанной ранее аппаратуры (РЖХим, 1958, 46455) на колонке длиной 250 мм и диам. 6 мм, заполненной стерхмолем, пропитанным диметилсульфоланом, с использованием N_2 в качестве газа-носителя, осуществлено определени CS_2 в CO_2 при конц-ии

CS_2 350 мг/м³. Для увеличения чувствительности определения применено предварительное обогащение CS_2 пропусканием анализируемой пробы через колонку с силикагелем (РЖХим, 1956, 78401). В этом случае удается определить CS_2 при концентрации 0,00002 об.% с ошибкой 10%. Удерживающий объем SO_2 304 мл, а CS_2 241 мл, но одновременное определение SO_2 и CS_2 сомнительно в виду возможности р-ции $\text{CS}_2 + \text{SO}_2 = \text{CO}_2 + 3\text{S}$.

Б. Анвар
70593. Определение малых количеств сернокислого бария в пасте для пластин свинцового аккумулятора. Миславская Ф. Ф., Меламед Ш. Г., Западск. лаборатория, 1958, 24, № 4, 453—454

Для полуколич. анализа высушенную пробу помещают в канал угольного электрода (анода) глубиной и диам. 4 мм. Спектры возбуждают в дуге постоянного тока при 12 а с обжигом 2 мин. и экспозицией 25—35 сек. до полного испарения Pb и фотографируют на среднем спектрографе. Аналитич. линия Ba 2335, 2 А; чувствительность анализа $6 \cdot 10^{-5}\%$. Для более точного анализа пробу испаряют с поверхности вращающегося со скоростью 2 об./мин. латунного электрода в виде диска. Порошок смешивают с содой (4:1), смачивают водой, помещают в паз электрода и высушивают. Верхний электрод — латунный стержень. Спектры возбуждают в дуге переменного тока (5а) с прерывателем при числе вспышек 120 в 1 мин. и продолжительности 0,15 сек. Дуговой промежуток 2 мм; экспозиция 60 сек. Градуировочный график строят с учетом фона по линиям Ba 4554,0 — Pb 5005,5 А. Чувствительность анализа в этом случае $1 \cdot 10^{-4}\%$ BaSO_4 ; ошибка $\pm 15\%$.

Г. Кибисов
70594. О температуре дуги при спектральном анализе некоторых руд и минералов методом графитового порошка. Финкин К. З., Сб. научн. тр. Магнитогорский горно-металлург. ин-т, 1958, вып. 16, 137—140

При многократном определении разности потенциалов на электродах горящей дуги установлено, что в результате смешения руды с угольным порошком устраняется фракционное испарение элементов из канала электрода во время экспозиции. Только в начальной и конечной периоды горения дуги наблюдается изменение разности потенциалов. Предполагают, что в смеси с угольным порошком расплав руды состоит из множества очень мелких капель, что обеспечивает равномерное поступление всех элементов в пламя источника.

Г. Кибисов
70595. Быстрый анализ хромовых руд на содержание Cr_2O_3 и SiO_2 физическим методом. Шёвегярто (Die Schnellanalyse zur Bestimmung des Cr_2O_3 -und SiO_2 -Gehaltes von Chromerzen auf physikalischem Wege. Sövegjárto H.), Radex Rundschau, 1957, № 4, 668—671 (нем.; рез. франц., англ.)

Метод основан на существовании функциональной зависимости (ФЗ) между уд. весом хромовых руд (ХР) и содержанием в них Cr_2O_3 и SiO_2 , входящих в состав главных минералов ХР: хромита (уд. в. 4,5—4,8 г/мл) и серпентина (уд. в. 2,7—3,0 г/мл). Эта ФЗ была установлена на больших партиях албанских ХР, но является справедливой и для ряда турецких ХР и ХР Бельгийского Конго. Некоторые ХР, в частности некоторые советские ХР, требуют введения эмпирич. поправок коэф. Методика анализа заключается в однократном определении уд. веса образца соответствующей средней пробы данной партии ХР и в хим. определении содержания в ней SiO_2 . Содержание Cr_2O_3 в ХР по этим данным определяют по графику, отображающему указанную ФЗ и построенному на основании многочисленных хим. анализов албанских ХР. Продолжительность одного определения составляет всего 5—10 мин., вместо нескольких часов, требующих-

ся при чистохим. методах анализа средней пробы. Абс. ошибка определения $\pm 0,54\%$.

А. Горюнов
70596. Связь между удельным весом и химическим составом хромовых руд. Тройер (Beziehungen zwischen Wichte und chemischer Zusammensetzung von Chromerzen. Trojer F.), Radex Rundschau, 1957, № 4, 671—672 (нем.)

Существование функциональной зависимости между уд. весом и хим. составом хромовых руд (см. пред. реф.) выводится на основании следующих наблюдений. 1. Хим. состав кристаллов хромита (ХР) одного и того же месторождения (М) колеблется в узких пределах, тогда как хим. состав ХР разных М сильно отличается один от другого, благодаря чему ХР различных М имеют различные уд. веса. 2. Материнские породы различных хромовых М имеют различную степень автогидратации, а входящие в их состав гидратированные силикаты имеют весьма различную пористость. 3. Встречающийся в хромовых рудах магнетит понижает уд. вес руды и уменьшает процентное содержание в ней SiO_2 . Кристаллы ХР разных М иногда имеют различный кристаллографич. объем, часто вполне характерный для данного М, который также влияет на уд. вес руды. Исходя из данных анализа не менее 10 фракций средней пробы руды данного М с последовательно изменяющимися уд. весами можно построить график, отображающий указанную функциональную зависимость между уд. весом и хим. составом руды в отношении, напр., процентного содержания в ней наиболее важных компонентов, таких как Cr_2O_3 и SiO_2 . Такого рода график сильно облегчает и ускоряет определение хим. состава различных партий руды одного и того же М, не требуя проведения каждый раз дорогостоящих и длительных хим. анализов. Каждое М требует, конечно, построения своего графика. Ошибка получаемых результатов составляет $\pm 1\%$.

А. Горюнов
70597. Спектральный анализ глины. Конопелько И. А., Ткачев Л. И., Раецкая Д. Я., Инж.-физ. ж., 1958, 1, № 2, 109—112

Высушенные, измельченные и прокаленные анализируемые пробы смешивают с угольным порошком, NaCl и CuO в соотношении 1:19:1:2 и помещают в канал угольного электрода. Спектры возбуждают в дуге переменного тока при 4 а и дуговом промежутке 2,5 мм и фотографируют на среднем спектрографе с 3-линзовым освещением щели с промежуточной диафрагмой 3,2 мм. Предварительный обжиг 10 сек. при определении Si, Fe и Ca и 5 сек. при определении Al и Mg; экспозиция 30 сек. Градуировочные графики строят в координатах ΔS , $\lg C$ по аналитич. линиям (в А): Si 2435,2 — Cu 2441,6, Al 3082,9 — Cu 2824,4, Fe 2994,5 — Cu 2997,4, Ca 3179,3 — Cu 3194,1, Mg 2852,1 — Cu 2824,4. Ошибка анализа: $\text{SiO}_2 \pm 3,3\%$, $\text{Al}_2\text{O}_3 \pm 9,1\%$, $\text{Fe}_2\text{O}_3 \pm 4,8\%$, $\text{CaO} \pm 9,8\%$ и $\text{MgO} \pm 6,2\%$. При анализе глины с предварительным переводом их в р-р получены отрицательные результаты.

Г. Кибисов
70598. Применение инфракрасной спектроскопии для определения минеральных компонентов в шлаках и огнеупорных системах. Пепперхофф (Anwendung der Ultrarot-Spektroskopie auf die Bestimmung der Mineralbestandteile in Schlacken und feuerfesten Systemen. Pepperhoff Werner), Arch. Eisenhüttenwesen, 1958, 29, № 3, 153—158 (нем.)

Сняты спектры поглощения $\text{Al}_2\text{O}_3 \cdot \text{SiO}_2$, $\text{CaO} \cdot \text{Al}_2\text{O}_3 \cdot \text{SiO}_2$, $4\text{CaO} \cdot \text{P}_2\text{O}_5$, апатитов и других компонентов огнеупорных материалов и шлаков при 6—15 м. Установлено, что спектры обнаруживают характерные участки избирательного поглощения, позволяющие использовать метод ИК-спектроскопии как дополнение к хим. и кристаллографич. методам анализа важ-

пробы.
оруюю
ческим
hungen
setzung
u, 1957,
и меж-
и. пред-
аблюде-
одно
узкий
сильно
Р раз-
инские
личную
ав гид-
ую по-
магне-
ентное
и ин-
е, часто
также
иза не
го М с
можно
функ-
им. со-
содер-
таких
облег-
чиных
роведе-
х. хим.
ия сво-
состав-
оруюю
елько
ж.-физ.

ных с точки зрения металлургич. практики соединений.

В. Ш.

70599. Применение метода электрографического анализа для идентификации главных легирующих элементов сталей. Медяну, Ману (Aplicarea analizei electrografice la identificarea principalelor elemente de aliere în oțeluri. Mediana B., Manu V.), Rev. chim., 1958, 9, № 2, 103—105 (рум.).

Установлено, что с помощью электрографа можно отличить легированную соль от углеродистой и выявлять природу легирующих элементов. При определенной плотности тока и продолжительности электрографирования на фильтровальной бумаге, пропитанной соответствующим электролитом (иногда и реактивом), получают электрограммы, на которых затем при помощи спец. реактивов проявляют искомый элемент. При открытии Ni фильтровальную бумагу пропитывают р-ром, содержащим 30 мл 2 н. CH_3COOH , 10 мл 1%-ного спирт. р-ра диметилглиоксима и 5—10 капель 2 н. CH_3COONa и производят электрографирование в течение 4—5 сек. при 7—8 в и плотности тока 1 а/см². При наличии Ni на бумаге появляется розовато-красное пятно. При открытии Mo и Cr фильтровальную бумагу пропитывают только электролитом (30%-ный р-р NaNO_3) и электрографируют в течение 8—12 сек. при 8—10 в и плотности тока 1,5 а/см². Часть полученной электрограммы (1 см²) обрабатывают р-ром, содержащим KSCN и SnCl_2 ; в присутствии MO р-р окрашивается в карминово-красный цвет. Если присутствует W, то при прибавлении к этому р-ру конц. HCl выделяется осадок H_2WO_4 . Другую часть электрограммы обрабатывают 10—15 каплями насыщ. р-ра Na_2O_2 . При этом Cr^{3+} окисляется до CrO_4^{2-} , другие катионы (Fe^{3+} , Co^{2+} , Mn^{2+} , Ni^{2+} , Pb^{2+} , Bi^{3+}) образуют труднорастворимые гидроксиды. Полученным р-ром смачивают фильтровальную бумагу, на которую затем наносят уксуснокислый р-р безидина. При наличии Cr появляется синяя окраска. По интенсивности окраски можно судить о приблизительном содержании каждого из изученных элементов. Продолжительность одного определения при серийном анализе ≤ 1 мин.

Б. Маноло

70600. Примеси в чугунах и их химическое определение. Вильмер (Die hauptsächlichen Begleitelemente im Roheisen und ihre chemische Bestimmung. Wilmer Theo-Kurt), Arch. Eisenhüttenwesen, 1958, 29, № 3, 159—164 (нем.).

Описана методика определения малых кол-в Al (фотометрически с помощью алюминона или эриохромцианина), Co (фотометрически с помощью нитрозо-R-соли или $\text{K}_3\text{Fe}(\text{CN})_6$), Cr (фотометрически с помощью дифенилкарбазида), Cu (фотометрически с помощью дитиооксамида), Mo (фотометрически с помощью KSCN в присутствии SnCl_2), Ni (фотометрически с помощью диметилглиоксима), Ti (фотометрически с помощью хромотроповой к-ты), V (потенциометрически), Sb (потенциометрически), Sn (йодометрически) и Pb (фотометрически с помощью дитизона). Ю. Б.

70601. Спектральное определение марганца и кремния в ферросплавах. Козлова А. В., Корж П. Д., Сб. научн. тр. Магнитогорский горно-металлург. ин-т, 1958, вып. 16, 132—136

Разработан метод определения Mn и Si в ферросплавах различного состава по единым градуировочным графикам. 0,4 г графита, 0,05 г пробы и 0,05 г CuCl_2 тщательно растирают в течение 10 мин. в ступке и помещают в отверстие угольного электрода глубиной 2 мм и диам. 1,5 мм (толщина стенок 0,2 мм). Спектр возбуждают в разряде дуги переменного тока при 6а и дуговом промежутке 1,5 мм. Продолжительность экспозиции 20 сек. без предварительного обжига. Анализ производят на среднем спектрографе по линии

Мn 2939 — Cu 2824 А и Si 2884 — Cu 3036 А. Градуировочный график строят в координатах ΔS , IgC. Влияние третьих элементов не обнаружено. Обязательным условием являются очень тонкое измельчение пробы (300 меш.) и введение Cu только в форме CuCl_2 .

Г. Кибисов

70602. Определение алюминия, никеля, кобальта, меди и железа в сплаве альинко. Уилкинс, Хибс (The determination of aluminum, nickel, cobalt, copper, and iron in alnico. Wilkins Donald H., Hibbs Louis E.), Analyt. chim. acta, 1958, 18, № 4, 372—375 (англ.).

Описан метод определения Al, Ni, Co, Cu и Fe в сплаве альинко, состоящий в хроматографич. разделении указанных металлов в форме хлоридных комплексов и последующем их определении с помощью комплексона III (I). 1 г анализируемого сплава растворяют в царской водке, упаривают 2 раза до сиропообразного состояния (удаление HNO_3), прибавляют 5 мл конц. HCl , 50 мл воды и полученный р-р подвергают электролизу в течение ~ 30 мин. при 0,5 а до полного осаждения Cu. Электрод с выделенной Cu промывают водой, помещают в стакан, содержащий 10 мл 20%-ного р-ра $\text{CH}_3\text{COONH}_4$, прибавляют воду до полного погружения в р-р слоя Cu и пропускают электр. ток до растворения осажденной Cu. К полученному р-ру прибавляют избыток 0,01 М р-ра I, 4—5 капель р-ра 1-(2-пиридилазо)-2-нафтола (II) и избыток I оттитровывают 0,03 М р-ром Cu^{2+} . К этому р-ру, содержащему Al, Ni, Co и Fe, прибавляют 3 мл 30%-ной H_2O_2 , упаривают до 4—5 мл, переносят с помощью 9 М HCl в колонку, наполненную смолой дауэкс-I $\times 4$ в хлоридной форме (диам. 1, высота 35 см), и элюируют последовательно 9 М р-ром HCl (вымывают Al и Ni), 4 М р-ром HCl (вымывают Co), и 0,5 М р-ром HCl (вымывают Fe). Элюат, содержащий Al и Ni, упаривают до ~ 10 мл и разбавляют водой до 250 мл; к 25 мл полученного р-ра прибавляют 10 мл буферного р-ра (pH 4,8) и избыток I, нагревают до кипения, прибавляют 4—5 капель р-ра II и избыток I оттитровывают 0,03 М р-ром Cu^{2+} до перехода желтой окраски в розовую (определяют сумму Al + Ni). Затем к этому же р-ру в горячем состоянии прибавляют 1 г NH_4F и выделившийся I оттитровывают 0,03 М р-ром Cu^{2+} (определяют Al). Кол-во Ni определяют по разности. Элюаты, содержащие Co и Fe, упаривают до ~ 10 мл и разбавляют водой до 250 мл; к 25 мл каждого из полученных р-ров прибавляют 5—10 мл I, 10 мл буферного р-ра (pH 4,8) и избыток I оттитровывают 0,03 М р-ром Cu^{2+} . Описанные методы удобнее обычных классич. методов определения указанных элементов.

А. Зозуля

70603. Комбинированная методика определения Mo, Ni, Mn, Fe, Cr, Sn, V и N в титановых сплавах. Норвич, Коделл (Composite procedure for the determination of Mo, Ni, Mn, Fe, Cr, Sn, V and N in titanium alloys. Norwitz George, Codell Maurice), Metallurgia, 1958, 57, № 343, 261—267, 269—270 (англ.).

Предложена комбинированная методика для определения 8 элементов в Ti-сплавах. Согласно этой методике Mo определяют фотометрически с помощью роданида, гравиметрически или титриметрически после осаждения сульфидов, Ni — фотометрически или гравиметрически с помощью диметилглиоксима, Mn — периодатным фотометрич. методом или титрованием арсенитом, Fe — фотометрически с помощью о-фена-тролина или титрованием бихроматом, Cr — фотометрически с помощью дифенилкарбазида или титрованием сульфатом Fe (2+), Sn — йодометрически, V — титрованием сульфатом Fe (2+) с применением ди-

фенилбензидинсульфоната Na в качестве индикатора и N — титриметрически после дистилляции.

Резюме авторов

70604. Спектральное определение кальция и циркония в висмута-урановых сплавах. Смарт, Уэбб (The spectrographic determination of calcium and zirconium in bismuth-uranium alloys. Smart R. C., Webb M. S. W. Repts. Atomic Energy Res. Establ., 1958, № C/R 2117, 8 pp., ill.) (англ.)

Для анализа готовят синтетич. эталоны из смеси U_3O_8 и Bi_2O_3 с конц-ией U 0,1% по отношению к Bi. Ca и Zr вводят в пределах 50—500 μ . Внутренним стандартом служит La (при конц-ии 1% в расчете на Bi), введенный в виде La_2O_3 . Анализируемую пробу (1 г) растворяют в миним. кол-ве HNO_3 (1:1), р-р выпаривают досуха и остаток прокалывают при 600°. 90 мг полученной окиси смешивают в агатовой ступке с 10 мг смеси Bi_2O_3 и La_2O_3 ; (конц-ия La в добавляемой смеси равна 10% в расчете на Bi). 5 мг полученной смеси переносят на предварительно смоченную лаком плоскую торцевую поверхность Cu-электрода диам. 7 мм (лак можно заменить смолой, затвердевающей при нагреве) и прямо на электроде с помощью стеклянной палочки перемешивают с лаком. Приготовленные таким образом электроды сушат 30 мин. при 130°. Перед нанесением в-ва электроды на 10 сек. заливают HNO_3 , промывают водой и сушат. Спектры возбуждают в импульсной дуге при силе тока 4 а и экспозиции 45 сек. Расстояние между электродами 4 мм; контрэлектрод — Cu-стержень диам. 7 мм, заточенный на плоскость. Спектры фотографируют через фильтр с пропусканием 100 в 50% на спектрографе большой дисперсии со щелью 0,015 мм. Градуировочные графики строят в координатах: ΔS , lgC с применением преобразований Зайделя. Аналитич. линии (в А): Ca 3933,7, Ca 3968,5 — La 3949,1, Zr 3438,2 — La 3453,2. Ошибка единичного определения при конц-ии 300 μ составляет 5% для Ca и 8,5% для Zr. Л. Капорский

70605. Ионнообменное разделение в анализе сплавов на основе висмута. Часть II. Тройные сплавы, содержащие уран и торий. Милнер, Нанн (Ion exchange separation in the analysis of bismuth base alloys. Part II. Ternary alloys containing uranium and thorium. Milner G. W. C., Nunn J. H.), Analyst, chim. acta, 1957, 17, № 5, 494—499 (англ.; рез. нем., франц.)

Р-р образца (500 мг) висмутового сплава, содержащего 0,1—10% U и Th, в 5 M HCl пропускают со скоростью 1 мл/мин через изготовленную из 50-мл бюретки ионообменную колонку, содержащую 8—9 г воздушно-сухого анионита деацитид FF в Cl-форме и промывают несколько раз 5 M р-ром HCl. Bi и U задерживаются на колонке, а Th проходит в фильтрат. После мокрого сожжения смесью $HClO_4 + HNO_3$ органич. в-ва, увлеченного из колонки в фильтрат, Th определяют в фильтрате или титрованием 0,02 M р-ром (при конц-ии Th 5—10% или 1—5% соответственно) при pH 3 в присутствии пирокатахинового флюидетового в качестве индикатора, или фотометрически (при конц-иях Th 0,1—1%) измерением интенсивности окраски, образующейся при р-ции Th с тороном [1-(о-арсеофенилазо) -2-нафтол -3,6-дисульфоновая к-та] со светофильтром Илфорд № 605. U элюируют из колонки 0,2 M р-ром HCl и определяют в элюате после мокрого сожжения органич. в-ва и предварительного восстановления до U(4+) титрованием 0,02 н. р-ром $Ce(SO_4)_2$ с индикатором ферроином (при конц-ии U в сплаве 1—10%) или полярографически (при конц-ии U 0,1—1%) на фоне тартрата (120 г/л $NaHC_2H_3O_6 + 3$ г/л NaCl). Получаемые результаты весьма удовлетворительны, но методика несколько длительна из-за

необходимости удаления органич. в-ва, извлекаемого из анионита. Часть 1 см. РЖХим, 1958, 11032. А. Г.

70606. Спектральный анализ медномарганцевых легатур. Коваленко В. Д., Заводск. лаборатория, 1958, 24, 455—457

Спектры возбуждают в разряде высоковольтной искры от генератора ИГ-2, работающего по сложной схеме при самоиндукции 0,01 мгн, емкости 0,01 мф, вспомогательном промежутке 3 мм, рабочем промежутке 2 мм и одном разряде за полупериод. Сила тока 2а, верхний электрод никелевый, с рабочей площадкой диам. 2 мм. Продолжительность обсыхания 1 мин., экспозиция 40 сек. Спектры регистрируют на среднем спектрографе. Градуировочные графики строят в координатах ΔS , lgC. Аналитич. линий (в А): Mn 2892,3 — Ni 2994,4, Fe 2739,5 — Ni 2994,4. Определяемая конц-ия Mn 5—36%, 1—3,5%, сходимость результатов хим. и спектрального анализов хорошая. Описаны менее удачные опыты по возбуждению спектров в дуге переменного тока с Cu-электродом. Г. Кибисов

70607. Полярографическое определение примесей в индии высокой чистоты. Поль, Бонзельс (Die polarographische Bestimmung von Verunreinigungen in reinstem Indium. Pohl Franz A., Bonzels Willy), Z. analyt. Chem., 1958, 161, № 2, 108—114 (нем.)

Разработан метод определения Pb, Fe, Cd, Cu, Ti, Bi и Zn в индии высокой чистоты, основанный на предварительном концентрировании перечисленных элементов с применением изопропилового эфира (I) в качестве экстрагента и последующем полярографировании каждого из этих элементов. При определении Cu, Cd, Pb, Bi и Zn 5 г индия растворяют в 30 мл конц. HBr, добавляют еще 12 мл конц. HBr и 8 мл бидистил. воды и полученный р-р (≥ 5 н. по HBr) экстрагируют в течение 6 час. с помощью 300 мл I. В слой I переходят In, Ti и Au, в водн. фазе полностью остаются Pb, Cd, Cu, Bi и Zn. К водн. фазе прибавляют 3 мл конц. $HClO_4$ и выпаривают досуха. Для определения Cu, Cd и Zn к полученному остатку прибавляют 0,2 мл (или 1,0 мл) 6 н. NH_4OH , переносят в полярографич. ячейку, пропускают H_2 и полярографируют. Потенциалы полуволны $E_{1/2}$ для Cu составляют —0,49 в, для Cd —0,82 в и для Zn —1,49 в. Bi и Pb определяют из новой навески, которую обрабатывают, как описано выше, вплоть до получения сухого остатка перхлоратов. Затем к этому остатку прибавляют конц. H_2SO_4 , снова выпаривают досуха, прибавляют 0,2 мл (или 1,0 мл) 0,5 M р-ра тартрата Na (pH 4,5) и полярографируют. В этом р-ре возможно также определение Cu. $E_{1/2}$ для Cu составляет —0,33 в, для Bi —0,58 в и для Pb —0,78 в. При определении Ti и Fe 5 г индия растворяют в 30 мл перегнанной HCl, к полученному р-ру прибавляют 1 каплю р-ра H_2O_2 , 15 мл перегнанной HCl, 5 мл бидистил. воды и экстрагируют (конц-ия HCl должна быть ≥ 6 н.) с помощью I 3 раза по 20 мл (встряхивают в течение 3 мин.). Fe и Ti полностью переходят в органич. слой, который дважды промывают порциями по 20 мл 6 н. HCl и выпаривают досуха. К остатку прибавляют 2 мл $HClO_4$ и снова выпаривают досуха, затем прибавляют 2 капли 6 н. H_2SO_4 , 1 каплю 1%-ного р-ра $N_2H_4 \cdot H_2SO_4$, снова упаривают почти досуха, прибавляют 1 каплю свежеприготовленного 1%-ного р-ра метола, 1 мл 0,5 M аммиачного р-ра тартрата аммония и полярографируют (в атмосфере H_2). $E_{1/2}$ для Ti составляет —0,35 в, для Fe —1,40 в. Метод позволяет определять все перечисленные элементы при их содержании до 10—6%. Ошибка определения $\leq 10\%$. А. Немодрук

70608. Определение кобальта и кадмия в никеле высокой чистоты. Креймер С. Е., Тужилина

Н. В., Головина В. А., Тябина Р. А., Заводск. лаборатория, 1958, 24, № 3, 262—264

Описан метод определения Со в никеле высокой чистоты, основанный на отделении Со осаждением в форме $(C_{22}H_{24}O_2N_4)_2H_2[Co(SCN)_4]$ (I) с помощью диантипирилметана (II) в присутствии NH_4SCN . При определении Со 1—5 г анализируемого никеля растворяют в HNO_3 (3:2) с добавлением 20 мл H_2SO_4 (1:1) и нагревают до появления густых паров H_2SO_4 . Остаток растворяют в 100—150 мл воды, прибавляют 10 мл H_2SO_4 (1:1), 15 мл 20%-ного р-ра NH_4SCN и 25 мл 2%-ного р-ра II в 0,5 н. HCl и перемешивают в течение 1 часа. Выделяющийся осадок I вместе с продуктами взаимодействия II и NH_4SCN отфильтровывают, промывают 1%-ным р-ром NH_4SCN , вместе с фильтром нагревают со смесью HNO_3 и H_2SO_4 до полного разрушения органич. в-ва и выпаривают досуха. Образующиеся сернокислые соли растворяют в воде и алиquotную порцию полученного р-ра фотометрируют с нитрозо-Р-солью (Щербов Д. П., Заводск. лаборатория, 1949, 15, 1399). Описанным методом определяют до 0,0001% Со. При определении Cd 10 г никеля растворяют в 80 мл HNO_3 (1:1), выпаривают досуха, прибавляют 50 мл конц. H_2SO_4 и снова выпаривают досуха. Остаток растворяют в 200 мл 1 н. H_2SO_4 , прибавляют 2 г II, нагревают до полного растворения остатка, добавляют 40 мл горячего 10%-ного р-ра KBr (при содержании $Cd > 0,002\%$) и выдерживают 8—10 час. Осадок отфильтровывают, промывают спец. р-ром (5 г I, 15 г KBr и 15 мл конц. H_2SO_4 в 1 л воды) и обрабатывают, как и при определении Со. В полученном р-ре Cd^{2+} определяют полярографически, в качестве фона применяют р-ры 1 н. NH_4Cl и 1 н. NH_4OH с добавлением Na_2SO_3 и столярного клея. Потенциал полувольты Cd^{2+} по отношению к насыщ. к.э. составляет —0,8 в. При содержании Cd 0,0001—0,002% вместо р-ра KBr применяют KJ , образующий менее растворимые осадки. Кроме того, из полученного сернокислого р-ра, содержащего Cd^{2+} , отделяют Cu^{2+} осаждением с помощью $Na_2S_2O_3$ и в фильтрате вновь осаждают Cd^{2+} . Результаты определения Cd в синтетич. эталонах (0,0001—0,01% Cd) хорошо совпадают с данными дитизонного метода.

А. Немодрук

70609. Определение следов элементов. III. Определение следов элементов в цирконии и его соединениях. IV. Определение следов элементов в селене высокой чистоты. Кох (Beiträge zur Spurenanalyse. III. Zur Spurenanalyse von Zirkonien und dessen Verbindungen. IV. Zur Spurenanalyse von Reinstsele. Koch O. G.), Mikrochim. acta, 1958, № 3, 347—352, 402—405 (нем.; реэ. англ., франц.)

III. Разработан метод определения следов Ag , As , Au , Bi , Cd , Co , Cr , Cu , Fe , Ga , Hg , In , Mn , Mo , Nb , Ni , Pb , Pt , Sb , Se , Sn , Te , Tl , U , V и Zn в Zr и Zr -соединениях. 1 г циркония растворяют в 10 мл H_2SO_4 (1:1) с добавлением (по каплям) разб. HF (1:1), нагревают до появления густых паров H_2SO_4 (для удаления HF), охлаждают, разбавляют водой, прибавляют 6 н. HCl и нагревают на водяной бане до полного растворения остатка. К полученному р-ру прибавляют 20 мл 25%-ного р-ра тартрата аммония (I), устанавливают pH на уровне 3,0, добавляют 2 мл 5%-ного р-ра пирролидиндифторкарбамината аммония (II) и 15 мл 0,01%-ного хлороформного р-ра дитизона (III), встряхивают, отделяют органич. слой (OC), повторяют экстрагирование с применением новых порций II и III еще 2—3 раза, прибавляют 2 мл р-ра II и экстрагируют хлороформом (15 мл). Экстрагирование повторяют до зеленой окраски OC. Затем к водн. слою (BC) прибавляют 6 н. NH_4OH до pH 5,0, повторяют ту же обработку, что и при pH 3,0, далее прибавляют 15 мл р-ра I и экстрагируют таким же образом сначала при pH

7,0, а затем при pH 9,0. Все экстракты объединяют, отгоняют $CHCl_3$, прибавляют 0,1%-ный р-р $Be(NO_3)_2$ и 1%-ный р-р KNO_3 (спектрографич. буфер), выпаривают и озоляют. Остаток растворяют в царской водке (ЦВ) и спектрографируют. Чувствительность определения $\sim 0,00001\%$; ошибка 5—15%.

IV. Для выделения следов Sc , Y , La , Ti , Zr , Hf , Th , Mo , U , Mn , Fe , Co , Ni , Cu , Zn , Al , Ga , Pb , Ag , Cd , In , Sn , Sb , Pt , Au , Hg , Tl , V и Bi из селена использованы 8-оксихинолин (IV) и III. 1 г селена растворяют в ЦВ, р-р выпаривают досуха, остаток растворяют в разб. HCl , к р-ру прибавляют 6 н. NH_4OH до pH 3,0, 10 мл 0,1%-ного р-ра IV в $CHCl_3$ и 10 мл 0,01%-ного р-ра III, встряхивают и отделяют OC. Экстрагирование р-рами IV и III повторяют ~ 3 раза и после этого экстрагируют хлороформом (порциями по 20 мл) до зеленой окраски OC. pH BC устанавливают на уровне 5,0 и снова экстрагируют в том же порядке. Затем к BC прибавляют 10 мл 25%-ного р-ра I (для предупреждения деления гидроокисей) и повторяют экстрагирование сначала при pH 7,0, а затем при pH 9,0. Экстракты объединяют, отгоняют $CHCl_3$, прибавляют р-ры $Be(NO_3)_2$ и KNO_3 , озоляют при 350° , остаток растворяют в ЦВ и спектрографируют. Чувствительность определения $\sim 0,00001\%$. Увеличением навески Se до 20 г чувствительность определения может быть повышена до 0,0000005%. Ошибка $\sim 10\%$. Сообщение II см. РЖХим, 1958, 43067.

А. Немодрук

70610. Анализ двуокиси марганца, в частности анализа окисла марганца, электролитически осажденной на графите. Кодзава, Восберг (Analysis of manganese dioxide with special reference to electrodeposited oxide on graphite. Kozawa Akiya, Vossburgh W. C.), J. Electrochem. Soc., 1958, 105, № 4, 235—237 (англ.)

Установлено, что результаты определения состава электролитически осажденной на графите двуокиси Mn (I) (РЖХим, 1955, 48581; 1957, 54050), приводящие к ф-ле $MnO_{1,5}$, являются ошибочными. Одной из причин этой ошибки является пористость графитовых электродов (ГЭ) и различие в т-ре стандартного р-ра $FeSO_4$, применяемого для промывания ГЭ. Метод определения доступного О путем растворения I (в течение 1—2 час.) в 10 мл 0,1 н. $FeSO_4$ и 1,8 М H_2SO_4 при $\sim 25^\circ$ дает удовлетворительные результаты в случае ГЭ, содержащих в порах р-ры $NaCl$ (4 М), $(NH_4)_2SO_4$ (2 М) и Na_2SO_4 (1 М); при употреблении р-ра $FeSO_4$ с т-рой 80—90° результаты занижены, особенно в присутствии в порах ГЭ р-ра $(NH_4)_2SO_4$. При применении р-ра $FeSO_4$ с т-рой $\sim 25^\circ$ (ГЭ выдерживали 1 час в 1 М H_2SO_4) и потенциометрич. определении Mn состав I соответствует ф-ле $MnO_{1,855 \pm 0,005}$ (среднее из результатов 5 анализов) или $MnO_{1,947 \pm 0,005}$ (среднее из результатов 7 анализов). При определении состава I, электролитически осажденной на платине, состав осадка отвечает ф-ле $MnO_{1,976 \pm 0,002}$. Отмечено, что продолжительность растворения осадка MnO_2 в р-ре $FeSO_4$ с т-рой $\sim 25^\circ$ при перемешивании меньше, чем в горячем р-ре $FeSO_4$. При анализе различных проб I ~ 200 мг пробы растворяли в 25 мл р-ра, 0,25 М по $FeSO_4$ и 1,8 М по H_2SO_4 , при $\sim 25^\circ$ и избыток $FeSO_4$ оттитровывали 0,2 М р-ром $KMnO_4$. Затем этот же р-р после установления pH 6—7 добавляли ~ 35 г твердого $Na_2P_2O_7 \cdot 10H_2O$ или KOH и $Na_2P_2O_7$ и титровали потенциометрически 0,02 М р-ром $KMnO_4$. Содержание О составляло $16,06 \pm 0,015\%$, общее содержание Mn $58,40 \pm 0,07\%$. Присутствие H_2SO_4 и NH_4Cl на результаты потенциометрич. титрования $Mn(2+)$ не влияет.

Т. Леви

70611. Спектральное определение примесей в вольфрамовой кислоте. Прохазкова, Яра (Spektrographische Bestimmung der Verunreinigungen in

Wolframsäure. Procházková Věra, Jára Vladimír, Z. analyt. Chem., 1958, 161, № 4, 251—257 (нем.)

Описан метод, применимый для определения 0,001—0,01% Fe, Al, Mn и Mg, а также, в случае наличия, Co, Ni, Zn, Cd, Pb и Sn. 5 г пробы быстро прокалывают при 600°, прибавляют 2 мл 2%-ного р-ра CuSO_4 и смесь растворяют в 50 мл 4,6%-ного р-ра NaOH. Для осаждения H_2WO_4 р-р вливают в кипящую смесь 10 мл 20%-ного р-ра HCl и 1 мл CH_3COOH . К полученной суспензии прибавляют 8 мл 3%-ного спирта. р-ра оксидинолина, нагревают до 70° и добавляют 10 мл р-ра NaOH. При этом H_2WO_4 растворяется, а оксидинолинаты примесей и Cu выделяются в осадок. Осадок отфильтровывают и переносят в угольные электроды, сточенные на концах до диам. 40 мм. Нижний электрод имеет кольцевое отверстие глубиной и внутренним диам. 15 и внешним 30 мм. При приготовлении эталонов к 5 г перекристаллизованной WO_3 добавляют определенные кол-ва эталонных р-ров и смесь обрабатывают, как описано выше. Исходный эталонный р-р содержит по 50 $\mu\text{г}/\text{мл}$ Fe, Al, Mn и Mg. Описан способ очистки и приготовления WO_3 для эталонов. Спектры возбуждают в разряде дуги переменного тока при 4а и фотографируют на среднем кварцевом спектрографе с 3-линзовым осветителем при ширине щели 0,03 мм. Межеэлектродный промежуток 2 мм, предварительный обжиг 45 сек. экспозиция 15 сек. Аналитич. линии (в А): Fe 3020,64—Cu 2961,1; Mn 2949,2—Cu 2961,1; Al 3082,1—Cu 2961,1; Mg 2776,6—Cu 2618,3. Градуировочные графики строят в координатах ΔS , lgC. Относительная ошибка определения (в %): Fe 6, Mn 4, Al и Mg 12. Т. Гуревич

70612. Спектральное определение следовых количеств элементов в золе синтетического волокна после их экстрагирования в форме комплексов с пирролидиндитиокарбаминатом и дитизоном. Кох, Дедич (Spectrographic trace analysis of textile fiber ash after pyrrolidinedithiocarbamate-dithione extraction. Koch O. G., Dedic G. A.), Chemist-Analyst, 1957, 46, № 4, 88, 90—91 (англ.)

Разработан спектральный метод определения следовых кол-в Ag, As, Au, Bi, Cd, Cr, Cu, Fe, Ga, Hg, In, Mn, Mo, Nb, Ni, Pb, Pd, Pt, Sb, Se, Sn, Te, Ti, U, V и Zn после предварительного отделения указанных элементов от основы, содержащей главным образом Zr и Ti. Для анализа озолят 10 г анализируемого синтетич. волокна в Pt-тигле при 450° и полученную золу сплавляют с 5 ч. буры. Плав после охлаждения растворяют в HCl, р-р разбавляют водой и переносят в делительную воронку. Затем при pH 3 экстрагируют определяемые элементы хлороформом в форме комплексов с пирролидиндитиокарбаминатом и дитизоном. Экстрагирование повторяют 3—4 раза при pH 3, а затем по 1 разу при pH 5, 7 и 9. Экстракт выпаривают досуха, добавляют р-р $\text{Be}(\text{NO}_3)_2$, служащего внутренним стандартом, снова выпаривают и золу растворяют в нескольких каплях царской водки. Р-р выпаривают на водяной бане и растворяют в 0,04 мл 6 М HCl с добавлением воды. Для спектрального анализа наносят на нагретый графитовый электрод по 0,02 мл полученного р-ра и возбуждают спектры в разряде высоковольтной искры. Чувствительность анализа $1 \cdot 10^{-6}\%$; ошибка $\pm 10\%$. Описанная методика может быть применена также для определения следовых кол-в указанных элементов в алюминии, титане и цирконии. Б. Львов

См. также: Анализ неорганич. в-в: анализ природных материалов 69982; вод 71227, 71228. Определение содерж. тяжелой воды в нормальной воде 69983; трития 69984; водных р-ров H_2O_2 с помощью KMnO_4 70172;

NaCl в атмосферных осадках 70362; прибор для опред. Si, содерж. в ацетилене 70716; определение F в удобрениях 71398

АНАЛИЗ ОРГАНИЧЕСКИХ ВЕЩЕСТВ

Редактор А. А. Черкасский

70613. Микроопределение органических соединений. Херонис (The micro identification of organic compounds. Cheronis Nicholas D.), Microchem. J., 1958, 2, № 1, 43—70 (англ.)

Обзор методов определения органич. соединений в растительных и животных тканях. Н. Ш.

70614. Органическая полярография. Вавзонак (Organic polarography. Wawzonek Stanley), Analyt. Chem., 1958, 30, № 4, Part 2, 661—674 (англ.)

Обзор. Библ. 489 назв.

70615. Историческое развитие органического микроанализа. Стейермарк (Historical developments in quantitative organic micro analysis. Steyermark Al), Microchem. J., 1958, 2, № 1, 21—42 (англ.)

Краткий обзор развития колич. органич. микроанализа. Описаны организация спец. лабораторий, инструкции по работе с микровесами и печь для сожжения, а также посуда и приборы для микроанализа. Библ. 105 назв. А. Ч.

70616. Аналитическое применение перманганата серебра. VIII. Микро- и полумикроопределение углерода и водорода в органических веществах, содержащих фтор. Горачек, Кёрбль (Analytische využití manganistanu stříbrného. VIII. Mikro- a semimikrostanovení uhlíku a vodíku organických látkách obsahujících fluor. Horáček Jiří, Körbl Jiří), Chem. listy, 1957, 51, № 11, 2132—2135 (чешск.)

Для определения С и Н в органич. в-вах, содержащих F, применен ранее описанный метод (РЖХим, 1956, 68777), использующий для улавливания F продукты распада AgMnO_4 (I). Колич. поглощение F было обеспечено введением в трубку для сжигания дополнительного слоя закиси-окси свинца (II) на пемзе после слоя продуктов распада I. При таком наполнении сжигание в-ва и улавливание F происходит при 550°. Слой II получается при смешении промытой и высушенной при 105° продажной II с прокаленной пемзой (зерно 0,5—1 мм) в соотношении 3:1 и смачивании дистил. H_2O . Для микроопределения (навеска 3—4 мг) пользовались трубкой из стекла супремас длиной 30 см и внешним диам. 10 мм, заполненной последовательно, начиная с конца, присоединенного к поглотительным аппаратам: Ag-ватой (2 см), II на пемзе (3,5 см), слоем прокаленного асбеста, продуктами распада I, прокаленного в течение 2 час. при 550° (4 см), и слоем асбеста. Скорость тока $\text{O}_2 \sim 6\text{--}8 \text{ мл/мин}$, расход O_2 для 1 анализа 150—160 мл. Для полумикроопределения (навеска 15—20 мг) длина трубки увеличена до 35 см и толщина слоев II до 5 см и продукта разложения I до 8 см, а скорость O_2 до 12—14 мл/мин. При анализе 5 в-в с содержанием F до 76 абс. % ошибка микроопределений С менее $\pm 0,3\%$, Н от +0,02 до +0,28%; полумикроопределений С от —0,34 до +0,14%, Н от —0,12 до +0,24%. При полумикроанализе наполнение пригодно для 20—30 определений. Сообщение VII см. РЖХим, 1958, 49793.

70617. Метод количественного определения углерода и водорода в органических веществах, содержащих серу и галогены, с применением вакуума. Федосеев П. Н., Игнатенко Л. С., Изв. АН ТуркмССР, 1957, № 6, 84—89

Метод колич. определения С и Н в вакуумированной трубке применен к органич. в-вам, содержащим

S и галоген (Г) (РЖХим, 1958, 978). В-ва сжигают в присутствии CuO , Г и окислы серы поглощают металл. Ag, нагретым до 750—800°. В трубку для сжигания вводят Ag-спираль (70—80 мм), слой проволокообразной CuO (130—140 мм), лодочку (Л) (120—140 мм) с Ag-стружками или Ag-ватой (8—10 г) и спираль (СП) из CuO , в которую вставлена спираль из Ag-проволоки. Оба конца трубки для сжигания и отвод снабжены зажимами; отвод соединен с вакуумом. Трубка обогревается тремя электрич. печами, нагретыми до 750—800°. Навеску в-ва 0,03—0,06 г помещают между Л и СП, закрывают зажимы и откачивают воздух через боковой отвод. Остаточное давл. 3—5 мм рт. ст. Закрыв зажим бокового отвода, быстро передвигают печь с Л на навеску. Трубку нагревают по всей длине 8—12 мин., после чего открывают зажимы на концах трубки и вытесняют продукты р-ции током O_2 . Ошибка определения $\text{H} \pm 0,15$ —0,20%, $\text{C} \pm 0,15$ —0,30%. Предложен новый аппарат для поглощения H_2O и CO_2 . Н. Безингер

70618. Определение углерода и водорода в коксе, образующемся на катализаторах. Хиндин, Ли, Уэллер (Carbon-hydrogen analysis of coke on catalysts. Hindin S. G., Lee J. K., Weller S. W.), *Analyt. Chem.*, 1957, 29, № 12, 1850—1852 (англ.)

Предложен способ определения S и H в коксованных катализаторах для крекинга, отличающийся в принципе от обычного способа. Катализатор нагревают в закрытой системе и кокс сжигают с известным ограниченным объемом O_2 , взятым с небольшим избытком. H и C определяют, измеряя давление паров в реакционной зоне после сжигания образца и фракционированного замораживания образовавшихся H_2O и CO_2 при —78 и —123°. При анализе катализатора, содержащего Pt, его предварительно обрабатывают H_2 для превращения окислов Pt в металл, и в последующем вносят поправку на кол-во O_2 , использованного в процессе сжигания, для превращения металла в окись. Результаты анализа не зависят от присутствия H_2O в катализаторе, и миллиграммовые кол-ва H определяются более точно, чем способом взвешивания образующейся H_2O . C определяется с такой же точностью, как при обычном методе. Приведена схема прибора для анализа.

Б. Шемякин

70619. Ультрамикрометоды анализа органических соединений. Часть I. Определение азота. Белчер, Уэст, Вильямс (Submicro-methods for the analysis of organic compounds. Part I. The determination of nitrogen. Belcher R., West T. S., Williams M.), *J. Chem. Soc.*, 1957, Oct., 4323—4328 (англ.)

Метод основан на разложении в-ва конц. H_2SO_4 и титровании образовавшегося NH_3 р-ром NaClO . Навеску ~ 50 γ, взятую на ультрамикровесах (РЖХим, 1956, 58519), минерализуют нагреванием в запаянной трубке из боросиликатного стекла с 10 мл конц. H_2SO_4 в течение 30 мин. при 420—430°. По охлаждении трубку центрифугируют 5 мин., вскрывают и помещают на 5 мин. в сушильный шкаф при 90° для удаления SO_2 . К содержимому трубки после ополаскивания 1 мл воды прибавляют 1 каплю 2%-ного р-ра HgSO_4 и пускают мешалку. Быстро вводят 2 н. р-р NaOH до первого появления белой мути, затем продолжают вводить щелочь более медленно, пока мешалка и капиллярный конец бюретки не станут неразличимыми в желтовато-белом осадке. Когда в колл. осадке появится кристаллич. в-во, щелочь продолжают прибавлять малыми порциями. Как только муть исчезнет, прибавление щелочи прекращают, не допуская ее избытка; немедленно прибавляют 5%-ный р-р NaHCO_3 (1 капля) и 30%-ный р-р KI (2 капли) для того, чтобы твердое в-во не адсорбировало щелочь и не стало нерастворимым, и перемешивают до растворения

осадка. При тщательном перемешивании вливают из шприцевой бюретки известное кол-во (~150% от теоретического) 0,04 н. р-ра NaClO . Окисление NH_3 заканчивается через 5 мин. Затем прибавляют 1 каплю 30%-ного р-ра KI , подкисляют 1 каплей 4 н. H_2SO_4 и титруют 0,04 н. р-ром $\text{Na}_2\text{S}_2\text{O}_3$ при освещении лампой дневного света до исчезновения желтой окраски. Заканчивают титрование, прибавляя сухой йоден. Необходимы контрольные опыты. 1 мл 0,04 н. р-ра NaOCl соответствует 0,1868 γ N. Титр р-ра NaOCl устанавливают по $(\text{NH}_4)_2\text{SO}_4$. Стандартное отклонение 0,2%, абс. ошибка определения < 0,2% N. Д. Васкевич

70620. Определение серы в органических соединениях. Аличино (The determination of sulfur in organic compounds. Alcino Joseph F.), *Microchem. J.*, 1958, 2, № 1, 83—90 (англ.)

Предложен вариант окислительного метода Шенгера определения S (РЖХим, 1958, 60693). Фильтровальную бумагу с навеской твердого в-ва (1—100 мг) сворачивают и вместе с полоской бумаги для зажигания помещают в Pt-спираль, укрепленную в пробке колбы для определения йодных чисел (емк. 300—500 мл). В колбу наливают 10 мл H_2O , 0,5 мл 6%-ной H_2O_2 и несколько секунд пропускают O_2 из баллона. Поджигают полоску бумаги и колбу быстро закрывают пробкой. Р-р после сжигания упаривают до 5 мл, разбавляют спиртом, доводят конц-ию спирта до 80% и титруют ионы SO_4^{2-} р-ром BaCl_2 или $\text{Ba}(\text{ClO}_4)_2$ в присутствии 1—2 капель 0,2%-ного водн. р-ра индикатора торина (I) (2-(2-окси-3,6-дисульффо-1-нафтилазо)-бензарсоновая к-та) до вишнево-красного окрашивания. Титр р-ра соли Ba устанавливают с таким же кол-вом I. Точность определения 0,1%. При титровании в присутствии I при низких pH устраняются помехи со стороны P и F.

В. Лукьянича

70621. Элементарный анализ в производственной лаборатории. II. Определение серы. Хинцше (Elementaranalyse im Industrielaboratorium. II. Bestimmung von Schwefel. Hintzsche Erich), *Chem. Technik*, 1957, 9, № 12, 721—724 (нем.)

Для сжигания навески в токе O_2 использована аппаратура (РЖХим, 1958, 35944), снабженная печами для нагрева до 800 и 1250°. При содержании S > 1% анализ проводят аналогично определению галогенов; продолжительность сжигания 5 мин. Для определения следов S навеску в-ва 100—500 мг или 1—2 мл жидкости помещают в закрытую с одного конца кварцевую трубку (наружный диам. 8 и 12 мм, длина соответственно 40 и 100 мм), смешивают с кварцевым порошком, засыпают им же, закрывают трубку рыхлым слоем кварцевой ваты и помещают в трубку для сжигания. Сжигание длится < 10 мин. при скорости O_2 25 л/час. S и галоген определяют одновременно. Для полного выделения S из неорганич. в-в к навеске добавляют смесь CuO + кварцевая мука + трикальцийфосфат (4:2:1). Продолжительность разложения 8—9 мин. при 1250° и скорости O_2 15 л/час. Окислы S поглощают 5%-ным р-ром H_2O_2 в 5%-ном спирте и образующуюся H_2SO_4 определяют ацидиметрически, нефелометрически или фотометрически. Метод применен для анализа бурого угля, антрацита, кокса, сажи, активированного угля, металлоорганич. соединений, растительных материалов, извести, стекла, цемента, минералов, руд и др. Приведен обзор методов определения S. Библ. 83 назв. Часть I см. РЖХим, 1958, 35944.

Д. Васкевич

70622. Определение углеводов нормального строения в парафинах методом адсорбционного анализа. Старобинец Г. Л., Большова Т. А., Ж. аналит. химии, 1958, 13, № 2, 235—241 (рез. англ.)

Изучена адсорбция на $\text{CO}(\text{NH}_2)_2$ фракций бензольных р-ров нормальных углеводов, выделенных из

товарных парафинов, и показано, что изотермы адсорбции имеют горизонтальные участки, соответствующие предельной адсорбции, и описываются уравнением Ленгмюра $C/G = C/G_{\infty} + 1/\kappa G_{\infty}$, где C — равновесная концентрация, G — адсорбция, κ на 1 г $\text{CO}(\text{NH}_2)_2$, G_{∞} — предельная адсорбция, κ — константа. Значение коэф. адсорбции и G_{∞} зависят от мол. веса фракции. Изотермы очищ. парафинов заканчиваются четко выраженными горизонтальными участками, в то время как изотермы товарных образцов (при тех же добавках $\text{CO}(\text{NH}_2)_2$, ≤ 12 г/г парафина) заканчиваются линейными участками, наклонными к оси абсцисс, что свидетельствует о наличии двух процессов — адсорбции нормальных углеводородов и адсорбции изоуглеводородов. Ордината, получаемая экстраполяцией конечного наклонного участка к нулевому содержанию $\text{CO}(\text{NH}_2)_2$, характеризует содержание нормальных углеводородов в изучаемом парафине. Для построения изотерм адсорбции в бутылки с пришлифованными пробками вводят 60 мл бензольного р-ра изучаемого продукта и 1,2 г $\text{CO}(\text{NH}_2)_2$; к употребляемому в качестве р-рителя C_6H_6 добавляют 2% CH_3OH ; $\text{CO}(\text{NH}_2)_2$ просеивают через сито № 25. Бутылки взбалтывают на трясушке 5 час., отстаивают 2 часа и определяют конц-ию парафина в равновесном р-ре путем испарения 10 мл р-ра.

Т. Леви

70623. Определение малых количеств четыреххлористого углерода по реакции Фудзавара. Берк, Саутерн (The determination of small amounts of carbon tetrachloride by the Fujiwara reaction. Burke T. E., Southern H. K.), Analyst, 1958, 83, № 986, 316 (англ.)

Определение CCl_4 (I) в воздухе основано на цветной р-ции с пиридином (II) и NaOH. Р-ция не специфична для I, но в найденных оптимальных условиях, обеспечивающих гомогенность реакционной смеси, увеличивается ее чувствительность к I. К 10 мл сухого II, содержащего 0,1—1 мг I, прибавляют в пробирке 0,4 мл 0,1 н. р-ра NaOH, тщательно смешивают и плотно закрывают пробкой. Нагревают пробирку на кипящей водяной бане 15 мин., прибавляют 5 мл воды, охлаждают и фотометрируют с зеленым светофильтром. В описанных условиях чувствительность этой р-ции с $\text{CCl}_2=\text{CHCl}$ и $\text{CHCl}_2\text{CHCl}_2$ меньше, а с CHCl_3 больше, чем с I.

М. Бузланова

70624. Разделение и анализ смесей хлорпроизводных метана хроматографическим методом. Вяхирев Д. А., Решетникова Л. Е., Ж. прикл. химии, 1958, 31, № 5, 802—805

На хроматографич. установке, отличающейся от ранее описанных (РЖХим, 1953, 2903, 5100, 1954, 32207) применением автоматич. записи, разделены смеси CCl_4 (I), CHCl_3 (II), CH_2Cl_2 (III) и CH_3Cl (IV). Газ-носитель — N_2 . Смесь жидких компонентов испаряют путем нагревания; кол-во IV измеряют в бюретке. Испытаны в качестве сорбентов силикагели и активные угли нескольких марок. При применении угля и необработанного силикагеля наблюдается частичное разложение I и II с выделением HCl и Cl_2 . Силикагель, обработанный р-ром KOH, обеспечивает удовлетворительное разделение: IV, I + III и II. При применении кизельгура, пропитанного вазелиновым маслом, достигается разделение всех компонентов. Относительная ошибка определения $< 4\%$. Продолжительность анализа 20—40 мин.

Б. Алваер

70625. Метод качественного определения спиртов при помощи цветной реакции с пентавалентным ванадием. Комплексное соединение с оксином. Кудо, Аоки (Kudo Ichiro, Aoki Ichiro), Бунакакаку, Japan Analyst, 1957, 6, № 12, 791—792 (японск.)

Комплексную соль ванадия и оксина $\text{VO}(\text{OH})(\text{C}_6\text{H}_5\text{NO})_2$ (при 110° $\text{V}_2\text{O}_5(\text{C}_6\text{H}_5\text{NO})_4$) растворяют в смеси лед. уксусной к-ты и ксилола (5:1). К 1 мл этого реактива с конц-ией 10^{-4} ф прибавляют 0,1 мл исследуемого р-ра. Появление красного окрашивания свидетельствует о присутствии спиртов. Для исследования разб. р-ра или для капельного анализа используют реактив с конц-ией 10^{-3} ф. Многоатомные спирты дают менее интенсивные окраски.

Ли Мен-юв

70626. Новый метод микроопределения метоксильной группы. Фукуда (Fukuda Minoru), Якугаку дзасси, J. Pharm. Soc. Japan, 1957, 77, № 8, 934—935 (японск.)

В-во, содержащее метоксильную группу, разлагают с помощью спец. реактива (I); образующийся CH_3I сжигают и улавливают I_2 на Ag-сетке. 3 мг в-ва нагревают с 2 мл I, пары CH_3I сжигают в токе воздуха в трубке, содержащей Pt-сетку (катализатор окисления) и нагретую до 450° Ag-сетку. Содержание метоксильной группы вычисляют по ф-ле $A = a \cdot 0,2424 \cdot 100/b$, где A — содержание OCH_3 в %, a — вес I_2 , уловленного Ag-сеткой, b — навеска. Для приготовления I кипятят 30 мин. смесь 25 г HJ (уд. вес 1,7), 15 г фенола, 0,1 г красного P и 1 г пропионовой к-ты в колбе, соединенной с обратным холодильником, и отбирают верхний слой р-ра.

Ли Мен-юв

70627. Применение способа Цейзеля к определению окиси этилена в ее производных. Этъенн (Le procédé de Zeisel appliqué au dosage de l'oxyde d'éthylène dans ses dérivés. Etienne H.), Ind. chim. belge, 1957, 22, № 10, 1175—1191 (франц.; рез. флам., англ., нем.)

Исследована и доказана возможность применения метода Цейзеля, модифицированного Морганом (Morgan P. W., Industr. and Engng Chem. Analyt. Ed., 1946, 18, 500), для колич. определения продуктов, связанных генетически с окисью этилена (гликоли, полигликоли, их простые и сложные эфиры). Исследуемое в-во нагревают с HJ и образующиеся газы пропускают в токе CO_2 через 0,2 н. спирт. р-р AgNO_3 (I), а затем через р-р Vg_2 в CH_3COOH (II), насыщенный KBr. Поглощенный в I $\text{C}_2\text{H}_5\text{I}$ определяют по результатам титрования избытка Ag^+ р-ром NH_4SCN , а C_2H_4 , поглощенный р-ром Vg_2 , определяют йодометрически. Для увеличения точности анализа рекомендуется применять вместо 57%-ной HJ более разб. (6,5 мл 57%-ной HJ + 2 мл H_2O) или содержащую Mg^{2+} (8,5 мл 57%-ной HJ + 0,2 г MgO). Первый вариант пригоден для в-в, не содержащих групп $-\text{OCH}_3$ и $-\text{OC}_2\text{H}_5$, а также ароматич. остатков, а второй универсален. Для поглощения C_2H_4 можно также употреблять р-р JCl в лед. II, причем в обоих случаях II должна иметь т. пл. $> 16^\circ$ и быть индифферентной по отношению к CrO_3 . Метод Фибека (Vieböck и др., Ber., 1930, 63, 2818, 3207) оказался непригодным для анализа указанных производных окиси этилена. Р-ция неспецифична, так как она аналогично проходит с глицерином, полиглицеролами пропандиолом-1,2, дихлорэтаном, триглицеролами и др.

Н. Туркевич

70628. Количественное определение альдегидов жирного ряда в виде гидроксамовых кислот методом хроматографии на бумаге. Идзуми, Ямада (Izumi Gaku, Yamada Yutaka), Kogé kagaku дзасси, J. Chem. Soc. Japan. Industr. Chem. Sec., 1957, 60, № 12, 1525—1527 (японск.)

Метод хроматографии на бумаге использован для анализа смеси капронового и целаргонового альдегидов после их превращения в гидроксамовые к-ты. К исследуемому в-ву, содержащему альдегид и к-ту (в сумме 30 мг/мл), растворенному в 5 мл спирта, прибавляют 5 мл спирт. р-ра, содержащего 360 мг бензолсульфонилгидроксиламина, 5 мл 1,5 н. р-ра NaOH в спир-

те, кипятят 5 мин. в колбе с обратным холодильником, прибавляют 1,2 н. р-р H_2SO_4 в спирте до нейтр. р-ции, доводят спиртом до объема 50 мл. Через 1 час наносят р-р на бумагу, проявляют хроматограмму смесью бензол-изоамиловый спирт (1:1), экстрагируют пятна 0,008%-ным спирт. р-ром $FeCl_3$ и фотометрируют полученные экстракты.

Ли Мен-юн

70629. Органическая микрокристаллоскопия. Часть III. Семикарбазоны как производные, используемые для идентификации альдегидов и кетонов. Данбар, Аланд (Organic chemical microscopy. Part III. Semicarbazones as qualitative organic derivatives of aldehydes and ketones. Dunbar Ralph E., Aland Arnold E.), Microchem. J., 1958, 2, № 1, 113—127 (англ.)

Для идентификации альдегидов (А) и кетонов (К) предложено дополнительный метод заключающийся в определении формы кристаллов семикарбазонов (С). Это особенно важно в тех случаях, когда т-ры плавления С определяемых в-в близки. С получали по методу, подробно описанному ранее (Shriner R. L., Fuson R. C. The systematic identification of organic compounds. New York, 1956). К 1 мл водн. или спирт. р-ра исследуемого в-ва прибавляют р-р 1,0 г солянокислого семикарбазида и 1,5 г CH_3COONa в 10 мл воды. После нагревания и быстрого охлаждения выпавшие кристаллы перекристаллизуют из воды, этанола, CCl_4 или пиридина. Кристаллы помещают на предметное стекло, накрывают покровным стеклом и фотографируют при увеличении 25× или 85×. Исследованы производные 15 А и 12 К. Установлено, что форма кристаллов может зависеть от среды при перекристаллизации, напр. С фуфурола кристаллизуется из воды в виде пластинок, а из этанола — в виде игл. Для получения правильных результатов необходимо точно соблюдать единообразие и последовательность в выполнении всех операций. Метод может быть применен для идентификации смесей двух компонентов, напр. ацетофенона и бензофенона. При исследовании бифункциональных соединений рекомендуется сначала получать бифункциональные, а затем монофункциональные производные и определять в обоих случаях форму образующихся кристаллов. Четкой зависимости между формой кристаллов и строением молекулы не установлено; напр., С формальдегида — аморфный осадок, ацетальдегида — кристаллы, масляный А и его гомологи дают призм и пластинки различной формы. В ряду непредельных А преобладают кристаллы в виде пластинок. В ряду К ацетон образует иголки, остальные исследованные К — пластинки. В ряду ароматич. А бензальдегид и ванилин дают пластинки, а салициловый и м-нитробензальдегид — иголки. Приведены 32 микрофотографии С различных А, К и их смесей. Библ. 62 назв. Часть I см. РИХХИм, 1958, 57229.

Д. Васкевич

70630. Применение спектрофотометрического анализа в исследовании полинепредельных кислот. Цулукидзе Л. А., Балахадзе А. А., Сакартвелос политехнической институт. Шромба, Тр. Груз. политех. ин-та, 1957, № 6 (54), 54—65 (рез. груз.)

Метод основан на различии полос УФ-поглощения разных непредельных в-в. Максимумы поглощения (МП): в-ва с изолированными двойными связями (ДС) 200—210 мμ, в-ва с одной сопряженной системой ДС (СДС) 234 мμ, с двумя 268 мμ. 0,1 г томатного масла вносят при 180° в 11 г 11%-ного р-ра едкой щелочи в х. ч. глицерине и выдерживают при этой т-ре 45 мин., часто встряхивая. После охлаждения 0,1 г р-ра изомеризованного масла (ИМ) растворяют в абс. спирте и снимают спектр поглощения при 225—330 мμ. МП линолевой к-ты (I) — при 234 мμ, линолевой к-ты (II) — при 234 и 268 мμ. Содержание II в образце в % (а) вычисляют по ф-ле: $a = 2,057 K$, где K — коэф. погло-

щения (KII) при 268 мμ (KII стандартного р-ра II 48,6). Содержание I в % (b) вычисляют по ф-ле: $b = 1,065 K' - 1,284 K'' - 0,08 K'''$, где K' — KII к-т с 2 и 3 СДС при 234 мμ, K'' — KII к-т с 3 СДС при 268 мμ, K''' — KII к-т с 4 СДС (при исследовании растительных масел принимают, K''' = 0). Определено содержание I (48,3—53,3%) и II (2,49—2,58%) в разных сортах грузинского томатного масла. Спектрофотометрич. метод более чувствителен, чем хим. методы анализа, более точен при содержании непредельных к-т < 5%, но пригоден только для группового анализа, но не для определения индивидуальных в-в.

В. Лукьяница

70631. Совместное определение диэтилового эфира моноэтилмалоновой кислоты и диэтилового эфира диэтилмалоновой кислоты в техническом диэтиловом эфире диэтилмалоновой кислоты. Беллен, Сенковская (Oznaczenie estru dwuetylowego kwasu jednoetylomalonowego i estru dwuetylowego kwasu dwuetylomalonowego obok siebie w technicznym dwuetylomalonianie dwuetylowym. Bellen Z., Sekowska B.), Chem. anal., 1957, 2, № 1, 35—43 (польск.; рез. русск., англ.)

Разработан метод определения диэтиловых эфиров малоновой (I), моноэтилмалоновой (II) и диэтилмалоновой к-ты (III) в технич. III. Проводят 3 определения из отдельных навесок исследуемого в-ва: 1) объемное определение содержания I при помощи 5-минутного нагревания с 25%-ным водн. р-ром КОН и последующего титрования избытка КОН, 2) весовое определение суммы I и II при помощи осаждения калиевых солей в среде n-бутанола и 3) объемное определение общего содержания эфиров при помощи 4-часового нагревания пробы с избытком спирто-водного р-ра КОН. Приведены ф-лы и графики для вычисления результатов анализа. Точность метода $\pm 2\%$.

J. Młodecka

70632. Определение триэтилентетрамина. Гёрер, Бек (On the determination of triethylenetetramine. Görög S., Beck M. T.), Acta phys. et chem. Szeged, 1957, 3, № 1—4, 91—94 (англ.)

Для определения триэтилентетрамина (I) предложены спектрофотометрич. метод и метод колориметрич. титрования, основанные на образовании синего комплекса (1:1) I с $Cu(2+)$. При 590 мμ закон Бера выполняется при конц-ии $I \leq 6 \cdot 10^{-3}$ М и конц-ии $CuSO_4$ $5 \cdot 10^{-3}$ М. При колориметрич. титровании I р-ром $CuSO_4$ поглощение возрастает до точки эквивалентности, а затем остается постоянным. Р-р I вводят в кювету, разбавляют до 100 мл и титруют 0,01 М р-ром $CuSO_4$, измеряя поглощение в фотометре Пульфриха с фильтром S-57 и вводят при расчетах поправку на разбавление р-ра. Погрешность колориметрич. титрования 2—3%, миним. определяемая конц-ия I $5 \cdot 10^{-4}$ М. Спектрофотометрич. метод использован для контроля изменения конц-ии I в процессе разложения H_2O_2 , в котором I применяется в качестве катализатора, в форме комплекса с $Fe(3+)$. I можно также определять перманганатометрически. < 5 мл 0,005 М р-ра I смешивают с 20 мл 4 н. H_2SO_4 и 20 мл 0,2 н. р-ра $KMnO_4$, через 12 час. прибавляют KJ и титруют 0,2 н. р-ром $Na_2S_2O_3$. 1 моль I взаимодействует с 35 ± 1 экв $KMnO_4$. Этот метод также использован для исследования каталитич. процесса разложения H_2O_2 и контроля изменения конц-ии I при этом процессе.

Т. Леви

70633. Определение γ-гексахлорциклогексана с помощью радиоактивного хлора, Хираока, Гэнсирёку когэ, Nucl. Engng, 1957, 3, № 12, 24—28 (японск.)

Путем изотопного обмена получен γ-гексахлорциклогексан, содержащий Cl^{36} (I). Через 5 мл 0,5 М р-ра HCl^{36} пропускают стабильный изотоп Cl_2 . Полученный Cl_2^{36} пропускают через 15 мл бензола при освещении солнечным светом и получают ~ 2 г I.

Для его очистки прибавляют 1,5-кратное кол-во CH_3OH , оставляют на 2 часа, затем отделяют α -изомер, фильтрат выпаривают до получения 35%-ного р-ра, прибавляют чистый γ -гексахлорциклогексан (II) и перекристаллизовывают 2 раза; т. пл. 112,8—113,0°. Для анализа берут навеску в-ва, содержащую ~ 250 мг II, прибавляют точное кол-во I, растворяют в ацетоне, выпаривают, добавляют 5 мл CH_3OH и отделяют α -изомер; после перекристаллизации начальная т. пл. 112,8—113,1°, конечная т. пл. 113,1—113,4°, что соответствует содержанию 99,9%. Измеряют активность на мишени в виде порошка. Точность анализа 0,3—0,5% при содержании II 10—15% и 1,5—1,8% при содержании II 50%. Кол-во II (x) определяют по ф-ле $x = y(C_0 \cdot C/C + 1)$, где y — кол-во добавленного I, C_0 — уд. активность I, C — уд. активность I + II. Л.и Мен-юн

70634. Йодометрическое определение фенола в присутствии и в отсутствие восстанавливающих веществ. Шулек, Бургер (Beiträge zur jodometrischen Bestimmung von Phenol auch in Gegenwart von reduzierenden Stoffen. Schulek E., Burger K.), Z. analyt. Chem., 1958, 161, № 3, 184—191 (нем.)

Метод основан на исчерпывающем бромировании фенола (I) большим избытком брома, окисляющим присутствующие восстановители, и на йодометрич. определении четвертого, подвижного атома Br, замещающего атом H в гидроксильной группе. Навеску анализируемого в-ва, содержащую 2—10 мг I, растворяют в ~ 50 мл воды, если нужно, нейтрализуют по метиловому красному и прибавляют бромную воду до появления красновато-коричневого окрашивания жидкости. Через 20 мин. прибавляют 20%-ный р-р Na_2SO_3 до перехода окраски р-ра в желтую, остаток Br_2 связывают, добавляя 5 мл 5%-ного р-ра I, взбалтывают, сейчас же прибавляют 0,5 г KJ, 5 мл 20%-ной HCl и через 15—20 мин. титруют 0,1 н. или 0,01 н. р-ром $\text{Na}_2\text{S}_2\text{O}_3$. При недостаточном избытке Br_2 и сокращении продолжительности р-ций бромирования I и выделения I_2 из KJ получают пониженные результаты. В противоположность ранее опубликованным данным (Riemschneider R., Chimie et industrie, 1951, 66, 806), авторы отмечают независимость точности анализа от т-ры в интервале 12—22°. При pH 3—6,8 бромирование I протекает количественно. Присутствие значительно превосходящих кол-в сульфитов (0,20 г) или сульфидов (0,10 г) не мешает определению 2—5 мг I. Относительная погрешность определения 2,5—61,0 мг I $\pm 0,5\%$. Н. Полянский

70635. Цветные реакции фенолов с ксантгидролом. Яворский Н. П., Ж. аналит. химии, 1958, 13, № 2, 255—256 (рез. англ.)

При взаимодействии ксантгидрола (I) с фенолами (II) в спирт. р-ре развивается устойчивая окраска, не исчезающая в течение нескольких дней. К 2—3 мг II прибавляют 0,5 мл 5%-ного р-ра I в $\text{C}_2\text{H}_5\text{OH}$, смесь слегка нагревают для растворения II, прибавляют 2 капли HCl и кипятят несколько секунд. Приведены окраски для 17 II и чувствительность р-ции (ЧР) для 13 II. Наиболее чувствительны р-ции с пирогаллолом, o - и m -крезолами и α -нафтолом (ЧР соответственно 2,5, 4,5 и 5 $\mu\text{л/мл}$). ЧР возрастает с понижением pH р-ра. Р-цию с I дают также замещ. II, содержащие алкильную, метоксильную и сложноефирную группы. Производные II, содержащие кислотные и основные группы, галоиды и нитрогруппы, описанной р-ции не дают. Т. Левин

70636. Солюбилизирующая хроматография. I. Фенолы и спирты. Шерма, Римаан III (Solubilization chromatography. I. Phenols and alcohols. Sherma Joseph, Rieman Wm., III), Analyt. chim. acta, 1958, 18, № 3, 214—220 (англ.)

Сущность метода заключается в адсорбции мало растворимых в воде фенолов и высших спиртов на активном ионите и последующем постепенном элюировании их водн. р-рами CH_3COOH с последовательно увеличивающейся конц-ией. На катионите дауэкс-50 и анионите дауэкс-1 достигнуто разделение смеси пирокатехина, фенола, o -крезола и o -нитрофенола и смеси 6 алифатич. спиртов (C_5 — C_9). Набивка колонны и введение пробы описаны ранее (РЖХим, 1957, 71288). Пробу $\leq 0,2$ ммоль растворяли в 1 мл $\geq 50\%$ -ного р-ра CH_3COOH (I) и элюировали со скоростью 0,4—0,5 см/мин 1 М р-ром I, повышая затем ее конц-ию. Автоматически отбирали фракции по 6 мл и определяли содержание спиртов в них путем окисления 5 мл 0,02 М р-ра $\text{Na}_2\text{Cr}_2\text{O}_7$ в конц. H_2SO_4 и спектрофотометрич. определения Cr^{3+} . Изучена зависимость режима элюирования от степени поперечной связанности смолы, скорости элюирования и конц-ии элюента. Бензиловый спирт, циклогексанол и o -хлорфенол в смеси с другими фенолами не разделяются.

Б. Колоколов

70637. Хроматография ароматических изомеров. VII. Разделение некоторых моно- и дикарбоновых кислот. Франц (Chromatografie aromatischer isomerer VII. Dělení některých mono- a dikarboňových kyselin. Franc Jaroslav), Chem. listy, 1957, 51, № 11, 2041—2047 (чешск.)

Некоторые моно- и дикарбоновые к-ты бензольного ряда (фталевая (I), изофталевая (II), терефталевая (III), p -толуиловая (IV), бензойная (V)) хроматографически разделены на бумаге ватман № 4 с применением двух смесей р-рителей: m -бутиловый спирт (VI)— $\text{C}_2\text{H}_5\text{OH}$ -пиридин (VII)-вода (VIII) (3:1:1:1) и VI-VII-VIII (3:1:1). Введение VII улучшает разделение. Отдельные к-ты открывали после хроматографирования обрызгиванием 1%-ным р-ром 2,6-дихлорфенолиндифенола (розовые пятна на синем фоне); приведены значения R_f , найденные и вычисленные по величинам дипольных моментов. Разделение перечисленных к-т значительно улучшается при хроматографировании их нитропроизводных. Смесь к-т нитруют в пробирке обычно смесью конц. H_2SO_4 -дымящаяся HNO_3 (2:1) при нагревании до 80° в течение 15 мин., смесь охлаждают, разбавляют VII' и VII, хроматографируют на бумаге с помощью смеси VI-VII-VIII (5:3:3) или изоамиловый спирт— $\text{C}_2\text{H}_5\text{OH}$ -VII-VIII (1:1:1:1) и открывают после восстановления SnCl_2 реактивом Эрлиха. Приведены найденные и вычисленные значения R_f нитропроизводных. 3-нитро- и 4-нитро-I, m -нитро-V и 3,5-динитро-V идентифицировали сравнением со стандартными в-вами, а остальные в-ва определяли графич. расчетом на основании соотношения между значением дипольного момента и хроматографич. поведением (РЖХим, 1956, 6544). III можно количественно определить в присутствии II, но в отсутствие I, после нитрования — фотометрированием проявленных хроматограмм на фотометре Пульфриха с насадкой Цейсса (фильтр К 6—49) и сравнением с калибровочной кривой, построенной по стандартным в-вам. Таким же способом определяется диметилтерефталат в присутствии диметилизофталата после омыления и нитрования. Описанный хроматографич. метод использован для исследования процессов нитрования перечисленных выше к-т и идентификации образующихся нитросоединений. Часть VI см. РЖХим, 1958, 11058. J. Vaněček

70638. Изучение специфичности реакции Гейфнера. Селективная реакция для веществ с o -дифенольной функцией. Диас-Бласко, Ди-Менса, Пичорно (Estudio de la especificidad de la reacción de Hoepfner. Una reacción selectiva para sustancias con función o -difenólica. Diaz Blasco R., Di Menza

A., Pizzorno L. N.), An. Direcc. nac. quim., 1956, 9, № 18, 49—52 (исп.; рец. англ.)

Р-ция Гейфнера (Hoefner H., Chemiker Ztg, 1932, 56, 991) не специфична для хлорогеновой к-ты (I) и дает положительные результаты также с другими *o*-дифенолами (протокатеховая к-та (II), протокатеховый альдегид, пирокатехин (III), апоморфин (IV), адреналин (V), гематин, гематоксилин, ализарин). Предложена более простая модификация этого метода. К 5 мл исследуемого р-ра прибавляют 1 мл 10%-ного р-ра KNO_3 и 1 мл 10%-ной CH_3COOH (VI), взбалтывают 15 мин. и прибавляют 1 мл 30%-ного р-ра NaOH . Появляется стойкое в течение нескольких часов красное окрашивание. Моно- или диэфиры *o*-дифенолов предварительно подвергают гидролизу. 0,01—0,02 г в-ва нагревают горелкой Бунзена в пробирке с 3—4 каплями H_3PO_4 до появления желтоватого, красно-фиолетового или бурого окрашивания; затем прибавляют 5 мл воды и реактив Гейфнера (без VI). Этим способом обнаруживаются ванилин, этилванилин, гваякол, тиюкол, широнал, бруцин, наркотин, дуотал, хлоргидрат папаверина и в-ва, при ангидризации которых образуются 2 группы OH в *o*-положении (кодеин, дионин, диконид, хлоргидрат морфина). Чувствительность р-ции для I 1:3·10⁵, II 1:5·10⁵, III 1:2·10⁵, IV 1:2·10⁵, V 1:6·10⁵. Р-ция Севилла и ди Менца (Sevilla J., Di Menza A., Rev. Asoc. bioquim. argent., 1947, 53, 17) менее специфична для *o*-дифенолов.

Н. Туркевич

70639. Изучение реакции сульфирования. XLVIII. Количественное определение изомерных хлорбензолсульфокислот. Спрысков А. А., Качурин О. И., Изв. высш. учебн. заведений. Химия и хим. технол., 1958, № 1, 97—99

Метод основан на превращении хлорбензолсульфокислот (ХБС) в соответствующие *N*-метиланилинсульфокислоты и обычном определении смеси последних посредством бромирования и измерения кол-ва отщепившейся H_2SO_4 . ХБС любым известным способом выделяют в виде Na-солей и переводят в хлорангидриды (ХА), которые очищают перегонкой в вакууме (при 1—2 мм рт. ст.). Около 0,4 г смеси ХА омыляют в пробирке кипячением (5—7 мин.) с 0,5 мл $\text{C}_5\text{H}_5\text{N}$ (I) и 2—4 каплями H_2O , прибавляют 20—25 мл Cu_2Cl_2 , 2 мл 40%-ного р-ра CH_3NH_2 (II), пробирку запаивают и 17 час. нагревают при 190—200°. Охлажд. смесь переносит в колбу, прибавляют 1 г Na_2CO_3 и кипятят для удаления избытка I и II. Р-р сильно упаривают, прибавляют 45 мл конц. HCl и разбавляют водой до 100 мл. К 50 мл полученного р-ра в колбе с притертой пробкой прибавляют 25 мл 0,3 н. р-ра бромид-бромата (III), оставляют на 1,5 часа при 20—25° и 1 час при 50°, охлаждают, прибавляют 20 мл 0,1 н. р-ра хлоргидрата гидразина (IV) и избыток IV титруют 0,1 н. р-ром III при 80° (индикатор 0,1%-ный р-р тропеолина 00). Параллельно проводят глухой опыт с 5 мл 0,3 н. р-ра III, 20 мл конц. HCl и 50 мл H_2O . По кол-ву израсходованного брома определяют сумму изомерных сульфокислот. Оттитрованную жидкость нейтрализуют (по тропеолину) аммиаком, масло извлекают эфиром, вытяжку 2—3 раза промывают H_2O (твердые в-ва фильтруют и 3—4 раза промывают H_2O). Промывные воды соединяют с основным р-ром и весовым методом определяют H_2SO_4 , кол-во которой соответствует суммарному содержанию орто- и пара-изомеров. Содержание мета-изомера вычисляют по разности. Содержание пара-изомера определяют методом термич. анализа (РЖХим, 1958, 46729). Ошибка определения каждого изомера < 1,5% от их суммы. Сообщение XLVII см. РЖХим, 1958, 60837. В. Лукьяница

70640. Хроматография изотиоцианатов на бумаге. Сообщение I. Разделение и идентификация некоторых изотиоцианатов в виде соединений с 2,4-ди-

нитрофенилгидразином (тиосемикарбазидов). Фишел, Модряну, Карпов (Cromatografia pe hirtie a isotiocianatilor. Nota I. Separarea si identificarea unor isotiocianati sub forma de combinatii cu 2,4-dinitrofenilhidrazina (Tiosemicarbazide). Fişel Simon, Modreanu Florin, Carпов Adrian), Studii si cercetari stiint. Acad. RPR Fil. Iasi. Chim., 1956 (1957), 7, № 2, 19—23 (рум.; рец. русск., франц.)

Разработан метод хроматографич. разделения и определения аллил-, фенил-, *o*-, *m*- и *p*-толил-, α - и β -нафтилизотиоцианатов, основанный на использовании окрашенных тиосемикарбазидов (I), образующихся при 10—15-минутном кипячении спирт. р-ров изотиоцианатов с разб. р-ром 2,4-динитрофенилгидразина. I разделяют и обнаруживают методом распределительной хроматографии на бумаге, применяя в качестве проявителя смесь $\text{C}_2\text{H}_5\text{OH}$ -пиридин- H_2O (4:0,5:5,5). Приведены значения R_f для указанных I, полученные при применении различных приемов распределительной хроматографии на бумаге: в восходящем потоке, радиальной хроматографии и по методу Матласа (РЖХимБх, 1955, 10536).

Я. Матлис

70641. Анализ смесей тетралина с декалином методом газовой хроматографии. Кастильони (Gaschromatographische Analyse von Tetralin-Decalinmischungen. Castiglioni Angelo), Z. analyt. Chem., 1958, 161, № 3, 191—192 (нем.)

Хроматографирование смесей декалина (I) с тетралином (II) выполняют в колонке длиной 2 м и диам. 6 мм, изготовленной из нержавеющей стали и заполненной целитом C22, пропитанным додецилфталатом (25% по весу). Поддерживая т-ру колонки ~ 176°, вводят 0,03—0,04 мл анализируемого в-ва и используют в качестве носителя H_2 , который пропускают со скоростью 8 л/час. Выходящий газ анализируют с помощью ячейки для измерения теплопроводности. Хроматограмма имеет четкие максимумы, расположенные в последовательности: транс-I, цис-I, II. Указанные компоненты смеси определены количественно методом графич. интегрирования. При содержании I и II в смеси 47,86 и 52,14% найдено соответственно 48,48 и 51,52%. В составе I найдено 47,36% транс- и 52,64% цис-изомера. Продолжительность анализа 15 мин.

Н. Полянский

70642. Щелочное расщепление производных оксифенилбензо- γ -пирона. Применение для микрохимического анализа. Ней (Die Alkalispaltung der Hydroxyphenyl-benzo- γ -pyron-Derivate als mikrochemische Arbeitsmethode. Neu Richard), Mikrochim. acta, 1958, № 2, 266—276 (нем.; рец. англ., франц.)

Сплавление производных оксифенилбензо- γ -пирона (I) со щелочью использовано для идентификации их микроколичеств (20—40 μ). Исследуемый I хроматографируют на бумаге, обрабатывают хроматограмму NH_3 , в УФ-свете фиксируют положение пятен отдельных I, определяют R_f , экстрагируют I, сплавляют со щелочью и хроматографически идентифицируют образующиеся фенолы (II) и оксифенозные к-ты (III). Пятна I экстрагируют метанолом, р-ры концентрируют до объема одной капли, вводят в трубку из стекла супремекс длиной 5—6 см, диам. 2—3 мм на слой твердого КОН толщиной 0,5 см и сплавляют в медном блоке при 250° до получения бесцветного плава. Плав растворяют в 2—3 каплях воды, р-р подкисляют 25%-ной HCl и экстрагируют II и III эфиром (5×1 мл). Эфирный экстракт (ЭЭ) обрабатывают 1 н. р-ром NaHCO_3 (3×1 мл) и из подкисленного водн. слоя экстрагируют III эфиром. Оба ЭЭ выпаривают досуха, остатки растворяют в нескольких каплях метанола и хроматографируют р-ры на бумаге (хроматографировать можно также первый ЭЭ, не разделяя II

и III) с помощью смесей бутанол-лед. $\text{CH}_3\text{COOH}-\text{H}_2\text{O}$ (6:1:2) (открытие III), лед. $\text{CH}_3\text{COOH}-2 \text{ н. HCl}$ (70:30) (открытие III), $\text{C}_2\text{H}_5\text{OH}-2 \text{ н. NH}_4\text{OH}$ (9:1) (открытие II и III) или 20%-ного водн. р-ра KCl (открытие II и III). Хроматограммы опрыскивают либо 0,3%-ным р-ром диазоль черного К (стойкая двойная соль диазосоединения из амина *п*-нитроанилин + 2,5-диметоксанилин с ZnCl_2) в 50%-ном спирте или 2 н. р-ре CH_3COONa , либо 0,3%-ным р-ром нитразола CF (нитрозамин из *п*-нитроанилина) в 2 н. р-ре CH_3COONa или буферном р-ре с pH 9,4. Приведены значения R_f и окраски пятен для резорцина, флороглюцина и некоторых окси-, диокси-, триокси- и оксиметоксibenзойных к-т. Метод использован для идентификации природных производных флавола.

70643. Количественное определение флавонолов в присутствии их 3-глюкозидов. 1. Определение кверцетина в присутствии рутозида. Константиnescу, Оцеляну (Studiul dozării flavonolilor alături de 3-glicozizii lor I. Dozarea quercetolului în prezența rutozidului. Constantinescu D. G., Oțeleanu Rodica). Studii si cercetări chem., 1957, 5, № 3, 395—407 (рум.; рез. русск., франц.)

Изучены свойства комплексов SbCl_3 — рутозид (I) и SbCl_3 — кверцетин (II). Кривые поглощения этих комплексов в видимом свете различны. На этом основании разработан фотометрич. способ определения II в присутствии I. Для определения свободного II 0,1 г I растворяют при 60° в 100 мл CH_3OH . К 2 мл полученного р-ра прибавляют 1 мл реактива (р-р 0,4 г крист. SbCl_3 в 2 мл CH_3COOH в 98 мл CH_3OH), перемешивают, добавляют CH_3OH до 10 мл. Определяют экстинцию на фотометре Пульфриха со светофильтром S47 и содержание К с помощью тарировочной кривой. Для определения I его подвергают гидролизу с помощью HCl (1:100) при кипячении на водяной бане и определяют затем описанным способом кол-во образовавшегося при гидролизе II, связанного в I в виде глюкозида. Метод обеспечивает точное определение $\geq 0,05\%$ II в рутине. Я. Матлис

70644. Полярографическое определение этилмеркурхлорида в гранозане. Малюгина Н. И., Кресникова З. В., Ж. аналит. химии, 1958, 13, № 2, 250—252 (рез. англ.)

Исследовано восстановление этилмеркурхлорида ($\text{C}_2\text{H}_5\text{HgCl}$) (I) на капельном Hg-электрод. Установлена возможность колич. полярографич. определения I, а также смеси I с HgCl_2 . Предложена методика определения содержания I в гранозане (смесь I с тальком), из которого его предварительно извлекают спиртом. 3 г гранозана и 25—30 мл $\text{C}_2\text{H}_5\text{OH}$ нагревают 10 мин. в колбе с обратным холодильником на водяной бане и фильтруют. Фильтрат разбавляют $\text{C}_2\text{H}_5\text{OH}$, 2 мл р-ра и 3 мл 3 н. HCl помещают в электролизер, 30 мин. продувают водород и полярографируют при чувствительности гальванометра 1/50. Для I $E_{1/2} = -0,4 \text{ в.}$ Конц-ию I находят по градуировочной прямой. Ю. Лянде

70645. Анализ высокомолекулярных кремнийорганических соединений методом инфракрасной спектроскопии. Крешков А. П., Михайленко Ю. Я., Кириченко Э. А., Ж. аналит. химии, 1958, 13, № 1, 127—133 (рез. англ.)

На спектрофотометре ИКС-11 сняты ИК-спектры для полимеров, полученных путем взаимодействия продуктов начальной конденсации глицерина и фталеного ангидрида, а также анилина и формальдегида с тетраэтоксисилоном, триметилхлорсиланом и диметилдихлорсиланом. В-ва исследовались в виде пленок на пластинках из NaCl или KCl или в виде таблеток из смеси KBr и исследуемого в-ва. Установлено, что полоса поглощения при 1050—1040 см^{-1} соответствует свя-

зи Si—O, а полоса поглощения при 3333 см^{-1} может служить для качеств. и колич. определения OH-группы в высокомолекулярных кремнийорганич. соединениях, не содержащих связи N—H. Б. Колоколов

70646. Анализ кремнийорганических соединений на содержание хлора. Сивцилло С. В., Шемяткова В. Т., Нешумова А. М., Заводск. лаборатория, 1958, 24, № 3, 287—289

Анализируемое в-во подвергают гидролизу и определяют Cl— объемным методом. В качестве гидролизующих реактивов (ГР) для разных алкил- и арилхлорсиланов были применены: вода, этанол (I), смесь I с водой (1:1), 0,1 н. р-р KOH, 10%-ный р-р NH_4OH , смесь эфира с лед. водой (1:1). Ампулу с 0,1—0,15 г в-ва раздавливают в закрытой колбе с 20—30 мл ГР и через 5—10 мин. определяют Cl— методом нейтр-ции или меркуриметрии. Перед меркуриметрич. титрованием жидкость нейтрализуют 0,5 н. HNO_3 по фенолфталеину, вводят еще 2—3 мл к-ты, 1—2 капли 0,01%-ного спирт. р-ра метиленового голубого, 10 капель 2%-ного спирт. р-ра дифенилкарбазона и титруют 0,1 н. р-ром $\text{Hg}(\text{NO}_3)_2$ до перехода голубой окраски в темно-синюю или фиолетовую. Наилучшие результаты получены при использовании водн. I (1:1). Точность определения $\pm 0,3\%$. При анализе в-в, содержащих H, меркуриметрич. титрованию должно предшествовать удаление H, восстанавливающего Hg^{2+} . С этой целью анализируемый р-р в спирто-водн. ГР кипятят 1—2 мин. с избытком щелочи, а затем нейтрализуют и подкисляют 0,5 н. р-ром HNO_3 . Для определения общего содержания Cl использован метод отщепления галогена р-ром металлич. Na в жидком NH_3 . По окончании р-ции аммиак улетучивается; к сухому остатку для связывания непрореагировавшего Na прибавляют 20—25 мл I, нейтрализуют и подкисляют р-р 0,5 н. р-ром HNO_3 , а затем определяют Cl— меркуриметрич. или арсенометрич. титрованием. Н. Г. Полянский

70647. Качественное микроопределение органических соединений фосфора. Уэлш, Уэст (Qualitative microdetermination of organic phosphorus compounds. Welch Clark M., West Philip W.), Analyst. chem., 1957, 29, № 6, 874—877 (англ.)

Предложены 3 варианта метода, основанного на минерализации органич. соединения и колориметрич. определения PO_4^{3-} ; вариант А наиболее универсален, В — наиболее чувствителен, С — наиболее удобен для к-т и легко гидролизующихся производных к-т (алкильных и арильных эфиров, галоидных кислот и ангидридов к-т). Вариант А. Помещают 1 каплю 96%-ной H_2SO_4 на дно пробирки и вносят 0,01—0,50 мл р-ра в-ва в CCl_4 или $\sim 0,02 \text{ г}$ силикагеля, содержащего в-во. Отгоняют р-ритель, нагревают еще 30 сек. или до исчезновения угля, охлаждают и прибавляют 3 капли карбонатно-формиатного р-ра (для проб, растворенных в CCl_4 , этот р-р содержит 21% безводн. Na_2CO_3 и 4,1% HCOONa , для проб на силикагеле 14% Na_2CO_3 и 27,5% HCOONa) и 2 капли р-ра о-дианизидин-молибдата (I) ($2,5 \text{ г Na}_2\text{MoO}_4 \cdot 2\text{H}_2\text{O}$ растворяют в 15 мл H_2O , прибавляют 5 мл конц. HCl и р-р 0,125 г о-дианизидина в 2 мл лед. CH_3COOH , фильтруют). Красно-коричневый осадок или муть указывает на присутствие фосфорорганич. соединений. Открываемый минимум 0,3—0,5 $\gamma \text{ PO}_4^{3-}$. Соединения, в которых P связан только с O и S-атомами, разлагаются легко, и их летучесть мало влияет на чувствительность пробы (ЧП). Соединения, содержащие связь P—C (зарин, диэтил-этилфосфонат), менее реакционноспособны и их летучесть влияет на ЧП. Вариант В. Минерализацию проводят как в варианте А, затем прибавляют 3 капли свежеприготовленного р-ра, содержащего 17% безводн. Na_2CO_3 , 0,85% $\text{N}_2\text{H}_4 \cdot \text{H}_2\text{O}$ и 2,3% CH_3COOH , и, после перемешивания, 1 каплю 3%-ного р-ра Na_2MoO_4 .

$\cdot 2\text{H}_2\text{O}$. Синяя окраска появляется через 1 мин. ЧП для трибутилфосфата, O_2S -триэтилфосфодитионата и фенилфосфоновой к-ты в 4 раза больше, чем при варианте А. Вариант С. К-ты и их легко гидролизующиеся производные превращаются в щел. р-ре пербората Na (II) в летучие соли, легко разлагающиеся до фосфата Na при сильном нагревании с избытком II. На дно пробирки помещают 1 каплю 1%-ного р-ра II и 1—20 капель р-ра пробы в летучем р-рителе (H_2O , изопропиловый спирт, CCl_4), р-ритель отгоняют в течение 45 сек., белый осадок сильно нагревают 30 сек., по охлаждению прибавляют 2 капли I и идентифицируют Р, как при варианте А. Окраска появляется через 30 сек. Открываемый минимум от 0,5 γ (запрн) до 200 γ (трибутилфосфат).

Д. Васкевич
70648. Определение алкоголятов в безводной натронной целлюлозе. Гейгер, Нобс (Alkoholbestimmung in wasserfreier Natroncellulose. Geiger Ernst, Nobs Horst), *Helv. chim. acta*, 1957, 40, № 4, 550—554 (нем.)

Для определения содержания алкоголята целлюлозы (АЦ) и продукта присоединения NaOH к целлюлозе (ПП) в безводн. натронной целлюлозе (НЦ) использован метод, основанный на том, что при действии CH_3COOH АЦ реагирует без образования H_2O , а ПП образует эквивалентное кол-во H_2O , которую определяют по способу Фишера. Содержание АЦ вычисляют по разности между общим содержанием щелочи и кол-вом ПП. Определение содержания целлюлозы (Ц). К навеске НЦ $\sim 0,7$ г (а) прибавляют 20 мл воды, 50 мл 1 н. р-ра $\text{K}_2\text{Cr}_2\text{O}_7$ (а), 50 мл конц. H_2SO_4 и кипятят 5 мин. После охлаждения разбавляют до ~ 800 мл, прибавляют феррони и титруют 1 н. р-ром FeSO_4 (с); $m = (a - cf) \cdot 0,675/b$ (f — поправочный коэф. р-ра FeSO_4 , m — содержание α-целлюлозы в %). Определение общего содержания NaOH. К 1,5 г высушенной НЦ (d) прибавляют 200 мл горячей воды, 5 капель р-ра метилового оранжевого и титруют 1 н. HCl до перехода окраски в красную, затем добавляют еще 5 мл 1 н. HCl (общее кол-во HCl — e), кипятят 5 мин., охлаждают и титруют 1 н. р-ром NaOH (g); $n = (e - g) \cdot 4/d$ (n — кол-во NaOH в %). Определение ПП и АЦ. Безводн. НЦ встряхивают 6 час. с избытком CH_3COOH и 60 мл безводн. CH_3OH и титруют аликвотную часть р-ра реактивом Фишера. Содержание АЦ вычисляют по разности между общим содержанием щелочи и кол-вом ПП. Метод использован для исследования р-ции между Ц и NaOH и строения НЦ.

М. Пасманик
70649. Определение анионных и неионных поверхностных веществ в водном растворе. Такайяма (Takayama Yuzi), *Korō kagaku dzasshi*, J. Chem. Soc. Japan. Industr. Chem. Sec., 1957, 60, № 7, 872—874 (японск.)

Изучена применимость методов Зонненберга и Стивенсона для определения анионного (I) и неионного (II) поверхностных в-в при совместном присутствии. Установлено, что Na-соли серноокислых эфиров определяются методом Зонненберга в присутствии ≤ 30 -кратного кол-ва II. При применении метода Стивенсона предложено предварительно отделить I путем осаждения Ва-солью. К 0,03—0,3 мг смеси I и II прибавляют 10 мл H_2O и 2 капли 10%-ного р-ра BaCl_2 ,

выдерживают 5 мин. при 50°, центрифугируют 10 мин. (3500 об/мин) и отбирают верхний слой р-ра. К части оставшейся в пробирке добавляют 5 мл теплой воды и вновь центрифугируют. Такую обработку повторяют 4 раза, доводят объем р-ра до 25 мл и далее поступают, как обычно при определении по методу Стивенсона.

Ли Мен-юн

70650. Анализ поверхностноактивных веществ методом инфракрасной спектрофотометрии. Гатиньо (Analyse spectrophotométrique des surfactifs dans l'infra-rouge et l'ultra-violet. Gatinéo, m-me), *Rev. franç. corps gras*, 1958, 5, № 5, 254—264 (франц.)
Обзор. Библ. 14 назв.

70651. О компонентах гуминовых кислот почвы. Часть I. Хроматография гуминовых кислот. Хаяси, Нагаи (On the components of soil humic acids. Part I. The chromatography of humic acids. Hayashi Tsunetomo, Nagai Takeo), *J. Fac. Agric. Tottori Univ.*, 1955, 2, № 2, 55—72 (англ.)

Выделены гуминовые к-ты (I) типа А и В из коричневой, серой и черной I, из I, растворимой в NaF, из I, полученной растворением в 2%-ном р-ре NaOH остатка после извлечения I р-ром NaF. Некоторые из этих к-т выделены из болотного торфа, гумуса почвы из вулканич. пепла и черной почвы. Разделение производили р-ром NaOH с помощью круговой или обычной хроматографии на бумаге и проявляли в УФ-свете. I могут быть идентифицированы по флуоресценции и расположению зон адсорбции. Для выделенных компонент измеряли коэф. экстинкции и исследовали хроматографич. свойства и сходство в строении I типа А и В.

Ю. Лянде

70652 П. Получение реагента, обнаруживающего присутствие ацетона или ацетоуксусной кислоты. Синохара Каменосукэ, Японск. пат. 9000, 9.12.55

Из солей нитропруссиды (I), солей низших алифатич. аминов и едкой щелочи или щел. солей слабых к-т получают реагент, позволяющий определять до 0,005% ацетона (II) и до 0,01% ацетоуксусной к-ты (III). К 0,2 г смеси 10 г Na-соли I, 45 г $\text{CH}_3\text{NH}_2 \cdot \text{HCl}$ и 45 г Na_2CO_3 или 10 г Na-соли I с 65 г $\text{N}(\text{C}_2\text{H}_5\text{OH})_3 \cdot \text{HCl}$ и 25 г NaOH добавляют 2 капли испытуемого р-ра; при наличии в нем II или III через 1 час появляется красное окрашивание.

Н. Швецов

См. также: Анализ органич. в-в: разделение трифенилметановых красителей 71728; аминов 27020Бх; липидов 27026Бх. Определение: трифенилметановых красителей 70732; ртути в обработанных растениях 71837; рутина 71841; эфирного масла 71878; дисульфидов в лигнинах 72002; парафинов в битумах 72009; жиров 72081—72083; аскорбиновой к-ты 72275; 27039Бх; фибриногена в крови 27013Бх; белка 27015Бх; дипиколиновой к-ты 27019Бх; крахмала 27024Бх; общего холестерина 27030Бх; эpineфрина 27033Бх; кальция в крови 27043Бх; меди и железа в крови 27060Бх. Анализ: лекарственных препаратов 71754, 71755, 71758, 71759, 71761; пестицидов 71826; тяжелых масел 71952; вин 72215; сброженных жидкостей 72216; зерна 72249; молочных продуктов 72296, 72348; аминокислот 27018Бх; биологич. образцов 27046, 27047; мочи 27034; 27062Бх, 27063Бх, 27065Бх

ОБОРУДОВАНИЕ ЛАБОРАТОРИЙПРИБОРЫ, ИХ ТЕОРИЯ, КОНСТРУКЦИЯ, ПРИМЕНЕНИЕ

Редактор А. И. Сарафов

70653. Устройство лабораторий для изучения радиоизотопов. Саито (Saito Kazuo), Бунсэки кагаку, Japan Analyst, 1957, 6, № 12, 806—815 (японск.)

70654. Стандарты на порошки, применяемые в лабораторных исследованиях. Ито, Кагаку когаку, Chem. Engng (Japan), 1957, 21, № 7, 457—460 (японск.)

Предложены 6 классов порошков и методы их получения для лабор. исследования, отличающихся по дисперсности и хим. составу. Ли Мен-юн

70655. Установка для исследования парамагнитного электронного резонанса в кристаллах и жидкостях. Альбольд, Эльшнер, Венцель (Eine Apparatur zur Untersuchung der paramagnetischen Elektronenresonanz in Kristallen und Flüssigkeiten. Albold E., Elschner B., Wenzel P.), Exptl. Techn. Phys., 1957, 5, № 6, 254—261 (нем.)

Описана установка мостового типа для исследования парамагнитного электронного резонанса. Тщательное выполнение Т-образных полостей для деления ВЧ-энергии и применение фазочувствительного детектора с постоянной времени 8 сек. позволили получить отношение сигнал:шум, равное 10, и чувствительность 10^{-6} г дифенилкрилгидрида.

Из резюме авторов

70656. Некоторые характеристики улучшенного образца бета-спектрометра (типа спектрометра «промежуточного изображения» в железном кожухе). Вегстедт (Some characteristics of an improved version of the iron-jacketed intermediate-image beta-ray spectrometer. Wegstedt Lars), Sci. Tools, 1957, 4, № 2, 20—27 (англ.; рез. нем., франц.)

Описана схема устройства и характеристики улучшенного образца β -спектрометра Зигбана — Слетиса типа LKB 3024B; исследовано влияние некоторых параметров установки на ее работу. Г. Радзиевский

70657. Возбуждение спектров низковольтным импульсным разрядом в вакууме. Педос Ф. З., Свентицкий Н. С., Оптика и спектроскопия, 1958, 4, № 3, 407—409

Приведена схема генератора низковольтного импульсного разряда для возбуждения спектра металлич. электродов в вакууме. Применение раздельного питания позволило подводить к межэлектродному промежутку лишь минимально необходимую мощность высоковольтной составляющей для инициирования разряда батареи конденсаторов (1—30 тыс. μ f), заряженной до напряжения 200—300 в. На примере спектров Си показано увеличение интенсивностей линий ионов в спектре в вакууме по сравнению со спектром в воздухе. В некоторых случаях наблюдаются исчезновения отдельных линий нейтр. атомов Си. Изменение параметров разрядного контура позволяет в широких пределах варьировать условия возбуждения, что дает возможность использовать, в частности, обычные аналитич. пары при концентрационном анализе. В. Дианов-Клоков

70658. Система растяжения шкалы ординат модели 21, расширяющая чувствительность инфракрасных измерений. Котс, Анакреон (Model 21 ordinate scale expansion system extends IR measurement sensitivity. Coates Vincent J., Anacreon Robert), Perkin-Elmer Instrum., News Sci. and Ind. 1958, 9, № 2, 4, 10—12 (англ.)

Для облегчения обнаружения слабых полос поглощения применена система растяжения шкалы орди-

нат в двулучевом ИК-спектрофотометре Перкина — Эльмера модели 21, основанная на изменении цены деления на регистрирующем самописце. Для достижения этого непосредственная механ. связь пера самописца с гребневидной диафрагмой заменена на электрическую. Положение этой диафрагмы регистрируется по в. д. с. прецизионного потенциометра, движок которого связан с осью поворота диафрагмы. Этот потенциометр является, в свою очередь, частью самобалансирующего моста, причем сервосистема, уравнивающая мост вращением 2-го потенциометра, служит также для перемещения пера. Перекладывая величину сопротивления в 3-м плече моста, устанавливают желательное значение растяжения шкалы. Предусмотрено также устройство для выбора начала отсчета, что позволяет вывести на ленту самописца любой участок шкалы поглощений спектрофотометра. При создании расширением щелей достаточного запаса в отношении сигнал:шум удается получить удовлетворительное разрешение даже при 20-кратном растяжении шкалы. В. Дианов-Клоков

70659. Новые поляризационные светофильтры для коротковолнового инфракрасного излучения. Дистлер Г. И., Оптика и спектроскопия, 1958, 4, № 3, 419

Сообщается о разработке в Институте кристаллографии АН СССР поляроидов ППИ, практически полностью поляризующих излучение в области 600—1100 м μ . Поляроиды представляют собой пленки оранжевого цвета толщиной 0,06—0,07 мм, имеющие при скрещивании цвет погасания от темно-красного до черного. В. Дианов-Клоков

70660. Просветляющие покрытия для сурьмяноиндиевых и иных полупроводниковых фильтров. Смит, Мосс (Anti-reflexion coatings for indium antimonide and other semi-conductor filters. Smith S. D., Moss T. S.), J. Scient. Instrum., 1958, 35, № 3, 105—106 (англ.)

Показано, что значительное просветление ИК-фильтров из полупроводниковых материалов (Ge, PbS, InSb) может быть достигнуто нанесением с обеих сторон слоя $PbCl_2$, показатель преломления которого (1,9) близок к оптимальному (2,0). Нанесение производилось испарением из Мо-лодочки, причем достижение нужной толщины ($\lambda/4$ при 12 μ) контролировалось по отражению света с длиной волны 2 μ . Просветленный фильтр из InSb обладал в области 8—14 μ прозрачностью, вдвое большей, чем непрозраченный. Приведена технология изготовления тонких (50 μ и менее) фильтров из InSb. В. Дианов-Клоков

70661. Цветные фильтры для линии 4358 А спектра ртутного разряда. Буравой, Роч (Colour filters for the 4358-A. line of the mercury discharge spectrum. Burawoy A., Roach A. G.), Nature, 1958, 181, № 4611, 762—763 (англ.)

Приведены рецепты приготовления цветных жидкостных фильтров для выделения линии 4358 А из спектра Hg-дуги. Наилучшие результаты получены с фильтром, содержащим 0,0125% перхлората кристаллического фиолетового (I) и 0,02% 9,10-дибромантрацена в этаноле и толуоле. При толщине слоя 1 см пропускание линий спектра Hg-дуги составляет для 5790 А < 10^{-10} , для 5461 А < 10^{-10} , для 4358 А 81%, для 4047 А < 10^{-4} . Наибольшая устойчивость к облучению достигается при помещении закрытой кюветы

с р-ром дибромантрацена в толуоле перед кюветой с р-ром I в этаноле.

В. Дианов-Клоков

70662. Линзово-растровый конденсор для освещения спектрографа. Прейсс (Der Linsenraster-Kondensor zur Ausleuchtung von Spektrographen. Preuss Ekkehard), Proc. Colloquium Spectroscopicum Internat. VI. London, Pergamon Press, 1957, 457—461 (нем.)

Приведены оптич. характеристики и данные геометр. расположения и юстировки растрового конденсора для равномерного освещения щели спектрографа.

В. Лыгин

70663. Фотометрический преобразователь изображения с разверткой для обнаружения малых градиентов плотности. Якобсон (An image transforming scanning photometer for displaying small density gradients. Jacobson Bertil), Acta radiol., 1957, 48, № 5, 376—384 (англ.; рез. нем., франц.)

Принцип действия прибора основан на зависимости $dD/ds = (-\lg e) 1/T \cdot dT/ds$, где T — пропускание, $D = -\lg 1/T$ — оптич. плотность и ds — элемент поверхности изображения. На движущееся поступательно изображение фокусируется свет в виде вращающегося пятна. Прошедший свет падает на катод фотоумножителя. Наличие градиента плотности на освещаемом участке изображения создает в фототоке переменную составляющую с частотой, заданной скоростью вращения фокусирующей линзы. После умножения на $1/T$, достигаемого обратной связью умножителя с лампой, и логарифмич. преобразования в γ -селекторе ток выпрямляется и подается на модулятор, преобразующий его в свет переменной интенсивности, пропорциональной dD/ds . Свет падает на регистрирующую пленку и дает на ней новое изображение с контурами градиентов. Чувствительность прибора 0,0003 ед. плотности.

И. Игошина

70664. Новые масс-спектрометры с совершенной фокусировкой второго порядка Хинтенбергер, Кёниг (Weitere Massenspektrometer mit vollständiger Doppelfokussierung zweiter Ordnung. Hintenberger H., König L. A.), Z. Naturforsch., 1958, 13a, № 3, 236—237 (нем.)

Приведены результаты расчета ряда ионооптич. систем, состоящих из электр. поля, цилиндрич. конденсатора и однородного магнитного поля с криволинейными границами, обладающими совершенной двойной фокусировкой второго порядка (случай прямолинейных границ см. РЖХим, 1958, 39459). Показано, что рассчитанные системы имеют ряд преимуществ перед системами с прямолинейными границами магнитного поля.

В. Васильев

70665. Фазово-контрастный микроскоп, для работы в проходящем свете. 4. Фазовая пластинка. Плют (Mikroskop z kontrastem fazowym dla światła przechodzącego. 4. Płytkę fazową. Pluta Maksymilian), Pomiar, automat., kontrola, 1957, 3, № 12, 473—478 (польск.)

Рассматривается значение оптич. свойств, формы, размеров и расположения фазовых пластинок для работы фазово-контрастного микроскопа. Приводятся методы изготовления фазовых пластинок. Часть 3 см. РЖХим, 1958, 53551.

Б. Каплан

70666. Фотоэлектронный микроскоп для измерения расстояния между компонентами масс-спектрографического дублета. Мюллер-Вармут (Ein photoelektronisches Mikroskop zur Ausmessung massenspektrographischer Dublettabstände. Müller-Warmuth W.), Z. Naturforsch., 1957, 12a, № 3, 212—217 (нем.)

Оптич. частью прибора является проекционный микроскоп, позволяющий получать стократно увеличенное изображение спектральной линии. Почернение

различных участков линии измеряется фотоэлектронной схемой. Полная кривая фотометрирования линии регистрируется на экране катодного осциллографа. Точность измерения расстояния между компонентами дублета 0,1 μ .

В. Лыгин

70667. Об ошибках изображения в масс-спектрометрах и масс-спектрографах с двойной фокусировкой. Хинтенбергер, Кёниг (Über die Bildfehler in doppelfokussierenden Massenspektrometern und Massenspektrographen. Hintenberger H., König L. A.), Z. Naturforsch., 1957, 12a, № 2, 140—147 (нем.)

Вычислены коэф., характеризующие ошибки изображения в ионооптич. системах с двойной фокусировкой, состоящих из электр. радиального поля и следующего за ним однородного магнитного поля. Ошибки изображения характеризуются величинами, ae^2 , $ae\beta$, β^2 , где ae — апертурный угол, $\beta = \Delta v/v_0$ — относительное отклонение скорости иона от номинального значения. Указаны условия для исправления этих ошибок изображения и получены ур-ния для совершенной фокусировки 2-го порядка.

В. Васильев

70668. Масс-спектрометрический водородный течеискатель. Митидзима (A mass spectrometer type of leak detector using hydrogen. Michijima Masami), Коба сёсэн дайгаку кй. Рикогакү-хэн, Rev. Kobe Univ. Mercant. Marine. Scient. and Technol. Sec., 1955, № 2, 9—13 (англ.)

В связи с высокой стоимостью He в Японии сконструирован масс-спектрометрич. течеискатель, в котором в качестве пробного газа использован H_2 . Основой течеискателя явился нировский 60° масс-спектрометр, откачная система которого состояла из паромасляного и форвакуумного насосов. Чувствительность масс-спектрометра по H_2 в воздухе $1:10^5$, причем ограничивающим фактором являлись фоновые флуктуации. Испытания показали, что с помощью описанного течеискателя можно обнаружить течь величиной 10^{-5} мм рт. ст. при скорости истечения 1 л/мин в сосуде емкостью несколько сот литров.

Из резюме автора

70669. Обнаружение течей в сосудах, находящихся под давлением, с помощью гелиевого масс-спектрометра. Желле (Détection de fuites sur des récipients sous pression à l'aide d'un spectromètre à hélium. Geller R.), Vide, 1957, 12, № 71, 398—406 (франц.)

Первый метод применим для сосудов, которые могут быть заполнены He до давления больше атмосферного. К масс-спектрометру присоединяется трубка с игольчатым вентилем и раструбом на конце. Этим раструбом обходят все подозрительные места на поверхности. Выведена ф-ла чувствительности метода, учитывающая все параметры. Чувствительность тем больше, чем меньше высота (и объем) раструба от отверстия вентили, и может быть доведена до нескольких мл в час при атмосферном давлении. Второй метод применим к сосудам, уже заполненным газом. Такой сосуд помещается в резервуар, соединенный с источником He под достаточно большим давлением. Затем сосуд переносится в другой резервуар, соединенный с масс-спектрометром и вакуумным насосом, что дает возможность обнаружить He, имеющийся в сосуде. При этом нужно учитывать адсорбцию He на поверхности сосуда.

А. Лихтер

70670. Цифровой генератор гониометрической функции к вычислительным машинам для кристаллоструктурного анализа. Новак (Číslicový generátor goniometrické funkce pro stroj pro výpočet strukturálních faktorů. Novák Ctirad), Českosl. časop. fys., 1958, 8, № 1, 109—111 (чешск.)

Кратко описана новая вычислительная машина Ин-та технич. физики Чехословацкой АН, предназна-

ченная для вычисления значений гониометрич. функций (\sin и \cos) по аргументу, выраженному в единицах $2\pi/2^{10}$. Генератор работает в двоичной системе и обладает рядом преимуществ перед аналогичной машиной, описанной ранее (РЖХим, 1957, 40373). Абс. ошибка $< 0,0005$ у 80% всех вычисленных величин и $< 0,0015$ у остальных 20%. Принцип устройства применим и для генераторов других функций.

Из резюме автора

70671. Приспособление для высокотемпературных рентгеновских съемок. Гиндин Е. И., Прохвятилов В. Г., Заводск. лаборатория, 1958, 24, № 1, 106—107.

Предложено простое приспособление (П) к дебаевской камере для рентгеновских съемок при t -рах до 1500° . П состоит из двух фасонных латунных пластинок, между которыми натянута Pt-проволока diam. $\geq 0,2$ мм с нанесенным образцом. Все П посредством стального стержня укрепляется и центрируется на месте держателя образца в обычной порошковой камере. Рентгеновская пленка при съемках помещена в конверт из черной бумаги. Т-ру образца измеряют по расширению параметра решетки Pt (Δa) или, ориентируясь, по величине силы тока, протекающего через Pt-проволоку. Приведена таблица значений коэф. линейного расширения Pt для разных t -р.

А. Лопманов

70672. Применение счетчиков для рентгенографического определения величины частиц методом микропучков. Хеймендаль, Вейерер (Zählrohrverfahren zur röntgenographischen Teilchengrößenbestimmung nach der Microbeam-Methode. Heimendahl M. v., Weyerer H.), Naturwissenschaften, 1958, 45, № 6, 126—127 (нем.)

Для определения величины частиц в плоских шлифах предлагается использовать гониометр Бертольда с неподвижным счетчиком. Шлиф вращается вокруг нормали к плоскости шлифа. При повороте шлифа на 360° регистрируется выбранное отражение в отдельности от каждой частицы. Величина частиц определяется из числа отдельных рефлексов. Обсуждаются преимущества этого метода перед фотографическим. Приведен пример записи отдельных рефлексов для линии (331) Cu.

А. Бабад-Захряпин

70673. Регистрирующий микроденситометр. Расселл, Вильсон (A variable ratio, tape-coupled, recording microdensitometer. Russell P. C., Wilson J. E.), J. Scient. Instrum., 1958, 35, № 3, 114 (англ.)

Кратко описана конструкция регистрирующего микроденситометра для исследования рентгеновских спектрограмм. Обычно применяемые зубчатые колеса для изменения оптич. увеличения прибора заменены на дифференциальный шкив, на который натянута тонкая стальная лента. Такое нововведение, не снижая точности прибора, уменьшает его стоимость.

А. Бабад-Захряпин

70674. Актуальные проблемы вакуумной физики и вакуумной техники. Клумб (Aktuelle Probleme der Vakuumphysik und Vakuumtechnik. Klumb H.), Vakuum-Technik, 1958, 7, № 1, 1—6 (нем.)

Краткий обзор работ по разработке методов измерения в высоком вакууме и развитию методов откачки, проведенных под руководством автора в 1-ом Физическом институте Университета им. Иоганна Гутенберга в Майнце. Библ. 25 назв.

А. Лихтер

70675. Методы калибровки гелиевых теческателей. Монгоден (Méthodes d'étalonnage des détecteurs de fuites à l'hélium. Mongodin G.), Vide, 1957, 12, № 71, 395—397 (франц.)

Рассмотрев применявшиеся до сих пор методы калибровки теческателей (Т) и показав, что они не

дают полного представления о работе Т при разных давлениях газа в источнике течей, автор предлагает более общий метод калибровки. Вход Т соединяется одновременно с течью, дающей постоянный расход He, и с вентилем, позволяющим регулировать приток воздуха. Таким образом на одном приборе можно определить в зависимости от давления в источнике течей чувствительность Т по расходу, а также чувствительность по конц-ии и наименьшее парц. давление He, которое можно еще обнаружить.

А. Лихтер

70676. Фракционирование и обезгаживание в масляных диффузионных насосах. Бехлер, Нёллер (Fraktionierung und Entgasung in Öldiffusionspumpen. Bächler Werner, Nöller Hans-Georg), Z. angew. Phys., 1957, 9, № 12, 612—616 (нем.)

Исследовано влияние фракционирования (Ф) и обезгаживания (О) на величину конечного давления в масляном диффузионном насосе (ДН) с фракционирующим устройством Hickman K. S. D., J. Franklin Inst., 1936, 221, 215, 383). Найдено, что коэф. отделения легколетучих фракций в высоковакуумной части ДН составляет 3,8 и падает до 0 при изменении на 3—4 мм расстояния между дном и внутренней частью ДН; уже зазор в 0,5 мм существенно ухудшает степень фракционирования. Влияние О в ДН исследовано путем изменения соотношения между высотой охлаждаемой части и нижней дюзы высоковакуумной части ДН. Найдено, что при опускании змеевика охлаждения ниже дюзы ухудшается конечный вакуум в ДН и увеличивается время, необходимое для его достижения. Указано, что как Ф, так и О улучшают конечный вакуум, но в случае высоковакуумных масел, дающих значительное кол-во легколетучих фракций, выгоднее использовать О, в противном случае — Ф.

А. Лопманов

70677. Источники, измерение и контроль обратных потоков в паро-масляных вакуумных насосах. Пауэр, Кроли (Sources, measurement and control of backstreaming on oil vapour vacuum pumps. Power B. D., Crawley D. J.), Vacuum, 1954, (1957), 4, № 4, 415—437 (англ.)

70678. Анализ парциальных давлений в диффузионном насосе с помощью омегатрона. Рейх, Нёллер (Partialdruckanalysen des Enddruckes von Öldiffusionspumpen mit dem Omegatron. Reich G., Nöller H.-G.), Z. angew. Phys., 1957, 9, № 12, 617—621 (нем.)

Изготовлен омегатрон (О) из Pt и Ir размером $20 \times 20 \times 20$ мм для измерения парц. давлений 10^{-5} — $2 \cdot 10^{-9}$ мм рт. ст. компонент высоковакуумных масел (ВМ) в диффузионных насосах (ДН). Измерения проводили с ДН, снабженным ловушкой охлаждаемой до -40° , ионизационным манометром и О. Найдено, что зависимость чувствительности О от вида газа примерно соответствует зависимости для ионизационного манометра, за исключением газов с большим мол. весом. О позволяет различить по массе группы легколетучих продуктов разложения ВМ и продукты расщепления ВМ вследствие электронных столкновений в О. Указано, что в случае ВМ, выделяющих много легколетучих фракций, лучше использовать ДН с обезгаживанием ВМ во время работы.

А. Лопманов

70679. Дифманометр высокого давления. Чеховской В. Я., Измерит. техника, 1958, № 1, 31—34

Сконструирован мембранный дифференциальный манометр (ДМ). Прогиб мембраны измеряется с помощью зеркала, которое освещается извне через окошко из органич. стекла и дает зайчик на шкале или в щели фотокамеры. ДМ рассчитан на давление до 300 ат; меняя мембраны, можно измерять перепады давлений от 0,1 ата до нескольких атмосфер. Для

уменьшения времени затухания собственных колебаний ДМ подводные трубки на участке длиной 0,15 м по обе стороны мембраны заполняются касторовым маслом.

А. Лихтер
70680. Современные манометры, основанные на теплопроводности. Убиш (Das moderne Hitzdrahtmanometer. Ubiš Hans von), Vakuum-Technik, 1957, 6, № 8, 175—181 (нем.)

Обзор. Библ. 11 назв. А. Сарахов
70681. Переносная калибровочная аппаратура для грубого газового интерферометра. Групинский Eine transportable Eichapparatur zum Grubengasinterferometer. Grupinski Leonhard), Chem. Technik, 1957, 9, № 12, 725—727 (нем.)

Описан стеклянный аппарат (А) для калибровки цейсовского газового интерферометра. А служит для приготовления гомог. газовых или паро-газовых смесей с точно известной конц-ей и состоит из мерной газовой бюретки, баллона-смесителя, стеклянного поршневого насоса, коммуникаций и системы кранов. Отмеренное кол-во одного из компонентов калибровочной смеси засасывают в бюретку и оттуда в смеситель. После засасывания всех компонентов смеси при помощи кранов образуют замкнутый цикл, в котором газовая смесь циркулирует под действием поршневого насоса до полной гомогенизации. Гомог. смесь выдвигается в интерферометр. А позволяет проводить экспресс-анализы паро-газовых смесей, что особенно важно при определении взрывоопасных конц-й при горных работах.

А. Лошманов
70682. Эксплуатация ИК-газоанализаторов непрерывного действия и устранение неисправностей в них. Мейли (Maintaining and trouble-shooting continuous infrared analyzers. Maley Lawrence E.), ISA Journal, 1957, 4, № 9, 385—389 (англ.)

Изложен принцип работы современных двухканальных ИК-газоанализаторов, непрерывно регистрирующих состав газовой смеси. Описаны условия безаварийного обслуживания коммерческих ИК-газоанализаторов, а также возможные неисправности, способы их устранения и приемы проверки нормальной работы приборов и отдельных узлов.

Н. Ярославский
70683. Газовый резервуар из игрушечного воздушного шара. Муса, Мунэмор, Ито (Musha Soichiro, Munemori Makoto, Ito Mitsuo), Бунсеки кагаку, Bunseki kagaku, Japan Analyst, 1958, 7, № 2, 104 (японск.)

Предложено в качестве небольшого газгольдера для N_2 использовать резиновый игрушечный воздушный шар.

Ли Меа-юн
70684. Гальванический самопишущий кислородный анализатор. Части I, II. Херш (Galvanic oxygen recorder. Parts I, II. Hersch P.), Instrum. Practice, 1957, 11, № 8, 817—823; № 9, 937—941 (англ.)

I. Содержание O_2 в газе может быть определено пропусканием газа над поверхностью 5 н. р-ра КОН, в который наполовину погружен Ag-катод. Pb-анод отделен от катодного пространства диафрагмой. Ток, протекающий через ячейку при постоянном потенциале, пропорционален содержанию O_2 . Метод позволяет определить O_2 при содержании 1 : 1 000 000 и меньше. Для калибровки прибора не требуется «стандартного» образца с известным содержанием O_2 .

II. При конц-ии O_2 от 0,001 до нескольких об.% применяется метод «разведения»: определенная часть потока исследуемого газа проходит через поглотитель O_2 и далее смешивается с остальным потоком и направляется в ячейку. Содержание O_2 в промышленных и биохим. р-рах может быть определено этим методом с помощью газа-носителя, вымывающего O_2 из исследуемого р-ра и поступающего далее в ячейку.

Обсуждаются возможные материалы для изготовления электродов и диафрагмы и состав электролита. Ю. П.

70685. Прибор для измерения коэффициента поглощения и показателя преломления газов при относительно высоком давлении на СВЧ. Батталья, Брейи, Гоццини (Microwave apparatus for the measurement of the refraction, dispersion and absorption of gases at relatively high pressure. Battaglia A., Bruin F., Gozzini A.), Nuovo cimento, 1958, 7, № 1, 1—9 (англ.; рез. итал.)

Описана аппаратура для определения коэф. поглощения и показателя преломления газов при больших давлениях путем сравнения резонансных кривых двух объемных резонаторов, один из которых заполнен исследуемым в-вом. Резонансная кривая каждого резонатора, наблюдаемая при «качании» частоты одного и того же клистрона, подается на свой амплитудный детектор, вырабатывающий короткий импульс. При точном совпадении резонансных кривых импульсы появляются на экране осциллоскопа одновременно. Изменение ширины резонансной кривой одного из резонаторов и смещение ее по частоте при введении исследуемого газа наблюдается как разность времен появления импульсов. Чувствительность для показателя преломления 10⁻⁸.

Б. Осипов
70686. Прибор для измерения скорости вытекания газа при постоянном давлении. Элерс (Constant-pressure leak-rate gauge. Ehlers K. W.), Rev. Scient. Instrum., 1958, 29, № 1, 72 (англ.)

Основной частью прибора является горизонтально расположенная калиброванная стеклянная трубка диам. 3 мм, из которой газ вытесняется легко перемещающейся Hg-пробкой. В трубке может быть создан вакуум либо давление до 3 атм.

А. Лихтер
70687. Упругости паров веществ, применяемых для наполнения датчиков температуры.— (Vapor pressures of media for temperature sensing devices.—), Chem. Process., 1957, 20, № 1, 204 (англ.)

Номограмма для определения упругостей паров 24 в-в в интервале t-р от -40 до 165° и давл. от 0,95 до 17,5 кг/см².

А. Лихтер
70688. Усовершенствования в анализе смеси хлороводорода и, в частности, технического газообразного хлора на электрохимических предприятиях. Перуджини (Miglioramenti nell'analisi di miscela cloridrogeno ed in particolare del gas cloro tecnico degli impianti elettrochimici. Perugini Giancarlo), Chimica e industria, 1958, 40, № 1, 16—20 (итал.; рез. франц., англ., нем.)

Предложен прибор, позволяющий отбирать пробы и анализировать смеси газов, содержащих H и Cl, без воздействия на них света, что исключает фотосинтез HCl, приводящий иногда к существенным ошибкам в анализах смесей H и Cl. Точность определения H_2 составляет $\pm 0,03\%$. Прибор пригоден также для анализа технич. Cl_2 в присутствии HCl + CO_2 , O_2 , CO , H_2 и воздуха.

Из резюме автора
70689. Дистилляция в аппарате карусельного типа. Риппе (Das Karussell-Destillations-Verfahren. Riepe Wilhelm), Glas-Instrum. Techn., 1958, 2, № 2, 3—5 (нем.)

См. РЖХим, 1957, 41613.

70690. Прибор для непрерывной подачи раствора с электрическим контролем. Хекли (Electrolytically controlled device for dispensing liquids. Heckly Robert J.), Science, 1958, 127, № 3292, 233—234 (англ.)

Прибор состоит из 2 резервуаров (Р), разделенных резиновой мембраной (М). В одном из Р (герметически закрытом) производится электролиз H_2O , и давление выделяющихся при этом газов передается через М во 2-й Р, где находится р-р. Выдавливается из 2-го

Р-р поступает по отводной трубке, напр., в электрохим. ячейку, сосуд для электрофореза и т. п. Изменяя силу тока электролиза, можно в широких пределах изменять скорость подачи р-ра.

Ю. Плесков
70691. Аппаратура для измерения высокоскоростных потоков двухфазных, двухкомпонентных систем. Уодли, Оман (Instrumentation to measure gas-phase composition of high velocity, two-phase, two-component flows. Wadleigh K. R., Oman R. A.), Jet Propuls., 1957, 27, № 7, 769—775, 783 (англ.)

Обсуждены проблемы измерения свойств высокоскоростных потоков жидкостей, суспендированных в газе. Особое внимание уделено суспензии воды в воздухе для отношений масс вода:воздух до 0,3 и скоростей 106—181 м/сек. Описана методика отбора и анализа спец. проб толькой газовой фазы.

А. Лошманов
70692. Приборы и методы для измерения радиоактивности. Макино, Ояма, Сэн'и гэнпо, 1957, 14, № 8, 15—22 (японск.)
Обзор.

70693. Метод анализа радиоактивности летучих соединений. Хербер (Method of radioassay of volatile compounds. Herber Rolfe H.), Rev. Scient. Instrum., 1957, 28, № 12, 1049—1051 (англ.)

Описан прибор, предназначенный для измерений радиоактивности летучих соединений, меченных β -эмиттерами, и представляющий собой тонкостенный (36,5 мк/см²) алюминиевый Г.—М.-счетчик, окруженный цилиндрич. стеклянным кожухом. Пространство между стенками счетчика и кожуха заполняется исследуемым соединением. Приведены данные по счету SiCl_4^{36} и HCl^{36} . Во всех случаях отмечена пропорциональность между скоростью счета и давлением исследуемых газов (до давл. ~1,2 см рт. ст.).

Г. Р.
70694. Приемы работы с радиоактивным красным фосфором. Кларк, Лулудес, Рон (Technique for handling radioactive red phosphorus powder. Clark T. J., Louloundes J. S., Roan C. C.), Chemist-Analyst, 1957, 46, № 3, 72—73 (англ.)

Для устранения опасности распыления облученного нейтронами порошкообразного красного Р ампулу, содержащую последний, вводят в полиэтиленовую пробирку, помещенную в полиэтиленовый мешок, который затем заваривают. Резким ударом по полиэтиленовой пробирке разбивают ампулу, открывают мешок и переносят (в мешке) фосфор в прибор для дальнейшей переработки (хлорирования).

В. Левин
70695. Счетчики с трифторидом бора. Боваль, Дуссон, Прюнь (Les compteurs a trifluorure de bore. Beauval J. J., Dousson S., Prugne P.), Vide, 1957, 12, № 69, 208—214 (франц.)

Описана методика изготовления счетчиков нейтронов с BF_3 . BF_3 переводят в комплекс $\text{CaF}_2 \cdot \text{BF}_3$, который помещают в печь, соединенную с вакуумной установкой, дегазируют при 80° и разлагают при 250°. Выделяющийся BF_3 очищают от примесей, вымораживая последние при -110°. Заполнение счетчиков производится в той же вакуумной установке. Приведены подробности конструкции установки и счетчиков и характеристики последних.

В. Левин
70696. О зависимости площади дифференциальной термографической записи от распределения в образце термоактивного вещества. Сементовский Ю. В., Изв. Казанск. фил. АН СССР. Сер. геол. н., 1957, № 6, 259—264

Изучена зависимость площади дифференциальной термографич. записи от распределения термоактивного в-ва в массе навески. Показано, что площадь дифференциальной термографич. записи пропорциональна массе термоактивного в-ва, обратно пропорциональна величине удаления термоактивной зоны от спая термопары и находится в параболич. зависи-

мости от размера образца. Предложенные автором уравнения хорошо согласуются с эксперим. данными.

Ю. Третьяков
70697. Теплопередача через тела микроскопических размеров. Хаузер (Zum Wärmeübergang bei Körpern mikroskopischer Dimensionen. Hauser Wilfried), Naturwissenschaften, 1958, 45, № 5, 105—106 (нем.)

Измерен переход тепла от Pt-проволоки диам. 1—10 м, нагревавшейся электрич. током. Т-ра проволоки определялась по ее сопротивлению. Для шарообразных частиц с расстоянием между ними большим по сравнению с их диаметром пригодна предложенная ранее (Senftleben H., Z. angew. Phys., 1951, 10, 361)

$\text{Nu} = 0,764 \sqrt{\text{Gr} \cdot \text{Pr}}$, где Nu, Gr, Pr — критерии Нуссельта, Грасгоффа и Прандтля. Вычислена разность т-р для частиц диам. 1 м, устанавливающихся при поглощении ими излучения интенсивностью 0,133 вт/см² в воздушной среде (20°, 1 атм), $\Delta T = 0,38^\circ$ и в воде $\Delta T = 0,014^\circ$. Полученные результаты могут быть учтены при выяснении т-ры микрочастиц (напр., микроорганизмов), находящихся в температурном равновесии с излучением, которое они могут поглощать.

А. Золотаревский
70698. Тройная точка аргона как термометрическая точка. Пул, Шилдс, Стейвли (The triple point of argon as a thermometric fixed point. Pool R. A. H., Shields B. D. C., Staveley L. A. K.), Nature, 1958, 181, № 4612, 831 (англ.)

Измерено давление пара жидкого O_2 при т-ре тройной точки (ТТ) Аг. Найденное значение 368,69 мм рт. ст. и данные, полученные ранее (Hoge, J. Res. Nat. Bur. Standards, 1950, 44, 321) для т-ры кипения O_2 90,190° К, дают для т-ры ТТ Аг значение $83,819 \pm \pm 0,006^\circ \text{К}$, что хорошо согласуется с ранее полученной величиной (РЖХим, 1958, 326). Если принять для т-ры кипения O_2 90,154° К (РЖХим, 1954, 40957), что на 0,036° ниже величины, приведенной в Международной температурной шкале 1948 г., то для т-ры ТТ Аг получится значение $83,783 \pm 0,006^\circ \text{К}$. Для давления пара Аг при т-ре ТТ получено значение $516,82 \pm 0,04$ мм рт. ст.

Л. Резницкий
70699. Адиабатический калориметр — прибор для одновременного определения теплоемкости и теплопроводности. Синельников Н. Н., Филинович В. Н., Ж. техн. физ., 1958, 28, № 1, 218—221

Цилиндрический калориметр (К) окружен concentрически расположенным нагревателем, который создает адиабатич. оболочку. Дополнительные торцевые нагреватели обеспечивают однородность т-р по высоте К. Внутренним нагревателем служит Мо-нить, натянутая по оси К. Мощность излучения нити поддерживается постоянной. Образец изготавливается в виде пустотелого цилиндра, который плотно вставляется в К. Порошкообразный образец насыпается между стенкой К и внутренним цилиндром. Измеряется общее кол-во тепла Q , подведенное к К, и повышение т-ры от начала нагревания до момента выключения нагревателя Δt_1 и от этого момента до установления равновесного состояния Δt_2 . Коэф. теплопроводности $\lambda = (q/\Delta t_2)[R_1/(R_2^2 - R_1^2)^2][(R_2^4 - R_1^4)/4 + R_1^2 R_2^2 \ln(R_1/R_2)]$, где q — поток тепла, R_2 и R_1 — внешний и внутренний радиусы. Теплоемкость $c = Q/\Delta t_1 + \Delta t_2$. Теплопроводность порошкообразного кварца при средней т-ре 344,0° найдена равной $1,07 \cdot 10^{-4}$ кал/см сек град. На основании измерений при давлениях от атмосферного до $5 \cdot 10^{-5}$ мм рт. ст. подсчитана роль различных составляющих суммарного процесса передачи тепла.

А. Ликтер
70700. Калориметрическая установка для измерения теплоты плавления неорганических веществ. Гуд-

кин, Соломоне, Джанз (Calorimetric assembly for the measurement of heats of fusion of inorganic compounds. Goodkin J., Solomons C., Janz G. J.), Rev. Scient. Instrum., 1958, 29, № 2, 105—107. Discuss. 107—108 (англ.)

Предложена аппаратура для калориметрич. измерений, сочетающая простоту устройства с удовлетворительной точностью ($\pm 2\%$). Описана техника произ-ва определений; изложен метод расчета изменений энтальпии из эксперим. данных по изменениям т-ры. Приведены результаты калориметрич. определений для эвтектич. смеси LiCl—KCl (т. пл. $354,1^\circ$), полученные на предлагаемой установке. Установка пригодна для изучения в-в, т-ра плавления которых $\leq 510^\circ$; этот предел может быть значительно увеличен путем замены стекла пирекс материалом, устойчивым при более высокой т-ре (напр., кварцем). А. Шейнин

70701. Микрокалориметр для изучения глинистых минералов. Грин-Келли, Галлаван (A micro-calorimeter for clay mineral studies. Greene-Kelly R., Gallavan R. C.), Clay Minerals Bull., 1957, 3, № 18, 170—176 (англ.)

Сосуд Дьюара с водой емк. 300 мл помещен в большой водяной термостат, в котором колебания т-ры $< 0,005^\circ$. Внутри сосуда помещается стеклянный баллон с образцом исследуемого минерала, приспособление для разбивания этого баллона, нагреватель для калибровки, мешалка и термистор. Калориметр измеряет теплоту смачивания водой малых кол-в высокодисперсных глинистых минералов. Кол-во тепла ~ 5 дж измеряется с точностью $\pm 1\%$. А. Лихтер

70702. Прогревание угольных и графитовых нагревателей в печи ТВВ-2. Можжухин Е. И., Шулепов В. И., Заводск. лаборатория, 1958, 24, № 3, 359—360

В печи ТВВ-2 W-нагреватели заменены угольными и графитовыми нагревателями, позволяющими получать т-ры 1200—2000° в зависимости от формы и сечения нагревателей. Описаны параметры графитовых нагревателей и приведена зависимость т-ры нагревателей от напряжения питания. Указано на возможность приспособить печь ТВВ-2 для работы в атмосфере защитного газа (H_2 , Ar, He), пользуясь как W, так и угольными и графитовыми нагревателями.

Ю. Третьяков

70703. Модернизация высокотемпературной вакуумной печи типа ТВВ-2м. Аветиков В. Г., Костюков Н. С., Кузнецов Б. Е., Заводск. лаборатория, 1958, 24, № 3, 356—358

В печи ТВВ-2м обычные W-нагреватели (ВН) и Мо-экраны заменены соответствующими графитизированными деталями, причем диаметр рабочего пространства увеличен с 60 до 80 мм при высоте 230 мм. Описаны параметры графитизированного нагревателя (ГН) и экранов. Изучено распределение т-р по высоте ГН и ВН и показана возможность достижения т-р до 2000° при пользовании первых. Срок службы ГН и экранов в 3—4 раза больше, чем ВН и Мо-экранов. ГН вдвое дешевле, позволяют резко охлаждать печь с максим. т-ры нагрева и пригодны в отличие от ВН для работы с материалами, содержащими Si и C.

Ю. Третьяков

70704. Блочная печь для испытания катализаторов и изучения каталитических реакций. Пигулевский В. В., Лабутин А. Л., Заводск. лаборатория, 1958, 24, № 3, 358—359

Сконструирована блочная печь для изучения р-ций каталитич. дегидрирования бутана и бутилена и длительного испытания дегидрирующих катализаторов. Блоки печи длиной 400—1100 мм при diam. 100—120 мм отливались из алюминиевой бронзы. Нагревательным элементом служила нихромовая проволока, непосред-

ственно намотанная на фарфоровых бусах на металлич. блок. Печь, автоматически регулируемая с точностью до $3-4^\circ$, способна работать круглосуточно при $550-675^\circ$ без ремонта 10 тыс. час. Реакционные трубки для проведения высокотемпературных процессов с корродирующими газовыми смесями изготовляются из стали Ж 28 с $\sim 27\%$ Cr.

Ю. Третьяков

70705. Малоинерционный термометр сопротивления. Замков В. А., Приборы и техн. эксперимента, 1958, № 1, 134—136

Описана конструкция и технология изготовления Pt-термометра сопротивления (ТС) размерами $2 \times 5 \times 50$ мм с постоянной времени 0,5 сек. ТС представляет собой наполненную He до давл. 200 мм рт. ст. U-образную пирексовую трубку diam. 1,5 мм с толщиной стенок 0,1 мм. Внутри трубки помещена спираль из Pt-проволоки diam. 0,05 мм и сопротивлением 25 ом. Концы спирали припаяны Au к токоподводящим проводам и герметично впаяны в концы трубки. Найдено, что ТС пригодны для работы в диапазоне т-р от $-182,97$ до $+444,6^\circ$. Воспроизводимость показаний ТС $\leq 0,001^\circ$. А. Бабад-Захряпин

70706. Измерения температур между 0 и -200° С платиновыми термометрами сопротивления. Стрелков П. Г., Шаревская Д. И., Измерит. техника, 1957, № 6, 53—58

Описан способ измерения т-ры за нижним пределом международной шкалы т-р Pt-термометром сопротивления с использованием стандартной таблицы. С помощью описанного способа можно вычислять т-ру с погрешностью, близкой погрешности при вычислении по международной шкале т-р ($0,01^\circ$). Г. Березин

70707. Электронный программный регулятор подъема температуры с заданной постоянной скоростью. Нотехин Л. Н., Заводск. лаборатория, 1958, 24, № 2, 245—246

К потенциометру ЭПД-12 сделано механич. приспособление, которое позволяет использовать регулятор т-ры для автоматич. подъема т-ры с заданной постоянной скоростью и записью на диаграмме. А. Лихтер

70708. Приставка к потенциометру для точного измерения pH стеклянным электродом. Сиваковский В. Б., Аксельруд Н. В., Заводск. лаборатория, 1958, 24, № 3, 374

Описана усилительная приставка к потенциометру, предназначенная для точного измерения pH стеклянным электродом. Приставка построена на лампе 6Ж12К, работающей в электрометрич. режиме; приведены принципиальная и монтажная схемы. В сочетании с потенциометром типа ППТВ-1 и гальванометром чувствительностью 10^{-9} а/мм/м предлагаемая приставка позволяет измерять pH толстостенным (0,1—0,5 мм) стеклянным электродом с точностью 0,01 pH.

А. Шейнин

70709. Вращающийся электрод из висящей ртутной капли. Барендрехт (A rotating hanging mercury-drop electrode. Barendrecht E.), Nature, 1958, 181, № 4611, 764—765 (англ.)

Описан электрод (Э) для электрохим. (особенно полярографич.) измерений. Э представляет собой висющую Hg-каплю, вращающуюся со скоростью до 750 об/мин. Преимущества такого Э перед обычно применяемым Hg-капельным Э состоят в меньшей величине тока заряда, большей чувствительности и отсутствии полярографич. максимумов и других искажений на i — q -кривых. Приведен пример i — q -кривой для двухкомпонентной системы $(10^{-4} M Pb^{2+} + 10^{-4} M Cd^{2+}$ в 0,1 M KCl) при скорости вращения 500 об/мин. Э позволяет производить полярографич. определение конц-ий до $10^{-7} M$. А. Шейнин

70710. Обратимый хлорный электрод для измерения электродвижущей силы элементов в расплавленных

солях. Сендерофф, Меллорс (Reversible chlorine electrode for the measurement of electromotive force in molten salt cells. Senderoff Seymour, Mellors G. W.), Rev. Scient. Instrum., 1958, 29, № 2, 151—152 (англ.)

Предложен новый тип обратимого хлорного электрода (Э), пригодный для использования в качестве Э сравнения при измерениях электродных потенциалов в расплавленных солях. Рабочей частью Э служит цилиндр из пористого графита (фирмы National Carbon, сорт № 60), через который пропускается очищ. газообразный хлор. В отличие от ранее описанных типов хлорного Э, пригодных лишь при t -рах $< 650^\circ$, предлагаемый Э может применяться до $\sim 900^\circ$. Для проверки работы Э измерены э.д.с. ячейки $\text{Ag}|\text{AgCl}|\text{Cl}_2$ (графит) в интервале 530 — 920° . Равновесие устанавливалось ~ 2 час. (для некоторых Э дольше). При расчетах вводилась поправка на термо-э.д.с. пары $\text{Ag} - \text{C}$ (2 мв). Установлено, что зависимость э.д.с. от t -ры линейна во всем изученном интервале (отклонения эксперим. точек от прямой линии < 2 мв). Для t -р $< 600^\circ$ найденные значения с точностью до 3 мв совпадают с литературными данными. Отмечено, что при изготовлении Э из спектрального графита (вместо сорта, указанного выше) измерения при высоких t -рах становятся затруднительными. Висказаны критич. замечания по поводу некоторых предыдущих работ (РЖХим, 1957, 513, 514).

А. Шейнин
70711. Новые методы разделения в химии. Муссо (Moderne Trennungsmethoden in der Chemie. Musso Hans), Naturwissenschaften, 1958, 45, № 5, 97—104 (нем.)

Обзорная статья, посвященная описанию методов разделения смеси в-в с помощью адсорбционной хроматографии (мол. сорбция); распределения между двумя фазами, куда входит распределение между двумя несмешивающимися жидкостями (типа Крега), распределительная хроматография в колонках и на бумаге, газовая хроматография; ионообменной хроматографии; электрофореза на бумаге. Проводится сравнение старых и новых методов разделения в-в и приведены примеры применения новых методов. Библ. 23 назв.

Л. Дмитренко
70712. К методике измерения вязкости растворов в зависимости от температуры. Ахмедов К. С., Погорельский К. В., УзССР Фанлар Акад. Докл. АН УзССР, 1958, № 2, 35—37 (рез. узб.)

Измерение вязкости р-ров в летучих р-рителях при высокой t -ре связано с трудностями, возникающими вследствие испарения р-рителя во время измерений. Применение существующих типов вискозиметров (В) не дает точных результатов. Авторы предлагают новую конструкцию В с висязим уровнем (типа Оствальда), в которой получение точных и не изменяющихся во времени результатов достигается благодаря применению притертой пробки и спец. устройства, обеспечивающего компенсацию р-рителя, теряющегося при измерениях. Для проверки работы В проведены измерения относительной вязкости 0,5%-ного р-ра поливинилхлорида в дихлорэтаноле и 45,56%-ного р-ра дибутилфталата в дихлорэтаноле при 65° . Показано, что при работе с В прежних конструкций измеренные значения вязкости заметно увеличиваются со временем, тогда как при применении предлагаемого В они остаются постоянными.

А. Шейнин
70713. Простой вискозиметр для измерения расплавленных с весьма высокими значениями вязкости. Смолл (A simple melt-viscometer for very high viscosities. Small P. A.), J. Polymer Sci., 1958, 28, № 116, 223—224 (англ.)

Описывается компактный прибор, основанный на

измерении скорости погружения под заданной нагрузкой тонкого цилиндрич. плунжера в трубку с исследуемой жидкостью. Плунжер изготовлен из W и соединен своим верхним концом с более толстым стержнем из нержавеющей стали, который движется с помощью направляющих в верхней (широкой) части трубки. Предусмотрено термостатирование образца. Необходимое кол-во образца $\leq 0,1$ г. Пределы измерения вязкости η 10^4 — 10^9 пуаз. Выведена ф-ла для вычисления η .

А. Кислинский
70714. Установка для изучения скорости реакций с автоматической записью кинетических кривых. Лебедев В. В., Заводск. лаборатория, 1958, 24, № 3, 372—373

Разработана методика изучения скорости р-ций восстановления окислов металлов и окисления металлов с непрерывной автоматич. записью кинетич. кривых. Этот метод основан на том, что в замкнутой системе создается постоянная циркуляция газа-восстановителя, пронизывающего слой окисла металла (или окислителя, проходящего через слой мелкозернистого металла), и при восстановлении окисла металла водородом или СО давление в системе изменяется за счет потребления восстановителя и вымораживания образующихся паров воды. Убыль восстанавливающего газа компенсируется из сосуда-автомата, в котором находится поплавок с рычагом и пером, вычерчивающим на барабане автомата кривую потребления восстановителя. Приведена кривая потребления H_2 при восстановлении им магнитной окиси Fe_3O_4 при 450° , которая позволяет рассчитать среднюю скорость восстановления и степень восстановления в любой промежуток времени.

Ю. Третьяков
70715. Простой аппарат для определения содержания воды по Карлу Фишеру методом «резкой конечной точки». Немитц (Eine einfache Apparatur zur Wassergehaltsbestimmung nach Karl Fischer mittels der Dead — Stop — Methode. Nemitz G.), Chemiker-Ztg, 1958, 82, № 7, 222—223 (нем.)

Установка включает потенциометр для наложения напряжения на ячейку, микроамперметр, электрохим. ячейку с 2 Pt-электродами, разделенными стеклянной пластинкой, и 2 бюретки (для р-ра Фишера и р-рителя — метанола). Титруемый р-р перемешивается с помощью магнитной мешалки.

Ю. Плесков
70716. Прибор для определения кремния, содержащегося в ацетилене. Кан Искра, Сон Се Гвон, Хвахак ка хвахак коноп, Ж. химии и хим. пром-сти, 1958, 2, № 1, 55 (кор.)

Прибор представляет собой воздушно-ацетиленовую горелку, камеру сгорания и абсорбер с конц. HCl , через который продукты сгорания протягиваются водоструйным насосом. Присутствующие в ацетилене соединения Si сгорают до SiO_2 , последний частично оседает на стенках камеры сгорания, а остальное поглощается в абсорбере. После сжигания камеру сгорания промывают HCl , которую вместе с HCl из абсорбера упаривают в Pt-тигле. После прокаливании в тигле остается полученный SiO_2 .

Ли Мен-юн
70717. Основы современной техники вольтовых дуг. Зорбе (Grundlagen moderner Lichtbogentechnik. Zorbe Günter), Chem. Labor und Betrieb, 1957, 8, № 11, 451—460 (нем.)

Приведена краткая характеристика различных типов вольтовых дуг для получения высоких t -р с целью использования их для плавления металлов и жаропрочных сплавов и проведения сильно эндотермич. хим. р-ций. Угольная дуга при силе тока 200 а позволяет получать t -ры до 4000°K . T -ра разряда между W-анодом и Cu-катодом с продуванием азота для предотвращения окисления электродов при силе

тока 500 а и длине дугового промежутка 20 мм составляет 7000° К. Т-ра разряда угольной дуги внутри полости водяной струи при силе тока 1500 а достигает 52 000° К. Рассмотрены вопросы, связанные с выбором материала и изоляторов для изготовления дуг, и способы измерения т-ры разряда. В. Лыгин

70718. Новый генератор двойной дуги для спектрального анализа. Хуан Бун-ли, Заводск. лаборатория, 1958, 24, № 3, 348—352

Описана схема новой двойной дуги для спектрального анализа летучих элементов, отличающаяся от ранее описанных параллельным соединением дуг, возможностью их раздельного регулирования и возбуждением спектров в разряде конденсатора низкого напряжения. При этом характер разряда может изменяться от дугового до искрового, что позволяет определять некоторые металлоиды (серу, галогены и т. д.). Приведены подробные результаты испытаний устройства при разных режимах работы и эскиз применявшихся электродов. По предварительной оценке погрешности анализов получена величина среднеквадратичного отклонения отдельных опытов 7,6—11,9%, что лучше достигнутых ранее результатов.

В. Дианов-Клоков

70719. Установка для детального изучения кривых затухания фосфоресценции длительностью более 0,1 секунды. Пилипович В. А., Свешников Б. Я., Оптика и спектроскопия, 1958, 4, № 1, 116—118

Описана простая установка, позволяющая с высокой степенью точности воспроизводить кривые затухания люминесценции в интервале длительности затухания от 0,1 сек. до нескольких минут при изменении интенсивности свечения в 10^7 раз. Исследуемый образец помещается в термостат, расположенный между двумя оптич. затворами, один из которых находится перед осветителем с Hg-лампой типа СВДШ-250, а другой — перед фотоэлектрическим умножителем типа ФЭУ-19. Затворы срабатывают последовательно, что обеспечивает разделение процессов возбуждения и высвечивания и исключает возможность попадания возбуждающего света на регистрирующее устройство. Устройство для смены нейтр. фильтров перед фотоумножителем позволяет расширить диапазон измеряемых интенсивностей. Электрич. сигнал с фотоумножителя подается на вход усилителя постоянного тока (коэф. усиления по току $\sim 20\,000$) и записывается шлейфовым осциллографом типа МПО-2 на стандартную киноплёнку. Для облегчения расшифровки осциллограмм предусмотрен отметчик времени, который наносит на плёнку в процессе записи масштабную сетку. Описанная установка может быть использована для изучения кинетики фосфоресценции органич. люминофоров, для исследования процесса затухания фосфоресценции многих кристаллофосфоров, кинетики дефлюоресценции, а при незначительной переделке — для изучения кинетики некоторых фотохим. реакций. Приведена подробная электрич. схема усилителя и отметчика времени. Л. Абрамович

70720. Техника лабораторных исследований выщелачивания под давлением. Уоррен (Laboratory pressure leaching technique. Warren I. H.), Austral. J. Appl. Sci., 1957, 8, № 4, 317—322 (англ.)

Описан реактор для исследования выщелачивания в кислой или щел. среде при т-рах до 250° и давл. до 50 кг/см². Реактор емк. 750 мл изготовлен из нержавеющей стали и снабжен устройствами для нагревания и контроля т-ры с точностью $\pm 0,15^\circ$, турбомешалкой с внешним приводом, регулятором, обеспечивающим постоянно давление протекающего газа, и вентилем для отбора проб. А. Лихтер

70721. Колонны с насадками, обладающие очень высокой разделительной способностью. Грейн (Füllkörperkolonnen extremer Trennleistung. Grein F.), Z. phys. Chem. (BRD), 1958, 14, № 5-6, 380—383 (нем.)

Исследована перегонка смеси n-гептана и метилциклогексена в адиабатич. колонках, заполненных проволочными насадками из нержавеющей стали в виде сеток или спиралей, при скорости перегонки 1—400 см³/час. Колонка работала непрерывно 32 дня. Кривая зависимости числа теоретич. тарелок на 1 см от скорости перегонки проходит при скорости ~ 20 см³/час через максимум, особенно резкий для сеточных насадок. При скорости 153 см³/час наблюдается перегиб, который соответствует, вероятно, переходу от ламинарного к турбулентному течению пара. Опыты показывают, что колонка высотой 5 м может иметь 1000 теоретич. тарелок. Б. Анваер

70722. Условия работы с платиновыми приборами. Рём (Richtiges Arbeiten mit Platingeräten. Röhman Manfred), Chem. Labor und Betrieb, 1958, 9, № 4, 144—148 (нем.)

Рассмотрены с точки зрения сохранения Pt-сосудов при лабор. работах основные свойства Pt, методы очистки поверхности, устойчивость по отношению к к-там, галогидам, P, As, Si, щел. и соевым расплавам, возможность образования сплавов с другими металлами. Восстановительное пламя не столь вредно для Pt, как предполагалось до сих пор: углерод действует на Pt с заметной скоростью лишь вблизи ее т-ры плавления. Происходящее при этом разрушение поверхности устраняется путем накаливания в окислительной среде. Б. Анваер

70723. Термический преципитатор для непрерывного отбора проб аэрозоля. Опп, Мартин (Thermal precipitator for continuous aerosol sampling. Orr Clyde, Martin Roy A.), Rev. Scient. Instrum., 1958, 29, № 2, 129—130 (англ.)

Описана конструкция преципитатора, в котором аэрозоль движется от периферии к центру между поверхностями, одна из которых нагревается электрич. сопротивлением, а другая охлаждается водой. Аэрозоль осаждается на бумажной или пластмассовой ленте, непрерывно передвигаемой с помощью мотора. Плотность прилегания ленты к охлаждаемой поверхности достигается наличием кривизны поверхностей, которая выбрана такой, чтобы зазор между поверхностями оставался равным 0,5 мм. Осаждение происходит в зоне диам. 7,6 см при скорости потока 1 л/мин. С. Янковский

70724 П. Детектор эпитеpmальных нейтронов. Титл (Epithermal neutron detector. Tittle Charles W.) [Gulf Research & Development Co.], Pat. США 2769915, 6.11.56

Предложен детектор, обладающий повышенной эффективностью регистрации нейтронов с энергией от 0,2 до нескольких сот эв и сравнительно мало чувствительный к α -, β - и γ -излучению, быстрым и тепловым нейтронам. Прибор представляет собой сцинтилляционный счетчик, фосфор которого окружен кожухом из фольги, сделанной из элемента, подвергающегося р-ции (n, γ) с резонансными пиками в рассматриваемой области энергий нейтронов. Назначение фольги — поглощение эпитеpmальных нейтронов и γ -излучения заключенного в ней фосфора. Одновременно фольга является отражателем света. Сцинтилляционный счетчик окружен защитой от γ -лучей (слой Pb, W). Слой γ -защиты в свою очередь окружен наружным кожухом — слоем защиты от тепловых нейтронов из материала с большим сечением поглощения для тепловых и относительно малым се-

чением для эпитеpmальных нейтронов (Cd, Gd). γ -Защита, помещаемая между наружным (от тепловых нейтронов) и внутренним (от эпитеpmальных) кожухами, не пропускает к счетчику как γ -излучение от внешних источников, так и то, которое возникает при поглощении тепловых нейтронов в наружном защитном слое.

Г. Радзиевский

70725 П. Метод и прибор для приготовления радиоактивных источников. Льюис (Technique and apparatus for radioactive source preparation. Lewis Lloyd G.) [Standard Oil Co.]. Пат. США 2760887, 28.08.56

Описан прибор для равномерного нанесения радиоактивного в-ва на подложку путем выпаривания р-ра. К подложке из листового материала (слюда, металлич. фольга) при помощи спец. зажимного устройства прижат блок из тефлона, имеющий конич. отверстие, нижний диаметр которого соответствует размеру источника. В образовавшуюся полость помещают радиоактивный р-р и упаривают его, нагревая при помощи ИК-лампы. Для равномерности распределения радиоактивного в-ва по подложке последняя вместе с тефлоновым блоком вращается при помощи спец. привода, а на поверхность жидкости направляется под определенным углом струя воздуха.

В. Левин

70726 П. Устройство для автоматического регулирования вакуума. Кусано Мицуо, Такита Гисукэ [Кабусики кайся майдэнся]. Японск. пат. 2141, 24.03.56

Автоматич. регулятор вакуума состоит из манометра Мак-Леода с электрич. контактом в капилляре и системы реле. Hg в манометре автоматически, через определенное время поднимается до постоянного уровня. Если при этом вакуум в системе оказывается хуже заданного, то замыкания контакта с Hg в капилляре манометра не происходит и реле включает вакуумные насосы, которые работают до достижения заданного вакуума (замыкание контактов в манометре).

Ли Мен-юн

70727 П. Прибор для анализа жидкостей. Шваб, О'Коннор, Рил (Device for testing liquids. Schwab Louis, O'Connor George L., Riehle Fred W.) [The Union Central Life Insurance Co.]. Пат. США 2785057, 12.03.57

Предлагается портативный прибор для быстрого качества анализа жидкостей. Исследуемая жидкость приводится в соприкосновение с твердым реагентом, покрытым абсорбентом (вата, бумажная масса, древесина и т. п.). Абсорбент дозирует приток жидкости к реагенту, увеличивая тем самым чувствительность цветной р-ции. Реагентами могут служить подходящие твердые в-ва или нейтр. в-ва, пропитанные соответствующими реактивами. Наблюдения ведутся через прозрачную стенку прибора. При наличии эталонных образцов возможна также быстрая колич. оценка по интенсивности окраски. Конструкция прибора исключает возможность влияния атмосферных воздействий. Прибор может быть использован для анализа мочи и других жидкостей на сахар, глюкозу и др., для определения кислотности р-ров и т. п. Приведены чертежи и дано детальное описание всех узлов прибора.

А. Шейнин

См. также: Аппаратура для исследования сверхтонкой структуры линий Hg 69731. Фотоэлектрич. поляриметр 69761. Прибор для получения цилиндрич. рентгеновских образцов 69850. Автоэмиссионный проектор Мюллера для исследования поверхностных структур 69878. Аппаратура для исследования процессов кристаллизации 69940. Вискозиметр с коаксиальным цилиндром 69962. Многоканальный сцинтилляционный γ -спектрометр 69970. Термодиффузионная делительная трубка 69985. Мембранный манометр с емкостным датчиком для измерения скоростей р-ций в газовой фазе 70078. Установка для исследования окислительно-восстановительных процессов 70250. Седиментометр 70280. Приборы для газовой хроматографии 70466. Автоматич. бюретка для колич. опред. углекислоты 27078Бх. Газоанализатор для опред. CO₂ 27080Бх

70728

вод
1-(2
ам
ци
ре
tiat
geoc
and
pro
so
Jo
(an
Ran
зано,
ноам
(обоз
к ва
помн
типа
симум
логи



Неуказ
= CH₃
= CH₂
R' = C₆
N < (C
XXXII
R² = C₆
XII, XX
XXXIV
XXXV
R² = CH₃
= мет
име инд
в R² =

тры из
щения
изомер
салоно
графир
ции пр

РЕФЕРАТИВНЫЙ ЖУРНАЛ ХИМИЯ

Рефераты 70728—71003

№ 21

10 ноября 1958 г.

II

ОРГАНИЧЕСКАЯ ХИМИЯ

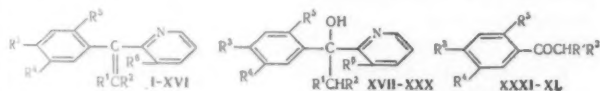
ОБЩИЕ И ТЕОРЕТИЧЕСКИЕ ВОПРОСЫ ОРГАНИЧЕСКОЙ ХИМИИ

Редактор М. Е. Вольпин

70728. Третичные аминокалкарбинолы и их производные. Часть VI. Стереохимия некоторых 1-фенил-1-(2'-пиридил)-пропен-1 и некоторых 3-(третично-амино)-1-фенил-1-(2'-пиридил)-пропен-1, содержащих дополнительные заместители. Адамсон, Барретт, Биллингхерст, Джонс (Aminoalkyl tertiary carbinols and derived products. Part VI. The stereochemistry of some 1-phenyl-1-(2'-pyridyl)prop-1-enes, and of some 3-(tertiary amino)-1-phenyl-1-(2'-pyridyl)prop-1-enes carrying additional substituents. Adamson D. W., Barrett P. A., Billingham J. W., Jones T. S. G.), J. Chem. Soc., 1958, Jan., 312—324 (англ.)

Ранее (см. часть V, РЖХим, 1958, 4604) было показано, что УФ-спектры поглощения ряда *цис*-3-(третично-амино)-1-фенил-1-(2'-пиридил)-пропен-1 (*цис*-I) (обозначения *цис*- и *транс*- здесь и далее относятся к взаимному положению азотсодержащих групп) напоминают стирол (один максимум при 250 мμ, спектр типа C), а спектры *транс*-I — винилпиридин (два максимума, 240 и 280 мμ, спектр типа B). Получены аналоги I — соединения типа (II—XVI), и изучены спек-

трывывания при ионообменной хроматографии или легкости замыкания в производные пирроколина (*транс*-изомер вымывается первым, циклизуется труднее). Получением *цис*- и *транс*-II (а, б), имеющих соответственно спектры типов C и B, подтверждено высказанное ранее предположение, что метиленовая группа в R² независимо от наличия третичной аминогруппы является причиной пространственных препятствий, нарушающих копланарность двойной связи и ядра, находящегося в *цис*-положении к R². Аналогичными эффектами объясняются особенности спектров и других соединений. Спектры III (а и б) — промежуточного типа между B и C. *Цис*- и *транс*-формы IV (а, б, в, г) также дают сходные спектры промежуточного типа, так как пространственные препятствия для копланарности у *цис*- и *транс*-форм одинаковы. Спектры V (а, б) сходны со спектрами стереоизомерных IV. Спектры *цис*- и *транс*-VIб сходны и приближаются к типу B. Спектры *цис*- и *транс*-VII (а, б, в) сходны со спектрами соответствующих I. Для VIII в получен только *цис*-изомер, имеющий спектр типа C. *Транс*-XII (а, е) и *транс*-XIIIа дают спектры нормального B-типа, спектры *цис*-XII и *цис*-XIII — промежуточного типа с преобладанием B. Это объясняется тем, что в дополнение к пространственным препятствиям, создаваемым R² для *цис*-пиридинового ядра, находящаяся в фенильном кольце CH₃-группа нарушает копланарность двойной связи и фенила. *Цис*-X (а, б), наоборот, дают нормальный спектр C, *транс*-X (а, б) — модифицированный тип C из-за влияния R⁶. Спектры *транс*- и *цис*-IX, -XI, -XIV, -XV и -XVI относятся соответственно к B и C типу. Спирты (XVII—XXX) получены из соответствующих кетонов с пиридил-2-литием или 2-(3-пиколил)-литием, как описано ранее в части III (J. Chem. Soc., 1950, 1039). Ниже приводятся т. пл. в °C (из петр. эф.) для спиртов: XVIIб, 65; XVIIIа, 67—69; XVIIIб, 115; XIXа, 111; XIXб, 102; XIXв, 134; XIXг, 121; XXб, 158; XXв, 146; XXIб, 106 и 117 (диастереоизомеры); XXIа, 83; XXIв, 86; XXIг, 124; XXIIа, 81; XXIIб, 115. Для спиртов XXIV—XXX ниже приводятся выход в %, т. пл. в °C свободного аминоспирта, т. пл. в °C оксалата (из спирта): XXIVа, 53, 106—107, 181—182 (из CH₃OH); XXIVе, 69, 111—112, 175—176 (из CH₃OH); XXVa, 56, 54—55 (из петр. эф.), 155—156; XXVe, 67, 104—105, 142—143; XXVIд, 60, 86—87, 163—164 (из CH₃OH); XXVIе, 80, 119—120, 118—119; XXVIж, 54, 85—86, 146—147 (из CH₃OH); XXVIIа, 58, 107—108, 196° (полуксалат, из CH₃OH); XXVIII, 65, 112—113, 147—149; XXIX, 14, 83—84, 146—147 (из сп.-этилацетата); XXX, 80, 120—121, 127—128 (из CHCl₃-этилацетата). Спирты дегидратировались нагреванием с 85%-ной H₂SO₄ (см. часть III). Ниже приводятся т. пл. в °C (или т. кип. в °C/мм) полученных олефинов и их оксалатов: *транс* IIа, HCl-соль,



Неуказанные R везде H; I R⁵ = CH₂ NR₄R₅; II, XVII, R⁵ = CH₂; III все R = H; IV, X, IX, XXXVIII, R⁵ = CH₃, R¹ = CH₂N < (CH₂)_n; V, XVIII R⁵ = R¹ = CH₂; VI, XX, XXXIX R⁵ = C₆H₅, R¹ = CH₂N < (CH₂)_n; VII, XXI, XL R⁵ = CH(CH₂)_n < (CH₂)_n; VIII, XXII R⁵ = CH(C₆H₅) < (CH₂)_n; IX, XXV, XXXII R⁵ = CH₂; R¹ = CH₂N < (CH₂)_n; X, XXIII, R⁵ = CH₂; R¹ = CH₂N < (CH₂)_n; XI, XXVI, XXXIII R⁵ = CH₂N < (CH₂)_n; XII, XXIV, XXXI R⁵ = CH₂, R¹ = CH₂N < (CH₂)_n; XIII, XXVII, XXXIV R⁵ = R¹ = CH₂, R¹ = CH₂N < (CH₂)_n; XIV, XXVIII, XXXV R⁵ = (C₆H₅)₂, R¹ = CH₂N < (CH₂)_n; XV, XXIX, XXXVI R⁵ = *изо* = C₆H₇, R¹ = CH₂N < (CH₂)_n; XVI, XXX, XXXVII R⁵ = *трет* = C₆H₇, R¹ = CH₂N < (CH₂)_n; Для всех II—XL буквенные индексы означают: а R⁶ = H, n = 4; б R⁶ = Cl, n = 4; в R⁶ = H, n = 5; г R⁶ = Cl, n = 5; д R⁶ = CH₃, R¹ = CH₂N(CH₂)₂; е R⁶ = CH₃, n = 4; ж R⁶ = CH₃, n = 5

тры их *цис*- и *транс*-форм (приведены кривые поглощения и таблицы длин волн). Разделение *цис*-*транс*-изомеров II—XVI производилось кристаллизацией оксалатов из спирта, а для IV, VI, X и XII — хроматографированием (ср. часть V). Определение конфигурации производилось либо по спектрам, либо по порядку

138 (из CHCl_3 -эф.), —; *цис*-IIa, 110/0,5, —; *транс*-IIb, HCl-соль, 197—199, —; *цис*-IIb, 150—152/0,5, —; IIIa, 120—122/0,5, HCl-соль, 186—187 (из CHCl_3 -эф.); IIIb, HCl-соль, 192—193 (из CHCl_3 -этилацетата), —; *транс*-IVa, 55, 158—159, *цис*-IVa, 69—70, —; *транс*-IVb, —, 216; *цис*-IVb, —, 134—135; *транс*-IVb, 85—86, 175—176; *цис*-IVb, 100—102, 125; *транс*-IVg, —, 201—202; *цис*-IVg, —, 75—77; Va, 126—128/0,5, —; Vb, 150—152/0,5, —; *транс*-VIb, 104—105, 151—152; *цис*-VIb, 110, 147—148; VIb (конфигурация не установлена), 91—92, —; *транс*-VIIb, —, 159—160; *цис*-VIIb, 200—204/0,3, —; VIIb, 77—79, —; *транс*-IXa, —, 147—148; *цис*-IXa, —, 182—183; *транс*-IXe, —, 160—161; *цис*-IXe, 57—58, 174—175; *транс*-Xa, —, 158—160; *цис*-Xa, —, 152; *транс*-Xb, —, 140—141; *цис*-Xb, —, 175—176; *транс*-XIa, —, 173—174; *цис*-XIa, —, 181—182; *транс*-XIe, 59—61, 173—174, HCl-соль, 116—118; HBr-соль, 119—121, *цис*-XIe, —, 149—150; *транс*-XIj, —, 164—165; *цис*-XIj, —, 167—169; приведены т. пл. в °C оксалатов (из сп.): *транс*-XIIa, 160—161; *цис*-XIIa, 169—170; *транс*-XIIe, 168—169; *цис*-XIIe, 175—176; *транс*-XIIIa, 156—157; *цис*-XIIIa, 176—177; XIV, 153—154 (здесь и все последующие из сп.-этилацетата); *транс*-XV, 166—167; *цис*-XV, 168; *транс*-XVI, 164; *цис*-XVI, 174. Все синтезированные алкениламины исследованы с точки зрения их антигистаминной активности. Особенно активным оказался *транс*-XIe. Исходными в-ами служили кетоны (XXXI—XL), получавшиеся р-цией Манниха (ср. часть III). Ниже для них приводятся выходы в % и т. пл. в °C хлоргидратов (из сп.-этилацетата): XXXIa, 40, 134—135; XXXIe, 47, 150—152; XXXIIa, 55, 131—132; XXXIIe, 60, 169—170; XXXIIIa, 68, 168; XXXIIIe, 49, 170; XXXIIIj, 61, 177—178; XXXIVa, 45, 140—141; XXXV, 53, 118—120; XXXVI, 57, 167—168; XXXVII, 60, 157—158; XXXVIIg, т. пл. 36—37° (из петр. эф.), хлоргидрат, т. пл. 175—176° (из сп.); XXXVIIIa, хлоргидрат, т. пл. 149—150° (из ацетона-сп., 3:1); XXXVIIIb, т. кип. 152—156°/0,1 мм. XXXIXb, т. пл. 97°, получен из бензил-л-хлорфенилкетона (Ber, 1922, 55, 3510) XLb, т. пл. 38° (из петр. эф.), XLa (т. кип. 126—130°/0,4 мм) получены из кротонофенона, а XLg (не подвергался очистке) из л-хлоркротонофенона (XLI (J. prakt. Chem., 1912, 86, 230). XLI (т. кип. 160—164°/16 мм) получен по методу, описанному ранее (Bull. Soc. chim. France, 1927, 41, 843) для кротонофенона.

В. Потапов

70729. Применение асимметрического синтеза для определения конфигурации аминокспиртов и диамин с двумя смежными асимметрическими углеродными атомами. Проштеник, Алаупович (Application of the asymmetric synthesis in the determination of the configuration of amino alcohols and diamines with two adjacent asymmetric carbon atoms. Proštenik M., Alaupović P.), Croat. chem. acta, 1957, 29, № 3—4, 393—402 (англ.; рез. сербо-хорв.).

Используя N-фталонил-аланилхлорид (I) и дибензилэфиры л-тетрадецилмалоновой к-ты (II) в качестве исходных в-в в синтезе Боумана (Bowman R. E., J. Chem. Soc., 1950, 325), авторы получили гидробромид D-(—)-2-аминооктадеканона-3 (III), конфигурация которого вытекает из правила Каррера, Сейлена (Liebigs. Ann. Chem., 1938, 534, 247; РЖХим, 1953, 1608). Восстановление (некаталитическое) III или его оксима приводит соответственно к D-(+)-эритро-2-аминооктадеканолу-3 (IV) и D-(+)-эритро-2,3-диаминооктадекану (V). Конфигурация возникающего в ходе асимметрич. синтеза второго асимметрич. центра (C₃) определяется при этом правилом Крама (Cram D. J., Abdelhazef F. A., J. Amer. Chem. Soc., 1952, 74, 5828). Описанные превращения открывают путь для определения конфигурации липонидных осно-

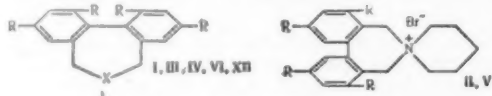
ваний — дигидросфингозина, некрозамина, фитосфингозина. К суспензии 0,084 г-атома порошка Na в 250 мл C_6H_6 прибавлен р-р 0,084 моля II в 250 мл C_6H_6 и после растворения Na (20°, 1—2 часа) 0,084 моля I в 150 мл C_6H_6 . Через ~ 12 час. смесь вылита в воду, продукт р-ции извлечен C_6H_6 , после его выпаривания растворен в 400 мл спирта, подвергнут гидрированию (2×3 г Pd/BaSO₄, 3550 мл H_2 , 12 час., 20°, 750 мм). Продукт гидрирования растворен в 50 мл C_6H_6 , причем в осадке получено 4,05 г тетрадецилмалоновой к-ты, а из фильтрата (хроматографирование на 150 г Al_2O_3) 35,1% (—)-2-фталимидооктадеканона-3, т. пл. 73—73,5° (из сп.), $[\alpha]_D^{20} -3,1^\circ$ (с 11; хлф.). 7 ммоль последнего гидролизуют кипячением 10 час. с 30 мл лед. CH_3COOH и 25 мл 66%-ной HBr до III, выход 32,3%, т. разл. 170° (из этилацетата), $[\alpha]_D^{20} -3,5^\circ$ (с 3,4; пиридин); оксим III, выход 92%, т. пл. 123—124° (из этилацетата). 5 ммоль оксима помещены в гильзу экстрактора Сокслета, в колбе которого находился р-р 3 г LiAlH_4 в 500 мл эфира (кипение 50 час.). Эфирный слой насыщен HCl, причем получено 69,8% эритро-V·2HCl, т. пл. 304—306° (из сп.-эф.), $[\alpha]_D^{20} +0,86^\circ$ (с 2,69; абс. сп.). Восстановление оксима III в присутствии Pt (из PtO_2) привело к 45,9% эритро-V·2HCl; дибензоильное производное, т. пл. 158—162° (из сп.); диацетильное производное, т. пл. 126—127° (из ацетонитрила); продукт конденсации с CS_2 , т. пл. 88—89° (из петр. эф.), $[\alpha]_D^{20} -3,5^\circ$ (с 2,6; абс. сп.). Кипячением (12 час.) 4,1 ммоль III, 1,5 г LiAlH_4 , 500 мл эфира и 50 мл тетрагидрофурана получено 77,8% эритро-IV·HCl, т. пл. 177—179°, $[\alpha]_D^{20} +2,2^\circ$ (с 2,78; абс. сп.); N-бензоильное производное, т. пл. 108—109° (из ацетонитрила), $[\alpha]_D^{20} -4,05^\circ$ (с 2,47; хлф.); диацетильное производное, т. пл. 70—70,5° (из ацетонитрила); N-ацетильное производное (получено из предыдущего, 1-часовым действием спирта 1 н. NaOH при 40—50°), т. пл. 121—122° (из ацетонитрила). Каталитич. восстановление III (как для оксима III) привело к 56,5% эритро-IV·HCl и 9,16% трео-IV, т. пл. 176—177°, $[\alpha]_D^{20} -0,86^\circ$ (с 2,77; абс. сп.); N-бензоильное производное, т. пл. 95—96° (из ацетонитрила). Серией сравнительных опытов показана более легкая N→O-миграция ацила (при нагревании со спирт. р-ром HCl) для эритро-IV, чем для трео-IV, что служит дополнительным подтверждением принятых конфигураций. Все т-ры плавления не исправлены.

В. Потапов

70730. Связь между конфигурацией и сопряжением у производных дифенила. Часть IX. Некоторые тетрачлорпроизводные с мостиком в положении 2,2. Холл, Минхадж (The relation between configuration and conjugation in diphenyl derivatives. Part IX. Some tetrachloro-2,2'-bridged compounds. Hall D. Muriel, Minhaj Fatima), J. Chem. Soc., 1957, Nov., 4584—4591 (англ.).

Исследованы УФ-спектры поглощения производных дифенила: 2,7-дигидро-3,4:5,6-добензоэксепина (I), бромистого 2,7-дигидро-3,4:5,6-добензоазепиний-1-спиро-1'-пиперидиния (II) и метилового эфира 3,4:5,6-добензоциклопентадиен-3,5-карбоновой-1 к-ты (III), а также их тетрачлорзамещенных (IV—VI). Найдено, что несмотря на наличие атомов хлора в орто-положениях IV—VI обнаруживают сравнительно с I—III возрастание ε и bathochromный сдвиг полос сопряжения (ПС), тогда как у неимеющего мостика 2,4,2',4'-тетрахлордифенила (VII) ПС едва заметна. Авторы делают вывод о важной роли мостика в в-вах типа I—VI, заключающейся в стабилизации сопряженной системы, так как конформация молекулы определяется преимущественно наличием мостика. Диметилловый эфир (VIII), 4,6,4',6'-дифеновой к-ты (VIIIa к-та) получен этерификацией VIIIa CH_3OH в присутствии

H_2SO_4 , т. пл. 160—161° (из бал.); диамид VIIa, т. пл. 246—247° (из хлф.). 4,6,4',6'-тетрахлор-2,2'-бис-(оксиметил)-дифенил (IX) получен р-цией VIII и $LiAlH_4$, т. пл. 136—137° (из CCl_4). IV синтезирован дегидратацией IX в 50%-ной H_2SO_4 , т. пл. 151—152,5° (из CH_3OH). 2,2'-дибромметил-4,6,4',6'-тетрахлордифенил (X) получен р-цией IX и HBr , т. пл. 101,5—103,5° (из сп.). V синтезирован р-цией X и пиперидина в C_6H_6 ; дигидрат, т. пл. ~ 211—212° (из воды). 2',4',2'',4''-тетрахлор-2,4:5,6-дibenзоциклопентадиен-3,5-дикарбоновая-1,1 к-та (XI) синтезирована из X и Na-малонового эфира, т. пл. 188—189° (разл.; из водн. сп.); диэтиловый эфир, т. пл. 140—141°. К-та (XII) получена декарбоксилированием XI, т. пл. 219—221° (из сп.); VI,



I R = H, X = O; II R = H; III R = H; X = $> CHCOOCH_3$; IV R = Cl, X = O; V R = Cl; VI R = Cl, X = $> CHCOOCH_3$; XII R = Cl, X = $> CHCOOH$

т. пл. 159—160° (из CH_3OH). VII синтезирован р-цией 2,4-дихлорфенилмагнийиодида и безводн. Cu_2Cl_2 , т. кип. 146°/2 мм, т. пл. 41—42° (из сп.). Часть VIII см. РЖХим, 1958, 45647. А. Сергеев 70731.

Производные сульфеновых кислот. XXVIII. Ультрафиолетовые спектры диастереоизомеров, полученных реакциями сульфенилгалогенидов. Гавлик, Хараш (Derivatives of sulfenic acids. XXVIII. Ultraviolet spectra of diastereoisomers obtained via reactions of sulfonyl halides. Havlik Anton J., Khargasch Norman, J. Organ. Chem., 1957, 22, № 12, 1701—1703 (англ.)).

Измерены УФ-спектры в абс. CH_3OH диастереоизомерных рацематов $CH_3CHXCH(CH_3)SAr$ (I), где X = Cl, Ar = 2,4-(NO_2) $_2C_6H_3$; X = CH_3COO , Ar = 2,4-(NO_2) $_2C_6H_3$; X = Cl, Ar = 2- NO_2 -4- $COONHC_2H_5$; X = CH_3COO , Ar = 2- NO_2 -4- $COONHC_2H_5$, полученных при транс-присоединении 2,4-динитрофенилсульфенилхлорида или 2-нитро-4-карбоксибензилсульфенилхлорида к цис- и транс-бутену-2 (II) (получение I см. РЖХим, 1954, 25229; 1957, 22786). Спектры I (X = $OOCCH_3$) и I



(X = Cl) сходны. Полученные из транс-II соединения поглощают при более длинных волнах, чем полученные из цис-II. Вычисленная из сдвига максимумов разность энергий составляет 0,2—0,001 ккал/моль. Авторы считают, что в результате взаимодействия между ArS и X из цис-II и транс-II возникают предпочтительные конформации (Ia) и (Ib). Из-за большего удаления CH_3 -групп Ia предпочтительнее, чем Ib; последняя форма требует меньшей энергии для перехода в возбужденное состояние, что и соответствует поглощению при более длинных волнах. Предыдущее сообщение см. РЖХим, 1958, 70843.

В. Потапов 70732. Основность и скорость алкилирования алифатических третичных аминов. Хюниг, Киссель (Basenstärke und Alkylierungsgeschwindigkeit aliphatischer, tertiärer Amine. Hünig Siegfried, Kiesel Max, J. prakt. Chem., 1958, 5, № 5—6, 224—232 (нем.)).

Для выяснения пригодности третичных алифатических аминов в качестве неалкилирующих акцепторов

протона в р-циях с протонным отщеплением определены основность и скорость алкилирования три-*n*-пропил-(I), ди-*n*-пропилизопропил-(II), *n*-пропилдиизопропил-(III), три-*n*-бутил-(IV), ди-*n*-бутилизобутил-(V), *n*-бутилдизобутил-(VI), триизобутил-(VII), метилдизиклогексил-(VIII) и триизопропанол-(IX)-аминов. Потенциометрич. титрованием $HClO_4$ в $CH_3OCH_2CH_2OH$ при 20° получены следующие величины pK : I 7,3; II 7,6; III 7,8; IV 7,5; V 6,8; VI 5,8; VII 4,4; VIII 8,2; IX 6,4. Резкое уменьшение основности при росте разветвления в ряду бутиламинов авторы объясняют увеличением при этом стерич. затруднений для перехода в четвертичное основание («В-напряжение» по Брауну). В случае пропиламинов, несмотря на усиление для них В-напряжения, оно перекрывается положительным индуктивным эффектом алкильных групп, возрастающим с разветвлением, что вызывает рост основности в ряду I—III. Алкилирование трет-аминов йодистым этилом в тетрагидрофуране при 50° не соответствует какому-либо кинетич. закону. Скорости р-ции близки в пределах 10% для всех аминов, кроме I и IV, превращающихся значительно быстрее. Это показывает, что скорости р-ции определяется не основностью, а наличием разветвлений. Полученные данные свидетельствуют о возможности использования VIII и III в качестве вспомогательных сильных оснований. Напр., при р-ции дициклогексилamina (X) с $(CH_3)_2SO_4$ в присутствии VIII при 140° через 2 часа получают VIII с выходом 70% от превратившегося X. Первые синтезированы II, V и VI. Нагреванием 0,35 моля *изо*- C_4H_9Br (XI) и 0,9 моля $(n-C_4H_9)_2NH$ в автоклаве (15 час., 80—100°, 30 ат) получен V, выход 58%, т. кип. 84,5—85,5°/12 мм; тетрафенилборат, т. пл. 124° (из *изо*- $C_5H_{11}OH$). Аналогично из 0,75 моля *изо*- C_5H_7Br (XII) и 0,9 моля $(n-C_5H_7)_2NH$ нагреванием (120°, 30 ат, 30 час.) получен II, выход 28%, т. кип. 45—45,5°/14 мм. Нагреванием 1,94 моля $(n-C_4H_9)_2NH$ и 1,04 моля C_5H_7CHO в присутствии скелетного Ni при 90° и начальном давлении водорода 65 ат за 8 час. получен VI, выход 58%, т. кип. 89—89,5°/20 мм; 3,5-динитробензоат, т. пл. 88—89° [из $(n-C_5H_{11})_2O$]. VII получен из XI и водн. NH_3 (40 час., 100—100°, выход 36% (неочищ.)), т. кип. 94—94,5°/33 мм. Из 1 моля $(n-C_5H_7)_2NH$ (*изо*- C_5H_7) и 0,5 моля XII при 100—150° и 50 ат за 30 час. получен III, выход 9%, т. кип. 52/14 мм, 146—147°/750 мм. А. Дулов 70733.

Этерификация *l*-ментола в концентрированной муравьиной кислоте. Видеквист (The esterification of *l*-menthol in concentrated formic acid. Wideqvist Sigvard, Arkiv kemi, 1958, 12, № 2, 123—129 (англ.)).

Поляриметрически измерена скорость этерификации *l*-ментола в р-рах $HCOOH$ при 25°. Р-ция при конц-ях воды 0,78—6,11 *M* необратима. Скорость р-ции подчиняется ур-нию первого порядка. Вода мало влияет на скорость р-ции, лишь несколько снижая наблюдаемую константу скорости k_1 . В присутствии пиридина и ацетамида значение k_1 падает, что объясняется повышением конц-ии ионов $HCOO^-$ и уменьшением самоионизации молекул $HCOOH$. Хлорацетамид мало влияет на значение k_1 , а ацетонитрил не изменяет скорости р-ции. В присутствии NH_4Cl , $NaCl$, KCl и KBr скорость р-ции возрастает, что объясняется не только солевым эффектом, но и влиянием молекул HCl , образующихся при сольволизе солей. В присутствии 0,03 *M* HCl скорость р-ции слишком велика для поляриметрич. измерений. И. Моисеев 70734.

Свойства ангидрида и эфиров дифенилборной кислоты. Эйбел, Джеррард, Лапперт (The properties of the anhydride and esters of diphenylboronous acid. Abel E. W., Gerrard W., Lappert M. F., J. Chem. Soc., 1957, Sept., 3833—3838 (англ.))

Гидролиз эфиров дифенилборной к-ты $(C_6H_5)_2BOH$ (I) обычно протекает с разрывом связи B—O. Это следует из того, что щел. гидролиз (2-часовое встряхивание с 20%-ным р-ром KOH) оптически активных $(C_6H_5)_2BOCH(CH_3)CH_2CH_2CH_2CH_2CH_2CH_3$ (II) (т. кип. $78^\circ/10$ мм, n_D^{20} 1,4263, $[\alpha]_D^{20} +7,26^\circ$) и $(C_6H_5)_2BOCH(C_6H_5)CH_3$ (III), т. кип. $100^\circ/20$ мм, n_D^{20} 1,5271, $[\alpha]_D^{20} -11,56^\circ$) протекает с сохранением конфигурации, а гидролиз *нео*- $C_6H_5H_11OB(C_6H_5)_2$ (IV) (т. пл. 48° , т. кип. $110^\circ/760$ мм) не сопровождается перегруппировкой углеродного скелета неопентильной группы. Однако в 40%-ной HCOOH III гидролизуетс с частичной рацемизацией, следовательно, наряду с разрывом связи B—O рвется также связь C—O. II реагирует с HBr по механизму $S_N 2$, т. е. с разрывом C—O-связи и обращением конфигурации. При действии BCl_3 , *н*- $C_4H_9OBCl_2$ или $(n-C_4H_9O)_2BCl$ на *н*- $C_4H_9OB(C_6H_5)_2$ образуется $(C_6H_5)_2BCl$ (V) (выход 80, 98 и 43% соответственно, т. кип. $105^\circ/0,7$ мм, n_D^{20} 1,6091). Аналогичным образом при действии BBr_3 на $C_6H_5H_7OB(C_6H_5)_2$ или PBr_5 на *втор*- $C_4H_9OB(C_6H_5)_2$ получается $(C_6H_5)_2BBr$ (VI) (выход 79 и 19% соответственно, т. кип. $110^\circ/0,1$ мм, n_D^{20} 1,631). При гидролизе $[(C_6H_5)_2B_2O]$ (VII) образуется $(C_6H_5)_2BOH$ (выход 100%, n_D^{20} 1,5930); при действии на VII PCl_5 получен V (выход 75%, т. кип. $97^\circ/0,05$ мм, n_D^{20} 1,6093), при действии BBr_3 или PBr_5 на VII получен VI (выход 79 и 40% соответственно, т. кип. $132^\circ/0,4$ мм, n_D^{20} 1,635, d_4^{20} 1,364). Из трех изомерных бутиловых эфиров дифенилборной к-ты лишь *трет*- $C_4H_9OB(C_6H_5)_2$ взаимодействует с HCl (газ), давая *трет*- C_4H_9Cl и I, которая для удобства выделения превращена в VII (выход 98%). Аналогично из III получен VII (выход 96%). Р. Кудрявцев

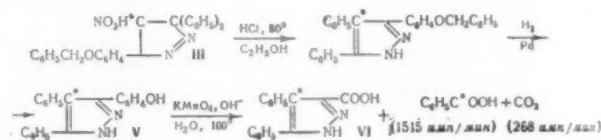
70735. Реакции ионов *p*-нитробензолдиазония и диазотата с кислотой и щелочью. Льюис, Сур (The reactions of the *p*-nitrobenzenediazonium and diazotate ions with acid and base. Lewis Edward S., Suhr Harald, J. Amer. Chem. Soc., 1958, 80, № 6, 1367—1371 (англ.))

Спектрофотометрически количественно изучено превращение борофторида *p*-нитробензолдиазония (I) в *анти*-диазотат под действием щелочи при pH 7—14 (фосфатные или боратные буферы, NaOH) и обратное образование соли диазония из *p*-нитробензолдиазотата Na (II) под действием к-ты в интервале pH 0—8 (цитратно-фосфатные буферы, H_2SO_4) при 20° . Р-ции характеризуются медленным достижением равновесия и экзотермическим подходом к нему, что снижает точность измерений, несмотря на использование смесей реагентов, близких к равновесным. Для р-ции I константа скорости первого порядка k при pH 10—14 не зависит от pH, а в интервале pH 7—8,75 возрастает с ростом pH. Отношение k к конц-ии OH^- («константа» скорости второго порядка) в случае фосфатных буферов уменьшается с ростом pH. Предложена следующая схема р-ции: 1) $O_2NC_6H_4N^+$ (III) + $OH^- \rightarrow \text{син-}O_2NC_6H_4N_2OH$ (IV) (медленно); 2) IV + $OH^- \rightarrow \text{син-}O_2NC_6H_4N_2O^-$ (V) (быстро); 3) V \rightarrow *анти*- $O_2NC_6H_4N_2O^-$ (VI) (медленно). Авторы считают, что в области, где скорость зависит от pH, она определяется р-цией (1), а в независимой области р-цией (3). Энергия активации независимого от величины pH процесса, определенная из скоростей превращения I в боратном буфере (pH 10) при 5—25°, является относительно большой величиной (22,5 ккал/моль), что подтверждает вывод о том, что скорость этого процесса контролируется р-цией мономолекулярной изомеризации (3). При р-ции II \rightarrow I четко различимы 2 стадии: быстрая, заключающаяся, по мнению авторов, в сдвиге равновесия VI + H \rightleftharpoons *анти*- $O_2NC_6H_4N_2OH$ (VII), и затем очень медленная стадия, удовлетворяющая любому кинетич. закону и

протекающая по ур-нию VII \rightarrow III непосредственно или через стадии VI \rightarrow IV \rightarrow III. Невозможность на основании полученных данных рассчитать константу равновесия свидетельствует о наличии неучитываемой не-обратимой р-ции, возможно, образования незамещ. диазоокси: III + $OH^- \rightarrow HOC_6H_4N_2^+ + NO_2^- \rightarrow OC_6H_4N_2 + HNO_2$. А. Дулов

70736. Реакция диазосоединений с нитроолефинами. V. Направление присоединения двузамещенных диазосоединений к нитроолефинам. Парем, Серрес, О'Коннор (Reaction of diazo compounds with nitroolefins. V. The orientation of addition of disubstituted diazo compounds to nitroolefins. Parham William E., Serres Carl, Jr., O'Connor Paul R., J. Amer. Chem. Soc., 1958, 80, № 3, 588—590 (англ.))

Установлено направление присоединения дифенилдиазометана (I) при р-ции его с *н*- $C_6H_5CH_2OC_6H_4CH=CHNO_2$ (II). Р-цию I с II вели в $C_6H_6 \sim 5$ недель $\sim 20^\circ$. Образующийся 3-нитропиразолин (III) подвергли обработке (см. схему). Получение бензойной

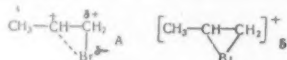


к-ты (IV) с радиоактивностью, соответствующей вычисленной в предположении, что в состав IV входят атомы C_4 и C_5 из в-ва (V) доказывает, что атом N в I присоединяется к β -C-атому II, а не к его α -C-атому в противоположность присоединению CH_2N_2 и монозамещ. диазометанов к нитроолефинам. Стреление V доказано превращением его в в-во (VI). При присоединении азота I к α -C-атому II C^{14} в V был бы в положении 3 и при исчерпывающем окислении V перешел бы в CO_2 , а не в IV. Контрольные опыты показали, что небольшое внедрение C^{14} в CO_2 объясняется частичным декарбоксилированием IV в условиях окисления V. II синтезировали действием $C^{14}H_5NO_2$ (0,0163 моля) на *н*-бензилоксибензальдегид (0,0163 моля) в пропанол-е (175 мл), содержащем 1,2 г NaOH и 40 мл этанола при 0° ; II выделяли через 1,5 часа, смесь выливали в воду, подкисленную HCl при 0° ; выход 83%, т. пл. $121-122^\circ$ (из сп.). При проведении р-ции в метаноле или этаноле выходы II были 20—25% и 55—65% соответственно. Сообщение IV см. РЖХим, 1955, 26164. А. Рекашева

70737. Кинетика и механизм присоединения к олефиновым соединениям. Часть V. Продукты реакции между хлористым бромом и пропиленом в воде. Де-ла-Мар, Галандауэр (The kinetics and mechanisms of addition of olefinic substances. Part V. Products of the reaction between bromine chloride and propene in water. De La Mare P. B. D., Gallandauer S., J. Chem. Soc., 1958, Jan., 36—43 (англ.))

При р-ции $BrCl$ (I) с пропиленом (II) в 1—3 M водн. HCl образуются 1-бром-2-хлорпропан (III), 2-бром-1-хлорпропан (IV), 1-бромпропанол-2 (V) и 2-бромпропанол-1 (VI) в соотношении III:IV = 54:46, V:VI = 79:21. Кол-во V и VI в продуктах р-ции составляет 70% при конц-ии HCl 1 M и падает до 50% при повышении конц-ии HCl до 3 M. Отношения V:VI и III:IV при этом не изменяются. Дихлорпропан или хлоргидрин не обнаружены. Кол-во бромпроизводных II составляет $<10\%$ от кол-ва V и VI. Примерно эквивалентные кол-ва III и IV и отношение V:VI = 4:1 свидетельствуют, по мнению авторов, о том, что р-ция протекает с первоначальным образо-

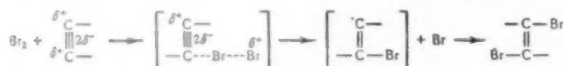
нашем как карбониевого иона (А), так и бромониевого иона (В). Продукты р-ции образуются при взаимодействии А и В с водой, Cl^- или I. Из водн. р-ра после р-ции экстрагировали пентаном III и IV и после насыщения водн. р-ра сульфатом аммония эфиром из-



блежали V и VI. Обе фракции анализировались с помощью ИК-спектров, а также по скорости сольволиза. Отщепления Br^- в щел. р-ре. Заведомый III получен при р-ции α -хлорпропионовой к-ты и SOCl_2 с последующим восстановлением LiAlH_4 и обработкой PBr_3 , т. кип. $116-117^\circ$, n_D^{25} 1.4740. V получен гидратацией аллилбромида в H_2SO_4 , содержащей CuSO_4 , т. кип. $48-48.5^\circ/13 \text{ мм}$, n_D^{25} 1.4772. IV получен бромированием (PBr_3) хлоргидрина, приготовленного гидратацией аллилхлорида в H_2SO_4 в присутствии CuSO_4 , т. кип. $116-117^\circ$, n_D^{25} 1.4761. VI получен р-цией α -бромпропионовой к-ты с SOCl_2 и затем восстановлением LiAlH_4 , выход 20%, т. кип. $45^\circ/12 \text{ мм}$, n_D^{25} 1.4740. Часть IV см. РЖХим. 1957. 71468. И. Моисеев

70738.	Нуклеофильное Зинн (Nucleophile Sinn H.), Angew. Chem., 1957, 69, (нем.)	бромирование Bromierung von Chem., 1957, 69, № 23, 754	ацетиленов. Acetylenen. № 23, 754
--------	---	---	---

Проведено сравнительное бромирование толана (I), 4,4'-динитротолана (II), стильбена (III) и 4,4'-динитростильбена (IV) в среде лед. CH_3COOH при 68,5°. Реакция протекает по второму порядку. Скорость при-



соединения брома уменьшается в ряду $\text{III} > \text{II} > \text{I} > \text{IV}$. Это подтверждает гипотезу нуклеофильного присоединения брома к полиацетиленам на основной стадии. По мнению автора, за нуклеофильной стадией присоединения брома следуют гомолитич. отщепление атома брома с расщеплением π -связи и радикальное образование дибромидов (см. схему).

А. Ясников

70739. Механизм и стереохимия присоединения диоксида азота к олефинам. Бранд, Стивенс (Mechanism and stereochemistry of the addition of nitrogen dioxide to olefins. Brand J. C. D., Stevens I. D. R.), J. Chem. Soc., 1958, Febr., 629—638 (англ.).

Изучена р-ция присоединения NO_2 к циклогексену (I), 1-метилциклогексену (II) и циклопентену (III). Конфигурация продуктов р-ции изучалась путем их гидролиза до нитроспиртов и восстановления последних в аминоспирты известной конфигурации. При проведении р-ции I с N_2O_4 в среде CBrCl_3 (IV) + эфир получены следующие продукты (выход указан в мол. %): 1-бром-2-хлорциклогексан (V), 30,9; 1-бром-2-нитроциклогексан (VI), 28,7; 2-хлорциклогексанол (VII), 27,7; 2-хлорциклогексилнитрат (VIII), 4,4; 1-нитроциклогексен (IX), 3,6; циклогексеннитрозит (X), 1,6; CCl_2NO_2 (XI), 3,1, и малые кол-ва нитрозилхлорида. По-видимому, первичный продукт р-ции, радикал $\text{NO}_2\text{C}_6\text{H}_{10}$ (XII), реагирует с IV с образованием VI и радикала $\text{CCl}_3\cdot$. Последний с NO_2

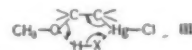


дает XI и радикал $\text{CCl}_3\text{O}^\cdot$, распадающийся на Cl^\cdot и COCl_2 . I и Cl^\cdot дают $\text{ClC}_6\text{H}_{10}^\cdot$ (XIIIa), реагирующий с

а с образованием **V** и $\text{CCl}_3\cdot$, а с NO_2 с образованием $\text{ClC}_6\text{H}_4\text{ONO}$ (**XIIIb**), который в условиях р-ции гидролизуется в **VII** и окисляется в **VIII**. Р-ция **XII** с NO приводит к **X**, переходящему в условиях перегонки частично в **IX**. При р-ции **I** с NO_2Cl (**XIV**) в эфире получены следующие продукты (выход в мол. %): 1-хлор-2-нитроциклогексан (**XV**), 41,6; *транс*-1,2-дихлорциклогексан (**XVI**), 26,6; **VII**, 6,2; **VIII**, 6,4; 2-нитроциклогексанол (**XVII**), 5,4; циклогексен-3-ол (**XVIII**), 3,2; **X** (?), 7,6; 1-хлор-2-нитроциклогексан (димер) (?), 2,8. Образование **XV** объясняется взаимодействием **XII** с **XIV**, при котором образуются также $\text{Cl}\cdot$ и $\text{NO}_2\text{C}_6\text{H}_4\text{ONO}$. **I** и **Cl** дают **XIIIa**, реагирующий с **XIV** с образованием **XIIIb**, претерпевающий затем вышеуказанные вторичные превращения. *Транс*-конфигурация **XVI** указывает на то, что он возникает не при взаимодействии **XIIIa** с **XIV**, а в результате обычного гетеролитич. хлорирования **I**. Возникновение **XVIII** авторы объясняют р-цией **I** с $\text{Cl}\cdot$ с образованием HCl и $\text{C}_6\text{H}_5\cdot$, который с NO_2 дает $\text{C}_6\text{H}_5\text{ONO}$ и затем **XVIII**. Изучение конфигурации нитроспиртов, полученных из **I**—**III**, дало следующие результаты (указаны исходный олефин, реагент, инициатор, нитроспирт, % *транс*-присоединения): **I**, N_2O_4 , NO_2 , **XVII**, 58; **I**, **XIV**, NO_2 , **XVII**, 62; **I**, **XIV**, Cl , **VII**, 62; **II**, N_2O_4 , NO_2 , 1-метил-2-нитроциклогексанол, 100; **III**, N_2O_4 , NO_2 , 2-нитроциклопентанол, 84. Для объяснения стереоспецифичности присоединения к **II** и нестереоспецифичности присоединения к **I** авторы принимают следующие допущения: 1) промежуточный радикал обладает пирамидальной конфигурацией при реакционном центре; 2) промежуточный радикал существует в конформации (**XIXa**) или (**XIXb**) с аксиальной NO_2 -группой; 3) скорость конверсии кольца **XIXa** и **b** мала по сравнению со скоростью второй стадии р-ции присоединения; 4) когда $\text{R} = \text{CH}_3$, энергия **XIXb** значительно превышает энергию **XIXa** (1,3 отталкивание), чем и вызвана нестереоспецифичность р-ции **II**. Нестереоспецифичность р-ции присоединения к **I** объясняется тем, что в случае $\text{R} = \text{H}$ энергии **XIXa** и **XIXb** близки. В случае **III** промежуточный радикал, вероятно, имеет плоскостную конфигурацию, в которой предпочтительен подход второго NO_2 -радикала со стороны, противоположной нитрогруппе, с образованием *транс*-аддукта.

70740. Дезоксимеркурирование. Берг, Лей, Роджман, Райт (Deoxymercuration. Berg O. W., Lay W. P., Rodgman A., Wright G. F.), Canad. J. Chem., 1958, 36, № 2, 358—370 (англ.)

Исследована кинетика р-ции образования олефинов, р-ции дезалкимеркурирования (РД), при взаимодействии с НСl стереоизомерных α - и β -2-алкоксикислородосилмеркургалогенидов $\text{ROC}_6\text{H}_{10}\text{HgX}$, где $\text{R} = \alpha\text{-CH}_3$ ($\alpha\text{-I}$) при $\text{X} = \text{Cl}, \text{Br}, \text{J}$; $\text{R} = \beta\text{-CH}_3$ ($\beta\text{-I}$), $\alpha\text{-C}_2\text{H}_5$, $\alpha\text{-C}_3\text{H}_7$, $\alpha\text{-трет-C}_4\text{H}_9$, $\alpha\text{-CH}_3\text{OC}_2\text{H}_5$, $\alpha\text{-H}$, при $\text{X} = \text{Cl}$, а также α - и β -2-метокси-1,2-дифенилэтилмеркурхлоридов ($\alpha\text{-II}$ и $\beta\text{-II}$) (везде α и β — обозначения для стереоизомерных форм, причем $\alpha\text{-II}$ получен из *цис*-стильбена, а $\beta\text{-II}$ из *транс*-стильбена). Скорость РД $\alpha\text{-I}$ в 96%-ном водн. CH_3OH подчиняется ур-нию второго порядка, значения констант практически не меняются при переходе от $\text{X} = \text{Cl}$ к Br и J . Скорость р-ции возрастает при переходе от водн. к безводн. p-ru CH_3OH . В безводн. C_6H_6 РД $\alpha\text{-I}$ протекает быст-



рее, чем в безводн. CH_3OH . Скорость р-ции падает при добавлении в р-р C_6H_6 воды. β -II реагирует в безводн. C_6H_6 медленнее, чем α -I. Вода, добавленная в кол-ве 0,75 моля на 1 моль II- β , ускоряет р-цию. В при-

сутствии 1 моля воды на 1 моль β -II скорость РД падает. РД β -II катализируется каломелью. Авторы полагают, что р-ция протекает через циклич. активный комплекс (III). РД α -I и β -II протекает быстрее, чем РД β -I и α -II, в случае которых образование цикла III затруднено. При РД α -II (в безводн. C_6H_6) получен только *цис*-стильбен без примеси *транс*-изомера, что свидетельствует о сохранении стереоспецифичности р-ции в этих условиях. Показано, что РД имеет место в безводн. CH_3OH под действием слабой к-ты — изопропилмеркаптана и в $CHCl_3$ под действием бензоилхлорида, при р-ции с которым α -II и β -II дают соответственно *цис*- и *транс*-стильбены. Уменьшение скорости р-ции I с HCl при повышении конц-ии воды в рах CH_3OH объясняется понижением при этом конц-ии недиссоциированных молекул HCl . В C_6H_6 небольшие кол-ва воды уменьшают кол-во димеризованных молекул HCl и тем самым повышают скорость р-ции, а большие кол-ва воды приводят к диссоциации HCl и снижают скорость р-ции. α -2-изопропоксикиклогексилмеркурхлорид получен при р-ции ацетата ртути (0,01 моля) с циклогексеном (0,011 моля) в 30 мл изопропанола, выход 80%, т. пл. 94,8° (из сп.).

И. Моисеев

70741. Озонирование. II. Влияние пиридина на озонирование $\Delta^{4,22}$ -стигмадиенона-3. Сломп, Джонсон (Ozonolysis. II. The effect of pyridine on the ozonolysis of 4,22-stigmastadien-3-one. Slomp George, Jr, Johnson James L.), J. Amer. Chem. Soc., 1958, 80, № 4, 915—921 (англ.)

Разработан метод контроля р-ции озонирования $\Delta^{4,22}$ -стигмадиенона-3 (I), основанный на измерении интенсивности ИК-полос при 6 μ (характерной для системы α , β -непредельного кетона в ядре) и при 5,82 μ (характерной для появляющейся в результате р-ции альдегидной группы). Установлено, что в присутствии пиридина озонирование проходит более избирательно, почти не затрагивая двойную связь в ядре, что позволило повысить выход 3-кетобиснор- Δ^4 -холеналя-22 (II) до 90%. Авторы считают, что пиридин взаимодействует с диполярным ионом типа $RC^+H^-O^-$, возникающим в качестве промежуточного продукта при озонлизе, с образованием комплекса (III), распадающегося на II и N-окись пиридина (IV).

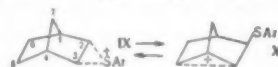


Выделить IV не удастся, так как она при 20° взаимодействует с альдегидами, однако, образование IV подтверждено йодометрич. титрованием озонида, результаты которого показывают, что для разрыва Δ^{22} -двойной связи в присутствии пиридина требуется на 0,3 экв O_3 больше, чем в его отсутствие. Пиридин и IV образуют с O_3 комплексы типа $C_5H_5N^+ \cdots OOO^-$, которые обладают большей нуклеофильной активностью, чем сам O_3 и реагируют с альдегидной группой с образованием к-т. Этим объясняется, почему выход II является максимальным при применении 1 моля пиридина и снижается в присутствии избытка последнего. Восстановление озонида цинком следует проводить при низкой т-ре, когда комплекс IV с O_3 еще не реагирует с альдегидом. Роль Zn сводится к восстановлению не озонида, а комплекса IV с O_3 , поэтому вместо восстановления цинком достаточно добавить к реакционной смеси CH_2O , $(CH_2O)_3$ или диметилсульфоксид, разрушающие комплекс (выход II соответственно 91,8, 75,9 и 77,2%). 10 г I в 250 мл CH_2Cl_2 и 2,37 мл пиридина озонируют при т-ре -80° (40,42 ммоль O_3), смесь добавляют к 12,5 г Zn-пыли (с одновременным добавлением 250 мл лед. CH_3COOH), перемешивают 2 часа

при 20° и выделяют II, выход 93,8% (из технич. гексана), $[a]_D +83,5^\circ$ (хлф.). Из маточных р-ров отгоняют с паром 2-этил-3-метилбутаналь (V), т. кип. 83—83,5°/7 мм, $[a]_D +37^\circ$ (без р-рителя), $n_D^{20} 1,4102$, $d_4^{20} 0,83$; 2,4-динитрофенилгидразон, т. пл. 121,5—122°; семикарбазон, т. пл. 132—133°. V не дает кристаллич. оксида. Судя по ИК-спектру в остатке, не перегоняющемся с паром, присутствуют 3-кетобиснор- Δ^4 -холеновая к-та (VI), 3-кето-20а-биснор- Δ^4 -холеналя-22, 2-этил-3-метилбутановая к-та (VII) и стероиды с раскрытым кольцом A. При проведении озонлиза I при т-ре -55° выход II уменьшается за счет образования VI даже при применении меньшего кол-ва O_3 . При проведении озонлиза без пиридина выход II составляет 82%. Окислением V посредством $KMnO_4$ получают VII, т. кип. 105°/17 мм, $n_D^{20} 1,4180$; хлорангидрид, т. кип. 80—81,5°/75 мм, $n_D^{20} 1,4276$, $d_4^{20} 0,957$; анирид, т. пл. 125—126°; амид, т. пл. 133—134°. При пропускании воздуха через маточные р-ры после отделения II, подкисленные $n\text{-}CH_3O_6H_4SO_3H$, выделяют наряду с VII неочищ. 2-этил-3-метилбутанол-1. При разложении озонида I посредством $SnCl_4$ выход II составляет 85,2%. Преддущее сообщ. см. РЖХим, 1958, 46629. Л. Бергельсон

70742. Роль стереоэлектронных факторов в реакции присоединения сульфенилгалогенидов к норборнеолу. Куорт, Миллер, Найс (Stereo-electronic factors in the addition of sulfonyl halides to norbornene. Kwart Harold, Miller Robert K., Nye Jack L.), J. Amer. Chem. Soc., 1958, 80, № 4, 887—893 (англ.)

Реакция норборнеола (I) с *о*- и *п*-нитробензолсульфенилхлоридами (II и III) приводит к соответственно *эндо*-3-хлор-*экзо*-2-норборнил-*о*-нитрофенилсульфиду (IV) и к *п*-нитроизомеру IV (V), наряду с которыми образуется неидентифицированное масло (22% и 10%). IV и V идентифицированы хлорированием в среде CH_3COOH , в результате которого в обоих случаях образуются *анти*-7-*экзо*-2-дихлорнорборнаны (VI) и *анти*-7-хлор-*экзо*-2-норборнилахетаты (VIIa). Поскольку ранее было установлено, что присоединение 2,4-динитробензолсульфенилхлорида (VII) к I приводит не только к нормальному аддукту, но и к нортрициклид-2,4-динитрофенилсульфиду (VIII), эти данные показывают, что образование VIII обусловлено не стерич. влиянием *о*- NO_2 -группы, а электронным эффектом арильной группы в промежуточном катионе (IX).



В случае присоединения VII этот эффект настолько сильно выражен, что приводит к делокализации соседней σ -связи, в результате чего IX переходит в нортрициклид (X). При определении дипольных моментов μ циклоалкиларилсульфидов получены следующие результаты (указаны соединение, найденный μ в D и значение μ в D, рассчитанное, исходя из предположения о диэкваториальной ориентации заместителей): циклогексил-2,4-динитрофенилсульфид, 5,88, —; *транс*-2-хлорциклогексил-2,4-динитрофенилсульфид, 5,26, —; *эндо*-3-хлор-*экзо*-2-норборнил-2,4-динитрофенилсульфид, 5,41, 3,43; *эндо*-3-бром-*экзо*-2-норборнил-2,4-динитрофенилсульфид, 5,40, 3,43; *транс*-2-хлорциклогексил-*о*-нитрофенилсульфид (XI), 5,09, —; IV, 4,59, 3,32; *транс*-2-хлорциклогексил-*п*-нитрофенилсульфид (XII), 5,32, —; V 5,04, 3,48. По мнению авторов, расхождение в найденных и рассчитанных значениях μ для *транс*-норборнильных производных объясняется, с одной стороны, наличием некоторого кол-ва диаксиальной формы и, с другой стороны, нарушением свободного вращения арильного заместителя. V т. пл. 57,5—59,5°; IV, т. пл. 108,5—109,5° (из CCl_4). Кипяче-

нием II и III с избытком циклогексана (2 часа) синтезируют соответственно XI, т. пл. 103—105° (из сп.), и XII, т. пл. 66,5—67,5° (из сп.). Окислением 8,12 г V в 200 мл лед. CH_3COOH избытком 30%-ной H_2O_2 (100°, 2 часа) получают эндо-3-хлор-экзо-2-норборнил-*n*-нитрофенилсульфон, выход 86,8%, т. пл. 173,5—175° (из бэл.- CCl_4). В тех же условиях IV (5,4 г) дает эндо-3-хлор-экзо-2-норборнил-*o*-нитрофенилсульфон, выход 79,5%, т. пл. 123—125° (из циклогексана). Р-р 12,3 г V в 250 мл лед. CH_3COOH и 8 мл воды насыщают Cl_2 , перемешивают 2 часа, выливают на лед, экстрагируют петр. эфиром. Разгонкой экстракта выделяют VI, выход 2,06 г, т. кип. 77—82°/10 мм, n_D^{20} 1,5085, и вышекипящую фракцию (1,3 г), содержащую, судя по ИК-спектру, VIa. В тех же условиях из 57 г IV получают 9,43 г VI. Л. Бергельсон

70743. Реакция 1,1-дигалоидциклопропанов с электрофильными реагентами. Метод внедрения углеродного атома между атомами, связанными двойной связью. Скейл, Сандлер (Reactions of 1,1-dihalo-cyclopropanes with electrophilic reagents. Synthetic route for inserting a carbon atom between the atoms of a double bond. Skell Philip S., Sandler Stanley R.), J. Amer. Chem. Soc., 1958, 80, № 78, 2024—2025 (англ.)

Показано, что 1,1-дигалоидциклопропаны ф-лы

$\text{R}_2\text{CCR}_2\text{CX}_2$ (I) при действии водн. р-ра AgNO_3 превращаются с раскрытием 3-членного цикла в 1-окси-2-галлоидалькены-2 $\text{R}_2\text{C}=\text{CXCR}_2\text{OH}$ (II). Так, 2,2-дибромбицикло-[3,1,0]-гептана (III) при действии 1 моля AgNO_3 в воде образует 2-бромциклогексен-2-ол-1 (IV); в спирт. среде образуется смесь IV из соответствующего простого эфира. Аналогично 1,1-дихлорбицикло-[3,1,0]-гексан дает 2-хлорциклогексен-2-ол-1. Изобутилен, стирол, *цис*- и *транс*-бутены-2 при действии дигалоидкарбенов образуют соответствующие I: $\text{R}_2\text{C}=\text{CR}_2 + :\text{CX}_2 \rightarrow \text{I}$, которые далее могут быть превращены в II; таким образом, в результате этих р-ций как бы происходит внедрение группы CX между углеродными атомами, связанными двойной связью. Раскрытие цикла I происходит в результате электрофильной атаки Ag^+ ; протеканию этой р-ции способствует большое напряжение 3-членного кольца и стабильность образующегося алкильного катиона: $\text{I} \rightarrow \text{R}_2\text{C}=\text{CBrC}^+\text{R}_2 \rightarrow \text{OH}^-$

\rightarrow II. Скорость р-ции III в 200 раз больше, чем 2,2-дибромбицикло-[4,1,0]-гептана и моноциклич. I. Показана также стереоспецифичность р-ции с Ag^+ , так как *цис*- и *транс*-изомеры 2-бром-2-хлорбицикло-[3,1,0]-гексана (а также 2-бром-2-хлорбицикло-[4,1,0]-гептана) реагируют с Ag^+ с разной скоростью. М. Вольпин

70744. Циклопропен. I. Реакция эфиров 2-бромциклопропанкарбоновой кислоты с трет-бутилатом калия. Уайберг, Барнс, Албин (Cyclopropene. I. The reaction of 2-bromocyclopropanecarboxylates with potassium *t*-butoxide. Wiberg Kenneth B., Barners Robert K., Albin Jerry), J. Amer. Chem. Soc., 1957, 79, № 18, 4994—4999 (англ.)

Необычная инертность брома в этиловом (I) и метиловом (II) эфирах 2-бромциклопропанкарбоновой к-ты (III) по отношению к реагентам, замещающим Br или отщепляющим HBr, обнаружена при попытке синтеза из I этилового эфира циклопропенкарбоновой к-ты (IV). Найдено, что I не реагирует ни с NaI в ацетоне, ни со спирт. р-ром AgNO_3 , перегоняется без разложения из кинолина; при действии на I $(\text{C}_6\text{H}_5)_3\text{CNa}$ в эфире наступает полимеризация. При кипячении 30 мин. I в трет-бутаноле (V) с эквимолярным кол-вом $(\text{CH}_3)_3\text{COK}$ (VI) происходит замещение Br на алкоксильный остаток, выход этилового эфира 2-трет-бутоксидциклопропанкарбоновой к-ты (VII) 43%,

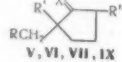
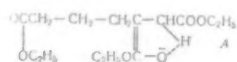
т. кип. 76—78°/10 мм, n_D^{25} 1,4288. Строение VII доказано: 1) щел. гидролизом его с образованием к-ты (VIII) с выходом 82%, т. пл. 88—89° (из петр. эф.), идентичной к-те, полученной гидролизом метилового эфира VIII, синтезированного из метилового эфира диазоуксусной к-ты и трет-бутилвинилового эфира; 2) кислотным расщеплением VII в CH_3OH с образованием $\text{CH}_3\text{CH}_2\text{CH}_2\text{COOCH}_3$ (IX). VII имеет, по-видимому, *транс*-конфигурацию, так как не изменяется при продолжительном нагревании с VI в V, что свидетельствует об его устойчивости. Для выяснения механизма превращения I в VII проведена р-ция I и II с VI в $(\text{CH}_3)_3\text{COD}$ (V-d). Полученные VII и соответствующий метиловый эфир (X) имели согласно масс-спектрометрич. анализу следующий изотопный состав VII 4% d_0 , 26% d_1 , 69% d_2 , 1% d_3 ; X 2% d_0 , 18% d_1 , 80% d_2 . Непреореагировавший I не содержал D. Опыты обмена VII и X с V-d показали, что VII не обменивается за 30 мин. при $\sim 20^\circ$ в 0,62 н. р-ре VI в V-d; изотопный состав X после обмена при 80° в 0,35 н. р-ре VI в V-d за 30 мин. соответствовал 78% d_0 , 22% d_1 и 0,5% d_2 . Из этих данных следует, что большая часть D внедряется в молекулы VII и X не за счет обмена со средой. Это подтверждает 2-й из двух возможных механизмов исследуемой р-ции: 1) прямое замещение Br на алкоксильный остаток (при котором D не должен вступать в продукт р-ции), 2) отщепление HBr от молекулы I в первой стадии р-ции с последующим присоединением к образующемуся IV молекулы спирта по Михаэлю (продукт р-ции должен содержать 1 атом D в молекуле). Частичное внедрение 2-го атома D в молекулы алкоксифированных авторов объясняют быстрым обменом со средой водорода у $\text{C}_{(2)}$ в IV. Это предположение подтверждено тем, что в опытах с V-d полученный X был превращен в IX, содержащий большую часть D в альдегидной группе. Часть D из положения 1, по-видимому, вымывается в процессе кислотного расщепления. Таким образом, полученные данные говорят о высокой подвижности водорода у $\text{C}_{(2)}$ в IV, т. е. об апетилеином характере производных циклопропена. Авторы отмечают также чрезвычайную активность эфиров циклопропенкарбоновой к-ты в р-ции присоединения спирта по Михаэлю. I синтезировали либо бромдекарбосилированием Ag-соли этилового эфира циклопропандикарбоновой к-ты (выход до 40%, т. кип. 76—81°/18 мм, n_D^{25} 1,4660), или действием диазоуксусного эфира на бромистый винил, выход 9%, т. кип. 183—186°; n_D^{25} 1,4663. II получали щел. гидролизом I до III (выход III 72%, т. пл. 66—67°) с последующим кипячением III 10 час. в CH_3OH с CH_2Cl_2 в кислой среде, выход II 87%, т. кип. 172—173°, n_D^{25} 1,4751. Дипольный момент (ДМ) в C_6H_6 1,82 D. Сопоставление этой величины ДМ с вычисленными для *цис*- и *транс*-изомеров приводит к выводу о *транс*-конфигурации II. X получали аналогично VII; выход 58%, т. кип. 192—195° (66—74/10 мм), n_D^{25} 1,4295, ДМ в C_6H_6 1,96 D. V-d, содержащий 81 и 94% D, получали 3—4-кратным обменом V с D_2O . А. Рекашева

70745. Механизм карбонилметиленовых конденсаций.

Патаи, Израэли, Забичкий (Mechanism of carbonyl-methylene condensations. Patai S., Israeli Y., Zabicky J.), Chemistry and Industry, 1957, № 52, 1671—1672 (англ.)

Исследована кинетика конденсации бензальдегида (I) и анисового альдегида (II) с CH_2XY -соединениями, содержащими активную метиленовую группу (МГ), в бензильденеиновых производных. Для конденсации альдегидов с умеренно активными МГ [диэтилмалонат (III)] необходимо присутствие основных катализаторов (ацетат пиперидиния). Соединения с очень активными МГ [малонитрил (IV), этилацетоацетат (V)] конденсируются при 40° в р-ре спирта с I и II без катализато-

$C_2H_5OSOCN_2CH_2CH_2C(C=HCOOC_2H_5)=C(OH)OC_2H_5 \rightarrow$
 $\rightarrow Ia \rightarrow III$. Для идентификации гидролизом и декарбоксилацией III и V превращались в (VIII) и (IX) соответственно. IX получен встречным синтезом; 2,4-динитрофенилгидразон (ДНФГ), т. пл. 215–216° (разл.; из разб. CH_3COOH); метиловый эфир, т. кип. 94–96°/0,8 мм. Кипячением Na-производного этилового эфира IX (полученного циклизацией диэтилового эфира адипиновой к-ты) с $ClCH_2COOC_2H_5$ получен I, т. кип. 153–158°/0,8 мм, $n_D^{23} 1,4390$, и небольшое кол-во смеси III и IV, т. кип. 118–123°/1 мм. X был также получен из VI через III и IV с последующим гидролизом, декарбоксилацией, этерификацией при помощи CH_3OH и H_2SO_4 с выходом 90%. Из 9,6 г циклогексен-3-она в 6 мл лед. CH_3COOH и 80 мл спирта и 13 г KCN в 38 мл воды (–21°, 35 мин. и 12 час. при 0°) получено 5,4 г 3-цианоциклогексана (XI), т. кип. 149–150°/17 мм; семикарбазон (СК), т. пл. 177–178° (из сп.); ДНФГ, т. пл. 205° (из сп. этилацетата). Из 2,7 г XI в 10 мл CH_3OH и 35 мл безводн. CH_3OH , насыщ. сухим HCl, получен (2 часа при –21°, 12 час. при 0°, 10 час. при т-ре кипения) метиловый эфир VIII (XII), выход 1,02 г, т. кип. 121–123°/16 мм, $n_D^{24} 1,4590$; СК, т. пл. 168° (из водн. CH_3OH). Гидролизом XII 6 н. HCl получена VIII; ДНФГ, т. пл. 202° (из этилацетата). XII получен также этерификацией VIII. 13 г диэтилового эфира α -ацетиладипиновой к-ты прибавляют (0°) по каплям к суспензии 2,2 г K в 50 мл толуола, выдерживают 12 час. (~20°), затем кипятят 12 час. с 10 г бромацетата и получают 8,6 г диэтилового эфира β -ацетил- β -карботоксимелиновой к-ты (XIII), т. кип. 165–170°/1 мм. Кипячением



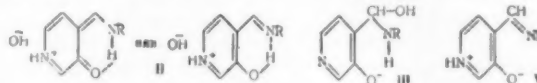
III $R = R' = COOC_2H_5$, $R'' = H$; IV $R = H$, $R' = R'' = COOC_2H_5$,
 V $R = R' = COOC_2H_5$, $R'' = H$, X = O; VI $R = R' = COOC_2H_5$,
 $R'' = H$, X = O; VII $R = R' = COOC_2H_5$, $R'' = H$, X = O +
 $+ OC_2H_5$; VIII $R = R' = H$, $R'' = COOH$; IX $R = COOH$, $R'' =$
 $= R' = H$, X = O

0,4 г Na, 7 мл сухого спирта и 6,1 г XIII (8 час.) подкислением и последующим кипячением с 5,3 мл CH_3COOH , 2,2 мл HCl и 1,5 мл воды (24 часа) получают IX. 0,06 моля Na, 0,24 моля спирта и 0,24 моля VI (3 часа, 100°) дают 52,8 г I. При 5-дневном нагревании выход I составляет 2,9 г, а выход IX 0,1 г. Кипячением 7,2 г I в 20 мл C_6H_6 с сухим II (из 0,6 г Na) (6 час.) получают кетозфир, который после гидролиза и декарбоксилации превращают в VIII. В аналогичных условиях 9,5 г VI с сухим II (из 1 г Na) и 8 мл C_6H_6 (8 час. 130–140°) образуют 1,3 г VIII. X и XII идентифицированы по ИК-спектрам.

В. Райгородская

70750. Три типа оснований Шиффа, образованных аминокислотами, пептидами и белками с пиридоксаль-5-фосфатом и пиридоксаль-5-фосфатом. Кристенсен (Three Schiff base types formed by amino acids, peptides and proteins with pyridoxal and pyridoxal-5-phosphate. Christensen Halvor N.), J. Amer. Chem. Soc., 1958, 80, № 1, 99–105 (англ.). Амины образуют с пиридоксаль-5-фосфатом (I) желтые шиффовы основания (II), λ (макс) 430 мμ, которые (РЖХим, 1957, 57043) имеют внутрикомплексную структуру. Кроме того, появляются продукты с λ (макс) 278–285 мμ, которые образуются, вероятно, путем гидратации II и имеют структуру карбиноламина (III). При р-ции I с пептидами и белками [d, l-аланилглицин, лейцилглицин (IV), бычий альбумин] появляются в первые минуты ионы II, которые затем обратимо переходят в бесцветные про-

дукты с λ макс 330 мμ. Полоса поглощения спектров при 1585 cm^{-1} указывает на C=C-связь, сопряженную с пиридиновым кольцом. Потенциометрич. титрованием иона из I и IV найдены pK_2^1 4,0; pK_3^1 6,4; pK_4^1 8,4. Поглощение при 330 мμ уменьшается при



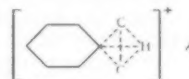
подкислении и подщелачивании в соответствии с pK_2^1 и pK_3^1 . Это указывает на то, что 3-оксипиридиновая структура находится в форме биполярного иона (V), который образуется также из амидов и эфиров аминокислот. Образование V авторы связывают с электронофильными свойствами амидных групп в полипептидах.

А. Ясников

70751. Изомеризация насыщенных углеводородов.

XVI. Изомеризация этил- β - C^{14} -циклогексана, катализируемая бромидом алюминия. Пайнс, Чжао-дун, Шоу (Isomerization of saturated hydrocarbons. XVI. The aluminum bromide catalyzed isomerization of ethyl- β - C^{14} -cyclohexane. Pines Herman, Chen Chao-Tung, Shaw Alfred W.), J. Amer. Chem. Soc., 1958, 80, № 8, 1930–1933 (англ.).

Исследована гомог. изомеризация этил-(β - C^{14})-циклогексана (I) в вакууме при 28 и 31° при катализе $AlBr_3$ в присутствии $втор-C_4H_9Br$ (соотношение компонентов 100:1:1/3 соответственно). Сравнение выходов продуктов р-ции (в скобках даны средние цифры) этил-(α - C^{14})-циклогексана (II) (1,4%), 1,2-диметилциклогексана (III) (6,3%), 1,3-диметилциклогексана (IV) (19,6%), 1,4-диметилциклогексана (V) (10,3%) и 1,1-диметилциклогексана (6%), найденных методом изотопного разбавления, с выходами, рассчитанными из термодинамич. равновесия, показало, что IV и V образовалось меньше, а II и III больше равновесных кол-в. Полученные данные сопоставлены с работой (см. сообщение XV, РЖХим, 1957, 71483) по изомеризации I в гетерог. условиях. Образование малых



кол-в IV и V объясняется малым временем существования в гомог. р-ции промежуточно образующегося карбониевого иона, который вступает в р-цию с соседней молекулой быстрее, чем наступает сужение и расширение кольца. На гетерог. катализаторе образуются равновесные кол-ва IV и V, так как хемосорбция увеличивает продолжительность существования иона карбония. Образование избытка III связано с устойчивостью соответствующего карбониевого иона, вызванной гиперконъюгацией. Избыточное образование II объясняется быстрым 1–2 водородным сдвигом в циклогексилатилкарбониевом ионе либо легкой изомеризацией последнего в промежуточный мостиковый карбониевый ион (A). Данные по распределению C^{14} показывают, что в ядре III, IV и V находится 9–11% C^{14} , что соответствует 12–15% от равновесного распределения, тогда как при гетерог. катализе в ядре было найдено до 80% C^{14} . Это различие, по мнению авторов, подтверждает предположение о разных лимитирующих стадиях изомеризации I при гомог. и гетерог. катализе.

Н. Высоцкая

70752. О применимости обобщенной аллильной перегруппировки для определения процессов простой аллильной перегруппировки. Прево, Миньяк (Sur l'emploi de la transposition allylique généralisée à la détermination des processus de la transposition

allylique simple. Prévost Charles, Miginiac Philippe), C. r. Acad. sci., 1958, 246, № 3, 431—433 (франц.)

Для уточнения механизма аллильной перегруппировки были изучены р-ции нуклеофильного замещения $RCHXCH=CHCH=CH_2$ (I) $RCH=CHCHXCH=CH_2$ (II) и $RCH=CHCH=CHCH_2X$ (III), где X = OH или Br и R = H или CH_3 . При действии на II (R = CH_3) HBr получен исключительно бромид III, а при действии PCl_3 в пиридине — смесь хлоридов, содержащая следы II, 20% I и 80% III. При гидролизе III (X = Br) в присутствии $NaHCO_3$ выход алкоholes II (R = H, X = OH) 15%, III (R = H, X = OH) 85%, I (R = CH_3 , X = OH) 75%, III (R = CH_3 , X = OH) 25% и следы II (R = CH_3 , X = OH). Конденсация III (X = Br, R = H) с C_2H_5MgBr приводит отчасти к образованию гетациеновых производных III (X = C_2H_5); с примесью следов II главным продуктом этой р-ции является однако сложная смесь тетраенов C_{10} с сопряженными и несопряженными двойными связями, легко подвергающихся полимеризации. I (X = Br) дает с CH_3COONa в CH_3COOH ацетаты: ~ 60% I, 40% III и лишь следы II. При действии CH_3COOAg образуется смесь, содержащая только следы ацетата II. Факт образования по преимуществу соединений с сопряженными двойными связями и малые выходы продуктов строения II авторы объясняют слабым положительным зарядом у соответствующего мезомерного иона.

70753. Механизм перегруппировки типа бензильной кислоты. Хайн, Хейуэрт (The mechanism of the benzilic acid rearrangement. Hine Jack, Hawthorth Howard W.), J. Amer. Chem. Soc., 1958, 80, № 9, 2274—2275 (англ.)

Перегруппировка бензила в бензильную к-ту под действием щелочи протекает в диоксане- D_2O (2:1) на 85% быстрее, чем в диоксане- H_2O (2:1). Константы скорости при 49,5° составляют в случае H_2O $8,11 \cdot 10^{-5}$ л моль⁻¹ сек⁻¹, в случае D_2O $14,91 \cdot 10^{-5}$ л моль⁻¹ сек⁻¹. Различие в скоростях связано с большей основностью ионов OD^- сравнительно с ионами OH^- . На основании этого отвергаются механизмы перегруппировки, в которых перемещение протона считают стадией, определяющей скорость р-ции; наиболее вероятным авторы считают механизм, предложенный Инголдом (Ingold C. K., Ann. Rept. Chem. Soc., 1928, 25, 124; 1933, 30, 177). Л. Нейман

70754. Механизм термической перегруппировки фталата калия и карбоксилирования бензоата калия. Шорм, Ратуский (Mechanism of the thermal rearrangement of potassium phthalate and of the carboxylation of potassium benzoate. Sorm F., Ratuský J.), Chemistry and Industry, 1958, № 10, 294—295 (англ.)

Найдено, что перегруппировка фталата калия (I) в терефталат (II) при 400° на металлическом катализаторе в присутствии $K_2C^{14}O_3$ (III) сопровождается внедрением C^{14} в II в кол-ве, соответствующем 0,5 исходной радиоактивности III. В контрольных опытах по-



казано отсутствие изотопного обмена между II и III. Предложен механизм р-ции (см. схему). III выделяется из реакционной смеси в виде твердой фазы, что сдвигает равновесие вправо. При образовании II из эквимольных кол-в бензойного ангидрида и III выделенные из реакционной смеси бензоат калия (IV) и II содержали соответственно $1/3$ и $2/3$ исходной радиоактивности III. Из этого следует, что IV претерпевает быстрый обмен с III и более медленное кар-

боксилирование. Учитывая, что в исследуемой р-ции образуется C_6H_6 в кол-ве, эквимольном кол-ву II, данные, полученные с помощью C^{14} , приводят авторов к выводу, что в первой стадии р-ции IV отщепляет карбоксильную группу, образуя анион $C_6H_5^-$, который или вновь присоединяет COOK, или отщепляет протон из пара-положения другой молекулы IV, образуя C_6H_6 и анион (A). Далее р-ция идет согласно вышеприведенной схеме.

70755. Изомеризация D-глюкозы-[1- C^{14}] в D- и L-сорбозу- C^{14} под действием сильнощелочной ионообменной смолы. Соуден, Томпсон (The isomerization of D-glucose-1- C^{14} to D- and L-sorbose- C^{14} by a strong base resin. Sowden John C., Thompson Robert R.), J. Amer. Chem. Soc., 1958, 80, № 6, 1435—1437 (англ.)

Для выяснения вопроса о том, происходит ли при щел. изомеризации D-глюкозы (I) в сорбозу (II, DL + + I) расщепление гексозы на две молекулы триозы с последующей их рекомбинацией, проведены опыты изомеризации D-глюкозы-[1- C^{14}] в водн. р-ре на щел. ионообменной смоле (амберлит IRA-400) при 50°. Через 24 час. выделяли кристаллич. смесь D- и D-II. Из последней получали смесь фенилсортриазолов, которые фракционной кристаллизацией разделяли на индивидуальные фенилсортриазолы D-II, L-II и DL-II. Для выяснения распределения C^{14} их разрушали по методам Бишоп и Пехмана (РЖХимБх, 1955, 4346; Liebigs Ann. Chem., 1891, 262, 265). Найдено следующее распределение радиоактивности α в процентах от исходной I: в D-II C_1 28%, C_2-C_5 9%, C_6 63%; в L-II C_1 56%, в C_2-C_5 6%, C_6 38%. Эти данные авторы объясняют тем, что превращение I в II идет, главным образом, путем внутримолекулярной изомеризации с промежуточным образованием 3,4-ендиолов A и B) типа $C^{14}H_2(OH)CH(OH)C(OH)=C(OH)CH(OH)CH_2OH$. A является мезо-формой и должен давать при дальнейшей изомеризации равные кол-ва D-сорбозы-[1- C^{14}] и L-сорбозы-[6- C^{14}]. Так как B имеет D-конфигурацию при C_2 и C_5 , B должен превращаться в смесь D-сорбозы-[1- C^{14}] и D-сорбозы-[6- C^{14}]. Выходы D- и L-II согласуются с этим предположением. Отклонения в распределении C^{14} между C_1 и C_6 в D- и L-II от предполагаемой схемой связаны, согласно авторам, со вторичной изомеризацией. Обнаружение C^{14} в средних атомах II объяснено изомеризацией I с распадом на триозы. Малая α в C_2-C_5 указывает на незначительность этого процесса при щел. изомеризации. Авторы отмечают, что результаты исследования представляют первое надежное эксперим. доказательство образования 3,4-ендиолов при щел. изомеризации гексоз. Выделение D-фруктозы из маточного р-ра после кристаллизации II завершает эксперим. доказательства образования всех возможных гексоз при щел. изомеризации любой гексозы. Предложены модификации методов разрушения II, позволяющие увеличить выходы продуктов р-ции.

70756. Изомеризация меченных C^{14} сахаров в сахариновые кислоты. Соуден, Блэр, Кьюни (The isomerization of C^{14} -labeled sugars to saccharinic acids. Sowden John C., Blair Mary Grace, Kuenne Dorothy J.), J. Amer. Chem. Soc., 1957, 79, № 24 6450—6454 (англ.)

D-галактоза- C^{14} (I), лактоза-[1- C^{14}] (II), D-манноза-[1- C^{14}] (III) изомеризуются при смешении с водн. $Ca(OH)_2$ соответственно в α -D-галактометасахариновую к-ту (IV), α -D-изосахариновую к-ту (V) и α -D-глюкозосахариновую к-ту (VI). Атомы C^{14} в к-тах распределяются так: в IV 95% C^{14} находится в положении 2, в V 94% в 2а и в VI 57% в 2 и 39% в 2а. Обнаруженное распределение радиоактивности в продуктах перегруппировки I и II находится в согласии

с интрамолекулярным механизмом перегруппировки Нефа-Избела. Из I при р-ции с $\text{Ca}(\text{OH})_2$ получен лактон IV, т. пл. 142—143° из (95%-ного сп.), $[\alpha]_D^{25} -47,8^\circ$. Окислением IV H_2O_2 с последующей обработкой бензилфенилгидразином получен бензилфенилгидразон 2-дезоксид-*D*-трео-пентозы, т. пл. 114—116° (из ацетона-птр. эф.), $[\alpha]_D^{25} +12,5^\circ$ (пиридин), которая содержит < 5% введенного C^{14} . Из лактона IV и *o*-фенилендиамин при нагревании (135°) получен 2-(*D*-ксило-1,3,4,5-тетраокси-пентил)-бензимидазол, т. пл. 186—187° (из абс. сп.), $[\alpha]_D^{25} +36^\circ$. Окисление этого продукта KMnO_4 приводит к дигидрату бензимидазол-карбоновой-2 к-ты, т. пл. 174° (разл.), при декарбоксилировании которой при 140—195° получен бензимидазол, содержащий 95% C^{14} . Из II получен V, т. пл. 93—95° (из сп.-этилацетата), $[\alpha]_D^{25} +62^\circ$. При стоянии V в ацетоне с H_2SO_4 получен лактон 2,2а-*o*-изопропилиден- α -*l*-изосахариновой к-ты (VII), т. пл. 56—57° (из эф.-птр. эф.). При окислении Na-соли V NaJO_4 получен НСНО, димедоное производное, т. пл. 190,5—191,5° (из сп.-воды), который содержит 94% C^{14} . Формальдегид, полученный окислением VII, содержит всего 1,7% C^{14} . При перегруппировке 50 г III получено 1,5 г лактона VI, т. пл. 162—163° (из воды), $[\alpha]_D^{25} +93,6^\circ$. Окислением VI эквивалентным количеством NaJO_4 получена CH_3COOH , которая содержит 96% C^{14} . Полученная CH_3COOH нагреванием с *o*-фенилендиамин и H_3PO_4 превращена в 2-метилбензимидазол, т. пл. 175—176° (из 0,1 М NH_4OH), последний превращен в бензимидазол с содержанием 57% введенного C^{14} . При окислении VI NaJO_4 (4 экв) получен НСНО. Лактон VI конденсируется с *o*-фенилендиамин в 2-(1,4-ангидро-1-*C*-метил-*D*-рибо-тетраоксибутил)-бензимидазол, т. пл. 240—241° (из воды). Окислением его NaJO_4 получена бензимидазол-карбоновая к-та, содержащая 58% C^{14} , из которой получен бензимидазол, содержащий всего 2% C^{14} . Из реакционной смеси при перегруппировке III выделены хроматографией на силикагеле HCOOH , CH_3COOH и молочная к-та, содержащие C^{14} . Ацетонирование лактона VI приводит, по видимому, к моноацетонпроизводному лактона 2,3-*o*-изопропилиден-2-*C*-метил-*D*-рибо(?)-пентоновой к-ты, т. пл. 62—63° (из бзл.-птр. эф.), $[\alpha]_D^{25} -38,4^\circ$.

А. Ясников

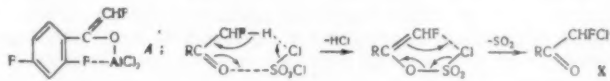
70757. Использование радиоактивных элементов. II. Расщепление 1,4-дibenзоилтiosемикарбазида и 1,4-дibenзоилсемикарбазида щелочью. Накаи, Сугии, Накао (The use of radioactive element. II. Decomposition of 1,4-dibenzoylthiosemicarbazide and 1,4-dibenzoylsemicarbazide with alkali. Nakai Risa-buro, Sugii Michiyasu, Nakao Hideo), Pharm. Bull., 1957, 5, № 6, 576—579 (англ.)

С помощью C^{14} показано, что превращение 1,4-дibenзоилтiosемикарбазида (I) в 3-фенил-5-меркапто-1,2,4-триазол (II) протекает через промежуточный 1-бензоилтiosемикарбазид (III), а не через 4-бензоилтiosемикарбазид. Действием на I- $[\text{C}^{14}]$ 10%-ного NaOH получен II- $[\text{C}^{14}]$, мол. активность а которого равна а исходного I- C^{14} . Аналогичный механизм установлен для расщепления 1,4-дibenзоилсемикарбазида (IV) 20%-ным NaOH до 3-фенил-5-окси-1,2,4-триазола (V). В обоих случаях небольшая а образующейся $\text{C}_6\text{H}_5\text{COOH}$ (VI) объясняется побочной р-цией гидролиза промежуточных III или 1-бензоилсемикарбазида (VII). При действии 10%-ного NaOH IV дает VI и VII. I- C^{14} и IV- C^{14} синтезированы взаимодействием $\text{C}_6\text{H}_5\text{C}^{14}\text{ONHNH}_2$ (VIII- C^{14}) с $\text{C}_6\text{H}_5\text{CONCS}$ (IX) или $\text{C}_6\text{H}_5\text{CONCO}$ (X) соответственно. К р-ру 1,56 г VIII- C^{14} (полученного из $\text{C}_6\text{H}_5\text{C}^{14}\text{OOC}_2\text{H}_5$) в 36 мл абс. спирта при встряхивании прибавляют 1,5 мл IX, после выдержки 1 час при т-ре $\sim 20^\circ$ охлаждают до $\sim 0^\circ$ и отфильтровывают I- C^{14} , выход 82%, т. пл. 173°

(из сп.), а 4,08 $\mu\text{юри/моль}$. Аналогично из 1,37 г VIII- C^{14} и 1,47 г X в 14 мл диоксана получен IV- C^{14} , выход 79%, т. пл. 216—218° (из сп.-диоксана, 10:1), а 4,09 $\mu\text{юри/моль}$. 2,18 г I- C^{14} и 20 мл 10%-ного NaOH кипятят в токе N_2 3 часа, подкисляют 10%-ной HCl , осадок сублимацией при 60—65°/7 мм разделяют на VI, выход 78%, а 0,08 $\mu\text{юри/моль}$, и II- C^{14} , выход 62%, т. пл. 255—256° (из 50%-ного сп.), а 4,08 $\mu\text{юри/моль}$. Аналогично р-цией 1,05 г IV- C^{14} с 10 мл 20%-ного NaOH получены VI (выход 0,65 г а 1,76 $\mu\text{юри/моль}$) и V- $[\text{C}^{14}]$ (выход 16,8%, т. пл. 315—317° (из сп.), а 4,06 $\mu\text{юри/моль}$); р-цией 1 г IV с 10 мл 10%-ного NaOH получено 0,47 г VI и 0,2 г VII, т. пл. 220—222° (из сп.). Предыдущее сообщение см. РЖХим, 1956, 75005. Л. Нейман

70758. ω -Фторацетофенон. III. Реакция фторацетила хлорида с галоидзамещенными бензола. О механизме хлорирования боковой цепи хлористым сульфуром. Бергман, Кальмус, Брейер (ω -Fluoroacetophenone. III. Reaction of fluoroacetyl chloride with halobenzenes. On the mechanism of side-chain chlorination by sulfuryl chloride. Bergmann Felix, Kalmus Abraham, Breuer Eli), J. Amer. Chem. Soc., 1957, 79, № 15, 4178—4181 (англ.)

Видоизменив синтез ω -фторацетофенона (I) (РЖХим, 1956, 908) путем предварительной обработки FCH_2COCl (II) AlCl_3 в р-ре CH_2Cl_2 (6 час., 20°) с последующим прибавлением C_6H_6 (0°), авторы получили почти равные кол-ва I и ω -хлорацетофенона (III). Таким образом, галоидобмен у II хотя и совершается, но в значительно меньшей степени, чем у I, который в этих условиях превращается почти наполовину в III. $\text{C}_6\text{H}_5\text{Cl}$ с II дает в этих условиях *n*-хлор- ω -фторацетофенон (IV) и *n*, ω -дихлорацетофенон (V); $\text{C}_6\text{H}_5\text{F}$ с II на холоду легко образует *n*, ω -дифторацетофенон (VI); $\text{C}_6\text{H}_5\text{Br}$ на холоду с II не реагирует, $\text{C}_6\text{H}_5\text{Br}$ и анализ с II (20°) дают неидентифицируемые смеси. *m*-Дифторбензол конденсируется с II с образованием 2,4- ω -трифторацетофенона (VII) без примеси соответствующего хлорпроизводного, что авторы объясняют образованием комплекса А, стабилизированного *o*-F-атомом. Однако при действии $\text{C}_6\text{H}_5\text{MgBr}$ на VII вместо третичного карбинола получен дезоксибензоин, что свидетельствует



об отсутствии подобного комплекса. Нитрование I дает 3-нитро- ω -фторацетофенон (VIII). Хлорирование ацетофенона при помощи SO_2Cl_2 (IX) ($\sim 20^\circ$) приводит к $\sim 100\%$ -ному образованию III за 2 часа; для хлорирования же I требуется 16 час. (20°); IV и VI хлорируются только при кипячении (5 час.); VII и VIII в этих условиях с IX не реагируют. Исключительная способность IX хлорировать не только CH_3 , но и CH_2F -радикал в α -положении к карбонилу, объясняется следующим механизмом р-ции: в первой стадии IX поляризует карбонильную группу с образованием циклич. енольного эфира и отщеплением HCl ; во второй стадии цикл разрывается, а при этом положительно заряженный Cl становится в α -положение к карбонилу, а SO_2 отщепляется и образуется (X) (см. схему, где R — пара-замещенный фенил). Авторы считают, что возможно также нуклеофильное замещение при метиленовом углероде. В отличие от IX, оксалилхлорид и PCl_5 в подобные р-ции не вступают. Из 35 г $\text{C}_6\text{H}_5\text{Cl}$, 29 г II, 100 мл $\text{C}_2\text{H}_4\text{Cl}_2$ и 65 г AlCl_3 (РЖХим, 1956, 908) синтезированы IV, выход 24%, т. кип. 73—75°/0,4 мм, т. пл. 53—54° (из птр. эф.), и V, выход 3%, т. кип. 90°/0,4 мм. Обработкой 1 г IV с 5 мл IX (26°, 12 час. и кипячение 5 час.) получают X

($R = n\text{-ClC}_6\text{H}_4$), идентифицированный в виде бис-2,4-динитрофенилгидразона (бис-ДНФГ), т. разл. 280° . 80 г AlCl_3 перемешивают 20 мин. с 300 мл $\text{C}_2\text{H}_4\text{Cl}_2$, декантируют, к р-ру прибавляют последовательно (0°) 18 г II в 60 мл $\text{C}_2\text{H}_4\text{Cl}_2$ и сразу же 25 г $\text{C}_6\text{H}_5\text{F}$ в 60 мл $\text{C}_2\text{H}_4\text{Cl}_2$ (10 мин.), после перемешивания (0° , 10 мин.) выливают в конц. HCl со льдом и получают VI, выход 55%, т. кип. $85\text{--}90^\circ/4$ мм, т. пл. $50\text{--}51^\circ$ (из петр. эф.); ДНФГ, т. пл. $210\text{--}211^\circ$ [из $\text{CH}_3\text{CO}_2\text{O}$]. При кипячении 15 г VI с 35 мл IX (5 час.) получают X ($R = n\text{-FC}_6\text{H}_4$), выход 68%, т. кип. $84\text{--}88^\circ/10$ мм, т. пл. 33° ; бис-ДНФГ (XI), т. пл. $295\text{--}296^\circ$ (из пиридина-*n*-бутилацетата). VI bromируют (см. сообщение II РЖХим, 1956, 78198) в *n*, ω -дифтор- ω -бромацетофенон (XII), выход 65%, т. кип. $120\text{--}130^\circ/14$ мм (лакриматор). XII с NaI в спирте образует (30 мин., 20°) *n*, ω -дифтор- ω -йодацетофенон (сильный лакриматор) т. пл. $42\text{--}45^\circ$. Обработкой II и AlCl_3 в CH_2Cl_2 *m*-дифторбензолом (30 мин. 0° и 30 мин. $\sim 20^\circ$) синтезируют VII, выход 10%, т. пл. $62\text{--}63^\circ$ (из лигр.); ДНФГ, т. пл. $182\text{--}183^\circ$ (из *n*-бутилового спирта). Нитрованием 10 г I (32 мл конц. H_2SO_4 , 10 мл конц. HNO_3 , от -15 до -5° , 30 мин.) получают VIII, выход 66%, т. пл. $95\text{--}96^\circ$ (из сп.). Строение XI доказано окислением H_2SeO_3 *n*-фтор-ацетофенона в *n*-фторфенилглиоксаль путем сравнения ИК- и рентгеновских спектров их ДНФГ. VIII идентифицирован по УФ-спектру. В. Райгородская

70759. Кинетика бромирования некоторых ароматических аминов. Белл, Рамсден (Kinetics of the bromination of some aromatic amines. Bell R. P., Ramsden Eileen N.), J. Chem. Soc., 1958, Jan, 161—167 (англ.)

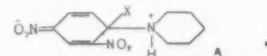
Измерены скорости чрезвычайно быстрых р-ций бромирования ароматич. аминов — *N,N*-диметиланилина (I) *N,N*-диметил-(*o*, *m*, *p*)-толуидинов (II, III, IV) и *N,N*-диэтил-(*o*, *m*, *p*)-толуидинов (V, VI, VII). В результате р-ции получают монобромзамещенные. Авторы вели измерения в очень кислых р-рах (1—8 *M* H_2SO_4) и определяли конц-ию брома в ходе р-ции по окислительному потенциалу смеси. Начальные конц-ии были бром 0,003 *M*, амины 0,05—0,03 *M*, т-ра 25° . С помощью спектрофотометра было установлено, что *N,N*-диалкилтолуидины не образуют комплексов с бромом в 6 *M* H_2SO_4 при достаточно малой конц-ии амина (0,01 *M*). Для диметиланилина граница отсутствия образования комплекса с Br_2 лежит ниже 0,01 *M*. Спектрометрически была также установлена константа равновесия $\text{Br}_2 + \text{Br}^- \rightleftharpoons \text{Br}_3^-$, равная 17,8 для водн. р-ра и 13 для 6 *M* H_2SO_4 . Скорость бромирования уменьшается с повышением кислотности среды в соответствии с уменьшением конц-ии свободного амина. Зависимость логарифма константы скорости бромирования от кислотности H_0 выражается прямой линией с тангенсом угла наклона, равным 1,2. Отличие экспонента от 1 объясняется влиянием среды и подтверждается тем, что р-ция в HClO_4 или в H_3PO_4 идет на 25—100% быстрее, чем в H_2SO_4 той же кислотности и прочих равных условиях. Для сравнения данных по различным аминам авторы вычислили константы скорости k_2' для кислотности $H_0 = -1,43$ (3,5 *M* H_2SO_4) и соответствующие бимолекулярные константы скорости k_2 ($\text{л моль}^{-1} \text{сек}^{-1}$), учитывающие величину константы кислотной диссоциации катиона амина. Полученные значения $\lg k_2$ равны (при 25° и $[\text{Br}^-] = 0,5$): I 8,5; II 6,39; III 9,02; IV 8,30; V 5,98; VI 9,63; VII 8,80. Считая, что константа скорости бромирования имеет величину порядка $10^6\text{--}10^{10} \text{ л моль}^{-1} \text{сек}^{-1}$, авторы оценивают степень активации бензольного кольца диэтиламино- и диметиламиногруппами значением $10^{16}\text{--}10^{17}$. III реагирует в 2 раза быстрее I благодаря присутствию CH_3 -группы в орто-положении по отношению к месту атаки бромов. В IV CH_3 -группа

блокирует нормальное место атаки, и скорость бромирования резко понижена. II реагирует в 100 раз медленнее, чем другие диметиланилины, поскольку CH_3 -группа в орто-положении препятствует образованию плоского хиноидного переходного комплекса. VI и VII несколько более активны, чем соответствующие диметилные соединения, но V реагирует в 4 раза медленнее, чем аналогичное диметилзамещенное, вследствие большего стерич. влияния этильных групп.

А. Слинкин

70760. Отсутствие основного катализа в реакциях аминов с 1-замещенными 2,4-динитробензолами. Баннетт, Пруитт (Lack of sensitivity to base-catalysis of the reactions of amines with 1-substituted-2,4-dinitrobenzenes. Bunnett Joseph F., Pruitt Kenneth M.), J. Elisha Mitchell Scient. Soc., 1957, 73, № 2, 297—303 (англ.)

Изучались р-ции пиперидина (I) с 2,4-динитроидбензолом (II), 2,4,4'-тринитродифениловым эфиром (III), 2,4-динитродифенилсульфоном (IV) и 2,4-динитрохлорбензолом (V) в 50%-ном водн. р-ре диоксана при 0° , а также анилина (VI) с V при $45,95^\circ$ в том же р-рителе. Главным продуктом являются 2,4-динитрофенилпиперидин (VII) при р-ции с I и 2,4-динитрофениланилин (VIII) при р-ции с VI. VII и VIII определялись фотометрически при λ 380 и 365 м μ соответственно. Средние константы скорости 2-го порядка в $\text{л моль}^{-1} \text{мин}^{-1}$ равны: для I с II 0,22, с III 1,3; с IV 0,9; с V 0,83; для VI с V 0,024. Солевые эффекты незаметны. Р-ции I с II, IV, V и VI с V не ускоряются в 0,02—0,04 *M* р-ре NaOH . Отсюда следует, что отщепление протона от азота не происходит до или во время



стадии, определяющей скорость р-ции. Предполагается, что в первой медленной стадии образуется промежуточный комплекс (A), во второй быстрой — комплекс A реагирует с I с образованием VII. Р-ция I с III ускоряется 0,016 *M* NaOH на 14—29%. Возможно, что в этом случае отщепление протона происходит раньше разрыва связи C—X. Сравнивая свои результаты с результатами, полученными ранее, (РЖХим, 1957, 63383), авторы находят, что при 0° в 50%-ном водн. р-ре диоксана р-ция идет быстрее, чем в CH_3OH , для V в 7,1, для II в 8,1, для IV в 10,9, для II в 16 раз.

В. Якерсон

70761. Действие щелочного раствора йода на ацетальдегид. Бос (Action of alkaline iodine solution on acetaldehyde. Bose Sameer), J. Indian Chem. Soc., 1957, 34, № 11, 825—829 (англ.)

При действии щел. р-ра йода на CH_3CHO (I) конкурируют две р-ции; окисление I до CH_3COOH и замещение с образованием CH_3I через промежуточную стадию непрочного соединения CJ_3CHO . На преобладание одного из двух направлений влияют разбавление, т-ра, конц-ии р-ров NaOH и J_2 . На основании изучения р-ции в разных условиях автор предполагает, что замещение осуществляют ионы OJ^- , а окисление — молекулы HOJ . При большом разведении и избытке NaOH (что способствует образованию OJ^-) 98% I превращаются в CH_3I . В случае недостатка NaOH конц-ии ионов OJ^- ничтожна и 99,3% I окисляется.

А. Куранова

70762. Механизм реакции ди-(2-хлорэтил)-сульфона (сульфона иприта) с аминокислотами. Франсис, Ричардс, Уэрмалл (The mechanism of the reaction between Di-(2-chloroethyl) sulphone (mustard-gas sulphone) and amino acids. Francis G. E., Richards Denise E., Wormall A.), Biochem. J., 1957, 66, № 1, 142—144 (англ.)

С помощью $(\text{ClCH}_2\text{CH}_2)_2\text{SO}_2$ (I), меченного D во всех положениях, показано, что при образовании $\text{CH}_2\text{CH}_2\text{N(R)CH}_2\text{CH}_2\text{SO}_2$ (II) (R = CH_3CHCOOH и $\text{C}_6\text{H}_5\text{CH}_2\text{CHCOOH}$) из I и аланина и фенилаланина (в водн. р-ре при 37° в присутствии NaHCO_3 и при подщелачивании до pH 7,5 р-ром NaOH) группа $(-\text{CH}_2\text{CH}_2)_2\text{SO}_2$ теряет $\sim 1/4$ содержавшегося в ней D. Так как изотопный обмен связей C—D со средой в условиях опытов мало вероятен, то полученные данные авторы рассматривают как доказательство промежуточного образования из I дивинилсульфона (III), который затем присоединяет по двойной связи молекулу аминокислоты: $\text{I} \rightarrow (\text{C}+\text{H}_2\text{CH}_2)_2\text{SO}_2$ (IV) $\rightarrow (\text{CH}_2=\text{CH})_2\text{SO}_2$ (V) $+$ 2H^+ ; $\text{V} + \text{RNH}_2 \rightarrow \text{II}$. Потеря D при образовании II отвергает другой возможный механизм р-ции, согласно которому ион карбония IV непосредственно реагирует с аминокислотой, замещая в ней оба атома H аминогруппы. В этом случае II должен был бы содержать весь D исходного I. I синтезировали окислением иприта-d₅ H_2O_2 в CH_3COOH по методу, описанному ранее (РЖХимБх, 1957, 1593). А. Рекашева

70763. Сравнительные скорости реакции органических галогенидов с Na-производными диалкилфосфористых кислот. Рудье (Vitesses de réaction comparées des halogénures organiques sur les diesters phosphoreux sodés. Roudier Luc), C. r. Acad. sci., 1957, 245, № 25, 2296—2297 (франц.)

Изучено влияние т-ры, конц-ии и природы компонентов на скорость р-ции (CP) $(\text{RO})_2\text{PNa}$ с галоидальными. За единицу CP была принята CP $(\text{C}_4\text{H}_9\text{O})_2\text{PNa}$ (I) с $\text{C}_4\text{H}_9\text{Br}$ (II). Установлено, что CP I в толуоле (III) с рядом галоидальков при конц-ии 0,4—1 н. в интервале т-р от 0—100° повышается в среднем в 2,3 раза за каждые 10°. В качестве галогенидов применяли $\text{C}_2\text{H}_5\text{Br}$ (IV), $\text{C}_4\text{H}_9\text{I}$ (V), $\text{C}_6\text{H}_5\text{CH}_2\text{Cl}$ в III при 23—35°, причем их влияние изучали в зависимости от первоначальной конц-ии I, варьирующей от 0,5—1 н. Установлено, что lg CP равен 1,46 lg конц-ии. При действии 1 н. р-ров $\text{C}_4\text{H}_9\text{Cl}$ (VI), II и V в III оказалось, что II в 125 раз более активен, чем VI, но в 3,8 раза менее активен, чем V. Кривая II имеет перегиб, кривая VI типична для р-ции второго порядка, а кривая V имеет порядок средней между первым и вторым. CP I в III с CH_3Br (VII), IV, $\text{C}_3\text{H}_7\text{Br}$, II, $\text{C}_6\text{H}_5\text{Br}$, $\text{C}_7\text{H}_{15}\text{Br}$ и $\text{C}_{11}\text{H}_{23}\text{Br}$ равны соответственно 3260, 4,5, 1,4, 1, 0,6, 1, 1. Все кривые имеют перегиб, кроме кривой VII. CP I с дибромидом $\text{Br}(\text{CH}_2)_n\text{Br}$ при $n = 1, 2, 3, 4$ соответственно равны 0,8, 3,5, 7, 3,9, причем все кривые имеют перегиб. Малая CP дибромидов с $n = 1$ объясняется пространственными затруднениями, вызываемыми двумя близлежащими атомами Br. CP I с $(\text{CH}_3)_2\text{CHBr}$ (по сравнению со CP I с II) равна $3 \cdot 10^{-8}$; $(\text{CH}_3)_2\text{CHCH}_2\text{Br}$ $2,3 \cdot 10^{-2}$; $\text{C}_6\text{H}_5\text{CH}_2\text{Cl}$ 370; $\text{CH}_2\text{ClCOOC}_2\text{H}_5$ $3 \cdot 10^5$; $\text{CHCl}=\text{CCl}_2$ 710 (осмоляется); $\text{CH}_2=\text{CHCH}_2\text{Cl}$ 247; $\text{CH}_2=\text{CHCH}_2\text{Br}$ 280; $(\text{CH}_3)_3\text{CJ}$ $2,7 \cdot 10^{-3}$; цикло- $\text{C}_6\text{H}_{11}\text{J}$ $1,8 \cdot 10^{-5}$. Последние два йодида образуют лишь олефины. Галоидаллиды дают только незначительные кол-ва нормального фосфоната, главным образом дифосфоната $(\text{C}_4\text{H}_9\text{O})_2\text{P}(=\text{O})\text{C}_3\text{H}_6\text{P}(=\text{O})(\text{OC}_4\text{H}_9)_2$. CP I, $(\text{C}_2\text{H}_5\text{O})_2\text{PNa}$ и $(\text{изо-C}_3\text{H}_7\text{O})_2\text{PNa}$ в III с II и IV относятся друг к другу как 1:1,3:0,54. Кривые имеют перегиб, CP I с VI и II (при конц-ии 1 н.) при 75—100° без р-рителя, в III, в $n\text{-C}_4\text{H}_9\text{OH}$ и $\text{HCON}(\text{CH}_3)_2$ относятся друг к другу как 0,9:1:7,5:135. Р-ции I с VI в X строго второго порядка. CP определяли измерением конц-ии иона Br по методу Шарпантье-Фольгарда. В. Райгородская

70764. Количественное исследование нитрования бензонитрила. Вибавт, Стрик (Quantitative investigation of the nitration of benzonitrile. Wi-

baut J. P., Strik R. van), Recueil trav. chim., 1958, 77, № 4, 316—326 (англ.)

Состав продуктов нитрования бензонитрила (I) 100%-ной HNO_3 или смесью 100%-ной HNO_3 с 96%-ной H_2SO_4 (1:2) при 0, —9 и —20° определен по диаграммам точек затвердевания бинарных смесей *m*, *o*- и *p*-нитробензонитрилов (II, III и IV). Р-ция нитрования I за 1—3 часа проходит на 91—100%. Содержание в продуктах II, III и IV составляет соответственно (в %) для р-ции с HNO_3 при 0° 80,7, 17,1 и 2,0; при —9° 82,1, 16,1 и 1,6; при —20° 83,4, 15,4 и 1,4; для р-ции с $\text{HNO}_3 + \text{H}_2\text{SO}_4$ при 0° 83,4, 14,7 и 2,0; при —20° 86,5, 12,2 и 1,0. Результаты согласуются с данными Бейкера и др. (Baker J. W. и др., J. Chem. Soc., 1928, 426) и не подтверждают результатов Флюршейна и Холмса (Flurschein B., Holmes E. G., J. Chem. Soc., 1928, 2230). Обнаруженное уменьшение относительного содержания II с ростом т-ры количественно соответствует ур-нию Шеффера (Recueil trav. chim., 1926, 45, 522). Попытки ввести в IV вторую нитрогруппу не удалось даже в жестких условиях. А. Дулов

70765. Диссоциация гексаметилдилюмба. Лебр, Саже, Фойгт (Dissociation de l'hexamétyldiplobane. Lesbre Michel, Satge Jacques, Voigt Daniel), C. r. Acad. sci., 1958, 246, № 4, 594—596 (франц.)

С целью выяснения влияния стерич. затруднений на диссоциацию гексазамещ. люмбаов действием PbCl_2 на мезитилмагнийбромид в инертной атмосфере получен $[\text{2,4,6-(CH}_3)_3\text{C}_6\text{H}_2]_2\text{PbPb}[\text{C}_6\text{H}_2(\text{CH}_3)_3\text{2,4,6}]$ (I), т. разл. 235°. Мол. вес, определенный криоскопич. методом в C_6H_6 , равен 596 (мономер 565), эбуллиоскопич. методом в C_6H_6 631, в CHCl_3 650, что указывает на значительную диссоциацию. Магнитная восприимчивость твердого I $\chi(\text{мол}) = (-543 \pm 10) \cdot 10^{-6}$, что соответствует 2,3% диссоциации, т. е. лежит в пределах возможной ошибки опыта, так что обнаружить наличие свободных радикалов-мономеров не удается.

М. Дяткина
70766. Фотоллиз и пиролиз 2-пентанона-1,1,1-3,3-d₅. Мак-Несби, Гордон (Photolysis and pyrolysis of 2-pentanone-1,1,1-3,3-d₅. McNesby J. R., Gordon Alvin S.), J. Amer. Chem. Soc., 1958, 80, № 2, 261—264 (англ.)

Для проверки предположения о переходе H из γ- в α-положение метилалкилкетонов при их фотоллизе определены выходы и изотопный состав продуктов разложения $\text{CD}_3\text{COCd}_2\text{CH}_2\text{CH}_3$ (I) после облучения его светом ртутной дуги. Опыты проводились при различной интенсивности облучения (ИО) в газовой фазе при 30—300°. Разделение продуктов фотоллиза проведено с помощью газовой хроматографии. Приведены продукт хроматографии, миним. и максим. выходы в мол.% в различных условиях т-ры и облучения: CO, 8,4—36; CH_4 , 2,4—18,2; C_2H_6 , 1—5; C_2H_4 (II), 22—50; $(\text{CH}_3)_2\text{CO}$ (III), 10—40; пропилен, 0—2,7; пропан, 1,4—6,0; бутан, 0—10; *n*-гексан, 0—3. Изотопный анализ проводили масс-спектрометрически. Найдено, что II при хроматографировании частично обменивается D на H, поэтому найденное отношение выходов III-d₅:III-d₃ несколько занижено. I в тех же условиях не обменивается. При переходе H из γ в α-положение должен образоваться только III-d₅ и эквимольное кол-во C_2H_4 . Установлено, что при фотоллизе I образуются молекулы III, содержащие от 2 до 6 атомов D. При 35—150° преобладают III-d₆ и III-d₅. При 300° выход III-d₅ падает с 60 до 10 мол.%, а выходы III-d₄ и III-d₃ возрастают с 2—8 до 22—30 мол.%. Отношение выходов III-d₅:III-d₃ при 30—150° больше единицы. Выходы III-d₅ превышают выходы III-d₆ только в опытах в присутствии *n*-гексана или $(\text{C}_2\text{H}_5)_2\text{CO}$. При 35° и низких ИО отношение выходов II:III = 1, но

α -гликолевой группы $C_{(1)}-C_{(2)}$ циклич. формы I, причем $C_{(1)}$ становится компонентом эфирного радикала 4-О-формиларабинозы. Мол. соотношение между суммой III и ее эфира и кол-вом вошедшего в р-цию II равно 1:1. Сделан вывод, что окисление альдогексоз происходит ступенчато по полуацетальной группе, приводя каждый раз к уменьшению числа атомов C моносахарида на единицу. Так, при окислении $IC_{(1)}^{14}$ получены продукты, которые после восстановления их $NaBH_4$ дают сорбит- C^{14} и нерадиоактивные арабит, эритрит, глицерин и этиленгликоль (разделены хроматографией на бумаге), что свидетельствует о разрыве связи в первую очередь между $C_{(1)}$ и $C_{(2)}$. Промежуточные продукты можно обнаружить во всех стадиях окисления альдогексоз и альдопентоз. Авторы предполагают, что 1 моль II атакует 1 моль I так, что 0,67 моля I остается без изменения и образуется 0,67 моля свободной III и 0,33 моля эфира глицеринового альдегида (IV — альдегид). Замедление 3-й и 4-й стадий р-ции объясняется накоплением муравьиных эфиров IV и гликолевого альдегида (V), лишнего α -гликолевых групп. Степень гидролиза этих эфиров определяет суммарную скорость р-ции их окисления. При окислении 5 г I 3 и 4 молями II были получены в виде димедоновых комплексов 60% IV и 38% V соответственно. В. Райгородская

См. также: Строение органич. соед. 69769, 69773, 69777—69779, 69832, 69838, 70798, 70800, 70801. Механизмы и кинетика р-ций см. раздел Кинетика и рефераты: 70151, 70153, 70162, 70164, 70165, 70167, 70196; 27312Бх

СИНТЕТИЧЕСКАЯ ОРГАНИЧЕСКАЯ ХИМИЯ

Редакторы М. А. Атабекова, Н. С. Вульфсон, Б. М. Дубинин, В. А. Загореский, Я. Ф. Комиссаров, Г. Я. Кондратьева, Л. А. Хейфиц

70770. О каталитической гидроконденсации окиси углерода с олефинами. Сообщение 19. Гидроконденсация окиси углерода с пентеном-2. Взаимное превращение пентена-2 и пентена-1 в условиях этой реакции. Эйдус Я. Т., Ордян М. Б., Изв. АН СССР, Отд. хим. н., 1958, № 2, 243—246

В продолжение прошлых исследований (РЖХим, 1958, 43231) изучены превращения пентена-2 (I) над катализатором гидроконденсации CO с олефинами при нормальном давлении и 190°. В отсутствие H_2 и CO I не изменяется над этим контактом, в присутствии H_2 50% I гидрируется, 1,5—2% изомеризуется в пентен-1 (II) и 6,5% превращается в высшие углеводороды. В присутствии H_2 и CO 17—18% I гидрируется, 3% подвергается гидрокрекингу и 14—15% изомеризуется в II, который тотчас вступает в р-цию гидрополимеризации и гидроконденсации. Кол-во свободного I в катализате незначительно. Промежуточная стадия изомеризации I \rightarrow II подтверждается линейным строением продуктов гидроконденсации I. Сообщение 18 см. РЖХим, 1958, 43231. Г. Кондратьева

70771. Получение 2,3-диметилбутадиена каталитическим путем. Назаров И. Н., Иванова Л. Н., Руденко Б. А., Докл. АН СССР, 1958, 118, № 3, 509—511

Изучено дегидрирование тетраметилэтилена (I) и трет-бутилэтилена (II) над промышленными контактами K-12, K-16 и K-18 при 600—675° и об. скорости 1000—2000 час⁻¹ при 8-кратном разбавлении водяным паром. Полученные катализаты фракционировались, и во фракции 68—75° содержание 2,3-диметилбутадиена (III) определялось р-цией с малеиновым ангидридом. II в принятых условиях не дегидрируется, I дает III, максим. выход которого (23% на взятый и 50%

на вошедший в р-цию I) получен с катализатором K-16 при 630° и об. скорости 1500 час⁻¹.

Г. Кондратьева
70772. Ацетилен-алленовая изомеризация нонадиена-1,4. Генслер, Каселла (Acetylene-allene isomerization of nonadiene-1,4. Gensler Walter J., Casella Joseph, Jr), J. Amer. Chem. Soc., 1958, 80, № 6, 1376—1380 (англ.)

Нонадиен-1,4 (I) под действием щелочи при $\sim 20^\circ$ изомеризуется в нонадиен-1,2-ин-4 (II) и затем в нонадиен-2,4 (III), что подтверждается сравнением свойств (в первую очередь спектральных) со свойствами специально приготовленных II и III. Исходный I получают р-цией гексинилмагнийбромидом с $HC \equiv CCH_2Br$ и очищают от содержащейся в нем примеси $\sim 6-8\%$ II (по данным ИК- и УФ-спектров) нагреванием при 180—190° (4,5 часа), выход чистого I 83%, т. кип. 165—166°, 77—77,5°/32 мм, $n_D^{25} 1,44990$, $d_4^{25} 0,8110$; УФ-спектр λ_{max} (в сп.) 262 (ε 41) и 263 (ε 26) мк; ИК-спектр 3300, 2260, 2190, 2150 cm^{-1} ; Hg-соль, т. пл. 113—114° (из этилацетата); Cu-соль, т. разл. 97—107°. Очистка I от примеси II может быть осуществлена также через его Cu-соль или хроматографированием (колонка 170 см; силикагель, пропитанный пентаном; вымывают спиртом). Р-р 0,034 моля I в 50 мл спирта обрабатывают 5 мл 10%-ного NaOH, выдерживают 3 часа при $\sim 18^\circ$, подкисляют разб. HCl ($\sim 0^\circ$), пентаном (4 \times 40 мл) извлекают 3,55 г смеси II и I с т. кип. 84°/22 мм, отделяют I в виде Cu-соли, остаток перегоняют в вакууме, выход I 71%, т. кип. 85°/25 мм, $n_D^{25} 1,49194$, $d_4^{25} 0,8132$; УФ-спектр λ_{max} (в сп.) 220,5 мк (ε 8200); ИК-спектр 853, 1710, 1942, 2039, 2210, 2230 cm^{-1} . Строение II доказано озонлизом (с 12%-ным выходом выделена $n-C_4H_9COOH$). Обработкой 1,4-дихлорбутина-2 $NaNH_2$ и затем $n-C_4H_9Br$ получают октадиен-1,3 (IV), т. кип. 67—68°/24 мм, $n_D^{25} 1,4693$. К смеси $NaNH_2$ в жидком NH_3 (из 0,1 г-атома Na и 150 мл NH_3) прибавляют 0,1 моля IV (30 мин., перемешивание), через 1 час перемешивания приливают 0,1 моля CH_3I (15 мин.), кипятят 4 часа, упаривают (~ 12 час. выдержки), эфиром извлекают 71% III, который после очистки от следов IV (осаждают в виде Cu-соли) имеет т. кип. 99—100°/37 мм, $n_D^{25} 1,49148$, $d_4^{25} 0,8165$; УФ-спектр λ_{max} (в сп.) 224,5 (ε 366), 232 (ε 294), 237 (ε 335), 252 (ε 194) мк; ИК-спектр 2260, 2190, 2150, 2039 cm^{-1} . Изомеризацию I осуществляют термостатированием при 25° смеси 10,07 мг I и 10 мл 12,1 $\cdot 10^{-3}$ M р-ра KOH в $\sim 89\%$ -ном спирте, через определенные промежутки времени отбирают пробы, которые после нейтр-ции анализируют методом УФ-спектроскопии. Через 10000—11400 мин. I почти полностью превращается в III, причем скорость изомеризации I в II в ~ 18 раз больше, чем II в III. Аналогично проводят изомеризацию I в абс. спирте под действием 4,72 н. NaOH (25°), отбираемые пробы анализируют. По данным ИК-спектров реакционная смесь через 0,5 часа содержит $<10\%$ I, а через 3 часа I полностью переходит в смесь $<10\%$ II и 90—100% III; спустя 22 часа и более содержание III составляет 100%. В аналогичных условиях II под действием NaOH при 25° через 45 мин. приблизительно на 50% изомеризуется в III. Почти все р-ции проводят под N_2 . Приведены кривые ИК- и УФ-спектров I, II и III.

О. Нефедов
70773. Получение октахлорпентадиена-1,3. Коган Л. М., Бурмакин Н. М., Игнатова Н. П., Черняк Н. В., Ж. прикл. химии, 1958, 31, № 3, 507—508

Октахлорпентадиен-1,3 (I) получен пропусканием хлора и полихлорпентадиенов (II) при 300—400° над инфузальной землей в присутствии октахлорциклопен-

тона (III) (III препятствует циклизации I). Смесь 93 г II, 79 г III и 115 г Cl_2 пропускают над 300 мл инфузорной земли при 350° со скоростью 42 г/час, получают 34% I, n_D^{20} 1,5711, d_4^{20} 1,7706. Тот же выход I получают без наличия III в реакционной смеси, если катализатор предварительно обработать 3 часа III с Cl_2 .

А. Волков

70774. Определение неопределенности изопентан-изопрен-изоамиленовых смесей бромометрическими методами. Казанский Б. А., Стерлигов О. Д., Беленькая А. П., Кондратьева Г. Я., Павлова П. С., Изв. АН СССР. Отд. хим. н., 1957, № 11, 1399—1400

При определении общей неопределенности катализатора при каталитич. дегидрогенизации изопентана исследовали пригодность бромометрич. методов. Точность определения по методам Розенмунда и Гальперна может изменяться от 1 до 3 абс.%. При введении поправочных коэф. точность определения повышается до $\pm 1\%$. Метод Вирабница для анализа изопентан-изопрен-изоамиленовых смесей не пригоден. В исследованных условиях бромирования 2-метилбутен-1 присоединяет более 1 молекулы Br_2 за счет побочной р-ции замещения.

Г. Крушина

70775. Алкилирование изопрендибромидом. Никль (Alkylierungen mit Isoprendibromid. Nickl Josef), Chem. Ber., 1938, 91, № 3, 553—565 (нем.)

Изопрендибромид (транс-1,4-дибром-2-метилбутен-2) (I) реагирует с $\text{NaCH(R)COOC}_2\text{H}_5$ (II), где $\text{R} = \text{COOC}_2\text{H}_5$ или CN , с образованием циклопропановых соединений вида $\text{CH}_2=\text{C}(\text{CH}_3)\text{CHCH}_2\text{C(R)COOC}_2\text{H}_5$ (III),

где R (соответственно) = COOC_2H_5 (IIIa) и CN (IIIб). Взаимодействие же I с диатриевыми производными димедона (IV) и флорацетофенона (V) приводит соответственно к 2-изопропенил-6,6-диметил-4-кето-4,5,6,7-тетрагидрокумарану (VI) и 2-изопропенил-4,6-диоксид-7-ацетилкумарану (VII). Строение III, VI и VII доказано данными ИК- и УФ-спектров и хим. превращениями. Из продуктов конденсации I с II ($\text{R} = \text{COCH}_3$) выделить III ($\text{R} = \text{COCH}_3$) в чистом виде не удалось. I получают бромированием изопрена в CS_2 или CHCl_3 при т-ре -10° , т. кип. $87-89^\circ/10$ мм, n_D^{20} 1,5610. Суспензию 0,5 моля II ($\text{R} = \text{COOC}_2\text{H}_5$) в 200 мл абс. спирта прибавляют к кипящему р-ру 0,25 моля I в 200 мл абс. спирта (30 мин.), после отделения NaBr р-р кипятят 5 час. (перемешивание), через ~ 12 час. ($\sim 20^\circ$) упаривают в вакууме, обрабатывают водой, эфиром извлекают 30% IIIa, т. кип. $81-84^\circ/0,7$ мм, n_D^{20} 1,4535, n_D^{20} 1,4535, n_D^{20} 1,4535, в 13,7% в-ва (т. кип. $120^\circ/0,2$ мм, n_D^{20} 1,4490) строения $\text{C}_2\text{H}_5\text{OCH}_2\text{C}(\text{CH}_3)=\text{CHCH}_2\text{CH(R)COOC}_2\text{H}_5$ (VIII) или $\text{CH}_2=\text{C}(\text{CH}_3)\text{CH}(\text{OC}_2\text{H}_5)\text{CH}_2\text{CH(R)COOC}_2\text{H}_5$ (IX), где $\text{R} = \text{COOC}_2\text{H}_5$. Гидрированием 3 г IIIa в 15 мл CH_3OH над 150 мг PtO_2 (20 мин.) получают изоамиленомаловый эфир, т. кип. $73-76^\circ/0,8$ мм; дианилид, т. пл. 190° (из сп.) Р-ция 0,5 моля II ($\text{R} = \text{CN}$) в 200 мл абс. спирта с 0,25 моля I приводит в аналогичных условиях к 26% IIIб, т. кип. $115-117^\circ/9$ мм, n_D^{20} 1,4679, n_D^{20} 1,4679, в 10% в-ва (т. кип. $108-110^\circ/0,1$ мм и n_D^{20} 1,4548) строения VIII или IX, где $\text{R} = \text{CN}$. При гидрировании 3,62 г IIIб над PtO_2 образуется $(\text{CH}_3)_2\text{CH}(\text{CH}_2)_2\text{CH}(\text{CN})\text{COOC}_2\text{H}_5$, выход 800 мг, т. кип. $115-118^\circ/11$ мм, n_D^{20} 1,4330. К кипящему р-ру 0,128 моля I в 75 мл CH_3OH прибавляют р-р IV (из 0,128 моля димедона и 0,256 г-атома Na) в 125 мл CH_3OH (1 час, перемешивание), кипятят 1 час, через ~ 12 час. ($\sim 20^\circ$) обрабатывают обычным образом и экстрагируют C_6H_6 VI, выход 15,7%, т. кип. $110-114^\circ/0,2$ мм, n_D^{20} 1,5100; 2,4-динитрофенилгидразон, т. пл. 180° Гидрирование 900 мг VI в 10 мл CH_3OH над 60 мг PtO_2 приводит к 1-изоамилен-4,4-диметилциклогексаниону-2,6, выход 750 мг, плоские призмы, т. пл. $150-151^\circ$ (из разб.

CH_3OH и петр. эф.). Последний идентичен продукту гидрирования над 5%-ным Pd/C 1-(γ,γ -диметилалил)-4,4-диметилциклогексаниона-2,6 (т. пл. 124° , из водн. CH_3OH), приготовленного с 68%-ным выходом обработкой 5,32 г γ,γ -диметилалилбромидом р-ром 5 г димедона и 2 г KOH в 10 мл воды. К р-ру V (из 95,2 ммоль флорацетофенона и 4,38 г Na) в 400 мл CH_3OH прибавляют при т-ре $\sim 20^\circ$ 95,2 ммоль I, выдерживают 20 час. ($\sim 20^\circ$) до pH 8, упаривают в вакууме, смешивают с 1 н. H_2SO_4 , эфиром извлекают VII, выход 8,2%, призмы, т. пл. 193° (из бzl. и CH_3OH); 4-метилловый эфир, т. пл. 148° (т. субл. $110-130^\circ/1$ мм); при действии эквимольного кол-ва $\text{C}_6\text{H}_5\text{CHO}$ в присутствии 50%-ного р-ра KOH VII образует 2-изопропенил-4,6-диокси-7-циннамоилкумаран, призмы, т. пл. $169-170^\circ$ (из петр. эф.). Гидрирование 100 мг VII над 100 мг 5%-ного Pd/C (70 мин.) приводит к 2-изопропенил-4,6-диокси-7-ацетилкумарану, выход 20 мг, т. пл. 162° (т. субл. $140-145^\circ/2$ мм), тогда как при гидрировании над PtO_2 (5 мин.) VII превращается в 3-изоамилфлорацетофенон, выход 71,5%, т. пл. 185° . Кроме того, осуществлен синтез 1-бензил-2-этокси-4,4-диметилциклогексен-1-она-6 из К-соли бензилдимедона (X) и $\text{C}_2\text{H}_5\text{I}$, выход 35-40%, призмы, т. пл. $60-61^\circ$ (из петр. эф.), а также 1,1-дибензил-4,4-диметилциклогексаниона-2,6 р-цией X с $\text{C}_6\text{H}_5\text{CH}_2\text{Cl}$, выход 62%, плоские призмы, т. пл. $135-136^\circ$ (из водн. CH_3OH), и проведено сравнение их УФ-спектров с УФ-спектром VI (в сл.); приведены кривые

О. Нефедов
70776. Исследование простых эфиров с аллильным положением двойной связи. II. Синтез простых эфиров $\alpha,\alpha,\gamma,\gamma$ -тетраалкилзамещенных аллиловых спиртов. Пансевич-Коляда В. И., Осипенко И. Ф., Ж. общ. химии, 1958, 28, № 3, 641—646

В продолжение предыдущих работ (РЖХим, 1956, 12784) исследована этерификация $(\text{CH}_3)_2\text{C}=\text{CHC}(\text{CH}_3)(\text{OR})$ (I а $\text{R} = \text{CH}_3$, б $\text{R} = \text{C}_2\text{H}_5$, в $\text{R} = \text{C}_3\text{H}_7$, г $\text{R} = \text{C}_4\text{H}_9$) первичными одноатомными спиртами с образованием $(\text{CH}_3)_2\text{C}=\text{CHC}(\text{CH}_3)(\text{OR})$ (II). Установлено, что наличие при карбинольном С-атоме гемзамещ. CH_3 -группами винильного радикала способствует легкому образованию простых эфиров. При этом р-ция этерификации протекает за счет расщепления С—О-связи третичного спирта и замены OH - на OR -группу, что подтверждается также р-цией:

$(\text{CH}_3)_2\text{C}=\text{CHC}(\text{CH}_3)_2\text{OH} + \text{HSCH}_2\text{C}_6\text{H}_5 \xrightarrow{\text{H}} (\text{CH}_3)_2\text{C}=\text{CHC}(\text{CH}_3)_2\text{SCH}_2\text{C}_6\text{H}_5$ (III) + H_2O . Обсуждается механизм р-ции. I получены р-цией Гриньяра из соответствующих RX и кетонов (приведены RX , полученный I, т. кип. в $^\circ\text{C}/\text{мм}$, n_D^{20} , d_4^{20}): CH_3I , Ia, 58—60/40, 1,4404, 0,8399; $\text{C}_2\text{H}_5\text{Br}$, Ib, 44—46/6—7, 1,4464, 0,8515; $\text{n-C}_4\text{H}_9\text{Br}$, Ic, 61—62/7, 1,4480, 0,8508; $\text{n-C}_4\text{H}_9\text{Br}$, Id, 74—76/3, 1,4505, 0,8454; $\text{C}_2\text{H}_5\text{I}$, $\text{C}_2\text{H}_5\text{C}(\text{CH}_3)_2\text{OH}$, 101/737, 1,4058, 0,8103; —, $\text{CH}_2=\text{CHC}(\text{CH}_3)_2\text{OH}$, 96—97/738, 1,4175, 0,8264; $\text{CH}_2=\text{CHCH}_2\text{Br}$, $\text{CH}_2=\text{CHCH}_2\text{C}(\text{CH}_3)(\text{C}_2\text{H}_5)\text{OH}$, 48,8/22, 1,4370, 0,8250; $(\text{CH}_3)_2\text{CHCH}_2\text{Br}$, $(\text{CH}_3)_2\text{CHCH}_2\text{C}(\text{CH}_3)(\text{C}_2\text{H}_5)\text{OH}$, 44,5/10, 1,4288, 0,8288. К 1 молю I при перемешивании приливали 2 моля первичного спирта, содержащего 5—10% (от веса взятого I) разб. H_2SO_4 (1:5), через 2—3 часа отделяли воду, реакционную смесь разбавляли эфиром, перегонкой в вакууме выделяли II (приведены исходный I, кол-во в молях, кол-во первичного спирта в молях, R' в II, выход II, т. кип. в $^\circ\text{C}/\text{мм}$, n_D^{20} , d_4^{20}): Ib, 0,078, 0,214; $\text{n-C}_3\text{H}_7$, 41,9, 57—57,9/7, 1,4328, 0,8184; Ib, 0,0975, 0,273, $\text{n-C}_4\text{H}_9$, 8,22 г, 74—74,5/7, 1,4355, 0,8199; Ib, 0,078, 0,138, $\text{изо-C}_5\text{H}_{11}$, 8,5 г, 79,5—80,3/7, 1,4353, 0,8169; Ib, 0,078, 0,160, $\text{n-C}_6\text{H}_{13}$, 8,7 г, 88—89,5/7, 1,4401, 0,8225; Ib, 0,105, —, CH_3 , 78, 56—56,8/10, 1,4340, 0,8197; Ib, 0,105, 0,257, C_2H_5 , 59,7, 61,5—62,5/10, 1,4344, 0,8185; Ib, 0,105, 0,25, $\text{n-C}_3\text{H}_7$, 63,1, 71,5—73/10, 1,4358, 0,8179; Ib, 0,105, 0,213, $\text{n-C}_4\text{H}_9$, 51,3, 85—85,8/8, 1,4371, 0,8185; Id, 0,1, 0,3, CH_3 , 67,8,

70,5—71,5/10, 1,4375, 0,8237; I_r , 0,1, 0,3, C_2H_5 , 57,6, 76,2—76,7/10, 1,4379, 0,8214; I_r , 0,1, 0,2, $n-C_3H_7$, 48,1, 89,2—90,2/10, 1,4389, 0,8267; I_r , 0,1, 0,2, $n-C_4H_9$, 40,7, 105—106/10, 1,4399, 0,8222, 0,105 моля I_a , этерифицировали 0,052 моля $C_6H_5CH_2S$ в присутствии 0,3 мл H_2SO_4 , через 2 часа отделили воду, эфиром извлекали III , выход 42,4%, т. кип. 133—134°/6 мм, n_D^{20} 1,5441, d_4^{20} 0,9735. В. Т. 70777.

Исследование в области простых эфиров гликолей и их производных. XXXII. Синтез простых моноэфиров γ -гликолей и их алкоксиметилловых производных. Мамедов Шамхал, Алиев А. Ф., Ж. общ. химии, 1958, 28, № 4, 923—928.

С целью изучения превращений γ -галоидэфиров, $ROCH_2CH_2CR^1R^2MgCl$ (I), осуществлен синтез δ -хлорэфиров по схеме: $I \rightarrow ROCH_2CH_2CR^1R^2MgCl$ (II) $\rightarrow ROCH_2CH_2CR^1R^2CR^3R^4OMgCl$ (III) $\rightarrow ROCH_2CH_2CR^1R^2CR^3R^4OH$ (IV) $\rightarrow ROCH_2CH_2CR^1R^2CR^3R^4Cl$ (V). I получены алкилированием α -хлорэфиров пропиленом и бутиленом. При действии конц. HCl на IV в присутствии катализатора NH_4Cl и Cu_2Cl_2 OH -группа замещается на Cl , OR -группа сохраняется. $CaCO_3$ отщепляет HCl от V с образованием непредельных эфиров. К II , полученному из 2,4 г Mg , 35 мл эфира и 13 г I ($R = R^2 = CH_3$, $R^1 = H$), прибавляли при охлаждении 4,4 г CH_3CHO , нагревали 4 часа (40—45°), через 8 час. комплекс разлагали подкисленной ледяной водой, эфиром извлекали IV . Получены IV (приведены R , R^1 , R^2 , R^3 , R^4 , выход в %, т. кип. в °C/мм, n_D^{20} , d_4^{20}): CH_3 , CH_3 , H , H , CH_3 , 41,4, 66—69/4, 1,4300, 0,8917; C_2H_5 , CH_3 , H , H , CH_3 , 39,4, 70—73/3, 1,4305, 0,8947; C_4H_9 , CH_3 , H , H , CH_3 , 33,5, 90—91,5/3, 1,4330, 0,8844; $изо-C_5H_{11}$, CH_3 , H , H , CH_3 , 31,6, 87—89/5, 1,4210, 0,8607; CH_3 , C_2H_5 , H , H , CH_3 , 44,67, 76—78/3, 1,4310, 0,0911; $изо-C_5H_{11}$, C_2H_5 , H , H , CH_3 , 34,4, 110—112/5, 1,4276, 0,8592; CH_3 , CH_3 , H , CH_3 , CH_3 , 36,06, 66—67,5/3, 1,4360, 0,9016; C_2H_5 , CH_3 , H , CH_3 , CH_3 , 34,3, 76—78/3, 1,4436, 0,8893; C_4H_9 , CH_3 , H , CH_3 , CH_3 , 26,6, 85—89/3, 1,4422, 0,8897; $изо-C_5H_{11}$, CH_3 , H , CH_3 , CH_3 , 24,4, 88—91/3, 1,4320, 0,8730; C_4H_9 , CH_3 , H , C_6H_5 , H , 57,5, 83—85/8, 1,4748, 0,9276; C_2H_5 , CH_3 , H , C_6H_5 , CH_3 , 43,4, 108—110/18, 1,4913, 0,9643; C_4H_9 , CH_3 , CH_3 , C_6H_5 , CH_3 , 65,2, 66—67/3, 1,4564, 0,8890; CH_3 , C_2H_5 , H , CH_3 , CH_3 (VI), 42,1, 70—72/3, 1,4370, 0,8999; C_4H_9 , C_2H_5 , H , CH_3 , CH_3 , 32,6, 102—103/18, 1,4392, 0,8795; C_4H_9 , CH_3 , CH_3 , CH_3 , 37,4, 84—84,5/2, 1,4330, 0,8702; $изо-C_5H_{11}$, C_2H_5 , H , CH_3 , CH_3 , 30,7, 80—83/4, 1,4300, 0,8570. На III , полученный из 16 г I ($R = C_4H_9$, $R^1 = H$, $R^2 = CH_3$), 2,4 г Mg , 5,8 г ацетона и 40 мл эфира, действовали 8 г α -хлорметилового эфира, через 8 час. разбавляли 50 мл воды, органич. слой промывали 3%-ным р-ром щелочи, выделяли $ROCH_2CH_2CR^1R^2CR^3R^4OCH_2OR^5$ (приведены R , R^1 , R^2 , R^3 , R^4 , R^5 , выход в %, т. кип. в °C/мм, n_D^{20} , d_4^{20}): $n-C_4H_9$, CH_3 , H , CH_3 , CH_3 , CH_3 , 47,8, 77,5—79/10, 1,4360, 0,8984; $n-C_4H_9$, CH_3 , H , CH_3 , CH_3 , $изо-C_5H_{11}$, 43, 95—97/9, 1,4144, 0,8453; CH_3 , C_2H_5 , H , CH_3 , CH_3 , CH_3 , 48,8, 88—90/24, 1,4385, 0,9236; C_2H_5 , C_2H_5 , H , CH_3 , CH_3 , C_2H_5 , 56, 88—89/15, 1,4200, 0,8670; C_2H_5 , CH_3 , CH_3 , CH_3 , CH_3 , $n-C_4H_9$, 63,7, 59—62/4, 1,4134, 0,8475; $n-C_4H_9$, CH_3 , CH_3 , CH_3 , CH_3 , $n-C_4H_9$, 35,5, 89—91/3, 1,4206, 0,8550; $n-C_4H_9$, CH_3 , H , H , C_6H_5 , C_2H_5 , 28, 93—95/36, 1,4982, 0,9916. К смеси 2,5 г NH_4Cl , 1,25 г Cu_2Cl_2 и 6 г VI прибавляли по каплям 25 мл конц. HCl (d 1,19), через 2 часа ($\sim 20^\circ$) разбавляли равным объемом воды, органич. слой промывали 3%-ным р-ром щелочи, выделяли V ($R^2 = R^3 = R^4 = CH_3$). Получены V (приведены R , R^1 , выход в %, т. кип. в °C/мм, n_D^{20} , d_4^{20}): CH_3 , C_2H_5 , 31,3, 70—72/11, 1,4376, 0,9435; C_2H_5 , C_2H_5 , 60,2, 93—95/10, 1,4380, 0,9214; C_4H_9 , CH_3 , 33,2, 100—102/6, 1,4390, 0,9120; C_5H_{11} , CH_3 , 43,2, 102—103/4, 1,4402, 0,9047. Сообщение XXXI см. РЖХим, 1958, 28663. В. Тынянкина 70778.

Об образовании мепробамата при реакции мочевины с 2-метил-2-н-пропилпропандиол-1,3. Феррари (Sulla formazione del meprobamato per rea-

zione dell'urea con il 2-metil-2-n-propil-1,3-propandiol. Ferrari Giorgio), Chimica e industria, 1958, 40, № 1, 13—15 (итал.; реф. франц., англ., нем.).

Исследовалась р-ция получения карбаминового эфира 2-метил-2-н-пропилпропандиола-1,3 (мепробамата) (I) из диола (II) и мочевины (III) в различных условиях т-ры, соотношения реагентов, продолжительности, вакуума и применения катализаторов. Установлено, что при т-рах ниже 135° р-ция не идет, продолжительность р-ции значительно сокращается при применении вакуума (50 мм). В качестве катализаторов применялись $Zn(CH_3COO)_2$, $CoCl_2$, $ZnCl_2$, $Pb(CH_3COO)_2$. В оптимальных условиях устойчивый выход I 22—30%, но иногда по невыясненным причинам отклоняется до 90%. К смеси 1 моля II и 15 г $Pb(CH_3COO)_2$ при 150° прибавляют сразу (или в 2—3 приема через 1,5 часа) 3 моля III и нагревают 6 час. при 160°/50 мм. Из охлад. продукта ацетоном экстрагируют I , т. пл. 104—105° (из воды). В. Руденко

70779. Исследования в области химии органических окисей. XIV. О взаимодействии α -окиси изопрена с аммиаком и аминами. Альбицкая В. М., Петров А. А., Ж. общ. химии, 1958, 28, № 4, 901—904.

В продолжение прошлых работ (РЖХим, 1957, 11652) исследовано взаимодействие α -окиси изопрена (I) с NH_3 и первичными и вторичными аминами с образованием смеси изомерных $CH_2=CHC(OH)(CH_3)CH_2NR_2$ (II) и $CH_2=CHC(NR_2)(CH_3)CH_2OH$ (III), что подтверждено ИК-спектрами. На примере взаимодействия I с CH_3NH_2 показано, что образуется 10—12% III от общего кол-ва смеси. Перегонкой бромгидрина над щелочью получали I , т. кип. 79—80°, n_D^{20} 1,4142, d_4^{20} 0,8547. I с 10-кратным избытком 33%-ного водн. NH_3 дает II ($R = H$), выход 50%, 0,1—0,2 моля I смешивали с 3—5-кратным избытком 33%-ных водн. р-ров или эмульсий аминов, несколько часов смесь размешивали, через 1—2 суток выделяли II , выход 60—75% (приведены R_2 , т. кип. в °C/20 мм, n_D^{20} , d_4^{20} , т. пл. в °C пикрлоната): H_2 , 75—75,5, 1,4698, 0,9581, 195—196; $H + CH_3$ (IV), 59,5—60,1, 1,4522, 0,9040, 214—215; $H + C_2H_5$, 70—71, 1,4509, 0,8821, 195—196; $H + C_3H_7$, 82—83, 1,4461, 0,8726, 188—189; $H + C_4H_9$, 97—99, 1,4470, 0,8670, 179—180; $(CH_3)_2$, 50,5—51,5, 1,4378, 0,8584, 136—137; $(C_2H_5)_2$, 75—76, 1,4394, 0,8513, 119—120; $(C_3H_7)_2$, 100—102, 1,4421, 0,8483, 98—99; $(C_4H_9)_2$, 127—128, 1,4444, 0,8470, 94—95. Из 48 г I и 170 г CH_3NH_2 получили 44 г IV и 4,5 г III ($R_2 = H + CH_3$), т. кип. 87—89°/20 мм, n_D^{20} 1,4624, d_4^{20} 0,9356; пикрлонат, т. пл. 187—188°. В. Тынянкина

70780. Исследования в области несимметричных органических α -окисей. XVI. Гидратация α -окисей в присутствии серной кислоты. Пономарев Ф. Г., Сб. тр. Воронежск. отд. Всес. хим. о-ва им. Д. И. Менделеева, 1957, вып. 1, 199—202.

Изучена сравнительная легкость гидролиза окисей OCH_2CHR (I). I , $R = CH_2OCH_2C_6H_5$, не гидратируется при нагревании с 20-кратным избытком 1%-ной H_2SO_4 в течение 3 час. Остальные I превращаются в этих условиях в гликоли $CH_2OHCHONHR$ (II). По легкости гидролиза I располагаются в ряд (приводятся заместители R): $H > CH_2Cl > C_6H_5 > CH_2OH > CH_2OAlk > > CH=CHCH_3 > CH=CH_2$. Приведены R , т. кип. °C/мм, n_D^{20} и d_4^{20} для I : CH_2OH , 65—67/15, 1,4290, 1,1099; $CH_2OC_3H_7$ - $изо$, 131—132/760, 1,4101, 0,9238; $CH_2OC_4H_9$ - $н$, 164—166/760; 1,4141, 0,9104; $CH_2OCH_2C_6H_5$, 78—80/10, 1,5379, 1,0960; $CH=CH_2$, 65—67/760, 1,4169, 0,8720; C_6H_5 , 78—81/12, 1,5390, 1,0592; $CH=CHCH_3$, 102—104/760, 1,4330, 0,8881. II , $R = CH_2OC_3H_7$ - $изо$, т. кип. 87—90°/33 мм, n_D^{20} 1,4436, d_4^{20} 1,0320. II , $R = CH=CHCH_3$, т. кип. 107—109°/20 мм, n_D^{20} 1,4683, d_4^{20} 1,0150. Предыдущее сообщ. см. РЖХим, 1958, 21343. Г. Кондратьева

70781. Об изомеризации α -ненепредельных карбонильных соединений в соединения с несопряженными связями. Виман, Мартин (Sur l'isomérisation des composés carbonyles α -éthyléniques en composés non conjugués. Wiemann Joseph, Martineau Louis), C. r. Acad. sci., 1958, 246, № 1, 131—133 (франц.)

При пропускании над вольфрамом тория на TiO_2 при 200—250° 2-этилгексен-2-аль (I) превращается в 2-этилгексен-3-аль (II), выход 5—10%, т. кип. 57°/15 мм, n_D^{20} 1,427, d_4^{25} 0,8339, ИК-спектр: λ 2700, 1730, 1685 (слаб.) см^{-1} , спектр комб. расс. света: 1670 и 1725 см^{-1} , УФ-спектр: $\lambda_{\text{макс}}$ 300 мμ (ε 200); 2,4-динитрофенилгидразон, т. пл. 117,5—118,5°. Гидрирование II над скелетным Ni проходит легче, чем I, и приводит к 2-этилгексанолу-1; 3,5-динитробензоат, т. пл. 42—43°. II осаждает FeCl_3 из р-ра в абс. эфире В. Р.

70782. Селективное восстановление альдегидов в смеси с кетонами. Хосиан, Ивасава (Hoshiai Kazuo, Iwasawa Izumi), Kōrō karaku dзасси. J. Chem. Soc. Japan. Industr. Chem. Sec., 1957, 60, № 12, 1527—1530 (японск.)

В присутствии скелетного Ni с добавкой KJ (приготовление см. РЖХим, 1956, 74840) гидрирование смесей *n*-бутанала, *n*-октанала и бензальдегида с диэтилкетон, метилизобутилкетон и дипропилкетон в *n*-бутаноле при 25° и обычном давлении проходит строго избирательно только для альдегидов, в смесях альдегидов с ацетоном наряду с полным восстановлением альдегидов проходит частичное гидрирование ацетона.

70783. О взаимодействии аллилоксиэтанала с простыми виниловыми эфирами. Котрелев В. Н., Рубцова И. К., Ж. общ. химии, 1958, 28, № 3, 770—771

С целью исследования способности к сополимеризации с метилметакрилатом (I) синтезированы ацетали по схеме: $\text{CH}_2=\text{CHOR}$ (II) + $\text{CH}_2=\text{CHCH}_2\text{OCH}_2\text{CH}_2\text{OH}$ (III) \rightarrow $\text{CH}_2\text{CH}(\text{OR})\text{OCH}_2\text{CH}_2\text{OCH}_2\text{CH}=\text{CH}_2$ (IV). При полимеризации IV с I в соотношении 10:90 в присутствии $(\text{C}_6\text{H}_5\text{CO})_2$ (1% к весу смеси) получены через 72 часа (45—100°) твердые прозрачные полимеры с теплоустойчивостью большей, чем у полиметилметакрилата. Взаимодействием 36 г II ($\text{R} = \text{C}_2\text{H}_5$) и 54 г III получено 15,4 г диэтилацетала, т. кип. 102—104°, 7,6 г диаллилоксиэтилацетала (V) и IV ($\text{R} = \text{C}_2\text{H}_5$), выход 59,8%, т. кип. 82—83°/15 мм, n_D^{20} 1,4163, d_4^{20} 0,9146. Аналогично получены IV (приведены R, кол-во II и III в г, выход IV в г, т. кип. в °C/мм, n_D^{20} , d_4^{20} , кол-во V в г, побочные продукты): *изо*- C_3H_7 , 27,7, 32,8, 35,5, 87—89/15, 1,4192, 0,9013, 13,62, диизопропилацеталь (8,2 г, т. кип. 45—46°/15 мм); *n*- C_4H_9 , 18,3, 18,4, 14,2, 110—112/18, 1,4257, 0,9022, 7,6, дибутилацеталь (6,3 г, т. кип. 184—186°).

70784. Каталитическое действие понообменников на конденсацию ацетала энантола и циануксусного эфира по Кноэвенегелю. Мастагли, Лагранж (Action catalytique des échangeurs d'ions dans la condensation de Knoevenagel à partir d'œnanthacétal et de cyanacétate d'éthyle. Mastagli Pierre, Lagrange Germaine), C. r. Acad. sci., 1958, 246, № 2, 281—283 (франц.)

Конденсация $\text{C}_6\text{H}_{13}\text{CH}(\text{OR})_2$ (I) с $\text{CNCH}_2\text{COOC}_2\text{H}_5$ (II) в присутствии смеси анионо- (A) и катионообменных (K) смол проходит в 2 стадии. К катализирует гидролиз I, затем образовавшийся $\text{C}_6\text{H}_{13}\text{CHO}$ под влиянием A конденсируется с II, образуя $\text{C}_6\text{H}_{13}\text{CH}=\text{C}(\text{CN})\text{COOC}_2\text{H}_5$ (III) и ~ 4% $\text{C}_6\text{H}_{13}\text{CH}(\text{CHCNCOOC}_2\text{H}_5)_2$. Оптимальная т-ра р-ции 100—110°. Выход III понижается с увеличением R в I и составляет 21,2% при $\text{R} = \text{C}_4\text{H}_9$, 31,7% при $\text{R} = \text{изо-C}_5\text{H}_{11}$ и 16,2% при $\text{R} = \text{C}_7\text{H}_{15}$.

Г. Кондратьева

70785. Восстановление смесей метилвинилкетона и α -ненепредельных альдегидов. Моно (Réduction de mélanges de méthylvinylcétone et d'aldéhydes α -éthyléniques. Monot Marie-Renée), C. r. Acad. sci., 1958, 246, № 1, 130—131 (франц.)

При восстановлении смеси метилвинилкетона (I) с кротоновым альдегидом Zn в CH_3COOH получены 3-метилгептадиен-1,5-диол-3,4 (II), выход ~ 100%, т. кип. 104—105°/15 мм, n_D^{20} 1,478, d_4^{20} 0,9726, и небольшое кол-во диметилдивинилгликоля. При гидрировании II над скелетным Ni образуется 3-метилгептадиол-3,4, окисление которого действием $\text{Pb}(\text{OOCCH}_3)_4$ приводит к смеси $\text{CH}_3\text{COC}_2\text{H}_5$ и $\text{C}_3\text{H}_7\text{CHO}$. Дегидратация II при обработке 85%-ной H_3PO_4 сопровождается, по видимому, пинаколиновой перегруппировкой с образованием $\text{CH}_3\text{CH}=\text{CH}(\text{CH}_3)(\text{CH}=\text{CH}_2)\text{CHO}$ (III); семикарбазон, т. пл. 153—154°; 2,4-динитрофенилгидразон, т. пл. 109—110°. При восстановлении смеси I с акролеином наряду с 3-метилгексадиен-1,5-диолом-3,4 образуется дивинилгликоль, разделение которых затруднено. Приведены данные ИК-спектров II, III. В. Руденко

70786. Строение бромоксиметилметилэтилкетона. Бокадия, Дешапанде (Structure of bromoxymethylenemethylethyl ketone. Bokadia M. M., Deshapande S. S.), J. Indian Chem. Soc., 1957, 34, № 12, 867—870 (англ.)

Бромоксиметилметилэтилкетон (I), т. пл. 143°, полученный действием Br_2 на оксиметилэтилметилкетон, обладает свойствами енола и не подвергается характерной для α -галлодокетонов р-ции обмена атома Br на H при нагревании с KJ в кислой среде (J. Indian Chem. Soc., 1950, 27, 548). При окислении 3,6 г I смесью 11 г $\text{K}_2\text{Cr}_2\text{O}_7$, 8 мл H_2SO_4 и 50 мл воды (~ 20°, 12 час.) из нейтр. фракции выделен 1 г $\text{CH}_2\text{BrCOCOCCH}_3$, т. кип. 90°/150 мм, количественно восстанавливающегося в диацетил (семикарбазон, т. пл. 277°) при нагревании с KJ в кислой среде. Поэтому для I предлагается ф-ла строения: $\text{CH}_3\text{COSH}(\text{CHO})\text{CH}_2\text{Br} \rightleftharpoons \text{CH}_3\text{COC}(=\text{CHOH})\text{CH}_2\text{Br}$ вместо ранее предлагавшейся $\text{CH}_3\text{COCBr}(\text{CHO})\text{CH}_3$.

В. Руденко

70787. Эксперименты в области фтиоцерина. Часть III. Изучение расщепления продукта окисления фтиоцерина с одиннадцатью атомами углерода. Дрейсон, Льюис, Полгар (Experiments relating to phthiocerol. Part III. Degradative studies of a C_{11} oxidation product of phthiocerol. Drayson F. K., Lewis J. W., Polgar N.), J. Chem. Soc. 1958, Jan., 430—433 (англ.)

Показано, что продукт окислительного расщепления фтиоцерина (I), содержащий 11 атомов C, является 7-метокс-6-метилнонаноной к-той (II). Стреление II доказано превращением ее в 6-метил-7-кетопонановую к-ту (III), синтезированную также из 4-метилгептен-6-она-3 (IV) путем р-ции с HBr и конденсации полученного 6-бром-4-метилгептанона-3 (V) с малоновым эфиром. На основании полученных и известных результатов I придается строение 3-метокс-4-метил-н-тетрагидропентадиол-9,11. 5 г I окисляют CrO_3 в CH_3COOH , полученную неочищ. к-ту этерифицируют CH_2N_2 , выделяют метиловый эфир II, выход 61,5%, т. кип. 118°/15 мм, n_D^{19} 1,4351. Неочищ. хлорангидрид 2-метилпентен-4-овой к-ты (из 2 г к-ты и 35 г $(\text{COCl})_2$ в бзл.) обрабатывают $\text{C}_2\text{H}_5\text{ZnI}$ и по методу, описанному ранее (РЖХим, 1957, 51432), получают IV, выход 64%, т. кип. 152°, n_D^{15} 1,4322; 2,4-динитрофенилгидразон (ДНФГ), т. пл. 57°. 19 г IV и 0,2 г $(\text{C}_6\text{H}_5\text{CO}_2)_2$ в 350 мл C_6H_6 + несколько капель воды насыщают HBr, полученный V кипятят с $\text{CHNa}(\text{COOC}_2\text{H}_5)_2$ (из 25 г эфира), выделяют 16,7 г $\text{CH}_3\text{CH}_2\text{COCCH}_3(\text{CH}_2)_3\text{CH}(\text{COOC}_2\text{H}_5)_2$ (т. кип. 179°/8 мм, n_D^{18} 1,4432), который гидролизуют водн. KOH; продукт гидролиза декарбоксилируют при 170° и получают 6,5 г III, т. кип. 190—192°/16 мм.

n_D^{20} 1,4534; этиловый эфир, n_D^{20} 1,4357; ДНФГ, т. пл. 78—79°. Часть II см. РЖХим, 1958, 50232.

Г. Кондратьева
70788. Синтезы с дикарбоновыми кислотами. XXV. Дальнейшие продукты реакции хлорирования адипиновой кислоты. Вальтер, Циммерманн (Synthesen mit Dicarbonsäuren. XXV. Weitere Reaktionsprodukte der Chlorierung von Adipinsäure. Walther Horst, Zimmermann Gerhard), Chem. Ber., 1958, 91, № 3, 630—636 (нем.)

Установлено, что хлорирование адипиновой к-ты (I) SO_2Cl_2 в присутствии перекиси бензоила (II) протекает по радикальному механизму с образованием мезо- β,β' -дихлорадипиновой к-ты (III), тогда как при фотохим. хлорировании дихлорангидрида (ДХА) I в УФ-свете образуется ДХА $\alpha,\alpha,\beta,\beta',\alpha',\alpha'$ -гексахлорадипиновой к-ты (IV), из которого при действии CH_3OH выделяются *рац*- и *мезо*- $\alpha,\alpha,\beta,\beta',\alpha',\alpha'$ -гексахлорадипиновые к-ты (V и Va) в виде их диметилловых эфиров. Хлорированием ДХА I получают ДХА III, из которого дальнейшим хлорированием Cl_2 в УФ-свете получают IV. Строение III доказано превращением его диметиллового эфира под действием CH_3COONa в среде эд. CH_3COOH в диметилловый эфир *транс-транс*-муконовой к-ты с т. пл. 163,5° (из сл.), а строение V — хим. расщеплением в *рац*- α,α' -дихлорянтарную к-ту (VI) и встречным синтезом диметиллового эфира V (VII), исходя из ДХА $\alpha,\alpha,\alpha',\alpha'$ -тетрахлорадипиновой к-ты (VIII к-та). Прямое хлорирование диметиллового эфира I в рассеянном дневном свете в отсутствие катализатора останавливается на стадии образования диметиллового эфира тетрахлорадипиновой к-ты (IX), после чего происходит преимущественное хлорирование CH_3 -групп. Смесь 35 г I, 100 г глutarовой к-ты и 1,5 л SO_2Cl_2 с добавкой II (5 раз по 0,6 г) кипятят в темноте 24 часа, упаривают в вакууме, обрабатывают $CHCl_3$ и затем ~ 200 мл эфира, из остатка выделяют III, выход 20%, т. пл. 209° (разл.; из этилацетата); диметилловый эфир, мелкие иглы, т. пл. 78—79°. 2 моля ДХА I хлорируют в УФ-свете до поглощения ~ 80 г Cl_2 (~ 100°, 200 час.), на холоду (~ 0°, ~ 12 час.) выпадает IV, выход 185 г, т. пл. 94—95° (из бн.). Последний при кипячении с конц. HCl дает V, т. пл. 219° (из воды). Обработка IV избытком CH_3OH приводит к образованию твердого в-ва с т. пл. 120—135°, которое фракционной кристаллизацией разделяют на VII с т. пл. 151—152° и диметилловый эфир $\alpha,\alpha,\beta,\beta',\alpha',\alpha'$ -гексахлорадипиновой к-ты (X), т. пл. 105—108° (из CH_3OH); из маточного р-ра выделяют диметилловый эфир Va, т. пл. 120—122°, который при омылении 50%-ной H_2SO_4 переходит в Va, т. пл. 274°. 56 г сухой Ag-соли V (из 30 г V) в CCl_4 обрабатывают Br_2 (50°, 5 час.), продукт бромирования (26 г) отделяют, смешивают с 35 мл HNO_3 (d 1,52) и нагревают 3 часа при 70°, выход VI 55% (считая на V), т. пл. 173—174° (из эф.-петр. эф.). Р-цией 86 г VIII с $SOCl_2$ (48 час. кипячения) получают ДХА VIII. Последний хлорируют при УФ-облучении (100°, 80 час., скорость подачи Cl_2 ~ 15 л/час), обрабатывают абс. CH_3OH , после упаривания р-ра получают ~ 15 г твердой смеси эфиров, из которой фракционной кристаллизацией (из CH_3OH) выделяют 4,5 г VII и X. Этерификацией продуктов хлорирования ДХА I получают IX. Перегонкой IX выделяют фракцию с т. кип. 125—135°/0,8 мм, n_D^{20} 1,4988, из которой при стоянии выпадает кристаллизуется диметилловый эфир $\alpha,\alpha,\beta,\beta',\alpha',\alpha'$ -гексахлорадипиновой к-ты (XI к-та), т. пл. 60° (из CH_3OH). Последний при омылении конц. HCl дает с незначительным выходом XI, т. пл. 168°. Сообщение XXIV см. РЖХим, 1958, 53759.

О. Нефедов
70789. Взаимодействие третичного бутилиния с эфирами кислот. Петров, Соколова, Гао

Чин-лан (L'action du *tert*-butyl-litium sur les esters d'acides carboxyliques. Petrov A., Sokolova E., Gao-Chin-Lan), Bull. Soc. chim. France, 1958, № 2, 178—180 (франц.)
См. РЖХим, 1958, 7837.

70790. Конденсация монохлордиметилового эфира с малоновым эфиром и цианистым бензилом. Васьлину, Бэрбулеску (Condensarea monoclorodimetileterului cu esterul malonic și cianura de benzil. Vasiliu G., Bărbulescu N.), An. Univ. «C. J. Parhon». Ser. științ. natur., 1957, № 16, 99—106 (рум.; рез. русск., франц.)

При конденсации $ClCH_2OCH_3$ (I) с $CHNa(COOC_2H_5)_2$ в эфире при 25° после разложения водой и обычной обработки получен с выходом 59% метилмалоновый эфир, т. кип. 101—102,5°/3 мм, n_D^{20} 1,4225, d_4^{20} 1,0401. Та же р-ция в толуоле (119°) приводит к смеси метилбензилмалонного эфира (выход 7%) и $CH_3OCH_2C(COOC_2H_5)_2CH_2CH(COOC_2H_5)_2$ (II), выход 25%, т. кип. 199—201°/6 мм, n_D^{20} 1,4461, d_4^{20} 1,1367. Гидролизом II 17%-ной HCl при нагревании получена α -метилглютаровая р-та, а из нее р-цией с HN_3 — 2,4-диаминобутен-1, идентифицированный по анализу хлорплатината $PtCl_4 \cdot C_4H_{10}N_2$. При конденсации 80 г I с $C_6H_5CHNaCN$ (из 117 г $C_6H_5CH_2CN$ и 39 г $NaNH_2$ в 0,4 л эфира) выделяют обычным способом 40 г 1,3-дициан-1,3-дифенилциклобутана (III), т. кип. 207—209°/0,5 мм, n_D^{20} 1,5820, d_4^{20} 1,1170. Гидролиз III нагреванием с KOH в C_6H_5OH 19 час. приводит к 1-циан-1,3-дифенилциклобутанкарбоновой-3 к-те, т. кип. 200—220°/0,5 мм.

Г. Кондратьева

70791. Коричный эфир диоксипивалиновой кислоты. Римшнейдер, Шнейдер, Бреннеке, Отто, Матцер (Zimtsäureester der Dihydroxypivalinsäure. Riemschneider R., Schneider K., Brennecke S., Otto H. D., Matser O.), Monatsh. Chem., 1957, 88, № 6, 1099—1104 (нем.)

Синтезированы диоксипивалиновая к-та (I) и ее коричные эфиры (II), получаемые при действии хлорангидрида коричной к-ты (III, IV к-та) (*транс*- или *цис*-) на I. К р-ру 240 г K_2CO_3 в 540 г 33%-ного формалина, полученному при охлаждении за 30—36 час., прибавляют при 0° 250 г C_2H_5CHO , через 24 часа (+10°) прибавляют р-р 240 г хлоргидрата гидроксиламина (V) в 400 мл воды и через 24 часа прибавляют V до pH 6, упаривают в вакууме, прибавляют CH_3OH , фильтруют и вновь упаривают, выделяют 330 г неочищ. $CH_3C(CH_2OH)CH=NOH$ (VI). К 130 г VI медленно прибавляют смесь 450 г $(CH_3CO)_2O$ и 450 г сухого C_6H_6 (бурная р-ция), кипятят 2 часа, перегонкой выделяют 89 г нитрила диацетоксипивалиновой к-ты (VII), т. кип. 113—125°, n_D^{20} 1,4395. 100 г VII оставляют на 12 час. с 210 мл HCl, нагревают (50°, 6 час.), разбавляют 400 мл воды, кипятят 24 часа, экстрагируют эфиром (400 час.), выделяют 58 г I, т. пл. 183° (из воды). При нагревании VII с HBr (к-та) (130°, 20 час.) получают $CH_3C(CH_2OH)_2COOH$ (VIII), т. пл. 63° (из петр. эф.). Нагревают смесь 62 г I и 154 г *транс*-III (50°, 24 часа), обрабатывают р-ром соды, смешивают с эфиром и HCl (к-та), из эфирного слоя выделяют 150 г масла, из которого горячим лигроином (30 раз) извлекают 52 г *транс-транс*-II, т. пл. 111,5° (из лигр.-этилацетата). К суспензии 1 г I в 250 мл абс. эфира прибавляют 2,2 г *транс*-IV в 30 мл эфира и 3,1 г дициклогексилкарбодимида (IX) в 30 мл эфира, через 1 час выделено 5 г продукта присоединения IV к IX, т. пл. 165,5—166°. Р-р 90 г IV в 3 л C_6H_6 непрерывно облучают 100 час. при 20—25° кварцевой лампой, отгоняют C_6H_6 , остаток кипятят несколько раз с 1,2 л петр. эфира, из экстракта выделяют 39 г смеси *цис*-IV и IV (т. пл. 49—57°), растворяют в 100 мл C_6H_6 и смешивают с 22 г

анилина, выделяют 38 г анилиновой соли *цис*-IV, т. пл. 82—84°, из которой выделяют *цис*-IV, т. пл. 66—68°. Р-р 3 г *цис*-IV в 250 мл петр. эфира при -10° в темноте прибавляют к 4 г PCl_5 , выделяют 3 г *цис*-III. Смесь 3 г *цис*-III и 1 г I нагревают сначала при 38°, затем при 42—53° (3,5 часа), прибавляют воду для отделения I, остаток обрабатывают р-ром соды и эфиром, выделяют II, т. пл. 84—85,5°. В другом опыте выделен *транс-транс*-II. Попытки получения II действием Pb -или Ag -соли IV на VIII не удалась. *l*-Бруциновая соль *транс-транс*-II, т. пл. 208—211°, *l*-бруциновая соль II, т. пл. 64—70°, и *l*-эфедриновая соль II, т. пл. 135—139°, при разложении не дают оптически активных продуктов.

В. Руденко

70792. Исследования ацетиленовых соединений.

Часть LXI. Синтез трех полиацетиленовых эфиров. Белл, Джонс, Уайтинг (Researches on acetylenic compounds. Part LXI. The synthesis of three polyacetylenic esters. Bell I. A., Jones E. R. H., Whitting M. C.), J. Chem. Soc., 1958, Apr., 1313—1322 (англ.).

В качестве модельного синтеза, исходя из *транс*-гексен-3-ин-5-ол-2 (I) получен *транс*-гексен-3-ин-5-он-2 (II), который окислительной конденсацией с пентеном-1 (III) превращен в *транс*-ундецен-3-дин-5,7-он-2 (IV). Одновременно с IV образовался *транс-транс*-додекадиен-3,9-дин-5,7-дин-2,11 (V). С другой стороны, *транс*-пентен-2-ин-4-ол-1 (VI) окислен в *транс*-пентен-2-ин-4-аль (VII), а последний при конденсации с III дал *транс*-децен-2-дин-4,6-аль (VIII) и *транс-транс*-додекадиен-2,8-дин-4,6-аль (IX). Из IV, а также из VIII получена *транс*-децен-2-дин-4,6-овая к-та (X). При окислении *цис*-изомер I (XI) дал *цис*-изомер II (XII) и 5-метилфурфурол (XIII), превращенный далее в 5-метилпирослизевую к-ту (XIV). При окислительной конденсации XII с III получено соединение, не содержащее СО-группы. Окисление XII HClO дало главным образом *транс*-изомер пентен-2-ин-4-овой к-ты. Для синтеза трех природных сложных эфиров *цис*-ряда $\text{RC}\equiv\text{CC}\equiv\text{SCH}=\text{CHCOOCH}_3$ (XV, R = $n\text{-C}_3\text{H}_7$ («лахофильный» эфир); XVI, R = *цис*- $\text{CH}_2\text{CH}=\text{CH}$ («матрикарный» эфир); XVII, R = $\text{CH}_2\text{C}\equiv\text{C}$ («дегидроматрикарный» эфир) исходили из *цис*-изомера VI (XVIII), который конденсировали соответственно с III, *цис*-пентен-2-ин-4-аль (XIX) или с пентадином-1,3 (XX), причем образовались *цис*-децен-2-дин-4,6-ол-1 (XXI), *цис*-додекадиен-2,8-дин-4,6-ол-1 (XXII) и *цис*-децен-2-триин-4,6,8-ол-1 (XXIII). Одновременно с XXI выделен *цис*-додекадиен-2,8-дин-4,6-диол-1,40 (XXIV), а одновременно с XXII — *цис*-додекадиен-2,8-дин-4,6 (XXV). При этом также образовывались продукты конденсации 2 молекул III, XIX и XX. Из XXI через *цис*-изомер X (XXVI) получен XV, из XXII через *цис*-додекадиен-2,8-дин-4,6-овую к-ту (XXVII) — XVI, а из XXIII через *цис*-децен-2-триин-4,6,8-аль (XXVIII) и *цис*-децен-2-триин-4,6,8-овую к-ту (XXIX) — XVII. При действии воды р-ра KHCO_3 из XXIX образовался лактон 4-оксидодекадиен-2,4-дин-6,8-овой к-ты, т. пл. 135—136°. Все р-ции с *цис*-альдегидами, -кислотами и -эфирами проводили по возможности с защитой от света, во избежание превращения в *транс*-изомеры. Приведены данные ИК- и УФ-спектров полученных в-в. Смесь 4,8 г I и 48 г активированной MnO_2 в 400 мл CH_2Cl_2 встряхивали 2 часа при 18°; выход II 70%, т. кип. 60°/20 мм, т. пл. 12,5—13° (из пентана), n_D^{20} 1,4990; 2,4-динитрофенилгидразон (ДНФГ), т. пл. 182° (разл.). Смесь 3,1 г II и 9,2 г III прибавлена к взвеси 41,5 г Cu_2Cl_2 и 67 г NH_4Cl в 200 мл воды при pH 3 (добавление HCl), через 15 мин. под поверхность жидкости при 0—10° за 2—2,5 часа введено 60 мл 100%-ной H_2O_2 и через 1 час (5°) прибавлена 10%-ная H_3PO_4 ; выделено 570 мг V, т. пл. 138—138,5° (из бzl.-петр. эф.),

и после отгонки декадиена-4,6 2,6 г IV, т. кип. 100° (т-ра бани)/0,05 мм, т. пл. 17—17,5° (из пентана), n_D^{20} 1,5812; ДНФГ, т. пл. 135—135,5° (из сп.). Аналогично I VI окислен MnO_2 (8 час., 20°) в VII, выход 43%, т. кип. 61—62°/54 мм, т. пл. 18,5—19° (из пентана), $n_D^{21,5}$ 1,5128—1,5132; ДНФГ, т. разл. > 150° (из сп.). Из 1,4 г VII и 5,1 г III при действии 23,5 г Cu_2Cl_2 и 37 г NH_4Cl в воде образовалось 390 мг IX, т. пл. 135—140°, и 1,16 г VIII, т. кип. 92—100° (т-ра бани)/0,1 мм, т. пл. 2—3°, n_D^{17} 1,6004; ДНФГ, т. пл. 195—196° (из сп.). При действии 2,5 мл 4 н. NaOCl на 320 мг IV в 90 мл CH_3OH и 75 мл воды (3 часа, 20°) получено 260 мг X, т. пл. 124—125° (из петр. эф.). Другим путем X получена из 500 мг VIII, 1,4 г Ag_2O и 200 мг KOH в 10 мл CH_3OH (24 часа, 20°). При окислении 9,6 г XI действием 96 г MnO_2 в 800 мл CH_2Cl_2 (100 час., 20°) образовались XII, выход 1,9 г, т. кип. 48—54°/14 мм, n_D^{20} 1,4930; ДНФГ, т. пл. 152—153° (из сп.), и XIII, выход 1,1 г, т. кип. 66°/14 мм, n_D^{20} 1,5270; ДНФГ, т. пл. 211,5—213,5° (из сп.). Из XIII окислением получена XIV, т. пл. 108,5—109,5°. Смесь 1 г XVIII, 6,4 г III, 27 г Cu_2Cl_2 и 43 г NH_4Cl в 150 мл воды обработана 40 мл H_2O_2 ; образовались 146 мг XXIV, т. пл. 62—63° (из эф. пентана), и 970 мг XXI, т. кип. 121—126° (т-ра бани)/0,4 мм, n_D^{17} 1,5630; 3,5-динитробензоат, т. пл. 91—92°. Из 105 мг XXI и 1 г MnO_2 в 15 мл CH_2Cl_2 (2 часа, 20°) получено 93 мг *цис*-альдегида (n_D^{19} 1,5780 после хроматографирования; ДНФГ $\text{C}_{16}\text{H}_{14}\text{O}_4\text{N}_4$, т. пл. 112—113°), который растворен в 15 мл ацетона и р-р обработан при т-ре -5° за 30 мин. 0,22 мл 6 н. р-ра CrO_3 в 12 мл H_2SO_4 ; через 1 час добавлено 40 мл воды; выделено 30 мг XXVI, т. пл. 72—74 и 59—60° (из петр. эф.; диморфизм); XV (из XXVI и CH_3N_2), т. пл. 31—32° (из пентана). Аналогично из 0,5 г XVIII и 4 г XIX, Cu_2Cl_2 и NH_4Cl получены XXV, т. кип. 47—60° (т-ра бани)/0,001 мм, n_D^{19} 1,6054, и XXII, выход 420 мг, т. кип. 112—114° (т-ра бани)/0,001 мм, n_D^{19} 1,6170—1,6174. Окислением MnO_2 42 мг XXII превращено в 40 мг неочищ. альдегида, который далее окислен CrO_3 в XXVII (5 мг), т. пл. 96,5—99,5°; XVI, т. пл. 34—35° (из пентана). Аналогично из 1 г XVIII и 8 г неочищ. XX (n_D^{17} 1,481) синтезирован XXIII, выход 540 мг, т. пл. 41—42,5° (из эф. пентана). Действием MnO_2 120 мг XXIII окислено в XXVIII, т. пл. 48—58°, а последний действием CrO_3 — в XXIX, выход 74 мг, т. пл. 145° (разл.; из эф. пентана); XVII, т. пл. 114—115° (из пентана). При попытке перекристаллизации XXVIII дал *транс*-изомер, т. пл. 93—106°. Часть LX см. РЖХим, 1958, 67666.

А. Берляв

70793. Галоидоэфиры. Способы получения и свойства.

Неагулянд В. И., Белов П. С., Успехи химии, 1958, 27, № 4, 488—516
Обзор. Библ. 137 назв.

70794. Гидразинолиз ϵ -капролактама. Адамек, Кличняк, Новотный (Hydrazinolysis des ϵ -Caprolactams. Adamek M., Klicnar J., Novotný A.), Collect. Czechosl. chem. commun., 1958, 23, № 1, 155—156 (нем.; рез. русск.)
См. РЖХим, 1958, 7858.

70795. Нитрование додекана. Кимура, Касивая, Асахара (Kimura Chikai, Kashiwaya Ka-geaki, Asahara Teruzo), Koré kakaku zasshi, J. Chem. Soc. Japan. Industr. Chem., Sec., 1957, 60, № 12, 1543—1545 (японск.)

Нитрованием додекана посредством HNO_3 (d 1,38) в мол. отношении 1:1 при 180° 120 мин. получен мононитрододекан (I), выход 41,3%, одновременно выделены полинитрододеканы, выход 5%, и продукты окисления, выход 3,4%. По данным ИК-спектра I является в основном вторичным нитросоединением с примесью небольшого кол-ва первичного, то же подтверждает

кип. 100°
(на), n_D^{20}
алогично
од 43%,
пента),
(из сп.).
 $C_{12}Cl_2$ и
пл. 135—
(0,1 мм,
(из сп.).
в 90 мл
60 мг X,
X полу-
в 10 мл
XI дей-
0°) обра-
м.м., n_D^{20}
I, выход
т. пл.
получена
III, 27 г
в 40 мл
(из афа-
бани),
91—92°
гаса, 20°
сле хро-
2—113°
работан
в 12 н.
выделено
эф.; ди-
—32° (из
X, $C_{12}Cl_2$
а бани),
т. кип.
—161,74°
в 40 мл
CrO₂ в
—35° (из
чист. XX
г, т. пл.
120 мг
последний
5° (разл.);
пента),
л транс-
м. 1958,
Берлин
свойства.
и химия

дамь,
des e-Sa-
ovotny
23, № 1,

сивая,
уа Ка-
дзасси,
1957, 60,

(d 1,38)
ен моно-
выде-
ты окис-
является
примесь
держит

гидрирование I (скелетный Ni, спирт. р-р, 40—50°) с образованием вторичного амина (проба с HNO₂), т. кип. 107—108°/5 мм, n_D^{20} 1,4394, d_4^{20} 0,8020, и окисление I посредством H₂O₂ в щел. среде (40—50°, 4—6 час., 60—70°, 30 мин.) с образованием кетона, т. кип. 120—123°/11 мм, n_D^{20} 1,4330, d_4^{20} 0,8304; семикарбазон, т. пл. 120—122°, лишь с незначительной примесью альдегида (по р-ции с фуксинсернистой к-той). Л. Яновская 70796.

Оптические изомеры α-[N-бис-(β-хлорэтил)-амино]-пропионамида. Айко, Гого (On the optical isomers of α-(N-bis-(β-chloroethyl)amino) propionamide. Aiko Isao, Gogo Tsuneo), Pharmaz. Bull., 5, № 5, 487—488 (англ.)

Для сравнения биол. активности выделены d- и l-формы α-[N,N-бис-(β-хлорэтил)-амино]-пропионамида (I). При испытании на пораженных саркомой мышах d-I и l-I показали равную эффективность и токсичность. Из р-ра 39 г d-I, 42,5 г d-камфор-β-сульфо-кислоты в смеси CH₃OH-ацетон (0°, 12 час.) получено 47 г d-камфор-β-сульфоната l-I (l-II), т. пл. 150—151° (разл.), $[\alpha]_D^{25} +3,3^\circ$ (с 3,0, l 1, вода). 9,3 г l-II нейтралуют р-ром K₂CO₃, получают 3,4 г l-I, т. пл. 70—72°, $[\alpha]_D^{25} -57^\circ$ (с 3,0, l 1, сп.). Хлоридат l-I (III), т. пл. 189—191° (разл.), $[\alpha]_D^{25} -17^\circ$ (с 3,0, l 1, вода). Упариванием фильтрата после выделения l-II получено 7 г d-II, т. пл. 151—152° (из абс. сп.). d-I выделен разложением d-II конц. KOH, т. пл. 71—73°, $[\alpha]_D^{25} +40,5^\circ$ (с 3,0, l 1, сп.). 5,2 г III нагревают с конц. HCl (80°, 1 час), упаривают в вакууме, извлекают горячим ацетоном 3,4 г хлоридата l-N,N-бис-(β-хлорэтил)-аланина (l-IV), т. пл. 90°, $[\alpha]_D^{25} -22^\circ$ (с 3,0, l 1, вода). Из 5 г HCl-соли d,l-IV и 2,8 г NH₄-соли α-хлор-d-камфор-β-сульфо-кислоты (V к-та) в воде получают соль d,l-IV и V, C₁₇H₂₈O₆NSCl₃, т. пл. 172—175°, $[\alpha]_D^{25} +33,3^\circ$ (с 3,0, l 1, вода). Г. Кондратьева 70797.

Каталитическая дегидроциклизация 2-этилбутадиена. Шуйкин Н. И., Нарышкина Т. И. Изв. АН СССР, Отд. хим. н., 1958, № 4, 508—510

Дегидроциклизация 2-этилбутадиена (I) (550—600°, 20 мм, катализаторы алюмохромкалиевые или 5%-ный Pt-уголь, об. скорость 1,0 час⁻¹) приводит к метилциклопентадиену-1,3 (II), выход до 38%. Одновременно протекают р-ции деметилирования I и II, частичного гидрирования, изомеризации и гидрокрекинга. Из сопоставления результатов с ранее полученными вытекает, что углеводороды состава C₆ с разветвленной цепью обладают повышенной склонностью к дегидроциклизации по сравнению с линейным пентадиеном. Приводится спектр комб. расщ. I. Т. Итальянская 70798.

Стереохимия аддукта циклопентадиена с итаконовым ангидридом. Хилл, Окен (Stereochemistry of the cyclopentadiene-itaconic anhydride adduct. Hill Richard K., Auker Thomas V. van), J. Organ. Chem., 1958, 23, № 4, 626—627 (англ.)

Показано, что дикислота (I), получающаяся при гидролизе аддукта (II) циклопентадиена с итаконовым ангидридом, имеет COOH-группу в экзо-положении, а CH₃COOH-группу в эндо-положении, и, следовательно, образование аддукта происходит против принципа максим. накопления ненасыщенности. Обработка I NaHCO₃ и J₂ (1 г I растворяют в р-ре 1,3 г NaHCO₃ в 30 мл воды, прибавляют р-р 2,5 г J₂ и 5 г KJ в 15 мл воды, выдерживают 24 часа в темноте, фильтруют и подкисляют) привела к соответствующей йодлактоно-кислоте (III) (выход 1,5 г, т. пл. 212,5—214° (из сп.)); метиловый эфир (IV), т. пл. 97—99° (из эф.), которая, как показали ИК-спектры III и IV, содержит β-лактонный цикл, могущий образоваться только в случае экзо-положения COOH-группы. Конфигурация II подтверждается также тем, что метанолиз его (смесь 5 г II и 50 мл CH₃OH выдерживают несколько дней при ~20°) приводит к монометиловому эфиру,

т. пл. 58—61° (из эф.), который не дает йодлактона и, следовательно, имеет этерифицированную CH₂COOH-группировку в эндо-положении. Приведены ИК-спектры III и IV. В. Андреев 70799.

Конденсация диеновых соединений с метилметакрилатом. Синтез гидроароматических спиртов и углеводов. Сопов Н. П., Ковнер М. Л. Ж. общ. химии, 1957, 27, № 11, 2936—2941

При действии CH₃MgJ (I) и C₂H₅MgJ (II) на продукты конденсации (запаянная стеклянная трубка, р-ритель толуол, в присутствии гидрохинона, 150—160°, 15—18 час.) диенов-1,3 с метилметакрилатом и метил-акрилатом [метиловые эфиры алкилциклогексен-3-карбонных к-т (III)] образуются смеси спиртов и кетонов. Скорость р-ции и относительный выход спиртов и кетонов зависят от положения и кол-ва метильных групп в кольце. Очевидно, имеют место пространственные затруднения. Взаимодействие I или II (из 0,25 г атома Mg и 0,28 моля I или II в 150 мл эфира) с 0,1 моля соответствующего III в 100 мл эфира протекает в условиях р-ции Гриньяра. Приводятся (исходный III, выходы спирта, кетона в %, непрореагировавший III в %): метиловый эфир циклогексен-3-карбонной к-ты (IV), 100, —, —; 4-метил-IV, 100, —, —; 2-метил-IV, 86, —, 14; 2,5-диметил-IV, 57, 29, 14; 1-метил-IV, 71, 22, 7; 1,4-диметил-IV, 64, 8, 28; 1,2-диметил-IV, 29, 15, 56; 1,2,5-триметил-IV, 35, 7, 58; 1,3,4-триметил-IV, 76, 3, 21; 1-метил-2,5-эндометил-IV, 54, —, 46; 1-метил-2,5-эндотил-IV (т. кип. 104,5—105,5°/20 мм, n_D^{20} 1,4850, d_4^{20} 1,0389), 25, 42, 33. Ряд спиртов и кетонов получен впервые. Приводятся (спирт или кетон, т. кип. в °C/мм, n_D^{20} , d_4^{20}): диэтил-(1-метилциклогексен-3-ил-1)-карбинол, 131,5—132,5, 1,4950, 0,9486; диметил-(1,2-диметилциклогексен-3-ил-1)-карбинол, 111,5—112,5, 1,4939, 0,9545; диметил-(1,4-диметилциклогексен-3-ил-1)-карбинол, 117—118, 1,4915, 0,9476; диэтил-(1,4-диметилциклогексен-3-ил-1)-карбинол, 139—140, 1,4935, 0,9407; диметил-(1,2,5-триметилциклогексен-3-ил-1)-карбинол, 121—122, 1,4915, 0,9457; диэтил-(1,3,4-триметилциклогексен-3-ил-1)-карбинол, 149—150, 1,4955, 0,9418; этил-(1,2-диметилциклогексен-3-ил-1)-кетон, 104—105, 1,4765, 0,9354; этил-(1,4-диметилциклогексен-3-ил-1)-кетон, 113—114, 1,4745, 0,9322. При дегидратации третичных спиртов (нагревание в запаянной стеклянной трубке с полуторным избытком (CH₃CO)₂O, 200°, 4 часа) получают соответствующие углеводороды, (выход 65—70%). Приводятся (впервые полученный углеводород, т. кип. в °C/20 мм, n_D^{20} , d_4^{20}): 1-(пентен-2-ил-3)-1-метилциклогексен-3, 98—99, 1,4870, 0,8734; 1-изопропенил-1,2-диметилциклогексен-3, 75,5—76,5, 1,4773, 0,8546; 1-изопропенил-1,4-диметилциклогексен-3, 79—80, 1,4783, 0,8514; 1-(пентен-2-ил-3)-1,4-диметилциклогексен-3, 115,5—117, 1,4862, 0,8738; 1-пропенил-1,2,5-триметилциклопентен-3, 89,5—90,5, 1,4855, 0,8756. Попытка дегидрировать 1-изопропенил-1,4-диметилциклогексен-3 (Pt/C, 325—350°) не увенчалась успехом. Т. Итальянская 70800.

О транс-3,5-диметилциклогексаноне и отвечающем ему спирте. Корнубер, Лемуан, Виван (Au sujet de la trans-3,5-diméthylcyclohexanone et de son alcool. Cornubert Raymond, Lemoine Hubert, Vivant Gilbert), C. r. Acad. sci., 1957, 244, № 15, 1986—1989 (франц.)

Описан синтез *цис*-(I)- и *транс*-(II)-3,5-диметилциклогексанонов и установлена их конформация. Гидрирование 3,5-ксиленола (III) над Ni, осажденном на инфузорной земле [очень важна чистота исходного Ni(NO₃)₂], в автоклаве по методике (Skita, Faust, Chem. Ber., 1939, 72, 1127) (200 г III, 50 ат Н₂, 230°) привело к смеси спиртов (CC), выход 87%. Жидкая при 0° часть CC (выход 209 г; здесь и далее исходя из 600 г III) была окислена в кетон, превращенный затем в смесь твер-

дого (IV) (т. пл. 79°) и жидкого (при 0°) оксимов; последний (выход 47 г) переведен обратно в кетон, который при гидрировании над Pt в CH_3COOH , содержащей HCl, превратился в спирт (выход 13,5 г), дающий смесь динитробензоатов с т. пл. 139° (выход 10,8 г) и с т. пл. 64°, выход 4,8 г. При гидролизе последнего получен 3(Э), 5(А)-диметилциклогексано-1(Э) (V) [выход 28 г (из 3350 г III), т. кип. 82°/11 мм, n_D^{20} 1,4580, d_4^{20} 0,908], окисление которого привело к II, т. кип. 62—63°/17 мм, n_D^{20} 1,4463, d_4^{20} 0,903; семикарбазон, т. пл. 186—187°. Из IV выделен I, n_D^{20} 1,4425, d_4^{20} 0,893; семикарбазон, т. пл. 197—198°. Поскольку I имеет более низкие константы, чем II, а при гидрировании I дает два спирта, а II один, то I и II имеют приданную конформацию, которая согласуется только с кресловидной конформацией циклогексанового кольца, что подтверждает прежние данные о конформации I (РЖХим, 1954, 39391). В противоположность изомерным метилциклогексанолам, 2,6-диметилциклогексанолам и 3,5,5-триметилциклогексанолам, V и 3(Э), 5(Э)-диметилциклогексано-1(Э) (динитробензоат, т. пл. 73°) не переходят друг в друга под влиянием Na при 200° (50 час.). Аналогично I и II не переходят друг в друга при действии конц. H_2SO_4 . В. Андреев

70801. Новая специфичная реакция ароматизации.

Часть III. Ароматизация изолированных 1,4-дикетогексановых колец. Робинс, Уокер (A new and specific aromatisation reaction. Part III. Aromatisation of isolated 1:4-dioxocyclohexane rings. Robins P. A., Walker James), J. Chem. Soc., 1958, Jan., 409—421 (англ.)

Показано, что реакция ароматизации 1,4-дикетогексанового кольца в соединениях типа *цис*-1, 4-дикето-1,2,3,4,5,8,9,10-октагидронафталина (*цис*-I), происходящая под влиянием р-ра NCl_3 -газа в CHCl_3 и спирта и приводящая к алкилариловым эфирам, имеет место (хотя и в ограниченной степени) и в случае изолированных колец, когда невозможны как предварительная миграция 6,7-двойной связи в сопряженное с новым ароматич. ядром положение, так и образование галогенохромной соли, рассматривавшиеся ранее (РЖХим, 1957, 34365) как первые стадии ароматизации. Обработка *цис*-I р-ром HCl в CHCl_3 (~12 час. при ~20°) или пропускание р-ра *цис*-I в петр. эфире и C_6H_6 через колонку с активированной щелочью Al_2O_3 привели к равновесной смеси *транс*-I [т. пл. 96—97° (из петр. эф.)] и небольшого кол-ва неизмененного *цис*-I. Строение *транс*-I подтверждено гидрированием над 2%-ным Pd/SrCO_3 в известный *транс*-1,4-дикетодекалин [т. пл. 119° (из петр. эф.)], образующийся также при изомеризации нагреванием с $(\text{CH}_3\text{CO})_2\text{O}$ известного *цис*-1,4-дикетодекалина. Выдерживание *цис*-I с р-ром HCl в CHCl_3 и последующее прибавление CH_3OH (после чего выдерживают еще 60 час. при ~20°) привели к *цис*-I, *транс*-I и продукту ароматизации — 5-метокси-1,4-дигидронафталину (II) [выход 17%, т. кип. 140° (в бане)/18 мм, n_D^{20} 1,5702; пикрат, т. пл. 115—116° (из сп.)], строение которого установлено по УФ-спектру и дегидрированием [0,5 г II, 20 мл $\text{C}_2\text{H}_5\text{COOH}$ и 0,85 г хлорангидрида (III) кипятят 6 час.] в α-метоксинафталин. Прибавление CH_3OH к р-ру *цис*-син-1,4-дикето-5-фенил-1,2,3,4,5,8,9,10-октагидронафталина (*цис*-син-IV) в CHCl_3 -HCl с последующим выдерживанием (~12 час. при ~20°) или пропускание р-ра *цис*-син-IV в C_6H_6 и петр. эфире через колонку с активированной щелочью Al_2O_3 приводили к смеси двух в-в, из которой удалось выделить, вероятно, *транс*-анти-IV, т. пл. 124—126° (из CH_3OH). При увеличении времени действия CH_3OH на р-р 10 г *цис*-син-IV в CHCl_3 -HCl до 65 час. получена смесь в-в, из которой кристаллизацией и хроматографированием выделены *транс*-анти-IV (2,87 г), *цис*-син-1,1(4,4?)-диметокси-4(1?)-кетог-5-фенил-1,2,3,4,5,8,9,10-

октагидронафталин (V) [выход 1,62 г, т. пл. 123—124° (из CH_3OH)], 8-метокси-1-фенил-1,4-дигидронафталин (VI) [выход 0,8 г, т. пл. 104—106° (из CH_3OH)] и 5,8-диметокси-1-фенил-1,4-дигидронафталин (VII), выход 0,35 г, т. пл. 110—111° (из CH_3OH). Строение VI установлено дегидрированием (кипятят 18 час. с III в анизоле) в 1-метокси-8-фенилнафталин (VIII) [т. пл. 55—56° (из CH_3OH); пикрат, т. пл. 119° (из CH_3OH)], структура которого вытекает из сравнения с другим возможным изомерным продуктом р-ции — 1-метокси-5-фенилнафталином (IX), синтезированным заведомым путем. Синтез VIII осуществить не удалось. Структура VII доказана его получением при метилировании 5,8-диокси-1-фенил-1,4-дигидронафталина [т. пл. 168—169° (из бзл.)], образующегося (выход 0,5 г) при выдерживании (6 дней) *цис*-син-1,4-дикето-5-фенил-1,4,5,8,9,10-гексагидронафталина (X) (1 г) с р-ром HCl в CHCl_3 . Обработка *цис*-син-5-(*n*-метоксифенил)-1,4-дикето-1,2,3,4,5,8,9,10-октагидронафталина (XI) р-ром HCl в CHCl_3 или Al_2O_3 (см. выше) привела к смеси стереоизомерных 5-(*n*-метоксифенил)-1,4-дикето-1,2,3,4,5,8,9,10-октагидронафталинов, конфигурация которых не установлена, один стереоизомер (XII) имеет т. пл. 164° (из бзл.), другой (XIII) т. пл. 135—136° (из бзл.). При действии 2 мл CH_3OH на р-р 1 г XI в 40 мл р-ра HCl в CHCl_3 (24 часа) получена смесь XII (100 мг), XIII (0,52 г) и 8-метокси-1-(*n*-метоксифенил)-1,4-дигидронафталина (XIV), выход 70 мг, т. пл. 123—124° (из CH_3OH). Строение XIV установлено дегидрированием (кипятят 21 час с III в анизоле) в 1-метокси-8-(*n*-метоксифенил)-нафталин (XV) [т. пл. 77° (из CH_3OH)], структура которого следует из сравнения с другим возможным изомерным продуктом р-ции — 1-метокси-5-(*n*-метоксифенил)-нафталином (XVI), синтезированным заведомым путем. При действии CH_3OH (72 часа) на р-р XI (10 г) в CHCl_3 -HCl получена смесь в-в, из которой кристаллизацией и хроматографированием выделены XII (2,03 г), XIV (1,09 г), небольшое кол-во в-ва состава $\text{C}_{20}\text{H}_{20}\text{O}_3$ (XVII) [т. пл. 76—76,5° (из CH_3OH); при дегидрировании дает XVI] и 1,1-(4,4?)-диметокси-4(1?)-кетог-5-(*n*-метоксифенил)-1,2,3,4,5,8,9,10-октагидронафталин [выход 1 г, т. пл. 132—133° (из бзл.-петр. эф.)], при гидролизе образовавшийся четвертый стереоизомерный 5-(*n*-метоксифенил)-1,4-дикето-1,2,3,4,5,8,9,10-октагидронафталин (XVIII) [т. пл. 155—156° (из бзл.-петр. эф.)], конфигурация которого не выяснена. Обработка *цис*-1,4-дикето-6-фенил-1,2,3,4,5,8,9,10-октагидронафталина (*цис*-XIX) (9 г) р-ром HCl в CHCl_3 и CH_3OH (64 часа) привела к смеси *транс*-XIX, 8-метокси-3-фенил-1,2-дигидронафталина (2,55 г) и, вероятно, 5-метокси-3-фенил-1,2-дигидронафталина (XX) [выход 0,58 г, т. пл. 59—60° (из петр. эф.)], незначительно отличающегося (возможно из-за наличия примесей) от XX, приготовленного заведомым путем и при дегидрировании давшего 1-метокси-7-фенилнафталин (XXI), т. пл. 67—68°. Авторы полагают, что способность к ароматизации является общим свойством 1,4-дикетогексанового кольца и степень, в которой проходит эта реакция, определяется лишь устойчивостью промежуточных соединений. Описанным методом (Fieser L., J. Amer. Chem. Soc., 1948, 70, 3165) из 65 г *n*-бензохинона (XXII) и 40 г бутадиена в 300 мл лед. CH_3COOH готовят аддукт, который, не выделяя, обрабатывают 100 г Zn -пыли и получают I, выход 44 г, т. пл. 103—105° (из бзл.-петр. эф.). 24,35 г 1-фенилбутадиена-1,3, 19 г XXII и 250 мл CH_3OH выдерживают несколько часов и получают X [выход 30,45 г, т. пл. 100—102° (из петр. эф.)], при установлении Zn -пылью в лед. CH_3COOH , превратившийся в *цис*-син-IV, выход 26,7 г, т. пл. 139—140° (из бзл.-петр. эф.). Р-р 3 г 5-метокситетралона-1 (XXIII) в 50 мл эфира прибавляют к кипящему р-ру $\text{C}_6\text{H}_5\text{MgBr}$ (из 0,8 г

23—124°
нафталин
и 5,8-
выход
устойчи-
в ани-
пл. 55—
струк-
ном воз-
токс-5-
едомым
структу-
рования
п. 168—
при вы-
л-1,4,5,8,
и HCl в
1,4-дике-
ном HCl
стерео-
5,8,9,10-
не уста-
пл. 164°
л.). При
ра HCl
(г), XIII
гидро-
124° (из
ованнем
4-мет-
CH₃OH),
другим
метокс-
гидрати-
72 часа)
в-в, из
нем вы-
кол-во
6,5° (из
4,42°)-ди-
5,8,9,10-
133° (из
втортый
1,2,3,4,
155—156°
выясне-
5,8,9,10-
в СНCl₃
X, 8-мет-
вероят-
XX) (вы-
нительно
имесей)
при де-
афталин
способ-
войством
в кото-
устойчи-
ным мето-
165) из
300 мл
не вы-
и вы-
24,35 г
3-ОН вы-
сстанов-
шийся в
изл.-петр.
в 50 мл
(из 0,8 г

Mg и 5,3 г C₆H₅Br) в 25 мл эфира, кипятят 0,5 часа и получают маслообразный 8-метокси-4-фенил-1,2-дигидронафталин (выход 2,11 г), дегидрирование которого с помощью III в кипящем анизоле привело к IX, т. пл. 81—82°. Аналогично из XXIII и n-CH₃OCH₂MgBr получают 8-метокси-4-(n-метоксифенил)-1,2-дигидронафталин (XXIV), т. пл. 125—126°, при дегидрировании (кипятят 6 час. с III в анизоле) давший XVI, т. пл. 130—131° (из бал.-петр. эф.). Р-р 5 г 1-(n-метоксифенил)-бутен-2-ола-1 в 50 мл C₆H₆ кипятят 2 часа с кристалликом J₂, отделяя образующуюся воду, затем прибавляют 3,26 г XXII, выдерживают 65 час. и получают цис-син-5-(n-метоксифенил)-1,4-дикето-1,4,5,8,9,10-гексагидронафталин [выход 4,39 г, т. пл. 106° (из петр. эф.)], при восстановлении Zn-пылью в лед. CH₃COOH образовавший XI, выход 4,28 г, т. пл. 113—114° (из бал.-петр. эф.). Метилируют 50 г технич. 1,7-диоксинафталина с помощью (CH₃)₂SO₄ и получают 1,7-диметоксинафталин [выход 17,6 г, т. кип. 123—130°/0,4 мм, n_D²⁰ 1,6208], 10,4 г которого восстанавливают Na (20 г) в кипящем n-C₄H₉OH, получают 8-метокситетралон-2 [выход 3,8 г т. пл. 58—59° (из петр. эф.)], при обработке C₆H₅MgBr (см. выше), давший XX, т. пл. 51—52° (из петр. эф.). Приведены УФ-спектры II, цис-син-IV, транс-анти-IV, V—IX, XI—XVIII, XX, XXI, XXIV и ИК-спектр V. Часть II см. РЖХим, 1957, 57490. В. Андреев

70802. Влияние аминов на каталитическое гидрирование хлорбензола. Пилинг, Шипли (Effect of amines on the catalytic hydrogenation of chlorobenzene. Peeling E. R. A., Shipley D. K.), Chemistry and Industry, 1958, № 12, 362—363 (англ.)

Установлено, что гидрирование хлорбензола (I) над Pt (из PtO₂) в водн. спирте протекает в 2 стадии. Первая стадия, имеющая нулевой порядок относительно I, состоит в гидрогенолизе и приводит к бензолу (II) и HCl, а вторая стадия, также имеющая нулевой порядок относительно I и II, состоит в гидрировании II. Скорость первой стадии (1,04 ммоль/мин.) выше, чем второй (1,4·10⁻¹ ммоль/мин.). Добавка алициклич. аминов оказывает ингибирующее действие (ИД) на протекание обеих стадий. Далее перечисляются названия аминов, его кол-во (в ммоль на 10 ммоль I), скорость гидрогенолиза I (в ммоль/мин.), скорость гидрирования II (в ммоль/мин.): циклогексилламин (III), 3, 0,03, 5·10⁻⁴; пиперидин (IV), 2, 0,02, 1,5·10⁻³; N-метилпиперидин, 7, 0,54, 1,8·10⁻³; N-этилпиперидин, 5, 0,6, 1,2·10⁻³; N,N-диметилциклогексилламин, 7, 0,64, 1·10⁻³; N,N-диэтилциклогексилламин, 7, 0,52, 3·10⁻³. ИД аминов меньше сказывается на гидрогенолизе, чем на гидрировании, что подтверждает различный характер адсорбции органич. в-ва на катализаторе при этих процессах. ИД III и IV сильнее, чем трет-аминов, вследствие меньшей адсорбируемости последних из-за пространственных препятствий, создаваемых алкильными группами, связанными с азотом. Л. Хейфиз

70803. Синтез и конфигурация цис-8-метилгидриданна. Конрой, Коэн (Synthesis and configuration of cis-8-methylhydriandane. Conroy Harold, Cohen Elliott), J. Organ. Chem., 1958, 23, № 4, 616—618 (англ.)

Синтезирован (+)-цис-8-метилгидриданн (I), абс. конфигурация которого вытекает из строго установленной конфигурации исходного в-ва — цис-2-метил-2-карбоксициклопентил-(1)-уксусной к-ты (II), сравнения кривых вращательной дисперсии (+)-цис-8-метилгидриданона-5 (III) и копростанона-3 (РЖХим, 1958, 43476) и из ИК-спектра I. К р-ру 459,5 г рацемич. II в миним. кол-ве горячей воды прибавляют 1948 г бруттиина (IV) и воду для полного растворения и получают соль II с IV, из которой после 21 кристаллизации и обработки 10%-ной HCl выделяют 89 г (+)-II, т. пл. 114°. [α]_D²⁰ +37° (с 4; хлф.); в маточном р-ре получают

неочищ. (—)-II, выход 109 г, [α]_D²⁵ —6,4°. Из (+)-II приготавливают (+)-этиловый эфир цис-2-метил-2-карбоксициклопентил-(1)-уксусной к-ты (V к-та) [выход 68%, т. кип. 87—89°/0,5 мм, [α]_D²⁵ +23 (с 7; хлф.)], частичное омыление 70 г которого (кипятят с водно-спирт. р-ром 11,5 г NaOH) и последующее кипячение с 41,8 г SOCl₂ приводят к (+)-хлорангидриду V (VI), выход 88,6%, т. кип. 75—78°/0,35 мм, n_D²⁷ 1,4635, [α]_D²⁷ +21,8 (с 7; хлф.). Взаимодействием 58 г VI с Na-малоновым эфиром (из 101 г малонового эфира и 15 г NaH) в C₆H₆ с последующим гидролизом и декарбоксилированием приготавливают (+)-цис-2-метил-2-карбоксициклопентил-(1)-ацетон [выход 30 г, т. кип. 77—85°/0,4—0,8 мм, n_D²⁷ 1,4505, [α]_D²⁷ +29,6° (с 4; хлф.); 2,4-динитрофенилгидразон, т. пл. 72° (из сп.)], при циклизации которого описанным методом (Conroy H., J. Amer. Chem. Soc., 1951, 73, 1889; 1952, 74, 491, 3046) под влиянием NaH в C₆H₆ получают (+)-цис-8-метилгидриданон-5,7 (VII), выход 70%, т. пл. 151—152°, [α]_D²⁶ +28,5° (с 3; хлф.). Смесь 20,5 г VII, 100 мл C₆H₆, 40 мл абс. спирта и 0,5 г n-CH₃C₆H₄SO₃H нагревают до тех пор, пока т-ра отходящих паров не достигнет 67°, и получают (+)-цис-5-этокси-8-метилгидридан-5-он-7 [выход 84%, т. кип. 83—84°/0,2 мм, n_D²⁵ 1,5085, [α]_D²⁶ +14,7° (хлф.)], при восстановлении LiAlH₄ и последующем осторожном кислотном гидролизе превращающийся в (+)-цис-8-метилгидридан-6-он-5 (VIII), выход 84,5%, т. кип. 57—59°/0,8 мм, n_D²⁵ 1,4995, [α]_D²⁶ +29,4° (с 4; хлф.). При гидрировании VIII в CH₃OH над Pt (из PtO₂) образуется III (n_D²⁵ 1,4790, [α]_D²⁵ +15,2°; дибензилдиеновое производное, т. пл. 124—125°), 3,5 г которого нагревают 2 часа при 135° со смесью 4 г KOH, 80 мл диэтиленгликоля и 7 г 85%-ного гидразингидрата, затем отгоняют воду, нагревают еще 4 часа при 200° и после разбавления водой и экстрагирования пентаном получают I, т. пл. 5°, [α]_D²⁶ +3° (с 6; хлф.). В. Андреев

70804. Восстановление циклических соединений.

Часть III. Получение и циклодегидратация некоторых ненасыщенных третичных спиртов. Анселл, Селлек (Reduced cyclic compounds. Part III. The preparation and cyclodehydration of some unsaturated tertiary alcohols. Ansell M. F., Sellick M. E.), J. Chem. Soc., 1958, March, 1167—1171 (англ.)

Синтезированы транс-2-метилоктен-6-ол-2 (I), 2-метилдодекадиен-6,10-ол-2 (II) и 2-метилгексадекатриен-6,10,14-ол-2 (III), которые при циклодегидратации нагреванием с 85%-ной H₃PO₄ (1 час при 100—140°) превращаются соответственно в 2,3,3-триметилциклогексен (IV) (выход 46%, т. кип. 143—146°, n_D²⁰ 1,4502—1,4540), смесь Δ⁶⁽⁷⁾- и Δ⁶⁽⁷⁾-1,5-триметилгидронафталинов (V — смесь) (выход 55%, т. кип. 100—106°/15 мм, n_D²⁰ 1,4803—1,4810) и смесь Δ⁶⁽⁷⁾- и Δ⁷⁽⁸⁾-1,1,8-триметилдокагидрофенантронов (VI — смесь), выход 72,5%, т. кип. 91—102°/10⁻³ мм. Для получения I транс-6-бромгексен-2 (т. кип. 42°/12 мм, n_D²⁰ 1,4690; тиуронийпикрат, т. пл. 152—153° (из сп.)) переводят в гриньярово соединение, которое с ацетоном дает I, выход 69%, т. кип. 82—83°/14 мм, n_D²⁰ 1,4444. При дегидратации I образуется 2-метилгексадиен-2,6, т. кип. 144°, n_D²⁰ 1,4384. II получен следующим образом. 2,3-дихлортетрагидропиран (VII) с CH₃CH=CHCH₂MgBr (VIII) дает 3-хлор-2-(пентен-3'-ил)-тетрагидропиран (выход 43,5%, т. кип. 123—140°/19 мм, n_D²⁰ 1,4758—1,4793), который при обработке Na превращается в декадиен-4,8-ол-1 (выход 78%, т. кип. 124—126°/17 мм, n_D²⁰ 1,4654; 3,5-динитробензоат, т. пл. 43—45° (из петр. эф.)); последний обработкой PBr₃ в C₅H₅N (охлаждение льдом) переводят в 10-бромдекадиен-2,6 (выход 64%, т. кип. 114—116°/10 мм, n_D²⁰ 1,4845; тиуронийпикрат, т. пл. 130—131° (из сп.)), гриньярово соединение которого с ацетоном дает II, выход 29%, т. кип. 131—135°/14 мм, n_D²⁰ 1,4640.

III синтезирован следующим образом. 2,3-дихлортетрагидрофуран с VIII дает 3-хлор-2-(пентен-3'-ил)-фуран (выход 61,5%, т. кип. 90—105°/9—11 мм, n_D^{20} 1,4705—1,4745), превращающийся при обработке Na в нонадиен-3,7-ол-1 (IX), выход 81%, т. кип. 98—100°/11 мм, n_D^{20} 1,4657—1,4663. IX при действии PBr_3 в C_5H_5N (охлаждение льдом) дает 9-бромнонадиен-2,6 (выход 56,5%, т. кип. 86—88°/7—8 мм, n_D^{20} 1,4872), а при обработке $SOCl_2$ в C_5H_5N и затем 100%-ной $HCOOH$ превращается в 9-хлорнонадиен-2,6 (X), выход 79,5%, т. кип. 86—88°/14 мм, n_D^{20} 1,4668. X переводят в гриньярово соединение, которое с VII дает 3-хлор-2-(нонадиен-3',7'-ил)-тетрагидрофуран, т. кип. 75—120°/10—8 мм, превращающийся при действии Na в тетрадекатриен-4,8,12-ол-1 (выход 33,5%, т. кип. 100—104°/10—3 мм, n_D^{20} 1,4797—1,4801); последний при обработке $SOCl_2$ в C_5H_5N , а затем $HCOOH$ дает 14-хлортетрадекатриен-2,6,10 (выход 68,5%, т. кип. 98—102°/5·10—8 мм, n_D^{20} 1,4785—1,4795), гриньярово соединение которого с ацетоном превращается в III, выход 49,5%, т. кип. 108—110°/10—3 мм, n_D^{20} 1,4763—1,4768. Гидроксילирование IV $HCOOH$ (2 часа при 40°) приводит к 2,3,3-триметилциклогексанолю-1,2, т. кип. 110—120°/7—8 мм, т. пл. 115—116° (из петр. эф.). II представляет собой смесь 6,7 (транс)-, 10,11 (цис)- и 6,7 (транс)-, 10,11 (транс)-изомеров с преобладанием последнего; III также не является стереохимически чистым и имеет однозначную транс-конфигурацию лишь при 6,7-двойной связи. Строение IV подтверждено ИК-спектром, а также гидрированием над Pt (из PtO_2) и образованием 5,6-диметил-6-оксептановой к-ты (семикарбазон, т. пл. 169—171° (из сл.)) при озонлизе I; строение V — гидрированием над Pt (из PtO_2), а строение VI — гидрированием над Pt (из PtO_2) и дегидрированием VI с помощью Se (24 часа при 360°) в 1,8-диметилфенантрен. Приведен ИК-спектр IV. Часть II см. РЖХим, 1958, 11228. Л. Хейфиц

70805. Новое конъюгированное макроциклическое соединение. Эглинтон, Галбрейт (A novel conjugated macrocycle. Eglington G., Galbraith A. R., Proc. Chem. Soc., 1957, Dec., 350—351 (англ.))
При окислительной конденсации (РЖХим, 1957, 44476) о-ди-этилбензола получено желтое легко кристаллизующееся из C_6H_6 в-во состава $C_{30}H_{12}$ (I), выход 30%, содержит 0,5 моля кристаллизационного C_6H_6 (взрывает при ударе и нагревании выше 80°, при ~20°



разлагается за несколько дней, не изменяется при —5°). Строение I подтверждается данными рентгеноструктурного анализа и спектральных исследований. При каталитич. гидрировании I (Pt) получена смесь гидроароматич. соединений и небольшое кол-во бесцветного в-ва состава $C_{30}H_{26}$ (т. пл. 136—138°), имеющего ожидаемый для продукта гидрирования I УФ-спектр. Приведены ИК- и УФ-спектры I. В. Андреев

70806. Окислительное нитрование ароматических соединений. Лантев Н. Г., В сб.: Реакции и методы исслед. орган. соединений. Кн. 7. М., Госхимиздат, 1958, 223—254
Обзор. Библ. 73 назв.

70807. Реакция Гаттермана — Коха. Мачинская И. В. В сб.: Реакции и методы исслед. орган. соединений. Кн. 7. М., Госхимиздат, 1958, 277—306
Обзор. Библ. 93 назв.

70808. Реакция Гаттермана. Мачинская И. В. В сб.: Реакции и методы исслед. орган. соединений. Кн. 7. М., Госхимиздат, 1958, 307—365
Обзор. Библ. 131 назв.

70809. Алкилирование ароматических углеводородов псевдобутиленом в присутствии катализаторов $BF_3 \cdot H_2PO_4$ и $AlCl_3 \cdot H_2PO_4$. Швецова Л. С., Тр. Воронежск. ун-та, 1957, 60, № 3, 23—29

Изучено алкилирование C_6H_6 , *изо*- $C_3H_7C_6H_5$ (I), *н*- $C_4H_9C_6H_5$ (II) и *втор*- $C_4H_9C_6H_5$ (III) псевдобутиленом (IV) в присутствии катализаторов (КТ): $BF_3 \cdot H_2PO_4$ (V) и $AlCl_3 \cdot H_2PO_4$ (VI). Применявшийся IV выделялся из побочных продуктов произ-ва синтетич. каучука. В смесь ароматич. углеводорода (АУ) и КТ вводили IV, перемешивали 2 часа, выливали в воду и перегоняли продукты р-ции (ПР). Перечисляются АУ, КТ, мол. соотношения АУ:IV:КТ, т-ра р-ции в °С, продолжительность введения IV в часах, выход ПР в %, выход моноалкилированного ПР в % и его т. кип. в °С/мм: C_6H_6 , V, 3:1:0,5, 30—35, 2, 88,5, 82,3, 170—175; C_6H_6 , V, 2:1:0,2, 45—50, —, 81,8, 73,6, —; C_6H_6 , VI, 3:1:0,5, 30—35, —, 76,4, 64,6, —; C_6H_6 , VI, 2:1:0,2, 45—50, —, 78,4, 60,6, —; I, V, 3,5:1:0,2, 50—60, 0,75, 77,9, 65,5, 78—85/3; I, V, 2:1:0,2, 50—60, 1, 71,8, 54,9, 70—77/3; III, V, 4:1:0,4, 50, 0,67, 52,6, 38,7, 104—107/5; II, V, 2:1:0,2, 50, 1, 48,9, 31,9, 105—110/3; II, V, 1:1:0,2, 50, 0,75, 55,5, 30,2, 93—99/2. После фракционирования ПР имели следующие константы (перечисляются ПР, т. кип. в °С/мм, n_D^{20} и d_4^{20}): III, 171,5—172, 1,4890, 0,8627; 1,4-*втор*- $C_4H_9C_6H_5$, 74—74,5/2, 1,4890, 0,8578; 1,4-*втор*- $C_4H_9C_6H_5$, 76—78/1—2, 1,4850, 0,8555; 1,4-*втор*- $C_4H_9C_6H_5$, 57,5—58,5/2, 1,4876, 0,8589. П. Аронович

70810. Конденсация алкилбензолов с галоидпроизводными изобутилена. Граменицкая В. Н., Никишина Г. И., Петров А. Д., Докл. АН СССР, 1958, 118, № 3, 497—500

Описана конденсация хлористого металла (I) с C_6H_5R (II), где $R = CH_3$, C_2H_5 , *изо*- C_3H_7 , *трет*- C_4H_9 , $(CH_3)_2CH$, в присутствии H_2SO_4 как катализатора, выход 64—98%. К смеси 1 моля II и H_2SO_4 прибавляют I со скоростью 1 моль/час, перемешивают 12 час., промывают водой, II и I отгоняют при 40—80°/90—100 мм. Продукты конденсации выделяют разгонкой в вакууме. При изменении соотношения I: H_2SO_4 от 1:0,15 до 1:0,5 и снижении т-ры с 20 до 0° выход с 64% увеличивается до 98%. Все β-хлор(или бром)-*трет*-бутилалкилбензолы (АБ) могут быть с успехом применены в р-ции Гриньяра. Приведены АБ, т. кип. в °С/мм, т. пл. в °С, n_D^{20} , d_4^{20} : $C_6H_5C(CH_3)_2CH_2Br$, 76,5/2, —, 1,5454, 1,2818; $C_6H_5C(CH_2Cl)_2CH_3$, 76—77/1, —, 1,5498, 1,1695; *н*- $C_3H_7C_6H_5C(CH_3)_2CH_2Cl$ с примесью *м*-изомера, 82,5—84/1, —, 1,5240, 1,0247; *н*- $C_2H_5C_6H_5C(CH_3)_2CH_2Cl$ с примесью *м*-изомера, 93—94/1, —, 1,5210, 1,009; *н*-*изо*- $C_3H_7C_6H_5C(CH_3)_2CH_2Cl$ с примесью *м*-изомера, 110—112/3, —, 1,5156, 0,9937; *н*-*трет*- $C_4H_9C_6H_5C(CH_3)_2CH_2Cl$, 113—114/1, 53,5, —, —; то же с примесью *м*-изомера, 107—108/1, —, 1,5140, 0,9862; *н*-*трет*- $C_4H_9C_6H_5C(CH_3)_2CH_2Br$, 137—138/1, 36,5, —, —; *н*- $C_5H_{11}C_6H_5C(CH_3)_2CH_2Cl$ с примесью *м*-изомера, 114—116/1, —, 1,5145, 0,9780. А. Сладков

70811. Магнийорганический синтез и свойства 1,1,1-трифенилалкилметанов, 1,5-дифенил-3-бензилпента-на, 1-фенил-3-(2-фенилалл)-тридекана. П. Челцова М. А., Петров А. Д., Егоров Ю. П., Ж. общ. химии, 1958, 28, № 4, 945—950

Для выяснения зависимости между строением и т-рами застывания синтезирован ряд углеводородов по ранее описанной методике (см. предыдущее сообщение, РЖХим, 1957, 63445). Приведены углеводород, т. кип. в °С/мм, n_D^{20} , d_4^{20} , т. заст. в °С, вязкость при 0, 20, 50, 100 и 150° в сст: $(C_6H_5)_3CC_6H_{13}$, 220/4, 1,5730/40, 1,0036/40, 15 (стекло), —, —, 572, 15, 3,7; $(C_6H_5)_3CCCH(CH_3)C_6H_{13}$, 207—208/3, 1,5662/40, 0,9960/40, 15 (стекло), —, —, 422, 15,8, 4,9; $(C_6H_5)_3CC_6H_{19}$, 189—190/2, 1,5620/40, 0,9842/40, 30, —, —, 91, 8,2, 2,9; $(C_6H_5)_3$

CCl₄H₂₁, 248—249/3, —, —, 42, —, —, 92, 10,6, 3,3;
(C₆H₅CH₂CH₂)₂CHCH₂C₆H₅, 171—172/1, —, —, 55, —, —,
—, —, (C₆H₅CH₂CH₂)₂CHC₁₀H₂₁ (I), 176—177/1,
1,5169/20, 0,9154/20, —60 (стекло), —, 12,1, 4,4, —, —;
(C₆H₁₁)₃CC₄H₉ (C₆H₁₁ — циклогексил), —, 168—169/0,5,
—, 50, —, —, —, —; (C₆H₁₁)₃CCN (CH₃)₂C₆H₁₃, 166—
167/0,5, 1,5035/40, 0,9269/40, 2 (стекло), —, —, 431, 16,5,
4,0; (C₆H₁₁)₃CC₆H₁₃, 200—201/3, 1,4980/40, 0,9167/40, 3
(стекло), —, —, 133,6, 8,2, 4,4; (C₆H₁₁)₃CCl₁₀H₂₁ 175—
176/1, 1,4980/40, 0,9119/40, —5 (стекло), —, —, 130, 12,1,
3,4; (C₆H₁₁CH₂CH₂)₂CHCH₂C₆H₁₁, 194—195/1, 1,4920/20,
0,9035/20, —20 (стекло), —, 501,5, 48,4, 7,0, 2,4;
(C₆H₁₁CH₂CH₂)₂CHC₁₀H₂₁, 216—217/1, 1,4800/20, 0,8995/20,
—50 (стекло), 170,9, 47,5, 18,3, 14,5, 2,07; (C₆H₁₁)₃—
CHC₆H₁₃, 146—147,3, 1,4820/20, 0,8879/20, —10 (стекло),
168,3, 44,9, 10,8, 2,6, 1,4; (C₆H₁₁)₂CHCH (CH₃)₂C₆H₁₃, 156—
157,4, 1,4960/20, 0,9090/20, —, —, —, —, —; (C₆H₁₁)₃—
CC₆H₁₃ — изо, —, —, 47, —, —, —; (C₆H₁₁)₃CC₆H₁₃,
—, —, 10 (стекло), —, —, 431, 16,5, 4,0. При взаимо-
действии C₆H₅CH₂COOC₂H₅ с C₆H₅CH₂CH₂MgBr полу-
чают 1,5-дифенил-3-бензилпентанол-3 с выходом 30%,
т. кип. 263°/5 мм, 225°/1 мм, n_D²⁰ 1,5855, d₄²⁰ 1,0658.
При дегидратации последнего получают соответствующий
олефин, выход 53%, т. кип. 206—207°/2 мм, n_D²⁰
1,5890, d₄²⁰ 1,0307. Аналогично из этилового эфира
дифениленовой к-ты получают 1-фенил-3-(2-фенил-
этил)-тридецен-12-ол-3 с выходом 82%, т. кип.
263°/4 мм, n_D²⁰ 1,5315, d₄²⁰ 0,9585; дегидратация послед-
него приводит к смеси диенов с выходом 60%, т. кип.
195°/1 мм, n_D²⁰ 1,5307, d₄²⁰ 0,9364, гидрирование кото-
рых над Ni дает I с выходом 91,7%. В. Беликов

70812. Восстановление полициклических фенолов
в углеводороды. Пеллетьер, Лок (Reduction of
polycyclic phenols to hydrocarbons. Pelletier S.
William, Locke David M.), J. Organ. Chem.,
1958, 23, № 1, 131—133 (англ.)

Ранее описанный (РЖХим, 1956, 39518) метод
превращения фенолов через арилдизтилфосфаты (АФ)
в ароматич. углеводороды применен к малым кол-вам
(50—200 мг) полициклич. фенолов. Выходы чистых
углеводородов составили 18—52%. Метод может быть
использован для восстановления диоксисоединений,
содержащих ОН-группы в разных ядрах. Р-р 170 мг
1-фенилфенола (I) в 2 мл р-ра диэтилфосфата в CCl₄
(75 мг/мл) обрабатывали 0,18 мл (C₂H₅)₃N и оставляли
при 20° на 24 часа. Смесь разбавляли 10 мл CHCl₃ и
выделяли 288 мг соответствующего АФ, к р-ру которо-
го в 1 мл безводн. тетрагидрофурана при охлаждении
добавляли 4 мл жидкого NH₃ и 43 мг Na. Смесь встря-
сывали, добавляли 1 мл спирта и после испарения NH₃
обрабатывали смесью CHCl₃-вода и промывания получали
54 мг бифенила (II), который очищали хроматогра-
фией на Al₂O₃ в C₆H₆; выход II 47,7%, т. пл. 68—70°.
Аналогично получали (приведены фенол, углеводород,
выход в %): β-нафтол (III), нафталин (IV), 47;
1-фенилфенол (V), II, 50; 2-оксифлуорен (VI), флуорен
(VII), 27; 3-фенантрол (VIII), фенантрен (IX), 39;
2-диоксифенил (X), II, 52; 2,7-нафталиндидол (XI),
V, 17; 1,1'-ди-2-нафтол (XII), 1,1'-бинафтил (XIII), 18.
10 мг 9-фенантрола превращали в АФ и к р-ру его
2 мл эфира добавляли жидкий NH₃ до объема 7 мл
и 23 мг Na, выделяли IX, выход 25%, т. пл. 96—98°.
Аналогично получали (обозначения те же): III, IV,
V, I, II, 48; V, II, 39; VI, VII, 18; 1-фенантрол, IX, 30;
2-фенантрол, IX, 33; VIII, IX, 30; фенол C₁₈H₁₆O (полу-
ченный из рубизерина см. РЖХим, 1958, 43494), 1'-ме-
тил-1,2-циклопентанфенантрен, 36; X, II, 42; XI, IV,
II, XIII, 18.

70813. Перегруппировка Кляйзена м-аллилокси-
толуола. Дубравкова, Ежо, Шефчович, Во-
гницкий (Claisenov přesmyk m-allyloxytoluenu.
Důbravková L., Ježo I., Šefčovič P., Vo-

tický Z.), Chem. zvesti, 1958, 12, № 1, 24—28 (сло-
вацк.; реэ. русск., нем.)

При несколько измененной перегруппировке Кляйзе-
на (ПК) 3-CH₂=CHCH₂OC₆H₄CH₃ (I) образуются 2-ал-
лил-3-метил-(II), 2-аллил-5-метил-(III) и 4-аллил-3-
метил-(IV)-фенолы. Строение II, III и IV доказывают
а) хроматографич. разделением на бумаге; б) выде-
лением 3- и 4-метоксифталевых, а также 2-метоксите-
рефталевых к-т (12,6 и 82% соответственно), получае-
мых после метилирования (CH₃)₂SO₄ продуктов ПК,
восстановления полученных метиловых эфиров фено-
лов на Pt (из PtO₂) и окислением KMnO₄. 1 моль I
нагревают за первый час до 210° и за последующие
2 часа до 220—230°, плав растворяют в эфире, несколь-
ко раз промывают 15%-ным NaOH, объединенный щел.
экстракт подкисляют конц. HCl, извлекают эфиром, из
экстракта выделяют 90% продукта ПК, т. кип. 110—
112°/11 мм.

В. Скордумов
70814. Синтез фенола и ацетона из кумола. II. Пер-
вые работы по получению синтетического кумола
методом кислотного алкилирования бензола пропи-
леном на фосфорнокислом катализаторе. Целлер.
III. Окисление кумола в гидроперекись кумола в
эмульсии. Лещинский, Радоневич, Тей-
херт (Synteza fenolu i acetonu metodą kumenową.
II. Wstępne prace nad otrzymywaniem syntetycznego
kumenu metodą ciśnieniowego alkilowania benzenu
propylenem wodoc kontaktu fosforanowego. Celler
W.), III. Utlenianie kumenu do wodoronadtlenku ku-
menu w układzie emulsyjnym. Leszczynski Z.,
Radoniewicz H., Teichert A.), Przem. chem.,
1957, 13, № 12, 701—703, 703—708 (польск.; реэ. русск.,
англ.)

II. Проведено исследование по получению кумола
(I) алкилированием C₆H₆ (II) пропиленом (III) над
фосфорнокислым катализатором (IV) в газовой фазе.
В первых опытах одновременно проводили дегидрата-
цию изопропилового спирта (V) над катализатором
состава 50% Al₂O₃ + 50% каолина (VI) при 390—400°
(выход 97%) и алкилирование II полученным III над
IV в одном аппарате. В нижнюю часть аппарата
загрузили 1,9 л IV, в верхнюю часть 800 мл VI, т-ра
верха 350—400°, низа 300° (30 ат); смесь II и V пода-
вали со скоростью 600 мл/час, выход алкилизиро-
ванных ~ 20%. В следующих опытах обе стадии процес-
са проводили над IV в том же аппарате при т-ре вер-
ха 390—400°, низа 300—340°, скорости 850 мл в 1 час
на 2 л катализатора, при мол. отношении II : V = 3 : 1,
выход I 90% (на прореагировавший II) n_D²⁰ 1,4911,
d₄²⁰ 0,867 (после очистки H₂SO₄ и перегонки). После
10 дней работы активность IV не изменилась.

III. Проводилось исследование окисления I O₂ при
75—95° (±1°) в гидроперекиси I (VII) в 50%-ной водн.
эмульсии в присутствии Na₂CO₃ и стеаратов Ca, Na,
Mn, Co или Cu. Окисление проводили в стеклянном
реакторе емк. 200 мл, снабженном спиральным холо-
дильником и рубашкой, через которую циркуляцион-
ным насосом непрерывно подавалось нагретое масло.
Окисляли различные образцы I: 1) полученного сер-
нохлористым алкилированием II действием V при нор-
мальном давлении, 2) алкилированием в газовой фазе
под давлением (заводской продукт) и 3) регенериро-
ванного I после окисления. На скорость окисления I
влияет его чистота, отношение I: вода, скорость пода-
чи O₂, т-ра. При работе на чистом I (т. кип. 152,4°,
n_D²⁰ 1,4904, d₄²⁰ 0,8615) оптимальные условия: 85° I :
вода = 1 : 2, скорость подачи кислорода 20 л на 100 мл
I в 1 час, эмульгатор — стеарат Na; содержание VII в
реакционной массе через 30 час. достигает 62%. Сооб-
щения I см. РЖХим, 1958, 51190.

А. Сладков
70815. Получение винилфенолов и изопропенилфено-
лов. Корсон, Хейнцелман, Шварцман,

Тифентал, Локкен, Никкеле, Атвуд, Павлик (Preparation of vinylphenols and isopropenylphenols. Corson B. B., Heintzelman W. J., Schwartzman L. H., Tiefenthal H. E., Lokken R. J., Nickels J. E., Atwood G. R., Pavlik F. J.), J. Organ. Chem., 1958, 23, № 4, 544—549 (англ.)

Описан синтез *o*(I)-, *m*(II)- и *n*(III)-винилфенола и *m*(IV)- и *n*(V)-изопропенилфенола. 6,2 г атома Na в 2180 мл спирта и 3,1 моля кумарина кипятят 3 часа, разбавляют 2 л воды, упаривают, к остатку прибавляют 2 л воды, отгоняют 800 мл жидкости, прибавляют 1 л C_6H_6 и подкисляют 620 мл конц. HCl; выход *o*-кумаровой к-ты (VI) 84%, т. пл. 205—206° (разл.); после сушки на воздухе VI не содержит кристаллизационной воды. 0,61 моля VI (осажденной конц. HCl из Na-соли) нагревают 1 час при 260°/15 мм, поглощая I 25%-ным NaOH; в щел. р-р пропускают CO_2 при 0—5° до pH 8 и извлекают I эфиром; выход 68%. При декарбоксилировании VI в хинолине в присутствии нафтената Cu при 238° выход I 51%. I замораживают, нагревают до 28°, сливают 50% объема, остаток выдерживают 4 часа при 28°/1 мм и быстро перегоняют при 165°/15 мм; т. пл. I 26°, n_D^{20} 1,5850, d_4^{20} 1,0607; N-фенилкарбамат (ФК), т. пл. 150—151° (из CCl_4); N-(α -нафтил)-карбамат, т. пл. 146—147° (из CCl_4). *m*-Этилфенол (VII) дегидрируют над $Cr_2O_3-Al_2O_3$ при 600° в присутствии 10 молей воды на моль VII со скоростью 32 мл VII в час; конечный выход II 68%; после перегонки, при которой II частично полимеризуется, получают II с т. кип. 120°/20 мм, т. пл. 0,5—1°, n_D^{25} 1,5770, d_4^{25} 1,0459; бензоат (БТ), т. пл. 63—64° (из сп.); *n*-нитробензоат (НБ), т. пл. 84—85°. II превращают в VII; ФК, т. пл. 140—141,5°. Разделение II и VII может быть осуществлено перегонкой их ацетатов, но в этом случае также имеет место частичная полимеризация. Смесь 5 молей фенола и 10 молей CH_3COOH насыщают BF_3 при 0—5°, перемешивают 5 час. при 80°, оставляют на 16 час. при 30°, выливают на лед, фильтруют, осадок растворяют в водн. р-ре NaOH и подкислением выделяют *n*-НОС $_6$ H $_4$ СОСН $_3$ (VIII) с выходом 85%, т. пл. 105—108°. Растворяют 0,72 моля VIII в 7,5%-ном р-ре 1,45 моля NaOH, прибавляют при 5—10° 1,08 моля $(CH_3CO)_2O$ и получают *n*-CH $_3$ COOC $_6$ H $_4$ СОСН $_3$ (XI), выход 93%, т. пл. 52—53°. Гидрированием над Pd/C в CH_3OH IX превращают в *n*-CH $_3$ COOC $_6$ H $_4$ CH(OH)CH $_3$ (X), выход 95%, т. кип. 115—125°/1 мм. Смесь 1,56 моля X, 3 г $KHSO_4$ и 3 г трет-бутилпирокатехина (XI) нагревают 1,8 часа при 190—200°/20 мм, собирая дистилят в приемник, содержащий 1 г XI, из дистилята извлекают эфиром *n*-ацетоксистирол (XII) и перегоняют; выход XII 71%, т. кип. 73—75°/0,6 мм, т. заст. 6,94°, чистота 97,5 ± 0,5 мол.%, устойчив при хранении. 0,1 моля XII, 0,25 моля KOH и 140 мл воды перемешивают 1 час при 0—5° и пропускают CO_2 до pH 8, осаждают III, выход 100%, т. пл. 68—69°; БТ, т. пл. 75,5—76,5° (из CH_3OH). НБ, т. пл. 109,5—110,5° (из CH_3OH); 3,5-динитробензоат, т. пл. 132,5—133° (из CH_3OH). При дегидрировании *n*-этилфенола над $Cr_2O_3-Al_2O_3$ при 600° выход III 15%. *m*-Изопропилфенол (XIII) дегидрируют над катализатором 1707 (пат. США 2395875, 1946) при 525° со скоростью 40 мл/час в присутствии водяного пара; конечный выход IV 69%, т. пл. 39,5—40,5°; ацетат, т. пл. 98,5—99,5° (из воды); НБ, т. пл. 90,5—91,5° (из сп.). IV при гидрировании дает XII; ацетат, т. пл. 65,5—66° (из гексана); ФК, т. пл. 116,5—117,5° (из гексана). *n*-Изопропилфенол дегидрируют аналогично XIII, выход V 64%, т. кип. 136—137°/20 мм, т. пл. 83—84° (из циклогексана). 23,4 моля фенола, 7,9 моля ацетона и 366 мл конц. HCl оставляют на 6 дней при t -ре ~ 20° и фильтруют; получают (*n*-НОС $_6$ H $_4$) $_2$ C(CH $_3$) $_2$ (XIV), т. пл. 157—159° (из бзл.); дибензоат, т. пл. 161—162°. Пропускают за

28 мин. 90 г расплавленного XIV через твердую H_2PO_4 при 250°; перегонкой катализатора выделяют V, выход 48%. При перегонке 60 г продукта полимеризации, образовавшегося при 6-месячном хранении V, получают 45 г V.

Некоторые новые альдегиды дифенилового эфира и их тиосемикарбазоны. Ито, Сибанума (Notiz über einige neue Diphenyläther-aldehyde und deren Thiocsemicarbazone. Ito Genzo, Shibamura Yoshihisa), Pharmaz. Bull., 1957, 5, № 6, 619—621 (нем.)

Получены тиосемикарбазоны (ТСК) трех производных дифенилового эфира *n*-RC $_6$ H $_4$ OC $_6$ H $_4$ CHO-*n* (I), обладающих туберкулостатич. действием. I, R = OH (II), получали из 4'-окси-4-метилдифенилового эфира через ацетильное производное (т. кип. 182—184°/14 мм), которое бромировали с последующей заменой $SHBr_2$ на CHO . К кипящему р-ру 0,05 моля II в 50 мл CCl_4 прибавляют на солнечном свете р-р 0,1 моля Br_2 в 50 мл CCl_4 , получено 19 г неочищ. дибромметильного производного (III). Р-р III в 100 мл спирта и 9 г $HCOONa$ в 25 мл воды кипятят 48 час., добавляют 3 мл конц. HCl, кипятят еще 30 мин., спирт отгоняют, р-р подщелачивают, обрабатывают C_6H_6 , водн. слой отделяют, из него после охлаждения выпадает Na-соль I, из нее получают I, выход 22%, т. пл. 129° (из воды); ТСК, т. разл. 213—214° (из абс. сп.). При получении I, R = COOH, исходят из этилового эфира *n*-йодбензойной к-ты, который конденсируют по Ульману с *n*-крезолотом K в 4-карбэтокс-4-метилдифениловый эфир, т. кип. 202—204°, омылением которого спирт. KOH получают 4'-карбокси-4-метилдифениловый эфир (IV), выход 91%, т. кип. 177° (из абс. сп.). K р-ру 0,15 моля IV в 100 мл дибромэтана прибавляют на солнечном свете 0,15 моля Br_2 в 20 мл дибромэтана; после охлаждения выпадает 4'-карбокси-4-бромметилдифениловый эфир (V), т. пл. 155° (из хлф.). V превращают в I, R = COOH, по Соммле; V и гексаметилентетрамин в $CHCl_3$ кипятят 3 часа, продукт конденсации выделяют, кипятят 3 часа со 140 мл 50%-ной CH_3COOH , которую затем отгоняют в вакууме, остаток промывают водой, кипятят 30 мин. со 100 мл смеси конц. HCl, воды и CH_3COOH , после охлаждения выделяют I, R = COOH, выход 34%, т. пл. 174—175° (из водн. CH_3COOH); ТСК, т. разл. 305—310° (из CH_3OH). I, R = CHO, получают из *n*-дитолилового эфира бромированием последнего в дибромэтано в присутствии перекиси бензола (0,1%) на солнечном свете с получением 4,4'-бис-бромметилдифенилового эфира, который с гексаметилентетрамином превращают по Соммле в I, R = CHO, выход 25%, т. пл. 65° (из эф.); бис-фенилгидразон, т. разл. 228° (из этилацетата); бис-ТСК, т. разл. > 300° (из $HCONH_2$ -вода). Туберкулостатич. действие вышеописанных ТСК *in vitro* в молях/л: I, R = OH, 1:500 000; I, R = COOH, 1:20 000; I, R = CHO, 1:10 000.

70817. Фенилацетилирование оркацетифенона и оркипропиофенона по Костанецкому — Робинсону. Тханавалла, Триведи (Kostanecki-Robinson phenylacetylation of oracacetophenone and orcupropiophenone. Thanawalla C. B., Trivedi P. L.), Current Sci., 1958, 27, № 1, 20 (англ.)

$RCOCH_3$ (I), где всюду R = 4,6-(OH) $_2$ -2-CH $_3$ C $_6$ H $_2$ (Ia), при действии плавного фенилацетата Na и фенилуксусного ангидрида образует 7-фенилацетокс-3-фенил-4,5-диметилкумарин (II), т. пл. 176—177°. При действии на II 80%-ной H_2SO_4 получается соответствующий 7-оксикумарин III, т. пл. 246—247°. Строение III установлено превращением в хромон, который получен встречным синтезом клайзеновской конденсации диметилового эфира Ia с $C_6H_5CH_2COOC_2H_5$ в присутствии Na с последующей циклизацией и деметилирова-

нием. RCOC_2H_5 при фенилацетиловании в тех же условиях дает 7-оксис-3,5-диметил-2-бензилхромон (IV), т. пл. 248—249°, и соответствующее 7-фенилацетокси-производное (V), т. пл. 111—112°. При действии 80%-ной H_2SO_4 V легко превращается в IV. Встречный синтез IV осуществлен клайзеновской конденсацией, как выше, с последующим метилированием Na-соли β -дикетона, циклизацией и деметилированием.

В. Беликов

70818. 1,1-ди-*n*-оксифенил-2,5-диэтилэтилен — новый изомер стильбестрола. Микель (1,1-Di-*p*-hydroxyphenyl-2,2-diethylethylene, a new isomer of stilbestrol. Miquel Jean Francois), Acta chem. scand., 1958, 12, № 2, 274—280 (англ.)

Исходя из анизол (I) и $(\text{C}_2\text{H}_5)_2\text{CHCOCl}$ (II), по р-ции Фриделя-Крафца синтезирован $\text{RCOCH}(\text{C}_2\text{H}_5)_2$ (III) (где всюду $\text{R} = \text{p-CH}_3\text{OC}_6\text{H}_4$), который через $\text{R}_2\text{C}=\text{C}(\text{C}_2\text{H}_5)_2$ (IV) превращается в $\text{R}_2\text{C}=\text{C}(\text{C}_2\text{H}_5)_2$ (V), где всюду $\text{R}' = \text{p-ONHC}_6\text{H}_4$. В других условиях из I и II образовалась смесь III и IV. Деметилированием III превращен в $\text{R}'\text{COCH}(\text{C}_2\text{H}_5)_2$ (VI), который также получен из фенола и диэтилуксусной к-ты (VII). Строение IV доказано окислением в R_2CO (VIII). Из V получен $\text{R}'_2\text{CHCHN}(\text{C}_2\text{H}_5)_2$ (IX). Приведены данные и кривые УФ-спектров полученных в-в. К смеси 0,11 моля (12 г) I и 0,1 моля II в 80 мл CS_2 при 0—5° прибавляли 15 г AlCl_3 , через 24 часа кипятили 1 час и вылили в разб. HCl ; получен III, выход 78%, т. кип. 172°/16 мм, n_D^{20} 1,5280. При применении 50 г I и прибавлении 13 г AlCl_3 при 20—30° образовалось 42—61% III и 8% IV, т. кип. 195—200°/1 мм, т. пл. 90—91° (из сп.). К р-ру $\text{p-CH}_3\text{OC}_6\text{H}_4\text{MgBr}$ (из 11 г *n*-броманизол и 3 г Mg в 80 мл эфира) прибавлен р-р 10 г III в 30 мл эфира при 0°; после обычной обработки получено 72,4% IV. Из 2,5 г I и 2 г CrO_3 в CH_3COOH образовался VIII, т. пл. 143—144° (из сп.). Р-р 5 г IV и 5 г КОН в триэтиленгликоле кипятили 3 часа; получен V, выход 76%, т. пл. 163° (из водн. CH_3OH); дипропионат, т. пл. 89—90° (из сп.); дибензоат, т. пл. 183—185° (из сп.). К р-ру 1 г V в 30 мл 10%-ного NaOH при 90° прибавили порциями 2,5 г сплава NiAl и смесь кипятили 1 час; получен IX, т. пл. 168° (из бзл.). При нагревании (20 мин., кипячение) смеси 5 г III и 5 г хлоргидрата пиридина получен VI, выход 68%, т. кип. 175°/1 мм, т. пл. 70° (из C_6H_{12}); семикарбазон, т. пл. 191° (из разб. к-ты). Через смесь 12,6 г VII и 12 г фенола 2 часа пропускали BF_3 , через 1 час (60—80°) выделено 82% VI.

А. Берлин

70819. Катализ цианид-ионами реакции декарбоксилирования α -кетокислот. Францен, Фикенчер (Katalyse der Decarboxylierung von α -Ketocarbonsäuren durch Cyanid-Ionen. Franzen Volker, Fikentscher Lotte), Liebigs Ann. Chem., 1958, 613, № 1—3, 1—6 (нем.)

Показано, что декарбоксилирование α -кетокислот катализируется CN-ионами. Образование при этом соответствующих циангидринов в качестве промежуточных в-в подтверждено декарбоксилированием α -цианмолочной к-ты (I), а также обратной пропорциональностью между константой равновесия (K) образования циангидрина и скоростью отщепления CO_2 (C). Приведены соображения о близости рассматриваемой р-ции и биологич. декарбоксилирования α -кетокислот под влиянием тиаминферментов. Р-р 5 г Na-соли фенилглиоксиловой к-ты (II к-та) и 1 г KCN в 100 мл водн. спирта (1:1) нагревали 4 часа при 90°; выделилось 61% бензоина (III). Аналогично из 3 г *n*-метил-II (IV) и 3 г KCN в 25 мл воды (7 час., кипячение) с последующим окислением фелинговой жидкостью образовалось 57% *n,n'*-диметилбензила, т. пл. 177°, а из *n*-метокси-II (V) (6 час., кипячение) 52% *n,n'*-диметоксибензила, т. пл. 133°. В тех же условиях

(без окисления) *n*-бром-II (VI) дала *n,n'*-дибром-III, т. пл. 58° (из сп.). Смесь 500 мг K-соли α -кетоглюконовой к-ты и 50 мг KCN в 50 мл фосфатного буфера (рН 6,5) нагревали при 70°; пробы хроматографирования на бумаге показали, что максим. кол-во арабинозы образовалось через 8 час. Из смеси 1 г K-соли I и 1 г димедона в 80 мл диоксана и 20 мл воды (2 часа, 90°) образовалось димедоновое производное ацетальдегида. При определении K и C получены следующие результаты (перечислены исходная к-та, K, C): VI, 0,45, 18; II, 1,19, 8; IV, 3,31, 2,8; V, 8,06, 1.

А. Берлин

70820. Исследования в ряду α,α -дизамещенных дикарбоновых кислот и их производных. X. α,α -Дифенилзамещенные дикарбоновые кислоты с нормальной цепью от 11 до 14 атомов C. Сальмон-Леганьер, Неве, Бело (Recherches dans la série des diacides $\alpha\alpha$ -disubstitués et de leurs dérivés. X. Les diacides $\alpha\alpha$ -diphényles à chaîne normale de condensation en carbone de C_{11} à C_{14} . Salmon-Legagneur François, Neveu Cécile, Belot Aimé), Bull. Soc. chim. France, 1957, № 11—12, 1463—1469 (франц.)

Описанный ранее (см. РЖХим, 1956, 61483) способ получения α,α -дифенилзамещ. дикарбоновых к-т применен к синтезу к-т $(\text{C}_6\text{H}_5)_2\text{C}(\text{COOH})-(\text{CH}_2)_n-\text{COOH}$ (Ia—г, где $a = 8$, $b = 9$, $c = 10$, $d = 11$) и их диметилловых эфиров (IIa—г). При попытках этерификации Ia—г или частичного гидролиза IIa—г в моноэфиры получены некристаллизующиеся вязкие в-ва, вероятно, являющиеся смесью исходных в-в с моноэфирами. Т-ры плавления Ia—г и соответствующих α -нитрилов $(\text{C}_6\text{H}_5)_2\text{C}(\text{CN})-(\text{CH}_2)_n-\text{COOH}$ (IIIa—г), закономерно снижаются по мере возрастания n , как это отмечено для низших представителей этого ряда соединений. Исходные 1,7-дибромгептан (IV), т. кип. 130—135°/11 мм, 1,9-дибромнонан (V), т. кип. 165—170°/12 мм, и 1,10-дибромдекан (VI), т. кип. 155—156°/12 мм, получены действием 48%-ной HBr на соответствующие гликоли, синтезированные восстановлением метиловых или этиловых эфиров пимелиновой, азелаиновой или себадиновой к-т Na и спиртом. К р-ру 4 г Na в 60 мл спирта приливают 0,255 моля малонового эфира (VII), охлаждают, добавляют 0,175 моля IV в 50 мл эфира, оставляют на 48 час. при 0°, затем на 12 час. при ~ 20° и отгоняют 7-бромгептанмалоновый эфир, выход 62%, т. кип. 187°/1 мм, который действием 48%-ной HBr превращают в ω -бромпеларговую к-ту, выход 92%, т. пл. 36—36,5°; этиловый эфир (VIII), т. кип. 150—153°/1 мм. 63 ммоль $(\text{C}_6\text{H}_5)_2\text{CHCN}$ (IX) и 87 ммоль NaNH_2 нагревают с C_6H_6 , добавляют 16,8 г VIII и получают (см. РЖХим, 1957, 34330) этиловый эфир IIIa, выход 57%, т. кип. 227°/0,5 мм, гидролизующий спирт. р-ром NaOH в IIIa, т. пл. 43—44° (из разб. сп.); 3 г IIIa нагревают 48 час. с 6 г КОН в 60 мл гликоля и 3 мл воды и выделяют Ia, выход 92%, т. пл. 113—114° (из 50%-ного сп.); IIa, т. кип. 222—228°/0,5 мм. Аналогично из VI и VII получают 10-бромдецилмалоновый эфир, выход 50%, т. кип. 202—204°/2 мм; ω -бромлауриновую к-ту, выход 96%, т. пл. 52—53°; метиловый эфир, т. кип. 130°/0,5 мм, 164°/2 мм; метиловый эфир IIIg, выход 83%; IIg, выход 67%, т. пл. 41—42° (из CH_3OH); Ig, выход 61,5%, т. пл. 90—91° (из CH_3OH); IIg, т. кип. 246—248°/1 мм. 0,43 моля V, 0,43 моля KCN, 173 мл CH_3OH и 25 мл воды кипятят 18 час. и выделяют 1-циан-9-бромнонан, выход 60%, т. кип. 174—178°/11 мм, конденсирующийся с IX (см. выше) в 1,1-дифенил-1,9-дицианнонан, выход 60%, т. кип. 260°/0,5 мм, гидролизующий горячим водно-спирт. р-ром КОН в IIIb, выход 90%, т. пл. 67° (из 60%-ного сп.), из которого (см. Ia) получают Ib, выход 48%, т. пл. 109—110° (из 60%-ного сп.); IIb, т. кип.

230—235°/0,5 мм. Аналогично синтезируют 1-диан-10-бромдекан, выход 70%, т. кип. 180—184°/13 мм; 1,1-дифенил-1,9-дициандекан, выход 59%, т. кип. 275°/1 мм, при получении которого образуется немного 1,1,10,10-тетрафенил-1,10-дициандекана (X); IIIв, выход 84%, т. пл. 38—40°; IV, выход 47%, т. пл. 110—112°; IVв, т. кип. 225—256°/1,5 мм. 72 ммоль IX, 40 ммоль VI и 0,93 ммоль NaNH₂ нагревают в C₆H₆ и получают X, выход 63%, т. пл. 103—105° (из CH₃OH). Сообщение IX см. РЖХим, 1957, 60519. Л. Щукина

**70821. Реакция N-(1-хлорэтил)-фталимида с алко-
лятом натрия.** Като (Kato Kiyoshi), Осака ко-
гё гидзюцу сикэнсё кихо, Bull. Osaka Industr. Res.
Inst., 1957, 8, № 4, 244—246 (японск.; рез. англ.)

При кипячении с водой N-(1-хлорэтил)-фталимид (I) гидролизуетсся с образованием ацетальдегида и фталимида, выход 99%. Р-ция, по-видимому, проходит по схеме: $C_6H_4(CO)_2NCHClCH_3 + H_2O \rightarrow [C_6H_4(CO)_2NCHONCH_3] \rightarrow C_6H_4(CO)_2NH + CH_3CHO$. При кипячении метанольного р-ра I с эквимольным кол-вом CH₃ONa образуется N-(1-метоксиэтил)-фталимид, выход 76%, т. пл. 113—113,5° (из CH₃OH). Аналогично получены C₆H₄(CO)₂NCH(OR)CH₃ [даны время кипячения в часах, R, выход в % и т. пл. в °C (из CH₃OH)]: 20 мин., C₂H₅, 86, 63,5—64,5; 1 час. 15 мин., n-C₃H₇, 90, 73,5—74,5; 5,5, изо-C₃H₇, 90, 62—63,5; 5,5, изо-C₄H₉, 85, 49,5—50,5; 1 час 15 мин., n-C₄H₉, 82, —, (т. кип. 155—256°/3 мм); 1,5, втор-C₄H₉, 87, 58,5—60 (т. кип. 147—149°/2 мм); 26, трет-C₄H₉, 53, 73,5—74,5 (т. кип. 139—140°/3 мм); 1 час 15 мин., n-C₅H₁₁, 78, —, (т. кип. 165—166°/2,5 мм); 5,5, изо-C₅H₁₁, 78, —, (т. кип. 160—161°/3 мм). Л. Яновская

**70822. Действие формальдегида на м-метоксибензой-
ную кислоту.** 2. Икэда, Канахара, Накагава, Икояма (Ikeda Tetsutaro, Kanahara Saburo, Nakagawa Yasuo, Yokoyama Fumiko), Канадзава дайгаку якугакубу кэнкю нэмпо, Annual Rept Fac. Pharmacy Kanazawa Univ., 1957, 7, 64—66 (японск.; рез. англ.)

В продолжение прежней работы (см. сообщение 1, РЖХим, 1957, 51193) синтезом выяснено строение побочного продукта конденсации м-метоксибензойной к-ты с HCHO + HCl (см. также Fritsch P., Liebig's Ann. Chem., 1897, 296, 352; Chakravarti S. N., Perkin W. H., J. Chem. Soc., 1929, 196) как 6-метокси-7-хлорметилфталид (I). Это подтверждено: 1) образованием I, выход 400 мг, т. пл. 176—178°, при конденсации 2 г 6-метоксифталата (II) с 7 мл 37%-ного HCHO в 10 мл 35%-ной HCl (~100°, 2 часа); 2) щел. гидролизом 200 мг I при кипячении 30 мин. с 600 мг Na₂CO₃ в 15 мл воды, который проходит с изомеризацией фталидного кольца и приводит к 120 мг 4-метокси-7-оксиметилфталата (III), т. пл. 156—157° (из сп.). При действии SOCl₂ (80°, 30 мин.) на III образуется 4-метокси-7-хлорметилфталид, т. пл. 136,5—138° (из CH₃OH). Окисление III посредством KMnO₄ дало 4-метокси-7-карбоксифталид (IV), т. пл. 213—215°; метиловый эфир IV, т. пл. 168—169°. IV получен также окислением II посредством KMnO₄ до 4-метоксифталевой к-ты, т. пл. 162—164°, и конденсацией последней с HCHO + HCl (см. выше) с образованием IV. Л. Яновская

**70823. К определению конфигурации 2,3-дифенилмас-
ляной кислоты.** Дрефаль, Хартман, Ричель (Notiz zur Konfigurationsbestimmung der 2,3-Diphenylbuttersäure. Drefahl Günther, Hartmann Manfred, Rietschel Lothar), J. prakt. Chem., 1958, 6, № 1, 1—3 (нем.)

Для DL-CH₃CH(C₆H₅)CH(C₆H₅)COOH (I) и DL-CH₃CH(C₆H₅)CH(C₆H₅)NH₂ (II) превращением в DL-эритро-CH₃CH(C₆H₅)CH(C₆H₅)N(CH₃)₂J (III), т. пл. 213° (разл.), установлена эритро-конфигурация. I через амид (IV) или азид (V) превращают в II, который метилируют

действием CH₃O и HCOOH до N,N-диметил-II (VI); последний превращают в уже известный III обычным методом. 4 г I (т. пл. 186°) и 7 мл SOCl₂ кипятят 15 мин., избыток SOCl₂ удаляют, остаток растворяют в 45 мл ацетона, при +1° по каплям прибавляют 3 г NaN₃ в 20 мл воды, размешивают 15 мин. при t-ре ~20°, выливают в 70 мл воды, выделившийся V промывают водой, высушивают, кипятят 4 часа с 50 мл абс. C₆H₆, прибавляют 20 мл конц. HCl, кипятят 30 мин., осадок растворяют в воде, добавлением NH₄OH выделяют II, выход 60%, т. пл. 126—127° (из петр. эф.); хлоридат (XG), т. пл. 265—267° (разл.; из сп.-эф.); бензоильное производное, т. пл. 197—198° (из сп.). 2,9 г IV (т. пл. 195°) нагревают 2 часа при t-ре ~100° с 2,5 г Br₂ и 9,2 г NaOH в 45 мл воды, извлекают эфиром, из высушенного фильтрата сухим HCl выделяют XG II, который переводят в основание, как описано выше; выход 50%. 3,5 г II, 12 мл 88%-ной HCOOH и 12 мл 35%-ного CH₃O нагревают 12 час. при 95° и 4 часа кипятят, подщелачиванием 6 н. КОН и экстракцией пентаном выделяют VI, выход 76%, т. пл. 56—57° (из пентана). А. Скородумов

**70824. Синтез n-нитроэтилбензола из o-нитроэтил-
бензола.** Гао Е-шэн, Пань Бай-чуань, Лу Шунь-син (Kao Yee-sheng, Pan Pei-chuan, Loh Shuen-hsing), Яосюэ сюэбао, Acta pharm. sinica, 1957, 5, № 3, 219—223 (кит.; рез. англ.)

4-NO₂C₆H₄C₂H₅ (I) — важный полупродукт произ-ва хлорамфеникола синтезируют исходя из 2-NO₂C₆H₄C₂H₅ (II). Восстановлением порошка Fe в присутствии катализ. кол-в HCl, NH₄Cl, CaCl₂ или NaHSO₄ II превращают в 2-NH₂C₆H₄C₂H₅ (III) с выходом ~90%; III нитрованием (NT) переводят в 4-NO₂-2-NH₂C₆H₃C₂H₅ (IV) (т. пл. 61—63°; сульфат, т. пл. 170°), из которого диазотированием (ДА) и действием спирта получают I. Комбинируя NT и ДА в одну стадию, можно полу-чить I с выходом ~60% без выделения IV. В. С.

70825. Нитрование 2-нитро-4-бромбензойной кислоты. Гольштейн, Моханна (Nitration de l'acide nitro-2-bromo-4-benzoïque. Goldstein Henri, Mohanna Siavache), Helv. chim. acta, 1958, 41, № 2, 470—473 (франц.)

Нитрованием 2-NO₂-4-BrC₆H₃COOH (I) получена 2,5-(NO₂)₂-4-BrC₆H₃COOH (II) с примесью 2,3-(NO₂)₂-4-BrC₆H₃COOH (III). Строение II доказано каталитич. гидрированием в 2,5-(NH₂)₂C₆H₃COOH (IV) и декарбоксилацией IV в n-(NH₂)₂C₆H₄ (V). Строение II подтверждено также получением V при каталитич. гидрировании и последующем декарбоксилации 2-NH₂-4-Br-5-NO₂C₆H₃COOH (VI), образующейся нагреванием II с конц. NH₄OH. Строение III доказано каталитич. гидрированием в 2,3-(NH₂)₂C₆H₃COOH (VII) с последующим декарбоксилацией VII в o-(NH₂)₂-C₆H₄. Обработкой II метанольным или спир. р-ром КОН получена 2-RO-4-Br-5-NO₂C₆H₃COOH (VIII) (всоду а R = CH₃, б R = C₂H₅) с примесью 2,4-(RO)₂-5-NO₂C₆H₃COOH (IX). 40 г I нагревали 50 мин. при 140° (экзотермич. р-ция) с 32 мл HNO₃ (d 1,52) и 160 мл конц. H₂SO₄, выливали на лед, осадок обрабатывали водн. Na₂CO₃, фильтровали, р-р упаривали и получали 37 г смеси, которую кипятили 1 час со смесью спирта и пропанола-2 (1:3) и фильтровали; подкислением конц. HCl водн. р-ра осадка выделяли 27 г II, т. пл. 174—175° (из бзл.). Из фильтрата выделено 2,2 г III, т. пл. 218—219° (из водн. сп.); метиловый эфир II, т. пл. 95°; этиловый эфир, т. пл. 101°; амид, т. пл. 214° (из сп.); ангидрид, т. пл. 239—240° (из сп.). 0,2 г Na-соли II гидрировали в 15 мл воды над Pd/CaCO₃ (1 г, 20°), выход IV 0,08 г. I и II нагревали 3 часа при 100° с 10 мл 34%-ного NH₄OH, через 12 час. (охлаждение) получена NH₄-соль VI, из которой выделено 0,47 г VI,

т. пл. 218° (разл.; из водн. CH_3COOH). Кипячением 1 час 5 г II с 80 мл 5%-ного р-ра KOH в CH_3OH с последующим упариванием и подкислением получают 2,2 г VIIa, т. пл. 176—177° (из воды); метиловый эфир, т. пл. 113—114°; этиловый эфир, т. пл. 97°. Из маточного р-ра (упариванием и подкислением до pH 4) выделено 0,25 г IXa. Аналогично кипячением 10 мин. 1,2 г II с 35 мл 5%-ного спирта KOH получено 0,48 г VIIIb, т. пл. 158—159° (из воды); метиловый эфир, т. пл. 85°; этиловый эфир, т. пл. 116—117°. Из маточных р-ров выделено 0,12 г IXb. Г. Крюкова

70826. Восстановление ароматических нитросоединений железными опилками в присутствии хлористого аммония. Ши Юй-цзунь (Shih Yu-tsun), Хуасюэ сюэбао, Acta chim. sinica, 1956, 22, № 5, 352—355 (кит.; рез. англ.)

Ароматические аминсоединения (AC), содержащие COOH , COOC_2H_5 , CN , SO_2NH_2 и другие группы, получают из соответствующих нитросоединений (НТ) восстановлением Fe-опилками в присутствии NH_4Cl . Выход AC обычно > 80%. Во время восстановления НТ, содержащих различные функциональные группы, получают Fe-шламы (ШЛ) различного состава, цвета и измельчения. ШЛ от легко восстанавливающихся НТ содержит меньше FeO, чем от трудно восстанавливающихся. Приводятся НТ, выход AC в %: 3-нитрофталевая к-та, 54,4; 4- $\text{NO}_2\text{C}_6\text{H}_4\text{COOH}$, 65; 4- $\text{NO}_2\text{C}_6\text{H}_4\text{SO}_2\text{NHCOCH}_3$, 84; 4- $\text{NO}_2\text{C}_6\text{H}_4\text{CH}_2\text{COOH}$, 75; 4- $\text{NO}_2\text{C}_6\text{H}_4\text{CN}$, 84; 4- $\text{NO}_2\text{C}_6\text{H}_4\text{SO}_2\text{NH}_2$, 94; 4- $\text{NO}_2\text{C}_6\text{H}_4\text{CH}_2\text{COOC}_2\text{H}_5$, 85; 4- $\text{NO}_2\text{C}_6\text{H}_4\text{COOC}_2\text{H}_5$, 95; $\text{C}_6\text{H}_5\text{NH}_2$, 92; 4- $\text{NO}_2\text{C}_6\text{H}_4\text{Cl}$, 95; 4- $\text{NO}_2\text{C}_6\text{H}_4\text{CH}_2\text{CN}$, 82; 4- $\text{NO}_2\text{C}_6\text{H}_4\text{CH}_3$, 90. В. Скордунцов

70827. N-(замещенные аминоацетил)-хлоранилины. Эпштейн, Каминский (N-(substituted aminoacetyl)-chloroanilines. Epstein Elias, Kaminsky Daniel), J. Amer. Chem. Soc., 1958, 80, № 8, 1892—1895 (англ.)

Получен ряд N-замещ. аминоацетил- и пропионил-хлоранилинов $\text{RNHCO}(\text{CH}_2)_n\text{R}$ (Ia—z), где a R = 3- ClC_6H_4 , 6 R = 2- CH_3 -3- ClC_6H_3 ; в R = 2- CH_3 -4- ClC_6H_3 , г R = 2- CH_3 -5- ClC_6H_3 , д R = 2- CH_3 -6- ClC_6H_3 , е R = 4- CH_3 -3- ClC_6H_3 , ж R = 2- CH_3 -O-5- ClC_6H_3 , з R = 2- C_6H_4 -O-5- ClC_6H_3 . Некоторые из них обладают высокой местно-анестезирующей активностью при малом раздражающем действии. Синтез осуществлен обработкой замещ. анилина хлорацетилхлоридом с последующей конденсацией полученного анилида с первичным или вторичным амином. Синтезированы следующие ω -хлорацетил-хлоранилины $\text{RClC}_6\text{H}_4\text{NHCO}(\text{CH}_2)_n\text{Cl}$ (приводятся R, положение Cl, н, т. пл. в °C): Н, 3, 1, 100—101; Н, 3, 2, 81—83; 2- CH_3 , 3, 1, 134—136; 2- CH_3 , 4, 1, 130—131; 2- CH_3 , 4, 2, 128—129; 2- CH_3 , 5, 1, 139—141; 2- CH_3 , 6, 1, 142—143; 4- CH_3 , 3, 1, 94—95; 4- CH_3 , 3, 2, 116—117; 2- OCH_3 , 5, 1, 105—107; 2- OC_2H_5 (II), 5, 1, 91—93, и 4- CH_3 -3- ClC_6H_3 - $\text{NHCOCH}(\text{CH}_3)\text{Cl}$, т. пл. 109—111°. Из них получены следующие Ia [приводятся здесь и ниже R', н, т. пл. в °C хлоргидрата (ХГ) (из $\text{изо-C}_3\text{H}_7\text{OH}$): NHCH_3 , 1, 212—214; NHC_2H_5 , 1, 221—224; NHC_3H_7 , 1, 235—237; $\text{изо-NHC}_4\text{H}_9$, 1, 243—246; $\text{изо-NHC}_4\text{H}_9$, 2, 219—221; $\text{н-NHCH}(\text{CH}_3)\text{C}_6\text{H}_{11}$, 1, 234—237; $\text{N}(\text{C}_2\text{H}_5)_2$, 1, 219—221; $\text{N}(\text{C}_2\text{H}_5)_2$, 2, 127—129; $\text{NH}(\text{CH}_2)_3\text{OCH}_3$, 1, 220—222; $\text{н-N}(\text{C}_2\text{H}_4\text{OH})\text{C}_6\text{H}_{11}$, 1, 231—234; пиперидино, 1, 215—218; циклогексиламино, 1, 301—302; морфолино, 1, 215—217; морфолино, 2, 203—204; 2,6-диметилморфолино, 1, 243—245; 2,6-диметиланилино, 1, 238—241; 1б: NHC_2H_5 , 1, 258—260; $\text{изо-NHC}_4\text{H}_9$, 1, 240—242; $\text{N}(\text{C}_2\text{H}_5)_2$, 1, 145—147; морфолино, 1, 201—203; 1в: NHC_3H_7 , 2, 213—215; NHC_4H_9 , 2, 229—231; $\text{изо-NHC}_4\text{H}_9$, 1, 232—234; $\text{изо-NHC}_4\text{H}_9$, 2, 214—216; $\text{N}(\text{C}_2\text{H}_5)_2$, 2, 131—133; морфолино, 1, 259—262; морфолино, 2, 226—228; 1г: NHC_2H_5 , 1, 262—265, $\text{изо-NHC}_4\text{H}_9$, 1, 214—216; $\text{NH}(\text{CH}_2)_3\text{OCH}_3$, 1, 221—224; $\text{N}(\text{C}_2\text{H}_5)_2$, 1, 152—154; морфолино, 1, 205—207; 1д: NHC_4H_9 , 1, 236—239; $\text{трет-NHC}_4\text{H}_9$, 1, 263—265; $\text{N}(\text{C}_2\text{H}_5)_2$,

1, 153—155; морфолино, 1, 223—226; 1е: NHC_3H_7 , 1, 251—253; NHC_2H_5 , 2, 218—221; $\text{изо-NHC}_4\text{H}_9$, 1, 265—267; $\text{изо-NHC}_4\text{H}_9$, 2, 175—177; $\text{N}(\text{C}_2\text{H}_5)_2$, 1, 180—182; $\text{NH}(\text{C}_2\text{H}_5)_2$, 2, 147—149, циклогексиламино, 1, 309—312; морфолино, 1, 209—210; 1ж: $\text{изо-NHC}_4\text{H}_9$, 1, 197—198; $\text{N}(\text{C}_2\text{H}_5)_2$, 1, 184—186; морфолино, 1, 205—208; 1з: $\text{N}(\text{C}_2\text{H}_5)_2$, 1, 133—135; морфолино, 1, 173—176; получен 4- CH_3 -3- ClC_6H_3 - $\text{NHCOCH}(\text{CH}_3)\text{R}$ (приводятся R и т. пл. в °C ХГ): $\text{изо-NHC}_4\text{H}_9$, 239—241; $\text{N}(\text{C}_2\text{H}_5)_2$, 117—120; морфолино, 201—209. Смесь 0,1 моля 2-нитро-4-хлорфенола, 0,06 моля безводн. K_2CO_3 , 0,15 моля $\text{n-C}_4\text{H}_9\text{Br}$ и 300 мл монометилового эфира этиленгликоля кипятят 2 часа, вносят 0,04 моля K_2CO_3 и 0,1 моля $\text{n-C}_4\text{H}_9\text{Br}$ и кипятят еще 6 час., из фильтрата при 100°/15 мм отгоняют р-ритель, остаток растворяют в 200 мл эфира; выход 2-н-бутокси-5-хлорнитробензола (III) 96%, т. кип. 102—106°/30 мм. К суспензии 0,08 моля III в 250 мл 80%-ного $\text{изо-C}_3\text{H}_7\text{OH}$ и 1 мл конц. HCl за 1 час при 70° прибавляют 0,8 моля Fe-порошка, через 2 часа фильтрат упаривают в вакууме, к остатку прибавляют 5 г лимонной к-ты, 1 г NaHSO_3 и 100 мл 5%-ного NH_4OH , экстрагируют эфиром и пропускают HCl-газ, выход ХГ 2-н-бутокси-5-хлоранилина (IV) 67%, т. пл. 151—153° (из $\text{изо-C}_3\text{H}_7\text{OH}$ -эф.). К 0,1 моля IV в 150 мл лед. CH_3COOH прибавляют в один прием 0,11 моля ClCH_2COCl , через 1 час вносят 150 г CH_3COONa в 500 мл воды и через 1 час отделяют II, выход 71%. 0,025 моля II и 0,1 моля морфолина нагревают при 100° 2 часа, в вакууме отгоняют избыток морфолина, остаток экстрагируют эфиром, в экстракт пропускают HCl-газ, выпавшее масло растворяют в 20 мл 50%-ного $\text{изо-C}_3\text{H}_7\text{OH}$ и обрабатывают 100 мл 2%-ного NH_4OH , выход α -морфолино-2-бутокси-5-хлорацетанилида 89%, т. пл. 116—118°.

Ю. Волькенштейн

70828. Синтетические антипротозойные вещества, производные дифенилового эфира. Логеман, Альмирманте, Де Карнери (Antiprotozoari di sintesi derivati del difenilettere. Logemann W., Almirante L., De Carneri I.), Farmaco. Ed. scient., 1958, 13, № 2, 139—151 (итал.)

В поисках лекарственных средств против амебной дизентерии (*Entamoeba histolytica*) синтезирован $\text{n-O}_2\text{NC}_6\text{H}_4\text{OC}_6\text{H}_4\text{CH}_2\text{NRR}'\text{n}$, где R (здесь и далее) SOCHCl_2 , а R' = H (I), $\text{CH}_2\text{CH}_2\text{OH}$ (II), $\text{CH}_2\text{CH}_2\text{OC}_2\text{H}_5$ (III), $\text{CH}_2\text{CH}_2\text{OCOC}_2\text{H}_5$ (IV), $\text{CH}_2\text{CH}_2\text{Cl}$ (V), $\text{CH}_2\text{CH}_2\text{CO-NH}_2$ (VI), $\text{CH}_2\text{CH}_2\text{CN}$ (VII), $\text{CH}_2\text{CH}_2\text{NHR}$ (VIII), C_6H_5 (IX), C_6H_{11} (X); $\text{n-O}_2\text{NC}_6\text{H}_4\text{SC}_6\text{H}_4\text{CH}_2\text{N}(\text{R})\text{CH}_2\text{CH}_2\text{OH-n}$ (XI), $\text{n-O}_2\text{NC}_6\text{H}_4\text{SO}_2\text{C}_6\text{H}_4\text{CH}_2\text{N}(\text{R})\text{CH}_2\text{CH}_2\text{OH-n}$ (XII); $\text{n-HOCH}_2\text{CH}_2\text{N}(\text{R})\text{CH}_2\text{C}_6\text{H}_4\text{O}(\text{CH}_2)_n\text{OC}_6\text{H}_4\text{CH}_2\text{N}(\text{R})\text{CH}_2\text{CH}_2\text{OH-n}$ (XIII); $\text{n-RNHC}_6\text{H}_4\text{OC}_6\text{H}_4\text{CH}_2\text{N}(\text{R})\text{CH}_2\text{CH}_2\text{OH-n}$ (XIV) и $\text{n-O}_2\text{NC}_6\text{H}_4\text{OC}_6\text{H}_4\text{CH}_2\text{N}(\text{SO}_2\text{C}_6\text{H}_4\text{CH}_3\text{-n})\text{CH}_2\text{CH}_2\text{OH-n}$ (XV). Из полученных соединений II и III оказались весьма активными при клинич. испытаниях, проводимых в Греции и в Индии. К р-ру 158 г уротропина в 1,1 л безводн. CHCl_3 прибавляют 215 г $\text{n-O}_2\text{NC}_6\text{H}_4\text{OC}_6\text{H}_4\text{CH}_2\text{Cl}$ (XVI); получают продукт (370 г), который кипятят 1 час с 2,7 л спирта и 900 мл конц. HCl. Отгоняют спирт, подщелачивают р-ром NH_3 , извлекают этилацетатом и осаждают $\text{n-O}_2\text{NC}_6\text{H}_4\text{OC}_6\text{H}_4\text{CH}_2\text{NH}_2\cdot\text{HCl}$ (XVII основание), выход 76%, т. пл. 210—211° (из сп.). 24,5 г XVII и 15 г $\text{Cl}_2\text{CH}_2\text{COOCH}_3$ (XVIII) нагревают 2 часа при 60°, абс. спиртом извлекают I, выход 90%, т. пл. 107—108°. К 100 г XVI понемногу прибавляют 100 г этаноламина, обрабатывают водой и неочищ. амин обрабатывают 50 г XVIII, извлекают спиртом II, выход 67%, т. пл. 136—137°. Аналогично из 30 г XVI и 40 г $\text{H}_2\text{NCH}_2\text{CH}_2\text{OC}_2\text{H}_5$ получают $\text{n-O}_2\text{NC}_6\text{H}_4\text{OC}_6\text{H}_4\text{CH}_2\text{NHC}_2\text{H}_5\text{OC}_2\text{H}_5\text{-n}\cdot\text{HCl}$ (XIX), выход 90%, т. пл. 220—224° (из сп.). 36 г XIX обрабатывают 260 мл 1 н. NaOH и 260 мл $\text{ClCH}_2\text{CH}_2\text{Cl}$ и затем при 0° добавляют 23 г $\text{Cl}_2\text{CH}_2\text{COCl}$; получают III, выход 83%, т. пл. 105—106°

(из абс. сп.). II обрабатывают стеаронхлоридом в пиридине и получают IV с колич. выходом, т. пл. 68—69° (из сп.). 25 г II в 100 мл безводн. CHCl_3 и 5 мл пиридина обрабатывают при т-ре -5° 8,75 г SOCl_2 в CHCl_3 , через ~ 12 час. получают V, выход 80%, т. пл. 85—86° (из CH_3OH). 24,5 г XVII сплавляют на водяной бане с 7,1 г $\text{CH}_2=\text{CHCONH}_2$, оставляют на 10 дней при т-ре $\sim 20^\circ$ и извлекают ацетоном $n\text{-O}_2\text{NC}_6\text{H}_4\text{OC}_6\text{H}_4\text{CH}_2\text{NHCH}_2\text{CH}_2\text{CONH}_2$ (XX), выход 80%, т. пл. 117—118°. Из XX аналогично III получают VI, выход 80%, т. пл. 173—174°. Из акрилонитрила аналогично XX получают соответствующий нитрил, выход 71%, т. пл. 208—209°, из которого аналогично III получают VII, выход 82%, т. пл. 80—81°. 12,5 г XVI прибавляют при 40° к 12 г этилендиамина, через ~ 12 час. обрабатывают водой, извлекают этилацетатом, осаждают хлоридат и кристаллизацией его из спирта выделяют $[n\text{-O}_2\text{NC}_6\text{H}_4\text{OC}_6\text{H}_4\text{CH}_2\text{NHCH}_2\text{CH}_2\text{CONH}_2] \cdot 2\text{HCl}$, т. пл. 255—256°, и $n\text{-O}_2\text{NC}_6\text{H}_4\text{OC}_6\text{H}_4\text{CH}_2\text{NHCH}_2\text{CH}_2\text{NH}_2 \cdot 2\text{HCl}$, т. пл. 216—217°, который аналогично III переводят в VIII, т. пл. 108—109° (из CH_3OH). 53 г XVI обрабатывают 75 г анилина и выделяют через хлоридат $n\text{-O}_2\text{NC}_6\text{H}_4\text{OC}_6\text{H}_4\text{CH}_2\text{NHCH}_2\text{CH}_2\text{NH}_2$ (XXI), т. пл. 104—105°. 3 г XXI в 30 мл $\text{ClCH}_2\text{CH}_2\text{Cl}$ обрабатывают 1,6 г $\text{N}(\text{C}_2\text{H}_5)_3$ и 1,7 г $\text{Cl}_2\text{CH}_2\text{COCl}$, через ~ 12 час. получают IX, т. пл. 113—114°. Аналогично из циклогексиламина получают $n\text{-O}_2\text{NC}_6\text{H}_4\text{OC}_6\text{H}_4\text{CH}_2\text{NHCH}_2\text{CH}_2\text{NH}_2$, т. пл. 280—281°, и X, т. пл. 101—102° (из CH_3OH). $n\text{-O}_2\text{NC}_6\text{H}_4\text{SC}_6\text{H}_4\text{CH}_2\text{Cl}$ (XXII) получают аналогично XVI (РЖХим, 1955, 9602) с использованием удвоенного кол-ва CH_3COOH , т. кип. $206^\circ/0,5$ мм, т. пл. 68—69° (из сп.). Из XXII и этаноламина аналогично II, но с использованием стехиометрич. кол-ва $\text{Cl}_2\text{CCO-CHCl}_2$ (60°, 4 часа) получают XI, т. пл. 135—136°. К 5 г XI в 200 мл CH_3COOH прибавляют 5 мл 30%-ной H_2O_2 , через 4 дня выливают в воду и получают XII, т. пл. 154—155°. 8,4 г Na в 480 мл абс. спирта, 43,8 г n -оксибензальдегида и 40 г α,ϵ -дибромпентана кипятят 12 час., выливают на лед и получают 4,4'-диформил- α,ϵ -дифеноксиинтан (т-ра плавления не показана), к 37 г которого в 500 мл абс. спирта при 50° прибавляют 14,2 г этаноламина; получают основание Шиффа с т. пл. 102—103°. 15 г этого основания гидрируют в 300 мл CH_3OH при 20 ат над 35 г скелетного Ni (W6), получают 4,4'-ди-(β -оксиптиламинометил)- α,ϵ -дифеноксиинтан, т. пл. 117—118°, после обработки которого XVIII получают XIII, т. заст. $\sim 0^\circ$, 4 г неочищ. амина (из XVI и этаноламина, см. получение II) гидрируют над $\text{PtO}_2 \cdot \text{H}_2\text{O}$ в CH_3COOH при т-ре $\sim 20^\circ$, полученный продукт дихлорацетируют $\text{Cl}_2\text{CH}_2\text{COCl}$ в C_6H_6 в присутствии $\text{N}(\text{C}_2\text{H}_5)_3$ и получают XIV, т. пл. 141—142° (из бутилацетата). 5 г XVI в 100 мл спирта и 5 г K-соли N-(β -оксиптил)- n -толуолсульфон-амида кипятят 7 час., фильтруют, упаривают в вакууме и после подкисления разб. CH_3COOH получают XV, т. пл. 86—88° (из толуола). В. Беликов

70829. Исследования в области оксидосоединений. Х. Взаимодействие α -окисей аллиловых эфиров фенола, o -, p -крезолов и гваякола с аминами. Идельчик З. Б., Пансевич-Коляда В. И., Ж. общ. химии, 1958, 28, № 3, 792—795

При поисках физиологически активных препаратов

взаимодействием $\text{AgOCH}_2\text{CHCH}_2\text{O}$ (I) и $\text{HN}(\text{R}')_2$ (II) синтезированы $\text{AgOCH}_2\text{CHONCH}_2\text{N}(\text{R}')_2$ (III). I получают окислением $\text{AgOCH}_2\text{CH}=\text{CH}_2$ гидроперекисью ацетила или взаимодействием AgOH с эпихлоргидрином. 23 г I, $\text{Ag} = \text{C}_6\text{H}_5$ (Ia) (т. кип. $242,5^\circ/755$ мм, $104^\circ/2$ мм, n^{20}_D 1,5300, d^{20}_4 1,1190), и 26 г II, $\text{R}' = \text{C}_2\text{H}_5$, нагревают 5 час. при $60\text{--}65^\circ$, промывают водой и эфиром, выделяют III, $\text{Ag} = \text{C}_6\text{H}_5$, $\text{R}' = \text{C}_2\text{H}_5$ (т. кип. $176\text{--}178^\circ/17$ мм, n^{20}_D 1,0509, d^{20}_4 1,0200); йодэтилат (IIЭ), т. пл. 119° ; хлоридат (XГ), жидкий при т-ре 20° .

Аналогично получают III (приводятся Ag, R' или N(R')₂, время нагревания в часах, т-ра в $^\circ\text{C}$, т. кип. в $^\circ\text{C}/\text{мм}$, т. пл. в $^\circ\text{C}$ IIЭ и XГ): $2\text{-CH}_3\text{C}_6\text{H}_4$, C_2H_5 , 4, $65\text{--}70$, —, $141,5$ (из сп.-эф.), 107 (из сп.-эф.); $4\text{-CH}_3\text{C}_6\text{H}_4$, C_2H_5 , 4, $60\text{--}70$, $139,5/1,5$ (n^{20}_D 1,5070, d^{20}_4 1,0055), $135,5$ (из сп.-эф.), — (масло); $2\text{-CH}_3\text{OC}_6\text{H}_4$, C_2H_5 , 3, ~ 100 , $167,5/5$ (n^{20}_D 1,5153, d^{20}_4 1,0631), 104 (из сп.-эф.), —; C_6H_5 , NC_5H_{10} , 2,5, ~ 100 , —, —, $126,5$ (из сп.-эф.); $2\text{-CH}_3\text{C}_6\text{H}_4$, NC_5H_{10} , 3, ~ 100 , —, —, 119 (из сп.-эф.). I, Ag = $2\text{-CH}_3\text{C}_6\text{H}_4$, т. кип. $123\text{--}125^\circ/2$ мм, n^{20}_D 1,5290, d^{20}_4 1,0884. III, их XГ и IIЭ обладают сильным гипотензивным действием при сравнительно малой токсичности. Токсичность и гипотензивное действие усиливаются в ряду III — XГ — IIЭ. Сообщ. IX см. РЖХим, 1958, 50376.

В. Скорозумов

70830. Исследования в области оксидосоединений.

XI. Взаимодействие α -окисей аллиловых эфиров фенола, p -крезола и гваякола с метиловым спиртом. Пансевич-Коляда В. И., Идельчик З. Б., Ж. общ. химии, 1958, 28, № 4, 914—916

При взаимодействии α -окисей аллиловых эфиров фенола (I окись), p -крезола (II окись) и гваякола (III окись) с CH_3OH в присутствии CH_3ONa получены 1-метокси-3-феноксипропанол-2 (IV), 1-метокси-3-(p -толилкси)-пропанол-2 (V) и 1-метокси-3-(o -метокси-феноксипропанол-2 (VI) соответственно. 5,5 г I и CH_3ONa (из 1 г Na) в 12 мл CH_3OH нагревают в трубке 6 час. при 100° , получают 3,4 г IV, т. кип. $134^\circ/7$ мм, n^{20}_D 1,5168, d^{20}_4 1,1130. Аналогично из 2,7 г II (3 часа, 95°) получают 0,6 г V, т. кип. $122^\circ/2$ мм, n^{20}_D 1,5135, d^{20}_4 1,0805, а из 1,8 г III (5 час., 100°) получают 0,5 г VI, т. кип. $155^\circ/5$ мм, n^{20}_D 1,5233, d^{20}_4 1,1439. В. Б.

70831. Синтез 3-хлордифениламина. Журавлев С. В., Гриценко А. Н., Ж. прикл. химии, 1958, 31, № 4, 661—662

$3\text{-ClC}_6\text{H}_4\text{NHC}_6\text{H}_5$ (I) — основной полупродукт при получении 2-хлорфениламина, синтезируют по схеме: $3\text{-ClC}_6\text{H}_4\text{NO}_2$ (II), восстанавливают до $3\text{-ClC}_6\text{H}_4\text{NH}_2$ (III), III ацетилируют в $3\text{-ClC}_6\text{H}_4\text{NHCOC}_6\text{H}_5$ (IV) и IV действием $\text{C}_6\text{H}_5\text{Br}$ (V) в присутствии катализаторов Ульмана в среде $\text{C}_6\text{H}_5\text{NO}_2$ (VI) превращают в $3\text{-ClC}_6\text{H}_4\text{N}(\text{COCH}_3)\text{C}_6\text{H}_5$, который без выделения омыляют в I, 0,71 моля II порциями за 1,5 часа вносят в кипящую смесь 142 г Fe-опилок, 15 мл конц. HCl и 213 мл воды, кипятят 3 часа с водяным паром, отгоняют III, выход 77,3%, т. кип. $101\text{--}100^\circ/8\text{--}10$ мм, K 0,55 мл III прибавляют за 10 мин. 0,64 моля $(\text{CH}_3\text{CO})_2\text{O}$, размешивают 30 мин., разбавляют 75 мл воды, выделяют 96,5% IV, т. пл. $71,5\text{--}73^\circ$, 0,5 моля IV, 1 моль V, 0,28 моля безводн. K_2CO_3 (VII), 0,75 г KJ, 0,05 г Cu-бронзы (VIII) и 325 г VI нагревают 10 час. при т-ре $\sim 180^\circ$, затем за 8 час. т-ру повышают до 210° , отгоняют с паром, остаток, отделенному от воды, прибавляют 300 мл спирта и 180 мл конц. HCl, кипятят 3 часа, разбавляют водой, получают I, выход 46,5%, т. кип. $175\text{--}180^\circ/7\text{--}8$ мм. Из кислого водн. р-ра подщелачиванием выделяют 25,2 г III, 0,53 моля IV, 1,06 моля V, 0,3 моля VII, 0,85 г KJ, 0,05 г VIII и 5 мл VI кипятят 44 часа, осадок промывают небольшим кол-вом $\text{C}_2\text{H}_4\text{Cl}_2$, на фильтрата р-тель отгоняют в вакууме, остаток кипятят 4 часа с 420 мл спирта и 200 мл конц. HCl, разбавлением водой выделяют I, выход 66%, т. кип. $180\text{--}182^\circ/10$ мм, $322^\circ/743$ мм. В. Скорозумов

70832. Получение мезокаина (хлоридата α -диэтиламино-2,4,6-триметилацетанилида). Журавлев С. В., Чугаева В. Д., Мед. пром-сть СССР, 1958, № 3, 21—23

В поисках новых местноанестетич. средств синтезирован аналог ксилокаина (I) — $2,4,6\text{-(CH}_3)_3\text{C}_6\text{H}_2\text{NHCOC}_6\text{H}_4\text{N}(\text{C}_2\text{H}_5)_2 \cdot \text{HCl}$ (II) по схеме: $2,4,6\text{-(CH}_3)_3\text{C}_6\text{H}_2\text{NH}_2$ (III) $\rightarrow 2,4,6\text{-(CH}_3)_3\text{C}_6\text{H}_2\text{NHCOC}_6\text{H}_4\text{N}(\text{C}_2\text{H}_5)_2 \cdot \text{HCl}$ (IV) $\rightarrow 2,4,6\text{-(CH}_3)_3\text{C}_6\text{H}_2\text{NHCOC}_6\text{H}_4\text{N}(\text{C}_2\text{H}_5)_2$ (V) \rightarrow II. К 2 молям III в 2

Р' или кип. в 65—70, C_6H_5 , C_6H_5 , 35,5 (из 167/5,5; C_6H_5 , $\text{CH}_3\text{C}_6\text{H}_4$, $= 2\text{-CH}_3$ 0884. III, ым дей- Токсич- в ряду 50376. родумов динений. иров фе- спиртом. к 3, Б,

афи ров гваяко ла получе ки-3-(п- метокс и 1 и т в тру- 34/7 мм, (3 часа, D 1,5135, ают 0,5 г. В. Б. равлен ия, 1958,

т при по- схемз NH_2 (III), IV дей- ров Уль- $\text{-ClC}_6\text{H}_4\text{N}$ ют в I, кипящую мл воды, II, выход III при- мешивают 96,5% IV, моля без- (VIII) и затем за паром, 3 т 300 мл прибавляют 175—180/100 мм вы- 0,3 моля т 44 часа, H_2Cl_2 , на- таток ки- HCl , раз- кип. 180— кородумов α -диэтил- равлен ССР, 1958,

а синтези- $\text{C}_6\text{H}_5\text{NHCO}$ $\text{C}_6\text{H}_5\text{NH}$ C_6H_5 C_6H_5 III в 2

толуола за 30—40 мин. прибавляют 3 моля ClCH_2COCl , кипятят 3 часа, по охлаждении IV промывают смесью толуола и CH_3OH ; выход 92,5%, т. пл. 174—175°. 0,5 моля IV, 1,37 моля $(\text{C}_2\text{H}_5)_2\text{NH}$ и 330 мл толуола кипятят 3 часа, фильтрат промывают водой, извлекают 6%-ной HCl (3×130 мл), кислый р-р очищают углем, подщелачивают 70—75 мл 40%-ного NaOH , получают V, выход 90%, т. пл. 46—47°. 65 г V растворяют в 35 мл 48%-ной HCl , очищают углем, упаривают, остаток растворяют в 40 мл спирта при кипячении, при охлаждении выделяется 81% II, т. пл. 136—137°. По силе и продолжительности действия II существенно не отличается от I, но сырье для приготовления II значительно более доступно.

В. Скородумов
70833. Синтез α,ω -бис-(*n*-аминофенокси)-алканов. Ян Цин-шэн, Цюй Дэ-хао, Чжан Цин-кай (Yang Ching-sen, Chü Te-hao, Chang Chi-chiek), Хуасюэ сюэбао, Acta chim. sinica, 1956, 22, № 6, 472—477 (кит.; рез. англ.)

В поисках средств, активных против *Schistosomiasis* *Iranica* на животных, р-цией $4\text{-NO}_2\text{C}_6\text{H}_4\text{OH}$ и $\text{Br}(\text{CH}_2)_n\text{Br}$ (Ia, б), где всюду $n = 5$, (а) или 7 (б), в присутствии $\text{C}_2\text{H}_5\text{ONa}$ получены $4\text{-NO}_2\text{C}_6\text{H}_4\text{O}(\text{CH}_2)_n\text{O-C}_6\text{H}_4\text{NO}_2$ (IIa, б); IIa, выход 82,5%, т. пл. 102—103°; IIб, выход 82,8%, т. пл. 115—116°. Восстановление II превращены в $4\text{-NH}_2\text{C}_6\text{H}_4\text{O}(\text{CH}_2)_n\text{OC}_6\text{H}_4\text{NH}_2$ (IIIa, б); IIIa, выход 76,3%, т. пл. 79—81°; дихлоргидрат (ДХГ), т. пл. 256—260°; диэтильное производное (ДП), т. пл. 207—208°; IIIб, т. пл. 79—80°; ДХГ, выход 85,5%, т. пл. 256°; ДП, т. пл. 184—185°. Действием I и $4\text{-HOC}_6\text{H}_4\text{N}(\text{CH}_3)\text{SO}_2\text{C}_6\text{H}_4\text{CH}_3$ 4' синтезированы $4\text{-CH}_3\text{C}_6\text{H}_4\text{SO}_2\text{N}(\text{CH}_3)\text{C}_6\text{H}_4\text{O}(\text{CH}_2)_n\text{OC}_6\text{H}_4\text{N}(\text{CH}_3)\text{SO}_2\text{C}_6\text{H}_4\text{CH}_3$ 4' (IVa, б); IVa, выход 64,2%, т. пл. 117—119°. После гидролиза IVa, б выделены $4\text{-CH}_3\text{NHC}_6\text{H}_4\text{O}(\text{CH}_2)_n\text{OC}_6\text{H}_4\text{NHC}_6\text{H}_4\text{CH}_3$ 4' (Va, б); Va, выход 81,5%, т. пл. 80—81,5°; ДХГ, т. пл. 160—162°; Vб, выход 40%, т. пл. 63—64°; ДХГ, т. пл. 140—142°. Из IVb и $4\text{-HOC}_6\text{H}_4\text{N}(\text{CH}_3)\text{COCH}_3$ получен $4\text{-CH}_3\text{CON}(\text{CH}_3)\text{C}_6\text{H}_4\text{O}(\text{CH}_2)_n\text{OC}_6\text{H}_4\text{N}(\text{CH}_3)\text{COCH}_3$ 4' (Vб, б), т. пл. 123—124,5°, гидролиз которого привел к Vб, выход ДХГ 80%.

В. Скородумов

70834. Реакции магнезиламинов. IV. Арамидирование ароматических альдегидов с помощью *N,N*-бис-(галлоидмагний)-ариламинов. Тетюева Л. А., Петюнин П. А., Ж. общ. химии, 1958, 28, № 3, 739—742
В продолжение прежней работы (РЖХим, 1957, 66056) изучено влияние природы р-рителей на выход $\text{ArCONHAr}'$ (I), получаемых р-цией ArCHO (II) с $\text{Ar}'\text{N}(\text{MgBr})_2$ (III). Наиболее высокие выходы I получены в $\text{C}_6\text{H}_5\text{N}$ и диоксане. Р-ция арамидирования распространена на ряд II. Улучшена известная методика получения II (РЖХим, 1955, 18692), а именно: а) расщепленное кол-во CH_3COONa прибавляют к р-ру $\text{H}_2\text{C}=\text{NOH}$, а не к р-ру диазосоединения; б) омыление оксимов проводится после их выделения; в) перед разложением бисульфитного соединения из реакционной массы нагреванием удаляют эфир. К $\text{C}_2\text{H}_5\text{MgBr}$ (из 0,025 моля $\text{C}_2\text{H}_5\text{Br}$ и 0,025 моля Mg) в 20 мл эфира прибавляют 0,0125 моля $\text{Ar}'\text{NH}_2$ в 15 мл эфира, нагревают 10—15 мин. и отгоняют эфир. К остатку приливают р-р 0,025 моля II в 20 мл $\text{C}_6\text{H}_5\text{N}$, кипятят 5 мин., разлагают комплекс разб. HCl , экстрагируют эфиром, экстракт отгоняют с паром и получают I (приводятся Ar в II, Ar' в III, выход в %, т. пл. в °C): $n\text{-CH}_3\text{C}_6\text{H}_4$, C_6H_5 , 33,5, 146; $n\text{-BrC}_6\text{H}_4$, C_6H_5 , 98,55, 200—201; $n\text{-ClC}_6\text{H}_4$, C_6H_5 , 83,8, 194—195; $n\text{-(CH}_3)_2\text{NC}_6\text{H}_4$, C_6H_5 , 95,0, 180—182; $m\text{-ClC}_6\text{H}_4$, C_6H_5 , 91,1, 136—137; $n\text{-CH}_3\text{OC}_6\text{H}_4$, C_6H_5 , 70,4, 168—169; $m\text{-CH}_3\text{C}_6\text{H}_4$, C_6H_5 , 53,3, 129—130 (из сп.); $m\text{-BrC}_6\text{H}_4$, C_6H_5 , 70, 146—147,5; $n\text{-HO-m-CH}_3\text{OC}_6\text{H}_3$, C_6H_5 , 53,5, 129—131 (из CH_3COOH); $n\text{-BrC}_6\text{H}_4$, $n\text{-ClC}_6\text{H}_4$, 69,7, 217—217,5 (из CH_3COOH); $n\text{-BrC}_6\text{H}_4$, $n\text{-CH}_3\text{C}_6\text{H}_4$, 64,4, 232—233; $n\text{-BrC}_6\text{H}_4$, $n\text{-BrC}_6\text{H}_4$, 67,6, 222; $n\text{-BrC}_6\text{H}_4$, $n\text{-CH}_3\text{OC}_6\text{H}_4$, 52,4, 222—223 (из CH_3COOH); $n\text{-BrC}_6\text{H}_4$,

$\alpha\text{-C}_{10}\text{H}_7$, 51,5, 211—212 (из CH_3COOH); $n\text{-BrC}_6\text{H}_4$, $\beta\text{-C}_{10}\text{H}_7$, 78,5, 218—218,5 (из CH_3COOH); $n\text{-ClC}_6\text{H}_4$, $\beta\text{-C}_{10}\text{H}_7$, 92,3, 206—207 (из CH_3COOH); $n\text{-ClC}_6\text{H}_4$, $n\text{-CH}_3\text{C}_6\text{H}_4$, 50,5, 212—213 (из CH_3COOH); $n\text{-ClC}_6\text{H}_4$, $n\text{-CH}_3\text{OC}_6\text{H}_4$, 53,5, 208—209 (из CH_3COOH); $n\text{-ClC}_6\text{H}_4$, $n\text{-ClC}_6\text{H}_4$, 75,3, 207—208. Предыдущее сообщение см. РЖХим, 1958, 43322.

Ю. Волькенштейн

70835. Получение дизамещенных амидинов из дизамещенных тиомочевин и магнийодметила. Кошкин Н. В., Ж. общ. химии, 1958, 28, № 3, 695—698

Предложен способ получения замещ. амидинов (AM) действием CH_3MgJ на *N,N'*-диарилтиомочевин (TM). Синтезированы *N,N'*-дифенил-(I), *N,N'*-ди-*n*-толил-(II), *N,N'*-ди-*m*-толил-(III), *N,N'*-ди-*o*-анизидилацетамидин (IV), а также хлоргидрат *N,N'*-аллилфенилацетамидина (V). Взаимодействием дифенилтиомочевин (VI) с натрмалоновым эфиром (VII) и последующим гидролизом получен I. TM получают из соответствующих аминов и NH_4CNS (135—145°, 1,5—2 часа) либо из тиомочевин или *N*-арилтиомочевин и аминов (145—170°). К CH_3MgJ (из 2 г Mg и 10 г CH_3J) в 30 мл абс. эфира при охлаждении постепенно вносят 0,07 моля порошка TM, кипятят 1 час, отгоняют эфир, прибавляют воду или разб. HCl со льдом, в последнем случае подщелачивают K_2CO_3 и получают AM (приводятся в-во, выход в %, т. пл. в °C из спирта): I, 75, 131,5; II, 50, 124; III, 60, 104—105; IV, 52, 137—138. Эквимольную смесь $\text{C}_6\text{H}_5\text{NH}_2$ и $\text{CH}_2=\text{CHCH}_2\text{NCS}$ в 2-кратном кол-ве эфира оставляют на 24 часа при $t\text{-ре} \sim 20^\circ$ и получают аллилфенилтиомочевин (VIII), т. пл. 100—101° (из хлф.). К CH_3MgJ (из 20 г Mg и 100 г CH_3J) в 250 мл абс. эфира при охлаждении прибавляют 33,5 г VIII, нагревают 30 мин., эфир отгоняют, постепенно добавляя воду и AlCl_3 для растворения $\text{Mg}(\text{OH})_2$, экстрагируют эфиром, остаток после его отгонки обрабатывают 10%-ной HCl , фильтрат подщелачивают, вновь экстрагируют и подкисляют, выход V 41%. К VII (из 12 г малонового эфира, 1,7 г Na в 150 мл C_6H_6 при 60—70°) прибавляют 16 г измельченной VI, нагревают 6—8 час. до кипения, отгоняют C_6H_6 осадок нагревают 2 часа с 150—200 мл насыщ. спирт. щелочи и приливают воду, выход I 10 г, т. пл. 131°.

Ю. Волькенштейн

70836. Синтез изоцианатов из фосгена и ароматических аминов. Сингу, Нисимура, Такэгами (Shingu Haruo, Nishimura Tomizo, Takegami Yoshinobu), Юки госэй кагаку кёкай-си J. Soc. Organ. Synth. Chem., Japan, 1957, 15, № 3, 140—143 (японск.)

Изучена р-ция COCl_2 (I) с $\text{C}_6\text{H}_5\text{NH}_2$ (II), II· HCl (III) и $(\text{C}_6\text{H}_5\text{NH})_2\text{CO}$ (IV). I реагирует с II даже при $t\text{-ре} \text{ ниже } -15^\circ$, с образованием III и $\text{C}_6\text{H}_5\text{NHCOCl}$. Последний реагирует с II (быстрее при нагревании), давая III и IV ($\geq 0^\circ$). Скорость образования IV из I и III (100°) меньше, чем скорость образования изоцианата, но при 140° (без избытка I) получают только IV. IV не реагирует с I при $t\text{-ре} < 110^\circ$; взаимодействием IV с I при $t\text{-ре} > 120^\circ$ получены $\text{C}_6\text{H}_5\text{NCO}$ и HCl . Сделан вывод, что V может быть получен с хорошим выходом из свободного амина и I, взятого в большой конц-ии при $t\text{-ре} > 270^\circ$. Обсужден механизм р-ции.

Chem. Abstrs, 1957, 51, № 14, 10403. Hiroshi Kataoka
70837. Прямое введение диазогруппы в ароматическое ядро. III. Комплекс $\text{N}_2\text{O}_3 \cdot \text{BF}_3$, как реагент. Теддер (The direct introduction of the diazonium group into aromatic nuclei. III. $\text{N}_2\text{O}_3 \cdot \text{BF}_3$ complex as reagent. Tedder John M.), J. Amer. Chem. Soc., 1957, 79, № 22, 6090 (англ.)

При помощи комплекса $\text{N}_2\text{O}_3 \cdot \text{BF}_3$ (I) (РЖХим, 1958, 17320, 67492) вводят диазогруппу в ароматич. ядро. 1 мл мезитилена и 0,58 г I в 5 мл $\text{C}_6\text{H}_5\text{NO}_2$ (II)

оставляют на 14 час. при $\sim 20^\circ$, выливают в холодную разб. HNO_3 , удаляют II извлечением р-рителем, водн. р-р нейтрализуют и соль диазония сочетают с β -нафтолом, получают 0,13 г 2,4,6-триметилфенил-азо- β -нафтола, т. пл. 131° (из ацетона). Из 1 мл анизол и 0,81 г I в 10 мл II (2,5 часа, $\sim 20^\circ$) после аналогичной обработки выделяют 0,25 г n -метоксифенилазо- β -нафтола, т. пл. 140° (из ацетона). Из 1 мл толуола и 0,63 г I в II ($\sim 20^\circ$, 7 дней, или 55° , 14 час., или 55° , 85 час.) получают менее 10 мг красителя.

В. Скородумов

70838. Взаимодействие циклических солей салициловой кислоты с азотистой кислотой. Получение 5-диазосалициловой кислоты. Немодрук А. А., ИР. общ. химии, 1958, 28, № 4, 1082—1085

Циклические соли салициловой к-ты (I к-та) (Al, Cr, Zn) в условиях, когда проявляется внутримолекулярная диссоциация (рН 2,7), обладают большей активностью в р-ции нитрозирования по сравнению с I, при этом происходит отщепление CO_2 , имеющее место при взаимодействии I с HNO_2 . При р-ции циклич. солей I с эквивалентными кол-вами HNO_2 образуется 5-NO-I с выходом 60—70% и 10—12% 5-диазо-I, а с 5 молями HNO_2 получается только 5-диазо-I с выходом 90—93%.

В. Скородумов

70839. Синтез 3-алкилмеркапто-4-метил-N-(диалкиламиноэтил)-анилинов. Дин Чжэнь-кай, Чжан Ци-кай (Ting Zhen-kai, Chang Chi-chiek), Хуасюэ сюэбао, Acta chim. sinica, 1956, 22, № 6, 460—466 (кит.; рез. англ.)

С целью получения химиотерапевтически активных препаратов против *Schistosomiasis Japonica* получен ряд в-в, структурно сходных с Мирацилом D, общей ф-лы $3\text{-R-4-CH}_3\text{C}_6\text{H}_4\text{NHCH}_2\text{CH}_2\text{R}'$ (I) по схеме: $4\text{-CH}_3\text{C}_6\text{H}_4\text{NHCOSCH}_3 \rightarrow 3\text{-ClSO}_2\text{-4-CH}_3\text{C}_6\text{H}_4\text{NHCOSCH}_3 \rightarrow 3\text{-HS-4-CH}_3\text{C}_6\text{H}_4\text{NHCOSCH}_3 \rightarrow 3\text{-RS-4-CH}_3\text{C}_6\text{H}_4\text{NHCOSCH}_3$ (II) [действием $(\text{CH}_3)_2\text{SO}_4$, RBr, или $\text{C}_6\text{H}_5\text{J}$] $\rightarrow 3\text{-HS-4-CH}_3\text{C}_6\text{H}_4\text{NH}_2$ (III) \rightarrow I. Для II приводятся R, выход в %, т. пл. в $^\circ\text{C}$: C_2H_5 , 96, 110—111; C_3H_7 , 88, 83,5—84,5; C_4H_9 , 84, 73,5—74,5; C_6H_5 , 70, 112—113. Для III приведены R, выход в %, т. кип. в $^\circ\text{C}/\text{мм}$: CH_3 , 95, 141—142/8 (т. пл. 47°); C_2H_5 , 85, 126—127/4; C_3H_7 , 89, 137—138/4; C_4H_9 , 95, 152—154/4; C_6H_5 , 95, 179—180/4. Для I приводятся R, R', выход в %, т. кип. в $^\circ\text{C}/\text{мм}$, выход соли [цитрата (ЦТ), хлоргидрата (ХГ) или ди-ХГ] в %, т. пл. соли в $^\circ\text{C}$: CH_3 , N(C_2H_5)₂, 68, 125—127/15, ЦТ 70, 85,5—87; C_2H_5 , N(C_2H_5)₂, 65, 120—126/50, ЦТ 74, 95,5—96,5; C_3H_7 , N(C_2H_5)₂, 63, 141—143/60, ЦТ 71, 105—106; C_4H_9 , N(C_2H_5)₂, 62, 141—145/50, ЦТ 76, 98—99,5; C_6H_5 , N(C_2H_5)₂, 52, 141—147/10, ЦТ 71, 122—123; CH_3 , NC H_5 , 57, 145—147/10, ди-ХГ 78, 168—169,5 (абс. сп.); C_2H_5 , NC H_5 , 66, 141—143/10, ди-ХГ 60, 124—125 (ацетон-сп.); C_3H_7 , NC H_5 , 63, 139—144/75, ди-ХГ 60, 147—149 (ацетон-сп.); C_4H_9 , NC H_5 , 62, 154—157/12, ди-ХГ 66, 116—118 (ацетон-сп.); C_6H_5 , NC H_5 , 61, 171—173/10, ХГ 74, 184—186 (абс. сп.).

В. Скородумов

70840. Синтез и реакции циннамилфенилсульфида. Юселен, Энkvист (Synthesis and reactions of cinnamyl phenyl sulfide. Juslén Camilla, Enkvist Terje), Acta chem. scand., 1958, 12, № 2, 187—297 (англ.)

Из коричного спирта (I) или из циннамилбромпида (II) и тиофенола (III) разными способами синтезированы циннамилфенилсульфид (IV). Показано, что двойная связь в IV очень устойчива к действию окислителей. При действии H_2O_2 или $\text{C}_6\text{H}_5\text{CO}_2\text{OH}$ IV дал только сульфоксид (V) и сульфен (VI). При деструктивном гидрировании из IV образовались C_6H_6 и 1-фенилпропан, идентифицированный в виде 2-ацетидамо- (VII) и 2, 4-ди-(ацетидамо)-фенилпропана (VIII). Приведены кривые УФ- и ИК-спектров полученных в-в и близ-

ких соединений. В результате облучения (2 недели) смеси 0,009 моля I и 0,009 моля III, находящейся в кварцевой трубке на расстоянии 15 см от ртутно-кварцевой лампы, образовался IV, выход 9%, т. пл. 78° (из сп.); кроме того, выделены дифенилдисульфид и, по-видимому, γ -тиофенокси- γ -фенилпропанол-1 или β -тиофенокси- γ -фенилпропанол-1, выход 13%. При нагревании (16 час., 127°) с $\text{Al}_2(\text{SO}_4)_3$ получено 25% IV, а при кипячении (16 час.) с 2 н. H_2SO_4 в CH_3COOH 85% IV. Смесь 0,02 моля II, 0,02 моля III, 2,8 г K_2CO_3 и 6 г ацетона кипятили 6 час. и получили 83% IV. При взаимодействии 0,001 моля IV в 20 мл лед. CH_3COOH и 0,001 моля 30%-вой H_2O_2 (5 дней, 20°) получен V, выход 94%, т. пл. 76 — 78 и 90 — 91° (из петр. эф.-5% хлф.; диморфизм). При применении двойного кол-ва H_2O_2 образовался VI, выход 92%, т. пл. 111 — 112° (из лигр.). Из VI и $\text{C}_6\text{H}_5\text{CO}_2\text{OH}$ в CHCl_3 образовалась бензолсульфокислота, идентифицированная в виде S-бензилтиуриониевой соли. Примерно такие же результаты получены при окислении содовым р-ром KMnO_4 . Смесь 3,722 г IV в 400 мл спирта и 30 г скелетного Ni кипятили 7 час.; образовался C_6H_6 и фракция 159 — 160° , превращенная путем нитрования, восстановления и ацетилирования в VII, т. пл. 97° в VIII, т. пл. 207 — 208° .

А. Берлин

70841. Мочевина и некоторые ее производные. Часть V. Некоторые сульфенилномочевинны. Курцер, Тертиук (Urea and related compounds. Part V. Some sulphenylthioureas. Kurzer Frederick, Tertiuik W.), J. Chem. Soc., 1958, Apr., 1571—1573 (англ.)

Синтезированы $o\text{-NO}_2\text{C}_6\text{H}_4\text{SNHC}(\text{SR})=\text{NH}$ (I), где всюду $\text{R}=\text{CH}_3$ и б $\text{R}=\text{C}_6\text{H}_5\text{CH}_2$, и $o\text{-NO}_2\text{C}_6\text{H}_4\text{SNHC}(\text{SR})=\text{NSC}_6\text{H}_4\text{NO}_2$ (II) взаимодействием $\text{NH}_2\text{C}(\text{SR})=\text{NH}$ (III) с соответствующим кол-вом $o\text{-NO}_2\text{C}_6\text{H}_4\text{SCl}$ (IV). К 0,04 моля сульфата IIIa в 20 мл воды прибавляют 120 мл ацетона (V), выпавший осадок растворяют добавлением 0,02 моля 3 н. NaOH, прибавляют за 1—1,5 часа при 0 — 8° 0,035 моля IV в 50 мл V и 0,04 моля 3 н. NaOH для поддержания щел. р-ции, точно подкисляют разб. HCl, оставляют на 1 час при t -ре $\sim 20^\circ$ и отделяют осадок (A); фильтрат упаривают при t -ре $\sim 20^\circ$, полученный осадок обрабатывают V (для отделения нерастворимого ди- o -нитрофенилдисульфида (VI)), р-р упаривают, остаток растворяют в теплом C_6H_6 и получают Ia, выход 35—45%, т. пл. 108 — 110° (из бzl.-петр. эф.). Осадок A суспендируют в 100 мл воды и отделяют 0,2—0,5 г VI, т. пл. 196 — 197° (из V и бzl.). Из 0,04 моля IIIa, полученной, как указано выше, 0,09 моля IV и 0,07 моля 3 н. NaOH получают в фильтрате IIa, выход 40%, т. пл. 153 — 155° (из бzl. и ацетона), а в осадке VI, выход 30%. 0,005 моля Ia в 10 мл V обрабатывают 0,006 моля IV и 0,006 моля 1 н. NaOH 90 мин.; выход IIa 66%. 0,02 моля хлоргидрата IIIb в 15 мл горячей воды разбавляют 60 мл V и 0,01 моля 3 н. NaOH, добавляют за 1 час 0,015 моля IV и 0,015 моля 3 н. NaOH, выход Ib 52%, т. пл. 111 — 113 (из бzl. и V-бzl.). При взаимодействии 0,02 моля IIIb, 0,06 моля IV и 0,06 моля 3 н. NaOH получают IIb, выход 56%, т. пл. 146 — 148° (из V). Часть IV см. РЖХим, 1958, 32439.

Ю. Волькенштейн

70842. Синтез некоторых производных гидразидов родануксеновой кислоты. Талик, Плажек (Syn-teza pewnych pochodnych hydrazidu kwasu rodanokowego. Talik Zofia, Płazek Edwin), Roczn. chem., 1957, 31, № 3, 1069—1070 (польск., рез. нем.)

С целью получения новых противотуберкулезных средств синтезированы $\text{SCNCH}_2\text{CONHN}=\text{CHR}$ (I). Действием ClCH_2COCl на $\text{RCH}=\text{NNH}_2$ в пиридине получают $\text{RCH}=\text{NNHCOCH}_2\text{Cl}$ (II), который с KSCN

в ацетоне дает I. Получены II, R = C₆H₅, т. пл. 164°; II, R = 3-NO₂C₆H₄, т. пл. 209°; I, R = C₆H₅, т. пл. 251°; I, R = 3-NO₂C₆H₄, т. пл. 278°. Получить SCNCH₂CONH-NH₂ не удалось.

В. Скородумов
70843. Уникальные свойства 2,4-динитробензолсульфенилхлорида. Хараш (The unique properties of 2,4-dinitrobenzenesulfonyl chloride. Kharasch Norman), J. Chem. Educ., 1956, 33, № 1, 585—591 (англ.).

Обзор р-ций 2,4-динитробензолсульфенилхлорида, их применения и механизма р-ций. Библ. 45 назв. Ю. В. 70844. Изучение противораковых веществ. XVI. Некоторые эфиры сульфокислот в качестве противораковых средств. Исидатэ, Сакураи, Овари (Studies on cancerocidal substances. XVI. Some sulfonic acid esters as anti-cancer agents. Ishidate Morizo, Sakurai Yoshio, Owari Sakahiko), Pharmaz. Bull., 1957, 5, № 3, 203—207 (англ.).

В поисках противораковых средств синтезированы ряд эфиров различных сульфокислот со спиртами и гликолями, являющихся так называемыми алкилирующими антимитотиками. Количественно исследована способность полученных эфиров к S-алкилированию при р-ции с Na₂S₂O₃ по методике (Stahmann M. A., Bergmann M., J. Organ. Chem., 1946, 11, 586); приведены данные о кол-ве поглощаемого Na₂S₂O₃ в зависимости от времени. Установлено, что антимитотич. активность эфиров соответствует их активности при р-ции с Na₂S₂O₃, что наблюдается также для β-хлорэтиламина. Активность эфиров в меньшей степени зависит от рода сульфокислотного остатка и в большей — от рода спирта; так, эфиры вторичных спиртов почти неактивны. Приведены результаты физиологич. исследований (см. РЖХимВх, 1958, 7670). К 100 мл спирта, р-ра C₂H₅ONa (из 4,5 г Na) добавляют 42 г RCl (I; где здесь и далее R = n-O₂NC₆H₄SO₂) в 100 мл спирта, через 1 час выливают в воду, получают ROC₂H₅, выход 35 г, т. пл. 92° (из сл.). К смеси (CH₃)₂CHOH и 50 мл C₆H₆, содержащей 1,15 г Na добавляют по каплям 11 г I в 50 мл C₆H₆, через 2 часа отгоняют в вакууме р-ритель и получают ROCH(CH₃)₂, выход 10 г, т. пл. 53—54° (из петр. эф. с т. кип. 60—80°). Аналогично получают n-CH₃CONHC₆H₄SO₂OCH(CH₃)₂, выход 85%, т. пл. 115—116° (из бзл.). Из 9 г (CH₃CH₂OH)₂ в 16 г пиридина (II) и 38 г n-CH₃C₆H₄SO₂Cl (III) получают дитозилат (ДТ), выход 15 г, т. пл. 82—83° (из ацетона-эф.). Аналогично получают дифиры (приводятся исходные продукты, выход в % и т. пл. в °C): I и (C₂H₅OH)₂, — (следы), 182 (из CH₃COOH); III и (CH₃CH₂OH)₂, 30, 116—116,5 (из ацетона); III и (HOC₂H₄)₂O, 60, 88—89 (из ацетона); III и (CH₂OH)₂, 50, 128 (из ацетона); n-CH₃CONHC₆H₄SO₂Cl и (CH₂OH)₂, 50, 203—204 (из CH₃COOH). К р-ру 22 г I в 20 мл CH₃CN добавляют 9 г C₆H₅N(C₂H₅OH)₂ и 8 г II, выдерживают 2 часа при 0°, получают C₆H₅N(C₂H₅OR)₂, выход 14 г, т. пл. 139—140° (из бзл.). 50 мл р-ра 18 г C₆H₅N(C₂H₅OH)₂ в CH₃OH добавляют к 100 мл водн. р-ра диазотированной n-H₂C₆H₄SO₃H, через 1 час нагревают 30 мин. при 40—50°, получают n,n'-(HOC₂H₄)₂NC₆H₄N=NC₆H₄SO₃H, выход 36 г; получен ДТ в виде соли с II. При кипячении (1—2 часа) смеси 3,3 г (C₂H₅)₂NC₂H₄OH (IV) в 30 мл ацетона с 5,7 г III получают 1,1,4,4-тетраэтилпиперазинийдитозилат, т. пл. 290—291° (разл., из ацетона-сп.); соответствующий диникрат, т. пл. 163° (разл.). Смесь эквимолярных кол-в IV, III и n-CH₃C₆H₄SO₃H выдерживают ~ 12 час. при 110—120°, затем 2 часа при 220°, растворяют в воде, подщелачивают, извлекают эфиром и выделяют хлоргидрат (ХГ) (C₂H₅)₂NC₂H₄Cl. Р-р 1 моля CH₃N(C₂H₅OH)₂ (V) и 2 молей III в эфире, содержащем немного ацетона выдерживают несколько часов при t-ре ~ 20°, выпадающее масло растворяют в воде

и обрабатывают водн. р-ром шикриновой к-ты, получают 1,4-диметил-1,4-ди-(β-оксиэтил)-пиперазинийдиникрат, выход 1 г (из 6 г V), т. пл. 230—233° (из воды). К 12 г V в 20 мл CHCl₃ добавляют по каплям (при охлаждении) 20 мл CH₂ClCOCl в 20 мл CHCl₃, кипятят 2 часа, упаривают в вакууме, получают CH₃N(C₂H₅OCOCH₂Cl)₂, выход колич., т. пл. 102° (из ацетона). Аналогично получают CH₃N(C₂H₅OCOCCH₂Cl)₂; ХГ, т. пл. 108° (разл.); тригидрат ХГ, т. пл. 50—55°. Смесь 20 г ХГ CH₃N(C₂H₅Cl)₂ в 200 мл воды и 80 г KCNS нагревают 40 мин. (~ 100°), нейтрализуют до pH 7, отделяют масло, р-р извлекают эфиром, упаривают, получают CH₃N(C₂H₅SCN)₂, выход 30 г; ХГ, т. пл. 115—117° (из ацетона); никрат, т. пл. 176° (из ацетона-сп.); основание в присутствии воды димеризуется до 1,4-диметил-1,4-ди-(β-тиоцианэтил)-пиперазинийдитиоцианата, т. пл. 180° (разл.). К сухому сульфату V добавляют по каплям при 0° 4 моля ClSO₃H, выливают в ледяную воду, нейтрализуют, фильтруют, добавляют K₂CO₃, вновь фильтруют и упаривают досуха, получают CH₃N(C₂H₅OSO₃K)₂ (из разб. CH₃COOH), который превращают в моно-К-соль перекристаллизацией из разб. CH₃COOH. Сообщение XV см. РЖХим, 1958, 50313.

Т. Амбруш
70845. Об N-ацил- и N-арилсульфонилпроизводных 2-аминодигидрорезорцина. Штеттер, Хёне (Über N-Acyl- und N-Arylsulfonyl-Verbindungen des 2-Amino-dihydroresorcins. Stetter Hermann, Hoehne Klaus), Chem. Ber., 1958, 91, № 5, 1123—1128 (нем.).

Восстановлением и ацилированием 2-нитрорезорцина (I) получены моноацетат 2-ацетамидорезорцина (II), 2-бензоил- (III) и 2-n-толуолсульфониламино-резорцина (IV), которые прогидрированы соответственно в производные 2-аминодигидрорезорцина (V): N-ацетил-V (VI), N-бензоил-V (VII) и N-n-толуолсульфонил-V (VIII). При действии HNO₃ V превращен в 2-диазодигидрорезорцин (IX), VI в 5-метил-3-(1-оксо-4-карбоксибутил-1)-оксадиазол-1,2,4 (X), а VII в 5-фенил-3-(1-оксо-4-карбоксибутил-1)-оксадиазол-1,2,4 (XI). При восстановлении по Кижнеру X и XI дали адипиновую -к-ту и соответственно CH₃COOH и C₆H₅COOH. Приведена кривая УФ-спектра X. В результате гидрирования 0,15 моля I в смеси 300 мл лед. CH₃COOH и 100 мл (CH₃CO)₂O в присутствии 2 г Pd/C получен II, выход 77%, т. пл. 182,5—183,5° (из сл.-петр. эф.). При дальнейшем гидрировании 0,1 моля II в р-ре 5 г NaOH в 125 мл воды со скелетным Ni при 50° образовался VI, выход 88%, т. пл. 70—71° (из петр. эф.). К р-ру 0,2 моля I в 200 мл спирта прибавлено 20 мл 37%-ной HCl и смесь гидрирована с Pd/C; после отделения катализатора добавлено 16 г NaHCO₃ и 26 г дибензоилсульфида и смесь кипятили 3 часа; получен III, выход 81%, т. пл. 187—188° (из водн. сл.). Аналогично VI из III синтезирован VII, выход 73%, т. пл. 58—59° (из петр. эф.); одновременно образовалось немного не исследованного в-ва, т. пл. 143—145°. Из 0,3 моля I в 125 мл спирта, 125 мл воды и 30 мл 37%-ной HCl в присутствии Pd/C гидрированием получен амин, который обработкой р-ром 63 г n-толуолсульфохлорида в 250 мл эфира (36 час., 20°) превращен в IV, выход 45%, т. пл. 178—181° (из сл.). Аналогично II и III IV дал VIII, выход 58%, т. пл. 175° (разл.; из сл.-петр. эф.). К р-ру 0,9 г хлоргидрата V в 4 мл воды прибавлено 0,4 мл конц. HCl и затем, при сильном охлаждении р-р 0,3 г NaNO₂ в 3 мл воды; получено 0,4 г IX, т. пл. 47—49° (из петр. эф.). К смеси 20 мл конц. HCl и 100 мл воды прибавлено 33,8 г VI и затем р-р 15 г NaNO₂ в 40 мл воды при t-ре ≤ 5°; через 16 час. (0°) выделен X, выход 87%, т. пл. 105,5—107° (из бзл.); фенилгидразон, т. пл. 165—167° (из сл.); оксим, т. пл. 140—142° (из эф.-CH₃OH). Так-

же из VII получен XI, выход 50%, т. пл. 108—109° (из бал.).

А. Берлин

70846. Цианэтилирование аренсульфонамидов. Кретов А. Е., Ромазанович Н. П., Ж. общ. химии, 1958, 28, № 4, 1059—1062

Реакцией $\text{CH}_2=\text{CHCN}$ (I) и ArSO_2NH_2 (II) в присутствии NaOH (III) или катализатора Родионова (KP) получены $\text{ArSO}_2\text{N}(\text{CH}_2\text{CH}_2\text{CN})_2$ (IV). В присутствии KP в р-ре пиридина сульфидин дает $4\text{-NH}_2\text{C}_6\text{H}_4\text{SO}_2\text{N}(\text{C}_6\text{H}_4\text{N})\text{CH}_2\text{CH}_2\text{CN}$, выход 73%, т. пл. 165°, а $\text{CH}_3\text{CONHC}_6\text{H}_4\text{SO}_2\text{NHCH}_3$ образует $\text{CH}_3\text{CONHC}_6\text{H}_4\text{SO}_2\text{N}(\text{CH}_3)\text{CH}_2\text{CH}_2\text{CN}$, выход 75%, т. пл. 131—132°. $\text{CH}_3\text{CONHC}_6\text{H}_4\text{SO}_2\text{N}(\text{CH}_3)_2$ не цианэтилируется. Приводятся соображения о возможном механизме р-ции I с II. 5,2 г II, $\text{Ar} = \text{C}_6\text{H}_5$, в 20 мл диоксана нагревают при $t \sim 100^\circ$ с 0,5 г III при постепенном прибавлении 5 мл I, нагревание продолжают 1,5—2 часа, оставляют на 24 часа, разбавляют водой, получают 66,2% IV, $\text{Ar} = \text{C}_6\text{H}_5$, т. пл. 92°. Аналогично получают IV (приводятся Ar , катализатор, выход в %, т. пл. в $^\circ\text{C}$): $4\text{-CH}_3\text{C}_6\text{H}_4$ (IVa), III, 77,3, 104—105 [получается также $4\text{-CH}_3\text{C}_6\text{H}_4\text{SO}_2\text{NHCH}_2\text{CH}_2\text{CN}$ (V), выход 15,7%, т. пл. 55—56°]; $4\text{-ClC}_6\text{H}_4$, III, 70, 133; $4\text{-NH}_2\text{C}_6\text{H}_4$, III, 57,7 (в присутствии KP 66,9), 145; $4\text{-NO}_2\text{C}_6\text{H}_4$, III, 67,8, 150; $3\text{-NO}_2\text{-4-ClC}_6\text{H}_3$, III, 64,3, 160—162; α -нафтил, III, 65,1, 152; β -нафтил, III, 58,4, 210. При нагревании $4\text{-CH}_3\text{C}_6\text{H}_4\text{SO}_2\text{NH}_2$ и IVa в абс. спирте в присутствии III происходит диспропорционирование с образованием V. В. Скородумов

70847. 5-метил-3,4-бензофлуорен. Кин, Скофилд (5-Methyl-3:4-benzofluorene. Keene B. R. T., Schofield K.), J. Chem. Soc., 1958, March, 1080—1084 (англ.)

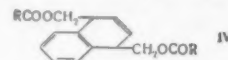
Синтезированы 6,7,8,13-тетрагидро- (I) и 5-метил-6,7,8,13-тетрагидро- (II)-3,4-бензофлуореноны-6, восстановление по Меервейну в 3,4-бензофлуорен, т. пл. 125—126° (из сл.), и 5-метил-3,4-бензофлуорен (III). Для получения I β -(нафтил-2)-пропионовая к-та циклизована HBr в 4,5-бензинданон-3 (IV), т. пл. 102—104°, превращенный кипячением с хлоргидратом морфолина (V) и CH_2O в спирте в 2-морфолинометил-4,5-бензинданон-3, т. пл. 127—128° (из сл.), йодметилат (IM) которого, т. пл. 137—140°, конденсирован с натрацетоксусным эфиром в кипящем спирте (2 часа) в этиловый эфир 6,7,8,13-тетрагидро-6-кето-3,4-бензофлуоренкарбонной-7 к-ты, т. пл. 171—173° (из этилацетата), декарбэтоксильрованный кипячением 6—7 час. со смесью 2 н. HCl и CH_3COOH (1:1,5) в I, т. пл. 117—118° (из этилацетата); 2,4-динитрофенилгидразон, т. пл. 250—260° (разл.; из бэл.). Иначе I получен взаимодействием IM 4-пиперидинобутанона-2 с 2-формил-4,5-бензинданон-3 (VI) в метанольном р-ре CH_3ONa (36 час., 20°) и циклизацией образующегося 2-(3-кетобутил)-4,5-бензинданона-3, т. пл. 64—65° (из водн. CH_3OH), кипящей смесью CH_3COOH , конц. HCl и воды (25:15:7) в атмосфере N_2 . Аналогично из IM 1-диэтиламинопентанона-3 и VI синтезирован 2-(3-кетопентил)-4,5-бензинданон-3, т. пл. 54—55° (из водн. CH_3OH), циклизированный в II, т. пл. 147—148° (из CH_3OH). С целью применения описанного метода в синтезе нафтофлуоренов β -(фенантрин-3)-пропионовая к-та, т. пл. 155—156°, полученная гидрированием β -(фенантрин-3)-акриловой к-ты в диоксане над Pd/SrCO_3 , превращена нагреванием с полифосфорной к-той при 95—100° в 3'-кето-3,4-циклопентенофенантрин, т. пл. 139—141° (из водн. CH_3COOH); оксим, т. пл. 222—223° (разл.; из ацетона-сл.), который при р-ции с CH_2O и V дает немного неидентифицированного в-ва, т. пл. 164—165° (из сл.). 0,2 г II и 1 г изо-пропила т. пл. в 15 мл изо- $\text{C}_3\text{H}_7\text{OH}$ кипятят, удаляя образующийся ацетон, отгоняют р-ритель, остаток разлагают разб. HCl , продукт извлекают C_6H_6 , нагре-

вают в атмосфере N_2 с Pd/C (15 мин., 240°) и получают III, выход 0,05 г, т. пл. 85—86° (из сл.); пикрат, т. пл. 130—131° (из сл.). В смесь 7,4 г HCOOC_2H_5 , 80 мл C_6H_6 и CH_3ONa (из 2,4 г Na) вносят 9,1 г IV в 80 мл C_6H_6 , встряхивают 1 час при 20°, кипятят 1 час, смешивают с водой, подкисляют и извлекают разб. р-ром KOH VI, выход 7,58 г, т. пл. 170—172° (разл.; из этилацетата).

Л. Щукина

70848. Некоторые производные дигидронафталина и установление их строения. Цзян Си-куй (Jiang Hsi-kwei), Хуасюэ сюэбао, Acta chim. sinica, 1957, 23, № 5, 351—360 (кит.; рез. англ.)

Синтезировав ряд производных 1,4-(I) и 1,2-дигидронафталина (II); строение 1,4-дигидронафталиндикарбонной-1,4 к-ты (III) (т. пл. 210—225°) и родственных соединений подтверждается хим. превращениями и спектральными данными. Прежние представления о структуре III (Walker J. F., Scott N. D., J. Amer. Chem. Soc., 1936, 58, 2442; 1938, 60, 951) являются неверными. Пиролиз (IV) приводит к небольшим кол-вам бенз-*n*-хинодиметана. Последовательным действием PCl_5 и CH_3OH или нагреванием с CH_3OH и к-той III превращают в диметилловый эфир III (V), выход $\sim 80\%$, т. пл. 83,5—84°. Нагреванием при 200° или нагреванием при 50° со щелочами III изомеризуется в 1,2-дигидронафталиндикарбонную-1,4 к-ту



(VI), т. пл. 230—230,5°, которую аналогично III превращают в диметилловый эфир VI (VII), выход 95 и 93%, соответственно, т. кип. 133—134°/0,09 мм, n_D^{20} 1,5570; тот же VII получают действием CH_3ONa на V (выход 90%). Гидрированием V синтезируют метилловый эфир 1,2,3,4-тетрагидронафталиндикарбонной-1,4 к-ты, выход 99%, т. пл. 35,5—37°. V восстановлением LiAlH_4 превращают в 1,4-ди-(оксиметил)-I (VIII), выход 90%, т. пл. 61—62°. Аналогично превращению V в VII из VIII получают 1,4-ди-(оксиметил)-II, переведенный в 1,4-ди-(стеарилоксиметил)-II, т. пл. 31—33°. Из VIII также получают IV (приводятся R, т. кип. в $^\circ\text{C}/\text{мм}$ или т. пл. в $^\circ\text{C}$): CH_3 , 156—157, 8/0,08 (n_D^{25} 1,5298); C_6H_5 , 84,5—86,5; $\text{C}_{17}\text{H}_{35}$, 55—56; $\text{C}_6\text{H}_5\text{NH}$, 153—155.

В. Скородумов

70849. 1-Фенилнафталины. Часть IV. Циклизация метилового полуэфира *цис*- и *транс*- γ -*n*-метоксибензил- γ -фенилгидроксикислоты в соответствующие 1-фенилнафталины. Баддар, аль-Ассал, Багос (1-Phenylnaphthalenes. Part IV. The cyclisation of methyl hydrogen *cis*- and *trans*- γ -*o*-methoxyphenyl- and ethyl hydrogen *cis*- and *trans*- γ -*p*-methoxyphenyl-phenylitaconate to the corresponding 1-phenylnaphthalenes. Baddar F. G., El-Assal Lanson S., Baghos Victorine B.), J. Chem. Soc., 1958, March, 896—994 (англ.)

β -Метилловые полуэфиры *цис*-(I) и *транс*-(II)- γ -*o*-метоксибензил- γ -фенилгидроксикислоты (III и IV к-ты) действием $(\text{CH}_3\text{CO})_2\text{O}$ превращены соответственно в метилловые эфиры (MЭ) 8-метокси-1-фенил-(V) и 1-*o*-метоксибензил-(VI)-4-ацетокси-2-нафтольных к-т (VII 2-нафтольная к-та). β -Этиловые полуэфиры *n*-метокси-изомеров III (VIII) и IV (IX) (соответственно к-ты X и XI) при аналогичной обработке дают этиловые эфиры 4-ацетокси-6-метокси-1-фенил-VII (XII) и 4-ацетокси-1-*n*-метоксибензил-VIII (XIII). Из V, VI, XII и XIII после щел. гидролиза, метилирования и последующей циклизации соответствующих к-т получают диметоксизамещенные 3,4-бензофлуореноны (XIV 3,4-бензофлуоренон). Для установления конфигурации III и IV их ангидриды (IIIa и IVa) подвергнуты действию AlCl_3 . При этом из IIIa образовалась 3-*o*-мето-

получают
т, т. пл.
мл C_6H_6
мл C_6H_6
мл C_6H_6
KOH VI,
цетата).
Шукина
алина и
(Jiang
ica, 1957,

2-дигид-
галинди-
родствен-
нащения-
дствале-
J. Amer.
ются не-
большим
действ.
 CH_3OH и
III (V),
при 200°
изомери-
1,4 к-ту

III пре-
ход 95 и
мм, n_D^{20}
Na на V
от мети-
карбон-
останов-
метил)-I
превра-
метил)-II,
I, т. пл.
дятся R,
57, 8/0,08
 C_6H_5NH ,
продуктов
клизация
метокси-
евающие
ал, Ba-
cyclisation
xuphenyl-
phenyl-
enylphar-
nson S,
ос., 1958,

c-(II)-γ-о-
IV к-ты)
твенно в
(V) и 1-о-
к-т (VII
-метокси-
нно к-ты
этиловые
(XII) и
, VI, XII
и после-
получают
и (XIV
игурация
уты дей-
3-о-мето-

кисфенилзамещенная (XV) 1-оксо-2-инденилуксусная к-та (XVI), из IVa получена 4-фенил-3-кумаринилуксусная к-та (XVII). Смесь ангидридов X и XI (Xa и XIa) при действии $AlCl_3$ дала 3-*n*-метоксифенил-XVI (XVIa) и 6-метокси-3-фенил-XVI (XVIb), строение которых доказано их превращением в диметоксизамещенные XIV. К р-ру трет- C_4H_9OK (из 2,2 г К и 50 мл трет- C_4H_9OH) прибавляют за 20 мин. 11 г $(CH_3OCOCH_2)_2$ и 5,7 г 2- $CH_3OC_6H_4COC_6H_5$ в 10 мл трет- C_4H_9OH , нагревают 55 мин., обрабатывают как обычно (см. РЖХим, 1957, 873), и из полученной смеси I и II (6,8 г) выделяют 1,2 г II, т. пл. 119–120° (из бэл.-петр. эф.). 6,5 г неочищ. смеси I и II циклизуют действием 30 мл $(CH_3CO)_2O$ и 1,8 г CH_3COOH , как описано ранее (см. ссылку выше), отгоняют р-ритель и остающееся масло извлекают петр. эфиром. Растворимая фракция (A) (1 г) оказалась смесью V и VI, нерастворимая фракция (B) состоит преимущественно из VI. 3,7 г фракции B гидролизуют спирт. КОН и получают 4-окси-1-*o*-метоксифенил-VII, т. пл. 243–244° (из CH_3COOH). 3 г последней метилируют 5 г $(CH_3)_2SO_4$ в 20 мл ацетона в присутствии 5,2 г K_2CO_3 ; 3,2 г образовавшегося МЭ 4-метокси-1-*o*-метоксифенил-VII (XVIII к-та), т. пл. 119,5–120,5° (из бэл.-петр. эф.) гидролизуют спирт. КОН и получают XVIII, т. пл. 233–234° (из лед. CH_3COOH). Для доказательства строения 0,4 г XVIII нагревают с 0,5 г Си-бронзы в 4 мл хинолина при т-ре бани 205–210° и получают 4-метокси-1-*o*-метоксифенилнафталин (XIX), т. пл. 89–90° (из петр. эф.). К р-ру 0,4 г XVIII в 20 мл $Cl_2CHCHCl_2$ прибавляют по каплям 0,25 мл $POCl_3$, нагревают 3 часа при 140–150°; выход 2,5-диметокси-XIV (XX) 0,3 г (неочищ.), т. пл. 167–168° (из бэл.-петр. эф.). Циклизацией XVIII (P_2O_5 в C_6H_6) получен XX и ангидрид XVIII, т. пл. 220–221° (из бэл.). Фракцию A (см. выше) гидролизуют спирт. КОН и получают ~ 0,2 г 4-окси-1-*o*-метоксифенил-VII, т. пл. 243–244° (из бэл.); выделенную из бензольного маточного р-ра полутвердую массу метилируют $(CH_3)_2SO_4$, перегоняют, собирают фракцию 250–260°/2 мм и получают ~ 0,3 г МЭ 4,8-диметокси-1-фенил-VII, т. пл. 127–128° (из CH_3OH), который после гидролиза спирт. КОН дал 4,8-диметокси-1-фенил-VII (XXI), т. пл. 180–181° (из бэл.-петр. эф.). 6,8 г неочищ. смеси I и II гидролизуют спирт. КОН. Образовавшуюся смесь к-т растирают с эфиром и получают ~ 2,5 г IV, т. пл. 201–202° (из CH_3COOH). Из эфирного р-ра выделяют 1,8 г I, т. пл. 154–155° (из бэл.). IV получают также гидролизом чистого II. 3 г IV кипячением с 30 мл CH_3COCl (1 час) превращают в IVa, выход ~ 3 г, т. пл. 155–156° (из бэл.-петр. эф.), 2 г III аналогично дают ~ 1,8 г IIIa, т. пл. 157–158°. 1 г IVa кипятят 3 часа с 20 мл абс. CH_3OH и получают изомерный II α-метильный полуэфир IV, т. пл. 140–141° (из бэл.-петр. эф.). Аналогично при кипячении с абс. спиртом IVa дает α-этиловый полуэфир IV (XXII), т. пл. 132–133° (из бэл.-петр. эф.). При нагревании 0,4 г IVa с 4 мл $SnCl_4$ в 15 мл $Cl_2CHCHCl_2$ (130–140°, 3 часа), как и при действии $AlCl_3$ в $C_6H_5NO_2$, образуется XVII (0,35 г), т. пл. 189–190° (из бэл.). XVII получают также из XXII кипячением его с $(CH_3CO)_2O$, лед. CH_3COOH и $ZnCl_2$, с последующим щел. гидролизом продукта р-ции и, кроме того, циклизацией IV смесью конц. H_2SO_4 и лед. CH_3COOH . Строение XVII подтверждено, в частности тем, что при кипячении с водн. р-ром NaOH и последующей обработке $(CH_3)_2SO_4$ она превращается в IV. 2 г XV [т. пл. 189–190° (из бэл.); 2,4-динитрофенилгидразон (ДНФГ), т. пл. 264–265° (из CH_3COOH)] кипятят 5 час. с 20 мл $(CH_3CO)_2O$ и 0,8 г CH_3COONa и получают 2-ацетокси-4'-метокси-XIV, т. пл. 180–181° (из CH_3COOH). Последней гидролизуют кипячением с 1 н. NaOH (2 часа)

в 2-окси-4'-метокси-XIV, т. пл. 261–263° (из CH_3COOH), и действием $(CH_3)_2SO_4$ превращают в 2,4'-диметокси-XIV, т. пл. 148–149° (из бэл.-петр. эф.). То же соединение образуется при кипячении XXI с P_2O_5 в C_6H_6 . 5,7 г 4- $CH_3OC_6H_4COC_6H_5$, 6,5 г $(C_2H_5OCOCH_2)_2$ и р-р трет- C_4H_9OK (из 1,1 г К и 25 мл трет- C_4H_9OH) кипятят 20 мин. в токе N_2 , прибавляют еще 25 мл р-ра трет- C_4H_9OK , нагревают 20 мин. и получают некристаллизующую смесь VIII и IX, выход 90%. 8,5 г этой смеси кипятят 5 час. с 60 мл $(CH_3CO)_2O$ и 2 г CH_3COONa , выделяют маслянистое в-во, растирают со спиртом и получают 3 г XII, т. пл. 125–126° (из сп.). Из спирт. фильтрата выделяют ~ 1,8 г XIII, т. пл. 87–88° (из бэл.-петр. эф.). Действием спирт. КОН XII превращают в 4-окси-1-*n*-метоксифенил-VII, выход колич., т. пл. 218,5–219,5° (из CH_3COOH), метилируют $(CH_3)_2SO_4$ и полученный МЭ 4-метокси-1-*n*-метоксифенил-VII (XXIII к-та), т. пл. 121–122° (из бэл.-петр. эф.), гидролизуют спирт. КОН, получают XXIII, т. пл. 204–205° (из CH_3COOH). Для доказательства строения 0,4 г XXIII декарбоксилируют, как указано для XVIII, и получают 0,35 г 4-метокси-1-*n*-метоксифенилнафталина (XXIV), т. пл. 104–105° (из бэл.-петр. эф.). Гидролиз 3,7 г XII спирт. КОН приводит к 4-окси-6-метокси-1-фенил-VII (XXV), выход ~ 3 г, т. пл. 214–215° (из водн. CH_3COOH); МЭ, т. пл. 216–217° (из бэл.). 3 г XXV метилируют $(CH_3)_2SO_4$ и получают 3,2 г МЭ 4,6-диметокси-1-фенил-VII (XXVI к-та), т. пл. 135,5–136,5° (из бэл.-петр. эф.), который гидролизом превращают в XXVI, выход ~ 3 г, т. пл. 233–234° (из CH_3COOH). 0,4 г XXVI декарбоксилируют, как указано для XVIII; выход 4,6-диметокси-1-фенилнафталина 0,35 г, т. пл. 101–102° (из петр. эф.). После гидролиза 8,5 г неочищ. смеси VIII и IX спирт. КОН выделено 0,8 г X или XI (конфигурация к-ты не установлена из-за недостатка в-ва), т. пл. 183–184° (из эф.). Из эфирного маточного р-ра выделено 7,5 г не поддающейся разделению смеси X и XI, т. пл. 145–149°, которая кипячением с 50 мл CH_3COCl превращена в смесь Xa и XIa. Из 7,4 г смеси Xa и XIa после обработки 4 г $AlCl_3$ в 60 мл $C_6H_5NO_2$ получают ~ 3 г XVIa, т. пл. 152–153° (из бэл.); ДНФГ, т. пл. 250–251° (из CH_3COOH); из бензольного маточного р-ра от XVIa выделяют ~ 0,5 г XVIb, т. пл. 175,5–176,5° (из бэл.); ДНФГ, т. пл. 263–264° (из диоксана). 3 г XVIa циклизуют действием смеси 20 мл $(CH_3CO)_2O$ и 1 г CH_3COONa и получают 3,1 г 2-ацетокси-2'-метокси-XIV (XXVII), т. пл. 212–213° (из CH_3COOH), который щел. гидролизом превращают в 2-окси-2'-метокси-XIV, т. пл. 351–352° (из CH_3COOH), и затем действием $(CH_3)_2SO_4$ превращают в 2,2'-диметокси-XIV, т. пл. 175–176° (из бэл.). Последний образуется также при циклизации XXVI действием P_2O_5 в C_6H_6 . Аналогично XXVII из 0,6 г XVIb получают 0,5 г 2-ацетокси-7-метокси-XIV, т. пл. 207–208° (из CH_3COOH), который гидролизуют в 2-окси-7-метокси-XIV, т. пл. > 350° (из CH_3COOH) и затем метилируют; выход 2,7-диметокси-XIV 0,5 г, т. пл. 184–185° (из бэл.). Это же соединение получается при циклизации XXIII действием P_2O_5 в C_6H_6 . 5,3 г 4- $CH_3C_6H_4COC_6H_4CH_3$ конденсируют с 11 г $(CH_3OCOCH_2)_2$ в присутствии трет- C_4H_9OK и полученный β-метильный полуэфир (XXVIII, XXIX к-та) гидролизуют спирт. КОН, выход XXIX 90%, т. пл. 169,5–170,5° (из водн. сп.); ангидрид XXIX, т. пл. 118,5–119,5° (из бэл.-петр. эф.). 4,9 г 2- $CH_3C_6H_4COC_6H_5$ конденсируют с 13 г $(C_2H_5OCOCH_2)_2$; выход маслянистого β-этилового полуэфира (XXX) 10%. Из XXX выделено ~ 0,3 г *цис*- или *транс*-изомера, т. пл. 115–116° (из бэл.-петр. эф.). К 5,3 г 1-метоксинафталина (XXXI) в 35 мл CH_3COOH приливают за 3 часа при т-ре ≤ 10° смесь 2,2 мл HNO_3 (d 1,42) и 10 мл 98%-ной CH_3COOH , оставляют на 12 час. при ~ 20° и выделяют ~ 4,3 г

4-нитро-XXXI, т. пл. 84—85° (из сп.). К эфирному р-ру 5 г последнего прибавляют 2,5 г влажной амальгамы Al и получают 1-метокси-4-нафтиламин в виде хлоргидрата (XI) (~4,6 г). 3,1 г этого XI превращают в 1-йод-4-метоксинифталин (XXXII), как описано ранее (см. Cohen и др., J. Chem. Soc., 1934, 653) или же 3,2 г XXXI обрабатывают 5 г J₂ в 30 мл CCl₄ в присутствии 2,2 г HgO и 2 мл (CH₃CO)₂O; т-ра кипения



I R = o-CH₃OC₆H₄, R' = C₆H₅, R'' = CH₃; II R = C₆H₅, R' = o-CH₃OC₆H₄, R'' = CH₃; VIII R = n-CH₃OC₆H₄, R' = C₆H₅, R'' = C₆H₅; IX R = C₆H₅, R' = n-CH₃OC₆H₄, R'' = C₆H₅; XXVIII R = R' = n-CH₃OC₆H₄, R'' = CH₃; XXX R = C₆H₅, R' = o-CH₃OC₆H₄, R'' = C₆H₅.

XXXII 180—200°/2 мм, т. пл. 54—55° (из петр. эф.), в-во неустойчиво при ~20°. Смесь 5,6 г XXXII, 5,8 г 3-J-4-CH₃OC₆H₄COOCH₃ и 7,8 г Cu-бронзы нагревают 5 час. при 265—270°, выделенный маслянистый продукт р-ции гидролизуют спирт. NaOH, отделяют ~1,2 г 4,4'-диметоксидифенила, т. пл. 260—261° (из бзл.), подкисляют, полученные к-ты метилируют (CH₃)₂SO₄ и извлекают кипящим CH₃OH. Растворимую фракцию гидролизуют спирт. щелочью, продукт р-ции кипятят с лед. CH₃COOH и получают 2,2'-диметоксидифенилдикарбоновую-5,5' к-ту, т. пл. >350° (МЭ, т. пл. 169—170°) и из уксуснокислого маточного р-ра выделяют ~0,5 г 4-метокси-1-(2'-метокси-5'-карбоксифенил)-нафталина (XXXIII), т. пл. 276—277° (из CH₃OH). 5,6 г XXXII при конденсации с 5 г 5-Br-2-CH₃OC₆H₃COOCH₃ в присутствии 7,5 г Cu-бронзы дают 4,4'-диметоксидифенилдикарбоновую-3,3'-к-ту, т. пл. 236—238°, и 4-метокси-1-(3'-карбокси-4'-метоксифенил)-нафталин (XXXIV). Последний для очистки действием CH₂N₂ превращают в МЭ, перегоняют и фракцию 250—260°/4 мм (~1 г) гидролизуют спирт. NaOH; выход XXXIV 0,5 г, т. пл. 173—174° (из CH₃OH). Декарбоксилирование XXXIII и XXXIV приводит соответственно к XIX и XXIV. Ч. III см. РЖХим, 1957, 874. Г. Браз

70850. Сульфирование ароматических соединений. II. Сульфирование β-нафтиламина. Иида, Окава (Iida Hirotsada, Ohkawa Masaaki), Tokō kōgō sikkenshō hoōoku, Repts Govet Chem. Industr. Res. Inst., Tokyo, 1958, 51, № 8, 305—312 (японск.; реэ. англ.)

Изучено моно- и дисульфирование β-нафтиламина в различных условиях. Состав продукта р-ции определялся по ИК-спектрам. При использовании 100%-ной H₂SO₄ и т-ре р-ции от 30 до 85° с общим выходом 88—98% образуется смесь 2-нафтиламиносульфоновой-5 (I) и 2-нафтиламиносульфоновой-8 (II) к-т, состава примерно 40% I и 60% II, соотношение I:II не зависит от времени р-ции (60—480 мин.), выход II слегка (на 4%) увеличивается при изменении т-ры сульфирования от 30 до 80°. При проведении р-ции при 100°, помимо I и II, побочно образуются (общее содержание в смеси 2—7%) 2-нафтиламиносульфоновая-6 (III) и 2-нафтиламиносульфоновая-7 (IV) к-ты, выход III + IV возрастает с увеличением т-ры и времени нагревания (при 160° за 30 мин. получено 22,4% III + IV; за 345 мин. 70,8% III + IV, в последнем случае II не образуется вовсе, а выход I составляет 29,2%). III и IV образуются за счет изомеризации I и II, что подтверждено нагреванием чистых образцов I или II в присутствии 100%-ной H₂SO₄ при 120° (за 900 мин. II превратилась на 43,1% в смесь III + IV и на 30,2% в I). Опыты по взаимному превращению I и II показали, что I более устойчива к изомеризации, чем II. В присутствии конц. HCl изомеризация I

и II не наблюдается. Дисульфирование β-нафтиламина посредством 20—50%-ного олеума независимо от условий (т-ра от 20 до 120°, время р-ции от 100 до 900 мин.) приводит с выходом 78—87% смеси 2-нафтиламинодисульфоновой-5,7 (V) и 2-нафтиламинодисульфоновой-6,8 (VI) к-т, состава примерно 40% V и 60% VI. Отношение V:VI определяется стадией моносульфирования: сульфирование чистой II дало с выходом 90% лишь VI, а сульфирование чистых I и IV дало V, выход 57 и 70% соответственно. Предыдущее сообщение см. РЖХим, 1957, 52330.

Л. Яновская

70851. О строении о,о'-окислированных шиффовых оснований (азометиновая-оксазиновая таутомерия). Дикмен, Тюзюн (Über die Konstitution der o,o'-hydroxylierten Schiffchen Basen (Azomethin-Oxazintautomerie). Dikmen Cemil, Tüzün Celâl), Chem. Ber., 1958, 91, № 3, 605—609 (нем.)

Для о,о'-диокислированных шиффовых оснований принята как азометиновая, так и нафтоксазиновая структура. Показано, что представитель этого класса салицилальдегид-[2-оксинафтил-(1)-метилимид] (I) при метилировании (CH₃)₂SO₄ образует диметоксипроизводное, а с CH₂N₂ дает монометоксисоединение. Допускают, что в последнем случае протон одной из фенольной OH-группы образует водородную мостиковую связь с атомом N азометиновой группы и поэтому не вступает в р-цию с CH₂N₂. Продукты метилирования I (CH₃)₂SO₄ и CH₂N₂ были исключительно производными азометиновой структуры. 2,8 г I растворяют в 30 мл 2 н. NaOH при 40°, прибавляют 2,5 г (CH₃)₂SO₄ 5 мин., затем еще 2 раза по 2,5 г (CH₃)₂SO₄ и под конец 10 мл 2 н. NaOH, нагревают (~100°, 15 мин.) и получают о-метоксисалицилальдегид-[2-метоксинафтил-(1)-метилимид] (II), выход 32%, т. пл. 89° (из сп.). В р-р 2,2 г хлоргидрата 2-метоксинафтил-(1)-метиламина (III) и 1,3 г 2-метоксисалицилальдегида в 50 мл спирта прибавляют при 40—45° 10 мл теплого спирт. 1 н. NaOH и из фильтрата получают II, выход 83%. Р-р 2,8 г I в 50 мл диоксана смешивают с 50 мл 3%-ного эфирного р-ра CH₂N₂, нагревают (35—40°, 5 час.), отгоняют эфир и диоксан в вакууме, получают салицилальдегид-[2-метоксинафтил-(1)-метилимид] (IV), выход 85%, т. пл. 95° (из сп.). 1 г IV в 40 мл спирта смешивают с 1 мл конц. HCl и 1 мл воды, кипятят 40 мин., отгоняют спирт, смешивают с подой, экстрагируют эфиром салициловый альдегид (V) и после упаривания водн. р-ра получают III, т. пл. 235° (разл.; из CH₃OH-аcetона). Из V, III в спирте и 2 н. NaOH получают также IV, выход 69%. В р-р 2,8 г I в 30 мл абс. аcetона пропускают 5 час. кетен (40—50 пузырьков в 1 мин.), отгоняют ацетон, выделяют о-ацетоксисалицилальдегид-[2-ацетоксинафтил-(1)-метилимид], выход 55%, т. пл. 184—185° (из сп.-воды (1:2)).

Ю. Розанова

70852. Арилирование по Мейервейну антрацена, 9-фенилантрацена и 9-антройной кислоты. Диккерман, Леви, Шварц (Meerwein arylation of anthracene, 9-phenylanthracene and 9-anthraic acid. Dickerman S. C., Levy L. B., Schwartz A. W.), Chemistry and Industry, 1958, № 12, 360 (англ.)

Найдено, что антрацен (I), 9-фенил-I (II) и 9-антройная к-та (III) при действии RC₆H₄N₂Cl (IV), где R = n-NO₂, n-Cl, n-CH₃O и H, арилируются соответственно в 9-моно- и 9,10-диарил-I, в 10-арил-II (V) и в 10-арил-III (VI) (ср. РЖХим, 1953, 336; 1955, 21211). Приведены арил в продуктах арилирования I и выход в %: 9-C₆H₅, —; 9,10-(C₆H₅)₂, —; 9-n-ClC₆H₄, 7; 9-n-CH₃OC₆H₄, (т. пл. 168—170°), 10; 9,10-(n-CH₃O)₂C₆H₃, 9; 9,10-(n-ClC₆H₄)₂, 37; 9-n-NO₂C₆H₄ (VII) (т. пл. 234—235°), 16; 9,10-(n-NO₂C₆H₄)₂, >10; 9-n-ClC₆H₄-10-n-

$\text{NO}_2\text{C}_6\text{H}_4$ (VII) [(т. пл. 360° (разл.)), 26. Строение первых пяти соединений доказано по т-ре плавления смешанной пробы и сравнением УФ-спектров с образцами, полученными встречным синтезом. Строение последних двух соединений установлено ранее (см. ссылки выше). Приведены арил в IV и выход в %: C_6H_5 , 18; $n\text{-NO}_2\text{C}_6\text{H}_4$ (т. пл. $295\text{--}296^\circ$; получен с 3 экв II), 54; приведены арил в V и выход в %: $n\text{-ClC}_6\text{H}_4$ [т. пл. 302° (разл.)], 8; $n\text{-NO}_2\text{C}_6\text{H}_4$ (Va) [т. пл. 303° (разл.)], 29. Декарбоксилированием Va получен VI. Предположение, что р-ция идет с образованием промежуточного соединения типа трифенилметильного радикала, согласуется с выходами полученных соединений. Водн. р-р 0,05 моля II добавляют к ацетонному р-ру 0,01 I (или II, или III) и 0,015 моля CuCl_2 (общий объем р-ра должен быть ~ 500 мл 80%-ного водн. ацетона). В случае I р-р обрабатывают добавочно 0,05 моля II. 9,10-диарил-I обычно кристаллизуются из смеси после 1-го или 2-го добавления II; 9-арил-I и 9,10-дифенил-I выделяют хроматографированием. VII синтезирован в две стадии действием на I солей IV, R = $n\text{-NO}_2$ и $n\text{-Cl}$.

Г. Крюкова

70853. Избирательное восстановление кальцийгексаминном. Часть I. Ароматические углеводороды.

Бур, Дёйнкер (Selective reduction by calcium hexamine. Part I. Aromatic hydrocarbons. Boer H., Duinker P. M.), Recueil trav. chim., 1958, 77, № 4, 346—359 (англ.)

При восстановлении $\text{Ca}(\text{NH}_3)_6$ (I) полициклич. ароматич. соединения (ПС) превращаются в в-ва, содержащие одно бензольное ядро, а алкилбензолы (АБ) — в замещ. циклогексаны (ЦГД) и циклогексены (ЦГ). Схема р-ции: $\text{Ca}(\text{NH}_3)_6 + >\text{C}=\text{C}< \rightarrow \text{Ca}(\text{NH}_2)_2 + 4\text{NH}_3 + >\text{CHCH}<$. Восстановительное действие I объясняется его частичной ионизацией; один или более электронов присоединяется к двойной связи, после чего происходит присоединение протонов. Последние являются продуктами р-ции между Ca^{2+} и NH_3 . Восстановление посредством I протекает, вероятно, лишь при наличии системы сопряженных двойных связей; превращение 1,4-дигидронафталина (II) в тетралин (III) объясняется предварительной изомеризацией II в 1,2-дигидронафталин под влиянием сильнощелочной среды. Показано, что промежуточными продуктами восстановления фенантрена (IV) являются 9,10-дигидрофенантрен (V) и 1,2,3,4-тетрагидрофенантрен (VI); V при действии I колич. превращается в асимм-октагидрофенантрен (VIIa), а VI дает 12% VIIa и 88% симм-октагидрофенантрена (VIIb). $\text{Ba}(\text{NH}_3)_6$ и $\text{Sr}(\text{NH}_3)_6$ по своему восстановительному действию аналогичны I; амальгамированный Mg в жидком NH_3 (VIII) при т-ре $\sim 20^\circ$ количественно восстанавливает антрацен (IX) в 9,10-дигидроантрацен (X); неамальгамированный Mg не реагирует с IV и NH_3 ; Na + NH_3 не действуют на C_6H_6 при т-ре $\sim 20^\circ$. К р-ру ароматич. соединения (AC), содержащему $\sim 0,03$ моля AC в 100 мл эфира, приливают при перемешивании р-р Ca в VIII, перемешивают 1 час, через 23 часа фильтруют, отгоняют эфир и определяют продукты при помощи хроматографии, УФ-спектроскопии, измерения показателя преломления, гидрирования или озонирования (в случае олефиновых двойных связей). Перечисляются АБ, кол-во непрореагировавшего АБ и выходы ЦГД и ЦГ в вес. %: C_6H_6 , —, —, 100; толуол, 10, 32, 58; этилбензол, 19, 21, 60; о-ксилол, 68, 17, 15; м-ксилол, 30, 35, 35; п-ксилол, 42, 40, 18; 1,2,4-триметилбензол, 86, 14 (ЦГД + ЦГ); 1,3,5-триметилбензол, 72, 28 (ЦГД + ЦГ); 1,2,4,5-тетраметилбензол, 94, 6 (ЦГД + ЦГ); гексаметилбензол, 100, —. Следующие ПС при восстановлении полностью вступают в р-цию [перечисляются ПС, кол-ва моноароматич. соединений (МА) и неароматич. циклоалке-

нов (ЦА) в вес. %]: дифенил (XI), 55, 45; дифенилметан (XII), 56, 44; нафталин (XIII), 40, 60; IX, —, 100; IV, 42, 58; 1-метил-7-изопропилфенантрен, 85, 15; трифенилен, 63 (почти чистый 1,2,3,4,5,6,7,8,9,10,11,12-додекагидротрифенилен, т. пл. $208\text{--}215^\circ$), 37. В суспензию Ca в эфире пропускают при т-ре $\sim 0^\circ$ NH_3 (газ); за 1 час 20 г Ca превращаются в I. К полученной суспензии I постепенно прибавляют AC; кол-во Ca берется из расчета превращения ПС в МА + 50% избытка. Перечисляются ПС, кол-во непрореагировавшего ПС и выходы МА и ЦА в вес. %: XI, 0,4, 99 (21% фенилциклогексена + 79% фенилциклогексана), —; XII, 84, 16 (фенилциклогексанилметан), —; 1,2-дифенилэтан 95, 5 (1-фенил-2-циклогексенилэтан), —; XIII, —, 94 (тетралин), 6 (в основном $\text{C}_{10}\text{H}_{16}$); аценафтен, следы, 100 (тетрагидроаценафтен), —, 2,3,6-триметилнафталин, 1, 99 (8% триметилтетралина + 92% 1,4-дигидротриметилнафталина), —; IX, 0,7, не определено (X + гексагидроантрацен), не определено; IV, следы, 100 (7% гексагидрофенантрена и 93% VII), —. В этих же условиях инден образует 54% индана и 15,5% ЦА; стирол дает 94% этилбензола и 2% ЦА. При действии I на индан 90% индана остается неизменным, а III превращается лишь на 5% в ЦА. В суспензию 80 г Ca в 1 л эфира пропускают при т-ре $\sim 0^\circ$ NH_3 (газ) со скоростью 60 л/час, прибавляют 156 г C_6H_6 , перемешивают 1,5 часа при т-ре $\sim 20^\circ$, охлаждают до т-ры примерно -10° , подкисляют и выделяют 142 г неочищ. циклогексана-1,4 (XIV), который превращают в тетрабромид, т. пл. $176\text{--}181^\circ$, и разложением последнего получают XIV, выход 30%, т. кип. $88,7\text{--}89,1^\circ/774$ мм, n_D^{20} 1,4722. В суспензию 60 г Ca в р-ре 60 г IV в 1 л эфира пропускают 4 часа при т-ре $\sim 0^\circ$ NH_3 со скоростью 30 л/час, фильтруют, осадок осторожно вносят в воду, подкисляют, обрабатывают эфиром, эфирный р-р прибавляют к фильтрату и отгоняют эфир; из трех опытов получают 185 г VII, содержащего 9% алкенов; после гидрирования алифатич. двойных связей выделяют VII с выходом 176 г, n_D^{20} 1,5575, и на основании показателя преломления и кривой разгонки определяют, что смесь содержит 55% VIIa и 45% VIIb. В аналогичных условиях восстанавливают 1-метил (XV), 2-метил (XVI) и 2,3-диметил (XVII)-нафталин; из XV и XVI получают только алкилтетралины, состав которых определяют на основании ИК-спектров. Продукт восстановления XV содержит 97% 5-метил-1,2,3,4-тетрагидронафталина и 3% 4-метил-1,2,3,4-тетрагидронафталина; XVI дает 64% 6-метил-1,2,3,4-тетрагидронафталина и 36% 2-метил-1,2,3,4-тетрагидронафталина. Смесь продуктов восстановления XVII содержит 14% алифатич. двойных связей; после гидрирования получают алкилтетралины, состоящие (по данным УФ-спектроскопии и газо-жидкостной хроматографии) из 80% 6,7-диметил-1,2,3,4-тетрагидронафталина и 2,3-диметил-1,2,3,4-тетрагидронафталина. П. Аронович

70854. Синтез дикарбоновых кислот, аминокислот и диаминнов из фурфурола. Кретьен (Synthèses de diacides, d'acides aminés et d'ammoniac à partir du furfural. Chrétien Roland), Ann. chimie, 1957, 2, № 9—10, 682—729 (франц.)

При изучении превращений этилового эфира тетрагидропирилизовой к-ты (I), тетрагидрофурана (II) и тетрагидропирана (III) осуществлены следующие синтезы: 1) $\text{I} \rightarrow \text{Cl}(\text{CH}_2)_3\text{CH}(\text{OCOC}_2\text{H}_5)\text{COOC}_2\text{H}_5$ (IV) $\rightarrow \text{Cl}(\text{CH}_2)_3\text{CHONCOOC}_2\text{H}_5$ (V) $\rightarrow \text{Cl}(\text{CH}_2)_3\text{CHNCOOC}_2\text{H}_5$ (VI) $\rightarrow \text{Cl}(\text{CH}_2)_4\text{COOC}_2\text{H}_5$ (VII) $\rightarrow \text{CN}(\text{CH}_2)_4\text{COOC}_2\text{H}_5$ (VIII) $\rightarrow \text{H}_2\text{N}(\text{CH}_2)_4\text{COOH}$ (IX); 2) $\text{IV} \rightarrow \text{J}(\text{CH}_2)_3\text{CH}(\text{OCOC}_2\text{H}_5)\text{COOC}_2\text{H}_5$ (X) $\rightarrow \text{CN}(\text{CH}_2)_3\text{CH}(\text{OCOC}_2\text{H}_5)\text{COOC}_2\text{H}_5$ (XI) $\rightarrow \text{HOOC}(\text{CH}_2)_3\text{CHBrCOOH}$ (XII); 3) $\text{II} \rightarrow \text{Cl}(\text{CH}_2)_4\text{OCOC}_2\text{H}_5$ (XIII) $\rightarrow \text{CN}(\text{CH}_2)_4\text{OCOC}_2\text{H}_5$ (XIV) $\rightarrow \text{Br}(\text{CH}_2)_4\text{COOH}$ (XV) $\rightarrow \text{Br}(\text{CH}_2)_4\text{COOC}_2\text{H}_5$ (XVI) $\rightarrow \text{CN}(\text{CH}_2)_4\text{COOH}$ (XVII).

COOC₂H₅ (XVII) → IX; 4) III → Br(CH₂)₅Br (XVIII) → CN(CH₂)₅CN (XIX) → H₂N(CH₂)₇NH₂ (XX); 5) III → Cl(CH₂)₅Cl (XXI) → Cl(CH₂)₅CN (XXII) 6) III → Cl(CH₂)₅OCOCN (XXIII) → CN(CH₂)₅OCOCN (XXIV) → Br(CH₂)₅COOH (XXV) → IX; 7) XXV → Br(CH₂)₅COOC₂H₅ (XXVI) → CN(CH₂)₅COOC₂H₅ (XXVII) → H₂N(CH₂)₅COOC₂H₅ (XXVIII). При окислении фурфурола O₂ воздуха в присутствии Ag₂O (Andrisano, Boll. sci. facolta chim. ind. Bologna, 1949, 7, 66) получают пирозлизевую к-ту (XXIX), выход 91,5%, т. пл. 129—130° (из CCl₄). Кипячением (6 час.) 224 г XXIX с 1 л спирта и 30 г конц. H₂SO₄ получают этиловый эфир XXIX (выход 88,5%, т. кип. 83°/10 мм, т. пл. 32—33°), который катализатор гидрирования над скелетным Ni (тип. 100°, 100—140 ат) превращают в I, выход 97%, т. кип. 81°/12 мм, n_D²⁰ 1,439. При взаимодействии 72 г I с 500 г анизола в присутствии 160 г AlCl₃ (65—80°, 20 час.) получены два в-ва неустойчивого строения (т. пл. 54° и 198—200°). Дегидрирование I над фосфатом Al при 350° приводит к образованию 2,3-дигидрофурана (выход 22%, т. кип. 54—55°, n_D²⁰ 1,422) и формилциклопропана, т. кип. 98—99°; 2,4-динитрофенилгидразон, т. пл. 172—175° (из этилацетата). Смесь 72 г I, 51 г CH₃COCl и 0,1 г ZnCl₂ кипятят 4 часа; получают IV, выход 93%, т. кип. 140°/12 мм, n_D²⁰ 1,4435. Аналогично из II и III получают соответственно XIII, выход 90%, т. кип. 86—88°/15 мм, n_D²⁰ 1,433, d₄²² 1,081; XXIII, выход 93%, т. кип. 100°/12 мм, 1,435, и (при р-ции с CH₃COBr) 1-ацетокси-5-бромпентан (XXX), выход 82,5%, n_D²⁰ 1,464, d₄²¹ 1,255. Смесь 97 г IV и 112 г 1,5%-ного р-ра HCl (газ) в CH₃OH кипятят 4 часа с одновременной отгонкой образующегося в процессе р-ции CH₃COOCH₃ (т-ра в паре ~ 55°); получают V. К смеси 77 г неочищ. V и 60 г безводн. пиридина прибавляют при ~ 0° 50 г SOCl₂, нагревают при ~ 100° до прекращения газообразования, разбавляют водой и извлекают эфиром VI, выход 81%, т. кип. 116°/12 мм, n_D²⁰ 1,4595. При кипячении (2 часа) 18,5 г VI с 35 г NaJ в 230 мл ацетона получают метиловый эфир 2,5-дигидроацетил-к-ты, который действием Zn в спирте превращают в C₆H₅COOCH₃. К кипящей смеси 18,5 г VI, 15 мл воды и 50 мл CH₃COOH прибавляют за 2 часа 15 г Zn-пыли; получают VII, выход 90%, т. кип. 92°/16 мм, 1,4365. Смесь 10,5 г VII, 6,5 г KCN и 50 мл 80%-ного спирта кипятят 15 час.; получают VIII, выход 85%, т. кип. 119—120°/9 мм, n_D²⁰ 1,4315. Смесь IV и 15%-ного р-ра NaJ в ацетоне кипятят 3 часа, упаривают до 1/3 объема, разбавляют водой и извлекают эфиром X, выход 90%, т. кип. 135°/5 мм, n_D²⁰ 1,485. Смесь 14 г неочищ. X и 8 г CuCN нагревают 1 час при ~ 200°, перегоняют в вакууме, дистиллят промывают водой и извлекают C₆H₆ XI, выход 63%, т. кип. 128—131°/2 мм, n_D²⁰ 1,470. Смесь 6 г XI и 40 мл 62%-ной HBr кипятят 3 часа, разбавляют водой и извлекают эфиром XII, выход 80%, т. пл. 126°. Аналогично из III и XXIV получают соответственно XVIII, выход 88%, т. кип. 95°/10 мм, n_D²⁰ 1,512, и XXV, выход 81%, т. кип. 115—118°/0,3 мм, т. пл. 32—33°. Смесь 75,5 г XIII, 30 г NaCN, 4 г NaJ, 400 мл CH₃CO₂H₅ и 10 мл воды кипятят 48 час., отделяют осадок, упаривают, разбавляют водой и извлекают C₆H₆ XIV, выход 90%, т. кип. 133°/15 мм. Аналогично из XVI, XXIII и XXVI получают соответственно XVII, выход 90%, т. кип. 135°/15 мм; XXIV, выход 84%, т. кип. 142°/13 мм, n_D²⁰ 1,435, d₂₀²⁰ 1,0184, и XXVII, выход 92%, т. кип. 143°/13 мм, n_D²⁰ 1,434, d₂₀²⁰ 0,974. XXIV получают также кипячением (7 час.) смеси 104,5 г XXX, 30 г NaCN, 400 мл HCON(CH₃)₂ и 10 мл воды, выход 83%. Смесь 63 г XIV и 150 мл конц. HBr кипятят 3 часа и разбавляют водой; получают XV, выход 80%, т. кип. 125—131°/6 мм, т. пл. 39—40° (из петр. эф.). Смесь 65 г XV, 150 мл абс.

спирта и 3 мл конц. H₂SO₄ кипятят 8 час., упаривают и разбавляют водой; получают XVI, выход 89%, т. кип. 108—109°/10 мм, n_D²⁰ 1,474. Смесь 31 г XVII и 150 мл насыщ. при 0° спирт. р-ром NH₃ гидрируют (130°, 130 ат) над 15 г скелетного Ni, фильтрат упаривают, остаток в 150 мл воды и 45 мл конц. HCl кипятят 1 час, упаривают, остаток растворяют в 1 л воды и хроматографируют на амберлите IR-4B; получают IX, выход 32%. Аналогично получают IX из VIII. Смесь 115 г XVIII, 59 г NaCN, 4 г NaJ, 250 мл спирта и 50 мл воды кипятят 8—9 час., упаривают, разбавляют водой и извлекают C₆H₆ XIX, выход 95%, т. кип. 122°/0,1 мм, n_D²⁰ 1,477. Смесь 61 г XIX, 30 мл спирта и 80 мл жидкого NH₃ гидрируют 4—5 час. над 6 г скелетного Ni при 130—150° и начальном давлении ~ 100 ат; получают XX, выход 85%, т. кип. 104—105°/12 мм, т. пл. 28—29°. При пропускании смеси газообразного сухого HCl и паров III (в соотношении 5:1) над нагретым до 280° гранулированным углем, содержащим 20% фосфата Al и 30% H₃PO₄, получают XXI, выход 50%, т. кип. 76°/20 мм. Смесь 28,5 г XXI, 15,6 г KCN, 1,35 г KJ, 32 мл воды и 130 мл спирта кипятят 19 час., упаривают, разбавляют водой и извлекают C₆H₆ XXII, выход 45%, т. кип. 95—97°/5 мм. Смесь 13,5 г XXV и 500 мл насыщ. при 0° NH₄OH выдерживают 4 дня при 54°, упаривают до 180 мл, фильтруют, упаривают в вакууме до 10—15 мл и прибавляют 30 мл CH₃OH и ~ 50 мл эфира; получают IX, выход 88%. Р-р 39 г XXV в 100 мл спирта подщелачивают (фенолфталеин) р-ром 8,5 г NaOH в 50 мл воды, прибавляют 12 г NaCN и 1 г NaJ, подкисляют конц. HCl и извлекают эфиром 6-цианкапроновую к-ту, выход 75%, т. кип. 158°/0,5 мм. Смесь 154 г XXV, 400 мл абс. спирта и 10 мл конц. H₂SO₄ кипятят 8 час.; получают XXVI, выход 90%, т. кип. 120—123°/12 мм, n_D²⁰ 1,457, d₄¹⁹ 1,241. Р-р 20 г XXVII в 50 мл насыщ. при 0° спирт. р-ра NH₃ гидрируют (150°, 150 ат) 3 часа над 12 г скелетного Ni, получают XXVIII, выход 55%, т. кип. 122°/12 мм, n_D²⁰ 1,441, d₂₀²⁰ 0,9353; анилин N-бензоил-XXVIII, т. пл. 155° (из сп.). А. Травин

70855. Синтез замещенных ароилбензофуранов. Часть I. Сен, Саксена (Synthesis of substituted arylbenzofurans. Part I. Sen A. B., Saxena M. S., J. Indian Chem. Soc., 1958, 35, № 2, 136—138 (англ.))

Для изучения терапевтич. свойств синтезированы замещ. бензофураны (I). 1 моль 2-ClC₆H₄OH или 2,4-Cl₂C₆H₃OH смешивают с 50 мл р-ра 1,5 моля NaOH, прибавляют 600 г льда, при охлаждении быстро приливают 1,25 моля уксусного, прощипового или масляного ангидрида и взбалтывают несколько секунд. Затем прибавляют 20 мл 10%-ного NaOH и вновь взбалтывают. Выход эфиров фенолов > 90%. К 32,7 г неочищ. 2-ClC₆H₄OCOCN₂ прибавляют 30 г безводн. AlCl₃, нагревают (110°, 2 часа) и разлагают разб. HCl; выход 2-НО-3-ClC₆H₄COCH₃ 40%, т. пл. 84° (из сп.); семикарбазон (СК), т. пл. 196°. Аналогично получают 2-НО-3-ClC₆H₄COC₂H₅, выход 35%, т. пл. 72° (из водн. сп.); СК, т. пл. 130°, и 2-НО-3-ClC₆H₄COC₃H₇ (продолжительность нагревания 2—4 часа), выход 36,5%, т. пл. 118° (из сп.); СК, т. пл. 142°. Для получения I 1 моль о-оксикетона прибавляют к 1,25 моля спирт. КОН и кипятят 2,5—4 часа с 1 моле C₆H₅COCH₂Br. Р-ритель удаляют, прибавляют воду и осадок кристаллизуют из спирта, в некоторых случаях из CH₃COOH. Синтезированы I (указаны заместители, их т. пл. в °C и т. пл. в °C оксима): 3-CH₃-5,7-Cl₂-2-C₆H₃CO, 140, 198; 3-CH₃-5,7-Cl₂-2-н-ClC₆H₄CO, 218, 195; 3-C₂H₅-5,7-Cl₂-2-C₆H₃CO, 90, 137; 3-C₂H₅-5,7-Cl₂-2-н-ClC₆H₄CO, 135, 162; 3-C₃H₇-5,7-Cl₂-2-C₆H₃CO, 93, 130; 3-C₃H₇-5,7-Cl₂-2-н-ClC₆H₄CO, 135, 160; 3-CH₃-7-Cl-2-C₆H₃CO, 110, 157; 3-CH₃-7-Cl-2-н-ClC₆H₄CO, 140, — (СК, т. пл. 190°); 3-C₂H₅-7-Cl-2-C₆H₃CO, 80, 134;

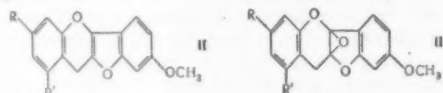
3-C₂H₅-7-Cl-2-*n*-ClC₆H₄CO, 114, 147; 3-C₂H₅-7-Cl-2-C₆H₅CO, 82, 145; 3-C₂H₅-7-Cl-2-*n*-ClC₆H₄CO, 130, 151. Г. Браз

70856. Синтез производных ксантена, обладающих антиспазматической активностью. I. Синтез и антиспазматическое действие алкаминоновых эфиров 9-ксантенилуксусной кислоты. Мацуно, Окабаяси (Matsuno Toshio, Okabayashi Ichizo), Якугаку дзасси, J. Pharm. Soc. Japan, 1957, 77, № 10, 1145—1148 (японск.; рез. англ.)

23 г 9-ксантена нагревают с 15 г малоновой к-ты в 45 мл пиридина при 70° 3 часа, затем при 100° 2 часа, выливают в 5%-ную HCl, получают 9-ксантенилуксусную к-ту (I), выход 75%, т. пл. 155—156° (из 50%-ного сп.). 3 г 9-ксантенилацетонитрила кипятят 5 час. с 60 мл 40%-ной H₂SO₄, получают I, выход 80%. I превращена обычным способом (SOCl₂) в хлорангидрид, из него получен ряд алкаминоновых эфиров (даны алкаминоновый эфир I, т. пл. в °C хлоргидрата): 2-диметиламиноэтиловый, 148—149, пикрат, 133—134; 2-диэтиламиноэтиловый, 146—147, пикрат, 94—95; 2-диизопропиламиноэтиловый, 170—171 (моногидрат); 2-дициклогексиламиноэтиловый, 176—177 (полугидрат); 2-пиперидиноэтиловый, 158—160; 2-морфолиноэтиловый, пикрат, 70—72; 2-диметиламиноизопропиловый, 168—170 (гидрат), пикрат, 65—67. Из 2-ксантенилацетонитрила (II) получен 2-диэтиламиноэтиловый эфир II; пикрат, т. пл. 128—129° (из разб. сп.). Из хлорангидрида I обработкой 20%-ным NH₄OH пригот. 9-ксантениламид, выход 80%, т. пл. 189—190° (из сп.); из 2,7-динитро-9-ксантена кипячением 4 часа с (CH₃CO)₂O получен 2,7-динитро-9-ацетоксиксантен; полу-гидрат, т. пл. 142° (из сп.), кипячение ацетата с 10%-ной HCl дает исходный продукт. Полученные алкаминоновые эфиры испытаны на антихолинергич. активность; в сравнении с сульфатом атропина и метанти-пидином (III) все эфиры значительно менее активны и более токсичны, наиболее активным среди эфиров является 2-дициклогексиламиноэтиловый эфир. По сравнению с хлоргидратом дифенилгидрамина все эфиры имеют значительно меньшую антигистаминную активность, при сравнении с III 2-диметиламиноэтиловый и 2-диизопропиламиноэтиловый эфиры в концентрации 5·10⁻⁶ более активны. Все эфиры более активны против действия BaCl₂, чем III, и обладают меньшим или равным действием по сравнению с хлоргидратом папаверина.

Л. Яновская
70857. Опыты по синтезу цианомаклурина и родственных соединений. Часть II. Десаи, Рай (Experiments on the synthesis of cyanomacclurin and related substances. Part II. Desai R. B., Ray J. N.), J. Indian Chem. Soc., 1958, 35, № 2, 83—87 (англ.)

Предприняты попытки синтезировать цианомаклурин (I) и родственные соединения, отвечающие по своему строению ф-ле, предложенной ранее (Appel, Robinson, J. Chem. Soc., 1935, 752). Для этой цели замещ. бензофуранохромены (II) предполагалось превратить в эпоксипроизводные (III), затем путем каталитич. гидрирования разорвать окисное кольцо и получить соответствующие полуацетали. Однако различные попытки получить из II (R = R' = H) (IIa) окись III (R =



R' = H) не удалось. 1 г 6-метоксикумаранона (IV) и 0,8 г о-НОС₆H₄CHO растворяют в 10 мл горячего спирта, прибавляют по каплям 1 мл пиперидина и оставляют на ~12 час. при т-ре ~20°. Выход 2-(2-оксисбензилиден)-IV (V) 95%, т. пл. 258—259° (разл.; из CH₃COOH); ацетильное производное, т. пл. 163—165° (из сп. или этилацетата). 1 г V гидрируют в ~300 мл

спирта над Pd/C (из 1 мл 1%-ного р-ра PdCl₂) и получают 2-(2-оксисбензил)-IV (VI), выход 60%, т. пл. 145° (из CH₃OH). Бензольный р-р 1 г VI кипятят 2 часа ~2 г P₂O₅ и получают IIa, выход 45—50%, т. пл. 108° (из CH₃OH). Аналогично V синтезированы (указаны соединения, т. пл. в °C и т. пл. в °C его ацетильного производного): 2-(2,4-диоксисбензилиден)-IV, 45, 244—246 (разл.; из сп. или CH₃COOH), 159—161 (из сп.); 2-(2-оксис-4-метоксисбензилиден)-IV, 95, 223—225 (разл.; из сп.), 156—157 (из сп.); 2-(2-оксис-4,6-диметоксисбензилиден)-IV, 70, 173—174 (из водн. CH₃COOH), 135—137 (из сп.); 2-(2-оксинафтилиден)-IV, 85—90 (из водн. CH₃COOH), 176—178 (из водн. CH₃COOH), 147—149 (из сп.). Аналогично VI получены (указаны соединения, выход в %, т. пл. в °C): 2-(2-оксис-4-метоксисбензил)-IV, 65—70, 113—115 (из водн. CH₃OH); 2-(2-оксис-4,6-диметоксисбензил)-IV, 70, 170—172 (из водн. CH₃OH); 2-(2-оксинафтил)-IV (VII), 80, 167—168 (разл.; из водн. CH₃OH). Синтезированы II (указаны R, R', выход в % и т. пл. в °C): CH₃O, H, 55, 139—140 (из CH₃OH); CH₃O, CH₃O, 70, 160—162 (из водн. CH₃OH). Бензо-[f]-IIa (из VII), выход 70%, т. пл. 182—183° (из водн. CH₃OH). Часть I см. J. Chem. Soc., 1933, 288. Г. Браз

70858. Оптическое разделение DL-трео-6-фенил-5-амино-2,2-диметил-1,3-диоксана при помощи моногидрата дибензоил-D-винной кислоты. Найто, Окада (Naito Taisuke, Okada Haruko), Якугаку кэнкю, Japan. J. Pharmacy and Chem., 1957, 29, № 2, 72—89 (японск.)

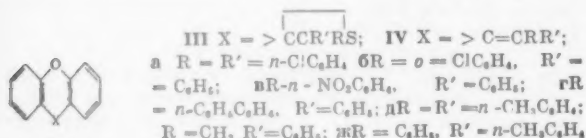
При взаимодействии эквимольных кол-в DL-трео-6-фенил-5-амино-2,2-диметил-1,3-диоксана [I-форма (I), D-форма (II)] с моногидратом дибензоилвинной к-ты (III) в спирт. р-ре образуются соли I с III (IV), т. пл. 172—175° (разл.), [α]_D²⁰ -114° (с 2; CH₃OH), и II с III (V), т. пл. 153° (разл.), [α]_D²⁰ -44,3° (с 2; CH₃OH), IV и V не содержат кристаллизационной воды и легко разделяются благодаря разной растворимости (IV труднее растворима в спирте, чем V). Разработан метод потенциометрич. титрования IV и V в водно-спирто-метанольных р-рах посредством 0,1 н. NaOH, определена зависимость [α]_D от содержания IV и V в смеси, построена диаграмма равновесного состояния смеси солей, на основании полученных результатов обсуждены вопросы выделения и разделения солей из водно-спирт. р-ров. Л. Яновская

70859. Органические соединения серы. XXXIV. Синтез этиленов и этиленсульфидов действием диазоалканов на тиокетоны. Шёнберг, Абд-эль-Кадер Фатти, Абд-эль-Магед Амин Саммур (Organic sulfur compounds. XXXIV. Synthesis of ethylenes and ethylene sulfides by action of diazoalkanes on thioketones. Schönberg Alexander, Abd El Kader Fateen, Abd El Maged Amine Sammour), J. Amer. Chem. Soc., 1957, 79, № 22, 6020—6023 (англ.)

Реакцией диазоалканов RR'CN₂ (Ia—e) с ксантином (II) синтезированы соответствующие этиленсульфиды (IIIa—e), из которых IIIa—д превращены нагреванием с порошком Cu в этиленовые соединения (IVa—д); n-толилфенилдиазометан при р-ции с II дает непосредственно в-во (IVж). Тиокетон Михлера (V) взаимодействием с диазоалканами R''R'''CH₂ также превра-

щен в сульфиды [n-(CH₃)₂NC₆H₄]₂CC(R'')(R''')S (VIa—д, где a R'' = CH₃, R''' = C₆H₅; б R'' = CH₃, R''' = n-CH₃-C₆H₄; в R'' = R''' = n-ClC₆H₄; г R'' = 2,5-(CH₃)₂C₆H₃. R'' = C₆H₅; д R'' = R''' = n-CH₃C₆H₄) или производные этилена [n-(CH₃)₂NC₆H₄]₂C=CR''R''' (VIIa—в, где a R'' = o-ClC₆H₄, R''' = C₆H₅; б R'' = n-C₆H₅C₆H₄, R''' = C₆H₅; в R'' = R''' = C₆H₅). VIa десульфирован в соединение [n-(CH₃)₂NC₆H₄]₂C=C(C₆H₅)CH₃, т. пл. 104° (из CH₃OH). При р-ции 9-диазофлуорена с V получен бис-(n-диме-

тиламинофенил)-дибензофульвен, т. пл. 235° (из бз.), при кипячении (12 час.) дифенилдиазометана с 2-(*n*-метоксиэтирил)-4-тио- α -нафтопионом (VIII) в C_6H_6 получено производное VIII, т. пл. 190–191°, в котором атом S заменен группой $(C_6H_5)_2C=$. Ia–e синтезированы окислением соответствующих гидразонов HgO или MnO_2 . IVa, в, e обладают свойствами термохромии. Ib кипячением (4 часа) в C_6H_6 превращен



в кетазин, т. пл. 176° (из сп.). К р-ру 1 г II или V в 10 мл C_6H_6 приливают бензольный р-р Ia–e, на следующий день отгоняют р-ритель и получают [здесь и далее указаны в-во и т. пл. в °C (из бз.)]: IIIa, 170; IIIb, 195; IIIв, 182; IIIг —; IIIд, 176; IIIе, 105 (из CH_3OH); IVж, 185; IVa, 134 (из CH_3OH); VIб, 124 (из CH_3OH); VIв, 180; VIг, 189; VIд, 164; VIIa, 182 (из CH_3OH); VIIб, 263 (из бз.-бз.); VIIв, 190. 1 г IIIa–д в 10 мл ксилола и 0,5 г порошка Cu кипятят 5 час. и выделяют IVa, 205; IVб, 183; IVв, 175; IVг, 186 (из сп.), или IVд, 187. Сообщение XXXIII см. РЖХим. 1958, 43311. Л. Щукина

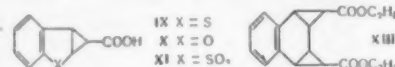
70860. Синтезы из тиоэфиров. II. Синтез циклических сульфидов. Бордуэлл, Хьюэтт (Synthesis from thioesters. II. Synthesis of cyclic sulfides. Bordwell F. G., Hewett William A.), J. Organ. Chem., 1958, 23, № 4, 636–637 (англ.)

Взаимодействием тиоуксусной к-ты (I) с 2-метил-3-хлорпропаном-1 (II), 5-хлорпентеном-1 (III) и 2-хлорпропаном (IV) синтезированы 2-метил-3-хлорпропил- (Va), 5-хлор-1-амил- (Vб) и 2-хлорпропил- (Vв)-тиоацетаты соответственно. Замыканием Va–в в получены циклич. сульфиды (VI), содержащие 3, 4 и 6 атомов S в кольце. Получены (приведено кол-во в молях исходных продуктов, полученное в-во, выход в %, т. кип. в °C/мм, n_D^{25}): 0,5 II, 0,5 I, Va, 87,8, 89/16, 1,4575; 0,23 III, 0,3 I, Vб, 87, 135–138/25, —; 2 IV, 1,5 I, Vв, 94,2, 71/10, —. Нагреванием водн. суспензий Va–в в присутствии избытка NaOH и последующей перегонкой с водяным паром получены следующие VI (приведено кол-во V в молях, полученное в-во, выход в %, т. кип. в °C, n_D^{25}): 0,15 Va, 3-метилтиадициклобутан, 80, 108–109, 1,4840; 0,19 Vб, тиациклогексан, 87, 140–141, —, 0,45 Vв, тиациклопропан, 25,72–75, —. Из 0,29 моля Vв, 500 мл CH_3OH с 5 мл конц. HCl получают через 12 час. тиациклопропан, выход 30,5%. Сообщение I см. РЖХим, 1958, 32380. Т. Краснова

70861. Многоядерные гетероциклические системы. Часть XIII. Реакция этилдиазоацетата с нафталином и его гетероциклическими аналогами. Баджер, Кристи, Родда, Прайк (Polynuclear heterocyclic systems. Part XIII. The reaction of ethyl diazoacetate with naphthalene and its heterocyclic analogues. Badger G. M., Christie B. J., Rodda H. J., Pryke Jenneth M.), J. Chem. Soc., 1958, March, 1179–1184 (англ.)

Исследованы р-ции этилдиазоацетата (I) с индолом (II), 1-метилиндолом (III), тионафеном (IV), бензофураном (V) и нафталином (VI). При нагревании I с II или III при 140° образуются эфиры, т. кип. 142–144°/0,1 мм и 116°/0,05 мм, гидролизующие спирт. р-ром NaOH в 3-индолил- (VII) (т. пл. 164–165°) и 1-метил-3-индолил- (VIII) [т. пл. 128° (из воды); пикрат, т. пл. 171° (разл.)]-уксусные к-ты; строение VIII подтверждено встречным синтезом. При р-ции I с IV и V получены в-ва, являющиеся, по-видимому, аддуктами (IX)

и (X). IX окисляется $KMnO_4$ в щел. р-ре в сульфон (XI), т. пл. 240–241° (из воды). Обессеривание IX скелетным Ni в разб. водн. р-ре соды сопровождается гидрированием и образованием 2-циклогексилдициклопропанкарбонной к-ты [амид, т. пл. 151° (из воды)], превращающейся при гидрировании над Pt (из PtO_2) при 60° в γ -циклогексилмасляную к-ту, полученную в этих условиях также из *cis*-2-фенилдициклопропанкарбонной-2 к-ты. При р-ции I с VI, кроме описанного ранее этилового эфира 1,2-дигидро-1,2-нафтиленуксусной к-ты (XII), получен диэтиловый эфир 1,2,3,4-тетрагидронафтид-1,2,3,4-уксусной к-ты (XIII). XII при обработке I также превращается в XIII. Строение всех синтезированных в-в подтверждено данными ИК- и УФ-спектров. Приведены кривые УФ-спектров IV, V,



IX, X, XIII, 1,2-дигидронафталена и этиловых эфиров α -нафтилуksусной к-ты и XII. К 65 г IV добавляют (7 час., 145–150°) 25 г I, нагревают еще 1 час, перегоняют, продукт, т. кип. 113–120°/0,04 мм, кипятят 4 часа с р-ром 2 г NaOH в 30 мл спирта и получают IX, т. пл. 150°; 4-фенилфенацетил-овый эфир, т. пл. 129–130° (из сп.); амид, т. пл. 225° (из воды). Аналогично из V через эфир с т. кип. 93–100°/0,04 мм получают X, т. пл. 181–181,5° (из разб. сп.); амид, т. пл. 198–199° (из воды). При р-ции 50 г VI и 23 г I получают этиловый эфир XII, выход 7,5 г, т. кип. 94–120°/0,05 мм, остаток от перегонки хроматографируют в петр. эфире на Al_2O_3 , продукт растирают с петр. эфиром и отделяют этиловый эфир XIII, т. пл. 89° (из петр. эф.), гидролизуют в XIII, т. пл. 286° (из сп.). В р-р 0,29 г Na в 20 мл жидкого NH_3 вносят 1 г VII, добавляют по каплям 2 мл $(CH_3)_2SO_4$, размешивают 1 час, испаряют NH_3 , приливают воду и CH_3OH , отгоняют CH_3OH , р-р подкисляют и получают VIII. Л. Щукина

70862. Действие реактивов Гриньяра на амидную группировку. XX. Взаимодействие магнийбромвинила с метилимидом глутаровой кислоты. Лукеш, Черный. XXI. Синтез высших монокарбоновых кислот. Лукеш, Долежал. XXII. О 1,3-диметил-2-алкил- Δ^2 -пирролинах и 1,3,3-триметил-2-алкилиденпирролинах. Лукеш, Дедек (Pusobeni Grignardova činidla na skupinu amidovou. XX. Reakce vinylmagnesiumbromidu s methylimidem kyseliny glutarové. Lukeš Rudolf, Černý Mirko. XXI. Synthesa vyšších monokarboonových kyselin. Lukeš Rudolf, Doležal Stanislav. XXII. O 1,3-dimethyl-2-alkyl- Δ^2 -pyrrolinách a 1,3,3-trimethyl-2-alkylidenpyrrolidínech. Lukeš Rudolf, Dědek Václav), Chem. listy, 1957, 51, № 10, 1862–1868; № 11, 2065–2073, 2074–2081 (чешск.)

XX. При взаимодействии N-метилглутаримида (I) с избыточным магнийбромвинилом образуется смесь метиламида 5-окси-5,5-дивинилвалериановой к-ты (II) с метилимидом 5-оксо-7-винилэнантоновой к-ты (III) в отношении 1:2. Строение II доказано гидрированием с образованием метиламида 5-окси-5-этилэнантоновой к-ты (IV) и гидролизом гидрированного продукта в 5,5-диэтилвалеролактон, идентичного с впервые выделенным побочным продуктом взаимодействия магнийбромэтила с I. Строение III вытекает из хода гидрирования, приводящего к метилимиду δ -кетопеларгоновой к-ты (V), и из сравнения с III, полученным при взаимодействии 3-магнийбромбутенила с I (выход 56,5%). Авторы предполагают, что первично образующийся нерастворимый аддукт I с $CH_2=CHMgBr$ при нагревании перегруппировывается в Mg-соль 1-метил-2-окси-2-винилпиперидона-6, таутомерную с солью метиламида γ -акрилоилмасляной к-ты. Из нее затем 1–2-присо-

единением образуется II, а 1—4-присоединением III. К реактиву Гриньяра из Mg и 2 молей $\text{CH}_2=\text{CHBr}$ в тетрагидрофуране прибавляют 0,69 моля I, кипятят 6 час., разлагают водой и выделяют ~40 г III, т. пл. 69,8°, т. кип. 112—114°/0,075 мм, n_D^{20} 1,4866, d_4^{20} 1,0424. III (к-та), т. пл. 33,5°, т. кип. 103—105°/0,11 мм, получают перегонкой р-ра III в $\text{Ba}(\text{OH})_2$ с водяным паром, удалением неорганич. ионов и упариванием. Гидрирование III на скелетном Ni в спирте (20°, 740 мм) приводит к V, т. пл. 76,5°, который при гидролизе переходит в V (к-та), т. пл. 45°, т. кип. 100—101°/0,073 мм. Гидрирование III над Pt (из PtO_2) в тех же условиях приводит к метиламиду δ -оксипеларгоновой к-ты (VI), т. пл. 51,5°, который можно получить также аналогично из V. Гидролизом $\text{Ba}(\text{OH})_2$ неочищ. VI получают лактон δ -оксипеларгоновой к-ты, т. кип. 73°/0,095 мм, n_D^{20} 1,4562, d_4^{20} 0,9871. Аналогичным гидролизом II получают лактон II (к-та), т. кип. 75—78°/0,04 мм, n_D^{20} 1,4866, d_4^{20} 1,0424. При гидрировании II над Pt (из PtO_2) образуется IV, т. пл. 63,2° (из эф.), т. кип. 117—118°/0,09 мм. Последний при обычном гидролизе переходит в лактон IV (к-та), т. кип. 74—76°/1 мм, n_D^{20} 1,4639, d_4^{20} 1,0039, идентичный с продуктом гидролиза побочного продукта взаимодействия магнийбромэтила с I, проведенного по методу, описанному ранее (Lukáš R., Gorocholinskij J., Collect. czechoslov. chem. Commun., 1936, 8, 223). При кипячении (30 мин.) и медленной перегонке III образуется 1-метил-2-бутен-(3)-ил-4,5-дигидропирон-6, т. кип. 121—124°/5 мм, n_D^{20} 1,5168, d_4^{20} 1,0143, который гидрированием над Pt (из PtO_2), как обычно, превращают в 1-метил-2-бутиллиперидон-6, т. кип. 62—64°/0,07 мм, n_D^{20} 1,4815, d_4^{20} 0,9700. При взаимодействии I с 1 экв $\text{CH}_2=\text{CHMgBr}$ удалось выделить наряду с небольшим кол-вом III только нечистый метиламид кислого этилового эфира глутаровой к-ты.

XXI. Взаимодействием *n*-алкилмагнийбромидов, содержащего 7—12, 16, 18, 21—24 атома C в цепи с I синтезированы метиламиды 5-кетосакарбонных к-т $\text{RCO}(\text{CH}_2)_n\text{CONHCH}_3$ (VII), содержащие на 5 атомов C более, чем исходный бромистый алкил. VII гидролизуют до 5-кетосакарбонных к-т $\text{RCO}(\text{CH}_2)_n\text{COOH}$ (VIIa). Восстановление VII или VIIa вело к алканкарбонным к-там (VIII), всегда с удовлетворительным выходом, поэтому VIII можно было пользоваться для этерификации, восстановления до спирта и получения нового бромида с целью повторения взаимодействия с I. Метод А. Из бромистого алкила и Mg в эфире обычным способом получают реактив Гриньяра, прибавляют по каплям эфирный р-р I и смесь нагревают 20—30 мин. Выделенный после разложения 5%-ной H_2SO_4 VII отфильтровывают. Из эфирного слоя выделяют еще небольшое кол-во неочищ. VII. Метод Б. Реактив Гриньяра получают кипячением 4—16 час. в эфире, р-р нагревают с I (1 час), эфир отгоняют, остаток нагревают (100—120°, 1 час). Массу промывают петр. эфиром, разлагают 10%-ной H_2SO_4 и отфильтровывают VII. Из петролейно-эфирной вытяжки выделяют парафины, которые образовались удвоением алкила реактива Гриньяра. Синтезированы следующие VII (указаны R, метод, выход в %, т. пл. в °C): C_7H_{15} , A, 25, 91,5—92,3; C_9H_{17} , A, 33, 95,5; $\text{C}_{11}\text{H}_{23}$, A, 42, 98—98,5; $\text{C}_{13}\text{H}_{27}$, A, 31, 101—101,5; $\text{C}_{15}\text{H}_{31}$, A, 42, 102,5; $\text{C}_{17}\text{H}_{35}$, A, 31, 106; $\text{C}_{19}\text{H}_{39}$, A, 51, 111—111,5 (наряду с дотриаконтаном, т. пл. 70°); $\text{C}_{21}\text{H}_{43}$, A, 52, B (кипение 16 час.) 73, 112,5—113,5 (наряду с гексатриаконтаном, т. пл. 76°); $\text{C}_{23}\text{H}_{47}$, A, 33, 112 (наряду с $\text{C}_{42}\text{H}_{86}$, т. пл. 83—84°); $\text{C}_{25}\text{H}_{51}$, B, 15, 117—118 (наряду с тетрагексаконтаном, т. пл. 85—86°); $\text{C}_{27}\text{H}_{55}$, B, 5, 113—114 (наряду с гексатетрааконтаном, т. пл. 88,5—89,5°); $\text{C}_{29}\text{H}_{59}$, B, (неочищ.), 122—123 (наряду с $\text{C}_{43}\text{H}_{88}$, т. пл. 88—88,5°). VII при нагревании 3 часа с 20—30%-ной H_2SO_4 переходят в VIIa

(показатели те же): C_7H_{15} , 80, 70; C_9H_{17} , 79, 72,5—73; $\text{C}_{11}\text{H}_{23}$, 82, 77; $\text{C}_{13}\text{H}_{27}$, —, 81—82; $\text{C}_{15}\text{H}_{31}$, 80, 83—83,5; $\text{C}_{17}\text{H}_{35}$, 79, 92,5—93,5; $\text{C}_{19}\text{H}_{39}$, 78, 95. VIIa восстанавливают 2-кратным нагреванием 24 часа до 180—200° с гидразингидратом в р-ре Na в этиленгликоле; восстановлению VII предшествовало нагревание 1 час смеси до 180—200° перед добавкой гидразина. Синтезированы следующие VIII (перечисляются к-та, выход из амида в %, то же из к-ты, т. пл. в °C): лауриновая, 97, 96, 44; тридекановая, 95, —, 43; миристиновая, —, 85, 53—54; пентадекановая, 84, —, 52—53; пальмитиновая, —, 82, 63—64; гептадекановая, 94, —, 60; геникозановая, 93, 84, 75—76, метиловый эфир, т. пл. 49,5—50,5°; трикозановая, —, 89, 79, этиловый эфир, т. пл. 51—52°; гексакосановая, 85, —, 87,3, этиловый эфир, т. пл. 60°; гептакосановая, 85, —, 83—84,5; октакосановая, 80, —, 87—88. Восстановление соответствующих сложных эфиров LiAlH_4 в эфире (кипением 3 часа) привело к следующим спиртам (перечисляется спирт, выход в %, т. пл. в °C): геникозилловый, 84,5, 70—71; трикозановый, 92, 73—74,5; тетракозановый, 95, 75—76; гексакосановый, 90, 78—79,5. Взаимодействием R и Br и соответствующего спирта (200—210°, 3 часа) получают *n*-тетракозилбромид, выход 80%, т. пл. 52—53,5°; *n*-гексакосилбромид, выход 78,6%, т. пл. 56—57,3°.

XXII. Исследовано взаимодействие 1-метил-(IX), 1,3-диметил-(X) и 1,3,3-триметилпирролидона-2 (XI) с $\text{C}_2\text{H}_5\text{MgBr}$ (XII), *изо*- $\text{C}_3\text{H}_7\text{MgBr}$ (XIII), *n*- $\text{C}_4\text{H}_9\text{MgBr}$ (XIV) и CH_3MgI (XV). Во всех случаях образуются 2-алкил- Δ^2 -пирролины или же изомерные 2-алкилденпирролидины наряду с 2,2-диалкилпирролидинами. Р-ция IX и X с XII и XIII лучше всего проводить на холоду, а р-ция X с XIV и XV и р-ция XI с XII и XV при повышенной т-ре. Чтобы добиться высоких выходов, пользуются ≥ 3 молями реактива Гриньяра (РГ) на 1 моль пирролидона. Метод В. Прибавляют C_6H_6 к РГ, отгоняют эфир, при охлаждении прибавляют р-р IX—XI в C_6H_6 и оставляют на несколько часов. Продукт разлагают льдом, подщелачивают $\text{Ba}(\text{OH})_2$ и основания перегоняют с водяным паром, дистиллят титруют, сгущают и переводят в перхлорат ненасыщ. основания. Из маточных р-ров выделяют насыщ. основание. Метод Г. Тот же самый, но смесь нагревают несколько часов. Из IX и XII получают методом В (24 часа) 1-метил-2-этил- Δ^2 -пирролин, перхлорат, т. пл. 209°, двойной пикрат с пикриновокислым Na, т. пл. 202,5—203,5°, общий выход 62%, и пикрат 1-метил-2,2-диэтилпирролидина, т. пл. 233—234° (из воды), который методом Г при 50° получается один; основание, т. кип. 55—57°/15 мм. Из X и XII получают (метод В, 40 час.) 1,3-диметил-2-этил- Δ^2 -пирролин, выход 66%, т. кип. 84°/81 мм, 48—49°/14 мм, n_D^{20} 1,4742, перхлорат, т. пл. 234° и 1,3-диметил-2,2-диэтилпирролин, т. кип. 184—185°/743 мм, n_D^{20} 1,4585; пикрат, т. пл. 221—222°. Их XI и XII синтезируют 1,3,3-триметил-2-этилденпирролин, выход (метод В) 15%, (метод Г, 10 час.) 50%, т. кип. 78—79°/35 мм, n_D^{20} 1,4723, перхлорат, т. пл. 259—261° и также 1,3,3-триметил-2,2-диэтилпирролин; пикрат, выход (В и Г) 4%, т. пл. 214—215°. Р-ция XIII по методу Г сопровождается зачастую восстановлением. Из IX и XIII образуется (В, 15 час.) 1-метил-2-изопропил- Δ^2 -пирролин, т. кип. 70—72°/51 мм, n_D^{20} 1,4648, перхлорат, т. пл. 176—176,5° (из сп.), и 1-метил-2,2-диизопропилпирролин, пикрат, т. пл. 197—198°, а методом Г наряду с вышеприведенными основаниями (выходы 18 и 17%) также и 1-метил-2-изопропилпирролин; пикрат, т. пл. 165—166°. Из X и XIII получают (по В) 1,3-диметил-2-изопропил- Δ^2 -пирролин, т. кип. 88—89°/67 мм, n_D^{20} 1,4733, перхлорат, выход 8%, т. пл. 210—211°, и 1,3-диметил-2-изопропилпирролин, т. кип. 162—164°/741 мм, n_D^{20} 1,4451, пикрат, выход 12,7%,

т. пл. 180—181°; по Г выход 2% и 5,5% соответственно. Из X и XIV образуются (В, 15 час.) 1,3-диметил-2-пропил-Δ²-пирролин, т. кип. 90—92°/59—60 мм, n_D^{20} 1,4710, перхлорат, выход 25%, т. пл. 130—131° (из сп.), а также 1,3-диметил-2,2-дипропилпирролидин, т. кип. 206°/743 мм, n_D^{20} 1,4595, пикрат, т. пл. 108—109°; при кипячении 6 час. в эфире выход 37,5 и 31% соответственно. X и XV дают (кипчение 9 час. в эфире) 1,2,3-триметил-Δ²-пирролин, т. кип. 57°/57 мм, n_D^{20} 1,4850, перхлорат, выход 54%, т. пл. 235—236°, наряду с 1,2,2,3-тетраметилпирролидином; пикрат, т. пл. 216°. Таким же образом из XI и XV получают 1,3,3-триметил-2-метилпирролидин; перхлорат, выход 10,4%, т. пл. 185—186° (из сп.). Сообщение XIX см. РЖХим, 1958, 39545.

Jan Kovář

70863. О действии йодистого метила на 1-метил-2-этил-Δ²-пирролин. Лукеш, Дедек (O působení methyljodidu na 1-methyl-2-ethyl-Δ²-pyrrolin. Lukeš Rudolf, Dědek Václav), Chem. listy, 1957, 51, № 11, 2059—2064 (чешск.)

Найдено, что при действии CH_3J на 1-метил-2-этил-Δ²-пирролин (I) образуется наряду с нормальной четвертичной солью (С), йодистым 1,1-диметил-2-этил-Δ²-пирролинием, также и йодидат 1-метил-2-изопропил-Δ²-пирролина (II). СС содержит также и йодистый 1,1-диметил-2-изопропил-Δ²-пирролиний. Не был найден 1,3-диметил-2-этил-Δ²-пирролин. Из этого вытекает, что так называемые Δ²-пирролины являются в наилучшем случае смесь 2-алкил-Δ²-пирролина с 2-алкилденпирролидином, но обозначение Δ² пока что оставлено. Из р-ра I в C_6H_6 с небольшим избытком CH_3J через 15 час. выделяют продукт, р-р которого в воде подщелачивают $\text{Ba}(\text{OH})_2$ и перегоняют с водяным паром. Из летучих фракций выделяют основание, т. кип. 69—70°/40 мм, n_D^{20} 1,4669, в виде перхлората, т. пл. 176—177°; пикрат (двойная соль с пикриновокислым Na), $\text{C}_{20}\text{H}_{20}\text{O}_{14}\text{N}_7\text{Na}$, т. пл. 197—198°, выделена из некристаллизующихся маточных р-ров после перхлората. При кристаллизации перхлората получают перхлорат с т. пл. ~195°, который переводят в хлоргидрат и нагревают до 160—165° со смесью HCOOH и HCOOK ; получают 1-метил-2-этилпирролидин, т. кип. 127—130°, n_D^{20} 1,4360. Аналогично из перхлората II получают 1-метил-2-изопропилпирролидин; пикрат, т. пл. 165—166°. Из нелетучих фракций устраняют Ba в виде BaSO_4 , галоиды осаждают Ag_2O , водн. р-р оснований нейтрализуют HJ , упаривают и из остатка выделяют пикриновокислый 1,1-диметил-2-этил-Δ²-пирролиний, т. пл. 209—210°. Водн. р-р основания (перед нейтр-цией HJ) нейтрализуют CH_3COOH и перегоняют, получают I, выделенный в качестве перхлората, т. пл. 203—204°, который вышеописанным способом переведен в 1-метил-2-этилпирролидин, т. кип. 126—129°/749 мм, n_D^{20} 1,4352. Jan Kovář

70864. Перегруппировка оксипирролинона. Куин (Rearrangement of a hydroxypyrrolinone. Queen A.), Chemistry and Industry, 1958, № 7, 196 (англ.)

При щел. омылении 3-циан-4,5-дифенил-5-оксипирролинона-2 в результате перегруппировки получается α,α-дифенилсукцинимид (I), т. пл. 141—142°. УФ-спектр: λ (макс) 208 мμ (ε 18,700). Обработкой (5 час.) I 2 экв диметилсульфата в 5%-ном KOH получен α,α-дифенил-N-метилсукцинимид, выход 38%, т. пл. 88—90° (из сп.). Предполагается, что описанная р-ция по механизму относится к перегруппировкам типа бензильовой. Л. Яхонтов

70865. Реакции диазокетон. Взаимодействие эфиров ω-диазокетокислот с индолом и N-метилпирролом. Ратуский, Шорм (Reaktionen der Diazoketone. II. Reaktionen der ω-Diazoketosäureester mit Indol und N-Methylpyrrol. Ratuský J., Sorm F.),

Collect. Czechosl. chem. commun., 1958, 23, № 3, 467—478 (нем., рец. русск.)

См. РЖХим, 1958, 50339.

70866. Исследования в области хинонов. XXII. Синтез замещенных индолов. Гринев А. Н., Зайцев И. А., Шведов В. И., Терентьев А. П., Ж. общ. химии, 1958, 28, № 2, 447—452

Конденсацией $\text{CH}_3\text{C}(\text{NH}_2)=\text{CHCOOC}_2\text{H}_5$ (I) и его N-замещ. производных с п-бензохиноном (II) и замещ. II синтезированы 2-метил-5-окси-3-карботоксининдолы (III). К смеси 26 г $\text{CH}_3\text{COCH}_2\text{COOC}_2\text{H}_5$ и 21,5 г о-толуидина прибавляют 2 капли конц. HCl, оставляют на холоду на ~12 час., приливают эфир и из эфирного слоя выделяют N-(о-толил)-I (Ia), выход 33 г, т. кип. 136—138°/5 мм, n_D^{20} 1,5550, d_4^{20} 1,048. Аналогично из 26 г $\text{CH}_3\text{COCH}_2\text{COOC}_2\text{H}_5$ и 23 г циклогексиламина получают N-циклогексил-I (Ib), выход 30,5 г, т. кип. 108—110°/2 мм, n_D^{20} 1,4879, d_4^{20} 1,001. К 5,4 г II в 15 мл безводн. ацетона при охлаждении и перемешивании прибавляют 17 г Ia, нагревают 1,5 часа на водяной бане и получают 4,2 г 1-(о-толил)-III (IIIa), т. пл. 208—209° (из сп.). Сходным образом синтезируют другие III: из 5,4 г II и 16 г Ib в 15 мл ацетона получают 5 г 1-циклогексил-III, т. пл. 69°; из 3 г 2,3-дихлор-II и 3,45 г I в 21 мл CHCl_3 образуются 2,1 г 6,7-дихлор-III (IIIб), т. пл. 237—238° [из водн. диоксана (IV диоксан)]; из 7,2 г 2,5-дихлор-II и 7,8 г I в 15 мл CHCl_3 синтезируют 5,3 г 4,7-дихлор-III, т. пл. > 320° (разл.; из хлф. сп.); из 7,2 г 2,5-дихлор-II и 9,35 г N-этил-I в 10 мл безводн. спирта в присутствии 2 г безводн. NH_4Cl получают 3,8 г 1-этил-4,7-дихлор-III, т. пл. 247—248° (из сп. хлф.); из 3,2 г α-нафтохинона и 6,1 г N-фенил-I в 7,5 мл безводн. ацетона синтезируют 1,7 г 1-фенил-2-метил-3-карботокси-5-оксининдола (IIIв), т. пл. 227° (из IV), 17,1 г 1,2-диметил-5-оксининдол-3-карботоксининдола в 200 мл IV, 18,4 г $(\text{CH}_3)_2\text{SO}_4$ и 172 мл 2 н. NaOH взбалтывают 6 час. при т-ре ~20° и получают 17,2 г 1,2-диметил-3-карботокси-5-метоксининдола (V, VI к-та) т. пл. 114—115° (из CH_3OH). 2,9 г V омыляют кипячением с 5,3 г KOH в 100 мл спирта (5 час.); выход VI 1,95 г, т. пл. 190—191° (из CH_3OH). К р-ру $\text{C}_2\text{H}_5\text{MgBr}$ из 1,5 г Mg, 5 г $\text{C}_2\text{H}_5\text{Br}$ и 150 мл абс. эфира прибавляют 5 г V в 150 мл безводн. C_6H_6 , кипятят 4 часа и получают 3 г 1,2-диметил-3-(пентен-2'-ил-3')-5-метоксининдола, т. кип. 163—165°/6 мм, т. пл. 52—53° (из CH_3OH). Аналогично V действием 27,4 г $(\text{CH}_3)_2\text{SO}_4$ и 240 мл 2 н. NaOH на 30 г 1-фенил-2-метил-3-ацетил-5-оксининдола в 25 мл IV получают 27,4 г соответствующего метоксипроизводного, т. пл. 124—125° (из CH_3OH), из 0,6 г IIIб образуется 0,58 г метоксипроизводного, т. пл. 133° (из водн. IV). 2,2 г III растворяют в 6 мл пиридина, охлаждают, приливают 1,1 мл $\text{C}_6\text{H}_5\text{COCl}$ выдерживают 4 часа при т-ре ~20°, разбавляют водой и выделяют 2,8 г О-бензоил-III, т. пл. 175° (из сп.). Сходным образом получены соответствующие О-бензоильные производные: из 3 г 1-фенил-III, выход 3,84 г, т. пл. 120—121° (из IV); из 1,1 г IIIв, выход 1,3 г, т. пл. 185° (из сп.-IV), из 3,2 г IIIа, выход 2,44 г, т. пл. 146—147° (из сп.), из 2,5 г 1-этил-III получено 3,2 г, т. пл. 137°, из 1,1 г 1-пропионитрил-III, выход 1,2 г, т. пл. 165° (из сп.). Аналогично из 3,2 г IIIа синтезированы 2,5 г О-динитробензоильного производного, т. пл. 121° (из сп.-IV), или 2,8 г о-метоксibenzoильного производного, т. пл. 171° (из сп.). Сообщение XXI см. РЖХим, 1958, 53872.

Г. Браз
70867. Восстановление эфира β-индолил-α-нитропропионовой кислоты алюмогидридом лития до триптамина. Хеллман, Штарк (Tryptamin durch LiAlH_4 -Reduktion von β-Indolyl-α-nitropropionsäureester. Hellman H., Starck D.), Angew. Chem., 1958, 70, № 9, 271 (нем.)

Эфир β-индолил-α-нитропропионовой к-ты при вос-

становления избытком LiAlH_4 превращается через β -индолил- α -нитропропанол и β -индолил- α -нитроэтан в триэтанамин с выходом 90%.

Л. Аксанова

70868. Синтез N-метил-3-карбометокси-4-оксипиридинол и изучение их пространственного строения. Маурит М. Е., Преображенский Н. А. Ж. общ. химии, 1958, 28, № 4, 968—974

При восстановлении N-метил-3-карбометоксипиридола-4 (I) амальгамой Na получают 2 пространственно изомерных N-метил-3-карбометоксипиридола-4: (IIa), выход 19%, т. пл. 86—87° (из сп.); бромгидрат (БГ), т. пл. 144,5—145,5° (из абс. сп.), и (IIb), выход 30%, т. пл. 96,5—97,5° (из сп.); БГ, т. пл. 182—182,5° (из абс. сп.); смесь IIa, б получается также при электрохим. восстановлении I на Pb-катоде в щел. среде; при восстановлении I над скелетным Ni образуется с 67%-ным выходом только IIa. IIa дегидратируется при кипячении 3 часа с SOCl_2 в C_6H_6 в ареколине, выход 63,2%, т. кип. 92—93°/7 мм, n_D^{20} 1,4302, d_4^{20} 1,0495, БГ, т. пл. 169—170°; IIb при аналогичной р-ции превращается в N-метил-3-карбометокси-4-хлорпиридин, выход 97,2%, т. пл. 161—162° (из абс. сп.), из которого при действии 30%-ной щелочи получается аракадин: хлоргидрат, т. пл. 250,5—251° (из сп. CH_3OH). Исходя из описанных р-ций, предположено, что IIa имеет *цис*-, а IIb *транс*-конфигурацию. IIa, б восстанавливаются LiAlH_4 в эфире в изомерные N-метил-3-оксиметилпиридола-4 (а) выход 59,6%, т. кип. 154—155°/7 мм, n_D^{20} 1,5058, БГ, т. пл. 136—136,5°, и б) выход 64,6%, т. кип. 156—157°/7 мм, n_D^{20} 1,5026, т. пл. 67—68°, БГ, т. пл. 138—140°, которые при нагревании (5 час., 85°/40 мм) с $\text{C}_6\text{H}_5\text{CHO}$ и толуолсульфонатом O_2C^1 -бензилиденовых производных, т. пл. 173—174° (из абс. сп.) и 200—202° (из абс. сп.) соответственно. Предыд. сообщ. см. РЖХим, 1958, 54053. Д. В.

70869. Восстановление четвертичных солей пиридина боргидридом натрия. Ферлес (Reduction of quaternary pyridinium salts with sodium borohydride. Ferles M.), Collect. Czechosl. chem. commun., 1958, 23, № 3, 479—484 (англ.; рез. русск.) См. РЖХим, 1958, 11326.

70870. О 2,4-диметил-6-винилпиридине. Проффт (Über das 2,4-Dimethyl-6-vinyl-pyridin. Proffft Elmar), Chem. Ber., 1958, 91, № 5, 957—960 (нем.)

Описано получение 2,4-диметил-6-(β -оксипропил)-пиридина (I) из 2,4,6-коллидина в укрупненном масштабе и исследована р-ция 2,4-диметил-6-винилпиридина (II) с аминами. При взаимодействии с первичными аминами RNH_2 в некоторых случаях образуются продукты присоединения (III) не только 1, но и 2 молей II типа $\text{RNHCH}_2\text{CH}_2\text{R}'$ и $(\text{R}'\text{CH}_2\text{CH}_2)_2\text{NR}$ (III), где $\text{R}' = 2,4$ -диметилпиридил-6. По своей реакционной способности II уступает 2-метил-6-винилпиридину, а также 2- и 4-винилпиридинам. 3,11 кг 2,4,6-коллидина, выделенного из пиридиновых оснований с т. кип. 146—200° (РЖХим, 1956, 16083), 0,37 кг параформа, 0,99 л воды и 10 г HCOOH помещают в автоклав и при начальном давлении H_2 60 ат нагревают за 110 мин. до 240°. После того как давление достигнет 132 ат, нагревание прекращают, при наружном охлаждении током воздуха перемешивают еще 4 часа, пока т-ра не упадет до 70° и через ~ 12 час. фракционируют в вакууме, выход I 49,1%, т. пл. 69—70° (из петр. эф.). Кроме того, при 140—192°/2 мм собирают маслянистый диол, выход 6%. 60,4 г I нагревают в вакууме с 12 г КОН в присутствии 5 г гидрохинона (100°, 30 мин.) и перегоняют, собирая фракцию с т. кип. 82—84°/12 мм. После второй перегонки выход II 92,1%, n_D^{20} 1,5380. Во избежание быстрой полимеризации перегонку II следует производить в присутствии гидрохинона. Р-цию II с аминами проводят в присутствии небольшо-

шого кол-ва CH_3COOH . Получены следующие ПП (указан амин, выход в % после нагревания 4 часа при т-ре 140°, т. кип. в °С/мм, n_D^{20} , в квадратных скобках указаны выход соединения типа III в %, т. кип. в °С/мм и n_D^{20}): $n\text{-C}_3\text{H}_7\text{NH}_2$ (кипение 4,5 часа), 34,4, 144/12, 1,5049 [11, 172/0,4, 1,5307]; $n\text{-C}_4\text{H}_9\text{NH}_2$ (кипение 5 час.), 34, 158—160/12, 1,5014 [15,6, 191,5—193/1, 2, 1,5261]; $(\text{CH}_3)_2\text{CH}(\text{CH}_2)_3\text{NH}_2$ (кипение 5 час.), 35, 172—174/12; 1,4943; $\text{C}_6\text{H}_5\text{NH}_2$, 57,8, 141—146/0,4, 1,5866; *o*-анилин, 26,3, 155—156/0,3, 1,5780; бензиламин, 53,5, 149—153/0,4, 1,5570 [11,7, 212—214/0,5, 1,5624]; α -нафтиламин, 63,8, 190—194/0,4, 1,6389; $(n\text{-C}_3\text{H}_7)_2\text{NH}$, 60, 156—158/12, 1,4922; $(n\text{-C}_4\text{H}_9)_2\text{NH}$, 42,2, 172—175/14, 1,4890; $\text{C}_6\text{H}_5\text{NHC}_6\text{H}_5$, 38,6, 198/0,8, 1,6034; пиперидин, 63,7, 165—167/15, 1,5208; морфолин, 69,5, 166—167,5/10, 1,5205. Г. Брау

70871. Алкил- и алкенилпиридины. III. Пиридиновые сульфоны $(2\text{-C}_5\text{H}_4\text{N})\text{CH}_2\text{SO}_2\text{R}$ и некоторые простые производные серы с 2-пиридилметилловым радикалом. Марушевская-Вечёрковская, Михальский (Alkilo i alkenylpyridyny. III. Sulfony pyrydynowe $(2\text{-C}_5\text{H}_4\text{N})\text{CH}_2\text{SO}_2\text{R}$ i niektóre proste pochodne siarki z rodnikiem 2-pyrydylometylowym. Maruszevska-Wieczorkowska Elzbieta, Michalski Jan), Roczn. chem., 1957, 31, № 2, 543—551 (польск., рез. англ.)

Конденсацией NaSO_2R , $\text{C}_6\text{H}_5\text{SNa}$, KSCN , KCN и NH_2CSNH_2 с $\text{R}'\text{CH}_2\text{Cl}$ (I), где $\text{R}' = \text{пиридил-2}$, получают соответственно $\text{R}'\text{CH}_2\text{SO}_2\text{R}$ (II), $\text{R}'\text{CH}_2\text{SC}_6\text{H}_5$ (III), $\text{R}'\text{CH}_2\text{SCN}$ (IV), $\text{R}'\text{CH}_2\text{SCN}$ (V) и $\text{R}'\text{CH}_2\text{SC}(=\text{NH})\text{NH}_2$ (VI). При взаимодействии V с H_2S и гидролиза VI получены $\text{R}'\text{CH}_2\text{CSNH}_2$ (VII) и $\text{R}'\text{CH}_2\text{SH}$ (VIII). К кипящему р-ру 400 г NaOH в 1,5 л воды прибавляют по каплям 604 г 2-пиридилметилацетата, кипятят 30 мин. и извлекают CHCl_3 (600 мл $\times 3$), получают 2-пиридилметилловый спирт (IX), выход 220 г, т. кип. 112—113°/14 мм. К 131 г SOCl_2 в 500 мл C_6H_6 прибавляют при $\leq 10^\circ$ р-р 109 г IX в 200 мл C_6H_6 и перемешивают при $\sim 20^\circ$ 1 час; получают хлоргидрат I (X), выход 98%, т. пл. 127° (возгонка). I получают растворением X в воде, подщелачиванием Na_2CO_3 и извлечением C_6H_6 , т. кип. 78—80°/15 мм. К нагретому на водяной бане р-ру 16,25 г KCN в 20 мл воды прибавляют р-р 16,4 г X (в 40 мл спирта, нагревают 1 час, фильтрат упаривают в вакууме и остаток извлекают C_6H_6 (30 мл $\times 3$); получают V, выход 75%, т. кип. 84—85°/1 мм, n_D^{20} 1,5205. К р-ру $\text{C}_2\text{H}_5\text{ONa}$ (из 4,6 г Na и 50 мл спирта) прибавляют р-р 33 г $\text{C}_6\text{H}_5\text{SH}$ в 80 мл C_6H_6 , прибавляют по каплям при размешивании и охлаждении 50 мл р-ра I в C_6H_6 , через 30 мин. фильтруют, фильтрат упаривают в вакууме, к остатку прибавляют 50 мл 1%-ного NaOH и извлекают C_6H_6 (50 мл $\times 3$); получают III, выход 89%, т. кип. 97—98°/0,1 мм, n_D^{20} 1,6259; пикрат, т. пл. 124—125°. Смесь 20 мл р-ра I в C_6H_6 (из 0,05 моля X) и 9,9 г $\text{C}_6\text{H}_5\text{SO}_2\text{Na}$ в 200 мл спирта кипятят 5 час., фильтрат упаривают в вакууме, прибавляют 50 мл 10%-ного р-ра Na_2CO_3 и извлекают CHCl_3 (70 мл $\times 3$), получают II ($\text{R} = \text{C}_6\text{H}_5$) (IIa), выход 75%, т. пл. 113°; пикрат, т. пл. 214—216° (разл.). Аналогично получают следующие II (указаны R, выход в %, т. пл. в °С, т. пл. в °С пикрата): C_2H_5 , 97, 105, 183—185 (разл.); $4\text{-CH}_3\text{C}_6\text{H}_4$, 96, 155, 197—198 (разл.); $4\text{-CH}_3\text{CONHC}_6\text{H}_4$ (IIb), 80, 196, 229—230 (разл.). К р-ру 5 г III в 20 мл CH_3COOH прибавляют 20 мл 27%-ной H_2O_2 ; получают IIa, выход 90%. Смесь 1 г IIb и 10 мл 20%-ной HCl нагревают 2 часа, прибавляют 50 мл воды и нейтрализуют насыщ. р-ром NaHCO_3 ; получают II ($\text{R} = 4\text{-NH}_2\text{C}_6\text{H}_4$), выход $\sim 100\%$, т. пл. 199°. К кипящему р-ру 15,2 г NH_2CSNH_2 в 200 мл спирта прибавляют 40 мл р-ра I в C_6H_6 (из 36 г X), кипятят 3 часа, упаривают и прибавляют 500 мл C_6H_6 ; получают хлоргидрат VI, выход 95%, т. пл. 152°. Смесь 25 г последнего и 150 мл 10%-ного NaOH нагревают 30 мин., ней-

трализируют CH_3COOH и извлекают C_6H_6 (50 мл \times 3); получают VIII, выход 52%, т. кип. 102°/20 мм, 57—58°/0,6 мм, n_D^{25} 1,5758; пикрат, т. пл. 163—164° (разл.). К кипящему р-ру 20 г KSCN в 200 мл ацетона прибавляют 30 мл р-ра I в C_6H_6 (из 32,8 г X), нагревают 2,5 часа, фильтрат упаривают и к остатку прибавляют 500 мл C_6H_6 ; получают IV, выход 84%, т. кип. 77—78°/0,2 мм, т. пл. 25—28°, n_D^{25} 1,5751; пикрат, т. пл. 165—167° (разл.). Смесь 5,9 г V, 70 мл насыщ. спирт. р-ра NH_3 и 50 мл спирта насыщают при $\sim 0^\circ$ H_2S , оставляют на 1 неделю и упаривают; получают VII, выход 80%, т. пл. 90°; пикрат, т. пл. 160° (разл.). Сообщение II см. РЖХим, 1958, 4692 J. Wolf

70872. Исследование активности алкильных групп гетероциклических соединений и их функциональных производных. II. Окисление алкилпиридинов и алкилхинолинов двуокисью селена. Ерхель, Хейдер (Untersuchungen zur Reaktivität von Alkylgruppen heterocyclischer Verbindungen und ihrer funktionellen Derivate. II. Oxydation von Alkyl-puridinen und Aldyl-chinolinen durch Selenioxyd. Jerchel Dietrich Jerchel, Heider Joachim), Liebigs Ann. Chem., 1958, 613, № 1-3, 153—170 (нем.)

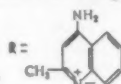
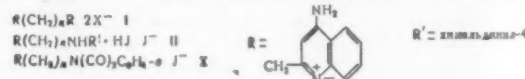
2- и 4-метил-, 2- и 4-этил-, а также 2,4- и 2,6-диметил-, (III, IV)-пиридины окисляются 1,5 моля SeO_2 в диоксане, $\text{C}_6\text{H}_5\text{N}$, 3-метилпиридин (V) или изохинотине (20—120 мин., 90—115°) в пиридинкарбоновые-2 и -4 (VI, VII) и пиридинкарбоновые-2,4 и -2,6 к-ты; с наибольшей скоростью р-ция идет в хинолине; с наименьшей — в диоксане. V и 3,5-диметилпиридин (VIII) не окисляются в этих условиях; из 2,5-диметил- и 2-метил-5-этилпиридинов образуются 5-метил- [т. пл. 168—169° (из воды)] и 5-этилпиридинкарбоновые-2 к-ты; из 2,4,6-триметилпиридинкарбоновой-3,5 к-ты с 4,5 моля SeO_2 при 100° образуется пиридинпентакарбоновая-2,3,4,5,6 к-та, т. разл. 216—219° (из воды), получаемая в зависимости от среды в виде пиридиновой [т. разл. 188—191° (из воды)], изохинолиновой (т. разл. 140—145°) или 3-метилпиридиновой (т. разл. 112—113°) солей; 4- CH_3 -группа в алкилпиридинах окисляется легче и быстрее 2- CH_3 -группы, что подтверждается тем, что 2,4,6-триметилпиридин, окисляющийся 4,5 моля SeO_2 в $\text{C}_6\text{H}_5\text{N}$ при 117° в пиридинтрикарбоновую-2,4,6 к-ту, превращается при 90° в 2,6-диметилпиридинкарбоновую-4 к-ту, т. пл. 278—279° (из разб. сп.); аналогично этому III окисляется при 90° в 2-метилпиридинкарбоновую-4 к-ту, т. пл. 293—294° (из разб. сп.), 2-, 3- и 4-метилхинолины ведут себя аналогично I, II и V; 3-метилхинолин окисляется SeO_2 в изохинолинкарбоновую-3 к-ту, т. пл. 171° (из воды). 2- и 4-ацетилпиридины также окисляются SeO_2 в диоксане или $\text{C}_6\text{H}_5\text{N}$ в VI и VII, а 3-ацетилпиридин (IX) в пиридин-3-глиоксильную к-ту (X) [выход 69%, т. пл. 178—179° (из сп.); фенилгидразон (ФГ), т. пл. 173—174° (из разб. сп.); 2,4-динитрофенилгидразон, т. пл. 255—256° (из разб. сп.)], образующую также при окислении N-окиси IX SeO_2 в $\text{C}_6\text{H}_5\text{N}$; строение X подтверждено превращением при нагревании (1 час, 100°) с малоновой к-той (XI) в $\text{C}_6\text{H}_5\text{N}$ в 2-(пиридин-3-)-яблочную к-ту, выход 66%, т. пл. 217—218° (из разб. CH_3OH); при окислении X 30%-ной H_2O_2 в CH_3COOH образуется N-окись пиридинкарбоновой-3 к-ты, выход 58%, т. пл. 255—256°. Ацетофенон аналогично IX окисляется избытком SeO_2 в кипящем $\text{C}_6\text{H}_5\text{N}$ в фенилглиоксильную к-ту, выход 48%, т. пл. 59—61° (из эф.). N-окиси V, VIII и 4-нитро-3-метилпиридина не окисляются в сходных условиях; N-окись II окисляется 1,5 моля SeO_2 в $\text{C}_6\text{H}_5\text{N}$ (1,5 часа, 119°) в N-окись VII, выход 66%, т. пл. 264—266°, и незначительное кол-во VII, а 1 молям SeO_2 в диоксане (7 час., 101°) в VII, выход 62%; N-окись I с 1—1,5 моля SeO_2 в пиридине (4 часа, 117°) дает N-окись пиридин-2-альдегидгидрата (XII), выход 59%,

т. пл. 78—80° (из C_6H_6), R_f 0,55 (втор- $\text{C}_4\text{H}_9\text{OH} : \text{HCOOH}$; вода, 7,5 : 1,5 : 1); оксим, т. пл. 214—215° (из воды); ФГ, т. пл. 226—227° (из CH_3OH); по-видимому, XII существует в виде внутримолекулярного соединения, что препятствует его дальнейшему окислению в N-окись VI; при нагревании с XI в $\text{C}_6\text{H}_5\text{N}$ из XII образуется N-окись пиридин-2-акриловой к-ты, выход 70%, т. пл. 257—258° (разл.; из разб. сп.); в диоксане при 102° N-окись I окисляется 1 молям SeO_2 в VI, выход 16%, и XII, выход 19%. В согласии с приведенными данными из N-окиси III в кипящем $\text{C}_6\text{H}_5\text{N}$ (6—7 час.) при 2,5 моля SeO_2 получается N-окись пиридин-2-альдегид-4-карбоновой к-ты, выход 43%, т. пл. 222—223° (разл.; из CH_3OH -этилацетата); ФГ, т. пл. 275—276° (из CH_3OH); из N-окиси 2,5-диметилпиридина получается N-окись-5-метилпиридин-2-альдегида, выход 66%, т. пл. 164,5—165,5° (из бзл.); оксим, т. пл. 288—229° (из воды); ФГ, т. пл. 230—232° (из CH_3OH), образующий с XI N-окись 5-метилпиридинакриловой-2 к-ты, выход 55%, т. пл. 245° (из разб. сп.); N-окись IV дает в тех же условиях N-окись пиридин-2,6-дальдегида, выход 58%, т. пл. 187—188° (из воды); оксим, т. пл. 215—216° (из воды); ФГ, т. пл. 286—287° (из водн. CH_3OH), образующий с XI N-окись пиридиндиакриловой-2,6 к-ты, т. пл. 281—282° (разл.; из водн. CH_3OH). Хлорбутилаты (XB) I и II, т. пл. 151—153° (из ацетона), сравнительно легко окисляются SeO_2 в диоксане или $\text{C}_6\text{H}_5\text{N}$ в XB VI и XB VII; XB V не изменяется в сходных условиях. 5 г XB I и 4,48 г SeO_2 в 30 мл диоксана нагревают 1,5 часа при 100°, фильтруют, р-р концентрируют, остаток кипятят с CH_3CN и осаждают эфиром XB VI, превращаемый в пикрат, т. пл. 164—165°, 5 г XB II, 4,48 г SeO_2 и 35 мл $\text{C}_6\text{H}_5\text{N}$ нагревают 20 мин. при 117°, фильтруют, отгоняют $\text{C}_6\text{H}_5\text{N}$ с паром, р-р концентрируют и получают XB VII, выход 72%, т. пл. 226—227° (из CH_3CN); пикрат, т. пл. 165—166° (из CH_3OH). Предыдущее сообщение см. РЖХим, 1955, 34489. Л. Шукина

70873. Потенциальные трипаноцидные средства. Действие полиметиленидигалогенидов на 4-аминохинолидин. Остин, Поттер, Тейлор (Potential trypanocides. The action of polymethylene dihalides on 4-aminoquinoline. Austin W. C., Potter M. D., Taylor E. P.), J. Chem. Soc., 1958, Apr., 1489—1498 (англ.)

В поисках трипаноцидных средств синтезированы соли полиметиленидигалогенидов на 4-аминохинолидин. Остин, Поттер, Тейлор (Potential trypanocides. The action of polymethylene dihalides on 4-aminoquinoline. Austin W. C., Potter M. D., Taylor E. P.), J. Chem. Soc., 1958, Apr., 1489—1498 (англ.)

И (II) йодистого 4-амино-1-[6-(хиноальдинил-4)-аминогексил]-хиноальдиния (II, $n = 6$) (IIa). Соответствующий Па хлоридат (XI) галогенист соли («Tozocide»), как показали предварительные испытания в Африке при трипанозомной инфекции крупного рогатого скота, обладает высокой терапевтич. активностью 17,4 г $\text{J}(\text{CH}_2)_6\text{J}$, 16 г 4-аминохиноальдина (III, IV хиноальдин) и 150 мл 4-метилпентаанола-2 (V) кипятят 72 часа и получают 14,3 г I ($n = 10$, $X = \text{J}$), т. пл. 308—309° (разл.; из CH_3OH). Аналогично из $\text{Br}(\text{CH}_2)_6\text{Br}$ синтезируют I ($n = 10$, $X = \text{Br}$), т. пл. 326—327° (разл.; из CH_3OH -сп.). При проведении р-ции в спирте выделя-



$\text{R}' = \text{хиноальдинил-4}$

только бромгидрат (БГ). III. Двойным разложением получены следующие I ($n = 10$) (приведены значения X и т. пл. в °C): NO_3 , 299—301 (разл.; из сп.-эф.); Cl , 326 (разл.; из сп.); ClO_4 , 282—284 (разл.; из CH_3OH -сп.). Кипячением в $\text{CH}_3\text{COC}_2\text{H}_5$ (100—450 час.) синтезированы I ($X = \text{J}$) [указаны значения n и т. пл. в °C (разл.)]: 4, 340—341 (из CH_3OH -сп.); 5, 293—294 (из CH_3OH -сп.); 7, 297 (из сп.); 8, 294—295 (из сп.); 9, 288—289 (из сп.); 12, 291—292 (из CH_3OH -сп.); 14, 266—267 (из сп.-эф.), соответствующий динитрат, т. пл. 239—241° (разл.; из сп.-эф.); 16, 253—255 (из сп.); 18, 253—254 (из сп.-эф.); 20, 241—242 (из сп.). 4-оксагептаметилен-бис-(4-аминохинальдиниййодид), т. пл. 317—318° (из сп.). При конденсации 3,5 г $\text{J}(\text{CH}_2)_6\text{J}$ с 4,2 г III в 35 мл V (кипение, 156 час.) образовалось 6,4 г в-ва, из которого кипящей водой извлечено ~15% ЙГ III. Из нерастворимой в воде части осадка путем дробной кристаллизации из смеси CH_3OH со спиртом выделено ~70—75% Ia [т. пл. 296—297° (разл.); соответствующий перхлорат, т. пл. 263—265° (разл., из CH_3OH -сп.); пикрат, т. пл. 266—268° (из водн. ацетона)] и ~10—15% IIa, т. пл. 287—289° (разл.; из сп.-ацетона). Конденсация III с $\text{J}(\text{CH}_2)_6\text{J}$ в $\text{CH}_3\text{COC}_2\text{H}_5$ приводит, помимо трех названных в-в, также к образованию йод-6-йодгексилата III (IIIa), т. пл. 202° (из сп.- CH_3OH). IIIa получается при кипячении III в $\text{CH}_3\text{COC}_2\text{H}_5$ с 3 молями $\text{J}(\text{CH}_2)_6\text{J}$; с 3 молями $\text{J}(\text{CH}_2)_3\text{J}$ III дает йод-3-йодпропилат III (IIIб), т. пл. 230—231° (из сп.). Из IIIб при обработке CH_3NH_2 в CH_3OH (~20°, 6 недель) образуется 4-метилазептаметилен-бис-(4-аминохинальдиниййодид), т. пл. 282° (разл., из CH_3OH). Исходя из данных элементарного анализа IIa, для сравнения с ним синтезирован имеющий ту же эмпирич. ф-лу дийодгидрат $\text{N,N'$ -ди-(хинальдинил-4)-гексаметилендиамина (VI, VIa основание). Однако VI оказался совершенно отличным от IIa, 2,2 г 4-хлор-IV и 0,66 г $\text{H}_2\text{N}(\text{CH}_2)_6\text{NH}_2$ нагревают 3 часа при t -ре ~100° и 8 час. при 165°, растворяют в воде, подкисленной HCl , и высаливают NaCl дихлоргидрат VIa, из которого выделяют VIa, т. пл. 210—211° (из водн. сп.), VI, т. пл. 338—340° (из CH_3OH -сп.). Дийодгидраты гомологов VIa; тетраметиленового, т. пл. 305—306° (из CH_3OH -сп.), декаметиленового, т. пл. 258—260° (из CH_3OH -эф.); основание последнего, т. пл. 178—179° (из водн. сп.). Для доказательства строения Па синтезирован другим путем. 159 г 5-хлорпентацетата, 151 г NaJ и 1,1 л ацетона кипятят 34 часа и полученный неочищ. 5-йодпентацетат в 300 мл спирта кипятят 5 час. с 70 г KCN в 90 мл воды. Выход 5-цианпентацетата 88 г, т. кип. 135—137°/12 мм. 25,6 г последнего и 25 мл жидкого NH_3 в присутствии скелетного Ni быстро нагревают в автоклаве до 140° при начальном давлении H_2 75 ат, перемешивают до охлаждения, к фильтрату прибавляют спирт. HCl и воду, водн. слой отделяют, приливают 200 мл 20%-ного NaOH и кипятят 1 час. Получают 15,8 г 6-аминогексанола (VII), т. кип. 126—127°/14 мм, т. пл. 52—54°. Если неочищ. продукт гидрирования не гидролизовать и непосредственно перегнать, получается смесь VII и ацетата VII (VIIa), т. кип. 111—113°/11 мм. Гидролиз VIIa действием HJ (d 1,94) с последующей нейтрацией и подкислением спирт. HCl приводит к $\text{XG H}_2\text{N}(\text{CH}_2)_6\text{J}$, т. пл. 118—119° (из ацетона-эф.). 2 г VII и 3 г 4-хлор-IV нагревают до 167°, после чего t -ра самопроизвольно поднимается до 260°. По охлаждению смесь нагревают 30 мин. при 165—170°, растворяют в спирте, выливают в 2 н. NaOH и получают 3,3 г N-(6-оксигексил)-III, т. пл. 134—136° (из бзл.). Нагреванием 4-хлор-IV с $\text{CH}_3(\text{CH}_2)_5\text{NH}_2$ в трубке (160°, 3 часа) получают N-гексил-III, т. пл. 119—121° (из петр. эф.). 4 г N-(6-оксигексил)-III кипятят 2 часа с 8 мл HJ (d 1,94); выход ЙГ N-(6-йодгексил)-III 5 г, т. пл. 132—134° (из сп.). 3 г последнего,

3 г III и 60 мл V нагревают 48 час. при 110—120° и из реакционной смеси выделяют 0,2 г IIa, 11,1 г o - $\text{C}_6\text{H}_4(\text{CO})_2\text{NK}$ и 81 г $\text{J}(\text{CH}_2)_6\text{J}$ нагревают 24 часа при 140—150°, растворяют в эфире, фильтрат упаривают, отделяют 0,3 г фталимида (VIII), отгоняют в вакууме избыток $\text{J}(\text{CH}_2)_6\text{J}$, остаток растирают с петр. эфиром и получают 14,5 г N-6 йодгексил-VIII (VIIIa), т. пл. 76° (из сп.). Аналогично получены N- ω -йодалкил-VIII [указаны йодалкильный остаток и т. пл. в °C (из сп.)]: JC_4H_9 , 87—89; JC_6H_{13} , 73—75; JC_7H_{15} , 42—43; JC_8H_{17} , 63—64; JC_9H_{19} , 48—50; $\text{JC}_{10}\text{H}_{21}$, 64—65; $\text{JC}_{12}\text{H}_{25}$, 60—62. Так как избыток полиметиленидида трудно удалить, в некоторых случаях последний брали для конденсации без избытка. При этом образовывалось значительное кол-во α,ω -дифталимидоалкана (IX), большая часть которого выделялась по охлаждении эфирного фильтрата. N- ω -йодалкил-VIII, еще содержащий остатки IX, применяли для следующей стадии без дополнительной очистки. В указанных условиях синтезированы N- ω -йодалкил-VIII (указаны йодалкильный остаток и т. пл. в °C): $\text{JC}_{14}\text{H}_{29}$, ~71—73; $\text{JC}_{16}\text{H}_{33}$, ~68—70; $\text{JC}_{18}\text{H}_{37}$, ~74—76; $\text{JC}_{20}\text{H}_{41}$, ~74—76. Получены IX [указаны алкан и т. пл. в °C (из сп.)]: гексадекан, 116—117; октадекан, 117—118; эйкозан, 114—116. 5,18 г III, 11,7 г VIIIa и 50 мл $\text{CH}_3\text{COC}_2\text{H}_5$ кипятят 300 час. и отделяют 9,8 г (X, $n = 6$) (Ха), т. пл. 229—230° (из сп.- CH_3OH). Ха получен также нагреванием (~100°, 1 час) IIIa с o - $\text{C}_6\text{H}_4(\text{CO})_2\text{NK}$ в $\text{HCON}(\text{CH}_3)_2$; соответствующий Ха перхлорат имеет т. пл. 223—225° (из CH_3OH). Аналогично Ха (кипение 100—450 час.) синтезированы X [указаны n и т. пл. в °C (из сп.)]: 3, 260—262 (из CH_3OH -сп.); 4, 263—264; 5, 236—238; 7, 170—172; 8, 238—240; 9, 174—176; 10, 189—191, соответствующий бромид, т. пл. 205—207° (из сп.), нитрат, т. пл. 170—172° (из сп.); 13, 142—144; 14, 155—156; 16, 155—157; 18, 151—152; 20, 144—146. 6,18 г Ха, 60 мл CH_3OH и 0,66 г 96%-ного $\text{NH}_2\text{NH}_2 \cdot \text{H}_2\text{O}$ кипятят 1 час, прибавляют 15 мл воды, CH_3OH отгоняют в вакууме, остаток нагревают 1 час с 15 мл конц. HCl (~100°), фильтрат упаривают, остаток растворяют в воде, приливают конц. p -р NaOH и выделившееся масло обрабатывают 6 мл насыщ. p -ра NaJ . Полученное масло медленно нагревают с 1,95 г 4-хлор-IV в 7,5 мл CH_3OH до 160° с отгонкой p -рителя, выдерживают 1 час при 160—170°, остаток растирают с теплым p -ром 15 г NaJ и 7,5 мл конц. HCl в 22,5 мл воды, осадок растворяют в 300 мл CH_3OH , обрабатывают 7,5 г NaJ , кипятят 10 мин. и из фильтрата выделяют 4,3 г IIa. IIa получен также конденсацией неочищ. йодистого 4-амино-1-(6-аминогексил)-хинальдиния (XI) с 4-хлор-IV в феноле (кипение, 1,5 часа) с последующим выливанием в p -р NaJ в ацетоне. Таким же образом проводилась конденсация XI с 4-метокси-, 4-фенокси-, 4- o -толилокси- [т. пл. 71—72° (из водн. сп.)] и 4-(2,4-ксилилокси)-IV, т. кип. 138°/0,1 мм, т. пл. 86—87 (из водн. сп.). Получены следующие соответствующие IIa соли: XG хлорида, т. пл. 297—298° (разл.; из сп.-ацетона); азотнокислая соль нитрата, т. пл. 263—264° (разл.; из CH_3OH -сп.); хлорнокислая соль перхлората, т. пл. 224—226° (разл.; из сп.- CH_3OH). При смешении спирт. p -ра IIa с водн. p -ром Na - или NH_4 -соли следующих соединений получены соответствующие соли (неочищ.): с 2,2'-диокси-1,1'-динафтилметандикарбоновой-3,3'- k -той, т. пл. > 300°; с 4,4'-диаминотилбендисульфокислотой-2,2', т. пл. > 300°; с сураминон, спекание при 270° с медленным разложением. Синтезированы II [указаны n и т. пл. в °C (разл.)]: 4, 311—312 (из CH_3OH -сп.); 5, 264—266 (из CH_3OH -сп.); 7, 155—157 (из сп.-ацетона-эф.); 8, 251—253 (из сп.-ацетона); 9, 190—192 (из сп.-ацетона-эф.); 10, 208—210 (из сп.-ацетона); 14, 220—222 (из сп.-ацетона-эф.); 16, 194—195 (из сп.-ацетона-эф.); 18, 186—188 (из CH_3OH -ацетона-сп.); 20,

172—174 (из сп.-ацетона-эф.), 5 г IIa кипятят 3 часа с 5 г K_2CO_3 в 200 мл воды, затем прибавляют 50 г NaJ, кипятят еще 5 мин. и получают 4,4 г смолистого осадка, из которого выделяют йодистый 4-амино-1-[6-(хиальдинил-4)-аминогексил]-хиальдиний, начало разложения 132—134° (из сп.-ацетона), йодметилат, т. пл. 282—284° (из CH_3OH сп.), йодэтиллат, т. пл. 219—221° (разл., из CH_3OH); йодбутиллат, т. пл. 252—254° (разл.; из сп.-эф.). 2 г III кипятят с 4 мл $(CH_3CO)_2O$ и 9 мл пиридина (8 час.), выливают в ледяную воду и подщелачивают NH_4OH ; выход 4-ацетамидо-IV 2,25 г, т. пл. 162—164° (дигидрат, из бзл.); XI¹ III, т. пл. 346—347° (разл.; из сп.); БГ, т. пл. 335—336° (разл., из CH_3OH -сп.); ПГ, т. пл. 282—283° (разл.; из сп.). Конденсацией $I(CH_2)_nJ$ с изохинолином (избыток 50%) в C_6H_6 синтезированы полиметилден-бис-(изохинолиниййодиды) (указано число CH_2 -групп в цепи и т. пл. в °C): 3, 251—253 (разл.; из CH_3OH -сп.); 4, 247—249 (разл.; из CH_3OH) 5, 190—191 (из сп.); 6, 233—234 (из CH_3OH -сп.); 7, 216—217 (из сп.). Трипа-ноидная активность этих соединений в эксперименте на мышах оказалась невысокой. Вопреки появившимся указаниям (РЖХим, 1958, 28790) VI мало активен против *T. congolense* и *T. rhodesiense*. Исследование блокирующего действия некоторых X на нервную и печеную проводимость показало, что Ха в ~2 раза слабее (+)-тубокурарина.

Г. Браз
70874. Синтез и превращения N-фенилхинолиний-перхлората. Пилюгин Г. Т., Гуцулак Б. М., Научн. ежегодник Черновицк. ун-та, 1956 (1957), 1, № 2, 224—226

Клизацией 8,5 г дифениламина с 1,5 г параформа и 1,2 г паральдегида в смеси 5 мл конц. HCl и 5 мл диоксана (6 час., 100°, в запаянной трубке) с последующей обработкой спирт. извлечения насыщ. водн. р-ром перхлората калия получен N-фенилхинолиний-перхлорат (I), выход 23%, т. пл. 276—278° (из воды). Конденсацией I с соответствующими четвертичными солями синтезированы следующие изоцианиновые красители (приведены заместитель в монометинцианинперхлорате, максимум поглощения в мμ): (1-фенилхинолиний-4)-(3-этилбензотриазол-2), 544; (1-фенилхинолиний-4)-(3-фенилбензотриазол-2), 555; (1-фенилхинолиний-4)-(1-этилхинолин-2), 566; (1-фенилхинолиний-4)-(1-фенилхинолин-2), 565; и (1-фенилхинолиний-4)-(1-фенил-5,6-бензохинолин-2), 585.

Л. Яхонтов
70875. 2-метил-3-(γ-хлоркротил)-4-окси-6-аминохинолин и его некоторые производные. Гюльбудагян Л. В., Калдрикан М. А., Гитакан ашхатутюннер. Ереван амалсаран, Научн. тр. Ереванск. ун-т, 1957, 60, 67—72 (арм.; рез. русск.)

2-метил-3-(γ-хлоркротил)-4-окси-6-аминохинолин (I) синтезирован с целью определения его биол. активности. Из α-(γ-хлоркротил)-ацетоуксусного эфира и n-амиоацетанилида получили эфир α-(γ-хлоркротил)-β-(n-ацетаминифениламино)-кротоновой к-ты (II). В среде нейтр. р-рителя при 240° II циклизовали в 2-метил-3-(γ-хлоркротил)-4-окси-6-ацетаминихинолин (III), который деацетилировали нагреванием в 17%-ной HCl; полученный хлоридат переведен обработкой NH_3 в I. III метилирован в 2-метил-3-(γ-хлоркротил)-4-метокси-6-ацетаминихинолин, который деацетилирован до 2-метил-3-(γ-хлоркротил)-4-метокси-6-аминохинолина.

О. Михайлова
70876. Изыскание противораковых соединений в ряду производных акридина. I. Производные 1-бром-7-метоксинакридина. Ледуковский, Боровский, Ледуковский, Гавле, Моравский (Poszukiwanie związków przeciwnowotworowych w grupie pochodnych akrydyny. I. Pochodne 1-bromo-7-metoksyakrydyny. Ledóchowski Zygmunt, Borowski Edward, Ledóchowski

Andrzej, Gawle Kazimierz, Morawski Bohdan, Roczn. chem., 1958, 32, № 1, 147—150 (польск.; рез. англ.)

Синтезированы следующие новые производные 1-бром-7-метоксинакридина: 1-бром-7-метокси-9-хлоракридин, 1-бром-7-метокси-9-феноксинакридин, 1-бром-7-метокси-9-(N,N-диметилгидразино)-акридин, 1-бром-7-метокси-9-(2'-диметиламиноэтиламино)-акридин, 1-бром-7-метокси-9-(3'-диметиламинопропиламино)-акридин, 1-бром-7-метокси-9-(4'-диметиламинобутиламино)-акридин, 1-бром-7-метокси-9-(5'-диметиламинопентиламино)-акридин, 1-бром-7-метокси-9-(4'-диметиламиноциклогексиламино)-акридин, 1-бром-7-метокси-9-(4'-диметиламиноанилино)-акридин. Все эти соединения идентифицированы, шесть из них обладают ингибирующим действием на *Sarcoma Crockeri*.

Из резюме авторов
70877. Исследование в области химии гетероциклов. XXXII. Ди- и полигалондопроизводные 9-фенилакридина с положением галондов в различных бензольных ядрах. Коншин М. Е., Петюнин П. А., Ж. общ. химии, 1958, 28, № 4, 974—978

Реакцией $n-ClC_6H_4MgBr$ с метиловым эфиром антрапиловой к-ты (I) или соответствующими галондопроизводными I синтезированы с 47—96%-ными выходами (в скобках указаны т. пл. в °C) 4,4'-дихлор-[116—117 (из бзл.); пикрат (ПК), 200], 4,4',5'-трихлор-[183—185 (из сп.)], 3,5,4,4'-тетрахлор-[148—149 (из сп.)], 5-бром-4,4'-дихлор-[193 (разл.; из сп.)] и 3,5-дибром-4,4'-дихлор-[150—151,5 (из бзл.)]-2-аминотрифенилкарбинолы, циклизованные нагреванием 30 мин. в $C_6H_5NO_2$ в 3-хлор- [177—178 (из сп.); ПК, 231—233], 2,6-дихлор-[193—194 (из сп.); ПК, 261—263], 2,4,6-трихлор-[245—246 (из $C_6H_5NO_2$)], 2-бром-6-хлор-[205—207 (из сп.); ПК, 268 (разл.)] и 2,4-дибром-6-хлор-[254—255 (из толуола)] 9-(4-хлорфенил)-акридин. Сообщение XXXI см. РЖХим, 1958, 25163.

Д. Витковский
70878. Синтез дигалондозамещенных 5-аминоакридинов. Мунши, Дхолкия, Наргунд (Synthesis in dihalogenated 5-aminoacridine series. Munshi A. G., Dholkia P. M., Nargund K. S.), J. Indian Chem. Soc., 1958, 35, № 2, 130—132 (англ.)

Для изучения связи между хим. строением и анти-малерийной активностью синтезированы 7-метокси-5-(4-диэтиламино-1-молибутил)-амино-(I), 7-метокси-5-(γ-пиперидинопропил)-амино-(II), 7-метокси-5-(γ-морфолинопропил)-амино-(III), 5-(γ-пиперидинопропил)-амино-(IV) и 5-(4-диэтиламино-1-метилбутил)-амино-2,3-дихлоракридин (V). 9 г 6-Br-3- $CH_2OC_6H_4COOH$, 6 г плавленого K_2CO_3 , 7 г 3,4- $Cl_2C_6H_3NH_2$ и 30 мл $iso-C_3H_7ON$ кипятят 4 часа в присутствии 0,3 г Si-порошка, отгоняют р-ритель с паром, остаток фильтруют и подкисляют; выход 3,4- $Cl_2C_6H_3NHC_6H_4(OCH_3)_2$ -COOH-2' (VI) 6 г, т. пл. 187° (из CH_3COOH). 1 г VI кипятят с 3 мл $SOCl_2$ и 10 мл C_6H_6 и получают хлорангидрид VI (VIa), т. пл. 117° (из бзл.). 1 г VIa и 0,5 г $(C_2H_5)_2N(CH_2)_3CH(CH_3)NH_2$ в 30 мл безводн. C_6H_6 кипятят 30 мин., приливают 3 мл $POCl_3$ и кипятят 6 час. По удалении C_6H_6 и $POCl_3$ из остатка выделяют дихлоридат (DXG) I, т. пл. 237° (из абс. сп.-ацетона). Аналогично получены (указаны в-во, т. пл. в °C DXG): II, 158; III, 238; IV, 254; V, 248. 5 г VI нагревают с 30 мл $POCl_3$ (110—115°, 3 часа), избыток $POCl_3$ отмывают петр. эфиром и осадок извлекают $CHCl_3$. Экстракт обрабатывают смесью NH_4OH со льдом, отгоняют $CHCl_3$ и путем дробной кристаллизации остатка из толуола выделяют с очень небольшим выходом 2,3,5-трихлор-(VII) и 3,4,5-трихлор-7-метоксинакридин (VIII), т. пл. соответственно 192 и 179° (из ацетона). Смесь изомеров образуется также при аналогичной циклизации 3,4- $Cl_2C_6H_3NHC_6H_4COOH$ -2', причем вместе

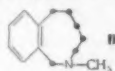
ожидаемого 2,3,5-трихлоракридина выделен 2,3-дихлор-акридин. Нагреванием 1 г VII или VIII с 5 г C_6H_5OH (120°, 3 часа) синтезируют соответственно 2,3-дихлор-или 3,4-дихлор-5-фенокси-7-метоксинакридин, т. пл. 180° (из CH_3COOH) и 153°.

Г. Браз
70879. Псевдоазулены. Часть I. Некоторые производные циклопента-[b]-пирана. Бойд (pseudoAzulenes. Part I. Some derivatives of cyclopenta[b]pyran. Boyd G. V.), J. Chem. Soc., 1958, May, 1978—1982 (англ.).

Синтезированы 2-фенилбензо-[b]-циклопента-[e]-пиран (I) и 2,4,6-трифенил-(II) и 2-трет-бутил-4,6-дифенил-(III)-циклопента-[b]-пираны. I—III устойчивы к р-рам щелочей, разлагаются кипящей CH_3COOH , флуоресцируют подобно солям пирилия; их спектры сходны со спектрами 5,6-бензазулена (IV). Взвесь 3 г 3-фенил-5-салицилиденциклопентен-2-она в 50 мл CH_3COOH и 25 мл конц. HCl кипятят 10 мин., выливают в избыток воды и отделяют I, выход 91%, т. пл. 207—207,5° (из бэл.), перхлорат (ПХ), т. пл. 231° (разл.), или р-р 158 мг 3-фенилциклопентен-2-она (V), 1 моля салицилового альдегида, 2 капели пиперидина и 1 капля CH_3COOH в 5 мл C_6H_6 кипятят 2 часа и получают I, выход 41%. К р-ру 6,3 г фенилстирилкетона и 1 моля V в 45 мл эфира и 10 мл $(CH_3CO)_2O$ постепенно добавляют при 0° 3 моля $FeCl_3$, кипятят 1,5 часа, оставляют на 12 час., приливают 30 мл CH_3COOH , продукт отделяют, растворяют в 120 мл ацетона, добавляют 2 мл р-ра $HClO_4$ и получают ПХ II, т. пл. 242° (разл.), из которого действием $NaOH$ в спирте выделяют II, т. пл. 148,5° (из ацетона). Аналогично из трет-бутилстирилкетона синтезируют III, т. пл. 136,5—137,5°. Приведены кривые УФ-спектров, λ (макс.) и $\lg \epsilon$ I—IV. Л. Ш.

70880. Новое расширение цикла, вызванное перегруппировкой с орто-замещением при действии амида натрия в жидком аммиаке. Леднигер, Хаузер (A novel ring enlargement involving the ortho substitution rearrangement by means of sodium amide in liquid ammonia. Lednicer Daniel, Hauser Charles R.), J. Amer. Chem. Soc., 1957, 79, № 16, 4449—4451 (англ.).

Осуществлена перегруппировка иона 1,1-диметил-2-фенилпиперидиния (I йодистая соль), при которой пиперидиновый цикл подвергся расширению с образованием соединения (II), содержащего новую 9-членную кольцевую систему с азотом. При окислении II действием $KMnO_4$ с выходом 55% получена фталевая к-та. Таким образом перегруппировка действительно связана с замещением ядра в орто-положении.



Расширение цикла с образованием II доказано тем, что при восстановлении йодметилата II (IIa) по Эмде получен 1-диметиламино-5-(о-толил)-пентаин (III), который был синтезирован встречным путем. Допущение, что продукт перегруппировки катиона I является 1-метил-2-(о-толил)-пиперидином (IV), опровергается, так как при плавлении смешанной пробы IIa и йодметилата IV (IVa) наблюдается значительная депрессия. По-видимому, перегруппировка, приводящая к II, облегчается благоприятной конформацией молекулы I, в которой CH_3 -группа близка к орто-положению ароматич. ядра. 0,4 моля 2-фенилпиперидина (V) и 88 г CH_3I оставляют на 3 дня при ~20°; выход йодметилата V (Va) 113,8 г; т. пл. 141—144° (из CH_3CN -эф.). 56,9 г Va гидрируют в 250 мл спирта над 1 г PtO_2 при 3,3—2,6 ат (1,5 часа) и получают 1-метил-2-фенилпиперидин, выход из двух опытов 41,8 г, т. кип. 103—109°/9 мм. Последний растворяют в 100 мл CH_3CN , обрабатывают 65 г CH_3J и приливают эфир; выход I в пересчете на V 68%, т. пл. 178—179,5° (из CH_3CN -эф.).

0,234 моля I прибавляют за 10 мин. к 0,46 моля $NaNH_2$ в 900 мл жидкого NH_3 , перемешивают 1 час, нейтрализуют прибавлением 23 г NH_4Cl и по испарении NH_3 извлекают из остатка эфиром (~1 л) II, выход 83%, т. кип. 104—106°/4 мм, 95,5°/3 мм, $n_D^{24} 1,5380$; пикрат, т. пл. 169—170°. Действием CH_3J на II в CH_3CN при 0° получают IIa, выход 96%, т. пл. 223—225° (из CH_3CN). К горячему р-ру 0,034 моля IIa в 200 мл воды прибавляют за 50 мин. 276 г 5%-ной амальгамы Na, нагревают 24 часа при ~100° и извлекают эфиром III, выход 5,53 г, т. кип. 126—128°/5 мм; пикрат, т. пл. 108—109° (из сп.); йодметилат, т. пл. 125—126° (из CH_3CN). Для доказательства строения III к 0,12 моля 2-(о-толил)-пиридина (VI), синтезированного из о- $CH_3C_6H_4Li$ и C_5H_5N аналогично 2-фенилпиперидину, прибавляют 0,21 моля CH_3J ; выход йодметилата VI (VIa) 94% (неочищ.), т. пл. 199—200° (из CH_3CN -эф.). 0,109 моля VIa гидрируют в 200 мл спирта над 0,5 г PtO_2 при 4 ат, через 3,5 часа добавляют еще 0,5 г PtO_2 и по окончании р-ции выделяют IV, выход 75%, т. кип. 103—105°/4,5 мм, 98—99°/3,5 мм, $n_D^{24} 1,5280$. Действием CH_3J на IV в CH_3CN получают IVa, выход 99%, т. пл. 206—208° (из CH_3CN -эф.). К горячему р-ру 0,05 моля IVa в 300 мл воды прибавляют за 1 час 400 г 5%-ной амальгамы Na, нагревают 26 час. при ~100° и получают III, выход 77%. Попытка осуществить перегруппировку катиона IIa в условиях, аналогичных указанным при получении II, привела к смеси в-в, которую не удалось разделить.

Г. Браз
70881. Новый синтез N-замещенных амидов тиокарбонных кислот. Хёйсен, Витте (Eine neue Synthese von N-substituierten Thiocarbonsäure-amiden. Huisgen Rolf, Witte Josef), Chem. Ber., 1958, 91, № 5, 972—977 (нем.).

Бензолсульфонильные производные кетоксимов $RR'C=NOSO_2C_6H_5$ подвергают бекмановской перегруппировке в присутствии H_2S . Первоначально образующиеся при этом имидосульфаты $RC(OSO_2C_6H_5)=NR$ в результате тиолиза превращаются в тиоамиды $RC(S)NHR$ (I). Р-ция распространяется на алифатич., алициклич., ароматич. и жирно-ароматич. кетоны. Установлено, что у анти-алкиларилкетоксимов всегда мигрирует арил, у n - $C_5H_{11}C(=O)NHCH_3$ мигрирует амильный радикал. 100 ммольей оксима ацетофенона (II кетон) в 50 мл пиридина обрабатывают при 0° 110 ммольями $C_6H_5SO_2Cl$, выдерживают 1 час при т-ре ~20° и пропускают ток безводн. H_2S . При этом начинается экзотермич. р-ция, во время которой т-ра не должна превышать 50°. Смесь оставляют на 5 час. под давлением H_2S , нагревают 1 час при 60° и получают I ($R=C_6H_5$, $R'=CH_3$), выход 72%, т. пл. 75—76° (из бэл.-бэл.). К 100 ммольям оксима циклогексана (III) в 50 мл CH_2Cl_2 и 200 ммольях пиридина при охлаждении льдом с солью приливают за 15 мин. 110 ммольей $C_6H_5SO_2Cl$, через 15 мин. пропускают медленный ток безводн. H_2S , не допуская подъема т-ры выше 30—35°, оставляют на 12 час. под давлением H_2S при т-ре ~20° и выделяют из р-ра $CH_2(CH_2)_n$ -

$C(S)NH$ (IV $n=4$) (IVa), выход 84%, т. пл. 105,5—

106,5° (из циклогексана-бэл.). При применении вместо пиридина $C_6H_5N(CH_3)_2$ или $(C_2H_5)_3N$ выход IVa составляет соответственно 74 и 32%, а при замене $C_6H_5SO_2Cl$ на CH_3SO_2Cl 66%. При перегруппировке III действием горячей конц. H_2SO_4 или 5%-ного одеума с последующим пропусканием H_2S на холоду образовался только капролактан. Синтезированы I (указаны R и R', выход в %, т. пл. в °C): C_2H_5 , C_2H_5 , 64, — (т. кип. 84°/0,1 мм); n - C_5H_{11} , CH_3 , 67, — (т. кип. 150—155°/12 мм); n - $CH_3C_6H_4$, CH_3 , 71, 129—130; n - $CH_3OC_6H_4$,

CH_3 , 83 (получен также из *n*-метоксипиридина при применении пикололина взамен пиридина выход 69%), 114,5—115,5; $n\text{-ClC}_6\text{H}_4$, CH_3 , 46, 139—140; $n\text{-BrC}_6\text{H}_4$, CH_3 , 66, 153; 2,4-(CH_3O) $_2\text{C}_6\text{H}_3$, CH_3 , 73 (при применении $n\text{-CH}_3\text{C}_6\text{H}_4\text{SO}_2\text{Cl}$ выход 64%), 91—92 (из бзл. лигр.); C_6H_5 , C_2H_5 , 58, 65—67; C_6H_5 , $n\text{-C}_5\text{H}_{11}$, 71, 43—45 (из петр. эф.); нафтил-2, CH_3 , 73, 147—149; C_6H_5 , C_6H_5 , 68, 100—101; $n\text{-CH}_3\text{C}_6\text{H}_4$, $n\text{-CH}_3\text{C}_6\text{H}_4$, 57, 166—167. Аналогично из 1,2-бензоциклопентен-1-она-3 получен 1,2-бензоциклопентенонтиоизооксим, выход 74%, т. пл. 162,5—163°. Р-цию $\text{C}_6\text{H}_5\text{SO}_2\text{Cl}$ с оксимами метоксизамещ. II проводили при t -ре -10° , с оксимами *n*-галлоид-II при t -ре $\sim 20^\circ$. Для завершения перегруппировки в последнем случае приходилось нагревать до 90° . Синтезированы IV (указаны исходный кетон, значение *n*, выход в %, т. пл. в $^\circ\text{C}$): циклопентанон, 5, 74, 82—83; циклооктанон, 6, 82, 87,5—88; циклододеканон, 10, 73, 106,5—107 (из ацетона-воды); циклопентадеканон, 13, 76, 104—105. Получить I из *n*-нитро-II и IV из циклопентанона не удалось. Г. Брау

70882. К превращению *N*-замещенных амидов карбоновых кислот в тиаомиды. Витте, Хейсен (Zur Überführung *N*-substituierter Carbonamide in Thioamide. Witte Josef, Huisgen Rolf), Chem. Ber., 1958, 91, № 5, 1129—1131 (нем.)

N-монозамещенные амиды карбоновых к-т RCONHR' реагируют с $\text{C}_6\text{H}_5\text{SO}_2\text{Cl}$ в пиридине с образованием амидосульфонов $\text{RC}(\text{=NR}')\text{OSO}_2\text{C}_6\text{H}_5$, которые при действии H_2S превращаются в тиаомиды RCSNHR' . Аналогичным образом реагируют и *N*-дизамещ. амиды. Предлагаемый метод дополняет недавно описанный синтез тиаомидов из кетоксимов (см. пред. реф.), но уступает ему по широте применения и выходам. 10 г пиперидона растворяют в 30 мл безводн. пиридина и 30 мл C_6H_5 и приливают за 30 мин. 14 мл $\text{C}_6\text{H}_5\text{SO}_2\text{Cl}$. Через 1 час пропускают умеренный ток безводн. H_2S , причем t -ра самопроизвольно поднимается до 68° . Реакционную смесь выдерживают под давлением H_2S еще 1 час и выделяют тиопиперидон, выход 68%, т. пл. $95\text{--}96^\circ$ (из циклогексана). 15 г *N*-метилкапролактама нагревают в 50 мл пиридина с 16 мл $\text{C}_6\text{H}_5\text{SO}_2\text{Cl}$ (80° , 3 часа), охлаждают, пропускают ток H_2S , как указано выше, и выдерживают под давлением H_2S еще 3 часа при 70° . Выход *N*-метилтиокапролактама 75%, т. кип. $148\text{--}151/12$ мм, т. пл. $49\text{--}51^\circ$ (из петр. эф.). Аналогично получены (указаны в-во, выход в % и т. пл. в $^\circ\text{C}$): тиопирролидон, 44, 112—113; тиаокапролактама, 29, 105—106; $n\text{-CH}_3\text{OC}_6\text{H}_4\text{NHCSC}_6\text{H}_5$, 40, 114—115; $\text{C}_6\text{H}_5\text{CSNHC}_6\text{H}_5$, 37, 79; $n\text{-CH}_3\text{OC}_6\text{H}_4\text{CSNHC}_6\text{H}_5$, 38, 110—111; $\text{C}_2\text{H}_5\text{CSN}(\text{C}_2\text{H}_5)_2$, 29, — (т. кип. $115\text{--}116/12$ мм). Из $n\text{-NO}_2\text{C}_6\text{H}_4\text{NHCSC}_6\text{H}_5$, $\text{HCON}(\text{CH}_3)_2$, $\text{C}_6\text{H}_5\text{N}(\text{CH}_3)\text{COCH}_3$ и $\text{C}_6\text{H}_5\text{N}(\text{CH}_3)\text{COC}_6\text{H}_5$ не удалось получить соответствующие тиаомиды. Г. Брау

70883. Аномальное поведение хлористого тетразолидiazония по отношению к некоторым арилгидразинам. III. Синтез некоторых бетанов 3,5-диарил-1 (тетразолил-5) (1H)-тетразолия. Хоруиц, Гракау-укае (III. The anomalous behavior of tetrazolidiazonium chloride toward some arylhydrazines: the synthesis of some 3,5-diaryl-1-(5'-tetrazolyl) (1H)-tetrazolium betaines. Horwitz Jerome P., Grakauskas Vytautas A.), J. Amer. Chem. Soc., 1958, 80, № 4, 926—930 (англ.)

Сочетание хлористого тетразолидiazония (I) с хлоргидратами арилгидразинов $n\text{-XC}_6\text{H}_4\text{NHNH}_2\cdot\text{HCl}$ (II; здесь и в других ф-лах $\text{X} = \text{H}$, б $\text{X} = \text{Cl}$, в $\text{X} = \text{Br}$, г $\text{X} = \text{NO}_2$) в присутствии HCl приводит к 1-(тетразолил-5)-3-арилтетразенам $\text{NHN}=\text{NN}=\text{CN}=\text{NNHC}_6\text{H}_4\text{X}$ (IVa—г) с выходами 31—

X -н (III а—г) и 1-(тетразолил-5)-3-арилтриазенам $\text{NHN}=\text{NN}=\text{CN}=\text{NNHC}_6\text{H}_4\text{X}$ (IVa—г) с выходами 31—

37% и 20% соответственно, вместо ожидаемой смеси

азидов и аминов. Образование IV требует следующей последовательности р-ций: получение 1-(тетразолил-5)-4-арилтетразена, быстрое расщепление его на 5-азидотетразол и $\text{H}_2\text{NC}_6\text{H}_4\text{X}$ -н и взаимодействия последнего с избытком I. Приводятся некоторые объяснения причины неожиданного образования III и IV. Конденсация III с ароматич. альдегидом приводит к 4-($\text{RC}_6\text{H}_4\text{CH}$)-III (V), которые самопроизвольно или быстро при действии HNO_3 окисляются в бетаны 3,5-диарил-1-(тетразолил-5) (1H)-тетразолия $n\text{-XC}_6\text{H}_4\text{NN}=\text{C}(\text{C}_6\text{H}_4\text{R})$ -

$\text{N}^+=\text{N}-\text{C}=\text{NN}=\text{NN}^-$ (VI). Строение VI ($\text{X} = \text{H}$, $\text{R} = \text{C}_6\text{H}_5$)

установлено расщеплением конц. HCl на смесь 5-окситетразола (выход 60%) и 2,5-дифенилтетразола (выход 98%). Из IIa и $\text{C}_6\text{H}_5\text{N}_2\text{Cl}$ в разб. HCl (0° , 30 мин.), экстрагируют эфиром фенилазид, выход 29%; из водн. слоя выделяют анилин в виде ацетанилида, выход 44%. К р-ру 0,08 моля гидрата 5-аминотетразола (VII) в 23 мл конц. HCl и 240 мл воды прибавляют по каплям при 0° 0,08 моля NaNO_2 в 50 мл воды, размешивают 10 мин. и медленно прибавляют к р-ру 0,08 моля IIб в 500 мл воды, через 15 мин. продукт отделяют, растворяют в 200 мл холодного 1%-ного NaOH и добавлением 150 мл 6 н. NaOH осаждают Na -соль IIб, из которой разб. HCl выделяют IIб, выход 35%, т. пл. 165° ; из щел. р-ра при подкислении HCl получают IVб, выход 18%, т. пл. $132\text{--}134^\circ$ (разл.; из эф.). IVб получают также из VII и $n\text{-ClC}_6\text{H}_4\text{NH}_2\cdot\text{HCl}$ в разб. HCl (0° , 15—20 мин.), выход 90%. Аналогично IIб получают III [перечисляются в-во, выход в %, т. пл. в $^\circ\text{C}$ (разл.)]: а, 37, 142; в, 31, 159; г, 32, 156. К 5 г IIIa в 50 мл бензальдегида при $\sim 0^\circ$ прибавляют 5 капель конц. HCl , к фильтрату добавляют 400 мл эфира, фильтруют, осветляют углем, прибавляют 400 мл петр. эфира и из фильтрата добавлением 800 мл петр. эфира при -78° получают V ($\text{R} = \text{X} = \text{H}$), выход 84%, т. пл. $116\text{--}117^\circ$. К 4 г IIб в 25 мл $n\text{-ClC}_6\text{H}_4\text{CHO}$ прибавляют 5 капель конц. HCl , размешивают 15—20 мин. и 100 мл эфира + 400 мл петр. эфира осаждают V ($\text{R} = o\text{-Cl}$, $\text{X} = \text{Cl}$), выход неочищ. 90%, т. пл. $100\text{--}110^\circ$ (разл.). Аналогично получены неочищ. V ($\text{R} = \text{H}$, $\text{X} = \text{Cl}$; $\text{R} = \text{H}$, $\text{X} = \text{Br}$; $\text{R} = o\text{-Cl}$, $\text{X} = \text{Br}$; $\text{R} = \text{H}$, $\text{X} = \text{NO}_2$; $\text{R} = n\text{-Cl}$, $\text{X} = \text{Br}$; $\text{R} = n\text{-Cl}$, $\text{X} = \text{Cl}$); V ($\text{R} = n\text{-Cl}$, $\text{X} = \text{Cl}$) (прибавление к-ты при $45\text{--}50^\circ$), выход 80%, т. пл. $115\text{--}120^\circ$ (разл.). Из 1,7 г $n\text{-O}_2\text{NC}_6\text{H}_4\text{CHO}$ и 2 г IIIa в 40 мл абс. спирта и 5 капель конц. HCl при охлаждении получают 1,4 г неочищ. V ($\text{R} = n\text{-NO}_2$, $\text{X} = \text{H}$). Неочищ. V ($\text{R} = n\text{-Cl}$, $\text{X} = \text{Cl}$) (из 2 г IIб) прибавляют порциями к 30 мл холодной конц. HNO_3 , р-р выливают на лед и получают VI ($\text{R} = n\text{-Cl}$, $\text{X} = \text{Cl}$), выход 93%, т. пл. $306\text{--}307^\circ$ (разл.; из лед. CH_3COOH). Аналогично получены следующие VI [перечисляются R, X, выход в % (в расчете на III)], т. пл. в $^\circ\text{C}$ (разл.; из лед. CH_3COOH): H, H, 70, 300 (из сп.); $n\text{-Cl}$, H, 70, 280—282; $n\text{-NO}_2$, H, 30, 277—279 (из сп.); H, Br, 80, 308—310; $n\text{-Cl}$, Br, 76, 302—304; $o\text{-Cl}$, Br, 42, 259—260; H, Cl, 90, 312—315; $o\text{-Cl}$, Cl, 66, 262—263 (из сп.); H, NO_2 , 74, 308—309 (из сп.); $o\text{-Cl}$, NO_2 , 34, 269—271 (из сп.). Предыдущее сообщение см. РЖХим, 1956, 74968.

О. Кильдишева
70884. Получение и антибактериальная активность некоторых 5-фенилоксазолов. Чима, Иличето, Мандо, Скоффон (Preparazione e attivita' antibatterica di alcuni 5-fenil-ossazoli. Cima L., Illiceto A., Mando M., Scoffone E.), Farmaco. Ed. scient., 1958, 13, № 3, 177—186 (итал.; рез. англ.) Синтезированы и испытаны на биол. актив-ность 5-фенил-2-*R*-4-*R'*-оксазолы (Ia—в, где а $\text{R} = \text{CH}_2\text{Cl}$, $\text{R}' = \text{H}$; б $\text{R} = \text{CHCl}_2$, $\text{R}' = \text{H}$; в $\text{R} = \text{CH}_2\text{Cl}$, $\text{R}' = \text{H}$; г $\text{R} = \text{CHCl}_2$, $\text{R}' = \text{H}$; в $\text{R} =$

$-R' = CH_3$; г $R = CH_2Cl$, $R' = CH_3$; д $R = CHCl_2$, $R' = CH_3$; е $R = CCl_3$, $R' = CH_3$; ж $R = CH_3$, $R' = CH_2OSO_3Na$; з $R = CH_3$, $R' = CH_2OSO_3H$; и $R = CH_3$, $R' = CH_2OH$; к $R = CH_3$, $R' = CH_2Cl$; л $R = CH_3$, $R' = CH_2Br$; м $R = R' = CH_2Cl$. Только Пм обладает слабой активностью против *S. aureus*. Обсужден механизм описанных р-ций. 1,94 г ω -хлорацетаминоацетофенона (III) и 6 мл конц. H_2SO_4 нагревают 5 час. при 60°, выливают на лед и получают (здесь и далее указаны в-во, выход в % и т. пл. в °C): Ia, 85, 64—65 (из 80%-ного сп.). Конденсируют ω -аминоацетофенон с ангидридом дихлорукусной к-ты (1:1,1) в щел. р-ре при 0° в ω -дихлорацетаминоацетофенон, выход 75%, т. пл. 131—133° (из сп.), который нагревают 6 час. при 100° с конц. H_2SO_4 и выделяют Ib, 80, 61—62 (из сп.). К взвеси 2,8 г III в 7 мл воды и 3 мл спирта добавляют при 35° 2,1 мл 36%-ного р-ра CH_2O , затем 10 мг $NaHCO_3$ и 15 мг Na_2CO_3 , нагревают 2 часа при 35°, оставляют на 12 час. в холодильнике и отделяют α -хлорацетамино- β -оксипропиофенон (IV), выход 92%, т. пл. 118—119° (из сп.); нагревают IV (2 часа, 80°) с 3 г $POCl_3$ и выделяют Iv, 75, 84—85,5 (из сп.). Аналогично из ω -хлор- и ω -дихлорацетамино- n -нитроацетофенонов получают Ia, 92, 120—121 (из 60%-ного сп.), и (нагревание 8 час., 100°) IIb, 80, 145—147 (из 60%-ного сп.); из 2-хлор-, 2-дихлор- и 2-трихлорацетамино-1- n -нитрофенил-1-оксипропенон-2 (1 час, 70°) получают IIg, 56, 120,5—121,5 (из сп.); IIд, 85, 106—107 (из сп.); IIе, 90, 134—135 (из сп.); из n -нитро- α -хлорацетамино- β -оксипропиофенона (2 часа, 80°) синтезируют Пм, 82, 114—115 (из сп.). Р-р 1- n -нитрофенил-1-окси-2-ацетамидопропена-2 в диоксане, насыщенном HCl, оставляют на 48 час. при т-ре ~ 20°, продукт растворяют в 10%-ной HCl и получают IIв, 18, 169—170, и 1- n -нитрофенил-1-ацетоксипропанон-2, выход 10%, т. пл. 98—99°. 5,04 г n -нитро- α -ацетамино- β -оксипропиофенона (V) и 15 мл конц. H_2SO_4 размешивают 3 часа при 20°, затем нагревают 0,5 часа при 100°, продукт выливают на лед, нейтрализуют $NaHCO_3$ и получают IIж, 75, 204—206 (из 80%-ного сп.), из которого выделяют Ia, 70, 133—135 (из сп.). Гидролизом IIг 10%-ной HCl (2 часа, 80°) получают IIи, 86, 192—193. Нагревают 5,04 г V, 11,5 г $POBr_3$ и 16 мл диоксана (1 час, 70°) и выделяют IIл, 77, 107—108 (из сп.). Нагреванием V с $SOCl_2$, $POCl_3$ или HSO_4Cl получают IIк, 80—90, 122—123; если эту р-цию проводят 2 часа при 18—20°, то получают хлоргидрат промежуточного α -амино- β -ацетокси- n -нитропропиофенона, выход 39%, т. пл. 171—173° (из сп.); из маточных р-ров выделяют α -ацетамино- β -хлор- n -нитропропиофенон, выход 25%, т. пл. 124—125° (из этилацетата). Приведены λ_{max} Ia — в и IIа — м. Д. Витковский

70885. Бензасоли. VI. Основания Манниха бензоксазолтионов. Циннер, Хюбш, Бурмейстер (Benzazole. VI. Mannich-Basen des Benzoxazolthions. Zinner Helmut, Hübsch Harald, Burmeister Dieter), Chem. Ber., 1957, 90, № 10, 2246—2253 (нем.).

Показано, что бензоксазолтион (I) при алкилировании реагирует главным образом в меркаптоформе с образованием 2-алкилпроизводных, а при р-ции Манниха I реагирует исключительно в тионной форме с образованием 3- R_2 -аминометил-I (II). Строение оснований Манниха доказано превращением их в 3-хлорметил-I (Ia) с последующим восстановлением $LiAlH_4$ в 2-диметиламинофенол (III). 0,05 моля I и 6,25 мл 40%-ного водн. р-ра $(CH_3)_2NH$ в 5 мл спирта смешивают с 7,5 мл 30%-ного р-ра CH_2O при ~ 20°, оставляют при ~ 15° на 3 часа и получают II ($R = CH_3$) (IIа), выход 81%, т. пл. 105—106° (из этилацетата и петр. эф.). 0,02 моля 3-оксиметил-I (Iб) в 5 мл спирта и 2,5 мл р-ра $(CH_3)_2NH$ дают также IIа, выход 80%.

Аналогично IIа из I и $(C_2H_5)_2NH$ получают II ($R = C_2H_5$), выход 82%, т. пл. 105—107°; из Iб и $(C_2H_5)_2NH$ выход 78%. 3-Пиперидинометил-I получают аналогично IIа: а) из I и пиперидина, выход 81%, т. пл. 130—131° (из бал. и петр. эф.; 1:5); б) из Iб и пиперидина, выход 83%; в) из I в CH_3OH и N-(метоксиметил)-пиперидина, выход 80%; г) из Iб в CH_3OH и N-(метоксиметил)-пиперидина, выход 80%. Аналогично IIа по первому и второму методу получают 3-морфолинометил-I, выход 76%, т. пл. 157—158° (из сп.). Из 7,6 г I и 5,5 г ди- n -пропиламина в 6 мл спирта и 7,5 мл CH_2O получают 3-(ди- n -пропиламинометил)-I (выход 94%, т. пл. 41—43°); из Iб и ди- n -пропиламина выход 93%. Аналогично из I и ди- n -бутиламина получают 3-(ди- n -бутиламинометил)-I (Iв), выход 90%, т. пл. 31—33°. Iб и ди- n -бутиламин дают Iв с выходом 89%. 7,6 г I и 2,25 г пиперазина в 25 мл спирта и 7,5 мл CH_2O дают 1,4-бис-бензоксазолтионил(3)-метилпиперазин, выход 80%, т. пл. 199—201° (разл.). 15,1 г I кипятят в 800 мл воды, смешивают с 20 мл 30%-ного р-ра CH_2O , выделяют Iб, выход 70%, т. пл. 125—128,5°. 0,01 моля полученных оснований Манниха растворяют в 20 мл 90%-ной CH_3COOH при 50°, оставляют стоять (20°, 12 час.), прибавляют по каплям 20 мл воды, получают Iб, выход ~ 60%. 3,62 г Iб в 6 мл $SOCl_2$ (20°, 30 мин.) дают Ia, выход 60%, т. пл. 141—145°. Из 3,62 г Iб и 12 г $(CH_3CO)_2O$ (100°, 2 часа) получают ацетильное производное Iб, выход 56%, т. пл. 105—106,5° (из сп. и воды; 1:1). Р-р 3,62 г Iб в 10 мл пиридина медленно смешивают при 0° с р-ром 2,8 г C_6H_5COCl в 5 мл пиридина, хранят при 20° 16 час., выливают в 100 мл воды, получают 3-бензоксазолтионил-I, выход 56%, т. пл. 124,5—125,5° (из CH_3OH). 3,02 г I, 1,74 г дибромметана, 1,12 г KOH в 30 мл 96%-ного спирта (~100°, 3 часа) дают бис-бензоксазолтионил-2-метан (IV), выход 76%, т. пл. 126° (из сп.). В р-р C_2H_5ONa (из 0,23 г Na и 30 мл спирта) прибавляют 0,01 моля I и 0,01 моля Ia, размешивают при 20 и 40° по 2 часа, кипятят 1 час, выделяют бензоксазолтионил-3-бензоксазолтионил-2-метан (V), выход 63%, т. пл. 152,5° (из сп.). Аналогично бензоксазолон и Ia дают бензоксазолтионил-3-бензоксазолтионил-3-метан, выход 60%, т. пл. 213° (из *изо*- $C_8H_{11}OH$); I и 3-хлорметилбензоксазолон дают бензоксазолтионил-2-бензоксазолтионил-3-метан, выход 55%, т. пл. 112°. Из 0,01 моля сахарина и 1,99 г Ia получают бензоксазолтионил-3-сахаринил-2-метан, выход 48%, т. пл. 235° (из этилацетата). Из 2,32 г 2-хлорметилсахарина и 1,51 г I получают бензоксазолтионил-2-сахаринил-2-метан, выход 43%, т. пл. 113° (из сп.). К 1 г $LiAlH_4$ в 50 мл эфира прибавляют 1,99 г Ia в 100 мл эфира, кипятят 4 часа и выделяют III, выход 80%, т. пл. 44°. Из III и n -толуолсульфохлорида в пиридине (~20°, 20 часа) выделяют n -толуолсульфонат III, выход 28%, т. пл. 34°. Из IV и $LiAlH_4$ в эфире (кипятят 4 часа) получают 2-метиламинофенол (VI), выход 81%, т. пл. 83—86°. VI и C_6H_5COCl в пиридине прибавляют по каплям (~20°, 16 час.), дают бензоат 2-(бензонлметил-амино)-фенола (VII), выход 63%, т. пл. 113—114° (из сп.). Аналогично IV восстанавливают V, получают III и VI; бензоат III, выход 21%, т. пл. 54°; VII, выход 47%. 2-метил-I окисляют при температуре 0° 50%-ным водн. р-ром перпропионовой к-ты в бензоксазолон, выход 80%, который аналогично получают из IV, выход 36%, и из V, выход 17%, из 3-метил-I в этих условиях выделяют только 42% исходного в-ва. Сообщение V см. РЖХим, 1958, 36258. Ю. Розанова

70886. Приготовление и инфракрасные спектры морфолидов ридинолевои кислоты и их производных. Дюпюи, О'Коннор, Голдблатт (The preparation and infrared spectra of morpholides of ricinoleic acid and some of its derivatives. Dupuy

Harold P., O'Connor Robert T., Goldblatt Leo A.), J. Amer. Oil Chemists' Soc., 1958, 35, № 2, 99—102 (англ.)

С целью разработки ИК-анализа к-т касторового масла синтезированы их морфолиды. При сравнении спектров морфолина (I), 4-стеароил-I (II), 12-окси-II (III), 12-ацетокси-II (IV), 4-рицинолеил-I (V), 4-(12-ацетоксиолеил)-I (VI) и 4-рицинолаидоил-I (VII) найдено, что наибольшее значение для анализа имеет поглощение в интервале 5,7—6,2 μ . Метилрицинолаидат (VIII), т. пл. 27,5—28,0°, приготавливают из метилрицинолеата (IX), n_D^{20} 1,4629, d_4^{25} 0,9233, $[\alpha]_D^{25} +5,004^\circ$, 312 г IX и 174 г I кипятят 36 час. в приборе Дина — Старка, отгоняют избыток I в вакууме, перегоняют и получают V, выход 320 г, т. кип. 243—246°/0,2 мм, n_D^{25} 1,4891, d_4^{25} 0,9756, $[\alpha]_D^{25}$ 4,27. Аналогично из VIII получают VII, т. кип. 209°/0,1 мм, т. пл. 26,2—26,8°; из метилстеарата (X) образуется II, т. пл. 52,3—52,8°, и из 12-окси-X получают III, выход 330 г, т. кип. 245—249°/0,25 мм, т. пл. 52,5—53°. III кипятят 2 часа с равным кол-вом $(CH_3CO)_2O$ и получают IV, т. кип. 230—234°/0,2 мм, n_D^{25} 1,4789, d_4^{25} 0,9836, $[\alpha]_D^{25}$ 20,35. Аналогично из V получают VI, т. кип. 234—235°/0,2 мм, n_D^{25} 1,4709, d_4^{25} 0,9726, $[\alpha]_D^{25}$ 0,09. Приведены ИК-спектры полученных соединений. Л. Виноград

70887. Изучение мезоинных соединений. 7. Реакционноспособность 4-галондсидионов и реакции их гриньяровых реагентов. Ота, Като (Ohta Masaki, Katō Hiroshi), Нихон кагаку дзасси, J. Chem. Soc. Japan. Pure Chem. Sec., 1957, 78, № 11, 1653—1656 (японск.)

В продолжение предыдущей работы (см. сообщение 6, РЖХим, 1958, 50309) показана большая реакционная способность 4-йод-3-фенилсидиона (I) по сравнению с 4-бром-(II) и 4-хлор-3-фенилсидионом (III). Под I имеет положительный характер и I восстанавливается до 3-фенилсидиона при действии 85%-ного гидразингидрата (спирт. р-р, обычная т-ра), NaHS в CH_3OH (выделяется S); кипячении с порошком Zn в CH_3OH , при действии тиомочевины (IV), в спирт. р-ре в присутствии C_2H_5ONa . При нитровании I дымащей HNO_3 (охлаждение, перемешивание 10 мин.) вытесняется йод и образуется 3-фенил-4-нитросидион, т. пл. 150°. При кипячении 1 час. спирт. р-ра I с IV получен 4,4'-бис-(3-фенилсидионил)-сульфид, т. пл. 163—164°. Из 1 г III в 16 мл лед. CH_3COOH и 4 мл воды с 2 г порошка Zn образуется продукт, обработка которого водн. р-ром $NaNO_2$ привела к 0,35 г N-нитрозо-N-фенилглицина, т. пл. 103—104°. I — III при действии Mg в сухом эфире с добавкой небольшого кол-ва CH_3I дают 4-магниййод-, 4-магнийбром- и 4-магнийхлор-3-фенилсидионы (V, VI, VII). При действии йода (обычная т-ра, 2 часа) на эфирный р-р VI получен I, при действии C_6H_5CHO (обычная т-ра, 2 часа, кипячение 1 час) получен 4-фенилоксиметил-3-фенилсидион, т. пл. 134° (из разб. CH_3OH), при р-ции с ацетоном (обычная т-ра, 12 час.) получен 4-диметилксиметил-3-фенилсидион, т. пл. 141—142° (из разб. CH_3OH), при р-ции с $(CH_3CO)_2O$ образуется 4-ацетил-3-фенилсидион, т. пл. 139° (из CH_3OH). Из II получают I при действии J_2 . Л. Яновская

70888. Получение и строение некоторых хлорпроизводных группы фентиазина. V. О строении тетра-хлорфентиазина. Симов Д., Петрова А., Докл. Болг. АН, 1957, 10, № 4, 293—296 (рез. нем.). Обзор. Библ. 15 назв. Предыдущее сообщение см. РЖХим, 1958, 50416.

70889. Синтез хлорпромазина и его фармакологическое испытание. Цесляк, Кужепа, Подлевская (Synteza chlorpromazyny i jej badanie farmakologiczne. Cieślak Jerzy, Kurzepa Sta-

niślaw, Podlowska Alicja), Farmac. polska, 1958, 14, № 2, 17—19 (польск.)

С целью фармакологич. испытаний синтезированы 3-хлор-10-(N,N-диметиламинопропил)-фенотиазин (I) (ларгактил по патентным данным). 62 г N-(3-хлорфенил)-антралиновой к-ты (Lehmstedt K., Ber., 1937, 70, 833) нагревают выше т-ры плавления; полученный 3-хлордифениламин (50,8 г) смешивают с 19,2 г S, добавляют кристаллик йода, нагревают при 145—150°, получают 45 г 3-хлорфенотиазина (II), т. пл. 196—197° (из бзл.). К кипящему р-ру 38 г II в 150 мл кислоты добавляют 6,45 г $NaNH_2$ и затем 1,5 часа, добавляют 18,3 г 3-хлор-N,N-диметиламинопропана (Kyrides L. P., J. Amer. Chem. Soc., 1950, 72, 745), перемешивают 1 час, выливают в воду, слабо подкисляют, кислый р-р отделяют, подщелачивают р-ром NaOH, извлекают эфиром, разгонкой выделяют 35 г I, т. кип. 135—140°/0,005 мм, т. пл. 53—55°; хлоргидрат, т. пл. 180—181°, получен действием 1%-ного HCl в эфире на р-р I в абс. спирте, хлоргидрат I назван авторами хлорпромазин, фармакологич. свойства препарата сравнены со свойствами препарата ларгактил «Specia».

Л. Яновская
70890. Отщепление серы. Часть I. Образование фенантренов из дибенз-[b,f]-тиепинов. Лаудон, Слоп, Саммерс. Часть II. Новый путь получения производных фенантринина. Джарретт, Лаудон (Extrusion of sulphur. Part I. Formation of phenanthrenes from dibenzo-[b,f]-thiepins. Loudon J. D., Sloan A. D. B., Summers L. A. Part II. A new route to phenanthridine derivatives. Jarrett A. D., Loudon J. D.), J. Chem. Soc., 1957, Sept., 3814—3818, 3818—3824 (англ.)

I. Для подтверждения замеченной ранее легкости десульфуривания S-содержащих гетероциклов, когда при этом могут образоваться ароматич. системы, 2-нитро-10-карбоксихидибенз-[b,f]-тиепин (Ia) и 8-метил-Ia (Ib) подвергались нагреванию в присутствии Sn. При этом из Ib получены 2-метил-7-нитрофенантрен (IIa) и следы 8-метил-2-нитродибенз-[b,f]-тиепина (IIIa), а из Ia и дибенз-[b,f]-тиепина (IV) получены незначительные кол-ва 2-нитрофенантренкарбоновой-9 к-ты (Va) и 2-нитрофенантрена (IIb) соответственно; из Ia образуется также 2-нитродибенз-[b,f]-тиепин (IIb). Аналогично метиловые эфиры Ia, б (VIa, б) превращаются в метиловые эфиры Va (VIIa) и 7-метил-Va (VIIIa). I синтезированы из 2-(RC_6H_5S)-5-(NO_2)- C_6H_4CHO (VIII) (здесь и далее а R = H, б R = CH_3) через 2-(RC_6H_5S)-5-(NO_2)- $C_6H_4CH_2COOH$ (IXa, б). Р-р эквимольных кол-в VIIIb, $CH_3CONHC_6H_4COOH$ (X) и CH_3COONa в $(CH_3CO)_2O$ кипятят 1 час и через 15 час. отделяют 2-метил-4-(5-нитро-2-н-толилтиобензилден)-5-оксазолон (XI), выход 55%, т. пл. 188—189° (из петр. эф.). 0,3 г XI, 7,5 мл CH_3COOH , 2 мл конц. HCl и 4 мл воды кипятят 15 час. и получают IXб, выход 90%, т. пл. 143° (из бзл.- CH_3OH); оксим, т. пл. 169° (разл.; из бзл.- CH_3OH). Р-р 3 г оксима в $(CH_3CO)_2O$ нагревают 2 часа, упаривают в вакууме и получают 5-нитро-2-н-толилтиобензилцианид, выход 60%, т. пл. 80° (из бзл.-петр. эф.); 10 г последнего гидролизуют до к-ты (XII), выход 70%, т. пл. 126° (из бзл.-петр. эф.). XII циклизуют полифосфорной к-той (PK) (1,5 часа, 100°) и выделяют 10,11-дигидро-8-метил-2-нитро-10-оксидибенз-[b,f]-тиепин, выход 75%, т. пл. 161° (из CH_3OH); оксим, т. пл. 191° (из бзл.-петр. эф.). IXб циклизуют PK (5 мин. 160°, 2 часа 100°), добавляют воду и отделяют Ib, выход 70%, т. пл. 276° (из бзл.- CH_3OH , CH_3COOH). Ib получают также из IXб кипячением в смеси 48%-ной HBr и CH_3COOH ; VIб, т. пл. 183° (из CH_3OH -метилацетата). VIIIa (т. пл. 105°) аналогично VIIIб последовательно превращают в 2-метил-4-(5-нитро-2-фенилтиобензилден)-5-оксазолон,

т. пл. 190°; IXa, т. пл. 146°; Ia, т. пл. 248°; VIa, т. пл. 156°. 2 г 16 и 10 г Cu в 50 мл хинолина (XIII) кипятят 4 часа, разбавляют C_6H_6 и выделяют IIa, выход 50%, т. пл. 192° (из бэл.- CH_3OH); IIa окисляют CrO_3 до 2-метил-7-нитрофенантренина, т. пл. 230° (разл.; из бэл.- CH_3OH), окисленного затем до 4-метил-4'-нитродифеновой к-ты, т. пл. 186° (из бэл.- CH_3OH). При замене XIII на диэтилфталат (XIV) (30 мин., 250°, атмосфера N_2) из реакционной смеси хроматографированием на Al_2O_3 выделены IIIa, т. пл. 117° (из CH_3OH), и IIa, 0,5 г VIb и 0,5 г Cu в 3 мл XIV кипятят 7,5 мин., выход VIIb 0,25 г, т. пл. 188° (из метилацетата), VIIb гидролизуют до 7-метилVa, т. пл. 291° (из CH_3CN). Ia обрабатывают аналогично Iб: а) Cu в XIII, выход IIIb 45–50%, т. пл. 110° (из CH_3OH); б) Cu в XIV, выход IIIb 49%. В более жестких условиях был выделен IIb, т. пл. 120°. Кроме того, в некоторых опытах была выделена Va, т. пл. 266° (из CH_3COOH). Аналогично VIIb из VIa получен VIIa, выход 39%, т. пл. 161° (из метилацетата). Разложением 0,25 г IV (0,25 г Cu, XIV, 7,5 мин.) выделено 0,04 г IIb. 2-метил-4-(2-*n*-метоксифенилтио-5-нитробензилден)-5-оксазолон, т. пл. 206° (получен из 2-*n*-метоксифенилтио-5-нитробензальдегида, т. пл. 89°), превращен в 2-(*n*-метоксифенилтио)-5-нитрофенилпировиноградную к-ту, т. пл. 174°; оксим, т. пл. 167°, которая не циклизуется ПК. 2,2'-нафтилтио-5-нитрофенилпировиноградная к-та, т. пл. 153°, синтезированная из 2,2'-нафтилтио-5-нитробензальдегида (т. пл. 108°) через 2-метил-4-(2,2'-нафтилтио-5-нитробензилден)-5-оксазолон (т. пл. 193°), также не циклизуется ПК. 10-нитробенз-[b]-нафто-[2,1-f]-тиенинкарбоновая-7 к-та, т. пл. 274° (разл.; из бэл.- CH_3OH), синтезирована из 2-метил-4-(2,1-нафтилтио-5-нитробензилден)-5-оксазолон, т. пл. 195°, через 2,1'-нафтилтио-5-нитрофенилпировиноградную к-ту (т. пл. 171°; оксим, т. пл. 194°) при обработке последней ПК (несколько минут, 230°, 3 часа, 100°). Синтезированы 2-*n*-толилтиофенилуксусная к-та, т. пл. 112°, из XII через 5-амино-2-*n*-толилтиофенилуксусную к-ту, т. пл. 127° (из сп. воды); хлоргидрат, т. пл. 209° (разл.; из разб. HCl).

II. По аналогии с десульфуриванием Ia, б и IV изучено превращение впервые синтезированных дибенз-[b,f]-1,4-тиазепинов (XVa–e) в производные 9-алкилфенантридина (XVIa–г). *o*-Аминотиофенол (XVII) конденсируют с 2-хлор-5-нитробензальдегидом, 2-хлор-5-нитроацетофеноном и 2-хлор-5-нитробензофеноном (XVIII) в 2-формил-, 2-ацетил-(XIX) или (2-бензоил-2'-амино-4-нитро)-дифенилсульфиды (XX), легко циклизующиеся в XVa–в. Синтез XVd осуществлен из 3,5-динитросалицилового альдегида (XXI), а XVe из 3-нитро-XVIII (XXII); при этом в некоторых условиях образуется также 1-бензоил-3-нитрофенотиазин (XXIII). При попытке получить 3-нитробензотиазин из XVII и 2,4-динитробензальдегида выделен, вероятно, 2-(2,4-динитробензилденамино)-тиофепол (XXIV). При окислении XVb H_2O_2 выделен 2',4-динитро-2-бензоилдифенилсульфон (XXV), строение которого подтверждено встречным синтезом из XVIII и *o*-нитрофенилсульфида через 2',4-динитро-2-бензоилдифенилсульфид, т. пл. 139°, а также превращением в 5-нитро-2-пиперидинобензофенон (XXVI) и *o*-нитробензолсульфиновую к-ту, 1,5 г XVIII в 16 мл спирта

и 4 мл воды добавляют к теплomu p-ру 1 г XVII·HCl и 0,5 г NaOH в 10 мл воды, спирта и отделяют XX, т. пл. 136–138° (из сп.). При кипячении получают XVb, выход 83%, т. пл. 160° (из бэл.). XVb количественно образуется из XX в CH_3COOH . XVa получен двумя способами: 1) аналогично XVb, т. пл. 178° (из сп.); обратный порядок смешения реагентов увеличивает выход XVa; 2) при добавлении 0,16 г XVII·HCl к 0,4 г N-(2-формил-4-нитрофенил)-пиридинийтолуол-*n*-сульфоната в C_6H_5N , 0,5 г NaOH в 4 мл смеси спирта-вода (4:1) добавляют к 1,5 г 2-бром-5-нитроацетофенона и 1 г XVII·HCl, выход XIX 78%, т. пл. 162° (из бэл.-петр. эф.); ацетат, т. пл. 148° (из бэл.). 0,8 г XIX нагревают с ПК (140°, 30 мин.) и получают XVб, т. пл. 139°. XVг получают аналогично XVb из 2-хлор-3,5-динитробензофенона, выход 76%, т. пл. 246° (из CH_3COOH). 0,45 г *n*- $CH_3C_6H_4SO_2Cl$ добавляют к 0,5 г XXI в 4 мл C_6H_5N , через 1 час добавляют 0,38 г XVII·HCl, еще через 1 час выливают в разб. HCl (0°) и получают XVд, т. пл. 234° (из хлф.). Продукт взаимодействия XXII и XVII (0°) хроматографируют в C_6H_6 на Al_2O_3 и вымывают C_6H_6 -петр. эфиром (1:1) XVe, выход 50%, т. пл. 200° (из сп.), затем C_6H_6 с примесью спирта вымывают XXIII, выход 20%, т. пл. 179° (из сп., бэл.). 58%-ный выход XXIII достигнут при р-ции XXII и XVII в C_6H_5N . При окислении XXIII H_2O_2 в CH_3COOH (100°, 1,5 часа) образуется диоксид, т. пл. 258°. К кипящему p-ру 2 г XVb в 20 мл CH_3COOH через каждые 0,5 часа добавляют H_2O_2 (12 × 1 мл), разбавляют водой и отделяют XXV, т. пл. 217° (из сп.). Нагревают XXV и C_6H_5N несколько минут, подкисляют 5 н. HCl, экстрагируют эфиром и выделяют XXVI, т. пл. 100–102°; через щел. p-р пропускают Cl_2 , выделяющееся масло обрабатывают NH_4OH и получают *o*-нитробензолсульфонамид, т. пл. 191°. Отщепление S от XV проводилось при нагревании с Cu (1:1 по весу) в атмосфере N_2 (метод А) и в p-ре XIV (метод Б). Из 0,3 г XVb (А, 280–290°) образуется 0,01 г XVIa. По методу Б выход XVIb 85%, т. пл. 235–236° (из бэл.); XVIa, XVIб, XVIг получены из XVa, XVб, XVг (метод Б), выход 63, 48–55 и 70%, т. пл. 174, 242–243 и 264° соответственно; по методу А выходы XVIa и XVIг низкие. XVд и XVe превратить в соответствующие XVI не удалось. Описаны синтезы 5-нитро-2-толилтиобензальдегида, т. пл. 196° (из CH_3COOH); XXIV, т. пл. 131° (из сп.), ацетат, т. пл. 141° (из CH_3OH); соответствующего XXIV дисульфида, т. пл. 201° (из CH_3COOH); 2-(2,4-динитрофенил)-бензотиазола, т. пл. 162° (из сп.), а также окисление при помощи $KMnO_4$ 7-нитрофенантридона, т. пл. 325°, образующегося при окислении $Na_2Cr_2O_7$ как XVIa, так и XVIб. Приведены УФ-спектры XVa, б, в, д, е, XX, XXIII, XXIV и ацетата XXIV.

И. Леви

70891. Исследование органических соединений серии III. О серусодержащих производных дигидразидов дикарбоновых кислот. Като, Ота (Katō Hiroshi, Ohta Masaki), Нихон какаку дзасси, J. Chem. Soc. Japan. Pure Chem. Sec., 1957, 78, № 11, 1588–1591 (японск.)

$HSCSNHNNHCO(CH_2)_nCONHNHSCSH$ и бис-тиосемикарбазины 2-основных к-т циклизуются при действии конц. H_2SO_4 с образованием диамино- и димеркаптобис-тиадиазолинов и бис-тиадиазолиалкинов. К p-ру 5 г бис-гидразида шавелевой к-ты и 5 г KOH в 100 мл CH_3OH при охлаждении добавляют по каплям p-р 10 г CS_2 в 50 мл CH_3OH , перемешивают 5 час., получают 14,7 г $KSCSNHNNHCOCONHNHSCSK$ (I). Аналогично получают $KSCSNHNNHCO(CH_2)_nCONHNHSCSK$ ($n = 2$ или 4). К-ты (CH_3COOH , HCl) разлагают I на исходные. 9 г I перемешивают 1 час со 150 г конц. H_2SO_4 , разбавляют ледяной водой, получают 3,5 г бис-(2-меркапто-1,3,4-тиадиазолила) (II), т. пл. 293° (разл.; из разб.



XVa X = R = H; б X = H, R CH_3 ; в X = H, R = C_6H_5 ; г X = H, R = $m-NO_2C_6H_4$; д X = NO_2 , R = H; е X = NO_2 , R = C_6H_5 ; XVI а R = H, б R = CH_3 , в R = C_6H_5 , г R = $m-NO_2C_6H_4$.

сп.). Аналогично получены 1,2-бис-(2-меркапто-1,3,4-тиадиазолил-5)-этан, т. пл. 298°, и 1,4-бис-(2-меркапто-1,3,4-тиадиазолил-5)-бутан, т. пл. 195°. К р-ру 2 г II ж 0,7 г NaOH в 50 мл CH_3OH при 0° добавляют 2,5 г CH_3J , на другой день получают 1,65 г бис-(2-метилмеркапто-1,3,4-тиадиазолила-5) (III), т. пл. 177—178° (из лед. CH_3COOH). 4,5 г I в 30 мл воды обрабатывают 4 г CH_3J , перемешивают 1 час, получают 2,5 г $(\text{CONHNHCSSCH}_3)_2$ (IV). 0,5 г IV нагревают 2 часа с 5 г конц. H_2SO_4 , получают 0,38 г III. 0,5 г III в 20 мл лед. CH_3COOH окисляют при 25° р-ром 1,2 г KMnO_4 в 30 мл воды в течение 1 часа, получают 0,62 г бис-(2-метилсульфо-1,3,4-тиадиазолила-5), т. пл. 298° (разл.; из лед. CH_3COOH). При нагревании с HNO_3 (1:1) или с конц. $\text{HCl} + \text{H}_2\text{O}_2$ II образует полимер с т. разл. > 260°. При кипячении (3 часа) смеси 18,5 мл 10%-ной HCl , 50 мл воды, 3 г дигидрида щавелевой к-ты и 6 г KSCN образуется 3,4 г бис-тиосемикарбазида щавелевой к-ты (V), т. пл. 230° (разл.); аналогично получены бис-тиосемикарбазид малоновой к-ты, т. пл. 211—213°, и бис-тиосемикарбазид адипиновой к-ты, т. пл. 186—188°. По аналогичной р-ции (кипчение 4 часа) из 6 г дигидрида янтарной к-ты получено 4,5 г $\text{N,N'$ -бис-тиокарбазида гидразина, т. пл. 220° (разл.). При нагревании (50—60°, 1 час) 1 г V с 10 г конц. H_2SO_4 образуется 0,6 г бис-(2-амино-1,3,4-тиадиазолила-5), т. пл. > 350° (из лед. CH_3COOH); N -ацетильное производное $(\text{CH}_3\text{CO})_2\text{O}$, 100°, 1 час, т. пл. > 350°. Также получены (приведены в-во, т. пл. в °C): бис-(2-амино-1,3,4-тиадиазолил-5)-метан, 270 (разл.), 1,4-бис-(2-амино-1,3,4-тиадиазолил-5)-бутан, 265—267. Сообщение II см. РЖХим, 1957, 74392. Л. Яновская

70892. Письмо в редакцию. Мушкало Л., Ж. общ. химии, 1957, 27, № 11, 3176

Автор считает, что в ответе Б. М. Михайлова и И. Р. Платовой (на его письмо) сравниваются разные по составу соединения и что анализы и производные полностью подтверждают получение им 4-метил-2-диметиламиноэтилтиазола. См. РЖХим, 1958, 1358. И. Леви

70893. Новые диуретики, производные бензотиодиазина. Ла-Манна (Nuovi diuretici derivati della benzotiodiazina. La Manна A.), Farmaco. Ed. scient., 1958, 13, № 2, 164—166 (итал.)

Синтезирован фармакологически интересный ряд производных бензотиодиазина, представителями которого являются 1,1-диуокиси 6-хлор-(I) и 6-хлор-3-метил-(II)-1-сульфамил-1,2,4-бензотиодиазинов, обладающие диуретич. активностью. I получен р-цией m -хлоранилина с $\text{SO}_2(\text{OH})\text{Cl}$ и NaCl и обработкой образующегося 4-хлор-6-аминобензол-1,3-дисульфохлорида (III) NH_4OH , после чего получающийся 6-амино-4-хлорбензол-1,3-дисульфамид, т. пл. 251—252°, превращается кипячением с HCOOH в I, т. пл. 342,5—343° (разл.). II синтезирован обработкой ацетильного производного III, т. пл. 137—139°, спирт. NH_3 , причем получается разделяемая кристаллизацией из воды смесь II, т. пл. 332° (разл.), и 6-ацетиламино-4-хлорбензол-1,3-дисульфамида, т. пл. 261—262° (разл.). Д. Витковский

70894. Реакции лития с некоторыми ароматическими углеводородами в тетрагидрофуране. Гилман, Горнич (Reactions of lithium with some aromatic hydrocarbons in tetrahydrofuran. Gilman Henry, Gorsich Richard D.), J. Organ. Chem., 1958, 23, № 4, 550—551 (англ.)

Реакцией Li в тетрагидрофуране (I) с флуореном (II) или 9-фенил-II (III) с последующим воздействием CO_2 получены 9-флуоренкарбоновая к-та (IV) и 9-фенил-IV (V). Из 9,9-дифенил-II (VI) действием Li с последующим гидролизом получен продукт расщепления — III. Р-цией циклопентадиена (VII) с Li в I с последующим действием $(\text{C}_6\text{H}_5)_2\text{CO}$ (VIII) получен ди-

фенилфульвен (IX). Р-цией 2- $\text{C}_6\text{H}_5\text{C}_6\text{H}_4\text{Li}$ (X) с VIII получен 2- $\text{C}_6\text{H}_5\text{C}_6\text{H}_4\text{C}(\text{OH})(\text{C}_6\text{H}_5)_2$ (XI). $(\text{C}_6\text{H}_5)_3\text{CN}$ не реагирует с Li в I. 0,03 моля II в 35 мл I добавляют за 1,5 часа к суспензии 0,178 моля Li в 10 мл I, перемешивают при т-ре ~ 20° 50 мин. и выливают в твердую CO_2 , выход IV 71%. Из 16,5 ммоль III, 0,245 моля Li в 45 мл I (перемешивание 4 часа, ~ 20°) получена V, выход 38%. Из 0,122 моля VII и 0,41 моля Li в I с последующим добавлением VIII, выход IX 45%. Из 0,344 моля X в эфирном р-ре и 0,344 моля VIII получен XI, выход 84%. Кипячением 15 час. 0,019 моля VI с 0,29 моля Li (провода) в 50 мл I получен III, выход 85%. С. Иоффе

70895. Некоторые аспекты приготовления реактивов Гриньяра по методу «сопровождения». Гроновитц (Some aspects of the preparation of Grignard reagents by «entrainment». Gronowitz Salo), Arkiv kemi, 1958, 12, № 2, 115—122 (англ.)

Исследована р-ция 2,3,5-трибромтиофена (I) с эфирным р-ром $\text{C}_2\text{H}_5\text{MgBr}$ (II), свободным от металлич. Mg, и р-ция I и $\text{C}_2\text{H}_5\text{Br}$ в эфире с Mg (принцип «сопровождения»). Первая из этих р-ций протекает быстро и приводит к реактиву Гриньяра (РГ) из I, при гидролизе которого образуется смесь 87—88% 2,4-дибромтиофена (III) и 12—13% 2,3-дибромтиофена (IV). Соотношение III и IV не зависит от соотношения I и II и времени р-ции (10 мин., 3,5 или 20 час.). Br в положении 2 у I в восемь раз более реакционноспособен, чем в положении 5. При р-ции I, Mg и $\text{C}_2\text{H}_5\text{Br}$ полученная дибромидная фракция содержит 66—62% III, 34—38% IV и, кроме того, получено ~ 15% 3-бромтиофена (V). Если после р-ции I и II к смеси добавить металлич. Mg, то получают 13% V и смесь дибромидов (85% III и 15% IV). Сделан вывод об образовании наблюдаемых продуктов преимущественно не по механизму обменной р-ции. Скорость прямого образования РГ из I достаточна, чтобы конкурировать с р-цией обмена. Следовательно, $\text{C}_2\text{H}_5\text{Br}$ и I одновременно реагируют с Mg и большая часть IV и заметное кол-во III образуются в результате прямой р-ции с Mg. Введение второй MgBr группы в I также происходит не по механизму обменной р-ции I и II, так как в этих условиях образуются только следы V. Вопреки прежним данным (РЖХим, 1958, 25150) установлено, что при обменной р-ции 2-бромтиофена (VI) с небольшим избытком II равновесие почти целиком смещено в сторону бромистого 2-тиенилмагния. Из 0,39 моля Mg, 0,50 моля $\text{C}_2\text{H}_5\text{Br}$ в 175 мл эфира и 0,28 моля VI (кипчение 20 час.), после карбоксилирования получена 2-тиофенкарбоновая к-та с выходом 82% и 4,8 г $\text{C}_2\text{H}_5\text{COOH}$. К р-ру II из 0,17 моля $\text{C}_2\text{H}_5\text{Br}$ в 150 мл эфира добавляют 0,14 моля I в 100 мл эфира, кипятят 3 часа и выделяют смесь III и IV, выход 82—86%, т. кип. 85—88°/12 мм, и следы V. К 0,36 моля Mg в 100 мл эфира добавляют немного $\text{C}_2\text{H}_5\text{Br}$ и после начала р-ции смесь 0,14 моля I и 0,17 моля $\text{C}_2\text{H}_5\text{Br}$ в 150 мл эфира, через 3,5 часа выделяют V и смесь III и IV; содержание IV в смеси определяют при помощи ИК-спектров. С. Иоффе

70896. Новый метод получения смешанных циклоорганических соединений. Годмар (Sur une nouvelle méthode de préparation des organozinciques mixtes. Gaudemar Marcel), C. r. Acad. sci., 1958, 246, № 8, 1229—1231 (франц.)

Реакцией RBr , где $\text{R} = \text{HC}\equiv\text{CCH}_3$, $\text{CH}_2=\text{CHCH}_3$, $\text{CH}_3\text{CH}=\text{CHCH}_3$ или $\text{C}_6\text{H}_5\text{CH}_2$, с Zn в тетрагидрофуране (I) или смеси I с эфиром получены RZnBr (II) в виде темных р-ров, не дымящих на воздухе. II химически значительно менее активны, чем RMgX . Р-ция II с карбонильными соединениями требует нагревания несколько часов. При р-ции II с ацетоном образуется также кетол. Высокие выходы спиртов получены из

C_6H_5CHO или $C_6H_5CH=CHCHO$ с $CH_2=CHCH_2ZnBr$. $C_6H_5CH=CHCHONHCH_2CH=CH_2$, т. кип. $100^\circ/0,1$ мм, n_D^{20} 1,568, d_{17}^{20} 1,001. CO_2 без давления не реагирует с II. Под давлением получены: $RCOOZnBr$. Из II и $RCOCl$ или $(RCO)_2O$ (III) не удалось получить кетоны. В случае III при t -рах от -50 до $+20^\circ$ р-ция или не идет, или приводит к получению третичных спиртов. Из I получены также C_2H_5ZnI и $изо-C_3H_7ZnBr$, которые из-за малой реакционной способности не удалось использовать в синтезах.

С. Иоффе
70897. Простой способ получения триамидов борной кислоты из эфира трехфтористого бора. Дорнов, Герт (Eine einfache Darstellung von Borsäuretriamiden aus Bortrifluorätherat. Dornow A., Gehrt H. H.), Z. anorgan. und allgem. Chem., 1958, 294, № 1—2, 81—91 (нем.).

Описано получение $B(NRR')_3$ (I) (здесь и далее a $R = R' = CH_3$; b $R = R' = C_2H_5$; v $R = R' = C_4H_9$; $г$ $R = R' = CH_3$, $R' = n-C_{18}H_{37}$; $д$ $R = CH_3$, $R' = C_6H_5$; e $R = C_2H_5$, $R' = C_6H_5$; $ж$ — $л$ $R' = H$; $ж$ $R = C_6H_5$; $з$ $R = n-C_{18}H_{37}$; $и$ $R = 2,4,6-Br_3C_6H_2$; $к$ $R = \alpha$ -нафтил; $л$ $R = \beta$ -нафтил; $м$ $NRR' =$ пирролидин; $н$ $NRR' =$ карбазил; $о$ $NRR' = 1,2,3,4$ -тетрагидрокарбазил; $п$ $NRR' =$ октагидрокарбазил) действием аминов и C_2H_5MgBr (II) на $(CH_3)_2O \cdot BF_3$ (III) по схемам: $III + RR'NH \rightarrow RR'NH \cdot BF_3$ (IV) + $+ CH_3OCH_3$; $IV + 2RR'NH + II \rightarrow I + 3C_2H_6 + 3MgBrF$ или $RR'NH + II \rightarrow RR'NMgBr + C_2H_6$; $3RR'NMgBr + III \rightarrow I + 3CH_3OCH_3 + 3MgBrF$. Возможно, что промежуточно образуется комплексное соединение $(RR'NBF_2) \cdot MgBr^+$, которое распадается на $RR'NBF_2$ (V) и $MgBrF \cdot V$, реагируя с амином II, превращается в $(RR'N)_2BF$ (VI) и далее в I. Попытки выделения V — VI были безуспешны, вероятно, вследствие склонности этих в-в к диспропорционированию; удалось получить лишь VI . I гидролизуются труднее, чем $B(OR)_3$ (VII); при действии спиртов I превращаются в VII. При R и R' большого объема гидролиз и алколиз I сильно затрудняется. Для синтеза I использованы амины жирного и ароматич. ряда, пирролидин (VIII), карбазол (IX) и его гидропронизводные. Из дифениламина дициклогексилана, метил- α -нафтиламина и изопропиланилина не удалось получить соответствующих I. При нагревании VII в тетрагидрофуране (X) с $C_6H_5N(CH_3)_3$ не удалось получить Ia. При синтезе I вместо III могут применяться $(C_2H_5)_2O \cdot BF_3$ (XI) и $X \cdot BF_3$; II может быть заменен любым $RMgX$. $(CH_3)_3N \cdot BF_3$ почти не изменяется при нагревании с II. К 80 мл р-ра 0,2 моля $NH(CH_3)_2$ в C_6H_6 прибавляют 0,066 моля III и эфир. р-р 0,2 моля II, перемешивают 45 мин. при $\sim 20^\circ$, декантируют и выделяют Ia (здесь и далее при описании в-в перечисляются выход в %, т. кип. и т. пл. в $^\circ C$): 67, 147, —. Аналогично получен Ib, 62, 220, —, и Iv, 50, 198/11 мм, т. зам. 11° . К р-ру 0,131 моля $CH_3NHC_{18}H_{37}$ (т. пл. 41 — 45°) в 60 мл C_6H_6 прибавляют 0,131 моля II, затем 0,0436 моля III, кипятят 1 час., через 10 час. декантируют и выделяют Ig, 60—70, —, 155 (из X). 0,14 г-атома K нагревают при 170 — 180° с метиланилином, отгоняют избыток амина, остаток растворяют в 100 мл X, прибавляют 0,047 моля III и кипятят 30 мин.; по охлаждению выпадает Id, 89, —, 210 (из X или толуола), не разлагается при нагревании с водой и спиртом. 0,09 моля этиланилина в 80 мл C_6H_6 нагревают с эфирным р-ром 0,09 моля II до прекращения выделения этана, прибавляют 0,03 моля III, нагревают 30 мин. и выделяют Ie, 25, —, 164—165 (из толуола). 0,13 моля анилина в 60 мл C_6H_6 смешивают с эфирным р-ром 0,13 моля II, через 1 час прибавляют 0,0434 моля XI и кипятят 20 мин.; Iж, 62, —, 170 (из бзл.). Аналогично получают Iz, 60, —, 210 (из толуола), и Im, 59, —, 225 (из толуола). К 0,042 моля 1-нафтиламина в 30 мл C_6H_6 прибавляют II, затем III

и выделяют Ik, 80, —, 160—190 (разл.; из бзл.); в-во разлагается через несколько дней. Так же получен Il, —, —, 257 (разл.; из X); в-во неустойчиво. К р-ру 0,145 моля VIII в 60 мл C_6H_6 прибавляют при $\sim 0^\circ$ 0,048 моля III, через 15 мин. приливают эфирный р-р 0,145 моля II, кипятят 30 мин., из фильтрата выделяют Im, 45, 164/13 мм, 49, и неочищ. VIм, т. кип. 110—115/11 мм; Ib разлагается холодной водой и в отсутствие O_2 . Р-р 0,03 моля IX в 35 мл X смешивают с эфирным р-ром 0,03 моля II, прибавляют 0,01 моля III и кипятят, получают In, 91, —, 348 (из анизола); медленно разлагается водой и CH_3OH при нагревании. Аналогично синтезированы Io, 94, —, 338 (из бзл.), и Ip, 92, —, 325 (из бзл.); устойчив к действию воды и CH_3OH . Ср. РЖХим, 1957, 19253.

П. Аронович

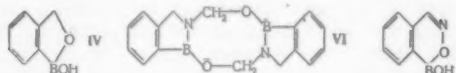
70898. Борорганические соединения. Сообщение 22. О механизме гидролиза эфиров диарилборных кислот. Михайлов Б. М., Вавер В. А., Изв. АН СССР. Отд. хим. п., 1958, № 4, 419—424

Изучен гидролиз Ar_2BOR (I) водн. р-ром NH_3 (всюду a $Ar = C_6H_5$, $R = n-C_4H_9$; b $Ar = C_6H_5$, $R = изо-C_4H_9$; v $Ar = C_6H_5$, $R = n-C_3H_7$; $г$ $Ar = n-CH_3C_6H_4$, $R = изо-C_4H_9$; $д$ $Ar = o-CH_3C_6H_4$, $R = изо-C_4H_9$; e $Ar = C_6H_5$, $R = изо-C_4H_9$; $ж$ $Ar = n-BrC_6H_4$, $R = изо-C_4H_9$; $з$ $Ar = n-Cl$, $R = изо-C_4H_9$). Показано, что гидролиз протекает через стадию образования аммиакатов I (II) с последующим превращением их в диарилборнаты аммония (III) по схеме: $I + NH_3 \xrightarrow{H_2O} Ar_2B(-NH_3)OH \xrightarrow{H_2O} [Ar_2B(OH)_2]NH_4$ III. Для доказательства предложенного механизма синтезирован ряд I и II и исследовано отношение II к воде. III при подкислении дают Ar_2BOH . К р-ру 1 моля C_6H_5MgBr (из 24,4 г Mg, 154 г C_6H_5Br и 800 мл эфира) прибавляют при t -ре от -30 до -50° в атмосфере N_2 р-р 0,45 моля три- n -бутилбората в 200 мл эфира, через 10 час. (-75°) смесь обрабатывают 700 мл 5%-ной HCl, этерифицируют действием $n-C_4H_9OH$, получают Ia, выход 46,7%, т. кип. 110 — $120^\circ/1$ мм, n_D^{20} 1,5471, d_4^{20} 0,9834; кроме того, выделено 22 г $(C_6H_5)_2B(OC_4H_9)_2$, т. кип. 108 — $110/1,5$ мм, d_4^{20} 0,9292. Аналогично получены I (приведены I, выход в %, т. кип. в $^\circ C/мм$, n_D^{20} , d_4^{20}): Ib, 42, 128—129/2, 1,5405, 0,9710 (получен также $C_6H_5B(OC_6H_{11})_2$, выход 43,5%, т. кип. 116 — $117/2$ мм, d_4^{20} 0,9221); Iv, 27, 125—126/5, 1,5491, 0,9851 (из остатка после обработки пентаном выделен ангидрид фенилборной к-ты, выход 48,5, т. пл. 187 — 189°); Ig, 19,6, 146—146,5/2,5, 1,5448, 0,9630 (побочно выделены n -толилборная к-та, выход 30%, т. пл. 227 — 230° ; ди- n -толил, т. пл. 119 — 121° , и три- n -толилбор, т. кип. 230 — $235^\circ/12$ мм); Id, 5,1 г (из 0,5 моля $o-CH_3C_6H_4MgBr$ и 0,22 моля триизобутилбората), 135/1,2, 1,5440, 0,9704 (выделены также $o-CH_3C_6H_4B(OC_4H_9-изо)_2$, выход 55%, т. кип. 110 — $112^\circ/3$ мм; три- o -толилбор, выход 16,3%, т. кип. 182 — $184^\circ/2$ мм). II получены насыщением р-ра 1—2 г I в сухом $изо-C_6H_{11}OH$ или петр. эфире (10—15 мин.) сухим NH_3 (приведены II), выход V в %, т. пл. в $^\circ C$: IIa, 90,3, 97—99; IIб, 95,3, 99—101; IIв, 97,5, 104—107; IIг, 84,7, 77—79; IIд, 80, 88—90,5; IIе, 88,4, 103—105; IIж, 92, 113—115; IIз, 92,4, 115—117. К 5 мл 3%-ного водн. NH_3 добавляют 0,66 г Id, через 10 мин. отфильтровывают III ($Ar = n-CH_3C_6H_4$), выход 86,17%, т. пл. 89 — 91° . Аналогично получен III ($Ar = o-CH_3C_6H_4$), выход 89,5%, т. пл. 97 — 100° , 3 ммоль IIе гидролизуют 2,5 мл воды при 20° ; выход III ($Ar = C_6H_5$) 89%, т. пл. 108 — 110° . Аналогично гидролизуются другие II. IIз водой не гидролизуются. 1,67 г III ($Ar = n-CH_3C_6H_4$) в 10 мл эфира и 10 мл разб. (1:2) HCl дают ($n-CH_3C_6H_4$) $_2BOH$, выход 88%, т. пл. 65 — 66° (из петр. эф.). Аналогично получена ($o-CH_3C_6H_4$) $_2BOH$, выход

92,5%, т. пл. 64–66°. Р-р 0,5 г Iг в смеси 10 мл спирта и 2 мл воды смешивают с 0,2 г этаноламина, получают 0,44 г I (Ag = $n\text{-CH}_3\text{C}_6\text{H}_4$, R = $\text{CH}_2\text{CH}_2\text{NH}_2$), т. пл. 174–176° (из сп.). Аналогично получен I (Ag = $o\text{-CH}_3\text{C}_6\text{H}_4$, R = $\text{CH}_2\text{CH}_2\text{NH}_2$), т. пл. 179–180,5° (из сп.). Сообщение 21 см. РЖХим, 1958, 32536 И. Цветкова

70899. Синтез ароматических борных кислот. Альдегидборные кислоты и замещенная борная кислота — аналог тирозина. Снайдер, Риди, Ленарц (Synthesis of aromatic boronic acids. Aldehyde boronic acids and a boronic acid analog of tyrosine. Snyder H. R., Reedy Albert J., Lennarz Wm. J.), J. Amer. Chem. Soc., 1958, 80, № 4, 835–838 (англ.)

Бромирование o (Ia)- и n (Iб)-толилборных к-т получены o (IIa)- и n (IIб)-бромметилфенилборные к-ты, которые превращены в o (IIIa)- и n (IIIб)-формилфенилборные к-ты. При действии КОН на II образуется циклич. эфир (IV), а при действии уротропина (V) выделено в-во, имеющее, вероятно, строение (VI). Продукты р-ции IIIa с NH_2OH соответствует, вероятно, ф-ла (VII). Из IIб синтезирована $n\text{-(HO)}_2\text{BC}_6\text{H}_4\text{CH}_2\text{CH}(\text{NH})_2\text{COOH}$ (VIII), предназначенная для введения бора в протеины. К 5 г I и 100 мл CCl_4 прибавляют за 2,5 часа р-р 6 г Br_2 в 50 мл CCl_4 при облучении лампой (200 эт), отгоняют часть р-рителя и выделяют II; выход IIa 92%, т. пл. 139–146° (из хлф.); выход IIб 90%, т. пл. 138–144° (из хлф.). 5 г Iб, 150 мл CHCl_3 , 0,65 г $(\text{C}_6\text{H}_5\text{COO})_2$ (IX) и 6,5 г N-бромсукцинимид (X) кипятят 3 часа при облучении, прибавляют 7 г V в 75 мл CHCl_3 , кипятят 1 час, осадок обрабатывают 40 мл HCl (рН 4), р-р кипятят 1 час и прибавляют 10 мл конц. HCl ; выход IIIб 27%, т. пл. 240° (из воды) (ср. РЖХим, 1958, 14552). При 80°/1 мм IIIб превращается за 1 час в ангидрид. 1 г Ia, 40 мл CCl_4 , 2,6 г X, 0,26 г IX кипятят при облучении 2,5 часа, фильтрат обрабатывают 30 мл 15%-ного КОН, через 15 мин. щел. р-р подкисляют и через 2 часа извлекают IIIa эфиром, выход 36%, т. пл. 118–120° (из воды). К р-ру 0,5 г IIIб и 0,2 г CH_3NO_2 в 4 мл спирта прибавляют при 5° 0,274 г NaOH в 4 мл воды, перемешивают 15 мин. при 10°, добавляют NaOH до образования прозрачного р-ра, приливают при 5° 2 мл конц.



HCl + 3 мл воды и отфильтровывают $n\text{-(}\beta\text{-нитровинил)-фенилборную}$ к-ту, выход 70%, т. пл. 289–290° (разл.; из водн. сп.). Смешивают при т-ре < 30° 1 г IIIб, 15 мл ацетона, 5 мл воды и 5 мл 10%-ного NaOH, через 4 часа (~20°) подкисляют и выделяют $n\text{-(}\beta\text{-ацетовинил)-фенилборную}$ к-ту, выход 80%, т. пл. 205–212° (из водн. сп.). IIIa не реагирует с CH_3NO_2 или ацетоном. К р-ру 3,5 г KCN и 1 г IIIб в 7 мл воды прибавляют при 10° 0,57 мл конц. H_2SO_4 в 1,73 мл воды, фильтрат подкисляют 10%-ной HCl и через 10 мин. (10°) извлекают эфиром $n\text{-(HO)}_2\text{BC}_6\text{H}_4\text{CH}(\text{OH})\text{CN}$, т. пл. 104° (разл.). Из IIIб получен азин с т. пл. 295° [из водн. $\text{HCON}(\text{CH}_3)_2$]. При окислении KMnO_4 IIIб образуется $n\text{-HOOC}_6\text{H}_4\text{B}(\text{OH})_2$, выход 86%, т. пл. 219–220°. IIIб не вступает в р-цию Канницаро и бензониновой конденсации. При кипячении с 20%-ным р-ром NaOH в атмосфере N_2 IIIa образует $\text{C}_6\text{H}_5\text{COOH}$. К р-ру 0,5 IIIa и 0,36 г $\text{NH}_2\text{OH}\cdot\text{HCl}$ в 20 мл горячей воды добавляют NaOH до рН 7, кипятят 15 мин. и подкисляют; выход VII 85%, т. пл. 150–155° (из воды). 5 г Ia бромруют 6 г Br_2 в CCl_4 , как описано выше, р-р обрабатывают 80 мл 15%-ного р-ра КОН, через 1 час щел. р-р подкисляют; выход IV 70%, т. пл. 96–98° (из воды). 25 г Ia, 32,5 г X, 3,25 г IX и

350 мл CHCl_3 кипятят 3 часа, прибавляют 30 г V в 200 мл CHCl_3 , кипятят 15 мин., осадок растворяют в 100 мл разб. HCl (рН 4), кипятят 1 час и отфильтровывают VI, выход 20%, т. пл. 308–309° (из $\text{HCON}(\text{CH}_3)_2$). При действии $\text{NaNO}_2 + \text{HCl}$ (к-та) VI превращается в IV. К р-ру $\text{C}_6\text{H}_5\text{ONa}$ (из 3,16 г Na и 300 мл спирта) прибавляют 28,8 г $\text{CH}_3\text{CONHCH}(\text{COOC}_2\text{H}_5)_2$ и 19,7 г IIб, кипятят 11 час., приливают 12 мл 3 н. HCl , из фильтрата выделяют $n\text{-(HO)}_2\text{BC}_6\text{H}_4\text{CH}_2\text{C}(\text{COOC}_2\text{H}_5)_2\text{NHCOCH}_3$ (XI), выход 67,7%, т. пл. 220–223° (из водн. сп.). 21,7 г XI и 180 мл 5%-ного р-ра NaOH кипятят 3,75 часа, прибавляют 90 мл 3 н. HCl , кипятят 1 час, выпаривают в вакууме и получают $n\text{-(HO)}_2\text{BC}_6\text{H}_4\text{CH}_2\text{CH}(\text{COOH})\text{NHCOCH}_3$ (XII), выход 87%, т. пл. 168–170° (из воды). Р-р 16 г NaOH в 250 мл воды и 13,5 г XII кипятят 9 час., подкисляют 25 мл конц. HCl , добавляют NH_4OH до рН 6,2 и выпаривают в вакууме до 175 мл; выход VIII 74%, т. пл. 285–290 (разл.); хлоридрат, т. пл. 200–203°. При длительном кипячении с 5%-ным р-ром NaOH VIII частично превращается в фенилаланин.

70900. Получение галоидметильных производных алюминия диазоалкифатическим методом. Алмаши Л., Фельмери И., Ганц А., Докл. АН СССР, 1958, 118, № 6, 1121–1123

Действием CH_2N_2 на AlX_3 синтезированы $\text{Al}(\text{CH}_2\text{X})_3$ (I), где X = Cl (Ia) и Br (Iб). Моно- или ди-(галоидметильные) производные не обнаружены даже при соотношении CH_2N_2 и AlX_3 , равном 1:3. AlF_3 не реагирует с CH_2N_2 . К 3,1 г AlCl_3 при т-ре –50° в токе N_2 прибавляют за 1 час по каплям охлажд. эфирный р-р 3 г CH_2N_2 , выход Ia 72%, т. кип. 108–109°/1,5 мм, 128–129°/4,5 мм, т. пл. 32–33°; в тех же условиях из 6,3 г AlBr_3 и 3 г CH_2N_2 получен Iб, выход 36,9%, т. кип. 119–120°/0,7 мм 132–133°/2 мм, т. пл. 47–48°. I неустойчивы, сильно дымят на воздухе, очень гигроскопичны, легко окисляются.

70901. Винильные соединения кремния. Шостаковский М. Ф., Кочкин Д. А., Ж. прикл. химии, 1958, 31, № 5, 754–765

Обзор. Библ. 36 назв.

70902. Присоединение триэтилсилана к метилметакрилату, катализируемое платиной. Керри, Гаррисон (Platinum-catalyzed addition of triethylsilane to methyl methacrylate. Curry James W., Harrison George W., Jr.), J. Organ. Chem., 1958, 23, № 4, 627–628 (англ.)

Реакцией $(\text{C}_2\text{H}_5)_3\text{SiH}$ (I) с $\text{CH}_2=\text{C}(\text{CH}_3)\text{COOCH}_3$ (II) в присутствии Pt/C получен $(\text{C}_2\text{H}_5)_3\text{SiCH}_2\text{CH}(\text{CH}_3)\text{COOCH}_3$ (III), строение которого подтверждено спектрами ядерного магнитного резонанса. 0,172 моля I, 0,172 моля II и 0,17 г 0,06%-ного Pt/C кипятят 115,5 часа, т-ра поднимается от 97 до 150°, по охлаждении добавляют эфир, из фильтрата получен III, выход 30,6%, т. кип. 119,5–120°/23 мм, n_D^{25} 1,4421, d_4^{25} 0,8905.

70903. Присоединение соединений силилития, содержащих метильные и фенильные группы, к бензофенону в тетрагидрофуране. Гилман, Лихтенуолтер (The addition of silyllithium compounds containing methyl and phenyl groups to benzophenone in tetrahydrofuran. Gilman Henry, Lichtenwalter Glen D.), J. Amer. Chem. Soc., 1958, 80, № 3, 607–608 (англ.)

Как и в случае $(\text{C}_6\text{H}_5)_3\text{SiNa}$ (РЖХим, 1955, 2112) р-ция $(\text{CH}_3)_n(\text{C}_6\text{H}_5)_{3-n}\text{SiLi}$ (Ia–в) (здесь и далее $n = 0, 1, 2$) с $(\text{C}_6\text{H}_5)_2\text{CO}$ (II) в тетрагидрофуране (ТГФ) протекает с образованием SiO -связи и приводит к $(\text{CH}_3)_n(\text{C}_6\text{H}_5)_{3-n}\text{SiOCH}(\text{C}_6\text{H}_5)_2$ (IIIa–в). Строение III установлено по ИК-спектрам. К 38,6 ммоль II в 100 мл ТГФ прибавляют по каплям при пере-

мешивании р-р Ia (из 0,0193 моля $[(C_6H_5)_2Si]_2$ и 0,1 моля Li) в 100 мл ТГФ, через 10 час. обычным образом выделяют IIIa, выход 57%, т. пл. 83–84° (из сп.); из спирт. маточного р-ра побочно получено 0,35 г $(C_6H_5)_2SiOH$. 15,2 ммоль II и 7,6 ммоль Ib смешивают, как описано выше, через 3 часа после гидролиза, упаривания органич. слоя, обработки петр. эфиром выделено 0,15 г бензпинакона (IV); маточный р-р упаривают, остаток растворяют в спирте, выделено 0,21 г $[CH_3(C_6H_5)_2Si]_2$ (V), т. пл. 142–144°, из маточного р-ра получен IIIb, выход 19%, т. пл. 63–64° (из сп.). По-видимому, IV образуется путем сдвигания и последующего гидролиза радикала $(C_6H_5)_2COLi$, который первоначально возникает в реакционной смеси наряду с $CH_3(C_6H_5)_2Si$, дающим V. Аналогично IIIb из 37 ммоль II и 18,5 ммоль Ib за 10 час. получен IIIв, выход 20%, т. кип. 145–147°/0,05 мм, т. пл. 36–38°, n_D^{20} 1,5708; побочно выделено 0,5 г IV и 0,4 г бензгидрола. Ф. Величко

70904. О взаимодействии алкилхлорсиланов с азотсодержащими продуктами присоединения к хлоралю. Хенглейн, Грезер (Über Umsetzungen von Alkylchlorasilanen mit stickstoffhaltigen Additionsverbindungen des Chlorals. Henglein F. A., Gräser H.), Makromolek. Chem., 1958, 26, № 3, 236–244 (нем.; рез. англ.)

Изучены р-ции $(CH_3)_2SiCl$ (I) и $(CH_3)_2SiCl_2$ (II) с $Cl_3CCH(NH_2)OH$ (III), $Cl_3CCH(NHON)OH$ (IV), $Cl_3CCH(OH)NHCH(CH_3)_2$ (V), $Cl_2CCH(OH)NHCONH_2$ (VI) и $[Cl_3CCH(OH)NH_2]_2CO$ (VII). III–VII получены присоединением к Cl_3CCHO (VIII) NH_3 , NH_2OH , $изо-C_3H_7NH_2$ (IX) и мочевины. Из эквимольных кол-в I и III в $CHCl_3$ получен $[(CH_3)_2SiOCH(CCl_3)]_2NH$ в результате отщепления NH_3 от промежуточно образующегося $(CH_3)_2SiOCH(CCl_3)NH_2$, выход 77%, т. кип. 122–125°/1 мм, (разл.), т. пл. 103–104° (из петр. эф.); летуч с паром. Из эквимольных кол-в I и IV в эфире получен $(CH_3)_2SiOCH(CCl_3)ONHCH(CCl_3)OSi(CH_3)_3$, выход 72%, т. пл. 78–79°. Из эквимольных кол-в I и VI в $HCONH_2$ (X) выделен $(CH_3)_2SiOCH(CCl_3)NHCO-NH_2$, выход 76%, т. пл. 132–134°, который в CH_3CN присоединяет VIII с образованием $(CH_3)_2SiOCH(CCl_3)NHCONHCH(OH)CCL_3$ (XI), выход колич., т. пл. 180–183° (разл.). Из XI и I или из 2 молей I и 1 моля VII в X получен $[(CH_3)_2SiOCH(CCl_3)NH_2CO]$, выход 91%, т. пл. 180–181° (из CH_3OH). 1 мол. II реагирует с 2 молями III в $CHCl_3$ или с IV в эфире с образованием соответственно $(CH_3)_2SiOCH(CCl_3)NHCH(CCl_3)O$, вы-

ход 74%, т. кип. 108–113°/1 мм, т. пл. 96–97° (из петр. эф.), и $(CH_3)_2SiOCH(CCl_3)ONHCH(CCl_3)O$, выход 73%, т. пл. 109–110°. Из 1 моля II и 2 молей VI в X получен $[H_2NCONHCH(CCl_3)O_2Si(CH_3)_2]$, выход 87%, т. пл. 142–143° (из CH_3OH). II и VII в эквимольных кол-вах в X образуют $(CH_3)_2SiOCH(CCl_3)NHCONHCH(CCl_3)OSi(CH_3)_2OCH(CCl_3)NHCONHCH(CCl_3)O$, выход 86%, т. пл. 127° (из CH_3OH). При р-ции 60 г VIII с 23 г гексаметилендиамина в C_6H_6 при охлаждении получен диформилгексаметилендиамин, выход 79%, т. пл. 103–104° (из CH_3CN). Продукты взаимодействия I и II с III–VII устойчивы к действию воды и разб. к-т. При действии разб. щелочей отщепляется $CHCl_3$. К р-ру 22 г Na_2CO_3 в малом кол-ве воды добавляют 28 г $NH_2OH \cdot HCl$ и при охлаждении добавляют небольшими порциями 30 г VIII. Через 4 часа экстрагируют эфиром IV, выход 87,5%, т. пл. 96° (из хлф.). Из 40 г VIII в 70 мл петр. эфира и 15 г IX в 30 мл петр. эфира при охлаждении получен V, выход 96%, т. пл. 51°. При стоянии на воздухе разлагается на $CHCl_3$ и $HCONHCH(CH_3)_2$, т. кип. 218–220°/760 мм.

Р-цию I или II с III–VII проводят в эфире, $CHCl_3$ или X в присутствии 5%-ного избытка C_6H_5N при охлаждении с последующим перемешиванием 3 часа при т-ре $\sim 20^\circ$. С. Иоффе

70905. Оловоорганические соединения с арильными группами большого объема. I, II, III. Две кристаллические формы гекса-(2-бифенил)-дистаннана. IV. Ди-9-фенантрилово. Бер, Гелиус (Organozinnverbindungen mit raumfüllenden Arylgruppen. I. II. III. Über zwei kristalline Formen von Hexakisbiphenyl-(2)-distannan. IV. Diphenanthryl-(9)-zinn. Bähr Gerhard, Gelius Rolf), Chem. Ber., 1958, 91, № 4, 812–818, 818–824, 825–829 (нем.)

I. Синтезированы о-, м- и п-Sn($C_6H_4C_6H_5$)₄ (I–III) из $SnCl_4$ и о-, м- и п- $C_6H_5C_6H_4Li$ (IV, V, VI). Действием HCl на I получен (о- $C_6H_5C_6H_4$)₂SnCl₂ (VII). Из $SnBr_4$ и о- $C_6H_5C_6H_4MgBr$ (VIII) получен (о- $C_6H_5C_6H_4$)₂SnBr (IX). I более стоек, чем II и III. Приведены дебайеграммы I, II, III. 2-бромбифенил (X) получен из 2-аминобифенила с выходом 66–69%, т. кип. 140°/11 мм, n_D^{20} 1,6289. IV получен из X с выходом 89–94%. VIII получен из X в тетрагидрофуране (XI). 3-бромбифенил получен из 3-броманилина, выход 13–14%, т. кип. 139,5/3 мм, n_D^{20} 1,6413. 4-бромбифенил получен из 4-аминобифенила, выход 36–41%, т. пл. 89,5°. 175 мл эфирно-бензольного р-ра (ЭБР) IV (86 ммоль) добавляют за 30 мин. к 25 ммоль SnCl₄ в 25 мл C_6H_6 , отгоняют 100 мл р-рителя, кипятят 2 часа и гидролизуют разб. HBr , выход I 71,2%, т. пл. 300–301° (из о-дихлорбензола). Нагреванием 1,23 ммоль I с 24 ммоль HgCl₂ и 75 мл спирта 20 час. при 120° получена с выходом 90,5% о- $C_6H_5C_6H_4HgCl$. Пропусканием 1 час тока HCl в суспензию 15,7 ммоль I в 20 мл $CHCl_3$ получен с выходом 83,4% VII. 225 мл ЭБР, 0,17 моля VIII добавляют за 1 час к 41,5 ммоль SnBr₄ в 50 мл C_6H_6 , кипятят 1 час и гидролизуют HBr , выход IX 76,9%, т. пл. 167,5–168° (из бутанола). Из 115 мл ЭБР 51,8 ммоль V и 10,4 ммоль SnCl₄ в 25 мл C_6H_6 после кипячения 1,5 часа получен II, выход 52,8%, т. пл. 145,5–145,8°. Из 32,8 ммоль VI в 75 мл ЭБР и 6,5 ммоль SnCl₄ в 25 мл C_6H_6 после кипячения 1 час и гидролиза HBr выход III 77,5%, т. пл. 268,5°. Все т-ры плавления исправлены.

II. Синтезированы тетра-9-фенантрилово (XII), тетра-1-нафтилово (XIII) и тетраметилово (XIV) действием $SnCl_4$ на $C_{10}H_7Li$ (XV), $1-C_{10}H_7Li$ (XVI) и $[(CH_3)_3C_6H_2]Li$ (XVII). 9-бромфенантрен (XVIII) получен бромированием фенантрена в CCl_4 , выход 68–70%, т. кип. 215–220°/15 мм, т. пл. 64,5° (из абс. сп.); 2-бромметилтен (XIX) получен бромированием метилтена в CCl_4 , выход 62–65%, т. кип. 95–96°/10 мм. XV получен с выходом 55% р-цией XVIII с C_6H_5Li или C_4H_9Li в эфире. XVI получен из 1- $C_{10}H_7Br$ и C_4H_9Li . XVII получен из 0,1 моля XIX и 0,29 моля Li в смеси 75 мл эфира и 75 мл C_6H_6 с выходом 44%. Из суспензии 0,33 моля эфира XV и 0,06 моля $SnCl_4$ в 50 мл C_6H_6 после кипячения 1 час выход XII 55%, т. разл. 360 и 370° (блок). Пропусканием 45 мин. тока HCl в суспензию 1 г XII в 50 мл $CHCl_3$ получено 381 мг $(C_{10}H_7)_2SnCl_2$ наряду с 380 мг фенантрена. Из ЭБР 0,1 моля XVI и 0,017 моля $SnCl_4$ в 50 мл C_6H_6 получен после кипячения 2 часа и гидролиза XIII, выход 20–21%, т. разл. 310–320° (блок). Из 100 мл эфирно-толуольной суспензии, 40 ммоль XVII и 7,7 ммоль $SnCl_4$ в 25 мл толуола после кипячения 2 часа и гидролиза выход XIV 7,9–15,3%, т. разл. 320° (блок).

III. Получен $[(o-C_6H_5C_6H_4)_3Sn]_2$ (XX) в виде двух кристаллич. форм с т. пл. 170° (испр.) (XXa) и 288–289° (испр.) (XXb). XXa образуется при р-ции $SnCl_4$ с IV или VIII наряду с (о- $C_6H_5C_6H_4$)₂Sn XXb полу-

чен р-цией IX с Na. XXa и XXb отличаются по кристаллич. структуре и растворимости и являются примером атронизомерии. К р-ру 47 ммоль VIII в 80 мл XI добавляют за 45 мин. 37 ммоль SnCl_2 в 50 мл XI, перемешивают 2 часа, после обычной обработки выход XXa 5,7%, бесцветные листочки, мало растворимы в горячем спирте, легко в горячем C_6H_6 . XXa восстанавливает KMnO_4 в C_6H_6 или ацетоне, HgCl_2 при нагревании, присоединяет галогиды. К 0,44 моля Na в 200 мл ксилола при 50–80° добавляют 15,2 ммоль IX в 50 мл ксилола и осторожно нагревают не до кипения 30 мин., из фильтрата выделен в виде кристаллич. порошка XXb, выход 45,5%.

IV. Синтезировано ди-9-фенантрилово (XXI) действием SnCl_2 на $\text{C}_{14}\text{H}_9\text{MgBr}$ (XXII). Из 0,1 моля XVIII в 100–150 мл XI при действии 0,14 моля Mg выход XXII 91–94%. К 37 ммоль SnCl_2 в 30 мл C_6H_6 добавляют за 1 час 100 мл ЭБР 89 ммоль XXII, перемешивают 2 часа при т-ре ~20°, выход XXI 69%, т. пл. 179–180° (испр.). Криоскопич. определение мол. веса XXI в дибромэтано указывает на степень ассоциаций от 1,5 до 2,7 в зависимости от условий.

С. Иоффе

70906. Получение йодистых алкилгерманий и синтез новых смешанных тетраалкилгерманий. Лебр, Мазроль (Préparation des iodoalcoylgermanes et synthèse de nouveaux tétraalcoylgermanes mixtes. Lesbre Michel, Mazerolles Pierre), С. г. Acad. sci., 1958, 246, № 11, 1708–1710 (франц.)

Действием J_2 в присутствии AlJ_3 на R_4Ge (I), где $\text{R} = \text{CH}_3, \text{C}_2\text{H}_5, \text{C}_3\text{H}_7, \text{C}_4\text{H}_9$ *изо*- C_4H_9 и $n\text{-C}_5\text{H}_{11}$, получают с колич. выходом R_3GeJ (II) наряду с RJ. Если I содержит свыше 12 атомов C, вместо RJ образуются RR. При р-ции J_2 с I ($\text{R} = \text{C}_3\text{H}_7$) образуются как RJ, так и RR. В тех же условиях действием J_2 на II ($\text{R} = \text{C}_2\text{H}_5$) получен $(\text{C}_2\text{H}_5)_2\text{GeJ}_2$ (III) наряду с $\text{C}_2\text{H}_5\text{J}$ и C_4H_{10} . Действием J_2 на III получен $\text{C}_2\text{H}_5\text{GeJ}_3$ (IV) и C_4H_{10} . Р-цией $\text{R}'\text{MgX}$ с II, III и IV получены соответственно $(\text{C}_2\text{H}_5)_3\text{GeR}'$ (V), $(\text{C}_2\text{H}_5)_2\text{GeR}'_2$ (VI) и $\text{C}_2\text{H}_5\text{GeR}'_3$ (VII), которые устойчивы к действию конц. H_2SO_4 на холоду и расщепляются J_2 только в присутствии AlJ_3 . I ($\text{R} = \text{изо-C}_4\text{H}_9$), т. кип. 135°/17 мм., n_D^{20} 1,4594, d_4^{20} 0,9374. Приводятся для II R, т. кип. в °C/мм., n_D^{20} , d_4^{20} : *изо*- C_4H_9 , 137–138/13, 1,5098, 1,3543; $n\text{-C}_5\text{H}_{11}$, 184–185/11, 1,5023, 1,2686. Те же значения для V (везде приведены R'): CH_3 , 135/760, 1,4332, 0,9906; C_3H_7 , 73–74/20, 1,4460, 0,9810; $n\text{-C}_4\text{H}_9$, 91–92/20, 1,4483, 0,9711; $n\text{-C}_5\text{H}_{11}$, 104–105/20, 1,4495, 0,9625; то же для VI: CH_3 , 108–109/760, 1,4421, 0,9885; $n\text{-C}_4\text{H}_9$, 109–110/14, 1,4516, 0,9547; то же для VII: CH_3 , 79–80/760, 1,4090, 0,9843; $n\text{-C}_5\text{H}_{11}$, 148–149/7, 1,4565, 0,9274. С. Иоффе

70907. Фосфорные эфиры 2-хлорэтанола. Фенилалкиловые эфиры 2-хлорэтилфосфорной кислоты. Навек, Мати (Esters phosphoriques du 2-chloroéthanol. Phényl-alcoylphosphates de 2-chloroéthyle. Navé Jacques, Mathis Ferdinand), С. г. Acad. sci., 1958, 246, № 13, 2001–2003 (франц.)

Реакцией $\text{C}_6\text{H}_5\text{OPOCl}_2$ со спиртами получены $\text{C}_6\text{H}_5\text{ORO}(\text{OR})\text{Cl}$ (I). Приводятся для I R, т. кип. в °C/0,1 мм.: CH_3 , 90–91; C_2H_5 , 94–95; C_3H_7 , 105–108; $n\text{-C}_4\text{H}_9$, 120–122°. Из I и $\text{CH}_2\text{ClCH}_2\text{OH}$ при т-ре ~20° в присутствии $\text{C}_6\text{H}_5\text{N}$ получены следующие $\text{C}_6\text{H}_5\text{ORO}(\text{OR})(\text{OCH}_2\text{CH}_2\text{Cl})$ (приводятся R т. кип. в °C/0,1 мм.): CH_3 , 120–121; C_2H_5 , 123–125, C_3H_7 , 128–130; $n\text{-C}_4\text{H}_9$, 133–135. С. Иоффе

70908. Исправление к статье: Кирсанов А. В., Деркач Г. Н. «Эфиры N-фосфорной кислоты, трихлориминоуксусной кислоты и эфиры триоксифосфатотрихлорацетата», Ж. общ. химии, 1957, 27, № 4, 1080–1083

К РЖХим, 1958, 4694.

70909. Синтезы циклических тримера и тетрамера дифенилфосфонитрида. Хейбер, Херринг, Лотон (Synthesis of cyclic trimeric and cyclic tetrameric diphenylphosphinic nitride. Haber C. P., Herring D. L., Lowton E. A.), J. Amer. Chem. Soc., 1958, 80, № 9, 2116–2117 (англ.)

Синтезированы $\text{N}=\text{P}(\text{C}_6\text{H}_5)_2\text{N}=\text{P}(\text{C}_6\text{H}_5)_2\text{N}=\text{P}(\text{C}_6\text{H}_5)_2$

(I) и $\text{N}=\text{P}(\text{C}_6\text{H}_5)_2\text{N}=\text{P}(\text{C}_6\text{H}_5)_2\text{N}=\text{P}(\text{C}_6\text{H}_5)_2\text{N}=\text{P}(\text{C}_6\text{H}_5)_2$

(II) взаимодействием $(\text{C}_6\text{H}_5)_2\text{PCl}_3$ (III) с NH_4Cl или с избытком жидкого NH_3 . I и II устойчивы к кипячению с водой. Нагреванием в трубке 120 час. при 320–340° 2,82 моля $\text{C}_6\text{H}_5\text{PCl}_2$ получен $(\text{C}_6\text{H}_5)_2\text{PCl}$ (IV), выход 20%, т. кип. 110–112°/0,2–0,3 мм. Конденсируют при т-ре –196° 0,68 моля Cl_2 в смеси 300 мл CCl_4 и 0,68 моля IV, через 12 час. (–20°) перемешивают 2 часа при 25°, выход III 97%, т. пл. 194–200° (разл.; из баз.). Смешивают 250 мл жидкого NH_3 при т-ре –196° и 0,172 моля III, перемешивают 2 часа при т-ре –40°, экстрагируют CHCl_3 смесь полимеров с выходом 65%, из которой кристаллизацией из C_6H_6 выделен I, выход 7%, т. пл. 230–232°, II, выход 48%, т. пл. 319,5–321°. К смеси 0,206 моля NH_4Cl в 200 мл $\text{CHCl}_3\text{CH}_2\text{Cl}$ добавляют в атмосфере N_2 0,095 моля III и нагревают 18 час. при 130–135°, выход I 4%, выход II 7%.

С. Иоффе

70910. Стереохимия асимметрических соединений фосфора. I. Расщепление моноэтилового эфира этилтиофосфиновой кислоты. Арон, Шрайн, Миллер (The stereochemistry of asymmetric phosphorus compounds. I. The resolution of O-ethyl ethylphosphonothioic acid. Aaron Herbert S., Shryne Thomas M., Miller Jacob I.), J. Amer. Chem. Soc., 1958, 80, № 1, 107–110 (англ.)

$(\text{C}_2\text{H}_5\text{O})_2\text{C}_2\text{H}_5\text{P}(\text{S})\text{OH}$ (I) расщеплена на антиподы через соли с хинином (II) или бруцином (III). (–)-I и (+)-I не рацемизируются при перегонке в воде в присутствии к-ты или щелочи. Для аниона I предложено строение резонансного гибрида. Значение $[\alpha]_D^{20}$ для (–)-I и аниона (–)-I меняется от конц-ий (–)-I и от добавок HCl или NaOH (перечисляются значения конц-ий (–)-I в молях/л, конц-ий добавленной HCl или NaOH, $\alpha_{\text{набл}}$ толщина слоя дм, $[\alpha]_D^{20}$, $[\alpha]_D^{25}$ аниона (–)-I (выборочные значения)): 0,0345, 0, –0,147 ± 0,006, 4, –6,9 ± 0,3, –, 0,265, 0,123 HCl, –0,077 ± 0,011, 1, –1,9 ± 0,3, –10,7 ± 0,2; 0,500, 0, –0,070 ± 0,015, 1, –0,9 ± 0,2, –, 0,0735, 4,7 HCl, +0,180 ± 0,006, 4, +4,0 ± 0,1, –, 0,146, 8 HCl, +0,195 ± 0,010, 2, +4,3 ± 0,2, –, 0,189, 12 HCl, –0,077 ± 0,007, 1, –2,6 ± 0,2, –10,8 ± 0,7; 0,240, 0,240 NaOH, –0,399 ± 0,007, 1, –, –10,8 ± 0,2; 0,048, 0,148 NaOH, –0,170 ± 0,007, 2, –, –11,5 ± 0,5. 78 ммоль I добавляют к р-ру 77 ммоль безводн. II в 300 мл ацетона, добавляют 300 мл эфира, из охлажд. р-ра через 6 час. выделено 15,9 г в-ва, т. пл. 139–146°. После трех перекристаллизаций получено 8,9 г моногидрата соли (–)-I с II ((–)-IV), т. пл. 151–153°, $[\alpha]_D^{20}$ –96,1 ± 0,8°. Из маточного р-ра выделена соль Ib с II ((+)-IV), т. пл. 166–168°, $[\alpha]_D^{25}$ –81,7 ± 0,6°. (–)-IV при 100° переходит в безводн. соль, т. пл. 158–162°. Для выделения (–)-I к р-ру 49,3 г (–)-IV в 125 мл теплого CH_3OH добавляют р-р 4,5 г NaOH в 25 мл воды, затем добавляют 600 мл воды, водн. слой декантируют, обрабатывают CHCl_3 эфиром, подкислением водн. р-ра получено 12,9 г (–)-I, n_D^{20} 1,4880, $[\alpha]_D^{25}$ –13,563 ± 0,006° (чистое в-во, 1 дм). Аналогично из (+)-IV получен (+)-I, выход 70%, т. кип. 89–90°/1–1,5 мм., $[\alpha]_D^{25}$ +13,205 ± 0,013° (чистое в-во, 1 дм). 0,3 моля I добавляют к 0,3 моля III в 2 л горячего ацетона, при охлаждении отделяют 67 г в-ва, из которого после 6 перекристаллизаций из ацетона-эфира получено 17 г соли (–)-I и III ((–)-V), т. пл. 181–182°, $[\alpha]_D^{25}$

—14,9 ± 0,2° ($\alpha_{\text{набл}}$ —0,459 ± 0,007°, 1 дм, диметилформамид, с 3,066). К р-ру 12,2 г (—)-V в 50 мл CH_3OH добавляют 24 мл 1 н. NaOH и затем 300 мл воды, после обработки, аналогичной при выделении (—)-I, получено 2,52 г (+)-I, т. кип. 77—79°/0,3 мм, $n_D^{24,5}$ 1,4885, $[\alpha]_D^{20}$ +10,6 ± 0,2°; моногидрат (+)-V, т. пл. 163—165°. Из (+)-V и дициклогексиламина (VI) получена соль (+)-I с VI, выход 81%, т. пл. 160—161°, $[\alpha]_D^{20}$ +6,90 ± 0,25° ($\alpha_{\text{набл}}$ +0,357 ± 0,013°, CH_3OH , 1 дм, с 5,182). Соль I с VI, выход 92%, т. пл. 166—167,5°. Соль (—)-I с VI (из (—)-IV), т. пл. 158—160,5°, $[\alpha]_D^{25}$ —7,11 ± 0,23° ($\alpha_{\text{набл}}$ —0,153 ± 0,005°, CH_3OH , 1 дм, с 2,150). Ср. РЖХим, 1957, 23088.

В. Гиляров
70911. Новый метод получения сурьмяноорганических соединений. Реутов О. А., Птицына О. А., Эртель Гюнтер (Neue Darstellungsmethode anti-monorganischer Verbindungen. Reutov Oleg A., Ptizyna Olga A., Ertel Guntter), Chem. Techn., 1958, 10, № 4, 201—202 (нем.)

Обзор, посвященный синтезу Sb-органич. соединений разложением двойных солей $(\text{C}_6\text{H}_5)_2\text{JCl} \cdot \text{SbCl}_3$ (т. пл. 167°), $[(\text{C}_6\text{H}_5)_2\text{JCl}]_2 \cdot \text{SbCl}_3$ (т. пл. 151°), $[(\text{n-C}_6\text{H}_4)_2\text{JCl}]_2 \cdot 2\text{SbCl}_3$ (т. пл. 174—176°) и др. в присутствии Sb в ацетоне или этилацетате. Библи. 28 назв. Я. Комиссаров

70912. Цис- и транс-2,3-дихлоргексафторбутен-2. Диккинсон, Хилл, Мурай (Cis- and trans-2:3-dichlorohexafluorobut-2-ene. Dickinson F., Mrs. Hill R., Muray J.), J. Chem. Soc., 1958, Apr., 1441—1443 (англ.)

В результате дехлорирования 2,2,3,3-тетрахлоргексафторбутана (I) получена смесь цис- (II) и транс- (III) $\text{CF}_3\text{CCl-CClCF}_3$. Строение II и III подтверждено ИК-спектрами и масс-спектрометрически. К смеси ~400 г Zn-пыли, 1,2 л $\text{C}_4\text{H}_9\text{OH}$ и 5 мл лед. CH_3COOH при 85—95° прибавляли <800 г I с одновременной отгонкой продукта р-ции, из которого после очистки и ректификации получено 70% смеси II и III, т. кип. 67—68,5°. Разделение II и III осуществлено хроматографированием при 85° на целите с дибутилфталатом в N_2 (20 л/час); II, т. кип. 67,9°, т. зам. —108°, n_D^{20} 1,3471; III, т. кип. 66,2°, т. зам. —53°, n_D^{20} 1,3477. А. Берлин

70913. Перегруппировка при присоединении фтора к 1,1-дифенилэтилену. Борнштейн, Борден (Rearrangement accompanying the addition of fluorine to 1:1-diphenylethylene. Bornstein J., Borden Margaret R.), Chemistry and Industry, 1958, № 15, 441—442 (англ.)

При присоединении фтора к 1,1-дифенилэтилену образуется не $(\text{C}_6\text{H}_5)_2\text{CFCH}_2\text{F}$ (см. Dimroth O., Bockemüller W., Ber., 1931, 64, 516), а продукт перегруппировки — α,α -дифтордипенил (I), т. пл. 65,5—65,8°. При кипячении с 25%-ным спирт. р-ром KOH I дал транс- α -фторстильбен (II), т. пл. 93,5—94°. Гидрирование I в спирте с Pd/C ведет к дибензилу, при нагревании I (170°) с HgCl_2 образуется II. Бромированием N-бромсукцинимидом I превращен в α -бром-I (III), выход 64%, т. пл. 44—45°. В результате нагревания с Zn-пылью в спирте из III образуется II с выходом 74%, а при обработке KOH в кипящем этиленгликоле — α -бром- α -фторстильбен (IV), выход 80%, т. кип. 101—103°/0,3 мм, n_D^{20} 1,6270. При окислении II и IV образуется $\text{C}_6\text{H}_5\text{COOH}$. При кипячении III с р-ром CH_3COOK в $\text{HCON}(\text{CH}_3)_2$ с последующим гидролизом образовавшегося ацетата нагреванием с 3%-ным спирт. р-ром KOH образуется 2,2-дифтор-1,2-дифенилэтанол (V), т. пл. 85,1—85,6°. V в кипящей водн. CH_3COOH окислен CrO_3 в α,α -дифтордезоксипропион, т. кип. 80—100°/0,2 мм, n_D^{20} 1,5527; 2,4-динитрофенилгидразон, т. пл. 180,1—181,1°. Приведены данные УФ-и ИК-спектров полученных в-в. А. Берлин

70914. Реакции фторолефинов. Сообщение 7. Присоединение хлорангидридов кислот к фтористому винилдену и трифторэтилену. Кнуниш И. Л., Стерлин Р. Н., Пинкина Л. Н., Дяткин Б. Л., Изв. АН СССР. Отд. хим. н., 1958, № 3, 296—299

При пропускании $\text{CF}_2=\text{CH}_2$ через р-р 0,2 моля RCOCl и 0,2 моля AlCl_3 в 75 мл CHCl_3 при т-ре от —10 до —5°, последующем разложении смеси льдом и HCl получены $\text{RCOCH}_2\text{CF}_2\text{Cl}$ (I) [перечисляются R, выход в %, т. кип. в °C/мм, n_D^{20} , d_4^{20} , т. пл. в °C 2,4-динитрофенилгидразона (ДНФГ)]: CH_3 , 44,5, 40—41/25, 1,3860, 1,2842, 114—115,5 (из сп.); C_2H_5 , 48, 56—57/30, 1,3974, 1,2357, 95—98 (из сп.); C_3H_7 , 33, 64—65/22, 1,4030, 1,1927, —. I обладают лакримогенным действием, при хранении выделяют HCl-газ. При встряхивании 0,15 моля $\text{CF}_2=\text{CHF}$, 0,25 моля CH_3COCl и 0,1 моля AlCl_3 при 20° 1 час с последующей отгонкой избытка хлорангидрида получен $\text{CH}_3\text{COCHFCF}_2\text{Cl}$ (II), выход 34%, т. кип. 99—100°, n_D^{20} 1,3638, d_4^{20} 1,3752; ДНФГ, т. пл. 101° (из бзл.- CH_3OH). Из 7,5 г II, 6,5 мл $(\text{C}_2\text{H}_5)_3\text{N}$ в 60 мл $(\text{CH}_3)_2\text{O}$ получен $\text{CH}_3\text{COCF}=\text{CF}_2 \cdot \text{H}_2\text{O}$, выход 21%, т. кип. 70—72°, n_D^{20} 1,3180, d_4^{20} 1,2972; ДНФГ, т. пл. 110—110,5° (из бзл.- CH_3OH). Сообщение 6 см. РЖХим, 1958, 36289. Р. Стерлин

70915. Фторорганические соединения. Часть V. Нестойкость некоторых 1,1-ди-Н-перфторалкоголятов натрия и ее влияние на выходы фторзамещенных эфиров. Фир, Троуэр, Витч (Organic fluorine compounds. Part V. The instability of some sodium 1:1-di-N-perfluoroalkoxides and its effect on the yields of fluoro-ethers. Fear E. J. P., Thrower J., Veitch J.), J. Chem. Soc., 1958, Apr., 1322—1325 (англ.)

При взаимодействии $\text{CF}_3\text{CH}_2\text{ONa}$ (I) или $\text{C}_3\text{F}_7\text{CH}_2\text{ONa}$ (II) с $(n-\text{CH}_2\text{C}_6\text{H}_4\text{SO}_2)_2\text{R}$ [III R = $\text{O}(\text{CH}_2)_6\text{O}$, IV R = $\text{O}(\text{CH}_2)_{10}\text{O}$, V R = $\text{O}(\text{CH}_2\text{CH}_2\text{O})_3$, VI R = $\text{O}(\text{CH}_2\text{CH}_2\text{O})_4$], а также с *n*-бутил-*n*-толуолсульфонатом (VII), получены соответственно $\text{CF}_3\text{CH}_2\text{O}(\text{CH}_2\text{CH}_2\text{O})_3\text{CH}_2\text{CF}_3$ (VIII), $\text{C}_3\text{F}_7\text{CH}_2\text{ORCH}_2\text{C}_3\text{F}_7$ [IX R = $(\text{CH}_2)_6\text{O}$, X R = $(\text{CH}_2)_{10}\text{O}$, XI R = $(\text{CH}_2\text{CH}_2\text{O})_3$, XII R = $(\text{CH}_2\text{CH}_2\text{O})_4$] и бутил-1,1-ди-Н-гептафторбутиловый эфир (XIII). Одновременно с IX образуется $\text{C}_3\text{F}_7\text{CH}_2\text{O}(\text{CH}_2)_6\text{OSO}_2\text{C}_6\text{H}_4\text{CH}_3$ (XIV). При нагревании (14,5 часа, 145—150°/0,005 мм) без р-рителя из 5,41 ммоль I получен 1 ммоль 2,2,2-трифторэтанол (XV), а из 3,1 ммоль II (8 час., 140°/0,01 мм) 1,44 ммоль 1,1-ди-Н-гептафторбутанола (XVI). При взаимодействии 0,06 моля XV в 40 мл эфира и 43 ммоль Na в N_2 с последующим высушиванием (18 час., 50°) получено 89% I, не содержащего F. Полученный в таких же условиях II содержал немного F. Из *n*-толуолсульфоната и соответствующего гликоля в пиридине получены следующие эфиры (перечислены в-в, выход в %, т. пл. в °C): III, 91, 71—72; IV, 90, 109—109,5; V, 87, 81—82; VI, 83, сироп. К 0,11 моля XVI в 100 мл диоксана прибавлено 0,1 г атома Na, через 5,5 часа (60—70°) прибавлено 0,05 моля III и смесь нагревали 22 часа при 80°; выход IX 42%, т. кип. 91°/1,4 мм, n_D^{20} 1,3395, выход XIV 7,2 г, т. кип. 166—169°/0,01 мм, n_D^{20} 1,4410. Аналогично из II и VII в $\text{C}_2\text{H}_5\text{O}(\text{CH}_2\text{CH}_2\text{O})_2\text{C}_2\text{H}_5$ (2 часа, 80°) получен XIII, выход 43%, т. кип. 124,5—125°/770 мм, n_D^{20} 1,3263, а также ряд неидентифицированных в-в. Действием IV—VI на алкоголяты Na (из I—II) в диоксане (2—5 час., 80—90°) получены следующие в-ва (перечислены выход в %, т. кип. в °C/мм): VIII, 75, 71—72/0,25; X, 78, 98—100/0,18; XI, 84, 92—98/0,2—0,25; XII, 66, 102—103/0,16. Часть IV см. РЖХим, 1957, 26901. А. Берлин

70916. Фторуглеродные азотсодержащие соединения. II. Синтез и свойства перфтордиметилглицина $(\text{CF}_3)_2\text{NCF}_2 \cdot \text{COOH}$. Янг, Дресднер (Fluorocarbon nitrogen compounds. II. The synthesis and properties of perfluorodimethylglycine, $(\text{CF}_3)_2\text{NCF}_2\text{COOH}$. Young

John A. Dresdner Richard D.), J. Amer. Chem. Soc., 1958, 80, № 8, 1889—1892 (англ.)

При электрохим. фторировании (см. сообщение I, РЖХим, 1957, 51330) N-диметиламида (I) или метилового эфира (II) N-диметилглицина образуется $(CF_3)_2NCF_2COF$ (III; IV к-та), а также продукты расщепления и циклизации: $(CF_3)_2N$ (V), $(CF_3)_2NCOF$ (VI),

$CF_3NCF_2OCF_2CF_2$ (VII) и $(CF_3)_2NCF_2OCF_2N(CF_3)CF_2$ (VIII). При пиролизе Na-соли IV образуется III наряду с другими п-ами. К р-ру 5 молей $(CH_3)_2NH$ в 400 мл C_6H_6 за 3 часа при $\leq 10^\circ$ прибавлено 1,6 моля $ClCH_2COOCH_3$; через 2 часа ($0-20^\circ$) и 12 час. ($\sim 20^\circ$) получено 69% II, т. кип. $50/25$ мм, и 16% I, т. кип. $50/0,5$ мм. При нагревании II с избытком $(CH_3)_2NH$ (15 час., 100°) выход I 72%. При электролитич. фторировании 379 г I получено 300 г продукта р-ции, из которого ректификацией выделено ~ 15 г V, т. кип. $-10,5^\circ$; 75 г фракции с т. кип. $11,5^\circ$, содержащей $\sim 50\%$ VI, превращенного действием CH_3OH в $(CF_3)_2NCOOCH_3$, т. кип. $73-76^\circ$; 75 г фракции, с т. кип. $22-26^\circ$, содержащей III, т. кип. 25° , и VII, т. кип. 21° ; из остатка выделен VIII, т. кип. 81° . Из III получены: IV, т. кип. 131° , $n_D^{25} 1,2940$; метиловый эфир, т. кип. 90° , $n_D^{25} 1,2930$; этиловый эфир, т. кип. 104° ; амид, т. пл. 88° (из бал.); нитрил (из амида и P_2O_5), т. кип. 21° ; Ag-соль (нестойкая), т. пл. 184° (разл.; из бал.-гексана). Нагреванием (230°) 16 г Na-соли IV получено 4,5 г III.

А. Берлин

70917. Метод получения фторпроизводных кремния, олова и серы. Якубович А. Я., Макаров С. П., Гинсбург В. А., Ж. общ. химии, 1958, 28, № 4, 1036—1038

Взаимодействием CH_3COF (I) с алкоксипроизводными Sn, Si и S с замещением алкоксигруппы на F получены $(C_2H_5)_2(C_2H_5O)SnF$ (II), $(C_2H_5)_2SnF_2$ (III), SnF_4 (IV), $(C_4H_9O)_3SiF$ (V) и FSO_2OCH_3 (VI). $C_2H_5SiF_3$ (VII) и $(C_2H_5)_2SiF_2$ (VIII) получены р-цией SiF_4 (IX) с C_2H_5MgBr (X). В р-р 5 г $(C_2H_5)_2(C_2H_5O)_2Sn$ (XI) в 30 мл эфира при т-ре $\sim 20^\circ$ пропускают пары I (1:1), выделено 0,8 г из III, из фильтрата после упаривания получено 3,5 г нестойкого II, т. пл. $90-91^\circ$. Мол. вес II в C_6H_6 указывает на его ассоциацию. В р-р 2 г XI в 10 мл эфира пропускают пары I, выход III 85%. К охлажд. р-ру 10 г $(C_2H_5O)_2Sn$ в 40 мл C_6H_6 прибавляют 4 моля + 10% избытка I, после нагревания до кипения выделено 4 г IV. Нагревают 1 моль $(C_2H_5O)_4Si$ и 1 моль I 8 час. при 150° и 4 часа при 180° , получено 3,8 г V, т. кип. $133-134/32$ мм, $125-125,5/30$ мм, $d_{20}^{20} 0,9383$. В 0,5 л эфира при т-ре -60° пропускают IX и затем за 2 часа при той же т-ре добавляют по каплям 1 моль X в 600 мл эфира, пропускают еще 15 мин. IX, выход VII 40% (по взятому Mg), т. кип. $-4-2^\circ$. Насыщают эфир IX при $10-15^\circ$ и вводят 45—50 мин. 1 моль X по каплям, получено 10 г VIII, т. кип. $61,5-62^\circ$. В 12,5 г $(CH_3)_2SO_4$ при кипении пропускают 7 г I, выход VI 50—60%, т. кип. 92° , $d_{20}^{20} 1,3998$; выделено также 3 г CH_3COOCH_3 (XI) и 3,5 г смеси XI и VI. С. Иоффе

70918. Получение ароматических фторпроизводных из хлорпроизводных. Ворожцов Н. Н., мл., Якобсон Г. Г., Научн. докл. высш. школы. Химия и хим. технол., 1958, № 1, 122—124

Нагреванием 1,3-дихлор-4,6-динитробензола (I) или 1-фтор-3-хлор-4,6-динитробензола (II) с KF получен 1,3-дифтор-4,6-динитробензол (III). Из 4-хлор-3-нитрофенилметилсульфона (IV) и KF получен 4-фтор-3-нитрофенилметилсульфон (V) наряду с $(2-NO_2-4-CH_3SO_2-C_6H_3)_2O$ (VI). 0,02 моля I и 3,48 г безводн. KF нагревают при перемешивании 9 час. при $170-180^\circ$ и экстрагируют C_6H_6 . III, выход 87%, т. пл. 75° (из сп.). Выход III из II 95%. Из м-хлоранилина получен с выходом 84% 1,3-фторхлорбензол, который нитрованием превра-

щен в II с выходом 99%. 0,02 моля IV нагревают (10 час., 180°) с 1,5 г KF, возгоняется VI, выход 67%, т. пл. $155-156^\circ$, из остатка выделен VI, выход 15%, т. пл. 245° (из ацетона). Из 0,1 г V в ацетоне и 1 капля анилина получено 0,13 г 4-метилсульфонил-2-нитрофениламина с т. пл. 125° . Гидролизом IV или VI 10%-ным р-ром NaOH получен 4-окси-3-нитрофенилметилсульфон (VII) с т. пл. 164° (из водн. ацетона). 0,1 г VII и 0,1 г V нагревают 2 часа при $190-200^\circ$ с 0,2 г KF, после обработки водой получено 0,17 г VI.

С. Иоффе

70919. Синтез фенилдифторуксусной кислоты и ее производных. Ягупольский А. М., Белинская Р. В., Ж. общ. химии, 1958, № 3, 772—775

Для синтеза $C_6H_5CF_2COOH$ (I) $C_6H_5CH_2CN$ (II) действием SO_2Cl_2 превращен в $C_6H_5CCl_2CN$ (III), реагирующий с SbF_3 образованием $C_6H_5CF_2CN$ (IV), превращенный действием конц. H_2SO_4 в $C_6H_5CF_2CONH_2$ (V), из которого гидролизом 10%-ным NaOH получена I. Нитрованием I получена м- $O_2NC_6H_4CF_2COOH$ (VI), восстановленная до м- $H_2NC_6H_4CF_2COOH$ (VII). При действии J_2 на Ag-соль I образуется $C_6H_5CF_2C(=O)OCF_2C_6H_5$ (VIII). Значения pK для I и VI составляют 2,16 и 1,89. Из 58 г II и 332 г SO_2Cl_2 через 24 часа при т-ре $\sim 20^\circ$ получен III, выход 89,8%, т. кип. $91-92,8$ мм. 30 г III и 34,6 г SbF_3 нагревают на гол. пламени и отгоняют продукт р-ции, выход IV 42%, т. кип. $151-152^\circ$. Из 5 г IV и 20 г конц. H_2SO_4 через 24 час. при т-ре $\sim 20^\circ$ выход V 83%, т. пл. $114-115^\circ$ (из воды). 14,5 г V кипятят 12 час. с 41,5 мл 10%-ного NaOH, подкисляют разб. H_2SO_4 и экстрагируют эфиром, выход I 82,2%, т. пл. $76-77^\circ$ (из петр. эф.). Из 4 г I и 15 мл $SOCl_2$ (кипячение 6 час.) получен хлорангидрид I, выход 84%, т. кип. $67-68/15$ мм; этиловый эфир I, выход 61,5%, т. кип. $88-89/9$ мм; анирид I, выход колич., т. пл. $106-107^\circ$ (из сп.). К смеси 3,5 мл конц. HNO_3 и 5,9 мл конц. H_2SO_4 добавляют за 35 мин. 4 г I при $20-22^\circ$, через 1 час (17°) и 1 час (45°) выплывают на лед, выход VI 78,6%, т. пл. $113-114^\circ$ (из бал.). Из 1,5 г VI, 1,7 мл конц. HCl , 1,7 мл воды и 1,5 г Fe-стружки при $60-80^\circ$ (2 часа) после подщелачивания 10%-ным NaOH, фильтрования и подкисления фильтрата получена VII, выход 77,5%, т. разл. $235-240^\circ$ (из воды). Из 5,8 г Na-соли I в 20 мл воды и 5 г $AgNO_3$ в 10 мл воды получена Ag-соль I, выход 81,3%, т. разл. 205° (из воды). Из 5,7 г Ag-соли I, 5,7 г J_2 в 25 мл CCl_4 при $65-70^\circ$ за 1,5 часа получен VIII, выход 90%, т. пл. $65,5-66^\circ$ (из петр. эф.). Нагреванием VIII с конц. H_2SO_4 получена C_6H_5COOH (IX), кипячением VIII с 10%-ным NaOH получена смесь IX и I. С. Иоффе

70920. Ферроцен и родственные металлциклопентаденилы. Новый класс металлоорганических соединений. Шлögль (Ferrocen und verwandte Metallocyclopentadienyle. Eine neue Klasse metallorganischer Verbindungen. Schlögль K.), Österr. Chem.-Ztg., 1958, 59, № 7—8, 93—104 (нем.)

Обзор. Библ. 73 назв.

Я. К

70921 К. Практические работы по органической химии (Учебное пособие для вузов). Юрьев Ю. К., М., МГУ, 1957. Вып. 1. Синтезы с помощью цинка и магнийорганических соединений. Полимеризация и деполимеризация. Поликонденсация. 127 стр., 3 р. 20 к.; Вып. 2. Общие правила работы. Сжатые газы. Растворители. Перегонка. Кристаллизация. Возгонка. Справочная и реферативная литература по органической химии. Примеры синтезов. 231 стр., илл., 5 р. 20 к.

70922 Д. Дегидратация алифатических и циклических спиртов и изомеризация продуктов дегидратации в присутствии гумбирна и асканита. Таварт

киладзе Е. К. Автореф. дисс. канд. хим. н., Тбилисск. ун-т, Тбилиси, 1958

70923 Д. Восстановительная димеризация производных α, β -ненасыщенных кислот. Визанкин Н. С. Автореф. дисс. канд. хим. н., Ин-т элементоорганических соединений АН СССР, М., 1957

70924 Д. Каталитическое самоокисление первичных ароматических аминов. Могиланский Я. Д. Автореф. дисс. канд. хим. н., МГУ, Минск, 1958

См. также разделы Промышленный органический синтез и Промышленный синтез красителей и рефераты: Соединения: алифатич. 71851, 71854; ароматич. 69773, 69777, 70152, 70157, 71648, 71727, 71730, 71770, 71771, 71850, 71852, 71861—71863; 22490Бх; гетероцикл. 69779, 70154, 70156, 71773—71780, 71782, 71842, 71850, 71854, 71855; элементоорганич. 71849, 71853

ПРИРОДНЫЕ ВЕЩЕСТВА И ИХ СИНТЕТИЧЕСКИЕ АНАЛОГИ

Редакторы Л. Д. Бергельсон, М. М. Ботвинник,
А. Д. Кузовков, В. В. Некрасов, И. В. Торгов,
Л. М. Уткин, В. В. Шпанов

70925. Конденсация нитрометана с D-эритрозой, D-арабинозой, D-маннозой и D-глицеро-D-гала-гептозой в водной щелочи. Соуден, Томпсон (The condensation of nitromethane with D-erythrose, D-arabinose, D-mannose and D-glycero-D-gala-heptose in aqueous alkali. Sowden John C., Thompson Robert R.), J. Amer. Chem. Soc., 1958, 80, № 9, 2236—2237 (англ.)

При действии CH_3NO_2 (I) на альдозы в водн. или метанольном р-рах щелочи получается равновесная смесь циклических в-в и дезоксиинтроальдитов (ДНА). Равновесие может быть смещено в сторону ДНА осаждением их в виде щел. солей из CH_3OH или кристаллизацией из водн. р-ра (для высокомолекулярных ДНА, малорастворимых в воде). 0,7 г D-эритрозы растворяют в 2 экв 2 н. NaOH, содержащем 2 экв I, через 30 мин. подкисляют 8%-ной HCl, деионизируют и концентрируют до сиропа, кристаллизующегося из абс. спирта с затравкой. Выход 1-дезоксид-1-нитро-D-арабита ~ 7%, т. пл. 144—145°. Из 5 г D-арабинозы в тех же условиях выделяют (из 95%-ного спирта) 1-дезоксид-1-нитро-D-маннит, выход 17,5%, и следы 1-дезоксид-1-нитро-D-сорбита. 5 г D-маннозы в смеси 1,5 экв 5 н. NaOH и 10 экв I выдерживают 30 мин. при 20°, 15 час. при 0°, нейтрализуют HCl-к-той и отделяют 1-дезоксид-1-нитро-D-глицеро-D-гала-гептит, выход 20%. Из 1 г D-глицеро-D-гала-гептозы с 5 экв I и 2 экв 5 н. NaOH (48 час., 20°) получают 1-дезоксид-1-нитро-D-эритро-L-манно-октит, выход 42%, т. пл. 202—203° (из воды). Предыдущее сообщение см. РЖХим, 1956, 54532. В. Зеленкова

70926. Производные меркапталей сахаров. XII. Получение 5-тримил-2-дезоксид- α -D-рибофуранозы. Циннер, Нимц, Феннер (Derivate der Zucker-mercaptale. XII. Darstellung der 5-Trityl-2-desoxy- α -D-ribofuranose. Zinner Helmut, Nimz Horst, Venger Harry), Chem. Ber., 1958, 91, № 3, 638—641 (нем.)

Впервые получена 5-тримил-2-дезоксид- α -D-рибофураноза (I). Прямое тримилирование 2-дезоксид-D-рибозы тримилхлоридом (II) в пиридине не дает положительных результатов. Исходным в-вом для получения I служат меркаптал 2-дезоксид-D-рибозы; обработкой последних II в пиридине с последующим ацетилированием получают меркаптал 5-тримил-3,4-диацетил-2-дезоксид-D-рибозы (МТАДР). Деацетилирование последних р-ром $(\text{CH}_3\text{O})_2\text{Ba}$ в CH_3OH дает меркаптал 5-тримил-2-дезоксид-D-рибозы (МТДР) с почти колич.

выходом, отщеплением от них меркаптанов получают I. Синтезированы следующие МТАДР [указываются радикал в меркаптале, выход в %, т. пл. в °C (p-ритель при перекристаллизации), $[\alpha]_D^{20}$ (с; пиридин)]: $(\text{C}_2\text{H}_5)_2$, 73, 89 (разб. сл.), $-8,2^\circ$ (3,58); $(\text{н-C}_3\text{H}_7)_2$, 58, 92,5 (разб. $\text{н-C}_3\text{H}_7\text{OH}$), $-7,8^\circ$ (4,46); $(\text{н-C}_3\text{H}_7)_2$, 62, 89 (разб. CH_3OH), $-21,8^\circ$ (5,08); $(\text{н-C}_4\text{H}_9)_2$, 74—77, 71—72 (разб. $\text{C}_2\text{H}_5\text{OH}$), $-7,7^\circ$ (2,87); $(\text{н-C}_4\text{H}_9)_2$, 61, 66—67 (разб. CH_3OH) $-6,1^\circ$ (3,60). Получены МТДР [приведены радикал в меркаптале, выход в %, $[\alpha]_D^{20}$ (с; пиридин)]: $(\text{C}_2\text{H}_5)_2$, 99, $-11,7^\circ$ (3,56); $(\text{н-C}_3\text{H}_7)_2$, 94, $-10,1^\circ$ (3,30); $(\text{н-C}_3\text{H}_7)_2$, 99, $-26,8^\circ$ (3,65); $(\text{н-C}_4\text{H}_9)_2$, 98, $-11,2^\circ$ (3,74); $(\text{н-C}_4\text{H}_9)_2$, 97, $-11,2^\circ$ (2,32). I синтезируют из 0,01 моля МТДР в 80 мл ацетона при размешивании с 10 г желтой HgO, 10 г HgCl_2 , 2,5 мл воды 4 часа при 10°, далее обрабатывают по ранее приведенной методике (РЖХим, 1957, 23112); выход I 84%, т. пл. 111,5—112,5° (2 раза из смеси бал.-петр. эф.), $[\alpha]_D^{20} +33,3^\circ$ (2 мин.) $\rightarrow +12,0^\circ$ (7 час.; с 1,38; пиридин); $[\alpha]_D^{20} +25,1^\circ$ (4 мин.) $\rightarrow +12,0^\circ$ (2 часа, с 3,91; пиридин). На основании величин уд. вращения авторы делают вывод, что I принадлежит к α -ряду, в р-ре она частично переходит в β -аномер. Сообщение XI см. РЖХим, 1958, 61059. Л. Михайлова

70927. 3,6-ангидро- α -D-галактопиранозил-1,4; 3,6-диангидро- β -D-фруктозид. Химическое доказательство конфигурации аномерного центра фруктозной части сахарозы. Лемье, Барретт (3,6-anhydro- α -D-galactopyranosyl 1,4; 3,6-dianhydro- β -D-fructoside. A chemical proof of the configuration at the anomeric center of the fructose moiety of sucrose. Lemieux R. U., Barrette J. P.), J. Amer. Chem. Soc., 1958, 80, № 9, 2243—2246 (англ.)

Триозилат сахарозы (I) при кипячении с $\text{C}_2\text{H}_5\text{ONa}$ образует «триангидросахарозу» (II), т. пл. 163—164,5° (из сл.), $[\alpha]_D^{20} +117^\circ$ (с 0,9; вода) ($[\alpha]$ измерено в эфире при 20—25°); диацетат II, т. пл. 181,5—182,5° (из сл.), $[\alpha]_D^{20} +128,6^\circ$ (с 1,8; хлф.). 2,3,6,3',4'-пентаацетат сахарозы, синтезированный по известной методике (РЖХим, 1957, 51353) (на основании свойств ф-ла изменена по сравнению с предложенной авторами цитированной работы), с избытком тозилхлорида превращается в пентаацетат 4,1',6'-триозилсахарозы (III), выход 91%, т. пл. 85—91°; III с NaJ в ацетоне (100°, 17 час.) дает с выходом 89% пентаацетат дитозилмоноодомонодезоксисахарозы (предполагается обмен тозилной группы у $\text{C}(6')$), в то время как ацетилированный I при аналогичной обработке образует продукт, близкий по анализу к пентаацетату моногидро-дидезоксисахарозы. Р-р 15 г III в 200 мл 1 н. $\text{C}_2\text{H}_5\text{ONa}$ кипятят 2 часа, отгоняют спирт, экстрагируют этилацетатом 1 неделю, деионизируют и получают 3: 6-ангидро- α -D-галактозил-1,4; 3,6-диангидро- β -D-фруктозид (IV), выход 0,86 г, т. пл. 191—192,5° (из сл.), $[\alpha]_D^{20} +137,5^\circ$ (с 1,6; вода); диацетат IV, т. пл. 137,5—138,5° (из сл.), $[\alpha]_D^{20} +94,3^\circ$ (с 2; хлф.); дитозилат, т. пл. 158—159°, не изменяется с NaJ в ацетоне при 100° и с гидразином при 100°. IV не изменяется при обработке 25%-ным NaOH (100°, 24 часа), и при обработке гидразином (100°, 12 час.), расщепляется с 0,01 н. HCl (5 мин., 20°), окисляется NaJO_4 при pH 5. 3: 6-ангидрогалактозный остаток в IV образуется, вероятно, в 3 стадии: 1) образование 3,4-эпоксидного кольца (инверсия у $\text{C}(4)$), 2) его миграция в положение 2,3 (инверсия у $\text{C}(3)$), 3) закрытие 3,6-ангидро-кольца (обратная инверсия у $\text{C}(3)$). Аналогичный механизм с образованием галактопроизводного предлагается для метилангидро- β -D-гексозида (Helferich V., Ber., 1930, 63B, 2142), из которого должен получаться в таком случае 3,6-ангидро- β -D-галактозид. IV метилируют в диметил-3,6-ангидро- α -D-галактозил-1,4; 3,6-диангидро- β -D-фруктозид (V), т. пл. 105—106°

(из сп.), $[\alpha]_D +48,6^\circ$ (с 1,45; хлф.). При ацетализе V с последующим деацетилированием выделяют 2,4-диметил-D-галактозу и 2,4-диметил-3,6-ангидро-D-галактозу. Предложена пространственная структура III, согласующаяся с рентгенографич. данными.

В. Зеленкова

70928. Аминосакхара и родственные им соединения. Часть III. Кислотная реверсия 2-ацетиамидо-2-дезоксиг-глюкозы (N-ацетил-D-глюкозамина). Фостер, Хортон (Amino-sugars and related compounds. Part III. Acid reversion of 2-acetamido-2-deoxy-D-glucose (N-acetyl-D-glucosamine). Foster A. B., Horton D.), J. Chem. Soc., 1958, May, 1890—1894 (англ.)

Длительное воздействие (4 недели) влажного HCl-газа на 2-ацетиамидо-2-дезоксиг-глюкозу приводит к реверсии. Из продуктов р-ции выделены 2-ацетиамидо-2-дезоксиг-6-(2-ацетиамидо-2-дезоксиг- α - и β -глюкопиранозил)-D-глюкоза (α -I и β -I). Хлоргидрат глюкосамина в условиях р-ции реверсии не подвергается. В продуктах р-ции хроматографией на бумаге обнаружены также олигосахариды, α -I, т. пл. 215° (из сп.), $[M]_D +593^\circ$ (с 1; вода); β -I, т. пл. 200° (из сп.-эф.; разл.), $[M]_D +51^\circ$ (с 1,2; вода). α -I восстанавливают NaBH₄, выход гидрата 2-ацетиамидо-2-дезоксиг-6-(2-ацетиамидо-2-дезоксиг- α -глюкопиранозил)-D-глюцита (α -II) 48%, т. пл. 116° (из сп.), $[M]_D +328^\circ$ (с 0,1; вода). β -I дает β -II, выход 35%, т. пл. $201-202^\circ$ (из сп.), $[M]_D -94^\circ$ (с 2,1; вода). При периодатном окислении на 1 моль α -I за 72 часа расходуется 5,95 моля окислителя с образованием 3,6 моля HCOOH, CH₂O не был обнаружен. Сделан вывод, что в α -I не восстанавливающий остаток не является фуранозой и гликозидная связь находится в положении 1→6. Периодатным окислением 2-ацетиамидо-2-дезоксиг-глюцита с последующим восстановлением со скелетным Ni (100°/75 атм) получен 2-ацетиамидо-1,3-пропандиол (III), т. пл. $89-90^\circ$ (из сп.-этилацетата). Гидролиз III 1 н. HCl (100°, 2 часа) дает хлоргидрат 2-амино-1,3-пропандиола, выход 87%, т. пл. 104° (из сп.-этилацетата). β -I является мощным ростовым фактором по отношению к *Lactobacillus bifidus* var *Penn*. Приведены ИК-спектр α -I, β -I и родственных соединений. Часть II см. РЖХим, 1957, 66210.

Е. Алексеева

70929. О дубильных веществах коры ели. VIII. Строение питекатаннолглюкозида. Эндрес (Über die Gerbstoffe der Fichtenrinde. VIII. Die Konstitution des Piceatannolglucosids. Endres Horst), Chem. Ber., 1958, 91, № 3, 636—638 (нем.)

Продолжено изучение строения «глюкозида Е» (I), выделенного из лубяного слоя коры ели (РЖХим, 1957, 44728). Ранее было установлено, что аглюконовая часть I представляет собой 2,5,6,3',4'-пентаоксиг-3,4-тетраметилстильбен (II), названный питекатаннолом (см. РЖХим, 1958, 61169). I содержит две молекулы глюкозы (III). Одна молекула III связана глюкозидной связью с гидроксильной группой в положении 4' катехиновой части молекулы (РЖХим, 1958, 21564). Для установления положения OH-группы, с которой связана вторая молекула III, были использованы данные (РЖХим, 1958, 42277), согласно которым о-диоксигруппы в нейтр. среде почти не образует Al-комплекса, прибавление же CH₃COONa к спирт. р-ру AlCl₃ вызывает более сильное комплексобразование, которое заметно по незначительному батохромному эффекту в УФ-спектре, что и наблюдается в случае II: УФ-спектр II имеет λ (макс.) 325 мμ (в сп.), в р-ре AlCl₃ спектр II не изменяется, но при прибавлении CH₃COONa происходит сдвиг в красную область на 14 мμ. Спектр I идентичен со спектром II и в указанных условиях не показывает сдвига максимума, откуда следует, что вторая молекула глюкозы (III) связана с одной из

соседних гидроксильных групп в тетралиновой половине I. Для точного установления этого положения I был метилирован, сахар отщеплен и освобожденные гидроксильные группы ацетилированы. После окисления по двойной связи и деацетилирования полученные в-ва разделены хроматографией на бумаге, причем выделены к-ты: изованилиновая и диметоксифенолкарбоновая, которая на основании отсутствия комплексобразования с AlCl₃ идентифицирована как 4-оксиг-1,3-диметоксиг-5,6,7,8-тетрагидроафтилинкарбоновая-2 к-та λ (макс.) 274 мμ (в сп.). Отсюда следует, что I представляет собой 2,6,4'-триоксиг-3,4-тетраметилстильбен-5,3'-диглюкозид. Сообщение VII см. РЖХим, 1958, 61170.

Л. Михайлова

70930. Абсолютная конфигурация в ряду цитронеллала. Лукеш, Зобачова, Плешек (Die absolute Konfiguration in der Citronellreihe. Lukeš Rudolf, Zobáčová Alena, Plešek Jaromír), Croat. chem. acta, 1957, 29, № 3—4, 201—205 (нем.; рез. сербо-хорв.)

Авторы синтезировали исходя из (+)-цитронелловой к-ты (I) (+)-цитронеллол (II), (—)-цитронеллал-бромид (III), (+)-2,6-диметилуктен (IV), (+)-цитронелламид (V), (—)-цитронеллнитрил (VI), метиловый эфир I и, основываясь на известной абс. конфигурации цитронеллала, установили, что I—III, V и VI относятся к R-ряду, а IV — к S-ряду (о номенклатуре см. РЖХим, 1956, 71531). Исправлены ошибочные данные о вращении I и VI, опубликованные ранее (Herschmann Ch., Helv. chim. acta, 1949, 32, 2537). Неочищ. пулегон насыщают при охлаждении HCl (газ), выдерживают 12 час., перемешивают 4 часа при 20° с избытком 5%-ного водн. р-ра NaOH и выделяют I, т. кип. $112-113^\circ/0,6$ мм, n_D^{20} 1,4540, d_4^{20} 0,9256, α_D^{20} +7,78°, $[\alpha]_D^{20}$ +8,40°; метиловый эфир I (получают действием CH₃N₂ в эфире), т. кип. $78^\circ/3$ мм, n_D^{20} 1,4413, d_4^{20} 0,8973, α_D^{20} +4,97°, $[\alpha]_D^{20}$ +5,45°. 110 г I в 100 г SOCl₂ в 200 мл петр. эфира кипятят 2 часа, полученный хлорангидрид I (выход 50%, т. кип. $75-76^\circ/2$ мм) растворяют в эфире, р-р насыщают NH₃, выделяют V, выход 31%, считая на I, т. пл. $82-83^\circ$ (из петр. эф.). При применении очш. SOCl₂ выход хлорангидрида I достигает 90%. V получают также щел. гидролизом VI. При кипячении I с SOCl₂ без р-рителя и последующем действии NH₃ образуется (+)-амид 2,6-диметил-2-хлорпентагеновой-7 к-ты, т. пл. $109-110^\circ$ (из петр. эф.), $[\alpha]_D^{20}$ +7,6° (l 10 см; 0,5 г в 10 мл спирта). Нагревают смесь 12,5 г V, 20 г PCl₅ и 40 мл CCl₄, по окончании экзотермич. р-ции кипятят 1 час, р-ритель и POCl₃ отгоняют в вакууме, к продукту р-ции добавляют 10%-ный водн. р-р NaOH, отгоняют с паром VI, выход 62%, т. кип. $107^\circ/15$ мм, n_D^{20} 1,4491, d_4^{20} 0,8483, α_D^{20} -8,30°, $[\alpha]_D^{20}$ -9,78°. 6,6 г I восстанавливают с LiAlH₄ (2 г) в эфире (20°, 5 час.) до II, выход 94%, т. кип. $110^\circ/10$ мм, n_D^{20} 1,4558, d_4^{20} 0,8558, α_D^{20} +4,6°, $[\alpha]_D^{20}$ +5,37°. К р-ру 5 г II в 20 мл петр. эфира и 2,4 мл пиридина добавляют при охлаждении 5 г PBr₃ в 15 мл петр. эфира, выдерживают 2 часа при 20° и выделяют III, выход 43%, т. кип. $111^\circ/12$ мм, n_D^{20} 1,4756, d_4^{20} 1,1105, α_D^{20} -7,70°, $[\alpha]_D^{20}$ -6,93°. Mg-органич. производное III (из 1 г III и 0,12 г Mg в 30 мл эф.) разлагают разб. H₂SO₄, получают IV, выход 75%, т. кип. $59^\circ/12$ мм, n_D^{20} 1,4330, d_4^{20} 0,7551, α_D^{20} +9,1°, $[\alpha]_D^{20}$ +12,1°. Л. Бергельсон

70931. Попытка синтеза β -циклогераниола. Ал-коньи, Сабо (Versuch einer Synthese des β -Cyclogeraniols. Alkonyi I., Szabó D.), Acta chim. Acad. sci. hung., 1957, 12, № 2, 149—153 (нем.; рез. русск., англ.)

При гидрировании изофлорона (I) образуется тетрагидропроизводное (II), изомерное так называемому транс-дигидроизофлорону, полученному ранее доста-

повлением I посредством Na и спирта (Knöevenagel, Liebigs Ann. Chem., 1897, 297, 194). Дегидратацией II получен α -циклогерианиол (III) (1,1,3-триметилциклогексен-3), превращенный через нитрозат (IV) в 1,1,3-триметилциклогексен-2-он-4 (V). Восстановление семикарбазона V по Кижнеру приводит, против ожидания, не к β -циклогерианиолу (1,1,3-триметилциклогексену-2) (VI), а к III. 26,55 г I гидрируют с Pt-чернью (2,5 г) в 100 мл лед. CH_3COOH до II, т. пл. 56,5° (очищают перегонкой при 14 мм). Смесь 23,1 г II и 40 г ZnCl_2 нагревают 1 час при 160°, эфиром извлекают III, выход 60%, т. кип. 138—140°, n_D^{20} 1,4450. К смеси 8 г III, 8 мл изоамилнитрита и 25 мл лед. CH_3COOH добавляют при 0° 12 мл конц. HNO_3 , выпадает IV, выход 1,0—1,1 г, т. пл. 103—104°, 4,7 г IV кипятят 2 часа с р-ром 4 г Na в 60 мл CH_3OH , выливают в воду, эфиром извлекают оксим, который кипятят 2 часа с разб. H_2SO_4 . Жидкий продукт р-ции (3,2 г) переводят в семикарбазон V, выход 2,3 г, т. пл. 158° (из водн. CH_3OH). 2,2 г семикарбазона V и р-р 1 г Na в 20 мл спирта нагревают в запаянной ампуле 8 час. при 165°, добавляют воду, эфиром извлекают 0,8 г VI, который растворяют в 30 мл петр. эфира и окисляют встряхиванием (2 дня) с р-ром 2,4 г KMnO_4 в 100 мл воды. Смесь подкисляют H_3PO_4 , продукт перегоняют с паром в вакууме, из остатка (масло) получают семикарбазон изогероновой к-ты, т. пл. 193° (из сп.).

Л. Бергельсон

70932. Синтез триметилциклогексаксиденкарбонной кислоты. Алкони, Сабо (Synthese einer Trimethylcyclohexadiencarbonsäure. Alkonyi I. Szabó D.), Acta chim. Acad. sci. hung., 1957, 12, № 3—4, 289—294 (нем.; рез. русск., англ.)

С целью синтеза β -циклогерианиола исследована конденсация 1,1,3-триметилбутадиена-1,3 (I) с диенофилами. I не конденсируется с винилацетатом. При нагревании I с пропиоловой к-той (II) происходит экзотермич. полимеризация. Конденсация I с этиловым эфиром II (IIa) сопровождается миграцией двойной связи в продукте конденсации и приводит к этиловому эфиру (III) 2,2,4-триметилциклогексаксиден-4,6-карбонной-1 к-ты (IV). Строение IV доказано декарбоксилированием с образованием 1,1,3-триметилгексаксидена-3,5, который при окислении с KMnO_4 дает сначала мезитоновую к-ту (V), а затем α,α -диметилянтарную к-ту (VI). Озонирование IV также приводит к V. Идентичность структуры диеновой системы в III и IV подтверждена сравнением УФ-спектров. Установлено, что 2,2,4-триметилциклогексен-3-карбонная-1 к-та не декарбоксилируется при нагревании до 210—230° с Cu-порошком в среде хинолина или при перегонке над Cu-порошком при атмосферном давлении. 15 г I и 15 г IIa нагревают в запаянной ампуле 16 час. при 127° в присутствии гидрохинона. Разгонкой выделяют III, выход 16,2 г, т. кип. 89—100°/9,5 мм, n_D^{20} 1,4792, d_4^{20} 0,9594. Омылением 16 г III (7 г KOH, 50 мл $\text{C}_2\text{H}_5\text{OH}$, кипячение 1,5 часа, отгонка р-рителя с паром) получают IV, выход 13 г, т. пл. 115° (из водн. сп. и бал.-бзн.). 2,1 г IV озонируют в этилацетате (0°, 8 час.), выдерживают 12 час. с 4 мл H_2O_2 , р-рителя и избыток H_2O_2 отгоняют с паром и выделяют V, выход 1,5 г; семикарбазон, т. пл. 185° (разл.; из водн. CH_3COOH). 12 г IV перегоняют над Cu-порошком при атмосферном давлении, дистиллят (1,3 г, т. кип. 132—135°) окисляют смесью 8 г KMnO_4 и 4 г соды в 200 мл воды, подкисляют H_3PO_4 , MnO_2 растворяют добавлением 30%-ной H_2O_2 , водн. р-р перколируют 1 день с эфиром. Объединенный органич. р-р экстрагируют р-ром NaHCO_3 (8 \times 10 мл), вновь подкисляют, перколируют 1 день с эфиром, продукт растворяют в C_6H_6 , через 12 час. выпадает VI, т. пл. 139—140° (из эф.-бзд.). Из маточного бензольного р-ра получают семи-

карбазон V. Приведены кривые УФ-спектров III и IV.

Л. Бергельсон

70933. Фотохимическое самоокисление терпинолена.

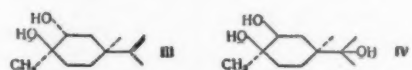
4. Самоокисление терпинолена в присутствии инициатора азо-бис-изобутиронитрила. Сайто, Тидзумацу, Китакура, Фусидзак (Saito Masumi, Chijimatsu Yoshio, Kitamura Hiroyuki, Fushizaki Yasaburo), Korô kakaku dzasshi, J. Chem. Soc. Japan. Industr. Chem. Sec., 1957, 60, № 12, 1600—1601 (японск.)

Изучен процесс окисления терпинолена (I) (100 г) в присутствии азо-бис-изобутиронитрила (II) (1 г) сухим воздухом (скорость 14—16 л/час) при 10, 20, 30, 40 или 50° и (иногда) освещении Hg-лампой. Установлено, что кол-во гидроперекиси I (III) увеличивается со временем и достигает определенного максимума для каждой т-ры. После обработки реакционной смеси Na_2SO_3 (для разрушения III) и разгонки выделены п-ментандиенол (через фталевый эфир) и пиперитон; 2,4-динитрофенилгидразон, т. пл. 222—223°. Кол-во смол увеличивается с ростом т-ры. Конечные продукты и ход р-ции не отличаются от таковых в случае самоокисления I в отсутствие инициаторов или в присутствии перекиси бензоила (IV). Действие II не отличается от действия IV, однако как инициатор самоокисления II уступает IV. Предыдущее сообщение см. РЖХим, 1957, 71734.

Л. Яновская

70934. К изучению продуктов самоокисления лимонена. Шмидт (Zur Kenntnis der Autoxydationsprodukte des Limonens. Schmidt Harry), Suomen kem., 1958, 31, № 1, B61—B67 (нем.)

Первичным продуктом самоокисления (+)-лимонена [(+)-I] является (+)-окись I (II), переходящая затем в (+)-лимоненгликоль-1,2 (III), полученный также гидратацией II в мягких условиях. В более жестких условиях гидратация II приводит к (+)-1,2,8-триоксиментану (IV). Строение III устанавливается на основании правила транс-раскрытия окисного кольца и хим. свойств. Гидрирование III приводит к (+)-неоментандиолу-1,2 (1-оксинеокарвоментолу) (V), образуемому также при гидроксилации (+)- Δ^1 -ментена [(+)-VI] посредством H_2O_2 . Окислением (+)-VI и (—)-VI с KMnO_4 получены (+)-ментандиол-1,2 [(+)-VII] и (—)-VII с бис-ориентацией OH-групп. (+)-VII образуется при каталитич. гидрировании стереоизомера III с т. пл. 71—72° (VIII), синтезированного ранее пироли-



зом (+)-1,2,8-триоксиментилацетата (Schmidt H., Chem. Ber., 1949, 82, 11). III и VIII окисляются (CH_3COO), Pb примерно с одинаковой скоростью, тогда как в ряду ментандиолов-1,2 транс-гликоль окисляется медленнее *цис*-изомера. На основании этих и ранее полученных данных автор предлагает абс. конфигурации для всех стереоизомеров III. 2,2 кг I оставляют на 6 месяцев при 20° на рассеянном свете. Разгонкой в вакууме выделяют 1665 г неизменившегося I и 300 г перекисной фракции, из низкокипящей части которой повторным фракционированием получают II, выход 10 г, т. кип. 84—86°/15 мм, n_D^{20} 1,4693, d_4^{20} 0,933, $[\alpha]_D^{20} +60,4^\circ$. 4 г II и 20 г 0,1%-ной H_2SO_4 перемешивают 5 час. при 0°; получают III, т. пл. 72—73° (очищают перегонкой в вакууме). 4 г II встряхивают 30 час. при 20° с 40 г 1%-ной H_2SO_4 , нейтрализуют содой, с паром отгоняют 0,2 г летучей фракции, остаток упаривают досуха, абс. спиртом извлекают IV, выход 3 г, т. пл. 135—136° (возг.), $[\alpha]_D^{20} +54^\circ$ (ацетон). 500 г (+)-I гидрируют с 5 г скелетного Ni при 70—90°

до (+)-VI, n_D^{20} 1,458, d_{15} 0,838, $[\alpha]_D +93^\circ$. В тех же условиях 500 г (-)-I дают (-)-VI, выход 450 г, n_D^{20} 1,4605, d_{15} 0,8335, $[\alpha]_D -92,6^\circ$. Окислением (+)-VI посредством $C_5H_5CO_2H$ синтезируют (+)-окись Δ' -ментена (IX), выход 80%, n_D^{20} 1,4530, d_{15} 0,9163, $[\alpha]_D +46,10^\circ$ IX встряхивают 2 часа с 50 г 0,05 н. H_2SO_4 , отфильтровывают V, выход 5 г, т. кип. $142^\circ/15$ мм, т. пл. 88° (из бал.-петр. эф., 1:1), $[\alpha]_D +44^\circ$ (ацетон). 2 г (+)-неолимоненгилколя с т. пл. $60-61^\circ$ (получен смещением антиподов) гидрируют со скелетным Ni в среде CH_3OH в автоклаве до (+)-неоментандиола, т. пл. $77-78^\circ$ (из бзл.). 14 г (+)-VI встряхивают 1 час со смесью 33 г $KMnO_4$, 14 г KOH, 400 г воды и 400 г льда, с паром отгоняют 3 г углеводородов, остаток фильтруют, упаривают, извлекают эфиром (+)-VIII, выход 1,5 г, т. пл. $76,5-77^\circ$ (из воды), $[\alpha]_D +14^\circ$ (ацетон). (+)-VIII получают также гидрированием 3 г VIII со скелетным Ni в CH_3OH при 90° и 65 ат. 1,4 г (-)-VI окисляют $KMnO_4$ [как (+)-VI] до (-)-VIII, т. пл. $76-77^\circ$ (из воды), $[\alpha]_D -13^\circ$ (ацетон). Л. Бергельсон

70935. Гидрирование окисей лимонена и пинена. Кергомар, Жене (Sur l'hydrogénation des époxydes de limonène et de pinène. Kergomard A., Genetix M.-Th., m-lle), Bull. Soc. chim. France, 1958, № 3, 394-396 (франц.)

При гидрировании со скелетным Ni при 20° и атмосферном давлении в среде спирта окись лимонена переходит в окись карвоментена (I), т. кип. $79-81^\circ/14$ мм, n_D^{20} 1,4501, d_{20}^{20} 0,904, $\alpha_j -53,5^\circ$. 90 г I гидрируют со скелетным Ni (10 г) в спирт. среде (100 мл) в автоклаве (120° , 80 кг/см², 8 час.) до изокарвоментола (II), выход 45 г (неочищ.), т. кип. $105-107^\circ/14$ мм, n_D^{20} 1,4742, d_{20}^{20} 0,913, $\alpha_j -18^\circ$. Окислением II с CrO_3 получают изокарвоментон (III), т. кип. $91-92^\circ/11$ мм, n_D^{20} 1,4559, d_{20}^{20} 0,910, $\alpha_j -40,3^\circ$; 2,4-динитрофенилгидразон III, т. пл. $139-140^\circ$, $[\alpha]_j -114^\circ$ (1%-ный р-р в этилацетате), $[\alpha]_j -137^\circ$ (бзл.). 30 г III кипятят 2 часа с 1 г Na, отгоняют карвоментон, т. кип. $90-92^\circ/12$ мм, n_D^{20} 1,4547, d_{20}^{20} 0,900, $\alpha_j -11,6^\circ$; оксим, т. пл. $100-101^\circ$, $[\alpha]_j -41,8^\circ$ (спирт). В тех же условиях II дает карвоментол, т. кип. $98-102^\circ/11$ мм, n_D^{20} 1,4630, d_{20}^{20} 0,901, $\alpha_j +8,2^\circ$. 125 мл окиси α -пинена гидрируют как I (85° , 50 кг/см², 4 часа) до изопинокамфола (IV), выход 60%, т. кип. $103-104^\circ/11$ мм, n_D^{20} 1,4830, $[\alpha]_j +25^\circ$ (бзл.), т. пл. $55-56^\circ$ (из разб. сп.), $[\alpha]_j +33^\circ$ (бзл., 0,8%). Окислением IV с CrO_3 получают изопинокамфон (V), выход 90%, т. кип. $89^\circ/12$ мм, n_D^{20} 1,4730, $\alpha_j -8,5^\circ$; 2,4-динитрофенилгидразон, т. пл. $151-152^\circ$, $[\alpha]_j +44^\circ$ (бзл.); семикарбазон, т. пл. 215° . 30 г V кипятят 3 часа с 1 г Na, отгоняют пинокамфон (VI), т. кип. $86-89^\circ/12$ мм, n_D^{20} 1,4270, $\alpha_j -15^\circ$; 2,4-динитрофенилгидразон, т. пл. $169-170^\circ$, $[\alpha]_j -62,6^\circ$ (бзл.); семикарбазон, т. пл. 226° . Приведены данные об УФ-спектрах 2,4-динитрофенилгидразонов III, V и VI. Л. Бергельсон

70936. Геометрическая изомерия гидронополя. Аллар, Виньялу, Лакомб (Sur l'isomérisme géométrique de l'hydronopol. Allard Jean, Vignalou Camille, Lacombe Micheline), Bull. Soc. chim. France, 1958, № 2, 196-198 (франц.)

Установлено, что гидронопол (I), образующийся при гидрировании нополя (РЖХим, 1957, 57600), обладает *цис*-конфигурацией. Конфигурация доказана синтезом I и *транс*-гидронополя (II) из *цис*- (III) и *транс*-миртанола (IV) и сравнением ИК-спектров I-IV. К 1020 г I- α -пинена (V) добавляют при нагревании на водяной бане р-р 340 г SeO_2 в 700 мл C_2H_5OH , кипятят 4 часа, отфильтровывают Se и отгоняют с паром продукт, из которого разгонкой выделяют 331 г непрореагировавшего V и 75 г смеси миртанола (VI) и миртенала (VII), т. кип. $90-115^\circ/15$ мм. Из остатка, не отгоняющегося с паром, получают пиролизом в вакууме 295 г смеси VI и VII. Разделением посредством $NaHSO_3$ из

объединенной смеси выделяют VI, выход 150 г, т. кип. $106-107^\circ/15$ мм, n_D^{25} 1,4950, d_{15}^{25} 0,979, $[\alpha]_D -43,4^\circ$; *п*-нитробензоат (НБ), т. пл. 85° (из CH_3OH), и VII, т. кип. $93-94^\circ/14$ мм, n_D^{25} 1,5030, d_{15}^{25} 0,923, $[\alpha]_D -13,9^\circ$. 98 г VII гидрируют 30-40 час. в CH_3COOH с 6 г PtO_2 (катализатор вводят порциями по 1 г по мере замедления р-ции), продукт кипятят со спирт. р-ром K_2CO_3 и разгонкой выделяют III, выход 88 г, т. кип. $118^\circ/15$ мм, n_D^{25} 1,4883, d_{15}^{25} 0,972, $[\alpha]_D -21,7^\circ$; НБ, т. пл. 66° (из CH_3OH), $[\alpha]_D -5,5^\circ$ (0,0999 г/мл; бзл.). 45 г VII гидрируют с 1-2 г скелетного Ni (180° , 100 кг/см², 2 часа), из продукта р-ции (35 г) получают НБ III и НБ IV, выход 60%, т. пл. $89-89,5^\circ$ (из CH_3OH). К 50 г VI и 100 г Na в 50 г *изо*- $C_5H_{11}OH$ добавляют (3-4 часа) 1 л *изо*- $C_5H_{11}OH$, поддерживая кипение р-ра (атмосфера N_2). Выделяют IV, выход 20-25 г, т. кип. $117-119^\circ/15$ мм, n_D^{25} 1,4870, d_{15}^{25} 0,966, $[\alpha]_D -25,8^\circ$. Р-р 30 г IV в 50 г петр. эфира добавляют к 40 г PCl_5 в 100 г петр. эфира; после обработки выделяют миртанилхлорид (VIII), выход 11 г, т. кип. $99-100^\circ/15$ мм, n_D^{20} 1,4873, $[\alpha]_D -21,4^\circ$. К Mg-производному VIII (из 15,3 г VIII 2,4 г Mg и 50 г эфира) добавляют 2,7 г $(CH_3O)_2$, перемешивают 1 час, выдерживают 48 час. при 20° , кипятят 30 час., отгоняют большую часть эфира, кипятят 1 час; из продукта р-ции (11 г) получают НБ II, выход 9 г, т. пл. $42-42,5^\circ$ (из CH_3OH), $[\alpha]_D -10,0^\circ$ (0,104 г/мл; бзл.). Аналогично из III синтезируют I; НБ, т. пл. 56° . Омыление НБ II приводит к II, т. кип. $128^\circ/15$ мм, n_D^{25} 1,4852, d_{15}^{25} 0,960, $[\alpha]_D^{25} -29^\circ$. Приведены данные об ИК-спектрах I-IV. Л. Бергельсон

70937. Исследование природы рацемических модификаций оптически активных соединений в твердом состоянии. Часть XIV. Метилловый, этиловый, фениловый, *о*- и *п*-толиловые, α - и β -нафтиловые эфиры β -сульфоокислоты *d*- и *dl*-камфоры. Сингх, Сарма (Studies on the nature of the racemic modifications of optically active compounds in the solid state. Part XIV. Methyl, ethyl, phenyl, *o*- & *p*-tolyl and α - & β -naphthyl camphor- β -sulphonates (*d*- & *dl*-. Singh Bawa Kartar, Sarma Ramagopal S.), Indian Chem. Soc., 1958, 35, № 1, 49-52 (англ.)

По диаграммам плавкости (в координатах т. пл. - $\%d$, $\%dl$; т. пл. - $\%l$, $\%d$) установлено, что рацемич. формой (РФ) метилового (I), этилового (II), *о*- (III) и *п*-толилового (IV), фенилового (V) и α -нафтилового (α -VI) эфиров β -сульфоокислоты *d*-камфоры являются *dl*-соединения, а РФ β -VI является твердый р-р оптически активных изомеров с противоположными знаками вращения. Для получения III-VI смесь 1 моля β -сульфохлорида *d*-камфоры (VII), 1 моля C_2H_5OH или C_6H_5OH и 10%-ного NaOH нагревают 15 мин. при $85-90^\circ$. Для получения I и II смесь 1 моля VII, CH_3OH или C_2H_5OH и 1 моля CH_3ONa или C_2H_5ONa выдерживают 15 мин. и выливают на лед. Перечислены эфиры, т. пл. в $^\circ C$, *d* и *dl* и форма кристаллов: I, 61, тонкие пластинки, 57, D_0 ; II, 47, D_0 , 37, D_0 ; III, 58, иглы, 87, прямоугольные кубики (ПК); IV, 64, призматич. иглы (ПИ), 62,5, D_0 ; V, 38, прямоугольные призмы, 53, ПИ; α -VI, 115, иглы; 121, ПК; β -VI, 100, прямоугольные пластинки; 97, D_0 . *м*-Толиловый эфир β -сульфоокислоты *dl*-камфоры, т. пл. 89° , ПК. Часть XIII см. РЖХим, 1958, 46885. С. Кустова

70938. Изучение синтеза псевдоинона по методу Каймеля и Сакса. Сосн, Шопар-ди-Жан, Гэ, Ризер, Ислер (Zur Kenntnis der Pseudoionon synthese nach Kimel und Sax. Saucy G., Chopard-dit Joan L. H. Guex W., Ryser G., Isler O.), Helv. chim. acta, 1958, 41, № 1, 160-169 (нем.; рус. англ.)

При синтезе псевдоинона (I) пиролизом ацетата ацетата дегидролиналоола (II) (ср. РЖХим, 1956, 32816) побочно образуется 4-(2'-метил-5'-изопропени-

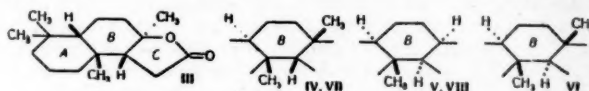
циклопентен-1'-ил)-бутанол-2 (III), дающий при гидрировании 4-(2'-метил-5'-изопропилциклопентил)-бутанол-2 (IV). Строение III доказано превращением IV в 2-метил-5-изопропилциклопентанкарбоную-1 к-ту (V) и 2-метил-5-изопропил-1-оксиметилциклопентан (VI). Рассмотрены возможные механизмы образования III и IV из II. При пиролизе замещ. II также наблюдается побочное образование соединений типа III. Этим путем получены (перечисляются кетон, т. кип. в °C/мм, n_D^{20} и т. пл. в °C семикарбазона): 4-(2'-диметил-5'-изопропилциклопентен-1'-ил)-бутанол-2, 50/0,05, 1,4800, 125; 3-метил-III, 53/0,2, 1,4804, 177-180; 3-(пропен-2'-ил)-III, 75/0,1, 1,4869, 169-171; 4-(2'-метил-5'-циклогексен-1'-ил)-циклопентен-1'-ил-бутанол-2, 155/13, 1,5050, 117. 300 г III гидрируют в 600 мл петр. эфира в присутствии 10 г 5%-ного Pd/C при давлении H_2 100 атм (1 час при 20° и 10 час. при 100°) и разгонкой продукта р-ции на колонке эффе-ктивности 100 теоретич. тарелок выделяют IV, выход 180-210 г, т. кип. 113,2-116°/4,7 мм, n_D^{25} 1,4536; семикарбазон, т. пл. 117-118° (из петр. эф.). К 5 л 3 г. NaOH прибавляют за 15 мин. при размешивании 600 г Bz_2 и затем, не охлаждая, 200 г IV; смесь размешивают 3-5 час. при 40-50° и 12 час. при ~20° и выделяют 3-(2'-метил-5'-изопропилциклопентил)-пропионовую к-ту (VII), выход 170-190 г, т. кип. 124°/0,05 мм, n_D^{25} 1,4621; соль с S-бензилэтиомочевой (СБ), т. пл. 136-137° (из CH_3OH -аcetона). VII (180 г) кипячением 45 час. с 90 мл CH_3OH и 3 мл конц. H_2SO_4 в 280 мл CH_2Cl_2 превращают в метиловый эфир VII (VIII), выход 100-120 г, т. кип. 67°/0,02 мм, n_D^{24} 1,4518, d_4^{20} 0,9331. К эфирному р-ру C_6H_5MgBr (из 14,5 г Mg и 87 г C_6H_5Br) за 1 час прибавляют р-р 53 г VIII в 100 мл CH_2Cl_2 , смесь кипятят 2 часа и разлагают р-ром NH_4Cl ; выделенный дифенилкарбинол (IX) (~80 г) дегидратируют кипячением 12 час. в 160 мл лед. CH_3COOH в присутствии 0,5 г йода и получают 3-(2'-метил-5'-изопропилциклопентил)-1,1-дифенилпропен-1 (X), выход 70 г, n_D^{25} 1,5600. К р-ру 70 г X в 350 мл лед. CH_3COOH прибавляют, поддерживая т-ру 60°, р-р 75 г CrO_3 в 75 мл воды и 75 мл лед. CH_3COOH , размешивают еще 1 час и выделяют (2-метил-5-изопропилциклопентил)-уксусную к-ту (XI), выход 25 г, т. кип. 106°/0,04 мм, n_D^{25} 1,4591; СБ, т. пл. 129,5-130° (из CH_3OH -аcetона); метиловый эфир (XII), т. кип. 59°/0,05 мм, n_D^{25} 1,4439, d_4^{20} 0,9286. XI получена также взаимодействием IV (98 г) с C_6H_5MgBr (из 14,5 г Mg и 87 г C_6H_5Br) с последующей дегидратацией образующегося фенолкарбинола аналогично IX. Продукт дегидратации при окислении CrO_3 дал XI, выход 45 г. Аналогично превращению VIII → IX → X → XI из XI (99 г) получают V, выход 46 г, т. кип. 105°/0,05 мм, n_D^{24} 1,4552, d_4^{20} 0,9656; СБ, т. пл. 117,5-118° (из CH_3OH -аcetона); метиловый эфир (XIII), т. кип. 47°/0,05 мм, n_D^{22} 1,4415, d_4^{20} 0,9290. К р-ру 3,8 г $LiAlH_4$ в 100 мл абс. эфира прибавляют при 0° за 1 час р-р 18,4 г XIII в 50 мл абс. эфира, смесь кипятят 1 час и выделяют VI, выход 15,4 г, т. кип. 68-69°/0,08 мм, n_D^{20} 1,4591, d_4^{20} 0,8980; n-нитробензоат (НБ), т. пл. 61-62° (из разб. CH_3OH). Т-ра кипения, n_D^{20} и ИК-спектры V, XIII и VI совпадают с таковыми для оптич. активной пулегановой к-ты (XIV), $[\alpha]_D^{24} +13,4$ (с 1,2; CH_3OH), метилового эфира XIV и пулеганол (XV), синтезированных из оптич. активного пулегона. Т-ры плавления СБ XIV (113-114°) и НБ XV (50-51°) отличаются от т-ры плавления СБ V и НБ VI, однако их смешанные пробы не дают депрессии. Это указывает на то, что V является dl-XIV. При восстановлении 4-(2'-метил-5'-изопропилциклопентен-1'-ил)-бутанона-2 $LiAlH_4$ в эфире при 0° получен 4-(2'-метил-5'-изопропилциклопентен-1'-ил)-бутанол-2 (XVI), т. кип. 113-114,2°/4,7 мм, n_D^{25} 1,4763, d_4^{20} 0,9094. Приведены кривые ИК-спектра

VI и спектра комб. расс. света XVI. Все т-ры плавления исправлены.

В. Коптюг

70939. Циклизация гомологичных сесквитерпеновых кислот. II. Конфигурация полученных полным синтезом стереоизомерных dl-лактонов состава $C_{16}H_{26}O_2$. Луц и уе (Cyclisation homologer Sesquiterpensäuren. II. Konfiguration der totalsynthetischen stereoisomeren dl-Laktone $C_{16}H_{26}O_2$. Lucius G.), Arch. Pharmazie, 1958, 291/63, № 2, 57-66 (нем.).

Циклизация этилового эфира α-моноцикло-β,γ-гомофарнезилловой к-ты (I) (II к-та) под влиянием $HCOOH$ и H_2SO_4 привела (с общим выходом 20-25%) к смеси трех стереоизомерных лактонов с т. пл. 100° (III), т. пл. 97-98° (IV) и т. пл. 78-79° (V). Определение скоростей раскрытия лактонных циклов в III-V показало, что эти скорости попарно совпадают со скоростями омыления известных оптически активных стереоизомерных лактонов аналогичной структуры, конфигурация которых была установлена, а именно: одинаковыми оказались скорости омыления III и лактона с т. пл. 124° (VI) (Helv. chim. acta, 1931, 14, 645), IV и лактона с т. пл. 133° (VII) (там же, 1942, 25, 621) и V и лактона с т. пл. 93° (VIII) (там же, 1950, 33, 1251, 1308). Поскольку VI-VIII содержат систему транс-декалина, то эта же система колец должна присутствовать и в III-V и при обработке CH_3OH и H_2SO_4 , и последующем омылении они дадут одну и ту же dl-транс-β-бицикломофарнезилловую к-ту (IX). Однако IX была получена только из IV; из III образовалась dl-цис-β-бицикломофарнезилловая к-та (X), а из V кристаллич. к-та выделена не была. Конфигурация IV и V удалось установить с помощью



ИК-спектров, рассмотрение которых показало, что IV является рацемич. формой VII, а V рацематом VIII. На основании различия ИК-спектров III и VI, конформационного анализа теоретически возможных структур и факта образования из III отличной от IX к-ты (которой приписано строение X) авторы придают III конфигурацию, содержащую систему цис-декалина. Получение при циклизации I смеси лактонов с цис- и транс-декалиновыми структурами указывает, что эта р-ция протекает, вероятно, через промежуточ-

ный карбониевый ион $(CH_3)_2C^+SCH_2CH_2CH_2C^+(CH_3)SCH_2CH_2C(CH_3)=CHCH_2COOC_2H_5$ (XI). Циклизация этилового эфира β-моноцикло-β,γ-гомофарнезилловой к-ты (XII) (XIII к-та) под влиянием $BF_3 \cdot (C_2H_5)_2O$ привела к IX, при обработке $HCOOH$ и H_2SO_4 , давшей IV, тогда как при аналогичной циклизации β-моноциклофарнезилловой к-ты (см. сообщение I, РЖХим, 1957, 26948) образовалась бициклич. к-та цис-декалиновой структуры. К суспензии 51 г мелкоизмельченного Na в 750 мл толуола прибавляют 5 мл абс. спирта, а затем при 18° за 4,5 часа смесь 400 г α-дигидроинона и 260 г $ClCH_2COOC_2H_5$, после чего перемешивают еще 3 часа. Реакционную смесь разлагают водой, неочищ. глицидный эфир (530 г) омыляют в глицидную к-ту (449 г), которую расщепляют, прибавляя по каплям в нагретую до 180-200° колбу (20 мм), и получают α-дигидроинилформальдегид (XIV), выход 62,5%, т. кип. 123-124°/10,5 мм, n_D^{20} 1,4812, d_{15}^{15} 0,9276. Аналогично из β-дигидроинона готовят β-дигидроинилформальдегид (XV), выход 53%, т. кип. 129-130°/11 мм, n_D^{20} 1,4851, d_{15}^{15} 0,9327. Смесь 38,5 г XIV, 19,3 г малоновой к-ты, 30,6 г C_6H_5N и 0,5 г пиперидина перемешивают 7 час. при 100° и получают α-моноцикло-α,β-гомофарнезилловую к-ту (XVI), выход 61%,

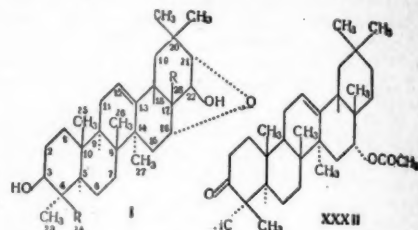
т. кип. 160—161°/0,2 мм, n_D^{25} 1,4969, d_{15}^{25} 0,9729; S-бензилтируриновая соль (S-соль), т. пл. 156°; этиловый эфир, т. кип. 130°/0,55 мм, n_D^{20} 1,4850, d_{15}^{15} 0,9448; метиловый эфир, т. кип. 120—122°/0,3 мм, n_D^{20} 1,4878, d_{15}^{15} 0,9600. Аналогично из 100 г XV, 85 г C_6H_5N , 52 г малоновой к-ты и 1 г пиперидина синтезируют β -моноцикто- α,β -гомофарнезилловую к-ту (XVII), выход 39,3%, т. кип. 163—164°/0,2 мм, n_D^{20} 1,4974, d_{15}^{25} 0,9786; S-соль, т. пл. 154,5—155°; этиловый эфир, т. кип. 130—131°/0,15 мм, n_D^{20} 1,4868; d_{15}^{15} 0,9536. Смесь 300 г XVI и 3 кг 40%-ного р-ра КОН нагревают 8 час. при 110°, образовавшуюся неочищ. к-ту (315 г) смешивают с 2,5 л спирта и 835 мл 1 н. спирт. р-ра HCl, выдерживают 3 часа при т-ре $\sim 20^\circ$ и получают I (выход 48%, т. кип. 117—121°/0,2 мм, n_D^{20} 1,4822, d_{15}^{15} 0,9461), при омылении образующий II, n_D^{20} 1,4822, d_{15}^{15} 0,9861; S-соль, т. пл. 134°. Подобным же образом из XVII синтезируют XII (выход 50%, т. кип. 131—141°/0,3 мм, n_D^{20} 1,4853, d_{15}^{15} 0,9504), при омылении превращающийся в XIII, n_D^{20} 1,4992, d_{15}^{15} 0,9899; S-соль, т. пл. 136—136,5°. К смеси 250 мл 99%-ной HCOOH и 15 мл конц. H_2SO_4 при 30—40° осторожно прибавляют 140 г I, нагревают 2 часа при 60°, выливают в лед, экстрагируют, обрабатывают экстракт р-ром Na_2CO_3 и из органич. слоя после перегонки, кипячения (2 часа) с 10%-ным КОН в CH_3OH и экстрагирования выделяют IV, выход 2,8%. Маточный р-р подкисляют, экстрагируют, экстракт обрабатывают р-ром Na_2CO_3 и в органич. слое получают III, выход 8,3%. При подкислении содового экстракта получают оксикислоту состава $C_{16}H_{28}O_3$ (XVIII) (выход 0,96%, т. пл. 138°), которая при нагревании до 100° превратилась в V. При аналогичной циклизации XII получают смесь III (выход 6,2%), IV (выход 4,6%) и XVIII, выход 0,58%. Действием CH_2N_2 превращают 1,5 г XVIII в метиловый эфир, который восстанавливают $LiAlH_4$ и получают соответствующий гликоль, выход 1,2 г, т. пл. 168,5—169° (из петр. эф.-сп.). Аналогично приготавливают гликоль из III (XIX) [т. пл. 138—139° (из петр. эф.-сп.)] и гликоль из IV (XX), т. пл. 124—125° (из петр. эф.-сп.). При нагревании XIX и XX с β -нафталинсульфокислотой получают соответствующие окиси (т. кип. 160—162°/10 мм, n_D^{20} 1,5097, d_{15}^{15} 0,9952, и т. кип. 155—156°/9,5 мм, n_D^{20} 1,5039, d_{15}^{15} 0,9937), обладающие запахом амбры. Смесь 1,5 г IV, 80 мл CH_3OH и 10 мл конц. H_2SO_4 кипятят 32 часа, продукт р-ции (после перегонки) омыляют кипячением (4 часа) с р-ром 1,8 г КОН в 36 мл CH_3OH и получают IX, выход 0,6 г, т. пл. 127,5—128,5° (из н-гексана). Аналогично из 3,5 г III получают X, выход 2,3 г, т. пл. 124—125° (из н-гексана). К р-ру 40 г XII в 100 мл C_6H_6 при 30—40° за 50 мин. прибавляют смесь 40 мл $BF_3 \cdot (C_2H_5)_2O$ и 400 мл C_6H_6 , перемешивают 6 час., выдерживают ~ 12 час. при т-ре $\sim 20^\circ$ и после перегонки и омыления получают IX (выход 4,5 г), 50 мг которой нагревают 5 час. при 60—70° с 3,5 мл 99,5%-ной HCOOH и 0,2 мл конц. H_2SO_4 и получают IV, выход 40 мг.

В. Андреев

70940. К изучению тритерпенов. Сообщение 194. Строение эсцигенина. Каннелли, Мелера, Аригонни, Егер (Zur Kenntnis der Triterpene. 194 Mitteilung. Konstitution des Escigenins. Cainelli G., Melera A., Arigoni D., Jeger O.), Helv. chim. acta, 1957, 40, № 7, 2390—2409 (нем.)

Установлено, что эсцигенин (I R = CH_2OH), аглюкон сапонина эсцина (Ia), выделенного из семян каштана *Aesculus hippocastanum* L. (Ruzicka L. и др., Helv. chim. acta, 1949, 32, 2057), представляют собой Δ^{12} -16 α ,21 α -эпоксиолеанентетрол-3 β ,22 β ,24,28. Вопрос о том, что является истинным аглюконом I или гипотетич. Δ^{12} -олеаненгексаол-3 β ,16 α ,21 α ,22 β ,24,28, перехо-

дящий в I в условиях кислого гидролиза Ia, остается открытым. Наличие в I двух 1,3-гликольных группировок, из которых одна носит первично-третичный, а вторая первично-вторичный характер, установлено следующими превращениями: 660 мг тетраацетата I, 15 мл C_6H_6 и 3,5 мл 0,285 н. метанольного р-ра КОН



выдерживают 20 час. при 20°, продукт р-ции хроматографируют (хроматографирование везде на Al_2O_3). $CHCl_3$ и смесью $CHCl_3-CH_3OH$ (100 : 2) вымывают 3,22,24-триацетат I (II), выход 461 мг (здесь и далее указаны выходы неочищ. продуктов), т. пл. 234—235° (из CH_3OH), $[a]_D^{25} +51^\circ$ (с 0,7773). Смесь 60 мг II, 10 мл ацетона и 0,1 мл 21%-ной H_2SO_4 выдерживают 10 мин. при 0°, выливают в разб. р-р $NaHCO_3$ и выделяют ацетонильное производное 3 β ,24-диацетата I (III), выход 60 мг, т. пл. 232—233° [из CH_3OH , затем возгонка в вакууме (BB)], $[a]_D^{25} +34^\circ$ (с 0,823). К 3,3 г III в 20 мл CH_2Cl_2 добавляют р-р 7 капель конц. H_2SO_4 в 70 мл CH_3OH , упаривают до 50 мл, при разбавлении водой выпадает 3 β ,24-диацетат I (IIIa), выход 2,52 г, т. пл. 234—235° (из $CH_2Cl_2-CH_3OH$), $[a]_D^{25} +48^\circ$ (с 0,995). 550 мг III кипятят 2 часа с 20 мл 5%-ного метанольного р-ра КОН, добавляют 40 мл горячей воды, выдерживают 2 часа при т-ре -2° и отфильтровывают моноацетонилэсцигенин (IV), выход 474 мг, т. пл. 281—282° (из ацетона-гексана, BB). IV получают также непосредственно из I. Суспензию 2 г I в 60 мл абс. ацетона, содержащего 25 капель конц. H_2SO_4 , перемешивают 45 мин. при 20°, смесь выливают в водн. р-р $NaHCO_3$, продукт р-ции хроматографируют. Смесью $C_6H_6-CHCl_3$ (4 : 1) вымывают бис-ацетонилэсцигенин, выход 650 мг, т. пл. 200—201° (из ацетона, BB), $[a]_D^{25} +42^\circ$ (с 0,97), чистым $CHCl_3$ вымывают IV, выход 1,45 г. Ацетилирование IV [пиридин, $(CH_3CO)_2O$, 2 β , 5 час.] приводит к III. Р-р 225 мг IV в 5 мл пиридина добавляют к суспензии 250 мг CrO_3 в 5 мл пиридина, выдерживают 12 час. при 20°, продукт р-ции разделяют на кислую и нейтр. фракции, из последней при стоянии в метанольном р-ре выпадает ацетонильное производное 16 α ,21-оксидо- Δ^{12} -олеанендиол-23 β ,28-аль-24-она-3 (V), выход 120 мг, т. пл. 231—232° (из CH_3OH), $[a]_D^{25} +29^\circ$ (с 0,878). Кислую фракцию (30 мг) декарбоксилируют при 300°, фильтрованием продукта р-ции через Al_2O_3 (в C_6H_6) выделяют ацетонильное производное Δ^{12} -24-нор-16 α ,21 α -оксидолеанендиол-22 β ,28-она-3 (VI), т. пл. 251—252°. V нагревают (2 порциями по 200 мг) 20 мин. при 240° и перегоняют в высоком вакууме, объединенный продукт р-ции фильтруют (в C_6H_6) через Al_2O_3 . Получают 337 мг VI с т. пл. 256—257° (из ацетона-сп., BB), $[a]_D^{25} +58^\circ$ (с 1,10). Судя по ИК-спектру, VI содержит кетогруппу в 6-членном кольце. Положительная р-ция Циммермана и образование аморфного α -оксиметиленового производного указывают на наличие $\alpha-CH_2$ -группы. 180 мг VI восстанавливают по Кижнеру—Хуан-Миньлону (200°, 4 часа) до ацетонильного производного (VII) Δ^{12} -24-нор-16 α ,21 α -оксидолеанендиол-22 β ,28 (VIII), выход 150 мг, т. пл. 205—206° (из CH_3OH , BB), $[a]_D^{25} +37^\circ$ (с 0,855). Гидролизом 123 мг VII [$CHCl_3-CH_3OH$ (1 : 1), 1 капля конц. H_2SO_4 , 20°, 30 мин.] полу-

Вывод VIII, выход 95 мг, т. пл. 259—260° (из $\text{CH}_2\text{Cl}_2\text{-CH}_3\text{OH}$, BB). 100 мг II окисляют CrO_3 (100 мг) в пиридине (20°, 1 час 30 мин.), продукт р-ции ацетируют и очищают хроматографированием в C_6H_6 , получают триацетат (IX) $\Delta^{12}\text{-16}\alpha,21\alpha\text{-оксидолеанентриол-3}\beta,22\beta$, 24-алл-28 (X), выход 92 мг, т. пл. 223—244° (из $\text{CH}_2\text{Cl}_2\text{-CH}_3\text{OH}$, BB), $[\alpha]_D^{25} +59^\circ$ (с 1,03). 70 мг IX восстанавливают по Кижнеру — Хуан-Минлону (кипячение 3 часа); ацетилированием продукта р-ции (пиридин, $(\text{CH}_3\text{CO})_2\text{O}$) с последующим фильтрованием в C_6H_6 через Al_2O_3 получают триацетат (XI) $\Delta^{12}\text{-16}\alpha,21\alpha\text{-оксидолеанентриол-3}\beta,22\beta,24$ (XII), выход 65 мг, т. пл. 209—210° (из CH_3OH , BB), $[\alpha]_D^{25} +67^\circ$ (с 1,08). Омыление XII (KOH в CH_3OH -диоксане, кипячение 2 часа) приводит к XI, т. пл. 295—296° (из $\text{CH}_2\text{Cl}_2\text{-CH}_3\text{OH}$, BB), $[\alpha]_D^{25} +58^\circ$ (с 0,734; сп.). 250 мг IIIа окисляют CrO_3 (250 мг) в пиридине (20°, 2 часа) до 3,24-диацетата X (XIII), выход 362 мг, т. пл. 236—237° (из $\text{CH}_2\text{Cl}_2\text{-CH}_3\text{OH}$, BB), переходящего при ацетилировании в IX. Наряду с XIII выделяют 100 мг $\Delta^{12}\text{-16}\alpha,21\alpha\text{-оксидолеанентриол-3}\beta,22\beta,24$ овой-28 к-ты (XIV), т. пл. 253—255° (разл.; из CH_3OH); триацетат [пиридин, $(\text{CH}_3\text{CO})_2\text{O}$, 20°, 3 часа], т. пл. 301—303° (разл.; из $\text{CH}_2\text{Cl}_2\text{-CH}_3\text{OH}$), $[\alpha]_D^{25} +64^\circ$ (с 1,20). 3 г III окисляют (тремя порциями) CrO_3 в H_2SO_4 (20°, 5 мин.), кислый продукт р-ции (1,706 г) этерифицируют CH_2N_2 и хроматографируют в смеси C_6H_6 -петр. эфир (1:1). C_6H_6 вымывают метиловый эфир диацетата $\Delta^{12}\text{-16}\alpha,21\alpha\text{-оксидолеанентриол-3}\beta,24\text{-он-22-овой-28}$ к-ты (XV), выход 358 мг, т. пл. 218—219° (из водн. CH_3OH , BB), $[\alpha]_D^{25} -5^\circ$ (с 0,773), а вымыванием смесью C_6H_6 -эфир (1:1) выделяют метиловый эфир 3,24-диацетата XIV (XVI), выход 0,9 г, т. пл. 247—248° (из $\text{CH}_2\text{Cl}_2\text{-CH}_3\text{OH}$, BB), $[\alpha]_D^{25} +49^\circ$ (с 0,794). Омыление XVI 10%-ным метанольным KOH (кипячение 1 час) приводит к XIV, т. пл. 256—258° (разл.; из водн. CH_3OH), $[\alpha]_D^{25} +60^\circ$ (с 0,945; сп.). Аналогичной обработкой (5%-ный спирт. р-р KOH, кипячение 2 часа) 300 мг XV переводят в дикарбоновую к-ту $\text{C}_{30}\text{H}_{48}\text{O}_7$ (XVII), выход 270 мг, т. пл. 216—217° (разл.; из водн. ацетона), $[\alpha]_D^{25} -16^\circ$ (с 0,715; сп.). 30 мг XVII этерифицируют CH_2N_2 , полученный метиловый эфир ацетируют [пиридин, $(\text{CH}_3\text{CO})_2\text{O}$, 20°], фильтрованием продукта (в C_6H_6) через Al_2O_3 выделяют диметиловый эфир диацетата XVII, выход 35 мг, т. пл. 159—160° (из водн. CH_3OH), $[\alpha]_D^{25} -11^\circ$ (с 0,623). Наличие и положение эфирного мостика в I доказано следующим образом. 95 мг VIII окисляют CrO_3 (130 мг) в пиридине (20°, 12 час.) до $\Delta^{12}\text{-24-нор-16}\alpha,21\alpha\text{-оксидолеанентриол-22}\beta$, аля-28 (XVIII), выход 82 мг, т. пл. 245—246° (из CH_3OH , BB), $[\alpha]_D^{25} +39^\circ$ (с 1,07); ацетат XVIII, т. пл. 158—159° (из $\text{CH}_2\text{Cl}_2\text{-CH}_3\text{OH}$), $[\alpha]_D^{25} +69^\circ$ (с 0,95). 130 мг XVIII восстанавливают по Кижнеру — Хуан-Минлону до $\Delta^{12}\text{-24-нор-16}\alpha,21\alpha\text{-оксидолеанентриол-22}\beta$ (XIX), т. пл. 254—255° (из $\text{CH}_2\text{Cl}_2\text{-CH}_3\text{OH}$, BB), $[\alpha]_D^{25} +69^\circ$ (с 0,94). 100 мг XIX в 40 мл ацетона и 5 мл C_6H_6 окисляют CrO_3 в H_2SO_4 (20°, 20 мин.), продукт хроматографируют в C_6H_6 -петр. эфире (1:1). Смесью C_6H_6 -петр. эфир (4:1) вымывают $\Delta^{12}\text{-24-нор-16}\alpha,21\alpha\text{-оксидолеанентриол-22}$ (XX), выход 50 мг, т. пл. 202—203° (из $\text{CH}_2\text{Cl}_2\text{-CH}_3\text{OH}$), $[\alpha]_D^{25} -14^\circ$ (с 0,735). При окислении CrO_3 (100 мг) в пиридине (20°, 4 дня) 100 мг XIX дают 10 мг XX. При кипячении с 5%-ным метанольным р-ром KOH или при обработке H_2SO_4 в ацетоне XX не изменяется. 45 мг XX восстанавливают LiAlH_4 (0,3 г) в эфире (кипячение 2 часа) до $\Delta^{12}\text{-24-нор-16}\alpha,21\alpha\text{-оксидолеанентриол-22}\alpha$ (XXI), выход 42 мг, т. пл. 222—224° (из $\text{CH}_2\text{Cl}_2\text{-CH}_3\text{OH}$, BB), $[\alpha]_D^{25} +48^\circ$ (с 0,9); ацетат XXI, т. пл. 202—203° (из $\text{CH}_2\text{Cl}_2\text{-CH}_3\text{OH}$). При кипячении 60 мг XX с NaBH_4 (0,6 г) в диоксане (24 часа) получают 23 мг XXI и 20 мг неизмененного XX. 0,2 г XX и 2 г амальгамы Al в 40 мл влажного эфира перемешивают 24 часа при

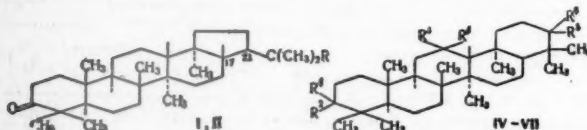
20°, продукт р-ции хроматографируют в петр. эфире- C_6H_6 (3:1). Тем же р-рителем вымывают 148 мг XX, вымыванием C_6H_6 выделяют $\Delta^{12}\text{-24-норолеанентриол-16}\alpha\text{-он-22}$ (XXII), выход 40 мг, т. пл. 226—227° (из $\text{CH}_2\text{Cl}_2\text{-CH}_3\text{OH}$, BB), $[\alpha]_D^{25} +16^\circ$ (с 0,865). 30 мг XXII в 10 мл ацетона окисляют по Килиани (3, 5 мин.) до $\Delta^{12}\text{-24-норолеанентриол-16}\alpha,22$, выход 25 мг, т. пл. 200—201° (из $\text{CH}_2\text{Cl}_2\text{-CH}_3\text{OH}$, BB), $[\alpha]_D^{25} +56^\circ$ (с 0,73). 80 мг XXII восстанавливают по Кижнеру — Хуан-Минлону (кипячение 4 часа) до $\Delta^{12}\text{-24-норолеанентриол-16}\alpha$ (XXIII), выход 42 мг (очищают хроматографированием, вымывают петр. эфиром C_6H_6 , 3:1), т. кип. 190°/0,01 мм. 30 мг XXIII в 5 мл ацетона окисляют по Килиани (20°, 3 мин.) до $\Delta^{12}\text{-24-норолеанентриол-16}$, выход 13 мг, т. пл. 161—162° (из $\text{CH}_2\text{Cl}_2\text{-CH}_3\text{OH}$, BB). Строение скелета I доказано превращением XIX в $\Delta^{12}\text{-олеанентриол-3}\beta,16\alpha,23$ (XXIV): 2 г I окисляют CrO_3 (0,63 г) в C_6H_6 -лед. CH_3COOH (20°, 16 час.), нейтр. продукт р-ции (1,85 г) восстанавливают по Кижнеру (195—200°, 4 часа). Хроматографированием продукта р-ции (вымывают C_6H_6 -эфиром, 50:1) выделяют XIX, выход 450 мг; ацетат XIX, т. пл. 153—154° (из $\text{CH}_2\text{Cl}_2\text{-CH}_3\text{OH}$), $[\alpha]_D^{25} +81^\circ$ (с 0,98). Маточные р-ры от XIX ацетируют пиридином и $(\text{CH}_3\text{CO})_2\text{O}$, продукт фильтруют в C_6H_6 через Al_2O_3 . Получают ацетат (XXVI) $\Delta^{12}\text{-16}\alpha,21\alpha\text{-оксидолеанентриол-22}\beta$ (XXVII), т. пл. 202—203° (из водн. CH_3OH), $[\alpha]_D^{25} +74^\circ$ (с 0,90). Омыление XXVI (50%-ный метанольный р-р KOH. Кипячение 2 часа) приводит к XXVII, т. пл. 200—201° (из $\text{CH}_2\text{Cl}_2\text{-CH}_3\text{OH}$, BB). 787 мг XXVII в 50 мл ацетона окисляют по Килиани (20°, 3 мин.). хроматографированием продукта (вымывают петр. эфиром- C_6H_6 , 1:4) выделяют $\Delta^{12}\text{-16}\alpha,21\alpha\text{-оксидолеанентриол-22}$ (XXVIII), выход 453 мг, т. пл. 180—181° (из $\text{CH}_2\text{Cl}_2\text{-CH}_3\text{OH}$, BB), $[\alpha]_D^{25} -22^\circ$ (с 0,93). 600 мг XXVIII восстанавливают амальгамой Al (как XX) до $\Delta^{12}\text{-олеанентриол-16}\alpha\text{-он-22}$ (XXIX) (очищают хроматографированием, вымывают петр. эфиром- C_6H_6 , 4:1), выход 210 мг, т. пл. 264—265° (из $\text{CH}_2\text{Cl}_2\text{-CH}_3\text{OH}$), $[\alpha]_D^{25} +11^\circ$ (с 0,632). 205 мг XXIX восстанавливают по Кижнеру, продукт окисляют по Килиани (20°, 25 мин.) до $\Delta^{12}\text{-олеанентриол-16}$ (XXX), выход 195 мг, т. пл. 182—183° (из $\text{CH}_2\text{Cl}_2\text{-CH}_3\text{OH}$), $[\alpha]_D^{25} +31^\circ$ (с 0,835). 155 мг XXX восстанавливают по Кижнеру (200°, 2 часа), хроматографированием продукта в петр. эфире выделяют XXIV, т. пл. 160—161° (из $\text{CH}_2\text{Cl}_2\text{-CH}_3\text{OH}$), $[\alpha]_D^{25} +94^\circ$ (с 0,7). 73 мг V восстанавливают LiAlH_4 (0,5 г) в диоксане-эфире (1:1) (кипячение 2 часа), продукт ацетируют [пиридин, $(\text{CH}_3\text{CO})_2\text{O}$, 20°, 12 час.] и выделяют III. 1,49 г триацетата XXV кипятят 1 час 30 мин. с 5 мл C_6H_6 , 45 мл CH_3OH и 5 мл конц. HCl, продукт хроматографируют в петр. эфире- C_6H_6 (1:1). Смесью эфира- CH_3OH (20:1) вымывают 16-ацетат XXV (XXXI), выход 416 мг, т. пл. 203—204° (из водн. ацетона, BB), $[\alpha]_D^{25} +20^\circ$ (с 0,83). 1 г XXXI окисляют CrO_3 (0,5 г) в пиридине (20°, 3 часа), продукт хроматографируют в C_6H_6 . Смесью C_6H_6 -эфир в эфиром вымывают ацетат $\Delta^{12}\text{-олеанентриол-16}\alpha\text{-диона-3,23}$ (XXXII), выход 590 мг, т. пл. 218—220° (из водн. CH_3OH), $[\alpha]_D^{25} +33^\circ$ (с 0,67). 445 мг XXXII в 40 мл ацетона окисляют по Килиани (20°, 6 мин.), кислый продукт р-ции декарбоксилируют кипячением с толуолом (2 часа). Хроматографированием в C_6H_6 выделяют ацетат $\Delta^{12}\text{-23-норолеанентриол-16}\alpha\text{-он-3}$ (XXXIII), выход 145 мг, $[\alpha]_D^{25} +33^\circ$ (с 0,88). 81 мг XXXIII восстанавливают по Кижнеру (200°, 90 мин.), продукт р-ции (58 мг) в 10 мл ацетона окисляют по Килиани (20°, 2,5 часа) до XXIII, выход 50 мг. $[\alpha]_D^{25}$ определены в CHCl_3 . Сообщение 193 см. РЖХим, 1958, 61077.

Л. Бергельсон

70941. К изучению тритерпенов. Сообщение 195. Оксикопанон — пентациклический тритерпен нового

вида. Шафнер, Кальоти, Аригони, Егер (Zur Kenntnis der Triterpene. 195. Mitteilung. Hydroxyhopanon, ein. neuartiges pentacyclisches Triterpen. Schaffner K., Caglioti L., Arigoni D., Jeger O., *Helv. chim. acta*, 1958, 41, № 1, 152—159 (нем., рез. англ.).

Осуществлен синтез хопенона-I (I) — продукта дегидратирования пентациклич. тритерпена оксипанона (II), — исходя из диацетата γ -оноцерина (III). Тем самым подтверждено строение II, предсказанное на основании предположения об образовании II из сквалена. При окислении III получено 12-кетосоединение (IV), переведенное восстановлением по Кижнеру в дигидро- γ -оноцерин (V). V действием CrO_3 окислен в diketон (VI), а обработкой MnO_2 в окикетон (VII), превращенный далее в I. Восстановлением кетогруппы I получен углеводород хопен-I (VIII), дающий при окислении по двойной связи соответствующий гликоль (IX). Синтезированные I, VIII и IX идентичны полученным из II. 3,7 г Na растворяют в 180 мл диэтиленгликоля; к р-ру прибавляют 120 мл безводн. NH_2NH_2 (X) и 950 мг IV и смесь нагревают 3 часа при 130°; часть X отгоняют так, чтобы т-ра массы поднялась до 180°, выдерживают 12 час. при 180°, отгоняют еще часть X, остаток выдерживают 24 часа при 210° и выделяют V, т. пл. 318—321°, $[\alpha]_D^{25} +23^\circ$ (с 0,91); диацетат, т. пл. 355°, $[\alpha]_D^{25} +36^\circ$ (с 0,43). V (50 мг) при окислении 100 мг CrO_3 в 10 мл ацетона в присутствии 0,1 мл конц. H_2SO_4 (0°, 10 мин.) дает VI, выход 41 мг, т. пл. 317—320°, $[\alpha]_D^{25} +84^\circ$ (с 0,82). Р-р 250 мг V в 40 мл CHCl_3 кипятят с 2 г MnO_2 , добавляя за 6 час. еще 3 г MnO_2 ; горячий р-р фильтруют, фильтрат упаривают и из остатка хроматографией на 14 г Al_2O_3 выделяют VII (вымывание C_6H_6 -



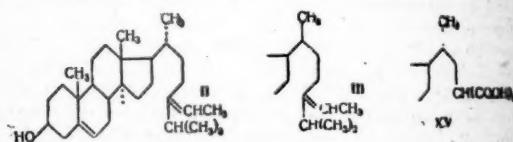
I R = H, $\Delta^{17(21)}$; II R = OH; IV R' = H, R'' = OCOCH_3 , R' + R'' = O, R' = H, R'' = OCOCH_3 ; V R' = H, R'' = H, R' + R'' = OH; VI R' = H, R'' = OH; VII R' + R'' = O, R' = R'' = H, R' = H, R'' = OH.

эф.; 20:1), выход 25 мг, т. пл. 293—294°, $[\alpha]_D^{25} +59^\circ$ (с 0,56); 2,4-динитрофенилгидразон, т. пл. 283—285°; ацетат VII, т. пл. 267—270°, $[\alpha]_D^{25} +55^\circ$ (с 0,48). 65 мг VII кипятят 3 часа в 10 мл абс. ксилола со 100 мг фуллеровой земли (ФЗ), активированной нагреванием 6 час. при 330° в вакууме; добавляют 100 мг ФЗ и кипятят еще 3 часа; продукт р-ции хроматографируют на 2 г Al_2O_3 и вымыванием смесью C_6H_6 и эфира (5:1) выделяют I, выход 44 мг, т. пл. 190—191°, $[\alpha]_D^{25} +77^\circ$ (с 0,83). 16 мг I кипятят 90 мин. с 5 г $\text{X} \cdot \text{H}_2\text{O}$ в 5 мл спирта и 15 мл диэтиленгликоля, добавляют 2 г KOH, упаривают, остаток выдерживают 3 часа при 195° и получают VIII, выход 13 мг, т. пл. 180—181° (из эф.- CH_3OH), $[\alpha]_D^{25} +49^\circ$ (с 0,79). 28 мг VIII окисляют 28 мг OsO_4 в 1 мл абс. эфира и 1 мл $\text{C}_6\text{H}_5\text{N}$ (~20°, 20 час.); р-р упаривают, остаток обрабатывают 1 г LiAlH_4 в 25 мл абс. эфира и получают IX, очищенный хроматографией на 1 г Al_2O_3 (вымывание смесью петр. эф.- C_6H_6 ; 1:2), т. пл. 218—219°, $[\alpha]_D^{25} +12^\circ$ (с 0,62). Полученные в-ва очищались перекристаллизацией из смеси CH_2Cl_2 и CH_3OH и в ряде случаев возгонкой в вакууме при т-рах от 175 до 260°. Все $[\alpha]_D$ измерены в CHCl_3 .

В. Коптюг
70942. Изучение стероидов. VII. Синтез саргастерина, фукостерина и C_{20} -изохлестерина. Хаяцу (Steroid studies. VII. Syntheses of sargasterol,

fucosterol, and C_{20} -isocholesterol. Hayatsu Ryoichi, *Pharmac. Bull.*, 1957, 5, № 5, 452—458 (англ.).

Исходя из 3 β -окси- Δ^5 -биснорхолоеновой к-ты (I), синтезированы саргастерин (II) и фукостерин (III), идентичные соответствующим природным продуктам (см. сообщение VI, РЖХим, 1958, 61088). Изомеризацией 22-кетохлестерина (IV) получен 22-кето-20-изохлестерин (V), превращенный восстановлением в 20-изохлестерин (VI). Из IV получен также 22-оксихлестерин (VII). Дибензоат VII разделен на два изомера, один из которых (т. пл. 252—253°) идентичен бензоату стерина, выделенного из лилии *Nartecium ossifragum* (см. РЖХим, 1954, 39551). 70 г Ag-соли 3-ацетата I (VIII к-та) кипятят 3 часа с 40 г CH_3I в 300 мл спирта и получают метиловый эфир VIII (IX), выход 42 г, т. пл. 156—158° (из CH_3OH), $[\alpha]_D^{25} -61,0^\circ$ (с 1,7). IX (40 г) при нагревании с 25 г KOH в 200 мл диэтиленгликоля (190°, 6 час.) изомеризуется в 3 β -окси-20-изо- Δ^5 -биснорхолоеновую к-ту (X), выход 70%, т. пл. 265—267° (из CH_3OH); 3-ацетат X (XI), т. пл. 197—198°, $[\alpha]_D^{25} -44,7^\circ$ (с 1,5); метиловый эфир XI, т. пл. 142—143°, $[\alpha]_D^{25} -53,6^\circ$ (с 2,7). Действием на 10 г XI 3,5 мл SOCl_2 в смеси абс. эфира и C_6H_6 в присутствии $\text{C}_6\text{H}_5\text{N}$ (25°, 5 час.) получают хлорангидрид (XII), выход 10 г, т. пл. 122—125° (из баль.). XII (8 г) восстанавливают 4 г NaBH_4 в смеси диоксиана и CH_3OH (~20°, 3 часа) в 3-ацетат 20-изо- Δ^5 -биснорхолоендиол-3 β ,22 (XIII), выход 6,1 г, т. пл. 135,5—137° (из CH_3OH), $[\alpha]_D^{25} -50,9^\circ$ (с 1,3); 22-*n*-толуолсульфонат (XIV), т. пл. 125—128° (из этилацетата- CH_3OH), $[\alpha]_D^{25} -39,7^\circ$ (с 1,0). При увеличении продолжительности р-ции до 10 час. происходит омыление XIII в 20-изо- Δ^5 -биснорхолоендиол-3 β ,22, выход 1,2 г из 1,9 г XII, т. пл. 186—188°. К нагретой до 115° смеси 1,15 г Na и 20 мл ксилола прибавляют при размешивании 10 г $\text{CH}_2(\text{COOC}_2\text{H}_5)_2$ в 10 мл безводн. ксилола и после растворения Na р-р 10,5 г XIV в 25 мл ксилола; размешивают 10 час. при 115°, охлаждают, фильтруют и фильтрат упаривают в вакууме; остаток кипятят 5 час. с 6 г KOH в 30 мл CH_3OH и 50 мл $\text{iso-C}_2\text{H}_5\text{OH}$ и получают 3 β -окси-20-изо- Δ^5 -норхолоендиолкарбоновую к-ту (XV), выход 6,8 г, т. пл. 189—196° (разл.; из CH_3OH). XV (5 г) при нагревании 1,5 часа при 190—200° декарбоксилируется, давая 3 β -окси-20-изо- Δ^5 -холоеновую к-ту (XVI), выход 2,1 г, т. пл. 249—254° (разл.; из хлф.- CH_3OH ; 1:1); 3-ацетат XVI (XVII),



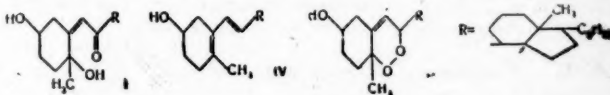
т. пл. 213—215°, $[\alpha]_D^{25} -42,7^\circ$ (с 1,2); метиловый эфир XVII, т. пл. 169—170°, $[\alpha]_D^{25} -50,3^\circ$ (с 1,2). Р-р хлорангидрида XVII (из 1 г XVII) в абс. C_6H_6 прибавляют к р-ру ($\text{iso-C}_2\text{H}_5$) $_2\text{Cd}$ (из 5 г $\text{iso-C}_2\text{H}_5\text{Br}$, 600 мг Mg, абс. эфира и 4 г CdCl_2); смесь кипятят 2 часа и получают ацетат 24-кето-20-изохлестерина, очищенный хроматографией на Al_2O_3 (петр. эфир-баль.; 1:1), выход 320 мг, т. пл. 117—118° (из CH_3OH), $[\alpha]_D^{25} 26,5^\circ$ (с 1,3); 24-кето-20-изохлестерин (XVIII), т. пл. 147—148° (из CH_3OH), $[\alpha]_D^{25} -25,0^\circ$ (с 1,4). Р-р 1,2 г XVIII в 10 мл C_6H_6 и 10 мл эфира прибавляют к р-ру $\text{C}_2\text{H}_5\text{MgBr}$ (из 500 мг Mg, 3,5 мл $\text{C}_2\text{H}_5\text{Br}$ и 25 мл эфира), кипятят 3 часа и выделяют 20-изо- Δ^5 -стимастендиол-3 β ,24 (XIX), выход 800 мг, т. пл. 182—184° (из CH_3OH). XIX при действии (CH_3CO) $_2\text{O}$ в $\text{C}_6\text{H}_5\text{N}$ (100°, 1,5 часа) дает 3-ацетат (XX), т. пл. 153—155° (из CH_3OH). 600 мг XX нагревают 1 час при 100° с 3 мл POCl_3 в 10 мл $\text{C}_6\text{H}_5\text{N}$, оставляют на 12 час. и

выделяют ацетат II, очищенный хроматографией на Al_2O_3 (петр. эф.- C_6H_6 ; 1:1), выход 120 мг, т. пл. 136,5—137°, $[\alpha]_D^{20} -53,5^\circ$ (с 2,8); II, т. пл. 134—135°, $[\alpha]_D^{20} -48,0^\circ$ (с 1,8); бензоат II, т. пл. 114—115°, $[\alpha]_D^{20} -21,5^\circ$ (с 2,3). Аналогично превращению XII в I' из хлорангидрида VIII (т. пл. 128,5—130°) получен III. Ниже перечисляются промежуточные продукты, их т. пл. в °C и $[\alpha]_D^{20}$: 3-ацетат Δ^5 -биснорхоландиола-3 β ,22 (XXI), 153—154 (из ацетона- CH_3OH ; 1:1) и 127,5—129 (из водн. ацетона), $-60,7^\circ$ (с 1,4); Δ^5 -биснорхоландиол-3 β ,22, 165—197 (из CH_3OH), $-53,8^\circ$ (с 1,2); 22-п-толуолсульфонат XXI, 132—134 (из ацетона), —; 3 β -окси- Δ^5 -биснорхоландикарбоновая-23 к-та, 204—207 (разл.; из CH_3OH), —; 3 β -окси- Δ^5 -холеновая к-та (XXII), 236—239 (разл.; из этилацетата), —; 3-ацетат XXII (XXIII), 184—186 (из сп.), —; метиловый эфир XXIII, т. пл. 154—155° (из сп.), —; 20-кетохолестерин (XXIV), 138—139, $-36,5^\circ$ (с 1,3); ацетат XXIV, 128,5—129,5, $-43,5^\circ$; Δ^5 -стигмастеридиол-3 β ,24 ξ (XXV), 167—169 (из CH_3OH), —; 3-ацетат XXV, 148,5—150, —; III, 127,5—129, $-39,0^\circ$ (с 2,3); ацетат III, 119—120 (из сп.), $-42,5^\circ$ (с 1,3); бензоат III, 118,5—119 (из этилацетата), $-19,0^\circ$ (с 1,3). При кипячении 2 часа хлорангидрида XI (из 5 г XI) с р-ром ($iso-C_5H_{11}$) $_2$ Cd (из 1,7 г Mg, 12 мл $iso-C_5H_{11}Br$, 120 мл эфира и 7,6 г безводн. $CdCl_2$) получают ацетат V (XXV), выход 5 г, т. пл. 134,5—136° (из CH_3OH), $[\alpha]_D^{20} -46,7^\circ$ (с 2,0). IV (6 г) при кипячении 8 час. с 3,5 г КОН в 70 мл диэтиленгликоля дает V, выход 85%, т. пл. 110—111,5° (из CH_3OH), $[\alpha]_D^{20} -40,4^\circ$ (с 1,2). V получен также омылением XXV. 2 г V кипятят 10 час. с 2 г КОН и 7 мл 80%-ного $NH_3 \cdot H_2O$ в 25 мл диэтиленгликоля и разбавлением водой выделяют 22-гидразон-V (XXVI), выход 1,1 г, т. пл. 236—238° (из CH_3OH). 1 г XXVI кипятят 8 час. с 1,5 г КОН в 20 мл диэтиленгликоля; продукт р-ции бензоилируют, хроматографируют на Al_2O_3 (из петр. эф.- C_6H_6 ; 1:1) и получают бензоат VI, выход 610 мг, т. пл. 163,5—165° (из этилацетата) и 134—136° (из сп.), $[\alpha]_D^{20} -19,5^\circ$ (с 1,2); VI, т. пл. 155,5—156° (из петр. эф.), $[\alpha]_D^{20} -132^\circ$ (из сп.), $[\alpha]_D^{20} -43,0^\circ$ (с 1,3); ацетат VI, т. пл. 121,5—122°, $[\alpha]_D^{20} -48,5^\circ$ (с 1,2). 1 г IV восстанавливают 700 мг $NaBH_4$ в смеси диоксиана и CH_3OH ($\sim 20^\circ$, 12 час.); продукт р-ции омыляют нагреванием 3 часа при 100° с 300 мг КОН в 30 мл CH_3OH и получают VII, выход 810 мг, т. пл. 165—169° (из CH_3OH). VII получен также кипячением 7 час. р-ра 5 г ацетата Δ^5 -биснорхоландиол-3 β -алия-22 в смеси эфира и C_6H_6 (1:3) с р-ром $iso-C_5H_{11}MgBr$ (из 1,5 г Mg, 12 мл $iso-C_5H_{11}Br$ и 120 мл эфира). 700 мг VII выдерживают 12 час. при $\sim 20^\circ$ с 500 мг C_6H_5COCl в 10 мл C_6H_5N и получают дибензоат, выход 500 мг, т. пл. 167—169° (из этилацетата), разделенный хроматографией на Al_2O_3 (вымывание смесью петр. эф.- C_6H_6 ; 1:1) на два изомера: изомер с т. пл. 252—253° (из этилацетата-сп.; 2:1), выход 120 мг, $[\alpha]_D^{20} -10,2^\circ$ (с 2,3), и изомер (XXVII) с двойной т. пл. 167—169 и 237—239°, выход 10 мг, $[\alpha]_D^{20} -27,5^\circ$ (с 2,3). XXVII при кипячении 10 час. с $C_6H_5N(CH_3)_2$ превращается в бензоат Δ^5 , $^{20(22)}$ -холестандиола-3 β , т. пл. 152—153° (из этилацетата). Все $[\alpha]_D^{20}$ измерены в $CHCl_3$. В. Коптюг

70943. О свойствах промежуточных продуктов при превращении холестерина в антирахитический витамин-250. Барон, Ле-Бульк (Description et propriétés des intermédiaires entre le cholestérol et la vitamine 250, antirachitique. Baron Christian, Le Boulch Noëlle, Bull. Soc. chim. France, 1958, № 3, 300—306 (франц.))

Описано получение так называемого кетона-250 (I) из холестерина (II) или из витамина D $_3$ (III). Р-р II в CCl_4 кипятят с флоридином, выделенный Δ^5 (10), Δ^5 (10)-секохолестандиен-3 β (IV) окисляют O_2 в Δ^5 (10)-секо-7,10-пероксидихолестерин-3 (V) и изо-

меризуют V в I. При обработке III Li в жидком NH_3 также образуется IV. Строение IV подтверждено р-цией с малеиновым ангидридом (МА) и данными УФ-спектра. Строение V подтверждено спектральными данными и образованием III и изотактистерина (VI) при взаимодействии V с Na_2SO_3 . Механизм превращения II и III в I, по мнению авторов, является аналогичным механизму описанного ранее (Dupont G., Dulou R., Bull. Soc. chim., 1951, C 29) превращения



пинена в аскаридол. К р-ру 300 мг II в 100 мл CCl_4 добавляют 3,8 г флоридина (активирован нагреванием в металлич. ампуле 1 час при 280°), кипятят 0,5 часа, промывают флоридин CCl_4 , эфиром, ацетоном и остаток после удаления р-рителей хроматографируют в р-ре CCl_4 . Петр. эфиром вымывают окись эфира II, выход 50%, смесью петр.-эфир-эфир, 9:1, вымывают IV, выход 40%, т. пл. 132°, $[\alpha]_D^{20} -78,7^\circ$ (хлф.); ацетат (VII), т. пл. 115°. Гидрирование VII приводит к тетрагидропроизводному с т. пл. 141°. Р-р 200 мг III в 50 мл эфира приливают к р-ру Li в жидком NH_3 , через 5 час. перемешивания испаряют NH_3 , приливают эфир и насыщ. р-р NH_4Cl , полученное после обработки масло хроматографируют и выделяют IV. Продукт обработки II на флоридине хроматографируют для удаления холестерилена и при помощи смеси петр. эфир-эфир, 1:1 вымывают V, т. пл. 66°, $[\alpha]_D^{20} -125^\circ$; диацетат V, т. пл. 43°. К р-ру 45 мг V в 1 мл CH_3OH приливают р-р 90 мг Na_2SO_3 в 40 мл воды, через 12 час. экстрагируют эфиром, хроматографируют и вымывают петр. эфиром VI и III, выделенный в виде 3,5-динитробензоата, т. пл. 143—145°; при омылении последнего р-ром КОН в CH_3OH образуется III. V кипятят несколько минут с 5%-ным р-ром КОН в CH_3OH и получают I, т. пл. 73° (из CH_3OH); диацетат, т. пл. 43°. Приведены кривые ИК-спектра IV, V, данные ИК-спектра диацетата I и данные УФ-спектра I, V и VI. М. Бурмистрова

70944. Поведение некоторых нор-19-стероидов и этиокальциферолов в некоторых реакциях галохромии и галофлюории. Пезе (Comportement de quelques nor-19 stéroïdes et des étio-calciférols à l'égard des réactions d'halochromie ou d'halofluorie. Pesez Maurice, Bull. Soc. chim. France, 1958, № 3, 369—371 (франц.))

Описано поведение различных 19-нор-стероидов (I) и соединений ряда кальциферола в некоторых р-циях галохромии и галофлюории. В условиях р-ции Либерамана — Бурхарда зеленое окрашивание дают Δ^2 , Δ^4 или Δ^5 -стероиды, обладающие свободной или этерифицированной гидроксильной группой у $C_{(3)}$ и боковой цепочкой, содержащей ≥ 2 атомов C у $C_{(17)}$; соответствующие I зеленого окрашивания не дают. I не дают также окрашивания в условиях р-ции Дениже, независимо от присутствия или отсутствия в молекуле стероида у $C_{(17)}$ боковой цепочки. Описана новая цветная р-ция: при добавлении к 0,2 мл р-ра стероида в разб. CH_3COOH 2 мл реактива, представляющего собой 1%-ный р-р HgO в смеси $CH_3COOH-H_2SO_4$ (2:1), 3-оксистероиды независимо от наличия или отсутствия в их молекуле двойной связи у $C_{(5)}$ и боковой цепочки у $C_{(17)}$ дают красное окрашивание; соответствующие I этой окраски не дают. 3-кетостероиды (тестостерон, эпитестостерон, Δ^4 -андростендион-3,17 и 17-метилтестостерон) при действии ионов Fe^{2+} и Cu^{2+} образуют синее или зеленое окрашивание; соответствующие I

этого окрашивания не дают. Окрашивание и флуоресценцию с глиоксиловой к-той дают как 3-кетостероиды, так и их 19-нораналоги. В ряду кальциферола положительную р-цию Либмана и окрашивание при действии дихлоргидрина глицерина или циклич. альдегидов в среде HClO_4 или CCl_3COOH дают кальциферол и прекальциферол; отрицательные результаты в этой р-ции показывают соединения этого класса, не обладающие боковой цепочкой у C_{17} : этиокальциферол, β -оксиэтиокальциферол, 17β -оксиэтиокальциферол. С SbCl_5 и $\text{C}(\text{NO}_2)_4$ дают окрашивание как соединения ряда кальциферола, так и их этиоаналоги.

М. Бурмистрова

70945. Получение 3β -оксистергостана-7. Микинс, Стивенсон (Preparation of 3β -hydroxyergostan-7-one. Meakins G. D., Stephenson J. S.), J. Chem. Soc., 1958, Jan., 526—527 (англ.)

Окислением ацетата (I) и бензильного эфира (II) Δ^7 -эргостенола-3 β (III) посредством OsO_4 получены соответственно эргостантриол-3 β , 7 α , 8 α (IV) и бензильный эфир IV (V). Дегидратация IV с H_2SO_4 приводит к 3β -оксистергостанону-7 (VI). Бензильный эфир 7 α , 8 α -эпоксиэргостанола-3 β (VII), полученный окислением II посредством $\text{C}_6\text{H}_5\text{CO}_3\text{H}$, не реагирует с LiAlH_4 в эфире или тетрагидрофуране. Конфигурация IV и VII приняты исходя из предположения о подходе окисляющего агента с менее затрудненной стороны. Р-р 0,4 г III и 2 мл $\text{C}_6\text{H}_5\text{CH}_2\text{Cl}$ в 10 мл диоксана кипятят 1 час с 4 г порошкового KOH; продукт р-ции хроматографируют в петр. эфире на Al_2O_3 . Смесь петр. эфир- C_6H_6 (4:1) вымывают II, выход 0,4 г, т. пл. 107—108,5° (из CH_3OH), $[\alpha]_D^{25} -1^\circ$ (с 1,6). 2 г II окисляют избытком $\text{C}_6\text{H}_5\text{CO}_3\text{H}$ в среде C_6H_6 (—15°, 15 час.) до VII, выход 1,8 г, т. пл. 136—138° (из этилацетата-сп.), $[\alpha]_D^{25} -1^\circ$ (с 1,05). 275 мг OsO_4 в 5 мл эфира добавляют к р-ру 250 мг II в 2 мл эфира и 1 мл пиридина, кипятят 1 час, упаривают в вакууме, остаток кипятят 30 мин. с избытком LiAlH_4 в тетрагидрофуране и выделяют V, выход 150 мг, т. пл. 155—157° (из CH_3OH), $[\alpha]_D^{25} -24^\circ$ (с 1,0). Аналогично из 1,7 г I и 2 г OsO_4 синтезируют IV, выход 1,15 г, т. пл. 215—217° (из CH_3OH), $[\alpha]_D^{25} -16^\circ$ (с 0,6) [выделяют хроматографированием на Al_2O_3 , вымывают эф.- CH_3OH (50:1); предварительно смесь C_6H_5 -эф. вымывают 0,4 г III]. 0,8 г I обрабатывают OsO_4 , как указано выше, продукт р-ции выдерживают 30 мин. при 20° со смесью 20 мл тетрагидрофурана, 20 мл диоксана и водн. р-ра (50 мл), содержащего 7,5 г NaOH и 7,5 г маннита, разбавляют водой, экстрагируют эфиром, экстракт упаривают, остаток выдерживают 12 час. при 20° с 10%-ным спирт. KOH и выделяют IV, выход 0,6 г. Смесь 0,4 г IV, 35 мл CH_3OH и 35 мл 10%-ного метанольного р-ра H_2SO_4 нагревают до 50° и выдерживают 1,5 часа при 20°, разбавляют водой и отфильтровывают VI, выход 342 мг, т. пл. 156,5—157,5° (из CH_3OH), $[\alpha]_D^{25} -35^\circ$ (с 1,15); ацетат VI [пиридин, $(\text{CH}_3\text{CO})_2\text{O}$, 20°], т. пл. 188—190°, $[\alpha]_D^{25} -42^\circ$; 2,4-динитрофенилгидразон VI (VIa), т. пл. 257—258° (из сп.). Приведены данные об ИК-спектре VI и УФ-спектре VIa. Л. Бергельсон

70946. Прямое гидрокселирование 3β -ацетоксиандростандиона-11,17 в положение 5. Мартин-Смит (Direct 5-hydroxylation of 3β -acetoxyandrostane-11:17-dione. Martin-Smith M.), J. Chem. Soc., 1958, Jan., 523—524 (англ.)

Установлено, что побочный продукт, образующийся при действии CrO_3 на 3-ацетат аллопрегнадиол-3 β , 17 α -диона-11,20 (РЖХим, 1958, 54031), является ацетатом (I) андростандиол-3 β -5-диона-11,17 (II). Синтез I удается осуществить путем окисления ацетата (III) андростанол-3 β -диона-11,17 (IV) посредством CrO_3 , однако из-за низкого выхода эта р-ция непригодна для превращения 3-оксистероидов в Δ^4 -3-кето-

стероиды. Дегидратацией I получают ацетат Δ^4 -андростенол-3 β -диона-11,17 (V), а окислением II синтезирован андростанол-5-трион-3,11,17 (VI), переходящий при дегидратации в андростерон (Δ^4 -андростенон-3,11,17 (VII)). 0,5 г III и 10 мл р-ра, приготовленного из 4 г CrO_3 , 3 мл воды и 100 мл лед. CH_3COOH , выдерживают 26 час. при 20°, продукт р-ции хроматографируют в C_6H_6 на Al_2O_3 . III вымывают бензолом, IV смесью C_6H_6 - CHCl_3 , I чистым CHCl_3 , выход 14%, т. пл. 244,5—246,5° (из CH_3OH), $[\alpha]_D^{25} +86^\circ$ (с 2,08). После ацетилирования IV выход неизмененного III составляет 60%. При удлинении времени р-ции выход I не изменяется, а выход III понижается. Смесь 0,14 г I, 0,2 мл SOCl_2 и 5 мл пиридина выдерживают 10 мин. при 0°, выливают в воду и отфильтровывают V, выход 70 мг, т. пл. 170—171,5° (из этилацетата-петр. эф.), $[\alpha]_D^{25} +38^\circ$ (с 2,11). Омыление I (кипячение 1 час с метанольным KOH) приводит к II, т. пл. 273—274° (из CH_3OH), $[\alpha]_D^{25} +137^\circ$ (с 1,96; пиридин). К комплексу, приготовленному из 0,1 г CrO_3 и 1 мл пиридина, добавляют р-р 80 мг II в 2 мл пиридина, выдерживают 12 час. при 20° и выделяют VI, т. пл. 241—243° (из сп.) и 252—254° (из CH_3OH -эф.), $[\alpha]_D^{25} +145^\circ$ (с 1,5). В условиях дегидратации I 60 мг VI дают VII, выход 40 мг, т. пл. 218—220° (из эф.), $[\alpha]_D^{25} +286^\circ$ (с 0,95). Приведены данные об УФ-спектрах I, V, VII и об ИК-спектрах I, II, V, VI. $[\alpha]_D^{25}$ определены в CHCl_3 .

Л. Бергельсон

70947. Δ^4 -2-оксистероиды. Баран (2-hydroxy- Δ^4 -3-keto steroids. Baran John S.), J. Amer. Chem. Soc., 1958, 80, № 7, 1687—1691 (англ.)

При окислении тестостерона (I) SeO_2 в кипящем $(\text{CH}_3)_3\text{CON}$ наряду с 1-дегидротестостероном (II) образуются селено-1-дегидротестостерон (III) и Δ^4 -андростадиендиол-2,17 β -он-3 (IV). Строение IV установлено на основании анализа УФ- и ИК-спектров и образования хинкоксалинового производного (V) и подтверждено встречным синтезом, исходя из Δ^4 -андростендиол-2 α ,17 β -она-3 (VI). III представляет собой 2 молекулы II, соединенные в положениях 2 диселенидным мостиком. При окислении III H_2O_2 получена 1-дегидротестостеронселениновая-2 к-та (VII). С целью изучения биологич. активности синтезирован (окислением Δ^4 -2-оксистероидов Bi_2O_3) ряд Δ^4 -2-оксистероидов: Δ^4 -прегнадиендиол-2-дион-3,20 (VIII), Δ^4 -андростадиендиол-2-дион-3,17 (IX), 21-триметилацетат Δ^4 -прегнадиендиол-2,21-диона-3,20 (X), 21-триметилацетат Δ^4 -прегнадиентриол-2,17 α -21-триона-3,11,20 (XI), 17-ацетат Δ^4 -андростадиендиол-2,17 β -она-3 (XII) и Δ^4 -17-метиландростадиендиол-2,17 β -он-3 (XIII).

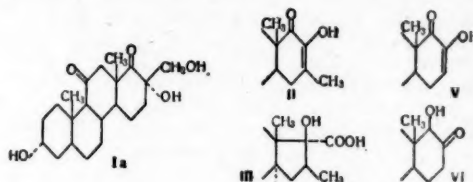
0,05 моля I кипятят 5 час. с 0,05 молями SeO_2 и 3 мл CH_3COOH в 300 мл $(\text{CH}_3)_3\text{CON}$, добавляют 2 г SeO_2 и кипячение продолжают еще 16 час., смесь фильтруют и фильтрат упаривают в вакууме; выделенные из остатка извлечением CH_2Cl_2 в-ва кристаллизуют из C_6H_6 и получают III, выход 2,75 г, т. пл. 265—270°; маточный р-р упаривают и из остатка хроматографируют на SiO_2 (вымывание смесями этилацетата и C_6H_6) выделяют IV, выход 300 мг, т. пл. 207—209° (из ацетона-гексана), $[\alpha]_D^{25} -20,1^\circ$ (хлф.); II, выход 7,7 г, т. пл. 165—168° (из ацетона-эф.), и III, выход 1,88 г, 50 мл IV кипятят 1 час с 50 мг o - $\text{C}_6\text{H}_4(\text{NH}_2)_2$ в 7 мл абс. спирта и получают V, т. пл. 226—227° (из эф.-гексана). Получены также диацетат IV, т. пл. 205—206° (из эф.-гексана), $[\alpha]_D^{25} +20,2^\circ$ (хлф.), и 2-метильный эфир IV, т. пл. 226—227° (из ацетона), $[\alpha]_D^{25} -34,8^\circ$ (хлф.). Р-р 4,4 г VI в 20 мл CH_3COOH нагревают 15 мин. при 100° с 2,7 г Bi_2O_3 , добавляют 2,7 г Bi_2O_3 и нагревание продолжают еще 45 мин.; фильтруют, фильтрат разбавляют этилацетатом и водой из органич. слоя выделяют IV, выход 55%. Р-р 12,5 ммоль 17-метилтестостерона в 250 мл CCl_4 кипятят 45 мин. при освещении ИК-светом.

том с 13,8 ммоль N-бромсукцинимидом, фильтруют и охлаждают до 0°; выпавший 6-бромкетон (выход 74%) кипятят 4 часа с 12 г CH_3COOK в 75 мл CH_3COOH и получают 2-ацетат 2 α -оксиг-17-метилтестостерона, выход 15%, т. пл. 199° (из ацетона-гексана), $[\alpha]_D^{25} +57,5^\circ$ (хлф.). Аналогично из триметилацетата дезоксикортиостерона получают 2-ацетат-21-триметилацетат Δ^4 -прегненидиол-2 α ,21-диона 3,20 (XIV), выход 16%, т. пл. 227—229° (из ацетона-гексана), $[\alpha]_D^{25} +144^\circ$ (диоксан), и из 21-триметилацетата кортизона получают 2-ацетат-21-триметилацетат Δ^4 -прегнентриол-2 α ,17 α ,21-триона-3,11,20 (XV), выход 13%, т. пл. 257—261° из CH_3OH , $[\alpha]_D^{25} +178^\circ$ (диоксан) (в случае XV бромирование проводилось в смеси CCl_4 и $\text{C}_6\text{H}_5\text{Cl}$ в присутствии $\text{C}_6\text{H}_5\text{N}$). К р-ру 4,2 ммоль XIV в 200 мл CH_3OH и 50 мл CH_2Cl_2 прибавляют в токе N_2 4,55 мл 0,01 M р-ра КОН в CH_3OH ; через 4 мин. добавляют 4,6 мл CH_3OH , содержащего 4,6 ммоль воды, еще через 4 мин. смесь подкисляют 6,5 мл 1,06 M водн. р-ра CH_3COOH и выделяют 21-триметилацетат Δ^4 -прегненидиол-2 α ,21-диона-3,20 (XVI), выход 100%, т. пл. 221—223° (из ацетона-гексана), $[\alpha]_D^{25} +169^\circ$ (диоксан). Аналогично из XV получают 21-триметилацетат Δ^4 -прегнентриол-2 α ,17 α ,21-трион-3,11,20 (XVII), выход 63%, т. пл. 276—278° (из ацетона), $[\alpha]_D^{25} +196^\circ$ (диоксан). Аналогично окислению VI в IV из 2 α -оксипрегестерона получают VIII, выход 72%, т. пл. 199—190° (из ацетона-гексана), $[\alpha]_D^{25} +124^\circ$ (хлф.); из Δ^4 -андростенол-2 α -диона-3,17 получают IX, выход 68%, т. пл. 157—158° (из ацетона-гексана), $[\alpha]_D^{25} +36^\circ$ (хлф.); из XVI образуется X, выход 28%, т. пл. 225—226° (из ацетона-гексана), $[\alpha]_D^{25} +90^\circ$ (диоксан), и из XVII синтезируют XI, выход 40%, т. пл. 263—265° (из ацетона-гексана), $[\alpha]_D^{25} +161^\circ$ (диоксан). Из диацетата 2 β -окситестостерона и 2-ацетата 2 α -оксиг-17-метилтестостерона омылением и последующим окислением аналогично XIV \rightarrow XVI \rightarrow X получены соответственно XII, выход 71,4%, т. пл. 193—195° (из ацетона-гексана), $[\alpha]_D^{25} +3,8^\circ$ (хлф.), и XIII, выход 40%, т. пл. 178—180° (из эф.-гексана), $[\alpha]_D^{25} -32,9^\circ$ (хлф.). К 300 мг III в 3 мл CH_3COOH прибавляют 0,5 мл 30%-ного р-ра H_2O_2 , через 20 мин. (~ 20°) смесь разбавляют водой и охлаждением выделяют VII, выход 200 мг, т. пл. 174—178°, $[\alpha]_D^{25} -62,5^\circ$ (хлф.), pK_a 5,5. Для всех полученных в-в приводятся данные УФ-спектров.

В. Коптюг
70948. Переход групп и сужение цикла в ряду стероидов. Уэндлер, Тауб (Group transfer and ring contraction phenomena in the steroid series. Wendler N. L., Taub D.), Chemistry and Industry, 1958, № 14, 415—417 (англ.)

При действии к-т Льюиса на 3,21-диацетат 3 α ,17 α ,21-триоксипрегнандиона-11,20 образуется 3,17 β -диацетат 3 β -оксиметил-D-гомостестандиол-3 α ,17 α -диона-11,17 α (I), т. пл. 172—173°, $[\alpha]_D^{25} +88^\circ$, при гидролизе которого получается соответствующий триол (Ia), т. пл. 202—205°. При кипячении I с 10%-ным метанольным р-ром КОН происходит изомеризация оксиметильной группы и образуется Δ^{16} -16-метил-D-гомостестандиол-3 α ,17-дион-11,17 α (II), т. пл. 238—243°; диацетат, т. пл. 220—222°. При продолжительном нагревании I или II с 20%-ным метанольным р-ром КОН происходит сужение цикла и получается количественно 16 β -метил-3 α ,17 β -диоксиг-11-кето-17-изотиановая к-та (III), т. пл. 277—280°. Строение III, а также и II (наличие 16- CH_3 -группы), доказано восстановлением III или его метилового эфира LiAlH_4 с последующим окислением NaJO_4 в 16 β -метилтестандиол-3 α ,11 β -он-17 (IV), т. пл. 186—188°. Ацилирование IV с последующим окислением CrO_3 приводит к ацетату 16 β -метилтестанол-3 α -диона-11,17, т. пл. 206—209°, идентичному с продуктом, полученным при гидроировании ацетата 16-метилтестанол-3 α -диона-11,17, т. пл. 234—239°. Ia при окислении HJO_4 дает Δ^{16} -гомостестандиол-3 α ,17-дион-11,17 α (V), т. пл.

211—215°, диацетат которого, т. пл. 211—215°, при действии KMnO_4 дает 3 α -ацетоксиг-11-кетоэтинобилиановую



к-ту. При кипячении V с 20%-ным метанольным р-ром КОН количественно образуется 3 α ,17 β -диоксиг-11-кето-17-изотиановая к-та (VI), т. пл. 252—254°, отличная от известной 3 α ,17 β -диоксиг-11-кетоэтинобилиановой к-ты. Однако при восстановлении обеих к-т LiAlH_4 с последующим действием NaJO_4 образуется один и тот же тестандиол-3 α ,11 β -он-17. Отсюда следует, что в II и в V COOH -группа имеет *изо*-конфигурацию. Оказалось возможным также получить II из кетона (VI) при действии стехиометрич. кол-ва CH_2O . VI, т. пл. 224—230°, получен из ацетата D-гомостестанол-3 α -диона-11,17 α путем бромирования и щел. гидролиза. При действии $\text{Cu}(\text{OOCCH}_3)_2$ VI дает V.

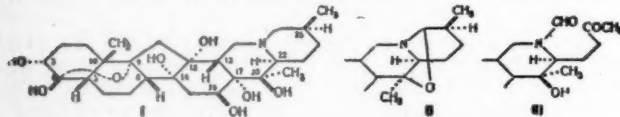
С. Ананченко
70949. О составных частях коры надпочечников и родственных веществах. Сообщение 97. Расщепление 3-O-ацетилдесарогенина и 3-дегидро-11-O-ацетилсарментогенина. Лардон, Эйв (Abbau von 3-O-Acetyl-desarogenin und 3-Dehydro-11-O-acetylsarmentogenin. Über Bestandteile der Nebennierenrinde und verwandte Stoffe. 97. Mitteilung. Lardon A., Euv J. von), Helv. chim. acta, 1958, 41, № 1, 50—56 (нем.)

Окисление 2 г сарментоцимарина CrO_3 в лед. CH_3COOH приводит к продукту, который кипятят 0,5 часа в смеси CH_3OH и 0,1 н. H_2SO_4 ; последующим ацилированием получают 1,05 г 3-O-ацетилдесарогенина (I), т. пл. 204—207°. Озонирование (20 мин., -80°) 1 г I в этилацетате приводит к смеси, из которой выделяют 925 мг нейтр. в-ва (II) и 15 мг метилового эфира (III). 3 β -ацетоксиг-11-кето-14-оксиг-5 β ,14 β -этиановой к-ты (IV), т. пл. 164—166° (из эф.-птр. эф.), $[\alpha]_D^{25} +55,8 \pm 2^\circ$ (с 1,146; хлф.), $[\alpha]_D^{25} +40,2 \pm 3^\circ$ (с 0,8; ацетон). Омылением 925 мг II водно-метанольным р-ром KHSO_3 получают смесь, из нейтр. фракции которой выделяют 685 мг аморфного 3 β -ацетоксиг-14,21-диоксиг-5 β ,14 β -прегнандиона-11,20 (V), а из кислой фракции 0,12 г IV, т. пл. 222—227° (из эф.-птр. эф.). Метилирование остатка после выделения IV и хроматографирование на Al_2O_3 приводит к 20 мг неидентифицированного в-ва с т. пл. 132—134°. 21-ацетат V, т. пл. 201—203° (из ацетона-птр. эф.), $[\alpha]_D^{25} +75,7 \pm 1,5^\circ$ (с 1,491; хлф.). при дегидратации с POCl_3 в пиридине (16 час., 70°) с последующим гидроированием над PtO_2 в лед. CH_3COOH и окислением CrO_3 дает известный 3 β ,21-диацетоксиг-5 β -прегнандион-11,20, т. пл. 167—168° (из эф.-птр. эф.). Окислением 169 мг V HJO_4 в диоксане синтезируют 140 мг IV, которая после метилирования и дегидратации переходит в метильный эфир 3 β -ацетоксиг-11-кето-5 β - Δ^{14} -этиановой к-ты, т. пл. 152—154° (из эф.-птр. эф.), $[\alpha]_D^{25} +40,6 \pm 2^\circ$ (с 1,353; хлф.), $[\alpha]_D^{25} +50,1 \pm 1^\circ$ (с 1,914; ацетон). Гидрированием последнего над PtO_2 и последующим окислением CrO_3 в CH_3COOH получают метильный эфир 3 β -ацетоксиг-11-кето-5 β -этиановой к-ты, т. пл. 130—132° (из эф.-птр. эф.), $[\alpha]_D^{25} +64,3 \pm 2^\circ$ (с 1,196; хлф.). 0,95 г 3-дегидро-11-O-ацетилсарментогенина при озонировании (как I) дают 0,89 г нейтр. в-ва, омыляемого водно-метанольным р-ром KHSO_3 в аморфный кетол (VI). 0,67 г VI при окислении HJO_4 дают 525 мг 11 α -ацетоксиг-3-кето-14-оксиг-5 β ,14 β -этиано-

вой к-ты (VII), т. пл. 226—227° (разл.; из ацетона-эф.); метиловый эфир VII (VIII), т. пл. 201—206° (из хлф.-эф.), $[\alpha]^{17.5}_D + 38.1 \pm 2^\circ$ (с 0,9969; ацетон). При хроматографии на Al_2O_3 из маточного р-ра от VIII выделяют также неидентифицированный побочный продукт, т. пл. 159—160° (из эф.), $[\alpha]^{16}_D + 122,3 \pm 2^\circ$ (с 0,8584; ацетон). Дегидратация VIII с $POCl_3$ в пиридине приводит к метиловому эфиру 11а-ацетокси-3-кето-5β-Δ¹⁴-этиновой к-ты, т. пл. 182—184° (из CH_3OH), $[\alpha]^{25}_D + 12,2 \pm 4^\circ$ (с 0,45; хлф.), $[\alpha]^{17}_D + 29,2 \pm 2^\circ$ (с 1,0445; ацетон), который при гидрировании над PtO_2 в лед. CH_3COOH дает метиловый эфир 11а-ацетокси-3-кето-5β-этиновой к-ты, т. пл. 154—155° (из эф.), $[\alpha]^{19}_D + 37,4 \pm 2^\circ$ (с 1,0693; ацетон), $[\alpha]^{25}_D + 36,8 \pm 2^\circ$ (с 1,193; ацетон). При восстановлении последнего по Кижнеру получают метиловый эфир 11а-ацетокси-5β-этиновой к-ты, т. пл. 122—124° (из петр. эф.), $[\alpha]^{26}_D + 10,3 \pm 2^\circ$ (хлф.). Сообщение 96 см. РЖХим, 1958, 61085. Г. Сегаль

70950. Конфигурация цевина. Капчан, Джонсон, Раджагалапан (The configuration of cevine. Kurchan S. Morris, Johnson William S., Rajagopalan S.), J. Amer. Chem. Soc., 1958, 80, № 7, 1769 (англ.)

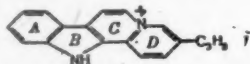
Завершено определение конфигурации у всех 14 асимметрических центров цевина (I). Показано, что Н при $C_{(22)}$ имеет α-ориентацию. При окислении N-бромсукцинимидом 3,4,16-триацетата верацевина-Д-ортоацетата получено в-во (IIa), т. пл. 280—282° (разл.), $[\alpha]_D + 33^\circ$ (диоксан). При окислении II CrO_3 в пиридине образуется формамидокетон (ФК) (III), т. разл. 263—264°, $[\alpha]_D + 54^\circ$ (диоксан). Полученный из



I эпимерный ФК, т. разл. 288°, $[\alpha]_D + 52^\circ$ (пиридин); семикарбазон, т. пл. 273—274° (разл.), образуется при щел. гидролизе дезацетил-ФК, т. разл. 259—260°, $[\alpha]_D + 22^\circ$. Свойства II и III согласуются с наличием в них β-ориентированного кислородного мостика, что возможно только при α-ориентированном Н у $C_{(22)}$. Стерич. неизменность ортоацетатов при окислении доказана гидрированием II над Pt в CH_3COOH ; поглощение 2 молей H_2 приводит к 3,4,16-триацетату верацевина-Д-дигидроортоацетата, т. разл. 299—300°, $[\alpha]_D + 21^\circ$ (диоксан). Э. Серебряков

70951. Флавоперейрин. II. Синтез. Ле-Ир, Жано, Ван-Столк (Flavopereirine II: synthèse. Le Hir Alain, Janot Maurice-Marie, Van Stolk Digna), Bull. Soc. chim. France, 1958, № 4, 551—556 (франц.)

Установленная ранее структурная ф-ла флавоперейрина (I) подтверждена его синтезом. Из триптамина (II) и этилового эфира γ-этил-δ-бромвалериановой к-ты (III) получен 1-(β-индолил-этил-3'-)-5-этилпипе-

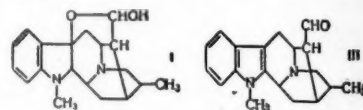


ридон-2 (IV). Циклизация последнего приводит к гексагидрофлавоперейрину (V). При дегидрировании V образуется I. 25 г диэтилового эфира 2-этил-2-(β-цианоэтил)-малоновой к-ты кипятят 5 час. с 300 мл спирта. 1 н. КОН. Получено 72% к-ты, которая декарбоксилирована с колич. выходом в α-этил-γ-цианомасляную к-ту. 30,2 г метилового эфира этой к-ты в 150 мл тетрагидрофурана нагревали с 21,6 г KBH₄

и 19,5 г LiCl (16 час. кипячения), получен 2-этил-4-цианобутанол (VI), выход 27%. 1 г VI в 10 мл абс. спирта насыщают HBr (газ) при т-ре -14° (~20 г) и выдерживают 72 часа в запаянной трубке при 20°, получен III, выход 68%. Смесь 1 моля III, 1 моля II, 0,350 г K_2CO_3 и кристаллик KJ в 40 мл спирта кипятят 72 часа, получен IV, выход 45%, сублимируется при 160—170°/0,05 мм. 230 мг IV в 20 мл C_6H_6 кипятят 3 часа с 0,5 мл $POCl_3$, получено 245 мг хлоргидрата V, т. пл. 140—150° и 225°, перхлорат, т. пл. 221—223° (из CH_3OH). 160 мг соли V дегидрируют с Pd (Schwuyzer R., Helv. chim. acta, 1952, 35, 867) в трубке при 270—280° 6 мин., получен перхлорат I, выход 52 мг. Л. Шаховский

70952. Раувольфинин — новый алкалоид из Rauwolfia serpentina Benth. Часть IV. Изучение строения раувольфинина. Бос (Rauwolfinine: a new alkaloid of Rauwolfia serpentina Benth. Part IV. Studies on the constitution of rauwolfinine. Bose S.), J. Indian Chem. Soc., 1958, 35, № 1, 72—74 (англ.)

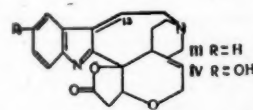
Раувольфинин (I), т. пл. 235—236°, $C_{19}H_{21}O_4N_3$, не подвергается гидрированию с Pd/C, PtO_2 и $LiAlH_4$, что показывает, что I является производным гексагидро-β-карболина. Ацетил-, тозил-, хлор- и бензоилпроизводные I не получены в кристаллич. виде, это смолообразные в-ва, которые по УФ-спектру и цветным р-циям являются производными тетрагидро-β-карболина (II). При щел. сaponификации I выделена n-масляная к-та. Дегидрирование I при 300° дает несколько про-



изводных индола, из которых главное N(индолный)-метилгарман, т. пл. 101—102°; при 250° получено основание $C_{16}H_{16}N_2$, не охарактеризованное, но при этом не выделены ни изоэрин, ни альтирин, ни их низшие гомологи. Можно считать, что I имеет структуру азлогичную аймалину (РЖХим, 1956, 18729), и что оба они образуются из одного предшественника. При нагревании I с 4 н. H_2SO_4 образуется в-во (III), содержащее индолную хромофорную группу и являющееся производным от II; в-во III восстанавливает аммиачный р-р $AgNO_3$ и дает 2,4-динитрофенилгидразон $C_{25}H_{26}O_4N_6$, т. разл. ~ 200°, что характеризует наличие альдегидной группы. Часть III см. РЖХим, 1958, 49042. К. Уткин

70953. Основания $C_{21}H_{20}O_3N_2$ и $C_{21}H_{20}O_4N_2$ из изострихниновой кислоты, их получение, превращение и строение как производных β-метилениндолина. Тейбер, Фарбах (Die Basen $C_{21}H_{20}N_2O_3$ und $C_{21}H_{20}N_2O_4$ aus Isostrychninsäure; ihre Darstellung, Umsetzungen und Struktur als β-Methylenindoleninderivate. Teuber Hans-Joachim, Fahrbael Erich), Chem. Ber., 1958, 91, № 4, 713—716 (нем.)

Изучены р-ции окисления изострихниновой к-ты (I) надкислотами. Р-ции протекают по-разному в зависимости от катализатора. При окислении I надравинной к-той в присутствии $Co(CH_3COO)_2$ (0—



56 час., затем 24 часа при 20°) выделены: Na-формат изострихниновой к-ты (II), т. разл. 190—200° (из CH_3OH), в-ва $C_{21}H_{20}O_3N_2$ (III) и $C_{21}H_{20}O_4N_2$ (IV). III

ил-4-ци-
с. спирта
и выдер-
получен
од 0,350 г
кипятит
ется при
кипятит
драта V,
-223° (на
Schwartz
убке при
од 52 м.
хновский
из Раа-
строения
alkaloid
udies on
J. Indian

и O₂N₂ по
IAIN, что
искаждо-
олапропа-
то смоло-
цветным
3-карбо-
масляна
лько про-

долный)-
нено осно-
при этои
их янине
туру ав-
и что об-
и. При в-
II), содер-
являюще-
ает ами-
гидрате
ет появ-
Хим, 1955,
К. Уткин
из впе-
евращени
идолени
N₂O₂ und
Darstellung
indolenin-
a hrbach
713-76

овой и-
ному в м-
I пяди-
O)₂ (0-1

Na-форм-
-200° (и
(IV). III

выход 6%, т. разл. 269–271° (CH₃OH), [α]_D²⁰ +215,5° (CH₃COOH), содержит γ-лактонный цикл, сопряженную диеновую систему, активный Н; IV, выход 3%, т. разл. 290° (из 80%-ного CH₃OH), [α]_D²⁰ –262,2° (80%-ный диоксан); моноперхлорат, т. разл. 250–255° (из CH₃OH); йодметилат, т. разл. 295° (из 75%-ного CH₃OH); метоперхлорат, т. разл. >295°. IV является лактоном, содержит 2 активных Н, имеет фенольный характер; хлоргидрат ацетата IV, т. разл. 260°. IV восстанавливает KMnO₄. Действие конц. HCl или 20%-ной HCl в CH₃OH на IV приводит к кристаллич. продуктам индольного характера (т. разл. 280 и 160–165° соответственно). Замена Co(CH₃COO)₂ на CoCl₂ при окислении I надмуравьиной к-той вызывает экзотермич. р-цию (саморазогревание от 0 до 40–50°), при которой образуются II, IV (~1,5%) и дигидро-III (V), т. разл. 240° (из CH₃OH), [α]_D²⁰ –142,6° (абс. CH₃OH); перхлорат, т. разл. 287–290° (из CH₃OH); V содержит 2 активных Н. Образование V в условиях опыта объясняется разложением окислителя следами Cl₂ из CoCl₂; возникающая HCOOH восстанавливает диеновую систему в уже образовавшемся III; хлоргидрат V, т. пл. 295°. Действие CH₃CO₂H приводит к образованию III (~15%) и аминоксида C₂₁H₂₂N₂O₅ нефенольного характера; перхлорат, т. разл. 250–252°. Побочно получается аминокислота неизвестного строения. При окислении I CH₃CO₂H в присутствии Co(OCOCH₃)₂ (0°, несколько суток) образуются главным образом IV (~10%) и лишь следы III и аминокислы. Окисление 130%-ной H₂O₂ в 1 н. H₂SO₄ (0°, 14 суток) не проходит полностью и дает IV с выходом 1%; если окислять лишь 72 часа, получается в-во неизвестного строения с т. пл. 259–261°, вероятно, фенольного характера. Лучший выход получен следующим путем. К 14 г I в 50 мл воды и 50 мл 1 н. HCl добавлено при 20° 24 г гидрофосфата калия в 350 мл 0,14 М NaH₂PO₄ и 70 мл 0,14 М Na₂HPO₄ и 800 мл воды. Через 3 дня получают 3,7 г IV, побочно образуется аморфная аминоксида C₂₀H₂₂N₂O₅, т. разл. 290° (в вакууме, из бзл. литр. эф.). Каталитич. гидрирование III и IV зависит от среды: в слабосиловом р-ре поглощается только 1 моль H₂; второй моль H₂ поглощается лишь в сильно-кислой среде. Из 0,348 г III, 30 мл воды, 1,5 мл 1 н. HCl при восстановлении с Pt из PtO₂ получена аморфная модификация дигидро-III, [α]_D¹⁷ –94,1° (CH₃OH); перхлорат, т. пл. 279–280°. Из 1,82 г IV, 200 мл 50-ного водн. CH₃OH, 7,5 мл 1 н. HCl при восстановлении с Pt из PtO₂ получено дигидро-IV (VI), выход 95%, т. разл. 255–260° (из хлф.); хлоргидрат, т. пл. >300°; перхлорат, т. разл. 280°; диметоперхлорат, т. разл. 210–220° (всюду водн. CH₃OH); ацетат дигидро-IV, т. разл. 268–270°. Для VI и его производных характерно образование прочных солятов. Восстановление IV на холоду Na-амальгамой (2,5% Na) в солянокислом р-ре дает хлоргидрат C₂₁H₂₂N₂O₅·HCl, возможно, β-оксипроизводное IV. Гидрирование IV над PtO₂ в водн. CH₃OH в присутствии 5 экв HCl приводит к хлоргидрату тетрагидро-IV, т. разл. 300°, основание — аморфный порошок. Обсуждено влияние напряжения циклов на р-цию расщепления 7,16-связи в I и оценена применимость правила Бредта в данном случае. Предложен механизм р-ции. Предполагается, что индольные структуры типа III–IV могут быть промежуточными продуктами в биосинтезе индольных алкалоидов. Предложены структурные ф-лы III и IV.

Э. Серебряков

70954. Об алкалоидах *Sedum acre* L. Франк (Über Maierpfeffer-Alkaloide. Franck B.), Angew. Chem., 1958, 70, № 9, 269 (нем.)

200 кг растения, собранного во время цветения, извлекают в CH₃OH. При исследовании экстракта хроматографией на бумаге, пропитанной 0,5 М KH₂PO₄,

[р-ритель *m*-C₄H₉OH, *m*-дибутыловый эфир и 1%-ная HCOOH (2:1:3)], обнаружены 4 главных и 6 побочных алкалоидов. Хроматографией на Al₂O₃, кроме седиамина и седирина, выделены еще два третичных алкалоида: сединин (I) (РЖХимБх, 1956, 19207) и новый алкалоид сединон (II). В ИК-спектре I СО-группы не обнаружено, имеются две ОН-группы. При окислении I KMnO₄ образуются C₆H₅COOH и CH₃COOH. Каталитич. гидрирование приводит к дигидро-I (III); хлоргидрат, т. пл. 168°. В ИК-спектре I имеется, а в спектре III отсутствует полоса 13,92 м, типичная для *cis*- или кольцевой —CH=CH-группы. При окислении III CrO₃ получен насыщ. diketон, ИК-спектр которого совпадает со спектром рацемич. 8-метил-10-фениллобелидиона. Следовательно, I является дегидро-8-метил-10-фениллобелидиолом, содержащим двойную связь в кольце. II, C₁₆H₂₃O₂N, т. пл. 93°. УФ-спектры II и I идентичны; ИК-спектр II содержит интенсивную полосу СО-группы при 5,81 м.

К. Уткина

70955. О расщеплении наркотоллина в слабощелочном растворе. Сообщение 2. Пфейфер (Über die Spaltung des Narkotolins in schwach alkalischer Lösung. 2. Mitteilung. Pfeifer S.), Arch. Pharmazie, 1957, 290/62, № 6, 261–266 (нем.)

На основании спектрографич. и полярографич. измерений для котарнолина, являющегося продуктом превращения наркотоллина в слабощелочной среде, предложено строение внутримолекулярной четвертичной аммониевой соли. Сообщение 1 см. РЖХим, 1957, 32287.

А. Травин

70956. Синтез криптоплеурина и родственных фенантрохинолизидинов. Маркини, Белло (The synthesis of cryptopleurine and related phenanthroquinolizidines. Marchini P., Belleau B.), Canad. J. Chem., 1958, 36, № 3, 581–588 (англ.)

Осуществлен синтез фенантро-(9,10:2,3)-хинолизидина (I) и криптоплеурина (II). К р-ру 7 г метилпипекolata в 150 мл CH₃OH, содержащему 1,4 г K₂CO₃, прибавлено 8,6 г 9-хлорметилфенантрена, через 12 час. получен метил-N-(9-фенантрилметил)-пипекolat; хлоргидрат (III), выход 5 г, т. пл. 177–178° (из ацетона-этилацетата). Р-р 5,5 г III в 100 мл конц. HCl кипятят 2 часа. Получено 5,3 г хлоргидрата аминокислоты C₂₁H₂₁O₂N·HCl (IV), т. пл. 195–200°. К р-ру 10 г P₂O₅ в 10 г сиропообразной H₃PO₄ прибавили 3 г IV, смесь нагревали 6 час. при 100°. Получено 1,4 г фенантро-(9,10:2,3)-1-хинолизидина (V), т. пл. 168–169° (из CHCl₃-CH₃OH). 0,6 г KOH, 7 мл OHCH₂CH₂OH, 1 мл N₂H₄·H₂O, 0,5 г V кипятят 1 час, после отгонки (т-ра паров 195°) нагревали 6 час. при 200°. Получено 0,3 г I, т. пл. 169–170° (из сп., сублимирует при 155°). К кипящему р-ру 0,4 г V в 50 мл 27,6%-ной HCl прибавлено порциями за 4 часа 2,5 г амальгамы Zn и 20 мл конц. HCl. Получено 0,25 г 3,4-фенантро-1-азабиикло-[0,3,5]-декана, т. пл. 164° (из CH₃OH). Из р-ра 58 г 6-нитровератрового альдегида, 60 г *n*-CH₃OC₆H₄CH₂COOH, 300 мл (CH₃CO)₂O, 5 г CH₃COOK (24 часа кипения) получено 38 г 6-нитро-3,4,4'-триметокси-α-фенилкоричной к-ты (VI). 37 г VI восстанавливали 228 г FeSO₄ в 1,1 л 14%-ного NH₄OH 30 мин. при 90°; выделено 30 г аминокислоты C₁₈H₁₉O₅N (VII), т. пл. 203–204°. К суспензии 23 г VII в 1,4 л воды прибавлено 100 мл конц. HCl и 400 мл диоксана и далее при 3–5° р-р 9 г NaNO₂ в 100 мл воды за 2 часа. Затем прибавили 20 г активированной Cu-бронзы и перемешивали 24 часа (~20). Получено 12 г 2,3,6-триметоксифенантрен-9-карбоновой к-ты, т. пл. 219–220° (из CH₃COOH); метиловый эфир (VIII), т. пл. 156–157° (из этилацетата-изопропилового сп.). К р-ру 5 г VIII в тетрагидрофуране прибавлена при охлаждении суспензия 2 г LiAlH₄ в 100 мл эфира, после 90 мин. кипения получено 4,5 г 2,3,6-триметокси-9-фенантрениметанола (IX), т. пл. 186° (из сп.). К р-ру

3,7 г IX в 170 мл безводн. CHCl_3 и 2,2 мл $\text{C}_6\text{H}_5\text{N}$ прибавлено 2,96 мл SOCl_2 при 0° , через 1 час ($40-60^\circ$) получено 3,45 г 2,3,6-триметокси-9-хлорметилфенантрена (X), т. пл. $150-151^\circ$ (из бал.). Из 3 г X, 6 г метилпиpecола, 100 мл толуола при кипячении 20 час. получен метил-2,3,6-триметокси-N-9-фенантриметилпиpecолат; хлоргидрат (XI), т. пл. $165-167^\circ$ (из ацетона-этилацетата). При нагревании XI с 80 мл конц. HCl 90 мин. получена аминокислота (XII). 2,4 г XII прибавлено к смеси 10 г P_2O_5 и 10 г H_3PO_4 . Р-р нагрели 3,5 часа. Получен 1 г 2,3,6-триметоксифенантро-(9,10:2,3)-1-хинолизидона (XIII), т. пл. $154,5-155^\circ$ (из ацетона- CH_3CN). XIII был восстановлен так же, как V (атмосфера N_2), в II, т. пл. $199-201^\circ$. Т. Платонова

70957. Алкалоиды *Peganum harmala* L. II. О строении двух новых алкалоидов. Корецкая Н. И., Уткин Л. М., Ж. общ. химии, 1958, 28, № 4, 1087-1089

Установлено строение алкалоида № 1 (I) и алкалоида № 2 (II), выделенных ранее из надземных частей *Peganum harmala* L. (см. сообщение I, РЖХим, 1958, 50509). Восстановление I LiAlH_4 (7 час. кипячения в эфире) дало дигидродезоксипеганин. II получен окислением I-пеганина (III) H_2O_2 . После восстановления II Zn в водн. HCl выделены I и дезоксипеганин (IV). I идентифицирован с 2,3-триметилхиназолоном-4. II является 1-2,3-(α -окситриметил)-хиназолоном-4 (Morris R. C. и др., J. Amer. Chem. Soc., 1935, 57, 951). Из 1 г III, 13 мл ацетона, 10 мл 30%-ной H_2O_2 (2 часа, 55°) выделено 0,62 г II. 3 г II в 100 мл 10%-ной HCl восстановлены 10 г Zn -пыли (8 час., 20°). Получено 0,68 г хлоргидрата I и 0,27 г хлоргидрата IV.

Н. Корецкая

70958. Синтез и химическое поведение β -диалкиламиноэтиловых эфиров 8-оксикофеина. Клоза (Synthese und chemisches Verhalten von basischen β -Dialkyl-aminoäthyläthern des 8-Hydroxycoffeins. Klosa Josef, J. prakt. Chem., 1958, 6, № 1, 8-13 (нем.))

Для получения в-в, содержащих антигистаминную группировку и не имеющих побочных седативных действий, синтезированы: 8- β -диметиламиноэтоксикофеин (I) и 8- β -диэтиламиноэтоксикофеин (II), которые при нагревании претерпевают превращение в 1,3,7-триметил-9-(β -диметиламиноэтил)-мочевую к-ту (III) и 1,3,7-триметил-9-(β -диэтиламиноэтил)-мочевую к-ту (IV). I и II при действии горячей разб. HCl , а их хлоргидраты при нагревании выше их т-р плавления расщепляются до 8-оксикофеина (V). III также дает V при нагревании до 230° . В 25 мл β -диметиламиноэтила-нола растворяют 0,5 г Na, р-р разбавляют 25 мл толуола и прибавляют порциями 6 г 8-бромкофеина (VI), нагревают 40-50 мин. ($\sim 100^\circ$), осадок отсасывают, жидкость охлаждают, выпадают I, выход 4,5 г, т. пл. $123-125^\circ$ (из толуола-птр. эф.); хлоргидрат, т. пл. 185° (из эф.). 0,5 г I растворяют в 10 мл 10%-ной HCl , нагревают 5 мин. ($\sim 100^\circ$), выделяют V, т. пл. $344-346^\circ$. К 0,5 г I в 4 мл абс. спирта прибавляют 0,6 г CH_3J , через 2 часа выделяют йодметилат I, т. пл. $234-233$, $223-225^\circ$ (из водн. сп.). Бромэтилат I, т. пл. $225-227^\circ$; йодэтилат, т. пл. $240-242^\circ$; н-бромпропилат, т. пл. $215-217^\circ$; бромбензилат, т. пл. $183-185$, $165-168^\circ$ (с 1 молекулой H_2O). Аналогично I из 6 г VI получают 2,5 г II, т. пл. $97-98^\circ$ (из толуола и птр. эф.); хлоргидрат (XГ), т. пл. $200-203^\circ$, при 220° затвердевает и плавится при 330° (разл.). йодметилат, т. пл. $218-220^\circ$ (из абс. сп.); бромбензилат, т. пл. $200-202^\circ$, при 204° затвердевает и вновь плавится при $260-270^\circ$. 1 г I медленно нагревают до $150-160^\circ$ и держат 15 мин., прибавляют горячего спирта, по охлаждению выделяют III, т. пл. $256-258^\circ$; хлоргидрат, т. пл. $242-244^\circ$ (разл.); йодметилат, т. пл. $295-297^\circ$ (из абс. сп.). Аналогично при нагревании II получают IV, т. пл. 260° .

В 10 мл β -пиперидинэтанола растворяют 0,25 г Na, разбавляют 10 мл толуола и прибавляют по порциям 2 г 8-хлоркофеина, нагревают 30 мин. ($\sim 100^\circ$), из фильтрата осаждают 30 мл птр. эфира 8- β -пиперидинэтоксикофеин, выход 1,8 г, т. пл. $120-122^\circ$ (из толуола и птр. эф.); XГ гигроскопичен; йодметилат, т. пл. $213-215^\circ$ (разл.). I, II, III и IV дают устойчивые пенициллиновые соли, плохо р-римые в воде. К. Уткина

70959. Таксин-I — основной алкалоид *Taxus baccata* L. Бакстер, Литго, Скейлс, Триппетт, Блант (Taxine-I, the major alkaloid of the yew, *Taxus baccata* L. Baxter J. N., Lythgoe B., Scales B., Trippett S., Blount B. K., Proc. Chem. Soc., 1958, Jan., 9-10 (англ.))

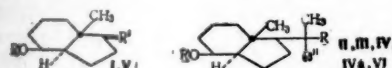
Взаимодействие йодметилата аморфного таксина с K_2CO_3 в воде приводит к отщеплению $(\text{CH}_3)_3\text{N}$ и образованию эфира коричной к-ты (I). При расщеплении ацетатной группы из I получают О-диннамонилтаксацин-I $\text{C}_{29}\text{H}_{36}\text{O}_7$ (II), т. пл. 224° , $[\alpha]_D^{25} + 279^\circ$. При восстановлении II с Pd получают О- β -фенилпропионилтаксацин-I (III), т. пл. 207° , $[\alpha]_D^{25} + 176^\circ$, III образует триацетат, содержащий одну OH-группу. III имеет изолированную двойную связь, так как при окислении триацетата KMnO_4 образуется гликоль, расщепляемый $(\text{CH}_3\text{COO})_4\text{Pb}$ на HCHO и карбоксильное соединение $\text{C}_{21}\text{H}_{24}\text{O}_{11}$, образующее оксим. Из III гидрированием над Pd получают дигидро-III (IV). Триацетат IV содержит α, β -ненасыщ. карбоксильную группу, способную к енолизации. Это подтверждается образованием из III, CH_3J и Ag_2O диметилпроизводного $\text{C}_{27}\text{H}_{34}\text{O}_{10}$ (макс.) 1636 см^{-1} (эфир енола). При мягком взаимодействии HCl из III получают изомер, $\nu(\text{макс.}) 1740 \text{ см}^{-1}$ (неконъюгированный карбонил), $\lambda(\text{макс.}) 243 \text{ мк}$ ($\epsilon 1140$) (конъюгированный диен). Это изменение указывает образование новой двойной связи за счет раскрытия циклопропанового кольца, конъюгирование которого с первоначальной еноной системой определяет характерное поглощение при 275 мк . Аморфный таксин состоит, примерно, на 40% из таксина-I (V), который является моноацетатом О- β -диметиламино- β -фенилпропионилтаксацина-I $\text{C}_{33}\text{H}_{40}\text{O}_8\text{N}$. Таксацин-I $\text{C}_{20}\text{H}_{30}\text{O}_6$, по-видимому, дитерпенонд, являющийся трициклич. в-вом. V содержит следующие фрагменты структуры: $\text{O}=\text{C}(\text{CH}_2\text{CH}(\text{C}_6\text{H}_5)\text{N}(\text{CH}_3)_2)\text{C}(\text{OCH}_3)_2$, $\text{O}=\text{C}(\text{CH}_2\text{CH}(\text{C}_6\text{H}_5)\text{N}(\text{CH}_3)_2)\text{C}(\text{OCH}_3)_2$, $\text{C}=\text{C}-\text{CO}$; $\text{C}=\text{CH}_2$; остальная часть молекулы имеет состав $\text{C}_{15}\text{H}_{23}$.

В. Шлябен

70960. Исследования в ряду витаминов D. XXV. Расщепление витаминов D_2 и D_3 до 8-метил-транс-тригидриданол-4-она-1. Инхоффен, Квинкер, Шюц, Фридрих, Тобер (Studien in der Vitamin D-Reihe. XXV. Abbau der Vitamine D_2 und D_3 zum 8-Methyl-trans-hydrindanol-(4)-on-(1). Inhoffen Hans Herloff, Quinkert Gerhard, Schütz Siegmund, Friedrich Gerhard, Tober Edith, Chem. Ber., 1958, 91, № 4, 781-791 (нем.))

Изучаются свойства транс-8-метилгидриданол-4-она-1 (I) — возможного полупродукта в полном синтезе витаминов D. При озонлизе р-ра дигидровитамина D_2 в абс. лигирине при -60° и восстановлении реакционной смеси LiAlH_4 образуется масло, т. кип. $150-170^\circ/0,01 \text{ мм}$; хроматографированием последнюю на SiO_2 (вымывание бэл., затем хлф.) выделены жидкий ненасыщ. C_{19} -спирт (II), выход 42%, и C_{19} -диол (III), выход $\sim 7-11\%$, т. пл. $109-110^\circ$ (из лиг.). 3,5-динитробензоаты (ДНБ) II и III имеют соответственно т. пл. 145° (из ацетона) и $238,5-239,5^\circ$ (из этилацетата). Омылением ДНБ II 3%-ным KOH CH_3OH получен II, выход 97,5%, т. кип. $118-119^\circ/0,01 \text{ мм}$. При действии $(\text{CH}_3\text{CO})_2\text{O}$ и CH_3COOK на II ($\sim 100^\circ$, 1 час) образуется ацетат II, выход 90%, т. кип. $123-130^\circ/0,01 \text{ мм}$. Диацетат III, т. пл. 48° (лиг.), как и ДНБ II, очищают проведением р-ра

0,25 г Na₂CO₃ через Al₂O₃. Действием C₆H₅COOH из ДНБ II получают ДНБ C₁₀ эпоксид C₂₆H₃₆O₇N₂, выход 89%, т. пл. 132–124° (из CH₃OH); он же образуется из ДНБ II при действии смеси HCOOH + H₂O₂; в-во устойчиво к действию 1 н. H₂SO₄ в диоксане при 100°. Окисление III действием CrO₃ в CH₃COOH приводит к C₁₃-кетокислоте; секарбазог (СК) C₁₄H₂₃O₃N₃, т. разл. 219°. Окисление IV в C₁₃-альдегидоспирт осуществить не удается. Ацетат последнего (IV) получен озонлизом



I R = H, R' = O; II R = R' = H, R'' = CH = CHCH(CH₃)CH(CH₃); III R = R' = H, R'' = CH₂OH; IV R = CH₂CO, R' = H, R'' = CHO; IVa R = CH₂CO, R' = Br, R'' = CHO; V R = COCH₃, R' = CSH₂CH₂NO₂; VI R = R' = H, R'' = CH₂CH₂CH₂CH(CH₃)₂

р-а ацетата II в CH₂Cl₂ при –60° и разложением озонолида действием частично дезактивированного нагретым в воде скелетного Ni (~40°, 4 часа), т. кип. 88–95°/0,01 мм; 2,4-динитрофенилгидразон (ДНФГ) IV, т. пл. 172–173° (из CH₃OH). После действия на р-р IV в CHCl₃ 13%-ным р-ром Br₂ в CHCl₃ (небольшой избыток IV), отщепления HBr от сырого продукта бромирования (IVa) с помощью коллидина (~100°, 1 час, N₂) и хроматографирования на Al₂O₃ (из б-а) выделен ацетат α,β-ненасыщ. альдегида (V), т. пл. 206,5–207,5° (из CH₃OH). Озонлиз V в этилацетате (–60°) приводит, после очистки на Al₂O₃, к жидкому ацетату I, который омылением 3%-ным КОН в CH₃OH переведен в I, выход 1% (считая на II), т. пл. 85–87° (из петр. эф.), [α]_D²⁰ +109° (CH₂Cl₂). Лучшие выходы I достигнуты при использовании насыщ. C₁₈-спирта (VI), имеющего транс-гидриндано-ую конфигурацию (РЖХим, 1958, 14679). Р-р ДНБ VI в смеси с C₂H₅Cl₂-CH₃COOH обрабатывают р-ром CrO₃ в 70%-ной CH₃COOH (12–20°, 24 часа), выделяют аморфный ДНБ I; его СК, т. разл. 236–238°. Омылением неочищ. ДНБ I 3%-ным КОН в CH₃OH получен I, выход ~10% (считая на VI). При окислении I (CrO₃ в пиридине) образуется транс-8-метилгидриндандион-1,4 (VII), выход 90%, т. кип. 110–115°/3 мм, т. пл. 41–42,5° (из петр. эф.), [α]_D²⁰ +112,6° (CH₂Cl₂); диоксим, т. разл. 218–220° (из этилацетата-петр. эф.). Изомеризацией транс-VII (кипячением с 5%-ным КОН в CH₃OH, 2 часа) получен цис-VII (РЖХим, 1955, 34595) [α]_D²⁰ +120,8° (CH₂Cl₂). Приведены кривая ИК-спектра I, данные ИК-спектров I, II, III, IV, V, VII, ацетата I и УФ-спектров V и ДНФ IV и V. Сообщение XXIV см. РЖХим, 1958, 61126. Э. Серебряков 70961. Химия антибиотиков ряда тетрациклина. I. Четвертичные производные. Бут, Бонвичино, Уоллер, Петиси, Уилкинсон, Брошард (Chemistry of the tetracycline antibiotics. I. Quaternary derivatives. Boothe James H., Bonvicino Guido E., Waller Coy W., Petisi Joseph P., Wilkinson Raymond W., Broschard Robert B., J. Amer. Chem. Soc., 1958, 80, № 7, 1654–1657 (англ.))

Синтезированы четвертичные йодметилаты (ИМ) тетрациклина (I) и хлортетрациклина (II). Отмечена их большая реакционная способность и меньшая устойчивость по сравнению с исходными антибиотиками. Улучшен способ восстановления ИМ I и ИМ II (соответственно III и IV), получены хорошие выходы дес-(диметиламино)-тетрациклина (V) и дес-(диметиламино)-хлортетрациклина (VI). При нагревании (1 час, ~100°), 1,2 г II и 3 мл CH₃J в 25 мл тетрагидрофурана (ТГФ) получают IV, выход 67,3%, при 24° (7 дней) выход IV 96,5%, не плавится до 275° (из сп.-петр. эф.). Р-р 2 г IV в 5 мл HCON(CH₃)₂ (ДМФ)

центрифугируют и вливают в 45 мл воды +5 мл 20%-ного CH₃COONa, р-р осадка в 25 мл воды с 5–6 каплями 6 н. H₂SO₄ обрабатывают углем и добавляют CH₃COONa до pH 4,5–5, получают метилбетани (МБ) II, т. пл. 205°. Аналогично IV (25°, 10–20 час.; 5°, 2 дня) получают III, выход 97% (ср. РЖХим, 1958, 46943). Антибактериальная активность III и IV незначительна. При добавлении р-ра CH₃COONa к отфильтрованному р-ру 500 мг III в 25 мл воды до pH 4,5 образуется МБ I C₂₃H₂₆O₈N₂·CH₃OH, т. пл. 180–186° (разл.; из CH₃OH); при действии HJ (по каплям) на его суспензию в ТГФ образуется III. МБ нестойки, особенно при действии света. Хлорметилат II получен встряхиванием р-ра IV в спирте с AgCl (25°, без доступа света, 14 час.), выход 90,3%. При взаимодействии CH₃J с окситетрациклином в CH₃OCH₂CH₂OH (22 часа, 25°) образуется N(CH₃)₄J, выход 53,6%. Реакционную смесь 5 г изохлортетрациклина (VII) в 150 мл ТГФ с 25 мл CH₃J (25°, 3 дня) упаривают досуха; к горячему р-ру остатка в 50 мл воды +5 мл 12 н. HCl добавляют кипящий р-р 20 г CH₃COONa в 50 мл воды, получают МБ VII C₂₃H₂₅O₈N₂Cl·H₂O, выход 86%, т. пл. 270–284° (разл.); он же образуется при кипячении (45 мин.) 20 г IV + 20 г CH₃COONa·3H₂O в 400 мл CH₃OH + 40 мл воды, выход 55%. К суспензии 500 мг IV в 24,6 мл воды + 10,2 мг Na₂S₂O₄·2H₂O добавляют 5,4 мл 1 н. NaOH (в среде N₂), через 1 час подкисляют до pH 1–2, получают дес-(диметиламино)-ауреомитиноновую к-ту (VIII), выход 150 мг (Waller C. W. и др., J. Amer. Chem. Soc., 1952, 74, 4978). Через суспензию 1 г IV в 45 мл воды + 5 мл 10 н. NaOH пропускают струю O₂ (1 час), подкисляют, экстрагируют этилацетатом β-(4-хлор-7-оксис-3-метилфталид-3)-гаутаровую к-ту (IX), выход 310 мг (Hutchings и др., J. Amer. Chem. Soc., 1952, 74, 3710). Из водн. фазы получен амид 3,4-диокси-2,5-диоксоциклопентанкарбонной-1 к-ты, выход 120 мг. Р-р 24,8 г IV в 200 мл CH₃COOH + 140 мл воды перемешивают 15 мин. с 12 г Zn-пыли, осадок извлекают 50 мл ДМФ, добавляют 100 мл CH₃OH и 5 мл 6 н. HCl, получают VI; другую фракцию VI выделяют из фильтратов, общий выход 73%, т. пл. 156–159° (из CH₃OH) (РЖХим, 1955, 26339). Аналогично из III получают V, выход 77,4%, т. пл. 195–200° (разл.; из этилацетата-петр. эф.). Приведены данные УФ-спектра IV, VIII, IX и МБ VII. А. Лютенберг 70962. О новых солях пенициллина. Баганц, Мильстер (Über neue Penicillinsalze. Baganz Horst, Milster Helga), Arch. Pharmazie, 1958, 291/63, № 3, 116–121 (нем.)

Синтезированы 1-N-пиперидил-2-(бензиламино)-этан (I), 1-N-пиперидил-2-(n-хлорбензиламино)-этан (II), 1-N-морфолино-2-(бензиламино)-этан (III) и 1-N-морфолино-2-N-пиперидилэтан (IV); изучена их способность к образованию солей с пенициллином (V). Смесь 18,4 г хлоргидрата N-(β-хлорэтил)-пиперидина с 43,5 г морфолина нагревают (20 час., 134–145°), выход IV 83%, т. кип. 115–117°/0,5 мм, n_D²⁵ 1,4847; дихлоргидрат (ДХГ) IV, т. пл. 303–304° (разл.; из сп.). Р-р 12,6 г морфолинацетонитрила в 100 мл CH₃OH (наполовину насыщ. NH₃) гидрируют со скелетным Ni, получают N-(β-аминоэтил)-морфолин (VI), выход 82%, т. кип. 91–92°/17 мм. При р-ции 14,5 г VI с 11,9 г C₆H₅CHO получают 1-N-морфолино-2-(бензиламино)-этан, выход 93%, т. кип. 193–194°/19 мм; гидрирование 22,5 г его в 100 мл CH₃OH с 300 мг PtO₂ приводит к III, выход 97%, т. кип. 185–187°/18 мм, n_D²⁵ 1,5280; ДХГ III, т. пл. 241–242° (разл.; из сп.). Из пиперидинацетонитрила изготовлен N-(β-аминоэтил)-пиперидин (VII), выход 79%, т. кип. 73–75°/16 мм; побочный продукт ди-(β-N-пиперидилэтил)-амин, т. кип. 172–176°/20 мм. Из VII (как из VI) получены 1-N-пиперидил-2-

(*n*-хлорбензальамино)-этан, выход 81%, т. кип. 149—151°/0,05 мм, т. пл. 28—29°, и II, выход 95%, т. кип. 197—199°/17 мм, n_D^{25} 1,5340; ДХГ II, т. пл. 254—255° (разл.; из сп.). Аналогично из VII получают 1-пиперидил-2-(бензальамино)-этан, выход 83%, т. кип. 176—178°/16 мм, затем I, выход 97%, т. кип. 173—174°/17 мм, n_D^{25} 1,5236; ДХГ I·H₂O (VIII), т. пл. 244—245° (разл.). Р-р 4,6 г VIII в 40 мл воды добавляют (0—2°) к р-ру 11,1 г К-соли V в 40 мл воды, осадок соли C₁₆H₁₅O₈N₆S₂·3H₂O (IX) промывают водой (0°), выход 92%, т. пл. 101—108° (разл.; из сп.-эф.). Аналогично получают из ДХГ II соль C₁₆H₁₅O₈N₆ClS₂·4H₂O (X), выход 84%, т. пл. 95—103° (разл.; из сп.-эф.), и из ДХГ III получают соль C₁₆H₁₅O₈N₆S₂·2H₂O (XI), выход 48%, т. пл. 93—107° (разл.), при действии воды (10 мин., 20°) разлагается. При взаимодействии IV со свободным V в эфире образуется соль C₁₃H₁₃O₈N₆S₂, масло кристаллизуется через 10—14 дней (0°), выход 90%, т. пл. 89—93° (разл.), растворимость в воде (20°) 60%, в р-ре быстро разлагается. Указана растворимость 1 г безводн. соли в 100 мл воды (20°): IX 0,88; X 0,73; XI 1,36; pH 0,5%-ных водн. р-ров IX, X, XI через 2 часа 4,4, 4,0, 3,2; через 14 час. 3,7, 3,5, 2,7 соответственно. В процессе растворения в воде (20°) содержание воды в кристаллах снижается: у IX до 2H₂O, у X до 3H₂O. Бактериостатич. действие IX, X и XI такое же, как известных препаратов V.

А. Лютенберг
70963. Антибиотики из актиномицетов. XXXIX. Актиномицин. XVIII. Расщепление актиномицина С с образованием актинониина и дезаминоактиноцилтреонина. Брокман, Грене (Actinomycine. XVIII. Antibiotica aus Actinomyceten. XXXIX. Abbau von Actinomycin C zu Actinocinin und Desaminocinocinyl-threonin. Brockmann Hans, Gröne Heinz), Chem. Ber., 1958, 91, № 4, 773—781 (нем.). Актиномицин С (I) гидролизуют 10%-ной HCl (80°, 120 час., в атмосфере N₂), р-р разбавляют водой, извлекают CHCl₃, экстракт хроматографируют на кислом SiO₂-геле с промыванием смесью CHCl₃-ацетон (9:1); нижнюю из двух главных красных зон вымывают ацетоном, выделяют кристаллич. хромофор дезамино-I C₁₅H₁₁O₈N₆, названный актинонином (II), выход 30—40 мг из 1 г I. Вероятно, атом N входит в гетероцикл. ядро; II содержит две CSH₂-группы, одну CO-, одну COOH- и одну фенольную OH-группу. При действии CH₃I + Ag₂O II образует кристаллич. диметоксипроизводное (III), т. пл. 210—211° (из водн. CH₃OH); при повторном нагревании плавится при 227—228°. После извлечения II гидролизат I экстрагируют бутанолом, экстракт сгущают в вакууме, добавляют 4—5-кратный объем петр. эфира, осадок растворяют в смеси CHCl₃ + CH₃OH (1:1), встряхивают 6 час. с CH₃I + Ag₂O, фильтрат упаривают, продукт р-ции хроматографируют из C₆H₆-C₄H₉OH (99:1) на SiO₂-геле, верхнюю красную зону вымывают CHCl₃-CH₃OH (9:1), получают в-во C₂₂H₂₂O₉N₂ (IV), т. пл. 236—240°. Моноацетат IV очищен хроматографированием из C₆H₆, содержащего 1,5% бутанола, выход 26 мг из 30 мг IV, т. разл. > 240°. В IV имеются 2CH₃O-группы, возникшие при этерификации продукта гидролиза дезаминоактиноцилтреонина C₂₀H₁₈O₉N₂ (V) (см. предварительное сообщение РЖХим, 1957, 48173). В молекуле V NH₂-группа треонина (VI) связана с COOH-группой остатка II амидной связью, в ядре остатка II содержится еще одна свободная COOH-группа; вероятно, при образовании IV (диметилового эфира V) метилированию подвергаются эта группа и COOH-группа VI, а OH-группа остатка II в этом случае не метилируется. При продолжительном кипячении V с CH₃COOH и затем с HCl отщепляется VI и выделяется II, выход 2 мг из 30 мг V. Улучшен метод распределительной хроматографии неэтерифи-

цированной бутанольной вытяжки применением системы *n*-бутанол — бутилацетат — *n*-дIBUTИЛОВЫЙ ЭФИР (4:3:1 или 2:1:1) (10%-ный *m*-крезотинат Na, содержащий 2 об.% конц. NH₄OH). Приведены кривые УФ-спектров II, IV дезамино-I и продуктов их восстановления избытком SnCl₂ и данные ИК-спектров II и III. Сообщение XXXVIII см. РЖХим, 1958, 1464. Р. Т. 70964. Канамицин. II. Гексозаминовые части. Крон, Фардиг, Джонсон, Шмиц, Уайтхед, Хупер, Лемье (Kanamycin II. The hexosamine units. Cron M. J., Fardig O. B., Johnson D. L., Schmitz H., Whitehead D. P., Hooper I. R., Lemieux R. U.), J. Amer. Chem. Soc., 1958, 80, № 9, 2342 (англ.).

При гидролизе антибиотика канамицина (кипячение 15 мин. с 4 н. HCl) получены дихлоргидрат 2-дезокстрептамина (I) (см. сообщение I, РЖХим, 1958, 61133), 6-дезокс-6-амино-D-глюкоза (II) и гексозамин, названный канозамином (III). Концентрированием маточного р-ра от дихлоргидрата I осаждают хлоргидрат II (IIa), очищаемый хроматографией на даукозе-50, т. разл. 161—162°, $[\alpha]_D^{25} + 23,0$; +50,1° через 21 час (с 1,0; вода). Маточный р-р упаривают, остаток ацетируют (CH₃CO)₂O в C₆H₅N, получают пентаацетат III (IV), C₁₆H₂₃NO₁₀, т. пл. 206—207°, $[\alpha]_D^{25} + 8,1$ ° (с 0,8; хлф.). Ацетилирование IIa приводит к пентаацетату 6-дезокс-6-амино-β-D-глюкопиранозы (V), т. пл. 114—120°, $[\alpha]_D^{25} + 9,9$ ° (с 0,8; хлф.). Под действием HClO₄ в (CH₃CO)₂O-CH₃COOH V превращается в α-изомер, т. пл. 141—142°, $[\alpha]_D^{25} + 92,6$ ° (с 0,4; хлф.). О-дезацетилированием IV и V на OH-форме амберлита IR-410 получены соответственно N-ацетилканозамин, т. пл. 199—202° разл., $[\alpha]_D^{25} + 43$ ° (с 1,0; вода), и N-ацетильное производное II, т. пл. 196—198° (разл.), $[\alpha]_D^{25} + 44,0$, +34,9° через 22 часа (с 1,0; вода). Строение II доказано спектром протонного магнитного резонанса, а также ацетилированием IIa смесью (CH₃CO)₂O-CH₃COOH-HClO₄ до тетра-O-ацетильного производного, дезаминированием последнего NH₂ и ацетилированием, приведшим к пентаацетату α-D-глюкопиранозы.

Л. Неймай
70965. Расщепление шартрезина — антибиотика X-465A. Штернбах, Кайзер, Голдберг (Degradation of chartreusin (antibiotic X-465A) (Sternbach L. H., Kaiser S., Goldberg M. W.), J. Amer. Chem. Soc., 1958, 80, № 7, 1639—1647 (англ.). Антибиотик X-465A — шартрезин C₃₂H₃₄-₃₄O₁₁ (I), дает при гидролизе к-той азлукон C₁₉H₁₀-₁₀O₆ (II) и 1 моль D-фукозы (III) и D-дигиталозы (IV). По-видимому, I является производным α-метил-2-фенилацетиллина (V) или α-метил-2,3-бензофлуорена (VI); в нем найдены 1 лактонная группа, 2 фенольных OH, возможно также наличие SH₂-группы. Одна из фенольных групп I связана в виде гликозида с дисахаридом, состоящим из III и IV (см. РЖХим, 1954, 27110). Р-р 10 г I в 1,2 л диоксана кипятят (45 мин.) со 190 мл 3 н. H₂SO₄ (или HCl), упаривают в вакууме, разбавляют водой, выделяют желтый II, выход 5,12 г; его получают также нагреванием I (250°/0,2 мм), т. пл. 310—311° (из диоксана). Диоксановый фильтрат II (после гидролиза I) нейтрализуют Ba(OH)₂, упаривают в вакууме, получают сироп (смесь III и IV), выход 5,5 г; IV выделяют в виде озазола, т. пл. 177—178° (из 60%-ного CH₃OH), III получают из I сироп в виде дифенилгидразона, выход 0,43 г, т. пл. 187—188° (из сп.). Дибензилмеркаптал III получают при встряхивании 0,8 г сироп в 1,5 мл конц. HCl с 2,5 мл C₆H₅CH₂SH (50°, 20 мин.), выход 0,25 г, т. пл. 181—183° (из CH₃OH), $[\alpha]_D^{25} - 26,3$ ° (с 0,9; пиридин). Из 6 г смеси III и IV действием C₆H₅SH + конц. HCl получают нерастворимый в эфире диэтилмеркаптал (ДЭМ) III, выход 64%, т. пл. 166—167° (из сп.), $[\alpha]_D^{25}$

из смеси (с 1; пиридин); из эфирного р-ра получают ДЭМ IV, выход 21%, т. пл. 95—96° (из эф.-птр. эф.), n_D^{20} 1.455 (с 2; пиридин); рацемич. ДЭМ III, т. пл. 130—150° (из сп.). Р-р 1,2 г ДЭМ IV в 40 мл 65%-ного спирта кипятят 35 мин. с р-ром 2,4 г $(CH_3COO)_2Hg$ в 15 мл CH_3OH , выделяют 0,52 г неочищ. IV; ее р-р в 10 мл воды окисляют 0,5 мл Br_2 (24 часа, ~ 20°, без доступа света), получают D-дигиталенолактон, выход 100%. Из II получены: диацетат (VII), выход 0,6 г (из 0,5 г III), т. пл. 292—294° (из хлф.); ди-(метилсульфонил)-производное $C_{21}H_{14}O_{10}S_2$ (VIII), выход колич., т. пл. 279—281° [из диметилформамида (DMF)]; монометилмоноацетил-II (из эфирного р-ра CH_2N_2 и р-ра 0,4 г VII в 240 мл водн. DMF, 20 час., ~ 20°), выход 50 мг, т. пл. 274—276° (из ацетона); монометилмоноацетилсульфонил-II (из 80 мг VIII в 50 мл DMF и эфирного р-ра CH_2N_2 , 14 час., ~ 20°), выход 15 мг, т. пл. 271—274° (разл.; из ацетона). При действии избытка CH_2N_2 на р-р 5 г II в 1,6 л DMF образуется сложная смесь в-в, из которой хроматографией на Al_2O_3 из CH_2Cl_2 выделены диметилловый эфир (DMЭ) II, выход 1,9 г, т. пл. 282—283° (из CH_2Cl_2), по-лицимому, С-метил-О-метилпроизводное II, выход 0,2 г, т. пл. 284—286° (из CH_2Cl_2). Нагреванием 5 г II в 300 мл CH_3OH + 1,25 л 1,5 н. NaOH (35 мин., 52°, в среде Na_2) с последующим смешением фильтрата с 700 мл 3 н. HCl, упариванием в вакууме и нагреванием (80—90°, 2 часа) получают в-во $C_{18}H_{12}O_4$ (IX), выход 3,75 г, не плавится при 330° (разл.; из пиридин-птр. эф.). Производные IX: триацетат, выход колич., т. пл. 280—281° (из CH_2Cl_2 -эф.); три-(метилсульфонил)-производное, выход колич., т. пл. 279—280° (из DMF-эф.); монометилловый эфир, т. пл. 263—266° (из ацетона-птр. эф.). При гидрировании 8 г II в 1 л CH_3COOH в присутствии 3 г PtO_2 (130—145°, 70 ат, 20 час.) получено 5 кристаллич. в-в: $C_{19}H_{14}O_5$ (X), т. пл. 253—254° (из хлф.-птр. эф.); $C_{19}H_{16}O_4$ (XI), т. пл. 254—256° (из пиридина); $C_{19}H_{20}O_4$, т. пл. 203—204° (из сп.); $C_{19}H_{22}O_4$ (XII), 2 формы, т. пл. 140—141° и 116—117° (из эф.-птр. эф.); $C_{19}H_{18}O_5$, т. пл. 199—204° (из эф.-птр. эф.); маслянистый остаток (МО) $C_{19}H_{24}O_5$, по-видимому, смесь. Гидрирование смеси X и XI приводит к XII, выход 60%. При гидрировании II в CH_3COOH с PtO_2 (90°, атмосферное давление) также образуется X, выход колич.; моноацетил-XI, т. пл. 245—247°; моноацетил X, выход колич., т. пл. 230—241° (оба из CH_2Cl_2 -птр. эф.); монометилсульфонилпроизводное X, т. пл. 273—274° (из CH_2Cl_2 -эф.); монометилловый эфир X, т. пл. 240—241° (из хлф.-птр. эф.); моноацетил-XII $C_{21}H_{24}O_5$ (XIII), т. пл. 173—177° (из ацетона-эф.-птр. эф.). Кипячением (30 мин.) 0,5 г X в 50 мл диоксана с 75 мл 1 н. NaOH получают в-во $C_{19}H_{16}O_4$ (XIV), т. пл. 304—309° (из CH_3OH); диацетил-XIV, т. пл. 231—232° (из эф.-птр. эф.); ди-(метилсульфонил)-производное XIV, т. пл. 207—208° (из ацетона-эф.-птр. эф.). Р-р 1 г смеси продуктов гидрирования II (~ 60% X + 40% XI) в 180 мл диоксана кипятят со 150 мл 1 н. NaOH (1 час, в токе N_2), к р-ру добавляют 100 мл 2 н. HCl и лед, выделяют в-во $C_{19}H_{16}O_4$ (XV), выход 0,35 г, т. пл. 228—234° (из эф.-птр. эф.), в фильтрате XIV, выход 0,5 г; диацетил-XV, т. пл. 136—137° (из эф.-птр. эф.). Р-р 0,5 г XII в 50 мл CH_3OH кипятят 25 мин. с 25 мл 3 н. NaOH, получают оксикислоту $C_{19}H_{24}O_5$ (XVI); выход 0,45 г, т. пл. 151—152° (из эф.-птр. эф.), при кипячении с C_6H_5Cl теряет 1 моль воды и превращается в XII. Ацилированием XVI получают XVII. Дегидрированием МО в присутствии 10%-ного Pd/C (320—350°, 0,5 часа), получены VI, выход 7%, т. пл. 222—222,5° (из эф.-сп.), и V, выход 3,7%; масло; они очищены через комплексы с 2,4,7-тринитрофлуореноном, т. пл. 225—226° (из ацетона) и 142—143° (из сп.) соответ-

ственно. Получен комплекс V с 2 молями 1,3,5- $C_6H_3(NO_2)_3$, т. пл. 102—103° (из сп.). После дегидрирования XII выделено 3,9% V и 2% VI. Приведены данные УФ-спектров X и XII; ИК-спектров V, VI, 2,3-бензофлуорена (XVII), 2-фенилнафталина (XVIII) и 2-отоллинафталина; кривые УФ-спектров: I, II, V, VI, VII, XVII, XVIII и ДМЭ II. Т-ры плавления исправлены.

А. Лютенберг

70966. Связь конфигурации (—)- α -метил- β -аланина и (—)-2-метилбутанола. Баленович, Бреганти (Correlation of the configurations of (—)- α -methyl- β -alanine and (—)-2-methylbutanol. Balenovic K., Breganti N., Chemistry and Industry, 1957, № 38, 1273 (англ.)

Изучена конфигурация (—)- α -метил- β -аланина (I). (—)- α -Метил- β -фталимидопронионовую к-ту, $[a]_D^{20}$ —23° (гидролизующуюся в I), превращают через соответствующий хлорангидрид в (—)-1-диазо-3-метил-4-фталимидобутанон-2, $[a]_D^{20}$ —72° (этилацетат), и затем действием HJ в (+)-2-метил-1-фталимидобутанон-3 (II), $[a]_D^{20} + 10^\circ$ (CH_2Cl_2). Меркаптанное производное, полученное р-цией II с $HSCH_2CH_2SH$, $[a]_D^{20} + 14^\circ$ (бзл.), отщепляет серу над скелетным Ni и дает (+)-2-метил-1-фталимидобутан (III), $[a]_D^{20} + 24^\circ$ (бзл.). III может быть получен из (—)-2-метилбутанола-1 (IV) через (+)-1-бром-2-метилбутан. Следовательно, I имеет ту же R-конфигурацию, что и IV.

С. Авлева

70967. Аминокислоты. IV. Реакция глицина и β -аланина с CS_2 . Тарлтон, Мак-Кей (Amino acids. IV. The reaction of glycine and β -alanine with carbon disulphide. Tarlton E. J., McKay A. F., Canad. J. Chem., 1958, 36, № 3, 496—506 (англ.)

При конденсации глицина (I) с CS_2 образуется 1,3-ди-(карбоксиметил)-тиомочевина (II), которая легко перегруппировывается в 2-тио-3-(карбокси-

метил)-гидантоин $OCCH_2NHCSNCH_2COOH$ (III). Изучена обратимая конденсация Na-соли III в в-во $C_{10}H_{14}N_4O_5S_2Na_2$ (IV), pK_a IV 3,4. С конц. HCl IV превращается в III, с $CH_2ClCOOH$ в метилловый эфир 3-(карбоксиметил)-гидантоина. Аналогично β -аланин (V) с CS_2 образует 1,3-ди-(β -карбоксиэтил)-тиомочевину (VI). Циклизацией VI получен 2-тио-3-(β -карбокси-

этил)-гидроурацил $OCCH_2CH_2NHCSNCH_2CH_2COOH$ (VII). Окислением VI получена 1,3-ди-(β -карбоксиэтил)-мочевина (VIII) и из нее 3-(β -карбоксиэтил)-гидроурацил (IX). К 0,26 моля I и 0,13 моля CS_2 в 27 мл воды прибавляют за 15 мин. р-р 0,26 моля NaOH в 27 мл воды, затем 2 г CS_2 , нагревают при т-ре ~ 46° 30 мин., отгоняют CS_2 и кипятят 7 час. Половину фильтрата упаривают в вакууме, обрабатывают 10%-ным р-ром HCl в CH_3OH (~ 12 час.), фильтруют и упаривают в вакууме. Остаток растворяют в $CHCl_3$, промывают водой, упаривают и обрабатывают C_6H_6 ; выход диметилового эфира II (X) 25%, т. пл. 99—100° (из бзл.-гексана). 2 ммоль X кипятят 30 мин. с 7 ммольями NaOH в 7 мл воды и при 0° подкисляют конц. HCl, выход II 89%, т. пл. 164—165°, и затем 214—215° (разл.; осажден C_6H_6 из р-ра в CH_3OH). Упариванием маточных р-ров X и нагреванием остатка с 35 мл конц. HCl (20 мин., 100°) получают III, выход 17%, т. пл. 214—215° (из CH_3OH -бзл.). 3 ммоль III этерифицируют, как описано выше (~ 12 час. при ~ 20°), выход метилового эфира III 91%, т. пл. 113—114° (из бзл. и бзл.-гексана). Гидролиз последнего (6%-ный KOH или 37%-ная HCl) дает III с выходом 72%. Из второй порции р-ра от р-ции I с CS_2 подкислением конц. HCl до pH 2, упариванием и экстракцией остатка кипящим CH_3OH получают IV, выход 24%, т. пл. 287—290° (из воды); и из маточных р-ров получают III, выход 23%. При р-ции 2 молей I с

1 моле CS_2 , упаривании р-ра и кипячении остатка с 500 мл конц. HCl (45 мин.) выход III 49%. II при нагревании с ClCH_2COOH превращается в 3-(карбоксиметил)-гидантонин (XI), т. пл. 197—198° (из сп.-гексана). Этерификацией XI получен его метиловый эфир, выход 84%, т. пл. 90—91° (из ацетона-гексана). Аналогично II получают диметилловый эфир VI (XII) из 0,16 моля V, 0,08 моля CS_2 , 10 мл воды и 0,17 моля NaOH , выход 56%, т. пл. 73—74° (из водн. CH_3OH), и из него аналогично III (подкисление 10%-ной H_2SO_4) получают VI, выход 93%, т. пл. 138—139° (из ацетона-хлф.). Р-р 6 ммольей VI и 28 ммольей NaOH в 10 мл воды обрабатывают при 20—25° 28 ммольями 0,891 M р-ра NaOCl (12 час. при ~20°), фильтрат подкисляют 10%-ной HCl до pH 2 и упаривают в вакууме; выход VIII 80%, т. пл. 185—185,5° (из CH_3OH). Р-р 0,04 моля XII и 0,16 моля NaOH в 70 мл воды обрабатывают 0,16 моля H_2O_2 (~12 час., ~20°), подкисляют HCl до pH 2 и упаривают в вакууме, выход VIII 86%. XII (из 0,8 моля V) нагревают с 8 г моногидрата *n*-толуолсульфокислоты (XIII) 30 мин. при 160—175°/15 мм; выход VII 46%, т. пл. 166—167° (из воды и водн. ацетона). 2 ммоль VI и 0,3 моля XIII нагревают 10 мин. (160—175°); выход VII 85%, т. пл. 166—167° (из воды). VII при нагревании с р-ром KOH образует VI с выходом 75%. Из VIII кипячением с $(\text{CH}_3\text{CO})_2\text{O}$ или с конц. HCl получают IX. Выход 76 и 83% соответственно, т. пл. 183—184° (из сп.-бzl.). Сообщ. III см. РЖХим, 1957, 71797. С. Аваева

70968. Иминохлориды N-ацилированных аминокислот и качественное изучение замыкания кольца у хлорангидридов N-ацилированных аминокислот. Ронвин (N-acylated amino acid imino chlorides and a qualitative study of ring closure among N-acylamino acid chlorides. Ronwin Edward), Canad. J. Chem., 1957, 35, № 9, 1031—1038 (англ.).

Приведены ИК-спектры N-толуолсульфоаминоацетонитрила (I), N-*n*-нитробензоил-аминоацетонитрила (II) и N-бензоиламиноацетонитрила (III) и продуктов присоединения к ним HCl . Так как при обработке I HCl сохраняется полоса 8,58 μ сульфогруппы, то, следовательно, I не образует цикла. Появляющуюся новую полосу 6,06 μ автор приписывает образованию группы $\text{C}=\text{NH}$, считая, что образуется молекула с открытой цепочкой $\text{RNHCH}_2\text{CCl}=\text{NH}$ (IV) ($\text{R} = n\text{-C}_6\text{H}_4\text{OSO}_2$). Сходная спектральная картина для II и III дает основание считать, что при присоединении к ним HCl также образуется IV ($\text{R} = n\text{-NO}_2\text{C}_6\text{H}_4\text{CO}$ и $\text{C}_6\text{H}_5\text{CO}$), а не хлоридат азлактона. Показано, что обработка N-ациламинохлоридов PCl_5 приводит главным образом к образованию хлорангидрида, а не азлактона. Полоса карбонильной группы в ИК-спектре смещается у I с 5,78 до 5,53 μ , у N-карбобензоксид-DL-валина с 5,80 до 5,63 μ и практически также у N-карбобензоксид-DL-лейцина. У N-карбобензоксидглицина соответствующие полосы несколько смещены в сторону более коротких волн. у N-карбобутоксид-*n*-метоксифенил-L-аланина — смещение с 5,80 до 5,60 μ , у N-карбоаллилоксиглицина с 5,90 до 5,76 μ , у N-карбоаллилоксид-DL-лейцина с 5,81 до 5,59 μ , у III с 5,78 до 5,60 μ . Спектры нимались в CHCl_3 и CCl_4 из $\text{CH}_3\text{C}_6\text{H}_4\text{SO}_2\text{Cl}$ и $\text{NH}_2\text{CH}_2\text{CN} \cdot \text{H}_2\text{SO}_4$ (по 0,05 моля) и 0,17 моля NaHCO_3 в этилацетате (нагревание 1,5 часа) получают I, выход 19%, т. пл. 136° (из ацетона осад. гексаном). В суспензии нитрила в CHCl_3 пропускают 30 мин. HCl ; получены: гиппурилиминухлорид (VI), т. пл. 122°, *n*-нитро-VI, т. пл. 216—218°. Из I-*n*-метоксифенилаланина и эфир. р-ра $\text{ClCOOC}_6\text{H}_5$ в 2 н. NaOH выделяют V, выход 100%, т. пл. 84° (из 50%-ного сп.), $[\alpha]_D^{25} +30,4^\circ$ ($c \sim 2$; сп.). Д. Кнорре

70969. О превращении серина в пировиноградную кислоту. Михель, Буссе (Über einen Abbau des

Serins zu Brenztraubensäure. Michael Fritz, Buse Wolfgang), Chem. Ber., 1958, 91, № 5, 985—987 (нем.).

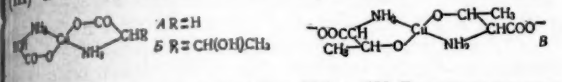
Лактон метилового эфира N-(6-карбокситетрагидро-2,4-бискарбометоксифенил)-DL-серина (I) при кипячении с 1 н. NaOH (30 мин.) превращается в пировиноградную к-ту, выход 52%, и 1-аминобензолтрикарбоную-2,4,6-к-ту (выход 93%). 0,6 г DL-серина, 1,35 г 1-фторбензолтрикарбоновой-2,4,6-к-ты и 1 г NaHCO_3 кипятят 1 час в 40 мл 50%-ного CH_3OH , упаривают в вакууме до 10 мл, декантируют и растирают с водой. Выход лактона N-(2,6-дихлорокси-4-карбометоксифенил)-DL-серина (II) 86%, т. пл. 110—140° (из диоксана-бzl.). 1 г II действием CH_2N_2 превращают в I, выход 65%, т. пл. 178—181° (из CH_3OH). С. Аваева

70970. Этиловый эфир этилениминкарбонистой-2-кислоты. DL-серин и DL-изосерин из α -хлор- β -аминопропионовой кислоты. Гундерман, Хольтман (Äthylenimin-carbonsäure-(2)-äthylester. DL-Serin und DL-Isoserin aus α -Chlor- β -amino-propionsäure. G. undermann Karl-Dietrich, Holtman Gerhard), Chem. Ber., 1958, 91, № 1, 160—167 (нем.). Гидролиз α -хлор- β -аминопропионовой к-ты (I) протекает с промежуточным образованием этиленимин-

карбонистой-2 к-ты $\text{NHCH}_2\text{CHCOOH}$ (II), при pH 5 получается DL-серин (III). При действии на I NaHCO_3 образуется оксазолидон-2-карбонистая-5 к-та и из нее — DL-изосерин (IV). Взаимодействием этилового эфира I с $\text{N}(\text{C}_2\text{H}_5\text{OH})_2$ получают этиловый эфир II. К 1 г фталимида (V) и 49 г α -хлоракрилонитрила (VI) при кипении прибавляют р-р 0,32 г Na в 23 мл абс. CH_3OH (30 мин.), нагревают 2 часа при ~100°, отгоняют избыток VI, растворяют остаток в CHCl_3 и экстрагируют 0,2 н. NaOH . Из р-ра в CHCl_3 выделяют α -хлор- β -фталимидпропионитрил (VII), выход 70—75%, т. пл. 143° (из CH_3OH). При кипячении VII с триэтиламином в C_6H_6 (70 час.) получают β -фталимидоакрилонитрил, выход 63%, т. пл. 163—164° (из хлф.). Аналогично получают VII из 28 г V, 44 г VI в 100 мл C_6H_6 и р-р 1,2 г Na в 88 мл абс. CH_3OH получают α -хлор- β -(2-карбометоксидбензоиламино)-пропионитрил (VIII), выход 77%, т. пл. 97—98° (из сп.). 60 г VIII кипятят 5 час. с 800 мл 20%-ной HCl , фильтрат выпаривают в вакууме и высушенный остаток экстрагируют изопропанолом; выход хлоридата I ~90%, т. пл. 135° (из изопропанола-эф.), R_f 0,63 (пиридин-вода, 65:35); нингидридная р-ция серо-коричневая. Действием 2 н. LiOH получают I, выход 90%, т. пл. 167—168° (разл.). Этерификацией получены хлоридаты метилового эфира I, выход 88%, т. пл. 93—94° (из абс. эф.), и этилового эфира I, выход 80—90%, т. пл. 120—121°. 16 г хлоридата I в 250 мл воды нейтрализуют 0,5 н. NaOH и прибавляют при нагревании 0,5 н. NaOH , поддерживают pH 5, нагревают 2 часа, подкисляют HCl и выпаривают в вакууме. Из остатка абс. спиртом извлекают хлоридат III, который очищают на катионите (Давит S-100), выход III 62—67%. При обработке 10,3 г NaHCO_3 , подкислением HCl до pH 5—6 и обработкой тем же катионитом выделяют оксазолидон-2-карбонистую-5 к-ту (IX), выход 70—80%, т. пл. 170—171° (разл. из воды); промывкой катионита 1 н. NH_4OH выделяют IV, выход 25%. IX кипятят 14 час. с 20%-ной HCl , получают хлоридат IV, который действием 1 н. конц. р-ра LiOH переводят в IV, выход ~100%. 0,05 г хлоридата этилового эфира I и 0,15 мл $\text{N}(\text{C}_2\text{H}_5\text{OH})_2$ нагревают в вакууме при 120°, медленн. отгоняя этиловый эфир II, выход 20%, т. кип. 33—55°/12 мм, n_D^{25} 1,4368; при действии эфирного р-ра HCl I превращается в смесь хлоридатов этилового эфира I (77%) и α -амино- β -хлорпропионовой к-ты. Приведены R_f и ИК-спектры III и IV. С. Аваева

70971. Новый синтез треонина. Сато, Окава, Акабори (A new synthesis of threonine. Sato Mikio, Okawa Kenji, Akabori Shiro), Bull. Chem. Soc. Japan, 1957, 30, № 9, 937—938 (англ.).

Конденсацией глицината меди (I) с ацетальдегидом (II) получают с высоким выходом смесь треонина (III) и аллотреонина (IV). Предложен следующий



реакциям р-ция: $\text{A} \rightleftharpoons \text{B} \rightleftharpoons \text{III} + \text{IV}$. I получают нагреванием воды. р-ра глицина с основной углекислой медью или добавлением 1 моля CuSO_4 к насыщ. р-ру соли глицина. Треонинат меди получают следующим способом: 115 г I, 30 г безводн. Na_2CO_3 370 мл воды и 160 мл II при перемешивании кипятят 1 час при 100°. Избыток II отгоняют, добавляют 1 л воды и 700 мл 10% р-ра NH_4OH и фильтрат пропускают через дауэкс 50 \times 12 (Н-форма), обработанный предварительно 5 н. р-ром NH_4OH . Вытекающий р-р концентрируют в вакууме, до начала кристаллизации и прибавляют объема CH_3OH . Выход III + IV 64% (III : IV = 1,8). 115 г I, 29 г K_2CO_3 , 230 мл воды и 116 мл II нагревают 1 час при 70°, подкисляют HCl, пропускают H_2S . Фильтрат обрабатывают 400 г дауэкс 50 (Н-форма), фильтруют, упаривают, растворяют в абс. спирте и осаждают добавлением анилина смесь III и IV, выход 27% (III : IV = 2,4). Из маточного р-ра получено 16% III + IV (III : IV = 9). С. Аваева

70972. Улучшенный метод получения промежуточных соединений для синтеза производных α -амино-масляной кислоты, имеющих функциональные γ -заместители. Кноблер, Франкель (Improved preparation of intermediates for the syntheses of α -aminobutyric acid derivatives having functional γ -substituents. Knobler Y., Frankel Max), J. Chem. Soc., 1958, Apr., 1629—1631 (англ.).

Для приготовления α -аминокислот с функциональными γ -заместителями разработан путь синтеза галогенных γ -производных α -аминомасляной к-ты. Из γ -бром- γ -бутиролактона (I) обработкой NH_3 с последующим омылением, бензоилированием и дегидратацией получен α -бензамидо- γ -бутиролактон (II), а обработкой последнего HBr или HCl в абс. спирте получают этиловые эфиры α -бензамидо- γ -броммасляной (III) или γ -оксимасляной к-ты (IV). Синтез проводится по выделению промежуточных продуктов. 82,5 г I растворяют при 0° в 350 мл 25%-ного NH_3 ; через 6 дней (~20°) добавляют 1,5 л 1 н. NaOH и удаляют NH_3 нагреванием. Прибавляют одновременно 210 г $\text{C}_6\text{H}_5\text{COCl}$ и 1 л 4 н. NaOH (~3 часа при 0°), перемешивают 1 час при 0° и 2 часа при ~20°; к фильтрату добавляют 500 мл воды, 700 мл 18%-ной HCl и нагревают 45 мин. (80—90°), выход II 60%, т. пл. 141—142° (из воды). 10,2 г II в 300 мл абс. спирта обрабатывают ~3 часа сухой HBr при 40—45°, выдерживают 24 часа при 20° (без влаги), разбавляют спиртом и добавляют воду до помутнения, выход III 80%, т. пл. 83—84° (из воды); аналогично получен IV, выход 75%, т. пл. 94—95° (из сп.). Кипячением 10,25 г II со 120 мл 15%-ной HBr 2 часа получено 93% бромгидрата α -амино- γ -бутиролактона (V), т. пл. 225° (разл.), и аналогично получают хлоргидрат (VI), выход 96%, т. пл. 203° (разл.). 2,6 г I выдерживают 4—5 дней со 100 мл 25%-ного NH_3 , нагревают 2 часа с 375 мл 1 н. NaOH, добавляют 100 мл воды и за 2 часа (0°) добавляют 35 мл 4 н. NaOH и 25 г $\text{C}_6\text{H}_5\text{CH}_2\text{COOCl}$, перемешивают 30 мин. при 0° и 2 часа при ~20°, извлекают эфиром и подкисляют 10%-ной HCl; выход α -карбобензоксисамино- γ -бутиролактона (VII) 30%, т. пл. 105—108° (из воды); он же получен взаимодействием 36,4 г V в 750 мл воды и

80 мл пиридина с 39 г $\text{C}_6\text{H}_5\text{CH}_2\text{COOCl}$ (при 0° 3 часа и ~20° 2 часа), выход 63%, т. пл. 110—112° (из эф.-петр. эф.). Суспензию 4,7 г VII в 100 мл абс. спирта гидрируют над PdCl_2/C (1 г; 1 : 3) при 30—35°/2 ат, фильтруют, концентрируют, отфильтровывают VI, фильтрат кипятят 24 часа со 150 мл абс. спирта и упаривают в вакууме; выход 2,5-ди-(2-оксиэтил)-3,6-дикетопиперазина 45%, т. пл. 186°. При 4—5-часовом барботаже сухого HCl в суспензию 4,7 г VII в 150 мл сухого CH_3OH при 50—55° получен хлоргидрат метилового эфира α -амино- γ -хлормасляной к-ты, выход 32%, т. пл. 120°; аналогично в $\text{C}_2\text{H}_5\text{OH}$ получен этиловый эфир, выход 22,3%. Эта р-ция не идет без нагревания, а при кипячении образуется VI. Л. Шахновский

70973. Синтез DL-каналина и некоторых его производных. Кноблер, Франкель (Synthesis of DL-canaline and some of its derivatives. Knobler Y., Frankel Max), J. Chem. Soc., 1958, Apr., 1632—1635 (англ.).

Описан синтез DL-каналина (I) из этилового эфира DL- α -бензамино- γ -броммасляной к-ты (II) конденсацией с бензигдроксисамовой к-той (III) и последующим гидролизом полученного этилового эфира DL- α -бензамино- γ -бензаминооксимасляной к-ты (IV). К 70 мл абс. спирта и 1,65 г Na добавляют р-р 9,9 г III в 70 мл спирта и 12,56 г II в 70 мл спирта, перемешивают 10—12 час. при 55—65°, после охлаждения и фильтрации осаждают водой IV, выход 55—60% (из йодпроизводного 40—45%), т. пл. 122—124°. Кипячением 11,1 г IV с 250 мл 0,5%-ного NaOH 2 часа получена DL- α -бензамино- γ -бензаминооксимасляная к-та, выход 90—95%, т. пл. 158—160° (из сп. с эф. и избытком петр. эф.). 11,1 г IV кипятят 4 часа с 12%-ной HCl (400 мл) и выделяют после соответствующей очистки р-ра I добавлением триэтиламина, выход 85%, т. пл. 190—195°. Гидролиз с 10%-ной H_2SO_4 дает трудно очищающийся I; дишкрат I, т. пл. 190° (из воды). К 50 мл абс. спирта и 1,5 г Na прибавляют 8,9 г III и 10,3 г 5,2'-бром-этилгидантоина в 75 мл спирта, нагревают 10—12 час. при 55—60°, сгущают в вакууме, разбавляют водой и экстрагируют этилацетатом, выход 5,2'-бензаминооксипиридантоина 50%. К р-ру 4 г I в 200 мл воды и 40 мл пиридина постепенно добавляют 12 г $\text{C}_6\text{H}_5\text{CH}_2\text{COOCl}$ (0°), перемешивают 1 час при 0° и 1 час при 20° и экстрагируют эфиром, выход DL- α - γ -ди-(карбобензоксисамино)-оксимасляной к-ты (V), 66% (из эфира высаживают петр. эф.); 4 г последней нагревают 30 мин. до 40° с 15 г SOCl_2 , добавляют петр. эфир и нагревают при 40—50° до исчезновения мути, петр. эфир обменивают на свежую порцию и кипятят 30 мин. при 50—55°, декантируют, остаток отгоняют в вакууме, образовавшийся вязкий остаток растворяют в сухом этилацетате, осаждают петр. эфиром, затем нагревают в вакууме при 60—70° 2 часа и при 80—90° 3 часа, экстрагируют спиртом и концентрируют, вероятно, получен лактам — 2-карбобензоксис-4-карбобензоксисамино-3-кетонизоксазин, выход 34%. К 5 г I в 150 мл воды и 30 мл пиридина добавляют 6,4 г $\text{C}_6\text{H}_5\text{CH}_2\text{COOCl}$ р-цию ведут аналогично V, экстрагируют этилацетатом и смесью эфира с небольшим кол-вом спирта; из водн. р-ра выпадает DL- α -амино- γ -карбобензоксисаминооксимасляная к-та (VI), выход 65%, т. пл. 208—210° (из воды). В смесь 5,4 г VI и 75 мл сухого диоксана барботируют COCl_2 при 40—45° и еще 20—25 мин. после полного растворения VI, р-ритель отгоняют при 50—55°, остаток растворяют в этилацетате и осаждают петр. эфиром, выход ангидрида DL- γ -карбобензоксисаминооксис- α -карбоксаминотмасляной к-ты (VII) 68%. 2,7 г VII нагревают при 60—90° 3 часа в вакууме, получают полимер $(\text{C}_{12}\text{H}_{14}\text{O}_4)_n$, выход 72%, разлагается > 200° и разлагается > 250°, растворяется в избытке $\text{HCON}(\text{CH}_3)_2$. Л. Шахновский

70974. Видоизмененный метод синтеза DL-орнитина. Ковач, Винце (Modified synthesis of DL-ornithine. Kovács O., Vincze I.), Acta phys. et chem. Szeged, 1957, 3, № 1—4, 122—124 (англ.)

Предложен более экономичный путь синтеза DL-орнитина (I), исходя из диметилового эфира малоновой к-ты, полученного из диэтилового эфира малоновой к-ты (Reimer M., Downes H. R., J. Amer. Chem. Soc., 1921, 43, 945) с выходом 89%, который последовательно превращают в диметилловый эфир изонитрозомалоневой к-ты (II), выход 96% (см. РЖХим, 1955, 49059), затем в диметилловый эфир ацетаминималоневой к-ты, выход 67%, далее в диметилловый эфир β-цианозтил-ацетаминималоневой к-ты (III) и через β-карбометокси-β-ацетаминино-α-пиперидон (IV) в I. К 0,14 г Na в 68 мл CH₃OH добавляют 30 г II и при -5—0° за 30 мин. 9,65 г акрилонитрила перемешивают еще 1 час при 20°. Выход III 86,5%, т. пл. 124—125°. Восстановлением 30 г III в 300 мл CH₃OH над 7 г скелетного Ni при 65—75° и 50 ат получают IV, выход 90%, т. пл. 185—187° (из CH₃OH). Кипячением 5,86 г IV с 25 мл конц. HCl 4 часа получают монохлоргидрат I, выход 95%. Л. Ш.

70975. Синтез 1-алкилтриптофанов. Лит (Synthesis of 1-alkyltryptophans. Leete Edward), J. Organ. Chem., 1958, 23, № 4, 631—632 (англ.)

Новым методом получены 1-метилтриптофан (I) и 1-этилтриптофан (II). 0,05 моля этилового эфира α-ацетиламино-α-карбэтокс-β-(3-индол)-пропионовой к-ты (III) кипятят 5 час. в 200 мл сухого ксилола с 0,06 моля метилового эфира n-толуолсульфокислоты и 0,11 моля безводн. K₂CO₃. Фильтрат упаривают и остаток растирают с эфиром; выход этилового эфира α-ацетиламино-α-карбэтокс-β-(3-N-метилиндола) - пропионовой к-ты (IV) 70%, т. пл. 125—126° (из сп.). Аналогично при действии этилового эфира n-толуолсульфокислоты на III получен этиловый эфир α-ацетиламино-α-карбэтокс-β-(3-N-этилиндол)-пропионовой к-ты, выход 54%, т. пл. 115—116° (из сп.). 0,05 моля IV кипятят 4 часа со 100 мл 10%-ного NaOH. Подкислением HCl выделяют α-ацетиламино-α-карбэтокс-β-(3-метилиндол)-пропионовую к-ту (V), выход 93%, т. пл. 147—148° (из 50%-ного сп.). Аналогично получена α-ацетиламино-α-карбэтокс-β-(3-N-этилиндол)-пропионовая к-та, выход 85%, т. пл. 128—129° (из сп.). 7,6 г V нагревают в токе N₂ 15 мин. при 180—190°; выход 1-метил-N-ацетилтриптофана (VI) 86%, т. пл. 169,5—170,5° (из сп.). Аналогично получен 1-этил-N-ацетилтриптофан, выход 82%, т. пл. 185—187° (из сп.). 3 г VI кипятят 2 часа с 20 мл 2 н. HCl и упаривают в вакууме. Из водн. р-ра остаток прибавлением CH₃COONa выделяют I, выход 72%, т. пл. 250—251° (из водн. сп.); пикрат·H₂O, т. пл. 142—143° (разл.; из воды); хлоргидрат, т. пл. 235—236° (разл.; из сп.). Аналогично получают II (осаждают при pH 6), т. пл. 234—235° (разл.); пикрат (моногоидрат), т. пл. 127—129° (разл. из воды). Строение I и II доказано декарбоксилированием (при нагревании в расплавленном флуорене при 240—270°) соответственно до 1-метил-триптамина (выход 64%) и 1-этилтриптамина, выход 53%, т. пл. 182,5—183°; хлоргидрат, т. пл. 193,5—194°; фталимид, т. пл. 150—151° R I и II в n-C₄H₉OH-CH₃COONa·H₂O (400:100:250) 0,71 и 0,79 соответственно. А. Аваева

70976. Новый метод синтеза пептидов с помощью симметричных ангидридов N-замещенных аминокислот. Соколовская, Купрышевский, Ташнер (New method of synthesis of peptides via N-protected symmetrical anhydrides of aminoacids. Sokolowska T., Kupryszewski G., Taschner E.), Bull. Acad. polon. sci. Sér. sci. chim. géol. et géogr., 1958, 6, № 2, 89—91, VII (англ., рез. русск.)

Предложен новый метод синтеза, заключающийся

во взаимодействии N-замещ. аминокислот в присутствии C₆H₅SO₂Cl с пиридиновым р-ром эфира аминокислоты. К р-ру 1 ммоль N-замещ. аминокислоты и 1 ммоль эфира аминокислоты или его хлоргидрата в пиридине (1—3 ммоль) прибавляют 1 ммоль C₆H₅SO₂Cl и через 1—20 час. водой осаждают эфир дипептида. Р-ция не сопровождается рацемизацией. Получены метиловые эфиры (перечисляются пептид, выход в %, т. пл. в °C): фталилглицилглицина, 79, 202; фталил-DL-фенилаланилглицина, 90, 135—136; фталилглицил-DL-фенилаланина, 86, 125; тозилглицилглицина, 58, 245—250; дитозил-L-тирозилглицина 95, 75—78, [α]_D²⁰ +21 (с 3; CH₃OH). Гипсуровая к-та и N-карбометоксиаминокислоты положительных результатов не дают. По мнению авторов, синтез пептидов протекает через образование симметричных ангидридов, что подтверждается выделением ангидрида фталилглицина с выходом 75%.

70977. Новый синтез цистенильных пептидов. Шехан, Ян (A new synthesis of cysteinyl peptides. Sheehan John C., Yang Ding-Djung H.), J. Amer. Chem. Soc., 1958, 80, № 5, 1158—1164 (англ.)

Разработан метод синтеза пептидов цистеина (I), при котором L-I переводится в L-4-карбокси-2,2-диметилтиазаолидин (CH₃)₂CSCH₂CH(COOH)NH (II). Для образования пептидной цепи по аминогруппе II ацилируется производными соответствующих аминокислот. Для образования цепи по карбоксильной группе II

превращают в N-формильное производное (CH₃)₂CSCH₂CH(COOH)NCHO (III), которое обычными методами конденсируют с аминокислотами. Полученные в обоих случаях тиазаолидиновые производные кислым гидролизом или обработкой HgCl₂ легко превращаются в пептиды I (см. также РЖХим, 1957, 74583). Таким образом синтезированы анидид I, L-цистеинилглицин (IV), L-глутамил-L-цистеин (V) и их производные. Суспензию 20 г моногидрата хлоргидрата L-I в 4,5 л безводн. ацетона кипятят 6 час. и упаривают до 200 мл. Выход II 82%, т. пл. 163—165°. II получен аналогично из L-I в кипящем ацетоне, выход 88%, т. пл. 134,5—135°. К 0,01 моля хлоргидрата II и 0,1 моля HCOONa в 168 мл 98%-ной HCOOH прибавляют при 0—5° при перемешивании за 1 час 56 мл (CH₃CO)₂O, перемешивают 6 час. при т-ре 20° и прибавляют 56 мл ледяной воды. Выход III 92%, т. пл. 221—222,5° (из водн. CH₃OH, 1:3), [α]_D²⁰ -166,8° (43,2 мг в 2 мл 98%-ной HCOOH). К 5 ммоль III и 5 ммоль N(C₂H₅)₃ в 10 мл CH₂Cl₂ прибавляют при т-ре -5° 5 ммоль ClCOOC₂H₅ в 5 мл CH₂Cl₂, перемешивают 15 мин., прибавляют при т-ре -5° 5 ммоль анилина в 5 мл CH₂Cl₂ и перемешивают 25 мин. при т-ре -5° и 2 часа при т-ре ~20°. Смесь разбавляют 80 мл CH₂Cl₂, промывают 5%-ной HCl, 5%-ным NaHCO₃ и водой и упаривают. Выход анилида III 90%, т. пл. 191,5—192,5° (из водн. CH₃OH), [α]_D²⁰ -205° (16,5 мг в 1,5 мл лед. CH₃COOH). 2 ммоль анилида III растворяют при нагревании в 2,4 мл 5%-ного р-ра HCl в CH₃OH и 2 мл CH₃OH и через 3 дня (~20°) упаривают в вакууме, выход хлоргидрата анилида I 100% (неочищ.); ацетилированием (CH₃CO)₂O переведен в анидид N,S-диацетилцистеина, выход 68%, т. пл. 174—175° (из воды). Сходным образом из 5 ммоль III ClCOOC₂H₅ и хлоргидрата метилового эфира глицина (VI) и N(C₂H₅)₃ получают метиловый эфир L-N-β-формил-2,2-диметилтиазаолидин-4-карбокси- глицина (VII), выход 89%, т. пл. 108—109,5° (из CCl₄-пепт. эф.), [α]_D²⁰ -155,0° (50 мг в 1,4 мл CH₃OH). При р-ции 3,4 ммоль VI, 4,2 ммоль мето-n-толуолсульфоната 1-циклогексил-3-(2-морфолинил-(4)-этил)-карбоний-

на и 3,4 ммоль III (~12 час., при 20°) получают VII с выходом 63%. 1,92 ммоль VII обрабатывают в 2 мл 1 н. р-ра HCl в CH₃OH и 2 мл CH₃OH 60 час. (~20°) и упаривают в вакууме. Выход хлоргидрата метилового эфира IV 98% (осажден абс. эф. из р-ра в CH₃OH). Ацетилизированием последнего (CH₃CO)₂O в р-ре NaHCO₃ получен метиловый эфир S,N-диацетил-L-гистидинилглицина, выход 72%, т. пл. 142—143,5° (из бен.-CCl₄), [α]_D²⁰ +42,6° (27,2 мг в 1,5 мл воды). 8 ммоль VII в 21 мл диоксана обрабатывают 50 мин. 8 мл 1 н. NaOH, прибавляют 0,6 мл 1 н. NaOH и через 5 мин. подкисляют 1 н. HCl. Р-р упаривают в вакууме, остаток растирают с этилацетатом и водой, выход L-N-(3-формил-2,2-диметилтиазолидин-4-карбоксил)-глицина (VIII) 87%, т. пл. 152—153,5° (из CH₃OH-CCl₄), [α]_D²⁰ -169° (28,3 мг в 1,4 мл воды). Р-р 18 ммоль VII в 30 мл ацетона и 17,1 мл 1,2 н. HCl в CH₃OH нагревают 2 часа, упаривают в вакууме и остаток обрабатывают 400 мл безводн. ацетона (14 час., ~20° и 2 часа нагревания), упаривают в вакууме, пересаживают эфиром из р-ра в CH₃OH, выход хлоргидрата метилового эфира L-N-(2,2-диметилтиазолидин-4-карбоксил)-глицина 70%, т. пл. 118—119° (разл.; из CH₃OH-эф., 1:4), [α]_D²⁰ -95,3° (33 мг в 1,5 мл CHCl₃). 13 ммоль VIII кипятят с 14 мл 1 н. HCl и 50 мл 50%-ного диоксана 2 часа (N₂), нейтрализуют 1 н. LiOH, лиофилизируют и осадок промывают этилацетатом и спиртом. Выход моногидрата IV 55%, т. пл. 184—185° (из 30%-ного водн. CH₃OH), [α]_D²⁰ +46,1° (38,2 мг в 1,3 мл воды). IV легко циклизуется в ангидро-бис-глицил-истин (NHCOCH₂NHCOCH₂CH₂S)₂ (IX). IX образует с IV при кипячении VII с метанольным р-ром HCl (выход IX 78%, т. пл. 266—267°) или при кипячении VII с 1 н. HCl и диоксаном (выход 32%). 16 ммоль ангидрида фталилглутаминовой к-ты растворяют при нагревании в 35 мл лед. CH₃COOH, содержащих 16 ммоль II. Через 4 часа (~20°) смесь лиофилизируют, остаток растворяют в 200 мл этилацетата, промывают 5%-ной HCl и экстрагируют 5%-ным NaHCO₃. Экстракты промывают этилкарбонатом, подкисляют до pH 3. Экстракцией этилацетатом, упариванием и лиофилизацией осадка из р-ра в диоксане получают L-4-карбокси-2,2-диметил-3-(γ-фталил-L-глутамил)-тиазолидин (X), выход 95% (неочищ.), 15 ммоль X и 30 ммоль NaHCO₃ в 22 мл воды обрабатывают 16,5 моля N₂H₄·H₂O, через 2 дня смесь лиофилизируют и остаток обрабатывают 52 мл 1 н. HCl. Через 6 час. (0—5°) фильтрат лиофилизируют, остаток растирают в абс. CH₃OH и р-р упаривают. Полученный хлоргидрат растворяют в 10 мл воды и осаждают пиридином при pH 3,1 (0—5°), выход моногидрата L-4-карбокси-3-γ-L-глутамил-2,2-диметилтиазолидина (XI) 45%, т. пл. 151—153° (из водн. сл.), [α]_D²⁰ -57,6° (34,5 мг в 1,6 мл воды). 2,36 ммоль XI в 30 мл воды обрабатывают 5,2 ммоль HgCl₂ в 30 мл воды. Через 2 дня (~20°) осадок суспендируют в 20 мл воды, не содержащей O₂, и пропускают H₂S. Фильтрат подкисляют 0,5 мл 1 н. HCl, фильтруют, удаляют H₂S с током N₂ и р-р лиофилизируют. Остаток промывают этилацетатом и пересаживают эфиром в р-ра в CH₃OH, выход хлоргидрата V 30% (неочищ.), т. пл. 173—174° (из лед. CH₃COOH и CH₃OH-эф.), [α]_D²⁰ +2,5° (с 2,5; вода). 1,44 ммоль хлоргидрата V в 15 мл 0,5 н. H₂SO₄ обрабатывают при 45° суспензией свежеприготовленной Cu₂O. Образовавшийся осадок суспендируют в 15 мл воды, свободной от O₂, и обрабатывают H₂S. Лиофилизацией фильтрата получают V, выход 72 мг, т. пл. 164—166° (из сп.), [α]_D²⁰ +12,4° (20,2 мг в 1,2 мл воды). При обработке XI HgCl₂ при 60—70° (15 мин.) происходит расщепление XI с образованием Hg-производного I, которое разлагают H₂S до хлоргидрата I, выход 40%. Р-р 0,069 моля хлорги-

драта II в 300 мл абс. CH₃OH насыщают сухим HCl и через 8 час. при т-ре 20° и 14 час. при 0—5° упаривают в вакууме. Экстракцией остатка ацетоном выделяют хлоргидрат L-4-карбометокси-2,2-диметилтиазолидина (XII), выход 60%, т. пл. 159—159,5° (из ацетона с CH₃OH). К р-ру фталилглицина и N(C₂H₅)₃ в 10 мл CH₂Cl₂ прибавляют при т-ре -8° ClCOOC₂H₅ и затем р-р XII и N(C₂H₅)₃ в 50 мл CH₂Cl₂ (по 0,012 моля каждого), перемешивают 20 мин. при т-ре -8° и 4 часа при т-ре ~20°, прибавляют 100 мл CHCl₃, промывают, как обычно, и упаривают в вакууме. Выход L-4-карбометокси-2,2-диметил-3- (фталилглицин)-тиазолидина 41%, т. пл. 227—228° (разл.; из CH₃OH и хлф.), [α]_D²⁰ +11,4° (7,9 мг в 1,8 мл CH₂OH + CHCl₃, 1:1). К р-ру фталил-L-фенилаланина и N(C₂H₅)₃ в 9 мл CH₂Cl₂ и 9 мл диоксана прибавляют при т-ре -8° ClCOOC₂H₅ (6,7 ммоль каждого), перемешивают 12 мин. при т-ре -8° и прибавляют 6,7 ммоль II в 50 мл диоксана. Смесь перемешивают 20 мин. при т-ре -8° и 6 час. при т-ре ~20°, упаривают в вакууме, остаток растворяют в 150 мл CHCl₃ и экстрагируют 5%-ным NaHCO₃. Из водн. р-ра при pH 3 экстракцией этилацетатом выделяют L-4-карбокси-2,2-диметил-3-(фталил-L-фенилаланил)-тиазолидин. Выход 24%, т. пл. 196—197°, [α]_D²⁰ -280° (26 мг в 1,3 мл CH₃OH). С. А. 70978.

Подход к синтезу полициклических пептидов. Ринч (An approach to the synthesis of polycyclic peptides. Wrinch Dorothy), Nature, 1957, 180, № 4584, 502—503 (англ.)

В свете гипотезы автора о полициклич. строении белка рассмотрены литературные данные по синтезу полипептидов и алкалоидов.

С. Аваева 70979. Изучение полипептидов. X. Синтез пентапептида с последовательностью аминокислот в кортикотропине и в меланоцитном — стимулирующем гормоне. Гофман, Вулнер, Шпюлер, Шварц (Studies on polypeptides. X. The synthesis of a pentapeptide corresponding to an amino acid sequence present in corticotropin and in the melanocyte stimulating hormones. Hofmann Klaus, Woolner Miriam E., Spühler Gertrude, Schwartz Eleanor T.), J. Amer. Chem. Soc., 1958, 80, № 6, 1486—1489 (англ.)

Синтезировали пентапептид — гистидилфенилаланил-аргинилтриптофилглицин-(L,L,L,L) (I), 0,413 г хлоргидрата метилового эфира глицина в 5 мл CH₃OH обрабатывают 5,92 мл 0,5 н. CH₃ONa, упаривают, добавляют 10 мл диоксана, 1 г карбометокси(кбз)-триптофана в 5 мл диоксана и 0,618 г дициклогексилкарбодимида (II), через 6 час. (20°) фильтрат сгущают (~40°) и растворяют в этилацетате, выход метилового эфира кбз-L-триптофилглицина 59%, т. пл. 158—159°, [α]_D²⁰ -11,0 (с 2,0; лед. CH₃COOH), его омыляют 1 н. NaOH (1 час, 20°), выход кбз-L-триптофилглицина 82%, из которого гидрированием над Pd в CH₃OH + 10% CH₃COOH получен L-триптофилглицин (III), выход 79%. 3 г III в 60 мл C₆H₅CH₂OH насыщают HCl (газ) (<0°), обезвоживают C₆H₆ (3 × 20 мл) под вакуумом, упаривают при 1 мм и растирают с эфиром; выход хлоргидрата бензильного эфира L-триптофилглицина (IV) 72%, т. пл. 172—174° (из абс. сп.-эф.), [α]_D²⁰ +27° (с 1,2; абс. сп.). 2,52 г IV в 10 мл сухого CH₃OH и 0,9 мл (C₂H₅)₃N упаривают досуха при 30°, к р-ру остатка в 20 мл N,N-диметилформамида (V) добавляют р-р 4,14 г кбз-L-гистидил-L-фенилаланил-тро-L-аргинина в 30 мл V и 1,61 г II, через 16 час. (20°) добавляют несколько капель лед. CH₃COOH, фильтрат упаривают при 1 мм, остаток растворяют в этилацетате с конц. NaHCO₃, промывают водой, 5%-ной CH₃COOH, HCl, NaHCO₃ и упаривают. Остаток растворяют в абс. спирте и осаждают эфиром технич. бензильный эфир кбз-гистидилфенилаланилнитро-

аргинилтриптофилглицина (VI), выход 86%, $[\alpha]^{25D} -23,2^\circ$ (с 1; V); 4,9 г VI растворяют в 40 мл абс. спирта при 50° , выдерживают неделю, получена чистая L-форма VI, выход 19%, т. пл. $183-185^\circ$ (из абс. сп.), $[\alpha]^{25D} -29^\circ$ (с 0,89; V). 500 мг технич. VI гидрируют в 20 мл 90%-ной CH_3COOH над Pd 8 час., упаривают, растворяют в воде и лиофилизируют над KOH. Выход технич. дигидрата моноацетата I 90%; аналогично с выходом 94% получена чистая L-форма, $[\alpha]^{25D} -10,0^\circ$ (с 0,85; 1 н. HCl). Приведен R, Чистота полученного соединения установлена ферментативным гидролизом. Сообщение XI см. РЖХим, 1958, 32632. Л. Шахновский

70980. Применение синтеза Арндта—Эйстерта для получения полипептидов β-аминокислот. Флеш, Марковац-Прич (Application of the Arndt—Eistert synthesis to the preparation of polypeptides of β-amino acids. Fleš D., Markovac-Prpić A.), Croat. chem. acta, 1957, 29, № 2, 79—85 (англ.)

Перегруппировкой диазометилфталимидокетон в присутствии эфиров аминокислот получен ряд полипептидов α- и β-аминокислот: β-аланил-L-метионин (I), L-β-аминобутирил-β-аланил-L-метионин (II), L-β-аминобутирилглицин (III), L-β-аминобутирил-L-метионин (IV), L-β-аминобутирил-L-аланин (V), β-аланилглицин (VI) и их производные. L-метионин со спиртом, насыщенным HCl (2 дня, $\sim 20^\circ$), превращают в хлоргидрат этилового эфира L-метионина (XG VII), выход 72%, т. пл. $81-82^\circ$ (из сп.-эф.), $[\alpha]^{25D} +18,7^\circ$ (с 2,245; сп.). К 2,62 ммоль диазометил-N-фталиламинометилкетона, 3,28 ммоль VII (выделен из р-ра XG VII в CHCl_3 добавлением NH_4OH) и 4 мл диоксана при 65° постепенно добавляют свежеприготовленную Ag_2O . Через 10 мин. фильтрат упаривают в вакууме, остаток растворяют в этилацетате, промывают 10%-ной HCl, р-ром NaHCO_3 и упаривают в вакууме. Выход этилового эфира N-фталил-β-аланил-L-метионина (VIII) 45,5%, т. пл. $144-145^\circ$ (из этилацетата), $[\alpha]^{25D} +13,7^\circ$ (с 2,479; диоксан). 15,8 ммоль VIII кипятят 2 часа с 80 мл ацетона, 45 мл воды и 20 мл конц. HCl, ацетон упаривают и остаток пересаждают HCl из р-ра в NaHCO_3 . Выход N-фталил-β-аланил-L-метионина (IX) 31,2%, т. пл. $155-155,5^\circ$ (из сп.), $[\alpha]^{25D} +21,2^\circ$ (с 1,88; диоксан). 3,67 ммоль IX кипятят 2 часа с 5 мл спирта и 5 мл 1 M р-ра $\text{N}_2\text{H}_4 \cdot \text{H}_2\text{O}$ в спирте; р-р упаривают в вакууме, нагревают 10 мин. при 50° с 20 мл 5%-ной HCl, фильтруют, упаривают и р-р остатка в 150 мл воды пропускают через амберлит JR-4B. Выход I 73,2%, т. пл. 234° (из 50%-ного сп.), $[\alpha]^{25D} -26,3^\circ$ (с 2,34; 1 н. HCl). 8,1 ммоль I, аналогично L-метионину превращают в XG этилового эфира I, выход 2,3 г, т. пл. $103-104^\circ$ (из сп.-эф., 1:2), $[\alpha]^{25D} -17,1^\circ$ (с 0,94; сп.). Аналогично I из этилового эфира I и L-1-диазо-3-фталимидобутанона-2 (X) при $80-90^\circ$ получают этиловый эфир N-фталил-L-β-аминобутирил-β-аланил-L-метионина, выход 7%, т. пл. $154-155^\circ$ (из сп.), $[\alpha]^{25D} +21,6^\circ$ (с 1,105; диоксан), и из него N-фталил-L-β-аминобутирил-β-аланил-L-метионин, выход 55,5% (неочищ.), т. пл. $108-110^\circ$ (из водн. сп.), $[\alpha]^{25D} +24,4^\circ$ (с 1,00; вода), и затем II, выход 18,6%, т. пл. $227-229^\circ$, $[\alpha]^{25D} +4,02 \pm 1,3$ (с 1,12; 10%-ная HCl). 14,4 ммоль X вводят в р-цию с 30 ммоль метилового эфира глицина в 12 мл диоксана при 60° . Полученные 3 г масла в 10 мл C_6H_6 хроматографируют на Al_2O_3 . Выход метилового эфира N-фталил-L-β-аминобутирилглицина 19,5%, т. пл. $104-105^\circ$ (из бzl.-петр. эф., 2:1), $[\alpha]^{25D} +28,1^\circ$ (с 1,67; этилацетат). Из последнего аналогично описанному для I получают N-фталил-L-β-аминобутирилглицин, выход 88,5%, т. пл. $207-208^\circ$ (из этилацетата), $[\alpha]^{25D} +46,5^\circ$ (с 1,55; CH_3OH), и затем III, выход 81,5%, т. пл. $236-237^\circ$ (из 90%-ного сп.), $[\alpha]^{25D} +12,4^\circ$ (с 3,21; вода). Аналогично I из X

и VII (при $95-100^\circ$) получают 2,4 г масла, $[\alpha]^{25D} +19,5^\circ$ (с 6,34; этилацетат), которое кипятят с 27,5 мл ацетона, 6,25 мл конц. HCl и 13,2 мл воды; ацетон упаривают, а оставшееся масло (1,4 г), $[\alpha]^{25D} +20,2^\circ$ (с 1,93; CH_3OH), обрабатывают 7 мл 1 M р-ра $\text{N}_2\text{H}_4 \cdot \text{H}_2\text{O}$ в спирте и 7 мл спирта, упаривают, обрабатывают HCl и XG пропускают через амберлит IR-4B. Выход IV 13%, т. пл. 250° (из 20%-ного сп.), $[\alpha]^{25D} -16,8^\circ$ (с 1,54; 1 н. HCl). Из 6,1 ммоль X, 12,7 ммоль этилового эфира L-аланина в 6 мл диоксана при 70° аналогично получают этиловый эфир N-фталил-L-β-аминобутирил-L-аланина, выход 48%, т. пл. $128-129^\circ$ (из бzl.-петр. эф. 3:1), $[\alpha]^{25D} +16,7^\circ$ (с 1,62; этилацетат), и из него N-фталил-L-β-аминобутирил-L-аланин, выход 55%, т. пл. $170-171^\circ$, $[\alpha]^{25D} +48,6^\circ$ (с 1,18; диоксан), и затем V, выход 88%, т. пл. $255-256^\circ$ (из водн. сп.), $[\alpha]^{25D} -37,4^\circ$ (с 1,26; 1 н. HCl). Кислым гидролизом метилового эфира N-фталил-β-аланилглицина получен N-фталил-β-аланилглицин, выход 50%, который превращен в VI, выход 32%. С. Азавес

70981. Выяснение строения полипептида типа «субтилине» и полипептида типа «субтилине» с помощью расщепления и синтеза. Брукнер, Ковач (Konstitutionsermittlung des Anthrax-Polypeptids in des Subtilis-Polypeptids durch Abbau und Synthese. Bruckner V., Kovács J.), Acta chim. Acad. sci. hung., 1957, 12, № 3-4, 363-404 (нем.; рез. русск.). Обзор. Библ. 67 назв. Л. Авант

70982. Синтез биологически активного октапептида, подобного естественному изолейцин-ангиотонину-октапептиду. Шварц, Бампус, Пейдж (Synthesis of a biologically active octapeptide similar to natural isoleucins angiotonin octapeptide. Schwartz H., Bampus F., Merlin, Page Irvine H.), J. Amer. Chem. Soc., 1957, 79, № 21, 5697-5703 (англ.)

Описан синтез октапептида L-асп-L-арг-L-вал-L-тир-L-изол-L-гис-L-прол-L-фенилаланина (I) по схеме: карбобензоксик (кбз)-L-валин (II) + метиловый эфир L-тирозина (III) → метиловый эфир кбз-L-вал-L-тирозина (IV) → кбз-L-вал-L-тирозингидразид (V) → кбз-L-вал-L-тирозиназид (VI) + метиловый эфир L-изол-L-гистидина (VII) → метиловый эфир кбз-L-вал-L-тир-L-изол-L-гистидина (VIII) → кбз-L-вал-L-тир-L-изол-L-гистидин (IX) + метиловый эфир L-прол-L-фенилаланила (X) → метиловый эфир кбз-L-вал-L-тир-L-изол-L-гис-L-прол-L-фенилаланина (XI) → метиловый эфир L-вал-L-тир-L-изол-L-гис-L-прол-L-фенилаланина (XII) + кбз-(β-метиловый эфир) L-асп-нитро-L-аргинина (XIII) → метиловый эфир кбз-(β-метиловый эфир) L-асп-нитро-L-арг-L-вал-L-тир-L-изол-L-гис-L-прол-L-фенилаланина (XIV) → I. Состав I подтвержден анализом продуктов гидролиза (6 н. HCl, 105° , 24 часа). Очищен технич. I произведена противоточным распределением в системе $\text{C}_6\text{H}_5\text{OH} : \text{C}_3\text{H}_7\text{OH} : 0,1 \text{ н. HCl}$ (1:1:2); получено два пика: первый ($K = 1,54$) содержит 25% общего N и обладает только 8% прессорного действия (пд), а второй ($K = 0,73$) 59% общего N и 83% пд. Средние образцы второго пика имеют уд. активность 55 000 прессорных единиц на мг N_2 . Это указывает на идентичность данной фракции с выделенным из свинного ренина гипертензином-II (РЖХимБх, 1958, 12097). К 23,4 г L-валина в 50 мл 4 н. NaOH при 0° добавляют за 45 мин. 42,8 мл $\text{C}_6\text{H}_5\text{CH}_2\text{OCSOCl}$ и 66,5 мл 4 н. NaOH, выход II 92%. К 15,6 г II в 31 мл тетрагидрофурана (ТГФ) с 14,7 мл три-н-бутиламина (ТНБА) при -10° добавляют 5,9 мл $\text{ClCOOC}_2\text{H}_5$ и через 10 мин. р-р 14,4 г хлоргидрата III в 62 мл диоксана, 8,7 мл триэтиламина и 14 мл воды, перемешивают 2 часа при 20° и обрабатывают 50 мл этилацетата (ЭА) и 25 мл воды. Выход IV 70%, т. п. $155,5-156,0^\circ$ (из ЭА-петр. эф.), $[\alpha]^{25D} +10,2^\circ$ (с 4,8; пиридин). К 16,9 г кбз-L-изолейцина в 20 мл ТГФ и 15,2 мл ТНБА при -10° прибавляют

ла, $[\alpha]_D^{25}$ +27,5 (с 27,5 мл воды, перемешивают ~ 12 час. при 20°. Масло сгущения в вакууме обрабатывают 300 мл 5%-ной CH_3COOH и 300 мл эфира. Добавлением HCl до pH 2,5 выделяют хлоргидрат кбз-VII, выход 58%, т. пл. 180—180°, $[\alpha]_D^{25}$ -41,9° (с 2; CH_3OH -1 н. HCl , 1:1) и 13,4° (с 2; пиридин). Обработкой последнего 1 н. CH_3OH - $\text{C}_2\text{H}_5\text{OH}$ (1:8) получают 86% кбз-VII, т. пл. 186—189° (из CH_3OH - $\text{C}_2\text{H}_5\text{OH}$: H_2O), $[\alpha]_D^{25}$ -44,2° (с 1; CH_3OH -1 н. HCl , 1:1). 6,5 г кбз-VII в 30 мл CH_3OH с 3,9 мл конц. HCl гидрируют над 10%-ного Pd/C и получают дихлоргидрат (масло). Обработкой 4 н. NaOH и этилацетатом выделяют VII (масло). 10,5 г IV кипятят 1,5 часа с 10 мл гидразингидрата в 125 мл CH_3OH и разбавляют водой, выход V 95%, т. пл. 239—241°, $[\alpha]_D^{25}$ -14,6° (с 4; диметилформамид (ДМФА)). Обработкой 6,5 г V в 150 мл лед. CH_3COOH с 2 н. HCl (100 мл) получают 1 M NaNO_2 при т-ре -10° получен VI, выход 75%, т. пл. 203—208°. Р-р 5,5 г VI и VII (из 6,5 г кбз-водного) в 100 мл ДМФА перемешивают 3 дня, фильтруют (N_2) и высаживают VIII 200 мл ЭА, выход 75%, т. пл. 213—217° (из ДМФА высажен ацетоном), $[\alpha]_D^{25}$ +6,0° (с 5; ДМФА). Омылением 0,5 н. NaOH в 20° 100 мин. получен IX, выход 91%, т. пл. 212—213°, $[\alpha]_D^{25}$ +8,4° (с 1,2; ДМФА). К 31 мл CH_3OH добавляют при т-ре -10° 3,53 мл SOCl_2 и 10,3 г L-пролин-фенилаланина, кипятят 2 часа и упаривают, выход дихлоргидрата X 80%, т. пл. 162,5—163,5° (из CH_3OH -ЭА), $[\alpha]_D^{25}$ -41,8° (с 2,5; вода). 4,4 ммольа хлоргидрата X и 8,8 ммольа $(\text{C}_2\text{H}_5)_3\text{N}$ в 20 мл ЭА 5 мин. нагревают на кипячении, перемешивают 1,5 часа при 20°, добавляют 4 ммольа диэтилхлорфосфита, перемешивают еще 1 час, нагревают несколько минут, охлаждают и фильтруют упаривают, остаток растворяют в 30 мл этилацетата и нагревают 2 часа с 4 ммольами IX, фильтруют, выливают в 400 мл ледяной воды и добавляют NaHCO_3 до pH 7,5; выход XI 62%, т. пл. 162—163° (из ацетона). $[\alpha]_D^{25}$ -66,3° (с 1; CH_3OH). К 208 мл CH_3OH при т-ре -10° добавляют 31 мл SOCl_2 и 40 г L-аспарагиновой к-ты, медленно подогревают до т-ры 10° и добавляют 600 мл эфира; выход хлоргидрата L-аспарагиновой к-ты 78%, т. пл. 191—193° (из CH_3OH -эф.), $[\alpha]_D^{25}$ +21,4° (с 1; сп.-вода). К 19,1 г последнего в 182 мл воды с 25 мл 4 н. NaOH добавляют 17,3 г NaHCO_3 прибавляют за 3 часа 17,5 мл $\text{C}_6\text{H}_5\text{CH}_2\text{COCl}$ при 20°, подкисляют HCl , извлекают C_6H_6 и высушивают петр. эфиром β -метилового эфира кбз-L-аспарагиновой к-ты (XV), выход 57%, т. пл. 96—98° (из метилп. эф.). XV получают также действием $\text{C}_6\text{H}_5\text{CH}_2\text{COCl}$ на β -метилового эфира L-аспарагиновой к-ты смеси эфира и воды в присутствии MgO . Этот препарат легче очищается. Взаимодействием 4,23 г XV с 15 мл ТГФ-диоксана (1:1) + 4,2 мл ТНБА + 1,43 мл CH_3COCl с 3,3 г нитро-L-аргинина в 3,73 мл 4 н. NaOH (разбавлен до 5,65 мл водой) 3 часа ~20° получают 60% XIII, т. пл. 78—85° (из ацетона), $[\alpha]_D^{25}$ -14,6° (с 5; пиридин). Восстановлением XI в CH_3OH + HCl над Pd -чернью, упариванием катализатора и домылением эфира получен дихлоргидрат XII, выход 75%, т. пл. 181—187° (из CH_3OH -эф.), $[\alpha]_D^{25}$ -14,1° (с 1; CH_3OH). Смесь 1,024 г XIII в 5,3 мл диоксана + 0,505 мл ТНБА и 0,2015 мл $\text{C}_2\text{H}_5\text{OCOSi}$ перемешивают ~12 час. при т-ре ~20° с 1,83 г дихлоргидрата XII + 1,01 мл ТНБА в 9,5 мл диоксана + 0,8 мл воды, упаривают в вакууме до «пен», промывают 100 мл 5%-ной NaHCO_3 и 100 мл ЭА- CH_3OH (9:1), получено 14 г метилового эфира XIV, т. пл. 188—192° (из CH_3OH -ацетоном), $[\alpha]_D^{25}$ -60,1° (с 0,5; CH_3OH) и -32,5° (с 0,5; ДМФА). Омылением последнего 1 н. NaOH 3 часа (~20°) в CH_3OH -воде (2:1) получено

74% XIV, т. пл. 192—196° (из CH_3OH), $[\alpha]_D^{25}$ -28,4° (с 1; ДМФА). 110 мг XIV в CH_3OH + 0,38 мл 1 н. HCl восстановлены H_2 над Pd -чернью в I. Р-р $\text{C}_6\text{H}_5\text{OH}$ - CH_3COOH -вода (4:1:5) (система А) и $\text{CH}_3\text{COC}_2\text{H}_5$ -пиридин-вода (4:1:1,6) (система Б): VIII 0,88А; X 0,79А, 0,96Б; XI 0,95А, 1,00Б; XIV; 0,84А, 0,96Б; метиловый эфир XIV 0,90А; XV 0,96А, 0,94Б. Л. Шахновский 70983. Об изменении белковой молекулы. Сообщение 2. Присоединение аминокислот и пептидов по карбоксильным группам белковой молекулы. Порошин К. Т., Изв. АН СССР, Отд. хим. н., 1958, 2, 236—237

Осуществлено присоединение к яичному альбумину и казеину (I) глицина (II), DL-аланина (III), диглицина (IV) и DL-аланилдиглицина (V). К р-ру I в NaOH или в фосфатном буфере при pH 8,5 и т-ре 0° прикапывают $\text{C}_6\text{H}_5\text{CH}_2\text{OCOSi}$, выдерживают 30 мин., 10 н. HCl выделяют карбобензойки (кбз)-I (VI). К суспензии 0,2—0,3 г VI в 6—10 мл абс. CHCl_3 и 1—1,5 мл $(\text{C}_2\text{H}_5)_3\text{N}$ прибавляют при 0° 1—1,5 мл $\text{ClCOOC}_2\text{H}_5$, pH с 7,5—7,8 падает до 4,2—4,5; через 15 мин. (т-ра 0°) прибавляют хлоргидрат этилового эфира II или III и оставляют на 30 мин. при ~20°; после диализа продукт конденсации не содержал аминного N, кол-во этокси-групп 5,9%. Аналогично реагируют хлоргидраты этилового эфира IV и метилового эфира V, применяют соответственно 65,3 мг и 85,4 мг на 199,2 мг VI. 222,7 мг продукта конденсации VI и IV или VI и V в 10 мл ацетона омыляют 10 мл 1 н. NaOH , через 1,5 часа подкисляют до pH 4,5; выпадает кбз-казеиндиглицин (VII) и кбз-казеин-DL-аланилдиглицин (VIII). VII и VIII восстановлением над Pd переводят в соответствующие производные казеина с выходом 70%. Аналогично проведены опыты с яичным альбумином. Сообщение 1 см. РЖХим, 1958, 46965.

В. Шибнев 70984. Нуклеотиды. Часть XLIV. Тимидин-5'-пирофосфат и -трифосфат. Гриффин, Тодд (Nucleotides. Part XLIV. Thymidine-5' pyrophosphate and triphosphate. Griffin B. E., Mrs. Todd Alexander), J. Chem. Soc., 1958, Apr., 1389—1393 (англ.)

Тимидин-5'-пирофосфат (I) получают с 70%-ным выходом конденсацией 3'-O-бензилтимидин-5'-бензилфосфохлорида (II) с солью бензилфосфата (III) с последующим дебензилированием. Аналогично из II и соли P^{12} -добензилпирофосфата (IV) с выходом 40% получают тимидин-5'-трифосфат (V). Р-р 3 г 5-три-тимидина в 30 мл C_6H_6 , 10 мл диоксана и 4,5 мл $\text{C}_6\text{H}_5\text{CH}_2\text{Cl}$ и 9 г КОН кипятят при перемешивании 4 часа, добавляют 30 мл воды и нейтрализуют CH_3COOH . Бензольный слой упаривают и масло, переосажденное из C_6H_6 петр. эфиром (60—80°), кипятят с 15 мл 80%-ной CH_3COOH (10 мин.). Оставляют на несколько часов, фильтрат выливают в ледяную воду (300 мл) и упаривают (<30°) до 15 мл; выход 3'-O-бензилтимидина (VI) 64%, т. пл. 148—150° (из ацетона-н-гептана). Р-р II (из 0,16 г VI) (Kenner и др., J. Chem. Soc., 1952, 3675) в 10 мл C_6H_6 + 1 мл CH_3CN , 87 мг III и 0,13 мл триэтиламина перемешивают 2 часа, фильтруют, упаривают, растворяют в 20 мл воды, добавляют CH_3COOH до pH 3,4 и гидрируют над Pd -чернью (16 час.) К фильтрату добавляют LiOH до pH 6 и 100 мл ацетона. Выход Li-соли I 70%. Li-соль I с 25%-ным выходом получают аналогично из II и дибензилфосфата (VII) с последующим частичным дебензилированием м-крезолом и полным дебензилированием каталитич. гидрированием. I с выходом 16% получают также из 3'-O-ацетилтимидина и VII с последующим дебензилированием м-крезолом и гидрированием над PdO - Pd/C и деацетилированием (pH 10, 2—3 дня). Р-р II (из 332 мг VI) в 10 мл C_6H_6 и 1 мл CH_3CN добавляют к р-ру 1,5 моля сухой ди-(фенилтриметиламмониевой)

соли IV [полученной пропусканием диаммониевой соли IV через дауэкс-50 (фенилтриметиламмониевая форма) в 4 мл CH_3CN . Смесь перемешивают 2 часа, фильтрат упаривают в вакууме, добавляют 20 мл воды и CH_3COOH до pH 3,5 и гидрируют над Pd-чернью (24 часа). К фильтрату (50 мл) добавляют NH_4OH pH 6, пропускают через дауэкс-2(Cl^-), промывают 0,01 н. HCl , содержащей 0,1 м LiCl . V вымывают 0,01 н. HCl , содержащей 0,2 м LiCl . К элюату добавляют LiOH до pH 6, упаривают в вакууме до 30 мл ($<30^\circ$), добавляют конц. водн. р-р $(\text{CH}_3\text{COO})_2\text{Ba}$ (300 мг) и 150 мл спирта и оставляют при 0° . Выход Ва-соли V 43%. Для I, V и тимидин-5-фосфата приводятся R в различных системах и скорость движения при электрофорезе. Часть XLIII см. РЖХим, 1958, 64647.

70985. Нуклеотиды 2-(2'-дезоксид-рибофуранозил)-6-метил-асим-триазин-3,5(2,4)-диона (азатимидина). Холл, Хейзелкорн (Nucleotides of 2-(2'-deoxy-D-ribofuranosyl)-6-methyl-*asym*-triazine-3,5(2,4)-dione (azathymidine). Hall Ross H., Haselkorn Robert), J. Amer. Chem. Soc., 1958, 80, № 5, 1136—1141 (англ.)

Описан метод получения 2-(2'-дезоксид-рибофуранозил)-6-метил-асим-триазин-3,5(2,4)-диона (I). При фосфорилировании I образуются 5'-(II), 3'-(III)-фосфаты и 3',5'-(IV)-дифосфаты I. Изучалась биологич. активность этих соединений как ингибиторов биосинтеза ДНК. К отфильтрованному р-ру 8,2 моля азатимидина (V) в 12 л воды, содержащей 7,84 моля NaOH и 400 мл 2 н. H_3PO_4 добавляют 4,21 л 0,5 М фосфатного буфера (840 г $\text{Na}_2\text{HPO}_4 \cdot 12 \text{H}_2\text{O}$ и 20 г KH_2PO_4 в 5 л) и воды до 42 л. К р-ру добавляют 2,87 г свежемолотых микроорганизмов, приготовленных по Прусову (РЖХимБх, 1955, 7754), и 0,084 моля тимидина. Через 4 часа (pH 7, 9, 37°) центрифугируют, добавляют 800 г $\text{Ba}(\text{OH})_2$, центрифугируют и добавляют 4 кг дауэкс-50 (H^+). Р-р (45 л) упаривают в вакууме до 6 л, выделяют 723 г V, фильтрат упаривают до 800 мл и отделяют 187 г V. Фильтрат разбавляют CH_3COOH до конц-ии 3%. I выделяют с помощью противотока распределения (стационарная фаза — 3% CH_3COOH , подвижная фаза — этилацетат). Фракции, содержащие I, тимин и урацил, упаривают в вакууме (500 мл), добавляют NH_4OH до pH 10 и пропускают через дауэкс-1 \times 4 (форматная форма). Колонку промывают 4 л 0,01 м NH_4OCHO (VI) (pH 10,5) и 110 л 0,02 м VI (рН 7), затем вымывают I 0,02 м HCOOH (25 л), элюат упаривают, насыщают H_2S , фильтруют и сушат вымораживанием; выход I 12,34 г. I гидролизуются 1 н. HCl (15 мин., 100°) и устойчив к 0,1 н. HCl и 1 н. NaOH (2 часа, 100°). К 8,22 ммоль дибензилфосфата в 25 мл абс. C_6H_6 добавляют 8,32 ммоль N-хлорсукцинимид. Через 2 часа фильтрат упаривают в вакууме и добавляют к р-ру 1,52 ммоль I в 5 мл сухого пиридина (-30° , в токе N_2), оставляют на 6 час. и через 12 час. при t -ре -20° фильтрат упаривают с 25 мл воды, остаток растворяют в 20 мл 50%-ным спирта, добавляют 2 н. HCl до pH 2 и гидрируют над 10%-ным Pd/C под давлением. Фильтрат упаривают до удаления спирта, растворяют в 15 мл воды, добавляют NH_4OH до pH 10 и пропускают через дауэкс-1 \times 4 (форматная форма). Колонку промывают 65 мл 0,01 М VI (pH 10) и 1,3 л 0,02 М VI (pH 7). Выделяют: II вымыванием 0,01 м $\text{HCOOH} + 0,05$ м VI (pH 4,45, 935 мл); III вымыванием 0,1 м $\text{HCOOH} + 0,5$ м VI (pH 4,2, 1770 мл), и IV вымыванием 2,0 м $\text{HCOOH} + 1,0$ м VI (pH 3,2, 1,5 л). Элюаты высушивают вымораживанием с последующим нагреванием остатка до 40° . Выделены циклогексилламмониевые соли: II, выход 78%, т. пл. $142-143^\circ$ (из сп.-аcetона); III, выход 81%, т. пл. $226-227^\circ$ (из сп.-аcetона); IV, выход

0,071 г, т. пл. $201-203^\circ$ (из сп.-аcetона). Na-соли II, III и IV получают, пропуская циклогексилламмониевые соли через дауэкс-50 (H^+) с последующей нейтр-цией NaOH . II дефосфорилируется при действии яда *Crotalus adamanteus*, III устойчива в этих условиях. Приводятся R для I—IV и некоторых нуклеозидов в системе $\text{iso-C}_3\text{H}_7\text{OH} - 1\%$ -ный $(\text{NH}_4)_2\text{SO}_4$ (2:1). 3. III

70986. Тиопроизводные нуклеозидов. I. Синтез 2-амино-6-меркапто-9-β-D-рибофуранозилпурина («тиогуанозина») и аналогичных пуриновых нуклеозидов. Фокс, Уэмпен, Хамптон, Дорр (Thiation of nucleosides. I. Synthesis of 2-amino-6-mercapto-9-β-D-ribofuranosylpurine («thioguanosine») and related purine nucleosides. Fox Jack J., Wempen Iris, Hampton Alexander, Doerr Iris L.), J. Amer. Chem. Soc., 1958, 80, № 7, 1669—1675 (англ.)

2-амино-6-меркапто-(I) и 6-меркапто-9-β-D-рибофуранозилпурины (II) получают с хорошими выходами введением меркаптогруппы в замещ. гуанозина (III) и инозина (IV) с последующим удалением защитных групп. При восстановлении I и II легко образуются 2-амино-9-β-D-рибофуранозилпурин (V) и небуларин (VI). Аминированием полученного из II 6-метилмеркапто-9-β-D-рибофуранозилпурина (VII) с выходом 70% получают аденозин (VIII). Приводятся спектры поглощения в УФ-свете в зависимости от pH для I, II, 6-меркаптопурина (IX) и 2-амино-6-меркаптопурина (X). Измеренные спектрофотометрически и потенциометрически значения pK_a для этих соединений сравниваются с pK_a для соответствующих оксипроизводных. Активность I и II как ингибиторов саркомы-180 и других клеток аналогична или меньше активности IX и X. К суспензии 0,037 моля IV в 250 мл абс. пиридина при 55° добавляют по каплям 0,156 моля $\text{C}_6\text{H}_5\text{COCl}$ и ($\leq 65^\circ$) нагревают 2 часа при $60-65^\circ$ и 3 часа при $40-45^\circ$; через 12 час. фильтруют, упаривают в вакууме и подвергают перегонке с паром (2 раза). Оставшееся масло растворяют в CH_2Cl_2 , промывают р-ром бикарбоната, упаривают в вакууме и растирают с эфиром, содержащим немного спирта; выход 9-(2',3',5'-три-О-бензоил-β-D-рибофуранозил)-гипоксантина (XI) 82%, т. пл. $133-136^\circ$ (из этилацетата), $[\alpha]_D^{25} -86^\circ$ (с 1,1; хлф.). К суспензии 0,017 моля XI и 0,065 моля P_2S_5 в 250 мл х. ч. пиридина добавляют по каплям 2,5 мл воды, кипятят 4 часа и декантируют; остаток добавляют к кипящей воде; при кипении добавляют упаренную в вакууме декантированную жидкость, кипятят 30 мин. фильтруют горячим, промывают горячей водой и растирают смесь эфир-спирт (1:1) и эфиром; выход 9-(2',3',5'-три-О-бензоил-β-D-рибофуранозил)-6-меркаптопурина (XII) 88%, т. пл. $206-214^\circ$ (из метилэтилкетона-сп.). К суспензии 10,2 г XII в 750 мл абс. CH_3OH добавляют 15 мл свежеприготовленного 2 н. CH_3ONa в CH_3OH , кипятят 4,5 часа (pH 9) поддерживают добавлением CH_3ONa , упаривают в вакууме, добавляют 50 мл воды и CH_3COOH до pH 8 и перегоняют с паром; остаток после экстракции CH_2Cl_2 упаривают в вакууме до 35 мл, добавляют 1 мл CH_3COOH до pH 4—5, осадок обрабатывают смесью спирт-эфира (10:90); выход II 77%, т. пл. $207-210^\circ$ (из воды или сп.). 6 г XII нагревают в ампуле с спиртом, насыщенным при 0° NH_3 (60° , 10 час.). Упаривают в вакууме и перегоняют с паром. Осадок промывают эфиром, встряхивают несколько минут с CH_2Cl_2 и фильтруют. Осадок растирают со спиртом и эфиром; выход 6-меркапто-9-(5'-О-бензоил-β-D-рибофуранозил)-пурина 45%, т. пл. $225-226^\circ$. К р-ру 330 мг II в 2,5 мл 0,4 н. NaOH при встряхивании (10 мин.) добавляют 0,073 мл CH_3J ; добавляют еще 0,4 мл 0,4 н. NaOH и 0,073 мл CH_3J , встряхивают, оставляют 2 часа при t -ре $\sim 20^\circ$ и ~ 12 час. при 0° ; осадок кипятят

несколько минут с 2 мл абс. спирта; выход VII 74%, т. пл. 163—164°. Р-р 0,5 г VII в 15 мл C_6H_5OH , насыщенного при 0° NH_3 , нагревают в ампуле (146—148°, 7 час.) и упаривают в вакууме; выход VIII 69%, т. пл. 214—218° (разл.; из сл.). К р-ру 1 г II в 50 мл кипящей воды добавляют 1—2 г скелетного Ni, кипятят 3 часа, фильтрат упаривают в вакууме, растворяют в горячем спирте и упаривают в вакууме; выход VI 58%, т. пл. 174,5—176,5° (из сл.). К суспензии 0,21 моля III в 1,5 л абс. пиридина при перемешивании добавляют 1,05 моля C_6H_5COCl (60—65°, 2 часа). Через 3 часа при 40—45° и ~12 час. при 20° фильтрат упаривают в вакууме до 400 мл, выливают в 3 л кипящей воды; выход 9-(2',3',5'-три-О-бензоил-β-D-рибофуранозил)-гуанина (XIII) 80%, т. пл. 252—256°. 2-амино-6-меркапто-9-(2',3',5'-три-О-бензоил-β-D-рибофуранозил)-гуанин (XIV) получают из XIII и P_2S_5 аналогично XII (6 час.); выход XIV 90%, т. пл. 223,5—227,5° (из сл.). К суспензии 0,06 моля XIV в 1,5 л горячего CH_3OH добавляют при перемешивании свежеприготовленный р-р 0,12 моля CH_3ONa в 300 мл CH_3OH (рН реакционной смеси 10—11), кипятят 2 часа (рН 8,5), упаривают в вакууме, выливают в 250 мл горячей воды и перегоняют тотчас же с водяным паром (рН < 9). Оставшийся р-р фильтруют и подкисляют лед. CH_3COOH (до рН 5); выход I 63%, т. пл. 224—227° (из воды). К р-ру 0,0033 моля I в 50 мл кипящей воды добавляют 2 г скелетного Ni, через 2 часа фильтруют, упаривают в вакууме, растворяют в горячем спирте и упаривают в вакууме; выход V 69%. З. Шабарова 70987.

Синтез 9-α-D-рибофуранозиладенина. Райт, Тенер, Кхорана (The synthesis of 9-α-D-ribofuranosyladenine. Wright R. S., Tener G. M., Khorana H. G.), J. Amer. Chem. Soc., 1958, 80, № 8, 2004—2006 (англ.)

Изучена возможность применения 2,3-циклокарбоната 5-бензоил-β-D-рибофуранозилбромид (I) для синтеза α-нуклеозидов. Конденсацией I с хлормеркури-6-бензамидопурином (II) с последующим отщеплением ацидных групп получились аномерные 9-α-рибофуранозиладенин (α-III, ранее неизвестный) и 9-β-рибофуранозиладенин (β-III аденозин). Замена в I бензольной группы на ацетильную дает продукт не растворимый в толуоле и ксилоле и потому не пригодный для синтеза нуклеозидов. В тех же условиях, что и III, получены, исходя из хлормеркури-5,6-диметилбензимидазола (IV), аномерные 1-β-рибофуранозил-5,6-диметилбензимидазола (α-, β-). Строение α-III доказано выделением при его кислотном гидролизе аденина и рибозы: при окислении α-III расходуется 1 моль периодата. УФ-спектр α-III [λ(макс) 257 мμ (в к-те), 259 мμ (в щелочи)] очень сходен с УФ-спектром β-III. Аномерные соотношения между α- и β-III также подтверждаются их оптич. активностью: [α]_D +24° (с 0,65; вода) для α-III, [α]_D -60,4° (с 0,7; вода) для β-III. 5 г 2,3-циклокарбоната 5-бензил-β-D-метилрибофуранозид растворяют в 200 мл CH_3OH , гидролизуют (2,5 часа) в присутствии 0,5 г 5%-ного Pd/C, удаляют CH_3OH , остаток бензоилируют; выход 2,3-циклокарбоната 5-бензоил-β-D-метилрибофуранозила (V) 80%, т. пл. 88° (из бэл.-петр. эф.), затем из CH_3OH . К р-ру 2,5 г V в 10 мл 32%-ной NH_3 в CH_3COOH прибавляют 1 мл $(CH_3CO)_2O$, нагревают (4 часа, 75°) упаривают в вакууме, очищают азетропной отгонкой с толуолом в вакууме, растворяют в 20 мл сухого ксилола, прибавляют к суспензии 4,03 г II и 1 г промытого к-той и высушенного целита, кипятят 1 час, выпаривают в вакууме, извлекают $CHCl_3$. Вытяжку промывают 30%-ным р-ром KI, выпаривают, растворяют в 30 мл сухого CH_3OH , кипятят 0,5 часа с 2 мл 1 н. CH_3ONa , разбавляют водой, ионообменником доводят рН до 9, выпариванием с водой в вакууме удаляют $C_6H_5COOCH_3$.

Хроматографией на целлюлозе в водн. $n-C_4H_9OH$ выделяют β-III (15%), т. пл. 233° (из воды), и α-III (24%), т. пл. 201° (из сл.эф.); пикрат α-III, т. пл. 190°. Р-р I (из 0,588 г V) прибавляют к суспензии 0,762 г IV и 0,2 г целита в ксилоле, кипятят 1 час и далее обрабатывают, как в случае III. Хроматографией на SiO_2 (бэл. и возрастающие кол-ва эф.) выделяют 1-(2',3'-изопропилиден-β-D-рибофуранозил)-5,6-диметилбензимидазол (VI), выход 10 мг, т. пл. 186°, и α-аномер VI, выход 12 мг, т. пл. 176°. Е. Алексеева 70988.

Синтез дигидросфингомиелина. Шапиро, Флауэрс, Спектор-Шефер (The synthesis of dityrosphingomyelin. Shapiro David, Flowers H. M., Spector-Shefer Sarah), J. Amer. Chem. Soc., 1958, 80, № 9, 2339—2340 (англ.)

Описан синтез двух производных сфингомиелина (N-ацетильного производного эритро-2-амино-3-оксипентадецен-4-фосфорилхолина) (РЖХим, 1954, 34215), пальмитол- и стеарондигидросфингомиелина (Ia и Ib соответственно). Метилловый эфир тетро-α-бензамидо-β-оксистеариновой к-ты (РЖХим, 1954, 42891) циклизуется при действии $SOCl_2$ с образованием *цис*-2-фенил-4-карбометокси-5-пентадецилоксасолина, т. пл. 43—45°; его восстановление $LiAlH_4$ приводит к 2-фенил-4-оксиметил-5-пентадецилоксасолину (II), выход 85%, т. пл. 98—99°. Действие β-хлорэтилфосфорилдихлорида на II в C_6H_5N приводит к 2-фенил-5-пентадецилоксасолилу (4)-метилфосфорилэтиленхлоргидрину (III). Расщепление оксасолинового кольца кипячением III с 1 экв HCl приводит к эритро-2-амино-3-бензооксиоктадеканфосфорилэтиленхлоргидрину (IV) (не выделен). Ацилированием IV действием $CH_3(CH_2)_{14}COCl$ с CH_3COONa получено N-пальмитойлпроизводное IV (V), т. пл. 98—99,5°. Длительное действие $(CH_3)_3N$ на Ва-соль V приводит к N-пальмитойл-3-бензоксидигидросфингозинфосфорилхолинхлориду, т. пл. 170—175°, дающему при щел. гидролизе Ia, т. пл. 210—212°. Тем же путем последовательно получены: N-стеаройлпроизводное IV, т. пл. 95—97°; N-стеаройл-3-бензоксидигидросфингозинфосфорилхолинхлорид, т. пл. 170—172°, и Ib, т. пл. 213—214°. ИК-спектры Ia и Ib практически одинаковы; правильность их ф-л подтверждается описанными недавно свойствами лецитинов (РЖХим, 1958, 18002). Приведены данные ИК-спектров для Ia, Ib и соответствующих природных соединений. Р. Тошштейн 70989.

Идентичность гледитина и моллисакидина. Кларк-Льюис, Мицун (The identity of gleditin and mollisacadin. Clark-Lewis J. W., Mitsuno M.), J. Chem. Soc., 1958, Apr., 1724 (англ.)

Из *Gleditsia japonica* Miquel выделен гледитин (I) (флаван-3,4-диол); дигидрат I, т. пл. 124—125° (разл.), [α]_D +33,6° (50%-ный ацетон); триметилловый эфир, т. пл. 129,5—131°; I + 1,5 H_2O , т. пл. 99—100,5°. I идентичен моллисакидину (РЖХим, 1958, 4830). Ю. Малина 70990.

Строение эритроцентаурина. Кубота, Томита (Structure of erythrocentaurin. Kubota Takashi, Tomita Yutaka), Chemistry and Industry, 1958, № 8, 230 (англ.)

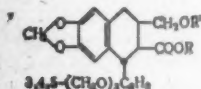
Эритроцентаурин $C_{10}H_{16}O_3$ (I), т. пл. 140—141°, полученный гидролизом сувертиамарина эмульсионным (выход 10—15 мг I из 1 г глюкозида), дает семикарбазон, т. пл. 219—220°, и производные: с димедоном $C_{23}H_{30}O_6$, т. пл. 161—162°, и с о-фенилендиаминном $C_{16}H_{14}O_2N_2$ т. пл. 210—212°. При окислении I (CrO_3) образуется карбоксилатон $C_{10}H_{14}O_4$, т. пл. 238—239°. Восстановлением I $LiAlH_4$ получен триол $C_{10}H_{14}O_3 \cdot H_2O$, т. пл. 105—106°, а окислением I щел. р-ром $KMnO_4$ получена бензолтрикарбонная-1,2,3 к-та. Для I принимается строение 5(или 8)-формил-3,4-дигидроизокумарина; первое более вероятно в связи с нахождением I вместе с генцианином (РЖХим, 1958, 8133). Приведены данные ИК- и УФ-спектров I. А. Васильев

70991. Убихинон. Мортон, Вильсон, Лоу, Лит (Ubiquinone. Morton R. A., Wilson G. M., Lowe J. S., Leat W. M. F.), Chemistry and Industry, 1957, № 51, 1649—1650 (англ.)

Убихинон $C_{14}H_{22}O_2$ [т. пл. 33—34, 36, 41° (различных образцов), мол. в. 430—1000] или в-во SA, найденное во многих животных тканях и дрожжах, возможно, представляет собой производное нафтохинона с гидрированным нехиноновым кольцом и двумя не сопряженными двойными связями. Его распределение в организме не связано с жирорастворимыми витаминами.

70992. Метилдезоксиподофиллат и его метиловый эфир. Штеккер, Трейль (Methyl desoxyphodophyllat and its methyl ether. Schrecker Anthony W., Trail Mary M.), J. Organ. Chem., 1958, 23, № 5, 767—768 (англ.)

Метиловый эфир изоантрициновой к-ты (Noguchi K., Kawanami M., J. Pharmac. Soc. Japan, 1940, 60, 629) является в действительности метиловым эфиром метилдезоксиподофиллата (I). 0.916 г Na-дезоксиподофиллата метилируют 58,7 г $(CH_3)_2SO_4$ в 40%-ном KOH (6 час., 20°), экстрагируют эфиром, затем $CHCl_3$ упаривают, остаток хроматографируют на Al_2O_3 , получают I, т. пл. 173—174° (из бзл-пентана), $[\alpha]_D^{25} -69,8^\circ$ (с 0,84; хлф.). I дает понижение т-ры плавления с метилдезоксиподофиллатом (II), полученным из 0,9 г Ag-дезоксиподофиллата и 7 мл CH_3J (1 час, 100°). При экстракции горячим спиртом получают II, т. пл. 175—176° (из сп.), $[\alpha]_D^{25} -65,9^\circ$ (с 0,99; хлф.), $[\alpha]_D^{25}$



I R = R' = CH_3 ,
II R = CH_3 , R' = H
III R = H, R' = CH_3

—138° (с 0,50; пиридин). Метилирование *цис*-2,3-*транс*-3,4-дезоксиподофиллина $(CH_3)_2SO_4$ в 3%-ном NaOH приводит к образованию метилового эфира дезоксиподофиллиновой к-ты (III) (т. пл. 180—184° (испечение, из CH_3OH), называемой (Marion L., Canad. J. Res., 1942, 20B, 157) «изоантрициновой к-той». Приведены ИК-спектры I и II. С. Давыдова

70993. Растительные полифенолы. III. Выделение нового эллагитаннина из кожуры грецкого ореха. Джерд (Plant polyphenols. III. The isolation of a new ellagitannin from the pellicle of the walnut. Jurd Leonard), J. Amer. Chem. Soc., 1958, 80, № 9, 2249—2252 (англ.)

Продолжительным извлечением этилацетатом насыщ. NaCl водн. р-ра таннина, полученного методом, описанным ранее для метанолового экстракта (см. сообщение II, РЖХим, 1958, 54161), из более чистого ацетонового экстракта кожуры выделен практически чистый основной компонент, эллагитаннин $C_{27}H_{22}O_{18}$, содержащий, как и ранее выделенный изомерный кориллагин (I), 11, OH-групп и названный югганином (II), т. пл. 235—237° (разл.), $[\alpha]_D^{25} +52^\circ$ (с 0,5; вода). Из II получены ундекаацетил- и ундекабензоилюгганины, т. пл. 237—241 и 215—217° соответственно. При действии CH_3N_2 II дает декаметилюгганин (III), т. пл. 157—165° (т. разлаг. 150—153°); моноацетат III, т. пл. 142—145°; моно-*п*-нитробензоат (IV), т. пл. 156—158° (из CH_3OH -воды). II и все производные аморфны; выделены осаждением этилацетатных экстрактов гексаном и очищены, исключая IV, перекристаллизацией из CH_3OH , водн. CH_3OH или CH_3OH -ацетона с последующим пересаживанием этилацетатных р-ров гексаном. Продуктами кислотного гидролиза II являются эллаговая (V; 46,1%) и галловая (VI; 7,8%) к-ты и глюкоза (17%). Из продуктов щел. гидролиза также выделены V и VI. Поскольку т-ры плавления, $[\alpha]_D$ и

значения R_f , I и II различны и I дает ундекаметиловый эфир, возможно, что разница между изомерами обусловлена различным положением эфирных связей, которое для II еще не установлено. Приведены УФ-спектроскопич. данные для V и VI и значения R_f соответственно в 10%-ном CH_3COOH и в смеси бутанол- CH_3COOH -вода (4:1:5) для I (0,53 и 0,46), II (0,63 и 0,38) и для других полифенолов, содержащихся в таннине.

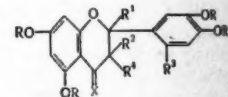
70994. Составные части Casimiroa edulis Llave et Lex. IV. Идентификация эдулейна с 7-метоксип-1-метил-2-фенил-4-хинолоном. Зондхеймер, Мейзельс (The constituents of Casimiroa Edulis, Llave et Lex. IV. Identification of edulein with 7-methoxy-1-methyl-2-phenyl-4-quinolone. Sondheimer Franz, Meisels Alex), J. Organ. Chem., 1958, 23, № 5, 762—763 (англ.)

ИК-спектрами, смешанными пробами т-р плавления в-в и их пикратов показана идентичность алкалоидов эдулейна (I), выделенного из *Casimiroa edulis* Llave et Lex (РЖХим, 1957, 71824), и 7-метоксип-1-метил-2-фенил-4-хинолона, выделенного из *Lunasia amara* (Fortschritte Chem. Org. Naturstoffe, 1956, Wien, Springer verlag, vol. 13, 310). При деметилировании I (0,09 г I, 1 г KOH, 10 мл этиленгликоля, 24 часа, 100°) образуется 0,074 г 7-оксип-1-метил-2-фенил-4-хинолона (II), т. пл. 322—324° (разл.; из сп.). При действии CH_3N_2 на II (24 часа при 5°) образуется I. Восстановление 0,15 г в 25 мл тетрагидрофурана, 0,5 г $LiAlH_4$ (7 час., 100°) дает 7-метоксип-1-метил-2-фенил-4-кето-1,2,3,4-тетрагидрохинолин (III); выход 0,105 г, т. пл. 129—130° (из аф-пентана). Для III приведены ИК- и УФ-спектры. Сообщ. III см. РЖХим, 1958, 32646. С. Д.

70955. Лейко- и псевдосоединения антоцианидина. Фрейдебергер, Вайнгес (Leuko- und Pseudoverbindungen der Anthocyanidine. Freudenberger Karl, Weinges Klaus), Liebigs Ann. Chem., 1958, 613, 61—75 (нем.)

Из таксифолина (I) гидрированием его тетрабензильного производного получен лейкоцианидингидрат (II). II при последующем гидрировании дает катехин (III). Ацетат II изомерен в-ву (IV), ранее полученному после гидрирования гексаацетилпсевдоцианидина (V) (Freudenberger K. и др., Liebigs Ann. Chem., 1935, 518, 37). Этим установлены ф-лы IV и V. Подтверждена ф-ла цианомаклурина (VI) (Appel H., Robinson R., J. Chem. Soc., 1935, 752). Приведены значения R_f (система: 80% водн. бутанола + 1% глицоля, проявление 2%-ным р-ром $FeCl_3$ в CH_3OH) и ИК-спектры полученных соединений. К р-ру 3 г I в 200 мл

I R = R' = R'' = R''' = H, R'' = OH, X = O;
II R = R' = R'' = R''' = H, R'' = OH, X = H + OH;
III R = OCOCH₃, R' = R'' = H, X = H;
IV R = OCOCH₃, R' = R'' = H, X = H;
V R = R' = H, R'' = R''' = O, R'' = OH, X = H;



сухого ацетона прибавили 18 мл $C_6H_5CH_2Cl$ 14 г K_2CO_3 , 3,2 г NaI, кипятили и перемешивали 6 час. После пропускания пара через смесь (2 часа) выделено 2,2 г тетрабензилтаксифолина (VII), т. пл. 194—196° (из толуола). К р-ру 2 г VII в 10 мл абс. C_6H_5N при 100° прибавили 10 мл $(CH_3CO)_2O$, нагревали 2 часа при 100°. Получено 2 г тетрабензил-3-моноацетилтаксифолина (VIII), т. пл. 148—149° (из этилацетата-сп.). Р-р 350 мг VIII в 20 мл диметилформамида гидрировали в присутствии 160 мг Pd/BaSO₄ 1 час.; выделено 130 мг 3-моноацетилтаксифолина, т. пл. 126—128° (из водн. CH_3OH). Р-р 3,5 г VIII в 200 мл тетрагидрофурана (ТГФ) прибавлен к смеси 1 г $LiAlH_4$ в 100 мл ТГФ (перемешивание 4 часа при т-ре ~20°); получено 2,3 г 5,7,3',4'-тетрабензоксип-3,4-диоксифлавана (IX),

етило-
терами
связей,
ы УФ
ия R
бута-
(46), II
каших-
штейн
et Lex.
етила-2-
елье
et Lex.
methyl-
Mei-
762—

вления
лоидов
Llave
етила-2-
атага
Sprin-
(0,08 г)
обра-
на (II),
CH₃N₂
вление
(7 час.,
1-2,3,4-
29—130°
и УФ-
С. Д.
нидина.
Pseudo-
nberg
Chem.,

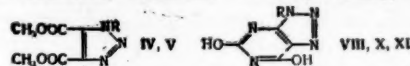
трабен-
агидрат
катехин
получен-
аниди-
Chem.,
и V.
rrel N.,
сны зна-
ликоля,
и ИР-
200 мл

CH₃OH

г K₂CO₃,
сле про-
2 г тет-
(из то-
при 100°
а при
аксифо-
сп.). Р-р
овали в
130 мл
из воды,
офурана
мл ТГФ
получено
а (IX),

т. пл. 190° (из монометилового эфира гликоля); 3,4-диацетокси-IX, т. пл. 137—138° (из сп.); 5,7,3',4'-тетрабензокси-3,4-изопропилдендифлаван, т. пл. 147° (из ацетона-CH₃OH), 2,2 г IX, 1 г Pd/BaSO₄, 140 мл ди-метилформамида гидрировали 3 часа; выделен 1 г 3,4,5,7,3',4'-гексаоксифлавана, т. пл. > 300° (из воды); 3,4,5,7,3',4'-гексаацетоксифлаван, т. пл. 142—144° (из CH₃OH); 5,7,3',4'-тетраметокси-3,4-диоксифлаван, т. пл. 204—206° (из монометилового эфира гликоля). 2 г IX в 300 мл теплого диоксана гидрировали с Pd (из 900 мг PdCl₂) 6 час.; получен DL-III, т. пл. 210—212° (из воды). Экстракцией опилок квебрахо эфиром и последующим делением упаренного экстракта методом противоточного распределения выделен (—)-лейкофизетинидиангидрат, т. пл. 133—137° (из воды), [α]_D²⁵ -32° (с 2,0; 50%-ный водн. ацетон); триметил-(—)-лейкофизетинидиангидрат, т. пл. 125—127°, [α]_D²⁵ -3,8 (с 2,0; C₂H₅Cl₄). Цианидхлорид ацетилировали (CH₃CO)₂O в C₆H₅N при 20°, получен 2,3,5,7,3',4'-гексаацетоксифлаван-3, т. пл. 155—156°. Аналогично из хлорида пеларгонидина получен 2,3,5,7,4'-пентаацетоксифлаван-3, т. пл. 168°. При ацетилировании 4'-окси-флавилихлорида получен 2,4-диацетоксифлаван, т. пл. 94—95°. Аналогично из 4'-метоксифлавилихлорида получен 2-ацетокси-4'-метоксифлаван (X), т. пл. 129—130°. Из 7,4'-диметоксифлавилихлорида получен 2-ацетокси-4,4'-диметоксифлаван, т. пл. 133—134°. При гидрировании этих соединений получены соответствующие гидрохалконы. Гидрирование X привело к 2-ацетокси-4'-метоксигидрохалкону, т. пл. 76—78°. Экстракцией *Artocarpus integrifolia* этилацетатом и последующим разделением методом противоточного распределения (система вода—эфир) выделен DL-VI, т. пл. 158—159° (из воды); тетраацетил-DL-VI, т. пл. 148—149° (из ацетона-сп.); тетраацетил-(+)-VII, т. пл. 137—139°, [α]_D²⁵ +58,3° (с 2,0; C₂H₅Cl₄); тетраметил-(+)-VI, т. пл. 181—182° (из ацетона-CH₃OH), [α]_D²⁵ +80,9° (с 2,0; C₂H₅Cl₄); триметилмоноацетил-(+)-VI, т. пл. 185—186°, [α]_D²⁵ +107° (с 2,0; C₂H₅Cl₄). Т. П. 70996. Получение 7- и 9-глюкопиранозил- и -ксилопиранозилпроизводных 8-азаксантина (5,7-диоксо-в-триазоло-[d]-пиримидина). Баддильи, Бьюкенен, Осборн (The preparation of 7- and 9-glucopyranosyl and -xylopyranosyl derivatives of 8-azaxanthine (5 : 7-dihydroxy-v-triazolo[d]pyrimidine) Baddiley J., Buchanan J. G., Osborne G. O.), J. Chem. Soc., 1958, Apr., 1651—1657 (англ.). Занимаясь изучением глюкозилазидов как возможных промежуточных продуктов в синтезе прекурсоров некоторых нуклеотидов пурина, авторы изучили реакцию азидов сахаров с диметиловым эфиром ацетилдикарбонной к-ты (I). Конденсацией I с 2,3,4,6-тетраацетил-β-D-глюкопиранозилазидом (II) и 2,3,4-триацетил-β-D-ксилопиранозилазидом (III) соответственно получены в-ва (IV) и (V), которые действием NH₃ превращены в соответствующие диамиды (VI и VII). KBrO превращает VII в 7- и 9-ксилозил-8-азаксантины (VIII и IX), дающие при кислотном гидролизе 8-азаксантин (X) и ксилозу. Положение заместителя определено сравнением УФ-спектров VIII и IX со спектром 9-метил-8-азаксантина (XI). Из II аналогично получены 7- и 9-β-D-глюкопиранозил-8-азаксантины. Приведены кривые УФ-спектров для VIII, IX, XI. 1 моль II (или соответственно III) кипятят (2,5 часа для II, 5 час. для III) с I (1,2 моля для II, 1,55 моля для III) в 30 мл C₆H₆, выливают в петр. эфир; выход IV 96%, т. пл. 153° (из сп.); выход V 70%, т. пл. 114° (из сп.). Для получения VI 1,05 г IV выдерживают 12 час. (0°) в 30 мл насыщ. р-ра NH₃ в CH₃OH, упаривают, VI осаждают эфиром, выход 85%; выход VII 88%. VII выдерживают с р-ром KBrO (18 час., 2°; 30 мин., 65°), разбавляют 50 мл воды, хро-

матографируют на дауэкс-2, вымывают 0,1 M HCOONH₄ и выделяют VIII и IX. 3,7 г цианацетамида, 6 г метилазида прибавляют при перемешивании к р-ру 1 г Na в 100 мл этанола, кипятят 1 час.; выход 1-метил-5-



IV R = тетраацетил-β-D-глюкопиранозил,

V R = триацетил-β-D-ксилопиранозил,

VIII R = β-D-ксилозил, X R = H, XI R = CH₃,

амино-1,2,3-триазол-4-карбоксамида (XII) 1,45 г, т. пл. 248° (из сп.). 500 мг мочевины, 500 мг хлоргидрата XII славляют 2,5 часа при 170—180°, растворяют в воде, фильтруют через дауэкс-50 (H⁺-форма), затем через дауэкс-2, вымывают р-ром 0,1 н. HCOONH₄; выход XI 63 мг, т. пл. 320° (разл.). При хроматографии на бумаге XI определяют по синей флуоресценции после обработки парами HCl (к-ты). Е. Алексеева

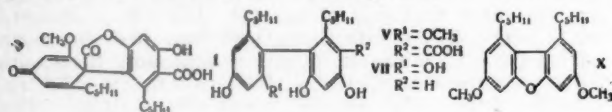
70997. Химия кипарисовых. XX. Вещества древесины рода *Widdringtonia*. Эрдтман, Томас (The chemistry of the natural order cupressales. XX. Heartwood constituents of the genus *Widdringtonia*. Erdtman H., Thomas B. R.), Acta chem. scand., 1958, 12, № 2, 267—273 (англ.).

Описаны в-ва, извлекаемые эфиром из конц. ацетонного экстракта древесины 5 видов рода *Widdringtonia*: *W. cypressoides* (L) Endl., *W. drocomontana* Stapf., *W. juniperoides* (L) Endl., *W. Schwarzii* (Morloth), *W. Whytei* Rendle. Выделены углеводороды: видрен C₁₅H₂₄ (I), трициклический, содержит группировку CC=C(CH₃)C, т. кип. 118—120°/10 мм, [α]_D²⁵ -107°, n_D²⁵ 1,5042, и «видрен II» (по-видимому, изомер I), т. кип. 128°/10 мм [α]_D²⁵ +50° (с 3,0) n_D²⁵ 1,5160. Выделены спирты (разделяемые хроматографированием на Al₂O₃ с вымыванием C₆H₆ и его смесями с эф. и CH₃OH): видрол C₁₅H₂₆O (II), бициклический, т. пл. 98° (из петр. эф. с последующей возгонкой), [α]_D²⁵ +105° (с 2,3), диол C₁₅H₂₈O₂ т. пл. 137—138° (из хлф.-петр. эф.), [α]_D²⁵ -24°, спирт C₁₅H₂₆O₂, т. пл. 154° (из петр. эф.), [α]_D²⁵ -9°, а также педрол и эйдесмол. Выделены к-ты: видреновая C₁₅H₂₂O₂ (III), т. пл. 169—170° (из CH₃OH), [α]_D²⁵ -86° (с 1,9), «к-та II» C₁₅H₂₂O₂ (IV), т. пл. 190—191° (из этилацетата), [α]_D²⁵ -76° (с 1,9), а также полученные фракционированием их метиловых эфиров (MЭ) с последующим хроматографированием на Al₂O₃ и омылением «к-та III», т. пл. 160—161°, [α]_D²⁵ +63° (с 2,4), при окислении HNO₃ образует терефталевую к-ту, «к-ту IV», т. пл. 138—140° (обе из петр. эф.). По-видимому, I идентичен с туйосеном. Окислением 1 г I (SeO₂ в 95%-ном спирте, кипячение 4 часа) получен альдегид видреналь C₁₅H₂₂O (V), т. пл. 75—76° (из петр. эф.), [α]_D²⁵ -27° (с 1,8), который нагреванием с водн. суспензией Ag₂O (100°, 1 час) превращен в III. При озонлизе I, также при окислении V (действием H₂O₂ в шел. р-ре) образуется кетокислота C₁₅H₂₄O₃, т. пл. 166—168°, [α]_D²⁵ -129° (с 2,4), которая действием NaBrO превращена в видрендикарбонную к-ту C₁₄H₂₀O₄ (VI), т. пл. 215° (из CH₃OH), [α]_D²⁵ -57° (с 2,1); ди-MЭ VI, т. пл. 71—73° (после возгонки в вакууме), [α]_D²⁵ -59° (с 2,0); ангидрид VI, т. пл. 113° (из петр. эф.-хлф.), [α]_D²⁵ +39° (с 2,9). Действием на V 30%-ной H₂O₂ в 5%-ном метанольном р-ре NaOH (20°, 3 часа) также получена VI. В продуктах дегидрирования II (с Se, 300°, 24 часа, атмосфера CO₂) обнаружен 1,7-диметил-4-изопропилафталин. Приведены данные УФ-спектров I—V, «к-ты III» и «к-ты IV» и таблица процентного содержания выделенных в-в в древесине 5 видов *Widdringtonia*. Все [α]_D²⁵ измерены в CHCl₃. Сообщение XIX см. РЖХим, 1958, 50477. Д. Чернышева

70998. Исследование в области химии лишайников.

XI. Строение пикролихеновой кислоты. Вахтмейстер (Studies on the chemistry of lichens. XI. Structure of picrolichenic acid. Wachtmeister Carl Axel), Acta chem. scand., 1958, 12, № 2, 147—164 (англ.)

Предложены структурные ф-лы пикролихеновой к-ты $C_{25}H_{30}O_7$ (I) извлекаемой эфиром из *Pertusaria amara* (Ach.) Nyl., выход 5—7%, оптич. неактивна, т. пл. 184—187° (разл.; из бзл.) 187—190° (разл.; из водн. CH_3COOH) а также продуктов ее расщепления. При 210° I разлагается с выделением CO_2 и образованием в-ва, т. пл. 153—155° (из 90%-ной CH_3COOH). Действием CH_2N_2 из I получены метиловый эфир (MЭ) $C_{26}H_{32}O_7$ (II), т. пл. 102—103,5° (из CH_3OH), и МЭ О-метил-I $C_{27}H_{34}O_7$ (III), т. пл. 80—82° (из гексана). С избытком пиперидина (атмосфера N_2 20°, несколько дней) I образует пиперидид $C_{30}H_{41}O_7N$ (IV), диморфен, т. пл. 168—172° (из бзл.) и 187—190° (из 80%-ной CH_3COOH); ди-МЭ IV, т. пл. 163—165° (из CH_3OH). При окислении I в 0,05 н. NaOH (1%-ный р-р $KMnO_4$, 20°, —45°) образуется смесь летучих к-т, главным образом *n*-капроновая к-та. При действии 1 н. NaOH (20°, 40 мин.) из 2,7 г I получено 1,2 г монокарбоновой к-ты $C_{24}H_{32}O_6$ (V), т. пл. 145—148° (из бзл.), продукт ее декарбоксилирования (150—160°) маслообразный фенол (VI). Одновременное деметилирование и декарбоксилирование 2 г V кипячением (12 час., атмосфера N_2) с 20 мл HBr (d 1,45) и 25 мл лед. CH_3COOH приводит к образованию 1,4 г фенола $C_{22}H_{28}O_4$ (VII), т. пл. 180—181° (из CH_3COOH). Аналогично из 5 г I получено 4 г VII. При метилировании 2,3 г VII в ацетоне действием $(CH_3)_2SO_4 + K_2CO_3$ (кипячение 10 час.) образуется тетра-МЭ VII $C_{26}H_{36}O_4$ (VIII), выход 1,9 г, т. пл. 34,5—35,5° (из CH_3COOH). Бромированием VIII в лед. CH_3COOH (20°) получены: дибромид $C_{26}H_{36}O_4Br_2$ (IX), т. пл. 119,5—120,5°, трибромид, т. пл. 106—107°, и тетрабромид, т. пл. 97—98°

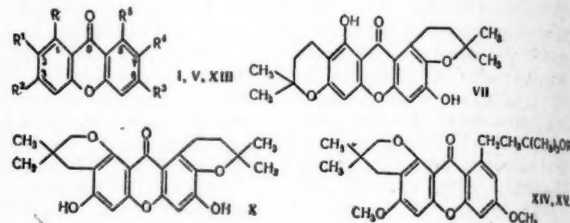


и IX. При сплавлении VII с избытком $ZnCl_2$ (240—250°, 4—5 мин.) образуется фенол $C_{22}H_{28}O_3$, т. пл. 124—125° (из бзл.-петр. эф. с последующей возгонкой); его ди-МЭ (X), т. пл. 72—73°, окислением 20%-ным р-ром $KMnO_4$ превращен в 3,7-диметоксидибензофурандикарбоновую-1,9 к-ту (XI); ди-МЭ XI, т. пл. 192—194° (из сп.). При синтезе XI описанным ранее методом (Shibata, Acta phytochim. Japan, 1944, 14, 9) получены 2-йод-3,5-диметокситолуол, т. пл. 84—85° (из сп.), т. кип. 155—170°/8 мм; 2,6-дийод-3,5-диметокситолуол, т. пл. 203—204° (из ацетона); 2,2'-диметил-4,6,4',6'-тетраметоксидифенил (XII), т. пл. 106—107° (из сп.); 3,7-диметоксиди-1,9-ди- (карбометокси) -дибензофуран (XIII), т. пл. 159—160° (из сп.). Приведены данные УФ-спектров V, VIII, X, XII, XIII; кривые УФ-спектров I, IV и орселлиновой к-ты и кривые и данные ИК-спектров I—IV. Высказано предположение о биосинтезе депсидов типа I путем дегидрирования депсидов с образованием связи C—C. Сообщение X см. РЖХим, 1957, 57688.

Д. Чернышева
70999.* Строение мангостина. Йейтс, Стаут (The structure of mangostin. Yates Peter, Stout George H.), J. Amer. Chem. Soc., 1958, 80, № 7, 1691—1700 (англ.)

Содержащийся в *Garcinia mangostana* мангостин $C_{24}H_{26}O_6$ (I) является 1,3,6-триокси-7-метокси-2,8-ди-(3-метилбутен-2-ил)-ксантоном. Для сравнения спек-

тральных данных синтезирован ряд производных оксиксантона. Выход I при экстракции C_6H_6 : из кожуры плодов 1,4—3,8%, из коры 2,2%, из сухого латекса 52%; после очистки 2-кратной хроматографией на Al_2O_3 (из р-ра в смеси эф.-бзл.; 1:3, с вымыванием той же смесью), т. пл. 181,6—182,6° (из бзл.). Р-р I в CH_3OH обрабатывают $(CH_3)_2SO_4 + 50\%$ -ный р-р KOH, добавлением воды выделяют диметилмангостин (II), его очищают хроматографией на Al_2O_3 (бзл.-петр. эф.; 1:1), т. пл. 123,3—123,8° (из сп.); его ацетат (III), т. пл. 193—194,5° (из бзл.-лигр.). Гидрированием II в CH_3COOH над PtO_2 получен тетрагидро-II $C_{26}H_{34}O_6$ (IV), т. пл. 105—107° (из сп.). При озоноллизе гидрированного I образуется изокaproновая к-та. Озонированием р-ра 5 г II в 50 мл CH_2Cl_2 получен диальдегид $C_{20}H_{18}O_8$ (V), выход 59%, т. пл. 192—194° (разл.; из $CH_3COOC_2H_5$ и CH_3COOH); его бис-семикарбазон (VI), т. разл. > 235°. Десметилмангостин (VII) образуется при кипячении (13 час.) 1,2 г I с 13 мл 47%-ной H_2 , выход 1,12 г, т. пл. 186—190° (из сп.-воды и циклогексана (ЦГ)); из 0,5 г VII в CH_3OH действием 5 мл $(CH_3)_2SO_4$ + конц. KOH получен его монометиловый эфир (VIII), выход 0,2 г, т. пл. 218,5—219,2° (из сп.- CH_2Cl_2). При кипячении (10,5 часа) 2 г I с 20 мл H_2 (содержащей J_2) получают (из CH_3OH) в-во $C_{22}H_{24}O_4$ · 2 CH_3OH (IX), выход 1,38 г, темно-красные илм,



IR = $R^1 = R^2 = OH$, $R^3 = R^4 = (CH_3)_2C=CHCH_2$, $R^5 = OCH_3$; V R = OH
R = CHO, $R^2 = R^3 = R^4 = OCH_3$, $R^5 = CH_2CHO$; VIII R = OH
 $R^1 = R^2 = (CH_3)_2C(OH)COCH_2$, $R^3 = R^4 = OCH_3$; XIV R = CHO;
XV R = H

т. разл. > 175°; при обработке спирт. р-ра 0,5 г IX водн. р-ром $NaHSO_3$ (или р-ра IX в $CHCl_3$ водн. р-ром KJ) образуется изо-VII $C_{23}H_{24}O_6$ · C_2H_5OH (X), выход 0,268 г, т. пл. 258,5—260° (разл.; из сп.-воды); его диацетат (XI), т. пл. 232,6—234° (из ЦГ). Из 0,1 г X (как VIII) получен его диметиловый эфир (XII), выход 70 мг, т. пл. 213,9—215,2° (из сп.-воды и ЦГ- CH_2Cl_2). Из X и XII получены кристаллич. перхлораты. При окислении 1 г II в 20 мл ацетона р-ром 2,5 г $KMnO_4$ в 40 мл смеси ацетона-воды (1:1) образуется бис-α-кетол $C_{26}H_{30}O_{10}$ (XIII), выход 0,292 г, т. пл. 231—232° (из сп.-ацетона и сп.-хлф.). Спирт. р-р 135 мг XIII кипятят 20 мин. с избытком водн. р-ра $NaBH_4$, получают смесь кристаллич. в-в (СКВ), выход 99 мг, т. пл. 135—165° (из бзл.); окисление р-ра SKA в спирте-этилацетате водн. р-ром HIO_4 (24 часа, без доступа света) приводит к V. К р-ру 1,07 г II в 98%-ной $HCOOH$ добавляют 0,86 мл 30%-ной H_2O_2 (р-ция идет и без H_2O_2); через 2,5 часа подщелачивают р-ром KOH и экстрагируют эфиром, формоксидигидродиметилмангостин (XIV), выход 0,436 г, т. пл. 154—155° (из сп.-воды). К первым маточным р-рам XIV добавляют р-р KOH, через 1,5 часа р-р вливают в воду, выделяют оксидигидродиметилмангостин $C_{26}H_{32}O_7$ (XV), выход 0,146 г, т. пл. 205—206° (из бзл.-лигр.); он же образуется из XIV при действии разб. водно-спирт. р-ра KOH (~20°, 1 час.). Из 0,103 г 1,3,6-триоксиксантона (XVI) (см. РЖХим, 1957, 889) кипячением (~15 час.) с 0,130 г K_2CO_3 и 0,146 г CH_3I в ацетоне получен 1-окси-3,6-диметоксиксантон (XVII), выход 80 мг, т. пл.

179,2—179,8° (из сп. и бэл.-ЦГ); его ацетат (XVIII), выход 0,096 г, т. пл. 177,4—178,2° (из сп.-воды и бэл.-ЦГ). К р-ру 15,7 г 2-окси-4-метоксibenзойной к-ты в 150 мл 10%-ного NaOH добавляють (по каплям) 25,2 г $K_2S_2O_8$ в 450 мл воды, через ~15 час. смесь подкисляют до pH 3, экстрагируют эфиром, водн. слой сильно подкисляют, греют 40 мин. (~100°), извлекают эфиром 2,5-диокси-4-метоксibenзойную к-ту, выход 4,6 г, смесь 1 г ее, 1,1 г флороглюцина, 4 г $ZnCl_2$ и 13 мл $POCl_3$ нагревают 2 часа (70°), выделяют 1,3,7-триокси-6-метоксиксантон (XIX), выход 0,289 г, т. пл. 309—310° (разл.); из сп.-воды, после возгонки при $210^\circ/2 \cdot 10^{-5}$ мм). Метилированием 0,2 г XIX (как XVI) получен 1-окси-3,6,7-триметоксиксантон (XX), выход 55 г, т. пл. 219,5—221° (из сп., после возгонки при $165^\circ/2 \cdot 10^{-5}$ мм). Приведены данные УФ-спектров I, II, IV, V, VIII, IX—XIV, XVI, XVII, XIX, XX; ИК-спектров I, II, IV—XV, XVII—XX, перхлората X, СКВ, 1-ацетоксиксантона и 1-метоксиксантона.

А. Лютенберг

71000. Абсолютная конфигурация лигнанов. Шрекер, Хартуэлл (The absolute configuration of lignans. Schrecker Anthony W., Hartwell Jonathan L.), J. Amer. Chem. Soc., 1957, 79, № 14, 3827—3831 (англ.)

Доказана абс. конфигурация гваяретовой к-ты (I). Ранее сообщалось о стереохим. соответствии диметилового эфира I (ДМЭ I) с (—)-3,4-диметокси- α -метилгидроксibenзойной к-той (II) (РЖХим, 1957, 77226), имеющей D-конфигурацию. I с OsO_4 дает комплекс, из которого после разложения щел. р-ром маннита и окисления смеси диастереоизомерных диолов периодатом выделен D-(—)-4-(3,4-диметоксифенил)-3-метил-2-бутанол (III), т. кип. $95^\circ/0,005$ мм (тра. воздушной бани), n_D^{20} 1,5252, $[\alpha]_D^{20}$ —35,3° (с 4,30; хлф.); семикарбазон III (CK), т. пл. 159,5—160° (из 30%-ного CH_3OH), $[\alpha]_D^{20}$ —48,0° (с 2,00; хлф.). Из хлорангирида II с CH_3MgBr также получен СК III, $[\alpha]_D^{20}$ —47,5° (с 1,99; хлф.). Из (+)-II получают (+)-III с $[\alpha]_D^{20}$ +47° (с 2,00; хлф.). D-конфигурация II доказана получением N-тозилата (—)-3,4-диметокси- α -метилфенилаланина (VI) из II, оказавшегося идентичным с полученным следующим путем: L-3,4-диоксифенилаланин переводят в N-формил-L-3,4-диметоксифенилаланин, т. пл. 125—126° (из этил-ацетата), $[\alpha]_D^{24}$ +71,6° (с 2,00; сп.), затем в метиловый эфир L-3,4-диметоксифенилаланина (V); хлоридрат V, т. пл. 158—159° (разл.; из сп.-эф.), $[\alpha]_D^{20}$ +6,8° (с 2,00; CH_3OH); восстанавливают в L-3,4-диметоксифенилаланинол, т. пл. 79—80° (из CH_2Cl_2 -пентана), $[\alpha]_D^{20}$ —21,5° (с 7,99; сп.); его O,N-дитозилат, $[\alpha]_D^{24}$ —58° (с 1,99; сп.), приводит к IV. Показано, что метилирование 2 фенольных OH слабо влияет на $[\alpha]_D$ в соединениях, подобных рассматриваемым, что соответствует правилу Л. Чугаева (Ber, 1898, 31, 360). Н у $C_{(1)}$ и CH_3 у $C_{(4)}$ I находятся в транс-положении, что доказано изоморфностью ДМЭ I и ДМЭ мезо-дигидро-I. Таким образом, выяснена абс. конфигурация ряда природных лигнанов, особенно диарилбутанов и 4-арилтетралинов. Получены также дополнительные данные по структуре тетрагидрофурановых производных типа пинорезинола и ларицирезинола.

А. Краевский

71001. Синтез некоторых 2-амино-4-окси-6-полноокси-алкилптеридинов, активно поддерживающих рост простейшего Crithidia fasciculata. Паттерсон, Милстри, Стокстад (The synthesis of some 2-amino-4-hydroxy-6-polyhydroxyalkyl-pteridines which are active in supporting the growth of the protozoan Crithidia fasciculata. Patterson E. L., Milstrey R., Stokstad E. L. R.), J. Amer. Chem. Soc., 1958, 80, № 8, 2018—2020 (англ.)

Синтезированы 2-амино-4-окси-6-[1,2,3-триоксипропил-(L-эритро)]-птеридин (I), 2-амино-4-окси-6-[1,2,3-три-

оксипропил-(D-эритро)]-птеридин (II), 2-амино-4-окси-6-[1,2,3-триоксипропил-(D-трео)]-птеридин (III) и 2-амино-4-окси-6-[1,2,3-триоксипропил-(L-арабино)]-птеридин (IV) из 2,5,6-триамино-4-оксипиримидина (V) и L-арабинозы (VI), D-рибозы, D-ксилозы и L-рамнозы (соответственно). Установлена зависимость между наличием L-конфигурации двух смежных OH-групп в алкильной боковой цепи и степенью стимулирования роста *Crithidia fasciculata* (Ca). Приведены в-во и $[\alpha]_D^{25}$ (с 0,3—0,5; 0,1 н. NaOH) I, —41,0°; II, +39,2°; III, —105°; IV, +96,3°. Полученные Карпером I, II и III (Helv. chim. acta, 1947, 30, 1031) в действительности являются загрязненными 7-изомерами; выход 6-изомера не превышает 2%. К р-ру 1 моля VI с 1,7 моля безводн. CH_3COONa и 1 моля H_3BO_3 в 500 мл воды добавляют 0,89 моля V в 250 мл воды; pH смеси 5,6. Нагревают до 80°, перемешивают током N_2 и добавляют 2 моля гидразингидрата, pH доводят CH_3COONa до 5,5, нагревают до 95° 75 мин., охлаждают до 0°, осадок суспендируют в 2,5 л горячей воды, насыщают известью, в объединенный фильтрат и промывные воды при 80° добавляют насыщ. р-р $ZnCl_2$ до pH 8,6; снова полученные фильтрат и промывные воды упаривают до 2 л и распределительной хроматографией на колонке с магнезием, а затем с дауэкс получен I, вес 2,7 г, чистота 35%.

Л. Шахновский

71002. Изучение родственных встречающихся в природе ацетиленовых соединений. XXII. Исправляющие изучения в строении полиацетиленов некоторых однолетних видов Coreopsis. Сёренсен, Сёренсен (Studies related to naturally occurring acetylene compounds. XXII. Correctional Studies on the constitution of the polyacetylenes of some annual Coreopsis species. Sørensen Jørgine Stene, Sørensen Nils Andreas), Acta chem. scand., 1958, 12, № 4, 756—764 (англ.)

Предполагаемый 1-фенил-ундекадиен-7,9-триин-1,3,5 (I), выделенный из нескольких видов однолетних *Coreopsis* (*C. tinctoria* Nutt., *C. Drummondii* Torr. et Gray, *C. cardaminifolia* Torr. et Gray (см. сообщение XVII, РЖХим, 1956, 22575), оказался смесь n-тридекатриен-1,3,11-триина-5,7,9 (II) и транс-1-фенилгепта-диен-5-диина-1,3 (транс III). 5 г масла из *C. cardaminifolia* хроматографируют на слегка дезактивированной Al_2O_3 , промывая петр. эфиром с увеличивающимися добавками C_6H_6 (1,5, 2, 4, 10% и т. д.). Фракции с 2—10% C_6H_6 (после отделения от последней из них тетраендиина и 2-кратной перегонки при 10^{-3} — 10^{-4} мм) вторично хроматографируют на Al_2O_3 , получают II, т. пл. 51—56° (нерезо, в вакууме, из петр. эф.), и транс-III, т. пл. 22—24°. Гидрированием 30,8 мг над 20 мг Pd в абс. спирте (8,25 моля) получен n-триденкан, т. пл. от —7,5 до —6,8°. Кривые УФ-спектров II и транс-III показывают большое сходство, но в области характерного для мнимого I (в дальнейшем «I») двойного максимума у транс-III, последний сдвинут на ~90 Å в длинноволновую область. ИК-спектр показывает присутствие в II— $CH=CH-$ — $CH=CH-$ группы, а УФ-спектр описанного в сообщении XVII (см. ссылку выше) аддукта «I» с малеиновым ангидридом показывает, что II является трином, и ацетиленовые связи все конъюгированы. УФ-спектр II близок спектрам цис и транс-1-ацетокси-n-тридекатриен-2,10,12-тринов-4,6,8, что определяет положение двойных и тройных связей в II; окончательно его строение подтверждено синтезом, о котором будет сообщено позднее. В р-рах $CHCl_3$ и гексана для II характерна изомеризация. Предполагается также возможность цис-транс-изомерии у II по $C_{(3)}$ — $C_{(4)}$. Транс-III идентифицирован по ИК-спектрам и р-рам плавления с синтетич. транс-III и цис-III (цис-III),

полученными следующим образом: 2 мл *цис*-пентенина (*цис*-IV) и 4 мл фенилацетилена в 200 мл смеси ацетона и CH_3OH 1:1 при -20° добавляют к р-ру 15 г CuCl , 40 г NH_4Cl , 2 г FeCl_3 и 1 мл конц. HCl в 125 мл воды и пробулькивают O_2 (18 час, -20°). Осадок от упаренного эфирного экстракта растворяют в петр. эфире и хроматографируют на Al_2O_3 в петр. эфире с 2% C_6H_6 . Первые фракции после дистилляции при $50^\circ/0,00001$ мм дали 0,15 г *цис*-III. *Транс*-III получен аналогично, но вместо *цис*-IV взят *транс*-IV; т. пл. *транс*-III 23–24°. Приведены кривые УФ-спектров «I», заведомого синтетич. I, *цис*-II, *транс*-II, *транс*-III, ИК-спектров II, *транс*-III и *цис*-III. Сообщение XX

см. РЖХим, 1956, 71837; Сообщение XXI см. Festschrift Arthur Stoll, Basel 1957. А. Краевский

71003 Д. Полный синтез природных изопреноидных спиртов (линалоола, гераниола и их гомологов). Гусев Б. П. Автореф. дисс. канд. хим. н., Ин-т органич. химии АН СССР, М., 1958

См. также: Стероиды 70198. Витамины 71787–71789. Антибиотики 71797–71799

71004. Основ
ный балан
(Japan), 19
Лекция.

71005. Спец
в химичес
ии Б. И.
1957, вып.

71006. Дос
[Англия].
industry.

№ 94, 41—
Обзор. Кар
1948 г. до

оставил в 19
Особенно н
нящая про

71007. Оче
Польши.
myslu che
kowski

(польск; р
71008. Хим
Видотт
Vidotto

420—422 (Пр
71009. Исс
мени в но
(Estimatio

new manu
Engng Pro
Анализ хр

рабочего вр
71010 Д. В
лания хим

части Сиб
экон. н., К

71011. Обо
установок
ture pilot

РЕФЕРАТИВНЫЙ ЖУРНАЛ ХИМИЯ

Рефераты 71004—71628

№ 21

10 ноября 1958 г.

III

ХИМИЧЕСКАЯ ТЕХНОЛОГИЯ. ХИМИЧЕСКИЕ ПРОДУКТЫ И ИХ ПРИМЕНЕНИЕ (Часть 1)

ОБЩИЕ ВОПРОСЫ

Редакторы В. И. Елинек, Н. А. Ширяева

71004. Основы химической технологии. I. Материальный баланс. Отакэ Дэиъо, Kagaaku, Chemistry (Japan), 1958, 13, № 2, 130—135 (японск.) Лекция.
71005. Систематизация методов работы новаторов в химических отраслях промышленности. Бородин Б. И., Научн. зап. Львовск. политехн. ин-т, 1957, вып. 51, 189—210
71006. Достижения химической промышленности [Англия]. Хиксон (Achievement of the chemical industry. Hickson Bernard), FBI Rev., 1958, № 94, 41—43, 45 (англ.)
- Обзор. Капиталовложения возросли с 33 млн. ф. ст. в 1948 г. до 120 — в 1956 и 1957 гг. Экспорт продукции составил в 1957 г. в денежном выражении 270 млн. ф. ст. Особенно интенсивно развивается нефтеперерабатывающая пром-сть. Л. Херсонская
71007. Очерк развития химической промышленности Польши. Корытковский (Zarys rozwoju przemyslu chemicznego w Polsce niepodleglej. Korytkowski Jan), Przem. chem., 1958, 37, № 4, 222—239 (польск.; рез. русск., англ.)
71008. Химическая промышленность Италии в 1957 г. Видотто (L'industria chimica italiana nel 1957. Vidotto Leo), Chimica e industria, 1958, 40, № 5, 420—422 (итал.)
- Предыдущее сообщение см. РЖХим, 1958, 61174.
71009. Исследования затрат основного рабочего времени в новых производственных процессах. Уобус (Estimation of direct operating labor requirements for new manufacturing processes. Wobus R. S.), Chem. Engng Progr., 1957, 53, № 12, 581—585 (англ.)
- Анализ хронометражных карт и затрат основного рабочего времени в хим. пром-сти. Л. Херсонская
- 71010 Д. Вопросы экономической эффективности развития химической промышленности в центральной части Сибири. Шокин Н. А. Автореф. дисс. канд. экон. н., Ин-т экон. АН СССР, М., 1958

ПРОЦЕССЫ И АППАРАТЫ ХИМИЧЕСКОЙ ТЕХНОЛОГИИ

Редакторы В. А. Жужиков, Б. Г. Лукьянов,
В. Г. Фастовский

71011. Оборудование для небольших полупромышленных установок. Стокман, Линн (Equipment for miniature pilot plants is available. Stockman C. H.,

Lynn R. E.), Industr. and Engng Chem., 1958, 50, № 4, 585—590 (англ.)

Даны сведения о дистилляционных и экстракционных колоннах, реакторах, автоклавах высокого давления, а также трубопроводах, ротаметрах, питателях для порошкообразных материалов, применяемых в США. В. Герцовский

71012. Рекомендуемая терминология по процессам в кипящем (псевдооживленном) слое (Из резолюции Всес. конференции по гетероген. процессам с твердой фазой в псевдооживленном (кипящем) слое). Химия и технол. топлив и масел, 1958, № 5, 72

71013. Влияние теплоотдачи на поле скоростей потока жидкости в вертикальной трубе при малых значениях критерия Рейнольдса. Ханратти, Розен, Кейбел (Effect of heat transfer on flow field at low Reynolds numbers in vertical tubes. Hanratty Thomas J., Rosen Edward M., Kabel Robert L.), Industr. and Engng Chem., 1958, 50, № 5, 815—820 (англ.)

Вода в трубе диам. 21,9 мм двигалась снизу вверх или в обратном направлении и подвергалась нагреванию или охлаждению с помощью теплоносителя, циркулировавшего через прозрачную рубашку из органич. стекла; входной участок имел длину 1 м, причем на половине его длины точно по оси установлена игла от медицинский шприца для ввода жидкого красителя. Наблюдения осуществлялись визуально и фиксировались на киноплёнку. В условиях нагревания восходящего потока воды (или охлаждения нисходящего потока) отмечено существование 3 различных областей: 1) в начале теплообменной поверхности параболич. профиль скоростей нарушается; жидкость в центральной части трубы движется медленнее, чем у стенок; 2) в дальнейшем происходит обращение потоков: в центральной части трубы наблюдается движение жидкости в обратном направлении; 3) движение утрачивает стабильность и развивается турбулентность. В условиях охлаждения восходящего потока воды (или нагревания нисходящего потока) происходит замедление движения у стенок трубы, что приводит к быстрой турбулизации потока: при $Re \approx 50$ (определяющий линейный размер — радиус трубы) и разности $t-p$ 5,5° наблюдается развитая турбулентность. Выполнено математич. решение задачи о распределении скоростей в предположении о постоянстве тепловой нагрузки по длине трубы (что не соответствует условиям экспериментов). Результаты расчетов подтверждают правильность выводов, сделанных на основании визуальных наблюдений, и свидетельствуют об определяющем влиянии в подобных условиях явления свободной конвекции на характер распределения скоростей в потоке при малых значениях Re . Ю. П.

71014. Турбулентная изотермическая струя в спутном потоке. Иванов Ю. В., Суй Х. Н., Тимма Э. П., Инж.-физ. ж., 1958, 1, № 5, 3—10

71015. Вопросы гидродинамики двухфазных систем твердые частицы — жидкость. Хаппел (Fluid flow in multiparticle systems. Happel John), Trans. N. Y. Acad. Sci., 1958, 20, № 5, 404—410 (англ.)

Рассмотрены движение жидкости сквозь неподвижные и псевдооживленные слои твердых частиц, осаждение тонкодисперсных частиц в жидкости и вязкость суспензий. Библ. 10 назв. В. Герцовский

71016. Гидравлическое сопротивление псевдооживленного зернистого слоя. Шибановас В. В., Инж.-физ. ж., 1958, 1, № 2, 99—102

Исследование гидравлич. сопротивления в псевдооживленном слое частиц обожженной глины с различной нагрузкой на единицу площади слоя G , кг/м², в разные стадии его псевдооживления показало, что при малых G эксперим. значения гидравлич. сопротивления ΔP_0 практически совпадают с теоретич. ΔP_T , а при больших G процесс псевдооживления протекает в гидродинамически нестационарных условиях и не все частицы находятся во взвешенном состоянии; разница $\Delta P_T - \Delta P_0$ является показателем циркуляции материала и указывает на кол-во частиц, выпадающих из массы псевдооживленного материала и движущихся вниз. Величина $(\Delta P_T - \Delta P_0)/\Delta P_T$ наиболее полно характеризует гидродинамику псевдооживленного слоя и может использоваться как поправочный безразмерный симплекс в критериальных ур-ниях для тепло- и массообмена. А. Ровинский

71017. Однородность псевдооживленного слоя. Такеда (Takeda Kunihiko), Kagaku kogaku, Chem. Engng (Japan), 1957, 21, № 3, 124—129 (японск.; рез. англ.)

Однородность псевдооживленного слоя определялась индексом неоднородности, предложенным Шустером (Shuster W. W., Chem. Engng Progr., 1952, 48, № 9). Установлено, что форма отверстий в нижней распределительной решетке и длина трубопровода значительно влияют на качество псевдооживленного слоя; при этом в конич. сосудах псевдооживленный слой получался более однородным, чем в цилиндрических. С. Крашенинников

71018. Псевдооживление и осаждение сферических частиц. Ханратти, Бандуквала (Fluidization and sedimentation of spherical particles. Hanratty Thomas J., Bandukwala Abdemannan), A. I. Ch. E. Journal, 1957, 3, № 2, 293—296 (англ.)

Проведена эксперим. проверка ранее выведенного ур-ния (Hawksley P. G. W., «Some Aspects of Fluid Flow», Arnold Press, New York, 1950; Vand Vladimir, J. Phys. and Colloid Chem., 1948, 52, 277) для определения скорости осаждения взвешенного слоя частиц. Показано, что ур-ние справедливо только при $Re < 0,07$, а при больших значениях Re в него следует вводить поправочные коэффициенты. С. Крашенинников

71019. Исследование гидравлического удара в разветвленной системе трубопроводов операционным методом. Крылов Ю. В. В сб.: Некоторые задачи гидрогазодинамики (МВТУ, 67). М., Оборонгиз, 1955, 5—34

71020. К расчету колонн с провальными тарелками. Касаткин А. Г., Дытнерский Ю. И., Умаров С. У., Хим. пром-сть, 1958, № 3, 166—173

Исследованы гидродинамич. закономерности процесса в лабор. колоннах диам. 75—240 мм с дырчатыми и щелевыми провальными тарелками на системах вода — воздух (или коксовый газ) и мышьяководородный р-р — воздух (или коксовый газ). Установлена аналогия между процессом в насадочных колон-

нах при режиме эмульгирования и процессом на провальных тарелках. Дан гидродинамич. расчет процесса на провальных тарелках. Приведено ур-ние для расчета высоты пены в условиях, близких к режиму захлебывания. В. Герцовский

71021. Изучение свободного стекания жидкости по насадке цилиндрической колонны. П. Цигла, Шмидт (Studies of the behaviour of liquids when freely trickling over the packing of a cylindrical tomer. P. Cihla Z., Schmidt O.), Collect. Czechosl. chem. commun., 1958, 23, № 4, 569—578 (англ.; рез. русск.)

Сообщение I см. РЖХим, 1958, 47029.

71022. Распыление жидкостей в процессах химической технологии. Часть 4. Распыление жидкостей с помощью газов. Фрейзер, Эйзенклам, Домбровский (Liquid atomisation in chemical engineering: part 4. Twin-fluid atomisers. Fraser R. P., Eisenklam P., Dombrowski N.), Brit. Chem. Engng, 1957, 2, № 11, 610—613 (англ.)

Рассмотрены классификация распылителей (Р) для систем жидкость — газ и особенности процесса распыления. Отмечено, что с помощью рассматриваемых Р могут быть получены капли $< 10 \mu$. Указано, что влияние физ. свойств жидкости на средний диаметр капель $d_{ср.}$ изучено недостаточно. Для Р с внутренним смешением потоков $d_{ср.}$ определяется следующим ур-нием: $d_{ср.} = (585/V)\sqrt{\gamma/\rho_l + 597(\eta/V\gamma\rho_l)^{0,45}(1000/j)^{1,5}}$, где V — скорость воздуха по отношению к жидкости, м/сек; γ — поверхностное натяжение, дн/см; ρ_l — уд. вес, г/см³; η — вязкость, пуаз; j — отношение объема воздуха при наружном давлении к объему жидкости. Ур-ние действительно в следующих пределах изменения переменных величин: $\gamma = 30-73$ дн/см, $\rho_l = 0,8-1,2$ г/см³ и $\eta = 0,01-0,3$ пуаз. Часть 3 см. РЖХим, 1958, 47003. В. Коган

71023. Закономерности процесса разделения суспензий в условиях взаимодействия процессов фильтрации и осаждения. Кулиш П. А., Тр. Киевск. техн. ин-та пищ. пром-сти, 1957, вып. 17, 91—101

Рассмотрен процесс совместного осаждения твердых частиц суспензии и фильтрования с образованием осадка на горизонтальной фильтровальной перегородке. Принято, что этот процесс состоит из 2 стадий: фильтрование с постепенным увеличением высоты слоя осадка при одновременном расслаивании суспензии с образованием слоя осветленной жидкости; фильтрование при постоянной высоте слоя осадка с постепенным уменьшением слоя осветленной жидкости. Аналитич. путем выведены ур-ния для определения продолжительности обеих стадий фильтрования, а также ур-ние для нахождения степени замедления процесса фильтрования за счет увеличения скорости образования осадка в результате осаждения твердых частиц. Отмечено, что при фильтровании на плиточных фильтр-прессах объем суспензии, поступающей в каждую раму, в несколько раз больше объема рамы, вследствие чего осаждение твердых частиц влияет главным образом не на закономерности увеличения толщины слоя осадка, а на структуру последнего в связи с классификацией твердых частиц по размеру. В. Жуковский

71024. Зависимость удельного сопротивления осадков при фильтровании от среднего размера частиц по форме близких к шару и имеющих размер менее 100 μ . Сато (Sato Takao), Kagaku kogaku, Chem. Engng (Japan), 1958, 22, № 1, 25—28 (японск.; рез. англ.)

При исследовании 4 сортов крахмала установлено, что зависимость $r_{fv} = A/D_{ср.}^2$ наиболее точно (отклонение $\pm 20\%$) соответствует опытным данным в том слу-

где, если средний размер частиц вычисляется по ур-нию:

$$D_{\text{ср}} = \frac{\sum D_i^3 N_i}{\sum D_i^2 N_i},$$
 где $r_{\text{жв}}$ — уд. сопротивление осадка, A — постоянная, D_i — размер отдельных частиц в определенной фракции, N_i — число частиц, имеющих размер D_i . Из резюме авторов

71025. Улучшение процесса фильтрации под вакуумом путем флокуляции твердых частиц суспензий. Джейкобсен, Маузер (Flocculation improves vacuum filtration. Jacobsen P. S., Mauser J. E.), Coal Age, 1957, 62, № 12, 74—76 (англ.)

Исследовано влияние флокулирующих в-в (синтетич. полимеров, крахмалов) на уд. сопротивление осадка, получаемого при разделении фильтрованием воды суспензии угля, содержащей в качестве примеси тонкодисперсные частицы глины. Найдено, что добавление таких в-в в кол-ве нескольких сотых долей килограмма на 1 г твердой фазы суспензии уменьшает уд. сопротивление осадка в несколько десятков раз. При этом обнаружено, что наименьшее уд. сопротивление осадка, а также наибольшая устойчивость получившихся при флокуляции агрегатов первичных частиц соответствует оптимальной концентрации флокулирующего в-ва в суспензии. Устойчивость упомянутых агрегатов в каждом случае определена фильтрованием суспензии, полученной замучиванием в фильтрате осадка, который образовался в процессе предшествующего фильтрования. Т. Малиновская

71026. О расчете оптимального режима работы фильтров периодического действия. Комаровский А. А., Стрельцов В. В., Хим. пром-сть, 1958, № 3, 173—176

Критически рассмотрено ур-ние промывки Родеса (Rhodes F. H., Ind. Engng. Chem., 1934, 26, 1331) и показано, что это ур-ние имеет ограниченную область применения. На основании ранее выполненной работы (Комаровский А. А., Тр. Новочеркасск. политех. ин-та, 1950, 20, 1—28) установлено, что весь процесс промывки может быть разбит на 3 периода, которым соответствуют 3 ур-ния общего вида: $G/G_0 = \dots$, где G — кол-во растворенного в-ва в собранной промывной жидкости, G_0 — кол-во растворенного в-ва в жидкости, находящейся в порах осадка перед его промывкой, V — объем собранной промывной жидкости, V_0 — объем жидкости, находящейся в порах осадка до его промывки. Отмечена возможность применения полученных ур-ний для расчета наибольшей производительности фильтров периодич. действия. См. также РЖХим, 1956, 18200. В. Жужиков

71027. Течение жидкости в порах осадка при центрифугировании. Сторроу (Hydroextraction: flow in submerged cakes. Storrow J. Anderson), A. I. Ch. E. Journal, 1957, 3, № 4, 528—534 (англ.)

Исходя из предположений, что при центрифугировании сила тяжести по сравнению с центробежной силой невелика и жидкость движется сквозь слой осадка прямолинейно, предложено ур-ние: $q_w = 4\pi n_c^2 k_c x (r_0^2 - r_c^2) (\mu g \ln r_0/r_c)^{-1}$, где q_w — скорость движения жидкости в осадке в см/сек, n_c — скорость вращения корзины центрифуги в об/сек, k_c — проницаемость осадка при центрифугировании в г/сек², x — высота корзины в см, r_0 — радиус внешней поверхности осадка в см, r_c — радиус внутренней поверхности осадка в см, μ — вязкость жидкости в пуаз, g — ускорение силы тяжести в см/сек². Это ур-ние подтверждено эксперим. путем при условии, что внутренняя поверхность осадка была покрыта тонким слоем жидкости. Показано отсутствие принципиальной разницы между процессами фильтрования и центрифугирования при соблюдении упомянутого условия. К. Сакодинский

71028. Исследования по продольному перемешиванию в непрерывно действующих реакторах с мешалками. Нагата, Эгучи, Касан, Морино (Nagata Shinji, Eguchi Wataru, Kasai Hiroshi, Morino Ikuo), Kagaku kogaku, Chem. Engng (Japan), 1957, 21, № 12, 784—791 (японск.; рез. англ.)

Сообщается об исследовании продольного перемешивания в непрерывно действующих вертикальных цилиндрич. реакторах с осевой мешалкой, снабженной несколькими плоскими лопастями, установленными вдоль оси на определенной высоте одна от другой. Изучалось несколько типов реакторов, различавшихся расположением и формой поперечных перегородок. Исследование процесса производилось по времени пребывания отдельных компонентов в реакторе. Приведено ур-ние для определения среднего значения коэф. диффузии. Эксперим. изучение р-ции гидролиза уксусного ангидрида показало хорошее совпадение опытных данных с расчетными. Б. Сумм

71029. Мешалка — рабочий орган электровискозиметра. Иванов П. А., Хим. наука и пром-сть, 1958, 3, № 1, 132—133

Метод измерения вязкости в реакторах и автоклавах состоит в измерении вращающего момента на валу мешалки (М) с помощью фазосдвигающей схемы (метод «синхронного электровискозиметра»). Метод основан на том, что при неизменных размерах М, а также при постоянстве числа оборотов М и плотности перемешиваемой жидкости рабочий момент на валу линейно зависит только от вязкости. Эксперим. проверка метода, проводившаяся с различными М на касторовом масле, показала, что при прочих равных условиях малые значения вязкости следует измерять М, имеющей наибольшее миделево сечение. Б. Сумм

71030. Перекачивание агрессивных жидкостей без потерь. Немецек (Bezztrátové čerpání agresivních kapalin. Němeček Josef), Chem. průmysl, 1958, 8, № 4, 183—186 (чешск.; рез. русск., англ.)

Приведены конструкция, принцип действия и характеристики бессальникового насоса. В. Герцовский

71031. Применение высокого вакуума в технике. Фишер (High vacuum techniques in engineering. Fischer John H.), Trans. Liverpool Engng Soc., 1957, 78, 157—169 (англ.)

71032. Максимальная степень сжатия и объемный коэффициент полезного действия вакуумнасосов Рута. Армбрустер, Лоренц (Das maximale Kompressionsverhältnis und der volumetrische Wirkungsgrad von Vakuumpumpen nach dem Rootsprinzip. Armbruster W., Lorenz A.), Vakuu-Technik, 1958, 7, № 4, 81—85 (нем.)

71033. Исследование движения газов сквозь неплотности. Неркен (Versuche über die Strömung von Gasen durch Lecke. Nerken A.), Vakuu-Technik, 1958, 7, № 5, 111—116 (нем.)

71034. Осушка сжатого воздуха охлаждением. Густафсон (Clean dry compressed air. Gustafson A. N.), Industr. Finish., 1958, 34, № 6, 66, 70, 72, 74, 76, 78 (англ.)

71035. Задача теплопроводности при переменных термических характеристиках материала. Смирнов М. С., Тр. Моск. технол. ин-та пищ. пром-сти, 1958, вып. 11, 250—253

Методом интегрального преобразования Лапласа решена несимметричная задача нагревания неограниченной пластины, коэф. теплопроводности которой является экспоненциальной функцией т-ры, а произведение уд. теплоемкости на плотность есть величина постоянная. Для установившегося состояния при условии, что одна поверхность пластины поддерживается при нулевой т-ре, а вторая — при т-ре $t_c = \text{const}$, для распределения т-р получено ур-ние: $t = t_c(e^{bx} - 1)/(e^{bL} - 1)$,

где x — координата, b — положительная постоянная, R — толщина пластины. Р. Артым

71036. Решение задачи на нагревание системы двух тел (ограниченный и полуограниченный стержни) постоянным тепловым потоком. Бабьев Н. Н., Тр. Моск. технол. ин-та пищ. пром-сти, 1958, вып. 11, 208—219

Операционным методом решена задача о нагревании при постоянном тепловом потоке системы из двух тел с различными термич. свойствами, состоящей из ограниченного стержня, один свободный торец которого примыкает к полуограниченному стержню такого же диаметра. Боковая поверхность стержней изолирована. Установленное распределение т-р представлено как функция безразмерных критериев. Для значений критерия Fo меньших 0,5 и $0,5 \leq Fo \leq 1$ приведены упрощенные ур-ния для определения относительной т-ры θ . В интервале значений Fo от 0,1 до 1 даны таблицы, позволяющие определить θ . Р. Артым

71037. Теплообмен за счет лучеиспускания при малых разностях температур. Циборовский (Wymaniana ciepła przez promieniowanie przy małych różnicach temperatur. Ciborowski Franciszek), Pomiar, automat, kontrola, 1958, 4, № 1, 9—10 (польск.)

Предложено ур-ние для расчета теплообмена лучеиспусканием при малых разностях т-р; на основе его анализа и произведенных расчетов показано, что не следует пренебрегать теплообменом лучеиспускания при тепловых расчетах в области умеренных т-р. В. С. **71038.** Номограммы, устанавливающие зависимость между сопротивлением при течении газа в каналах и теплоотдачей. Мансон (Gas — friction — heat transfer charts for ducted flows. Manson S. V.), Trans. ASME, 1958, 80, № 3, 733—738; Paper. Amer. Soc. Mech. Engrs, 1957, NHT—34, 3 pp., ill. (англ.)

При течении газа в каналах, входное и выходное сечения которых равны и лежат в параллельных плоскостях, соотношение параметров, определяющих исходное и конечное состояния потока, а также параметр $[\gamma_1(f/2)(S/A)]$ однозначно определяются значениями $\gamma_1 = C_p/C_v$, M_1 , (T_2/T_1) и (P_2/P_1) и не зависят от характера изменения т-ры по длине канала, его размеров, формы и структуры потока. Значения величин: f — фактор трения в ур-нии Фаннинга, отнесенный к среднеарифметич. плотности потока; S — величина поверхности трения внутри канала; A — площадь входного сечения; M — критерий Маха; T — абс. т-ра адиабатически заторможенного потока; P — изентропич. общее давление; индексы 1 и 2 соответствуют входному и выходному сечениям. Построены номограммы для воздуха при $T_2/T_1 = 0,5$; 1,0 и 2,0, включающие параметры T_2/T_1 , $\Delta P/P_1$ (где ΔP — изменение общего давления в канале), $[\gamma_1(f/2)(S/A)]$, M_1 , M_2 ; зная величину любых трех из пяти указанных параметров, по номограммам можно определить значения двух других. Сопоставление результатов расчетов, выполненных при различных исходных данных для воздуха, углекислоты и гелия, сильно различающихся по плотности, указывает на возможность применения номограмм для этих газов, а также для азота и окиси углерода. Применение номограмм показано на примерах.

Ю. Петровский
71039. Некоторые современные методы теории конвективного теплообмена и их применение. Сидоров Э. А., Инж.-физ. ж., 1958, 1, № 5, 62—70
Обзор. Библ. 25 назв. В. Герцовский

71040. Вывод и решение уравнений, описывающих неустановившиеся процессы. Смит (The formulation and solution of equations describing nonsteady processes. Smith W.), Industr. Chemist, 1958, 34, № 397, 121—125 (англ.)

Выведены ур-ния для расчета неустановившегося процесса теплоотдачи между трубкой с высокой теплоемкостью и жидкостью, движущейся внутри нее с постоянной скоростью. Ур-ния получены путем совместного решения дифференциальных ур-ний теплового баланса для жидкости и трубы. В. Коган

71041. К вопросу о конвективном теплообмене в условиях внутренней задачи. Полушкин А. А., Инж.-физ. ж., 1958, 1, № 2, 103—105

Обработаны данные Рубенштейна Я. М. (Тр. Всес. теплотехн. ин-та им. Ф. Дзержинского, 1938) по конвективному теплообмену при движении жидкости в круглой трубе с диам. d и показано, что при выборе в качестве определяющего размера длины трубы l экспирим. точки располагаются на прямой $lgNu = nlgRe + lgA$ независимо от l/d ; при этом переходная область не наблюдается, а имеет место лишь изменение наклона прямой и n меняется 0,73—0,85. Сопоставление этих данных с результатами опытов при наличии на входе в трубу расширительной камеры показало, что в области $lgRe > 4,85$ экспирим. данные совпадают ($n=0,85$), а при $lgRe < 4,85$ показатели n различны (0,73 и 0,63), т. е. начальное состояние потока оказывает влияние на интенсивность теплообмена только при сравнительно небольших значениях Re . А. Ровинский

71042. Теплообмен при турбулентном движении жидкости в гладких трубах. Маяцкий Г. А., Изв. высш. учебн. заведений. Энергетика, 1958, № 3, 87—94

Дано математич. решение задачи о распределении т-р и теплоотдаче в трубах при турбулентном движении жидкости, основанное на простейшей двухслойной модели Прандтля, но с учетом турбулентных пульсаций в области, прилегающей к стенке. Выведены ур-ния для расчета поля т-р и теплоотдачи стабилизированного турбулентного потока в гладкой трубе в предположении о сохранении постоянства значений физ. параметров. Ур-ния удовлетворительно согласуются с опытными данными. Ю. Петровский

71043. Исследование теплоотдачи и сопротивления при течении ламинарного потока в межтрубном пространстве кожухотрубных теплообменников с поперечными перегородками. Тест (A study of heat transfer and pressure drop under conditions of laminar flow in the shell side of cross-baffled heat exchangers. Test F. L.), Trans. ASME, 1958, 80, № 3, 593—599. Discuss., 599—600 (англ.)

Исследованы теплоотдача и сопротивление при ламинарном течении 2 различных сортов масел в межтрубном пространстве теплообменников (Т) с поперечными перегородками при т-ре поступающего масла 57—93° и т-ре охлаждающей воды 10—44°. Использованы три Т, в каждом из которых имелось 86 трубок наружным диам. 9,5 мм и длиной 610 мм; Т отличались расстоянием между перегородками, которое составляло 50, 100 и 150 мм. Расход масла изменялся в пределах 195—6100 кг/час. Большинство опытов выполнено при значении $Re_{ef} < 100$, где $Re_{ef} = 3600 D_e G/\mu_0$; D_e — эквивалентный диаметр, равный учетверенному свободному объему, деленному на поверхность трубок; G — массовая скорость жидкости в направлении поперек трубного пучка; μ_0 — вязкость масла при средней т-ре. На основании опытных данных получено эмпирич. ур-ние, определяющее величину коэф. теплоотдачи $h_0 = 0,25(k_0/D_e)Re_{ef}^{0,9}Pr^{0,6} \times (\mu_0/\mu_s)^{0,14}e^{\alpha}$, где k_0 — теплопроводность масла при средней т-ре; μ_s — вязкость масла при т-ре поверхности трубок; e^{α} — поправочный коэф. существенный в области $Re_{ef} < 100$, значение которого зависит от расстояния между перегородками и Re_{ef} . Приведены эмпирич. ур-ния для расчета сопротивления Т. Установлено, что увеличение расстояния между пере-

городками увеличивает h_0 и уменьшает сопротивление T , особенно при малых Re_{gr} . Значение средней т-ры масла мало влияет на h_0 , в то время как средняя т-ра охлаждающей воды существенно сказывается на значении h_0 .

Ю. Петровский
71044. Теплоотдача к потоку ртути, движущемуся поперечно к шахматному трубному пучку. II. Рикард, Дуайер, Дропкин (Heat-transfer rates to cross-flowing mercury in a staggered tube bank. II. Rickard C. L., Dwyer O. E., Dropkin D.), Trans. ASME, 1958, 80, № 3, 646—652 (англ.)

Исследована теплоотдача к потоку Hg, движущемуся поперечно к шахматному трубному пучку, состоящему из 60 труб диам. 12,7 мм; в 13 трубках, размещенных по всему пучку, располагались нагревательные элементы. Т-ры этих труб, а также Hg измерялись медь-константановыми термопарами. Изучено влияние скорости потока, критерия Pr , смачивания поверхности нагревания, содержания газа в потоке Hg и расположения труб на средние коэф. теплоотдачи α . Охвачена следующая область изменения параметров: скорость потока 0,13—1,4 м/сек, $Re = (2 \div 20) \cdot 10^4$, $Pr = 0,014 \div 0,022$, т-ра Hg 40—120°. Установлено: 1) локальные значения α претерпевают 6-кратное изменение от лобовой до кормовой образующих труб; 2) с увеличением Re и Pr α возрастают; 3) при отсутствии газа в потоке Hg не обнаружено влияния смачивания на α ; 4) для смачиваемых поверхностей не обнаружено влияния содержания газа на α ; 5) для несмачиваемых поверхностей присутствие газа в потоке Hg приводит к уменьшению α , а с увеличением Re влияние газа уменьшается; 6) при $Re = 8 \cdot 10^4$ α возрастает в первых 3 рядах и затем остается постоянным. При $Re > 8 \cdot 10^4$ α продолжает расти вплоть до 4-го ряда включительно. Вблизи стенки α сохраняет такое же значение, как и внутри пучка. Опытные данные обобщены ур-нием: $Nu = 4,03 + 0,228 Re^{0,67}$, в качестве определяющего размера в ур-нии принят наружный диаметр трубы. Сообщение I см. РЖМех, 1957, 5696. Р. А.

71045. Теплоотдача в щелевидных каналах, изогнутых в виде плоского зигзага. Карасенко В. А., Изв. высш. учебн. заведений. Энергетика, 1958, № 3, 80—86
Исследовалась теплоотдача при нагревании воды, протекающей по длинному узкому каналу трапециевидного сечения, изогнутому в виде плоского плотного зигзага; канал был выполнен в алюминиевой плите и имел сечение $30 \times 25 \times 5$ мм. Четвертую нагреваемую стенку образовывал плоский электрич. нагреватель. Изучалась зависимость коэф. теплоотдачи α от длины прямолинейного участка l при постоянном радиусе изгиба R и неизменном сечении канала с эквивалентным диаметром d_0 , подстановленным по полному периметру; испытаны 4 теплообменника, в которых $l/d_0 = 13,8 \div 44,2$ и $R/d_0 = 2,5$. Опыты проводились в области чисел $Re = 9 \cdot 10^3 \div 25 \cdot 10^3$, т-ра воды составляла 20—50°. Установлено, что изогнутость каналов сильно влияет на значение α : изгибы, с одной стороны, приводят к возникновению поперечной циркуляции жидкости и интенсифицируют теплообмен, с другой стороны, они препятствуют развитию турбулизации потока и это приводит к уменьшению интенсивности теплообмена. Эксперим. данные описываются ур-нием: $Nu_{\text{ж}} = [8,14(l/d_0)^{-0,338} - 1,77] Re_{\text{ж}}^{(0,322 + 0,0021/d_0)} Pr_{\text{ж}}^{0,43} \times (Pr_{\text{ж}}/Pr_{\text{ст}})^{0,25}$, где критерии с индексом «ж» подсчитываются по значениям величин, взятых при средней т-ре жидкости, а с индексом «ст» — при средней т-ре стенки; в качестве определяющего размера принят d_0 . Показано, что с увеличением Re процесс турбулизации связанная с этим интенсификация теплообмена в прямых трубах нарастает значительно быстрее, чем

в изогнутых щелевидных каналах, поэтому последние могут быть признаны более эффективными только при значительной изогнутости каналов.

А. Ровинский
71046. Теплоотдача к воде в закритической области. Дикинсон, Уэлш (Heat transfer to supercritical water. Dickinson N. L., Welch C. P.), Trans. ASME, 1958, 80, № 3, 746—752 (англ.)
См. РЖХим, 1958, 29043.

71047. Определение свойств, характеризующих свободную тепловую конвекцию жидкостей, методом нагретого медного шара. Боберг, Стерретт (Determination of free convection heat transfer properties of fluids by transient response of a copper sphere. Boberg J. E., Starrett P. S.), Industr. and Engng Chem., 1958, 50, № 5, 807—810 (англ.)

Предложен метод эксперим. определения свойств, характеризующих свободную тепловую конвекцию жидкостей, заключающийся в измерении скорости охлаждения нагретого медного шара, помещенного в исследуемую жидкость, и последующего определения коэф. теплоотдачи h . По экспериментально установленным значениям h находился комплекс $(Gr \cdot PrL)/(\Delta T)^n$, определяющий тепловые свойства жидкостей. L — характерный линейный размер, ΔT — разность между т-рами поверхности шара и жидкости, n — показатель степени, равный $1/4$ для ламинарного движения и $1/3$ для турбулентного. Показано, что найденные значения этого комплекса хорошо согласуются с его величинами, вычисленными по известным физ. свойствам для воды, воздуха и ряда других в-в. Опыты проводились при свободной и вынужденной конвекции. Метод рекомендуется применять, в частности, для определения свойств жидких топлив и их смесей.

Р. Артым

71048. Теплоотдача в псевдооживленных слоях. Вессер, Мардус (Zum Wärmeübergang in Wirbelschichten. Wesser U., Mardus G.), Chem.-Ing.-Techn., 1957, 29, № 5, 332—335 (нем.; рез. англ., франц.)

Исследованы коэф. теплоотдачи α от поверхности твердого тела, погруженного в псевдооживленный слой (стеклянные шарики диам. 1—5,9 мм в воде). Определены также α при соприкосновении поверхности твердого тела с неподвижным фильтрующим слоем и чистой водой. Установлено, что величина α в псевдооживленном слое меньше, чем в неподвижном. Движение шариков в псевдооживленном слое не оказывает влияния на теплоотдачу от стенки аппарата к слою.

С. Забродский

71049. Теплообмен между твердыми частицами и газом в псевдооживленной системе. Кабелла, Ди-Поджо, Массимилла (Trasporto del calore tra il solido ed il gas in sistema fluidizzato. Cabella A., Di Poggio E., Massimilla L.), Calore, 1958, 29, № 4, 167—174 (итал.)

Отмечено, что процессы псевдооживления приобретают все большее значение в хим. пром-сти. Обсуждены некоторые результаты опытов по теплообмену в псевдооживленных системах твердые частицы — газ при различных скоростях псевдооживляющего потока газа и диаметрах твердых частиц. Рассмотрена зависимость интенсивности теплообмена от степени гомогенности псевдооживленной системы.

Из резюме авторов

71050. Теплообмен в потоке зернистого материала. Курочкин Ю. П., Инж.-физ. ж., 1958, 1, № 4, 3—9

Исследованы распределение скоростей и теплообмен при омывании горизонтальной трубы плотной массой зернистого материала (ЗМ). Опыты проводились с кварцевым песком с диаметром частиц до 3 мм, а также с 3 фракциями частиц каменного угля со средним размером частиц 0,3; 0,7; 0,15 мм. Исследования рас-

пределения скоростей, выполненные с помощью окрашенных слоев, показали, что перед трубой образуется зона пониженной скорости ЗМ, а непосредственно к трубе со стороны движения ЗМ примыкает зона неподвижного ЗМ, охватывающая приблизительно верхнюю треть всего периметра трубы. В нижней части трубы ЗМ отрывается от поверхности и там образуется воздушный мешок треугольной формы с углом при вершине $\sim 70^\circ$. На движение ЗМ большое влияние оказывает его влажность ϕ . Коэф. теплоотдачи α увеличивается с ростом скорости угля v и уменьшением ϕ ; резкое снижение α наблюдается при увеличении ϕ выше гигроскопич. влажности. При увеличении ϕ до насыщения α приобретает миним. значение. Опытные данные по теплоотдаче описываются ур-нием: $Nu = 0,022 \cdot Re^{0,21} (d/d_{ср}) (\mu_0/\mu_0') (\tau_0/\tau_0')^{0,33}$, где $Nu = \alpha d/\lambda$, $Re = v \cdot d/\alpha$, α и λ — коэф. температуропроводности и теплопроводности ЗМ, d — диаметр трубы, $d_{ср}$ — средний диаметр частиц ЗМ, μ_0 и μ_0' — коэф. истинного трения для влажного и сухого ЗМ, τ_0 и τ_0' — величины начального напряжения сдвига для влажного и сухого ЗМ. Ур-ние применимо для труб с $d = 25 \div 75$ мм в области $Re = 130 \div 5000$ для углей с $d_{ср} = 0,2 \div 0,35$ мм при $\phi = 5 \div 60\%$. А. Ровинский

71051. Применение солнечной энергии для осуществления химических процессов. Бергерон, Йеллотт (Aspects chimiques de l'énergie solaire. Bergeron Paul-Jean, Yellott John I.), Chimie et industrie, 1958, 79, № 3, 271—282 (франц.; рез. англ., нем., исп.)

Рассмотрено современное состояние техники использования солнечной энергии (СЭ). Отмечено, что использование пластмасс и разработка удачных конструкций элементов для улавливания СЭ позволили построить рентабельные установки для проведения некоторых хим. процессов. Рассмотрены дальнейшие перспективы использования СЭ для энергетич. целей и хим. процессов. З. Хаимский

71052. К расчету теплообменных аппаратов. III. Рабиневич Г. Д., Ж. техн. физ., 1958, 28, № 5, 1077—1083

Исследован процесс приближения к стационарному состоянию при теплообмене между прямооточно и противоточно движущимися теплоносителями, не обладающими внутренними источниками тепла. Решением дифференциального ур-ния теплообмена через перегородку между двумя жидкостями при их прямооточном и противоточном движении установлено распределение т-р теплоносителей в зависимости от времени τ , необходимого для установления стационарного состояния, и расстояния от входа в теплообменник x . Решения приведены для случая одномерного движения жидкостей, физ. параметры усреднены по длине теплопередающей поверхности, т-ры теплоносителей на входе предполагались постоянными. Для случая прямотока установлено, что т-ры теплообменивающихся жидкостей являются функцией только координаты x и не зависят от τ для всех сечений, удовлетворяющих условию $\tau - x/W > 0$, где W — скорость. При $W = W_m$ (W_m — меньшая из обеих скоростей) стационарный режим в выходном сечении аппарата устанавливается по истечении времени $\tau = l/W_m$, где l — длина теплопередающей поверхности. Предыдущие сообщения: РЖХим, 1956, 31390; РЖФиз, 1955, 16217.

71053. Теплообменники «труба в трубе». Кириллов Е. А., Новости нефт. техн. Нефтепереработка, 1958, № 3, 31—35

Разработаны две конструкции секций теплообменника типа «труба в трубе»: однопоточные и с групповым размещением труб в распределительных коробках, особенно эффективные для работы с крекинг-

остатками, вязкими, коксующимися и загрязненными продуктами. Для оребрения внутренних труб применяют прокат V-образного профиля, привариваемый по всей длине трубы на электросварочной контактной роликовой машине сплошным швом, или полосы из листовой стали, укрепляемые в выфрезерованных пазах труб. Конструкция предусматривает легкость монтажа, быструю смену отдельных прокорродированных внутренних труб и соединительных деталей. Секции могут собираться в теплообменники необходимых размеров. А. Ровинский

71054. Графический метод расчета конденсаторов для паро-газовых смесей. Брас (Polar diagrams speed cooler-condenser design. Bras G. H. P.), Petrol. Refiner, 1957, 36, № 2, 149—154 (англ.)

Изложен модифицированный метод расчета поверхностных конденсаторов для паро-газовых смесей, в котором для определения условий на границе раздела фаз применена диаграмма в координатах $\lg P - t$, исключающая необходимость последовательных приближений при решении расчетных задач (P — парц. давление недиффундирующего газа-носителя, t — т-ра). См. также РЖХим, 1957, 10605. Ю. Петровский

71055. Изменение состояния реального газа. Вейберг Б., Холодильн. техника, 1958, № 2, 26—31 (нем. англ.)

Рассмотрено изменение свойств некоторых реальных газов, используемых в холодильной технике. Получено ур-ние для расчета т-ры конца сжатия реального газа по политропе с заданным показателем. Предложен графоаналитич. метод сравнения показателей политроп реального и идеального газов, дающих одинаковые т-ры в конце сжатия. Показано, что ур-ние для определения объема коэф. компрессора, получаемое из ур-ния политропы, справедливо как для идеальных, так и для реальных газов. Р. Артим

71056. Холодильный цикл при политропическом процессе сжатия. Минатоу Итигиро, Рэйто, Refrigeration, 1958, 33, № 364, 72—76 (японск.)

71057. Мощная холодильная установка. Харниш Гопкинс (High capacity, low temperature refrigeration. Harnish J. R., Hopkins N. E.), Chem. Engng Progr., 1958, 54, № 4, 82—86 (англ.)

Описана мощная каскадная холодильная установка, предназначенная для охлаждения воздуха (B) до предельной т-ры -94° . Охлаждение B осуществляется в газоохладителе с помощью циркулирующего раствора, который проходит через испаритель и отдает тепло от B тепло фреону-13 ($CClF_3$), кипящему при соответствующем давлении (при т. кип. -105° давление равно $0,24$ атм). Пары $CClF_3$ сжимаются турбокомпрессором и направляются в конденсатор, охлаждаемый кипящим фреоном-22 (CCl_2F_2) или фреоном-12 ($CHClF_2$), пары которого также сжимаются турбокомпрессорами и направляются в конденсатор, охлаждаемый водой. При т-ре испарения $CClF_3$, равной -104° , холодопроизводительность установки составляет $Q = 3,6 \cdot 10^6$ ккал/час, а при т. исп. -72° величина $Q = 11,3 \cdot 10^6$ ккал/час. Установочная мощность электродвигателей турбокомпрессоров 3400 квт. Кол-во $CClF_3$ в установке составляет ~ 2500 кг; во избежание непустимого повышения давления в аппаратах и коммуникациях, заполненных $CClF_3$, в те периоды, когда установка не работает, в систему включен ресивер диам. 3,2 м и высотой 10 м; благодаря этому давление в системе не может превысить $10,5$ атм при нагревании $CClF_3$ даже до т-ры 38° . Установлена аппаратура для очистки хладагентов от загрязняющих примесей, проникающих через неплотности в процессе эксплуатации (воздух, влага). Работа установки автоматизирована. Ю. Петровский

Холодильные машины в химической промышленности. Бейтлер (Kältemaschinen in der chemischen Industrie. Beutler Wolfgang), Kälte, 1958, 11, № 5, 177—180 (нем.)

Регенерация холодильных рассолов. Визент (Regeneration von Kühlsole. Wiesent Johannes), Kälte, 1958, 11, № 4, 128, 131 (нем.)

Загрязняющие вещества в холодильных установках. Бодин (Contaminants in refrigeration systems. Bodine D. H.), Canad. Refrig. and Air Cond., 1958, 24, № 4, 29—30 (англ.)

Рассмотрены основные причины загрязнения хладагента в установках, работающих на фреонах-12 и 22, и меры его предупреждения. Ю. Петровский

Теплоизоляция труб и вентилей. Купер (Thermal insulation of pipes and valves. Cooper A.), World Refrig., 1958, 9, № 5, 37—42 (англ.)

Рассмотрены вопросы расчета и конструирования теплоизоляции трубопроводов и арматуры чешуйками из опалита, представляющего собой пористую разнородную структуру. Приведены некоторые свойства опалита, указаны способы изготовления элементов изоляции и их монтажа. А. Ровинский

Расчет выпарных аппаратов с поднимающей пленкой жидкости. Пеппер (The design of climbing film evaporators. Pepper D.), Industr. Chemist, 1958, 34, № 398, 191—194 (англ.)

Приведены ур-ния для определения коэф. теплоотдачи при кипении жидкости, движущейся снизу вверх в вертикальной трубке при различных режимах. Для обеспечения устойчивой поднимающейся пленки в трубке должна обеспечиваться высокая скорость пара (при кипении воды не ниже 10 м/сек), а расход жидкости должен быть в 3—5 раз превышать кол-во, которое необходимо для образования этого пара. Трубка должна быть достаточно длинной для того, чтобы обеспечить передачу необходимого тепла при небольших разностях т-р (рекомендуется разность т-р по толщине пленки не более 25°; для этого длина трубки должна быть приблизительно в 100 раз больше диаметра). Из верхней части трубки пары уносят капли жидкости, ~95% которых имеют диаметр менее 20 м; эффективное отделение таких капель достигается пропусканием влажного пара сквозь колонны с насадкой из стеклянной или силиконовой жидкости. А. Ровинский

Выбор скорости циркуляции в выпарных аппаратах. Сорокин А. Ф., Пром. энергетика, 1958, № 5, 6—8

Экспериментально исследовалось влияние скорости принудительной циркуляции w , м/сек, на интенсивность теплообмена в выпарных аппаратах. Опыты проводились на стальных кипящих трубках длиной 1 и 5 м, диам. 38 мм; в качестве кипящих жидкостей использовались вода и водн. ненасыщ. р-ры сахара, калийной и аммиачной соли. Найдено, что для данной тепловой нагрузки поверхность теплообмена q , ккал/м²час, существует определенное крит. значение скорости $w_{кр}$: при $w < w_{кр}$ теплообмен определяется исключительно условиями парообразования и интенсивностью теплоотдачи α , ккал/м²час град, практически не зависит от w ; при $w > w_{кр}$ проявляются закономерности конвективного теплообмена и α зависит главным образом от w . С увеличением q значение $w_{кр}$ возрастает, зависимость $w_{кр}$ не оказывает влияния на α . Получены эмпирич. ур-ние $w_{кр} = 5,2 \cdot 10^{-6} [p/(\gamma \sigma)^{0,5}]^{0,75}$, где p — давление в аппарате, ата; σ и γ — поверхностное натяжение, кг/м, и теплода парообразования жидкости, ккал/кг; γ и γ' — уд. веса жидкости и пара, кг/м³. А. Ровинский

71064. Механический унос жидкости вторичным паром в выпарных аппаратах. Гельперин Н. И., Коган В. Б., Хим. пром-сть, 1958, № 2, 96—101

Рассмотрен процесс уноса жидкости при кипении в трубах, влияние конструкции и режима работы кипятивника на унос и предложен приближенный метод определения размеров парового пространства. Опыты проделаны на 2 трубчатых аппаратах с нагревательной рубашкой и выносным кипятивником паропроизводительностью до 11,2 кг/час. Выпаривались водн. р-ры солей и органич. жидкости. Визуальные наблюдения показали наличие 3 зон: I — зона кипения жидкости; II — зона подбрасывания жидкости и III — зона подбрасывания брызг, причем наиболее значительный унос происходит в результате подбрасывания жидкости за счет инжектирующего действия пара. Отделение капель происходит в зоне сепарации, лежащей над зоной II. Высота подбрасывания жидкости примерно пропорциональна объемн. напряжению поверхности испарения. Относительная скорость паров в жидкости практически не зависит от физ.-хим. свойств р-ров и, таким образом, динамич. высота уровня различных р-ров при прочих неизменных условиях одинакова. Установлена однозначная зависимость величины уноса от объема, напряжения парового пространства выпарного аппарата V : с увеличением V унос вначале растет медленно, но после достижения крит. значения V_g быстро возрастает; в аппарате с замкнутым циркуляционным контуром $V_g = 10\,000$ м³/м³ в час. Получены ур-ния для определения динамич. уровня жидкости и предельной высоты парового пространства, соответствующей границе между зонами подбрасывания больших капель жидкости и брызг. А. Р.

71065. Об использовании электротермического эффекта в теплонасосных установках. Мартыновский В. С., Тр. Одесск. техн. ин-та пищ. и холодильн. пром-сти, 1957, 8, № 1, 3—11

В свете современного состояния техники полупроводниковых преобразователей тепла рассмотрены возможности использования электротермич. эффекта для создания тепловых насосов. А. Ровинский

71066. Диффузия кислорода сквозь монослой. Линтон, Сатерленд (The solution of oxygen through a monolayer. Linton M., Sutherland K. L.), Austral. J. Appl. Sci., 1958, 9, № 1, 18—23 (англ.)

При исследовании диффузии кислорода в перемешиваемую пропеллерной мешалкой и спокойную воду было обнаружено, что монослой гексадеканала не уменьшает заметно коэф. массопередачи при его значениях 0,3—7 см/час, но сокращает скорость испарения на 25%. При поступлении струи воздуха из вертикальной трубки на середину поверхности воды, покрытой монослоем гексадеканала, коэф. массопередачи кислорода $6,7 \pm 1,4$ см/час уменьшается на 40%, а скорость испарения $1,30 \pm 0,13$ см/день сокращается на 29%. Предполагается, что монослой гексадеканала является не только перегородкой, препятствующей диффузии кислорода, но изменяет коэф. массопередачи для кислорода за счет изменения гидродинамич. свойств жидкости около ее поверхности. Воду, насыщенную кислородом, целесообразно хранить под тонким слоем гексадеканала. В. Гердовский

71067. О расчете процессов массопередачи. Кафаров В. В., Ж. прикл. химии, 1958, 31, № 5, 706—711

На основании представлений о развитой свободной турбулентности получены обобщенные ур-ния массопередачи в двухфазных потоках с учетом гидродинамич. взаимодействия фаз: $k_r d_0 / D_r = B (W_r d_0 / \nu_r)^a (\nu_r / D_r)^b (1 + f)$; $k_{ж} d_0 / D_{ж} = B_1 (W_{ж} d_0 / \nu_{ж})^{a_1} (\nu_{ж} / D_{ж})^{b_1} (1 + f)$, где k — коэф. массопередачи; W — скорость; d_0 — характерный линейный размер; D — коэф. диффузии; ν — кинетич. вязкость; B ,

B_1, a, a_1, b, b_1 — константы; индексы «г» и «ж» соответствуют газу и жидкости; f — введенный автором фактор динамич. изменения поверхности, показывающий, во сколько раз увеличивается перенос в-ва за счет взаимодействия двухфазных потоков по сравнению с переносом в однофазном потоке при той же скорости. Значение f определяется ур-нием $f = A(L/G)^m(\gamma_r/\gamma_{ж})^n(\mu_{ж}/\mu_r)^q$, где (L/G) — соотношение потоков жидкости и газа; γ — уд. вес; μ — вязкость; A, m, n, q — константы. Величина f должна рассматриваться как критерий гидродинамич. подобия двухфазных систем. В режиме свободной турбулентности в колонках с насадкой: $f = 5,9(L/G)^{0,337} \times (\gamma_r/\gamma_{ж})^{0,187}(\mu_{ж}/\mu_r)^{0,0375}$. Показана применимость полученных результатов к расчету диффузионной аппаратуры, работающей в различных условиях. Ю. Петровский

71068. Зависимость коэффициента массопередачи от средней движущей силы. Инацуми Хикодзи, Kagaaku kogaku, Chem. Engng (Japan), 1958, 22, № 2, 116—118 (японск.)

Исследован коэф. массопередачи при контактировании воздуха и воды в колонне со смоченными стенками. М. Гусев

71069. Массопередача к единичному шарiku. Сато, Акэхата (Sato Kazuo, Akehata Takashi), Kagaaku kogaku, Chem. Engng (Japan), 1958, 22, № 2, 76—81 (японск.; рез. англ.)

Исследована массопередача к единичному шарiku при электрохим. р-ции $\text{Fe}(\text{CN})_6^{4-} \rightarrow \text{Fe}(\text{CN})_6^{3-} + e$, скорость которого определяется скоростью мол. диффузии ионов. Опыты проведены в вертикальной цилиндрич. колонне, в которой жидкость, содержащая указанные ионы, перемещалась сверху вниз, встречая на своем пути последовательно слой стеклянных шариков диам. 5 мм (высота слоя 30 мм), служащий для успокоения потока жидкости, опорную сетку, дополнительную успокоительную сетку, платиновый шарик диам. 1,66 или 2,74 мм (анод) и соосную колонне цилиндрич. платиновую сетку (катод). Во время опытов измерялась сила тока, проходящего между анодом и катодом, при различных условиях протекания жидкости. На основании измерения силы тока, обусловленного скоростью диффузии ионов, были определены коэф. массопередачи по ур-нию $k_f = i/(nFAc)$. В результате обработки опытных данных установлено ур-ние $\text{Sh} = 2,0 + 0,52\text{Re}^{0,54}\text{Sc}^{0,35}$. В ур-ниях обозначают: $\text{Sh} = k_f D_p/D$; $\text{Re} = D\rho u_0/\nu$; $\text{Sc} = \nu/D$; k_f — коэф. массопередачи, г-моль/см²сек (разность конц-ий), i — сила тока, а; n — число электронов, участвующих в электрохим. р-ции ($n = 1$); $F = 96\,500$ кулон/г-экв — постоянная Фарадея; A — поверхность электрода, см²; c — конц-ия, г-моль/см³; D_p — диаметр платинового шарика, см; D — коэф. мол. диффузии, см²/сек; u_0 — линейная скорость жидкости в колонне, см/сек; ν — кинематич. вязкость, стокс. В. Герцовский

71070. Массопередача от слоя неподвижных частиц к пульсирующему потоку. Сироцука, Хонда, Оба (Shirotsuka Tadashi, Honda Naoshi, Oba Toshiro), Kagaaku kogaku, Chem. Engng (Japan), 1958, 22, № 1, 2—6 (японск.; рез. англ.)

Исследована массопередача от слоя цилиндрич. таблеток β-нафтола диам. 5—8 мм, помещенных в стеклянные колонны диам. 3,6 и 7,5 см, к установившемуся и пульсирующему потоку воды. Выведены безразмерные ур-ния, описывающие процесс массопередачи, в условиях установившегося и пульсирующего потоков. Из резюме авторов

71071. Массообмен при дистилляции с водяным паром в аппаратах пленочного типа. Райло Г. Ю., Тр. Таллинск. политехн. ин-та, 1957, А, № 128, 25 стр., илл.

Исследован массообмен при дистилляции с водяным паром в колоннах диам. 22—38 мм, высотой 1,08—2,5 м со смоченными стенками. Дистилляции подвергались толуол, ксилол, анилин, нитробензол, скипидар, а также двухкомпонентные смеси, образованные летучим и практически нелетучим в-вами. Исходная смесь поступала в колонну сверху при т-ре кипения. Установлено, что массопередача в пленочных колоннах при дистилляции с водяным паром описывается эмпирич. критериальным ур-нием: $Ki = 0,19 \text{ Re}_p^{0,3} \text{ Pr}^{0,3} (d/l)^{0,45}$, где $Ki = Kd/D_p$; K — коэф. массопередачи, кг/м² час (кг/м³); d — диаметр колонны, м; Q_p — коэф. диффузии дистиллируемого в-ва в паровой фазе, м²/час; $\text{Re}_p = W_{cp} d \gamma_p / (\mu_p \mu_n)$; W_{cp} — средняя скорость паров, м/сек; γ_p — уд. вес паров, кг/м³; $g = 9,81$ м/сек²; μ — вязкость паров, кг сек/м²; $\text{Pr} = 3600 \mu_n g / (\gamma_p D_p)$. Ур-ние справедливо в пределах: $G > 7$; $0,6 < \text{Pr} < 1,4$; $35 < l/d < 100$; $150 < \text{Re}_p < 16\,000$, где G — кол-во жидкости, стекающей из колонны, отнесенное к единице длины периметра, кг/м час. Ур-ние применимо также к бинарным смесям с относительно большим содержанием легколетучего компонента, так как при этом сопротивление переносу на стороне жидкости пренебрежимо мало. Приведены ур-ния для вычисления средней движущей силы при дистилляции в различных условиях Ю. П. **71072.** Теория ректификации и определение эффективности ректификационных колонн. Местрее (Théories de la distillation fractionnée et mesure de l'efficacité des colonnes rectificatrices. Mestres R.), J. chim. phys. et phys.-chim. biol., 1958, 55, № 5, 370—376 (франц.)

Обзор. Библ. 17 назв.

В. Герцовский

71073. Краткий аналитический метод расчета числа теоретических тарелок (ступеней разделения) для ректификации двойных смесей. Михайловский Б. Н., Научн. докл. высш. школы. Химия и хим. технол., 1958, № 2, 392—397

Предложен приближенный метод расчета числа теоретич. тарелок при непрерывной ректификации идеальных бинарных смесей, основанный на предположении, что единственной причиной, снижающей эффективность разделения (по сравнению с ректификацией в условиях полного возврата флегмы), является неравенство потоков контактирующих фаз. Число теоретич. тарелок в концентрационной секции колонны (n) вычисляется по ур-нию: $[x/(1-x)]_D = [x/(1-x)]_F \{ [R/(R+1)] \alpha_y \}^n$, а в отгонной секции (m): $[x/(1-x)]_F = [x/(1-x)]_W \{ \alpha_u D(R+1)/[D(R+1) + W] \}^m$. Общее число тарелок $N = n + m$. Здесь: x — содержание легколетучего компонента, мол. доля; α_u, α_y — относительная летучесть при средней т-ре в концентрационной и отгонной секциях колонны; R — флегмовое число; D — кол-во дистиллята, моль/час; W — кол-во нижнего продукта, моль/час; индексы F, D, W соответствуют исходной смеси, дистилляту и нижнему продукту. Результаты расчетов по приведенным ур-ниям сопоставлены с результатами расчетов по другим методам и отмечено удовлетворительное их соответствие.

Ю. Петровский

71074. Рекуперация тепла в ректификационных установках нефтяной промышленности. Ридигер (Wärmerückgewinn bei Destillationsanlagen der Erdölindustrie. Riediger B.), Dechema Monogr., 1956, 28, № 363—391, 87—108 (нем.)

См. РЖХим, 1956, 73823.

71075. Герметичность дистилляционных, очистительных и обезвоживающих аппаратов. Мелихар (Netěsnost destilačních, rafinačních a odvodňovacích

prístroj. Melichar Bohuslav), Kvasný průmysl, 1958, 4, № 3, 57—60 (чешск.; рез. русск., нем.)
 71076. Теория экстрактивной дистилляции несмешивающимися растворителями. Робу (O teorie a extrakciei diferențiale cu solvenți imiscibili. Robu I. V.), Rev. chim., 1957, 8, № 1, 6—11 (рум.; рез. русск., нем.)

Рассмотрен процесс экстрактивной дистилляции, осуществление которого целесообразно при малой растворимости экстрагируемого в-ва в экстрагирующем р-рителе. Выведено дифференциальное уравнение, описывающее этот процесс, и показаны методы его интегрирования. Введено понятие об эффективности экстракции и показано, что она зависит от дисперсности экстрагирующего р-рителя и интенсивности перемешивания. Теоретич. выводы подтверждены результатами опытов по экстракции анилина из воды бензолом.

71077. Избирательная абсорбция сероводорода растворами карбонатов. Гарнер, Лонг, Пеннелл (The selective absorption of hydrogen sulphide in carbonate solutions. Garner F. H., Long R., Pennell A.), J. Appl. Chem., 1958, 8, № 5, 325—336 (англ.)
 Изучалось поглощение H_2S из его смеси с CO_2 и N_2 при отношении $CO_2 : H_2S = 30 : 1$ водн. р-рами K_2CO_3 и Na_2CO_3 . Поглощение проводилось в колонне со смоченными стенками и в колонне со смоченными дисками. Опыты проводились при т-ре р-ра 15—68°, конц-ии р-ра 0,203—1,94 н., конц-ии H_2S в поступающем газе 0,53—1,95 об. %. Найдено, что с увеличением плотности орошения селективность поглощения уменьшается; она увеличивается при увеличении скорости газа и слегка увеличивается при возрастании конц-ии р-ра Na_2CO_3 более 1,2 н. конц-ия H_2S в газе не влияет на селективность поглощения при условии, что конц-ия $H_2S > 1,3\%$; при меньших конц-иях селективность уменьшается с уменьшением конц-ии H_2S . Установлено, что поверхность контакта в колонне со смоченными стенками может быть вычислена точнее, чем в колонне со смоченными дисками, несмотря на образование ряби на поверхности жидкости в колонне со смоченными стенками.

В. Герцовский
 71078. Скрубберный процесс абсорбции углекислоты раствором поташа. Плит И. Г., Ж. прикл. химии, 1958, 31, № 2, 186—191

Исследовано влияние различных факторов на кинетику абсорбции CO_2 р-ром K_2CO_3 в скруббере диам. 25 мм с насадкой из колец $8 \times 8 \times 2$ мм при высоте насадки 465 мм. Определены значения констант пропорциональности в уравнениях для частных коэф. абсорбции K_L и K_G ; даны зависимости K_L от скорости и физ. свойств жидкости, а K_G от физ. свойств газа, константы Генри, конц-ии CO_2 в газе, т-ры, конц-ии р-ра K_2CO_3 и относительной скорости фаз. Рассмотрено влияние этих факторов, совместное действие которых определяет скорость процесса, на общий коэф. абсорбции K и емкость р-ра.

Г. Рабинович
 71079. Установка для осушки воздуха адсорбентом в псевдооживленном состоянии. Кокс (A fluidised adsorbent air-drying plant. Cox M.), Trans. Instn Chem. Engrs, 1958, 36, № 1, 29—42 (англ.)

Исследован процесс осушки воздуха в колонне псевдооживленным гранулированным силикагелем (С) в виде сферич. частиц диам. 3,28—4,75 мм. При измерении гидравлич. сопротивления псевдооживленного слоя установлено, что чем выше сопротивление опорных решеток, тем лучше распределение воздуха по сечению слоя. Для удовлетворительной работы колонны шаг между отверстиями опорной решетки должен быть не более 11 мм, а высота колонны в 2—3 раза больше толщины слоя в состоянии покоя. Образование воздушных пузырей внутри слоя и струй

с пониженным содержанием твердой фазы наблюдалось при высоте неподвижного слоя, приблизительно равной диаметру. Поглощительная способность С измерялась на установке, в которой сорбент циркулировал между осушительной колонной и реактиватором, где нагревался в токе горячего воздуха до 120°; влагосодержание С до и после колонны определялось анализом отбираемых проб. Опыты проводились при т-ре С в зоне осушки 24—38°, высоте слоя 75—500 мм и скорости воздуха $w = 1,6—2,5$ м/сек. По результатам измерения влажности воздуха до и после слоя рассчитывался коэф. массопередачи, отнесенный к единице объема слоя $h_m a$, где h_m — коэф. массопередачи на единицу поверхности, a — уд. поверхность С. Не замечено систематич. изменений $h_m a$ в зависимости от влажности воздуха; с возрастанием высоты слоя $h_m a$ падает. Определялась механич. прочность С при работе в псевдооживленных слоях; величина потерь относилась к 100 час. работы в данном режиме; при $w = 2,3$ м/сек потери С составляют 0,45%, а при $w = 3,05$ м/сек эти потери возрастают до 1,3%. Приведена схема опытной установки, состоящей из осушительной колонны с 5 тарелками, реактиватора и 2 подъемников для С, который подается в верхнюю часть колонны и перетекает с одной тарелки на нижележащую; площадь тарелок 0,372 м², расход воздуха $G = 5,45$ кг/сек. На этой установке при разности давл. 0,126 ата влагосодержание воздуха уменьшалось примерно в 6 раз. Оптимальная высота слоя С на тарелке 150—200 мм.

А. Ровинский

71080. Скорость массопередачи при ионообмене. Селк, Бард, Пастернак, Адитья (Mass transfer rates in ion exchange. Selke W. A., Bard Y., Pasternak A. D., Aditya S. K.), A. I. Ch. E. Journal, 1956, 2, № 4, 468—470 (англ.)

Проведено исследование по определению коэф. массопередачи и коэф. диффузии в жидкой фазе и в ионообменной смоле при обмене ионов $Cu - H$ и $Ag - H$ на смоле, представляющей собой сульфированный полистирол с размерами частиц 0,5 мм. Опыты проводились со слоями смолы малой высоты, в пределах которой в ур-ниях массопередачи и материального баланса с достаточной точностью могла использоваться средняя конц-ия. Данные опытов обработаны в виде зависимости $j = (k_L e/G)(\mu/\rho_L D_L)^{0,58}$ от $Re = d_p G \rho_L / \mu e$, где k_L — коэф. массопередачи, мг-экв/сек см³ (мг-экв/см³); e — свободный объем, см³/см³; G — скорость жидкости, см/сек; μ — вязкость, г/см сек; ρ_L — уд. вес, г/см³; D_L — коэф. диффузии, см²/сек и d_p — диаметр частиц смолы, см. Показано, что в координатах $j - f(Re)$ опытные точки удовлетворительно ложатся на одну кривую. На основании результатов исследования рекомендуется следующий метод расчета процесса ионообмена. Слой смолы делится на ряд слоев малой высоты. Задаются зависимостью конц-ии ионов на поверхности смолы q_i от времени t для самого верхнего слоя смолы. С помощью этой зависимости рассчитывают конц-ию ионов в смоле q (мг-экв/г) и производную этой конц-ии по времени. Затем по ур-нию материального баланса $v(c_n - c_k) = W dg/dt$ рассчитывается конц-ия жидкой фазы на выходе из рассматриваемого тонкого слоя смолы c_k мг-экв/см³ (V — объемный расход жидкости, см³/сек, c_n — начальная конц-ия жидкости, мг-экв/см³ и W — вес смолы в слое, г). По найденному значению c_k определяется средняя конц-ия $c_{ср}$, с помощью которой по графику, приведенному в статье, определяется величина $k_L S$ (S — уд. поверхность смолы, см²/г). Далее по ур-нию $dq/dt = k_L S(c_{ср} - c_i)$ находится

конц-ия жидкой фазы на поверхности смолы c_i , мг-экв/см³. Найденная по кривой равновесия конц-ия ионов на поверхности смолы должна соответствовать конц-ии c_i и быть равна принятому значению q_i . В случае необходимости задаются новым значением q_i и расчет повторяется. Для каждого последующего слоя смолы расчет производится аналогичным образом.

В. Коган
71081. Мембранные перегородки — ионообмен. Уингер (Membrane processes — ion exchange. Winger Alvin G.), Chem. Engng Progr., 1957, 53, № 12, 606—612 (англ.)

Рассмотрена диффузия в газовой фазе, диализ, разделение р-ров ультрафильтрацией, фильтрование сквозь ионообменные перегородки, электродиализ.

А. Ровинский
71082. Разделение веществ посредством распределения их между двумя жидкими фазами. Метцш (Die Trennung von Substanzen durch Verteilung zwischen zwei flüssigen Phasen. Metzsch F.-A. v.), Dechema Monogr., 1956, 27, № 332—362, 19—31 (нем.)

71083. Изучение работы экстракционных колонн и методы их расчета. Хонда Наоси, Кагаку когаку, Chem. Engng (Japan), 1958, 22, № 1, 59—63 (японск.)

71084. Исследование основных характеристик работы струйного экстрактора и сравнительная эффективность экстракторов. Кафаров В. В., Жуковская С. А., Ж. прикл. химии, 1958, 31, № 3, 376—386

Исследовалась гидродинамика струйных смесителей и массопередача при проведении в них процесса экстракции. Для случая однофазного потока жидкости на основании опытных данных получены следующие ур-ния, описывающие гидродинамику струйного смесителя: $Eu[Ld_{вн}/(d'_{вн})^{2p}]^{0.74} = 2,35/Re^{0.264}$ при $Re < 14\,000$ и $Eu[Ld_{вн}/(d'_{вн})^{2p}]^{0.74} = 1,85$ при $Re > 14\,000$, где $Eu = h_p g/w_c^2$ — критерий Эйлера; $Re = w_c d_{вн} \gamma / \mu$ — критерий Рейнольдса, h_p — потери напора в эжекторе, м; γ — уд. вес рабочей жидкости, кг/м³; W_c — скорость истечения рабочей жидкости из сопла, м/сек; $d_{вн}$ — диаметр выходного отверстия сопла, м; μ — вязкость рабочей жидкости, кг сек/м²; $d'_{вн}$ — диаметр камеры смещения на входе, м; L — длина камеры смещения, м, и g — ускорение силы тяжести, м/сек². Полученные результаты показывают, что при $Re > 14\,000$ Eu не зависит от Re . При постоянном расходе рабочей жидкости и изменении расхода подсосываемой жидкости от нуля до его предельного значения перепад давления отличается не более чем на 10% от величины, получающейся при отсутствии подсоса. Зависимость предельного коэф. подсоса $q_{пр} = V_{пр}/V_p$ ($V_{пр}$ и V_p — расходы подсосываемой и рабочей жидкости, л/час) от конструктивных размеров эжектора и физ. свойств системы выражается ур-нием: $q_{пр} = [F_1/F_2 - F_3]^{0.5} \times \gamma_{п}/\gamma_{ба} \times [d_D - d'_{вн}]/L = 2,62 v_p^{-0.586}$, где F_1, F_2 и F_3 — площади поперечного сечения выходного отверстия сопла, начального сечения камеры смещения и сопла по его наружному диаметру, $\gamma_{п}$ и $\gamma_{ба}$ — уд. веса подсосываемой жидкости и бутилацетата и d_D — диаметр камеры смещения на выходе, м. Для гидродинамич. расчета струйного экстрактора построена номограмма, с помощью которой можно определить основные размеры экстрактора. Результаты опытов по определению к.п.д. экстрактора η , выражающего отношение факт. изменения конц-ии к отвечающему состоянию равновесия, показывают, что при достаточной скорости рабочей жидкости $\eta = 100\%$ для всех исследованных систем при любых значениях $V_{п}$. При

менее интенсивных режимах истечения рабочей жидкости η с увеличением $V_{п}$ увеличивается до некоторого предела, после чего наблюдается некоторое его уменьшение. Приводятся сравнительные данные об эффективности экстракторов различных конструкций. Из этих данных следует, что по своей эффективности струйный экстрактор сопоставим с экстракторами типа Подбельняка и Лувеста.

В. Коган
71085. Расчет противоточной экстракции в системе твердое тело — жидкость при медленном растворении или одновременно протекающем процессе адсорбции. Затлер-Дорнбахер (Berechnung der Gegenstromextraktionen fest/flüssig für langsam verlaufende Lösungsvorgänge oder bei gleichzeitigen Adsorptionsvorgängen. Sattler-Dornbacher Erich), Chem. Ingr-Techn., 1958, 30, № 1, 14—18 (нем.; рез. англ., франц.)

Расчет производится в треугольной диаграмме, вершины которой соответствуют чистому р-рителю, экстрагируемому компоненту и твердому в-ву. Данные о скорости растворения, необходимые для расчета, определяются экспериментально в условиях, аналогичных существующим в рассчитываемой установке. Через определенные промежутки времени определяются составы твердой фазы и экстракта при постоянном отношении кол-в исходного твердого тела и р-рителя. В случае адсорбции экстрагируемого в-ва на поверхности твердого тела для расчета необходима изотерма адсорбции, которая определяется путем смешения нескольких порций твердого тела с разными кол-вами р-рителя. По полученным данным строятся используемые для расчета кривая изменения состава твердой фазы в зависимости от состава экстракта, а также кривая, выражающая изменение состава экстракта во времени. Требуемое число ступеней контакта определяется ступенчатым построением между прямой линией, соответствующей смеси экстрагируемого в-ва и р-рителя, и кривой, выражающей зависимость равновесных составов твердой фазы от состава экстракта.

В. Коган
71086. Экспериментальное исследование внешнего тепло- и массообмена в процессе сушки материалов. Смольский Б. М., Тр. Моск. технол. ин-та пищ. пром-сти, 1958, вып. 11, 137—176

Изучался тепло- и массообмен у поверхности материала в процессе конвективной сушки потоком горячего газа. Взаимное влияние тепло- и массообмена исследовалось путем одновременного определения полей т-ры и влажности среды в пограничном слое у поверхностей «влажного» и «сухого» образцов одинакового размера из древесных пород, глины, хлебопекарных дрожжей, обожженного кирпича, а также хлопчатобумажных тканей, бумаги и картона, натянутых на проволоочные рамки. «Влажные» образцы представляли собой параллелепипеды разного размера, которые изготавливались так, что контакт материала с агентом сушки (воздухом) происходил только через открытую поверхность, обращенную вверх. В качестве «сухих» образцов применялись охлаждаемые водой медные коробки, которые сверху покрывались исследуемым материалом и хорошо высушивались. Опыты показали, что при увеличении скорости движения воздуха v уменьшается толщина термич. пограничного слоя δ и увеличивается коэф. теплоотдачи α , который остается неизменным при разных т-рах поверхности и среды. При теплообмене, осложненном испарением, появляется дополнительный градиент давления, способствующий движению сухого воздуха к поверхности испарения, что интенсифицирует теплообмен; при прочих равных условиях α у мокрых поверхностей всегда больше, чем у сухих на 20—40%; разница тем больше, чем меньше относительная влаж-

ность воздуха. С увеличением длины образца толщина пограничного слоя δ в направлении потока воздуха увеличивается и α соответственно уменьшается. Сравнение основных показателей тепло- и массообмена в процессе сушки капиллярно-пористых и колл. тел показало, что в последнем случае при прочих равных условиях δ больше и коэф. массообмена существенно меньше.

А. Ровинский

71067. Симпозиум «Сушка в пищевой промышленности». К расчету сушилок, в частности при сушке в толстом слое. Спренгер (Symposium «Trocknen in der Lebensmittelindustrie». Vorschlag für die Berechnung von Trocknern, insbesondere von Darren. Sprenger J. J. I., Ingenieur (Nederl.), 1957, 69, № 7, Ch.27—Ch.35. Discuss., Ch.35—Ch.36 (нем.).

Приводятся эмпирич. ур-ния для расчета скорости тепло- и влагообмена между влажным материалом и нагретым воздухом при прямоточной сушке в тонком и толстом слоях.

А. Емельянов

71068. Метод ступенчатой сушки тонких цилиндрических изделий. Дмитриев Э. М., Бутягин П. Ю., Теплоэнергетика, 1958, № 5, 65—68

Для ускорения процесса сушки при сохранении необходимого качества изделий предложен метод ступенчатой сушки нагретым воздухом, заключающийся в непрерывном чередовании кратковременной сушки с более длительным периодом выравнивания влагообмена. Метод разработан применительно к тонким цилиндрич. изделиям (напр., карандашным стержням). Ступенчатая сушка может быть осуществлена в полном барабане с отверстиями на боковой поверхности, через которые продувается нагретый воздух. Высушиваемые изделия укладываются в барабане вдоль его оси. При медленном вращении барабана изделия перекачиваются и попадают то на поверхность — в зону интенсивной сушки, то, уходя вглубь, в зону выравнивания влагообмена. Ступенчатую сушку выгодно проводить, когда критерий Био велик, т. е. при достаточно малом коэф. влагопроводности по сравнению с коэф. влагообмена. Когда $Bi < 0,1$, скорость ступенчатой сушки очень мала. Процесс сушки карандашных стержней по ступенчатому методу сокращается до 0,5—2 суток вместо 4—12 суток по обычному методу.

Т. Коляч

71069. Использование данных по теплообмену для расчета сушилок, работающих за счет продувки воздуха через слой материала. Славянов Ю. Н., Тр. Ленингр. хим.-фармацевт. ин-та, 1958, вып. 4, 44—48

Выведено ур-ние для определения необходимой площади противня в зависимости от толщины слоя высушиваемого материала и размера его частиц.

А. Ровинский

71070. Измельчение. Райли (Size reduction. Riley R. V.), Chem. and Process Engng, 1958, 39, № 6, 219—222 (англ.)

Обзор. Библ. 114 назв.

В. Герцовский

71071. Применение радиоактивных изотопов и электронных микроскопов при изучении процессов измельчения. Хюттиг (Die Anwendung von radioaktiven Isotopen und der Elektronenmikroskopie auf das Studium der Zermahlungsvorgänge. Hüttig G. F.), Dechema Monogr., 1956, 27, № 332—362, 160—174 (нем.)

71072. Номограмма для определения объема жидкости в конических сосудах. Перчас (Volume of liquid in a cone. Purchas D. B.), Brit. Chem. Engrg, 1958, 3, № 6, 332 (англ.)

71073. Номограмма для определения объема жидкости в горизонтальных цилиндрических сосудах с выпуклыми днищами. Ингриш (Nomogram k určení dílčích obsahů ležatých válcových nádob kru-

hového průřezu a s hluboce klenutými dny. Ingrisch Bedřich), Chem. průmysl, 1958, 8, № 4, 194 (чешск.)

71094. Номограммы для определения количества жидкости в горизонтальных цилиндрических резервуарах с плоскими или выпуклыми днищами. Дарре (Abaques pour le jaugeage rapide des réservoirs cylindriques à fonds plats ou bombés. Darré M.), Génie chim., 1958, 79, № 2, 52—55 (франц.; рез. англ., исп.)

71095. Номограмма для определения внутренней боковой поверхности горизонтального цилиндрического резервуара, соприкасающегося со слоем жидкости данной высоты. Ингриш (Nomogram pro výpočet plochy části pláště ležatých válcových nádob s kruhovým průřezem v závislosti na výšce hladiny. Ingrisch Bedřich), Chem. průmysl, 1958, 8, № 5, 248—249 (чешск.)

71096 К. Тепловое излучение. Пенперхофф (Temperaturstrahlung. Pepperhoff Werner. (Wiss. Forschungsber. Naturwiss. Reihe, 65). Darmstadt, Dietrich Steinkopff, 1956, XI, 281 S., ill.) (нем.)

71097 П. Плавающее устройство для регулирования процесса в псевдооживленных системах газ — твердое тело. Сунни, Матесон (Floating control for fluidized solids system. Sweeney William J., Matheson George L.) [Esso Research and Engng Co.]. Пат. США 2741546, 10.04.56

Описано устройство для предотвращения уноса твердых частиц потоком газа, уходящего из псевдооживленного слоя (ПС). Устройство состоит из полого кольца, изготовленного из алюминия или других легких материалов, и установленных над кольцом пылеотбойных конич. перегородок. Устройство, находящееся на поверхности ПС, перемещается по мере изменения степени расширения ПС. Это позволяет увеличить скорость газа и степень расширения ПС без заметного увеличения уноса твердых частиц потоком газа.

В. Герцовский

71098 П. Устройство для нагревания жидкостей. Уосп (Fluid heaters. Wasp Edward J.). Пат. США 2789521, 23.04.57

Для регулирования т-ры жидкости, протекающей по трубкам в печи с радиационным источником тепла, между трубками и источником тепла устанавливают тонкие плоские экраны. Посредством поворачивания этих экранов вокруг оси рукоятками, расположенными вне печи, увеличивают или уменьшают количество лучистой энергии, поступающей от источника тепла к трубкам.

А. Ровинский

71099 П. Метод контактирования твердых частиц с жидкостью. Гিশлер, Матхур (Method of contacting solid particles with fluids. Gishler Paul Ernest, Mathur Kishan B.) [National Research Council]. Пат. США 2786280, 26.03.57

Предлагается новый метод контактирования жидкости с твердыми частицами в струе, образующейся по оси вертикального аппарата с конич. днищем, в который через нижнее отверстие, закрытое решеткой, с высокой скоростью подается жидкость. Центральная струя имеет низкую кон-ию твердых частиц и быстро поднимается вверх, причем диаметр ее по высоте практически не меняется. В струе проходит 0,5—0,25 от всей жидкости, остальная часть жидкости поддерживает частицы в подвижном состоянии и облегчает их движение вниз вблизи стенок. Для нормальной работы аппарата угол α при вершине конич. днища должен составлять: при диаметре цилиндра $d_c = 0,3$ м $\alpha = 85^\circ$ и при $d_c = 0,6$ м $\alpha = 45^\circ$. Для каждой пары «твердый материал — жидкость» должны быть определены оптимальный диаметр отверстия d_i

и максим. высота слоя, при превышении которой образование струи не происходит. Предлагается у-ние для расчета миним. линейной скорости воздуха $V_i = k(d_p dc/di^2)[2gl(\rho_s - \rho_f)/\rho_f]^{0.5}$, где d_p — диаметр частиц, l — высота слоя, ρ_s и ρ_f — плотность твердых частиц и жидкости, $g = 9,81$ м/сек², $k = 0,46$ для сферич. частиц и $k = 0,28$ для частиц иной формы. Метод может быть применен для сушки сыпучих тел, напр. зерна, воздухом. А. Ровинский

71100 П. Установка для контактирования твердых тел с жидкостями. Шабейкер (System for contacting solids and liquids. Shabaker Hubert A.) [Houdry Process Corp.]. Пат. США 2731424, 17.01.56

Описана установка для непрерывного контактирования гранулированных твердых частиц с жидкостями, которая состоит из нескольких последовательно соединенных вертикальных цилиндрич. аппаратов (А). Частицы поступают сверху в 1-й А, образуя в верхней его части конус с естественным углом откоса, далее опускаются вниз и по наклонным трубам, сваренным в динце А, сыплются в закрытый сосуд, расположенный соосно под А и имеющий форму усеченного конуса, сужающегося книзу. В верхнюю часть этого же сосуда из 2-го А поступает жидкость, которая поднимается по трубкам в А и, двигаясь противотоком по отношению к частицам, вступает с ними в контакт. Жидкость вместе с газами, образующимися при контактировании, удаляется из верхней части А. Внутри А по его оси установлена труба, нижний конец которой опущен примерно до середины в конич. сосуд. В нижнюю часть последнего насосом нагнетается жидкость, которая, двигаясь по трубе вверх, увлекает за собой гранулированные частицы, которые далее сыплются во 2-й контактный А аналогичной конструкции. Из последнего А суспензия поступает в наклонный решетчатый желоб, под которым установлен сборник жидкости. В этот же сборник поступает свежая жидкость на контактирование. Гранулированный материал по желобу сыпается в приемный бункер. В нижней части А установлено распределительное кольцо, в которое направляется охлаждающая жидкость при проведении экзотермич. р-ций. Описанная система используется, в частности, при обработке глинозема H_2SO_4 с последующей промывкой в произ-ве катализаторов для ряда процессов, связанных с конверсией углеводородов. Б. Сумм

71101 П. Хранение летучих жидкостей. Эрс (Storage of volatile liquids. Ayres Elwyn C.) [Phillips Petroleum Co.]. Пат. США 2790307, 30.04.57

Для уменьшения испарения летучих жидкостей в жаркие дни хранилище, расположенное на поверхности земли, снабжается насосом, который забирает жидкость со дна хранилища, где она более холодная, и подает ее через распылители на верх хранилища для охлаждения пространства над жидкостью. Скорость и продолжительность циркуляции жидкости может регулироваться автоматически в соответствии с изменением давления в хранилище. В холодные ночи циркуляция жидкости может предотвратить образование в хранилище вакуума. С. Крашенинников

См. также: Теплопроводность 69953, 70189. Вязкость жидкостей 69961. Процессы и аппараты нефтеперерабатывающих производств 72013. Оборудование из винилового пластика 72442. Насосы 71159. Фильтры 71242, 72676. Смещение пастообразных материалов 72110. Разрушение пены 72160. Конденсатоотводчики 71126. Теплообменники 72674. Диффузия в жидкостях 69968. Дистилляция 70689, 72018. Насадочная колонна 70721. Дозатор для жидкости 70690. Трубопроводы из пластмасс 71193, 72425

КОНТРОЛЬНО-ИЗМЕРИТЕЛЬНЫЕ ПРИБОРЫ. АВТОМАТИЧЕСКОЕ РЕГУЛИРОВАНИЕ

Редакторы А. М. Дробиз, Н. Я. Феста

71102. Автоматизация на заводах средней и малой мощности. Зейдеман (Was geht die Automatisierung den mittleren und kleineren Betrieben an? Seidemann A.), Glas-Email-Keramo-Technik, 1957, 8, № 3, 79—81 (нем.)

Рекомендуются автоматич. регистрация и регулирование производственных процессов, автоматич. включение и отключение агрегатов. Отмечается необходимость подготовки квалифицированных специалистов для управления автоматикой. П. Беренштейн

71103. Техника регулирования процессов. Некоторые решения. Джеймс (Control systems engineering some solutions. James Edward W.), Chem. Engng Progr., 1958, 54, № 3, 45—48 (англ.)

Для получения наилучших результатов при регулировании процессов необходимо не обходиться, а использовать динамич. свойства объекта регулирования. Для изучения свойств процесса необходимо применять счетно-решающие устройства, начиная со стадии опытной установки. При этом возможна автоматич. обработка данных исследований. Применение моделирующих устройств позволяет не только наблюдать поведение процесса при разных условиях, но и обучать персонал для обслуживания будущего процесса, так как моделирующая установка позволяет создавать такие режимы, которые в действительных условиях трудно получить. Эти установки позволяют также воспроизводить конъюнктуру рынка, сезонные колебания, изменения цен, качества сырья и т. п. И. Ихлов

71104. Анализ устойчивости и регулирования химических реакторов. I. Возможность местного регулирования с совершенным и несовершенным механизмом регулирования. II. Пропорциональное регулирование. III. Принципы программирования. Эрис, Амундсон (An analysis of chemical reactor stability and control. I. The possibility of local control, with perfect or imperfect control mechanisms. II. The evolution of proportional control. III. The principles of programming reactor calculations. Some extensions. Aris Rutherford, Amundson Neal R.), Chem. Engng Sci., 1958, 7, № 3, 121—131; 132—147; 148—155 (англ.; рез. нем., франц.)

I. Используя определение скорости хим. р-ции и составляя у-ния материального и теплового балансов, авторы выводят дифференциальные у-ния хим. реактора в общем случае. Рассматривается вопрос линеаризации этих у-ний. Кратко излагается метод фазового пространства. Проводится анализ устойчивости линеаризованных систем регулирования т-ры и конц-ии в хим. реакторах с пропорциональным воздействием, интегральным и по производным. Рассматриваются системы без запаздывания и с запаздыванием. Библ. 12 назв.

II. Детальный анализ систем пропорционального регулирования хим. реакторов методом фазового пространства.

III. Два примера программирования. Двухпозиционное регулирование хим. реакторов и случай нескольких реакторов, включенных последовательно, в каждом из которых идет одновременно несколько р-ций. Б. Вольф

71105. Некоторые замечания по автоматическому регулированию двухступенчатых холодильных установок. Лоренцен (Some comments on the automatic control of two-stage refrigerating plants. Le

- rentzen Gustav), Mod. Refrig., 1957, 60, № 715, 422—428, 430 (англ.)
71106. Автоматизация и ее возможности применительно к керамической промышленности. Стейдем (Automation. Its possibilities in the clay industries. Stedham M. E. C.), Clay Prod. J. Australia, 1957, 25, № 1, 5, 7, 9, 11, 13; № 2, 21, 23, 25, 27, 29 (англ.) См. РИХим, 1958, 18275.
71107. Применение программного регулирования к периодическим печам с нижней тягой. Джонс (The application of programme control to stoker fired intermittent round downdraught kilns. Jones J. Michael), Claycraft, 1957, 30, № 7, 357—367 (англ.) Возможности автоматич. регулирования периодич. печей в керамич. пром-сти. Некоторые результаты исследования поведения керамич. тел при $t_{\text{раб}} 0^{\circ}-600^{\circ}$. Б. Вольтер
71108. Система измерения и регулирования в широком диапазоне консистенции непосредственно в трубопроводе. Лорд (In-the-pipe system measures, controls consistency over wide range. Lord Kenneth), Paper Trade J., 1958, 142, № 13, 32—34 (англ.)
- Для регулирования консистенции жидкостей в пром-ве бумаги рекомендуется измерять перепад давлений на прямом участке трубопровода, а регулирование производить, управляя подачей разбавляющей воды. При скоростях в трубопроводе $> 0,6$ м/сек и если эта скорость не изменяется больше, чем на $0,3$ м/сек, никаких компенсирующих поправок вносить не требуется и регулирование можно осуществлять обычным пневматич. регулятором с компенсационным датчиком дифференциального давления. При более широком диапазоне изменений скорости, но при небольших колебаниях вязкости, необходима компенсация изменения расхода. Для этой цели в схему вводится другой датчик, измеряющий перепад давления на диафрагме, установленной в том же трубопроводе. Сигналы обоих датчиков вычитаются и разность подается на третий датчик, управляющий вторичным прибором — регулятором. При этом сигнал 1-го датчика поступает на 3-й непосредственно, а со 2-го — через спец. реле, извлекающее квадратный корень. Для случаев значительных изменений вязкости измеряемой жидкости схема усложняется тем, что установка заданного значения регулятора производится пневматически, причем сигнал установки заданного значения одновременно подается на реле, связывающее 2-й датчик с 3-м. И. Ихлов
71109. Сводный каталог контрольно-измерительных приборов на 1958 г. Отомасэн, Automation, 1958, 3, № 4, 164 pp., ill. (японск.)
71110. Электронное измерение уровней. Ливер (Electronic gauging of levels. Leaver E. W.), Canad. Chem. Process., 1957, 41, № 7, 84—86, 88 (англ.) Популярное описание применения источников радиоактивного излучения и звуковых генераторов для определения уровня материалов в сосудах. В. Левин
71111. Магнитно-поплавковый указатель уровня жидкости в цистерне. Нутович М. Б., Судостроение, 1958, № 3, 68
- Описан уровнемер поплавкового типа с магнитной передачей на стрелку, состоящей из двух кольцевых магнитов. Прибор отличается простотой конструкции, большой надежностью в работе при повышенной t -ре и малой, стоимость его в три-четыре раза ниже, чем указатели колонкового типа. Габариты прибора: diam. 120 мм, высота 50 мм, вес 1 кг. Г. Людмирская
71112. Автоматический ареометр. Домбровский (Briskometr typu IPC-B2. Dąbrowski Henryk), Gaz. cukrown., 1957, 59, № 12, 325—326 (польск.)
- Описан ареометр для непрерывного измерения

уд. веса жидкостей в пределах $10-50^{\circ}$ Брикса с точностью отсчета $\pm 0,5^{\circ}$ Брикса. Принцип действия прибора — непрерывное взвешивание жидкости, протекающей через его шарообразный приемник. Даются указания по монтажу ареометра, по его калибровке и эксплуатации. Прибор используется на сахарных заводах для автоматич. контроля процессов выпаривания. Б. Каплан

71113. Нулевые методы и методы отклонения в технике измерения расхода. Эткер (Nullmethode und Ausschlagsmethode in der Durchflußmeßtechnik. Oetker R.), Dechema Monogr., 1956, 27, № 332—362 216—224 (нем.)

При измерениях методом отклонения (МО) энергии для перемещения измерительного прибора потребляется от измеряемой величины. При измерениях по нулевому методу (НМ) сравнительная величина непрерывно уравнивается с измеряемой до получения нулевого сигнала разбаланса. При измерении расхода методом дроссельных органов это измерение сводится к определению перепада давления, который может измеряться как МО, так и НМ. По МО работают кольцевые весы и поплавковые дифманометры. По НМ работают компенсационные датчики, пневматические и электрические. В последнем датчике усилие мембраны датчика компенсируется стягивающим усилием электромагнита, причем одновременно происходит извлечение квадратного корня. Указанные датчики работают значительно быстрее приборов, работающих по МО, однако, в случае пульсирующего расхода, желательно демпфировать показания прибора, что лучше получается с приборами, использующими МО. При малых расходах (меньше 40% от максимальных) погрешность измерения мембранными датчиками резко возрастает. Поэтому рекомендуется измерять и регулировать расход объемами расходомерами с таходатчиками. Для точного регулирования соотношения расходов рекомендуется регулятор с механич. дифференциалом и двумя объемн. расходомерами (счетчиками). И. Ихлов

71114. К вопросу об измерении расходов пульсирующих потоков газа. Панцер (Beitrag zur Messung pulsierender Gasströme. Panzer Herbert), Bergbauwissenschaften, 1957, 4, № 10, 290—302 (нем.; рез. англ., франц.)

Рассмотрены причины погрешностей дроссельных расходомеров при измерении пульсирующих потоков. Для устранения этих погрешностей предлагается применение успокоительных сопел, эффективное действие которых обосновывается теоретически и экспериментально. В. Реутский

71115. Измерение расхода жидкостей с высокой упругостью пара. Шмальц, Нилсон, Шарп (Metering high vapor pressure liquids. Schmalz Theodore F., Nielsson F. T., Sharp J. C.), Agric. Chemicals, 1958, 13, № 4, 45, 115—117 (англ.)

Перекачка жидкостей с высокой упругостью пара, напр. жидкого NH_3 , производится насосами либо передавливанием парами той же жидкости. В последнем случае применяют либо компрессор, либо нагреватель для получения паров нужного давления. Во всех указанных случаях можно измерять расход стандартными ротаметрами при условии сохранения в приборе давления, достаточного для предотвращения возникновения пузырей пара. В случае необходимости регулирования расхода регулирующий клапан должен устанавливаться после ротаметра. Рекомендуется также устанавливать теплообменник с целью использования энергии редуцирования для охлаждения жидкости на входе в ротаметр. Для точных измерений необходимо учитывать изменения вязкости и плотности в зависимости от t -ры жидкости. И. Ихлов

74116. Дистанционный контроль температуры в кагатах. Гольде Ф. А., Леуценко С. В., Приборостроение, 1958, № 3, 26—27

Установка типа ДКТК-1 дистанционного контроля т-ры в кагатах состоит из переносного измерительного прибора типа ПИП-2К и термоподвески (Т) типа ТПК-1 и работает по принципу электрич. термометра сопротивления. Изменение сопротивления датчика измеряется магнитоэлектрич. логометром со шкалой, градуированной в °С, включенным в диагональ неуравновешенного моста. Описан принцип работы установки и рассмотрены составные части прибора ПИП-2. Т выполнена из провода марки ШРПС или ПРШП (сечение $3 \times 1 \text{ мм}^2$), по длине которого располагаются термометры сопротивления из медного провода марки ПЭЛШО (диам. 0,1 мм), намотанного на плоский каркас из гетинакса. Длина Т 4,2 м, расстояние между элементами 2 м. Представлена конструкция отрезка Т, содержащего чувствительный элемент. Один измерительный прибор обычно комплектуется на 50 Т. Диапазон измерения т-ры составляет от -30 до $+50^\circ$, погрешность не превышает $\pm 2,5^\circ$.

74117. Термометрическое измерение эффективности работы насосов. Холт (Measuring pump efficiencies by thermometry. Holt J. V. H.), Engineering, 1958, 185, № 4806, 501 (англ.)

На одном хим. з-де необходимо непрерывно перекачивать $5500 \text{ м}^3/\text{час}$ воды при противодавлении 55 кг/см^2 . Для этой цели установлены 18 центробежных насосов, приводимых в действие от паровых турбин. Так как общая стоимость расходуемой энергии составляет 250 000 фунтов стерлингов в год, то необходимо работа насосов с максим. к.п.д. Поэтому желательно производить профилактику насосов не по графику, а при соответствующем понижении их к.п.д. На входе и выходе из каждого насоса установлены наполненные Hg карманы для помещения термометров сопротивления при проверке к.п.д. После замера разности т-р обоих термометров (с помощью уравновешенного моста) производится перемена местами термометров сопротивления и выполняется вторичный замер. Измерение ΔT производится с точностью 0,01°. Одновременно измеряется ΔP — разность между давлениями на линиях нагнетания и всасывания насосов. К.п.д. определяется по ф-ле: $\text{к.п.д.} = 100 \cdot \Delta P / (\Delta P + 41,3 \Delta T)$. Метод дает погрешность $\pm 2\%$. И. Ихлов

74118. К компенсации влияния температуры холодных спаев с помощью мостов постоянного тока. Беккер, Цирман (Zur Temperatur-Kompensation des Vergleichsstellen-Einflusses in Gleichstrombrücken. Becker H., Ziermann A.), Arch. techn. Messen, 1958, № 265, 29—30 (нем.)

Рассматриваются ур-ния для выбора параметров моста постоянного тока, предназначенного для компенсации влияния изменения т-ры холодных спаев термопары. Учитывая, что возникающая при разбалансе моста разность потенциалов на его диагонали является гиперболич. функцией от изменения сопротивления одного из плеч, автором указывается метод наилучшей линейной аппроксимации этой зависимости, а также ширина диапазона изменения т-ры холодных спаев, при котором компенсация (при выбранных параметрах моста) происходит достаточно удовлетворительно.

74119. Новые измерительные приборы для химической промышленности. Франк (Neue Meßgeräte für die chemische Industrie. Frank H. W.), VDI-Nachr., 1958, 12, № 12, 4 (нем.)

З-д Agfa-Camera-Werk в Мюнхене выпускает серию спец. физ. приборов для хим. пром-сти, в том числе: а) фото-нефелометр для контроля высокомолекуляр-

ных соединений; б) ротационный вискозиметр для р-ров высокомолекулярных в-в, эмульсий и суспензий; в) рН-метры и автоматич. титрометры для контроля состава сточных вод; г) прибор для определения затвердевания полимеров. Последний прибор основан на измерении механич. резонанса стального язычка, погруженного в исследуемую среду. Кроме того, разработан прибор для испытания пластмассовых и резиновых мембран на устойчивость при переменном направлении нагрузки по обеим осям координат.

74120. Рефрактометры для анализа производственных потоков. Глассер (Refractometers in process-stream analysis. Glasser Leo G.), Control Engng, 1957, 4, № 12, 96—101 (англ.)

Рефрактометры (Р) могут применяться для анализа главным образом бинарных смесей или таких многокомпонентных смесей, которые подобны бинарным. Приводится ориентировочный список смесей, анализируемых с помощью Р, в том числе: вода в этаноле, метаноле или к-тах, этанол или метанол в воде, смеси этанола с бензолом, этиленгликоль или пропиленгликоль в воде и др. По принципу работы Р бывают двух типов: дифференциальные, где измеряется отклонение луча света при прохождении его из сравнительной жидкости в исследуемую (или наоборот) и Р полного отражения, где измеряется крит. угол, при котором происходит полное отражение луча от поверхности раздела этих жидкостей. Показаны принципиальные схемы Р обоих типов. Так как в Р второго типа луч света не должен проникать в исследуемую жидкость, им можно измерять коэф. преломления мутных и вообще непрозрачных жидкостей (красок). Для того чтобы Р правильно отражал состав анализируемой жидкости, необходимо обеспечить хорошее перемешивание жидкости и устранить возможность налипания ее на окна Р. Большое значение для правильной работы Р является постоянство т-ры. Даже для дифференциального Р, где постоянство т-ры играет меньшую роль, погрешность от изменения т-ры очень велика, главным образом вследствие разности температурных коэф. стекла и жидкости. Дифференциальный Р может обладать точностью до $2 \cdot 10^{-8}$ N. Так как коэф. преломления тесно связан с уд. весом, многие Р калибруются в единицах уд. веса. Приводятся рекомендации, в каких случаях предпочтительно применять Р, а в каких ИК-анализаторы или плотнометры.

74121. О техническом применении методов анализа с использованием инфракрасного излучения. Луфт (Über die technische Anwendung ultrarotanalytischer Methoden. Luft K. F.), Dechema Monogr., 1956, 27, № 332—362, 275—285 (нем.)

ИК-анализаторы (ИКА) являются наиболее распространенными приборами, основанными на физ. методах контроля. В пром-сти чаще всего применяют ИКА фильтрового типа, которые разделяются на 2 основных типа: с негативной фильтрацией и с позитивной фильтрацией. Первые несколько проще, однако обладают тем недостатком, что в них полезный сигнал составляет всего несколько процентов от измеряемого. Существуют также комбинированные ИКА, в которых использованы оба принципа. Эти приборы обладают значительно большей селективностью. ИКА с позитивной фильтрацией, в свою очередь, могут быть с селективным лучеприемником, с селективным излучателем и с селективной модуляцией. Последняя может быть осуществлена, напр., при помощи вращающегося клина, заполненного исследуемым компонентом газовой смеси. В последнее время ИКА применяют не только для газов, но и для жидкостей. По трудности проведения селективного анализа ИКА

жизненные среды разделяются на 3 группы. К 1-й группе, наиболее легкой для анализа, относятся измерения содержания CO , CO_2 и углеводов в воздухе. Смеси 3-й группы обладают высоким «перекрытием» спектральных характеристик, и анализ этих смесей не всегда возможен. Указывается на трудность конструирования ИКА для этих смесей, так как даже точное знание ИК-спектров всех компонентов смеси может дать только качественную оценку возможности применения ИКА. Вследствие этого возникает необходимость в весьма трудоемких экспериментах непосредственно с ИКА для определения его пригодности и наладки для анализа подобных смесей. Другим затруднением в области применения ИКА является так называемое импульсное расширение абсорбционных линий. Это явление приводит к зависимости показаний ИКА от состава и давления балластных газов. Соответствующим заполнением лучеприемника (без балластного газа и при малом давлении) удается получить уменьшение этой зависимости для определения давления измеряемого газа. Имеющиеся в области применения ИКА эксперим. данные недостаточны для успешного решения всех проблем, связанных с применением ИКА, и в этой области необходимо проводить большие теоретич. и эксперим. работы.

И. Ихлов

71122. Применение масс-спектрометров для контроля качества в промышленности. Уолдрон (Die Verwendung des Massenspektrometers für die Qualitätskontrolle in der Industrie. Waldron J. D., Dechema Monogr., 1956, 27, № 332—362, 59—73 (нем.).

За последние 10 лет масс-спектрометры (МС) вошли в практику лабор. анализа нефтяных и хим. произ-в. Описан принцип действия МС фирмы Metro-politan-Vickers Electrical Co. Ltd типа MC2, обладающего разрешающей способностью до 300. Этот МС снабжен автоматич. переключением диапазонов вторичного прибора. 8 диапазонов охватывают изменение чувствительности 1:200. При регистрации каждой линии автоматически печатается номер диапазона. Собственно анализ при помощи МС длится ~ 15 мин. Для расчета полного состава многокомпонентной смеси, для которой приходится решать системы ур-ний с многими неизвестными, необходимо затратить до 2 час. при работе 2 расчетчиков. Точность анализа достигает 1% конц-ий. При анализе полярных углеводородов возможна их абсорбция, вследствие чего сказываются предыдущие анализы. Особенно велика чувствительность МС при анализе загрязнений. Так, напр., можно определять до 0,0005% N_2 и O_2 в Ar . Для получения достаточной точности МС необходимо периодически калибровать его по чистым компонентам.

И. Ихлов

71123. Техническое измерение очень малых и очень больших концентраций кислорода в газах. Науман (Technische Messung sehr kleiner und sehr großer Sauerstoffgehalte in Gasen. Naumann A., Dechema Monogr., 1956, 27, № 332—362, 231—244 (нем.).

Весьма чувствительными методами для определения малых конц-ий O_2 в газах являются электрохим. методы. Однако газоанализаторы (Г), основанные на этих методах, несколько сложны в эксплуатации. Г «Термофлюкс» основан на измерении тепла, возникающего в результате абсорбции O_2 хим. реагентом. Миним. возможная шкала этого Г 0—0,05% O_2 . Более чувствителен Г типа «Электрофлюкс», миним. шкала которого 0—0,005% O_2 . В этом Г измеряется разность электропроводности р-ра до и после поглощения O_2 . Этот Г может применяться в синтезе мочевины или для определения O_2 в N_2 в произ-ве перлона. Для определения O_2 в воде разработана ячейка, состоящая

из Au -катода и Zn-Fe -анода. Ячейка генерирует ток, пропорциональный содержанию O_2 в протекающей через нее воде. Для измерения O_2 в газах исследуемый газ контактирует с водой, циркулирующей через эту ячейку. Высокочувствительным Г является модель С2 фирмы Beckman Instruments, Inc. Г имеет миним. шкалу 0—0,1% O_2 и работает по принципу вытеснения исследуемым газом твердого (шаровидного) тела из магнитного поля. Движение этого тела определяется фотоэлектрич. путем и компенсируется электростатич. полем. Для миним. шкалы вращающий момент подвижной системы ~ $5 \cdot 10^{-10}$ Гсм (в 30 раз меньше момента высокочувствительного зеркального гальванометра). Г термостатирован и баростатирован. Термомангнитный Г «Магнос 1» фирмы Hartmann and Braun с кольцевой камерой обладает миним. шкалой 0—1% O_2 . В этом Г поток газа через измерительную диагональ камеры пропорционален произведению из теплоемкости газа на его вязкость. В результате этого несколько уменьшается влияние H_2 . Г «Оксимат» фирмы Siemens and Halske имеет 4 камеры с бифиллярными нитями. 2 нити помещены в магнитное поле, а 2 — между ложными башмаками. Благодаря точной симметрии всех нитей Г может работать без термостатирования и в нем применена термокомпенсация. Миним. шкала Г 0—1% O_2 . Погрешность Г от изменения барометрич. давления на ± 15 мм рт. ст. не превышает $\pm 2\%$ от измеряемой конц-ии. Приведены диаграммы, иллюстрирующие слабую зависимость показаний Г от изменений т-ры и барометрич. давления. Для измерений больших конц-ий (90—100% O_2) в Г «Магнос 5» применяют электрич. подавление нуля. Однако при этом значительно возрастают влияния т-ры и барометрич. давления. В Г типа «Магнос 1» можно подавлять нуль путем наклона камеры, противопоставляя термомагнитной конвекции тепловую. При этом возрастают погрешности от состава балластных газов. В Г С2 применяют подавление нуля путем заполнения шаровых тел 90% O_2 . Однако при этом влияния т-ры и давления не устраняются. Наилучший способ подавления нуля — газовый. Для этой цели через 2 камеры Г «Оксимат» пропускается исследуемый газ, а через 2 другие сравнительный газ с соответствующим содержанием O_2 . При таком методе погрешности Г не превышают погрешностей Г без подавления нуля.

И. Ихлов

71124. Гальванические регистраторы кислорода. Херш (Galvanisches Sauerstoff-Registriergerät. Hersch Paul, Dechema Monogr., 1956, 27, № 332—362, 299—327 (нем.).

Для анализа следов O_2 в газовых смесях разработана гальванич. ячейка (Я), состоящая из полупогруженного в КОН Ag -катода и Pb -анода. Эта Я генерирует ток в 1 μA на 1-млн. долю O_2 . До 20-млн. долей показания линейно зависят от конц-ий. Точность 5%. Время установления 90% от установившихся показаний 5 мин. Нагрузочное сопротивление или сопротивление измерительного прибора 100 ом. Для уменьшения запаздывания Я необходимо уменьшить кол-во электролита. С этой целью сконструирована «сухая» Я, в которой между сплошным Pb -анодом и сетчатым Ag -катодом помещена пористая пластинка, пропитанная КОН. Описаны несколько конструкций подобной Я. Чувствительность такой Я 3—5 μA на 1-млн. долю O_2 . Линейность до 10-млн. долей. Время установления 90% от установившихся показаний 1,5 мин. Эта Я позволяет обнаруживать изменения конц-ий O_2 в 0,001 млн. доли. Измерения непосредственно после электролитич. калибровки позволяют получать точность до 1%. Описаны методика проведения калибровки и конструкция электролизера для калибровки Я. Проведенные испытания показали малую зависимость

показаний прибора от сопротивления нагрузки и от расхода газа через Я. Для измерения больших конц-ий O_2 служит разбавитель, в котором исследуемый газ делится на 2 части с соотношением, напр., 1:99. Меньшая часть направляется в Я непосредственно, а большая — после каталитич. удаления из нее O_2 . Таким образом удается измерять до 10% O_2 в N_2 . Этой же Я можно измерять O_2 , растворенный в H_2O . Для этой цели через исследуемую воду продувается газ, который при этом насыщается O_2 до равновесия с содержанием O_2 в воде. Пропуская этот газ через Я, можно обнаруживать до $2 \cdot 10^{-8}$ г O_2 в г H_2O . Описан метод применения Я для анализа малых конц-ий горючих газов по разности содержания O_2 до и после сжигания этих газов на раскаленной Pt-нити.

И. Ихлов

71125. Качественные измерения с помощью пламенного фотометра. Райс (Quality measurements by flame photometer. Rice J. K.), Combustion, 1956, 28, № 5, 57—61. Discuss., 61 (англ.)

Чистота пара имеет большое значение для работы паровых турбин. При наличии загрязнений пара с конц-ией $2 \cdot 10^{-7}$ в турбине возникают отложения, заставляющие производить ее частые чистки, и только при конц-ии примесей Na 10^{-8} отложений не происходит. Учитывая, что основными компонентами отложений являются соли Na, можно определять эти загрязнения пламенным фотометром. Метод пламенной фотометрии позволяет обнаруживать Na в конц-ии от $2 \cdot 10^{-10}$. Первые опыты по применению этого метода показали большой дрейф показаний прибора, что следовало отнести за счет загрязнения вторичного воздуха горелки. Установка фильтра, задерживающего 99,97% частиц размером 0,3 м, значительно повысила стабильность измерения, причем при малых конц-иях ($3 \cdot 10^{-10}$) стабильность выше, чем при больших конц-иях ($97 \cdot 10^{-9}$).

И. Ихлов

71126. Конденсатоотводчики. Зоммер (Kondensatableiter. Sommer H.), Chemiker-Ztg, 1958, 82, № 10, 355—359 (нем.)

Конденсатоотводчики (КО) без подвижных частей выполняются в виде дюз или лабиринтов для выпуска конденсата. Главным недостатком этих КО являются повышенные потери пара при малых нагрузках по конденсату. КО с подвижными частями можно разделить на 3 группы: термические, динамические и поплавковые. В термич. КО используется разность т-р пара и конденсата. Показывается трудность установки нужной т-ры раздела и возможность самопроизвольного разрегулирования такого КО. Кроме того, чрезмерный изгиб биметалла КО вызывает разрушение его покрытия и понижение коррозионностойкости КО. В динамич. КО использован принцип различных скоростей потока пара и воды. Главными недостатками КО этого типа являются: а) периодичность его действия; б) затруднения с воздухоудалением при пуске. От указанных недостатков свободны усовершенствованные поплавковые КО, в которых имеется дополнительное биметаллич. устройство, открывающее клапан КО при т-ре ниже 70° . Таким образом обеспечивается удаление воздуха из системы, а так как основную нагрузку принимает поплавок с большим перестановочным усилием, то этот КО не требует фильтрации конденсата, а регулировка биметаллич. устройства не является критичной. Продувочные устройства в этих КО не являются обязательными, так как в них обеспечивается автоматич. удаление инертных газов.

И. Ихлов

71127 П. Измеритель уровня в резервуарах. Косгроу (Tank gauge. Cosgrove John J.) [Liquid-division Gauge & Control Corp.]. Пат. США 2767585, 23.10.56

Предлагается прибор для определения уровня в резервуарах, работающих под давлением или вакуумом, в частности для измерения уровня сжиженных газов. Прибор состоит из расположенной рядом с резервуаром выносной камеры (К), к дну и крышке которой подведены трубки, соединяющие К соответственно с верхней и нижней частями резервуара. В К установлены 2 сообщающиеся между собой вертикальные трубки. В одной из них на гибком тросике, перекинутом через блок, установленный под крышкой К, подвешен сферич. поплавок, изготовленный из коррозионностойкого немагнитного материала. На другом конце тросика, опущенном во 2-ю трубку, в качестве противовеса закреплена каретка, вес которой несколько меньше, чем у поплавка. Во 2-й трубке также находятся 2 вертикальные направляющие, по которым перекатываются ролики, смонтированные на каретке. Кроме того, на каретке жестко закреплен диаметрально расположенный постоянный магнит. С наружной стороны К, рядом со 2-й трубкой установлена скоба из ферромагнитного материала, которая при изменении уровня перемещается вслед за кареткой вдоль шкалы. Каретка и трубка, в которой она установлена, изготовлены из немагнитного материала. Если возможны значительные колебания т-ры измеряемой жидкости, то обе трубки К соединяются снизу гибким шлангом с целью температурной компенсации.

Б. Сум

• См. также: Автоматизация на цементном з-де 71584. Автоматизация непрерывного процесса гидрогенизации жиров и масел с применением газлифтов 72099. Автоматизация рецептурного отделения маргаринового з-да 72102. Автоматизация мерников диффузионного сока 72146. Автоматизация в пищевой пром-сти 72228. Пневматические приборы и регуляторы в молочной пром-сти 72354. Автоматизация целлюлозно-бумажного произ-ва 72616. Контроль концентрации черных щелоков в выпарном аппарате 72636. Автоматический контроль варки целлюлозы 72643. Автоматизация текстильной пром-сти 72735. Манометры 70679, 70680. Регулирование т-ры в процессах кристаллизации 72736. Автоматическое регулирование т-ры на брагоректификационном аппарате 72177. Программный регулятор т-ры 70707. Маломинерционный термометр сопротивления 70705. Физические методы анализа в газовой пром-сти 71951. Вискозиметр для целлюлоз в растворителе 72635. Спектрофотометрия в лакокрасочной пром-сти 72533. Обслуживание ИК-газоанализаторов 70682

КОРРОЗИЯ. ЗАЩИТА ОТ КОРРОЗИИ

Редактор И. Я. Клинов

71128. Теория коррозии и пассивности железа. Денхольм (Theory of corrosion and passivity of iron. Denholm W. T.), Australas Engr., 1955, 46 Aug. 46—56 (англ.)

71129. Основные принципы борьбы с коррозией в химической промышленности. Марпон (Principes fondamentaux de la lutte contre la corrosion dans l'industrie chimique. Marpon R.), Trav. peint., 1958, 13, № 3, 86—90 (франц.)

Рассматриваются причины, вызывающие преждевременное разрушение защитных покрытий. Перечислены основные требования, предъявляемые к защитным пленкам, к качеству покрываемой поверхности, к методу нанесения покрытия и качеству применяемых материалов. Дан ряд практич. указаний по

мологии нанесения органич. покрытий и указывается сравнительная стоимость труда при различных видах подготовки металлич. поверхностей перед покрытием, а также при нанесении покрытий. Я. Матлис

71130. Коррозия и ее предупреждение. Калласт (Korrosioon ja selle vältimine. Kallast V.), Tehnika ja tootmine, 1958, № 3, 3—5 (эст.)

Отмечена необходимость уточнения и идентификации методов коррозионных испытаний. Описаны некоторые методы борьбы с коррозией (применение смазок и замедлителей). М. Мельникова

71131. Коррозия и пассивация нержавеющей стали. Бертолини (Corrosión en los aceros inoxidables. Pasivación. Bertolini), Ingeniería e ind., 1957, 25, № 282, 116, 118, 120 (исп.)

Описаны виды коррозии Cr-Ni-нержавеющих сталей и методы пассивации (химический и электрохимический). М. Мельникова

71132. Анодное поведение железа. Хаккерман, Уэйд (Anodic behavior of iron. Hackerman Norman, Wade William H. Texas Univ. Dept Chem. Austin, 1955, 71 pp. ill.) (англ.)

Изучалось анодное поведение чистого Fe в 0,1 M H_2SO_4 при 5°. Измерения перенапряжения O_2 в кислом р-ре показали, что механизм анодного окисления Fe состоит из нескольких стадий: окисление молекул воды, приводящее к образованию адсорбированных гидроксильных радикалов, дегидратация этих радикалов с образованием адсорбированных атомов O_2 , дегидратация атомов O_2 и образование молекул O . Измерения перенапряжения O и наклон кривых потенциал—время в щел. р-рах дают основание считать, что причиной пассивного состояния Fe является образование на его поверхности адсорбированного слоя гидроксильных ионов. В. Г.

71133. Анодная поляризуемость в нейтральных электролитах сплавов Al со щелочноземельными элементами. Сейфер А. Л., Докл. АН СССР, 1957, 116, № 1, 120—122

Для проверки предположения о связи разблагораживания электродных потенциалов Al-Ca-сплавов в морской воде с разрушением интерметаллида Al₂Ca окисной пленки на поверхности сплава (РЖХим, 1955, 2044) исследована анодная поляризуемость Al, технического чистого и с добавками Ca (3,93—12,26 вес. %), Sr (1,06—7,25 %) и Ba (1,94 %) в 0,5 н. NaCl, 0,5 н. Na_2SO_4 и каспийской морской воде при 20° и плотностях поляризующего тока до 20 мА/дм². Показано, что в р-ре NaCl преобладающим процессом является растворение оксидной пленки, причем степень разрушения ее растет в ряду Ca-Sr-Ba и с увеличением содержания в сплаве этих металлов. Растворение пленки в основном определяется конц-ией ионов OH^- в прианодном пространстве. В р-ре Na_2SO_4 поляризуемость растет за счет образования на поверхности сплава дополнительной защитной пленки из малорастворимых сульфатов. В морской воде протекают оба процесса, но общий ход кривых подобен ходу кривых в р-ре NaCl. А. Чемоданов

71134. К вопросу о природе окисной пленки, образующейся на железе в щелочных растворах окислителей. Левитина Э. И., Ж. прикл. химии, 1958, 31, № 1, 40—45

Изучено влияние солей различных металлов на образование защитной пленки на Fe в конц. р-рах NaOH в присутствии KNO_3 . Введение Co и Mn увеличивает вес пленки и резко уменьшает кол-во окислившегося металла. Введение Zn и Al уменьшает толщину образующейся пленки и кол-во окислившегося металла, а Cr — увеличивает толщину пленки и кол-во

окислившегося металла. Добавки Be, Cd и Ni не влияют на кинетику роста окисной пленки на Fe. З. С.

71135. О кинетике окисления железа на воздухе в интервале температур 700—1250°. Пандасси (Sur la cinétique de l'oxydation du fer dans l'air dans l'intervalle 700—1250° C. Paidassi J.), Acta Metallurgica, 1958, 6, № 3, 184—194 (франц.; рез. англ., нем.)

Отмечено, что в результате окисления Fe на воздухе при 700—1250° образуется окисная пленка, которая состоит из 3 сплошных, плотных слоев Fe_2O_3 , Fe_3O_4 и FeO. В условиях изотермич. окисления рост слоев на поверхности Fe подчиняется параболич. закону (за исключением начального периода, когда процесс окисления еще не установился). При указанных т-рах относительные толщины слоев Fe_2O_3 , Fe_3O_4 и FeO практически не изменяются и составляют соответственно 1,4 и 95% от общей толщины окисной пленки. Величина тепловой энергии активации 40 500 кал/моль указывает на одновременный рост отдельных слоев и всей пленки в целом. Опыты проводились с образцами Fe высокой чистоты при толщине 0,3—3 мм. Образцы предварительно подвергались механич. полировке, промывке в ряде ванн, отжигу до 24 час. в атмосфере сухого чистого H_2 при 900—1000°. В ряде случаев проводилась электролитич. полировка с последующим отжигом в вакууме (10^{-4} мм рт. ст.) или в H_2 (850°, 4 часа). А. Д.

71136. Окисление сплава Al + 3% Mg при 200—550°. Смельцер (Oxidation of an aluminum-3 per cent magnesium alloy in the temperature range 200°—550° C. Smeltzer W. W.), J. Electrochem. Soc., 1958, 105, № 2, 67—71 (англ.)

Сплав Al + 3% Mg с небольшим содержанием Cu, Fe, Si в сумме $\leq 0,04\%$ обладал высокой стойкостью до 200°. Скорость окисления (V) заметно возрастала при $t > 350^\circ$. В спец. опытах определялась скорость испарения ($Mg - V_{\text{исп}}$) путем измерения потери веса при отжиге в вакууме, значение $V_{\text{исп}}$ в г/см² сек соответствует ур-нию: $V_{\text{исп}} = 0,6 \exp(-25\,000/RT)$ и принималось в расчет при оценке увеличения веса образцов при их окислении. Согласно полученным при разных т-рах кривым увеличения веса со временем, V Al-Mg-сплава протекает по двум кинетич. законам. В 1-й стадии, пока происходит формирование плотной окисной пленки, достигающей со временем предельной толщины $y_{\text{макс}}$, полученные результаты согласуются с параболич. законом. Величина начальной константы $v K_1$ имела порядок $10^{-8} - 10^{-7}$ г/см² сек. После образования пленки предельной толщины V протекает с постоянной скоростью. Константа K_2 имела при этом порядок $10^{-11} - 10^{-9}$ г/см² сек в том же интервале т-р 350—550°. Температурная зависимость V в области параболич. и линейного закона отвечает ур-нию Аррениуса с величиной энергии активации, соответственно равной 33 000 и 29 000 кал, что дает для $y_{\text{макс}}$ выражение $y_{\text{макс}} = 5 \cdot 10^{-5} \exp(-4000/RT)$. Согласно ф-ле Вагнера $y = fK_1/2K_2$, где f — отношение содержания α -атомов O в компактном и рыхлом слоях пленки. Путем сравнения V Al-Mg-сплава и чистых компонентов сделан вывод об избирательном механизме V Al-Mg-сплава. Изменение окраски поверхности окисленных образцов, по мнению автора, объясняется объединением пограничной зоны Mg и накоплением в окисной пленке включений Al_2O_3 . А. Шаталов

71137. Роль диффузии железа и кислорода в образовании окалины на железе. Тихомиров В. И., Ильинская О. В., Уч. зап. ЛГУ, 1957, № 227, 143—150

Для исследования диффузии Fe и O_2 при образовании окалины образцы армко-Fe, покрытые слоем Ni, Ag и их окисей, а также Cu и Au, подвергались окис-

лению при 960° в осушенном воздухе и в воздухе, содержащем 10% водяных паров. Поперечные шлифы рассматривались под микроскопом. Аналогичные исследования проведены при окислении вюстита, образующегося при окислении Fe. Измерения показали, что образование вюстита происходит главным образом за счет диффузии O_2 . Образование магнетита происходит на 78% за счет диффузии O_2 и на 22% за счет диффузии Fe. Образование гематита происходит почти исключительно за счет диффузии O_2 к внутренней стороне слоя гематита.

Ю. Аронсон

71138. Поведение металлов при окиснообразовании в зависимости от предварительной обработки. I. Замедление окиснообразования на стальных листах путем пескоструйной очистки. Петцольд (Das Zunderverhalten von Metallen in Abhängigkeit von der Vorbehandlung. I. Die Hemmung der Verzunderung von Stahlblech durch Sandstrahlen. Petzold Armin), Metall-Reinig. + Vorbehandl., 1958, 7, № 1, 5—7 (нем.).

Результаты лабор. исследования влияния пескоструйной очистки (ПО) стальных образцов (СО) на окиснообразование при 700—900° показали, что кол-во образовавшейся окисины на СО, подвергшихся интенсивной ПО, в 2—4 раза меньше, чем на СО, не подвергавшихся очистке. Уменьшение окиснообразования, по сравнению с необработанными СО, наблюдалось на СО, подвергнутых слабой ПО, на СО, протертых тонким кварцевым песком, а также на СО, на которых тонкий слой SiO_2 образовался при сжигании поверхностной пленки из тетраэтилового эфира кремневой к-ты. Защитное действие ПО было установлено и на СО после хранения в течение 1 года, на СО после очистки щеткой или небольшого увлажнения. Защитное действие ПО снижалось на СО, находившихся в атмосфере, насыщ. теплым водяным паром, и совсем не наблюдалось на СО, подвергавшихся после ПО травлению в HCl (к-та). Хим. анализом было установлено наличие SiO_2 на поверхности образцов, подвергавшихся ПО.

М. Кристаль

71139. Сводные исправленные данные о высокотемпературной коррозии установок каталитического крекинга. Зорелль (Compilation and correlation of high temperature catalytic reformer corrosion data. Sorrell G.), Corrosion, 1958, 14, № 1, 33—44 (англ.). Обзор испытаний и технич. проверки промышленных установок каталитич. крекинга, подвергающихся действию H_2 с примесью H_2S при высокой т-ре, 15 компания США. Отмечаются основные факторы газовой коррозии стали в богатых водородом смесях H_2S : т-ра и содержание H_2S . Второстепенное значение имеет конц-ия H_2 , общее давление, продолжительность экспозиции и условия периодически повторяющихся циклов. Сводные эксперим. результаты для сталей различных марок и при разнообразных внешних условиях испытаний изображены в виде диаграмм зависимости линейного показателя коррозии от процентного содержания H_2S в смеси. Низколегированные Cr-стали с содержанием 0—9% Cr не отличаются от простой углеродистой стали по стойкости против действия H_2S . Среднелегированная сталь (11—16% Cr) обнаруживает несколько более высокую стойкость. Наилучшей стойкостью обладает 18/8 Cr-Ni-сталь, а также сплавы с повышенным содержанием Cr и Ni (до 25% Cr и 20% Ni). Изменение т-ры в пределах той области, в какой проводится каталитич. крекинг, может привести к изменению скорости коррозии (V) в 3 раза. V заметно возрастает для сталей всех исследованных типов при увеличении процентного содержания H_2S , но лишь до известного предела. Изученный интервал конц-ий H_2S — 0,001—1,0%. При заданном содержании H_2S зависимость V от давления га-

зовой смеси (P) и суммарной объемной доли (C) H_2 + H_2S выражается ур-нием: $V = \text{const} (P \cdot C)^{0.4}$. Практически C определяется содержанием H_2 , поскольку H_2S является примесью, C изменяется в узких пределах 75—90 мол.%. Поэтому вариации давления играют более существенную роль. При действии H_2S на сталь наибольшая в начальном периоде скорость коррозии со временем понижается. Благодаря этому сравнительно кратковременные лабор. испытания дают повышенные результаты. Образование сульфидной пленки, однако, вследствие ее слабого сцепления с основным металлом обычно не может выполнять защитной функции. Периодичность работы аппаратов каталитич. крекинга приводит к увеличению V. Методы, предотвращающие коррозию: понижение процентного содержания H_2S каталитич. десульфуризацией или пропусканием газовой смеси через скрубберы, орошаемые р-рами аминов, и рациональный выбор конструкционного материала. Кроме отмеченной высокой стойкости Cr-Ni-сталей, отмечается возможность применения Al-покрытий, поскольку сам Al почти не подвергается разрушению в условиях воздействия H_2S .

А. Шаталов

71140. Межкристаллитная коррозия металла барабанов и труб котлов высокого давления. Акользин П. А., Ратнер А. В. В сб.: «Внутрикотловые физ.-хим. процессы, водоподготовка и водн. режимы котлов на электрост. высоких и сверхвысоких параметрах». М., АН СССР, 1957, 384—395 См. РЖХим, 1954, 45821.

71141. Межкристаллитная коррозия алюминиевых сплавов, содержащих медь. Павлов С. Е., Амбарцумян С. М. В сб.: Коррозия и защита металлов. М., Оборонгиз, 1957, 199—217

Приводится описание методики исследования механизма межкристаллитной коррозии (МК) Al-сплавов, содержащих 12 и 4% Cu. Испытания проводились в 0,01%- и 3%-ных р-рах NaCl. Установлено, что склонность к МК поверхности сплавов при непрерывной форме расположения включений на границах зерен определяется характером процесса коррозии (К) и плотностью вторичных продуктов р-ции. При К, протекающей с кислородной деполаризацией, на включениях $CuAl_2$ образуется пленка продуктов К, препятствующая дальнейшему развитию процесса. При К, протекающей с выделением водорода, на зернах твердого р-ра и включениях $CuAl_2$ пленки не образуются. Под влиянием выделяющегося при р-ции водорода в результате взаимодействия анодных и катодных продуктов образуется рыхлый, неплотный осадок, не препятствующий К включений $CuAl_2$, а следовательно, и развитию МК. Указывается, что первоначальными очагами выделения водорода и возникновения МК в исследованных сплавах, по-видимому, являются межкристаллитные микропоры. Непосредственной же причиной выделения водорода является отрицательный разностный эффект, вызываемый местными коррозионными токами и усиливаемый анодной поляризацией. МК упрочняемых термич. обработкой Cu-содержащих Al-сплавов в р-рах NaCl может возникнуть при одновременном наличии более или менее непрерывной цепочки на границах зерен фазы, выделившейся из твердого р-ра, и наличия межкристаллитных пустот.

Ф. Сломанский

71142. Влияние содержания магния в алюминиевых магнелиевых сплавах на их склонность к коррозионному растрескиванию. Ванс (The relationship between magnesium content and stress-corrosion susceptibility of aluminium-magnesium alloys. Vance W. J.), J. Appl. Chem., 1958, 8, № 1, 18—23 (англ.). Изучение склонности к коррозионному растрескиванию (КР) 2 технич. Al-Mg-сплавов с 2,01 и 3,7% Mg

фферированном (рН 6) 3% NaCl при переменном нагружении (испытывалась проволока, которая после упругой деформации на 10% подвергалась 24-часовой старению при 125°) показало, что эта склонность к второму сплава составляет 18,4%, а для первого — 4%. Сопоставление этих значений со значениями, полученными Джонсом (см. РЖХим, 1956, 2738), показывает, что между значениями склонности к КР и содержанием Mg в исследованных сплавах существует прямолинейная зависимость. По этим данным, сплавы с содержанием Mg до 2,7% не склонны к КР. Автор описывает группы: несклонные (< 2,7% Mg) — выделение β -фазы не наблюдается ни на границах фазы, ни внутри зерен; склонные (8% > Mg > 2,7%) — выделение β -фазы только на границах зерен. Чем больше выделение, тем больше склонность к КР. Максим. склонность отмечена при 8% Mg. При дальнейшем увеличении содержания Mg β -фаза начинает выделяться внутри зерен, склонность к КР начинает уменьшаться. При равномерном распределении β -фазы склонность к КР не наблюдается. И. Левин

71143. Механизм коррозионного растрескивания металлов. Романов В. В., Сб. тр. Воронежского отд. Всес. хим. о-ва им. Д. И. Менделеева, 1957, вып. 1, 105—110

С помощью схематич. поляризационных диаграмм приводится объяснение механизма коррозионного растрескивания (КР) металлов. Рассмотрено влияние катодной и анодной поляризации на КР. В качестве основного фактора, обуславливающего КР, принимается электродный процесс. Напряжения рассматриваются как фактор, более интенсивно разрушающий защитную пленку в концентраторах напряжений, как самостоятельный фактор, вызывающий распространение трещин на последних стадиях процесса, а также как косвенный фактор, повышающий гетерогенность металла за счет увеличения скорости разложения гетерог. фаз.

М. Кристалл
71144. Нитевидная коррозия, протекающая под слоем органического покрытия. Коломбо (La corrosione filiforme sotto gli strati pellicolari organici. Colombo Luciano), Ind. vernice, 1956, 10, № 5, 113—118 (итал.)

71145. О природе продуктов коррозии, образующихся при испытаниях на растяжение — сжатие в участках контакта заклепок из легких сплавов типа АС 5. Вейль (Sur la nature des produits de corrosion de contact formés au cours d'essais en traction — compression de joints rivés en alliage léger, type AG. 5. Weill A.-R.), Rev. métallurgie, 1958, 55, № 1, 61—66 (франц.; рез. англ., нем.)

Описывается методика испытания на коррозионную усталость (476 000 циклов $\pm 2,5$ кг/мм²) пластинок Al-Mg-сплавов, соединенных заклепками. В местах контакта головки заклепки с пластинками, а также в местах излома образцов имело место образование продуктов коррозии (ПК) в виде черной пленки или тонкого черного порошка. Хим. анализ показал, что в ПК содержится 46,6% Al, 3,8% Mg и некоторое кол-во H. Рентгенографически выявлено наличие в ПК $Al_2O_3 \cdot 3H_2O$ и $Al_2O_3 \cdot H_2O$. Указывается, что наиболее вероятными формами моногидрата Al являются диаспор и бемит. Более характерные данные получены при определении твердости сплавов Al с 2,4 и 6% Mg и окисла Al и Mg. Установлено, что твердость $Al_2O_3 \cdot 3H_2O$ столько выше, чем твердость поверхности Al-Mg-сплавов, что может вызвать ее повреждение при коррозионной усталости. Ф. С.

71146. Изучение коррозионной усталости. Ивамото, Нихон кикай гаккай ромбунсю, Trans. Japan Soc.

Mech. Engrs, 1957, 23, № 135, 859—862 (японск.; рез. англ.)

Проведено испытание стали (0,15% C) на коррозионную усталость в условиях циклич. напряжений кручения на воздухе и в проточной воде (ПВ). Получены кривые усталости при различных средних напряжениях цикла. Среднее приложенное напряжение влияет значительно больше на σ_w в ПВ, чем на воздухе. Трещины, возникающие при испытании в ПВ, растут в направлении, перпендикулярном к направлению главного растягивающего напряжения. Предыдущее сообщение см. РЖМех, 1957, 24508.

Р. А.
71147. Биокоррозия и примеры ее проявления. Колон (O biološkoj koroziji i nekim primerima ove korozije. Colomb Pierre), Zašt. mater., 1958, 6, № 2, 61—64 (сербо-хорв.; рез. нем.)

Описаны виды микроорганизмов, вызывающих коррозию, и меры защиты от нее, в частности катодная защита. Приведен пример биокоррозии гидротрансала в Бельгийском Конго.

Из резюме автора
71148. Коррозия сварных швов и наклепанного металла при многократных кислотных промывках.

Каган Д. Я. В сб.: Внутрикотловые физ.-хим. процессы, водоподготовка и водн. режимы котлов на электрост. высоких и сверхвысоких параметров. М., АН СССР, 1957, 417—422

Исследование скорости коррозии (СК) наклепанных образцов и сварных соединений из углеродистой стали в р-рах HCl (5—10) с замедлителем коррозии (ЗК) ПВ-5 и без него при 20, 40, 60, 80 и 100° показало, что с повышением т-ры торможение СК металла ЗК снижается; СК наклепанного металла выше, чем ненаклепанного. Опыты показали резкое усиление СК образцов со сварными швами. В р-ре HCl без ПВ-5 повышение т-ры, помимо увеличения СК, вызывает местные более глубокие разеды присадочного материала, а при 80—100° имеет место образование сквозных протавлений в стыках. ЗК защищает сварной шов от действия к-ты слабее, чем основной металл; его действие с повышением т-ры более резко уменьшается по отношению к сварному шву, чем к основному металлу. Кислотную промывку рекомендовано вести при конц-ии HCl ≤ 5 —6%, конц-ии ПВ-5 или ПВ-6 ≥ 2 г/л и т-ре ≤ 60 —70°. Результаты лаб. исследований проверены на промышленном котле (25 ата, 20 т/час), в который врезали контрольные участки труб со сварными стыками и образцы наклепанного и сварного металла. По состоянию металла образцов и контрольных участков сделан вывод о недопустимости проведения > 4—5 повторных кислотных промывок при 65—70° и длительности каждой промывки 8—10 час. во избежание заметной коррозии сварных швов, а также наклепанного металла.

А. Мамет
71149. Механизм коррозии металлов в узких зазорах и щелях. IV. Коррозия алюминия и некоторых его сплавов. Розенфельд И. Л., Маршаков И. К., Ж. физ. химии, 1957, 31, № 10, 2328—2335 (рез. англ.)

Исследованиям были подвергнуты технич. Al марки АД, сплавы АМГ и АМЦ, плакированный алюминием сплав Д-16 (плакировка 4%), неплакированные сплавы Д-16 и В-95. В качестве электролита применялся р-р 0,5 н. NaCl. Длительность испытаний 80 суток. Исследование кинетики электродных процессов на Al и его сплавах показало, что кривая катодной поляризации Al в зазоре сдвинута в сторону отрицательных значений потенциала. Al и его сплавы, находящиеся в объеме электролита, поляризуются анодно очень слабо. В зазоре же, напр. 0,1 мм при малых плотностях тока (4—5 $\mu A/cm^2$), резко поляризуются до потенциалов в объеме электролита и затем наблю-

дается очень незначительная поляризация. Объясняется это тем, что затруднен доступ кислорода и тем, что образующиеся продукты коррозии быстро насыщают среду в зазоре и устанавливается такое рН, которое соответствует растворимости гидроокиси Al. Показано, что с увеличением конц-ии NaCl скорость коррозии Al в зазоре и в объеме уменьшается. Однако, если имеется контакт с Al, омываемым объемом электролита, то даже в случае малых конц-ий NaCl коррозия Al в узком зазоре больше, чем в объеме электролита. При изучении поведения Al и его сплавов при различных соотношениях поверхностей металла, находящегося в объеме коррозионной среды и в зазоре, установлено, что превалирует катодный контроль. Большое влияние на коррозионное поведение Al и его сплавов в узких зазорах оказывает то обстоятельство, что при анодной поляризации наблюдается отрицательный дифференциальный эффект, составляющий 40—47% коррозионных потерь металла в зазоре, обусловленных прохождением анодного тока. Сообщение III см. РЖХим, 1958, 8360. Р. Салем

71150. Металлические материалы для конструирования аппаратуры для химической промышленности. Симодайра (Shimodaira Saburo), Kaga-ku to kōgō, Chem. and Chem. Ind., 1957, 10, № 8, 396—405 (японск.)

71151. Конструктивные особенности, влияющие на коррозию варочных котлов. Пфейфер, Шейл, Шмидт (Design features affecting digester corrosion. Pfeiffer L. G., Scheil M. A., Schmidt E. H.), Tappi, 1955, 38, № 1, 652—659 (англ.)

71152. Регулирование содержания кислорода в Натеплоносителе атомной электростанции. Грей, Нил, Ворхис (Inexpensive way to control oxygen in sodium heat-transfer systems. Gray I. L., Neal R. L., Voorhees B. G.), Nucleonics, 1956, 14, № 10, 34—37 (англ.)

Указывается, что примеси кислорода усиливают разъедание материала теплообменной установки жидким Na, служащим для теплопередачи. Помимо этого, образующийся Na₂O способен закупоривать коммуникации циркуляционной системы на участках охлаждения. Предложены аппаратура и методика для экспресс-определения содержания Na₂O в Na и приспособление для улавливания и удаления из системы Na₂O методом его вымораживания из расплавленного Na. А. Шрейдер

71153. Причины загрязнения и внутренней коррозии водопроводных труб. Сандринелли (Sulle cause d'intasamento e di corrosione interna nelle tubazioni per acquedotto. Sandrinelli R.), Ingegneria sanit., 1957, 5, № 2, 48—51 (итал.)

Рассматриваются причины коррозии (K) и условия образования известковых или других минер. отложений на внутренних поверхностях водопроводных труб, описан механизм воздействия на сталь CO₂ в присутствии воды, с образованием Fe(OH)₂. Показано влияние рН среды на процесс образования продуктов K. Показано, что в отдельных случаях имеет место глубоко проникающая K и уменьшение прохода трубы до 60% за счет образования минер. отложений. Показана зависимость этих явлений от природы растворенных в воде солей, главным образом карбонатов, а также состояния, в котором находится CO₂. При повышенной щелочности образуются минер. отложения, при малой щелочности имеет место K под действием CO₂. Вводится понятие «коэф. насыщения» I_s, обозначающий разность между фактич. значением рН и рН в состоянии насыщения (I_s = рН — рН_s). Минер. отложения образуются при положительном значении I_s. Я. Лацин

71154. Проблема коррозии в нефтеперерабатывающей промышленности. 1. Тейт (The problem of corrosion in petroleum refining. 1. Tait E. J. M.), Corros. Prevent. and Control, 1955, 2, № 12, 25—30, 44 (англ.)

71155. Методы предотвращения коррозии паровых котлов во время простоев. Мамет А. П. В сб.: Внутрикотловые физ.-хим. процессы, водоподготовка и водн. режимы котлов на электрост. высоких и сверхвысоких параметров. М., АН СССР, 1957, 396—416

См. РЖХим, 1958, 14928.

71156. Коррозия тракта питательной воды и борьба с ней. Акользин П. А. В сб.: Внутрикотловые физ.-хим. процессы, водоподготовка и водн. режимы котлов на электрост. высоких и сверхвысоких параметров. М., АН СССР, 1957, 311—333

Изложены результаты изучения электрохим. механизма и скорости коррозии (K) стали и других металлов в зависимости от влияния различных факторов (конц-ии O₂ и CO₂, т-ра, скорости движения воды, влияние нейтр. солей, замедлители коррозии и т. д.). Рассмотрены способы предотвращения K оборудования тракта питательной воды. В воде, содержащей O₂ и CO₂, наиболее устойчивы Pb, луженая латунь и красная Cu. Для снижения агрессивности H-Na-катионированной и химически обессоленной воды необходимо удаление из нее CO₂ с последующим подщелачиванием. Повышение рН допустимо и полезно после ее обескислороживания, в противном случае возможна усиленная местная K металла. Указывается, что необходима тщательно продуманная схема подогрева воды до деаэраторов во избежание усиления K оборудования. Исследовано также защитное действие против углекислотной K большого числа в-в, нейтрализующих CO₂ (аммиак, морфолин), пленкообразующих аминов типа антидециламина (C₁₈H₃₈NH₂), а также тормозящих углекислотную K вследствие повышения перенапряжения водорода на катодных участках корродирующего металла (хинолин, пиридин и др.). Добавка 1 мг NH₃ на 1 мг CO₂ снижает углекислотную K на 95%; 2 мг октадециламина на 15 мг/л CO₂ на 95% и хинолина (5% от конц-ии CO₂) — на 90%. Подробно изложены методика применения и эффективность обработки питательной воды аммиаком. А. Мамет

71157. Коррозия котлов при высокой температуре. Вернер (La corrosion dans les chaudières à haute température. Werner Phil. Max), Bull. Centre belge étude et docum. eaux, 1957, № 38, 215—223 (франц.)

Для изготовления паровых котлов с т-рой нагрева > 600° обычно применяют аустенитные Cr-Ni-стали (Cr ~ 16% и Ni 13—16%). Изучение коррозионной стойкости указанных сталей при их сопоставлении с водными парами и горючими газами показало, что при питании котлов чистой водой Cr-Ni-стали отличаются высокой стойкостью при отсутствии трансформационной коррозии (K). Применение самозакаленных аустенитных сталей хим. состава (в %): Cr 11, Ni 20, Mo 1,3, V 1, N₂ 0,1, показало, что когда эти стали обрабатываются в холодном виде и не подвергаются отпуску, они не обнаруживают каких-либо признаков K после 40 000 час. работы при высокой т-ре. Наиболее интенсивной K подвергаются аустенитные стали с наружной стороны, соприкасающейся с огнем. В тех случаях, когда трубки пароперегревателя устанавливаются в зоне конвекции, их т-ра со стороны огня не превышает 640°, а скорость K незначительна. Однако в этом случае поверхность нагрева должна быть увеличена. При установлении пароперегревателя в зоне облучения поверхность нагрева сокращается, однако при этом толщина стенок должна

быть увеличена, так как они разогреваются до 700° и подвергаются значительному окислению. При расчете стенок до 600° они могут служить 28 000 час., при 700° срок службы сокращается до 19 000 час. Рассматриваются причины, обуславливающие окисление металла со стороны огня, и изложена теория процесса окисления. Указан ряд мер, использование которых, по мнению авторов, должно увеличить срок службы металла. Для предотвращения образования сульфатов, являющихся основной причиной К со стороны огня, рекомендуется добавление к углю SiO_2 в виде тонкодисперсного песка, который, взаимодействуя с SO_2 , образует стекло с высокой т-рой плавления. Легирование аустенитных сталей V увеличивает их прочность при высокой т-ре, однако эти стали подвержены сильному окислению при 650°, вследствие чего они не рекомендуются в качестве конструкционного материала для высоких т-р. Для указанных целей рекомендуется легирование аустенитных сталей В.

А. Матлис
11158. Защита от коррозии теплообменников. Ферри (The protection of heat exchangers against corrosion. Ferris L. C.), Brit. Chem. Engng, 1957, 2, № 3, 122—127 (англ.)

Описывается характер коррозионных разрушений теплообменников. Рекомендуются методы защиты их от коррозии.

Г. Вашин
11159. Литой насос из нержавеющей стали для перемещения агрессивных электролитов. Шофер (Cast stainless pump handles corrosive electrolytes. Shofer E. A.), Plating, 1958, 45, № 4, 366—367 (англ.)

11160. Стойкость нержавеющей стали против коррозии. Коломбо (Resistenza alla corrosione degli acciai inossidabili. Colombo Giampiero), Acciaio inossidabile, 1957, 24, № 4, 84—95 (итал.)

Приводятся данные о коррозионной стойкости различных (Ni, Cr, Ni-Cr, Cr-Mn и Cr-Ni-Mn) нержавеющей сталей, которые классифицированы по их свойствам. Приведены хим. составы Cr, Cr-Ni, Cr-Ni-Mn сталей. Рассмотрены механизм, виды коррозии, а также механизм и техника пассивации сталей.

Я. Ланин
11161. Исследование коррозии нержавеющей стали типа 18-8 в растворах ураниловых солей. Куроянага, Синода, Хасигути, Ито (Kuroyanagi Takashi, Shinoda Noboru, Hasiguti Ryukiti, Ito Goro), Тэцу то хагана, Tetsu to Takashi, Shinoda Noboru, Hasiguti Ryukiti, J. Iron and Steel. Inst. Japan, 1957, 43, № 12, 1312—1317 (японск.; рез. англ.)

С целью выбора конструкционной стали для гомогенного реактора изучалась коррозионная стойкость (КС) Cr-Ni-сталей 3 марок в р-рах сернокислого (3 М) и азотнокислого (0,1—2 М) уранила при комнатной т-ре, 30 и 80°. Состав сталей (в %): 1) С 0,04, Cu 0,16, Ni 8,41; Cr 18,33, Mo 0,13; 2) С 0,03, Cu 0,06, Ni 14,11, Cr 16,78, Mo 2,99; 3) С 0,05, Ni 10,22, Cr 17,98, Ti 0,28, Al 0,07. Результаты испытаний показали удовлетворительную КС всех исследованных марок сталей. Скорость коррозии находится в допустимых пределах. Установлено, что КС деталей, находящихся в реакторе, в контакте с р-рами ураниловых солей повышается, если их предварительно выдерживать в этих р-рах 1—3 дня и промыть. Показано также, что облучение γ -лучами несколько повышает КС этих сталей в р-рах азотнокислого уранила.

В. С.
11162. Коррозия нержавеющей стали в растворе хлорного железа. Либхафский, Ньюкерк (Corrosion of stainless steel in ferric chloride solution. Liebhafsky H. A., Newkirk A. E.), Corrosion, 1956, 12, № 2, 48—54 (англ.)

11163. Некоторые вопросы коррозии железа, меди и алюминия в этиленгликолевых холодильных жидкостях. Томпсон, Лоркинг (Some aspects of the corrosion processes of iron, copper and aluminum in ethylene glycol coolant fluids. Thompson P. F., Lorking K. F.), Corrosion, 1957, 13, № 8, 1531—1535 (англ.)

Приводятся результаты измерений потенциалов Fe, Al и Cu в системах гликоль — вода, а также влияния на коррозионное поведение этих металлов добавки фосфата триэтанолamina, обычно используемого в качестве замедлителя коррозии (К) в гликолевых холодильных жидкостях. Потенциалы измерялись по отношению к насыщ. каломельному электроду. Показано, что Fe в смеси 30% гликоля и 70% воды при доступе воздуха (ДВ) имеет $E = -0,2$ в, без ДВ $-0,75$ в; в той же смеси с добавкой триэтанолaminфосфата при ДВ $-0,26$ в, без ДВ $-0,71$ в. Микроэлектрод из Cu в чистом гликоле (рН 7) имеет $E = +0,2$ в при ДВ и $-0,11$ в без ДВ; в смеси 30% гликоля и 70% воды $E = -0,3$ в при ДВ и $-1,0$ в без ДВ. Показано, что ионы Cu, образующиеся при К Cu, стабилизируются добавкой триэтанолaminфосфата. Cu переходит в р-р в виде голубого медно-аммиачного комплекса, который на поверхности Fe или Al осаждается, вызывая местную К. Добавка к р-ру триэтанолaminфосфата непосредственного влияния на К Al и Fe не оказывает, К же Cu усиливает, с образованием устойчивого комплекса. Свежеперегнанный гликоль не вызывает К, при нагреве он становится агрессивным, при этом значение рН падает до 4.

Я. Ланин
11164. Коррозионнохимическое поведение цветных металлов в нейтральных и кислых фтористых солях щелочных металлов. II. Коррозионнохимическое поведение алюминия в растворах соляной кислоты и едкого натра, содержащих нейтральные и кислые соли щелочных металлов. Кёлер (Das korrosionschemische Verhalten der Nichteisenmetalle gegen Alkalimono- und Alkalihydrogenfluoride. II. Korrosionschemisches Verhalten von Aluminium in alkalimono- und alkalihydrogenhaltigen Salzsäure- und Natriumhydroxydlösungen. Köhler W.), Werkstoffe und Korrosion, 1958, 9, № 1, 20—25 (нем.; рез. англ., франц.)

Коррозия 99%-ного Al в р-рах KF через несколько дней прекращается, в р-рах KF·HF Al корродирует умеренно, а в р-рах $(\text{NH}_4)\text{F} \cdot \text{HF}$ — сильно. В 0,1 н. HCl коррозия Al незначительна ($0,8 \text{ г/м}^2 \text{ сутки}$), при добавлении же в р-р фторидов скорость коррозии (СК) сначала сильно возрастает, затем уменьшается, но остается больше чем в чистой к-те. В 0,1 н. NaOH СК Al велика (в среднем $93 \text{ г/м}^2 \text{ сутки}$). При добавлении фторидов СК резко снижается. В оптимальных условиях СК Al в 0,1 н. NaOH уменьшается на 98%. Сообщение I см. РЖХим, 1956, 24454.

Ю. Аронсон
11165. Тантал как коррозионностойкий материал. Кокс (Tantalum as a corrosion resistant material. Cox F. G.), Corros. Prevent. and Control, 1958, 5, № 3, 44—48 (англ.)

Обзорная статья. Приведены данные по коррозии Ta в различных средах (р-ры органич. и неорганич. к-т, солей, жидкие металлы, газы при высоких т-рах) и областях его применения. Библи. 11 назв.

М. Мельникова
11166. Коррозия и эрозия судовых винтов. Бремелльер (Korrosion und Erosion an Schiffspropellern. Brehme Hans, Möller Joachim), Hansa, 1956, 93, № 12-13, 540—547 (нем.)

11167. Проблема коррозии свинцовых кабелей. I. Хесс, Дюбюи (Probleme der Bleikabelkorrosion. I. Mitt. Hess W., Dubuis K.), Techn. Mitt. PTT, 1956, 34, № 4, 172—179 (нем., франц.)

71168. Защита от коррозии металлическими покрытиями. Массар (Protection par les revêtements métalliques. Massard M.), Parfums, cosmét., savons, 1957, № 142, 51—55 (франц.)

Описан механизм защиты от коррозии металлич. покрытиями. Кратко описаны методы нанесения Zn, Cd, Sn, Pb, Al, Cu, Ni, Ag, Au и Rh-покрытий и области их применения. Я. Матлис

71169. Коррозия металлов в сооружениях. Поведение меди. Бейкер, Карр (Corrosion of metals in buildings. The behaviour of copper in buildings. Baker S., Carr E.), Chemistry and Industry, 1957, № 41, 1332—1336 (англ.)

Рассматривается возможность применения Cu для покрытий крыш и водопроводных сооружений в связи с ее высокой коррозионной стойкостью. В атмосферных условиях на Cu образуется защитный слой зеленого цвета (патина). Патина, полученная искусственно хим. или электрохим. путем, не обладает требуемыми защитными свойствами. В атмосфере помещения Cu и ее сплавы подвергаются потускнению, при наличии полировки этого не происходит. В водопроводной воде Cu с внутренней стороны слабо корродирует, с наружной — слабо тускнеет. Допустимое содержание Cu в водопроводной воде не должно превышать 3 ч. на 1 млн. ч. воды, при содержании 5 ч. на 1 млн. вода приобретает металлич. вкус. Я. Лапин

71170. Коррозия металлических материалов и металлических защитных покрытий в воздухе, загрязненном промышленными газами. Шикорр (Die Korrosion metallischer Werkstoffe und metallischer Schutzüberzüge in Industrieluft. Schikorr Gerhard), Schweiz. Arch. angew. Wiss. und Techn., 1958, 24, № 2, 33—46 (нем.)

Приведен состав воздуха некоторых промышленных районов Германии в различное время года, указаны составные части воздуха, которые наиболее интенсивно способствуют коррозии, и их действие на металл. Особое внимание уделено рассмотрению коррозии, происходящей при воздействии SO₂. Коррозия под действием SO₂ может быть значительно уменьшена при наличии на металле защитного Pb-покрытия. Е. Ляхович

71171. Травление металла парами кислоты. Росси-Ланди (Il decapaggio dei metalli in fase gassosa. Rossi Landi G.), Riv. mecc., 1955, 6, № 127, 41 (итал.)

71172. Защита от коррозии с помощью гальванических покрытий. Эльце (Korrosionsschutz durch galvanisch abgeschiedene Metallüberzüge. Elze J.), Metall, 1958, 12, № 1, 32—38 (нем.)

Обзор основных свойств гальванически осажденных металлич. покрытий. Особое внимание уделено вопросу коррозионного поведения системы «защитное покрытие — основной металл». Приводятся рекомендуемые толщины покрытий для защиты металлов в различных условиях. Описываются основные свойства следующих покрытий: Cu, Ni, Cr, Zn, Cd, Sn, Pb, Ag, Au, Rh, Fe, In, Co, Mn, Cu-Zn, Cu-Sn, Sn-Zn, Sn-Ni, Sn-Pb и др. Л. Хилькевич

71173. Дальнейшее развитие техники металлизации. IV. Рейнинггер (Weiterentwicklung der Metallspritztechnik (IV). Reiningger H.), Metalloberfläche, 1957, 11, № 11, 361—365 (нем.)

Обзор по вопросам развития в последние годы техники металлизации. Рассматриваются антикоррозионные и окислостойкие покрытия, изготовление и области применения металлизированных подшипников скольжения, а также ремонт аппаратуры с использованием методов металлизации и др. Характеризуются коррозионная стойкость и применимость в различных средах и для различных машин, аппаратов и

деталей Zn- и Al-покрытий, нанесенных методом распыления. Приводятся случаи использования методов металлизации для осуществления декоративных и в то же время защитных покрытий, напр. покрытия памятников из неметаллич. материалов бронзой. Помимо этого, рассматриваются: влияние отдельных факторов на пористость покрытия, влияние пористости покрытия на работоспособность и нагружаемость подшипника, сравнивается работоспособность сплошных и металлизированных подшипников при различных режимах смазки. Подчеркивается, что металлизированные подшипники лучше работают в условиях недостаточной подачи смазки, чем сплошные. Приводятся схемы приспособлений и образцов, применяемых для испытания металлизированных покрытий. Сообщение III см. РЖХим, 1958, 29166. А. Тумовский

71174. Пламенное напыление неметаллических защитных покрытий на металлические поверхности. Рейнинггер (Flammspritzen nichtmetallischer Schutzschichten auf Metalloberflächen. Reiningger H.), Metalloberfläche, 1957, 11, № 12, 393—400 (нем.)

Обзор. Библ. 72 назв. См. РЖХим, 1958, 8738. В. Ленинков

71175. Защита аппаратуры и трубопроводов от коррозии горячепламенным разбрызгиванием. Риттер фон-Рюлинг (Innen- und Außenschutz von Rohrleitungen und Apparaten durch Heiß- und Flammspritzverfahren. Ritter von Rüling F.), Techn. Mitt., 1957, 50, № 7-8, 311—316 (нем.)

Приводятся методы нанесения защитных покрытий (П) набрызгиванием. Рекомендуется применять материалы, которые дают плотные беспористые П. Желательно, чтобы защищаемые поверхности были предварительно нагреты. Нагревание набрызгиваемого материала достигается в распылителе особой конструкции или в дополнительно нагреваемых аппаратах. Наиболее распространен метод набрызгивания уже расплавленной жидкой массы, напр. битумов, в нагревательных аппаратах, откуда она подается по шлангам к набрызгивающей установке. Этим методом достигается хорошее качество П и высокая производительность. Сам процесс набрызгивания осуществляется сжатым воздухом или паром. Рассматриваются различные конструкции разбрызгивающих установок и указываются их недостатки. Автор рекомендует новую конструкцию, которая лишена многих недостатков. Среди применяемых защитных П наиболее хорошо зарекомендовали себя каменноугольные смолы и битумные смеси. Иногда целесообразно применять окраску и затем набрызгивание. Толщина защитного слоя в общем должна составлять $\geq 400-800 \mu$. Р. Салаи

71176. Нанесение металлических покрытий из газовой фазы. Штрашиль (Die Herstellung metallischer Oberflächenschichten aus der Gasphase. Straßchill Max), Beiztechnik, 1957, 6, № 10, 116—119 (нем.)

Приводится описание способов нанесения металлических покрытий из парообразных соединений металлов (М) методом термодиффузии. Описаны также методы из трудного распыления и напыления М при высоком вакууме. Из газовой фазы наносят не только покрытия из чистых М, но и сплавы, оксиды, сульфиды и фториды М. Различные украшения покрывают тонкими слоями благородных М, иногда чередуя металл. и неметаллич. слои. Зеркальные слои из родия наносят на тонкополированное стекло и пластмассы. Для оптич. целей наносят полупрозрачные слои благородных М. Для произ-ва слаботочных конденсаторов производят непрерывное напыление Zn, Cd, Al и Cu на бумажную ленту. Эти методы применяются и для покрытия зеркал прожекторов. Ю. Аронов

1177. Защита металлов. Алюминирование. Серра (Protección de metales. Recubrimiento con aluminio en baño fundido. Serra Manuel), Rev. cienc. apl., 1958, 12, № 1, 31—42 (исп.).
Обзорная статья. Библ. 58 назв. М. Мельникова
1178. Применение жидкостной цементации для деталей станков. Морозова Е. М., Флоренцова Ф. Р., Станки и инструмент, 1957, № 2, 40—41.
Приводится состав ванны для жидкостной цементации при массовом произ-ве (в %): Na_2CO_3 76—83, NaCl 4—11 и SiC 6—10. Последний служит науглероживающим агентом. Химизм процесса: $2\text{Na}_2\text{CO}_3 + \text{SiC} \rightarrow \text{Na}_2\text{SiO}_3 + \text{Na}_2\text{O} + 2\text{CO} + \text{C}$, выделяющийся атомарный C диффундирует в сталь. Цементацию производят в интервале t -р 860—900°. Глубина цементирования слоя при этом 0,10—0,20 мм. Производительность ванны 1,0 т в смену. Описана технология процесса. Жидкостная цементация рекомендуется для шестерен, валов, втулок, осей, винтов и др. После закалки детали подвергают отпуску при 180—200°. Г. Ваших
1179. Коррозия азотированной стали продуктами сгорания сернистого топлива. Романцева Л. М., Солодкин И. С., Уч. зап. Моск. гос. пед. ин-та, 1957, 99, 87—93.
С целью выяснения причины коррозии азотированной стали 38 ХМЮА (I) продуктами сгорания сернистого топлива и нахождения путей снижения скорости коррозии (СК) исследовалось влияние содержания S в топливе на СК I; действие H_2SO_4 , H_2SO_3 , H_2CO_3 , HNO_3 , HCOOH , CH_3COOH , масляной к-ты и их смесей и I; влияние присадок в топливо диэтиланилина, диэтиланилина, бутилфосфата и гексилфосфата на коррозионную активность продуктов сгорания. В первом случае использовалось топливо с содержанием S 0,11; 1,5 и 2,2%. Проведенные испытания показали, что СК I прямо пропорциональна увеличению процентного содержания S в топливе. Подвергнутая действию продуктов сгорания топлива I продолжает корродировать во влажной атмосфере тем интенсивнее, чем больше было действие продуктов сгорания. В дальнейших исследованиях СК определялась по кол-ву выделившегося водорода. Из приведенных к-т наиболее агрессивной по отношению к I оказалась H_2SO_4 . При действии H_2SO_4 СК возрастает со временем (в пределах 10-часового опыта). Другие к-ты вызывали значительно меньшие коррозионные потери. Добавление к H_2SO_4 других (из указанных) к-т снижает СК I по сравнению с коррозией в чистой H_2SO_4 . Насыщение HNO_3 углекислым и сернистым ангидридом значительно увеличивает агрессивность этой к-ты по отношению к I. Считают, что основным агрессивным компонентом из возможных продуктов сгорания сернистого топлива является H_2SO_4 . В третьем случае опыты проводились в тех же условиях, что и в первом случае, но с добавлением к топливу указанных присадок в кол-ве 1 об.%. Исследованиями установлено, что введение в топливо присадок снижает СК I, причем тем больше, чем меньше S в топливе. Из перечисленных добавок наиболее эффективными оказались фосфаты.
- А. Тумовский
1180. Методы химической обработки поверхности черных и цветных металлов с целью защиты их от коррозии. Маху (Chemischer Oberflächenschutz. von Eisen- und Nichteisenmetallen. Machu Willibald), Blech, 1958, 5, № 4, 70—78 (нем.).
Описаны пассивирование, оксидирование, хромирование, сульфидирование, азотирование, нанесение лакокрасочных покрытий и применяемая аппаратура. Библ. 85 назв. М. Мельникова
1181. Покрытие Cr-22 для магния. Мак-Нейл (The Cr-22 coating for magnesium. Mc-Neill Wm.), Metal Finish., 1955, 53, № 12, 57—59 (англ.).

Описан метод хроматирования Mg и его сплавов. М. Мельникова

71182. Защита металлов от коррозии. Торре (La protección de los metales. Torre Osvaldo L.), Ingeniería e ind., 1957, 25, № 282, 111—112, 114 (исп.).

Описаны методы фосфатирования, свойства и области применения фосфатных покрытий.

М. Мельникова

71183. Современная ванна для фосфатирования с хлоратным катализатором. Хейнзелман (The modern chlorate-accelerated phosphating bath. Heinzelman Edward, Jr), Organic Finishing, 1957, 18, (исп.).
См. РЖХим, 1958, 4983.

71184. Фосфатирование для завершающих операций покрытия металла. 2. Выбор оборудования. Фишлок (Phosphating processes and their applications in metal finishing. 2. Choice of plant. Fishlock D. J.), Prod. Finish., 1957, 10, № 7, 73—85 (англ.).

Обзор по вопросам хим. и механич. очистки металла и выбору способа очистки в зависимости от желаемого типа фосфатной пленки и природы фосфатируемого материала. Рассматриваются различные способы фосфатирования, промывки, высушивания изделий и нанесения дополнительного покрытия на фосфатируемые поверхности (эмали, лаки, смазки, воск и т. п.). Описано оборудование для установок, обслуживаемых ручным конвейером, и для автоматич. установок, системы обогрева фосфатных ванн, удаление из них шлама и паров, образующихся в процессе фосфатирования. Сообщение 1 см. РЖХим, 1958, 36599.

В. Лукинская

71185. Никелефосфорное аморфное немагнитное, каталитически осажденное покрытие. Больский (Un recouvrement nickel-phosphore amorphe non magnétique, déposé catalytiquement. Boolsky R.), Rev. internat. horlog., 1958, № 1, 17—23 (франц.).

Описаны природа и основные свойства Ni-покрытий, получаемых хим. методом. Перечислены основные преимущества хим. никелирования (ХН) в часовой пром-сти: возможность получения равномерных осадков по толщине независимо от формы деталей, покрытий заданной толщины, немагнитных осадков; нанесения Ni на неметаллич. материалы; пайки и сварки легких металлов (Al, Ti, Be) и др. Приведена схема непрерывной промышленной установки для ХН по способу Kanigen. Приводятся микроструктуры получаемых осадков, показывающие основные преимущества Ni-P-покрытий перед электролитич. Ni-покрытиями. Указывается, что промышленные непрерывные установки для ХН экономичны только при массовом произ-ве деталей.

М. Матлис

71186. Процесс покрытия деталей больших размеров в автоматах. Синсир (Operating the world's largest flow coating machine. Sincere John), Metal Prod. Manufact., 1957, 14, № 11, 38—41 (англ.).

Для защиты стальных деталей (Д) от коррозии их фосфатируют в р-ре, содержащем 40 г/л фосфата железа, 0,755 г/л NaOH . Защитные свойства фосфатной пленки повышаются после хроматной обработки ее в р-ре, содержащем 1,33 г/л хромовой к-ты. После нанесения фосфатной пленки Д высушивается в течение 7 мин. при 149° и охлаждается 8 мин. при комнатной т-ре. Затем Д покрывается краской на основе эпоксидной смолы. Верхняя часть Д покрывается слоем в 100—250 μ , а нижняя часть в 200—250 μ . Время сушки 13,5 мин. Краска на основе эпоксидной смолы полимеризуется и отверждается при 187°. Такое покрытие хорошо противостоит коррозии Д и сохраняет их внешний вид.

Н. Барабошкина

71187. Предупреждение коррозии, вызванной сульфатным скипидаром. Рис (Ammonia for control of corrosion from sulphate turpentine. Reese John E.), Tappi, 1955, 38, № 8, 472 (англ.)

71188. Сульфат натрия в газовых турбинах. Саймонс, Браунинг, Лебхавский (Sodium sulfate in gas turbines. Simons Edward L., Browning George V., Liebhafsky H. A.), Corrosion, 1955, 11, № 12, 17—26 (англ.)

71189. Развитие процесса никелирования без наложения тока. Соловьев Н. А., Вестн. машиностроения, 1958, № 3, 82—84
Обзорная статья. Библ. 13 назв. М. Мельникова

71190. Свойства покрытия Н. А. Е. для Mg-сплавов. Хиггинс (On the H. A. E. process for the protection of magnesium-rich alloys. Higgins W. F.), Light Metals, 1957, 20, № 230, 150—151 (англ.)

Получаемое электрохим. способом покрытие НАЕ характеризуется плотностью, твердостью и хрупкостью, обладает известной пористостью, уплотняется и гидрофобизируется расплавленным воском. Эффект защиты не вызывается пассивацией поверхности ионами электролита, а связан с простой механич. изоляцией поверхности от коррозионной среды. Толщина пленки ~100 м. Защитное действие усиливается последующим пропитыванием хромпиком. По способу НАЕ преимущественно обрабатывается литье, а не деформированные изделия. Обработка склепанных и сварных узлов неэффективна. В результате НАЕ-обработки значительно (до 40% и более) снижается усталостная прочность Mg-сплавов. Покрытие не обладает способностью к «самозалечиванию» в местах царапин и других механич. повреждений. Оно применяется для защиты от коррозии и в целях термоизоляции изделий из Mg-сплавов. А. Шрейдер

71191. Проектирование и техника применения конструктивных пластических масс. Феннер, Уиттлер (Design and engineering of plastic materials of construction. Fenner O. H., Whittier R. P.), Corrosion, 1956, 12, № 12, 35—40 (англ.)

Приводятся примеры применения пластич. масс в качестве конструктивных материалов для защиты от коррозии ротационных сушилок и абсорберов. Описаны способы изготовления из армируемых стекловолокон и винилпласта труб, газопроводов и др. Указываются области применения труб из пластмасс, а также приводятся данные по механич. прочности, максим. рабочему давлению и т-ре по сравнению с металлич. трубами. Г. Вашин

71192. Пластмассы в борьбе с коррозией. Часть 2. Выбор материала и способ его использования. Декан (Les matières plastiques en anticorrosion. 2me partie. Choix des matériaux et de leur mode d'utilisation. Décans V.), Offic. matières plast., 1957, 4, № 42, 60—64 (франц.)

Рассматривается ряд материалов: эбонит, каучук, неопрен, полиизобутилен, полихлорвинил, сополимер хлорвинила и винилацетата, полиэтилен, полистирол, полиметилметакрилат, этоксилиновые смолы: арамиды, эпоксиды, полиэфир, суперполиамиды, фенопласты, полицианаты, хлорированный каучук, политетрафторэтилен — как антикоррозионные материалы. Приводятся данные по их стойкости к к-там, основаниям, солям, газам, органич. и пищевым продуктам. В отдельных случаях указываются пределы конц-ий и т-ры, способы обработки пластмасс. Предыдущее сообщение см. РЖХим, 1958, 47155. Т. Фабрикант

71193. Применение труб из поливинилхлорида для агрессивных гальванических растворов. Лонг (Polyvinyl chloride pipe handles corrosive plating solutions Long T. F.), Plating, 1957, 44, № 9, 975—978 (англ.)

Описан опыт применения труб из полихлорвинила в цехах гальванич. покрытий. Обладая рядом ценных свойств (уд. вес в 2 раза меньше, чем у Al, хорошие механич. свойства, высокая хим. стойкость), поливинилхлорид был успешно применен не только для изготовления трубопроводов, но и для фитингов и арматуры. Приводятся данные по эксплуатации трубопроводов из поливинилхлорида длиной до 100 м, диаметром до 50 мм и при 65°.

71194. Производство «Токабата» и его применение для изготовления химической аппаратуры. Мацумото Саказэ, Токай дэнкё гихо, Tokai Technol. J., 1955, 16, № 2, 26—41 (японск.)

Описаны физ. и хим. свойства «Токабата» (графит, пропитанного синтетич. смолами), метод его изготовления и применения для изготовления хим. аппаратуры. М. Гусев

71195. Новый материал для покрытия полов во влажных и коррозионных условиях. — (New floor-surfacing material for wet and corrosive locations.). Power Engng, 1958, 62, № 2, 83 (англ.)

Новый материал для покрытия полов по своим свойствам можно сравнить с плитками. Материал обладает очень малой усадкой, низким коэф. расширения и исключительной прочностью к изгибу. После воздушной сушки в течение 28 дней прочность материала на сжатие ~457 кг/см². Адгезия к бетону на отрыв 41 кг/см², на сдвиг 32,6 кг/см². К металлу адгезия практически такая же. Материал применяется для покрытия бетонных и деревянных полов в сильно агрессивных условиях. Т. Фабрикант

71196. Свойства, описание, испытания и рекомендации покрытий на основе смолы из каменноугольной дегтя. Часть 2. Покрытия, применяемые в холодном виде. Фэрр. (Properties specifications, tests and recommendations for coal tar coatings. Part 2. Cold applied coatings. Fair W. F., Jr), Corrosion, 1956, 12, № 12, 29—34 (англ.)

Рассматривается 5 групп холоднотвердеющих защитных покрытий на основе каменноугольной смолы, стойкие против влаги и водяных паров. 1. Композиция без наполнителя с т. размягч. 60—65,5° разб. р-ителем, с т. кип. 150—200°. Они дают твердую блестящую пленку черного цвета, устойчивую против дыма, воды и атмосферных воздействий. 2. Те же композиции, но с минер. наполнителем, дают матовую пленку толщиной слоя ~0,2 мм; применяются для более тяжелых коррозионных условий, при тех же т-рах, что и 1-я группа. Наносятся кистью или распылением после тщательного перемешивания. 3. Композиция на основе пластифицированной каменноугольной смолы, разбавленной сольвент-нафтой с добавкой минер. наполнителя, представляющая собой густую пасту. После нанесения на поверхность и улетучивания р-рителя композиция образует матовую пленку черного цвета толщиной ~0,5 мм. Применяется для защиты подземных сооружений и трубопроводов, там где горячие покрытия на основе каменноугольной смолы не применимы. 4. Водн. дисперсии смолы, обычно с добавкой наполнителя. Р-ритель применяется для разбавления при диспергировании. Дисперсии наносятся по праймеру, если поверхность свежоочищенная, так как они содержат значительные количества воды; по улетучиванию воды и р-рителя образуют матовую пленку темно-серого цвета. Устойчивы к т-рам от -40 до +93,5°, но не рекомендуются в условиях постоянного погружения. В качестве грунтовки применяют «Вашпраймеры», хорошо совмещающиеся со смолой, и в последнее время праймеры на основе эпоксидных смол. 5. Жидкие композиции, наносящиеся покрытия 1-й группы, применяются для

щиты водопроводов, водн. хранилищ и пр. Часть I см. РЖХим, 1958, 38162.

71197. Защита от коррозии в Турции при помощи пламенного напыления каменноугольного пека по методу «Colarib». Штерн (Korrosionsschutz mit Steinkohlenteerpech im Colorit-Frammspritzverfahren in der Türkei. Stern Harald), Werkstoffe und Korrosion, 1957, 8, № 12, 736—738 (нем.; рез. англ., франц.)

Описан способ защиты от коррозии гидротехнич. сооружений электростанции, возведенной в Турции на реке Сакарья, при помощи пламенного напыления каменноугольного пека по методу «Colarib». Рассмотрены главным образом вопросы, связанные с организацией произ-ва работ по этому методу и те организационно-технич. трудности, которые возникают при подобных работах в индустриально неразвитых странах. Подчеркивается, что работы, проведенные на этой гидроэлектростанции, показывают возможность эффективного применения этого метода как для крупных, так и для мелких объектов. А. Тумовский

71198. Борьба с коррозией. Марти (Lutte contre la corrosion. Marty R.), Ind. franc.—achats et entret. mater. industr., 1957, 6, № 62, 457, 459 (франц.; рез. англ.)

Рассматриваются вопросы подготовки поверхности металла под окраску и состояние уже окрашенных изделий. Делается вывод, что выбор подготовки поверхности металла под окраску зависит от многих факторов, однако необходимость тщательной подготовки бесспорна. Предыдущее сообщение см. РЖХим, 1958, 1068.

71199. Окраска горячеоцинкованной стали. Ван-Эйнсберген (La finition par peinture de l'acier galvanisé à chaud. Van Eijnsbergen J.-F.-H.), Peintures, pigments, vernis, 1958, 34, № 1, 5—9 (франц.)

Окраска деталей и сооружений, изготовленных из горячеоцинкованной стали, применяется при необходимости увеличения их срока службы в условиях эксплуатации в сильно загрязненной атмосфере для декоративных целей, маскировки военных сооружений и восстановления прокорродированных покрытий. Перечислены механич. и хим. методы обработки Zn-покрытий, обеспечивающих хорошую адгезию с ними лакокрасочных покрытий, и виды красок, применяемых для этих целей. Для восстановления прокорродированных Zn-покрытий применяются краски, содержащие 92—95% Zn-пудры и 8—5% связующего.

71200. Коррозия водяных экономайзеров при сульфитировании питательной воды. Деев И. Т. В сб.: Внутрикотловые физ.-хим. процессы, водоподготовка и вода. режимы котлов на электрост. высоких и сверхвысоких параметров. М., АН СССР, 1957, 334—338

Описаны случаи кислородной коррозии труб водяных экономайзеров вследствие ослабления внимания к работе термич. деаэраторов. Указывается, что коррозия вызвана действием O_2 , не прореагировавшего с сульфитом, особенно при «проскоках» кислорода. Автор объясняет эти явления недостаточной продолжительностью контакта сульфита с O_2 на участке от питательных насосов (место ввода NO_2SO_3) до водяных экономайзеров (34—38 сек.), а также торможением этой р-ции под действием органич. в-в, содержащихся в питательной воде.

71201. Влияние замедлителей коррозии на активность и окисляющую способность дымящей азотной кислоты. И Динь-бу (Effect of inhibitors in fuming nitric acid on corrosion and oxidation. Yee Tin Boo), Corrosion, 1958, 14, № 2, 42—44 (англ.)

0,1% галоидных добавок тормозит коррозию в среде дымящей HNO_3 (I). Однако одновременно с торможением такие замедлители коррозии влияют на окислительные свойства I. Для выяснения и уточнения этих особенностей изучалось влияние примесей (в %): J_2 0,5, J_2O_5 0,5, KJ 1,0, KJO_3 0,5, NH_4F 0,5, CaF_2 0,5, HF 1,0, NaF 0,5, Na_3AlF_6 0,5 и осадка 0,13 (получающегося при взаимодействии белой I, *n*-октана, HF и NH_4OH) на скорость коррозии образцов из аустенитной нержавеющей стали в среде белой I, которое показало, что добавки по 0,5% J_2 , J_2O_5 , KJ, CaF_2 , NH_4F и HF усиливают, а остальные примеси понижают окисляющую способность белой I по отношению к *n*-октану.

71202. Защитная эффективность оснований, получаемых из каменноугольной смолы, и их производных при воздействии кислот на сталь. Ито (Ito Mitsuo), Коры тару, Coal Tar, 1956, 8, № 5, 9—13 (японск.)

Изучался вопрос о торможении скорости коррозии стали под воздействием к-т при использовании в качестве замедлителей коррозии (ЗК) компонентов и фракций, содержащих основания, получаемые из каменноугольной смолы, и галоидные производные алкилпиридина. Установлено, что высококипящие фракции, состоящие из нескольких компонентов, более эффективны, чем взятые основания в отдельности. Высокую эффективность показали высококипящие фракции, содержащие ~0,1% хинолина. Из галоидных производных алкилпиридина хорошие результаты показали алкильные группы с содержанием атомов C 8—12. Из галогенов лучшие результаты показали в качестве ЗК йодиды, менее эффективны бромиды и хлориды. Хорошие результаты показали также и при использовании в качестве ЗК производные хинолина.

71203. Защита от коррозии при упаковке и хранении деталей. Пейн (Prevention of corrosion in packaging and storage. Paine F. A.), Chemistry and Industry, 1957, № 10, 288—291 (англ.)

Описываются возможные случаи коррозии упакованных металлич. изделий и приводится схема защиты их при упаковке. Рассмотрены также факторы, влияющие на выбор того или иного метода упаковки.

71204. Изучение коррозии в результате воздействия промышленной воды (очищенной сточной воды бумажной промышленности) и методы борьбы с коррозией. 1-е сообщение. О коррозии железа. 2-сообщение. Влияние добавок мыл в воду и катодная защита как метод борьбы с коррозией. Ава, Ямамото (Awa Nobuteru, Yamamoto Yoichi), Нихон дайгаку когаку кэнкюсё ихо, J. Res. Inst. Technol., Nihon Univ., 1957, № 16, 272—276; 277—280 (японск.; рез. англ.)

1. Fe-пластинка, погруженная в промышленную воду, очень быстро подвергается коррозии (K); скорость K приблизительно вдвое больше, чем скорость K в дистил. ключевой и водопроводной воде. Причиной интенсивной K Fe является наличие в воде солей (сульфаты, соли аммония и т. д.), конц-ия которых в промышленной воде в 2—10 раз больше, чем в обычной. Предлагается 2 метода борьбы с K: катодная защита и применение замедлителей K.

2. В случае катодной защиты Fe-пластинки применяют Zn-аноды, площадь поверхности которых 1/50—1/80 от площади Fe-пластинки. Защита от коррозии может осуществляться добавкой 0,1—0,2% мыльной воды в промышленную воду. Защитное влияние мыльной воды незначительно уменьшается в случае ее высыхания.

Из резюме авторов

71205. Коррозия в циркуляционных системах и методы борьбы с ней (La corrosione nei sistemi a circolazione d'acqua e alcuni mezzi per combatterla. P. R.), Garage e officina 1958, 6, № 62, 61—63 (итал.).
Описана обработка воды хроматами, силикатами, фосфатами и их смесью; при этом на внутренней поверхности трубопроводов образуются защитные пленки. В качестве органич. замедлителей коррозии применяют соединения серы, гидразины, амины, глюкозаты Cg и Na , причем последние коагулируют растворимые продукты коррозии. М. Мельникова

71206. Коррозия блуждающими токами. Турко (Corrosioni da correnti vaganti. Turco T. A.), Pitture e vernici, 1957, 13, № 9, 589—592 (итал.)

Описан механизм коррозии трубопроводов под влиянием блуждающих токов. Указаны способы и приведены схемы защиты трубопроводов в почве путем приложения внешнего тока, применения Zn и Mg -протекторов, а также с помощью окраски и обертывания битумными материалами. Я. Ланин

71207. Пути повышения устойчивости противокоррозионных покрытий подземных трубопроводов в условиях катодной защиты. Андреева Е. А., Красноярский В. В., Булаев В. И., Стр-во предприятий нефт. пром-сти, 1958, № 1, 7—10

Отмечается, что при защите от коррозии подземных трубопроводов изоляционными покрытиями в комбинациях с катодной защитой (КЗ) при слишком больших отрицательных потенциалах, возникает возможность отслаивания из-за повышения щелочности у поверхности металла и выделения водорода. Допустимое значение потенциала КЗ от $-1,0$ до $-1,5$ в по медно-сульфатному электроду сравнения. Для увеличения сцепления битумного покрытия и создания таким образом возможности понижения величины максим. защитного потенциала предлагается фосфатирование поверхности стали. Состав ванны фосфатирования предлагается следующий (в г/л): H_3PO_4 40, ZnO 15, NaNO_3 10. Изучалось изменение потенциала стали в процессе фосфатирования при различных плотностях катодного тока. Было проведено испытание стойкости фосфатированных образцов стали с битумным защитным покрытием толщиной 3 мм под действием катодного тока от $-0,77$ до $-1,92$ в по каломельному электроду. Стойкость покрытия определялась по изменению омич. сопротивления образца и проходящей силы тока. Результаты электрохим. испытаний, а также осмотр образцов, находившихся в испытании в течение 7 месяцев, показали, что покрытие, нанесенное на фосфатированную поверхность было более стойко, чем без нее. На образцах с искусственно поврежденным покрытием отслаивание покрытий при наличии фосфатной пленки также протекает медленнее. В то время как обычная сталь с битумным покрытием при потенциалах $-1,42$ и $-1,80$ в по каломельному электроду показала отслаивание, на фосфатированных образцах такого отслаивания не было. В местах повреждения покрытия наблюдалось повреждение фосфатной пленки. В. Притула

71208. Электрохимическая защита резервуаров от действия морской воды. III. Совместное применение анодов из амальгмированного алюминия и цинка высокой чистоты. IV. Изучение покрытий из амальгмированного алюминия и цинка. Сигэно, Хисамацу, Кондзуми, Иман (Shigeno Hayata, Hisamatsu Yoshihiro, Koizumi Iwao, Imai Shuji), Босёку гидзюцу, Corros. Engng, 1957, 6, № 4, 210—214; 214—216 (японск.; рез. англ.).
Исследовались условия электрохим. защиты стальных резервуаров от действия морской воды. Внутренняя, заржавленная поверхность резервуаров обрабатывалась в течение 72 час. током из расчета 62 а-ч на

1 м² защищаемой поверхности при применении вспомогательных анодов из амальгмированного Al (99,8%). В качестве основных анодов применялся Zn высокой чистоты. Дополнительная обработка в течение 142 час. током 91 а-ч на 1 м² значительно улучшила распределение потенциала на поверхности. Плотность анодного тока, обусловленного вспомогательным анодом, составляла 5 ма/см², кол-во электричества доходило до 1,5—2,0 а-ч на 1г потери веса. Средний потенциал на обработанной поверхности составлял -980 мв (по н. к. э.). Отрицательный потенциал сохранялся и после прекращения подвода тока. Спустя 70 дней после отключения тока кол-во тока, необходимое для полной защиты, составляло лишь 20 ма/м². Сообщение II см. РЖХим, 1958, 47163.

71209. Методы коррозионных испытаний. Ладбург (Methoden zur Prüfung des Korrosionsschutzes. Ladeburg Horst), Blech, 1958, 5, № 2, 101—108 (нем.).

Обзор методов коррозионных испытаний металлов (длительных испытаний в естественных условиях, ускоренных и специальных), испытаний эмали, пропитанной древесины и др. Ю. Аронов

71210. Новый метод определения защитных свойств оксидных пленок. Фортунатов А. В., Науч. ежегодник за 1954 г. Саратовск. ун-т, Саратов, 1955, 538—539

71211 К. Коррозия химической аппаратуры. Коррозионное растрескивание и методы его предотвращения. Шварц Г. Л., Кристаль М. М. М., Машта, 1958, 204 стр., илл., 8 р.

71212 П. Получение металлических пленок, пропитанных кремнием, на железе или железных сплавах. Идзуми Рёити. Японск. пат. 5863, 14.09.54

Берется расплав, содержащий в качестве основного компонента ферросилиций, феррохром, ферроалюминий (кроме того, в качестве одного из компонентов этот расплав может содержать Al_2O_3 , CaF_2 и NH_4Cl). К расплаву добавляют в качестве буфера окисл. железа и уголь. В расплав помещают изделие из Fe или его сплавов и все это в течение 20—24 час. нагревают при т-ре выше 1000°. Пример. Берется расплав, содержащий 20% ферросилиция (45% Si), 20% феррохрома (55% Cr , 5% C), 4,5% AlSi (69,4% Si), 6% Al_2O_3 , 2,5% CaF_2 и 47% порошка, использованного ранее расплава (с небольшим содержанием C). В расплав на 20 час. при 1080° помещают круглый стержень из мягкой стали diam. 12,7 мм. Глубина проникновения расплава в стержень 1—2 мм. М. Гусев

71213 П. Фосфатирование железа и стали. Итикава Киёси (Кабусики кайся Такиа сэйсакусё). Японск. пат. 3655, 19.05.56

Р-р для фосфатирования содержит $\text{H}_2\text{C}_2\text{O}_4$, фосфаты шел. металлов, $(\text{NH}_4)_2\text{S}_2\text{N}_6$ и MnO_2 , рН р-ра доводят до 1,7—2,2 и в этот р-р при комнатной т-ре погружают предварительно протравленную железную или стальную пластинку на 15—20 мин. и затем промывают ее водой. У фосфатированных деталей отсутствует водородная хрупкость. Пример. Состав р-ра (в г/л): $\text{H}_2\text{C}_2\text{O}_4$ 15, $(\text{NH}_4)_2\text{PO}_4$ 15, $(\text{NH}_4)_2\text{S}_2\text{O}_8$ 20, MnO_2 0,5. В. Зломанов

71214 П. Состав для защиты металла от коррозии. Киттинг, Хейсиг (Composition for preventing corrosion of metal. Coating Patrick J. Jr., Heisig Theodore C.) [The Texas Co.] Пат. США 2785078, 12.03.57

Рекомендуется состав для защитного покрытия внутренней поверхности емкостей, баков или контейнеров, обладающий хорошим сцеплением с поверхностью. Состав наносится кистью, распылением или

вспло-
9,8%),
исковой
12 час.
преде-
анод-
подом,
годило
нинал
е (по
е после
ле от-
полной
II см.
второе
Ia де-
putze.
1-106
таллов
овых,
про-
овсон
ойств
еже-
1955,
Корро-
рате-
шита,
оропи-
лава.
овного
иониз-
ионтов
HCl),
желе-
е или
евают
силла,
ферро-
и, 6%,
иного
В ра-
стер-
онни-
Гусев
Ити-
акусе].
сфаты
дят до
ужают
сталь-
ют ее
водо-
e/a);
5.
ианов
розии.
enting
J., J.
Пат.
трыки
онтей-
овер-
и ил

другим путем. В него входит талловое масло, кубовые остатки после дистилляции нафтенных оснований и керосин для разжижения массы. Материал для защитного покрытия может быть также получен путем смешивания (в %): указанных кубовых остатков 25—40, керосина 55—70, смеси таллового масла 2—4 и твердителя диаминна 0,4—2. Т. Фабрикант

71215 П. Покрытие внутренней поверхности труб полихлорвинилом. Нисиока Масамицу, Оидава Тейдзо, Такахаси Акира [Сйова Гому Кабусики Кайся]. Японск. пат. 8490, 21.11.55

Тщательно очищают внутреннюю поверхность металлических труб. Внутри ее вставляют трубу из полихлорвинила, внешний диаметр которой соответствует внутреннему диаметру металлич. трубы, и с обеих сторон закрепляют при помощи фланцев. В трубу под давлением подается пар. Через 15—20 мин. труба из полихлорвинила размягчается и хорошо спелляется с поверхностью металлич. трубы. М. Гусев

71216 П. Покрытие внутренней поверхности труб полихлорвинилом. Масамицу, Такахаси Акира Нисиока [Сйова Гому Кабусики Кайся]. Японск. пат. 8494, 21.11.55

Тщательно очищают внутреннюю поверхность металлич. трубы и один конец ее соединяют со шприц-машинкой, а второй с паропроводом. Из шприц-машинки под давлением подается полихлорвинил, который покрывает тонким слоем стенки металлич. трубы. Затем по паропроводу под давлением подается пар и под действием пара полихлорвинил размягчается и плотно прилипает к стенкам трубы. М. Гусев

71217 П. Изолирующее покрытие для электропроводов. Такеути, Итиро, Танака Сусуму [Фудзикара Денсен Кабусики Кайся]. Японск. пат. 8945, 7.12.55

К поливинилформальду, поливинилбутиралу, поливинилацетату и другим смолам группы поливинилацетатей добавляют анилиноальдегидные смолы, полученные в результате конденсации аминов ароматич. группы и альдегидов в присутствии кислых катализаторов. Полученную смесь наносят непосредственно на проводник или на другой изоляционный материал, которым покрыт этот проводник. Провода, покрытые нитентуемым составом, обладают высокой эластичностью, высокой термостойкостью, не поддаются воздействию масел и хорошо противостоят истиранию. В. Зломанов

71218 П. Приготовление грунтового покрытия для металлической поверхности перед окрашиванием или лакировкой. Куроива Сигетака, Асахара Теруми. Японск. пат. 8730, 29.11.55

Способ состоит в том, что к фосфорной к-те или смеси фосфорной к-ты с H_2SO_4 или HCl (к-та) или же к смеси фосфорной к-ты с H_2SO_4 и HCl (к-та), добавляют водн. р-р $(NH_4)_2Cr_2O_7$ или $K_2Cr_2O_7$ и получают таким образом кислый р-р солей $H_2Cr_2O_7$. К полученному р-ру добавляют водн. р-р желатин, казеина или альбумина и эмульсионный р-р красителя, напр., пигменты винилацетата и полученную смесь наносят на поверхность металла. Пример. 1,5 вес. ч. $(NH_4)_2Cr_2O_7$ растворяют в небольшом кол-ве воды, к полученному р-ру добавляют 1 вес. ч. фосфорной к-ты и получают кислый р-р $(NH_4)_2Cr_2O_7$. Затем 10 ч. желатин разводят в соответствующем кол-ве воды и смешивают с кислым р-ром $(NH_4)_2Cr_2O_7$. Полученный р-р смешивают с эмульсией полимера винилацетата. М. Гусев

71219 П. Стабилизация продукта реакции формальдегида с сероводородом. Хамфри, Морс (Stabilization of formaldehyde-hydrogen sulfide reaction products. Humphrey Earl L., Morse Wil-

lard B.) [Gulf Research & Development Co.]. Пат. США 2778801, 22.01.57

Состав, применяющийся для торможения коррозии металлич., особенно подземного, оборудования р-рами сульфидов и CO_2 , состоит из смеси жидкого, маслообразного продукта р-ции H_2S с водн. р-ром формальдегида, осуществляемой при $t \sim 26,5^\circ$ в течение ≤ 30 час., и 30 об.% смешивающегося с водой органич. соединения, напр. CH_3OH , C_2H_5OH , $изо-C_3H_7OH$, C_4H_9OH , $HOCH_2CH_2OH$, C_2H_5O , CH_3CH_2OH , $C_4H_9OSCH_2CH_2OH$, $CH_3C(O)CH_3$, $C_2H_5C(O)CH_3$, $CH_2(OCH_3)_2$, $CH_3C(O)OSCH_2CH_2OH$, $C_2H_5OSCH_2CH_2OSCH_2CH_2OH$, $C_4H_9OSCH_2CH_2OSCH_2CH_2OH$, $CH=CH-CH=C(CH_2OH)_2$

$C_2H_5OSCH_2CH_2OC(O)CH_3$, диоксан, либо смеси их (предпочтительно смесь ацетона с диоксаном). В качестве антикоагулянта предлагается добавление 0,05—5 вес.% 1-ацетил-2-тиогидантоина, 2-бензтиазолилгидразина, о-диметиламинометил-п-октилфенола или дефениламида. H_2S барботируют в 25%-ный водн. р-р формальдегида при $\sim 5,5-9^\circ$ в течение 4 час. до привеса 15,2%. Полученную смесь (40 об. %) растворяют в 60 об.% ацетата и добавляют 0,5 вес.% вышеуказанного антикоагулянта. Л. Герман

71220 П. Аноды для катодной защиты. Сигэне Хаята, Футода Метохиса [Когэ Гидзюцу Инте]. Японск. пат., 8260, 15.12.54

Анод выполнен из Fe_2O_3 или PbO_2 и покрыт водонепроницаемой пленкой. В качестве засыпки применяются битум, асфальт, пек, песок, глина, целлюлоза, фенольные или меламиновые смолы. Клеммы и проводники покрыты изоляционным слоем. М. Гусев

71221 П. Электрохимический метод защиты от коррозии охлаждающих труб с внешним водяным охлаждением. Такэсима Тосиити. Японск. пат. 8913, 7.12.55

Между металлич. охлаждающими трубами (Т) с внешним водяным охлаждением помещаются электроды (Э), имеющие форму стержней. Таких Э берут по одному на каждую Т или по несколько штук. Между Т и Э помещают изоляционный материал (ткань). Т по 19 шт. в ряд установлены параллельно в 10 рядов на расстоянии 195 мм между ними. В качестве Э взяты стальные и Al-стержни. В качестве охлаждающей жидкости использовали морскую воду, подаваемую со скоростью 50—60 м³ в 1 час. Из выпрямителя подавался постоянный ток напряжением 10 в и силой тока 26 а. Поскольку смачивается (если судить по результатам опытов) вся поверхность Т, то ток по всей поверхности Т проходит почти с одной и той же плотностью и оказывает почти одинаковое защитное действие на всей поверхности Т. В качестве Э вместо стали и Al могут быть использованы Mg и Zn. В таком случае отпадает необходимость в подаче тока извне. З. Завьялов

71222 П. Борьба с коррозией в реакционных сосудах. Рейнс, Телман (Control of corrosion in reaction vessels. Raynes Bertram C., Thellmann Edward L.) [Horizons Titanium Corp.]. Пат. США 2783195, 26.02.57

Предложена конструкция аппарата для электролиза расплавленных солей. Аппарат состоит из наружного сосуда, изготовленного из обычной стали, приспособленного (змеевик и т. д.) для нагрева или охлаждения; внутреннего сосуда, изготовленного из пористого коррозионностойкого материала (напр., графит, уголь и т. д.), в котором содержится расплавленная соль или иная высокоагрессивная среда; между этими сосудах имеется пространство, заполненное порошком того же коррозионностойкого материала. В слое этого порошка имеются 3 температурных зоны: наружная — термоизоляция; внутренняя, в которую проникает

жидкая агрессивная среда; промежуточная, в которой эта среда содержится в застывшем состоянии. При осуществлении электролиза расплавленных солей внутренний сосуд служит анодом, а в расплав помещают только один или несколько катодов. А. Мамет 71223. Соединения между приводным валом и стержнем мешалки, подвергнутой коррозии. Штёр (Kupplung zwischen Rührerschaft und Antriebswelle von korrosionsgefährdeten Rührwerken. Stöhr Ferdinand) [Schütze A.-G. Gießerei und Maschinenfabrik], Пат. ФРГ 935425, 17.11.55

Патентуется муфта, предназначенная для соединения вала мешалки, работающей в агрессивных кислых средах, предотвращающая попадание среды на приводной вал и муфту. Приводится схема соединения. Я. Матлис

См. также: Окисление SiC 69875. P-рение металлов в к-тах 70238. Исследование коррозии 70251. Влияние pH на коррозию 70252. См. также раздел Лаки. Краски. Лакокрасочные покрытия и рефераты: Обработка H₂O 71252. Гальванические покрытия 71438—71456, 71473—71477. Кислотоупорная посуда 71519. Смазки 72035, 72041. Пластмассы 72418—72420, 72425, 72442

ПОДГОТОВКА ВОДЫ. СТОЧНЫЕ ВОДЫ

Редактор М. И. Лапшин

71224. Новое в области исследования воды. Шиллинг (Neuerungen in der Wasseruntersuchung Schilling K.), Vom Wasser, 1956. Bd 23. Weinheim, 1957, 24—29 (нем.)

Обзор.

М. Л.

71225. Контроль жесткости умягченной воды. Дуденков А., Молочная промышленность, 1958, № 1, 43—44

Контроль производят мыльной пробой. Мыльный р-р готовят такой конц-ии, чтобы 2 мл его соответствовали 0,36 мг-экв/л жесткости. Если 2 мл мыльного р-ра дают устойчивую в течение 3 мин. пену при встряхивании с 100 мл исследуемой воды, жесткость последней < 0,36 мг-экв/л. В противном случае пробу разбавляют и снова проводят определение.

Н. Ваксберг

71226. Принципы исследования и оценки качества питьевых и промышленных вод. Кесс (Grundsätzliches zur Untersuchung und Beurteilung von Trink- und Brauchwasser. Kaeß Altons), Vom Wasser, 1956. Bd 23. Weinheim, 1957, 9—23 (нем.)

Даны методич. указания по отбору проб (с учетом местных условий) и определению некоторых компонентов. Обращено внимание на факторы, влияющие на точность проводимых определений. П. Кандаас

71227. Ускоренный метод анализа воды. Бабачев (Един бърз метод за анализ на води. Бабачев Георги), Рационализация (Бълг.), 1957, 7, № 10, 42—46 (болг.)

Описаны подготовленные к утверждению в качестве стандартов методы определения Fe, Ca²⁺, Mg²⁺, общей жесткости и агрессивной CO₂.

М. Лапшин

71228. Прямое спектрофотометрическое определение хлоридов в воде. Уэст, Колл (Direct spectrophotometric determination of chloride ion in water. West Philip W., Coll Hans), J. Amer. Water Works Assoc., 1957, № 11, Part 1, 1485—1492 (англ.)

К 7,4 мл р-ра Fe(ClO₄)₃ (8 г Fe(ClO₄)₃ промытого в HClO₄, растворенной в нескольких мл H₂O и добавляют 70%-ный р-р HClO₄ до 1 л) добавляют 2,5 мл исследуемой воды с конц-ией Cl⁻ ≤ 50 мг/л и доводят до 10 мл. Через несколько минут спектрофотомет-

рируют при длине волны 353 мμ, используя вольфрам-лампу. Холостую пробу готовят смешением реактива с водой. Калибровочную кривую необходимо строить для каждого свежеприготовленного р-ра Fe(ClO₄)₃. Миним. средняя ошибка определения (3%) наблюдается при конц-ии Cl⁻ 20 мг/л. В случае мутной воды ее осветляют суспензией Al(OH)₃. SO₄²⁻ в конц-ии, не превышающей в 6 раз конц-ию Cl⁻, определению не мешают.

Б. Краснов

71229. Определение окисляемости воды. Бейденс, Ледан (La détermination de l'oxydabilité des eaux. Buysdens R., Ledent R.), Bull. Centre belge étude et docum. eaux, 1957, № 38, 238—241 (франц.)

Проведено сравнение 3 методов определения окисляемости воды: перманганометрич. (по Кубелю) (ПМ), хроматометрич. (по стандартным методам США) (ХМ) и цериметрич. (ЦМ). Для получения устойчивых р-ров KMnO₄ рекомендуется оставлять стоять их 2 недели после приготовления и фильтровать через стеклянный фильтр. При определении окисляемости ХМ рекомендуется применять р-р K₂Cr₂O₇ с конц-ией 0,25 н. и не снижать ее до 0,05 н. (как указано в стандартных методах, так как хлориды при этом окисляются только частично); кроме того, не добавлять Ag₂SO₄ в качестве катализатора. При определении окисляемости различных проб воды близкие результаты получены ПМ и ЦМ. ХМ дает значительно более высокие результаты. Отдается предпочтение ХМ.

Н. Ваксберг

71230. Ускоренный метод определения относительной стойкости сточных вод. Чефалу, Комес (Sopra un saggio accelerato per la determinazione della stabilità relativa delle acque luride. Cefalu M., Comes R.), Nuovi ann. igiene e microbial., 1957, 8, № 6, 608—614 (итал., рез. англ.)

Показано, что добавка 0,2 г глюкозы к пробе СВ (100 мл), исследуемой на относительную стойкость, позволяет сократить срок, потребный для наблюдения за обесцвечиванием метиленового синего, с 20 до 3 суток.

М. Лапшин

71231. Обнаружение кишечной палочки методом мембранных фильтров при бактериологическом контроле питьевых вод. Нуччотти (La ricerca del colonbatterio con il metodo delle membrane filtranti nel controllo batteriologico delle acque destinate ad uso potabile. Nuccioti L.), Ann. sanità pubblica, 1957, 18, № 5, 1069—1080 (итал.; рез. франц., англ., исп., нем.)

89 образцов водопроводной и колодезной воды исследовались на наличие кишечной палочки (КП) методом мембранных фильтров (ММФ) и методом бродильных проб (МБП) с последующим высевом на твердую питательную среду. Оба метода дали совпадающие результаты за исключением, когда ММФ зарегистрировал меньшее кол-во КП, чем МБП. Несмотря на это ММФ обладает многими преимуществами: он позволяет легко и быстро проводить анализ, исследовать большие объемы воды, непосредственно подсчитывать на фильтре микроорганизмы. ММФ менее пригоден для анализа сильно загрязненных вод, но его следует рекомендовать для бактериологического контроля питьевых вод.

Е. Дьянов

71232. Современные направления анализа питьевых и сточных вод. Грациадей-Челория (Orientamenti attuali delle metodiche per l'analisi delle acque di alimentazione e di rifiuto. Graziadei Celoria M. L.), Ann. sanità pubblica, 1957, № 5, 1081—1116 (итал.; рез. франц., англ., нем., исп.)

Подробно описаны новейшие методы исследования питьевых и СВ на присутствие бактерий — показателей фекального загрязнения (разновидности кишечной палочки) и на наличие возбудителей инфекцион-

ных заболеваний — сальмонелл, шигелл, а также стрептококков группы Д. Приведена рецептура различных альтернативных питательных сред, применяемых в настоящее время. Изложены условия выращивания на них микроорганизмов, методы их выделения и идентификации. Е. Дианова

71233. Сообщение о бактериологических исследованиях и разработке методов анализа воды, выполненных в лаборатории санитарно-инженерных исследований университета Флориды. Кайкер (University of Florida. Advancements in bacteriology and analytical methods. Kiker John E., Jr., Public Works, 1957, 88, № 12, 89—90 (англ.))

71234. Сравнение результатов бактериологического анализа, полученных стандартным методом разбавления и методом мембранных фильтров. Адамс (Comparison of standard dilution and membrane filter methods. Adams Reginald B., J. Amer. Water Works Assoc., 1957, Part 1, № 11, 1452—1458 (англ.))

При анализе речной воды совпадающие результаты были получены в 83,5% проб из 219; в 10,1% проб метод мембранных фильтров (ММФ) дал более высокие, в 6,4% — более низкие результаты, чем метод разбавления. При анализе воды после предварительного хлорирования совпадение наблюдалось в 88,4% случаев из 315; ММФ дал более высокие результаты в 4,1%, более низкие — в 7,5% случаев. При анализе воды после предварительного хлорирования, коагуляции и отстаивания совпадение наблюдалось в 93,3% проб из 315. Оба метода дают практически одинаковый коли-индекс. Е. Дианова

71235. Применение метода мембранных фильтров для контроля работы биологических очистных сооружений. Белинг, Тон, Лос (Verwendung der Membranfilter-Methode für die Überprüfung der Wirkungsweise biologischer Abwasserreinigungsanlagen. Beling A., Thon D., Loos K., Vom Wasser, 1956, Bd. 23. Weinheim, 1957, 241—264 (нем.))

Определялась эффективность работы очистного сооружения в г. Гёттингене путем хим. и бактериологич. анализа СВ, поступающих на очистку, и на различных ее стадиях. Пробы для анализа отбирались в разное время суток, при различной нагрузке, в сухую и в дождливую погоду. Для определения общего числа бактерий (Б) на мясо-пептонном агаре и колититра (КТ) применяли метод мембранных фильтров (МФ). Для учета Б поступающие СВ и СВ после предварительного отстаивания разбавляли в 10 000 раз, СВ после биофильтра и вторичного отстойника и речную воду — в 1000 раз. По 1 мл разб. СВ вносили в ~ 30 мл стерильной воды и отфильтровывали через МФ, который помещали затем на 1%-ный бульонный агар; посевы выращивали при 37° в течение 24 час. Перед подсчетом выросших колоний для более четкого их выявления МФ помещали на короткое время на картонные диски, пропитанные р-ром метиленового синего. Для определения КТ отфильтровывали по 1 мл СВ, разб. в 1000 раз, через 4 МФ; 2 из них помещали на 1%-ный агар Эндо и 2 на картонные диски, пропитанные средой Эндо и смоченные 2,4 мл стерильной воды; инкубация проводилась при 38° в течение 18—20 час. Подсчитывались только типичные, с металлич. блеском колонии, дающие на оборотной стороне фильтра темное пятно. Эти исследования, проведенные одновременно с санитарно-хим., позволили установить ряд закономерностей в работе очистных сооружений. Бактериологич. исследования с применением МФ подтверждают и дополняют результаты хим. исследований и рекомендуются авторами для исследования СВ. Е. Дианова

71236. Принципы исследования и оценки бытовых и промышленных сточных вод, работы очистных сооружений и самоочищающей способности водоемов. Хусман (Grundsätzliches zur Untersuchung und Beurteilung von Abwasser, Kläranlagen und Vorflutern. Husmann W., Vom Wasser, 1956, Bd 23. Weinheim, 1957, 137—147 (нем.))

71237. Загрязнение поверхностных вод Словакии. Бошко (Znečisťovanie a čistota povrchových vôd Slovenska. Boško Karol), Vodohospod. časop., 1957, 5, № 4, 305—319 (словацк.; рез. русск., нем.)

71238. Круговорот азота, серы и фосфора в воде. Шульце (Der Kreislauf von Stickstoff, Schwefel und Phosphor im Wasser. Schulze Eberhard), Wasserwirtsch.-Wassertechn., 1958, 8, № 1, 38—40 (нем.)

71239. Гигиеническая оценка формальдегида как фактора загрязнения водоемов. Назаренко И. В., Гигиена и санитария, 1958, № 1, 3—10 (рез. англ.)
Установлено, что при 20° формальдегид (I) сохраняется в воде в конц-ии 5 мг/л в течение 5 суток. Порог запаха для I 20 мг/л. В конц-ии 500 мг/л I полностью подавляет биохим. потребление O₂. При конц-ии I 100 мг/л полностью угнетаются процессы нитрификации. На окисление 1 мг I требуется 1,07 мг растворенного O₂. В соответствии с этим для водоемов I-й категории допустима конц-ия I ≤ 1,9 мг/л, 2-й категории ≤ 3,7 мг/л. Установлено, что I в конц-ии 0,5 мг/л, дававший с питьевой водой крысам в течение длительного времени, не оказывал неблагоприятного влияния, отмечались лишь незначительные изменения условных рефлексов. Допустимая конц-ия I для водоемов предлагается 0,5 мг/л. Т. Б.

71240. Определение токсичности некоторых химических продуктов в отношении пресноводных и морских организмов. Гарретт (Monsanto Chemical Company. Toxicity investigations on aquatic and marine life. Garrett Jack T., Public Works, 1957, 88, № 12, 95—96 (англ.))

Приведены значения максим. несмертельных, миним. смертельных и 24-час. переносимых рыбами конц-ий следующих соединений: HCN, лактонитрила, акрилонитрила, 1-диан-1,3-бутадиена, ацетальдегида, 1,2-дихлорэтана, 1,1-дихлорэтана 1,1,2-трихлорэтана, 1,1,1-трихлорэтана. Е. Дианова

71241. Бесколпачковое дренажное устройство Н-катионитового фильтра. Черепенников И. А., Энергетик, 1958, № 3, 16—18

Описано дренажное устройство, изготовленное из фильтровальных керамич. плит № 40 (произ-во Киевского з-да), размерами 250 × 250 × 46 мм, вес плиты 4 кг. Плиты имеют разборное крепление с помощью двутавровых балок. На высоте 25 мм от поверхности балок к стенкам фильтра приварены стальные стержни диам. 20 мм. Закрепление балок осуществляется клиньями из кизилowego дерева. Балки и стержни защищены 4 слоями перхлорвинилового лака. Укладка поддерживающего и двух фильтрующих рядов плит произведена на кислотоупорном силикатном цементе с диабазовым наполнителем. Окисловка готового и просушенного (20—40°, при защите от попадания влаги) устройства производится 10%-ной H₂SO₄ в течение 5 суток. Фильтр с описанным устройством (диам. 2 м) работает без изменения качества фильтрата и с той же потерей напора, что и при старом колпачковом устройстве. А. Махет

71242. Насадки для скорых фильтров. Брульхарт (Filterdüsen für Schnellfilteranlagen. Brulhard Paul), Vom Wasser, 1956, Bd 23, Weinheim, 1957, 102—112 (нем.)

Применяемые до последнего времени насадки для скорых фильтров, выполненные из меди, имеют высо-

кую стоимость и сложны в монтаже. С целью изыскания более экономичных решений высказаны требования, предъявляемые к конструкции насадок, и рассмотрены некоторые виды их.

П. Кандзас
71243. Обеззараживание воды хлором. Арсейвала (Disinfection by chloride. Arceivala Sorab J.), J. Instn. Engrs (India), 1957, 38, № 3, Part 1, 226—250

Рассмотрены закономерности бактерицидного действия (БД) Cl_2 , колич. выражением которых служит эмпирич. ур-ние: $Ct = \text{const}$, где C — конц-ия Cl_2 , t — время контакта, необходимое для получения заданной степени БД, n — переменная, равная 0,75—2,0, в зависимости от вида действующих соединений Cl_2 , устойчивости микроорганизмов, т-ры. Показано, что в условиях короткого контакта при изменении объема воды Q , обрабатываемой в единицу времени, адекватная по БД доза Cl_2 (W) изменяется по ф-ле: $W = \text{const} \cdot Q^2$. Это свидетельствует о неадекватности обычной практики, когда W увеличивают пропорционально 1-й степени Q , не учитывая длительности контакта. W значительно возрастает также по мере увеличения pH воды. Для получения заданной степени БД при неизменных прочих условиях по расчету автора требуется Cl_2 (мг/л): при pH 5—6 — 1; 7—1,33; 8—4,13; 9—24,3; 10—66,2.

М. Губарь
71244. Опыт обработки и обеззараживания воды хлорированием с аммонизацией на водопроводах Донбассводтреста. Натансон Т. Л., Водоснабжение и сан. техника, 1958, № 1, 11—13

Применение аммонизации (А) при обеззараживании воды хлорированием на водопроводах Донбассводтреста привело к уменьшению доз Cl_2 в среднем на 30—50%. Бактериол. показатели отвечают требованиям ГОСТ 2874-54. Достаточные конц-ии Cl_2 более стабильны, причём величины их, независимо от уменьшения расхода Cl_2 , остаются на прежнем уровне. Вода становится более приятной на вкус при условии наличия незначительных природных запахов. Вкусовые качества воды с сильными природными запахами после А ухудшаются. Экономич. эффект А незначителен.

З. Смирнова
71245. Электролитический аппарат для хлорирования воды. Хейдрих (Elektrolytischer Chlorerzeuger, System «Hering», Heidrich Peter), Österr. Milchwirtsch., 1957, 12, № 20, 340—341 (нем.)

Описан аппарат (А), состоящий из электролизера с диафрагмой, селенового выпрямителя тока и дополнительных приборов (счетчик ампер-часов, вакуумная установка и др.). Электролизом 20—25%-ного р-ра NaCl получают необходимое кол-во Cl_2 . Дозирование Cl_2 производят регулированием силы электрич. тока на выпрямителе. Электроды выполнены из сплава благородных металлов. Одной заливки р-ра NaCl хватает на 1—3 недели (обеспечивается конц-ия остаточного Cl_2 0,1—0,2 мг/л). А выполнен из винидура, поэтому Cl_2 не разрушает его. Герметичность А обеспечивает отсутствие утечки Cl_2 в помещение. Производительность А 20 г Cl_2 в час. Имеются А того же типа производительностью до 1000 г Cl_2 в час. А. Смирнов

71246. Ионная установка для полного обессоливания воды. — (Ionenaustauscher-Anlagen zur Wasservollentsalzung.—), Sprechsaal Keramik, Glas, Email, 1958, 91, № 4, 73—75 (нем.)

Описана лабор. установка, состоящая из Н-катионитного и ОН-анионитного фильтра. При жесткости исходной водопроводной воды ~ 4 мг-экв/л установка за межрегенерационный период (3 часа) выдает 600 л обессоленного фильтрата.

А. Мамет
71247. Номограммы для расчета катионитных водоумягчительных установок. Элайссен, Касселл (Nomographic charts aid in design of zeolite water

softening units. Eliassen Rolf, Cassell E. Alan), Water Works Engng, 1958, 111, № 1, 40—44 (англ.)

71248. Автоматическая водоумягчительная аппаратура. Зайлер (Automatische Wasserenthärtungsapparaturen. Sailer E.), Schweiz. Maschinenmarkt, 1958, № 1, Rev. Planung und Bedarf 1958, 351—353 (нем.)
Кратко изложены преимущества автоматизации процесса регенерации ионитных фильтров. Управление автоматом возможно вручную, а также по импульсам от показателей кол-ва обработанной воды или конц-ии остаточной жесткости.

А. Мамет
71249. Методика проведения теплотехнических испытаний барабанных котлов высокого давления. Кот А. А. В сб.: Внутрикотловые физ.-хим. процессы, водоподготовка и водн. режимы котлов на электрост. высоких и сверхвысоких параметрах. М., АН СССР, 1957, 214—226

Целью испытаний является определение оптимальных условий эксплуатации котлов, обеспечивающих длительную работу пароперегревателей и турбин, без образования в них отложений, вызывающих необходимость частых остановок для промывки. Изложены условия отбора проб воды и пара для котлов различных конструкций, порядок проведения и объем подготовительных работ, перечислены необходимые приборы и другие устройства. В объем испытаний включены: определение крит. или максимально возможной нагрузки котла; установление крит. солевого содержания котловой воды (КВ) и зависимости конц-ии SiO_2 в насыщ. паре от конц-ии ее в КВ; определение допустимого содержания солей и SiO_2 в КВ; определение величины обратного переброса КВ в котлах со ступенчатым испарением; проверка наличия и устранение загрязнения пара за счет вырыска и пропусков охлаждающей воды в поверхностных пароохладителях; установление зависимости содержания солей в SiO_2 в насыщ. паре от нагрузки котла; определение допустимых скоростей изменения нагрузок котла и величины наивысшего допустимого уровня КВ в барабане котла.

А. Мамет
71250. Очистка котлов. Бакс (Kesselreinigung. Backs), Betrieb und techn. Überwach., 1958, 3, № 2, 25—28 (нем.)

Рассмотрены способы удаления отложений с внутренних и наружных поверхностей нагрева паровых котлов. Даны подробные эксплуатационные указания по подготовке и проведению очистки. Указано ~ 40 фирменных препаратов для удаления накипи.

А. Мамет
71251. Обработка котловой воды и конденсата в бумажной фабрике. Томас (Boiler water and condensate treatment at the Elk Falls Company newsprint mill. Thomas J. W.), Pulp and Paper Mag. Canada, 1957, 58, № 13, 150—156 (англ.)

Ф-ка имеет паровые котлы давл. 42 атм, питающиеся конденсатом, возвращаемым с произ-ва, и добавочной водой, обрабатывавшейся путем нейтр-ции бикарбонатов исходной воды H_2SO_4 , удаления CO_2 аэрированием и последующего Na-катионирования. Несмотря на сравнительно низкую конц-ию CO_2 в паре отмечалась сильная коррозия воздухоподогревателей в системе отопления и вентиляции, а также обратных конденсатопроводов. Обработка воды Na-катионированием, подкислением до pH 5, декарбонизацией и подщелачиванием до pH 9 в сочетании с вводом циклогексиламином не дала достаточно удовлетворительных результатов. Замена циклогексилamina морфолином понизила скорость коррозии, но только до пределов выше допустимых. Надежное прекращение углекислотной и кислородной коррозии было достигнуто при вводе пентабис(октадециламина). При этом, без

разложения коррозии оборудования, удалось отказаться от подкисления и декарбонизации добавочной воды, ограничив ее обработку Na-катионированием. Наблюдалось образование в котле некоторого кол-ва резиноподобной массы (отложения, комки) имело место и при сниженной дозировке амина. Оно было устранено лишь после переноса места ввода октадециламида непосредственно в трубопровод мягкого пара (после турбины с противодавлением), поступающего на пром-во. Упомянутая масса являлась результатом коагуляции и цементации котельного шлама продуктами полимеризации амина в горячей щел. котловой воде с высокой конц-ией электролитов. Причиной полимеризации являлось слишком сильное концентрирование амина в котловой воде вследствие исключительно малых размеров потерь пара и продувки котлов.

А. Мамет

71252. Исправление недостатков режима эксплуатации паровых котлов. Уэрл (Diet for boiler allergies. Whirl S. F. Paper. Amer. Soc. Mech. Engrs, 1957, № A-257, 7 pp., ill.) (англ.)

Перечислены затруднения в работе котлов, связанные с действием NaOH, O_2 , низкого значения pH, наноса продуктов коррозии, CO_2 , SO_2 , H_2S , SiO_2 , пыли и грязи. Большую роль в борьбе с этими затруднениями играют конструкция и режим эксплуатации котла. Обработка добавочной воды должна учитывать ее поведение при глубоком упаривании котловой воды. Подробно описан режим чисто фосфатной жесткости котловой воды. Рассмотрены способы обработки питательной воды сульфитом натрия, гидразинном, аммиаком и летучими аминами.

А. Мамет

71253. Приготовление воды для питания паровых котлов. Рамидж (The preparation of water for boiler feed purposes. Ramage John H. A.), Gas J., 1958, 293, № 4933, 218, 223—225 (англ.)

А. М.

71254. Водоподготовка для котла с тремя газоходами. Рейхельт (Wasseraufbereitung für Dreizugkessel. Reichelt Hellmut), Betriebs-Ökonom, 1958, 11, № 2, 73—78 (нем.)

Котел с 3 газоходами весьма пригоден для малых и средних котельных в качестве заменителя жаротрубного котла, но предъявляет повышенные требования к качеству питательной воды. Для обеспечения чистоты поверхностей нагрева котел нужно питать порошко умягченной водой; щелочность котловой воды должна быть ≤ 600 — 800 мг/л NaOH; плотность $\leq 0,8^\circ Be$ (8000 мг/л). Если размеры продувки по щелочности или по сухому остатку $> 10\%$, то воду с карбонатной жесткостью $> 1,8$ мг-экв/л нужно подвергать декарбонизации. При возврате конденсата 90—90% декарбонизация требуется при карбонатной жесткости 2,5—3,5 мг-экв/л. При возврате конденсата $> 90\%$ декарбонизация не требуется. Необходима тщательная термич. дегазация питательной воды. Во избежание высокой конц-ии CO_2 в паре, Na-катионирование добавочной воды возможно лишь в случаях, когда не требуется декарбонизация воды. В остальных случаях рекомендуется предварительное известкование или H-Na-катионирование (с использованием карбоксилкатионов).

А. Мамет

71255. Современная водоподготовка. Андерс (Zeitgemäße Wasseraufbereitung. Anders Heinz), Maschinenmarkt, 1958, 64, № 6, 6 (нем.)

А. М.

71256. Выбор размеров и схем установок для полного химического обессоливания воды. Лист (Bemessung und Schaltung von Vollentsalzungsanlagen. List H.), Vom Wasser, 1956, Bd 23. Weinheim, 1957, 265—278 (нем.)

Рассмотрены различные схемы установок для

H-OH-ионирования воды с точки зрения надежности их в эксплуатации и капитальных и эксплуатационных затрат.

А. Мамет

71257. Обработка охлаждающей воды на нефтеперерабатывающих заводах. Хелунг, Мак-Коннелли (How 31 refineries condition cooling-water systems. Helwig J. D., Mc Connolly H. F.), Oil and Gas J., 1957, 55, № 48, 101, 103—106 (англ.)

Приведены анализы добавочной и оборотной воды систем охлаждения 31 з-да. Для предотвращения накипобразования проводится подкисление добавочной воды H_2SO_4 или введение в нее полифосфатов (10—50 мг/л, в том числе метафосфатов 2—20 мг/л). Для снижения коррозионных свойств воды проводится ее подщелачивание NaOH или Na_2CO_3 и введение полифосфатов и хроматов. Особенно эффективна одновременная обработка воды фосфатами (5—20 мг/л) и хроматами (10—60 мг/л). При обработке воды только хроматами доза их должна быть ≥ 200 мг/л, при меньшей конц-ии хроматов развивается цитинговая коррозия. Для предотвращения биообрастаний проводится хлорирование воды (0,1—2 мг/л Cl_2).

В. Клячко

71258. Вопросы очистки бытовых и промышленных сточных вод в 1957 г. Уотсон (Sewage and industrial wastes in 1957. Watson Kenneth S.), Water and Sewage Works, 1958, 105, № 2, 45—60 (англ.)

Библ. 35 назв.

М. Л.

71259. Вопросы удаления сточных вод при планировании городов. Каттен (The siting of sewage works in town planning. Cutten A. J.), J. and Proc. Inst. Sewage Purific., 1957, № 1, 47. Discuss., 47—49 (англ.)

71260. Современные направления в проектировании сооружений для очистки бытовых сточных вод. Холл (Trends in the design of sewage purification works. Hall E. J.), J. and Proc. Inst. Sewage Purific., 1957, № 1, 51—60. Discuss., 60—62 (англ.)

Применение сит для первичной обработки СВ мало целесообразно, так как они наряду с крупными отбросами задерживают излишние кол-ва мелких, которые должны осесть в первичных отстойниках. Более целесообразно устройство в каналах измельчителей. Так как песок и другие минер. частицы, оседающие в песколовках, обычно загрязнены органич. в-вами (до 67%), не происходит достаточно эффективной промывки и песок загрязнен на 67% органич. в-вами. В вертикальных песколовках трудно достигнуть равномерности скоростей для всего потока жидкости, поэтому взамен песколовки стали применять вихревые детриторы (ВД) с постоянным расходом СВ (constant flow vortex detritor). ВД представляет собой вертикальную, заканчивающуюся внизу конусом, цилиндр-камеру, в центре которой находится эрлифт, отсасывающий осадок из конусной части ВД. 10% среднего расхода СВ из придонной части канала, в которой сосредоточено наибольшее кол-во загрязненных органич. в-вами минер. частиц (детрита), непрерывно подается в ВД через трубу, соединяющую нижнюю часть ВД с приемком в канале и обеспечивающую тангенциальный впуск СВ в ВД. Жидкость вертикально восходящим циркуляционным потоком проходит через ВД и возвращается в канал, а осевший детрит эрлифтом подается в промывной желоб. Вода от промывки детрита присоединяется к СВ, направляемым в ВД. Благодаря циркуляционному движению, в ВД создается равномерное распределение вертикальных скоростей движения СВ. Периферийные скорости в ВД (диам. 0,5 м, расход СВ 15 000 м³/сутки) составляют $\sim 0,6$ м/сек, вертикальные выходящие $\sim 0,15$ м/сек. Содержание органич. в-в в промывном

песке ~ 8%. Для создания оптимальных условий механич. флокуляции, осаждения и уплотнения грубодисперсных примесей бытовых СВ рекомендуются вертикальные отстойники типа Дортмундских с центральной трубой (30—40% всего объема отстойника), тангенциальным впуском в нее и верхним периферийным отводом СВ через желоба. Скорость впуска СВ $\leq 0,3$ м/сек. Для расчета рекомендуются ф-лы: $Q = \pi R^2 \cdot V_0$; $D \cdot Q = \pi R^2 (R/\sqrt{3} + H)$, где Q — расход СВ, R — радиус отстойника, V_0 — принятая скорость выпуска СВ, D — принятое время пребывания, $H = 0,5 R$ — высота вертикальной стенки отстойника (конич. дно имеет наклон 60°). С. Конобеев

71261. Новое в области биохимической очистки сточных вод. Дардель (Wichtige Neuerung auf dem Gebiete der Abwasserreinigung. Dardel W.), Techn. Rundschau, 1958, 50, № 3, 33, 35, 37 (нем.)

Обзор.

М. Л.

71262. О наличии анионоактивных синтетических detergentов в сточных водах г. Палермо. Комес (Sulla presenza di detergenti anionici nelle acque della città di Palermo. Comes R.), Nuovi ann. igiene e microbiol., 1957, 8, № 6, 615—621 (итал.)

Анионоактивные синтетич. detergentы (АСД) найдены в СВ в конц-ии 3,3—12,0 мг/л, которая изменяется в течение суток и по дням недели. Миним. конц-ия АСД приходится на пятницу и субботу; она возрастает с утра до полудня. Конц-ия АСД ≤ 500 мг/л не отражается на содержании в СВ кишечной палочки; антерооки не обнаруживались при конц-иях АСД ≥ 100 мг/л. Н. Соловьева

71263. Исследования процесса распада синтетических detergentов при очистке сточных вод и загрязнение воздуха продуктами неполного сгорания топлива. Мак-Гом (University of California. Studies of detergent break—down and air pollution by inefficient combustion. McGahey P. H.), Public Works, 1957, 88, № 12, 87—88 (англ.)

Краткое сообщение о работах лаборатории санитарно-инженерных исследований Калифорнийского университета. В. Краснов

71264. Исследование работы прудов для очистки сточных вод. Сабо (Vizsgálatok az oldómedencék tisztítóképeségéről. Szabó Zoltán), Épületgépészet, 1957, 6, № 5-6, 144—148 (венг.)

Приведены результаты бактериологич. исследований, выполненных при различных условиях работы и на разных фазах очистки СВ. С. Типольт

71265. Предварительная аэрация сточных вод с избыточным активным илом. Цитович С. И., Водоснабжение и сан. техника, 1958, № 1, 13—18

Приведены результаты исследований выполненных Академией коммунального хозяйства в лабор. и производственных условиях. Даны рекомендации для применения биокоагуляторов на станциях очистки СВ (данные о дозах активного ила, продолжительности и интенсивности аэрирования, эффекте очистки по БПК₅ и грубодисперсным примесям). Д. Харитонов

71266. Обработка сточных вод гипохлоритами. Соьер (Hypochlorination of sewage. Sawyer Clair N.), Sewage and Industr. Wastes, 1957, 29, № 9, 978—986 (англ.)

При обеззараживании СВ в лабор. опытах р-р жидкого Cl_2 (I) оказался менее эффективным, чем р-р NaOCl или Ca(OCl)_2 (II) при одинаковых дозах в пересчете на Cl . Одновременно при использовании I наблюдалась более высокая хлоропоглощаемость СВ, что объясняется большей полной протекания р-ций окисления при низких рН. На очистных сооружениях сопоставимый эффект обеззараживания СВ достигался в некоторых случаях сравнительно меньшими дозами Cl при использовании II. М. Губарь

71267. Улучшение очистки бытовых сточных вод на совмещенных станциях. Пилсбери (Two-in-one plant meets rigid sewerage requirements. Pillsbury William F.), Amer. City, 1958, 73, № 1, 89—91 (англ.)

Типовая станция очистки СВ для небольших населенных пунктов (1500 человек) занимает площадь ~ 5,0 м² и включает устройство для измельчения твердых отбросов, насос, 2 прямоугольных отстойника, 2 биофильтра, метантенк квадратной формы и хлоратор. Для населенных пунктов до 12 000 человек к схеме одноступенчатого фильтрования присоединяются первичный и вторичный смесительные резервуары и сверхскоростной биофильтр. Обе группы сооружений могут работать последовательно или независимо одна от другой. Интенсивная рециркуляция СВ через сверхскоростной биофильтр и смесители обеспечивает интенсивную аэрацию и образование активного ила в смесителях. Смесь СВ и активного ила из смесителей поступает затем во вторичные отстойники. Очищ. СВ имеют БПК₅ и конц-ию грубодисперсных примесей < 10 мг/л. С. Конобеев

71268. Очистные сооружения Меннедорф-Ютика. Бенц (Die Abwasserreinigungsanlage Männedorf-Uetikon. Benz F.), Schweiz. techn. Z., 1958, 55, № 5, 77—81 (нем.)

Описаны биохим. очистные сооружения, которые, кроме бытовых СВ 2 поселков с расчетным числом жителей 5500 человек (система канализации общесплавная), должны принять прошедшие предварительную обработку СВ кожевенного з-да с расходом 14 л/сек и людским эквивалентом 3500. Максим. приток СВ на сооружения в период ливней достигает 2000 л/сек против 275 л/сек, который нормально могут принять очистные сооружения. В связи с этим предусмотрено устройство, ограничивающее поступление СВ на сооружения в период дождей. Состав сооружений: решетка с прозорами 10 см, круглая песколовка, барабанная решетка с прозорами 10 мм, первичные горизонтальные отстойники, азротенки, вторичные горизонтальные отстойники. П. Кандрам

71269. Промышленные сточные воды. Мак-Ланлан (Industrial effluents. McLachlan J. A.), J. and Proc. Inst. Sewage Purific., 1957, № 1, 34—38 Discuss., 38—39 (англ.)

71270. Вопросы сброса промышленных сточных вод с общей народнохозяйственной точки зрения. Томсон (Non technical aspects of industrial waste disposal. Thomson J.), J. and Proc. Inst. Sewage Purific., 1957, № 1, 40—44. Discuss., 44—46 (англ.)

71271. Вопросы канализования и сброса сточных вод при выборе строительных площадей для промышленных предприятий. Клаусен (Industrial area planning, with special reference to sewerage and sewage disposal. Clausen H. T.), J. and Proc. Inst. Sewage Purific., 1957, № 1, 49—50. Discuss., 50 (англ.)

71272. Значение выделения побочных продуктов, повторного использования воды и упорядочения водного хозяйства при очистке и сбросе промышленных сточных вод. Стандер (By-product recovery, re-use of water, and clean house-keeping: their importance in industrial effluent disposal and pollution. Stander G. J.), J. and Proc. Inst. Sewage Purific., 1957, № 1, 16—19. Discuss., 19—20 (англ.)

71273. Присоединение промышленных сточных вод к системе бытовой канализации. Гайяр (The acceptance by local authorities of industrial effluents into the public sewers. Gaillard J. R.), J. and Proc. Inst. Sewage Purific., 1957, № 1, 21—30. Discuss., 30—33 (англ.)

Рассмотрен вопрос о политике местной администра-

(Южно-Африканский Союз) в отношении указанной проблемы.

11274. Очистка радиоактивных сточных вод прачечных. Доббинс (New York University. Treatment of radioactive laundry wastes. Dobbins William E.). Public Works, 1957, 88, № 12, 85—86 (англ.)

Опыты проводились на искусственно приготовленной СВ и на натуральных СВ со следующей характеристикой: рН 3—5, БПК 200—800 мг/л, β -активность 1—180 распадов на 1 мл/мин. В качестве дополнительного питания вводились NH_4OH и Na_3PO_4 . Установлено, что при биохим. очистке на биофильтре (при нагрузках по БПК 0,37—7,4 кг/м³ в сутки) из СВ можно удалить 80—90% радиоактивных примесей при одновременном снижении БПК на 90%. Активность ила после опыта в 200 раз превосходит активность исходной СВ.

В. Краснов
11275. Опыт очистки сточных вод на Алтын-Топканской обогатительной фабрике. Цветков К. С., Цвети. металлы, 1958 № 1, 11—16

Различия в характере и кол-ве перерабатываемых (окисленные медные, окисленные свинцовые, свинцово-цинковые) обуславливают неустойчивость вредных примесей в СВ, сбрасываемых в водохранилища, которые составляют (в мг/л): Cu^{2+} 10—12,0, Pb^{2+} 0—4,0, Zn^{2+} 0—0,64, фенолы 0—22,2, Fe общее 0—0,95, CNS— 3,04—13,2, CN— 0—2,11. Окисляемость СВ 6,11—47,4; рН 7,2—9,0. СВ очищались гипохлоритом, доза которого составляла 500—600 мг/л. Отдельные дни при дозе 1000 мг/л требуемая степень очистки не достигалась. Проведенными исследованиями установлена возможность самоочищения СВ от CN— и Cu^{2+} . В летних условиях потребный для этого период составлял 5—7 суток. Рекомендовано СВ из водохранилища направлять в 2 отстойника, рассчитанные на время пребывания СВ ≥ 10 суток. Остаточная конц-ия CN— снижается при этом до $\geq 0,05$ мг/л, Cu^{2+} не обнаружена. Предусмотрена возможность подачи гипохлорита (в дозах ≥ 300 мг/л) в осветленные СВ, необходимость которой может быть вызвана пониженным самоочищающей способностью в холодное время года.

П. Кандзас
11276. К вопросу о возможности использования биологических методов для доочистки сточных вод, содержащих нефтепродукты. Изъярова А. И., Гигиена и санитария, 1958, № 2, 72—73

Показано, что конц-ия нефтяных масел в воде быстро снижается при окислении их специально культивируемыми микробами (добавлялось соответствующее кол-во биогенных в-в и обеспечивалось бактериальное заражение прибавлением культур, полученных из естественных комплексов микробов, развивающихся в водах, содержащих нефтепродукты). При очистке машинного масла 1 г/л через 6 час., аэрированием (расход воздуха 1 л) эффект окисления составил 74%, мазута 49,6%. При этом отмечалось уменьшение прозрачности и увеличение окисляемости воды в результате увеличения массы бактериальных тел. Опыты по окислению нефти активным илом (конц-ия 2,5 г/л) показали, что при конц-ии нефти 0,3 г/л полное окисление достигается за 22 часа, при конц-ии 0,5 г/л при 20° за 32 часа, при 26° за 20 час. Расход ила на окисление 1 г нефти 80 мг, Р 8 мг. Для снижения расхода N, прибавляемого в виде солей к активному илу, вносилась культура *Asotobacter croococcum*, что понизило расход N до 25—35 мг на 1 г нефти. В процессе окисления показатели качества воды значительно ухудшались (снижение прозрачности и увеличение окисляемости), но к концу процесса качество воды возвращалось к исходному состоянию, за исключением цветности и окисляемости, которые оставались несколько повышенными.

П. Кандзас

71277. Развитие очистки сточных вод углеперерабатывающей промышленности ГДР. III. Ридель, Штранкмюллер, Мангольд (Der Entwicklungsstand in der Aufbereitung von Abwässern aus der kohleveredelnden Industrie der Deutschen Demokratischen Republik (III). Riedel H. G., Strankmüller J., Mangold K. H.), Bergbautechnik, 1958, 8, № 1, 13—24 (нем., рез. русск., англ.)

Описаны методы, практикуемые для доочистки фенольных СВ после их обесфеноливания, и деструктивные методы очистки (биохим. окисление, испарение, сжигание, сорбция на малоактивных сорбентах, упаривание в щелочной среде и др.). Приведены данные о расходе электр. энергии, пара, горючего, о строительной стоимости установок и об эксплуатационных расходах. Даны рекомендации применения каждого метода. Сообщ. 11 см. РЖХим, 1958, 11761. М. Лапшин

71278. Биохимическая очистка сточных вод, содержащих жирные кислоты, на башенных биофильтрах и в аэротенках. Крист (Biologische Reinigung fettsäurehaltiger Abwässer durch Turmtropfkörper und Belebungsverfahren. Christ Wolfgang), Wasserwirtsch.—Wassertechn., 1958, 8, № 1, 5—13, 28 (нем.)

Проведены лабор. и полупроизводственные опыты по очистке СВ от синтеза жирных к-т окислением парафинов. На основании данных лабор. исследований для опытов полупроизводственного масштаба была принята схема очистки, включающая башенный биофильтр (ББ) в качестве 1-й и аэротенки (А) в качестве 2-й ступени. ББ был загружен синтопоритом (Synthoporit), шлаком, получающимся при произ-ве фосфора, обладающим большой пористостью (80%) и развитаой поверхностью. При контакте с синтопоритом рН СВ повышался с 5,6 до 7,6. На ББ поступали СВ с средней конц-ией органич. к-т 500—700 мг/л. Нагрузка СВ составляла 5 м³/м² в час. В этих условиях производительность по БПК₅ достигала 3 кг/м³ в сутки (максимум 6—7 кг/м³ в сутки). Кол-во ила, вымывавшегося из ББ, в среднем равнялось 2,2 мг/л. При низких т-рах воздуха (—20°) и разбавлении СВ речной водой производительность ББ снижалась до 25—30% от нормальной. Повышение т-ры до 35° не снижало производительности ББ. После ББ СВ с конц-ией органич. к-т 350 мг/л поступали в А, рассчитанный на время пребывания 2,5—3,5 часа. При расходе воздуха 35—45 м³ на 1 кг снижения БПК₅ коэф. его использования составлял 8—12% (дырчатые трубы из винидура с отверстиями 0,8—1,2 мм). При конц-ии активного ила 9—12% производительность по БПК₅ составляла 2,5—3 кг/м³ А в сутки. Конц-ия H₂S (20 мг/л) в поступающих на А СВ (после ББ) не влияла на качество очистки. Низкие т-ры воздуха (—27°) понижали производительность А до 20% от нормальной. В отличие от ББ повышение т-ры до 35° приводило к снижению производительности А на 90%. Так как ББ оказывают стабилизирующее действие по отношению к колебаниям конц-ий и т-р СВ, признано целесообразным их включение в схему очистки в качестве первой ступени. При средней конц-ии органич. к-т 600 мг/л можно ожидать снижения ее на 90%. С. К.

71279. Очистка сточных вод Ереванской суконой фабрики некоторыми адсорбентами осадочного происхождения. I. Саркисян М. А., Гитакан ашхатунер. Еревани амалсаран, Научн. тр. Ереванск. ун-т, 1957, 60, 117—124 (рез. арм.)

Изучена возможность применения отбеливающих глин Армении в качестве адсорбентов при очистке СВ от прямых и кислотных красителей (К). Опытами, проведенными в статич. условиях на искусств. р-рах, установлено, что при дозах глины 1% от веса СВ в зависимости от сорта глины конц-ия К в среднем сни-

жаются на 44—52%. Сорбция прямых К уменьшается с увеличением их мол. веса. Б. Краснов

71280. Твердые остатки от очистки сточных вод и общественное здравоохранение. Оренштейн (End-products of sewage treatment and community health. Orenstein A. J.), J. and Proc. Inst. Sewage Purification, 1957, № 1, 76—77. Discuss., 77—78 (англ.)

71281 Д. Применение комбинированной фильтрующей загрузки с целью увеличения грязеемкости сверхскоростных напорных фильтров. Пермская Е. М. Автореф. дисс. канд. техн. н., Инж-строит. ин-т, Л., 1958

Исследован процесс осветления воды р. Екатеринбург, используемой для производственного водоснабжения, на двухслойных фильтрах с кварцево-антрацитовой загрузкой. Концентрация грубодисперсных примесей (ГДП) в воде колебалась в пределах 18—65 мг/л, скорость фильтрования 25—100 м/час. Фильтр с комбинированной загрузкой снижал концентрацию ГДП на 67—86%. Грязеемкость фильтра при начальной скорости фильтрования 25 м/час составляла 6,94—14,6 кг/м³, при скорости фильтрования 100 м/час 6,42—14,5 кг/м³. Грязеемкость обычного кварцевого фильтра в этих условиях 3,8—4,0 кг/м³. В. Клячко

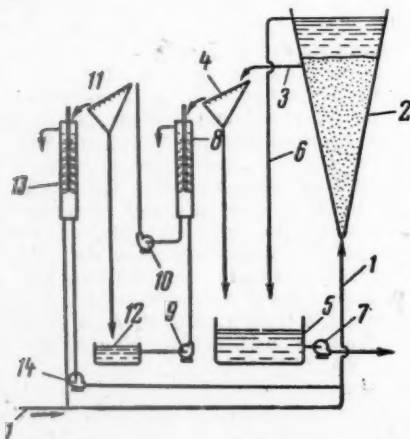
71282 П. Устройство для обеззараживания воды (Einrichtung zum Entkeimen von Wasser) [Rhenow A.-G.] Швейц. пат. 318835, 15.03.57

После насыщения озоном вода пропускается под давлением через одну или несколько спиралевидных труб, в которых на протяжении 5—10 м имеются устройства, обеспечивающие интенсивную турбулентность и хорошее перемешивание воды и газа. Прибор предназначен для небольших водоочистных установок. М. Губарь

71283 П. Способ умягчения воды с помощью мыл щелочных металлов. Бюккендорф (Verfahren zur Wasserenthärtung mittels Alkaliseifen. Bückendorf Oskar). Пат. ФРГ 967190, 17.10.57

Воду, обработанную известью, содой, Na_3PO_4 или оксалатом, предлагается доумягчать после осветления путем добавки NaOH , стеарата или пальмитата натрия, или их смеси в твердом виде. А. Мамет

71284 П. Усовершенствование процесса обработки жидкостей с применением ионитов. Солт (Improvements relating to processes for and apparatus for use in the ion-exchange treatment of liquids. Solt George Stephen) [The Permutit Co.] Англ. пат. 741098, 23.11.55



Предложена следующая схема и аппаратура. Исходная вода по линии 1 поступает в конич. реактор 2,

где взаимодействует с взвешенным ионитом (I). Часть ионированной воды вместе с I отводится по линии 3 на фильтрующую поверхность 4, где происходит отделение I от воды, которая стекает в резервуар 5. Сюда же поступает очищ. ионированная вода по линии 6. Насосом 7 ионированная вода подается в рядом кольцевых перегородок и мешалкой, на валу которой насажены плоские диски. Насос 9 подает снизу в 8 регенерирующий р-р. Вращающиеся диски облегчают перемещение I вниз через 8 и его взаимодействие с р-ром, который выводится из 8 сверху. I выводится из 8 снизу и насосом 10 направляется на фильтрующую поверхность 11, где происходит отделение р-ра, стекающего в резервуар 12. I с 11 поступает в колонку 13, по своей конструкции аналогичную 8. Здесь осуществляется промывка I исходной водой которая вводится в 13 снизу, а выводится сверху. Регенерированный и промытый I насосом 14 возвращается вместе с потоком воды в 2.

71285 П. Метод подготовки воды, предназначенной для потребления людьми и животными. Йост (Verfahren zur Behandlung von Wasser, welches für den menschlichen und tierischen Gebrauch bestimmt ist. Jost Walter). Пат. ФРГ 964129, 16.05.57

С целью обогащения воды необходимыми для организма микроэлементами (Cu, Zn, Fe, Mn, Co, Mп и др.) предложено пропускать ее через измельченные сплавы металлургич. з-дов. Во избежание токсич. действия, возможного при чрезмерном поступлении указанных в-в, необходим периодич. анализ такой воды. Ю. Петровский

См. также: Анализ: Mg^{2+} 70520; Ca^{2+} 70521, 70522; Fe 70556, 70557, 70559; анионоактивные и неионогенные синтетические детергенты 70649. Св-ва примесей: окисляемость ионов S^{2-} в водных р-рах 70202; перхлоратный комплексный ион Fe 70338. Иониты: обзор 70272, 72463. Коррозия: тракта питательной воды 71156; водяных экономайзеров 71200; в циркуляционных охлаждающих системах 71205; под действием очищенной СВ 71204. Утилизация и удаление отходов: аммиачная вода 71936; отработанные сульфиты щелока 72669, 72671, 72673. Реагенты: определение реакционной способности CaO 70041. Подготовка воды: текстильной пром-сти 72702; в пивоваренной пром-сти 72192; в бумажной пром-сти 72654

ТЕХНИКА БЕЗОПАСНОСТИ. САНИТАРНАЯ ТЕХНИКА

Редакторы Н. Ф. Кононов, И. В. Сапоцкий

71286. Канцерогенные соединения в промышленности. Вонторский (Związki rakotwórcze w przemyśle. Watorski Kazimierz), Med pracy, 1957, 8, № 3, 353—366 (польск.)

Приведена классификация канцерогенных в-в, применяемых в пром-сти. Рассмотрены механизмы и условия канцерогенного действия хим. в-в. Рекомендованы профилактич. мероприятия. Библ. 29 назв.

71287. Антитоксическая функция печени при профинтоксикациях. Говорчук Р. Ю., Вайнштейн С. Л. В сб.: Вопр. гигиены труда и профзаболеваний в горнорудн., хим. и машиностроит. пром-сти. Киев, Госмедиздат УССР, 1958, 88—91

При исследовании у 371 больного с различными профинтоксикациями антитоксич. функции печени по методике Квика-Пытеля (К-П) и по выделению оксалонина с мочой после нагрузки сантоном (С)

установлено изменение (пробы К-П) функции.

71288. Рад. Ямасак Матсудэ Сок. Japan Soc. Japan 836 (япон.)

71289. Рад. Эмане (C. C.), Dru 40 (англ.). Рассмотрение радиоактивных портретов.

71290. Кон. Флакс (Flachs), (франц.). Описывает про для и наведенных работе с атом 1 часа опре.

или β, нач. Одновременное появление дами измере и β и треть линию РА и проб воздух

наведенных с эффектив собранной з в качестве и Т-Рб для сн счетом ч догарифич. и β от 10—11

анализации β 5·10⁻⁴ до 1 ашаратных 1-й весом 30 для измере

71291. Пор. тельного Уотник monitoring nick S. 493—498 (Обзор суш продуктов

объема возд активирован отсчетом по вания сцин или к указ

длителя Rи ставляющий своим ZnS(толем). Под Установлено

са от показ

71292. Оптич. ческих ла pia w Juliusz (польск.; Рассмотрение

18 Химия, №

установлено изменение пробы К-П в 89,8% случаев, изменению обезвреживания С в 76,6%. Показатели пробы К-П не всегда отражали тяжесть профинтоксикации. Т. Бржевская

71288. Радиоактивные источники и дозиметрия. Ямасак, Мацуда (Yamasaki Fumio, Matsuda Syozo), Koré karaku дзасси, J. Chem. Soc. Japan. Industr. Chem., Sec., 1957, 60, № 7, 833—836 (японск.)

71289. Радиоактивные вещества для экспорта. Эванс (Radioactive materials for export. Evans C. C.), Drug and Chem. Exports, 1958, 18, № 214, 39—40 (англ.)

Рассмотрены способы упаковки β - и γ -излучающих радиоактивных препаратов для их безопасной транспортировки. В. Левин

71290. Контроль радиоактивности газов. Роберт, Флак (Le contrôle des gaz radioactifs. Robert, Flachs), Inds. atom., 1958, 2, № 3-4, 82—85 (франц.)

Описывается самопишущее устройство (У), служащее для измерения уровня радиоактивности (РА) взвешенных в воздухе аэрозолей и используемое при работе с атомными реакторами. У позволяет в течение 1 часа определить наличие в воздухе аэрозолей с РА α или β , начиная от активности, близкой к природной. Одновременно мгновенно сигнализируется случайное превышение сильной дозы РА. У снабжено 3 каналами измерений: по одному для часовых замеров α и β и третьим — для мгновенного замера β . Определение РА производится путем непрерывного отсоса проб воздуха, со скоростью 150 л/мин, улавливания взвешенных в воздухе аэрозолей бумажным фильтром, с эффективностью близкой к 100%; зондирования собранной за 1 час. пробы на РА, с использованием в качестве детекторов сцинтилляторов S—Zn для α и T—Pb для β -активности. Измерение РА выполняется счетом числа ударов в 1 сек., после усиления, на логарифмич. дискриминаторе, калиброванном для α и β от 10^{-11} до 10^{-5} кюри/м³. Детектор аварийной сигнализации β -активности имеет пределы измерения от $5 \cdot 10^{-6}$ до 10^{-1} кюри/м³. У собрано в 2 передвижных аппаратных шкафах размерами 1500 × 500 × 750 мм; 1-й весом 300 кг для отбора пробы, 2-й весом 400 кг для измерений. Ю. Скорецкий

71291. Портативный определитель радона для длительного контроля воздуха. Гаррис, Ле-Вайн, Уотник (Portable radon detector for continuous air monitoring. Harris W. B., Le Vine H. D., Watnick S. I.), Arch. Industr. Health, 1957, 16, № 6, 493—498 (англ.)

Обзор существующих методов определения Rn и его продуктов распада путем анализа изолированного объема воздуха в ионизационной камере, поглощения активированным древесным углем с последующим отсчетом показаний динамич. электрометра, использования сцинтилляторов и т. д. Приведены требования к указанным приборам и схема нового определителя Rn, в котором использован α -счетчик, представляющий собой стеклянную трубку, покрытую слоем ZnS(Ag), (α -счетчик соединен с фотоумножителем). Подробно описано устройство и эксплуатация. Установлено, что показания приборов мало отличаются от показаний ионизационной камеры. Библ. 9 назв. Л. Еловская

71292. Описание методов дезактивации в радиохимических лабораториях. Сейка (Zarys metod odkażenia w laboratoriach radiochemicznych. Siejka Juliusz), Nukleonika, 1957, 2, № 4, 647—651 (польск.; рез. русск., англ.)

Рассматриваются методы физ. и хим. дезактивации

различных твердых поверхностей в радиохим. лабораториях с низким уровнем активности. Б. Каппан

71293. Бериллий в промышленности с медицинской точки зрения. Либбер (Beryllium in industry: some medical implications. Lieber E. E.), Chemistry and Industry, 1958, № 18, 508—509 (англ.)

Приведены сведения о токсичности Be и его соединений. Описаны клинич. явления при профессиональных отравлениях, формы бериллиоза, некоторые статистич. данные, принципы профилактики и др. Библ. 7 назв. Л. Еловская

71294. Определение ртути в воздухе. Кюнен (Die Bestimmung des Quecksilbers als Verunreinigung der Luft. Kühnen G.), Staub, 1958, 18, № 4, 111—114 (нем.; рез. англ., франц.)

Дается обзор методик определения содержания Hg в воздухе в виде ее твердых и газообразных соединений и мероприятий по предупреждению загрязнения воздуха Hg. Библ. 28 назв. Я. Дозорец

71295. Окись углерода — источник скрытой опасности. Пелнаж (Kyslíčník uhelnatý zdroj skrytého nebezpečí. Pelnář Rudolf), Bezpečn. a hyg. práce, 1958, 8, № 4, 108—111 (чешск.)

Описаны случаи отравления CO, образующейся при тушении пожаров, при ремонте двигателей внутреннего сгорания в закрытых помещениях (выхлопные газы содержат до 12 об.% CO), при неправильном режиме топки в котельных, при хранении сена в непрветриваемых помещениях и др.

Т. Бржевская

71296. Противогазы для защиты от диборана, пентаборана и смесей боранов. Лонг, Левинскас, Хилл, Свирбли (Gas-mask protection against diborane, pentaborane, and mixtures of boranes. Long James E., Levinskass George J., Hill William H., Svirbely Joseph L.), Arch. Industr. Health, 1957, 16, № 5, 393—402 (англ.)

Путем обследования животных, подвергаемых действию B₂H₆, B₅H₉, B₁₀H₁₂ и их смесей, показано, что временной защитой от действия B₂H₆ является гопкалит, от B₅H₉ — активированный уголь, а от смесей B₂H₆ и B₁₀H₁₂ — смесь силикагеля с активированным углем. Совместное применение гопкалита, силикагеля и активированного угля в противогасах дает возможность создать временную защиту от воздействия смертельно ядовитой смеси вышеуказанных боранов. Данные по эффективному удалению смеси боранов из вдыхаемого воздуха определены в результате проведения опытов над разными видами животных, при различных условиях (продолжительность воздействия ядов, различные скорости воздушного потока и т. д.). И. Лекае

71297. Метод измерения электрической возбудимости двигательных центров коры и применение его в промышленной токсикологии. Кралова, Микиска, Паржизек (Měření elektrické dráždivosti korových motorických center a jeho použití v průmyslové toxikologii. Králová Hana, Mikiska Aloš, Pařizek Ota), Pracovní lékař., 1957, 9, № 1, 44—50 (чешск.; рез. русск., англ.)

Кроликам и морским свинкам в трепанационном отверстии черепа в области двигательных центров на глубине 1 мм укрепили раздражающие электроды. Установлено, что трихлорэтилен, ксилен (3 мл на кролика), этанол (5 мл на кролика) повышали порог возбудимости двигательных центров (соответственно на 25—80, 29, 92%), паратион (6 мг/кг) понижал (на 15%). При шестикратном измерении ошибка составляла $\pm 5\%$. Считают, что изменение порога возбудимости двигательных центров является показателем токсич. действия в-ва. Библ. 26 назв. Т. Бржевская

71298. Гигиенические проблемы при работе с хлористым метилом в холодильной промышленности. Фукс (Hygienická problematika práce s methylchloridem v chladiřenství. Fuchs Alexander), Pracovní lékař., 1957, 9, № 6, 533—535 (чешск.; рез. русск., англ.)

Рекомендованы меры профилактики отравлений хлористым метилом (I) в холодильной промышленности; проектирование холодильных предприятий при участии гигиениста, добавление к I акролеина или ацетона для своевременного обнаружения утечки I, замена I в холодильных установках фреоном-12, оборудование эффективной вентиляции. К работе с I не допускаются лица моложе 18 лет и беременные женщины.

Т. Бржевская
71299. О состоянии нервной системы и содержании глутатиона и холинэстеразы в крови у некоторых категорий рабочих-нефтяников Башкирии. Борисова Н. А., Сб. научн. тр. Башкирск. мед. ин-та, 1957, 10, 69—77

При обследовании 302 рабочих-нефтяников г. Ишимбая (возраст 20—50 лет, стаж 5—15 лет) обнаружено профессиональное отравление продуктами многосернистой нефти (синдром церебрастении в 76% случаев, синдром энцефалопатии в 7%, начальные явления интоксикации в 17%); повышение содержания общего глутатиона (I) в крови на 19 мг% по сравнению с контролем, восстановленного I на 12 мг%, окисленного I на 7 мг%, коэф. Габбе был повышен на 6. Активность холинэстеразы (II) в сыворотке крови (обследовано 47 чел.) в 13 случаях была нормальной, в 24 — повышенной в 10 — пониженной (среднее повышение активности II 0,030 N/100 NaOH на 1 мг). Отмечено, что с увеличением стажа работы усиливаются изменения со стороны нервной системы и соответственно изменения содержания глутатиона. Многосернистая нефть более токсична, чем сернистая и очищ. бензин. Библ. 7 назв.

Т. Бржевская
71300. Распространенность и особенности клинического течения хронической интоксикации урсолом. Шаронова З. В., Сб.: Материалы по вопросам гигиены труда и клиники проф. болезней, Горький, 1957, 173—185

При медицинском обследовании 850 рабочих меховой фабрики и артелей по пошиву меховых изделий установлен комплекс заболеваний (бронхиальная астма (А), астмоидный бронхит (Б), интерстициальный гепатит, гипертоническая болезнь, лейкопения и эозинофилия), вызванных хронич. действием урсолом (I). Зависимости между частотой заболеваний, возрастом и трудовым стажем рабочих установить не удалось. А и Б отмечены не только у работающих с I, но и у местного населения, имеющего контакт с изделиями, крашенными I. В качестве хорошего терапевтич. средства для лечения А и Б рекомендуют ингаляции аэрозолей димедрола. Профилактика: замена урсолового красителя другим, проведение санитарно-технич. мероприятий, медико-профессиональный отбор. Библ. 20 назв.

Т. Бржевская
71301. О вредности карбамидных смол. Ханслиан (O škodlivosti karbamidových pryskyfic. Hanslian Lubomir), Bezpečn. a hyg. práce, 1958, 8, № 2, 40—41 (чешск.)

У 87% рабочих таблеточного цеха на производстве пуговиц из мочевиноформальдегидных смол было обнаружено повреждение слизистой оболочки носа, абсцессы и перфорация носовой перегородки, причиной чего оказалось применение нового, более липкого сырья, образующего много пыли с относительно крупными частицами и выделяющего большое кол-во формальдегида при соприкосновении с влагой слизистых обо-

лочек. Запыленность была уменьшена путем устройства отсосов на формовочных столах, повышением контроля за качеством сырья и соблюдения правил личной гигиены.

Т. Бржевская
71302. Меры предосторожности в сульфат-целлюлозном производстве. 1. Химикаты, применяемые для приготовления варочного щелока. Банч. 2. Вещества, образующиеся в процессе варки. Пинео. 3. Химикаты, применяемые в отбелке. Матзенгер (Danger—handle with care. 1. Three dangerous chemicals make alkaline pulp liquor. Bunch Book et. P. 2. Any chemical that reduces chips to pulp is dangerous. Pineo Malcolm D. 3. ClO₂ adds to hazards of bleaching. Matzenger Chester, Jr., Uulp and Paper, 1957, 31, № 13, 71—75 (англ.)

Приведено содержание 3 докладов на 45-й конференции по технике безопасности (Чикаго, 1956 г.) о мерах предосторожности при работе с NaOH, Na₂S, ClO₂ и другими в-вами, а также о мерах борьбы с травматизмом в сульфат-целлюлозном производстве.

Е. Гурич
71303. Гигиенические исследования в автомобильной промышленности. Сообщение VI. Обследование миллиардов. 2. Количество кальция в сыворотке крови. Такаки, Фукусима, Цудзуки (Fukushima Takaki, Tsuzuki Hiroshi), Нихон эйсэйгаку дзасси, Japan. J. Hyg., 1956, 11, № 4, 236—237 (японск.)

Предыдущее сообщение см. РЖБиол., 1957, 103224

71304. Материалы к диагностике, клинике и профилактике антракосиликоза среди подземных рабочих-угольщиков. Станиславский Я. М., Бараненко А. А., Гофман Е. А. В сб.: Вопросы гигиены труда и проф. заболеваний и горнорудн., хим. и машиностроит. пром-сти. Киев, Госмедиздат УССР, 1958, 49—53

При медицинском обследовании 813 подземных рабочих-угольщиков шахты им. Ильича Кадиевского района (стаж 1—5 лет — 52,1%, свыше 10 лет — 40,1%), установлено: антракосиликоз (А) у 2,6%, начальный пневмофиброз 7,3%, подозрение на А 11,3% (чаще А встречается у рабочих со стажем пылевой работы > 15 лет), туберкулез 4,2%, силикотуберкулез 0,7%, хронич. бронхит 9,7%, эмфизема легких 17,1%, плеврит 3,2%. Бронхит рассматривается как профессиональное заболевание, а эмфизема — как проявление А. В крови больных А, осложненном туберкулезом, определен лимфоцитоз. Рентгеноскопически при А обнаружен ячеисто-линейный фиброз, деформации сосудов, наличие мелких силикотич. узелков. Функциональные пробы облегчают раннюю диагностику А. Рекомендуется: внедрение мокрого бурения, смазочных, сухого пылеулавливания; рациональная вентиляция, применение респираторов на пыльных участках; организация профпакториев, применение климатолечения, УФ-облучения, кислородной профилактики и др.; профотбор, проведение профилактических и периодич. медицинских осмотров.

Т. Бржевская
71305. Об определении свободного кристаллического кремнезема в атмосфере промышленных предприятий. Ави (Sur la dosage de la silice libre cristalline dans les atmosphères industrielles. Auy A. P.), Mines, 1957, 12, № 4, 356—363 (франц.)

При установлении степени силикозоопасности атмосферы промышленного предприятия, содержащей кремнистые продукты, учету подлежит лишь свободный кристаллич. кварц. Поэтому задачей анализа воздуха такого предприятия является определение концентрации кварца в присутствии аморфного кремния, силикатов и других кремнистых соединений. Поставлена большая трудность этой задачи. Детально исследованы

дованы характеристики, точность, источники и величины погрешностей существующих методов анализа кварца в смесях кремнистых в-в: хим., физ.-хим., микрофотографич., дифференциально-термич., способом дифракции рентгеновских лучей и др. Приведена сопоставительная таблица > 40 анализов, выполненных хим. и дифракционными методами для различных видов произ-ва. В качестве приемлемых рекомендуются модифицированный классич. метод анализа с фосфорной к-той и метод дифракции рентгеновских лучей. Ю. Скорецкий

71306. Растворимость двуокиси кремния, входящей в состав пылей шахт Донбасса. Лоевский М. Л., Ярым-Агаева Н. Т. Тр. и материалы Донец. ун-та физиол. труда, 1957, 5, 67—73

Экспериментально установлено, что кол-во SiO_2 , переходящее в р-р из разных пылей, увеличивается с увеличением конц-ии суспензии, длительности растворения и исходного кол-ва пыли. Наиболее растворима «инертная» пыль (произ-ва Сталинской ф-ки им. Сталина), наименее — кварц. С увеличением рН растворимость глинистого сланца уменьшается, растворимость кварца — увеличивается. Прямой зависимости между биол. активностью пыли и ее растворимостью не обнаружено. Т. Бржевская

71307. Обзор современного состояния исследований и усовершенствований в технике удаления отбросов. — (A survey of the present status of refuse engineering research and development.), J. Sanit. Engng Div. Proc. Amer. Soc. Civil Engrs, 1958, 84, № 1, Part 1, 1539-1—1539-6 (англ.)

71308. Комитет Совета инженерных обществ США по борьбе с загрязнением атмосферы. Бишоп (Engineers Joint Council policy statement on air pollution and its control. Bishop C. A.), J. Sanit. Engng Div. Proc. Amer. Soc. Civil Engrs, 1958, 84, № 1, Part 1, 1541-1—1541-8 (англ.)

В 1955 г. Правлением Объединенного совета инженерных обществ США был создан комитет из представителей правительственных, общественных и промышленных организаций для изучения проблемы борьбы с загрязнением атмосферы (ЗА) с точки зрения интересов и благополучия населения страны, а также отношения к этой проблеме инженерной профессии. В утвержденном Правлением отчете комитета изложены основные принципы по контролю ЗА (общие соображения по характеристикам воздушного бассейна и его роли для жизни людей, растительности и животных; анализ причин ЗА и перечень средств, устройств и мероприятий для предотвращения ЗА или уменьшения вредного действия). Ю. Скорецкий

71309. Дискуссия по отложению пыли и очистке атмосферы. — (Discussion on the deposition of dust and atmospheric pollution.), J. Inst. Fuel, 1958, 31, № 204, 32—41 (англ.)

К РЖХим, 1958, 25637, 28594, 36749, 50810.

71310. Проблема удаления пыли в производстве асбеста. Вальтер (Entstaubungsfragen in der Asbestindustrie. Walter E.), Staub, 1955, № 42, 699—705; Gummi und Asbest, 1956, 9, № 2, 76, 79 (нем.)

Асбестовая пыль может вызвать заболевания асбестозом. Допускаемые конц-ии пыли по нормам ФРГ, применяемые в США, составляют 250 частиц асбеста в 1 мл воздуха при длине волокна ~ 1 м и 50 частиц в 1 мл воздуха при длине волокна ~ 10 м. Границ размеров и конц-ий пыли, представляющих опасность для здоровья, не имеется. В уловленной асбестовой пыли содержится до 70% примесей пылей других в-в. Обеспыливание на асбестовых предприятиях обеспечивается местными отсосами. Отсасываемый воздух очищается в рукавных фильтрах и затем в масляных фильтрах, установленных как контрольные на случай

повреждения рукавов. Очищенный воздух с добавкой свежего после подогрева и увлажнения возвращается в цех, что дает большую экономию за счет уменьшения теплотерьер при выбросе воздуха. Приводятся схемы вентиляционных установок. Я. Дозорец

71311. Мокрый инерционный пылеуловитель. Бланк (Wet inertial dust collector. Blanke John H. D.), Internat. Operat. Engr, 1957, 100, № 12, 8—10, 22 (англ.)

Описывается комбинированный компактный центробежный мокрый пылеуловитель «Микродин» (М), устанавливаемый непосредственно внутри газохода и дающий степень улавливания 99% для частиц пыли > 5 м. М состоит из трех секций — смесительной, сепарационной и переходной. Запыленный газ входит в 1-ю секцию при скорости 23—30 м/сек и смешивается здесь с тонкораспыленной водой, увлажняющей частицы пыли. В этой секции размещены в шахматном порядке перегородки для дополнительного контакта запыленного газа с влажными стенками. В следующей сепарационной секции газу придается посредством винтовых лопастей спиральное вращение, под воздействием которого взвешенные в газе капли вместе с захваченной пылью отбрасываются к стенкам М, попадают в особые жалюзи и выводятся из аппарата в шлакоприемник. В переходной секции очищ. от пыли газовый поток выпрямляется для рекуперации энергии с помощью другой системы лопастей и выводится из М. М выпускаются производительностью по газу 2500—82 000 м³/час.

Ю. Скорецкий
71312. Происхождение дыма и борьба с ним. Попов (Origen del humo y su eliminacion. Popow K. I.), Industria u quimica, 1955, 17, № 3, 140—143; № 4, 204—208. 226 (исп.)

71313. Максимальные концентрации на уровне земли газов, выходящих из промышленных дымовых труб. Бест (Maximum gas concentration at ground level from industrial chimneys. Best A. C.), J. Inst. Fuel, 1957, 30, № 197, 329-333. Discuss. 333-338 (англ.)

Отмечается, что конц-ии газа на уровне земли достигают наибольших величин на неопределенном расстоянии от дымовой трубы (с подветренной стороны). Расстояние и максим. конц-ии газа зависят от геометрии, характеристики трубы и метеорологич. условий и поддаются расчету, если известна высота, на которую подымается дымовой факел. При проектировании дымовой трубы наиболее важна максим. конц-ия, поскольку она определяет вредность дымового выброса и регламентируется санитарными нормами. Сравняются результаты расчетов конц-ий по ф-лам Саттона, Базенкета и др. и атомного з-да в Ок-Ридже. Автор приходит к выводу, что для целей расчета максим. конц-ий эти ф-лы равноценны. Ю. Скорецкий

71314. Мероприятия по уменьшению запаха. Райт (Odour abatement system. Wright R. H.), Pulp and Paper Mag. Canada, 1956, 57, № 10, 167 (англ.)

Для уменьшения запаха отходящих газов сульфатцеллюлозных заводов рекомендуется окисление черного щелока (Щ) воздухом в стальных башнях, где слабый Щ стекает по вертикальным пластинам из асбестоцемента по прямоточному принципу, что предотвращает вспенивание. Газы из варочного котла поступают в поток воздуха, где при окислении превращаются в труднотлетучие в-ва, которые поглощаются Щ. Показано, что при неизменном направлении и скорости ветра максим. расстояние, на котором можно ощущать запах значительно уменьшается (в 4 раза). Так, при эксплуатации указанной установки конц-ия дурнопахнущих в-в уменьшается в 10 раз, а радиус распространения запаха сокращается с 40 до 1,6—3,2 км.

А. Сафьян

71315. Борьба с пожарами на нефтеперерабатывающих заводах. Райзингер (How to fight refinery fires. Risinger J. L.), Petrol Refiner, 1957, 36, № 12, 204, 206, 208, 210, 212, 214, 216 (англ.).

Описаны способы тушения пожаров жидких нефтепродуктов (НП). Выбор способа определяется т-рой вспышки НП и конструкцией резервуара хранилища. Одновременно достигается прекращение доступа воздуха к горящей поверхности НП применением инертного газа (пены, сухих реагентов) и уменьшение испарения НП путем охлаждения его поверхности водой или перемешиванием НП барботированием инертными газами. В. Синьковский

71316. Опасность взрывов смесей горючих паров и газов с воздухом. IV. Факторы, влияющие на результаты определения нижних границ взрываемости горючих компонентов, и методы определения границ. Пилец (Niebezpieczeństwo wybuchów mieszanin palnych par i gazów z powietrzem. IV. Czynniki wpływające na wyniki oznaczania dolnych granic wybuchowości poszczególnych składników palnych i sposoby obliczania przybliżonych wartości tych granic. Pilec A.), Przem. chem., 1956, 12, № 8, 433—442 (польск.; реф. русск., англ.).

Рассмотрено влияние различных факторов на нижние границы взрываемости (ГВ) смесей паров или газов с воздухом. Опытные данные сопоставлены с вычисленными с помощью ур-ний, выведенных с учетом т-ры воспламенения газов или паров. Значения нижней ГВ тем ниже, чем больше диаметр камеры, в которой происходит взрыв, и зависят также от места ввода источника зажигания. Содержание O_2 в воздухе не оказывает заметного влияния на нижнюю ГВ, однако верхняя ГВ заметно снижается, если содержание O_2 в воздухе $< 21\%$. При повышении т-ры газовой смеси нижняя ГВ понижается, а верхняя повышается. При повышении давления до нескольких атмосфер происходит сужение ГВ. Нижние ГВ (вычисленные по ур-нию: $vd = 1,6tb/CR\%$, где R — мол. теплота горения, Vd — нижняя ГВ и tb — т-ра воспламенения), мало отличаются от найденных. Библ. 18 назв. Сообщение III см. РЖХим, 1958, 47296.

71317. Защита воздуходелительных аппаратов от взрывов. — Кислород, 1957, № 5, 29—39

Приводится содержание доклада о мерах по обеспечению безопасной работы воздуходелительных установок (ВУ), сделанного на заседании Американского института инженеров-химиков в 1956 г. Рассмотрены источники загрязнения воздуха C_2H_2 , возможные механизмы взрывов в аппаратах и меры их предотвращения. Наиболее надежным способом обеспечения безопасной работы ВУ является устройство силикагелевых адсорберов для поглощения C_2H_2 из жидкого кислорода. При очень высокой загрязненности атмосферы необходимо прибегать к каталитическому окислению C_2H_2 или низкотемпературной адсорбции его из воздуха. Указаны требования, предъявляемые при проектировании и безопасной эксплуатации ВУ. РЖХим, 1958, 2134.

71318. Безопасные условия применения пропана. Шютте (Man beachte bei Verwendung von Propan! Schütte), Brandverhüt. und Brandbekämpf., 1958, 8, № 1, 14—15 (нем.).

Описывается несчастный случай при применении C_3H_8 в небольшой установке. На основании расследования причин взрыва и пожара дается ряд указаний по предупреждению взрывов и пожаров, связанных с применением C_3H_8 . Я. Дозорец

71319. Вентиляция, отопление и его экономика на целлюлозно-бумажных заводах. Штефанеску (Ventilația, încălzirea și economia termică în fabricile

de celuloză și hirtie. Ștefănescu S.), Celuloză și hirtie, 1957, 6, № 2, 63—69 (рум.; реф. русск., нем., франц., англ.).

Изложены основные принципы решения проблем вентиляции и отопления в целлюлозно-бумажной промышленности. Рассматриваются потребности различных цехов в тепле и вентиляционном воздухе, а также возможности использования вторичных источников тепла. Приведены графики изменений расходов вентиляционного воздуха в зависимости от т-ры и влажности атмосферы производственных помещений, таблицы уд. расходов воздуха и пара на 1 г целлюлозы и схемы вентиляционных систем. Ю. Скорецкий

71320 П. Способ применения дегазаторов металлов и паров металлов. Стай (Method of applying metal and metal vapor decontaminants. Stieh William M.), [William M. Stieh & Co., Inc.]. Пат. США 2774736, 18.12.56

Для обеззараживания поверхностей, загрязненных металлами. Hg, а также воздуха, загрязненного парами Hg, применяют состав, содержащий (в %): этилендиаминтетрауксусную к-ту 5—20 и $Na_2S_2O_3$ 80—95. Состав растворяют в воде (25 г в 1 л) и полученным р-ром промывают зараженную Hg поверхность, р-р оставляют высыхать на поверхности. Воздух, содержащий пары Hg, просасывают через р-р. Л. Херсонская

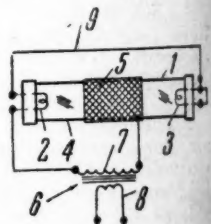
71321 П. Газопромыльное устройство. Корпола (Gas washing device. Coppola John J.). Пат. США 2787454, 2.04.57

Предложено газопромыльное устройство (У) для очистки от дыма и взвесей выхлопных газов дизельных двигателей перед выбросом газов в атмосферу. У состоит из герметически закрытого прямоугольного бака, разделенного не доходящей до дна перегородкой на 2 отделения: для загрязненного (I) и очищенного газа (II). Нижняя часть перегородки снабжена прорезами, закрытыми мелкой сеткой. Днище бака имеет наклон в сторону сливной трубы, служащей для периодич. спуска шлама. Перед включением газа бак заливается до определенного уровня, одинакового для I и II водой, или р-рами щелочей и детергентов. Во время работы У загрязненный газ поступает в I и выходит через II по трубе, присоединенной к вакуум-насосу. Вследствие разности давлений, создаваемой напором входящего газа и насосом, уровень жидкости в II повышается над уровнем в I и перекрывает прорезы в перегородке. Загрязненный газ, проходя через отверстия в сетке, разбивается на множество струй и отмывается от загрязнений. Ю. Скорецкий

71322 П. Генератор озона. Пирильо (Ozone producing device. Pirillo Santo). Пат. США 2769111, 30.10.56

Устройство предназначается для произ-ва озона в целях дезодорации атмосферы помещений. Схема устройства состоит из газоразрядной трубки 1, электродов 2 и 3, стеклянной оболочки 4, металлич. сетки 5 и повысительного трансформатора 6. Концы вторичной обмотки 7 трансформатора присоединяются к 5 и одному из электродов лампы, а первичная обмотка 8 включается в сеть. Электроды 2 и 3 соединяются проводом 9. При появлении на 7 высокого потенциала на сетке возникает «тихий разряд», обогащающий в O_3 кислород, содержащийся в прилегающем к 5 слое воздуха. Ю. Скорецкий

71323 П. Впускной кислородный клапан для кислородного дыхательного аппарата с рециркуляцией



воздуха. Ламбертсен (Oxygen admission valve for oxygen re-breathing apparatus. Lambertsen Christian J.). Пат. США 2781043, 12.02.57

Описано устройство клапана для автоматич. пополнения расходуемого кислорода в дыхательном аппарате (ДА) с рециркуляцией воздуха, применяемого для работы под водой или в атмосфере, содержащей окисл. газы или дефицитной по кислороду для дыхания. Клапан устанавливается на стенке промежуточного дыхательного мешка ДА из прорезиненной ткани, в который возвращается выдыхаемый легкими воздух после его очистки от углекислоты. Клапан снабжен мембранно-рычажным устройством, приводимым в действие вследствие разности давлений воздуха внутри и снаружи мешка. При каждом вдохе равновесие давлений внутри и вне мешка нарушается, клапан автоматически открывается и выпускает в мешок из внешнего источника такой же объем кислорода или смеси кислорода с воздухом.

Ю. Скорецкий
71324 П. Тушение пожаров. Тейкман, Маллиган (Fire fighting. Teichmann Charles F., Mulligan Rex P.) (Texaco Development Corp.). Пат. США 2790502, 30.04.57

Предложен метод предотвращения воспламенения при тушении горящего в хранилище органич. масла

путем введения на поверхность последнего невоспламеняющейся и подавляющей горение пены, содержащей в себе дополнительно к обычным пенообразующим в-вам равномерно распределенное небольшое кол-во жидкого диметилсилоконового полимера, повышающего точку воспламенения масла. Состав для получения пены состоит (в %): из бикарбоната NaHCO_3 25—45, $\text{Al}_2(\text{SO}_4)_3$ 45—65, диметилсилоконового полимера 2—8 и до 13 лакричного порошка в качестве стабилизатора пены. Приготовление пены производится одним из двух способов: 1) смесь всех компонентов загружается в общий раздатчик, из которого равномерно выпускается в поток воды, где происходит р-ция с образованием пены; 2) сухие компоненты смеси поступают в два отдельных потока воды, которые затем смешиваются с образованием пены. Ю. Скорецкий

См также: Токсичность: альдегида о-протокатехина 28440Бх; хинина 28435Бх; хим. продуктов 71240. Бетон, предохраняющий от излучений 71591. Приемы работы с радиоактивным красным фосфором 70694. Система вентиляции гальванич. ванны 71457. Огнестойкость: красок 72532; текстильных изделий 72739. Получение негорючих пластмасс 72473

ХИМИЧЕСКАЯ ТЕХНОЛОГИЯ. ХИМИЧЕСКИЕ ПРОДУКТЫ И ИХ ПРИМЕНЕНИЕ

(Часть 2)

ХИМИКО-ТЕХНОЛОГИЧЕСКИЕ ВОПРОСЫ ЯДЕРНОЙ ТЕХНИКИ

Редакторы В. И. Елинек, В. Д. Матвеев

71325. Ядерная химия. Коризэлл (Nuclear chemistry. Coryell Charles D.), Nucleonics, 1957, 15, № 9, 125—127 (англ.)

Краткий обзор современного развития радиохимии.

В. Левин

71326. Технология двуокиси урана — ядерного горючего. Джонсон, Фулкерсон, Тейлор (Technology of uranium dioxide, a reactor material. Johnson J. R., Fulkerson S. D., Taylor A. J.), Amer. Ceram. Soc. Bull., 1957, 36, № 3, 112—117 (англ.)

Обзор. Изделия различной формы из UO_2 (бруски, плитки, трубы, шары, стержни) получают обычными методами керамич. технологии: прессованием, шпиральным литьем, протяжкой и горячим прессованием. Приведены физ. свойства UO_2 по сравнению с ThO_2 , данные по окислению UO_2 , наличию и свойствам окислов UO_2 , U_4O_9 , U_3O_7 , U_2O_5 , U_3O_8 и результаты весового дифференциального термич. анализа UO_2 , полученной 7 различными методами. Рассмотрено отношение UO_2 к некоторым реагентам: воде, к-там, щелочам, С, Н, окислам, Si, Al. Библи. 18 назв. А. Черепанов

71327. Химическая регенерация облученного ядерного горючего. Лавроский (Chemical reprocessing. Lawroski S.), Nucleonics, 1957, 15, № 9, 140—141 (англ.)

Краткий обзор современного развития методов регенерации облученного ядерного горючего и удаления радиоактивных отходов.

В. Левин

71328. Реакторы, работающие на жидком металлическом горючем. Купер, Поттер (Liquid metal fuelled reactors. A bibliography of published and unclassified report literature. Cooper G. L., Potter A., miss. Repts. Atomic Energy Res. Establ., 1956, N Inf/Bib. 106, 26 pp., ill) (англ.)

Библи. опубликованных материалов и несекретных докладов 105 назв.

В. Левин

71329. К вопросу об йодидном методе очистки циркония. Степанова Г. И., Бусол Ф. И., Атомн. энергия, 1957, 3, № 10, 344—346

Новое теоретич. объяснение зависимости потока Zr от давления ZrJ_4 . Л. Херсонская

71330. Ниобий — металл для ядерной техники. Коттер (Niobium as a nuclear metal. Cotter M. J.), Atomics, 1957, 8, № 9, 339—342 (англ.)

Рассмотрены свойства, природные запасы, технология получения и применение Nb в ядерной технике.

В. Левин

71331. Применение радиоактивных индикаторов для исследования процесса обесфосфоривания пирохлорового концентрата. Сахарук П. А., Хазанова Т. П., Грузин П. Л., Тютюник А. Д., Цвети. металлы, 1956, № 7, 7—9

Проведено три серии опытов: с цирконом, пирохлоровым концентратом и с пирохлором, содержащим циркон (0,7% ZrO_2). Минерал обрабатывали р-ром апатита в 10-ной HCl (к-та), в р-р вводили радиоактивный изотоп Р. Найдено, что пирохлор, содержащий циркон, полностью обесфосфоривается при вышеуказанной обработке.

С. Трудов

71332. Выделение азота и водорода в водных гомогенных реакторах вследствие радиолиза. Бидуэлл, Кинг, Уайкофф (Radiolytic yields of nitrogen and hydrogen in water boilers. Bidwell Richard M., King L. D. P., Wyckoff Walter R.), Nucl. Sci. and Engng, 1956, 1, № 6, 452—454 (англ.)

Изучено кол-во выделяющихся N_2 и H_2 -газов из р-ров $\text{UO}_2(\text{NO}_3)_2$ (I) нескольких водн. гомог. реакторов (в присутствии избытка O_2). Реактор типа «Гипо» содержал 13,6 л слегка подкисленного р-ра 1,92 М I (14,5% U^{235}); его уд. тепловыделение составляло 0,40 квт/л. Реактор типа «Супо» работал с 12,7 л 0,32 М р-ра I (88% U^{235}); его уд. тепловыделение составляло 2,4 квт/л. Паразитный реактор представлял собой автоклав емкостью в 1 л; он работал на несколько более конц. р-ре, чем «Супо»-реактор, с уд. тепловыделением в 0,11 квт/л. Выделение N_2 из паразитного реактора вычислялось по увеличению давления в соответствии с р-цией: $2\text{HNO}_3 \rightarrow \text{N}_2 + 5/2\text{O}_2 + \text{H}_2\text{O}$. Выделение N_2 увели-

чивается с увеличением конц-ии р-ра I в то время как выделение H_2 при этом уменьшается. О. Мартынова

71333 П. Производство тетрафторида урана. Клейн, Гейдж (Manufacture of uranium tetrafluoride. Klein David X., Gage Hugh B.), [United States of America as represented by the United States Atomic Energy Commission]. Пат. США 2768872, 30.10.56

Усовершенствованный метод парофазного восстановления UF_6 газообразным HCl позволяет получать UF_4 (об. в. 1,6—2,0 г/см³), который непосредственно пригоден для произ-ва металл. U. Пары UF_6 и HCl тангенциально вводят в реакционную камеру (РК), имеющую форму перевернутого конуса. Ввод реагентов осуществляют вблизи днища РК, создавая там зону относительно высокой скорости газа и высокой турбулентности. Поступая в верхнюю часть РК (где площадь сечения увеличивается), поток теряет скорость, турбулентность его снижается, что способствует осаждению твердых частиц UF_4 . UF_4 выводят через днище РК, а газообразные продукты — через верхнюю ее часть. Такая конструкция РК исключает возможность осаждения мелких частиц UF_4 , которые остаются в зоне р-ции пока их размер не увеличивается до 6—8 м. Крупность частиц регулируют объемом скорости газа, поступающего в РК. В РК подают газ в 2-кратном или большем (6—8-кратном) избытке по отношению к объему реагирующих газов. Таким избыточным газом может служить N_2 , UF_6 , содержащий 10—40% органич. разбавителя (перфтордиметилциклогексан), HCl и др. В РК поддерживают т-ру ~200—400°. Л. Херсонская

71334 П. Получение тяжелой воды. Бьюшелл, Киртон (Production of heavy water. Bushell W. J., Kearton C. F.), [Imperial Chemical Industries, Ltd]. Англ. пат. 726771, 23.03.55

Тяжелую воду (ТВ) или воду, обогащенную ТВ, получают путем многостадийного электролиза. H_2 , отбираемый в каждой из промежуточных электролитич. ячеек (ЭЯ), поступает в соответствующую обменную камеру (ОК), где в присутствии гидрогенизационного катализатора контактируется в паровой фазе с водой. Катализатор промотирует переход D_2 из газовой фазы в водяные пары, последние при выходе из каждой ОК конденсируют, и часть образовавшейся при этом воды подают в ЭЯ, предшествующую на 1—2 ЭЯ той, из которой был отобран H_2 . Кол-во воды, поступающей в ОК, регулируется в соответствии с кол-вом поступающего туда же H_2 и содержанием в нем D_2 таким образом, чтобы выходящие из ОК водян. пары имели примерно такой же состав, как в ЭЯ, расположенной на 2—3 места ранее той ЭЯ, из которой отбирался H_2 . H_2 , выходящий из ОК, смешивают с H_2 , выделяющимся в предыдущей ЭЯ, и затем аналогичным путем подают на контактирование в соответствующую ОК и т. д. При этом кол-во D_2 в газообразном H_2 прогрессивно убывает от ячейки к ячейке. Когда в последних ЭЯ получается чистая ТВ или вода, очень богатая ТВ, H_2 , образующийся в этих ЭЯ, не обрабатывают водой в ОК, а сжигают в O_2 или воздухе. Получающаяся при этом вода возвращается в ЭЯ, предшествующую на 1—2 места ту ЭЯ, из которой отбирался H_2 . Л. Х.

71335 П. Регенерация и очистка азотной кислоты. Уинн (Nitric acid recovery and purification. Winn Francis W.) [United States of America as represented by the United States Atomic Energy Commission]. Пат. США 2776189, 1.01.57

При регенерации HNO_3 из р-ров (напр. полученных при выщелачивании U-руд и после экстракции $UO_2(NO_3)_2$ органич. р-рителем содержащих HNO_3 и нитраты прочих металлов) для предупреждения аккумуля-

ции в HNO_3 хлоридов, вызывающих усиленную коррозию нержавеющей стали, хлориды окисляют до Cl_2 с помощью O_3 . Для этого при ректификации HNO_3 из точки ректификационной колонны (РК) с максим. конц-ией хлоридов (напр. 0,031% Cl) отводят обычно 5—25 (10—15) %-ную HNO_3 охлаждают ее в теплообменнике и водяном холодильнике до 71° и обрабатывают (в течение 2 час) в спец. резервуаре воздухом, содержащим 1% O_3 ; образующийся Cl_2 удаляется вместе с воздухом, а HNO_3 (содержащая напр. 0,024% Cl) подают насосом через теплообменник обратно в колонну ниже точки отвода. Снизу из колонны отводится 50—60 %-ная HNO_3 . Окислы азота (напр. выделяющиеся при разложении нитратов металлов по пат. США 2757072, а также при выщелачивании руды, при разложении $UO_2(NO_3)_2$ и т. д.) промывают и охлаждают до 38° в скруббере, орошаемом водой, окисляют в камере воздухом и подают в абсорбционную колонну, орошаемую слабой HNO_3 . Из точки этой колонны с максим. конц-ией хлоридов отводят в РК часть 20—25 %-ной HNO_3 , а снизу колонны 50—55 %-ную HNO_3 . Слабая HNO_3 из скруббера поступает в отстойник, где отделяются твердые частицы, затем часть ее возвращают в скруббер, а остальную направляют в РК. Вместо O_3 можно применять обогащенный воздух или O_2 . Приведена схема. Г. Рабинович

71336 П. Регенерация свободной и связанной азотной кислоты из растворов нитратов металлов. Карп, Уэйнрич (Recovery of free and combined nitric acid from metal nitrate liquors. Karp Number Martin, Weinrich William Whitney) [United States of America as represented by the United States Atomic Energy Commission]. Пат. США 2757072, 31.07.56

Р-р, содержащий HNO_3 и нитрат металла (напр. полученный при выщелачивании U-руды), подают непрерывно вместе с циркуляционным конц. р-ром в нагревательную камеру (НК) выпарного аппарата, работающего с принудительной циркуляцией. Для предупреждения осаждения солей в НК, смесь нагревают при усиленной циркуляции р-ра до т-ры несколько ниже т. кип. (на 3—6°). Из НК р-р поступает в испарительную камеру, где нагревается, напр. острым паром, до 116—154° (121°). Выделяющиеся пары HNO_3 и H_2O направляются в установку концентрирования HNO_3 , а расплав, (1000 вес. ч.), содержащий гидраты нитратов с т-рой затвердевания ~93°, подают в расширительную камеру (кальцинатор), через которую циркулируют газы (7350 вес. ч.), нагретые в особом подогревателе до 232—870° (650° при переработке р-ра, полученного при выщелачивании U-руды). Продолжительность пребывания нитратов в камере ~12 сек. при этом происходит их дегидратация и разложение нитратов. Циркуляционные газы, содержащие окислы N, пары H_2O и окислы металлов, выходят из камеры с т-рой 177—788° (370°), проходят циклон для отделения окисей металлов и с помощью газодувки возвращаются в цикл. Часть этих газов (1/3), содержащих ~35 об. % окислов N, отводят непрерывно в абсорбционную систему произ-ва HNO_3 . Г. Рабинович

ЭЛЕМЕНТЫ. ОКИСЛЫ.

МИНЕРАЛЬНЫЕ КИСЛОТЫ, ОСНОВАНИЯ, СОЛИ

Редакторы В. И. Елинек, В. Д. Матвеев, Н. А. Шираев

Серная кислота, сера и ее соединения

71337. Сернокислотная установка по способу Каро-ва. Снеллинг (A Kachkaroff sulphuric acid

ную корт до CaHNO_3 максим. обычно теплооб- обрабаты- оздухо- тся вме- 024% Cl в колон- твостях- ляющих- ат. США при раз- лажают- сляют в колону, лонны с- сть 20- ю HNO_3 ник, то- возвра- т в РК. дудх или бинову- ой азот- К. и. и. nitric um bet y) (Uni- e United 2757072.

plant. Snelling F. C.), Chemistry and Industry, 1958, № 11, 300—306 (англ.)

Приведены схемы, описание аппаратуры, опыт ра- боты и технологич. режим установки, работающий по способу Кашкарова, с суточной производительностью 40—65 т 78%-ной H_2SO_4 . В установке используют га- зохлестительную массу с газового з-да в Ист Гринви- че (Англия).

Г. Рабинович

1338. Реакции сульфатов при высокой температуре. Часть 1. Термическое разложение сульфатов щел- чечных металлов в присутствии окиси алюминия.

Часть 2. Термическое разложение сульфатов щелоч- ных металлов и их смесей в присутствии окиси алюминия. Османи, Датар (Reactions of sulphates at high temperature. Part I. Thermal decom- position of the sulphates of the alkali metals in the presence of alumina. Part II. Thermal decomposition of alkaline earth sulphates and their mixtures in presence of aluminium oxide. Osmani Razia, Datar D. S.), J. Indian Chem. Soc., Industr. and News Ed., 1953, 16, 162—166; Chem. Abstrs, 1954, 48, № 22, 14135; 1957, 20, № 1, 1—5 (англ.)

1. Сульфаты щел. металлов в присутствии Al_2O_3 или боксита разлагаются полностью при 800—900°. Опти- мальное мол. соотношение Al_2O_3 : сульфат = 1 : 2. Боль- шее содержание Al_2O_3 тормозит разложение. Предва- рительные опыты показали, что из остатка после раз- ложения можно извлечь Na-карбонат и глинозем.

2. Исследовано влияние Al_2O_3 или боксита на раз- ложение сульфатов Ba, Ca, Mg и смесей CaSO_4 с суль- фатом Na, K, Mg, Na_2CO_3 , NaOH , Na-алюминатами при 900°. Во всех случаях разложение ускоряется, что объ- ясняется образованием промежуточных продуктов

Al-сульфата или алюминатов, которые при 900° нахо- дятся в жидкой фазе. Максим. разложение происхо- дит при соотношении компонентов, соответствующем образованию алюминатов; при большем содержании Al_2O_3 разложение тормозится. Предложен способ полу- чения SO_2 нагреванием смеси гипса, Na-сульфата и боксита в мол. соотношении CaSO_4 : Na_2SO_4 : Al_2O_3 = 4:2:1; из остатка, содержащего алюминаты Na и Ca , Na_2SO_4 и немного CaCO_3 , выщелачивают водой Na_2SO_4 , а из алюминатов получают чистую Al_2O_3 по известному способу Байера и побочные продук- ты NaOH и $\text{Ca}(\text{OH})_2$. Можно также нагреванием Na_2SO_4 бокситом получить SO_2 , NaOH и чистую Al_2O_3 . При использовании для этой цели буркеита $\text{Na}_2\text{SO}_4 \cdot \text{Na}_2\text{CO}_3$ (получаемого из рассола озера Самбхар), ввиду того что Na_2CO_3 тормозит разложение Na_2SO_4 , надо добав- лять больше Al_2O_3 . Библ. 15 назв. Г. Рабинович

1339 П. Установка для получения порошковой се- ры. Мито Масанцу. Японск. пат. 1854, 16.03.56

Установка состоит из обогреваемой снаружи камеры (герметич. крышкой), в которую загружают серную руду или грубый помол S. В камеру подают сжатый CO_2 , дымовые газы или какие-либо другие него- рючие газы. При нагревании S сублимируется, и пары по току инертного газа переводят в камеру охлажде- ния, где происходит образование серного цвета. При- веден чертеж установки. М. Гусев

1340 П. Устройство для непрерывной экстракции серы из серной руды и регенерации растворителя. Ириэ Нидзю, Муран Сигэру [Нихон иосэйко кабусики кайся]. Японск. пат. 256, 20.01.56

В герметич. камере последовательно расположены вертикальные удлиненные резервуары для р-рителя (P) (CS_2 , CCl_4 или их смесь), для воды и если необходимо еще резервуар для горячей воды. Через эти резервуары проходит погруженная в них конвейерная лента. Все резервуары для нагрева содержимого до 43—44° имеют

водяную рубашку. В резервуар для P помещают пред- варительно подогретый до 42—43° P. Серную руду через загрузочную воронку подают на ленту конвейера, погруженную в резервуар с P, и затем герметически закрывают камеру. На конвейерной ленте руда мед- ленно движется через P. В последнем руда находится в течение 1 часа и из нее экстрагируется вся S; затем в следующем резервуаре из руды водой вымывается P, при этом слой P осаждается на дне. Далее руду переводят в камеру, где из нее паром отгоняют остат- ки P, который в конденсаторе отделяется от воды. P, содержащий S (из резервуара с водой), отделяют от воды и вместе с P с растворенной S из 1-го резер- вуара передают на отгонку S и регенерацию. Благо- даря герметичности всего цикла P регенерируется на 95—97%. Выход S из руды 95%. М. Гусев

71341 П. Экстрагирование серы из серной руды.

Ириэ Нидзю, Муран Сигэру [Нихон иосэйко кабусики кайся]. Японск. пат. 2958, 20.04.56

Установка для экстрагирования S из серных руд, не содержащих металлов, состоит из герметически закрытого экстрактора, куда загружают размельчен- ную руду и заливают р-рителем (CS_2), и из кристал- лизатора. Экстрактор и кристаллизатор соединены между собой двумя трубопроводами. Для предотвра- щения засорения трубопроводов примесями, содержа- щимися в руде, и для предупреждения проникновения этих примесей в кристаллизатор в нижней части экс- трактора установлена система фильтров. Кристалли- затор расположен несколько ниже экстрактора и запол- нен теплой водой; еще ниже расположен резервуар, соединенный с кристаллизатором двумя трубопрово- дами. В этом резервуаре происходит окончательная кристаллизация и очистка S. Все секции установки оборудованы нагревательными устройствами для от- гонки CS_2 , поступающего далее по системе трубопро- водов в конденсаторы. Установка дает возможность повысить степень экстракции S из руды до 95%, сни- зить на 5—3% расход р-рителя и сократить продол- жительность цикла. М. Гусев

71342 П. Удаление соединений серы из газов. Ка- васуми Сэхати, Ясухара Коити [Сумитомо катаку когё кабусики кайся]. Японск. пат. 1518, 3.03.56

Газы, содержащие соединения S, обрабатывали в реакторах при 200—400°. В качестве катализатора использовали V_2O_5 в сочетании с диатомовой землей, активированным углем, Al_2O_3 или SiO_2 с добавлением к нему в качестве активатора щелочей, P или Mo. При снижении активности катализатора, его актив- ность восстанавливают, пропуская через него при 350—600° газы, содержащие H_2 . Пример. Через реакционную колонну с внутренним диам. 100 мм и высотой ~ 1 м с 8 л катализатора пропускали со скоростью 2,5 м³/час коксовый газ, содержащий 14—15 г S в 100 м³ (в виде сернистых соединений). В ка- честве катализатора использовали смесь диатомовой земли с 4,0% V_2O_5 с добавленными к ней в качестве активатора P и K_2O . Т-ра катализа 250°. Выхо- дящий из колонны газ содержал 0,5—0,8 г S на 100 м³ газа. После того, как через колонну было пропущено ~ 500 м³ газа повысили т-ру катализа до 600° и через катализатор пропустили коксовый газ с объемн. ско- ростью 3000 м³/м³·час и восстановили его активность. Содержание H_2S в полученном после продувания ката- лизатора газе 70 г/100 м³ газа. После регенерации ката- лизатора вновь понизили т-ру катализа до 250° и пропустили через реакционную колонну очередное кол-во очищаемого коксового газа. Содержание S в очищенном газе вновь составило 0,5—0,8 г/100 м³ газа. Процесс очищения газа и восстановления катализато- ра повторяли пятикратно и в общей сложности очи-

стили 3000 м³ газа. Содержание S в очищенном газе было < 0,8 г/100 м³ газа. В. Зломанов

71343 П. Способ стабилизации трехоксида серы. (Procédé de stabilisation de l'anhydride sulfurique) [Soc. An. des Manufactures des Glaces et Produits Chimiques de Saint-Gobain, Chauny & Cirey]. Франц. пат. 1130571, 7. 02. 57

К жидкой SO₃ для стабилизации добавляют 0,5—2,5 вес. % хлорангидрида щавелевой к-ты (COCl)₂.

Г. Рабинович

71344 П. Способ и аппаратура для взаимной обработки жидкостей газами или парами, в частности при получении серной кислоты. Хальтмейер (Verfahren und Vorrichtung zur wechselseitigen Behandlung von Flüssigkeiten mit Gasen oder Dämpfen, insbesondere bei der Herstellung von Schwefelsäure. Haltmeier Alfred) [Farbenfabriken Bayer Akt. Ges.]. Пат. ФРГ 940116, 8.03.56

Поглощение SO₃ серной к-той проводят в одном (или последовательно в нескольких) горизонтальном или наклонном аппарате, нижняя часть которого представляет собой ванну для жидкости, а через верхнюю проходят газы или пары. Для охлаждения образующейся H₂SO₄ и поглощения ее из отходящих газов, жидкость (отдельно от обрабатываемого газа или пара) выдают с помощью газа (воздуха) или пара по многим погруженным в жидкость вертикальным трубкам, укрепленным в решетке и значительно простирающимся в газовое пространство. Из этих трубок жидкость переливается и по их наружной поверхности возвращается в ванну. Для выдавливания жидкости можно применять компримированную часть газа или пара, проходящего над жидкостью, или испарять часть жидкости с помощью расположенных в ванне нагревательных змеевиков. Приведено описание деталей аппаратуры и схемы. Г. Рабинович

См. также: Избирательная абсорбция H₂S р-рами карбонатов 71077

Азотная промышленность

71345. Установка для выделения аммиака из коксовых газов промыванием кислотой. Кабеле (Kyselipová pračka na vupírání čpavku z koksárenského plynu. Kabele K.), Paliva, 1957, 37, № 2, 56—58 (чешск.; рез. русск., нем.)

Описано промывное устройство для выделения (NH₄)₂S₂O₃ из коксовых газов, построенное на коксовом заводе в Чехословакии. После годовой эксплуатации установлено, что это устройство более выгодно там, где обеспечена хорошая очистка газов от смол. Библ. 5 назв. И. Елинек

71346 К. Аналитический контроль производства в азотной промышленности. Вып. 8. Контроль производства в цехе слабой азотной кислоты. Гос. н.-и. и. проект. ин-т азот. пром.-сти. М., Госхимиздат, 1958, 113 стр., илл., 4 р. 90 к.

71347 П. Регенерация аммиака из газов или разбавленных водных растворов. Мунаката Хидэдзи, Имамото Садаэкуэ, Михара Кадзунико [Асахи касэй коге кабусики кайся]. Японск. пат. 2831, 16.04.56

Водный р-р или газ, содержащие в небольших количествах свободный NH₃, соединения NH₃ или их смеси, пропускают сквозь слой катионообменных смол и полностью адсорбируют NH₃. Затем пропускают через этот слой смолы смесь р-ров (NH₄)₂H₂PO₄ (I) и (NH₄)₂HPO₄ (II). I частично переходит в II и одновременно с этим восстанавливается способность катионообменной смолы адсорбировать NH₃. После этого р-р выпа-

ривают при нормальном или другом давлении; II частично распадается на I и NH₃. К оставшемуся р-ру добавляют р-р I; вновь полученную смесь р-ров I и II снова пропускают через слой той же катионообменной смолы, вновь выпаривают и повторяют цикл сначала. В результате получают газ или водн. р-р NH₃ соответствующей конц-ии.

71348 П. Способ переработки аммиачной воды, содержащей сероводород (Verfahren zur Verarbeitung von Schwefelwasserstoff enthaltendem Ammoniakwasser) [Bergwerksverband zur Verwertung von Schutzrechten der Kohlentechnik G. m. b. H.]. Пат. ФРГ 916826, 18.07.55

Дополнение к пат. ФРГ (РЖХим, 1956, 78628). При окислении содержащегося в NH₃-воде (NH₄)₂S в (NH₄)₂SO₄ воздухом или O₂-содержащим газом при высокой т-ре под давлением на насадке с большой поверхностью части аппарата, соприкасающиеся с кислотными газами (H₂S, CO₂, HCN и т. д.), изготовляют из коррозионностойких материалов или покрывают ими. Можно применять Ta, Ni—Cr- или Fe—Ni—Cr-сплавы, Va-сталь, Cr—Si-сталь, Al и т. п., а также керамическую футеровку. Г. Рабинович

71349 П. Дальнейшее усовершенствование способа переработки аммиачной воды, содержащей сероводород. Гроскинский, Умбах (Weiterbildung des Verfahrens zur Verarbeitung von Schwefelwasserstoff enthaltendem Ammoniakwasser. Grosskinsky Otto, Umbach Helmut) [Bergwerksverband zur Verwertung von Schutzrechten der Kohlentechnik G. m. b. H.]. Пат. ФРГ 916827, 18.07.55

Дополнение к пат. ФРГ РЖХим, 1956, 78628. Для лучшего отвода тепла при р-ции окисления (NH₄)₂S (I), воздухом или O₂-содержащим газом при высокой т-ре под давлением к I добавляют разбавитель — водн. р-р неорганич. соли (предпочтительно (NH₄)₂SO₄); орошаемую насадку (активированный уголь) располагают в аппарате-автоклаве попеременно с холодильниками, воздух подают в нескольких местах по высоте автоклава. Если конц-ия HCN в I ≥ 5% от конц-ии H₂S, то для предупреждения излишнего образования HCNs и загрязнения им (NH₄)₂SO₄, следует предварительно удалить HCN из газа или I известными способами. Для уменьшения уноса NH₃ воздухом, I и воздух пропускают через автоклав прямооток или лучше проводят окисление в 2 ступени: в 1-й прямооток с воздухом, обедненным O₂ из 2-й ступени, а во 2-й противоток со свежим воздухом. Пример. В автоклав 1-й сверху прямооток с обедненным воздухом из автоклава 2-го подается 1,4 м³/час I, содержащей (в г/л): NH₃ 192, H₂S 112, CO₂ 83 и 4,2 м³/час выходящего снизу р-ра (NH₄)₂SO₄ — (NH₄)₂S₂O₃ (II), т-ра смеси р-ров 120°. Высота попеременных слоев насадки и холодильников должна быть такой, чтобы т-ра в автоклаве колебалась в пределах 130—170°. 4,2 м³ р-ра II возвращаются насосом в 1-й автоклав, а 1,4 м³ направляются во 2-й автоклав сверху, куда противотоком снизу подается свежий воздух, причем (NH₄)₂S₂O₃ почти полностью окисляется в (NH₄)₂SO₄ (580—590 кг), р-р которого направляется на упарку с помощью пара, полученного при процессе (в холодильниках). Избыток NH₃, содержащийся в отработанном воздухе, удаляется водой, причем получается чистая I. Приведена схема.

71350 П. Каталитический метод получения цианистого водорода из окиси углерода и аммиака. Хансес Гюнтер (Verfahren zur Herstellung von Cyanwasserstoff durch katalytische Umsetzung von Kohlenoxyd und Ammoniak. Hansen Günter, Günther Hamprich) [Badische Anilin- & Soda-Fabrik Akt. Ges.]. Пат. ФРГ 1000359, 19.06.57

HCN получают при повышенной т-ре в связанных друг с другом реакторах, содержащих один — Al_2O_3 (I), CaO (или) MgO , другой — катализатор и окись метал-зем. металла. Смесь NH_3 с CO или остаточный газ после контактирования и выделения HCN газ пропускают в реакторы поочередно. CaO и (или) MgO насыпают на I или добавляют к I при механич. формовке. Пример. 1-ю стадию проводят при 650° , соотношение $NH_3 : CO = 1 : 4$, скорости газа 50 л/час в присутствии смеси CaO и катализатора синтеза (соотношение 4:5), обеспечивающего выход HCN 60—65% теор. при соотношении $NH_3 : CO = 1 : 10$. 2-ю стадию проводят при 850° , соотношении в остаточном газе $NH_3 : CO = 7 : 13$, скорости газа 100 л/час . HCN улавливают после каждой стадии р-ром КОН. Суммарное преобразование NH_3 100%.

См. также: Азотная пром-сть Польши в период 1917—1947 гг. 69650

Остальные элементы, окислы, минеральные кислоты, основания, соли

71351. Чистота металлического натрия. Ватанабэ Сиядзюн, Дзайрё сикэн, J. Japan Soc. Test. Mater., 1958, 7, № 52, 14—20 (японск.)
Обзор способов и аппаратуры для очистки металлич. Na. Библ. 42 назв. М. Гусев

71352. Об обезвоживании и сушке глауберовой соли. Баба Тосимото, Кэмикару эндзиниярингу, Chem. Engng, 1958, 3, № 1, 992—999 (японск.)

Обзор способов сушки глауберовой соли и применяемой при этом аппаратуры. Библ. 24 назв. М. Гусев
71353. О некоторых вопросах технологии получения калия карбидотермическим способом. Серебренникова М. А., Тр. Уральского н.-и. хим. ин-та, 1957(1958), вып. 5, 22—24

На основании опыта следует, что при получении К в периодич. печах целесообразно стремиться к получению пористых остатков продукта р-ции, при которых обеспечиваются высокие выходы К и облегчается их выгрузка. При составлении шихт следует руководствоваться не только соотношением KCl и CaS_2 , но, главным образом, процентным содержанием KCl в шихте, обуславливающим определенную консистенцию массы шихты при восстановительном процессе, от которой при прочих равных условиях зависит выход К. Оптимальное содержание KCl в шихте зависит от содержания в нем $NaCl$. Технич. сорта KCl обычно содержат примесь $NaCl$ ($\geq 1,4\%$), который при т-ре процесса восстановления способствует плавлению шихты; содержание $NaCl > 1,4\%$ ведет к ухудшению качества получаемого металла, который становится хрупким, крошечным или даже жидким. Поэтому следует применять KCl 1-го сорта, в кол-ве $\leq 50\%$. Н. Ширяева
71354. Получение сульфата калия на заводе, перерабатывающем рапу (морской воды). Сакамото (Sakamoto Kageoku), Нихон сию-гаккайси, Bull. Soc. Salt Sci., Japan, 1957, 11, № 5, 248—254 (японск.; рез. англ.)

Путем концентрирования десульфатизированной рапы в вакуум-выпарных аппаратах получают $NaCl$, карбонат и «нио»-соль (HC). Так называемая HC является побочным продуктом при получении двух вышеуказанных солей. Она подобна по составу меллагиту Е. Николли — солевой смеси $MgCl_2$, KCl , $MgSO_4$, $K_2SO_4 \cdot MgSO_4 \cdot 6H_2O$ (I) переходит в HC при разложении с небольшим кол-вом воды. При этом выделяется $\sim 75\%$ K_2SO_4 из I вместе с сырым KCl из карналлита (вследствие обменного разложения). Извлечение К при 25° — 50—60%. Легко добиться повышения выхода K_2SO_4 до 80% за счет использования K_2SO_4 , остающегося в ма-

точном р-ре. Результаты, выраженные графически с помощью диаграмм равновесия Ока для океанских солей, оказались достаточно удовлетворительными.

Из резюме автора
71355. Хлорирование и улетучивание серебра при хлорирующем обжиге. Зазубин А. П., Лебедев Б. Н., Изв. АН КазССР. Сер. горн. дела, металлургии, стро-ва и стройматериалов, 1957, вып. 1, 3—11 (рез. каз.)

Изучено поведение Ag и влияние различных факторов на процесс хлорирования Ag при хлорирующем обжиге с $NaCl$ в окислительной атмосфере. Смесь Ag , $NaCl$ и других в-в перемешивалась в ступке и прокаливалась в токе воздуха (100 мл/мин) в течение 2 час., после чего остаток анализировался на Ag , $AgCl$, $NaCl$ и соединения других металлов. Степень хлорирования (CX) Ag при т-ре $500\text{—}700^\circ$ почти не меняется и составляет 12%. При дальнейшем повышении т-ры она растет и при 1200° равна $\sim 50\%$. Влияние других в-в изучалось при т-ре 1000° . Установлено, что CX Ag определяется степенью разложения $NaCl$ с выделением активных хлорирующих агентов: Cl_2 и HCl . CX увеличивается в присутствии O_2 , H_2O , SO_2 и SO_3 , легко разлагающихся сульфатов Fe , Cu , Zn , сульфидов Pb , Zn , Cu и Fe , Al_2O_3 и SiO_2 , а также хлоридов Fe , Zn , Cu и Mg . В. Шацкий

71356. Плавка и рафинирование золота и серебра. Тадзима, Хирацука (Tadjiima S., Hiratsuka Y.), Дэнки какаку, J. Electrochem. Soc. Japan, 1957, 25, № 6, 338—348 (японск.)

Обзор. Рассмотрены методы получения Ag и Au и их очистка. Приведены сравнительные данные по добыче Ag и Au в Японии и других странах за период 1949—1953 гг. Библ. 15 назв. М. Гусев

71357. Изучение условий хранения аморфного бора. Ефремин В. В., Шевелева С. С., Тр. Уральского н.-и. хим. ин-та, 1957 (1958), вып. 5, 232—235

Хранение аморфного В на воздухе сопровождается уменьшением содержания активного В на 2—2,5%. При этом происходит образование H_3BO_3 и субокислов В. Для повышения содержания В в продукте можно удалять H_3BO_3 путем ее выщелачивания кипящей водой с последующей фильтрацией и сушкой продукта. После проведения указанных операций содержание активного В увеличивается, но на 0,3—0,9% становится меньше, чем в исходном свежесушенном на воздухе боре. Установлено, что для хранения аморфного В следует применять герметичную тару. Н. Ширяева

71358. Об очистке безводного хлорида алюминия, полученного хлорированием глинистого сланца. Аоки (Aoki Yu), Кобэ сёсэн дайгаку киё. Рикогаку хэн, Rev. Kobe Univ. Mercant. Marine. Scient. and Technol. Sec., 1954, № 1, 35—39 (японск.; рез. англ.)

Исследован процесс очистки (в частности удаления $FeCl_3$) $AlCl_3$, полученного прямым хлорированием манчжурского глинистого сланца (MFC). Смесь паров $SiCl_4$, $TiCl_4$, $AlCl_3$ и $FeCl_3$, полученных хлорированием брикета (MFC) и коксового порошка, обрабатывали чистой Fe -стружкой при высоких т-рах. Восстановление и удаление $FeCl_3$ в виде $FeCl_2$ с помощью стружки было наиболее эффективным при $300\text{—}400^\circ$. Применение влажного Cl_2 несколько повышало эффективность процессов хлорирования. Описанным методом получают чистейший $AlCl_3$ с содержанием примесей (главным образом $FeCl_3 + TiCl_4$) $< 0,01\%$. Из резюме автора

71359. Получение глинозема из высококремнистых бокситов и каменноугольных зол спеканием с известняком. Мазель В. А., Елисеева А. А., Оксюзов В. А., Тр. Всес. алюмин.-магн. ин-та, 1957, № 39, 227—241

Изучен процесс получения Al_2O_3 из высококремнистых бокситов (Б) и каменноугольных зол (З) спека-

нием с CaCO_3 . Б, З или чистая Al_2O_3 перемешивались с CaCO_3 и добавками FeO и TiO_2 . Шихта (Ш) прокаливалась и после охлаждения спеки подвергали двойному содовому выщелачиванию. На основании данных хим. и кристаллооптич. анализов уточнены оптимальный состав Ш, т-ра спекания и режим охлаждения спека. Оптимальное кол-во CaCO_3 лежит в пределах образования соединений от $5\text{CaO} \cdot 3\text{Al}_2\text{O}_3 + 2\text{CaO} \cdot \text{SiO}_2$ до $\text{CaO} \cdot \text{Al}_2\text{O}_3 + 2\text{CaO} \cdot \text{SiO}_2$. Для З кол-во CaCO_3 лежит выше первого предела на 6—9%. Оптимальной т-рой процесса для вращающейся печи является т-ра, обеспечивающая частичное расплавление Ш ($\geq 1350^\circ$). Для получения саморассыпавшихся спеков и высокой степени извлечения Al_2O_3 ($\geq 85\%$) необходима выдержка спека в течение 6—10 мин. при т-ре $\sim 1300^\circ$. При этом получают алюминатные р-ры с конц-ней $> 56\text{—}60 \text{ г/л}$ Al_2O_3 ; потери щелочи с красным шлаком равны 35 кг Na_2O на 1 т извлеченного Al_2O_3 . В присутствии примесей FeO и TiO_2 ($\sim 5\%$ каждого) т-ра плавления Ш снижается на $\sim 25^\circ$. В случае примеси FeO для достижения высокой степени извлечения Al_2O_3 необходимо присутствие в Ш восстановителя (В), напр. древесного угля. Большой избыток В (выше 200% от теоретич.) ухудшает технологич. свойства Ш, вероятно, вследствие обволакивающего действия угля. В. Шацкий

71360. Получение глинозема из каолинов спеканием с известняком. Мазель В. А., Елисеева А. А., Тр. Всес. алюмин.-магн. ин-та, 1957, № 39, 214—226. Исходные в-ва измельчали до -134 меш, смешивали и брикетировали; затем брикеты подвергали спеканию. Полученные спеки дважды выщелачивали содой по стандартной методике ($\text{T} : \text{Ж} = 1 : 5$). Установлено, что оптимальная дозировка CaCO_3 в шихте должна обеспечить получение в спеках $5\text{CaO} \cdot 3\text{Al}_2\text{O}_3$ и $2\text{CaO} \cdot \text{SiO}_2$. Полнота преобразования в условиях вращающейся печи осуществляется при частичном плавлении шихты при $1350\text{—}1375^\circ$. Для получения саморассыпавшихся спеков и высокого извлечения Al_2O_3 необходимо замедленное охлаждение спеков от т-ры р-ции до 1300° в течение ≥ 20 мин. Примеси MgO сильно снижают извлечение Al_2O_3 . В оптимальных условиях достигнуто извлечение $\text{Al}_2\text{O}_3 \geq 85\%$, а хим. потери соды ~ 110 кг на 1 т Al_2O_3 , переведенного в р-р. В. Шацкий

71361. Исследование термодинамического разложения сульфата алюминия. Печковский В. В., Кетов А. Н., Ж. прикл. химии, 1957, 30, № 10, 1506—1510.

Исследован процесс термодим. разложения $\text{Al}_2(\text{SO}_4)_3$ (I) (один из методов переработки алунита и получения глинозема) в зависимости от т-ры, времени, конц-ии O_2 в газе, добавок в шихте (Ш) и восстановителей в зоне р-ции. I отдельно или с добавками TiO_2 , Fe_2O_3 , Cr_2O_3 обжигали в трубчатой печи при т-ре $700\text{—}900^\circ$ в токе газа (3.5 л/час): N_2 , O_2 , воздуха, смеси воздуха с N_2 (10% O_2), CO . Кол-во разложившегося I определяли по убыли в весе; общую S в газообразных продуктах разложения определяли непрерывным титрованием SO_2 (полученного после восстановления SO_3 окисью углерода) посредством 0,1 н. р-ра J_2 . Скорость разложения (СР) I растет с т-рой, но достаточная скорость достигается лишь при т-ре $> 900^\circ$. Снижение конц-ии O_2 в газах очень мало увеличивает СР I. Добавки Fe_2O_3 и Cr_2O_3 каталитически увеличивают СР I; напр., при 850° за 30 мин. чистый I разложился на 32,1%, а с добавкой Cr_2O_3 — на 83,0%. Особенно сильно увеличивается СР I в присутствии газообразных восстановителей; так, при т-ре 800° на воздухе за 15 мин. I разлагается на 8,8%, а в CO — на 78,4%. При этом продуктами разложения являются Al_2O_3 и SO_2 . В. Шацкий

71362. Промышленное непрерывное производство перхлората аммония. Шумахер, Стерн (Large-scale continuous production of ammonium perchlorate.

Schumacher Joseph C., Stern David R.), Chem. Engng Progr., 1957, 53, № 9, 428—432 (англ.).

Приведены дополнительные данные: об описанном ранее (РЖХим, 1957, 31236) з-де NH_4ClO_4 работе з-да при различном температурном режиме (нормально: т-ра р-ции 90° , т-ра кристаллизации NH_4ClO_4 , 35°), растворимости NH_4ClO_4 в системе $\text{NH}_4\text{ClO}_4\text{—NaCl—H}_2\text{O}$ при $25\text{—}80^\circ$, хим. составе продукта, содержащего до 99,9% NH_4ClO_4 и применяемого в качестве окислителя для ракетного топлива. Рассмотрено также влияние влажности на чувствительность продукта к взрыву, бризантность, техника безопасности, коррозия материалов для аппаратуры и контрольно-измерительных приборов. Библ. 13 назв.

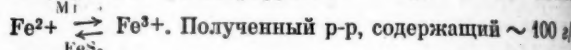
Г. Рабинович

71363. Получение редкоземельных металлов. Исино Тосио, Сиокава Дзиро, Кагаку, Chemistry (Japan), 1958, 13, № 2, 162—164 (японск.).

Обзор за 1956 г. Библ. 17 назв. Н. Шпринг

71364. Выщелачивание марганца из пиролюзитовой руды с применением пирита. Томас Уолли (The leaching of manganese from pyrolusite ore by pyrite. Thomas G., Whalley B. J. P.), Canad. J. Chem. Engng, 1958, 36, № 1, 37—43 (англ.).

Разработан новый метод выщелачивания (В) Mn из бедных ($\sim 4\%$ Mn , $\sim 50\%$ SiO_2 , $\sim 40\%$ Fe) пиролюзитовых руд. Метод основан на использовании пирита (П) в качестве источника к-ты и ионов Fe^{2+} . В 1-м варианте В осуществляют нагреванием аэрированной воды. суспензии руды и П. В автоклаве при высоком давлении O_2 заметно ускоряет процесс, однако и в открытых сосудах при 90° он идет достаточно быстро (90% Mn экстрагируется за 4 часа). Ион Fe^{2+} непрерывно регенерируется в ходе В по схеме:



Полученный р-р, содержащий $\sim 400 \text{ г/л}$ MnSO_4 , после контроля кислотности возвращают для растворения новых порций руды. При выпаривании (нагрев до 175°) этого рециркулирующего р-ра получают осадок $\text{MnSO}_4 \cdot \text{H}_2\text{O}$. Осадок содержит $< 4\%$ примесей (Al , Ca , Mg , Si). В другом варианте процесса в автоклаве предварительно нагревают воды. суспензию П. Нагрев ведут при 110° сначала под давлением O_2 , а затем — в его отсутствие. Получаемый кислый р-р, содержащий $\sim 200 \text{ г/л}$ FeSO_4 используют для В руды при комнатной т-ре. Оба варианта рекомендуют для крупномасштабного произ-ва. Л. Херсонская

71365. Получение марганца из бедных руд посредством аммиачно-карбаматного процесса. Уэлш, Питерсон (Manganese from low-grade ores by the ammonium carbamate process. Welsh J. Y., Peterson D. W.), J. Metals, 1957, 9, № 6, 762—765 (англ.).

Построен з-д в Ривертоне (штат Миннесота) производительностью 180 т руды в сутки, выпускающий MnCO_3 высокой чистоты. Руда содержит 9—10% Mn (большая часть в виде MnO_2), 25—28% Fe (в виде гематита). Процесс основан на способности MnO обводняться в воде. р-рах, содержащих высокие конц-ии NH_3 и CO_2 , растворимый комплекс, который разрушается при нагревании, теряя NH_3 , в результате чего происходит осаждение MnCO_3 . Mn -соединения (молекулы $< 18 \text{ мм}$) восстанавливают до MnO в шахтной печи посредством CO , затем измельчают полученный материал до -30 меш и выщелачивают аммиачно-карбаматным р-ром; полученной пульпе дают отстояться в отстойниках и нагревают р-р до $55\text{—}65^\circ$ в чанах, вследствие чего выделяется NH_3 и осаждаются MnCO_3 . Пульпу из MnCO_3 сгущают до 70%-ного содержания твердого в-ва во вращающихся сушилах, при этом еще дополнительно выделяются NH_3 и CO_2 (идущие на подкрепление р-ра для выщелачивания); полученный MnCO_3 содержит $> 46\%$ Mn и $< 0,8\%$ приме-

ой, остальное — H_2O и NH_3 . Извлечение Mn составляет ~70%. Проведены работы по получению из $MnCO_3$ различных химикатов высокой чистоты. Н. П. Обжиг марганцевых сульфидных масс. Бучури Я. Г., Чагунава В. Т., Панцуля Т. В., Сообщ. АН ГрузССР, 1956, 17, № 8, 703—710. Изучено окисление MnS при 600—1000° в присутствии воздуха и O_2 . Содержание S в образцах 28%; размер зерен 1,5—2 мкм и 0,07—0,12 мкм. Окисление протекает достаточно быстро за первые 40—50 мин. при 600—700°, после чего скорость окисления значительно падает. При применении O_2 вместо воздуха скорость окисления увеличивается в 2,5 раза (и более), по конечной степени десульфуризации получается меньшей, чем при применении воздуха. Использование для окисления O_2 приводит, кроме этого, к увеличению сульфатизации Mn. При t -рах > 700° степень десульфуризации увеличивается на 7—8% на каждые 100°. При увеличении степени измельчения (с 1,5—2 мкм до 0,07—0,12 мкм) резко возрастает степень десульфуризации (с 72 до 90% при 800°). Увеличение скорости воздуха при обжиге лишь увеличивает скорость десульфуризации без заметного изменения конечной величины степени десульфуризации. Библ. 9 назв. В. Матвеев

71367 П. Получение концентрированного раствора перекиси водорода. Окада Тацудзо, Йосидзава Сиро [Эдогава кагаку когё кабусики кайся]. Японск. пат. 1312, 25.02.56

1 кг параазотолуола растворяют в 12 кг α - α' -дипаратолуолата. К р-ру добавляют 270 кг 0,1%-ной Na-амальгамы (полученной электролизом NaCl с Hg-катодом) и 1 кг воды. Смесь хорошо перемешивают и по окончании р-ции оставляют на некоторое время в покое. В верхнем слое собирается р-р 1 кг гидразотолуола в 12 кг α - α' -дипаратолуолата, а в нижнем — 40%-ный водн. р-р NaOH. Верхний слой осторожно отделяют от нижнего, тщательно промывают водой для удаления остатков щелочи и добавляют к нему небольшое кол-во Mg или Ca (для осаждения на поверхности этих металлов примесей металлич. ртути); спустя некоторое время добавляют 240 г чистой воды и продувают O_2 . В результате в р-ре вновь образуется р-р H_2O_2 . Из нижнего слоя получают 370 г 38%-ного р-ра H_2O_2 , а из верхнего — р-р параазотолуола и α -дипаратолуолата. Выход H_2O_2 равен 95% от теоретич. Вместо Mg и Ca можно использовать Mg, Ca, Al, Sn одновременно или их сплавы. В. Зломанов

71368 П. Получение концентрированного раствора перекиси водорода. Окада Тацудзо, Йосидзава Сиро [Эдогава кагаку когё кабусики кайся]. Японск. пат. 1871, 22.03.55

К органическому соединению, растворенному в органич. р-рителе, добавляют воду; на полученный р-р действуют амальгамой щелочн. металлов. После переноса р-ра в восстановленное состояние, его на некоторое время оставляют в покое, затем отделяют верхний слой (р-р органич. р-рителя) от нижнего слоя (р-ра NaOH), обрабатывают верхний слой р-ра Al или Sn. После того как мельчайшие капли Hg, содержащиеся в р-ре, осадут на поверхности Al или Sn, р-ру органич. р-рителя (верхний слой) добавляют аммиачную воду и окисляют. Пример. 1 кг параазотолуола растворяют в 12 кг α - α' -дипаратолуолата ф-лы $C_6H_4CH_2CH(CH_3)C_6H_4CH_3$. В р-р добавляют 270 кг 0,1%-ной Na-амальгамы (полученной при электролизе водной соли ртутным методом), 1 кг воды, тщательно перемешивают и оставляют на некоторое время в покое. В результате р-ции образуются 2 слоя: верхний слой — р-р 1 кг гидразотолуола в 12 кг α - α' -дипаратолуолата, нижний слой — 40%-ный водн.

р-р NaOH. После отделения верхний слой тщательно промывают водой для удаления оставшейся NaOH, пропускают несколько раз через колонну с насадкой из Al- или Sn-фольги (или из порошка Al или Sn), отделяют оставшиеся в р-ре остатки Hg, добавляют 240 г чистой воды и сквозь полученный р-р продувают 370 г O_2 . Получают 36%-ный р-р H_2O_2 . Одновременно с этим парагидразотолуол переходит в параазотолуол. Его вновь восстанавливают и используют как парагидразотолуол и возвращают в цикл. Выход H_2O_2 равен 90% от теоретического. В. Зломанов

71369 П. Способ получения фтористого натрия из кремнефтористого натрия. Аугустин (Sposób otrzymywania fluorku sodowego z fluorokrzemianu sodowego. Augustyn Władysław) [Instytut Chemii Nieorganicznej]. Польшк. пат. 38170, 30.09.55

Предложен способ получения NaF (I) из Na_2SiF_6 (II) методом аммиачного гидролиза по р-ции $Na_2SiF_6 + 4NH_3 + (n+2)H_2O = 2NaF + 4NH_4F + SiO_2 \cdot nH_2O$. I отделяют от SiO_2 (III) при помощи фракционного осаждения. Необходимое для более полного разделения увеличение размеров кристаллов I до 0,2—0,6 мм достигают прибавлением к II в качестве зародышей кристаллов I. Процесс ведут при интенсивном перемешивании и возможно более высокой t -ре с применением газообразного NH_3 . Р-р NH_4F (после отделения III при 20°) можно использовать для получения других солей, напр. NaF, Na_3AlF_6 , F_6 , NH_4HF_2 .

С. Яворовская

71370 П. Способ выпаривания рассола. Аояма Морио, Суги Дзиро, Оба Нобукини [Нахои самбай кося]. Японск. пат. 3733, 22.05.56

Рассол (15 м³) 15,2° Вё упаривают в вакуум-аппарате до 17,5° Вё, нагревая паром давл. 1 ат, добавляют 15 м³ маточного р-ра (после кристаллизации соли с конц-ией 30,5° Вё и доводят конц-ию р-ра до 24,5° Вё). Добавляют 0,0003% олеата сорбитана и продолжают выпаривание. Получают (без образования накипи) 2,7 т соли, содержащей (в %): H_2O 3,73, $CaSO_4$ 1,01, $MgSO_4$ 1,37, $MgCl_2$ 1,22, KCl 0,47, NaCl 91,55. Г. Рабинович

71371 П. Получение устойчивого раствора гипохлорита натрия. Амэмори Сёгоро. Японск. пат. 1125, 17.02.56

Для получения устойчивого р-ра NaOCl к р-ру NaOCl добавляют небольшое кол-во хлористых соединений Co, Ni, Mn, Cr, сульфаты этих металлов или смесь этих солей. Соли железной к-ты, $NaClO_3$ и $NaClO_2$, содержащиеся в р-ре NaOCl, растворяются, а Ni, Co, Mn, Cr и Fe выпадают из р-ра в виде их окислов или гидроксидов и удаляются. Для сравнения устойчивости р-ра NaOCl были взяты р-р, полученный патентуемым методом, и р-р, приготовленный ранее применявшимися методами. В 1-м содержание Cl сразу после получения р-ра было 6,5%; по истечении 1 месяца 6,5%; по истечении 3 месяцев 6,5%; по истечении 6 месяцев 6,4%; по истечении 1 года 6,3%. Во 2-м сразу после его получения содержание хлора было 6,5%; по истечении 1 месяца 3,8%; по истечении 3 месяцев 0,0%. Пример. 25 кг NaOH растворили в 100 л воды, ввели в р-р 20—22 кг Cl_2 . В процессе р-ции добавили 6 мл р-ра 1%-ного $CoCl_2$. После завершения р-ции выпал осадок черного цвета, затем добавили еще 4 мл р-ра 1%-ного $CoSO_4$, оставили в покое на одни сутки, после чего профильтровали и удалили осадок. К отфильтрованному р-ру добавили чистую воду и получили 200 кг 6%-ного р-ра NaOCl. После хранения полученного р-ра NaOCl в течение одного года, содержание в нем Cl почти совершенно не уменьшилось. В. Зломанов

71372 П. Производство безводной глауберовой соли. Накам Сиро [Кимура Хидеюси]. Японск. пат. 8923, 7.12.55

Через расплав $Na_2SO_4 \cdot 10H_2O$ непрерывно продува-

ют воздух с т-рой несколько выше т-ры расплава соли. После этого воздух, вместе с парами воды, поступает в конденсатор, где охлаждается до т-ры примерно 30° (вода конденсируется). Затем воздух направляют в подогреватель и вновь вводят в цикл. М. Гусев

71373 П. Способ получения двузамещенных фосфатов щелочно-земельных металлов и люминесцентные составы, содержащие такие фосфаты. (Procédé de fabrication de phosphate alcalino-terreux bibasique et poudre luminescente contenant un tel phosphate) [Ateliers de Constructions Electriques de Charleroi]. Франц. пат. 1122382, 5.09.56

Чистые двузамещенные фосфаты, не содержащие одно- и трехзамещенных фосфатов, осаждают из р-ра, поддерживая постоянную величину рН введением NH_3 -газа. Напр., для осаждения CaHPO_4 к р-ру $(\text{NH}_4)_2\text{HPO}_4$ медленно приливают р-р CaCl_2 , поддерживая рН 5,0—5,1; при осаждении BaHPO_4 поддерживают рН 7,2—7,4. Патентуется также применение полученных этим способом фосфатов для произ-ва люминесцентных составов.

Е. Бруцкус

71374 П. Способ получения перхлората аммония. Шумахер (Process for making ammonium perchlorate. Schumacher Joseph C.) [Western Electrochemical Co.]. Пат. США 2739873, 27.03.56

Однородные по размеру кристаллы NH_4ClO_4 (I), не содержащего примесей хлоратов и органич. в-в (увеличивающих его взрывоопасность) и пригодного в качестве окислителя для ракетного топлива, получают р-цией NH_3 с водн. р-ром HCl и NaClO_4 при 90° с последующей раздельной кристаллизацией полученных I и NaCl , пользуясь тем, что с изменением т-ры растворимость I изменяется значительно, а растворимость NaCl — очень мало. Вместо HCl (к-та) можно применять CO_2 , H_3PO_4 , H_2SO_4 . Пример. В реактор непрерывно подавали (кг/час): безводн. NH_3 291, HCl (к-та) 22°Be' 1780, 56%-ного р-ра NaClO_4 3760, конечного маточного р-ра, содержащего 30 I и 15% NaCl , 4940. При этом поддерживали т-ру 90° и отводили 170 л/мин р-ра в вакуум-кристаллизатор, где испарялось 852 кг/час воды и т-ра понижалась до 35°. Пульпу отводили в центрифугу и получали 2640 кг/час I, содержавшего 127 кг воды. Этот I промывали насыщ. р-ром чистого I для удаления следов NaCl и сушили (в случае надобности можно отсортировать кристаллы желательного размера). Маточный р-р из центрифуги, содержавший 20% NaCl и 15% I, в кол-ве 8960 кг/час подавали во 2-й кристаллизатор, где при 80° испарялось 3180 кг/час воды и кристаллизовалось 454 кг/час NaCl , который отделяли во 2-м центрифуге. Маточный р-р из нее в кол-ве 4940 кг/час возвращали в цикл. Приведена схема.

Г. Рабинович

71375 П. Способ получения сульфата аммония из сульфата кальция и карбоната аммония. Като Цунэо, Конно Сабуро [Нихон Тиссо Хирё кабусики кайся]. Японск. пат. 5168, 27.07.55

В р-р, со взвешенным в нем гипсом, вводят р-р $(\text{NH}_4)_2\text{CO}_3$ (2—4 моля NH_3 на 1 моль CO_2), содержащий свободный NH_3 . В процессе р-ции сквозь р-р пропускают CO_2 , переводят свободный NH_3 в $(\text{NH}_4)_2\text{CO}_3$ или в $(\text{NH}_4)\text{HCO}_3$. Часть продукта р-ции снова добавляют к взвеси гипса и весь цикл повторяют вновь. Пример. В смеситель непрерывно подают в виде шламмы $\text{CaSO}_4 \cdot 2\text{H}_2\text{O}$ конц-ии 64,5%. Одновременно сюда же подают из 1-го реактора 60% прореагировавшей смеси CaCO_3 и $(\text{NH}_4)_2\text{SO}_4$, все это хорошо перемешивают и переводят во 2-й реактор. 40% прореагировавшей смеси CaCO_3 и $(\text{NH}_4)_2\text{SO}_4$ по другому трубопроводу направляют в фильтровальную установку, где после фильтрации получают 40%-ный р-р $(\text{NH}_4)_2\text{SO}_4$. Осадок CaCO_3 промывают водой и при этом получают еще 10%-ный р-р $(\text{NH}_4)_2\text{SO}_4$. Кол-во промывной воды

составляет 0,43 вес. ч. от кол-ва полученного ранее 40%-ного р-ра $(\text{NH}_4)_2\text{SO}_4$. Промывную воду, содержащую 10% $(\text{NH}_4)_2\text{SO}_4$, подают в отдельный резервуар, куда одновременно с этим извне по отдельным трубопроводам подают водн. р-ры NH_3 и CO_2 ; получают р-р $(\text{NH}_4)_2\text{CO}_3$, содержащий свободный NH_3 . Процесс может проводиться непрерывно.

В. Зломаков

71376 П. Способ получения мелкозернистого карбоната кальция. Симосато Дзёдзи, Анура Мунзо, Эдзакки Сиро [Нихон гому кабусики кайся]. Японск. пат. 2688, 11.04.56

Осажденный обычным методом CaCO_3 обрабатывают солями карбоновых к-т ароматич. ряда (соли фталевой и ксиллодикарбоновой к-т, бензойной и толуквой к-т и др.). Полученный таким образом мелкозернистый CaCO_3 используется в качестве наполнителя резины.

В. Зломаков

71377 П. Способ получения мелкозернистого карбоната кальция. Симосато Дзёдзи, Анура Мунзо, Эдзакки Сиро [Нихон гому кабусики кайся]. Японск. пат. 2689, 11.04.56

Мелкозернистый CaCO_3 , полученный обычным методом, обрабатывают р-ром кремневой к-ты или подк. р-ром, содержащим кремниевую к-ту. Пример. К взвеси CaCO_3 добавляют Na_2SiO_3 в кол-ве 1—20% (в пересчете на SiO_2), подкисляют р-р HCl (к-та) или р-ром NH_4Cl или продувают р-р CO_2 . В последнем случае происходит р-ция: $\text{Na}_2\text{SiO}_3 + \text{CO}_2 \rightarrow \text{SiO}_2 + 2\text{Na}_2\text{CO}_3$. В результате р-ции мелкозернистый порошок CaCO_3 адсорбирует на своей поверхности SiO_2 . Продукт используется в качестве наполнителя резины.

В. Зломаков

71378 П. Приготовление борогидридов щелочно-земельных металлов. Каннингем, Брайант Гое (Preparation of alkaline earth metal borohydrides. Cunningham George L., Bryant John M., Gause Emily M.) [Callery Chemical Co.]. Пат. США 2784053, 5.03.57

Р-р NaBH_4 в моноэтаноламин или N,N -диметилформамиде смешивают с приблизительно эквивалентным кол-вом р-ра хлорида Ba , Ca , Sr , Mg или MgSO_4 в том же р-рителе. Образующийся борогидрид Ba , Ca , Sr или Mg растворим в указанном р-рителе, в течение времени как NaCl и Na_2SO_4 практически нерастворимы и осаждаются из р-ра. Р-цию проводят при комнатной т-ре. После отделения осадка NaCl или Na_2SO_4 р-рителем выпаривают (в вакууме при комнатной т-ре) и получают кристаллы сольватированного борогидрида щелочного металла. Пример. 10,21 г NaBH_4 и 73,08 г $\text{MgSO}_4 \cdot 3\text{H}_2\text{O}$ растворяют в 130 г моноэтаноламина. Образующуюся суспензию перемешивают в течение 4 час при 25°. Осадок (75,7 г Na_2SO_4) отфильтровывают; выход SO_4^{2-} в осадок 93%.

Л. Херсонский

71379 П. Способ покрытия защитной оболочкой борогидридов [щелочных металлов] и получение составов, способствующих хранению и использованию этих продуктов (Procédé d'enrobage des borohydrides alcalins et composition obtenue facilitant la conservation et l'utilisation de ces produits) [Soc. Monsavon-l'Oréal]. Франц. пат. 1124235, 8.10.56

Расплавляют на водяной бане 25 г продукта «Салвах 1540» (поликонденсат 35 молекул окиси этилена при 60° и прибавляют при перемешивании 15 г измененного NaBH_4 . Получают массу, в которой борогидрид равномерно распределен в нейтр. агенте и которая держит 37,5% борогидрида. Массу можно сохранять без особых предосторожностей. Могут быть также использованы натуральные и синтетич. воска, высокомолекулярные спирты и продукты поликонденсации окиси этилена. Полученная масса в воде и других р-рителях легко эмульгируется.

Ю. Михайлов

71380 П. Способ формирования крупных гранул сырого сернокислого глинозема. Кувата Цутому, Сугата Юдзиро. Японск. пат. 1122, 17.02.56

Два вала diam. 1 м, имеющие симметричные сферич. наемки, вращаются на параллельных осях в противоположном направлении таким образом, что эти выемки совмещаются на линии соприкосновения валов. В выемки заливают конц. горячий р-р сырого сернокислого глинозема (продукт обработки каолина H_2SO_4 (к-та) без отделения нерастворимого осадка) в момент прохождения или ближайшего положения. По мере вращений валов до момента совпадения выемок (~ 1 мин.), р-р в них почти отвердевает; когда выемки совмещаются, происходит окончательная формовка и уплотнение гранул. Процесс протекает автоматически в течение 1,5—2 мин. М. Гусев

71381 П. Способ получения алифатических фторированных соединений. Шерер, Кюн, Форхе (Verfahren zur Herstellung von aliphatischen Fluorverbindungen. Scherer Otto, Kühn Heinrich, Forche Eberhard) [Farbwerke Hoechst A.-G. vormals Meister Lucius & Brüning]. Пат. ФРГ 1000798, 27.06.57

Названные в-ва получают при 300—700° из HF и углеводородов, содержащих ≥ 1 атом другого галогена (кроме F) в присутствии катализатора AlF_3 или AlF_3 с добавкой Cu, Mg или их галогенидов. При добавке небольших кол-в MgF_2 к AlF_3 почти подавляется образование $CClF_3$ из CCl_4 (I), а добавка CuF_2 способствует образованию $CClF_3$ (II) и полностью подавляет образование CF_4 . Катализаторы получают при повышенной т-ре из HF и стружек Al, кусков пористой Al_2O_3 , сплава Al и Cu или Mg, смеси стружек Al или Al_2O_3 со стружками Mg или Cu, или из Al_2O_3 , пропигированной р-рами галогенидов Mg или Cu. Фторированные углеводороды с ≥ 2 атомами C получают лучшие по соответствующим олефинам, Cl_2 и HF в присутствии катализатора. Пример. Через Ni-трубку, содержащую куски активной Al_2O_3 , в течение 40 час. при 360—400° пропускают HF и затем смесь I и HF в мол. соотношении 1:1,9 со скоростью 1 мол. I в 1 час. Продукт содержит (в %) CCl_3F 18, CCl_2F_2 4,3, II 19 и I 19,5.

Ю. Гольянец

71382 П. Процесс производства углекислого газа (Procédé de fabrication du gaz carbonique) [Cie Industrielle et Minière du Nord et des Alpes et M. Vesovod Dachkevitch]. Франц. пат. 1123809, 28.09.56

Для увеличения содержания CO_2 в газе, образующемся во время диссоциации $CaCO_3$ при нагревании за счет сжигания топлива, предлагается подаваемый для сжигания угля воздух обогащать кислородом до содержания 35%. Это позволяет, за счет уменьшения содержания нейтр. газов в воздухе и увеличения кол-ва сжигаемого топлива, довести содержание CO_2 в газе до 35%, вместо 30%. Г. Таращанский

71383 П. Получение металлического титана. Матида Кадазу, Такахаши Кумпэй, Ясунага Ацуки [Токуяма сода кабусики кайся]. Японск. пат. 2304, 29.03.56

К р-ру $TiCl_4$ добавляют соответствующее кол-во порошка металлич. Mg. В полученную смесь вводят электроды и пропускают ток. В результате между электродами, отдельными зернами порошка Mg и $TiCl_4$, происходит электрич. искровой разряд и через 4 мин. бесцветный $TiCl_4$ переходит в розовый $TiCl_3$, а через 10 мин. получается промежуточный продукт $MgTiCl_4$, который находится в колл. состоянии. Через 20—30 мин. после этого $MgTiCl_4$ внезапно восстанавливается и переходит из колл. состояния в спеченную массу. На этом р-ция заканчивается и получают металлич. Ti. Помимо Mg может быть использован любой металл, обладающий свойствами восста-

новителя, а именно — металлич. Na, Si, Al и другие металлы. Электроды делают из Cu, Ni и других металлов. Пример. На 20 мл р-ра $TiCl_4$ добавляют 9 г порошка металлич. Mg (размер зерен 20—40 меш), помещают смесь в стеклянный резервуар, вставляют в смесь медные электроды и при помощи индукционной катушки дают электрич. искру. Спустя ~ 1 час смесь, находящаяся в резервуаре, воспламенится. Выключают ток, вынимают из резервуара спекшуюся массу, тщательно промывают ее разведенной HCl (к-та), сушат и получают 8,1 г порошка черного цвета. Под микроскопом при увеличении в 100 раз этот порошок имеет серебристо-белый металлич. блеск. Хим. состав порошка Ti 98% и Cu 0,92%. Выход Ti 92%.

В. Зломанов

71384 П. Способ получения двуокиси хлора. Кемпинский (Sposób otrzymywania dwutlenku chloru. Kępiński Józef) [Instytut Chemii Ogólnej]. Польск. пат., 37420, 20.05.55

Чистую ClO_2 получают восстановлением хлоратов с помощью SO_2 в кислом (напр. содержащем 4 моль/л H_2SO_4) р-ре, поддерживая конц-ию хлората ($NaClO_3$) ≤ 1 моль/л, предпочтительно 30—100 ммоль/л; одновременно удаляют образующийся Na_2SO_4 . Получают газ с мол. соотношением $ClO_2:Cl_2 \geq 30:1$; выход ClO_2 90—95%, считая на хлорат. Е. Бруцкус

71385 П. Получение йода из соленых грунтовых вод. Каванами Такасукэ [Анои когё кабусики кайся]. Японск. пат. 418, 24.01.56

Небольшое кол-во соленых грунтовых вод подвергают электролизу, после чего эту воду смешивают с соленой грунтовой водой, не подвергавшейся электролизу. В результате почти весь J, содержащийся в грунтовой воде, переходит в свободный. Пример. 1 л соленой грунтовой воды подвергают электролизу при D_k 25—50 а/дм², силе тока 1,8—8,5 а и напряжении 5 в. Анод — Pt-пластинка; катод — пластинка из нержавеющей стали. Затем воду смешивают с 5—150 л соленой грунтовой воды, не подвергавшейся электролизу. Несмотря на то, что к воде не добавляют никаких хим. реагентов, ~ 95% J, содержащегося в грунтовой соленой воде, переходит обычно в свободное состояние. Эту воду с J_2 пропускают через слой активированного угля, анионообменной смолы или слой какого-либо другого адсорбента, способного адсорбировать йод (на 1 ч. J_2 требуется 5 ч. активированного угля или 1,5—2 ч. анионообменной смолы). J_2 адсорбируется при конц-ии в воде 5—10 мг/л, затем адсорбент обрабатывают 2%-ным р-ром NaOH, Na_2SO_3 или другими реагентами, растворяющими J_2 , и извлекают из него J_2 . Адсорбент используют многократно. В. Зломанов

71386 П. Применение агентов, способствующих образованию центров кристаллизации, при восстановлении солей до металлов. Рой, Маков, Линь Вэй-чжэн, Кунда (Use of catalytic nucleating agents in the reduction of salts to metal. Roy Tuhin Kumar, Mackiw Vladimir Nicolaus, Lin Wei Cheng, Kunda Vasy) [Chemical Construction Corp.]. Пат. США 2767082, 16.10.56

В сернокислый или аммиачный р-р Cu, Co или Ni, содержащий ~ 150 г/л соответствующего металла, вводят небольшое кол-во (~ 0,01 г/л) негалообразного неметаллич. агента, способствующего быстрому образованию кристаллич. зародышей (3). Такими агентами являются различные соли: фосфаты, цианиды, тиосульфаты, нитриты, сульфиты и др. Могут применяться активированный уголь, соли органич. соединений, N_2H_4 , NH_3 , CH_3O , а также карбонаты, гидроксиды и сульфиды щел. металлов. Восстановление проводят при повышенных т-ре и давлении. Полученные 3 отделяют и вводят в новую порцию р-ра соответствующей соли, которую восстанавливают с целью получе-

ния частиц металла (оседающих на 3) с большей кажущейся плотностью, чем исходные 3. Восстановление новой порции р-ра в присутствии 3 может быть проведено также для получения вторичных 3 со средним диам. $\sim 1 \mu$. Пример. К 2000 ч. р-ра, содержащего 50 г/л Ni в виде NiSO_4 (мол. соотношение $\text{NH}_3 : \text{Ni}$ $\approx (\text{NH}_4)_2\text{SO}_4 : \text{Ni}$ соответственно 3:1 и 1:1), добавляют 0,5 г/л $\text{S}_2\text{O}_8^{2-}$ (в виде $\text{Na}_2\text{S}_2\text{O}_8$). Р-р восстанавливают H_2 при 176° и давл. 56 атм в течение 2 час. Получается тонкий порошок, могущий служить в качестве 3.

Л. Херсонская

См. также: Адсорбция углекислоты р-ром поташа 71078

УДОБРЕНИЯ

Редактор И. Л. Гофман

71387. Удобрения в 1958 г. Хилл (Fertilizers — 1958, Hill N. E.), Tasman. J. Agric., 1958, 29, № 1, 78—81 (англ.)

Приведены хим. состав удобрений, зарегистрированных в Тасмании для продажи в 1957—1958 гг., и цены на них.

Е. Бруцкус

71388. Производство удобрений. Висванатхан (How your fertilizers are manufactured. Viswanathan T. R.), Indian Farm., 1958, 7, № 11, 36—37 (англ.)

Дано краткое описание процессов произ-ва и ассортимента удобрений азотных з-дов Индии: действующего и расширяющегося в Синдрии и строящихся в Нангале, Нейбели и Роуркеда.

Г. Рабинович

71389. Цианамид кальция — производство и потребление, мировое и в Югославии. Петрич (Kalcijum-cijanamid — proizvodnja i potrošnja u svijetu i kod nas. Petrić Ivo), Tehnika, 1958, 13, № 4, Нем. ind., 12, № 4, 61—64 (сербо-хорв.; рез. нем.)

Дана история развития произ-ва CaCN_2 ; приведены статистич. данные (в сравнении с другими N-удобрениями).

Г. Рабинович

71390. Способ получения сульфата аммония с помощью реакции в газовой фазе между аммиаком, серным ангидридом и водой. Ито, Масуда, Кобаяси (Ito Yukio, Masuda Etsuro, Kobayashi Etsuro), Korô kagaku dзасси, J. Chem. Soc. Japan. Industr. Chem. Sec., 1957, 60, № 10, 1260—1262 (японск.)

71391. Кобылецкие фосфориты Закарпатья, их химический состав и возможные пути применения. Дистанов Г. К., Уч. зап. Биол. фак. Кирг. ун-та, 1957, вып. 8, 71—73

Кобылецкие фосфориты содержат 12—22% P_2O_5 ; они относятся к легкорастворимым фосфоритам; залежи их значительны. Вегетационные опыты показали их эффективность в качестве P-удобрений.

Е. Бруцкус

71392. К вопросу о химии фосфатов. Мартенс (Considérations sur la chimie des phosphates. Martens P.), Ann. Gembloux, 1957, 63, № 1, 1—12 (франц.)

Обзор. Природные и чистые Са-фосфаты, томасшлак и другие, их свойства и оценка как удобрений. Приведены кривые нагревания $\text{Ca}(\text{H}_2\text{PO}_4)_2 \cdot \text{H}_2\text{O}$ и $\text{CaHPO}_4 \cdot 2\text{H}_2\text{O}$.

Е. Бруцкус

71393. Исследования процесса производства плавного кальций-магний-фосфатного удобрения в Новой Зеландии. Биллингхерст, Николсон (An investigation into the manufacture of fused calcium-magnesium phosphate fertilizer in New Zealand. Billinghurst W. M., Nicholson D. S.), N. Z. Dept. Scient. and Industr. Res. Bull., 1956, 119, 66 pp. (англ.)

Разработан способ получения Са-Mg-фосфатного удобрения плавлением шихты из природного фосфата и дунита или серпентина в электрич. печи с последующим быстрым охлаждением плава в потоке воды под высоким давлением. Продукт содержит $\sim 23\%$ P_2O_5 общей, из них $> 90\%$ в лимоннорастворимой форме, и до 19% MgO . Приведены схемы, планы и описание оборудования з-дов производительностью 50 000 и 10 000 т/год и технико-экономич. соображения о их строительстве в 4 точках Новой Зеландии. Библ. 38 назв.

Е. Бруцкус

71394. Концентрирование фосфорной кислоты, полученной серноокислотным разложением фосфоритов Каратау, и получение фосфорно-аммиачного удобрения «аммофоса». Милованова С. К., Научнотехн. информ. бюл. Научн. ин-т по удобр. и инсектофунгицидам, 1957 (1958), № 9, 60—73

Лабораторные и полужавовские опыты показали, что H_3PO_4 , полученную из фосфоритов Каратау, можно упаривать только до конц-ии 36—38% P_2O_5 , так как при дальнейшем упаривании выпадает $\text{MgSiF}_6 \cdot 6\text{H}_2\text{O}$. Приведена схема разработанного способа получения аммофоса: к-ту, содержащую 34% P_2O_5 , нейтрализуют NH_3 до pH 6,8; пульпу, содержащую главным образом $\text{NH}_4\text{H}_2\text{PO}_4$ с примесью $(\text{NH}_4)_2\text{HPO}_4$ и MgHPO_4 и 30—33% H_2O , смешивают с ретуром — мелким высушенным аммофосом — в шнеке-смесителе, причем одновременно происходит гранулирование. Смесь с влажностью 10—11% поступает в промежуточную барабанную сушилку; т-ра топочных газов 500—600° на входе и 100° на выходе. Т-ра нагрева аммофоса для предупреждения потерь $\text{NH}_3 \leq 85^\circ$. После сушки аммофос рассеивается. Продукт с размером частиц 3—1 мм содержит в среднем (в %): P_2O_5 общей 49,2, лимоннорастворимой 48, водорастворимой 36,5, NH_3 13, MgO 5, SO_3 6,2, H_2O 2,2. Проведены также опыты по сушке и распылительной сушилке; в этом случае для получения пульпы можно применять к-ту с конц-ией 20—22% P_2O_5 (без упарки), но габариты сушилки велики, и кроме того продукт должен быть подвергнут последующему гранулированию. Библ. 9 назв.

Е. Бруцкус

71395. Фосфорная кислота высокой концентрации. Стриплин, Мак-Найт, Мегар (Phosphoric acid of high concentration. Striplin M. M., Jr., McKnight David, Megar G. H.), J. Agric. and Food Chem., 1958, 6, № 4, 298—303 (англ.)

Приведено описание и результаты работы установки TVA для получения фосфорной к-ты конц-ией 76—77% P_2O_5 , названной «суперфосфорной» (I). Р ($\sim 1,1 \text{ т/час}$) распыляется в испарителе (стальном диам. 2,4 м, длиной 7,2 м, футерованном огнеупорным кирпичом) и частично сгорает, выделяя теплоту, необходимую для испарения остальной части Р. Газы и воздух, необходимый для полного сгорания Р, поступают сверху в камеру сжигания (из графитовых блоков диам. 2,5 м, высотой 11,4 м, охлаждаемую снаружи водой). В нижнюю часть камеры подается часть воды, необходимой для охлаждения и гидратации P_2O_5 . Затем газы поступают вниз гидрататора (из угольных блоков высотой 11,4 м, шириной 2,5 м, 8-угольного сечения). Гидрататор орошается водой и разб. H_3PO_4 . Полученная в камере и в гидрататоре I стекает в хранилище. Газы из гидрататора, содержащие остаток к-ты в виде каплек и тумана, поступают сверху в скруббер Вентури из нержавеющей стали, в горловину трубы которого вбрызгивается циркулирующая, слабая H_3PO_4 , охлаждаемая водой; часть этой к-ты отводится на орошение гидрататора. Далее газы проходят сепаратор, верх которого засасывается вентилятором, и с содержанием $< 0,2\%$ P_2O_5 выбрасываются в трубу. Общий выход P_2O_5 составляет 99,9%; в виде I получается 88%

ной P_2O_5 . Для получения всей продукции в виде I необходимо небольшое увеличение циркуляции к-ты. Опыты показали возможность произ-ва I на установках для получения обычной H_3PO_4 после некоторого переоборудования. Свойства I: состав — 49% всей P_2O_5 находится в виде орто-к-ты, 42% в виде пирро-к-ты, 8% в виде триполи- и 1% в виде тетраполифосфорной к-ты. При разбавлении I водой происходит гидратация полифосфорных к-т и выделяется теплота. Приведены графики плотности и вязкости к-т конц-ией 72–78% P_2O_5 при различных т-рах и результаты опытов по коррозии различных материалов при действии I при 15–115°: металлы и сплавы оказались более стойкими, а пластмассы и резиновые материалы такими же стойкими, как при действии H_3PO_4 конц-ией 55% P_2O_5 . I можно хранить при 0° и даже ниже, не опасаясь кристаллизации. Стоимость ее транспортировки и хранения на единицу P_2O_5 ниже, чем обычной H_3PO_4 , и как показали опыты в промышленном оборудовании, применяя ее, можно получить более конц. удобрения: суперфосфат с содержанием до 55% P_2O_5 и жидкое удобрение 11-36-0; при получении удобрения 5-20-20 сушка не нужна, так как т-ра процесса выше и гранулирование происходит при меньшей вязкости. Библ. 12 назв. Е. Бруцкус

71396. Электронно-микроскопическое исследование структуры фосфоритов бассейна Кара-тау. Чепелевский М. Л., Гиммельфарб Б. М., Кушнерман М. Е., Красильникова З. В., Докл. АН СССР, 1958, 119, № 1, 133–135

Исследования показали, что величина фосфатных зерен для всех 5 образцов фосфоритов (Ф) месторождения Чулак-Тау составляет 0,1–4 м; включения карбонатов мелкодисперсны. Величина фосфатных ооли-тов у Ф месторождения Ак-Сай составляет 40–80 м, у Ф месторождения Кок-Сай 80–230 м; включения карбонатов крупнее, чем в Ф Чулак-Тау. Вследствие малой величины фосфатных зерен обогащение Ф Чулак-Тау методом флотации для получения концентрата с низким содержанием Mg будет значительно труднее, чем обогащение Ф других месторождений. Поэтому флотационное обогащение Ф Чулак-Тау следует сочетать с хим. обогащением, напр. с помощью разб. H_2SO_4 . Этот метод позволяет получать концентрат с содержанием MgO 0,3–1,0% независимо от величины фосфатных зерен. Е. Бруцкус

71397. Фосфонитрид алюминия. Верньо (Phosphonitride d'aluminium. Vergnaud Henri), Ind. chim., 1957, 44, № 485, 371–372 (франц.)

Рассмотрены ранее предложенные электротермич. способы фиксации атмосферного N_2 алюминием. Автор считает, что присутствие P (элементарного или в виде фосфата) должно ускорять эту фиксацию и предлагает пропускать N_2 через измельченный сенегальский Al-Ca-фосфат в электрич. печи или в печи типа цементной и получать удобрение, содержащее цитратно-растворимые фосфаты Al и Ca, а также N в виде нитрида или фосфонитрида Al. Последние в почве переходят медленно в нитрат, что особенно важно в условиях влажного климата.

Г. Рабинович
71398. Методы определения фтора в объектах туко-вой промышленности. Винник М. М., Научно-техн. информ. бюл. Научн. ин-т по удобр. и инсектофунгицидам, 1957 (1958), № 9, 30–44

Разработан метод определения F в P-удобрениях, сырье и отходящих газах. Дистиллят, полученный при отгонке F в виде H_2SiF_6 и поглощении последней р-ром K_2CO_3 титруют в 2 стадии: в 1-й до pH 3,5 по смешанной индикатору (0,1%-ный спирт. р-р метиленовой сини и диметилового желтого в отношении 1:1) нейтрализуются свободные HCl и H_2SO_4 ; во 2-й по метилоранжу титруется K_2SiF_6 ; метод позволяет

определять до 0,3 мг/л F. Для определения более низких конц-ий (до 0,007 мг/л F) предложено при титровании солями Th применять индикатор бензол-2-арсоновую к-ту (1-азо)-1,8 диоксинафталин-3,6 дисульфокислоту («арсеназо»). Разработаны методы определения F в присутствии H_3PO_4 и отдельного определения малых кол-в HF, H_2SiF_6 и H_3PO_4 при их совместном присутствии. Е. Бруцкус

71399. Новый завод удобрений в Шотландии. — (Scotland's latest fertilizer works.), Chemistry and Industry, 1958, № 14, 406–412 (англ.) (A new Scottish fertilizer factory.—), Industr. Chemist, 1958, 34, № 398, 173–179 (англ.)

Приведены схемы и описание з-да Scottish Agricultural Industries, Ltd. в Лите, пущенного в 1957 г., производительностью 1-й очереди 150 000 т/год гранулированных конц. полных удобрений. Большая часть сырья доставляется морем, выгружается в порту на систему транспортеров (длиной 440 м) з-да в кол-ве 350 т/час и подается на склад емк. 56 000 т. S хранится отдельно от фосфорита, так как содержащийся в последнем F сильно действует на ванадиевый катализатор. В системе Симон — Карвес-Монсанто производительностью 175 т/сутки H_2SO_4 жидкая S очищается в фильтр-прессе Келли от золы (до содержания 0,05%) и битума и сжигается в печи с воздухом, осушенным 94%-ной H_2SO_4 и подогретым. Газы (7,5% SO_2) проходят котел-утилизатор, горячий фильтр с кварцем и 4-слойный контактный аппарат. Газы охлаждаются после 1-й ступени в выносном теплообменнике, где подогревают сухой воздух; 2-й ступени — добавлением холодного сухого воздуха; 3-й ступени — над пароперегревателем котла-утилизатора; 4-й ступени — в экономайзере и холодильнике SO_3 (до 180–200°) и поступают затем в абсорбционную башню с керамиковой насадкой, орошаемой 98,5%-ной H_2SO_4 . H_3PO_4 конц-ией 30–32% P_2O_5 получается на установке Прейон производительностью 66 т/сутки P_2O_5 , состоящей из 2 экстракторов с 4 отделениями каждый, через которые пульпа проходит последовательно, 2 вакуум-испарительных холодильников для регулирования т-ры экстракции (~65°), скруббера отходящих газов и вращающегося лоткового вакуум-фильтра Прейон. Полученная к-та упаривается до конц-ии 31–37% P_2O_5 в однокорпусном вакуум-выпарном аппарате Свенсона с интенсивной циркуляцией к-ты. NH_3 -газ получается дистилляцией NH_3 -воды. NH_3 , H_2PO_4 и гранулированные удобрения на его основе получаются на установке Дорр-Оливер, состоящей из 4 нейтрализаторов, смесителя с 2 валами, в который добавляются $(NH_4)_2SO_4$, KCl и ретур, прямоточной барабанной сушилки, 2 скрубберов, вентиляторов, грохотов, дробилок и другого оборудования. Строится склад продукции емк. 40 000 т. Е. Бруцкус

71400. Завод удобрений в Лите [Шотландия]. — (Fertiliser works at Leith.—), Engineer, 1958, 205, № 5333, 530–533 (англ.)

Приведены схемы и описание з-да (см. пред. реф.), а также строительных конструкций. Е. Бруцкус

71401. Приготовление радиоактивных удобрений, содержащих несколько питательных веществ, с заданной растворимостью фосфата. Вечорек, Каро (Preparation of radioactive polynutrient fertilizers having specified phosphate solubilities. Wiczorek G. A., Caro J. H.), J. Agric. and Food. Chem., 1958, 6, № 1, 34–39 (англ.)

На небольшой промышленной установке получены порошковидные и гранулированные удобрения — нитрофосфаты, удобрения состава 6-12-12, 12-12-12 и др., содержащие P^{32} , и различные относительное кол-во P_2O_5 водорастворимой, предназначенные для вегетационных и полевых опытов. Удобрения получали: 1) смешением неорганич. солей; 2) разложением

природных фосфатов H_2SO_4 или HNO_3 . Удобрения, полученные 1-м способом, имели высокую степень усвояемости P_2O_5 и заданное содержание водорастворимой P_2O_5 . Значительно труднее регулирование степени растворимости и усвояемости в удобрениях, полученных 2-м способом. Библ. 5 назв. Е. Бруцкус

71402 П. Обесфторивание природного фосфата. Холлингсуорт (Defluorination of phosphate rock. Hollingsworth Clinton A.) [Smith — Douglass Co., Inc.] Пат. США 2778722, 22.01.57

Природный фосфат (ПФ), содержащий 1,8—4% (3%) SiO_2 , для ослабления апатитовой решетки обрабатывают в течение 1—5 суток HCl (к-та), взятой в кол-ве 10—30% HCl от суммарного веса ПФ и соляной к-ты. Пульпу сушат при 93—427° (260°), причем улетучивается > 50% HCl . Сухую массу измельчают до размера < 1,2 мм и прокачивают 20—30 мин. при 1315—1480° в атмосфере H_2O -пара, не допуская плавления массы. Затем массу быстро охлаждают, напр. водой, и получают $Ca_3(PO_4)_2$, содержащий < 1 ч. ф на 100 ч. Р и $\geq 75\%$ P_2O_5 в форме, растворимой в нейтр. р-ре NH_4 -цитрата. Содержание ф в продукте уменьшается при увеличении кол-ва применяемой HCl (к-та) и повышении т-ры и продолжительности прокаливаний. Продукт пригоден в качестве удобрения или кормовой добавки. Е. Бруцкус

71403 П. Получение фосфорного удобрения и кормовой добавки для животных. Тербетт (Preparation of phosphate fertilizer and animal feed supplement. Turbett Forrest L.) [Spencer Chemical Co.] Пат. США 2776198, 1.01.57

$NH_4H_2PO_4$ в смеси с природным фосфатом в весовом соотношении (считая на P_2O_5), равном $(1,17 \div 5,1) : 1$, нагревают при 200—400° и 1 атм и получают продукт, содержащий большее кол-во цитратнорастворимой P_2O_5 , чем исходный $NH_4H_2PO_4$. Из выделяющихся при р-ции газов в циклоне при 100—180° улавливается $(NH_4)_2SiF_6$, а затем в скруббере — NH_3 и CO_2 . Вместо природного фосфата можно применять фосфаты Al, Fe, Fe + Al, плавленые фосфаты и термифосфаты и получать продукты, содержащие 55—70% P_2O_5 и $\leq 0,1\%$ ф. Пример. 30 г кристаллич. $NH_4H_2PO_4$ смешали с 25 г фторидского фосфорита с размером частиц 0,05 мм и 10 мл воды и испарили воду при низкой т-ре. Сухую смесь нагревали в течение 1 часа 39 мин. и получили 45 г продукта, содержащего (в %): P_2O_5 общей 59,4, водорастворимой 17,7, цитратнорастворимой 1,14, N 2,85, F 0,45. 94,2% цитратнорастворимой P_2O_5 , содержащейся в фосфорите, превратилось в цитратнорастворимую форму. Потери составили 18,2%; 78% ф и 65,2% NH_3 из исходных материалов улетучилось в виде газов. Приведены схемы. Е. Бруцкус

71404 П. Способ получения аммонизированных суперфосфатов. Дейтин (Process of producing ammoniated superphosphates. Datin Richard C.) [Allied Chemical & Dye Corp.] Пат. США 2783139, 26.02.57

Для предотвращения ретроградации P_2O_5 при аммонизации суперфосфата природный фосфат разлагают H_2SO_4 (или смесью ее с HNO_3 или H_3PO_4 , или смесью HNO_3 с H_3PO_4), взятой в кол-ве 3—20 (5—15) экв на 1 моль P_2O_5 в фосфате, добавляя при этом Na-ионы в кол-ве 0,25—10% (1—5%), считая на вес твердых компонентов суперфосфата. На можно добавлять в виде нитрата, сульфата, хлорида или фторида; последний менее эффективен. Полученный суперфосфат аммонизируют, подавая 1,6—2,9 моль NH_3 на 1 моль P_2O_5 ; при этом не учитывается кол-во NH_3 , необходимое для нейтрализации избытка к-ты, примененной при разложении фосфата. Е. Бруцкус

71405 П. Способ получения кремнефторида аммония, почти не содержащего фосфата, из газов, выделяющихся при производстве суперфосфата. Гросс, Гросс (Process for production of substantially phosphate — free ammonium silicofluoride from den gas. Gloss Gunter H., Gross John H.) [International Minerals & Chemical Corp.] Пат. США 2780524, 5.02.57

Газы, выделяющиеся при разложении природного фосфата (ПФ) H_2SO_4 и содержащие SiF_4 и пыль ПФ пропускают через абсорбер или скруббер, орошаемый водой или водн. р-ром $(NH_4)_2SiF_6$, причем поддерживают т-ру р-ра от т-ры замерзания до 40° (5—25°) и рН 3,5—5,5 (4,5); в этих условиях ПФ не растворяется. После отделения твердых частиц ПФ и выделяющегося SiO_2 к р-ру, содержащему $(NH_4)_2SiF_6$ + NH_4F , добавляют NH_3 до рН > 7,5 при т-ре < 40°, отделяют SiO_2 и получают р-р NH_4F . Е. Бруцкус

ЛЮМИНЕСЦЕНТНЫЕ МАТЕРИАЛЫ

Редакторы В. Д. Матвеев, Н. А. Ширяева

71406 П. Люминесцентные материалы (Luminescent materials) [British Thomson — Houston Co., Ltd.] Англ. пат. 734652, 3.08.55

Люминесцентные составы (ЛС) — ZnS : Cu, Al при УФ-возбуждении имеют желтое или оранжевое свечение. Концентрация Cu в ЛС от 0,3—1 вес. % и мол. отношение Cu : Al от 1 : 1 до 1 : 30. Шихту готовят, смачивая 20 г ZnS водн. р-ром $Cu(NO_3)_2$, содержащим 0,06 г Cu и водн. р-ром, содержащим 0,41 г $Al_2(SO_4)_3$. Шихту сушат, просеивают и прокачивают 0,5 часа при 1100° в атмосфере H_2S . Охлажденный ЛС представляет желтый порошок с желтой люминесценцией. При увеличении кол-ва $Al_2(SO_4)_3$ до 0,87 г получается ЛС с оранжевой люминесценцией. Максимум излучения ЛС при возбуждении УФ-светом 3650А изменяется от 5100 А до 5800 А по мере увеличения концентрации Cu и Al. При катодном возбуждении у этих ЛС наблюдаются синие и зеленая полосы свечения, характерные для ZnS : Cu — ЛС. Если мол. отношение Cu : Al = 1 : 1, то ЛС обладают электролюминесценцией. Возможно заменить Al на другие трехвалентные элементы (Ca, Y, In, V и La). Б. Гугель

71407 П. Люминесцентные материалы. Кодэра Йосихидэ, Йонэмура Митико, Сэкинэ Тадао [Kodé гидзюунитэ] Японск. пат. 4119, 17.02.56

К люминесцентным материалам (ЛМ), основными компонентами которых являются соли кислородных к-т, добавляют в качестве активатора анионы, отличающиеся по своему характеру от анионов основного компонента ЛМ. Примеры. 1. ЛМ, изготовленный из $CaSiO_3$ с добавлением к нему в качестве активатора Mn, светится лишь под воздействием катодных лучей. Но если к нему до его спекания добавить 0,001—0,1 моля мышьяковистой к-ты на 1 моль SiO_2 , то полученный ЛМ будет светиться бледно-оранжевым светом как под действием катодных, так и под действием УФ-лучей. 2. Если к галофосфату Ca добавить в качестве активатора только лишь один Mn, то такой материал не будет светиться, но если к нему добавить еще 0,001—0,1 моля мышьяковистой к-ты на 1 моль фосфорной к-ты и смесь прокалить в течение 30 мин. — 6 час. при 800—1200°, то такой ЛМ при воздействии на него коротковолновых или длинноволновых УФ-лучей будет светиться бледно-оранжевым или бледно-голубым светом в зависимости от кол-ва Mn и вида галогена. В. Зломанов

71408 П. Производство люминесцентных материалов. Кодэра Йосихидэ, Сэкинэ Тадао

Ионэмура Митико [Когё гидзюунитё]. Японск. пат. 1118, 17.02.56

Смешивают Sb_2O_3 или соединения, служащие исходными материалами при получении Sb_2O_3 , с щел.-зем. металлами (Mg), окислами Zn или с соединениями, содержащими эти компоненты. К смеси можно добавлять небольшое кол-во Bi, Pb, Ce, Mn. После смешения продукт прокаливают. Пример. 80 г SbCl_3 растворяют в 160 мл 6 н. HCl, полученный р-р добавляют к 2 л кипящей дистил. воды, выпавший осадок фильтруют и промывают разб. HCl (к-та) и разб. NH_4OH . Осадок просушивают и добавляют к нему 10 мл конц. HNO_3 , в течение 1—3 час. выдерживают при $700-900^\circ$ и получают порошок Sb_2O_3 . К порошок Sb_2O_3 добавляют в мол. соотношении 1:2,5 очищ. CaO или же соли Ca, являющиеся исходным продуктом для получения CaO. Полученную смесь прокаливают в течение 2 час. при 1100° и получают люминесцентный материал, который под воздействием УФ-лучей (коротковолновых или длинноволновых) и электронного пучка дает свечение с максим. длиной волны 5900 Å и шириной полосы 380 Å. В. Зломанов

71410 П. Приготовление галофосфатных люминесцентных составов. Батлер (Preparation of halophosphate phosphors. Butler Keith H.) [Sylvania Electric Products Inc.]. Пат. США 2755254, 17.07.56

При прокаливании в окислительной атмосфере, галофосфатной шихты, содержащей Cl, получают люминесцентный материал (ЛМ) с розоватой люминесценцией, а при прокаливании в восстановительной атмосфере — с сероватой. При прокаливании в закрытом тигле получают ЛМ белого цвета, так как в тигле создается атмосфера из паров SbCl_3 . Однако при этом приходится вводить в шихту большое кол-во Sb и Cl, а образующаяся SbCl_3 действует как плавень и приводит к росту кристаллов ЛМ. При введении Sb в виде Sb_2O_3 или в виде антимонатных солей Ca и Mn и при прокаливании шихты в атмосфере чистого N_2 получается ЛМ белого цвета, высокой яркости и с малым размером кристаллов. Состав ЛМ отвечает следующим пропорциям (в г-атом): P 3,00; Ca + Mn 4,00—4,95; F + Cl 0,90—1,10; Mn 0,00—0,30; Sb 0,01—0,08; Cl 0,00—1,10. Прокаливание ведут в течение 0,5—2 час. при $1050-1200^\circ$, причем т-ра должна быть выше для ЛМ с высоким содержанием Cl. Вместо N_2 можно применять CO_2 , Ar, He, Ne, Kr, Xe, содержание окисляющих или восстанавливающих примесей должно быть $<1\%$. Прокаливание проводят в противотоке газа, чтобы удалять газообразные продукты, выделяющиеся из шихты. Пример. Прокаливают 4 часа галофосфатную шихту состава (в г-атом): P 3,00; Ca 4,71; Mn 0,13; Sb 0,13; F 0,81; Cl 0,27 в тигле при 1120° ; получают ЛМ с размером частиц 8—9 мк с яркостью 100 единиц. Sb прибавлялась в шихту в виде Sb_2O_3 . При замене Sb_2O_3 на Sb_2O_4 и при прокаливании в течение 48 мин. в лодочках размером $2,5 \times 5,0 \times 7,5$ см, в противотоке N_2 (зона нагрева длиной 90 см) при 1120° получается ЛМ с размером частиц 7,2 мк и яркостью 107 единиц. Б. Гутель

71410 П. Люминесцентные составы и их применение. Кросби, Эдуарде (Luminescent materials and applications thereof. Crosby Gilmore E., Edwards Thomas W.) [Radio Corp. of America]. Пат. США 2758941, 14.08.56

Для увеличения адгезии частиц люминесцентного состава (ЛС) к стеклу при нанесении на экран электровакуумной трубки методом осаждения из р-ра силиката K, поверхность частиц ЛМ покрывают пленкой гидроксифосфата Ca. Образование пленки происходит при введении р-ра Na_3PO_4 в колве 0,006—0,6% от веса ЛС в водн. извесь ЛС, содержащую 0,004—0,4% CaCl_2 (от веса ЛС), причем лучшие результаты полу-

чаются при pH 10,5—11,0. Обработке могут подвергаться как сульфидные, так и силикатные ЛС. Возможно применять любые растворимые в воде соли Ca вместо CaCl_2 и любые растворимые в воде фосфаты вместо Na_3PO_4 . Пример. 3,63 кг ЛС, полученного прокаливанием в течение 2 час. при 1000° шихты из 100 вес. ч. ZnS, 0,01 вес. ч. Ag, 1 вес. ч. CaCl_2 и 10 вес. ч. NaCl, размешивают в 3-кратном кол-ве воды, доводят pH суспензии до 10,5—11,0 прибавлением 10%-ного р-ра NaOH и добавляют 8,9 вес. ч. $\text{Na}_3\text{PO}_4 \cdot 12\text{H}_2\text{O}$, растворенного в небольшом кол-ве воды. При этом осаждается ~ 0,1 вес.% $\text{Ca}_3(\text{PO}_4)_2$ по отношению к люминофору. Суспензию перемешивают, дают отстояться и сливают жидкость. Люминофор промывают, сушат и просеивают через сито 250 меш. Полученное покрытие по данным рентгеноструктурного анализа пленки состоит из $\text{Ca}_{10}(\text{OH})_2(\text{PO}_4)_6$. Если пленку получают при pH $<10,5$ или $>11,0$, то частицы ЛС имеют по крайней мере в 3 раза худшую адгезию. Б. Гутель

71411 П. Магнитный люминесцентный порошок для определения внутренних дефектов у магнитных материалов. Макиура Рютаро, Ивасаки Кадзую [Исикавадзима дзюкогё кабусики кайся]. Японск. пат. 1449, 28.02.56

2 г FeCl_2 и 5,4 г FeCl_3 растворяют в 300 см³ дистил. воды, не содержащей растворенного O_2 . В полученный р-р в виде взвеси вводят 2 г органич. люминесцентного в-ва, добавляют 50 мл 50%-ного р-ра NaOH и осадок отделяют. После сушки осадка получают стойкий магнитный люминесцентный порошок с частицами неправильной формы размером <10 мк, состоящей из $\text{Fe}_2\text{O}_3 \cdot n\text{H}_2\text{O}$. Вместо FeCl_2 можно использовать CuCl_2 ; в качестве люминесцентного в-ва, помимо органич. соединений, могут быть использованы соли кислотных к-т. В. Зломанов

71412 П. Электролюминесцентные материалы. Хант, Мак-Киг (Electroluminescent materials. Hunt B. E., McKeag A. H.) [General Electric Co., Ltd]. Англ. пат. 733352, 13.07.55

Электролюминесцирующий ZnS активирован 0,05—5 вес.% Cu и 0,1—10 вес.% Mn. Осажденный ZnS смешивают с ~ 1/3 по весу ZnO, добавляют MnS, CuSO_4 и ZnCl_2 ; шихту прокаливают при 850° в течение 15 час. Охлажденный состав промывают 10%-ным р-ром CH_3COOH для удаления ZnO. Cu и Mn можно вводить в 2 приема, с размолотом между прокалками. Не вводя заранее ZnO в шихту, можно в условиях контролируемого окисления ZnS во время прокалики, переводить часть ZnS в ZnO. Содержание Fe, Co и Ni в шихте должно быть $<10^{-4}\%$. При повышении частоты возбуждающего поля цвет свечения сдвигается в синюю область спектра. Б. Гутель

ПРОИЗВОДСТВО КАТАЛИЗАТОРОВ И СОРБЕНТОВ

Редакторы В. И. Елинек, В. Д. Матвеев, Н. А. Ширяева

71413. Метод приготовления контактной массы, пригодной для производства органохалогенилланов. Радосавльевич, Драгоевич, Ячович (Поступак за справљање контактне масе погодне за добијање органохалогениллана. Радосављевић Слободан Д., Драгојевић Милосав Д., Јаховић Михаила С.), Гласник Хем. друштва, 1956, 21, № 2, 101—104 (сербо-хорв.; рез. англ.)

Контактная масса готовится не как обычно, смешением порошка ферросилиция с CuCl , а восстановлением солей Cu^{2+} до солей Cu^+ в водн. р-ре в присутствии порошка Si. При этом на зернах Si образуется много центров кристаллизации CuCl , что способствует проведению р-ции $\text{Si} + 4\text{CuCl} = \text{SiCl}_4 + 4\text{Cu}$ при достаточно низкой т-ре (265°) и образованию в большом

кол-во новых центров кристаллизации. Синтез протекает легко с повышенным выходом и сокращенной продолжительностью процесса. Метод позволяет в широких пределах изменять размер зерен Si относительноно зерен Cu. В. Шацкий

71414 П. Способ непрерывного производства, эластичного гидрогеля, содержащего кремневую кислоту. Цизе (Verfahren zur kontinuierlichen Herstellung kieselensäurehaltiger elastischer Hydrogele. Ziese Walter) [Badische Anilin- & Soda-Fabrik A.-G.]. Пат. ФРГ 956940, 24.01.57

Гидрогель SiO_2 получают через промежуточное образование в отдельном аппарате при $5-10^\circ$ и pH 2-5 нестабильного золя из охлажденных р-ров растворимого стекла или других SiO_2 -содержащих в-в и H_2SO_4 , (HCl , HNO_3). Полученный золь мембранными насосами продавливают через множество вертикальных труб из стекла, керамики или термопластичной пластмассы (полистирол, поливиниловые, полиакриловые соединения), имеющих малое поперечное сечение, полированную внутреннюю поверхность и достаточную для твердения золя длину; охлаждение и интенсивное перемешивание препятствуют твердению золя; кол-во насосов равно числу труб, собранных в трубчатый нагреваемый водой теплообменник. Затвердевший золь измельчают и в расположенном на теплообменнике баке при $20-100^\circ$ отмывают водой или р-ром к-ты от примесей солей. Промытый прозрачный гель транспортером подают в сушилку. При приготовлении катализатора, содержащего кремнекислоту и окислы металлов III-IV групп периодической системы, кремнекислоту осаждают кислым или подкисленным р-ром соответствующей соли или осаждают смесь золь SiO_2 и соответствующего окисла р-ром к-ты. Ю. Голынец

71415 П. Способ получения силикагеля. Мехлинг, Лемниц (Verfahren zur Herstellung von Kieselgel. Mechling Max, Lemnitz Emil) [VEB Farnefabrik Wolfen]. Пат. ГДР 12725, 11.02.57

К р-ру H_2SO_4 (полученному прибавлением к 98%-ной H_2SO_4 льда до уд. в. 1,143) прибавляют при интенсивном перемешивании р-р Na_2SiO_3 до pH 3,9. После отстаивания в течение 24 час. при 12° выпадает гель. Гель измельчают пропускающим через проволочное сито 40 меш, многократно промывают, сушат при $80-90^\circ$. Получают материал с характеристиками: кажущийся уд. в. 1,13-1,26, истинный уд. в. 2,06-2,18, насыпной вес 700-750 г/л, пористость 42-43% общего объема (50% пор имеют величину 10-50 А), внутреннюю поверхность 650-700 $\text{м}^2/\text{г}$ в-ва. Г. Голынец

71416 П. Способ получения силикагеля для адсорбционного разделения синтетических и природных смесей углеводородов. Херольд (Verfahren zur Herstellung eines für die adsorptive Zerlegung von synthetischen und mineralischen Kohlenwasserstoff-Gemischen geeigneten Silicagels. Herold Hans). Пат. ГДР 12614, 2.02.57

Способ отличается тем, что качество растворимого стекла, вводимого в р-р H_2SO_4 , так мало отличается от стехиометрического, что застуднение золя продолжается по крайней мере 3 дня. Пример. В 10 л р-ра H_2SO_4 плотностью 1,070 при 15° , интенсивном перемешивании со скоростью 4 л/час приливают по каплям р-р растворимого стекла плотностью 1,185, содержащего 0,896 г Na_2O на 1 ч. SiO_2 . После застуднения гель измельчают, промывают в течение 3 дней непрерывным током дистил. воды (до отсутствия Na_2SO_4 в промывной воде), сушат 40 час. при 100° , измельчают и сушат при $180-200^\circ$. Ю. Голынец

71417 П. Способ получения окисных катализаторов. Хейнцель (Verfahren zur Herstellung von oxydischen Katalysatoren. Heinzel Albert) [Badische

Anilin- und Soda-Fabrik A.-G.]. Пат. ФРГ 957475, 7.02.57

Окисные катализаторы получают плавлением в токе O_2 соответствующих металлов (I) при ограничении реакционного объема мелкозернистыми и (или) пылевидными окислами I, полученными измельчением природных окислов или катализатора. Теплоту р-ции окисления I используют для плавления измельченных окислов без изменения кол-ва O_2 или активатора. Пример. 150 кг аммиачного пылевидного катализатора загружают в камеру таким образом, что на стенках образуется слой катализатора толщиной 10 см. Камеру закрывают огнеупорной крышкой. Через люк в крышке загружают куски железа, зажигают его в токе O_2 при давл. 130 мм водн. ст. В результате р-ции, сопровождающейся плавлением, получают окисел, имеющий состав магнетита. Ю. Голынец

71418 П. Изготовление катализаторов из сплава алюминия, никеля и железа. Фукамат и Томидзо. [Кабусики кайся Каваками кэнкюсэ]. Японск. пат. 2166, 26.03.56

Размельчают сплав, состоящий из 20-50% Ni, 1-7% Fe и остальное Al, и обычным методом обрабатывают порошок щелочью. Присутствие Fe в таком кол-ве облегчает разлом сплава и повышает каталитич. способность катализатора. Пример. Берут смесь, состоящую из 31,8% Ni, 4,4% Fe и остальное Al. Все это сплавляют, размельчают и обрабатывают 25%-ным р-ром NaOH (2,5 ч. NaOH на 1 ч. сплава). Соотношение отдельных компонентов катализатора после обработки порошка щелочью следующее: Al : Ni : Fe = 5,4 : 83,1 : 11,5. Полученный порошок используют в качестве катализатора при произ-ве тетрагидрофурфурилового спирта из расчета 5 вес.% сплава, не прошедшего обработку NaOH на 100 вес.% исходного сырья, производительность р-ции 2 часа, т-ра 120° . Выход готового продукта 95,4% от теоретического. При произ-ве тетрагидрофурфурилового спирта в аналогичных условиях с использованием ныне существующих катализаторов из сплава Al с Ni (Al : Ni = 1 : 1) выход готовой продукции составляет 76,3% от теоретического. В. Зломанов

71419 П. Производство активированного угля. Иригава Токимичу. Японск. пат. 7031, 27.10.54

5625 кг кунуги (род дуба *Quercus serrata*) загружают в камеру печи для обжига угля высотой 106 см и диам. 273 см и поджигают. Спустя 5 час., когда в камере установится постоянная т-ра (275°), при которой протекает экзотермич. разложение древесины, регулируют подачу воздуха с помощью заслонок с различным числом и сечением отверстий. М. Гусев

71420 П. Способ получения катализатора для селективной гидрогенизации. Цунотани Цугому [Дзайдан ходзин ногуту кэнкюсэ]. Японск. пат. 4511, 14.06.56

Р-р 25 ч. $\text{Ni}(\text{NO}_3)_2$ и 0,5 ч. $\text{Cu}(\text{NO}_3)_2$ в 200 ч. воды обработали р-ром 1,1 ч. $(\text{NH}_4)_2\text{CrO}_4$ в 10 ч. воды, смешали с р-ром 11 ч. Na_2CO_3 в 100 ч. воды и 5 ч. кизельгура при нагревании, осадок отфильтровали, высушили при $110-115^\circ$, восстановили в течение 2 час. водородом при $400-420^\circ$ и получили катализатор. При гидрогенизации с этим катализатором, содержащим 1,25 г Ni, 50 г $\text{ONCSH} = \text{CHCO}_2\text{C}_2\text{H}_5$ под давлением H_2 60 ат в течение 30-45 мин. при 55° получили $\text{ONCS}(\text{CH}_2)_2\text{CO}_2\text{C}_2\text{H}_5$ с колич. выходом. Г. Рабинович

71421 П. Способ регенерации металлов платиновой группы, улетучивающихся с поверхности катализаторов (Verfahren zur Wiedergewinnung der aus Katalysatoren sich verflüchtigenden Platinmetalle) [Lanza Elektrizitätswerke und Chemische Fabriken A.-G. (Gampell)]. Швейц. пат. 311191, 31.01.56

При окислении NH_3 в окислы N, синтезе HCN из

Н₂ и СН₄ и других, проводимых в присутствии Pt, Pt+Rh-катализаторов, улетучивающиеся Pt, Rh улавливают при 200—800° металл. Ag или сплавом Ag с Au, Pt, Cu, нанесенным тонким слоем на керамику. При высокой т-ре газов применяют чередующиеся слои Au и Ag. По крайней мере в 1 слое Ag помещен теплообменник, повышающий или понижающий т-ру газа, для улавливания улетучивающихся при высокой т-ре Ag и Au слоев Ag при более низкой т-ре. Из полученного сплава выделяют Pt, Rh, Au. Ю. Голынец

1422 П. Метод регенерации катализаторов гидроформинга. Мак-Ларен, Шриккер (Method of regenerating hydroforming catalysts. MacLaren Donald D., Schricker Otto Ir) [Esso Research and Engineering Co.]. Пат. США 2758063, 7.08.56

В процессе гидроформинга при 425—525°; 3,5—17,5 ат в присутствии псевдооживленного слоя катализатора (I), содержащего (вес.%) 0,1—1 Pt и 0,25—3HF на Al₂O₃, I покрывается углеродистыми отложениями. Такой I выводят из реактора и регенерируют в условиях гидроформинга газом, содержащим > 90% H₂ и < 1% (лучше 0,5%) углеводородов (C₄) и высших углеводородов. Этот газ получают из рециркулирующего газа гидроформинга поглощением (напр., маслом) углеводородов и при 537,8—760° вводят в регенератор. Регенерированный I при 537,8—648,8° подают в реактор. В регенераторе находится в 1—10 раз больше I, чем в реакторе. Пример. 600 г Al₂O₃, 80% частиц которой имеет диам. < 0,25 мм, прокалывают 16 час. при 121,1°, пастируют при комнатной т-ре р-ром 6 г 48%-ной HF в 0,5 л воды, перемешивают 15—30 мин., выдерживают 16 час., сушат 16 час. при 121,1°, размалывают, пропитывают пасту р-ром 75 г 10%-ной H₂PtCl₆ в 0,5 л воды, перемешивают 15 мин., обрабатывают 15 час. H₂S (газ), выдерживают 4 часа, загружают в электропечь, в течение 16 час. повышают т-ру печи до 121,1°, охлаждают, размалывают, таблеттируют в цилиндры диаметром и высотой 4,76 мм, прокалывают 16 час. при 510°, восстанавливают водородом при повышении т-ры в течение 8 час. до 426,7° и 8 час. от 426,7° до 428,2° и скорости подачи H₂ 100 л/ч час.

Ю. Голынец

См. также: Приготовление активного силикагеля 7203. Регенерация псевдооживленного катализатора гидроформинга 72027. Приготовление катализатора синтеза углеводородов из CO и H₂ 72037

ЭЛЕКТРОХИМИЧЕСКИЕ ПРОИЗВОДСТВА.

ЭЛЕКТРООСАЖДЕНИЕ.

ХИМИЧЕСКИЕ ИСТОЧНИКИ ТОКА

Редактор М. М. Мельникова

1423. Вклад Австрии в развитие электрохимической промышленности. Байер (Der Beitrag Österreichs zur Entwicklung der elektrochemischen Industrie. Bayer F.), Elektrotechnik und Maschinenbau, 1958, № 9, 269—278 (нем.)

Обзорная статья. М. Мельникова

1424. От аккумуляторов Планте к плакированным аккумуляторам «Ультра». Юмото, Юаса дзихо, 1957, № 29, 1—7 (японск.)

Плакированные аккумуляторы «Ультра» — это свинцовые аккумуляторы, пластины которых изготовлены из стеклоткани или из тонких стеклянных трубок; трубки аккумуляторов, изготовленные из эбонита, пропитаны анодного каучука или пластмассы, имеют микроскопич. поры. Указано, что эти аккумуляторы имеют лучшие характеристики (механ. свойства, емкость) чем обычные Pb-аккумуляторы. М. Гусев

71425. Плакированные аккумуляторы «Ультра». — Юаса дзихо, 1957, № 29, 31—35 (японск.)

Описана конструкция аккумуляторов и приведены их характеристики. М. Гусев

71426. Плакированные аккумуляторы «Ультра». — Юаса дзихо, 1957, № 29, 8—16 (японск.)

Описана технология изготовления пластин аккумуляторов и формования их. М. Гусев

71427. Плакированные аккумуляторы. Накамура, Юаса дзихо, 1957, № 29, 41—44 (японск.)

Описаны свойства аккумуляторов «Ультра» с полужидким электролитом. М. Гусев

71428. Стационарные плакированные аккумуляторы «Ультра». — Юаса дзихо, 1957, № 29, 25—30 (японск.)

71429. Применение плакированных аккумуляторов «Ультра» для рудничных ламп. Юаса дзихо, 1957, № 29, 22—24 (японск.)

71430. Применение плакированных аккумуляторов «Ультра» на промышленном транспорте. — Юаса дзихо, 1957, № 29, 17—21 (японск.)

71431. Применение плакированных аккумуляторов «Ультра» на паровозах. Сирадо, Юаса дзихо, 1957, № 29, 45—53 (японск.)

71432. Испытание порошковых хлорсеребряных электродов. Томасси, Хоувальт (Badania elektrod chlorosrebrnych metoda elektrod proszkowych. Tomassi Witold, Houwalt Andrzej), Przem. chem., 1958, 37, № 2, 77—83 (польск.)

Испытуемые порошковые электроды (ПЭ), содержащие металл. Ag и AgCl, отличались друг от друга размерами зерен Ag и разными способами получения. В некоторых случаях порошок Ag заменялся Ag-проволокой, которая одновременно выполняла роль выводящего электрода. ПЭ с Ag-проволокой и крупнозернистым Ag в р-рах KCl (0,5 и 0,01 н.) имели более высокие потенциалы, чем электроды, содержащие мелкозернистое Ag. В HCl (0,01 н.) и в 1 н. р-ре K₂SO₄ наблюдалось обратное явление. Указаны условия стандартизации электродов. Из резюме авторов

71433. Результаты испытания электролитических конденсаторов с танталовыми электродами. Торин Дэнкай тикудэнки хёрон Electrol. Condens. Rev., 1957, 11, № 2, 24—35 (японск.)

Установлено, что конденсаторы, изготовленные в Японии, несколько уступают по качеству конденсаторам, изготовленным в США и в Англии.

Из резюме автора

71434. Об электролизе разбавленного раствора хлористого натрия. Электролиз с ртутным катодом и с диафрагмой. Кумэ, Окада (On the electrolysis of dilute solution of sodium chloride. Electrolysis by diaphragm-amalgam type process. Kume Taizo, Okada Masaru), Rec. Oceanogr. Works Japan, 1955, 2, № 3, 40—44 (англ.)

71435. Получение металлического натрия из амальгамы натрия. 11. Окисление анода и смачиваемость его амальгамой. Окада, Ватанабэ. 12. Растворение металлического натрия в ванне. Окада, Ватанабэ, Омотэ. 13. Электролизер для получения металлического натрия, рассчитанный на силу тока выше 500 а. Окада, Ватанабэ, Сираками, Токуда, Омотэ, Bull. Engng Res. Inst. Kyoto Univ., Kōto дайгаку котаку кэнкюдзё шю, 1956, 10, 56, 57, 57—58 (японск.)

17. В продолжение предыдущей работы (см. РЖХим, 1958, 8668) исследовалась возможность применения Fe, Ni и стали (0,8—0,9% C) в качестве анодов при разложении амальгамы. Установлено, что при повышении т-ры смачиваемость анодов амальгамой уменьшается, особенно Fe-анодов. Смачиваемость анодов уменьшается также при понижении конц-ии амальгамы и увеличении Д. Установлено, что применение Fe

и стали 18—8 в качестве анодов невыгодно; рекомендуется применение Ni-анодов.

12. Установлено, что при т-ре 230—290° между кол-вом Na, растворенного в NaOH, и т-рой существует прямая линейная зависимость. Исследованы факторы, влияющие на ВТ Na (т-ра, р-ение Hg в Na и т. д.).

13. Описана конструкция электролизера на 500 а, имеющего внутренний обогрев. М. Гусев

71436. Электролитические процессы и их расчеты. Судзуки, Дэнки кэйсан, 1957, 25, № 12, 2177—2183 (японск.)

Описано применение законов Фарадея и Кирхгофа при электролизе воды. Приведены рекомендации по выбору необходимых источников постоянного тока.

М. Гусев
71437. Гальванотехническая промышленность в Германии. Шнелленкам (Die galvanotechnische Industrie in Deutschland aus dem Blickfeld der Wirtschaft. Schnellenkamp Max), Metallwaren-Ind. und Galvanotechn., 1958, 49, № 4, 124—130 (нем.) Обзор развития гальванотехники в ФРГ с 1950 по 1957 гг. В. Кашев

71438. Факторы, определяющие структуру гальванических осадков. Ленхард (Einflüsse auf die Struktur galvanischer Niederschläge. Lenhard Paul), Metallwaren-Ind. und Galvanotechnik, 1957, 48, № 12, 528—535 (нем.)

Оценивается роль различных факторов, определяющих структуру гальванич. осадков D_k , состав электролита, т-ра, режим работы (реверсирование тока), дополнительная механ. и термич. обработка, наличие в электролите коллоидов и других органич. в-в (как в виде загрязнений, так и в виде спец. добавок). Дан ряд практич. указаний относительно получения качеств. гальванич. осадков. Л. Уваров

71439. Понятие поверхности в гальванотехнике. Части II, III (Der Begriff der Fläche in der Galvanotechnik. Teil. II, III. Nohse Walter), Metallwaren-Ind. und Galvanotechn., 1957, 48, № 10, 431—433, 434; № 12, 521—527 (нем.)

II. Предлагается определять истинную поверхность, изделия с помощью толщины осадка на различных участках. Б. Темкина

III. Обсуждаются способы определения истинной поверхности деталей в гальванотехнике путем измерения наименьшей толщины покрытия на основных участках поверхности, необходимой для нахождения средней величины поверхности. Часть I см. РЖХим, 1958, 58018. З. Соловьева

71440. Полирование на кожаном круге с применением жидких составов. 2. Келнер (Production buffing with liquid compositions. 2. Kellner H. L.), Prod. Finish., 1958, 11, № 1, 74—77 (англ.)

Описано определение оптимальных условий полирования гальванич. покрытий на кожаном круге с жидкими составами. Предыдущее сообщение см. РЖХим, 1958, 59408. К. Беляева

71441. Три- и перхлорэтилен.— (Tri et perchloréthylène.—), Galvano, 1958, 27, № 255, 21—24; № 256, 35—38 (франц.)

Описаны физ. и хим. свойства три- и перхлорэтилена и области его применения в пром-сти, в частности для обезжиривания деталей. М. Мельникова

71442. Химическая обработка металлов.— (Kemisk metallbearbetning.—), Tekn. tidskr., 1957, 87, № 36, 839—842 (шведск.)

Описаны методы предварительной обработки и травления Al и его сплавов в щелочах и к-тах.

М. Мельникова
71443. Блестящее анодирование с применением видоизмененного процесса химического полирования Эрфтверк. Пик, Брейс (Bright anodising by the

modified ertwerk process. Peek R., Brase A. W.), Electroplat. and Metal Finish., 1958, 11, № 3, 71—76, 78 (англ.)

Исследовано влияние добавок замедлителей (декстрин, гуммиарабик и др.) и солей Pb к электролиту типа Эрфтверк на качество хим. полировки Al и его сплавов с Mg. Установлено, что добавка декстрина расширяет область оптимальных составов электролита, содержащего в качестве основных компонентов NH_4HF_2 и HNO_3 , причем при содержании декстрина до 1% скорость растворения Al уменьшается на 50—75%; дальнейшее увеличение конц-ии декстрина до 5% не оказывает почти никакого влияния. Влияние содержания Pb (0,003—1%) изучалось на примере электролита состава (в вес.%): NH_4HF_2 13, HNO_3 13, декстрин 1; т-ра $54 \pm 2^\circ$, время обработки 20 сек. Отражательная способность хим. полирования Al резко возрастает с увеличением содержания Pb до 0,02 вес.% и уменьшается при конц-ии Pb 0,25%. Для чистейшего Al при конц-ии Pb 1% получаются хорошие результаты, но для Al чистой 99,8% качество полировки сильно ухудшается при конц-ии Pb 0,5%. Изучалось также влияние т-ры на скорость растворения Al и его сплавов при хим. полировании и состава сплавов на качество полированной поверхности. Для промышленных условий рекомендуется электролит состава (вес.%): NH_4HF_2 13, HNO_3 13, декстрин 1—1,5; т-ра $54 \pm 2^\circ$; время обработки 15—30 сек. Хорошие результаты получаются для чистейшего Al и сплавов на его основе и удовлетворительные — для Al чистой 99,8%. Для изготовления ванн применяется литен. П. Штоль

71444. Анодирование алюминия и его сплавов. Креспо — Бенейто (Oxidación anódica del aluminio y sus aleaciones. Crespo Beneyto Rafael), Ingeniería naval, 1958, 26, № 272, 70—77 (исп.)

Обзорная статья. Рассмотрены вопросы наполнения и окрашивания анодных пленок, методы контроля р-ров и качества покрытий. М. Мельникова

71445. Анодное сульфидирование черных металлов. Филимонович К. М., Филимонович Т. К., Укр. хим. ж., 1958, 24, № 2, 259—265

Для анодного сульфидирования деталей из черных металлов применяют р-р $Na_2S_2O_3$ (200 г/л) при т-ре 85—86°, $D_a = 2—2,5$ а/дм² в течение 15—20 мин. Рентгеноструктурным исследованием установлено, что сульфидная пленка состоит из внутреннего, плотно сцепленного с металлом слоя (фаза FeS) и внешнего, легко стирающегося слоя (фаза FeS₂). Высказано предположение о механизме процесса анодного сульфидирования. М. Мельникова

71446. Предложения по усовершенствованию процесса электролитического рафинирования меди. Цзэ Юе-цин, Юсэ цзиньшу, 1957, № 7, 56—57 (кит.)

Указывается на получение при электрорафинировании Cu чрезмерно большого кол-ва $CuSO_4$ и потерю с ним Ni. Даются рекомендации по усовершенствованию способа очистки Cu-электролита. В. Т.

71447. О применении поверхностноактивных веществ при электроосаждении цинка. Левин А. И. Изв. выпш. учебн. заведений. Цветн. металлургия, 1958, № 1, 82—85

Показано, что поверхностноактивные в-ва оказывают существенное влияние на электроосаждение Zn при вполне определенном соотношении между электрохим. потенциалом и точкой нулевого заряда Zn (—0,63 в). Оптимальный состав комбинированной добавки (в мг/л): клей 10; β-нафтол 20; Sb 0,02. Действие $K(SbO)_2C_4H_4O_6$ объясняется образованием в цинковом электролите колл. взвеси из Sb(OH)₃, адсорбирующей на Zn. Влияние клея объясняется наличием положительного заряда у его желатинового ядра; β-нафтол дает сложный комплекс с Co^{2+} и уводит эту взвесь

ую смесь из зоны р-ции. Комбинированная добавка заметно улучшает качество осадка и повышает выход на 1,5-2,0%.

А. Левин
11448. О влиянии комбинированной добавки клея, β-нафтола и сурьмы на электроосаждение цинка. Левин А. И., Помосов А. В., Крымакова Е. Е., Фаличева В. И., Ж. прикл. химии, 1958, 31, № 4, 581-589

Показано, что комбинированная добавка клея, β-нафтола и сурьмы превосходит по эффективности один из этих компонентов в сернокислых ваннах цинкования. Установлено, что благоприятное действие β-нафтола сводится к образованию комплексных соединений с катионами Со и выводу последних из зоны р-ции. Клей является основным действующим капиллярно-активным компонентом добавки, способствующим улучшению качества осадка и нейтрализующим вредное влияние Со за счет адсорбции преимущественно на анодных участках образующихся микроэлементов. Кроме того, в присутствии клея заметно увеличивает диспергируемость колл. системы Sb-клей, что обеспечивает образование на поверхности металла особенно тонкой пленки, способствующей получению более мелкокристаллич., плотных и гладких осадков Zn. Благоприятное влияние Sb на улучшение структуры анодного осадка обусловлено также адсорбцией колл. частиц Sb(OH)₃ на катоде. Установлено, что адсорбционные процессы зависят как от заряда металла, так и от характера поверхностноактивных в-в, колл. взвесей, образующихся в процессе электролиза в кислом электролите. Деполяризующее действие неэлектролитических в-в в гидроокис или основную соль катионов Sb объяснено их влиянием на облегчение кристаллизации Zn при совместном выделении обоих металлов.

Л. Хилькевич
11449. Блестящее никелирование. Берторецелль, Беллобон, Бординали (Le nickelage brillant. Bertorelle Eugène, Bellobono Ignace, Bordonali Corrado), Galvano, 1957, 26, № 250, 29-32, № 251, 27-28, 33 (франц.)

Приведен обзор теории механизма блестящего никелирования; установлено образование на катодной поверхности более или менее сплошной пленки из адсорбированного блескообразователя и Ni²⁺. В результате нарушения ориентации кристаллов Ni, образующихся в процессе электроосаждения, создаются условия для образования микрослоя. Образование микро-структуры вызывается осаждением кристаллич. зародков, величина которых меньше длины световой волны, в результате чего слой Ni является зеркально отражающим.

А. С. Лапин
Обзор влияния различных добавок при никелировании из сульфат-хлоридной ванны. Библ. 28 назв.

М. Мельникова
11450. Электролитическое никелирование. Куаттроне (La nichelatura elettrolitica. Quattrone C.), Galvanotecnica, 1957, 8, № 11, 284-291 (итал.)

Обзорная статья. Описаны свойства и применение электролитов, составы и способы приготовления электролитов, технология никелирования.

А. Лапин
11451. Металлические покрытия, нанесенные химическим методом. Химическое восстановление кобальта из водных растворов его солей. Босдорф (Metallüberzüge auf chemischem Wege. Unter besonderer Berücksichtigung der chemischen Reduktion von Kobalt aus wäßrigen Kobaltsalzlösungen. Bosdorf L.), Metallwaren-Ind. und Galvanotech., 1958, 49, № 3, 82-92 (нем.)

Процесс хим. восстановления Со сходен с процессом восстановления Ni, однако скорость осаждения Со из щел. р-ров больше, чем из кислых (для Ni — наоборот). Осадки Со матовые, имеют хорошее сцеп-

ление с основой, устойчивы против действия щелочей, однако в к-тах растворяются и чернеют. Наибольшая скорость осаждения Со (25 м/час) достигнута в р-ре состава (в г/л): СоSO₄·7Н₂О 47, сегнетова соль 268, гипофосфит натрия 27, рН 8-10, т-ра 90-100°. Хорошие результаты дает также р-р состава (в г/л): СоCl₂·6Н₂О 41,5, сегнетова соль 139, гипофосфит натрия 139, NH₄Cl 69, рН 8-10, т-ра 90-100°. Скорость осаждения Со 7,9 м за 30 мин. Для поддержания величины рН во время р-ции рекомендуется непрерывное добавление NH₄ОН. Примеси посторонних в-в (особенно Cd, Cu, Zn, Mg, Al) оказывают вредное влияние на процесс. Исследовалось изменение скорости осаждения Со в зависимости от отношения величины объема р-ра к поверхности образца (I) для р-ра состава (в г/л): СоCl₂·6Н₂О 50, сегнетова соль 600, NH₄Cl 100, гипофосфит натрия 35, рН 8-9, т-ра 90-100°. Установлено, что скорость осаждения Со тем больше, чем больше (I). Наилучшие результаты (14,4 м/час) получены для I = 20 : 1. Наибольшая скорость осаждения (3,4 м/час) получена в присутствии Cl-иона в р-ре состава (в г/л): СоCl₂·6Н₂О 30, гликолят натрия 50, гипофосфит натрия 10, рН 4,5-5. Наименьшая скорость осаждения Со (0,49 м/час) в присутствии иона SO₄. При совместном осаждении Ni и Со из р-ра состава (в г/л): СоCl₂·6Н₂О 30, NiCl₂·6Н₂О 30, гликолят натрия 100, гипофосфит натрия 20, рН 4,5-5, были получены блестящие осадки. Скорость осаждения 19,2 м/час.

В. Кащеев
11452. Исследование износостойкости гальванического железа и его сплавов. Ревякин В. П. Изв. высш. учебн. заведений. Физика, 1958, № 1, 132-139. Для исследования степени наводороживания гальванич. железа предложен метод гальванич. потенциалов, позволяющий устанавливать кристаллич. строение осадков. Составлена теоретич. диаграмма потенциалов системы сплавов железа с водородом. Установлено, что с увеличением содержания водорода износостойкость железа увеличивается.

М. Мельникова
11453. Анализ дефектов металлических покрытий на детали фотоаппаратов. Комэма Таканори, Хиноцу, канри, Statist. Quality Control, 1957, 8, № 11, 806-809 (японск.)

Описаны дефекты (трещины, отслаивания) трехслойного Cu — Ni — Cr-покрытия, обусловленные недостатками технологич. процесса. Рассмотрены вопросы организации произ-ва.

М. Гусев
11454. Испытание гальванических покрытий. Часть I. Хубер (Die Prüfung galvanischer Überzüge. I. Teil. Huber W.), Techn. Rundschau, 1958, 50, № 18, 15 (нем.)

Описаны различные методы определения толщины гальванич. покрытий.

М. Мельникова
11455. Использование зеркального прибора для определения внутренних напряжений в электролитических покрытиях. Поперека М. Я., Заводск. лаборатория, 1958, 24, № 3, 366

Приведена схема прибора. См. также РЖХим, 1958, 3964.

М. Мельникова
11456. Применение ультразвука при нанесении гальванических покрытий. Рич (Improvement in electroplating due to ultrasonics. Rich Stanley R.), Plating, 1955, 42, № 11, 1407-1411 (англ.)

11457. Система вентиляции гальванических ванн. Хартиг (Die Absaugung. Hartig J.), Metallwaren-Ind. und Galvanotech., 1956, 47, № 9, 409-414 (нем.)

11458. Некоторые производственные вопросы на предприятиях по нанесению гальванических покрытий (1, 2, 3). Мураками, Киндзюку хэмэн гядаюку гяндзе панфуратто, 1957, № 42, 24-26; № 43, 24-27; № 44, 20-23 (японск.)

1. Рассматриваются вопросы экономии рабочей силы

и автоматизации произ-ва (подготовки изделий и нанесение гальванич. покрытий).

2. Описаны методы контроля и корректировки электролитов и контроль качества покрытий (пористости и коррозионной стойкости). Рассмотрены миним. толщины гальванич. покрытий в зависимости от условий их службы.

3. Описаны методы определения примесей в электролитах и их удаление, очистка и нейтр-ция СВ. Описаны также методы блестящего цинкования и никелирования.

М. Гусев
71459. Сжатый воздух и его применение при отделке металлов. Робертсон (Compressed air and its application in metal finishing. Robertson James), Electroplat. and Metal Finish., 1957, 10, № 12, 397—399, 401—402 (англ.)

Описано применение сжатого воздуха в гальванотехнике для нанесения покрытий из тугоплавких металлов и эмалей; приведены характеристики барботеров.

В. Казаков
71460. Нагревание электролитическим способом. Мио Хисао, Сато Тосикадзу, Кикай-но Кэнкю, Sci. Mach., 1957, 9, № 12, 1411—1414 (японск.) Сообщение 4 см. РЖХим, 1958, 61611.

М. Мельникова
71461. Изучение процесса выпаривания в зависимости от состава электролита при получении магния. Эками, Хосода, Сакаи, Сэйсан Кэнкю, 1956, 8, № 9, 20 (японск.)

Установлено, что скорость выпаривания резко падает с увеличением содержания $MgCl_2$ в электролите.

М. Гусев
71462. Государственные стандарты. Бут (Government specifications. Booth Sherman F.), Plating, 1956, 43, № 4, 490—493 (англ.)

71463 К. Справочник гальванотехника. Гончаренко К. С. (Galvanotekhnika käsiraamat. Gontšarenko K. S. Tallinn, ERK, 1957, 210 lk., ill., 5 p. 80 к.) (эст.)

71464 К. Нанесение гальванических покрытий в неподвижных и вращающихся колокольных ваннах. Козмер (Galvanizálás, állós harangtűrdoboz. Kozmér László. Budapest, Müszaki Kiado, 1955, 87 l., 55 Ft) (венг.)

71465 П. Изготовление графитового электрода для сухого элемента. Исидра Рёкити [Нихон рэй о бакку кандэнти кабусики кайся]. Японск. пат. 1270, 24.02.56

Для увеличения поверхности графитовый электрод обрабатывали точильным камнем.

М. Гусев
71466 П. Приспособление для определения удельного веса электролита аккумулятора. Комацу Сигэ-си. Японск. пат. 4141, 17.06.55

Одна из стенок аккумулятора изготовлена из прозрачного материала. Определение уд. веса электролита производится по шкале ареометра, находящегося в пространстве, образованном этой прозрачной стенкой и электродами пластинами аккумулятора.

М. Гусев
71467 П. Метод изготовления электродов (для электролитических процессов). Есикаки Кадзуо, Фукацу Коити [Дзайдан Ходзин Ногуту Кэнкюсё]. Японск. пат. 8174, 11.12.54

На Fe-пластинку наносят электролитич. слой окислов Fe в р-ре состава (в г/л): $FeCl_3$ 60; $FeCl_2$ 30; клей 20; CH_3COOH 10; т-ра $30^\circ D_K = 5$ а/дм². Этот электрод используют при электролизе H_2O в качестве катода (при этом напряжение на ванне снижается на 0,18 в) и при разложении амальгамы, что дает ускорение процесса в 3,5 раза (по сравнению с разлагателем, где применяется графитовый электрод).

М. Гусев

71468 П. Электролизер для получения хлора и щелочи с ртутным катодом. Судзуки Масутаро, Аки Ясуморимаса. Японск. пат. 1869, 16.03.54

Патентуется трехэтажная ванна. Катод-железные пластинки с канавками для Hg; анод-графитовые пластины. По мере износа анодов межэлектродное расстояние регулируется с помощью штуцера с нарезкой.

М. Гусев
71469 П. Электролизер с ртутным катодом. Кудо Хиронори [Дзайдан ходзин Ногуту Кэнкюсё]. Японск. пат. 1666, 8.03.56

Патентуется вертикальный электролизер. Катоды — Hg, движущаяся сверху вниз тонкой пленкой по движущейся вертикальной бесконечной металлч. ленте. Электролит — конц. р-р NaCl. Амальгама конц-ей 0,4% из электролизера удаляется в разлагатель амальгамы.

М. Гусев
71470 П. Регулировка расстояния между электродами для получения хлора в электролизе. Муродзун Масахико. Японск. пат. 3760, 23.05.56

Патентуется установка для ручного или автоматич. регулирования расстояния между электродами электролизера.

М. Гусев
71471 П. Станок для анодно-механической шлифовки металлов. Комсток (Electrolytic grinding apparatus. Comstock George E. III) [Norton Co.]. Пат. США 2778794, 22.01.57

Конструктивно станок аналогичен анодно-механич. станку согласно патенту США 2746917 (РЖХим, 1958, 54622) и отличается от него электрич. схемой, предусматривающей наличие дросселей насыщения, подмагничиваемых постоянным током, и катушек с индуктивным сопротивлением, обеспечивающих первоначальный толчок тока и устойчивое его поддержание.

Н. Королеву

71472 П. Процесс и аппарат для защиты анодов обратным током при электрохимическом травлении.

Богуский (Process and apparatus for reverse current protection of anodes in electropickling. Boguski Leo H.) [Republic Steel Corp.]. Пат. США 2760923, 28.08.56

Патентуется устройство для перемещения деталей вместе с анодами через ряд последовательно расположенных ванн для подготовительных операций и нанесения гальванич. покрытия, отличающееся тем, что в момент нахождения изделия в ванне для травления направление тока меняется (изделие служит анодом, а анод — катодом), вследствие чего уменьшается коррозия анодов в к-те и происходит растворение металла, осадившегося в предыдущем цикле на неизолированных частях подвески. Приведен пример цинкования данным способом внутренней поверхности стальных соединительных муфт с винтовой резьбой.

Л. Уваров

71473 П. Ванна для гальванического осаждения блестящих покрытий из серебра, золота и их сплавов.

Фишер (Bad für das galvanische Abscheiden glänzender Überzüge von Silber, Gold und Legierungen dieser Metalle. Fischer Johannes) [Deutsche Gold- und Silber-Scheideanstalt vormals Roessler]. Пат. ФРГ 1008079, 24.10.57

Цианистая ванна для осаждения блестящих покрытий из Ag, Au и их сплавов отличается тем, что содержит добавку (0,1—1,5 г/л) продукта конденсации акролеина (1 моль) или его α -замещ. продукта с алкилсантамом щел. металла (1—1,5 моль). Наряду с этим в ванну добавляется полигликолевый эфир жирной к-ты с длиной цепочки 4—15 атомов C в кол-ве 0,2—0,8 г/л, а также поверхностноактивные в-ва анионного типа, в частности, сульфированные масла, в кол-ве 0,5—2,0 г/л.

З. Соловьев

71474 П. Электроосаждение из медного электролита, содержащего добавку соли дитиокарбаминной кислоты. Тернер (Electrodeposition from copper electrolytes containing dithiocarbamate addition agents. Turner Dennis R.) [Westinghouse Electric Corp.]. Пат. США 2773022, 4.12.56

Электроосаждение блестящих или полублестящих осадков Cu из кислых или щелочных электролитов достигается введением добавки металлдитиокарбамата, имеющего ф-лу: $R_1R_2N-CS-S-M-S-CS-NR_3R_4$, где M — металл из группы Cd, Co, Ni, Zn, а R_1, R_2, R_3 и R_4 — алкилрадикалы (одинаковые или различные) из одновалентных углеводородных радикалов, содержащих 1–6 атомов C. Конц-ия добавки, напр. Zn-диметалдитиокарбамата, меняется от 0,0037 до 3,7–8 г/л в зависимости от растворимости, которая определяет т-рой, оптимальная конц-ия 0,008–0,8 г/л.

З. Соловьева

71475 П. Извлечение кобальта из электролита для никелирования. Мураяма, Симатани, Иноо (Сумитамо киндзоку кодазан кабусики кайся). Японск. пат. 4904, 23.06.56

Патентуется метод извлечения Co из электролита для никелирования путем электролиза с переставляемыми анодами. Конц-ия Co в р-ре 1–10%. В процессе электролиза Co переходит в $Co(OH)_2$ и выпадает в осадок. Примеры. Состав электролита (в объемн. ч.): Ni 40, Co 4, Cl⁻ 49, H_2BO_3 35; pH 5,5; т-ра 50°; объем электролита 30 см³. Анод-графит, катод-Ni, общая площадь электродов 0,3 дм²; $D_n = 1$ а/дм², продолжительность электролиза 12 час. 30 мин. После окончания электролиза электролит профильтровали. Содержание Co в фильтрате 0,28%.

В. Зломанов

71476 П. Методы изготовления формованных покрытых изделий. Хаммонд, Боуман (Method of making formed, plated articles. Hammond Milton B., Bowman Glade B.) [Rockwell Spring and Axle Co.]. Пат. США 2776255, 1.01.57

Обычно после формирования таких деталей как автомобильный бампер непосредственно из плоской стальной ленты на них остаются царапины, не исчезающие после никелирования. Согласно патентуемому методу стальная лента полируется, анодно очищается в щел. р-ре и цинкуется в р-ре, содержащем (в г/л): $ZnSO_4 \cdot 7H_2O$ 250, $ZnCl_2$ 12,5, $Zn(C_2H_3O_2)_2$ 12,5, при pH 3,5–5, $D_n = 2,1$ –6,4 а/дм². Затем лента фосфатируется в р-ре состава (в г/л): Zn^{2+} , P_2O_5 9,5–9, NO_3^- 18, Na_2O 1,5, Ni 0,1, Cu 1–1,5, при pH 2,8–2,9 и 20–24°, в течение 3–5 мин. После этого лента формируется в бампер и Zn-покрытие анодно снимается в щел. р-ре, изделие получается без царапин. Бампер полируют в р-ре состава (в %): H_3PO_4 55–85, H_2SO_4 0,1–4, Na_2PO_4 1–15, H_2O 7–30, Na_2SO_4 0,5, при $D_n = 30$ а/дм², т-ре 38°, в течение 1–20 мин., затем изделие анодно очищается в щел. р-ре и никелируется в р-ре состава (в г/л): $NiSO_4$ 280–315, $NiCl_2$ 31,5–38, H_2BO_3 31,5; кумарин 1,6; лаурилсульфат 3,15 г/л, $D_n = 5,4$ а/дм², т-ра 35–56°.

Н. Барабошкина

71477 П. Метод нанесения гальванических покрытий на полукруглые детали с вогнутой поверхностью. Льюкауэр (Method of electroplating and apparatus therefor. Luechauer Holle C.) [General Motors Corp.]. Пат. США 2758962, 14.08.56

Патентуется метод покрытия полукруглых деталей с вогнутой поверхностью (напр., подшипников), основанный на принципе самоэкранирования. Приведен рисунок подвески с описанием отдельных ее частей.

В. Казаков

См. также: Топливные элементы 70254. Определение $BaSO_4$ в пасте пластин Pb-аккумулятора 70593. Зарож-

дение новых кристаллов при электроосаждении 69934. Никелирование 70219. Электролиз расплавов KCl—NaCl 70226. Кинетика осаждения металлов 70230, 70231. Катодные процессы в комплексных электролитах 70232. Электрохим. восстановление 70218. Образование бихромовой к-ты 70224. Травление Ti 70233. Электрохимия органич. в-в 70248, 70249. Определение хлоритов и гипохлоритов в их смеси 70584. Анализ смеси Cl_2 — H_2 70688

КЕРАМИКА.

СТЕКЛО. ВЯЗУЩИЕ ВЕЩЕСТВА. БЕТОНЫ

Общие вопросы

Редакторы П. П. Будников, С. И. Горелкина, А. С. Пантелеев

71478. Фазовые равновесия в железо-силикатных системах при высоких температурах. Муан (Phase equilibria at high temperatures in iron silicate systems. Muan Arnulf), Amer. Ceram. Soc. Bull., 1958, 37, № 2, 81–84 (англ.)

Изучение и описание фазовых соотношений в системах железистых силикатов является сложной задачей, поскольку в этих системах происходят изменения в состоянии окисления, а газовая фаза имеет большое влияние на кристаллизацию твердых фаз. Рассмотрены методы подхода к изучению систем, содержащих Fe-силикаты, в частности, проанализированы диаграммы Fe—O по Даркену и Герри (Darken L. S., Gurry R. W., J. Amer. Chem. Soc., 1946, 68, № 5, 798–816) и FeO— Fe_2O_3 — SiO_2 (по Муану). Описана рекомендуемая для этих исследований методика; требуемые парц. давления $O_2 < 1$ атм и $< 0,21$ атм могут быть получены путем использования смеси газов $CO_2 + H_2$; кол-во O_2 в этой смеси определяется только т-рой, при которой CO_2 разлагается с выделением O_2 . Состав газовой фазы, находящейся в равновесии с выделившимися твердыми фазами, лучше всего иллюстрируется построением изобар O_2 вдоль поверхности ликвидусов. Комбинируя эти линии с изотермами ликвидусов и кривыми парц. давлений, можно определить кривые кристаллизации для выбранных идеализированных условий. При условии сохранения постоянства общего состава выделившихся фаз, кривые кристаллизации для Fe-силикатных систем определяют тем же способом, что и для других систем окислов металлов. Когда давление O_2 поддерживается постоянным, изобары O_2 вдоль поверхности ликвидусов представляют собой кривые кристаллизации.

В. Злочевский

71479. Сообщение о термическом расширении кремнезема, облученного нейтронами. Саймон (Note on thermal expansion of neutron-irradiated silica. Simon Ivan), J. Amer. Ceram. Soc., 1958, 41, № 3, 116 (англ.)

Коэффициент линейного расширения аморфного кремнезема, полученного при облучении кварца интегральным потоком нейтронов равным $1,4 \cdot 10^{20}$ нейтронов на 1 см², составляет $5,4 \cdot 10^{-7}$ град⁻¹ в интервале 25–200°. См. также РЖХим, 1956, 40300.

В. Кушаковский

71480. Рентгеноструктурный анализ некоторых индийских глин. Бишуй, Праasad (X-ray study of some Indian clays. Bishui B. M., Prasad J.), Centr. Glass and Ceram. Res. Inst. Bull., 1957, 4, № 4, 193–197 (англ.)

Описываются результаты рентгеноструктурного (методом Дебая-Ширера), хим. и дифференциально-термич. анализов индийских глин месторождений Раджмахала, Траванкура, Кассимбазара, Симултала, Улату. По своей природе все глины являются каолининовыми.

Транванкурские глины содержат наибольшее кол-во каолинита и повышенное кол-во Fe_2O_3 (1,80%); глины Симултала — наименьшее кол-во Fe_2O_3 (0,36%), Улату (0,55%) и Раймахала (0,59%). В. Злочевский

71481. Опробование предложенного Орром и Банкстоном метода определения поверхности глин по адсорбции стеариновой кислоты. Беррелл (An examination of the Orr and Bankston stearic acid method for determining surface area of clays. Birrell K. S.), N. Z. J. Sci. and Technol., 1957, B38, № 6, 588—594 (англ.)

На каолинах, подпочвах и аллофанах с поверхностью от 25 до 360 м²/г был опробован быстрый метод определения поверхности, требующий значительно меньшего времени для дегазации, чем при адсорбции азота, и заключающийся в адсорбции стеариновой к-ты из р-ров абс. метанола и безводн. бензола. Адсорбция проводилась при остаточном давл. 10^{-5} мм рт. ст. и взбалтывании пробы с р-ром в течение часа. Для определения поверхности глинистых материалов предложенный метод не пригоден, так как пробы не поглощают достаточного, для образования мономолекулярного слоя, кол-ва стеариновой к-ты. Положительные результаты, полученные Орром и Бенкстоном, очевидно, являются следствием присутствия на частицах слоя аморфного глинозема. Н. Маракучева

71482. О точности определений пористости, исходя из удельного и объемного весов. Дрейер (Über die Genauigkeit der Porositätsbestimmung aus Absolut- und Raumdichte. Dreyer Wolfgang), Tonind.-Ztg, 1958, 82, № 5/6, 72—79 (нем.)

Точность вычисления пористости сильно ограничивается точностью методик определения уд. и об. весов. Сравниваются результаты определений уд. и об. весов, проведенных различными способами на 10 горных породах. Уд. вес определялся: расчетным путем, исходя из процентного минералогич. состава пород, методом (М) жидкостного пикнометра, М воздушного пикнометра, М гидростатич. взвешивания. Все эти М дают заниженные результаты. Наиболее точные цифры дали М воздушного пикнометра и расчетный М, но ни один из М не дал абс. показаний. Необходимо их совершенствовать путем применения лучше смачивающих жидкостей. Об. вес указанных образцов определялся 6 различными М. Наиболее верные результаты дали М измерения геометрич. размеров образцов и М парафинирования. Пониженные цифры дали М, применяющие ртуть, по-видимому, из-за недостаточной смачиваемости ею образцов. В общем показания определений об. веса точнее, чем показания определений уд. веса.

А. Говоров
71483. Определение содержания окиси алюминия в алюминиевых изделиях, изготовленных металло-керамическим способом. Эйзенкольб, Мюллер (Oxydbestimmung von Sinteraluminium. Eisenkolb Friedrich, Müller Klaus), Chem. Technik, 1958, 10, № 1, 32—33 (нем.)

См. также: Система $\text{MgO-SiO}_2\text{-TiO}_2$ 70039. Спектральный анализ глин 70597. Инфракрасная спектроскопия для определения минер. составных частей в шлаках и огнеупорных системах 70598. Устройство для автоматич. регулирования вакуума 70726

Керамика

Редакторы С. В. Глебов, С. И. Горелкина,
В. В. Клыкова

71484. Полевой шпат в шихте керамических масс и глазури. Штюрмер (Feldspat im Versatz keramischer Massen und Glasuren. Stürmer C. M.), Euro-

Ceramic, 1958, 8, № 2, 40—41 (нем.; реза. англ., франц.)

Содержание чистого полевого шпата (ПШ) в керамич. массах составляет $\frac{1}{4}$ или $\frac{1}{3}$ часть и менее. В посуде и каменном товаре содержание ПШ составляет от 5 до 25%. Глазури могут содержать малые кол-ва ПШ, но в отдельных случаях может доходить до 40%. Так как состав полевого шпата разнообразен, то при расчетах шихт следует учитывать тот факт, что различие состава ПШ, входящего в состав черепка, влияет на качество изделий.

Из резюме автора
71485. Влияние некоторых органических добавок на свойства каолинового шликера. Августини А. И., Сазонова Н. К., Свердлов А. Н., Тр. Ленингр. технол. ин-та им. Ленсовета, 1957, вып. 43, 106—113

Исследовано влияние 2 групп органич. добавок (органич. поверхностноактивных в-в: ОП-10, пекаль, этаноламин, абиетат Na, и органич. поверхностноактивных гидрофиллизующих в-в: кальциевая и аммонийная соль сульфитно-спиртовой барды) на разжижение глинистых материалов и повышение прочности тела изделия в воздушно-сухом состоянии. Для изготовления шликеров использовался просьяновский каолин моногоро и сухого обогащения. Качество шликеров контролировалось вискозиметром Коля и Гешплера, а также прибором СКС-2, на котором определяли статич. напряжение сдвига. Действие различных добавок характеризовалось величиной вязкости. Использованный для измерения вязкости в абс. единицах шариковый вискозиметр Гешплера при относительно простом устройстве позволяет делать определения в интервале $t = 35-100^\circ$. При этом для определения требуется 40 мл шликера, продолжительность измерения 1 мин. В результате исследований установлено, что из опробованных органич. добавок положительное действие на каолин оказывает только аммонийная соль сульфитно-спиртовой барды, которую рекомендуется вводить в каолиновый шликер в пределах 0,1—0,5% от веса сухого каолина. Указывается, что одним из рациональных методов контроля шликеров является проверка значений pH. В заводских условиях для контроля вязкости шликеров рекомендуется использовать вискозиметр Гешплера. Г. Масленникова

71486. К применению коллоидных веществ в керамической промышленности. I—IV. Тирьон (Contribution à l'emploi de produits colloïdaux dans les industries céramiques. I—IV. Thirion M.), Ind. céram., 1958, № 494, 33—38; № 495, 69—73 (франц.)

Применение синтетич. колл. в-в на основе эфира полисахарида является весьма эффективным в керамич. произ-ве. Исследовалось влияние добавок этих в-в (в виде коммерческих продуктов, состав не указывается) в глазури, ангобы и литейные массы. Значительно уменьшается тенденция глазуриной суспензии к осаждению и тиксотропному загустеванию осадка, улучшается сцепление сырого глазуриного слоя с черепком, улучшается стабильность литейных шликеров, повышается механич. прочность отлитого сырья.

А. Говоров
71487. Образование поверхности у керамических отливок как следствие действия поверхностного напряжения. Сыска (Kształtowanie się powierzchni lewnej ceramicznego na skutek działania napęcia powierzchniowego. Syska Zbigniew), Szkło i ceram., 1957, 8, № 10, 281—283 (польск.)

При 20° вода имеет поверхностное напряжение (ПН) 73 дн/см. Если в нее ввести $\sim 0,5\%$ NaOH, как это делается при использовании для литья тонкокерамич. изделий из шликера, то ПН воды повышается до 73,05—74,35 дн/см. В действительности большинство ионов OH из щел. солей концентрируется на водн.

оболочках частиц глины, где возникает местное ПН до 80—90 дн/см. Этим объясняется появление полосок на поверхности отливков из керамич. шликера. Число и размеры полосок зависят от скорости процесса отливки: так, при обычной скорости заливки формы (2 мин.) число полосок составляло 34/1 см, а при малой скорости (8 час.) 3,6 полоски на 1 см. Следствием ПН является также сильное уплотнение тонкокерамич. черепки с поверхности, обращенной к гипсовой форме; так, при опускании обожженного черепка в р-р $KMnO_4$, окислитель проникает в глубь черепка со стороны формы на 0—1 мм, а изнутри на ~ 10 мм. ПН является также причиной появления на литых изделиях переливов, цветных поясов и «литейных пятен». Приведено 8 фотографий поверхностей черепка с полосами, вызванными действием ПН шликера, и один разрез черепка с трапециевидным сечением полос.

С. Глебов
17498. Контроль качества продукции на заводах столового фарфора. (Дискуссионная статья). Штремх (Kontrola jakości produkcji w zakładach porcelany stołowej. (Artykuł dyskusyjny). Strojnicki Rogina), Szkło i ceram., 1958, 9, № 4, 109—113 (польск.).

Предложена реорганизация технич. контроля (ТК) на качество продукции на фарфоровых з-дах, основанная на передаче (продаже-купле) продукции из фарфорового цеха в печной, из печного в художественный, причем цех сортировки и комплектации предлагается включить в художественный цех. Предложены формы учета брака и сдачи его обратно цеху сортировки, а также внесено предложение о маркировании изделий изготовителем в цехах с тем, чтобы не только не платить за выявленный брак, но и удерживать с виновного себестоимость предыдущей подготовки изделия. Намеченные мероприятия должны упрочить дело ТК продукции на польских фарфоровых з-дах.

С. Глебов
17499. Обжиг фарфора в газовых горнах. Прево (Cuisson de la porcelaine en fours à gaz. Prévot R.), Bull. Soc. franç. ceram., 1958, № 38, 17—28 (франц.; рус. англ., нем.).

Систематически изучалось влияние газовой среды при утильном, так и при полином обжиге фарфора. На основе проведенных экспериментов и наблюдений обжига в промышленных печах установлено, что поразительно большое количество дефектов поверхности фарфора, после обжига в виде наколов, «яичной скорлупы» и т. д. обязано выделению газообразных продуктов из массы и в первую очередь выделению кислорода от разложения, начиная с 1250°, окислов металлов особенно окислов Fe. Для борьбы с указанными недостатками необходимо или помешать выделению газов или обеспечить их выделение до начала плавления глазури. Эксперим. данные и теоретич. соображения позволили разработать конструкцию оборотного периодического горна для обжига фарфора на городском газе. Указаны преимущества обжига в таком горне. Результаты эксплуатации показывают, что качеств. выход керамики по сравнению с обжигом в обычном периодич. горне повышается на 25% за счет почти полного устранения указанных выше дефектов. Приводятся технич. чертежи горна и фотографии отдельных изделий его обслуживания.

С. Туманов
17500. Производство и использование керамических микроскопов. Стефанов (Производство и правильная утилизация микроскопов. Стефанов С.т.), Лека промышленност, 1958, 7, № 1, 24—26 (болг.).

О повышении рентабельности многоярусных печей обжигательных печей для фарфора. Херберт (Über die Erhöhung der Rentabilität von Ragen-Rundbrennöfen für Porzellan. Herbst Hein-

rich), Sprechsaal keramik, Glas, Email, 1956, 89, № 4, 73—75 (нем.).

71492. Разработка изоляторной массы для производства автосвечей. Часть 2. Виноградов, Чеховская (Opracowanie tworzywa izolatorowego do produkcji świec samochodowych. Cz. 2. Winogradow Leon, Czechowska Zofia), Szkło i ceram., 1957, 8, № 9, 250—255 (польск.).

Приведена схема технологич. процесса произ-ва автосвечей (АС), внедренная на з-де электротехнич. фарфора в Богухвале. Изоляторная масса подвергается 24-часовому мокрому помолу в мельницах с силиконовой футеровкой до остатка на сите 0,063 мм < 0,12%; после фильтр-пресса масса вылеживается 14 суток и 2—3 раза вакуумируется в прессе. Из массы выпускают на вакуум-прессе цилиндрич. заготовки, сушат их при 20—23° 80—90 час., затем при 105° 72 час. Высушенные заготовки пропитывают парафином и подвергают механич. обработке на револьверных токарных станках резцами с накладками из сплава «Видия». АС подвергают двукратному обжигу: на бисквит при 900° и окончательному (после глазурировки) на 1410°. Глазуровку обожженных на бисквит АС производят погружением на 2—3 сек. в глазуриный шликер, уд. в. 1,38—1,39; состав глазури (вес. %): каолин 8, мрамор 8, полевошпат 27, кварц 35, часов-ярская глина 11,5, изоляторный бой 10,5; остаток на сите 0,063 мм < 0,05%. Глазуриный обжиг АС ведут в течение 24 час. в однокамерных печах емк. 1,05 м³ в восстановительной атмосфере, начиная с 1100°. Готовые АС подвергают шлифовке на неглазурированных местах. Пробная партия АС типа М-14 в кол-ве 40 тыс. шт. успешно проходит испытание в двигателях ЗИС-120. Часть 1 см. РЖХим, 1958, 11959.

С. Глебов

71493. Жесткие допуски к толщине стенки керамического радарного колпака и их объяснение. Кофойд (Ceramic radome wall thickness tolerance requirements and their interpretation. Kofoid Melvin J.), J. Amer. Ceram. Soc. Bull., 1958, 37, № 1, 4—8 (англ.).

Радарный колпак служит диэлектрич. крышкой для радарной антенны. Он должен передавать с миним. ослаблением и нарушением радарное излучение. Проблемой в притовлении керамич. радарных колпаков является соблюдение исключительной точности в толщине стенки колпака. Учитывая усадки и изменение формы при обжиге возникает необходимость в тщательной шлифовке. Однако при больших размерах эта операция становится практически почти невыполнимой и в лучшем случае крайне медленной и очень дорогой. Рассматривается возможность упрощения проблемы шлифовки. Прежде всего аэродинамич. требования диктуют определенный минимум гладкости внешней поверхности и это может быть достигнуто лишь очень легкой шлифовкой и даже без нее. Требования электриков, что толщина стенки должна быть 1/2 длины волны, физически не обязательно относится к одному материалу. Стенка радомы может состоять из двух слоев различных материалов, только чтобы она удовлетворяла электрич. требованиям. А этот факт позволяет быстрее и экономичнее решить проблему шлифовки. Создан точный прибор для быстрого измерения толщины стенки радомы с непрерывной автоматич. записью показаний на ленте. С помощью этого прибора большой радом может быть проверен и откорректирован в течение нескольких часов. При изгибной толщине керамич. стенки ее эффективная шлифовка может производиться лишь резцами с алмазными вставками. Процесс такой шлифовки крайне дорог и медлителен. В целях его облегчения, ускорения и удешевления предлагается конструкция радомы с двухслойной стенкой, 1-й тонкой из твердого

керамич. материала и 2-й внутренней более толстой из более мягкого керамич. материала, легко поддающегося шлифовке карборундовым резцом. С. Туманов

71494. Габитус кристаллов альфа окиси алюминия в глиноземистой керамике. Бауман (Crystal habit of alpha alumina in alumina ceramics. Baumann H. N., Jr, Amer. Ceram. Soc. Bull., 1958, 37, № 4, 179—184 (англ.))

Физические и хим. свойства высокоглиноземистой керамики зависят от габитуса кристаллов глинозема и микроструктуры. Эти петрографич. свойства изделий, в свою очередь, зависят от исходного сырья, метода формования, условий обжига и присутствия примесей. Таким образом микроскопич. исследования позволяют определить некоторые физ. и хим. свойства изделий из глинозема. Рассматривается 16 микроструктур образцов из высокоглиноземистой керамики.

71495. Неравномерность усадки глин, вызванная ориентировкой частиц при формовке. Кокс, Вильямсон (Differential shrinkage of clays and bodies caused by particle-orientation and its significance in testing-procedure. Cox R. W., Williamson W. O., Trans. Brit. Ceram. Soc., 1958, 57, № 2, 85—101 (англ.))

Глинистые минералы, как и зерна кварца, и полевых шпатов, в керамич. массах имеют пластинчатую или продолговатую форму и соответственно ориентуются в процессе формовки изделий. Описывается микроструктура изделий, отформованных различными способами. Усадка при сушке и при обжиге больше в направлении, перпендикулярном к плоскостям ориентации частиц, чем параллельном к ним. Это следует учитывать при испытаниях изделий. Даются ф-лы для расчета объемной усадки, исходя из линейной в случае неравномерности усадки, для образцов прямоугольной призматич. и цилиндрич. формы, и выявлена разница между вычисленными и замеренными величинами объемной усадки. Неравномерность усадки глин может быть вызвана также неравномерным распределением воды в изделии. Библ. 31 назв. А. Говоров

71496. Опыты по обезвреживанию мергеля при помощи NaCl. Карпач (Próby unieszkodliwiania marglu przy pomocy NaCl. Karpacz Jerzy), Mater. budowl., 1958, 13, № 4, 116—120 (польск.)

На кирпичном з-де Зеславце (окраина Кракова, ПНР) был проведен опыт выпуска 6000 шт. нормального строительного кирпича $248 \times 120 \times 65$ мм из местных мергелистых глин, с добавкой 6—10% шлака и 1% NaCl (в расчете на сухое в-во). В качестве основного сырья на з-де используется смесь глины и лёсса случайного состава. В шихту добавляли 10% шлака с зерном < 5 мм и 1% технич. NaCl. Ввиду чрезмерной влажности глины NaCl пришлось вводить в дробленом виде. Вследствие неточности дозировки фактич. содержание шлака оказалось равным 6,16%. Одновременно для сравнения была выпущена партия кирпича из того же сырья без добавки NaCl. Через 1,5 месячной выдержки готового кирпича на открытом складе ~50% кирпича, выпущенного без соли, подверглось разрушению от включений мергеля (дупик, трещины), а опытный кирпич обнаружил лишь 10% такого брака. Средн. опытного кирпича оказалась равной $82-327 \text{ кг/см}^2$, у обычного $< 116 \text{ кг/см}^2$. По проверке кол-во зерен мергеля > 2 мм в сырье опытных партий было равно всего 0,17%, хотя иногда оно доходит до 8%. Автор рекомендует внедрить способ введения NaCl в производственную практику для обезвреживания мергеля в глинах при условии более совершенной дозировки добавок шлака и NaCl; последний лучше всего вводить в виде р-ра, а при очень влажном сырье — в сухом виде, предварительно смешивая его с добавкой шлака. Пред. сообщение см. РЖХим, 1957, 31557. С. Глебов

71497. Мероприятия для повышения производительности кирпичного производства. Буркхардт (Wege zur Steigerung der Ziegelproduktion. Burkhardt Heinz), Silikattechnik, 1958, 9, № 1, 11—13 (нем.; рез. русск., англ.)

Рассматриваются мероприятия по увеличению производительности кирпичного производства путем улучшения использования производственных мощностей, реконструкции устаревших производств и строительства новых з-дов. Рекомендуется: удлинение сезона на сезонных з-дах путем ввода в глину солей ($4-5 \text{ кг}$ на 1 м^3 массы), увеличение скорости продвижения огня в печах путем применения разреженной садки, перевод сезонных з-дов на круглогодичное произ-во, переход на выпуск крупногабаритного пустотелого кирпича, применение пароувлажнения (наиболее благоприятными т-рами считаются $40-50^\circ$ или выше 70°), механизация внутривозового транспорта. Наиболее рациональной производительностью для новых з-дов считается $40-50$ млн. шт. в год кирпича нормального формата. При этом уровень произ-ва на этих з-дах должен быть таким, чтобы кол-во рабочих не превышало 4 человек на каждый 1 млн. выпускаемых в 1 год кирпичей. П. Беренштейн

71498. Опыты изготовления легковесного кирпича из покровных глин и отходов угольной мелочи в бассейне Северочешского бурогоугольного района. Сребек (Pokusná výroba lehčených cihel z nadložního jílů a odpadního mouro z pánve SHR. Srebek F.), Stavivo, 1957, 35, № 6, 223—227 (чешск.; рез. русск., англ., нем., франц.)

Описаны опыты с приведением подробной технологии изготовления легковесных кирпичных изделий (полнотелый кирпич размером $302 \times 147 \times 71$ мм, стеновой кирпич с 84 отверстиями размером $302 \times 147 \times 71$ и 155 мм, гурдик размером $1291 \times 260 \times 70$ и шапка размером $1291 \times 275 \times 26$ мм) из смеси покровных глин и отходов угольной мелочи Северочешского бурогоугольного бассейна в весовых соотношениях 4:1, применяя при этом сухую переработку и перемешивание компонентов с последующим увлажнением в 2-вальной глиномешалке, формовкой на ленточных прессах, сушкой в искусств. сушилах и обжигом изделий в колцевой печи. Выявлены основные трудности при обжиге легковесных кирпичных изделий из шихты с кол-вом топлива, превышающем потребности для обжига. В таких случаях преждевременное воспламенение введенного в шихту топлива (теплотворная способность 3917 ккал/кг) при быстром продвижении огня (16 м за 24 часа) приводит, вследствие значительного газообразования при сгорании топлива, к растрескиванию и деформации изделий. При обжиге же изделий с медленным продвижением огня (5 м за 24 часа) было получено 90% качеств. кирпича. Представлены дилатометрич. кривые при обжиге до 1000° . Д. Шапиро

71499. Многопустотные керамические блоки. Зграй Шленкер (Die Hochlochziegelproduktion. Sgraj Georg, Schlenker Rolf), Silikattechnik, 1957, 8, № 10, 447—449 (нем.; рез. англ., русск.)

В результате многочисленных испытаний автор приходит к выводу, что почти все глины ГДР могут быть использованы для произ-ва многопустотных крупноразмерных кирпичных изделий путем смешивания различных глин или добавкой к основной глине опилок в виде песка или шамота и вводом в шихту молотого бурого угля или кокса, стремясь при этом достигнуть оптимальной гранулометрии массы ($< 2 \mu$ 22—30%; $2-20 \mu$ 20—35% и $> 20 \mu$ 35—55%). Даются рекомендации по отдельным переделам произ-ва. При формовке на горизонтальных или вертикальных ленточных прессах особое внимание уделяется конструкции мундштука, его регулировке и способам устранения неравномерности продвижения глиняной

бруса. Усадка в процессе сушки не должна быть $\leq 5\%$.
Библиограф. 6 назв.

71500. Развитие производства крупных кирпичных блоков. Вассе (Die Entwicklung der Ziegelgroßblockherstellung. Waaske Hans), Silikattechnik, 1957, 8, № 7, 280—286 (нем.)

Рассматривается опыт произ-ва крупных кирпичных блоков на з-дах ГДР. Для изготовления блоков используются пустотелые керамич. камни, соответствующие 1,5; 2,5 и 3 форматам стандартного кирпича. Длина камней соразмерна с толщиной выкладываемой стены. Наиболее распространенный вес блоков 700—750 кг. Описаны применяемые рамные шаблоны (кондукторы) и полуавтоматич. установки.

П. Беренштейн
71501. О некоторых свойствах и возможностях применения водорастворимых щелочных силикатов. Рейтер (Über einige Eigenschaften und Anwendungsmöglichkeiten wasserlöslicher Alkalisilikate. Reuther H.), J. prakt. Chem., 1958, 5, № 5—6, 310—314 (нем.)

Нанесение тонкого слоя метилполисиликатата-Na на кирпич, штукатурку и другие пористые строительные материалы сильно понижает их водопроницаемость и лишь мало влияет на их воздухопроницаемость. Приводятся эксперим. данные, подтверждающие это для несанкционированного.

А. Говоров
71502. Скоростная сушка керамических плиток. Соколов П. В., Тр. Всес. н.-и. ин-та строит. керамики, 1957, вып. 12, 3—55

Исследование процессов сушки фаянсовых плиток и плиток для полов в зависимости от параметров сушильного агента и способа укладки изделий. Установлены коэф. усадки и влагопроводности, а также коэф. сушки для периодов постоянной и падающей скорости при укладке плиток в один ряд и стопками различного высоты. В качестве наиболее целесообразного метода рекомендуется сушка плиток в один ряд. При этом для фаянсовых плиток размером 150×150 мм и толщиной 4—5 мм сроки сушки от начальной влажности 6—8% до остаточной влажности 1% составят: при т-ре на входе в сушилку 150° и скорости агента сушки 4 м/сек 12—15 мин., при т-ре на входе в сушилку $250—280^\circ \sim 5$ мин. При укладке плиток для полов в один ряд, т-ре на входе в сушилку 150° и скорости агента сушки 4 м/сек сроки сушки от начальной влажности 8—9% до остаточной влажности 1% составят: для плиток размером $159 \times 159 \times 8$ мм 70 мин., для плиток размером $109 \times 109 \times 8$ мм 56—60 мин. Отмечается, что при сушке плиток стопками увеличивается склонность их к трещинообразованию, а сроки сушки значительно возрастают. Экспериментально доказывается, что основной причиной появления трещин при сушке плиток стопками является значительное увеличение плоскостного градиента влажности, величина которого не должна превышать 1,1%/см. Приводится схема ленточной конвейерной сушилки для сушки плиток в один ряд.

П. Беренштейн
71503. Закрытая система транспортирования материалов уменьшает их загрязнение. — (Closed system handling reduces contamination.), Ceram. Age, 1958, 71, № 2, 20—22 (англ.)

Описывается произведенная на з-де Pomona Tile Mfg. Co в Арканзасе (США) реконструкция, позволявшая снизить себестоимость и улучшить качество выпускаемой з-дом черепицы. Реконструкция заключалась в создании автоматич. пылезащитного технологич. процесса на операциях хранения, транспортирования и приготовления массы; снижение себестоимости было достигнуто за счет экономии на транспортно-погрузочных операциях, а улучшение качества за счет устранения источников загрязнения

исходных материалов посторонними включениями, для чего все агрегаты и все транспортирующие механизмы выполнены закрытыми. Повышение качества достигается также за счет улучшения системы контроля в процессе произ-ва. Все операции разгрузки, заполнения бункеров, взвешивания и сухого приготовления массы автоматизированы и ими управляет один человек.

В. Злочевский
71504. Исследование зависимости фазового состава динаса от состава добавок и гранулометрии масс. Кайнарский И. С., Щеглова М. Д., Огнеупоры, 1957, № 4, 173—178

Определено влияние на минералогич. состав коксового динаса (Д), изготовленного из овручских кварцитов, известково-железистой добавки (2,2% CaO + 0,8% FeO) (I) и железисто-известковой добавки (2,2% FeO + 0,8% CaO) (II) при 15 вариантах зернового состава с уд. поверхностью в пределах 101—252 $\text{см}^2/\text{г}$, при содержании зерен $<0,088$ мм 13,5—45,5%. Образцы прессовали под давл. 250 $\text{кг}/\text{см}^2$ и обжигали при $1390—1400^\circ$ с выдержкой 20 час. Минералогич. состав Д определяли по расчету кривой расширения. Содержание неперерожденного кварца при связке I составляло 7—15%, а при II 2—11%; кол-во тридимита (Т) и кристобалита (К) зависит от содержания в массе зерен $<0,088$ мм, т. е. от уд. поверхности порошков. Кривые содержания Т имели максимум: при I связке 58% (уд. поверхность 190—215 $\text{см}^2/\text{г}$), а при II 40% (уд. поверхность 150—180 $\text{см}^2/\text{г}$); при тех же условиях кривые содержания К имели минимум: при I 35—40%, при II 46%. Влияние кол-ва добавок CaO, MgO, FeO, Al_2O_3 (содержание CaO было $>0,5\%$, сумма добавок 2,5—5%) изучали на массе с уд. поверхностью 213 $\text{см}^2/\text{г}$, содержащей 38,5% зерен $<0,088$ мм. Добавка Al_2O_3 приводила к увеличению кол-ва неперерожденного кварца и уменьшению Т; в составе добавок шихты коксового Д кол-во CaO должно превышать кол-во FeO. Оптимальная уд. поверхность должна быть ~ 200 $\text{см}^2/\text{г}$. Предельная величина зерен кварцита в массе коксового Д должна быть 3—1 мм, содержание зерен $<0,088$ мм — 30—35%.

Т. Ряховская
71505. Излучающие свойства некоторых огнеупорных материалов. Сегалль (Propriétés émissives de quelques matériaux réfractaires. Segall Jean), Verres et réfract., 1957, 11, № 4, 203—217 (франц.)

Было изучено тепловое излучение (И) промышленных магнезиальных, шпинелидных и глинозёмистых огнеупоров, некоторых глинозёмистых цементов (Scar-250 и RA-1084) и стеклоприпаса промышленных марок (Corhart, Monofrax, Castflux, Disticoke, Assailly, силлиманит) при т-рах $300—1500^\circ$. Были применены два метода: метод внутреннего нагрева образца спиралью сопротивления для т-р $300—1200^\circ$, метод прямого нагрева образца газо-кислородной горелкой для $1000—1500^\circ$. И определяли в ИК-области спектра (1—8 μ). Проанализировано влияние физ.-хим. факторов на величину и спектральное распределение И; основными определяющими факторами являются состояние поверхности материалов и содержание в них «чёрных» примесей (Fe_2O_3 , TiO_2 и др.). Сделана попытка классификации используемых в пром-сти марок стеклоприпаса в зависимости от степени поглощения стеклом теплового И огнеупоров.

В. Злочевский
71506. Новые работы по изучению шелушения огнеупоров. Уайлд (Recent work on the flaking of refractories. Wyld J. H.), Gas J., 1957, 292, № 4927, 634. Discuss., 634, 637 (англ.)

Приведены изложение доклада Уайлда на 23 совещании английской газовой пром-сти и дискуссия, посвященные проблеме шелушения (Ш) огнеупоров в футеровке реторт для получения газа. Исследования

показали, что при понижении рабочей т-ры до 1200° шамотная футеровка камер работает долго и Ш отсутствует, но при нормальных т-рах она работает неудовлетворительно; в отношении динаса на СаО-связке данных о влиянии т-ры на Ш нет. Применение динаса с пониженными пористостью, газопроницаемостью и высокой механич. прочностью ведет к некоторому снижению Ш. По высоте футеровки, выполненной как из шамота, так и из динаса, четко различается участок футеровки с интенсивным Ш в зоне najwyższych т-р и газа с высоким содержанием углеводородов. На этом участке на поверхности огнеупоров образуются толстые, прочные наросты, однако нет уверенности в том, что именно они являются источником Ш. Повреждения футеровки происходят в процессе удаления наростов. Силлиманит и высокоглиноземистые огнеупоры (50% Al_2O_3) не обнаружили преимуществ в части Ш, что приходится приписать наличию исключительно прочной связи наростов с этими огнеупорами. Опыты с огнеупорами, обладающими высокой т-рой деформации и весьма низкими пористостью и газопроницаемостью, показали, что они отвечают своему назначению, однако их стоимость слишком высока. Проводимая работа показала, что обычная т-ра обжига огнеупоров ~ 1450° слишком низка для кирпича, который в службе может подвергаться действию такой же т-ры. С повышением т-ры обжига достигается уменьшение Ш динасовых и шамотных огнеупоров. В последнее время разработаны способы глазуровки динаса на СаО-связке, который будет применен для футеровки одной из реторт.

В. Злочевский

71507. О возможности применения сухарных глин в связующей части шамотных масс. Левенштейн С. А., Алексеева Е. В., Тр. Ленингр. технол. ин-та им. Ленсовета, 1957, вып. 43, 99—105

Приводятся результаты исследования по замене в шамотных массах для изготовления изделий общего назначения простых очертаний части полусухарной глины — сухарем. Исследованы шесть масс, отличающихся степенью отощения, плотностью шамота и содержанием сухаря (15 и 25%). Обжиг образцов проводился до 1320 и 1400°. В качестве сырьевых материалов использовались глина любитинская, полусухарь, сухарь боровичского месторождения и шамоты, изготовленные из этих же глин. Установлена возможность введения сухарных глин в связующую часть шамотных масс для изделий общего назначения. В связи с тем, что введение сухаря несколько ухудшает внешний вид изделий, его следует добавлять в кол-ве $\leq 15\%$. Рекомендуется проводить обжиг изделий, особенно тех, к которым предъявляются повышенные требования по механич. прочности, до т-ры 1400°. Указывается, что замена части полусухарных глин сухарными при изготовлении шамотных масс позволит сэкономить значительное кол-во пластичного сырья.

Г. Масленников

71508. Взаимодействие андалузитовых огнеупоров с основными шлаками. Шешминцев А. Н., Тр. Ин-та стр-ва и строительных материалов АН КазССР, 1958, 1, 131—139

В настоящее время получила значительное эксперим. подтверждение теория ионного состава металлургич. шлаков (Ш). Изложены теоретич. представления о форме зависимости агрессивности основных Ш по отношению к алюмосиликатным огнеупорам (АО), в зависимости от состава Ш. Для их проверки было проведено исследование величины шлакоразъедания андалузитовых тиглей (из флотоконцентраторов Семиз-Бугу и Чокпортас) доменным и мартеновским Ш и производными от него Ш, полученными путем добав-ки к нему 30% СаО, МпО или MgО. Для измерения

величины разъедания Ш ΔP определяли зависимость между весом образцов (Р) и их абс. (B_1) и процентным (B_0) водопоглощением по ф-ле: $\Delta P = P - 100 \cdot \Delta B_1 / \Delta B_0$, которая позволяет рассчитывать вес разъеданной массы образцов по разности водопоглощения их до и после действия на них Ш. Исследование показало: а) Взаимодействие основных Ш с АО осуществляется в виде суммы параллельных р-ций диффузионной области. б) Диффузия компонентов основных Ш к поверхности АО может быть описана с точки зрения ионной теории расплавленных Ш, для этого следует принять, что в диффузии участвуют только ионные пары ($M^{2+} + O^{2-}$), сумма O_2 которых идентична «свободному O_2 ». в) В первом приближении величина разъедания Ш андалузитовых огнеупоров основными Ш может быть представлена как сумма парц. величин, пропорциональных термодинамич. активностям соответствующих окислов в составе Ш; сравнительная эффективность действия окислов на андалузитовые огнеупоры (62% Al_2O_3) располагается в порядке понижения в ряд $FeO-MgO-MnO-CaO$.

В. Злочевский

71509. Служба магнетитового огнеупора в кладке электроферросплавных печей. Бабин Н. Н., Демихова Т. В., КазССР Гылым Акад. хабарлары. Изв. АН КазССР. Сер. горн. дела, металлургия, стр-ва и строительных материалов, 1956, вып. 10, 101—114 (рез. каз.)

Причины и механизм интенсивного разрушения магнетитового огнеупора (МО) в условиях службы в ферросплавных печах (при флюсовом процессе) не могут быть поняты на основе изучения взаимодействия МО с конечными шлаками, поскольку такие шлаки не являются сильно корродирующим агентом для МО. Процессы, протекающие в местах контакта МО с продуктами плавки феррохрома и образование анальной структуры в огнеупоре, могут быть объяснены свойствами первичных расплавов, образующихся в определенной последовательности при расплавлении загружаемой в печь шихты. В связи с этим был изучен шлаковый режим феррохромовой плавки, который показал, что в процессах износа и образования анальной структуры МО принимают участие первичные шлаки и кремнистый металл; распределение конечных продуктов шлакования МО в дальнейшем происходит в зависимости от градиента т-ры внутри огнеупорной кладки. Особенностью службы МО является образование в процессе плавки подвижных смачивающих жидкостей, проникновение которых к массе огнеупора наблюдается даже в образцах МО с плотной структурой; в связи с этим следует дополнительно изучить целесообразность применения рекомендуемых А. С. Бережным плотных МО. Износ МО в службе объясняется скалыванием в результате реологич. анизотропии его структуры и хим. воздействием агрессивной среды, усугубляющимся весом и эрозийным действием расплава.

В. Злочевский

71510. Оптимальная добавка минерализатора при производстве форстеритовых огнеупоров. Синянский, Мурешан (Adaosul optim de mineralizator la fabricarea refractarelor forsteritice. Siniansky V., Mureșan G. h.), Ind. constructorilor și mater. constr., 1957, № 11, 654—659 (рум.; рез. русск., нем., франц., англ.)

Произ-во форстеритовых огнеупоров (ФО), начиная в РНР в 1956 г., в 1957 г. составляло уже 6% от всего произ-ва огнеупоров в стране. ФО получили успешное применение в качестве футеровочных материалов в зоне обжига цементных вращающихся печей. Основным сырьем для произ-ва ФО в РНР служит серпентин из р-на Оршова (I) и магнезит из ФНРЮ (II). хим. состав (I и II соответственно, вес. %): MgO 40,

32,9, SiO_2 33,3, 6,5, Fe_2O_3 8,6, 0,2, Al_2O_3 3,4, 0,5, CaO 6,9, следы, шпш 12,9, 10,4. Состав шихты ФО I 90, II 10, в качестве минерализатора (М) один из авторов в 1961 г. предложил применять костную муку (CaO 49,4, P_2O_5 36,6, Fe_2O_3 1,3, шпш 11,7). Изложены результаты по подбору оптимального кол-ва М в пределах 0,2—5% к весу шихты. Проведенные опыты показали, что при введении в шихту 20 М возможно получать форстеритовый клинкер такой же плотности, как и без добавки М, но т-ра обжига может быть снижена с 1600 до 1450°. Свойства форстеритового клинкера с добавкой 2% М (после обжига на 1450° с выдержкой в течение 3 час.): об. в. 2,91 г/см³. Пористость кажущаяся 9,5%, общая 12,3%, $\sigma_{\text{сж}}$ 2054 кг/см², огнеупорность 1850°.

Я. Матлис

71511. Применение плотных магнетитовых изделий в футеровке печей для выплавки безуглеродистого феррохрома. Ройзен А. И., Бюл. научно-техн. информ. Всес. н.-и. ин-т огнеупоров, 1956, № 1, 56—58. Для проверки в службе в промышленных условиях футеровка печей, выплавляющих рафинированный феррохром флюсовым методом, была выполнена в одной печи плотными магнетитовыми огнеупорами (ПМО), изготовленными 3-дом «Магнетит» по технологии ВНИИО, а в другой — обычными магнетитовыми огнеупорами (ОМО). В массу для изготовления ПМО вводили Ti-Fe-концентрат; для увеличения жесткости стеновая кладка была выполнена в обеих печах большемерными фасонными изделиями; открытая пористость ПМО составляла 8,2—18,2%, у ОМО 19,8—23,2%. Применение более плотных большемерных изделий значительно увеличило продолжительность кампании (на 40—42% по сравнению с ОМО нормальных размеров) и сократило время, затрачиваемое на горячие ремонты (на 15,6—55%). Применение большемерных изделий из ОМО также увеличило продолжительность кампании на 13% и сократило простои на 30%.

В. Злочевский

71512. Массы для набивки и промазки в промышленных печах и топках. Матиба (Stampf- und Anstrichmassen im industriellen Feuerungs- und Ofenbau. Matiba R.), Energietechnik, 1958, 8, № 3, 134—136 (нем.).

Огнеупорные массы различаются на массы для набивки или трамбования, массы для накладывания всевозможных заплат и массы для обмазок. Эти массы в зависимости от области применения могут быть кислыми или основными и различаться степенью огнеупорности. Отмечая большое удобство применения как набивочных, так и обмазочных масс, автор рекомендует широкое применение и необходимость их классификации и нормализации по степени огнеупорности, градулометрии и другим свойствам.

С. Туманов

71513. Увеличение скорости помола спекшегося магнетита под действием поверхностноактивных веществ. Медведева А. П., Бюл. научно-техн. информ. Всес. н.-и. ин-т огнеупоров, 1956, № 1, 37—45. Было изучено влияние добавок адсорбирующих поверхностноактивных в-в (ПАВ) на помол саткинского спеченного магнетита. В качестве ПАВ использовали водн. р-р сульфитно-спиртовой барды (ССБ), водимой в кол-ве (вес. % на сухое в-во) 0,03—0,15, канифоль 0,01—0,07, калиевое мыло 0,03, олифу 0,05, шпш 0,03, синтетич. жирную к-ту $\text{C}_7\text{—C}_9$ 0,05, 0,5%-ный р-р Na_2CO_3 0,3, 0,1%-ный р-р $\text{Al}_2(\text{SO}_4)_3$ 0,3. Помол вели в лабор. мельнице и в 100-кг мельнице периодич. действия; добавки вводили в один прием перед началом или по частям в процессе помола. Опыты показали, что добавка ССБ в кол-ве 0,05% ускоряет помол на 3,5 часа (на 36%), а канифоль и жирная к-та $\text{C}_7\text{—C}_9$, вводимые в кол-ве 0,05%, позволяют получать тонкодисперсный порошок магнетита (частиц <0,06 мм

<2%) в два раза быстрее. От введения добавок спекаемость порошков не ухудшается. Была изучена адсорбция (А) ССБ на тонкомолотом магнетитовом порошке; полученные кривые кинетики А, влияния тонкости помола на изотерму А и зависимости А от исходной концентрации ССБ в р-ре показали, что состояние, близкое к А-равновесию, достигается за 6 час.; с увеличением уд. поверхности адсорбента величина А повышается, что приводит к ускорению помола.

В. Злочевский

71514. Фазовый состав пяти типов основных огнеупоров. Додж (Mineral placement of the constituents in five types of basic brick. Dodge N. B.), Amer. Ceram. Soc. Bull., 1958, 37, № 3, 139—143 (англ.). Приводятся результаты петрографич. исследования фазового состава выпускаемых в США хромитовых (Х), хромомагнетитовых (ХМ), магнетитохромитовых (МХ), магнетитовых (М) и форстеритовых (Ф) огнеупоров. Огнеупоры были изготовлены из шихт следующего состава (%): Х-хромитовая руда 100; ХМ-хромитовая руда 50—75, периклаз 25—50; МХ-хромитовая руда 15—45, периклаз 55—85; М-периклаз 100; Ф-оливиновая руда 90, периклаз 10; Х, М и Ф были изготовлены на керамич. связке, а ХМ и МХ на керамич. и хим. связках. В Х-огнеупорах грубые зерна, а также мелкие зерна цементирующего в-ва состоят в основном из хромшпинели. В ХМ-огнеупорных грубые зерна состоят из Сг-шпинели; в некоторых марках кирпичей им сопутствуют крупные зерна периклаза; цементирующее в-во обычно содержит мелкие зерна Сг-шпинели и периклаза, однако у некоторых марок преобладает периклаз. Большинство МХ-огнеупоров содержит крупные зерна периклаза и Сг-шпинели, с преобладанием мелких зерен периклаза в цементирующем в-ве; у одной из марок крупные зерна состоят только из периклаза, а мелкие из Сг-шпинели и периклаза. В М-огнеупорах, периклаз присутствует в виде крупных и мелких зерен. В Ф-огнеупорах грубые зерна состоят, в основном, из форстерита, а мелкие из форстерита с включениями периклаза. Влияние т-ры обжига на фазовый состав было изучено на смеси, состоящей из грубых и тонких порошков Кубинского хромита (50%) и периклаза (50%). После обжига смеси при 1070° с выдержкой 24 час. образцы состояли из крупных зерен Сг-шпинели и почти неизменившегося серпентина; р-ция между зернами периклаза и Сг-шпинели была незначительной. После обжига при 1520° с выдержкой 24 час. состав смеси полностью изменился: полутонкие окисы мигрировали из зерен Сг-шпинели в зерна периклаза, как в крупных, так и в мелких зернах цементирующего в-ва; природные силикаты разложились и образовали ортосиликатную связку. Изучение ХМ-кирича (80% хромита, 20% периклаза), после 300 циклов нагрева в регенераторах мартеновской печи показало, что цементирующее в-во стало очень хрупким, силикатные его составляющие приобрели кристаллическо-зернистую структуру с частичным расслоением вдоль границ зерен; природа этого явления не была установлена.

В. Злочевский

71515. Исследование и испытание 32 марок высококачественных огнеупорных растворов для шамотного кирпича. Юснер, Бакман (Investigation and testing of 32 high-grade mortars for fireclay brick. Eusner G. R., Bachman J. R.), Amer. Ceram. Soc. Bull., 1958, 37, № 1, 12—21 (англ.).

Свойства огнеупорных р-ров (ОР) различных марок сильно отличаются между собой; существующие методы определения свойств ОР несовершенны. В связи с этим были составлены требования, которым должны отвечать ОР, и были проведены исследования свойств 32 промышленных марок ОР, полученных от различ-

ных поставщиков США с корундовым, муллитовым, кианитовым, шамотным и кварцевым наполнителем. Хим. состав ОР колебался в пределах (в вес. %): Al_2O_3 81,3—4,2, SiO_2 91,9—16,6. 12 ОР были воздушно-твердеющими, 20 обычными. Были определены по стандартным методам: хим., минералогич. и зерновой составы, влажность, огнеупорность, рабочие свойства, усадка при 104° и 1400°, пористость и об. вес после обжига на 1400°, деформация под нагрузкой, стойкость к воздействию CO . Шлакоустойчивость определяли по глубине разъедания шва толщиной 2,4 мм, который проходил через центр тигля, выточенного из шамотного кирпича; диаметр тигля 76 мм, глубина 19 мм. После сушки склеенного ОР шва в полость засыпали 50 г смеси (доменный шлак 60, Fe_2O_3 20) и образец нагревали в печи при 1400° с выдержкой 3 часа, после чего глубина проникновения шлака не должна быть > 19 мм. Прочность на отрыв определяли методом испытания на изгиб шва внахлестку между двух плитин $114 \times 29 \times 19$ мм, вырезанных из шамотного кирпича и соединенных швом из ОР толщиной 2,4 мм с перекрышей 51 мм, высушенных при 104° и обожженных при 1093, 1260 и 1400°; это испытание обеспечивало разброс данных < 10%. Прочность шва должна быть при 20° > 34 кг и при 1260—1400° > 7 кг. Свойства 32 марок ОР отличались исключительно большим разнообразием и рассеянием. Из 32 испытанных ОР 17 отвечали требованиям по рабочим свойствам (при влажностержании < 30%), 12 по огнеупорности (по ASTM-C 199-47), 7 по шлакоустойчивости, 7 по прочности шва на отрыв и 30 по стойкости против действия CO (после испытания в течение 40 час. по ASTM-C 228-51 Т не должно быть отложений С). Только 3 марки ОР М-18, М-10 и М-21 удовлетворили одновременно всем требованиям. М-18 и М-21 — воздушно-твердеющие ОР с кианитовым наполнителем, Al_2O_3 соответственно 48,7 и 43,9%, SiO_2 46,2 и 50,2%; М-10 — обычный с муллитовым наполнителем, Al_2O_3 54,7%, SiO_2 40,9%.

71516. Пропитка металлами изделий из карбида кремния. Новиков А. Н., Огнеупоры, 1957, № 12, 557—562

Изложены результаты исследований по пропитке изделий (ПИ) из SiC металлами в газовой фазе в электрич. печи сопротивления при t -ре ~ 2200°. Из 16 опробованных материалов положительные результаты по ПИ из SiC получены при использовании металлич. Si, Al, Cu и В или их окислов. Установлена зависимость ПИ из SiC металлами в газовой фазе от разности между t -рами кипения металла и активного состояния SiC (2200°). Приведены свойства изделий из SiC , пропитанных металлич. Si: об. в. 2,8—3,2 г/см³, кажущаяся пористость 0—4%, $\sigma_{сж}$ 40—90, $\sigma_{из}$ 10—42, $\sigma_{разр}$ 2,4—7,9 кг/мм². Если для ПИ использовать воздушно-сухой сырец вместо рекристаллизованных или обожженных изделий из SiC , то после ПИ металлами в газовой фазе получают равноценные по свойствам изделия. На этом основании рекомендовано применять для ПИ воздушно-сухой сырец из SiC . А. Н.

71517 К. Определение прочности фарфора на растяжение. Постановка проблемы и методика. Бьёрклунд (Bestämning av porslins draghållfasthet. Problem och metod. Björklund Kjell. Chalmers tekn. högskol. handl., 1958, № 193, 78 s., ill.) (шведск.; рез. англ.)

71518 П. Тепловая обработка керамических материалов. Шарф (Heat treatment of ceramic materials. Scharf Herbert) [Maschinenfabrik Augsburg-Nürnberg A.-G.] Пат. США 2779082, 29.01.57
Механические свойства керамич. материалов зави-

сят от их кристаллич. структуры, которую можно изменять тепловой обработкой. Рекомендуется керамич. материалы подвергать тепловой обработке — вторичному нагреванию их до t -ры ниже t -ры размягчения и затем быстрому охлаждению. Так, при медленном нагревании в течение 6 час. керамич. материала, состоящего из 70% стеатита и 30% SiC , до 1150° и выдержке при этой t -ре в течение 1 часа производится его быстрое охлаждение до 800°. В результате такой обработки $\sigma_{разр}$ материала с 3 кг/мм² возрастает до 5,5 кг/мм² и соответственно снижается хрупкость.

71519 П. Производство кислотоупорной посуды. Харбаяси Масахиро [Такуми Йосинао]. Японск. пат. 3286, 4.05.56

Порошок коксаки (японская разновидность пемзы) или пемзы (75 вес. ч.) смешивают с каким-либо волокном, напр., стеклянным, шлаковым или асбестом (25 вес. ч.). К полученной смеси добавляют силикат Na (~35 вес. ч.), все это замешивают до получения однородной массы и формуют. После затвердевания изделие помещают в р-р разведенной K_2O (напр., 20%-ный р-р HCl) и подогревают, затем промывают водой и просушивают. После сушки поверхность готового изделия покрывают или пропитывают асфальтом, пеком, парафином или каким-либо другим кислотоупорным материалом.

71520 П. Керамическая масса, обладающая высокой термостойкостью. Харман, Леннон (Ceramic composition having thermal shock resistance. Harman Cameron G., Lennon John W.) [Cambridge Tile Manufacturing Co.]. Пат. США 2776836, 8.01.57

Высокая термостойкость чистого $TiO_2 \cdot Al_2O_3$ (I) объясняется его низким и даже отрицательным коэф. теплового расширения (КР) до ~ 600°. Однако, чистый I при длительном нагревании разлагается на Al_2O_3 и TiO_2 , причем КР резко увеличивается и термостойкость падает; кроме того, I обладает недостаточной механич. прочностью. Патент обеспечивает стабилизацию I, предотвращающую его разложение при нагревании и сохраняющей низкий КР и высокую термостойкость масс на основе I. Это достигается заменой части I на $TiO_2 \cdot Fe_2O_3$ (II) за счет р-ции в твердой фазе, при которой структура I остается неизменной, меняются лишь параметры решеток. Вместо II можно также вводить MgO , SiO_2 или их комбинации, без Fe_2O_3 или с Fe_2O_3 . Добавка к стабилизированному I глины и талька повышает его прочность, не изменяя заметным образом низкого КР. Для получения I, термостойкого при t -рах > 930°, смесь из I, Fe_2O_3 и TiO_2 взятых в соотношении от 1 до 50 мол.% от II обжигают при 1320°.

71521 П. Изделия, содержащие карбид кремния, и метод их изготовления. Суэнцел (Siliziumkarbidhaltiger Werkstoff und Verfahren zu dessen Herstellung. Swentzel John Paul) [The Carborundum Co.]. Швейц. пат. 316401, 30.11.56

Метод изготовления огнеупорных изделий, содержащих SiC , заключается в следующем: SiC определенного зернового состава смешивают с молотым металлом, Si , содержащим в виде примесей Fe, Cr, Al, Ca ~ 2%, с зернами < 0,074 мм в кол-ве ≥ 5%, сухим лигнитом и гелем бентонита; изделия подвергают прессованию на гидравлич. прессе под давл. 400—500 кг/см² (или отливают в гипсовых формах из разжиженной массы в виде пликера), высушивают и подвергают сначала окислительному обжигу до 900°, а затем обжигу в атмосфере сухого N_2 при 1300—1400° с выдержкой 7—12 час. Нитрирование можно вести в среде NH_3 , смеси $N_2 + H_2$ и в засыпке смеси кокса с кварцевым песком, где O_2 воздуха образует CO . В ра-

пультате образования Si_3N_4 , вес изделий увеличивается на 55–60% по отношению к весу содержащегося в шихте Si, а изделия приобретают высокие прочность, термич. стойкость и устойчивость к коррозии. После термич. обработки изделий при 1350°C $\sigma_{\text{сж}}$ 535 кг/см²; плиты размером $370 \times 400 \times 25$ мм выдерживают многократное нагревание до 600°C со скоростью ~ 600 град/час. После службы в окислительной атмосфере при 1300°C вес плит в течение 21 суток возрастал на 4,5%, во время 21 сутки на 0,23%, после чего стабилизировались. Описанным методом можно изготавливать изделия различных форм и назначений, разной структуры, в том числе высокопористые, за счет выгорающих и газообразующих материалов с добавками шпинели, нитрида.

71522 П. Абразивные изделия. Ван-Ормер, Ост (Abrasive article. Van Ormer William K., Aust. Joseph B.) [The Carborundum Co.]. Пат. США 2770928, 20.11.56

Способ изготовления гибких кругов и бесконечных лент со сравнительно толстым абразивным слоем заключается в том, что на тканевую или специально вымощенную основу, пропитанную резиной или упругим латексом, наносится анкерный слой, состоящий из нитей сизаля, нейлона или другого волокнистого материала спец. плетения, плотно удерживающий отрываемые, выступающие торчком нити (напоминающие сетку), между которыми и несколько выше наносится абразивный слой на фенольной и других смолах. Для придания гибкости инструменту в абразивном слое делаются разрезы, перпендикулярные его основе.

71523 П. Процесс производства абразивных изделий. Келерик (Process for making abrasive article. Keeler George F.). Пат. США 2785060, 12.03.57

Предлагаемый метод произ-ва абразивных инструментов (АИ) заключается в следующем: а) алмазный порошок смешивают с порошком растворимой в воде соли (напр., NaCl) в соотношении (10–50) : (90–50) об.%; б) поверхность листа или материи покрывают нерастворимым в воде клеем и на него насыпают полученный слой смеси; в) после приклеивания смеси лист его погружают в воду, соль растворяется; г) поверхность АИ гальванически покрывают слоем металлич. Cu, Ni или Fe; д) удаляют лист или материю; е) слегка протравливают металлич. покрытие, чтобы зерна алмаза слегка выдвигались из слоя металла. Полученный АИ может быть приклеен или приварен к поверхности абразивного диска или другого АИ.

71524 П. Твердые смеси для покрытий и метод их нанесения. Росхейм, Елинек (Hard coated composite and method of forming. Rossheim David B., Jelinek Ulrich) [The M. W. Kellogg Co.]. Пат. США 2755199, 17.07.56

Для повышения прочности и твердости поверхности металлов и инструментов из черных металлов при $\sim 1100^\circ \text{C}$ предлагаются для них покрытия (П), состоящие из тонкодисперсных ($\leq 20 \mu$) электропроводящих материалов: карбидов, нитридов или боридов металлов, имеющих т. пл. 1650°C (напр., TaC, HfC, ZrC, TiC и нитридов Nb, Ta, V и др.), применяющихся в виде связки, и высокоогнеупорного наполнителя Al_2O_3 с зерном $\sim 0,8$ м. П наносится путем напытки под давл. 55–65 кг/см² с последующим прокатом через массу электр. тока напряжением 2–2,5 а, силой тока 90–110 а в течение 0,25–0,3 сек. В результате получается монолитное П толщиной 0,3–0,8 м, плотно связанное с основным металлом. Приведен эскиз механич. приспособления для нанесения П.

71525 П. Способ и оборудование для приготовления глиняного шликера. Вильямсон (Process and apparatus for forming clay slip. Williamson John T.) [Thiele Kaolin Co.]. Пат. США 2789772, 23.04.57

Предлагается готовить шликер (Ш) при помощи высокопроизводительного, переносного дезинтегратора-смесителя (ДС) непосредственно на карьере и транспортировать Ш к месту потребления по трубопроводу. Описываются принцип действия и конструкция ДС, работающего по мокрому способу на противотоке воды и глины с применением хим. диспергирующих добавок; такой ДС обладает в 2–4 раза более высокой производительностью, чем существующие типы смесителей; получаемый в нем Ш содержит $\sim 50\%$ воды затворения и обладает достаточной текучестью для перекачки по трубопроводу на дальние расстояния, без осаждения твердой фазы. Для достижения этого дезинтегратор снабжен по периферии ножами такой конструкции, которые подобно токарному резцу режут поступающую в него глину. Наличие противотока воды и глины в смесителе, в сочетании с быстро вращающимся дезинтегратором, создает бурное вихревое движение, благодаря чему осуществляется непрерывный процесс тщательного смешения глины с водой и диспергирующими добавками. Полученный Ш пропускается в ДС через относительно крупное сито с расстоянием между осями ячеек 3,2–6,4 мм, однако, благодаря наличию в сите промывающего потока, в сочетании с вихревым движением в смесительной камере, через сито проходят только очень тонкие фракции глины, а более тяжелые всасываются обратно к центру и снова подаются в дезинтегратор. В результате этого содержание грубых частиц в Ш составляет $\sim 1\%$ от суммарного содержания твердых фракций, т. е. меньше, чем в Ш, полученных другими способами. Содержание грубых, неглинистых включений в Ш может иногда достигать 10–15%; эти включения и крупные фракции глины в дальнейшем удаляются из Ш в классификаторах. Применение относительно крупного сита вызывается необходимостью исключить попадание в смесительную камеру таких включений, как песок или кварц. Подача воды и глины в ДС регулируется с таким расчетом, чтобы содержание твердой фазы в Ш составляло 40–45%, однако удовлетворительные результаты достигаются и при 50%.

В. Злочевский

См. также: Автоматизация в керамич. пром-сти 71106. Регулирование в печах периодич. действия с нижней тягой 71107. Материалы конференции по физике диэлектриков 69929. Фазовый переход в системе $\text{Li}_2\text{O} - \text{Fe}_2\text{O}_3$ 70036. Электр. и рентгенографич. исследований системы $\text{BaTiO}_3 - \text{BaZrO}_3$ 70044

Стекло

Редакторы О. К. Богвикин, С. И. Горюкина, С. И. Иофе

71526. Зависимость между тонкой структурой и механико-акустическими свойствами простых силикатных стекол. I. Дер (Zusammenhang zwischen Feinbau und mechanisch-akustischen Eigenschaften einfacher Silikatgläser. I. Auszug aus der Diss. Deeg Emil), Glastechn. Ber., 1958, 31, № 1, 1–9 (нем.; рез. англ., франц.)

Приведен литературный обзор исследований механико-акустич. свойств силикатных стекол (С) в зависимости от их констант упругости, степени однородности, способа охлаждения, структуры, а также от упругого и термич. последействия. Сообщается о за-

висимости модуля Юнга S от предварительной тепловой обработки, t -ры и хим. состава. Величина упругого последствия определяется функцией: $e = ae_0$, где e — отклонение частиц от первоначального равновесного положения к определенному моменту времени после прекращения действия нагрузки, e_0 — начальное отклонение от состояния покоя, a — зависит от природы S и длительности нагружения и всегда меньше для S , содержащих один тип щелочей. Добавка CaO и BaO уменьшает упругое последствие; a для калиевых S меньше, чем для натриевых. Исследовалось влияние скорости охлаждения на внутреннее трение S . Установлено, что измеренная при комнатной t -ре величина затухания колебаний у закаленных S меньше, чем у отожженных. Изучалось влияние рентгеновского облучения исследуемых образцов S на величину затухания колебаний в них. После облучения в течение 2 мин. величина затухания увеличилась на 75%, после 20 час. эта величина снова уменьшалась до первоначального значения. В результате большого числа исследований установлено, что S при комнатной t -ре обнаруживают пластич. течение даже под действием собственного веса. Сообщается о попытках различных авторов объяснить упругое последствие структурными изменениями, в основе которых лежит идея о перемещении и взаимном обмене местами между отдельными частицами внутри S . Представления с помощью моделей структуры S приводят к предположению о том, что внутри кремнеземистого каркаса содержатся более или менее упорядоченные области в виде мозаики, содержащие посторонние катионы. Тот факт, что положение интервала превращения S сильно зависит от скорости замораживания их, свидетельствует о том, что характер связей между стеклообразующими окислами зависит от условий охлаждения S . Термич. и механич. поведение аморфных твердых тел объясняют процессом обмена местами между частицами. На основе этих представлений можно объяснить различные свойства S и кристаллов, напр. плавление кристаллов, постепенное размягчение S , относительно хорошую теплопроводность кристаллов и плохую — S , малую температурную зависимость прочности на разрыв и текучести кристаллов, сильную зависимость от t -ры диэлектрич. потерь S и др.

А. Бережной

71527. Влияние степени химической неоднородности стекломассы на кристаллизационные свойства стекла. Сообщение 2. Ботвинкин О. К., Камцева Л. А., Тр. Всес. н.-и. ин-та стекла, 1957, вып. 38, 18—37

Изучалась зависимость кристаллизационных свойств стекол (S) от хим. неоднородности (ХН) стекломассы и от изменений составов S за счет замены одних компонентов другими. Получены S с различной степенью ХН. S высокой степени однородности в интервале $2,2^\circ$ получены при часовом перемешивании; удлинение продолжительности варки до 6 час. не позволило достичь более высокой однородности, чем характеризуемая интервалом t -ры 5° . При смешении 2 S разного состава ХН смешанного S вызывается присутствием как тяжелых, так и легких составляющих. Для промышленных S допустима степень ХН в интервале t -р до 5° , при которой изменение скорости кристаллизации составило $0,7 \mu/\text{мин}$; t -ра верхнего предела кристаллизации не изменялась. ХН стекол выше 5° приводит к заруханию массы в производственных условиях. Сообщение 1 см. РЖХим, 1958, 29584. И. Михайлова

71528. Исследование сырья для стекольной промышленности Болгарии — песка и известняка. Кристанова (Исследоване върху българските стъкларски суровини пясък и варовик. Кристанова

Л.), Изв. хим. ин-т, Бълг. АН, 1957, 5, 273—280 (болг.; рез. русск., нем.)

Дан хим. состав песка и известняка. Приведены результаты гранулометрич., минералогич. и других исследований песка из различных месторождений. Результаты дают полное представление о болгарском сырье для стекольной пром-сти. Автор рекомендует производить обогащение исследованных песков.

Из резюме автора

71529. Изучение облагораживания песков из Мноркань и Шикевци. Орășану, Цибуляу (Studiul înnozirii nisipurilor de la Miorcani și Șicșevici. Orășanu Julieta, Tibuleac E.), II-a Conf. tehn.—științ. a ind. ușoare. Piele.—Cauciuc.—Sticlă [București], ASIT, 1957, 212—218 (рум.)

71530. Практика применения сульфата аммония как ускорителя варки стекла. Энгвер Е. А., Катаева Г. В., Орлова М. П., Стекло и керамика, 1958, № 2, 6—7

Результаты лабор. испытаний, выявивших влияние $(NH_4)_2SO_4$ на скорость варки стекла (S) (см. также РЖХим, 1958, 2021), проверялись в заводских условиях. Опытное S состава (в %): SiO_2 71,8, Al_2O_3 4,7, Fe_2O_3 0,06, CaO 7,24, MgO 3,7, Na_2O 15,0, SO_3 0,5 варилось на з-де «Пролетарий» в ванной печи. Соотношение кол-в Na_2O , вводимых в шихту (Ш) с содой и сульфатом, 90:10. Влажность Ш не превышала 0,5%. Обратный бой вводился в кол-ве 20—25%. Введение в Ш $(NH_4)_2SO_4$ варка S протекала напряженно. Из 5 машин только одна давала технич. S . Содержание в Ш 0,15% F не влияло на ускорение варки S . При введении в Ш $(NH_4)_2SO_4$ его кол-во постепенно увеличивали на 1% через каждые 4—10 дней с доведением его до 3% от веса Ш. Введение в Ш $(NH_4)_2SO_4$ улучшило процесс варки, а при кол-ве 3% у 5-й пары горелок получалось чистое от пены зеркало стекла; улучшилось осветление стекломассы; из 5 машин 3 давали годное технич. S . Из приведенных показателей работы системы до и после введения $(NH_4)_2SO_4$ видно, что среднесуточная производительность системы пересчете на условно-одинарное S возросла на 13%, кол-во S I сорта повысилось до 92,4% вместо 79,3%. $(NH_4)_2SO_4$ как эффективный ускоритель варки S рекомендуется для широкого применения на стекольных з-дах.

И. Михайлова

71531. Новый метод подбора огнеупоров к стеклу. Дунаев В. Г., Литваковский А. А., Стекло и керамика, 1958, № 3, 13—16

В зависимости от условий огнеупоры (O) играют роль положительных или отрицательных электродов в системе O — стекло (S). Это приводит к различному ходу коррозии: если O является в коррозионном элементе катодом, то он разрушается значительно медленнее, чем будучи анодом. Э. д. с. на границе раздела показывает, что большей разности потенциалов соответствует большая интенсивность коррозии. Изучалась зависимость э. д. с. в системе $Pt - S - O - Pt$ от состава O при постоянном составе S . Описана методика проведения опытов и приведены результаты определения э. д. с. в указанной системе при 1290° . Данный метод позволяет быстро определять в лабор. условиях относительную склонность различных O к хим. взаимодействию со S определенного состава, а также облегчает подбор O к разным расплавам. Практич. максим. инертными по отношению к определенному расплаву являются O , имеющие на контакте с последним при высокой t -ре положительную полярность при миним. величине э. д. с., измеряемой в цепи $Pt - O - S - Pt$. Существующие лучшие O дают в этих же условиях испытания э. д. с. в пределах от $+0,4$ до $+0,7$ в, а менее стойкие до $+1,0$ в и более.

И. Михайлова

71532. Исследование на моделях влияния эксплуатации и конструкции стекловаренных печей на потоки стекломассы. Крушевский (A study, on models, of the effects of operation and design on the glass flow in tank furnaces. Kruszewski S.), J. Soc. Glass Technol., 1957, 41, № 201, T259—T275 (англ.)

На прозрачной модели, подобной ванной стекловаренной печи с протоком и выполненной в масштабе 1:20, исследовалось влияние распределения т-р по длине ванной печи и по вертикали, охлаждения боковых стенок, скорости варки, глубины печи, местоположения протока и других факторов на характер распределения и скорость потоков стекломассы (ПС) производственной печи. В качестве моделирующей жидкости был использован полимер фенола. Целью опытов по моделированию был выбор такой конструкции печи и условий ее работы, которые бы обеспечивали наиболее длительное пребывание стекломассы в зоне варки и при которых главный ПС в этой зоне проходил бы вблизи поверхности, т. е. в области максим. т-р. Установлено, что производительность печи ограничена не процессом варки, а скоростью охлаждения, являющейся функцией времени и т-ры. Изменилось время пребывания передней части ПС в каждой секции и высота прохождения ПС, а также т-ра и вязкость жидкости на различных уровнях от поверхности ее. ПС, вертикальные и продольные градиенты и распределение т-р создавались искусств. электроподогревом. Картины ПС наблюдались посредством введения в модельную жидкость красителя. Исследовалось влияние местонахождения температурного максимума на ПС., который располагался на расстояниях, соответствовавших 3,0; 4,6; 6,4 и 8,2 м от передней стены загрузочного кармана стекловаренной печи, имевшей длину варочной части, равную 9,1 м. Опытами показано, что коэф. осветления для 10-й секции конца варочной зоны, в которой расположен макс., составлял 40% от суммарного его значения для всех 10 секций варочной части, т. е. почти половина всего процесса осветления имеет место в непосредственной близости от макс. Изучалось влияние протока размером 30×46 см, располагавшегося на одном уровне с дном, а также выше и ниже его на 30,5 см. Поперечные ПС, опускавшиеся вниз у боковых стен и двигавшиеся далее по дну к протоку, были наиболее ярко выражены при заглубленном протоке и очень слабо при высоком расположении его. Установлено, что высокое расположение протока наименее благоприятно для осветления, так как способствует легкому проникновению непропара в выработочную часть. Наилучшие результаты по осветлению получены в случае заглубленного протока, однако здесь должны быть приняты меры предосторожности во избежание возникновения сильных поперечных ПС в результате чрезмерного охлаждения боковых стен. Обсуждаются преимущества и недостатки метода моделирования при применении его к изучению ПС в промышленных стекловаренных печах. А. Бережной

71533. Искусственное охлаждение верхнего ряда брусев ванной печи. Козьмин М. И., Стекло и керамика, 1958, № 3, 9—13

Для предотвращения преждевременного износа верхней части огнеупорных брусев в кладке бассейна предложена конструкция ванной печи с искусств. охлаждением стеновых брусев. Особенностью конструкции является металлический козырек (К) на наружной поверхности первого ряда стеновых брусев, охлаждаемых воздухом. Такое устройство позволяло поднять уровень стекломассы (С) в ванне на 50—100 мм выше верхней поверхности первого ряда стеновых брусев и предохранить их от воздействия С (приведен со-

став стекла; $\text{Na}_2\text{CO}_3 : \text{Na}_2\text{SO}_4 = 95 : 5\%$). Ванная печь проработала кампанию 16 месяцев и 20 суток. Технико-экономич. показатели системы на протяжении всей кампании печи были хорошими. Получено 80—90% С 1 сорта. Муллитовые брусья (МБ) на уровне К имели по высоте одинаковую степень разрушения. Подсчитано, что от разрушения одного МБ на участке с К в С переходит за месяц 2,42 кг огнеупора; на участке с обычной кладкой 3,43 кг. К оставался в хорошем состоянии. Было проведено 3 кампании печи с К. После каждой кампании несколько изменялось расположение К. В результате эксперимента можно предположить, что при варке С на сульфатно-содовой шихте применение К позволит удлинить кампанию печи в 1,5 раза, значительно снизить коррозию бруса и улучшить качество С. Рекомендуется устанавливать К по всей длине П, а для кладки верхнего ряда стен бассейна в районе К применять высокоглиноземистый, каолиновый и шамотный огнеупоры. И. Михайлова

71534. Ремонты ванной печи. Баллингер (Glass furnace repairs. Ballinger Clinton), Glass Ind., 1957, 38, № 12, 691 (англ.)

Описаны организация и порядок проведения капитального ремонта ванной стекловаренной печи емкостью в несколько сотен тонн стекломассы, а также меры по технике безопасности во время ремонта.

А. Бережной

71535. Продолжение опытов с горшковыми печами. Бруштик (Další zkušenosti s pánvovými pecemi. Brušтік Jan), Sklár a keramik, 1958, 8, № 1, 23—24 (чешск.)

Описана временная реконструкция 12-горшковой стекловаренной печи на 6-горшковую, затем на 8-горшковую и, наконец, доведение ее до полной мощности на стекловом з-де Květná (Чехословакия) в соответствии с ростом производственной программы з-да. Реконструкция была проведена путем устройства в печи временных перегородок и дала хорошие результаты, в частности повышение стойкости горшков с 8 до 12 недель.

С. Глебов

71536. Формы из керамических масс для формовки стекла выдуванием. Цибуляк (Forme din mase ceramice pentru fasonarea sticlei prin suflare. Tibuleac Er.), II-a Conf. tehn-stiint. a ind. usoare. Piele.-Cauciuc.-Sticla. [București], ASIT, 1957, 178—182 (рум.)

71537. Теоретические предпосылки шлифовки стекла (теория Престона). Фандерлик (Theoretické předpoklady broušení skla (Theorie Prestonova). Fanderlik Milota), Sklár a keramik, 1957, 8, № 2, 36—37 (чешск.)

Рассмотрена теория шлифовки стекла, разработанная Престоном. Под влиянием давления твердого шара или скольжения иглы на поверхности (П) стекла появляются «цепные» или «каскадные» трещины, глубина и расположение которых зависят от давления твердого тела, направления его движения и ширины борозды. Рассмотрено также действие режущего алмаза и стального колесика на П стекла и образование при этом «подповерхностных» трещин и поверхностного надреза. В процессе шлифовки стекла образуются трещины всех указанных видов. Из теоретич. предпосылки Престона вытекает, что возникновение трещин зависит не от острогранности абразивного материала, а только от давления и скорости его передвижения по П стекла. Это было доказано на опыте Качаловым, который повысил производительность шлифовального конвейера для стекла увеличением нагрузки головок и усилением подачи абразива под шлифовальные планки. Имеется принципиальное различие между процессом шлифования и полировки стекла. В процессе шлифовки происходит механич. удаление стекла, а в про-

цессе полировки наряду с этим используются явления набухания, гидролиза и других хим. изменений П стекла.

71538. Механические теории полировки стекла, взгляды Клемма, Смекала и Брюхе-Поппа. Фандерлик (Mechanické teorie leštění skla, názory Klemmova, Smekalovy a Brüche-Poppovy. Fanderlik Milota), Skláf a keramik, 1958, 8, № 4, 100—101 (чешск.)

71539. Новый полировочный материал полирит. Гёц (Nový lešticí prostředek Polirit. Götz Jifi), Skláf a keramik, 1958, 8, № 1, 9 (чешск.)

Описаны результаты опытов использования в научном ин-те бытового стекла и ювелирного дела (Яблонец, Чехословакия) импортного материала (из СССР) «полирит» (РЖХим, 1957, 27634) для шлифовки стекла (ШС). Хим. состав полирита (в вес.%): CeO_2 47,32, окислов редких земель (La, Pr, Nd) 47,27, Al_2O_3 2,21, SiO_2 0,16, Fe_2O_3 0,77, CaO 0,42, MgO 0,17. Проведенными опытами по ШС установлено, что оптимальная т-ра обжига полирита должна быть 1100° . При уд. весе суспензии 1,1 шлифующая способность полирита в 2—2,5 раз больше, чем у крокуса; его применение при ШС (в кол-ве 0,43 кг на 1 м^2) повышает производительность шлифовальных машин на 7—11% и позволяет ускорить ход конвейера на 15%; качество ШС улучшается, выход зеркального стекла 1 сорта увеличивается в несколько раз.

71540. Оптическая оценка шлифованной и полированной поверхности. Шольц (Optická definice broušeného a leštěného povrchu. Šolc Ivan), Skláf a keramik, 1958, 8, № 2, 45—47 (чешск.)

Рассмотрены оптич. параметры шлифованной и полированной поверхности (П), определяющие отражение и преломление или рассеяние ею пучка световых лучей, падающих вертикально или наклонно. Степень полировки может быть оценена 6 параметрами: волнистостью (Δ_1), размером местных дефектов или включений (a), глубиной микротрещин (b), шириной выемок (c), длиной выступов (d) и углом наклона граней выемок (τ); первые 5 параметров зависят от длины волны света, падающего на П. Для определения Δ_1 обычно пользуются интерференционными методами; чувствительность этих методов тем больше, чем короче волна света. Максимально допустимое значение для оптич. стекла: $\Delta_1/\lambda = 0,1—0,2$, где λ — длина волны света. Рассмотрено влияние прочих параметров на качество П оптич. стекла и на его отражательную способность в зависимости от способов полировки П и длины световых лучей. Одна и та же П в разных условиях освещения может казаться зеркально-гладкой или матовой. На оптич. свойства П большое влияние оказывает степень закалки стекла: для УФ-лучей с наиболее короткой длиной волны закалка должна быть наиболее мягкой. Большое значение имеет состояние поверхности пленки на П оптич. стекла.

71541. Электронномикроскопическое исследование при полировке стекла. Часть II. Брюхе, Поппа (Elektronenmikroskopische Studie zum Polieren von Glas. Teil II. Brüche Ernst, Poppa Helmut), Silikatechnik, 1957, 8, № 12, 516—519 (нем.; рез. русск., англ.)

В соответствии с представлениями Гребенщикова и Качалова подчеркивается важность хим. процессов при полировке стекла (С) водн. суспензиями крокуса. Основным важным процессом при полировке является непрерывный сьем и унос частичек С до полного удаления трещиноватого подслоя. В отличие от металлов, у которых поверхностные трещины ориентированы в направлении движения полирующего тела и испытывают пластич. деформацию, С при полировке ведет себя как гомог. в-во. В подтверждение своих взглядов авторы приводят результаты опытов, в которых они

подвергли огненно-полированную поверхность С натиранию алмазной пастой с размером зерен 1—3 μ . При этом наблюдалась пластич. деформация поверхностного слоя С и структура, напоминавшая поверхность полированного металла и содержавшая много несплошных углублений. Эти опыты подтверждают первоначальное значение хим., а не физ. процессов при полировке стекла. Предыдущее сообщение см. РЖХим, 1956, 26345.

71542. Наблюдения за процессом резки стекла алмазом. Орд (Observations on glass cutting by diamond. Ord P. R.), J. Soc. Glass Technol., 1957, 41, № 201, T245—T258 (англ.)

Основным требованием при резке стекла является получение вертикальной трещины, отдельные стадии образования которой подвергались изучению. Главным препятствием для получения чистого надреза является возникновение более или менее горизонтально направленных трещин, которые приводят к разрушению краев на мелкие осколки, а в некоторых случаях затрудняют образование вертикальной трещины. Когда гребень алмаза приходит в соприкосновение с поверхностью стекла, то приложенные силы давления заставляют стекло принимать форму этого гребня, так что участки поверхности стекла, примыкающие непосредственно к алмазу, увеличиваются в размерах, испытывая действие напряжений растяжения; когда напряжения достигают предела прочности стекла, вблизи вершины гребня возникают две косые, расходящиеся в противоположные стороны трещины, и напряжения растяжения ослабевают. Стекло испытывает очень высокое давление, при этом в результате трения выделяется большое кол-во тепла и поверхностный слой под алмазом становится пластич. и течет под его грани, выдавливаясь в вершину трещины. В стекле возникают постоянные напряжения, стремящиеся раздвинуть его поверхность наружу в противоположные стороны от первоначальной плоскости надреза. Исследовалось влияние угла резания на качество получаемой трещины. Установлено, что оптимальный угол резания равен 6° и должен выдерживаться с большой точностью в пределах $\pm 1/2^\circ$. При меньших углах резания не образуется достаточно глубокой трещины, при больших углах — возникают осколки, и края трещины получаются рваными. Величина угла заднего скоса алмаза, со стороны которого стекло уходит из-под режущей кромки его, определяет два наиболее важных фактора при резке: 1) действительное значение оптимального угла резания и 2) направление проникновения трещины в стекло. Установлено, что отклонение алмаза вправо или влево от правильного положения на 1° изменяет направление трещины на 40° . Оптимальное значение угла при вершине между боковыми гранями алмаза равно $130—125^\circ$, при этом биссектриса этого угла должна быть перпендикулярна поверхности стекла с точностью $\pm 1/2^\circ$. Алмаз должен так устанавливаться в оправе, чтобы его режущая кромка была параллельна направлению движения стекла или самого алмаза во время резки.

71543. Анализ картины разрушения листового стекла. Иебсен-Марведель (Analyse eines Bruchbildes von Flachglas. Jebesen-Marwedel Hans), Glas-techn. Ber., 1958, 31, № 3, 93—94 (нем.)

Причину разрушения листового стекла можно определить по конфигурации трещины. Особенно трудно это сделать в том случае, если трещины вызваны внутренними напряжениями. Прежде всего следует определить, из какой точки начинается трещина. Автор приводит ряд примеров определения начала разрушения с соответствующими иллюстрациями. В. Рихши

71544. Теплоизоляционные свойства двойного стекла. Недомел, Рак (Tepelné izolacní vlast-

С нати-
и. При
хность
исполь-
т пер-
и при
РЖХим,
ежной
алма-
mond.
№ 201,
ляется
стадии
анним
ляется
аправ-
кра-
натурд-
да гре-
поверх-
застав-
ак что
осред-
исны
напра-
ближ-
цисла
жении
нь вы-
выде-
слои
го гра-
е вод-
и раз-
ожные
Иссле-
дующ-
и угол
альной
е реза-
и, при
иципи
скопа
од ре-
ажных
опти-
кнове-
нение
жение
имали
и гра-
триста
ности
танав-
были
ли са-
ежной
стекла
bides
Glas-
опре-
но эти
внут-
опре-
Автор
руше-
ишии
иного
vlast-

ности dvojskla. (Výpočet koeficientu průchodu tepla). Nedomel František, Rak Milan), Skláf a keramik, 1958, 8, № 1, 5—7 (чешск.)

Приведен способ расчета теплопотерь через две стенки из стекла (С) (для холодильников) толщиной по 5 мм с воздушным промежутком между ними 10 мм; С заделаны в бруски 10 × 10 мм из пластмассы. При т-ре внутри холодильника — 10° и т-ре помещения 20° коэф. теплопроводности сдвоенного С К = 3,03 ккал/м² град. час. Вес 1 м² стенки из сдвоенного С 25 кг; вес эквивалентной (по коэф. К) стенки из цельного С 525 кг, толщина эквивалентной стенки из цельного С 210 мм. С. Глебов

71545. О коррозии оптического стекла в приборах под действием атмосферных агентов. Минарж (Výklad atmosférické korose optického skla v přístrojích. Minář S.), Jernná mech. a opt., 1957, 2, № 3, 79—83 (чешск.)

Приведены результаты опытов автора по изучению коррозии (К) оптич. стекол (ОС) в условиях влажной атмосферы (А) и слабых р-ров к-т. Основной причиной атмосферной К ОС является внедрение водяного пара в поры кремне-кислородного скелета поверхностной пленки, где он нарушает ионные связи между кислородом и катионами металлов; это приводит к гидролизу стекла и замене связей О=Ме связями О=Н или О=Н₂O⁺. Наиболее гидрофильными (гигроскопичными) являются ОС со щел. катионами; наименее гидрофильны свинцовые и борные ОС. Однако последнее менее стойки против действия слабых кислотных газов и жидкостей. Приведены электрофотографии (× 20 000) ОС, подвергшихся атмосферной К в течение 3 лет. Опыты автора показали, что щел. ОС АА быстро покрывается корродирующим налетом влаги А, а на баритовом ВаК₄ и на свинцовом F2 в тех же условиях (относительная влажность 80%, 50 ± 1°) налета не обнаруживается. Описана методика, принятая в СССР для испытания стойкости ОС против образования налета гигроскопич. влаги и против помутнения под действием слабых к-т (ГОСТ 3514-51). Для борьбы с образованием налетов гигроскопич. влаги на ОС рекомендуется использование в оптич. приборах ОС, стойких против налетов влаги, и защита полированной поверхности ОС при помощи гидрофобных покрытий. Пред. сообщение см. РЖХим, 1958, 36604. С. Глебов

71546. Электронномикроскопическое исследование стеклянных нитей. Кун, Шиммель (Elektronenmikroskopische Untersuchung von Glasfäden. Kuhn Peter, Schimmel Gerhard), Glastechn. Ber., 1957, 30, № 11, 463—470 (нем.; рез. англ., франц.)

Очень тонкие стеклянные нити (СН) исследовались непосредственно в электронном микроскопе (ЭМ) без применения реплик. Благодаря поглощению электронов СН и выделению в последних большого кол-ва тепла получают очень тонкие СН (из кварцевого стекла диам. 15 А), которые легко поддаются наблюдению в ЭМ. Описаны способы приготовления образцов и методика исследования кварцевых нитей и СН из технич. (натриево-кальцево-боросиликатного) и свинцового стекла. В технич. стеклах можно обнаружить очень тонкую неомогенность; в отдельных стеклах наблюдалось разделение фаз; особенно это проявлялось в селеновом и свинцовом стеклах (в первом — в виде интенсивного выделения газа и металлич. селена). Свежевытянутые СН обладают большей склонностью к разделению на фазы, чем давно вытянутые нити; но уже после 12 час. наблюдается стабилизация процесса. Характер разделения на фазы зависит от состава стекла. С. Иофе

71547. Стекловолокно — универсальный тепло- и звукоизоляционный материал. Принципы производства, свойства и применение. Эфтимовский

(Staklena vuna-univerzalni termo i akustični izolator. Principi proizvodnje, karakteristike i primena. Eftimovski Dimitar), Kemija u industriji, 1957, 6, № 11, 337—346 (сербо-хорв.)

Даны принципы произ-ва и основные характеристики стеклянного волокна (малая теплопроводность, высокая механич. прочность, негорючесть, хим. стойкость и др.). Приведены примеры применения стекловолокна для тепловой изоляции паровых котлов, сушилок, вагонов, холодильников и строительных объектов, а также для звуковой изоляции, антикоррозионной защиты и гидроизоляции промышленных установок и строительных сооружений. Л. Седов

71548. Исследование состава и производства боросодержащего изоляционного стеклянного волокна. Инь Чжи-вэнь, Сюе Чжи-линь, Ван Дэ-пэй, Тун Ху-сун, Чжоу Юй-хуа, Чжунго кэсюэюань ецзинь таоцзы яньцзюсо, 1957, Б, № 8, 30 стр., илл. (кит.)

71549. Неоднородности в кварцевом стекле. Оберлие (Inhomogenitäten in Quarzglas. Oberlies Frida), Naturwissenschaften, 1957, 44, № 18, 488—489 (нем.)

С помощью электронного микроскопа изучались реплики со свежих поверхностей разлома быстро отожженных штабиков из кварцевого стекла. Вблизи осевой линии штабика обнаружены более крупные кристаллы, а у поверхности — группы мелких образований. С помощью интерференции электронов в первом случае получены интерференционные линии кварца, во втором — линии кристобалита и отдельные немногие линии тридимита. Найденные неоднородности следует рассматривать как не успевшие раствориться частицы кварца или как мельчайшие новообразования кристаллов кристобалита или тридимита, образующиеся уже при быстром отжиге. При тщательном отжиге кристаллы кварца переходят в кристобалит. Эти образования не являются структурными элементами кварцевого стекла, а представляют собой кристаллич. неоднородности. Их обнаруживание при непрямых методах исследования может привести к неправильным заключениям о наличии в кварцевом стекле структурных элементов, соответствующих кристаллич. модификациям кремнезема. См. также РЖХим, 1958, 36997. Ю. Шмидт

71550. Стекло, содержащее более 96% SiO₂ — способ производства и применение. Беран (Skló s obsahem kysličníku křemičitého nad 96 procent — výrobky a použití. Beran C. M.), Skláf a keramik, 1958, 8, № 1, 10 (чешск.)

Способ произ-ва стекла (С), содержащего > 96% SiO₂, особенностью которого является разделение к плавленому SiO₂, заключается в следующем. Сначала плавят С, отвечающее по мол. составу Na₂O · В₂O₃ · SiO₂, особенностью которого является разделение на две разные фазы при т-ре, близкой к точке размягчения С. Одна из фаз, богатая SiO₂, дает скелет будущего пористого С, другая — с преобладанием В₂O₃ и Na₂O растворима в минер. к-тах; скорость растворения ~ 1 мм (по толщине) за 8 час. Обработанное к-тами С имеет мельчайшие поры, соединяющиеся между собой, размерами 30—50 А; уд. поверхность 200 м²/см³. Такое пористое С пропускает воду (при давл. 1 атм 0,001 мл/см²·час), имеет влагопоглощение на воздухе 25% и может быть использовано для изготовления бактериологич., монохроматич. и каталитич. фильтров. Если пористое С нагреть до 1000—1100°, то поры закрываются и получается С, содержащее 96—98% SiO₂, со следующими свойствами: коэф. термич. расширения 7,5 · 10⁻⁷, т-ра размягчения 1500°, т-ра трансформации 900°, тангенс угла диэлектрич. потерь при 1 Мгц, при 20° — 5 · 10⁻⁴, уд. сопро-

тивление немногим менее, чем у плавленного кварца, высокая кислото- и щелочестойкость. По всем свойствам С «Викор» немногим уступает плавленому SiO_2 , а выработка его легче и дешевле. Из этого С в Чехословакии начато изготовление трубок и малых тиглей со стенками толщиной до 3 мм. С. Глебов

71551. Технико-экономическая оценка технического стекла. Балкар (Technicko-ekonomické zhodnocení technického skla. Balcar Vojtěch), Sklář a keramik, 1958, 8, № 2, 38—42 (чешск.).

Техническое стекло во многих случаях может заменять металлы, особенно в трубопроводах. Напр., по сравнению с чугунными стеклянные трубы (СТ) легче на 65%, требуют для своего произ-ва меньше топлива на 43%, энергии на 35%, зарплат на 57%; производительность труда при произ-ве СТ выше на 430%, чем при произ-ве чугунных. Приведено сравнение СТ и чугунных труб с точки зрения экономич., технич. свойств и технологич. особенностей. СТ превосходят металлы по коррозионной стойкости, гладкости стенок, малому весу, дают возможность наблюдать за течением жидкостей и за их состоянием через стенки. Из каждой 1 т металла получается 330 кг в виде труб, остальное уходит на литники, прибыль, стружки и другие отходы; из 1 т стекломассы получается ~ 700 кг СТ. Стоимость СТ вместе с арматурой и монтажом при одинаковом диаметре выше стоимости чугунных на 9%, но зато их стойкость в эксплуатации в 5 раз выше благодаря отсутствию коррозии, что обеспечивает снижение эксплуатационных расходов более чем в 3 раза. СТ обладают меньшим сопротивлением протекающим по ним жидкостям на 41% по сравнению со старыми чугунными, на 22% по сравнению с новыми чугунными и на 6,5% по сравнению со стальными трубами; благодаря этому трубопровод из СТ может иметь диам. на 20% меньше при одинаковой пропускной способности. Замена 100 км чугунных водопроводных труб диам. 100 мм на СТ дает экономию чугуна 2400 т, замена стальных труб СТ дает экономию 725 т стали. С. Глебов

71552. Опыты получения глазури для каменного товара с костяной золой. Бирбрауэр (Steinzeug — Glasuren — Versuche mit Knochenasche. Bierbrauer Gebhard), Keram. Z., 1958, 10, № 1, 14—15 (нем.).

Проводились опыты со свинцовыми глазурями (Г). Обжиг проводили в электрич. печи при 1200°. Г подразделялись на 5 групп. I. Г, в состав которой входит полевой шпат, силикат Pb и значительное кол-во фосфата Са. II. Г аналогична группе I со значительным кол-вом ZnO и TiO_2 . III. Г состоят из фосфата Са, силиката Pb и небольшого кол-ва каолина. IV. Г состоят из свинцового сурика, фосфата Са и каолина. V. Г аналогичны Г группе IV с несколько измененным колич. соотношением компонентов. С этой группой Г проводились опыты получения и окрашенных Г с MnO_2 , CuO и CoO. Опыты показали, что фосфат Са может в больших кол-вах применяться в Г для каменного товара. Фосфатные Г получают большей частью матовыми и заглушенными. Г группы IV показывают, что TiO_2 снижает матовость и заглушенность Г, но при одновременном присутствии в них ZnO и MgO заглушенность и матовость восстанавливаются. Отмечаются необычные окраски в опытах с Г группы V, которые требуют дальнейшего изучения. С. Туманов

71553. Дефекты глазури. Видимые изъяны на готовых глазурованных изделиях, их причины и предотвращение. Куре (Glaze defects. Flaws that can be seen on the finished products of glazed ware, their characteristics, causes and prevention. Kure Franz), Interferam, 1957, № 6, 34—44 (нем.).

Описаны дефекты глазурованных изделий. Для удобства их рассмотрения они классифицируются на 17 различных групп. Помимо описания каждой группы дефектов, приводятся возможные причины их возникновения и указываются средства к их устранению. С. Туманов

71554. О влиянии малых добавок V_2O_5 на некоторые свойства грунтовой эмали. Беляев Г. И., Ж. прикл. химии, 1958, 31, № 2, 306—308

Изучалось влияние малых добавок V_2O_5 на вязкость, поверхностное натяжение, смачивание и др. свойства безборной грунтовой эмали (Э). Исходный состав фритты (в %): SiO_2 59,4, Al_2O_3 2,5, Na_2O 22,5, CaF₂ 13,0, Co_2O_3 0,6, Fe_2O_3 2,0. В шихту из расчета на 100 г стекла добавлялось V_2O_5 в виде х.ч. H_3BO_3 0,25, 0,5, 1, 1,5, 2,5%. Варка фритт проводилась в шамотных тиглях при t-ре 1150° в электропечи. Установлено, что малые кол-ва V_2O_5 уменьшают вязкость Э, поверхностное натяжение, улучшают смачивание Э окисленной стали и снижают окисление стали в процессе обжига покрытия. Склонность Э к кристаллизации уменьшается при добавлении 1% V_2O_5 и более. Грунтовые покрытия с добавками V_2O_5 меньше пузырятся и вскипают. Добавка V_2O_5 в Э улучшают розлив, блеск и качество обожженной грунтовой эмали. И. Михайлова

71555. Определение толщины слоя эмали, нанесенной мокрым способом. Пёшман (Bestimmung der Auftragsdicke von Naßemails. Pöschmann Helmut), Silikattechnik, 1958, 9, № 2, 83—84 (нем.).

При нанесении шликера пульверизацией, а также при эмалировании изделий сложной конфигурации нельзя ограничиваться определениями толщины (Т) слоя обычными способами — погружением в шликер пластины или цилиндра определенной поверхности или путем определения консистенции шликера. Наиболее конкретные данные получают при непосредственном измерении Т слоя высушенного шликера. Определения производят с помощью спец. прибора — «смайлметра», который позволяет измерять Т слоя на поверхностях любой формы. Между Т высушенного слоя и Т нанесенного шликера имеется линейная зависимость. Измерение Т слоя рекомендуется производить в качестве контрольной операции перед обжигом изделий, особенно при эмалировании крупной аппаратуры. М. Серебрякова

71556. Сцепление эмали и изменения структуры серого чугуна. Хаутман (Emailhaftung und Gefügeumwandlungsverhalten von Grauguß. Hautmann A.), Mitt. Vereins Dtsch. Emailfachleute, 1957, 3, № 9, 73—78. Diskuss., 78, 79 (нем.).

При t-рах обжига эмали С образует перлитную структуру в чугуне, что сопровождается повышением твердости и увеличением кол-ва связанного С. Процесс определяется t-рой, продолжительностью нагрева, условиями охлаждения и зависит от состава чугуна. Чем ниже содержание Si, тем ниже точка превращения. Если при эмалировании обжиг эмали происходит выше точки превращения, сцепление получается плохим, как в случае чугуна с низким содержанием Si (~2,2%). Сцепление улучшается при упрочнении структуры чугуна, так как при этом снижается окисляемость поверхности. Предыдущее сообщение см. РЖХим, 1958, 22192. М. Серебрякова

71557. Механизация в эмалировочном производстве. Симпозиум по процессам сушки и плаванию глазури. Лиз (Mechanization in enamelling: a symposium drying and fusing. Lees T. MacPherson), Metal Finish. J., 1956, 2, № 22, 380—388 (англ.).

71558 П. Метод обогащения песка. Браун (Method of beneficiating sand. Brown Otto R.) [American Cyanamid Co.], Пат. США 2769540, 6.11.56

Подготавливается процесс обогащения кварцево-полевых плавных песков для стекловарения путем двухступенчатой флотации. Процесс начинается с удаления крупных фракций и оттирки железистых примазок при большой плотности пульпы, содержащей до 80% твердого в-ва; затем материал разбавляется водой, обесшламливается и обезжелезивается в классификаторе. 1-я флотация, с применением флотореагентов аммонийного типа, позволяет удалить железистые минералы. 2-я флотация разделяет песок на кварцевую и полевую фракции. Вода после обезжележивания полевую фракцию, с примесью фтористоводородной к-ты, возвращается в аппарат для оттирки. Установлено, что фтористоводородная к-та способствует флотации железосодержащих минералов. Для стекловарения может быть использована смесь кварца и полевого шпата в любых соотношениях, в зависимости от требуемого хим. состава песка. Приведены схема процесса и конц-ии флотореагентов; дан пример обогащения по предложенной схеме. Из исходного песка с содержанием 11,35% Al_2O_3 и 0,15% Fe_2O_3 получен песок для стекловарения с содержанием 1,90% Al_2O_3 и 0,051% Fe_2O_3 ; производительность аппарата 50 т в час. Э. Житомирская

71559 П. Стекловаренная печь и способ обжига. Херролд, Фаус (Glass furnace and method of heating. Herrold Gordon W., Fouse William H.) [Anchor Hocking Glass Corp.]. Пат. США 2767235, 16.10.56

Предлагается способ улучшения качества стекломассы (С) и повышения производительности ванночной стекловаренной печи непрерывного действия с комбинированным газозлектрич. обогревом, отличающийся таким расположением электродов, что по меньшей мере две пары ветвей или две фазы трехфазного тока направлены поперек бассейна печи под углом к основному потоку С и друг к другу; при этом короткие ветви каждой пары пересекаются в точке, лежащей посередине потока С, и образуют форму Х, а две ветви — форму XX. Направление тока в каждой паре ветвей одинаково и в основном обратно потоку С, так что тепловой эффект каждой пары ветвей, пропорциональный квадрату силы тока, является наибольшим в середине потока С. Две ветви третьей фазы тока направлены вдоль боковых стен печи, где расположены электроды и где т-ра, скорость потоков С и износ электродов минимальны. Из 6 электродов 3 примыкают к одной боковой стенке печи, а другие 3 — к противоположной. Указанное соединение электродов и направление ветвей тока создает тепловой барьер поперек печи, препятствующий проникновению нагретых частиц шихты из варочной зоны в неработочную и способствующий быстрому их проходу на сравнительно коротком расстоянии от загрузочного конца печи, благодаря чему удлиняется и время осветления, улучшается качество С и достигается повышение производительности печи на 40%. Описанное улучшение работы ванночной стекловаренной печи не связано с существенным изменением конструкции и может быть осуществлено на любой печи вставкой электродов через ее боковые стенки. А. Бережков

71560 П. Центрифугальная отливка стеклянных изделий. Гиффен (Centrifugal casting of glass articles. Giffen James W.) [Corning Glass Works]. Пат. США 2778162, 22.01.57

Центрифугальная отливка стеклянных изделий может производиться при вязкости стекла от 20 до 175 пуаз и при скорости вращения формы от 1500 до 2000 об/мин. Если форма вращается с меньшей скоростью, или вязкость стекла < 175 пуаз, либо вращение формы начинается после введения в нее стек-

ломассы, то изделие может получиться закрытым с нижнего конца. При использовании стекла с вязкостью ~ 20 пуаз удовлетворительные изделия получаются из малых кол-в стекла (~150 г). При вязкости 175 пуаз удовлетворительные изделия получаются из 250 г стекла. Предлагаемый метод относится к формированию изделий трубчатой формы и состоит в вращении формы, имеющей цилиндрич. полость.

В. Мейтина

71561 П. Оптические стекла, не содержащие фтора. Вейссенберг, Унгеммах (Praktisch fluorfreie optische Gläser. Weissenberg Gustav, Ungemach Otto), [Jenaer Glaswerk Schott & Gen.]. ФРГ 1008455, 31.10.57

Бесфтористые оптич. стекла состоят в основном из окислов лития и щел. металлов, из B_2O_3 и из окислов редкоземельных металлов (La_2O_3 , Ta_2O_5 и Nb_2O_5). Стекла характеризуются тем, что они варятся из шихты, в которой доля La_2O_3 в весовых процентах > 55—0,84 x, где x означает долю Ta_2O_5 и Nb_2O_5 , и в которой сумма весовых частей La_2O_3 , Ta_2O_5 , Nb_2O_5 и по меньшей мере одного окисла элементов Mg, Ca, Sr, Ba > 70%. Оптич. стекло характеризуется тем, что смесь дополнительно содержит от 2,5 до 20% ZrO_2 , причем весовая часть La_2O_3 больше, чем 55—0,84 y, где y — весовые части Ta_2O_5 и Nb_2O_5 и ZrO_2 , и что сумма весовых частей La_2O_3 , Ta_2O_5 , Nb_2O_5 , ZrO_2 и одного из окислов Mg, Ca, Sr и Ba должна быть > 70%. Стекло содержит также до 15% ZnO или CdO , причем процент La_2O_3 , ZnO и CdO > 55—0,84 z, где z — содержание ZrO_2 , Ta_2O_5 и Nb_2O_5 , и что сумма La_2O_3 , ZrO_2 , Ta_2O_5 , Nb_2O_5 , ZnO и CdO , а также одного из окислов Mg, Ca, Zr, Ba должна быть > 70%. Стекло может содержать до 5% WO_3 и сумма всех вышеупомянутых окислов и WO_3 должна быть > 70%. В составе стекла имеются также до 5% SiO_2 и Al_2O_3 и плавни — Na_2O , K_2O , CaF_2 или Na_3AlF_6 . Кроме того, в состав стекла входят также обесцвечиватели и осветители.

В. Мейтина

71562 П. Оптические борные стекла, не содержащие фтора. Вейссенберг, Унгеммах (Praktisch fluorfreie optische Boratgläser. Weissenberg Gustav, Ungemach Otto) [Jenaer Glaswerk Schott & Gen.]. Пат. ФРГ 1008456, 31.10.57

Бесфтористые оптич. борные стекла с n_D 1,75 и n_D 2,000—0,0050 v характеризуются тем, что она, по крайней мере, на 75% состоят из B_2O_3 , La_2O_3 и ZrO_2 и одного из окислов Zn, Cd, Pb, Ge и Si. Мол. соотношение La_2O_3 к B_2O_3 составляет от 0,1 до 0,5. Стекло содержит до 10% по крайней мере одного щел.-зем. окисла, до 5% щел. окислов и до 6% окиси вольфрама.

В. Мейтина

71563 П. Способ окрашивания стекол (Procédé de coloration du verre) [Soc. An. des Manufactures des Glaces et Produits Chimiques de Saint-Gobain, Chauny & Cirey]. Франц. пат. 1133042, 20.03.57

Предлагается окрашивать кремнеземно-щелочно-кальциевые стекла в восстановительной среде с применением в качестве окрашивающих реагентов соединений-восстановителей на базе S, либо соединений S и C или других восстановителей или Cr_2O_3 или других соединений на базе Cr_2O_3 . Способ дает возможность получить всю необходимую гамму цветов и оттенков от коричневого до голубовато-зеленого и желтого регулированием кол-ва вводимых реагентов. Cr_2O_3 вводится в кол-ве 0,02—1% в зависимости от требуемой окраски и оттенка; окрашивание меняется от желтого до зеленого по мере повышения введенного кол-ва Cr_2O_3 . Добавки некоторого кол-ва Fe_2O_3 или CoO (можно в виде минералов) обеспечивают в случае Fe_2O_3 коричневую окраску, CoO — голубую окраску, а в сочетании с определенным кол-вом Cr_2O_3 можно до-

биться любого оттенка этих цветов. Преимущества данного способа окрашивания кремнеземно-щелочно-кальциевых стекол: возможность перехода от одной окраски к другой без нарушения режима плавки и очистки ванны; стойкость окрашивающих в-в при т-рах плавки и возможность их введения в ванну в начале или в середине процесса плавки. Ф. Шафит

71564 П. Состав стекла. Данкан, Симор (Glass composition. Duncan James E., Seymour Samuel L.) [Pittsburgh Plate Glass Co.]. Пат. США 276900, 8.01.57

Предлагаются составы для глушеных и цветных стекол, применяемых для декоративной отделки стен зданий следующих составов (в вес.%): SiO_2 55—75, Na_2O 0—15, K_2O 0—15, общая сумма щелочей 11—21, Al_2O_3 2—12, CaO 0—10, MgO 0—12, BaO 0—12, ZnO 0—12, Sb_2O_3 0—2, As_2O_3 0—2, Au 0,0005—0,0024, Ag 0,0004—0,005, Se 0,0002—0,002, F 1—6. В качестве сырьевых материалов рекомендуется песок, полевой шпат, Na_2CO_3 , NaNO_3 , K_2CO_3 , KNO_3 , CaF_2 , Na_2SiF_6 , AuCl_3 , AgNO_3 , Se . В зависимости от кол-ва введенного красителя получается окраска различной интенсивности, от желтой до коричнево-рыжей. Стекло отжигается и во время охлаждения глушится, приобретает соответствующую окраску. Приводится ряд патентов по стеклам, глушеным и окрашенным золотом, селеном, серебром. В. Ришина

71565 П. Составы стекол для стекловолокна. Слейтер (Glass composition. Slayter Games) [Owens-Corning Fiberglas Corp.]. Пат. США 2774675, 18.12.58

Для получения прочных стекол, устойчивых к образованию трещин и истиранию, предлагается использовать принцип сочетания компонентов с высоким и низким модулем. Для этой цели следует заменить кремнезем в микроструктуре стекла другим сеткообразователем с более высоким модулем упругости порядка $2,8 \cdot 10^6$ — $5,25 \cdot 10^6$ кг/см²; в качестве же плавня рекомендуется применять модификатор с низким модулем упругости порядка $0,7 \cdot 10^6$ — $1,05 \cdot 10^6$ кг/см². Так, напр., кристаллич. глинозем обладает модулем упругости $3,85 \cdot 10^6$ кг/см², а $\text{CaO} \sim 0,84 \cdot 10^6$ кг/см², т. е. их модули относятся примерно как 5:1. При такой разности модулей стеклообразный материал обладает характеристиками таких двухфазных систем, как дерево, сталь и армированные пластики. Предлагается 19 составов стекол, пригодных для получения стеклянного волокна. Эти стекла содержат (в вес.%): 1) Al_2O_3 40—50, CaO 35—50, SnO_2 5—20; 2) Al_2O_3 44—48, CaO 37,5—45, SnO_2 10—15; 3) Al_2O_3 47,5, CaO 40, SnO_2 12,5; 4) Al_2O_3 45, CaO 42,5, SnO_2 12,5. Измеренные ультразвуковым методом модули упругости этих стекол составляли $\sim 1,12 \cdot 10^6$ кг/см² по сравнению с $0,7 \cdot 10^6$ — $0,84 \cdot 10^6$ кг/см² для большинства обыкновенных стекол; твердость стекол по шкале Мооса равнялась соответственно 6—7 и 5—6. Большое содержание кислорода в предлагаемых стеклах способствует удержанию в них красителей в высокой степени окисления, благодаря чему стекла окрашиваются в очень яркие цвета. Вместо Al_2O_3 можно применять TiO_2 или ZrO_2 , а также любые окислы металлов, обладающие модулем упругости порядка $2,8 \cdot 10^6$ — $5,25 \cdot 10^6$ кг/см²; в качестве плавней можно применять, кроме CaO , также B_2O_3 , Na_2O и другие окислы с модулем упругости $\sim 0,7 \cdot 10^6$ — $1,05 \cdot 10^6$ кг/см². Полагают, что SnO_2 играет роль стабилизатора, кислород которого необходим для обезвреживания тетраэдрич. координации иона глинозема. SnO_2 можно заменить полностью или частично другими стабилизаторами, напр. окислами Pb , Sb , As , In , Bi , Te , Se , или такими окислителями, как нитраты или сульфаты Ca , Al , Sn , NH_4 . С. Иофе

71566 П. Получение сверхтонких минеральных волокон. Викке (Herstellen superfeiner Mineralfasern. Wicke Heinz) [Actien-Ges. der Gerresheimer Glashüttenwerke vorm. Ferd. Heyel]. Пат. ФРГ 1010249, 28.11.57

По способу Оуэнса можно получать вытягиванием путем раздува минер. волокна большой длины диам. $> 5 \mu$. Для получения более тонких волокон необходимо, чтобы при раздуве и вытягивании происходили одновременно разрыв и разделение струи. Но при этом получается большое кол-во корольков, достигающее 50% веса волокна. Лучший раздув волокна и уменьшение содержания корольков получается, если применять состав стекла из смеси двойных и тройных систем, напр. $\text{CaO} - \text{SiO}_2$ и $\text{CaO} - \text{MgO} - \text{SiO}_2$; расплавление таких систем происходит аналогично плавлению солей; вследствие их высокого поверхностного натяжения и малой вязкости такие расплавы хорошо подходят для раздува волокна. По требованиям же повышения хим. устойчивости приходится вводить в расплав значительное кол-во глинозема, что приводит к повышению вязкости расплава. Предлагается не содержащий глинозема состав расплава, хорошо поддающегося раздуву, из которого получаются тонкие ($< 5 \mu$) хим. устойчивые волокна при малом содержании корольков. Для этой цели рекомендуется применять следующие хим. соединения: $\text{CaO} \cdot \text{MgO} \cdot 2\text{SiO}_2$; $2\text{CaO} \cdot \text{MgO} \cdot 2\text{SiO}_2$; $2\text{BaO} \cdot 3\text{SiO}_2$; $\text{CaO} \cdot \text{FeO} \cdot \text{SiO}_2$. Благодаря прочной межмолекулярной связи волокна из таких соединений обладают более высокой хим. устойчивостью, чем волокна из алюмосиликатов. С. Иофе

71567 П. Аппаратура для формования грубого стеклянного волокна. Сталого (Fiber forming apparatus. Stalogo Charles J.) [Owens-Corning Fiberglas Corp.]. Пат. США 2783590, 5.03.57

Патентуется аппаратура для получения сравнительно грубого непрерывного стеклянного волокна (СВ) диам. 0,38 мм из расплавленного стекла (С). Основной трудностью является при этом точное регулирование т-ры стеклянной струйки, имеющей значительный запас тепла вследствие своей большой массы. Отсутствие такого контроля часто приводит к резким колебаниям свойств СВ и даже к прекращению процесса вытягивания. Предлагается конструкция фильера, обеспечивающая равномерный отвод тепла из стекломассы, протекающей через фильер, и быстрое излучение этого тепла, представляющая собой полую металлическую трубку с открытым нижним концом, которая выдается вниз из дна сосуда с расплавленным С и имеет на внутренней стенке большое кол-во радиальных ребер, выступающих из нижней части трубки и тем самым способствующих быстрому отводу тепла из вытекающей стекломассы. С. Иофе

71568 П. Способ и аппаратура для получения стекловолокна с металлическим покрытием. Расселл (Method and means for producing metal-coated glass fibers. Russell Robert G.) [Owens-Corning Fiberglas Corp.]. Пат. США 2782563, 26.02.57

Предлагается способ покрытия стекловолокна (СВ) металлами: медью, цинком, алюминием, серебром или их сплавами. Металлич. покрытие, наносимое на СВ, применяется в виде тонкой фольги. Сущность изобретения заключается в том, что вытягиваемое СВ соприкасается с быстро движущейся лентой фольги, которая расплавляется под действием тепла, излучаемого от горячих СВ; кроме того, сама фольга может нагреваться электрич. током или каким-либо другим способом. Основные особенности предлагаемого способа: нагрев металлич. фольги с любой скоростью, поддающейся точному регулированию; нанесение металлич. покрытия различной толщины; экономич. эффективность процесса. С. Иофе

71569 П. Фарфоровидное эмалирование. Катц, Херст, Якубчак (Porcelain enameling. Katz Joseph M., Hurst Erwin, Jakubczak Arthur) [General Ceramics Corp.]. Пат. США 2772187, 27.11.56

В состав шликера грунтовой эмали перед нанесением на обезжиренную поверхность металла вводится экстракт бычьей желчи в кол-ве 0,25—1,0% от веса шликера. Содержащиеся в желчи натриевые соли таурохолевой и таурохолевой к-т понижают поверхностное натяжение эмали. В результате снижаются или совершенно уничтожаются воздушные пузыри и поры в эмалевом покрытии, на изделиях не бывает никаких дефектов от следов рук рабочих.

М. Серебрякова

См. также: Картотека по глазурям 69691. Исследования физ.-хим. св-в стекловидного, перекристаллизованного базальта 69967

Вяжущие вещества. Бетоны и другие силикатные строительные материалы

Редакторы Ю. М. Бутт, А. С. Пантелеев

71570. Высокопроизводительные шахтные печи. Эразмус, Лейенбергер (High-capacity vertical kilns. Erasmus H. De Wet, Leuenberger H.), Pit and Quarry, 1957, 49, № 11, 106, 154, 156 (англ.)

Описываются меры по повышению производительности шахтных печей на з-де по произ-ву извести. Печи имеют высоту 15 м при поперечном сечении $13 \times 3,3$ м. Путем усиления тяги со 150 до 800 мм ст. и лучшего распределения подаваемого в печь топлива с помощью системы охлаждаемых труб стальных труб производительность каждой печи увеличена со 100 до 480 т извести в сутки.

Б. Левман

71571. Форма и величина зерен окиси кальция при гашении в пушонку и тесто. Цандер (Kornform und Korngröße trocken und naß gelöschter Kalkhydrat. Zander H. v.), Zement-Kalk-Gips, 1958, 11, № 2, 41—45 (нем.; рез. англ., франц.)

Электронномикроскопическим исследованием и определениями пластичности известкового теста на пластине Эмлея установлена различная форма и величина частиц извести при сухом и мокром гашении и значительно большая пластичность известкового теста во втором случае (125 и 650 единиц по Эмлею). Большое влияние оказывает длительность процесса гашения. Наибольшее значение для образования пластичного теста имеют частицы извести размером $0,1-0,2$ м, уд. поверхность которых (при 10%-ном соотношении в смеси) составляет порядка 95% от общей уд. поверхности.

Г. Копелянский

71572. Завод силикатного кирпича в Кувейте. — (Sand-lime brick plant in Kuwait.—), Engineering, 1958, 185, № 4796, 188—191 (англ.)

Описывается построенный английскими фирмами в Кувейте з-д, выпускающий на базе местных материалов 40 млн. шт. строительного силикатного кирпича в год и извести для строительства. Обжиг извести осуществляется во вращающейся печи длиной 76 м, отапливаемой природным газом. Кирпичи прессуют на 100-т прессах Duplex «Empegog» производительностью 200 шт/час. Запарка кирпичей осуществляется в 4 паровых котлах сварной конструкции длиной 17 м, внутренним диам. 2 м. В каждом котле размещается по 16 вагонеток с ~1000 кирпичей на каждой вагонетке (по 15 тыс. кирпичей). Длительность запарки

4 часа; полный цикл, включая подъем, снижение давления и охлаждение, 6 час. Содержание СаО в массе колеблется от 7,2 до 10,5%, в среднем 8,6%. При содержании СаО $< 7\%$ $R_{сж}$ 140 кг/см² (при испытании в мокром состоянии), однако технологич. прочность сырца с таким кол-вом СаО недостаточна. При 7% СаО продолжительность запарки может быть снижена до 3 час., при этом $R_{сж}$ 180 кг/см²; для получения $R_{сж} > 200$ кг/см² необходимо вводить $> 10\%$ СаО.

В. Злочевский

71573. Формование пустотелого силикатного кирпича. Голуб И., Строит. материалы, 1958, № 3, 21—23

Описана конструкция приспособления к прессу СМ-481 для формования пустотелого силикатного кирпича.

М. Степанова

71574. Пенокарбонат. Слатанов, Джабаров (Schaumkarbonat. Slatanoff Wassil, Djabarovoff Nikola), Silikattechnik, 1958, 9, № 4, 162—164 (нем.; рез. русск., англ.)

Описывается новый строительный материал, состоящий в основном из гашеной и негашеной извести, отходов (песок, древесные стружки и т. д.), пенообразователей, воды и глюкозы. Пенокарбонат имеет об. в. 600—1100 кг/м³ при сопротивлении сжатию в 15—120 кг/см².

Из резюме автора

71575. Завод доломитизированного известняка фирмы Campbell. Херод (Campbell limestone. Herod Buren C.), Pit and Quarry, 1957, 49, № 11, 108—109, 112, 114 (англ.)

Описывается оборудование большого з-да доломитизированного молотого известняка в Южной Каролине (США). Производительность з-да 200 т/час. Продукция з-да направляется в с. х. и на стройки.

Б. Левман

71576. О необходимости более быстрого развития гипсовой промышленности в Польше. Болковский, Белянский (O konieczności przyspieszenia rozwoju przemysłu gipsowego w Polsce. Bolkowski Jerzy, Bielański Zbigniew), Cement. Wapno. Gips, 1958, 14, № 2, 38—41 (польск.)

Описываются области применения гипса в строительстве на примере ряда зарубежных стран, в частности США. По запасам гипса Польша занимает одно из первых мест в мире, что позволяет значительно расширить гипсовую пром-сть.

Б. Левман

71577. К вопросу о теории твердения минеральных вяжущих веществ. Ратинов В. Б., Забегинский Я. Л., Розенберг Т. И., Сб. тр. Всес. н.-и. ин-т железобетон. изделий и нерудн. материалов, 1957, вып. 1, 3—35

Указывается, что твердение минер. вяжущих в-в протекает путем растворения в воде исходной нестабильной модификации и кристаллизации термодинамически устойчивого новообразования из пересыщ. р-ра. Показана применимость ур-ний, в которые входит величина пересыщения, обеспечиваемого исходной модификацией, для описания процессов твердения гипсовых вяжущих в присутствии добавок сильных электролитов, слабых электролитов и некоторых неэлектролитов, изменяющих растворимость гипса. Кинетика кристаллизации гипса в присутствии или отсутствии однокомпонентных добавок количественно учитывается теоретич. ур-нием Колмогорова, что позволяет определять сроки схватывания гипса, зная продолжительность его твердения. Предложены соответствующие ф-лы. На основе современной теории р-ров, а также теории возникновения центров кристаллизации из жидкой фазы и роста кристаллов выведено ур-ние, позволяющее описать твердение гипса в присутствии ряда изученных добавок в широком диапазоне их конц-ий. Библи. 35 назв.

М. Майнц

71578. α -цемент. Попов (El cemento alfa. El super yeso alfa, sus propiedades.— Observacion cientifico tecnologica de las investigaciones actuales. P o p o w Claudio), Construcciones, 1957, 13, № 6, 223—231 (исп.)

Рассматривается возможность получения нового вида цемента из гипса, названного α -цементом. Он обладает большой механич. прочностью в ранние сроки. Осуществляя дегидратацию гипса при 110—140°, можно получить полугидраты и ангидриды сульфата кальция. Для получения β -полугидрата из естественного гипса удаляется влага, производится дегидратация с помощью фосфорного ангидрида. Затем материал нагревается в вакууме при 70°, обжигается при 150—160° и, наконец, подвергается варке при нормальном давлении. β -полугидрат имеет показатели преломления 1,556 и 1,555 и уд. в. 2,675. Если его нагревать при давл. 1,3 атмосфер и t -ре 125°, то он превратится в α -полугидрат, который и называется α -цементом. α -полугидрат может быть получен путем нагревания гипса в р-рах хлористого натрия, азотной к-ты, сульфата магния, серной к-ты и многих других солей. α -полугидрат имеет продолговатые кристаллы с показателем преломления 1,583 и 1,559. Его уд. в. 2,72—2,73. Для получения α -полугидрата требуется воды меньше, чем для получения β -полугидрата. Пористость его меньше, что вызывает увеличение механич. прочности. Проведено большое кол-во опытов по определению условий образования α -полугидрата. В результате проведенных опытов сделан вывод, что дегидратация гипса должна протекать при t -ре не ниже 100°.

И. Крауз

71579. Объединение польских цементных заводов в период между мировыми войнами. Белицкий (Związek Polskich Fabryk Portland-Cementu w okresie międzywojennym. Bielicki Wojślaw), Cement. Warpo. Gips, 1958, 14, № 3, 70—71 (польск.)

71580. Исследование гидратации дисперсных смесей клинкерных минералов с карбонатом кальция и другими добавками. Юнг В. Н., Пантелеев А. С., Бутт Ю. М., Бубенин И. Г., Тр. Моск. хим.-технол. ин-та им. Д. И. Менделеева, 1957, вып. 24, 8—14

Исследовалась скорость и степень гидратации чистых клинкерных минералов C_3S , C_2S , C_3A , C_4AF , размолотых в шаровой мельнице до остатка на сите № 0085 7—8%, а также смесей минералов с тонкомолотыми добавками мрамора, трепела и шлака методами определения связанной воды и наличием в твердых образцах свободной извести. Полная гидратация осуществлялась многократными затворениями навески образца водой с промежуточным высушиванием и измельчением гидратированного материала в тонкий порошок. Установлено, что наиболее полно гидратация проходит у C_3A и C_4AF , затем C_3S и C_2S . При исследовании влияния добавок на каждый отдельный минерал установлено, что добавка 5 и 25% карбоната кальция к C_3S увеличивает степень гидратации последнего как по сравнению с чистым минералом, так и по сравнению с минералом, содержащим добавку шлака. Добавка карбоната кальция к C_2S мало влияет на гидратацию этого минерала. Добавка 5% карбоната кальция к C_3A повышает степень гидратации минерала, а добавка 25% карбоната кальция мало влияет на нее, причем обе добавки карбоната кальция действуют эффективнее добавки шлака. Наиболее эффективна в отношении повышения степени гидратации добавка трепела. Добавка 25% $CaCO_3$ и 25% трепела к C_4AF повышает степень гидратации последнего. Добавка 5% $CaCO_3$ и 50% шлака мало влияет на гидратацию этого минерала. Определение свободной извести, произведенное лишь в образцах,

содержащих C_3S , дает основание полагать, что уменьшение содержания $Ca(OH)_2$ в твердеющем C_3S с добавками происходит за счет формирования новообразований, связывающих известь. Этими новообразованиями при добавке трепела являются гидросиликаты кальция, а при добавке шлака — гидроалюминаты и гидросиликаты кальция. При добавке $CaCO_3$ возможно образование гидратных комплексных соединений. Как чистые, клинкерные минералы C_3S , C_2S , C_3A , C_4AF , так и клинкерные минералы с добавкой $CaCO_3$, гидратированные в течение 7 и 28 суток во влажной среде при постоянной t -ре 25°, были исследованы в шлифах под поляризационным микроскопом. При этом не удалось обнаружить в твердеющих образцах каких-либо продуктов хим. взаимодействия $CaCO_3$ с другими соединениями, за исключением того, что при твердении совместно с $CaCO_3$ существенно ускорялась р-ция гидратации, вследствие чего было замечено образование кристаллов гидратных соединений уже в первые сроки твердения. Суммируя результаты проведенных исследований, авторы считают, что карбонат кальция, взаимодействуя с продуктами гидратации клинкерных минералов, может оказать при соответствующих условиях существенное влияние на процесс отвердевания изделий, р-ров и бетонов.

В. Горшков

71581. О взаимодействии гипса с портланд-цементом при повышенной толщине помола. Юнг В. Н., Горшков В. С., Тр. Моск. хим.-технол. ин-та им. Д. И. Менделеева, 1957, вып. 24, 40—50

Приведены результаты исследований по влиянию различных дозировок полуводн. гипса на изменение показателей сульфатостойкости, морозостойкости и изменение линейных деформаций двух цементов (1-й цемент C_3A 12,43%, C_4AF 12,92%; 2-й цемент C_3A 6,02%, C_4AF 17,24%), имеющих уд. поверхность 3000, 5000 и 700 cm^2/g . Кол-во добавляемого к цементам полуводн. гипса соответствовало 2,0; 3,5; 5,0 и 6,5% в пересчете на SO_3 . Одновременно исследовались скорость взаимодействия гипса с указанными цементами и клинкерными минералами C_3A , C_6A_2F , C_4AF , C_6AF_2 и C_2F методом экстрагирования непрореагировавшего гипса насыщ. известковым р-ром и образующиеся в процессе взаимодействия гидратные новообразования. Показано, что скорость связывания гипса с цементами зависит от тонкости помола их, а также от содержания Ca и C_4AF . Цемент 1-й при уд. поверхности 7000 cm^2/g , содержащий 6,5% SO_3 , после 24 час. гидратации содержал всего лишь 0,06% свободного SO_3 , в то время как цемент 2-й, твердеющий в течение двух месяцев, содержал 0,19% SO_3 . По скорости связывания гипса клинкерные минералы располагаются в следующем порядке: $C_3A > C_6A_2F > C_4AF > C_6AF_2 > C_2F$. Микроскопич. методом установлено, что при взаимодействии аломоферритных клинкерных минералов с гипсом кроме гидросульфаталюмината кальция $3CaO \cdot Al_2O_3 \cdot 3CaSO_4 \cdot 32H_2O$, образуется более мелкокристаллич. гидросульфатеррит кальция $3CaO \cdot Fe_2O_3 \cdot 3CaSO_4 \cdot 32H_2O$. По мере повышения содержания в цементном камне гидросульфаталюмината и гидросульфатеррита кальция свыше оптимального морозостойкость цементного камня снижается независимо от тонкости помола цемента. Стойкость цементного камня против воздействия 5%-ного р-ра Na_2SO_4 повышается по мере увеличения гипса, вступающего в р-цию в течение суток.

В. Горшков

71582. Портланд-цемент высокой сульфатостойкости — Сульфадур Дикергоффа. — (Dyckerhoff-Sulphur, ein hochsulfatbeständiger Portlandzement.— Bauwirtschaft, 1957, 12, № 10, 208—211; Betonstein-Ztg, 1958, 24, № 4, 169—172 (нем.)

На цементном з-де Дикергоффа в ФРГ изготавливается цемент (Ц), не содержащий в своем составе C_3A . При

можно допускается только добавка гипса, а также воздуходерживающих в-в, не содержащих вредных для данного Ц примесей. Прочность Ц на сжатие составляет в 3-суточном возрасте 156 и на изгиб 41 кг/см², в 28-суточном соответственно 433 и 78 кг/см². Прочность образцов интенсивно нарастает при нахождении в р-рах Na₂SO₄, MgSO₄ и MgCl₂, достигая к 13-месячному возрасту 770 кг/см². Прочность бетона при сжатии в 3-суточном возрасте при расходе Ц в 200 кг/м³ и В/Ц = 0,74 составляет 94 и в 28-суточном 478 кг/см²; при расходе 300 кг/м³ и В/Ц = 0,50, соответственно 208 и 472 кг/см². При 2-часовой тепловой обработке при 60° прочность в суточном возрасте равна 175 кг/см², а при 7-часовом и давл. 8 атм 651 кг/см². Истiranje Ц-Сульфадур несколько меньше, чем обыкновенного; тепловыделение Ц незначительное. Усадка Ц-Сульфадур значительно меньше, чем обыкновенного, составляя в 28-суточном возрасте 0,40 и в 3-месячном 0,55 мм/м, против 0,67 и 0,80 мм/м для нормального Ц. Ц-Сульфадур может применяться при изготовлении бетонных и железобетонных деталей, при строительстве угольных шахт и калийных рудников, при подземном и гидротехнич. строительстве.

Е. Штейн

71583. Использование рентгеновских лучей для контроля производства цемента. Ленхарт (X-rays: new aid for cement process control. Lenhart Walter B.), Rock Prod., 1958, 61, № 3, 90—93 (англ.)

Описывается опыт применения рентгенографич. анализа для целей контроля произ-ва на цементном з-де. С помощью спектрографа определяется колич. содержание основных элементов: Al (60 сек.), Fe (80 сек.), Ca (120 сек.), Mg (160 сек.), Si (200 сек.). Для анализа соединений (окисей) в готовом цементе используется дифрактометр. Продолжительность анализа, включая сравнение с эталонным образцом, не превышает 20 мин.

Б. Левман

71584. Современный цементный завод с автоматизацией технологических процессов. Лурье Ю. С., Хим. наука и пром-сть, 1958, 3, № 1, 98—103

При проектировании современных цементных з-дов большой мощности особое внимание уделяется автоматизации всех стадий технологич. процесса, полной механизации трудоемких процессов и установке высокопроизводительного оборудования. В карьерах вводится двух- и трехступенчатое дробление известняка с промежуточной сортировкой. Дробильные установки оборудуются централизованным управлением с необходимой блокировкой. На молотковых дробилках устанавливаются магнитные сепараторы и металлоискатели. Сырьевые мельницы оборудуются весовыми ленточными дозаторами. Автоматич. регулирование процесса помола сырья (по сухому способу) и клинкера в трубных мельницах осуществляется при помощи электроакустич. регуляторов загрузки. Для автоматизации шламового хозяйства применяется дистанционное управление с центральных щитов управления. Пневматич. и гидравлич. уровнемеры для шламоиссейнов заменяются радиоактивными. Новые з-ды мокрого способа произ-ва оборудуются в основном мощными вращающимися печами 4,5 × 170 м производительностью 50 т/час, а з-ды сухого способа — короткими вращающимися печами с конвейерными кальцинаторами производительностью 35 т/час. Автоматизация обжига в печах пока ограничивается дистанционным управлением и сигнализацией. Исследовательские и опытные работы в этой области продолжаются.

Б. Левман

71585. Современный огнеупорный материал. Лонгхамбон (Un matériau réfractaire moderne. Illustration de la recherche scientifique. Longham-

bon Louis), Rev. univers. mines, 1957, 13, № 10, 619—637 (франц.)

Рассматриваются некоторые особенности произ-ва глиноземистого цемента и его применение для огнеупорного бетона.

В. Злочевский

71586. Опыты со шлаковым цементом. Вакабаяси. Сэмэнто гидзюцу нэмпо, Proc. Japan Cement Engng Assoc., 1956, 10, 89—96 (японск.)

Рассматриваются вопросы прочности, расширения и усадки, влияния разности т-р при выдержке на прочность р-ра и морозостойкость.

М. Гусев

71587. Состав японских доменных шлаков для производства сульфатношлакового цемента. Танака, Сакаи, Яманэ (Zusammensetzung japanischer Hochofenschlacken für Sulfathüttenzemente. Tanaka T., Sakai T., Yamane J.), Zement-Kalk-Gips, 1958, 11, № 2, 50—55 (нем.; рез. англ., франц.)

Приводятся результаты исследований 34 синтетич. сульфатношлаковых цементов (СПЦ) при содержании 26—40% SiO₂, 14—30% Al₂O₃ и 40—52% CaO (сумма перечисленных компонентов принята за 100). Содержание клинкера (К) составляло 2,4 и 6% по весу; соотношение шлака (Ш) и ангидрита было постоянным (83:15 по весу). Тонкость помола цементных порошков равнялась 3500 ± 100 см²/г по Блейну. Прочность СПЦ на сжатие при 2%-ной добавке К и содержании 28—34% SiO₂, 16—20% Al₂O₃ и 46—50% CaO > 80% прочности обычного цемента. При содержании в Ш 16—22% Al₂O₃ прочность в раннем возрасте повышается с увеличением содержания CaO, а в более позднем — понижается. При использовании в качестве катализатора К содержание SiO₂ в Ш должно составлять 33%, Al₂O₃ 15,5% и CaO 51,5%, а при использовании ангидрита — соответственно 32,18 и 50%. При содержании в Ш 32—38% SiO₂, 16—22% Al₂O₃ и 46—52% CaO добавка 2% К более эффективна, чем 4 и 6%. Твердение СПЦ на воздухе тем интенсивнее, чем больше содержание в Ш CaO и меньше Al₂O₃, а также, чем больше добавка К. СПЦ высокой прочности обладают меньшей воздухоустойчивостью, чем СПЦ малой прочности. При изготовлении СПЦ достаточной прочности и достаточной воздухоустойчивости содержание SiO₂ в Ш должно быть в пределах 31—33%, Al₂O₃ 18—19% и CaO 49—50%.

Е. Штейн

71588. Автомат для выключения питателя-транспортера при попадании в валковую дробилку крупных кусков материала. Москаленко Д. Д., Цемент, 1958, № 1, 27

71589. Перспективы развития производства легких строительных материалов в Словакии на основе результатов их исследования. Фигуш (Perspektiva rozvoja ľahkých hmôt na Slovensku podľa výsledkov ich výskumu. Fíguš Viliam), Stavba, 1958, 5, № 2, 42—45 (словацк.)

71590. Применение легких пористых горных пород для производства строительных материалов в Армянской ССР и Словакии. Алейников (Využitie ľahkých pórovitých hornín pre výrobu stavebných hmôt v Arménskej SSR a na Slovensku. Alejnikov Igor), Stavba, 1958, 5, № 2, 59—60 (словацк.)

71591. Бетон, предохраняющий от излучений. Егер (Beton chrániacy przed promieniowaniem. Jaeger Thomas), Budown. przemysl., 1958, 7, № 2, 1—11 (польск.)

Подробно излагаются требования, предъявляемые к материалу для защиты от излучений, возникающих в атомных реакторах. Наилучшим защитным материалом, успешно предохраняющим от действия γ-лучей и нейтронов, является бетон различного состава; цемент — железные опилки, цемент — барит — лимонит, цемент — барит — колеманит, глиноземистый цемент — портланд-цемент — барит — колеманит и др. Бетон

должен обладать следующими основными свойствами: высоким уд. весом (3,1—3,2, в отдельных случаях до 6,0), малым тепловыделением, хорошей теплопроводностью, низким модулем упругости, слабой деформативной способностью, высокой прочностью на растяжение. Библ. 49 назв. Б. Левман

71592. Коэффициент линейного поглощения быстрых нейтронов в бетоне. Мацари, Альба, Вакес-Барете, Веласкес, Веласкес, Кастро (Coeficientes de absorcion lineal de neutrones rapidos en concreto. Mazari Marcos, Alba Fernando, Vasquez Barate Manuel, Velázquez Luis, Velázquez Juan, Castro Ignacio), Rev. mexicana fis., 1957, 6, № 1, 1—8 (исп.)

Для определения коэф. линейного поглощения нейтронов Σ в бетоне были изготовлены 12 образцов. 6 из них из обычного цемента, 6 других образцов из быстротвердеющего цемента. На основе этих двух видов цемента были приготовлены 2 типа бетонных цилиндров, из которых один длиной 10 см и диам. 4,39 см, другой соответственно 15 см и 4,39 см. Определялись влияние длины данных образцов на величину коэф. Σ . Подвергалась облучению быстрых нейтронов также плита из бетона площадью 1 м² и толщиной 10,1 см для сравнения коэф. линейного поглощения быстрых нейтронов в цилиндрах с коэф. линейного поглощения быстрых нейтронов плитой. Определялись также коэф. линейного поглощения быстрых нейтронов образцами сухой глины и обычного гипса. При испытании цилиндрич. образцов из бетона значение коэф. Σ колебалось между 0,085 см⁻¹ и 0,097 см⁻¹. Это различие в величинах получилось за счет мельчайших пустот в бетоне, образовавшихся при изготовлении цилиндров. Значения коэф. Σ , полученные при испытании выше указанной бетонной плиты нейтронами энергией в 14,5 и 16,2 Мэв, соответственно равны 0,049 см⁻¹ и 0,047 см⁻¹. Коэф. Σ , полученные при испытании нейтронами энергией в 13,0; 14,5 и 16,2 Мэв образцов из сухой глины, соответственно равны 0,069; 0,071 и 0,068 см⁻¹, и полученные при испытании образцов гипса, соответственно равны 0,071, 0,072 и 0,071 см⁻¹. И. Крауз

71593. Из опыта применения «холодного» бетона. Жуков А. Ф., Трансп. стр-во, 1958, № 2, 17—19

71594. Морозостойкость и количество воздуха в бетонах, приготовленных на различных видах цемента. Нагано (Самэнта гидзюцу нэмпо, Proc. Japan Cement Engng Assoc., 1956, 10, 427—432 (японск.))

71595. К вопросу получения кислотоупорного бетона. Андоние, Войня (Contribuții la studiul realizării betoanelor antiacide. Andonie M., Voinea Helmut), Ind. construcțiilor și mater. constr., 1957, № 11, 644—654 (рум.; рез. русск., нем., франц., англ.)

Обзор работ, проведенных строительным трестом с целью выявления возможности получения кислотоупорных бетонов методом обработки SiF_4 в автоклавах. Предварительные лабор. опыты с образцами различных видов бетонов размером 10 см³ показали, что обработка бетона SiF_4 существенно увеличивает хим. стойкость всех испытанных марок бетонов против воздействия 5% HCl , 10% CH_3COOH и 10% $\text{CH}_3\text{NOHCOOH}$. При этом об. вес бетона увеличивается на 80—120 кг/м³ (при пропуске 20—25 л SiF_4 на 1 л бетона), а кажущаяся пористость снижается на 2,5—2,7%. Дано подробное описание опытной установки, спроектированной на основе полученных лабор. данных, для получения 1,5 м³ бетона, обработанного SiF_4 предлагаемым способом за один цикл работы. При этом расход сырья на одну загрузку составляет согласно расчетным данным (в кг): NaSiF_6 215, диато-

мита 60, H_2SO_4 (уд. в. 1,84) 600. Приведен технологич. расчет, показывающий преимущества метода. Я. М.

71596. Результаты некоторых испытаний огнеупорных бетонов. Камиура (Kamigara Masao), Тапудо гидзюцу кэнкю сирё, J. Railway Engng Res., 1957, 14, № 10, 491—500, 450 (японск.; рез. англ.)

Приведены данные лабор. определений свойств огнеупорных бетонов (ОБ) на основе французского глиноземистого цемента (в вес. %): Al_2O_3 36,7—39,0, Fe_2O_3 + FeO 16,7—17,0, CaO 37,3—38,8) с наполнителем из дробленого шамотного кирпича и магнезитового клинкера. Кроме того, были проведены опыты по использованию ОБ с шамотным наполнителем в сводах паровозных топок; стойкость сводов из ОБ оказалась в 3 раза выше, чем у сводов из шамотного кирпича. Использование ОБ с наполнителем из магнезита в стенах дуговых электросталеплавильных печей не дало положительных результатов. Из резюме автора

71597. Добавки к бетону (Les adjuvants du béton. Ciments portl. et métallurg. Centre inform. ind. ciment. belge, 1957, № 53—57, 26 p.) (франц.)

Бетон (Б) может быть непроницаемым, если гранулометрич. состав заполнителей, расход цемента и удобоукладываемость бетонной смеси благоприятствуют получению однородности и плотности Б. Воздуховвлекающие добавки, обуславливающие образование пузырьков воздуха в бетонной смеси, создают прерывность капилляров. К добавкам, вводимым в массу Б, относятся тонкомолотые добавки, мыла и минер. масла. Из мыл особого внимания заслуживает бутлестеарат, который оказывает незначительное влияние на прочность Б и обладает относительно высокой гидрофобностью. Некоторые добавки взаимодействуют со свободной известью цемента. К числу их принадлежат силикаты Са и На и в особенности кремнефториды Mg и Zn. Силиконы, наносимые на поверхность Б, обладают малым поверхностным натяжением, вследствие чего легко проникают в поры, покрывая их стенки гидрофобной пленкой. Для придания поверхности Б твердости и водонепроницаемости применяют флюатирование, силикатизацию или ократирование Б. Наиболее эффективным является ократирование — обработка Б газообразным SiF_4 под давлением. При взаимодействии с известью, выделяющейся при гидратации, образуется нерастворимый фторид Са и гелеобразная кремнекислота, которые закупоривают поры Б. Прочность Б и стойкость к хим. воздействиям увеличиваются, а истираемость уменьшается. Применяются добавки к цементам в виде эмульсий искусств. смол. После разрушения эмульсии происходит полимеризация смолы. Наиболее распространены эмульсии поливинилацетата, винилацетата и хлорвинила. Эмульсии добавляют к составляющим Б или р-ра, или к водн. затворения. Предел прочности при растяжении р-ров Б возрастает в 3—10 раз, а предел прочности при сжатии в наиболее благоприятном случае утрачивается. Эти данные относятся к Б и р-рам, твердеющим в сухой атмосфере. При твердении во влажном воздухе влияние добавки эмульсии значительно ослабляется, а при водн. хранении может наблюдаться снижение прочности по сравнению с р-рами и Б без добавок. Истираемость Б с добавкой значительно уменьшается при любом режиме твердения. Наилучший эффект дает добавка 50%-ной эмульсии поливинила к цементу в соотношении 1:5. Для спец. р-ров, которые должны обладать улучшенным сцеплением, непроницаемостью и повышенной деформативной способностью, применяют добавки латекса (водн. эмульсии каучука). Во избежание быстрой коагуляции эмульсии под действием щелочей и извести цемента к эмульсии добавляют стабилизаторы (протеин, казеин и т. д.). Эмуль-

содержит ~ 60% каучука и вводится в кол-ве 40—20% по весу цемента. Хим. стойкость р-ров с добавкой увеличивается за исключением случаев воздействия масел и жиров. Р-ры не стойки при т-ре 150° и выше.

И. Смирнова
Исследование добавки «аэрозин-HRS». Баласубрахманьям, Винаяка, Кумар, Найр (Further investigations on 'Aerosin-HRS'. Balasubrahmanyam S., Vinayaka M. R., Kumar R. L., Naig K. P.), Indian Concrete J., 1957, 31, № 6, 191—195 (англ.)

Разработанная одной из индийских исследовательских станций воздухововлекающая добавка «аэрозин-HRS» (ДА) оказала эффективное влияние на свойства бетонных смесей. Приведены эксперим. данные по влиянию добавки на схватывание и расширение цемента, т-ры бетона на способность добавки вовлекать воздух, влияния ДА на прочность бетона и на снижение содержания песка и воды в бетонной смеси. С целью сравнения влияния ДА на бетон параллельные опыты проведены с винсоловой смолой. ДА вводилась в кол-ве 10,0; 5,0; 3,3; 2,5; 1,7; 1,25 г на каждые 50 кг цемента. При изучении влияния ДА на способность бетона, имеющего различную т-ру (от 26,6 до 60,4°), вовлекать воздух оказалось, что по мере повышения т-ры удобообрабатываемость снижалась, содержание вовлеченного воздуха при этом почти не менялось, составляя 5,2—5,7, но было выше, чем при наличии винсола. Величина снижения прочности бетона на сжатие и на разрыв при наличии ДА и винсола была приблизительно одинакова. Опыты показывают, что на каждый процент вовлеченного воздуха прочность на разрыв снижается примерно на 1,5 кг/см². Содержание песка в бетонной смеси при наличии ДА на каждый процент вовлеченного воздуха снижается от 2 до 2,5%, а содержание воды при этом снижается от 6 до 7,2 кг/м³.

В. Горшков
71600. Сиднейская летучая зола в бетоне. 1, 2. Уэлш, Бертон (Sydney fly ash in concrete — 1, 2. Welch G. B., Burton J. R.), Commonwealth Engt., 1957, 45, № 5, 48—53, 1958, 45, № 6, 62—67 (англ.)

1. Проводились опыты по применению летучей золы (ЛЗ) трех электростанций Сиднея (Австралия) как добавки при изготовлении бетона. В качестве вяжущего были взяты низкотермичный и быстротвердеющий портланд-цементы. Контрольная бетонная смесь состояла 1:2:5 (по весу) при В/Ц = 0,63 и расходе цемента 300 кг/м³ имела R₉₀ = 257 кг/см² и R₃₆₀ = 306 кг/см². При замене 15—35% цемента в смеси соответствующим кол-вом ЛЗ, а также при введении ЛЗ как добавки в кол-ве 15—35% от веса смеси R₉₀ бетона несколько снизилась (до 170—185 кг/см²), но оставалась на уровне прочности контрольного бетона, а в некоторых случаях даже превышала ее.

2. По качеству сиднейская зола несколько уступает лучшим сортам американских зол. Однако замена 15% цемента в бетоне золой позволяет получить хорошую марку бетона при условии более длительного твердения во влажных условиях. При добавке 25% золы прочность бетона несколько снижается (на 10% после 6 месяцев твердения). Замена золой части песка в бетоне или введение ее в качестве добавки при твердении повышает прочность бетона. Небольшая добавка золы улучшает удобообрабатываемость бетона.

Б. Левман
71600. К вопросу о прочности бетона. Павлик (Prispevek k problemom pevnosti betónov. Pavlík Adolf), Stavebn. časop., 1958, 6, № 2, 97—115 (словацк.; рез. русск., нем.)

71601. Применение статистики в определении прочности бетона на сжатие. Ворличек (Emploi de la

statistique pour l'établissement de la resistance du beton a la compression. Vorlíček Miloš), Acta techn (Ceskol), 1958, 3, № 2, 121—155 (франц.; рез. англ.)

71602. Допускаемое давление на бетон. Шелсон (Bearing capacity of concrete. Shelson William), J. Amer. Concrete Inst., 1957, 29, № 5, Proceedings, 54, 405—414 (англ.)

Экспериментальные данные, полученные автором, показывают, что отношение высоты бетонных образцов к их ширине значительно влияет на величину допустимой нагрузки. При испытании образцов на сжатие лучшие результаты были получены при наличии опорных металлич. пластин, закрепленных в гранях образцов. Для малых бетонных блоков, находящихся между стальными пластинами, область, расположенная ниже поверхностной нагрузки, подвергается однородному давлению на сжатие по всей высоте, что является благоприятным условием, предотвращающим образование расклинивающих усилий. Опытные данные показывают, что при отношении опорной площади к нагрузочной, равном 1:1, максимально допустимое давление возрастает с уменьшением отношения высоты к ширине образца.

В. Горшков
71603. Мировое производство легкого бетона. Шебештьен (A világ könnyűbeton termelése. Sebestyén Gyula), Építőanyag, 1957, 9, № 6, 323—324 (венг.)

Изложены некоторые данные о произ-ве ячеистых бетонов в Швеции, ФРГ, Канаде, Франции, Мексике и СССР, а также данные о произ-ве легких заполнителей. Библ. 15 назв.

Д. Пиошпек
71604. Газобетон как строительный материал для наружных стен. Неренст (Der Gasbeton als Baustoff für Außenwände. Nerenst Paul), Betonstein-Ztg, 1958, 24, № 3, 76—82. Diskuss., 82—83 (нем.)

Описан опыт применения автоклавного газобетона (Г) (газосиликата) в Дании. Об. вес Г составляет 500—800 кг/м³ при прочности на сжатие в воздушно-сухом состоянии 20—50 кг/см² (образцы 10 × 10 × 18 см). При твердении Г на воздухе его прочность в ~ 2,7 раза меньше. Прочность Г на изгиб в образцах 10 × 18 × 25 см равна 6—17 кг/см². Прочность Г на растяжение составляет 1/6 прочности на сжатие цилиндрич. образцов. Модуль упругости автоклавного Г составляет 10 · 10⁸ — 22 · 10⁸ кг/см², что на 50% больше, чем при твердении Г на воздухе. Коэф. теплопроводности Г в воздушно-сухом состоянии при об. в. 500—700 кг/м³ составляет 0,10—0,15 ккал/м час град. При расчете принимают 10%-ную влажность стен, что, по мнению автора, для Г преувеличено. Коэф. общей теплопередачи стены из Г при толщине в 23 см составляет 0,81 ккал/м² час град, что эквивалентно уменьшению теплопотерь, по сравнению с лучшей облегченной кладкой из обожженного кирпича, на 25%. Расширение Г, изготовленного на молотом песке при 2-месячном нахождении в среде со 100%-ной влажностью, составляет 0,3 мм/м; при относительной влажности в 45% наблюдается усадка Г, равная в 8-месячном возрасте 0,1 мм/м. При использовании взамен песка золы уноса суммарная разность линейных изменений при нахождении в среде со 100%-ной и 45%-ной влажностью в ~ 2 раза меньше.

Г. Копелянский
71605. Об улучшении качества легких заполнителей для бетона. И. Хирага Кэнъити, Синосака Кадзухиса, Сэмэнто конкүриито, Cement and Concrete, 1958, № 131, 10—14 (японск.)

71606. Керамзитовый гравий из местных лессовидных суглинков. Блюмен Л. М., Шустер Р. Л., Тр. Ин-та стр-ва и стройматериалов. АН КазССР, 1958, 1, 3—15

Исследована возможность получения керамзито-

вого грануля (КГ) из местных лессовидных суглинков (ЛС). Повышенное содержание цел.-зем. окислов (до 15%) обуславливает очень короткий интервал вспучивания 10° , что затрудняет обжиг, является причиной оплавления гранул и образования «козлов». Температурный интервал вспучивания ЛС увеличивается на 20° при добавке 20—30% тонкодисперсного полевошпатного песка. Лучшие результаты достигнуты путем частичной замены ЛС илтиской тугоплавкой глиной (до 7—10%). Влияние обеих добавок связано с уменьшением относительного содержания CaO и MgO и увеличением содержания SiO_2 и $\text{Na}_2\text{O} + \text{K}_2\text{O}$. Добавка золы ТЭЦ, богатой окислами железа, не улучшила условий образования КГ, ибо при снижении нижнего предела вспучивания одновременно сгинулся и верхний предел, величина интервала вспучивания осталась такой же.

Б. Варшал
71607. Дозировка инертных заполнителей по методу Цюка. Боначи (Zückova metoda doziranja kamenog agregata. Bonači Boris), Ceste i most, 1958, 6, № 1, 2—7 (сербо-хорв.)

Приводится метод определения состава заполнителей бетона, основанный на применении «модуля тонинны».

С. Типольт
71608. Проверка качества заполнителя. Сакамото Садао, Самэнто конкритито, Cement and Concrete, 1957, № 129, 82—90 (японск.)

71609. Расширяется применение вспученного глинистого сланца. Шенк (More and more customers pile up for expanded shale producer. Schenck G. H. K.), Rock Prod., 1957, 60, № 6, 132, 134, 136 (англ.)

В связи с увеличением спроса на легкие заполнители расширен 3-д по произ-ву вспученного глинистого сланца. 3-д оборудован двумя вращающимися печами, работающими на природном газе, сушильным барабаном, мощными дробилками для обожженного продукта, ситами и системой транспортеров.

Б. Левман
71610. О заполнителях для бетона на строительстве дамбы Оюбари. Касуга (Kasuga T), Ногэ добоку кэнкю, J. Agric. Engng Soc., Japan, 1957, 24, № 8, 8—10 (японск.)

71611. Исследование заполнителей. Ито Сигэтом, Самэнто конкритито, Cement and Concrete, 1957, № 129, 140—148 (японск.)

Описаны опыты по определению гранулометрич. состава, содержания органич. примесей, уд. веса, водопоглощения и пленочной влаги, об. веса и износостойкости заполнителей.

М. Гусев
71612. Подбор состава заполнителей по модулю крупности. Тейт (Fineness modulus method of proportioning aggregates. Tate A. P. K.), Concrete and Constr. Engng, 1958, 53, № 4, 173—175 (англ.)

Описывается способ подбора заполнителей для бетона по величине модуля крупности (МК). Приводятся таблицы зернового состава различных заполнителей и соответствующие оптимальные значения МК. Дается пример расчета по предлагаемому способу. Указывается, что способ дает хорошие результаты также применительно к заполнителю, непосредственно полученному из карьера.

Б. Левман
71613. Влияние растворения цементного камня прочными водами на морозостойкость бетона. Кунцевич О. В., Александров П. Е. В сб.: 15-я научн. конференция Ленингр. инж.-строит. ин-та, Л., 1957, 427—428

71614. Свойство бетона с природным щебнем. Кори Митио, Уцуномия Йосио, Иноуэ Хадзимэ, Самэнто конкритито, Cement and Concrete, 1957, № 130, 19—21 (японск.)

71615. Об опыте приготовления бетона на перассортированных заполнителях на строительстве Иркутской ГЭС. Македонский Г. М., Фриштер Ю. И. В сб.: энерг. стр.-во. 2. М.-Л., 1958, 5—11

71616. Передвижные сборно-разборные бетономесительные установки. Ратсман (Transportable Beton-Mischtürme und -anlagen. Rathsmann Erich), Strassen- und Tiefbau, 1957, 11, № 2, 546—548 (нем.)

Описываются передвижные сборно-разборные бетономесительные установки производительностью до 50 м³ бетона в час.

Г. Колюпанский
71617. Монолитный бетон на шлаковом цементе. Опыт применения на строительстве плотины Пороихата. Ивадзанэ, Самэнто конкритито, Cement and Concrete, 1957, № 126, 14—17 (японск.)

71618. Сортировка породы в карьере. Мештер (Stone plant sets new standards for sizing. Meschter Elwood), Rock Prod., 1958, 61, № 2, 106—108, 172 (англ.)

Описывается оборудование и схема обработки породы в новом американском карьере.

Б. Левман
71619. Экспериментальная установка для получения вспученных шлаковых материалов. Титов А. Се-радекский Ю., Строит. материалы, 1958, № 2, 20—21

71620. Свойства кизельгура и возможности использования словацких кизельгуров. Алейников (Vlastnosti kremeliny a možnosti využitia slovenských kremelín. Alejnikov Igor), Stavba, 1958, 5, № 2, 55—58 (словацк.)

71621. О коэффициенте теплового расширения дорожного цемента и бетона. Тюдзё, Кондо Самэнто гидзюцу нэмпо, Proc. Japan Cement Engng Assoc., 1956, 10, 266—275 (японск.)

Описана методика и аппаратура для измерения теплового расширения и усадки дорожного бетона, приготовленного на различных марках цемента. Приведены физ.-мех. свойства использованных цементов.

М. Гуев
71622. Опыт строительства однослойных асфальтобетонных покрытий в Москве. Кононов В. И. Автомоб. дороги, 1958, № 3, 9—10

71623. Терминология и классификация асфальтовых покрытий. Шимон (Aszfaltburkolatok terminológiája és felosztása. Simon Miklos), Melyörbi stud. szemle, 1957, 7, № 11—12, 416—418 (венг.)

Сделана попытка классифицировать асфальтовые покрытия по величинам их водопроницаемости.

Д. Плющенко
71624. Современное состояние строительства асфальтобетонных дорожных покрытий в СССР. Федоров В. Т., Тр. Моск. автомоб.-дор. ин-та, 1958, вып. 23, 5—14

71625. Огнеупорные растворы. Хаяси Нацукири, Heat Engng, 1957, № 3, 21—25 (японск.)

71626 К. Вибрирование бетона. Шнук, Якубовский, Петровский (Wobrowanie betonu. Sznuk Stanislaw, Jakubowski Leon, Piotrowski Mieczyslaw. Warszawa, «Archid», 1957, 147 s., il., 8.50 zl) (польск.)

71627 К. Новые виды бетонов и керамики. Десен А. Е., Фил. Всес. ин-та научн. и техн. информ. АН СССР. М., 1956. (1957), 104 стр., илл., 15 р.

71628 К. Свойства автоклавных бетонов и изделий из них. Сб. статей. Ред. Волженский А. И. (Н.-и. ин-т новых строит. материалов, отделка оборуд. зданий Акад. стр.-ва и архитект. СССР). Госстройиздат, 1958, 168 стр., илл., 5 р. 65 к.

РЕФЕРАТИВНЫЙ ЖУРНАЛ ХИМИЯ

Рефераты 71629—72863

№ 21

10 ноября 1958 г.

IV

ХИМИЧЕСКАЯ ТЕХНОЛОГИЯ. ХИМИЧЕСКИЕ ПРОДУКТЫ И ИХ ПРИМЕНЕНИЕ (Часть 3)

ПРОМЫШЛЕННЫЙ ОРГАНИЧЕСКИЙ СИНТЕЗ

Редакторы С. З. Тайц, Б. П. Фабричный

71629. Развитие нефтехимической промышленности в США. Бейтман (Petrochemical — the boom continues: Bateman Robert L.), Petrol. Refiner, 1957, 36, № 11, 197—198 (англ.)

К концу 1957 г. произ-во нефтехимикатов (I) в США возросло до 18,14 млн. т в год — на 3,2% по сравнению с 1956 г. и на 18% по сравнению с 1955 г. I составляют 54,5% по стоимости и 25% по тоннажу от всей продукции хим. пром-сти. К 1960 г. произ-во I должно увеличиться до 27,2 млн. т в год. Преобладают алифатич. соединения, составляя 86% от их общего произ-ва; ароматич. соединения составляют только 14%, остальное получают из угля и побочных продуктов, образующихся при его коксовании. М. Пасманик

71630. Успехи в каталитической полимеризации легких углеводородов. Часть I. Шервуд (Recenti progressi nella polimerizzazione catalitica di idrocarburi leggeri. Part 1. Sherwood P. W.), Riv. combust., 1956, 10, № 11, 830—836 (итал.)

Описываются современные промышленные процессы полимеризации газообразных олефинов, в частности с твердой фосфорной к-той (процесс UOP — United Oil Products Co.). В. Шекин

71631. Каталитическая дегидрогенизация бутана в бутен на катализаторах из местного сырья. Фишер Л. Б., Марушкин М. Н., Беленькая А. П. Изв. вост. фил. АН СССР, 1957, № 1, 53—59

Описаны результаты исследования применимости шохина (I) трошковского месторождения (Восточная Сибирь) в р-ции дегидрогенизации бутана (II). Опыты проводили с очищ. II не содержащим непредельных углеводородов, на высокоактивном алюмохромовом катализаторе (АХК), в котором 50% Al_2O_3 были заменены на I, при т-ре 550° и скорости 600 л/час на 1 л АХК. Установлено, что АХК не теряет активности по крайней мере в течение 2 лет и может быть предложен для проверки на опытно-промышленной установке. Кратко описаны важнейшие условия технологии получения $Al(OH)_3$ из I через нитрат. Показано, что АХК, приготовленные полностью на базе I, обладают высокой каталитич. активностью и высокой селективностью действия. О. Черняков

71632. Некоторые итоги работы в области полимеризации и алкилирования углеводородных газов. Поляковский Л. А., Доладугин А. И. В сб.: Хим.

переработка нефт. углеводородов. М., АН СССР, 1956, 440—451

Кратко описаны 2 промышленных способа синтеза полиэтиленов с мол. в. 15 000—40 000; промышленный синтез кумола путем алкилирования бензола фракцией газа термич. крекинга (~25% пропилена) в присутствии H_3PO_4 на кизельгуре при 200—240°, 30 ат, синтез триптана по р-ции $(CH_3)_2C=CHCH_3 + 2CH_2Cl_2 + MgO \rightarrow CH_2=C(CH_3)C(CH_3)_3$ (I) + $MgCl_2 + H_2O$ и последующим гидрированием I в триптан. При этом одновременно получается 2,3-диметилбутен-2, гидрируемый в диизопропил (II). Из смеси амиленов, полученных дегидратацией изоамилового спирта, при мол. отношении амилены: $CH_3Cl = 1:2$, 350—365°, 30 ат и времени контакта 2—2,5 мин. получено (вес. % на амилены): триптана (90%-ного) 34, II (85—90%-ного) 32, 2,3-диметилпентана 13, изооктанов 10. Осуществлен синтез II алкилированием изобутана C_4H_{10} в присутствии $AlCl_3$: при мол. отношении изобутан: $C_4H_{10} = 8:1$, 75—80° и 20 ат; алкилат содержит 60% II. Полимеризацией пропилена в присутствии H_3PO_4 на кизельгуре получены полимеры, содержавшие до 40% тексиленов, которые имели в основном по одной боковой CH_3 -группе. Изучены условия полимеризации изобутилена (с $AlCl_3$), находящегося во фракции газа термич. крекинга (11—22% изобутилена), в полиизобутилен с мол. в. 12 000—27 000, образцы которого были изготовлены на укрупненной опытной установке. А. Равикович

71633. Часть II. Непрерывные опыты с катализатором — силиковольфрамовой кислотой на носителе. Верстаппен, Уотерман (Part II. Continuous experiments with the catalyst on carrier. Verstaappen J. J., Waterman H. I.), J. Inst. Petrol., 1955, 41, № 383, 347—351 (англ.)

Для полимеризации пропилена (I) в высокооктановые тетрамеры (II) предложен активный катализатор (K), состоящий из силиковольфрамовой к-ты (III), нанесенной в кол-ве 20 вес. % на боксит (в основном тригидрат Al, по-видимому, со структурой гиббсита). K получают пропиткой боксита водн. р-ром III, выпариванием воды при 100° и сушкой при 110—120°. Изменение содержания влаги в K (сушкой при 120, 150, 200 и 260°) не влияет на его активность. При работе на 50%-ной пропан-пропановой смеси без рециркуляции при 150—180°, давл. 80—120 ат и объемной скорости подачи сырья 1,836—4,5 л/кг K в 1 час содержание II в жидком продукте 20—24 вес. %, что соответствует конверсии I до 95%. Преимущества разработанного K

перед К процесса UOP (твердая H_3PO_4 на кизельгуре) состоит в следующем: а) не требуется инъекции воды с сырьем, что снижает до минимума забивку слоя К; б) т-ра реактора значительно ниже, что понижает коксообразование на поверхности К; в) выход II в продуктах р-ции при работе без рециркуляции почти в 2 раза выше и г) возможно применять реакторы меньшего объема, благодаря более высокому насыпному весу К. Недостаток нового К — его высокая стоимость. Часть I см. РЖХим, 1958, 48062.

З. Векслер

71634. Новые успехи в производстве этилена. Шервуд (Nuovi progressi nella produzione di etilene. Sherwood P. W.), Riv. ital. petrol., 1956, 24, № 274, 47—51 (итал.)

Подробно рассмотрены способы получения C_2H_4 (I) крекингом C_2H_6 и C_3H_8 и использования I (получение C_2H_5OH , C_2H_4O , C_6H_5CN : CH_2 , C_2H_5Cl , $C_2H_4Cl_2$, полиэтилена и т. д.). Рассмотрены факторы, влияющие на выход I: т-ра, давление, скорость газовой струи, катализаторы. Описана новая установка для произ-ва I, состоящая из вертикального змеевика с 4 ярусами горелок вокруг него; каждый ярус можно включать и выключать отдельно, что придает установке большую гибкость в работе. Газовая смесь (CH_4 25—30%, C_2H_6 50—65%, C_3H_8 10—20%) поступает со скоростью 2264 м³/час, т-ра крекинга 855° выход I 65—72%. При рециркуляции смеси и регулировании т-ры змеевика по зонам выход можно довести до 80%.

З. Бобырь

71635. Получение бутадиена из этилового спирта в псевдооживленном слое. Эсайан, Чолан (Butadienă din alcool etilic în strat fluidizat. Esayan Mariana, Ciolan I.), Rev. chim., 1956, 7, № 1, 31—34 (рум.; рез. русск., нем.)

Приводятся первые результаты лабор. опытов получения бутадиена (I) по способу Лебедева из этилового спирта (II) в подвижном слое катализатора (K). Опыты проводились на установке с реактором в виде стеклянной трубки диам. 24 мм в нижней части, заполненной K, и 45 мм в верхней части, служащей для осаждения частиц K, поднятых потоком газов. Пары II предварительно нагревались до т-ры р-ции и равномерно распределялись по массе K, проходя через пористую стеклянную пластинку, на которой находился слой K. Размер гранул K 75—100 м. С этим же K проводились параллельные опыты в неподвижном слое. Выход I зависит от т-ры р-ции и достигает максим. при 420°: при времени контакта 3,8, 3,9 и 4 сек. и т-рах 400, 420 и 440° получен выход I соответственно 67,5, 71,5 и 67% и степень конверсии II 23,2, 34,5 и 47%. Автор приходит к выводу, что работа с подвижным слоем K дает лучшие результаты по выходу и степени чистоты I. Кроме того, при регенерации K исключаются местные перегревы, обуславливающие выход его из строя; при р-ции т-ра держится равномерно по всей массе K. Введение циркуляции K обеспечит непрерывность процесса, сохранение максим. выхода благодаря непрерывному освежению K регенерированным, и использование тепла, выделяющегося при регенерации K.

Г. Маркус

71636. Исследования по хлорированию изобутилена. Штриглер (Erfahrungen beider Chlorierung von Isobutylen. Striegler Arndt), Chem. Technik, 1957, 9, № 9, 523—529 (нем.)

Исследовано хлорирование (X) изобутилена (I) в лабор. масштабе (в газовой фазе) и на модельной установке (жидкофазное). В продуктах X, перегоняющихся до 80°, определены метилхлорид (II), 1,1-диметилхлорид (III) и 0,5—1% трет-бутилхлорида. Кубовые остатки с т. кип. > 80° (15—30%) содержали

нежелательные продукты присоединения и полихлориды (65—70% 1,2-дихлоризобутана). Монохлориды хорошо отделяются перегонкой от дихлоридов и высших продуктов X ректификацией. Лабор. опыты проводились с мол. соотношением I: Cl_2 = 2:1 (более высокие соотношения не дают преимуществ), при оптимальной т-ре 69—70° (84,5—86,7% монохлоридов). Присутствие изобутана, N_2 или воздуха не мешает X в этих условиях. Повышение т-ры приводит к увеличению кол-в в-в, кипящих при > 80°. Изменение времени контакта от 0,7 до 7 сек. не влияет на состав продуктов X. В опытах на модельной установке, для борьбы с возможными перегревами при переходе к более крупным масштабам, X подвергали жидкий I, который распыляли хлором в смесительном сопле. Влияние материала реактора (кварц, стекло, фарфор и железо) заметно не сказывается на результатах опытов. Выявлено решающее значение быстрого и хорошего перемешивания компонентов. Исследованы также термич. стабильность II, III и 1,2-дихлоризобутана и предложен механизм X I, состоящий в промежуточном образовании иона карбония за счет присоединения Cl^+ к олефину, с возможной затем р-цией иона карбония по трем направлениям: 1) в 2) превращение в II или III в результате отщепления H^+ от различных атомов C и 3) присоединение Cl^- с образованием 1,2-дихлоризобутана. Описано удобное препаративное получение III. Проведены ориентировочные опыты по действию на I Br_2 и равномолекулярной смеси Cl_2 и Br_2 .

Н. Дабагов

71637. Исследования в области хлорирования газообразных парафиновых углеводородов и некоторых превращений алкилхлоридов. Топчиев А. В. (Die Chlorierung von niederen Paraffinkohlenwasserstoffen und einige Umwandlungen der Alkylchloride. Toptschijew A. W.), J. prakt. Chem., 1955, 2, № 4, 185—195 (нем.)

См. РЖХим, 1958, 5484.

71638. Гидрирование альдегидов, полученных карбонилированием дизельной фракции сланцевой смолы. Кецлах М. М., Рудковский Д. М., Химия и технол. топлива и масел, 1957, № 3, 1—7

Карбонилированную дизельную фракцию сланцевой смолы и выделенные из нее отдельные фракции, кипящие до 100°, 100—150° и 150—200°, гидрировали под давл. 180—200 атм при 200—325° в статич. и в проточной системах, над катализаторами (K) $2NiS \cdot WS_2$ и $NiS \cdot WS_2$, нанесенными на Al_2O_3 , и над медно-хромово-бариевым K. Оптимальные результаты при гидрировании широкой фракции карбонилированной смолы в проточной системе получаются при применении последнего K при объемн. скорости подачи 1—1,5 объема на 1 объем K, при 300°. Отравления K не наблюдаются.

Н. Гаврилов

71639. О высокомолекулярных спиртах, получаемых по методу оксосинтеза. Хатч, Торн, Уиксон (Watch these oxo alcohols. Hatch Lew's P., Thorn J. P., Wickson E. J.) Petrol. Refiner, 1957, 36, № 8, 141—145 (англ.)

Краткое изложение сущности оксосинтеза с применением технологич. схемы процесса и обзор физ.-хим. свойств получаемых по этому методу изооктилового, децилового и тридецилового спиртов (~50 000 т в 1957 г.) и некоторых их производных (фталатов, адипатов, азеланатов, себацанатов, фосфатов, гликолей, меркаптанов и др.) и их применения в качестве пластификаторов, смачивающих и очищающих, модификаторов синтетич. каучука, гербицидов, синтетич. смазочных масел и добавок к смазочным маслам, р-рителей, отдушек, противокислителей, антикоррозионных в-в, гидравлич. жидкостей и др.

Я. Кантор

71640. Влияние добавки метилового спирта на реакцию окисления пропана. Бейдер С. Я., Новости нефт. техн. Нефтепереработка, 1958, № 2, 15—18. В опытах по окислению C_3H_8 кислородом воздуха, также в присутствии CH_3OH с участием NO и без него показано, что первичным продуктом процесса окисления C_3H_8 является CH_3OH , причем р-ция окисления протекает по схеме $C_3H_8 \rightarrow CH_3OH \rightarrow CH_2O \rightarrow CO$. Показано, что CH_3OH инициирует р-цию окисления при добавлении к воздушно-пропановой смеси в незначительных кол-вах; большие конц-ии CH_3OH не эффективны. Из резюме автора.

71641. Влияние насадки реактора на процесс окисления пропана. Бейдер С. Я., Новости нефт. техн. Нефтепереработка, 1957, № 9, 10—13.

Проведена работа в одной из перспективных областей химич. переработки газов по процессу окисления парафиновых углеводородов в ценные кислородсодержащие соединения. Исследовано высокотемпературное (550—700°) окисление пропана в присутствии окислителя в реакторе лаб. типа, заполненном насадкой для получения формальдегида). П. Коржев

71642. Производство этилмеркаптана из технического спирта. Думитреску (Fabricarea etilmercaptanului din alcool industrial (frunți — cozi). Dumitrescu C.), Petrol și gaze, 1957, 8, № 5, 260—264 (рум.; рез. русск., нем., франц., англ.).

В лаб. условиях и на опытной установке изучен процесс получения C_2H_5SH (I), применяемого для придания запаха естественному и жидкому газу, из CH_3SO_3H (II) и $NaHS$ (III). Показано, что выход I снижается с 53 до 47% при снижении конц-ии исходного C_2H_5OH (IV) от 96 до 93%, однако, учитывая, что стоимость 96%-ного ректификата в 3,5 раза больше, 93—94%-ного IV, экономически выгоднее использовать последний. Изучено влияние конц-ии кол-ва H_2SO_4 (V) и кол-ва III на выход I: максим. выход I при отношении к-та: технич. IV = 1:1 и расходе III 45 г (в пересчете на серу) на 100 мл IV получен при использовании смеси, состоящей из 75% 2%-ного олеума и 25% 96%-ной V. На опытной установке емк. 75—80 л установлены оптимальные условия процесса: уд. вес технич. IV максим. 0,820; соотношение олеум: 96%-ная V = 3:1; объемное отношение к-та: спирт = 1:1; серы в III на 100 л IV 45 кг; расход 75%-ного I 40% (на IV); кол-во регенерированного IV 30%; кол-во регенерированной серы, в виде III, 25%. На основе полученных результатов приводятся технологич. схемы получения III и I. Получение III предусматривается по двум схемам; из Na_2S , полученного из Na_2SO_4 — побочного продукта процесса пропана I, и из H_2S крекинг-газов, абсорбцией серой и превращением $Ca(SH)_2$ в III при помощи Na_2CO_3 . Показано, что стоимость I будет значительно снижена при замене технич. IV на синтетич. IV из олеума и Na_2S на H_2S из крекинг-газов. Г. Маркус

71643. Влияние выхода дистиллята на разделение компонентов смеси н-гексана, метилциклопентана и бензола при экстрактивной ректификации анилином. Готхард, Готхард (Influența randamentului de distilare asupra separării componentelor amestecului N-hexan metilciclopentan benzen prin rectificare extractivă cu anilină. Gotthard F., Gotthard Martha), Rev. chim., 1956, 7, № 11, 634—638 (рум.; рез. русск., нем.).

Приведены результаты опытов экстрактивного разделения с анилином смеси, содержащей (в вес.%) метилциклопентана 1,5; 2-метилпентана 33,3; н-гексана 33,2; метилциклопентана 19 и бензола 13, на лаб. ректификационной колонке эффективностью 33 теоретич. тарелки. Выход нефтевых (I) в остатке резко падает

при кол-ве дистиллята > 65%; при выходе дистиллята 73—75% конц-ия I в остатке максим. (53—55%), после чего резко падает; при выходе дистиллята до 80% остаток содержит еще значительные кол-ва парафинов (II) (от 3 до 29,6%). Оптимальная рекомендуемая технологич. схема выделения метилциклопентана предусматривает двухступенчатую экстрактивную ректификацию; первая колонна работает при выходе дистиллята ниже 73—75% для обеспечения большого выхода I в остатке, который подвергается вторичной экстрактивной ректификации. На второй колонне получают тяжелую фракцию без I и легкую фракцию, содержащую помимо II, бензол и I, которую рециркулируют на первую колонну. Г. Маркус

71644. Алкилирование ацетиленом мета-, орто- и пара-крезолов. Вайсер В. Л., Поликарпова А. М., Докл. АН СССР, 1956, 108, № 3, 469—472.

Изучено алкилирование м-крезола (I) ацетиленом (II) в присутствии катализатора $H_3PO_4 \cdot BF_3$ и HgO в CH_3OH с образованием этилиден-ди-крезола (III) через промежуточную стадию винилкрезола. При оптимальных условиях (т-ра 25—30°, скорость пропускания I 1—4 л в час, продолжительность р-ции 3 часа, кол-ва I 20 мл, катализатора 10 мл, CH_3OH 50 мл и HgO 1—2 г) выход III 98%. С-о- и п-крезолами аналогичная р-ция идет при 65—70°. Толуол и фенол дают значительно меньшие выходы продукта алкилирования. Е. Покровская

71645. Промотированное окисление бензола в фенол в газовой фазе воздухом. Доналд, Дарлингтон (The promoted air oxidation of benzene to phenol in the gas phase. Donald M. B., Darlington M. E.), Industr. Chemist, 1958, 34, № 395, 8—15 (англ.).

Исследовалось влияние ряда переменных факторов (т-ры р-ции, конц-ии O_2 , кол-ва водяного пара, длительности пребывания реакционной смеси в реакторе и др.) на парофазное окисление в фенол смеси бензола (I) с 10 мол.% циклогексана (II), что соответствует содержанию II в сыром коксовом I. Опыты проводились на лаб. установке с реактором — кварцевой трубкой, емк. 33 мл и отношением поверхности: объем = 1,67. Трубка находилась в электрич. печи с термостатич. регулировкой т-ры по всей длине реакционной зоны с точностью $\pm 1^\circ$. На основании результатов исследований (приведены соответствующие кривые) выявлены оптимальные условия парофазного окисления сырого коксового I воздухом: соотношение сырой I: воздух = 1:1, т-ра реактора 585°, кол-во водяного пара — 5 молей на 1 моль сырого I, пребывание смеси в реакторе — 1,7 сек. При этом режиме конверсия I в фенол составляет 62%. Присутствующие в сыром коксовом I этилбензол и II действуют как промоторы р-ции, сами окисляясь в CO , CO_2 и воду. В качестве побочного продукта р-ции образуется дифенил, который может находить применение в качестве теплоносителя, а также в качестве компонента замедлителя в ядерном реакторе. Исследовано также промоторное действие ряда других в-в ($CHCl_3$, амилнитрата, толуола, диизопропилового эфира и др.) и предложен механизм р-ции. Я. Кантор

71646. Скорость нитрования бензола нитрующей смесью. Бигс, Уайт (Rate of nitration on benzene with mixed acid. Biggs R. D., White R. R.), A. I. Ch. E. Journal, 1956, 2, № 1, 26—33 (англ.).

Для технологич. расчетов процесса нитрования C_6H_6 нитрующей смесью при получении $C_6H_5NO_2$ измерены скорости нитрования хорошо эмульгированной реакционной массы при 34—54°. Кислотная фаза (КФ) содержит от 1,6 мол.% HNO_3 и 27 мол.% H_2SO_4 до 35 мол.% HNO_3 и 0 мол.% H_2SO_4 ; органич. фаза содержит 4—95% C_6H_6 , относительный объем кислотной

и органич. фазы составляет 25—80% КФ. Скорость р-ции зависит от состава фаз, т-ры и объемного % КФ. Выведено ур-ние для расчета скорости р-ции нитрования C_6H_6 нитрующей смесью при хорошем перемешивании: $R = (1,233 \times 10^6) X_N X_B (V_A + 0,0252 V_A^2) / (X_N + 1,56 X_S - 0,23 X_W)^{0,521/T-13,23}$ [R — скорость нитрования; X_N — содержание HNO_3 КФ в молях; X_B — содержание C_6H_6 в органич. фазе (не содержащей к-ты) в молях; X_S — содержание H_2SO_4 в КФ в молях; X_W — содержание воды КФ в молях; V_A — об. % КФ; T — т-ра в °К]. В. Уфимцев

71647. Восстановление нитробензола окисью углерода в производственных условиях. Глазер, Ван-Бенеден (Die Reduktion des Nitrobenzols mit Kohlenoxyd unter technischen Bedingungen. Glaser F., Van Beneden R.), Chem.-Ingr.-Techn., 1957, 29, № 8, 512—517 (нем.; рез. англ., франц.)

Термодинамическими расчетами доказана возможность восстановления $C_6H_5NO_2$ (I) с помощью CO (II) в C_6H_5NO (III) и в азобензол (IV). Исследованы кинетика, катализ и механизм р-ций. При атмосферном давлении и в отсутствие катализатора ($\gamma-Al_2O_3$) выход IV незначителен: при 460° отношение III:IV = 1:0,8, тогда как в присутствии катализатора III:IV = 1:4,6. С повышением давления, т-ры и длительности контакта выход IV повышается и достигает максимума в 43,5% при ~425°/300 атм, мол. соотношения I:II = 1:30 и длительности контакта 7 сек.; не исключается возможность повышения выходов IV при более длительном контакте, но в проведенных опытах при контакте > 7 сек. не удалось достаточно быстро отводить теплоту р-ции, что приводило к частичному термич. разложению I, чревато опасности взрыва. Кинетич. расчеты и эксперим. данные говорят за то, что в процессе восстановления I в III образуется активный продукт присоединения II к I; при дальнейшем протекании процесса образуются азоксибензол и IV, по-видимому, через промежуточный азодиоксибензол. Исходные продукты должны быть совершенно свободны от воды. В присутствии последней образующийся H_2 (за счет р-ции воды с II) частично восстанавливает IV в анилин, который с II дает C_6H_5CN , C_6H_5OH , HCN и другие побочные продукты. Приведены схема технологич. процесса при повышенном давлении, вертикальный разрез реактора и производственный баланс установки с месячной производительностью ~40 т IV, подтверждающий полную рентабельность предлагаемого процесса. Я. Кантор

71648. Исследование получения технического n,n' -диоксидифенилдиметилметана (диана). Нану, Ференци (Considerații asupra obținerii p,p' -dioxidifenil-dimetilmetanului tehnic (dian). Nanu I., Ferenczy S.), Studii și cercetări științ. Acad. RPR. Baza Timișoara. Ser. științe chim., 1956, 3, № 3-4, 31—43 (рум.; рез. русск., франц.)

В лабор. условиях изучено получение n,n' -диоксидифенилдиметилметана (2,2-дифенилолпропан) (I) путем конденсации фенола (II) с ацетоном (III) в присутствии H_2SO_4 (IV). В условиях, указанных в литературе, конденсация с HCl по сравнению с IV дает низкие выходы I (58% против 70—76%). Добавление 0,5 г этилксантотената калия (V) на 1 моль II снижает степень конденсации III под действием IV и ускоряет каталитич. конденсацию II с III. Аналогичное действие показывает метил-, пропил-, n -бутил и изоамилксантотенаты калия, взятые в одинаковых кол-вах по содержанию серы (0,2 г на моль II). В аналогичных условиях (на 1 моль II, 55 г IV и 0,5 г V) увеличение продолжительности конденсации от 1,25 до 7,5 час. увеличивает выход I от 32 до 84% по отно-

шению к II. Разработан метод очистки сырого I путем 2—3-кратного кипячения с 4-кратным кол-вом воды после нейтр-ции р-ром NH_3 ; декантации воды при 55°. Растворимость I в теплой воде < 1%, в холодной воде 0,036%; I из промывных вод может быть регенерирован. Приводится обзор и анализ методов получения I по литературным данным. Библ. 34 назв. Г. Маркус

71649. Получение N-винилимидов. Хопф, Мюлеталер (Darstellung von N-Vinylimiden. Hopff Heinrich, Mühlethaler Bruno), Kunststoffe-Plastics, 1957, 4, № 3, 257—264 (нем.)

N-винилимиды (I) получают отщеплением HCl от N-β-хлорэтилимидов при помощи оснований, пиролизом N-β-ацетоксиэтилимидов с отщеплением CH_3COOH или винилированием имидов дикарбоновых к-т винилацетатом в присутствии $HgSO_4$. 70 г N-β-ацетоксиимид дигликолевой к-ты пропускают в течение 62 мин. через трубку, заполненную кольцами Рашига и осаждаемым мелом, при 560—570°. Получают 42 г пиролизата, содержащего 17 г N-винилдигликольимид (II), выход 34,5%. Аналогично получают N-винилфталимид, N-винилсукцинимид, N-винил-цис-гексагидрофталимид (III) (т-ра р-ции 450—500°, выход 69%), N-винил-цис-Δ¹-тетрагидрофталимид (IV), N-винил-Δ¹-тетрагидрофталимид (т-ра р-ции 480—500°, выход 72%), N-винилимид нафталиндикарбоновой-1,8 к-ты, т. пл. 172—173°, выход 89%, ди-N-винилимид пиромеллитовой к-ты. Получение N-винил-1,4,5,6,7,7-гексахлордиометилентетрагидрофталимид по этому методу оказалось неудачным, так как исходные в-ва в условиях пиролиза распадаются на гексахлордициклопентадиеи и малеиновый ангидрид. Смесь цис-гексагидрофталимид с винилацетатом нагревают в присутствии $HgSO_4$ при 48° в течение 96 час. Получают III, т. пл. 63—64°, выход 4,1%. Аналогично получают (даны т. пл. в °С и выход в %) N-винилсахарин, 130—131, 3,6; II, 47—48, 2,9; IV, 88—89, 2,2. I очищают перекристаллизацией из спирта, последующим переосаждением пентаном из толуольных р-ров и высушиванием в глубоком вакууме при ~20°. Исследована способность I к полимеризации. Получены сополимеры I с метилметакрилатом и определены их т-ры размягчения (126—182°). Получены блокполимеры с I, найдены их т-ры размягчения (116—218°) и определена устойчивость по отношению к р-рителям. М. Каплуна

71650 С. Реактивы. Азур I (Azur I). Чехосл. стандарт, 686934: 1956
Химическая ф-ла: $C_{14}H_{14}N_2ClS$.

71651 П. Производство алифатических углеводородов (Production of aliphatic hydrocarbons) [Imperial Chemical Industries, Ltd.]. Англ. пат. 734431, 3.08.55

Олефиновые или парафиновые углеводороды получают гидрогенизацией соответствующих гликолей в присутствии катализаторов: Ni, Cu, смешанного хрома Ва и Cu, сплавов Ni-Al (42% Ni), Cu-Al (55% Cu), Cu-Si (80—92% Cu), сульфидов W и Mo, при т-ре 150—400° и давл. H_2 5—500 ат в жидкой или паровой фазе. В случае ацетиленового гликоля гидрогенизацию сначала ведут в жидкой фазе при 60—80°. Пример. Водн. р-р 2,5-диметилгексен-2,5-диола при пропускании с H_2 над Ni при 195° на 99% превращается в смесь, содержащую главным образом 2,5-диметилгексан, 2,2,5,5-тетраметилтетрагидрофуран и небольшие кол-ва 2,5-диметилгексена-2 и 2,2,5,5-тетраметил-2,5-дигидрофурана.

71652 П. Очистка ненасыщенных углеводородных газов. Редкей (Purification of unsaturated hydrocarbon gases. Redcay Aaron K.) [Gulf Oil Corp.]. Пат. США 2735879, 21.02.56

При переработке этилена в полиэтилен примесь ацетиленовых углеводородов (АУ) не должна превышать

0,015, а в других процессах 0,1%. Предложен метод избирательной гидрогенизации АУ в смеси с олефинами на Co-Mo-катализаторе в присутствии водяных паров (ВП). Процесс ведут в зависимости от условий при t -ре 175—315°, давл. 1—100 ат, добавке ВП от 1,5 до 11 об.% (соответственно насыщению при избранном давлении и t -ре ~ 50°) в присутствии H_2 от теоретич. кол-ва до 50 об.%. Способ применим для гидрогенизации АУ в газах крекинга. Пример. Смесь газов крекинга с содержанием CH_4 , 34,1; H_2 , 26,7; C_2H_4 , 22,8 и ВП 1,9 об.% и небольших кол-в C_2H_6 , C_3H_6 , C_3H_8 , бутанов, бутадиена, CO , CO_2 и N_2 , а также 0,4% C_2H_2 , пропускали с объемной скоростью 1000 над катализатором в таблетках, содержащим 3,3 вес.% молибдата Co на активированной окиси Al, при 230° и давл. 6 ат. Содержание C_2H_2 в отходящем газе снизилось до 19 ч. на 1 млн.; около 1,5 об.% C_2H_4 гидрировалось в C_2H_6 . М. Энглин

71653 П. Очистка от серы олефинов для оксосинтеза. Мерцвайллер, Бетс (Desulfurization of olefins. Mertzweiler Joseph K., Betts Joseph L.) [Esso Research and Engng Co.]. Пат. США 2765357, 2.10.56

Углеводороды (олефины, нафты, топливо) очищают от S-содержащих в-в до конц-ии $S \leq 0,001\%$ сополимеризацией в среде жидкого углеводорода дивинила (I) и стирола (II) при $\leq 80^\circ$ в присутствии катализатора полимеризации — мелкоаэрозольного щел. металла (напр., Na). Полученные S-содержащие полимеры удаляют, очищ. олефины направляют на оксосинтез. 250 вес. ч. гептеновой фракции олефинов очищают при 37,7—71°, 0,21—0,28 ат в течение 4—30 час. полимеризацией в ней 80 вес. ч. I, 20 вес. ч. II в присутствии 2 вес. ч. Na и 0,3, вес. ч. $iso-C_8H_{17}OH$. Дюкса, диэтиловый и диизопропиловый эфиры понижают скорость р-ции. Смесь при 54° обрабатывают CH_3COOH , нейтрализуют безводн. NH_3 , фильтруют и перегоняют. Содержание S понижается с 0,0017% до 0,0004%; I и NH_3 возвращают в процесс. Дана схема. Ю. Голынец

71654 П. Метод получения ацетиленовых углеводородов. Ханпел, Марсел (Manufacturing process for acetylenic hydrocarbons. Happel John, Marsel Charles J.), Пат. США 2752405, 26.06.56

Ацетиленовые углеводороды (АУ) получают пиролизом $tert-C_4H_9OH$, iso -бутилена или их смеси с 80—90 мол.% пара при 850—1050° при времени контакта 0,001—0,01 сек. Горячие крекинг-газы (КГ) немедленно поступают в зону охлаждения, где охлаждаются, по крайней мере, до 500°. Охлажденные КГ, содержащие АУ, фильтруют от твердых загрязнений, охлаждают и обезвоживают. Поток КГ затем конденсируют и подвергают однократному испарению, чтобы получить жидкий поток, более богатый АУ, чем первоначальные КГ пиролиза. Конц. газовый (или жидкий) поток фракционируют под давлением и получают фракцию богатую $CH_3C \equiv CH$. Более легкие компоненты и непрореагировавшее сырье рециклируют. При указанных условиях получают также $CH_2=C=CH_2$. Приведены технологич. схемы и подробное описание процесса. М. Павловский

71655 П. Повышение прочности геля растительных восков. Уайлдер (Improving gel strength of vegetable waxes. Wilder Edward A.) [S. C. Johnson & Son, Inc.]. Пат. США 2772301, 27.11.56

Предложен способ этерификации растительных восков (*Syagrus coronata*, сахарного тростника, аспарто, канделильского и др.). Продукт, получаемый в результате этерификации, отличается от исходного значительно повышенными желеобразующими свойствами. Воск этерифицируют малеиновым, янтарным или

глутаровым ангидридами с таким расчетом, чтобы 40—85% свободных гидроксильных групп вступило в р-цию этерификации. Меньшая степень этерификации не дает требуемого повышения желеобразующих свойств, а большая в предлагаемых условиях невыполнима. Видоизмененные воски обладают такими же желеобразующими свойствами, как и карнаубский воск и могут заменить последний. Расплавленный воск нагревают до 130—140°, при непрерывном перемешивании добавляют рассчитанное кол-во ангидрида и продолжают перемешивать 2 часа, поддерживая указанную t -ру. Избыток ангидрида удаляют промыванием водой с последующим пропусканием через горячую смесь инертного газа. Приведены примеры. А. Кононов

71656 П. Получение аддуктов мочевины и тиомочевины в присутствии водного раствора моноэтиламина. Аккерман (Preparation of adduct of urea or thiourea in the presence of an aqueous solution of monoethylamine. Ackerman Joseph I., Jr) [Phillips Petroleum Co.]. Пат. США 2758108, 7.08.56

Процесс образования аддуктов мочевины (I) и органич. соединений с нормальной цепью, а также аддуктов тиомочевины (II) и соединений с разветвленной цепью, используемый для разделения смесей этих соединений, активируют добавками моноэтиламина (III) или других аминов или NH_3 . I образует аддукты с насыщ. и ненасыщ. n -углеводородами с 6—50 атомами C, их OH -, NH_2 -, Cl - и SH -производными, а также кетонами и сложными эфирами n -спиртов и n -кислот. Аддукты не образуются с соединениями, имеющими < 6 атомов C, а также с разветвленными и ароматич. соединениями. II образует аддукты с разветвленными углеводородами, имеющими 5—50 атомов C в прямой цепи и 1—20 атомов C в боковых цепях, а также их OH -, NH_2 -, SH - и кетопроизводными. Аддукты после промывки разлагают, нагревая до 18—32° в присутствии воды и до 66—93° в ее отсутствие. Продолжительность р-ции может колебаться от 1 мин. до 24 час. При 22° и атмосферном давлении 10 вес. ч. 70%-ного водн. III, насыщ. I, моментально образуют аддукт с 1—2 вес. ч. n -цетана, n -октадекана, 1-децена, n -октана, n -гептана, метилового эфира ундекановой к-ты, 2-амино- n -октана, n -гептанола, n -октанола, ди- n -бутилкетона, n -гептилбромида. С безводн. пиридином или 50%-ным водн. α -пиколином (вместо III), насыщ. I, n -цетан образует аддукт через 5—15 мин. II в присутствии этих активаторов не дает аддуктов с перечисленными в-вами даже при длительном стоянии. Аналогично в 70%-ном водн. III, насыщ. II, моментально образует аддукт с изооктаном, цетилдиметиламином и метил- n -бутилкарбинолом. В безводн. пиридине, насыщ. II, моментально образует аддукт с изооктаном. В остальных примерах описано применение в качестве активаторов 25%-ного водн. этилендиамина, разб. водн. триметиламина, ди- n -пропиламина, этаноламина и формамида. Н. Дабагов

71657 П. Способ получения продуктов хлорирования метана (Verfahren zur Herstellung von Methanchlorierungsprodukten) [Farbwerke Hoechst A.-G. vormals Meister Lucius & Brüning]. Пат. ФРГ 946891, 9.08.56

CH_4 хлорируют без внешнего охлаждения или обогрева и t -ру экзотермич. р-ции поддерживают тем, что во время р-ции объемное отношение циркулирующих в реакторе газов и поступающей в реактор свежей газовой смеси (циркуляционное отношение) держат на уровне $> 3:1$, а свежую газовую смесь вводят в реактор с такой t -рой, при которой максим. t -ра в реакторе ниже t -ры разложения продуктов р-ции. Приведена схема установки. Состав продуктов р-ции в широких пределах зависит от t -ры поступающей в реактор свежей газовой смеси, состава последней, в частности содержания в ней Cl_2 , и величины циркуля-

ционного отношения. Приведены результаты хлорирования при различных условиях. Преимущества способа: 1) возможность получения смесей с различным соотношением хлоропроизводных CH_4 , причем при избытке CH_4 по отношению к Cl_2 предпочтительно образуются CH_3Cl и CH_2Cl_2 ; 2) независимость нагрузки реактора от его поверхности; 3) возможность применения реактора любых размеров, поскольку обогрев его необязателен, а начальная т-ра р-ции достигается путем предварительного пропускания через него газовой смеси из теплообменника, минуя смеситель для Cl_2 .

Я. Кантор

71658 П. Метод производства фторуглеродов. Пассино, Титере, Мантелл (Method of producing fluorocarbons. Passino Herbert J., Teeters Wilber O., Mantell Russell M.) [The M. W. Kellogg Co.]. Пат. США 2770660, 13.11.56

Через слой материала, содержащего углерод (графит, кокс и т. д.), с размером частиц 5—250 μ (чаще 10—100 μ), снизу вверх пропускают F и инертный газ (азот, аргон, неон, тетрафторметан) для поддержания материала в псевдооживленном состоянии. Соотношение между кол-вами инертного газа и F от 10:1 до 50:1 при т-ре 190—496° и давл. 1—3 атм. Для увеличения выхода добавляется катализатор — галогениды Cu, Ag, Au, Zn, Cd, Hg, Fe, Co, Ni в кол-ве 8—12%. Наилучшие результаты дает HgCl_2 . Полученные фторуглероды содержат ≥ 5 атомов C в молекуле. Проведение лабор. опытов подтвердило правильность выбранных условий.

М. Пасманик

71659 П. Гидратирование этилена в этиловый спирт. Моррелл, Роби (Hydration of ethylene to ethanol. Morrell Charles E., Robey Richard F.) [Esso Research and Engineering Co.]. Канадск. пат. 515716, 16.08.55

Патентуется улучшенный способ получения этилового спирта. Смесь углеводородов, содержащую этилен (I) и 0,1—5% пропилена (II), контактируют с 95—100%-ной H_2SO_4 при 60—100° и давл. 20—32 атм, причем получается кислый экстракт, содержащий 1,0—1,3 моля I на 1 моль H_2SO_4 ; этот экстракт снова контактирует со смесью углеводородов, содержащий I в течение 1—3 час. при 80—110° и том же давлении, и получают экстракт, содержащий 1,4 моля I на 1 моль H_2SO_4 и производные II, не гидролизующиеся в изопропиловый спирт. Экстракт гидролизуют водой и получают этиловый спирт.

Е. Покровская

71660 П. Получение спиртов оксосинтезом. Гуйн, Херш (Production of alcohols by oxo process. Gwynn Bernard H., Hirsch Joel H.) [Gulf Research & Development Co.]. Пат. США 2743302, 24.04.56

Спирты получают гидрированием при 161—177°, 105—315 ат, об. скорости 0,1—2, смеси продуктов оксосинтеза, полученных из олефинов (I), CO , H_2 при 127—238°, 105—315 ат в присутствии Co-катализатора. В присутствии устойчивого к действию Co катализатора (содержащего окислы Cr, Cu, Mn, Cd и промотор, напр. BaO) альдегиды гидрируются в спирты, а непрореагировавшие I не гидрируются. Затем смесь охлаждают до 43°, понижают давление до 7 ат (для выделения CO , H_2 и разложения карбонила Co), выделяют CO и H_2 в сепараторах, а металлич. Co — в наполненных пемзой адсорберах. Co в виде нафтената, лаурата, пальмитата и т. п., CO и H_2 возвращают в процесс. Непрореагировавшие I выделяют, изомеризуют при 260° и атмосферном давлении в присутствии Al_2O_3 в смесь исходного состава для оксосинтеза и возвращают в процесс. Нониловые спирты получают при 155° 245 ат из смеси 84% диизобутилена-1 (II) и 16% диизобутилена-2 (III) в змеевиковом реакторе (диаметр трубки 50,8 мм, длина 760 м). Альдегиды гидри-

руют при 155°, 245 ат в присутствии катализатора, содержащего 51% CuO и 49% окиси Cr_2O_3 . Непрореагировавшие I, содержащие 30% II и 70% III, изомеризуют. Дана технологич. схема.

Ю. Гольц

71661 П. Выделение спиртов из продуктов гидратации олефинов (Recovery of alcohols from hydration of olefins) [Standard Oil Development Co.]. Англ. пат. 727724, 6.04.55

Чистые свободные от эфиров спирты получают взаимодействием олефина с паром в реакционной зоне в присутствии катализатора гидратации при 200—250° и давл. 3,5—70 ат. Образующуюся паробразную смесь продуктов р-ции, содержащую спирт, эфир и непрореагировавший олефин, разделяют в зоне экстрактивной дистилляции, в которой в качестве р-рителя применяется вода и поддерживаются те же т-ра и давление, что и в реакционной зоне. Эфир и непрореагировавший олефин рециркулируются. В качестве катализатора применяют разб. H_2SO_4 или H_3PO_4 , а также H_3PO_4 на носителе, напр. на Al_2O_3 . Приведена технологич. схема.

Г. Марголина

71662 П. Производство химикалий [окиси этилена]. Гарднер, Шёнбрунн (Production of chemicals. Gardner James H., Schoenbrunn Erwin F.) [National Research Corp.]. Пат. США 2775510, 25.12.56

Окись этилена (I) и H_2O_2 получают окислением этана (II) O_2 при 450—550° и давл. 1,05—7 ат в присутствии инертных разбавителей (CO , CO_2 , CH_4). Для предотвращения взрыва конц-ия O_2 в реакторе не должна превышать 15%. Рекомендованы инертные, не катализирующие окисления материалы для покрытия стенок реактора (типа «викора»). После извлечения H_2O_2 и I газы, содержащие II-й этилен, могут быть рециклизованы. Приведена технологич. схема процесса. 1,94 объема II и 1,97 объема O_2 смешивают с 59,4 объемами рециклизата. Полученную смесь состава (в %) II 30,8, C_2H_4 25, CO 21, CO_2 6,2, CH_4 6,6, H_2 3,4, O_2 7,6 пропускают через цилиндрич. реактор диам. 1,66 см и длиной 83 см при 486°, время контакта ~ 1 сек. Из горячих газов охлаждением при 0° выделяют H_2O_2 , немного CH_3CHO и CH_2O . Из оставшихся газов при 0° противотоком фосфатного буфера (рН 6, 0,002 объема р-ра на 1 объем газа при стандартных условиях) извлекают I. За один цикл получают (в %) I 35,8, CH_3CHO 13,3, CH_2O 21,3, CO 18,6, CH_4 5,5 и H_2O 0,29.

Н. Маторана

71663 П. Двустадийное окисление олефинов с применением псевдооживленного катализатора. Драммонд, Гулд, Кацен (Two stage oxidation of olefins using a fluidized catalyst. Drummond Virgil D., Gould Merle L., Katzen Raphael) [The Vulcan Copper & Supply Co.]. Пат. США 2752363, 26.06.56

Окиси олефинов (напр., окись этилена) получают из газообразных олефинов (C_2H_4) и молекулярного O_2 (воздуха) при 100—400°, 0—14 ат (лучше 175—300° 7—10,5 ат) в псевдооживленном слое, содержащем катализатор окисления (Ag или разлагающиеся с образованием Ag соединения, напр. Ag_2O), инертный материал (Al_2O_3 , SiO_2 , SiC , MgO) и неорганич. галлоиды (HG), напр. KCl, стабильный при т-ре р-ции и относительно медленно изменяющийся в атмосфере реакционных газов с образованием окислов или элементов. Катализатором, напр., является смесь Ag, Al_2O_3 и KCl с размерами частиц < 0,175 м.м и имеет состав (вес. %) соответственно: а) 29,97; 70,0; 0,03; б) 29,70; 70,0; 0,30; или в) 19,97; 80,00; 0,03. Смесь газов движется по трубке со скоростью 0,152—0,609 м/сек. В верхней части реактора газы охлаждают в теплообменнике водой до 150° и обеспыливают на вертикальных свечобразных фильтрах, покрытых слоем

Al₂O₃. Далее газы охлаждают до 40° и отмы-
вают из них окись олефина в скруббере водой, имею-
щей т-ру 10°. Газы освобождают от капель воды. 70—
80% общего кол-ва газов (лучше 80%) смешивают
с свежим олефином и O₂ и возвращают в реактор.
Остальное кол-во газа смешивают с воздухом, увели-
чивая в ~2 раза конц-ию O₂ в газе и подают во
вторую аналогичную систему, отличающуюся лишь
разном трубках в реакторе. Отходящие газы 2 системы
после отмычки окиси олефина можно рециклизовать.
Дана технологич. схема и схема реактора. Ю. Г.

71664 П. Окисление перекисями. Смит (Oxidation
with peroxides. Smith Curtis W.) [Shell Develop-
ment Co.] Пат. США 2754325, 10.07.56

Гидроксильрованные продукты с высоким выходом
получают окислением H₂O₂ (I) соединений, содержа-
ющих олефиновую связь, в присутствии водораствори-
мых, легко регенерируемых катализаторов — гетеро-
атомных кислот, содержащих элементы VI группы (S, Se,
Cr, Mo, W). Глицерин получают р-цией аллилового
спирта (II) с I. В реактор, снабженный мешалкой и
теплым холодильником, загружали (в вес. ч.): воды
174 и селеновольфрамовой к-ты H₂SeW₁₂O₄₂
(III) 10,2, нагревали до 50°, добавляли 150 ч. 34%-ной
I и через 2 часа т-ру поднимали до 70° в течение
1 часа. Конверсия I 89,9%. Глицерин выделяли пере-
гонкой. Выделенная из водн. р-ра III может быть
использована как катализатор. Аналогичные ре-
зультаты дает сульфовольфрамовая к-та, полученная
окислением H₂SO₄ с вольфрамом Na при мол. соот-
ношении 5:1, а также теллуривольфрамовая
(H₂TeW₁₂O₄₂), 12-вольфрамомолибденовая и 12-вольфра-
момолибденовая к-ты. Аналогичным методом в присутствии
III гидроксильрованы циклогексен в циклогександиол-
1,2 в среде CH₃COOH (IV), малеиновая к-та в винную
в водн. среде и II в глицеринмоноклоргидрин в HCl
(V) в присутствии 12-молибденовольфрамовой к-ты
(VI). 2 моля 35,1%-ной I добавляли при перемешива-
нии к 4 молям децена-1 в 1450 г IV, содержащей 65 г
V, нагревали до 50° в течение 7 час., оставляли на ночь.
Титрованием установлена полная конверсия I. Децен-
1 отгоняли азеотропно с добавленной водой, воду и IV
удалляли, остаток нагревали с 430 г CH₃OH и 23 г HCl,
образующийся метилацетат удаляли и перегонкой вы-
деляли декандиол-1,2, т. кип. 92—134°/2 мм и 103—
125°/0,1 мм. В. Курашев

71665 П. Окисление органических соединений (Pro-
cess for the oxidation of organic compounds) [Naam-
loze Vennootschap de Bataafsche Petroleum Maat-
schappij]. Англ. пат. 725375, 2.03.55

При окислении органич. соединений перекисью в
присутствии катализатора H₂WO₄ для отделения
последней реакционную смесь обрабатывают при 50—
100° водорастворимой солью, напр. CaCl₂, (CH₃COO)₂Ba,
Mg(NO₃)₂, FeCl₃, (VO)₂(SO₄)₃, Na₂SO₄, K₃PO₄ и FeNH₄SO₄,
а также солями Cr, Mn, Co, Ni, Cu, Zn, ванадатами,
сульфатами и формиатами. Добавляют 1—6 вес.% сол-
и из расчета на H₂WO₄, в виде 5—20%-ного водн.
р-ра; окисление аллилового спирта (I) водн. H₂O₂ в
глицерин (II) проходит в 2 стадии при 40—60° и при
100—100°. Во 2-й стадии добавляют соль, H₂WO₄ коагу-
лирует, ее отделяют центрифугированием и снова по-
дают в р-цию. От продукта р-ции, содержащего II,
отгоняют избыток I. Для отделения II от растворен-
ной H₂WO₄ и растворимой в воде соли его проводят
через слой катионообменного и анионообменного ма-
териала. Р-р NaOH, применяемый для регенерации
анионообменного слоя, обрабатывают HCl (к-та) и
только для выделения новых порций H₂WO₄.

Е. Покровская

71666 П. Способ непрерывного получения кислород-
содержащих соединений. Н и н б у р г (Verfahren zur

kontinuierlichen Herstellung sauerstoffhaltiger Ver-
bindungen. Nienburg Hans) [Chemische Verwer-
tungsgesellschaft Oberhausen m. b. H.]. Пат. ФРГ
948150, 30.08.56

Кислородсодержащие соединения (прежде всего —
альдегиды и соответствующие им спирты) получают
непрерывно методом оксосинтеза из олефина и смеси
CO и H₂ (1:1), в присутствии металлич. Со или его
растворимых в воде солей. Через вертикальный труб-
чатый реактор высокого давления емк. 1 л пропускают
ежечасно при помощи насоса при 160° и 300 атм в
направлении снизу вверх 1000 мл гексилена (I)
(т. кип. 60—70°, йодное число 300, d₂₀ 0,698) и 100 мл
2,5%-ного р-ра ацетата Со и одновременно вводят
10 м³ смеси CO и H₂ (1:1). Образовавшийся неводн.
р-р активного карбонила Со (0,03% Со) в I отделили
и пропускают непрерывным потоком в трубчатый
реактор емк. 3,5 л, в который подают одновременно
CO и H₂ при 180° и 300 атм давления с такой скоростью,
что отводят 1 м³/час отработанного газа. Получают
900 г/час смеси, содержащей сырой гептиловый альде-
гид (уд. в. 0,835, йодное число ~15, что соответ-
ствует 95% конверсии I). Отделенный от р-ра карбо-
нила Со водн. р-р ацетата Со содержит 0,28% Со и
после подкращения до 0,67% возвращается в произ-
водственный цикл.

О. Черников

71667 П. Водорастворимые глицидные эфиры.
Уилкс, Стил (Water-miscible glycidyl ethers.
Wilkes Benjamin G., Jr., Steele Arthur
B.). [Union Carbide and Carbon Corp.]. Пат. США
2743285, 24.04.56

Водорастворимые глицидные эфиры монометило-
вых диэтиленгликоля, дипропиленгликоля и эти-
ленпропиленгликоля общей ф-лы CH₂O(C₂H₅R')O
(C₂H₅R²)OCH₂—CH—CH₂O (I) (R¹ и R² — H или CH₃)

получают при взаимодействии эпихлоргидрина (II) с
монометиловым эфиром дигликоля в присутствии ка-
тализатора, напр. BF₃, с последующим дегидрохлори-
рованием полученного эфира хлоргидрина щелочью. I
способны сообщать гидрофобным в-ам, содержащим
активный водород, высокую растворимость в воде с
образованием поверхностноактивных в-в; I при поли-
меризации дает полимер, который также смешивается
с водой во всех пропорциях. К 8 молям монометило-
вого эфира диэтиленгликоля, содержащего 1 мл эф-
рата BF₃, прикапывают при 75—85° 2 моля II, нагре-
вают до 100° для завершения р-ции и перегонкой вы-
деляют α-глицерилхлоргидриновый эфир монометило-
вого эфира диэтиленгликоля (III), выход 1,8 моля.
К эфирному р-ру 1,8 моля III при 10° прибавляют в
течение 1 часа 72 ч. NaOH в виде 50%-ного водн. р-ра,
нагревают в течение 2 час. до 100°, соль отфильтровы-
вают, эфирный слой сушат Na₂SO₄, перегоняют и по-
лучают OCH₂—CH—CH₂OC₂H₄OC₂H₄OCH₃, выход 82%

т. кип. 95—97°/4 мм, n_D²⁰ 1,4350. Аналогично из 10 мо-
лей метилового эфира дипропиленгликоля (полученно-
го при взаимодействии 2 молей окиси пропилен с
1 молем CH₃OH) получают (выход 74%) α-глицерил-
хлоргидриновый эфир монометилового эфира дипропи-
ленгликоля, т. кип. 125—136°/2 мм, дегидрохлориро-
вание которого дает OCH₂—CHCH₂OC₂H₅(CH₃)OC₂H₅-
(CH₃)OCH₃, т. кип. 83—91°/3 мм, d₂₀²⁴ 1,0010, n_D²⁴ 1,4313.

Л. Волкова

71668 П. Гидроформилирование олефинов. Гунн,
Херш (Hydroformylation of olefins. Gwynn Ber-
nard H., Hirsch Joel H.). [Gulf Research & De-
velopment Co.]. Пат. США 2734922, 14.02.56

CO + H₂ в мол. соотношении 0,5:1—8:1, олефин
или смесь олефинов с 4—16 атомами С и растворимую

в олефинах каталитически действующую Fe- или предпочтительно Co-соль высшей алифатич. к-ты (нафеновой, 2-этилкапроновой, лауриновой, пальмитиновой или стеариновой) пропускают в турбулентном потоке (допускающем регулирование т-ры р-ции с точностью $\pm 11^\circ$ и исключающем отложение катализатора) через обогреваемый циркулирующим теплоносителем эмеевиковый реактор. Приведены схема установки и ее описание. 17 263 м³ в сутки смеси CO + H₂, сжатой компрессором под давл. $\sim 122,5$ ат при $\sim 177^\circ$, поступало через уравнительную башню в общую смесительную линию, куда через отдельную смесительную линию подавалось насосами под давл. $\sim 122,5$ ат и с т-рой $\sim 32^\circ \sim 25,3$ м³ в сутки гептенов и ~ 197 кг в сутки Co-соли 2-этилкапроновой к-ты в виде 6%-ного по весу р-ра в сольвенте-нафте. Из общей смесительной линии жидкая смесь под давл. $\sim 122,5$ ат и с т-рой $\sim 95^\circ$ поступала в эмеевиковый реактор длиной ~ 900 м и внутренним diam. ~ 75 мм, погруженный в кипящую под давл. $\sim 3,6$ ат воду с постоянным уровнем, причем т-ра в реакторе поддерживалась на уровне $\sim 149^\circ$. Поступавшую в реактор смесь нагревали до т-ры р-ции $\sim 149^\circ$ в 1-й его части длиной ~ 90 м (участок предварительного нагрева), после чего немедленно начиналась р-ция гидроформилирования, продолжавшаяся до прохождения смеси через весь реактор. Продукты р-ции покидали реактор с т-рой $\sim 155^\circ$ и давл. ~ 122 ат. В этих условиях линейная скорость смеси была равна $\sim 1,5$ м/сек, продолжительность пребывания ее в реакторе 10 мин., число Рейнольдса $\sim 258\,000$, а выход составлял $\sim 12\,300$ кг в сутки C₆-альдегидов и ~ 1406 кг высококипящих продуктов при непрореагировавших ~ 6940 кг гептенов, ~ 6960 кг CO и ~ 500 кг H₂. Я. Кантор

71669 П. Способ получения газовой смеси для оксосинтеза. Эдер, Хельмс (Verfahren zur Gewinnung eines Gasgemisches für die Oxoreaktion. Eder Kurt, Helms Alfred) [Badische Anilin- & Soda-Fabrik A.-G.]. Пат. ФРГ 936567, 15.12.55

Богатый олефинами газ, полученный крекингом углеводородов, смешивают с отходящим газом оксосинтеза, углеводороды которого предварительно превращены в CO и H₂. Освобожденный от жидких продуктов р-ции оксосинтеза отходящий газ крекируют и образующийся газ, богатый олефинами, добавляют к основной газовой смеси. 52 ч. C₃H₈ при 800° крекируют в присутствии 12,3 ч. O₂ и получают газ состава (в %): C₂H₄ 26,8; C₃H₆ 7,6; H₂ 14,3; CO 7,3; CO₂ 3,7; CH₄ 25,7; C₃H₈ 10,7; другие насыщ. углеводороды 3,9. Этот газ смешивают с 73,7 ч. крекинг газа, полученного в конце процесса (см. ниже) и образующуюся смесь (в %) C₂H₄ 15,3; C₃H₆ 4,4; H₂ 31,6; CO 23,2; CO₂ 2,2; CH₄ 14,9; C₃H₈ 6,2 и других углеводородов 2,2, подвергают оксосинтезу над (CH₃COO)₂Co при 200° и 500 ат. Жидкие продукты р-ции сначала при 200 ат, а затем при обычном давлении освобождают от газа, при этом после второй ступени получают газ состава (в %): C₂H₄ 10,3; C₃H₆ 1,2; H₂ 6,7; CO 5,5; CO₂ 11,2; CH₄ 18,2; C₃H₈ 32,4; другие углеводороды 14,5. Этот газ крекируют при 970° с 37,8 ч. O₂ и смешивают с 117,2 ч. конечного газа, полученного в этой степени расщепления, и 13 ч. H₂. Газ расщепления (249,2 ч.) содержит (в ч.) H₂ 128,9; CO₂ 106,2; CH₄ 0,5 и CO₂ 13,6. После отделения 117,2 ч. газа, необходимого для разбавления, освобождают от 78 ч. CO₂, в результате чего получают 73,7 ч. газовой смеси, добавляемой к газу, полученному из C₃H₈ для приготовления смеси, поддерживаемой оксосинтезу. Вместо C₃H₈ можно использовать из газа, полученного при расщеплении бурого угольной смолы в генераторе в присутствии O₂. Дан еще один пример. Б. Энглин

71670 П. Способ и аппаратура для получения стаби-

лизированных ненасыщенных эфиров путем расщепления ацеталей. Роттиг, Литен (Verfahren und Vorrichtung zur Herstellung von stabilisierten ungesättigten Athern durch Splattung von Acetalen. Rottig Walter, Liethen Otto) [Ruhrchemie A.-G.]. Пат. ФРГ 956500, 17.01.57

Ненасыщенные эфиры получают термич. или каталитич. (особенно в присутствии ароматич. сульфокислот) разложением алифатич., ароматич., нафеновых или смешанных ацеталей при т-ре $> 150-200^\circ$. Для получения устойчивых (не превращающихся в ацетали) эфиров продукты р-ции в газообразном состоянии пропускают через дефлегматор, заполненный зерненым в-вом основного характера или его водн. р-ром, а после конденсации продукты промывают в сосуде с водн. р-ром основания, которое может быть на носителе. Нагревают 1880 г C₂H₅CH(OC₂H₅)₂ и 2 г n-CH₃C₆H₄SO₃H, отгоняющуюся при 111-112° азеотропную смесь C₄H₉OH и CH₃CH=CHOC₂H₅ пропускают через дефлегматор, заполненный NaHCO₃, сконденсированную смесь проводят через 40%-ный р-р K₂CO₃. Полученный продукт за 14 дней изменяет йодное число с 134 до 133, тогда как при работе без NaHCO₃ и р-ра K₂CO₃ происходит изменение с 131 до 120 и продукт содержит 12% ацетала. А. Дулов

71671 П. Оксосинтез с применением кобальтовой соли карбонилла кобальта. Мерцвайллер (Oxosynthesis using cobalt salt of cobalt carbonyl. Mertzweiler Joseph K.) [Esso Research and Engng Co.]. Пат. США 2744936, 8.05.56

Олефиновые соединения обрабатывают CO и H₂ в зоне карбонилирования в присутствии Co-катализатора с образованием альдегидов, содержащих по крайней мере на 1 атом С больше, чем в исходных олефинах, причем альдегидсодержащие продукты р-ции освобождают от примесей Co-соединений обработкой (при т-ре 10-93°) водн. р-ром Co²⁺-соли, напр. ацетата Co (II). При этом Co(CO)₄ реагирует с Co-солью к-ты, превращаясь в растворимое в воде и практически нерастворимое в альдегидных продуктах соединение по ур-нию: Co²⁺ + Co(CO)₄ → Co₂(CO)₈; р-ция проходит почти количественно. После этого водн. р-р Co-соединения отделяют от альдегидсодержащих продуктов в разделительной зоне и возвращают по крайней мере частично в реакционную зону. 100 г водн. р-ра I, содержащего 2,38 г Co, в атмосфере природного газа встряхивают 2 мин. с 503 г оксопродуктов (полученных из гептеновой фракции с применением I в качестве катализатора и содержащих 0,18% Co), а затем в течение 2 час. в автоклаве при 66° в атмосфере природного газа; после разделения слоев водн. слой содержит 2,57 г Co²⁺-иона и 0,527 г Co в форме Co(CO)₄-аниона, альдегидный слой содержит 0,0028% Co, таким образом выделение Co из альдегида составляет 98%. Приведено еще 4 примера выделения Co, описание и схема технологич. процесса. В. Уфимцев

71672 П. Синтез альдегидов. Каттералл (Aldehyde synthesis process. Cattarall William E.) [Esso Research and Engng Co.]. Пат. США 2736750, 28.02.56

Предложен технологич. процесс, обеспечивающий высокую конц-ию каталитически активного карбонилла Co (I) в зоне р-ции при синтезе альдегидов из олефинов и синтез-газа (II) в присутствии маслорастворимого или масленерастворимого Co-катализатора. Черный реактор, разделенный на секции решетками с насадкой на них из колец Рашига кусков фарфора, пемзы и т. п., пропускают параллельно с II (объемное соотношение CO:H₂ — 1:0,5-2) снизу вверх со скоростью 0,1-1,5 об./час при 149-190° и давл. 175-245 ат исходный олефин с 1-3 вес.% олеата или ацетата Co, который после начала р-ции предпочтитель-

заменить маслонерастворимым Со-катализатором в эмульгированном в олифине виде или в виде коллоида (напр., в виде смеси порошкообразного Со (30 вес. % петролатума), инжестируемых в реактор через отдельный ввод в нижней его части. В процессе гидроенилирования олефина II реагирует также с Со-катализатором, образуя I, который в верхней части реактора частично разлагается на металлич. Со. Пропуская р-ции, состоящий из жидких альдегидов с эмульгированным в них металлич. Со, выводят через верх реактора с т-рой ~ 177—190° и давл. 210 ат и пропускают последовательно через: а) холодильник, в котором продукт охлаждается до ~ 93—121°; б) камеру такой емкости, что за время пребывания в ней в течение 5—30 мин., при т-ре 93—121° и давл. 210 ат жидкая часть твердого Со реагирует с II с образованием I; в) холодильник, где продукт охлаждается до ~ 16—49°; г) сепаратор высокого давления, где происходит освобождение жидкого продукта от непрореагировавших газов, которые улетучиваются через верх сепаратора и, после прохождения через скруббер для отделения увлеченных альдегидов и катализатора, могут с помощью компрессора рециркулировать в линию II. Часть жидкого продукта, богатого I, рециркулируют из сепаратора в нижнюю, центральную и верхнюю часть реактора (в кол-ве ~ 100—700 об. %) для обогащения реакционной смеси I и соответствующего ее охлаждения (т-ра рециркулируемого продукта на 93—121° ниже т-ры реактора). Остаточную часть жидкого продукта освобождают от растворенного в нем Со-катализатора путем нагревания в инертном масле, отделяя твердый Со и направляют на стадию гидроенилирования в спирты или окисления в к-ты. Приложена технологич. схема.

Я. Кантор

71673 II. Получение чистого формальдегида. Фанк (Preparation de la formaldehyde purifiée. F. G. Dennis Light) [E. I. du Pont de Nemours and Co.] Франц. пат. 1108793, 17.01.56

Безводный CH_2O получают из его водн. р-ра р-цией с насыщ. алифатич. или циклоалифатич. спиртом, имеющим в молекуле 5—10 атомов С (напр., циклогексанол (I), с последующим выделением полученного формаль и разложением его. Смесь, содержащую 3 вес. % воды и равномолекулярные кол-ва CH_2O и I, поддают непрерывно со скоростью 10 мл/мин в дистилляционную колонну с т-рой 70—75° при 25 мм рт. ст. Выходящие сверху пары конденсируются двумя слоями. Нижний слой состоит в основном из воды и содержит немного CH_2O и I, в верхнем слое — I, содержащий небольшие кол-ва растворенных воды и CH_2O . Этот слой возвращают в колонну в виде флегмы. Образовавшийся циклогексилгемиформаль (II) непрерывно удаляют из приемника, когда содержание воды в нем составит 0,5 вес. %. Увлекаемый в верхнюю часть колонны CH_2O составляет ~ 10% от подаваемого кол-ва CH_2O и собирается весь в конденсате. II, содержащий равномолекулярные кол-ва I и CH_2O нагревают в перегонном аппарате, вмещающем 1—1,5 кг смеси с общим содержанием 25 вес. % свободного и связанного CH_2O . При атмосферном давлении пары его начинают выделяться при 125—130°. При 140—150° выделяется 2—3 г/мин паров. Разложение прекращают, когда при 155° выделение паров падает до 0,5 г/мин. Оставшийся в дистилляторе CH_2O составляет ~ 4% от смеси. Всего выделяется до 85—90% CH_2O , первоначально введенного в смесь с I.

71674 III. Способ получения масляного альдегида гидрофазным гидрированием кротонового альдегида. Фукумото, Итикава, Фудзивара, Тасоэ [Син Нихон Тиссо Хирё Кабусики Кайси]. Японск. пат. 6030, 20.09.54; 6420, 9.10.54

Пат. 6030. n-Масляный альдегид (I) получают паро-

фазным гидрированием кротонового альдегида (II) при нагревании при пропускании вместе с H_2 над Ni-катализатором, содержащим наряду с Ni 1 или 2 следующих металла: Al, Cr и Mg, взятых в соотношении от 9:0,5 до 7:3 и применяемых или непосредственно или на носителе. Вертикальную Fe-трубку (диам. 25,4 мм, длина 400 мм), наполненную 100 мл Ni-Cr-Al-катализатора (8:1:1) на пемзе, нагревают до 170° и при этой т-ре пропускают снизу H_2 со скоростью 8 л/час, а в верхнюю часть вводят II со скоростью 30 мл/час. Из нижней части трубки при помощи охлаждения до 0—5° выделяют конденсат в кол-ве 98 мл на каждые 100 мл II, который разделяют разгонкой на колонке Подбильняка, получают 9,3% II, 83,3% I, 3,4% n-бутилового спирта (III) и 4% высококипящих в-в (BV). Аналогично с применением 100 мл Ni-Cr-Mg-катализатора (7:1,5:1,5) на пемзе и пропусканием при 190° 20 л/час H_2 и 30 мл/час II, на каждые 100 мл II получают 96 мл конденсата, содержащего 26,5% II, 68,9% I и 4,6% BV; с применением 100 мл Ni-Mg-катализатора (8:2) и пропусканием при 160° 8 л/час H_2 и 30 мл/час II, на каждые 100 мл II получают 98 мл конденсата, содержащего 10,3% II, 79,8% I, 4,4% III и 5,5% BV; с применением 100 мл отработанного псевдооживленного Ni-Cr-катализатора (9:1), регенерированного прокаливанием с прибавлением смоляного масла в течение 2 час. при 450° и восстановленного в токе H_2 при той же т-ре, и пропусканием при 170° 15 л/час H_2 и 30 мл/час II, получают конденсат, содержащий 5,4% II, 89,7% I, 1,3% III и 3,6% BV. Для получения Ni-Al-Cr-катализатора (8:1:1) 32 г $\text{Ni}(\text{NO}_3)_2$, 11,2 г $\text{Al}(\text{NO}_3)_3$ и 6,2 г $\text{Cr}(\text{NO}_3)_3$ растворяют в воде, прибавляют водн. р-р соды, осадок углекислых солей промывают водой для удаления азотнокислых солей и смешивают с 100 мл измельченной пемзы, сушат при 400—450° и при той же т-ре прокалывают в токе H_2 . Для получения Ni-Mg-катализатора (9:1) 36 г $\text{Ni}(\text{NO}_3)_2$ и 8,5 г $\text{Mg}(\text{NO}_3)_2$ растворяют в 200 мл воды, р-ром пропитывают 100 мл измельченной пемзы, сушат и образовавшиеся окислы восстанавливают прокаливанием в токе H_2 .

Пат. 6420. I получают также гидрированием II в присутствии катализатора, полученного из галлоидных, цианистых, азотнокислых, сернокислых или хромовокислых Ni-солей и аналогичных солей щел. металлов. В Fe-трубку (диам. 25,4 мм, длина 400 мм), обогреваемую масляной баней, наполненную 100 мл Ni-NaCl-катализатора (Ni:Na = 9:1) на пемзе, при 140° пропускают 12 л/час H_2 и 30 мл/час II, на каждые 100 мл II получают 99 мл конденсата, содержащего 6% II, 86% I, 5% III и 3% BV. Приведены данные, полученные при изменении условий опыта (указаны отношение Ni:Na, т-ра р-ции в °C, кол-во конденсата в мл, полученное из 100 мл II, содержание II, I, III и BV в %): а) 9:1, 110, 99, 15, 78, 5, 2; б) 9:1, 120, 98, 9, 85, 4, 2; в) 8:2, 150, 98, 6, 88, 4, 2; г) 8:2, 170, 98, 5, 87, 5, 3. Аналогично, через Ni- NaNO_3 -катализатор на пемзе при 120° пропускают 8 л/час H_2 и 30 мл/час II, на каждые 100 мл II получают 98 мл конденсата, содержащего 9% II, 83% I, 5% III и 3% BV; с применением восстановленного Ni-K-катализатора, полученного из водн. р-ра 36 г $\text{Ni}(\text{NO}_3)_2$, 2 г K_2CrO_4 и 100 мл пемзы, при 120° пропускают 12 л/час H_2 и 30 мл/час II, получают конденсат, содержащий 7% II, 86% I, 5% III и 2% BV; с применением Ni- K_2SO_4 -катализатора пропускают 12 л/час H_2 и 30 мл/час II и получают следующие результаты: при применении катализатора непосредственно после приготовления (указаны т-ра р-ции, выход конденсата в мл на 100 мл II, содержание в нем II, I, III и BV в %): 120, 98, 10, 83, 3, 4; 140, 98, 8, 84, 5, 3; тоже через 1 неделю после приготовления катализатора: 120, 97, 12, 84, 2, 2; 140, 97, 10,

82, 5, 3. Приготовление катализаторов: а) 36 г $\text{Ni}(\text{NO}_3)_2$ и 2 ч. чистого NaCl (отношение $\text{Ni} : \text{Na} = 9 : 1$) растворяют в 200 мл воды, вносят 100 мл измельченной пемзы, выпаривают, сушат при т-ре до 400° и восстанавливают в токе H_2 при $350-400^\circ$; б) 38 г $\text{Ni}(\text{NO}_3)_2$ растворяют в воде, прибавляют водн. р-р соды, осадок NiCO_3 отфильтровывают, смешивают с 0,9 ч. чистого K_2SO_4 ($\text{Ni} : \text{K} = 9,5 : 0,5$), прибавляют 100 мл пемзы, сушат, прокалывают и восстанавливают в токе H_2 при $350-400^\circ$; в) 36 г $\text{Ni}(\text{NO}_3)_2$ растворяют в воде, прибавляют 100 мл измельченной пемзы, воду испаряют, прокалывают при 400° , прибавляют водн. р-р 3 г NaNO_3 ($\text{Ni} : \text{Na} = 9 : 1$), воду испаряют и восстанавливают при нагревании в токе H_2 . С. Петрова

71675 П. Каталитическое окисление низкомолекулярных углеводородов в жидкой фазе. Оуэн, Паркер, Мерфри (Oxidation of low molecular weight hydrocarbons in liquid phase and catalysis therefore. Owen John J. Parker, Paul T., Murphree Eger V.), [Standart Oil Development Co. Linden]. Канадск. пат. 509315, 18.01.55

Низкомолекулярные углеводороды (НУ) окисляют содержащим O_2 газом при т-ре ниже крит. точки НУ и давлении, обеспечивающем состояние НУ в жидкой фазе, в присутствии катализатора — соли жирной к-ты, содержащей < 6 атомов С. Л. Пашковская

71676 П. Выделение органических кислот. Селло (Récupération des acides organiques. Sello Harry) [N. V. de Bataafsche Petroleum Maatschappij]. Франц. пат. 1109236, 24.01.56

Для выделения ароматич. к-т, полученных каталитич. окислением (катализаторы — окиси, гидроокиси или органич. соли Co , Mn , Pb , Fe , Ni , Cu , V , Cr , Hg и их смеси) алкилзамещ. ароматич. углеводородов, напр. трет-бутилтолуола (I), из реакционных смесей, содержащих также непрореагировавшие углеводороды, заметно растворимые в воде органич. О-содержащие соединения и окрашивающие примеси, реакционную смесь экстрагируют в жидкой фазе при $\geq 50^\circ$ водн. р-ром щел. соли карбоновой к-ты, в свободном состоянии заметно не растворяющейся в воде, напр. *n*-трет-бутилбензойной к-ты (II). Реакционную смесь, полученную в результате окисления I в присутствии Со-катализатора и содержащую по весу 45% *n*-II, 5% *m*-II, 45% I, 0,2% дикарбоновых к-т, 4,5% О-содержащих соединений нежирного характера (сложные эфиры, альдегиды и т. п.) и 0,3% низкокипящих продуктов (органич. к-ты, спирты и т. п.), фильтровали при 150° (осадок на фильтре состоял главным образом из терефталевой к-ты), фильтрат промывали водой с т-рой 80° , после чего экстрагировали при 96° 20%-ным водн. р-ром Na-соли II в кол-ве 3 вес. ч. солевого р-ра на 1 вес. ч. фильтрата. После охлаждения экстракта до 25° и фильтрования получен на фильтре осадок, состоявший из *n*-II $> 99\%$ -ной чистоты ($\leq 0,02\%$ золы и $\leq 0,00005\%$ Со). Полное отсутствие в *n*-II окрашивающих примесей подтверждено нагреванием ее при 250° (т. е. при т-ре $>$ т-ры плавления) в течение 4 час. Окраска *n*-II соответствовала индексу 2-цветной шкалы Гарднера в начале нагревания при 250° и ~ 9 в конце, тогда как проба *n*-II, полученной кристаллизацией из части сырой реакционной смеси, обладала при т-ре плавления индексом > 18 той же шкалы. Приведена схема установки для непрерывного процесса. Я. Кантор

71677 П. Получение уксусной кислоты (Préparation de l'acide acétique) [The Distillers Co. Ltd]. Франц. пат., 1108872, 16.01.56

CH_3COOH получают, окисляя с помощью O_2 парафиновые C_4-C_8 -углеводороды при $150-220^\circ$ и давл. 42 ат. После охлаждения реакционная смесь разделяется на 2 слоя: верхний слой возвращают в зону р-ции, а ниж-

ний водн. слой переводят в зону перегонки, где отделивают часть, кипящую с парами воды до 99° , которую с добавкой свежего исходного продукта подают обратно в зону р-ции. Из остатка извлекают CH_3COOH . Вещное отношение O_2 , поглощенного в течение 1 часа, поступающим углеводород + дистиллят, возвращенный в зону р-ции, должно быть не ниже 0,5. Приведены технологич. схема. Е. Покровская

71678 П. Производство алкениллярной кислоты. Остерхаут, Банке, Гласмайр (Manufacture of alkenyl succinic acid. Oosterhout Johan C. D., Banks Willis L., Glassmire William F.) [The Texas Co. Пат. США 2741597, 10.04.56]

Для получения алкениллярной к-ты (I) из продукта р-ции фракции тетрамера пропилена (уд. в. 0,7905, т. кип. $177-245^\circ$, бромное число 102, т-ра вспышки 59°) с малеиновым ангидридом перегонкой выделяют фракцию алкениллярного ангидрида (II), смешивают ее с 10—25 вес. % минер. смазочного масла, промывают водой при $\sim 20^\circ$, чтобы избежать гидролиза. Из масляного слоя перегонкой выделяют чистый II ($d_{15,5}^{15,5}$ 1,001—1,014, 5% отгоняется при $188^\circ/10$ мм, 95% при $206^\circ/10$ мм). Масляную фазу гидролизуют водой при $82-99^\circ$ и добавляют дополнительное кол-во минер. смазочного масла для выделения концентрированной алкениллярной к-ты ф-лы $\text{CH}_2\text{CH}(\text{CH}_3)\text{CH}_2\text{CH}(\text{CH}_3)\text{CH}_2\text{CH}(\text{CH}_3)\text{CH}_2\text{C}(=\text{CH}_2)\text{CH}(\text{COOH})\text{CH}_2\text{COOH}$. Применяют в качестве антикоррозийной добавки к смазочным маслам. Г. Марголин

71679 П. Метод получения малеиновой кислоты парофазным каталитическим окислением органических соединений (Verfahren zur Durchführung katalytischer Dampfphasenoxydationen organischer Verbindungen) [Standard Oil Development Co.]. Пат. ФРГ 944948, 28.06.56

Малеиновую к-ту (I) получают парофазным каталитич. окислением C_6H_6 или ненасыщ. алифатич. углеводородов (II) с 4 атомами С (C_4H_8 , C_4H_6 , фракция C_4 воздуха) при $480-510^\circ$, времени контакта 0,3—0,6 сек. конц-ия II 1,4 мол. % в присутствии суспендированного окисного Mo-V-катализатора с размером частиц 0,75—0,43 мм и конц-ии катализатора в потоке *n*-в 12,8—22,4 кг/м³. При повышении конц-ии II до 2,5 мол. % т-ру р-ции понижают. Катализатор отделяют и отдают от продуктов р-ции, окисляют до высших окислов и в потоке *n*-в транспортируют через реактор. II С₄-фракции II состава (в %) *цис*-бутен-2 35,0, *транс*-бутен-2 27,2, бутен-1 25,8, *изо*- C_4H_8 5,2, C_4H_6 1,1, C_4H_{10} 3,4, *изо*- C_4H_{10} 2,2 и фракции C_5 0,1 при 482° , времени контакта 0,5 сек., конц-ии C_4 -фракции 1,4 мол. % конц-ии катализатора 22,4 кг/м³, содержании MoO_3 катализатора 34,2%, выход I за 1 цикл 15,1%, селективность 18%. Приведено еще несколько примеров, также схема аппарата. Ю. Гольм

71680 П. Дикарбоновые кислоты и их производные и способ получения их из твердых парафинов. Бамман (Dicarboxylic acids and their derivatives and production of the same from paraffin wax. Buckmann John P.) [Union Oil Co. of California]. Пат. США 2729665, 3.01.56

Очищенные парафиновые углеводороды с $\sim 15-50$ атомами С и т. пл. $32-93^\circ$ окисляют продуванием в расплав воздуха в присутствии катализатора окисления (металлич. солей или мыл, в частности, нафтената или олеата Mn , Co или Pb). Продукт р-ции можно этерифицировать (в присутствии 0,1—1 вес. % ZnCl_2 , AlCl_3 , CdCl_2 , SnCl_2 , HCl , H_2SO_4 , H_3PO_4 , $\text{C}_2\text{H}_5\text{SO}_3\text{H}$, $\text{CH}_3\text{C}_2\text{H}_4\text{SO}_3\text{H}$) одно- или многоатомными спиртами 1—24 атомами С, предпочтительно в кол-ве 1,1—1,5 экв на 1 экв кислотной смеси, при $\leq 174^\circ/2$ мм рт. ст. получения продукта с $\text{KЧ} \leq 15$ мг/г КОН. Полученные эфиры применимы в качестве пластификаторов для

синтетич. смол, в частности поливиниловых, и (или) в качестве синтетич. смазочных масел, в частности ламинационных. Через ~ 14 кг очип. парафина, т. пл. $\sim 63^\circ$, и 80 г нафтената Мп при средней т-ре $\sim 121^\circ$ ($120-124^\circ$) и давл. ~ 7 атм пропускали воздух в течение 139 час. с начальной скоростью 0,4 и конечной скоростью 1,2 л/мин на 1 кг парафина в реакторе из нержавеющей стали, снабженном нагревательными и охлаждающими змеевиками и пористым диском из нержавеющей стали (размер пор ~ 10 м) у дна реактора для диспергирования воздуха внутри парафина. Получено 10 800 г весьма светлого продукта, обладавшего кислотным числом (КЧ) 569 мг/г КОН, отношением числа омыления: $K^C = 1,25$ и индексом вязкости 91; фильтрованная проба обладала цветным индексом 6 по Гарднеру и вязкостью 52,3 сст при $\sim 38^\circ$ и 6,82 сст при 99° . Отделенные центрифугированием твердые к-ты составляли 25%, а после промывки толуолом 19% от веса сырого продукта р-ции. Промытый продукт обладал т. пл. $\sim 164,5-174^\circ$. 801 г сырого продукта р-ции с КЧ 569 мг/г КОН кипятили с отгонкой воды с 890 г (25%-ный избыток) изоамилового спирта (в основном 3-метилбутанола-1), 5 г $\text{SnCl}_4 \cdot 2\text{H}_2\text{O}$ и 500 мл лигроида, причем т-ра повышалась с 212 до 260° . Через 16 час. отогналось 162 мл воды и КЧ продукта достигло 19,5 мг/г КОН, к смеси добавляли 1 г $\text{C}_6\text{H}_5\text{SO}_3\text{H}$ и кипятили еще 4,5 часа, в результате чего общее кол-во воды в водоуловителе составляло 169 мл, а конечная т-ра реакционной смеси равнялась 141° . После разбавления охлажд. продукта равным объемом низкокипящего парафинового масла, пропускания его через колонку с обезщечивающей слабоосновной анионитной смолой (пермутит DR, дуролит S-30), активированной $\sim 5\%$ -ной водн. NaOH, отгонки р-рителя и нагревания остатка при $160^\circ/2$ мм получен в виде донного продукта изоамиловый эфир исходного сырого продукта р-ции, представлявший светло-бурое масло, которое после фильтрации через диатомовую землю обладало КЧ 1,3, цветным индексом 12 по Гарднеру, индексом вязкости 111, кинематич. вязкостью 9,26 сст при $\sim 38^\circ$ и т-ре заст. $-68,9^\circ$.

Я. Кантор

71681 П. Органические реакции ацеталей в присутствии смесей анионитных и катионитных смол в качестве катализаторов. Шмидл (Organic reactions involving acetals in the presence of mixed anionic cationic ion exchange resins as catalysts. Schmidl Claude J.) [Rohm & Haas Co.]. Пат. США 2736741, 28.02.56

При взаимодействии ациклич. или циклич. насыщ. или ненасыщ. ацеталей общей ф-лы $\text{RR}'\text{C}(\text{OR})_2$ с соединениями ф-лы HZ происходит р-ция по схеме $\text{RR}'\text{C}(\text{OR})_2 + \text{HZ} \rightarrow \text{RR}'\text{C}(\text{OH})\text{Z}$ или $\text{RR}'\text{C} = \text{Z}$ (напр., из $\text{CH}_3\text{CH}(\text{OR})_2$ и HCN получают $\text{CH}_3\text{CH}(\text{CN})\text{OH}$) в ф-лах: $\text{R} - \text{H}$, замещ. или незамещ. циклоалкил, арил или алкил, $\text{R}' - \text{H}$ или алифатич. углеводородный радикал, а $\text{R}'' - \text{алкил}$, в частности с 4 атомами С, или оба R'' вместе представляют насыщ. 2-валентную группу, образующую гетероцикл с обоими атомами О в центральном атоме С, в особенности ацеталеными производными CH_2O , альдегидов $\text{R}'\text{CHO}$ ($\text{R}' - \text{алкил}$ с ≤ 11 атомами С) и кетонов с алифатич. группами с 1-7 атомами С; HZ — ациклич. или циклич. соединения, содержащие кислотного характера атом Н и способные образовывать карбанион, в частности HCN , нитроалканы с ≥ 1 атомов Н при атоме С, связанном с группой NO_2 , соединения с атомом Н при С, смежном, по меньшей мере, с одной СО-группой, соединения, в которых метиленовые атомы Н активированы ароматич. кольцом, соединения типа роданинов, гидантоинов, тиогидантоинов, пиразолона, или γ -метилпиридинов или γ -хинолинов, 2-метил-

тиазолов, 2,4-динитротолуола, тринитротолуола, CHCl_3 , C_2H_2 , тионафенона, барбитуровой к-ты, в особенности соединениями, содержащими группу $>\text{CH}$, реаги-

рующую с алкоголятами щел. металла с замещением атома-Н указанной группы на щел. металл. Р-ция идет под действием смеси анионитов (основного характера), напр. аминных или четвертичноаммониевых смол и сильных катионитов, напр. нерастворимых сульфосоединений, получаемых обработкой каменного угля или лигнита H_2SO_4 , SO_3 или HSO_3Cl , сульфированием в кольце фенолформальдегидных смол и т. п. При непрерывном проведении р-ции реакционную смесь пропускают через снабженную рубашкой колонну, содержащую смесь обоих ионитов. Анионитную смолу тонины 20—60 меш, полученную р-цией хлорметилированного стиролдивинилбензолного сополимера с полиэтиленполиамином и активацией продукта р-ции р-ром Na_2CO_3 , смешивают с равным по весу кол-вом сульфированной фенолформальдегидной смолы тонины 40—80 меш, 20 вес. ч. этой смолы смешивают с 71 вес. ч. р-ра 26 вес. ч. HCN в 45 вес. ч. воды, охлажденной льдом, к полученной смеси медленно прибавляют с перемешиванием 102 вес. ч. ацетата $\text{CH}_3\text{CH}(\text{OC}_2\text{H}_5)_2$, нагревают до $\sim 25^\circ$, фильтруют, фильтрат подкисляют 0,05 вес. ч. 85%-ной H_3PO_4 и перегоняют; при $85^\circ/14-15$ мм получают погон из 52 вес. ч. лактонитрила, n_D^{20} 1,4034. Описано также получение (даны т. кип. в $^\circ\text{C}/\text{мм}$) нонилиденацетона, 125—135/25, нитропропанола, 95—98/12, нитродеканала (из CH_3NO_2 и нонилиденальдегида), 114—116/3, 3-метил-3-нитробутанола-2, 114—117/40, n_D^{21} 1,4464, 2-нитроэтанол, 99—102/15, n_D^{23} 1,4330, метилэтилкетонциангидрина $\text{CH}_3\text{C}_2\text{H}_5\text{C}(\text{OH})\text{CN}$, 93—97/23, этилиден-бис(этилацетоацетата), 130/1, этилиденбиспентадиона $\text{CH}_3\text{CH}[\text{CH}(\text{COCH}_3)_2]_2$, 120—125/1, 2-нитрометилтетрагидропирана, 65—68/1,1, этилиден-бис(этилмалоната), 80—85/1 и α -ацетокси- γ -карбэтоксипутиронитрила, 110—112/1,7.

Я. Кантор

71682 П. Метод димеризации динитрилов β -метилглютаровой и β -метилглютаконовой кислот. Курц (Verfahren zur Dimerisierung von β -Methylglutarsäuredinitril und β -Methylglutaconsäuredinitril. Kurtz Peter) [Farbenfabriken Bayer Akt.-Ges.]. Пат. ФРГ 958922, 28.02.57

При нагревании в течение ≥ 30 мин. р-ров динитрила β -метилглютаровой к-ты (I) или динитрила β -метилглютаконовой к-ты (II) в инертных р-рителях в присутствии щел. в-в происходит димеризация по схеме: $2\text{CNCH}_2\text{C}(=\text{CH}_2)\text{CH}_2\text{CN} \rightarrow \text{CNCH}=\text{C}(\text{CH}_3)\text{CH}_2\text{C}(=\text{NH})\text{CH}(\text{CN})\text{C}(\text{CH}_2)=\text{CHCN}$ (III). 3 г Na растворяют в 750 мл этанола, быстро прибавляют по каплям 300 г II в 250 мл этанола и нагревают до 80° . Через 30 мин. р-р мутнеет, и выделяется 251,7 г кристаллов. т. пл. $200-201^\circ$ (с разл.). Из маточного р-ра выделяют еще 21 г. Общ. выход 91%, т. пл. $204-205^\circ$ (из сп. или лед. CH_3COOH , разл.), мол. в. 214. Аналогично получают III из I. 200 г III кипятят 11 час. со смесью 150 мл конц. HCl и 2650 мл воды. Почти прозрачный р-р фильтруют горячим (на фильтре 29,5 г неомыленного III). После охлаждения фильтрата получают $\text{CNCH}_2\text{C}(\text{CH}_3)=\text{CHC}(\text{OH})=\text{C}(\text{CN})\text{C}(\text{CH}_3)=\text{CHCN}$, т. пл. $183-184^\circ$ (из воды).

Н. Дабагов

71683 П. Способ получения аллофанатов α -этилкарбинолов. Гримме, Эмде (Verfahren zur Herstellung von Allophanaten von α -Äthylcarbinolen. Grimme Walter, Emde Hans) [Rheinpreussen A.-G. für Bergbau und Chemie]. Пат. ФРГ 959458, 7.03.57

В-ва общей ф-лы $\text{RR}'\text{C}(\text{C}\equiv\text{CH})\text{OCONHCONH}_2$ получают при р-ции $\text{RR}'\text{C}(\text{C}\equiv\text{CH})\text{OH}$ и ClCONHCONH_2 (I) в органич. р-рителях при $\sim 20^\circ$ с добавлением безводн.

карбонатов щел. или щел.-зем. металлов, предпочтительно CaCO_3 , для нейтр-ции без образования воды выделяющейся HCl . Вместо I можно использовать SiCO-NH_2 . Непрореагировавший I извлекают почти количественно. Реакционная смесь не разрушает железный реактор. К смеси 1 моля I, 0,5 моля Na_2CO_3 и 350 мл ($\text{iso-C}_3\text{H}_7$)₂O (II) при $\sim 20^\circ$ и перемешивании прибавляют по каплям в течение 50 мин. р-р 1 моля 1-этинилциклогексанола в 150 мл II, смесь перемешивают 10 час., отсасывают, суспендируют в воде, подкисляют HCl , фильтруют и промывают водн. NH_3 и водой. Получают 1-этинилциклогексилаллофанат (III), выход 50,5%, т. пл. $189-190^\circ$ (из $\text{iso-C}_3\text{H}_7\text{OH}$). Приведено еще несколько аналогичных примеров получения III, а также 3-метилбутин-1-аллофаната-3, т. пл. 179° (из CH_3OH) и 3-метилпентин-1-аллофаната-3, т. пл. $151-152^\circ$ (из CH_3OH). А. Дулов

71684 П. N-карбоксиалкилгекситиламины. Зек (N-carboxyalkyl hexityl amines. Zech John D.) [Atlas Powder Co.]. Пат. США 2789976, 23.04.57

В-ва ф-лы $\text{C}_6\text{H}_{13}\text{O}_5-\text{N(R)}(\text{C}_n\text{H}_{2n}\text{COOH})$ (I), где $\text{C}_6\text{H}_{13}\text{O}_5$ — остаток, гексита, R — алкил или оксиалкил с 1—3 атомами C, n = 1 или 2, X — H или щел. металл, получают карбоксиалкиллизированием N-замещенных гекситиламинов (II) или при р-циях II с оксинитрилами или непредельными нитрилами с последующим гидролизом. II получают каталитич. восстановлением гексоз в присутствии аминов. I применяют для дезактивации металлч. ионов и в качестве внутрикислещеобразующих агентов. К смеси 195 г метилглюкамина (III), 250 мл CH_3OH и 25 мл воды в течение 18 мин. при $36-38^\circ$ прибавляют 81,5 г 70%-ного р-ра $\text{CH}_2(\text{OH})-\text{CN}$. Р-р перемешивают 80 мин. при $33-39^\circ$, затем повышают т-ру в течение 2 час. до 64° и в течение 70 мин. доводят т-ру до $58-60^\circ$. Р-рителем отгоняют в вакууме при 91° . Получают 236,5 г в-ва, затвердевающего при охлаждении. 26,4 г этого в-ва в 20 мл воды обрабатывают 6,5 г NaOH , смесь нагревают на паровой бане до прекращения выделения NH_3 и получают р-р I (R — CH_3 , n = 1, X — Na) (IV). 74 г $\text{CH}_2-\text{OHCOOH}$ в течение 6 мин. при $56-59^\circ$ прибавляют к р-ру 195 г III в 195 мл воды. Смесь выдерживают 40 мин. при т-ре 105° , отгоняют в вакууме при т-ре $65-105^\circ$ 130 мл воды, остаток выдерживают 3 часа при $84-104^\circ$, разбавляют водой до 1 л и получают р-р I R — CH_3 , n = 2, X — H. Приведен способ получения IV из II и CH_2ClCOOH . Аналогично получают I, R — C_2H_5 , n = 1, X — H. Н. Маторина

71685 П. Сульфированные теломеры. Линдси (Sulfated telomers. Lindsey Richard V.) [E. I. du Pont de Nemours and Co.]. Пат. США 2733255, 31.01.56 В-ва, полученные при теломеризации C_2-C_4 -олефинов с аллиловым спиртом (I) или CH_3OH в присутствии катализаторов свободнорадикальных р-ций, сульфатируют хлорсульфоновой к-той (II) в инертном р-рителе. К 50 г I и 1 г гидразина в реакторе на 150 мл подают этилен до давл. в 200 ат, нагревают до $250-300^\circ$, через 1,5 часа давление достигает 300 ат и р-ция заканчивается. Перегонкой выделяют 22 г I, 11 г фракции с т. кип. $133-220^\circ$ и 20 г теломера (III) с т. кип. $60-260/2$ мм и средним мол. в. 246. В остатке 7,4 г искомого теломера. 20 г III, 200 мл абс. эфира и 14 г II нагревают 2 часа, эфир декантируют, легколетучие отгоняют, остаток нейтрализуют KHCO_3 , нерастворимые в воде продукты экстрагируют петр. эфиром, водн. р-р выпаривают досуха, K-алкилсульфат извлекают горячим спиртом; после удаления спирта остается 18 г темной пасты. 40 г I, 1 г гидразина и пропилен до 2800 ат реагируют при $289-294^\circ$ в течение 4 час., давление падает до 1200 ат. Получают 25 г теломера с т. кип. $80/40$ мм — $225/1$ мм. Сульфированные теломеры обладают поверхностноактивными свой-

ствами, их соли щел. металлов растворимы в воде и могут найти применение в текстильной пром-сти.

71686 П. Производство кремнийорганических соединений. Браун (Manufacture of silicon compounds. Brown Herbert C.) [Ethyl Corp.]. Пат. США 2762824, 11.09.56

Органоалюксиланы получают при взаимодействии 1—3 молей SiF_4 с 1 молем органоалюминийгалогенида (смесь CH_3AlCl_2 и $(\text{CH}_3)_2\text{AlCl}$) при $190-600^\circ$ и 5—20 ат. Напр., 4,65 ч. сплава Al-Cu (содержание Cu 8%) и 0,005 ч. AlCl_3 помещают в эмалированный автоклав и вводят 13 ч. SiHCl_3 так, чтобы т-ра и давление в автоклаве были 60° и 3 ат. 10 ч. полученных метилалюминийхлоридов помещают в другой автоклав и вводят 6,7 ч. SiF_4 . Р-ция протекает при $200-220^\circ$ и 15 ат в течение 2 час. После охлаждения и продувки автоклава метилхлорсиланы отделяют от AlF_3 и фракционируют. Для регенерации фтора AlF_3 нагревают при 1100° в печи с SiO_2 . Образуемый SiF_4 используют для р-ции. Приведено еще несколько аналогичных примеров. А. Жданов

71687 П. Метод получения алкилгалосиланов. Линке (Verfahren zur Herstellung von Alkylhalogensilanen. Linke Paul), Пат. ФРГ 964890, 29.05.57

Применение сплава Al и Cu при р-ции Si с CH_3Cl (I) снижает температурный режим и время р-ции и значительно повышает выход алкилгалосиланов. К 100 ч. 98,1%-ного Si (содержание Al 0,35%) + 10 ч. Cu + 5 ч. сплава (2 ч. Al + 3 ч. Cu) ежедневно добавляют 13,5 ч. I при $265-300^\circ$ в течение 41 час. Получают 372,4 ч. жидкости с содержанием метилдихлорсилана (II) до 23,3%. Используется 90% введенного Si из них 19,2% переходит в II. К 100 ч. Si (Si 96,5%; Al 0,48%) + 10 ч. Cu (в порошке) + 10 ч. сплава (Al:Cu = 4:6) в тонкоизмельченном состоянии добавляют при $260-300^\circ$ ежедневно 13,5 ч. I. Через 40 час. в реакционной смеси образуется 30,6% II (27,9% от введенного Si). Приведено еще 2 аналогичных примера. Все р-ции хорошо воспроизводимы.

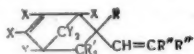
71688 П. Получение какодила и окиси какодила. Фьюсон Шайв (Preparation of cacodyl and cacodyl oxide. Fuson Reynold C., Shive William) [The United States of America as represented by the Secretary of War]. Пат. США 2756245, 24.07.56

Какодил (I), окись I (II) и их гомологи получают полунепрерывным методом при пропускании паров CH_3COOH , $\text{C}_2\text{H}_5\text{COOH}$ (или их ангидридов) в смеси с парами As_2O_3 при т-рах $300-400^\circ$ над катализаторами — карбонатами, гидроокисями, ацетатами или пропионатами Li, Na, K или Cs на пемзе или асбесте. Приведена технологич. схема процесса. I и II с выходом 44% получают также при пропускании CH_3COOH над $\text{K}_4\text{As}_2\text{O}_5$ при 400° . 5 ч. 75%-ной CH_3COOH и 1 ч. As_2O_3 пропускают при 325° над Cs_2CO_3 . Получают I и II, выход 77%. Этилкакодил и его окись получают с хорошим выходом при пропускании 75%-ной $\text{C}_2\text{H}_5\text{COOH}$ и As_2O_3 над K_2CO_3 на асбесте при 350° .

71689 П. Способ отделения мономеров циклоалкидиенов от их димеров. Хаббард, Бейнс, Джонсон (Process for recovery of cycloalkadiene monomers from their dimers. Hubbard Addison W., Banes Fred W., Johnson John F.) [Esso Research and Engng Co.]. Пат. США 2735875, 21.02.56 Усовершенствование в процессе крекинга димеров циклопентадиена (I) и метилциклопентадиена (II) состоит в том, что концентрат димеров и содимеров I и II в смеси с углеводородами C_8-C_{14} , но в основном свободный от C_7 и низших углеводородов под-

вергают крекингу в жидкой фазе при 120—230°. Образовавшиеся мономеры I и II непрерывно переходят в парообразном состоянии вместе с парами некрекированных димеров и содимеров и углеводородов C₇—C₉ в промежуточную зону фракционирования, в которой поддерживают т-ру 90—110° — условия, требующие для конденсации паров димеров, которые остаются во флегме, в то время как мономеры I и II остаются в паровой фазе вместе с углеводородами C₇—C₉. Конденсат димеров и высших углеводородов возвращается в зону крекинга. Пары I и II и углеводородов C₇—C₉ охлаждают до 90—125° и переводят в зону фракционирования мономера. Нагревают при 110—180° для отделения остатков мономеров I и II. Высшие углеводороды конденсируются и их выводят через нижнюю часть зоны в крекинг-зону. Пары мономеров выводят через верхнюю ее часть.

Е. Покровская
71690 П. Галоидзамещенные бициклические соединения. Солоуэй (Halo-substituted bicyclic compounds. Soloway Samuel B.) [Shell Development Co.] Пат. США 2759011, 14.08.56
В-ва общей ф-лы (I) где X—Cl или Br, Y—Cl, Br, H или метоксил, R и R'—H или алкил с 1—5 атомами C, R'' и R'''—карбоксильные или гидролизующиеся карбоксильные группы, получают р-цией соответствующего альдегида (II) (вместо группы =CR''R''' в ф-ле I стоит O-) с соединением ф-лы H₂CR''R''' (III) при 70—125° и соотношении III:II от 1:1 до 10:1 в присутствии катализаторов—органич. или неорганич. к-т, солей, или оснований, предпочтительно вто-

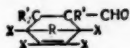


рых или третичных аминов в кол-ве 0,05—2 вес. %. Р-цию проводят в органич. р-рителе с азеотропной отгонкой образующейся воды. I применимы в качестве дефолиантов, гербицидов и в произ-ве смазочных масел и резин. К смеси 0,2 моля II (X=Y=Cl, R'=H), 0,2 моля ацетилацетона и 90 мл C₆H₆ медленно прибавляют р-р 4 мл пиперидина (IV) в 10 мл C₆H₆, кипятят 2 часа с отгонкой C₆H₆ и воды, отгоняют C₆H₆, обезвреживают остаток углем в CH₃OH и получают I (X=Y=Cl, R'=H, R''=R'''=COCH₃), т. пл. 97—99° (из цикло-C₆H₁₂). Аналогично при использовании в качестве III гександиона-2,4, гептандиона-3,5, 6-метилгептандиона-2,4, гептандиона-2,4 или этилацетоацетата получают соответствующие I. Смесь 0,2 моля II (X=Y=Cl, R и R'—H), 0,3 моля CNCH₂COOC₂H₅ (V) и 0,5 мл IV греют при 110—125° 4 часа, кипятят с C₆H₆ 3 часа, удаляя воду, и получают 82,6 г сырого I (R''=CN, R'''=COOC₂H₅). Аналогично при нагревании до 100—110° в течение 8 час. и кипячении с C₆H₆ 24 часа из 0,2 моля II (X=Cl, Y=H, R и R'=H), 0,05 моля V и 1 мл IV получают 69,0 г I (X=Cl, Y=H, R и R'=H, R''=CN, R'''=COOC₂H₅), а из II (X=Cl, Y=OCH₃, R и R'=H) 0,3 моля V и 1 мл IV получают 59,5 г I (X=Cl, Y=OCH₃, R и R'=H, R''=CN, R'''=COOC₂H₅). Исходные II синтезируют из соответствующих циклопентадиенов и α-алканалей. Напр., смесь 1,5 молей гексахлорциклопентадиена и 2 молей акролеина кипятят 44 часа, непрореагировавшие реагенты отгоняют в вакууме, продукт возгоняют при 175°/1 мм и получают 419 г II, т. пл. 145—148°.

А. Дулов
71691 П. Галоидзамещенные бициклические альдегиды. Солоуэй (Halo-substituted bicyclic aldehydes. Soloway Samuel B.) [Shell Development Co.] Пат. США 2761879, 4.09.56

В-ва ф-лы (I), где X—Cl или Br, R—CH₂ или CX₂, R'—H или низший алкил, получают диеновым синтезом из соответствующих производных циклопентади-

на и производных непредельных альдегидов при т-рах до 200°. Применяемый для синтеза I тетрахлорциклопентадиен получают из гексахлорциклопентадиена восстановлением Н в момент выделения. I применяют в качестве промежуточных продуктов для синтезов ростовых в-в. Так, при р-циях I с малоновой



к-той в присутствии органич. оснований получают ненасыщ. к-ты с большой антиауксинной активностью, применяемые в качестве дефолиантов персиковых деревьев, хлопковых кустов и других культур. Кроме того, при конденсации I с фенолами с последующей конденсацией продуктов р-ций с эпигаллоидгидринами получают эпоксидные смолы. I с PCl₅ дают ценные хлорпроизводные по карбонильной группе. 1,5 моля гексахлорциклопентадиена (II) и 2 моля акролеина (III) кипятят 24 часа, охлаждают до комнатной т-ры, избыток III отгоняют при 20—50 мм рт. ст., непрореагировавший II отгоняют в высоком вакууме. Остаток возгоняют при 175°/1,0 мм. Получают 413 г I, X=Cl, R=CCl₂ и R'=H, т. пл. 145—148°. Аналогично получают I, X=Cl, R=CH₂, R'=H, т. кип. 90—91°/0,5 мм, n_D²⁰ 1,5436. Из I получают 1,4,5,6,7,7-гексахлорбицикло-(2,2,1)-5-гептен-2-акриловую к-ту (IV), которая вызывает (10%-ная эмульсия минер. масла + ксилол в воде, содержащая 1,1 г IV на 1 л) дефолиацию созревших персиковых деревьев, а также замедляет рост маиса.

М. Канлун
71692 П. Приготовление алкилзамещенных ароматических соединений. Шмерлинг (Preparation of alkyl-substituted aromatic compounds. Schmerling Louis) [Universal Oil Products Co.] Пат. США 2781407, 12.02.57

Способ приготовления ароматич. соединения, содержащего один или два алкилзаместителя, состоит в конденсации алкилфурана (2-метилфуран, 2,5-диметилфуран и др.) с этиленом, пропиленом, 1-бутиленом и в ароматизации образовавшегося эпоксида в присутствии к-ты (галоидоводорода, галоидоводорода и органич. к-ты, HBr и CH₃COOH) при т-ре ароматизации 0°—150° для образования алкилзамещ. ароматич. в-ва (алкилбензола, 1,2,4-триметилбензола, 1,4-диметил-2-этилбензола). Пример. 100 г 2,5-диметилфурана помещают в автоклав с мешалкой и обогревом, добавляют C₂H₄ до давл. 40 ат, и нагревают автоклав до 180—200°. Автоклав охлаждают до комнатной т-ры 4 часа, удаляют избыток C₂H₄ и отделяют образовавшийся 1,4-диметил-1,4-эпокси-2-циклогексен от непрореагировавшего 2,5-диметилфурана фракционной перегонкой под вакуумом. Переносят эпоксид во второй сосуд с 200 г HBr и 200 г CH₃COOH и нагревают до 60°, выдерживают при этой т-ре 2 часа, охлаждают до комнатной т-ры, промывают реакционный продукт водой и щелочью и перегоняют; собирают фракцию 138—140°, содержащую п-ксилол, и очищают.

Г. Марголина
71693 П. Процесс экстракции растворителями. Соудерс (Solvent extraction process. Souders Mott, Jr) [Shell Development Co.] Канадск. пат. 517661, 18.10.55

Смесь изомерных ароматич. соединений, напр., м-(I) и п-ксилола (II) разделяют экстракцией в жидкой системе двумя р-рителями, которые в условиях процесса и при наличии смеси I и II не смешиваются между собой и химически инертны по отношению друг к другу и к I и II. Одним р-рителем является жидк. SO₂, а вторым—органич. жидкость (III), имеющая низкую т-ру застывания, инертная и обладающая малой связующей способностью. При экстракции

фаза SO_2 обогащается II, фаза III—I, фазы разделяются. Из фазы III удаляют р-ритель, остаток растворяют в SO_2 , р-р охлаждают, выделяются кристаллы I, почти не содержащие II.

71694 П. Метод алкилирования ароматических углеводородов. Жислон (Verfahren zum Alkylieren von aromatischen Kohlenwasserstoffen. Gislou Andre) [Co Française de Raffinage]. Пат. ФРГ 945326, 12.07.56

Алкилирование ароматич. углеводородов олефинами в присутствии AlCl_3 проводят при подъеме т-ры к концу р-ции до т-ры кипения реакционной смеси. В соуд емк. 300 л загружают 109 кг C_6H_6 и 20,1 кг полибутилбензола от предыдущей операции и 1 кг безводн. AlCl_3 и вводят при комнатной т-ре 24,9 кг бутилена в течение 35 мин. После этого смесь нагревают 15 мин. до кипения, промывают водой и разделяют азеотропной разгонкой с последующей ректификацией. Получают (в кг) неизрасходованного C_6H_6 74,3; монобутилбензола 59,6; полибутилбензола 20,1. Расход катализатора 1,68 кг на 100 кг монобутилбензола. Л. Андреев

71695 П. Выделение концентрата о-ксилола высокой степени чистоты. Беннетт, Спид (Recovery of high purity orthoxylene concentrate. Bennett Rufus B., Speed Raymond A.) [Esso Research and Engineering Co.]. Пат. США 2757215, 31.07.56

Углеводородное сырье, содержащее о-ксилол (I), его изомеры и другие близкикипящие ароматич. углеводороды, подвергают фракционной перегонке. Первая фракция содержит в основном изомеры I. Вторую фракцию, состоящую из 70% I, 20% ароматич. углеводородов с 9 атомами C и содержащую изомеры I, замораживают, отделяют кристаллы I, маточник вновь дистиллируют, отбирают фракцию, содержащую в основном I, замораживают ее, отделяют следующую порцию кристаллич. I и фильтрат направляют на очередную разгонку. Приведена схема.

71696 П. Отделение кумола или цимолы от их гидроперекисей путем перегонки. Эллис (Separation of cumene or cumene from their respective hydroperoxide by distillation. Ellis John R. B.) [California Research Corp.]. Пат. США 2722506, 01.11.55

Кумол (I) и цимол (II) отделяют от соответствующих гидроперекисей (ГП) путем последовательного проведения через зону испарения (т-ра 80–104,5°, давл. < 100 мм рт. ст.), откуда погон, содержащий повышенное кол-во I или II, подают в зону конденсации и повторяют процесс, а донную часть, обогащенную ГП, подают в другую зону испарения. Таким образом, через несколько циклов добиваются почти полного разделения.

71697 П. Деалкилирование углеводородов. Думани (Dealkylation of hydrocarbons. Duman Thomas F.) [Union Oil Co. of California]. Пат. США 2734929, 14.02.56

Деалкилирование углеводородов (УВ), напр., деме-тирование метилированных ароматич. УВ с миним. расщеплением ароматич. колец, применяемое для получения C_6H_6 из толуола (I), а также для избирательного отщепления концевой метильной группы у разветвленных парафиновых УВ проводят в паровой фазе при 480–820° и давл. 10–35 ат, в присутствии 0,5–10 молей H_2 и 0,5 молей воды на 1 моль УВ и катализатора гидрогенизации. Катализатор в качестве активного ингредиента содержит окись металла VIб–VIII группы периодической системы, напр., MoO_3 или $\text{MoO}_3 + \text{CoO}$ на окисном носителе и некоторое кол-во гидроокиси щел. металла (NaOH). По крайней мере часть водорода, используемого в процессе, образуется in situ за счет протекающей р-ции де-гидрогенизации нафтеновых УВ, примешанных к алкилбензолам. Катализатор, содержащий 3% CoO , 8,8 MoO_3 , 5,3% SiO_2 и Al_2O_3 (до 100%), готовили сле-

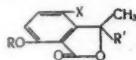
дующим образом: алюмосиликагель, полученный совместным осаждением окисей, содержащий 6% SiO_2 и > 90% Al_2O_3 , высушивали и прокаливали 4 часа при 590°. Смесь таблетировали, гранулы пропитывали в течение часа в водн. аммиачном р-ре, содержащем 25% парамолибдата аммония, высушивали при 104° и в течение 6 час. прокаливали при 600°. Затем гранулы пропитывали 1 час в 25%-ном р-ре гексагидрата нитрата Со и повторяли высушивание и прокаливание. Этот катализатор при соотношении $\text{H}_2 : \text{I} = 3,8$, $\text{H}_2\text{O} : \text{I} = 5,9$, т-ре 621°, объемной скорости 1 дал 95%-ный выход жидких продуктов, содержащих 24% C_6H_6 в тех же условиях, но без разбавления паром выход жидких продуктов составлял всего 25%. Приведено еще несколько примеров деалкилирования I, этилбензола, смеси ксилолов, 2,2,3,3-тетраметилбутана, а также применение вместо H_2 дозоров Н (напр., циклогексана).

71698 П. Полиодбензотрифториды. Хартл, Кинзер (Polyiodinated benzotrifluorides. Hartle Robert J., Kinzer Glenn W.) [American Bosch Arma Corp.]. Пат. США 2744941, 8.05.56

Некорродирующие и непроводящие жидкости с $d^{25} \geq 2,5$ г/мл и т. замерз. $\leq 75^\circ$ получают нагреванием смеси бензотрифторида или м-бромбензотрифторида (I) с J_2 и J-содержащим окислителем, напр. HNO_3 , J_2O_5 или йодатами металлов, в конц. H_2SO_4 до 60–100°, причем J_2 и окислитель присутствуют в мол. отношении 4:1. Продукт р-ции нагревают с дезоксидирующей медью до 150–250° для удаления активного галогена и уменьшения корродирующих свойств материала. Медь применяют в виде порошка или стружки. К взвеси 912 г тонкорастертого J_2 в 720 мл конц. H_2SO_4 прибавляют небольшими порциями 300 г J_2O_5 и перемешивают до полного растворения йода. Полученную смесь прибавляют к 375 г $\text{C}_6\text{H}_5\text{CF}_3$ с такой скоростью, чтобы т-ра не превышала 60–70°. По окончании р-ции смесь охлаждают и разлагают льдом. Твердый продукт р-ции растворяют в CCl_4 и удаляют J_2 действием NaHSO_4 . Органич. слой промывают водой, сушат над Na_2SO_4 и удаляют CCl_4 в вакууме. К суспензии 381 г J_2 в 1 л конц. H_2SO_4 при интенсивном перемешивании в течение 1,5 часа добавляют 160,5 г тонкоизмельченного KJO_3 . Перемешивание продолжают 0,5 часа, затем добавляют 205 г I в течение 1 часа при перемешивании и нагревают 1 час до 70°. По охлаждении смесь выливают в 2 кг толченого льда, прибавляют CHCl_3 и обрабатывают р-ром NaHSO_4 . Хлороформный слой сушат и CHCl_3 удаляют в вакууме. Остаток нагревают до 75–80° и фильтруют. Фильтрат нагревают с медью 5 мин. до 200° и снова фильтруют. Фильтрат имеет т. замерз. 49–50° и d^{25} 2,789 г/мл. Берут те же кол-ва реагентов, но I прибавляют сразу, и затем нагревают до 85°, разлагают льдом и прибавляют C_6H_6 . Органич. слой обрабатывают активированной Al_2O_3 , образовавшийся р-р выдерживают 2 дня при 0° и фильтруют. C_6H_6 отгоняют в вакууме, остаток обрабатывают G (в кол-ве 10% от веса остатка) при 200° в течение 15 мин. и фильтруют. Получают продукт с т. замерз. 55° и d^{25} 2,816 г/мл. 377 г J_2 суспендируют в 1320 мл конц. H_2SO_4 и прибавляют 159 г KJO_3 в течение 1 часа небольшими порциями; затем в течение 1 часа при т-ре $\leq 70^\circ$ добавляют 270 г I, перемешивают 5 мин. и выливают на лед. Водную фазу декантируют, прибавляют свежей воды и нагревают до расщепления органич. части. Свободный J_2 удаляют обработкой NaOH . Смесь охлаждают и продукт отфильтровывают. т. пл. 54–60°, d^{25} 2,736. Полученные жидкости могут быть применены как диэлектрики и иммерсионные среды для приборов.

71699 П. Новый метод получения галондифлазона. Кушнер, Бут, Мортон II (New method of pro-

paring halophthalide compounds. Kushner Samuel, Boothe James H. Morton II John [American Cyanamid Co.]. Пат. США 2757179, 31.07.56 В-я ф-лы (I), где X — галоид, R — H или алкил, R' — H, галоид, OH, алкокси-, арилокси-, алалкокси- группы или алкил, содержащий 1—3 карбоксильные или карбальдоксильные группы, получают галондированным соответствующих 3-метилфталидов. В качестве галондирующих агентов применяют Cl₂, Br₂, гипохло-



риту, гипобромиты или SO₂Cl₂. I служат промежуточными продуктами для многих синтезов, а также обладают фунгицидными и антисептич. свойствами. 0,5 вес. ч. 3-метил-3-окси-7-метоксифталидов растворяют в 5 объемн. ч. лед. CH₃COOH при 75°, р-р охлаждают до 40° и прибавляют к нему 8 объемн. ч. насыщ. р-ра Cl₂ в лед. CH₃COOH. Смесь оставляют при ~20° на 3—4 часа и упаривают в вакууме досуха. Получают I, X—Cl, R—CH₃, R'—OH (II), т. пл. 204—206° (неисправ.). Аналогично получают другие I (указаны X, R и R'): Cl, CH₃ H; Cl, CH₃COOH (приведены способы с применением Cl₂ и NaOCl); Cl, CH₃, COOC₂H₅; Cl, CH₃, CH(COOH)CH₂COOH. 0,2 ч. II кипятят 2,5 часа в 10 мл 48%-ной HBr (к-та), охлаждают, фильтруют, разбавляют 10 мл воды и охлаждают льдом. Получают I, X—Cl, R—H, R'—OH. Смесь 0,2 ч. II с 3 ч. CH₃OH и 0,15 ч. H₂SO₄ кипятят 1 час, охлаждают, разбавляют водой и фильтруют. Получают I, X—Cl, R—CH₃, R'—OCH₃. Аналогично получают I, X—Cl, R—CH₃, R'—COOC₂H₅. М. Каплун

71700 П. Выделение фенолов. Джейкобс (Recovery of phenols. Jacobs David Ian Hutchinson) [The Distillers Co. Ltd.]. Англ. пат. 743740, 25.01.56

Резорцин (I) получают окислением м-дизопропилбензола (II) до дигидроперекиси (III), щел. экстракцией и последующим разложением III. I выделяют из реакционной смеси перегонкой с высококипящим инертным р-рителем с последующим охлаждением дистиллята. Кристаллы I отделяют и р-ритель рециклируют. Найдено, что наряду с I из смеси отгоняется м-изопропилфенол (IV) и м-изопропенилфенол (V). IV и V образуются соответственно из присутствующих в оксидате моногидроперекиси II (VI) и м-(2-окси-2-пропил)-α,α-диметилбензилгидроперекиси (VII). Накапливающиеся в р-рителе IV и V ухудшают его свойства и затрудняют процесс кристаллизации I. В условиях рециклизации р-рителя V подвергается полимеризации. IV и V удаляют из р-рителя до его рециклизации. Р-ритель до рециклизации обрабатывают водн. р-ром щелочи. При этом IV и V удаляются. Другой вариант освобождения р-рителя от IV и V состоит в полимеризации V в присутствии катализаторов или поверхностноактивных в-в кислотного характера, отгонке р-рителя от полимера и удалении IV щел. экстракцией. Кол-ва и соотношения IV и V в оксидате зависят от способа окисления II. 195 ч. сырой III с примесью VI и VII разлагают в присутствии H₂SO₄, смесь нейтрализуют, отделяют от р-рителей, прибавляют к остатку 500 ч. метилнафталина (VIII) и перегоняют (т-ра паров 240—242°). Собирают 200 ч. дистиллята, охлаждают его, отделяют I. VIII рециклируют до прекращения кристаллизации I из очередного погона. Получают 51,5 ч. I 99,73%-ной чистоты, выход 54% (считая на сырую III). Маточный р-р после отделения I дважды промывают водой (по 50 ч.), затем 35 ч. 2 н. р-ра NaOH и снова водой. Очищ. VIII высушивают нагреванием и рециклируют. Щел. экстракт промывают эфиром, подкисляют, масло перегоняют

при 10 мм рт. ст. в токе N₂ и получают 16,3 ч. смеси с т. кип. 118—121°/12 мм и состоящей из 13 ч. V и 3,3 IV. Описан способ удаления IV и V с предварительной полимеризацией V и способ очистки применяемого в качестве р-рителя хлорированного дифенила — арохлора 1232. М. Каплун

71701 П. Способ производства бензохинона. Камлет (Process for the manufacture of benzoquinone. Kamlet Jonas). Пат. США 2731478, 17.01.56

п-Бензохинон (I) получают окислением анилина (II) с помощью MnO₂, содержащимся в смеси (III) с CaO и MnO, в H₂SO₄. Из маточного р-ра после отделения I регенерируют III, которую снова используют для окисления II. В облицованном свинцом котле смешивают 5600 л лед. воды, 500 кг II и 1400 кг H₂SO₄ (60° Bé). В другой подобный же котел, снабженный металкой и охлаждающим змеевиком, загружают 1785 кг H₂SO₄ (60° Bé), 1000 кг лед. воды и половину всего кол-ва III (общее кол-во в пересчете на сухой вес — 1617 кг III с содержанием 12,75 моля MnO₂, 3,38 моля MnO и 4,68 моля CaO), смесь при перемешивании охлаждают до 3—5°, добавляют р-р сульфата II из 1-го котла и вторую половину III попеременно частями (в течение 10—12 час.) при 5—10° и энергично перемешивании до перехода всего Mn в MnSO₄, отгоняют I с паром при 10—20 ат. и из конденсата отсасывают кристаллы I при 20°; выход 89%, т. пл. 115—116°. К маточному р-ру, содержащему 16,13 моля MnSO₄, 4,68 моля CaSO₄, 2,65 моля (NH₄)₂SO₄ и 2 моля свободной H₂SO₄, добавляют 113 кг CaO (в виде пасты, содержащей 330 г/л CaO) и 2085 кг CaCl₂ в виде 20%-ного водн. р-ра, отфильтровывают CaSO₄, промывают его небольшим кол-вом горячей воды и из фильтрата вместе с промывной водой, в которых содержатся 16,13 моля MnCl₂ и 5,3 моля NH₄Cl, регенерируют III, для чего 80% этого р-ра смешивают сначала с 1244 кг CaO (в виде той же пасты), смесь нагревают паром до 55—60°, пропускают через нее воздух в течение 2,5—4 час., пока титр MnO₂ не перестанет повышаться после последующей 15-мин. аэрации, после чего добавляют остальные 20% р-ра и продолжают аэрацию 1,25—2 часа до перехода 79—80% Mn²⁺ в MnO₂. Улетучивающиеся при аэрации газы пропускают через H₂SO₄ и рекупируют 80—82 кг NH₃ в виде (NH₄)₂SO₄. Отфильтрованную III промывают горячей водой, фильтрат вместе с промывными водами концентрируют до 20%-ного содержания твердых в-в и таким образом рекупируют 2085 кг CaCl₂ в виде 20%-ного р-ра. Регенерированную III после каждого оборота смешивают с 40 кг пиролизата с содержанием 85% MnO₂ для восполнения механич. потерь. Способ применим и для окисления о-толуидина в п-толухинон. Я. Кантор

71702 П. Восстановление изонитрозокетонов щелочами. Хартунг (Alkaline hydrogenation of oximino ketones. Hartung Walter H.) [North Carolina Pharmaceutical Research Foundation, Inc.]. Пат. США 2784228, 5.03.57

α-Изонитрозокетоны общей ф-лы RCOC(=NOH)R', где R — фенил или замещ. фенил, R' — H, алкил, арил или аралкил, восстанавливают до соответствующих аминоспиртов спирт. р-ром NaOH в присутствии Pd-катализатора (ПК). ПК получали, добавляя 16 мл 2,5%-ного р-ра PdCl₂ к р-ру 6 г безводн. CH₃COONa в 100 мл воды, к которой добавлено 4 г активированного угля «Nuchar», смесь гидрировали 15 мин., катализатор отфильтровывали, промывали и сушили в вакууме над конц. H₂SO₄. Смесь 12 г 1,3-дифенил-2-изонитрозопропанона, 100 мл спирт. р-ра NaOH (получен растворением 2,5 г плавленого NaOH в 2,5 мл воды и добавлением 95 мл абс. спирта) и 2 г ПК гид-

пировали при $\sim 20^\circ$ и начальном давл. H_2 4,2 ат до поглощения 0,154 моля H_2 . Смесь фильтровали, фильтр промывали 100 мл спирта и затем 50 мл воды, фильтраты нейтрализовали разб. HCl по конго красному и упаривали на водяной бане для удаления спирта, остаток растворяли в 200 мл кипящей воды и фильтровали. К охлажденному фильтрату добавляли 30 мл конц. водн. NH_3 и экстрагировали 200 и 100 мл эфира. Из экстракта выделяли 1,3-дифенил-2-аминопропанол, выход (после перекристаллизации) 77,5%, т. пл. 118° (из бэл.). Аналогично (гидрирование в течение 2,5 часа до поглощения 0,101 моля H_2) получали из α -изонитрозо-3,4-диметоксипропиофенона 3,4-диметокси- α -аминоэтилкарбинол, т. пл. $138-139^\circ$ (из бэл.), хлоргидрат, т. пл. $222-223^\circ$; из α -изонитрозо-4-метилпропиофенона 2-амино-1-(n -толил)-пропанол-1. Смесь 16,3 г α -изонитрозопропиофенона, 100 мл 5%-ного р-ра $NaOH$ (получен растворением 5 г $NaOH$ в 5 мл воды и добавлением 90 мл абс. спирта) и 2 г PK гидрировали до поглощения 0,265 моля H_2 , смесь фильтровали, осадок промывали спиртом и водой, фильтраты подкисляли разб. HCl по конго и упаривали досуха. Остаток растворяли в 150 мл воды, фильтровали, фильтрат подкисляли 60 мл 20%-ного $NaOH$, экстрагировали эфиром и из экстракта получали 2-амино-1-фенилпропанол, выход 66,9%, т. пл. $102-103^\circ$ (из бэл.). Описано также восстановление изонитрозоацетофенона аналогичным образом. Смесь 11,3 г бензилмонооксима, 25 мл 10%-ного водн. $NaOH$ и 2 г PK гидрировали до поглощения 0,15 моля H_2 и обрабатывали, как указано выше. Получен 1,2-дифенил-2-аминоэтанол, выход 10,5 г, т. пл. 160° (неиспр.). Указывается, что вместо $NaOH$ можно применять KOH , вместо спирта воду, метанол, диоксан или тетрагидрофуран, а вместо PK смешанные $Pt-Pd$ - или $Rh-Pd$ -катализаторы. Л. Макарова

71703 П. Гидролиз амидов. Уилкс (Hydrolysis of amides. Wilkes John B.) [California Research Corp.] Пат. США 2734078, 7.02.56

Изо- и терефталевую к-ту и их алкилпроизводные, в частности трет-бутилизофталевую к-ту, содержащие $< 0,03$ ($\sim 0,01$) вес.% N и пригодные для переработки в высшие алкидные смолы с цветным индексом 3-4 по Гарднеру, получают нагреванием их амидов с водой и сильной минер. к-той (H_2SO_4) в кол-ве > 2 экв на 1 атом амидного N , причем соотношение минер. к-та: вода в реакционной смеси должно быть таким, чтобы pH смеси до ее нагревания не превышал 6,5. Гидролиз проводят при $> 150^\circ$, лучше всего при $\sim 204-288^\circ$, и давлении, при котором вода остается в жидком состоянии. При $204-288^\circ$ полный гидролиз протекает за 3-30 мин. (при 149° — за 24 часа), давая продукт, содержащий $< 0,03$ вес.% N . Приведены: а) таблица, показывающая зависимость чистоты полученных фталевых к-т (содержание N) от содержания минер. к-ты в реакционной смеси при гидролизе продуктов окисления m - и p -ксилолов водой, S и NH_3 ; б) таблица, показывающая влияние pH реакционной смеси на скорость гидролиза фталамидов; в) кривые, показывающие влияние отношения H_2SO_4 : фталамиды на гидролиз смеси изо- и терефталамидов, и кривые гидролиза этой смеси при $199-204^\circ$, показывающие, что при содержании минер. к-ты < 2 экв на 1 атом амидного N в реакционной смеси полного разложения амидов не происходит даже при продолжительном нагревании.

Я. Кантор
71704 П. Циклические соединения, способные к полимеризации. Эрред, Ландрум (Polymerizable cyclic compounds. Errede Louis A., Landrum Billy F.) [The M. W. Kellogg Co.] Пат. США 2777005, 8.01.57

При пиролизе ($700-1300^\circ / < 400$ мм) алкилароматич. или гетероцикл. соединений, которые могут быть замещены галогеном, образуются мономеры (ММ), полимеризующиеся при низких т-рах. Полимеры (ПМ) образуют жесткие пленки, устойчивые в агрессивных средах (HCl -кислота, HNO_3 , H_2SO_4) и обладающие хорошими изоляционными свойствами и высокой теплоустойчивостью (не размягчаются при т-рах $200-400^\circ$), плохо растворяющиеся в низкокипящих р-рителях. ПМ на основе псевдокумола и изодурола при т-рах $300-320^\circ$ и давл. 80 ат превращаются в гибкие материалы. ПМ на основе дуурола и 2-хлор-1,4-диметилбензола также могут превращаться в гибкие материалы. Хрупкий и неплавкий материал получают из продукта пиролиза n -ксилола (I). ПМ применяют для защитных покрытий и в электротехнич. пром-сти. ММ сополимеризуются с другими ММ. ММ реагируют с J_2 и образуют соответствующие бис-йодметилные производные. ММ устойчивы при т-ре кипения жидкого N_2 , в присутствии O_2 быстро полимеризуются при т-ре -80° , без ингибиторов и инициаторов полимеризуются при т-ре -55° . В присутствии 20 вес.% ингибиторов (смесь терпенов) полимеризация ММ начинается при -45° . ММ построены по типу n -диметиленхинонов или бензозидных бирадикалов или являются их смесями. Нагретые до т-ры 700° пары I при 5 мм рт. ст. пропускают через нагретую до 1000° трубку диам. 2,5 см и длиной 80 см. Время контакта 0,05 сек. Пиролизат вводят в 3,8 л перемешиваемой и охлаждаемой до т-ры -80° смеси $CHCl_3$ с CCl_4 (1:1 по объему). Твердые I и ММ отделяют фильтрованием, маточник при -80° прибавляют к р-ру J_2 в смеси $CHCl_3$ с CCl_4 , р-р при встряхивании доводят до комнатной т-ры, избыток J_2 поглощают водн. р-ром $K_2S_2O_8$, органич. слой промывают водой, $CHCl_3$ и CCl_4 отгоняют в вакууме и получают 1,4-бис-(йодметил)-бензол (II) т. пл. $176-177^\circ$ (из CH_3OH). Аналогично получают II из твердой смеси I с ММ. При нагревании ММ и его р-ра до $\sim 20^\circ$ получают ПМ в кол-ве, соответствующем 14% конверсии I. Аналогично получают ММ из 2-фтор-1,4-диметилбензола, 1,4-диметилнафталина и псевдокумола. Из соответствующих ММ получают 2-фтор-1,4-бис-(йодметил)-бензол, т. пл. $148-150^\circ$ (из CH_3OH), и 1,4-бис-(йодметил)-нафталин, т. пл. $151-153^\circ$ (из CH_3OH). М. Капалун

71705 П. Смешанные эфиры фталевой кислоты и способ их получения. Мраз (Mixed esters of phthalic acids and process for production thereof. Mraz Richard G.) [Hercules Powder Co.] Пат. США, 2742494, 17.04.56

Смешанные диэфиры тере- и изофталевой к-ты общей ф-лы $ROOC-C_6H_4-COO(CH_2)_nOH$, где R — алкил, содержащий 1-4 атома C , а $n = 2-10$, получают этерификацией соответствующего моноалкилфталата гликолем или оксью алкилена. Полученные терефталаты при нагревании в присутствии катализаторов переэтерификации способны к поликонденсации с отщеплением спирта ROH и образованием высокополимеров, которые можно превращать в волокна. В качестве катализаторов применимы щел., щел.-зем. и другие металлы, их карбонаты и бораты и т. п. Аналогично и изофталаты можно превращать в полимеры, однако последние не дают волокон. Исходные моноалкилфталаты получают окислением соответствующих алкильных эфиров толуиловых к-т. Монометилтерефталат (I) получают окислением метилового эфира n -толуиловой к-ты O_2 воздуха при 120° в присутствии небольших кол-в Co -соли C_6-C_{10} -жирных к-т, образующихся при окислении парафинов. Смесь 50 г I, 172 г этиленгликоля и 0,5 г $NaHSO_4$ в атмосфере N_2 нагревали в течение 35 мин. до 178° в 2,5 часа при этой т-ре, все время перемешивая и про-

пускал N₂. К концу нагревания в ловушке собиралось 53 мл воды, а кислотное число смеси снижалось с 70 до 12,5. Охлажда. массу смешивали с 300 мл эфира, эфирный слой всасывающе экстрагировали 2%-ным р-ром NaOH и водой, сушили над Na₂SO₄ и упаривали досуха. После 3-кратной перекристаллизации остатка из метанола получали 7 г 2-оксиметилтерeftалата (II), т. пл. 74—75,5°. Описан еще один аналогичный пример получения II.

Л. Макарова

71706 П. Избирательное окисление β-изопропилнафталина до гидроперекиси β-изопропилнафталина. Коннер (Selective oxidation of β-isopropyl naphthalene to β-isopropyl naphthalene hydroperoxide. Conner Joshua C., Jr) [Hercules Powder Co.] Пат. США 2771491, 20.11.56

Смесь α- (I) и β-изопропилнафталинов (II), содержащую ≥ 75% II, окисляют O₂ или O₂-содержащими газами при 80—135° в присутствии гидроокисей или карбонатов щел. или щел.-зем. металлов. Р-цию ускоряют перекисные соединения. 75 ч. изопропилнафталина, содержащего 90% II, 25 ч. смеси, состоящей из 80% II и 10% гидроперекиси II (III) и 50 ч. 2%-ного р-ра Na₂CO₃, окисляют воздухом при перемешивании и т-ре 90°. Через 24—30 час. получают смесь, содержащую 30% гидроперекисей, которые вывлекают 4-кратной экстракцией 5%-ным р-ром NaOH в 20%-ном спирте. В остатке 83,3 ч. смеси, содержащей 86,4% II. Процесс повторяют до получения в смеси 75,7% II. 40,8 ч. этой смеси перегоняют, 30 ч. дистиллята разбавляют 5 ч. гексана и охлаждают до т-ры -20° в присутствии II. Получают 15 ч. кристаллов с 85%-ным II. Маточник вновь охлаждают до т-ры -20° и получают еще 5 ч. 78%-ного II. Маточный р-р разбавляют гексаном, высушивают и обрабатывают в течение часа 0,4 ч. AlCl₃ при 70° для изомеризации I во II, затем выливают в смесь льда с 5% NaOH. Получают продукт, содержащий 90% II. Выделенные фракции II ректифицируют. Приведены результаты опытов по изомеризации смесей с различным содержанием I и II при различных т-рах и в присутствии различных кол-в AlCl₃. Приведен способ превращения III, содержащегося в сыром оксидате, в β-нафтол и ацетон (в присутствии H₂SO₄). Смесь, содержащую 85% II, растворяют в равном объеме спирта, охлаждают до -40° и отделяют кристаллы II со следами I. После 6-кратной кристаллизации получают II в двух модификациях, т. пл. 10,5—11° и 14—14,5°, n_D²⁰ 1,5866, d₄²⁰ 0,9772, т. кип. 268 ± 0,5°/760 мм. Приведена технологич. схема процессов.

М. Кашлун

71707 П. Ацетоуксусные эфиры феноксиполиэтиленгликоля. Зек (Aceto-acetic esters of phenoxy polyethylene glycol. Zech John D.) [Atlas Powder Co.] Пат. США 2759015, 14.08.56

В-ва общей ф-лы AgO(CH₂CHRO)_xCOCH₂COCH₃ (I), где Ag — алкил-, циклоалкил-, алкоксил-, нитро- или галоидзамещенный ароматич. радикал, R — H, CH₃ или CH₂Cl, x = 2—6, y = 1—3, получают перетерификацией замещ. феноксиполиэтилен- или пропиленгликолей действием метилового или этилового эфира ацетоуксусной к-ты при 75—175°. Феноксиполигликоли получают из соответствующих фенолов и окисей алкенов, полигликолей или галоидгидриров. I используют в качестве пластификаторов для смол, причем наиболее благоприятные соотношения оксалкеновых групп к гидроксильным равны от 3:1 до 5:1 для C₂H₄O и от 2:1 до 4:1 для C₃H₆O. 270 г феноксиполиэтиленгликоля, полученного из 4 молей C₂H₄O и 1 моля фенола, и 650 г CH₃COCH₂COOC₂H₅ при перемешивании нагревают при 125—152° 10 час., в течение которых собирают 46 мл дистиллята. После отгонки остатков реагентов при

160°/2 мм получают 345 г ацетоуксусного эфира фенокситетраэтиленгликоля.

А. Дулов

71708 П. N-бензилпептиды и способ их получения. Веллю, Анатолий, Амьяр (N-benzyl peptides et leur procédé de préparation. Velluz L., Anatol J., Amiard G.) [UCLAF] Франц. пат. 1109611, 31.01.56

N,N-дибензилпептиды общей ф-лы (C₆H₅CH₂)₂NCH[(CH₂)_nR]CONHCH[(CH₂)_nR']COOH, где R и R' — H-атомы или одинаковые или различные алкилы, арилы или гетероциклич. радикалы (R' может также содержать оксигруппы), а n и n' = 0—8 получают взаимодействием в инертном р-рителе (CHCl₃ (I), C₂H₄Cl₂, тетрагидрофуран или диоксан) N,N-дибензил-α-аминокислоты или N,N-дибензилпептида с в-вом, образующим смешанный ангидрид, напр. этиловым эфиром хлормуравьиной к-ты (II), в присутствии акцептора HCl, напр. N(C₂H₅)₃ (III), C₆H₅N или метилэтилпиридина, и обработкой р-ра смешанного ангидрида α-аминокислотой или пептидом с защищенной карбоксильной группой; полученный N,N-дибензилпептид с защищенной карбоксильной группой выделяют из реакционной смеси в свободном виде или в виде хлоргидрата и омыляют. 5,1 г дибензилглицина нагревают в 75 мл безводн. I, добавляют к р-ру 3,5 мл III, охлаждают до -10°, вводят 2,2 мл II, выдерживают смесь 30 мин. при ~0° и в полученный р-р смешанного ангидрида, охлажденный до -10°, вводят охлажденную до 0° смесь 3,5 мл III и р-ра 2,8 г хлоргидрата этилглицина в 25 мл I. Т-ра должна быть < 0°. После введения всего р-ра смесь выдерживают при указанной т-ре 30 мин., после чего дают ей нагреться до ~20°, оставляют при ~20° 1 час, промывают, обрабатывают дважды 20 мл HCl, высушивают, отгоняют I, промывают эфиром, высушивают и получают хлоргидрат этилового эфира дибензилглицилглицина, выход 100%, т. пл. 155—157°; 160—161° (из сп. + эф., 1:2). 4 г неперекристаллизованного хлоргидрата растворяют в 7 мл 20%-ного спиртового KOH, кипятят 5 мин., к горячему р-ру добавляют 14 мл воды, 3,6 мл CH₃COOH (IV), медленно охлаждают, оставляют некоторое время на льду, отжимают, промывают, высушивают и получают 3 г (90%) N,N-дибензилглицилглицина, т. пл. 138—140°. Гидрогенолиз его в IV в присутствии Pd-черни дает с колич. выходом глицилглицин. Описано также получение (даны т-ры плавления в °C): N,N-дибензилглицил-dl-валина, 127—128, хлоргидрата его этилового эфира, 140—145, и глицил-dl-валина, 250; N'-(N,N-дибензилглицил)-dl-серина, хлоргидрата его этилового эфира, 160, и N-глицил-dl-серина; N,N-дибензилглицил-d-глутаминовой к-ты, 176—178, хлоргидрата его диэтилового эфира, 120—122, и глицилглутаминовой к-ты, 160; N,N-дибензилглицил-dl-триптофана, 165—168°, и глицил-dl-триптофана, 285; N'-(N,N-дибензил-dl-α-аланил)-dl-α-аминомасляной к-ты, 145, и хлоргидрата ее этилового эфира, 147—149; N'-(N,N-дибензил-dl-α-аланил)-dl-триптофана, 223, и его метилового эфира, 162—164; N'-(N,N-дибензил-dl-α-аминобутирил)-глицина, хлоргидрат, 175, и хлоргидрата его этилового эфира, 140; N'-(N,N-дибензил-dl-α-аминобутирил)-dl-α-аминомасляной к-ты, 155, хлоргидрат, 175, и хлоргидрата ее этилового эфира, 148; N'-(N,N-дибензил-dl-α-аминобутирил)-dl-триптофана, 220, и его метилового эфира, 147—148; N'-(N,N-дибензил-dl-норвалил)-dl-триптофана, 201, и его метилового эфира, 100; N'-(N,N-дибензил-dl-лейцил)-dl-триптофана, 166—168, и его метилового эфира, 121; N'-(N,N-дибензил-dl-α-аланил)-dl-триптофил-dl-α-аминомасляной к-ты, 168, и ее этилового эфира, 166.

Я. Кантор

71709 П. Способ получения N,N-дибензиламинокислот. Анатолий, Торелли (Procédé pour la pré-

paration de N,N-dibenzylaminoacides. Anatoli J. Torelli V.) [UCLA]. Франц. пат. 1109586, 31.01.56

Применимые для синтеза N,N-дибензилпептидов N,N-дибензиламиноокислоты общей ф-лы $(C_6H_5CH_2)_2NCH[(CH_2)_nR]COOH$, где R — H, алкил, окси- или тио-алкил, арил или гетероциклич. радикал, а n = 0—8, получают нагреванием дибензиламина в спиртовой среде с α-оксинитрилом (циангидрин альдегида) с последующим переводом полученного нитрила дибензиламиноокислоты с помощью конц. H_2SO_4 в соответствующий амид и гидролизом последнего в дибензиламиноокислоту действием разб. HCl (I). В случае циангидрина оксальдегида оксигруппу временно блокируют и освобождают в процессе гидролиза нитрильной группы в карбоксильную. Р-р 53,25 г лактонитрила (из CH_3CHO) в 100 мл C_2H_5OH (II) кипятят 4 часа с 147,75 г дибензиламина, охлаждают, фильтруют, промывают осадок II и получают N,N-дибензил-α-аминопропионитрил, выход 98,4%, т. пл. 87° (из сп.), который вводят небольшими дозами при 0° в 720 мл H_2SO_4 6° Вё (повышение т-ры до 20—25°), нагревая на кипящей водяной бане 1 час, охлаждают, выливают в смесь из 4 л воды и 8 кг льда, подщелачивают 2600 мл воды, 10 н. NaOH, оставляют на ночь, отжимают и промывают кристаллы N,N-дибензил-α-пропиоамида водой до исчезновения сульфата и высушивают; выход 94%, т. пл. 141—142°. Амид растворяют в 1000 мл I (уд. в. 1,19), разбавленной 100 мл воды, кипятят 72 часа, выпаривают в вакууме до начала кристаллизации, охлаждают, промывают кристаллы водой и высушивают; выход 214 г продукта с т. пл. 110—115°, после перекристаллизации из 2 объемов горячей воды, т. пл. 115—120°. Продукт представляет кристаллизующийся с 2,5 молекулы воды хлоргидрат N,N-дибензил-dl-α-аланиновой соли N,N-дибензил-dl-α-аланина $2[(C_6H_5CH_2)_2NCH(CH_3)COOH] \cdot HCl \cdot 2,5H_2O$, теряющий кристаллич. воду при 80°. 50 г хлоргидрата растворяют в горячей смеси 25 мл воды и 50 мл 5 н. NaOH, р-р подкисляют 15 мл CH_3COOH , оставляют до утра, выпавшие кристаллы промывают водой и высушивают. Полученный N,N-дибензил-dl-α-аланин сильно сольватирован, и его дегидратируют растворением в C_6H_6 или циклогексане (III) с отгонкой воды в виде азеотропа с р-рителем; т. пл. 97—98° (из III), 80° (из петр. эф.). Описано также получение (даны т-ры плавления в °C): N,N-дибензил-dl-α-аминомасляной к-ты (98) через ее нитрил (масло) и амид (123); N,N-дибензил-dl-норвалина (83—85) через нитрил (масло) и амид (89); N,N-дибензил-α-аминовалериановой к-ты; N,N-дибензил-dl-валина (114—115°) через нитрил (113) и амид (144, хлоргидрат, 185—190); N,N-дибензил-α-аминоизовалериановой к-ты; N,N-дибензил-d,l-лейцина (99) через нитрил (80) и амид (119—120); N,N-дибензил-α-аминоизопропионовой к-ты. Я. Кантор

71710 П. Получение полихлормонотиофенолов. Пикл (Preparing polychloromonothiophenols. Píkl Josef) [E. I. du Pont de Nemours and Co.]. Пат. США 2765345, 2.10.56

Полихлормонотиофенолы, применяемые как таковые или в виде Zn-солей в качестве пластификаторов для НК или СК, получают р-цией полихлорбензолов (1 моль), содержащих ≥ 4 атомов Cl, с сульфидратом (2—3 моля) щел. металла в р-рителе [CH_3OH , C_2H_5OH , C_3H_7OH , $n-C_4H_9OH$, $CH_3OH \cdot CH_2OH$, пиридин или их смесей с C_6H_6 , CH_2Cl_2 , $(CH_3)_2C_2H_4$ или др.]. Во избежание значительного образования дитиолов сульфидрат должен содержать лишь миним. кол-ва полисульфидов. Смесь 43 ч. гексахлорбензола (I), т. пл. 227, 32,4 ч. NaSH (70%-ный технич. чешуированный продукт) и 90 ч. CH_3OH нагревают 12 час. при 120° в стальном автоклаве, по охлаждении до 18—20° вы-

гружают реакционную массу в 75 ч. воды, отгоняют большую часть CH_3OH (80 ч. дистиллята), отфильтровывают неизмененный I и органич. Fe и S-содержащие загрязнения, осаждают избыток NaSH обработкой фильтрата 10,5 ч. ZnO (1 час, 80°) п. после отделения ZnS, добавлением 46 ч. $ZnSO_4 \cdot 7H_2O$ выделяют Zn-соль пентахлортиофенола (II): полученный продукт содержит 30% смеси ZnO и ZnS и может применяться по назначению без дальнейшей очистки. 43 ч. I и 36 ч. NaSH (65%-ного) нагревают 8 час. при 120° в 120 ч. $CH_3OH \cdot CH_2OH$, выход II 14%; при добавлении в р-цию 50 ч. ксилола (2 часа, 153°) выход II составляет 83%. Аналогично из пентахлорбензола получают смесь изомерных тетрахлортиофенолов (91% превращения), т. пл. 103—106°, из 1,2,3,4-тетрахлорбензола — трихлортиофенол (86%). О. Чернецов

71711 П. Способ получения O,O-диметил-O-фенилтиофосфатов. Гейган, Мак-Ферсон (Process for the preparation of O,O-dimethyl O-phenyl thiophosphates. Geoghegan John Thomas, McPherson James Beverley, Jr) [American Cyanamid Co.]. Пат. США 2784207, 5.03.57

O,O-диметил-O-фенилтиофосфаты получают с почти колич. выходом при р-ции O,O-диметилхлортиофосфата (I) с соответствующим фенолом в ароматич. углеводородном р-рителе в присутствии связывающего к-ту в-ва и Cu_2Cl_2 (II) в качестве катализатора. Смесь 280 толуола, 1,1 моля n-нитрофенола (III), 1 моля предварительно высушенного I, 0,75 моля сухого Na_2CO_3 и 0,003 моля II кипятят при 80° и давл. 220—226 мм рт. ст. в течение 6 час. с азеотропной отгонкой образующейся воды. Реакционную массу фильтруют, осадок промывают толуолом, фильтрат соединяют с промывкой и толуол отгоняют при 65°/25 мм. В остатке O,O-диметил-O-n-нитрофенилтиофосфат (IV) высокой чистоты, выход 97%. При аналогичной р-ции с применением 0,001 моля II выход снижается до 56,5%, а с применением 0,01 моля II — до 67%. Аналогично, с заменой III на o-хлор-n-нитрофенол получают O,O-диметил-O-(2-хлор-4-нитрофенил)-тиофосфат, выход 97,5%. Описано также получение IV с применением влажного Na_2CO_3 , обезвоженного отгонкой его толуольной взвеси непосредственно в реакционной колбе. Для получения высокого выхода необходимо поддерживать безводные условия в течение всего времени р-ции. Л. Макаров

71712 П. Теплоноситель на основе органо-силикатов (Heat transfer compositions comprising organosilicates) [Pierce Foundation J. P.]. Англ. пат. 738336, 12.10.55

В качестве теплоносителя предлагается смесь силикатов состава: $C_6H_5Si(OC_6H_5)_3$, $C_6H_5Si(OC_6H_5)_2(OR)$, $C_6H_5Si(OC_6H_5)(OR)_2$ и $C_6H_5Si(OR)_3$, где R — ароматич. углеводородные радикалы, из которых хотя бы один не является фенолом. Общая ф-ла смеси $C_6H_5Si(OC_6H_5)_x(OR)_y$, где $x = 0,75—2,5$; $y = 0,5—2,25$; $x + y = 3$. Смесь образуется при взаимодействии 1 моля $C_6H_5SiCl_3$ с 3 молями фенолов, из которых 0,75—2,5 моля представляют фенол, а 0,5—2,25 моля — другие фенолы, напр. крезолы, нафтолы и др. В. Ш.

71713 П. Способ получения основной висмутовой соли оксифлавоносульфоновых кислот. Кох, Ре-зер (Verfahren zur Herstellung basischer Wismut-salze von Oxyflavonsulfonsäuren. Koch Konrad, Reiser Mario) [Chemische Werke Albert]. Пат. ФРГ 951722, 25.10.56

К р-ру 9,7 г $Bi(NO_3)_3$ в 38 мл 30%-ной CH_3COOH разбавленному 78 мл воды, добавляют при т-ре ~ 20° р-р 3,82 г кверцетиновой к-ты в 10 мл 1 н. NaOH и 28 мл воды. Осадок отмыывают от к-ты и высушивают, выход 11,5 г, содержание Bi 28,2%. Р-р 9,7 г $Bi(NO_3)_3$ в 24 мл 30%-ной CH_3COOH вводят при перемешивании в смесь

33 мл 10%-ного водн. NH_3 и 126 мл воды. $\text{Bi}(\text{OH})_3$ экстрагируют, промывают водой, смешивают с 100 мл воды и к полученной суспензии прибавляют при размешивании при 60–70° р-р 7,6 г кверцетин-сульфоновой-6' к-ты в 100 мл воды, выпавшую соль промывают и высушивают. Выход 11 г. Л. Макарова

71714 П. Замещенные бензодиоксаны. Гаррисон (Substituted benzodioxanes. Harrison Stuart A.) [General Mills, Inc.] Пат. США 2789985, 23.04.57

В-а ф-лы (I), где R — алкил или арил с 1–10 атомами C, получают при р-циях соответствующих замещенных фенолов с водн. CH_2O при 120–130°, повышенном давлении и в присутствии кислых катализаторов. Время р-ций 20 мин.—15 час. I применяют в качестве промежуточных продуктов для производства пластификаторов, противокислителей, смол,



акторицидов, фунгицидов и т. д. I применяют для модификации высыхающих масел. 1200 г *n*-трет-бутилфенола, 650 г 37%-ного формалина и 8 г щавелевой к-ты нагревают с перемешиванием при 155–160° и выхл. 8,05–8,4 ат. После перегонки получают I, *n*-трет-бутил (II), т. кип. 80–82°/0,2 мм, d_4^{20} 1,0560, n_D^{20} 1,520. Аналогично получают I, R— CH_3 , т. пл. 40–41° (из CH_3OH). При нагревании II с избытком этилмалеината при 220–230° получают в-во с т. кип. 140–142°/0,15 мм, которому приписывается строение 2,3-дигидро-2,3-дикарбоэтокси-6-трет-бутилбензопирана (III). Автор полагает, что при распаде II образуется нестойкий *o*-метиленихинон, реагирующий с диенофилом с образованием III. Н. Маторина

71715 П. Способ дегидрирования. Бетнер (Dehydrogenation process. Boettner Fred E.) [Rohm & Haas Co.] Пат. США, 2744903, 8.05.56

Описан способ получения метил- и диметилпиридинов (пиколинов и лутидинов) из HCHO , изобутилена (I) и NH_3 (или CH_3NH_2) в две стадии. В первой стадии осуществляют взаимодействие I, HCHO и NH_3 (CH_3NH_2) в присутствии HCl при 20–125°, обычно под давлением. При этом образуется смесь азотистых оснований, содержащая в случае NH_3 6,6-диметилтетрагидро-1,3-оксазин и тетрагидропиколин, а в случае CH_3NH_2 — 3,6,6-триметилтетрагидро-1,3-оксазин и 1,4-диметилтетрагидро- Δ -3-пиридин. Порядок смешения компонентов безразличен, а HCl можно применять в форме NH_4Cl или $\text{CH}_3\text{NH}_2 \cdot \text{HCl}$. Во второй стадии смесь азотистых оснований подвергают дегидрированию в жидкой фазе при 100–250° в присутствии Ni -Ренея или порошка Cu или в газовой фазе при 250–500° над активными окислами Cr , V , W или Mo , преимущественно на носителе (активированная Al_2O_3). Кроме упомянутых выше катализаторов, можно применять $\text{Cu}-\text{Al}_2\text{O}_3$, платинированный асбест, Pd на асбесте, губчатый Pd , Zn -пыль, окиси Ti , Th , Ce на Al_2O_3 , сульфид Mo , хромит Cu , V_2O_5 на SiO_2 , смеси окислов щел.-зем. металлов с Cr_2O_3 и др. В эмалированной автоклав загружают при перемешивании 284,2 вес. ч. 95%-ного параформа (II), 300 вес. ч. воды и 160,5 вес. ч. NH_4Cl . Автоклав доводят до +3° и добавляют 207,5 вес. ч. жидкого I. Автоклав медленно нагревают до 54°, причем давление доходит до 7,15 ат. Подогрев прекращают, а когда р-ра достигнет 70° и начнется экзотермич. р-ция, начинают охлаждать. После достижения 107° р-ра начинают падать; когда она дойдет до 91° опять включают подогрев и выдерживают смесь 2,5 часа при t -ре $\leq 98^\circ$. Охладив автоклав, выпускают избыточный I, конденсируя его в охлаждаемой ловушке. Содержимое автоклава экстрагируют эфиром. Красное масло (верхний слой) отделяют, водн. слой обрабатывают 280 вес. ч.

50%-ного р-ра NaOH при t -ре $< 35^\circ$ и экстрагируют CHCl_3 , экстракт соединяют с маслом, сушат безводн. MgSO_4 , фильтруют и перегоняют в вакууме, получая 201,2 вес. ч. красного масла, в котором содержится тетрагидро- γ -пиколин, *N*-метилтетрагидро- γ -пиколин, *N,N'*-метилеи-бис-(тетрагидро- γ -пиколин), диметилтетрагидро-1,3-оксазин. В колонну помещают слой высотой 530 мм гранулированный $\text{Cr}_2\text{O}_3-\text{Al}_2\text{O}_3$ -катализатор дегидрирования, продувают N_2 и нагревают до 475°. В слабом токе N_2 в верхнюю часть колонны вводят по каплям 201 вес. ч. красного масла. В первой ловушке (охлаждается льдом) собирают 116 вес. ч. продукта, образующего 2 слоя; в ловушке, охлаждаемой твердым CO_2 и ацетоном, собирают 45 вес. ч. I. Из первой ловушки отгоняют I, водн. слой экстрагируют эфиром, экстракт соединяют с верхним масляным слоем, сушат KOH , фильтруют и перегоняют, собирая фракцию 50–100°/25 мм. Вторичная перегонка дает 47 вес. ч. γ -пиколина (фракция 46–56°/24 мм), выход 22%. Приведено еще несколько аналогичных примеров. Н. Дабагов

71716 П. Производство 1-арил-3-метилпиразолонов-5. Миллер, Веро (Manufacture of 1-aryl-3-methyl-5-pyrazolones. Miller John, Vero Eric) [Genatossan Ltd]. Англ. пат. 753681, 25.07.56

1-арил-3-метилпиразолоны-5 (I) получают при р-циях солей арилгидразинов с дикетенами в присутствии разб. к-т при 60–80°. К суспензии 14,5 ч. $\text{C}_6\text{H}_5\text{NHNH}_2\text{HCl}$ в смеси 20 ч. конц. HCl (к-та) с 40 ч. воды при 70° прибавляют по каплям 8,4 ч. дикетена (II). Р-р охлаждают до 40°, прибавляют к нему 160 ч. воды, обрабатывают активированным C , фильтруют и охлаждают до 5°. При перемешивании вводят в смесь 30%-ный водн. р-р NaOH до нейтр. р-ции по конго красному, осадок отсасывают, промывают водой и получают 13,1 ч. 1-фенил-3-метилпиразолона-5 (III), т. пл. 126–127°, выход 75%. Аналогично получают другие I (указаны арил, т. пл. в °C и выход в %): *n*-толил, 132–134, 82; *n*-нитрофенил 218, 80; *n*-сульфофенил, 310, 88. Приведен способ получения III из твердого фенилгидразина-*N*-сульфоната Na (IV) и II с применением HCl (к-та) или H_2SO_4 , а также способ с применением р-ра IV, полученного из р-ров $\text{C}_6\text{H}_5\text{N}_2\text{Cl}$ и Na_2SO_3 . Н. Маторина

71717 П. Продукты реакций аминотриазина. Вонсидлер (Aminotriazine reaction products. Wonsidler Henry P.) [American Cyanamid Co.] Пат. США 2785149, 12.03.57

Производные (I) аминотриазинов (II), способные реагировать с альдегидами, получают при р-циях II с галогидгидринами и моноалканоламинами. При р-циях I с альдегидами, с их производными или с продуктами их превращений получают термопластичные или терморезистивные катионные аминопласты (III), применяемые в пром-стях пластмасс, текстильной, бумажной, для покрытий и в качестве адгезивов. 252 ч. меламина (IV) и 320 ч. $\text{CH}_2\text{OHCH}_2\text{Cl}$ нагревают 10 мин. при перемешивании и t -ре 120°. К смеси в течение 15 мин. по каплям прибавляют 122 ч. $\text{HOCH}_2\text{CH}_2\text{NH}_2$, реакционную массу выдерживают 55 мин. при 160°, охлаждают, промывают спиртом и отсасывают. Получают 497 ч. смеси (V), содержащей производные IV. Приведены предположительные ф-лы компонентов V. 150 ч. V, 14,5 ч. 37,1%-ного формалина и 26,0 ч. воды нагревают несколько мин. при 70° и получают р-р III. Аналогично получают III с другими соотношениями исходных в-в и из CH_2O , CH_3CHO , $\text{C}_2\text{H}_5\text{CHO}$, $\text{CH}_2=\text{CHCHO}$, метакролеина, $(\text{CH}_2\text{O})_n$, $\text{CH}_3\text{CH}(\text{OH})\text{CH}_2\text{Cl}$, $\text{CH}_2(\text{OH})\text{CH}_2\text{Br}$, монопропаноламина, *N*-фенилмеламина, бензогуанамина, $\text{CH}_2\text{OHCH}_2\text{NHCH}_2\text{Cl}$, 2-амино-бутанола-1.

Н. Маторина

71718 П. Очистка полимеризующихся гетероциклических азотистых соединений при низких температурах

турах. Хаскелл, Мак-Кей (Purification of polymerizable heterocyclic nitrogen compounds at low temperatures. Haskell Donald M., McKay Dwight L.) [Phillips Petroleum Co.]. Пат. США 2768169, 23.10.56

Мономеры ряда пиридина или хинолина, получаемые дегидрированием соответствующих алкилпроизводных и загрязненные полимерами, низкокипящими примесями и исходными продуктами, отделяют от низкокипящих; полученный концентрат обрабатывают предельным углеводородом с 3—6 атомами С, р-р сливают с полимерного коагулята и отгоняют углеводород. Дальнейшее разделение осуществляют экстракцией или дробной кристаллизацией и перегонкой в вакууме. Неполимеризуемые в-ва рециклизуют. Приведены технологич. схемы процесса. Смесь, содержащую 65% 2-метил-5-винилпиридина (I), 30% 5-этил-2-метилпиридина (II) и 5% полимеров, обрабатывают при 4,4—15,5° равным объемом *n*-пентана, жидкость отделяют и быстро испаряют при 10 мм рт. ст. Начальная т-ра испарения —12,2°, конечная 43,3°. В остатке — смесь I и II, содержащая <0,5% полимеров и углеводородов. М. К.

71719 П. Способ получения 7-амино-2-окси-4-метилхинолинов. Шпете (Verfahren zur Herstellung von 7-amino 2-oxu-4-methyl-chinolinen. Späthe Heinz) [Farbwerke Hoechst A.-G. vormals Meister Lucius & Brüning]. Пат. FRG 958647, 21.02.57

7-амино-2-окси-4-метилхинолин (I) и его производные получают внутримолекулярной конденсацией 1-ацетоацетиламино-3-аминобензола (II) и его производных в водн. р-ре или суспензии в условиях от умеренно кислой до слабощел. среды, предпочтительно в присутствии H_2SO_4 , HCl , CH_3COOH , сульфокислот или кислых фосфатов. Можно получать производные I, содержащие в 6- или 8-положении галоген, алкил или сульфогруппу, а в 7-аминогруппе алкилы, аралкилы или арилы. Исходные в-ва могут быть получены непосредственно в реакционном сосуде из *m*-фенилендиаминов и diketона (III). I и производные применяют для получения красителей и текстильных вспомогательных средств. Р-р 22,2 ч. 97%-ного технич. *m*-фенилендиамина в 200 ч. воды обесцвечивают углем, подкисляют 6,3 ч. лед. CH_3COOH , при перемешивании в т-ре 70—75° прибавляют по каплям в течение часа 18,5 ч. III и кипятят еще час. Горячий кристаллизующийся р-р нейтрализуют $NaOH$, охлаждают, отсасывают, промывают водой. Выход I 75%, т. пл. 269—270°. Аналогично получен I из суспензии 24,7 ч. солянокислого II в 135 ч. воды и 17 ч. 4 н. р-ра CH_3COONa , выход неочищ. I 92%, т. пл. 274° (из сп.) и в 125 ч. воды и 30 ч. 4 н. р-ра $NaOH$ с выходом 92%, т. пл. 270—272°. 22 ч. технич. 1-ацетоацетиламино-3-диметиламинобензола кипятят 2 часа с 200 ч. воды, охлаждают, отсасывают, промывают и получают 7-диметиламино-2-окси-4-метилхинолин, выход 95%, т. пл. 265—266° (из сп.). К р-ру 21 ч. технич. 95%-ного 3-амино-3'-окси-фениламина в 250 ч. воды и 23 ч. 5 н. HCl , обесцвечивают углем, прибавляют при 85—90° в течение 30 мин. 9,3 ч. III, сохраняя с помощью 35 ч. 4 н. р-ра CH_3COONa pH 2—4. Теплую уксуснокислую суспензию отсасывают, промывают водой, получают 7-(3'-оксифениламино)-2-окси-4-метилхинолин, выход 80%, т. пл. 282° (из сп.). Аналогичными способами получены (даны выход в % и т-ры плавления в °C): из толуилендиамина-2,6 7-амино-2-окси-4,8-диметилхинолин, 69, 243—244° (из воды); из толуилендиамина-2,4 7-амино-2-окси-4,6-диметиламинохинолин, 80, 356—357° (из сп.); из 4-хлор-1,3-диаминобензола 6-хлор-7-амино-2-окси-4-метилхинолин, 81, 340—341° (из сп.); из 1,3-диаминобензолсульфокислоты-4 7-амино-2-окси-4-метилхинолинсульфокислоту-6, выход неочищ. 68%, т. разл. 340—350° (из воды). А. Дулов

71720 П. Дегидратация 3-циан-4-карбоксамид-6-метилпиридона-2. Сонг, Гордон (Dehydration of 3-cyano-4-carboxamide-6-methyl-2-pyridone. Song John, Gordon John Edson) [American Cyanamid Co.]. Пат. США 2752353, 26.06.56

В предложенном способе устранено образование побочных продуктов хлорирования. К смеси 670 ч. $CHCl_3$, 189 ч. пиридина и 100 ч. $POCl_3$ прибавляют при т-ре < 20° и размешивании 100 ч. 3-циан-6-метилпиридон-2-карбоксамид-4, очень медленно нагревают до 60° и размешивают при 60—69° до окончания р-ции. Реакционную смесь охлаждают до < 10° и выливают в 250 ч. льда, кипятят до полного разложения всех комплексов, отгоняют $CHCl_3$ с паром, охлаждают оставшуюся суспензию до 5°, фильтруют, промывают и сушат, получая с хорошим выходом 3,4-дициан-6-метилпиридон-2. Н. Энергетова

71721 П. Способ получения замещенных производных 1,3,4-тиадиазола. (Procédé pour la production de dérivés substitués du 1-3-4-thiadiazol) [Badische Anilin- & Soda-Fabrik A.-G.] Франц. пат. 1109927, 3.02.56

В-ва общей ф-лы $SC(SZ)=NN=CSXY$, где X—CO, SO_2 или CH_3 , Y—алкил или циклоалкил с 5—18 атомами С, который может содержать заместитель, напр. $COOH$, а Z—H, эквивалент металла или основания, замещ. или незамещ. алкил, циклоалкил, аралкил или арил, или же группа XY, или $SC=NN=C(SXY)S$ получают

обработкой 1 моля 2,5-димеркапто-1,3,4-тиадиазола (I) 1—2 молями галоидоалкила ф-лы $A-X$ ($A=Cl, Br$ или J) или галоидангидрида карбоновой или сульфоновой к-ты с 6—18 атомами С. В случае мол. соотношения компонентов 1:2 получают соединения ф-лы $YXS(C_2N_2S)SXY$, а при мол. соотношении 1:1 — соединения ф-лы $HS(C_2N_2S)SXY$ (II) или соответствующие щел. меркаптиты, которые можно переводить известными методами в соли других металлов, в тиофены, смешанные сложные эфиры или смешанные дисульфиды. При взаимодействии 1 моля бифункционального алифатич. или ароматич. соединения, напр. ARA ($R=2$ -валентный углеводородный радикал, $A=$ галоид), с 2 молями II или его щел. соли образуются соединения $[YXS(C_2N_2S)_2S]_2R$. При обработке I одновременно или последовательно двумя различными в-вами ф-лы AXY получают смешанные тиоэфиры или сложные эфиры I. Полученные в-ва применимы в качестве защитных средств против действия солнечных лучей и в качестве пластификаторов полихлорвинила и других пластмасс. Их можно прибавлять к щел. очищающим средствам, содержащим фосфаты, для предотвращения коррозии или потускнения металлов, а также применять в качестве смазочных, очищающих и гидрофобных в-в, добавок к смазочным маслам, ускорителей вулканизации и ингибиторов коррозии, возникающей при натяжении. Смесь (в вес. ч.) I 45, CH_3OH 600, р-ра $NaOH$ 24 в воде 40, $n-C_8H_{17}Cl$ 88,8 кипятят 2—3 часа, отгоняют большую часть CH_3OH , остаток выливают в лед. воду и после разделения получают 2,5-ди-(*n*-октилмеркапто)-1,3,4-тиадиазол, выход 90%, т. пл. 32°. Вместо р-ра $NaOH$ можно применять 108 вес. ч. 30%-ного р-ра CH_3ONa в CH_3OH ; выход такой же. Продукт растворим в любых пропорциях в маслах, применим в качестве защитного средства против действия солнечных лучей и, благодаря своей низкой т-ре плавления, не выкристаллизуется, будучи нанесенным на кожу. 0,005%-ный спирт. р-р его пропускает лишь 4% лучей длиной 292 мк. При замене 88,8 вес. ч. $n-C_8H_{17}Cl$ 115,8 вес. ч. 2-этил-*n*-гексилбромиды получают 100 вес. ч. 2,5-

(2-этил-*n*-гексилмеркапто)-1,3,4-тиадиазола — бледно-желтое масло, т. кип. 232—235°/0,4 мм (слабое разл.). Это в-во применимо в качестве пластификатора для полихлорвинила. Описано также получение (даны т. пл. в °С) 2,5-ди-(додецилмеркапто)-, 58—60, 2-(*n*-октилмеркапто)-5-меркапто, 75, 2,2'-дитио-*bis*-(5-*n*-октилмеркапто)-, 74, 2-(2-этил-*n*-гексилмеркапто)-5-меркапто-, 55, и его циклогексиламмониевой соли (бурозеленый сироп), 2,2'-дитио-*bis*-(5-(2-этил-*n*-гексилмеркапто)] (масло), 2-додецилмеркапто-5-меркапто-, 2,2'-ди-*bis*-(5-додецилмеркапто)-, —, 2-октадецилмеркапто-5-меркапто-, 88—90, и его дисульфид, 102—103, 1-(2-этил-*n*-гексилмеркапто)-5-меркапто-, 179—180, 2,5-ди-(2-этил-*n*-гексилмеркапто)- (бурокрасное масло), 2-децилсульфонилмеркапто-2-меркапто-, 205—210 (разл.), и 2-(2-этил-*n*-гексилмеркапто)-5-карбоксиметилмеркапто-1,3,4-тиадиазолов.

Я. Кантор
1722 П. Циклические соединения. Ватанабэ
(Cyclic compounds. Watanabe Warren H.)
(Bohm & Haas Co.). Пат. США 2752357, 26.06.56

В-ва ф-лы $A-Y-N(R)-C-CH_3$ (I), где $A-O, > NH$

или NR, Y — алкилен, имеющий 2 или 3 атома С между А и N и содержащий до 12 атомов С, R — H, алкил, арил, аралкил или циклоалкил с 1—12 атомами С, не содержащий этиленовых и ацетиленовых связей, получают при р-циях в-в ф-лы $HA-Y-NHR$ с минеральными эфирами ф-лы $R'OCH=CH_2$, где R' — алкил, алкенил, аралкил, циклоалкил, алкоксиалкил, алкинилоксиалкил, феноксиалкил, алкоксиалкоксиалкил, оксиалкил и т. д. Р-ции протекают в присутствии р-чных Ag- или Hg-солей карбоновых к-т, имеющих $n, 3,5-7$. I применяют в качестве ингибиторов коррозии, для обработки ацетилцеллюлозного волокна с целью улучшения его стойкости к выцветанию и в качестве фунгицидов. 1 ч. бензоата Hg (II) прибавляют к смеси 60,9 ч. этаноламина (III) с 152,9 ч. $C_6H_5OCH_2CH_2OCH=CH_2$, растворяют при встряхивании в смесь перегоняют при давл. 60 мм рт. ст. После отгонки фракций с т. кип. 49—53° и 52,5—56° в куб прибавляют еще 1 ч. II и вновь отбирают фракцию с т. кип. 52—56°. Последние три фракции (47,9 ч.) — сырой 2-метилорсазолидин, $n_D^{25} 1,4340$, выход 55%, считая на III. Другим продуктом р-ции является 101,3 ч. 2-бутоксизанола, т. кип. 71—75°/20 мм, выход 81%, считая на III. Аналогично получают (даны т. кип. в °С/мм рт. ст., n_D^{25} и d_4^{25} , выход в %) 2,5-диметилорсазолидин, 62,5—64,5/100, 1,4366, 0,9371, 33, 2-метил-4-метилорсазолидин, 63—66/40, 1,4407, 0,9219, 55, 2,4,4-триметилорсазолидин, 70,5—71,0/120, 1,4240, 0,8904, 72, 3,3-диметилорсазолидин, 54—55/120, 1,4200, 0,9001, 68, 2-метил-3-фенилорсазолидин (IV), т. пл. 58—59° (из петр. эф.), выход 85,5%, 2-метилтетрагидро-1,3-оксазин, 65,5—69,0/100, 1,4407, 0,9459, 65, 2-метилимидазолидин, т. пл. 47,5—48,5° (из петр. эф.), выход 48%, 2-метил-1,3-дифенилимидазолидин (V), т. пл. 92—93,5°, выход 82%, N,N' -ди-(2-этилгексил)-2-метилимидазолидин, т. кип. 138—139°/0,7 мм. Приведены данные по ингибированию коррозии стали в 10%-ной HCl-к-те в присутствии V и данные по фунгицидной активности V против спор *Stemphylium sarcinaeforme* и *Monilinia fructicola*.

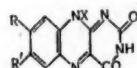
Н. Маторина
1723 П. 2-замещенные ароматические тиазола.
Портер (2-substituted aromatic thiazoles. Porter
Herschel D.) [Eli Lilly and Co.]. Пат. США 2780628,
5.02.57

При р-циях *o*-аминофенола (I) или его бензо-, алкил-, арил-, галогид-, алкокси-, окси- и других производных с тиомочевинной или с ее производными или трудно гидролизуемыми тиамидами ф-лы $R''N(C(S)R''')$, где R' и R'' — H, алкил, арил, аралкил, алкенил, арил, или вместе с N — циклич. система пипе-

ридина, пирролидина или морфолина, а R''' — алкил, аралкил, арил, замещ. арил, NH_2 , алкокси-, или алкилмеркаптогруппы, получают замещ. группой R''' в положении 2 бензотиазола (II). 13,7 г тиобензамида и 13,8 г I нагревают 2 часа при 150°, реакционную массу охлаждают и кристаллизуют из 300 мл спирта. Получают 16,7 г II, R''' — C_6H_5 , т. пл. 110—112°, выход 79%. Аналогично получают другие II (указаны R''', т-ра плавления, в °С и выход в %) 2-пиридил, 131—133,5 (из сп.), 68; 3-пиридил, 123—126 (из сп.), 85; $n-(CH_3)_2NC_6H_4$, 170—172 (из сп.), 70; CH_3 , т. кип. 92—96°/4 мм, $n_D^{25} 1,6142$, выход 77%. $n-H_2NC_6H_4$, 150—153 (из этилацетата (III) + гексан (IV), 71. 13,2 г *симм*-диэтилтиомочевины и 13,7 г I кипятят 4 часа в 50 мл сухого пиридина, пиридин отгоняют в вакууме и получают 5,7 г II, R''' — C_2H_5NH , т. пл. 92—94° (из III + IV), выход 65%. Аналогично получают II, R''' — $n-CH_3OC_6H_4NH$, т. пл. 158—160° (из III + IV), и II, R''' — NH_2 , т. пл. 122—124°. II применяют в качестве промежуточных продуктов, фунгицидов и фармацевтич. препаратов, а также как оптически отбеливающие в-ва для хлопка.

М. Каплун
71724 П. Фотовосстановление. Никкерсон, Меркел (Photoreduction of reducible materials. Nickerson Walter J., Merkel Joseph R.) [Rutgers Research and Endowment Foundation]. Пат. США 2734027, 7.02.56

Фотовосстановление проводят путем облучения видимым светом водн. р-ров в-в, способных к восстановлению, при сенсibilизирующем действии изоаллоксаниновых соединений общей ф-лы (I), где X — остаток рибитола [$-CH_2(CSHOH)_3CH_2OH$], его тетраацетата или фосфата, а также остаток $-OOCCH_2CH_2COOH$, R и R' — H или низшие алкилы; и в присутствии соединений, способных образовывать комплексы с металлами. В качестве стандарта для испытаний сенсibilизирующего действия различных в-в применен краситель хлористый трифенилтетразолий (II). Большое кол-во



предполагаемых сенсibilизаторов испытывалось на их фотохим. действие как восстановлением красителя, так и измерением с помощью потенциометра их способности образовывать электр. потенциал. Наибольшей активностью из всех испытанных в-в (соли UO_2 , хинон-гидрохиноновая смесь, хлористый 3,6-диамино-10-метилакридин, акрифлавин, акридин оранжевый, хинолиновый желтый, витамин А, хлортетрациклин, хинин, атарбин, акридин) обладал рибофлавин (III) (витамин B_2 , в-во типа I). В качестве комплексобразующих в-в, которые снимают ингибирующее действие следов металлов, испытаны с положительным результатом на восстановление II в присутствии III ди-*Na*-соль этилендиаминотетрауксусной к-ты (IV), цистеин (при $pH \sim 7$), меркаптоянтарная к-та и карбоксиметилмеркаптоянтарная к-та. Восстановление II, напр., проводят облучением 375-вт лампой накаливания на расстоянии 15 см его водн. р-ра, содержащего $4 \cdot 10^{-5}$ моля III и $3 \cdot 10^{-3}$ моля IV (вода дистил.) при $pH 5-9$. Аналогично были восстановлены тетразолиевый синий, тетразолиевый оранжевый, йод, метилиновый синий, толудиновый синий, розиндулин 2Б, трипановый синий, *o*-динитробензол, *n*-нитробензальдегид, $HgCl_2$ янусовый зеленый, Б малахитовый зеленый, цитохром С, синий нил, фенольный синий, резазурин, фенолиндо-2,6-дихлорфенол и соли Ag, напр., $AgNO_3$. Восстановленные соединения можно затем снова окислять и восстанавливать, что позволяет приме-

нять их в качестве индикаторов, напр., для биол. систем, для получения фоторепродукций и т. п. По предположению авторов соединения типа I служат переносчиком Н от воды к восстанавливаемому в-ву.

Л. Макарова

См. также: Кинетика синтеза этилацетата 70108. Синтез α -хлоракриламида 72850. Алкилирование C_6H_6 олефинами 70116. Синтез фенола и ацетона из кумола 70814. Кинетика щел. плавления нафталинсульфокислот 70115. Получение винил и изопропилфенолов 70815. Дегидрирование $C_6H_5CH_2OH$ в C_6H_5CHO 70152. Синтез изоцианатов 70836. Катализатор оксисинтеза 72037

ПРОМЫШЛЕННЫЙ СИНТЕЗ КРАСИТЕЛЕЙ

Редактор Н. А. Медызовская

71725. Автоматизация производств анилино-красочной промышленности. Беркман Б. Е., Герулайтис Ю. Н. В сб.: Автоматиз. хим. и коксохим. произ-в. М., Металлургиздат, 1958, 203—221

Приведены схемы и описания автоматизации произ-в C_6H_5Cl , анилина, фталевого ангидрида и бензидина, а также данные о технико-экономич. эффективности автоматизации произ-в анилино-красочной промышленности.

В. Уфимцев

71726. Красители для пищевых и фармацевтических целей. Гизотти (Coloranti par alimentari e per farmacia. Ghisotti F.), Boll. chim. farm., 1957, 96, № 8, 365—368 (итал.)

Обзор итальянского ассортимента красителей (23 марки) для окраски пищевых и фармацевтич. продуктов.

В. Уфимцев

71727. Исследования в нафталиновом ряду. Часть XVIII. Получение ароил-1-нафтолов и применение ацил- и ароил-1-нафтолов в качестве азосоставляющих. Часть XIX. Получение оксикетон β -нафтола и их применение в качестве азосоставляющих. Часть XX. Получение и применение арил-амидов кислоты Шеффера в качестве азосоставляющих. Десаи, Десаи (Studies in the naphthalene series: Part XVIII. Preparation of aroyl-1-naphthols and the use of acyl and aroyl-1-naphthols as coupling components. Part XIX. Preparation and use of the hydroxy ketones of β -naphthol as coupling components. Part XX. Preparation and use of arylamides of Schaeffer's acid as coupling components. Desai R. D., Desai R. M.), J. Scient. and Industr. Res., 1955, (B—C) 14, № 10, B498—B504, B505—B508; B509—B512 (англ.)

XVIII. Синтезированы и испытаны в качестве азосоставляющих для холодного крашения некоторые 2-ацил- и 2-аройлпроизводные 1-нафтола. Сочетанием этих производных с диазотированными 4-хлор-2-аминоанизолом, *m*-хлоранилином, *o*-хлоранилином и дианилином синтезированы моноазокрасители как таковые, так и на хлопчатобумажной ткани. Определена субстантивность ацилпроизводных 1-нафтола к хлопковому волокну по методу «поглощения УФ-света». Введение в 1-нафтол кетогруппы оказывает существенное влияние на оттенок, прочность и субстантивность получаемых из них моноазокрасителей. Лишь некоторые орто-изомеры ацилпроизводных 1-нафтола обладают повышенной субстантивностью сравнительно с *n*-изомерами, с увеличением мол. веса субстантивность не увеличивается и, вопреки теории Schirm (Chem. Abstr., 1936, 30, 2009), циннамоилпроизводные 1-нафтола оказались высоко субстантивными. 10 г 1-нафтола (I) постепенно прибавляют в течение 1 часа к смеси 11 г коричной к-ты и 10 г безводн. $ZnCl_2$ (II), нагревают при 135—140° 2 часа и выливают в 500 мл разб. HCl при 0°, отделенный продукт обра-

батывают горячей водой и р-ром $NaHCO_3$, растворяют в р-ре щелочи, выделяют подкислением и извлечением гексаном 2-циннамоил-1-нафтол, выход 18%, т. пл. 125—126° (из сп.). Аналогично из 10 г I, 11 г *n*-анисо-вой к-ты и 10 г II (3 часа при 140—145°) получают 2-(4'-анизоил)-1-нафтол, выход 10%, т. пл. 128—129° (из сп.). Смесь 13 г хлористого циннамоила и 15 мл $C_6H_5NO_2$ при 0—5° при размешивании приливают в течение 1 часа к смеси 10 г I, 10 г II и 50 мл $C_6H_5NO_2$, через 48 час. выделяют продукт р-ции и очищают растворением в разб. р-ре щелочи и осаждением путем подкисления 4-циннамоил-1-нафтол, выход 31,5%, т. пл. 191° (из ацетона + вода, 2:1); образования орто-изомера не наблюдается. Аналогично из 12 г хлористого *n*-анизоила и 10 г I получают 4-(4'-анизоил)-1-нафтол, выход 48%, т. пл. 178° (из ацетона + вода, 2:1); а из 12 г хлористого *o*-метоксibenзоила и 10 г I — 4-(2'-метоксibenзоил)-1-нафтол, выход 59%, т. пл. 183—184° (из ацетона + вода, 2:1). 20 г хлористого бензоила при 0° приливают к смеси 20 г I, 20 г II и 100 мл $C_6H_5NO_2$, через 48 час. при 25° выделяют продукт р-ции, очищают переосаждением из 5%-ного р-ра щелочи и извлекают петр. эфиром 2-бензоил-1-нафтол, выход 2%, т. пл. 76—77° (из сп.); в остатке остается 4-бензоил-1-нафтол, выход 25%, т. пл. 165° (из сп.). 0,8 г 4-хлор-2-аминоанизола замешивают в пасту с 2 мл горячей воды, приливают смесь 8,4 мл воды и 1,6 мл конц. HCl, охлаждают до 10—15° и диазотируют р-ром 0,5 г $NaNO_2$ в 4 мл воды, после чего размешивают 30 мин. при 12°. Из диазосмеси удаляют избыток минер. к-ты прибавлением р-ра 0,8 г кристаллич. Na-ацетата в 5 мл воды и при охлаждении сочетают с р-ром 1 г 4-ацетил-1-нафтола в 50 мл 2%-ного р-ра NaOH, получают 2-(2'-метокси-5'-хлорбензолазо)-4-ацетил-1-нафтол, выход 90%, т. пл. 254° (из CH_3COOH), окрашивает хлопок в красновато-коричневый цвет, светопрочность 6—7. Аналогично получены следующие красители (указаны наименование красителя, выход в %, т. пл. в °C, р-ритель для кристаллизации, цвет выкраски на хлопке и светопрочность): 4-(2'-метокси-5'-хлорбензолазо)-2-ацетил-1-нафтол, 63, 202, CH_3COOH , желтовато-коричневый, 1; 4-(3'-хлорбензолазо)-2-ацетил-1-нафтол, 80, 146, спирт, оливковый, 4—5; 4-(2'-хлорбензолазо)-2-ацетил-1-нафтол, 73, 172, CH_3COOH , светло-оливковый, 4—5; дифенил-бис-[(4'-азо-4)-2-ацетил-1-нафтол], 60, > 340, $C_6H_5NO_2$, желтовато-коричневый, 2; 4-(2'-метокси-5'-хлорбензолазо)-2-пропионил-1-нафтол, 65, 190, CH_3COOH , светло-коричневый, 1; 4-(3'-хлорбензолазо)-2-пропионил-1-нафтол, 78, 132, спирт, оливковый, 4—5; 4-(2'-хлорбензолазо)-2-пропионил-1-нафтол, 78, 151, CH_3COOH , светло-оливковый, 3—4; дифенил-бис-[(4'-азо-4)-2-пропионил-1-нафтол], 65, > 340, $C_6H_5NO_2$, светло-коричневый, 1; 4-(2'-метокси-5'-хлорбензолазо)-2-бутирил-1-нафтол, 67, 182, CH_3COOH , светло-коричневый, 1; 4-(3'-хлорбензолазо)-2-бутирил-1-нафтол, 77, 174, CH_3COOH , оливковый, 6—7; 4-(2'-хлорбензолазо)-2-бутирил-1-нафтол, 78, 120, CH_3COOH , светло-оливковый, 4—5; дифенил-бис-[(4'-азо-4)-2-бутирил-1-нафтол], 69, 248, $C_6H_5NO_2$, светло-коричневый, 1; 4-(2'-метокси-5'-хлорбензолазо)-2-циннамоил-1-нафтол, 61, т. разл. 175, CH_3COOH , ярко-алый, 1; 4-(3'-хлорбензолазо)-2-циннамоил-1-нафтол, 87, т. разл. 200, спирт, ярко-алый, 1; 4-(2'-хлорбензолазо)-2-циннамоил-1-нафтол, 79, 198, CH_3COOH , ярко-желтый, 1; дифенил-бис-[(4'-азо-4)-2-циннамоил-1-нафтол], 88, 223, CH_3COOH , красновато-коричневый, 1; 4-(2'-метокси-5'-хлорбензолазо)-2-бензоил-1-нафтол, 68, 244, CH_3COOH , желтый, 4—5; 4-(3'-хлорбензолазо)-2-бензоил-1-нафтол, 90, 172, CH_3COOH , оливковый, 6—7; 4-(2'-хлорбензолазо)-2-бензоил-1-нафтол, 82, 191, спирт, оливковый, 6—7; дифенил-бис-[(4'-азо-4)-2-бензоил-1-нафтол], 88, 245, CH_3COOH , светло-коричневый, 2.

4-(2'-метокси-5'-хлорбензолазо)-2-(*n*-анизоил)-1-нафтол, 82, 219, CH_3COOH , желтый, 4—5; 4-(3'-хлорбензолазо)-2-(*n*-анизоил)-1-нафтол, 90, 117, спирт, оливковый, 6—7; 4-(2'-хлорбензолазо)-2-(*n*-анизоил)-1-нафтол, 85, 200, спирт, желтый, 4—5; дифенил-бис-[(4'-азо-4)-2-(*n*-анизоил)-1-нафтол], 92, 251, CH_3COOH , желтовато-коричневый, 2; 2-(2'-метокси-5'-хлорбензолазо)-4-ацетилнафтол, 90, 254, CH_3COOH , красно-коричневый, 6—7; 2-(3'-хлорбензолазо)-4-ацетил-1-нафтол, 66, 177, спирт, коричневый, 4—5; 2-(2'-хлорбензолазо)-4-ацетил-1-нафтол, 67, 200, CH_3COOH , красный, 6—7; дифенил-бис-[(4'-азо-2)-4-ацетил-1-нафтол], 75, > 340, CH_3COOH , синевато-фиолетовый, 4—5; 2-(2'-метокси-5'-хлорбензолазо)-4-пропионил-1-нафтол, 82, 228, CH_3COOH , интенсивно-красный, 7—8; 2-(3'-хлорбензолазо)-4-пропионил-1-нафтол, 71, 160, спирт, красновато-коричневый, 3; 2-(2'-хлорбензолазо)-4-пропионил-1-нафтол, 68, 197, спирт, коричневый, 4—5; дифенил-бис-[(4'-азо-2)-4-пропионил-1-нафтол], 79, > 340, CH_3COOH , фиолетовый, 3—4; 2-(2'-метокси-5'-хлорбензолазо)-4-бутирил-1-нафтол, 82, 211, CH_3COOH , интенсивно-красный, 6—7; 2-(3'-хлорбензолазо)-4-бутирил-1-нафтол, 74, 144, спирт, красный, 4—5; 2-(2'-хлорбензолазо)-4-бутирил-1-нафтол, 66, 170, CH_3COOH , алый, 4—5; дифенил-бис-[(4'-азо-2)-4-бутирил-1-нафтол], 72, 270, $\text{C}_6\text{H}_5\text{NO}_2$, фиолетовый, 3—4; 2-(2'-метокси-5'-хлорбензолазо)-4-циннамоил-1-нафтол, 79, 258, CH_3COOH , интенсивно-красный, 6—7; 2-(3'-хлорбензолазо)-4-циннамоил-1-нафтол, 71, 172, спирт, интенсивно-алый, 4—5; 2-(2'-хлорбензолазо)-4-циннамоил-1-нафтол, 63, 225, CH_3COOH , красный, 6—7; дифенил-бис-[(4'-азо-2)-4-циннамоил-1-нафтол], 67, 260, $\text{C}_6\text{H}_5\text{NO}_2$, синевато-фиолетовый, 4—5; 2-(2'-метокси-5'-хлорбензолазо)-4-бензоил-1-нафтол, 74, 260, CH_3COOH , красный, 7; 2-(3'-хлорбензолазо)-4-бензоил-1-нафтол, 69, 226, CH_3COOH , алый, 4—5; 2-(2'-хлорбензолазо)-4-бензоил-1-нафтол, 70, 221, CH_3COOH , ярко-алый, 4—5; дифенил-бис-[(4'-азо-2)-4-бензоил-1-нафтол], 70, > 300, $\text{C}_6\text{H}_5\text{NO}_2$, синевато-фиолетовый, 4—5; 2-(2'-метокси-5'-хлорбензолазо)-4-(*n*-анизоил)-1-нафтол, 68, 238, CH_3COOH , красный, 6—7; 2-(3'-хлорбензолазо)-4-(*n*-анизоил)-1-нафтол, 73, 215, CH_3COOH , алый, 4—5; 2-(2'-хлорбензолазо)-4-(*n*-анизоил)-1-нафтол, 67, 211, CH_3COOH , алый, 4—5; дифенил-бис-[(4'-азо-2)-4-(*n*-анизоил)-1-нафтол], 78, 302, $\text{C}_6\text{H}_5\text{NO}_2$, фиолетовый, 3—4; 2-(2'-метокси-5'-хлорбензолазо)-4-(*o*-метоксибензоил)-1-нафтол, 74, 258, спирт, интенсивно-красный, 6—7; 2-(3'-хлорбензолазо)-4-(*o*-метоксибензоил)-1-нафтол, 82, 212, CH_3COOH , ярко-алый, 6—7; 2-(2'-хлорбензолазо)-4-(*o*-метоксибензоил)-1-нафтол, 66, 239, CH_3COOH , алый, 6—7; дифенил-бис-[(4'-азо-2)-4-(*o*-метоксибензоил)-1-нафтол], 68, 297, CH_3COOH , фиолетовый, 3—4.

XIX. Испытаны в качестве азосоставляющих 6-ацетил-, 6-пропионил- и 6-бутирил-2-нафтолы, получаемые конденсацией метилового эфира 2-нафтола с хлористыми ацилами в присутствии безводной AlCl_3 в $\text{C}_6\text{H}_5\text{NO}_2$ (сам 2-нафтол не вступает в эту реакцию) и последующим деметилированием 48%-ной HBr в 80%-ной CH_3COOH . Сочетанием их с 4 указанными выше диазотированными ариламины получены азокрасители и исследованы, аналогично указанному в части XVIII. При сочетании 1-циннамоил-, 1-бензоил- и 1-(*n*-анизоил)-2-нафтолов также происходит образование азокрасителей с одновременным вытеснением ароматической группы из положения 1. Смесь 5 г 6-ацетил-2-метоксинафталина, 35 мл 70%-ной CH_3COOH и 15 мл 48%-ной HBr кипятят 4 часа, выливают в 350 мл воды со льдом, остаток отфильтровывают, извлекают 5%-ным р-ром NaOH и подкислением выделяют 6-ацетил-2-нафтол, выход 50%, т. пл. 173—174°. 11 г безводной AlCl_3 в течение 2 час. при 0° прибавляют при размешивании к смеси 5 г 2-метоксинафталина и

4,5 г хлористого бензоила в 25 мл $\text{C}_6\text{H}_5\text{NO}_2$, т-ру медленно повышают до 27° и выдерживают еще 24 часа, смесь выливают на воду со льдом и отгоняют $\text{C}_6\text{H}_5\text{NO}_2$. После промывки горячей водой и р-ром NaHCO_3 смолистый осадок извлекают 5%-ным р-ром NaOH и выделяют подкислением 1-бензоил-2-нафтол, выход 76%, т. пл. 144—145° (из сп.); кристаллизацией нерастворимого в 5%-ном р-ре NaOH остатка из петр. эфира выделяют 1-бензоил-2-метоксинафталин, выход 10%, т. пл. 121—122°. Аналогично получают 1-анизоил-2-нафтол (выход 23%, т. пл. 116°) и 1-анизоил-2-метоксинафталин (выход 29%, т. пл. 160—161°), а также 1-циннамоил-2-нафтол (выход 5%, т. пл. 116°) и 1-циннамоил-2-метоксинафталин (выход 18%, т. пл. 142°). Аналогично указанному выше получены следующие азокрасители: 1-(2'-метокси-5'-хлорбензолазо)-6-ацетил-2-нафтол, 73, 271, CH_3COOH , красный, 6—7; 1-(3'-хлорбензолазо)-6-ацетил-2-нафтол, 67, 209, CH_3COOH , оранжевый, 4—5; 1-(2'-хлорбензолазо)-6-ацетил-2-нафтол, 66, 192, CH_3COOH , алый, 3; дифенил-бис-[(4'-азо-1)-6-ацетил-2-нафтол], 69, > 340, CH_3COOH , фиолетовый, 3—4; 1-(2'-метокси-5'-хлорбензолазо)-6-пропионил-2-нафтол, 71, 238, CH_3COOH , желтовато-красный, 4—5; 1-(3'-хлорбензолазо)-6-пропионил-2-нафтол, 72, 194, спирт, оранжевый, 4—5; 1-(2'-хлорбензолазо)-6-пропионил-2-нафтол, 65, 171, CH_3COOH , алый, 3; дифенил-бис-[(4'-азо-1)-6-пропионил-2-нафтол], 83, > 340, CH_3COOH , фиолетовый, 3—4; 1-(2'-метокси-5'-хлорбензолазо)-6-бутирил-2-нафтол, 74, 217, CH_3COOH , ярко-красный, 4—5; 1-(3'-хлорбензолазо)-6-бутирил-2-нафтол, 74, 162, спирт, оранжевый, 3; 1-(2'-хлорбензолазо)-6-бутирил-2-нафтол, 66, 146—147, спирт, алый, 4—5; дифенил-бис-[(4'-азо-1)-6-бутирил-2-нафтол], 63, > 340, $\text{C}_6\text{H}_5\text{NO}_2$, фиолетовый, 3—4.

XX. Испытаны анилид, *n*-толуидид, *a*-нафтиламид, *β*-нафтиламид и бензидид к-ты Шеффера в качестве азосоставляющих для холодного крашения; эти арилсульфамиды получены по ранее известному методу (Pollak u. Blumenstock, Monatsh. Chemie, 1928, 49, 203). Субстантивность их значительно ниже субстантивности ацилпроизводных 1-нафтола, описанных в части XVIII. Из этих арилсульфамидов, аналогично указанному выше, получены следующие красители (указаны ариламид, выход в %, т. пл. в °C, р-ритель для кристаллизации, цвет выкраски на хлопке и светопрочность: а) производные 1-(2'-метокси-5'-хлорбензолазо)-2-нафтол-6-сульфокислоты: анилид, 72, 276, CH_3COOH , алый, 4—5; *n*-толуидид, 70, 273, CH_3COOH , алый, 4—5; 2-нафтиламид, 86, 257, CH_3COOH , ярко-красный, 3—4; 1-нафтиламид, 86, 236, CH_3COOH , ярко-красный, 2—3; бензидид, 71, > 340, $\text{C}_6\text{H}_5\text{NO}_2$, красновато-коричневый, 2—3; б) производные 1-(3'-хлорбензолазо)-2-нафтол-6-сульфокислоты: анилид, 77, 236, спирт, ярко-оранжевый, 3—4; *n*-толуидид, 69, 259, CH_3COOH , ярко-оранжевый, 3—4; 2-нафтиламид, 74, 200, CH_3COOH , оранжевый, 3; 1-нафтиламид, 74, т. разл. 188, CCl_4 , оранжевый, 2—3; бензидид, 69, > 340, $\text{C}_6\text{H}_5\text{NO}_2$, желтовато-коричневый, 2—3; в) производные 1-(2'-хлорбензолазо)-2-нафтол-6-сульфокислоты: анилид, 76, 258, CH_3COOH , оранжевый, 4—5; *n*-толуидид, 66, 280, CH_3COOH , оранжевый, 4—5; 2-нафтиламид, 77, 252, CH_3COOH , оранжевый, 2—3; 1-нафтиламид, 85, т. разл. 150, CCl_4 , оранжевый, 2—3; бензидид, 72, > 340, $\text{C}_6\text{H}_5\text{NO}_2$, красновато-коричневый, 2—3; г) производные дифенил-бис-[(4'-азо-1)-2-нафтол-6-сульфокислоты]: анилид, 72, > 330, $\text{C}_6\text{H}_5\text{NO}_2$, фиолетовый, 2—3; *n*-толуидид, 81, 314, $\text{C}_6\text{H}_5\text{NO}_2$, фиолетовый, 2—3; 2-нафтиламид, 70, 310, $\text{C}_6\text{H}_5\text{NO}_2$, фиолетовый, 2—3; 1-нафтиламид, 87, 305, $\text{C}_6\text{H}_5\text{NO}_2$, фиолетовый, 3; бензидид, 78, > 340, $\text{C}_6\text{H}_5\text{NO}_2$, фиолетовый, 3. Часть XVII см. J. Scient. and Industr. Res., 1952, 11B, 290—291. В. Уфимцев

71728. Хроматография на бумаге кислотных трифенилметановых красителей. Добаш (Papiřová chromatografie kyselých trifenylmethanových barviv. Dobáš Jaroslav), Chem. listy, 1957, 51, № 6, 1202—1203 (чешск.); Collect. czechosl. chem. commun., 1958, 23, № 1, 146—148 (нем.; рез. русск.)

Кислотные трифенилметановые красители (Na-соли сульфокислот) качественно разделяют нисходящей хроматографией на бумаге (ватман № 4) в двухфазной системе бутанол—пиридин—вода (3:1:3). Бумагу перед хроматографией подвергают в течение 10—15 час. действию паров воды. фазы или воды. Значения R_f в атмосфере паров воды. фазы (паров воды): кислотный бриллиантовый зеленый 6 В 0,36 (0,57), хлорный зеленый 0,49 (0,64), кислотный фиолетовый 5ВН 0,37 (0,59), кислотный фиолетовый 5В 0,51 (0,65), кислотный синий V 0,24 (0,49), кислотный синий А 0,54 (0,68), яркий зеленый SF 0,04 (0,14), кислотный фиолетовый 6В 0,29 (0,34), бриллиантовый индианин 6В 0,76 (0,76), кислотный прочный фиолетовый ARR 0,91 (0,89). V. Holeyšovský

71729. Прямые и сернистые красители. Беренштейнер (Substantive and sulphur dyestuffs. Berensthecher O.), Chem. Age India, 1958, 9, № 1, 97—100 (англ.)

Популярный обзор.

В. Уфимцев

71730. Изучение путей использования 1,4-нафтохинона (II). Хлорирование 1,4-диалкоксинафталина, 2-нитро-1,4-диалкоксинафталина и получение из них азоаминов для холодного крашения. Иноуэ, Накано, Куроки, Конниси (Inoue Akira, Nakano Kazuhide, Kuroki Nobuhiko, Konishi Kenzo); Юки госэй кагаку кёкайси, J. Soc. Organ. Synth. Chem., Japan, 1956, 14, № 10, 622—625 (японск.)

При хлорировании 1,4-диалкоксинафталина (I) газообразным хлором при $t_{\text{ре}} \sim 50^\circ$ в присутствии йода, наряду с p -цией хлорирования, происходит удаление алкила с образованием хлорпроизводных 1,4-нафтохинона (II); это было доказано идентичностью выделенных продуктов с 2,3-дихлор-1,4-нафтохиноном (III), полученным хлорированием II. Однако, при хлорировании I рассчитанным кол-вом SO_2Cl_2 можно получить как монохлор-, так и дихлорпроизводные I. В полученном таким путем 2,3-дихлор-1,4-диметоксинафталине (IV) присутствие хлора в 2,3-положении было доказано синтезом IV из III путем восстановления в соответствующий гидрохинон и дальнейшим диазотированием. При попытках нитрования дихлорпроизводных I смесью конц. H_2SO_4 и HNO_3 происходит p -ция окисления и удаления алкила с колич. образованием III. Монохлорпроизводные I были получены с высоким выходом из 2-нитро-1,4-диалкоксинафталина действием SO_2Cl_2 . Полученные монохлорнитропроизводные были восстановлены в соответствующие амины; при этом было показано, что 2-амино-3-хлор-1,4-диметоксинафталин (V) p -цией Зандмейера превращается в IV. Диазотированием аминоксинафталинов I и сочетанием с нафтолом AS, нафтолом AS—BG и 1,4-диалкокси-2-нафтиламидами 2-окси-3-нафтойной к-ты получали на ткани красители темно-красных и фиолетово-красных оттенков. В p -ру 9,4 г 1,4-диметоксинафталина (VI) в 50 мл лед. CH_3COOH добавляют 0,2 г I_2 и пропускают при перемешивании ток сухого хлора (~ 30 мин.), реакционный p -р охлаждают, выделившиеся кристаллы промывают водой, получают 7 г III, выход 61,6%, т. пл. $193—194^\circ$. К p -ру 9,4 г VI в 90 мл CHCl_3 прибавляют 7,5 г SO_2Cl_2 при перемешивании и охлаждении, продолжают p -цию в течение ~ 3 час., оставляют на ночь при $t_{\text{ре}} \sim 20^\circ$, затем промывают p -ром Na_2CO_3 , сушат и выделяют p -р 10 г

неочищ. 2-хлор-1,4-диметоксинафталина, выход 90,1%, после перекристаллизации получают 8,5 г, выход 76,5%, т. пл. $81—82^\circ$. В аналогичных условиях взаимодействием 9,4 г VI в 90 мл CHCl_3 с 15 г SO_2Cl_2 получают 11,7 г неочищ. IV, выход 91,2%, кристаллизуют из метанола, получают 10 г IV, выход 77,9%, т. пл. $107—108^\circ$. При p -ции 8,6 г 1,4-диэтоксинафталина в 80 мл CHCl_3 с 11,9 г SO_2Cl_2 получают 9,4 г 2,3-дихлор-1,4-диэтоксинафталина (VII), выход перекристаллизованного продукта 82,5%, т. пл. $103—104^\circ$. Растворяют 5,1 г IV в 30 мл конц. H_2SO_4 , прибавляют 1,6 г HNO_3 ($d = 1,5$) при перемешивании и охлаждении; через 1 час выливают на лед, осадок кристаллизуют последовательно из бензола и лед. CH_3COOH , получают 4,4 г III, выход 88,3%, т. пл. $193—194^\circ$. При действии 0,8 г HNO_3 на p -р 2,9 г VII в 30 мл конц. H_2SO_4 получают 1,8 г очищ. III, выход 79,3%. 11,7 г 2-нитро-1,4-диметоксинафталина в 50 мл CHCl_3 хлорируют добавлением 7,4 г SO_2Cl_2 , получают 10,7 г 2-нитро-3-хлор-1,4-диметоксинафталина (VIII), выход 80%, т. пл. $121—122^\circ$ (из метанола). 13,1 г 2-нитро-1,4-диэтоксинафталина в 60 мл CHCl_3 хлорируют действием 7 г SO_2Cl_2 , получают 11,9 г 2-нитро-3-хлор-1,4-диэтоксинафталина (IX), выход 80,4%, т. пл. $97—98^\circ$. К смеси 6,7 г VIII, 6,8 г железного порошка, 120 мл CH_3OH и 30 мл H_2O прибавляют 2 мл конц. HCl , нагревают при перемешивании ~ 8 час., затем добавляют насыщ. p -р NaOH и CH_3OH до щел. p -ции, горячий p -р фильтруют, осадок промывают горячим CH_3OH ; к маточному p -ру прибавляют воду, получают 4,2 г V, выход 70,1%, т. пл. $101—102^\circ$ (из метанола). Восстанавливают в аналогичных условиях 7,4 г IX, получают 4,4 г 2-амино-3-хлор-1,4-диэтоксинафталина, выход очищ. продукта 66,3%, т. пл. $73—74^\circ$. 2,4 г V растворяют в 30 мл конц. HCl и диазотируют прибавлением p -ра 0,7 г NaNO_2 при 0° ; жидкость фильтруют и добавляют к p -ру CuCl в конц. HCl (CuCl приготавливали из 3,5 г $\text{CuSO}_4 \cdot 5\text{H}_2\text{O}$, 0,9 г NaCl , 0,74 г NaHSO_3 , 0,5 г NaOH и 8 мл H_2O), медленно нагревают до 50° , отфильтровывают осадок и промывают метанолом, получают 1,5 г IV, после трех перекристаллизаций — 0,5 г, выход 19,2%, т. пл. $106—107^\circ$. Сообщение I см. РЖХим, 1958, 12228.

В. Каратаев

71731. Исследование ацилиндозолонов в качестве цветных компонент. Еннен (Een onderzoek over Acyl-indazononen als kleurstofvormen, probleemstelling. Jennen J. J.), Meded. Vlaamse chem. verenig., 1956, 18, № 3, 41—42 (гол.)

Краткий обзор образования красителей с помощью индазолонов и ацилиндозолонов в качестве цветных фотографич. компонент, а также методов синтеза указанных в-в. Библ. 6 назв.

В. Уфимцев

71732. Титрование трифенилметановых красителей в присутствии ксилолсульфоната натрия. Матрка, Сагнер (Titration trifenylmethanových barviv s kyselinou vanadnatou za přítomnosti xylensulfonátu sodného. Matrká Miroslav, Sagner Zdeněk), Chem. průmysl, 1958, 8, № 1, 22—24 (чеш.; рез. русск., англ.)

Применение VSO_4 в качестве реактива и замена спирта в указанном способе на m -ксилолсульфонат натрия ведет к упрощению и усовершенствованию методики определения; способ дает достаточно точные и надежные результаты.

А. Вавилова

71733 П. Азокрасители, способ их получения и применения (Colorants azoiques, leur procédé de préparation et leurs applications) [Sandoz S. A.]. Франц. пат. 1113026, 22.03.56

Азокрасители общей ф-лы (I) (R — H, метил или этил; X — H, галоид, карбоксил или низший алкил или алкилсульфонил; Y — H, галоид или низший алкил;

2 — H или
ответствую

но

фонсульфо

1 пригодн

шерсти (I

локон (на

от красно

дающие

вытравле

4-метилс

кислоты (

ают при

смесь 35

размешив

рушат п

азораств

фокислот

300 ч. вод

1 часа при

ситель, ок

приведен

ведены ан

теля и це

сульфон-3'

сульфокис

7-сульфо

амин-5-сул

фенилсуль

лин-6-сул

4-метилди

жево-крас

3-сульфо

кислота, с

нильсульф

7-сульфо

71734 П.

тм, Ме

sazo-dye

Oester

24.04.56

Дисазок

Н

Н

НО

остаток, с

аэотрупе

сочетание

бюовой

сульфокис

аминозон

8-оксигли

вологна

регентам

хорошими

22,8 ч. фе

ил к-та)

30%-ной

Аммоний

выдают, а

лешем 7

30 ч. 30%

ают с p -

воды, при

швают на

100 ч. NaCl

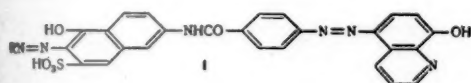
Z — H или низший алкил) получают сочетанием соответствующих диазотированных аминодифенилсуль-



фонсульфокислот с 2-аминонафталинсульфокислотами. I пригодны для крашения из кислой ванны волокон шерсти (ШВ), шелка и N-содержащих синтетич. волокон (напр., полиамидных) в ровные и яркие оттенки от красно-оранжевого до синевато-красного цвета, обладающие очень хорошей светостойкостью и легкой вытравляемостью. К слабощел. р-ру 40,5 ч. 2-амино-4-метилсульфонил-4'-метилдифенилсульфон-3'-сульфокислоты (II) в NaOH в 400 ч. холодной воды прибавляют при размешивании 7,5 ч. NaNO₂, выливают в смесь 35 ч. конц. HCl, 100 ч. воды и 200 ч. льда и размешивают 2 часа при 5—10°, избыток HNO₂ раздувают прибавлением мочевины или NH₂SO₃H. К диазосредству прибавляют р-р 24 ч. 2-нафтиламин-6-сульфокислоты (III) и 45 ч. кристаллич. Na-ацетата в 200 ч. воды (35—40°), сочетание проходит в течение 1 часа при 20—25°, после чего высаливают NaCl краситель, окрашивающий ШВ в синевато-красный цвет; приведен пример крашения ШВ этим красителем. Приведены аналогичные красители (указан состав красителя и цвет окраски ШВ): 2-амино-4,4'-дихлордифенилсульфон-3'-сульфокислота → 2-метиламинонафталин-6-сульфокислота, красный; II → 2-метиламинонафталин-7-сульфокислота, синевато-красный; II → 2-нафтиламин-5-сульфокислота, оранжево-красный; 2-аминодифенилсульфон-3'-сульфокислота → 2-этиламинонафталин-6-сульфокислота, красный; 2-амино-4-карбоксихлордифенилсульфон-3'-сульфокислота → III, оранжево-красный; 2-амино-4,4'-диметилдифенилсульфон-3'-сульфокислота → 2-метиламинонафталин-5-сульфокислота, синевато-красный; 2-амино-4,6'-диметилдифенилсульфон-3'-сульфокислота → 2-этиламинонафталин-7-сульфокислота, синевато-красный. В. Уфимцев

71734 П. 8-оксихинолиновые дисазокрасители. Лихти, Менци, Эстерлейн (8-hydroxyquinoline diazo-dyes). Liechti Hans, Menzi Karl, Osterlehn Fritz [Ciba Ltd]. Пат. США 2743266, 24.04.56

Дисазокрасители общей ф-лы (I) (R — бензольный



остаток, содержащий окситруппу в орто-положении к азотгруппе и группу амида карбоновой к-ты) получают сочетанием диазотированного амида о-аминофенолкарбоновой к-ты с 2-(4'-аминобензоиламино)-5-нафтол-7-сульфокислотой (II), диазотированием полученного аминазосоединения и последующим сочетанием с 8-оксихинолином (III). I окрашивают целлюлозные волокна с последующей обработкой Су-отдающими реагентами с получением окрасок, обладающих очень хорошими прочностями к свету и мокрым обработкам. 2,8 ч. фениламида IV (IV — 2-аминофенол-4-карбоновой к-ты) при 0° диазотируют 6,9 ч. NaNO₂ и 27 ч. 30%-ной HCl и сочетают в содовой среде с 35,8 ч. II. Аминоазосоединение высаливают NaCl, отфильтровывают, а затем размешивают в 400 ч. воды с прибавлением 7 ч. NaNO₂ и охлаждают до 5°, смешивают с 30 ч. 30%-ной HCl и перемешивают ~2 часа, смешивают с р-ром 14,5 ч. III и 12 ч. 30%-ной HCl в 50 ч. воды, прибавляют 50 ч. 30%-ного р-ра NaOH, размешивают несколько часов, нагревают до 65°, прибавляют 100 ч. NaCl и выделяют хорошо фильтрующийся кра-

ситель, окрашивающий волокна природной и регенерированной целлюлозы с одновременной (ОО) или последующей обработкой (ПО) Су-отдающими агентами в красный цвет. Вместо фениламида IV, можно применять 2'-хлорфениламид-IV, нафтил-2'-амид-IV или β-оксиэтиламин-IV. Приведены примеры получения красителей амид IV → II → III (ОО или ПО — желтовато-красный) и N-метил-N-фениламид IV → II → III (ОО или ПО — красный) и крашения хлопковых волокон красителем фениламид IV → II → III, а также получения красителя фениламид IV → II → III сульфированием 51,6 ч. фениламида 2-нитрофенол-4-карбоновой к-ты 100 ч. 24%-ного олеума при 25°, восстановлением полученного продукта Fe-стружкой в присутствии CH₃COOH, диазотированием аминопродукта и последовательным сочетанием с II и III. В. Уфимцев

71735 П. Диоксинитроариланаминоантрахиноны, их получение и применение (Nouvelles dihydroxy-nitro arylaminoanthraquinones, leur préparation et leur emploi) [Ciba (Soc. An.)]. Франц. пат. 1114701, 16.04.56

1,5-диокси-8-нитро-4-оксиалкилариланаминоантрахиноны получают заменой одной нитрогруппы в 1,5-диокси-4,8-динитроантрахиноне (I) на оксиалкилариланаминогруппу р-цией I с оксиалкилариланаминами, не содержащими групп, способствующих растворению в воде. В частности, патентуется применение в качестве оксиалкилов следующих групп: а) CH₂CH₂OH, б) общей ф-лы CHON—C_nH_{2n+1}, где n = 1 или 2, в) содержащих ≤ 3 атомов С и одну оксигруппу, г) у которых сумма атомов С и удвоенного числа оксигрупп ≥ 6, д) содержащих ≥ 4 атомов С и е) содержащих ≥ 2 оксигруппы. Получаемые красители пригодны для крашения в синий цвет различных материалов (напр., в качестве пигментов, для крашения синтетич. волокон) и, в особенности, ацетатного шелка (АШ), окраски обладают хорошей стойкостью к действию обесцвечивающих газов. 25 ч. I и 30 ч. м-аминобензойного спирта (II) нагревают 10 час. при 130—140° в 100 ч. диметилформамида, прибавляют 100 ч. CH₃OH и 100 ч. 30%-ной HCl и отфильтровывают при 20° краситель (III), окрашивающий АШ в синий цвет. 0,5 г III растворяют при 0° в 10 ч. 75%-ной H₂SO₄, выливают на смесь воды со льдом и отфильтровывают пасту III, которую смешивают с 1 ч. сухого сульфитноцеллюлозного щелока. Полученную пасту вносят в красильную ванну, содержащую 9 ч. мыла в 3000 ч. воды, при 40° вносят 100 ч. хорошо смоченного АШ, нагревают до 80° и красят в течение 1 часа при 80—85°. 10 ч. I и 40 ч. п-аминофенилэтилового спирта нагревают 3 часа при 110—140° и размешивают еще 1 час при 140°, прибавляют 100 ч. горячего спирта, отделяют нерастворимый осадок и, вылив фильтрат в разб. HCl, выделяют яркий синий краситель для АШ. 30 ч. I и 120 ч. II нагревают 4 часа при 110°, 2 часа при 140—150°, III осаждают 350 ч. CH₃OH и 120 ч. 36%-ной HCl, фильтруют и промывают немного 50%-ным CH₃OH. В. Уфимцев

ЛЕКАРСТВЕННЫЕ ВЕЩЕСТВА. ВИТАМИНЫ. АНТИБИОТИКИ

Редактор Н. А. Медызовская

71736. Новые лекарственные препараты. Подлевская (Nowe leki. Podlowska Alicja), Farmac. polska, 1956, 12, № 9, 245—246; № 10, 271—272; 1957, 13, № 2, 41—42 (польск.)
71737. Проблемы фармации в Чехословакии. Вацек (Současné problémy naší farmacie. Vacek Jan), Ceskosl. farmac., 1956, 5, № 2, 65—73 (чешск.)
71738. Органический заменитель поваренной соли. Скрамлик, Клоза (Ein Kochsalzersatz auf orga-

nischer Grundlage. Skramlik Emil von, Klosa Josef), Naturwissenschaften, 1957, 44, № 8, 268 (нем.)

Успешное лечение гипертонии, заболеваний сердца и почек связано с обедненным поваренной солью (ПС) питанием, которое вследствие отращения больного к пресной пище нередко приводит к истощению. Основной предпосылкой при создании заменителя ПС является недопущение в сердечно-сосудистую систему ионов щел. и щел.-зем. металлов и Cl, поэтому соль-заменитель должна состоять из безвредного катиона и сжигаемого в CO_2 и H_2O аниона. Применявшиеся до сих пор заменители ПС не отвечают этим требованиям. Авторы нашли, что диаммониевые соли дикарбоновых к-т общей ф-лы $\text{COON}(\text{CH}_2)_n\text{COON}$ ($n = 1-8$), называемые ими «биоаллами», отвечают требованиям терапии и практически полностью имитируют вкус ПС при посолке пищи и в приправах. Настоящее сообщение является предварительным, работа продолжается.

Н. Эвергетова

71739. Об антитуберкулезном препарате «Нео-гидразид-РА». Га Чжэнь-шэн, Цзян Вай-фын, Хуансюэ шицзе, 1955, № 12, 568, 569—572 (кит.)

71740. Контрастное вещество при рентгенооскопии. II. Синтез 3-ацетил-амино-2,4,6-трийодбензойной к-ты. Ху Бин-чэн, Бао Кэ (Hu Ping-cheng, Bao Ke), Яосюэ сюэбао, Acta pharmas. sinica, 1955, 3, № 3, 295—301 (кит.; рез. англ.)

Приведено подробное описание синтеза указанного контрастного в-ва видоизмененным методом Уолленфорда. Восстановление м-нитробензойной к-ты осуществляли, применяя для сравнения 5 различных восстановляющих агентов; наиболее высокий выход достигнут с $\text{Sn} + \text{HCl}$. Для йодирования м-аминобензойной к-ты признан удовлетворительным метод Уолленфорда, но ацетилирование проводят на холоду и получают более чистый продукт, чем в упомянутом методе. Синтезированный продукт (Urokon) обладает низкой токсичностью. Сообщение I см. РЖХим, 1957, 13269.

А. Вавилова

71741. Очистка сырого гесперидина. Хендриксон, Кеестерсон (Crude hesperidin purification. Hendrickson R., Kesterson J. W.), Citrus Ind., 1956, 37, № 1, 7—10 (англ.)

Сырой гесперидин (I), полученный экстрагированием щелочью измельченной кожицы апельсинов, содержит 25—42% чистого I. Разработан метод очистки и получения в производственном масштабе препаратов, содержащих 99,5% чистого I. Сырой I в течение 30 мин. тщательно перемешивают с 0,2 н. спирт. р-ром NaOH (50% H_2O , 50% изопропилового сп.), из расчета получения р-ра, содержащего 2—2,4% I. Р-р фильтруют, подкисляют до pH 8,5; через ≥ 48 час. отфильтровывают полученные кристаллы I и перекристаллизовывают из горячей воды (нагревание до кипения с 8—9 объемами воды). Для повышения выхода I, маточные р-ры подщелачивают, добавляют спирт и повторно используют их для следующего извлечения I. Исследовано влияние конц-ии спирта, pH среды и других факторов на выход I. Увеличение конц-ии спирта облегчает последующее фильтрование, но понижает растворимость I и уменьшает его выход. I наивысшей чистоты получают повторной перекристаллизацией из диметилформамида.

Т. Сабурова

71742. Разработка экономичного способа производства концентрата витамина А из жира печени рыб. VII. Этерификация концентрата витамина А. 2. Ацетилирование кетеном. Хигаси, Кинумаки (Higashi Hideo, Kinumaki Toyosuke), Нихон суйсан гаккайси, Bull. Japan. Soc. Scient. Fish., 1956, 22, № 8, 500—503 (японск.; рез. англ.)

Ряд образцов концентратов витамина А (I) был под-

вергнут обработке кетеном (II) для получения ацетата I. Приведена схема и описание генератора II, в котором пары ацетона подвергают крекированию с сопряженным с накаливанием электропроводом (приведены кривые зависимости силы тока от времени, необходимого для получения 0,1 моля II, и скорости ацетилирования от кол-ва пропущенного II). Образуется вместе с CH_4 и CO II пропускают через р-р концентрата I в C_6H_6 . При 20° II легко реагирует с образованием ацетата I в отсутствие катализаторов, причем на одну OH-группу I расходуется 1 моль II при незначительных потерях I вследствие разложения. Предложенный метод значительно проще и экономичнее ацетилирования I хлористым ацетилдом в пиридине. Часть V см. РЖХим, 1957, 49261.

Н. Эвергетова

71743. Получение концентратов витамина С из плодов облепихи. Гульчинская, Пазола, Преминский, Сверчинский (Otrzymywanie koncentratów witaminy C z owoców rokitnika, Gulczyńska Jadwiga, Pazoła Zdzisław, Promiński Władysław, Swierczyński Antoni), Prace inst. i lab. badawcz. przem. roln. i spożywc., 1956, 6, № 3, 40—54 (польск.; рез. русск., англ.)

В лаборатории получены концентраты витамина С в виде густого сусла с содержанием 1820 мг % аскорбиновой к-ты (I) и концентрата с сахаром, содержащего 289,9 мг % I. Высушивание сусла распылением не дало удовлетворительных результатов. Потери I в процессе сгущения сусла до содержания 50% сухого в-ва $\leq 10\%$. При хранении концентратов в холодильнике потери I в концентратах, содержащих сахар, через 6 месяцев составляют 29,8%, в не содержащих сахара 17,5% через 4 месяца хранения. Концентраты представляют собой густую, темно-коричневую, сильно кислую на вкус жидкость с приятным запахом. Предложено произ-во концентрата витамина С из облепихи (без сахара), содержащего 70—75% сухих в-в, в качестве заменителя лимонного сока, и смешанных концентратов из плодов пиповника, черной смородины и облепихи, причем кол-во последней не должно превышать 10—15%.

Ю. Вендельштейн

71744. Устойчивость каротиновых концентратов, приготовленных из Alfalfa. Шэнь Чжи-пин, Ли Лин-фэн (Shen Chin-ping, Liu Ling-fen), Инъян сюэбао, Acta nutrimenta sinica, 1956, 1, № 2, 175—176 (кит.)

71745. Фракционирование частично гидролизованного декстрана. Зиф, Браннер, Мецендорф (Fractionation of partially hydrolyzed dextran. Zief Morris, Brunner George, Metzendorf Joseph), Industr. and Engng. Chem., 1956, 48, № 1, 119—121 (англ.)

Разделение частично гидролизованного декстрана на фракции с различным мол. весом, пригодные для клинич. целей, для приготовления из них гидро- и сульфодекстранов, осуществляли упрощенным способом при помощи р-рителей. Отбор и определение отдельных фракций проводился по их уд. весу. Удачное применение метода в промышленном масштабе позволяет рассчитывать на его успешное применение для фракционирования и других полимеров декстрана. Описана методика гидролиза и фракционирования, а результаты эксперим. исследований показаны в таблицах и графиках.

Н. Бакалов

71746. О применении кукурузных замочных вод в производстве антибиотиков. Гречану (Cornsteepwater, materie primă indigenă pentru producția de antibiotice. Greceanu I.), Farmacia (Român), 1956, 4, № 2, 117—124 (рум.)

71747. Таблетки пенициллина-калия с активностью 50 000 единиц. Пясковский, Македонская

(Penicilina potasowa w tabletkach do ssania o mocy 50000 j.m. Piaskowski St., Makedońska R.), Farmas. polska, 1956, 12, № 12, 319—320 (польск.)

71748. Очистка стрептомицина и синтетические обменные смолы. Вэй Цзин-синь, Хуасюэ шицзе, 1956, № 5, 235—238 (кит.)

Обзор. Библ. 25 назв. А. В.

71749. Красители для жидких фармацевтических препаратов. Сунье, Саласар (Elección de colorantes como correctivos de formas farmacéuticas líquidas. Sune Jose Maria, Salazar Ramon), Farmas. nueva, 1957, 22, № 245, 257—266 (испан.)

Для окраски фармацевтич. р-ров испытаны 13 красителей, из которых отобраны для применения: желтый А-3 (Na-соль моноазокрасителя 1-нафтиламин-4-сульфокислота → 2-нафтол-3,6-дисульфокислота) и синий А-1 (N,N'-дигидро-1,2,1',2'-антрахиноназин). Смеси этих 3 красителей дают полную гамму окрасок р-ров от лимонно-желтого до фиолетового, синего и зеленого цветов.

В. Уфимцев

71750. Лизол. Богман (Lysol. Boogman Ir. J.), Oliën, vetten en zeep., 1956, 40, № 14, 209—210 (гол.)

Рассмотрены свойства лизола в качестве дезинфицирующего средства. Его преимуществами являются: низкая стоимость, высокая растворимость в мыльных р-рах и сравнительно высокое дезинфицирующее действие. Приведены данные о растворимости изомерных крезолов при 27,5° в 15%-ных р-рах мыл (указаны Na-соли алифатич. к-т и растворимость о-, м- и п-крезолов в мл/100 мл 15%-ного р-ра Na-соли к-ты): Na-валерианат, 40, 0,5, 31; Na-стеарат, 71,4, —, 77,1; Na-олеат, 74, —, 49.

В. Уфимцев

71751. К вопросу приготовления сухого препарата из водянго пера. Гелбахиани П., Саргания Н., Долаберидзе Т., Тр. Тбилисс. мед. ин-т, 1957, 11, 101—104 (груз.; рез. русск.)

Данными исследований установлено, что из водянго пера можно изготовить рациональный сухой препарат в виде таблеток, взамен жидкого, при этом в качестве р-рителя может быть использована вода вместо спирта.

А. Вавилова

71752. Об определении содержания йода в йод-таниновых растворах. Чаплик (Valoración del yodo en el jarabe yodotánico. Chaplick Adolfo), An. Di-tess. nas. quim., 1955, 8, № 15, 23—24 (исп.)

Обзор. Библ. 14 назв. А. Вавилова

71753. Реконденсированный трихлорэтилен. Фостер, Тодд (Trichlorethylene recondensed. Foster Patrick A., Todd Ursula M.), Brit. J. Anaesthesia, 1956, 28, № 11, 507—511 (англ.)

Предложено изменение в аппарате Бойля (для анестезии): перемещением испарителя эфира на первое место, а испарителя трихлорэтилена на второе (по ходу газа) предотвращается образование насыщ. пара трихлорэтилена.

Ю. Вендельштейн

71754. Качественное определение аналгина в лекарственных формах. Колчев (За качественното определяне на аналгина в лекарствените форми. Колчев Л.), Фармация (Бълг.), 1957, 7, № 2, 40—42 (болг.)

Определение состоит в следующем: 3—5 капель разб. H₂SO₄ (1:5) помещают на часовое стекло, осторожно нагревают и прибавляют 1 каплю р-ра фуксин-сернистой к-ты (реактив Шиффа) и 1 каплю испытуемого р-ра. Появление фиолетово-черного окрашивания указывает присутствие аналгина (открываемый минимум 250 γ). Р-ция протекает быстро, весьма характерна и специфична и может выполняться в условиях аптеки.

А. Вавилова

71755. Поведение барбитуратов при определении ди-этил-п-нитрофенилтиофосфата методом Аверелла-

Норриса. Паулус, Маллах (Das Verfahren der Barbiturate beim Nachweis des Diaethyl-p-nitrophenylthiophosphates nach Averell und Norris. Paulus W., Mallich H. J.), Arzneimittel — Forsch., 1957, 7, № 1, 72—74 (нем.; рез. англ.)

Большинство исследованных барбитуратов [веронал (I), люминал (II), проминал, эвипан (III), медомин, аллионал (IV), ноктал и инактив] в дозе 90—145 и 180—200 мг дают положительную цветную р-цию по Авереллу-Норрису; окрашивания не дают фанодорм и тиогенал. Спектрофотометрич. анализ цветного эффекта не позволяет с достоверностью отличать барбитураты от диэтил-п-нитрофенилтиофосфата (V). Перегонка с водяным паром также не является надежным методом отделения V от барбитуратов. Последние (особенно I—IV) обладают значительной летучестью с водяным паром в нейтр. условиях. В кислой и щел. среде летучесть барбитуратов с водяным паром очень мала, но все же достаточна для качеств. их открытия в дистилляте цветной р-цией по Циккеру. А. Травин

71756. Растворимость смесей сульфамидов в растворах NaOH. Хольц, Гарсия-Ондандия, Хольц (La solubilidad de mezclas sulfonamidicas en soluciones de NaOH. Holz Elly, Garcia Onandia Alberto, Holz Sieghert), Acta cient. venezolana, 1955, 6, № 2, 68—73 (исп.)

71757. Изучение влияния липоидов на количество перекисей, образующихся в присутствии ZnO при облучении светом. Блубо, Гат (A general study of the effects of lipids upon the quantity of peroxides produced by photosensitized zinc oxide. Blubaugh Frederick Claire, Guth Earl P.), J. Amer. Pharm. Assoc. Scient. Ed., 1956, 45, № 10, 696—699 (англ.)

Исследовано влияние липоидов на образование перекисей при облучении УФ-светом примочек, содержащих ZnO. Облучение проводили 30 мин. на расстоянии 35 см от кварцевой лампы. Изучено образование перекисей в самом масле, в смесях масла с Ca(OH)₂, масла с ZnO, масла, ZnO и Ca(OH)₂, а также в масле и указанных смесях в присутствии формиата Na (в качестве стабилизатора H₂O₂). Перекиси определялись йодометрически (в присутствии молибдата NH₄). В качестве липоидов исследованы чистейшее оливковое масло (девственное), смесь разных сортов последнего, миндальное, персиковое, касторовое, хлопковое, сезамовое, льняное масла, свиное сало, жир печени трески и петролатум, в которых определены йодное число (ИЧ), кислотное число (КЧ) и число омыления (ЧО). Состав примочки: 160 г ZnO, 500 мл масла и известковой воды до 1000 мл; 5 г пробы разбавляли 100 мл воды или 100 мл 0,2 М р-ра формиата Na. В случае облучения отдельных ингредиентов примочки применяли кол-ва их, соответствующие их содержанию в примочке. Результаты исследования (приведены 2 таблицы) показали отсутствие определенной зависимости кол-ва образующейся перекиси (варьирует в широких пределах для разных масел) от ИЧ, КЧ и ЧО данного масла. В присутствии льняного, хлопкового масел и свиного сала образуется относительно небольшое кол-во перекисей (90—175 γ) (в отсутствие формиата Na), в присутствии смесей оливкового масла вдвое больше, чем в присутствии чистого. В присутствии миндального масла образуется 384 γ H₂O₂, а сезамового 555 γ H₂O₂. Особенно большое кол-во H₂O₂ (691 γ) образуется в присутствии петролатума. Полученные данные позволяют выбрать нужное масло в зависимости от терапевтич. требований, предъявляемых к примочке.

Ю. Вендельштейн

71758. Исследование смолы разных образцов индийской конопли. Замечания по поводу ее фармакопейного определения. Жирар, Ренье (Recherche de

la résine dans divers échantillons de chanvre indien. Critique de sa définition légale. Girard R., Reynier M.), Bull. Soc. pharmacie Bordeaux, 1956, 95, № 4, 181—184 (франц.)

Показано, что смола, извлеченная петр. эфиром из обыкновенной конопли, культивируемой во Франции, дает те же цветные р-ции, что и смола индийской конопли. Это относится также к р-ции с р-ром *п*-диметиламинобензальдегида в H_2SO_4 , предназначенной законом для идентификации индийской конопли. Ввиду того, что последняя р-ция дает к тому же непостоянные результаты, высказано мнение, что фармакопейное определение индийской конопли является неудовлетворительным и нуждается в пересмотре. А. Травин

71759. Разделение оксиметилантрахинонов ревеня электрофорезом на бумаге. Сьесто, Бартоли (Separazione elettroforetica su carta di ossimetilanttrachinoni (OMA) del rabarbaro. Siesto A. J., Bartoli A.), Farmaco. Ed. prat., 1957, 12, № 11, 517—523 (итал.; рез. англ.)

Описан опыт разделения хризофанола (1,8-диоксис-3-метилантрахинон), эмодина (1,6,8-триоксис-3-метилантрахинон) и реина (1,8-диоксис-3-карбоксивантрахинон) ревеня посредством горизонтального электрофореза на бумаге и непрерывного электрофореза. В качестве электролита использовались р-ры бората натрия 0,1 н. (рН 9,38) и 0,05 н. (рН 9,80), а также 0,1 н. р-р NaOH (рН 13,00), напряжение 150 в. В обоих случаях оксиметилантрахиноны двигались к катоду. Скорость передвижения уменьшалась в ряду реин — эмодин — хризофанол, завися от величины заряда ионов и степени диссоциации к-т при определенном рН И. Скурихин

71760. О контрольных методах испытаний галеновых препаратов по Чехословацкой фармакопее 2. Алекса, Гейлек, Садовская (Zkušeniosti s kontrolními metodami galenických přípravků podle CSL 2. Alexa Z., Hejlek J., Sadovská J.), Farmácia (Ceskosl.), 1956, 25, № 9, 279—281 (чешск.)

71761. Объемные методы анализа галеновых препаратов. Селлес, Селлес-Флорес (Algunas aplicaciones de las volumetrias anhidras a la farmacia galenica. Sellés E., Sellés Flores E.), Galenica acta, 1955, 8, № 4, 291—350 (исп.)

Обзор методов. Библ. 19 назв.

71762. О контроле качества лекарственных таблеток. Часть 2. Ямада, Катагири, Дайроккай хинсэцу канри симпозиуму хобунсю, 6th Sympos. Quality Control, 1956, Tokyo, 1956, 162—166 (японск.)

71763. Серийная дозировка жидкостей в аптечной и лабораторной практике. Буковский (Seryjne dozowanie płynów w praktyce aptecznej i laboratoryjnej. Bukowski Stanisław), Farmac. polska, 1956, 12, № 10, 262—265 (польск.)

71764 Д. Исследование стабильности пенициллина и антибиотиков тетрациклинового ряда. Пиняжко И. Р. М. Автореф. дисс. канд. фармацевт. н., Моск. фармацевт. ин-т, Львов, 1958

71765 П. Способ получения основной нерастворимой кальциевой соли *п*-аминосалициловой кислоты. Хаяно Кёдзи, Сикадзуми Фумио, Ока Такадзи [Табэ сэйяку кабусики кайся]. Японск. пат. 4231, 4232, 22.06.55

Пат. 4231. Основную нерастворимую Са-соль (I) *п*-аминосалициловой к-ты (II) ф-лы $[H_2N-C_6H_4-(COO-)_2]Ca \cdot 6H_2O$ получают р-цией Na-соли II в водн. р-ре с I минер. или органич. к-ты при $< 60^\circ$. 211 ч. Na-соли II растворяют в 844 ч. дистил. воды, прибавляют р-р 40 ч. очищ. NaOH в 120 ч. дистил. воды и при перемешивании при 50° приливают р-р 147 ч. $CaCl_2$ в 147 ч. воды, по окончании р-ции охлаждают водой, осадок отфильтровывают, промывают водой и су-

шат в вакууме, получают 235 ч. I, выход 96%. Подкислением маточного фильтрата HCl (к-той) до рН 2—3 выделяют 6 ч. II.

Пат. 4232. I получают р-цией II или растворимой в воде Са-соли II с водн. суспензией $Ca(OH)_2$. К 34 ч. II в ацетоне прибавляют суспензию 16,5 ч. $Ca(OH)_2$, оставляют 16 час. стоять и отфильтровывают, промывают водой и сушат 27 ч. I. К водн. р-ру 34,4 ч. растворимой в воде Са-соли II (полученной из 30,6 ч. II обработкой 7,4 ч. $Ca(OH)_2$ в 500 ч. воды) прибавляют суспензию 7,4 ч. $Ca(OH)_2$ в 500 ч. воды и перемешивают 3 часа при 20° и выделяют осадок 25 ч. I. С. Петрова

71766 П. Способ получения 4-моноалкиламиносалициловых кислот и 4-моноалкилоксиалкиламиносалициловых кислот (Framgangsmåte til å framstille 4-monalkylaminosalicylsyrer og 4-monalkyloksyalkylaminosalicylsyrer) [Rheinpreussen A.-G. für Bergbau und Chemie]. Норв. пат. 85064, 28.02.55

Соединения общей ф-лы 2-OH, 4-RNHC₆H₄COOH, где R — алкил или алкилоксиалкил с 2—5 атомами C в углеводородном остатке, соединенном с атомом N, получают р-цией *м*-аминофенола, содержащего при атоме N соответствующую алкильную или алкилоксиалкильную группу, с CO₂ или в-вом, отщепляющим CO₂ (напр., карбонаты или бикарбонаты щел. металлов) под давлением при нормальной или повышенной т-ре в присутствии воды или другого инертного р-рителя. Вместо замещ. при атоме N аминофенолов можно применять соответствующие феноляты щел. металлов. 45 г N-(*н*-бутил)-*м*-аминофенола (I) прибавляют к р-ру 16 г KOH в 200 мл воды, добавляют 50 г KHC₃, смесь нагревают в медном автоклаве с мешалкой несколько часов при $120-130^\circ$ и давлении CO₂ 30 атм. К продукту р-ции прибавляют воду и экстрагируют этилацетатом для удаления непрореагировавшего I, водн. р-р фильтруют, подкисляют до рН 4 и отфильтровывают 4-*н*-бутил-аминосалициловую к-ту, которую перекристаллизовывают из C₆H₆ и высушивают, т. пл. 134° (разл.). Аналогично получают 4-изопропиламиносалициловую к-ту, т. пл. 120° (разл., из этилацетата). Описано получение 4-β-метоксиэтиламиносалициловой к-ты (т. пл. 143°) из N-β-метоксиэтил-*м*-аминофенола. Получаемые продукты обладают туберкулоstatic. действием, кроме того, они могут применяться в качестве промежуточных в-в для получения препаратов анестетич. и анальгетич. действием. Б. Фабричный

71767 П. Способ получения β-диметиламиноэтилового эфира 5-аминосалициловой кислоты. Фудзиси Т. [Табэ Сэйяку кабусики кайся]. Японск. пат. 6115, 31.08.55

β-диметиламиноэтиловый эфир 5-аминосалициловой к-ты (I) получают конденсацией 5-фенилазосалициловой к-ты (II) с β-диметиламиноэтилхлоридом (III) и последующим восстановлением полученного β-диметиламиноэтилового эфира II (IV) до I. 15 вес. ч. II 11,6 вес. ч. хлоргидрата III и 11,6 вес. ч. безводн. соли при перемешивании кипятят 10 час. в 90 объемн. ч. изопропилового спирта (V), по охлаждении отфильтровывают нерастворимый остаток, из фильтрата отгоняют V, остаток извлекают 10%-ной HCl, р-р подщелачивают содой до щел. р-ции и извлекают C₆H₆, экстракт сушат, упаривают, разбавляют эфиром и пропусканием сухого HCl-газа выделяют 13,4 вес. ч. хлоргидрата IV, иглы, т. пл. $190-192^\circ$ (из сл.). 10 вес. ч. хлоргидрата IV в 70 объемн. ч. CH₃OH восстанавливают в присутствии 0,2 вес. ч. 20%-ного Pd/C до прекращения поглощения H₂, удаляют катализатор и CH₃OH, из остатка водяным паром отгоняют анилин, остаток нейтрализуют поташем, извлекают эфиром, экстракт сушат и прибавлением спирт. HCl выделяют 6,8 вес. ч. хлоргидрата I, иглы, т. пл. $153-155^\circ$ (из сл.). С. Петрова

одис-
Н 2-3оримой
е 34 ч.(ОН)₂
проми-

раство-

обра-

от сус-

ивают

етрова

осали-

осали-

4-мо-

yalkyl-

ergbau

Н, где

и С в

N, по

и ато-

ксилан-

СО₂

алло)

й т-ре

ителя.

о пра-

галлов.

к р-ру

смесь

колько

роду-

ацета-

ди. р-р

ываю

71768 П. Эфиры N-замещенных аминокспиртов и окси-аминобензойных кислот (N-substituted amino-alcohol esters of hydroxyaminobenzoic acids) [Rheinpreussen A.-G. fuer Bergbau und Chemie]. Англ. пат. 722795, 2.02.55

Эфиры оксиминобензойных к-т (I — к-та), исключая диметиламино-, диэтиламино-, дипропиламино- и пиперидиноэтиловые эфиры 2-окси-4-аминобензойной к-ты, получают: а) этерификацией I аминокспиртом в присутствии конц. неорганич. или арилсульфокислот в кол-ве достаточном для предотвращения разложения; б) вместо аминокспиртов применяют галондированный спирт и полученные галондсодержащие эфиры обрабатывают первичными или вторичными аминами; в) р-цией соли I с галондированным амином; г) перэтерификацией алкиловых эфиров оксиминобензойных к-т N-замещенными аминокспиртами. В аминокспиртах остаток спирта имеет общую ф-лу $RN'R''$, где R — насыщ. алифатич. углеводородный радикал, содержащий ≤ 6 атомов C, один из R' и R'' — H, другой — алкил, арил, аларкил или алкаркил, содержащий ≤ 8 атомов C, либо $NR'R''$ — азотсодержащий гетероцикл. В частности, 2-окси-3-аминобензойную к-ту этерифицируют либо β-диэтиламиноэтанолом в присутствии конц. H_2SO_4 , либо этиленхлоргидрином и образовавшийся β-хлорэтиловый эфир нагревают с диметиламино- в бензоле под давлением; 2-окси-5-аминобензойная к-та реагирует с 1-хлор-2-диэтиламино- в присутствии Na и изопропанола. В. Шведов

71769 П. Анестетики (Anaesthetic substance) [Rheinpreussen A.-G. für Bergbau und Chemie, formerly Steinkohlenbergwerk Rheinpreussen]. Англ. пат. 722885, 2.02.55

β-Диметиламиноэтиловый эфир 2-окси-4-аминобензойной к-ты (и его соли с неорганич. к-тами) получают этерификацией 2-окси-4-аминобензойной к-ты (I) β-диэтиламиноэтанолом (II) в присутствии конц. неорганич. к-ты или арилсульфоновой к-ты в кол-ве, достаточном для предотвращения заметного выделения CO_2 , вызванного разложением замещ. бензойной к-ты, или любым из способов этерификации, описанным в пат. 722795 (см. предыдущий геф.). Примеры: а) I этерифицируют с помощью II в присутствии достаточного кол-ва конц. H_2SO_4 ; б) I этерифицируют аналогичным образом этиленхлоргидрином и образовавшийся β-хлорэтиловый эфир вводят в р-цию с диметиламино- в C_6H_6 ; в) безводн. Na-соль I нагревают с 1-хлор-2-диэтиламиноэтаном в изопропиловом спирте; г) метиловый эфир I нагревают с II. Ю. В.

71770 П. Способ получения средств для местной анестезии. Таката Тоёдзэ. Японск. пат. 721, 6.02.56

Диэтиламиноацетоариламиды (I) общей ф-лы $(C_2H_5)_2N-CH_2CO-NH-R$ (R — арил) получают р-цией $NH(C_2H_5)_2$ с эфирами галондихлоруксусных к-т и последующей конденсацией полученного $(C_2H_5)_2N-CH_2COONH$ с галондпроизводными анилина, нафталинами, гидрированными нафталинами или галондпроизводными нафталинами. 20 г $ClCOOC_2H_5$ растворяют в 60 мл эфира, приливают при $\sim 20^\circ$ 25 г $NH(C_2H_5)_2$, оставляют 16 час. стоять, встряхивают с разб. водн. р-ром NaOH, эфирный слой отделяют, сушат Na_2SO_4 и перегонкой выделяют ~ 13 г $(C_2H_5)_2NCOOC_2H_5$ (II), т. кип. 177° . Смесь 10 г II и 11 г n-броманилина нагревают 4 часа при 120° , охлаждают, продукт извлекают разб. HCl, экстракт подщелачивают NaOH, извлекают эфиром, сушат Na_2SO_4 и пропусканием сухого HCl-газа охлаждают и кристаллизуют из смеси спирта с эфиром 14 г хлоргидрата 1-диэтиламиноацетиламино-4-бромбензола, иглы, т. пл. 188° ; основание, т. пл. 63° . 10 г II и 19 г 2,4-дигром-1-нафталина нагревают 4 часа при 120° , по охлаждению подкисляют разб. HCl и отфильтровывают нерастворимые примеси, фильтрат подще-

лачивают NaOH и извлекают эфиром, экстракт сушат Na_2SO_4 , отгоняют эфир и кристаллизацией из петр. эфира выделяют ~ 20 г 1-диэтиламиноацетиламино-2,4-дигромнафталина, иглы, т. пл. 111° ; пикрат, желтые иглы, т. пл. 218° (разл., из CH_3OH). 10 г II и 11 г хлоргидрата α-нафталина нагревают 5 час. при 150° , охлаждают, извлекают разб. HCl, экстракт подщелачивают NaOH и извлекают эфиром, экстракт сушат Na_2SO_4 , пропускают сухой HCl-газ и кристаллизуют из смеси спирта с петр. эфиром 12 г хлоргидрата 1-диэтиламиноацетиламинонафталина, иглы, т. пл. 162° ; основание, масло. Аналогично получают следующие I (указаны арил и т-ры плавления основания и хлоргидрата в $^\circ C$): n- ClC_6H_4 , 45, 173° ; 2,6- $Cl_2C_6H_3$, 47, 177.5° ; 2,6- $Br_2C_6H_3$, 81, 206° ; 2,4,6- $Cl_3C_6H_2$, 57, 219° ; 2,4,6- $Br_3C_6H_2$, 64, 210° ; 2,4- $Br(CH_3)C_6H_3$, масло, 147° ; 2,4- $CH_3(Br)C_6H_3$, сироп, 139° ; 2,4,6- $Br_2(CH_3)C_6H_2$, сироп, 188° ; 2,6,4- $Br_2(CH_3)C_6H_2$, сироп, 189° ; нафтил-2, масло, 224° ; 5,6,7,8-тетрагидронафтил-1, 76, 163° . С. Петрова

71771 П. Способ получения производных лауроил-аминобензола. Тоёсима Сигэси, Симидзу Масанао, Оиси Кумио. [Дайниппон сэйяку кабусики кайся]. Японск. пат. 77, 10.01.56

Производные лауроиламинобензола получают р-цией хлорангидрида лауриновой к-ты (I) с замещ. производными анилина в среде пиридина в качестве р-рителя, связывающего выделяющийся HCl. 13,8 ч. о-нитроанилина вносят 4 ч. безводн. пиридина (II), нагревают до $90-100^\circ$ и при перемешивании приливают по каплям 19,6 ч. I, перемешивают 15 мин. при $\sim 100^\circ$, по охлаждению вносят в смесь 4 ч. конц. HCl и 20 ч. воды, недолго перемешивают, отфильтровывают, промывают водой и спиртом и кристаллизуют из спирта 25 ч. о-нитролауроиланилина, т. пл. $54-55^\circ$. 3 ч. n-хлоранилина вносят в 3 ч. II, нагревают до $60-70^\circ$, приливают при перемешивании 5,15 ч. I, перемешивают 15 мин. при $70-80^\circ$, по охлаждению вносят в смесь 3 ч. конц. HCl и 15 ч. воды и аналогично выделяют 6 ч. n-хлорлауроиланилина, чешуйки, т. пл. $90-91^\circ$ (из сп.). 4 ч. Na-соли n-аминосалициловой к-ты вносят в 8 ч. II, нагревают до $90-100^\circ$, приливают 5 ч. I, перемешивают 15 мин. при $\sim 100^\circ$, фильтруют горячим, фильтрат охлаждают, выливают в смесь 8 ч. конц. HCl и 40 ч. воды, недолго перемешивают, фильтруют и промывают водой, осадок растворяют в разб. водн. NaOH, фильтруют от нерастворимой части, подкислением фильтрата выделяют и кристаллизуют из спирта 6,5 ч. n-лауроиламиноацетиловой к-ты, т. пл. 181° . 4 ч. n-аминофенилуксусной к-ты вносят в 25 ч. II, нагревают до $90-100^\circ$, приливают 5,79 ч. I, перемешивают 15 мин. при $\sim 100^\circ$, выливают в смесь 25 ч. конц. HCl и 125 ч. воды, фильтруют и промывают водой, растворяют в сильно разб. спирте, фильтруют от нерастворимой части и подкислением фильтрата разб. HCl выделяют 7 ч. n-лауроиламинофенилуксусной к-ты, пластинки, т. пл. $156-157^\circ$ (из 70%-ного ацетона). Приведены данные о токсичности производных лауроиламинобензола при испытаниях на мышах. С. Петрова

71772 П. Бис- (дигалондцианвинил) - терефталаты. Блэр (Bis(dihalocyanovinyl)-terephthalates. Blair Etycl H.) [The Dow Chemical Co.]. Пат. США 2734070, 7.02.56

Патентуемые бис- (дигалондцианвинил) - терефталаты общей ф-лы $n-(R)_2C=C(CN)OCOC_6H_4COOC(CN)=C(R)_2$, где R — Cl или Br, в частности бис- (2,2-дихлор-1-цианвинил) - терефталат (I), обладающие бактерицидными и фунгицидными свойствами (в частности, против *Staphylococcus aureus* и *Aspergillus terreus*) получают смешиванием пиридина (II) с бис-тригалондцианвинил-терефталатами при $10-90^\circ$ в инертном р-рителе, напр CCl_4 или C_6H_6 . 5 г II смешивают с 4,5 г бис-2,2,2-трихлор-1-цианвинил-терефталата (т. пл. $163-165^\circ$), рас-

творенного в 100 мл C_6H_6 , нагревают 5 мин. при 50°, разбавляют 100 мл C_6H_6 , промывают водой, выпаривают р-ритель, кристаллич. остаток кристаллизуют из спирта и получают I, т. пл. 199—200°. Аналогично из II и бис-(2,2-дибром-1-цианэтил)-терефталата в C_6H_6 (16 час. при 20°) получают бис-(2,2-дибром-1-цианвинил)-терефталат. Исходные бис-(тригалоидцианэтил)-терефталаты получают смешиванием терефталойлдихлорида с хлоральциангидрином или бромальциангидрином, нагреванием до 100—210°, промыванием реакционной массы водой, разб. воды. р-ром щел. карбоната, фильтрованием, декантацией и выпариванием р-рителя. Ю. Вендельштейн

71773 П. Способ получения 3-аминоинданов. Рихтер, Шенк (Verfahren zur Herstellung von 3-Aminoindanen. Richter Helmer, Schenck Martin) [Schering A.-G.]. Пат. ФРГ 946058, 26.07.56

3-аминоинданы общей ф-лы (I) ($R-H$ или алкил; R' — фенильный остаток; R'' — незамещ., моно- или дзамещ. аминогруппа или дзамещение происходит путем образования циклич. системы) получают превра-



щением кетогруппы соответствующих 3-кетонинданов при обработке восстанавливающими, а затем аминующими средствами в группу $>CHR''$. 3-кетонинданы при обработке восстанавливающими средствами можно превратить в соответствующие инданолы-3, их оксигруппу заместить галоидом и соответствующие 3-галоидинданы обработать NH_3 или аминами, или 3-кетонинданы при обработке NH_3OH превратить в оксимы, а последние катализ. гидрированием восстановить до первичных 3-аминоинданов и, в случае надобности, алкилировать при атоме N. 10 г 1-фенилнандола-3 (т. пл. 92—94°) обрабатывают 6,7 г $SOCl_2$ в безводн. и не содержащем спирта $CHCl_3$ при 50°, отгоняют в вакууме при 50° $CHCl_3$, остаток растворяют в эфире, эфирный слой промывают (р-ром $NaHCO_3$, водой и насыщ. р-ром $NaCl$), сушат и удалением эфира выделяют 1-фенил-3-хлориндан (II), т. пл. 59—62° (из гексана); аналогично из 1-метил-1-фенилнандола-3, получают 1-метил-1-фенил-3-хлориндан (III). Смесь 22,5 г II и 25 г $NH(CH_3)_2$ оставляют стоять 24 часа в закрытом сосуде, $NH(CH_3)_2$ испаряют при 20°, остаток обрабатывают смесью воды и эфира, эфирный экстракт промывают водой, сушат поташем и приливанием эфирного р-ра HCl осаждают хлоргидрат 1-фенил-3-диметиламиноиндана $\cdot 0,5H_2O$ (т. пл. 159—164°, выход 56%). Аналогично из II и пиперидина получают хлоргидрат 1-фенил-3-пиперидиноиндана, выход 41%, т. пл. 246—248° (из бутилового спирта); из II и $NH(C_2H_5)_2$ — смесь цис- и транс-изомеров тартата 1-фенил-3-диэтиламиноиндана, выход 56,6%, т. пл. 68—93°; из III и $NH(CH_3)_2$ — смесь цис- и транс-изомеров хлоргидрата 1-метил-1-фенил-3-диметиламиноиндана, выход 61%, т. пл. 228—231° (из бутилового сп.+эф.) и 180—186°; из III и $NH(C_2H_5)_2$ — хлоргидрат 1-метил-1-фенил-3-диэтиламиноиндана (IV), выход 24,8%; из 1-метил-1-фенил-3-броминдана (V) и $NH(C_2H_5)_2$ — IV, выход 76,5%, т. пл. 160—165° (из бутилового сп.+эф.); из III и пиперидина (48 час. при 20°, 4 часа при 50°) — хлоргидрат 1-метил-1-фенил-3-пиперидиноиндана $\cdot 0,5H_2O$, т. пл. 197—201° (из CH_3OH + эф.). Р-р 38,6 г 1-метил-1-фенилнандола-3 (VI) в 260 мл CH_3OH восстанавливают H_2 при 40° при нормальном давлении в присутствии скелетного Ni, получают 38 г смеси цис- и транс-изомеров 1-метил-1-фенилнандола-3 (VII), т. пл. 90—115°. Смесь 50 г VII, 100 мл $CHCl_3$ и 22 г PBr_3 выдерживают 90 мин. при 20° и 90 мин. при 50°, промывают несколько раз водой и р-ром $NaHCO_3$, отгонкой р-рителя вы-

деляют 60 г V. Р-р 10 г VI в 30 мл пиридина смешивают с р-ром 3,8 г $NH_2OH \cdot HCl$ в 12 мл разб. спирта, размешивают 48 час. при 20° и выливают в 150 мл воды, получают оксим VI, т. пл. 169—172° (из CH_3OH). 7,5 г оксима VI в 150 мл CH_3OH , содержащего 1,3 г HCl , гидрируют H_2 при нормальном давлении при 50° в присутствии Pd-черни в течение 3 час. (происходит присоединение 2 молей H_2) и выделяют хлоргидрат 1-метил-1-фенил-3-аминоиндана, т. пл. 275—278° (разл. из CH_3OH + эф.). I пригодны в качестве лекарственных средств; приведены результаты испытаний их спазмолитич. действия на морских свинках и токсичности на мышцах. В. Уфимцев

71774 П. Способ получения диэтилкарбамилпиперазина и его N-алкил- или N-аралкилпроизводных. Фудзиси Тэрукадзу, Ватанабэ Хироэсу [Танабэ сёяку кабусики кайся]. Японск. пат. 6726, 20.10.54

Р-цией формилпиперазина (I) с хлорангидридом диэтилкарбаминной к-ты (II) получают 1-диэтилкарбамил-4-формилпиперазин (III), дальнейшим гидролизом III получают диэтилкарбамилпиперазин (IV), алкилированием или аралкилированием IV получают его N-алкил- или N-аралкилпроизводные. К р-ру 11,4 г I в 25 ч. абс. спирта при перемешивании по каплям приливают 7,2 г II, нагревают 1 час на водяной бане, охлаждают, прибавлением эфира осаждают и отфильтровывают хлоргидрат I; из фильтрата отгоняют р-рителя и перегонкой выделяют 8,6 г III, т. кип. 190—194°/6 мм. К р-ру 5,7 г I в 20 ч. безводн. ацетона прибавляют 3,3 ч. поташа, по каплям приливают 7,2 г II, нагревают 3 часа на водяной бане, отфильтровывают побочные продукты, из фильтрата отгоняют ацетон, остаток растворяют в воде и подщелачивают $NaOH$, масляный слой извлекают эфиром и перегонкой выделяют 7,7 г III. 10 г III и 33,5 г 10%-ного водн. р-ра $NaOH$ нагревают при 100°, прибавляют избыток конц. р-ра $NaOH$, масло извлекают эфиром и перегонкой экстракта выделяют 6,6 г IV, т. кип. 114—116°/2,5 мм; хлоргидрат, т. пл. 149—151°. К массе, полученной р-цией 5,7 г II в 20 ч. ацетона, 3,3 ч. поташа и 7,2 г III, после отгонки ацетона прибавляют 25 г 10%-ного р-ра $NaOH$, нагревают 2 часа при 100° и аналогично выделяют 6 г IV. К 9,3 г IV в 20 ч. абс. спирта прибавляют 3,7 г соды и 11 ч. метилового эфира V (V — *n*-толуолсульфокислота), нагревают 5 час. на водяной бане, спирт отгоняют, остаток растворяют в воде, подщелачивают конц. р-ром $NaOH$, извлекают эфиром и перегонкой выделяют 8,2 г 1-диэтилкарбамил-4-метилпиперазина, т. кип. 108—111°/3 мм. К 9,3 г IV в 20 ч. абс. спирта прибавляют 3,7 г соды и 12 ч. этилового эфира V, нагревают несколько часов на водяной бане и аналогично выделяют 8,6 г 1-диэтилкарбамил-4-этилпиперазина, т. кип. 108—110°/1 мм. К 9,3 г IV при ~ 80° по каплям приливают смесь 4,32 г масляного альдегида и 2,5 г 80%-ной $HCOOH$, нагревают 1 час при 110—120°, подщелачивают $NaOH$, масло извлекают C_6H_6 и перегонкой экстракта выделяют 8,4 г 1-диэтилкарбамил-4-бутилпиперазина, т. кип. 127—129°/1 мм; хлоргидрат, т. пл. 197—198°. К р-ру 9,3 г IV в 25 ч. абс. спирта прибавляют 3,7 г соды и 8,3 г $C_6H_5CH_2Cl$, нагревают 3 часа на водяной бане, охлаждают, спирт отгоняют, остаток подщелачивают $NaOH$, выделившееся масло извлекают C_6H_6 , перегонкой экстракта выделяют 9,6 г 1-диэтилкарбамил-4-бензилпиперазина, т. кип. 174—175°/1 мм; хлоргидрат, т. пл. 196—197°. С. Петров

71775 П. Способ получения производных изоникотинилгидразинопиримидина. Мацукава Тайдзю, Бан Сёити [Такэда якухин коге кабусики кайся]. Японск. пат. 879, 11.02.56

Производные изоникотинилгидразинопиримидина

получают р-цией изоникотиновой к-ты (I) или ее функциональных производных с производными гидразинопириимидина или р-цией гидразида I с реакционными производными пириимидина. К 1,4 г I в 10 мл безводн. пиридина (II) при 0° приливают по каплям 15 г SOCl_2 , затем р-р 1,4 г 2-гидразино-4-метилпириимидина (III) в 10 мл II, оставляют стоять 16 час. при 20°, отгоняют в вакууме II, к остатку прибавляют 5 мл воды, охлаждают до 0° и отфильтровывают 2-изоникотинилгидразино-4-метилпириимидин (IV), дополнительное кол-во IV выделяют насыщением фильтрата NaCl , получают 2,1 г IV, призмы, т. пл. 130—135° (из этилацетата); при удалении кристаллизационного растворителя (нагревание в вакууме 8 час. при 60°) т-ра плавления поднимается до 195—196°. 2 ч. фенилового эфира I (т. пл. 68—70°; получен обработкой SOCl_2 смеси I и фенола), 1,3 ч. III и 2 ч. безводн. поташа постепенно нагревают до 100°, затем 10 мин. при 130°, разбавляют водой, осадок отфильтровывают и промывают водой, получают 1,2 ч. IV. К 1,2 г I в 10 мл II приливают 1,2 г SOCl_2 , затем при 0° р-р 1,1 г 2-гидразинопириимидина (V) в 10 г II, оставляют стоять 24 часа при 20°, избыток II отгоняют в вакууме, остаток разбавляют 5 мл воды, при < 0°, подкисливая р-ром NaOH и отфильтровывают 1 г 2-изоникотинилгидразинопириимидина (VI), призмы, т. пл. 215° (из CH_3OH). Смесь 2,6 г фенилового эфира I, 1,5 г V и 2 г безводн. На-ацетата нагревают 20 мин. при 140—145°, по охлаждении разбавляют 20 мл воды, отфильтровывают и промывают водой и эфиром 3 г VI. Смесь 1 г гидразида I и 1,2 г 2-метилмеркапто-метил-6-оксипириимидина нагревают при перемешивании 30 мин. при 185—190°, охлаждают, отфильтровывают и промывают горячим или теплым спиртом, получают 1,4 г 2-изоникотинилгидразино-4-метил-6-оксипириимидина, коричнево-фиолетовые иглы, т. пл. > 300° (спл., из 40%-ного сп.).

С. Петрова

1776 П. Способ получения 2-аминопириимидина. Цукамото Масаси, Судзуки Тэцую, Такэбэ Сабуро [Мицубиси касэй когё кабусики кайся]. Японск. пат. 6433, 9.10.54

2-аминопириимидин (I) получают насыщением при 0° HCl-газом смеси соли гуанидина (II) с диацетатом малондильдегида, ацетатом β -алкоксиакролеина или ацетатом пропаргилового альдегида и последующим нагреванием в автоклаве полученного водн. р-ра. Смесь 30 г тетраметоксипропана (III) и 30 г 75,5%-ного сульфата II в 50 мл 35%-ной HCl при -40° насыщают HCl-газом, размешивают 1 час и при перемешивании нагревают 4 часа в автоклаве при 30°. По окончании реакции разбавляют водой, нейтрализуют 40%-ным водн. NaOH, отфильтровывают NaCl, в фильтрат при 20° вводят SO_2 -газ с избытком 10% против теоретич. по отношению к I, после 16 час. стояния отфильтровывают и сушат сульфит I, суспендируют в 350 мл C_6H_6 , пропускают пропусканием NH_3 , отфильтровывают $(\text{NH}_4)_2\text{SO}_4$ и отгонкой C_6H_6 выделяют 15,2 г I, выход 74%. Смесь 30 г III и 19 г хлоргидрата II в 40 мл воды при -30° насыщают HCl-газом, размешивают 1 час, нагревают 3 часа в автоклаве при 40° и аналогично выделяют 15,1 г I, выход 86,8%. Смесь 17,4 г этилацетата- β -этоксикаролеина и 12 г хлоргидрата II в 35 мл 35%-ной HCl при размешивании при -20° насыщают HCl-газом и размешивают 1,5 часа, затем нагревают в автоклаве 5 час. при 40° и выделяют 8,05 г I, выход 84,6%.

С. Петрова

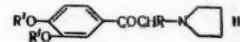
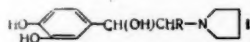
1777 П. Способ получения 2-аминопириимидина. Цукамото Масаси, Судзуки Тэцую, Хосэко Аки [Мицубиси касэй когё кабусики кайся]. Японск. пат. 2435, 4.05.54

Р-р, содержащий хлоргидрат I (I — 2-аминопириимидин), получают конденсацией солей гуанидина (II)

при пропускании HCl-газа с в-вами, способными образовывать I при этой р-ции. Полученный р-р нейтрализуют щелочью и вводят SO_2 -газ или приливают р-р H_2SO_3 , сульфита или бисульфита и выделяют сульфит I, который затем в органич. р-рителе разлагают NH_4OH или NH_3 -газом и выделяют I. 60 г тетраметоксипропана (III) растворяют в 150 мл безводн. CH_3OH , прибавляют 45,5 г сульфата II и при 0°—5° при перемешивании насыщают HCl-газом, размешивают ~1 час. при 0°—5°, нагревают и размешивают 4 часа при 40°, охлаждают, нейтрализуют NH_3 -газом, отфильтровывают осадок NH_4 -солей, промывают CH_3OH , из маточного и промывного фильтрата отгоняют CH_3OH , остаток растворяют 8 час. в 115 мл воды, в водн. р-р при ~20° вводят ~35 г SO_2 -газа, оставляют 16 час. стоять, отфильтровывают осадок сульфита I, промывают CH_3OH и сушат. Сульфит I суспендируют в 600 мл C_6H_6 , при 20° при перемешивании вводят ~20 л NH_3 -газа, смесь нагревают до 70°, фильтруют горячей и охлаждением до 8° выделяют 32 г I, выход 92%, иглы, т. пл. 127—128°. 17,4 г диэтилацетата β -этоксикаролеина (IV) и 11,5 г хлоргидрата II в 500 мл безводн. $\text{C}_2\text{H}_5\text{OH}$ при 0°—5° насыщают сухим HCl-газом, перемешивают 1,5 часа, нагревают 6 час. при 40° и аналогично выделяют 8,6 г I, выход 90,6%. Смешивают р-ры 12,8 г диэтилацетата пропаргилового альдегида в 75 мл безводн. $\text{C}_2\text{H}_5\text{OH}$ и 12 г хлоргидрата II в 500 мл безводн. $\text{C}_2\text{H}_5\text{OH}$, насыщают при 0°—5° сухим HCl-газом, перемешивают 1,5 часа при 0°—5°, нагревают 6 час. при 40° и выделяют 8,5 г I, выход 89,5%. 30 г III и 23 г сульфата II в 100 мл безводн. CH_3OH обрабатывают аналогично, разбавляют 350 мл воды, при < 20° приливают насыщ. водн. р-р 60 г Na_2SO_3 , после 16 час. стояния отфильтровывают сульфит I, промывают CH_3OH и сушат и аналогичной дальнейшей переработкой (в 350 мл C_6H_6) выделяют 14,1 г I, выход 81%. 30 г III и 19,2 г хлоргидрата II в 100 мл CH_3OH обрабатывают аналогично, по окончании р-ции испаряют CH_3OH , остаток нейтрализуют 50%-ным р-ром NaOH, отфильтровывают NaCl и промывают небольшим кол-вом CH_3OH , маточный и промывной фильтрат разбавляют 50 мл воды, вводят при 20° SO_2 -газ, после 16 час. стояния отфильтровывают сульфит I и аналогичной дальнейшей переработкой в 350 мл C_6H_6 выделяют 15,6 г I, выход 89,8%. 30 г III и 19,2 г хлоргидрата II в 100 мл безводн. CH_3OH обрабатывают аналогично, отгоняют в вакууме CH_3OH , остаток растворяют в 200 мл воды, прибавляют при 20° насыщ. водн. р-р 35 г Na_2SO_3 , после 16 час. стояния отфильтровывают сульфит I, промывают CH_3OH , сушат и аналогично в 350 мл C_6H_6 выделяют 15,9 г I, выход 88,5%. С. П.

71778 П. Способ получения пирролидинов. Хейнzelман, Аспергрен (Verfahren zur Herstellung von Pyrrolidinen. Heinzelman Richard Voorhees, Aspergren Brooke Dennison) [The Upjohn Co.]. Пат. ФРГ 949888, 27.09.56

Пирролидины общей ф-лы I (R — H или низкомолекулярный алкил, содержащий 1—8 атомов C), а также и их соли получают гидрированием аминов общей ф-лы II (R — дано выше, R' — H или бензил) или их соединений с к-тами, напр. хлоргидратов, водородом

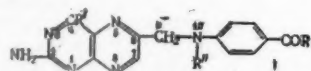


под давлением при 20—70° в среде р-рителя в присутствии катализатора, напр. Pd при 20—70°. Патентуемые соединения обладают бронхорасширяющим действием, могут применяться перорально и, в отличие от родственных им, содержащих катехиновое ядро соединений, напр. эфинефрина, незначительно повышают кровяное давление; устойчивы и не окисля-

ются O_2 . Примеры. (а). К р-ру 21 с хлоргидрата III (III — N-[β -кето- β -(3,4-диоксифенил)-этил]-пирролидина в 50 мл воды прибавляют 1 г 10%-ного Pd — C и гидрируют ~ 12 час. (до поглощения 1 моля H_2 на 1 моль HCl-III) при 50° и давл. 3,5 кг/см², катализатор отделяют, воду отгоняют, остаток растворяют в горячем абс. спирте, обесцвечивают активированным углем, охлаждают и получают с выходом 65% хлоргидрат-IV (IV — N-[β -окси- β -(3,4-диоксифенил)-этил]-пирролидин), т. пл. 168—169°, растворим в воде, менее растворим в спирте, почти нерастворим в эфире этилацетата и C_6H_6 . Для получения свободного IV 5 г хлоргидрата IV растворяют в 25 мл воды, нейтрализуют NH_4OH и экстрагируют 50 мл $CHCl_3$ (выход 75%). Нагреванием р-ра IV в C_6H_6 с CH_3J получают йодметилат IV. (б). К р-ру 23 с хлоргидрата V (V — N-[α -метил- β -кето- β -(3,4-добензилоксифенил)-этил]-пирролидин) в 75 мл спирта прибавляют 2 г 10%-ного Pd — C и гидрируют 24 часа (до поглощения 3 молей H_2), фильтруют, удаляют р-ритель в вакууме, остаток перекристаллизовывают из спирта — эфира и получают хлоргидрат VI (VI — N-[α -метил- β -окси- β -(3,4-диоксифенил)-этил]-пирролидин, т. пл. 189—190° (выход 75%), который можно превратить в свободный VI, как это указано в (а); нагреванием р-ра VI в эфире с C_2H_5Cl получают хлоретилат VI. Исходные в-ва получают: 1) хлоргидрат III — кипячением пирролидина с α -бром-3,4-диоксиацетофеноном в изопропанол, обработкой р-ром HCl в изопропанол и кристаллизацией сырого продукта из разбавленного спирта, т. пл. 244° (разл.); нейтрализацией водн. р-ра хлоргидрата III водн. NH_3 получают основание III; 2) хлоргидрат V — р-цией пирролидина с α -бром-3,4-добензилоксипропиофеноном при 20°, отгонкой р-рителя, растворением остатка в этилацетате и обработкой спиртовым р-ром HCl; после перекристаллизации из спирта получают продукт с т. пл. 210—212°, который нейтрализацией NH_4OH можно превратить в свободный V. Ю. Вендельштейн

71779 П. Гидрированные соединения птеридина и способы их получения (Hydrogenated pteridine compounds and methods of producing same) [American Cyanamid Co.], Англ. пат. 733062, 6.07.55

Патентуются 5,6-дигидро- и 5,6,7,8-тетрагидропроизводные соединения общей ф-лы (I) (R — OH или COR — радикал амида алифатич. аминокислоты; R' — OH или NH_2 ; R'' — формил) и их соли с щел. металлами или металлами II группы и способ их получения восстановлением 1 или 2 молями H_2 соединений ф-лы I или их солей с щел. металлами или металлами II группы, или обработкой



5,6-дигидро-I или 5,6,7,8-тетрагидро-I (R и R' имеют вышеуказанное значение R'' — H) или их солей с щел. металлами или металлами II группы, формирующим агентом в инертном р-рителе. Восстановление проводят в отсутствие или в присутствии катализаторов, напр. окиси Pt, Pd-C или скелетного Ni и в среде р-рителя, напр. воды, HSO_4H , спирта, гликоля, CH_3COOH , или диметилформамида, при т-рах от —20° до 150°. Восстановление можно проводить также металлами и комбинациями их, напр. амальгамой Na, Zn, амальгамой Al, $NaBH_4$, Mg или амальгамой Mg; в качестве р-рителя обычно применяют воду или водн. р-ритель, содержащий спирт или C_6H_6 , а в качестве формирующего агента применяют HSO_4H , эфиры и амиды ее и ортомуравьиной к-ты, напр., метил-, этил-, бутил-, бензил- и гликольформаты, метил- и этилортоформаты, формамид, формамидин и форманид. В случае применения алкилформата р-цию

предпочтительно проводят в присутствии алюминия, щел. металла, пиридина, триэтилоламина или другого третичного амина. В примерах приведено получение 5,6,7,8-тетрагидро-II (II — 10-формилптеридилглютаминавая к-та) и ее Na-соли, 5,6-дигидро-II и ее Na-соли, Na-соль 4-амино-5,6,7,8-тетрагидро-II. Аналогично получают гидрированные птеридины, амиды, группировка которых является производной глютамина, глютаминовой, аспарагиновой к-ты и серина. Соединения формилптеридина ф-лы I (R'' — формил) и их соли с щел. металлами или металлами II группы получают нагреванием соответствующих свободных аминов с HSO_4H и уксусным ангидридом 5,6-дигидро-I и 5,6,7,8-тетрагидро-I ф-лы I, где R' — H, получают восстановлением соответствующих птеридинов 1 или 2 молями H_2 . Названы следующие соединения: 5,6-ди- и 5,6,7,8-тетрагидроптеридилглютаминавая к-та, гидроптеридилглютаминавая к-та, амиды 5,6-ди- и 5,6,7,8-тетрагидроптеридиновой к-ты, производные аспарагиновой к-ты, аланина и серина. Ю. Вендельштейн

71780 П. Получение соединений гидрированного птеридина (Production of hydrogenated pteridine compounds) [American Cyanamid Co.], Англ. пат. 733774, 20.07.55

Патентуемые 5,6-дигидро- и 5,6,7,8-тетрагидропроизводные соединения общей ф-лы I (ф-лв I см. в предыдущем реферате), где R' — OH, а R , COR и R'' имеют указанные в предыдущем реферате значения, (R'' — формил) и соли этих соединений, получают формилированием алкилформиминоэфиром 5,6-дигидро-I, 5,6,7,8-тетрагидро-I, незамещ. в положении 10, и их солей. Р-цию проводят при 0°—60°, напр. ниже 3° в безводн. среде, напр. в гликоле, смеси гликоля с CH_3COOH , или β -метоксиэтанол. В качестве формирующих агентов указаны этиловый и пропионовый формиминоэфиры. Полученные описанным способом к-ты нагревают (при 55—60°) при щел. pH в р-р, содержащем едкую щелочь, причем образуется соль щел. металла 5,6-дигидро-I и 5,6,7,8-тетрагидро-I, в которых формильная группа находится в положении 10, но не в положении 10; если требуется свободный амид к-ты продукт подкисляют к-той. В примерах описано получение 5- и 10-формилптеридилглютаминавой к-ты их Na-солей. Другими соединениями, применяемыми указанным способом, являются 5,6-дигидро- и 5,6,7,8-тетрагидроптеридилглютаминавой к-ты. Амиды аминокислот могут быть производными аспарагиновой к-ты, аланина или серина. Ю. Вендельштейн

71781 П. Тиосемикарбазоны алициклических кетонов с конденсированным в α,β -положении бензольным кольцом. Гофман, Тагман (Thiosemicarbazones of alicyclic monoketones with a benzene nucleus condensed in α,β -position. Hoffman and Tagman and Eugene) [Ciba Pharmaceutical Products Inc.], Пат. США 2741635, 10.04.56

Патентуемые тиосемикарбазоны общей ф-лы $R-NHCSNH_2$ (R — 1,2,3,4-тетрагидронафтил- (1); 6-окс-1,2,3,4-тетрагидронафтил- (1); инданил- (1); 3-фенилданил- (1); 4-карбометокси-5-метил-6-метокси-1,2,3,4-тетрагидронафтил- (1); 5-метил-6-окси-1,2,3,4-тетрагидронафтил- (1); 4-фенил-1,2,3,4-тетрагидронафтил- (1); 5-карбокси-7-метоксибензосуверил- (1)), обладающие дифференцированно подавляющим и повышающим эндокринные функции (особенно функции гипоталамуса) действием, получают р-цией тиосемикарбазида с алициклич. монокетонами с конденсированными в α,β -положении бензольным кольцом. В частности являются тиосемикарбазоны: 1-оксо-I (I — 1,2,3,4-тетрагидронафталин), 1-оксо-6-оксо-I, 1-оксоиндана и 1-оксо-3-фенилданана. Примеры. а) 23,4 и 1-оксо-I, 140 тиосемикарбазида и 100 мл абс. спирта нагревают

накиеве 6 час. при 125—130°, выделившийся продукт фильтруют и перекристаллизовывают из спирта, получают тиосемикарбазон 1-оксо-I, т. пл. 198—199°. Аналогично получают тиосемикарбазоны: 1-оксо-оксо-I, т. пл. 199—201° (этилацетат + лигроин), оксо-I, т. пл. 210°; 1-оксоиндана, т. пл. 175—176° (этилацетат + сп.); 1-оксо-3-фенилиндана, т. пл. 160—161° (сп.); 1-оксо-4-карбометокси-5-метил-6-метокси-I, т. пл. 211—213° (этилацетат + лигроин); 1-оксо-5-метил-оксо-I, т. пл. 208—212°; 1-оксо-4-фенил-I, т. пл. 225—226° (этилацетат + лигроин) и 1-оксо-5-карбокси-7-тиобензосуберана, т. пл. 188—189° (CH₃COOH).

Ю. Вендельштейн

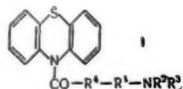
71782 П. Способ получения 2-(*n*-аминобензолсульфамидо)-тиазола. Цукамото Масаки, Нонака Масаки, Кодата Масатоси [Мицубиси касэй кабусики кайся]. Японск. пат. 5627, 13.08.55

2-(*n*-Аминобензолсульфамидо)-тиазол (I) получают конденсацией α,β-дихлорэтилацетата (II), α,β-дихлорэтилового эфира или галоацетальдегида с *n*-ацетиламинобензолсульфонилтиомочевинной (III) и последующим гидролизом полученного 2-(*n*-ацетиламинобензолсульфамидо)-тиазола (IV) обработкой конц. р-ром щелочи при нагревании. 100 г продукта, полученного конденсацией CICH₂CHO с III, растворяют в 100 мл насыщ. р-ра NaHCO₃, перемешивают 2 часа при 40°, нейтрализуют 20%-ной HCl, отфильтровывают IV, гидролизуют в течение 1 часа 240 г 30%-ного р-ра NaOH при 100°, охлаждают и через 16 час. отфильтровывают Na-соль I, которую растворяют в 3-кратном объеме воды, подкисляют 10%-ной HCl, для обезвреживания обрабатывают активированным углем и р-цией выделяют 77,2 г I, выход 90%. 100 г продукта, полученного конденсацией II с III, растворяют в течение 30 мин. при 70° в 500 г 3%-ного водн. р-ра NaOH, прибавляют 230 г 40%-ного р-ра NaOH и при перемешивании гидролизуют при 100° в течение 1 часа, аналогично выделяют 77,6 г I, выход 90,5%.

С. Петрова

71783 П. Антиспазматические вещества (Antispasmodics) [Abbott Labs.]. Англ. пат. 730213, 18.05.55

Патентуются (а) замещ. ω-аминоалкилфентиазины общей ф-лы (I) (R⁴—S или группа NR, где R—H,



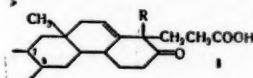
метил, R¹—алкилен, содержащий 2—4 атома С, R² и R³—низшие алкилы, каждый из которых содержит до 4 атомов С включительно или вместе с N образуют моноциклич., гетероциклич., содержащее N кольцо) и соли этих соединений с к-тами и с галоацетил- или этилчетвертичным аммонием. б) соли галоидметил- или этилчетвертичного аммония ω-аминоалкилфентиазин-10-карбоксилата ф-лы I, где R⁴—O, R¹, R² и R³ имеют прежнее значение. Соединения (а) получают р-цией галоидангидрида (напр., хлорид бромангидрида) фентиазин-10-карбоновой к-ты с R², R³-аминоалкиламино или R², R³-аминоалкилмеркаптаном, предпочтительно в инертном р-ителе, напр. CH₂Cl₂, а соли с к-тами можно получать непосредственным подкислением реакционной смеси разб. HCl, HBr, H₂SO₄, H₃PO₄, фумаровой, малеиновой, винной, янтарной или лимонной к-той. Галоид метил- или этилчетвертичные аммониевые соли (а) и (б) получают обработкой замещ. ω-аминоалкилфентиазин-10-карбоксилата, тиокарбоксилата или карбоксилата в сухом р-ителе (напр., эф.) избытком галоидметила или галоидметила и перекристаллизацией из спирта. В примерах описано получение метиодида и этобромида β-диэтил-

аминоэтилфентиазин-10-карбоксилата, N-(β-диэтиламиноэтил)-N-метилфентиазин-10-карбоксамид и хлоргидратов N-(β-диэтиламиноэтил)-фентиазин-10-карбоксамид, N-(β-диметиламиноэтил)-фентиазин-10-карбоксамид и β-диэтиламиноэтилфентиазин-10-тиокарбоксилата. Перечислены соединения, в которых оба R² и R³—бутилы или вместе с N амина образуют морфоллин или пиперидин, а также соединения, в которых R¹—бутилен.

Ю. Вендельштейн

71784 П. Получение карбоциклических трициклических кетокислот. Фаррар, Раффелсон (Preparation of carbocyclic tricyclic keto-acids. Farrar Martin W., Raffelson Harold) [Monsanto Chemical Co.]. Пат. США 273265, 31.01.56

Карбоциклические трициклич. кетокислоты, содержащие ядро 1-(β-карбоксиэтил)-8а-метил-Δ¹⁰-декагидрофенантренона-2 общей ф-лы (I) (R—H или CH₃; в по-



ложении 6 и 7 могут содержаться две оксигруппы), получают р-цией карбоциклич. трициклич. кетона, содержащего ядро 3-(N-метиланилинометил)-8а-метил-Δ^{10a(1)}-декагидрофенантренона-2, с по крайней мере эквивалентным кол-вом β-пропиолактона (II) в щел. среде, содержащей ~ 1—4 экв сильного основания (по отношению к карбоциклич. трициклич. кетону). В частности, указано: а) применение в качестве сильного основания амида щел. металла общей ф-лы MN(R¹)₂ (M—щел. металл; R¹—H или низший алкил); б) полученные 1,8а-диметил-1-(β-карбоксиэтил)-Δ^{6,10}-декагидрофенантренона-2 (III) из 1,8а-диметил-3-(N-метиланилинометил)-Δ^{6,10a(1)}-декагидрофенантренона-2 (IV) в жидкой среде в присутствии 1—4 экв амида щел. металла (напр., KNH₂); в) получение III р-цией 2 молей IV с 3—10 молями II; г) применение карбоциклич. трициклического кетона в анти-транс-форме *l*- или *d*-анти-транс-форме. К смеси ~ 100 ч. ацетонида 1,8а-диметил-3-(N-метиланилинометил)-6,7-диокси-Δ^{10a(1)}-додекагидрофенантренона-2 (т. пл. ~ 219—222°) и ~ 19 ч. свежеприготовленного LiN(CH₃)₂ и 580 ч. эфира при т-ре ~ 5° в течение 1 часа при перемешивании приливают р-р ~ 95 ч. II в 350 ч. эфира, размешивают при 0°—5° еще ~ 1 час, а затем при хорошем перемешивании прибавляют 500 ч. воды и разделяют водн. и органич. слои. Последний уничтожают, а к водн. слою прибавляют KOH до pH ~ 10, кипятят ~ 5 час., по охлаждении смешивают с равным объемом эфира, разделяют водн. и эфирный слои, водн. слой подкисляют разб. HCl, извлечением его эфиром и перегонкой объединенных эфирных экстрактов (предварительно промытого водой) в вакууме выделяют ацетонид 1,8а-диметил-1-(β-карбоксиэтил)-6,7-диокси-Δ¹⁰-додекагидрофенантренона-2, масло, представляет собой смесь α- и β-изомеров кетокислот в соотношении 3:1. К смеси ~ 10 ч. *dl*-анти-транс-1,8а-диметил-3-(N-метиланилинометил)-Δ^{6,10a(1)}-декагидрофенантренона-2, ~ 2,26 ч. свежеприготовленного KNH₂ и ~ 106 ч. эфира прибавляют в течение 30 мин. при т-ре ~ 0° при размешивании р-р ~ 11,5 ч. II в 36 ч. эфира, размешивают еще 30 мин. при 0°, а затем прибавляют к смеси ~ 4 ч. CH₃OH и ~ 75 ч. воды и разделяют водн. и органич. слои. Водн. слой подкисляют разб. HCl, смешивают с равным объемом эфира и перемешивают 3 часа, эфирный слой отделивают, промывают водой и упаривают досуха. Полученный продукт смешивают с 60 ч. 15%-ного водн. KOH и кипятят ~ 5 час., по охлаждении удаляют примеси извлечением эфиром, водн. слой подкисляют, извлекают эфиром, первоначальный эфирный слой и эфир-

ный экстракт соединяют и перегонкой выделяют смесь α - и β -изомеров (в соотношении 3:1 *dl*-анти-транс-1,8а-диметил-1-(β -карбоксиэтил)- $\Delta^6,10$ -декагидрофенантрононов-2. Аналогично получают *d* и *l*-анти-транс-1,8а-диметил-1-(β -карбоксиэтил)- $\Delta^6,10$ -декагидрофенантрононы-2. Получаемые кетокислоты применяют в синтезе стероидов.

В. Уфимцев

71785 П. Способ получения цитразинамида и цитразиновой кислоты. Джайнелл, Стейнман (Process for preparing citrazinamide and citrazinic acid. Ginell Robert, Steinmann Rolf) [R. S. Aries & Associates, Inc.] Пат. США 2752354, 26.06.56

Цитразинамид (I) получают нагреванием мочевины (II) с лимонной (III) или аконитовой (IV) κ -той в присутствии p -рителя, содержащего инертное органич. полиоксисоединение, содержащее только атомы C, H и O. Из реакционной массы нейтр-цией осаждают I, осадок отделяют, разлагают щелочью с образованием растворимой щел. соли V (V — 2,6-диоксипиридин-4-карбоновая κ -та, цитразиновая κ -та) и подкислением выделяют очищ. V. Процесс можно проводить с возвращением отработанного органич. p -рителя в начальную стадию. V пригодна в качестве азосоставляющей для синтеза азокрасителей, а также в качестве промежуточного продукта для синтеза фармацевтич. препаратов, напр., для получения изоникотиновой κ -ты и ее гидрозида. 210 ч. моногидрата III и 180 ч. II вносят в 900 ч. этиленгликоля или глицерина, смесь нагревают 2 часа при 130—133°, прибавляют еще 100 ч. II и нагревают 2 часа, охлаждают, разбавляют 400 ч. воды, подкисляют H_2SO_4 на лакмус, отфильтровывают и промывают водой I, выход 55—59%. Приведен пример использования отработанного фильтрата, содержащего этиленгликоль, для ведения последующих опытов; выходы I при этом увеличиваются до 60%. Аналогично из 192 ч. безводн. III и 180 ч. II в 900 ч. этиленгликоля или 900 ч. водн. p -ра маннита (VI), содержащего в 100 мл p -ра 80 г VI, с подкислением разб. HCl получают I, который суспендируют в воде с прибавлением соды, p -р фильтруют, прибавляют небольшой избыток NaOH (против расчетного) и кипятят 90 мин., подкисляют и отфильтровывают V, выход 51%. 174 ч. IV растворяют в ~ 900 ч. глицерина, прибавляют 180 ч. II и нагревают 2 часа при 128—135°, прибавляют еще 100 ч. II, нагревают 2 часа и выделяют I.

В. Уфимцев

71786 П. Способ получения концентрированного порошка витамина А при помощи дрожжевых грибов или плесневых грибов *Aspergillus oryzae*. Ногами Цутому. Японск. пат. 6192, 1.09.55

Хлороформный p -р концентрата жира печени рыб, содержащий витамины А и D, обрабатывают высушенными дрожжевыми грибами (*Saccharomyces cerevisiae*) или *Aspergillus oryzae*, после чего p -ритель отгоняют в вакууме, а остаток сушат при низкой t -ре, получают конц. порошок витамина А.

С. Петрова

71787 П. Способ стабилизации витамина А и содержащих его веществ. Котани Хидэдо, Накаганиси Такаси. Японск. пат. 7599, 18.11.54

Витамин А (I) и содержащие I в-ва стабилизируют прибавлением диоксинафталинов. Приведены данные о сравнительной устойчивости препаратов I при хранении с добавлением гидрохинона, 1,5-(II) и 1,7-диоксинафталинов (III) и без них. К 100 г рыбьего жира прибавляют p -р 0,2 г III в 2 г эфира, отгоняют эфир и получают стабилизированный препарат I в рыбьем жире. К 10 г концентрата, полученного молекулярной перегонкой рыбьего жира и содержащего 500 000 ед/г I, прибавляют p -р 0,01 г III и 0,01 г лимонной κ -ты (IV) в 250 мл эфира, равномерно смешивают с 500 г порошка пивных дрожжей и отгоняют эфир в вакууме, получают стабилизированный препарат I в

порошке. К 10 г указанного концентрата I при перемешивании прибавляют p -р 0,05 г II, 0,05 г III и 0,1 г IV в 90 г цетилового спирта, по охлаждению получают стабилизированный твердый препарат I в гранулированной форме. К 5 г пальмитиновокислого эфира I прибавляют 15 г хлопкового масла и p -р 0,02 г III в 50 мл эфира, отгоняют эфир и остаток смешивают со 100 г лактозы и 100 г K_2PO_4 , получают стабилизированный препарат I в форме таблеток.

С. Петрова

71788 П. Способ получения производных витаминов В. Мацукава Тайдзо, Ивадзу Такэо, Маки Ацудзиро, Кавасаки Хадэми [Такада якухин когё кабусики кайся]. Японск. пат. 2186, 23.04.54

Производные витамина B_1 (I) общей ф-лы $H_2N-C=$

$=N-C(CH_3)=N-CH=C-CH_2-N(CHO)-C(CH_3)=C(CH_2CH_2OH)-SSR$ (II), (R — алкил или арилалкил) получают обработкой I алкилтио- или арилалкилтиотиоанатами. К p -ру 1,5 ч. хлоргидрата I (Ia) в 20 ч. воды прибавляют 4,85 ч. 10%-ного водн. p -ра NaOH и p -р 0,8 ч. бутилтиотиоаната в 30 ч. эфира и размешивают ~ 5 час. при 20°, после 16 час. стояния отфильтровывают и выкристаллизовывают из C_6H_6 0,7 ч. II (R — бутил), многогранники, т. пл. 136—137° (разл.). Аналогично из 1,5 ч. Ia в 20 ч. воды, 5 ч. 10%-ного p -ра NaOH и 0,8 ч. этилтиотиоаната в 20 ч. эфира получают 0,7 ч. II (R — этил), т. пл. 126—127° (из этилацетата); из 1 ч. Ia в 10 ч. воды, 3,5 ч. 10%-ного p -ра NaOH и 0,6 ч. пропилтиотиоаната в 10 ч. эфира — 0,5 ч. II (R — пропил), многогранники, т. пл. 128—129° (из бэл.); из 1 ч. Ia в 10 ч. воды, 3,5 ч. 10%-ного p -ра NaOH и 0,6 ч. бензилтиотиоаната в 10 ч. эфира — 0,6 ч. II (R — бензил), многогранники, т. пл. 154° (из этилацетата).

С. Петрова

71789 П. Способ получения производных витаминов В. Ивадзу Такэо, Маки Ацудзиро, Кавасаки Хадэми [Такада якухин когё кабусики кайся]. Японск. пат. 2187, 23.04.54

II (обозначения римскими цифрами см. пред. реф.) получают обработкой I солями алкил- или арилалкилтиосерных κ -т. К p -ру 1 ч. Ia в 10 ч. воды приливают 3,3 ч. 10%-ного водн. p -ра NaOH и p -р 3 ч. бутилтиосульфата Na (III) в 20 ч. воды, оставляют 1 час. стоять, отфильтровывают, промывают водой, сушат и кристаллизацией из C_6H_6 выделяют 0,8 ч. II (R — бутил); хлоргидрат, т. пл. 159—160° (разл.). К p -ру 1 ч. Ia в 10 ч. воды приливают 3,3 ч. 10%-ного p -ра NaOH, оставляют 30 мин. стоять, прибавляют 0,7 ч. III и после 30 мин. стояния аналогично выделяют 0,9 ч. II (R — бутил). Аналогично из 1 ч. Ia и 1 ч. изобутилтиосульфата Na получают 1 ч. II (R — изобутил), палочки, т. пл. 154° (из бэл.); из 1 ч. Ia в 10 ч. воды, 3,3 ч. 10%-ного p -ра NaOH и 1 ч. бензилтиосульфата Na в 5 ч. воды — 1,1 ч. II (R — бензил), многогранники, т. пл. 154° (разл., из этилацетата); из 1 ч. Ia в 10 ч. воды, 3,3 ч. 10%-ного p -ра NaOH и 1 ч. аллилтиосульфата Na — 1 ч. II (R — аллил), т. пл. 132—133° (разл., из бэл.). Приведены аналогичные примеры получения следующих II (указаны R и t -ры плавления в °C): метил, 132 (разл., из этилацетата); этил, 126—127 (из этилацетата); пропил, 128—129 (разл., из бэл.); изопропил, 163—164 (из бэл.); изоамил, 135 (из бэл.); октил, 132—133 (разл., из разб. сп.); додецил, 133—134 (разл., из разб. сп.).

С. Петрова

71790 П. Способ получения высших алкилсульфатов тиамин. Уцуми Исэму, Харада Кийоо [Табе сейяку кабусики кайся]. Японск. пат. 9006, 14.12.55

Высшие алкилсульфаты I (I — тиамин) получают прибавлением 2 молей металлич. или NH_4 -соли высшего алкилсульфата к 1 молю двуокислотной соли I

К p -ру 34 г I в 100 мл 20° насыщ. растворят до 0°, аналогично 75 г ди-(метилсульфата) Na — 8

71791 П. Способ приготовления раствора Хидэа Японск. пат. Концентрация раствора (в %): 10% NaOH и доводят до 8 г NaOH и доводят до 10 мин. содержащий

71792 П. Способ приготовления кабусики. Для приготовления промывания присутствием функциональной группы *ash* (напр., $MgSO_4$, Ca -глюконат) при ~1050 γ /мл. в отсутствие 970 γ /мл. I. Водных гр. NaCl, 0,2% этилового эфира приливают при этом получают I; в отсутствие ~1275 γ /мл.

71793 П. production 731841, 15 Патентную роды (а т. 3), родный раз соединения 6(7) и 8(9) 3-оксис-8(9) насыщ. угл. их просты нием указ. Ni или от. ного органи спирта или 8(9) ненас. рекиси мо. 6(7) и 8(9) сшивается. лся OH-г. нении от. двойные с. является в. лые эфиры группами

К р-ру 34 г дихлоргидрата I (или 43 г дибромгидрата I) в 100 мл воды при размешивании прибавляют при 20° насыщ. водн. р-р 57 г лаурилсульфата Na, охлаждают до 0°, отфильтровывают и выкристаллизовывают из ацетона 68 г ди-(лаурилсульфата) I, т. пл. 81—85°. Аналогично из 63 г миристилсульфата Na получают 75 г ди-(миристилсульфата) I, т. пл. 87—89°; из 68 г пентилсульфата Na (прибавление при 50°) — 82 г ди-(пентилсульфата) I, т. пл. 89—90°; из 70 г стеарилсульфата Na — 85 г ди-(стеарилсульфата) I, т. пл. 90—93°.

С. Петрова

71791 П. Способ получения концентрированных растворов витамина B₂. Кикуги Эйсаку, Абэ Хидэхару [Тоа эйе кагаку когё кабусики кайся]. Японск. пат. 1348, 25.2.56

Концентрированные р-ры витамина B₂ (I) получают растворением I в водн. р-ре Na-соли II (II — салициловая к-та). К 11 г кристаллич. I в 200 мл воды прибавляют при перемешивании 363 мл 4%-ного р-ра NaOH и доводят водой до общего объема 1 л, прибавляют 8 г H₃BO₃ и 50 г II, при перемешивании нагревают 10 мин. при 100°, получают р-р для инъекций, содержащий 10 мг/мл I, pH 5,8.

С. Петрова

71792 П. Способ получения витамина B₂. Ямамото Иосио, Мориваки Хиреси [Такеда якухин когё кабусики кайся]. Японск. пат. 7198, 7.10.55

Для повышения выходов витамина B₂ (I) культивирование производящих I микроорганизмов проводят в присутствии глюконовой к-ты (II), ее солей или функциональных производных. Выращивание *Eremotocyst ashbyi* в среде, содержащей (%) 0,8 пептона, 0,8 мясного экстракта, 2 глюкозы, 0,2 K₂HPO₄, 0,1 MgSO₄, 0,1 NaCl, небольшое кол-во инозита и 0,2 Са-глюконата, проводят при pH 6,4 в течение ~ 1 недели при 27 ± 1°; получают р-р, содержащий ~ 1050 γ/мл I. При аналогичном культивировании, но в отсутствие Са-глюконата, р-р содержит лишь 970 γ/мл I. К среде, содержащей 30% пасты пенициллиновых грибов (с 80% воды), 4% пептона, 0,5% NaCl, 0,2% II (Са-, NH₄- или Na-глюконата, амида или этилового эфира II), прибавляют *E. ashbyi* и культивируют при pH 6,4 при 27° в течение ~ 168 час., при этом получают р-р, содержащий от 1450 до 1530 γ/мл I; в отсутствие II или ее производных р-р содержит ~ 1275 γ/мл I.

С. Петрова

71793 П. Стероиды и их получение (Steroids and the production thereof) [Pfizer & Co, Inc. C.]. Англ. пат. 731841, 15.06.55

Патентуются 3-оксис-8(9)-ненасыщ.-11,14-диоксистероиды (а также их простые и сложные эфиры в положении 3), содержащие ненасыщ. алифатич. углеводородный радикал в положении 17, соответствующие соединения, содержащие двойные связи в положениях 6(7) и 8(9), и способ избирательного восстановления 3-оксис-8(9)-ненасыщ.-11,14-перекисей, содержащих ненасыщ. углеводородный радикал в положении 17, или их простых и сложных эфиров, причем гидрированием указанных перекисей в присутствии скелетного Ni или отравленного Pd-катализатора в среде инертного органич. р-рителя, напр. эфира, диоксана, низшего спирта или эфира, в частности этилацетата, получают 8(9) ненасыщ.-11,14-диоксистероиды. Упомянутые перекиси могут содержать двойные связи в положениях 6(7) и 8(9); в случае применения скелетного Ni насыщается двойная связь в положении 6(7) и образуются OH-группы в положениях 11 и 14; при применении отравленного Pd-катализатора сохраняются все двойные связи в ядрах. Катализаторы не влияют на двойные связи в боковых цепях. Исходным в-вом является изодегидроэргостерин и его простые и сложные эфиры, из которых получают соединения с OH-группами в положениях 11 и 14 с одной двойной

связью в положении 8(9) или двумя — в 6(7) и 8(9). В примерах приведены 3-ацетат эргоста-6,8(9),22-триентриола-3β, 11, 14 и 3-ацетат эргоста-8(9), 22-диентриола-3β, 11, 14.

Ю. Вендельштейн
71794 П. Способ гидролиза декстрана. Долтер (Process for hydrolyzing dextran. Dalters Raymond S.) [Commercial Solvents Corp.]. Пат. США 2727838, 20.12.55

Для получения продукта, пригодного в качестве заменителя плазмы крови, сырой декстран (Д) подвергается гидролизу в водн. р-ре до достижения вязкости ≥ 5 сст, измеряемой в 6%-ном водн. р-ре при 25°. Фракционный осаждением отделяется Д, заменяющий плазму крови от Д с более высоким мол. весом. Последний повторно гидролизует в водн. р-ре до вязкости 2,5-3,5 сст, определяемой так же, как и в первом случае. Получаемый дополнительно Д пригоден в качестве заменителя плазмы крови. Н. Баканов

71795 П. Способ выделения антибиотика. Комацу Эйтаро [Мицубиси касэй когё кабусики кайся]. Японск. пат. 4444, 19.07.54

Антибиотик выделяют подкислением до pH 2—4,5 фильтрата, полученного из культуральной среды *Penicillium razilli Bainiervar echinulatum* и обладающего активностью > 400 γ/мл, и отделением полученного осадка. 845 мл фильтрата указанной культуральной среды (pH 7,1, активность 566 γ/мл эстина) подкисляют конц. HCl до pH 3 при перемешивании, осадок центрифугируют, промывают холодной (1°) водой, сушат в сильном вакууме, получают 0,5746 г светлоромашевого порошка, содержащего 642 γ/мл эстина, выход 74,8%. Отработанный фильтрат обладает активностью 46 γ/мл эстина.

С. Петрова

71796 П. Способ получения нового антибиотика — антибластина. Судзуки Хасио. Японск. пат. 4449, 28.06.55

Антибластин (I) получают культивированием штаммов некоторых грибов рода *Monilia* (напр., *M. antipiricularis* Suzuki) и последующим выделением I из культуральной среды. 200 г тонко нарезанного картофеля кипятят 1 час в 1 л воды, добавляют недостающее до 1 л кол-во воды, 20 г сахарозы и 0,25 г Са(NO₃)₂, стерилизуют нагреванием под давлением и охлаждают. В полученной среде при встряхивании культивируют *M. antipiricularis* в течение 48—52 час. при 28—30°, затем охлаждают до 5—10°, фильтруют для отделения нерастворимых частиц и микроорганизмов, подкисляют разб. H₂SO₄ до pH 2,5, извлекают ~ 0,5-кратным кол-вом C₆H₆, экстракт извлекают 0,33 — 0,5-кратным объемом 1%-ного р-ра NaHCO₃, доводят прибавлением H₃PO₄ до pH 6 и получают 200—250 мл водн. р-ра, содержащего 25 000 ед/мл I и обладающего активностью против *Piricularia oryzae* и *Ophiobolus miyabeanus*. 1 кг сахарозы и 100 г Na-соли глутаминовой к-ты растворяют в 10 л 10%-ного р-ра солодового сахара, разбавляют водой до 100 л, стерилизуют и в полученной среде культивируют *M. antipiricularis* в течение 42—45 час. при 28—30° и аналогично выделяют 20—25 л р-ра, содержащего 30000 ед/мл I. С. Петрова

71797 П. Способ получения производных ацидомпинина. Миякэ Акира, Моримото Ко, Такэвака Торао, Кимата Сэйити [Такеда якухин когё кабусики кайся]. Японск. пат. 7084, 3.10.55

Функциональные производные ацидомпинина общей ф-лы NHCOCH₂SCH(CH₂)₅COR (I) (R — остаток пер-

вичного или вторичного амина, или гидразина, или их производных) получают р-цией соединения ф-лы I, где R — OH, или реакционных производных (галид-анигидридов, сложных эфиров, гидразидов) II (II — ацидомпинин) с первичными или вторичными аминами, гидразинами и другими реакционными соединениями. К этиловому эфиру II (III) прибавляют 50%-ный

избыток $\text{NH}_2\text{NH}_2 \cdot \text{H}_2\text{O}$, нагревают ~ 30 мин. при 100° , по охлаждении отгоняют в вакууме при 20° избыток $\text{NH}_2\text{NH}_2 \cdot \text{H}_2\text{O}$ и кристаллизацией из абс. CH_3OH выделяют гидразид II (IV), выход $\sim 50\%$, пластинки, т. пл. $122-123^\circ$. К р-ру III в 5-10-кратном кол-ве CH_3OH прибавляют небольшой избыток $\text{NH}_2\text{NH}_2 \cdot \text{H}_2\text{O}$, нагревают 4 часа при $60-65^\circ$, отгоняют в вакууме р-ритель, затвердевающий остаток кристаллизуют из абс. CH_3OH , получают IV. Аналогичной р-цией III с $\text{H}_2\text{NCH}_2\text{COOC}_2\text{H}_5$ в эфирном р-ре (24 часа, 20°) получают глицидное производное II ф-лы $\text{C}_{13}\text{H}_{22}\text{O}_4\text{N}_2\text{S}$ (V), иглы, т. пл. $109-111^\circ$ (из эф.). IV недолго кипятят с избытком ацетона, по охлаждении отфильтровывают и кристаллизуют из CH_3OH изопропилиденное производное IV, выход $90-95\%$, т. пл. $152-153^\circ$. Р-р 1,2 г IV и 0,9 г глюкозы в 30 мл абс. CH_3OH нагревают 2 часа при $\sim 65^\circ$, отгоняют в вакууме р-ритель, осаждают эфиром сиропообразный остаток и кристаллизацией из эфира с небольшим кол-вом CH_3OH выделяют глюкозильное производное IV, т. пл. $120-123^\circ$ (разл.). Аналогично получают фруктозильное производное IV, т. пл. $136-137^\circ$ (разл.). К суспензии III в ~ 10 -кратном кол-ве конц. NH_4OH прибавляют CH_3OH или р-р NH_3 в CH_3OH до растворения III, оставляют стоять в закрытой склянке 24 часа при 20° , р-ритель и NH_3 отгоняют в вакууме и кристаллизацией остатка из воды или разб. спирта выделяют амид II, выход $60-70\%$, иглы, т. пл. $154,5-155,5^\circ$. К 0,7 г IV в 3,2 мл пиридина небольшими порциями при охлаждении прибавляют 0,7 г *n*-ацетинобензолсульфохлорида, оставляют стоять 1,5 часа при 20° , при охлаждении до 0° нейтрализуют HCl (к-той), отфильтровывают, промывают водой и кристаллизуют из небольшого кол-ва CH_3OH *n*-ацетинобензолсульфонильное производное IV, т. пл. $219-221^\circ$. К р-ру 0,11 г Na в 3 мл абс. спирта небольшими кол-вами прибавляют 0,45 г углекислого гуанидина, размешивают 1 час при 20° , фильтруют, к фильтрату прибавляют р-р метилового эфира II в 3 мл воды, кипятят 10 мин., оставляют 16 час. стоять при 20° и отгонкой в вакууме р-рителя выделяют гуанидиновое производное II ($+1,5 \text{ H}_2\text{O}$), пластинки, т. пл. $130-132^\circ$. К 210 г II в 1300 мл сухого C_6H_6 понемногу приливают 119 г SOCl_2 , кипятят 1 час, охлаждают, приливают р-р 62 г CH_3NH_2 в 500 мл эфира, оставляют 2 часа стоять, упаривают при небольшом разрежении, отфильтровывают выделившиеся при стоянии кристаллы и кристаллизацией их из воды выделяют метиламид II, выход 60% , т. пл. $115-116^\circ$. Аналогично обработкой 214 г $\text{C}_6\text{H}_5\text{CH}_2\text{NH}_2$ получают бензиламид II, т. пл. $130-132^\circ$; а обработкой 216 г $\text{C}_6\text{H}_5\text{NHNH}_2$ — фенилгидразид II, масло.

С. Петрова

71798 II. Способ получения нового антибиотика — кандимина. Накадзава Конти, Саката Мото, Хондзё Мийосио, Хамада Йосио, Канеко Тоса, Токун Ясуо [Такеда якухин когёо кабусики кайся]. Японск. пат. 8148, 10.11.55

Кандимин (I) получают выращиванием *Streptomyces echinensis* в культуральной среде с последующим выделением I. Стерилизуют 60 мл среды, содержащей глюкозу и соевую муку, вносят культуру *S. echinensis*, выращенную на смеси глюкозы, аспарагина и агар-агара, и культивируют при встряхивании в течение 90 час. при $26-28^\circ$. Из 80 таких склянок с культурой отфильтровывают 360 г пасты микроорганизмов, дважды извлекают при перемешивании в течение 1 часа при $\sim 75^\circ$ 2-кратным кол-вом CH_3OH и упариванием 1200 мл экстракта выделяют I с активностью ~ 1000 ед/мг по отношению к *Candida albicans*. Около 4000 мл фильтрата дважды извлекают $\sim 1/3$ кол-вом бутилового спирта и упариванием выделяют дополнительное кол-во I. 70 л культуральной среды,

содержащей глюкозу и соевую муку, стерилизуют 20 мин. при 120° , вносят ~ 1 л культуры *S. echinensis* и культивируют при перемешивании со скоростью 225 оборотов мешалки в 1 мин. и продувании 40 л/мин воздуха в течение 60 час. при $27-28^\circ$, фильтруют, пасту микроорганизмов дважды извлекают 2-кратным объемом бутилового спирта, экстракт промывают $1/3$ н. р-ром NaHCO_3 и водой, упаривают в вакууме и очищают обработкой ацетоном или эфиром 20 г I с активностью 1500—2000 ед/мг. Извлечением фильтрата бутиловым спиртом дополнительно выделяют 10 г I. Для очистки 10 г полученного I растворяют в 500 мл CH_3OH , отфильтровывают нерастворимый остаток и фильтрат хроматографируют на колонке, наполненной Al_2O_3 , промывают CH_3OH и 80%-ным ацетоном, а затем вымывают насыщ. водой бутиловым спиртом, после удаления р-рителя остается I с активностью 10 000—15 000 ед/мг. Его растворяют в CH_3OH , упаривают в вакууме и прибавлением ацетона выделяют I с активностью 30 000—40 000 ед/мг. I, желтый порошок, нерастворим в эфире, C_6H_6 , ацетоне, эфирах уксусной к-ты, CHCl_3 и лигроине, мало растворим в воде, растворим в спиртах и водн. спиртах, водн. ацетоне, гликолевой к-те и водн. р-рах едких щелочей; при нагревании темнеет при 150° и не плавится при 230° . I не содержит S и галлоидов; дает отрицательную р-цию с нингидрином, FeCl_3 , с р-рами реактивов Фелинга, Молиша и Сакагути и положительную на образование Ag-зеркала. I при прибавлении к конц. H_2SO_4 дает синее окрашивание, при стоянии переходящее в фиолетовое. $\lambda_{\text{макс}}$ спирт. р-ров I 362, 382 и 406 мк. Приведены р-рители, пригодные для хроматографирования I на бумаге и величины R_f . I обладает противобактериальным действием (приведены бактерии и эффективная конц-ия при максим. разведении): *Candida albicans*, 3×10^{-8} ; *C. krusei*, 3×10^{-8} ; *C. parakrusei*, 4×10^{-8} ; *C. tropicalis*, 2×10^{-8} ; *C. pseudotropicalis*, 2×10^{-8} ; *Saccharomyces sake*, 1×10^{-8} ; *Cryptococcus parvovirus*, 1×10^{-8} ; *C. glabratus*, 1×10^{-4} ; *Mycoderma cervisiae*, 1×10^{-8} ; *Aspergillus niger*, 5×10^{-6} ; *Rhizopus nigricans*, 1×10^{-5} ; *Penicillium notatum*, 2×10^{-6} ; *Trichophyton gypsum*, 5×10^{-6} ; *T. purpureum*, 5×10^{-5} ; один из видов *Fusarium*, 1×10^{-5} и некоторых других. С. Петрова

71799 II. Способ получения антибиотика — лутеолина. Такэда Рокуро [Такэда якухин когёо кабусики кайся]. Японск. пат. 7598, 18.11.54

Лутеолин (I) выделяют извлечением инертным органич. р-рителем из культуральной среды *Pseudomonas aeruginosa*, переводом из экстракта в водн. содовый р-р и повторным извлечением органич. р-рителем. В 100 мл культуральной среды, содержащей (в %) 15 мясного экстракта, 0,3 пептона, 1,2 глицерина и 0,3 KH_2PO_4 , при pH 7 выращивают в течение 3 дней при 27° при встряхивании *P. aeruginosa*. 1 л культуральной среды фильтруют от микроорганизмов, фильтрат доводят до pH 3 и 500 мл этилацетата извлекают I. Экстракт промывают 1%-ным водн. р-ром NaHCO_3 и водой, отгоняют р-ритель, остаток извлекают эфиром, экстракт промывают водн. р-ром NaHCO_3 и извлекают 1%-ным водн. р-ром соды. Водн. экстракт отделяют, подкисляют, извлекают эфиром, эфирный экстракт промывают водой и отгонкой эфира выделяют ~ 300 мг I, ярко-желтые иглы, т. пл. $185-187^\circ$ (из ацетона и петр. эф.). 1 л вышеуказанной культуральной среды извлекают 500 мл и 2 \times 300 мл эфира, из экстракта отгоняют эфир, остаток растворяют в водн. р-ре соды, обезжелезывают активированным углем, фильтруют, фильтрат подкисляют, извлекают этилацетатом, экстракт промывают водн. р-ром NaHCO_3 и отгонкой р-рителя и кристаллизацией остатка из разб. спирта выделяют 250 мг I. Приведены данные об про-

тиобактериальной активности I, который при разведении 1:350 000 тормозит рост *Micrococcus pyogenes* var. *aureus* и *Bacillus subtilis*. С. Петрова

71800 П. Способ получения труднорастворимых в воде кристаллических солей пенициллина. Хильтманн, Бауэр (Verfahren zur Herstellung von in Wasser schwer löslichen kristallisierten Penicillinsalzen. Hiltmann Rudolf, Bauer Klaus) [Farbenfabriken Bayer A.-G.]. Пат. ФРГ 912813, 31.06.54 [Chem. Zbl., 1955, 126, № 23, 5371 (нем.)]

Способ получения труднорастворимых в воде кристаллич. солей пенициллина (I) по пат. ФРГ 880303 (РЖХим, 1956, 5075) состоит в р-ции I (особенно I-G или соли I) с бензиллизобутиламином, содержащим в положениях 3 и 4 ядра алкоксил с < 5 атомами С, бензилалокси- или фенокси-радикалы, или с растворимой солью названных оснований. В примерах описано получение следующих солей: 3-н-пропилокси-Н-изобутилбензиламина (II) и I-G, т. пл. 72°; 3-изопропилокси-Н-изобутилбензиламина (II') и I-G, т. пл. 73°; 3-изобутилокси-Н-изобутилбензиламина (IV) и I-G, т. пл. 56°; 4-н-бутилокси-Н-изобутилбензиламина (V) и I-G, т. пл. 67°; 3-бензилокси-Н-изобутилбензиламина (VI) и I-G, т. пл. 58°; 4-фенокси-Н-изобутилбензиламина (VII) и I-G, т. пл. 111°. Для получения II 3-н-пропилоксибензальдегид, т. кип. 110—115°/3 мм, конденсируют с изобутиламином и катализит. гидрируют образующееся азометиновое соединение, основание, т. кип. 133—134°/3 мм, хлоридрат, т. пл. 103—105°. Аналогично получают III, т. кип. 115—116°/2,5 мм; IV, т. кип. 129—130°/2,5 мм; V, основание, т. кип. 155—157°/6 мм, хлоридрат, т. пл. 183—184,5°; VI, основание, т. кип. 181°/3 мм, хлоридрат т. пл. 154—155°; VII, основание, т. кип. 169—171°/3 мм, хлоридрат, т. пл. 193,5—195°.

Ю. Вендельштейн
71801 П. Способ получения пенициллиновых солей α -аминометилбензолсульфоаралкиламидов. Татнока Мацуо [Такэда якухи когё кабусики кайся]. Японск. пат. 6450, 9.10.54

Соли I (I — пенициллин) с α -аминометилбензолсульфоаралкиламидами получают р-цией I или его солей с α -аминометилбензоларалкиламидами или их солями. 3,72 г К-соли I-G в 30 мл воды обрабатывают 10 мл ацетона и 3,4 г хлоридрата II (II — α -аминометилбензолсульфобензиламид) в 20 мл воды, охлаждают, оставляют стоять 2 часа при 0° и отфильтровывают 5,87 г соли I-G + II, иглы, выход 93,3%, т. пл. 157—159°, активность 974 ед/мг. К 17 мл водн. р-ра I, содержащего 346 000 ед/мл, прибавляют 15 мл ацетона и 3,6 г хлоридрата II в 20 мл воды, оставляют стоять 30 мин. при 0°, прибавляют еще 20 мл воды, оставляют стоять 90 мин. при 0° и отфильтровывают 5,6 г соли I + II, т. пл. 151—153°, выход 93%, активность 980 ед/мг. 980 ед/мг. 1,86 г К-соли I извлекают 50 мл бутилацетата, экстракт сушат Na_2SO_4 , прибавляют 1,5 г II в 25 мл бутилацетата и выделяют 2,8 г соли I + II, выход 93%, активность 980 ед/мг. С. Петрова

71802 П. Способ выращивания пенициллиновых грибов. Такита Томохиса, Тахара Косаку [Нихон каяку кабусики кайся]. Японск. пат. 4435, 28.06.55

Выходы пенициллина повышают путем прибавления к среде, в которой культивируют пенициллиновые грибки (*Penicillium chrysogenum* Q-176), 1%-ного р-ра метиленового голубого. С. Петрова

71803 П. Способ очистки стрептомицина при помощи катионообменных смол, содержащих карбоксильные группы. Кубо Хидэо, Фудзита Сигэо, Акахира Такэо, Янагита Масая [Кабусики кайся кагаку кэнкюсё]. Японск. пат. 5248, 21.08.54
Новолак, полученный конденсацией фенола с CH_2O в присутствии кислого катализатора, обрабатывают

при нагревании ClCH_2COOH и рассчитанным кол-вом NaOH. К полученной смоле прибавляют CH_2O или в-во, образующее CH_2O в условиях р-ции, и небольшое кол-во фенола и нагревают при $\text{pH} \geq 10$ в присутствии щел. катализатора, получают катионообменную смолу, содержащую карбоксильные группы. Р-р стрептомицина (I) обрабатывают Н-формой этой смолы и вымыванием разб. к-той выделяют очищ. I. Новолак, полученный нагреванием в течение 1 часа при 90° 200 г фенола, 200 г 36%-ного формалина и 1 мл 2 н. HCl, растворяют в 268 г ClCH_2COOH и 268 г воды, прибавляют р-р 280 г NaOH в 560 мл воды, и нагревают 4—5 час. при 90° и подкислением избытком HCl (к-ты) выделяют 460 л маслообразной смолы. 120 г этой смолы, 120 г формалина и 9 г фенола смешивают с прибавлением NaOH до $\text{pH} \geq 10$ при 90—95° и нагревают 2 часа при 120—130°, получают 120 г твердой темно-красной смолы в Na-форме. Для перевода в Н-форму ее обрабатывают 2 н. HCl, перемешивают 24 часа и промывают водой до нейтр. р-ции. Полученной катионообменной смолой наполняют стеклянную трубку (диам. 50 мм) и пропускают 20 л р-ра I (активность 400 ед/мл), доведенного NaOH до pH 8,5, со скоростью 30 мл/мин, уходящий р-р содержит 151 ед/мл I, коэф. абсорбции 62%. Трубку вымывают 1 н. H_2SO_4 со скоростью 6 мл/мин, получают 975 мл р-ра с активностью $4,70 \times 10^6$ ед., коэф. использования 94,5%. Р-р выпаривают в вакууме до небольшого объема, охлаждают, фильтруют, к фильтрату прибавляют 5-кратное кол-во CH_3OH и отфильтровывают чистый сульфат I, активность 550 ед/мг. С. Петрова

71804 П. Способ извлечения и очистки стрептомицина. Умэдзава Сумно, Суцуна Тэцуо [Дзайдан ходзин нихон пэнисирин гакудзюцу кёгикай]. Японск. пат. 4296, 15.07.54

Очищенный стрептомицин (I) получают пропусканием р-ра I или его соли через слой катионообменной смолы (КС), полученной конденсацией салициловой к-ты, фенола и CH_2O в присутствии кислого или щел. катализатора. 2 г КС, полученной в присутствии NH_4OH как катализатора, вносят в 20 мл 1 н. р-ра NaOH, оставляют 16 час. стоять, промывают небольшим кол-вом дистил. воды до pH промывных вод $\leq 7,5$. Через стеклянную трубку диам. 11,2 мм, заполненную КС, в течение 1 часа пропускают 50 мл р-ра хлоридрата I, содержащего 1380 $\mu\text{мг}$ I и промывают 20 мл дистил. воды; 70 мл уходящего из трубки р-ра содержат 0,9 $\mu\text{мг}$ I, а на КС абсорбируется 68 900 $\mu\text{мг}$ I. КС в течение 20 мин. вымывают 20 мл 1 н. HCl, промывают небольшим кол-вом дистил. воды, получают 22 мл р-ра чистого I, содержащего 2950 $\mu\text{мг}$ I, выход 94,1%. Приведены примеры аналогичной очистки р-ров I с применением КС, полученной при помощи NaOH в качестве катализатора, а также с применением (для сопоставления) промышленных видов ионообменных смол, напр. амберлита JRC 50. С. Петрова

71805 П. Способ получения питательной среды для микроорганизмов, образующих антибиотики, из отработанных сульфитных щелоков. Курода Тацунитиро. Японск. пат. 3037, 4.05.55

Доп. к японск. пат. 2493, 1954 (см. РЖХимБх, 1957, 5033). Отработанные сульфитные щелока обрабатывают NH_3 или NH_4 -солями, подщелачивают и отфильтровывают нерастворимый остаток. К фильтрату прибавляют продукты, содержащие протеины (напр., рисовые отруби, соевые жмыхи или их гидролизаты), устанавливают на pH 5,5—7,5, в случае необходимости прибавляют фосфаты и вносят культуру молочнокислых бактерий. В результате обработки получают питательную среду, пригодную для культивирования микроорганизмов, образующих пенициллин или стрептомицин. К 100 л отработанного сульфитного щелока,

содержащего $< 0,08\%$ свободного SO_2 , при 20° при перемешивании прибавляют NH_4OH до содержания $0,14\%$ N и $\text{Ca}(\text{OH})_2$ до pH 12, фильтруют, к фильтрату прибавляют продукт кислого гидролиза обезжиренных рисовых отрубей, устанавливают на pH 6,2 и содержание N $1,5\%$, прибавляют 100 г суперфосфата с содержанием 18% P_2O_5 , 3% разб. солодового экстракта, содержащего 10% сахаров, и подвергают стерилизации. В приготовленную среду вносят 1,5 л 24-часовой культуры *Lactobacillus pentosus* или *L. derubriusoki*, культивируют при перемешивании при $38-40^\circ$ до содержания $2,8\%$ молочной к-ты и упариванием в вакууме при $< 70^\circ$ до 29° Вё получают 35 л питательной среды. К 150 л отработанного сульфитного щелока, содержащего $< 0,08\%$ SO_2 , при 20° прибавляют 1,8 кг $(\text{NH}_4)_2\text{SO}_4$ и 20% -ный водн. р-р NH_3 до содержания $0,13\%$ N и CaCO_3 и $\text{Ca}(\text{OH})_2$ до pH 12, фильтруют, к фильтрату прибавляют гидролизат соевых жмыхов, доводят до pH 5,7 и общего содержания N $1,2\%$, прибавляют 3% разб. солодового экстракта, содержащего 10% сахаров, стерилизуют и вводят 2,5 л 20-часовой культуры *L. pentosaceticus*, прибавляют 1,5 кг солода и при 30° при перемешивании культивируют в течение 28 ч. до содержания $2,82\%$ молочной к-ты и упариванием в вакууме получают ~ 150 л питательной среды. С. Петрова

71806 П. Защитное средство, образующее пленку, предохраняющее кожу от поражений органическими растворителями. Рон, Шварцкопф (Filmbildendes Schuttmittel zur Verhütung von Hautschäden durch organische Lösungsmittel. Rohn Hans-Ludwig, Schwarzkopf Hans-Erich). Пат. ГДР 11595, 7.05.56

Патентуемое защитное средство для предохранения кожи состоит из смеси гликолята целлюлозы (ГЦ), гликолята крахмала (ГК), продукта распада белка (ПРЕ), поливинилового спирта (ПВС), одного или нескольких многоатомных спиртов, содержащих 3—6 атомов C и ≥ 3 OH-групп, средства предохранения от плесени, напр. п-хлор-м-крезол-Na (I), наполнителей, напр. талька (Т) или TiO_2 , и воды, напр. смеси (в вес. ч.) 2,0 ПВС, 3,0 ГЦ, 8,0 Na-ГЦ, 5,0 гексантриола (II), 6,0 глицерина (III), 2,0 желатина (Ж), 1,5 Т, 0,5 TiO_2 , 0,2 I и 71,8 воды. В набухшем в воде при нагревании до стекловидного состояния и охлажденном ниже 70° ГЦ растворяют ПРЕ, прибавляют водн. р-р, ПВС, добавляют наполнители и I, охлаждают ниже 50° , размешивают с многоатомным спиртом и ГК до полного набухания последнего, добавляют испарившуюся в процессе приготовления воду, оставляют охлажд. массу на 10—12 час. и, без нагревания, размешивают до консистенции пенистой пасты. Патентуемое средство наносят на чисто вымытые и хорошо высушенные руки равномерным смазыванием 2,5—3 г (но не втиранием, разрушающим пленку!); через 2 мин. высушивания образуется защитная пленка, которую по окончании работы смывают теплой водой с мылом. Приведена таблица сравнительных испытаний защитных свойств пленок на бумажной мембране из патентуемого и ныне применяемых средств, подвергаемых действию смеси равных вес. ч. C_6H_6 , бензина, CCl_4 , трихлорэтанола, декагидро- и тетрагидронафталина и кварцевого песка, стеклянных и шероховатых фарфоровых шариков в качалке с 43 200 качаний за 4 часа, с отбором проб через 30 мин. Результаты показывают, что через 4 часа патентуемое средство сохраняет защитное действие на 95% и является в 2—90 раз активнее известных средств. Примеры. (а). В 4180 г кипящей воды вносят 800 г Na-ГЦ, нагревают на водяной бане при размешивании до полного набухания, охлаждают до $60-75^\circ$, при энергичном размешивании прибавляют 200 г Ж, р-р 200 г

ПВС в 3000 мл воды, охлажденный до $40-50^\circ$, 150 г Т, 50 г TiO_2 и 20 г I, затем при $40-50^\circ$ добавляют заготовленную смесь 300 г ГК, 600 г III и 500 г II и добавляют испарившуюся воду; размешивают еще 1 час, оставляют в покое на 10—12 час. и, без нагревания, сильно размешивают до образования пенистой пасты и упаковывают. (б). 900 г Na-ГЦ и 200 г ПВС дают набухать 6 час. в 4900 мл горячей воды, размешивают при $90-95^\circ$, охлаждают до $60-75^\circ$, размешивают р-р 200 г Ж в 2000 мл воды с т-рой $60-75^\circ$, 30 г TiO_2 , 150 г Т, р-р 20 г I в 200 мл воды и заранее перемешанную смесь 400 г ГК, 600 г II и 400 г III; далее обрабатывают как в (а). Ю. Вендельштейн

71807 П. Жидкость для кетгута (Tubing fluid for catgut) [Davis and Geck Inc.]. Австрал. пат. 200428, 19.01.56

Патентуется запаянный сосуд, содержащий белковую нить для сшивания ран и жидкость, состоящую из 65% пропанола, 10% воды и 25% спирта (CH_3OH , $\text{C}_2\text{H}_5\text{OH}$ или трет- $\text{C}_4\text{H}_9\text{OH}$). Ю. Вендельштейн

71808 П. Способ получения фармацевтических препаратов, обладающих противокислотным действием. Томпсон, Корренте (Sätt att framställa ett som antacidum verksamt farmaceutiskt preparat. Thompson K. W., Corrente A. M.) [N. V. Organon]. Шведск. пат., 150393, 21.06.55

Фармацевтические препараты, обладающие противокислотным действием, получают смешением гуаргумми (камеди из эндоспермы индийского растения, *Cyanopsis tetragonoloba*) с одним или несколькими соединениями, обладающими противокислотным действием. В. Уфимцев

См. также: Лекарств. в-ва: органич. 70796, 70816, 70824, 70827—70829, 70832, 70833, 70839, 70842, 70844, 70855, 70856, 70873, 70876, 70878, 70884, 70889, 70903, 70958; 27077Бх, 27429Бх, 27452Бх. Алкалоиды 27701Бх. Глюкозиды 27650Бх. Витамины 70960; 27244Бх, 27246Бх, 27256Бх. Гормоны 70943. Антибиотики 70961—70963; 27442Бх, 27444Бх, 27446—27451Бх, 27469Бх. Анализ 27037Бх, 27039Бх, 27040Бх, 27453—27456Бх

ПЕСТИЦИДЫ

Редакторы Ю. А. Баскаков, Н. Н. Мельников

71809. Защита культурных растений. Проктер (The protection of crops. Procter G. C.), Discovery, 1958, 19, № 3, 114—117 (англ.)

Краткий обзор. Применение инсектицидов, фунгицидов и гербицидов. Л. Столов

71810. Усовершенствованные приемы борьбы с мыльным услюком зерновыми приманками, отравленными фосфидом цинка. Поляков И. Я., Гладина Т. С., Макеева Т. М., Кубанцев Б. С. Вopr. экологии. Киев, 1957, 2, 221—253

Летальная доза Zn_3P_2 (I) для малого услюка равна 80 мг/кг. Наиболее эффективны приманки из овса с растительным маслом (4%), содержащие $\geq 15\%$ I. Разброс приманок производят с автомашин. В приманке из овса автол может полностью заменить растительное масло, но в приманке из пшеницы применять его нецелесообразно. И. Мильштейн

71811. Поиски новых инсектицидов. Часть I. Тивари, Сингх (Search for new insecticides. Part I. Tiwari S. S., Singh A.), J. Indian Chem. Soc., 1957, 34, № 11, 830—832 (англ.)

Эфиры 2-бром-4-трет-бутилфенола (I) и к-т (здесь и далее в скобках указаны выход в %, т. кип. в $^\circ\text{C}$ /мм. т. пл. в $^\circ\text{C}$ 2,4-динитрофенилгидразона); уксусной (74/120/8,—), пропионовой (93, 128/3,—), масляной (80/148/2,—), т. кип. в $^\circ\text{C}$ 148/2,—) по перегруппировке в присутствии I. Получены 165/3, 225), 136) и ал. 200/2, 140) с 1%-ным р-р с 2%-ным $\text{CH}_3\text{SCH}_2\text{CH}_3$ 0,15 моля К₂ 174—(65, 13) (76, 165/1, 174) —кетонные соединения их

148/2,—), т. кип. в $^\circ\text{C}$ 148/2,—) по перегруппировке в присутствии I. Получены 165/3, 225), 136) и ал. 200/2, 140) с 1%-ным р-р с 2%-ным $\text{CH}_3\text{SCH}_2\text{CH}_3$ 0,15 моля К₂ 174—(65, 13) (76, 165/1, 174) —кетонные соединения их

71812. Испытания дителей в dans la lu A.), Phytol

71813. К р ного импр паратами. а Л. Н. вып. 10, 11

Белье, им уайт-спирит контакте в после 8-дне тате в 15 л При выдери ел. Кол-во белье синир после стирки

71814. Нои инсектицид Алесса del solo superfici Ester), (итал.; ре Полоски юным сло «silicone» н поверхности цды. Поло нометр рнее (Bull

71815. О муу эфф В. И., К Шило в и-и. дези 4,4'-Дихл лур. эф.) клонов, вш ность ДДТ шю к мух

71816. Пр от молл. Watts (англ.) Дильдри ства борьб жува в 15% I, вып под назва отложенны дящаяся через 24 ч дилх ее об составляет

146/2, —), капроновой (96, 145/2, —) и энантовой (98, 146/2, —) получают по методу Спасова и подвергают перегруппировке Фриса (2 час., 110°, без р-рителя) в присутствии $AlCl_3$ (1,5 моля $AlCl_3$ на 1 моль эфира). Полученные метил- (54, 142/3, 200), этил- (68, 145/3, 225), пропил- (65, 150/2, 175), бутил- (68, 210/9, 136) и амил- (2-окси-5-трет-бутилфенил)-кетоны (65, 200/2, 140—141), дающие красное окрашивание с 1%-ным р-ром $FeCl_3$ и образующие желтый осадок с 2%-ным $NaOH$, кипячением 8 час. с 0,11 моля $CH_2=CHCH_2Br$ в 80 мл сухого ацетона в присутствии 0,15 моля K_2CO_3 превращают в метил- (66, 115/1 165), этил- (65, 135/1, 157) пропил- (56, 195/16, 130), бутил- (76, 165/1, 129) и амил- (2-аллилокси-5-трет-бутилфенил)-кетоны (68, 164/1, 129). В-ва синтезированы для изучения их инсектицидных свойств. А. Грапов

71812. Использование линдана в борьбе против вредителей рапса. Дебуа (L'utilisation du lindane dans la lutte contre les ennemis du colza. Desbois A.), Phytoma, 1958, 10, № 97, 17—18 (франц.)

71813. К разработке методов и средств для массового импрегнирования белья инсектицидными препаратами. (Предварительное сообщение). Погодина Л. Н., Тр. Центр. н.-и. дезинфекц. ин-та, 1957, вып. 10, 164—170

Белье, импрегнированное 1%-ной эмульсией ДДТ на уайт-спирите, вызывает 100%-ную гибель вшей при контакте в течение 15 мин. Инсектицидное действие после 8-дневной носки снижается в 2 раза при контакте в 15 мин. и на 35% при контакте в 30—60 мин. При выдержке до 24 час. эффективность не снижается. Кол-во препарата ДДТ на импрегнированном белье снижается после 8-дневной носки на 81,8%, после стирки на 75%. И. Мильштейн

71814. Новый метод снятия остатков ДДТ в других инсектицидов с поверхностей после опрыскивания. Алессандрини (Nuovo metodo di prelevamento del solo DDT superficiale, o di altri insetticidi, su superfici spruzzate. Alessandrini Maria Ester), Rend. Ist. super. sanità, 1956, 19, № 1, 5—10 (итал.; рез. франц., англ., нем.)

Полоски пергаментной бумаги покрывают от руки тонким слоем высоковакуумной смазки Dow Corning «Silicone» и затем плотно прижимают к изучаемой поверхности, содержащей ДДТ или другие инсектициды. Полоски экстрагируют ацетоном и определяют колориметрически по методу, описанному автором ранее (Bull. WHO, 1950, 2, 629). А. Верещатин

71815. О влиянии активатора ДМС на инсектицидную эффективность препаратов ДДТ. Вашков В. И., Ключева А. М., Шавырина В. В., Шилова С. А., Калугина Т. И., Тр. Центр. н.-и. дезинфекц. ин-та, 1957, вып. 10, 198—204

4,4'-Дихлордифенилметилкарбинол (т. пл. 68—69°, лев. ф.) ускоряет действие препаратов ДДТ на мух, клопов, вшей и тараканов. Инсектицидная эффективность ДДТ значительно возрастает только по отношению к мухам. И. Мильштейн

71816. Применение дильдрина для защиты шерсти от моли. Уотс (Mothproofing wool with dieldrin. Watts B. B.), Wool, 1957—1958, 2, № 5, 45—47, 49 (англ.)

Дильдрин (I) испытан в Австралии в качестве средства борьбы с личинками платяной моли и коврового жука в виде концентрата эмульсии, содержащего 15% I, выпускаемого фирмой Шелл в Новой Зеландии под названием «Дильдрекс 15» (II). I не уничтожает отложенных на обработанной шерсти яиц, но отрождающаяся моль и личинки жуков погибают менее чем через 24 часа. Шерсть опрыскивают II на разных стадиях ее обработки, рекомендуемое остаточное кол-во I оставляет 0,05% от веса шерсти. I можно удалить

при стирке в мыльных р-рах, но защитный эффект не уничтожается даже при 2-часовой стирке в стиральной машине. При последующих операциях по обработке шерсти (окраска, отбеливание и др.) происходит снижение концентрации I, однако остающееся кол-во достаточно для защиты товаров от моли. I лучше всего применять для обработки таких изделий, которые обычно очищают сухим способом и лишь изредка стирают, а именно: верхней одежды, одеял, ковров и мебели. I не рекомендуют применять для обработки часто стираемых изделий — нижней и детской одежды. Л. Вольфсон

71817. Влияние опрыскивания эндрином, проводимого для борьбы с мышами, на насекомых, обитающих в садовой напочвенной подстилке. Хаф (Effect of mouse-control spray of endrin on insect life in orchard ground cover. Hough W. S.), J. Econ. Entomol., 1957, 50, № 5, 692—693 (англ.)

Опрыскивание эндрином поверхности почвы, проводимое для борьбы с мышами, не эффективно против перезимовавших стадий листового минера *Callisto geminata* (Packard), листовертки *Argyrotaenia velutinana* (Wlk.) и не действует на их естественных паразитов. Е. Гранин

71818. Борьба со вшами в северных пастбищных стадах при помощи остаточного опрыскивания. Де-Фолиарт (Lice control on northern range herds with residual sprays DeFoliart G. R.), J. Econ. Entomol., 1957, 50, № 5, 618—621 (англ.)

Для борьбы с *Solenopotes capillatus* (Enderlein), *Linognathus vituli* (L.) и другими видами вшей коров и телок оцрыскивали суспензиями инсектицидов соответственно в дозах 11,3 и 7,6 л на одно животное. 0,5%-ный хлордан (I), 0,06%-ный гептахлор, 0,03%-ный дильдрин (II) и 0,5%-ный малатон (III) удовлетворительно эффективны в течение 4—5 месяцев. Комбинирование I с III, линданом (IV) или ГХЦГ не увеличило периода остаточного действия. 0,046%-ный IV и 0,5%-ный пертан уступали по эффективности другим препаратам. I, II и ГХЦГ в полевых условиях не оказали овидного действия, 0,25%-ный III вызвал 52%-ную гибель яиц вшей, а ГХЦГ (0,025% γ-изомера) был мало эффективен. Е. Гранин

71819. Опыты борьбы с *Dacus oleae* Rossi путем опрыскивания деревьев фосфорсодержащими инсектицидами. Планес, Риверо (Algunos datos experimentales sobre la lucha contra la mosca del olivo con el metodo espanol de los mosqueros, pulverizaciones cebo y pulverizacion total de los arboles con insecticidas fosforados. Planes Silverio, Rivero Jose Maria, del), Bol. Inst. nac. invest. agron., 1957, 17, № 37, 363—373 (исп.)

Для борьбы с мушкой маслины *Dacus oleae* Rossi использовали эмульсии фосфорсодержащих инсектицидов (диптерекс, ликонталь, хлортион, малатон, диазинон). Активность инсектицидов увеличивалась при добавлении к эмульсиям р-ра частично гидролизованного белка дрожжей в концентрации 1%. Добавление сахара менее эффективно. Наиболее активными инсектицидами оказались диазинон и хлортион. А. Верещатин

71820. Влияние света на химические и биологические свойства паратиона. Фроли, Кук, Блейк, Фицхью (Effect of light on chemical and biological properties of parathion. Frawley John P., Cook J. William, Blake Jane B., Fitzhugh O. G.), J. Agric. and Food Chem., 1958, 6, № 1, 28—30 (англ.)

Образец паратиона (I) в небольшом кол-ве ацетона равномерно распределяли по поверхности чашки Петри и облучали УФ-светом с дистанции 40 см в течение 0, 2, 4, 6, 8, 12 и 16 час. I после облучения дает смесь I, параоксона и других продуктов окисления

и разложения. Смесь обладает большей антихолинэстеразной активностью *in vitro*, менее токсична для мух и дает пониженные результаты при хим. анализе по методу Аверелла-Норриса (Averell P. R., Norris M. V., *Analyt. Chem.*, 1948, 20, 753). Уменьшение антихолинэстеразной активности *in vitro* при скормливании крысам облученного I происходит параллельно с уменьшением чувствительности метода анализа при его определении. К. Швецова-Шилова

71821. Изучение синергистов инсектицидов. XVIII. Синергетическое действие хибалактона (саванна) и подобных ему соединений для пиретрина и аллетрина. Часть I. Мацубара (Matsubara Hiromichi), Ботю какаку *Scient. Insect Control*, 1957, 22, № 4, 345—354 (японск.; рез. англ.)

Изучено синергетич. действие для пиретрина (I) и аллетрина (II) (в скобках дана т. пл. в °C): хинокинина (III) (54—56), саваннина (IV) (146—146,5), мезо- α,β -дибензил- (202—203), мезо- α,β -дипириперонил- (191—193), *d,l*- α -бензилден- β -бензил- (160—161), *dl*- α -пиперонилден- β -пиперонил- (V) (162—163,5), α,β -дипириперонилден- (216—218), α,β -дипириперонилден- (VI) (210), *dl*- α -бензил- (161,5—162,5), *dl*- α -пиперонил- (138—139), транс- α -бензилден- (186—189), α -пиперонилден-янтарной к-ты (198,5—199,5). Опыты проводили с *Culex pipiens var pallens* Coqui и *Musca domestica vicina* Macq. В дустах и эмульсиях соотношение I или II к синергисту равнялось 1:8. Степень синергизма (CC) вычисляли по средней смертельной дозе и среднему времени наступления паралича по методу пробитов. Синергетич. действием (CD) для I и II обладают IV и III. CC IV для II больше, чем для I. Из производных янтарной к-ты CD по отношению к I обладают V и VI. Ни одно из этих в-в не является синергистом для II. Сообщение XVI см. РЖХим, 1956, 19827. К. Швецова-Шилова

71822. Овицидная активность органических соединений серы. Изучение овицидного эффекта для *Ascaris lumbricoles*. Мацумото, Курамото (Matsumoto Seizo, Kuramoto Masayuki), Ботю какаку *Scient. Insect Control*, 1957, 22, № 4, 333—339 (японск.; рез. англ.)

В лабор. опытах при прямом контакте изучено овицидное действие на яйца *Ascaris lumbricoles* следующих соединений (даны в-во, конц-ия действующего начала эмульсий в %, смертность яиц *A. lumbricoles* в %): эндрин, 0,01, 100; дильдрин, 0,05, 95; алдрин, 0,05, 80; малатион, 0,01, 90; ДДВФ, 0,01, 100; тетраметилтиурамсульфид, 0,001, 100; ТМТД, 0,001, 100; динитроциклогексилфенол, 0,005, 90; *n*-хлордифенилсульфон, 0,01, 100; фенилизотиоцианат, 0,005, 100; пентахлорфенол + трихлорэтилен (I), 0,003, 95; тетрахлорфенол + I, 0,005, 100; аллилизотиоцианат (II) с примесью родственных соединений, 0,005, 100; циклогексилбензоатизосульфенамид, 0,03, 0; дибензотиазилдисульфид, 0,001, 0; Zn-соль димеркаптобензотиазола, 0,001, 40; трихлорнитрофенол, 0,001, 95; *o*-фенилфенол I, 0,003, 95; аллилизотиоцианат с примесью родственных соединений, 0,001, 100. При прямом контакте наиболее активен II, который в конц-ии 0,0001—0,0002% вызывает 100%-ную гибель яиц. Смачивающиеся порошки, содержащие эти в-ва, оказались не активными. Активность соединений зависит, по-видимому, от наличия в их молекуле группировки $-N=C=S$, благодаря которой в-ва вступают в процессы метаболизма яиц и подавляют их рост. В-ва общей ф-лы $R-S-C\equiv N$ являются менее активными овицидами.

К. Швецова-Шилова
71823. Борьба с клеверным корневым долгоносиком на люцерне. Тернер (Control of the clover root curculio on alfalfa. Turner E. C., Jr), *J. Econ. Entomol.*, 1957, 50, № 5, 645—648 (англ.)

В целях борьбы с клеверным корневым долгоносиком *Sitona hispidula* (F.) в течение 1953—1955 гг. испытаны: дильдрин (I), алдрин (II), гентахлор (III), изодрин (IV), токсафен (V), хлордан (VI), тимет (VII), эндрин (VIII), паратион (IX), лямдан (X) и номагон (XI). При применении в гранулированной форме (ГФ) I (в количестве в кг на га) (2,24) эффективна в течение 3 лет, а II (4, 48) — только 1 год. III (4,48), VI (22,4) и II (4,48) в ГФ снижали поврежденность корней люцерны на 87—97%; IV (4,48), II (8,96) и V (22,4) были менее эффективны. Значительного различия между весенними и осенними сроками применения указанных выше препаратов не установлено. В другом опыте VII (6,72), VIII (2,24), V (16,8) и нематодид XI (19,05) оказались значительно слабее I (2,24), IX (2,24), X (2,24), IV (5,6), VI (5,6) и III (2,8). Опрыскивание почвы I, III или VIII в дозе 1,12 кг/га снизило поврежденность корней люцерны на 56, 71 и 16% соответственно. Е. Гранн

71824. Биология и борьба с комплексом личинок вредителей шпината. Гайер, Рит, Хейсен (The biology and control of the maggot complex associated with spinach. Guyer Gordon E., Reath Norman, Haisley Keith), *J. Econ. Entomol.*, 1957, 50, № 5, 595—598 (англ.)

Против личинок (Л) *Scaptomyza graminum* (Fallen), *Hydomya ciliatula* (Rond.), *Muscina stabulans* (Fall.) и *M. assimilis* (Fall.) испытаны малатион, паратион, диазинон, фосфрин, гутион, Dow ET 57, тиодан, диптерекс, ДДТ, лямдан, гентахлор (I) и дильдрин (II). I или II (5,6 кг/га) при применении в почву практически недостаточно снижали поврежденность растений Л. Обработка листьев шпината (Ш) гранулированным препаратом более эффективна в сравнении со стандартным опрыскиванием. Хлороорганич. инсектициды (II) оказались в основном более эффективными, чем фосфорорганич. II. В консервированном Ш, обработанном с опытных участков через 3 дня после последней обработки, остатки II отсутствовали или были ниже допустимых пределов. II (остатки) на опрысканном Ш было в 3—4 раза больше, чем на Ш, обработанном гранулированным препаратом. Е. Гранн

71825. Остаточная эффективность инсектицидных препаратов при уничтожении устойчивых и неустойчивых рыжих тараканов. Джарвис, Грейсон (Residual effectiveness of insecticide formulations in killing resistant and nonresistant German cockroaches. Jarvis F. E., Jr, Grayson J. M.), *J. Econ. Entomol.*, 1957, 50, № 5, 604—605 (англ.)

Определена остаточная эффективность технич. хлордана (I), 57%-ного концентрата эмульсии (КЭ) малатиона (II), диазинона 25 Е (III), 25%-ного КЭ Ам Суанамид 4124 (IV), мальрина (V), технич. аллетрина (VI), 10%-ного р-ра пиретрума (VII), технич. дитерекса (VIII), дильдрекса 15 (IX) и смесей: I + VI, I + VII, II + VI, IV + VI на обработанных (способом погружения) ими деревянных, металлич. и древесноволокнистых (мазониновых) пластинах. Основой препаратов служил очищ. керосин. На пластины через 21, 30 или 60 дней после обработки препаратами помещали подопытных насекомых (Н). Учет смертности Н проводили в конце 1, 3 и 6 суток. Наиболее эффективным оказался IV, вызвавший полную гибель Н на всех обработанных поверхностях в течение 1 суток. III на деревянных и древесноволокнистых пластинах дал аналогичный эффект на 3 суток, но слабо действовал при нанесении на металлич. пластины. II, II + VI и V эффективны на 6 суток; VIII был активен, а I и IX дали неудовлетворительный эффект. Е. Гранн

71826. Определение общего хлора в пестицидах с помощью смеси натрия и жиро-

ного безводного аммиака. Бекман, Айберт, Адамс, Скволлин (Determination of total chlorine in pesticides by reduction with a liquid anhydrous ammonia—sodium mixture. Beckman Hergman F., Ibert Edward R., Adams B. B., Skovlin D. O.), J. Agric. and Food Chem., 1958, 6, № 2, 104—105 (англ.)

Навеску пестицида, содержащую 1 экв. Cl, помещают в стакан (С) емк. 400 мл, закрывают часовым стеклом и добавляют 20 мл эфира. Для охлаждения р-ра С помещают в чашку Петри, содержащую 20 мл жидкого NH_3 (I). Затем в С добавляют ~40 мл I, вносят в него 2—3 кусочка металлич. Na (~0,5 г) и перемешивают смесь, вращая С. Р-ция заканчивается через 1—2 мин., когда смесь окрашивается в синий цвет; I и эфир испаряют, для растворения остатка добавляют 30 мл дистил. воды, а затем 1 мл 10% фенолфталеина и разб. HNO_3 (1:1) до нейтральной щел. р-ра. После этого прибавляют 10 мл конц. HNO_3 , 70 мл дистил. воды и р-р титруют. Если в образце присутствует S, то после испарения I и добавления воды в С приливают 10 мл 30%-ной H_2O_2 , ставят на горячую пластинку и кипятят осторожно 10 мин., а затем нейтрализуют, как описано выше. Продолжительность I анализа 30 мин. Приведена схема танка для хранения I, снабженного измерителем давления (манометром), двумя вентилями и трубкой, доходящей почти до дна. Наиболее удобен танк емк. ~60 л, который в наполненном состоянии весит 63,5 кг. Метод проверен на дильдрине, альдрине, гептахлоре, лондане, ГХЦГ, ДДТ, токсафене и хлордане. Во всех случаях величина найденного Cl составляла 98,1—101,5%. Сравнение данных этого метода с обычным методом, использующим Na и спирт, показывает хорошую сходимость (0,02—0,24% I). С небольшим изменением метод может быть применен и для анализа остатков пестицидов.

Л. Вольфсон
71827. Колориметрическое определение остатков малатиона в животных продуктах. Норрис, Истер, Фуллер, Кучар (Colorimetric estimation of malathion residues in animal products. Norris M. V., Easter E. W., Fuller L. T., Kuchar E. J.), J. Agric. and Food Chem., 1958, 6, № 2, 111—114 (англ.)

Остатки малатиона (I) в мясе, молоке, яйцах, жирах и печени определяли методом, используемым при анализе остатков I в растениях (РЖХим, 1955, 16832). При анализе говядины и мяса цыплят удваивается размер образца и всех реагентов, за исключением р-рителя (гексана) для экстракции окрашенного комплекса. Анализ не дает возможности точно определить внесенное кол-во I. Найдено I (в % от внесенного): в говядине 67—85; в сыром и жареном мясе цыплят соответственно 70—85 и 67—83; в свином жире 82—100; в говяжьем жире 74—100; в свином жире 82—103; в жире цыплят 91; в пастеризованном молоке 67—91; в цельном сыром молоке 67—132; в желтке яйца 68—131; в белке яйца 67—108; в печени 8—119.

К. Швецова-Шилова
71828. Спектрофлуориметрия для определения пестицидов. Хорнстейн (Spectrophotofluorimetry for pesticide determinations. Hornstein Irwin), J. Agric. and Food Chem., 1958, 6, № 1, 32—34 (англ.)
Некоторые пестициды дают р-ры, флуоресцирующие в области УФ-света, что может быть использовано для их определения. Измерена длина волны максимума активации и флуоресценции р-ра 1 γ инсектицида в 1 мл CH_3OH (I) и в водн. р-ре при pH 1 (0,1 н. H_2SO_4), pH 7 (фосфатный буфер), pH 11 (1 н. NaOH) и pH 14 (1 н. NaOH). Дано в-во, $\lambda_{\text{макс}}$ в мкм для активации, флуоресценции, р-ритель, чувствительность у/мл: гузатион, 312 (250), 380, воды (pH 11,0), 0,007

(0,04); потазан, 320, 385, I, 0,04; варфарин, 320, 385, I, 0,04; пиперонилбутоксид, 292 (248), 318, I, 0,01 (0,05); *n*-пропилизоме, 292 (248), 326, I, 0,01 (0,05); индотил-уксусная к-та, 285, 345, вода (pH 7), 0,008; α -нафтил-уксусная к-та, 282 (230), 327, вода (pH 11), 0,02 (0,10); α -нафтилацетамид, 286 (230), 327, вода (pH 11), 0,02 (0,14). ДДТ, ТДЕ, метоксиклор, 2,4-дихлор-, 2,4,5-трихлор- и *p*-хлорфеноксиуксусная к-ты, диазинон, ротенон, арамит, изомеры ГХЦГ, токсафен, альдрин, дильдрин, хлордан и гептахлор в конц-ии 1 γ/мл не дают флуоресцирующих р-ров.

К. Швецова-Шилова
71829. Разделение смесей бис-(бутенилен-2')-2,3,4,5-тетрагидрофурфурала и соответствующих спирта и кислоты методом хроматографии на бумаге. Митчелл (Separation and differentiation of mixtures of 2,3,4,5-bis(Δ^2 -butenylene) tetrahydrofurfural, its alcohol, and its acid, by paper chromatography. Mitchell Lloyd C.), J. Agric. and Food Chem., 1957, 5, № 10, 748—749 (англ.)

При разделении бис-(бутенилен-2')-2,3,4,5-тетрагидрофурфурала (I); -фурфурилового спирта (II) и -фурфуриловой к-ты (III) в качестве неподвижного р-рителя применяли 20%-ный р-р диметилформамида в эфире, а в качестве подвижного р-рителя — октан. Хромогенным агентом служила смесь двух р-ров (р-р 1 г периодата K в 100 мл воды и р-р 1 г KMnO_4 и 2 г Na_2CO_3 в 100 мл воды), которые смешивались непосредственно перед опрыскиванием в соотношении 4:1. Значение R_f в среднем составляет для I, II и III 0,83, 0,44 и 0,07 соответственно.

Л. Вольфсон
71830. Эффективность бордосской жидкости, приготовленной с различным соотношением компонентов, в борьбе против пятнистости и фитофторы томатов при испытании в оранжерее. Мак-Каллан (Effectiveness of various formulations of bordeaux mixture in controlling early and late blights of tomato in greenhouse tests. McCallan S. E. A.), Contribs Boyce Thompson Inst., 1957, 19, № 2, 157—167 (англ.)

Против *Alternaria solani* (Ell. и Mart) Jones и Groul и *Phytophthora infestans* (Mont.) D. B. испытаны бордосские смеси: свежеприготовленная (I) и приготовленная за 24 часа до употребления (II). Препараты имели следующие составы: (—10—100) (A), (10—4—100) (B), (10—3—100) (B), A + 0,025%-ного тритона X 114 + 2% маракарба NC (Г). Их применяли из расчета 0,32—1,60 мг Cu на 100 см² листовой поверхности томатов. Опыт включал варианты с дождеванием (Д) (2,54 см) обработанных препаратом растений и без Д. IB и IIB дали лучший эффект в борьбе с обеими болезнями, чем IA, B, Г и IIA, B, Г при Д и без Д. Малая эффективность IA при Д объясняется способностью I при этом соотношении компонентов образовывать крупные сферич. кристаллы, которые легко смываются при Д. С другой стороны, у IB и B образуются микрокристаллы, хорошо прилипающие к листьям и с трудом смывающиеся при Д. Н. Гольшин
71831. Новейшие успехи в борьбе с паршой яблонь.

Хаттон (Some recent developments in black spot control. Hutton K. E.), Agric. Gaz. N. S. Wales, 1957, 68, № 10, 535—537 (англ.)

Обзор. Хороший эффект в борьбе с паршой яблонь достигается однократным искореняющим опрыскиванием фенилмеркурхлоридом в конц-ии 0,1%. Обработка производится осенью после сбора урожая.

Н. Гольшин
71832. Изучение метода смесей спор и метода с зарыванием в почву при определении устойчивости к воздействию мучнисторосянистых грибов на ткани, покрытые винилипластиком. Баскин, Каплан (A study of mixed-spore culture and soil-burial procedures in determining mildew resistance of vinyl coated fabrics. Baskin A. David, Kaplan

Arthur M.), Appl. Microbiol., 1956, 4, № 6, 288—293 (англ.)

В борьбе с разарушением микроорганизмами (М) (*Penicillium piscarium*, *P. luteum*, *Aspergillus flavus*, *A. niger* и *Trichoderma viride*) винилпластового покрытия (ВП) на хлопчатобумажных тканях (Т), холсте, парусине, сатине применяли 8-оксихинолят Cu (I) и I + дифенилмеркурацетат (II). После 3-недельной экспозиции в питательной среде со смесью спор и 2-недельной выдержке в почве при 30° и 85%-ной относительной влажности образцы тканей промывали, сушили при 23° и определяли сопротивление на разрыв с помощью прибора Скотта и прочность на изгиб с помощью прибора Кларка. Лучшей устойчивостью к воздействию М обладали Т, покрытые ВП с добавками I + II (1,0 + 0,5% от веса ВП), и Т, которые перед ее покрытием ВП обрабатывали I.

Н. Голышин
71833. Предупреждение красновато-коричневой окраски цитрусовых плодов во Флориде препаратом цинеб. Фишер (Control of citrus fruit russet in Florida with zineb. Fisher Fran. E.), Phytopathology, 1957, 47, № 7, 433—437 (англ.)

Для борьбы с красновато-коричневой окраской цитрусовых плодов долго применяли серу, полагая, что эту окраску вызывает ржавчинный клещ *Phyllosticta oleivora* (Aschun.). Однократным опрыскиванием деревьев в июле или начале августа препаратом цинеб (дифеноксамбат цинка) в концентрации 295—590 г на 379 л достигли получения 95—100% неповрежденных плодов нормальной окраски. Хотя цинеб подавляет размножение клещей, возможно, что красновато-коричневую окраску вызывает грибок *Cladosporium brunneo-atrum* Mc. Asp.

А. Ковалов

71834. Нормы и сроки внесения фунгицидов в почву. Крам, Ваарта (Rate and timing of fungicidal soil treatments. Gram W. H., Vaartaja O.), Phytopathology, 1957, 47, № 3, 169—173 (англ.)

Внесение в почву ортоцида-75 (75%-ный каптан) (I) и терзана (75%-ный тирам) (II) в дозе 11,2—56,0 кг/га увеличивает всхожесть семян и снижает поражаемость всходов древесных пород *Picea pungens* Engelm., *Pinus sylvestris* L., *Caragana arborescens* Lam. грибами *Rhizoctonia solani* Kühn. и *Pythium* sp. Кол-во патогенных организмов в почве значительно снижается при низких дозах и приближалось к нулю при высоких дозах I и II. Лучший эффект получен с II при начальном внесении в почву в дозе 64,5 кг/га и последующем — в дозе 11,2 кг/га с интервалом 7—14 дней. На почвенных сапрофитах и бактерий I и II не оказывали токсич. действия.

Н. Голышин

71835. Испытание нового препарата каратана в борьбе против мучнистой росы табака в тепличных и полевых условиях. Марчелли (Un nuovo prodotto per la lotta contro o'lidio del tabacco: il Karathane prime esperienze di lotta in serra ed in campo. Marcelli E.), Tabacco, 1957, 61, № 684, 262—269 (итал.; рез. англ.)

Хороший эффект в борьбе с мучнистой росой табака в оранжерее давал каратан (I) в конц-ии 0,06, 0,12 и 0,18% при 5-кратном опрыскивании растений. I в миним. конц-ии превосходил по эффективности ширлан (25%-ный салициланид), взятый в конц-ии 0,8%, и сохранял обработанные им растения свободными от инфекции в течение 2 недель, при конц-иях I 0,12—0,18% этот период увеличивался до 3 недель. Полевые испытания подтвердили результаты, полученные в оранжерее. Обработка I табака не влияет на его аромат и вкусовые качества.

Н. Голышин

71836. Опрыскивание косточковых. Различия в действии фунгицидов. Хаттон (Spraying stone fruits. Varying effects of fungicides. Hutton K. E.), N. Z. Gardener, 1958, 14, № 5, 333—335 (англ.)

Применение бордосской жидкости (I) (10—10—100) и хлорокиси Cu (II) на миндале (М), черешне (Ч), персиках (П), сливе (С) и черносливке (ЧС) в период дождя не вызывает повреждения растений. Препараты S (III) не повреждают М, но при высокой т-ре наблюдаются ожоги листьев. I—III и каптан (IV) фитотоксичны для абрикоса (А) при опрыскивании в вегетационный период; цирам (V), при использовании в засушливых районах, и тирам (VI) не повреждают плоды и листья А. На Ч I (3—3—100) при обработке в вегетационный период не фитотоксична. ИСО (VII) (1—100) не повреждает Ч при обработке задолго до уборки на равнинных участках. I и II на П в вегетационный период вызывают сильные ожоги, исключая орошаемые районы, где I (2—2—100) не фитотоксична для консервных разновидностей П, если применялась вскопка за орошением. VII (1—20) убивает почки при опрыскивании П в период набухания почек на ранних сортах в прибрежных районах, не вызывая повреждения на средние и позднеспелых. У ранних сортов П VII (1—160) в вегетационный период вызывает дефолиацию. VII (1—160) и (1—80) на равнинных участках не фитотоксичны для всех неопушенных и опушенных разновидностей П. Молодая С не повреждает П, если т-ра воздуха ≤ 37—38°. IV вызывает легкую рыжеватую окраску кожицы плодов П, I (2—2—100) не токсичен для европейской С в удаленных от моря и равнинных областях, но повреждает ЧС и в прибрежных районах С. VII фитотоксичен для ранних сортов С и ЧС в прибрежных районах. В других районах VII (1—160), (1—100) и (1—80) не повреждает С и ЧС при прохладной погоде. Нет данных о фитотоксичности органич. фунгицидов для М, Ч, С, ЧС. Н. Голышин

71837. Определение остатков ртути в обработанных растениях. I. Помидоры. Бейдас, Хиггоне (Mercury residues in sprayed crops. I. Tomatoes. Beidas A. S., Higgons D. J.), J. Sci. Food and Agric., 1957, 8, № 10, 597—600 (англ.)

Кол-во Hg (I) в помидорах (П), обработанных аэрозолью 0,2%-ного р-ра фенилмеркурхлорида в (CH₃)₂CO, достигает в отдельных случаях 0,5 мг/кг. На 3-й день после обработки I распределяется в П следующим образом: в пульпе 50%, в кожуре 20%, на поверхности 12%. Изучение распределения остатков I в П проводили обработкой 100 г П, снятой кожуры и остатка пульпы горячим 3 н. р-ром HNO₃ (II), горячей водой и снова 3 н. р-ром II. Для определения общего кол-ва I мацерируют 500 г П и из них берут 100 г для анализа. Р-р образца после мокрого окисления и доведения содержания HNO₃ до 1 н. прибавлением NH₄OH помещают в делительную воронку (ДВ) емк. 250 мл и добавляют 0,5 г NH₄OH·HCl (III). I экстрагируют дважды по 5 мл р-ра дитизона (IV) (10 мг IV в 200 мл CCl₄) взбалтыванием в течение 30 сек. Р-ры в IV- помещают в ДВ емк. 150 мл и экстрагируют дважды 20 мл 1,0 н. р-ра H₂SO₄ и 5 мл 0,1 н. р-ра KMnO₄ при энергичном взбалтывании в течение 1 мин. Слой IV отбрасывают, а водн. слой промывают 10 мл IV, обезвреживают добавлением нескольких кристаллов NaNO₂, прибавляют 0,5 г III и 3 мл 33%-ной CH₃COOH и титруют р-ром IV (50 мг IV в 100 мл CHCl₃), из них берут 5 мл и растворяют перед определением в 250 мл CHCl₃. В конце ведут титрование, добавляя по 0,2 мл р-ра, встряхивают ДВ в течение 30 сек. после каждой добавленной порции и отбрасывают слой CHCl₃, окрашенный в желто-оранжевый цвет. Титрование продолжают до зеленой окраски слоя CHCl₃. Титр р-ра IV для титрования устанавливают титрованием р-ром, содержащим стандартное кол-во I, примерно эквивалентное тому, которое содержится в исследуемом экстракте. Необходимо проводить холостой опыт.

Л. Вольфсон

71838. Опыты с арборицидами на Северном Борнео. Николсон (Arboricide trials in North Borneo. Nicholson D. I., Malayan Forester, 1958, 21, № 1, 17—21 (англ.).

Арборициды (содержание компонентов указано в пересчете на свободную к-ту): Kilbush (смесь бугиловых эфиров 2,4-Д и 2,4,5-Т, 50 и 25%), Kilsure (н-бутиловый эфир 2,4-Д, 78—80%), Kilbest (н- и изо-бутиловый эфир 2,4,5-Т, 79—81%), а также смесь двух последних препаратов, взятых в отношении 2:1, уничтожали деревья при опрыскивании оснований стволов 4%-ными р-рами. 100%-ную гибель деревьев вызывало внесение арборицидов в кольцевые насечки на стволах. Л. Стонов

71839. Выбор лучших гербицидов для злаков. Фрайер (Choosing the best herbicides for cereals. Fryer J. D., Agriculture (Engl.), 1958, 64, № 12, 585—592 (англ.).

Из новых гербицидов α-(4-хлор-2-метилфенокси)-пропионовая к-та хорошо поражает подмаренник цепкий и куроплевник и может быть применена до фазы 3 листьев с меньшим риском для злаков. $\text{ClCH}_2\text{COONa}$ (I) хорошо поражает подмаренник цепкий. На посевах озимых злаков он вносится весной во время кущения, на яровых — в фазе 4 листьев. Большое число сорняков, в том числе подмаренник цепкий и дрemu белую, уничтожает гербицид CP-1815 (смесь 2М-4Х и 2,3,6-трихлорбензойной к-ты). В отношении куроплевника он менее эффективен, чем I, но вызывает стойкое пресечение роста сорняков, предотвращая их цветение. 2-метил-4-хлор- (II) и 2,5-дихлорфеноксимасляная (III) к-ты применяются на злаках с подсевом бобовых. II мало токсичен для злаков даже в ранние фазы роста. II и III мало эффективны против дикой горчицы и дикой редьки, поэтому к ним добавляют небольшие кол-ва 2,4-Д и 2М-4Х. Л. Стонов

71840. Исследования в области гербицидов. I. 2-(замещенные амино)-4,6-дихлор-1,3,5-триазины. Копман, Даме (Investigations on herbicides I. 2-(substituted amino)-4,6-dichloro-1,3,5-triazines. Koopman H., Daams J.), Recueil trav. chim., 1958, 77, № 3, 235—240 (англ.).

Взаимодействием хлористого цианура (в водн. суспензии или ацетоновом р-ре) с аминами при 0—5° в присутствии акцептора к-ты синтезирован ряд соединений типа 2-Х-4,6-дихлор-1,3,5-триазина (где Х — алкил- или диалкиламиногруппа, которая, в свою очередь, может быть замещена), для которых изучена зависимость гербицидной активности (ГА) от характера Х. Полученные соединения (даны Х, выход в %, т. пл. в °С или т. кип. °С/мм, р-ритель при перекристаллизации): NH_2 , 88, 233,5—235,5, диоксан; NHCH_3 , 69, 158—159°, бзл. + петр. эфир, NHC_2H_5 , 48, 104—105, петр. эфир, $\text{NHCH}_2\text{CH}=\text{CH}_2$, 88 (неочищ.), 70,5—72, петр. эфир; $\text{NHCH}(\text{CH}_3)_2$ (I), 88, 37—40, петр. эфир, 155—156/13; $\text{NH}(\text{CH}_2)_2\text{CH}_3$, 52 (неочищ.), 70—71, бензол; $\text{NH}(\text{CH}_2)_3\text{CH}_3$ (II), 78, 51—52, петр. эфир; $\text{NHCH}_2\text{CH}(\text{CH}_3)_2$, 69 (неочищ.), 95,5—96,5, петр. эфир; $\text{NHC}(\text{CH}_3)_2$, 69 (неочищ.), 130,5—131,5, петр. эфир; $\text{NHC}(\text{CH}_3)_3$, 69 (неочищ.), 130,5—131,5, петр. эфир; $\text{NHCH}(\text{CH}_3)\text{CH}_2\text{CH}(\text{CH}_3)\text{CH}_3$ (III), 90, 54,5—55, петр. эфир, 114—118/0,04; $\text{NH}(\text{CH}_2)_6\text{CH}_3$, 99 (неочищ.), 55—56, петр. эфир; $\text{NHC}_2\text{H}_4\text{CH}(\text{C}_2\text{H}_5)(\text{CH}_2)_3\text{CH}_3$, 86 (неочищ.), 144/0,01; $\text{NH}(\text{CH}_2)_2\text{CH}_3$, 98 (неочищ.), 56—57, петр. эфир; $\text{NH}(\text{CH}_2)_{11}\text{CH}_3$, 94 (неочищ.), 62—63, гептан; $\text{N}(\text{CH}_3)_2$, 75, 119—120, петр. эфир; $\text{N}(\text{C}_2\text{H}_5)_2$, 64, 78—79, бензол; $\text{N}(\text{CH}_2)_2\text{CH}_3$, 74, 56—57, петр. эфир; $\text{NCH}(\text{CH}_3)_2$, 17, 102—103, петр. эфир; $\text{N}(\text{CH}_2)_5\text{CH}_3$, 67 (неочищ.), 107/0,07; $\text{N}(\text{CH}_2)_5\text{CH}_3$, 45, 31,5—32,5°, петр. эфир; $\text{NCH}_2\text{CH}_2\text{OCH}_2\text{CH}_2$, 60, 157—158, бензол; $\text{NCH}_2\text{COOC}_2\text{H}_5$, 61, 85—86, бензол; $\text{NH}(\text{CH}_2)_3\text{OCH}_3$, 73,

75—76, бензол — петр. эфир; $\text{NH}(\text{CH}_2)_3\text{OCH}(\text{CH}_3)_2$, 87; 41—42, петр. эфир; $\text{NH}(\text{CH}_2)_5\text{COOC}_2\text{H}_5$, 47, 81—82,5, бензол — петр. эфир. Алкиламиносоединения более активны, чем диалкиламино; наибольшая ГА отмечена у соединений с 3—6 атомами С в алкильной цепи, в частности у I, II и III. При введении в алкильную группу COOR или OR ГА полностью или почти полностью утрачивается. Г. Швиндлерман

71841. Использование дефолиантов для подсушки гречихи в поле и новый метод химического определения рутина. Брейха, Горак (Use of defoliant for drying buckwheat in the field and a new method for the chemical determination of rutin. Brejcha V., Horák P.), Nature, 1958, 181, № 4607, 505—506 (англ.).

Гречиху (*Fagopyrum sagittatum* Gilib.) в период полного цветения опрыскивали одним из следующих р-ров: хлорат Na (I) (0,1, 1,0 и 2,0%), динитрокрезолат Na (1%), пентахлорфенолат Na (10%). Наилучшее высушивание листьев, стеблей и цветков вызывал I в концентрации 1%. Установлено, что дефолианты вызывают изменение содержания рутина (II) в листьях. Новый метод определения II после его хроматографич. отделения основан на цветной р-ции II с солями диазония. В. Лившиц

71842 П. Родентицидные составы, содержащие натриевую соль варфарина. Линк (Warfarin sodium rodenticidal composition. Link Karl Paul) [Wisconsin Alumni Research Foundation]. Пат. США 2783177, 26.02.57

Для приготовления водн. родентицидных приманок (РП) предлагаются составы, состоящие из не содержащего водонерастворимых примесей песка (П) с размером частиц 20—50 меш, покрытого слоем Na-соли 3-(α-ацетонилбензил)-4-оксикумарина (I) в таком кол-ве, чтобы состав содержал 0,1—10 вес.% варфарина (II). Р-р I не должен содержать свободной щелочи. Слой I прочно удерживается сухим П и легко переходит в р-р при соприкосновении с водой. Из составов можно готовить приманки, содержащие 0,025—5,0% II. Не рекомендуется прибавлять в приманки сахар; в небольших кол-вах можно прибавлять NaCl (0,055%), глицерин, сорбит, маннит, сахарин, краски. Противоядием для II является витамин К. Во избежание затрат на перевозку песка можно готовить концентраты с диатомовой землей (ДЗ), фильтрующими средствами (суперцел, целит, диамит, асбест), древесной целлюлозой, эфирами водонерастворимой целлюлозы и т. п. Концентраты на месте разбавляют песком. Р-ром II можно также пропитывать целлюлозные брикеты (ЦБ). Для получения исходного р-ра I к р-ру 32,4 г 97%-ного NaOH в 865 мл дистил. воды прибавляют 250 г чистого без запаха II, перемешивают 10 мин. до pH 8,0, добавляют еще 5 г II и фильтруют. Фильтрат содержит 23,4 вес.% I или 21,8 вес.% II. Аналогично из 64,960 г х. ч. NaOH, 500 мл воды и 505 г II получают р-р I, который при разбавлении 1 л воды содержит > 50% II. При приготовлении р-ра I берут избыток II, так как в присутствии свободной щелочи II разлагается. Примеры РП. 1. Около 994,91 г чистого промытого П с диаметром частиц 0,84—0,59 мм высушивают при 95—100°, охлаждают, прибавляют при перемешивании 20,0 мл 21,8%-ного р-ра I, сушат 3 часа при 50—60° и растирают. Полученный продукт содержит 5,09 г II или 0,5 вес.% II. 9,5 г продукта, содержащего 47,5 мг II, прибавили к 946,4 мл воды при перемешивании; полученный р-р содержал II 0,05 мг/мл. 2. Из 938,82 г II (диаметр частиц 0,42—0,84 мм) и 20,0 мл 43,6%-ного р-ра I аналогично получен сухой продукт, содержащий 1% II. 3. Из 19 г II (диаметр частиц 0,59—0,84 мм) и 2 мл 50%-ного р-ра

I получен продукт, содержащий 5% I. 4. 1800 г (диаметр частиц 0,3—0,84 мм) обрабатывают 400 мл 50%-ного р-ра I в закрытом смесителе. После сушки получен продукт, содержащий 10 вес.% I. 5. Аналогично из 999 г II и 10 мл 10%-ного р-ра I получен продукт, содержащий 0,1% II. 6. К 20 г сухой ДЗ прибавляют при перемешивании 20,0 мл 21,8%-ного р-ра II, сушат 4—6 час. при 50°, прибавляют к II из расчета 2,51 г концентрата на 95 г II. Состав, содержащий 0,251 г смеси II + ДЗ и 9,5 г II, при растворении в 946,4 мл воды дает р-р, содержащий 0,05 мг/мл II. 7. II наносят на одну сторону ЦБ при помощи водн. р-ра жидкого стекла (ЖС), сушат теплым воздухом, наносят на другую сторону р-р II, сушат и получают состав, содержащий 0,5 ЦБ, 0,10 г ЖС, 0,5 г II и 0,051 г I. При растворении таких составов выделяется свободный II за счет изменения pH ЖС.

К. Швецова-Шилова

71843 П. Способ приготовления ядов для крыс. (Procédé pour la fabrication des raticides) [Michel-Henri-Marcel Renaud]. Франц. пат. 1130497, 6.02.57

Для защиты продуктов питания, фуража и т. п. от крыс применяют приманки, приготовленные смешением при 45—63° продуктов питания с расплавленными высокомолекулярными углеводородами и известными средствами против крыс. Можно добавлять вкусовые в-ва.

К. Бокарев

71844 П. Процесс приготовления гексахлорциклопексана, обогащенного γ -изомером. Пехукас, Гун (Procédé de préparation d'hexachlorure de benzène riche en isomère gamma. Pechukas Alphonse, Kung Frederick E.) [Columbia-Southern Chemical Corp.]. Швейц. пат. 319572, 15.04.57

ГХЦГ, обогащенный γ -изомером, получают при р-ции р-ра C_6H_6 и Cl_2 в устойчивых к действию Cl_2 фтор- и хлоруглеводородах при освещении активным светом или в присутствии перекисей. Конц-ию Cl_2 поддерживают в пределах 0,005—2% от кол-ва смеси в течение $\geq 50\%$ времени хлорирования, а т-ру ниже т-ры замерзания C_6H_6 , лучше ниже 0°, но выше т-ры замерзания смеси. Кол-во р-рителя должно быть таким, чтобы реакционная смесь находилась в жидком состоянии (10—99% смеси, лучше 30—95%). В качестве перекисей рекомендуются перекиси дикарбонатов $ROCOOR$, получаемые р-цией Na_2O_2 с хлоруглеводородными эфирами при 0—10°, и применяют их в конц-ии 0,1—1% по весу C_6H_6 . Лучшие результаты получают, поддерживая конц-ию $Cl_2 < 1\%$ в течение $\geq 50\%$, лучше 50—75% времени хлорирования и даже $> 90\%$. ГХЦГ выделяют из смеси, после того как прохлорируют 10—20% C_6H_6 , однако можно продолжать хлорирование до вступления в р-цию 90—95% C_6H_6 . В этом случае поддерживают конц-ию Cl_2 в пределах 0,005—2%, пока не прореагирует 50—60% C_6H_6 , после чего ее повышают до 3—10%. Во время р-ции смесь должна быть изолирована от наружной атмосферы, O_2 и других примесей, для чего в реактор пропускают CO_2 или другой инертный газ. Пример. В р-р 130 г C_6H_6 в CCl_4 , содержащий 83% CCl_4 , охлад. до -15° и освещая лампой, пропускают 75 мин. Cl_2 со скоростью 0,6 г/мин и N со скоростью 0,05—0,1 мл/час. Р-ритель и избыток C_6H_6 отгоняют и остаток ГХЦГ нагревают 10 мин. при 140—150°/10 мм. Выход ГХЦГ, содержащего 16—18% γ -изомера, 94—97%.

К. Бокарев

71845 П. Обогащение ГХЦГ γ -изомером. Калингарт (Enhancement of gamma benzene hexachloride content. Calingaert George) [Ethyl Corp.]. Пат. США 2773103, 4.12.56

ГХЦГ с повышенным содержанием γ -ГХЦГ (I) получают при частичном растворении технич. ГХЦГ (II), полученного аддитивным хлорированием C_6H_6 (III) в подходящем р-рителе. К последним относятся: низ-

шие алифатич. спирты, III, $C_6Cl_2H_2$ (IV), низшие алифатич. ацетаты и эфиры. Р-ритель применяют в кол-ве, достаточном для почти полного растворения I. Из р-ра выделяют кристаллич. продукт с повышенным содержанием II. Оставшийся маточный р-р и нерастворившаяся часть II возвращают в процесс. 30 ч. Cl_2 и 10 ч. свежего III выдерживают при 50° в реакторе при освещении флуоресцентными лампами. Продукты р-ции пропускают через скруббер и выделяют в испарителе 90 ч. III, который возвращается в реактор, и 40 ч. II, содержащего 12% I. К 40 ч. полученного II добавляют 10 ч. свежего CH_3OH и смесь выдерживают в экстракторе при 20°. Остаток II (42 ч.), после удаления основного кол-ва II, подвергают дегидрохлорированию при 280° в присутствии $FeCl_3$ (катализатор) и после ректификации получают 24 ч. 97%-ного IV. Непрореагировавший II возвращают на дегидрохлорирование. Р-р 60%-ного исходного кол-ва I помещают в испаритель при 90°. Последующая кристаллизация и фильтрование дают 2 ч. 99%-ного I. 70 ч. р-рителя из испарителя возвращают в экстрактор. Приведена схема процесса обогащения.

Л. Вольфсон

71846 П. Очистка ГХЦГ. Крагг, Дани (Refinement of benzene hexachloride. Cragg Hyl J., Dunn James H.) [Ethyl Corp.]. Пат. США 2760995, 28.08.56

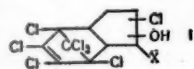
Процесс произ-ва ГХЦГ с повышенным содержанием γ -ГХЦГ (I) заключается в частичном растворении технич. ГХЦГ (II) в низших алифатич. спиртах, содержащих 1—4 атома C, отделении полученного р-ра от нерастворившегося остатка и кристаллизации продукта, содержащего повышенное кол-во I. 40—95% маточного р-ра после кристаллизации возвращается в цикл, на стадию растворения II. Кол-во маточного р-ра, подлежащего возвращению в цикл, определяется ур-нием: $y = -0,014 + 0,1546/(1,378 - X)$, где y — кол-во рециркулируемого р-ра, сбрасываемого в единицу времени на кол-во свежего II, подаваемого в единицу времени; X — уд. вес маточного р-ра. Кол-во р-рителя по всему II составляет от 1,5/1 до 2,5/1 и от 2,6/1 до 5,0/1 на подаваемый II. Рекомендуются т-ры экстракции 10—35°, а кристаллизации I 0—40°. В экстрактор, снабженный мешалкой, подают II, содержащий 12,2% I, со скоростью 100 ч. в 1 час и CH_3OH (III) со скоростью 300 ч. в 1 час. Экстракцию ведут 2 часа при 15°, за этот период достигается равновесное распределение изомеров II между жидкой и твердой фазой. Остаток нерастворенного II и р-р в III непрерывно удаляют из экстрактора и передают на центрифугу. Твердый остаток выгружают из центрифуги, а р-р поступает в испаритель. Остаток после отгонки 60% III передают в кристаллизатор и охлаждают 2 часа до 15°, после чего центрифугируют. Остаток содержит высокообогащенный I продукт. 75 ч. фильтрата возвращают на экстракцию, а 25 ч. сбрасывают. Фракция, обогащенная I, получается со скоростью 11 ч. в 1 час и содержит 92% I. Выход I 83%. Если провести процесс аналогичным образом, но отбросить весь фильтрат после второго центрифугирования, то выход I из II с содержанием 12,5% I составляет 37%, причем содержание I в высокообогащенной фракции составляет 73%. При возвращении всего маточного р-ра в цикл, из II (13,6% I) удается извлечь 49% I, причем его содержание в высокообогащенной фракции составляет 76%. В другом примере II, содержащий 13,1% I, обрабатывали, как описано выше. Уд. вес рециркулируемого р-ра составлял 0,990—1,080. Извлечено 67% I в виде 90%-ного концентрата.

Л. Вольфсон

71847 П. Получение хлорзамещенных полициклических спиртов. Фектер, Клейман, Голдман (Production of chlorinated polycyclic alcohols. Fecster Henry G., Kleiman Morton, Goldman

Arthur) [Velsicol Chemical Corp.]. Пат. США 2750396, 12.06.56

2 изомерных хлоргидрида 4,5,6,7,8-гексахлор-4,7-эпидометилена-3а,4,7,7а-тетрагидроиндена общей ф-лы (I), где X — H, получены р-цией хлордена (II) с трет-



бутилгидрохлоритом (III) в присутствии органич. к-ты с 2—14 атомами С с последующим гидролизом образующегося сложного эфира. Смесь 60 мл лед. CH_3COOH и 17 г II нагревали до 75°, после чего к ней за 15 мин. прибавляли 11 г III. Смесь перемешивали 45 мин., охлаждали, кристаллич. в-во отфильтровывали, промывали водой и высушивали. Т-ра плавления ацетата I (IV) 164—166° (из C_6H_6). 2 г IV и 25 г CH_3OH , насыщенный сухим HCl -газом, нагревали 2 часа с обратным холодильником, после чего избыток V отгоняли. Остаток растворяли в эфире и промывали водой и р-ром NaHCO_3 . Эфирный р-р высушивали и р-ритель удаляли выпариванием и в остатке получали I с т. пл. 99—100° (из гексана). Изомерный I (т. пл. 135°) получали из гликоля II и SOCl_2 . I применяют в качестве инсектицидов для борьбы с насекомыми в быту, напр. с тараканами, а также с с.-х. вредителями. В. Лившиц

11848 П. Получение галогенированных полициклических спиртов. Голдман, Фектер (Production of halogenated polycyclic alcohols. Goldman Arthur, Fekter Henry G.) [Velsicol Chemical Corp.]. Пат. США 2750397, 12.06.56

В качестве новых инсектицидов, эффективных против широкого круга вредителей, предложены 2,3-хлориды 1-галюид-4,5,6,7,8,8-гексахлор-4, 7-эпидометилена-3а,4,7,7а-тетрагидроиндена общей ф-лы (I) (см. предыдущий реф.), где X — F, Cl или Br и их эфиры с насыщ. алифатич. карбоновыми к-тами, содержащими <15 атомов С. Эпоксипроизводные этих соединений также являются ценными инсектицидами. I могут быть получены р-цией соответствующего 1-галюид-4,5,6,7,8,8-гексахлор-4,7-эпидометилена-3а,4,7,7а-тетрагидроиндена (II) с трет-бутилгидрохлоритом (III) в присутствии органич. к-ты с последующим гидролизом образующегося при этом эфира. Примеры. 1. 112 г II (X — Cl) и 180 мл лед. CH_3COOH (IV) нагревают при размешивании до 80° и медленно при 80° прибавляют 38 мл III. Затем добавляют еще 38 мл III и смесь нагревают еще 2 часа при 75—80°. После охлаждения отфильтровывают кристаллич. ацетат I (X — Cl) (V), т. пл. 233,5—234,0 (из C_6H_6). 43,5 г V в 500 мл CH_3OH насыщают сухим HCl (газ) и кипятят в течение 2 час. Избыток HCl и образовавшийся метилацетат отгоняют в вакууме и из остатка эфиром выделяют I (X — Cl), т. пл. 153,7—155,0° (из гексана). 2. 83,5 г II (X — Br) и 200 мл IV нагревают при размешивании до 75°, медленно добавляют 35,3 мл III и нагревание продолжают в течение 5 час. После охлаждения отфильтровывают полученный ацетат I (X — Br) (VI), который омыляют для дальнейшей очистки. 140 г VI в 12 л CH_3OH насыщают сухим HCl (газ) и кипятят 12 час. Далее обрабатывают, как описано выше. I (X — Br) имеет т. пл. 147° (из C_6H_6). 3. 250 мл III медленно добавляют в течение 2 час. к размешиваемой смеси 357 г II (X — F) в 800 мл IV. Т-ра поднимается с 26 до 32°. Размешивание продолжают 18 час. при 26°. После охлаждения р-р сливают в жидкость, а остаток обрабатывают пен-таном. Ацетат I (X — F) (VII) имеет т. пл. 220—221°. 220 г VII в 2,5 л CH_3OH подкисляют сухим HCl (газ) и кипятят 8 час. Далее обрабатывают, как описано выше. II (X — F) имеет т. пл. 147—149° (из гексана). Исходный II (X — Cl или Br) получают конденсацией

гексахлорциклопентадиена с циклопентадиеном с последующим хлорированием (в присутствии фуллеровой земли) и бромированием (в присутствии перекиси). II (X — F) получают взаимодействием II (X — Cl или Br) с фторидом Hg (VIII): 42 г II (X — Br) растворяют в 275 мл очищ. гексана, добавляют 24 г VIII и кипятят 19 час. Затем смесь охлаждают, отфильтровывают от неорганич. солей и упаривают фильтрат. II (X — F) имеет т. пл. 181—182° (из пентана).

Л. Вольфсон

71849 П. Способ получения производных цианфосфорной кислоты. Шрадер (Verfahren zur Herstellung von Derivaten der Cyanphosphorsäure. Schrader Gerhard) [Farbenfabriken Bayer A.-G.]. Пат. ФРГ 949650, 27.09.56

Соединения ф-лы $\text{BrCH}_2\text{CH}_2\cdot\text{OP}(\text{O})(\text{CN})\text{X}$, где X — RO , ArO , RS , ArS и $\text{R}'\text{R}''\text{N}$, получают взаимодействием $\text{XPOCH}_2\text{CH}_2\text{O}$ с BrCN . К 27 г диметиламида гликоль-

фосфористой к-ты в 300 мл сухого эфира прибавляют при 20° 22 г BrCN в 100 мл эфира и получают 26 г β-бромэтилового эфира диметиламида цианфосфорной к-ты (I), т. кип. 131°/2 мм. Аналогично получают (указаны: X, т. кип. в °C): $\text{C}_2\text{H}_5\text{O}$ (II), —; $(\text{C}_2\text{H}_5)_2\text{N}$, 145/3; $\text{CH}_2\text{CH}_2\text{CH}_2\text{CH}_2\text{N}$, 161/2; SCH_3 , 119/1; SC_6H_5 , —; 2,4- $\text{Cl}_2\text{-C}_6\text{H}_3\text{O}$, 135/2 и 4- $\text{ClC}_6\text{H}_4\text{O}$, 110/2. I и II обладают сильным инсектицидным действием.

А. Грапов

71850 П. Аллетрин и подобные ему инсектициды. Стансбери, Гест (Allethrin and related insecticides. Stansbury Harry A., Guest Howard R.) [Union Carbide and Carbon Corp.]. Пат. США 2768965, 30.10.56

Эфиры 2-алкил-3-метилциклопентен-2-ол-4-онов-1 (I) (где алкил — аллил, циклопентен-2-ил, фурфурил, бензил, бутен-2-ил, металл или другие ненасыщ. группы, содержащие 3—7 атомов С) и хризантеммонокарбоновой к-ты (II) получают взаимодействием ангидрида II (III) с I при 50—200° (I обычно содержит примеси, реагирующие с хлорангидридом II, в результате чего образуются биологически менее активные в-ва, а III при 50—200° избирательно реагирует только с I). Полученную смесь промывают разб. р-ром щелочи, чтобы удалить II, и отгоняют легколетучие в-ва. III получают нагреванием при 60—200° смеси II с ангидридом низшей алифатич. монокарбоновой к-ты, взятым в 1,1—10-кратном избытке. Примеры. 1. Смесь 226 г II и 549 г $(\text{CH}_3\text{CO})_2\text{O}$ (IV) нагревали в перегонной колбе до т-ры жидкости 170° и т-ры погона 133°, затем выдерживали при 4 мм и т-ре жидкости 100°. Получено 223 г остатка, содержащего 62% чистого III, т. кип. 144°/1 мм. d_{20}^{20} 0,971, n_D^{20} 1,4863, т-ра замерзания ниже —25°. Выход 90%, считая на II. При обработке промежуточной фракции получено еще 302 г III. 2. Смесь 151 г II и 48 г IV перегоняли, поддерживая т-ру в жидкости 170—175°, т-ра погона изменялась с 115 до 135°. Собрано 215 г дистиллята, содержащего 108 г III, выход 83%. 3. Смесь 318 г II и 204 г IV перегоняли при т-ре жидкости 220° и т-ре погона 119° в течение 40 мин. Погон перегоняли и получали 290 г 94,2%-ного III, выход 91%. 4. III получают из II и IV непрерывно на колонке; $\text{CH}_3\text{CO}_2\text{H}$ отгоняется через верх колонки, а технич. III стекает вниз. Время контакта 12 мин., т-ра внутри колонки 188°, выход 97%. 5. Смесь 1162 г 94,3%-ного IV, содержащего 3,4% II, 567 г 2-аллил-3-метилциклопентен-2-ол-4-она-1 (V) (89,4%-ной чистоты), содержащего 3,2% 3-оксипентен-8-диона-2,5 (VI) и 885 г дибутилового эфира (VII) нагревали 4 часа при 169°; р-р разбавляли 380 г VII и промывали 1880 г 7,33%-ного р-ра NaOH , затем 1880 г 2% NaOH и 1800 мл H_2O . Водн. слой экстрагировали 500 мл VII, соединяли вытяжки и отгоняли легколетуч-

те фракции при т-ре бани 80° при 5 мм. От остатка отгоняли легкие фракции с паром и продували азотом для удаления следов легколетучих в-в. Получено 1052 г остатка с n_D^{20} 1,5025 с содержанием аллетрина (VIII) 90,4%, II 0,28%. Выход 94,8%. Водн. промывной слой перемешивали с 400 г изопропилового эфира (IX) и 12 г конц. HCl. Полученный эфирный слой, содержащий 0,37% II, и 800 мл IX прибавляли к щел. вытяжкам и при перемешивании к смеси прибавляли при 30—40° 458 г конц. HCl, отделяли эфирный слой, экстрагировали водн. слой 600 мл IX, соединяли вытяжки и перегоняли. Получено 600 г 98,4%-ной II. Низкие фракции содержали 8,3 г II, в остатке 15 г II. Возврат непрореагировавшей II 92,2%. Из выделенной к-ты перегонкой под пониженным давлением получено 353 г III и р-цией с IV из него по вышеописанному методу 312 г 91,08%-ного VIII, n_D^{20} 1,5038. Содержание VIII 91,08%, II 0,08%. Выход на V 96,0%. Из промывных вод выделено 183 г II. К смеси III, V и VII можно прибавлять перед кипячением гидрохинон в каталитич. кол-вах. В этом случае не требуется дополнительного разбавления смеси перед промывкой VII. При мол. разгонке получены фракции: 1-я 6,5%, содержит 50% VIII; 2-я 82%, содержит 91% VIII; остаток содержит 77% VIII. 6. Смесь 33 г 97%-ного III, 23 г VI (66,2%-ного) и 100 г VII кипятили 10 час. при 156—159°, промывали 2 раза 250 и 100 мл 2%-ного р-ра NaOH, выдерживали масло (88 г) при 100°/3 мм. Получено 18 г остатка с n_D^{20} 1,5110 и d_{20}^{20} 1,043, содержащего 9% 2,5-дикетононен-8-ил-3-хризантеммонокарбоксилата (X), 2,3% II, 3,7% III. Выход X 5,6%, считая на VI. 7. К смеси 141 г 66,2%-ного VI, 47 г сухого C_6H_5N и 250 г VII прибавляли по каплям за 30 мин. р-р 95 г свежеперегнанного хлорангидрида II в 95 г VII при 20—25°, выдерживали при этой т-ре 1 час, отфильтровывали $C_6H_5N \cdot HCl$ (75 г) и промывали фильтрат 250 мл воды, 250 мл 1%-ной HCl, дважды по 250 мл 2%-ного р-ра NaOH и 250 мл воды. Масло выдерживали при 70°/5 мм. Получено 168 г в-ва с n_D^{20} 1,4800, содержащего 59,1% X, 7,4% II, и 3,6% III. Выход X 62%. При мол. разгонке выделена фракция с n_D^{20} 1,780/0,02 мм, n_D^{20} 1,4802, содержащая 78,5% X, 1,5% II, 4,9% III.

К. Швецова-Шилловская

71851 П. Процесс получения 2,5-дикетононен-8-ола-3. Бавли, Шрейбер (Process for manufacture of 2,5-diketo-8-nonen-3-ol. Bavley Abraham, Schreiber Eric C.) [Chas. Pfizer & Co., Inc.] Пат. США 2768967, 30.10.56

2,5-дикетононен-8-ол-3 (I), являющийся промежуточным продуктом для синтеза аллетрина, получают, исходя из легко доступных эфира (эфирная группа содержит > 5 атомов C), соли или свободной ацетондихлорановой к-ты (II). Из эфира II и $CH_2=CHCN_2X$, где X — Cl или Br, в присутствии щел. конденсирующих агентов в водн. или безводн. низшем спирте с последующим омылением образующегося моноаллил-ацетондихлорановой к-ты водн. р-ром гидроксида или карбоната щел. металлов и конденсацией, образующейся соли аллил-ацетондихлорановой к-ты с пировиноградным альдегидом в присутствии воды при pH 6,5—9,5 получают 1-аллил-2,5-дикето-4-оксипептановую к-ту (III), из которой при подкислении образуется I. К р-ру 23 г Na в 5 л CH_3OH медленно прибавляют 174 г диметилового эфира ацетондихлорановой к-ты (IV), перемешивают 3 часа при 20°, прибавляют за 1,5 часа р-р 120 г бромистого аллила в 800 мл CH_3OH , кипятят 18 час., отгоняют р-ритель, растворяют остаток в $CHCl_3$, отфильтровывают NaBr (103 г), отгоняют $CHCl_3$ и получают 173 г диметилового эфира моноаллил-ацетондихлорановой к-ты (V), выход 82%, т. кип. 93—98°/0,5—0,75 мм, n_D^{20} 1,4553. 10,7 г V прибавляют к р-ру 8,5 г 88%-ного KOH в 45 мл воды при 5° и пере-

мешивают 12 час. После растворения масла смесь экстрагируют 20%-ным р-ром H_2SO_4 и добавляют 55 г 33%-ного водн. р-ра пировиноградного альдегида, pH поддерживают между 7,5—8,0. Перемешивание при 20° продолжают 3 дня. Р-р, содержащий Na-соль III, подкисляют конц. HCl до pH 2,0, насыщают NaCl и экстрагируют многократно эфиром. Получено 2,2 г (32%) I, т. кип. 98°/2 мм, n_D^{25} 1,466. Возврат V 1,1 г. По другому варианту к охлажд. р-ру 2,3 г Na в 200 мл CH_3OH прибавляют 17,4 г IV, перемешивают, защищая от влаги и CO_2 , и прибавляют за 0,5 час. 23,1 г хлористого аллила, кипятят 18 час., обрабатывают, как выше изложено, и получают 11,0 г V. К. Швецова-Шилловская

71852 П. Производство гексахлорбензола. Николэссен (Production of hexachlorobenzene. Nicolaisen Bernard H.) [Olin Mathieson Chemical Corp.] Пат. США 2777003, 8.01.57

Гексахлорбензол (I) получают хлорированием C_6H_6 или частично хлорированных бензолов при т-ре 150—200° в присутствии в-в, катализирующих замещение в ядре (Fe и $FeCl_3$). Процесс включает стадию хлорирования и кристаллизации при 100°. Газообразный Cl поступает в зону хлорирования в кол-ве, достаточном для получения 20—50% I от веса хлорированных бензолов, выходящих из зоны хлорирования. I после кристаллизации отделяют на центрифуге, а маточный р-р возвращают в цикл. Приведены примерные составы (в вес. %): исходного продукта — 1,2,4- $C_6H_3Cl_3$ 71, 1,2,3- $C_6H_3Cl_3$ 26, 1,2,4,5- $C_6H_2Cl_4$ (II) 1,5, 1,2,3,4- $C_6H_2Cl_4$ (III) 1,5; продукта хлорирования — III 16, II 19, C_6Cl_5H (IV) 36, I, 29; кристаллич. продукта после центрифугирования при 100° — IV 3,5, I 96,5; маточного р-ра — III 24, II 26, IV 42, I 7.

Л. Вольфсон
71853 П. Пестициды и дезинфектанты. Конц. Зе-ринг (Schädlingsbekämpfungs- und Desinfektionsmittel. Konz. Wilhelm, Sehring Richard) [C. H. Boehringer Sohn]. Пат. ФРГ 1009420, 14.11.57

Соединения общей ф-лы $C_6Cl_5OCH(R')CON(HgR'')XR'''$ (I), где R' — H или алкил с 1—4 атомами C, R'' — алкил с 1—5 атомами C, R''' — циклич. радикал (C_6H_5 , $C_{10}H_7$, пиридил, хинолид), который может иметь в качестве заместителей атомы галоидов или алкилы с 1—3 атомами C, X — SO_2 или CO-группы, применяют в качестве средств защиты растений и дезинфектантов в виде водн. суспензий и дустов. I нерастворимы в воде, к-тах и щелочах, трудно растворимы в органич. р-рителях. Приведены примеры получения I. 342 г $C_6Cl_5OCH_2COCl$ нагревают с 191 г $n-C_6H_4SO_2NH_2$ при 160° до прекращения выделения HCl (газ) (4—6 час.) и получают $n-C_6H_4SO_2NHCOC_6H_4OC_6Cl_5$ (II), выход 85%, т. пл. 202° (из сл.). После 12 час. кипячения 99,6 г II с 51,6 г $(C_6H_5)_2Hg$ выделяют 90%, т. пл. 221—222°. Аналогично получают $n-C_6H_4SO_2NHCOC_6H_4OC_6Cl_5$ (II), выход 85%, т. пл. 209° и 86° (т. кип. 148°). $n-C_6H_4SO_2NHCOC_6H_4OC_6Cl_5$ (II) с 2,4,6- $C_6H_2Cl_3$ 2,4,6, выход 78%, т. кип. 70°. При нагревании 31 г $C_6Cl_5OCH_2CONH_2$ с 14 г 83% CH_3COCl (100°, 8 час.) образуется $C_6Cl_5OCH_2CONH_2$ с III с 2,5- $SO_2C_6H_5$ с выходом 73%, из которого кипячением 2 часа, фил. 6 час. с III получают его N-этилмеркурипроизводное. Для защиты томатов от *Phytophthora infestans* и *Alternaria solani* их опрыскивают суспензией в 100 2,3-дихлор-5, воды 50—100 г конц. порошков, содержащих (в %): 123—125% I 10 + каолина 60 + метилцеллюлозы (MC) 16 + чистый следы + Na_2SO_4 10 + смачивателя (диалкилнафтилсульфоната) 4 или I 10 + S 10 + MC 16 + каолина 50 + Na_2SO_4 8-тетрагидро-10 + смачивателя 4. 10-кратное увеличение конц-ии I гидро-5,8, не вызывает повреждения бобов, томатов, салата и 146° 90; 2,3-огурцов. Внесение I в почву в конц-ии 0,00125% по CCl_4 , 85; 2-давляет *A. solani*, *A. tenuis*, *Botrytis cinerea*, *Fusarium* 120° (из CC

nicole, F. ozysporum, Monilia fructigena, Phoma lingam и *Venturia inaequalis*. Для протравливания семян для защиты от *Tilletia tritici* применяют 10%-ный dust I на каолине при норме расхода 300 г дуста на 100 кг семян.

А. Грапов
71854 II. Получение тиоформамидов. Стронг (Preparation of thioformamides. Strong James S.) [Rohm & Haas Co.] Пат. США 2765313, 2.10.56

Описан способ получения N-замещ. тиоформамидов, HCSNR' (I), основанный на взаимодействии первичных и вторичных аминов с H_2S и HCN при т-ре от -15° до 125° в присутствии инертного органич. р-р-теля. К охлажд. до $<25^\circ$ р-ру $135 \text{ г } (CH_3)_2NH$ в 240 г CH_3OH , полученному при т-ре $<40^\circ$, прибавляют 81 г HCN и пропускают H_2S до привеса 240 г. Смесь оставляют на 72 часа, кипятят до удаления летучих компонентов и упаривают, получают N,N-диметилтиоформамид, где $R = R' = CH_3$, выход 225 г, т. кип. $105-106/13 \text{ мм}$. В условиях, близких к описанным выше, получены также HCSNH $(CH_2)_n$ NHSCN, т. пл. $118-120^\circ$ (из водн. CH_3OH), и следующие I [указаны R, R' (или NR)]: т. кип. в $^\circ C/\text{мм}$: Н, CH_3 , $141-144/27-30$; Н, C_2H_5 , $125-140/33$; Н, $n-C_4H_9$, $160-172/25$; $n-C_4H_9$, $n-C_4H_9$, $160-173/20$; Н, трет- C_4H_9 , —, т. пл. $124-125^\circ$; Н, трет- C_4H_9 , —, т. пл. $58-60$; Н, $CH_2 = CHCH_3$, $110-130/1$; пиперидил, $145-150/15$; пирролидил, $133-139/10$; морфолил, $160-170/20-25$; Н, C_6H_5 , —, т. пл. $137-139^\circ$; Н, C_6H_{11} , $124-126/8$; Н, $NH_2CH_2CH_2$, —, а также и I, полученные из технич. смеси (т. кип. $116-140/14 \text{ мм}$) додецил- и пентадециламинов. Фракция с т. кип. $145-155/1 \text{ мм}$ содержит 58 ч. N-алкилтиоформамидов, алкильная группа которых имеет 12—15 атомов С. Неко-торые из указанных соединений обладают фунгицид-ным и инсектицидным действием.

А. Травин
71855 II. Галоидгидрохиноны и их получение. Гер-нер (Halo hydroquinones and preparation thereof. Gaertner Van R.) [Monsanto Chemical Co.] Пат. США 2750427, 12.06.56

Производные галоидгидрохинонов (I) получают р-цией диенового синтеза с хлорпроизводными п-бензохинона с последующим гидрированием аддуктов. 20 мл бутадиена, 24,6 г хлорангидрида (II) и 80 мл C_6H_6 нагревают в автоклаве 48 час. при 100° . Смесь охла-ждают, отделяют избыток II, бензольный р-р упари-вают, разбавляют метанолом, вновь отделяют II, эфир и фильтрат упаривают и разбавляют метанолом. Полу-чают 2,3,4а,8а-тетрахлор-4а,5,8,8а-тетрагидро-1,4-нафто-хинон (III), т. пл. $74,5-75,5^\circ$ (из CH_3OH с предвари-тельной возгонкой при 0,5 мм), выход 86%. Анало-говат сгично получают следующие 1,4-нафтохиноны (даны в виде т. пл. и выход в %): 6-метил-2,3,4а,8а-тетрахлор-4а,5,8,8а-тетрагидро-, $96,5-98^\circ$ (из CH_3OH с последующей из сп.), возгонкой при $80^\circ/0,5 \text{ мм}$, 77; 6,7-диметил-2,3,4а,8а-тетрахлор-4а,5,8,8а-тетрагидро-, $96,5-98,5^\circ$ (из CH_3OH с р-кур-р-ом, возгонкой при $90^\circ/0,5 \text{ мм}$), —; 5,7-диметил-2,3,4а,8а-тетрахлор-4а,5,8,8а-тетрагидро-, $50,5-52,5^\circ$ (из CH_3OH), 209° (т. кип. $117-137/0,2 \text{ мм}$). 4а,5,8,8а-тетрагидро-2,6,8а-д-78%, трихлор-, 70; 2,4а-дихлор-4а,5,8,8а-тетрагидро-, $84-86^\circ$, H_2 с $14 \text{ г } 83$. 4а,5,8,8а-тетрагидро-2,4а,7-трихлор-, $145-147^\circ$, —. H_2CONH_2 с III и 2,5 г Zn-пыли вносят в 30 мл спирта, кипятят 2 часа, фильтруют и разбавляют водой. Получают 2,3-дихлор-5,8-дигидро-1,4-нафтогидрохинон, выход 69%. 2,3-дихлор-5,8-дигидро-1,4-нафтогидрохинон, т. пл. $123-125^\circ$ (из CH_3OH), выход 84%. Аналогично полу-чают следующие 1,4-нафтогидрохиноны (указаны в виде т. пл. и выход в %): 2,3-дихлор-5,8-индометил-5,6,7,8-тетрагидро-, $139-141^\circ$ (из CCl_4), 98; 2,3-дихлор-5,8-ди-гидро-5,6,7,8-тетрагидро-, $144-146^\circ$, 90; 2,3-дихлор-5,6-дигидро-6-метил-, $118-120^\circ$ (из $25\% \text{ по } CCl_4$), 85; 2,3-дихлор-6-метил-5,6,7,8-тетрагидро-, $119-120^\circ$ (из CCl_4), 81; 2,3-дихлор-5,8-дигидро-6,7-диметил-,

224—226° (из CCl_4), 83; 2,3-дихлор-6,7-диметил-5,6,7,8-тетрагидро-, $106,5-108,5^\circ$, —; 2,3-дихлор-5,7-диметил-5,6,7,8-тетрагидро-, $81,5-86,5^\circ$, 99; 2,3-дихлор-5,8-дигидро-5,7-диметил-, —, 64; 2,6-дихлор-5,8-дигидро- (в сме-си с 2,7-дихлоризомером)-, 70; 2-хлор-5,6,7,8-тетраги-дро-, $141-142^\circ$ (из CCl_4), 65; 2-хлор-5,8-дигидро-, 70; 2,7-дихлор-5,8-дигидро-, 73. В-ва применяют как фун-гициды и гербициды.

М. Каплун
71856 II. Синергизм цинковых солей меркаптобензо-тиазола и диметилдитиокарбаминовой кислоты в фунгицидных составах. Сомервилл (Synergistic zinc mercaptobenzothiazole and zinc dimethyl dithiocarbamate fungicidal composition. Somerville Albert A.) [R. T. Vanderbilt Co., Inc.] Пат. США 2776922, 8.01.57

Zn-соли 2-меркаптобензотиазола (I) и диметилди-тиокарбаминовой к-ты (II) в смесях взаимно усили-вают фунгицидное действие. 100%-ная I подавляет рост *Aspergillus niger* и *Penicillium* в конц-ии 500 мг/л 100%-ная II подавляет *A. niger* и *Penicillium* в конц-ии 20 и 10 мг/л соответственно, смеси I и II, взятые в отношении 99 : 1, 95 : 5, 90 : 10, 75 : 25, 50 : 50, 25 : 75, 10 : 90, 5 : 95 и 1 : 99, подавляют *A. niger* и *Penicillium* в конц-ии 100 и 100, 100 и 50, 20 и 20, 20 и 3, 20 и 3, 10 и 20, 20 и 5, 10 и 5 и 50 и 5 мг/л. Для получения препарата, пригодного к применению, 520 ч. р-ра, со-державшего 364 ч. воды и 156 ч. смеси Na-солей 2-мер-каптобензотиазола (III) и диметилдитиокарбаминовой к-ты (IV), взятых в соотношении 2,25 : 27,75, прибав-ляют 100 ч. $ZnSO_4 \cdot H_2O$ и 1,6 ч. конц. H_2SO_4 ; выпадает 161 ч. I и II. 100 ч. выпавшей смеси перемешивают с 7,5 ч. силена EF (гидратированного силиката Ca), 31,5 ч. клея, 2,86 ч. дарвана № 1 (Na-соли алкилнафта-линсульфокислоты) и 1,43 ч. додецилбензолсульфоната Na. Для защиты от плесневых грибов ткани погружают в 1,5%-ный водн. р-р III и IV, взятых в соотношении 2,25 : 27,75, высушивают и обрабатывают 1,1%-ным водн. р-ром $Zn(CH_3COO)_2$.

А. Грапов
71857 II. Обволакивающий фунгицидный состав, со-державший соли тионафтенкарбоновой кислоты. Эл-мер, Кристенсен (Fungicidal coating composition containing thianaphthene carboxylic acid salt. Elmer Otto C., Christensen Edward R.) [The Texas Co.] Пат. США 2781289, 12.02.57

Новые фунгицидные составы содержат водн. р-ры солей тионафтенкарбоновых к-т (ТК) с одновалентны-ми металлами и р-ры солей ТК с двувалентными ме-таллами в масле. Составы содержат 0,1—10% ТК (обыч-но 0,1—2%), р-рители и соли жирных к-т или синте-тич. детергенты (стеарат Na, олеат Na, алкилбензол-сульфонаты с алкильной группой, содержащей 9—18 атомов С). Вспомогательные в-ва имеют синерге-тич. действие на фунгицидную активность солей ТК. Фунгициды готовят взаимодействием ТК с гидроокси-дами и карбонатами металлов 0,1—0,5%-ные р-ры Zn, Pb-и особенно Cu-солей смеси 2- и 3-тионафтенкарбо-новых к-т превосходят по фунгицидному действию такие фунгициды, как смесь солей меркаптобензотиазола и диметилдитиокарбаминовой к-ты и тетрахлорфенол. Соли ТК устойчивы при высокой т-ре (до $\sim 232^\circ$) и не имеют запаха и поэтому могут применяться для защиты одежды и изделий из целлюлозы в тропиках. Напр., для изготовления кровельного материала, устойчивого к грибкам, к нефтяному битуму при 232° прибавляют 1% Zn-соли ТК и полученной смесью пропитывают полосы кровельного материала. Для ле-чения кожных болезней можно применять фунгициды, приготовленные прибавлением 0,1—1% Na-соли ТК к мылам и детергентам. Эти препараты пригодны так-же для защиты текстиля. Устойчивые к грибам кра-ски содержат 0,1—2% Zn-соли ТК. Древесину обра-батывают 0,1—2%-ными р-рами Cu- и Zn-солей ТК в

керосине. Эти соли можно растворять в сжиженных газах (фреон) и применять в виде аэрозолей. К. Б. 71858 П. Получение препаратов бората натрия, применяемых для уничтожения растительности. Коннелл, Паддок (Process and composition for application of sodium borate for vegetation control. Connell George A., Paddock Eldon L.) [United States Borax & Chemical Corp.]. Пат. США 2773757, 11.12.56

Концентрированные суспензии буры (I) или других боратов готовят смешением 0,479—0,958 кг I (природную I очищают до содержания глинистого сланца 8%; такая I содержит 90% частиц диам. 0,4—2,0 мм) и равного кол-ва Colemanite (II) (или 0,32—0,64 кг улексита (III)) с 1 л воды. В качестве стабилизаторов суспензий можно применять также тонкие глины и природную смесь II и III, называемую Gerstley Borate (IV) и содержащую 34% B_2O_3 и 32% нерастворимой пустой породы. II—IV наиболее эффективны как стабилизаторы суспензий, если их размолоть до величины диаметра частиц $\sim 0,1$ мм. Типичный состав суспензии: 0,839—1,198 кг I и 0,599—0,958 кг IV в 1 л воды. IV в конц-ии 0,24—0,599 кг/л можно применять в качестве гербицида. К. Бокарев

71859 П. Гербицидные составы. Моррилл (Herbicide compositions. Morrill Henry L.) [Monsanto Chemical Co.]. Пат. США 2767071, 16.10.56

Соли 2,4-Д с некоторыми аминами (диметил-, диэтанол- и особенно изопропиламином) не дают конц. водн. р-ров, напр., р-ры изопропиламинной соли 2,4-Д (I) в конц-ии 0,4792, 0,599 и 0,7188 кг/л кристаллизуются соответственно при 22, 29 и 47°. Р-р диметиламинной соли 2,4-Д (II) конц-ией 0,7188 кг/л кристаллизуется при 16°, а р-р диэтанолламинной соли 2,4-Д (III) той же конц-ии — при 26°. Триэтиламин, дающий достаточно растворимую соль 2,4-Д (р-р 0,7188 кг соли в 1 л воды кристаллизуется при 5—10°), слишком дорог. Смеси достаточно конц. р-ров 1 моля I и 1—5 молей II не кристаллизуются при низкой т-ре. Такие р-ры могут содержать меньшие кол-ва других солей 2,4-Д, напр., до 3 молей полиалканолламинных солей 2,4-Д (ПСД), у которых алканольная группа содержит 2—3 атома С. Таким образом, двухкомпонентные солевые смеси могут содержать 50—85 мол.% II и 15—50 мол.% I. Трехкомпонентные системы могут состоять из 40—70 мол.% II, 10—40 мол.% I и до 40 мол.% ПСД. Р-ры, содержащие в 1 л воды по 0,7188 кг смесей солей 2,4-Д следующего состава (содержание компонентов указано в мол.%): а) II 70 и I 30; б) II 56, I 24 и III 20; в) II 56, I 24 и диизопропанолламинная соль 20, кристаллизуются соответственно при 8,5; 4 и 0°. К. Бокарев

71860 П. Производство эфиров феноксиуксусной кислоты фенолятов калия. Уэйл (Production of phenoxycetic acid esters through the potassium phenolate. Weil Ira) [Diamond Alkali Co.]. Пат. США 2769833, 6.11.56

Эфиры замещ. феноксиуксусных к-т получают конденсацией соответствующего фенолята К с эфиром галогидзамещенной к-ты. Исходный фенолят К готовят из фенола и твердого безводн. КОН с азеотропич. отгонкой воды. В качестве р-рителя при этом применяют либо избыток азеотропич. агента, либо его смесь с абс. спиртом (этиловым, пропиловым, бутиловым, амилловым и их изомерами). В качестве фенола употребляют алкил-, алкоксил- и галогидфенолы, особенно 2,4-дихлорфенол (I). Как азеотропич. агенты применяют C_6H_6 , толуол, этилбензол, циклогексан, циклогексен, м-ксилол, мезитилен, пентан, гексан, гептан, октан, декан, 1,2-дихлорпропан, дихлорэтан и т. п. Спирт. радикал галогидзамещенного эфира может быть получен из одно- или многоатомных спиртов

с 1—9 атомами С (пропилового, бутилового, амиллового, этилен-, диэтилен-, пропилен- и дипропиленгликоля, их изомеров, моноэфиров, и циклич. производных, сахароспиртов и т. п.). КОН не может быть заменен NaOH, так как последний в сухом виде не реагирует с фенолами. Р-ритель не должен содержать $>0,3\%$ воды. Выход эфира достигает 85—90%. С фенолятами К конденсация идет >1 часа. К смеси 196 г I и 50 мл $(CH_3)_2CHOH$ (II) при перемешивании медленно прибавляют 61,7 г твердого КОН. При этом смесь нагревается. Когда смесь охладится до т-ры $\sim 70^\circ$, прибавляют 75 мл C_6H_6 и отгоняют азеотроп вода + C_6H_6 + II. Отгоняется ~ 20 мл воды. Нагревание прекращают и медленно прибавляют 137 г изопропилового эфира хлоруксусной к-ты (III). Затем смесь нагревают 1 час, поднимая т-ру до $\sim 120^\circ$, р-ритель отгоняют, остаток, содержащий в основном изопропиловый эфир 2,4-Д (IV), дважды промывают при т-ре $\sim 40^\circ$ разб. NaOH или КОН (0,1 н.), дважды водой, сушат в вакуумной сушилке и применяют без дальнейшей обработки. Из промывных р-ров выделяют содержащиеся в них соли 2,4-Д, I, KCl, небольшое кол-во II, следы C_6H_6 и IV. В другом примере из р-ра 2750 кг I в толуоле, 1030 кг КОН и 2100 кг III получено 95% IV. Аналогично получают втор-бутиловый и другие эфиры 2,4-Д. К. Бокарев

71861 П. Эфиры 2,4,5-трихлорфенокси- α -пропионовой кислоты. Вильямс (Esters of α -2,4,5-trichlorophenoxycarboxylic acid. Williams Bill M.) [The Dow Chemical Co.]. Пат. США 2749360, 5.06.56

Эфиры 2,4,5-трихлорфенокси- α -пропионовой к-ты (ЭТП) общей ф-лы $2,4,5-Cl_3C_6H_2CH(CH_3)COO(C_nH_{2n+1})$, где $n=2$ или 3, $m=1-3$, R-алкил, содержащий 1—4 атома С, можно применять в произв. пластмасс и целлюлозы и как регуляторы роста. ЭТП растворимы в масле и органич. р-рителях, нерастворимы в воде, нелетучи и не действуют на кожу. ЭТП получают кипячением смеси 1 моля (лучше небольшой избыток) 2,4,5-трихлорфенокси- α -пропионовой к-ты (I) с 1 молем моноэфира гликоля или полигликоля ф-лы $R(OC_nH_{2n+1})mOH$ в присутствии H_2SO_4 или арилсульфокислоты при 80—125°. При этом образующуюся воду отгоняют с парами р-рителя (C_6H_6 , толуол, скипид и дихлорэтан (II)). Р-цию можно вести также и в избытке применяемого спирта. Напр., бутоксипропоксипропиловый эфир I ($n^{25D} 1,4987$, уд. в. $d_{25}^{25} 1,1910$) готовят нагреванием при 95° в течение 7 час. смеси 47,57 г бутоксипропоксипропанола, 74,12 г I, 150 мл II и 1 мл H_2SO_4 . Аналогично получают следующие ЭТП (в скобках даны n^{25D} и d_{25}^{25}): 1-бутокси-2-пропиловый (1,5071, 1,2231), 2-этоксипропиловый (1,5232, 1,3158); 2-(2'-метоксипропилокси)-этиловый (1,5240, —); эфир из смеси бутиловых эфиров полипропиленгликолей (средний мол. вес. 153, содержит 72% 1-бутокси-2-пропанола, 20% бутоксипропоксипропанола и 8% бутиловых эфиров три- и выше полигликолей) (1,5050, 1,2130). Опысыкивание пней, оставшихся после рубки леса, р-ром ЭТП в керосине или дизельном топливе в дозе 0,06 кг/л предупреждает появление поросли от пней. К. Бокарев

71862 П. Производство 2,4,5-трихлорфеноксиуксусной кислоты. Купер (Manufacture of 2,4,5-trichlorophenoxycetic acid. Cooper Robert H.) [Monsanto Chemical Co.]. Пат. США 2767211, 16.10.56

К нагретому до 95—100° р-ру 2,4,5-трихлорфенолята Na (I), полученному смешением 50 ч. 2,4,5-трихлорфенола (II), 40 ч. 25%-ного NaOH и 35 ч. воды, за 45 мин. прибавляют р-р $ClCH_2COONa$ (III), приготовленный смешением р-ров 17,5 ч. Na_2CO_3 в 44 ч. воды и 23,6 ч. $ClCH_2COOH$ (IV). Нагревание при 95—100° продолжают еще 2,5 часа и в конце нагревания прибавляют 10 ч. 25%-ного NaOH и 50 ч. воды. При этом

общее кол-во воды достигает 38,5 моль на 1 моль III. Реакционную смесь охлаждают до 30°, фильтруют и в-во промывают 100—200 ч. водн. р-ра, содержащего 8% NaCl и 2% NaOH. 2,4,5-трихлорфеноксиацетат Na (V) растворяют в горячей воде, р-р фильтруют и подкисляют 77,5%-ной H₂SO₄, пока проба жидкости не перестанет мутиться при добавлении к-ты. Смесь охлаждают до 30°, 2,4,5-трихлорфеноксиуксусную к-ту (VI) отфильтровывают, промывают водой и сушат. Выход 75,1%, считая на IV, т. пл. 158°. Если р-цию проводят при 95—100° и 103—105°, выходы VI равны соответственно 75,1% и 73,1%. Если смешение реагирующих в-в производить при 20—25°, а нагревание при 95—100°, выход VI составляет 66,5%. Если т-ра смешения 30°, а т-ра нагревания 75—80°, то выход VI равняется 51,0%. Оптимальное время прибавления III составляет 45 мин.—1 час. Уменьшение этого времени до 30 мин. снижает выход на 8%, повышение времени > 1 часа не увеличивает выхода VI. Прибавление NaOH в конце р-ции необходимо для растворения непрореагировавшего II и облегчения фильтрации. Р-ция должна проводиться при pH 9,5—11,5 (щел. р-ция на тимолфталейн). Прибавление избытка щелочи снижает выход. Кол-во воды должно быть миним., но достаточным для поддержания реакционной смеси в р-ре. В конце р-ции должно быть 18—50, лучше 25—35 моль, воды на 1 моль III. В более разб. или конц. р-рах выходы VI меньше. Прибавление избытка III не дает повышения выхода VI. Только введение 100%-ного избытка I повышает выход, однако применение такого большого кол-ва I невыгодно экономически.

К. Бокарев
71863 П. Приготовление 2-метил-4-хлорфеноксиуксусной кислоты. Глинский, Дженни (Preparation of 2-methyl-4-chlorophenoxyacetic acid. Hlynsky Alex, Jenney John W.) [Diamond Alkali Co.] Пат. США 2774788, 18.12.56

2-метил-4-хлорфеноксиуксусную к-ту (I) получают хлорированием 2-метилфеноксиуксусной к-ты (II) при 125° или ниже (105—110°) в присутствии небольшого кол-ва алифатич. к-ты, содержащей 1—4 атома C (HCOOH, CH₃COOH, пропионовая, масляная или изомасляная к-ты). При хлорировании в смесь можно прибавлять катализаторы FeCl₃, хлористую Sb и AlCl₃. Выходы I ≥ 90%. Напр., 83 г II и 100 мл лед. CH₃COOH нагревают до 105° и в смесь при 105—110° пропускают в течение 45 мин. 39 г Cl₂ (газ). По окончании хлорирования смесь охлаждают до 20° фильтруют, кристаллич. в-во промывают холодной водой. Выход продукта, содержащего 98% I, составляет 86 г. Фильтрат (40 мл) разбавляют водой до 250 мл, и выпавший осадок отфильтровывают (5,8 г). Общий выход I равен 90%. При хлорировании при более высоких т-рах выход I снижается.

К. Бокарев
71864 П. Гербицидные составы. Дейви (Herbicide compositions. Davie William R.) [Pittsburgh, Coke & Chemical Co.] Пат. США 2761773; 2761774, 4.09.56

Действующим началом гербицидных составов являются сложные эфиры 2,4-Д, 2,4,5-Т, 2М-4Х и других замещ. или незамещ. арилоксиуксусных к-т с получаемой оксисинтезом смесью *n*-дециловых спиртов (I—смесь), содержащей преимущественно триметилпентанолы (пат. 2761773) или со смесью *n*-С₇-, С₈- и С₉-спиртов (II—смесь) и их 2-метилизмеров (пат. 2761774). Смеси эфиров (СЭ) получают кипячением 4 моль соответствующей к-ты, 1,2 мл конц. H₂SO₄, 300 мл С₆H₆ и 4,2 моля I или II (продолжительность р-ции 4 часа 10 мин. и 1 час соответственно) с одновременным удалением образующейся воды; смесь затем промывают NaOH, водой, отгоняют С₆H₆, нагревая смесь при 140°/20 мм и фильтруют, получая конеч-

ный продукт. Получены СЭ следующих к-т и спиртов: 2,4-Д и I—выход 98,8%, т. кип. 154—163°/0,3 мм, 190—198°/1,1 мм, *d*₂₀²⁷ 1,122; 2,4-Д и II выход 94,5%, т. кип. 124—142°/0,05 мм и 173—185°/1,1 мм, *d*₂₀²⁸ 1,157; 2,4,5-Т и I—выход 97,3%, т. кип. 170—175°/0,35 мм и 199—208°/1,1 мм, *d*₂₀²⁶ 1,044; 2,4,5-Т и II—выход 97,3%, т. кип. 145—155°/0,25 мм и 178—195°/1,1 мм, *d*₂₀²⁸ 1,232; 2 М-4Х и I, т. кип. 143—152°/0,3 мм, 173—178°/1,1 мм, *d*₂₀²⁸ 1,044; 2М-4Х и II, т. кип. 123—130°/0,1 мм и 167—175°/1,1 мм, *d*₂₀²⁷ 1,073; β-нафтоксиуксусная к-та и II—т. кип. 145—152°/0,1 мм, *d*₂₀²⁸ 1,04. Растворяя 65—69 вес. ч. СЭ в 29—25 вес. ч. лигроина (керосина) с добавкой 6 вес. ч. эмульгатора, получают концентраты, устойчивые при длительном хранении при т-ре —18°; перед применением концентрат разбавляют 25 объемами керосина или эмульгируют в 135 объемах воды.

Г. Швиндлерман
71865 П. Избирательный гербицид. Гарман, Джордж (Selective herbicide. Garman John A., George Donald K.) [Food Machinery and Chemical Corp.] Пат. США 2784071, 5.03.57

К 100 вес. ч. 3-хлорфенилизоцианата в 300 мл С₆H₆ и присутствии следов (С₂H₅)₃N прибавляли 165 вес. ч. 1-хлорпропанола-2. Смесь кипятили 4 часа, удаляя р-ритель в вакууме и продукт перегоняли; фракцию 160—165°/0,1 мм растворяли в СCl₄ и промывали водой, р-р высушивали, СCl₄ удаляли и получали 2-(1-хлорпропил)-N-(3-хлорфенил)-карбонат (I), масло, *n*_D²⁵ 1,5538. I избирательно уничтожает однодольные травы (ползучий сорняк, марь) в конц-ях, не оказывающих отрицательного воздействия на такие культуры, как хлопчатник, фасоль, горох и кукуруза. По сравнению с другими карбаматами I обладает меньшей летучестью и более продолжительным остаточным действием.

В. Лившиц
71866 П. Метод стерилизации почвы. Дорман, Линдквист (Method of sterilizing soil. Dorman Stephen C., Lindquist August B., Jr) [Stauffer Chemical Co.] Пат. США 2766554, 16.10.56

Метод временной стерилизации почвы состоит в обработке ее соединениями общей ф-лы: RNHCSSM, где R—С₂H₅ или лучше СH₃, М—щел. или щел.-зем. металл или NH₄. Соединения убивают насекомых, нематод, червей и т. п. Через 2—3 дня после обработки можно производить посев. Обработка почвы 0,01%-ным р-ром N-метилдитиокарбамата Na (I) предохраняет сахарную свеклу, посеянную через 7 дней после обработки, от повреждения личинками *Limoniis californicus*. 0,0005%-ный р-р I и 0,002%-ный р-р N-этилдитиокарбамата Na (II) токсичны для всех форм нематод *Meloidogyne* sp., тогда как даже 0,016%-ный р-р N,N-диметилдитиокарбамата Na (III) не токсичен. Нетоксичными для нематод являются также N,N-диэтилдитиокарбамат Na (IV) и тетраметилтиурамдисульфид, I токсичен для грибов *Sclerotium rolfsii* и *Armillaria mellea* в конц-ях 0,0005% и для *Armillaria mellea* в конц-ях 0,001%. В дозе 82,5 кг/га I, N-метилдитиокарбаматы метиламмония (V), K и Ca уничтожают ипомею, III неактивен. N-метилкарбаматы, особенно V, имеют фузигационное действие, которое отсутствует у III. I и II обладают гербицидным действием на овес и редис; III, IV и N-изопропилдитиокарбамат Na не токсичны для растений. Соединения применяют в водн. р-рах в дозах 55—880 кг/га, обычно в дозе 110 кг/га.

К. Бокарев
71867 П. Гербицидный состав. Гарман, Брайан (Herbicide composition. Garman John A., Brian Walter P.) [Food Machinery and Chemical Corp.] Пат. США 2784072, 5.03.57

Новый эффективный избирательный гербицид—2-(1,3-дихлорпропил)N-фенилкарбамат (I) (т. пл. 72—74°), получаемый р-цией фенилизоцианата с 1,3-дихлорпропанолом-2, в дозах 12—25 кг/га особенно эф-

фективен против однодольных трав и не оказывает при этом неблагоприятного воздействия на горох, кукурузу, хлопчатник и соевые бобы. I можно применять в относительно высоких концентрациях в виде р-ров (в циклогексаноне, ксилоле, ацетоне, толуоле, низших алифатич. спиртах, метилнафталинах), суспензий, водн. эмульсий и 5—30%-ных дустов (напр., на глине и тальке) для обработки почвы как до, так и после появления всходов.

В. Лившиц
71868 П. Гербицидный препарат (Unkrautbekämpfungsmittel) [Wilma Fröter]. Пат. ФРГ 1009422, 14.11.57

Водорастворимые производные пиридина (I): хлоридат и сульфат I, галоидзамещенные в ядре или боковой цепи алкилпиридины и пиридинкарбоновые к-ты, а также их соли, обладают гербицидным действием. Соединения применяют в виде водн. р-ров, аэрозолей или дустов на глиноземе, извести, гипсе и кизельгуре, к ним могут быть добавлены другие гербициды (хлораты Na и Ca, галоидированные уксусные и феноксисукусные к-ты и их соли). Наиболее эффективны препараты, приготовленные на гигроскопичных носителях.

И. Мильштейн
71869 П. Пиримидины как регуляторы роста растений. Гудхью, Мейхан (Pyrimidines as plant response substances. Goodhue Lyle D. Mahan John E.) [Phillips Petroleum Co.]. Пат. США 2735225, 21.02.58

Пиримидины (II) общей ф-лы $C(R)=NC(R)=C(R)-C(R)N$ (R — H, алкил, содержащий ≤ 6 атомов C,

арил, галоид; не менее чем один из R должен быть замещенным аминорадикалом — $R'CONH$, $R''CONCOR$, $NCOC(R_2'')C(R_2''')NC(R_2''')CO$ или $NCOZCO$ (Z — фени-

лен (Ф) ди-, тетра- или гексагидро-Ф, алкилзамещ. Ф, галоид, NO_2OH или OR) получают взаимодействием 4-амино-П с ангидридами органич. к-т (в частности, с фталевым ангидридом) и применяют в качестве регуляторов роста в виде 0,1—1%-ных водн. суспензий и дустов. П замедляют рост побегов и боковых корней широколистных растений; наиболее активны: 4-фталимидо-2,6-диметил-П, 4-ацетидами-5-хлор-2,6-дизтил-П, 4-сукцинидами-2,6-диметил-П, 4-тетрагидрофталимидо-2,6-диметил-П, дихлортетрагидрофталимидо-2,6-диметил-П, 4-амино-2,6-диметил-П не активен.

Г. Швиндлерман
71870 П. Составы для удаления боковых побегов у табака. Эмонд, Паттенден (Tobacco desuckering compositions. Emond Robert Earl, Pattenden Warren C.) [Esso Research and Engng Co.]. Пат. США 2772152, 27.11.58

Масла, обычно применяемые для недопущения роста боковых побегов у табака, имеют низкую вязкость, быстро стекают к корню растения, что часто вызывает его загнивание. Для получения состава типа паст или густых смазок, дающего ≤ 50 мм стекания за 24 часа, 5—15 г стеариновой к-ты, 1,5—5 г ~ 50%-ного р-ра NaOH и 90 г светлого минер. масла (вязкость 150—350 сек. по Сейболт-Универсаль при 38°), смешивают при нагревании для удаления воды до образования жидкой пасты, в которой должно быть $\leq 0,4\%$ свободных к-т или $\leq 0,1\%$ свободных щелочей. Паста наносится на обломанные стебли накладыванием или кистью. Пасты могут быть также изготовлены с использованием таких жирных к-т, как пальмитиновая, олеиновая и т. п., и таких щелочей, как поташ, каустик и т. п. При обработке растений пастами наблюдается повышение веса верхних листьев до 20% по сравнению с растениями, пасынкованными руками.

Г. Диккер

См. также: Инсектициды: анализ 70633, 72249; 27061Бх; инсектицидная аппретура для тканей 72718; токсикология 28424Бх. Бактерициды и фунгициды: произ-во 71714, 71722, 71723; анализ 70644; фунгицидные антибиотики 27441Бх. Регуляторы роста: произ-во 71690, 71691; синтез бактериями 27397Бх; образование в растениях 27672Бх; анализа 27069Бх; торможение прорастания картофеля 28294Бх; оксидаза гетероу-сина 27628Бх; действие 27673—27690Бх

ДУШИСТЫЕ ВЕЩЕСТВА. ЭФИРНЫЕ МАСЛА. ПАРФЮМЕРИЯ И КОСМЕТИКА

Редактор В. Н. Белов

71871. Французская герань. Арктандер (Geranium Bourbon. Arctander Steffen), Drug and Cosm. Ind., 1958, 82, № 3, 310—311, 389—399 (англ.)
Описано выращивание герани и произ-во гераниевого масла во Франции и на о-ве Реюньон. Приведены данные о размере плантаций и выработке масла.

С. Кустова
71872. Влияние расклевывания плодов аниса при уборке и обмолоте на содержание эфирного масла в товарном сырье. Танасенко Ф. С. В сб.: Краткий отчет о научно-исслед. работе Всес. н.-н. ин-та маслич. и эфиромаслич. культур за 1956 г. Краснодар, «Сов. Кубань», 1957, 166—169

Отмечено, что расщепление семян (плодов) аниса (СА) на половинки приводит к значительным потерям эфирного масла (ЭМ) из-за разрушения оболочки и частичного удаления при отвеивании. При хранении расщепленных СА потери ЭМ увеличиваются за счет его улетучивания из разрушенных местилец. Одновременно ухудшается качество ЭМ вследствие снижения содержания анетол. Указано на необходимость использования при переработке СА половы, а также сора, отделяемого при сортировке и подаче сырья на произ-во (сор содержит 0,6—0,7% ЭМ). Рекомендуются тщательная регулировка уборочных машин для снижения содержания половинок в товарном анисе (в настоящее время оно составляет 14—70%).

С. Виреуб
71873. Влияние хранения на изменение содержания эфирных масел, β -каротина и хлорофилла в хвое. Станкович, Карапанджич, Сенич (Утица) лагирования на квантитативные промене етеричног уља, β -каротина и хлорофила у четинама црног бора (*Pinus nigra* Arg.) Станковић Синиша Ч. Карапанџић Добрила, Сенић Радомир, Гласник Шумарског фак. Ун-т Београда, 1953, 6, 237—248 (сербо-хорв.; рез. англ.)

С целью изучения изменений содержания эфирного масла (ЭМ), β -каротина (I) и хлорофилла (II) в хвое сосны (*Pinus nigra* Arg.) последнюю хранили с 1 октября по 16 февраля в полевых условиях (ПУ) и в замкнутом пространстве (ЗП) (приведены метеорологич. условия за указанный период), причем установлено, что в ПУ влажность существенно не изменяется, а в ЗП падает до гигроскопич. влажности через 80 дней. Через 55 дней хранения в ПУ не наблюдается изменений в содержании ЭМ, I и II, после чего содержание ЭМ падает (осмоление и испарение), а I и II остаются без изменений. В ЗП допустимый период хранения 40 дней, после которого содержание ЭМ, I и II непрерывно падает. В осенних и зимних климатич. условиях выгоднее хранить хвою в ПУ, причем технологически приемлемое время хранения находится в обратной отношении к степени обезвоживания. В собранной хвое некоторое время продолжается обмен в интенсивность которого повышается с понижением

степени обезвоживания игол. В случае ЭМ, помимо ко-
лич. изменений, происходят и хим. превращения (по-
вышение коэф. преломления), связанные, по-видимо-
му с этерификацией и омылением. Вследствие этери-
фикации терпеновых спиртов органич. к-тами наиболь-
ший выход ЭМ получают после 15 дней хранения.

Ю. Вендельштейн
71874. Зависимость качества эфирного масла лаван-
ды от технической зрелости соцветий. Непаридзе
Н. И. В сб.: Краткий отчет о научно-исслед. работе
Всес. н.-и. ин-та маслич. и эфиромаслич. культур
за 1956 г. Краснодар, «Сов. Кубань», 1957, 160—162

Показано, что снижение растворимости лавандового
масла в 70%-ном этиловом спирте (1:9—1:12 вме-
сто 1:3 по ГОСТ), отмечаемое в последние годы, по-
лучается вследствие переработки соцветий лаванды, не
достигших технич. зрелости. Последняя наступает с
момента цветения 60—70% цветков в соцветиях и про-
должается 15—20 дней без снижения выхода и качест-
ва масла. Отмечается, что переработку лаванды на
эдах следует начинать с момента, когда распустив-
шихся цветков в соцветиях будет > 60%. Приведена
таблица зависимости растворимости лавандового ма-
сла от фазы цветения соцветий.

С. Вирезуб
71875. Промышленный выход эфирных масел из не-
которых местных лекарственных растений. Кри-
шан (Randamente industriale în uleiuri eterice la
câteva plante medicinale indigene. Crișan C.), Far-
macia (Român.), 1957, 5, № 5, 422—428 (рум.; рез;
русс., франц., англ., нем.)

Перегонкой с водяным паром извлечены следующие
эфирные масла (средний выход в %): *Ol. Angelicae*
0,08; *Ol. Chamomillae* 0,027; *Ol. Heleni* 0,48; *Ol. Melissa*
0,026; *Ol. Absinti* 0,145; *Ol. Coriandri* 0,11—0,53; *Ol. Nys-*
sopri из сухого растения 0,52, из зеленого 0,15; *Ol. Ju-*
nciperi baccae 0,98; *Ol. Menthae aquaticae* 0,48; *Ol. Men-*
thae pulegi 0,49; *Ol. Menthae piperitae* из целого расте-
ния 0,99, а из стеблей 0,50—0,60; *Ol. Origan vulgaris*
0,15; *Ol. Thimi serpylli* 0,12. Дано краткое описание
некоторых способов извлечения и приведены литера-
турные данные, показывающие значение полученных
выходов для обеспечения потребности страны в эфир-
ных маслах.

А. Марин
71876. Лавандовое масло с острова Хвара. Верна-
ца (Ulje lavandulinhi hibrida s otoka Hvara. Ver-
naza Nikola), Arhiv poljopr. nauke, 1957, 70,
№ 30, 91—95 (сербо-хорв.; рез. нем.)

Указывается, что в 1957 г. культура лаванды зани-
мала на острове площадь > 600 га. С 1953—1957 гг. ис-
следован 81 образец лавандового масла (М), получен-
ного из растений, растущих в различных частях остро-
ва. Приведены результаты исследований. Все исследо-
ванные М разделены по запаху на 3 типа. Тип 1 — с
явно выраженным камфарным запахом, М получают
перегонкой из лаванды, широко распространенной на
острове, содержание эфиров (СЭ), считая на линалил-
ацетат, > 8,58% (в среднем 13,44%). Тип 2 — с при-
ятным не камфарным запахом, М получают из лаван-
ды, также занимающей большие площади и отлича-
ющейся интенсивно синим цветом (так называемая
«синяя лаванда»), СЭ > 18% (в среднем 24,38%). М
характеризуется низким показателем преломления и
сильной вращательной способностью влево. Тип 3 — с
приятным очень слабым запахом (или без него) кам-
фары. М получают в лаборатории из лаванды, частично
распространенной на острове; СЭ > 18% (в среднем
24,43%). Отмечается, что в дальнейшем следует раз-
водить лишь лаванду, М которой соответствует типам
2 и 3.

С. Вирезуб
71877. Изучение эфирных масел семейства *Orthodon*
(*Labiatae*) восточно-азиатского происхождения. LIII.
Эфирное масло *Orthodon angustifolium* Masamune.

(2). Фудзита, Минамино, Нихон кагаку дзас-
си, J. Chem. Soc. Japan. Pure Chem. Sec., 1956, 77,
№ 2, 363—365 (японск.)

Эфирное масло (выход 0,51—0,67% на невысушенное
растение) содержит (в %): 72 тимола, 20 л-пимола,
1 γ-пинена, 14-терпинеола, 1 ацетата тимола, 5 α-ка-
риофиллена и незначительное кол-во сесквитерпеновых
спиртов. Предыдущее сообщение см. РЖХим, 1958,
51389.

Н. Любшиц
71878. Новый колориметрический метод количествен-
ного определения эфирного масла в кориандре. По-
пов С. А. В сб.: Краткий отчет о научно-исслед. ра-
боте Всес. н.-и. ин-та маслич. и эфиромаслич. культур
за 1956 г. Краснодар, «Сов. Кубань», 1957,
147—149

Разработан новый метод анализа для селекционных
целей, позволяющий быстро, с достаточной точностью
определять содержание эфирного масла (ЭМ) в ма-
леньких навесках семян кориандра (К). 0,25 г измель-
ченных плодов К с влажностью < 10%, переносят в
пробирку (П) емк. 20—25 мл, заливают 10 мл воды,
встряхивают 1 мин. Затем пипеткой отбирают 1 мл
вытяжки (В) во вторую П, прибавляют 4 мл воды,
2 капли 1%-ного р-ра $KMnO_4$ (I) и встряхивают. Цвет
р-ра изменяется от розового до светло-коричневого, с
увеличением кол-ва ЭМ в В. Через 4 мин. с момента
добавления I цвет В сопоставляют со стандартной
шкалой (СПШ), для изготовления которой подбирают
образец К, содержащий в пересчете на воздушно-су-
хое в-во 1% ЭМ, определенного по методу Гинзберга.
Описана методика приготовления СПШ. П со стандарт-
ными жидкостями тщательно закрывают пробками.
Цвет жидкостей СПШ не изменяется более месяца. От-
счет по шкале делают с точностью до 0,1%. Время на
выполнение этого анализа 7—10 мин. 70% анализов,
выполненных колориметрич. методом, совпадает с ре-
зультатами анализа по Гинзбергу, 30% показывают
расхождение ≥ 0,1%. Для анализа нельзя брать К,
пораженный бактериозом.

С. Вирезуб
71879. Отношение нитрометана к компонентам масла
перечной мяты. I. Разделение компонентов мятного
масла с помощью нитрометана. Ито (Ito Masaa-
ki), Korō кагаку дзасси, J. Chem. Soc. Japan. Industr.
Chem. Sel., 1956, 59, № 8, 981—983 (японск.)

71880. Механизмы стимулирования обоняния. Мон-
крифф (The mechanism of the olfactory stimulus.
Moncrieff R. W.), Amer. Perfumer and Arom.,
1958, 71, № 3, 50—58 (англ.)

Суммируются различные теории, объясняющие меха-
низмы обоняния, эксперим. методы исследования, полу-
ченные результаты и их значение. И. Вольфензон

71881. Химик-специалист по душистым веществам,
химик-парфюмер и парфюмер. Ренар (Riechstoff-
Chemiker, Parfümeur-Chemiker und Parfümeure. Re-
nard), Seifen-Öle-Fette-Wachse, 1958, 84, № 6, 149—
151 (нем.; рез. англ., франц., исп.)

Обсуждаются области деятельности химика-специа-
листа по душистым в-вам, химика-парфюмера, пар-
фюмера и значение их работы в целом.

Е. Шепеленкова
71882. Органические кислоты в производстве пище-
вых отдушек. Тейлор (Organische Säuren in der
Aromenindustrie. Taylor Robert), Riechstoffe
und Aromen, 1958, 8, № 4, 128—129 (нем.)

Обсуждаются свойства молочной к-ты (I), метод ее
получения и применение для приготовления различ-
ных лимонадов, горячих напитков, алкогольных и без-
алкогольных пуншей, искусств. дрожжей и т. д. Ука-
зано, что I обладает более сильным бактерицидным
действием, чем лимонная или винная к-ты. Приведены
рецептуры лимонадов, содержащих I. Е. Шепеленкова

71883. Отдушка туалетного мыла.— (Feinseifenparfümierung.—), Seifen-Öle-Fette-Wachse, 1958, 84, № 8, 213—214 (нем.; рез. англ., франц., исп.)

Содержание свободной щелочи в туалетном мыле (М) высшего качества должно составлять 0,02—0,04%. При отсутствии щелочности неомыленные жиры и жирные к-ты вызывают прогоркание мыла, что отрицательно влияет на самые сильные и устойчивые отдушки. Указано, что введение в М небольшого кол-ва смол ослабляет указанный эффект. Р. Левитанайте

71884. Новейшие данные по применению плаценты в косметике. К лудас (Neuere Forschungsergebnisse über die Placentawirkstoffe in der Kosmetik. Kludass Martin), Kosm. Monatsschr., 1957, 6, № 7, 12—14 (нем.)

См. РЖХим, 1958, 51394.

71885. Красящие вещества в помадах. Швейсхеймер (Farbstoffe in Lippenstiften. Schweisheimer W.), Seifen-Öle-Fette-Wachse, 1958, 84, № 4, 95—96 (нем.)

Предыдущее сообщение см. РЖХим, 1958, 51397. И. М.

71886. Окрашенные волосы под микроскопом. Прейзингер (Haarfärben unter dem Mikroskop. Proisinger Siegfried), Parfüm. und Kosmetik, 1958, 39, № 4, 219—220, 225—227 (нем.)

Описано изменение кератина волос в процессе окрашивания, наблюдаемое непосредственно под микроскопом. И. Милованова

71887. Эмульсионные кремы на основе восков: влияние соотношения компонентов на гидрофильность и устойчивость. Сунье-Арбусса (Ceratosa acuosos: influencia de la proporción de los componentes en la hidrofilia y estabilidad. Sune Arbussa Jose M.), Galenica acta, 1957, 8, № 3, 191—209 (исп.)

71888. Защитная мазь. Тербенкова Е. М., Консервы и овощесуш. пром-сть, 1958, № 5, 9—10

Мазь для защиты кожи рук при переработке сульфитированных плодов содержит (в вес. ч.) казеина сухого 30, 25%-ного р-ра аммиака 3, этанола 96%-ного 8,5, глицерина 30, воды 85—95. Г. Н.

71889. Уход за полостью рта. Шварц (Mundpflege. Schwarz Hans), Riechstoffe und Aromen, 1958, 8, № 4, 100—102 (нем.)

Приведены рецептуры средств для ухода за полостью рта в виде ароматич. пиллюль, дезинфицирующих полосканий, зубной пасты с добавками эфирных масел, душистых в-в, смолы мирры и т. д. Е. Шепеленкова

71890. Антибактериальная активность солей алюминия. Бланк, Морленд, Дос (The antibacterial activity of aluminum salts. Blank Irvin H., Moreland Marjorie, Dawes Ruth K.), Drug and Cosm. Ind., 1957, 80, № 6, 748—749, 838—845 (англ.)

Изучены антибактериальные свойства $Al_2(OH)_5Cl$ (I), $AlCl_3 \cdot 6H_2O$ (II) и $Al_2(SO_4)_3 \cdot 18H_2O$ (III) по отношению к микроорганизмам, составляющим бактериальную флору поверхности кожи. В опытах in vitro (на агаре) I прекращает рост грамположительных микроорганизмов при разведении 1:100 000; II и III менее активны. Грамотрицательные микроорганизмы более устойчивы и выдерживают in vitro действие 1%-ных р-ров I, II и III в течение 14 мин. Поверхность кожи при обработке 0,5%-ным р-ром I становится стерильной; аналогичные р-ры II и III менее эффективны. Развитие микроорганизмов на увлажненном ороговевшем эпителии и подмышками подавляется всеми препаратами почти в одинаковой степени. А. Травин

71891 П. Фенилацетальдегид. Такаги, Хамано (Takagi Eiichi, Hamano Masaaki) [Мигу-

биси косэй когэ кабусики кайся]. Японск. пат. 1728, 16.03.55

4,3 ч. 7,8-диацетоксибицикло-(0,2,4)-окта-2,4-диона (т. кип. 97—98°/0,005 мм, т. пл. 64°), 20 ч. 10%-ной H_2SO_4 и немного гидрохинона нагревают 30 мин. на водяной бане, продукт перегоняют с паром, дистилят нейтрализуют 2,3 ч. $NaHCO_3$. Перегонкой нижнего маслянистого слоя получают 1,9 ч. $C_6H_5CH_2CHO$, т. кип. 90—91°/19 мм. Э. Тукачинский

71892 П. Средство для ухода за волосами. Фридрих (Haarpflegemittel. Friederich Herbert) [Badische Anilin- & Soda-Fabrik A.-G.]. Пат. ФРГ, 950678, 11.10.56

В качестве средства для ухода за волосами (в частности, при себорее) предложены дикарбоновые к-ты, отвечающие общей ф-ле $HOOC(C_nH_{2n}S_xC_mH_2)COOH$, где $n + m \geq 4$ (напр., β, β' -тиодипропионовая, β, β' -дитиодипропионовая, γ, γ' -тиодимасляная к-ты), а также их соли, сложные эфиры и амиды. Препараты применяют непосредственно (напр., ди-*n*-бутиловый или ди-2-этилгексилэтиловый эфиры γ, γ' -тиодимасляной к-ты) или в виде органич. р-ров (напр., 1%-ный р-р ди-2-этилгексильного эфира γ, γ' -тиодимасляной к-ты в 60—70%-ном спир.). Препараты нетоксичны и не вызывают раздражения кожи. А. Травин

71893 П. Твердый депиляторий. Сато Такедзиро [Сато масаси]. Японск. пат. 1000, 25.02.54

Смесь абетиновой к-ты с небольшим кол-вом сульфидов пинена смешивают с твердым при обычной т-ре воском и получают депиляторий. Пример. 8 кг абетиновой к-ты и 2 кг масла плодов сумаха помещают в фарфоровую посуду, растворяют при нагревании, вводят 2 кг парафина, нагревая, смешивают, охлаждают до 50°, добавляют 1% (к общему весу) сульфид пинена, ароматизирующие в-ва, перемешивают и охлаждают. Способ употребления: патентуемый депиляторий помещают в сосуд, нагревают и плавят, размешивая, охлаждают до желевидного состояния и наносят поверх волос. Через некоторое время слой депилятория засыхает и путем соскребания удаляется вместе с волосяным покровом. А. Фрадкин

71894 П. Метод изготовления косметических кремов. Тамаки Дзюдзо. Японск. пат. 4000, 3.07.54

Шелковое волокно кипятят в слабом щел. р-ре (моло, силикат или карбонат Na и т. п.) либо выдерживают в жидкой культуре особых сбраживающих бактерий, затем растворяют и удаляют серицин. Фиброно растворяют в щел. р-ре (каустич. соды или КОН) и этим р-ром нейтрализуют стеариновую к-ту или твердые жирные к-ты. Полученное в-во является основой для приготовления косметич. кремов; в него добавляют до нужной консистенции глицерин, ароматизирующие в-ва и т. д. Пример. Кокон после удаления куколки или шелковую нить обесклеивают, отбелявают, 2 кг полученного фиброина растворяют в 10 кг 15%-ного р-ра равных кол-в в каустич. соды и КОН и добавляют 40 кг воды. Плавят 10 кг стеариновой к-ты, помешивая, постепенно вливают щел. р-р фиброина и нейтрализуют к-ту. Затем добавляют 10 кг глицерина, ароматизирующие в-ва и получают стеаратный крем. А. Фрадкин

71895 П. Способ производства жидкости для мытья волос. Торахасэ Тэрухира. Японск. пат. 6430, 9.10.54

Патентуемый жидкий продукт для мытья волос прозрачен, обладает слабокислыми свойствами, хорошо пенится и отличается высокими моющими качествами, способствует уничтожению перхоти. После его употребления волосы приобретают мягкость и глянцевитость, он очень гигиеничен и устойчив в хранении в любых климатич. условиях. Янтарную, фумаровую, лимонную или борную к-ту (или их смесь) вводят в

хлорид диметилбензиллауриламмония, хлорид алкил-
голаминоформилметилпиридиния или другие катион-
ные мыла. В полученный продукт добавляют воды.
р-р пропилглицоля и поливинилового спирта (сте-
пень полимеризации 500—1600) и размешивают. Затем
к полученному продукту прибавляют смесь р-ра
2-этилгександиола-1,3 в этаноле с одним или несколь-
кими неионными поверхностноактивными агентами
(напр., полиоксиэтиленолеиловый эфир или сорбитан-
моноостеарат). Пример. 10 г янтарной и 5 г борной
к-ты вводят в 10%-ный водн. р-р диметилбензиллаури-
ламмония. 85 г поливинилового спирта (степень поли-
меризации 1200) разводят в 10 л 7%-ного водн. р-ра
пропилглицоля и при 45° смешивают оба состава, к
полученному продукту при 40—45° добавляют смесь
350 мл 20%-ного р-ра 2-этилгександиола-1,3 в этаноле
с 450 мл полиоксиэтиленолеилового эфира. Получают
прозрачную жидкость, в которую при необходимости
можно добавлять красящие и ароматизирующие в-ва.
А. Фрадкий

71896 П. Крем для перманента. Фурукава Ко-
фу. Японск. пат. 999, 25.02.54

Для приготовления крема 150 мл воды и 120 г казеи-
на выдерживают 1—2 час., 70 г буры растворяют при
нагревании в 200 мл воды, смешивают оба р-ра и
добавляют 250 мл 28%-ной аммиачной воды, а затем
650 мл воды, смешивают и получают состав 1. 5 г
К-мыла смешивают с 30 г касторового масла, вводят
по каплям небольшое кол-во трикрезилфосфата и ди-
бутилфталата, перемешивают, эмульгируют, вводят
30 г глицерина и получают состав 2. В 300 мл воды
вводят 50 г порошка буры, растворяют при нагрева-
нии, добавляют 10 г безводн. Na_2CO_3 , перемешивают,
вводят 20 г безводн. Na_2SO_3 , растворяют и получают
состав 3. Состав 2 постепенно при перемешивании
вводят в состав 1, а затем вводят состав 3, тщательно
перемешивают и получают мягкую пасту. А. Фрадкий

См. также: Этерификация 1-ментола в конц. мур-
авиной к-те 70733. Селективное восстановление альде-
гидов в смесях альдегидов с кетонами 70782. Псевдоазу-
лены, синтез 70879. Конфигурация в ряду цитронелла-
ди 70930. Автоокисление: терцинолена 70933, лимонена
70934. Гидрирование, окисление лимонена, пинена
70935. Геометрич. изомерия гидронола 70936. α - и
 β -камфора, эфиры 70937. Изучение синтеза псевдоно-
на 70938. Сесквитерпеновые к-ты, циклизация 70939.
Тримеры 70940, 70941, их производные оксикислоты
71102. Синтез линалоола, гераниола и их гомологов
71003

ФОТОГРАФИЧЕСКИЕ МАТЕРИАЛЫ

Редактор В. С. Чельцов

71897 П. Способ изготовления трудногорючих не-
гигроскопичных пленок, особенно для фотографиче-
ских целей. Оссенбруннер, Греб, Траум
(Verfahren zur Herstellung von schwer brennbaren,
feuchtigkeitsunempfindlichen Filmen insbesondere für
photographische Zwecke. Ossenbrunner Armin,
Graeb Gerhard, Traum Werner) [Agfa
A.-G. für Photofabrikation]. Пат. ФРГ 965358, 6.06.57

Для уменьшения горючести и гигроскопичности
эфиоцеллюлозных фотографич. пленок применяя
пластификаторы (П) — сложные эфиры фосфорной
к-ты с алкильными эфирами n -оксисбензойной к-ты.
Для понижения т-ры плавления добавляемых пласти-
фицирующих в-в, что необходимо для устранения кри-
сталлизации П на поверхности пленки, целесообразно
применение смесей указанных П с другими фосфор-
содержащими жидкими П. Указаны, напр., следующие

комбинации: дифенилмоно- n -карбэтоксифенилфосфат
(I) и трикрезилфосфат; I и крезилдифенилфосфат; I и
монофенилди- n -карбобутоксифенилфосфат (II) и др.
Пример. 15 кг ацетилцеллюлозы с содержанием 61%
связанной уксусной к-ты растворяют в смеси 85 кг
метилхлорида и 1,5 кг бутанола, после чего добав-
ляют 1,5 кг I и 1,5 кг II. Из полученного вязкого р-ра
известным способом отливают пленку. На пленку на-
носят подслои, необходимый для скрепления с фото-
графич. слоем. При удалении в сушильной камере
при т-ре 100—120° из пленки остаточных р-рителей
выделения П не наблюдается. Подслой после высу-
хания пленки остается прозрачным. Прочность сцеп-
ления фотографич. слоя с пленкой достаточная. Смес-
ные эфиры фосфорной к-ты и n -оксифенилбензоа-
тов пригодны также для пластификации нитроцеллю-
лозы. Б. Коростылев

71898 П. Материалы, модифицированные уретаном.

Унру, Смит (Urethane modified materials. Unruh
Cornelius C., Smith Albert C., Jr) [Eastman
Kodak Co.]. Пат. США 2768154, 23.10.56

Полимерные органич. соединения, содержащие в мо-
лекуле одну или несколько функциональных OH-групп,
модифицируют р-цией с карбоксиизоцианатом ф-лы:
 $\text{OC}=\text{N}-\text{R}-\text{COOR}'$, где R и R' — ацильные, арильные
или алкильные группы. При этом OH-группы поли-
мера преобразуются в уретанкарбоксилаты ф-лы
 $-\text{OCONH}-\text{R}-\text{CO}_2\text{R}'$ (I); после кислотного или щел.
гидролиза I образуются соответствующие уретанкар-
боновые к-ты. При взаимодействии I с азотсодержа-
щими в-вами, напр. первичными и вторичными амина-
ми, образуются карбамидуретаны, характеризующиеся
группой $-\text{O}-\text{CONH}-\text{R}-\text{CONR}'_2$. Гидроксисодержа-
щие полимерные материалы, напр. целлюлоза и ее
частично замещ. эфиры, поливиниловый спирт, поли-
винилацеталь и др. легко модифицируются указанным
путем, и получающиеся при этом продукты вследствие
их высокой гидрофильности могут быть применены
в произ-ве фотографич. материалов для изготовления
всякого рода водорастворимых покрытий. Напр., кар-
боксиметилуретан поливинилового спирта растворим
в воде и может быть применен в качестве связующего
в-ва для суспензии светочувствительного галоидного
серебра. Пример. 10 г хорошо просушенного ацетил-
целлюлозы (17% ацетильных групп) выдерживают в
течение 12 час. в 100 мл сухого пиридина. Затем в
смесь добавляют 20 г этилизоцианата. Реакционную
смесь нагревают в течение 2 час. на паровой бане при
перемешивании. Полученный желтоватого цвета про-
зрачный р-р разбавляют ацетоном и фильтруют. Фил-
трат медленно вливают в 3 мл воды при перемешива-
нии. Белый волокнистый осадок отжимают и рас-
творяют в диоксане, а р-р снова выливают в воду.
Полученный этилацетатуретан ацетилцеллюлозы про-
мывают водой и сушат. Продукт содержит N 5,9% и
 $\text{O}_2\text{C}_2\text{H}_5$ 16,6%. Б. Коростылев

71899 П. Способ изготовления галоидосеребряных
эмульсий. Мод (Method of making a silver halide
emulsion. Moede Jerome Albert) [E. I. du Pont
de Nemours and Co.]. Пат. США 2772165, 27.11.56

Для удаления воды и растворимых солей галоидо-
серебряную эмульсию (Э), содержащую водопроницае-
мый амфотерный коллоид (I), в частности желатину,
смешивают с водн. р-ром, содержащим от 3 до 20%
(к весу I) органич. высокополимера (II) (молекулярный
вес от 5000 до 50000), образующего комплексы с I при pH
ниже его изоэлектрич. точки. При добавлении к-ты
(напр., HNO_3 , H_2SO_4 , HCl) для доведения до pH ниже
изоэлектрич. точки I осаждается комплекс I-II.
Жидкую фазу отделяют декантацией, остатки рас-
творимых солей из осадка удаляют промывкой водой.
Осадок может быть легко пептизирован смешением с

р-ром щелочи. I применяют из группы в-в, включающей поливинилацетал, сополимеры алкилвинилового эфира и малеинового ангидрида, полигалактаны и фосфаты полиглицидилметакрилатов, содержащие большое число повторяющихся оксигрупп (эфирные, ацетальные или спирт. гидроксильные группы) и кислотных (в частности, SO_3H) групп или их солей со щел. металлами или аммонием. II растворяют как в воде, так и в 1%-ной HNO_3 , в конц-ии ≥ 1 вес. %. Особо указано применение сополимера метилвинилового эфира и малеинового ангидрида, а также частично ацеталированного 2-сульфобензальдегидом поливинилового спирта.

С. Бонгард
71900 II. Способ изготовления светочувствительных материалов и их применение. (Procédé de fabrication de produits photosensibles, produits obtenus et leurs applications) [Kodak-Pathé] Франц. пат. 1112681, 16.03.56

Фотографические слои изготавливают центрифугированием разб. галлоидосеребряной эмульсии (Э) в центрифуге с нанесенным на стенки желатиновым слоем на подложке, обращенной к стенкам барабана. Тип Э и разбавление ее 5%-ным р-ром желатины зависят от назначения фотографич. слоя. Для изготовления фотографич. материала, в котором эмульсионные зерна образуют непрерывный слой, содержащий 200 мг галлоидного серебра (ГС) на 1 дм поверхности, 17 мл мелкозернистой Э разбавляют 100 мл 5%-ного р-ра желатины. Для изготовления однослойного препарата, в котором микрокристаллы ГС хорошо изолированы, 0,1 мл Э с зернами среднего размера разбавляют 100 мл 5%-ного р-ра желатины. рН и рВг р-ра желатины должны быть одинаковы с рН и рВг Э. Подбором сорта и толщины подложки и желатинового слоя, числа оборотов центрифуги, а также типа и степени разбавления Э, можно получать различные фотографич. материалы от богатых ГС тонкослойных пленок, в которых внешние поверхности микрокристаллов образуют сплошной слой, до толстослойных бедных ГС фотографич. материалов. Возможен последующий перенос изготовленных слоев на другие подложки, напр. на стекло. Указаны области применения таких светочувствительных материалов. Н. Спасокукоцкий

71901 II. Галлоидосеребряная эмульсия с полимерным полиаминим в качестве фиксатора кислотных красителей. Грей (Silver halide emulsion containing a polymeric polyamine as an acid dye mordant. Gray Russell Houston) [E. I. du Pont de Nemours and Co.] Пат. США 2753263, 3.07.56

Фотографический материал содержит в желатиновом галлоидосеребряном слое, по крайней мере, один полиамин (ПА) в качестве фиксатора кислотных красителей. ПА содержит атомы С, Н и N и имеет полимерную цепь, включающую лишь атомы С. Атом N аминогруппы имеет по крайней мере один присоединенный к нему атом Н и соединен непосредственно с атомами С полимерной цепи одинарной связью (тип I) или через одну CH_2 -группу (тип II). Указаны полимеры с повторяющимися звеньями $-(\text{CH}_2\text{CH}_2)_n\text{HC}(\text{NHR})-$ (n от 3 до 40; R—H или алкил с 1—12 атомами С) и $-(\text{CH}_2\text{CH}_2\text{CH}_2\text{CH}_2)_n\text{CH}_2\text{HC}(\text{CH}_2\text{NH}_2)-$ (n — от 1 до 10). ПА имеет мол. в. 300—50 000 и нейтрализационный Э (вес. ПА для нейтр-ии одного весового Э сильной к-ты) от 50 до 1000, чаще от 150 до 500. ПА применяют преимущественно в форме солей, напр. уксусной к-ты. Слой пропитывают р-ром ПА (в 2%- или 3%-ном р-ре уксусной к-ты) или р-р ПА вводят в эмульсию перед нанесением на основу. Может быть введено от 2 до 100 г фиксатора (соли) на 100 г желатины. Преимуществом ПА, сильно связывающих кислые красители, является отсутствие вредного влияния на свойства и сохраняемость эмульсии.

ПА также мало влияют на физ. свойства эмульсии и почти не дубят обычные слои. ПА получают восстановительным аминированием полимеров моноолефиноксид углерода (тип I) или восстановлением линейных полимеров, содержащих звенья акрилонитрила или α -метакрилонитрила (тип II). В примерах указано применение ПА, полученных: а) восстановительным аминированием поликетонов, изготовленных сополимеризацией этилена и окиси углерода в отношении 6:1, 6,9:1, 10,4:1; мол. в. 660, 1000 и 1480; нейтрализационный Э 574, 352 и 506 соответственно; восстановлением сополимеров бутадиенакрилонитрил и бутадиеметакрилонитрил при мол. соотношении 4:1 или 4,5:1.

С. Бонгард
71902 II. Метод повышения сохраняемости щелочных проявляющих растворов. Вейде (Verfahren zur Erhöhung der Haltbarkeit von alkalischen Entwicklerlösungen. Weyde Edith) [Agfa A.-G. für Photofabrikation]. Пат. FRG 962767, 25.04.57

Сохраняемость щел. проявителей (П) существенно улучшается при добавлении к р-ру труднорастворимых окислов или гидроокисей металлов, в особенности Са и Ва. Эти в-ва вводят в крупнозернистом виде для затруднения растворения их в П, и в таком кол-ве, чтобы в течение всего времени применения П они оставались в виде осадка, что обеспечивает постоянство рН П. Особенно целесообразно применение указанных в-в в фиксирующих П, так как образующийся при взаимодействии гидроокиси металла с CO_2 воздушного осадок труднорастворимого карбоната адсорбирует соли Ag и препятствует помутнению П. Пример. Для фиксирующего П, содержащего проявляющее в-во непосредственно в фотографич. слое, применяют следующий р-р: вода 1000 мл, Na_2SO_3 80 г, KBr 3 г, $\text{Na}_2\text{S}_2\text{O}_3$ 80 г, $\text{Ca}(\text{OH})_2$ (зерна) 100 г, П такого состава может стоять в открытом сосуде ~ 2 недели без ухудшения свойств.

В. Коростылев
71903 II. Фотографический процесс с переносом изображения. Ланд (Photographic image transfer process. Land Edwin H.) [Polaroid Corp.] Пат. США 2759825, 21.8.56

В способе с диффузионным переносом скрытое изображение проявляется, а продукты р-ции переносятся в приемный слой и образуют позитивное изображение. Жидкость для проявления распределяется тонким слоем между поверхностями приемного слоя и светочувствительного слоя. В данном способе пленка обрабатываемой жидкости легко отделяется от приемного слоя и прилипает к негативному слою, поэтому в приемном слое остается миним. кол-во продуктов р-ции и стабильность отпечатков улучшается. Обрабатываемая жидкость поступает из контейнера, напр. трубки, присоединенной к одному из листов материала. Внутренний слой контейнера состоит из инертного материала, напр., из поливинилацетала и ацеталей поливинилбутирала. Состав материала для внутреннего слоя: поливинилбутирала 60—72%, нитроцеллюлозы 10—23% и 5% дибутилсебацата; второй слой может быть из металлич. фольги — свинцовой или серебряной, третий — из крафт-бумаги. Для проявления применяют водн. р-р, содержащий проявляющее в-во, щелочь, в-во, образующее комплексное соединение с галлоидным серебром, и пленкообразующее в-во, напр. Na-карбоксиметилцеллюлозу, Na-оксиэтилцеллюлозу и производные полиалканов, напр., поливиниловый спирт и Na-соли полиметилакриловой и полиакриловой к-т в таком кол-ве, чтобы достигалась вязкость от 1000 до 200 000 стуаз (при 24°). В качестве проявляющих в-во рекомендованы гидрохинон, метол, n-аминофенол, n-фенилендиамин, диаминофенол, а в качестве комплексообразующих в-в — $\text{Na}_2\text{S}_2\text{O}_3$, $(\text{NH}_4)_2\text{S}_2\text{O}_3$, NaCNS . Обрабатываемая жидкость может содержать сульфит

в качестве сохраняющего в-ва и р-рителя галоидного серебра. Пример. Вода 1860 г, Na-карбоксиметилцеллюлоза 117 г, Na_2SO_3 78 г, NaOH 74,6 г, $\text{Na}_2\text{S}_2\text{O}_3$ 14,5 г, лимонная к-та 38,5 г, гидрохинон 52 г. С увеличением светочувствительности эмульсии рекомендуется увеличивать содержание $\text{Na}_2\text{S}_2\text{O}_3$. Позитивное изображение можно улучшить введением в приемный слой в-в, способствующих осаждению ионов, образующих изображение, а именно: PbS , CdS , селенидов различных металлов и др. Эти в-ва наносят на поверхность приемного слоя в виде смесей с инертными материалами, напр. силикоаэрогелем, кизельгуром. Баритованную бумагу пропускают через р-р при соприкосновении с ним в течение 10 сек. Состав р-ра: $(\text{CH}_3\text{COO})_2\text{Cd}$ 9 г, $(\text{CH}_3\text{COO})_2\text{Pb}$ 0,3 г, $\text{Zn}(\text{NO}_3)_2$ 18 г, вода 100 мл. После сушки на бумагу наносят р-р: вода 270 мл, $(\text{CH}_3\text{COO})_2\text{Cd}$ 27,8 г, $(\text{CH}_3\text{COO})_2\text{Pb}$ 9,3 г, $\text{Zn}(\text{NO}_3)_2$ 55,6 г, силикоаэрогель 30 г, 3%-ный р-р Na_2S 94,7 мл. Для сцепления эмульсии со светочувствительным слоем, а не с приемным слоем на первый наносят особый подслои (от 1 до 3 м), состоящий из гуммиарабика или поливинилового спирта, метил- или этилцеллюлозы. К. Мархилевич

71904 П. Материал для обработки фотографического слоя. Ланд (Élément pour le traitement d'une couche photosensible. Land Edwin Herbert) [International Polaroid Corp.]. Швейц. пат. 322287, 31.07.57

Для обработки светочувствительного слоя с диффузионным переносом применяют слой, напр. пористой бумаги, содержащей жидкость (Ж) с в-вами для проливания; с одной стороны имеется мембрана, напр. из полистирола, которая может быть разорвана для выхода Ж; с другой стороны имеется тонкая пленка парфина или полиэтилена, предотвращающая испарение Ж. На мембране расположен второй слой пористого материала, обеспечивающий равномерное проливание Ж в экспонированный слой. Светочувствительный материал имеет на прозрачной подложке из эфиров целлюлозы или суперполимера типа найлона или поливинила слой галоидосеребряной эмульсии. Предусматривается наличие в обрабатывающей Ж проявляющего в-ва, напр. гидрохинона, а также $\text{Na}_2\text{S}_2\text{O}_3$, образующего комплексные ионы с галоидным серебром со скоростью, меньшей скорости проявления слоя. В экспонированных участках происходит процесс проявления, а в неэкспонированных образуются комплексные соли Ag, диффундирующие в приемный слой, где они восстанавливаются и образуют позитивное изображение. Обрабатывающая Ж может содержать пленкообразующее в-во, напр. высокополимерное в-во, способное при испарении Ж образовать твердую пленку, которая может служить для образования изображения. Описываются другие способы применения обрабатывающей Ж, которая может быть заключена в контейнер в виде трубочки, включаемой в светочувствительный материал между эмульсионным слоем на подложке и промежуточным слоем, находящимся на приемном слое. Промежуточный слой регулирует поступление Ж в приемный слой. Можно сначала проявить экспонированный слой и использовать оставшийся проявитель для образования в приемном слое позитивного изображения в результате р-ции проявителя с солью металла, содержащейся в приемном слое. Пример. Приготавливают р-р 20 г HgNO_3 в 200 мл 3%-ной HNO_3 . Погружают в этот р-р на 2 мин. баритованную бумагу для слоя-приемника, удаляют избыток р-ра и погружают на 2 мин. в 10%-ный р-р NaCl , а затем сушат при обыкновенной т-ре. Покрывают одну из обработанных поверхностей слоем поливинилового спирта толщиной 0,015 мм. В качестве обрабатывающей Ж рекомендован р-р: вода 1860 мл, Na-карбоксиметилцеллюлоза 116 г, Na_2SO_3 78 г, NaOH 74,6 г, лимонная к-та 38,5 г, гидрохинон 52 г. Ж рас-

пределяется между эмульсионным слоем и промежуточным слоем, расположенным на приемном слое. Проявление заканчивается до момента пропитывания промежуточного слоя. Избыток проявителя, поступивший из светочувствительного слоя через промежуточный слой в приемный слой, восстанавливает HgNO_3 с образованием черных частиц кол. Hg.

К. Мархилевич
71905 П. Способ получения цветных фотографических изображений. Дрейфусс (Verfahren zur Herstellung farbiger photographischer Bilder. Dreyfuss Paul) [Ciba A.-G.]. Швейц. пат. 318850, 15.03.57

Для получения цветных, в основном двухцветных изображений (И) цветоделенные серебряные И, зарегистрированные в различных участках фотографич. слоя, последовательной обработкой переводят в И из красителей различного цвета. При этом используется тот факт, что Ag И при обработке в определенных р-рах переводится в растворимую в фиксаже соль при одновременном восстановлении в-ва (I), служащего для образования окрашенного И (напр., восстанавливающиеся красители, в частности, азокрасители, применяемые в способе с отбеливанием красителя серебром), и окисление Ag протекает лишь в присутствии I. Печать на светочувствительный слой проводят таким образом, чтобы цветоделенные И были возможно более полно разделены по толщине слоя. Напр., применяя ортохроматич. слой, прокрашенные желтым фильтровым красителем. При печати синими лучами И располагается у поверхности слоя, при печати зелеными лучами по всей толщине. На слоях, имеющих поверхностную оптич. сенсibilизацию и прокрашенных тартрацином, достигается лучшее разделение И при печати синими лучами со стороны основы, а зелеными лучами со стороны эмульсии. После черно-белого проявления, фиксирования и промывки для удаления фильтрового красителя слой обрабатывают в р-ре I. Конц-ию I, pH р-ра и т-ру выбирают так, чтобы I диффундировал в слой на небольшую глубину. Применяют также I, медленно диффундирующие или поверхностно окрашивающие слой. I закрепляют в слое последующей обработкой р-ром, напр. 2-нафтилбигуанидхлорида. Затем слой обрабатывают в р-ре: NaCl 50 г, HCl конц. 80 мл, тиомочевина 4 г, 2-окси-3-аминофеназина 10 мг, 2,3-диметилхиноксалина 30 мг, воды — до 1 л. На участках, где было поверхностное серебряное И, I разрушается. После фиксирования в слое остается одно окрашенное частичное И из I и второе цветоделенное серебряное И. Остаточное Ag переводят в AgBr и после обычного цветного проявления получают прямое И из красителя желаемого цвета. При последующей печати с полученного И на соответственно сенсibilизированные слои, обрабатываемые таким же способом, можно получить нормальное двухцветное И.

С. Бонгард
71906 П. Цветной репродукционный процесс. Юци (Photographic color reproduction process. Yutzy Henry C.) [Eastman Kodak Co.]. Пат. США 2756142, 24.07.56

При цветной репродукции съемку производят на 2- или 3-слойном фотографич. материале, слои которого чувствительны к лучам различных зон спектра и содержат недиффундирующие компоненты (К) цветного проявления. При проявлении производными п-фенилендиамина (I) в слоях образуются недиффундирующие красители. Непрореагировавшие К обработкой переводят в диффундирующую форму, эмульсионные слои приводят в контакт со спец. приемным слоем (ПС) и создают условия для диффузии в него К. В ПС при окислительной конденсации К с I образуется позитивное изображение из красителей. Подходящими К являются обычные К, к молекулам которых присоединен остаток, включающий замещ. металлом, в частности Ag, и/или меркаптогруппу.

Особо указаны К, содержащие замещ. тиогликолильную группу. Такие К переводятся в диффундирующую форму обработкой слоя в кислом фиксаже, а перенос осуществляется контактом ПС при щел. среде. Процесс протекает также при контактировании проявленных слоев с ПС, содержащим щел. фиксирующий р-р. Краситель в ПС получают, в частности, пропитыванием его р-ром I и последующего окисления 2%-ным р-ром $K_2Fe(CN)_6$. I могут быть также предварительно введены в эмульсионные слои и вместе с К диффундировать в ПС. Пример. Перед приготовлением р-ров К предварительно получают высокодисперсную суспензию (II) $AgCl$, для чего к 750 мл 3,3%-ного водн. р-ра обезвоженной желатины приливают одновременно при перемешивании смесь 70 мл 1 н. KCl и 25 мл 2 н. KBr , доведенную водой до 125 мл, и 125 мл 0,64 н. р-ра $AgNO_3$. Для изготовления р-ра голубой К 5,35 г анилида 5-хлор-2-окси-4-метилтиогликолевой к-ты, 40 мл этанола и 4,4 мл 20%-ного р-ра $NaOH$ нагревают до 44–49° (5–8 мин.), добавляют 35 мл воды и при перемешивании вводят в 400 г II. Для изготовления р-ра пурпурной К смесь 5,5 г *n*-ацетилтиогликолиламино- ω -цианоацетофенона, 40 мл этанола и 8 мл 20%-ного водн. р-ра $NaOH$ нагревают до 55–60°, перемешивают 10 мин., добавляют 35 мл воды и вводят в 400 мл II. Смесь 2,2 г желтой К ω -бензоил-4-(*n*-ацетилмеркапто-этансульфамидо)-ацетанилида, 16 мл этанола и 1,54 мл 20%-ного водн. р-ра $NaOH$ нагревают при перемешивании до 46–49° и выдерживают 10 мин. После добавления 6 мл воды р-р медленно добавляют к 100 г II. Голубую К (194 г) смешивают с 112 г красночувствительной эмульсии; пурпурную К (75 г) — с 56 г зеленочувствительной эмульсии; желтую К (140 г) — с 91 г синечувствительной эмульсии и наносят на основу в указанной последовательности. Между слоями наносят прослойки и желтый слой. Экспонированную пленку проявляют цветным проявителем и фиксируют (1 мин.) недубящим кислым фиксажем, напр. $Na_2S_2O_3$ 240 г, Na_2SO_3 10 г, $NaHSO_3$ 25 г, воды до 1 л. После фиксирования К способны к диффузии в присутствии щелочи. Промытую влажную пленку приводят в контакт с ПС, предварительно набухшим в 10%-ном р-ре Na_3PO_4 . После разделения обрабатывают ПС р-ром I (1 мин.) и затем 2%-ным р-ром $K_2Fe(CN)_6$. Далее ПС с изображением из красителя рекомендуется обработать отбеливающим Ag и фиксирующим р-рами. С. Бонгард

71907 П. Защитные слои для цветных фотографических материалов, препятствующие росту плесени. Макки (Fungus resistant overcoating for color silver halide emulsion layers. Mackey E. Scudder) [General Aniline & Film Corp.]. Пат. США 2762708, 11.09.56

Для предотвращения роста плесени на цветные фотографич. материалы при их хранении в условиях тропич. и субтропич. климата. наносят защитный слой, содержащий продукт (I) соединения формальдегида с производным гидантоина (II) ф-лы $CONHCONHC(R, R')$ или $CONHCONHCCH_2-Z-CH_2$, где R и R' — H, алкил, аллил, оксисалкил или алкоксисалкил; Z — 2-валентная метиленовая группа для замыкания 5- или 6-членного алифатич. цикла. I наносят в кол-ве от 0,03 до 1,4 г на 1 м² пленки. При нанесении защитного слоя на неэкспонированную пленку его действие продолжается и после обработки, так как I не вымывается из слоя. Особо указаны монометил-5,5-диметил-, монометил-5-метил- и монометилгидантоин, а также водорастворимый смолистый продукт конденсации формальдегида с 5,5-диметилгидантоином. С. Бонгард

71908 П. Проявитель для ксерографии. Ландрган (Xerography developer composition. Landrgan Richard B.) [The Haloid Co.]. Пат. США 2753308, 3.07.56

Проявляющий порошок (I) для ксерографич. изображений содержит частички из пигментированной искусств. смолы размером < 20 м, преимущественно 2–10 м. Эти частички включают содержащую канифоль фенолформальдегидную смолу (II), 5–10% пигмента (напр., черной сажи) и от 5 до 45%, предпочтительно ~ 25%, поливинилбутирала. II содержит 1–8 ч. канифоли на 1 ч. фенолформальдегидной смолы. I имеет т. размягч. ~ 118–125°, т. пл. 142–149°. В-во I плавится при т-ре < 177°, предпочтительно ≤ 165°, и пригодно для изготовления отпечатков на бумаге. I можно применять с обычным носителем (H), состоящим из индивидуальных больших сферич. частичек, покрытых, напр., полимеризованным акриловым или метакриловым эфиром. Среднее отношение H к I порядка 100:1. Остаточный I легко удаляется с ксерографич. изображений, что позволяет проводить > 1000 ксерографич. циклов без образования пленки на ксерографич. пластинке. Пример. Для получения I нагревают смесь из 25% поливинилбутирала, 5% черной сажи и 70% II (амберол F-71). Затем смесь размалывают для равномерного распределения сажи в смоле и тонко размельчают в шаровой мельнице до размеров частиц 2–5 м. Полученный I дает чистые, резкие и исключительно черные изображения удовлетворительного контраста. При применении I из смеси 10% сажи, 25% поливинилбутирала и 65% II получают несколько более плотные изображения. С. Бонгард

См. также: Фотовосстановление 71724

ВЗРЫВЧАТЫЕ ВЕЩЕСТВА. ПИРОТЕХНИЧЕСКИЕ СОСТАВЫ. СРЕДСТВА ХИМИЧЕСКОЙ ЗАЩИТЫ

Редактор М. С. Фишбейн

71909. Удельные массы некоторых компонентов, входящих в состав бездымных порохов. Тавернье (Masse spécifiques de quelques constituants des poudres sans fumée. Tavernier Paul), Mém. poudres, 1957, 39, 253–296 (франц.)

Пользуясь правилом аддитивности Коппа и различными поправками на т-ру и объем, рассчитаны (с точностью < 1%) и приведены уд. массы многих органич. и неорганич. в-в, входящих в состав бездымных порохов: нитроцеллюлозы, нитроглицерина, динитроглицерина, динитроэтиленгликоля, динитротриэтиленгликоля, тринитрометилтриметилметана, пентрита, нитрогуанидина, ди- и тринитротолуолов, нитронафталинов, динитроэтилбензола, гексогена, тетрила, гидроцеллюлозы, крахмала, ацетатов целлюлозы, триацетата метриола, дифениламина, централитов, акардитов, уретанов, фталида, камфары, карбазола, дициандиамида, аминоксамида, вазелина, графита, этил-, бутил- и амилфталатов, различных р-рителей, воды, некоторых солей K, Na, Ca, Ba, Mg и др. М. Фишбейн

71910. К вопросу об исследовании горения пороха под малыми давлениями в незамкнутых объемах. Тавернье (Contribution à l'étude de la combustion de la poudre sous faible pression dans un récipient clos. Tavernier Paul), Mém. poudres, 1957, 39, 357–379 (франц.)

Приведены научно-технич. методы расчета предельных загрузок пороха в смешительные бочки, полировальные барабаны, сушильные камеры и другие незамкнутые емкости и возникающие при этом

давления. Показано, что несчастные случаи при этом можно предотвратить, снабжая такие установки отверстиями, через которые газы, образующиеся при взрыве, выделяются в атмосферу при меньших давлениях, не вызывающих разрушения. М. Фишбейн

71911. Чувствительность инициирующих взрывчатых веществ к нагреванию и удару и их взаимное влияние. Ратсбург, Штадлер (Über die gegenseitige Beeinflussung von Zündstoffen hinsichtlich Empfindlichkeit gegen Wärme und Schlag. Rathsburg H., Stadler H.), Explosivstoffe, 1958, 6, № 4, 67—68 (нем.)

Исследовалась чувствительность к нагреванию и удару гремучей ртути, тринитрорезорцината Pb (Pb-I) (трицината), пикратов I, тетразена, а также динитрофурорсанкалия метилазауролового I, различных тринитрофтороглюцинов I, динитрорезорцината I, гексаниротрирезорцината I, метиленидионитрамата I, диизоаминотетразола I, нейтр. и основного азоттетразола I и т. п. и их смесей, напр. тетразена и трицината гремучей ртути и трицината, тетразена и динитрофурорсан-К и др., в присутствии сенсibilизаторов и флегматизаторов, в качестве которых применялись те же в-ва. Показано, что добавка небольшого кол-ва тетразена к трицинату повышает его чувствительность к нагреванию и удару, а добавка трицината к тетразену понижает. Такое же сенсibilизирующее действие проявляет тетразен и по отношению к менее чувствительному азиду-I. Для этой цели бывает достаточно добавить 3—5% сенсibilизатора. М. Фишбейн

71912 П. Усовершенствование кумулятивных зарядов (Perfectionnements aux charges creuses) [Soc. de Prospection Electrique, Procédés Schlumberger]. Франц. пат. 1136084, 9.05.57

Запатентованы кумулятивные заряды, применяемые для бурения, отличающиеся тем, что между кумулятивной выемкой взрывчатого в-ва и его оболочкой помещают слой в-в толщиной ~ 1 мм, горение которых сопровождается сильной экзотермич. р-цией. В качестве таких в-в можно применять смесь окиси железа с алюминием, реагирующую по р-ции $Fe_2O_3 + Al \rightarrow 2Fe + Al_2O_3$, а также следующие составы: $Ti + C$; $2Ca + 2Si$; $8Al + 3KClO_4$; $3PbO_2 + 4Al$. М. Фишбейн

71913 П. Способ изготовления пыжей и других вспомогательных средств. Кинг (Shot shell wad and method of making. King William N.) [Federal Cartridge Corp.]. Пат. США 2759852, 21.08.56

Запатентовано в качестве материала для изготовления пыжей, набивок и прокладок применение смеси 58—72% измельченной древесной коры, 75% которой не проходит через сито 28 меш, и 42—28% какого-либо связующего, напр., бутадиен-акрилонитрилового сополимера. Смесь прессуют под давл. 35—140 кг/см².

М. Фишбейн

См. также: Горение двухкомпонентных порохов при низких давлениях 70127. Характер вспышки некоторых ВВ 70128

ПЕРЕРАБОТКА ТВЕРДЫХ ГОРЮЧИХ ИСКОПАЕМЫХ

Редакторы И. Ф. Богданов, М. О. Хайкин

71914. Облагораживание угля и техника производства газа. Реринк (Kohleveredlung und Gastechnik. Reerink Wilhelm), Gas- und Wasserfach., 1957, 98, № 34-35, 886—891 (нем.)

Обзор.

71915. Изменение электрического сопротивления при нагревании. Агроскин А. А. (Die Änderung des elektrischen Widerstandes von Kohle beim Erhit-

zen. Agroskin A. A.), Bergakademie, 1957, 9, № 6, 286—294 (нем.)

Проведено определение уд. электр. сопротивления (УС) различных углей при т-рах до 800°. В области т-р 200—800° УС подчиняется ур-нию: $\log q = a - bt$, где q — УС в ом см, t — т-ра в °C, a и b — константы. Приведены данные о зависимости УС от т-ры, напряжения, скорости нагрева и степени метаморфизма углей.

Г. Стельмах

71916. Влияние окисления на теплотворность южно-чешского лигнита. Душак (Vliv oxydace na spalné teplo jihočeského lignitu. Dušák V.), Paliva, 1957, 37, № 11, 386—387 (чешск.)

Проведено лабор. исследование зависимости между окисленностью южно-чешского лигнита и его теплотворностью при различной влажности образцов; последние высушивались на воздухе и в сушильном шкафу при 38, 40 и 42°. Установлено, что окисление лигнита, сказывающееся на его теплотворности, протекает уже в процессе высушивания.

К. З.

71917. Новая технологическая схема обогащения углей для коксования. Малиновский В. А., Сб. информ. по обогащению и брикетир. углей, 1957, вып. 4, 21—30

Предлагается новая схема обогащения углей, позволяющая полностью автоматизировать процесс, с применением действующей в пром-сти аппаратуры. Особенности предлагаемой схемы: выделение шлама из мелкого угля (< 13 или < 6 мм) и промежуточного продукта после его дробления производят адгезионно-гидравлич. классификаторами; на флотацию поступают слив гидравлич. классификации исходного угля и промежуточного продукта и некоторое кол-во шлама, содержащегося в оборотной воде; в хвосты выводится основная минер. часть первичного шлама, а также шлама, образующегося при дроблении промежуточного продукта, кроме того непрерывно выделяется часть шлама, содержащегося в оборотной воде; в цикле процесса находится незначительное кол-во воды (лишь для заполнения аппаратуры и ведения технологич. процесса); сушке подвергаются только концентраты флотационные и с адгезионных барабанов. Приведены также некоторые другие особенности схемы.

А. Вавилова

71918. Повышение эффективности грохочения угля.

Пономарев И. В., Сб. информ. по обогащению и брикетир. углей, 1957, вып. 4, 33—38

Исследованы факторы, влияющие на эффективность грохочения угля. Найдено, что к. п. д. грохочения зависит от размеров сита, амплитуды колебаний, характера просеивающей поверхности, влажности и крупности угля, угла наклона грохота, а также от производственных условий: равномерной подачи и распределения угля по поверхности сита. Даны графики зависимости к. п. д. грохочения от перечисленных факторов.

А. Вавилова

71919. Обогащение угля в минеральных суспензиях за рубежом. Дремайло П. Г., Попов А. А., Сб. информ. по обогащению и брикетир. углей, 1957, вып. 4, 49—50

Краткий обзор. Сообщается о широком распространении в Европе и США обогащения угля в минер. суспензиях, для приготовления которых используют преимущественно тонкоизмельченный магнетит. Приведены данные по зарубежным установкам, применяемым утяжелителям и методам регенерации суспензий; дана схема обогащения в магнетитовой суспензии (фирма Линк-Белт, США).

А. Вавилова

71920. Центральная углеобогатительная установка в Менверс-Майн (Англия).— (Manvers Main central coal-preparation plant.), Colliery Engng, 1957, 34, № 403, 368—377 (англ.)

Описание наиболее крупной английской углеобогащающей установки с номинальной производительностью 1320 т/час.

В. Мокршанский

71921. Исследование кинетики термического разложения ископаемых твердых топлив. Смуткина З. С., Касаточкин В. И., Химия и технол. топлива и масел, 1957, № 5, 27—32

Кинетика разложения образцов сланца, богхеда и углей (У) разной степени метаморфизма определена по потере веса навески топлива 0,2 г при нагревании в токе N_2 при 300—500° в изотермич. условиях. Кривые выделения летучих в-в из бурых и каменных У имели одинаковый вид, но отличались от кривых сланца и богхеда. Для У найдены низкие значения кажущейся энергии активации в начальных стадиях процесса, тогда как у сланцев и богхедов она имела высокие значения уже с начальных стадий разложения. А. Ш.

71922. Обзор состояния техники коксования. Кёлер (Überblick über den Stand Kokereitechnik. Köhler Karl Heinz), Techn. Mitt., 1957, 50, № 11, 410—413 (нем.)

Необходимость рационализации коксового произ-ва в ФРГ вызвана ростом цен на уголь и относительно малым ростом цен на жидкие продукты коксования. Отмечаются тенденции к строительству крупных коксовых з-дов со сниженным до 25—30 кол-вом крупногабаритных печей в каждом блоке. Для охлаждения сырого коксового газа широко используются холодильники с поперечными трубами, вентиляторные башенные холодильники; сухой способ сероочистки заменен аммиачносерным с последующим катализом. Окислением S преимущественно в H_2SO_4 достигнуто получение чистого сульфата аммония применением спец. центрифуг; применены новые конструкции цилиндрич. печей для отгонки бензола из поглотительных масел; для улавливания NH_3 , H_2S и C_6H_6 из газа применяют преимущественно промыватели с дюзями; очистка бензола под давлением заменила старую кислотную очистку. Смола перерабатывается преимущественно централизованно на непрерывно действующих установках. Отмечаются успехи в деле обогащения углей для коксования. Н. Г.

71923. Коксование шихт со значительным содержанием газовых углей Кузнецкого бассейна. Чжу Цзы-Цянь, Сысков К. И., Кокс и химия, 1957, № 9, 36—39

Наличие разных т-р по длине печей позволяет при яичном коксовании углей изучать температурный режим без изменения режима обогрева печей. Показана зависимость влияния температурного режима на качество кокса от выхода летучих в-в и возможность получения хорошего металлургич. кокса из шихт со значительным содержанием газовых углей Кузнецкого бассейна с помощью избирательного дробления и подбора режима коксования. Показатели качества кокса при испытании в микум-барабане и в стандартном барабане (Сундгрена) находятся в хорошем соответствии, поэтому следует провести работу по выяснению возможности замены стандартного барабана для производственной оценки кокса микум-барабаном. Найдено также, что в случае избирательного дробления получается более равномерная угольная шихта в смысле распределения петрографич. компонентов и минер. в-в по классам крупности, благодаря чему получается лучший кокс. М. Пасманик

71924. Лабораторные исследования коксуемости угольных смесей. Буайе (Études de laboratoire sur les mélanges de charbons. Boyer M.), Circ. inform. techn. Centre docum. sidér., 1957, 14, № 7, 1429—1431 (франц.)

Краткое сообщение о результатах лабор. работ по изучению коксуемости смесей пламенных жирных

углей с коксовыми при крупности зерна 0,5—2 и 1—3 мм и зависимости спекаемости от состава и дробления смеси. Приведены также данные опытов по введению в шихту полуккокса.

Н. Гаврилов

71925. Окис азота в коксовом газе (генезис и очистка). Лефрансуа (Origine et élimination du bioxyde d'azote dans le gaz de four à coke. Lefrançois B.), Chimie et industrie, 1957, 78, № 3, 193—197 (франц.; рез. англ., исп.)

Лабораторными опытами коксования угля в присутствии воздуха (с добавками пемзы) и в среде CO_2 и Ar установлено, что образование NO (I) идет за счет угля и O_2 воздуха. Конц-ия I в коксовом газе (КГ) достигает максимума через 5 час. от начала коксования, а затем падает до минимума (через 15 час.). Изучено влияние т-ры, давления и конц-ии O_2 на очистку КГ от I циклопентадиеном; отмечен положительный эффект этих факторов. Предложен метод «емкости» очистки КГ от I: газ под давл. 10—15 кг/см² проходит в течение 1—1,5 мин. через камеру (емкость) с т-рой 80—90°. Перед впуском газа в камеру рекомендуется добавка воздуха в кол-ве, соответствующем содержанию O_2 в газовой смеси ~ 0,2%. А. Тяжельова

71926. Усовершенствование ректификации каменноугольной смолы на трубчатых установках непрерывного действия. Носалевич И. М., Брон Я. С., Очерет А. С., Кокс и химия, 1957, № 10, 36—38

Наращивание фракционных колонн до 43 тарелок позволило наладить систематич. получение 80%-ой нафталиновой фракции с высоким извлечением нафталина (от ресурсов в смоле). Освоена переработка этой фракции по схеме «кристаллизатор-пресс», минуя процесс промежуточного обогащения на центрифуге. При этом высота загрузки кристаллизатора < 1 м, продолжительность охлаждения 16—20 час., спуск фракции из кристаллизатора начинается при 50—55°, т-ра пресования охлажд. фракции 45—50°. Извлечение нафталина при содержании его в смоле 9,5—10,5% составляет 64%. При освоении нафталинового пресования непрерывного действия СКМЗ схема переработки смолы и получения технич. нафталина будет переведена на непрерывный процесс. М. Пасманик

71927. Результаты работы установки по очистке бензола под давлением, производительностью 1000 т в месяц. Мюллер (Jahresergebnisse einer Benzol-Druckraffination für 1000 t/Monat. Müller Kurt), Gas- und Wasserfach, 1957, 98, № 27, 686—688 (нем.)

Дается описание установки по каталитич. гидроочистке сырого бензола под давлением, производительностью 1000 т в месяц и приводятся показатели и результаты ее годичной работы. Б. Энгелин

71928. Новая марка каменноугольного бензола. Федорова Г. Н., Стандартизация, 1957, № 3, 65

Отмечены повышенные требования к качеству каменноугольного бензола по вновь утвержденному ГОСТ 8448—57. Б. Энгелин

71929. Исследование химического состава тяжелого масла черемховского каменного угля. Князева М. С., Ланин В. А., Пронина М. В., Изв. АН СССР. Отд. техн. н., 1957, № 4, 169—170

Тяжелое масло содержало (в %) нейтр. масла 78,5; фенолов 11,9; оснований 1,3; асфальтенов 8,1. Многократным хроматографированием нейтр. масла установлено содержание в нем (в %) на углеводородную часть предельных углеводородов 32,8; непредельных 21,7; ароматич. моноциклич. 18,6; ароматич. полициклических 26,9. Н. Гаврилов

71930. К статье «Конечное охлаждение газа с извлечением нафталина из воды смолой». Петренко Д. С., Кокс и химия, 1957, № 8, 62

Автор оспаривает ряд положений, высказанных в статье Файнгольд С. Г. и Шевченко А. И. (РЖХим,

ния газа и воздуха в смесительных устройствах, полученные на эксперим. стенде, в котором использовался генераторный газ с практически постоянным составом (содержание CO 28%). В различных точках смесителя определяли концентрации CO . На основе обработки результатов даны кривые для расчета необходимой длины горловины смесителя, обеспечивающей хорошее смешение. Б. Энглин

71944. Возможности использования илистых пород бурого угольного месторождения в Конине (Польша). Куль (Skaly ilaste towarzyszące węglom brunatnym w Koninie i możliwości ich wykorzystania. Kuhl Jan), Mater. budowl., 1958, 13, № 1, 2—3 (польск.).

По данным хим. и минералогич. анализов илистых пород, подстилающих пласты бурых углей, обсуждается возможность использования этих пород для различных произв. К. З.

71945. Очистка каменноугольного газа пропусканием через слой окиси железа. Томпсон (Purification of coal gas using static beds of iron oxide. Thompson R. J. S.), Gas. J. 1957, 291, № 4909, 329—331 (англ.).

На основе опыта работы сероочистных сооружений на газовых заводах, а также спец. исследований роли остановок при проведении очистки, намечаются пути к усовершенствованию известного способа очистки газа пропусканием через слой окиси железа. Рассматривая условия нормальной работы сооружений для очистки при обычных давлениях и т-ре газа, содержащего 11,5—16,1 г/м³ H_2S , автор приходит к выводу о целесообразности более частой смены поглотительного и окислительного циклов работы, проводя ее по крайней мере 1 раз в смену, что обеспечивает лучшее извлечение S , более высокую загрузку установок, возможность работы с газами, содержащими большие кол-ва H_2S и т. д. Н. Гаврилов

71946. Производительность сероочистной установки и ее зависимость от высоты слоя очистной массы. Гутте (Die Leistung der Schwefelreinigeranlage und ihre Abhängigkeit von der Schüthöhe der Reinigermasse. Gutte Georg), Neue DELIWA-Z., 1957, № 8, 274—275 (нем.).

Приводятся примеры расчета производительности сероочистной установки в зависимости от высоты слоя очистной массы. Б. Энглин

71947. Подготовка газов к низкотемпературному разделению. Андеграфф (Gas prepurification for low temperature processing. Updegraff Norman C.), Chem. Engng Progr., 1957, 53, № 6, 268—271 (англ.).

Рассмотрены общие методы предварительной очистки газов, подвергаемых низкотемпературному разделению, и кратко описаны промышленные способы очистки перед сжижением воздуха, H_2 , Ne , коксового газа и газа для синтеза NH_3 . Библ. 13 назв. Е. Мухина

71948. Исследование пламени при сжигании твердых, в частности, пылевидных топлив. Тауненд (La combustion des combustibles solides et le but des recherches sur le rayonnement des flammes relatives à la combustion du charbon pulvérisé. Townsend D. T. A.), Rev. mater. constr. et trav. publics, 1957, № 496, 27—36 (франц.). См. РЖХим, 1958, 9231.

71949. Приборы для контроля процесса сжигания топлива. Вукович (Vážnost i način kontrole izgaranja. Vuković Vlado), Strojar-tehn. vjesn., 1957, 11, № 1-2, 2—10 (словенск.).

Дано описание приборов для анализа дымовых газов: самопишущего газоанализатора фирмы Н. Майбак и электрич. регистрирующих газоанализаторов фирм Siemens и А. Е. Г. К. З.

71950. Метод измерения саморазогревания пылевидного угля. Ньюман (A method for the measurement of heat generation in powdered coal. Newman P. C.), Brit. J. Appl. Phys., 1957, 8, № 4, 162—167 (англ.).

Разработан метод определения саморазогревания угля или других тонко измельченных материалов в специально сконструированном аппарате, метод зависит только от тепловых характеристик изучаемого материала. Предложено новое решение ур-ния потока тепла при выделении его в сферич. и цилиндрич. телах. А. Шахов

71951. Физические методы анализа в газовой промышленности. Деншам, Гоф (The application of physical methods of analysis in the gas industry. Denham A. B., Gough G.), Gas World, 1957, 146, № 3805, 118—121 (англ.).

Обзор применяемых в газовой промышленности методов анализа различных жидких, твердых и газообразных в-в, в частности анализа газовой смолы и ее фракций, определения в газе бензола, SO_2 , H_2S , группового анализа минер. масел, общего газового анализа, определения содержания рассеянных элементов в углях и продуктах их термич. переработки и т. д. Обзор состоит из разделов: адо-бционная спектроскопия в УФ-, видимой и ИК-областях, эмиссионная спектроскопия, флуоресцентная спектроскопия, хроматография, газо-жидкостная хроматография, применение радиоактивных изотопов, полярография, рентгено-структурный анализ, спец. виды анализа (термич. магнитный). Библ. 96 назв. И. Большов

71952. Качественный и количественный анализ полученных из смол тяжелых масел при помощи газовой хроматографии. Дюпир, Боткен (L'analyse qualitative et quantitative des huiles lourdes de goudron par chromatographie gazeuse. Dupire P., Botquin G.), Analyt. chim. acta, 1958, 18, № 4, 282—290 (франц., рез. англ.).

Описан метод газовой хроматографии для быстрого качеств. и колич. анализа нафталиновых, антраценовых и поглотительных масел. Предложен простой прибор для условий промышленных лабораторий и простой метод расчета. Приведен состав нескольких масел, определенный упомянутым способом. А. Некрасов

71953 Д. Промышленная оценка качества углей Подмосковского бассейна. Огарков В. С. Автореф. дис. канд. геол.-минералог. н., Ленингр. горн. ин-т, Л., 1957

71954 Д. Применение радиоактивных излучений для решения некоторых задач углеобогащения. Гершков В. Д., Автореф. дис. канд. техн. н., Ин-т горючих ископаемых АН СССР, М., 1957

71955 Д. Исследование процесса флотации углей электролитах. Харламов В. С., Автореф. дис. канд. техн. н., Ленингр. горн. ин-т, Л., 1957

71956 Д. Производство металлургического кокса из углей Иркутского бассейна. Огнев Р. К. Автореф. дис. канд. техн. н., Уральский политехн. ин-т, Свердловск, 1958

71957 Д. Исследование химического состава легких и средних фракций дегтей термического разложения торфа твердым теплоносителем. Будак Н. Ф. Автореф. дис. канд. хим. н., Ин-т горючих ископаемых АН СССР, М., 1958

71958 Д. Исследование в области применения низовых насадок и в процессах переработки твердых топлив. Эм Тхэ-ден. Автореф. дис. канд. техн. н., Моск. ин-т тонкой хим. технол., М., 1957

71959 С. Каменный уголь. Подготовка проб для анализа (Węgiel kamienny. Przygotowanie próbek analizacyjnych). Польск. стандарт, G-04504: 1955

71960 С. Методы анализа и испытаний угля и кокса. Часть 2. Общая влажность кокса (Methods for the analysis and testing of coal and coke. Part 2. Total moisture of coke.). Англ. стандарт 1016, Part 2, 1957

71961 С. Каменноугольный кокс. Сортамент (Koks z węgla kamiennego. Sortymenty). Польск. стандарт, C-02051: 1956

71962 С. Продукты переработки угля. Кеиол 120/145 (Produkty węgloropachodne. Ksylol 120/145). Польск. стандарт C-97026: 1956

71963 С. Продукты переработки угля. Трикрезол (Produkty węgloropachodne. Trójkrezol). Польск. стандарт C-97024: 1957

71964 П. Аппарат для очистки газа. Алмгунст (Epurateur de gaz. Almgunst Wallace E.) [Cie Française Blaw-Knox]. Франц. пат. 1129035, 15.01.57

Патентуемый аппарат служит для удаления из газа пыли путем промывки его жидкостью, напр., маслом. Он характеризуется наличием сепаратора, представляющего собой камеру, ввод в которую расположен таким образом, чтобы обеспечить турбулентное движение смеси газа и жидкости, поступающей в сепаратор. На стенках камеры расположены наклонные полки, по которым стекает масло и которые направляют его в нижнюю часть камеры. Направляющие у входа газо-масляной смеси в камеру расположены в нижней ее части, где имеются перегородки, предохраняющие от попадания отделившегося масла обратно к входным отверстиям. В сепаратор газ попадает из расширителя. Проходы, соединяющие расширитель с сепаратором, имеют площадь на 20—40% меньше площади ввода газа в расширитель.

Н. Богданов

См. также: Происхождение углей 70442, 70443. Св-ва тверд. горюч. ископ. 70345. Переработка сланцев 71638. Очистка газов 71077, 71078. Сгорание топлив 71179, 71263. Очистка сточн. вод углепереработ. пром-сти 71277. Техн. безоп. при сжиг. топл. 71295, 71313

ПЕРЕРАБОТКА ПРИРОДНЫХ ГАЗОВ И НЕФТИ. МОТОРНОЕ И РАКЕТНОЕ ТОПЛИВО. СМАЗКИ

Редактор М. О. Хайкин

71965. Техничко-экономические вопросы производства химических продуктов из нефтяного сырья. Банчиу (Aspecte economice ale chimizării petrolului. Banciu A. S.), Rev. chim., 1957, 8, № 11, 709—713 (рум.; рез. русск., франц., англ., нем.)

Рассматриваются изменения происшедшие за последние годы в хим. пром-сти, в связи с получением из нефти ряда хим. продуктов, изготовлявшихся ранее из других видов сырья. Дается обзор продуктов, получаемых на нефтяной основе и применяющихся в важнейших отраслях народного хоз-ва Г. Бонвеч

71966. Нефтехимия. II. Получение химических продуктов из нефти. Бойе (Die Petrolchemie. II. Herstellung von chemischen Produkten aus Erdöl. Boye Erich), Chemiker-Ztg, 1957, 81, № 22, 749—751 (нем.)

Часть I см. РЖХим, 1958, 51511

71967. О развитии нефтехимической промышленности в ФНРЮ. Густавсон (Nëka pitanja o podizanju petrokemijske industrije. Neki opći problemi. Gustavson Per), Kemija u industriji, 1957, 6,

№ 5, 145—149; № 6, 164—166 (сербо-хорв.; рез. франц., англ., нем.)

Отмечается, что Югославия располагает нефтью, природным газом, углем и другим сырьем для пром-сти органич. синтеза. Дается обзор наиболее важных продуктов синтеза и отраслей пром-сти, где их можно использовать. Приведено экономич. обоснование для организации нефтехим. комбината. М. П. 71968. Изучение коллоидных свойств нефти с помощью ультрацентрифуги. Рей, Уитерспун, Грим (A study of the colloidal characteristics of petroleum using the ultracentrifuge. Ray B. Roger, Witherspoon Paul A., Grim Ralph E.), J. Phys. Chem., 1957, 61, № 10, 1296—1302 (англ.)

При длительном (до 12 суток) центрифугировании образцов сырой нефти из месторождений Иллинойса в ультрацентрифуге с ускорением 80 000 g нефть разделяется на 3 слоя и из нее выпадает осадок. Верхний слой окрашен в желто-зеленый цвет, средний — красноватый, нижний — черный. Плотность верхнего слоя меньше на 1% и вязкость — меньше на 20%, чем у исходной нефти. В темных и красноватых частях двух нижних слоев, по-видимому, преобладают мальтены, свойства которых являются переходными от конденсированных ароматич. к алифатич. структурам. Вес темного осадка составляет до 2% от веса нефти. Осадок состоит из асфальтенов, нерастворимых в петр. эфире; диаметр частиц 30—40A, плотность 1,22—1,26 (определенные по скорости седиментации), мол. в. 20—30 тыс. Содержание Ni и V в осадке в 25—30 раз больше, чем в исходной нефти, но характерных для порфиринов полос в спектре поглощения спирт. экстракта из осадка не обнаружено. На стенках ячейки после центрифугирования образуется также тонкий слой осадка частиц глины размером 0,5—1 м. Авторы считают, что в сырой нефти частицы асфальтенов пептизированы мальтенами.

И. Слоним

71969. Применение термического дифференциального анализа к твердым нефтяным парафинам. Сообщение II. Парафины и изопарафины остатков от вакуумной разгонки нефтей Среднего Востока. Сообщение III. Константинидес, Валусси (Analisi termica differenziale applicata alle paraffine solide da petrolis. Nota II. Paraffine ed isoparaffine da residui di distillazione sotto vuoto provenienti da grezzo Medio Oriente. Nota III. Constantinides G., Valussi S.), Rev. combust., 1954, 8, № 7-8, 545—550; 1955, 9, № 7, 595—606 (итал.; рез. англ., франц., нем.)

Сообщение I см. РЖХим, 1957, 78032.

71970. Хранение жидких топлив. Монти (Stoccaggio degli idrocarburi liquidi. Monti Enzo), Ingegneri. architetti costruttori, 1957, 12, № 3, 73—77, 79—82 (итал.)

Хранение жидких топлив в стальных наземных хранилищах связано с возможностью пожаров и взрывов, опасность чего сильно возросла в связи с развитием средств нападения. Более удобны и безопасны подводные хранилища, располагаемые в искусств. или естественных водоемах (напр., в море.). Подача топлива в хранилище осуществляется насосом, а выдача — за счет давления воды, в которую погружено хранилище. Вода поступает в хранилище по трубе, доходящей до его дна. При закрытом водяном кране давление в хранилище ниже внешнего давления, что устраняет потери топлива. Наиболее подходящий материал для таких хранилищ — железобетон.

Н. Богданов

71971. Удельная проводимость нефтяных эмульсий. Петров А. А., Тр. Всес. исслед. и проектн. ин-т «Гипровостокнефть», 1958, вып. I, 352—377

На основании анализа теоретич. работ по проводимости (П) дисперсных систем и опытных данных по уд. П нефтяных эмульсий установлена зависимость П последних от П самой нефти, катафоретич. П диспергированных частиц и присутствия в нефти капелек эмульгированной воды, обладающей другими электрич. свойствами. Рассмотрены условия образования проводящих структур. Библ. 19 назв. А. Вавилова

71972. Ввод в эксплуатацию дополнительных мощностей на действующих установках каталитического крекинга. Арнолд, Валентайн («Package» concept cuts expansion cost. Arnold T. Ben, Valentine Stephen), Oil and Gas. J., 1957, 55, № 36, 97—99 (англ.)

Излагается техника ввода в эксплуатацию дополнительных мощностей на нефтезаводе фирмы Vickers Petroleum Co. (США), сводящая потери времени к минимуму. Применение блочного метода монтажа и пуска новых агрегатов позволило провести основные работы, не останавливая произ-ва. И. Большой

71973. Каталитический крекинг на каолине. Бейлер, Меркер, Шалл (How kaolin works for cat cracking. Beyler D., Maerker J. B., Schall J. W.), Petrol. Refiner, 1957, 36, № 5, 213—215 (англ.)

В ползаводских и промышленных условиях проведено сравнительное испытание катализаторов крекинга: каолина (К), синтетического и бентонита. Найдено, что К дает более высокий выход бензина и с более высоким октановым числом, более стабилен при деактивации паром и высокой т-рой, пригоден для переработки высокосернистого сырья; скорость выгорания кокса с К значительно выше, чем с другими катализаторами. М. Павловский

71974. Ароматизация парафинов над стационарным и псевдооживленным катализаторами в присутствии SO_2 . Теплиц, Рид, Малони (Aromatizzazione di paraffine, con SO_2 su catalizzatori fissi e fluidizzati. Teplitz M., Reed R., Maloney J. O.), Riv. combust., 1957, 11, № 4, 231—244 (итал.; рез. англ., нем., франц.)

В присутствии SO_2 ароматизация n -парафинов и n -олефинов с катализаторами: $\text{Cr}_2\text{O}_3\text{-Al}_2\text{O}_3$ (I), Al_2O_3 , $\text{MoO}_3\text{-Al}_2\text{O}_3$, активированный уголь и др.—протекала экзотермически и давала повышенный выход ароматич. углеводородов (АУ). С I при 500—515° объемной скорости 0,75—1,03 л/час и мол. соотношении SO_2 : исходный углеводород = 0,70—1,25:1 получен выход АУ из n -гексана 26,5; гексана-1 38,2; гептена-2 45,0 об. %.

Е. Покровская

71975. Экстракционная установка. Дей (The extraction section... high octane, low reforming severity. Day H. W.), Oil and Gas. J., 1957, 55, № 21, 180—181 (англ.)

Экстракционная установка предназначена для получения из бензина крекинга и реформинга сырья для переработки в высокооктановое топливо реформингом в мягких условиях. Установка состоит из трех частей: форэкстракции для выделения тяжелых компонентов из первичного сырья, экстракции для удаления ароматич. углеводородов и колонны вторичной перегонки, выпускающей парафиновый рафинат для реформинга. Экстракция ведется р-ром гликоля. Экстракт фракционируется для получения средней ароматич. фракции авиационного топлива, а остаток — для получения моторного топлива. Мощность установки по сырью 7200 м³ в сутки. Приведена схема. И. Большой

71976. Исследование масла рециркуляции. Фукс, Неттесхайм (Untersuchungen über ein deutsches Recycle-Öl. Fuchs Walter, Nettessheim

Gottfried), Erdöl und Kohle, 1957, 10, № 6, 362—365 (нем.)

С помощью аддуктов с мочевиной и хроматографированием на колонке, заполненной силикагелем, Al_2O_3 и активированным углем, изучен состав масла рециркуляции (з-да в Хейде (ФРГ) (d_4^{20} 0,8984; n_D^{20} 1,5160; пределы кип. 225—400°). Найдены примерно следующий состав масла (в %): изопарафинов, содержащих 3 группы CH_3 и неразветвленную цепь с 10—15 атомами С 14; изопарафинов с 5 группами CH_3 25; n -парафинов, в том числе C_{22} — C_{23} 8; n -парафинов в смеси с алкилнафтенами 6; алкилбензолов 3; алкилнафталинов 6; алкилфенантронов 25.

71977. Непрерывный процесс производства нефтяных сульфатов. (Continuous process makes petroleum sulphonates.—), Canad. Chem. Process, 1957, 41, № 8, 72—73 (англ.)

В июне 1957 г. пущен первый в Канаде з-д произ-ва нефтяных сульфатов натрия мощностью 3170 т в год. Сульфирование нефтяных фракций олеумом, отделение кислого гудрона, нейтр-ция продукта едкой щелочью и отгон лигроина осуществляются в непрерывном процессе. Далее следуют периодич. операции: 1) смешение нейтрализованного продукта с вторичным бутильным спиртом и соевым р-ром, 2) разделение смеси на 3 слоя (нижний — неорганич. соли и низкомолекулярные органич. примеси; средний — сульфонат натрия, спирт, вода; верхний — непрореагировавший исходный продукт, спирт, вода), 3) концентрирование сульфоната отгонкой воды и спирта.

С. Розенор

71978. Применение нефтяных фракций в производстве керамических изоляторов в РНР. Дима, Попа, Дудуля (Studii asupra preparării unui ulei utilizat în industria de electroizolatori ceramici din R. P. R. Dima M., Popa Eug., Dudilă V.), Bul. Inst. politehn. Iași, 1956, 2, № 3-4, 117—128 (рум.; рез. русск., франц.)

Сообщается о положительных результатах опытов по замене древесной смолы (применявшейся в процессе изготовления электрич. изоляторов) фракциями румынской нефти (т. кип. > 200°) с небольшой примесью непищевых жиров или технич. мыла.

Г. Бонвич

71979. О затруднениях в работе нефтеперерабатывающих заводов, связанных с применением хлорированных растворителей при добыче нефти. Гатри, Хепп (Oil field use of chlorinated solvents plays havoc in refineries. Guthrie J. A., Herr P. S.), Texas Oil J., 1957, 24, № 5, 26—27 (англ.)

За последние 2 года в Техасе и Луизиане широко применялась очистка нефтепроводов и обсадных труб от отложений парафина с применением р-рителей, содержащих 30—90% хлорированных углеводородов. В дальнейшем р-рители попадают в нефть и подвергаются переработке вместе с ней. Однако при высоких т-рах и давлениях эти р-рители отравляют катализатор, вызывают коррозию аппаратуры, изменяют соотношение получаемых продуктов, ухудшают их качество. Иногда создается необходимость преждевременной остановки и очистки аппаратуры. Высказывается мнение о необходимости прекращения использования хлорированных р-рителей при добыче нефти. М. Пасманик

71980. Фурфурольная очистка смазочных масел. (B. A. uses furfural refining.—), Canad. Oil and Gas Inds., 1957, 10, № 11, 130—131 (англ.)

Описывается технологич. схема установки по очистке смазочных масел фурфуролом производительностью 460 м³ в сутки при работе на низковязком сырье и 230 м³ — на высоковязком сырье. Соотношение фурфурола и очищаемого масла варьируется от

1,4:1 до 3,5:1. Индекс вязкости при очистке повышается с 60—80 до 90—95. Дана схема установки.

Д. Дворкин
71981. Применение саратовской опоки для регенерации автолов. Карякин В. Я., Сб научн. сообщ. в помощь пром-сти. Саратовск. автомот.-дор. ин-т, 1956, вып. 4, 39—44

Производственными испытаниями доказана целесообразность применения для регенерации обработанных автолов саратовской опоки вместо дальнепривозной жигеевской. Работы ряда ин-тов показали, что применение опок Поволжья при очистке и регенерации бензиновых дистиллятов, трансформаторных, турбинных, автомобильных, а также растительных масел улучшает их эксплуатационно-технич. качеств. А. Вавилова

71982. О продуктах присоединения мочевины к алифатическим соединениям нормального и разветвленного строения. Террес, Сур (Über Harnstoff-Einschlußverbindungen geradkettiger und verzweigter aliphatischer Verbindungen. Terres Ernst, Sur Somendra Nath), Brennstoff-Chemie, 1957, 38, № 21-22, 330—343 (нем.)

Научен процесс образования аддуктов (А) мочевины (I) с различными алифатич. соединениями, а также аналогичные соединения с тиомочевинной. Установлено, что для образования А с I необходимо наличие определенного числа С-атомов в цепочке алифатич. соединений: для *n*-парафинов миним., для замещенных парафинов, изменяющееся в зависимости от мола и положения замещающих групп, возрастающих до 17—18 по мере удаления их от конца цепи. По мере увеличения длины цепи устойчивость А возрастает. Стехиометрич. зависимости А I с указанными соединениями не имеется, но соотношение компонентов находится в линейной зависимости от числа С-атомов цепи. Константы равновесия (K) определены для 5 гомологов *n*-парафинов, *n*-олефинов-1, *n*-алкоголей-1, *n*-алкилбромидов и жирных к-т при 25, 40 и 50°. Установлена линейная зависимость между колич. соотношениями и lg K. С возрастанием длины цепи значение K уменьшается. Величины K с повышением *t*-ры увеличиваются. Эксперим. определение теплоты образования А хорошо совпадает с найденным по расчету из ур-ния Вант-Гоффа, связывающего тепло *r*-ции с константой равновесия и *t*-рой. Теплота *r*-ции находится в линейной зависимости от числа С атомов в цепи и резко меняется для различных функциональных групп.

Н. Гаврилов
71983. Выделение ароматических углеводородов из нефтепродуктов силикагелем. Амэния, Курокава, Кавагиси, Сигэн гидзюцу сикэнсё хококу, Rept Resources Res. Inst. 1957, № 38, 36 pp., ill. (японск.; рез. англ.)

Описаны способ приготовления активного силикагеля и процесс адсорбции. К отмеренному кол-ву дистил. воды добавляется каплями при сильном перемешивании *p*-р силиката Na и HCl (10 н.) до pH 2 (индикатор тимол синий); содержание SiO₂ доводится до 7,0—7,7% и продукт оставляют на воздухе в течение 3 недель. Выделенный гель промывается дистил. водой до исчезновения Cl⁻, пропитывается в течение 2 дней *p*-ром HCl (0,2 н.), вновь промывается водой до исчезновения Cl⁻, сушится при 250° в течение 24 час. и измельчается (30—200 меш.). Адсорбционная способность продукта для толуола 23,2 мл/100 г (по методу Финка). Опыты проводились в стеклянной колонке диам. 6 см, высотой 47 см, загрузка геля 700 г; исследовались процессы адсорбции с разл. приме- нением в качестве десорбента смеси тех же углеводородов. В опытах по выделению ароматич. углеводородов из тяжелых фракций продуктов платформинга в качестве десорбентов применялись парафиновые углеводороды, кипящие в пределах 40—55°, толуол, ксилол и декалин.

Г. Марголина
71984. Природный газ в Канаде. Кере (Le gaz au Canada. Quéret Yvan), J. usines gaz, 1957, 81, № 10, 425—429 (франц.)

Природный газ был найден в Канаде в 1883 г., но только в 1947 г. после открытия крупных месторождений в провинции Альберта началось развитие газовой пром-сти. В 1956 г. было использовано 2 290 251 тыс. м³. К 1961 г. капиталовложения в этой отрасли пром-сти должны увеличиться на 2 млрд. дол. Развивается сеть газопроводов. Закончен трубопровод длиной 1000 км, соединяющий источники Альберта с Ванкувером. В настоящее время дебит газа составляет 11 млн. м³ в сутки и, по введении в строй дополнительных станций, будет доведен до 18 млн. м³. Транс-Канадский газопровод будет иметь длину в 3500 км. Он будет подавать газ от Альберты в провинции Монреаль и Квебек.

М. Пасманик
71985. Влияние серы на антидетонационные свойства 100-октановых топлив. Анзелман (What sulfur means to 100 octane fuels. Unzelman G. H.), Petrol. Process., 1957, 12, № 6, 70—76 (англ.)

Рассматриваются современные технологич. процессы, способствующие снижению содержания S в 100-октановых топливах; каталитич. реформинг крекинга-бензинов, селективное гидрообессеривание крекинга-бензинов на алюмокобальтмолибденовом катализаторе при *t*-ре > 350° и давл. 20 атм; парофазное гидрообессеривание продуктов каталитич. крекинга, снижающее содержание S с 0,28 до 0,003% и соответственно повышающее октановое число этилированного бензина с 76 до 96; гидрофайнинг крекинга-фракций и др. Отмечается насущная необходимость развития новых процессов для удаления следов S-соединений из 100 октановых бензинов, содержание S в которых в настоящее время составляет в среднем 0,03—0,04%. Библ. 24 назв.

Г. Марголина
71986. Топлива для ракетных двигателей. Бетрабет (Rocket propellants. Betrabet R. V.), Bombay Technologist, 1957, 7, Febr., 107—109 (англ.)

Приводятся некоторые сведения по горению твердых топлив в ракетных двигателях. Изложены основные требования к топливам для ЖРД и краткая характеристика некоторых горючих и окислителей. Рассмотрены особенности сжигания топлив в камере ЖРД. Приведены элементарные примеры решения задачи создания межпланетной ракеты.

Л. Леснов
71987. Устройство аппарата для подогрева перекиси водорода с помощью ее контролируемого разложения. Чинкель, Грейвс (Development of an apparatus for warming hydrogen peroxide its own controlled decomposition. Tschinkel Johann G., Graves Arlin E.), Jet Propuls., 1957, 27, № 7, 796—798 (англ.)

В ракетных летательных аппаратах для поддержания *t*-ры в баке с 76%-ной H₂O₂ (I) в пределах выше ее *t*-ры замерзания от —30° до 27° применяется подогреватель из нержавеющей стали с уплотнениями из тефлона, помещенный в бак с I. С помощью калиброванных жиклеров в подогреватель подводится необходимое кол-во I, которая, проходя через камеру с катализатором, разлагается с выделением тепла, за счет которого *t*-ра в баке поддерживается на необходимом уровне.

В. Зрелов
71988. Химическая промышленность в планировании производства ракетных снарядов. Джонстон, Лоренс (The chemical industry in missile systems

planning. Johnston Stewart A., Lawrence Herbert R.), Industr. and Engng. Chem., 1957, 49, № 9, Part 1, 1348 (англ.)

В настоящее время произ-во управляемых ракетных снарядов (РС), особенно баллистических, осуществляется несколькими фирмами различного профиля, их работа организуется по общему плану, важное место в котором отводится предприятиям хим. пром-сти. Рассматриваются вопросы применения топлив для РС.

71989. Особенности промотирования плавящихся железных катализаторов синтеза из окиси углерода и водорода, восстанавливаемых при высоких температурах. Башкиров А. Н., Каган Ю. Б., Локтев С. М., Щекин В. В., Гольдин С. А., Морозов Н. Г., Тр. Ин-та нефти АН СССР, 1957, 10, 247—261

Проведенными опытами по синтезу углеводородов показано, что плавящиеся Fe-катализаторы, промотированные 4—8% Al_2O_3 , 4—5% SiO_2 и 1—1,5% K_2O и отличающиеся после восстановления при 1000° активностью и стабильностью в синтезе углеводородов из CO и H_2 под давл. 20—25 атм, можно получить при любой последовательности введения промоторов, исключая возможность хим. взаимодействия несвязанных K_2O и SiO_2 в процессе сплавления.

71990. Завод фирмы Sasol (Ю. Африка) по производству жидкого топлива из угля. Хогендорн, Саломон (Sasol: World's largest oil from coal plant. Hoogendoorn J. C., Salomon J. M.), Brit. Chem., Engng, 1957, 2, № 6, 308—312 (англ.)

Подробное описание з-да по синтезу углеводородов и других продуктов из CO и H_2 . Синтез проводится на установках со стационарным катализатором при 200—230° и давл. 24,5 ат и на установках с циркуляцией Fe-катализатора при 290—340° и давл. 18,5 ат. Приведены состав исходных газов и характеристика получаемых продуктов.

71991. Исследование процесса сгорания газообразных топлив на малолитражных двигателях. Мур (Small engine studies of gaseous fuel combustion. Moore N. P. W.), Techn. J. Brush Group, 1957, 5, № 1, 23—27, 41 (англ.)

Рассматривается возможность изучения процесса сгорания газообразных топлив путем проведения испытаний на малолитражных двигателях; приведены данные о влиянии диаметра цилиндра, т-ры рабочей смеси и др. на детонационную стойкость различных топлив. Показано, что с помощью таких испытаний можно решить ряд практич. вопросов, связанных с работой многоцилиндровых двигателей на указанных топливах.

71992. Зависимость физико-химических и эксплуатационных свойств смазочных масел от углеводородного состава и приемистости их к присадкам. Кулиев А. М., Кулиев Р. Ш., Алиев М. И., Тр. 1-й научн. сессии Совета по координации АН АзербССР, Баку, АН АзербССР, 1957, 86—106 См. РЖХим, 1958, 33857

71993. Поверхностноактивные присадки к смазкам. Родзаяевская В. Д., Билик Н. П., Новости нефт. техн. Нефтепереработка, 1958, № 4, 21—23
Исследовано влияние различных присадок на поверхностную активность (ПА) смазки ГОИ-54. Установлено, что ПА смазки повышается при добавлении к ней остатков, полученных в результате разгонки окисленного парафина в кубах (кубовый остаток) и в меньшей степени при добавлении окисленного грозненского церезина. Для выявления компонентов, влияющих на ПА смазки, окисленный синтетич. церезин, кубовый остаток и грозненский церезин раз-

гоняли на фракции. Определение т-ры сползания образцов смазки ГОИ-54, содержащих по 0,5% каждой присадки, показало, что из фракций окисленного синтетич. церезина только спирто-бензольная повысила т-ру сползания. В кубовом остатке и окисленном грозненском церезине ПА отмечена только у асфальтетич. церезина только спирто-бензольная повысила грозненского церезина и некоторые высокосмолистые продукты (битум, нигрод, мазут) также могут улучшать ПА смазки.

71994. Присадки к маслам и их действие. Смолхир, Мастин (Lubricant additives and their action. Smalheer C. V., Mastin T. W.), J. Inst. Petrol., 1956, 42, № 395, 337—346. Discuss., 346—347 (англ.)

Рассматривается действие противозадирных присадок к гипоидным маслам и моющих присадок (МП), добавляемых к моторным маслам. На примере присадок к гипоидным маслам указывается на частые случаи несоответствия данных лабор. испытаний результатам, полученным при испытаниях в эксплуатационных условиях. При высоких нагрузках и многооборотности присадки к гипоидным маслам могут себя вести различно. Поэтому при эксплуатации в указанных условиях эффективное действие будут оказывать композиции только таких присадок, которые совместимы друг с другом. Свойства и действие МП увязываются с их составом и структурой. Особое внимание уделяется МП с повышенным содержанием металла (Ba, Ca). Отмечается, что лабор. методы испытания ПМ, как правило, не позволяют надежно оценить эффективность их действия. В дискуссии обсуждался вопрос о влиянии воды на эффективность МП.

71995. Устойчивые против окисления трансформаторные масла. Хьюз, Вуд (Passivated transformer oil. Hughes F., Wood L. G.), Oil, 1956, 3, № 4, 4—8 (англ.)

Показана слабая эффективность антиокислительных присадок при эксплуатации ингибированных трансформаторных масел (М). Наличие в М в растворенном состоянии даже 1 части Cu на миллион частей М сильно увеличивает интенсивность окисления. Сообщается о разработке присадок нового типа, пассивирующих действие проокислителей, в состав этих присадок не расшифровывается. Рекомендуется М «Трамор» (фабричная марка Manchester Oil Refinery Ltd), содержащее пассивирующую присадку; М подвергалось многолетним испытаниям и оказалось стабильным в различных условиях эксплуатации. Такие М используются также для конденсаторов и кабелей.

71996. Исследование стабильности трансформаторного масла. Мозес, Косэчану (Studiul stabilității uleiului de transformator. Mozes Gheorghe, Cosăceanu Lidia), Electrotehnica, 1957, 5, № 4, 299—304 (рум.; рез. русск., нем., франц., англ.)

Приведены результаты изучения антиокислительного действия 2,6-ди-трет-бутил-п-крезола и п-окси-фениламина на трансформаторные масла (ТМ) различных марок, а также технико-экономич. соображения по применению антиокислителей для повышения стабильности ТМ.

71997. Смешиваемость синтетических масел Frigidol S 55 K и Polyran M 15 с хладагентами фреоном R12, фреоном 22 и их смесями. Лёфлер (Die Mischbarkeit der synthetischen Öle «Fluisil S 55 K» und «Polyran M 15» mit den Kältemitteln Frigen 12, Frigen 22, bezw. mit Gemischen aus F 13 und F 22. Löffler Hans-Jürgen), Kältetechnik, 1957, 9, № 16, № 3, 97—100 (нем.); Kältetechnik, 1957, 9, № 135—137 (нем.; рез. англ., франц.)

Приводятся данные по взаимной растворимости синтетич. масел Fluissil S 55 K (сложный бутиловый полиэфир кремневой к-ты), Polygan M 15 (полиэфир) и фреонов 13 и 22, а также их смесей в интервале т-р от 20 до -100°.

В. Шекин
71998. Стабильность авиационных консистентных смазок при хранении. Швенкер (Storage stability of aircraft greases. Schwenker H.), NLGI Spokesman, 1957, 21, № 4, 10—14 (англ.)

Испытания смазок проводили в условиях климата пустынь, тропич. и комнатных. Смазки типов — эфирного, силиконового и нефтяные на мыльной основе испытывали в полукилограммовых банках, а первые 2 также в подшипниках. Эфирные смазки после 30 месяцев хранения при 55° в комнатных условиях или 36 месяцев хранения в тропич. условиях не показали заметного изменения рабочей пенетрации. Силиконовые смазки после первых 24 месяцев хранения при 55° в тропич. условиях показывали явную тенденцию к затвердеванию, однако после 30-месячного хранения вновь несколько размягчались, будучи, однако, значительно тверже. Те же смазки в комнатных условиях хранения, имея аналогичную склонность затвердевания, вновь уже не размягчались после 30-месячного хранения. Нефтяные смазки при хранении в тропич. условиях оказались сравнительно устойчивыми.

Т. Мухина
71999. Коллоидный графит и его влияние на трение и смазку, особенно в двигателях внутреннего сгорания. Часть II. Августин, Д'Анс (Kolloidaler Graphit und sein Einfluß auf Reibung und Schmierung besonders in Verbrennungsmotoren. Teil II. Augustin Josef Udo, D'Ans Anna Maria), VDI-Zeitschrift, 1957, 99, № 14, 624—632 (нем.)

С помощью измерительных элементов установлено, что коллоидальный графит способен отлагаться на трущихся поверхностях двигателя, особенно при применении масел, содержащих присадки. Приводятся фотографии трущейся поверхности втулки цилиндра после 100 час. работы двигателя на масле без и с добавлением коллоидального графита. Часть I см. РЖХим, 1957, 75315.

Б. Энглин
72000. К вопросу отбора и подготовки к исследованию проб нефти и газа. Агаев Р. К., Азерб. сэнэе лист. эсэрлери, Тр. Азерб. индустр. ин-та, 1957, вып. 16, 61—73 (рез. азерб.)

Основным условием правильного анализа пластовых нефтей является соответствие газонефтяной смеси пластовым условиям; должен быть правильно определен пластовой газовый фактор и правильно подобран фракционный состав газа. В связи с существованием взаимозависимости между исходными данными и результатами исследования предлагается применение и дается математич. обоснование метода приближенных расчетов.

М. Пасманик
72001. Современное состояние криоскопических методов анализа углеводородного состава нефтяных продуктов. Тиличев М. Д. В сб.: Состав и свойства нефти и бензино-керосиновых фракций. М., АН СССР, 1957, 97—118

Описан термич. метод определения т-р кристаллизации и аллотропного превращения углеводородов; описан криоскопич. метод определения чистоты углеводородов. На примере парафинов нормального строения C_6 — C_9 описан и испытан криоскопич. метод определения индивидуальных углеводородов (точность 1—2 мол. % от испытуемой фракции). Описан также криоскопич. метод (в присутствии р-рителя) колич. определения ароматич. углеводородов в светлых нефтепродуктах и смазочных маслах.

А. В.
72002. Определение дисульфидов в лигроинах. Модифицированный метод восстановления цинком в

присутствии уксусной кислоты при нагревании. Каркмер, Уокер (Determining disulfides in petroleum naphtha. Modification of the acetic acid-zinc reflux method. Karchmeier J. H., Walker Marjorie T.), Analyt. Chem., 1958, 30, № 1, 85—90 (англ.)

Для получения более точных результатов при определении дисульфидов (I) в лигроинах методом Бола подробно изучены условия проведения отдельных стадий и предложен модифицированный метод, позволяющий определять I с полнотой до 99,6%. В новой модификации для восстановления I применяют 25 г Zn (20 меш), вместо 10 г. Для удаления летучих меркаптанов и H_2S из объема применено продувание током N_2 со скоростью 10 л/час. Продувание начинают через 1,5 часа после начала восстановления. Летучие меркаптаны и H_2S улавливаются 20%-ным р-ром NaOH при охлаждении льдом. По окончании опыта р-р оттитровывают потенциометрически водн. р-ром $AgNO_3$ (0,01N). Образующиеся при восстановлении I меркаптаны титруют потенциометрически спирт. р-ром $AgNO_3$ (0,01N) с помощью каломельного и Ag—AgS-электродов прямо в восстановленном р-ре, минуя стадию экстракции. Метод проверен на 17 индивидуальных дисульфидах различного строения и одной искусств. смеси.

Н. Безингер
72003. Лабораторное определение «дорожного» октанового числа топлив. Уйбер (How to find road octanes in the lab. Weber George), Oil and Gas J., 1957, 55, № 20, 112—113 (англ.)

Для лабор. определения «дорожного» октанового числа (ОЧ) предложено два метода: 1) этил-метод, по которому расчет ОЧ производится по ф-ле: дорожн. ОЧ = $A + B$ (ОЧ по иссл. методу) + C (ОЧ по моторн. методу) + D (% олефинов), где A , B , C и D — числовые коэф.; 2) метод Дюпон использует найденную опытным путем зависимость между ОЧ, полученным по модифицированному методу Юнионтаун, и средней величиной ОЧ, определенных по исследовательскому и моторному методу. В полученный результат вносятся поправки на содержание в топливе непредельных и ароматики.

И. Большов
72004. Вычисление октанового числа смесей. Нелсон (How to compute octane number of blends. Nelson W. L.), Oil and Gas J., 1955, 54, № 20, 135—136 (англ.)

Октановое число смеси N рассчитывают по ф-ле $N = (C_P N_P + P N_A) / 100$, где P — об. % добавки, P — процент основного компонента, N_P — октановое число добавки [в чистом виде или $(C_2H_5)_4Pb$ (I)]; N_A — октановое число основного компонента (в чистом виде или с I), C — коэф. Значение C определяется по кривым для различных систем добавки — основной компонент в зависимости от содержания добавки. Приведена диаграмма повышения октанового числа бензинов различного происхождения в результате добавки I.

Н. Кельцев
72005. О новом методе испытания масел на машине трения Виланда и его результатах. Кадмер (Über eine neue Betriebsweise der Wieland-Ölprüfmaschine und ihre ersten Ergebnisse. Kadmer Erich H.), Erdöl und Kohle, 1957, 10, № 10, 669—675 (нем.)

На новой модели машины Виланда испытывались масла с разными противозносными присадками (II) по принятому методу с повышающимися нагрузками через каждые 30 сек. и по новому методу продолжительного испытания, до трех час., с постоянной нагрузкой; определялись коэф. трения, износы, т-ры. Испытаны в масляных р-рах: $SVBr_2 = SVBr_2$, $CCl_3 - CCl_3$, C_6Cl_5OH , $C_6H_5CHCl_2$, хлорированные нафталины и дифенил, трикрезилфосфат, нитробензол, 2,4-хлорнитрофенол, смеси амидов диарилфосфорных и диарил-

тиофосфорных к-т, типа $(C_6H_5O)_2P(O)NHX$, $(ClC_6H_4O)_2P(O)NHR$, $C_6H_5P(NHR)_2$, где $X=H$ или C_6H_5NH . Также испытаны: концентрат масла (М) для резания, три образца М для гипотидных и высоконагруженных шестерен, М с 1,5% пигментированного Zn, два образца М для тяжелых условий работы. А. Равикович 72006. Исследование трения и износа при смазке хлорированными метилфенилсилоксановыми жидкостями. Бауэрс, Коттингтон, Томас, Зисман (Friction and wear studies of chlorinated methylphenyl silicones. Bowers R. C., Cottingham R. L., Thomas T. M., Zisman W. A.), *Industr. and Engng Chem.*, 1956, 48, № 5, 943—950 (англ.)

72007. Определение влажности изоляционных масел по методу Карла Фишера. Малерб (Détermination du taux d'humidité des huiles isolantes par la méthode de Karl Fischer. Malherbe Michèle), *Rev. gén. électr.*, 1957, 66, № 6, 59L—62L (франц.)

Для определения влаги в масле ее экстрагируют, добавляя к 100 мл масла 25 мл абс. CH_3OH и перемешивая ≥ 2 час. при кол-ве оборотов мешалки 100 об/мин. После быстрой декантации влагу определяют реактивом Фишера в аликвотной пробе. Во избежание поглощения атмосферной влаги опыт ведут в атмосфере N_2 . Определяя кол-во реактива Фишера, расходуемого при титровании воды и безводн. CH_3OH , находят влажность масла. Метод дает точность порядка $\pm 5\%$ при условии соблюдения всех необходимых предосторожностей. М. Пасманик

72008. Водоотделительная способность масел. Тёнес (Das Wasserabscheidevermögen von Mineralölen als Beitrag zu ihrer Beurteilung. Thoenes Hans-Willy), *Brennstoff-Chemie*, 1956, 37, № 19-20, 336—341 (нем.)

Обсуждаются существующие западно-германские нормы DIN 53663—1947 и 51591—1955 по определению эмульгирующей способности смазочных масел; приводится описание более совершенных методов определения. И. Марьясин

72009. Определение твердых парафинов в битумах и их значение в связи с качеством дорожных битумных покрытий. Сандонини (La determinazione delle paraffine solide nei bitumi ed il suo significato in relazione al comportamento delle pavimentazioni bituminose. Sandonini Pier Paolo), *Tecn. ital.*, 1957, 22, № 3, 153—160 (итал.; рез. англ.)

Дан обзор методов определения твердых парафинов (П) в битумах и предложен новый вариант метода, включающий отгонку части битума, растворение в спирто-эфирной смеси, вымораживание и разделение П на растворимый и нерастворимый в ацетоне. При оценке пригодности битума для дорожных покрытий имеет значение не только содержание П, но еще их строение, содержание других компонентов и структура битума. Е. Покровская

72010 К. Технический прогресс и нефтяная промышленность. Ред. Селл (Engineering progress and the oil industry: report of the Summer meeting of the Institute of Petroleum held at Folkestone, 29 May—1 June, 1957. Ed. Sell George. London, Inst. Petrol., 1957, VII, 168 pp., ill., unpriced) (англ.)

Отчет о конференции нефтяного ин-та в Фолкстоне (Англия) 29/V—1/VI—1957 г. М. Савькова

72011 К. Химическое использование нефтяных углеводородных газов. Некрасов А. С., Кренцель В. А. (Chemické zúžitkovanie ropných uhl'ovodíkových plynov. Nekrasov A. S., Krencel' V. A., Z. ruš. Bratislava, SNTL, 1954, 138, [2] str., il., 8.30 Kčs) (словацк.)

72012 К. Искусственное жидкое топливо. Химия и технология. Перевод с русского. Рапопорт И. Б. (Искусственно точно гориво. Химия и технология. Рапопорт И. Б. Прев. от рус. София, Наука и искусство, 1957, 660 с., ил., 18.25 лв.) (болг.)

72013 К. Примеры расчетов нефтезаводских процессов и аппаратов. Эмирджанов Р. Т. Баку, Азнефтенздат, 1957, 404 стр., илл., 15 р.

72014 Д. Электрический способ обезвоживания нефтяных эмульсий. Ашурли С. И. Автореф. дис. канд. техн. н., Азерб. индустр. ин-т, Баку, 1958

72015 Д. Исследования в области растворимости углеводородов масляных фракций нефти в кетонах. Сусанина О. Г. Автореф. дис. канд. техн. н., Моск. нефт. ин-т, М., 1958

72016 С. Продукты нефтепереработки. Нефтяная фракция — растворитель для антикоррозийной смазки (Przetwory naftowe. Naftazmywacz (Antykor). Польск. стандарт, С-96043, 1955

72017 С. Битумные материалы. Основные понятия и определения (Materiały bitumiczne. Zasadnicze pojęcia i określenia). Польск. стандарт В-24703, 1957

72018 С. Анализ сжиженных углеводородных газов разгонкой. (Destilační zkouška. Чехосл. стандарт 656149, 1957

72019 С. Сжиженные углеводородные газы. (Uhl'ovodíkové plyny zkapalněné). Чехосл. стандарт 658106, 1957

72020 С. Масла смазочные остаточные (Mineralé oleje. Tmavé oleje). Чехосл. стандарт 656660, 1957

72021 С. Продукты нефтепереработки. Определение реакции водной вытяжки нефтепродуктов (Przetwory naftowe. Oznaczenie odczynu wyciągu wodnego). Польск. стандарт С-04064, 1957

72022 С. Сжиженные углеводородные газы. Определение содержания серы. (Obsah síry). Чехосл. стандарт 656146, 1957

72023 С. Масла смазочные. Метод определения содержания хлора сжиганием в трубчатой печи (Obsah chloru spalováním v trubici). Чехосл. стандарт, 656234, 1957

72024 С. Метод определения стабильности изоляционных масел (Testing method of stability for electrical insulating oil). Японск. стандарт, С 2101, 1955

72025 П. Термическая конверсия отбензиненных нефтей. Оффутт, Сик, Бьютер (Thermal conversion of reduced crudes. Offutt William C., Siecke Paul, Beuther Harold) [Gulf Oil Corp.]. Пат. США, 2762754, 11.09.56

Остаток, полученный после отгона от исходной нефти керосина и более легких фракций, перегоняют в вакууме до получения мазута (уд. в. $\sim 1,000$; кокс по Копрадсону ~ 18 , вязкость $\geq 13,67$ ст. при 99°), который затем подвергается термич. крекингу при $480-540^\circ$ ($440-525^\circ$), давл. $3,5-70$ ат в условиях однократного выбрекинга. Получают 8 об.% (считая из остаточный продукт) бензина с концом кипения 205° . При проведении термич. крекинга в крекинг-змеевик с т-рой на выходе $480-540^\circ$, давл. $3,5-70$ ат при объеме змеевика при 400° $0,34-1,42$ л при прохождении 159 л сырья в день выход бензина с концом кипения 205° составляет $8-20$ об.%, считая на мазут.

Г. Марголина 72026 П. Выделение легких фракций в процессе гидроформинга. Рич (Light ends recovery in fluid hydroforming. Rich Wilson C., Jr) [Esso Research and Engineering Co.]. Пат. США 2719816, 4.10.55

Для выделения углеводородов, кипящих в интер-

ле т-р кипения моторного топлива, из смеси газов, поступающих в процессе гидроформинга и содержащих указанные углеводороды, низкокипящие углеводороды и большое кол-во H_2 , в первой зоне сепарации отделяют конденсат, не содержащий H_2 . Конденсат подвергают стабилизации, в результате которой из него удаляют легкие углеводороды (не выше C_6), а затем разделяют дистиляцией на низкокипящие ($38-163^\circ$) и высококипящие углеводороды ($163-221^\circ$). Последние или часть их из зоны сепарации поступают в верхнюю часть абсорбционной зоны в качестве абсорбента. Низкокипящие углеводороды удаляют из верхней части зоны дистиляции, охлаждают и направляют во вторую зону сепарации, где отделяют неконденсирующиеся углеводороды, вводимые в низ абсорбционной зоны. В среднюю часть абсорбционной зоны поступает газообразный продукт из первой зоны сепарации, где его контактируют в противотоке со стекающим абсорбентом. Углеводороды, кипящие в интервале т-ры кипения моторного топлива, поглощаются абсорбентом. Сверху из абсорбционной зоны выходит смесь H_2 и легких углеводородов; насыщ. абсорбент, содержащий высококипящие углеводороды, снизу абсорбционной зоны поступает в зону стабилизации. Н. Кельцев

72027 П. Регенерация псевдоожигенного катализатора гидроформинга. Хеммингер (Fluid hydroforming. Hemminger Charles E.) [Esso Research and Engineering Co.]. Пат. США 2762752, 11.09.56. Усовершенствован процесс регенерации псевдоожигенного слоя катализатора (К) гидроформинга ($K-10 MoO_3$, $2 SiO_2$, $88 Al_2O_3$; $K-0,5 Pt$, $99,5\% Al_2O_3$) воздухом в зоне регенерации. В начале К обрабатывают при т-ре регенерации ($470-525^\circ$) газом, содержащим сначала $0,5-3\% O_2$, затем $\sim 21\% O_2$ в течение времени, достаточного для практически полного сжигания дезактивирующих углистых отложений на К. Регенерированный К вновь обрабатывают в течение 1-12 час. газом, содержащим $\sim 20\% O_2$ при $540-705^\circ$. Перед возвращением в реакционную зону К обрабатывается газом, содержащим H_2 и газ-разбавитель в кол-ве, достаточном для удаления воды, образующейся при р-ции H_2 с регенерированным К. Дана схема процесса. Г. Марголина

72028 П. Процесс каталитической переработки высококипящих жидких углеводородов. Мак-Кинли, Хенке (Verfahren zur katalytischen Konvertierung hochsiedender, normalerweise flüssiger Kohlenwasserstoffe. McKinley Joseph Burns, Henke Alfred Mathias) [Gulf Research & Development Co.]. Пат. ФРГ 961473, 4.04.57.

При процессе используют относительно плотный псевдоожигенный слой катализатора (I), над которым находится слой с меньшей конц-ией I. Сырьем служат углеводороды, испаряющиеся в условиях т-ры и давления зоны р-ции не более, чем на 25 (15) об.%. Их вводят в менее конц. слой I так, что испаряются только летучие (II), большая же часть опускается в более плотный слой I, где превращается в газообразные продукты р-ции (III). Газообразная смесь II и III поступает в следующий псевдоожигенный слой I, который может работать при тех же условиях, что и первый, или при других, благодаря изменению активности I или выбору другой т-ры. Если в процессе осуществляется гидрокрекинг или десульфирование в присутствии водорода, то в обеих зонах т-ру поддерживают при $400-510^\circ$, а давл. $17-136 \text{ кг/см}^2$. По крайней мере в одной из зон регенерации I происходит путем окисления. В первой зоне конверсии I поддерживается в псевдоожигенном состоянии благодаря введению водородсодержащего газа, во второй зоне — газообразной смесью II и III и неиспользованным водородсодержащим газом из первой зоны. М. Пасманик

72029 П. Гидролиз алкилхлоридов в углеводородных фракциях. Хоречи, Бойнтон (Hydrolysis of alkyl chlorides in hydrocarbons. Horeczky Joseph T., Boynton Harry G.) [Esso Research and Engineering Co.]. Пат. США 2761888, 4.09.56.

Метод обработки углеводородных фракций, кипящих в пределах $20-230^\circ$, содержащих 1-2 об.%, втор- и трет-алкилхлоридов с 3-4 С-атомами в молекуле, состоит в контактировании фракции с водн. р-ром гидроксидов щел. металла при $80-260^\circ$ (напр., NaOH, при $120-165^\circ$) в течение 3-50 мин. для омыления алкилхлорида; в выделении обработанной фракции, практически свободной от хлорида. Указанный метод применим также для обработки алкилатов изопарафинов с олефинами (напр., фракции, полученной алкилированием изобутана этиленом в присутствии $AlCl_3$). После контактирования алкилата с водн. р-ром NaOH, содержащим 1-30 вес.% NaOH, и удаления спирта получают алкилат, свободный от хлорида и спирта. Г. Марголина

72030 П. Способ обессеривания нефтяного кокса в псевдоожигенном состоянии. Мейсон, Кимберлин, Эйри (Integrated fluid coke desulfurization process. Mason Ralph B., Kimberlin Charles N., Arey William F.) [Esso Research and Engineering Co.]. Пат. США 2768939, 30.10.56.

Предложен способ коксования тяжелых нефтяных масел с высоким содержанием S, отличающийся тем, что коксование масел проводится в турбулентном псевдоожигенном слое коксовых частиц (КЧ), которые затем выводятся из зоны коксования и обрабатываются в зоне обессеривания водородом при т-рах $650-760^\circ$ для удаления из кокса S. Часть обработанных H_2 циркулирующих КЧ затем подается в зону нагрева, после чего возвращается в зону коксования. Предпочитаемые условия работы в зоне коксования: т-ра $510-565^\circ$, давл. $0,35-1,75 \text{ ат}$, максим. скорость КЧ $45-90 \text{ см/сек}$, размер КЧ $100-400 \mu$; в зоне обессеривания: т-ра $676-732^\circ$, давл. $0,35-1,75 \text{ ат}$, давл. H_2 $1-3 \text{ ат}$, максим. скорость КЧ $15-45 \text{ см/сек}$, время пребывания кокса 5-10 мин.; в зоне нагрева: т-ра $760-815^\circ$, максим. скорость КЧ в псевдоожигенном слое $30-45 \text{ см/сек}$. Н. Гаврилов

72031 П. Очистка лигроина от корродирующих соединений серы безводным сульфатом меди. Лукас (Removing corrosive sulfur from naphtha with anhydrous copper sulfate. Lucas Kenneth) [The Pure Oil Co.]. Пат. США 2755227, 17.07.56.

Для удаления из лигроина агрессивных соединений S с тем, чтобы продукт выдерживал пробу на разделение металла при перегонке по ASTM, лигроин подвергают обессериванию при $371-426^\circ$ и дальнейшему гидроформингу в присутствии катализатора ароматизации при $426-454^\circ$. Усовершенствование состоит в том, что обессеривание проводят в течение времени, достаточного для снижения содержания S до $0,025\%$, а затем обессеренный и сформированный продукт пропускают при $204-260^\circ$ (232°) через взвесь безводн. или слабо обедненного сульфата Cu (< 1 моля H_2O на 1 моль $CuSO_4$) в очищ. масле, имеющем т-ру кипения выше т-ры кипения лигроина. Процесс проводят, в основном, при атмосферном давлении и объемной скорости 1,0. Получают продукт с повышенной растворяющей способностью, выдерживающий вышеупомянутую пробу. Е. Покровская

72032 П. Процесс каталитической гидроочистки углеводородов, жидких или твердых при комнатной температуре, при повышенных температуре и давлении в газообразной или жидкой фазе в присутствии светильного газа, коксового газа, газа полукоксования или аналогичных водородсодержащих газов. Херберт, Брацлер, Эйзендор (Verfahren zur ka-

talytischen hydrierenden Raffination von Kohlenwasserstoffen, die bei Raumtemperatur flüssig oder fest sind, bei erhöhter Temperatur und erhöhtem Druck in der Gasphase und/oder Flüssigphase in Gegenwart von Leuchtgas, Kokereigas, Schwelgas oder ähnlichen Wasserstoff enthaltenden Gasen. Herbert Wilhelm, Bratzler Carl, Eisenlohr Heinz) [Metallgesellschaft A.-G.]. Пат. ФРГ 958496, 21.02.57

Предлагается процесс каталитич. гидроочистки углеводородов или углеводородных фракций, жидких или твердых при комнатной т-ре, при повышенных т-ре и давлении в газовой или жидкой фазе, в присутствии газов светильного, коксового и других промышленных газов, содержащих H_2 . Эти газы до введения в процесс контактируются с соответствующими катализаторами гидрирования (K) при т-ре 50—400° с объемной скоростью 10—1000 $л$ газа на 1 $л$ K в час. K могут служить сероустойчивые окислы или сульфиды металлов VI или VIII групп периодической системы. Каталитич. обработка свежего газа или в смеси с газом, возвращаемым из контактных печей, может производиться во время его нагревания. Затем газ после предварительного подогрева до т-ры р-ции подают в реактор к гидрируемому углеводороду. K свежему газу добавляют O_2 с таким расчетом, чтобы на контакте с K газ нагревался благодаря сгоранию части его. Кроме того, используется тепло, выделяющееся при каталитич. гидроочистке. До давления, применяемого при процессе, газ доводят после обработки его K. При нагревании газа K должен быть в турбулентном движении или псевдооживленном состоянии.

М. Пасманик

72033 П. Добавление к смеси смазочного масла с серной кислотой водного раствора низшего спирта для получения хорошо прокачиваемого гудрона. Шоуолтер (Addition of an aqueous solution of a lower alcohol to an acid-lubricating oil mixture to obtain a pumpable sludge. Showalter Jere C.) [Esso Research and Engineering Co.]. Пат. США 2755233, 17.07.56

Патентуется непрерывный процесс обработки масляной фракции H_2SO_4 при 71—82° с образованием смеси смазочного масла с кислотным гудроном, для разделения которых добавляют 0,5—0,75 об. % 10—50% водн. р-ра спирта C_1 — C_4 , предпочтительно $iso-C_3H_7OH$. Отстоявшийся гудрон обладает прокачиваемостью. Масло нейтрализуют 3—6 об. % водн. р-ра, содержащего гидрат окиси, соль минер. к-ты и соль сульфокислоты щел. металла.

Е. Покровская

72034 П. Способ получения парафиновых углеводородов со стабильным цветом. Любен (Verfahren zur Herstellung farbstabiler Paraffinkohlenwasserstoffe. Lüben Robert) [Ruhrchemie A.-G.]. Пат. ФРГ 965347, 6.06.57

Для получения не темнеющих при хранении бесцветных пластинчатого парафина и церезина из соответствующих темных сырых продуктов, в особенности полученных синтезом из CO и H_2 , эти продукты подвергают гидрированию в присутствии катализаторов, содержащих равные весовые кол-ва Cu и Ni. Пример. Полученный синтетически церезин по Фишеру-Тропшу с т. кип. > 380° подвергают исчерпывающему гидрированию при т-ре 250° и парц. давлении H_2 75 атм с катализатором, содержащим (вес. ч.): 1) 100 Ni, 15 MgO и 50 кизельгура или 2) 100 Ni, 100 Cu, 20 MgO и 200 кизельгура. Стабилизация цвета достигается через 110—40 мин. для (1) и (2) соответственно.

Е. Покровская

72035 П. Окисленные парафиновые отёки как ингибиторы ржавления. Нелсон (Foots oil oxidate composition. Nelson John Walter) [Sinclair Refining Co.]. Пат. США 2776309, 1.01.57

Как ингибитор ржавления к дистиллятным топливам, в том числе бензину, предложен продукт окисления (ПО) парафино-масляной смеси (ПМС), полученной из фильтрата сольвентного обезмасливания гача или как отёк при потении гача. ПМС должна иметь т. пл. ~ 27—49°, процент масла ~ 4—30, $d_{40}^{16} \sim 0,802$ —0,876. ПО должен иметь т. пл. ~ 27—35, $d_{40}^{16} \sim 0,904$ —1,00, число омыления (ЧО) ~ 200—325. ПО может быть очищен, напр. промыт водой, содержащей HCl, и чистой водой; ЧО очищ. ПО ~ 200—250. Пример. ПМС имела т. пл. 29°, процент масла 28, $d_{40}^{16} 0,858$ и была получена из фильтрата от обезмасливания гача метилэтилкетонем. 2000 г ПМС и 17 г продукта предыдущего окисления ПМС нагрели до 149—163° и при перемешивании добавили по каплям водн. р-р 17 г $KMnO_4$ в качестве катализатора. Окисление смеси велось 32 часа при 121—127°, пропуская 165 л O_2 на 1 кг ПМС в 1 час. ПО профильтровали под вакуумом через слой глины. Получили 1800 г ПО с ЧО 283, кислотным числом 160 и т. заст. 29°. Добавка 11,4 г ПО к 1 $л$ бензина устраняла ржавление стального стержня, испытывавшегося 3,5 часа в перемешиваемой смеси из 300 мл бензина и 30 мл воды.

А. Равинович

72036 П. Процесс повышения выхода углеводородов или кислородосодержащих углеводородов при гидрировании окиси углерода. Доршнер, Корт, Херберт (Verfahren zur Erhöhung der Ausbeute von Kohlenwasserstoffen oder sauerstoffhaltigen Kohlenwasserstoffen bei der Kohlenoxydhydrierung. Dorschner Oskar, Kohrt Hans-Ulrich, Herbert Wilhelm) [Metallgesellschaft A.-G.]. Пат. ФРГ 964234, 23.05.57

Для повышения выхода углеводородов или кислородосодержащих углеводородов при гидрировании CO газы из различных стадий синтеза или хвостовые газы после отделения жидких и вышекипящих газообразных продуктов р-ции подвергают глубокому охлаждению (—140, —180°). Охлажд. фракцию, содержащую, в основном, CH_4 , разлагают и возвращают в процесс, предварительно вымывая CO_2 . После охлаждения и нейтр-ции газы подвергают одной или нескольким промывкам под давлением полярными или неполярными в-вами, а также их смесями (предпочтительно органич. водорастворимые соединения при т-рах от —10 до —60°). После удаления твердых и жидких при комнатной т-ре продуктов синтеза, нейтр-ции и охлаждения промывают водой, органич. или неорганич. соединениями при т-ре выше 0°. Для разложения газов при их охлаждении вводят полярную органич. жидкость или смесь их (напр., водн. метанол) или промывают ими. Установка для проведения процесса состоит из ряда сепараторов, в которых отделяются сжижаемые компоненты при выбранных условиях давления в т-ры; промывных башен, в которых происходит промывка газов при низкой т-ре, аппарата для разложения промывных газов при низкой т-ре, для расщепления полученной при этом углеводородной фракции, содержащей CH_4 , и из трубопроводов для подачи и отвода газов и жидкостей.

М. Пасманик

72037 П. Катализатор для синтеза углеводородов из CO и H_2 . Латта (Method for treatment of hydrocarbon synthesis catalyst. Latta James E.) [Stanolind Oil and Gas Co.]. Пат. США 2762828, 11.09.56

Смесь, состоящая из тонко измельченных частиц железа, большая часть которых находится в форме низших окислов Fe, и 0,5—2,0 вес. % окиси щел. металла (K_2O) окисляется газом, содержащим свободный O, при т-ре 260—540°, под давл. 7—38 ат до тех пор, пока общее содержание Fe_2O_3 в окисленной массе не составит по меньшей мере ~ 60 вес. %, после чего он восстанавливается H_2 при 95—425° под давл. 14—38 ат

по прекращению выделения воды на стадии восстановления.

72038 П. Состав, способствующий отделению нагара при сгорании углеродсодержащих топлив. Наканэ Сиро [Нихон дзэнэндзай когэ кабусики кайся]. Японск. пат. 4680, 18.06.56

Предлагается добавка, способствующая отделению нагара, образующегося на теплопередающих поверхностях при сгорании твердых или жидких топлив. В случае твердого топлива состав предварительно смешивается с ним, либо распыляется над раскаленным топливом; в случае жидкого топлива смесь подается в топку форсункой. Пример. Смесь содержит (в вес. ч.): 10 хлорида Fe, 10 окиси Fe, 20 хлорида Cu, 10 гидроокиси Cu, 60 хлорида Na, 2 Na_2HPO_4 . При добавлении данной смеси к углю, примененному для отопления топки котла (отношение смесь : топливо = 1 : 1000) на железной испытательной пластинке площадью 10 см^2 , за 15 суток осело 0,94 г нагара, из которых 0,85 г легко отстает от пластинки.

72039 П. Смазочная композиция. Вильямс, Скотт (Lubricating composition. Williams Paul U., Scott Lawrence B.) [Shell Development Co.]. Пат. США 2744871, 8.05.56

Смазочная композиция, применяющаяся для сверхвысоких давлений, составлена из большого кол-ва смешивающегося с водой диола, полученного сополимеризацией окиси этилена (I) и окиси пропилена (II), и 1-5 вес. % H_3BO_3 (гликолевой, галактоновой, лимонной и других к-т). Также может быть использован алифатич. моноэфир (C_1-C_{10}) сополимера (III). I и II берутся в соотношении 1 : $\frac{1}{2}$ (1 : 9). Мол. вес III 250-1500. Добавление к III с вязкостью 56 сст при 38° H_3BO_3 (2%) вызывает повышение нагрузки в 4-шариковом приборе с 59-79 до 141-158 кг. М. Руденко

72040 П. Моющие присадки к смазочным маслам и способ их получения. Уитни (Lubricating oil additives and process of making same. Whitney William B.) [Phillips Petroleum Co.]. Пат. США 2758069, 7.08.56

Как моющую присадку к смазочному маслу применяют продукт окисления (ПО) O_2 -содержащим газом, преимущественно воздухом, фракции минер. масла (М), преимущественно высокопарафинового, при $\geq 200^\circ$ (200-300°) (и ~ 1 ат) в присутствии катализатора — продукта р-ции (ПР) Р-сульфида с терпенами, напр. P_2S_5 с пивеном. ПР можно брать 0,2-2% (0,5-1%) на М. Можно вести окисление до 15-50% (25-40%) М. Вместо ПО можно применять нерастворимые в пропане компоненты ПО (НППО). Пример. М с вязкостью (В) (сст при 99°) 43 продували воздухом при 250° и ~ 1 ат, на окисление до В 138 понадобился 21 час, в присутствии 0,82% ПР P_2S_5 с терпенами — 16 час. для достижения В 155. При испытании на бензиновом двигателе Лаусона масла с В 11 добавка НППО, полученного с ПР, значительно сильнее снижала нагаро- и лакообразование, чем НППО, полученного без ПР.

72041 П. Добавки к смазочным материалам. Энгель, Зимон (Zusatzstoffe für Schmiermittel. Engel Hans, Simon Walter) [Badische Anilin- & Soda-Fabrik Akt.-Ges.]. Пат. ФРГ 1007458, 17.10.57

В качестве добавок к смазочным маслам предложено применять *n*-тиоциандиалкиланилины (I), повышающие прочность масляной пленки при работе тяжело нагруженных механизмов; вместе с I к маслам добавляют моющие присадки и (или) ингибиторы окисления и коррозии. В качестве таковых предлагаются *n*-нитрозоанилины, тиомочевины, содержащие нитрогруппы, ароматич. амины или нитроарилтиоциа-

наты. В приведенных примерах показано, что добавка к смазочному маслу *n*-тиоциандиметиланилина в кол-ве 0,4%-ного или вместе с 0,2% 2,4-динитрофенилтиоцианата значительно снижает коррозионное действие масла.

72042 П. Продукт реакции сульфида фосфора с углеводородами — присадка к смазочным маслам. Уотсон, Фейнман (Preparation of phosphorus sulfidehydrocarbon reaction products. Watson Roger W., Fainman Morton) [Standard Oil Co.]. Пат. США 2759920, 21.08.56

Предлагается усовершенствование синтеза присадки (П) к смазочным маслам. При р-ции жидких углеводородов (напр., полиолефинов с мол. в. ≥ 500 , в том числе полибутиленов и полипропиленов), с 1-50% P_2S_5 при 93-316° и последующем гидролизе продукта р-ции при 104-260° образуются неорганич. к-ты Р (НК). Продукт гидролиза (нейтрализованный или нет) контактируется при 38-260° с CaO , $\text{Ca}(\text{OH})_2$ или карбонатами Ca, Ba или Sr с осаждением и удалением НК в виде их щел.-зем. солей. В результате получается П, содержащая органич. соединения Р и S и практически лишенная НК. П, после удаления солей НК, можно нейтрализовать едкой щелочью, щел.-зем. или N-основанием. Пример. Продукт р-ции полибутилена с мол. в. ~ 200 и 15% P_2S_5 смешали с равным объемом масла (SAE-10) и гидролизовали паром при $\sim 204^\circ$ до прекращения повышения кислотного числа (КЧ). Продукт гидролиза (КЧ 55, Р 2,1%) контактировали 15 мин. с 30% $\text{Ca}(\text{OH})_2$ при $\sim 210^\circ$ и профильтровали; получили П с КЧ 21 и 1,3% Р.

72043 П. Композиция пропиточного масла. Барлетт, Котл, Де-Хофф (Penetrating oil composition. Bartlett Jeffrey H., Cottle Delmer L., De Hoff Hugh C.) [Esso Research and Engineering Co.]. Пат. США 2758088, 7.08.56

Патентуется композиция пропиточного масла с улучшенными свойствами проникновения в мельчайшие углубления и распределения по всей смазываемой поверхности, состоящая из минер. масла с большим содержанием ароматич. углеводородов, с добавлением 1-5 (2-4) об. % (на всю композицию) в-ва с общей ф-лой $\text{RCH}(\text{OR}')_2$ или $\text{RCH}(\text{SR}')_2$, где R и R' — алкилы C_4-C_{18} (остатки ацетала, спирта или меркаптана), напр. ди-*n*-бутилацетала нонилового альдегида.

72044 П. Аппаратура для определения изменений в составе потока жидких углеводородов. Ганст, Александер (Apparatus for detecting changes in composition of a liquid hydrocarbon stream. Cunst Samuel Burton, Alexander Frank C. Jr.) [Gulf Research & Development Co.]. Пат. США 2720624, 11.10.55

Предложен электр. аппарат для определения изменений в составе потока углеводородной жидкости, состоящий в основном из электр. конденсатора, через который пропускается испытуемая жидкость и вакуумной трубки с источником незатухающих колебаний. Дана схема аппарата.

См. также: Происхождение нефтей 70444-70446. Нефтехимич. пром-сть 71629. Производ. ацетиленов 71654. Очистка газов 71077, 71652. Переработка природ. газов 71657. Депарафинизация 71656. Разделение нефт. фракций 71693. Высокооктан. топлива 71632. Производ. синтетич. моторн. топлив 71630, 71633. Присадки к маслам 71658. Нефтезаводское оборуд. 71074. Коррозия аппаратуры 71139, 71188. Очистка сточн. вод нефтезаводов 71257, 71276. Техника безопасн. на нефтезаводах 71295, 71315

ЛЕСОХИМИЧЕСКИЕ ПРОИЗВОДСТВА. ГИДРОЛИЗНАЯ ПРОМЫШЛЕННОСТЬ

Редактор А. П. Хованская

72045. Висушивание древесины. Эйхлер (Der Holztrockenfahrrplan. Eichler), Holzindustrie, 1958, 11, № 4, 122—125 (нем.)

Предложен (в форме таблицы) рациональный режим высушивания древесины различных древесных пород в сушильках, снабженных приспособлениями для измерения и регулирования т-ры. Ю. Вендельштейн

72046. Исследование условий термоллиза древесины в швельштахте топки-генератора ЦКТИ. Тюльников Р. С., Тр. Ленингр. лесотехн. акад., 1958, вып. 80, ч. 1, 59—67

Исследование термоллиза древесины в лабор. условиях показало, что при низких т-рах (200—300°) основную массу продуктов термич. разложения древесины (Д) составляют CO_2 , CO и H_2O . При более высоких т-рах выделяются к-ты и смолы. При 400—600° основными продуктами являются смола и неконденсируемые газы с относительно большим содержанием углеводородов и H_2 . В указанных условиях получены выходы смолы до 27% и к-т до 10% к весу сухой Д. Приведен теоретич. анализ работы шахты топки-генератора и результаты опытов, проведенных на промышленном агрегате. Эти опыты показали, что при эксплуатации печи получается более низкий выход хим. продуктов по сравнению с кол-вом их, образующимся в шахте. Предложены мероприятия для направления процесса термоллиза в сторону получения повышенного выхода хим. продуктов. Ю. Чельцова

72047. Тонкая очистка древесного газа. Сообщение 1. Киприанов А. И., Тр. Ленингр. лесотехн. акад., 1958, вып. 80, ч. 1, 69—82

Установлено, что при пропускании сухоперегонной парогазовой смеси через слой раскаленного угля при 850° и выше органич. соединения — примеси древесного газа разлагаются до газообразных продуктов. Получены кинетич. константы процесса термич. разложения примесей древесного газа. Установлено значительное каталитич. влияние древесного угля на р-ции термич. разложения органич. соединений. Процесс крекинга с целью тонкой очистки древесного газа целесообразно проводить при 860—880° и времени контакта 0,3—0,6 сек.

72048. Брикетирование мелкого древесного угля. Георге, Корня, Айлинкэй (Brichetarea manganului marunt. Cheorghe M., Cornea J., Ailincăi M.), An. Inst. cercetări și experim. ind. lemn., 1954, № 14, 137—156 (рум.; рез. русск., франц.)

Приведены результаты лабор. опытов по брикетированию древесного угля в смеси с древесным дегтем с последующим нагреванием брикетов до 400—450°.

72049. Исследование трициклических сесквитерпенов, полученных из масла Thujaopsis dolabrata, Sieb. et Zucc. II. Танака, Ямасита (Tanaka Jun-taro, Yamashita Iwa), Osaka kōrō гидзюцу сикэнсё кихо, Bull. Osaka Industr. Res. Inst., 1958, 9, № 1, 5—10 (японск.; рез. англ.)

При дегидрировании туйопсена (I) в присутствии S и Se при различных условиях среди продуктов р-ции не был получен кадинен (II). II не был обнаружен в старом масле, хранившемся более 3 лет в стеклянной бутылке, в котором I был легко идентифицирован. Продукты изомеризации I под действием различных кислотных реагентов (HCl -газ, японская кислая глина и гидратирующие реагенты) были отличны от углеводородов типа кадинена. I был подвергнут изомериза-

ции гидратацией по методу Бертрама — Вальбаума в мягких условиях до право-вращающего углеводорода, наряду с которым был получен с выходом ~ 6% трициклический сесквитерпеновый спирт $\text{C}_{15}\text{H}_{25}\text{OH}$, с т. пл. 120—122°, отличный от цедролла. Часть I см. РЖХим, 1958, 68798.

72050. Химическая обработка дерева. Рольеди (Il trattamento chimico del legno. Rognedi Piero), Ind. legno, 1957, 9, № 9, 13—14 (итал.)

Даны общие сведения о поражениях древесины микроорганизмами и насекомыми и существующих способах предохранения и оздоровления зараженного материала. Подчеркнута экономич. сторона проблемы: расходы на хим. обработку сравнительно невелики и окупаются большей стойкостью древесины.

72051. Проблема защиты древесины в связи с новыми требованиями к ней (как строительному материалу). Флемминг (Die veränderte Lage der Holzverwendung und das Holzschutzproblem. Flemming H.), Holzindustrie, 1956, 9, № 11, 284—288 (нем.)

Требования к древесине с внедрением новых строительных материалов изменяются, в частности, повышаются требования в отношении устойчивости против микробиологич. разложения. Приведена таблица устойчивости древесноволокнистых плит различных типов по отношению к *Coniophora cerebella*.

72052. Вредители древесины и способы ее консервирования. Аллио (Agents d'altération et moyens de conservation des bois. Alliot H.), Peintures, pigments, vernis, 1958, 34, № 5, 225—229 (франц.)

Общие сведения.

72053. Исследование возможности использования смолистых веществ, полученных из местного сырья, при консервировании древесины. Винтиля, Пападопол, Петрикан (Cercetări asupra unor substanțe uleioase provenite din materii prime indigene, în vederea utilizării acestora la conservarea lemnului. Vintilă E., Papadopol E., Petrican C.), An. Inst. cercetări și experim. ind. lemn., 1954, № 14, 247—269 (рум., рез. русск., франц.)

Смоляные масла, получаемые из каменноугольной смолы от коксования угля из Валя Жиудул (Петрала), и древесные смоляные масла могут быть использованы для консервирования древесины (Д) при условии улучшения их некоторых физ.-хим. свойств. Газогенераторная каменноугольная смола из названного угля и древесная смола не могут быть применены для пропитки Д из-за недостаточной фунгицидности и отрицательных пропиточных свойств. Они являются только сырьем для получения смоляных масел.

72054. Полевые испытания консервирования древесины. Суолахти (Lahosuoja-aineilla suoritettuja kenttäkokeita. Suolahti O.) Valtion tekn. tutkimuslaitos, 1957, Sar. 1, № 3, 39 s. (финск.; рез. англ.)

Сообщено о проводящихся в Финляндии в кооперации с другими странами многолетних полевых испытаниях защиты древесины от микробического разрушения с применением солевых и других антисептиков (NaF , ZnCl_2 , CuSO_4 , солей Болидена, Вольмана, пентахлорофенолята Na, креозота и т. д.). Образцы сосновой заболони (2,5 × 2,5 × 60 см) после пропитки и высушивания экспонировали в различных полевых условиях с целью выявления зависимости степени разрушения древесины от кол-ва и вида примененного антисептика, характера почвы и метеорологич. условий.

72055. Багасса как сырье для гидролизных производств. Мельников Н. П., Крестан Э. Ш., С.

тр. Всес. н.-и. ин-т гидролиз. и сульфитно-спирт. пром-сти, 1958, 6, 62—68, 163—164 (рез. англ.)

Проведено лабор. исследование багассы (Б), полученной на КНР, как сырья для переработки по схемам гидролизного произ-ва. При однофазном перколяционном гидролизе (варка с 0,5%-ной H_2SO_4 100 мин. при 185°) получен выход (в % к абсолютно сухой Б) 43,6, в том числе сбраживаемых сахаров 22,2 и пентоз 21,4. При 2-фазном гидролизе в пентозный гидролизат перешло РВ 22,3% (или на пентозы 25,3) при отсутствии сбраживаемых сахаров; гекозозный гидролизат содержал РВ 26,2%, в том числе сбраживаемых сахаров 21,2% (к весу исходной Б). На основании полученных результатов рекомендованы две схемы переработки Б. При однофазном перколяционном гидролизе с переработкой гидролизата на спирт и дрожжи выход из 1 т Б спирта 11—11,5 дл и дрожжей (абсолютно сухих с содержанием 50% белка) 90 кг. При переработке гидролизата только на кормовые дрожжи выход их ~200 кг на 1 т абсолютно сухой Б. При 2-фазном гидролизе из 1 т абсолютно сухой Б может быть получено 10—11 дл спирта из гекозозного гидролизата и из пентозного — дрожжи до 80 кг или фурфурола до 40—65 кг. Наряду с получением спирта очищ. пентозные сиропы можно перерабатывать в ксилит или триоксиугларовую к-ту.

Ю. Чельцова

72056 П. Процесс переработки коры и получаемый продукт. Грей, Кросби (Bark treatment process and product. Gray Kenneth Russell, Crosby Hartzell Lance) [Rayonier Inc.] Пат. США 2782241, 19.02.57

Водорастворимые ароматич. продукты, содержащие >6% фенольных гидроксидов, получают варкой 100 ч. трубо измельченной коры (К) хвойной древесины (Д) (пихловка, ели или сосны) или их смеси с 700 ч. 0,5—1%-ными водн. р-рами NaOH (I), KOH при т-ре 65—105° (предпочтительно 125—150°) в течение 0,5—4 час. К в смеси берут 3,7—34,1% (предпочтительнее 10—20%). Сущность метода в обработке К малыми количествами щелочи <0,1% от веса К, при которой извлекаются только полифенолы (ПФ), образующие флорафены, не фенольные компоненты К, в частности лигнин, содержащий малое кол-во фенольных групп и большое кол-во метоксильных групп, остается в нерастворяющемся остатке. Вск, содержащийся в К, может быть извлечен предварительно органич. р-рителем. При щел. обработке связывается 0,04—0,13 г I на 1 вес. ч. К. Нагревая К с щел. р-рами до тех пор, пока экстракт не приобретет pH 8,5—10,0. Полученный щел. р-р фильтруют и упаривают в вакууме до содержания сухих в-в 50%. Продукт может быть получен в сухом состоянии сушкой при распылении р-ра на нагретую поверхность. Сухой продукт бурого цвета растворим в воде, выход его 37,2% от веса сухой К. В остатке К содержится много в-в, растворимых в I, но по составу и свойствам отличающихся от извлеченных из К ПФ. Полученные в виде порошка полифенолы содержат (в %): золы 28, Na 8,5, Ca 0,2, серы 0,07, Cl 0,04, $OSCH_3$ 1,1. pH 1%-ного водн. р-ра 9,4. Средний коэф. диффузии ароматич. части Д 18,3 мм² за день. Средний мол. вес ароматич. части 3770, восстановительная способность 0,79 г Cu_2O /1 г сухого в-ва. В гидролизате ПФ обнаружено хроматографически (в %): глюкозы 1, маннозы 1, арабинозы 1,2, ксилозы 0,2 и фенольных гидроксидов 11,6. Растворимые ПФ из К могут заменять дубители или могут быть применены как диспергирующие в-ва (при бурении); могут заменять до 70—75% фенола при произ-ве фенолформальдегидных пластич. масс. Реакционная способность ПФ больше, чем у фенола или резорцина. При использовании ПФ для синтетич. клеев они показы-

вают повышенную водостойкость по сравнению с другими клеящими в-вами.

А. Закопчиков

72057 П. Усовершенствование переугливания и сухой перегонки древесины (Perfectionnements à la carbonisation ou distillation du bois) [Soc. Française d'Oxycatalyse Oxyfrance]. Франц. пат. 1131222, 19.02.57

В развитие франц. пат. 1018100, 1950 г. и 1047797, 1951 г., все продукты, переугливания или сухой перегонки древесины пропускают над катализаторами; при этом происходит каталитич. крекинг некоторых из указанных продуктов с превращением в ценные газообразные продукты, лишенные способности вызывать коррозию. Продукты используют для целей освещения или отопления. Применяются катализаторы, в частности, описанные в вышеупомянутых патентах.

В. Высотская

72058 П. Гидрирование канифоли. Глейсбрук, Гофман, Монтгомери (Rosin hydrogenation. Glasebrook Arthur L., Hoffman Alfred N., Montgomery James B.) [Hercules Powder Co.] Пат. США 2776276, 1.01.57

Патентуется метод в достаточной мере полного гидрирования канифоли (К) и компонентов К (смоляных к-т, их эфиров, спиртов, полученных при восстановлении смоляных к-т и их эфиров), с абсорбцией $H_2 \geq 1,22\%$ от веса исходного продукта. Обработку К водородом производят при 125—300° и давл. ≥ 210 атм в присутствии небольшого кол-ва Ru, Rh или Pd в качестве катализатора, не прибегая к предварительному растворению К. Патентуются различные режимы гидрирования в зависимости от исходного сырья и применяемого катализатора. Примеры. 1. 450 ч. К гидрируют в течение 8,5 час. во вращающемся автоклаве из нержавеющей стали при 200° и давл. 350 атм в присутствии 9 ч. катализатора, содержащего 5% Pd, на активированном древесном угле. Полученный продукт растворяют в толуоле, отфильтровывают р-р и отгоняют р-ритель под вакуумом. Поглощение H_2 1,42% по отношению к весу исходной К. Кислотное число и т-ра плавления изменяются незначительно, что говорит об отсутствии разложения. 2. К после добавления $\geq 5\%$ воды от ее веса обрабатывают H_2 в присутствии Pd при 200—275° и давл. 210 атм, непрерывно заменяя H_2 в автоклаве свежим. Из использованного H_2 удаляют окислы углерода и возвращают его в автоклав. Гидрированная К особенно устойчива против окисления.

В. Высотская

72059 П. Способ стабилизации таллового масла. Бестул (Stabilized tall oil and method of making same. Bestul Manton G.) [West Virginia Pulp and Paper Co.] Пат. США 2745827, 15.05.56

Метод стабилизации таллового масла (ТМ) (предохранение от кристаллизации) заключается в обработке NaOH или Na_2CO_3 , CaO, ZnO, при которой образуются мыла ТМ в кол-ве 10—30%. Их растворяют в небольшом кол-ве воды и добавляют к ТМ. Смесь нагревают до 93—204° при перемешивании, пока содержание воды в ней не упадет ниже 1%. Кол-во применяемой щелочи зависит от содержания в ТМ канифоли, но кислотное число (КЧ) ТМ после обработки должно быть в пределах 100—140. При КЧ <100—140 продукт имеет повышенную вязкость, при более высоком КЧ и при содержании воды >1% возникает опасность кристаллизации. Пример: 54 кг ТМ с КЧ 165 нагревают при т-ре 151° до растворения, прибавляют 1,6 кг NaOH в равном объеме воды и продолжают нагревать при указанной т-ре в течение 1 часа. Получают некристаллизующийся прозрачный однородный р-р с КЧ 125, содержащий 25% к-т в виде мыла и 0,2% воды.

В. Высотская

См. также: Дубильные в-ва коры ели 70929. Химия кипарисовых 70997. Конфигурация лигнанов 71000; лигнин 27658Бх. Сорбция паров воды целлюлином 70267. Уксусная к-та, получение 71677. Влияние р-геля на образование уксусноэтилового эфира 70108. Определение фенолов 70634—70635. Терпены: декстропимаровая к-та, сопряженное декарбоксилирование при автоокислении 70091. l-ментол, этерификация в конц. муравьиной к-те 70733. Терпинолен, фотохим. самоокисление С 70933. Лимонен, продукты автоокисления 70934. Лимонен, пинен, гидрирование, окисление 70935. Гидронопол, геометрич. изомерия 70936. α-di-камфора, эфиры 70737. Сесквитерпеновые к-ты, циклизация 70939. Тритерпены 70940; их производные оксикислоты 71002. Сульфатный скипидар, коррозия 71187. Получение многоатомных спиртов гидрогенизацией сахаров 72163

ЖИРЫ И МАСЛА. ВОСКИ. МЫЛА. МОЮЩИЕ СРЕДСТВА. ФЛОТОРЕАГЕНТЫ

Редактор А. А. Зимовьев

72060. Об использовании непищевых масел в Индии. Субба-Рао (Scope for utilization of non-edible oils in India. Subba Rao T. V.), Oléagineux, 1958, 13, № 1, 211—221 (англ.; рез. франц.)

Анализ состояния и перспектив развития масложивотной пром-сти Индии. А. Е.

72061. Процессы, происходящие при хранении влажных семян подсолнечника, и необходимость предварительной сушки семян перед закладкой их на хранение. Рыжкова Н. Н., Тр. Краснодарск. ин-та пищ. пром-сти, 1957, вып. 15, 65—67.

Установлено, что при порче хранящихся влажных семян снижается влажность семян на 8—12%, вследствие частичного испарения влаги и расхода ее на происходящие в ядре процессы разложения; уменьшается влажность семян на 5—13%, что связано с разложением масла, а также с образованием оксиглицеридов, полимеризацией глицеридов и их разрушением (степень окисления масла колеблется от 1,4 до 59,5%); подвергаются разложению все в-ва, составляющие ядро. Легкоусвояемые водо- и солерастворимые белковые в-ва содержатся в прогнивших и покрасневших ядрах в весьма незначительных кол-вах. Г. Фрид

72062. Некоторые итоги работ в области хранения высокомаслянистых семян подсолнечника. Конейковский В. М., Тр. Краснодарск. ин-та пищ. пром-сти, 1957, вып. 15, 43—53

Существует «критическая» влажность гидрофильной части маслянистых семян (С) (15—16%), выше которой резко увеличивается интенсивность их дыхания; для высокомаслянистого подсолнечника с изменившимся соотношением гелевой и масляной составных частей она соответствует общей влажности С 9—9,5%. Однако масла поступающего на хранение высокомаслянистого подсолнечника содержит С, значительно различающиеся по степени зрелости и влажности, причем эта разнородность уменьшается в процессе послеуборочного дозревания С, ускорение которого при поступлении С на хранение достигается тепловой сушкой и активным вентилированием (АВ). Чем выше исходная влажность С, тем ниже должна быть т-ра их тепловой обработки. Одна лишь сушка не приводит всю массу к состоянию, необходимому для устойчивого длительного хранения, и возможное увеличение влажности С при хранении в условиях повышенной относительной влажности наружного воздуха или возможное появление очагов самосогревания за счет отдельных групп С с повышенной влажностью можно устранить посредством АВ. Изучение ряда биохим. свойств свежесобраных высоко-

комаслянистых С подсолнечника в процессе их хранения насыпью высотой 3—3,5 м при АВ (при 57 м³ воздуха на 1 т С в час) показало, что влажность С непрерывно снижается в течение всего периода АВ (на 1,5—1,9%), причем АВ более влажных С приводит к большему снижению их влажности. АВ обеспечивает также более равномерное распределение влаги по семенной массе и возможность длительного хранения С с влажностью порядка 9—9,5% и даже выше без снижения их качества. Для АВ предлагается применение стационарных установок системы ВНИИЗ или ГИ «Промзернопроект». Для контроля т-ры хранящихся С предлагается применение электротермич. дистанционных установок, позволяющих (кроме замера т-ры) производить отбор воздуха из межсеменных пространств на разных глубинах и заблаговременно определять места возможного появления очагов самосогревания по повышению содержания СО₂ в воздухе межсеменных пространств. Рекомендуется внесение поправок в инструкцию по хранению высокомаслянистых С подсолнечника и разработка технологич. инструкции по АВ в хранилищах различного типа. Г. Фрид

72063. Хранение высокомаслянистых семян подсолнечника на Лабинском госмаслозаводе треста «Краснодаржирмасло». Жариков И. А. Тр. Краснодарск. ин-та пищ. пром-сти, 1957, вып. 15, 59—63

При просушке семян (С) высокомаслянистого подсолнечника перед закладкой на хранение наиболее эффективный сьем влаги получен на барабанной сушилке Саранского з-да (среднесезонный сьем влаги 4,44% против 2,35% на сушилке ЛАУМПИ). При опытным хранении партий С после просушки и с естественной влажностью установлено повышение кислотности масла и снижение содержания масла в С. Отмечается необходимость изыскания технически доступных методов хранения С без ухудшения их качества, а для этого предлагается снизить нормы по влажности семян при заготовке; пускать в переработку С, принятые в первые 5—10 дней заготовок; при закладке на хранение производить их полную подработку на сушилке и очистительных машинах и придерживаться однородности партий С по влажности, географич. размещения поставщиков, сорта, репродукции и других показателей качества складываемых С. Г. Фрид

72064. Новая технология переработки хлопковых обрубленных и необрубленных семян для получения светлых, легко рафинируемых масел. Таланцев Д. З., Тр. Краснодарск. ин-та пищ. пром-сти, 1957, вып. 15, 29—34

Предлагается новая технология получения светлого, легко рафинируемого масла, при которой связывание госсипола (I) начинается не в помеле (мезге), а в самих семенах, для чего последние перед их переработкой подвергают увлажнению — пропариванию и сушке при 100°. Проведенными на стенде опытами показано, что кол-во свободного I в семенах уменьшилось на 67%. По сравнению с обычной технологией кол-во I в готовой мезге составило 0,08% (против 2,26%) в результате всех технологич. процессов I был связан на 95% (против 85%), общее кол-во I в масле 0,12% (против 0,32%). Кислотное число полученного масла 1,15 (против 2,26), а расход щелочи при рафинации 3,56 кг на 1 т масла (против 5,45 кг). Внедрение предлагаемой технологии в заводскую практику требует лишь установки в очистительном цехе одного агрегата по увлажнению, пропариванию, сушке и охлаждению семян. Приведено описание технологич. схемы для маслоэкстракционного з-да по переработке 400 т шелушенных хлопковых семян в сутки по рекомендуемой технологии. Г. Фрид

72065. Производственные опыты по жарению семян подсолнечника. Яки (Ipari kiserletek a napraforgó

oleumény pörkölési körülményeinek vizsgálatára. Jaky Miklós), Elem. ipar, 1956, 10, № 4, 104—106 (венг.).

Исследование различных сортов масличных семян Венгрии. Яки (Die Untersuchung verschiedener ölhaltiger Samensorten in Ungarn. Jaky M.), Oléagineux, 1958, 13, № 1, 149—151 (нем.; рез. франц.).

Приведены данные о семенах и масле подсолнечника, клеверины, льна, тыквы, винограда, томатов, а также клубней чучы. А. Е.

Автоматический порционный отбор проб масла и маслосемян. Захарченко А. А. В сб.: В борьбе за тех. прогресс. № 2. Краснодар, «Сов. Кубань», 1957, 59—64.

Описаны и даны схемы автоматич. пробоотборников для сыпучих материалов и жидкого масла к автоматич. весам и автоматич. пробоотборника для жидкостей, требующего автоматич. весов. Сущность устройства пробоотборников заключается в механич. связи пробоотборного крана или заслонки на пути потока жидкостей или сыпучих материалов с поплавковым устройством или коромыслом весов. Пробоотборники испытаны и внедрены в произ-во, погрешность измерения $\sim 0,006\%$. В. Кашников

Необходимость введения поправок на масличность семян и жмыхов при применении экстракционного метода определения масличности. Рыжкова Н. Н., Тр. Краснодарск. ин-та пищ. пром-сти, 1957, вып. 15, 77—79.

При определении масличности семян подсолнечника и арахиса экстракцией этиловым эфиром вместе с маслом извлекается и ряд других в-в жирового и нежирового характера, которые в производственных условиях не переходят в масло (форчанное, прессовое), а остаются в измененном виде в жмыхе и при анализе жмыха на масличность они не определяются, в связи с чем получается расхождение в масличном балансе. Для ведения правильного учета и контроля процесса предлагается ввести поправку на масличность семян, которая в зависимости от применяемого технологич. режима (а возможно и сорта семян) должна быть в пределах: для семян арахиса 0,8—1,0%, а для семян подсолнечника 0,04—0,10% (на абсолютно сухое и чистые семена). Г. Фрид

Ускоренное определение масличности семян, жмыха, шрота и шелухи. Нааб А. Я., Тр. Краснодарск. ин-та пищ. пром-сти, 1957, вып. 15, 73—76. См. РЖХим, 1958, 26615.

Новый способ получения соевого масла. Чань Бо-пин, Кэсюэ дачжун, 1956, № 1, 5—6, 7 (кит.).

Экспериментальная маслوبيя Института жиров. Сообщение комиссии по опытам, проведенным в кампанию 1954/55 г. (Almazara experimental del Instituto de la grasa. Informe de la comisión organizadora sobre las experiencias realizadas durante la campaña 1954—55. (Continuación).—), Grasas y aceites, 1955, 6, № 5, 219—229 (исп.).

Описан принцип прерывного действия эксперим. маслوبيи «Alfin» при т-ре окружающей среды. Загрузка измельченных оливковых плодов порядка 30 кг. Необходимая мощность (3 л. с.) обеспечивается электромотором, снабженным редуктором, развивающим скорость до 7 об/мин. Способ извлечения масла из оливковой пасты представлен на рисунке. Фильтрующая поверхность — полуцилиндрич. дно с большим кол-вом желобков с поперечными прямоугольными пластинками с зазорами порядка 0,1 мм. Приведены результаты опытов, проведенных на маслوبيйных машинах «Alfin» и «Prensa» с различными

сортами оливковых плодов при 18—50°. Предыдущее сообщение см. РЖХим, 1958, 15852. И. Гонсалес

Практика работы на аппаратах предварительного сжима масла конструкции Кичигина — Яковенко на Одесском маслозаводе. Карачан В. Л., Тр. Краснодарск. ин-та пищ. пром-сти, 1957, вып. 15, 39—41.

Описаны основные части аппарата Кичигина — Яковенко для предварительного сжима масла. Общая потребляемая мощность аппарата 11 кВт, производительность 130—150 т подсолнечных семян в сутки. Работа этих аппаратов, установленных на Одесском маслозаводе взамен форчаных агрегатов Скипина, при переработке подсолнечника заключается в следующем: в мятку, непрерывно поступающую в термоувлажнитель, высыпают пар при перемешивании для ее увлажнения и нагрева; при пониженной влажности мятки ее дополнительно увлажняют впрыском воды. Увлажненная до 9—10% и нагретая до 70—75° мезга поступает в вертикальный, а затем в горизонтальный зер пресса, откуда она выходит с масличностью 17—21% и влажностью 13,5—16,5%. Съем масла 75—80%. Перед окончательным прессованием на шнековых прессах мезгу подсушивают в колонных жаровнях. При переработке арахиса сьем масла в этих аппаратах 82—83%, масличность мезги 14—15%, производительность 70—85 т/сутки. Отмечены преимущества этих аппаратов перед форчаными агрегатами Скипина (повышенный на 10—12% сьем масла, непрерывность процесса, меньший расход электроэнергии, простота устройства, меньшие габариты и простота обслуживания). Г. Фрид

Экономическая эффективность экстракционного способа получения растительного масла из хлопковых семян. Лантух С. И., Тр. Краснодарск. ин-та пищ. пром-сти, 1957, вып. 15, 9—13.

Приведены показатели (ср. взвешенные по ряду з-дов и полученные на передовых предприятиях), характеризующие преимущества экстракционного способа переработки хлопковых семян по сравнению с переработкой их на шнековых и гидравлич. прессах (по общим потерям масла и масличности жмыха и шрота). Приведены сравнительные данные по себестоимости неочищ. хлопкового масла при разных технологич. схемах: фактические на отдельных з-дах и расчетные — по схеме 2-кратного прессования на шнековых прессах и по схеме «форпрессование — экстракция», а также при переработке жмыха на экстракционных з-дах. Дополнительные капитальные вложения в основные фонды, связанные с организацией экстракционного произ-ва при переработке хлопковых семян, окупаются в короткие сроки (0,5—1,5 года). Г. Фрид

Интенсификация процесса экстракции масел из масличных семян на аппаратах ИД-1000. Нецадзе А. Г., Тр. Краснодарск. ин-та пищ. пром-сти, 1957, вып. 15, 35—37.

Для исследования влияния т-ры на эффективность экстракции экстракционный бензин подогревали до 70° (вместо предусмотренного технологич. инструкциями подогрева бензина до 52—54°). При этом вязкость подсолнечной мисцеллы снижалась на $\sim 20\%$ и отмечено снижение масличности шрота. В последующем экстракцию производили бензином, нагретым до 80—85°, при этом эффект экстракции значительно улучшился: средняя масличность подсолнечного шрота 0,79—0,82% при производительности экстрактора 239 т подсолнечных семян в сутки. Дальнейшее повышение т-ры бензина до 90—95° приводит к еще большему снижению масличности шрота, однако практически это возможно при установке надежного затвора, отделяющего экстрактор от шнековых испарите-

лей во избежание ухода значительного кол-ва бензина (20—25%) в испарители. При разработке и установке указанного затвора окажется целесообразным поднять т-ру бензина до образования в верхней части экстракционной колонны избыточного давл. 0,05—0,1 ат.

Г. Фрид

72075. Современные аппаратура и процессы маслоэкстракционного производства в СССР и за границей. Гавриленко И. В., Тр. Краснодарск. ин-та пищ. пром-сти, 1957, вып. 15, 15—28

Систематизированы сравнительные показатели режимов подготовки к экстракции семян подсолнечника, хлопчатника и сои на отечественных и зарубежных маслоэкстракционных з-дах, приведены типы и режимы работы соответствующего оборудования (вальцевых станков, жаровен, прессов) и сравнительные качества показателей форпрессового масла и жмыха на экстракцию. Рассмотрены современные способы непрерывной экстракции масляных семян («экстракция погружением», «экстракция орошением» и «фильтрация — экстракция»), их достоинства и недостатки, соответствующие типы непрерывно действующих экстракторов и технологич. показатели их работы по производительности, масляности шрота и мисцеллы и уд. расходу бензина, пара и электроэнергии, способы отгонки р-рителя из шрота и мисцеллы; причины потери р-рителя в произ-ве и меры борьбы с ними.

Г. Фрид

72076. Извлечение пальмового масла в Бельгийском Конго. Дефав (L'extraction de l'huile de palme au Congo belge. Defawes J. C.), Inds et sci., 1958, 34, № 1, 9—12 (франц.)

72077. Некоторые растительные масла и жиры (Характеристика и состав жирных кислот масла семян *Shorea stenoptera*, ореха бассаия, нигера, сафлорового и кунжутного масел). Като (Kato Akio), Токё когё сикансё хококу, Repts Govt Chem. Industr. Res. Inst., Tokyo, 1957, 52, № 4, 133—141, XIV—XV (японск.; рез. англ.)

Найдено, что масло семян *S. stenoptera*, ореха бассаия (*Bassia latifolia*), нигера (*Guizotia oleifera* Cass), сафлоровое и кунжутное имеют соответственно: n_D^{20} —, —, 1,4767, 1,4772, 1,4748; т. пл. 42—44°, 26,2—28,2°, —, —, —; кислотное число 28,5; 9,5; 1,2; 0,8; 5,5; число омыления 191,4; 195,7; 191,0; 192,7; йодное число 36,4; 62,0; 134,3; 143,3; 114,2; неомыляемых (%) 1,01; 4,25; 1,03; 0,41; 1,33; содержание жирных к-т (%): насыщ. 64,6; 39,6; 14,8; 10,1; 16,9; олеиновой 34,1; 46,4; 12,1; 14,5; 34,2; линолевой 1,0; 13,3; 71,6; 74,0; 46,6; линоленовой 0,2; 0; 1,1; 0; 2,0; с двумя сопряженными двойными связями 0,1; 0,7; 0,4; 1,4; 0,3. Состав жирных к-т определен спектрофотометрически. Н. Любошиц

72078. Пищевое масло из семян *Firiana simplex* W. F. Wight. Лао Линь, Чжунго линь-е, 1955, № 12, 61 (кит.)

72079. Масло душистой вишни *Prunus mahaleb* L. Алпар, Чивелекоглу (Über das Mahaleböl. Alpar Saffet Riza, Civelkoğlu Halidum), Fette, Seifen, Anstrichmittel, 1954, 56, № 11, 916—918 (нем.; рез. англ., франц.)

72080. Элайдирование серусодержащими соединениями. 1. Элайдирование метабисульфитом натрия и пентасульфидом аммония. Ранков, Пончев, Горанов (Елайдиниране със сяра съдържащи съединения. I. Елайдиниране с натриев метабисульфит и амониен пентасульфид. Ранков Г., Йовчев А., Горанов Н.), Изв. хим. ин-т, Бълг. АН, 1957, 5, 143—158 (болг.; рез. русск., нем.)

Установлено, что при элайдировании олеиновой и эруковой к-т, оливкового масла, общей смеси жирных к-т рапсового и оливкового масел (220°, 3—20 часа) в присутствии 1—6% щел. или щел.-зем. метабисуль-

фитов (соответственно 1% пентасульфида аммония) катализатором процесса является элементарная S, выделяющаяся при термич. распаде указанных продуктов. Элайдирование при помощи элементарной S имеет следующие преимущества: процесс ведется в открытом сосуда (без давления), длительность его может быть ограничена 3 часами, конечный продукт не приобретает темной окраски, а следовательно, не требует промывания водой.

Р. Левитайна

72081. Простой метод определения содержания растительных масел. То да, Акаси (Toda Ryooki, Akasi Takateru), Нихон рингаккай, J. Japan Forest. Soc., 1956, 38, № 9, 359—361 (японск.)

72082. Быстрый метод определения содержания жира в соевом масле его омылением. Нитта (Nitta Kazuhiko) Ногё оёби энгай, Agric. and Hort., 1956, 31, № 7, 991—992 (японск.)

72083. Хроматография на бумаге в области жиров. XIX. Количественное хроматографическое определение жирных кислот с прямой цепью углеродных атомов и их смесей. Кауфман (Die Papier-Chromatographie auf dem Fettgebiet. XIX. Die quantitative papierchromatographische Bestimmung von gerdkettigen Fettsäuren und ihren Gemischen. Kaufmann H. P.), Fette, Seifen, Anstrichmittel, 1956, 58, № 7, 492—498 (нем.; рез. англ., франц., исп.)

На основании результатов хроматографич. анализа на бумаге (ХБ) жирных к-т (см. РЖХим, 1956, 60021, 1958, 55387) разработан метод определения жирных к-т из различных масел и жиров. Описаны прямые и косвенные методы ХБ для колич. определения жирных к-т. Приведен пример колич. определения жирных к-т посредством ХБ их Си-солей. После хроматографич. разделения жирных к-т и перевода их в Си-соли тщательно отмывают избыток реактива и вырезают пятна Си-солей. Элюируют подкислением или разрушают бумагу смесью к-т HCl—HNO₃. Далее проводят ионографич. определение. К-ты, имеющие близкие величины R_f (напр., пальмитиновая, R_f 0,24 и масляная, R_f 0,23; миристиновая, R_f 0,36 и линолевая, R_f 0,36; лауриновая, R_f 0,47 и линоленовая, R_f 0,45), разделяют посредством ХБ продуктов присоединения этих к-т к ацетату ртути с последующим ионографич. определением Hg. Приведена таблица сравнительных результатов определения жирных к-т в маслах маковом, хлопковом и маисовом различными методами. Отмечено, что величины, полученные хроматографич. определением, хорошо совпадают с другими показателями.

Т. Рудольф

72084. Аналитическая оценка неомыляемых хлопкового и соевого масел и применение ее для анализа этих масел и их смесей. Крус-Ауньон (Estudio analítico del insaponificable de los aceites de algodón y de soja y su aplicación a la investigación de los mismos, solos y en sus mezclas. Cruz Añon Fernando), Bol. Inst. nac. invest. agron., 1955, 15, № 32, 187—239 (исп.)

72085. Окисление перманганатом и солями йодной кислоты мононенасыщенных кислот для определения степени ненасыщенности и положения двойной связи. Джонс, Столп (Periodate — permanganate oxidations for determining location and amount of unsaturation in monounsaturated fatty acids. Jones E. P., Stolp J. A.), J. Amer. Oil Chemists' Soc., 1958, 35, № 2, 71—76 (англ.)

Проведено окислительное расщепление мононенасыщ. жирных к-т смесью, состоящей из перманганата и солей метайодной к-ты в щел. среде (KOH, K₂CO₃), с целью точного определения положения двойной связи в исходной к-те на основании характеристики полученных при окислении двусосновых к-т. Оптималь-

ные условия окисления: т-ра 25°, эквивалент взятого K_2CO_3 3,2—5,5, $KMnO_4$ 0,1—0,15 и $NaJO_4$ 6,0—8. Показано, что замена K_2CO_3 на $NaOH$ или KOH заметно увеличивает выход р-ции. К смеси 157,9 г 96—99%-ной олеиновой к-ты (I) с 6 экв KOH и 200 мл воды (рН—12) было добавлено 7,9 экв $NaJO_4$ и 1 мл 0,1 M р-ра $KMnO_4$ (рН 5,2). При 10-час. выдержке при 20—25° рН достигает 8,7. Р-ция прерывается добавлением 4—5 мл 5 н. р-ра HCl и пропусканием SO_2 до исчезновения желтой окраски йода. После подщелачивания 5 н. р-ром KOH , упаривания и подкисления полученные к-ты экстрагируют эфиром и после удаления эфира разделяют хроматографич. путем (колонка с силикагелем р-рители CH_3OH , C_2H_5OH , H_2O и C_6H_6). Дано подробное описание колонки и методики разделения. Получены 91,4%-ная пеларгоновая к-та, 89,4%-ная азелаиновая к-та и пробковая к-та в кол-ве 1,1%. В целом результаты показывают возможность применения описанного метода для определения положения двойной связи, что подтверждено окислением 10-ундециленовой к-ты, 11-октодециленовой к-ты и других непредельных к-т.

Н. Кологривова
72086. Применение ацетона в производстве оливкового масла. Форести, Джуффрида (L'emploi de l'acétone dans l'industrie de l'huile d'olive. Foresti B., Giuffrida A.), Oléagineux, 1958, 13, № 1, 131—133 (франц.)

Смесь ацетона (I) с водой (10—15%) применяли для снижения кислотности (K) оливкового масла (OM), для извлечения остаточного паратиона и для экстракции масла из оливковых жмыхов без предварительного их подсушивания. Лучшие результаты удаления из OM свободных жирных к-т (ЖК) получены при противоточной экстракции, разделении двух фаз, дистилляции верхней фазы при 40—50° и этерификации нижней фазы с повышенным содержанием ЖК. Напр., из 100 г OM с K 12,7% этим способом получают 86,5 г OM с K 2,2% и 13,5% OM с K 76,5%. Метод экстракции ЖК смесью I с водой исключает применение H_2SO_4 , Na_2CO_3 , отбельных земель, сохраняет ценные биол. свойства OM. При обработке OM смесью I с водой с последующей дистилляцией почти полностью удаляется из него паратин (остаток <1 ч. на 1 млн.).

А. Емельянов
72087. Непрерывная рафинация масел и жиров. Мейеров Я. С., Тр. Краснодарск. ин-та пищ. пром-сти, 1957, вып. 15, 129—136

Изучен процесс непрерывной рафинации (Р) негидратированного подсолнечного масла (ПМ) и салама (С) в аппаратах колонного типа и процесс непрерывной Р с предварительной гидратацией ПМ и без нее на соответственно приспособленном оборудовании для периодич. Р. Приведено подробное описание аппаратуры и примененных режимов на всех стадиях технологич. процесса непрерывной Р с растворением мыла (М) в водно-солевом р-ре. Показано, что в аппаратах колонного типа непрерывная Р протекает лучше для ПМ, чем для С, вследствие меньшей вязкости ПМ и лучшей растворимости М по сравнению с растворимостью М, получаемого при омылении свободных жирных к-т С. Отсутствие гидратации ПМ ухудшает процесс Р в аппаратах колонного типа. Содержание М в С после разделительной колонны 0,20—0,82%, содержание общего жира в мыльно-солевом р-ре 4—9% (в том числе нейтр. жира 1,6—3,6% и связанного жира 2,4—5,4%), содержание жира в промывных водах 2—3% (в том числе нейтр. жира 1,6—2,4% и связанного 0,4—0,6%). Процесс непрерывной Р на соответственно приспособленном оборудовании периодич. Р значительно улучшается при предварительной непрерывной гидратации ПМ. Охотд жира в соапсток при Р (для ПМ) находится в пределах 1,5 X + 1

(X — кислотность ПМ). При повышенных кислотных числах ПМ процесс его непрерывной Р значительно ухудшается. Для ПМ с кислотным числом >3,5—4 при Р увеличивается эмульгирование и приходится снижать производительность установки.

Г. Фрид
72088. О результатах опытов по хранению шнек-прессовых жмыхов. Коваленко Н. П., Тр. Краснодарск. ин-та пищ. пром-сти, 1957, вып. 15, 69—71

Произведены опыты хранения жмыха (Ж), полученного по схеме «форпресс — экспеллер» и по схеме «фораппарат Коваленко — экспеллер». Средние показатели складированного (26—40°, длительность хранения 1 месяц) Ж 2-кратного прессования: масляность 8,08%, влажность 4,66%, кислотное число масла в Ж 6,81. Средние показатели Ж, выработанных по второй схеме (складирование при 26—45°, 40 дней): масляность 8,69%, влажность 5,18%, кислотное число масла 9,23. Высота слоя в обоих случаях 9 м. Показана возможность хранения Ж, выработанных по указанным схемам, в слое высотой до 9 м в течение 30—40 дней при условии охлаждения Ж перед складированием до 40—45°. При необходимости предварительного охлаждения Ж оно может быть произведено с помощью распыленной воды. Контроль т-ры Ж при хранении должен осуществляться дистанционными термометрами.

Г. Фрид
72089. Исследование венгерского свиного жира. II.

Связь между составом и свойствами жиров. Пере-ди, Середи (Sertészvizsgálatok. II. Összefüggés a hazai sertézsírok összetétele és jellemzői között. Perédi József, Szeredy Ida), Elelm. ipar, 1957, 11, № 2, 49—54 (венг.)

Рассмотрена зависимость между свойствами свиного жира и содержанием в нем глицеридов с тремя ненасыщ., с одним, двумя и тремя насыщ. кислотными остатками. Приведены данные, характеризующие зависимость содержания насыщ. к-т и линолевой к-ты от йодного числа (ИЧ), n^{60D} от ИЧ и содержания насыщ. к-т; т-ры плавления, т-ры затвердевания, разности этих т-р (наиболее характерна третья величина) и показаний пенетromетра Бейли от содержания насыщ. к-т; показаний пенетromетра от т-ры для разных жиров; содержания твердой фазы (дилатометрически) от т-ры и от состава глицеридов, индукционного периода окисления от содержания линолевой к-ты. Приведенные соотношения предлагаются для идентификации жиров. Часть I см. РЖХим, 1957, 46451.

Г. Юдкович

72090. Изучение китовой ворвани. XII. Липиды *Calanus cristatus* (1). Состав жирных кислот жира *Calanus cristatus*, собранного в желудке финвала, добытого в северной части Тихого океана. Саики, Мори (Saiki Masamichi, Mori Takajiro), Нихон суйсан гаккайси, Bull. Japan. Soc. Scient. Fish., 1956, 21, № 9, 1041—1044 (японск.; рез. англ.)

Экстракцией *Calanus cristatus* спиртом, ацетоном и эфиром извлекают красно-коричневое масло с выходом 58,63% на сухое в-во. Содержание неомыляемых в масле 43,1%. Смесь жирных к-т масла состоит (в %) из миристиновой 9, пальмитиновой 7, насыщ. C_{15} -кислоты (следы), и ненасыщ. к-т: C_{14} 3, C_{16} 10, C_{18} 14, C_{20} 29 и C_{22} 28. Часть XI см. РЖХим, 1958, 9417.

Н. Любошиц
72091. Изучение окисления рапсового масла и его жирных кислот. I. Окисление надкислотами. Охара, Синодзак (Ohara Sachiko, Shinodaki Yuichi), Абура гаккаку, J. Japan Oil Chemists' Soc., 1956, 5, № 4, 34—41 (японск.)

72092. Максимальные перекисные числа жиров, подвергшихся самоокислению в различных условиях. Малкан, Картха (Maximum peroxide values of autoxidizing fats under different conditions. Malhan

P. R., Kartha A. R. S.), J. Scient. and Industr. Res., 1956, (B—C) 15, № 6, B326—B327 (англ.)

Показано, что максим. величина перекисных чисел жиров, подвергшихся самоокислению, зависит от условий, при которых происходит самоокисление (выдерживание при определенной т-ре, пробыливание воздуха), от т-ры процесса и от природы жира.

Н. Любошиц

72093. Окисление жиров и антиоксиданты. Турвик (Fettoyxidation und Antioxydantien. Thorvik Leif, Riechstoffe und Aromen, 1958, 8, № 4, 121—123 (нем.)

Обзор. Применение и свойства различных антиоксидантов.

А. Войцеховская

72094. Антиокислительная активность фенолов в зависимости от заместителей. Миллер, Куаккенбуш (Antioxidant activity of phenols as related to effects of substituent groups. Miller G. J., Quackenbush F. W.), J. Amer. Oil Chemists' Soc., 1957, 34, № 8, 404—407 (англ.)

Сравнивалась антиокислительная активность (по отношению к свиному жиру) фенолов с различными заместителями (2,6-ди-трет-бутил-4-метилфенол, 2,6-дибром-4-метилфенол, 2,6-дигидро-4-метилфенол, 2,6-динитро-4-метилфенол, 2,6-добензоил-4-метилфенол, 2,6-диметоксиметил-4-метилфенол, 2,6-диоксиметил-4-метилфенол; 2,6-ди(метиламинометил)-4-метилфенол; 2,6-диметоксифенол; 2,6-диметокси-4-пропилфенол; 2,6-диметокси-4-пропионилфенол 2,6-ди трет-бутил-4-метилфенилбензоат; 2,6-ди-метоксифенилпропионат и др.). Найдено, что активностью обладают только фенолы, имеющие электроноталкивающие группы в положении 2,6. Механизм действия фенолов, ди- и полифенолов одинаков.

И. Вольфензон

72095. Антагонистическое действие антиоксидантов на ненасыщенные жирные кислоты. Олкотт, Эйнсет (An antagonistic effect with antioxidants for unsaturated fats. Olcott H. S., Einset E.), J. Amer. Oil Chemists' Soc., 1958, 35, № 4, 159—160 (англ.)

При изучении действия различных антиоксидантов на жир менхады (Ж) найдено, что добавление α - и γ -токоферола к Ж, содержащему антиоксидант (6-этокси-2,2,4-триметил-1,2-дигидрохинолин), приводит к резкому уменьшению индукционного периода. Такое явление названо «антагонизмом». Аналогичное явление наблюдается для очищ. эфиров ненасыщ. жирных к-т и триглицеридов. Другие фенольные антиоксиданты не оказывают антагонистич. действия. Антагонизм также наблюдается при добавлении токоферола к Ж, содержащему в качестве антиоксиданта дифенил-п-фенилендиамин и 4-амино-п-дифениламин.

И. Вольфензон

72096. Применение химических препаратов для защиты пищевых жиров от прогоркания. Герчук М., Иванова В., Сов. торговля, 1958, № 5, 40—42 Популярное изложение вопроса.

И. Вольфензон

72097. Стабилизация масел и жиров с применением антиоксидантов. Лебедева З. К., Масл.-жир. пром-сть, 1958, № 4, 12—15

Отмечено, что растительные масла более устойчивы к окислению, чем животные жиры, так как они содержат натуральные антиоксиданты — токоферолы (I), сезамол, госсипол, β -каротин и др. Наиболее богаты I масла: кукурузное (до 250 мг%), соевое (до 280 мг%) и хлопковое (до 100 мг%). В животных жирах I содержится в кол-ве 0,05—1 мг%. Устойчивость жиров зависит от режима выработки масел и жиров, так как в процессе выработки жиры подвергаются нагреву, действию влаги, кислорода воздуха, в результате чего уже в процессе произ-ва протекает индукционный период окисления, кроме того, могут разрушаться натураль-

ные антиоксиданты и синергисты. Устойчивость жиров зависит от условий хранения, так при хранении в толле инертных газов, герметич. упаковке, пониженных т-рах стабильность их увеличивается, а также от применения антиоксидантов. Введение антиоксидантов непосредственно в готовые масла или в процессе их получения (последнее более целесообразно) повышает их стабильность.

И. Вольфензон

72098. Сравнение методов определения устойчивости жиров, масел и пищевых продуктов, содержащих их. Гирхарт, Стакки, Остин (Comparison of methods for testing the stability of fats and oils, and of foods containing them. Gearhart W. M., Stuckey B. N., Austin J. J.), J. Amer. Oil Chemists' Soc., 1957, 34, № 9, 427—430 (англ.)

72099. Автоматический контроль и регулирование непрерывного процесса гидрогенизации жиров и масел с применением газлифтов. Зарембо Г. В., Тр. Всес. н.-и. ин-т жиров, 1957, вып. 17, 41—54

Для процесса непрерывной гидрогенизации жиров и масел с применением газлифтов даны рекомендации по выбору приборов для контроля и регулирования расхода масла, паспортного катализатора и водорода; давления водорода и газовой фазы; т-ры масла и саломаса; уровня масла и саломаса. Приведена принципиальная схема автоматич. контроля и регулирования технологич. процесса и схемы 4 приборов.

В. Капшиков

72100. Течение гидролиза масла арахиса в присутствии липазы клещевины. Низамуддин, Кукарни (Progressive hydrolysis of groundnut oil by castor bean lipase. Naz Nizamuddin Hasan, Kulkarni G. S.), J. Scient. and Industr. Res., 1957, BC16, № 11, C217—C218 (англ.)

Приведены результаты определения степени гидролиза масла арахиса, осуществляемого в присутствии препарата липазы клещевины при 37° в течение разных промежутков времени (10—150 мин.). Максим. степень гидролиза 24,47%. Отмечено изменение лодных чисел как неподвергнувшейся гидролизу части масла, так и свободных жирных к-т. Содержание моноглицеридов в негидролизованной части возросло с 1,71 до 3,5%, число омыления уменьшилось со 182,9 до 179,5.

А. Емельянов

72101. Непрерывная дезодорация жиров. Файберг Е. Е., Тр. Краснодарск. ин-та пищ. пром-сти, 1957, вып. 15, 121—127

Изложены общие представления о процессе дезодорации (Д) жиров и влиянии различных факторов на степень отгонки ароматич. и других примесей (т-ра, продолжительность процесса, вакуума, скорости циркуляции и контакта жира с паром). Влияние подготовки жира к Д на качество дезодората и основные требования успешной Д (т-ра жира и впрыскиваемого пара, остаточное давление в дезодораторе). Внедрение в зарубежной жировой пром-сти непрерывной Д при глубоком вакууме и т-ре 230—250° и преимущества непрерывной Д. Описание конструкции и работы дезодорационных аппаратов (системы Гирдлера, Олье, дезодораторов колонного типа с ректификационными тарелками, дезодоратора «Слет» и непрерывно действующей дезодорационной установки Гипрожара).

Г. Фрид

72102. Автоматизированное рецептурное отделение маргарова. Тихонова Н. Д., Тр. Краснодарск. ин-та пищ. пром-сти, 1957, вып. 15, 193—196

Приведена схема непрерывного приготовления маргариновой эмульсии с весовым учетом жиров, входящих в состав маргарина. Описаны конструкция и работа регуляторов расхода, дозирующих отдельно

компоненты рецептуры маргарина (эмульгатор, кра-
ситель, жировой набор, молоко, солевой р-р и др.).

Г. Фрид

72103. Применение жирорастворимых синтетических красителей и красящих веществ *Bixa orollana* при изготовлении маргарина. Хуке, Оприст (Het antipen van in vet oplosbare synthetische kleurstof-fen en uit annatto bereide kleurstof in margarine. Hooke F., Onrust H.), Chem. weekbl., 1956, 52, № 12, 186—187 (гол.)

72104. Исследование примесей технических масел, содержащихся в пищевых жирах. Люй Вэй-цзин, Шэнь Шу-пин, Сяо Мин-цюань, Шан У-син, Ян Хун-минь, Чжунхуа вэйшэн цзачжи, 1955, 3, № 6, 461—466 (кит.)

72105. Исследование компонентов воска альфы. Савидан (Rechercher sur la constitution de la cire d'alfa. Savidan Louis), Ann. chimie, 1956, 1 jan. fevr. 53—83 (франц.)

Исследована возможность разделения воска (В) альфы на составные части и изучен их характер. Показано, что при чередующихся операциях омыления, подкисления, хроматографирования на Al_2O_3 и горячего фильтрования на Na_2CO_3 можно разделить содержащиеся в В углеводороды с числом атомов С до 30, свободные к-ты, их эфиры и спирты с различной длиной цепи. Показано, что разработанный метод дает лучшие результаты, чем ранее описанные методы фракционирования кристаллизации и перегонки.

С. Якушкина

72106. Изучение свойств минерального воска. Сюй Чжи-фан, Хуасюэ шицзе, 1956, № 8, 386—392; № 9, 437—443 (кит.)

72107. Исследования по кристаллизации воска. Темнов В. А., Пчеловодство, 1958, № 4, 30—34

Твердый воск (В) — многокомпонентное гетерогенно-кристаллич. в-во с неправильной формой кристаллов. Изменение кристаллич. структуры В продолжается и после остывания его до $\sim 20^\circ$ и приводит к изменению свойств. Приведенные данные показывают, что при хранении В в течение 40 дней его коэфф. твердости повышается на 60,7—73,9%, хрупкость при этом возрастает. Механич. прочность (разрывная длина) при хранении искусств. вошцы увеличивается на 33—55%. Прочность кристаллич. решетки В понижают различные примеси, а также заэмульгированная вода. Приведены коэфф. твердости В с различной восковитостью сушки, а также мягкость, упругость и пластичность В с различным содержанием воды. При вальцевании и переработке В в лентообразующей машине получают В слоистой структуры, отличающейся высокой пластичностью, которая исчезает при длительном выдерживании.

М. Каплун

72108. О новых мылах. Хон Чун, Квахак ка кисуль (квахак-пхен), 1956, № 1, 45—48 (кор.)

72109. Озон как окислитель при производстве мыла. Медер (Ozon als Oxydationsmittel bei der Seifenherstellung. Mäder Kurt), Seifen-Öle-Fette-Wachse, 1956, 82, № 23, 684—685 (нем.)

72110. Процесс смешения. Цильске (Mischen — Kneten — Rühren. Zilske Heinz), Seifen-Öle-Fette-Wachse, 1958, 84, № 8, 215—218, 219 (нем.; рез. англ.; франц., исп.)

Дан обзор оборудования, применяемого для приготовления мыльных смесей. Максим. эффект получен при использовании смесителя, представляющего комбинацию шнекового и Z-образного лопастного мешателя. Смеситель отличается высокой производительностью, обеспечивает достаточную степень измельчения и гомогенизации смеси, исключая из процесса операции на вальцах и в шнекмашинах. По окончании смешения направление вращения шнека автоматически

меняется на противоположное, и пластичная масса выдавливается через сетчатый диск, смонтированный в головке цилиндра. Смеситель приспособлен для работы под вакуумом, что позволяет осуществлять подсушку мыл в процессе их обработки до содержания жирных к-т 72%. Широкое применение находит также подготовительный котел, состоящий из обогреваемого кожуха, двух вертикальных шнеков и вспомогательных лопастных устройств, предназначенных для интенсификации смешения и предотвращения налипания кристаллизующихся компонентов на стенках аппарата.

Р. Левитанайте

72111. Калибровочный штампально-резальный станок для хозяйственного мыла системы Севостьяникова. М. М. Севостьяник М. М., Тр. Краснодарск. ин-та пищ. пром-сти, 1957, вып. 15, 157—159

Сконструированный станок позволяет получать одинакового веса куски мыла (М), сократить процент обрези и брака. По металлич. струганой поверхности толкатели продвигают плиту М между двух гравированных валиков, которые силою пружин наносят на М необходимые отпечатки. За валиком расположен ряд стальных проволок, разрезающих плиту М на бруски. Регулирование веса куска М производится с помощью спец. ножа, срезающего излишек против нормального веса М. Смачивание валиков производится автоматич. капальным устройством и волосняной щеткой. К первому резальному столу установлен под углом 90° другой стол, где бруски М разрезаются на куски. Производительность станка 76 т готового М за 8 час. Общее кол-во брака и обрези 6—7%.

Ф. Неволтин

72112. К вопросу об устранении пустот и трещин в туалетных мылах. Чжу Инь-тан, Хуасюэ шицзе, 1956, № 6, 313—314 (кит.)

72113. Ошибка в отборе проб из кускового мыла для определения влаги. Гильденберг, Бланк (Error in the sampling of soap and detergent bars for moisture determination. Gildenberg L., Blank E. W.), J. Amer. Oil Chemists' Soc., 1958, 35, № 2, 102—103 (англ.)

Установлено, что в куске мыла влага распределена не равномерно. Углы куска имеют меньшую влажность, чем центр. Рекомендуются во избежание ошибки при определении влаги брать для анализа весь кусок или вырезать симметричную часть его.

Ф. Н.

72114. Определение влагосодержания мыла с помощью облучения. Цихоцкий (Oznaczenie wilgotności mydel metoda naświetlania za pomocą promienników. Cichocki Inż. Jan), Techn. przem. spożywcz., 1956, 5, № 6, 192—194 (польск.)

Разработан метод быстрого определения влажности мыла (М) с помощью ИК-излучателя: в чашке Петри диам. 7—8 см берут на аналитич. весах навеску М (~ 5 г), измельченного на сите с 25 отв/см². Чашку Петри с навеской М помещают на фарфоровой пластине, отстоящей от перпендикулярно установленного к ней излучателя на 7 см. Пробу устанавливают в центре площади наиболее сильного облучения. Длительность экспозиции 3,5 часа для влажного М и 2,5 часа для подсушенного М. Затем чашки с пробами помещают в эксикатор для охлаждения. Через 10—15 мин. пробу взвешивают. Операцию повторяют через 15 мин. до получения разницы двух последних взвешиваний ≤ 3 м. По разнице в весе определяют содержание воды в М. Метод дает результаты, отличающиеся от результатов, полученных обычным методом сушки на 0,3%. Время анализа сокращается вдвое. М. Землянухина

72115. Синтетические моющие средства. Снелл (Synthetic detergents. Snell Foster Dee), Petrol. Refiner, 1957, 36, № 11, 205 (англ.)

Обзор различных синтетич. моющих средств (МС), поступающих на рынок. Данные о продаже жидких

и твердых мыл и МС за первую половину 1957 г. по сравнению с 1956 г.

О. Леонович

72116. Развитие производства и потребления мыла и синтетических детергентов в Индии. Субба-Рао (New developments in soaps and synthetic detergents and the scope for their application in India. Subba Rao T. V.), Oléagineux, 1958, 13, № 1, 223—228 (англ.; рез. франц.)

72117. Синтетические моющие средства и методы их изготовления. Неволин Ф. В., Тр. Краснодарск. ин-та пищ. пром-сти, 1957, вып. 15, 137—146

Обзор развития произ-ва синтетич. моющих средств (МС) в капиталистич. странах. Классификация МС, исходное сырье и методы произ-ва. Зависимость свойств алкилсульфатов и алкилбензолсульфонатов от их хим. структуры. Рецептуры МС, рекомендуемые для нашей пром-сти.

Ф. Неволин

72118. О непрерывных и новых методах работы в отечественном производстве моющих средств. Беспятов М. П., Тр. Краснодарск. ин-та пищ. пром-сти, 1957, вып. 15, 147—155

Кратко изложено развитие в СССР непрерывных методов работы в мыловаренной пром-сти. Подробно описан непрерывный метод и аппарат ТБН-2 системы Тюненикова, Беспятова и Науменко для непрерывного карбонатного омыления.

Ф. Неволин

72119. Получение эмульгатора и синтетических моющих средств. Эмульгаторы и «лампон». Бао Гуан-ди, Жаньхуа, 1956, № 6, 256—257 (кит.)

72120. Производство додецилбензола из фракции гидрированного керосина, полученного из испанских битуминозных сланцев. Мартинес-Гайоль (Fabrication de dodécyl—benzène commercial partant d'une coupe étroite de kerosène provenant d'huile hydrogénée de schistes bitumineux espagnols. Martinez Gayol Roman), Chimie et industrie, 1958, 79, № 3, 283—289 (франц.; рез. англ., исп., нем.)

Додецилбензол (I) получен с хорошими выходами хлорированием фракции гидрированного керосина (K), т. кип. 185—220°, полученного из испанских битуминозных сланцев, с последующим алкилированием C_6H_6 и $C_6H_5CH_3$. Хлорирование проводят при 65° в присутствии 0,3—0,05% J, содержание Cl в хлорированном K 20,5%. Алкилирование проводят в присутствии 4,5% $AlCl_3$ при 30°, приливая хлорированный K к двойному кол-ву C_6H_6 или $C_6H_5CH_3$. Описан непрерывный способ получения $AlCl_3$. Неочищенный алкилат (HA) сульфатируют, разбавляют 10%-ным спиртом, полностью отделяют K и получают сульфаты очень хорошего качества с выходом 98,6%, считая на вошедший в р-цию K. При очистке HA перегонкой при 1 ата получают 40% углеводородов, содержащих 30—40% в-в, пригодных для сульфирования, остаток используют как технич. I. Перегонкой остатка в вакууме получают очищ. I, т. кип. 190—240/50 мм, выход 45%, считая на HA, и 15% высших алкилбензолов. Приведены свойства технич. I и очищ. I по сравнению с тремя наиболее распространенными алкилбензолами, получаемыми из нефтяного K.

В. Красева

72121. Сульфирование алкилбензолов. Давидзон (The sulphonation of alkyl benzene. David-son A.), Soap. Perfum. and Cosmetics, 1958, 31, № 4, 392 (англ.)

Предложен метод быстрого определения содержания алкилбензолов, не вступивших в р-цию в процессе их сульфирования. K пробе реакционной смеси (200 г) прибавляют при охлаждении и перемешивании 10—15% воды, центрифугируют и получают алкилбензолсульфокислоту, содержащую 85—90% активного детергента. 20 г к-ты растворяют в 100 мл воды, нейтрализуют р-ром NaOH (фенолфталеин) и доводят водой вес р-ра до 180 г. 30 мл этого р-ра разбавляют

30 мл спирта. Муть не появляется при 30°, если содержание несulfированного продукта в смеси $\leq 2\%$. Для определения требуется 10 мин. Метод применим ко всем алкилбензолам. При сульфировании свободным SO_3 20 г образца нейтрализуют NaOH и разбавляют водой до 190 г (центрифугирование не проводят). Нейтрализованный р-р вновь нагревают до 80° и подщелачивают до pH 8—9. Пробу этого р-ра разбавляют спиртом и анализируют, как описано выше.

М. Калуги

72122. Пенящаяся отбеливающая жидкость. Вогман (Schuimend bleekwater. Voogman J.), Oléagineux, 1956, 40, № 7, 97—98 (гол.)

72123. Препараты для споласкивания посуды. Вильсон, Мидзуно, Крепелнус (Rinsing additives for machine dish washing. Wilson John L., Mizuno William G., Crepelius Samuel B.), Soap and Chem. Specialties, 1958, 34, № 2, 48—52, 170—171 (англ.)

Применение р-ров спец. препаратов позволяет быстро высушить посуду без оставления на ней «водных пятен», исключить применение полотенец, которые загрязняют посуду. Указано, что препараты для споласкивания посуды должны быть совершенно безвредны для здоровья, не должны образовывать пены в моечной машине, обеспечивать быстрое стекание воды с посуды и высушивание ее, не должны оставлять пленки на поверхности воды, быть устойчивыми при различных т-рах и в жесткой воде. Основными препаратами, отвечающими этим требованиям, являются неионогенные соединения: производные сорбита, полиоксиэтиленовые эфиры таллового масла, полиэтиленовые эфиры пропиленгликоля. Кроме основных продуктов, в р-ры для споласкивания добавляют этиловый или пропиловый спирты, четвертичные аммониевые соединения.

Ф. Неволин

72124. Определение поверхностного натяжения в точном микрокапиллярном приборе. Невин (Surface—tension determinations with a precision micro capillary rise apparatus. Nevin C. S.), J. Amer. Oil Chemists' Sol., 1956, 33, № 3, 95—98 (англ.)

Описан простой, точный и быстрый метод определения поверхностного натяжения. Приведены данные для C_6H_6 , n-пентадекана и метилового эфира лауриновой к-ты.

Н. Любимов

72125. Мойка бутылок. Дебресселль, Декам (Considerazioni sul lavaggio delle bottiglie. Debruxelles J., Descamps H.), Latte, 1958, 31, № 1, 32—35 (итал.)

См. РЖХим, 1958, 2750, 34057

72126. К вопросу о выборе насадок для моечных автоматов. Егорова В. И., Тр. Ленингр. хим. фармацевт. ин-та, 1958, вып. 4, 69—74

На основании опытных данных доказана целесообразность применения цилиндрич. насадок в моечной машине, рекомендуются конич. насадки. Приведена методика подбора параметров струи моеющей жидкости с учетом диаметра горла посуды.

Ф. Неволин

72127 С. Спецификация на сургуч (Specification for sealing wax. U. D. C. 667.812.5 (083.75) (54).). Инд. стандарт IS № 868, 1956

Технические условия и методы испытаний. В. М.

72128 П. Улучшение качества хлопкового масла от ответствующей подготовки хлопковых семян к экстракции. Кинг, Тербер (Improving cottonseed oil while preparing the seed for oil extraction. King William H., Thurber Francis H.), [United States of America as represented by the Secretary of Agriculture]. Пат. США 2784205, 5.08.53

Заявлено способ подготовки к экстракции хлоп-

новых семян, обеспечивающий низкую цветность масла и отличающийся тем, что хлопковую мятку перемешивают с 0,5–2,5 вес. % водн. р-ра щелочи (предпочтительно 5–10%-ного р-ра NaOH), который образует со свободным госсиполом (I) мятки растворимые в воде, но не растворимые в масле производные I. Конц-ию щел. р-ра подбирают так, чтобы при указанном его кол-ве влажность смеси его с мяткой составляла 15–25%. Обработанную таким образом мятку подвергают тепловой обработке (77–113°) при перемешивании для снижения влажности до 4–11%. Пример. Образцы хлопковой мятки перемешивают с 0,5–2% водн. 5–10%-ного р-ра NaOH и подвергают тепловой обработке при 82–100° (30–60 мин.) до влажности 4–11%. Масло, экстрагированное гексаном, содержало 0–0,06% I и после рафинации и отбелки имело цветность 0,9–0,29 красных по Ловибонду (против 0,07–0,39% I и 5,8–75,4 красных при обычной подготовке семян к экстракции). Г. Фрид

72129 П. Альдониламиды эфиров аминокислот. Джонас (Aldonil amides of amino acid esters. Jonas John J.) [National Dairy Products Corp.]. Пат. США 2785152, 12.03.57

При р-циях α-аминокислот (I), этерифицированных спиртами с 12–18 атомами C, или хлоргидратов I в присутствии NH₃ с альдоновыми к-тами (II) получают N-альдонилпроизводные эфиров I (III). Эфиры I можно ацилировать также эфирами или лактонами II. Р-ции протекают при 40–70° в р-рителе (безводн. спирты или CH₃ONCH₂OCH₃) или без р-рителя. III обладают высокой поверхностной активностью в водн. средах, не токсичны и могут применяться для эмульгирования пищевых жиров. Охарактеризованы способности некоторых III к геле- и пенообразованию, их диспергирующая и эмульгирующая способность и приведены поверхностные натяжения 0,1%-ных водн. р-вов. Напр., 3,3 г стеарилглицината в 50 мл безводн. метанола кипятят при перемешивании в течение 2 час. с 3,4 г δ-лактона лактобионовой к-ты (IV), охлаждают, фильтруют, промывают осадок метанолом и эфиром и получают N-лактобионилстеарилглицинат (V). Фильтрат упаривают и получают еще некоторое кол-во V, выход 70%, т. пл. 110–115°. Приведены данные по растворимости и термич. устойчивости V. Аналогично получают N-лактобионилстеарилполлглицинат, т. пл. 96–98°, выход 40% и N-глюкуроилстеарилглицинат, т. пл. 70–75°, выход 70%. Кислотный гидролизат казеина этерифицируют стеариловым спиртом в присутствии кислого катализатора, полученную смесь эфиров I обрабатывают IV и получают смесь N-лактобионилпроизводных, т. пл. ~ 70°. Приведены способы получения N-глюкозилстеарилглицината (т. пл. 65–67°, выход 80%) из хлоргидрата IV и соответствующих δ-лактонов и способ получения N-лактобиониллаурилглицината (т. пл. 80–83°, выход 50%) из соответствующего хлоргидрата и метиллактобионата. М. Кашлун

72130 П. Усовершенствование воска (Perfectionnement aux cires) [Soc. Mégavolt]. Франц. пат. 1132811, 18.03.57

При добавлении к воску синтетич. смол получают продукт более пластичный, с лучшими диэлектрич. свойствами, без понижения т-ры плавления.

И. Вольфензон
72131 П. Способ изготовления свечей с окрашенным пламенем. Мурман, Мулер (Art of producing candles with colored flames. Moorman Wilbur C., Muhler Joseph C.). Пат. США 2771764, 27.11.56.

Запатентован способ изготовления свечей, горящих яркоокрашенным пламенем без брызг и вредного дыма при полном сгорании всех составных частей. Для

изготовления свечей используют, напр., Li, Ba, Ca, Al, Mg, Na, K или Sr-соли нитроуксусной к-ты. Пример. Для изготовления свечей, горящих хорошим красным пламенем, смешивают 1 ч. Li-соли нитроуксусной к-ты и 3 ч. глицерина, а затем 2 ч. полученного продукта смешивают с 4 ч. сорбита, а конечный продукт смешивают со свечным парафином. Вместо указанной Li-соли можно взять Sr-соль муравьиной к-ты, которая также придает красную окраску пламени.

Г. Фрид
72132 П. Процесс получения мыл (Procédé de fabrication de savons et savons résultant de l'application de ce procédé) [Maria-Luisa Alonzo Huerta]. Франц. пат. 1131784, 27.02.57

Патентуется процесс приготовления туалетных мыл для разового индивидуального потребления в форме листочков или тонких пластинок, состоящий в добавлении к обычному мылу ряда в-в, придающих пластичность перерабатываемой массе и обеспечивающих получение листочков или пластинок мыла. Примерный состав (в %) подобных мыл: 1) Na-мыло 37,0, метилцеллюлоза 1,85, глицерин 5,55, бутилцеллозольв (р-ритель) 0,25, жирные спирты 18,5, вода 11,0, скипидар 25,75, минер. масло 0,15 2) Na-мыло 37, агар-агар или альгинаты 2, сульфированный лауриловый спирт 10, жирные спирты 10, хлорофилл 2, вода 20, скипидар 18,9, минер. масло 0,1.

Ф. Неволин
72133 П. Способ полного использования куска мыла. Отен, Сезар (Perfectionnements aux objets dont l'usage provoqué la diminution du volume et en particulier aux savons. Autin Jean—Arthur, Cézar René). Франц. пат. 1127920, 27.12.56

Патентуется способ полного использования остатков мыла путем введения внутрь мыла постороннего тела (ядро). Последнее может иметь различную форму. Это позволяет полностью использовать все мыло, прилегающее к ядру.

Ф. Неволин
72134 П. Способ получения алкилсульфонатов. Швед (Sposób otrzymywania sulfonianów alkilowych. Szwed Władysław) [Instytut Naftowy]. Польск. пат. 36674, 20.09.55

Алкилсульфонаты получают из нефти (предварительно очищ. 100%-ной H₂SO₄, взятой в кол-ве 15–55%) взаимодействием при облучении УФ-лучами с Cl₂ и SO₂ (объемное соотношение 1:2, т-ра 30–40°, степень превращения до 80%) и последующим щел. омылением полученных сульфохлоридов (30%-ный NaOH, 50–70°). Продукт применяется как синтетич. моющее в-во.

Я. Штейнберг
72135 П. Моющие составы. Льюис, Стейнер (Detergent compositions. Lewis Allen H., Stainer Richard D.) [California Research Corp.]. Пат. США 2772239, 27.11.56

Предложены моющие составы (МС), включающие активный органич. моющий компонент (МК) и пеноулучшающий компонент (ПК). МК состоит из водорастворимых сульфатов нормальных алифатич. спиртов (в основном C₁₂), полученных из жирных к-т гидрированного твердого жира, а также водорастворимых сульфатов моноалкилбензола (C₁₂–C₁₅). Могут использоваться также и Na-соли. Отношение сульфатов к сульфатам изменяется от 1:1 до 1:6. В качестве ПК используют n-ацилфенолы, ацильная группа которых имеет прямую цепочку с 8–16 атомами C. МС включает 5–50 вес. % ПК в расчете на вес сульфатов. Патентуемые детергенты содержат 10–40 вес. % МС и 60–90 вес. % водорастворимой неорганич. соли.

С. Басс
72136 П. Изготовление маслянистого шампуня. Каваками (Kawakami Jasota) [Кабусики кайся Каваками канкюсё]. Японск. пат. 4528, 14.06.56
К основе, описанной в японск. пат. 1385 (55) (см.

РЖХим, 1958, 107479), прибавляют метилцеллюлозу. При этом р-р становится более вязким, сохраняя прозрачность.

Э. Тукачинская
72137 П. Ионнообменный крахмал. Мацусигэ Саказэ. Японск. пат. 5597, 9.08.55

В порошок декстрина добавляют порошок ионообменных смол (0,5—5,0 г на 100 г), хорошо смешивают и используют в таком виде или прессуют. Белые, выстиранное и обработанное таким крахмалом, хорошо поглощает ионы Na, содержащиеся в поте, не оставляет на теле соли, придает коже нейтральность, не имеет запаха. Во время стирки ионообменные смолы смягчают воду и дают экономию мыла. В. Гужавин

См. также: Хим. характеристика пищевых масел 28249Бх

УГЛЕВОДЫ И ИХ ПЕРЕРАБОТКА

Редактор М. С. Гарденин

72138. Теплопроводность глюкозных растворов. Попов В. Д., Жура С. К., Тр. Киевск. технол. ин-та пищ. пром-сти, 1957, вып. 17, 115—121

Опытное определение, с помощью шарового бикалориметра, теплопроводности (λ) чистых глюкозных р-ров с конц-ией 20, 40 и 60% сухих в-в (СВ) в интервале t -от 50 до 95° позволило вывести обобщающее уравнение $\lambda = 0,531 - 0,245 \text{ СВ}/100 + (0,10295 - 0,0975 \text{ СВ}/100) t/100 \text{ ккал/м}^2 \cdot \text{час} \cdot \text{град}$, где t — т-ра. Даны 2 рисунка и 3 графика. Г. Бенин

72139. Перспективы развития сахарной промышленности в Черкасской области. Милируд Б. Т., Парходько А. П., Сахарная пром-сть, 1958, № 4, 5—7

72140. Сахарная промышленность Хмельницкой области. Шарко А. П., Костенко А. С., Сахарная пром-сть, 1958, № 3, 4—7

72141. Взаимосвязь между изменением кислотности и цвета сухой сахарозы при нагревании. Хиршмюллер, Эйххорн (Beziehungen zwischen Säuremenge und Verfärbung beim trocknen Erhitzen von Saccharose. Hirschmüller H., Eichhorn H.), Z. Zuckerind., 1958, 8, № 3, 111—114 (нем.; рез. англ., франц.)

Исследовалось влияние различных добавок к сахарозе на изменение ее кислотности и цвета (образование коричневой окраски) при нагревании. Пробы (по 7 г) чистой сахарозы (99,99%), с добавкой ничтожных кол-в (0,007—0,0045 г) солей $[\text{NH}_4\text{Cl}, (\text{NH}_4)_2\text{SO}_4, \text{NH}_4\text{NO}_3, \text{Fe}_2(\text{SO}_4)_3, \text{CuCl}_2, \text{KCl}, \text{NaCl}, \text{бетаинхлоргидрат}]$ или их смесей, нагревали до 170° в течение 15 мин. Плав растворяли в мерной колбе (100 мл) и в полученном р-ре определяли pH (стеклянным электродом) и, после усреднения до pH 7, цвет (спектральным фотометром). Установлено: 1) между изменением цвета и кислотности существует прямая корреляция; 2) все исследованные добавки повышают кислотность и интенсивность цвета; 3) эти повышения для различных добавок различны и при одной и той же добавке увеличиваются с повышением процентного ее содержания в сахарозе. Н. Гарденин

72142. Хранение мытой сахарной свеклы. Вайна (Die Lagerung gewaschener Zuckerräben. Vajna S.), Z. Zuckerind., 1958, 8, № 4, 181—183 (нем.; рез. англ., франц.)

Опыты хранения мытой и немой свеклы в одинаковых условиях показали, что при хорошей вентиляции интенсивность процесса дыхания и связанная с ним потеря сахара равновелики. Указаны преимущества хранения в кагатах мытой свеклы.

Н. Гарденин

72143. О рациональной конструкции высоконапорного свеклонасоса. Шлипенко З. С., Тр. Киевск. технол. ин-та пищ. пром-сти, 1957, вып. 17, 123—127

Приведены технич. данные свеклонасосов: RN-500 (чешский), Знаменского и Пенского машиностроительного з-да и их соответствие эксплуатационным требованиям сахарных з-дов при условии содания ими одинакового напора в 18 м. В связи с несовершенством существующих конструкций свеклонасосов рекомендуется программа неотложных изысканий наиболее рационального типа высоконапорного свеклонасоса, который давал бы, при требуемом напоре и производительности, наименьший расход энергии, устойчивость в работе и наименьшие повреждения свеклы. Г. Бенин

72144. Исследование процесса извлечения сахара из свекловичной стружки диффузионным способом. Грачев Ю. П., Тр. Моск. технол. ин-та пищ. пром-сти, 1958, вып. 11, 62—77

Предложен метод расчета процесса извлечения сахара из свекловичной стружки на основе решения дифференциального уравнения диффузии для одномерной и трехмерной задач с граничными условиями реального процесса. Разработан и опробован метод определения диффузионных констант в свекловичной стружке с учетом влияния скорости движения жидкости, уд. нагрузки и т-ры. На базе основных теорем теории вероятности получены зависимости для определения эквивалентного размера пор межстружечного пространства. Запроектирована, изготовлена и испытана полупроизводственная непрерывно действующая диффузионная установка новой конструкции. Предложена конструкция опытного образца установки на 10 000 ц в сутки, принятая пром-стью для реализации. Н. Гарденин

72145. Непрерывное выщелачивание в барабанном диффузионном аппарате. Фишер (Kontinuierliche Auslaugung durch Trommeldiffusion. Fischer Hans-Joachim), Zuckererzeugung, 1958, 2, № 4, 89—92 (нем.)

Приведены показатели работы аппарата Berge за з-де в 1957 г. Определимые потери на диффузии составляли 0,5% при откачке сока в 90% и 0,14% при откачке 135%. При т-рах вступающих в барабан смеси сока и стружки 80°, воды 50° и воды с жомового пресса 80° т-ра во всех камерах барабана устойчиво держалась в пределах 68—71°. Благодаря хорошей изоляции эпизодич. простой < 3 час. существенно не отражалась на температурном режиме диффузии. Оптимальная продолжительность выщелачивания 65—70 мин (число оборотов барабана 24—26 в 1 час.). В нормальных условиях работы стерильность выщелачиваемой стружки поддерживалась за счет т-ры в барабане, а при отклонениях в режиме появлялась необходимость периодич. подачи в середину аппарата формлина, порциями в 0,01% от веса свеклы. Изменение поляризации стружки в процессе выщелачивания показывает, что плазмоллиз продолжается и завершается в первых камерах аппарата. Н. Гарденин

72146. Автоматизация мерников диффузионного сока. Пелетинский В. Н., Сахарная пром-сть, 1958, № 3, 39—42

Предлагается заменить применяемые обычно для мерника для сока с диффузионной батареи одним мерником и расположенным ниже буферным сборником. На трубопроводе, для сока из диффузионной батареи в мерник и перепускающем его из мерника в сборник, устроены два вентиля с разгруженными клапанами и электрогидравлич. управлением. Кнопки для открытия вентиля, подающего сок в мерник, расположены вблизи диффузоров; управление вентилем, пере-

пускающим сок из мерника в сборник, производится автоматически с поплавковым устройством в мернике. Установка успешно эксплуатировалась в 1957 г. на Краснояружском з-де, штат обслуживающих диффузю сократился на 3 человека в сутки. Даны эскизы вентиля и электр. схема автоматизации мерника с включением счетчика числа откачек. Н. Гарденин

72147. Трудности в свеклосахарном производстве в связи с изменениями в составе свекловичной мякоти. Душинская, Вархаловский (Zmiany w składzie mięszo buraczanego jako źródło trudności technologicznych. Duszyńska Krystyna, Warchołowski Andrzej), Gaz. cukrown., 1957, 59, № 12, 321—324

Дана характеристика физ.-хим. изменений свекловичной мякоти под влиянием внешней среды. Исследовано изменение состава свекловичной мякоти в произ-ве 1956—1957 гг. (определяли кол-во целлюлозы, гемицеллюлозы и пектиновых в-в), а также свойства продуктов распада. Суммарное уменьшение кол-ва мякоти (в основном за счет пектиновых в-в) составляет 0,13%, что приводит к уменьшению выхода жома и накоплению продуктов распада (в основном соединения с мол. в. > 5000) в диффузионном соке (до 350 г/дл). Наличие несахаров затрудняет очистку и кристаллизацию сока. Я. Штейнберг

72148. Исследование влияния pH на пептизацию пектиновых веществ из свежей свеклы. Жура К. Д., Тр. Киевск. технол. ин-та пищ. пром-сти, 1957, вып. 17, 17—20

Лабораторными опытами установлено, что оптимум pH миним. пептизации пектиновых в-в свежей свекловичной стружки совпадает с pH нормального сока свеклы. Рекомендуется для диффузии применять слабо подкисленную воду (pH 6,5—6,7). Г. Бенин

72149. Лабораторные опыты по очистке диффузионного сока с частичным возвратом пересатурированного сока. Тот-Жига, Мадьяр (Laboratóriumi létszítási kísérlet túlszaturált lé visszavételével. Tóth-Zsiga István, Magyar Károlyné), Cukoripar, 1957, 10, № 11-12, 208—212 (венг.; рез. русск., нем.)

Установлено, что возврат сатурированного или пересатурированного сока в диффузионный сок в кол-ве до 100% улучшает отстаивание и фильтрацию сока I сатурации, причем скорость фильтрации возрастает в 3—5 раз. По резюме автора

72150. Из производственного опыта по очистке сока. Вернер (Betriebserfahrungen mit der Saftreinigung. Werner Erich), Z. Zuckerind., 1958, 8, № 4, 165—170 (нем.; рез. англ., франц.)

При переработке испорченной свеклы еще раз подтвердилось возможность улучшить фильтрацию сока I сатурации за счет изменения режима диффузии и сокоочистки (форсированное выщелачивание стружки при пониженных т-рах, сброс диффузионных вод, горячая преддефекация и форсированная горячая дефекация с повышенной щелочностью). Описана вновь смонтированная сокоочистная установка и результаты ее испытаний при различных технологич. схемах (без и с преддефекацией и с дефекацией). Установлено, что увеличение возврата части (30% и более) стущенной суспензии из отстойника в первую камеру преддефекатора улучшает работу отстойников и барабанных вакуум-фильтров. Отмечено преимущество управления процессом по электропроводности, а не по pH среды. Н. Гарденин

72151. О теории последней сатурации. Часть III. Обработка соков после последней сатурации. Бурьян-ек, Дурдик (Přispěvek k teorii poslední saturace. III část. Uprava šťáv po poslední saturaci. Buriánek Josef, Durdik František), Listy

cukrovárn., 1956, 72, № 7, 151—152 (чешск.; рез. русск., нем.)

Оптимальная щелочность, при которой происходит миним. осаждение CaCO_3 в выпарном аппарате, не всегда удовлетворяет требованиям дальнейшей обработки — происходит потемнение и образование редуцирующих в-в. Если щелочность слишком велика (что бывает при высокой природной щелочности), сок желательно насыщать до оптимальной щелочности, а после фильтрации ее снижать обработкой сиропа к-той, или на ионитах. При низкой щелочности (в случае низкой природной щелочности) необходимо насыщать до оптимальной щелочности, а после фильтрации необходимо ее повышать добавкой соды или гидроокиси натрия. Часть II см. РЖХим, 1958, 48359.

Б. Адамец

72152. Изменение вязкости маточного раствора при варке утфеля второго продукта. Попов В. Д., Черный А. М., Тр. Киевск. технол. ин-та пищ. пром-сти, 1957, вып. 17, 109—114

Приведены некоторые результаты измерения вязкости маточного р-ра утфеля 2-го продукта при варке его в промышленном аппарате с кольцевой подвесной камерой. Пробы отбирали через каждые 5—10 мин. до заводки кристаллов и в дальнейшем — до и после подкачек. Активное время варки составляло 670—780 мин. Вязкость определяли вискозиметром Генплера при 60, 70, 80 и 90°. Показана связь между изменением вязкости, пересыщения, конц-ии маточного р-ра и режимом подкачек в процессе варки.

Г. Бенин

72153. Опыт измерения скорости циркуляции при кипении высококонцентрированных сахарных растворов. Сагань И. И., Тр. Киевск. технол. ин-та пищ. пром-сти, 1957, вып. 17, 103—107

На опытной установке для изучения теплообмена и гидродинамики при кипении густых сахарных сиропов испытан сконструированный прибор для измерения скорости циркуляции высококонцентрированных р-ров. Описаны прибор и результаты испытания прибора при его работе в контуре естественной циркуляции и сопоставлены измерения с трубкой Клеве. Даны рисунки и графики, характеризующие работу прибора.

Г. Бенин

72154. Тепловой расчет вакуум-аппарата второго продукта. Гарьяжа В. Т., Тр. Киевск. технол. ин-та пищ. пром-сти, 1957, вып. 17, 81—90

Приведен расчет вакуум-аппарата периодич. действия для уваривания утфеля 2-го продукта при 2-продуктовой технологич. схеме произ-ва сахара. В основу расчета положен метод В. Д. Попова, предусматривающий увязку процессов теплообмена и кристаллизации и данных, полученных автором при исследовании теплообмена при варке утфеля 2-го продукта.

Г. Бенин

72155. Переработка мелассы с помощью ионообменных фильтров. Применение продуктов переработки в качестве сырья для промышленного органического синтеза. Вайна (Melasz feldolgozása ammóniás ioncsereél eljárással. A feldolgozáshoz kapott termékek mint szerves vegyipari alapanyagok. Vajna Sándor), Vegyipari kut. int. közl., 1954, 4, 105—109 (венг.; рез. русск., нем.)

72156. Производство лактозы в промышленных масштабах. Халл (Commercial production of lactose. Hull M. E.), J. Dairy Sci., 1958, 41, № 2, 330—331 (англ.)

72157. Влияние удобрения на урожайность, питательную ценность и пекарские свойства крахмалов пшеницы. Момтаз-эль-Гинди (The influence of fertilization on the yield, the nutritional value and the baking behavior of wheat starches. Momtaz

el-Gindy M.), Stärke, 1957, 9, № 11, 225—232 (англ.; рез. нем.)

Результаты 2-годичных опытов над беззерной, мучнистой и стекловидной типами пшениц на глинисто-песчаной почве по влиянию различных комбинаций минер. удобрений на качество, урожайность и хим. состав зерна и крахмала.

Н. Баканов
72158. Влияние различных осветлителей на поляризметрическое определение крахмала по Эверсу. Зеленка, Коприва (Der Einfluß verschiedener Klärmittel auf die polarimetrische Stärkebestimmung nach Ewers. Zelenka S., Kopriva B. H.), Stärke, 1957(1958), 9, № 12, 247—250 (нем.)

Описана методика работы и результаты по установлению влияния на точность определения крахмала методом Эверса осветлителей: 3%-ного р-ра $H_2PW_{12}O_{40} \cdot 2H_2O$ в дозировках от 2 до 15 мл, р-ров молибденовокислых NH_4 или Na — от 1 до 4 мл, 30%-ного ацетата свинца $[Pb(CH_3CO_2)_2]$ и осветлителя Карреца (30%-ный р-р $ZnSO_4 \cdot 7H_2O$ и 15%-ный р-р $K_4Fe(CN)_6 \cdot 3H_2O$). Установлено, что конц-ия крахмала и применяемые фосфорно-вольфрамовая к-та и молибденовокислые NH_4 и Na значительно влияют на точность определения, в то время как при осветлителе Карреца получаются точные, теоретич. результаты. На основе математич. обработки данных исследования для р-ров картофельного крахмала 1—3 г в 100 мл и при применении 2—15 мл 3%-ного р-ра фосфорно-вольфрамовой к-ты истинная поляризация почти точно определяется по ур-нию $P = P_1 + 0,13 A - 0,2$, где P — истинная поляризация в ° Венцке, P_1 — отчитанная поляризация в тех же градусах, A — взятое кол-во в мл 3%-ного р-ра осветлителя.

Н. Баканов
72159. Снижение вязкости альгината Na при нагревании. Сато, Морита, Накараи (Sato Hisatsugu, Morita Mutsuo, Nakarai Kazumi), Koré kagaku dzasshi, J. Chem. Soc. Japan. Industr. Chem. Sec., 1957, 60, № 9, 1174—1176 (японск.)

Изучено влияние т-ры и времени нагревания на изменение вязкости натриевой соли альгиновой к-ты (I) в жидком и порошкообразном состоянии. На основании полученных результатов предложен ряд мер для получения I с высокой вязкостью. При сушке I необходимо избегать высоких т-р и сокращать время процесса. Оптимальный режим: сушка под вакуумом 2—3 часа при 50—60°. При экстрагировании I желателно также процесс вести при интенсивном размешивании короткое время и при низкой т-ре.

Ким Су Ен

72160 П. Метод и вещества для борьбы с пенообразованием. Юрсич (Antifoam compositions and method of foam inhibition. Jursich Myron J.) [National Aluminate Corp.]. Пат. США 2727009, 13.12.55

Патентуются новые улучшенные в-ва, препятствующие пенообразованию (ВПП) в водн. р-рах, в частности в свеклосахарном произ-ве, с большой активностью, при больших разведениях, хорошо смешивающиеся с водой, действующие не омыляясь в присутствии извести, не теряющие активности в присутствии свекловичной стружки и не вносящие в конденсат выпарных аппаратов (идущий на питание паровых котлов) соединений, вредно действующих на котлы. ВПП состоят из смеси: 1) лейцитина (Л) обычного, продажного; 2) Ucon LB 1715 (У) монобутилового эфира оксипропилендиола с мол. в. ~ 2000—2100, полученного прибавлением окиси 1,2-пропилена к бутановому спирту; 3) полиоксэтиленгликоля 400 дилаурата (I), являющегося двойным эфиром, полученным путем этерификации 1 моля полиоксэтиленгликоля, имеющего мол. в. ~ 400 с 2 молями лауриновой к-ты,

обычной, продажной, полученной из кокосового масла и содержащей жирные к-ты с C_8 , C_{10} , C_{12} и C_{14} ; 4) керосина (К) и 5) тяжелого керосина (ТК), служащего минер. заменой тюленевого или китового жира. Даны два рецепта (в %) ВПП: смесь А 25 Л, 10 У, 10 К, 55 ТК; смесь В — 21,8 Л, 8,7 У, 8,7 К, 47,8 ТК. Примеры применения. 1. Добавление 25 ч. смеси В в мерник диффузионного сока на 1 млн. ч. содержащегося в соке сахара препятствовало пенообразованию не только в самом мернике, но и в процессе дефекации и сатурации. 2. Добавление 25 ч. смеси В на 1 млн. ч. сахара в два отделения непрерывно действующего диффузионного аппарата давало такой эффект, как добавление 50 ч. в три отделения ранее применявшихся ВПП. Хорошие результаты получены также при применении в дефеко-сатурации, уваривании, при обессахаривании мелассы и других процессах.

М. Гарденин
72161. П. Способ получения лактозы. Уоллес (Method of making lactose. Wallace Alexander E.) [M. & R. Dietetic Lab. Inc.]. Канадск. пат. 517614, 517615, 18.10.55

Патентуются способы получения лактозы высокой чистоты из сывотки, имеющей рН в пределах 4—4,7, которые состоят в проведении следующих операций: 1. нагревание сывотки для коагуляции белков и удаление последних; 2. добавление к сывотке гидроокиси щел. металла (извести) с доведением рН р-ра до 5,8—6,8; 3. обработка очищ. от белков сывотки на катионообменнике, при помощи которого труднорастворимые соли Ca и Mg замещаются легко растворимой солью щел. металла или к-той; 4. сгущение очищ. р-ра, кристаллизации лактозы, отделение ее и промывка водой. Последовательность первых трех операций, а также и рН исходной и очищ. на монообменнике сывотки, могут видоизменяться.

Н. Баканов
72162 П. Способ получения лактозы. Уоллес, Джеймс (Method of making lactose. Wallace Alexander E., James David E.) [M. & R. Dietetic Lab., Inc.]. Канадск. пат. 517616, 18.10.55

В доп. к пат. 517614, 517615 допускается на первой стадии нагрев сывотки с гидроокисью щел. металла (известью) при рН 5,8—6,8 и последующее отделение белка, после чего уже следует обработка р-ра на катионообменнике.

Н. Баканов
72163 П. Процесс получения многоатомных спиртов, в частности сорбита, гидрогенизацией сахаров. Алеритьер (Procédé de préparation de polyols en particulier de sorbitol, par hydrogénation de sucres. Alhéritière Louis) [Les Usines de Melle]. Франц. пат. 1129631, 23.01.57

Способ состоит в гидрогенизации соответствующих сахаров в р-ре водн. спирта различной крепости, но $\geq 50\%$ метанола или этанола, в присутствии Ni-катализатора. Выполнение имеет 3 модификации: 1. проведение гидрогенизации спирт. р-ра сахара, постепенно загружаемого в автоклав, при перемешивании; после окончания р-ции выпускают р-р, оставляя катализатор в автоклаве, который загружают свежим р-ром сахара; 2. непрерывная гидрогенизация горячего спирт. или водно-спирт. р-ра сахара, пропускаемого через насадку из Ni-катализатора, загруженного в колонну, и непрерывной подачей в нее N под давлением; 3. проведение гидрогенизации при 80—150° под давл. ≥ 15 атм в присутствии Ni-катализатора Реней; 4. использование р-рителя, содержащего 70—95 вес.% спирта, благодаря чему р-ры выделяют кристаллы непосредственно после охлаждения. Пример. В автоклаве при перемешивании загружают 33,5 кг водн. спирта, содержащего 89 вес.% этанола, 16,5 кг моногидрата глюкозы (соответствующие 15 кг безводн. глюкозы в 85% сп.), 10 кг никелевого катализатора, нанесенного

на извельгур, предварительно восстановленного. После вытеснения воздуха водородом давление доводят до 35 атм и при постоянном перемешивании нагревают смесь до 120°; при этой т-ре ведут процесс 2 часа. В результате 99,9% глюкозы переходит в сорбит. Останавливают перемешивание, декантируют 40 кг прозрачного р-ра сорбита, освобожденного от катализатора. Охлаждая до 20°, выкристаллизовывают из р-ра 10 кг сорбита, а 30 кг р-ра (содержащего 2 кг сорбита) вновь загружают в автоклав, добавляют 11 кг глюкозы и необходимое для возмещения потерь кол-во р-рителя и повторяют процесс гидрогенизации. Активность катализатора не снижается заметно даже после 50 последовательно проведенных операций.

Г. Таращанский
72164 П. Гидрирование моносахаридов (Hydrogenation of mono-saccharides) [Atlas Powder Co.] Австрал. пат. 164 640, 01.09.55

Получение нежелатинизирующей и некристаллизирующей высоковязкой полиольной композиции смешением моносахаридов и гидроокиси щел. или щел.-металла с водой для образования смеси, содержащей 40—70 вес. % моносахарида и 0,15—0,4 НО-эквивалентов гидроокиси на 1 л смеси, нагреванием полученной до 40—80°, выдерживанием смеси при этой т-ре в течение времени, отвечающего соответствующей точке на приведенной в патенте диаграмме, доведением рН полученного р-ра до 7—5 и гидрированием его в мягких условиях.

Я. Кантор

См. также: Питательная ценность лактозы 28233Бх.
Методы определения крахмала в кукурузе 27024Бх

БРОДИЛЬНАЯ ПРОМЫШЛЕННОСТЬ

Редакторы А. М. Емельянов, Г. А. Новоселова

72165. Регенерация примесей спирта из углекислоты, выделяющейся при брожении. Часть I, Хакко Юкайси, J. Ferment. Assoc., 1957, 15, № 10, 434—436 (японск.)

72166. Исследование окислительного брожения. Асаи, Гакудзюю гэнпо, Japan. Scient. Monthly, 1957, 10, № 3, 137—142 (японск.)

72167. Переработка картофеля по непрерывной схеме тепловой обработки. Чацкий П. А., Спирт. пром-сть, 1958, № 3, 23—24

Описаны мероприятия, осуществленные на Чемерском спирт. з-де, для повышения выхода спирта, снижения потерь и расхода электроэнергии. Г. Н.
72168. Дробление зерна повышенной влажности на молотковой дробилке РДБ-3000. Сибирцев А. И., Спирт. пром-сть, 1958, № 3, 30—31

72169. Приготовление дрожжей на Майкопском спиртовом заводе. Любченков П. П., Спирт. пром-сть, 1958, № 3, 32

Описана схема приготовления дрожжей без дополнительного солодового питания, внедренная на майкопском спирт. з-де. Г. Н.

72170. Опыт эксплуатации нового способа соединения расчлененных дрожжегенераторов. Мамуня А. У., Редько Д. И., Спирт. пром-сть, 1958, № 3, 33—34

72171. Приготовление дрожжей без дополнительного солодового питания. Самойленко Л. П., Спирт. пром-сть, 1958, № 3, 31—32

Описан процесс приготовления дрожжей на отъеме сладкого затора. Хорошо осахаренный затор при 60—61° поддают из осахаривателя 2-ой ступени в механизированную дрожжанку, хорошо размешивают и

оставляют на 10—15 мин. для дополнительного осахаривания при 57—58°, подкисляют H_2SO_4 до 0,5—0,6° и при 50—52° выдерживают ≥ 30 —40 мин. Это обеспечивает более глубокий гидролиз белков. Затем сусло подкисляют и охлаждают. Способ внедрен на ряде з-дов кавказского спиротреста.

Г. Н.
72172. Приготовление дрожжей на сладком заторе. Даниляк Н. И., Сапир З. И., Спирт. пром-сть, 1958, № 3, 33

72173. Работа Миропского завода по непрерывной схеме разваривания крахмалистого сырья. Заиченко В. К., Спирт. пром-сть, 1958, № 3, 24—27

Применение непрерывной схемы обеспечило следующие технологич. показатели: конц-ия осахаренной массы 16,4°, видимый отброд зрелой бражки по плану 0,64°, фактически 0,36°, кислотность зрелой бражки 0,37°, содержание несброженного сахара 0,51 г/100 мл, расход солода 76,16% (к норме), выход спирта (включая надбавку) плановый 65,18 дкл, факт. 65,52 дкл. Необходимо дальнейшее совершенствование непрерывных процессов произ-ва спирта.

Г. Н.
72174. К вопросу о непрерывной тепловой обработке крахмалистого сырья.— Спирт. пром-сть, 1958, № 3, 1—5

72175. Внедрение циклического метода брожения. Макарова С. П., Спирт. пром-сть, 1958, № 3, 27—29

Описана схема циклич. метода брожения, позволившая ликвидировать дрожжевые отделения и повысить производительность бродильных отделений на 25%. Съем спирта с 1 м³ бродильной емкости достиг 2,5 дкл в сутки. Расход солода на питание дрожжей сокращен на 12—15%. В редакционном примечании отмечается, что циклич. метод приемлем для з-дов небольшой мощности, для крупных з-дов целесообразнее поточный метод.

Г. Н.
72176. О повышении кормовой ценности зернокартофельной барды. Беренштейн А. Ф., Редько Д. И., Чацкий П. А., Спирт. пром-сть, 1958, № 3, 18—19

Показана целесообразность перехода на обрабатывание конц. заторов.

Г. Н.
72177. Опыт автоматического регулирования температуры на брагоректификационном аппарате. Зеленко Г. С., Спирт. пром-сть, 1958, № 3, 35—37

Температурный режим колонн в случае применения паронаполненных автоматич. регуляторов выдерживается значительно ровнее и облегчается обслуживание.

Резюме автора

72178. Усиление выварной части эспирационной колонны ректификационного аппарата. Грязнов В. П., Калунянц К. А., Ржечицкая Г. В., Спирт. пром-сть, 1958, № 3, 6—10

Усиление процесса эспирации повышает производительность ректификационного аппарата на 9—10% при выработке ректифицированного спирта 1-го сорта и на 5—6% при выработке спирта высшей очистки.

Г. Н.
72179. Определение содержания метилового спирта в спиртоводочных изделиях. 2—3. Хаясибэ, Нихон дзёдао кёкай дзасси, J. Soc. Brew., Japan, 1956, 51, № 7, 48—46 (японск.)

Описан колориметрич. метод определения метанола с применением реактива Шиффа. Для стабилизации цвета к нему добавляют 80 мл/л 10 н. H_2SO_4 . Часть 1 см. РЖХим, 1958, 58977.

Ким Су Ен
72180. Производство пищевой углекислоты на заводах спиртовой промышленности. Алтунджи С. В., Спирт. пром-сть, 1958, № 3, 15—17

Необходимо увеличить произ-во пищевой углекислоты. Целесообразно внедрение новейших малогабаритных вертикальных установок з-да «Компрессор»

марки 3-УВ, рассчитанных на производительность в одном агрегате 50—100 кг/час.

Г. Н. 72181. Изучение пептидов, содержащихся в сакэ. II. Строение пептидов сакэ. I. Такахаши, Носэ (Takahashi Akira, Nose Tadashi), Хакко когаку дзасси, J. Ferment. Technol., 1957, 35, № 10, 404—406, 37 (японск.; рез. англ.)

При помощи колонки с дауэкс 50 из сакэ выделили ~ 70% содержащихся в нем пептидов, которые затем были разделены двухмерной хроматографией на бумаге. Пятна хроматограммы после вымывания гидролизавали и аминокислоты, составлявшие пептиды, идентифицировали при помощи хроматографии на бумаге. Установлено присутствие в сакэ 15 различных полипептидов, состоящих из следующих аминокислот: аспарагиновая, глутаминовая; аспарагиновая, глутаминовая, цистин; аспарагиновая, глутаминовая, глицин, серин, лизин; аспарагиновая, глутаминовая, глицин, серин, лизин, аланин; аспарагиновая, глутаминовая, глицин, серин, лизин, аланин, валин, лейцин. Все выделенные пептиды содержали аспарагиновую к-ту, по-видимому, ее связи с другими аминокислотами очень стойки по отношению к действию ферментов в процессе брожения. Сообщение I см. РЖХим, 1958, 44809.

Резюме авторов 72182. Изучение механизированного массового производства искусственного сакэ. Часть III. Глубинные плесневые культуры в ферментаторе Джара. Инда, Носэ, Йосида, Миясакэ. Часть IV. Глубинные плесневые культуры в ферментаторе на 100 литров. Инда, Носэ, Йосида, Миясакэ, Сато. Часть V. Влияние ферментативной активности глубинной плесневой культуры на pH среды. Инда, Носэ, Урабэ. Часть VI. Сравнение методов определения протеолитической активности глубинных плесневых культур. Инда, Миясакэ, Носэ, Нумано, Нихон дэйдзю кёкай дзасси, J. Soc. Brew. Japan, 1956, 51, № 4, 80—79, 79—77; № 5, 53—49; № 6, 82—77 (японск.)

Часть II см. РЖХим, 1958, 62537. 72183. Полифенолы в процессе производства сакэ брожением. Адати (Adachi Tamotsu), Хакко когаку дзасси, J. Ferment. Technol., 1958, 36, № 2, 50—54, 6 (японск.; рез. англ.)

В ацетоновых экстрактах койи и бражки сакэ, при помощи хроматографии на бумаге, найдены эпикатехингаллат, галлокатехингаллат и другие полифенолы. В койи кол-во полифенолов достигает максимума за первые 36—40 час. его приготовления. В бражке найдены флавоноиды, содержание которых повышается в ходе брожения, обнаружены также незначительные кол-ва галловой к-ты и катехинов. Из резюме автора

72184. Изучение химической активности микроорганизмов. III. Лимонная кислота из гура и мелассы. Хассан, Акрам, Чугтай (Studies in the chemical activities of micro-organisms. III. Citric acid from gur and molasses. Hassan Ghulam, Akram M., Chughtai I. D.), Pakistan J. Scient. Res., 1956, 8, № 1, 22—27 (англ.)

В лабор. условиях исследовано получение лимонной к-ты с помощью различных штаммов гриба *Aspergillus niger* из местного сырья — гура и мелассы при поверхностном методе брожения. Максим. выход лимонной к-ты (25,2%) получен при использовании мелассы с pH 3,5. Часть II см. РЖХимБх, 1958, 13041.

Е. Журавлева 72185. Сравнение метода Пастера с методом глубинного брожения (приготовление уксуса из одного вина двумя методами). Буржуа (Du procédé Pasteur à la fermentation immergée (acétification d'un même vin). Bourgeois Charles), Inds. aliment. et agric., 1958, 75, № 2, 123—125 (франц.)

Сравнение поверхностного метода (Пастера) с глубинным методом, когда образование уксусной к-ты при помощи *Acetobacter* идет в интенсивно аэрируемом вине, показало преимущества последнего. В этом случае выход уксуса выше (приближается к теоретич.), качество его лучше, процесс может быть полностью автоматизирован. Необходимо применять специальную *Acetobacter*, дающую повышенный выход уксуса лучшего качества.

Г. Валушко 72186. 25 лет пивоварения. Часть 1, 2, 3. Лауфер, Стюарт (Twenty five years of brewing. Part 1, 2, 3. Laufer Stephen, Stewart Earl D.), Amer. Brewer, 1958, 91, № 3, 31, 33—35, 66—67; № 4, 40, 42, 45—48, 60; № 5, 47—51 (англ.)

Обзор технич. прогресса в пивоваренной промышленности за 1933—1958 гг.

1. Ячмень и солод, добавочные материалы. Библ. 70 назв.

2. Хмель, дрожжи, микробиология пивоварения. Библ. 110 назв.

3. Пиво, различные исследования. Библ. 105 назв.

А. Емельянов 72187. Перспективы развития технологии пивоварения в ближайшие 25 лет. Мейер (The next 25 years. Mayer Malvin J.), Amer. Brewer, 1958, 91, № 3, 36, 68—69 (англ.)

72188. Эфирное масло хмеля и другие эфирные масла. Прие (Hop oil and other oils. Preece I. A.), Brewers' Digest, 1958, 33, № 3, 42—44, 46, 51—52 (англ.)

Обзорная статья по вопросам: химия эфирных масел и их физиологич. значение; состав масла хмеля и его значение для пивоваренного произ-ва. Библ. 7 назв.

А. Е. 72189. Производство чистых культур дрожжей на пивоваренных заводах. Шарага (Productia culturilor pure de laborator in fabricile de drojdie. Şarağa E.), Rev. ind. aliment. prod. vegetale, 1957, № 7, 22—25 (рум.)

Описаны лабор. методы выделения чистых культур дрожжей, приготовления сред для их выращивания, методы регенерации и микроскопич. контроля.

А. Марин 72190. Дрожжи. Деврё (La levure. Devreux A.), Bull. Assoc. anciens étudiants brasserie Univ. Louvain, 1957, 53, № 2, 85—96 (франц.)

Описан механизм действия дрожжей при производстве пива, с подробным рассмотрением процесса брожения.

М. Белецкий 72191. Изменения в дрожжах и значение их для пивоварения. Масселейн, Ганг (Les variations dans la levure et leurs conséquences en brasserie. Masschelein Ch. A., Gaeng Fr. E.), Brass. malter. Belg., 1957, 7, № 9, 407—412 (франц.)

Рассмотрены наследственные и ненаследственные изменения дрожжей, а также вопрос об их стабильности в условиях пивоварения. Библ. 15 назв.

Ю. Мальков 72192. Исследование качества воды для пивоваренных заводов. Питиш, Пэтрэшчой (Cercetări cu privire la calitatea apei de alimentare a fabricilor de bere. Pitiş I., Pătrăşcioiu R.), Rev. ind. aliment. prod. vegetale, 1957, № 7, 1—5 (рум.)

72193. Предупреждение образования диацетила в пиве. Бергер, Гленистер, Беккер (Formation and prevention of diacetyl in beer. Burger Martin, Glenister Paul R., Becker Kurt), Brewers' Digest, 1958, 33, № 3, 48—51 (англ.)

Диацетил (I), обнаруживаемый в пиве органолептически в кол-ве ~ 0,35 ч. на 1 млн. ч. пива, образуется в последнем не только под действием пеникокков, но и в результате хранения пива в присут-

стии воздуха в течение длительного периода на некоторых стадиях технологич. процесса (напр., в пиве после 7—8 дней брожения органолептически был обнаружен I через 2 недели, если сразу по окончании брожения пиво фильтровали и направляли на хранение). Пиво с привкусом I можно исправить, подвергая его снова брожению. Для этого 2 объема свежего сусла смешивают с 1 объемом пива, добавляют заданные дрожжи в кол-ве ~ 286 г на 100 л (соответственно 3,5 млн. дрожжевых клеток на 1 млн.) и начинают ображивание при 12,5—13,7°. Добавление восстанавливающих в-в (напр., $K_2S_2O_5$ или аскорбиновой к-ты) менее эффективно. В пиве с низким значением J. T. T. (при розливе) I исчезает при хранении. Для предупреждения порчи пива вследствие образования I в кол-ве > 0,2 ч. на 1 млн. ч., кроме обычных санитарно-гигиенич. мероприятий, рекомендовано избегать контакта с воздухом, по возможности сокращать длительность фильтрации, добавлять восстанавливающие в-ва непосредственно после брожения и насыщать газом пиво после каждого перемещения. Рекомендуется также пользоваться дрожжами, надежным средством для удаления I из пива, не опасаясь появления привкуса «дрожжевого автолиза», который не успевает развиться за это короткое время.

А. Емельянов

72194. Теплофизические свойства пива. Чернеева Л., Холодильн. техника, 1958, № 2, 46—50 (рез. англ.)

Описана методика и приведены результаты определения теплоемкости, теплопроводности, уд. веса и вязкости Жигулевского и Московского пива по стадиям произ-ва (сусло — при 4—60°, пиво — в третий и последний день брожения, пиво из лагерного подвала при 1—2 и 6° и готовое пиво — после розлива).

А. Емельянов

72195. Определение содержания кислорода в пиве методом адсорбционной газовой хроматографии. Бетюн, Ригби (Determination of the oxygen content of air in beer by gas-solid chromatography. Bethune J. L., Rigby F. L.), J. Inst. Brew., 1958, 64, № 2, 170—175 (англ.)

Метод адсорбционной газовой хроматографии с применением мол. сита и He в качестве газа-носителя (см. РЖХим, 1958, 10954) применен к анализу газовой смеси в бутылках с пивом. CO_2 предварительно удаляют адсорбцией щелочью. Приведено описание и схема аппарата, в котором производится поглощение CO_2 щелочью и собирание газовой смеси N_2 и O_2 над ртутью.

А. Емельянов

72196. Различные показатели, определяющие коллоидную стойкость пива. Принцип нефелометра, применяемый к определению помутнений. Ле-Корвезье (La stabilité colloïdale des bières: divers indices, bases de contrôle. Principe d'un néphélémètre adapté à ces mesures. Le Corvaisier H.), Brasse-rie, 1958, 13, № 137, 36—40 (франц.)

Из существующих методов испытания пива на помутнение наиболее надежным является проба Эсбаха (р-р пикриновой и уксусной к-т вносят в разб. пиво и определяют прозрачность пива после 6-час. выдержи при 20°). Обсуждаются возможности применения различных оптич. приборов (поземетра «Горвекс», нефелометра Цейсса и др.) для проведения этих определений.

А. Емельянов

72197. Изучение небактериальной мути пива. III. Выделение полифенолов и фенолосилолов солодовой шелухи. Гаррис, Риккетс (Studies on non-biological hazes of beers. III. Isolation of polyphenols and phenolic acids of malt husk. Harris G., Ricketts R. W.), J. Inst. Brew., 1958, 64, № 1, 22—32 (англ.)

Полифенолы солода экстрагировали из препаратов сырой шелухи (содержащей перикарпий) и фракционировали осаждением ацетатом свинца с последующим хроматографированием на целлюлозе, после чего некоторые компоненты получили в хроматографически гомог. форме. Из них основными оказались: 1) лейкоантоцианы, дающие при нагревании с минер. к-той дельфинидин и цианидин и 2) d (+)-катехин. Обращено внимание на различие природы лейкоантоцианов хмеля и солода. Кроме этих выделены другие фенольные соединения, включая ванилиновую, феруловую и п-кумаровую к-ты, а также ряд неидентифицированных в-в; они встречаются также вместе с галловой к-той среди продуктов щел. разложения тапинов. Результаты обсуждены в связи с помутнением пива. Сообщение II РЖХим, 1957, 36262.

Резюме авторов

72198. Кишиневский винзавод № 2. Митрофанов А. Н. (Заводул де вин № 2 дин Кишинэу. Митрофанов А. Н.), Градинэритуд, вверитул ши винэри-тул Молдовей, 1958, № 2, 10—12 (молд.); Садоводство, виноградарство и виноделие Молдавии, 1958, № 2, 9—12 (русс.)

Описание кишиневского з-да № 2 производительностью 600 тыс. дкл вин и коньяков 49 наименований.

Г. Н.

72199. Высокое содержание экстракта в Мозельском Рислинге урожая 1957 г. Кильхёфер (Der hohe Extraktgehalt der 1957 er Rieslingweine des Moselweinbaugebietes. Kiehlhöfer E.), Weinberg und Keller, 1958, 5, № 5, 233—239 (нем.)

Наблюдается особенно высокое содержание не содержащего сахара экстракта в вине из Мозельского Рислинга урожая 1957 г. (38—46 г/л). Только небольшую часть экстракта составляют глицерин и минер. в-ва, значительная часть экстрактивных в-в аналитически не определяется. Причина высокого содержания экстрактивных в-в не ясна, но считают, что это в какой-то мере влияет на гигиенич. ценность напитка.

Е. Датунашвили

72200. Об ацетальдегиде в вине. Пауль (Über den Acetaldehyd im Wein. Paul Franz), Mitt. Klosterneuburg, 1958, A8, № 3, 123—134

Описаны различные соки (плодовые и виноградный) с точки зрения образования в них ацетальдегида во время брожения. Существенное влияние на накопление в бродящем субстрате ацетальдегида оказывает сульфитация. Большая часть возникающего ацетальдегида соединяется с SO_2 и только сравнительно малая часть подвергается дальнейшим превращениям в спирт и другие продукты. Содержание ацетальдегида, по-видимому, в большой степени зависит от присутствия SO_2 .

Е. Датунашвили

72201. Физические и физико-химические измерения и их значение в виноделии. Ференци (Fizikai és fiziko-kémiai mérő módszerek, s azok jelentősége a borászatban. Ferenczi Sándor), Élelm. ipar, 1957, 11, № 3—4, 109—117 (венг.)

Значение pH вин определяет их органолепич. кислотность. Так, венгерские вина с pH 2,7—3 сильно кислые, с pH 3—3,25 кислые, 3,25—3,45 — гармоничные, средней кислотности, 3,45—3,65 — слабокислые, 3,65—3,9 очень слабокислые, 3,9—4,14 безвкусные. pH виноградного сусла (до брожения) ~ 21—24, во время брожения ~ 13—14, через несколько недель брожения ~ 17—20, для годовичных вин ~ 16—18,5.

Г. Юдкович

72202. Существует ли лимонно-яблочное брожение в вине? Карль, Ламазу-Бетбедер, Пек (Existe-t-il une fermentation citramalique dans le vin? Carles Jules, Lamazou-Betbeder

Marie, Pech Renee), С. г. Acad. sci., 1958, 246, № 14, 2160—2162 (франц.)

Методом хроматографии на бумаге обнаружено в винах и сусле свыше 20 органич. к-т, в том числе (кроме общеизвестных): миндальная, хинная, гликолевая, глицериновая, фумаровая, аконитовая, глутаминовая, лимонно-яблочная. Лимонно-яблочная к-та (I) получается в результате лимонно-яблочного брожения (аналогичного яблочно-молочному брожению) простым декарбоксилированием лимонной к-ты. При разложении I дает пировиноградную и уксусную к-ты. При хроматографии винным пятно I в шел. среде совпадает с пятном янтарной к-ты, а в кислой — располагается между пятнами янтарной и яблочной к-т.

Г. Валушко

72203. Идентификация винных дрожжей, применяемых в Японии. II. Японские винные дрожжи. Гото, Йокосука (Gotô Shôji, Yokotsuka Isami), Хакко когаку дзасси, J. Ferment. Technol., 1957, 35, № 1, 1—4, 1 (японск.; рез. англ.)

Из 51 вида винных дрожжей, выделенных с помощью свежего стерилизованного виноградного сока, идентифицированы *Saccharomyces cerevisiae* Hansen — 25 видов, *S. cerevisiae* var. *ellipsoideus* (Hansen) Dekker — 17 видов, *S. chevalieri* Guilliermond — 3 вида, *S. heterogenicus* Osterwalder — 2 вида, *S. steineri* Lodder, van-Rij — 4 вида. Сообщение I см. РЖХим, 1958, 6178.

Н. Эвергетов

72204. Исследование различных рас дрожжей с целью их использования в производстве болгарского шампанского. Радучев, Печев, Стефанова (Проучване върху различни раси дрожди, с оглед използването им при производството на българско шампанско вино. Радучев Ст., Печев К., Стефанова М.), Лозарство и винарство, 1957, 6, № 6, 30—33 (болг.)

При лабор. и производственном испытаниях различных рас дрожжей для произ-ва болгарского шампанского установлено, что, кроме обычно применяемой французской расы Эперна, хорошие результаты дает советская раса дрожжей «Московская».

Г. Валушко

72205. О возможностях улучшения качества болгарского шампанского. Цаков (Възможности за подобряване качеството на българското шампанско вино. Цаков Димитър), Лозарство и винарство, 1957, 6, № 6, 22—26 (болг.)

К вину перед шампанизацией добавляли по 15 мл/л автолизата дрожжей, полученного по методу Фролова — Багреева (Виноделие и виноградарство, 1947, № 6). Не было заметных различий между опытным и контрольным вариантами по динамике расхода сахара. Вариант с автолизатом содержал повышенное кол-во общего и белкового N и эфиров и имел высокую активность инвертазы и большую вязкость. Готовое шампанское опытных вариантов получило лучшую оценку, чем контрольное.

И. Скурихин

72206. Длительная выдержка белых столовых вин на дрожжах (в порядке обсуждения). Манчев (Продължително отлежаване на белите трапезни вина върху дрождената утайка (кал.) (В порядък на обсъждане). Манчев Стамат Хр.), Лозарство и винарство, 1957, 6, № 6, 26—29 (болг.)

При выдержке белого столового вина на дрожжах 4,5, 8,5 и 12 месяцев наблюдали увеличение кол-ва общего и аминного N и эфиров. Образцы, выдержавшие длительное время с дрожжами, имели высшую органолептич. оценку. Микроскопирование осадка показало, что после 4,5 месяцев выдержки вино содержало 0,1% живых дрожжевых клеток, после 8,5 месяцев 0,01% и после 12 месяцев 0,0003%.

И. Скурихин

72207. Исследования по применению ионообменников в бродильной промышленности. III. Ионообменная обработка виноградного сусла в виноделии (I). Кагами (Kagami Motoo), Хакко когаку дзасси, J. Ferment. Technol., 1955, 33, № 6, 263—266 (японск.; рез. англ.)

Для изучения действия катионо- и анионообменников (в отдельности или в комбинации) на качество получаемого вина 2 л виноградного сусла пропускали через 1—3 колонки, заполненные 100 мл ионита, добавляя ~30% (по объему) необработанного сусла, сбрасывали и определяли состав сусла до и после его обработки, после добавления необработанного сусла и после получения готового вина. Приведены данные, характеризующие изменения содержания общих и летучих к-т, спирта, общих и летучих эфиров, альдегидов, сивушного масла, редуцирующих сахаров и глицерина при обработке сусла. Вино из обработанного сусла осветляется быстрее и отличается несколько меньшим содержанием сивушного масла и глицерина и заметно меньшим содержанием к-т. При обработке сусла комбинированными ионообменниками удлиняется процесс брожения, но вкусовые качества получаемого при этом вина выше, чем при обработке сусла только анионитом. Часть II см. РЖХим, 1958, 65792.

Г. Опшня

72208. Стабилизация полусладких вин. Простосердов Н. Н. (Стабилизация винурило самидулч. Простосердов Н. Н.), Грдинэритул, внеритул ши винэритул Молдовой, 1958, № 2, 45—47 (молд.); Садоводство, виноградарство и виноделие Молдавии, 1958, № 2, 44—45 (русс.)

Обзор развития методов стабилизации.

Г. Н.

72209. Предотвращение выпадения винного камня с помощью метавинной кислоты. Бенвенгн, Амелль (La prévention de la gravelle au moyen d'acide métatartrique. Benvegnin L., Hammel G.), Rev. romande agric., vitic. et arboric., 1958, 14, № 3, 23—26 (франц.)

Опытами установлено, что при т-ре 0—2° уже через 10 дней в вине выпадает осадок винного камня, а при 10—12° — через 6 недель. Добавление метавинной к-ты (Cologel 57) в кол-ве 10 г/л препятствует выпадению винного камня в течение 10 месяцев и не изменяет органолептич. качеств вина. Дана схема установки для введения р-ра метавинной к-ты в вино, работающей по принципу применяемого у нас аппарата Шлейгера для оклейки вина.

Г. Валушко

72210. Снижение кислотности вин с помощью карбоната кальция и предотвращение выпадения винного камня. Приллингер (Beobachtungen bei der Entsäuerung mit Kalziumkarbonat und Verhinderung von Weinsteinausscheidungen. Prillinger Franz), Mitt. Klosterneuburg, 1958, A8, № 3, 134—142 (нем.; рез. англ., франц., исп.)

Естественное биологич. понижение кислотности имеет ряд недостатков вследствие того, что винодел не полностью может управлять этим процессом. Поэтому рекомендуется применение CaCO_3 , что благоприятно влияет на вкус вина. Весьма полезно при этом прибавление метавинной к-ты. Обработка K_2CO_3 не рекомендуется.

Е. Датунашвили

72211. Обогреватель для вина. Кучеренко Ф. Т. (Ун ынкэлэитор пентру вин. Кучеренко Ф. Т.), Грдинэритул, внеритул ши винэритул Молдовой, 1958, № 2, 63—64 (молд.); Садоводство, виноградарство и виноделие Молдавии, 1958, № 2, 63 (русс.)

Описан обогреватель простой конструкции, состоящий из деревянного сосуда из дубовой клепки, в который помещен медный луженый змеевик (диам. 45 мм), спирали его расположены на дне сосуда. Змеевик заканчивается трубкой диам. 5 мм, через ко-

торую выходит конденсированный пар. В сосудом поступают вино через трубку с припаянным концом, веерообразно растекаясь по дну сосуда под змеевиком, нагревается до 16–18° и выкачивается из сосуда. Производительность 300 дкл в час. Г. Н.

72212. Алюминиевые резервуары для хранения вина. Конлехнер, Приллингер, Хаусхофер (Über das Verhalten von Aluminiumbehältern bei der Lagerung von Wein. Konlechner H., Prillingger F., Haushofer H.), Mitt. Klosterneuburg, 1958, A8, № 3, 120–123 (нем.; рез. англ., франц., исп.).

Небольшие танки из алюминия подвергали испытанию в течение 4–5 месяцев для выяснения их пригодности для хранения вина. Установлено, что вино обогащается алюминием, причем содержание его увеличивается при повышении кислотности. Е. Датунашвили

72213. Унификация методов анализа вин. Методы, принятые на международной конвенции в Париже 13 октября 1954 г. Кортеес-Наварро (Unificación de los métodos de análisis de vinos. Técnica de los métodos aprobados en el Convenio internacional de París de 13 de octubre de 1954. Cortes Navarro Vicente), Semana vitivinica., 1957, 12, № 546, 4–5 (исп.).

Для определения янтарной к-ты от пробы вина отгоняют половину ее объема для удаления спирта, окисляют экстрактивные в-ва при помощи смеси H_2SO_4 и $KMnO_4$, отгоняют с водяным паром летучие в-ва, извлекают эфиром янтарную к-ту и определяют ее argentометрич. методом. Предыдущее сообщение см. РЖХим, 1958, 62568. Г. Н.

72214. Способ определения соотношения количеств яблочной и молочной кислот в винах. Таннер, Ренчлер (Ein für die Betriebspraxis geeignetes Verfahren zur Bestimmung des Apfelsäure — Milchsäure — Verhältnisses von Weinen. Tanner H., Rentschler H.), Mitt. Klosterneuburg, 1958, A8, № 3, 113–120 (нем.; рез. англ., франц., исп.).

Проведение биологич. понижения кислотности является одним из средств достижения гармоничной кислотности вин. В восточных районах Швейцарии кислотность вин достигает иногда 17 г/л. В связи с этим важно уметь установить соотношение яблочной и молочной к-т. Разработан способ хроматографирования к-т на бумаге (ватман № 4). В качестве р-рителей служат смеси: 1. 50 мл муравьиной к-ты (98–100%-ной), 150 мл уксусной к-ты (100%-ной), 200 мл воды. 2. 250 мл н-бутанола, 250 мл изобутанола, 250 мл трет-амилового спирта. 1-ю и 2-ю смеси берут в соотношении 1:2. Проявляют хроматограммы водн. р-ром бром-фенолового синего. Е. Датунашвили

72215. Экспресс-метод определения железа в белых винах. Липис Б. В., Тихонова Н. П. (Метод рэпиде де детерминаре а ферулуй ын винуры албе. Липис Б. В., Тихонова Н. П.), Грэдизаритул, вверитул ши винурикул Молдовой, 1958, № 2, 47–49 (молд.); Садоводство, виноградарство и виноделие Молдавии, 1958, № 2, 46–47 (русс.).

Модифицирован роданидный метод определения содержания Fe (не требующий озонирования пробы). 10 мл фильтрованного вина подкисляют 1 мл разб. HNO_3 (1:1), добавляют 3 капли 30% H_2O_2 , 20 мл 5%-ного р-ра роданата K, доводят водой до 50 мл и колориметрируют немедленно на электрофотоколориметре ФЭК-М. Определение можно вести на колориметре любой системы или пользоваться серийей эталонов с разным содержанием Fe (р-р железо-аммонийных квасцов). Модифицированный метод дает результаты, близкие к получаемым сульфосалициловым и йодометрич. методами. Г. Н.

72216. Определение изопропанола и втор-бутанола в сброженных жидкостях. Женвюа, Лафон (Dosage

de l'isopropanol et du butanol secondaire dans les liquides fermentés. Genevois Louis, Lafon Madeleine), Chim. analyt., 1958, 40, № 5, 156–158 (франц.).

Из анализируемых 50 мл вина отгоняют 20 мл, которые вводят в колбу, содержащую 250 мл р-ра, содержащего 100 г $K_2Cr_2O_7$ в 1 л 6–7 н. H_2SO_4 . Смесь выдерживают в закрытом состоянии 2 часа, восстанавливают избыток $K_2Cr_2O_7$ солью Мора, отгоняют 75 мл, добавляют к отгону 5 мл 10–12 н. H_2SO_4 и 10 мл 2 н. р-ра K_2MnO_4 , выдерживают 45 мин. (окисление следов ацетальдегида), отгоняют 40 мл, отгон нейтрализуют 5 н. Na_2CO_3 и отгоняют 10 мл. Для определения общего содержания кетонов (продуктов окисления вторичных спиртов) отбирают 5 мл последнего отгона, добавляют 5 мл 5 н. р-ра NaOH, 20 мл 0,01 н. р-ра J, выдерживают 20 мин. подкисляют 5 мл 6–7 н. H_2SO_4 и определяют избыток J. На 1 ммоль кетонов расходуется 6 ммольей J. Вводится поправка на холостое определение. Содержание ацетона в последнем отгоне определяют нагреванием при 50° в течение 1 часа смеси из 0,5 мл отгона, 1,5 мл воды, 2 мл 11,3 н. р-ра K_2CO_3 и 1 мл р-ра 10 мл салицилового альдегида в 142 мл 95%-ного этанола. Колориметрируют при 546 мμ с применением типовых р-ров ацетона. Кетоны, получаемые из изопропанола и втор-бутанола, идентифицируют методом хроматографии на бумаге хлороформенного р-ра динитрофенилгидразонов обоих кетонов с применением в качестве подвижной фазы гептана или гексана. Каждый гидразон элюируют из хроматограммы спиртом и идентифицируют по его УФ-спектру. Точность определения обоих спиртов ~ 10%. Содержание изопропанола в исследованных 6 образцах вина колебалось в пределах от 20,3 до 32 мг/л, а втор-бутанола — в пределах от 7 до 15 мг/л. В синтетич. средах обнаружено меньше вторичных спиртов, чем в винах и аналогичных натуральных средах. Г. Ошмян

72217. Влияние дрожжевого остатка на качество коньячного спирта. Нушев (Влияние на утайките (дрождевия остатък) върху качеството на конячния дестилат. Нушев Илия), Лозарство и винарство, 1957, 6, № 6, 34–37 (болг.).

Для изучения влияния дрожжевого остатка на качество коньячного спирта проводили перегонки вино-материала из сорта Димят на одногоночных аппаратах с различным кол-вом дрожжей (Д) (от 0,6 до 7,8%). Наилучшие результаты с органолептической точки зрения дали вино-материалы, перегнанные без Д, не плохие — при $\leq 0,6\%$ Д. Коньячные вино-материалы, содержащие большее кол-во Д, давали спирт с горьким вкусом. С увеличением кол-ва Д резко увеличивалось кол-во фурфурола (в 6–8 раз) и в меньшей степени — эфиров. Содержание высших спиртов и альдегидов практически не изменялось, что противоречит данным Мджояна (Сб. «Биохимия виноделия», 1957, вып. 5). И. Скурихин

72218. О соке ревеня и безалкогольных напитках из него. Бенк (Über Rhabarbersaft und daraus hergestellte alkoholfreie Getränke. Benk E.), Industr. Obst- und Gemüseverwert., 1958, 43, № 9, 177–178 (нем.).

Приведены показатели хим. состава сока ревеня и практич. указания по приготовлению безалкогольных напитков из него. Г. Ошмян

72219. Безалкогольные напитки из персиков. Бенк (Alkoholfreie Getränke aus Pfirsichen. Benk E.), Flüssiges Obst, 1958, 25, № 5, 26–27 (нем.).

Приведены хим. показатели состава персиков (П), действующие в ФРГ рецептуры безалкогольных напитков из П и рекомендации по методам анализа П и определения содержания П в готовых напитках. Г. Ошмян

72220. О производстве плодо-ягодных безалкогольных напитков. Бенк (Über Beobachtungen und Erfahrungen bei Fruchtsaftgetränken. Benk E.), Naturbrunnen, 1958, 8, № 1, 4—5 (нем.)

Указывается на повышение качества и расширение ассортимента и кол-ва безалкогольных газированных напитков, изготавливаемых в ФРГ из натуральных плодо-ягодных соков, преимущественно цитрусовых.

Т. Сабурова

72221. Безалкогольные напитки из яблочного сока. Бенк (Über Fruchtsaftgetränke aus Apfelsaft. Benk E.), Naturbrunnen, 1958, 8, № 2, 33—34 (нем.)

Обсуждается возможность произ-ва яблочных газированных безалкогольных напитков, представляющих собой разб. водой, подслащенный, насыщ. CO_2 яблочный сок. Примерная рецептура: яблочного сока 30%, сахара 7%, воды 63%.

Т. Сабурова

72222. Наши новейшие сладкие спиртные напитки. Сапунджиев (Нашите най-нови подсладени спиртни напитки. Сапунджиев Тодор А.), Лозарство и винарство, 1957, 6, № 6, 37—40 (болг.)

Описана технология приготовления трех сладких спиртных напитков. Лечебный коньяк «Пирин» крепостью 40° получают купажем спирта-ректификата, сахара (5%), карамели (0,1%) и спирт. настойки пиринского чая. После купажа необходим отдых для выпадения осадка экстрактивных в-в и для улучшения букета и вкуса. Ликер «Мокко» содержит (в %): спирта 40, сахара 40 и настойки кофе 15,5. Последнюю получают завариванием измельченного кофе с последующей водно-спиртовой экстракцией. Верхний слой идет на ликер «Мокко», а нижний («кофейная масса») в купаж напитка «Кофе-Коктейль», который содержит (в %): спирта 18, сахара 35, кофейной массы 15,5 и 3 яйца на 1 л. Как в ликер, так и в коктейль добавляют конц. ванильную эссенцию.

И. Скурихин

72223. Очистка стеклянных винопроводов. Руднев Н. М. (Курэцкрия кондукторелор де вин. Руднев Н. М.), Грединэртул, вьеритул ши винэртул Молдовей, 1958, № 2, 63 (молд.); Садоводство, виноградарство и виноделие Молдавии, 1958, № 2, 62 (русс.)

Для очистки стеклянных винопроводов сливают вино, промывают трубы водой, заполняют их 0,5%-ным водн. р-ром KMnO_4 и выдерживают ≥ 30 —40 мин. Затем р-р сливают для отстоя и повторной промывки труб, а обработанную линию заполняют 5%-ной HCl и выдерживают ≥ 4 час. (до растворения осадка). После удаления HCl линию промывают чистой водой (45—50°). Способ внедрен на Киевском з-де шампанских вин.

Г. Н.

72224 II. Метод получения внутриклеточного вещества дрожжей. Оли (Verfahren zur Gewinnung des Zellinhalts der Hefe. Ohly Götz). Пат. ФРГ 960982, 4.04.57

Для получения клеточного в-ва дрожжей, не содержащего примесей, применяют в качестве плазмолитизирующего средства Na -глутамат. Плазмолизат обогащен важнейшими аминокислотами и полученный из него дрожжевой экстракт обладает интенсивным запахом, напоминающим запах мяса. Пример. 100 кг прессованных дрожжей измельчают, тщательно смешивают с 2—6 кг моносодовой соли глутаминовой к-ты и смесь подвергают плазмолизу при 33° в течение 48 час., плазмолизат фильтруют или направляют на дальнейшую переработку или консервируют. Плазмолизат имеет приятный вкус и запах. М. Старосельская

72225 II. Способ очистки солодовых напитков, например пива. Ходе (Sätt att rena maltdrycker, såsom öl eller liknande. Hode T. V.) [AB Separator]. Шведск. пат. 153257, 31.01.56

Солодовый напиток сначала центрифугируют (при

5°), затем охлаждают до -2° (чтобы вызвать выпадение белковых и других в-в) и фильтруют при этой же т-ре.

Л. Кондратьева

См. также: Произ-во саке 28285Бх. Соложение ячменя 27618Бх, 28284Бх

ПИЩЕВАЯ ПРОМЫШЛЕННОСТЬ

Редакторы А. М. Емельянов, Г. А. Новоселова, А. Л. Прогорович

72226. Научно-технические вопросы развития пищевой промышленности КНДР. Гим Рян Ха, Хвахак ка хвахак коноп, Ж. химии и хим. пром-сти, 1958, 2, № 2, 112—118 (кор.)

72227. Экономические явления в области технического прогресса пищевой промышленности. Лавтух С. И., Тр. Краснодарск. ин-та пищ. пром-сти, 1957, вып. 17, 95—102

72228. Развитие механизации и автоматизации и некоторые вопросы экономики труда в пищевой промышленности. Заксе (Fortschreitende Mechanisierung und Automatisierung und einige arbeitsökonomische Probleme in der Lebensmittelindustrie. Sachse Ekkehard), Lebensmittel-Ind., 1958, 5, № 4, 159—170 (нем.)

Рассмотрены вопросы: значение механизации (М) и автоматизации (А) для народного хозяйства ГДР, в частности для пищевой пром-сти; М и А рабочего процесса как ступени технич. развития; М мелких предприятий, частичная М, рост производительности труда в произ-ве сигарет вследствие его М, организация поточного произ-ва, переход к полной М и А рабочего процесса (пример консервного произ-ва), развитие М и А и некоторые вопросы оплаты труда.

А. Емельянов

72229. О стабильности l-дегидроаскорбиновой кислоты в водных растворах. Богданский Богданская (Stabilność wodnych roztworów kwasu l-denydroaskorbinowego. Bogdański K. A., Bogdańska H.), Roczn. nauk rolniczych, 1957, A75, № 3, 367—411 (польск.; рез. русск., англ.)

Изучена термостабильность водн. р-ров дегидроаскорбиновой к-ты (I) при конц-ях 4,5 и 9,3 мг % при 0, 15, 30, 50, 70, 75, 80, 90 и 100°. Наиболее стойкие р-ры I при 0° — даже при pH 5,9 содержание I после 6 суток превышало 40% исходного кол-ва, а после 12 суток — 20%. С повышением т-ры стабильность I падает, а с понижением pH повышается. Не обнаружено стабилизирующего влияния добавления молока и плодовых и овощных соков.

Из резюме автора

72230. Микроэлементы в пищевых продуктах. Часть I. Свинец. Полхил. Часть 2. Фтор. Фрид (Trace elements in food. — 1. Lead. Polhill R. D. A. 2. Fluorine. Fryd C. F. M.), Food Manufacture, 1956, 31, № 5, 182—184; № 6, 236—238 (англ.)

72231. Порча пищевых продуктов, бактерий в пище и пищевые отравления. Меррелл (Food-spoilage, bacteria in foods and food poisoning. Murrell W. G.), Refrig. Cold Storage and Air Condit., 1956, 27, № 1, 30, 32 (англ.)

Обзорная статья.

72232. Применение метода Рейнша. Лесса-Бастус (Recentes aplicação do ensaio de Reinsch. Lessa Bastos Milton), Rev. brasil. quim., 1957, 43, № 259, 52, 56, 58—59 (порт.; рез. англ.)

Обзор литературы по вопросу применения метода Рейнша (Journal f. Prakt. Chem., 1841, 24, 224) для микрохим. и спектрографич. определения вредных металлов в пищевых продуктах. Библ. 16 назв. Г. Н.

72233. Консервы для детей. Бонашевский (Konserwy dla dzieci. Bonaszewski Henryk), Przem. spożywcz., 1958, 12, № 4, 126—129 (польск.; рез. русск., англ., нем., франц.)

Рассмотрен ассортимент консервов для детей, экспортированных на конференции в Одессе в 1957 г., а также изготовленных в Польше в конце 1957 г. и предназначенных для детей в возрасте от 3 месяцев до 1 года и от 1 до 4 лет.

Из резюме автора

72234. К вопросу об окислении масла при обжаривании овощей и рыбы. Мальский А. Н., Консервн. и овощесуш. пром-сть, 1958, № 6, 16—18

Установлено, что в окислении масла при обжаривании основную роль играет O_2 воздуха. Способствуют окислению и ускоряют абсорбцию воздуха высокая температура масла, образование пара из влаги продукта, образование пены и ее движение. Влияют также присутствие катализаторов окисления и антиокислителей. Необходимо, чтобы масло и его пена не соприкасались с атмосферным воздухом. Уменьшению окисления масла способствуют также уменьшение поверхности масла в печи, добавление термостойких антиокислителей и удаление катализаторов окисления.

Из резюме автора

72235. Стерилизация облучением. Новый метод консервирования пищевых продуктов. Мийттинен (Säilytysterilointi. Uusi, kokeilun alainen elintarvikkeiden säilöntämenetelmä. Miettinen Jorma K.), Karjalainen, 1958, 34, № 3, 75—77 (финск.)

72236. Консервирование при помощи антибиотиков. Брошан (Conservation par antibiotiques. Brochant Michel), Rev. techn. ind. aliment., 1957, 4, № 40, 40—41, 43, 45 (франц.)

Обсуждается вопрос о возможности консервирования пищевых продуктов или же смягчения условий стерилизации при помощи антибиотиков (А). Применяемые в медицине А для этой цели непригодны. Больше всего подходит субтилин, легко разрушаемый в желудочно-кишечном тракте. Однако он не ингибирует устойчивых спор и может употребляться весьма ограниченно. В целом проблема консервирования пищевых продуктов при помощи А не разрешена.

О. Магидсон

72237. Низин. Нери (La Nisina. Neri Antonio), Latte, 1957, 31, № 5, 341—345 (итал.)

Обзор литературы о низине, продукте обмена в-в у некоторых штаммов *Streptococcus lactis*. Рассмотрены природа низина, его антибиотич. действие, фармакологич. данные, способы определения и применение в сыроварении. Библ. 74 назв.

Л. М.

72238. О возможности и допустимости применения низина в качестве добавки в пищевые продукты. Холл (The permissibility and acceptability of nisin as a food additive. Hawley H. B.), Milchwissenschaft, 1958, 13, № 6, 253—257 (англ.)

Обзор. Библ. 52 назв.

А. П.

72239. Консервирование пищевых продуктов химическими препаратами. Рейт, Моссел (Het verduurzaam door toevoeging van chemische verbindingen. Reith J. F., Mossel D. A. A.), Conserva, 1957, 5, № 12, 353—358 (гол.)

Предыдущее сообщение см. РЖХим, 1958, 6333. К. Г.

72240. Быстрое определение влажности зерна. Гильбо (Le dosage rapide de l'eau dans les grains de céréales. Guilbot A.), Bull. Ecole franc. meunerie, 1957, № 161, 213—220 (франц.)

Дано описание и характеристика применяемых во Франции приборов для определения влажности зерна.

Ю. Малькова

72241. Быстрое определение влажности при помощи аппарата Брабендера. Трогниц (Determinazione dell'umidità con l'apparecchio rapido Brabender.

Trognitz Karl), Selez. tecn. molit., 1958, 9, № 3, 83—85, 88—90 (итал.)

Описаны два варианта метода определения влажности зерна и продуктов его переработки при помощи полуавтоматич. аппарата Брабендера. 10 навесок (измельченного зерна или муки) по 10 г сушат в течение часа при 130° или, при ускоренном определении, в течение 20 мин. при 155°. Оба варианта дают результаты, совпадающие с результатами, получаемыми стандартным методом путем высушивания при 105°. Точность определений $\leq \pm 0,1\%$.

Г. Новоселова

72242. О приборах для определения влажности зерна и зерновых продуктов. Жени (Quelques considérations techniques sur les instruments servant à la mesure de l'humidité des céréales et d'autres substances similaires. Jenny Jean), Publ. Stat. fédér. essais agric., Lausanne, 1957, № 531—538, 827—836 (франц.; рез. англ., нем., итал.)

Описание и характеристика приборов для определения влажности зерна сушкой с применением ИК-лучей, а также по электропроводности и диэлектрич. постоянной.

Ю. Малькова

72243. Скорость проникновения влаги в различные точки поперечного сечения эндосперма увлажненного пшеничного зерна. Кемпбелл, Джонс (Das Eindringen von Feuchtigkeit nach verschiedenen Stellen des Endosperms von genetischen Manitoba-Körnern. Campbell J. D., Jones C. R.), Mühle, 1957, 94, № 48, 628—629 (нем.)

См. РЖХимБх, 1958, 20090.

72244. Мукомольная промышленность и атомная энергия. Дешрейдер (La meunerie et l'énergie atomique. Deschreider A. R.), Bull. Ecole meunerie belge, 1958, 20, № 2, 16—30 (франц.)

Обзорная статья по вопросам: действие ионизирующих излучений на воду, аминокислоты, белковые в-ва, ферменты, углеводы, липиды, а также на зерно и продукты его переработки. Библ. 21 назв. Предыдущее сообщение см. РЖХим, 1958, 55541.

А. Е.

72245. К вопросу определения удельной растяжимости, количества и качества сырой клейковины. Баум А., Синев И., Мукомольно-элеватор пром-сть, 1958, № 5, 18—20

Определение уд. растяжимости (УР) клейковины (К) производят, подвешивая шарик (2,5 г) отмытой К к крышке измерительного цилиндра и растягивая его в теплой воде с помощью 5-г гирьки. Результат выражают делением длины в см, на которую растянулась К, на время ее растяжения в мин. Нормальной считают К с УР 0,4—1 см/мин, крепкой — при УР < 0,4 см/мин, слабой — при УР > 1 см/мин. Определение УР требует 50—70 мин. Для его ускорения исследовано влияние на УР увеличения веса грузика (до 50 г) и 20-мин. отлежки теста. Найдено, что УР К подчиняется одним и тем же закономерностям, независимо от отлежки теста. При увеличении грузика ускоряется растяжение К и уменьшается длина ее растяжения к моменту разрыва. При применении ускоренного метода определения УР К с грузиком 50 г следует считать нормальной К с УР 3—7,5 см/мин, крепкой с УР < 3 см/мин и слабой с УР > 7,5 см/мин. Время определения сокращается до 3—5 мин.

А. Емельянов

72246. Использование и определение инозитгексафосфатов кальция и магния, добавленных к продуктам переработки зерна. Лоренцола (Sur l'emploi et sur la détermination de l'inositohexaphosphate de calcium et de magnésium ajouté à des aliments dérivés des céréales. Lorenzola Franco), Rev. ferment. et inds aliment., 1958, 13, № 1, 23—28 (франц.)

Обсуждается вопрос о применении инозитгексафосфатов Ca и Mg для повышения пищевой ценности ма-

каронных изделий, бисквитов и других мучных продуктов. Приводятся данные о содержании P_2O_5 (фитина) в различных зерновых хлебах и муке, а также способ расчета содержания инозитгексафосфатов Са и Mg, добавляемых к зерновым продуктам. Библ. 74 назв.

А. Емельянов

72247. Оценка степени прорастания зерна с помощью бинокулярной лупы и сравнение с другими методами. Нюре, Шёфтер, Вильм (Evaluation de l'état germination d'un lot de blé à l'aide de la loupe binoculaire et comparaison avec d'autres méthodes. Nuret H., Schoeffter, Willm), Bull. Ecole. franç. meunerie, 1957, № 162, 265—269 (франц.)

Приведено описание и сравнительная характеристика методов определения степени прорастания зерна по состоянию зародыша с помощью обыкновенной и бинокулярной лупы, а также йодной пробы.

Ю. Малькова

72248. Определение сырой клетчатки в хлебных продуктах. Сравнение весового метода по Шарперу и Кюршнеру с ускоренным объемным способом. Рёнебек (Über die Bestimmung der Rohfaser in Getreideerzeugnissen. Vergleich des gravimetrischen Verfahrens nach Scharrer und Kürchner mit einer titrimetrischen Schellmethode. Rönnebeck H.), Ernährungsforschung, 1957, 2, № 3, 523—526 (нем.)

На определение сырой клетчатки объемным методом по Камеру требуется 1,5 часа вместо 5 час. по Шарперу и Кюршнеру. Для серийных анализов второй способ удобнее, так как он позволяет производить одновременно ряд определений. Результаты, получаемые обоими методами, равноценны.

М. Щербакова

72249. Определение остатков 1,2-дихлорэтана в зерне. Соколан, Энгельманова (Sledovanie rezidui 1,2 dichlorethanu v obilí. Szokolay A., Engelmanová R.), Českosl. hyg., 1958, 3, № 2-3, 99—102 (словацк.; реф. русск., англ.)

Описанный метод основан на р-ции $CH_2Cl \cdot CH_2Cl + KOH \rightarrow CH_2=CHCl + KCl + H_2O$ и потенциометрич. титровании 0,01 н. $AgNO_3$. Приведены данные об изменении содержания дихлорэтана в обработанном зерне при размоле на мельнице и в лабор. условиях.

А. Емельянов

72250. Методы вымола оболочек зерна. Стефанский (Metody wymola lusk z ziarnowej. Stefanowski Leopold), Przegl. zboż.-młynarski, 1958, 2, № 3, 80—83 (польск.)

72251. Прибор типа ЦМ-3 для определения коэффициента яркости муки. Таранец А. М., Тр. Научно-техн. о-во мукомольн. и круп. пром-сти и элеват. х-ва, 1958, вып. 6, 152—164

Описана электрич. схема, устройство и недостатки цветомера ЦМ-2, а также электрооптич. схема, конструкция и способ работы с цветомером ЦМ-3. См. также РЖХим, 1958, 37838.

А. Емельянов

72252. Применение йода в исследовании муки и зерна. Джаканелли (Lo iodio nell'esame delle farine e dei grani. Giacanelli E.), Selez. tecn. molit., 1958, 9, № 1, 59—63 (итал.)

Рассмотрено действие α - и β -амилаз на крахмал муки из проросших и здоровых зерен пшеницы при изготовлении хлеба, а также колориметрич. метод (йодная проба) определения качества муки и зерна пшеницы, предложенный Жофруа (см. РЖХим, 1957, 53255).

А. Марин

72253. Переработка кукурузы с выделением зародыша. Кувичко В., Любушкин В., Демидов П., Золотарев С., Мукомольно-элеват. пром-сть, 1958, № 5, 20—24

Описаны схемы помола кукурузы: 1) с предварительным однократным шелушением зерна и размолем за-

родыша, 2) с предварительным 2-кратным шелушением зерна и дополнительной обработкой зародыша на шоточной машине, а также схемы подготовки кукурузы к помолу с отделением зародыша и переработки желтой зубовидной кукурузы на крупу. Приведены технико-экономич. показатели.

А. Емельянов

72254. Определение частиц семян дурмана в гречневой муке методом поляризационной микроскопии. Цая (Polarisationsmikroskopischer Nachweis der Anteile von Stechapfel-Samen im Buchweizenmehl. Czaja A. Th.), Z. Lebensmittel-Untersuch. und -Forsch., 1958, 107, № 3, 217—220 (нем.)

Отличия в строении оболочек и эндосперма семян дурмана (*Datura stramonium*), резко выраженные при микроскопии в поляризованном свете, позволяют легко распознавать примесь этих семян в водн. препаратах гречневой муки. Появление больших жировых пятен (диам. ~ 250 μ) после обработки этих препаратов хлоральгидратом также свидетельствует о присутствии семян дурмана. Приведены микрофотоснимки.

А. Емельянов

72255. Процесс сушки макарон в подвешенном состоянии. Лукьянов В. В., Нетушил Н. Е., Хлебопек. и кондитерск. пром-сть, 1958, № 4, 20—24

На эксперим. установке исследован процесс сушки макарон в подвешенном состоянии в потоке нагретого воздуха, направленном перпендикулярно или параллельно макаронам. Установлены влияние т-ры, относительной влажности и скорости движения воздуха на скорость сушки и зависимость интенсивности сушки от т-ры воздуха при относительной влажности 60—80%. Предложен оптимальный режим сушки, позволяющий за 19—20 час. снизить влажность макарон до 15,3% (абс.) с сохранением их качеств. показателей.

А. Емельянов

72256. Научно-исследовательская работа по хлебопечению в Чехословакии. Вонеш (Die Bäckereiforschung in der Tschechoslowakischen Republik. Voneš František), Bäcker und Konditor, 1958, 12, № 5, 11—13 (нем.)

72257. Газообразующая способность муки из пшеницы Лютесценс 62. Терпугов Д. И., Хлебопек. и кондитерск. пром-сть, 1958, № 4, 12—15

По методу автора (Д. И. Терпугов, Вкусовые пром-сть СССР, 1948, сб. 1, 43) исследован полный цикл брожения теста (мука из пшеницы Лютесценс 62 с удовлетворительной и низкой сахарообразующей способностью). Измерена величина объема CO_2 (по изменению объема теста и $tga = dV/dt$, где V — объем CO_2 , образовавшегося при брожении, t — время) в 3 фазы брожения. Показано увеличение активности брожения при добавлении в тесто 1—5% сахара от веса муки. При большей активности брожения увеличивается и приращение объема теста (dV), что указывает на связь газодерживающей способности с газообразующей способностью теста. Установлена более высокая сахарообразующая способность пшеницы Лютесценс 62 северных районов СССР и связанная с ней большая активность брожения теста.

А. Емельянов

72258. Влияние проросших зерен на хлебопеченное достоинство пшеницы. Жофруа (Action des blés germés à la panification. Geoffroy R.), Bull. Ecole franç. meunerie, 1957, № 162, 271—275 (франц.)

Изучен механизм действия α -амилазы в прорастающем зерне, ведущего к ухудшению его хлебопеченных качеств. Показано: распределение α -амилазы в различных частях зерна при 5-дневном проращивании, влияние добавления проросших зерен (до 6%) к нормальным зернам на вязкость теста (по Бранднеру) и образование мальтозы α - и β -амилазами при различных т-рах. Приведены данные анализа различных обра-

еннем
на ще-
уруны
и жел-
едены
ьянов
рече-
копи.
в дет
mehl.
und
семян
е при
т лег-
пара-
ровых
впара-
искус-
твенны
ьянов
со-
Хло-
24
суши
рето
пара-
отно-
на
суши
80%
ющий
15,3%
ьянов
ебоне-
teifor-
Vo-
8, 12
шени-
ек. и
слова
пили
62 с
и спо-
нимо-
СО₂
фазах
кени
муки
аается
ет на
азу-
сока
сцен
ытала
ьянов
арное
ble
Bull.
—275
стан-
раны
злич-
вли-
мал-
и об-
чны
браз-

нов муки из проросшего зерна, а также рекомендации по приготовлению хлеба из подобной муки. А. Е. 72259. О количестве закваски при современном при-
готовлении теста. Пельсхенке (Über den Vollsa-
meranteil bei der gegenwärtigen Brotherstellung.
Pelschenke P. F.), Brot und Gebäck, 1958, 12, № 4,
77—80 (нем.)

Кол-во закваски (3) при приготовлении теста влияет на разрыхленность, структуру пор, качество корки и особенно на вкус хлеба. За последние 25 лет в Герма-
нии наблюдается снижение кол-ва 3, вносимой в тесто. В связи с этим снизилась и кислотность (K) хлеба из
ржаной муки. В 1930 г. средняя K равнялась 12°, а
в настоящее время в тех же сортах хлеба K равна 8°
(предпочитают более мягкий вкус хлеба). Северные
районы страны потребляют более кислый хлеб, чем
южные. При выработке ржаного хлеба с мягким вку-
сом из муки нормального качества 3 составляет 40%,
при переработке муки из проросшего зерна — 50%.
При выработке ржано-пшеничного хлеба с 50% 3
получается нормальный хлеб, с 40% — хлеб с более
мягким вкусом, а с 60% — с более резким вкусом.
При выработке хлеба из муки, смолотой из проросше-
го зерна, кол-во 3 доходит до 70%. Пшенично-ржаной
хлеб с 50% 3 получается нормальным, а с 60—70%
приобретает более ясно выраженный аромат. Боль-
шее кол-во 3 используют при выпечке хлеба из более
темных сортов муки, из свежесмолотой муки и муки
из проросшего зерна. Превышение установленного
кол-ва 3 ведет к снижению выхода теста и хлеба, по-
лучению более плотного мякиша и сильному потем-
нению корки.

Н. Смолина
72260. Ускоренный способ приготовления хлеба на
сухих заквасках. Столярова Л. Ф., Щербатен-
ко В. В., Хлебопек. и кондитерск. пром-сть, 1958,
№ 4, 6—8

Для приготовления ржаного и пшеничного хлеба в
течение 2—2,5 час. использованы сухие закваски (3).
На жидком полуфабрикате (влажность 65—68%) с
кислотностью 18—20° замешивали густую (влажность
32—33%) 3, выбраживали ее при 30—32° до кислот-
ности 23—25° для ржаной, 17—20° для пшеничной (из
обойной муки) и 15—17° для пшеничной 3 из муки
II сорта и выпрессовывали на шнековом прессе в виде
вермишели, последнюю высушивали 4 часа до
11—12%-ной влажности при 32—35°, при скорости воз-
духа 3 м/сек и относительной влажности 50% и раз-
малывали в порошок (проход через сито 67—95%).
Кислотность сухой 3 соответственно: 38—40°, 28—30°
и 22—25°. Установлена хорошая сохранность сухих
3 в обычных складских помещениях в течение ≥ 6 ме-
сяцев и при —2°. При повышенной т-ре (35°) и отно-
сительной влажности воздуха 95% образуется постор-
онный запах. Приведена рецептура и технологич. ре-
жим приготовления ржаного, пшеничного и смешан-
ного ржано-пшеничного хлеба на сухой 3.

А. Емельянов
72261. Аромат хлеба. Уайзблатт (The flavour of
bread. Wiseblatt Lazare), Australas. Baker and
Millers' J., 1958, 61, № 2, 45—46 (англ.)
См. РЖХим, 1958, 16027.

72262. Использование муки из тапиоки и обезжирен-
ной арахисной муки в смеси с пшеничной мукой для
приготовления чапати и пури (индийских хлебных
изделий). Субрахманьян, Чандирамани,
Раджагопалан, Бхатия, Свамианатхан
(Utilization of tapioca flour and low fat groundnut
flour admixed with wheat flour for the preparation of
chappatti and poori. Subrahmanyan V., Chan-
diramani S. V., Rajagopalan R., Bhatia
D. S., Swaminathan M.), Food Sci., 1958, 7, № 1,
4—6 (англ.)

При приготовлении чапати (25 г теста раскатывают
в лепешку diam. ~ 100 мм и пекут на горячей плите
до высушивания и слегка коричневого окрашивания)
и пури (15 г теста раскатывают в лепешку diam.
61,5 мм и поджаривают в ванаспоти до легкого поко-
ричнения) можно применять вместо пшеничной му-
ки: 1) 75 г пшеничной муки + 25 г муки из тапиоки,
2) 70 г пшеничной муки + 25 г муки из тапиоки + 5 г
арахисной муки, 3) 85 г пшеничной муки + 15 г а-
рахисной муки.

А. Емельянов
72263. Использование пахты при производстве пи-
щевых продуктов. Сухая кислая пахта. Кинтеску
(Valorificarea zarei in produse alimentare. Zara acidă
uscată. Chintescu Gh.), Rev. ind. aliment. prod.
animale, 1957, № 8—9, 17—19 (рум.)

Кислотнос. пахты повышают до 65—70° Т либо
обычным сбраживанием (при 40°, до 2 час.) при по-
стоянном помешивании, либо добавлением к ней после
предварительной пастеризации (85°) молочнокислых
бактерий. В обоих случаях пахту после сбраживания
стерилизуют (85°) с последующим упариванием в
вакуум-аппаратах при 55—60° до уд. в. 1,08—1,09 (50°)
и кислотности 240—250° Т, либо сушат в распылитель-
ной сушилке (75°). Хлеб с добавлением сухой кислой
пахты (5—10%) имеет хороший вкус, питателен и
особенно полезен при болезнях сердца и почек.

А. Марин
72264. Лаборатория в хлебопекарном и бисквитном
производствах. Одо (Le laboratoire dans les indu-
stries de la panification et de la biscuiterie. Hodeau
J.), Rev. techn. ind. aliment., 1957, 5, № 48, 97—99,
№ 49, 95—97 (франц.)

Значение лаборатории для произ-ва, оборудование,
определение влажности, минер. в-в, крупноты и сорт-
ности муки, а также пластич. и механич. свойств
теста. Приведены фотоснимки и описание приборов.
Р. Реутов

72265. Определение пальмитата ситостерина как ме-
тод исследования теста из твердого зерна. Лапорта
(La ricerca del palmitato di sitosterolo come me-
todo di riconoscimento delle paste di grano duro.
Laporta Luciano), Italia e cereali, 1958, 13,
№ 1,—2, 38, 41; Boll. lab. chim. provinc., 1958, 9, № 1,
100—106 (итал.)

72266. Специализация и механизация предприятий
Сталинского треста хлебопекарной промышленности
УССР. Гейман М. Е., Хлебопек. и кондитерск.
пром-сть, 1958, № 4, 1—2

72267. Теплофизические характеристики материалов
подилов хлебопекарных печей. Беликов Н. В.,
Лагузина И. М., Фогель В. О., Хлебопек. и кон-
дитерск. пром-сть, 1958, № 4, 3—6

72268. Технологическая схема приготовления бара-
ночных изделий при применении оппарки тестовых
заготовок паром. Шарова Г. В., Хлебопек. и кон-
дитерск. пром-сть, 1958, № 4, 40—41

На основе опыта работы Кисловодского и Пятигор-
ского хлебокомбинатов предложена технологич. схема
приготовления теста для баранок без расстойки перед
выпечкой. Тесто ставят на опаре, которую готовят на
жидких дрожжах. Влажность опары 38—40%, началь-
ная т-ра 27—28°, продолжительность брожения 6—
8 час. (до достижения кислотности 5—5,5°), подтем-
ная сила 16—25 мин. Кол-во опары к весу муки, до-
бавляемой при замесе теста: для простых баранок
20%, для сладких, ванильных и сахарных 25—30%,
для сушек простых 20—22%, для сушек ванильных
35—40%. Влажность теста для баранок 32—34%, для
сушек ванильных 30—31%. Начальная т-ра теста для
баранок 29—32°, для сушек ванильных 32—34°. После
замешивания тесто поступает в натирочную машину,
затем на 15—25 мин. в отлежку, после которой его ре-

жуг на части весом по 10—12 кг и формуют в машине. Сформованные кольца укладывают на дырчатые листы и без расстойки обрабатывают в шкафах паром (при давл. 0,6—0,7 атм пропарка длится 3—4 мин.), после чего они поступают на выпечку при 210—230°, которая заканчивается для баранок за 15—20 мин., для сухек за 13—15 мин. Отмечается хорошее качество изделий, приготовленных по этой схеме. См. также РЖХим, 1957, 75954. А. Емельянов

72269. Механизация паровой ошпарки бараночных изделий. Ицкович Я. С., Хлебопек. и кондитерск. пром-сть, 1958, № 4, 9—11

Описание и схема установки для ошпарки насыщ. паром тестовых бараночных колец, разработанной ВНИИХП на основе работы предприятий Ставропольского, Московского и других трестов хлебопечения. Установка сконструирована применительно к производительности печи ФТЛ-2 с 24 люльками. Продолжительность ошпарки 1—2 мин. А. Емельянов

72270. Способы производства кондитерских изделий. XXVII—XXXI. Донк (Handleiding bij de fabricage van suikerwerk. XXVII—XXXI. Donk A. B.), Cacao, chocolade, suikerwerken, 1957, 25, № 9, 348—349; № 10, 420—422; № 11, 453—454; № 12, 490—492, 1958, 26, № 1, 34 (гол.). Часть XXVI см. РЖХим, 1958, 30589

72271. Ферментация бобов какао. Пиньеу-да-Фонсека (A propos de la fermentation du cacao. Pinheiro da Fonseca), Rev. techn. ind. aliment., 1957, 4, № 46, 86—87, 89, 93 (франц.)

Отмечается невозможность улучшения цвета и аромата бобов какао сорта Форастеро путем ферментации практикуемыми методами. Качество их следует улучшать при помощи селекции, изменения условий выращивания и совершенствования методов ферментации. Б. К.

72272. Причины поседения шоколадных изделий. I. Рашиперова (Příčiny šedivění čokoládových výrobků. I. Rašperová J. Jaroslava), Listy cukrovarn., 1958, 74, № 5, 110—114 (чешск.) Обзор. Библ. 27 назв. Г. Н.

72273. Питательная ценность гороха. Гишпанская, Заленский, Ритчинская-Скопечная, Каркоха, Хойницкая, Болякевич (Wartość odżywcza grochu (Pisum sativum L.). Hiszpańska Cecylia, Załęski Jan, Rutczyńska-Skopieczna Eugenia, Karkocha Inocentyna, Chojnicka Barbara, Bojankiewicz Maria), Roczn. Państw. zakł. hig., 1958, 9, № 1, 23—28 (польск.; рез. русск., англ.)

В 49 пробах сухого гороха найдено в среднем (в %): влаги 11,6, белка 23,8, углеводов 55, жира 1,2, клетчатки 5,6, золы 2,8, фосфора 411 мг%, кальция 116 мг%, железа 6,3 мг%, калорийность 348 ккал.

Из резюме автора
72274. Содержание капсаицина и аскорбиновой кислоты в плодах красного перца (*Capsicum annuum* L.) на разных стадиях созревания. Борковский, Гертинг, Ольшак (Zawartość kapsaicyny i kwasu l-askorbinowego w owocach pieprzowca (*Capsicum annuum* L.) w różnych stadiach dojrzewania. Borkowski Bogusław, Gertig Henryk, Olszak Marian), Acta polon. pharm., 1957, 15, № 4, 283—288 (польск.)

72275. Применение йодатного метода Баллантайна для определения аскорбиновой кислоты в плодах и овощах и продуктах их переработки. Рыхлик, Федоровская (Zastosowanie metody jodanowej wg Ballantine do oznaczania kwasu askorbinowego w owocach, warzywach i ich przetworach. Rychlik Mieczysław, Fedorowska Zofia), Roczn.

Państw. zakł. hig., 1958, 9, № 1, 61—74 (польск.; русск., англ.)

Метод Баллантайна (Ind. Chem. Anal. Ed., 1941, 43, 89) для определения содержания аскорбиновой кислоты в цитрусовых соках модифицирован для анализа различных плодов и овощей и продуктов их переработки.

Из резюме автора
72276. Производство и хранение чернослива. Лонгессер (Qualité conservation, conditionnement, vente directe chez le producteur. Longuesserre M.), Lot-et-Garonne agric. «Cahiers», 1958, 12, № 57, 1389, 1391 (франц.)

Изложение основных правил культивирования, сбора, сушки и хранения чернослива. Т. Сабурова

72277. Производство сушеной тыквы и цветной капусты. Морозенский Л. М., Грановская Р. Я., Консервн. и овощесуш. пром-сть, 1958, № 6, 26—29

В бланшированной паром и высушенной тыкве сохраняется 72,2% исходного кол-ва каротина и каротиноидов, органолепич. свойства сушеного продукта улучшаются. Оптимальный режим сушки на сушилке ПКС-20 бланшированной нарезанной столбиками тыквы: нагрузка на верхнюю ленту 12,3 кг/м², скорость движения первой ленты (в м/мин) 0,170, второй 0,112, третьей 0,085, четвертой 0,068, продолжительность сушки 207 мин., давление пара перед 1-м калорифером 2 атм, т-ра воздуха над первой лентой 52°, над второй 50°, над третьей 36°, над четвертой 28°, относительная влажность отработанного воздуха 36%, влажность продукта, поступающего в сушилку, 94,7%, выходящего из сушилки 13,5%, производительность сушилки 215 кг сухого продукта в сутки. Продолжительность разваривания сушеной тыквы 6 мин., коэф. набухаемости 5,2, поджаренных частиц нет, дегустационная оценка рисовой каши с тыквой 4,8 балла. При бланшировании паром цветной капусты в сухом продукте сохраняется 60% исходного содержания аскорбиновой кислоты, снижаются потери сухих в-в и сахара, обеспечивается полная инактивация окислительных ферментов, ускоряется сушка и улучшаются кулинарные свойства сушеного продукта. Приведен режим сушки бланшированной паром цветной капусты на сушилке ПКС-20. Г. Н.

72278. Колориметрическое определение изменения цвета сушеной капусты и моркови. Алфутова Е. П., Бугрова Л. Н., Консервн. и овощесуш. пром-сть, 1958, № 6, 38—40

Измельченную навеску сушеной капусты (с содержанием 2,5 г сухих в-в) или моркови (с содержанием 4,5 г сухих в-в) экстрагируют 2 часа с взбалтыванием водно-спирт. смесью (1:1), отфильтровывают экстракт и колориметрируют в компараторе, сравнивая интенсивность цвета с йодной шкалой и выражая результаты в γ J₂ на 1 мл р-ра. Приведены результаты изучения этим методом изменений цвета сушеной капусты и моркови, а также данные о содержании в ней каротина в процессе хранения в течение 24—24,5 месяцев. Установлено, что цвет сушеной капусты I сорта (по ГОСТ 7586-55 белый или светло-желтый) соответствует 10 γ J₂ в 1 мл, цвет сушеной капусты II сорта 10—30 γ J₂ в 1 мл экстракта. При показателе йодной шкалы > 50 γ J₂ в 1 мл сушеная морковь не соответствует по цвету стандарту. При оценке качества сушеной моркови необходимо определять и содержание каротина, которое должно быть ≥ 25 мг% (на сухое в-во). А. Емельянов

72279. Новый способ варки варенья в вакуум-аппаратах. Песне Я. Д., Коломейченко В. А., Консервн. и овощесуш. пром-сть, 1958, № 6, 11—12

Сливы первого сбора накальвали, бланшировали до коричневого оттенка кожицы, заливали 60%-ным сиропом из расчета 1 кг сиропа на 1 кг слив и выде-

и вали перед варкой 6—7 час. Из остального кол-ва сахара готовили 70—73%-ный сироп, заливали в вакуум аппарат ВНИИКОП-2 и загружали плоды с сиропом. Содержание сухих в-в перед варкой: в сиропе 41—43%, в плодах 27—29%. Первую варку проводили в течение 5 мин. при разряжении 200 мм рт. ст. и давлении греющего пара 0,5 атм, охлаждали в течение 10 мин. при 400 мм рт. ст., вторую варку проводили в течение 5 мин. при 200 мм рт. ст. и 0,5 атм, охлаждали в течение 10 мин. при 400 мм рт. ст., третью варку проводили в течение 5 мин. при 400 мм рт. ст. и 0,5 атм, охлаждали 10 мин при 400 мм рт. ст., четвертую варку проводили в течение 7 мин. при 400 мм рт. ст. и 2,0 атм и охлаждали в течение 10 мин. при 400 мм рт. ст. После четвертой варки добавляли 200 г лимонной или виннокаменной к-ты в виде 40%-ного р-ра. Если после четвертого охлаждения содержание сухих в-в в сиропе было низким, проводили пятую варку в течение 5—10 мин. Варку заканчивали, когда содержание сухих в-в в сиропе достигало 71—72%. При варке варенья из полностью созревших слив продолжительность бланширования сокращали до 1 мин., заливали равным кол-вом сиропа и выдерживали в течение 5 час., кол-во добавляемой к-ты увеличивали до 400 г и вносили ее после третьей варки. Г. Н.

72280. Обнаружение добавок вишен, слив, абрикосов, персиков, черной и красной смородины в варенье и мармеладе. Ца я (Der Nachweis von Kirsche, Pfäume, Aprikose, Pfirsich, Schwarzer, und Roter Johannisbeere in Konfitüren und Marmeladen. Czaja A. Th.), Industr. Obst-und Gemüseverwert., 1958, 43, № 8, 153—156 (нем.). См. РЖХим, 1957, 29017.

Т. Сабурова

72281. Режимы бланширования яблок, груш, айвы и слив в зависимости от их кислотности. Позин Ш. А., Консервн. и овощесуш. пром-сть, 1958, № 6, 8—10.

Установлено, что развариваемость плодов коррелирует с их титруемой кислотностью вследствие гидролиза пектиновых в-в под влиянием органич. к-т и т-ры. Различные помологич. сорта яблок, груш, айвы и слив разделены на 3 группы: разваривающиеся, полуразваривающиеся и неразваривающиеся. Разработаны режимы бланширования в зависимости от кислотности плодов. Напр., разваривающиеся яблоки с кислотностью $\geq 0,68\%$ бланшируют при 80—85° в течение 4—6 мин., полуразваривающиеся с кислотностью 0,47—0,67% при 90—95° в течение 3—5 мин., неразваривающиеся с кислотностью $\leq 0,46\%$ при 100° в течение 10—15 мин. Рекомендуются режимы применимы только для бланширования плодов технич. (консервной) зрелости и должны уточняться для отдельных помологич. сортов. Г. Н.

72282. Определение сорбиновой кислоты в консервах из растительного сырья. Порретта (La determinazione dell'acido sorbico nelle conserve di origine vegetale. Porretta Antonino), Ind. conserve, 1958, 33, № 1, 8—10 (итал.; рез. англ., нем.).

Модифицирован спектрофотометрич. метод Мельника и Лакмана (см. РЖХим, 1957, 6650). Пробу перед дистилляцией подкисляют H_2SO_4 для перевода сорбиновой к-ты (I) в недиссоциированную форму. Из дистиллата I извлекают эфиром, а из него р-ром NaOH. Таким путем I отделяют от в-в, мешающих спектрофотометрированию. Резюме автора

72283. Новые универсальные автоматические наполнители. Орлов П. И., Консервн. и овощесуш. пром-сть, 1958, № 5, 11—17.

Описаны автоматич. консервные наполнители КНЕ, КНЦ и КНУ, представляющие собой карусельные ав-

томаты непрерывного действия с объемным дозированием, различающиеся лишь конструкцией разливочных головок. Г. Н.

72284. О производстве виноградного сока в Молдавии. Череп И. И. (Деспре родучеря сукулуд де поамэ ын Молдова. Череп И. И.), Градинаритул, виеритул ши винэриул Молдовой, 1958, № 2, 65 (молд.); Садоводство, виноградарство и виноделие Молдавии, 1958, № 2, 64 (русс.).

72285. Хранение концентрата апельсинового сока при различных температурах. Гарсия-Альварес, Ройо-Ирансо, Примо-Юфера (Conservación a diversas temperaturas del zumo de naranja concentrado. García Alvarez R., Royo Irazzo J., Primo Yúfera E.), Rev. cienc. apl., 1958, 12, № 1, 26—30 (исп.).

В процессе хранения пастеризованного концентрата в жестяных банках изучены изменения вкуса и цвета и содержания аскорбиновой к-ты, а также накопление редуцирующих сахаров в результате инверсии сахарозы. Интенсивность этих процессов снижалась в случае хранения при 0—5° в течение 6 месяцев. Практически не менялось качество концентрата, хранившегося в течение года при —10, —15°. Г. Новоселова

72286. Сливовые соки. Сообщение I. Шаллер, Заллер (Pflaumensaft (Zwetschkensaft). Eine umfassende Darstellung unter besonderer Berücksichtigung eigener Versuchsergebnisse. I. Mitt. Schaller Alfred, Saller Walter), Fruchtsaft-Ind., 1958, 3, № 2, 45—62, 42 (нем.; рез. англ., франц.).

Приведены цифровые данные по урожаю слив в Европе, обсуждены возможности произ-ва сливового сока. Изложены данные по изучению хим. состава сырья и зависимости качества сока и технологии его произ-ва от сорта слив, степени зрелости и их хим. состава. Из резюме авторов

72287. Производство апельсиновых и других плодовых напитков на молочных заводах. Часть 2. Битти (Production of orange and other fruit beverages by the dairyman. Beattie G. B.), Dairy Engng., 1957, 74, № 5, 134—136 (англ.).

Обзор. Библ. 43 назв. Часть 1 см. РЖМаш, 1958, 10895.

72288. Рефераты докладов австрийских представителей на XIV Международном конгрессе по молочному делу (Kurzfassungen der österreichischen Beiträge zum XIV. Internationalen Milchwirtschaftskongress. Rom, 24. bis 28. Sept. 1956. Milchwiss. Ber., 1956, 6, № 3, 115—195 S.) (нем.).

72289. О механическом загрязнении молока. Рёдер (Über den Milchschnitz. Roeder Joh.), Dtsch. Molkerei-Ztg., 1957, 78, № 4, 91—92 (нем.).

Рассмотрены источники механич. примесей, вызываемые ими пороки и мероприятия для их предупреждения и удаления. Основные источники: грязный и кожно-волосной покров коров, пыль в коровнике, нечистая посуда и выделения больных животных. Примеси должны быть тщательно отфильтрованы немедленно после дойки, иначе они становятся очагами быстрого развития микроорганизмов, которые вызывают распад белка и молочного сахара с образованием газов, придающих молоку неприятный привкус и запах. Этот порок не исчезает и после пастеризации. При приеме молока на заводе механич. примеси скопляются на фильтрующем сите и при опорожнении следующей фляги частично измельчаются и проходят через сито. Для избежания этого рекомендуется спец. устройство. Приемная воронка состоит из двух частей — верхней бездонной и нижней, со дна которой молоко по трубе

поступает в люльку молочных весов. Между двумя частями воронки движется бесконечной лентой фильтрующее сито, натянутое на два валика, которые вращаются от небольшого электромотора. Сито и валики смонтированы в ванне. В ее нижней части между валиками имеются форсунки, которые струями горячей и холодной воды смывают механич. примеси с сита на его обратном ходу. Приведена схема устройства.

М. Бенсон

72290. Технологическая характеристика молока, имеющего в свежем виде ненормальную кислотность. Ломунов А., Сапрыгин Г., Молочн. пром-сть, 1957, № 7, 12—14

Исследована пригодность молока повышенной (МВК) и пониженной кислотности (МНК) для произ-ва кисломолочных продуктов, масла и сгущенного молока. Установлено, что свежее МВК содержит несколько больше солей, кальция и белков и меньше хлоридов, чем молоко нормальной кислотности. МНК характеризуется противоположными показателями. МВК при сквашивании чистыми культурами молочнокислых бактерий образует плотный однородный сгусток и вполне пригоден для произ-ва кисломолочных продуктов. МНК сквашивается медленнее, образуя слабый сгусток, и является менее благоприятной средой для развития ароматообразующих бактерий. Повышенная (23°) и слегка пониженная (15°) кислотность свежего молока не оказывает отрицательного влияния на процесс сбивания и качество сладкосливочного масла. Свежее молоко с кислотностью до 23° и МНК пригодны для произ-ва сгущенного молока; при переработке свежего молока с кислотностью > 23° требуется введение солей-стабилизаторов. МНК имеет резко выраженную сычужную вялость, которая устраняется повышенными дозами CaCl_2 . МВК свертывается сычужным ферментом лучше, чем молоко нормальной кислотности.

А. Прогорович

72291. Питательная ценность сливок, цельного и обезжиренного молока. Далла-Торре (Considerazioni sul valore alimentare del latte intero, del latte magro e della crema di latte. Dalla Torre Giovanni), Igiene mod., 1957, 50, № 1-2, 63—80 (итал.; реф. англ., нем., франц., эсперанто)

Рассмотрен хим. состав и калорийность сливок и молока.

А. П.

72292. Изучение физико-химических свойств молока. Часть VI. Вязкость молока при добавлении аммиака. Пури, Гупта (Studies in physico-chemical properties of milk. Part VI. Viscosity of milk on the addition of ammonia. Puri Balwant Rai, Gupta Harkrishan Lal.), Indian J. Dairy Sci., 1955, 8, № 3, 100—107 (англ.)

Исследовано изменение вязкости молока при добавлении р-ров аммиака разных конц-ий. Найдено, что окончательная вязкость молока не зависит от конц-ии р-ра, а определяется продолжительностью стояния смеси и содержанием белков в молоке. Разработан метод определения содержания белков в молоке: к 90 мл цельного или обезжиренного молока добавляют 10 мл 2 н. аммиака и в течение 2 час. встряхивают смесь. Вязкость смеси определяют вискозиметром Оствальда при 30°. Процентное содержание белков вычисляют по эмпирич. ф-лам: для обезжиренного молока: $Y = 1,369x^2 - 0,636x + 8,547$, для цельного молока $Y = x(100d - f)/100d$, где Y — вязкость смеси, x — кол-во белков в г на 100 мл, f — процент жира, d — уд. вес жира (0,936). Результаты, полученные по разработанному методу, близки к данным метода Кьельдаля. Ч. V см. РЖХим, 1958, 37938 Д. Поливода

72293. Консервирование молока и молочных продуктов облучением. IV. Побурение, вызываемое облучением, и некоторые связанные с ним химические из-

менения в молоке. Уэртхейм, Проктор, Голдблит (Radiation preservation of milk and milk products. IV. Radiation-induced browning and some related chemical changes in milk. Wertheim J. H., Proctor B. E., Goldblith S. A.), J. Dairy Sci., 1956, 39, № 9, 1236—1246 (англ.)

Изучена природа изменений, возникающих в молоке после облучения. Ионизирующее облучение увеличивает чувствительность молока к побурению, которое возникает через несколько минут при нагревании до 100°. Интенсивность побурения, определяемая по изменению оптич. плотности $\Delta\epsilon$, возрастает с увеличением дозы облучения. Исследованием модельной системы лактоза-казеин в фосфатном буферном р-ре (рН 6,7) установлено, что побурение обусловлено присутствием карбонильных соединений. Наблюдается 2 типа р-ций неферментативного побурения: р-ция Майара, вызывающая флуоресценцию в УФ-свете, и карамелизация в отсутствие аминокислот без появления флуоресценции. Образование фурана не наблюдается, но предполагается образование редуктоноподобных в-в. Часть III см. РЖХим, 1958, 16112.

Б. Хавкина

72294. Качество питьевого и сырого молока. Томе (Consumptionsmjölkskvalitet och råvarukvalitet. Thome Karl Erik), Livsmedelsteknik, 1956, 4, № 5, 147—153 (шведск.)

Подробно изучены влияние бактериальной флоры на стойкость питьевого молока (микробиология сырого молока, виды и развитие бактерий, вызывающих пастеризацию, повторная инфекция молока на различных стадиях переработки, зависимость стойкости питьевого молока от бактериальной флоры). Установлено, что кол-во бактерий и изменение вкуса молока не имеет прямой связи, порча молока зависит не столько от числа, сколько от вида бактерий (напр., *Microbacterium* даже в больших кол-вах заметно не снижают качество молока, тогда как небольшое кол-во *Escherichia*, *Pseudomonas* существенно влияет на качество молока). Изменение вкуса и снижение стойкости молока вызывают бактерии, быстро развивающиеся в условиях хранения.

Л. Кондратьева

72295. Методы контроля в молочной лаборатории. Джексоны (Metodi di controllo nel laboratorio di latteria. Jackson E.), Latte, 1958, 32, № 3, 177—179 (итал.)

Рассмотрены методы контроля качества молока. Описаны методы определения фосфатазы в пастеризованном и стерилизованном молоке (J. Dairy Res., 1935, 6, 191; 1949, 16, 58). Библ. 17 назв.

А. Марин

72296. Ускоренный метод определения количества белков в молоке. Ездакова О. Д., Докл. Всес. конф. ферментации по молочн. делу. М., Сельхозгиз, 1958, 410—412

Проведено сравнительное испытание метода Кофран и метода Кьельдаля. Установлено, что первый пригоден для определения кол-ва белка в свежем и консервированном молоке и непригоден для анализа скисшегося молока и молока животных других видов. В этом случае требуются поправочные коэффициенты.

Г. Н.

72297. Метод определения пероксидазы в молоке. Оранд, Робертс, Кардуэлл (A method for the estimation of peroxidase activity in milk. Auran L. W., Roberts W. M., Cardwell J. T.), J. Dairy Sci., 1956, 39, № 5, 568—573 (англ.)

Разработан быстрый и чувствительный метод определения пероксидазы, основанный на окислении л-фенилендиамина (I) лактопероксидазой в присутствии H_2O_2 (II). Интенсивность развивающейся окраски пропорциональна времени. В пробирку для колориметрирования вносят 40 мл дистил. воды, 0,1 мл молока и 0,5 мл 2%-ного р-ра I, перемешивают, до-

добавляют 0,1 мл 0,3 н. р-ра II и вновь перемешивают. Делают 5 отсчетов с интервалами в 30 сек. на колориметре Луметрона с фильтром 490 мμ. Для определения поферментативного окисления анализ делают в каждом исследуемом образце, как описано выше, за исключением добавления II. Для контрольного определения готовят каждые 10 мин. свежие пробы смешиванием 0,1 мл II и 0,5 мл I с 40,1 мл дистил. воды. Пероксидазная активность сравнивается со стандартной кривой окисления р-ра I.

72298. Изучение проницаемости для микроорганизмов бумажной тары «Tetra-Pak», применяемой для разлива молока. Мазони, Бисбини (Ricerche sulla resistenza offerta dall'involucro per latte «Tetra-Pak» alla penetrazione dei microrganismi. Masoni Sandro, Bisbini Pierluigi), Latte, 1956, 30, № 7, 494 (итал.)

Установлено, что бумага, применяемая для изготовления упаковки «Tetra-Pak», непроницаема для микроорганизмов (*Pseudomonas aeruginosa* и *Serratia marcescens*), а также бактериофага, активного против *Escherichia coli*, и, по-видимому, вирусов. Опытами погружения на 1—2 суток при 37° установлена непроницаемость швов упаковки для жидкостей. Предыдущее сообщение см. РЖХим, 1958, 65872.

72299. Определение содержания аскорбиновой кислоты в пастеризованном молоке, хранящемся в бумажной упаковке «Tetra-Pak» и в стеклянных бутылках. Даульяни, Зброцци (Determinazione del contenuto in vitamina C nel latte pastorizzato conservato in recipienti Tetra-Pak ed in bottiglie di vetro. Zulliani F., Sbrozzi M.), Latte, 1956, 30, № 7, 497—500 (итал.)

Изучены изменения содержания аскорбиновой к-ты (I) в пастеризованном молоке в зависимости от условий его хранения и вида тары. В молоке, хранившемся в открытых бутылках на свету, через 9 час. кол-во I сократилось на 88%, в упаковке «Tetra-Pak» на 14%; через 31 час — соответственно на 95,2 и 48%, в закрытой таре при тех же условиях освещенности и т-ры кол-во I сократилось через 9 час. соответственно на 83,3 и 8% и через 31 час на 91,7 и 41,1%. Хорошие результаты получены при хранении молока при 0° в темноте. Упаковка «Tetra-Pak» в сравнении со стеклянными бутылками дает большую гарантию сохранения. См. пред. реф.

72300. Возможность заражения микробами пастеризованного молока в бумажной упаковке «Tetra-Pak» и стеклянных бутылках после вскрытия тары. Мазони, Даульяни, Ди-Белла, Зброцци (Entità dell'inquinamento del latte pastorizzato confezionato in Tetra-Pak od in bottiglie di vetro, in seguito all'apertura dei recipienti. Masoni S., Zulliani F., Di Bella A., Sbrozzi M.), Latte, 1956, 30, № 7, 501—504 (итал.)

Установлено, что применение упаковки «Tetra-Pak» значительно снижает возможность внесения микрофлоры в молоко при вскрытии тары и его выливания из нее. См. пред. реф.

72301. Применение чистых культур в молочном производстве. Шутич (Primena čistih kultura u mlekarstvu. Sutić Marija), Mljekarstvo, 1958, 8, № 2, 35—36 (сербо-хорв.)

72302. Усовершенствование процесса стандартизации сметаны. Зенькович В., Луданова А., Молочн. пром-сть, 1957, № 10, 19—21

Краткое описание нового способа стандартизации сметаны восстановленными сливками, изготовляемыми из цельного молока, пластич. сливок или сливочного масла и сухих сливок или сухого цельного (можно обезжиренного) молока. Жирность восстановленных

сливок рассчитывают с учетом жирности исходной сметаны и готового продукта.

72303. Производство кефира на заводе I.C.I.L. в Бухаресте.— («Chefirul», un nou sortiment produs de către I.C.I.L. București.—), Rev. ind. aliment. prod. animale, 1957, № 8—9, 31 (рум.)

К охлажденному (18—20°) пастеризованному молоку добавляют 8% кефирной закваски и разливают его в бутылки на 250 мл (герметически закрывающиеся пробками из натурального каучука, подобными пробкам для склянок с пенициллином) с последующими брожениями при 20—22° (20—24 часа) и при 10° (20—24 часа). Кефир содержит: спирта 0,4—0,6%, молочной к-ты 0,8—0,9%.

72304. Автомат для расфасовки и упаковки творога. Харитонов Д., Молочн. пром-сть, 1957, № 10, 16—18

Описание устройства и техники работы опытного образца автомата для расфасовки (по 0,5 кг) и упаковки творога марки «ОФЗ» производительностью 500 кг/час., сконструированного Центральным конструкторским бюро Продмаш. Производственные испытания автомата показали, что его коэф. использования по времени составляет 75—80%, что соответствует производительности 750—800 пакетов в час; брак не превышает 0,3%; точность дозировки по весу ± 10 г (2%). Установку обслуживает 5 человек.

72305. Производство глазированных сырков на Ленинградском молочном заводе № 3. Смирнова Н., Молочн. пром-сть, 1957, № 10, 23—26

72306. Улучшение качества кисломолочных продуктов, вырабатываемых из сухого молока. Романская Н., Молочн. пром-сть, 1957, № 2, 16—18

Исследование влияния способа подготовки восстановленного молока (ВМ) на качество кисломолочных продуктов показало, что лучшее качество продукта получают при вязкости ВМ, имеющего 12% сухих в-в, $\geq 1,75$ спуз. Такая вязкость ВМ достигается при любом способе восстановления сухого молока, растворимости которого составляет 96%. Колл. свойства ВМ, получаемого из сухого молока пониженной растворимости (< 95%), повышаются при предварительном набухании белков перед пастеризацией (≥ 3 час. при 4—7°), механич. воздействии, способствующем лучшей растворимости, и введении в процессе набухания 0,2% лимоннокислого и 0,1% двузамещ. фосфорнокислого натрия. Применение ароматообразующих культур молочнокислых бактерий при сквашивании ВМ не целесообразно, так как они теряют свою физиологич. активность вследствие особенностей состава и структуры ВМ. Для произ-ва продуктов из ВМ наиболее пригодны молочнокислые закваски, образующие в-во, стабилизирующее эмульсию до накопления кислотности, в частности закваски для кефира, ацидофилина, ацидофильной и южной простокваш. Изготовление обычных сортов простокваш из ВМ нежелательно вследствие сильного отделения сыворотки.

72307. Действие двухступенчатой стерилизации на физико-химические показатели сгущенного молока. Гаммак, Уэккел (Effects of two-stage sterilization on the physico-chemical properties of evaporated milk. Gammack D. B., Weckel K. G.), J. Dairy Sci., 1957, 40, № 12, 1570—1580 (англ.)

Сгущенное молоко, стерилизованное обычным способом с нагреванием до 115, 120 или 125°, сравнивалось с молоком, стерилизованным двухступенчатым процессом при тех же т-рах, но с выдержкой 5—10 мин. при промежуточных т-рах (95—105°). Выдержка при промежуточном режиме производилась или в период повышения, или в период спада т-р. Опыты показали, что выдержка в период повышения т-ры повышает вязкость, снижает отстаивание жира и отделение бел-

ка после 2 месяцев хранения при 37°; стерилизованное молоко с выдержкой в период спада оказалось менее стабильным при хранении в тех же условиях; с точки зрения изменения цвета молока предпочтительна стерилизация с выдержкой в период подъема температуры.

Г. Титов
72308. Производство сухого молока в Финляндии.

Хейккиля (Maitojauheteollisuudestamme. Heikkilän Urho), Karjantuoté, 1958, 41, № 10, 257—260 (финск.)

Обзорная статья.

А. И.
72309. Пригодность разных видов тары для таблетированного сухого молока и его смесей с кофе и какао. Хухлява (Przydatność różnych typów opakowań do tabletkowanego mleka w proszku oraz jego mieszanek z kawą i kakao. Chuchlowa Jadwiga), Prace Inst. przem. mleczarski, 1958, 5, № 1, 37—56 (польск.; рез. русск., англ.)

Исследованы изменения качества таблеток сухого молока и его смесей с кофе и какао, упакованных в целлофан, игелит, Al-фольгу обыкновенную и импрегнированную, а также в стеклянную и жестяную тару, при хранении в условиях ~ 37° и 15—20°. Установлено, что лучшее качество имели таблетки, упакованные в жестяную, стеклянную тару и в импрегнированную фольгу. Наиболее низкое качество имели таблетки, упакованные в обыкновенную фольгу. Целлофан оказался непригодным для упаковки таблеток.

Из резюме автора

72310. Планирование производства мороженого. Мартин (Production planning program for ice cream plants. Martin W. H.), Canad. Dairy and Ice Cream J., 1957, 36, № 5, 31—32, 34, 50 (англ.)

72311. Характеристика молочного жира и масла из молока коров разных пород. Аристова В. П., Докл. Всес. конференции по молочн. делу. М., Сельхозгиз, 1958, 114—120

Молоко отдельных пород скота характеризуется определенным кол-вом и размером жировых шариков (ЖШ). Наименьшее число ЖШ содержит молоко черно-пестрой породы, наибольшее — симментальской и красной степной пород. Наибольший диаметр имеют ЖШ молока коров симментальской породы, наименьший — черно-пестрой. Из хим. показателей молочного жира наименее изменчивы число Рейхерта-Мейссля и кислотность, наиболее изменчиво йодное число. Средние показатели содержания жира и кислотности сбиваемых сливок были практически одинаковы для всех образцов. Наблюдалась различная продолжительность сбивания сливок — сливки коров костромской породы сбивались 83 мин., черно-пестрой 61 мин. Масляное зерно имело различную твердость. Наибольшую вязкость имело масло коров черно-пестрой породы (110,6 млн. спуз), наименьшую — красногорбатовской (74,8 млн. спуз). Органолептич. оценка показала существенные различия между образцами масла из молока коров разных пород.

Г. Н.
72312. Температура при сбивании сливок. Петерсон (Temperaturer ved kaerneflødens behandling. Petersen Einar O.), Nord. mejeri-tidsskr., 1956, 22, № 6, 87—90 (дат.)

Кратко изложены результаты исследований влияния различных условий подогрева и охлаждения на физ. и хим. свойства сливок с учетом условий произ-ва, направленных на обеспечение высокого качества масла и экономичности процесса сбивания. При произ-ве сливок молочного масла рекомендуются следующие режимы 3-кратного охлаждения: летом (при йодном числе молочного жира 35) 19—16—8° (или 23—12—8°), зимой (йодное число < 32) 8—19—16° (или 8—20—12°), осенью (йодное число 32—35) 12—19—12° и весной — режим, принятый для лета. При изготовлении

сладкосливочного масла хорошие твердость и консистенция масла достигаются в летнее время при охлаждении и хранении сливок при $t \sim 9^\circ$ и в зимнее время при режиме 8—19—16°.

Л. Кондратьев
72313. Влияние условий охлаждения сливок на структурно-механические свойства сливочного масла, выработанного поточным способом. Титов А. И., Володавец И. Н., Докл. Всес. конференции по молочн. делу. М., Сельхозгиз, 1958, 275—282

Для однородного распределения твердой и жидкой фракций в жире необходимо достаточное кол-во кристаллич. зародышей. При $> 20^\circ$ возможно появление «мучнистости» и «рыхлости». Структура молочного жира в сливочном масле должна иметь преимущественно коагуляционный характер. Чрезмерное развитие кристаллизационных структур ведет к «крошливости», «ломкости» и «слоистости». Отсутствие кристаллизационных структур приводит к «слабой», «мажущей» консистенции и усиливает выделение жидкой фракции жира.

Из резюме автора
72314. Улучшение структуры, способности к намазыванию, вкуса и аромата масла. Спроул (Texture, spreadability and flavour improvement of butter. Sproule W. H.), Canad. Dairy and Ice Cream J., 1957, 36, № 6, 23—25, 48 (англ.)

Рассмотрены наиболее существенные факторы, оказывающие влияние на структуру, консистенцию и вкусовые достоинства масла. Для получения масла с хорошей консистенцией рекомендуется уделять особое внимание температурным режимам, при которых осуществляются охлаждение сливок после пастеризации, промывка масляного зерна и охлаждение масла после сбивания. Для улучшения вкуса и аромата масла следует предупреждать снижение качества сливок на фермах и избегать исправления их различными технологич. приемами. В летний период сливки должны доставляться на з-ды не реже 2 раз в неделю.

А. Юданов
72315. К вопросу организации производства на модельных заводах, оснащенных поточными линиями. Орлова Л. А., Тр. Всес. н.-и. ин-т молочн. пром-сти, 1957, вып. 18, 98—107

72316. Опыт производства масла поточным методом. Уусна О. (Kogemusi voi tootmiseel voolumeetod. Uusna O.), Eesti NSV piima- ja võitööstuse teated, 1955, № 5—6, 158—161 (эст.)

72317. Данные о качестве масла, вырабатываемого по методу Рубера маслодельными заводами Тартуского треста. Хиир Р. (Ruuberi meetodil valmistatud või kvaliteedi tulemusi Tartu trusti võitööstustest. Hiir R.), Eesti NSV piima- ja võitööstuse teated, 1955, № 5—6, 155—157 (эст.)

72318. Регулирование содержания воды в сливочном масле. Кый В. (Voi veeprotsendi ühekordne reguleerimine. Kõiv V.), Eesti NSV piima- ja võitööstuse teated, 1955, № 5—6, 147—155 (эст.)

72319. Содержание витамина А и каротина в сливочном масле. Хоцко Ю. А., Докл. Всес. конференции по молочн. делу. М., Сельхозгиз, 1958, 296—300

Содержание витамина А (I) и каротина (II) в сливочном масле зависит от условий кормления коров и зависит от вида масла. В сладкосливочных несоленых маслах I и II при низких t -рах сохраняются довольно хорошо. Соль и молочная k -та способствуют снижению содержания I и II в сливочном масле. Отрицательное влияние сквашивания сливок и посолки масла I и II особенно велико для летнего масла. Появление салостости, олености, рыбного привкуса и прогоркания сопровождается убылью I и II.

Резюме автора
72320. Сравнительная стойкость разных видов сливочного масла. Хоцко Ю., Молочн. пром-сть, 1957, № 7, 30—32

Исследована стойкость кисломолочного и сладкомолочного, соленого и несоленого масел, выработанных в разные времена года, и изменение содержания в них витамина А (I) и каротина (II) при хранении. Установлено, что кол-во I и II в масле изменялось в зависимости от условий кормления скота и не зависело от вида масла. Йодное число молочного жира летом в среднем на 2 ед. выше, чем зимой, однако индукционный период масла летней выработки продолжительнее, чем зимой. Масло зимней выработки имело максим. твердость (85—92 г/см), летней — миним. (58—63 г/см). Максим. кислотность жира была зимой (1,49) и миним. — весной (0,82). При минусовых т-рах хранения лучше сохраняло вкусовые качества масло зимней и весенней выработки, причем наиболее стойким оказалось сладкомолочное несоленое масло (СНМ) (за 12 месяцев хранения его оценка снизилась на 3,7 балла). Кисломолочное несоленое и сладкомолочное соленое масло сохраняли свое качество примерно одинаково, но хуже, чем СНМ. Основной порок масла зимней выработки — салитность, липаза имела удовлетворительный вкус. Окислительные процессы наиболее интенсивно проходили в соевом масле, особенно в кисломолочном. Наименее стойким оказалось масло осенней выработки, что объясняется повышенным содержанием липазы в молоке осенью к концу лактационного периода. На сохранность I и II в масле отрицательно влияет NaCl и молочная к-та. В кисломолочном соевом масле (КСМ) летней выработки содержание I за 12 месяцев хранения снизилось на 34,6%, II — на 41,5%. При плюсовых т-рах хранения наиболее стойким было КСМ, наименее стойким СНМ. А. Прогорович

72321. О содержании воды в масле при холодильном хранении. Казали, Серр, Амариглио (Sur la teneur en eau des beurres stockés en chambre froide. Casalis Jacques, Serres Lucie, Amariglio Sonia), Lait, 1957, 37, № 367, 369—378 (франц.)

Исследовано изменение содержания воды в масле, хранившемся при -15° в стандартных ящиках емк. по 25 кг, и проверена точность метода определения влаги высушиванием при 105° навески в 5 г до постоянного веса. Установлено, что влажность масла практически не изменяется при хранении в течение 6 месяцев при -15° и оттаивании в течение 48 час. Содержание воды в нормально обработанном масле равномерное по всему монолиту, в плохо обработанном масле колебания достигают 1%. Метод определения влаги в масле высушиванием при 105° дает отклонения в параллельных определениях $\leq 0,3\%$. А. Годель

72322. Результаты двухлетнего хранения масла, выработанного поточным способом. Котова О. Г., Третьякова Л. А., Докл. Всес. конференции по молочн. делу. М., Сельхозгиз, 1958, 282—286

Органолептические свойства масла не изменялись во время хранения при $+6^{\circ}$, $+8^{\circ}$ в течение 3 месяцев, а при -12° в течение 2 лет. Масло, выработанное поточным способом, отличается малым содержанием микрофлоры, которая практически вымирает к концу хранения. Хим. изменения в масле незначительны при обоих режимах хранения. Резюме автора

72323. Наблюдение за замороженными срезами масла как метод исследования расположения кристаллов и распределения воды в масле. Мор, Хансен, Мор, Драхенфельс (Beobachtung von Gefrierschnitten der Butter als Methode zur Untersuchung der Kristallanordnung und der Wasserverteilung in Butter. Mohr Walter, Hannsen Ernst Georg, Mohr Edward, Drachenfels Heinrich-Jürgen von), Milchwissenschaft, 1956, 11, № 7, 228—234 (нем.; рез. англ., франц., исп.)

Изложена техника изготовления замороженных срезов масла. Приведены микрофотографии образцов типичного расположения разнородных кристаллов в масле: свежем, после хранения и с подплавленным жиром. Дана характеристика микроскопич. распределения воды в масле: хорошее масло — капли воды диам. $\leq 10 \mu$, удовлетворительное масло — до 10μ , встречаются отдельные капли $> 20 \mu$, плохое масло — капли воды диам. $> 10 \mu$, встречаются отдельные образцы до 30μ и более. Установлена связь между кристаллизацией и изменением распределения воды у хранившегося масла при замораживании и подплавлении. В. Фавстова

72324. Порядок проведения испытаний расфасованных молочных продуктов. — (Prüfungsbestimmungen für in Verbraucherportionen abgepackte Milchprodukte. —), Dtsch. Molkerei-Ztg., 1957, 78, № 7, 177—178 (нем.)

Изложен порядок проведения вновь введенных испытаний товарных качеств расфасованного масла, состоящий из лабор. исследований, испытания упаковки и дегустации. Р. К.

72325. Два подхода к определению заменителей молочного жира. Шайп (Two approaches to the detection of substitute fats. Shipe W. F.), Ice Cream Rev., 1956, 39, № 7, 64, 66

Рассмотрены два метода определения фальсификации молочного жира. Метод, основанный на фракционировании жирных к-т при помощи мочевины, дает более точные результаты, чем более простой гидроксаматный метод, который пригоден в тех случаях, когда не требуется большой точности. Сочетание первого метода с другими принятыми методами обеспечит решение проблемы выявления фальсификации молочного жира. А. Орлов

72326. Выставка сыров в Бургдорфе. Буркхальтер (Die Käseschau von Burgdorf. Burkhalter G.), Schweiz. Milchzeitung, 1957, 83, № 18, 121—122 (нем.)

Результаты выставки эментальских сыров в Швейцарии в декабре 1956 г. Основное внимание при качеств. оценке уделяется рисунку. По сравнению с фактич. рисунком, видимым на поверхности разреза сыра, проба, вынутая шпцом, дает правильную оценку в 27,5—33%, завышенную — в 60—33% и заниженную — в 12,5—33% случаев. Сыры, изготовленные с применением только сычужного фермента, без чистых культур, и со сравнительно невысоким вторым нагреванием, получили более низкую оценку, чем сыры, изготовленные с применением спец. культуры и с высоким вторым нагреванием. Различные методы и дозы посолки, по-видимому, не влияют на рисунок сыра. Результаты выставки сведены в 2 таблицы. Приведены фотоснимки сыров в разрезе. М. Бенсон

72327. О механизме сычужного свертывания молока. Глаголев Ю. Ф., Докл. Всес. конференции по молочн. делу. М., Сельхозгиз, 1958, 313—318

Установлено, что свертывание молока не связано с протеолитич. функцией сычужного фермента, а является следствием гидрофобизирующего действия его на казеин. Становясь менее устойчивой к действию электролитов, взвесь казеина приобретает повышенную способность связывать ионы кальция и фосфатного остатка. При отсутствии эквивалентной адсорбции противоположно заряженных ионов образуются фракции денатурированного казеина (параказеина), различающиеся изоточками. Из резюме автора

72328. Свертываемость молока сычужным ферментом и концентрация ионов кальция. Белоусов А. П., Докл. Всес. конференции по молочн. делу. М., Сельхозгиз, 1958, 318—322

С помощью мурексидного метода определены конц-ии ионов Са в сборном молоке и найдены значения 1,95—3,80 ммоль, в среднем 2,7 ммоль в 1 л. Таким образом, в ионизированном состоянии в молоке находится ~30% растворенного Са и ~10% общего кол-ва Са. Установлено обратное соотношение между длительностью свертывания и конц-ией Са²⁺ в молоке.

Резюме автора

72329. Состав белково-фосфатно-кальциевого комплекса сычужного сгустка и его изменение под действием молочной кислоты. Белоусов А. П., Докл. Всес. конференции по молочн. делу. М., Сельхозгиз, 1958, 322—328

Подтверждено относительное постоянство состава Са-белково-фосфатно-комплекса (К) в сычужном сгустке молока. Содержание Са-параказеината в К сборного молока колебалось от 94,3 до 95,6%, три-Са-фосфата (I) от 4,4 до 5,7%. Относительное содержание Са в К составляло $148-178 \cdot 10^{-5}$ г-экв на 1 г белка, в том числе связано с белком $55-62 \cdot 10^{-5}$ г-экв на 1 г белка. Под действием молочной к-ты на препараты К отщепляются Са и неорганич. Р, причем до pH 5,3 преимущественно I, а при pH < 5,3 Са, связанный с белком. Переход I в р-р заканчивается при pH 4,7—4,8 (изоэлектрич. точка казеина). Полное отщепление Са, связанного с параказеином, происходит в зоне pH 4,3—4,0.

Из резюме автора

72330. Производство мягкого сыра. Антила (Kuoretoman juuston valmistuksesta. Antila Veijo, Maatalous, 1958, 51, № 4, 94—96 (финск.))

72331. Нарушение сквашивания при производстве твердых сыров. Риттер (Säuerungsstörungen im Hartkäsebetrieb. Ritter P.), Schweiz. Milchzeitung, 1956, 82, № 96, 655—656 (нем.)

Практически нарушение сквашивания можно устранить двумя путями: 1) внесением культур из других доброкачественных сыров или введением разведенных культур закваски в процессе произ-ва; в этом случае внесение сквашивающей флоры, не влияющей на производственную флору, ведет к нормальному процессу сквашивания; 2) устранением инфекции молока посторонними бактериями путем тщательной очистки и пропаривания молочной посуды, достаточной пастеризацией молока, применением чистых культур, полученных от других предприятий, выбраковывающих сыры хорошего качества.

В. Фавстова

72332. Некоторые особенности технологии швейцарского сыра в Армянской ССР. Диланян З., Габриэлян Т., Хачатрян В., Агабабян А., Докл. Всес. конференции по молочн. делу. М., Сельхозгиз, 1958, 347—351

Технология произ-ва швейцарского сыра на з-дах Армянской ССР характеризуется сокращением продолжительности обработки сырной массы в котле, повышенным содержанием жира в сыворотке, повышенным расходом молока на единицу продукции и увеличением выхода подсырного масла. При сравнении лучшими оказались сыры, приготовленные по принятой технологии, и худшими — по ускоренной технологии и по инструкции.

Из резюме автора

72333. Производство австрийских сыров (тильзитских) по видоизмененному способу. Ягер, Талер (Erzeugung von österreichischen Stangenkäsen (Tilsiter) nach einer abgeänderten Herstellungsmethode. Jager H., Thaler S.), Österr. Milchwirtsch., 1956, 11, № 16, 269—271 (нем.)

Опыты показали, что использование механизированных ванн для приготовления сыра тильзит с типичным вкусом оказалось возможным при следующих отступлениях от обычной технологии: некотором увеличении кол-ва добавляемых чистых культур, сниже-

нии т-ры второго нагревания, легкой подпрессовки зерна и повышении влажности готового сыра. Опытный сыр получил высшую оценку на основании органолеп-тич. оценки и данных хим. анализа. Предыдущее сообщение см. РЖХим, 1958, 59149.

72334. Активная кислотность и консистенция голландского сыра. Белоусов А. П., Докл. Всес. конференции по молочн. делу. М., Сельхозгиз, 1958, 340—347

Установлено, что в сычужном сгустке молока содержание Са, связанного с элементами гелевой структуры, довольно постоянно и составляет $\sim 160 \cdot 10^{-5}$ г-экв на 1 г белка. Отщепление Са от белково-фосфатного комплекса под действием молочной к-ты начинается при pH 6,2 и идет медленнее, чем в молоке. Существует прямая связь между консистенцией зрелого сыра, содержанием Са, связанного с элементами гелевой структуры в сыре после пресса, и показателем связности сырной массы в зрелом сыре.

Резюме автора

72335. Расщепление жиров в десертных и эментальском сырах. Вилларт (Fettsjälkning i dessertost och emmentalerost. Willart Stig), Svenska mejeritidn., 1955, 47, № 52—53, 763—766 (шведск.)

При помощи метода Харпера (см. Journ. Dairy Sci., 1952, 35, 479; РЖХим, 1954, 22218) изучен процесс расщепления жира в сырах разных сортов и различного происхождения. Сыры исследовали свежими и зрелыми. Установлено интенсивное расщепление жира в сыре стилтон и во внутренней части эментальского сыра различного происхождения. Выявлено сильное действие липазы в поверхностном слое сыра намамбер, порт-салют и эментальского. Обнаружены к-ты масляная, капроновая и каприновая, а также с более длинной цепью.

Л. Кондратьева

72336. Электрокатодный способ в эментальском сыроделии. Штетлер (Das Elektrokatodyn-Verfahren in der Emmentaler-Käserei. Stettler H.), Schweiz. Milchzeitung, 1956, 82, № 37, Wiss. Beil., 1956, 82, № 36, 286—288 (нем.)

Проведены опыты по исследованию влияния обработанной электрокатодным аппаратом воды, потребляемой в произ-ве сыров для нормализации молока, на качество эментальских сыров, в частности на предупреждение пороков газообразования, вспучивания, нарушения сквашивания. Доза Ag в воде 50—150 μ л, что соответствовало конц-ии Ag в молоке 5—15 μ л. Исследовано также влияние повышенной дозы Ag (210 μ л молока). Явных различий между опытными и контрольными образцами сыра в процессе изготовления не установлено. Редуктазная и бродная пробы молока, бактериол. показатели опытных сыров с различными дозировками серебра и кол-во летучих жирных к-т не показали различий. Повышенная дозировка Ag привела к сильному газообразованию, темноватой и пестрой окраске теста сыра, появлению фиолетовых пятен.

В. Фавстова

72337. Факторы консервирования в процессе производства консервных сыров. Крашенинни П. Ф., Докл. Всес. конференции по молочн. делу. М., Сельхозгиз, 1958, 351—356

Установлено, что для получения стойкого при хранении консервного сыра можно применять консервирование действием высоких т-р. Целесообразна раздельная стерилизация плавленного сыра и банок. Оптимальная т-ра стерилизации 100—105°. Для сохранения вкуса и аромата сыра стерилизация должна быть кратковременной. Необходимо регулирование кислотности сыра и готового продукта. Наиболее стойк при хранении сыр с pH 5,3—5,6.

Из резюме автора

72338. О составе свободных аминокислот в рассольных сырах. Кюркчян В. Н., Шахбазян Б. А.

Айканан ССР Гитутюннери Академия. Зекуйцнер., Докл. АН АрмССР, 1958, 26, № 3, 163—166

В рассольных сырах (чанах и брынза) при помощи хроматографии на бумаге обнаружены глицин, аланин, тирозин, метионин, фенил-аланин, лейцин, в брынзе найдены также валин и пролин. Свободные аминокислоты, по-видимому, входят в состав остаточного азота, низкое его содержание в рассольных сырах указывает на небольшое кол-во свободных аминокислот. Требуется параллельное исследование аминокислотного состава сыра и рассола.

Из резюме автора

72339. Исследование сырного камня в зрелом сыре. Водяшкин П., Молочн. пром-сть, 1958, № 6, 41—42

Сырный камень, образующийся в толще сыра в процессе его хранения, представляет неоднородную смесь кристаллов с аморфным в-вом, не растворяющуюся в воде, р-ре NH_3 , слабых щелочах, и медленно растворяющуюся в холодных конц. к-тах (лучшая растворимость в HNO_3 , а при нагревании — в других минер. к-тах). Форма камня шарообразная, окраска белая или желтоватая, вкус и запах нехарактерные, консистенция воскообразная, при старении переходящая в хрупкую, что сопровождается потерей влаги (с 19,1 до 14,7) и уменьшением отношения фосфора к кальцию (с 0,46 до 0,37). Сырный камень состоит из смеси органич. (главным образом белков) и неорганич. в-в (фосфор и кальций, которые составляют основную часть золь — ~60%).

А. Прогоревич

72340. Жир в сухом веществе или абсолютное содержание жира. Пашке (Fett i. T. oder absoluter Fettgehalt. Paschke Bruno), Dtsch. Molkerei-Ztg, 1956, 77, № 16, 527 (нем.)

Обсуждается и подтверждается примерами целесообразности определения содержания жира в сухом в-ве (ЖСВ) при оценке качества сыра, вместо определения абс. содержания жира (АЖ) в нем.

А. П.

72341. Жир в сухом веществе или абсолютное содержание жира. Хальтенбергер (Fett i. T. oder absoluter Fettgehalt. Haltenberger Otto K.), Dtsch. Molkerei-Ztg, 1956, 77, № 18, 587—588 (нем.)

По поводу статьи Пашке (см. предыдущий реф.). Предлагается при хим. анализе сыров определять содержание сухого в-ва и АЖ, но не ЖСВ.

Н. Б.

72342. Жир в сухом веществе или абсолютное содержание жира. Пашке (Fett i. T. oder absoluter Fettgehalt. Paschke Bruno), Dtsch. Molkerei-Ztg, 1956, 77, № 22, 739 (нем.)

По поводу статьи Хальтенбергера (см. предыдущий реф.). Автор подтверждает, что показатель ЖСВ является единственной в любое время воспроизводимой, аналитич. константой сыра, в противоположность АЖ, воспроизводимость которого зависит от многих случайностей.

А. Т.

72343. Покрытие сыров пленкой Фудпласт. — (Procedul Foodplast de acoperire a brinzeturilor cu o pelicula de mase plastice.—), Rev. ind. aliment. prod. animale, 1957, № 8—9, 19—20 (рум.)

Описаны свойства Фудпласта (дисперсия нетоксич. синтетич. смолы), способ покрытия им сыров (расход Фудпласта 1 кг на 300 кг сыра), а также его преимущества перед другими в-вами, используемыми для этой цели.

А. Марин

72344. Измерение влажности воздуха сырных подвалов (Fuktighetsmätning på ostlager. E. H.), Svenska mejeritidn., 1958, 50, № 11, 151—152 (шведск.)

Найдено, что измерением относительной влажности воздуха сырных подвалов прашевым психрометром, получена по сравнению с другими методами измерения наибольшая точность ~ 0—2,2%. К. Герцфельд

72345. Укусноокислые бактерии в сыре и других молочных продуктах. Гибшман М. Р., Докл. Всес. конференции по молочн. делу М., Сельхозгиз, 1958, 365—369

Из 1713 образцов сыра, сметаны и кефирных грибов выделены 311 штаммов укусноокислых бактерий, которые активно окисляли этанол в укусную к-ту, давая выход 5—9,6%. Между укусноокислыми и молочнокислыми бактериями существует симбиоз, при развитии с первыми последние сохраняют жизнедеятельность в молоке в течение 12 месяцев. Укусноокислые бактерии поддерживают жизнедеятельность также *B. coli-aerogenes* и маммококов.

Из резюме автора

72346. Новый метод производства бактериальных заквасок. Банникова Л. А., Докл. Всес. конференции по молочн. делу М., Сельхозгиз, 1958, 361—365

Разработан технологич. режим приготовления сухих заквасок распылительным способом и длительного хранения их без снижения активности.

Из резюме автора

72347. Холод в молочно-сыроваренной промышленности Норвегии. Лорентсен, Фрамхус (Il freddo nell'industria lattiero-casearia norvegese. Lorentzen G., Framhus O.), Freddo, 1958, 12, № 2, 1—3, 5—8 (итал.)

Обзор. Библ. 9 назв.

А. П.

72348. Определение хлористого натрия в молочных продуктах с помощью катионитов. Подсобляев А. П., Докл. Всес. конференции по молочн. делу М., Сельхозгиз, 1958, 441—444

Описан метод определения конц-ии NaCl , основанный на его способности к ионному обмену по схеме: катион $\text{H} + \text{NaCl} \rightleftharpoons$ катион $\text{Na} + \text{HCl}$. Образованное кол-во HCl определяют алкалиметрич. методом. Для анализа сыра, творожной массы и масла наиболее пригодны катиониты с сильнокислотными свойствами (КУ-2, КУ-1, СБС-Р, вофатит Б) и сульфуголь. Г. Н.

72349. Факторы, определяющие качество сырного кекса. Ворхис (The quality factors in cheese cake production. Voorhees E. M.), Baker's Digest, 1958, 32, № 2, 58—63 (англ.)

Описана технология произ-ва сырных кексов, изготавливаемых из молока, сыра, яиц, сахара, масла, сливок с добавлением или без добавления муки и крахмала. Сыр применяют спец. сортов: так называемый пекарский сыр, невшательский и сливочный. Наиболее пригоден пекарский сыр, который выпускается также высушенным на распылительной сушилке. Кексы французского типа изготавливают со взбитыми белками, кексы твердого типа — без белков. Примерная рецептура сырного кекса твердого типа (в кг): сливочного сыра 22,7, пекарского сыра 4,5, сахара 6,8, соли 0,057, кукурузного крахмала 0,454, цельных яиц 2,27, желтков 2,27, сливок 4,54 кг. При замене дорогостоящих ингредиентов более дешевыми пользуются следующей рецептурой (в кг): пекарского сыра 18,14, масла 4,54, растительного шортенинга 4,62, соли 0,28, крахмала 0,45, сухого молока 0,28, яичных белков 0,23, сахара 6,81, яиц 2,268, желтков 2,27, воды 3,71.

Г. Н.

72350. Производство пищевого растворимого казеина. Воробьев А. И., Тр. Ленингр. технол. ин-т холодильн. пром-сти, 1957, 13, 41—45

На основании исследования технологич. нормативов и процессов производственного цикла (осаждение казеина HCl и молочной сывороткой, т-ра осаждения, влияние осадителя и кислотной среды, влияние промывки сырца, нетр-ция, режим сушки, физ. свойства и хим. состав сухого казеина, его растворимость, методы исследования, микрофлора и др.) разработан

процесс получения пищевого растворимого казеина для приготовления питательных белковых препаратов и составлены производственная инструкция и технич. условия. Казеин можно вырабатывать на масло-казеиновых з-дах, оборудованных творогомешалками и шкафными сушилками. А. Прогорович

72351. Автоматизация в молочной промышленности. Брайант (Automation in the dairy industry. Bryant J. H.), Butter, Fat and Solids, 1957, 16, № 1, 9—15, 17—19 (англ.)

Рассмотрены перспективы автоматизации различных отраслей молочной пром-сти на базе достигнутой механизации, внедрения электроники и опыта автоматизации аналогичных процессов произ-ва в смежных отраслях пром-сти. М. Бенсон

72352. Молочный сепаратор, приспособленный для центробежной мойки. Херрид, Свереика (The mechanics of a cream separator cleaned and sterilized by centrifugal force. Herreid E. O., Svereika E.), J. Dairy Sci., 1956, 39, № 12, 1623-1628 (англ.)

Устройство самоочищающегося молочного сепаратора, в котором после работы моющий и дезинфицирующий р-ры подаются центробежной силой под большим напором во все части машины, соприкасающиеся со сливками и обезжиренным молоком. В барабан вставлено гибкое кольцо из стали, покрытой резиной. Кольцо расширяется или сжимается в зависимости от числа оборотов барабана. При скорости, нормальной для сепарирования (~7500 об/мин.), кольцо прижимается к фланцу барабана, плотно закрывая горизонтальные отверстия во фланце. При меньшей скорости кольцо отходит от отверстий и через них внутрь сепаратора может поступать моющая или дезинфицирующая жидкость. Приведены рисунки спец. деталей сепаратора и расчет напряжения гибкого кольца при соответствующих скоростях барабана. М. Бенсон

72353. Выхотемпературный трубчатый пастеризатор. Дейвис (A pioneer in ultra-high. Davis Charles O., Jr), Milk Plant Monthly, 1957, 46, № 9, 13—15 (англ.)

Дана технич. характеристика поточного пастеризатора системы Росуэлл для моментальной поточной пастеризации молока. В горизонтальном цилиндре концентрически установлена двойная труба. Цилиндр и трубы изготовлены из нержавеющей стали. В цилиндр и внутреннюю трубу поступает пар давл. 7 атм или выше. Молоко движется спирально тонким слоем по межтрубному пространству, нагреваясь с обеих сторон. Скорость движения молока 2,5—5,5 м/сек. Длина труб ~2 м. В одном цилиндре с поверхностью нагрева 1,2 м одновременно находится <6 л молока. Аппарат состоит из 2 цилиндров. Т-ра пастеризации гомогенизированного молока 96,7°, продолжительность 3 сек. Высокая т-ра, большая поверхность нагрева и тонкий слой молока обеспечивают эффективную пастеризацию и стойкость молока, которое хранится в домашнем холодильнике до 30 суток. Большая скорость и турбулентность движения молока, а также кратковременность нагревания предупреждают нежелательные физ.-хим. и вкусовые изменения. Габариты двухцилиндрового аппарата: ширина 0,61 м, длина 2,13 м, высота 1,83 м. Производительность 6000 л/час. Пастеризатор Росуэлл особенно удобен для продуктов с высокой вязкостью (смесь для мороженого, шоколадное молоко), которые пастеризуются при 95,6°. Наступающая при этом стабилизация белков снижает потребность в стабилизаторах. М. Бенсон

72354. Измерительная и регулирующая техника — основа экономичного производства. Эссен (Die Meß-und Regeltechnik als Grundlage der wirtschaft-

lichen Betriebsführung. Essen Fritz), Molk.-und Käser-Ztg, 1957, 8, № 14, 417—419 (нем.)

Обзор развития пневматич. измерительной и регулирующей аппаратуры, применяемой в молочной пром-сти.

72355. Об извлечении растительного фермента из цветов Cynara Scolymus L. Куку, Ченушару, Тарпо (Contribuții la extragerea unui cheag vegetal din flori de Cynara Scolymus L. Cucu Viorica, Cenușaru Florica, Tarpo Elena), Farmacia (Român.), 1958, 6, № 2, 125—130 (рум.; рез. русск., нем., франц., англ.)

Для получения растительного фермента для промышленных целей проведены опыты по его экстрагированию из цветов Cynara Scolymus L. различными методами, указанными в литературе, с определенными выходами и коагулирующей способностью препарата. Наилучший выход получен при экстракции 20%-ным спиртом. Полученный растительный фермент обладает коагулирующей способностью по отношению к молоку 1:33 000. Установлено оптимальное значение pH и время, в течение которого препарат теряет свою активность. Резюме автора

72356. Мясная промышленность Молдавии. Зуман В., Мясная индустрия СССР, 1958, № 2, 5—6

72357. Новый способ снятия оперения с водоплавающей птицы. Рябухина Л. М., Высоцкий Е. А., Иловайская Д. П., Сб. студ. работ Моск. технол. ин-т мясн. и молочн. пром-сти, 1958, вып. 5, 26—28

Проверен метод полущарки гусей и уток в горячей воде с введением детергента (Д) (порошок «Новость»), понижающего поверхностное натяжение воды. Установлено, что введение Д в горячую воду обеспечивает полную и быструю смачиваемость оперения, в результате чего достигается быстрая полущарка, и делает возможным снятие оперения на машинах. Лучший товарный вид полущарки имели тушки уток, обработанные 0,2%-ным водн. р-ром Д при 54—55°, и тушки гусей, обработанные 0,4%-ным р-ром Д при 60°; продолжительность полущарки 35—45 сек. А. Прогорович

72358. Повышение вкусовых качеств мяса птицы. Прево А., Шафров В., Мясная индустрия СССР, 1958, № 2, 19

Исследовано влияние рыбной муки в кормовом рационе цыплят (бройлеров) у кур-несушек на вкусовые качества их мяса и рекомендованы нормы введения рыбной муки и рыбьего жира в рацион птицы. А. П.

72359. Определение убойных выходов индеек. Пргулова Т. В., Рожкова В. А., Булыгина Н. А., Парамонова Т. В., Сб. студ. работ Моск. технол. ин-т мясн. и молочн. пром-сти, 1958, вып. 5, 28—29

Установлено, что с повышением категории утильности индеек выход потрошенной тушки и жира возрастает и соответственно уменьшается кол-во отходов. А. П.

72360. Новые достижения в обработке и консервировании мяса. Беганович (Nova dostignuća u pradi i konzerviranju mesa. Beganović A.), Vetenaria (Jugosl.), 1957, 6, № 4, 630—635 (сербо-хорват.; рез. англ.)

Обзор. Библ. 21 назв.

72361. Влияние влажности поверхностных тканей мяса на его сохранность. Хикс, Скотт, Викери (Influence of water insurface tissues on storage of meat. Hicks E. W., Scott W. J., Vickery J. R.), Food Preserv. Quart., 1956, 16, № 4, 72—73 (англ.)

Рассмотрена зависимость между состоянием воды в поверхностных слоях мясных туш и скоростью ее испарения, размерами усушки, микробиологич. изменениями, цветом и внешним видом продукта при охлаждении и хранении. Отмечено, что ввиду неоднородного состава тканей скорость испарения влаги с разных участков поверхности туши неодинакова и не поддается точному математич. расчету. Предложено влажность поверхности туш измерять отношением скоростей испарения воды на туше и на влажном теле идентичной геометрич. формы при равных условиях охлаждения. В процессе хранения при постоянном режиме влажность поверхности быстро уменьшается. После 6 недель хранения при $-1,4^{\circ}$ и относительной влажности воздуха 93% влажность поверхности туш составляла 43% от влажности, установленной в течение 1-й недели. Потеря влаги при замораживании горяче-парных туш меньше, чем общая потеря ее при замораживании с предварительным 24-часовым охлаждением, но при дальнейшем хранении мяса потери в первом случае были больше. Приведены данные о влиянии поверхностной влажности мясных туш и скорости испарения на микрофлору и внешний вид мяса. Библ. 8 назв. Г. Любовский

72362. Влияние периодического облучения при разных температурах на качество говяжьего фарша. Кейн, Бабл, Андерсон (The effect of intermittent radiations and concomitant increase in temperature during radiation on the acceptability of ground beef. Cain R. F., Bubl E. C., Anderson A. W.), Food Technol., 1956, 10, № 11, 537—540 (англ.)

Образцы фарша облучали потоком γ -лучей интенсивностью $1,27 \cdot 10^6$ ф.э.р. в час в один прием в течение 95 мин., в 2 приема по 47 мин. 37 сек., в 4 приема по 24 мин. 45 сек., в 8 приемов по 11 мин. 53 сек.; перерывы между облучениями 4 часа. Общая доза облучения $2,01 \cdot 10^6$ ф.э.р. Установлено, что специфич. запах облучения уменьшается с увеличением числа периодов облучения. Неустойчивые к облучению микробы погибают при дозе облучения 1 мега ф.э.р. Устойчивые к облучению бактерии быстрее погибают при непрерывном облучении. Перекисное число (ПЧ) жира уменьшается с увеличением периодичности облучения с 0,849 до 0,112, интенсивность окраски пробы с тиобарбитуровой к-той (I) увеличивается. С изменением т-ры облучаемого фарша запах облучения не меняется, но ухудшается с ростом дозы облучения. При $35,5^{\circ}$ наблюдается максим. бактерицидное действие облучения. ПЧ жира при одной и той же дозе облучения снижается с повышением т-ры, а при одной и той же т-ре увеличивается с ростом дозы облучения. Интенсивность окраски пробы с I при одной и той же дозе облучения возрастает с повышением т-ры образцов; с увеличением дозы облучения при одной и той же т-ре интенсивность окраски снижается тем сильнее, чем ниже т-ра образцов. При 71° окраска пробы с I не меняется резко при изменении дозы облучения. С. Елманов

72363. Обезвреживание мяса, обсемененного возбудителем листереллеза. Селиванов А. В., Гриницына Г. А., Ветеринария, 1958, № 6, 37—38

Исследована выживаемость листерелл в мясе (баранине) при разных сроках и режиме хранения, а также при термич. обработке и посоле. Установлено, что созревание баранины, обсемененной возбудителем листереллеза, не оказывает вредного действия на *Listerella monocytogenes*. Проваривание баранины в течение 1, 2 и 3 час. убивает бактерии. Замораживание мяса в течение 20 дней при -10 , -23° не оказывает губительного действия на жизнеспособность и патогенность листерелл. При крепком посоле мяса

в течение 20 дней листереллы сохраняют культуральные и патогенные свойства. А. Прогорович

72364. Опыт замораживания субпродуктов без предварительного охлаждения. Шилин Г., Мясная индустрия СССР, 1958, № 2, 50—51

Субпродукты поступали в морозильную камеру из убойного цеха спустя 1—4 часа после отделения их от туши с т-рой $20-26^{\circ}$ и замораживались до т-ры $-10^{\circ} - -15^{\circ}$ в толще в течение ~ 44 час. при т-ре в камере -17° . Потери веса субпродуктов, замороженных без охлаждения, снизились до 1,3—2 раз по сравнению с обычным способом замораживания. А. П.

72365. Замораживание битой птицы в Дании.

Андерсен (Refrigerazione del pollame in Danimarca. Andersen S. A.), Freddo, 1958, 12, № 1, 33—36 (итал.)

В Дании после второй мировой войны значительно возросли потребление и экспорт птицы, что вызвало усовершенствование методов замораживания. Г. Н.

72366. Добавление жира в колбасные изделия. Коттер (Der Fettzusatz zu Wurstwaren. Kotter L.), Vieh- und Fleischwirtsch., 1957, № 2, 37 (нем.)

Обсуждается вопрос об излишнем добавлении жира при составлении фарша для сырокопченых и вареных колбасных изделий. Установлено, что добавление жира $> 50\%$ к весу фарша ухудшает качество готового продукта. На качество полукопченых колбас этот фактор не влияет. И. Шахуняц

72367. Использование проходников и синюг для выработки высокосортной колбасы. Арене А., Лебедова Р., Мясная индустрия СССР, 1958, № 2, 51

Предложена предварительная обработка проходников и синюг H_2O_2 в кислой среде, удаляющая характерный для них неприятный запах. На 100 кг кишечной оболочки требуется 100 л холодной воды, 1,5 л 30%-ной H_2O_2 и 0,15 л 80%-ной CH_3COOH . А. П.

72368. Развитие микрококков в вареном окороке. Мак-Дивитт, Хассеман (Growth of micrococci in cooked ham. McDivitt Maxine E., Huseman Dorothy L.), J. Amer. Diet. Assoc., 1957, 33, № 3, 238—242 (англ.)

Исследовали рост возбудителей пищевых отравлений, в частности *Micrococcus pyogenes* var. *aureus*, при заражении ими окороков, приготовленных и хранившихся в условиях, близких к домашним. Бескостные окорока в виде рулетов запекали в электрич. печи в открытых формах при 150° до достижения внутри т-ры 77° . Окорока, зараженные микрококками, хранили 48 час. при 30° и до 14 дней при 4° . Приведено кол-во микрококков в сыром и вареном окороке. Установлено, что некоторые микрококки выжили при т-ре, рекомендуемой для жарки (77°). Наиболее быстрое развитие микроорганизмов в вареном окороке происходило между 3 и 18 час. хранения при 30° , хотя эти образцы не имели никаких видимых признаков непригодности в пищу. При 4° не наблюдалось заметного роста микрококков на протяжении 14 дней. Необходимо быстрое и эффективное охлаждение сырых и вареных окороков. В. Крылова

72369. Опыт приготовления фаршевых консервов.

Головкина Г. П., Григорьева М. П., Сб. студ. работ. Моск. технол. ин-т мясн. и молочн. пром-сти, 1958, вып. 5, 7—8

Проведены опыты по изготовлению фаршевых консервов из дефростированного свиного мяса с легкоплавким шпигом с добавлением в качестве связующего в-ва свиной шкурки (для предупреждения выделения бульона при стерилизации). Свиную шкурку добавляли при куттеровании фарша в кол-ве 5—10%. Консервы имели хороший вкус и запах, упругую консистенцию, бульон не выделялся. А. П.

72370. Бактериологическая оценка процесса производства консервов из свинины и говядины. Хендрих, Щербинский (Ocena bakteriologiczna cyklu przetworczego konserwy wieprzowej i wolowej. Hendrich Zenon, Szczepiński Bronisław), Roczn. Państw. zakł. hig., 1957, 8, № 4, 391—400 (польск.; рез. русск., англ.)

Проведено бактериологич. исследование (на присутствие анаэробных бактерий, *E. coli*, *Streptococcus faecalis* и коагулазо-положительных стафилококков) предназначенного для произ-ва консервов мяса до и после разделки туши, фарша после измельчения мяса на мясорубке, вареного и измельченного головного мяса, сырого фарша, смешанного с вареным фаршем из головного мяса, и фарша после стерилизации в банках. Установлена высокая степень бактериальной загрязненности консервного сырья; в процессе разделки туши кол-во бактерий понижается. Наиболее обсемененным материалом в процессе произ-ва консервов является вареное и измельченное мясо свиных голов, которое вызывает бурный рост бактериальной флоры в фарше перед стерилизацией.

Из резюме авторов

72371. Качественное исследование мясного бульона в натуральных мясных консервах. Лёринц, Кёрменди (Huslevek és un natur húskonzervek minőség vizsgálata. Lőrincz Ferenc, Kőrmendi László), Elelm. ipar., 1956, 10, № 9, 275—281 (венг.; рез. русск.)

Установлена тесная зависимость показателя рефракции и содержания белков в мясном бульоне. Соотношение мяса и бульона в консервах обусловлено различными факторами (состоянием влаги в мясе, уд. поверхностью, добавлением соли или жировой ткани, промыванием). Авторы считают неправильным, что при определении соотношения мяса и бульона вытопленный жир присоединяют к бульону. Его следует отнести к плотной части консервов (мясо, жировая ткань).

Из резюме авторов

72372. О быстром определении влаги, жира и соли в мясном сырье, полуфабрикатах и готовых продуктах. Литош, Кожишек, Форштова (K problému rychlého určování vody, tuku a soli v masných surovinách, poloproduktech a produktech. Litoš F., Kožíšek R., Fořtová J.), Průmysl potravin, 1957, 8, № 2, 89—92 (чешск.; рез. русск., англ., нем.)

Измельченную пробу (~10 г) помещают во взвешенную чашку Петри, сушат при 170—175° в течение 30 мин. и взвешивают с точностью до 0,01 г. Содержание жира определяют экстрагированием и взвешиванием жира или остатка или методом, основанным на предварительном разложении белков к-тами. Для определения содержания соли навеску (1—2 г) заливают 100 мл обессоленной воды и перемешивают стеклянной палочкой в течение 30 мин., добавляют 1—2 мл 5%-ного р-ра K_2CrO_4 и (при $\leq 40^\circ$) титруют 0,1 н. р-ром $AgNO_3$ до появления красноватой окраски, не исчезающей в течение 1/2 мин. Предыдущее сообщение см. РЖХим, 1958, 59184.

Б. Адамец

72373. Пищевой кератин, его свойства и оценка. Маречек, Кожих, Гербрыхова (Potravinařský keratin, jeho vlastnosti a hodnocení. Mareček Vladimír, Kožich Karel, Herbrychová Anna), Průmysl potravin, 1957, 8, № 9, 489—491 (чешск.; рез. русск., англ., нем.)

Показано, что кератин при кислотном гидролизе расщепляется легче и полнее, чем казеин и клейковина муки. Раньше всего в гидролизате появляются глутаминовая и аспарагиновая к-ты, серин, глицин, цистин и только потом аминокислоты группы лейцина, основные аминокислоты, валин, метионин и пролин. При колич. определении содержания аминокис-

лот в гидролизате кератина было найдено, что содержание в нем аланина больше, чем по литературным данным. Одновременно в гидролизате кератина, полученного после длительного гидролиза, на двумерной хроматограмме появляются два пятна неидентифицированных аминокислот около пятна серина. Установлено, что наиболее полное улавливание азота происходит при сжигании пробы по методу Элека и Соботки.

Ю. Романов

72374. Применение высоковольтных катодных лучей для уничтожения бактерий из группы сальмонелл в жидком, замороженном и сухом яичном белке. Никкерсон, Чарм, Бролье, Локхарт, Проктор, Лайнуйвер (Use of high-voltage cathode rays to destroy bacteria of the Salmonella group in liquid and frozen egg white and egg white solids. Nickerson J. T. R., Charm S., Brogle R. C., Lockhart E. E., Proctor B. E., Linneweaver H.), Food Technol., 1957, 11, № 3, 158—166 (англ.)

Определены дозы облучения, необходимые для уничтожения бактерий *Salmonella typhimurium* и *Salmonella senftenberg* в атмосфере воздуха, O_2 и N_2 , и влияние облучения на вкус белка и приготовленных из него продуктов. Источником катодных лучей служил электростатич. генератор Ван-де-Граафа с энергией 3 Мэв. Установлено, что средние дозы, необходимые для инактивации бактерий в сухом белке, составляют 700 000 ф.э.р. (а в засахаренном виде 1 000 000 ф.э.р.), в жидком белке 230 000—300 000 ф.э.р. в замороженном белке 150 000—260 000 ф.э.р. Характер атмосферы имеет весьма малое влияние на разную инактивирующую дозу. Вкус, объем и структура нека, приготовленного с применением облученного белка, не отличается в заметной степени от нека не облученных белков. В некоторых случаях увеличивается продолжительность взбивания белка. В заметной степени уменьшается стабильность пены взбитых белков, подвергавшихся облучению.

С. Светиц

72375. Органолептическая оценка качества свежемороженой рыбы. Марелич (Kako ćemo sačuvati kvalitet ribe. Marelič Dinko), Morsko ribarstvo, 1958, 11, № 3, 59—60 (сербо-хорв.; рез. англ.)

72376. О вкусовых качествах рыбных продуктов и их стойкости при хранении. Биглер (Die gegenseitige Beeinflussung von Geschmack und Haltbarkeit bei Fischwaren. Biegler Peter), Fischwaren- und Feinkostind., 1956, 28, № 9, 174—176 (нем.)

Рассмотрены методы консервирования рыбы посолом и замораживанием. Обсуждены результаты опытов по замораживанию и хранению свежей сельди (С) в альгинатном желе. Перед замораживанием С погружают в р-р альгината, содержащий соли, способствующие желеобразованию и снижающие темп замораживания до $(-4) - (-5^\circ)$, и к-ту, кол-во которой определяет продолжительность замораживания. На 40 кг сухого желе берут 6 л молочной к-ты (8%) и воды до 1000 кг. После укладки в коробки С заливают желе и замораживают. Замороженная С в течение 12 мес. полностью сохраняла исходные свойства. После обжаривания С по вкусу была лучше свежей, и в процессе обжарки почти отсутствовали специфич. запахи жареной С. Замораживание С желе начинают применять в пром-сти для хранения филе С, в частности, как сырья для копчения и для хранения наживки. Предыдущее сообщение см. РЖХим, 1957, 56468.

А. Юдицкий

72377. Загнивание рассола (предназначенного для посола рыбы при низкой температуре) и меры его предотвращения. Таникава, Томие

Мотохиро, Рэйто, Refrigeration, 1957, 32, № 357, 474—481 (японск.)

72378. Вакуум-упаковка копченой или замороженной рыбы в пакеты из пластика. — (Ambalarea peștei afumat sau congelat sub vid în pungi de maso plastice.—), Rev. ind. aliment. prod. animale, 1957, № 8—9, 13 (рум.)

Обзорная статья с кратким описанием преимуществ и недостатков хранения копченой и замороженной рыбы в отсутствие воздуха в пакетах из различных синтетич. пленок с подкладкой из алюминиевой фольги или без нее. А. Марин

72379. Актуальные проблемы исследований по обработке рыбы. Лудорф (Aktuelle Probleme der Fischverarbeitungsforschung. Ludorff W.), Allgem. Fischwirtschaftszeitung, 1957, 9, № 39—40, 22, 24 (нем.)

Обсуждаются проблемы, поставленные рыбообработывающей пром-стью перед научными учреждениями ФРГ, в частности, вопросы подбора хим. консервантов для маринов и презервов, красителей для окраски сайды под лосося и имитации зернистой икры, замены борной к-ты другим консервантом при переработке крабов, окончательного выяснения возможности дальнейшего применения в качестве консерванта гексаметилентетрамина, изолирования микроорганизмов, вызывающих порчу рыбных товаров для их морфологически-физиологич. характеристики и исследования их чувствительности к среде и различным добавкам, выращивания культур гнилостных микробов с целью характеристики их обмена в-в, зависимости от присутствия специфич. в-в, хим. реагентов, напр. глутаминовой к-ты, от общей кислотности и вида применяемой к-ты, изучения влияния добавленных т-р на активность ферментов рыбы. А. Ю.

72380. О химическом консервировании. Хеннинг (Gift in der Nahrung? Im Irrgarten der chemischen Konservierung. Henning Wolfgang), Allgem. Fischwirtschaftszeitung, 1957, 9, № 39—40, 16—18 (нем.)

Утверждение о вредности применения хим. в-в для консервирования рыбных презервов (маринов, анчоусов, салатов и пр.) необосновано. В обычных продуктах питания могут содержаться ядовитые в-ва. Так, шавелевая к-та содержится в шпинате, реве, шавеле, фасоли. Ядовитое горчичное масло содержится в чесноке, редьке, репчатом луке. Применяемые в рыбной пром-сти хим. консерванты (уротропин, бензойная к-та и ее эфиры и соли, салициловая к-та) не относятся к ядовитым в-вам и применяются в качестве лекарств. Для потребления обычной терапевтич. дозы этих в-в требуется 2—3 кг рыбных презервов. А. Юдиккая

72381. Изучение процесса варки при изготовлении консервов «сардины в масле». Брошан (Contribution à l'étude de la cuisson dans la fabrication de sardines à l'huile Brochant M.), Rev. techn. ind. aliment., 1958, 5, № 52, 50—53 (франц.)

Рассмотрены изменения, происходящие в сардинах под действием термич. обработки. А. Емельянов

72382. Определение степени и продолжительности созревания кильных презервов. Черногорцев А. П., Рыб. хоз-во, 1957, № 3, 82—88

На основании данных по изучению азотистых в-в в процессе созревания и хранения пряной кильки доказана возможность объективно, хим. методами определить продолжительность и степень созревания презервов. Предложен простой и надежный способ установления степени созревания пряной кильки определением кол-ва аминного азота или аминокислотного показателя. Приведены расчетные ф-лы и таблицы. Этот способ одновременно позволяет определить продолжительность созревания кильки в зави-

симости от т-ры и содержания соли. Техника применения предложенного способа показана на четырех практич. примерах. Дано описание методики определения аминного азота, аминокислотного показателя и летучих оснований. В. Долговский

72383. Упрощенная система очистки устриц. Рейнольдс (A simplified system of mussel purification. Reynolds Nial), Fisch. Invest., 1956, 20, № 8, 18 pp.) (англ.)

На основании исследования различных упрощенных способов мойки устриц в течение промыслового сезона установлено, что отсутствует необходимость сливать воду из моечного резервуара при поступлении на очистку каждой новой партии устриц. Ил на устрицах не препятствует их бактериологич. очистке. Хорошая очистка устриц достигается при толщине слоя в 7,5 см, при толщине слоя 15 см очистка устриц не всегда бывает удовлетворительной из-за трудности промывки из шланга. При поступлении на очистку новой партии устриц требуется добавлять в резервуар некоторое кол-во свежей воды. Для непрерывной обработки устриц слоем в 7,5 см в течение 48 час. глубина воды в резервуаре должна быть ~ 1 м. Промывание устриц в течение 48 час. обеспечивает удовлетворительную очистку при т-рах 1—15° при условии, что первоначальное загрязнение воды составляет до 30 бактерий кишечной группы в 10 мл. Л. Кондратьева

72384. Прозрачные пленки для упаковки рыбопродуктов. Тельге (Klarsicht- oder Folienverpackung für Fischindustrie-Erzeugnisse. Telge Heinz), Allgem. Fischwirtschaftszeitung, 1957, 9, № 39—40, 42—43 (нем.)

Развитие произ-ва искусств. материалов увеличило ассортимент пленок (П) для упаковки рыбных продуктов. Для упаковки копченого филе сельди, салатов из рыбы и т. п. широко применяют прозрачную упаковку из целлофана и комбинации целлофана с полиэтиленом. Из жестких П (поливинилхлорид, в частности «супротерм», устойчивый к к-там, щелочам и другим реагентам) изготовляют прозрачные коробки, пригодные для хранения на холоду. Основные требования, предъявляемые к упаковочным П: отсутствие запаха и вкуса, прозрачность, влагоустойчивость, устойчивость к действию химикатов, жиров и масел, нечувствительность к действию света, устойчивость к теплу и холоду, паронепроницаемость, газонепроницаемость или, наоборот, газопроницаемость, в зависимости от условий. А. Юдиккая

72385. Новые направления в аппаратуростроении для получения рыбной муки и жира. Роте (Neuere Entwicklungen im Apparatebau für die Gewinnung von Fischmehl und Fischöl. Rothe W.), Fette, Seifen, Anstrichmittel, 1956, 58, № 6, 431—433 (нем.)

Указаны отличительные особенности методов произ-ва рыбной муки в Норвегии (огневой), Германии (паровой) и США (экстракционный), их преимущества и недостатки. В последние годы усиленное распространение получили усовершенствованные огневые установки с противоточным процессом. Сырье, поступающее из бункера в пресс, продвигается шнеком в зону нагрева. По выходе из этой зоны сырье в конце шнека спрессовывается, вода и жир выделяются и противотоком направляются обратно вдоль внутренней поверхности шнекового цилиндра в зону нагрева, создавая здесь защитный слой, предохраняющий сырье от пригорания. Спаренная с установкой сушилка создает условия для высокого к.п.д. всей установки. Коэф. теплопередачи поверхности нагрева до 26 ккал/м²/час/град. Анализ рыбной муки, полученной в производственных опытах при параллель-

ной работе усовершенствованной и обыкновенной паровой установок, дал соответственно следующие результаты (в %): кол-во белка 69,7 и 65,5, жира 5,8 и 9,3, воды 8,9 и 11,9. Дан эскиз шнека усовершенствованной установки.

Г. Шураев
72386. Изучение физико-химических свойств морских продуктов. III. Релаксация напряжений ткани сушеной каракатицы в жидких средах. Кисимото, Фудзита (Studies on physico-chemical properties of marine products and related substances. III. Stress-relaxation in dried cuttle-fish in liquid media. Kishimoto Akira, Fujita Hiroshi), Нихон суйсан гаккайси. Bull. Japan. Soc. Scient. Fish., 1956, 22, № 5, 297—300 (англ.)

Для выяснения природы поперечных связей структуры ткани сушеной каракатицы (К) применяли метод хим. релаксации. Образцы ткани после их набухания в дистил. воде при 10° в течение суток вытягивали в воде до достижения 3% удлинения и закрепляли в вытянутом состоянии. Затем, после слива воды и заполнения камеры соответствующим реагентом, производили (каждый раз на новом образце) замер изменения во времени напряжения образцов под действием 2,5 М р-ра мочевины (I), 0,2 М р-ра NaHSO₃ и 0,1 М р-ра HCl. Под действием I и HCl напряжение образцов быстро падало до 0, причем HCl более эффективна. Под действием NaHSO₃ релаксация напряжений протекала медленнее, и конечная его величина составляла 0,7 первоначальной. Действие I объясняют вероятным разрывом водородных связей сетевидной структуры К, что согласуется с увеличением под действием этого реагента среднего мол. веса между узловыми точками структуры. Предполагают, что HCl разрушает наиболее чувствительные к действию кислоты связи, напр. солевые связи. Образец К, подвергавшийся действию HCl, после промывки и вторичного помещения в воду, после растяжения не показал начальной величины напряжений. Сообщение II см. РЖХим, 1958, 59200.

А. Юдицкая
72387. Изучение азотсодержащих составных частей пищевых продуктов при помощи ионообменных смол. I. Выделение фракции аминов из экстракта высушенного кальмара. Кусакава, Кодзима (Studies on nitrogenous constituents in food by ion exchange resins. (I) Isolation of amine fraction from squid (dried) extract. Kusakabe Hiroo, Kojima Yoshihisa), Kagaку кэнкюдзё хококу Repta Scient. Res. Inst., 1956, 32, № 6, 221—223 (японск.)

72388. Пищевые гигиенические исследования омаров. Линзерт (Lebensmittelhygienische Untersuchungen von Hummern. Linzert H.), Arch. Lebensmittelhyg., 1956, 7, № 23—24, 270—271 (нем.)

Исследованы признаки, определяющие в живом или мёртвом состоянии омары подверглись кулинарной обработке.

И. Ш.
72389. О компонентах кофе. Сообщение I. Полярографическое определение хлорогеновой кислоты. Сообщение II. Спектрофотометрическое определение кофейной и хлорогеновой кислот. Кальцолари, Фурлани-Донда (Sui costituenti del caffè. Nota I. Polarografia dell'acido clorogenico. Nota II. Dosaggio spettrofotometrico degli acidi caffeico e clorogenico. Calzolari Claudio, Furlani Donda Anita), Ann. chimica, 1957, 47, № 11, 1256—1266; 1267—1279 (итал.)

Г. Разработан полярографич. метод определения хлорогеновой к-ты (I). Восстановление I осуществляется путем насыщения двойной связи $>C=CH<$ с образованием дигидрохлорогеновой к-ты. Присутствие кофейной к-ты не мешает определению.

II. Разработан спектрографич. метод определения содержания кофейной и хлорогеновой к-т при совместном присутствии. При pH 8—9 определяют величину экстинкции при 329 мμ и вычисляют кол-во этих к-т, затем по величине экстинкции при 346 мμ определяют кол-во хлорогеновой к-ты и по разности находят кол-во кофейной к-ты. Г. Новоселов.

72390. Органические кислоты в ферментированном кофе. Мабрук, Детеридж (Organic acids in brewed coffee. Mabrouk Ahmed F., Deatherage F. E.), Food Technol., 1956, 10, № 4, 194—195 (англ.)

72391. Новые тенденции в ферментации табака. Катрейн (Tendinte noi in fermentarea tutunului. Kathrein I.), Rev. ind. aliment. prod. vegetale, 1957, № 7, 18—19 (рум.)

Краткое описание различных применяемых и испытываемых способов ферментации табака с различной влажностью, основанных на применении кондиционированного воздуха, сокращающего длительность ферментации до 8,5 суток, электричества — до 9 суток. хим. реагентов, в частности окиси этилена, — 48 час.

72392. Исследование ферментации табаков. Сообщение XV. Химические изменения в восточных табаках при обычной и ускоренной ферментации. Джованноцци (Studi sulla fermentazione dei tabacchi orientali. XV nota — Variazioni chimiche dei tabacchi orientali in conseguenza della fermentazione extra-stagionale e di quella stagionale. Giovanni M.), Tabacco, 1955, 59, № 676—677, 371—382 (итал.; рез. англ.)

Даются результаты исследований хим. изменений табаке Герцеговина VII зоны округа Лекка при обычной и ускоренной ферментации. Более значительные изменения компонентов табака происходили при ускоренной ферментации в течение 25 суток при относительной влажности воздуха 70—80% и t-ре 47—50°С, чем при обычной в течение 45—60 суток; большие изменения претерпевали легко окисляющиеся сахара, и потери их составляли (в %) через 5 суток 7,79, через 10 суток 11,26, через 15 суток 11,42, через 20 суток 17,42, через 25 суток 20; в сухом состоянии потери составляли (в %): через 10 суток 0,34, через 15 суток 0,51, через 20 суток 1,86, через 25 суток 2,15. Предыдущее сообщение см. Н. Tabakko, Marzo, 1955, № 58.

А. М.
72393. Методы исследования искусственных красителей в молотом красном перце. Грау, Ландоль (Normas para la investigación de colorantes artificiales en el pimentón. Grau Carlos A., Landolf Yose Maria), Ind. farmac. venezolana, 1956, № 71—72, 19—24 (исп.)

Обзор. Библ. 19 назв.

72394. Механизированная линия производства первого ферментативного соуса. Гуляев В. Н., Бортжковский В. П., Консервн. и овощн. пром-сть, 1958, № 6, 5—8

Описана механизированная линия Московского пищевого концентратов № 3, на которой производительность труда рабочих повышалась более чем в 4 раза. Соевые бобы моют на шнекобарabanной машине, затем ковшовым элеватором подают вращающийся стерилизационно-смесительный аппарат, в котором их варят 10—15 мин. при давлении пара 1,5 атм. и охлаждают в этом же аппарате 30 мин. до 32—35°. В охлажд. зерно вводят маточную культуру *Aspergillus oryzae* с пшеничной мукой, смесь перемешивают с зерном при вращении барабана и направляют в аппарат для выращивания *A. oryzae*, где ее выдерживают 48 час. с подачей в аппарат кондиционированного воздуха. Готовое жидкое

на волчок с решеткой диам. 5 мм, где его измельчают, и затем транспортируют в ферментаторы, в которых выдерживают 48 час., причем т-ра кожки поднимается до 55—60°. Для регулирования т-ры в рубашку ферментатора подают холодную и теплую воду. Готовую массу заливают р-ром NaCl, экстрагирующим в течение 10—12 час. растворимые в воде в-ва. Готовый соус (экстракт) отводится в сборники. Для получения ферментативного соуса без соли или с небольшим количеством NaCl с ферментированную массу экстрагируют водой или слабым соевым р-ром. А. Емельянов

72395. Химические добавки в пищевые продукты. Красители. Вардехо-Вивас (Aditivos quimicos intencionales en los alimentos. Colorantes. Verdejo Vivas G.), Farmac. nueva, 1956, 21, № 237, 555—562 (исп.)

Предыдущее сообщение см. РЖХим, 1957, 78843.

72396. Химикаты в пищевых продуктах. Шульц (Chemicals in foods. Schultz H. W.), J. Amer. Diet. Assoc., 1958, 34, № 5, 492—495 (англ.)

Кратко охарактеризованы роль хим. добавочных в-в, применяемых в пищевой пром-сти и функции кон-трольного комитета по пищевым продуктам (Food Protection Committee). А. Е.

72397. Вещества, добавляемые в пищевые продукты. I. Консерванты и консервирование. Адамович (Strani aditivi u životnim namirnicama. I. Konzervansi i konzerviranje. Adamović Vladislav), Tehnika, 1958, 13, № 2, Prehran. ind., 12, № 2, 29—32 (сербо-хорв., рез. франц.)

Обзор. Библ. 7 назв. Г. Н.

72398. Исследование методом разделительной хроматографии на бумаге консервантов, производных бензойной кислоты, введенных в состав пищевых продуктов. Жю (Recherche par chromatographie de partage sur papier des antiseptiques dérivés de l'acide benzoïque éventuellement incorporés aux denrées alimentaires. Joux J. L.), Ann. falsific. et fraudes, 1957, 50, № 581—582, 205—211 (франц.)

Проведено определение содержания в пищевых продуктах бензойной, ортохлорбензойной, парахлорбензойной, салициловой, параоксибензойной к-ты и некоторых эфиров параоксибензойной к-ты (метилловый, пропилловый и бутиловый). Консерванты извлекали смесью равных объемов этилового и петр. эфиров. Описан общий метод извлечения производных бензойной к-ты, идентификация их при помощи нисходящей разделительной хроматографии на бумаге, а также предварительный анализ с помощью круговой хроматографии. Л. Михельсон

72399. Химический канцерогенез и его значение в отношении применения синтетических красителей при производстве пищевых продуктов. Сноэйнк (De chemische carcinogenese en haar betekenis voor het gebruik van synthetische kleurstoffen in voedingsmiddelen. Snoijink J. J. A.), Chem. en pharm. techn., 1956, 12, № 6, 98—100 (гол.)

72400. Значение проницаемости для упаковки пищевых продуктов. Чарлтон, Де-Лонг (The role of permeability in food packaging. Charlton F. S., DeLong R. F.), Paper. Film and Foil Converter, 1956, 30, № 5, 23—25 (англ.)

72401. Применение тонкой холоднокатанной жести горячего лужения в консервной промышленности. Локшин Я. Ю., Глуз Д. С., Малирчук Ю. Т., Консерв. и овощесущ. пром-сть, 1958, № 5, 19—21

Опыты по изготовлению различной тары из тонкой жести и применению ее в консервной пром-сти показали возможность использования ее для произ-ва герметизированных и сборных банок емкостью до 0,5 л для молочных, мясных, овощных и рыбных консервов. Резюме автора

72402. Поверхностноактивные вещества для пищевой промышленности. Часть 3. Эйлуорд (Substances tensio-actives pour les industries alimentaires. 3-e part. Applications. Aylward Francis), Rev. ferment. et inds. aliment., 1958, 13, № 1, 29—35 (франц.)

Рассмотрены вопросы, связанные с применением поверхностноактивных в-в при произ-ве кондитерских изделий, хлеба и других мучных изделий, а также маргарина и других пищевых продуктов. Часть 2 см. РЖХим, 1958, 51807. Г. Н.

72403 К. Новое в технике и технологии хлебопекарного производства (По материалам III Междунар. конгресса по хлебопечению в Гамбурге). Горюшенко М. К., М., Пищепромиздат, 1958, 165 стр., илл., 5 р. 75 к.

72404 К. Масло. Мор, Кёнен (Die Butter. Mohr Walter, Koenen Karl. Hildesheim, Milchwirtsch. Verl. Mann, 1958, 628 S., ill., 60.—DM) (нем.)

72405 К. Технология лососевой и частиковой солевой икры. Кизеветтер И. В., М., Пищепромиздат, 1958, 128 стр., илл., 3 р. 75 к.

72406 П. Пищевой продукт и способ его изготовления. Ривоч (Food products and method of making the same. Rivoche Eugene Joel). Пат. США 2791508, 7.05.57

Патентуется способ изготовления новой пищевой основы для введения в нее молотого, гранулированного или дробленого пищевого продукта, напр., плодов, ягод, овощей, крахмала, муки, белков и белковых продуктов, и образования искусств. пищевых продуктов. Способ применим для изготовления искусств. теста для хлеба или кекса с относительно низким содержанием муки, для мгновенного изготовления десертных желейных продуктов при низкой т-ре, а также искусств. жареного ломтиками картофеля с различным содержанием картофеля и без него. Различное пищевое сырье диспергируют на холоду в тиксотропном полугеле, образованном коллоидом с водой и содержащем суспендированную в нем тонкодисперсную, легко растворимую пищевую соль щел.-зем. металла, пищевую к-ту, трудно растворимую при низкой т-ре и легко растворимую при высокой т-ре. Кол-ва соли и к-ты должны быть достаточны для образования геля в холодной воде, но не достаточны для затвердевания геля. Полученный гель нагревают для растворения указанной к-ты, при этом подкисление р-ра вызывает освобождение растворимых ионов щел.-зем. металлов и превращение полугеля в необратимый твердый гель. После тепловой обработки последнего получают жесткую структуру, не обладающую свойствами геля. Пример. Для изготовления искусств. жареного ломтиками картофеля 1 г стандартной альгинатной к-ты малой или средней вязкости смешивают с 0,12 г Са-карбоната и 12 г крахмала. 13 г крахмала смешивают с 0,5 г лимонной к-ты. 100 г воды при ~ 20° помещают в смеситель и при большой скорости перемешивания добавляют смесь альгинатной к-ты, Са-карбоната и крахмала, перемешивают в течение 2—5 мин., прибавляют смесь крахмала с лимонной к-той, перемешивают еще в течение 5—10 сек. Затем полужидкую смесь подают через трубку, в которой в течение 2—10 мин. образуется гель, по выходе из трубки нарезаемый тонкими дисками. Последние падают в горячую воду и варятся вначале при 199°, а затем при 182°. Ломтики перед обжариванием содержат ~ 20% крахмала.

Г. Новоселова

72407 П. Пекарский порошок. Новицкий (Baking powder. Novitsky Peter) [General Foods Corp.]. Пат. США 2793121, 21.05.57

В пекарский порошок, содержащий Na-алюминиевые квасцы (I), кислый фосфат Са (II), двууглекис-

лтый щел. металл и кукурузный крахмал (КК), вводят безводн. сульфат Са (III) в соотношении III:II как 1,16—1,6:1. Примерные составы пекарских порошков (в %): 1) двууглекислого Na (IV) 30, I ~ 20, II ~ 8,7, III ~ 14,2 и КК ~ 27,1. 2) IV ~ 30, I ~ 17,5, II ~ 10,5, III ~ 17,1 и КК ~ 24,9. 3) IV ~ 30, I ~ 15, II ~ 11,9, III ~ 19,2 и КК ~ 23,9. 4) IV ~ 30, I ~ 10, II ~ 15, III ~ 24,1 и КК ~ 20,9.

А. Емельянов
72408 П. Улучшение качества продуктов, содержащих пищевые добавки. Моррисон, Аллен (Improvements in or relating to food products containing food adjuncts. Morrison Gilbert Stewart, Allen Russell James Laurence) [Monkhouse & Glasscock, Ltd.]. Англ. пат. 745384, 22.02.56

Патентуется способ произ-ва сухого пищевого продукта, содержащего ароматизирующий компонент, который для сохранения аромата заключен в помаду. 56 вес. ч. сахарного песка и 14 вес. ч. глюкозы смешивают с 14 вес. ч. воды, смесь нагревают до 93°, выдерживают при этой т-ре до растворения песка и глюкозы, затем т-ру поднимают до 119° и снижают до 54°. Сироп сбивают до образования помады и охлаждают до комнатной т-ры. Готовую помаду нагревают до 79°, смешивают с земляничной эссенцией, содержащей ~ 95% конц. натурального земляничного сока и ~ 5% синтетич. эфиров и отливают в резиновые лотки с ячейками. Полученные порции весом ~ 9 г помещают в упаковку с сухим желатиным десертным продуктом, который перед употреблением смешивают с водой или молоком.

Г. Новоселова
72409 П. Способ обработки соли. Такада Йодзюра, Ядзакэ Яеус [Такада сёкурё кабусики кайся]. Японск. пат. 1840, 19.03.55

Патентуется способ сбраживания соевой массы и аппаратура для этого процесса. В плотно закрытый аппарат вертикального типа помещен смешивающий шнек, заключенный в открытый сверху и снизу цилиндр. Между стенками цилиндра находится эмеевик. Бобы и воду (можно с добавлением крахмалистых в-в) подают в аппарат сверху, подогревают и перемешивают до пастообразного состояния. Массу охлаждают, вносят *Aspergillus oryzae*, 1—2 суток без доступа воздуха перемешивают, получают закваску, добавляют соль и закваску на крахмалсодержащем сырье, осуществляют главное брожение и последующую обработку, фильтруют и прогревают. Пример. В аппарат емк. 50 л помещают 5 кг обезжиренных соевых бобов и 20 л воды, перемешивают и 1 час пастеризуют при 110—120°. Полученную пасту при перемешивании охлаждают в течение 7 мин. до 40°, вносят *A. oryzae*, выдерживают в спокойном состоянии 10—15 час. при 30—35°, перемешивают 24—48 час. и получают пастообразную закваску, которую переносят в бродильный чан. Если необходимо, то предварительно в массу до-

бавляют 6 кг соли (конц-ия 18%) и 4 кг крахмалистой закваски и главное брожение осуществляют 1 месяц при 25—40°, а последующее брожение также 1 месяц при 15—20°, затем фильтруют под давлением и прогревают. Приложена схема аппарата.

А. Фрадкин
72410 П. Пищевой краситель из биксина. Букас, Душинский, Шенк (Process to convert bixin to a food color and the resulting product. Buzas August J., Dusinski John M., Schenck Ten Euck) [Keystone Chemurgic Corp.]. Пат. США 2793124, 21.05.57

Чистый кристаллич. красный биксин из аннато, полученного из семян *Bixa orellana* L., превращают в жирорастворимый желтый краситель, нагревая с уксусной к-той (I) и уксусным ангидридом (в качестве катализатора) и выдерживая смесь в отсутствие воздуха (под слоем инертного газа) до окончания р-ции, затем отгоняют I, и полученный продукт растворяют в триглицериде, напр. триацетине или трибутирине. Пример. 100 вес. ч. биксина и 1000 вес. ч. лед. I помещают в двугорлую колбу, в одно из горлышек вставляют обратный холодильник, другое служит для ввода газа. К смеси добавляют 5 вес. ч. уксусного ангидрида и, пропуская N₂, нагревают смесь до слабого кипения. Через 2—3 часа добавляют еще 5 вес. ч. уксусного ангидрида и нагревают еще некоторое время, затем обратный холодильник заменяют прямым и отгоняют I при низкой т-ре под вакуумом. Остаток обрабатывают р-рителем (продолжая пропускать N₂), перемешивая при 50°. Р-р охлаждают и фильтруют под слоем инертного газа. Около 10% биксина теряется в виде нерастворимого полимера, образованного под действием следов O₂. Спектр поглощения полученного желтого красителя в изопропиловом спирте имеет один максимум при 405 мμ, тогда как исходный биксин в тех же условиях показывает два максимума при 460 и 485 мμ. Краситель применяют для подкрашивания сливочного масла и маргарина.

Г. Новоселова
См. также: Хим. состав пищевых продуктов 28251Бх. Соединения фосфора в пищ. продуктах 27192Бх. Глюкозооксидаза при хранении пищевых продуктов 28237Бх. Определение малатиона в пищ. продуктах 71827. Ферментативные методы исследования 28238Бх. Сушка в пищевой пром-сти 71087. Амилазы пшеницы 27167Бх. Хим. состав овса 27586Бх. Хим. состав чумизы 27588. Молибден в зернах кукурузы 27668Бх. Витамин С в землянике 27639Бх. Хим. состав томатов 27587Бх. α-Амилазы молока 27169Бх. Влияние антиокислителей на вкус молока 28264Бх. Аминокислотный состав белков молока 28268Бх. Кисломолочный напиток курунта 27469Бх. Определение фосфатазы в масле 27197Бх. Определение доброкачественности мяса 28252Бх. Пищевые отдушки 71882

ХИМИЧЕСКАЯ ТЕХНОЛОГИЯ. ХИМИЧЕСКИЕ ПРОДУКТЫ И ИХ ПРИМЕНЕНИЕ (Часть 4)

СИНТЕТИЧЕСКИЕ ПОЛИМЕРЫ. ПЛАСТМАССЫ

Редакторы А. А. Жданов, Н. С. Левкина

72411. Основы производства пластмасс. Ульссон (Plastvärldens ABC. Olsson John), Plastvärlden, 1957, 7, № 7—8, 288, 291—292, 294, 296—298, 301—302 (шведск.)

Обзор методов произ-ва, свойств и применения термореактивных пластиков и термопластов.

Л. Песин
72412. Эластомеры и пластмассы (общие положения). Педерсен (Elastomere og plast, nogle almene

relationer. Pedersen H. Leth), Ingeniøren, 1958, 67, № 2, 88—94 (датск.)

Обзор методов получения, строения и свойств основных типов эластомеров, термопластов, термореактивных пластиков, а также высокополимеров, применяемых для производства искусств. и синтетич. волокон и синтетич. смол лакового назначения.

Л. Песин
72413. Пластмассы. Кареда (Vestleme plastmassadesi. Kareda A.), Tehnika ja tootmine, 1957, 12, 32—36 (эст.)

Популярная статья о свойствах и применении основных типов пластмасс — термореактивных и термопластов.

72414. Новые области применения пластмасс. Алхорупо (Nya användningsområden för plastprodukterna. Alhorgo Ensio), Mercator, 1957, 52, № 45, 753 (шведск.)

Пенопласты на основе мочевиноформальдегидных смол применяют для изоляции трубопроводов, стеклопластики в жилищном строительстве (для световых фонарей, балконовых стен), акрилаты для осветительных трубок.

Л. Песин

72415. Материалы из пластмасс — в строительстве. Дороненков И., Требуков П., Езерский А., Строит. материалы, 1958, № 1, 18—21

Освещены вопросы произ-ва некоторых изделий из пластмасс, напр. облицовочных плиток, поливинилхлоридного линолеума, искусств. пиломатериалов и теплоизоляционных материалов.

А. Вавилова

72416. Пластмассы в жилищном строительстве. Ровен Б., Шварц Л., Бюл. техн. информ. по стр-ву. Главленинградстрой при Ленгорисполкоме, 1958, № 3, 30—32

72417. Пластмассы в легковом автомобилестроении. Сахрихсон (Plast till bil — och i bil. Zachrisson Ake), Plastvärlden, 1957, 7, № 7-8, 304—306, 309, 313—314 (шведск.)

Обзор деталей для автомобилей, изготавливаемых в настоящее время из пластмасс. Отмечено, что в новой модели машины «кадиллак» барабан в установке для кондиционирования воздуха, расположенный под верхом кузова, изготовлен из стирольного пластика «Styron 475».

Л. Песин

72418. Применение пластмасс в газовой промышленности. Сальвадори (Utilizzazione delle materie plastiche nell'industria del gas. Salvadori O.), Gas (Ital.), 1957, 7, № 6, 183—184 (итал.)

В газовой промышленности применяют трубы из полиэтилена (главным образом низкого давления с металлич. соединительной арматурой), ацетобутирата целлюлозы, сополимера стирола с акрилонитрилом и бутадиевом (краспастик), жесткого поливинилхлоридного пластика, армированных полиэфирных смол, рильсана. Отмечено, что в настоящее время выпускают трубы из рильсана диаметром только до 70 мм, отличающиеся высокой хим. стойкостью и стойкостью к действию р-рителей.

Л. Песин

72419. Применение пластмасс в ракетной технике. Церингер (Zur Verwendung von Kunststoffen in der Raketentechnik. Zaehring Alfred J.), Raketentechn. und Raumfahrtforsch., 1957, № 3, 57—59, 77 (нем.)

Обзор. Применение пластмасс в ракетной технике для деталей оболочки, двигателя, электронного оборудования, в качестве горючего в смеси с кислородо-держателями солями и связующего для твердого и жидкого ракетного топлива, для уплотнений и защиты различных частей ракеты. Библ. 9 назв.

Л. Петрова

72420. Применение пластмасс в ракетной технике. Итокава Хидэо, Раба дайзэсудо, Rubber Digest, 1958, 10, № 2, 2—6 (японск.)

72421. Пластмассы и проблемы гидроизоляции. Бов (Plastiques et problèmes d'étanchéité. Bove Pierre), Rev. gén. étanch. et isolat., 1957, 9, № 29, 11, 13, 15 (франц.)

Приведены требования, предъявляемые к пластмассам, применяемым для кровли и гидроизоляции, а также возможность изготовления этих материалов.

С. Иофе

72422. Пластмассы. Шестерни из пластмасс. Русселя (Les matériaux plastiques. Engrenages en matière plastique. Rousselle G.), Mach.-outil franc., 1957, 22, № 119, 99, 101, 103; № 120, 99, 101, 103, 105 (франц.)

Обзор. Рассмотрены методы изготовления шестерен

из древесины, текстолита, гетинакса, фибры и полиамидов (I) и их характеристика. Приведены физ.-мех. и термич. свойства основных типов I, применяемых для изготовления шестерен. Дана номограмма для расчета допустимых нагрузок на шестерни из I, древесных пластиков и фенольного текстолита, в зависимости от скорости вращения. Библ. 11 назв. Предыдущее сообщение см. РИХим, 1958, 69161.

Л. Песин

72423. Пластмассы в производстве каблучков для дамской обуви. Беклин (Plasterna kan höja skokvaliteten. Bäcklin Bengt), Plastvärlden, 1957, 7, № 7—8, 316—318, 320, 322 (шведск.)

Пластмассы на основе ацетилцеллюлозы, ацетобутирата целлюлозы, акрилатов, пленки майлар применяют для изготовления каблучков.

Л. Песин

72424. Пластмассовые трубы. Павли (Muoviputkista. Pawli E.), Tekn. kem. aikakauslehti, 1957, 14, № 18, 461, 463 (финск.; рез. англ.)

Рассмотрены пластмассы, наиболее пригодные для изготовления труб. Приведены данные по хим. стойкости полиэтилена, ацетилцеллюлозы, сарана, поливинилхлорида и политетрафторэтилена. Отмечено, что в Финляндии быстро развивается произ-во труб из пластмассы для различных целей. Из резюме автора

72425. Трубопроводы из пластмассы в целлюлозно-бумажных предприятиях. Мак-Лафлин (Plastic piping in b. c. pulp and paper mills. McLaughlin J. J.), Pulp and Paper Mag. Canada, 1958, 59, № 2, 77—80 (англ.)

Рассмотрены пластмассы, применяемые для изготовления труб, их свойства и применения.

А. Сафьян

72426. Методы идентификации пластмасс. Иосида Самио, Кобунси, 1957, 6, № 67, 31—36 (японск.)

Обзор. Рассмотрены основные методы идентификации пластмасс по физ., термич., оптич. и хим. свойствам. Библ. 37 назв.

В. Иоффе

72427. Идентификация пластмасс и высокополимеров. Убальдини (Ensayos para la identificación de plasticos y de altos polimeros. Ubaldini Ivo), Industria y química, 1957, 18, № 3, 163—165, 168 (исп.)

Описаны предварительные опыты по исследованию пластиков (поведение при нагревании и сжигании, сухой перегонке, нагревании с 25%-ной H_2SO_4 и определение характерных элементов); приемы распознавания фенолов, формальдегида, мочевины и меламмина в аминопластах, идентификации анилиновых смол, поливинилацетата, поливинилового спирта, кумароновых смол, нитроцеллюлозы, поливинилхлорида, хлоркаучука и неопрена.

Л. Песин

72428. Идентификация пластмасс. Желен (Identification des matières plastiques. Gelin René), Offic. matières plast., 1957, 4, № 41, 57—63 (франц.)

Описаны предварительные методы распознавания пластмасс: сжиганием, сухой перегонкой, обработкой 25%-ной H_2SO_4 , определением растворимости в воде и в различных органич. р-рителях, определением флуоресценции, элементарным анализом, применением р-ции Либерманна — Шторха — Моравского.

Л. Песин

72429. Методы испытания электрических характеристик пластмасс. Зур (Elektrische Prüfverfahren für Kunststoffe. Suhr H.), Plastverarbeiter, 1957, 8, № 10, 374—376 (нем.)

Описаны методы испытания: внутреннего, объемного и поверхностного электрич. сопротивления; tg угла диэлектрич. потерь и диэлектрич. проницаемости; пробивной напряженности; дугостойкости и др. Приведено сравнение методик, предписанных германскими (DIN) и американскими (ASTM) стандартами, а также рекомендации Международной электротехнич. комиссией.

С. Шишкин

72430. Определение теплопроводности пластических масс. Неринг (Zur Ermittlung von Wärmeleitzahlen

von Kunststoffen. Nehring O.), Kunststoffe-Plastics, 1957, 4, № 3, 265—268 (нем.).
См. РЖХим, 1958, 6358.

72431. Испытание полиэтиленовых труб и фиттингов на сопротивление давлению. Сэноо, Кагаку когаку, Chem. Engng (Japan), 1957, 21, № 9, 556—558 (японск.).

Описаны основные принципы испытаний на механич. прочность и, в частности, на сопротивление давлению и предел прочности при растяжении труб и фиттингов, изготовленных из полиэтилена высокого давления. В. Иоффе

72432. Первое в Японии производство полиэтилена. Кумэ, Коапу гасу кёкайси, J. Soc. High Pressure Gas Ind., 1957, 21, № 7, 274—281 (японск.).

Описана принципиальная схема получения полиэтилена высокого давления, а также изложены основные этапы исследовательских работ, проведенных в Японии, по изучению процесса полимеризации этилена под высоким давлением. В. Иоффе

72433. Новый завод по производству полиэтилена в США.— (New U. S. polythene plant.—), Plastics, 1958, 23, № 244, 17 (англ.).

Кратко описан з-д по произ-ву полиэтилена низкого давления, пущенный в эксплуатацию в ноябре 1957 г. (Батон-Руж, Луизиана), с годовой производительностью в 22 650 т. С. Перлин

72434. Полиэтилен, полученный по методу Филлипса. Ямагучи Сигэру, Пурасуттикуссу, Japan Plast., 1957, 8, № 10, 19—24 (японск.).

Описаны основные свойства полиэтилена (I), полученного полимеризацией этилена под давл. 30—40 атм и при t -ре 100—150°, в присутствии катализатора CrO_3 на алюмосиликатном носителе. Указаны методы переработки I в изделия литьем под давлением, непрерывным выдавливанием, вакуум-формованием, на пленочных машинах. Рассмотрено применение I для изготовления труб, электроизоляционных изделий, волокна, антикоррозийных покрытий и др. В. Иоффе

72435. Полиэтилен, полученный по методу Филлипса. Айхара, Кагаку когё, Chem. Ind (Japan), 1957, 8, № 11, 996—1002 (японск.).

Рассмотрены перспективы развития произ-ва полиэтилена в США и проведено сравнение физ., механич., хим. и электрич. свойств полиэтилена высокого и низкого давления, а также основные области применения полиэтилена низкого давления. В. Иоффе

72436. «Хостален» — полиэтилен низкого давления, выпускаемый в ФРГ. Зоммер (Hostalen) El nuevo polietileno de baja presión producido por Farbwerke Hoechst A. G. Francfort (M) — Alemania. Sommer Heriberto), Plásticos, 1957, 4, № 22, 40—51, 66 (исп.).

Описаны строение полиэтилена низкого давления — «хостален» (I), его механич., диэлектрич. и хим. свойства; ассортимент I промышленного выпуска; технологич. параметры переработки I в изделия литьем под давлением, экструзией (труб диам. 127 мм, листовых материалов и нитей), прессованием, вакуум-формованием, спеканием; применение I. Л. Песин

72437. Окисление полиэтилена под действием света и его стабилизация. Йокосэ, Ватанабэ (Yokose K., Watanabe M.), Сумитомо дэнки, Sumitomo Electr. Rev., 1957, № 66, 12—19 (японск.; рез. англ.). Исследовано влияние УФ-лучей на свойства полиэтилена. Ухудшение свойств объясняют возникновением аутокаталитич. р-ции, в результате которой появляются карбонильные и ненасыщ. радикалы. Для стабилизации полиэтилена добавляют $\geq 2\%$ тонкодисперсной и тщательно диспергированной канальной газовой сажи. Из резюме автора

72438. Некоторые особенности полипропилена. Кондо, Дэнсэн дайхо, 1957, 10, № 10, 28—29 (японск.). Дана характеристика «изотактического» полипропилена, выпускаемого итальянской компанией Montecatini под марками Moplen № 1 и №2, и приведены физ.-мех. и электрич. свойства их. В. Иоффе

72439. Применение «астралона» в картографии. Вальтер, Бекке (Astralon im kartographischen Sektor. Walter Reinhard, Becke Joachim), Kunststoffe, 1958, 48, № 3, 141—144, 3, 4 (нем.; рез. англ., исп.).

72440. Стабилизация поливинилхлорида. Гендерсон (Stabilization of PVC. Henderson Bradford), Canad. Plast., 1957, Nov., 66—67, 70 (англ.). Дан обзор стабилизаторов (различные мыла, эпокси-соединения, оловоорганич. соединения, аминопроводные и др.), их свойств и влияния на качество изделий из поливинилхлорида. Л. Чернина

72441. Листы из жесткого поливинилхлорида для промышленного применения. Сайто (Saito T.), Касэн гэнпо, Japan Chem. Fibres Monthly, 1957, 10, № 12, 46—50 (японск.).

Кратко описаны физ.-мех. свойства и марки жестких поливинилхлоридных листов, изготовленных в Германии (HP 101 и Vinidur). В. Иоффе

72442. Оборудование из винипласта на химических предприятиях. Синодзакэ, Кагаку когаку, Chem. Engng (Japan), 1957, 21, № 9, 551—555 (японск.).

Описано применение труб, вентиляционных устройств из винипласта для облицовки оборудования и различных емкостей. В. Иоффе

72443. Поливиниловые смолы в строительной промышленности. Симор (Vinyls in the building industry. Seymour Malcolm), Plastics Ind., 1957, 15, № 8, 24, 26—27 (англ.).

Описаны преимущества поливиниловых смол и их применение в качестве покрытий для стен, полов и потолков в жилых и общественных зданиях. Л. Чернина

72444. Методы производства фторсодержащих смол. Часть II. Котори, Кагаку когё, Chem. Ind. (Japan), 1957, 8, № 9, 837—843 (японск.).

Обзор. Библ. 45 назв. Часть I см. РЖХим, 1958, 45078. Н. Л.

72445. Тефлон, его свойства, методы переработки и применение. Рейтер (Teflon, jeho vlastnosti, zpracování a použití. Reiter R.), Strojirenství, 1957, 7, № 11, 861—864 (чешск.; рез. русск., нем., англ.). Обзорная статья. Л. Песин

72446. Применение полиэфирных смол. Хаяси, Камикару эндзиниярингу, Chem. Engng, 1957, 2, № 9, 787—791 (японск.).

Приведены физ.-мех., электрич. и хим. свойства полиэтилентерефталата (I), свойства волокна из I, основные характеристики пленки «Майлар», а также области применения волокна из I (фильтраты для хим. пром-сти, планги, канаты, электроизоляционные материалы и др.). В. Иоффе

72447. Возможности применения эпоксидных смол в судоремонте. Берштейн В., Елин И., Коган Н., Морск. флот, 1958, № 1, 10—12

Рассмотрено применение эпоксидных смол в судоремонте (в составе конструкционных клеев, паст для устранения дефектов в литье и эксплуатируемых деталях, в лакокрасочных покрытиях). А. Вавилова

72448. Переработка полиэфирных прессматериалов. Брендель (Wie wird PREMIX verarbeitet? Brendel Hugo), Plastverarbeiter, 1957, 8, № 12, 453—455 (нем.).

Описано изготовление полиэфирных пресскомпозиций («премиксов») по непрерывному и периодич. ме-

ходу, свойства и особенности получаемых материалов, их переработка прессованием и пресслитьем.

Л. Петрова
72449. Полиэфирные пресскомпозиции. Уэрш (Polyester premix molding compounds. Wirsch W. E.), Plastics Technol., 1957, 3, № 10, 805—808 (англ.)

Рассмотрены состав, процесс смешения и условия прессования полиэфирных пресскомпозиций. Приведены 3 рецептуры и некоторые физ.-мех. свойства полиэфирных пресскомпозиций на основе смол «пара-лекс».

Л. Петрова
72450. Новое в фенольных смолах. Шваб (Advances noted in phenolic resins. Schwab E. G.), S. P. E. Journal, 1958, 14, № 1, 60 (англ.)

Сообщение о выпуске фирмой Bakelite новой марки фенольной смолы BMM-7000, имеющей быструю скорость отверждения.

Л. Черниа
72451. Исследование сопротивляемости поли-ε-капролактама к действию микроорганизмов. Бомар (Beitrag zum Studium der Widerstandsfähigkeit des Poly-ε-Kaprolaktams gegen Mikroorganismen. Bomar M.), Plaste und Kautschuk, 1957, 4, № 8, 287—289 (нем.)

Исследовано влияние мономерного (МК) и полимерного (ПК) ε-капролактама на рост микроорганизмов (МО): *Monilia sitophila*, *Penicillium breviscompactum*, *Penicillium spizies*, *Aspergillus niger*, *Mucor racemosus* и др. Установлено, что при повышенных конц-ях МК является ядом и подавляет или прекращает рост МО; при очень малых конц-ях МК в некоторых случаях способствует их росту. На чистые пленки ПК МО не оказывают разрушающего действия. Пленки, загрязненные в-вами, являющимися питательной средой, быстро разрушаются. Поэтому ПК может служить упорочным материалом только для в-в, не являющихся питательной средой для МО.

С. Савина
72452. Полиорганосилоксаны и их применение. Эйме (Silicones and their applications. Ames J.), I. Scient. Instrum., 1958, 35, № 1, 1—8 (англ.)

Описаны строение, способы произ-ва, свойства и области применения жидкостей, каучуков, пластмасс, лаков и гидрофобизирующих составов на основе кремнийорганич. полимеров. Библ. 14 назв.

А. Казакова
72453. Полиорганосилоксаны в машиностроении. Фигвер (Silikone im Maschinenbau. Figwer Eduard), Maschinenwelt und Elektrotechnik, 1958, 13, № 5-6, 77—83 (нем.)

Описано применение полиорганосилоксановых материалов — жидкостей для диффузионных насосов и гидросистем, смазок, прокладок из силиконового каучука, лаков и пластмасс — для изготовления оборудования.

А. Казакова
72454. Возможность применения полиорганосилоксанов в различных отраслях промышленности. Ридле (Die Verwendungsmöglichkeiten der Silicone. Riedle R.), Fette, Seifen, Anstrichmittel, 1957, 59, № 12, 1105—1106 (нем.)

72455. Применение пластмасс вместо стекла и керамики. Хёгберг (Plaster i konkurrens med glas och porslin. Högberg Hilding), Plastvärlden, 1957, 7, № 10, 467, 469, 472—473, 475, 477—480 (шведск.; рез. англ.)

Обзор. Приведены сравнительные данные механич., хим., оптич. и электр. свойств пластмасс, стекол и керамич. материалов. Отмечено, что армированные стеклопластики применяют в тех областях, где ранее применяли стекло и керамику, и что конструкторы должны учитывать это обстоятельство при разработке новых видов изделий. Библ. 11 назв.

Из резюме автора
72456. Слоистые стеклопластики на основе полиэфирных смол. Хейнер (Des résines polyesters-

verre dites «stratifiées». Heiner H.), Mécanic, 1957, № 11 (франц.)

Описано применение листовых просвечивающих стеклопластиков (СП) для фонарей в крышах и в проемах, для балконов, навесов, кровли и перегородок. СП на основе полиэфирных смол имеют светопропускаемость 85—92%; поглощение ИК-лучей 0,18 ккал/м час · град; уд. в. 1,5; вес 1 м² 2 кг; водопоглощение за 24 часа 0,1—0,2%; прочность (при 20°) на растяжение 800 кг/см², на изгиб 1200 кг/см², модуль упругости 900 кг/мм², допустимую нагрузку на кровлю 150 кг/м². СП полностью поглощают УФ-лучи. С. Иофе

72457. Испытание полиэфирных смол на удельную ударную вязкость. Судзук, Кикай-но канкю, Sci. Mach., 1957, 9, № 8, 927—932 (японск.)

При изучении уд. ударной вязкости (УВ) полиэфирных смол и стеклопластиков на их основе установлено, что миним. значение уд. УВ наблюдается при ~20°. Это объясняется тем, что УВ полиэфирной смолы окзывается большей при высокой т-ре и меньшей при низкой т-ре, а у стекловолокна — наоборот. Подробно исследовано также влияние других факторов на УВ стеклопластиков.

В. Иофе
72458. Контейнеры из армированных пластик для реактивных двигателей. Шепард (Armerad plast i behållare för reamotorer. Shepherd L. S.), Plastvärlden, 1957, 7, № 10, 444 (шведск.)

В Швеции изготовляют из полиэфирных пластик контейнеры (К) для хранения и транспортировки реактивных авиадвигателей Rolls Royce RM5 и RM6; размеры (в м) К (состоящих из двух половин) длина 4,2, высота 1,6, ширина 1,8, вес 850 кг. Для предохранения двигателей от соприкосновения с влажным воздухом в К помещают мешки, наполненные кизельгуром, для создания в К совершенно сухой атмосферы.

Л. Песин
72459. Полиэтиленовые слоистые материалы. Часть III. Анкава Сумиз, Пурасуттиккусу, Japan Plast., 1957, 8, № 10, 12—18 (японск.)

Подробно описаны физ.-мех., хим., оптич. и другие свойства пленки, изготовленной путем облицовки целлофана полиэтиленом, и указано, что этот упаковочный материал по многим показателям превосходит другие упаковочные материалы. Часть II см. РИХИМ, 1958, 23241.

В. Иофе
72460. Пенomатериалы. Бернхард (Vom Wesen der Schaumstoffe und ihren Arten. Bernhard P.), Prakt. Chem., 1957, 8, № 12, 392—393 (нем.)

Краткий обзор методов получения, свойств и применения пенопластов, пенобетона, пеностекла, микропористой резины (из латекса).

Л. Песин
72461. Применение поропласта из полистирола в качестве теплоизоляционного материала для трюмов судов, используемых для перевозки рыбы. Гото, Фуна-но кагаку, 1957, 10, № 9, 70—75 (японск.)

Приведены физ.-мех. и теплоизоляционные свойства поропласта из полистирола и его применение.

В. И.
72462. Теплоизоляционный материал для трюмов и рефрижераторных судов. Фуна-но кагаку, 1957, 10, № 9, 77—79 (японск.)

Кратко описаны свойства поропласта из полистирола и технология его применения.

В. Иофе
72463. Новые отечественные иониты. Пашков А. Б. В сб.: Материалы Совещания по применению ионного обмена в цветн. металлургии. М., 1957, 25—42

Обзор. Рассмотрены получение, свойства и применение сильнокислотных катионитов, слабоосновных анионитов (А), А промежуточной основности и сильноосновных А. Библ. 53 назв.

А. Вавилова
72464. Применение синтетических клеев. Бур (Het toenemend gebruik van synthetische lijmen. Boer R. de), Plastica, 1957, 10, № 12, 930—933 (гол.)

Для склейки древесины в современной промышленной практике применяют мочевино- и фенолформальдегидные смолы, а также поливинилацетатные эмульсии; последние широко применяют также для упрочнения бетона, наклейки отделочных пластмасс на стены и др. Для склейки металлов применяют эпоксидные композиции и смеси фенольных клеев с порошкообразным поливинилацетатом.

Л. Песин
72465. О клеях для склеивания металлов. Цукamoto, Кэмикару эндзиниярингу, Chem. Engng, 1957, 2, № 9, 819—827 (японск.)

Описаны методы определения адгезионных свойств клеев, а также зависимость их от мол. структуры. Приведены свойства клеев, изготовленных на основе поливинилового спирта и, в частности, поливинилового спирта и фурфурола.

В. Иоффе
72466. Склейка и сварка пластмасс. Шварц (Wann ist das Kleben und wann ist das Schweißen von Kunststoffen vorteilhafter? Schwarz O.), Ind.-Anz., 1957, 79, № 96, 1495—1496 (нем.)

В хим. аппаратостроении узлы и детали из жесткого поливинилхлоридного пластика (I) предпочтительно соединяют сваркой, при монтаже труб из I применяют фланцевые соединения. Отрезки полиэтиленовых труб на практике не склеивают и не сваривают, а скрепляют болтами. Полиакрилаты с целью сохранения оптич. свойств склеивают р-ром полимера в мономере; соединения полиакрилатов с I осуществляют прутковой сваркой. Листовые термопласты (полиизобутилен и ацетобутират целлюлозы), применяемые для обкладки аппаратуры, приклеивают к металлич. поверхностям.

Л. Песин
72467. Новые изоляционные материалы в технике слабых токов. Нюмоэн (Nye isolasjonsmaterialer i svakstrømteknikken. Nymoen Håkon), Elektrotekn. tidsskr., 1957, 70, № 28, 377—381 (норв.)

Обзор свойств и применения в телефонных установках и радиотехнике полистирола, поливинилхлорида, полиэтилена, политетрафторэтилена, политрифторхлорэтилена, полиэфиров, эпоксидных смол, кремнеорганич. полимеров.

Л. Песин
72468. Остаточная деформация изоляционного покрытия из поливинилхлорида. III. Зависимость между остаточной деформацией и результатами испытания на старение в печи Гира. Сиина ((Shiina N.), Нихон гому кёкайси, J. Soc. Rubber Ind., 1957, 30, № 6, 415—432, 490 (японск.; рез. англ.)

Проведены испытания на старение изоляционного покрытия, прочность на растяжение и удлинение которых измеряли до и после нагревания, причем испытанию подвергали несколько типов покрытий с различной деформацией, но того же состава и тех же размеров. Установлено, что на результаты испытаний в печи Гира, очевидно, влияет остаточная деформация. С увеличением деформации прочность на растяжение и удлинение сохраняется дольше, а модуль эластичности падает. Часть II см. РЖХим, 1958, 69191.

Из резюме автора

72469. Устройство и эксплуатация гидравлических прессов для формования пластмасс. Прессы, формулирующие изделия методом выдувания. Кобаяси Седзи, Цудзита Торуо, Пурасутиккусу, Japan Plast., 1957, 8, № 10, 45—51 (японск.)

См. РЖХим, 1958, 48749.

72470. Новая машина для измерения толщины пленки во время изготовления. Эванс, Морган, Манн, Мейсон (A new machine for measuring the thickness of sheet material during production. Evans J. C., Morgan I. G., Mann B. S. W., Mason F. C. P.), Compressed Air and Hydraul., 1957, 23, № 261, 77—81 (англ.)

Описана новая машина для непрерывного измере-

ния толщины пленок из пластич. материалов. Измерение проводится без сжатия материала и достигается точность $\pm 0,5$ м для пленок, имеющих толщину в пределах 0,025—0,5 мм.

В. Лаппин

72471 П. Сополимеры изоолефинов и полиолефинов, модифицированные дивинилароматическими соединениями. Уэлш, Вильсон, Тернер (Divinyl aromatic modified isoolefin—multiolefin copolymers. Welch Lester M., Wilson Howard L., Turner Luther B.) [Research and Engineering Co.] Пат. США 2781334, 12.02.57

Полимер, растворимый в углеводородах, получают сополимеризацией при т-ре от 0° до -164° (лучше от -40 до -164°) 95—99,5% изоолефина, содержащего 4—5 атомов С, 0,5—30% алифатич. диолефина, содержащего 4—8 (лучше 4—6) атомов С и 0,1—0,8% (лучше 0,1—0,4% от веса изоолефина) дивинилбензола в присутствии катализатора Фриделя—Крафта (напр., $AlCl_3$). Р-рителем в процессе служит галогеналкан, содержащий 1—2 атома С (напр., CH_3Cl). В качестве изоолефинов применяют, напр., изобутилен (96—99,5%-ной чистоты), а в качестве полиолефинов — изопрен, бутадиен и подобные соединения. При этом бутадиен лучше применять в кол-ве 30—40 ч., а изопрен — в кол-ве 5—0,5 ч. на 100 ч. суммы олефинов. Описываемые сополимеры имеют мол. в. 25 000—100 000 (по Штаудингеру), йодное число 1—50 и после обработки серой представляют собой эластичные продукты с пониженной хладотекучестью. Пример. В реактор, охлажденный жидким этиленом до -103°, помещают 97 ч. изобутилена 98,5%-ной чистоты, 3 ч. изопрена 96%-ной чистоты и 0,4% (от веса изобутилена) дивинилбензола и добавляют CH_3Cl в 3-кратном кол-ве по отношению к объему исходных мономеров, а затем 150 ч. р-ра $AlCl_3$ в CH_3Cl (конц-ия 0,2%). По окончании полимеризации продукт обрабатывают теплой водой для удаления р-рителя и не вошедших в р-цию мономеров.

А. Петраш

72472 П. Способ изготовления тонких изделий из политетрафторэтилена. Грей (Process for making thin articles of polytetrafluoroethylene. Gray Roland M.) [United States Ceramic Tile Co.] Пат. США 2781552, 19.02.57

Способ состоит в том, что из порошкообразного политетрафторэтилена (степень измельчения 30—50 меш) холодным прессованием под давл. 140—700 $кг/см^2$ прессуют бруски или стержни и нагревают их при 320—400°; при этом происходит спекание отдельных частей в монолит; полученные бруски нарезают на тонкие заготовки толщиной $\leq 1,6$ мм, нагревают до т-ры $> 320^\circ$, формуют в холодной прессформе под давл. 105—1400 $кг/см^2$ и охлаждают под давлением. Описываемым способом прессуют прокладки, манжеты, сальники, диафрагмы и другие изделия.

А. Петраш

72473 П. Получение негорючих композиционных пластмасс (Perfectionnements apportés aux procédés pour l'obtention de mélanges plastiques, notamment incombustibles, ainsi qu'aux produits en résultant) [Jacquesau Berjonneau & Cie]. Франц. пат. 1115008, 2.05.56

Для получения гомог. пластич. масс, состоящих из несомещающихся между собой компонентов (напр., НК или СК и поливинилхлорид), в смесь вводят в крайней мере 2 в-ва, совместимые порознь с каждым из компонентов и между собой. Напр., к НК добавляют упрочняющее в-во (5—30% модифицированной фенолформальдегидной смолы), а к винильной смоле — сополимер винилацетата и винилхлорида. В композицию можно вводить также пластификаторы, сообщающие негорючесть (хлорированный дифенил, трикрезилфос-

фат или соль триэтанолamina и сульфаминовой к-ты). Материал применяют для изготовления эластичных негорючих изделий. Пример композиции (в вес. ч.): НК 100, кумаронинденевоая смола 10, поливинилхлорид 120, сополимер винилхлорида и винилацетата 25, трикремнефосфат 110, газовая сажа 70, окись цинка 5, стеариновая к-та 1, меркаптобензотриазол 0,8, сера 6. Материал не загорается при нагревании пламенем газовой горелки в течение 5 мин. Сопротивление разрыву 450 кг/см^2 , удлинение 400%. Ю. Васильев

72474 П. Получение прессованных крупногабаритных изделий из волокнистого материала и поливинилхлорида в качестве связующего. Ланг, Бартель, Ладевиг, Ханс, Рейхельт, Клаусс, Шедлих (Verfahren zur Herstellung großflächiger Preßteile aus einem faserigen Füllmaterial mit Polyvinylchlorid als Bindemittel. Lang Kurt, Barthel Wolfgang, Ladewig Wilhelm, Hans Fritz, Reichelt Werner, Klauss Erich, Schädlisch Alfred). Пат. ГДР 12376, 22.11.56

Для получения листов больших размеров из поливинилхлорида (I) и волокнистого материала смешивают 30%-ную водн. дисперсию I, обработанную для понижения степени дисперсности добавлением коагулянтов (NaCl), и водн. суспензию волокнистых в-в, осаждают, обезвоживают под вакуумом или под давлением, высушивают и формуют в прессформе, нагретой до 175° под давл. $40-50 \text{ кг/см}^2$. В композицию берут приблизительно равные кол-ва волокон и связующего. В массу с целью повышения механич. прочности листов можно впрессовывать проволоочную сетку или ткань. Напр., 5 кг отходов хлопка (линтер со средней длиной волокна после обработки в голландере $3-7 \text{ мкм}$) и 15 кг измельченной древесной еловой массы с влажностью 50% перемешивают в голландере при 40%-ной конц-ии. 16 л 50%-ной дисперсии I разбавляют 8 л воды, при постоянном перемешивании вводят 20%-ный р-р NaCl, пока выпадение частиц I не закончится и добавляют еще 800 г NaCl. Полученную кашицу через сито прибавляют к целлюлозной смеси и перемешивают 20 мин. Полученную пульпу разбавляют до 1%-ной конц-ии в форме с отсосом, заранее наполненной нужным кол-вом воды. Воду отсасывают, отжимают массу до 60%-ной влажности, помещают на решетку и сушат при 120° в циркулирующем воздухе. Заготовку формуют под прессом при нагревании. Ю. Васильев

72475 П. Пластификация пергалогенированных полимеров. Пассино (Plasticization of perhalocarbon polymers. Passino Herbert J.) [The M. W. Kellogg Co.]. Пат. США 2748098, 29.05.56

Пластифицированные полимеры и сополимеры перфторолефинов получают полимеризацией исходных мономеров периодич. или непрерывным способом в присутствии политрифторхлорэтилена, имеющего консистенцию от масла до воскообразной, в качестве пластификатора. Соотношение мономера и пластификатора $50:1-1:1$. Р-цию проводят в водн. среде при $10-50^\circ$ и давлении, обеспечивающем жидкофазное состояние мономера ($\sim 7 \text{ кг/см}^2$), в присутствии неорганич. перекиси (напр., пербората Na), в кол-ве 0,5-5% от веса мономеров. Образующийся твердый полимер отделяют от воды и не вошедшего в р-цию мономера, который возвращают в процесс, и сушат. Описанным способом получают полимеры тетрафторэтилена, перфторпропилена, перфторбутадиена, перфторстирола, сополимер перфторстирола и перфторбутадиена и другие подобные сополимеры. К описанию приложена схема технологич. процесса. А. Петрашко

72476 П. Гидролиз поливиниловых сложных эфиров. Кюклер (Hydrolysis of polyvinyl esters. Kuech-

ler William L.) [E. I. du Pont de Nemours and Co.]. Пат. США 2783218, 26.02.57

Гидролиз твердых поливиниловых эфиров (поливинилацетата) производят в водн. среде в присутствии 2-25% кислотных катализаторов; при этом получают твердый поливиниловый спирт. В реакционную смесь вводят агент, предохраняющий получаемый полимер от растворения в воде (соли щел. металлов и угольной, серной, фосфорной, соляной к-т, а также CaCl_2 или H_3BO_3). Поливинилацетат применяют в измельченном (10-40 меш) состоянии. Пример. 50 г поливинилацетата (вязкость 1 М р-ра в бал. 400-800 *спуаз*) вводят в р-р, содержащий 180 г воды, 51 г H_2SO_4 (98%-ной), 30 г лед. CH_3COOH и 39 г H_3BO_3 . Смесь нагревают до 105° в течение 70 мин. Полученный продукт р-ции выделяют фильтрацией и промывают сначала ледяной водой, а затем метанолом. В процессе р-ции гидролизуется 97% ацетатных групп. Выделенный поливиниловый спирт растворяется в горячей воде и не выпадает после охлаждения. А. Петрашко

72477 П. Способ и оборудование для изготовления пленок из поливинилового спирта. Герман, Хензель, Винклер (Verfahren und Vorrichtung zur Herstellung von Polyvinylalkoholfilmen. Herrmann Willy O., Haehnel Wolfram, Winkler Heinz) [Consortium für elektrochemische Industrie G. m. b. H.]. Пат. ФРГ 960852, 28.03.57

Способ изготовления пленок из поливинилового спирта (I) состоит в том, что ленту из подходящего материала пропускают через ванну с р-ром I, высушивают и отделяют пленку I от бесконечной подложки. В случае изготовления кашированных пленок на ленту, покрытую р-ром поливинилового спирта, под малым давлением накладывают ленту из необходимого материала. Напр., бесконечную ленту из поливинилхлорида покрывают 5%-ным р-ром некаля и пропускают через нагретый до 70° 12%-ный р-р высоковязкого I. Скорость движения ленты составляет 4-5 *м/час*. На расстоянии 20 см от поверхности ванны с обеих сторон ленту сушат ИК-лучами на отрезке $>1 \text{ м}$. Далее сухую пленку снимают с обеих сторон подложки при резком перегибе последней на направляющих валиках под углом $\sim 90^\circ$. Получают прозрачную бесконечную пленку из I толщиной 30 μ . Способ применяют для изготовления рельефной и окрашенной пленки и жиростойкой бумаги, покрытой I. Ю. Гордонов

72478 П. Эмульсионная сополимеризация метакриловых соединений (Procédé d'obtention de copolymères méthacryliques en émulsion) [Cie Française des Plastiques Industriels]. Франц. пат. 1115001, 18.04.56

Метакриловые сополимеры получают эмульсионной сополимеризацией мономеров ф-лы $\text{CH}_2=\text{C}(\text{X})\text{COOR}$, где X — Н или одновалентный радикал и R — алкил. В качестве мономеров используют, напр., метиленмалонат или метилендианнацетат. Сополимеры применяют для эмульсионных красок и в качестве вспомогательных в-в для текстильной и кожевенной пром-сти. Напр., смесь 500 г воды, 430 г бутилметакрилата и 70 г метиленэтилмалоната нагревают до 80° и при перемешивании вводят в р-р 20 г 25%-ного лаурилсульфата NH_4 , растворенного в 200 мл воды. Т-ру вновь поднимают до 80° , добавляют 3 г персульфата NH_4 в 50 мл воды. Поднимают т-ру до 85° и выдерживают 30 мин. при сильном перемешивании. Используемый метиленмалонат содержит значительное кол-во полимера и его можно применять без предварительной очистки.

Ю. Васильев

72479 П. Удаление стабилизаторов, содержащих тяжелые металлы из полимеризуемых жидкостей. Вольф, Моргнер (Verfahren zur Entfernung Schwermetalle enthaltender Stabilisatoren aus polymerisationsfähigen Flüssigkeiten. Wolf Friedrich,

Morgner Manfred) [VEB Farbenfabrik Wolfen]. Пат. ГДР 12395, 26.11.56

Для удаления стабилизаторов, содержащих тяжелые металлы, из жидкостей, подлежащих полимеризации (напр., из акриловой к-ты), их обрабатывают ионообменными смолами, напр. аминосомами, модифицированными карбоновыми к-тами с двойной связью в α -положении или нитрилами. Напр., в 60%-ной водн. р-р акриловой к-ты, стабилизированной CuSO_4 , вводят аминосмолу, модифицированную акрилонитрилом. Бесцветный адсорбент окрашивается при встряхивании с р-ром к-ты в сине-зеленый цвет. Через 15 мин. отсасывают от смолы легко полимеризуемый бесцветный фильтрат.

Ю. Васильев
72480 П. Способ получения кальциевых солей полиакрилатов. Гансалес (Polymer separation method for calcium polyacrylates. González Reginald N.) [Monsanto Chemical Co.]. Пат. США 2782183, 19.02.57

Порошкообразные Са-соли полиакриловой к-ты получают гидролизом полиакрилатов в присутствии СаО. Продукт р-ции получают в виде суспензии, которую осаждают, отделяют фильтрацией при t -ре $> 75^\circ$ (лучше $> 85^\circ$) и сушат при этой же t -ре. В частности, в качестве исходного полимера используют полиакрилонитрил. В процессе р-ции омыляется и выделяется в виде NH_3 66—74% содержащегося в полимере азота. В качестве исходных в-в могут быть использованы также сополимеры акрилонитрила ($\geq 75\%$) с винилхлоридом, стиролом, винилацетатом и другими мономерами (до 25%).

А. Петрашко
72481 П. Порошкообразные хрупкие полиакрилаты. Пост, Фредерик (Friable polyacrylate powders. Yost John F., Frederick Ilse B.) [American Cyanamid Co.]. Пат. США 2751367, 19.06.56

Композиционный материал для укрепления почв представляет собой смесь: а) 100 вес. ч. продукта р-ции полиакриловой к-ты, акрилонитрила, акриламида или алкилакрилатов с основанием, имеющим константу диссоциации $\geq 1,8 \cdot 10^{-5}$; этот продукт имеет мол. в. $\geq 88\,000$; б) ≥ 50 вес. ч. инертного порошкообразного в-ва с абсорбирующей способностью по отношению к воде $\geq 42\%$ и уд. весом в сухом уплотненном состоянии $< 4,8 \text{ г/см}^3$; в) полиоксикалкилена с мол. в. 200—4000, этерифицированного ацильным остатком, содержащим 8—22 атома С. Указанную композицию смешивают с непылящим твердым материалом, имеющим уд. вес в сухом уплотненном состоянии $> 4,8 \text{ г/см}^3$, со средним размером частиц $> 10 \mu$ (помол частиц тоньше 60 меш, < 20 вес. % материала имеет помол тоньше 325 меш). В частности, композиция содержит 100 вес. ч. полиакрилонитрила с уд. вязкостью $\sim 1,5$, гидролизованного основанием, ≥ 50 вес. ч. порошкообразного в-ва с абсорбирующей способностью по отношению к воде $\geq 50\%$ и уд. весом в сухом уплотненном состоянии $< 4 \text{ г/см}^3$ и 2—6 вес. ч. полиоксикалкилена с мол. в. 400—2500, этерифицированного, как указано выше. Композицию смешивают с 10—100% (от веса абсорбента) непылящего твердого материала с уд. весом в сухом уплотненном состоянии $> 7,2 \text{ г/см}^3$ и с указанным выше размером частиц; в качестве такого материала применяют инфузорную землю. Гидролиз акрилонитрила осуществляют смешением 12—13%-ной водн. дисперсии полимера с 50%-ным водн. р-ром основания из расчета 0,8 моля NaOH на 1 моль акрилонитрила. Смесь нагревают при $\sim 95^\circ$ и непрерывном перемешивании, полученный продукт сушат и измельчают. В качестве смачивателя применяют полиэтиленгликоли или полипропиленгликоли, этерифицированные ацильными радикалами жирных к-т. Примерная рецептура композиции (в %): гидролизованный полиакрилонитрил 40; полиэтиленгликоль с мол. в. 400, эте-

рифицированный рицинолевой к-той, 1,5; абсорбент 43,8, известняк 15. Состав абсорбента (в %): SiO_2 93, Al_2O_3 2,3, Fe_2O_3 1,56, MgO 1,34; уд. вес в сухом уплотненном состоянии 1,92—2,56 г/см^3 , абсорбирующая способность по отношению к воде 65%. А. Петрашко

72482 П. Переработка отходов полиметилметакрилата (Procédé de transformation des déchets de polyméthacrylate de méthyle en produits industriellement utilisables) [Cie Francaise des Plastiques Industriels]. Франц. пат. 1114639, 16.04.56

Отходы полиметилметакрилата деполимеризуют при 350—400° и фракционируют деполимеризат в присутствии бутанола. Деполимеризат можно также омылять и полимеризовать продукты гидролиза. Напр., 300 г деполимеризата, полученного пиролизом полиметилметакрилата, растворяют в 700 мл воды, содержащей 120 г Na_2CO_3 и смесь перемешивают до полной гомогенизации р-ра. Растворение сопровождается сильным выделением тепла. Добавляют 3 г персульфата К и выдерживают смесь 12 час. при 70°. Получают 1 кг 30%-ного р-ра полиметакрилата Na в виде густой массы, разбавляемой перед применением.

Ю. Васильев

72483 П. Получение полимеризуемых четвертичных аммонийных производных (Composés d'ammoniums quaternaires polymérisables et leur procédé de préparation) [Ciba (Soc. An.)]. Франц. пат. 1113173, 26.03.56

Полимеризуемые четвертичные аммонийные производные простых виниловых эфиров имеют по крайней мере 1 четвертичную аммонийную группу, не связанную метиленовой связью с гетероатомом, и реакционноспособный заместитель в аммонийной группе, напр. эпоксипропильный радикал или радикал, имеющий атом N, связанный с атомом N. Эти соединения получают обработкой виниловых эфиров в-вом, способным превращать третичные аминогруппы в четвертичные аммонийные соли (напр., диметилсульфатом, эпихлоргидрином, или хлорацетамидом). Исходные виниловые эфиры имеют по крайней мере 1 третичную алифатич. аминогруппу, не связанную двойной связью, или 1 шестичленный гетероцикл, не имеющий двойных связей у атома N. К числу таких соединений относятся в-ва ф-л $[(\text{C}_4\text{H}_9)_2\text{N}(\text{CH}_2)_3\text{R}]^+[\text{OSO}_3\text{CH}_3]^-$, $[\text{R}'\text{N}(\text{CH}_2)_3\text{R}]^+[\text{OSO}_3\text{CH}_3]^-$, $[(\text{C}_2\text{H}_5)_2\text{NR}''\text{R}]^+\text{Cl}^-$, $[(\text{C}_2\text{H}_5)_2\text{NR}''\text{R}^+\text{Cl}^-]$ или $[\text{R}'\text{NR}''\text{R}^+\text{Cl}^-]$, где R — радикал ф-лы $-\text{CH}_2\text{CH}_2\text{OCH}=\text{CH}_2$, R' — радикал, образующий вместе с атомом N

морфолинил, R'' — радикал ф-лы $-\text{CH}_2\text{CH}_2\text{CH}_2\text{O}$ и R''' — радикал ф-лы $-\text{CH}_2\text{CONH}_2$. Вышеуказанные соединения полимеризуют в р-ре или эмульсии или сополимеризуют со стиролом, n -бутилакрилатом, акриламидом, акрилонитрилом или изобутилакрилатом. Напр., смесь 14,3 ч. β -диэтиламиноэтилвинилового эфира и 9,35 ч. хлорацетамида нагревают 6 час. на кипящей водяной бане при перемешивании. По охлаждению отделяют декантацией 0,3 ч. неизмененного винилового эфира и растворяют вязкую реакционную массу в 23 ч. воды. Получают 50%-ный р-р соединения ф-лы $-\text{CH}_2\text{CH}_2\text{OCH}=\text{CH}_2$, который полимеризуют без дальнейшей очистки.

Ю. Васильев

72484 П. Получение продуктов полимеризации (Produits de polymérisation, procédé pour leur préparation et pour leur application) [Ciba (Soc. An.)]. Франц. пат. 1112997, 21.03.56

Сополимеры получают полимеризацией сложных эфиров или амидов к-т, у которых спирт. остаток или заместитель в амидной группе содержит по крайней мере 1 четвертичную аммонийную группу, не связанную метиленовой связью, или имеет, по крайней мере, 1 третичный ионогенный атом N. Заместители в четвертичной аммонийной группе могут представлять

соединения алифатич. остатки, гетероциклич. или ароматич. радикалы, имеющие только одно шестичленное кольцо. Среди этих заместителей должен быть остаток, имеющий реакционноспособную группировку, напр., эпоксипропильный или ацетамидный радикал, содержащий, по крайней мере, 1 атом Н у атома N. В качестве таких соединений применяют производные акриловой к-ты ф-л $[\text{CH}_2=\text{C}(\text{R})\text{CONHCH}_2\text{CH}_2\text{CH}_2\text{NR}_2'-\text{CH}_2\text{CONH}_2] + \text{Cl}^-$, где R — Н и R' — CH_3 или C_2H_5 , а также R — CH_3 и R' — C_2H_5 и соединения ф-л $[\text{CH}_2=\text{CHCONHCH}_2\text{CH}_2\text{N}(\text{C}_2\text{H}_5)_2\text{CH}_2\text{CH}_2\text{O}] + \text{Cl}^-$ или $[\text{CH}_2=\text{CHCOOCH}_2\text{CH}_2\text{N}(\text{C}_2\text{H}_5)_2\text{CH}_2\text{CONH}_2] + \text{Cl}^-$. Вторым компонентом при сополимеризации служат винилацетат, акрилонитрил, акриламид или стирол. Полимеризацию проводят в эмульсии или р-ре. Продукты применяют в текстильной промышленности для облагораживания тканей из полиамидного волокна. Напр., смесь 17 ч. κ -(β-диэтиламино)этил-акриламида и 9,35 ч. хлор-ацетамида нагревают 30 мин. на кипящей водяной бане; добавляя к остывшему продукту 26 ч. воды, получают 50%-ный р-р соединения ф-л $[\text{CH}_2=\text{CHCONHCH}_2\text{CH}_2\text{N}(\text{C}_2\text{H}_5)_2\text{CH}_2\text{CONH}_2] + \text{Cl}^-$, который затем вводят в сополимеризацию с винильными производными.

Ю. Васильев

72485 II. Получение полимеризуемого нитрила и полимеры на его основе (Nitrile polymérisable et produit polymère en dérivant) [E. I. du Pont de Nemours and Co.], Франц. пат. 1114896, 17.04.56

Тетрацианэтилен (I) получают р-цией малонитрила с S_2Cl_2 , взятыми в мол. соотношении от 1:2 до 2:1, в присутствии жидкого инертного разбавителя при 50–125°. Образовавшийся I выделяют сублимацией и полимеризуют в присутствии катализатора, а также других мономеров. Напр., 70 ч. S_2Cl_2 медленно добавляют в течение 6 час. к р-ру 33 ч. малонитрила в 600 ч. CHCl_3 при нагревании на водяной бане с обратным холодильником. Нагревание продолжают еще 20 час., после чего отгоняют CHCl_3 . В конце отгонки происходит экзотермич. р-ция, и на стенках колбы отлагается твердый кристаллич. налет I. Остаток экстрагируют эфиром и после отгонки эфира получают 18 ч. сырого I, который очищают сублимацией при 100° и давл. 1–2 мм рт. ст. Для полимеризации I в сосуд, содержащий N_2 , вводят 51,2 ч. I и 454 ч. стирола и нагревают смесь до 155–175° в течение 22 час. Полученный продукт растворяют в бензоле, осаждают сырой сополимер 7930 ч. метанола, отфильтровывают и сушат. Выход 360 ч. Содержание связанного I в сополимере 8,73%, мол. в. 2090.

Ю. Васильев

72486 II. Предварительная термическая обработка дисперсий винильных полимеров, в частности полиакрилонитрила, и полученные модифицированные полимеры (Procédé de traitement thermique préalable des dispersions de résines vinyliques, en particulier de polyacrylonitrile, et polymère modifié ainsi obtenu) [Polymer Industrie Chimique (S. r. A.)], Франц. пат. 1112465, 14.03.56

Винильный полимер, состоящий частично или полностью из полиакрилонитрила или из модифицированного поливинилхлорида, легко эмульгируемый и не набухающий на холоду в р-рителях, дающий вполне гомог. дисперсию, лишенную сгустков, получают предварительной термич. обработкой полимера в сухой, влажной или водн. среде при 50–200° в течение времени от 10 мин. до 2 час. Обработку можно производить в сушилке с продуванием нагретого инертного газа. Напр., 25 г полиакрилонитрила помещают на 20 мин. во вращающийся горизонтальный барабан, через который продувают N_2 , нагретый до 120°, и затем диспергируют полимер в 75 ч. диметилформамида. Полученная дисперсия имеет вязкость 25 пуаз. Ее нагре-

вают до 80° и получают гомог. р-р, лишенный пузырьков газа, сгустков и комков геля.

Ю. Васильев

72487 II. Смеси полимеров и сополимеров акрилонитрила. Кувер, Дикки (Mixtures comprising acrylonitrile polymers with polyacrylonitrile. Coover Harry W., Dickey Joseph B.) [Eastman Kodak Co.], Пат. США 2776270, 1.01.57

Композиция содержит 5–95% полиакрилонитрила и 95–5% сополимера акрилонитрила. Для получения сополимера полимеризуют в водн. дисперсии в присутствии катализатора мономер ф-лы $\text{CH}_2=\text{C}(\text{R}^2)\text{CONRR}^1$, $\text{CH}_2=\text{C}(\text{R}^4)\text{COOR}^3$, $\text{CH}_2=\text{C}(\text{CH}_2\text{CONR}^5\text{R}^6)\text{CONR}^5\text{R}^6$, $\text{CH}_2\text{C}(\text{CONR}^5\text{R}^6)=\text{CHCONR}^5\text{R}^6$ или $\text{R}^5\text{COOCH}=\text{CH}_2$. В ф-лах R и R' — или алкил с 1–4 атомами C; R² — Н или метил; R³ — алкил с 1–4 атомами C; R⁴ — Н, метил, ациламиногруппа (ацил — остаток насыщ. алифатич. карбоновой к-ты, содержащей 2–4 атома C) или карбалкоксиламиногруппа (алкоксильный член содержит 1–4 атома C); R⁵ R⁶ R⁷ и R⁸ — Н, метил или этил; R⁹ — Н или алкил с 1–3 атомами C. В частности, применяют N-метилакриламид, N-изопропилметакриламид, N,N-диметилакриламид, метакриламид, винилацетат и другие мономеры. В приготовленный таким образом гомополимер добавляют акрилонитрил в кол-ве 5–95% от общего веса смеси, катализатор и полимеризуют при 25–75°. Полученный твердый продукт смешивают с полиакрилонитрилом. В качестве инициатора используют органич. перекиси, пербораты или персульфаты. Процесс полимеризации можно проводить в присутствии регуляторов (гексил-, октил-, или лаурилмеркаптанов). В качестве эмульгаторов применяют соли алкилсерных к-т с 12–20 атомами C и соли алкилсульфокислот. Композицию используют в виде р-ров любой конц-ии (лучше 5–20%) в диметилформамиде, диметилацетамиде, γ-бутиролактоне, этиленкарбонате и этилендиангидриде для получения пленок и волокна. Пример. 2 г N-метилметакриламида растворяют в 80 мл воды, содержащей 0,2 г персульфата K и 0,02 г бисульфита Na, и полимеризуют 16 час. при 25°. К полученному продукту добавляют 8 г акрилонитрила, 0,1 г персульфата K и 0,1 г бисульфита Na, полимеризуют еще 8 час. при 25° и отфильтровывают полимер; выход 9,2 г. Механич. смесь 50 ч. полученного продукта и 50 ч. полиакрилонитрила растворяют в р-рителе и используют для последующей переработки.

А. Петрашко

72488 II. Смеси полиакрилонитрила с полимерами акрилонитрила, содержащими алкенилкарбонамидами. Кувер, Дикки (Mixtures comprising acrylonitrile polymers containing alkenyl carbonamides and polyacrylonitrile. Coover Harry W., Dickey Joseph B.) [Eastman Kodak Co.], Пат. США 2776271, 1.01.57

Композиция содержит 5–95% графт-сополимера акрилонитрила и 95–5% полиакрилонитрила. Графт-сополимер получают полимеризацией 5–95% акрилонитрила на 95–5% полимера, полученного полимеризацией соединений ф-лы $\text{CH}_2=\text{C}(\text{R}^2)\text{CONHR}$ (R — алкил, содержащий 1–4 атома C, R² — Н или метил) или сополимеризацией 25–95% ненасыщ. амида с 75–5% акрилонитрила. В композиции содержится ≥ 60% акрилонитрила и ≥ 5% полимера, на котором производится прививка. В качестве последнего применяют, в частности, поли-N-метилметакриламид, поли-N-изопропилакриламид и сополимер N-метилметакриламида и акрилонитрила. Полимеризацию проводят при 25–75° в течение 30 мин.—24 час. в присутствии катализатора (органич. перекиси, пербораты, персульфаты). В качестве эмульгаторов используют лаурилсульфат Na, изобутилнафталинсульфонат Na, соли щел. металлов жирных к-т, содержащих 12–20 атомов C и другие соединения. Композицию применяют в виде р-ра

Акролеин превращают известным способом в 1,6-гександиол (I), который далее переводят в α,ω -алкилендиамин (напр., по схеме: 1,6-гександиол \rightarrow 1,6-дихлоргексан \rightarrow 1,6-гексаметилендиамин). Другую часть I превращают в α,ω -динитрил (через 1,6-дихлоргексан), который далее полностью или частично гидрируют и превращают в α,ω -диамин, α,ω -аминокислотные к-ты (при частичном гидрировании и омылении) или в α,ω -дикарбоновые к-ты (только омылением). Полученные дифункциональные мономеры конденсируют в соответствующих сочетаниях и получают линейные полиамиды. В частности, по указанной схеме получают полиамиды из адипиновой к-ты и гексаметилендиамина (т. пл. исходной соли 198°, полимер, т. пл. 248°, пробковой к-ты и гексаметилендиамина (т. пл. соли 183°, полимер, т. пл. 230°), адипиновой к-ты и октаметилендиамина (соль, т. пл. 156°, полимер, т. пл. 237°), пробковой к-ты и октаметилендиамина (соль, т. пл. 190°, полимер, т. пл. 218°) и из η -аминокаприловой к-ты (т. пл. к-ты 171—172°).

Ю. Васильев

72493 П. Синтетические линейные полиамиды, получаемые при каталитической полимеризации ненасыщенных амидов в присутствии оснований. Бреслоу (Synthetic linear polyamides obtained by the base-catalyzed polymerization of unsaturated amides. Breslow David S.) [Hercules Powder Co.]. Пат. США 2749331, 5.06.56

При полимеризации амидов общей ф-лы $\text{HC(R')}=\text{C(R}^2\text{)CONHR}^3$ ($\text{R}'-\text{H}$ или алкил, R^2-H , алкил, алкил или арилаткил и R^3-H , NH_2 , $(\text{CH}_2)_n\text{OH}$, $(\text{CH}_2)_n\text{SH}$, $(\text{CH}_2)_n\text{NH}_2$, $(\text{CH}_2)_n\text{CONH}_2$, $(\text{CH}_2)_n\text{SO}_2\text{NH}_2$, $\text{C}_6\text{H}_4\text{CONH}_2$, $\text{C}_6\text{H}_4\text{CH}_2\text{CONH}_2$ или циклогексиламидная группа, причем $n > 1$) получают полимеры, анализ которых указывает на присутствие CONH-групп в основной цепи. В качестве катализаторов полимеризации используют сильные основания, которые добавляют в кол-ве от 0,03—1 вес. % от веса мономеров; полимеризацию проводят либо в блоке, либо в безводной среде при 80—110°. При полимеризации в блоке получают полимеры наиболее высокого мол. веса; при полимеризации в р-ре мол. вес падает с уменьшением конц-ии мономера. Обычно применяют инертные р-рители (гексан, гептан, бензол, толуол) и работают с конц-ией мономеров от 2 до 50%. Полимеризацию можно также проводить в жидком NH_3 при -40° в присутствии амида Na. В блоке полимеризация заканчивается через несколько минут, а в р-ре в зависимости от природы мономера — от 10 мин. до нескольких дней. Для подавления полимеризации по свободно-радикальному механизму добавляют гидрохинон, хинон, фенил- β -нафтиламин и аналогичные ингибиторы. Напр., 10 ч. акриламида добавляют при перемешивании к нагретому до 100° р-ру 0,02 ч. фенил- β -нафтиламина в 100 ч. безводн. пиридина. После растворения акриламида добавляют р-р 0,1 ч. натрия в 8 ч. трет-бутанола. Полимер начинает выпадать через 3 мин., но для полноты полимеризации смесь нагревают в течение 16 часов. Полимер отфильтровывают, промывают горячей водой и сушат в вакууме при 80°. Он растворим в муравьиной к-те, кипящем этиленгликоле, феноле, или глицерине, плавится при 340° с разл. Уд. вязкость 1%-ного р-ра полимера в 90%-ной HCOOH составляет 0,66.

В. Сергеев

72494 П. Получение полиамидов в виде тонкого порошка. Стотт, Херви (Method of preparing finely divided polyamides. Stott Louis L., Hervey Laurence R. B.) [The Polymer Corp.]. Пат. США 2742440, 17.04.56

Измельченный, линейный полиамид (I), напр. полигексаметиленадипинамид, полигексаметиленсебацинамид, поли- ϵ -капролактан, смешивают с р-рителем, со-

держащим 5—65% воды и насыщ. алифатич. спирт с 1—5 атомами C (напр., метанол, этиловый или пропиловый спирт), смесь помещают в закрытый, освобожденный от O_2 сосуд и нагревают под давлением до т-ры выше т-ры кипения р-рителя, достаточной для растворения I; нерастворившееся в-во отделяют и охлаждают р-р. I, нерастворимый в низших алифатич. спиртах ниже их т-ры кипения при атмосферном давлении, выпадает в виде мелких частиц. Напр., нейлон смешивают с 50% воды и 50% метанола, т-ру смеси медленно поднимают до 160° и получают светлый подвижный р-р. По охлаждении нейлон выпадает в виде тонкого порошка.

Ю. Васильев

72495 П. Композиционные полиэфирные пластификаторы. Ладлоу (Compositions comprising polyester plasticizers. Ludlow John L.) [E. I. du Pont de Nemours and Co.]. Пат. США 2749329, 5.06.56

Полиэфирные пластификаторы для поливинилхлорида и его сополимеров, а также поливинилхлоридацетатных, нитроцеллюлозных, ацетобутиратцеллюлозных и других смол получают из адипиновой к-ты и смеси гекса-, пента- и тетраметилэтиленгликолей, соотношения которых определяют по треугольной диаграмме, приложенной к описанию патента. Полиэфиры имеют кислотное число ≤ 21 , приведенную вязкость (в 1%-ном р-ре в ацетоне при 20°) 0,03—0,131 и ОН-число при вязкости $< 0,087$ не более 15. Пластифицированный поливинилхлорид может содержать 25—75% пластификатора.

А. Петрашко

72496 П. Пластификаторы из пентаэритрита и жирных масел. Сино, Омори, Комори (Shino Yoshihiro, Omori Sugio, Komori Saburo) [Тайко касэй кабусики кайса]. Японск. пат. 7730, 24.10.55

Смесь пентаэритрита и других многоатомных спиртов (глицерина или сорбита) обрабатывают жирными маслами так, чтобы в молекуле оставалось > 1 непрореагировавшей ОН-группы, после чего ацилируют продукт низшими органич. к-тами (напр., CH_3COOH) или их ангидридами. Полученные продукты являются хорошими пластификаторами. Напр., смесь (в вес. ч.) пентаэритрита 3, глицерина 22, пальмового масла 50 и KOH 0,5 нагревают при 200° в атмосфере CO_2 при перемешивании. По охлаждению прибавляют 45 ч. уксусного ангидрида и нагревают смесь еще 1 час при 110° в токе H_2 .

Э. Тукачинская

72497 П. Простые и сложные эфиры целлюлозы, пластифицированные эфирами 1,6-гександиола и 2-этилкапроновой кислоты. Албус, Филд (Cellulose esters and ethers plasticized with 1,6 hexandiol di-2-ethyl hexoate. Albus Charles P., Field Richard E.) [General Aniline & Film Corp.]. Пат. США 2742371, 17.04.56

Композиция состоит из нерастворимых в воде сложных эфиров целлюлозы и низшей монокарбоновой жирной к-ты или эфиров целлюлозы и низшего одноатомного алифатич. спирта; в качестве пластификатора применяют ~ 20 вес. % (от полимера) эфира 1,6-гександиола и 2-этилкапроновой к-ты и других высших к-т. Примерный состав р-ра для отливки пленок (в ч.): ацетата целлюлозы 15, пластификатора 3, метилхлорида 50, этиленхлорида 22, абс. спирта 10. Напр., 45 ч. 1,4-бутандиола, 200 ч. лауриновой к-ты и 3 ч. 50%-ной H_2SO_4 нагревают 4,5 часа в атмосфере N_2 при 120—150°, отгоняют образующуюся воду и нагревают при 1,5 мм рт. ст. еще 1 час при 150—200° для удаления летучих компонентов. В остатке получают эфир в виде желтого тестообразного в-ва.

Ю. Васильев

72498 П. Растворы полимеров винилиденхлорида. Кувер, Дикки (Solutions of polymers of vinylidene chloride. Kuver, Dickie) [Solutions of polymers of vinylidene chloride. Kuver, Dickie]

dene chloride. Coover Harry W., Dickey Joseph B.) [Eastman Kodak Co.] Пат. США 2742444, 17.04.56

Для растворения полимера винилиденхлорида (I), содержащего в молекуле $\geq 95\%$ связанного I, применяют фосфорорганич. соединения ф-л $\text{CH}_3\text{OP}(=\text{O}) \cdot [\text{N}(\text{CH}_3)_2]_2$ (II), $\text{RP}(=\text{O})[\text{N}(\text{R}')_2]_2$, $[(\text{CH}_3)_2\text{N}]_2\text{P}(=\text{O})\text{N}(\text{C}_2\text{H}_5)_2$ и $[(\text{CH}_3)_2\text{N}]_2\text{P}=\text{O}$. В ф-лах R — алкил или алкенил с 1—3 атомами C и R' — CH_3 или C_2H_5 . Напр., 1 г сополимера I с акрилонитрилом ($\geq 95:5$) растворяют в 10 г II при нагревании до 50°.

Ю. Васильев
72499 П. Обработка полимеров (Procédé de traitement de matières fortement polymérisées) [Dehydag, Deutsche Hydrierwerke G. m. b. H.]. Франц. пат. 1120872, 16.07.56

Для облегчения переработки высокомолекулярных полимеров (напр., поливинилхлорида, полистирола, полиамидов, полиэфиров за исключением каучука всех видов) к ним добавляют 0,2—30% (или 3—20%) нейтр. органич. соли, полученной взаимодействием эквимолекулярных кол-в катионо- и анионоактивных соединений. Подобные добавки облегчают введение наполнителей, пигментов, порообразователей и улучшают механич. свойства продукта. В качестве катионоактивных в-в применяют, напр., ониеые соединения, содержащие по крайней мере один алифатич., циклоалифатич. алкилароматич. или циклоалкилароматич. остаток, имеющий 6—20 атомов C, который может также содержать гетероатомы. Анионоактивными соединениями являются алифатич. и другие в-ва, имеющие 6—20 атомов C и по крайней мере 1 кислотную группу, способную образовывать растворимую в воде соль с неорганич. или органич. основаниями, напр. алкилсульфаты, алкилбензолсульфонаты, сульфированные жиры, смоляные и нафтеновые к-ты. Нейтр. соли вводят в полимеры непосредственно или в виде водн. р-ров, дисперсий и р-ров в органич. жидкостях. Расплавляют 75 вес. ч. полиамида, полученного из гексаметилендиамина и адипиновой к-ты, и вводят 20 вес. ч. нейтр. соли, полученной из хлористого триметилхлорид-аммония и каприната Na. Из обработанного полимера можно получить эластичную, прозрачную пленку.

Ю. Васильев
72500 П. Смешанные пластики. Броссо (Plastique composé et son procédé de fabrication. Brosseau Pierre-Gabriel). Франц. пат. 1118119, 31.05.56

Пластичную композицию получают, смешивая 5—30% термопластичной смолы (напр., сополимер винилхлорида и винилацетата или полистирол) и 95—70% термореактивной (полиэфирной) смолы. Каждый из компонентов растворяют в одном и том же р-рителе, совместимом с каждым из полимеров, и полученные р-ры смешивают; по крайней мере один из составляющих компонентов не должен быть полимеризован до конца. В смесь можно вводить катализаторы, наполнители и пигменты. Полученный материал можно далее обрабатывать любым из обычных способов.

Ю. Васильев
72501 П. Установка для формирования изделий из термореактивных пластмасс вакуумным методом. Коменда (Vorrichtung zur Herstellung von Formteilen aus organischen, härtbaren Kunststoffen nach dem Vakuum-sack-Verfahren. Komenda Erwin) [F. Porsche K. G.]. Пат. ФРГ 958429, 21.02.57

Установка для формирования изделий из термореактивных смол вакуумным методом с подключением к литьевой форме вакуумного насоса отличается тем, что на вакуумной линии, между литьевой формой и насосом, помещено отсекающее устройство в виде мембраны из пластмассы (преимущественно из полиамида), находящейся под воздействием пружины и заключенной в сосуд. Отсекающее устройство удержи-

вает газы, выделяющиеся в процессе формирования, и предохраняет вакуумный насос от разрушающего действия конденсата. Напр., сосуд со смолой соединяют трубопроводом с формирующей полостью, образованной формой и мембраной, крепящейся болтами в зажимной рамке. От мундштука в верхней части мембраны отходит линия к вакуумному насосу. На линии размещено отсекающее устройство, емкость сосуда которого соответствует формирующей емкости. Мембрана сосуда, сделанная из перлона или найлона, находится под воздействием пружины. Под действием вакуума смола заполняет формирующую полость и остается в ней до отверждения. Газы, образующиеся из-за соприкосновения смолы с кислородом, на пути к насосу поступают в отсекающий сосуд, преодолевая сопротивление пружины, изгибают мембрану, не достигая насоса, и после окончания процесса заливки и отключения насоса выпускаются из системы через вентиль, размещенный до отсекающего сосуда.

Ю. Гордон
72502 П. Слоистые материалы. Борджезе (Laminated materials. Borgese Giusto) [Soc. Del Inoleum, Societa Per Azioni]. Пат. США 2748042, 29.05.56

Материал состоит из устойчивого к истиранию эластичного слоя, сильно пластифицированного и содержащего наполнителя поливинилхлорида толщиной 0,5—1 мм и малоэластичного слоя поливинилхлорида толщиной 0,5—0,6 мм. Содержание пластификатора в первом слое 20—30%. Второй слой либо не пластифицирован, либо содержит пластификатор в кол-ве $\leq 10\%$. Материал может быть многослойным, в этом случае указанные слои чередуются с такими расчетом, чтобы наружные были из пластифицированного поливинилхлорида. Материал стабильно сохраняет размеры, не имеет усадки и предназначен для использования в качестве покрытия для полов. А. П.

Ю. Васильев
72503 П. Изделия из слоистого материала на основе полиэфирной смолы. Руо (Nouveaux articles composites à base de résine polyester et leur procédé de fabrication. Rouault Paul) [Soc. des Usines Chimiques Rhône-Poulenc]. Франц. пат. 1118778, 11.06.56

Для изготовления изделий, состоящих из прочных соединений между собой полимеризующейся полиэфирной смолы и листа термопластичного полимера (напр., ацетата целлюлозы, поливинилхлорида, сополимеров винилацетата и винилхлорида, полистирола), лист из винильного полимера формируют в виде полушеры, полируют с внешней стороны, покрывают с внутренней стороны лентером или делантом и накладывают на эту поверхность стеклянную ткань, пропитанную полиэфирной смолой, содержащей катализатор. Полимеризация заканчивается через 3 мин при $\sim 20^\circ$.

Ю. Васильев
72504 П. Изготовление облицовочных материалов для полов из синтетического материала (Tapis synthétique et son procédé de fabrication) [Soc. Chimique de Gerland]. Франц. пат. 1115032, 18.04.56

Многослойный облицовочный материал для полов имеет подложку из каучука и внешний слой из винилхлорида; в качестве промежуточного слоя применяют бутадиенакрилонитрильный каучук, имеющий сродство как к каучуку, так и к поливинилхлориду. Сначала на внешний слой наносят на каландрах полимер бутадиена с акрилонитрилом и затем каучук дрируют вторично вместе с каучуковой подложкой. Окончательный материал вулканизуют для упрочнения подложки и промежуточного слоя. Ю. Васильев

72505 П. Способ получения пленок. Борушк (Method of making films. Borushko Michael) [Harding Manufacturing Co Inc.]. Пат. США 2726301, 3.01.56

Описана машина, основной частью которой является цилиндр, вращающийся в ванне с пленкообразующим в-вом. Р-р пленкообразующего в-ва смачивает стенку цилиндра и после испарения р-рителя пленку снимают с цилиндра соответственно расположенным ножом. Ванна снабжена рубашкой для нагревания пленкообразующего в-ва и рубашкой для конденсации паров р-рителя с целью возвращения его в ванну. Машина предназначена для получения непрерывной пленки, а также для одно- и двухстороннего нанесения пленки на подложку. Описание содержит схематич. чертежи машины.

А. Петрашко

72506 П. Машина для вытягивания пленок. Аллес, Хейлман (Apparatus for stretching webs. Alles Francis Peter, Heilman Kenneth Albert) [E. I. du Pont de Nemours and Co.]. Пат. США 2728941, 3.01.56

Описана машина для вытягивания в двух направлениях непрерывных термопластич. пленок, имеющих утолщенные кромки. Вытягивание пленки в долевом направлении осуществляется за счет разности линейных скоростей входных и выходных валков, протягивающих пленку, а в поперечном направлении — равномерно расходящимися по ширине двумя рядами роликов, захватывающих кромки пленки. Для разогревания пленки на входе имеется камера с обогревом ИК-лучами; в рабочей части обогрев производится горячим воздухом. На выходе пленка охлаждается. Напр., неориентированная полиэтиленотерефталатная пленка шириной 108 мм и толщиной ~ 0,92 мм с кромками толщиной ~ 2,8 мм и шириной ~ 3,2 мм, нагретая до 85—95°, подается входными валками со скоростью ~ 1,5 м/мин; выходная скорость ~ 4,6 м/мин. Т-ра в рабочей части поддерживается 85—95°, на выходе 50° и ниже. Ориентированная пленка имеет ширину ~ 325 мм и толщину ~ 0,1 мм. К описанию приложены чертежи общего вида и отдельных узлов машины.

А. Петрашко

72507 П. Упаковка липких углеводородных полимеров в полиэтиленовую пленку. Спаркс, Ньюберг, Болдуин (Packaging tacky hydrocarbon polymers in polyethylene film. Sparks William J., Newberg Raymond G., Baldwin Francis P.) [Esso Research and Engineering Co.]. Пат. США 2762504, 11.09.56

Обладающие липкостью и хладотекучестью полимеры для хранения и транспортировки упаковывают в эластичную пленку из полиэтилена толщиной 0,025—0,05 мм, и в упакованном виде помещают в картонные коробки. Так упаковывают, в частности, полибутилен с мол. в. 12 000—500 000 и невулканизованный изобутилен-диолефиновый каучук.

А. Петрашко

72508 П. Получение пенопластов и изделий из них (Perfectionnements relatifs à un procédé de fabrication d'articles plastiques cellulaires et aux articles ainsi obtenus) [The Dow Chemical Co.]. Франц. пат. 114534, 13.04.56

Для получения пенопластов твердый, гранулированный сополимер, содержащий в связанном виде 99,80—99,97% моновинилароматич. соединения бензольного ряда (напр., стирола, винилтолуола, хлорстирола) и 0,01—0,25 вес.% (или 0,03—0,2%) поливинилароматич. углеводорода (напр., дивинилбензола или дивинилтолуола), насыщают газообразным в-вом, напр. CO_2 , CH_4 , этаном, пропаном, этиленом или пропиленом, под давл. $\geq 84 \text{ кг/см}^2$ при т-ре (20—60°) ниже т-ры тепловой деформации сополимера, до содержания газа в полимере ≥ 2 вес.%. Затем давление снимают и нагревают сополимер в форме, объем которой в 2—40 раз больше объема загруженного сополимера; при т-ре, превышающей т-ру деформации, происходит вспенивание материала. Напр., сополимер в форме гранул

диам. 0,62 см, содержащий в связанном состоянии 99,962 вес.% стирола, 0,013% этилвинилбензола и 0,025% дивинилбензола, помещают в автоклав и выдерживают в контакте с CO_2 под давл. $87,5 \text{ кг/см}^2$ при 35° в течение 24 час. Давление снимают и извлекают из автоклава полимер, содержащий 9 вес.% растворенного CO_2 . 28 ч. сополимера помещают в стеклянную колбу емк. 560 мл и ставят в шкаф, нагретый до 130°. Через 15 мин. сополимер превращается в пенную массу, заполняющую всю колбу. Материал не имеет существенной усадки при нагревании при 150° в течение 1 часа. Пенопласт, полученный в аналогичных условиях из полистирола, непрочен и не имеет равномерной структуры.

Ю. Васильев

72509 П. Способ изготовления из термопластов изделий и плоских заготовок с малым удельным весом без применения давления. Мёбиус (Verfahren zur drucklosen Herstellung von spezifisch leichten, thermoplastischen Kunststoff-Körpern und Flächengebilden. Möbius Ernst). Пат. ГДР 12930, 22.03.57

Способ отличается тем, что через полимеры, переведенные в жидкое состояние одним из обычных способов (расплавлением, диспергированием или добавлением пластификаторов), пропускают мелкие пузырьки паров или газов, которые подводят через фриттовую пластину. Полимер в жидком виде равномерно подает на один конец фритты, а образующаяся пена непрерывно стекает с другого конца фритты на бесконечную движущуюся ленту или в открытые формы и затвердевает в результате охлаждения, желатинизации или коагуляции. Вместо фриттовых пластин можно использовать фильеры или сопла. Пример. На фритту подают расплавленный поликарбонат и через нее пропускают N_2 , не содержащий O_2 . Расплавленный полимер образует пену, которая стекает с фритты и затвердевает в соответствующих формах или на бесконечной движущейся ленте.

Ю. Гордонов

72510 П. Получение пористых изделий из термопластичных материалов. Шастный, Бухгольц (Production of porous shaped articles from thermoplastic materials. Stastny Fritz, Buchholz Karl) [Badische Anilin- & Soda-Fabrik A.-G.]. Пат. США, 2744291, 8.05.56

Способ получения пористых изделий из синтетич. термопластич. полимеров состоит в том, что полимер, содержащий в абсорбированном состоянии летучую органич. жидкость с т-рой кипения ниже т-ры размягчения полимера, в мелкоизмельченном виде (с размером частиц 0,5—5 мм) помещают в закрытую форму в кол-ве ~ 10% ее объема, снабженную множеством отверстий, обеспечивающих выход летучих продуктов. Форму нагревают погружением в жидкость, не растворяющую полимер, паром или другим способом до т-ры размягчения полимера, при этом происходит испарение абсорбированной жидкости, полимер, вспенивается и заполняет весь объем формы. В качестве термопластичного полимера используют полистирол, который обрабатывают пентаном, гексаном, гептаном, циклопентаном, циклогексаном, циклопентадиеном или петр. эфиром с т. кип. 30—70°. Пример. 300 ч. полистирола растворяют в 600 ч. стирола и при перемешивании добавляют смесь 60 ч. петр. эфира с т. кип. 45—50° и 8 ч. перекиси бензоила. Через 30 дней выдержки при 32° образуется гомог. твердый продукт. Последний измельчают до получения частиц с размером 0,1—5 мм и в кол-ве 2900 г помещают в цилиндр. форму диам. 30 см и высотой 40 см. Форму погружают на 35 мин. в воду при 95°, затем охлаждают. Полученный пеноматериал имеет уд. в. 0,09 г/см³.

А. Петрашко

72511 П. Способ изготовления упругих изделий из эластичных органических материалов. Редеккер

(Verfahren zum Herstellen von federnden Körpern aus elastischen organischen Stoffen. Rädcker Wilhelm) [Phoenix-Rheinrohr A.-G. Vereinigte Hütten- und Röhrenwerke]. Пат. ФРГ 962294, 18.04.57

Способ изготовления упругих изделий, состоящих из вспененной упругой сердцевины и эластичной оболочки, отличается тем, что сердечник из поропласта подвешивают в литевой форме, подвергают давлению газа и заливают органич. эластичным газонепроницаемым материалом. Для предотвращения диффузии газа через оболочку применяют газ с относительно большим мол. весом. Хорошие результаты в качестве материала для оболочки дает полиуретан на основе обезвоженного полиэфира и 16—18% диизоцианата. При добавке отвердителя отверждение происходит в течение 24 час. при 100°. Установка состоит из сосуда, куда подается сжатый газ. В сосуде помещена литевая обогреваемая форма с подвешенным в ней сердечником и бачок с жидким материалом для оболочки.

Ю. Гордонов

72512 П. Способ склеивания при помощи клеев, состоящих из мономерных дзамещенных этиленов. Ширер, Кувер (Method of bonding using adhesive compositions comprising monomeric disubstituted ethylenes. Shearer Newton H., Coover Harry W., Jr) [Eastman Kodak Co.]. Пат. США 2748050, 29.05.56

Для склеивания твердых материалов и получения слоистых изделий применяют клеи, состоящие из мономерных дзамещ. этиленов ф-лы $\text{CH}_2=\text{CXY}$, где X — радикал $-\text{SO}_2\text{R}$ или $-\text{SO}_2\text{R}$, Y — радикал $-\text{CN}$, $-\text{COOR}$, $-\text{COCH}_3$, $-\text{SO}_2\text{R}$ или $-\text{SO}_2\text{R}$, и R — алкил с 1—4 атомами C. Для стабилизации в клеи вводят SO_2 в кол-ве 0,001—0,01%; перед применением в клеи можно добавлять ~10% пластификатора. Напр., клеи состоят из α -метилсульфонялакрилонитрила ф-лы $\text{CH}_2=\text{C}(\text{SO}_2\text{CH}_3)\text{CN}$ и 0,001% SO_2 ; при нагревании до 75° он надежно склеивает стекло со стеклом, металлом и каучуком, пленку из ацетобутирата целлюлозы и дерево с деревом.

А. Петрашко

72513 П. Способ получения клеящих пленок из искусственной смолы на тонкой металлической фольге. Едличка (Verfahren zur Herstellung von Kunstharzleimfilmen mit einer dünnen Metallfolie. Iedlicka Helmut). Пат. ФРГ 962465, 25.04.57

Способ получения клеящих пленок состоит в том, что сухую термореактивную смолу, не содержащую р-рителя (напр., эпоксидную, меламиновую, полиэфирную), смешивают с 5—25 вес.% полиэтилена, напыляют смесь с обеих сторон на тонкую металлич. фольгу и закрепляют нагреванием или прокаткой через горячие валцы.

Ю. Гордонов

72514 П. Соединение деталей с помощью пластической массы (Procédé d'assemblage de pièces par apport de matière plastique) [Appareils Modernes de Filtration et Graissage (Soc. à responsabilité limitée)]. Франц. пат. 1118823, 12.06.56

Для склеивания деталей из стекла, металла, пластмассы или другого материала в соприкасающихся частях склеиваемых элементов делают фланцы, а сами детали помещают в форму, обеспечивающую плотное прижатие фланцев и оставляющую вокруг них кольцевой канал. Фланцы имеют по краю утолщение и снабжены совпадающими при наложении отверстиями. В кольцевой канал по спец. литнику вводят жидкую (расплавленную) пластич. массу (напр., полиамид), образующую после отвердевания прочное соединение деталей при одновременной усадке. В случае склейки деталей из пластмассы склеивающее в-во должно быть идентичного типа.

Ю. Васильев

72515 П. Получение электропроводящих пластин. Колер (Manufacture of conductive plastics. Coler Myron A.). Пат. США 2761854, 4.09.56

Пластмассы, обладающие электропроводностью, получают из термореактивных (фенол- или мочевиноформальдегидных) или термопластичных смол (полистирола, полиэтилена, полиметилметакрилата, ацетата целлюлозы или винильных сополимеров), наполненных металлич. порошком, частицы которого имеют пластинчатую форму. Содержание электропроводного материала в пластиках составляет 1—30 (лучше 5—15) вес.% от связующего. Для указанных целей применяют, напр., серебро, медно-никелевый и хромо-никелевый сплавы, а также бронзу, золото, медь, сталь. Для совмещения компонентов их применяют в измельченном виде; средний размер чешуек металла должен быть не более одной трети диаметра частиц связующего. Связующее может содержать пластификаторы, наполнители (α -целлюлозу, древесную муку, слюду), красители, пигменты. Совмещение производят в шаровых мельницах, пняной бочке (в этом случае объем загрузки должен быть < 40% объема аппарата) или другими способами. При этом металл должен покрывать $\geq 90\%$ поверхности частиц связующего. Качество наполнения связующего металлом характеризуется показателями $R_a = 0,9$ —1,0 и R_v от $5 \cdot 10^{-4}$ до $3 \cdot 10^{-2}$, где R_a и R_v вычисляют по ф-лам $R_a = A_m/A_p$ и $R_v = V_m/(V_p + V_m)$, где A_p — общая поверхность частиц связующего, A_m — общая поверхность частиц связующего, покрытая металлом, V_p — объем связующего и V_m — объем металла. Для повышения адгезии металла к связующему совмещение можно проводить при нагревании или, предварительно смачивая связующее р-рителем для придания ему липкости. После наполнения связующего металлом композицию прессуют через сито для удаления избытка металла. Напр., 100 г измельченного полистирола, проходящего через сито 80 меш и остающегося на сите 140 меш, и 10 г чешуйчатого серебра с максим. размером частиц 25 μ и средним 2,5 μ загружают в барабан емк. 950 cm^3 , где смешивают в течение 10 час. при скорости вращения 40 об/мин. Частицы полистирола почти полностью покрываются металлом. Прессование композиции производят при давл. 140 кг/см^2 и 150° в течение 20 мин. Отпрессованный образец имеет уд. объемное сопротивление < 0,01 ом.см.

72516 П. Электропроводящий пластик. Колер (Conductive plastic product. Coler Myron A.). Пат. США 2761849, 4.09.56

Материал представляет собой композицию, состоящую из синтетич. связующего (I), наполненного нерастворимым неорганич. проводниковым материалом (II) в кол-ве 0,1—50% от веса I. Композицию можно формовать в изделия при т-ре под давлением. В качестве I применяют термореактивные фенол- и мочевиноформальдегидные смолы, а также термопластичные смолы, напр. полистирол, полиметилметакрилат, полимеры и сополимеры других винильных производных или ацетат целлюлозы. I может содержать в качестве наполнителей (α -целлюлозу, древесную муку, слюду) пластификаторы, красители и пигменты. В качестве II применяют Ag_2S , Fe_3O_4 , Cu_2O , смесь UO_2 и UO_3 , SiC или PbO_2 . Смешение I и II производят в шаровой мельнице. При этом на поверхность частиц измельченного I наносится II, покрывая > 0,55 их поверхности. Степень наполнения композиции II определяется характеристиками $R_a = A_c/A_p$ и $R_v = v_c/(v_p + v_c)$, где A_p — поверхность частиц I, A_c — поверхность частиц II, покрытых II, v_p — объем I, v_c — объем II. Для описываемых композиций величины R_a и R_v находятся соответственно в пределах 0,55—1 (лучше 0,9—1) и 0,000005—

0,7 (лучше 0,00096—0,37). Для повышения адгезии II и I совмещение можно проводить при нагревании, или предварительно смачивая I р-рителем. Пример. В барабан длиной 127 мм и diam. 76,2 мм, содержащий 400 г стальных шаров diam. 3,17 мм, помещают 80 г полистирола, измельченного до величины частиц ~20 меш, и 20 г Ag_2S с величиной частиц ~0,0127 мм. Перемешивание производят 16 час. при скорости вращения ~75 об/мин; после смешения ~90% поверхности частиц полистирола становится покрытой Ag_2S . Композицию прессуют при 177° под давл. 700 kg/cm^2 в течение 10 мин. Полученный образец имеет уд. объемное сопротивление $7 \cdot 10^8$ ом см при 20° и $4 \cdot 10^6$ ом см при 30°. А. Петрашко

72517 П. Литьевая машина. Викман (Spritzgußmaschine. Wieckmann Gerhard) [Karl Huber, Blechwarenfabrik]. Пат. ФРГ 960854, 28.03.57

Литьевая машина имеет червяк, размещенный в обогреваемом цилиндре. Червяк, непрерывно вращаясь, частично пластифицирует предварительно смешанный материал и транспортирует его в камеру сжатия и далее в литьевой цилиндр. В литьевом цилиндре материал под давлением поршня в определенный момент вырывается в литьевую форму. Камера сжатия червяка через отверстия, закрываемые краями, сообщается с двумя или несколькими литьевыми цилиндрами; ход плунжера литьевых цилиндров и положение кранов при помощи тяг и качающихся рычагов отрегулированы таким образом, что материал, непрерывно подаваемый червяком, поступает по крайней мере в один из цилиндров и в это же время из другого цилиндра вырывается через сопло в соответствующую форму. Литьевая машина работает непрерывно. Приведена принципиальная схема устройства машины. Ю. Гордонов

72518 П. Непрерывное изготовление профилированных изделий или труб из синтетического термопластичного материала (Procédé et appareil pour la fabrication continue de barres, profilés, tubes et objets allongés similaires avec des matières synthétiques thermoplastiques) [N. V. Onderzoekingsinstituut Research]. Франц. пат. 1114680, 16.04.56

Вытянутые профилированные изделия (бруссы, трубы) из термопластич. быстро твердеющего материала (полиамиды, полиакрилы, напр., полиэтиленотерфталат) изготовляют непрерывным путем, продавливая насосом или червячным прессом расплавленную массу через сопло и теплоизолированный участок, имеющий одинаковый профиль и размер с расположенной далее охлаждаемой формой, в которую материал поступает при т-ре, обеспечивающей наибольший перепад при входе в форму, и постоянном давлении, регулируемом редуктором. Форму охлаждают водой с т-рой 10°. Изделие по выходе из формы имеет т-ру 60°. Тепловой режим аппарата регулируется с помощью датчика, помещенного в трубопроводе между насосом и формирующим устройством. Отвердевшее изделие извлекают из формы зажимными роликами. Для прутка diam. 9 мм требуется давл. 15 kg/cm^2 при скорости подачи 10 м/мин. Ю. Васильев

См. также раздел: Химия высокомолекулярных веществ и рефераты: Общие вопросы 69645. Применение 71191, 71192. Изготовление бесшовных полых изделий 72598. Определение хлора в поливинилхлориде 70582. Анализ высокомолекулярных кремнийорганич. соединений 70645. Применение полимеризационных смол 71217. Применение поливинилхлорида 71193, 71215, 71216. Акриловые смолы 72734. Исследование р-ции мочевины с формальдегидом 72719. Катализаторы для карбамидных смол 72723. Применение мочевино- и меламиноформальдегидных смол 72720, 72721. Отверж-

дение эпоксидных смол 72567. Графит, пропитанный синтетич. смолами 71194. Бумага из стекловолокна для слоистых пластиков 72656. Ионобменные смолы 70120, 70273, 70755, 72137. Лакировка пластмасс 72546. Вредность карбамидных смол 71301

ЛАКИ. КРАСКИ. ЛАКОКРАСОЧНЫЕ ПОКРЫТИЯ

Редактор М. Ф. Сорокин

72519. Лакокрасочная промышленность. Медина-Кастельянос (Pinturas. Medina-Castellanos S.), Ion, 1958, 18, № 200, 169—177 (исп.) Э. Т.

72520. Смолы для современных лаков. Пьянтанида (Le resine, nelle vernici moderne. Piantanida Cesare), Ind. vernice, 1957, 11, № 8, 204—209 (итал.)

Обзор свойств и применения в лаковой технике смол кислой конденсации из *n*-трет-бутилфенола, *n*-трет-амилфенола, смол щел. конденсации из алкилфенолов, фенольных смол и смол из бис-фенолов, модифицированных натуральными смолами, малеиновых смол, растворимых в углеводородах и растворимых в спирте, а также синтетич. смол типа копалов. Л. Песин

72521. О применении стирола и его производных. Эоли (Sulle applicazioni dello stirolo e derivati. Eoli Eliana), Pitture e vernici, 1957, 13, № 3, 185—193 (итал.)

Обзор методов получения, свойств и применения в лаковой технике полистирола, сополимеров бутадие-на со стиролом, ненасыщ. полиэфиров со стиролом, сополимеров стирола и винилтолуола с высыхающими маслами, а также композиций стиролизованных масел с эпоксидными смолами, циклизованных каучуком, нитроцеллюлозой и др. Библи. 8 назв. Л. Песин

72522. Получение резинатного лака. Корчемкин Ф. И., Гидролиз. и лесохим. пром-сть, 1958, № 1, 13—14

Описаны 2 метода получения резинатного лака (РЛ) из р-ров канифоли (I), образующихся на канифольнотерпентинных з-дах при извлечении смолистых остатков из отходов живицы. По одному методу РЛ получают обработкой 50% р-ра I в живичном скипидаре, нагретом до 110—120°, мелкоизмельченной гашеной известью, взятой в кол-ве 7% от веса I. Полученный резинат содержит 2,86% Са. РЛ может быть применен для покрытий, а также для замены олифы в густотертых масляных красках. По другому методу РЛ получают обработкой 50%-ного р-ра I (кислотное число 176,1) в уайт-спирите известью, взятой в кол-ве 6% от веса I. Приведены основные характеристики (d_{20}^{20} , вязкость, % Са, время высыхания покрытий «от пыли» и полное) для 8 образцов РЛ, полученных при различных т-рах процесса и способах загрузки извести. М. Баркова

72523. Силиконы в защитных покрытиях. Кан (Silicones in the protective coatings industry. Can Harold L.), ASTM Bull., 1957, № 222, 30—34. Discuss., 34—35 (англ.)

Кратко рассмотрены различные виды покрытий на основе силиконовых смол. Описана силиконовая смола, растворимая в воде — метилсиликолат натрия, применяющаяся в строительных работах для защиты каменной кладки от замерзания. Защитные свойства ее основаны на том, что после высыхания на воздухе пленка становится нерастворимой в воде и стойкой к атмосферным воздействиям. М. Ваньян

72524. Хайпалон и его применение в покрытиях. (Hypalon. Its applications in finishing.—), Prod. Finish., 1957, 10, № 12, 84—87 (англ.)

Свой-
при-
ка-
ли-
бен-
лом).
% ан-
К не-
ение,
тор
раз-
фка-
ани-
ентов.
at des
Chim.

и та-
RA),
добав-
каль-
виспи-
Было
про-
30%,
ривав
ована
галах,
й ОК
45%,
миче-
ении,
млен-
ности
и при

ненок
рошка
(Nar-
menta
7, 12,
в.)
рошка
и воз-
ств и
и до-
х вы-
риала.
Песин
еских
про-
1957,

исаны
основ-
енно-
инных,
смо-
инны-
Отме-
анных
ическ-
альной
сти их
раде-
мате-
банья
огне-
it von
weil
81—83

Для получения покрытий, препятствующих распро-
странению огня, обладающих достаточной эластично-
стью и адгезией к дереву, рекомендуются фенольные
и мочевиновые лаки кислого отверждения, а также ат-
мосферостойкие краски на основе хлоркаучука, хлор-
виниловых и тощих алкидных смол. В качестве пиг-
ментов могут применяться ZnO , TiO_2 , но лучшие ре-
зультаты дают сурьмяные белила, в качестве напол-
нителей — мел и $MgCO_3$, а в качестве пластификато-
ров — фосфаты и хлорированные углеводороды.

К. Беляева

72533. Эмали горячей сушки на основе алкидных
смол, совмещенных с аминосмолами. Аллас
(Smalti a forno a base di resine alchidiche combinate
con resine aminiche. Allas Anatol), Pitture e
vernici, 1957, 13, № 9, 595—599 (итал.)

Как правило, меламино-алкидные системы более
стабильны, чем мочевино-алкидные (ускоренный ме-
тод оценки стабильности — определение скорости на-
растания вязкости при 45—50°). Поматовение поверх-
ности сильно зависит от степени дисперсности пиг-
ментов (П), оптимальные размеры частиц которых
должны быть (в μ) для белых П 400—700, желтых —
550—580, оранжевых — 580—620, зеленых — 500—530,
синих — 440—480, фиолетовых — 400—440. В рецеп-
турах с 15% пигмента и 25% р-рителя оптимальное
сочетание свойств приходится на дозировку мелами-
новой смолы 20—30% и соответственно алкидной смо-
лы (модифицированной 32% кокосового масла) 30—
20%; у таких эмалей твердость 38—46, блеск 91, эла-
стичность по Эриксену 11,5—12,5 мм. Замена модифи-
цирующего кокосового масла в составе алкидных
смол на соевое или льняное увеличивает твердость и
вязкость, но уменьшает блеск. Кислото- и щелоче-
стойкость покрытий увеличивается с добавлением к
эмалим эпоксидных смол и о-крезотиновой к-ты.

Л. Песин

72534. Быстросохнущие краски для маркировки из-
делий. Дулябина З. И., Радиотехн. произ-во,
1957, № 9, 17—18

Разработаны и применяются для маркировки при-
боров, деталей и полуфабрикатов черная, белая, голу-
бая и красная маркировочные краски для плоских или
сферич. поверхностей, на которые их наносят при
помощи металлич. гравированной печати, кисточки
или пера. Приведены рецепты: в состав красок вхо-
дит масляный лак 6с, терпентинное масло, бензин и
соответствующие пигменты, а в состав красной кра-
ски — эмаль красная № 670 и сурик. Краски удовлет-
воряют всем производственным требованиям.

Б. Шемякин

72535. Бактерицидные лакокрасочные материалы.
Горовой Б. Я., Першин Г. Н., Милованова
С. Н., Микерина А. Л., Мед. пром-сть СССР, 1957,
№ 9, 18—25

В белую нитроэмаль ДМ и эмалевую краску 560 вво-
дятся бактерицидные препараты: пентахлорфенол,
пентахлорфенолят натрия, трихлорфенолят натрия,
п-нитрофенол, этилен-бис-дитиокарбамат цинка, этилен-
бис-дитиокарбамат натрия, антисептик АВ (I). Наилуч-
шим оказался I (имеет хорошие технологич. свойства,
обеспечивает бактерицидную активность лакокрасоч-
ной пленки в течение ≥ 400 суток). Установлено, что
механизм бактерицидного действия чисто диффузион-
ный, им обладают только препараты, растворимые в
воде, и только в лакокрасочных пленках, обладающих
любо бы миним. пористостью. I и п-нитрофенол при
введении в лакокрасочные материалы замедляют их
световое и тепловое старение.

Т. Бржевская

72536. Получение пленкообразователей на основе не-
высыхающих и полувывсыхающих масел. Иванова
А. А., Ж. прикл. химии, 1958, 31, № 2, 279—289

Метод гидроксирования и дегидратации, позво-
ляющий получать высыхающие продукты из невысы-
хающих и полувывсыхающих масел, был применен для
касторового, хлопкового, кукурузного, рапсового и
сланцевого масел. Описаны условия проведения гид-
роксирования и дегидратации для каждого масла
и характеристики полученных продуктов.

М. Баркова

72537. О реакции стирола с растительными маслами.
Юхновский Г. Л., Попенкер Р. Р., Ж. прикл.
химии, 1957, 30, № 4, 603—612

Изучались условия сополимеризации (С) подсол-
нечного масла (ПМ) со стиролом (I) при нагревании
до кипения в р-ре ксилола. При сравнении с другими
маслами установлено, что скорость С уменьшается
при увеличении степени ненасыщенности масла. Усло-
вия, при которых получают оптимального качества
пленки ПМ, следующие: смесь ПМ и тунгового (ТМ)
в соотношении 9:1 нагревают в токе CO_2 12 час. при
280°, затем к смеси добавляют 15% ТМ, и эту смесь
подвергают нагреванию с I в р-ре ксилола. Нужную
вязкость получают через 45 час. Высыхает пленка
через час. После 5 суток твердость 0,4; эластичность
по шкале НИИЛК 1 мм, прочность на удар 50 кг/сек.
Установлено, что продукт С I и к-т ТМ представляет
стойкий сополимер I с к-тами и является, очевидно,
смесью небольшого кол-ва циклич. продукта типа
Дильс — Альдера и, в основном, сополимера с мол. в.
620 и 3—4 звеньями I на 1 молекулу к-ты. Получае-
мые продукты представляют собой сложные смеси,
состав которых зависит от природы взятых реагентов
и условий осуществления р-ции I.

Н. Соловьева

72538. Сополимеризация стирола с растительными
маслами. Юхновский Г. Л., Попенкер Р. Р.,
Тр. Харьковск. политехн. ин-та, 1957, 13, 87—95

Проводилась сополимеризация стирола (I) с расти-
тельными маслами (П) в водноэмульсионной среде
и в р-ре. Установлено, что I с П, имеющими сопря-
женные двойные связи (С), дает прозрачные пленки,
быстро желатинизирующиеся при сушке. В случае
применения П, не имеющих С, сополимеризация про-
текает медленнее полимеризации и получается чистый
полистирол. Изучено влияние природы П, конц-ии
р-ра, соотношения компонентов на свойства получае-
мых пленок, а также влияние инициатора. Сополи-
меризация I с предварительно полимеризованными П
показала, что режим работы должен быть следующим:
смесь подсолнечного и тунгового масла (9:1) нагре-
вают в течение 12 час. при 280° в токе углекислоты
до вязкости, в 30—35 раз более исходной. К полимери-
зованным маслам добавляют 20% сырого тунгового
масла. К 30 ч. полученной смеси добавляют 20 ч. сти-
рола и 50 ч. ксилола и все это нагревают с обратным
холодильником до вязкости натуральной олифы. По
малярно-техническим свойствам и себестоимости но-
вые пленкообразующие в-ва представляют значитель-
ный интерес.

Г. Цейтлин

72539. Применение масла семян *Stilingia* в лакокрас-
очной промышленности Китая. Йёкс (Stillingiaöl
und seine Anwendung in der chinesischen Lackindu-
strie. Joeks J.), Plaste und Kautschuk, 1958, 5,
№ 1, 40 (нем.)

Масло семян *Stilingia* (I), добываемое в Средн. Ки-
тае, содержит сравнительно много линолевой и лино-
леновой и небольшие примеси олеиновой и насыщ.
к-т. Наличие 1% пальмитиновой к-ты значительно за-
медляет высыхание I, и поэтому к-ту удаляют щело-
чью с последующей промывкой водой. Рафинирован-
ное I имеет йодное число (по Вийсу) 170 и кислотное
число 0,5. I может применяться взамен льняного масла
при произ-ве олиф, штандолей (в смеси с 7% тунго-
вого), алкидов средней жирности и масляных лаков

на фенольных смолах. Время высыхания продуктов на I несколько больше, чем на льняном масле. Проверка атмосферостойкости белых эмалевых покрытий (на основе штандоля из I и ZnO) показала удовлетворительные результаты при экспозиции в течение 2 лет в Шанхае.

К. Беляева

72540. Нефтяные углеводороды в лакокрасочной промышленности. Хикман (Petroleum hydrocarbons in the paint industry. Hickman R. C.), Plast. and Paint, 1958, 2, № 3, 33—35, 40 (англ.)

Описание технологии получения выпускаемых в США в кол-ве 2 млн. т в год уайт-спирита (обычного и с 35% ароматич. углеводородов) и р-рителя без запаха. Ввиду малой активности последнего, он применяется в присутствии небольших кол-в активизирующих добавок, напр., моноолеата глицерина. Приведены константы указанных р-рителей.

К. Беляева

72541. Нанесение покрытий распылением с помощью пара. Уагнер («Steam — spraying» expands the paint dollar. Wagner Herman B.), Organ. Finish., 1957, 18, № 8, 4—7 (англ.)

Распыление красок при помощи пара является сравнительно недавним нововведением в технологию покрытий; способ основан на применении перегретого пара вместо сжатого воздуха. Способ очень экономичен, имеет ряд преимуществ, широко применим для нанесения различных покрытий. Приведены теоретич. основы способа. Наиболее важным фактором для удачного распыления является поддержание достаточной, но не чрезмерной степени перегретости пара в распылителе для предотвращения конденсации воды. Рекомендуется применение спец. теплоизолирующих шлангов для распылительной установки; давление пара должно быть минимальным. Приведены требования, предъявляемые к пароперегревателю. К некоторым недостаткам способа относятся: необходимость применения спец. оборудования, частая очистка его, тщательное регулирование давления и невозможность применения при т-рах <50—60°.

Б. Шемякин

72542. Защита металлов от коррозии покрытием специальными красками и лаками. Неде (La protection des métaux contre la corrosion au moyen de peintures et de vernis spéciaux. Nedeu Georges), Parfums, cosmét., savons, 1957, № 142, 56—64 (франц.)

Поверхность металла защищают от коррозии многослойным покрытием краской и лаком. Первый слой обычно содержит высыхающие масла с высоким содержанием соединений Pb и Zn, ингибирующих процессы окисления, создающих катодную защиту металла и образующих с жирными к-тами нерастворимые соли, увеличивающие непроницаемость образующейся пленки. Широко применяются также лаки на базе искусств. смол (винильные, кумароновые и силиконовые смолы, хлорированный и изомеризованный каучук). Перечислены лаки, смолы, пластмассы рекомендуемые для различных целей. Для защиты аппаратуры и тары для хранения пищевых продуктов, фармацевтич. препаратов, духов, косметич. изделий и т. д. рекомендуют лаки на базе винильных смол, лаки-эмали на базе глифталевых смол, автопластифицированных смол фенола с небольшим содержанием жирных к-т и эпоксидные смолы, содержащие полимеры формалина с фенолом, или NH_2CONH_2 или полиамиды.

В. Красева

72543. Промышленная отделка древесноволокнистых плит. Марш (Die industrielle Veredelung von Holz-faserhartplatten. Marsh V. R.), Holz Roh- und Werkstoff, 1957, 15, № 1, 18—19 (нем.; рез. англ.)

Приведено описание способа отделки поверхности

древесноволокнистых плит. Сначала поверхность грунтуют (обрызгиванием, шпаклеванием или при помощи вальцов), затем наносят промежуточное покрытие (как правило из термореактивных составов, печного лака). После сушки и мокрой шлифовки на него наносят основное покрытие, материал для которого выбирают в зависимости от условий эксплуатации; для термостойких плит применяют лаки, содержащие преимущественно меламино- и мочевиноалкидные смолы; если же плиты не предназначены для использования при высоких т-рах, то их покрывают нитроцеллюлозными лаками. Большое распространение приобретают модифицированные меламино- и мочевиноалкидные смолы, для отверждения которых требуется высокая (~150°) т-ра. При невозможности применить такую обработку для основного покрытия берут модифицированные печные лаки. Применение находят также эпокси- и силиконовые лаки. Имитация под дерево или мрамор достигается нанесением на поверхность нужного узора типографским способом.

А. Закощико

72544. Увеличение срока эксплуатации кислотнотравильных резервуаров при помощи покрытий. Мак-Элрой, Чеймберлин (Coated acid tanks last 50 times longer. McElroy Frank E., Chamberlain Donald S.), Chem. Process., 1957, 20, № 7, 40—41 (англ.)

Для покрытия резервуаров для сернокислотного травления лент из меди или медных сплавов были применены эпоксидные смолы в сочетании с каменноугольным пеком, наносившиеся на предварительно подготовленную внутреннюю поверхность при общей толщине пленки 0,4 мм. Результаты показали, что окрашенные резервуары хорошо противостояли действию солей, жирных продуктов и к-т при т-рах до 204° и были легко доступны для ремонта. Установлено, что эти покрытия способствуют 50-кратному увеличению (от 1 недели до 1 года) межремонтных сроков эксплуатации кислотнотравильных резервуаров.

Б. Шемякин

72545. Новые лаки для электрических проводов. Рупрехт (Von neuen Drahtlacken und Lackdrähten. Ruprecht R.), Schweiz. Maschinenmarkt, 1958, 58, № 9, 84—85 (нем.)

В качестве новых электроизоляционных лаков для проводов отмечены полиуретановые, позволяющие производить пайку проводов без удаления лаковой пленки, и лаки на смеси фенольных смол и полиэфирных смол на терефталевой к-те. Эти лаки отличаются высокой термостойкостью (1000 час. при 180°) и превосходят все существующие лаки по стойкости к р-рителям и перегреву при увеличении нагрузки на провода.

К. Беляева

72546. Рецепты лаковых покрытий по пластмассам. Фулон (Rezepte für Lacküberzüge auf Kunststoffen. Foulon A.), Plastverarbeiter, 1957, 8, № 11, 412—413 (нем.)

Для безукоризненной лакировки пластмасс необходима обработка поверхности с помощью р-рителей или пескоструйного аппарата. Из термореактивных пластиков чаще всего лакируется вулканизованная фибра, покрываемая нитроцеллюлозным лаком. Для ацетилцеллюлозы применяют лаки на основе полиуретанов или нитроцеллюлозы. Изделия из фенопластов в качестве грунта покрывают алкидными смолами; затем, в качестве поверхностного покрытия, комбинациями эпоксидных смол, модифицированных жирными к-тами, с карбамидными смолами. Для термопластов, напр. полилена, необходима предварительная обработка хиреагентами и другими в-вами для увеличения адгезии. Полистирол красится водн. дисперсиями синтетич. смол или масляными красками

Р-рителей. Поливинилхлорид лакируется сополимером на основе винилхлорида и винилацетата. Г. Цейтлин 72547. О хорошем качестве асфальтовых покрытий труб. Брамбл (What are the qualities of a good asphalt pipe coating. Bramble Lloyd F.), Pipe Line News, 1957, 29, № 9, 63, 65—66, 68, 70 (англ.)

Кратко рассматриваются процессы очистки, нанесения покрытий, обертывания различными материалами и укладки в грунт трубопроводов, подвергающихся разрушительным атмосферным и почвенным влияниям. Хорошую длительную защиту обеспечивают асфальтовые покрытия. Наполнители для асфальтовых эмалей должны быть кислото- и щелочестойкими, способствующими паро- и газонепроницаемости покрытий. Асфальтовые покрытия применимы в любое время года. Б. Шемякин

72548. Новые методы лакировки контрольных приборов. Роденхейзер (Moderne Lackierung von Prüfmaschinen. Rodenhäuser H.), Industrie — Lackier — Betrieb, 1957, 25, № 11, 304—306 (нем.). Описаны методы лакировки станины и шкалы контрольно-измерительных приборов; указаны требования к покрытиям для работы в тропиках.

Г. Цейтлин 72549. Сушка лакокрасочных покрытий в парах хлористой серы. Ковалев Н. Ф., Никитин В. Ф., Радиотехн. произ-во, 1957, № 12, 56—58

Описан способ сушки (С) лакокрасочных покрытий (ЛП) в парах SCl_2 , основанный на хим. взаимодействии ЛП с серой и хлором, в результате которого происходит процесс окислительной полимеризации и более быстрое образование пленки, чем при обычных процессах холодной или горячей сушки. Дано описание технологич. процесса С и применяемой установки. Приведены результаты испытаний (время практич. высыхания и внешний вид пленки), при которых лучшие результаты получены для синтетич. красок и глифта-левых эмалей. Время высыхания в большинстве случаев сокращалось более чем в 100 раз по сравнению с горячей сушкой. Кроме того, ЛП, полученные с применением С, превосходят по качеству покрытия, полученные в обычных условиях: они более стойки к истиранию и действию р-рителей и щелочей. Отмечается невозможность применения метода С для лаков и покрытий, высыхающих только в результате испарения р-рителей при наличии пигментов и красителей, обеспечиваемых SCl_2 , и для водноэмульсионных красок, а также для глифта-левых эмалей, содержащих соли различных металлов (Mn, Zn, Pb, Fe). М. Баркова

72550. Быстрая сушка инфракрасными лучами покрытий из синтетических лаков. Кальперс (Infra-rot-Strahlen zum Schnelltrocknen von synthetischen Lacken. Kalpers H.), Österr. Plastic-Rundschau, 1957, 8, № 4, 179—181 (нем.)

См. РИХим, 1958, 34478. 72551. Защита конструкционной стали от коррозии в атмосферных условиях. Милс (The protection of structural steel against atmospheric corrosion. Mills W. G. B.), Paint, Oil and Colour J., 1956, 130, № 3022, 583—588, 600 (англ.)

Изучение влияния способа подготовки поверхности стали на срок службы лакокрасочных покрытий и стоимость затрат по борьбе с коррозией показало, что по сравнению с выдержкой на воздухе с последующей обработкой поверхности проволочной щеткой, огневой очисткой и грунтованием, травлением, обработкой в фосфорной к-те и грунтованием, наиболее рациональным способом является пескоструйная очистка с последующим напылением металлич. покрытия толщиной ~ 76 м. Согласно данным Английского н.-и. объединения железа и стали, положительные результаты были получены при испытании краски, содержащей пиг-

мент, состоящий из (в вес. %): свинцового сурьки 40; свинцовых белил 40 и асбеста 20 и смешанный с льняным питандойлем и рафинированным щел. способом льняным маслом в отношении 2:3. В атмосфере, с повышенным содержанием H_2S может быть использован цинкхроматный грунт. Е. Зарецкий

72552. Колориметрическое определение кобальта в сиккативах. Звонарь (Kolorimetrické stanovení kobaltu v sikačivech. Zvonář Vladimír), Chem. průmysl, 1957, 7, № 9, 512—514 (чешск.; рез. русск., англ.)

Предложен быстрый упрощенный метод колич. определения Со в сиккативах; навеску, содержащую 0,4—4,0 мг Со, кипятят с 20 мл разб. HCl до разложения (~ 10 мин.), разбавляют уксусом до 100 мл и колориметрируют с NH_4 , пользуясь калибровочной кривой. Относительная погрешность при этом определении обычно составляет 1—2%, но при весьма большом или очень малом содержании Со доходит до 5%, т. е. того же порядка, что и при длительных методах определения Со (сжиганием навески и др.). Препятствует точности определения содержание в сиккативе Mn и некоторых других металлов; Fe следует предварительно переводить в пиррофосфатный комплекс. Л. Песин

72553. Спектрофотометрия и лакокрасочная промышленность. Часть I. Лоренс (Spectrophotometry and the paint industry. Part 1. Lawrence William), Amer. Paint J., 1957, 42, № 6, 64, 66, 68—70 (англ.)

Популярное изложение основ спектрофотометрич. анализа. Библ. 22 назв. М. Баркова

72554. Простые приспособления для испытания технологических свойств лаков и лакокрасочных покрытий по Гармсену. Рожан (Jednoduché zařízení pro zjišťování technologických vlastností nátěrových hmot a nátěrů podle W. Garmsena. Rožan J. Josef), Chem. průmysl, 1957, 7, № 11, 623—625 (чешск.)

Описаны простые приспособления для определения степени дисперсности пигментов, склонности к образованию натеков, скорости высыхания покрытий от пыли, содержания сухих в-в в пленке, измерения толщины мягкого покрытия и др. Л. Песин

72555. Испытания модельных лаков и технические условия для их приемки. Яжембский, Гавронский (Badania i próby ustalenia warunków technicznych do odbioru emalii modelowych. Jarzebski Stefan, Gawroński Józef), Przegl. odlewn., 1957, 7, № 9, 249—256 (польск.; рез. русск., англ., нем.)

В результате испытания 6 типов модельных лаков (МЛ) (3 фенольных спиртовых и 3 нитролаков) установлено, что для оценки качества МЛ следует определять время высыхания, твердость, прочность на удар, склонность к потускнению, стойкость против отслаивания при нарезании и адгезию эмали к формовочной смеси (песку). Л. Песин

72556. Влияние пигментов на атмосферостойкость масляных эмалей. Рапо, Бруццони (Influencia del pigmento sobre la durabilidad de las pinturas al aceite. Rascio Vicente J. D., Bruzzoni Walter O.), Industria y química, 1957, 18, № 4, 230 (исп.)

В результате исследования атмосферостойкости (15 месяцев экспозиции в Аргентине) масляных эмалей на различных белых пигментах (П) и наполнителях (Н), а также смесях П с Н, с применением льняного масла и смеси его с тунгвым маслом [всего 175 образцов, содержащих (в вес. %): П 50—55, связующего 40—45, р-рителей и сиккативов 5—10] установлены следующие оптимальные рецептуры П, обеспечивающие наибольшую долговечность покрытий

(в %): ZnO (I) 70, TiO₂ (II) 30, I 70, II 20, талка 10; I 50, II 20, барита 30. При дозировке Н, превышающей 30% содержания II, атмосферостойкость покрытий заметно понижается.

Л. Песин
72557. О поведении соево-пентаэритрит-алкидных покрытий средней жирности в атмосферных условиях. Йёке (Über das Bewitterungsverhalten von mittelfetten Soja — Pentaerythrit — Alkudharz — Anstrichen. Joeks J.), Plaste und Kautschuk, 1957, 4, № 11, 448 (нем.)

Проведены испытания погодостойкости алкидных покрытий средней жирности, результаты которых опровергают их оценку как очень недолговечных на воздухе, быстро теряющих глянец, не имеющих особого значения среди лакокрасочных покрытий на основе алкидных смол. Для испытания пентаэритритовых алкидов (I) со степенью жирности > 55% на соевом масле они были применены в качестве единственного связующего для двух слоев нижнего и одного слоя верхнего пигментированных покрытий, наносившихся на двукратно загрунтованные цианамидом свинца на льняной олифе жестяные пластинки. Образцы, экспонированные на воздухе в течение 2 лет в местности, расположенной на высоте 850 м над уровнем моря, в почти абсолютно незапыляемой атмосфере с интенсивным УФ-облучением, хорошо сохранились. Сделаны выводы, что для лучшей сохраняемости I средней жирности общая толщина покрытий должна составлять > 120 м, причем необходимо применять чистые сырьевые материалы, особенно пентаэритрит, и не следует допускать понижения содержания масла в I ниже 50% для предотвращения желтения.

Б. Шемякин

72558. Смывки для удаления лакокрасочных покрытий. Зелман (Paint removing compounds. Zel-lman Fred), Metal Prod. Manufact., 1957, 14, № 6, 43, 45, 95 (англ.)

Смывки краски классифицированы на три основные группы: 1) водорастворимые щел. смывки, представляющие собой смесь сильных щелочей со смачивающими в-вами и ускорителями. Лучшие результаты получены при применении их при т-рах, близких к кипению; 2) смывки (I), применяемые при комнатных т-рах, состоящие из хлорированных р-рителей с введением ускорителей и смачивающих агентов; эффективное действие достигается при содержании твердого в-ва, не превышающем 10—20%; 3) спец. смывки, применяемые для крупного стационарного оборудования, по составу близкие к I, с добавкой тиксотропных желатинирующихся в-в для улучшения адгезии к металлич. поверхности и эмульгаторов, облегчающих снятие краски водой после того, как смывочный состав в течение определенного времени находился на поверхности металла.

М. Ваньян

72559. Загрязненные отпечатки. Борчерс (Tinting. Borchers Charles W.), Amer. Ink. Maker, 1957, 35, № 9, 31, 33, 69 (англ.)

Причиной получения загрязненных отпечатков является образование эмульсии типографской краски, в результате чего она всплывает на поверхность и распространяется по всему клише. Установлено, что это явление обусловлено наличием поверхностноактивных в-в в применяемой для печатания бумаге. Для предотвращения этого дефекта рекомендуется производить предварительную проверку бумаги путем определения снижения поверхностного натяжения (ПН) дистил. воды (50 см³), вызываемого погружением в нее на 10, 20 и 30 сек. куска бумаги размером 5 см². Для получения качеств. отпечатков снижение ПН должно быть ≤ 15 дин/см².

К. Беляева

72560 С. Пигменты. Белые пигменты, тертые на льняном масле (Pigments. Blancs, broyés à l'huile de lin). Франц. стандарт Т 31—001, 1956

72561 П. Получение 9-оксидегидроабетинового спирта. Сабласки (9-oxodehydroabietyl alcohol and process of preparation. Subluskey Lee A.) [Hercules Powder Co.] Пат. США 2750370, 12.06.56

9-оксидегидроабетиновый спирт (I) получают окислением 9-оксидегидроабетинового спирта (II) алко-голятом Al (изопропилатом или трет-бутилатом Al) в присутствии кетона (напр., CH₃COCH₃, циклогексано-на), служащего акцептором Н, и р-рителя (C₆H₆, толуол, гексан) при т-ре кипения смеси. Молярное соотношение II:алкоголят Al:р-ритель = 1:0,25 (лучше 1—3): 50—200. Время р-ции зависит от т-ры; напр., при использовании C₆H₆ в качестве р-рителя время р-ции 4—24 часа. Смесь р-ров 6 ч. II в 135 ч. CH₃COCH₃ и 6 ч. изопропилата Al в 154 ч. C₆H₆ кипятят 16 ч. Добавляют 5%-ную H₂SO₄ до образования двух прозрачных слоев. Смесь экстрагируют 500 ч. эфира. Экстракт дважды промывают 2%-ным водн. NaOH и водой до нейтр. р-ции промывных вод. Отгоняют эфир и получают густое масло, кристаллизующееся при стоянии. Перекристаллизацией из C₆H₆ получают 4,3 ч. I, т. пл. 87,5—88°. I может употребляться как компонент пленкообразующих композиций и для синтеза алкидных и полиэфирных смол. Полиэфирные смолы, являющиеся компонентами нитроцеллюлозных лаков, готовят, напр., нагреванием при 220° в течение 6 час. следующих компонентов (в ч.): I 60, малеино-вого ангидрида 20, этилентгликоля 6. Нитроцеллюлоз-ный лак получают смешением (в ч.) 43 полученного полиэфира, 43 нитроцеллюлозы, 14 дибутилфталата, 50 толуола, 20 этилацетата, 10 этилацетата, 10 C₂H₅OH и 10 C₂H₅ON.

И. Шалавина

72562 П. Сополимеры винилхлорида и 1,1-дихлорэ-лена (Copolymers of vinyl chloride and 1:1-dichloro-ethene) [Farbenfabriken Bayer A.-G.] Англ. пат. 737025, 21.09.55

Патентуются сополимеры, получаемые при водо-эмульсионной сополимеризации смеси винил- и винил-иденхлоридов, каждый из которых взят в кол-ве ≥ 15% от общего веса полимеризующихся соединений и 1—25% (желательно 5%) от общего веса винил- и винилиденхлоридов с виниловыми соединениями дру-гого типа (напр., стиролом, производными стирола, эфирами акриловой или метакриловой к-ты, акрило-нитрилом), взятыми в кол-ве 1—25% (желательно 5%) от суммарного веса винил- и винилиденхлоридов. Сополимеризацию ведут в присутствии регуляторов, напр. хлороформа, четыреххлористого углерода, инициаторов (персульфата К), эмульгаторов (парафит сульфоната или его натриевой соли) и стабилизатора эмульсии (пирофосфата Na). Сополимеры растворимы в ароматич. р-рителях, кетонах, сложных эфирах и хлорированных углеводородах и совмещаются с льня-ным маслом, лаками на основе льняного масла, ту-говым маслом, смолами на основе канифоли и мале-иновой к-ты, хлорированным каучуком. Полимеры могут быть использованы для получения пленок и покрытий, а латексы (после добавления пластифика-тора и красящих в-в) — в качестве лаков.

Б. Киселев

72563 П. Бутадиеновое высыхающее масло и способ его получения. Глэсон (Butadienoid drying oil and process for preparing same. Gleason Antho-py H.) [Esso Research and Engng. Co.] Пат. США 2762851, 11.09.56

Для проведения процесса полимеризации. смешивают бутадиен-1,3, стирол, инертный углеводородный разбавитель (I), кипящий от —10° до +200° и другой

разбавитель, содержащий с 4—8 атом-но крайней-ный метал-1—50% (от-только 20% смесь нагр-100%-ного-ности такж-начала по-водить в-ного эв-уит-спирит-эфир; доба-утся в с-75—85 (луч-спирита 10% или серног-таллич. На-тите подкис-кислота в

72564 П. покрытия Нусин Überzüge. [Siemens-21.03.57

Лак на о-нем полис-лат алкил-полисилокс-и полиэфир-дают трещ-высокой пр-показателя- (в %) пол-конденсаци-тилохлорид- (состояще-ного опи-72565 П.

и алкил-роху res-Н.) (Natio-Жидкая и-опосадной-и эпоксид-мере части-к-ти льн-масла) и (-OС₂H₄СН-одновалент-мере поло-остатки к-из алкил-содержат 1-2—5) атом-сколы Эпо-том реакт-мешалкой, ввода инер-включают-Через 1 ча-дуть азот и-смеси (раз-стоящим п-добутилке-того масс-40%) в сме-добутилкет-

разбавитель (II) из класса эфиров с открытой цепью, содержащих 4—8 атомов С, и циклич. диэфиров с 4—8 атомами С, у которых два атома О разделены в крайней мере двумя атомами С, и тонкоизмельченным металлич. Na. В смесь может быть введено 1—50% (от веса Na) алифатич. спиртов ($C_3—C_8$, желат. 20% изопропилового спирта). Реакционная смесь нагревается при 25—95° (лучше при 50°) до 100%-ного израсходования мономера. Процесс можно вести также при 30—85° в течение 10—60 мин. до начала полимеризации бутадиена и только потом вводить в теплую массу стирол, проводя реакцию до полного завершения. В качестве I рекомендуется уайт-спирит, в качестве II — диоксан-1,4, или серный эфир; добавление II обязательно. Компоненты берутся в следующих кол-вах (в ч.): бутадиена-1,3, 75—85 (лучше 80); стирола 20—15 (лучше 20); уайт-спирита 100—500 или 200—300 (лучше 200); диоксана или серного эфира 10—45 или 25—30 (лучше 28); металлич. Na 1—3 (лучше 1,5). Полученная в результате полимеризации масляная композиция хорошо высыхает в пленках.

72564 П. Высокоотеплостойкие и эластичные лаковые покрытия на основе полисилоксанов. Йорциг, Нуспиккель (Hochhitzebeständige, elastische Überzüge ergebender Lack auf Grundlage von Polysiloxanen. Jorzig Adolf, Nusspickel Albert) [Siemens-Schuckertwerke A.-G.]. Пат. FRG 960488, 21.03.57

Лак на основе полисилоксанов получают совмещением полисилоксанов (особенно таких, которые содержат алкильные группы, облегчающие растворение полисилоксанов в эфирах и кетонах) с изоцианатами и полиэфирными смолами. Лаки на этой основе не дают трещин при изгибе даже при 200°, обладают высокой прочностью на удар и высокими диэлектрич. показателями. Напр., к полисилоксану добавляют (в %) полиэфирной смолы (являющейся продуктом конденсации адиновой или фталевой к-ты с триметилпропаном) 10—15; диизоцианата 20—30; р-рителя (состоящего, напр., из смеси бутилацетата, диэтилового спирта и метилгликоля) 60—70.

72565 П. Эфиры эпоксидных смол и жирных кислот и алкилтитанаты. Бичем (Fatty acid esters of epoxy resins and alkyl titanates. Beacham Harry H.) [National Lead Co.]. Пат. США 2733222, 31.01.56 Жидкая пленкообразующая композиция состоит из эпоксидной смолы на основе диоксидифенилпропана и эпихлоргидрина, этерифицированной, по крайней мере частично, жирными к-тами масел (в особенности к-тами льняного или дегидратированного касторового масла) и имеющей ф-лу повторяющегося звена $(-O-C_6H_4-CRR'C_6H_4-OSn_2CH(OX)CH_2-)$, где R и R' — одновалентные углеводородные радикалы, по меньшей мере половина групп X представляет кислотные остатки к-т высыхающих масел, а остальные — H, и в алкилтитаната, в котором алкильные радикалы содержат 1—20 (предпочтительно 1—12, в особенности 2—5) атомов С каждый. Напр., смешивают 200 ч. смолы Эпон 1004 и 280 ч. линоленовой к-ты в закрытом реакторе из нержавеющей стали, снабженном мешалкой, имеющей в нижней части отверстие для ввода инертного газа. Массу нагревают до плавления, включают мешалку и продолжают нагревание до 250°. Через 1 час нагревания при этой т-ре начинают вводить азот и т-ру поддерживают до тех пор, пока проба смеси (разбавленная до конц-ии 40% р-рителем, состоящим по объему из 90 ч. уайт-спирита и 10 ч. метил-изобутилкетона) достигнет вязкости 1,4 пуаз. После этого массу охлаждают и растворяют (до конц-ии 40%) в смеси равных объемов уайт-спирита и метил-изобутилкетона. К 240 ч. полученного р-ра добавляют

5 ч. тетраэтилтитаната, а также 0,1% Pb и 0,05% Co в виде соответствующих нафтенатов. Покрытие из этой композиции толщиной ~ 50 м высыхало через 24 часа при ~ 20°, полученная пленка была прозрачна, светло окрашена, эластична и тверда и по сравнению с контрольным образцом, полученным по тому же способу, но без добавки титаната, обладала значительно большей стойкостью к р-рителям. Покрытия, полученные по предлагаемому способу, отличаются также превосходными диэлектрич. свойствами и водостойкостью.

72566 П. Эпоксидные композиции, содержащие титанат. Бичем, Мерз (Epoxy resin compositions containing titanate. Beacham Harry H., Merz Kenneth M.) [National Lead Co.]. Пат. США 2742448, 17.04.56

Композиция для получения светлого прозрачного покрытия, обладающего улучшенными физ.-мех. (эластичность, твердость), физ.-хим. (адгезия и стойкость к р-рителям) и диэлектрич. характеристиками, состоящая из эпоксидной смолы, полученной конденсацией бис-фенола с эпихлоргидрином (эпон 1001, 1004, 1007 и 1009), и отвердителя, отличается тем, что в качестве последнего применяются: 1) смесь алкилортотитаната с насыщ. алифатич. оксиамином, в котором OH-группа находится в β-положении по отношению к NH_2 -группе, или с полиамином, в котором NH_2 -группы разделены 2 атомами С, напр. смесь бутилтитаната с этилен-или пропилендиаминами; 2) оксиамином ортотитаната, в котором OH-группа находится в β-положении к NH_2 -группе, напр. β-аминоэтилэтаноламинтитанат. Примерный состав композиции (в вес. ч.): 50 р-ра эпоксидной смолы, состоящего из равных кол-в смолы «эпон-1007» (эпоксиэквивалент 0,05), диэтилового спирта и моноэтилового эфира этиленгликоля, и 12 отвердителя, полученного растворением 340 тетрабутилтитаната и 60 этилендиамина в 2400 изобутилового спирта. В других примерах в качестве отвердителя применены: 1) тетрабутилтитанат и β-аминоэтилэтаноламин; 2) триэтилоламинтитанат, полученный взаимодействием эквимолекулярных кол-в бутилтитаната и триэтилоламина; 3) моноэтилтрибутилтитанат и 1,3-диамино-2-пропанол; 4) диоксиддибутилтитанат и пропилендиамин.

М. Баркова

72567 П. Способ отверждения эпоксидных смол. Шокал (Process for curing polyepoxides and resulting products. Shokal Edward C.). [Shell Development Co.]. Пат. США 2768153, 23.10.56

Патентуется способ отверждения эпоксидных смол (ЭС), в частности глицидных полиэфиров многоатомных спиртов или фенолов, имеющих 1,2-эпоксиэквивалент $\geq 1,1$, отверждающихся с помощью ангидридов многоосновных к-т (насыщ., ненасыщ., алифатич., циклоалифатич., ароматич. и гетероциклич.), отличающийся тем, что в качестве ускорителей отверждения ЭС применяются алифатич. или ароматич. соединения R, As, Sb и Bi, имеющие ф-лы $M(R)_3$, $M(R_2)N$ или MRH_2 , где R — алкил-, циклоалкил-, алкилциклоалкил-, арил- или алкиларил-радикалы, содержащие < 12 атомов С (предпочтительно < 8). Ангидриды вводятся в ЭС в кол-ве 0,8 от эквивалентного, а ускорители в кол-ве 0,1—10% (от общего веса смеси). Применение ускорителей позволяет получать изделия и покрытия из ЭС, отверждающиеся на холоду. Так, напр., смесь, состоящая из 100 вес. ч. аллил-глицидного полиэфира, 100 вес. ч. гексагидрофталевого ангидрида и 3 вес. ч. трифенилфосфина, полностью отверждается при т-ре 15—20° за 18 час., тогда как такая же смесь без трифенилфосфина сохраняет текучесть даже через 7 дней.

М. Баркова

72568 П. Сополимеры высыхающего масла с эпокси-алкоксариловыми смолами. Д'Алельо (Drying oil

Предложено применять окисные и другие Se-соединения вместо элементарного Se при введении их в р-р Cd-соли и совместном осаждении с CdS. По патенту 2777777 чистый (или с наполнителем) красный Cd-пигмент желаемого оттенка получают путем совместного осаждения при помощи соответственно р-ров сернистого щел. металла или BaS осадка CdS и Se в водорастворимой форме из р-ра CdSO₄, содержащего радикалы к-т H₂SeO₃, H₂SeO₄ и их смеси, образующиеся при растворении в последнем р-ре окисных Se-соединений, напр. SeO₂, SeO₃ (или их смесей), и последующего прокаливании осадка. Согласно патенту 2777778, чистый (или с наполнителем) красный Cd-пигмент получают соответственно из сырой фильтпрессной лепешки (I) чистого (или с наполнителем) желтого кадмия. Продукт получают из сырой пигментной массы, представляющей собой CdS в виде I, в смеси с SeO₂ и восстановителем (напр., Se, S, двойного соединения Se—S и их смеси). SeO₂ применяется в таком кол-ве, чтобы содержащийся в ней Se и элементарный Se-восстановитель вместе обеспечивали бы достаточное кол-во Se для превращения CdS, при тщательном смешивании с ним и последующем прокаливании, в пигмент красного цвета желаемого оттенка. Восстановитель должен находиться в кол-ве, достаточном для образования SO₂ за счет $\geq \frac{1}{3}$ избыточного кол-ва кислорода SeO₂. Кол-во S должно быть такое, чтобы образовать SO₂ с использованием 60—100% избытка кислорода, содержащегося в SeO₂. I CdS тщательно смешивается с ≥ 1 окисным соединением Se (в качестве которого можно применять окиси и к-ты Se, галогенный селенил и SeSO₃) и затем прокаливается.

Б. Шемякин

72574 П. Пигменты. Хелфайр (Pigment. Helfaer Bertram M.) [Allied Chemical & Dye Corp.]. Пат. США 2772984, 4.12.56

Метод получения новых улучшенных органич. пигментов (I), обладающих повышенной яркостью тона, большой интенсивностью и высокой степенью дисперсности, состоит в том, что сушка I производится в смеси с активированным силикагелем (II) при вес. соотношении между I и II от 1:0,05 до 1:20, что исключает агрегирование. Применяемый II должен иметь уд. поверхность 100 м²/г, средний размер частиц 0,1—50 м и маслосмкость 100. В качестве I можно применять кубовые и азокрасители, фталоцианиновые красители, лаки и тонеры, трифенилметановые красители и нерастворимые в воде красители, взятые как в готовой пигментной форме, так и в виде лейкооснований с проведением последующего окисления в смеси с II. Пример: 1 ч. кубового красно-фиолетового RH (водн. паста) смешивают с 5 ч. II, после чего добавляют воду до образования текучей массы. Полученную смесь растирают и сушат, сначала выпаривая на водяной бане, а затем в сушилке при 100°. При этом получают сухую мягкую массу, которая легко измельчается с образованием высокодисперсного интенсивного и яркого I. Сравнительные опыты, проведенные в тех же условиях, но без введения II, давали твердый агрегированный I, который трудно перетирался и обладал низкой интенсивностью и тусклым цветом.

К. Беляева

72575 П. Шпаклевка. Хантер (Putty. Hunter Samuel N.) [Hunter Metallic Products Corp.]. Пат. США 2743188, 24.04.56

Патентуется, в доп. к пат. США 2531427, состав (I), пригодный в качестве шпаклевки и т. п., способный сохраняться при нахождении на воздухе или в коррозионной атмосфере, оставаясь эластичным, мягким. I можно пигментировать, окрашивать и лакировать, он имеет большую адгезию к дереву, стеклу или металлу и является огнестойким. I содержит жидкий

хлордифенил с содержанием $\leq 54\%$ хлора, органофильную катион-модифицированную спец. глину (напр. бентонит) и пигмент. Пример. 14—30 ч. хлордифенила и 100 ч. диметилдиоктадециламмоний бентонита.

Б. Шемякин

72576 П. Жидкий очищающий и полировальный состав. Гасс (Liquid cleaner and polisher and method of compounding the same. Guss Charles). Пат. США 2757094, 31.07.56

Состав содержит (в %): жидкого полидиметилсилоксана (I) 0,61, стеарата глицерина 0,035, полиоксиэтиленстеарата 0,035, трет-додецилтиозифира полиэтиленгликоля (II) 0,2, воды 99,12. Смешивают равные кол-ва стеарата глицерина и полиоксиэтиленмоностеарата, 4 ч. полученной смеси вводят в 35 ч. I, добавляя 25% (от веса смеси) теплой воды и разбавляя водой до содержания I в эмульсии 35%. Для приготовления полировального состава берут смесь 1,74% полученной эмульсии и 0,2% II и разбавляют 98,06% теплой мягкой воды. Состав применяют для полирования пластиков, металлич. или лаковых покрытий.

А. Жданов

72577 П. Полировочный состав. Гамильтон (Polishing composition. Hamilton Edgar Kingdon). Пат. США 2738282, 13.03.56

Патентуются полировочные составы для дерева, металлов, кожи и пластмасс, получаемые нагреванием (при 60—70°, с перемешиванием) смесей (в вес. ч.) из 1—20 растворимого органополисилоксана (с 1—3 алкильными, арильными или арахильными радикалами), предпочтительно с вязкостью 5—200 сст при 25°, 40—160 органич. неполярного р-рителя для полисилоксана, предпочтительно с т. кип. в пределах 75—275° (в частности, CCl₄, C₂HCl₃, C₂HBr₃, C₂Cl₄, C₆H₆, лигроина, петр. эфира, нефти, бензина и т. п.), 1—10 светлого продукта касторового масла (с вязкостью 130—400 сек. при ~38° по Сейболту), 1—7 смеси карнаубского и пчелиного восков и <2 анионоактивного сульфатированного алифатич. смачивающего агента. Напр., получают состав (в вес. ч.) из 5 диметилполисилоксана с вязкостью 100 сст при 25°, 72 CCl₄, 41 нефти, 5 светлого продукта касторового масла, 1 Na-соли сульфатированного эфира жирной к-ты, 2 карнаубского и 0,4 пчелиного воска. Вместо касторового масла можно применять также кротонное, льняное, тунговое, соевое, сурепное и другие высыхающие масла, а вместо карнаубского и пчелиного восков — канделильский, лавровый (плодов *Murica*), японский, спермацет, китайский, а также минеральные (монтанный, парафин, озокерит) и синтетич. (цетиловый спирт, стеариновая к-та и др.) воски.

Я. Кантор

72578 П. Продукт, придающий глянец и сохраняющий окрашенные поверхности (Produit de lustrage et d'entretien des surfaces peintes) [Jean—Noël Poli]. Франц. пат. 1137039, 22.05.57

Продукт, наносимый на любые (исключая водные) лакокрасочные покрытия, сохраняющий и защищающий их от непогоды и придающий им глянец, состоит из жидкой масляной смеси, содержащей стеарин или парафин (образующие непроницаемую, длительно сохраняющуюся пленку на окрашенной поверхности) и нафталин в виде кристаллов. Пример. 40 г стеарина или парафина расплавляют (при нагревании до ~90°) в ~100 г растительного масла, при т-ре $\geq 80^\circ$ вводят 30 г нафталина, охлаждают до ~30°, добавляют 800 г летучего р-рителя и ~30 г спирта (90%-ного) и энергично перемешивают. Продукт пригоден для лакированных поверхностей автомобилей, холодильников и различных бытовых аппаратов.

Б. Шемякин

72579 П. Аппаратура для производства свинцового сурика. Перьер (Apparatus for the manufacture of

red lead. Perieres René A.) [La Soc. Français dite Solumeta]. Пат. США 2761767, 4.09.56

Установка состоит из вертикальной печи (П) для испарения Pb, соединенной с торцевой частью горизонтальной конденсационной камеры (КК). Дуговая трехфазная П снабжена устройством для непрерывной подачи в дугу свинцовой проволоки. Пары Pb из П поступают в КК через торцевую стенку по узкому каналу. Несколько выше, в этой же торцевой стенке имеется приспособление, через которое в КК вводят рециркулирующий воздух. Воздух поступает по спец. каналу, идущему от циркуляционного вентилятора (ЦВ), который смонтирован на противоположной торцевой стенке КК, и непрерывно забирает из КК непрореагировавшие газы. Канал, идущий от ЦВ, снабжен воздушным холодильником, регулирующим т-ру подаваемого в КК воздуха. В кольцевом пространстве между цилиндрич. стенками КК и наружной теплоизоляцией смонтирован электронагреватель. Это же пространство соединено с узкими кольцевыми каналами, расположенными по окружности КК вблизи торцевой стенки, связанной с П. В каналы поступает охлаждающий воздух. Таким путем регулируется т-ра внутри КК. В воздушный поток перед входом в КК вводят дополнительный O_2 . В КК, в зоне ввода воздуха, поддерживают т-ру 480—510°; в зоне отбора воздуха 460—480°. Для удаления продукта из КК в нижней ее части смонтирован шнек. Производительность по Pb для установки с КК диам. 3 и длиной 18 м ~ 5 кг/мин. Производительность ЦВ при этом до 7,8 м³/сек, подача O_2 0,4—0,5 м³/сек. Продукт содержит 97—98% Pb_3O_4 . Л. Херсонская

72580 П. Краски для изготовления печатных копий по трафарету. Битти, Флоренс (Stencil duplicating inks. Beatty Julian Lee, Florence Robert Thompson) [A. B. Dick Co.]. Пат. США 2772175, 27.11.56

Патентуется рецептура улучшенных типографских водн. красок (I) для изготовления копий, отличающихся применением новых связующих, растворимых в воде и приобретающих водостойкость после высыхания. В качестве таких материалов могут быть использованы комплексные двойные соли аммония и 2-валентных металлов (Zn, Cu, Cd, Fe) полисахаридов, белков, естественных смол, метил-, карбоксиметилцеллюлозы, полиакрилатов и т. п. в кол-ве 1—15% (к весу I) в зависимости от мол. веса соли и требуемой вязкости. В I можно вводить глицерин, этилен-диэтилен, триэтилен-, полиэтиленгликоли, диэтанол-, триэтанол-, формилэтанолламины и другие соединения, препятствующие высыханию I до нанесения на трафарет и улучшающие адгезию и эластичность отпечатка. При наличии в связующем гидроксильной или аминогруппы в положении, обеспечивающем прохождение р-ции с альдегидами с образованием соответствующих ацеталей, дополнительное увеличение водостойкости может быть достигнуто введением альдегидов (глиоксаль, пировиноградный), инертных в водн. р-ре и реагирующих в высохшей пленке. Для получения I различных цветов используют как водорастворимые красители, так и диспергированные в воде пигменты. Пример (в %): нигрозин 5,0, смачивающий агент (50%-ный р-р Na-соля диоктилового эфира сульфоянтарной к-ты) 2,0, глиоксаль (30%-ный р-р) 1,5, этиленгликоль 35,0, аммонийноцинковая соль карбоксиметилцеллюлозы (2,5%-ный водн. р-р) 56,5. К. Беляева

72581 П. Связующие для литографской краски на основе таллового масла, этерифицированного эпоксидной смолой и многоатомным спиртом. Мак-Набб (Tall oil esterified with mixture of epoxy resin and polyhydric alcohol used as ink vehicle.

McNabb John W.) [American Can Co., Kienle & Co.]. Пат. США 2754277, 10.07.56

Связующее для литографской краски состоит из 39—40 вес.% китайского древесного масла (KM) и 60—61 вес.% смешанного эфира таллового масла (I). I получают этерификацией таллового масла (TM) смесью спиртов, состоящей из 9 вес.% (от общего веса этериф. смеси) эпоксидной смолы (ЭС) с мол. в. порядка 2500, полученной конденсацией бис-(4-окси-фенил)-2,2-пропана и эпихлоргидрина, и 10,7 вес.% таэритрита (II). Пример (в вес. ч.): 49,5 TM, 5,65 ЭС и 5,4 II нагревают в атмосфере N_2 до 280° и выдерживают при этой т-ре в течение 3 час. К смеси, имеющей кислотное число (КЧ) 23, добавляют 1,1 II и продолжают нагрев при 300° еще 1 час. В полученный I, охлажденный до 200°, вводят 39,45 KM и охлаждают смесь до комнатной т-ры. Полученное связующее имеет КЧ 5,5. Приведено еще 15 аналогичных примеров получения связующих. Литографские краски, приготовленные на таких связующих, отличаются высокой скоростью высыхания и хорошими цветостойкостью и блеском пленок. М. Барнова

72582 П. Типографская краска. Мейджи (Printing ink. Magie William A.). Пат. США 2754218, 10.07.56

Типографская краска, быстро высыхающая без нагревания и имеющая много преимуществ, не свойственных обычным типографским краскам, содержит (в вес.%) 1,5—6 водорастворимого красителя или красочного пигмента, 15—50 алкиларилсульфоната щел. или щел.-зем. металла, 5—50 воды и до 45 углеводородного р-рителя и 15—60 минер. масла (однако общее кол-во р-рителя и масла не должно превышать 60). Рекомендуются, чтобы сульфокислота сульфоната имела мол. в. 375—1000, алкильная часть молекулы сульфоната содержала бы 2—18 атомов С, р-ритель имел бы вязкость (по Сейболту) < 45 сек. при 38°, а масло > 45 сек. при 38°. Применение сульфоната соответствующего мол. веса с различным кол-вом воды позволяет легко регулировать вязкость типографской краски в желаемой степени и улучшать ее свойства. Б. Шемякин

См. также: Глицидилуретаны 72854. Отвержденные эпоксидных смол 72849. Применение синтетич. смол тефлона 72445; полиэфирных 72446; эпоксидных 72447. Идентификация пластмасс 72426—72428. Пластификаторы 72495, 72496. Структура синтетич. полимеров 72794. Определение молекулярных весов 72789. Сам-р-ров полимеров 72790—72793. Теория адгезии 72580. Теория коррозии 71128. Коррозия под покрытием 71144. Пламенное напыление неметаллич. покрытий 71174, 71175. Фосфатирование металлов 71182, 71184. Защитные покрытия 71196, 71198, 71199, 71214, 71218. Тушение пожаров 71324

КАУЧУК НАТУРАЛЬНЫЙ И СИНТЕТИЧЕСКИЙ. РЕЗИНА

Редактор Д. М. Сандомирский

72583. Каучук с улучшенными технологическими свойствами. Бейкер (More about SP rubber. Baker H. C.), Rubber Developm., 1957, 10, № 4, 127—129 (англ.)

Каучук приготовленный смешением 4 ч. свежего натурального латекса и 1 ч. вулканизованного латекса и с последующей обычной переработкой в крепкий смокед-шит, обладает рядом ценных технологических свойств. Шприцованные и каладрованные изделия из смесей на основе этого каучука имеют очень высокие

ию поверхности, малую усадку и незначительно деформируются при длительном хранении. Режим каудирования этих смесей отличается большим допустимым диапазоном т-р. Длительная пластикация каучука на вальцах не приводит к заметному снижению механич. свойств вулканизатов, поэтому допустима неоднократная повторная обработка отходов. Более высокая вязкость этих каучуков по сравнению с обычными предотвращает деформацию и провисание трубок в начальный период вулканизации их острым паром или горячим воздухом. В процессе открытой паровой вулканизации каучуки меньше подвержены воздействию влаги и пара, чем обычные креп и смола-штит.

Р. Осоват
72584. Маслостойкие смеси из нитрильных и акриловых каучуков. Мотрам, Стармер (Oil-resistant compositions from nitrile and acrylic rubbers. Mottram S., Starmer P. H.), Rubber and Plast. Age, 1958, 39, № 2, 120—121, 123, 125. Discuss., 126 (англ.)

Обзор. Влияние условий полимеризации и метода приготовления смесей на маслостойкость вулканизатов из нитрильных и акриловых каучуков. Библ. 33 назв.

Л. Золотаревская
72585. Светлые, не выцветающие резины из бутил-каучука. Трит, Аллер (Light-colored, non-blooming butyl rubber compounds. Treat R. O., Aller J. E.), Rubber World, 1958, 137, № 4, 557—567, 616 (англ.)

Исследовали весьма большое кол-во резиновых смесей из бутилкаучука (БК) с белыми минер. наполнителями и их вулканизаты. Прочные и эластичные резины получают при вулканизации S с комбинацией тетраметил- или тетраэтилтиурамдисульфида и меркаптобензотиазола, взятых в равных кол-вах (напр., 1,5 вес. ч. на 100 вес. ч. каучука). Введение органич. активаторов, напр. полиэтиленгликоля с мол. в. 6000 или триэтилоламина, несколько улучшает физич. свойства вулканизатов. Миграция ингредиентов на поверхность вулканизатов зависит от их растворимости и связывания с БК. Для улучшения растворения и распределения ингредиентов в БК смешение должно производиться при т-рах более высоких, чем т-ры их плавления. Если кол-во S в смеси $> 1,36$ вес. ч. на 100 вес. ч. БК она обязательно мигрирует на поверхность. Существенное значение имеет выбор наполнителей и оптимального соотношения их в тех случаях, когда применяют комбинацию разных наполнителей, а также агентов, улучшающих обрабатываемость. Наилучшие результаты с точки зрения технологич. свойств получают при комбинациях алюмо-силиката Na с каолином (до 40 и 35 объемн. ч. соответственно) в присутствии парафина и петролатума; такие смеси обладают исключительно низкой усадкой при шприцевании (14—15%) по сравнению с усадкой смесей из БК с другими комбинациями наполнителей.

Ю. Дубинкер
72586. Зависимость между статическим модулем и твердостью резины. Бартенев Г. М., Захаренко Н. В., Каучук и резина, 1958, № 1, 10—12

Изучали зависимость между статич. модулем (СМ) и твердостью (Т) резин из НК, СК-30, СКН-26, СКН-40, СКБ-30 с пластичностью 50 и 60. В качестве активного наполнителя применяли сажу, неактивную — мел. Для получения резин с различной Т меняли дозировку наполнителя и S. Зависимость между СМ резин и ее Т выражается ур-нием: $E_{ст} = 0,25 h + 4 \cdot 10^4$, где $E_{ст}$ — СМ (продолжительность испытания 24 часа) h — Т по Шору. Тип каучука и наполнителя не влияют на характер зависимости. С увеличением продолжительности испытания кривая E — h незначительно сдвигается в область более высоких зна-

чений Т. Начиная с 4 мм для жестких резин и 6 мм для мягких Т образца становится постоянной и не зависит от толщины пластины. Продолжительность определения Т практически не влияет на ее величину для всех исследуемых резин, за исключением сырой смеси.

Г. Бродский
72587. Исследование вязкости и среднего молекулярного веса китайского натурального каучука. Цзя-Чжо, Ли Пэй-сэнь, Кэсюэ тунбао, Научн. вестн., Scientia, 1957, № 19, 587 (кит.)

Средний мол. вес нескольких образцов НК из Хэнаня (определен вискозиметрич. в бензольном р-ре) составляет $8 \cdot 10^5$ — $3 \cdot 10^6$.

Ван Мань-Ся
72588. Натуральный каучук для применения при низких температурах. Флетчер (Natural rubber for service at low temperatures. Fletcher W. P.), Rubber Developm., 1955, 8, № 1, 2—7 (англ.)
См. РЖХим, 1956, 63060.

72589. Теория адгезии. Брамс (Théorie de l'adhérence. Brams S. L.), Rev. gén. caoutchouc, 1958, 35, № 1, 55—56 (франц.; рез. англ., нем., исп., итал.)

Для более точной оценки адгезивов при склеивании резины с металлами предложены понятие и термин «характеристической адгезии» (ХА). ХА обозначает степень гипотетич. адгезии в тех случаях, когда адгезионная связь превышает когезионную и разрыв идет по резине. Адгезивы, имеющие при лабор. испытаниях $ХА \geq 100\%$, теряют $\sim 25\%$ этого значения в производственных условиях в результате неравномерности толщины клеевого слоя, пыли, колебаний влажности, т-ры, однородности клея, состава, пластичности и растекаемости смеси, подготовки металла, теплопроводности и смазки форм и т. п. Вместе с тем, предварительное определение ХА позволяет предусмотреть неизбежный средний статистич. процент брака, особенно при разработке адгезивов для особо трудных случаев склеивания.

Ю. Марголина
72590. Изучение наполнителей каучука с помощью электронного микроскопа. 1—3. Мидзуватари, Аракава, Хасэгава, Кодзава, Нихон гому кёкайси, J. Soc. Rubber Ind., 1957, 30, № 5, 376—377 (японск.)

Краткое описание результатов, приведенных в ранее опубликованных сообщениях тех же авторов.

Ю. Ермаков
72591. Поправка к статье Гофмана «Удельная поверхность светлых наполнителей каучука». — (Berichtigung.—), Plaste und Kautschuk, 1958, 5, № 2, 59 (нем.)

См. РЖХим, 1958, 55946.

72592. Улучшение связи между каучуком и сажей. Брендл (L'amélioration de la liaison entre noir de carbone et caoutchouc. Braendle H. A.), Rev. gén. caoutchouc, 1957, 34, № 12, 1253—1258, 1207, 1208, 1209, 1210 (франц.; рез. англ., нем., исп., итал.)
Обзорная статья. Библ. 59 назв. Ю. Марголина

72593. Тепловой режим при вулканизации резины. Части 1—5. Кубота, Гоми, Симода, Курои, Нихон гому кёкайси, J. Soc. Rubber Ind., 1957, 30, № 5, 377—378 (японск.)

Краткое описание содержания ранее опубликованных сообщений тех же авторов.

Ю. Ермаков
72594. Защита резины от естественного старения. Кармиц (Contribution à l'étude de la protection du caoutchouc contre les agents atmosphériques. Carmitz Pierre), Rev. nickel, 1957, 23, № 4, 98—102 (франц.)

Исследовали ~ 40 различных органич. соединений Ni. Наиболее эффективны для защиты от образования поверхностных трещин дибутилдитиокарбамат (I) и ксантогенаты (II) Ni, особенно изопропилксантогенат. I и II ускоряют тепловое старение резин, вулканизо-

ванных с S и тиазолами, однако применение дитиокарбаматов, антиоксидантов и некоторых усилителей, нейтрализует вредное действие I и II. Предполагается, что защитное действие I и II связано с их способностью поглощать некоторые особенно вредные излучения в области 3150—3350 Å. Ю. Марголина

72595. Резина в оборудовании для механической обработки. Часть 2. Транспортные ленты, резиновые контейнеры, шины для тележек, рукава, амортизаторы. Паррис (Rubber in mechanical handling equipment. Part 2. Elevator belts, rubber containers, tyres for industrial trucks, hose, antivibration mountings. Parris R. W.), Rubber Developm., 1955, 8, № 1, 10—15 (англ.)

Обзорная статья. Библ. 14 назв.

72596. О гигиеническом значении пенистой резины. Дёль (Über die hygienische Bedeutung des Schaumgummis. Döll H.), Plaste und Kautschuk, 1958, 5, № 1, 20—21 (нем.)

Исследовали антибактериальное действие (АБ) пенистой резины на различных болезнетворных культурах. Максим. эффект получен в опытах со стафилококком. Носителем АБ-свойств являются, по-видимому, ускорители вулканизации, содержащие S. Старение резины снижает ее АБ-активность, однако продолжительная выдержка в автоклаве не оказывает заметного влияния. Р. Осоват

72597. Набойки для обуви из синтетического каучука. Гаррис (Synthetic top pieces for shoes. Harris J. D.), Rubber and Plast. Age, 1958, 39, № 2, 141 (англ.)

Для набоек высоких каблуков разработаны износостойкие смеси на основе нитрильного каучука и термореактивной фенольной смолы, усиленные силикатным наполнителем высокой дисперсности. Смолу хорошо совмещается с каучуком и благодаря структурирующему действию повышает прочность. Смолу вводят при 90—100°. Пример рецепта (в вес. ч. на 100 нитрильного каучука полисар «кринак» 802): фенольная смола «целлобонд» Н.831 20, ZnO 5, стеариновая к-та 0,5, каптаке 1,8, дифенилгуанидин 0,6, тиурам 0,6, желтая охра 5, TiO₂ 1, кремнеземный наполнитель «мано-зил» VN3 67, S 2,5. Вулканизация 15 мин. при 153°. Физ.-мех. свойства: сопротивление разрыву 202 кг/см², модуль (100%) 109 кг/см², относительное удлинение 225%, сопротивление раздиру 105 кг/см², твердость (в градусах В. S.) 95, истираемость 220 см³/а. с. в час, остаточное сжатие 2,6%, уд. в. 1,24. М. Монастырская

72598. Получение бесшовных полых изделий из каучука и пластмасс по способу Холофоль. Опаветский (Die Herstellung von nahtlosen Hohlkörpern aus Kautschuk und plastischen Massen nach dem Holofol-Verfahren Opaevsky W.), Dechema Monogr., 1956, 28, № 363—391, 392—396 (нем.)

Пластинки или пленки из каучука (НК или СК) или пластмасс подвергают набуханию таким образом, что внутри остается тонкая устойчивая сердцевина. По достижении определенной степени набухания резко повышают т-ру. Поверхность высыхает и препятствует дальнейшему испарению продифундировавшей внутрь жидкости. Последняя при определенной т-ре превращается в пар и раздувает пленку. Применяют смеси р-рителей и в-в, вызывающих набухание, содержащие значительные кол-ва воды; смесь не должна растворять материал пленки. Под действием т-ры и давления при раздувании сердцевина приобретает текучесть и образуется гладкая внутренняя поверхность. При набухании можно добавлять различные химикаты, изменяющие свойства пленки. Таким образом из пленки ацетицеллюлозы толщиной 0,01—5 мм получают тонкостенные трубки диам. 0,001—1 м. Обработку пластин из НК ведут в водн. р-ре ускорителей вулкани-

зации. Для СК требуется жидкость с более высокой т-рой кипения. В случае каучука может быть осуществлен непрерывный автоматич. процесс, состоящий из операций: вулканизации в ванне (внутри остается невулканизованная смесь — 5—10% от толщины пластины), промывки в воде, легкого набухания без деформации, раздувания при облучении ИК-лучами и окончательной вулканизации полного изделия, внутри которого вдувается тальк. М. Монастырская

72599. Определение цинка в резине. Эльман (Slavenovi zinku v pryži. Oehlmann Friedrich), Chem. průmysl, 1958, 8, № 1, 44—46 (чешск.; русск., англ.)

Навеску резины сжигают, золу выпелачивают горячей HCl и пропускают р-р через колонну с ионообменной смолой вофатит L-50. Zn элюируют 0,05 н. HCl и определяют количественно по Урбашу (Urbasch, Chem.-Ztg., 1922, 46, 54). Из резюме автора

72600 П. Смеси полиэфиров, модифицированных изоцианатами с белым фактисом. Брусе (White factice and isocyanate-modified polyester composition. Bruce William L.) [The Goodyear Tire & Rubber Co.], Пат. США 2782172, 19.02.57

Для устранения термич. деструкции и улучшения физ.-мех. свойств резин из полиэфиризоцианатных каучуков в смесь на 100 вес. ч. каучука вводят 0,50—30 вес. ч. белого фактиса. Полиэфиризоцианатные каучуки относятся к классу продуктов р-ции смесей, состоящих из: 1. Бифункциональных реагентов (БР) с гидроксильным числом (ГЧ) 40—100 и кислотным числом (КЧ) 0—7, включающих ≥ 1 дикарбоновой к-ты и ≥ 1 бифункционального реагента, в котором функциональные группы являются гидроксилами и аминогруппами, причем содержание аминогрупп $\leq 7,5\%$ от общего числа функциональных групп; и ≥ 1 диизоцианата в кол-ве 0,70—0,99 молей на 1 моль БР (напр., 4,4-дифенил-, 4,4-дифениленметан-, диангидрин-, 4,4'-толуидин-, 1,5-нафталин-, 4,4'-дифенилэфир-, или *n*-фенилендиизоцианат). 2. Тех же реагентов, содержащих 30% аминогрупп от общего кол-ва функциональных групп с ГЧ 30—40 и КЧ 0—12 и ≥ 1 толуилендиизоцианата в кол-ве 0,85—1,10 молей на 1 моль БР. 3. Полиэфира (I) с ГЧ 30—140 и КЧ 0—12, полученного из БР, содержащих ≥ 1 дикарбоновой к-ты с числом атомов C ≥ 3 и ≥ 1 гликолик-реагентов, относящихся к классу диаминов, аминоксиртов, дикарбоновых к-т, аминокарбоновых к-т, оксикислот, мочевины, гуанидинов или тиомочевин, содержащих первичные аминогруппы, причем содержание групп NH₂ или COOH в реагентах равно 0,06—0,24 экв на 1 моль I; и ≥ 1 толуилендиизоцианата в кол-ве 0,85—1,10 молей на 1 моль I. 4. I с ГЧ 40—100 и КЧ 0—7, реагентов с содержанием групп NH₂ и COOH 0,06—0,48 экв на 1 моль I, диизоцианата в кол-ве 0,70—0,99 молей на 1 моль I. И. Титорский

72601 П. Пластфикация каучука. Фурукава, Нисиды, Есихара (Furukawa Junji, Nishida Seizo, Yashihara Masanori) [Kōto daigaku kaigaku kenkyūshō]. Японск. пат. 3834, 6.06.55. Каучук обрабатывают 2-(*n*-нитрофенилазотиио)-бензотиазолом или 1,4-бис-(2-бензотиазолилтиазо)-бензотиазом. Э. Тукачинский

72602 П. Полуусиливающие наполнители резиновыми смесями (Charges semi-renforçantes pour mélange caoutchouteux [Argirec]. Франц. пат. 1128611, 8.01.57)

В качестве наполнителей применяют различные алумосиликатные глины с отношением Al:Si = 0,85—1,2. Р. Беркович

ИСКУССТВЕННЫЕ И СИНТЕТИЧЕСКИЕ ВОЛОКНА

Редактор В. А. Деревуцкая

72603 П. Наполнители резиновых смесей (Charges pour mélanges caoutchouteux) [Argirec]. Франц. пат. 1133697, 1.04.57

Минеральные наполнители типа глины или каолинов (аржирек В. 24 и PBF 3) с повышенным содержанием Al смешивают предварительно с ускорителем типа тиурама (0,2—0,6 вес.% от веса наполнителя), что повышает на 10% их усиливающее действие. Резины с 60% этих наполнителей имеют сопротивление разрыву 190—295 кг/см², относительное удлинение 500—575%, твердость 57—62, сопротивление раздиру 48—77 кг/см.

Ю. Марголина
72604 П. Способ получения нестуднеобразной, тонкодисперсной кремнекислоты для применения в качестве наполнителя натурального и синтетического каучука и других эластомеров. Андрих (Verfahren zur Herstellung einer als Füllstoff für natürlichen und synthetischen Kautschuk und andere Elastomere besonders geeigneten feinteiligen, nichtgelatinösen Kieselsäure. Andrich Kurt) [Deutsche Gold- und Silber-Scheideanstalt vorm. Roessler]. Пат. ФРГ 966985, 26.09.57

На силикат Na в присутствии электролитов действуют в-вами, дающими H⁺ (к-ты, кислые Na- или NH₄-соли). Р-р или суспензию силиката и р-р к-т добавляют в интенсивно перемешиваемый р-р нейтр. электролита (5—10% от реакционной смеси); введение р-ров производят в разных местах, сверху и внизу аппарата. Часть электролита можно вначале смешивать с к-той. Нейтр. электролит может состоять из тех же ионов, что и соль, получаемая при высаживании кремнекислоты; эту соль после концентрирования или разбавления надлежит использовать в качестве нейтр. электролита. Процесс можно вести непрерывным путем. Пример. В 1 л 7,5%-ного р-ра NaCl вводят при 70° одновременно 188 г растворимого Na-стекла в 375 см³ воды и 1 н. HCl; pH 5. Получается 53 г кремнекислоты с насыпным весом 0,32 г/см³.

М. Монастырская
72605 П. Способы приготовления резиновых смесей. Сталинский (Procédé de préparation des mélanges de caoutchouc naturel ou synthétique. Stalinsky Eugène) [Les Isolants Français]. Франц. пат. 1134584, 15.04.57

Непластицированный каучук измельчают в зерна размером ≤ 10 мм, смешивают с ингредиентами и нагревают до t-ры > 80°. Смесью затем обрабатывают в резиномесителе или на вальцах. Время смешения при этом значительно снижается по сравнению с обычным способом.

Р. Беркович
72606 П. Способ получения сажевых паст и брикетов. Вердье (Procédé de fabrication de produits à base de noir carbone et produits en résultant. Verdier André-Louis). Франц. пат. 1135554, 30.04.57

Для облегчения введения сажи в резиновую смесь ее диспергируют в избытке пластификатора: сосновой смоле, стеариновой к-те, ненасыщ. ароматич. углеводородах, эфирах. Из полученной смеси на центрифуге выделяют сажевую пасту, которая затем поступает на автоматич. пресс, выпускающий сажевые брикеты, содержащие 90% сажи и 10% пластификатора.

Р. Беркович

См. также: Губка из латекса 72460. Хлоркаучук 72427, 72525, 72542. Циклокаучук 72521. Прививка стирола на НК 72833; СК 72412; неопрен, идентификация 72427. Бутилкаучук 72471, 72507. Полиизобутилен 72466, 72786, 72792. Р-ры каучука, вязкость при высоком разбавлении 72791. Корд нейлоновый 72612. Антикоррозионные покрытия 71192. Облицовочный материал 72504. Краски для резиновых изделий 72524

72607. Перспективы развития промышленности искусственного волокна в Польше. Белявский, Висняковский, Брейдыгант-Миротавская (Perspektywy rozwojowe przemysłu włókien sztucznych w Polsce. Bielawski Z., Wiśniowski St., Brejdygant-Mirosławska M.). Przegl. papiern., 1958, 14, № 3, 76—79 (польск.)

72608. Предозревание буковой целлюлозы. Асаока (Asaoka Hiroshi), Сэны таккайси, J. Soc. Text. and Cellulose Inds. Japan, 1957, 13, № 12, 855—860 (японск.; рез. англ.)

72609. Исследование в инфракрасном спектре отделанных гидратцеллюлозных пленок. Бандель (IR-Untersuchungen an hochveredelten Zellulosehydratfilmen. Bandel W.), Melland Textilber., 1958, 39, № 2, 204—206, 207—210, 211 (нем.; рез. англ., франц., исп.)

Проведено исследование в ИК-спектре вискозной пленки, отделанной различными смолами. Полученные спектрограммы не показали наличия хим. связи между смолой и целлюлозой при отделке гидратцеллюлозной пленки мочевиноформальдегидной, меламинаформальдегидной, поливиниловой смолами и полиакриловой к-той. После обработки пленки CH₂O обнаружено уменьшение числа OH-группы.

А. Роговина
72610. Новые волокна, подобные шерсти. Трай (Nouvelles fibres analogues à la laine. Traill D.), Chimie et industrie, 1958, 79, № 3, 290—301 (франц.; рез. англ., нем., исп.)

Приводятся данные о произ-ве и потреблении различных текстильных волокон за 1909—1950 гг. Рассматриваются важные для товаров широкого потребления свойства натуральных, искусств. и синтетич. волокон в зависимости от их хим. строения и методов изготовления и упрочнения. Наиболее подробно описаны получение и свойства искусств. белковых волокон (напр., ардиль), обладающих наиболее шерстеподобными свойствами из всех хим. волокон. Из синтетич. волокон ближе всего по свойствам к шерсти волокна из полиэтилентерефталата, напр. терилен.

Р. Муромова
72611. Исследование волокна ланон. Кирхнер (Untersuchungen an Lanonseide. Kirchner Horst), Dtsch. Textiltechn., 1958, 8, № 1, 9—10 (нем.)

Приведены физ.-мех. показатели (разрывная прочность, удлинение, упругие свойства) волокна ланон, получаемого из полиэтилентерефталата. В зависимости от t-ры и времени фиксации усадка ланона изменяется в широких пределах. Прочность достигает миним. значения при t-ре фиксации 115°. Опыты получения крученой пряжи из ланона для произ-ва носков не дали положительных результатов, так как извитость, возникающая при термообработке крученой пряжи при 114°, исчезает под действием нагрузок.

А. Пакшвер
72612. Синтетические полимеры в автомобильных шинах. Сверд (Plast i däck tillåter högre belastningsvärden. Sward Gunnar), Plastvärlden, 1957, 7, № 7—8, 344, 346, 348 (шведск.)

Технико-экономические преимущества применения нейлонового корда вместо вискозного в автомобильных шинах.

Л. Песин
72613. От волокна к пряже. Переработка акрилового волокна орлон. Уэлс (Fibre to yarn. Processing 'Orlon' acrylic fibre. Wells Robert A.), Fibres, 1958, 19, № 4, 108—114 (англ.)

72614 П. Способ приготовления прядильных растворов полиакрилонитрила и сополимеров акрилонитрила. Пирот (Verfahren zur Herstellung von Spinnlösungen aus Polyacrylnitril bzw. seinen Mischpolymerisaten. Pirost Ernst) [Vereinigte Glanzstoff-Fabriken A.-G.]. Пат. ФРГ 1007945, 7.11.57

В качестве р-рителя полимера и сополимеров акрилонитрила используют смесь нитрила гликолевой к-ты (60—95 вес.%, оптимально 65—75) и этиленхлоргидрина (5—40 вес.%, оптимально 25—35). В результате добавления в р-ры CH_2O и SO_2 улучшается окрашиваемость получаемого волокна. Напр., 1,8 кг полиакрилонитрила и 8,2 кг р-рителя, состоящего из 70 вес.% нитрила гликолевой к-ты и 30 вес.% этиленхлоргидрина, смешивают при 15—20° при одновременном обезвоздушивании. Полностью обезвоздушенную смесь нагревают при постоянном перемешивании до 110—115° и выдерживают при этой т-ре в течение 1 часа. Образующийся светлый р-р фильтруют и направляют на прядение по сухому способу. Полученное волокно после вытягивания в 10 раз имеет прочность 40 ркм и удлинение 1—12%. В результате термофиксации вытянутого волокна прочность его увеличивается до 43—45 ркм, а удлинение до 20—25%. А. Волохина

72615 П. Способ получения волокон из полимеров и сополимеров винилхлорида (Procédé de fabrication de fibres de chlorure de polyvinyle ou de copolymère de chlorure de vinyle) [Kureha Kasei Co., Ltd.]. Франц. пат. 1129496, 22.01.57

Приготавливают смесь полимера или сополимера винилхлорида с высокой степенью полимеризации (СП) (600—2500) с пластификатором (диэтилфталатом, дибутилфталатом, диоктилфталатом, трифенилфосфатом, трикрезилфосфатом или бутилфталилбутилгликолятом) 10—60% от веса полимера и стабилизатором (стеаратом Ва, салицилатом Са или трибензилстеаратом Рб), 1—5% от веса полимера, нагревают для получения расплава и формуют волокно с вытягиванием нити на холоду или при нагревании. Промывают свежесформованное волокно р-рителем пластификатора (напр., охлажд. мономером винилхлорида, лигроином, CCl_4 , трихлорэтиленом или трихлорэтаном и т. д.) и подвергают термообработке. Напр., порошкообразная смесь из 65% поливинилхлорида со СП 1000, 30% диэтилфталата и 5% стеарата Ва непрерывно подается из загрузочной воронки посредством шнекового питателя в прядильный аппарат типа червячного экструдера с плавильной трубой, снабженной обогревом и винтом для выдавливания расплава через отверстия фильеры. Волокно через фильеры подается в тепловую водяную ванну (70°), подвергается вытягиванию на 200% от первоначальной длины в воздушной среде при 20° при прохождении через ролики, вращающиеся с различными окружными скоростями, пропускается во вторую горячую водяную ванну (90°), где вторично вытягивается также на 200% при прохождении между роликами, погруженными в ванну, и принимается на бобину с общей вытяжкой 400%. Для удаления пластификатора и частично стабилизатора вытянутое волокно пропускается в течение 20 мин. через р-р мономера винилхлорида, охлажденный до —20°, и затем подвергается термообработке при 100°. Полученное волокно имеет прочность 27 ркм, удлинение 20% и т-ру усадки 70—80°. В. Федоров

См. также: Методы исследования волокнообразующих полиамидов 72785, 72789, 72797. Целлюлоза, рентгеновская характеристика 72796. Ацетицеллюлоза, св-ва р-ров 72790. Нейлон 6 и нейлон 66, т-ра стеклования 72799. Полимеризация и деполимеризация ε-капролактама 72842, 72843

ЦЕЛЛЮЛОЗА И ЕЕ ПРОИЗВОДНЫЕ. БУМАГА

Редактор А. П. Хованская

72616. Проблемы автоматизации целлюлозно-бумажного производства. Дуда (Niektóre problemy automatyzacji. Duda Zdzisław), Przegl. papiern., 1957, 13, № 10, 311—318, XXXIX (польск.; рез. русск., англ.)

Рассмотрено современное состояние и перспективы автоматизации. Ю. Ч.

72617. Затруднения с сырьем для целлюлозы. Шеница (Težave pri oskrbi s celuloznim in jamskim lesom. Senica Viktor), Les (Jugosl.), 1958, 10, № 1, 2—4 (словенск.; рез. нем., англ.)

В Югославии, несмотря на расширение, производство бумаги не покрывает потребности в ней. Одновременно возрастает спрос на древесную целлюлозу (Ц) и искиваются новые источники сырья для ее производства, напр. отходы лесопилки. Намечается уменьшение расхода древесины как топлива, увеличение потребления тополя и использования более тонкого древесного баланса в произ-ве Ц.

72618. О факторах, влияющих на процесс водного предгидролиза тростника (*Phragmites communis*). Симонеску, Фельдман (Sur quelques facteurs qui influencent la pré-hydrolyse du roseau (*Phragmites communis*) avec de l'eau. Simionescu Cristofor, Feldman Dorel), Papeterie, 1957, 79, № 9, 589, 591, 593, 595, 596 (франц.)

Водный предгидролиз измельченного до размера 2—3 см тростника (*Phragmites communis*) проводили для перевода гемицеллюлоз (Г) в растворимое состояние и получения полупродукта с повышенным содержанием целлюлозы (Ц) для целлюлозно-бумажной промышленности. Среднее содержание Ц в полученном полупродукте 53—68%, лигнина 22—34%, пентозанов 17—1%. Максимум выхода продукта (65—80%) с содержанием Ц 59—68% достигали при 6-час. обработке при гидромодуле 1:20 и 1:15 и давл. 5—7 атм, для гидромодуля 1:10, 1:7, 1:4 и 1:2 при 7—9 атм. При 1-час. обработке при гидромодуле 1:4 и давл. 6—8 атм получали продукт, содержащий Ц 60—63% и пентозанов 11—6%. Максимум содержания (0,7%) фурфурола в р-ре получали при 6-час. обработке под давл. 3,5 атм или 1—2 часа при 6 атм.

72619. Быстрые непрерывные методы производства целлюлозы из багассы с очисткой ее от сердцевин. Атчисон (Rapid continuous methods for depithing and pulping bagasse. Atchison Joseph E.), Sugar J., 1957, 20, № 6, 30—35, 37—39 (англ.) См. РЖХим, 1958, 31040.

72620. Исследование нулевого волокна буквой сульфитной целлюлозы. Бандель (Untersuchungen an 0-Fasern von Buchensulfittzellstoffen. Bandel Werner), Das Papier, 1957, 11, № 11—12, 238—244 (нем.; рез. англ., франц.)

Исследованием трех типов целлюлозы (Ц) различной степени провара установлено, что нулевое волокно (НВ) буквой сульфитной Ц имеет более низкую степень полимеризации, более короткие цепи, повышенное содержание смолы и карбоксильных групп и более легко подвергается ксантогенированию. При ксантогенировании наибольшая роль принадлежит относительно содержанию длинноволокнистой фракции, так как целлюлозные волокна, состоящие из длинных цепей, показывают наиболее низкую степень провара и обуславливают главным образом затруднения при ксантогенировании.

72621. Об экстрактивных веществах березовой сульфитной целлюлозы. I. Содержание экстракта в зависимости от даты срубки. Периля (Koivusulfittisel-

luloosan
eetieriu
puu, 1953
Исследов

целлюлозы (Ц)
2 месяца
щепу. В
весины (Д
неомыляем
ные к-ты
омыляемы
ными экст
сульфитну
и определ
смот в от
экстрактив
образов Д
наименьши
миним. сод
срубать Д
березовой
пы. Сушка
более чем
содержали
ных в-в и

72622. Пр
трально-с
материал
from asp
1958, 81,
тер, 1958,
Американ
ной произв

ны на уни
целлюлозу
ным питате
рочным р-
кол-ве, обес
В течение
т-ре 190° и
ляют пар,
воды. Масс
вейером пе
рафинирова
локом до к
костью 750
ционую к
сы, винтов
противоточ
давлением
дой до кон
ними — до
ни М конц
М расход
стема обесп
которые пр

72623. Но
ния качес
(Nowe m
jakości m
papiern.,
В опытах

после 16-м
15% и 45%
Ц; при обж
вается равн
100 г сухой
SO₂. Через
лока при ц
ной варке;

29 Химия, №

huloosan uuteaineista. I. Koivun kaato-ajan vaikutus eetteriutteen määrään. Perilä Olavi), Paperi ja puu, 1958, 40, № 4a, 159—164 (финск.; рез. англ.)

Исследованы эфирные экстракты из сульфитной целлюлозы (Ц), из березы, срубленной в интервалах в 2 месяца. Варке подвергали свежую и выдержанную щепу. В эфирных экстрактах из Ц, сваренной из древесины (Д), срубленной в марте, были определены: омыляемая часть, омыляемые к-ты и насыщ. жирные к-ты от пальмитиновой до бегеновой в составе омыляемых к-т. Все результаты сравнивали с эфирными экстрактами той же древесины. Кроме того, сульфитную Ц фракционировали по величине волокон и определяли содержание способных к осаждению смол в отдельных фракциях Ц. Наибольшие кол-ва экстрактивных в-в были получены из Ц мартовских образцов Д—4% из свежей щепы и 2,86% из сухой, наименьшие — из Ц июльских образцов — 2,4 и 0,89% соответственно. Это подтверждает, что для получения миним. содержания экстракта в сульфитной Ц следует срубать Д летом. Около 15% от насыщ. жирных к-т березовой Д растворяются при варке Ц из свежей щепы. Сухая щепы перед варкой уменьшает это кол-во более чем на 35%. Фракции более короткого волокна содержали относительно большие кол-ва и экстрактивных в-в и отлагающихся смол.

Резюме автора

72622. Производство из осиновой древесины нейтрально-сульфитной целлюлозы для гофрированных материалов. Хорст (NSSC corrugating medium pulp from aspen wood. Horst C. W.), Paper Mill News, 1958, 81, № 12, 46, South. Pulp and Paper Manufacturer, 1958, 21, № 3, 76, 78 (англ.)

Американская компания Vox Board на з-де с суточной производительностью 375 т вырабатывает из осины на уникальной установке нейтрально-сульфитную целлюлозу с выходом 78%. Щепу (Щ) подают винтовым питателем в два шеститрубных котла непрерывного действия. В первой камере Щ опрыскивают варочным р-ром (9,5% Na_2SO_3 и карбонатный буфер в кол-ве, обеспечивающем рН 8—8,5, гидромодуль 2,5:1). В течение 12 мин. Щ проходит все шесть камер при т-ре 190° и давл. 11,6 атм. После выдувки из Щ отделяют пар, который используют на нагрев оборотной воды. Массу (М) с конц-ией 43% винтовым конвейером передают на 6 дисковых рафинеров. Перед рафинированием М разбавляют крепким черным щелоком до конц-ии 14—16%. Рафинированную М с садкостью 750 по Канадскому стандарту через вибрационную камеру, регулиющую равномерность массы, винтовым транспортером подают в 4-ступенчатую противоточную промывную систему, работающую под давлением. Перед первой ступенью М разбавляют водой до конц-ии 10%, перед всеми остальными ступенями — до 14%. В конце промывки в каждой ступени М концентрируют до 30%. При высокой конц-ии М расход воды на промывку невелик. Промывная система обеспечивает почти теоретич. удаление хим. в-в, которые предполагают регенерировать. М. Цыпкина

72623. Новые методы увеличения выхода и улучшения качества древесной массы. Часть II. Вульч (Nowe metody zwiększenia wydajności i poprawienia jakości mas drzewnych. Cz. II. Wulsch F.), Przegl. papiern., 1957, 13, № 10, 289—296 (польск.)

В опытах сульфитной варки по методу «Виламо» после 16-мин. пропитки для щепы (Щ) влажность 15% и 45% абсорбция SO_2 составляла 12 г на 100 г Ц; при обычной варке после 180 мин. не устанавливается равновесия между влажностью и сухой щепой: 100 г сухой щепы поглощали 6 г SO_2 , влажной — 8 г SO_2 . Через 1 час кол-во поглощенного варочного щелока при пропитке было вдвое больше, чем при обычной варке; число Рое полученной целлюлозы состав-

ляло 28—30 ед. При нейтр. моносульфитной варке полуцеллюлозы (ПЦ) по методу ALB—Semicell выход массы составлял 80—85% с большим кол-вом длинных волокон (до 1,38 мм). Процесс ведут при 120° (после эвакуации воздуха в течение 1 часа). Т-пу поднимают с 50 до 120°, а давление до 15 ат в течение 6 час. При этом происходит пластификация лигнина с присоединением SO_2 . Белизна массы равна 60—64 G. E. и при отбелке H_2O_2 может быть увеличена на 12—14 G. E. Достоинством метода является большой выход ПЦ и возможность использования древесины различных пород. Расход энергии при дефибрировании для хвойных пород уменьшается на 10—20%, для лиственных составляет 550—700 квт-час на 1 т массы. Введение в композицию ПЦ взамен древесной массы увеличивает механич. прочность бумаги с добавлением до 22% ПЦ (взамен сульфитной целлюлозы) лишь незначительно уменьшали механич. прочность на разрыв (3210 м вместо 3460 м). Часть I см. РЖХим, 1958, 52299.

Е. Гурвич

72624. Хлорирование сульфатной целлюлозы. Действие повышенной температуры хлорирования на вязкость и белизну отбеленной целлюлозы. Эрикссон, Стокман (Chlorination of sulphate pulp. Effect of elevated chlorination temperature on the viscosity and brightness of the bleached pulp. Eriksson Ingemar, Stockman Lennart), Svensk papperstidn., 1956, 59, № 19, 663—674 (англ.; рез. шведск., нем.)

72625. О структуре целлюлозных волокон. Волек (Struktura celuloznih vlakana. Volek Ivan), Kemija u industriji, 1956, 5, № 8, 173—176 (сербо-хорв.)

72626. Приготовление смешанных ангидридов хлоруксусной и других органических кислот и этерификация ими целлюлозы. Асикари (Ashikari Nobuyuki), Kore kagaku dzasshi, J. Chem. Soc. Japan. Industr. Chem. Sec., 1955, 58, № 10, 740—742 (японск.)

72627. Определение пригодности древесной целлюлозы для ацетилирования. Борген (Determination of acetylation suitability of wood pulp. Borgen Gerd L.), Norsk skogind., 1957, 11, № 12, 522—526 (англ.; рез. норв.)

Для оценки реакционной пригодности целлюлозы (Ц) для ацетилирования (А) разработан метод полного А малых проб Ц (10—20 г), основанный на измерении способности к фильтрованию р-ра триацетата Ц и определении содержания нерастворенного волокна, степени помутнения и окраски р-ров. Ацетируют Ц смесью CH_3COOH (I), $(\text{CH}_3\text{CO})_2\text{O}$ (II) и H_2SO_4 (III). Измельченную, выдержанную 24 часа при 65% относительной влажности Ц обрабатывают I (105 мл на $15 \pm 0,5$ г Ц) при 20° в течение 16 час. при непрерывном перемешивании; прибавляют 120 мл охлажд. до 5° II, выдерживают в ванне со льдом 15 мин. и прибавляют 15 мл катализирующей смеси из 4,6 г III на 100 мл I. Смесью взбалтывают каждые 5 мин.; через 15 мин. ее помещают в термостат при 34° и включают мешалку. Продолжительность А 3—5 час. А — заканчивают по достижении определенной, нужной для фильтрования вязкости р-ра, измеряя вязкость по продолжительности падения в р-ре стеклянного шарика (диам. 6 мм). По окончании А смесь выливают в 115 мл 80%-ной I, содержащей 1,6 г CH_3COONa на 100 мл. Полученный р-р триацетата Ц фильтруют под давлением в спец. аппарате. Фильтруемость $F = A_x / A_s \cdot 100$, где A_x — вес фильтрата испытуемой Ц, а A_s — вес стандартной Ц. В большинстве случаев у Ц, предназначенной для А, $F = 80—150$, для очень хороших Ц $F = 150—200$, для вязкой сульфитной Ц $F = 0—10$. Примесь только 0,5% недостаточно очищ. волокон к Ц

снижает F со 100 до 44. Точность метода по статистич. анализу $\pm 6-11\%$ при вероятности 95%.

72628. Оксикалиловые эфиры целлюлозы. Фроман (De hydroxyalkyleters van cellulose. Froment G.), Ind. chim. belge, 1958, 23, № 1, 3-14 (флам.; рез. франц., англ., нем.)

Исследовано взаимодействие алкалицеллюлозы (АЦ) с окисью этилена и окисью пропилена, в присутствии ацетона в качестве разбавителя, при 30°. Авторы различают степень замещения (СЗ), показывающую, какое число молей окиси алкилена (I) реагирует с гидроксильными группами одного остатка $C_6H_{10}O_5$, и мол. замещение (МЗ), показывающее общее число молей I, вступающей в р-цию и связанной не только с гидроксильными целлюлозы (Ц), но и с гидроксильными замещающих остатков (также в расчете на $C_6H_{10}O_5$). Выход эфира II (ЭЦ) по I характеризует отношение МЗ к общему кол-ву взятой для р-ции I. При сохранении постоянным кол-ва щелочи (II) в Ц при 14-20%-ной конц-ии II в р-ре наблюдается максимум выхода эфиров — для оксипропилцеллюлозы (ОПЦ) до 45,5% и для оксипропилцеллюлозы (ОПЦ) до 37%. При постоянной конц-ии II (18%) выход ОЭЦ изменяется с изменением содержания II в алкалицеллюлозе (АЦ). Напр., для ОЭЦ максим. выход (45,5%) получается при отношении весов АЦ и Ц 2,57 и миним. выход (3,8%) при отношении 3,50. Такой же оптимум выхода ЭЦ по I наблюдался при изменении содержания II в АЦ, при постоянном содержании воды в ней (20 молей на 1 моль $C_6H_{10}O_5$). Один и тот же максимум выхода ЭЦ был получен для содержания воды в АЦ 12 и 20 молей $H_2O/C_6H_{10}O_5$, при содержании II 1,2-1,6 молей $C_6H_{10}O_5$. Увеличение содержания воды уменьшает выход ЭЦ, но это уменьшение выражено слабее при высоких конц-иях II. Оптимальными условиями получения обоих ЭЦ является содержание в АЦ 2,57 по весу Ц 18%-ной II. Результаты опытов указывают на повышенную реакционную способность АЦ-I и на большое значение диффузионных явлений. При конц-ии II, меньшей 12%, получить полностью растворимые в воде ЭЦ не удается, независимо от СЗ. При 50° I используется менее полно, чем при 30°. Увеличение кол-ва ацетона от нуля до 270 мл/ $C_6H_{10}O_5$ уменьшает скорость р-ции, но не отражается на СЗ. Также не влияет на СЗ и 1-4-диоксан. Бензол замедляет р-цию и уменьшает выход ЭЦ с 45,5 до 35,5%; получающийся продукт полностью в воде не растворим, хотя и имеет МЗ, соответствующее полной растворимости ЭЦ.

А. Закощиков

72629. Влияние структуры волокна на нитрование природной целлюлозы. Миллер, Таймелл (Influence of the fiber structure on the nitration of native cellulose. Miller Bernard, Timell T. E.), Text. Res. J., 1956, 26, № 4, 255-263 (англ.)

Хлопковый пух нитровали стандартной нитрующей смесью при 5°, в присутствии и отсутствии 85%-ной H_3PO_4 , а также при -32°. Нитраты фракционировали методом фракционного растворения 14 различными смесями этилацетата и спирта, из р-ров удаляли большую часть р-рителя, остаток растворяли в ацетоне и осаждали фракцию нитрата водой. Исследованы хим. состав и мол. вес каждой фракции. Показано, что нитрование обычно протекает быстро, сравнительно с другими р-циями целлюлозы (Ц) и в соответствии с истинным хим. равновесием. Получаемые нитраты растворимы в различных р-рителях в широких пределах степени замещения, что является резким контрастом с ацетатами, которые становятся вполне растворимыми в некоторых органич. р-рителях только при полной этерификации. Эти наблюдения указывают на однородное распределение заместителей в

нитратах, вероятно вследствие способности нитрующего агента проникать с самого начала р-ции во всю массу микрофибрилл, причем эта способность приводит к некоторой неоднородности конечного продукта — внешние части микрофибрилл замещены в меньшей степени, чем внутренние кристаллич. области. Указанная неоднородность нитратов Ц по величине является меньшей, чем неоднородность других производных Ц, но достаточной, чтобы оказать влияние на свойства растворимости продукта. Ю. Вендельштейн

72630. Новое в химии лигнина осины. Перл, Бейер (New developments in the chemistry of aspen lignin. Pearl Irwin A., Beyer Donald L.), Paper Trade J., 1957, 40, № 1, 45-54 (англ.)

Отработанные сульфитные щелока (СПЦ) после варки осины упарены до конц-ии $\sim 44\%$ твердых в-в, смешаны с инфузорной землей и изопропанолом (II), смесь помещена в колонку и элюирована последовательно водн. I конц-ий от 75 до 10%, водой и 2%-ным р-ром NaOH; получено 19 фракций, в которых определено содержание OSN_3 , S и сахаров и проведено щел. окисление нитробензолом. В фракциях, свободных от углеводов, содержание OSN_3 достигает 10,3% на твердые в-ва, а отношение OSN_3 к сульфатной S 2,56. В первых фракциях хроматографии обнаружены ксилобиоза, галактоза, глюкоза, манноза, арабиноза, ксилоза и рамноза. Среднее содержание OSN_3 в лигнине осины значительно ниже принятого для теряющих листву древесных пород ($\sim 21\%$), что подтверждается также низким отношением OSN_3 к сульфатной S. При фракционировании СПЦ с помощью I наблюдается также фракционирование составных частей лигнина по содержанию сиреневого альдегида (II) и ванилина (III); молярное отношение II к III в первых фракциях составляет $\sim 2,5$, в последующих понижается сначала до ~ 1 и затем до 0,65 и удерживается на этой величине. Аналогичные результаты получены хроматографированием СПЦ на порошке целлюлозы. Способ исключения ионов, применяемый для разделения углеводов и лигносульфонатов СПЦ хвойных пород, оказался не пригодным для разделения таковых для СПЦ осины. При обработке СПЦ осины эфиром получено экстрактивных в-в $\sim 2,5\%$ (от веса твердых в-в СПЦ), главной составной частью которых является п-оксибензойная к-та, найденная также в продуктах непосредственной экстракции осины нейтр. р-рителями, напр. смесью C_6H_6 и спирта. Приведен баланс OSN_3 при варке осины: в 700 г воздушно-сухих стружек осины содержится 34,6 г OSN_3 , лигнина Кисона (ЛК) 106 г; OSN_3 в ЛК 21,7 г; содержание OSN_3 в в-вах, экстрагируемых C_6H_6 -спиртом, 1,1 г, в нелетучих 11,8 г, в 349 г полученной целлюлозы 2,5 г, в сухих в-вах СПЦ 30,5 г и в летучих в-вах СПЦ 2,9 г.

В. Вендельштейн

72631. Новое оборудование для замачивания древесины. Суксдорф (A new device for the soaking of wood. Sucksdorff Björn), Svensk papperstidn., 1958, 61, № 9, 279-281 (англ.; рез. шведск., нем.)

Описан канал для непрерывного замачивания в горячей воде древесины перед ее окоркой. Через канал штабели древесины пропускают без нарушения их формы. Длительность замачивания древесины с повышением т-ры воды сильно сокращается, напр., для финской ели при т-ре 40, 60 и 80° она составляла 12 и 2 часа, а при 20, 10 и 4° соответственно 2 дня, 2 недели и 2 месяца.

Ю. Челцов

72632. Особенности варочного аппарата Камир на заводе Weyerhaeuser's Longview. Найт (Kamir gester prominent at Weyerhaeuser's Longview mill. Knight R. Gordon), Paper Trade J., 1958, 40, № 14, 24-26 (англ.)

С мая месяца 1957 г. на з-де фирмы Weyerhaeuser

Longview установка сульфатной установкой, описание

72633. В. превмис Дерви rated pro Trade J.,

С август в Демопол действующую ллюлозы (Ц) превмисую фатной Ц) стали выс щепы (Щ) и питатель льно-раб при 0,9 атм ых из Щ ную Ц (96,3 м³/час) ВА Ц пр последоват зоне через лении отде непрямой зоне варки 2,5 дем Асплу мывки Ц,

72634. Аг деления нии ее continual pipe. O b 142, № 6

Описан для непре по трубоп таты, конт отделе Ц нении с о

72635. Н (степени ном раст (Ein neu sitätszah tionsgrad ren Lös pier, 1955 франц.)

Описан ния велич ризации) ствие N₂. явленном В непосредственн расторени (по принц ся постоян ошибки, з личины, п годеи В д к р-ров к O₂ жидк 72636. О ков в в

Longview (США) работает непрерывно-действующая установка системы Камир производительностью 140 т сульфатной крафт-целлюлозы в сутки. Управление установкой полностью автоматизировано. Дано краткое описание и схема процесса.

А. З.

72633. Варочный аппарат непрерывного действия превысил проектную производительность. Ван-Дервер (World's largest continuous digester exceeds rated production. Van Derveer Paul D.), Paper Trade J., 1958, 142, № 11, 22—30 (англ.)

С августа 1957 г. на заде Gulf States Paper Corp., в Демополисе (штат Алабама) работает непрерывно-действующая установка для непрерывной варки целлюлозы (Ц) системы Камир с производительностью, превышающей проектную (300 т в сутки беленой сульфатной Ц). Варочный аппарат (ВА) из углеродистой стали высотой 27 м, диам. ~ 3,7 м, вмещает 60 т щепы (Щ). Щ через бункер, весы ротаторного типа и питатель низкого давления поступает в два параллельно-работающих аппарата для запаривания Щ при 0,9 атм, каждый длиной 7,3 м, диам. 1,5 м, в которых из Щ удаляются воздух и летучие в-ва. Запаренную Щ питателем высокого давления подают (96,3 м³/час) в ВА, где давл. 11,6 атм. В верхней части ВА Щ пропитывается при 104°. Щ движется вниз, последовательно проходя две зоны варки. В каждой зоне через Щ циркулирует в горизонтальном направлении отдельный варочный р-р: подогрев жидкости прямой в подогревателях вне ВА. Т-ра в верхней зоне варки 150°, в нижней — 168°. Продолжительность варки 2,5 часа. Сваренную Ц выгружают выгрузчиком Асплунда шлюзового типа. Описаны стадии промывки Ц, сортировки, 5-ступенчатой отбелки.

А. Закощиков

72634. Аппарат Black Widow для непрерывного определения белизны целлюлозной массы при прохождении ее по трубопроводу. Обеншейн (Black Widow continually measures brightness of pulp flowing in a pipe. Obenshain D. Noel), Paper Trade J., 1958, 142, № 6, 38—41 (англ.)

Описан фотоэлектрич. аппарат марки Black Widow для непрерывного определения белизны проходящей по трубопроводу целлюлозы (Ц). Приведены результаты контроля хлорирования при производственной отбелке Ц с применением указанного прибора в сравнении с обычным хим. контролем.

Е. Гурвич

72635. Новый вискозиметр для определения вязкости (степени полимеризации) целлюлоз в медно-аммиачном растворе и других растворителях. Деринг (Ein neues Viskosimeter zur Bestimmung der Viskositätszahlen (Zn) bzw. der Durchschnittspolymerisationsgrade (DP) von Zellstoffen in Cuoxam und anderen Lösungsmitteln. Doering Helmut). Das Papier, 1957, 11, № 17—18, 409—412 (нем.; рез. англ., франц.)

Описан вискозиметр (В) и методика для определения величины вязкости (или средней степени полимеризации) целлюлозы в Cu-аммиачном р-ре в отсутствие N₂. Прибор остается постоянно в однажды установленном вертикальном положении. Р-р нагнетают в В непосредственно из сосуда, в котором проводят растворение; вследствие образования висчаго уровня (по принципу Уббелюде) гидростатич. давление остается постоянным. Конструкция В устраняет возможные ошибки, зависящие от капиллярности и различной величины, последующего стекания р-ра. Особенно пригоден В для серийных определений вязкости не только р-ров целлюлозы, но и других, не восприимчивых к O₂ жидкостей.

Ю. Вендельштейн

72636. О контроле концентрирования черных щелоков в выпарном аппарате. Айкава (Aikawa Na-

ga hiko), Симадзу хёрон, Shimadzu Rev., 1957, 14, № 3, 282—287 (японск.; рез. англ.)

Проведено сравнение двух систем контроля процесса концентрирования черных щелоков (ЧЩ) при параллельном определении изменения конц-ии по повышению точки кипения ЧЩ. Изменение конц-ии ЧЩ, находящегося в 1-й башне, и ЧЩ, поступающих в 3-ю башню, происходит в соответствии с теоретич. расчетами. Приведены характеристики системы контроля, осуществленной в заводских условиях.

Резюме автора

72637. Метод для оценки качества целлюлозы для химической переработки. Хоос (A method for qualifying dissolving grade pulps. Hoos B. G.), Tappi, 1956, 39, № 4, 242—248 (англ.)

72638. Определение вязкости целлюлозы в бумажном производстве. Сравнение растворов целлюлозы в куприэтилендиамине и в медно-аммиачном растворе. Танака (Tanaka Ryoji), Сипа гикёси, J. Japan. Techn. Assoc. Pulp and Paper Ind., 1958, 12, № 3, 174—178, 183 (японск.; рез. англ.)

Измеряли вязкость сульфатной целлюлозы (Ц) в медно-аммиачных р-рах (МАР) с более высоким и более низким содержанием Cu в сравнении с р-рами Ц в куприэтилендиамине (I). Часть Ц с высокой степенью полимеризации и гелицеллюлозы не растворяется в р-рах МАР с низким содержанием Cu, в р-рах с высоким содержанием Cu остается нерастворенный остаток даже при двухступенчатом растворении. При двухступенчатой обработке р-ром I Ц удовлетворительно растворяется в течение 30 мин., при хорошей воспроизводимости относительной вязкости р-ра. Для быстрого определения вязкости Ц в бумажном производстве метод двухступенчатого растворения в I более пригоден, чем растворение в МАР.

Резюме автора

72639. Определение малых количеств пентахлорфенола в целлюлозе и бумаге. Людeman, Рассел, Рид (Determination of microquantities of pentachlorophenol in pulp and paper. Luedemann G., Sobolev I., Russell R., Reed E.), Tappi, 1957, 40, № 2, 104—106 (англ.)

Описан модифицированный микрометод для определения пентахлорфенола (I) и тетрахлорфенола (II) в целлюлозе и бумаге. Навеску образца размалывают в присутствии 1%-ного р-ра NaHCO₃ и экстрагируют водой при pH 9 при кипячении. После подкисления до pH 1—3 из жидкости отгоняют часть и экстрагируют свежеперегнанным CHCl₃. В части экстракта определяют I р-цией с р-ром хлорида метиленового голубого в присутствии NaHCO₃. Образующийся синий комплекс подчиняется закону Бера при конц-ии I 0—20 γ в 5 мл CHCl₃. Точность определения ± 4%, порог чувствительности — при конц-ии I > 10%. При более низких конц-иях хроматографируют на бумаге смесью р-рителей (NH₄OH — изоамиловый спирт — вода). Проявление р-ром β-метилумбелиферона в CH₃OH или спирте, разбавл. водой (pH 8—9). В УФ-свете I проявляется темным пятном на синем фоне. Хроматографич. постоянная I 0,70 ± 0,06 при 25°. Чувствительность ~ 3 γ.

Ю. Вендельштейн

72640. Анализ щелока для варки крафт-целлюлозы.

Часть I. Глицерин и стannаты натрия как антиоксиданты для сульфита. Оно, Исоно (Ono Kazuki, Isono Zensiro), Сипа гикёси, J. Japan. Techn. Assoc. Pulp and Paper Ind., 1958, 12, № 3, 184—187, 207 (японск.; рез. англ.)

Исследовано применение глицерина, рекомендуемого стандартом Tappi T 624 m — 44 в качестве антиоксиданта сульфита (I), и действие стannата Na. Показано, что сульфит может быть определен без глицерина, если его конц-ия в исходной жидкости ≤ 4 г/л; при более высоком содержании сульфита можно вести

анализ без глицерина, употребляя 25 мл анализируемой жидкости вместо 100 мл, при содержании $I \leq 6$ г/л. При больших конц-ях I в жидкости применяют как антиоксидант станин Na в конц-и 0,001 М.

Из резюме авторов
72641. Атомная энергия. Основные сведения, с учетом возможностей ее применения в целлюлозно-бумажной промышленности. Симмонс (Atomenor-gi. En orientering med särskild hänsyn till pappers-och cellullosaindustrin. Simmons Torsten), Svensk papperstidn., 1957, 60, № 15, 537—548 (шведск.; рез. англ., нем.)
Обзор. Библ. 10 назв. М. Н.

72642. Новый завод крафт-целлюлозы, небеленой бумаги и коробочного картона на юге США. Паркер (Dierks' new \$ 12 million kraft mill. Parker Melvin O.), Paper Mill News, 1958, 81, № 10, 9—10, 12—14, 16, 18—23 (англ.)

Зимой 1957/58 г. в штате Арканзас (США) вступил в действие 3-д производительностью 150 т бумажных изделий в день при 160 рабочих. Внутренний транспорт для сухих материалов оборудован конвейерами и пневматикой. Расход жидких материалов учитывается ротаметрами, сухих — автоматич. электронными весами. Управление моторами в основном и вспомогательном произ-вах сосредоточено в контрольных центрах. Управление машинами и конвейерами — кнопочное. Для борьбы с шумом на бумагоделательной машине все выходные устройства вакуумных фильтров заканчиваются в общей траншее. Варочные и газовые циклы, консистенция массы на насосных линиях и вакуум-фильтрах, влажность бумаги на машине, работа выпарной и регенерационной установок регулируются автоматически.

А. Бабков
72643. Автоматический контроль варки для улучшения однородности целлюлозы. Тернер (Automatic digester control for uniform pulp quality. Turner John S.), Indian Pulp and Paper, 1958, 12, № 8, 386—388 (англ.)

Приведены заметки о новом в бумажной пром-сти США. Подчеркнуты преимущества, связанные с введением автоматич. контроля на заводе при установлении контролирующей и регулирующей системы Фох-бюро. Описан заимствованный из Германии 2-ступенчатый процесс щел. варки, понижающий на 25—30% расход щелочи на варку. Первую ступень варки проводят с 2%-ным р-ром щелочи для растворения пентозанов, после удаления которых варку продолжают с новой порцией щелока (2,2%-ного). Способ облегчает последующую промывку целлюлозы. По русскому опыту для сеток на соснах применена проволока с низким коэф. трения, что обеспечило понижение влаги в бумаге до 91% и ниже. Сообщено о применении телевизионного наблюдения за работой лесного отдела одной из ф-к в Британской Колумбии.

А. Закощиков
72644. Искривление поверхности массного потока, проходящего поверх регистровых валиков. Бергстрём, Стенберг (Stock surface curvature above table rolls. Bergström J., Steenberg B.), Svensk papperstidn., 1957, 60, № 7, 264—268 (англ.; рез. шведск., нем.)

Описан оптич. метод определения формы поверхности массного потока в момент прохождения его над регистровым валиком. Установлено, что по форме поверхности можно вычислить скорость обезвоживания массного потока в различных местах вдоль сетки.

М. Белецкая
72645. Сбор и сортировка макулатуры. II. Стовров (Gathering and sorting of waste paper. II. Stovroff H.), Tappi Monogr. Ser., 1956, № 16, 11—28 (англ.)

Дано экономич. обоснование применения макулатуры (М) в бумажной и картонной пром-сти. Приведены данные о потреблении бумаги и картона в США за период 1940—1950 гг. и о кол-ве М, возвращенной в произ-во бумаги; указаны источники получения М, способы ее сортирования и стандарты на М, действующие в США и Канаде. Сообщение I см. РЖХим, 1957, 24953.

С. Иванов
72646. Фабричные испытания макулатуры. Уилкинс, Обер, Альтери, Уэнделл (Mill testing of waste paper. Wilkins M. R., Ober M. H., Altieri A. M., Wendell J. W., Jr), Tappi Monogr. Ser., 1956, № 16, 29—39 (англ.)

Описаны три группы испытаний макулатуры, принятых в США и Канаде: испытания, связанные с сортированием макулатуры — 16 анализов (композиция бумаги, покровные и клеящие в-ва, присутствующие в бумаге и др.); лабор. испытания физ.-мех. свойств бумаги (13 анализов); анализ пятен и загрязнений на макулатуре и идентификация загрязняющих в-в (13 анализов).

С. Иванов
72647. Практика сортировки макулатуры. Клаус, Нелсон (Sorting practices in waste paper use. Clouse J. L., Nelson H. E.), Tappi Monogr. Ser., 1956, № 16, 40—44 (англ.)

Даны обоснования для сортирования макулатуры по чистоте, белизне, механич. прочности, загрязнению и другим признакам. Приведены потери при сортировании. Рассмотрены различные методы, принципиальные схемы сортирования макулатуры.

С. Иванов
72648. Теория облагораживания макулатуры. Форсайт, Брагдон (Theory of deinking. Forsythe J. J., Bragdon C. R.), Tappi Monogr. Ser., 1956, № 16, 45—57 (англ.)

После историч. обзора процесса облагораживания макулатуры приведены сведения о составе неволокнистых компонентов макулатуры (наполнители, смолы и воски, глинозем, крахмал, клей, покровные материалы, типографская краска, пластич. покрытия, связывающие материалы). Рассмотрено действие щелочей на волокнистые компоненты.

С. Иванов
72649. Варка и дефибрирование макулатуры. Альтери, Уэнделл (Cooking and defibering operations. Altieri A. M., Wendell J. W., Jr), Tappi Monogr. Ser., 1956, № 16, 58—119 (англ.)

Рассмотрены следующие вопросы: выбор макулатуры в соответствии с требованиями качества бумажной массы; режимы варки макулатуры и расход хим. в-в; контроль процесса варки; отбор проб, приготовление отливок, лабор. варки, меры исправления неудачных варок, типы загрязнений в облагороженной массе; варочное оборудование: направления в области механизации процесса и непрерывной варки, гидроразбиватели, циркуляционный варочный аппарат, периодич. варка; оборудование для дефибрирования массы; массные бассейны и пр.

С. Иванов
72650. Устранение нежелательных примесей из сваренной и облагороженной массы. Брадбери, Хайнс, Шенк, Моррисон (The elimination of undesirable material from cooked deinked stock. Bradbury R. C., Hynes R. W., Schenk H. F., Morrison H. A.), Tappi Monogr. Ser., 1956, № 16, 120—136 (англ.)

Приведены сведения об облагораживании массы (М) из макулатуры различных типов — журнальной, книжной, контрольных книг, высокосортных влагопрочных бумаг и пр.; применении сортировок, применении центробежных сепараторов с перепадом давления для удаления грязи из облагороженной макулатурной М, промывке небеленой облагороженной макулатурной М в промывном аппарате «Side Hill» и очистке массы флотацией.

С. Иванов

72651. Утилизация тепла при сушке целлюлозы и бумаги. Аренд (Heat recovery in pulp and paper drying. Aренд A. G.), Paper Making, 1958, 77, № 1, 51—52 (англ.)

Более полная утилизация тепла, теряемого при сушке целлюлозы и бумаги, может быть достигнута путем использования его для подогрева воздуха, поступающего в сушильную установку. А. З.

72652. Выхушивание бумаг, имеющих покрытия из каолина. Асделл (The drying of paper coating clays. Asdell Bernard K.), Tappi, 1955, 38, № 8, 476—481 (англ.)

72653. О структуре бумажной и целлофановой фольги. Чентола (Papier- und Zellglas — Folien — Struktur. Céntola Germano), Das Papier, 1955, 9, № 23—24, 588—593 (нем.; рез. англ., франц.)

72654. Потребление воды в целлюлозной и бумажной промышленности. Масси (Water requirements of the pulp and paper industry. Mussey Orville D.), Geol. Survey Water-Supply Paper, 1955, № 1330-A, 71 (англ.)

72655. Крафт-бумага и оберточные бумаги из древесины *Cryptomeria japonica* Дон. Бхат, Гупта, Канур (Kraft and wrapping papers from *Cryptomeria japonica* Don. Bhat R. V., Gupta P. R., Kanur R. L.), Indian Pulp and Paper, 1958, 12, № 9, 422—428 (англ.)

Исследование древесины быстрорастущей вечнозеленой хвойной породы *Cryptomeria japonica* Дон, имеющей белого цвета заболонь и красновато-коричневого цвета сердцевину, показало, что средняя длина волокна равна 2,18 мм (миним. 0,72; максим. 4,17 мм) и средний диам. волокна 0,038 мм (миним. 0,018; максим. 0,068 мм). Древесина пригодна для получения целлюлозы по сульфатному способу с выходом 56%. Целлюлоза может быть использована для изготовления крафт-бумаг и оберточных бумаг высокой прочности. А. Закощиков

72656. Применение стекляного волокна в бумажном производстве. Шулмейер (Le fibre di vetro nell'industria della carta. Schulmeyer S. W.), Cellul. e carta, 1957, 8, № 3, 11—15 (итал.)

«Микроволокна» изготавливают из боросиликатного стекла марки 475. Они сохраняют прочность приблизительно до 380° и быстро теряют ее после 530°. Проклейка (1—2%) может увеличивать прочность стеклянных бумаг в 10 раз. Плотность стеклянных бумаг 0,25—0,30 г/см². Они обладают хорошей фильтрующей способностью для дымов, не набухают в жидкостях, их можно стерилизовать. Бумаги из смесей стеклянного и целлюлозного волокна обладают повышенным сопротивлением на разрыв. Применение стеклянных бумаг: для электр. изоляции; изготовления фильтров, бумаг, не меняющей размера при повышении т-ры и влажности; основы для изготовления слоистых пластиков; бумаги для документов; отделки, выдерживающей повышенную т-ру. М. Нагорский

72657. Окраска бумаги. Жно (Het kleuren van papier. Giot F.), Papierwereld, 1957, 12, № 2, 31—35 (гол.)

Приведены сведения о поведении различных волокон при окраске бумаги и краткая характеристика различных окрашивающих бумагу материалов.

М. Нагорский
72658. Сравнительная оценка влияния конструкции гофрирующих устройств (на свойства гофрированного картона). Мак-Ки, Олтман (Comparative evaluation of panel or body creasing wheel contours. McKee R. C., Altman F. J.), Tappi, 1956, 39, № 7, 503—514 (англ.)

Приведены результаты и методы сравнительного исследования влияния конструктивных особенностей

гофрирующих устройств (5 типов) на гофрируемость и характеристику сжимаемости картона при изменениях относительной влажности воздуха и скорости гофрирования. Установлено, что форма бороздки и ширина гофрирующего зазора в механизме для гофрирования не оказывают заметного влияния на характеристику сжимаемости картона. При увеличении рельефа бороздки гофрирующего устройства для сохранения нормального качества гофрирования необходимо повышение относительной влажности воздуха. Качество и прочность гофрирования регулируются содержанием влаги (относительной влажностью воздуха) с переменным учетом веса 1 м² картона и ее характеристики, конструктивных особенностей и скорости работы гофрирующего механизма. М. Белецкая

72659. Оценка стандартной картонной машины SFMC Таппи. Лейси (An evaluation of the Tappi standard SFMC board machine. Lacey R. G.), Tappi, 1957, 40, № 3, 140—141 (англ.)

Стандартная картонная машина марки T-1001 sm-51 является хорошим аппаратом для оценки массы для изоляционных картонов. Данные испытания картонов, полученных на этом аппарате, являются показательными и сопоставимы с производственными результатами. Дано описание картонной машины, процесса получения образцов картона и приведены данные испытания картонов. С. Иванов

72660. Измерение белизны и его значение в производстве целлюлозы и бумаги. Дерт (Brightness measurement and its significance in the pulp and paper industry. Dearth Leonard R.), Tappi, 1957, 40, № 2, A174—A176 (англ.)

Автор описывает системы измерительных приборов для определения степени белизны целлюлозы, бумаги, наполнителей и т. п., способы калибрования приборов, существующие стандарты и подчеркивает большое значение точных измерений в современной промышленности целлюлозы и бумаги. Ю. Вендельштейн

72661. Проницаемость бумаги для жидкостей. Толленар (Penetration von Flüssigkeiten in Papier. Tollenaar A.), Textil. Rundschau, 1957, 12, № 2, 81—84 (нем.)

Описаны существующие способы и приборы для определения проницаемости бумаги для жидкостей, не вызывающих набухания волокон (парафиновое масло и другие масла), а также для водн. р-ров. Ю. Ч.

72662. О сопротивлении удару однородных бумаг с малым весом 1 м². Часть 1. Иноуэ (Inoue Sadao), Сипа гикёси, J. Japan. Techn. Assoc. Pulp and Paper Ind., 1958, 12, № 2, 104—110 (японск.; рез. англ.)

Для определения соотношения между деформирующим усилием и прочностью однородных бумаг с малым весом 1 м², подвергающихся удару на автоматич. упаковочной машине, был сконструирован спец. прибор для испытания, на котором были испытаны три типа однородных бумаг с малым весом, имеющих различные степени размола. Для сравнения были испытаны также калька и целлофан. Испытуемые образцы бумаги U-образной формы подвергали 12 типам ударов, сходных с получаемыми в указанной упаковочной машине. В течение испытания ролл, подвешенный горизонтально, ударил по испытываемому образцу. Повторными испытаниями находили расстояние ролла от образца, при котором при ударе происходил разрыв бумаг. Результаты показали, что чем дальше центр тяжести падающего ролла от центра испытываемого образца и чем больше угол центральной линии ролла по отношению к образцу бумаги, тем менее величина удара, достаточная для разрыва. Данным методом может быть грубо определена прочность бумаги,

зависящая от ее устойчивости деформирующему усилию.

Из резюме автора
72663. Пределы ошибок при определении разрывной длины картона. Гейслер, Швейер (Fehlerrgrenzen bei Reißblängenprüfungen mit Vollpappen. Geissler Kurt, Schweier Herbert), Das Papier, 1957, 11, № 21—22, 496—498 (нем.; рез. англ., франц.)

Проведенное испытание растяжения при разрыве (РР) и разрывной длины (РД) многочисленных образцов картона весом от 600 г до 1000 г/м² на четырех различных приборах показало отклонения при определении РР 24,3—35,2% и РД 3,54—10,5% для необработанного картона и соответственно 7,1—45,6% и 3,65—5,78% для двусторонне кашированного картона. Статистич. обработка исследований указанных картонов на сопротивление продавливанию на одном и нескольких приборах показала воспроизводимость 8% для одного прибора и ~ 15% для четырех различных приборов. Несколько более благоприятные результаты можно получить при тщательном калибровании измерительных приборов.

Ю. Вендельштейн
72664. Лабораторные опыты по определению времени высушивания типографской краски и бумаги. Бекман (Laboratory ink drying time tests with letterpress inks and papers. Beckman Norman J.), Tappi, 1955, 38, № 7, A156—A162 (англ.)

72665. Измерение жесткости бумаги. Ройен (De meting van de stijfheid van papier. Royen A. H. N. van), Papierwereld, 1957, 12, № 5, 107—112 (гол.; рез. англ.)

Сопоставлены результаты, полученные при измерении жесткости бумаг приборами трех систем: (А) Бек, (Б) Шарман и (В) NBS. Значения, полученные с А и Б, хорошо согласуются. Б и В дают идентичные значения жесткости в г/см. Значения жесткости, вычисленные по модулю упругости, совпадают с экспериментальными. Показания вышеуказанных приборов признаны приемлемыми для оценки жесткости бумаг.

Из резюме автора
72666. Способ определения прочности склеивания в склеивной бумаге. Лангер (Ein Meßverfahren zur Bestimmung der Klebkraft von Klebepapieren. Langer), Papier und Druck, 1956, 5, № 7, Buchbinderei und Papierverarb., 108—111 (нем.)

Описаны способ и аппарат для определения прочности склеивания бумаги и приведены результаты исследований по выяснению зависимости прочности склеивания от различных условий (влажности, давления при прессовании, времени набухания и др.).

А. Колосова

72667 П. Способ получения сырой кислоты для варки сульфитной целлюлозы. Хэглунд (Förfarings-sätt för framställning av för sulfittcellulosakokning avsedd råsyra. Haglund G.) [AB Hedemora Verksstäder]. Шведск. пат. 154231, 24.04.56

Содержащие SO₂ газы пропускают в башню (Б) или другим соответствующим аппарате, загруженном известняком, в противотоке с водой. Содержащие SO₂ газы до их ввода в Б в особом поглотительном устройстве, имеющем пространство для газа и жидкости, приводят в тесное соприкосновение с р-ром к-ты, выходящей из Б; в этом втором устройстве вращается вал с дисками, нижняя часть которых погружена в жидкость, а верхняя находится в газовом пространстве, куда подается ток газов SO₂. При вращении вала поверхности дисков со смачиваются р-ром к-ты, то проходит через газовую фазу, где р-р поглощает SO₂. Скорость вращения дисков регулируют в соответствии с нужной производительностью. Приложена схема.

М. Нагорский

72668 П. Способ введения отработанных сульфитных щелоков в процесс регенерации щелочи при производстве целлюлозы. Маннбру (Method of introducing sulfite waste liquor into the alkali recovery process in the manufacture of alkaline cellulose. Mannbro Nils Viktor). Пат. США 2734037, 7.02.56

Для получения каустифицированного, содержащего сульфид щелока для щел. варки целлюлозы содовым плав (СП), получаемый при регенерации отработанных черных щелоков (ЧЩ) сульфатного произ-ва, растворяют в отработанном сульфитном щелоке (СЩ), каустифицируют полученный р-р Ca(OH)₂ и отделяют каустифицированный щелок (КЩ) от известкового шлама (Ш), образующегося при каустификации. Отделенный Ш обрабатывают некоторым кол-вом некаустифицированного р-ра СП в СЩ, промывают Ш свежим СЩ и растворяют новое кол-во СП в СЩ, использованном для промывки Ш. Содержащийся в СЩ Ca осаждают смешением с Ш, который был обработан р-ром СП в СЩ и содержит часть этого р-ра, и отстаивают одновременно Ш и осадок Ca-солей. Для эффективного промывания Ш применяют большее кол-во СЩ, чем это нужно для растворения СП, а избыток получаемого слабого р-ра добавляют к ЧЩ, выпаривают и сжигают вместе с последним. Ш получают периодически в каустификаторе, жидкость декантируют, а Ш суспендируют в меньшем кол-ве р-ра СП в СЩ и вводят в СЩ, получаемые при промывке Ш в последующей стадии. Пример. Часть свежего СЩ применяют для промывки Ш на фильтре (Ф); на этой стадии Ca, содержащийся в СЩ, осаждается в виде CaCO₃ и удаляется из системы вместе с Ш, после чего СЩ вводят в смеситель, в котором смешивают с Ш, предварительно обработанным СЩ, полученным растворением СП в СЩ (см. ниже). Смес. Ш и СЩ вводят в первый отстойник (О1), откуда СП спускают в бак для растворения, в котором СП растворяют в СЩ; полученный р-р перекачивают во второй отстойник (О2), где отделяют от осадка, образовавшегося при растворении, и применяют р-р для обработки Ш во втором смесителе (С2), после чего СЩ и Ш разделяют в третьем отстойнике (О3), из которого СЩ переводят в каустификатор (К), в который вносят Ca(OH)₂; образовавшийся Ш отделяют от жидкости в четвертом отстойнике (О4), из которого жидкость перекачивают в варочные котлы. Ш, отделенный от жидкости в О4, добавляют к некаустифицированному СЩ в С2 и отделяют от жидкости в О3, откуда Ш переносят в С2, в который вводят СЩ после Ф. Шлаки отделяют от СЩ в О1 и смешивают с Ш из О2 в частью свежего СЩ в третьем смесителе (С3), смесь фильтруют в Ф и промывают другой частью свежего СЩ. Ш, образующийся в каустификаторе, содержит 70—95% CaCO₃, лигносульфонат Ca и Ca(OH)₂, прореагировавший с Na₂CO₃ СЩ. Обработка в С2 и О1 р-ром СП в СЩ приводит к образованию избытка Na₂CO₃, реагирующего с лигносульфонатом Ca и Ca(OH)₂ с образованием растворимого лигносульфоната Na, CaCO₃ и NaOH. После указанной обработки Ш содержит только CaSO₃ и легко фильтруется. Умнянутый СП имеет примерно состав шлама, полученного сжиганием черных щелоков в произ-ве сульфитной целлюлозы, и содержит 50—80% Na₂CO₃, 15—20% Na₂S, Na₂SO₄, Na₂S₂O₃ и т. п. Описанный процесс осуществляют непрерывно. Способ устраняет затруднения, обычно возникающие при отделении и промывке образующегося Ш. Приложена схема.

Ю. Вендельштейн

72669 П. Усовершенствование метода обработки отработанных сульфитных щелоков. Олдред, Бойе Уотсон, Фьюстер, Тернер (Improvements in the treatment of spent sulfite liquors. Watson O. Aldred, Boye F. Watson, Turner). Пат. США 2734037, 7.02.56

and relat. liquors. Watson O. Aldred, Boye F. Watson, Turner. Пат. США 2734037, 13.06.56

При ре- жов (СП), в результа- разуете т- варке ката- процесс для регенери- творяют в образам и сжи- Na₂CO₃, ра- Na₂S и 12- сверху в 5- кажде 5- предварите- 80% N₂ со- чения Б. 1- ченный р- SO₂ 1,35% проведения ста.

72670 П. раствори щелока. sulfiteavl- ännen C. Kopparbe 26.03.57

Отработка растворим периодическ- мельничны- что трудн- ностях ук- быть дости- в сосуд. Л- натриевый нагревают сульфитны 0,35 г/л Са- чивают в длиной 500- ненный на Поппавков держивает щелби. О- цилиндр в 205° в теку- жидкость кол-во (97- СаО выпа- цилиндр в во враще-

72671 П. работанн- фитного for recov- producin- A. Kat 2778714, для ре- ния сульф- выпарива- фицируют в-в —зеле-

and relating to the treatment of waste sulphite pulp liquors. Aldred Fred Crowther, Boyes-Watson John Christopher Percy, Fewster Peter Robson, Turner Geoffrey Burdett) [Courtaulds Ltd]. Англ. пат. 750347, 13.06.56

При регенерации отработанных сульфитных щелоков (ЩЦ) с натриевым основанием (по пат. 376654) в результате побочных р-ций между SO_2 и H_2S образуется тиосульфат, вызывающий при последующей варке каталитич. превращение SO_2 в SO_3 . Предложен процесс для приготовления свежих варочных р-ров из регенерированных щелоков, по которому плав растворяют в воде и р-р при 70—100° обрабатывают газом SO_2 в противотоке. Пример. ОЩ упаривают и сжигают, плав, состоящий из 2 ч. Na_2S и 1 ч. Na_2CO_3 , растворяют в воде до содержания в 1 л 24 г Na_2S и 12 г Na_2CO_3 . Р-р нагревают до 100° и подают сверху в башню (Б) со скоростью 25 мл в 1 мин. на каждые 5 см² сечения Б. Навстречу жидкости подают предварительно нагретую до 100° смесь 20% SO_2 и 80% H_2S со скоростью 1,5—2 л в 1 мин. на 6,5 см² сечения Б. H_2S удаляется из верхней части Б. Полученный р-р, содержащий общей SO_2 5,07%, свободн. SO_2 1,35% и тиосульфата Na 0,13%, пригоден для проведения варок и дает целлюлозу хорошего качества.

А. Закопчиков

72670 П. Способ выделения гипса и других трудно-растворимых веществ из сульфитного отработанного щелока. Седерквист, Лунден (Sätt att ur sulfitavlut avskilja gips och/eller andra svårslösliga ämnen Cederquist K. N., Lundén B.) [Stora Kopparbergs Bergslags AB]. Швед. пат. 158362, 26.03.57

Отработанный щелок (ОЩ), пересыщенный трудно-растворимыми в-вами, пропускают (непрерывно или периодически) через сосуд, наполненный грубообразмельченным материалом (щебнем), с такой скоростью, что трудно-растворимые в-ва осаждаются на поверхностях указанного материала. Пересыщение может быть достигнуто одновременно с введением жидкости в сосуд. Для осаждения Са-соли в содержащий Са натриевый сульфитный ОЩ добавляют Na_2SO_4 и р-р нагревают до 150° или выше. Пример. В натриевый сульфитный отработанный щелок, содержащий 0,35 г/л СаО, вносят 8 г/л безводн. Na_2SO_4 . Р-р перекачивают в горизонтальный цилиндр с диам. 800 мм и длиной 5000 мм, работающий под давл. 20 атм и наполненный на 75% щебнем размером от 10 до 30 мм. Поплавковый вентиль на выходе из цилиндра поддерживает уровень жидкости в цилиндре на высоте щебня. Одновременно с закачиванием жидкости в цилиндр вводят пар высокого давления, нагревая до 205° в течение 2—3 мин. Выходящая из цилиндра жидкость содержит 0,005—0,010 г/л СаО. Остальное кол-во (97—98% от присутствующего первоначально) СаО выпадает в виде CaSO_4 . После 16 час. работы цилиндр выключают, освобождают от ОЩ и приводят во вращение на 20 мин., смывая осадки водой.

М. Нагорский

72671 П. Способ регенерации основных ионов из отработанных сульфитных щелоков и получения сульфитного варочного щелока. Каспер, Кац (Method for recovering base ions from waste sulfite liquor and producing sulfite cooking liquor. Kasper Andrew A., Katz William E.) [Ionics Inc.]. Пат. США 2778714, 22.01.57

Для регенерации ценных компонентов отработанных сульфитных щелока (ОЩ), содержащие Na и S, выпаривают и сжигают, выщелачивают плав, каустифицируют р-р и удаляют суспензию нерастворимых в-в — зеленого щелока (ЗЩ). Через колонку (К-I) с

синтетич. слабокислой органич. смолой (содержащей COOH -группы, напр. амберлит IRC-50), помещенной на проницаемом основании, пропускают вертикально вверх воду для заполнения пустот и сообщения смоле взвешенного состояния; затем пропускают ЗЩ; при этом часть способного к замещению H заменяется Na; вытекающую жидкость пропускают вертикально вверх через колонку (К-II) с сильноокислой синтетич. смолой (содержащей HSO_3 -группы, напр. дауэкс-50), предварительно заполненную водой, поддерживая в К-I и К-II скорость тока, обеспечивающую взвешенное состояние смолы и облегчающую отделение газов. Промывают колонки и пропускают водн. р-р H_2SO_4 последовательно через К-I и К-II, получая свежий сульфитный щелок (ЩЦ). Выделяющийся в К-I и К-II H_2S сжигают, окисляя до SO_2 . Смолу промывают водой и повторяют описанный процесс. Регенерацию можно проводить непрерывно в нескольких К-I и К-II. Для более полной регенерации ионов Na колонки промывают избытком водн. H_2SO_4 ; получаемые ЩЦ, в зависимости от дальнейшего применения (для получения полухим., сульфитной или кислой сульфитной целлюлозы), обрабатывают Na_2CO_3 , NaHCO_3 , NaOH или NH_4OH до нужного pH. Длительность соприкосновения жидкости со смолой при поглощении и регенерации 5—20 мин., предпочтительно 10—12 мин. Высота колонок 37—125 см, предпочтительно ~ 75 см. При меньшей высоте ионообмен недостаточен, при большей — затрудняется ток жидкости. При содержании в ЗЩ кол-в Fe, не допустимых для ЩЦ предназначенных для получения белимой целлюлозы высокого качества. Fe адсорбируют в К-I. Приведены 4 варианта схемы и лабор. опыт регенерации с описанием аппаратуры. Регенерировано 73% Na, содержащегося в ЗЩ.

Ю. Вендельштейн

72672 П. Способ отделения лигносульфоновой фракции из отработанного сульфитного щелока (Fremgangsmåte til fraskilling av en lignosulfonatfraksjon fra en lignosulfonatholdig avlut) [Rayonier Inc.]. Норв. пат. 84968, 7.02.55

В дополнение к норв. пат. 84898 (РЖХим, 1958, 38363) для отделения лигносульфоновой фракции из отработанных щелоков (Щ) от кислой аммонийно-сульфитной варки используют анионообменную смолу (АОС), освобожденную от первичных и вторичных аминогрупп обработкой ее муравьиной к-той и формальдегидом. Часть лигносульфоната (I) адсорбируется на смоле, а отходящую жидкость обрабатывают катионообменной, содержащей карбоксильные группы смолы (КОС) для адсорбции аммиака. Обменную КОС регенерируют обработкой сернистой к-той для извлечения NH_3 в виде бисульфита аммония. АОС обрабатывают р-ром NaOH для растворения I, практически свободной от других органич. компонентов Щ. Щел. р-р I обрабатывают КОС с карбоксильными группами в водородной форме; при этом удаляется избыток NaOH , а загрязнения кальцием избирательно адсорбируются. Смесь Щ после выделения I и отхода адсорбции I после регенерации из него NH_3 упаривают и сжигают. Щ можно перед обработкой АОС подщелачивать для адсорбции I, после чего из отходящего Щ паром отгоняют NH_3 . Пример. 1: 35 л Щ пропускают через колонку, содержащую 19,6 л метилированной смолы DUOLITE A-2 (MC-A2) в основной форме, для поглощения части I. Эфлюент сохраняют для последующих операций. Смолу промывают водой и регенерируют р-ром 40 г NaOH и 32 г лигносульфон. к-ты в 1 л. Первую порцию стока от этой обработки отбрасывают. Вторую порцию возвращают в регенерационный р-р, третью — отбирают, как продукт и последнюю — возвращают для нового использования. Смолу промывают водой и первую промывную воду

повторно используют при промывке; следующую промывную воду, содержащую немного NaOH, присоединяют к стоку от адсорбционной ступени и подвергают отгонке паром. При этой операции улавливается $64,0 \text{ г NH}_3$. Эффлюент после первой обработки исходного Ц MC-A2 последовательно обрабатывают паром для отгонки свободного SO_2 очень пористой АОС, содержащей значительное кол-во третичных аминных групп для извлечения остатков I, который не был адсорбирован при первой обработке Ц MC-A2. Эффлюент после такой обработки, содержащий неадсорбированный лигносульфонат сахара и свободный аммиак, обрабатывают паром или КОС для регенерации NH_3 . После этого Ц, освобожденный от NH_3 , упаривают и сжигают. Приложены схемы последовательной обработки щелоков. М. Нагорский

72673 П. Методы и аппараты для использования тепла и регенерации SO_2 отработанного сульфитного щелока. Локман (Methods of and apparatus for extracting heat and SO_2 from sulphite waste lye containing SO_2 . Lockman Carl J.) [A.-G. Rosenblads Patent]. Канадск. пат. 515968, 23.08.55

После варки для получения сульфитной целлюлозы (Ц) готовую Ц вместе со щелоком (Щ) выгружают из котла, находящегося под давлением, в резервуар, соединенный с атмосферным воздухом. Горячий Ц, содержащий SO_2 (I), без дополнительного охлаждения отделяют от Ц и направляют в ряд вакуум-аппаратов, в которых последовательно создается все более низкое давление, при котором за счет испарения уменьшается объем Ц и освобождаются пары, содержащие I. Пары конденсируют охлаждающим агентом, используемым в направлении от процесса конденсации при низком давлении и т-ре к процессам при более высоких давлениях и т-ре. Не конденсирующийся I газ, получаемый на разных ступенях конденсации, выводит из системы. Оборудование включает резервуар для выгрузки массы из варочного аппарата и систему из нескольких (не менее 2) вакуум-аппаратов, из которых каждый состоит из резервуара для понижения давления и устройства, обеспечивающего возможность поддержания в каждом из вакуум-аппаратов заданного давления. М. Шпунтова

72674 П. Способ и устройство для эксплуатации и чистки теплообменников (Förfaringssätt och anordning för rengöring och drift av värmeväxlare) [P. R. Svanberg]. Шведск. пат. 153225, 24.01.56

Движение жидкости в теплообменнике осуществляют при введении пара или конденсирующихся газов. Наполнение теплообменника жидкостью может осуществляться за счет частичной конденсации пара, вводимого под давлением, который своим расширением способствует перемещению жидкости в теплообменник. Сам теплообменник может представлять собой циркуляционную систему, в которой жидкость передвигается около места ввода пара. Система при этом должна быть хотя бы частично наполнена жидкостью. Пар во всех случаях вводят в вертикальном направлении в вертикальную трубу или вертикальную часть системы. Аппаратура состоит по меньшей мере из двух разделенных циркуляционных систем: пар вводят в одну систему, а выпаривание происходит в другой, спаренной с первой, системе, или наоборот (системы взаимозаменяемы). На время чистки часть системы с конц. выделяющей отложения жидкостью заменяют частью системы с менее конц. жидкостью. При использовании таких теплообменников в многокорпусных выпарных аппаратах пар от одного корпуса вводят в следующий корпус. Приложена схема и подробное описание установки. М. Нагорский

72675 П. Способ управления работой плавильной печи для регенерации химических веществ. Хохмут (Method of operating a chemical recovery smelter furnace. Hochmuth Frank W.) [Combustion Engineering, Inc.]. Пат. США 2789881, 23.04.57

Для предохранения от корродирующего действия плава продуктов сжигания черных щелоков на дно плавильной печи рекомендуется регулировать т-ру дна печи таким образом, чтобы над первоначально образующимся на его поверхности тонким защитным слоем продуктов коррозии образовался слой застывшего плава, предотвращающего дальнейшую коррозию поверхности. Над слоем застывшего плава поддерживают слой жидкого плава, достаточный для предохранения от расплавления слоя твердого плава. Избыток жидкого плава, по мере его образования, непрерывно выводят через боковое отверстие печи. Охлаждение дна печи рассчитывают в соответствии с образованием указанных выше слоев. Приложены схемы печи и ее отдельных частей с подробным описанием. Ю. Вендельштейн

72676 П. Фильтр для обезвоживания и промывки волокнистой массы. Рихтер, Скреттинг (Filter för avvattning och eventuellt tvättning av fiberhaltig massa. Richter J. C. F. C., Skretting A.) [AB Kamyr]. Шведск. пат. 154234, 24.04.56

Барабанный фильтр для промывки и обезвоживания целлюлозы под давлением отличается конструкцией уплотнений. Уплотнение кожуха фильтра и снимающего вала по образующей последнего состоит из резиновой полосы, верхний край которой закреплен на кожухе, а второй образует с поверхностью снимающего вала скользящий контакт. Уплотнение по торцам кожуха и барабана состоит из резинового кольца, удерживаемого металлич. кольцом, закрепленным болтами на торцевой стенке кожуха; в углублении металлич. кольца уложен толстый резиновый шланг; при накачивании воздуха шланг расширяется и прижимает резиновое кольцо к торцам кожуха и барабана. По торцам снимающего вала и барабана резиновое и металлич. кольца имеют уширения; указанное выше углубление металлич. кольца имеет двойную ширину и в нем уложен вдвое сложенный шланг. Дополнительного уплотнения кожуха и барабана достигают при помощи слоя массы целлюлозы на барабане; для этой же цели по самому краю барабана просверливают отверстия, в теле барабана делают отсасывающие каналы, а с края кожуха, обращенного к периферии барабана, снимают фаску. К. Герцфельд

72677 П. Белильная баня с приспособлением для перемешивания (Tour de blanchiment avec dispositif mélangeur) [Aktiebolaget Kamyr]. Франц. пат. 1107796, 5.01.56

Баня (Б) для отбели целлюлозной массы (ЦМ) снабжена приспособлением для непрерывного питания ЦМ через отверстие в центре дна Б и приспособлением для непрерывной разгрузки ЦМ в верхней части Б. Отверстие для питания полностью покрыто вращающимися вокруг вертикальной оси диском, образующим с окружающей частью Б кольцевую проход для прохождения ЦМ внутрь Б в радиальном направлении. Диск снабжен с нижней стороны пальцами, косыми насадками или другими приспособлениями для перемешивания, направленными вниз и предназначенными для перемешивания ЦМ и отбеливающего агента (напр., газообразного Cl_2), вводимого в отверстие для питания или перед ним. Пальцы или косые насадки (в форме загнутых крыльев) закреплены также в дне Б и простираются в кольцевое пространство, расположенное под диском, и служат для перемещения ЦМ в горизонтальном направлении, перпендикулярном к ее направлению в Б. Внутренняя

часть диск
Наружная
способлен
ЦМ с газе
исключаю
ЦМ в до
диам. дис
300 об/ми
0,1—0,3 м
Б 0,25—1
входное о
и питающ

72678 П.
ной ма
содержа
п и л
celulosa
homogé
Magri
Волокни

щелокой
отбели м
довательн
при рН м

72679 П.
ским
Кри
material
Vegetab
24.01.56

Бумажн
мере с од
при нагре
в частнос
при введе
БП в охл
вблизи ме
с одной и
с т-рой, б
образующ
няется до
воды мен
1/2 послед
ния проце
более выс
жения БП
тов в пок
из которых
термопласт
жуеющая
обеих сто
ляют роли
щей водой
качивают
вертикаль
обрызгива
С помощью
дают гор
вертикаль
высушива
тами отде
вышать о
на ~ 30

72680 П.
тона, пр
ческим
paper or
crystalli
Petroleum
02.11.55
Между

часть диска содержит один или несколько устоев. Наружная часть диска заострена в виде конуса. При способлении обеспечивают тщательное перемешивание ЦМ с газообразным Cl_2 и поглощение последнего ЦМ, исключаяющее проскок в Б, и направление движения ЦМ вдоль стенок Б. При диам. Б 3—5 м предпочтителен диам. диска 1—2 м. Скорость вращения диска 100—300 об/мин. Высота (или длина) пальцев или насадок 0,1—0,3 м. Объем пространства между диском и дном Б 0,25—1 м³. Кол-во ЦМ, непрерывно проходящее через входное отверстие, 0,3—2 м³/мин. Приложены схема Б и питающего устройства.

Ю. Вендельштейн

72678 П. Способ регенерации целлюлозы из бумажной макулатуры или других неоднородных смесей, содержащих целлюлозу и другие материалы. Мар-пиллеро (Procedimiento de regeneración de la celulosa de los vejigos papeles y otras mezclas no homogéneas conteniendo celulosa y otras sustancias. Marpillero Paolo). Мекс. пат. 55580, 21.07.55

Волокнистую массу обрабатывают в присутствии щелочей хлором в кол-ве, достаточном для полной отбелки массы. Обработку продолжают в двух последовательных ступенях — в 1-й при pH < 3 и во 2-й — при pH между 6,5 и 10.

М. Нагорский

72679 П. Способ покрытия бумаги термопластическим материалом с последующим охлаждением. Кри (Method for coating paper with thermoplastic material and cooling. Cree Daniel L.) [Kalamazoo Vegetable Parchment. Co.] Пат. США 2732319, 24.01.56

Бумажное полотно (БП) покрывают по меньшей мере с одной его стороны материалом, размягчаемым при нагревании при $t_{\text{ре}} > 82^\circ$, напр., при $82—120^\circ$, в частности при $107—120^\circ$, и способным затвердевать при введении движущегося в вертикальной плоскости БП в охлаждающую водяную ванну с $t_{\text{рой}} 0—6^\circ$; вблизи места вхождения БП в ванну его подвергают с одной или с двух сторон ударам водяного каскада с $t_{\text{рой}}$, близкой к $t_{\text{ре}}$ охлаждающей воды в ванне; образующаяся на поверхности БП пленка воды сохраняется до погружения его в ванну. Скорость каскада воды меньше скорости движения БП, но не меньше $\frac{1}{3}$ последней. Патентуется аппарат для осуществления процесса. Способ позволяет получать значительно более высокий блеск БП, увеличивать скорость движения БП и сводит к минимуму образование дефектов в покрытии. БП пропускают через вальцы, один из которых, частично погруженный в расплавленный термопластич. материал, наносит последний на движущееся БП (последнее можно покрывать также с обеих сторон), а другой отпрессовывает. БП направляют роликами вертикально вниз в бак с охлаждающей водой, из которого последнюю непрерывно перекачивают насосом в находящиеся по обе стороны вертикально движущегося БП баки с форсунками для обрызгивания БП с обеих сторон каскадом воды. С помощью направляющих роликов БП в ванне придают горизонтальное движение, выводят из ванны вертикально вверх, снимая ножами избыток воды и высушивают. Приложены схема аппарата с 3 вариантами отдельных узлов. Скорость БП не должна превышать ~ 91 м/мин, скорость каскада воды желательна ~ 30 м/мин.

Ю. Вендельштейн

72680 П. Процесс склеивания листов бумаги или картона, пропитанного или покрытого макрокристаллическим парафином (Process for uniting sheets of paper or cardboard impregnated or coated with macrocrystalline paraffin wax) [N. V. de Bataafsche Petroleum Maat-Schappij]. Англ. пат. 739677, 02.11.55

Между листами бумаги или картона, пропитанными

макрокристаллич. парафином (I), наносят слой микрокристаллич. I и прессуют в горячем состоянии.

М. Старосельская

72681 П. Копировальная бумага для гектографирования (Karbonpapir eller hektokarbonpapir) [A/S for Kontor Kemi]. Датск. пат. 80959, 7.05.56

При изготовлении копировальной бумаги для гектографирования в бумагу-основу вводят металл в мелко-раздробленном состоянии. Бумагу употребляют для получения матричных отпечатков, с которых можно размножать копии.

М. Нагорский

72682 П. Производство копировальной бумаги. Хи-роми Кэйтаро. Японск. пат. 9405, 24.12.55

При изготовлении копировальной бумаги плавят восковую типографскую краску, смешивают с водой и клеящим в-вом, полученную пастообразную массу наносят на бумагу и воду испаряют. Пример (в вес. ч.): карнаубский воск 10, церезин 20, петролатум 20, касторовое масло 10, берлинская лазурь 20. Массу плавят, смешивают с 40 ч. 25%-ного р-ра желатин в воде, наносят на бумагу и сушат.

А. Фрадкий

72683 П. Бумага с бактерицидными свойствами, способ ее изготовления (Papper med baktericida egenskaper jämte sätt och medel för dess framställning) [A. Gross]. Шведск. пат. 156918, 13.11.56

Бумагу пропитывают кислой суспензией (С), содержащей четвертичное аммониевое соединение 5 г, хлороксифенол 4 г, фениловый эфир гликолевой к-ты 4 г, триэтанолламин или другой амин 3 г, органич. или неорганич. к-ту, — до получения кислой р-ции, этил-целлюлозу 6 г и минер. наполнитель BaSO_4 , CaSO_4 , или тальк 14 г. После пропитки бумагу сушат. Пропитку производят валиком или вальцами, покрытыми пористым материалом (пористой резиной), на которые наносят пропитывающую С. Перед нанесением С разбавляют водой до содержания 0,01% сухого в-ва. Для снятия с человеческой кожи загрязнений, содержащих микроорганизмы, ее протирают сухой бактерицидной бумагой.

М. Нагорский

72684 П. Композиция для проклейки бумаги. Судзуки Масайоси. Японск. пат. 8504, 24.11.55

Из углеводов парафинового или нафтенного ряда получают их сульфонилазхлоридные производные; в присутствии ацетата, карбоната или бикарбоната щел. металла прибавляют гликоли и получают сульфокислый эфир; после добавления окиси этилена получают эмульгатор, содержащий производные полиэтиленгликоля. При смешении эмульгатора с водой и жирными маслами образуется стойкая эмульсия. Пример. 10 ч. сульфокислого эфира полиэтиленгликоля, полученного из парафина, и 40 ч. парафина нагревают и размешивают, добавляют 100 ч. горячей воды и получают эмульсию, которую смешивают с отдельно приготовленным смоляным мылом, содержащим 66,7% твердых элементов, и получают композицию для проклейки бумаги.

А. Фрадкий

72685 П. Бумага и подобные ей материалы с покрытием, становящимся клейким при смачивании. Тулмин (Paper and paper-like materials having a remoistenable adhesive coating. Toulmin Harry A., Jr) [The Commonwealth Engng Co. of Ohio]. Пат. США 2768096, 23.10.56

Бумажный листовой материал, не клейкий в обычных условиях, но приобретающий клейкие свойства после смачивания, напр., обои, афиши, полоски для склеивания, конверты и т. п., получают покрытием их поверхности декстраном (Д), трудно растворимым в воде или не растворимым, но набухающим в ней. Примеры: 30 ч. полученного с применением культуры *Leuconostoc mesenteroides* B-512 (L. m.) смешивают при 20° с 70 ч. воды; мягкую пасту наносят на обои и высушивают. Получают обои с неклеякой по-

верхностью, которая после смачивания легко скользит по поверхности стены (при подгонке рисунка), а после высушивания плотно пристает к стене, без образования пузырей. Аналогично смазывают поверхность обоев смесью 25 ч. Д, полученного с *L. m. B-523* в 100 ч. воды при 60°; образуется вязкая масса, которую наносят на обои кистью и высушивают. Покрытие из Д не имеет вкуса, запаха, не токсично. В качестве пластификаторов к Д можно добавлять мочевины, тиомочевину, NaNO_3 , NaCNS , KNO_3 , CaCl_2 , MgCl_2 , ZnCl_2 , глицерин, диэтиленгликоль, этиленгликоль, *Na*-лактат, *Na*-ацетат, NaCl , NaH_2PO_4 , NH_4Cl и сахара. Для повышения вязкости прибавляют буру или *Na*-алюминат. Можно добавлять смачивающие в-ва, р-рители, наполнители, пигменты, масла, жиры и воски, всего в кол-ве $\leq 5\%$ от общего кол-ва твердых в-в. Ю. Вендельштейн 72686 П. Усовершенствованный способ изготовления непроницаемого картона и получаемые изделия (Procédé perfectionné de fabrication de cartons imperméables, et articles obtenus par ce procédé) [Satona Ltd. Thomas Norman Gaunt]. Франц. пат. 1131472, 21.02.57

Упаковочные сосуды, не проницаемые для жидкостей (прежде всего воды), изготавливают из бумаги, картона, волокон и т. п. материалы. Листовые материалы покрывают р-ром синтетич. смолы (СС) для образования поверхностного слоя смолы; вторым слоем покрывают только дно изделия или всю внутреннюю или всю наружную часть; или же первым слоем покрывают обе стороны листа картона, вторым — всю внутреннюю или всю наружную поверхность изделия. Для обоих слоев можно применять одинаковые или разные, не совместимые друг с другом СС. Р-р, применяемый для второго слоя, должен растворять или вызывать набухание первого слоя. Пример. Листы гильзовой бумаги из сульфитной целлюлозы покрывают тонкой пленкой р-ра ацетата поливинилхлорида и диэтилгексилфталата в ацетоне и сушат горячим воздухом. Изделия из бумаги пульверизируют указанным р-ром смолы и пластификатора и сушат горячим воздухом. Изделия непроницаемы и пригодны для упаковки пищевых продуктов и фармацевтич. препаратов. В один из слоев или в оба слоя можно добавлять пигменты. Ю. Вендельштейн

72687 П. Метод и материал для обработки целлюлозы и получаемый продукт. Эрикс (Method and material for treating cellulose and product thereof. Ericks Walter P.) [The Upson Co.]. Канадск. пат. 517954, 25.10.55

Метод стабилизации волокнистых картонов (К), состоящих главным образом из соявленных волокон целлюлозной массы, против расширения и усадки под влиянием изменений атмосферной влажности. Метод включает импрегнирование К р-ром в летучем гидрофильном р-рителе (ЛГР) смеси термоотверждаемой смолы (ТС) и по меньшей мере одного многоатомного спирта (I), проникающего в промежутки между волокнами и в полости волокон, с последующей сушкой импрегнированного К для отверждения указанной смолы. Указанные смолы и I растворимы в ЛГР, I имеет т. кип. $\sim 150^\circ$, р-р имеет конц-ию указанной смеси между ~ 5 и 60% и ТС между ~ 5 — 50% указанной смеси. Продукт — волокнистый К, после пропитывания и сушки содержит указанные пропитывающие в-ва в кол-ве 1— 50% к весу К. Ю. Чельцова

72688 П. Способ получения изделий из волокнистых масс. Эман (Sätt att framställa fiberprodukter av halm eller dylikt, samt genom sättet framställd produkt. Öman E.). Швед. пат. 149610, 12.04.55

В доп. к шведск. пат. 147824 (РЖХим, 1956, 56393) массу из соломы, обработанную известью или соединениями Са, смешивают с волокном растительного про-

исхождения, напр., необработанной соломой, травой, лыком, ореховой скорлупой, которые предварительно дефибрируют до образования относительно длинных и грубых волокон. В. Пахомов

См. также: Сорбция паров воды целлюлозным 70267. Р-ции лигнина при сульфатных варках 72866. Рентгеновая характеристика целлюлозы 72796. Производные целлюлозы, св-ва, получение: ацетилцеллюлоза 72790; оксиэтилцеллюлоза 72860; нитроцеллюлоза 72860. Микроопределение метоксильных групп 70626. Исследование TiO_2 70295. Обработка котловой воды и конденсата на бумажной ф-ке 71251. Вентиляция, отопление на целлюлозно-бумажных з-дах 71319

КРАШЕНИЕ И ХИМИЧЕСКАЯ ОБРАБОТКА ТЕКСТИЛЬНЫХ МАТЕРИАЛОВ

Редакторы К. М. Маркузе, А. И. Матецкий

72689. Исследования триацетилированного хлопка. Холл (Investigaciones sobre el algodón triacetilado. Hall A. J.), Ind. text. sud amer., 1957, 16, № 191, 30—32 (исп.)

Методы ацетилирования хлопка. Характеристики свойств частично и полностью ацетилированного хлопка (отношение к р-рителям, механич. свойства, отношение к высоким т-рам, термопластичность и др.). И. Фодиман

72690. Смеси синтетических волокон с шерстью в придании чесаной шерсти. Алиберт (Las mezclas de fibras sintéticas con la lana, en la hilatura de lana peinada. Alibert J. M.), Ind. text. sud amer., 1957, 16, № 191, Fibras artif. sintét., 1957, № 27, 3—5 (исп.)

Характеристика свойств синтетич. волокон и влияние добавки последних к шерсти на свойства полученной пряжи. Области применения этих смесей. И. Фодиман

72691. Изучение строения шелкового волокна. Часть I. Цветные реакции. Галлезе (Studio sulla costituzione della fibra serica. I parte — Reazioni cromatiche. Gallese Guido), Seta, 1957, 18, № 4, 98—99 (итал.)

Высказанная автором (см. РЖХим, 1958, 20124) гипотеза о том, что шелк состоит из трех в-в: серицина, фибрина и кутиколина, подтверждается цветными р-циями этих в-в с 10 различными красящими в-вами. И. Фодиман

72692. Влияние физико-химической структуры волокон на их свойства. II. Скварский (Wplyw fizyko-chemicznej struktury włókien na ich własności. II. Skwarski Tadeusz), Przem. włókienniczy, 1957, 11, № 3, 128—132 (польск.)

Анализируется влияние физич. структуры синтетич. волокон на их механич. свойства: прочность на разрыв и изгиб, эластичность и упругость, влияние кристалличности и ориентации. Отмечается, что механич. прочность определяется величиной межмолекулярных сил, мерой которых является «молярная энергия когезии» (МЭК), т. е. энергия, необходимая для преодоления межмолекулярных сил, удерживающих тело в прочной кристаллич. форме. Величина энергии когезии определяет, будет ли данный полимер обладать волоконобразующими свойствами. Полимеры с МЭК, превышающей 500 кал/мол., — волоконобразующие. Волокна характеризуются мол. весом полимера, определяемым длиной цепи и степенью полимеризации (СП). С ростом СП растет прочность волокна, причем более или менее пропорционально, при СП от 50—250; при более высокой СП рост прочности меньше; дальнейшее увеличение СП > 600 не влияет на прочность. Функцией СП является прочность на разрыв, на изгиб и уд-

вание при разрыве. Эластичность, упругость, сминаемость связаны с кристаллическостью волокон и действием межмолекулярных сил. Эти свойства могут быть определены на основе анализа кривой нагрузка — удлинение. Кристаллическость синтетич. волокон может быть изменена путем нарушения равномерности структуры введением в главную цепь побочных цепей или блокированием полярных групп заместителями. Прочность волокон обусловлена кристаллическостью и ориентацией; отсутствие хотя бы одного из них вызывает уменьшение прочности. Часть I см. РЖХим, 1958, 16450.

И. Фодиман
72693. Шлихтование в текстильной промышленности. Кешеленич, Попович (O skrobljenju u tekstilnoj podstariji. Kešeljević Stanislav, Popović Petar), Tehnika, 1957, 12, № 1, Нем. ind., 11, № 1, 13—15 (сербо-хорв.; рез. нем.)

Литературный обзор. Описаны новые шлихтующие средства, их важнейшие характеристики, добавки, улучшающие эффект шлихтования, методы определения качества шлихты, способы приготовления шлихтовальной массы.

О. Славина
72694. Аппараты для приготовления шлихты. Левинский (Urządzenia do przygotowywania klejonki. Lewiński Jerzy), Włókiennictwo, 1957, 6, № 12, 272—276 (польск.)

Описание чанов с мешалками, автоклавов фирм «Суккер», «Рютти», польского автоклава ЕВЗ, агрегатов тех же фирм и английской фирмы «Хибберт». Характеристика технологич. процесса приготовления и качества крахмальной шлихты.

И. Фодиман
72695. Шлихтование с применением производных целлюлозы. Грозек (Slichtování za použití derivátů celulózy. Hrozek Miloš), Textil, 1956, 11, № 4, 412—413 (чешск.)

Характеристика свойств трех типов производных целлюлозы, применяемых для шлихтования: обычные эфиры целлюлозы (I), карбоксифиры целлюлозы, оксифиры целлюлозы. Клей из производных целлюлозы. Для хлопчатобумажного волокна наилучшим является карбоксиметилцеллюлоза, для искусств. волокон I.

И. Фодиман
72696. Замасливание стеклянных волокон. Мартель (L'ensimage des fibres de verre. Martel Claude), Ind. text., 1957, № 852, 781—782 (франц.)

Новый способ замасливания стеклянных волокон состоит в обработке их водн. р-ром с $pH \geq 8$ органического ф-ла: $[(HOOC)R]R'SiO_{3-b/2}$ где R — 2- или 3-валентный циклоалифатич. или насыщ. алифатич. углеводородный остаток, в котором каждый карбоксил связан с C в 3- или более удаленном положении по отношению к атому Si; R' — одновалентный галогенированный или негалогенированный углеводородный остаток, не содержащий ненасыщ. алифатич. связей, $a = 1$ или 2 и b от 0 до 1. Для создания щел. среды желательно применять летучие в-ва, напр. аммиак или амины, легко удаляющиеся при последующей сушке. Сушку производят при обычной т-ре в течение 30 мин. или при 110° в течение 5—10 мин., а при т-рах $\sim 150^\circ$ в течение нескольких минут.

О. Славина
72697. Аппарат для белины «при высоких концентрациях» системы Авеста — Карер (Швеция). Меллгрэн (Hochkonzentrations-bleiche system «Avesta» — Karrer. Mellgren Per Gustaf) Méliand Textilber., 1957, 38, № 8, 911—913 (нем.; рез. англ., франц., исп.)

Аппарат предназначен для хлоритного или перекисного белины хлопка, вискозы, льна, шерсти и синтетич. волокон в виде пряжи или волокон и изготовлен из нержавеющей стали. Материал пропитывают холодной белящей жидкостью под вакуумом, вследствие чего отпадает необходимость применения смачивателей.

Избыток жидкости после пропитывания до 100%-ного привеса с помощью компрессора перекачивают обратно в питательный бак, а материал быстро (в течение ~ 5 мин.) нагревают смесью пара и воздуха до т-ры р-ции, выдерживают при этой т-ре 40—50 мин. и промывают, как обычно. Преимущества аппарата: быстрота отбеливания, простота обслуживания, малый расход пара; расход воды составляет $\sim 1/3$ обычного; пряжа сохраняет высокую разрывную крепость, эластичность и высокую степень полимеризации и значительно меньше теряет в весе.

О. Славина
72698. Заметки по мерсеризации. Скарпару («Notas sobre mercerização». Scaaparo Carmelo), Brasil text., 1956, 3, № 12, 20—21 (порт.)

Оптимальные условия для мерсеризации хлопкового волокна: возможно более низкая т-ра ($\leq 0^\circ$), конц-ия NaOH 24,5%, миним. степень натяжения волокна, длительность обработки ≥ 1 мин. Волокно хлопка должно быть возможно длиннее.

З. Бобырь
72699. Вымываемость замасливателей и обработка товаров из грубой шерсти. Пайгрт (Vypratelnost mastičích olejů a úprava zboží z hrubých vln. Pajgrt Oldřich), Textil, 1956, 11, № 3, 84—85 (чешск.)

Описание и результаты исследования чехословацких замасливателей: масло Д1 (90% белого минер. масла и 10% эмульгатора (Э); масло Д1Н (того же состава, но с добавкой 2% смачивателя); масло Д2 (80% минер. масла, 12% жирных к-т и сульфокислот и 8% Э). В качестве Э применяется сульфонат «махагона» состава $NaO_3S(R')CHCH_2CH_2CH(COONa)CH_2$, где R — ал-

кил с содержанием, напр., 14 атомов С. Опыты удаления замасливателей действием Ретардона А (продукта конденсации деградированных белков и хлорангидридов высших жирных спиртов) дали положительный результат, причем показано, что масло Д1Н вымывается хуже, чем масло Д1.

И. Фодиман
72700. Применение сапоналя ОК в отделке шерстяных тканей. Слюсарский (Saponał OK w wykończalnictwie tkanin wełnianych. Ślusarski Arkadiusz), Włókiennictwo, 1957, 6, № 11, 260—261 (польск.)

Производящийся в Польше сапональ ОК представляет собой продукт р-ции хлорангидрида олеиновой к-ты со смесью аминокислот и рекомендуется взамен мыла при валке и промывке шерстяных тканей. Приведены карты технологич. процесса промывки гребеных и чесаных тканей.

И. Фодиман
72701. Сухая карбонизация шерстяного триппа и лоскута. Ендрачик (Sucha karbonizacja szmat i ścinków wełnianych. Jędraszczuk Henryk), Przem. włókienniczy, 1956, 10, № 2, 55—59 (польск.)

Описание оборудования и технологич. процесса сухой карбонизации. Точки контроля нормального протекания процесса.

И. Фодиман
72702. Вода в текстильной промышленности. Новацкий (Woda w przemyśle włókienniczym. Nowacki Jerzy), Przem. włókienniczy, 1957, 11, № 10, 507—510 (польск.)

Характеристика примесей, загрязняющих воду: соли Ca и Mg, SiO_2 , Fe, Mn, соли K и Na, газообразные примеси. Характеристика требований, предъявляемых к качеству воды для котельных, отбельных и красильных отделений.

И. Фодиман
72703. Турбокрасильный аппарат. Рекер (Het turbo-verfapparaat. Reeker J.), Textiel-ind., 1958, 38, № 2, 104—106 (гол.)

72704. Крашение на красильной машине «Доминант» фирмы Гербер, Крефельд. Фогель (Teinture avec la machine à teindre «Dominant» des Etablissements Gerber, Krefeld. Vogel R.), Monit. text., 1957, 19, № 11, 85, 87, 89, 91—92 (франц.)

Машина содержит 5, 7 или 15 перфорированных трубок длиной 950 мм, по которым циркулирует красильный р-р, вытекающий через отверстия трубок. На этих трубках висят окрашиваемые мотки. Трубки и прикрепленные к ним стержни имеют реверсивное движение, вследствие чего происходит и соответствующее движение мотка. При постоянной угловой скорости движения не происходит скольжения, трения или перемещения мотков. Вся установка помещена в закрытый кожух. Машина пригодна для крашения в мотках вискозной и медноаммиачной пряжи кубовыми красителями и кубозолями, а также ацетатного шелка дисперсными красителями. Приведены рецепты крашения вискозной пряжи в серый, голубой и зеленый цвета.

О. Славина

72705. Пределы возможностей крашения. Швен (Les limites de la teinture. Schwen G.), Monit. text., 1957, 19, № 9, 109, 111—112, 115, 117—118 (франц.). См. РЖХим, 1956, 44558.

72706. Текстильная химия и колористика на VII выставке в Бусто Арсицио. Рази (Chimica tessile e coloristica alla VII mostra di Busto Arsizio. Rasi G. Userre), Fibre e colori, 1957, 7, № 11, 409—415 (итал.).

Краткий обзор представленных на VII Международной выставке хлопка, искусств. и синтетич. волокон, хим. продуктов и текстильной аппаратуры (21—30 сентября 1957 г.), экспонатов и прочитанных во время выставки лекций: «Производство красителей в Италии», «Применение вспомогательных в-в в текстильной промышленности» и «Промышленное применение нейлона и теритала (полиэфирное волокно)».

И. Фодиман

72707. Дальнейшее развитие непрерывных методов крашения. Якобсон (Dalszy rozwój metod barwienia w sposób ciągły. Jakobson Ignacy), Włókiennictwo, 1957, 6, № 11, 257—260 (польск.).

Обзор современных методов крашения: в расплавленном металле (метод Стандфаст), в горячем масле (метод Вильямса), плюсовочно-роликовый.

И. Фодиман

72708. Технология крашения. Добози (Technologie de la teinture. Dobosi O.), Ind. text., 1957, № 852, 825—828 (франц.).

Краткий обзор литературы по новейшим методам крашения красителями: кубовыми, протравными, кислотными, прямыми, сернистыми и нерастворимыми азокрасителями, образующимися на волокне.

И. Фодиман

72709. Новый способ равномерного крашения тканей из полиамидных волокон, склонных к образованию полосатости. Эгли (Nouveau procédé permettant la teinture égale de tissus de polyamides barrés. Egli Hermann), Teintex, 1958, 23, № 1, 40, 43, 45 (франц.).

Перевод. См. РЖХим, 1958, 27380.

72710. Крашение полиамидного волокна — стилон в смеси с шерстью, хлопчатобумажным волокном и вискозным волокном. Галонзкова (Barwienie stelonu w mieszankach z wełną, bawełną i sztucznym włóknem wiskozowym. Gałankowa K.), Przem. włókienniczy, 1956, 10, № 2, Biul. Inst. Włókienn., 4 (польск.).

Заметка, в которой отмечаются трудности получения однотонных окрасок на тканях из смешанных волокон и указывается, что для крашения стилона (I) и его смесей с шерстью наиболее подходящими являются слабо кислотные красители, и хромлирующиеся с применением при крашении и хромировании HCOOH; в случае смеси I с хлопчатобумажным волокном лучшие результаты дают красители для полushersti, однокромовые для полushersti и отобранные прямые красители, дающие на обоих волокнах одинаковые от-

тенки; на процесс крашения последними красителями влияет pH ванны, т-ра и время крашения. Для крашения смеси полиамидного с хлопчатобумажным волокном можно применять также отобранные кубовые красители, индигозоли и стабилизированные азоамины.

И. Фодиман

72711. Крашение полиакрилонитрильного волокна. Якобсон (Barwienie włókna poliakrylonitrylowego. Jakobson Ignacy), Przew. włókienniczy, 1956, 10, № 3, 142—145 (польск.).

Описание и характеристика метода крашения орлонов в присутствии иона одновалентной Cu. Данные о строении астразонов. Особенности крашения красителями других групп: кубовые, индигозоли. Крашение смесей орлон-шерсть. Печатание орлоновых тканей.

И. Фодиман

72712. Исследование процесса хромирования протравных красителей на шерстяном волокне. I. Мухат (Badania nad procesem chromowania barwników kwasowo—chromowego we włóknie wełnianym. I. Muszkat Kazimierz), Przem. włókienniczy, 1957, 11, № 10, 504—507 (польск.).

Изучение различных свойств красителя типа кислотного хрома сине-черного, представляющего собой Zn-содержащий комплекс *o,o'*-диоксизаокрасителя, показало, что независимо от природы к-ты (H₂SO₄, HCOOH и CH₃COOH) крашение протекает нормально и примерно с одинаковой скоростью, что свежепротовленные р-ры красителя подчиняются закону Беева и могут фотометрироваться, однако р-ры, находившиеся в соприкосновении с шерстью (красильные ванны), изменяют оттенок в зависимости от pH, и что комплекс не является стойким, причем кол-во поглощенного шерстью Zn зависит от pH. На основе изучения свойств было проведено определение содержания на окрашенной шерсти нехромированного красителя; для этого окрашенная шерсть подвергалась обработке водно-бутаноловым р-ром (1—2 г шерсти, окрашенной 4% красителя, экстрагируют в течение 30 мин. при т-ре, близкой к кипению, смесью 20 мл воды и 5 мл *n*-бутанола и 1 мл водн. р-ра 17 мг NH₃ и 18 мг ZnSO₄·7H₂O). Так как, помимо нехромированного красителя, экстрагируется некоторое кол-во хромированного, производят хроматографич. разделение их и последующее фотометрирование для определения кол-ва нехромированного красителя; по разности определяют кол-во хромированного.

И. Фодиман

72713. Крашение тканей сернистыми синими на роликовых машинах. Хэ Оу-ци, Жаньхуа, 1956, № 2, 61—63 (кит.).

Описание методики предварительной обработки тканей, составления красильного р-ра и технологич. процесса крашения тканей сернистым синим произв. КНР. Перечислены некоторые дефекты крашения, для исправления которых рекомендуется после промывания ткани горячей водой пропустить ее через остаточный красильный р-р, в который добавляют сернистый патрий и соду, а также некоторое кол-во красителя. Оттенок можно улучшить путем горячей промывки с содой.

72714. Применение пигментов в крашении и печатании тканей. Пермут (Het gebruik van pigmentkleurstoffen voor het verven en bedrukken van textiel. Permut Aaron), Tex., 1958, 17, № 1, 54 (гол.). Заметка, содержащая характеристику основных типов связующих.

К. Герцфельд

72715. Крашение целлюлозных волокон алциан «Х»-красителями. Тернер (Dyeing cellulosic fibres with alcyan «X» dyestuffs. Turner J. T.), Text. Manufacturer, 1957, 83, № 989, 252—254 (англ.).

Алциан «Х»-красители (I), впервые выпущенные в 1955 г. для печатания по хлопку, представляют собой

ониевые соединения. По своим свойствам I отличаются от большинства существующих красителей и не совмещаются с ними. Недавно выпущенные марки алцианов синих 5GX и 2GX можно с успехом применять также в крашении. Алцианы зеленые 2GX и 3BX менее пригодны для крашения. Ввиду катионного характера I нельзя смягчать воду калгоном и ему подобными в-вами и применять анионные смачивающие и моющие в-ва. Крашение производят из уксуснокислых ванн при pH 3,5—4; начинают при низкой t-ре, постепенно повышают t-ру до кипения и некоторое время красят при кипении. В конце крашения I переводят в нерастворимое состояние на волокне обработкой при кипячении в щел. среде. Незафиксированный I смывают в ванне, содержащей соду и моющее средство Лисаполь NC. Для получения ровных окрасок очень светлых оттенков вместо CH_3COOH применяют HCOOH . По илюсовочно-запарному методу крашение проводят из ванн с pH 3 при t-ре $\leq 50^\circ$ с последующим запариванием при $101-102^\circ$ в течение 0,5—1 мин. Запаривание вызывает диффузию I внутрь волокна, но не фиксацию. Нерастворимым I становится при горячей щел. обработке. Илюсование дает очень хорошие результаты вследствие малого сродства I к хлопку. Сушить лучше всего проводить на воздушных сушилках вследствие склонности I к миграции. О. Славина

72716. Крашение и печатание проционами. Костиц (Bojenje i štampanje sa procion bojama. Kostić Gradimir), Tekstilna ind., 1957, 5, № 9-10, 314—322 (сербо-хорв.)

Характеристика свойств, методов крашения (на роликовой машине и плосовке) и печатания проционами. Рецептатура резервной печати, в частности, кубовыми красителями. З. Бобыр

72717. Поведение в хлорсодержащих растворах аппретур из искусственных смол. Энишеслин (Das Verhalten von Kunstharzappreturen beim Behandeln mit chlorhaltigen Lösungen. Aenisheslin R.), SVF Fachorgan Textilveredlung, 1958, 13, № 1, 5—9 (нем.)

Аппретуры из карбамидных, модифицированных карбамидных, меламинами и имидазолиновыми смол при многократных стирках и обработках аппретированной ими ткани в р-рах, содержащих гипохлорит и белильную известь, в большей или меньшей степени разрушаются, причем оставшаяся на ткани смола поглощает активный хлор, что в последующем является источником разрушения ткани. Индифферентными являются аппретуры на основе эпиксидных смол и кетонно-альдегидных конденсатов. Однако и с указанными смолами при тщательной дозировке (содержание смолы на ткани $\leq 1\%$, конц-ия Cl в р-рах $\leq 10 \text{ г/л}$ и правильной работе могут быть получены хорошие результаты. И. Фодиман

72718. Несмывающиеся и инсектицидные аппретуры на основе растворов целлюлозы. Ожел (Apretury niespieralne i przeciwniseltowe na podstawie roztworów celulozy. Orzeł M.), Prezm. włókienniczy, 1957, 11, № 12, Biul. Inst. włókiennictwa, 23—24 (польск.)

Описан процесс изготовления препаратов для аппретирования хлопчатобумажных тканей (А) из отходного вискозного волокна (В). Для получения 1000 кг А берут 25 кг В, 100 кг мочевины, 240 кг 50%-ного р-ра $\text{Zn}(\text{ONa})_2$ и 665 кг воды. Для придания А инсектицидных свойств добавляют эмульсию ДДТ в кол-ве, необходимом для получения 1%-ного р-ра. А на тканях сохраняется на 30% после 25 стирок. Инсектицидные свойства проявляются после 9-кратной стирки при 10 неделях употребления. А повышает механич. прочность тканей на 10—30%, устойчивость на разрыв на 10—15% и уменьшает усадку. С. Яворовская

72719. Зависимость реакции формальдегида с мочевиной от pH и температуры. Петер (Karbamid-formaldehyd reakciók pH és hőmérséklet függése. Péter Ferenc), Magyar textiltechn., 1957, № 4, 176—179 (венг.)

Исследована р-ция мочевины с формальдегидом при pH (4—12) и t-ре (20—25°). Приведены данные о повышении вязкости р-ра до начала помутнения ($\sim 6 \text{ с/пуз}$). Установлено, что оптимальным является pH 6—10; при < 6 и > 10 образуются нерастворимые продукты и что в указанных пределах pH и при t-рах 20—50° ускоряется процесс изготовления смол для противосминаемой отделки. С. Розенфельд

72720. Несминаемая отделка хлопчатобумажных тканей. Дорсет (Crease-resist finishing of cotton fabrics. Dorset B. C. M.), Text. Manufacturer, 1957, 83, № 995, 574—577 (англ.)

Обзор литературы по вопросу о факторах, влияющих на результат отделки (исходный продукт для получения смолы, природа катализатора, t-ра, длительность термообработки и т. д.). Отмечается, что нанесение смолы на мерсеризованную хлопчатобумажную ткань повышает ее крепость на разрыв; диметилолэтиленомочевина (I), нанесенная на ткань в виде смолы, ослабляет ткань больше, чем мочевино- и меламиноформальдегидные смолы; $(\text{NH}_4)_2\text{SO}_4$ (II) в качестве катализатора при всех трех видах смол ослабляет ткань меньше, чем другие катализаторы; при получении смолы из I в присутствии в качестве катализатора MgCl_2 имеет место наибольшая потеря крепости; наиболее стойкую смолу на ткани дает I с II в качестве катализатора при термообработке в течение 4,5 мин. при 160°. Н. Цветков

72721. Противосминаемая отделка вискозных штапельных тканей мочевиноформальдегидной смолой в комбинации с растворимым крахмалом. Тонами (Tonami Hiroaki), Сэнъя гаккайси, J. Soc. Text. and Cellulose Inds, Japan, 1957, 13, № 10, 687—692 (японск.; рез. англ.)

Стабильность размеров и стойкость к стирке вискозной штапельной ткани, обработанной мочевиноформальдегидной смолой, заметно увеличиваются при прибавлении в ванну растворимого крахмала. Так, вискозный штапельный муслин с удлинением в 12%, обработанный в ванне, содержащей 10% диметилолмочевины и 4% растворимого крахмала, дает $< 2\%$ усадки после 3-кратной стирки по 30 мин. при 50°. Эта обработка оказывает влияние также на несминаемость, эластичность, разрывную крепость и прочность ткани к истиранию. О. Славина

72722. Изучение отделки смолы из мономера акриловой кислоты. I. О некоторых свойствах обработанных тканей. Ямада, Кодзима (Yamada Setsuzo, Kojima Hiroshi), Сэнъя гаккайси, J. Soc. Text. and Cellulose Inds, Japan, 1957, 13, № 7, 480—484 (японск.; рез. англ.)

Вискозную ткань, предварительно обработанную FeSO_4 , погружают в водн. р-р акриловой к-ты, содержащий немного H_2O_2 , отжимают и нагревают при 90—95° для полимеризации, затем обрабатывают р-ром $\text{Al}(\text{CH}_3\text{COO})_3$ для уменьшения гидрофильности. При изучении свойств обработанной ткани были получены следующие результаты. 1. Мономер полиакриловой к-ты полимеризуется в вискозном волокне. 2. Ткань, обработанная мономером акриловой к-ты, после полимеризации и обработки р-ром $\text{Al}(\text{CH}_3\text{COO})_3$ становится стойкой к мыловке. 3. Благодаря этой обработке могут быть улучшены свойства ткани (достигнута несминаемость, водоупорность, уменьшена усадка при стирке, увеличена разрывная прочность и т. д.). О. Славина

72723. Кислые катализаторы для карбамидных смол. Граф (Betrachtungen zur sauren Katalyse von Carbamidharzen. Graf P.), Prakt. Chem. 1956, 7, № 9, 308, 310—313

Катализаторы (K) для конденсации карбамидных смол должны обеспечивать создание и поддержание в течение нескольких часов требующегося значения pH ванны, а также выделение к-ты только на волокне и только в процессе конденсации. Летучие к-ты более желательны, чем нелетучие, могущие оказывать разрушающее действие на ткань. Рассмотрены положительные и отрицательные свойства различных типов K: свободных к-т и кислых солей, потенциально кислых соединений (солей алифатич. аминов и алкилоламинов), образующих к-ту соединений (хлоргидрина, органич. эфиров, смеси CaCl_2 и борной к-ты), окислителей (перекисей). Рекомендуются катализатором является активатор P2. Для каждого типа K должны устанавливаться соответствующие параметры процесса в части т-ры и продолжительности сушки и термич. обработки. Вследствие меньшего содержания в хлопке аморфной части сравнительно с регенерированной целлюлозой требования к состоянию смолы при пропитке и свойствам K для того и другого волокна различны. Учитывая эти особенности, можно достигнуть хороших результатов с помощью мочевиных смол, не прибегая к дорогостоящим меламинным смолам. Возможно также введение в пропиточную ванну различных аппретирующих в-в (мягчителей, гидрофобизирующих препаратов и др.). Предыдущее сообщение см. РЖХим, 1958, 69507. З. Панфилова

72724. Препараты для огнестойкой пропитки текстиля. Врбик (Připravky pro travolbu nehořlavou úpravu textilií. Vrbík Jiří), Chem. průmysl, 1956, 6, № 2, 62—64 (чешск.)

Принципы огнестойкой пропитки. Характеристика различных видов (ее), их недостатки и достоинства. Лучшим препаратом является комплексное соединение Ti и Sb ($\text{Ti}(\text{OH})_2\text{—O—Sb}(\text{OH})_2$), разработанное в Чехословакии под названием Синигит СА, представляющий собой вязкий р-р с pH ~ 1. При обработке текстиля этим препаратом потеря прочности ткани составляет всего 10%. И. Фодиман

72725. Микробы, повреждающие текстильные изделия, и меры борьбы с ними. Поцца (I microrganismi che possono danneggiare i tessuti: mezzi per combatterli. Pozza Girolamo), Fibre e colori, 1957, 7, № 3, 91—97; № 4, 133—135; Raion e fibre nuove, 1957, 3, № 5—6, 145—151 (итал.)

Характеристика методов модифицирования хлопка с целью придания ему стойкости к действию микроорганизмов: цианэтилирование и ацетилирование. Методы консервирования путем отделки смолами, хлористым тетраметилфосфонием, триметилмеламинном, комплексными металлосодержащими соединениями, фенольными смолами и их производными. Методы защиты шерсти, шелка и шерсти. Методы определения стойкости текстиля к действию микроорганизмов. И. Фодиман

72726. Азуринол — новый усовершенствованный препарат для консервирования рыболовных сетей. 2. Замфиреску (Azurinolul — un nou produs perfecționat pentru conservarea uneltelor pescărești. 2. Zamfirescu M.), Rev. ind. aliment. prod. animale, 1957, № 5, 11—14 (рум.)

Характеристика свойств нафтенатов металлов (Al, Zn, Cu, Hg). Наилучшим консервирующим в-вом является нафтенат Cu (большая токсичность, нежели нафтенатов Al и Zn, стойкость к физ.-хим. воздействиям, нейтральность по отношению к целлюлозе, гидрофобность и стойкость к стирке). Свойства азуринола, представляющего собой смесь 43% нафтената

Cu и 57% уайт-спирита и содержащего 3,5% Cu. Часть I см. РЖХим, 1958, 42003. И. Фодиман

72727. Вещества для водонепроницаемой отделки. Барбера, Буснелли (Sostanze impermeabilizzanti. Barbera Aldo, Busnelli Armando), Laniera, 1957, 71, № 8, 905—907, 909, 911, 913 (итал.)

Описание методов водонепроницаемой отделки осажением на тканях гидрофобирующих в-в (на основе солей Al, синтетич. смол, силиконов) и хим. модифицированием поверхности волокна посредством в-в вступающих в хим. р-цию с волокном (Веланы ПФ, Зеланы и др.) И. Фодиман

72728. Поведение «высокоотделанной» ткани при стирке. Рордорф (Hochveredelte Gewebe in der Wäscherei. Rordorf K. G.), Z. ges. Textilind., 1956, 58, № 14, 563—565 (нем.)

Применяемые для несминаемой, безусадочной и т. д. отделки ткани предконденсаты синтетич. в частности, азотсодержащих смол, при последующей термич. обработке в результате процесса конденсации или полимеризации образуют на ткани высокополимеры, прочно связанные с целлюлозой. Однако при последующей стирке в домашних условиях или механич. прачечных возникают затруднения: при применении хлорной извести на ткани образуются хлораминны, при разложении которых выделяется соляная к-та, вызывающая ослабление ткани, что сопровождается часто также резким понижением белизны; при сильном щел. обработках смола разлагается с выделением формалина, в результате чего появляется неприятный «рыбный» запах. Автор отмечает целесообразность учета условий стирки тканей, а также приспособления условий стирки к свойствам обработанных синтетич. смолами тканей и приходит к выводу о необходимости составления подробных инструкций, определяющих оптимальные условия стирки, что в конечном счете, будет способствовать повышению качества и носкости тканей. П. Морыганов

72729. Обработка шерсти для предотвращения свойлачивания. Маури (Tratamientos apra control del feltraje. Mauri Francisco C.), Ingeniería text., 1957, 24, № 125, 117, 119—123, 125 (исп.)

Анализ причин свойлачивания шерсти. Обзор методов борьбы с ним: механич. методы (обработка абразивами или ультразвуком), энзиматич. методы (хлорированием или без него) и щел. методы (с применением органич. или неорганич. оснований). Механич. методы неудобны тем, что не обеспечивают равномерной обработки и вызывают сильный износ аппаратуры (особенно абразивный метод). Энзиматич. методы требуют точного соблюдения pH и т-ры и вызывают потерю в весе шерсти до 3%, создают опасность разрыва волокон при предварительной обработке в H_2O (1—2 часа при 45° и pH 10,5) и не допускают применения красителей, содержащих Cr и Cu. Из щел. методов удовлетворительные результаты дают методы спиртовой щелочи (10 мин. при 27°) и метод с триной смесью (0,6% NaOH в смеси 10% $\text{C}_2\text{H}_5\text{OH}$ + 90% уайт-спирита или насыщ. р-р щелочи в смеси CH_3CO с трихлорэтиленом); они равно применимы к чистой шерсти и к ее смесям, до и после крашения; в первом случае нужно учитывать, что при щел. обработке шерсть к красителям повышается. З. Бобылев

72730. Методы предотвращения свойлачиваемости шерсти. Ендрачик (Uodpornienie wolny przędz spłnianiu. Jedgaszczyk Henryk), Prace włókienn., 1957, 7, № 26, 1—14; Przem. włókienn., 1957, 11, № 10, Biul. inst. włókienn., 19 (польск.; русск., нем.)

Описание и результаты эксперим. исследования разных методов: хлорирование в кислой среде, хлорир-

вание в хлорированного эфира NaOH в KMnO_4 и крашение

72731. Волокна Лайл Дороти 1957, 46

Результаты чистки (кислоты) чистых тканей без повреждений и фотоснимки

72732. Изготовы и equ fabrics. Reporte

Способы чистки машин

72733. О химическо (Chemical Dry Cleaning) (англ.)

Характеристики чистки тканей

квивающих свойств. Д. веса тканей хим. чистки

препарата или эмульгатора бутылитата пентахлоридами на о

72734. А. применение цинк (ne all'in ro), Tin

Обзор. М. полимеров полимеров де, и мон

72735. А. ности. R. le. Col 472—473

Краткая деная, тка дистанцио

72736. А. т-ры в контрола wienia. 6, № 12,

вание в кислой среде с добавлением Мелафикса СН, хлорирование в кислой среде с добавлением метилового афира гексаметилолмеламина, обработка р-ром NaOH в смеси спирта с бензолом, обработка р-ром $KMnO_4$ и $NaClO$ в слабощел. среде (метод 1). Исследование показало, что обработка должна проводиться до крашения, причем лучшим методом является (1).

И. Фодиман
72731. Химическая чистка тканей из синтетических волокон с разрезным ворсом, имитирующих мех. Лайл (Cleaning of synthetic fur-pile fabrics. Lyle Dorothy Siegert), Amer. Dyestuff Reporter, 1957, 46, № 19, 699—705 (англ.)

Результаты проведенных Национальным ин-том хим. чистки (США) изысканий методов хим. чистки ворсовых тканей, обеспечивающих удаление загрязнений без повреждения ворса, и разработок способов восстановления его путем обработки паром, декатировки, расчесывания и т. п. Приводятся рекомендации ин-та и фотоснимки.

Н. Цветков
72732. Волокна и оборудование, применяемые при изготовлении нетканых изделий. Бреннан (Fibers and equipment used in the manufacture of nonwoven fabrics. Brennan Wendell E.), Amer. Dyestuff Reporter, 1957, 46, № 16, P583—P584, P600 (англ.)

Способы образования ваточного холста на чесальных машинах, характеристика оборудования для получения нетканых изделий, особенности использования разных натуральных и синтетич. волокон, методы склеивания волокон, области применения нетканых изделий, дальнейшие перспективы их изготовления и использования.

Н. Цветков
72733. Отделочные препараты, применяемые при химической чистке текстильных изделий. Страуд (Chemical finishes in dry cleaning. Stroud V. A.), Dry Clean. and Dyeing J., 1957, 19, № 6, 195—196 (англ.)

Характеристика препаратов, применяемых при хим. чистке текстильных изделий для придания водоотталкивающих, молеупорных, огнестойких и других свойств. Для восстановления, мягкости и восполнения веса ткани, частично утраченных в процессе носки и хим. чистки изделия, производится обработка изделия препаратами, содержащими смесь резины с воском, или эмульсией из поливинилацетата; для водоотталкивающей отделки — обработка препаратом на основе бутилтитаната; для молеупорной отделки — лаурилпентахлорфенолом и ДДТ; для огнеупорной — продуктами на основе боратов.

Н. Цветков
72734. Акриловые смолы и их свойства в связи с применением в текстильной промышленности. Ронзони (Le resine acriliche e loro proprietà in relazione all'impiego nel campo tessile. Ronzoni Isidoro), Tintoria, 1958, 55, № 1, 3—10 (итал.)

Обзор. Методы полимеризации мономеров, свойства полимеров, основные принципы и методы применения полимеров, растворимых в воде, не растворимых в воде, и мономеров, подвергающихся полимеризации на волокне.

И. Фодиман
72735. Автоматизация в текстильной промышленности. Коломбо (Automazione nell'industria tessile. Colombo Carlo), Tintoria, 1957, 54, № 11, 472—473 (итал.)

Краткая заметка об объектах автоматизации в прядении, ткачестве и отделке, в частности об автоматич. дистанционном измерении т-ры в красильных ваннах.

И. Фодиман
72736. Автоматический контроль и регулирование т-ры в процессах крашения. Асцик (Automatyczna kontrola i regulacja temperatury przy procesach barwienia. Aścik Kazimierz), Włókiennictwo, 1957, 6, № 12, 280—283 (польск.)

Описание и схемы разных термометров для автоматич. контроля и регулирования т-ры. И. Фодиман
72737. Об определении светопрочности окрасок с помощью федометра. Нердер, Мюллер (Über die Prüfung der Lichtechtheit von Färbungen mit Hilfe des Fade-Ometers. Jörder H., Müller G.), Textil-Praxis, 1955, 10, № 9, 920—923 (нем.; рез. англ., франц., испан.)

Предложен способ обдувки образцов ткани, экспонируемых на федометре типа FDA-R, снижающий т-ру прилегающих слоев воздуха и повышающий их влаго-содержание. Рекомендуемые видоизменения аппарата легко выполняются и обеспечивают большее совпадение с результатами естественной инсоляции. Рекомендовано периодич. перемещение образцов верхнего и нижнего ряда для выравнивания условий экспозиции; приведен обзор работ о методах искусств. инсоляции.

Л. Белецкий
72738. Определение величины приклея при шлихтовании основы. Элиаш (Zjišťování velikosti polepu při šlihtování osnov. Eliáš Tifí), Textil (Ceskosl.), 1957, 12, № 10, 381—382 (чешск.)

Вывод ф-л для расчета величины приклея: $\phi = 1 / ((\Gamma / (1 + v)) \times [1 / kV] - 1)$, где Γ — вес шлихтованного навоя, v — влажность основы, V — расход шлихты, $k = Q / (1 + v_1 / 1)$. (Q — кол-во крахмала, v_1 — влажность крахмала). Приведены примеры применения выведенных ф-л.

И. Фодиман
72739. Определение огнестойкости текстильных изделий. Шумаровский (Wyznaczanie odporności wyrobów włókienniczych na palenie się. Szumarski J.), Przem. włókienniczy, 1957, 11, № 11, Biul. Inst. włókiennictwa, 9, № 11, 22 (польск.)

Рекомендуется применять два метода испытания: 1) полоска ткани 25×5 см подвешивается в вертикальном направлении в спец. шкафу, для защиты от сквозняков, и на расстоянии 2 см выше отверстия бунзеновской горелки и поджигается в течение 12 сек. светящимся пламенем, высотой 2 см. Огнестойкость определяется временем горения после удаления горелки, временем тления и расстоянием, достигаемым пламенем; 2) полоска ткани 225×150 мм помещается в рамке, устанавливаемой в шкафу; поверхность ткани поджигается пламенем от сжигания 0,3 мл 96% C_2H_5OH , налитого в медный сосудик, диам. 12,5 мм и высотой 7 мм, установленный на расстоянии 25 мм от поверхности ткани. Определяется время горения, время тления и размеры обугленной поверхности.

И. Фодиман
72740. Получение реплик с волокон для оптической микроскопии. Пек (Fiber replication for light microscopy. Peck Virgil), Text. Res. J., 1957, 27, № 9, 751—752 (англ.)

Изучению поверхности волокон в оптич. микроскопии мешает влияние внутренней структуры волокон, а также их извитость. Эти недостатки устраняются применением алюминиевых отпечатков с поверхности волокон. Описан способ получения отпечатков. О. С.

72741. Получение алюминиевых реплик с поверхности волокон для оптической микроскопии. Фергусон, Скотт (Aluminium replicas of fiber surfaces for light microscopy. Ferguson Angela W., Scott Robert G.), Text. Res. J., 1957, 27, № 9, 752—753 (англ.)

72742 II. Способ шлихтования полиамидных волокон (Procédé pour l'encollage de filaments à base de superpolyamides) [Soc. de la Viscose Suisse]. Франц. пат. 1123284, 19.09.56

Способ отличается применением р-ров полиакриловой к-ты (I) в диоксане (II). Пример. Полиамидные волокна пропитываются в течение 30 мин. при

30° в р-ре 1,25% (I) в технич. (II), имеющем вязкость 2,5 сст при 20°; центрифугируют 10 мин. и сушат в течение 2 суток при 30°, привес шлихты 0,22%.

И. Фодиман

72743 П. Способ обесклеивания зеленого лубяного волокна (декортиката) в виде полос. Братковский (Sposób odklejania zieloncowego włókna luko-wego (dekortykatu) w postaci taśmy. Bratkowski Władysław) [Częstochowskie Zakłady Przemysłu Lniarskiego «Stradom» PPW]. Польш. пат. 36957, 10.03.56

Полосы или группа полос декортиката, находящиеся на транспортере, направляются в ванну, где они обесклеиваются, после чего подвергаются отжиму между валами и транспортером.

И. Фодиман

72744 П. Способ белиния кератиновых волокон перекисью водорода (Fremgangsmåde ved blegning med brintoverilte af keratinholdige fibrøse stoffer) [Harris Research Labs. Inc.]. Датск. пат. 82874, 3.06.57

Способ белиния H_2O_2 (I) кератиновых волокон, предварительно обработанных CH_2O (II), отличается тем, что волокна обрабатывают при 65—100° водн. р-ром с pH ~ 2,8—9,5, содержащим в % от веса кератиновых волокон: 1,4—18,6 II, 0,6—10 $FeSO_4 \cdot 7H_2O$ (III), 0,1—2,7 восстановителя дисульфидных групп цистина в молекуле кератина, напр., формальдегид-сульфокислота Na (IV), и реагент, образующий комплексы с Fe-солью. После обработки отбеливают при 49—90° и pH ~ 7,0—9,0, лучше 7,5—8,5, причем I вводят в виде перекиси металла или персоли в присутствии реагентов, осаждающих Fe, напр. $Na_4P_2O_7$, и если необходимо, и щавелевой к-ты. Пример. 113 кг темной аппаратной шерсти погружают при 82° на 1,5 часа при модуле ванны 17 в р-р, содержащий (в кг): III 1,58; лимонной к-ты 0,49; IV 0,16; 40%-ного II 11,1 л; неонного смачивателя (продукт конденсации *n*-трет-октилфенола с 9 молями окиси этилена), 0,4; pH этого р-ра доводят CH_3COOH до 5,5—6,0. Промывают за 3 мин. 2 раза при 43° и белят 3,5 часа в ванне состава (в кг): щавелевой к-ты 7,62; безводн. $Na_4P_2O_7$ 19,0; Na_2CO_3 13,3; I 75,5 л (120 объемов); через 1 час добавляют Na_2CO_3 до pH ~ 8,2. Начальная т-ра ванны 55°, конечная 60°. Растворимость беленой шерсти в щелочи не изменялась, прочность упала с 1,53 до 1,27 кг/см².

К. Герцфельд

72745 П. Способ обработки ткани проведением через ванну жидкого металла (Fremgangsmåde til behandling af tekstilmateriale, ved hvilkem materialet ledes gennem et bad af smeltet metal) [Standfast Dyers and Printers Ltd.]. Датск. пат. 82923, 8.07.57

Способ отличается тем, что на выходной стороне ванны ткань проводится через налитую на металл красильную ванну, содержащую прямой краситель и к-ту, напр. $HCOOH$ или CH_3COOH , или индигоидный или сернистый красители и гидросульфит, причем в жидкости поддерживают щел. р-цию и добавляют к ней р-р нейтр. солей, напр. $NaCl$ или Na_2SO_4 . Аппарат для описанного способа состоит из ящика с металлом, плавящимся ниже 100°, и опущенной в ящик рамы, причем водн. р-р наливают на поверхность жидкого металла со стороны выхода ткани и уровень р-ра поддерживают постоянным.

К. Герцфельд

72746 П. Способ приготовления составов, дающих возможность окрашивать непосредственно при обычной температуре волос и пух (Procédé pour la préparation de compositions permettant de teindre directement à la température ordinaire les cheveux ou poils) [Soc. Savon — l'Oréal]. Франц. пат. 1113505, 30.03.56

Продукт р-ции анионного красителя (не являющегося производным фенол-гамма-к-ты) с катионоактивным в-вом (представляющим собой N-содержащее

органич. основание, содержащее липофильную цепь из 12—14 атомов C и гидрофильную цепь производного четвертичного NH_4 -основания) растворяют в смешиваемом с водой немоногенном р-рителе (напр., продукте конденсации окиси этилена со спиртом, фенолом или нафтолом); р-р доводят до pH 4,5—5,5 и применяют для крашения волос или пуха. Примеры. 1. Нерастворимый комплекс хлорантина светопрочноголубого GLL (2 г) и бромид октадецилпиридиния — Лиссоламина А (I) (0,5 г) растворяют в смеси 1,1 г Цемусола 132 (продукт конденсации соединения нафталинового ряда с окисью этилена) (II), 2,5 г молочной к-ты (III) и воды с доведением до 100 г. 2. Комплекс из 2 г Диазола черного Е (IV), 1,1 г эфира (V) жирной к-ты копры и диэтилэтанол-амин, предварительно конденсированного с 4,5 молями окиси этилена, растворяют в смеси 2,5 г II, 2,5 г III и воды (до 100 г). 3. Водорастворимый комплекс 2 г IV, 2,5 г V, для получения которого вместо 4,5 молей взято 12 молей окиси этилена, растворяют в 2,5 г III и воде. 4. Комплекс из 2 г китона красного 6В и 1,7 г V растворяют в смеси 1,9 г II, 1,7 г CH_3COOH и воды (до 100 г). 5. Комплекс из 2 г индуплина В с 1,3 г I растворяют в смеси 4,75 г II, 2,5 г III и воды (до 100 г). 6. 2 г индуплина RAL и 2,65 г V растворяют в смеси 4,25 г II, 2,5 г III и воды (до 100 г). 7. Комплекс из 2 г нигрозина LFM и 1,2 г I растворяют в смеси 3,25 г II, 2,5 г III и воды (до 100 г). 8. Комплекс из 2 г китона ярко красного В и 0,4 г (I) растворяют в смеси 0,5 г II, 2,5 г III и воды (до 100 г). 9. Комплекс из 2 г диазола черного ВН и 0,7 г I растворяют в смеси 15 г оксипропилированного цетилового спирта VI, 5 г (III) и воды (до 100 г). 10. Комплекс из 2 г хлорантина фиолетового 5BL и 0,25 г (I) растворяют в 5,9 г (II), 2,5 г (III) и воды (до 100 г), добавляя желатину 8 г. Применение желатины и (VI) дает возможность получить продукт в виде крема, удобного для применения в крашении волос. Светлые волосы окрашиваются препаратами: (1) в светло-голубой; (2), (3) и (9) в серовато-черный; (5), (7) в серый с синеватым оттенком цвета, (4) придает медный, а (6) — синеватый отлив. Препараты (8) и (10) придают медный и фиолетовый отлив волосам любых цветов.

И. Фодиман

72747 П. Изготовление и отделка искусственного шелка. Ватанабэ Фудзия, Ватанабэ Накаёси. Японск. пат. 3994, 11.06.55

Для повышения сродства к красителям и для увеличения водонепроницаемости искусств. шелк до крашения обрабатывают алюминийевой солью альгиновой к-ты (I) и амиаком (II). Пример. Шелк обрабатывают при обыкновенной т-ре в течение 30 мин. 5%-ным р-ром (I) и (II), отжимают до 80% содержания влаги, окрашивают при 40—50° основными красителями, промывают водой, обрабатывают в течение 30 мин. в р-ре 9% меламина и 20—30% $HCHO$ 35%-ного, и, наконец, в 2%-ном р-ре марсельского мыла при 50°.

Ким Хвэл

72748 П. Способ фотохимического проявления окрасок на тканях или других материалах. Щенский Турек, Левандовский (Sposob fotochemicznego wywołania wybarwień na tkaninach lub innych materiałach. Szczesny Turski Jerzy, Lewandowski Jerzy) [Laboratorium Kolorystyczne]. Польш. пат. 36950, 1.02.56

Способ проявления окрасок щел. солями серноэфирных эфиров лейкосоединений кубовых красителей, отличающийся тем, что для проявления эти соли подвергают действию неорганич. или органич. аммонийных солей (напр., NH_4COOCH_3 , NH_4NO_3 и NH_4Cl) и превращаются в аммонийные соли эфиров. Примеры. Хлопчатобумажная ткань пропитывается при

комнатно-ра лейко- NH_4NO_3 ; ся в тем-ся дейст-Ванна сернок-броминди-или 20 г воды.

72749 П. (Procédé de traitement) Фре-Способ

на полиэф-обработка-первой ва-сочетание-ных усло-жащий в-и 0,16 кг-вается в-из полиэф-сложения 1-сжения 1-β-оксинаф-ного в па-NaOH, уд-держивает-ют 3 кг а-превраще-фировани-ая добав-ние продо-удалют и-тывают 0-4 кг HCl, нимают с-т-ре держ-обработыв-800 л 4,8 м-конденсат- (V). После-синеватым-сублимиру-2. Крашен-На-произв-тойной к-выше. Т-р-120° и обр-pH 10. Зат-тро-о-толуз-вают еще-руют, как-прополаски-NaOH, 0,6-окраску от-при добав-выше, 2 кг-и 2 кг-в течение-1 час. Пос-обработыва-1,6 кг IV и-окраску от-

72750 П. стильных (Nouvelle) res textil-ber, B res Color-Металлсо-

комнатной т-ре р-ром: 50 г Na-соли сернокислого эфира лейкоиндигго (I), 450 г воды, 500 г 25%-ного р-ра NH_4NO_3 ; после пропитки ткань отжимается и сушится в темноте при комнатной т-ре и затем подвергается действию солнечного света или дуговой лампы. Ванна для пропитки может содержать: 20 г Na-соли сернокислого эфира лейкосоединения 5,7,5',7'-тетраброминдигго, 480 г воды и 500 г 5%-ного р-ра NH_4Cl или 20 г (I) и 100 г $\text{NH}_4\text{COONH}_2$ или $(\text{NH}_4)_2\text{CO}_3$ в 1 л воды. И. Фодиман

72749 П. Способ крашения полиэфириных волокон (Procédé de teinture des polyesters) [Soc. Rhodiace-ta]. Франц. пат. 1123298, 19.09.56

Способ образования нерастворимых азокрасителей на полиэфириных волокнах, отличающийся тем, что обработка азо- и диазосоставляющими проводится в первой ванне при pH от 8,5—10,5, а диазотирование и сочетание во второй ванне при т-рах 20—85° в обычных условиях. Примеры. 1. Красильный р-р, содержащий в 800 л воды, 1,6 кг сухих сульфитных щелоков и 0,16 кг алкилнафталинсульфоната Na (I), накачивается в автоклав, в котором находится 50 кг волокна из полиэтилентерефталата (II); т-ра поднимается в течение 15—20 мин. до 130°. Затем в автоклав (без снижения давления) подается 2,5 кг о-толуида β-оксинафтойной к-ты, предварительно превращенного в пасту с 60% денатурированного спирта и 1 кг NaOH, уд. в. 1,332 (III), pH ванны 9,8. Т-ра 130° поддерживается еще в течение 30 мин., а затем добавляется 3 кг ацетохинона диазочерного N, предварительно превращенного в пасту с 1,5 кг оксиэтиламида сульфированных жирных к-т и 15 л воды при 60°. Суспензия добавляется в течение 30 мин., а затем нагревание продолжается еще 1 час при 130°. После этого р-р удаляют из автоклава, волокно промывают и обрабатывают во второй ванне, содержащей 3,2 кг NaNO_2 , 4 кг HCl, уд. в. 1,162, и 0,16 кг I. Т-ру постепенно поднимают с 20° в течение 30 мин. до 85° и при этой т-ре держат еще 30 мин.; затем сливают р-р и товар обрабатывают 30 мин. при 70° р-ром, содержащим в 800 л 4,8 кг III, 1,6 кг $\text{Na}_2\text{S}_2\text{O}_4$ (IV) и 1,6 кг продукта конденсации окиси этилена с высшим жирным спиртом (V). После промывки и сушки получают черную с синеватым оттенком окраску, прочную к трению и не сублимирующуюся. В других примерах приведено: 2. Крашение 40 кг II при добавлении при 100° 2 кг Na-производного диметокси-2,5-анилида β-оксинафтойной к-ты, превращенного в пасту, как указано выше. Т-ру затем поднимают в течение 30 мин. до 120° и обработку производят 30 мин. при этой т-ре и pH 10. Затем при той же т-ре добавляют 2,0 кг м-нитро-о-толуидина в течение 40 мин., а затем обрабатывают еще 1 ч. 10 м. После прополаскивания диазотируют, как указано выше, а затем обрабатывают после прополаскивания в ванне, содержащей на 800 л 0,4 кг NaOH, 0,6 кг IV и 0,6 кг V. Получают яркую красную окраску отличной прочности. 3. Крашение 100 кг II при добавлении превращенных в пасту, как указано выше, 2 кг хлор-4-о-толуида β-оксинафтойной к-ты и 2 кг п-хлор-о-нитроанилина. Т-ру поднимают в течение часа до 120° и красят при этой т-ре еще 1 час. После диазотирования во второй ванне товар обрабатывают в 800 л р-ра, содержащего 1,6 кг III, 1,6 кг IV и 1,6 кг Сунаптола О. Получают яркую алую окраску отличной прочности. И. Фодиман

72750 П. Новые композиции для печатания текстильных материалов. Птикола, Суро, Блюм (Nouvelles préparations pour l'impression des matières textiles. Petitcolas Pierre, Sureau Robert, Blum Juliette) [Cie Française des Matières Colorantes]. Франц. пат. 1122460, 7.09.56

Металлосодержащие (I) комплексные соединения

азокрасителей строения: $2,4(\text{OH})_2\text{C}_6\text{H}_3\text{N}=\text{NC}_6\text{H}_4\text{X}$, где X — OH или COOH, а бензольное ядро, содержащее группу X, может быть соединено с другим бензольным ядром или замещено группами, не придающими растворимости, смешивают с диазоаминосоединениями, полученными конденсацией диазо- и тетразопроизводных аминов, не содержащих групп, придающих растворимость, с производными антралиновой к-ты строения $o\text{-COONHC}_6\text{H}_4\text{NH-X}$, в которой бензольное ядро может быть замещено, а X представляет собой любой заместитель. I получают р-цией красителей с солью или гидроксидом металла с атомным номером 24—29 в присутствии амина или органич. амида. Смеси применяют для печатания целлюлозных материалов с последующим проявлением в нейтр. среде. Примеры. 1. 46 ч. триокси-2,2',4-азобензола (III) или 53 ч. хлор-5-триокси-2,2',4-азобензола (III) или 55 ч. нитро-4-триокси-2,2',4-азобензола (IV) растворяют на холоду в 200 ч. воды и 60 ч. 10 н. NaOH (V). 57 ч. (100%) кристаллич. CoSO_4 (VI) растворяют при 50—60° в 120 ч. воды и 80 ч. (по объему) моноэтанолamina (VII), и полученную смесь добавляют в р-р красителя; перемешивают в течение 1 часа и добавлением 120 ч. (по объему) 10 н. HCl (VIII) осаждают комплексное соединение красителя; фильтруют, промывают холодной водой и сушат в вакууме при умеренной т-ре. 12 ч. комплекса смешивают с 48 ч. диазоаминосоединения, полученного р-цией диазо-п-хлор-о-аминоанизола с антракилглицином (IX) (32% основания мол. в. 157). Смесь превращают в пасту обработкой 15 ч. NaOH, уд. в. 1,332, 50 ч. $\text{C}_2\text{H}_5\text{OH}$ и разбавляют прибавлением 315 ч. теплой воды. Добавлением к р-ру 550 ч. крахмально-трагантовой загустки и 10 ч. 7,5%-ного р-ра Na_2CrO_4 получают печатную краску; напечатанную этой краской целлюлозную ткань сушат, запаривают в нейтр. зрельнике 4—5 мин. при обыкновенном давл., мылуют, прополаскивают и сушат, получают в случае II и III коричневые, а в случае IV — коричневатые-черные окраски. 2. 55 ч. CuSO_4 кристаллич. растворяют в 150 ч. горячей воды и 110 ч. (по объему) VII и добавляют к р-ру 46 ч. II; размешивают $\frac{1}{4}$ ч. при 60—70°, охлаждают и осаждают 160 ч. 10 н. VIII. Оставляют на 24 часа, фильтруют и сушат. Остальные операции проводят, как указано в примере (1). Получают коричневые окраски более желтого оттенка. 3. К р-ру II прибавляют комплексное соединение из 57 ч. VI, растворенных в 120 ч. воды и 62 ч. формамида, нагревают в течение $\frac{1}{4}$ часа при 60—70°. При дальнейшей обработке и применения по примеру (1) получают одинаковый результат. 4. К р-ру 57 ч. (VI) в 120 ч. воды добавляют при 70° 144 ч. диэтанолamina, или 98 ч. (по объему) диэтилэтанолamina, или 160 ч. циклогексилamina, или 108 ч. пиридина. При этом не образуется водорастворимых комплексов. Суспензию добавляют к р-ру красителя II и нагревают в течение 1 часа при 70°. 5. Применяют диазоаминосоединение из: а) 66 ч. соединения, полученного р-цией диазо-хлор-5-метил-2-анилина (XI) с дихлорантракилглицином (21,4% основания с мол. в. 141,5), или б) 72 ч. соединения диазо XI с IX (19,6% основания мол. в. 141,5, или в) 85 ч. соединения из диазо-хлор-2-бензоиламино-4-метокси-5-анилина с (IX) — 32,6% основания мол. в. 276,5, или г) 48,5 ч. соединения диазо-хлор-4-метил-2-анилина и (IX) — 19,6% основания мол. в. 141,5, или д) 59 ч. соединения диазо-метокси-2-бензоиламино-4-метил-5-анилина и (IX) — 43,2% основания мол. в. 256, или е) 49 ч. соединения диазо-диазонизидина и (IX) — 28,8% основания мол. в. 244, или ж) 49 ч. соединения диазо-диметилсульфамидо-5-метил-2-анилина и оксиэтиламантралиновой к-ты (43,6% основания мол. в. 214). И. Фодиман

72751 П. Печатание ацетилцеллюлозы. Мицуи Таданао, Осно Йодзо [Префектура Канагава]. Японск. пат. 4791, 12.07.55

Патентуется способ печатания ацетилцеллюлозы, тканых и вязанных изделий из ацетилцеллюлозы или смесей ее с другими волокнами, отличающийся тем, что оно ведется в присутствии органич. оснований (мочевина, тиомочевина, карбамидные или меламина-вые смолы или их производные) и роданатов. Могут применяться кислотные, прямые, основные, кубовые и нерастворимые азокрасители, образующиеся на волокне. Пример. На ткань наносится печатная краска состава: кислотный краситель, CH_3COOH лед. 23 мл, мочевина 10 г, NH_4CNS 6 г, вода 63 мл, карбоксиметилцеллюлоза 5 г. Набитая ткань сушится при 40—50°, промывается водой, мытится 10 мин. при 50—60° в 2%-ном р-ре марсельского мыла, промывается и сушится. А. Фрадкин

72752 П. Способ получения на ткани художественных многоцветных набивок ограниченной площади и материалы, полученные по этому способу (Procédé pour l'obtention d'impressions multicolores, à caractère artistique de surfaces limitées, sur des tissus et les produits obtenus par ce procédé) [Neyret Frères et Cie]. Франц. пат. 123151, 18.09.56

Ткани, предназначенные для нанесения художественных репродукций, предварительно пропитываются пластик. массой или каучуком, а затем разрезаются на куски по размерам репродукции. И. Фодиман

72753 П. Способ получения рисунка на ваточном холсте. Фейндел (Means for design coloring of fabric webs. Feindel George P.) [Rock Hill Printing & Finishing Co.]. Пат. США 2752881, 3.07.56

Описывается способ получения тисненого цветного рисунка с белым узором на ваточном холсте: холст пропускается в жало прижатых друг к другу валов. Верхний вал — металлический с рельефным рисунком, нижний — упругий, служит опорой для верхнего тиснящего вала. По выходе холста из жала валов на выпуклую поверхность рисунка наносится краска печатным валом, имеющим углубленную гравюру в виде узора. Печатный вал при этом прижимается к нижнему валу, на котором лежит холст. Выпуклый рисунок покрывается краской за исключением мест, где печатный вал имеет углубленную в виде узора гравюру. В результате на холсте образуется рельефный цветной рисунок с белым узором. К патенту приложены схемы приспособления для осуществления способа. Н. Цветков

72754 П. Способ улучшения качества волокна из поливинилового спирта. Кирю Танса. Японск. пат. 1996, 24.03.55

Способ водоупорной и беззасадочной отделки и повышения термостойкости, отличающийся тем, что волокна или ткань обрабатывают катиоактивным (напр., $\text{C}_{18}\text{H}_{37}\text{CONHCH}_2\text{N}(\text{CH}_3)_2\text{HCl}$) (I) или неионогенным поверхностноактивным в-вом [напр., $\text{C}_{16}\text{H}_{33}\text{CH}_2\text{COO}(\text{CH}_2\text{CH}_2\text{O})_6\text{H}$] (II) отдельно или вместе с $(\text{CH}_3)_2\text{SiCl}_2$ (III), а затем подвергают термообработке в течение 2—3 мин. при 165°. Пример. Р-р № 1: 40 г I растворяют в 240 мл теплой (60°) воды, охлаждают до 15°, добавляют 55 мл III и доводят объем до 1 л. Р-р № 2: 45 г II растворяют в 400 мл теплой воды (60°), охлаждают до 15°, добавляют 55 мл III и доводят до 1 л. Р-р № 3: 25 г I растворяют в 150 мл теплой воды (60°) и охлаждают до 15°, в другом стакане растворяют 15 г II в 90 мл теплой воды, охлаждают до 15°. Смешивают содержимое обоих стаканов и добавляют 55 мл III и воды до 1 л. Отбеленное или окрашенное волокно пропитывают одним из р-ров № 1 или 2 или 3, отжимают до 60% содержания влаги,

сушат 15—20 мин. при 70° и подвергают термообработке в течение 5 мин. при 165 ± 2°.

72755 П. Способ отделки окрашенных тканей из волокон природной или регенерированной целлюлозы. Рюменс, Федеркиль (Verfahren zum Verfärbeln von gefärbten Geweben aus Fasern auf Basis von nativer oder regenerierter Cellulose. Rümenes Wilhelm, Federkiel Wilhelm) [Badische Anilin- & Soda-Fabrik A.-G.]. Пат. ФРГ 1007287, 10.10.57

В развитие пат. 936028 (см. РЖХим, 1957, 28327) патентуется способ отделки тканей р-рами, содержащими предконденсаты в-в, образующих аминопласти, нитратсодержащие катализаторы отверждения и алк. фатич. нитрилы по крайней мере с одной основной группой в молекуле, отличающийся тем, что применяемые р-ры дополнительно содержат аппретурирующие, гидрофобизирующие в-ва и мягчители. Пример. Вискозную ткань окрашивают 2% тетразокрасителем [аминобензол-2,4-дисульфокислота → α-нафтиламин → α-нафтиламин-7-сульфокислота → 2-фениламино-5-оксинафталин-7-сульфокислота] и обрабатывают в ванне, содержащей в 1 л 90 г триметилломеламина, 40 г Al_2O_3 -парафиновой эмульсии, 2 г NH_4NO_3 и 15 г N-циклогексиламинопропионитрила. Ткань отжимают до 100% влажности, сушат при 80° и нагревают 5 мин. при 130°. О. Славина

72756 П. Паста для водоупорной отделки искусственного волокна. Хитоцуги Эйити [Нихон Кайсо Дзюси Кабусики Кайся]. Японск. пат. 547, 29.01.55

Патентуется паста, представляющая собой смесь кремнеорганических соединений с катиоактивными в-вами, пиридином (и его гомологами). Пример. Смесь 2 ч. $\text{CH}_3(\text{C}_2\text{H}_5)_2\text{SiCl}_2$ с 1 ч. SiCl_4 подвергают гидролизу; полученную смолу растворяют в толуоле и добавляют в кол-ве 0,5 ч. (на 1 ч. смолы) $\text{C}_5\text{H}_5\text{N}$ ($\text{C}_{10}\text{H}_{21}$)Br. Полученную пасту разбавляют водой до содержания 40% смолы, р-р разбавляют 20-кратным кол-вом воды. Ткань пропитывают этим р-ром, отжимают до 100% привеса и подвергают термообработке сначала при 100° в течение 30 мин., а затем при 150° в течение 10 мин. Ким Хвал

72757 П. Способ водоупорного аппретирования ткани «вуаль» и растворы, пригодные для этой цели (Procédé d'apprêt hydrofuge pour tissus «voiles» et bain pour sa mise en oeuvre) [Ets Chatelard Père et Fils]. Франц. пат. 123192, 18.09.56

Способ гидрофобирования применяемой для занавесей ткани из ацетатного шелка, отличающийся тем, что ткань пропитывается продуктом на основе силиконов (I), образующим изолирующую пленку. Для пропитки применяется ванна, содержащая: I, продукт р-ции формальдегида (II) и мочевины (III), аммиак (IV) и катализатор (V). Пример. 20% I, известного под названием «Норан 4 стар», растворяют при перемешивании в воде при 30°; к р-ру добавляют 20% продукта конденсации 400 кг 40%-ного II и 200 кг технического III (рН 8—8,5), доведенного водой до 1200 г, затем добавляют 1% IV и 2% V, известного под названием «катализатор К». Полученной однородной смесью плюсоуют ткань со скоростью 20 м/мин до привеса в 100%, сушат и полимеризуют в течение 1 мин. при 175°. И. Фодиман

72758 П. Состав для металлического покрытия ткани и метод его получения. Эйвери (Metal-coated cloth and composition and method for making the same. Avery Charles C.) [The Cravenette Co.]. Пат. США 2767104, 16.10.56

Водоотталкивающий состав для покрытия ткани содержит: водн. дисперсию смеси полиамидной смолы (I) (или сополимера дилинолевой и трилинолевой и

с этиленди-
соли Zr (I)
в соотнош
1,5—1,75%
ткань под
течение
воде доба
греванием
при пере
15 мин. п
вают, при
тем в теч
поддержи
ани II до
вается в
бавляется

72759 П.
духпро
sation d
l'air. P
neé).
На тка
стич. мас
напряжен

72760 П.
белковы
trader
Норв. п
Волокна

перед от
ванне, те
35—55°
дователь
ющей т
натянута
тяжку де
(если ну
проводят
свободны
получени
водят при
скают по
NaCl 170

6—10; т-р
выходе
ного спосо
и уменьш
72761 П.
ный хо
тель,
Herstell
Barth
Reich
Приспо

смолы ме
щих вато
машиной
холста; в
рый загр
части, ку
ругими с
дну П. П
жимаюсь
дну, выбо
холст в
жены схе

72762 П.
ных из
les по
1129705,
Слой те
термопла

с этилендиаминном — II) и парафиновой эмульсией соли Zr (III), чешушки или пудры металлич. Al (IV), в соотношениях 5,98—6,41% смолы, 9—11% (III) и 1,5—1,75% IV; после нанесения указанного состава ткань подвергается термообработке при 127—138° в течение 3—5 мин. Пример. К нагретой до 37,8° воде добавляют воды, суспензию II, полученного нагреванием дилинолевой и трилинолевой к-т до 120° при перемешивании под вакуумом, и затем в течение 15 мин. при 200° соответствующее кол-во II, нагревают, при этом т-ра не должна превышать 100°, затем в течение 4 час. при постоянном токе т-ра смеси поддерживается в пределах 200°. К указанной суспензии II добавляется III. Полученная смесь упаковывается в барабаны. Перед употреблением к ней добавляется IV.

И. Фодиман
72759 П. Способ производства водоупорных и воздухопроницаемых тканей. Петью (Procédé de fabrication de tissu imperméable à l'eau et perméable à l'air. Petiau, Chevillard Marie-Louise, neé). Франц. пат. 1123290, 19.09.56

На ткань накладываются полоски пленки из пластич. масс и пришиваются электрич. током высокого напряжения.

И. Фодиман
72760 П. Способ обработки протравой искусственных белковых волокон (Behandling av kunstige proteintråder og-fibre i beisebad) [American Patents Corp.]. Норв. пат. 89050, 8.04.57

Волокна, полученные прядением белковых р-ров, перед отверждением протравливают в солянокислой ванне, текущей противотоком, при т-ре > 18°, напр. 35—55° или 45—90°. Волокна можно проводить последовательно через несколько ванн с постоянно повышающейся т-рой. Волокна вытягивают и направляют в натянутом состоянии на резку на штапель, причем вытяжку делают либо во время пропуска через ванну (если нужно вытягивают еще раз после ванны), либо проводят через ванну в натянутом состоянии или свободным жгутом и вытягивают после ванны. Для получения извитого волокна резку на штапель производят при вытяжке волокна. Пример. Жгут пропускают под натяжением через ванну, содержащую в г: NaCl 170—220; Al₂(SO₄)₃ 60—100; 100%-ной H₂SO₄ 6—10; т-ра ванны при входе (выходе жгута) 55—60°; выходе (выходе жгута) 34—45°. Преимущество описанного способа состоит в повышении прочности волокна и уменьшении утара при чесании.

К. Герцфельд
72761 П. Приспособление для нанесения на ваточный холст порошкообразной смолы. Ланг, Бартель, Ладевиг, Рейхельт (Vorrichtung zur Herstellung harzgepudrter Faservliese. Lang Kurt, Barthel Wolfgang, Ladewig Wilhelm, Reichelt Werner). Пат. ГДР 13125, 25.04.57

Приспособление (II) для равномерного нанесения смолы между отдельными слоями волокон, образующих ваточный холст, устанавливается над чесальной машиной в поперечном направлении к движению холста; в верхней части II расположен ящик, в который загружается порошкообразная смола, а в нижней части, куда поступает смола, имеется мешалка с другими скребками, эксцентрично установленными ко дну II. При вращении мешалки порошок смолы, прижимаясь к частично перекрытому перфорированному дну, выбрасывается скребками из его отверстий на холст в виде равномерной струи. К патенту приложены схемы приспособления.

Н. Цветков
72762 П. Способ производства нетканых текстильных изделий (Procédé de fabrication d'articles textiles non tissés) [Francois Sommer]. Франц. пат. 1129705, 24.01.57

Слой текстильных волокон перекладываются слоями термопластич. или термоактивных в-в и подвергают-

ся нагреванию, давлению или другому способу обработки.

И. Фодиман
72763 П. Способ получения связующего на основе водорастворимой фенолформальдегидной смолы для минеральной шерсти и других минеральных волокон. Викке (Procédé de préparation d'un liant à base de résine phénol-formaldéhyde soluble dans l'eau, pour la laine minérale et autres fibres minérales. Wicke Heinz) [Algemeene Kunstvezel Maatschappij N. V.]. Швейц. пат. 316167, 15.11.56

Фенолформальдегидные смолы, растворимые в воде, содержат щелочи, вследствие чего разрушают минер. (напр., стеклянные) волокна. Рекомендуется применять водорастворимые фенолформальдегидные смолы, нейтрализованные аммиачным р-ром соли аммония, напр. соли минер. или органич. к-ты. Нейтрализованные р-ры устойчивы в течение многих дней. Для нейтрации можно брать избыток аммонийной соли, так как она уменьшает воспламеняемость смолы.

О. Славина

См. также: Строение целлюлозы 72625, 72629, 72635. Строение белков 27091Бх, 27117Бх. Новые волокна и их св-ва 72610. Придание инсектицидных св-в 71813, 71816. Очистка сточных вод 71279

КОЖА. МЕХ. ЖЕЛАТИНА. ДУБИТЕЛИ. ТЕХНИЧЕСКИЕ БЕЛКИ

Редактор О. В. Матвеева

72764. Консервирование шкур в тузлуках повышенного удельного веса. Анфимов А., Лейтес В., Смольский М., Мясная индустрия СССР, 1958, № 1, 15—17

Проведены опыты тузлукования шкур крупного рогатого скота в р-рах повышенного уд. веса. Консервирование шкур в насыщ. р-рах NaCl с добавлением сульфата аммония-натрия усиливает обезвоживание шкур, что позволяет отказаться от 48-часовой подсолки их врасстил. В опытных тузлуках и шкурах содержание микрофлоры значительно меньше, чем в контрольных.

О. М.

72765. Изучение процесса тузлукования шкур крупного рогатого скота в зависимости от температуры рассола. Одиноква Т. А., Радченко А. С., Шинкевич Н. Н., Сб. студ. работ Моск. технол. ин-т мясн. и молочн. пром-сти, 1958, вып. 5, 21—22

Изучено изменение кол-ва NaCl и влаги в шкурах в процессе тузлукования при различных т-рах (20, 40 60°). Наиболее приемлемой является т-ра 40°, при которой процесс тузлукования ускоряется в ~ 1,5 раза по сравнению с тузлукованием при 20°.

О. М.

72766. Маскировка растворов сульфата циркония. Ранганатхан, Рид (The masking of zirconium sulphate solutions. Ranganathan T. S., Reed R.), J. Soc. Leather Trades' Chemists, 1958, 42, № 2, 59—62 (англ.)

Исследовано влияние ряда органич. к-т и солей на точку помутнения солей Zr. Для опытов был приготовлен р-р соединений Zr (1% ZrO₂) 25% основности. Маскирующие соли добавляли в кол-ве 1 моля на 1 моль ZrO₂. Р-р выдерживали 48 час. до определения точки помутнения добавлением 0,5 н. NaOH. Установлено, что pH точки помутнения р-ра без маскирующих солей равен 2,35; с ацетатом 2,70; с формиатом 2,85; с лактатом 5,70; с гликолятом 11,40. При прибавлении пикрата или глюконата Zr щелочью не осаждается. При прибавлении даже 1/4 моля пиктрата точка помут-

нения повышается до pH 5,8. Наибольшей маскирующей способностью обладают соли оксикислот. С. Б.

72767. Физико-химические исследования шкур морских животных и кож из них. XIV. Разрушение красnodубной кожи из шкуры акулы под действием HCl. Такахаси (Takahashi Toyo-o), Нихон суйсан гаккайси Bull. Japan. Soc. Scient. Fisheries, 1955, 20, № 12, 1118—1124 (японск.; рез. англ.)

Обработка красnodубной кожи из шкуры акулы 10%-ным р-ром HCl 30 мин. при 40—50° (для удаления шипов) не всегда влияет на внешний вид кожи, но неизменно снижает ее гидротермич. устойчивость. Снижение последней зависит от условий дубления и кислотной обработки. При обработке кожи к к-те добавляют NaCl для увеличения стабильности, что не предохраняет ее от снижения гидротермич. устойчивости. После нейтрализации кожи, обработанной HCl, и дополнительного короткого дубления наблюдается повышение гидротермич. устойчивости и содержания в ней связанных танинов. Сообщение XIII см. РЖХим, 1958, 42058.

72768. Нерастворимость химически несвязанных волокон дермы танинов в процессе растительного дубления подошвенных кож. Алекса, Струб, Ярошиская-Драбик, Мага (Asupra insolubilizării taninului nefixat chimic de către fibra dermică în tanajul vegetal al pieilor pentru talpă. Alexa Gh., Strub Const., Iaroşinschi-Drabic Irina, Maga Cornelia), Studii şi cercetări chim., 1957, 5, № 2, 253—265 (рум.; рез. русск., франц.)

Изучались условия превращения хим. несвязанных дермой танинов (Т) в нерастворимое состояние путем додубливания подошвенных кож растительным дубильным экстрактом (ДЭ) с последующей обработкой р-ром формальдегида (I). При этом нерастворимые Т сохраняют способность реагировать во времени с волокнами дермы и после того, как процесс дубления считается законченным. Пробы подошвенной кожи, дубленные различными смесями ДЭ из квебрахо, валонек, ели и дубовой древесины, додубливали ДЭ из еловой и дубовой коры и после слабой промывки обрабатывали разб. р-ром I (30%-ный, в кол-ве 1% от веса кожи). Содержание общих растворимых в недодубленных пробах кож составляло 25,98—33,50%, после додубливания 7,75—12,88%. Удлинение додубленных кож составляло 20—33 мм, предел прочности при растяжении 1,88—2,88 кг/см², влагоемкость, через 2 часа 29,98—41,37%, через 24 часа 37,54—46,02%, водопроницаемость — время увлажнения (для большинства проб) 24 часа, время появления первой капли 24 часа. Г. Маркус

72769. Дубление кожи. Корреаль (Planta de tratamiento-tipo aconsejable para los residuos de una curtiduría que los descargue al Rio Bogotá. Correal Hernando), Ingeniería y archit., 1957, 12, № 136, 19—24, 26—30, 32, 34, 36—38 (исп.)

72770. Применение кукурузного масла для жирования кож. Метелкин А. И., Семенова В. Н., Легкая пром-сть, 1958, № 1, 33

При жировании кож вместо касторового масла можно использовать кукурузное масло (КМ), получаемое прессованием или экстрагированием отходов переработки кукурузы на крупаемые и другие продукты. Жирующие свойства КМ (сульфированного и несulfированного) проверяли в полупроизводственных условиях на опойке, выростке и козLINE. Готовые опытные кожи по органолептич. признакам и по интенсивности окраски не отличались от контрольных кож, жированных по единой методике. Для жирования кож рекомендуются следующие рецепты: 1) сульфированного КМ 60 ч., КМ 20 ч., рыбьего жира 20 ч.; 2) сульфированного КМ 60 ч., КМ 20 ч., мыла «Монополь» 20 ч. О. М.

72771. Гладкая хромовая кожа. Рём (Glattes Box Röh m H.), Leder, 1957, 8, № 11, 274—277 (нем.)

Кожа с шлифованным лицом находит все возрастающее применение, поэтому кожевники должны обратить серьезное внимание на процесс изготовления такой кожи, особенно на додубливание растительными дубителями и синтанами и на жирование. Рекомендуется дополнительная поджировка эмульсией жира. Сушка кож наклеиванием на гладкую поверхность позволяет лучше производить пемзование и шлифование лицевого слоя. Лицевой слой надо шлифовать 2 раза: грубой наждачной бумагой и затем уже более мелкой. Кожу хорошо обрабатывают на щеточной машине для избавления от кожановой пыли. Влажность кож при отделке должна быть как можно меньше, чтобы кожа имела плотный и хороший лицевой слой. Ломкость лицевого слоя и эластичность кожи зависят от толщины покрывной пленки, поэтому лучше наносить несколько раз тонкие слои покрывной пленки, чем сразу толстый слой. Выбор пигментов и их разmol также влияют на ломкость лицевого слоя, лучше всего пользоваться неорганич. пигментами (окислами железа и других металлов). При отделке под прессом или на гладильной машине рекомендуется более высокая т-ра и давление, но короткий период обработки. Перед нанесением покрывной пленки кожу красят анилиновыми красителями с помощью распылителя. Грунт втирают щеткой в кожу, затем кожу утюжат. Наносят несколько слоев покрывной краски щеткой или распылителем. Качество казеиновой пленки улучшается при добавлении полимеризующихся р-ра и пластификаторов. Конечная ашплетурная пленка должна состоять из эмульсии лака, сообщающей коже блеск, либо из белкового глянца. Д. Горин

72772. Получение лаковых кож покрытием слани поливинилхлоридным лаком. Копыл А. Н., Лифшиц И. Д., Шувалова Л. С., Легкая пром-сть, 1958, № 1, 20—21

Разработана методика произ-ва лаковых кож нанесением поливинилхлоридной пленки на кожаный спил. Наилучшая адгезия лицевой пленки к спилу обеспечивается при помощи р-ра перхлорвинила. Подбран ассортимент термоустойчивых пигментов для получения лаков различных расцветок. Лицевая пленка имеет удовлетворительные органолептич. и физ.-мех. свойства, морозостойкость лакового покрытия находится в пределах от —15 до —25°. О. М.

72773. Способы производства кожи с окраской золотого и серебряного цвета. Чжунго цингун-е, 1958, № 2, 28—29 (кит.)

72774. Исследования в области окислительного крашения меха. II. Бруггер, Парис (Szőrmék oxidációs színezésével kapcsolatos vizsgálatok II. Brugger Frigyes, Páris László), Bőr-és bőrtéchn., 1957, 7, № 5—6, 121—123 (венг.)

Изучалось изменение конц-ии бихромата (I), гН и pH протравной и красильной ванн. Установлено, что при соответствующей регулировке подачи к-ты расход I можно уменьшить на 50%. Конц-ия I и pH протравной ванны изменяются в одном и том же направлении. В первые 3 часа связывается 90% всего I; это позволяет снизить продолжительность протравы (на 3 час.). Кривые зависимости гН от времени проходят при 70—100 мин. через минимум; это определяет мин. продолжительность крашения — 2 часа (практически 3—5 час.). Часть I см. РЖХим, 1958, 34826. С. Розенфельд

72775. Применение спектрофотометрии в изучении кож. Часть VIII. Исследование хромовых комплексов с неорганическими кислотами и солями. Рамасвами, Наюдамма (Spectrophotometry in leather research. Part VIII. Investigation of chro-

me complexes with inorganic acids and salts. Ramaswamy D., Nauidamma Y.), Bull. Centr. Leather Res. Inst., 1957, 4, № 2, 37—44 (англ.)

Характер комплексования основных солей Cr с различными неорганич. солями и к-тами изучался спектрофотометрич. методом в УФ-свете. Для этого был приготовлен р-р сульфата Cr (I) 33,5% основности, свободный от нейтр. солей. Из неорганич. солей были исследованы: Na_2SO_4 , NaCl , Na_2SO_3 , Na_2SiO_3 , тиоцианат, NaF и калгон; из к-т — борная и фосфорная. Сульфат, хлорид и силикат натрия, а также борная к-та не образуют комплексы с I. Неорганич. в-ва, образующие комплексы с I, могут быть подразделены на две группы: сульфит натрия и тиоцианат дают максимум, фторид и калгон дают минимум на кривой сорбции. Причину этих различий можно объяснить различной комплексной активностью в-в и вследствие этого различным характером образованных комплексов. Предыдущее сообщение см. РЖХим, 1957, 76107. С. Бреслер 72776. Поправка к статье: Якадин А. И. «Влияние качества воды на выход танидов и качество дубильного экстракта». Легкая пром-сть, 1957, № 12, 53 См. РЖХим, 1958, 13351

72777 К. Технология кожи (дубление и обработка кожи). Вукадинович (Tehnologija kože. (Stava i prerada kože). Vukadinović Milutin. Beograd, «Tehnička knjiga», 1957, 220 s., il) (сербохорв.)

72778 П. Способ производства импрегнированных битумами кож. Мёлер (Verfahren zur Herstellung von mit Bitumen imprägnierten Ledern. Möhler Ernst). Пат. ФРГ 932447, 7.02.57

Кожи квасцового дубления импрегнируют эмульсиями битуминозных материалов при 45°. Пример. Выдубленный квасцами опоек после сушки и мятия обрабатывают битумной эмульсией. Смесь 80 ч. каменноугольной смолы, 15 ч. каменноугольного пека и 5 ч. нефтяного асфальта (т. размягч. 45°) эмульгируют с 40% воды с применением соответствующего эмульгатора, напр. олеинокислого магния. Кожу обрабатывают этой эмульсией при 20° в течение 8 дней.

И. Этингоф

72779 П. Способ получения катионных дубителей в форме водорастворимых смол. Кюнцель, Розенбуш (Verfahren zur Herstellung rein kationischer Gerbstoffe in Form wasserlöslicher Harze. Küntzel Adolf, Rosenbusch Kurt) [Farbenfabriken Bayer A.-G.]. Пат. ФРГ 952384, 15.11.56

Катионные дубители в форме водорастворимых смол получают конденсацией солей ароматич. аминов с параформальдегидом в высококипящем р-рителе при $t_{\text{ре}} > 100^\circ$. Пример. 130 г солянокислого анилина нагревают с 50 г глицерина в гомог. сплаве при 150°, затем добавляют 30 г параформальдегида при $t_{\text{ре}}$, не

превышающей 70°. Масса превращается в темно-красный слав, который при остывании затвердевает и легко растворяется в воде, со щелочью образует нерастворимый осадок. Р-ром, содержащим 15% этого дубителя (от веса пикелеванного голя), можно дубить никелеванное голые по схеме дубления солями хрома, т. е. с постепенным повышением адстрингентности при помощи содового р-ра. Наличие свободных аминогрупп в коже можно использовать для крашения путем диазотирования.

П. Френкель

72780 П. Превращение коры под действием щелочи. Фарбер (Alkali conversion of bark. Farber Edward) [Union Lumber Co.]. Пат. США 2744024, 1.05.56

Для превращения коры (К) различных пород древесины в растворимые в воде термопластич. продукты сухую мелко измельченную (до величины частиц 2,5—6,3 мм) К нагревают с сухой едкой щелочью (напр., NaOH) до 100—150° (предпочтительно до 120—140°) в течение 5—30 мин. Получают хрупкий продукт, не имеющий волокнистой структуры, растворимый в воде с красновато-бурым цветом. Р-р имеет цел. р-цию, не изменяется при нейтр-ции. При подкислении до $\text{pH} < 4$ или 5 выпадает темно-бурый осадок. Низкомолекулярные органич. к-ты (уксусная, щавелевая) образуются в кол-ве 5—10 ч. на каждые 100 ч. продукта взаимодействия К и щелочи. При нагревании берут 1—10 ч. (оптимально 2—5 ч.) щелочи на каждые 10 вес. ч. К. Влажность К не должна быть выше соответствующей относительной влажности окружающего воздуха. При большей влажности К подсушивают. Продукт превращения К используют как дубитель, для осаждения белков, для снижения вязкости тиксотропных глинистых суспензий, в качестве эмульгатора и диспергирующего средства. А. З.

72781 П. Способ получения хромовой протравы для фиксации хромирующихся красителей. Эрдамп (Verfahren zur Herstellung einer Chrombeize zur Fixierung von Chromfarbstoffen auf Textilien. Erdkamp Alfons). Пат. ФРГ 963863, 16.05.57

Предложен способ получения хромовой протравы для фиксации хромирующихся красителей на текстильных изделиях из отходов хромовых кож, которые обычно сжигаются или идут на приготовление клея. 100 ч. отходов в виде лоскута обрабатывают ~ 20 ч. смеси уксусной и муравьиной к-т в соотношении 8:1. После обработки отходов насыщенный солями хрома р-р фильтруют и употребляют как протраву, либо предварительно стабилизируют. Протрава не разрушает изделия вследствие наличия уксуснокислого и муравьинокислого хрома и аминокислот. Применение этой протравы улучшает светопрочность и цвет окрашенных тканей.

Д. Горин

См. также: Чистота желатины как белка 27106Бх. Негомогенность α -казеина 27108Бх

ХИМИЯ ВЫСОКОМОЛЕКУЛЯРНЫХ ВЕЩЕСТВ

Редакторы Х. С. Багдасарьян, Ю. С. Липатов

72782. Свойства высокополимеров в связи с их структурой. Хаггине (Properties of high polymers in relation to their structures. Huggins Maurice L.), Karaky, 1958, янв., прилож. № 4, 140—145 (англ.)

Лекция. Рассмотрена связь жесткости молекул полимеров с потенциальным барьером, определяющим возможность изменения расстояния между соседними цепями, и свойства р-ров.

Ю. Липатов

72783. Внутреннее вращение в полимерных цепях и их физические свойства. VIII. Средняя оптическая анизотропия молекул линейных полимеров с асимметричными привесками. Готлиб Ю. Я., Ж. техн. физ., 1958, 28, № 4, 801—812

Произведен теоретич. расчет средней оптич. анизотропии гибкой цепной молекулы линейного полимера типа $(-\text{CH}_2-\text{CHR}-)_n$ с асимметричными группами CHR. Метод расчета, развитый автором ранее при-

менительно к цепям типа $(\text{CH}-\text{CR}_2)_n$, обобщается на случай чередующихся CH_2 - и CHR -групп. Рассматривается случай заторможенного внутреннего вращения, но делается предположение о независимости отдельных вращений. Окончательные результаты для оптич. анизотропии изо- и синдиотактич. полимеров приведены для цепей с валентным тетраэдрич. углом и при значениях углов поворотных изомеров 0° , $\pm 120^\circ$. Оптич. анизотропия гибкой цепи выражается через поляризуемости и анизотропии отдельных связей ($\text{C}-\text{C}$, $\text{C}-\text{H}$ и $\text{C}-\text{R}$) и через параметры заторможенного внутреннего вращения (через средний косинус η и средний синус ϵ угла заторможенного внутреннего вращения). При расчете предполагается справедливость валентно-оптич. схемы. Обсуждаются эксперим. данные по средней оптич. анизотропии поливинилхлорида. Наилучшее совпадение с экспериментом при значениях поляризуемостей мономерных звеньев, подсчитанных по валентно-оптич. схеме, получается при $\eta \approx 0,5$ и $\epsilon \approx -0,4$. Часть VII см. РЖХим, 1958, 59714.

Ю. Готлиб

72784. Рассеяние света и статистическая форма свободно протекаемых гибких линейных макромолекул. Петерлин, Хеллер, Накагакки (Light scattering and statistical shape of streaming freely flexible linear macromolecules. Peterlin Anton, Heller Wilfried, Nakagaki Masayuki), J. Chem. Phys., 1958, 28, № 3, 470—476 (англ.)

Предложена теория углового распределения интенсивности рассеяния неполяризованного света р-ром гибких полимерных молекул, свободно протекаемых для р-рителя. Используется гантельная модель, т. е. гидродинамич. сопротивление считается сосредоточенным на концах цепи. Решая ур-ние относительно диффузии концов цепи в потоке, авторы получают функцию распределения $\Phi(r)$ для расстояния r между концами цепи, из которой следует, что макромолекула в потоке обладает симметрией не сферы, а эллипсоида. Функция распределения $\Phi(r)$ для расстояний между любой парой атомов цепи находится по аналогии с $\Phi(r)$. При помощи $\Phi_m(r)$ методом Дебая подсчитано угловое распределение интенсивности рассеяния света: $P(S) \approx 2f_0(1-u)\exp[-X(u + \xi u^2)]du$, где $S = 2 \sin(\theta/2)$, θ — угол рассеяния, $X = X_0\xi$, $X_0 = \kappa^2 S^2 R^2/6$, $\kappa = 2\pi/\lambda$, R — среднеквадратичное расстояние между концами цепи в отсутствие потока, $\xi = \{1 + \beta^2 + \beta(1 + \beta^2)^{1/2} \cos 2\varphi\} \cdot \cos^2(\theta/2)/(1 + 2\beta^2/3)$, $\beta = (M/N_A kT)[\eta]q$, M — мол. вес, N_A — число Авогадро, $[\eta]$ — характеристич. вязкость, η — вязкость р-рителя, q — градиент скорости потока, φ — угол между направлением наблюдения и направлением молекул, $\xi = 2\beta^2/3P^{-1}$ при $\theta = 90^\circ$ возрастает с ростом β при $\varphi = 0^\circ$ и уменьшается при $\varphi = 90^\circ$, так как молекула вытягивается в направлении, от которого отсчитывается угол φ . Оба эффекта резко возрастают с ростом X_0 . При наблюдении под углом 90° к направлению потока P^{-1} уменьшается с ростом β . Фактор асимметрии $D_0(\beta)$ (отношение интенсивностей света, рассеянного под углами 60° и 120°) уменьшается с ростом β . Из эксперим. кривых $D(\beta)$ можно определить изменение размеров и формы молекулы под действием потока.

О. Птицын

72785. Метод светорассеяния для исследования растворов волокнообразующих полимеров. I—III. Хаяси (Hayasi Katuya), Нихон кагаку дзаси, J. Chem. Soc. Japan. Pure Chem. Sec., 1957, 78, № 9, 1351—1363 (японск.)

72786. Оценка невозмущенных размеров полимерных молекул. Кригбаум (Estimating the unperturbed dimensions of polymer molecules. Krigbaum

W. R.), J. Polymer Sci., 1958, 28, № 116, 213—221 (англ.; рез. франц., нем.)

Полуэмпирич. соотношение (РЖХим, 1956, 43365) между характеристич. вязкостью р-ров полимеров $[\eta]$ и вторым вириальным коэф. A_2 применено к оценке невозмущенных размеров полимерных цепей на основании эксперим. данных, полученных в хороших р-рителях. Полуэмпирич. соотношение: $[\eta] - [\eta]_0 = 5,0 \cdot 10^{-3} A_2 M$ (M — мол. вес, $[\eta]_0$ — характеристич. вязкость в θ -точке) позволяет определить $[\eta]_0$ и следовательно, и величину $(\bar{L}_0^2/M)^{1/2}$, характеризующую гибкость цепи (\bar{L}_0^2 — средний квадрат расстояния между концами цепи в идеальном р-рителе). Применение этого метода к эксперим. данным для полиизобутилена в циклогексане и полистирола в толуоле и бутанолу при 30° дало для этих полимеров значения $(\bar{L}_0^2/M)^{1/2} \cdot 10^{10}$, равные соответственно 81 и 68 (литературные значения, полученные из измерений в θ -точке, равны соответственно 79,5 и 70). Метод применен к ряду высокоплавленных кристаллизующихся полимеров, для которых данные в θ -точке отсутствуют. Получены следующие значения $(\bar{L}_0^2/M)^{1/2} \cdot 10^{10}$: найлон-6,6 112, полиэтилентерефталат 109, линейный полиэтилен 136, полиакрилонитрил 110, тринитроцеллюлоза 200. Для всех этих полимеров величина \bar{L}_0^2/L (макс.) (L (макс.) — максим. длина модельной цепи, имеющей то же \bar{L}_0^2 , что реальная цепь, и состоящей из сегментов с длиной и диаметром l) превосходит крит. значение 2,16, выше которого, согласно теории Флори, полимеры должны кристаллизоваться независимо от величины межмолекулярного взаимодействия.

О. Птицын

72787. Теория разбавленных растворов высокополимеров. Карпентер, Кригбаум (Theory of dilute high-polymer solutions. Carpenter D. K., Krigbaum W. R.), J. Chem. Phys., 1958, 28, № 3, 513—514 (англ.)

Указано, что теория второго вириального коэф. р-ров полимеров, предложенная ранее (РЖХим, 1957, 69032), приводит практически к тем же результатам, что теория Флори и Кригбаума (Flory P. J., Krigbaum W. R., J. Chem. Phys., 1950, 18, 1086), несмотря на то, что последняя теория заменяет истинное распределение сегментов относительно центра тяжести гауссовым и рассматривает только взаимодействия средних конфигураций, а первая свободна от этих предположений. Показано также, что тот же результат можно получить, заменяя макромолекулы эквивалентными сферами, равномерно заполненными сегментами (Flory P. J., J. Chem. Phys., 1945, 13, 453). Для приведения всех указанных теорий в согласие с опытом необходимо в 2—3 раза увеличить фактор, характеризующий число контактов между сегментами цепей. Авторы объясняют это тем, что существующие теории не учитывают связи сегментов в цепи.

О. Птицын

72788. Роль электростатических сил в поведении макромолекулярных веществ в водных растворах электролитов. Неэль (Rôle des forces électrostatiques dans le comportement des composés macromoléculaires dans les solutions électrolytiques aqueuses. Néel Jean), J. chim. phys. et phys.-chim. biol., 1957, 54, № 10, 768—775 (франц.)

На основе теории Дебая (Debye P., Z. phys. Chem., 1927, 130, 56) теоретически рассмотрено влияние водных р-р органич. полимера минер. солей на физ.-хим. характеристики этого р-ра. Рассмотрено изменение диэлектрич. констант при изменении мол. веса (M) полимера и связь величин теплол. растворения полимера с его растворимостью в воде. Рассмотр-

рено также влияние конц-ии вводимых в р-р солей на растворимость полимера с различным M . Экспериментально показано, что степень гидратации молекул поливинилового спирта (I) в воде зависит от природы вводимых солей и уменьшается с увеличением их конц-ии. Общий эффект обусловлен двумя противоположно действующими факторами: электр. силой ионов, стремящихся перейти в фазу, обогащенную водой, и силами диффузии, стремящимися уравновесить конц-ии ионов в обеих фазах. Показано, что соли, изменяющие растворимость I в воде, по своему действию располагаются в лиотропный ряд. Это указывает на существование в тройной системе полимер — вода — электролит не только электростатич. сил, но и сил межмолекулярного взаимодействия различного характера типа сил Лондона.

Н. Платз

72789. К определению молекулярного веса полиамидов путем измерений рассеяния света. Фендлер, Стюарт (Zur Molekulargewichtsbestimmung an Polyamiden durch Lichtstreuungsmessungen. Fendler H. G., Stuart H. A.), Makromolek. Chem., 1958, 25, № 3, 159—175 (нем., рез. англ.)

Исследовано рассеяние света (под углами 45°, 90° и 135°) и вязкость р-ра нейлона-6 (перлона) (I) в водн. р-ре муравьиной к-ты (II). При конц-ии II 95% и выше наблюдается повышение η_{sp}/c при уменьшении c , обусловленное ионизацией амидогрупп, которая в 95 и 97,6%-ной к-те достигает соответственно 34 и 45%. Добавление в II натриевой соли муравьиной к-ты приводит к исчезновению этого эффекта. Для центрифугированных р-ров асимметрия светорассеяния велика и резко падает с ростом т-ры (от 20 до 80°), причем эффект в значительной степени является обратимым. Для р-ра, профильтрованного через очень тонкий фильтр, асимметрия мала и не зависит от т-ры. Авторы объясняют это образованием комплексов, обратимо диссоциирующих при повышении т-ры и отфильтровывающихся при пропускании через тонкий фильтр. Пропущенные через фильтр р-ры использовались для определения мол. веса M . В водн. р-рах II кажущийся M резко падает с уменьшением содержания воды, что объясняется увеличением упорядоченности молекул и сегментов в р-ре, ведущей к уменьшению интенсивности рассеяния. Увеличение содержания воды не позволяет измерить истинный M , так как при этом начинается ассоциация молекул. Аналогичное поведение имеет место и при добавлении в II вместо воды бутанола. Однако добавление в II натриевой соли муравьиной к-ты приводит к исчезновению этих эффектов; при конц-ии соли $> 6 \cdot 10^{-2}$ н. M достигает предельного значения $18 \cdot 10^3$. Кажущееся значение 2-го вирального коэф. во всех трех случаях имеет максимум при определенном содержании воды, бутанола или соли.

О. Птицын

72790. Влияние содержания ацетильных групп в ацетилцеллюлозе на свойства ее растворов. Харитонова В. П., Пакшвер А. Б., Коллоидн. ж., 1958, 20, № 1, 110—117 (рез. англ.)

Изучены свойства р-ров ацетилцеллюлозы (I) в зависимости от содержания в ней связанной уксусной к-ты (II). Показано, что вязкость этих р-ров зависит от содержания II. Для исследованных р-ров определена степень асимметрии по Куну (b/a), среднеквадратичное расстояние $\sqrt{n^2}$ по Флори и коэф. Хаггинса k' . Измерены интегральные теплоты растворения I в муравьиной к-те, в пиридине и в ацетоне и показано, что они зависят от содержания ацетильных и гидроксильных групп в I и от природы р-рителя. Измерена мутность р-ров в р-рителях, различно сольватирующих полярные группы. Показано, что добавка дополнительных сольватирующих компонентов (вода) снижает

мутность р-ров I. Мутность возрастает с увеличением в препарате I кол-ва фракции с низким содержанием ацетильных групп.

В. Кабанов

72791. Аномальное поведение растворов полимеров.

II. Вязкость растворов каучука при высоких разбавлениях. Капур, Гундия (Anomalous behavior of polymer solutions. II. Viscosity behavior of rubber solutions at high dilutions. Kapur S. L., Gundiah S.), J. Colloid Sci., 1958, 13, № 2, 170—178 (англ.)

Измерения вязкости разб. р-ров каучука в различных р-рителях приводят авторов к заключению о том, что CCl_4 и другие хлорированные р-рители не являются пригодными для определения вязкости р-ров каучуков, так как в этих р-рителях протекают вторичные процессы, изменяющие структуру каучука. Аномальное повышение вязкости р-ров при очень больших разбавлениях объясняется растяжением и распутыванием цепей полимера. Эта аномалия исчезает, если р-р перед определением вязкости потрясти в течение определенного времени. Часть 1 см. РЖХим, 1958, 27469.

Ю. Липатов

72792. Вязко-упругие свойства концентрированных растворов полимеров. Такэмура (Viscoelastic properties of concentrated polymer solutions. Takemura T. et al.), J. Polymer Sci., 1958, 28, № 116, 185—193 (англ.; рез. франц., нем.)

Предложена теория спектра времен релаксации конц. р-ров полимеров. Предполагается, что молекулы в конц. р-ре связаны межмолекулярными силами в рои, имеющие сеточную структуру. Отдельно рассмотрены релаксационные механизмы двух типов: колебания внутри рои и «межроевые» колебания. Первому механизму отвечают меньшие времена релаксации, спектр которых имеет форму клина, второму — большие времена со спектром в форме ящика. В разб. р-ре второй механизм отсутствует. Для первого механизма максим. время релаксации $\tau_{\text{макс}} \approx M^2$ (M — мол. вес), для второго $\tau_{\text{макс}} \approx M^3$; стационарные вязкости в разб. и конц. р-ре должны быть пропорциональны соответственно M и M^3 (опыт дает соответственно $M^{0,5-1,0}$ и $M^{3,4}$). Наличие второго релаксационного механизма приводит к отклонениям от универсальной приведенной кривой. Предсказываемые теорией отклонения от этой кривой совпадают с эксперим. результатами для полиизобутилена в декалине и др.

О. Птицын

72793. Измерения термодиффузии поливинилацетата в растворах. Коэффициент разделения поливинилацетата. Лангхаммер, Фёрстер (Einige Messungen zur Thermoeffusion an Polyvinylacetat in Lösung — Entmischungskoeffizienten des Polyvinylacetats. Langhammer G., Förster H.), Z. phys. Chem. (BRD), 1958, 15, № 1—6, 212—222 (нем.)

Исследована термодиффузия поливинилацетата в р-рах в толуоле, диоксане, хлороформе, этилацетате, изоамилацетате, метаноле и бензоле. Определены зависимости отношения разделения γ от времени термодиффузии при разных т-рах. Значение γ возрастает линейно с ростом разности т-р в термодиффузионной камере и с ростом конц-ии р-ра достигает постоянной величины. Эффект разделения увеличивается с ростом среднего мол. веса. Разделение в неполярных р-рителях протекает намного эффективнее, чем в полярных. На основании полученных данных рассчитаны коэф. Соре (коэф. разделения), которые также возрастают с ростом мол. веса. Исследована термодиффузия образцов поливинилацетата одинаковой характеристич. вязкости, но различной степени разветвления; показано, что эффект разделения выражен более заметно в случае разветвленных образцов.

Ю. Липатов

72794. Структура синтетических высокополимеров. Мак-Гру (Structure of synthetic high polymers.

McGrew Frank C.), J. Chem. Educ., 1958, 35, № 4, 178—186 (англ.)

Обзор. Библ. 67 назв.

72795. О теории ядерного магнитного резонанса в полимерах. Мияке (On the theory of nuclear magnetic resonance in polymers. Miyake Akira), J. Polymer Sci., 1958, 28, № 117, 476—480 (англ.)

При применении теории ядерного магнитного резонанса Бломбергера, Перселла и Паунда (Phys. Rev., 1948, 73, 679) к полимерам следует учитывать броуновское движение полимерных цепей. Это движение вызывает флуктуации локального магнитного поля, создаваемого соседними парамагнитными ядрами в месте расположения данного ядра, а следовательно, вызывает изменение времени релаксации, которое учитывается введением функции распределения единичных времен корреляции. Произведен расчет этой функции для нормального случая, случая сильно суженной линии (высокая т-ра), а также для случая кристаллич. полимеров. Показано, что в кристаллич. полимерах могут быть разделены парамагнитные поглощения, обусловленные кристаллич. и аморфной частями. Следовательно, по виду резонансной кривой можно судить о степени кристалличности полимера. Э. Казбеков

72796. О рентгеновской характеристике целлюлозы.

Эллефсен, Лунд, Тённесен, Эйен (Studies on cellulose characterization by means of X-ray methods. Ellefsen Ø., Lund E. Wang, Tønnesen B. Andvord, Øien K.), Norsk skogind., 1957, 11, № 9, 349—355 (англ.)

Приведены примеры вычисления по методу авторов степени аморфности различных технич. целлюлозных материалов, которая определяется отношением ординат на кривых интенсивностей двух рентгенограмм (приведенных к тождественным условиям) исследуемого образца и образца, принятого за 100%-ную аморфную целлюлозу (целлюлозный материал, подвергнутый сухому размолу и представляющий собой предельное состояние неупорядоченности) (РЖХим, 1958, 45495). Обсуждена проблема устранения влияния ориентации на кривые интенсивности исследуемых образцов.

72797. Структуры решеток с пространственными водородными мостиками и их превращения для полиамидов. Шмидт, Стюарт (Gitterstrukturen mit räumlichen Wasserstoffbrückensystemen und Gitterumwandlungen bei Polyamiden. Schmidt G. F., Stuart H. A.), Z. Naturforsch., 1958, 13a, № 3, 222—225 (нем.)

Исследована структура решеток полиамидов в зависимости от условий кристаллизации. При кристаллизации из расплава нейлона-8 образуется стабильная аномальная монокл. форма с периодами $a = b = 9,6$ Å и $\gamma = 60^\circ$ вследствие возникновения пространственной системы водородных мостиков между карбонильной и амидной группами соседних цепей, фиксирующих расстояние между цепями. Нормальная монокл. форма $a \neq b$ получается лишь при кристаллизации из р-ра. Высокотемпературная модификация -6,6, -8,10, -7 и -11 нейлона является триклинной, но с одинаковым междоузельным расстоянием в двух направлениях (псевдогексагональная система), что снова указывает на наличие пространственной системы водородных мостиков. Обсуждены возможная схема возникновения и причины, обуславливающие стабильность такого рода пространственных сеток.

72798. Рекристаллизация закаленного полиэтилена.

Коллинс (Crystalline recovery of quenched polyethylene. Collins R. L.), J. Polymer Sci., 1958, 27, № 115, 75—82 (англ.; рез. франц., нем.)

Методом ядерного спинного резонанса изучено влияние продолжительности выдержки и т-ры на ре-

кристаллизацию тонких пленок полиэтилена Марлекс 50, нагретых выше т-ры плавления и быстро охлажденных ледяной водой. Общая кристалличность при охлаждении со скоростью 1,5 град/мин уменьшается от 93 до 82%. Изменение кристалличности X при выдерживании таких образцов при т-рах 25, 66,2 и 106,4° происходит по линейному закону $X = A + B/t$, где t — время выдержки в часах, причем скорость изменения X возрастает с т-рой. B изменяется с т-рой при допущении, что скорость рекристаллизации \dot{X} определяется диффузией в аморфной части полимера по закону $\exp\{-8700/RT\}$, \dot{X} рассчитывается по выражению $\dot{X} = C/t \exp\{-8700/RT\}$ где $C \cdot 10^{-5}$ для т-р 25, 66,2 и 106,4° имеет значения $2,2 \pm 1,9$, $1,7 \pm 0,5$ и $2,06 \pm 0,18$. Постоянство значений C указывает на действительно преобладающую роль диффузии в кинетике кристаллизации. Приведено общее выражение для \dot{X} и X : $\dot{X} = 2,04 \cdot 10^5 (1/t) \exp\{-8700/RT\}$ и $X = A + 4,70 \cdot 10^5 \lg t \exp\{-8700/RT\}$. Полученные данные позволяют предсказать ход и скорость изменения кристалличности от времени и т-ры.

72799. Температура стеклования нейлона 6 и нейлона 66. Рыбникарж (Glass transition of nylon 6 and nylon 66. Rybníkář F.), J. Polymer Sci., 1958, 28, № 118, 633—634 (англ.)

Пенетрометрическим методом определены т-ры стеклования нейлона 6 и нейлона 66, равные -65° .

72800. Низкотемпературный переход в политетрафторэтилене. Мак-Крам (The low temperature transition in polytetrafluoroethylene. McCrum N. G.), J. Polymer Sci., 1958, 27, № 115, 555—567 (англ.)

В области т-р от -180 до -40° определен логарифмич. декремент затухания δ для четырех образцов политетрафторэтилена различной степени кристалличности от 48 до 92%. Т-ра максим. значения декремента $\delta(\text{макс.})$ $T(\text{макс.})$ практически не зависит от степени кристалличности и равна от $-96,5$ до $-97,5^\circ$. $\delta(\text{макс.})$ уменьшается с ростом степени кристалличности. Модуль кручения изменяется с т-рой и кристалличностью, причем изменение модуля тем заметнее, чем ниже степень кристалличности. Характеризующая релаксацию величина $S = [G(T_1) - G(T_2)] / G(T_2) - G(T_1)$ и $G(T_2) - G(T_1)$ модули при т-рах T_1 и T_2 и максимум $\delta(\text{макс.})$ стремятся к нулю при приближении степени кристалличности к 100%; это доказывает, что релаксационные явления происходят в аморфных областях полимера.

72801. Механическая резонансная дисперсия в кристаллических полимерах при звуковых частотах. Фицджеральд (Mechanical resonance dispersion in crystalline polymers at audio-frequencies. Fitzgerald Edwin R.), J. Chem. Phys., 1958, 27, № 5, 1180—1193 (англ.)

Определены вещественная I' и мнимая I'' , составляющие комплексной податливости для тетрафторэтилена, полиэтилена и поливинилстеарата в диапазоне звуковых частот 100—5000 гц. Результаты показали наличие областей дисперсии резонансного типа, отличной от обычной дисперсии релаксационного типа. Резонансные области находились как остро определенные максимумы на частотных кривых. Установлено, что величина и положение максимума I'' зависят от т-ры и предварительного воздействия статич. нагрузок. Полученные ранее автором данные по резонансной дисперсии поликристаллич. металлов (свинца, магния и алюминия) приводят к заключению, что направленно-направленное движение дислокаций или другие дефекты кристаллич. структуры могут в значительной мере определять этот тип дисперсии. И. Вишняков

72802. Динамические механические свойства поли-*n*-октилметакрилата. Данхаусер, Чайлд, Ферри (Dynamic mechanical properties of poly-*n*-octyl methacrylate. Dannhauser Walter, Child William C., Ferry John D.), J. Colloid Sci., 1958, 13, № 2, 103—113 (англ.)

В области частот 15—3600 ω и t -р от -14 до $+130^\circ$ определены вещественная J' и мнимая J'' составляющие комплексной податливости фракционированного поли-*n*-октилметакрилата мол. в. 3 620 000. Данные обработаны методом приведения переменных, причем метод пригоден для J' и J'' во всей исследованной области t -р, за исключением самых низких, где J'' проходит через минимум, связанный, очевидно, с проявлением β -механизма. Температурная зависимость времени релаксации следует ф-ле Виллиамса — Ланделла — Ферри со значением относительного свободного объема при t -ре стеклования 0,027 и коэф. расширения этого объема $2,5 \cdot 10^{-4}$ град $^{-1}$. Спектры времен релаксации и запаздывания, приведенные к 100° , напоминают по форме спектры других полиметакрилатов. Рассмотрены связь полученных данных с ранее опубликованными данными авторов по другим полиметакрилатам и причины некоторых различий в их спектрах.

Ю. Липатов
72803. Определяемая диффузией релаксация напряжений в полимерах. II. Релаксация напряжений в набухшем полимере. Фудзита, Кисимото (Diffusion-controlled stress relaxation in polymers. II. Stress relaxation in swollen polymers. Fujita Hiroshi, Kishimoto Akira), J. Polymer Sci., 1958, 28, № 118, 547—567 (англ.; рез. франц., нем.)

Исследована релаксация напряжений в системах: поливинилацетат (I) — вода, I — метанол, полиметилметакрилат (II) — вода и II — метанол. Предполагается, что в данном случае линейного аморфного полимера введение воды или метанола оказывает на полимер пластифицирующее действие. Примененная авторами методика позволила провести одновременное изучение сорбции паров полимерами и релаксацию напряжений в пленках. Для различных относительных содержаний пенетранта в полимере найдены зависимости релаксационного модуля $E(t)$ от логарифма времени. Полученное семейство кривых аналогично семейству кривых, для чистого полимера при разных t -рах. Найденные кривые путем горизонтального сдвига по оси времени могут быть приведены к единой кривой. Эти кривые, полученные для различных t -р, также могут быть приведены к единой кривой путем аналогичного сдвига. Концентрационный фактор сдвига a_c при данной t -ре зависит от исследуемой системы и конц-ии пенетранта в полимере. Для исследованного случая в соответствии с Ферри (Ferry J. D., J. Amer. Chem. Soc., 1950, 72, 3746) релаксационный модуль и вязкость в стационарном состоянии можно выразить ур-ниями: $E(t) = E_0(t/a_c)[1 + (q_p/q_s)c]^{-1}$, $\eta = \eta_0 a_c [1 + (q_p/q_s)c]^{-1}$, где $E_0(t)$ и η_0 — релаксационный модуль и вязкость чистого полимера при той же t -ре, c — конц-ия пенетранта, q_s и q_p — плотности пенетранта и сухого полимера. Применяя ур-ние Дулитла для свободного объема жидкости в модифицированном виде для вычисления a_c , авторы находят: $\lg a_c = \lg[1 + (q_p/q_s)c] + (1/2,303)[1/f(T_1c - 1/f(T_10))]$, где f — свободный объем системы, зависящий от t -ры и конц-ии $f(T,c)$. При этом $f(T,c) = f(T,0)\beta c$, где β — параметр определяющий долю участия данного пенетранта в возрастании свободного объема. Из найденных ур-ний, зная величины фактора a_c и вычислив величину $f(T,0)$, можно определить β , которое не зависит от t -ры; значение β для воды больше, чем для метанола, т. е. вода является более эффективным пластификатором. Установлено, что t -ра стеклования полимера, содержащего

пенетрант, при низких конц-иях последнего дается ур-нием: $T_g = T_g^0 - (\beta/a_2)c$, где a_2 — разность коэф. расширения выше и ниже t -ры стеклования. Для исследованных систем определены также равновесные значения сорбции. Установлена определенная корреляция между коэф. диффузии D (при нулевой конц-ии) и параметром β . Эта корреляция объясняется тем, что обе величины определяются частотой перескоков сегментов из одного положения в другое при введении низкомолекулярного в-ва. Часть I см. РЖХим, 1957, 44766.

Ю. Липатов

72804. Влияние пластифицирующих добавок на механические свойства совместного полимера винилхлорида с винилиденхлоридом и поливинилхлорида. Фельдман Р. И., Миронова А. К., Соколов С. И., Коллоидн. ж., 1958, 20, № 1, 106—109 (рез. англ.)

Измерены зависимости разрывных напряжений и модулей для смесей сополимера винилхлорида с винилиденхлоридом и поливинилхлорида с различными пластификаторами от мол. состава смеси. Показано, что логарифмы разрывного напряжения и модуля для смеси аддитивно складываются из логарифмов этих величин для компонентов. Разрывная прочность смеси σ (см.) и модуль смеси E (см.) могут быть вычислены по ф-лам σ (см.) = $\sigma_1^{N_1} \cdot \sigma_2^{N_2}$ и E (см.) = $E_1^{N_1} \cdot E_2^{N_2}$, где σ_1 , E_1 , N_1 и σ_2 , E_2 , N_2 — соответственно разрывные прочности, модули и мол. доли 1-го и 2-го компонентов. Полученные соотношения справедливы только в области высокой эластичности.

В. Кабанов

72805. Вязкость кристаллических высокомолекулярных веществ. Нагамацу, Кадзуо, Такэмура Тацуо, Иоситоми Тацуя, Кобунси, 1957, 6, № 67, 58—63 (японск.)

Обзорная статья.

72806. Реологические исследования макромолекулярных веществ. I. Сравнение свойств типографских крахмальных и желатиновых вальцовочных масс на основе их реологического поведения. Чюрёш, Гецц, Гросман, Юхас (Rheologische Untersuchungen Makromolekularer Stoffe. I. Vergleich der Eigenschaften von typographischen Stärke- und Gelatine-Farbwalzen auf Grund ihres rheologischen Verhaltens. Gsurös Z., Geczy L., Groszmann M., Juhasz K.), Period. polytechn., 1957, 1, № 2, 105—129 (нем.)

Исследованы реологич. свойства типографских вальцовочных масс на основе крахмала и желатины. Измерения проводились на консисометре Гепплера. Определены верхняя и нижняя точки кривой течения, вязкость и эластичность применяемых масс. Проведена их реологич. классификация. Кривые течения обоих в-в подчиняются ур-нию (Herschel, Bulkley, Kolloid-Z., 1926, 39, 291) со значениями $n < 1$ для желатины и $n > 1$ для крахмала. Консистенция желатиновых масс с изменением t -ры изменяется более значительно, чем консистенция крахмальных масс. Рассмотрена связь кажущейся вязкости масс с напряжением сдвига, и для крахмальных масс установлено явление дилатансии. Исследованы также эластич. свойства обоих в-в в зависимости от t -ры. Установлено, что крахмальные массы являются более жесткими, чем желатиновые. Крахмальные массы обладают при t -ре $< 40^\circ$ пластоз-эластич. и $> 40^\circ$ — вязко-эластич. свойствами. Желатиновые массы при $> 30^\circ$ являются вязко-эластичными и $< 30^\circ$ — пластоз-эластичными.

Ю. Липатов

72807. Применение радиоактивных лучей высокой энергии для облучения полимеров. Сакурада, Кобунси, 1957, 6, № 60, 107—110 (японск.)

72808. Свойства высокополимеров в блоке. Гордон (The bulk properties of high polymers. Gordon

Manfred), Industr. Chemist, 1958, 34, № 397, 111—115 (англ.)

Обсуждены приложения основных статистич., статич. и динамич. принципов теории полимеров к изучению свойств полимеров в блоке и к решению ряда технологич. проблем. Кратко рассмотрены вопросы прочности, гелеобразования, плавления, стеклования и механич. потерь в полимерах.

В. Кабанов
72809. Полимеры оксациклобутана. II. Лабораторные испытания полимера 3,3-бисхлорметил-оксациклобутана. Сандифорд (Polymers from oxacyclobutanes. II. The laboratory-scale evaluation of the polymer from 3:3-bischloromethyl-oxacyclobutane. Sandiford D. J. H.), J. Appl. Chem., 1958, 8, № 3, 188—196 (англ.)

Исследованы свойства полимера 3,3-бисхлорметоксациклобутана (I). I содержит кристаллич. фазу и имеет т. пл. 180°, вязкость расплава порядка нескольких тысяч пуаз при 280°. Образцы для испытаний в виде тонких пластин могут быть получены формованием под давлением. Исследовали текучесть I в зависимости от т-ры, окисление при повышенных т-рах, зависимость уд. объема от т-ры, скорость кристаллизации при различных т-рах, эластич., диэлектрич. и др. свойства. Установлено наличие двух форм I с различными т-рами плавления и структурой. I способен к ориентации, отличается ничтожным водопоглощением и стойкостью в отношении гидролиза. По большей части показатели I ближе к полиэтилену, чем к найлону. Часть I см. РЖХим, 1958, 66387.

Н. Мотовилова
72810. Химическое исследование водных растворов макромолекулярных веществ. Рейххерцер (Die chemische Untersuchung von wässrigen Lösungen makromolekularer Stoffe. Reichherzer R.), Mitt. Chem. Forschungsinstit. Wirtsch. Österr., 1957, 11, № 5, 141—148 (нем.)

Краткое рассмотрение методов анализа водн. р-ров высокомолекулярных в-в.

В. Ш.
72811. Теоретическое рассмотрение индуцированных излучением реакций насыщенных углеводородов с длинными цепями. Инокути, Ватанабэ (Theoretical considerations on radiation-induced reactions of saturated long-chain hydrocarbons. Inokuti Mitio, Watanabe Tsutomu), J. Phys. Soc. Japan., 1958, 13, № 2, 221 (англ.)

На основе предположения о том, что в процессе сшивания углеводородов основной р-цией является р-ция $-\text{CH}_2-\text{CH}_2- + \text{H} \rightarrow -\text{CH}_2-\dot{\text{C}}\text{H}- + \text{H}_2$ (1), методом возмущения рассчитан адиабатич. потенциал основного дублетного состояния реагирующей системы. Исходная волновая функция представлена как суперпозиция двух функций: углеводород и атом водорода, бесконечно удаленные друг от друга, и углеводородный радикал и молекула H_2 , бесконечно удаленные друг от друга. Углеводородный радикал рассматривается как «молекула» $\text{C}-\text{H}$, в которой связь осуществляется с участием гибридной атомной орбиты. Матричные элементы найдены эмпирич. или полуматрич. методом. Вычисленная энергия активации р-ции (1) больше, чем для р-ций $-\text{CH}_2-\text{CH}_3 + \text{H}$ и $\text{CH}_4 + \text{H}$ (2) (вычислены аналогичным методом). Для р-ции (2) вычисленная энергия активации 0,75 эв (опыт 0,40—0,56 эв). Обсуждаются особенности протекания р-ции (1) в твердом полимере.

А. Праведников
72812. Термодинамическое равновесие полимеризации пропена. Харва (Propeenin polymeroinnin termodynaaminen tasapaino. Harva O.), Suomen kem., 1958, 31, № 3, A51—A54 (финск.)

Ф-ла для свободной энергии образования членов гомологич. ряда применена для нахождения равновесия р-ции полимеризации пропена. В графич. форме

представлена зависимость состава полимерных молекул от т-ры.

М. Тойкка
72813. Стереои́зомерия полимеров. Часть II. Наиболее упорядоченные конфигурации при чередующейся сополимеризации. Требования для получения оптической активности в полимерах. Аркус (The stereoisomerism of addition polymers. Part II. Configurations of maximum order from alternating copolymerisation. The requirements for optical activity in polymers. Arcus C. L.), J. Chem. Soc., 1957, March, 1189—1196 (англ.)

Проведенное ранее (часть I, РЖХим, 1956, 32686) рассмотрение возможных стереорегулярных структур полимеров распространено на сополимеры, образованные путем чередования мономерных единиц. Строение полимерной цепи зависит от конфигурации иницирующего комплекса, *цис*- или *транс*-присоединения и ориентации присоединяющихся мономерных групп относительно растущего конца цепи (предполагается присоединение «голова к хвосту»; все акты роста стереохимически аналогичны). Рассмотрено также влияние механизма обрыва цепей на их структуру и оптич. активность. В общем случае мономеров $\text{CAB}=\text{C}^*\text{IK}$ и $\text{CXY}=\text{CMN}$ возможны 16 правильных структур, в том числе 4 пары оптич. антиподов. Наиболее простой по составу сополимер, в котором удаленные от концов отрезки основной цепи обладают оптич. активностью, образуется при поочередном присоединении $\text{CH}_2=\text{CHA}$ и *цис*- $\text{CHX}=\text{CHX}$. Благоприятные условия для преимущественного образования одной из структур могут быть созданы введением в один из мономеров асимметрич. атома С. Рассмотрено возможное строение полученного таким способом оптически активного сополимера. (РЖХим, 1957, 8303).

А. Арест-Якубович
72814. (+)-Поли-(1,3-диметилбутил)-метакрилат, влияние основной цепи на вращательную способность. Аркус, Уэст ((+)-poly(1:3-dimethylbutyl methacrylate); the contribution of the main chain to the rotatory power. Arcus C. L., West D. W.), Chemistry and Industry, 1958, № 8, 230—231 (англ.)

Изучена оптич. активность (ОА) (+)-поли-(1,3-диметилбутил)-метакрилата (I) $[\eta] = 0,99$ и проведено сравнение с ОА (+)-1,3-диметилбутилового эфира триметилуксусной к-ты (II). II и (+)-(1,3-диметилбутил)-метакрилат получены при взаимодействии (+)-1,3-диметилбутилового спирта с хлорангидридом соответствующей к-ты. Мол. вращение (МВ) измеряли при 25°, конц-ия 5 г в-ва в 100 мл тетрагидрата. МВ I равно +60°, МВ II +80° (λ 4358 Å). Различие МВ в случае I и II объясняется влиянием конфигурации основной цепи I на вращательную способность. Основная цепь I имеет спиралевидное строение с расположением заместителей, соответствующим минимуму энергии. Изотактич. или синдиотактич. прямая цепь I не может оказать подобного влияния вследствие наличия плоскостей симметрии, проходящих через каждый углеводородный атом цепи.

Ю. Мити
72815. Полимеризация *n*-изопропенилстирола. Дрейфусс, Нотли (Polymerization of *n*-isopropenylstyrene. Dreyfuss P., Notley N. T.), J. Polymer Sci., 1958, 28, № 118, 611—613 (англ.; рез. франц., нем.)

Для изучения влияния пространственных трудностей в процессе полимеризации получено производное дивинилбензола с α -замещением в одной из функциональных групп. Метод синтеза заключался в хлорировании бромэтилбензола пропиленхлоридом и последующем дегидрогалогенировании. Полученная смесь *n*-изопропенилстирола (I) и *n*-фенилдибензила может быть легко разделена. I дает сильно спитый полимер, аналогичный полидивинилбензолу при поли-

меризации в массе или р-ре. При полимеризации в р-рителе, являющемся эффективным передатчиком цепи (CCl_4), и при обрыве полимеризации до желатинизации удается получить низкомолекулярный растворимый полимер. Н. Мотовилова

72816. О кинетике фотополимеризации α -винилфурана. Трифонов, Панайотов (Верху кинетика на фотополимеризацията на α -винилфурана. Трифонов Ас., Панайотов Ив.), Изв. хим. ин-т Бълг. АН, 1957, 5, 433—451 (болг.; рез. русск., нем.)

Рефрактометрическим методом исследована кинетика фотополимеризации α -винилфурана (I) в отсутствие и в присутствии O_2 . В отсутствие O_2 полимеризация протекает без индукционного периода с постепенно возрастающей скоростью; скорость р-ции пропорциональна корню квадратному из интенсивности света. Полученный полимер представляет собой светло-желтую массу, почти полностью растворимую в диоксане; мол. в. 25 000. В присутствии O_2 наблюдается заметный индукционный период. Зависимость скорости полимеризации от интенсивности света в этом случае более сложная. Полученный полимер представляет собой желтые чешуйки; мол. в. 40 000. Полимер выделяет йод из р-ров KI ; при его термич. распаде образуются формальдегид и фуфурол. По мнению авторов, этот полимер представляет собой сополимер I и O_2 . А. Праведников

72817. О кинетике полимеризации α -винилфурана. I. Фотополимеризация в отсутствие кислорода. II. Фотополимеризация в присутствии кислорода. Трифонов, Панайотов (Über die Polymerisationskinetik von α -Vinylfuran. I. Photopolymerisation in Abwesenheit von Sauerstoff. II. Photopolymerisation in Anwesenheit von Sauerstoff. Triphonov A., Panajotov I.), Докл. Болг. АН, 1957, 10, № 4, 301—304; № 5, 363—366 (нем.; рез. русск.) См. пред. реф.

72818. О полимеризации хлорфениловых эфиров метакриловой кислоты. Арбузова И. А., Медведева Л. И., Изв. АН СССР. Отд. хим. н., 1957, № 11, 1349—1356

Кинетика полимеризации (КП) парахлорфенилметакрилата (I), 2,4-дихлорфенилметакрилата (II) и 2,4,6-трихлорфенилметакрилата (III) имеет аналогичный характер с КП метилметакрилата (IV). После начального линейного периода р-ции наступает внезапное ускорение, сопровождающееся увеличением мол. веса (полимеризация (II) в блоке при 70° в присутствии $\sim 0,1$ — $0,016$ мол. % перекиси бензоила (V) в атмосфере N_2), причем скорость р-ции II—I—III превосходит II—IV, но II практически заканчивается при достижении $\sim 80\%$ конверсии (IV полимеризуется до 95% конверсии). Показано, что при II с $0,016$ мол. % V начальный линейный период р-ции протекает по первому порядку до $\sim 15\%$ конверсии. Константы скорости имеют следующие величины: для I K_1 $0,388 \cdot 10^{-4}$ сек $^{-1}$; II K_1 $0,304 \cdot 10^{-4}$ сек $^{-1}$; III K_1 $0,404 \cdot 10^{-4}$ сек $^{-1}$. После этого наступает ускорение р-ции, продолжающееся до 50 — 55% конверсии. Р-ция продолжается и после окончания фазы самоускорения. При проведении II с таким кол-вом V фаза самоускорения прекращается ранее, чем при проведении II с большим кол-вом V. Сопоставление характеристик вязкостей полимеров позволило авторам сделать предположение о том, что причиной более раннего прекращения фазы самоускорения является большая вязкость реакционной среды при проведении р-ции с меньшим кол-вом V. Это и меньшая по сравнению с IV подвижность мономеров, содержащих объемистые хлорфенильные группы, затрудняет диффузии мономера к растущему концу радикала. Влияние замещения

водорода хлором в фенильном ядре проявляется в более раннем прекращении фазы самоускорения и меньшем проценте конверсии при увеличении кол-ва хлора.

Е. Родионова

72819. Радиационная полимеризация позволяет получить более прочный полистирол. Коликман, Фиш (Radiation polymerization makes stronger polystyrene. Colichman E. L., Fish R. F.), Nucleonics, 1957, 15, № 10, 134—137 (англ.)

С помощью γ -излучения проведена совместная полимеризация стирола и дивинилбензола (I) при 50 — 100° . Этим методом можно получить полимеры, обладающие хорошим физ.-мех. свойствами при высоких конц-ях I. Твердость полимера возрастает по мере увеличения конц-ии I; наиболее твердые образцы получены при дозе $2 \cdot 10^7$ рентген и т-ре 85° . Прочность на разрыв полученных полимеров достигает 700 кг/см^2 . Теплостойкость возрастает линейно с конц-ией I; наиболее теплостойкие образцы получены при дозе $3,8 \cdot 10^7$ и т-ре 85° . А. Праведников

72820. Влияние электростатического поля на полимеризацию винилацетата. Миягава, Морикава, Ватанабэ, Сакураяма (Miyagawa Ichiro, Morikawa Teruya, Watanabe Kuma, Sakurayama Kinu), Нагоя сангэ караку канкюсэ канкю хококу, Res. Rept Nagoya Industr. Sci. Res. Inst., 1956, № 9, 38—41 (японск.)

72821. Дальнейшее исследование распада перекиси бензоила в присутствии стирола. Бевингтон, Тул (Further study of the decomposition of benzoyl peroxide in the presence of styrene. Bevington J. C., Toole J.), J. Polymer Sci., 1958, 28, № 117, 413—420 (англ.; рез. франц., нем.)

Измерена скорость полимеризации (глубина $< 5\%$, дилатометрич. метод) стирола в $0,81$ — $8,20 \text{ M}$ р-рах C_6H_5 , иницированной перекисью бензоила, меченой C^{14} в ядре, при 80° и активность образующихся полимеров до и после гидролиза. Из полученных данных вычислены отношения констант скоростей р-ции: $\text{C}_6\text{H}_5\text{COO} \cdot \rightarrow \text{CO}_2 + \text{C}_6\text{H}_5 \cdot$ (1) и $\text{C}_6\text{H}_5\text{COO} \cdot + \text{C}_6\text{H}_5\text{CH} = \text{CH}_2 \rightarrow \text{C}_6\text{H}_5\text{COOCH}_2\text{CHC}_6\text{H}_5$ (2). Отношение $k_1/k_2 = 0,7$ моль/л, k_0/k_p^2 (k_0 и k_p — константы скорости обрыва и роста цепи) увеличивается с разбавлением мономера от 238 до 355. С привлечением ранее полученных данных (РЖХим, 1957, 71866) вычислены $E_1 - E_2 = 6,6 \text{ ккал/моль}$ и $(2E_p - E_0) = 11,9$ — $13,7 \text{ ккал/моль}$, где E_p и E_0 — энергии активации р-ции роста и обрыва цепи. Р. Милютинская

72822. Иницирующее действие полистирола при полимеризации стирола. Хенрич-Оливе, Оливье, Шульц (Initiatorwirkung von Polystyrol bei der Styrolpolymerisation. Vorläufige Mitt. Henrici-Olive G., Olive S., Schulz G. V.), Makromolek. Chem., 1958, 26, № 3, 269—271 (нем.)

Добавка полистирола (I) (75 г/л , средняя степень полимеризации P равна 63 — 226) к бензоильному р-ру стирола, содержащему динитрил азодизомасляной к-ты, заметно увеличивает скорость полимеризации этого мономера (т-ра полимеризации 50°). Иницирующее действие I наблюдается также и в отсутствие инициатора; оно не зависит ни от P , ни от природы р-рителя или инициатора, использованных при синтезе I. Полимеры, полученные полимеризацией по ионному механизму, иницирующим действием не обладают. А. Праведников

72823. Реакции свободных радикалов в растворах.

XII. Изучение механизма ингибирующего действия полифенолов и ароматических аминов на процесс иницированной полимеризации. Долгоплекс Б. А., Парфенова Г. А., Ж. общ. химии, 1957, 27, № 11, 3083—3087

При иницированной полимеризации (ИПМ) различ-

ных непредельных соединений так же, как и при ПМ стирола (I) (см. XI, 1958, 59755), полифенолы и ароматич. амины оказывают ингибирующее действие только в присутствии O_2 или солей металлов переменной валентности (II). Это показано на примере ПМ винилацетата (III), аллилацетата (IV) (дающих высокоактивные радикалы), хлоропрена (V), изопрена (VI), I (образующих малоактивные радикалы) и метилметакрилата (VII). Иницирование II осуществляли с помощью динитрила азонизомасляной к-ты (VIII), диазоминобензола, метилфенилтриазена, гидроперекиси изопропилбензола и перекиси бензоила. В качестве ингибиторов ПМ были испытаны гидрохинон (IX), дифениламин (X), фенил- β -нафтиламин (в конц-ии 0,5—2 моля на 1 моль инициатора). При ПМ I с различными инициаторами, и V и VI под влиянием VIII, в атмосфере N_2 IX и X не оказывают никакого влияния на процесс П. При ПМ III и IV IX заметно снижает ее скорость. Так как при разложении VIII в р-ре в присутствии IX кол-во последнего остается первоначальным, т. е. он не взаимодействует с радикалами, образующимися из VIII, замедляющее действие IX авторы связывают с ингибированием стабильными семихиноидными радикалами, образующимися при взаимодействии активных радикалов III и IV с IX $HOC_6H_4ON + R \rightarrow RH_2 + HOC_6H_4O$. Характер действия полифенолов и ароматич. аминов в процессе ПМ резко меняется в присутствии O_2 . Так при ПМ I, III, VII под влиянием различных инициаторов в присутствии O_2 IX вызывает появление индукционных периодов (O_2 в отсутствие IX ускоряет П I); аналогичные явления наблюдают при ПМ в присутствии II, способных окислять IX: $HOC_6H_4ON + Me^{n+1} \rightarrow O=C_6H_4=O + Me^n$. Авторы предполагают, что истинными ингибиторами процесса ПМ являются продукты окисления полифенолов и ароматич. аминов.

Е. Родионова

72824. 2,4,6-трифенилфенокси — активный ингибитор полимеризации. Брейтенбах, Олай, Шиндлер (2,4,6-Triphenylphenoxy, ein wirksamer Polymerisationsinhibitor. Kurze Mitt. Breitenbach J. W., Olaj O. F., Schindler A.), Monatsh. Chem., 1957, 88, № 6, 1115—1116 (нем.).

Приведены предварительные данные об ингибировании радикалом 2,4,6-трифенилфеноксила (I) р-ции полимеризации стирола (II) и акрилонитрила (III). В II добавлено по $1 \cdot 10^{-3}$ моля нитрила азонизомасляной к-ты (IV) и ди-I. Фиолетовая окраска р-ра исчезает при 50° через 15 мин. За это время полимеризация не идет. Через столько же времени окраска исчезает и без добавки IV. Очевидно между II и I происходит столь быстрые побочные р-ции, что потребление I в р-ции полимеризации незаметно. III в присутствии IV и I не дает муты за счет полимеризации, но р-ция между III и I при 50° протекает в 40 раз медленнее, чем со II. Поэтому в присутствии очень активного инициатора, напр. перекиси о-хлорбензола, возможно измерить расход I в полимеризации. Отсюда следует, что I имеет преимущества перед хинонами для определения начальной скорости иницирования полимеризации.

Е. Каверзнева

72825. Максимумы скорости сополимеризации. Бернетт (Rate maxima in copolymerization processes. Burnett G. M.), J. Polymer Sci., 1958, 28, № 118, 642—644 (англ.).

Скорость сополимеризации метилметакрилата с маленным ангидридом в зависимости от состава мономерной смеси проходит через максимум (РЖХим, 1956, 68557). Анализ ур-ния скорости сополимеризации для случая, когда один из мономеров раздельно не полимеризуется, приводит к выводу, что максимум скоро-

сти возможен лишь при $r_1 < 2$, тогда как для указанной выше системы $r_1 \approx 3,2$.

Х. Багдасарян

72826. Исследование влияния структуры ненасыщенных соединений на их реакционную способность в процессах сополимеризации. I. Определение констант относительной активности мономеров для общего случая сополимеризации. Штрайхман Г. А., Ваншейдт А. А., Петрова Г. А., Ж. физ. химии, 1958, 32, № 3, 512—519 (рез. англ.).

Предложен аналитич. метод определения констант относительной активности мономеров r_1 и r_2 для общего случая полимеризации, основанный на интегральной форме ур-ния состава. Метод является развитием метода пересечений (Mayo F. R., Lewis F. M., J. Amer. Chem. Soc., 1944, 66, 1594), но в отличие от него учитывает криволинейный характер зависимости $r_2 = f(r_1)$ и особенно рекомендуется в тех случаях, когда наблюдается резкое различие между составом сополимера и составом реакционной смеси (т. е. когда процесс резко отличается от азеотропического). Средняя величина параметра p , имеющая характер константы исследуемой системы, находится из серии опытов с различными составами начальных смесей путем совместного попарного решения частных интегральных ур-ний, соответствующих каждому отдельному опыту, а найденные величины p используются далее для расчета r_1 и r_2 . Представлен также график. вариант этого метода. Метод использован для определения r_1 (1,05; 0,05), r_2 (0,49, 0,02) и p (—1,28) в случае сополимеризации метилметакрилата и метакриламида при 70° в р-ре C_2H_5ON (первая цифра) и в массе в запаянных ампулах в присутствии перекиси бензоила (0,1 вес.%) и воздуха; глубина превращения определялась гравиметрически, сополимеры анализировались на содержание N по микрометоду Дюма.

Г. Королев

72827. Исследование сополимеризации виниловых эфиров алифатического ряда с акрилонитрилом. I. Асахара, Мицухаси, Сайсан кэнкю, 1957, 9, № 8, 328—329 (японск.).

72828. О сополимеризации хлоропрена и сложных виниловых эфиров. Ушаков С. Н., Трухманов Л. Б., Изв. АН СССР, Отд. хим. н., 1957, № 8, 980—988

Изучалась совместная полимеризация хлоропрена (I) с винилформиадом, т. кип. 45,9°, n_D^{20} 1,3845, d_4^{20} 0,9600, винилацетатом, т. кип. 72,4—72,7°, n_D^{20} 1,3959, винилпропионатом, т. кип. 93,7—94,2°, n_D^{20} 1,4028, d_4^{20} 0,9172, винилбутиратом, т. кип. 116,5°, n_D^{20} 1,412, d_4^{20} 0,9315. Полимеризация проводилась при т-ре 65° с 0,2% перекиси бензоила 7—30 час. Для пересаживаемых полимеров определялись состав (по содержанию хлора), константы сополимеризации методом подобранной кривой и рассчитывались интегральные и дифференциальные составы сополимеров. Найденные величины констант сополимеризации показывают, что полимерный радикал, оканчивающийся звеном эфира, быстрее реагирует с мономером I, чем со своим мономером, а полимерный радикал, оканчивающийся звеном I, реагирует быстрее со своим мономером, чем с мономером эфира. Таким образом, сополимер всегда обогащен I. Вычисленные относительные активности указанных сложных эфиров к общему радикалу I, показали, что относительная активность уменьшается в гомологич. ряду с увеличением мол. веса кислотной остатка эфира. Определены растворимости сополимеров и т-ры стеклования. Показано, что введение в цепь полимера I сложного винилового эфира в кол-ве 30% практически не повышает т-ру стеклования.

С. Якушкина

72829. Константы совместной полимеризации виниловых эфиров алифатических кислот и некоторых обычных виниловых мономеров. Марвел, Де

Пьер...
tic acids
C. S. I.
№ 115,
Иа дан
совместн
гич. к-т
считаны
следующ
1,40, 0,41
инионато
1,08, 0,35
денхлори
IV 3,80,
0,143, III
II 37,8, 0
40,5, 0,01
акрилат
детельст
ров незн
полимер
72830.

в водн
новите
ке, K
nitril i
Rongal
ber R
252—2
Иауча
нитрила
действие
вес полу
—dM/d
при c >
E = 6,6
с при с
турной
цирова
ование
с после

72831.
VII. I
восте
дизак
номон
нител
фатом
ляя.
Aki
Chem
310; J
VII. I
(II) an
K₂S₂O₈
VIII.
снижаю
II в пр
IX. X
гитбто
окисли
или K₂
кол-ва
рован
расход
уменьш
X. П
исслед
сокого
рость

Пьерри (Reactivity ratios of vinyl esters of aliphatic acids and some common vinyl monomers. Marvel C. S., DePierri W. G.), J. Polymer Sci., 1958, 27, № 115, 39—58 (англ.; реф. франц., нем.)

Из данных о составах полимеров, полученных при совместной полимеризации виниловых эфиров алифатич. к-т с виниловыми и диеновыми мономерами, рассчитаны константы совместной полимеризации для следующих систем: винилхлорид с виниллевулином (I) 1,40, 0,419, винилфеларгонатом (II) 1,458, 0,446, винилддециленатом (III) 1,06, 0,358, винилстеаратом (IV) 0,745, 0,290; винилденхлорид с I 4,08, 0,0, II 3,00, 0,030, III 2,58, 0,054, IV 3,80, 0,075; акрилонитрил с I 3,57, 0,059, II 3,40, 0,143, III 1,82, 0,0, IV 4,20, 0,064; бутадиен с I 26,3, 0,02, II 37,8, 0,015, III 37,9, 0,015, IV 34,5, 0,034; стирол с I 40,5, 0,01, II 65, 0,01, III 29, 0,02, IV 68, 0,01; метилакрилат с III 369, 0,031. Полученные результаты свидетельствуют, что ацильные группы виниловых эфиров незначительно влияют на константы совместной полимеризации.

А. Праведников

72830. Полимеризация нитрила акриловой кислоты в водной фазе в присутствии окислительно-восстановительной системы H_2O_2 /ронгалит. Патат, Янке, Кербер (Über die Polymerisation von Acrylnitril in wässriger Phase mit dem Redoxsystem H_2O_2 /Rongalit. Patat Franz, Jancke Renate, Kerber Robert), Makromolek. Chem., 1958, 26, № 3, 252—268 (нем.; реф. англ.)

Изучалась кинетика полимеризации при 16—43° нитрила акриловой к-ты (М) в водн. р-ре (рН 4) под действием H_2O_2 и ронгалита (I) и определялся мол. вес полученных полимеров. Начальная скорость р-ции $-d[M]/dt = K[M]^0.5[H_2O_2]^0.5$ не зависит от конц-ии (с) I при $c > 3$ ммоль/л. Суммарная энергия активации $E = 6,6$ ккал/моль. Обратная величина средней степени полимеризации $1/\bar{P} = K'[M]^{-0.5}[H_2O_2]^0.5$, не зависит от c при $c < 40$ ммоль/л. Вычисленная из E и температурной зависимости $1/\bar{P}$ энергия активации р-ции иницирования равна 10 ккал/моль. Предполагается образование промежуточного соединения между М и H_2O_2 с последующим разложением его под действием I.

А. Лебедев

72831. Исследование полимеризации акрилонитрила. VII. Полимеризация, инициированная окислительно-восстановительной системой $K_2S_2O_8$ — $AgNO_3$. Ямадзак. VIII. Влияние KSCN. IX. Иницирование с помощью хлората натрия. X. Окислительно-восстановительная полимеризация, инициируемая персульфатом калия, бисульфитом натрия и роданидом калия. Такахаши, Ямадзак (Takahashi Akira, Yamazaki Isamu), Кобунсикагаку, Chem. High Polym., 1957, 14, № 146, 298—305; 305—310; № 147, 359—362; 363—366 (японск.; реф. англ.)

VII. Выведено ур-ние для скорости полимеризации (II) акрилонитрила (I), инициированной системой $K_2S_2O_8$ — $AgNO_3$.

VIII. Установлено, что неорганич. роданиды резко снижают степень П I. Суммарная энергия активация П в присутствии KSCN равна 15 ккал/моль.

IX. Хлорит натрия — один из наиболее сильных ингибиторов для полимеризации (П) I, инициированной окислительно-восстановительными системами $K_2S_2O_8$ или $K_2S_2O_8$ + $NaHSO_3$. В случае добавления небольшого кол-ва $NaClO_2$ в реакционную систему период ингибирования П пропорционален конц-ии $NaClO_2$. Скорости расхода мономера и мол. вес полимера значительно уменьшаются.

X. П I, инициированная системой $K_2S_2O_8$ — $NaHSO_3$, исследована в присутствии KSCN для получения высокого выхода полимера с низким мол. весом. Скорость расхода I главным образом зависит от конц-ии

$NaHSO_3$ в ранней стадии П и от конц-ии $K_2S_2O_8$ в более поздней стадии. KSCN сильно снижает мол. веса полимеров. Часть VI см. РЖХим, 1958, 42152.

Резюме авторов

72832. Привитые и блочные сополимеры. I. Привитые полимеры из акриламида и акрилонитрила. II. Блочные сополимеры из акриламида и акрилонитрила и акриламида и акриловой кислоты. Миллер (Block and graft polymers. I. Graft polymers from acrylamide and acrylonitrile. II. Block polymers from acrylamide and acrylonitrile and acrylamide and acrylic acid. Miller M. L.), Canad. J. Chem., 1958, 36, № 2, 303—308; 309—314 (англ.)

I. Привитые полимеры получены полимеризацией акриламида (I) в присутствии полиакрилонитрила (II) в 65—70%-ном р-ре $NaClO_4$ при 55° с инициатором персульфат NH_4 — метабисульфит Na или фотолизом II, содержащего α -хлоракрилонитрил, в присутствии I при 25—35°. Свободный II экстрагировался диметилформамидом, свободный полиакриламид — H_2O . Значение $[\eta]$ в 50%-ном р-ре $NaSCN$ для привитых полимеров меньше рассчитанного для идеальной смеси гомополимеров того же мол. веса. Мол. процент акрилонитрила (III) в привитых полимерах (1-я цифра). мол. вес ($\cdot 10^{-3}$) полимера, мол. вес ($\cdot 10^{-3}$) боковых ветвей, число прививок и т-ра размягчения равны соответственно: 15—20, 185, 3,8, 6,7, 162; 20, 145, 15—25, 1—1,5, 210; 25, 1000, 38, 21, 145; 40, 600, 84, 4,8, 162; 50, 420, 38, 6,3, 180; 50, 180, 38, 2,7, 200; 80, 640, 465, 1, 172. С увеличением числа прививок т-ра размягчения снижается и асимптотически приближается к т-ре размягчения сополимера состава 50:50.

II. Блочные сополимеры I и III или акриловой к-ты получались облучением смеси III или акриловой к-ты и $CHBr_3$ УФ-светом с последующей световой полимеризацией I в присутствии полимера, содержащего Br в качестве концевых групп. Содержание III в блочных сополимерах определяли спектрофотометрически. Эксперим. значения $[\eta]$ в 50%-ном р-ре $NaSCN$ удовлетворительно совпадают с рассчитанными для смеси гомополимеров, имеющих тот же мол. вес, и значительно ниже значений $[\eta]$ для сополимеров того же состава. Т-ра размягчения блочных сополимеров значительно выше т-ры размягчения обычных сополимеров того же состава и лежит вблизи прямой, соединяющей т-ры размягчения обоих полимеров.

И. Титорский

72833. Полимеризация виниловых соединений. XXII. Определение длины и числа прививок полистирола на натуральном каучуке. Мори, Миноура, Имото (Vinyl polymerization. XXII. Determination of length and numbers of grafted branches of polystyrene on natural rubber. Mori Yuyoi, Minoura Yuji, Imoto Minoru), Makromolek. Chem., 1957, 25, № 1—2, 1—6 (англ.; реф. нем.)

Продукты прививочной полимеризации стирола на светлом крепе при 50° перекисью бензоила или динитрилом азобисмасляной к-ты фракционировали осаждением их р-ра в смеси C_6H_6 и метилэтилкетона (1:2) метанолом. Путем окисления $C_6H_5CO_2H$ и HIO_4 показано, что выделенный полистирол, не связанный с каучуком, и полистирол, полученный при разрушении привитого полимера, имеют одинаковый мол. вес (вискозиметрически в C_6H_6), более низкий, чем неокисленный выделенный полистирол, что объясняется разрушением по α, β -дифенилированной связи С—С (структура «голова к голове») при окислении полистирола. С увеличением конц-ии каучука или инициатора длина прививок полистирола уменьшается, а их число соответственно остается постоянным или увеличивается. С увеличением конц-ии мономера длина прививок увеличивается, их число уменьшается, а с увеличением времени полимеризации длина прививок

не меняется, а их число увеличивается. Часть XXI см. РЖХим, 1958, 34976.

72834. Ионная полимеризация. Реакции α -этилстирола и *цис*- и *транс*- α,β -диметилстирола с хлорным оловом. Овербергер, Пирс, Таннер (Ionic polymerization. Reactions of α -ethylstyrene and *cis*- and *trans*- α,β -dimethylstyrene with stannic chloride. Overberger C. G., Pearce Eli M., Tanner D., J. Amer. Chem. Soc., 1958, 80, № 7, 1761—1765 (англ.))

С целью объяснения аномального (по сравнению с α -метилстиролом) поведения α -этилстирола (I) в процессе катонной полимеризации исследовано взаимодействие I, а также *цис*- (II) и *транс*- (III) α,β -диметилстирола с SnCl_4 . Продукт, образующийся из I при стоянии с SnCl_4 в течение 1 часа при 0°, содержит 78% димера (3,5-дифенил-5-метил-2-гептен (IV)) и 16% тримеров. Через 24 часа найдено 46% циклич. димера. II при 24-часовой обработке SnCl_4 при 0° дает 31% димеров, из которых 55% составляет IV. В этих условиях III не реагирует. По-видимому, на стадии карбониевого иона происходит изомеризация II в I; в случае III образование карбониевого иона, имеющего копланарное строение, затруднено соседством фенильной и метильной групп. Отсутствие полимеризации во всех описанных случаях объяснено наличием стерич. препятствий. Тот факт, что I с *n*-хлорстиролом дает сополимеры невоспроизводимого состава, объясняется образованием в условиях р-ции переменных кол-в димера.

А. Арест-Якубович

72835. Новый катализатор для стереоспецифической полимеризации диолефинов. Фурукава, Цурута, Саэгуза, Ониси, Кавасаки, Фуэно (A new catalyst for stereospecific polymerization of diolefins. Furukawa J., Tsuruta T., Saegusa T., Onishi A., Kawasaki A., Fueno T., J. Polymer Sci., 1958, 28, № 117, 450—451 (англ.))

С помощью катализатора, образующегося при смешении $\text{Cd}(\text{C}_2\text{H}_5)_2$ и TiCl_4 , получены *цис*-1,4-полиизопрен (I) ($\text{TiCl}_4 : \text{Cd}(\text{C}_2\text{H}_5)_2$ равно 0,5; 40°, конверсия 46% за 12 час.), *транс*-1,4-полибутадиен ($\text{TiCl}_4 : \text{Cd}(\text{C}_2\text{H}_5)_2$ равно 0,2; конверсия 78% за 19 час. при комнатной т-ре) и смешанный *цис-транс*-1,4-полибутадиен. ИК-спектр I тот же, что и НК.

А. Арест-Якубович

72836. Кристаллизующийся полистирол. II. Полимеризация стирола в присутствии трифенилметилкалия и родственных соединений. Вильямс, Лаксо, Далмидж (Crystallizable polystyrene. II. Polymerization of styrene with triphenylmethyl potassium and related compounds. Williams Jack L. R., Laakso Thomas M., Dulmage William J., J. Organ. Chem., 1958, 23, № 4, 638—639 (англ.))

Проведена полимеризация стирола в присутствии металлоорганич. производных $(\text{C}_6\text{H}_5)_3\text{CH}$ и родственных соединений. С $(\text{C}_6\text{H}_5)_3\text{CK}$ (I), $(\text{C}_6\text{H}_5)_2(\text{C}_6\text{H}_{11})\text{CK}$ и $(\text{C}_6\text{H}_5)_2\text{CHK}$ получен полимер, кристаллизующийся после выдерживания в течение 16 час. в кипящем C_7H_{16} , причем в случае I степень кристалличности выше, чем при применении алкильных катализаторов. 1,1- $(\text{C}_6\text{H}_5)_2\text{C}_2\text{H}_5\text{K}$, $\text{C}_6\text{H}_5\text{CH}_2\text{K}$, $(\text{C}_6\text{H}_5)_2\text{CNa}$, NaNH , KNH_2 и K дают некристаллизующийся полистирол. Сообщение I см. РЖХим, 1957, 77281.

А. Арест-Якубович

72837. Влияние соли $(\text{C}_6\text{H}_5)_3\text{CSnCl}_5$ на полимеризацию стирола под действием хлорного олова. Боннер, Клейтон, Вильямс (The effect of the salt $\text{Ph}_3\text{CSnCl}_5$ on the stannic chloride-catalysed polymerisation of styrene. Bonner T. G., Clayton J. M., Williams Gwyn, J. Chem. Soc., 1958, Apr., 1705—1706 (англ.))

Исследовано влияние добавления $(\text{C}_6\text{H}_5)_3\text{CCl}$ (I) и $(\text{C}_6\text{H}_5)_3\text{CSnCl}_5$ (II) на полимеризацию (II) стирола под действием SnCl_4 . В CCl_4 следы II вызывают длительное замедление, после чего II идет с прежней

скоростью. При добавлении I в кол-ве, большем, чем требуется для осаждения II, II не идет. На твердом II идет с небольшой скоростью. В $\text{C}_2\text{H}_4\text{Cl}_2$ и в его смеси с CCl_4 скорость выше, чем в CCl_4 , независимо от наличия II, если SnCl_4 присутствует в избытке. На II (без SnCl_4) быстрой II предшествует медленная стадия. Вес полимера, осажденного из $\text{C}_2\text{H}_4\text{Cl}_2$ добавлением CH_3OH , превышает кол-во взятого мономера, что говорит о вхождении групп $(\text{C}_6\text{H}_5)_3\text{C}$ в полимер. По-видимому, II является одновременно сокатализатором и обрывателем цепи.

А. Арест-Якубович

72838. Кинетика гетерогенной полимеризации пропилена в изотактические полимеры в присутствии катализаторов с высокой стереоспецифичностью. Сообщение IV. Влияние давления и температуры на кинетику процессов роста и обрыва полимерных цепей. Натта, Паскуон, Джакетти, Скалари (Cinetica eterogenea della polimerizzazione del propilene a polimero isotattico in presenza di catalizzatori ad elevata stereospecificità. Nota IV. Influenza della pressione e della temperatura sulla cinetica dei processi di accrescimento e di rottura delle catene polimeriche. Natta G., Pasquon I., Giachetti R., Scalfari F., Chimica e industria, 1958, 40, № 2, 103—111 (итал.; рез. англ., нем., франц.))

В присутствии ограниченных кол-в катализатора преобладающий процесс обрыва цепей протекает кин-ция 1-го порядка в отношении мономера, т. е. кин-ция переноса цепи на молекулу мономера. При малых парц. давлениях C_3H_6 (I) (450 мм рт. ст.) установлен обрыв цепей, не зависящий от конц-ии мономера и катализатора, который при т-рах < 80° оказывает лишь малое влияние на уменьшение мол. веса полимера. Малое изменение вязкости полимера в интервале 30—70° показывает, что в этом интервале энергия активации р-ции обрыва цепей близка к энергии активации процессов их зарождения и равна 11—14 ккал/моль. Процесс образования небольших кол-в аморфного полимера (АП) кинетически подобен процессу образования кристаллич. полимеров и зависит от тех же факторов. Для получения результатов, однозначно подтверждающих протекание процессов обрыва цепи, зависящих от конц-ии мономера, опыты проводились с прогрессивно уменьшающимися кол-вами $\text{Al}(\text{C}_2\text{H}_5)_3$ и TiCl_3 с последующей экстраполяцией результатов к нулевой конц-ии обоих катализаторов. Увеличение конц-ии $\text{Al}(\text{C}_2\text{H}_5)_3$ и понижение конц-ии I повышают выход изотактич. полимера на несколько процентов. Т-ра в пределах до 80° при постоянной конц-ии I мало изменяет выход АП, мол. вес которого много ниже мол. веса кристаллич. полимера. Образование АП связывается с наличием аморфной фазы и примесей в TiCl_3 . Изменение давления в пределах 450—1450 мм рт. ст. и т-ры 30—70° незначительно влияет на мол. вес полимеров. Дается кинетич. интерпретация полученных результатов, рассматривается механизм процессов роста и обрыва цепей и суммируются итоги изучения кинетики процесса стереоспецифичной полимеризации I. Сообщение III см. РЖХим, 1958, 59758.

В. Щекин

72839. Конденсация ксиленолов в присутствии ксилового катализатора. Сообщение 1. Шорыгина Н. В., Курочкина Г. И., Ж. прикл. химии, 1958, 31, № 1, 144—146

Технические ксиленолы (I) являются смесью изомеров, обладающих весьма различными скоростями взаимодействия с формальдегидом (II). Это приводит при поликонденсации I с II в условиях, пригодных для конденсации фенола (III), к образованию вместо более или менее гомог. смолы сильно структурированной массы типа резита, пластифицированного малоактивными изомерами, не вступившими в р-цию, что

отрицательно влияет на свойства пресс-материалов. Выравнивая скорости взаимодействия отдельных изомеров I с II, авторы получили новолачную смолу из I без добавления к нему III. Для выравнивания скоростей р-ции I было применено: а) понижение т-ры р-ции на первой стадии до 70°; б) дробный ввод катализатора; в) частичная нейтрация кислого катализатора перед началом обезвоживания готовой смолы. На первой стадии р-цию проводят при недостатке к-ты (рН ~ 3,5). Через час, когда активность р-ции снижается, вводят вторую порцию к-ты (рН ~ 1) (это способствует конденсации с формалином менее активных изомеров), доводят смесь до кипения и ведут конденсацию еще 1 час. По окончании р-ции в реакционную смесь вводят 40% NaOH в кол-ве, необходимом для нейтрации половины введенной в р-цию к-ты. Смолу сушат в вакууме до т. капл. 120—135°. Выход смолы 100% от I, скорость отверждения 50—90 сек. Ксилоноль-формальдегидные новолачные смолы могут быть использованы для замены фенольных смол в прома-ве пресс-материалов и песчано-смоляных смесей для коркового дитя.

С. Виноградова
72840. Действие γ -излучения на полиэтилен. Каваи, Кавамацу, Маэда, Харада, Мотэги, Уэяма (Kawai Rinjiro, Kawamatsu Syunji, Maeda Yo, Harada Minoru, Motegi Nobuo, Ueyama Mamoru), Koré karaku дзасси, J. Chem. Soc. Japan. Industr. Chem. Sec., 1957, 60, № 7, 844—848 (японск.).

72841. Эффект изменения окраски в случае полиакрилонитрила. Шурц (Discoloration effects in acrylonitrile polymers. Schurz Josef), J. Polymer Sci., 1958, 28, № 117, 438—439 (англ.).

Автор считает, что одной из р-ций, приводящих к изменению окраски полиакрилонитрила при нагревании или при перл. обработке, является образование азометиновых поперечных связей.

А. Праведников
72842. Исследование полимеризации и деполимеризации поли- ϵ -капролактама. III. О реакциях в начальной стадии полимеризации ϵ -капролактама. IV. Распределение молекулярных весов в водорастворимых линейных молекулах поли- ϵ -капрамида. Юмото, Огата (Studies on polymerization and depolymerization of ϵ -caprolactam polymer. III. On the reactions at the initial stage of the ϵ -caprolactam polymerization. IV. Molecular weight distribution of the water-soluble chain molecules in poly- ϵ -capramide. Yumoto Hirotsuke, Ogata Naoya), Makromolekul. Chem., 1957, 25, № 1—2, 71—90, 91—102 (англ.; рез. нем.).

III. При полимеризации ϵ -капролактама (I) при 232° с добавками 0,01—0,02 моль соли найлона-66, низкомолекулярного поли- ϵ -капрамида (степень полимеризации 9), N-ε-аминокаприл-ε-аминокапроновой к-ты, ε-аминокапроновой к-ты (II), α- или β-аланина, Na соли II, хлоргидрата II, гексаметилендиамина, его хлоргидрата, адипиновой к-ты, адипата Na, H₂SO₄ или H₂O скорость р-ции увеличивается с удалением аминогруппы от карбоксильной в молекуле катализатора. Карбоксильная или аминогруппы в отдельности не оказывают каталитич. действия. Электропроводность аминокислот (AK) в водн. или 80%-ном водн. р-ре I уменьшается с приближением амино- и карбоксильной группы в АК. Методом бумажной хроматографии показано, что р-ция АК с I происходит немедленно после растворения АК в I и скорость р-ции ω-аминокислоты или соли найлона больше, чем α-аминокислоты. Полученные результаты указывают на то, что каталитич. действие АК увеличивается с ослаблением внутримолекулярного солеобразования в амфотерном ионе, т. е. реакционная способность концевых групп в линейных полимерах I зависит от длины цепи.

IV. Изучали полимеризацию I при 235° и мол. отно-

шении H₂O : I 83,5; 56,0, 14,6; 6,3 и 4,2. Водорастворимую фракцию разделяли хроматографией на бумаге и колориметрически определяли содержание линейных молекул и кольцевых олигомеров. С увеличением мол. отношения H₂O : I вес фракции, нерастворимой в H₂O, степень полимеризации линейных молекул и константа равновесия, рассчитанная по ур-нию Флори-Шульца при условии неизменности реакционной способности концевых групп в зависимости от длины цепи, уменьшаются, константа равновесия, рассчитанная из эксперим. данных, сохраняет среднее значение 128. Отклонение эксперим. значений констант от теории Флори-Шульца объясняется увеличением реакционной способности концевых групп с увеличением мол. веса полимера. Часть II см. РЖХим, 1956, 54679.

И. Тугорский

72843. Успехи теории равновесий при полимеризации ϵ -капролактама. Маттес (Fortschritte in der Theorie des Perlon-Gleichgewichtes. Matthes A.), Kolloid-Z., 1958, 158, № 1, 62—63 (нем.).

К РЖХим, 1958, 31282.

72844. Замечания к работе Маттеса. Вилот (Zu einer Arbeit von A. Matthes. Wiloth Fritz), Kolloid-Z., 1958, 158, № 1, 63 (нем.).

См. РЖХим, 1958, 31282.

72845. О кинетике и равновесии реакции достижения равновесия линейных метилполисилоксанов. Лендъел, Прекопа, Ревес, Тёрёк (Über Kinetik und Gleichgewicht der Äquilibrierungsreaktion von linearen Methylpolysiloxanen II. Lengyel B., Prekopa A., Revesz P., Török F.), Z. phys. Chem. (DDR), 1957, 208, № 1-2, 33—41 (нем.).

Показано, что ранее выведенное ур-ние (часть I, РЖХим, 1957, 53965) для распределения по мол. весам линейных метилполисилоксанов в процессе достижения равновесия может быть обобщено на случай любых бифункциональных исходных в-в, содержащих D-единицы.

Из резюме авторов

72846. Скорость образования четвертичных соединений поли-4-винилпиридина. Чжоу Люе-юнь, Фьюсс (Quaternization rate of poly-4-vinylpyridine. Chow Lu-Yung, Fuoss Raymond M.), J. Polymer Sci., 1958, 27, № 115, 569—571 (англ.).

Выведено кинетич. ур-ние образования четвертичных соединений (ЧС) в предположении, что скорость образования ЧС данного атома N не зависит от заряда соседних атомов. Опытные данные (РЖХим, 1956, 74421) не согласуются с этим ур-нием. Данные, полученные на модельной системе 1,3-(ди-4-пиридил)-пропан, показывают, что скорость образования ЧС снижается при образовании ЧС соседних атомов N.

Х. Багдасарьян

72847. Изучение реакции полимеризации метакрилата калия. Кикучи, Ямаока (A study on the polymerization reaction of potassium methacrylate. Kikuchi Yasuo, Yamaoka Kiwamu), J. Sci. Hiroshima Univ., 1957, A21, № 2, 143—150 (англ.).

Метакрилат K полимеризовали в ампулах в виде водн. р-ров (0,5—1,5 моль/л) при исходном рН 8,2 в присутствии (NH₄)₂S₂O₈. Суммарная р-ция полимеризации 1-го порядка по мономеру. Скорость р-ции пропорциональна конц-ии (NH₄)₂S₂O₈ в исследованных пределах (< 1,0 · 10⁻² моль/л). KCl в кол-вах < 1,5 моль/л значительно снижает скорость р-ции при 45° и почти не влияет на нее при 55°. Суммарная энергия активации составляет 19,1 ккал/моль в присутствии 1,5 моль/л KCl и 15,6 ккал/моль в отсутствие минер. солей.

А. Лебедев

72848. Новые полиамфолиты — полисульфобетайны. Харт, Тиммерман (New polyampholytes: the polysulfobetaines. Hart R., Timmerman D.), J. Polymer Sci., 1958, 28, № 118, 638—640 (англ.).

Описан новый вид полиамфолитов сульфобетанны полимерных третичных аминов. Они получают при взаимодействии мономерных третичных оснований, напр. 2- и 4-винилпиридина с сульфонами (внутренние эфиры окисульфоновых к-т), и последующей полимеризации мономерных сульфобетанов или при непосредственной р-ции полимерных третичных оснований с сульфонами. В 1-м случае р-ция полимеризации проводится в водн. среде в присутствии $K_2S_2O_8$ и $NaHSO_3$. Во 2-м случае применяется высококипящий инертный р-ритель, напр. циклогексанон. Полисульфобетаны поли-2-винилпиридина растворим в воде при любых значениях pH; соответствующее производное 4-винилпиридина растворимо только в присутствии нейтр. солей (напр., NaCl); растворимость не зависит от метода синтеза. Вязкость полимера является функцией pH среды. Получен также частично 4-замещ. поли-2-винилпиридин и определены его растворимость и вязкость. Н. Мотовилова

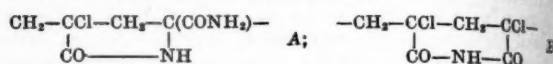
72849. К кинетике отверждения эпоксидных смол. Каннеблей (Zur Kinetik der Härtung von Epoxydharzen. Kannebley Günter), Kuststoffe, 1957, 47, № 12, 693—696 (нем.; рез. англ., франц., исп.).

Время отверждения (час.) эпоксидной смолы, полученной конденсацией эпихлоргидрина с 2,2-бис-(4-оксифенил)-пропаном, с эпоксидным эквивалентом 0,52 при 115° с ангидридами различных к-т в качестве отвердителей равно: гексахлор-бис-циклогептендикарбоновой (I) 1,5; малеиновой (II) 4,5; фталевой (III) 5,5; тетрагидрофталевой 16,5; цис-циклогександикарбоновой (IV) 22. Константы скорости модельной р-ции циклогексанола с ангидридами при 60—100° и 40-кратном избытке циклогексанола для различных ангидридов близки; энергии активации (ккал/моль) для различных ангидридов равны: II 11,52; III 10,73, IV 10,85. Константы скорости р-ции бензиловых полуэфиров различных к-т с низкомолекулярной эпоксидной смолой различаются в 43 раза, энергии активации (ккал/моль) для полуэфиров различных к-т равны: I 11,70; II, 13,10; III 14,10; янтарной 16,30; IV 17,80; отношение констант скоростей 1-й и 2-й р-ций при 115° для различных ангидридов равно: II 2,85; III 4,21; IV 12,75. Скорость р-ции *n*-гексиланамина (1 моль) с 2 молями различных эпоксидов при 30° уменьшается в ряду: эпихлоргидрин — фенилглицидиловый эфир — изобутилглицидиловый эфир. При р-ции эпоксидных соединений с аминами исчезает полоса поглощения при 10,92 м, соответствующая эпоксидной группе. И. Турский

72850. Синтез, свойства и полимеризация α -хлоракриламида. Иванов С. С., Котон М. М., Ж. общ. химии, 1958, 28, № 1, 139—143

Описаны синтез, свойства и полимеризация α -хлоракриламида (I). Синтез I осуществляют по схеме: $CH_2=CHCN \rightarrow CH_2ClCHClCN \rightarrow CH_2=CHClCN \rightarrow CH_2CHClCONH_2$. α,β -Дихлорпропионитрил (II) получают хлорированием 53 г акрилонитрила с 14 г пиридина (при водн. охлаждении 3 часа пропускают хлор до привеса реакционной массы на 71 г) с выходом 95%, т. кип. 61°/13 мм, n_D^{20} 1,4645, d_4^{20} 1,338. I дегидрохлорируют (56 г II, 50 мл CH_3OH и 60 г CH_3COONa нагревают 2 часа при 65°) превращают в α -хлоракрилонитрил (III) с выходом 67%, т. кип. 87°/755 мм, 73°/726 мм, n_D^{20} 1,4301, d_4^{20} 1,06. I синтезируют омылением III серной к-той (25 г III, 56,6 г 85%-ной H_2SO_4 и 0,1 г гидрохинона выдерживают при перемешивании 2 часа при 0°, 20 час. при 25°, 12 час. при 40° и 2 часа при 60°, затем при охлаждении льдом нейтрализуют насыщ. р-ром бикарбоната натрия и экстрагируют I эфиром) с выходом 61,4%, т. пл. 94° (бзл.). I хорошо растворим в H_2O , CH_3OH , спирте, CH_3COCH_3 , эфире, хуже в C_6H_6 и $C_6H_5CH_3$. Р-ры I при попадании на кожу вызывают ожоги. При длительном хранении (более ме-

сяца) I постепенно разлагается с потерей хлора и азота с удвоением мол. веса. При комнатной т-ре I бромруется в незначительной степени. При нагревании с избытком бромидброматной смеси I полностью бромруется. Действие на I конц. водн. NH_3 при комнатной т-ре сопровождается отщеплением хлора (в виде NH_4Cl) и образованием низкомолекулярного полимера. Полимеризация I в блоке и в р-ре бензола в присутствии перекиси бензоила или динитрила азоизомасляной к-ты сопровождается отщеплением азота (NH_3) и хлора (HCl) в виде NH_4Cl и образованием спшитых полимеров. Авторы предполагают, что при полимеризации в блоке и в р-ре бензола происходит образование циклич. звеньев типа А и Б, которые затем преобразуются в сетчатые структуры



В водн. р-рах с H_2O_2 и с $K_2S_2O_8$ полимеризация I происходит с замещением хлора гидроксильной группой и частичным омылением амидной группы. Нагревание таких водорастворимых полимеров выше 200° приводит к отщеплению воды и образованию спшитых полимеров. С. Виноградова

72851. Синтез и исследование ариалифатических полиамидов. Лосев И. П., Федотова О. Я., Аскаров М. А., Тр. Моск. хим.-технол. ин-та им. Д. И. Менделеева, 1957, вып. 25, 74—85

Изучена конденсация *o*-толуидина и его *N*-алкилзамещ. производных с формальдегидом (I) в кислой среде с образованием соответствующих диамидоарилметанов. *N*-алкило-*o*-толуидины были получены в свою очередь, взаимодействием соответствующих бромистых алкилов с избытком *o*-толуидина и имели следующие характеристики: *N*-пропил-*o*-толуидин, т. кип. 229°, n_D^{20} 1,5379; d_4^{20} 0,931; *N*-бутил-*o*-толуидин, т. кип. 257—258°, n_D^{20} 1,5308, d_4^{20} 0,923, *N*-(2-метилбутил)-*o*-толуидин, т. кип. 245—247°, n_D^{20} 1,5268; d_4^{20} 0,911; *N*-гексил-*o*-толуидин, т. кип. 159°/3 мм, n_D^{20} 1,5229, d_4^{20} 0,918; *N*-1-метилгептил-*o*-толуидин, т. кип. 164°/2 мм, n_D^{20} 1,5139, d_4^{20} 0,903. К 155 г моноэтди-*o*-толуидина, 90 мл 36%-ной HCl и 200 мл воды при перемешивании при 13—15° приливалось 40 мл 37%-ного I. Смесь нагревалась 4 часа при 50°, отфильтровалась и обрабатывалась 10%-ным $NaOH$ до выпадения кристаллов *N,N'*-диэтил-4,4'-диамино-3,3'-диметилдифенилметана, выход 96%, т. пл. 93° (из CH_3OH). Аналогичным образом были получены (из 4,4'-диамино-3,3'-диметилдифенилметана, выход 85%, т. пл. 156° (из CH_3OH); *N,N'*-дипропил-, выход 82%, т. пл. 54° (из CH_3OH); *N,N'*-дибутил-, выход 83%, т. пл. 62° (из CH_3OH); *N,N'*-ди-(метилбутил)-, выход 79%, т. кип. 248°/2 мм; *N,N'*-дигексил-, выход 80%, т. кип. 304°/5 мм; *N,N'*-ди-1-метилгептил-, выход 81%, т. кип. 318°/4 мм. При поликонденсации вышеперечисленных ароматических диаминов с адипиновой к-той при т-рах от 140° до 260° получены впервые полиамиды с т. пл. от 40 до 326° и мол. в. от 3000 до 15 000 (определения проводились вискозиметрич. хим. методом и методом светорассеяния). Установлено, что алкильные радикалы, имеющие нечетное число атомов C в радикале, снижают т-ру плавления диамина больше, чем алкильные радикалы, имеющие четное число атомов C. С. Якушкин

72852. О влиянии *N*-алкилирования на некоторые свойства полиамидов. Клебанский А. Л., Визекова М. С., Хим. наука и пром-сть, 1957, 2, № 5, 659—660

Изучено влияние *N*-алкилирования на свойства полиамидов (ПА), полученных поликонденсацией адипиновой к-ты (I) и ряда моно- и диалкилпроизводных

гексаметилендиамин (II). На примере N-изопропилзамещ. ПА показано, что увеличение степени замещения (от 25 до 75%) улучшает растворимость в органич. р-рителях и снижает т-ру плавления ПА. Отсутствие хрупкости и появление эластичности при обычной т-ре наблюдается у ПА, начиная с 75% замещения. ПА на основе монозамещ. II обладают лучшей растворимостью, пониженной т-рой плавления (74° и 185° соответственно), меньшей хрупкостью и большей эластичностью при обычной т-ре по сравнению с ПА той же степени замещения на основе N,N'-диалкилзамещ. II, что объясняется авторами различным расположением заместителей в цепи. Сравнительное влияние строения замещающего радикала на свойства ПА изучено на примерах, полученных на основе N,N'-диалкилпроизводных II и I; N-изопропилзамещ. ПА (III), N-изопропилзамещ. ПА (IV), N-н-бутилзамещ. ПА (V) и N-бутил-2-замещ. ПА (VI). Ниже приведены полученные данные (перечисляются ПА, мол. вес по концевым группам, характеристич., вязкость, растворимость в бензоле, свойства): III, 3000, 0,666, растворим, балламообразный; IV, 2400, 0,060, нерастворим, воскообразный; V, 3600, 0,088, растворим, балламообразный; VI, 2800, 0,050, нерастворим, воскообразный, — из которых видно, что ПА с заместителями разветвленной структуры воскообразны и нерастворимы в бензоле, в отличие от ПА с нормальной структурой, что согласуется с аналогичными данными, известными для полиакрилатов. Для удлинения цепей N-алкилированных ПА проведена их обработка 1,4-толуиленидиацианатом (VII), которая приводит к образованию по концевым группам карбамидных связей по р-ции: $\sim \text{NHR} + \text{OCN} \cdot \text{R}' \rightarrow \sim \text{NCO} + \text{NHR} \sim \rightarrow \sim \text{NROCNR} \cdot \text{R}' \sim \text{NHCONR} \sim$. Эта р-ция при 120–130° протекает в течение нескольких минут и приводит к увеличению уд. вязкости полимера в 2,5–3 раза, причем ПА с разветвленными заместителями образуют твердые, хрупкие продукты, а ПА с нормальными заместителями — эластичные. Вторичная обработка «удлиненных» таким образом ПА избытком VII (10–12 вес.%) при длительном нагревании приводит к образованию неплавких и нерастворимых ПА, имеющих пространственную структуру.

Е. Кронгауз

72853. О синтезе полигексила. Часть 1. Изучение нитрования полистирола. Сайто, Иидзима (Saito Susumu, Iijima Masaaki), Нихон-сю гаккайси, Bull. Soc. Salt Sci., Japan, 1957, 11, № 2, 106–112 (японск.; рез. англ.)

С целью синтеза ионообменной смолы для избирательного отделения ионов K типа «полигексила» изучено нитрование полистирола (I) (образец со степенью полимеризации $\sim 10^4$). В оптимальных условиях к 200 мл HNO_3 (d 1,51) при т-ре не выше 2–3° добавляют 10 г I (измельчение 120 меш), перемешивают 15 мин., оставляют на 6 час. при комнатной т-ре и выливают в воду, получают n-нитрополистирол (II), положение нитрогруппы подтверждено сравнением ИК-спектра II с ИК-спектрами o-, m- и p-нитротолуола и окислением II посредством MnO_2 с образованием пара-нитробензойной к-ты.

Л. Яновская

72854. О синтезе и полимеризации глицидилуретанов. Берлин А. А., Добагова А. К., Хим. наука и пром-сть, 1957, 2, № 6, 808–809

Описан синтез глицидилуретанов (I) взаимодействием изоцианатов (II) с глицидиолом (III) по р-ции: $\text{R(NCO)}_n + n\text{-HOCH}_2\text{CHCH}_2\text{O} \rightarrow \text{R(NHCOOCH}_2\text{CHCH}_2\text{O)}_n$. Для получения I 1 моль соответствующего II смешивается с 2 молями III при исключении влаги. Р-ция протекает с выделением тепла при непрерывном охлаждении водой (30°). I — кристаллич. в-ва, хоро-

шо растворимы в ацетоне, ограничено в бутилацетате, при нагревании — в ароматич. углеводородах. Гексаметиленглицидилуретан, т. пл. 68–69°, эпоксидный эквивалент 30,1. Технич. толуиленидиацианат дает два глицидилуретана, соответствующие 2,4- и 2,6-изомерам с т. пл. 78 и 122° и эпоксидным эквивалентом 29,92. Исследована полимеризация в расплаве. Установлено, что образование неплавких и нерастворимых 3-мерных полимеров I не требует катализаторов и протекает почти без изменения объема. Добавка к I многоатомных спиртов 2,2-дифенилопропана, себацовой к-ты ускоряет полимеризацию, но приводит к плавким полимерам. С бензидином образуются неплавкие хрупкие сополимеры. Полимеры I имеют высокую адгезию к стеклу и металлам, достаточно тверды, эластичны и устойчивы к бензину и маслам.

А. Берлин

72855. Винилиденцианид. IX. Реакция поливинилиденцианида с соединениями, содержащими простой активный водородный атом. Уэстфал (Vinylidene cyanide. IX. Reaction of polyvinylidene cyanide with compounds containing a single active hydrogen atom. Westfahl J. C.), J. Amer. Chem. Soc., 1958, 80, № 4, 871–874 (англ.)

Основываясь на структурной аналогии винилиденцианида (I) с акрилонитрилом, исследована р-ция взаимодействия низкомолекулярного полимера I с соединениями, содержащими простой активный водородный атом (A—H), катализируемая основаниями и приводящая к образованию продуктов, имеющих общую структуру $\text{A}-\text{CH}_2\text{CH}(\text{CN})_2$. Необходимость применения вместо I его полимера вызвана большой склонностью I к полимеризации, катализируемой даже таким слабым основанием, как вода. Полимер, полученный полимеризацией I с применением этанола в качестве инициатора, имел структуру $\text{C}_2\text{H}_5\text{O}-[\text{CH}_2\text{C}(\text{CN})_2]_n-\text{H}$ (II), а с применением 2-хлорэтанола в качестве инициатора — структуру $\text{CH}_2\text{Cl}-\text{CH}_2\text{O}-[\text{CH}_2\text{C}(\text{CN})_2]_n-\text{H}$ (III). II, III и высокомолекулярный полимер являются источниками $\text{CH}_2\text{C}(\text{CN})_2$ -групп в р-ции с соединениями с активным водородом, катализируемой основаниями, хотя выход продуктов р-ции с высокомолекулярным полимером был значительно ниже, чем с II и III. 1,1,3,3-тетрацианпропан (IV) также является источником $\text{CH}_2\text{C}(\text{CN})_2$ -групп в этой р-ции. В качестве A—H были использованы: 2-нитропропан (V), диэтилтиламмонат (VI), этиламмонат (VII), додецилмеркаптан (VIII) и бензилмеркаптан (IX); в качестве катализаторов р-ции — пиперидин (X), алколят натрия (XI), пиридин (XII). Взаимодействием II с перечисленными выше A—H получены α -циано- γ -метил- γ -нитровалеронитрил (XIII), α -циано- γ -дикарбэтоксикапронитрил (XIV), α -циано- γ -дикарбэтоксипропанитрил (XV), α -циано- β -додецилмеркаптопропанитрил (XVI) и α -циано- β -бензилмеркаптопропанитрил (XVII). Приведены продукт р-ции, A—H, основание, выход в %, т. пл. °C: XIII, V, X, 55,6, 82–83; XIV, VI, XI, 66,8, 55,5–56,5; XV, VII, XII, 139, жидкость; XVI, VIII, XII, 74,2, 40,5–41,5; XVII, IX, XII, 56,0, 47,5–48,5. Структуры, приспанные полученным соединениям, основаны на изучении к-т, полученных при гидролизе продуктов р-ции. Гидролиз XIII протекал аномально в отличие от гидролиза других продуктов. Предложен механизм этой р-ции. Сообщение VIII см. РЖХим, 1957, 44449.

Е. Кронгауз

72856. О совместном гидролизе моно- и трифункциональных алкил(арил)-хлорсиланов. Андрианов К. А., Левшук М. Я., Голубцов С. А., Красовская Т. А., Ж. общ. химии, 1958, 28, № 2, 333–336

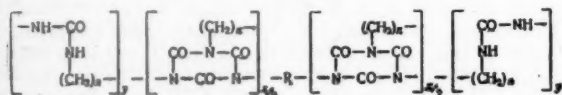
Установлено, что при совместном гидролизе фенил-

(I) и хлорфенилтрихлорсилана (II) с триэтилхлорсиланом (III) при t -ре ниже 20° не образуется продукт совместного гидролиза (ПСГ), а получается смесь гексаэтилдисилоксана (IV) и смолообразного полифенилсиксиксана, вероятно, вследствие разницы в скорости гидролиза и конденсации соединений с различной функциональностью. Повышение t -ры приводит к возникновению ПСГ. Лучший выход ПСГ из I и III (80%) получается при 60° , из II и III (85%) при 80° . При гидролизе смеси III и I горячей водой (мол. соотношение 3:1) образуется продукт, который отделяется от HCl-к-ты, промывается, высушивается, нагревается до 200° (1 час) и разгоняется при 2 мм. Фракция $80-100^\circ$ представляет IV; фракция $110-250^\circ$ — ПСГ. Остаток состоит из жидкого высокомолекулярного продукта неполного согидролиза.

О. Охрименко

72857. Конденсация бисуретанов и образование новых полимеров. Лако, Рейнолдс (Condensation of bisurethans and the formation of new polymers. Laakso Thomas M., Reynolds Delbert D.), J. Amer. Chem. Soc., 1957, 79, № 24, 5717—5720 (англ.)

Изучена конденсация бисуретанов (I) типа $C_2H_5OCONH(CH_2)_nNHCOOC_2H_5$ ($n = 2, 3, 4, 6$ и 10) при повышенной t -ре в присутствии щел. катализаторов, которая приводит к образованию полимеров, содержащих уретановые группы: $C_2H_5OCONH(CH_2)_nNHCOOC_2H_5 \rightarrow [HN(CH_2)_nNHCONH(CH_2)_nNHCO]_x + (C_2H_5)_2CO$. Конденсацию I проводили при t -ре бани $230-250^\circ$ в токе азота. После расплавления I добавляли катализатор $Ti(OC_4H_9)_4$. Аналогичные результаты получены при применении в качестве катализатора CH_3ONa и др. Приведены выходы и характеристики полученных I общей ф-лы $C_2H_5OCONR(CH_2)_nNHCOOC_2H_5$ (перечисляются R, n , выход в %, т. пл. в $^\circ C$): H, 2, 61,4, 110; H, 3, 75, 43; H, 4, 95, 93; H, 6, 70, 84; H, 10, 95, 91; CH_3 , 6, 61, т. кип. $138-141/0,3$ мм. Предполагается, что образование нерастворимого продукта объясняется образованием изоциановых групп $C_2H_5OCONH(CH_2)_nNHCOOC_2H_5 \rightarrow C_2H_5OCONH(CH_2)_nN=C=O + C_2H_5OH$, которые, реагируя с линейными полиуретанами, образуют структуры типа:



где x и y равны мол. кол-вам выделившихся C_2H_5OH и $(C_2H_5)_2CO$ соответственно. Е. Кронгауз

72858. Окисление хлористой кислотой кукурузного крахмала, окисленного периодатом. Хофрейтер, Вольф, Мелтреттер (Chlorous acid oxidation of periodate oxidized cornstarch. Hofreiter B. T., Wolff I. A., Mehlretter C. L.), J. Amer. Chem. Soc., 1957, 79, № 24, 6457—6460 (англ.)

«Дикарбоксилкрахмалы», получающиеся при избирательном окислении альдегидных групп (АГ) в окисленных йодной к-той крахмалах (ОК), являются полиэлектролитами, представляющими теоретич. и практич. интерес. Изучены оптимальные условия окисления $NaClO_2$ (I), дающие 100%-ное превращение альдегидных групп в $COOH$ -группы. Окисленные обезжиренного кукурузного крахмала $NaJO_4$ (0° , 24 часа) получены препараты, содержавшие 5—100% теоретически возможных АГ. Взвесь ОК обрабатывали 4 молями I на одну АГ ($25 \pm 1^\circ$, 1 M р-р I в 0,5 M CH_3COOH). Окраска смеси из желтой переходила в красную. Затем через р-р пропускали ток N_2 для вытеснения ClO_2 и окисленные продукты осаждали выливанием в 2 объема этанола. Для очистки более глу-

боко окисленные препараты пересаждали. При содержании до 20% $COOH$ ОК сохраняли свою зернистую структуру и способность давать вязкие водн. дисперсии. Е. Каверзена

72859. Сшивание желатины с помощью водорастворимого карбодимида. Шихан, Главка (The cross-linking of gelatin using a water-soluble carbodiimide. Sheehan John C., Hlavka Joseph J.), J. Amer. Chem. Soc., 1957, 79, № 16, 4528—4530 (англ.)

Показано, что обработка водн. р-ра желатины (I) водорастворимыми карбодимидами вызывает быстрое образование геля, вероятно, вследствие сшивания молекул I в результате возникновения новых амидных связей за счет концевых амино- и карбоксильных групп главных и боковых цепей. Наиболее подходящими в отношении доступности и физ. свойств являются: 1-этил-3-(2-морфолинил-(4-этил)-карбодимид) (II) и 1-этил-3-(2-морфолинил-(4-этил)-карбодимид)-метил- n -толуолсульфонат (III). Синтезы II и III осуществлены взаимодействием N -(2-аминоэтил)-морфолина с этилизотиоцианатом. Образующаяся кристаллич. 1-этил-3-(2-морфолинил-(4-этил)-тиомочевина (выход 84%, т. пл. $94-96^\circ$) растворяется в сухом ацетоне и перемешивается с окисью ртути при 20° . Ацетон удаляется и осадок карбодимида II очищается перегонкой при $80^\circ/0,05$ мм; выход II 76%. Смесь метил- n -толуолсульфоната и II нагревается на водяной бане и растирается с бензолом; кристаллизуется III, выход 90%, т. пл. $91-93^\circ$ (ацетон-бzl.). Предыдущую работу см. РЖХим, 1957, 8230. О. Охрименко

72860. Положение и распределение заместителей в очищенной оксиэтилцеллюлозе. Браунелл, Первес (The location and distribution of substituents in a purified hydroxyethyl cellulose. Brownell H. H., Purves C. B.), Canad. J. Chem., 1957, 35, № 7, 677—688 (англ.)

В гидролизате технич. оксиэтилцеллюлозы (I) обнаружены (хроматография на бумаге, аммиачный р-р азотнокислого серебра) полиэтиленгликоли (II), вероятно, физически адсорбированные на I. После многократного пересаживания из водно-ацетоновых смесей I удалось освободить от II; при этом кажущееся мол. замещение (МЗ), определенное по кол-ву связанного гликоля, снизилось от 1,56 до 1,33. Отношение МЗ в очищ. продукте к кол-ву замещ. OH -групп в глюкозных остатках (0,85) дает среднюю длину полиоксиэтиленовой цепочки заместителей (1,6). Очищ. I подвергалась гидролизу 4%-ной HCl 14 час. при 100° . Нейтрализованный (на ионообменной смоле) гидролизат содержит (длительная хроматография на бумаге W № 1,4, проявитель — насыщ. водой бутанол-1, распылитель — фталевокислый анилин) глюкозу и семи производных; три изомера монооксиэтилглюкозы, три диоксиэтилглюкозы и 2,3,6-триоксиэтилглюкозу. Все производные идентифицированы при помощи синтетич. продуктов, полученных из метил-4,6-бензилдиглюкозида, 1,2-, 5,6-диизопропилиден- и 1,2,3,5-диметиленглюкофуранозы. Метил-2,3-диоксиэтил-4,6-бензилдиглюкопиранозид (т. пл. $98-100^\circ$, и $119-121^\circ$) и 1,2-монометиленглюкофураноза (т. пл. 146°) получены впервые. Синтез I из алкилцеллюлозы и окисления этилена протекает почти гомогенно, причем первичные гидроксильные группы наиболее реакционноспособны, вторичные у $C(3)$ — наименее. З. Зосин

72861. О включенных соединениях. XI. Закономерности образования аддуктов циклодекстринов. Кремер, Хенглейн (Über Einschlußverbindungen. XI. Gesetzmäßigkeiten bei der Bildung von Addukten der Cyclodextrine. Cramer Friedrich, Hengle Friedrich Martin), Chem. Ber., 1957, 90, № 11, 2561—2571 (нем.)

Описано получение циклодекстринов с включенными органич. молекулами. К водн. р-ру декстрина (Д) добавляли второй компонент, иногда в водн. или эфирном р-ре, периодически встряхивали 5—8 дней, промывали водой, ацетоном и эфиром. Содержание Д определяли поляриметрически, содержание «гостя» по гетероатому или по элементарному анализу на С. Получены соединения, содержащие включенные галогенпроизводные, фенолы, галюиды, ароматич. конденсированные системы, жирные к-ты и др., всего 54 в-ва. Сделаны следующие выводы. 1. Соединения образуются с постоянными молекулярными соотношениями. 2. Решающее значение для способности к образованию включения имеют размеры включаемой молекулы. 3. Результаты полностью соответствуют современным представлениям об упаковке органич. молекул и об их ван-дер-ваальсовых радиусах. 4. В отдельных случаях существует «химическое сродство» между включающим пространством и «гостем», что выражается в целючисленном молярном соотношении их. Сообщение X см. РЖХим, 1957, 41123.

Е. Каверзнева

72862. О включенных соединениях. XII. Соединения α -циклодекстрина с газами. Крамер, Хенглейн (Über Einschlußverbindungen. XII. Verbindungen von α -Cyclodextrin mit Gasen. Cramer Friedrich, Henglein Friedrich Martin), Chem. Ber., 1957, 90, № 11, 2572—2575 (нем.).

Получены кристаллич. соединения включения α -циклодекстрина с 10 газами (Cl_2 , Kr, X, O_2 , CO_2 , C_2H_4 , CH_4 , C_2H_6 , C_3H_8 , C_4H_{10}). N_2 и Ar не дают аддуктов. β -Циклодекстрин имеет слишком широкий диаметр пустот (~ 8 Å) для образования аддуктов. В автоклаве на 200 мл в течение 5—8 дней выдерживали под давлением соответствующего газа (от 7 до 120 атм) при 20° 100 мл 12%-ного декстрина. После открытия автоклава кристаллич. продукт быстро отфильтрован, промыт и высушен при нормальном давлении над CaCl_2 . Аддукт циклодекстрина с Cl_2 выпадает при простом пропускании хлора в р-р декстрина, особенно полно при снижении т-ры до +2°. Полученные соединения вполне устойчивы при нормальных условиях. При растворении кристаллов в воде выделяется газ, что можно наблюдать под микроскопом, а иногда и простым глазом.

Е. Каверзнева

72863. О включенных соединениях. XIII. Разделение и выделение циклодекстринов. Крамер, Хенглейн (Über Einschlußverbindungen. XIII. Die Trennung und Isolierung der Cyclodextrine. Cramer Friedrich, Henglein Friedrich Martin), Chem. Ber., 1958, 91, № 2, 308—310 (нем.).

Разработан метод разделения α -, β - и γ -циклодекстринов (Ц), основанный на образовании включенных соединений, осаждающихся из р-ра. Гидролиз крахмала: 3 л 3%-ного р-ра крахмала нагревают ≥ 1 часа в автоклаве при 125—130°; после охлаждения прибавляют 150 мл ферментного р-ра из культуры *Vac. macerans* (Schwimmer S., Garibaldi J. A., Cereal. Chem., 1952, 29, 108); через 10 дней образование циклодекстринов достигает максимума. Осаждение α -, β - и γ -Ц: упаренный в вакууме до 700 мл р-р Ц встряхивают 48 час. с избытком смеси тетра-хлорэтилена и тетра-хлорэтана (1:1); осадок соединения с тетра-хлорэтаном отделяют на центрифуге и сушат в эксикаторе, выход 28,4 г, а затем растворяют в 500 мл, разлагают пропусканием пара (1 час.) и доводят конц-ию Ц до 4%; среднее $[\alpha]^{20}_D + 150^\circ$. Получение β -Ц (I): полученный р-р взбалтывают 48 час. с избытком *n*-цимола (II); выпадает аддукт II и I с примесью γ -Ц (III). Удаляют II паром, разбавляют до 1%-ной конц-ии Ц и встряхивают 48 час. с $\text{C}_6\text{H}_5\text{F}$. Аддукт I с $\text{C}_6\text{H}_5\text{F}$ (13,4 г) после разложения

паром перекристаллизовывают из 10%-ного р-ра в воде, получают 11 г чистого I, $[\alpha]^{20}_D + 160^\circ$. Из фильтра от II удаляют $\text{C}_6\text{H}_5\text{F}$ паром, сгущают в вакууме до конц-ии 10% ($\alpha_D + 15^\circ$) и наслаивают насыщ. р-ром антрацена в эфире; через 6 дней получают 1,4 г аддукта III с антраценом, который разлагают 200 мл горячей воды, антрацен отсаливают, остатки извлекают эфиром, водн. р-р сгущают и прибавлением CH_3OH вызывают кристаллизацию 0,9 г III, $[\alpha]^{20}_D + 168^\circ$. Из р-ра после отделения I и III в виде аддукта, выделяют после удаления II паром и взбалтывания р-ра с циклогексаном (IV) α -Ц (V) в виде аддукта с IV. После кристаллизации из 30%-ного водн. р-ра получают 10,5 г V, $[\alpha]^{20}_D + 145^\circ$. Колич. соотношения смеси, дающие хорошее разделение, следующие: V < 73%; I > III; III < 20%.

Е. Каверзнева

72864. Уроновые кислоты в желатине. Вене, Пурадье, Ландуччи (Sur les acides uroniques présents dans les gélatines. Venet A. M., Pouradier J., Landucci J. M.), Bull. Soc. chim. France, 1957, № 11—12, 1325—1329 (франц.).

Для решения вопроса, являются ли уроновые к-ты (УК) примесями или они входят в состав молекулы желатин, было исследовано содержание их в желатинах различного происхождения (кость, кожа теленка и свиньи) при различной продолжительности взаимодействия с реактивом на УК, в процессе гидролиза 3 н. HCl при 100°, после промывки желатины водой и после ее окисления. Колич. определения УК проводили колориметрич. методом с нафторезорцином. Интенсивность поглощения была определена при 575 и 530 мμ и доля окраски, вызванная УК, вычислена из двух ур-ний с двумя неизвестными: $D_{530} = {}^{1/0.95} d_a + {}^{1/1.40} d_{ук}$ и $D_{575} = d_a + d_{ук}$, где d_a и $d_{ук}$ обозначают максимумы поглощения для альдоз и УК. Изучение кинетики образования окраски показало, что в желатинах имеются как свободные, так и связанные УК (может быть из хондроитинсульфатов или полиуринов), а также нейтр. углеводы, способные превращаться в УК при осторожном окислении.

Е. Каверзнева

72865. О нитровании целлюлозы хлористым нитрилом. Урбанский, Семашко (On nitration of cellulose with nitryl chloride. Urbaniski T., Siemaszko A.), Bull. Acad. polon. sci., 1957, Cl. 3, 5, № 12, 1145—1147, XCIV (англ.; рез. русск.).

Исследовано нитрующее действие NO_2Cl на целлюлозу в газовой фазе, в воде и следующих растворителях: CHCl_3 , CCl_4 и CS_2 . При нитровании в газовой фазе получена не содержащая хлора нитроцеллюлоза (НЦ) с содержанием 12,2% N, обладающая повышенной хим. стойкостью по сравнению с НЦ, полученной нитрованием смесью азотной и серной к-т. В жидких средах получена НЦ меньшей стойкости с 9,5—10% N.

Н. Леншина

72866. О реакциях лигнина при сульфатной варке. Введение серы в лигнин. Йипер, Альфредссон (Über die Reaktionen des Lignins bei der Sulfat-kochung. Der Einbau des Schwefels in das Lignin. Gierer Josef, Alfredsson Bo), Acta chem. scand., 1957, 11, № 9, 1516—1529 (нем.).

Изучалась р-ция сульфидирования лигнина при использовании препаратов выделенного лигнина, тонкоизмельченных древесных опилок, а также модельных соединений типов: *n*-оксигенилового спирта (I), бензилалкилового эфира (II) и дигенилового эфира. Показано, что вышеприведенные модельные в-ва легко реагируют с р-рами сульфидрата натрия при 100°, давая соответствующие сульфиды, если только не стерич. препятствий для этой р-ции (наличие заместителя в β -положении боковой цепи). Найдено, что

соединения типов I и II реагируют с этилмеркаптаном с образованием *n*-оксibenзилэтилсульфидов. Установлено, что в тиолигнинах основная часть серы присутствует в фракции, неустойчивой к действию кислотной смеси $\text{HJ} + \text{HCl} + \text{H}_3\text{PO}_2$, и предположено, что эта фракция имеет бензилсульфидную структуру.

Т. Макарова

См. также разделы: *Синтетические полимеры. Пластмассы; Лаки. Краски. Лакокрасочные покрытия; Каучуки, натуральный и синтетический. Резина; Искусственные и синтетические волокна; Целлюлоза и ее производные. Бумага и Кожа. Мех. Желатина. Дубители. Технические белки и рефераты: Физ. св-ва высокополимеров 69871, 70274, 70277. Кинетика и механизм поликонденсации 70747*

Абаренко
Абашидзе
Абидова М
Абов Ю.
Абрамн
Абс Х. 7
Ава 71204
Августини
Аветиков
Агабабян
Агаев Р.
Агасян П.
Агладзе Р.
Агранат Б.
Адати 721
Адоньева
Азовский
Ашана 72
Ашана С.
Ашур М.
71377 П
Айхара 72
Акаси 720
Анахира
Али Я. 71
Анользин
71156
Аксельруд
Алехата 7
Александр
Александр
Алексеев
Алексеева
Алиев А.
Алиев В.
Алиев М.
Алиев Р.
Алимарин
Алунджин
Алфутова
Альбицкая
Альмани Л.
Альшутер
Амбарцумян
Амиханов
Ампилов
Аммон 711
Аммон С.
Андо 70158
Андо 70299
Андреев Н.
Андреева В.
Андреев И.

АВТОРСКИЙ УКАЗАТЕЛЬ

- А**
- Абаренкова Е. А. 21937
Абашидзе К. 20108
Абидова М. Ф. 70151
Абов Ю. Г. 69874
Абрамян А. В. 69967
Або Х. 71791 П
Ава 71204
Августинян А. И. 71485
Аветиков В. Г. 70703
Агабабян А. 72332
Агвев Р. К. 72000
Агасян П. К. 70531
Агладзе Р. И. 70237
Агранат Б. А. 69831
Адати 72183
Адоньева Н. В. 70591
Азовский Ю. С. 69978
Анава 72636
Анава С. 72459
Анура М. 71376 П,
71377 П
Ажара 72435
Акаси 72081
Анахира Т. 71803 П
Аки Я. 71468 П
Акопьян П. А. 71140,
71156
Аксельруд Н. В. 70708
Алахата 71069
Александров И. В. 69823
Александров П. Е. 71613
Алексеев Н. В. 70006
Алексеева Е. В. 71507
Алиев А. Ф. 70777
Алиев В. И. 70405
Алиев М. И. 71992
Алиев Р. К. 69647
Алимарин И. П. 70538
Алтушкин С. В. 72180
Алфутова Е. П. 72278
Альбицкая В. М. 70779
Альмани Л. 70900
Альшуллер О. В. 70349
Амбарцумян С. М. 71141
Амрханов Х. И. 70425
Амфилогов Н. Е. 70269
Амшан 71983
Амшори С. 71371
Андо 70158
Андо 70299
Андреев К. К. 70128
Андреева Е. А. 71207
Андрянов К. А. 72856
- Антонович Е. Г. 69771
Анфимов А. 72764
Аоки 70625
Аоки 71358
Аоно 69742
Аояма М. 71370 П
Апанасевич П. А. 69759
Аракава 72590
Арбузова И. А. 72818
Аренс А. 72367
Аристов В. П. 72311
Аршинов А. А. 70131
Асан 72166
Асаока Н. 72608
Асахара 70795
Асахара 72827
Асахара Т. 71218 П
Асеев Г. Г. 69978
Асикари 72626
Аскаров М. А. 72851
Афанасьев Г. Д. 70387
Афанасьев М. Н. 70370
Ахмедов К. С. 70712
Ахундов А. Р. 70457
Ашурли С. И. 72014 Д
- Б**
- Баба Т. 71352
Бабак В. К. 70202
Бабачев Г. 71227
Бабин П. Н. 71509
Бабкин Г. Н. 70246
Бабьев Н. Н. 71036
Багреев В. В. 70510
Баженов М. А. 69992
Баландин А. А. 69754
Балахадзе А. А. 70630
Бан С. 71775 П
Банникова Л. А. 72346
Бао Гуан-ди 72119
Бао Кэ 71740
Бараненко А. А. 71304
Барбоза О. 70389
Барская С. И. 70519
Вартенев Г. М. 72586
Бартицкий Е. Н. 70425
Бархударян М. Г. 70747
Баталов А. В. 70390
Батырев В. А. 69921
Баум А. 72245
Бах Н. А. 70179
Вашниров А. Н. 71989
Безпалько Н. А. 70395
- Бейдер С. 71640, 71641
Беленькая А. П. 70774,
71631
Беликов Н. В. 72267
Белинская Р. В. 70919
Белов Н. В. 69844,
69845
Белов П. С. 70793
Белоусов А. П. 72328,
72329, 72334
Белоусов В. П. 70068
Белуха А. А. 71933
Бельский И. Ф. 70154,
70155
Белявская Т. А. 70495
Беляев А. И. 70049
Беляев Г. И. 71554
Беляев Л. М. 69844
Бергер Л. М. 70067
Беренштейн А. Ф. 72176
Беркман Б. Е. 71725
Берлин А. А. 72854
Берштейн В. 72447
Весплянов М. П. 72118
Вилик Н. П. 71993
Блюмен Л. М. 71606
Влюменфельд Л. А.
69825
Богданова Е. С. 70748
Богомолов А. М. 69785
Бокий Г. В. 69844,
69863
Большова Т. А. 70622
Борисова Н. А. 71299
Боровик-Романова Т. Ф.
70401
Боровинский Л. А. 69741
Боровский И. Б. 6991,
69921
Бородин Л. С. 70378
Бородин В. И. 71005
Ботвинкин О. К. 71527
Брандт С. В. 70425
Бреусов О. Н. 70047
Брон Я. А. 71926
Бронникова Е. Г.
69844
Брунени И. Г. 71580
Бублик А. И. 69966
Бугрова Л. Н. 72278
Будько В. М. 70422
Будак Н. Ф. 71957 Д
Буккина А. Н. 70376
Булаев В. И. 71207
- Булыгина Н. А. 72359
Бунтарь А. Г. 69966
Бурмакин Н. М. 70773
Бурштейн Р. Х. 70235
Бусев А. И. 70501
Бусол Ф. И. 71329
Бутт Ю. М. 71580
Бутягин П. Ю. 71088
Бучукури Я. Г. 71366
Бушуев В. 69645
Быков В. Т. 70266
Быков И. Е. 70497,
70579, 70580
Бырько В. М. 70526
- В**
- Вавер В. А. 70898
Вайнштейн Б. К. 69844
Вайнштейн С. Л. 71287
Вайсер В. Л. 71644
Вакабаяси 71586
Вакахама 70362
Вальский А. Я. 71933
Ван Дэ-пай 71548
Ван Мин-си 70289
Ванштейдт А. А. 72826
Варыпаев В. П. 70223
Ватанабе 71435
Ватанабе 72437
Ватанабе 72820
Ватанабе Н. 72747 П
Ватанабе С. 71351
Ватанабе Ф. 72747 П
Ватанабе Х. 71774 П
Вахрушев А. А. 70296
Вацлавик Э. 70049
Вашков В. И. 71815
Веденев В. И. 70087
Ведяшкин П. 72339
Вейнберг В. 71055
Волженский А. В. 71628 К
Веллер Р. Л. 70054
Веневцев Ю. Н. 70044
Вербицкая Т. И. 70044
Верт Ж. Л. 70350
Вилесова М. С. 72852
Вильборг С. С. 70590
Винник М. М. 71398
Власенко В. И. 69848
Влодавец И. Н. 72313
Воеводский В. В. 70087
Воларович М. П. 70280
Вольнов И. И. 7290
Воробьев А. И. 72350
- Ворожцов Н. Н. (мл.)
70115, 70918
Ворошин Е. М. 69769
Высоцкая Е. А. 72357
Вэй Цзин-синь 71748
Вязанкин Н. С. 70923 Д
Вяхирев Д. А. 70624
- Г**
- Габриелян Т. 72332
Гавриденко И. В. 72075
Гагуа Т. А. 69977
Галюк В. А. 70402
Ганц А. 70900
Гао Е-шан 70824
Гаряжа В. Т. 72154
Гасанов С. А. 70425
Гвердцители И. Г. 69977
Гейман М. Е. 72266
Гелбахиани П. 71751
Гельперин Н. И. 71064
Герасимов Я. И. 69678
Герасимова В. Г. 70266
Герасимовский В. И.
69655
Гернук М. 72096
Герулайтис Ю. Н. 71725
Гибало И. М. 70526
Гишман М. Р. 72345
Гильденгершель Х. И.
70332
Гиммельфарб В. М.
71396
Гим Рян ха 72226
Гиндин Е. И. 70671
Гинзбург А. И. 70385
Гинсбург В. А. 70917
Глаголев Ю. Ф. 72327
Гладкина Т. С. 71810
Гладышев В. П. 70581
Глинский А. А. 69843
Глуз Д. С. 72401
Глузман Л. Д. 72528
Говорчук Р. Ю. 71287
Головина А. П. 70538
Головина В. А. 70608
Головкин В. С. 69874
Головкина Г. П. 72369
Голуб И. 71573
Голубцов С. А. 72856
Гольде Ф. А. 71116
Гольдин С. А. 71989
Гольцман А. Д. 70564

Асторский указатель

Голянд С. М. 70591
Гоми 72593
Горанов Н. 72080
Горин Ю. А. 70748
Горовой В. Я. 72535
Горошенко М. К. 72403
Горошко В. Д. 71954 Д
Горшков В. С. 71581
Горшкова Л. С. 70497,
70579, 70580
Горюнов Ю. С. 70423
Горюнова Н. А. 69927,
70033, 70034

Готлиб Ю. Я. 72783
Гото 72203
Гото 72461
Гофман Е. А. 71304
Градобоев Н. Д. 70449
Граменицкая В. Н. 70810
Грановская Р. Я. 72277
Гречев Ю. П. 72144
Григорьева М. П. 72369
Григорьева Н. А. 69910
Гринберг А. А. 70332
Гринев А. Н. 70866
Гриницына Г. А. 72363
Гриценко А. Н. 70831 К
Громаков С. Д. 70025,
70067

Грузин П. Л. 71331
Грузинский В. В. 69761
Грязнов В. П. 72178
Гуляев В. Н. 72394
Гурвич В. С. 70425
Гуревич В. Г. 70564
Гуревич М. Г. 70456
Гуров К. П. 69921
Гурова Т. И. 70421
Гусев Б. П. 71003 Д
Гуцуляк В. М. 70874
Гө Чжэнь-шэнь 71739
Гюльбудагян Л. В.
70875

Д
Давришева Т. А. 70494
Дамиров И. А. 69647
Даниял Н. И. 72172
Деллмарский Ю. К.
70502

Демидов П. 72253
Демин М. 69643
Демикова Т. В. 71509
Демков Ю. Н. 69733
Деркач Г. И. 70908
Дегановский В. П.
69856
Диев Н. П. 70084, 70420
Диланян З. 72332
Дин Чжэнь-кай 70839
Десов А. Е. 71627 К
Дистанов Г. К. 71391
Дистлер Г. И. 70659
Дидман С. А. 69921
Дмитриев Э. М. 71088
Добагова А. К. 72854
Добрянский Ю. С.
70396

Долаберидзе Т. 71751
Доладугин А. И. 71632
Долгопосок Б. А. 72823
Доманская Г. М. 70237

Дороненков И. 72415
Дорфман Я. Г. 69833
Драбкина Л. Е. 70307
Драгојевић М. Д. 71413
Дремайло П. Г. 71919
Дровдов В. А. 70590
Дуденков А. 71225
Дулябина З. И. 72534
Дунаев В. Г. 71531
Дымков Ю. М. 69949
Дытнерский Ю. И.
71020
Дяткин Б. Л. 70914

Е
Егоров Ю. П. 70811
Егорова В. И. 72126
Ездакова О. Д. 72296
Евеевский А. 72415
Елин И. 72447
Елисеева А. А. 71359,
71360
Ениклопоян Н. С.
70086
Енцова Ф. И. 70443
Еремин И. В. 71940
Ермаков В. А. 70029
Ерофеев Б. В. 70091
Есин О. А. 70228
Ефремин В. В. 71357
Ефремов Ю. Н. 70145

Ж
Жариков И. А. 72063
Жданов А. К. 70225
Жданов Г. С. 69844,
69848, 69852, 70044
Желанкин В. И. 70040
Живожинов J. 70010
Жуков А. Ф. 71593
Жуковская С. А. 71084
Жура К. Д. 72148
Жура С. К. 72138
Журавлев В. К. 70024,
70074 Д
Журавлев С. В. 70831,
70832
Жуховицкий А. А. 70024

З
Забезинский Я. Л. 71577
Заворохин Н. Д. 70229
Завубин А. И. 71355
Зайченко В. К. 72173
Зайцев Г. А. 69837
Зайцев И. А. 70866
Замков В. А. 70705
Зарембо Г. В. 72099
Захаренко Н. В. 72586
Захарченко А. А. 72067
Зеленко Г. С. 72177
Зелинская Н. 69654
Зелинская А. И. 70497,
70579, 70580
Зенькович В. 72302
Зиновьев А. А. 70308
Золотарев С. 72253
Зусман В. 72356

И
Ивадзанэ 71617
Ивадзу Т. 71788 П,
71789 П

Ивamoto 71146
Иванов В. Е. 69978
Иванов В. С. 70748
Иванов П. А. 71029
Иванов С. С. 72850
Иванов Ю. Б. 69968 Д
Иванов Ю. В. 71014
Иванова А. А. 72536
Иванова В. 72096
Иванова Л. Н. 70771
Иванова Н. И. 69901
Ивасава 70782
Ивасаки 70417
Ивасаки К. 71411 П
Ивасаки К. 69963
Иверонова В. И. 69844
Игами 70559
Игнатенко Л. С. 70617
Игнатова Н. П. 70773
Идельчик З. Б. 70829,
70830
Идзуми 70628
Идзуми Р. 71212 П
Иевиньш А. Ф. 70298
Изьорова А. И. 71276
Инда 70850
Инда 72182
Индзума 72853
Икэба 70159
Икэда 70822
Иловыйская Д. П. 72357
Ильинская О. В. 71137
Имаи 71208
Имamoto С. 71347 П
Инацуми Х. 71068
Иноо Т. 71475
Иноуэ 69876
Иноуэ 71730
Иноуэ 72662
Иноуэ Х. 71614
Инь Чжи-вэнь 71548
Иригава Т. 71419 П
Ириз 70146—70148
Ириз Н. 71340 П,
71341 П
Исагулян В. И. 70793
Исибаси 70471
Исида Р. 71465 П
Исидатэ 70844
Исимори 70325
Исино Т. 71363
Исмаилзаде И. Г. 69866
Исоно 72640
Итано 70060
Итикава К. 71213 П
Итикава М. 71674 П
Ито 70263
Ито 70654
Ито 70683
Ито 71161
Ито 71202
Ито 71390
Ито 71879
Ито С. 71611
Итокава Х. 72420
Ицкович Я. С. 72269

И
Иовчев А. 72080
Иокосука 72203
Иокосэ 72437
Июкюма 70822

Июнамура М. 71407 П,
71408 П
Иосида 70157
Иосида 72182
Иосида С. 72426
Иосидава С. 71367,
71368
Иосино 70309
Иосисаки К. 71467 П
Иоситомо Т. 72805
Иосихара М. 72601 П

Ј
Јаhoviћ М. С. 71413
Јовановић В. 70010

К
Кабан А. П. 70190
Кавагиси 71983
Кавагучи 70573
Каван 72840
Каванами Я. 72136 П
Кавасама 72840
Кавасура 70146—70148
Каванами Т. 71385 П
Кавасаки Х. 71788 П,
71789 П
Кавасуми С. 71342 П
Кавата 70275
Кавати 70150
Кагами 72207
Каган Д. Я. 71148
Каган Ю. В. 71989
Казанский В. А. 70774
Кайнарский И. С. 71504
Какитани 70436
Каковский И. А. 70202
Калабалина К. М. 70502
Калдрикия М. А. 70875
Калита А. П. 70377
Калмансон Э. А. 69825
Калугина Т. И. 71815
Калуянц К. А. 72178
Каменцев М. В. 70350
Камиура 71596
Камия 69908
Камцова Л. А. 71527
Канамори 69744
Канахара 70822
Кан Искра 70716
Канэко Т. 71798 П
Канюкова М. В. 70506
Капустинский А. Ф. 70004
Капанандић Д. 71873
Караасенко В. А. 71045
Карачан В. Л. 72072
Каружанский А. Л.
70183
Каякин В. Я. 71981
Касан 71028
Касаока 70557
Касаточкин В. И. 71921
Касаткин А. Г. 71020
Касивая 70795
Касуга 71610
Катагири 70157
Катагири 71762
Катаев Л. М. 69836
Катаева Г. В. 71530

Катиока М. 71801 П
Като 70316
Като 70821
Като 70887
Като 70891
Като 72077
Като Ц. 71375 П
Кафаров В. В. 71067,
71084
Кац М. Л. 69910
Качурин О. И. 70639
Кашковская Е. А. 70621,
70544

Керкирас Х. 70132
Кетов А. Н. 71361
Кефели Л. М. 69852
Кецлах М. М. 71638
Кигоси 70323
Киешленко Е. Я. 70448
Кизеветтер И. В. 72403К
Кикучи 72847
Кикучи Э. 71791 П
Кимата С. 71797 П
Ким Най Су 70550
Кимура С. 70795
Ким Хи Чхор 70574
Киносита 70257
Кинумаки 71742
Киприанов А. И. 69642,
72047

Кириллов Е. А. 71063
Кириченко Э. А. 70643
Кирсанов А. В. 70804
Кирсанов Н. В. 70440
Киру Т. 72754 П
Китайгородский А. И.
69844, 70062
Китакура 70933
Китахара 70542
Клабуновский Е. И.
69754
Клебанский А. Л.
70747, 72852
Клечетова А. М. 71813
Клия М. О. 69944,
69945
Клюквин Н. А. 71937
Клюшин Г. А. 70517
Клуянц И. Л. 70914
Князева М. С. 71929
Кобаяси 70133
Кобаяси 71390
Кобаяси С. 72469
Ковалев Н. Ф. 72549
Коваленко В. Д. 70904
Коваленко Н. П. 72808
Коваленко П. Н. 70501
Ковнер М. А. 69785
Ковнер М. Л. 70799
Коган В. В. 71064
Коган Л. М. 70773
Коган Н. 72447
Кодатэ М. 71782 П
Кодзава 72590
Кодзима 72387
Кодзима 72722
Кодэра Я. 71407 П,
71408 П
Козина М. П. 69754
Козлов А. С. 70510
Козлова А. В. 70601
Козловский М. И. 69904

Авторский указатель

001 П
П
71067
70630
А. 70523
70132
361
69852
71638
Н. 70406
А. 724038
91 П
97 П
550
70574
7
2
А. 69642
А. 71033
А. 70646
В. 70904
В. 70440
П
А. Л.
3
Е. И.
Л.
М. 71815
9944,
71937
70517
70914
71929
469
72549
Д. 70406
П. 72090
Н. 70501
69785
70799
71064
70773
7
782 П
407 П.
69754
70510
70601
И. 6999

Коваловский М. Т. 70246
Ковалов Ю. Д. 70305
Ковыкин М. И. 71533
Кокоруди 71208
Кокочинский В. 70108
Коломейченко В. А. 72279
Коломиец Е. Т. 70033, 70034
Колотыкин Я. М. 70212
Колчев Л. 71754
Колдобин А. А. 69758
Комаровский А. А. 71026
Комару С. 71466 П
Комару Э. 71795 П
Комиссарова Л. Н. 70059
Коморил С. 72496 П
Комуро 70316
Комыня Т. 71453
Кондо 70278
Кондо 70520
Кондо 71621
Кондо 72438
Кондатева Г. Я. 70774
Кондатева Ю. Д. 69869
Кониси 71730
Конно С. 71375 П
Кононов В. Н. 71622
Конпелько И. А. 70597
Константинов Р. М. 70410
Коншин М. Е. 70877
Корейковский В. М. 27062
Копил А. Н. 72772
Кореньевский С. М. 70423
Кореньев Н. И. 70957
Корн П. Д. 70601
Корн М. 71614
Корчешкин Ф. И. 72522
Корчешкин Е. К. 71943
Коршунов В. Г. 70007
Косополова Т. Я. 70304
Костенко А. С. 72140
Костюков Н. С. 70703
Кот А. А. 71249
Котани Х. 71787 П
Котляр Е. Е. 70304
Котова О. Г. 72322
Котон М. М. 72850
Котур 72444
Котилев Н. В. 70783
Коханенко П. Н. 69781
Кочкин Д. А. 70901
Кочкин Н. В. 70835
Кравцов В. И. 70238, 70239
Кравцов Л. А. 69761
Кравченко В. М. 70063—70065
Красильникова З. В. 71396
Красильников А. И. 70242
Краснобаева Н. М. 70530
Краснов Ю. Н. 70226
Красноярский В. В. 71207
Красовская Т. А. 72856
Красенин П. Ф. 72337
Креймер С. Е. 70608

Креснякова З. В. 70644
Крестан Э. Ш. 72055
Кретов А. Е. 70846
Крешков А. П. 70590, 70645
Кристалл М. М. 71211 К
Кристанова Л. 71528
Кротова В. А. 70446
Крылов В. Д. 70145
Крылов Ю. В. 71019
Крымакова Е. Е. 71448
Кубанцев Б. С. 71810
Кубо Х. 71803 П
Кубота 72593
Кува, а 70288
Кувата Ц. 71380 П
Кувачко В. 72253
Куделя Е. С. 70566
Кудо 70625
Кудо Х. 71469 П
Кузнецов Б. Е. 70703
Кукина Г. А. 69863
Кулиев А. М. 71992
Кулиев Р. Ш. 71992
Кулиш П. А. 71023
Кумэ 72432
Кунцевич О. В. 71613
Купе, ман М. Е. 71396
Куамото 71822
Кудюков А. А. 70411
Кунакова А. Г. 70057, 70058
Курода 70398
Курода Т. 71805 П
Куро 72593
Куроива С. 71218 П
Кукова 71983
Куроки 71730
Курочка В. П. 70439
Курочкин Ю. П. 71050
Курочкина Г. И. 72839
Куроянаги 71161
Кудев В. С. 70040
Куче, енко Ф. Т. 72211
Кучеров В. Ф. 69832
Кучин В. Д. 69937
Кусакабэ 72387
Кусано М. 70726 П
Кюркчян В. Н. 72338

Л

Лабутин Л. А. 70704
Лагузина И. М. 72267
Лазарев А. Н. 69886
Лазько Е. М. 70406
Ланда Я. И. 71938
Ланин В. А. 71929
Лантух С. И. 72073, 72227
Лео Линь 72078
Лаптев Н. Г. 70806
Лебедев Б. Н. 71355
Лебедев В. В. 70714
Лебедев Ю. С. 70407
Лебедева З. К. 72097
Лебедева Р. 72367
Левенштейн С. А. 71507
Левин А. И. 70224, 70232, 71447, 71448
Левитина Э. И. 71134

Левшук М. Я. 72856
Лейтес В. 72764
Леммлейн Г. Г. 69944
Леушенко С. В. 71116
Лефлер Н. J. 71997
Лигис Б. В. 72215
Ли Пэй-сэнь 72587
Литваковский А. А. 71531
Литвин Д. Ф. 69874
Ли Ун Сок 70243
Лифшиц И. Д. 72772
Лобанова Н. Д. 69921
Логина В. Н. 70432
Логина И. С. 70239
Лоевский М. Л. 71306
Локтев С. М. 71989
Локшин Я. Ю. 72401
Ломова К. Ф. 70448
Ломунов А. А. 72290
Лосев И. П. 72851
Луданова А. 72302
Лукьянов В. В. 72255
Лукьянчева В. И. 70235
Луэе Ю. С. 71584
Лу Шунь-син 70824
Любушкин В. 72253
Любченко П. П. 72169
Луй Вэй-пин 72104
Лю Лин-фэн 71744
Лядова Ю. И. 70087
Лященко Б. Г. 69874

М

Мазель В. А. 71359, 71360
Майстренко Ю. Г. 70452
Макаров С. П. 70917
Макарова С. П. 72175
Макаочкина К. М. 70430
Македонский Г. М. 71615
Маки 70534
Маки А. 71788 П, 71789 П
Макино 70692
Макиура Р. 71411 П
Малиновский В. А. 71917
Малыгина Н. 70416
Мальский А. Н. 72234
Малюгина Н. И. 70644
Малярчук Ю. Т. 72401
Мамедов Ш. 70777
Мамет А. П. 71155
Мамуня А. У. 72170
Маннари 69933
Манчев С. Х. 72206
Маркевич А. М. 70085
Марков Б. Ф. 70048, 72029
Маркузин Н. П. 70011
Магтиросян Р. А. 70409
Мартьяновский В. С. 71065
Марушкин М. Н. 71631
Маршаков Н. К. 71149
Масуда 71390

Матида К. 71383 П
Мау, ит М. Е. 70868
Махоткин Л. Г. 70283
Мацуба, а 71821
Мацуда 71288
Мацукава Т. 71775 П, 71788 П
Мацумото 71194
Мацумото 71822
Мацуно 70856
Мацусигэ С. 72137 П
Мачинская И. В. 70807, 70808
Маэда 72840
Маяцкий Г. А. 71042
Медведева А. П. 71513
Медведева Л. А. 70212
Медведева Л. И. 72818
Мезенцев В. 69640
Мейе, ов Я. С. 72087
Меламед Ш. Г. 70593
Мельников Н. П. 72055
Меженков Б. Я. 70388
Метелкин А. И. 72770
Мидзуно 69908
Микерина А. Л. 72535
Мили, уд Б. Т. 72139
Милованова С. К. 71394
Милованова С. Н. 72535
Минами 70158
Минамино 71877
Минатоу И. 71056
Мизабеков Ф. 70225
Мироенко Л. А. 69910
Миронова А. К. 72804
Миславский Ф. Ф. 70593
Мита 70159
Митидзима 70668
Мито М. 71339
Мит офанов А. Н. 72198
Михайленко Ю. Я. 70645
Михайлов Б. М. 70898
Михайловский Б. Н. 71073
Миха, а К. 71347 П
Михеев Н. Б. 70051
Мицкевич Н. И. 70091
Мицун Т. 72751 П
Мицун Х. 71460
Мицухаси 72827
Миягава 72820
Миякэ А. 71797 П
Миясакэ 72182
Мияси, ро 70417
Могиланский Я. Д. 70924 Д
Можухин Е. И. 70702
Мокеева Т. М. 71810
Мононосов В. С. 70084
Молочникова Ф. Э. 70202
Моачевский А. Г. 70068
Мо, и 72090
Могиваки Х. 71792 П
Морикава 72820
Моримото К. 71797 П
Морино 71028
Морита 72159
Морозенский Л. М. 72277

Морозов Н. С. 70007
Морозов Н. Г. 71989
Морозова Е. М. 71178
Морозова И. Ф. 70505
Москаленко Д. Д. 71588
Мотохиро 72377
Мотэги 72840
Мошкина Р. И. 70085
Мунаката Х. 71347 П
Муэморэ 70683
Мураками 71458
Мурата 70323
Мурата 70557
Му, аяма Х. 71475 П
Му, одзуми М. 71470 П
Му, рои С. 71340 П, 71341 П
Муси 70683
Мусин А. К. 70131
Мустафин И. С. 70523, 70544
Муший Р. Я. 70136
Мушало Л. 70892
Мэсицука 70137
Мясников И. А. 70135
Мясникова Р. М. 70062

Н

Нааб А. Я. 72069
Нагамацу К. 72805
Нагано 71594
Нагата 71028
Надеждина Г. В. 70059
Назаренко И. В. 71239
Назаренко И. И. 70378
Назаров И. Н. 69832, 70771
Найто 69786
Найто 70858
Накагава 70822
Накаганиси Т. 71787 П
Накадзава К. 71798 П
Накаи 70757
Накаи С. 71372 П
Накамурэ 71427
Накано 69904
Накано 71730
Наканэ С. 72038 П
Накао 70279
Накао 70757
Накараи 72159
Накасима 70279
Накая 70257
Нарышкина Т. И. 70797
Натансон Т. Л. 71244
Нагатаэ А. Г. 70009
Неволин Ф. В. 72117
Немодрук А. А. 70838
Непаидзе Н. И. 71874
Нетушил Н. Е. 72255
Нефедов В. Д. 69976
Нечай Ф. Т. 69897
Нечитайло Н. А. 70020
Нешпор В. С. 70029
Нешумова А. М. 70646
Нешадим А. Г. 72074
Нини 70285
Ниниму, а И. 70201
Никитин В. Ф. 72549
Никитина И. С. 70054
Никишин Г. И. 70810

Николаев А. В. 70057, 70058

Николаев С. В. 70431

Николаев Ю. В. 69977

Николаева-Федорович Н. В. 70248, 70249

Нисида М. 72601 II

Нисимура 70836

Нисиока М. 71215 II, 71216 II

Нитта 72082

Новиков А. Н. 71516

Новикова К. Е. 70009

Новикова Т. И. 70426

Ногами Ц. 71786 II

Нодзоэ 69809

Ноллюкова Н. А. 70505

Нонана М. 71782 II

Нонда Н. 71083

Норкин Н. Н. 70125

Носалевич И. М. 71926

Носенко В. М. 69899, 69905

Носэ 72181

Носэ 72182

Нумано 72182

Нүшев И. 72217

О

Оба 71070

Оба Н. 71370 II

Обари 70844

Обвинников И. М. 70456

Огарков В. С. 71953 Д

Огнев Р. К. 71956 Д

Одиноква Т. А. 72765

Одинцов П. Н. 70267

Ока 70297

Ока Т. 71765 II

Окабаси 70856

Окава 70850

Окада 70468

Окада 70858

Окада 71435

Окада Т. 71367 II, 71368 II

Оксюзов В. А. 71359

Окунев А. И. 70084

Оморн С. 72496 II

Омотэ 71435

Онидзава Т. 71215 II

Онис К. 71771 II

Оно 70257

Оно 72640

Ордия М. В. 70770

Орито 70150

Орлов П. И. 72283

Орлова Л. А. 72315

Орлова М. II. 71530

Ормонт В. Ф. 70040

Орочко А. И. 70584

Осио И. 72751 II

Осипенко И. Ф. 70776

Ота 70887, 70891

Отаке Д. 71004

Отани 70214

Охара 72091

Очерет А. С. 71926

Ояма 70692

П

Павлов С. Е. 71141

Павлов Ф. Н. 70420

Павлова П. С. 70774

Падучев В. В. 70084

Пакшвер А. В. 72790

Палкин А. П. 70027

Пальгев С. Ф. 70226

Пальм В. А. 70200

Памфилов А. В. 70136

Пандайотов Нв. 72816, 72817

Панасевич-Коляда В. И. 70776, 70829, 70830

Панко С. И. 70143

Пантелеев А. С. 71580

Панцулая Т. В. 71366

Пань Бай-чуань 70824

Парамонова Т. В. 72359

Паранчев В. Н. 69719

Парфенова Г. А. 72823

Парходько А. П. 72139

Пастухова И. С. 70063—70065

Пашков А. Б. 72463

Педос Ф. З. 70657

Пелетинский В. Н. 72146

Пентин Ю. А. 69752

Пермская Е. М. 71281 Д

Першин Г. Н. 72535

Песис Я. Д. 72279

Петренко Д. С. 71930

Петров А. А. 70779, 71971

Петров А. Д. 70811

Петров А. И. 70556

Петрова А. 70888

Петрова Г. А. 72826

Петюнин П. А. 70834, 70877

Печев К. 72204

Печковский В. В. 71361

Пигулевский В. В. 70704

Пилипович В. А. 70719

Пилиогин Г. Т. 70874

Пиликина Л. Н. 70914

Пинскер З. Г. 69844

Пинякко И. Р. 71764 Д

Питин Р. Н. 71940

Плит И. Г. 71078

Плющев В. Е. 70059

Поволоцкий Л. И. 69641

Погодина Л. Н. 71813

Погорельский К. В. 70712

Подсобляев А. П. 72348

Подъячев Ю. 69644

Позин Ш. А. 72281

Поликарпова А. М. 71644

Полушкин А. А. 71041

Поляков И. Я. 71810

Помосов А. В. 71448

Пономарев И. В. 71918

Пономарев Ф. Г. 70780

Пономарева М. Н. 70416

Попенкер Р. Р. 72537, 72538

Поперена М. Я. 71455

Попов А. А. 71919

Попов В. Д. 72138, 72152

Попов К. Р. 69774

Попов П. С. 71878

Попова Н. М. 70292

Порошин К. Т. 70983

Потехин Л. Н. 70707

Потоловский Л. А. 71632

Потюринский В. П. 72394

Прево А. 72358

Преображенский Н. А. 70868

Прогудова Т. В. 72359

Прокофьев М. А. 69771

Пронина М. В. 71929

Простосердов Н. Н. 72208

Прохватиллов В. Г. 70671

Пряхина Ю. А. 70433

Пузей И. М. 69874

Пьявнин Э. А. 70748

Р

Рабинович Г. Д. 71052

Равич Г. Б. 70020

Радосавлевич С. Д. 71413

Радучев С. 72204

Радченко А. С. 72765

Радская Д. Я. 70597

Рауковский В. В. 79652

Ранков Г. 72080

Раппопорт И. В. 72012 К

Ратинов В. В. 71577

Ратнер А. В. 71140

Раудонис П. А. 70376

Рафалович Д. М. 70186

Раяло Г. Ю. 71071

Ребане Т. К. 69716

Ревзин Л. С. 69905

Ревякин В. П. 71452

Редько Д. И. 72170, 72176

Резухина Т. Н. 70006

Решетникова Л. Е. 70624

Ржевицкая Г. В. 72178

Родзаская В. Д. 71993

Родионова К. Ф. 70430

Рожкова В. А. 72359

Розен Б. 72416

Розенберг Т. И. 71577

Розенфельд И. Л. 71149

Розман И. М. 69763

Розыбакиева Н. А. 70424

Ройзен А. И. 71511

Ройх И. Л. 70186

Ромазанович Н. П. 70846

Романов В. В. 71143

Романская Н. 72306

Романцева Л. М. 71179

Ронами Г. Н. 69917

Ронов А. В. 70435

Ротинян А. Л. 70243

Рубцова И. К. 70783

Руденко В. А. 70771

Рудковский Д. М. 71638

Руднев Н. М. 72223

Рузавин И. И. 70189

Рустамов Х. Р. 70116

Рыжкова Н. Н. 72061, 72068

Рябухина Л. М. 72357

Рязанов И. П. 70489, 70518, 70543

С

Савельев С. С. 70224

Савицкий Е. М. 69936

Сагань И. И. 72153

Сазонова Н. К. 71485

Сайки 72090

Сайто 72441

Сайто 72853

Сакаи 71461

Сакамото 71354

Сакамото С. 71608

Саката М. 71798 II

Саксена 70500

Сакурада 72807

Сакураи 70844

Сакураяма 72820

Сакуяма 70137

Салихов С. Г. 69929

Самойленко Л. П. 72171

Самсонов Б. С. 70128

Самсонов Г. В. 69856, 70029, 70292

Сапир З. И. 72172

Сапрыгин Г. П. 72290

Сапунджиев Т. А. 72222

Сараева В. В. 70179

Сарантитис Д. 70132

Саратовкин Д. Д. 70026

Саркисян М. А. 71279

Сартания Н. 71751

Сатановский С. Я. 71933

Сато 71024

Сато 71069

Сато 72159

Сато 72182

Сато Т. 71460

Сато Т. 71893 II

Сафронов В. Г. 69978

Сафронов Г. М. 69943

Сафронов Н. И. 70367, 70368

Сахарук П. А. 71331

Сазки 70293—70295

Саядян А. Г. 70747

Свентицкий Н. С. 70657

Свердлова А. Н. 71485

Свешников В. Я. 70719

Сейфер А. Л. 71133

Селиванов А. В. 72363

Селиванова Н. М. 70050

Семашко И. А. 69856

Семенова В. Н. 72770

Семеновский Ю. В. 70696

Семенченко В. К. 70015

Сенин Р. 71873

Серадский Ю. 71619

Шадловокая Ю. С.
70004
Шадловский А. А.
70004
Шилин Г. 72364
Шило В. П. 70034
Шилова С. А. 71815
Шинкевич Н. Н. 72765
Шин Юй-цзунь 70826
Шлипченко З. С. 72143
Шнейдер В. А. 70050
Шокин Н. А. 71010 Д
Шорыгина Н. В. 72839
Шостаковский М. Ф.
70901
Штрайхман Г. А. 72826
Шувалова Л. С. 72772

Шуйкин Н. И. 70154,
70155, 70797
Шулепов В. Н. 70702
Шуштер Р. Л. 71606
Шэн Чжэ-пин 71744
Шэн Шу-пин 72104

Щ

Щерлова М. Д. 71504
Щекин В. В. 71989
Щербатов Л. М. 70259
Щербатенко В. В. 72260
Щербина В. В. 70366

Э

Эгути 71028

Эдзак С. 71376 П,
71377 П
Эйдуо Я. Т. 70770
Эками 71461
Эмирджанов Р. Т.
72013 К
Эм Тхэ-ден 71958 Д
Энгвер Е. А. 71530
Эппик П. А. 70584
Эршлер Б. В. 70171

Ю

Юмото 71424
Юнг В. Н. 71580, 71581
Юрьев Ю. К. 70921 К
Южновский Г. Л. 72537,
72538

Я

Яворский Н. П. 70635
Яковдин В. В. 70043
Ягудаев М. Д. 69899
Ягупольский А. М.
70919
Ядзак Я. 72409 П
Якобсон Г. Г. 70918
Якубович А. А. 70917
Ямагути С. 72434
Ямада 70628
Ямада 71762
Ямада 72722
Ямадзак 70583
Ямадзак 72831
Ямамото 71204

Ямамото Я. 71702 П
Ямазак 71288
Ямашита 72049
Янагита М. 71803 П
Янков С. П. 70571
Янковска Г. 70140
Ян Хун-минь 72104
Ян Цин-шэн 70833
Янь Цзюань-цунь 70833
Ярым-Агаева Н. Т.
71306
Ясколко В. Я. 69906
Ясунага А. 71383 П
Ясухара К. 71342 П
Яхонтова Л. Н.
70376

А

Aaland A. E. 70629
Aaron H. S. 70910
Abd El Karder Fateen
70859
Abd El Maged Amine
Sammour 70859
Abel E. 70095
Abel E. W. 70734
Acharya H. K. 70127
Ackerman J. I. 71656 П
Ackermann G. 70351
Adaohi T. 72183
Adamek M. 70794
Adamović V. 72397
Adams B. B. 71826
Adams R. B. 71234
Adamson D. W. 70728
Addison C. C. 70328
Aditya S. K. 71080
Admas F. 70522
Aenishanslin R. 72717
Agroskin A. A. 71915
Agterdenbos J. 70528
Aikawa N. 72636
Aiko I. 70796
Ailindai M. 72048
Akabori S. 70971
Akasi T. 72081
Akehata T. 71069
Akram M. 72184
Alaupovic P. 70729
Alba F. 71592
Albert A. 69770
Albin J. 70744
Albold E. 70655
Albright L. F. 70188
Albus C. P. 72497 П
Alfred P. C. 72669 П
Alejnikov I. 71590,
71620
Alessandrini M. E. 71814
Alexa Z. 71760
Alexander F. C. 72044 П
Alexanian C. 70442
Alfredson B. 72866
Alhéritière L. 72163 П
Alhopuro E. 72414
Ali Abdel Kerim Ibrahim
69962
Alibert J. M. 72690

Alloino J. F. 70620
Alkonyi I. 70931, 70932
Allan B. W. 72573 П
Allard J. 70936
Allas A. 72533
Allen A. O. 70170
Allen C. W. 69722
Allen R. D. 70428
Allen R. J. L. 72408 П
Aller J. E. 72585
Alles P. P. 72506 П
Alliot H. 72052
Allred A. L. 69829
Almqvist W. E. 71964 П
Almirante L. 70828
Alpar S. R. 72079
Altieri A. M. 72646,
72649
Altmann F. J. 72658
Amariglio S. 72321
Amemiya T. 71983
Ames J. 72452
Amiard G. 71708 П
Ammar M. K. P. 69835
Ammar I. A. 70252
Amundson N. R. 71104
Anacker E. W. 70276
Anacreon R. 70658
Anatol J. 71708 П,
71709 П
Anders H. 71255
Andersen S. A. 72365
Anderson A. W. 72362
Anderson R. C. 69972
Ando J. 70299
Ando T. 70158
Andonie M. 71595
Andrich K. 72604 П
Andrusow L. 69961
Annis G. S. 69971
Antila V. 72330
Aoki I. 70625
Aoki Y. 71358
Aroelvala S. J. 71243
Archibald J. H. 70303
Arcotander S. 71871
Arcus C. L. 72813, 72814
Arend A. G. 72651
Arey W. F. 72030 П
Ariel M. 70537
Arigoni D. 70940, 70941

Aris R. 71104
Armbruster W. 71032
Armeanu V. 70509
Arnal R. 69877
Arnold T. B. 71972
Aronsson B. 70032
Asahara T. 70795
Asaoka H. 72608
Asch F. 69932
Aschenbrand L. M. 70353
Ascik K. 72736
Asooli A. 69700
Asdell B. K. 72652
Ashikari N. 72626
Aspergren B. D. 71778 П
El Assal L. S. 70849
Atohison J. E. 72619
Atoji M. 69855
Atwood G. R. 70815
Augustin J. U. 71999
Augustyn W. 71369 П
Aukun T. V. 70798
Aulehla E. 69729
Aurand L. W. 72297
Ausloos P. 70165
Aust J. B. 71522 П
Austin J. J. 72098
Austin W. C. 70873
Auten R. W. 72491 П
Autin J. A. 72133 П
Autran A. 70391
Avery C. 72758 П
Avy A. P. 71305
Awa N. 71204
Aylward F. 72402
Ayres E. C. 71101 П

Б

Bächler W. 70676
Bachman J. R. 71515
Baok R. A. 70162
Bäcklin B. 72423
Backs 71250
Bacon G. E. 69873
Badder F. G. 70849
Baddiley J. 70996
Badenhorst R. P. 71931
Badger G. M. 70861
Baganz H. 70962
Bagavant G. 70749
Baghos V. B. 70849

Bagnall K. W. 69959
Bagó P. 70441
Bähr G. 70905
Baier E. 70365
Baird K. M. 69726
Bak B. 69821
Bak T. A. 70187
Baker H. C. 72583
Baker S. 71169
Baker T. W. 69854
Balaschova N. A. 70210
Balasubrahmanyam S.
71598
Balcar V. 71551
Baldwin P. P. 72507 П
Balnovic K. 70966
Baik P. 69738
Ballester M. 70746
Ballinger C. 71534
Banciu A. S. 71965
Bandel W. 72609, 72620
Bandukwala A. 71018
Banerjee D. K. 70749
Banes F. W. 71689 П
Baniok W. M. 70327
Bankmann E. 70463
Banks E. 70045
Banks W. L. 71678 П
Bant R. D. 69711
Bapat M. G. 70504
Barakat D. 70227
Baran J. S. 70947
Barbera A. 72727
Barbieri G. 70106, 70196
Barbieri R. 70181
Bärbulescu N. 70790
Bard Y. 71080
Bardan D. 70509
Barendrecht E. 70709
Barjon R. 69712
Bark L. S. 70490
Barnes R. K. 70744
Barnes R. S. 70022
Baron G. 70943
Barrer R. M. 70272
Barrett P. A. 70728
Barrette J. P. 70927
Bartelt H. 70236
Barth J. A. 69680
Barth N. 69926
Bartha L. 70560

Barthel W. 72474 П,
72761 П
Bartlett J. C. 70524
Bartlett J. H. 72043
Bartoli A. 71759
Basinski A. 70205
Baskin A. D. 71832
Bassi I. W. 69865
Bateman R. L. 71629
Bates D. R. 70355
Battaglia A. 70685
Bauer K. 71800 П
Bauer S. H. 70001
Baumgärtel E. 70322
Baxter J. N. 70959
Bayer P. 71423
Beacham H. H. 72545
72566 П
Beamish P. E. 70569
Beattie G. B. 72287
Beatty J. L. 72580 П
Beauval J. J. 70695
Beek M. 70339, 70695
Beek M. T. 70330, 70695
Becke J. 72439
Becker H. 71118
Becker K. 72193
Beckey H. D. 70074
Beckman H. F. 71826
Beckman N. J. 72844
Beganović A. 72360
Beidas A. S. 71837
Belcher R. 70619
Beling A. 71235
Bell I. 70792
Bell R. P. 70104, 70118
70759
Belleau B. 70956
Bellen Z. 70631
Bellobono I. 71449
Belluco U. 70100, 70118
Belot A. 70820
Bénard J. 69891
Bengtsson T. A. 70695
Benk E. 72218—72219
Bennett R. B. 71996
Bennie R. J. 71939
Beson R. E. 72572 П
Benvegnin L. 72209
Benz P. 71268
Berak J. 70038

- Beran C. M. 71550
 Beránek E. 69780
 Berensteeher O. 71729
 Berg E. W. 70514
 Berg O. W. 70740
 Bergeron P. J. 71051
 Bergman P. 70758
 Bergström J. 72644
 Berkowitz J. B. 70277
 Berman R. M. 69862
 Bernhard P. 72460
 Bernstorff K. 70016
 Bertolini 71131
 Bertorelle E. 71449
 Best A. C. 71313
 Bestul M. G. 72059 II
 Bethune J. L. 72195
 Betrabet R. V. 71986
 Betts J. L. 71653 II
 Bauther H. 72025 II
 Boutler W. 71058
 Bevington J. G. 72821
 Beyer D. L. 72630
 Beyler D. 71973
 Bhat R. V. 72655
 Bhatia D. S. 72262
 Bhattacharya A. K. 70319
 Bhimasankaram V. L. S. 70414
 Bidwell R. M. 71332
 Biegler P. 72376
 Bielański Z. 71576
 Bielawski Z. 72607
 Bielański W. 71579
 Bierbrauer G. 71552
 Biggs R. D. 71646
 Bigorgne M. 69799
 Biller W. P. 70477
 Billinghamurst J. W. 70728
 Billinghamurst W. M. 71393
 Birks J. B. 70176
 Birrell K. S. 71481
 Bisbini P. 72298
 Bishop C. A. 71308
 Bishui B. M. 71480
 Bissot T. C. 70347
 Bjerrum N. 70318
 Björklund K. 71517 K
 Black A. H. 70092
 Black R. M. 70178
 Blair E. H. 7172 II
 Blair M. G. 70756
 Blaise J. 69731
 Bland A. J. 69853
 Blank E. W. 72113
 Blank I. H. 71890
 Blanke J. H. D. 71311
 Bloom H. 70012
 Blount B. K. 70959
 Blout E. R. 70274
 Blow D. M. 69872
 Blubaugh F. C. 71757
 Blum J. 72750 II
 Boberg J. E. 71047
 Bobrański B. 69667
 Bobrenko T. D. 70156
 Bookris J. O' M. 70012
 Bodine D. H. 71080
 Boer H. 70853
 Boer J. H. de 70345
 Boer R. 72462
 Boettner F. E. 71715 II
 Bogdan'ska H. 72229
 Bogdan'ski K. A. 72229
 Boguski L. H. 71472 II
 Bojankiewicz M. 72273
 Bokadia M. M. 70786
 Bolkowski J. 71576
 Boltz D. F. 70472
 Bomar M. 72451
 Bonači B. 71607
 Bonaszewski H. 72233
 Bonner T. G. 72837
 Bonnier E. 70014
 Bonvicino G. E. 70961
 Bonzels W. 70607
 Boogman I. J. 71750
 Boogman J. 72122
 Boolsky R. 71185
 Booth S. F. 71462
 Boothe J. H. 70961, 71699 II
 Borchers C. W. 72559
 Borden M. R. 70913
 Bordonali C. 71449
 Bordwell F. G. 70860
 Borgen G. L. 72627
 Borgese G. 72502 II
 Borkowski B. 72274
 Bornstein J. 70913
 Borowski E. 70876
 Borushko M. J. 72505 II
 Bosdorf L. 71451
 Bose S. 70761
 Bose S. 70952
 Boško K. 71237
 Botquin G. 71952
 Bottini A. T. 69828
 Botty M. C. 70485
 Boudouris G. 69814, 69815
 Bourgeois C. 72185
 Bove P. 72421
 Bovey L. 69728
 Bowers R. C. 70469, 72006
 Bowman G. B. 71478 II
 Boyd G. V. 70879
 Boye E. 71966
 Boyer M. 71924
 Boyes-Watson 72669 II
 Boynton H. G. 72029 II
 Bozek J. W. 70477
 Brace A. W. 71443
 Bradbury R. C. 72650
 Bradley H. B. 69951
 Bradley W. E. 69802
 Bradt P. 69756
 Braendle H. A. 72592
 Bragdon C. R. 72648
 Bragg R. H. 70480
 Braibanti A. 69864
 Bramble L. F. 72547
 Brams S. L. 72589
 Brand J. C. D. 70739
 Bras G. H. P. 71054
 Bratkowski W. 72743 II
 Bratzler C. 72032 II
 Brauer P. 69883
 Bregant N. 70966
 Brehme H. 71166
 Breitenbach J. W. 72824
 Brejcha V. 71841
 Brejdygant-Miroclawska M. 72607
 Brendel H. 72448
 Brennan W. E. 72732
 Brennecke S. 70791
 Breslow D. S. 72493 II
 Bretsznajder S. 69670
 Breuer E. 70758
 Brian W. P. 71867 II
 Bright J. E. 70071
 Brizzoni W. O. 72556
 Brochant M. 72236
 Brochant M. 72381
 Brockmann H. 70963
 Brodale G. 70000
 Brodd R. J. 70211, 70265
 Brogle R. C. 72374
 Broida H. P. 70073, 70077
 Broschard R. B. 70961
 Broser I. 69916
 Broser-Warminsky R. 69916
 Brousseau P. G. 72500 II
 Brown E. H. 69999
 Brown G. M. 70394
 Brown H. C. 70343, 71686 II
 Brown O. R. 71558 II
 Brown P. E. 70394
 Brown R. D. 69735
 Brown W. B. 69699
 Brownell H. H. 72860
 Browning G. V. 71188
 Bruce W. L. 72600 II
 Brüche E. 71541
 Bruckner V. 70981
 Bruegger F. 72774
 Brujin S. 69738
 Bruin F. 70685
 Bruin H. J. de 70577
 Brulhart P. 71242
 Bruni G. 70061
 Brunner G. 71745
 Bruno M. 70100
 Bruštik J. 71535
 Bryant J. H. 72351
 Bryant J. M. 71378 II
 Bubl E. C. 72362
 Buchanan J. G. 70996
 Buchholz K. 72510 II
 Buck H. M. 69824
 Bückendorff O. 71283
 Buckmann J. P. 71680 II
 Budo A. 69760
 Budzanowski A. 69839
 Bukowski S. 71763
 Bumpus F. M. 70982
 Bunce J. L. 70247
 Bunch B. P. 71302
 Bunnett J. F. 70760
 Buraway A. 70661
 Burdick R. L. 70587
 Burg A. B. 70331
 Burger K. 70634
 Burger M. 72193
 Burlánec J. 72151
 Burke T. E. 70623
 Burkhalter G. 72326
 Burkhardt H. 71497
 Burmeister D. 70885
 Burnelle L. 69783
 Burnett G. M. 72825
 Burton J. R. 71599
 Busch D. 70329
 Bushell W. J. 71334 II
 Busnelli A. 72727
 Busse W. 70969
 Butler J. R. 70399
 Butler K. H. 71409 II
 Butterworth R. 70109
 Buydens R. 71229
 Buzas A. J. 72410 II
 C
 Cabani S. 70311
 Cabella A. 71049
 Caffrey J. M. 70170
 Cagle F. W. 70018
 Caglioti L. 70941
 Caglioti V. 69800
 Cahn H. L. 72523
 Cain R. F. 72362
 Cainelli G. 70940
 Čakajdová J. A. 69868
 Caldwell J. R. 72490 II
 Calingaert G. 71845 II
 Callaway J. 69879, 69881
 Callomon J. H. 69755
 Calzolari C. 72389
 Campbell D. H. 70347
 Campbell J. D. 72243
 Cannon C. G. 69803
 Caprioli G. 70356
 Cardwell J. T. 72297
 Carles J. 72202
 Carlston R. C. 70301
 Caro J. H. 71401
 Carpenter D. K. 72787
 Carpov A. 70640
 Carr E. 71169
 Carra S. 69737
 Carver J. H. 69970
 Casalis J. 72321
 Cass R. C. 69753
 Cassell E. A. 71247
 Cassella J., Jr 70772
 Castiglioni A. 70641
 Castro I. 71592
 Catterall W. E. 71672 II
 Cauer H. 70360, 70361
 Cederquist K. N. 72670 II
 Cefalu M. 71230
 Čeh M. 69811
 Celler W. 70814
 Centola G. 72653
 Cenuşaru F. 72355
 Čerňý M. 70862
 Cesaceanu L. 71996
 César R. 72133 II
 Chaberek S. 70337
 Chackraburty D. M. 69871
 Chakravarti B. 69871
 Chalk A. J. 70090
 Chamberlain D. S. 72544
 Chandiramani S. V. 72262
 Chang Chi-chiek 70839
 Chantrel H. 69731
 Chaplick A. 71752
 Charlton F. S. 72400
 Charm S. E. 72374
 Chatterjee A. K. 70333
 Chen C. H. 70120
 Chen Chao-Tung 70751
 Cherolis N. D. 70613
 Chhapgar A. F. 69964
 Chierici I. 69864
 Chijimatsu Y. 70933
 Child W. S. 72802
 Chillingar G. V. 70419
 Chintescu G. 72263
 Chojnicka B. 72273
 Chopard-dit Jean L. H. 70938
 Chow Lue-Yung 72846
 Choyke W. J. 69868
 Chrétien A. 70019
 Chrétien R. 70854
 Christ W. 71278
 Christensen C. J. 70018
 Christensen H. N. 70750
 Christiansen E. R. 71857 II
 Christie B. J. 70861
 Christie M. I. 70166
 Chuchlowa J. 72309
 Chughtai I. D. 72184
 Chū Te-hao 70833
 Ciborowski P. 71037
 Cichoński J. 72114
 Cieślak J. 70889
 Cihla Z. 71021
 Cima L. 70884
 Ciolan J. 71635
 Cihhandu G. 70568
 Civelkoglou H. 72079
 Clark D. 69853
 Clark T. J. 70694
 Clark-Lewis J. W. 70989
 Clause J. L. 72647
 Clausen H. T. 71271
 Clayton J. M. 72837
 Clough H. 69971
 Clusius K. 69985
 Coates V. J. 70658
 Codell M. 70603
 Cohen E. 70803
 Coldwell B. B. 70570
 Colichman E. L. 72819
 Coll H. 71228
 Collins P. 70491
 Collins R. L. 72798
 Colomb P. 71147
 Colombo C. 72735
 Colombo G. 71160
 Colombo L. 71144
 Colpa J. P. 69841
 Comes R. 71230, 71262
 Comstock G. E. III 71471 II
 Connell G. A. 71858 II
 Conner J. C. 71706 II
 Connick R. E. 70335
 Conroy H. 70803
 Constantinescu A. 70270
 Constantinescu D. G. 70643
 Cook J. W. 71820
 Cooper A. 71061
 Cooper G. L. 71328
 Cooper R. H. 71862 II
 Coover H. W. 72487 II, 72488 II, 72498 II, 72512 II
 Copeland L. E. 70489

- Copelman L. S. 69648
Coppola J. J. 71321
Corliss C. H. 70358
Corliss E. L. R. 70358
Cornea J. 72048
Cornubert R. 70800
Corradini P. 69865
Correal H. 72769
Corrente A. M. 71808 II
Corsaro G. 70113
Corson B. B. 70815
Cortez Navarro V. 72213
Coryell C. D. 71325
Cosgrove J. J. 71127 II
Costa N. L. 69969
Costantinides G. 71969
Cotter M. J. 71330
Cottingham R. L. 72006
Cottle D. L. 72043 II
Cotton F. A. 69805
Coulson C. A. 69715, 69911
Courtney R. C. 70337
Coven G. 70486
Cox A. P. 69818, 69820
Cox F. G. 71165
Cox M. 71079
Cox R. 70486
Cox R. W. 71495
Cragg H. J. 71846 II
Cram W. H. 71834
Cramer F. 72861—72863
Crawley D. J. 70677
Creelius S. B. 72123
Cree D. L. 72679 II
Crispo Beneyto R. 71444
Crisian C. 71875
Cron M. J. 70964
Crosby G. E. 71410 II
Crosby H. L. 72056 II
Cruz Auñón F. 72084
Csarós Z. 72808
Cuou V. 72355
Cunningham G. L. 71378 II
Cupr V. V. 70251
Curry J. W. 70902
Čuta B. 69780
Cutten A. J. 71259
Cvetanović R. J. 70082
Czaja A. T. 72254, 72280
Czechowska Z. 71492
Czekalla J. 69762
- D**
Daams J. 71840
Daane A. H. 69855
Dąbrowski H. 71412
Dainton V. S. 70005
D'Alelio G. 72568 II
Dalla Torre G. 72291
Dalter R. S. 71794 II
Damen L. W. J. 72526
Dammers-de Klerk A. 69765
Danhauser W. 72802
Dankiewicz J. 70142
D'Ans A. M. 71999
Dardel W. 71261
Darlington M. E. 71645
Darré M. 71094
D'Asaro L. A. 69878
Datar D. S. 71338
Datin R. C. 71404 II
Davidsohn A. 72121
Davidson A. W. 69993
Davie W. R. 71864 II
Davies M. 69808
Davis C. O. 72353
Dawes R. K. 71890
Day H. W. 71975
Day M. C. 70514
Dean J. W. 69999
Dearth L. R. 72660
Deatherage F. E. 72390
Décans V. 71192
De Carneri I. 70828
Dédék V. 70862, 70863
Dedio G. A. 70612
Deeb U. T. 71200
Deeg E. 71526
Defawes J. C. 72076
DeFolliart G. R. 71818
De Ford D. D. 70469
De Hoff H. C. 72043 II
De La Mare P. B. D. 70737
De La Rue R. E. 70233
De Long R. F. 72400
Denholm W. T. 71128
Densham A. B. 71951
Dent F. J. 71942
De Pierri W. G. 72829
Depowski S. 70445
Desai R. B. 70857, 71727
Desai R. M. 71727
Desbois A. 71812
Desbruxelles J. 72125
Descamps H. 72125
Deshreider A. R. 72244
Deshapande S. S. 70786
Destriau G. 69907
Devreux A. 72190
Dewling E. W. 70003
Dey A. K. 70512, 70553
Dholkia P. M. 70878
Diaz Blasco R. 70638
Di Bella A. 72300
Diokerman S. C. 70111, 70852
Dickey J. B. 72487 II, 72488 II, 72498 II
Dickinson F. 70912
Dickinson N. L. 71046
Diebler V. H. 70484
Diehl H. 70491
Dikmen C. 70851
Dima M. 71978
Di Menza A. 70638
Di Poggio E. 71049
Djabaroff N. 71574
Dobáš J. 71728
Dobbins W. E. 71274
Dobozi O. 72708
Dodge N. B. 71514
Dodson V. H. 70092
Doering H. 72635
Doer I. L. 70986
Doležal S. 70862
Döll H. 72596
Dombl J. 69760
Dombrowski N. 71022
Donald M. B. 71645
Dondes S. 70168
Donk A. B. 72270
Donnay G. 69857
Doorn A. B. C., van 70345
Dorabialska A. 69657
Dorman S. C. 71866 II
Dorflinger-Schiff K. 69861
Dornow A. 70897
Dorschner O. 72036 II
Dorset B. C. M. 72720
Doumani T. F. 71697 II
Dousson S. 70695
Dowell L. C. 69951
Dowling J. M. 69782
Drachenfels H. J. 72323
Drahný M. 70079
Drayson F. K. 70787
Drefahl G. 70823
Dreyer W. 71482
Dreyfuss P. 71905 II
Dreyfuss P. 72815
Drickamer H. G. 69955
Drilling 70529
Dropkin D. 71044
Drummond V. D. 71663 II
Dube G. P. 69867
Důbravková L. 70813
Dubuis R. 71167
Duchesne J. 69783
Duculot C. 69739
Duda Z. 72616
Dubulá V. 71978
Duinker P. M. 70853
Duke F. R. 70340
Dulmage W. J. 72836
Dumitrescu C. 71642
Dunbar R. E. 70629, 72531
Dunkan J. E. 71564 II
Dunn J. H. 71846 II
Dupire F. 71952
Dupuy H. P. 70886
Durdik F. 72151
Dušák V. 71916
Duszyński J. M. 72410 II
Duszyńska K. 72147
Dutta J. 70749
Dwyer O. E. 71044
- E**
Easter E. W. 71827
Eberlin E. C. 69776
Eckhard S. 70572
Eder K. 71669 II
Edse R. 69998
Edwards L. J. 70344
Edwards T. W. 71410 II
Eftimovskii D. 71547
Egli H. 72709
Eglinton G. 70805
Eguchi W. 71028
Ehlers K. W. 70686
Ehrlich G. 70261
Elchhorn H. 72141
Eichler 72045
Einset E. 72095
Eisenberg M. 70233
Eisenklam P. 71022
Eisenkolb F. 71483
Eisenlohr H. 72032 II
Eisenstein J. C. 69834
Eisner U. 69877
Ekwall P. 70198
Eley D. D. 69971
Eliáš J. 72738
Eliassen R. 71247
Ellefsen Ø 72796
Ellis J. R. B. 71696 II
Elmer O. C. 71857 II
Elschner B. 70655
Elze J. 71172
Emde H. 71683 II
Emery A. R. 69788
Emond R. E. 71870 II
Endres H. 70929
Engel H. 72041 II
Engelmanová R. 72249
Englert-Chwoles A. 70258
Enkvist T. 70840
Enoch P. 70537
Eoli E. 72521
Epstein E. 70827, 70916
Epstein J. 70114
Era K. 69903
Erasmus H. D. W. 71570
Erdey L. 70521
Erdkamp A. 72781 II
Erdman H. 70997
Erlenmeyer H. 70315
Ericks W. P. 72687 II
Eriksson I. 72624
Ernststein N. E. 70124
Errede L. A. 71704 II
Ertel G. 70911
Esayan M. 71635
Esenscheld W. F. 70206
Essen F. 72354
Etienne H. 70627
Eusner G. R. 71515
Euw J. von 70949
Evans C. C. 71289
Evans J. C. 72470
Evers E. Charles 70346
Ewald H. 69988
Eyring H. 70018
- F**
Fahrbach E. 70953
Fainman M. 72042 II
Fair W. F. 71196
Fallab S. 70314, 70315
Fanderlik M. 71537, 71538
Fankuchen I. 69847
Fardig O. B. 70964
Farfar M. W. 71784 II
Fasman G. D. 70274
Favini G. 69737
Fear E. J. P. 70915
Fechter H. G. 71847 II, 71848 II
Federkiel W. 72755 II
Fedorowska Z. 72275
Feindel G. P. 72753 II
Feld B. T. 69714
Feldman D. 72618
Felkel G. 69988
Fells I. 70107
Fenner O. H. 71191
Ferenczi S. 72201
Ferenczy S. 71648
Ferguson A. W. 72741
Ferles M. 70869
Ferrari G. 70778
Ferris L. C. 71158
Ferry J. D. 72802
Feuillade G. 70218
Fewster P. R. 72069 II
Field R. E. 72497 II
Figus V. 71589
Figwer E. 72453
Fikentscher L. 70819
Florani M. 70106, 70109
Fischer A. 69985
Fischer H. J. 72145
Fischer J. 71473 II
Fisher J. H. 71031
Fişel S. 70640
Fish R. F. 72819
Fisher F. E. 71833
Fishlock D. J. 71184
Fitzgerald E. R. 72801
Fitzhugh O. G. 71820
Flachş 71290
Flemming H. 72051
Fleš D. 70980
Fletcher S. E. 69753
Fletcher W. P. 72588
Florence R. T. 72580 II
Flowers H. M. 70988
Fodor M. 70551
Fonda G. R. 69906
Fontijn A. 70180
Forbes W. F. 69842
Forche E. 71381 II
Ford M. C. 70767
Foresti B. 72086
Förster H. 72793
Forsythe J. J. 72648
Fořt A. 69983
Fortini T. 70356
Fořtová J. 72372
Foster A. B. 70928
Foster P. A. 71753
Foster W. R. 70042
Foulon A. 72546
Fouse W. H. 71559 II
Fox J. J. 70986
Framhus O. 72347
Franc J. 70637
Francis G. E. 70762
Fräuck B. 70954
Frankowiak M. 69900
Frank H. W. 71119
Frankel M. 70072, 70973
Franks J. 69913
Franzen V. 70819
Fraser R. P. 71022
Frawley J. P. 71820
Frederick I. B. 72481 II
Freider H. 70462
Freudenberg K. 70965
Freund H. 70539
Friederich H. 71802 II
Friedman G. M. 70392
Friedrich G. 70960
Frisch H. L. 69958
Fröllich F. 69880
Froment G. 72628
Frumkin E. 70217
Fryd C. F. M. 72230
Fryer J. D. 71839
Fuchs A. 71298

- Fuchs L. H. 69944
Fuchs W. 71976
Fueno T. 72335
Fuji T. 69990
Fujinaga T. 70471
Fujita H. 72386, 72803
Fukada N. 70310
Fukao K. 70263
Fukuda M. 70626
Fukushima T. 71303
Fulkerson S. D. 71326
Fuller L. T. 71827
Funck D. L. 71673 II
Funaki K. 70293—70295
Funouchi T. 69990
Fuss R. M. 70277, 72846
Furlani Donda A. 72389
Furukawa J. 72835
Fushizaki Y. 70933
Fuson R. C. 71688 II
- G**
Gaeng F. R. E. 72191
Gaertner V. R. 71855 II
Gage H. B. 71333 II
Gagliu M. 70511
Galliard J. R. 71273
Gaines R. V. 70380
Galandaauer S. 70737
Galazkova K. 72710
Galbraith A. R. 70805
Gallavan R. C. 70701
Gallese G. 72691
Gammack D. B. 72307
Gao Chin Lan 70789
Garcia Álvarez R. 72285
Garcia Onandia A. 71756
Gardner J. H. 71662 II
Garman J. A. 71865 II, 71867 II
Garner F. H. 71077
Garrels R. M. 70364
Garrett J. T. 71240
Garstang R. H. 69721
Gatineau 70650
Gaudemar M. 70896
Gaudreau B. 70019
Gause E. M. 71378 II
Gawle K. 70876
Gawroński J. 72555
Gearhart W. M. 72098
Geczy I. 72806
Gedeon T. 70374
Gehrt H. H. 70897
Gelger E. 70648
Gelger F. E. 69730
Gelseler G. 70089
Gelsler K. 72663
Gelin R. 72428
Gellius R. 70905
Geller R. 70669
Geneix M. T., 70935
Genevois L. 72216
Gensler W. J. 70772
Geoffroy R. 72258
Geoghegan J. T. 71711 II
George D. K. 71865 II
George K. J. 70352
Gerischer H. 70234
Gerrard W. 70734
Gerritsen H. J. 69885
Gertig H. 72274
- Ghelberg W. N. 70511
Gheorghe M. 72048
Ghisotti F. 71726
Giacalone A. 69995
Giacanelli E. 72252
Giachetti E. 72838
Giauque W. F. 70000
Gibbons J. H. 69713
Gibson J. F. 69826
Gierer J. 72866
Giffen J. W. 71560 II
Gildenberg L. 72113
Gilman H. 70894, 70903
Ginell R. 71785 II
Giot F. 72657
Giovannozzi M. 72392
Girard M. 69806
Girard R. 71758
Gishler P. E. 71099 II
Gislon A. 71694 II
Gjelsvik T. 70403
Glaeser R. 70429
Clasebrook A. L. 72058 II
Glaser F. 71647
Glasser L. G. 71120
Glassmire W. F. 71678 II
Gleason A. H. 72563 II, 72569 II
Glenister P. R. 72193
Gloss G. H. 71405 II
Gnanapragasam N. S. 70117
Gold R. 69782
Goldberg M. W. 70965
Goldblatt L. A. 70886
Goldblith S. A. 70174, 72293
Goldman A. 71847 II, 71848 II
Goldstein E. H. 70415
Goldstein H. 70825
Golębiewski A. 69717
Gono T. 70796
Gontšarenko K. 71463 K
Goodhue L. D. 71869 II
Goodkin J. 70700
Gopal R. 69996
Gordon A. S. 70766
Gordon J. E. 71720 II
Gordon M. 72808
Gordus A. A. 70169
Gore P. H. 69778
Gore R. C. 70474
Görög S. 70560, 70632
Gorsich R. D. 70894
Gotó S. 72203
Gotthard F. 71643
Gotthard M. 71643
Götz J. 71539
Gough G. 71951
Gould M. L. 71663 II
Gour H. C. 70319
Gour J. N. 70319
Goutte R. 69877
Goyiron S. 70204
Gozzini A. 70685
Graeb G. 71897 II
Graf P. 72723
Grakauskas V. A. 70883
Grasemann B. 69704
Gräser H. 70904
Grau C. A. 72393
- Graves A. E. 71987
Gray J. H. 71152
Gray K. R. 72056 II
Gray R. H. 71901 II
Gray R. M. 72472 II
Grayson J. M. 71825
Graziadei Celoria M. L. 71232
Greceanu I. 71746
Green L. 70130
Greene K. R. 70701
Grein F. 70721
Griebbach R. 70271
Griffin B. E. 70934
Grim R. E. 71968
Grimme W. 71683 II
Grißwold E. 70301
Grüne H. 70963
Gronowitz S. 70895
Gross J. H. 71405 II
Grosskinsky O. 71349 II
Groszmann H. 72806
Grotowski K. 69839
Grover K. C. 70096
Grupinski L. 70681
Grüttner B. 70203
Gryder J. W. 69857
Gschneider K. 69855
Guénoche H. 70129
Guenther A. H. 69795
Guérin H. 70055
Guest H. R. 71850 II
Guex W. 70938
Guilbot A. 72240
Guillaud C. 69877
Guillemin C. 70382
Guitard G. 70391
Gulczyńska J. 71743
Gulfrida A. 7086
Gundermann E. D. 70970
Gundian S. 72791
Gunn R. 70282
Gunst S. B. 72044 II
Günther H. 71350 II
Gupta H. L. 72292
Gupta M. P. 69867
Gupta P. R. 72655
Guss C. 72576 II
Gustafson A. N. 71034
Gustafson R. L. 70337
Gustavson P. 71967
Guth E. P. 71757
Guthrie J. A. 71979
Gutmann V. 70508
Gutowsky H. S. 69827
Gutte G. 71946
Guyer G. E. 71824
Gwynn B. H. 71606 II, 71668 II
- H**
Haake C. H. 69902
Haase E. L. 69881
Haase P. R. 70194
Haber C. P. 70909
Habibollah Izadian 70172
Hackerman N. 70211, 71132
Hadži D. 69811
Haehnel W. 72477 II
Häfel H. G. 69915
Hafner S. 69914
- Hagedoorn H. L. 69705
Hagedorn F. B. 69710
Hagiwara Z. 69723, 70287
Haglund G. 72667 II
Haisley K. 71824
Hajek B. 70300
Hakoishi K. 69990
Halevi E. A. 70118
Hall A. J. 72689
Hall D. 69974
Hall D. M. 70730
Hall E. J. 71260
Hall J. I. 70582
Hall R. H. 70985
Halmann M. 72841
Haltenberger O. K. 72341
Haltmeier A. 71344 II
Hamelin R. 70204
Hamilton E. K. 72577 II
Hamann J. F. 69766
Hammel G. 72209
Hammett L. P. 70120
Hammond M. B. 71476 II
Hampton A. 70986
Hancock C. K. 70587
Hanic F. 69868
Hannsen E. G. 72323
Hanratty T. J. 71013, 71015, 71018, 71654
Hans F. 72474 II
Hansen G. 71350 II
Hansen M. 70069 K
Hansen-Nygaard L. 69821
Hanslian L. 71301
Hanson H. P. 69919
Happel J. 71015, 71654
Hara H. 70144
Hara K. 70436
Hara N. 70159
Hara S. 70542
Harada M. 72840
Harbottle G. 69973
Harman C. G. 71520 II
Harmish J. R. 71057
Harper D. C. 70112
Harris G. 72197
Harris J. D. 72597
Harris W. B. 71291
Harrison G. W. 70902
Harrison S. A. 71714 II
Harst P. 70466
Hart R. 72848
Harteck P. 70168
Hartig J. 71457
Hartle R. J. 71698 II
Hartmann M. 70823
Hartung W. H. 71702 II
Hartwell J. L. 71000
Harva O. 72812
Haselkorn R. 70985
Hasiguti R. 71161
Haskell D. M. 71718 II
Haslam J. 70582
Hassan G. 72184
Hatch L. F. 71639
Hathaway B. J. 70328
Hauser C. R. 70880
Hauser W. 70697
Hauchofer H. 72212
Hauttmann A. 71556
- Havlik A. J. 70731
Hawley H. B. 72238
Haworth H. W. 70753
Hayano I. 70060
Hayashi M. 69838
Hayashi T. 70651
Hayasi K. 72785
Hayatsu R. 70942
Hebeda E. 69988
Heckly R. J. 70690
Heeks J. S. 69819
Heerden P. J. 69924
Heffernan M. L. 69735
Heider J. 70872
Heidrich P. 71245
Heikkilä U. 72308
Heilbronner E. 70255
Heilman K. A. 72506 II
Heimendahl M. 70672
Heiner H. 72456
Heinrich E. W. 70373
Heintzelman W. J. 70815
Heinzel A. 71417 II
Heinzelman E. 71183
Heinzelman R. V. 71778 II
Heisig T. C. 71214 II
Hejlek J. 71760
Helfaer B. M. 72574 II
Heller W. 72784
Hellmann H. 70867
Helms A. 71669 II
Helwig J. D. 71257
Hemmerich P. 70314, 70315
Hemminger C. E. 72027 II
Henderson B. 72440
Hendrich Z. 72370
Hendrickson R. 71741
Henglein F. A. 70904
Henglein F. M. 72861—72863
Henke A. M. 72028 II
Henning W. 72380
Henrici-Olive G. 72822
Henry G. 69894
Hepp P. S. 71979
Herber R. H. 70693
Herbert W. 72032 II, 72036 II
Herbrychová A. 72373
Herbst H. 71491
Herman L. 69729
Hermann W. O. 72477 II
Herod B. C. 71575
Herold H. 71416 II
Herreid E. O. 72352
Herring D. L. 70909
Herrold G. W. 71559 II
Hersch P. 70684, 71124
Hervy L. R. B. 72494 II
Herzog S. 70321
Hess W. 71167
Hesse F. 70360
Hewett W. A. 70860
Hexter R. M. 69801
Hibbs L. E. 70602
Hickman R. C. 72540
Hickmott T. W. 70261
Hicks E. W. 72361
Hickson B. 71006
Higashi H. 71742
Higgins W. F. 71190

- Higgona D. L. 71837
Hilr R. 72317
Hill H. R. 71387
Hill R. 70912
Hill R. K. 77898
Hill W. H. 71296
Hiltmann R. 71800 II
Hindin S. G. 70718
Hine J. 70109, 70753
Hintenberger H. 70664, 70667
Hintzsche E. 70621
Hirano S. 70520, 70559, 60573
Hirata K. 70288
Hiratsuka Y. 71356
Hirota K. 70137
Hirsch J. H. 71660 II, 71668 II
Hirschmüller H. 72141
Hirt R. C. 70473
Hisamatsu Y. 71208
Hiszpańska C. 72273
Hixson A. W. 69653
Hlavka J. J. 72859
Hlynsky A. 71863 II
Hoare J. P. 70222
Hobbs A. P. 70488
Hochmuth F. W. 72675 II
Hode T. V. 72225 II
Hodeau J. 72264
Hoehne K. 70845
Hoeke F. 72103
Hoerner S. 70354
Hoffman A. N. 72058 II
Hoffman K. 71781 II
Hoffmann E. G. 69797, 69798
Hofmann K. 70979
Hofreiter B. T. 72858
Höberg H. 72455
Hofjink G. J. 69738
Hojo N. 70312
Holbrook K. A. 70119
Holbrook W. F. 70539
Holdoway M. J. 70554
Mollingsworth C. A. 71402 II
Holt J. V. H. 71117
Holtman G. 70970
Holz E. 71756
Holz S. 71756
Holzapfel L. 70360, 70361
Honda N. 71070
Honea R. M. 70381
Hoogendoorn J. C. 71990
Hooper I. R. 70964
Hoos B. G. 72637
Hopff H. 71649
Hopkins N. E. 71057
Horáček J. 70816
Horák P. 71841
Horeczy J. T. 72029 II
Horiuchi K. 69990
Horne R. A. 70338
Hornstein I. 71828
Horst C. W. 72622
Horton D. 71002 R
Horvai R. 69760
Horwitz J. P. 70883
Hoshial K. 70782
Hoss H. 70413
Hough W. S. 71817
Hough W. V. 70344
Houwalt A. 71432
Hoyaux M. 69698
Hrostowski H. J. 69912
Hrozek M. 72695
Hubbard A. W. 71689 II
Huber W. 71454
Hübsch H. 70885
Hudda F. G. 70261
Hudson R. F. 69959, 70112
Huggins M. L. 72782
Hughes F. 71995
Hughes N. A. 70173
Huhn P. 70339
Huisgen R. 70881, 70882
Hull M. E. 72156
Hume D. N. 70467
Humphrey J. N. 69925
Humphrey E. L. 71219 II
Hünig S. 69777, 70732
Hunt B. E. 71412 II
Hunter N. E. 72575 II
Hu Ping-cheng 71740
Hurlbut C. S. 70383
Hurst E. 71569 II
Hush N. S. 70250
Husmann W. 71236
Hussemann D. L. 72368
Hüttig G. F. 71091
Hutton K. E. 71831, 71836
Hymobur M. 71111
Hynes R. W. 72650
Hytönen K. 70384
I
Iarosinschi-Dabic I. 72768
Ibert E. R. 71826
Igami E. 70559
Iida H. 70850
Iijima M. 72853
Iizima S. 69935
Ikebe K. 70159
Ikeda T. 70822
Ilias D. 69814, 69815
Illiceto 70884
Imai S. 71208
Imoto M. 72833
Ingberman A. K. 70111
Ingram D. J. E. 69826
Ingrisch B. 71093, 71095
Inhoffen H. H. 70960
Innes K. K. 70188
Inokuti M. 72811
Inoue A. 71730
Inoue M. 69876
Inoue S. 72662
Irle T. 70146—70148
Ishidate M. 70844
Ishimura T. 69922
Isibasi M. 70471
Isimori T. 70325
Isler O. 70938
Isono Z. 72640
Israeli Y. 70745
Ito G. 70816
Ito G. 71161
Ito K. 70263
Ito M. 70683
Ito M. 71879
Ito Y. 71390
Iverson M. L. 70340
Ivin K. J. 70005
Iwamoto K. 71146
Iwasaki M. 70417
Iwasawa I. 70782
Izumt G. 70628
J
Jabłczyńska-Jędrzejewka H. 69663
Jablónski A. 69764
Jach J. 69973
Jackson E. 72295
Jacobs D. I. H. 71700 II
Jacobsen P. S. 71025
Jacobson B. 70663
Jaeger T. 71591
Jager H. 72333
Jäger L. 70053
Jakobson I. 72707, 72711
Jakubczak A. 71569 II
Jakubowski L. 71626 K
Jáky M. 72065, 72066
Jambor B. 70256
James D. E. 71262 II
James E. W. 71103
Jancke R. 72830
Janik J. A. 69839
Jankovits L. 70521
Janot M. M. 70951
Janz G. J. 70700
Jara V. 70611
Jarrett A. D. 70890
Jarvis F. E. 71825
Jarzebski S. 72555
Jarczyński A. 69689
Jawein W. 72532
Jaworska I. 70152
Jayaraman A. 69860
Jebens-Marwedel H. 71543
Jedlicka H. 71513 II
Jedraszcyk H. 72701, 72730
Jeger O. 70940, 70941
Jelinek U. 71524 II
Jennen J. J. 71731
Jenney J. W. 71863 II
Jenny J. 72242
Jerchel D. J. 70872
Ježo I. 70813
Jiang Hsi-kwei S. 70848
Joeks J. 72539, 72557
Johannesson J. K. 69768
Johnson D. L. 70964
Johnson J. F. 71689 II
Johnson J. L. 70741
Johnson J. R. 71326
Johnson W. S. 70950
Johnston S. A. 71988
Jonas J. J. 72129 III
Jones A. R. 70182
Jones C. R. 72243
Jones E. P. 72085
Jones E. R. H. 70792
Jones J. M. 71107
Jones K. W. 69713
Jones T. S. G. 70728
Jones W. F. 70490
Jones W. J. 69808
Jörder H. 72737
Jorzig A. 72564 II
Jošt F. 70300
Jost W. 71285 II
Joux J. L. 72398
Jozefowicz E. 69656
Juhász K. 72806
Jurd K. 70993
Jursa A. 70353
Jursich M. J. 72160 II
Jusién C. 70840
K
Kabel R. L. 71013
Kabele K. 71345
Kadmer E. H. 72005
Kaeß A. 71226
Kagami M. 72207
Kahn M. 70080
Kaiser R. H. 69912
Kaiser S. 70965
Kajanne P. 70268
Kakitani S. 70436
Kallast V. 71130
Kalmus A. 70758
Kalpers H. 72550
Kaminsky D. 70827, 70916
Kamiura M. 71596
Kamiya S. 69908
Kamlet J. 71701 II
Kamo 70157
Kanahara S. 70822
Kane E. O. 69882
Kannebley G. 72849
Kanter M. A. 69892
Kaplan A. M. 71832
Kapp N. M. 71336 II
Kapur R. L. 72655
Kapur S. L. 72791
Karchmer J. H. 72002
Karczewska B. 72525
Kareda A. 72413
Karkocha I. 72273
Kármán T. 70122
Karmitz P. 72594
Karacz J. 71496
Kartha A. R. S. 72092
Kasai H. 71028
Kasaoka S. 70557
Kashiwaya K. 70795
Kasner A. A. 72671 II
Kasuga T. 71610
Katagiri M. 70157
Katelaar J. A. A. 69841
Kathrein I. 72391
Kato A. 72077
Kato E. 70036
Kato H. 70887, 70891
Kato K. 70821
Kato M. 70316
Kato S. 70157
Katz J. M. 71569 II
Katz W. E. 72671 II
Katzen R. 71663 II
Kaufmann H. P. 72093
Kauman W. G. 70187
Kawachi S. 70150
Kawagishi H. 71983
Kawaguchi H. 70573
Kawal R. 72840
Kawamatu S. 72840
Kawamura M. 70146—70148
Kawasaki A. 72835
Kay R. L. 70208
Kearsley M. J. 69911
Kearson C. F. 71334 II
Keating P. J. 71214 II
Kęcki Z. 69789
Keelerie C. F. 71523 II
Keene B. R. T. 70847
Kellner H. L. 71440
Kelly M. J. 70105
Kendall E. C. 69674
Kennedy D. R. 70134
Kennedy J. H. 70499
Kęński J. 71384 II
Kergomard A. 70935
Kerker M. 70206
Kerner E. H. 69732
Kešeljvič S. 72693
Kesterson J. W. 71741
Khanna V. M. 70127
Kharasch N. 70843
Kharash N. 70731
Khorana H. G. 70987
K'elhöfer E. 72199
Kiess C. C. 70358
Kiess H. K. 70358
Kiessel M. 70732
Kigoshi K. 70323
Kiker J. E. 71233
Kikuchi M. 69935
Kikuchi Y. 72847
Kimball W. A. 70260
Kimberlin C. N. 72030 II
Kimura C. 70795
King L. D. P. 71332
King N. K. 70341
King W. H. 72128 II
Kinosita H. 70257
Kinumaki T. 71742
Kinzer G. W. 71698 II
Kirby P. 70199
Kirchner H. 72611
Kishimoto A. 72386, 72803
Kisilew W. 68657
Kistiakowsky G. B. 70072
Kitahara S. 70542
Kitamura H. 70933
Klauss E. 72474 II
Kleber W. 69846, 69939
Kleiman M. 71847 II
Klein D. X. 71333 II
Klein E. 70052
Klein G. P. 70123
Kleinberg J. 70301
Klemm W. 69680, 70342
Klicnar J. 70794
Klosa J. 70958, 71738
Klotz I. M. 69772
Klüber H. 69724
Kludas M. 71884
Klumb H. 70674
Knight R. G. 72632
Knobler Y. 70972, 70973
Kobayashi E. 71390
Koch K. 71713 H
Koch O. G. 70609, 70612
Kochoer H. 69988
Koenen K. 72404 R
Kofold M. J. 71493
Köhler K. 70146—70148
Köhler W. 70148
Kohrt H. 70148
Koi V. 72317
Kokum I. 70148
Kojima H. 70148
Kojima Y. 70148
Köhl L. 70148
Komenda E. 70148
Komuro Y. 70148
Kondo H. 70148
Kondo T. 70148
König L. 70148
Konijn J. 70148
Konishi K. 70148
Konieczner M. 70148
Konuma M. 70148
Koz W. 70148
Koopman H. 70148
Koppe H. 70148
Kopriya B. 70148
Körl J. 70148
Körmeny I. 70148
Kornhauser E. 70148
Körbs E. 70148
Kortum G. 70148
Korytkowski 70148
Kostic G. 70148
Koloz W. 70148
Kotter L. 70148
Kovács J. 70148
Kovács Ö. 70148
Korawa A. 70148
Kozich K. 70148
Košicek R. 70148
Kosmer L. 70148
Králová H. 70148
Krásky R. 70148
Krause A. 70148
Krebs K. 70148
Kress R. K. 70148
Kriek 7052
Krigbaum 72787
Kriner W. 70148
Krogh-Moe 70148
Krošar L. 70148
Krusc T. 70148
Kruszewski 70148
Kubota T. 70148
Kuchar E. 70148
Kuczyński 70148
Kudo I. 70148
Kuechler V. 70148
Kuehner 70148
Kuenne D. 70148
Kuhl J. 70148
Kuhn H. 70148
Kuhn P. 70148
Kühnen G. 70148
Kulkarni 70148
Kumar R. 70148
Kume T. 70148
Kunda V. 70148
Kung F. 70148
Küntzel 70148
Kujchan 70148
Kupryszew 70148
Kuramoto 70148
Kure F. 70148
Kuroda 70148

- 70146— Köhler K. H. 71922
Köhler W. 71164
Kohrt H. U. 72036 II
Kolv V. 72318
Kotsumi I. 71208
Kojima H. 72722
Kojima Y. 72387
Kölbi L. 70458
Komenda E. 72501 II
Komuro Y. 70316
Kondo H. 70520
Kondo T. 70278
König L. A. 70664, 70667
Konijn J. 69705
Konishi K. 71730
Konlechner H. 72212
Konuma M. 69701
Kons W. 71853 II
Koopman H. 71840
Koppe H. 69991
Kopriva B. H. 72158
Körbi J. 70618
Körmeny L. 72371
Kornhauser A. 69950
Körös E. 70540
Kortüm G. 59767
Korytkowski J. 71007
Kostic G. 72716
Kolos W. 69839
Kotter L. 72366
Kovács J. 70981
Kovács Ö. 70974
Kozawa A. 70610
Kožich K. 72373
Kožisek R. 72372
Kozmér L. 71464
Křelová H. 71297
Krisny R. 71941
Krause A. 70141, 70142
Krebs K. 69840
Kress K. B. 70525
Krik 70529
Krigbaum W. R. 72786, 72787
Kriner W. A. 70246
Krogh-Moe J. 70037
Krošar L. 72530
Kruse T. H. 69711
Kruszewski S. 71532
Kubota T. 70990
Kuchar E. J. 71827
Kuczyńska M. 69664
Kudo I. 70625
Kuehler W. L. 72476 II
Kuehner E. C. 70487
Kuenne D. J. 70756
Kuhl J. 71944
Kuhn H. 71381 II
Kuhn P. 71546
Kühnen G. 71294
Kulkarni B. S. 72100
Kumar R. L. 71598
Kume T. 71434
Kunda V. 71386 II
Kung P. E. 71844 II
Küntzel A. 72779 II
Kučan S. 70950
Kupryszewski G. 70976
Kuramoto M. 71822
Kuro F. 69691, 71553
Kuroda R. 70398
Kurokawa K. 71983
Kuroki N. 71730
Kuroyanagi T. 71161
Kurtz P. 71682 II
Kurzepa S. 70889
Kurzer F. 70841
Kusakabe H. 72387
Kushner S. 71699 II
Kuware K. 70288
Kwart H. 70742
Kwiatkowski E. 69682
- L**
- Laakso T. M. 72836, 72857
Lacey R. G. 72659
Lacombe M. 70936
Ladeburg H. 71209
Ladenbauer I. M. 70496
Ladewig W. 72474 II, 72761 II
Lafon M. 72216
Lafuente B. 70174
Lagrange G. 70784
Laitinen H. A. 70470
La Manna A. 70893
Lamazou-Betheder M. 72202
Lamb J. 69840
Lambert M. 69712
Lambertsen C. J. 71323
Land E. H. 71903 II, 71904 II
Landolfi Y. M. 72393
Landrigan R. B. 71908 II
Landrum B. F. 71704 II
Landsberg R. 70236
Landucci J. M. 72864
Lang K. 72474 II, 72761 II
Langer 72666
Langford P. B. 70109
Langhammer G. 72793
Lánsky M. 69994
Lapidot A. 72841
Laporta L. 72265
Lappert M. F. 70734
Lardon A. 70949
Lassner E. 70548
Latta J. E. 72037 II
Laufer S. 72186
Laurent J. F. 69891
Laval J. 69884
Laves F. 69914
Law W. W. 71936
Lawrence H. R. 71988
Lawrence W. 72553
Lawroski S. 71327
Lawton E. A. 70909
Lay W. P. 70740
Layman F. G. 69859
Lazarre F. 69960
Leat W. M. F. 70991
Leaver E. W. 71110
Le Boulch N. 70943
Lecomte J. 69806
Le Corvaisier H. 72196
Ledent R. 71229
Lederer M. 70533, 70535
Lednicer D. 70880
Lédóchowski A. 70876
Lédóchowski Z. 70876
Lee J. K. 70618
Lees T. M. P. 71557
Leete E. 70975
Lefrançois B. 71925
Le Hir A. 70951
Lemay A. 70083
Lemieux R. U. 70927, 70964
Lemnitz E. 71415 II
Lemoine H. 70800
Lengyel B. 72845
Lenhard P. 71438
Lenhart W. B. 71583
Lennarz W. J. 70899
Lennon J. W. 71520 II
Lesbre M. 70765, 70906
Leslie R. T. 70487
Lessa Bastos M. 72232
Leszczynski Z. 70814
Leuenberger H. 71570
Leuteritz G. 69850
LeVine H. D. 71291
Levinas G. J. 71296
Levy L. B. 70852
Lewandowski J. 72748 II
Lewiński J. 72694
Lewis A. H. 72135 II
Lewis E. S. 70735
Lewis J. W. 70787
Lewis L. G. 70725 II
Leyko Z. 69660
Lezuchowska J. 70141
Lichtenwalter G. D. 70903
Licht N. N. 70197
Lieber E. E. 71293
Liebhafsky H. A. 70479, 71162, 71188
Liebsch H. 69861
Liechti H. 71734 II
Lieber A. D. 69740
Liethe O. 71670 II
Lindsey R. V. 71685 II
Lindstrom L. E. 69704
Lineweaver H. 72374
Lingane J. J. 70499
Link K. P. 71842 II
Linke P. 71687 II
Linnig F. J. 70459
Linguist A. B. 71866 II
Linsert H. 72388
Linton M. 71066
Lin Wei Cheng 71386 II
Lipka B. 710152
Lippincott E. R. 69745, 69746
List H. 71256
Litoš F. 72372
Liu Ling-fen 71744
Locke D. M. 70812
Lockhart E. E. 72374
Lockman C. J. 72673 II
Löfman N. 70198
Logan N. 70328
Logemann W. 70828
Lokken R. J. 70815
Long J. E. 71296
Long R. J. 71077
Long T. F. 71193
Longchambon L. 71585
Longuesserre M. 72276
Loos K. 71235
Lord K. 71108
Lord N. G. 70114
Lorentzen G. 71105
Lorentzen G. 72347
Lorenz A. 71032
Lorenz W. 70213
Lorenzola F. 72246
Lörlincz F. 72371
Lorking K. F. 71163
Lotti G. 70437
Loudon J. D. 70890
Louloudes J. S. 70694
Love Daniel L. 69981
Lowe J. S. 70991
Lüben R. 72034 II
Lucas K. 72030 II
Lucius G. 70939
Lüdering H. 70498
Ludlow J. L. 72495 II
Ludorff W. 72379
Luechauer H. C. 71477 II
Luedemann G. 72639
Luft K. F. 71121
Lukeš R. 70862, 70863
70930
Lund E. 72796
Lunden B. 72670 II
Lupan S. 70541
Lupinski J. H. 69824
Luyet B. J. 69940
Lyle D. S. 72731
Lynn R. E., Jr. 71011
Lythgoe B. 70959
- M**
- Maass O. 70199
Mabrouk A. F. 72390
McBryde W. A. E. 70569
McCallian S. E. A. 71830
McConnell H. M. 69830
McConnell J. D. M. 70264
McConomy H. F. 71257
McCrum N. G. 72800
Mac Diarmid A. G. 70346
McDivitt M. E. 72368
McDonald J. E. 70017
McDougall A. O. 70104
McElroy A. D. 70344
McElroy F. E. 72544
McGauhey P. H. 71263
McGlynn S. P. 69748, 69750
McGrath W. D. 70161
McGrew F. C. 72794
Machu W. 71180
MacInnes D. A. 70208
McKay A. F. 70967
Mackay K. 70767
McKay D. L. 71718 II
McKeag A. H. 71412 II
McKee R. C. 72658
Mackenzie J. 70134
Mackey E. S. 71907 II
McKinley J. B. 72028 II
McKinstry H. 70412
Mackiw V. 71386
McKnight D. 71395
McLachlan J. A. 71269
MacLaren D. D. 71422 II
McLaughlin J. J. 72425
McLean S. R. 70570
McMillan G. R. 70164
McNabb J. W. 72581 II
McNeill W. 71181
McNesby J. R. 70766
McPherson J. B. 71711 II
Mäder K. 72109
Maeda Y. 72840
Maerker J. B. 71973
Maga C. 72768
Mager K. J. 69762
Magie W. A. 72582 II
Magné A. 69858
Magyar K. 72149
Mahlan J. E. 71869 II
Mahler W. 70331
Maier R. H. 70492
Majumdar A. K. 70507, 70513, 70527
Makedońska R. 71747
Maki M. 70534
Maley L. 70682
Malhan P. R. 72092
Malherbe M. 72007
Mallnovský M. 70023
Mallach H. J. 71755
Maloney J. O. 71974
Mandel J. 70459
Mando M. 70884
Mangold K. H. 71277
Maniawski F. 69839
Mann B. S. W. 72470
Mannbro N. V. 72668
Manson N. 70129
Manson S. V. 71038
Mantell R. M. 71658 II
Manu V. 70599
Marcelli E. 71835
Marchini P. 70956
Mardus G. 71048
Mareček V. 72373
Marelle D. 72375
Mareš C. 70486
Margrave J. L. 70076
Markovac-Prpic A. 70980
Marmo F. F. 70353
Marpillero P. 72678 II
Marpon R. 71129
Marquez L. 69969
Marsel C. J. 71654 II
Marsh V. R. 72543
Marshak H. 69713
Martel C. 72696
Marta C. S. 69956
Martell A. E. 70337
Martens P. 71492
Martin R. A. 70723
Martin W. H. 72310
Martneau L. 70781
Martinez Cayol R. 72120
Martin-Smith M. 70946
Marty R. 71198
Maruszevska-Wieczkowska E. 70871
Marvel C. S. 72829
Mashiko Y. 69793
Mason B. J. 69938
Mason E. A. 69953
Mason F. C. P. 72470
Mason R. B. 72030 II
Mason S. G. 70016
Masoni S. 72298, 72300
Massard M. 71168
Massazza P. 70039

- Masschelein C. A. 72191
Massimilia L. 71049
Masson J. 70055
Mastagli P. 70784
Mastin T. W. 71994
Masuda E. 71390
Matheson G. L. 71097 II
Mathis F. 70907
Mathis J. S. 70357
Mathur K. B. 71099 II
Matiba R. 71512
Matrka M. 71732
Matsubara H. 71821
Matsuda S. 71288
Matsumoto S. 71822
Matsuno T. 70856
Matthos A. 72843
Mattoo B. N. 70334
Matzenger C., Jr. 71302
Matzer O. 70791
Mauri F. C. 72729
Mausser J. E. 71025
Mayeda T. 70359
Mayer J. E. 69954
Mayer M. J. 72187
Mazari M. 71592
Mazerolles P. 70906
Meakins G. D. 70945
Mechling M. 71415 II
Medianu B. 70599
Medina-Castellanos S. 72519
Megar G. H. 71395
Mehrotra R. C. 70096
Meijering J. L. 69890
Meinke W. W. 70482
Meisels A. 70994
Meister A. G. 69782
Meites L. 70545
Mele A. 70359
Melera A. 70940
Meliohar B. 71075
Meller A. 70071
Mellgren P. G. 72697
Mellon M. G. 70472
Mellors G. W. 70710
Menzi K. 71734 II
Menzies R. C. 70333
Mergault P. 70172
Mering J. 70429
Merkel J. R. 71724 II
Merritt W. F. 69982
Mertzweiler J. K. 71653 II, 71671 II
Merz K. M. 72566 II
Meschter E. 71618
Meshitsuka G. 70137
Messner A. E. 70588
Mestres R. 71072
Metzendorf J. 71745
Metzsch F. A. 71082
Meyer A. J. P. 69932
Michalek Z. 70393
Michalski J. 70871
Michael P. 70969
Michel P. 69875
Michijima M. 70668
Mickelsen W. R. 70124
Miettinen J. K. 72235
Mignlao P. 70752
Mikiska A. 71297
Millen D. J. 69817
Miller B. 72629
Miller G. H. 70167
Miller G. J. 72094
Miller J. 71716 II
Miller J. I. 70910
Miller M. L. 72832
Miller R. K. 70742
Milligan W. O. 69919
Mills W. G. B. 72551
Milner G. W. C. 70605
Milster H. 70962
Milstrey R. 71001
Minami T. 70158
Minaf S. 71545
Minczewski J. 69662
Minhaj P. 70730
Minn S. 69923
Minoura Y. 72833
Miquel J. F. 70818
Miranda H. A. 69979
Mita K. 70159
Mitchell E. W. J. 69895
Mitchell J. W. 70184
Mitchell L. C. 71829
Mitsuno M. 70989
Miura M. 70098
Miyagawa I. 72820
Miyake A. 72795
Miyashiro A. 70417
Miyata T. 70098
Miyazawa N. 69701
Mizuno H. 69908
Mizuno W. G. 72123
Möbius E. 72509 II
Modreanu P. 70640
Moede J. A. 71899 II
Moelwyn-Hughes E. A. 70107
Mohanna S. 70825
Mohapatra S. 70348
Möhler E. 72778 II
Mohler F. L. 69756
Mohr E. 72323
Mohr W. 72323, 72404 K
Möller J. 71166
Momtaz d-Gindy M. 72157
Moncrieff R. W. 71880
Monfeuga S. 69984
Mongodin G. 70675
Monnier R. 70227
Monot Marie-Renée 70785
Montgomery J. B. 72058
Monti E. 71970
Moore N. P. W. 71991
Moorman W. C. 72131 II
Morawski B. 70876
Moreland M. 71890
Morgan I. G. 72470
Morgner M. 72479 II
Mori T. 72090
Mori Y. 72833
Moriconi E. J. 70768
Morikawa T. 72820
Morino I. 71023
Morita M. 72159
Morrell C. E. 71659 II
Morrill H. L. 71859 II
Morrison G. H. 70462
Morrison G. S. 72408 II
Morrison H. A. 72650
Morse W. B. 71219 II
Mortimer C. T. 69753
Morton II J. 71699 II
Morton R. A. 70991
Moseley P. 70078
Moss T. S. 70660
Mossel D. A. A. 72239
Motegi N. 72840
Mottram S. 72584
Mozes G. 71996
Mraz R. G. 71705 II
Muan A. 71478
Muessig S. 70428
Muettterties E. L. 69749
Muhler J. C. 72131 II
Mühlethaler B. 71649
Mukherji A. K. 70512, 70527, 70553
Müller G. 72737
Müller K. 70219
Müller K. 71483
Müller K. 71927
Müller-Warmuth W. 70666
Mulligan R. P. 71324 II
Munemori M. 70683
Munshi A. G. 70878
Münster A. 70028
Murata H. 70323
Murata Y. 70557
Murray J. 70912
Murrayama T. 70241
Mureşan G. 71510
Murphree E. V. 71675 II
Murray P. E. 70016
Murrell W. G. 72231
Muschlitz E. E. 70075
Musha S. 70683
Mussey O. D. 72654
Musso H. 70711
Muszkat K. 72712
Mysels K. J. 69686
N
Nagai H. 70493
Nagai T. 70651
Nagata S. 71028
Nagy P. 79081
Nair K. P. 71598
Naito K. 69786
Naito T. 70858
Nakagaki M. 72784
Nakagawa Y. 70822
Nakai R. 70757
Nakano E. 69904
Nakano K. 71730
Nakao H. 70757
Nakao K. 70279
Nakara K. 72159
Nakasima K. 70279
Nakaya J. 70257
Nanda C. B. 70348
Nanu I. 71648
Narath A. 70185
Nardelli M. 69864
Nargund K. S. 70878
Narjes A. 70567
Natta G. 72838
Naumann A. 71123
Navech J. 70907
Nayudamma Y. 72775
Neal R. L. 71152
Nederbragt G. W. 70191
Nededy G. 72542
Nedomlel F. 71544
Nehring O. 72430
Neill W. J. 70080
Nekrasov A. S. 72011 K
Nelson B. N. 70460
Nelson H. E. 72647
Nelson J. W. 72035 II
Nelson W. L. 72004
Némecsek J. 71030
Nemitz G. 70715
Nerenst P. 71604
Neri A. 72237
Nerken A. 71033
Ness I. 69851
Nettesheim G. 71976
Nettleton R. E. 69957
Neu R. 70642
Neveu C. 70820
Nevin C. S. 72124
Newberg R. G. 72507 II
Newkirk A. E. 71162
Newman P. C. 71950
Newson H. W. 69713
Newton J. O. 69707
Nicholson D. I. 71838
Nicholson D. S. 71393
Nickel O. 70031
Nickels J. E. 70815
Nickerson J. T. R. 72374
Nickerson W. J. 71724 II
Nioki J. 70775
Niolaissen B. H. 71852 II
Nielsen P. T. 71115
Nienburg H. 71666 II
Niespodziewanski Z. 72570 II
Nimz H. 70926
Nishimura T. 70836
Niszczyski M. 72570 II
Nizamuddin B. S. 72100
Nobs H. 70648
Nohse W. 71439
Nöller H.-G. 70676, 70678
Noofjen B. 69705
Nordfors B. 69920
Norren R. W. van 70528
Norris M. V. 71827
Norris R. G. W. 70161
Norwitz G. 70603
Nosanow L. H. 69954
Nose T. 72181
Notley N. T. 72815
Novák C. 70670
Novitsky P. 72407 II
Novotný A. 70794
Nowacki J. 72702
Noyes W. A. 70164
Nozoye T. 69809
Nuclotti L. 71231
Nunn J. H. 70605
Nuret H. 72247
Nussim M. 70118
Nusspickel A. 72564 II
Nützel K. 69747
Nyce J. I. 70742
Nye J. D. 70247
Nymoen H. 72467
Nyquist R. A. 69804
Oba T. 71040
Obaga 69990
Obenshain D. N. 72530
Ober M. H. 72646
Oberhammer W. 69904
Oberlies P. 71540
Ockman N. 69794
O'Connor G. L. 70727 II
O'Connor P. R. 70727 II
O'Connor R. T. 70727 II
O'Connor W. F. 70727 II
Oehlmann F. 71734 II
Oetker R. 71113
Offret S. 69923
Offutt W. C. 72025 II
Ogard A. E. 70094
Ogata N. 72842
Ogawa T. 70098
Ohara S. 72091
Ohkawa M. 70850
Ohly G. 72224 II
Ohta M. 70887, 70904
Ohtani N. 70214
Ohlen K. 72796
Oka S. 70297
Okabayashi I. 70856
Okada H. 70858
Okada M. 71434
Okada S. 70468
Okawa K. 70971
Olaj O. P. 72824
Olcott H. S. 72095
Oleary L. 70106
Olive S. 72822
Olsson J. 72411
Olszak M. 72274
Öman E. 72688 II
Oman R. A. 70691
Onak T. P. 70173
Ondik H. M. 69857
Onishi A. 72835
Ono K. 72640
Ono Sin-ichi 70257
Oonrust H. 72103
Oosterhoff L. J. 69904
Oosterhout J. C. 71678 II
Opavsky W. 72598
Orasanu J. 71529
Ord P. R. 71542
Orenstein A. J. 71204
Orlito Y. 70150
Orr C. 70723
Ortmann H. 69952
Orzel M. 72718
Osborne G. O. 70994
Osmani R. 71338
Ossenbrunner A. 71907 II
O'Sullivan D. G. 69904
Otani S. 70098
Otleanu R. 70643
Otsuki S. 69701
Otto H. D. 70791
Ouellet C. 70083
Oullet L. 70119
Overberger C. G. 72504
Owada K. 69990
Owari S. 70844
Owen J. J. 71675 II

P

- Paddock E. L. 71858 II
 Page I. H. 70982
 Paidassi J. 71135
 Paine F. A. 71203
 Pagrt O. 72699
 Panoholy M. 69964
 Pandya S. P. 69702
 Panzer H. 71114
 Pao Ke 71740
 Papadopol E. 72053
 Pappas P. 70197
 Parham W. E. 70736
 Páris L. 72774
 Párizek O. 71297
 Parker M. O. 72642
 Parker P. T. 71675 II
 Parris R. W. 72595
 Parry R. W. 70347
 Parthasarathy S. 69964
 Partington J. R. 69959
 Paschke B. 72340, 72342
 Passino H. J. 71658 II,
 72475 II
 Pasternak A. D. 71080
 Patal S. 70745
 Patat P. 72830
 Pătrăscioiu R. 72192
 Patrick L. 69898
 Pattenden W. C. 71870 II
 Patterson E. L. 71001
 Paul A. D. 70335
 Paul F. 72200
 Paulus W. 71755
 Pavil E. 72424
 Pavlik A. 71600
 Pavlik F. J. 70815
 Pavlopoulos T. 70230,
 70231
 Pawlikowski S. 69650,
 69664, 69675
 Pazola Z. 71743
 Pearce E. M. 72834
 Pearl I. A. 72630
 Peash R. 72202
 Peohukas A. 71844 II
 Peak Z. 72740
 Pedersen H. L. 72412
 Peek R. 71443
 Peeling E. R. A. 70802
 Pelle J. 70191
 Pelletier S. William 70812
 Pelná R. 71295
 Pelshenke P. F. 72259
 Pengra J. G. 69704
 Pennell A. 71077
 Penning P. 69893
 Pepper D. 71062
 Pepperhoff W. 70598,
 71096 K
 Perédi J. 72089
 Pérez-Blanco David 70746
 Perieres R. A. 72579 II
 Perillá O. 72621
 Permingeat P. 70382
 Permut A. 72714
 Perold G. W. 71931
 Perpar M. 69950
 Perugini G. 70688
 Pesce M. 70944
 Péter P. 72719
 Peterlin A. 72784
 Petersen E. O. 72312
 Peterson D. W. 71365
 Petiau M. L. 72759 II
 Petiol J. P. 70961
 Peticolas W. L. 69772
 Petitoolas P. 72750 II
 Petrić I. 71389
 Petrican C. 72053
 Petritz R. L. 69925
 Petrov A. 70789
 Petru F. 70300
 Petzold A. 70555, 71138
 Petzold W. 70955
 Peyron M. 70073
 Pfanhauser J. 69665
 Pfeiler S. 70955
 Pfeiffer L. G. 71151
 Piantanida C. 72520
 Piaskowski S. 71747
 Pickett L. W. 69776
 Pieruol M. 69727
 Piki J. 71710 II
 Pilo A. 71316
 Pillsbury W. F. 71267
 Pimentel G. C. 70163
 Pineo M. D. 71302
 Pines H. 70751
 Pinheiro da Fonseca
 72271
 Piontelli R. 70244
 Piotrowski M. 71626 K
 Pirillo S. 71322
 Pirot E. 71614 II
 Pistrorius C. W. F. T.
 69784
 Pitis I. 72192
 Pitzer K. S. 69793
 Pizzorno L. N. 70638
 Planes S. 71819
 Plateau J. 69894
 Plazek E. 70842
 Plešek J. 70930
 Ploum H. 70558
 Plisko E. 70324
 Pluta M. 76065
 Podlowska A. 70889,
 71736
 Pohl F. A. 70607
 Polgar N. 70787
 Polhill R. D. A. 72230
 Poli G. 70244
 Pollak M. 70496
 Pollock J. McC. 69796
 Pommer A. M. 70427
 Pool R. A. H. 70698
 Popa E. 71978
 Pople J. A. 69736
 Popović P. 72693
 Popow C. 71578
 Popow K. I. 71312
 Poppa H. 71541
 Porejko S. 69659, 69669
 Porretta A. 72282
 Porter H. D. 71723 II
 Pöschmann H. 71555
 Potier A. 70013, 70056
 Potier J. 70056
 Potter A. 71328
 Potter M. D. 70873
 Pouradier J. 72864
 Power B. D. 70677
 Pozza G. 72725
 Prakash S. 70313, 70326
 Prasad J. 71480
 Preece I. A. 72188
 Preisinger S. 71886
 Preisler P. W. 70245
 Prékopa A. 69965, 72845
 Pressman J. 70353
 Preuss E. 70662
 Prevost Ch. 70752
 Prévot R. 71489
 Příbil R. 70540
 Prigogine I. 70258
 Prillinger F. 72210, 72212
 Primo Yúfera E. 72285
 Pritchard G. O. 70167
 Procházková V. 70611
 Procter G. C. 71809
 Proctor B. E. 70174,
 72293, 72374
 Profft E. 70870
 Promiški W. 71743
 Proštenik A. 70729
 Prugne P. 70695
 Pruitt K. M. 70760
 Pryke J. M. 70861
 Ptizyna O. A. 70911
 Pullin A. D. E. 69796
 Purchas D. B. 71092
 Puri B. R. 72292
 Purves C. B. 72860
- Q
- Quackenbush F. W. 72094
 Quattrone C. 71450
 Queen A. 70864
 Quérét Y. 71984
 Quinkert G. 70960
- R
- Rädecker W. 72511 II
 Radoniewicz H. 70814
 Raffelson H. 71784 II
 Rajagopalan R. 72262
 Rajagopalan S. 70950
 Rak M. 71544
 Ramage J. H. A. 71253
 Ramamurti K. 69676
 Ramana R. D. V. 70547
 Ramaswamy D. 72775
 Ramm H. 72492 II
 Ramsden E. 70759
 Ranganathan T. S. 72766
 Rank D. H. 69795
 Rao B. S. R. 70414
 Rao V. R. 69807
 Rapoport H. 70173
 Rascio V. J. D. 72556
 Rasi G. 72706
 Rašperová J. 72272
 Rastrup-Andersen J.
 69821
 Rathsburg H. 71911
 Rathsmann E. 71616
 Ratusky J. 70754, 70865
 Ray A. E. 70030
 Ray B. R. 69827, 71968
 Ray J. N. 70857
 Raynes B. C. 71222 II
 Reath N. 71824
 Redoay A. K. 71652 II
 Redvanly C. S. 69972
 Reed E. 72639
 Reed R. 71974, 72766
 Reedy A. J. 70899
 Reeker J. 72703
 Reerink W. 71914
 Reese J. E. 71187
 Reese R. M. 70484
 Reginald N. 72480 II
 Reich G. 70678
 Reichelt H. 71254
 Reichelt W. 72474 II,
 72761 II
 Reichherzer R. 72810
 Reilly C. A. 70483
 Reinecke M. G. 70173
 Reinhardt H. 70089
 Reininger H. 71173, 71174
 Reiser M. 71713 II
 Reiser P. L. 79592
 Reisman A. 70045
 Reiter R. 70360, 70361,
 70363
 Reiter R. 72445
 Reith J. F. 72239
 Renard 71881
 Rentschler H. 72214
 Resnick R. 69888
 Reuther H. 71501
 Reutow O. A. 70911
 Revesz P. 72845
 Reynier M. 71758
 Reynolds D. O. 72857
 Reynolds G. F. 70532
 Reynolds L. T. 69805
 Reynolds N. 72383
 Riad S. 70252
 Riecoconi L. 70196
 Rice J. K. 71125
 Rich S. R. 71456
 Rich W. C. 72026 II
 Richards D. E. 70762
 Richards N. E. 70012
 Richardson E. 70569
 Richardson F. D. 70003
 Richter H. 71773 II
 Richter J. C. F. C.
 72676 II
 Richters P. 69777
 Rickard C. L. 71044
 Ricketts R. W. 72197
 Riddick J. A. 70461
 Rideal E. 70253
 Ridley E. C. 69718
 Riedel H. G. 71277
 Riediger B. 71074
 Riedle R. 72454
 Riehl N. 69952
 Riehle F. W. 70727 II
 Riemann Wm. (III) 70636
 Riemschneider R. 70791
 Rienäcker G. 69680
 Riepe W. 70689
 Ries H. E. 70260
 Rietschel L. 70823
 Rigby P. L. 72195
 Rigden J. D. 69895
 Riley J. P. 70516
 Riley R. V. 71090
 Risinger J. L. 71315
 Ritchie M. 70134
 Ritter P. 72331
 Ritter von Rüling P.
 71175
 Rivero J. M. del 71819
 Rivoche E. J. 72406
 Riwan R. 69875
 Roach A. G. 70661
 Roan C. C. 70694
 Robb J. C. 70078
 Robert 71290
 Roberts J. D. 69828
 Roberts W. M. 72297
 Robertson J. 71459
 Robey R. F. 71659 II
 Robins P. A. 70801
 Robinson G. W. 69757
 Robinson P. D. 69715
 Robu I. V. 71076
 Roehow E. G. 69829
 Roehow T. G. 70485
 Rodda H. J. 70861
 Rodenhäuser H. 72548
 Rodgman A. 70740
 Roebber J. L. 70163
 Roeder J. 72289
 Roga B. 69668
 Rogledi P. 72050
 Röhm H. 72771
 Rohn H. L. 71806 II
 Röhm M. 70722
 Rollefson G. K. 70163
 Ronaut P. 72503 II
 Rönnebeck H. 72248
 Ronwin E. 70968
 Ronzoni I. 72734
 Rordorf K. G. 72728
 Rose A. 69885
 Rosen E. M. 71013
 Rosenberg A. J. 69956
 Rosenbusch K. 72779 II
 Rosendahl T. 70198
 Rosenstock H. B. 69896
 Rosshelm D. B. 71524 II
 Rossi Landi C. 71171
 Rothe W. 72385
 Rottig W. 71670 II
 Roudier L. 70763
 Rouse R. D. 70522
 Rousselle G. 72422
 Roy N. K. 69870
 Roy T. K. 71386 II
 Royen A. H. H. 72665
 Royo Iranzo J. 72285
 Rožan J. 72554
 Rozgaj S. 70281
 Rudström L. 69918,
 69920
 Rümens W. 72755 II
 Rummery P. O. 72570
 Runde R. E. 69855
 Ruppel W. 69885
 Ruprecht R. 72545
 Russell P. C. 70673
 Russell R. 72639
 Russell R. G. 71568 II
 Rutczyńska-Skonieczna E.
 72273
 Rutledge R. L. 69827
 Ruyven B. H. 70193
 Rybníkář F. 72799
 Rychlik M. 72275
 Ryser G. 70938
 Rzany H. 69839

- S**
- Sachse E. 72228
 Sadler P. W. 69810
 Sadovská J. 71760
 Saegusa T. 72835
 Sagel K. 70028
 Sagner Z. 71732
 Sagoschen J. 70576
 Sahama T. G. 70384
 Sahnkei Y. 70293—70295
 Salki M. 72090
 Saller E. 71248
 Saito K. 70653
 Saito M. 70933
 Saito S. 72853
 Saito T. 72441
 Sakamoto K. 71354
 Sakai T. 71587
 Saksena G. D. 69795
 Sakurai Y. 70844
 Sakurayama K. 72820
 Sakuyama S. 70137
 Salazar R. 71749
 Saller W. 72286
 Salmon-Leganeur F. 70820
 Salomon J. M. 71990
 Salvadori O. 72418
 Sandiford D. J. H. 72809
 Sandler S. R. 70743
 Sannonini P. P. 72009
 Sandrinelli R. 71153
 Sandström A. E. 69920
 Sant B. R. 70589
 Santapa M. 70093
 Sanzot E. 70453
 Saraga E. 72189
 Sarma B. 70549
 Sarma R. S. 70937
 Sartori G. 69800
 Satgé J. 70765
 Sato H. 72159
 Sato K. 71069
 Sato M. 70971
 Satoh T. 71024
 Sattler-Dornbacher E. 71085
 Saucy G. 70938
 Savidan L. 72105
 Sawada M. 69922
 Sawyer C. N. 71266
 Saxena M. S. 70855
 Saxena R. S. 70500
 Sbrozzi M. 72299, 72300
 Scalari F. 72838
 Scales B. 70959
 Scarparo C. 72698
 Schädlich A. 72474 II
 Schäfer R. 70342
 Schaffner K. 70941
 Schall J. W. 71973
 Schaller A. 72286
 Scharf H. 71518 II
 Scheil M. A. 71151
 Schenck G. H. K. 71609
 Schenck M. 71773 II
 Schenck T. E. 72410 II
 Schenk H. F. 72650
 Scherer O. 71381 II
 Schiavon G. 70100, 70181
 Schikorr G. 71170
 Schiller G. 72571 II
 Schilling K. 71224
 Schimmel G. 71546
 Schindler A. 72824
 Schleicher A. 70221
 Schlenker R. 71499
 Schlesinger H. 70548
 Schlögl K. 70920
 Schmalz E. O. 70213
 Schmalz T. F. 71115
 Schmerling L. 71692 II
 Schmid R. W. 70255
 Schmidle C. J. 71681 II
 Schmidt E. H. 71151
 Schmidt G. F. 72797
 Schmidt H. 70934
 Schmidt O. 71021
 Schmied W. 70546
 Schmillen A. 69762
 Schmitt A. 70438
 Schmitt J. M. 70273
 Schmitz H. 70964
 Schmitz W. 70476
 Schmouker J. 69712
 Schneider K. 70791
 Schnellenkamp M. 71437
 Schöber G. 70508
 Schoeffter 72247
 Schoenbrunn E. F. 71662 II
 Schofield K. 70847
 Schomburg G. 69797, 69798
 Schönberg A. 70859
 Schotte L. 69779
 Schrader G. 71849 II
 Schrecker A. W. 70992, 71000
 Schreiber E. C. 71851 II
 Schreiner G. D. L. 70386
 Schreyer G. 69767
 Schricker O. 71422 II
 Schroeder R. 69745
 Schuldiner S. 70222
 Schulek E. 70634
 Schultmeyer S. W. 72656
 Schultz H. W. 72396
 Schulz G. V. 72822
 Schulze E. 71238
 Schumacher E. 69985
 Schumacher J. C. 71362, 71374 II
 Schütte 71318
 Schütz S. 70960
 Schwab E. G. 72450
 Schwab L. 70727 II
 Schwabe K. 70207
 Schwartz A. W. 70852
 Schwartz E. T. 70979
 Schwartzman L. H. 70815
 Schwarz H. 70982
 Schwarz H. 71889
 Schwarz O. 72466
 Schwarz R. 69680
 Schwarzkopf H. E. 71806 II
 Schweier H. 72663
 Schweishelmer W. 71885
 Schwen G. 72705
 Schwenker H. 71998
 Scoffone E. 70884
 Scortia T. N. 70245
 Scott L. B. 72039 II
 Scott R. G. 72741
 Scott W. J. 72361
 Scribner B. F. 70478
 Scrocco E. 70314
 Scrocco M. 69800
 Sebestyén G. 71603
 Sedláč M. 71932
 Seel F. 70097
 Sečovič P. 70813
 Segall J. 71505
 Sehring R. 71853 II
 Seidemann A. 71102
 Seigle L. L. 69888
 Sekowska B. 70631
 Selén H. 69816
 Selke W. A. 71080
 Sell G. 72010 K
 Sellés E. 71761
 Sellés F. E. 71761
 Sello H. 71676 II
 Selwood P. W. 70262
 Sen A. B. 70855
 Sen B. 70317
 Senderoff S. 70710
 Šenica V. 72617
 Seregi J. 70046
 Serra M. 71177
 Serratos J. M. 69802
 Serres C. 70736
 Serres L. 72321
 Seymour M. 72443
 Seymour S. L. 71564 II
 Sgraja G. 71499
 Shabaker H. A. 71100 II
 Shalagoski H. I. 70532
 Shapiro D. 70988
 Sharp J. C. 71115
 Shaw A. W. 70751
 Shearer J. N. 69795
 Shearer N. H. 72512 II
 Sheehan J. C. 70977, 72859
 Sheldon J. C. 70302
 Shelson W. 71602
 Shen Chin-ping 71744
 Shepard L. S. 72458
 Sheppard H. J. 69646
 Sheridan J. 69818—69820
 Sherma J. 70636
 Sherwood P. W. 71630, 71634
 Shibanuma Y. 70817
 Shields B. D. C. 70698
 Shigeno H. 71208
 Shih Yu-tsun 70826
 Shiina N. 72468
 Shimizu K. 70583
 Shimodaira S. 71150
 Shingu H. 70836
 Shinoda N. 71161
 Shinozaki Y. 72091
 Shionoya S. 69903
 Shippe W. F. 72325
 Shipley D. K. 70802
 Shiraihi T. 70148
 Shiraiwa T. 69922
 Shiotsuka T. 71070
 Shivananda Tolpadi S. 69997
 Shive W. 71688 II
 Shoefer F. A. 71159
 Shoemaker J. L. 69687
 Shokal E. C. 72567 II
 Showalter J. C. 72033 II
 Shryne T. M. 70910
 Shur E. G. 72527
 Sidman J. W. 69775
 Siebert H. 69794
 Siecke P. 72025 II
 Siejka J. 71292
 Siekierski S. 70254
 Siekman J. C. 69706
 Siemaszko A. 72865
 Siesto A. J. 71759
 Siever R. 70418
 Silvestroni P. 70046
 Simionescu C. 72618
 Simmons T. 72641
 Simon A. 69790
 Simon I. 71479
 Simon M. 71623
 Simon W. 72041 II
 Simonetta M. 69737
 Simons E. L. 71188
 Simpson W. T. 69750
 Sincere J. 71186
 Singh A. 71811
 Singh B. K. 69835, 70937
 Singh B. R. 70507, 70513, 70527
 Sinhaseni P. 70516
 Siniansky V. 71510
 Sinke G. C. 70062
 Sinnott K. M. 69817
 Sirchia E. 70039
 Skell P. 70743
 Skovlin D. O. 71826
 Skramlik E. 71738
 Skretting A. 72676 II
 Skwarski T. 72692
 Slatanoff W. 71571
 Slayter G. 71565 II
 Sloan A. D. B. 70890
 Slomp G. 70741
 Slusarski A. 72700
 Smalheer C. V. 71994
 Small P. A. 70713
 Smart R. C. 70604
 Smeltzer W. W. 71136
 Smialowski M. 72525
 Smidt J. 69930
 Smith A. C. 71898 II
 Smith C. W. 71664 II
 Smith D. S. 69726
 Smith G. 30727
 Smith J. F. 70030 70090
 Smith R. W. 70113
 Smith S. B. 70477
 Smith S. D. 70660
 Smith W. 71040
 Smythe L. E. 70577
 Snell F. D. 72115
 Snelling F. C. 71337
 Snoljink J. J. A. 72399
 Snyder H. R. 70899
 Sobolev I. 72639
 Sokolovskaya A. I. 69789
 Sokolova E. 70789
 Sokolowska T. 70976
 Sole I. 71540
 Solomons C. 70700
 Soloway S. B. 71690 II, 71691 II
 Solt G. S. 71284 II
 Somerville A. A. 71856 II
 Sommer H. 71128
 Sommer H. 72436
 Sondheimer F. 70994
 Sone K. 70316
 Song J. 71720 II
 Sorbe G. 70717
 Sorell G. 71139
 Sörensen J. S. 71002
 Sorensen N. A. 71002
 Šorm F. 70754, 70844
 Souders M. 71693 II
 Soulage G. 70021
 Southern H. K. 70623
 Švevjarto H. 70593
 Sowden J. C. 70755, 70756, 70925
 Spalding D. B. 70121
 Sparks W. J. 72507
 Späthe H. 71719 II
 Specker H. 70463
 Spector-Shefer S. 70988
 Spedding F. H. 69856
 Speed R. A. 71695 II
 Spicer G. S. 70565
 Spinks J. W. T. 70175, 72116
 Sprenger J. J. I. 71067
 Springall H. D. 69733
 Sproule W. H. 72314
 Spühler G. 70979
 Srhek F. 71498
 Stadler H. 71911
 Stalego C. J. 71567 II
 Stallinsky E. 72605 II
 Stander G. J. 71272
 Starck D. 70867
 Starmer P. H. 72584
 Starrett P. S. 71047
 Stastny F. 72510 II
 Staveley L. A. K. 70698
 Stayner R. D. 72135 II
 Steacie E. W. R. 70167
 Stedham M. E. C. 71108
 Steel J. B. 70333
 Steele A. B. 71667 II
 Steenberg B. 72644
 Stefănescu S. 71319
 Stefaniski L. 72250
 Steger E. 69790
 Steiner H. 70546
 Steinmann R. 71785 II
 Stephens H. L. 70115
 Stephenson J. S. 70944
 Stern D. R. 71362
 Stern H. 71197
 Stern K. H. 70220
 Sternbach L. H. 70944
 Stetter H. 70845
 Stettler H. 72336
 Stevens I. D. R. 70739
 Stevenson F. J. 70447
 Stewart E. D. 72104
 Stewart J. A. 70524
 Stewart J. E. 69812
 Steyermark A. 70615
 Stieg F. B. 72529
 Stieh W. M. 71320 II
 Stockman C. H. 71011
 Stockman L. 72624
 Stöhr F. 71223 II

Алфавитный указатель

- Stolcheff B. P. 69787
Stokstad E. L. R. 71001
Stolp J. A. 72085
Storow J. A. 71027
Stott L. L. 72494 II
Stout G. H. 70939
Stovroff H. 72645
Stran H. H. 70465
Strankmüller J. 71277
Straschill M. 71176
Stratton W. J. 70329
Strickland J. D. H. 70230,
70231, 70565
Striegler A. 71636
Strik R. van 70764
Striplin M. M. 71395
Stroemich R. 71488
Strohmeler W. 69747
Strong J. S. 71854 II
Stroud V. A. 72733
Strub C. 72768
Stuart H. A. 72797
Stuckey B. N. 72098
Stull D. R. 70002
Sturgis B. M. 70477
Stürmer C. M. 71484
Subba Rao T. V. 72060,
72116
Subluskey L. A. 72561 II
Subrahmanyam V. 72262
Snacksdorff B. 72631
Sugli M. 70757
Suhr H. 70735
Suhr H. 72429
Sumita M. 69889
Summers L. A. 70890
Sundbom M. 69720
Sune J. M. 71749
Sune Arbussa J. M. 71887
Suolahti O. 72054
Sut S. N. 71982
Sureau R. 72750 II
Suryanarayana V. 69807
Sutherland K. L. 71066
Sutic M. 72301
Suzuki M. 70520
Sverak J. 70592
Sverika E. 72352
Svirbelj J. L. 71296
Swalin R. A. 69887
Swaminathan M. 72262
Swird G. 72612
Sweeney W. J. 71097 II
Swentzel J. P. 71521 II
Swierczynski A. 71743
Swietoslawski W. 69684
Syka Z. 71487
Syabo A. 70454
Syabo D. 70931, 70932
Syabo Z. 71264
Syaberbirski B. 72370
Syaczny Turski J.
72748 II
Syekeres L. 70585
Syedy I. 72089
Sykutula A. 69839
Sykut S. 71626 K
Sykolay A. 72249
Syumarowski J. 72739
Sywed W. 72134 II
Syymanski H. A. 70303
Syymanski W. 70205
- T
Tabata Y. 69876
Tagmann E. 71781 II
Tait E. J. M. 71154
Tajima S. 71356
Takagi K. 69904
Takahashi A. 72181,
72831
Takahashi T. 72767
Takayama Y. 70649
Takeda K. 71017
Takegami Y. 70836
Takemura T. 72792
Takens W. 70466
Talik Z. 70842
Tamchyna J. 69651
Tanaka J. 72049
Tanaka N. 70241
Tanaka R. 72638
Tanaka T. 71587
Tanner D. 72834
Tanner H. 72214
Tarama K. 70149
Tarchalski B. 69673
Tarlton A. J. 70967
Tarpo E. 72355
Taschner E. 70976
Tate A. P. K. 71612
Tateda A. 70325
Tatsumoto M. 70451
Tatwawadi S. V. 70504
Taub D. 70948
Taub H. 70094
Tavernier P. 71909, 71910
Taylor A. J. 71326
Taylor E. P. 70873
Taylor R. 71882
Taylor R. C. 69788
Taylor R. G. 70012
Tedder J. M. 70837
Tedoradse G. 70217
Teegarden K. J. 69900
Teeters W. 71658 II
Teichert A. 70814
Teichmann C. E. 71324 II
Telge H. 72384
Templeton J. F. 69842
Tener G. M. 70987
Teplitz M. 71974
Teranishi S. 70149
Terres E. 71982
Terrien J. 69725
Tertiuk W. 70841
Test F. L. 71043
Teuber H. J. 70953
Thaler S. 72333
Thanawalla C. B. 70817
Thellmann E. L. 71222 II
Thirion M. 71486
Thoenes H. W. 72008
Thomas B. R. 70997
Thomas G. 71364
Thomas J. W. 71251
Thomas L. F. 69818—
69820
Thomas T. M. 72006
Thomé K. E. 72294
Thompson K. W. 71808 II
Thompson P. F. 71163
Thompson R. J. S. 71945
Thompson R. R. 70755,
70925
- Thomson J. 71270
Thon D. 71235
Thorn J. P. 71639
Thorvik L. 72093
Thraum W. 71897 II
Thrower J. 70915
Thurber F. H. 72128
Tibuleac E. 71529, 71536
Tiefenthal H. E. 70815
Tierney P. A. 70343
Timell T. E. 72629
Timmerman D. 72848
Ting Zhen-kai 70839
Tischer R. P. 70234
Tittle Ch. W. 70724 II
Tiware S. S. 71811
Tober E. 70960
Tobolsky A. V. 70103
Todd A. 70984
Toda R. 72081
Todd U. M. 71753
Tödt F. 70575
Tokuda T. 69942
Tokunaga K. 70148
Tollenaar A. 72661
Tomasi L. 69947
Tomassi W. 71432
Tomic E. 70496
Tomita K. 69813
Tomita Y. 70990
Tonami H. 72721
Tønnesen B. A. 72796
Toole J. 72821
Toptschijew A. W. 71637
Torelli V. 71709 II
Török F. 69965, 72845
Torre O. L. 71182
Tóth-Zsiga I. 72149
Toulmin H. A. 72685 II
Townend D. T. A. 71948
Trail M. M. 70992
Traill D. 72610
Treat R. O. 72585
Trepka E. 69671, 69681
Tripathi S. C. 70313,
70326
Trippett S. 70959
Trivedi P. L. 70817
Trognitz K. 72241
Trojer F. 70596
Tschinkel J. G. 71987
Tsuchida T. 69990
Tsuruta T. 72835
Tsuzuki H. 71303
Tuck D. G. 70215
Turbett F. L. 71403 II
Turchinets W. 69970
Turco T. A. 71206
Turkevich J. 69986
Turner D. R. 71474 II
Turner E. C. 71823
Turner G. B. 72669 II
Turner J. S. 72643
Turner J. T. 72715
Turner L. B. 72471 II
Türdn C. 70851
Tyræ S. Y. 70302
- U
Ubaladini I. 72427
Ubisch H. 70680
Ueyama M. 72840
- Umbach H. 71349 II
Ungemach O. 71561 II,
71561 II
Unruh C. C. 71898 II
Unterberger R. R. 69827
Unzelman G. H. 71985
Updegraff N. C. 71947
Urbanski T. 72865
Urey H. C. 70359
Uusna O. 72316
- V
Vaartaja O. 71834
Vacek J. 71737
Vajna S. 72142, 72155
Valentine S. 71972
Valussi S. 71969
Van Beneden R. 71647
Vance W. J. 71142
Van Derveer P. D. 72633
Van Eljnsbergen J. F. H.
71199
Van Hook J. P. 70103
Van Ormer W. K. 71522 II
Van Stolk D. 70951
Van Wambeke L. 70397
Varček G. 70404
Vartapetian H. 69703
Vartapetian O. 70320
Vasilin G. 70790
Vaska L. 70262
Vásquez Barete M. 71592
Veazie A. E. 70102
Vebersik V. 69980
Velich J. 70915
Velazquez J. 71592
Velazquez L. 71592
Velluz L. 71708 II
Venet A. M. 72864
Venkatakrishnan S. 70093
Venner H. 70926
Venugopalan M. 70352
Verdejo Vivas G. 72395
Vergnaud H. 71397
Vermilyea D. A. 69934
Vernazza N. 71876
Vernois J. 70536
Vero E. 71716 II
Verstappen J. J. 71633
Vickery J. R. 72361
Vidotto L. 71008
Vignalou C. 70936
Vinayaka M. R. 71598
Vincent E. A. 70394
Vincze I. 70974
Vintila E. 72053
Visvanathan T. R. 71388
Vivant G. 70800
Vogel R. 72704
Vogelsong D. C. 70110
Volgt D. 70765
Volnea H. 71595
Volek I. 72625
Volovick G. 69960
Volpi G. G. 70072
Voneš F. 72256
Voorhees B. G. 71152
Voorhees E. M. 72349
Vorlíček M. 71601
Vosburgh W. C. 70610
Vrbík J. 72724
Vries H. 69987
- Vukadinovic M. 72777 R
Vuković V. 71949
Vuorinen Y. 70450
- W
Waard H. de 69706
Waaske H. 71500
Wachtmeister C. A. 70998
Wade W. H. 71132
Wadleigh K. R. 70691
Wagner H. B. 72541
Wakahama G. 70362
Waldron J. D. 71122
Walker J. 70801
Walker M. T. 72002
Wallace A. E. 72161 II,
72162 II
Wallenberger F. T. 70768
Waller C. W. 70961
Walt T. 70041
Walter E. 71310
Walter R. 72439
Walter R. I. 69975
Walther H. 70788
Walther J. E. 69955
Wanlo A. 69839
Warchalowski A. 72147
Ward A. M. 69677
Warren I. H. 70720
Warsi A. 70769
Wasilewski L. 69666,
69683
Wasp E. J. 71098
Watanabe K. 72820
Watanabe M. 72437
Watanabe T. 72311
Watanabe W. H. 71722 II
Waterman H. I. 71633
Watnick S. I. 71291
Watorski K. 71286
Watson G. M. 70105
Watson K. S. 71258
Watson R. W. 72042 II
Watts B. B. 71816
Wawzonek S. 70614
Webb M. S. W. 70604
Webb T. L. 70041
Weber G. 72003
Weckel K. G. 72307
Wegener P. P. 70126
Wegstedt L. 70656
Weigel F. 70286
Weil I. 71860 II
Weill A. R. 71145
Weinges K. 70995
Weinreb A. 70177
Weinrich W. W. 71336 II
Weiss J. 69939
Weiss K. 70111
Weissenberg G. 71561 II,
71562 II
Welch C. M. 70647
Welch C. P. 71046
Welch G. B. 71599
Welch L. M. 72471 II
Weller S. W. 70618
Wells R. A. 72613
Welsh J. Y. 71365
Wempel I. 70986
Wendell J. M. 72646,
72649
Wendlandt W. W. 70514

Указатель держателей патентов

Wendler N. L. 70948	Wielecawek B. 69658	Wilson H. L. 72471 II	Wykoff W. R. 71332	Yumoto H. 72842
Wenzel P. 70655	Wieczorek G. A. 71401	Wilson J. E. 70673	Wylde J. H. 71506	Yutzy H. C. 71906 II
Werner E. 72150	Wiemann J. 70781	Wilson J. L. 72123	Y	Z
Werner P. M. 71157	Wieseneder H. 70444	Winfield M. E. 70341	Yamada S. 72722	Zabicky J. 70745
Wertheim J. H. 72293	Wiesent J. 71059	Winger A. G. 71081	Yamada Y. 70628	Zabinski W. 70393
Wesser U. 71048	Wiggins T. A. 69795	Winkler H. 72477 II	Yamaguchi M. 70149	Zachrisson A. 72417
West D. W. 72814	Wilder E. A. 71655 II	Winn F. W. 71335 II	Yamamoto Y. 71204	Zaehringer A. J. 72419
West P. W. 70647, 71228	Wiley R. H. 70273	Winogradow L. 71492	Yamane J. 71587	Zahradnik R. 70099
West T. S. 70619	Wilkes B. G. 71667 II	Winslow E. H. 70479	Yamaoka K. 72847	Zaleski J. 72273
Westermarck T. 70481	Wilkes J. B. 71703 II	Wirsch W. E. 72449	Yamasaki F. 71288	Zamfirescu M. 72726
Westfahl J. C. 72855	Wilkins D. H. 70602	Wisblatt L. 72261	Yamashita I. 72049	Zamoyski T. 69690
Westman S. 69858	Wilkins M. R. 72646	Wiśniakowski S. 72607	Yamazaki I. 72831	Zander H. 71571
Weychert S. 69670	Wilkinson F. 70005	Witherspoon P. A. 71968	Yamazaki M. 70583	Zarniewski M. 69661
Weyde E. 71902 II	Wilkinson R. W. 70961	Witte J. 70881, 70882	Yamin M. 70277	Zech J. D. 71684 II, 71707 II
Weyerer H. 70672	Willans J. L. 70554	Wobus R. S. 71009	Yanagawa S. 69708	Zelenka S. 72158
Whalley B. J. P. 71364	Willard J. E. 70169	Wohnstiedler H. P. 71717 II	Yang D. D. H. 70977	Zelikoff M. 70353
Whelan W. J. 70769	Willart S. 72335	Wolf A. P. 69972	Yang Ching-sen 70833	Zellman F. 72558
Whirl S. F. 71252	William N. 71913 II	Wolf F. 72479 II	Yankwich P. E. 70102	Zemann J. 69948
White C. B. 70475	Williams B. M. 71861 II	Wolff H. 70016	Yates P. 70999	Zembura Z. 70240
White R. R. 71646	Williams G. 72937	Wolff I. A. 72858	Yeddana, ali L. M. 70117	Zief M. 71745
White T. R. 69753	Williams J. L. R. 72836	Wölfe R. 70097	Yee Tin Boo 71201	Ziermann A. 71118
Whitehead D. F. 70964	Williams K. A. 69685	Wolski W. 70142	Yellott J. I. 71051	Ziese W. 71414 II
Whiting M. C. 70792	Williams 70619	Wood L. G. 71995	Yokohata A. 70098	Zilske H. 72110
Whitney W. B. 72040 II	Williams P. H. 72039 II	Woods R. J. 70175	Yokose K. 72437	Zimmermann G. 70768
Whittier R. P. 71191	Williamson J. T. 71525 II	Woolner M. 70979	Yokotsuka I. 72203	Zinner H. 70885, 70926
Wibaut J. P. 70764	Williamson R. M. 69713	Worm E. R. 70528	Yokoyama F. 70822	Zisman W. A. 72006
Wiberg K. B. 70744	Williamson W. O. 71495	Wormall A. 70762	Yoshida H. 70157	Zobáčová A. 70930
Wicke H. 71566 II, 72763 II	Willm 72247	Wright G. F. 70740	Yoshino T. 70309	Zollinger H. 70101
Wickson E. J. 71639	Willmer T.-K. 70600	Wright R. H. 71314	Yoshizawa Y. 69709	Zuliani F. 72299, 72300
Wideqvist S. 70733	Wilmshurst J. K. 69792	Wright R. S. 70987	Yost J. F. 72481 II	Zuman P. 70099
Wieckmann G. 72517 II	Wiloth F. 72844	Wrinch D. 70978	Yost R. S. 72491 II	Zvānař V. 72552
	Wilson A. J. C. 69849	Wultsch F. 72623	Youdale F. N. 70333	Zwarg G. 70097
	Wilson G. M. 70991	Wyc E. C. de 70042	Young R. S. 70375	

УКАЗАТЕЛЬ ДЕРЖАТЕЛЕЙ ПАТЕНТОВ

A	A/S for Kontor Kemi 72681	Chemische Ververtungsgesellschaft Oberhausen m. b. H. 71666	Courtaulds Ltd 72669
Abbot Labs 71783	Ateliers de Constructions Electriques de Charleroi 71373	Chemische Werke Albert 71713	Cravenette Co. 72758
AB Hedemora Verkstädter 72667	Atlas Powder Co. 71684, 71707, 72164	Ciba Akt. Ges. 71734, 71735, 71905, 72483, 72484, 72489	Cręstochowskie Zakłady Przemysłu Lniarskiego «Stradom» P. P. W. 72740
AB Kamy 72676, 72677	Autin J. A. 72133	Ciba Akt. Ges. 71734, 71735, 71905, 72483, 72484, 72489	D
AB Separator 72225	B	Ciba Pharmaceutical Products, Inc. 71781	Davis and Geck Inc. 71907
Agfa Akt. Ges. für Photofabrikation 71837, 71902	Badische Anilin & Soda-Fabrik Akt. Ges. 71350, 71414, 71417, 71669, 71721, 71892, 72041, 72510, 72571, 72755	Cie Française Blaw-Knox 71964	Dehydtag, Deutsche Hydrierwerke G. m. b. H. 72400
Akt. Ges. der Gerresheimer Clashüttenwerke vormals Ferd. Heye 71566	Bergwerksverband zur Verwertung von Schutzrechten der Kohlentechnik G. m. b. H., 71348, 71349	Cie Française des Matières Colorantes 72750	Deutsche Gold und Silber Scheideanstalt vormals Roessler 71473, 72604
Akt. Ges. Rosenbl Patent 72673	Berjonneau J. & Co. 72473	Cie Française des Plastiques Industriels 72478, 72482	Diamond Alkali Co. 71940, 71863
Alexa G. 72768	Boehringer C. H. Sohn 71853	Cie Française de Raffinage 71694	Dick A. B. Co. 72580
Algemeene Kunstvezel Maatschappij N. V. 72763	British Thomson-Houston Co., Ltd 71406	Cie Industrielle et Minière du Nord et des Ayles et M. Vsevolod Dachkevitch 71382	Distillers Co. Ltd. 71677, 71700
Allied Chemical & Dye Corp. 71404, 72574	Brousseau P. G. 72500	Coler M. A. 72515, 72516	Dow Chemical Co. 71772, 71800, 72508
American Bosch Arma Corp. 71698	C	Columbia-Southern Chemical Corp. 71844	Du Pont de Nemours & Co. 71673, 71685, 71700, 71899, 71901, 72470, 72485, 72495, 72506, 72507
American Can Co. 72581	California Research Corp. 71696, 71703, 72135	Combustion Engineering, Inc. 72675	E
American Cyanamid Co. 71558, 71699, 71711, 71717, 71720, 71779, 71780, 72481	Callery Chemical Co. 71378	Commercial Solvents Corp. 71794	Eastman Kodak Co. 71906, 72487, 72488, 72498, 72512
American Patents Corp. 72760	Cambridge Tile Manufacturing Co. 71520	Commonwealth Engng Co. of Ohio 72685	Erdkamp A. 72781
Anchor Hocking Glass Corp. 71559	Carborundum Co. 71521, 71522	Consortium für elektrochemische Industrie G. m. b. H. 72477	Esso Research and Engineering Co. 71097, 71422, 71659, 71671, 71672, 71695, 71870, 72026, 72027
Appareils Modernes de Filtration et Graissage 72514	Chas Pfizer & Co., Inc. 71851	Corning Glass Works 71560	
Argires 72602, 72603	Chemical Construction Corp. 71386		
Aries R. S. & Associates, Inc. 71785			

72029, 72030, 72033, 72043,
72507, 72563, 72569
Ethyl Corp. 71686, 71845,
71846
Ets Chatelard Pere et Fils
72757

F

Farbenfabriken Bayer Akt.
Ges. 71344, 71682, 71800,
71849, 72562, 72779
Farbenfabrik Wolfen 71415,
72479
Farber E. 72780 II
Farbwerke Hoechst Akt. Ges.
vormals Meister Lucius &
Brüning 71381, 71657, 71719
Federal Cartridge Corp. 71913
Food Machinery and Chemical
Corp. 71865, 71867
François Sommer 72762

G

Genatosan Ltd 71716
General Aniline & Film Corp.
71907, 72497
General Ceramics Corp. 71569
General Electric Co., Ltd.
71412
General Foods Corp. 72407
General Mills, Inc. 71714
General Motors Corp. 71477
Glidden Co. 72573
Goodyear Tire & Rubber Co.
72600
Gross A. 72683
Gulf Oil Corp. 71652, 72025
Gulf Research & Development
Co. 70724, 71219, 71660,
71668, 72028, 72044
Guss C. 72576

H

Haloid Co. 71908
Hamilton E. K. 72577
Happel J. 71654
Harding Manufacturing Co.,
Inc. 72505
Harris Research Labs Inc.,
72744
Hercules Powder Co. 71705,
71706, 72058, 72493, 72561
Herold H. 71416
Horizons Titanium Corp. 71222
Houdry Process Corp. 71100
Huber K., Blechwarenfabrik
72517
Hunter Metallic Products
Corp. 72575

I

Imperial Chemical Industries,
Ltd. 71334, 71651
Instytut Chemii Nieorganicznej
71369
Instytut Chemii Ogólnej 71384
International Minerals &
Chemical Corp. 71405
Ionics Inc. 72671
Isolants Français 72605

J

Jedlicka H. 72513
Jenaer Glaswerk Schott &
Gen. 71561, 71562
Johnson S. C. & Son, Inc.
71655

K

Kalamazoo Vegetable Par-
chment Co. 72679
Kamlet J. 71701
Keeler G. F. 71523
Kellogg M. W. Co. 71524,
71658, 71704, 72475
Keystone Chemurgis Corp.
72410
Klenle & Co. 72581
Kodak-Pathé 71900
Koppers Co., Inc. 72568
Kureha Kasei Co. Ltd. 72615

L

Lab. Kolorystyczne 72748
Lang K. 72474, 72761
Lilly E. and Co 71723
Linke P. 71687
Liquiddivision Gauge & Control
Corp. 71127
Lonza Elektrizitätswerke und
Chemische Fabriken Akt.
Ges. 71421

M

Magie W. A. 72582
Maria-Luisa Alonso Huerta
72132
Marpillero P. 72678
Maschinenfabrik Augsburg-
Nürnberg Akt. Ges. 71518
Mathieson Chemical Corp.
71852
Metallgesellschaft Akt. Ges.
72032, 72036
Möbius E. 72509
Möhler E. 72778
Monkhouse & Glasscock, Ltd
72408
Monsanto Chemical Co.
71784, 71855, 71859, 71862,
72480
Moorman W. C. 72131
M. & R. Dietetic Lab., Inc. 72161

N

National Aluminate Corp.
72160
National Dairy Products
Corp. 72129
National & Lead Co. 72565,
72566
National Research Corp. 71662
National Research Council
71099
Neyret Frères et Cie 72752
Niespodziewański Z. 72570
North Carolina Pharmaceuti-
cal Research Foundation,
Inc. 71702
Norton Co. 71471
N. V. de Bataafsche Petro-
leum Maatschappij 71665,
71676, 72680

N. V. Onderzoekingsinstituut
Research 72518
N. V. Organon 71808

O

Ohly G. 72224
Öman E. 72688
Owens-Corning Fiberglas Corp.
71565, 71567, 71568

P

Permutit Co. 71284
Petiau M. L. 72759
Pfizer & Co., Inc. 71793
Phillips Petroleum Co. 71101,
71656, 71718, 71869 72040
Phoenix-Rheinrohr Akt. Ges.
Vereinigte Hütten- und
Röhrenwerke 72511
Pierce Foundation J. P. 71712
Pittsburgh, Coke & Chemical
Co., 71864
Pittsburgh Plate Glass Co.
71564
Polaroid Corp. 71903, 71904
Poll J. N. 72578
Polymer Corp. 72494
Polymer Industrie Chimiche
72486
Porsche F., K. Ges. 72501
Pure Oil Co. 72031

R

Ramm H. 72492
Rayonier Inc. 72056, 72672
Renaud M. H. M. 71843
Republic Steel Corp. 71472
Research and Engineering Co.
72471
Rheinpreussen Akt. Ges für
Bergbau und Chemie 71683,
71766, 71768, 71769
Rhenio Akt. Ges. 71282
Rock Hill Printing & Finishing
Co., 72753
Rockwell Spring and Axle
Co. 71476
Rohm & Haas Co. 71681,
71715, 71722, 71854, 72491
Rohn H. L. 71806
Ruhrchemie Akt. Ges. 71670,
71034
Rutgers Research and Endow-
ment Foundation 71724

S

Satona Ltd. Thomas Norman
Gaunt 72686
Schering Akt. Ges. 71773
Schütze Akt. Ges. Gießerei
& Maschinenfabrik 71223
Shell Development Co. 71664,
71690, 71691, 71693, 72039,
72567
Siemens-Schuckertwerke Akt.
Ges. 72564
Sinclair Refining Co. 72035
Smith-Douglass Co., Inc.
71402
Soc. Anon. des Manufactures
des Glaces et Produits
Chimiques de Saint-Gobain,

Chauny & Cirey 71343, 71563
Soc. Chimique de Gerland
72504
Soc. Del Linoleum 72502
Soc. Française d'Oxycatalyse
Oxyfrance 72057
Soc. Française dite Solumeta
72579
Soc. Mégavolt 72130
Soc. Monsavon l'Oréal 71379,
72746
Soc. Per Azioni 72502
Soc. de Prospection Electri-
que Procédés Schlumberger
71912
Soc. Rhodiacta 72749
Soc. des Usines Chimiques
Rhône-Poulenc 72503
Soc. de la Viscose Suisse 72742
Spencer Chemical Co. 71403
Standafast Dyers and Prin-
ters Ltd. 72745
Standard Oil Co. 72042
Standard Oil Development Co.
71661, 71675, 71679
Stanolind Oil and Gas. Co.
72037
Stauffer Chemical Co. 71866
Stieh W. M. & Co., Inc. 71320
Stora Kopparbergs Bergslags
AB 72670
Svanberg P. R. 72674
Sylvania Electric Products
Inc. 71409

T

Texaco Development Corp.
71324
Texas Co. 71214, 71678,
71857
Thiele Kaolin Co. 71525

U

UCLAF 71709
Union Carbide and Carbon
Corp. 71667, 71850
Union Central Life Insurance
Co. 70727
Union Lumber Co. 72780
Union Oil Co. of California
71680, 71697
Universal Oil Products Co.
71692
Upjohn Co. 71778, 72687
USA, Secretary of Agriculture
72128
USA Secretary of War 71688
USA, U. S. Atomic Energy
Commission 71333, 71335,
71336
U. S. Borax and Chemical Corp.
71858
U. S. Ceramic Tile Co. 72472
Usines de Melle 72163

V

Vanderbilt R. T. Co., Inc. 71856
Velluz L. 71708
Veliscol Chemical Corp. 71847,
71848
Verdier A. L. 72606

Указатель держателей патентов

Vereinigte Glanzstoff-Fabriken
Akt. Ges. 72614
Vulcan Copper & Supply Co.
71663

W

Western Electrochemical Co.
71374

Westinghouse Electric Corp.
71474
West Virginia Pulp and Paper
Co. 72059

Wilma Fröter 71868
Wisconsin Alumni Research
Foundation 71842

Анон когё кабусики кайся
71385
Асахи гарасу кабусики кай-
ся 71470
Асахи касёй когё кабусики
кайся 71347
Ватанабё Ф. 72747
Дайниппон сэйяку кабусики
кайся 71771
Дзайдан ходэин нихон пёни-
сирин гакудзёцу кегикай
71804
Дзайдан ходэин ногутти кён-
кюсе 71420, 71467, 71469
Идзуми Р. 71212
Исикавадзима дзёкогё ка-
бусики кайся 71411
Иригава Т. 71419
Каваками кёнкюсё кабусики
кайся 71418, 72136
Кагаку кёнкюсё кабусики
кайся 71803
Кано С. 71627
Кёто дайгаку кагаку кёнкюсё-
тё 72601

Когё гидзёцуинтё 71220,
71407, 71408
Комацу С. 71466
Котани Х. 71787
Кимура Х. 71372
Кириу Т. 72754 П
Кувата Ц. 71380
Куроода Т. 71805
Куроява С. 71218
Мацусигё С. 72137
Мидубиси касёй когё кабусики
кайся 71776, 71777, 71782,
71795, 71891
Мёйдёнсё кабусики кайся
70726
Нихон гому кабусики кайся
71376, 71377
Нихон дзёнэндзай когё ка-
бусики кайся 72038
Нихон носёйко кабусики кай-
ся 71340, 71341
Нихон каяку кабусики кай-
ся 71802
Нихон кёйсё дзёси кабусики
кайся 72756

Нихон рёй о банку кандэнтё
кабусики кайся 71465
Нихон сэмбай кося 71370
Нихон тиссо хирё кабусики
кайся 71375
Ногамы Ц. 71786
Префектура Канагава 72751
Сато М. 71893
Син нихон тиссо кирё кабу-
сики кайся 71674
Синохара К. 70652
Сйова гому кабусики кайся
71215, 71216
Судзуки М. 71468
Судзуки М. 72684
Судзуки Х. 71796
Сумитомо кагаку когё ка-
бусики кайся 71342
Сумитомо киндзёку кодзан
кабусики кайся 71475
Таё сэйяку кабусики кай-
ся 71765, 71767, 71790
Тайко касёй кабусики кай-
ся 72496
Таната Т. 71770

Такуми Йосинао 71510
Танёда сёкирё кабусики кай-
ся 72409
Танёда якухин когё кабусики
кайся 71775, 71788, 71789,
71792, 71797—71799, 71800
Такэсима Т. 71221
Тамакы Д. 71894
Танабё сэйяку кабусики кай-
ся 71774
Тоа эйё кагаку когё кабусики
кайся 71791
Токио сэйсакусё кабусики
кайся 71213
Токуяма сода кабусики кай-
ся 71383
Торахасё Т. 71895
Фудзикава денсен кабусики
кайся 71217
Фурукава К. 71896
Хигутти Й. 71628
Хироми К. 72682
Эдогава кагаку когё кабусики
кайся 71367, 71368

Технический редактор *Р. М. Денисова*

Подписано к печати 10/X 1958 г. Тираж 4275 (в т. ч. 700 экз. отд. отт.) Формат бумаги 84×108¹/₁₆,
Зак. 904 Печ. л. 51,66 Бум. л. 15³/₄ Уч. изд. л. 94,7

2-я тип. Издательства АН СССР, Москва, Шубинский пер., д. 10

888
Результат
2

71519
усилии на-

в набухши
788, 71780,
790, 7100
1

усилии на-

в набухши

набухши

усилии на-

набухши

6

в набухши
368